



ZEITSCHRIFT DES VEREINES DEUTSCHER INGENIEURE.

Engin
TA
3
V 49
Z 5
no. 25-52

Nr. 25.

Sonnabend, den 22. Juni 1901.

Band XXXV.

Inhalt:

Baukonstruktionen der Manhattan-Hochbahn in New York. Von F. Müller v. d. Werra	865	Hörschau: Bei der Redaktion eingegangene Bücher. — Ueber- sicht neu erschienener Bücher	889
Die Weltausstellung in Paris 1900: Hebe- maschinen. Von Kammerer (Fortsetzung)	874	Zeitschriftenschau	890
Der Wettbewerb um den Entwurf einer Stra- ßenbrücke über den Neckar bei Mannheim. Von C. Bernhard (Fortsetzung) (hierzu Textblatt 9)	883	Rundschau: Die Weltausstellung in Paris 1900: Natürliche Hilfs- quellen und Entwicklung der kanadischen Industrie (Schluss). — Studien-Gesellschaft für elektrische Schnellbahnen. — Kongress für gewerblichen Rechtsschutz. — Klappboot. — Verschiedenes	893
Hamburger B.-V.	886	Patentbericht: Nr. 118197, 116528, 117499, 117498, 118914, 118164, 118237, 117607, 116512, 116158, 117344, 116567, 117389, 116442, 117865, 116634, 116187, 117319, 117362, 116190, 116398, 117366, 116237, 116408, 116235, 116282, 116163, 116309, 116169, 117443	896
Lenne-B.-V.	887	Zuschriften an die Redaktion: Die richtige Knieformel	898
Niederrheinischer B.-V.	887		
Tüßlinger B.-V.: Die Tätigkeit des Gas- gewinde-Ausschusses	887		
Württembergischer B.-V.: Die Feier zum Andenken Robert Mayers in Heilbronn	887		
Verein für Eisenbahnkunde	888		

(hierzu Textblatt 9)

Baukonstruktionen der Manhattan-Hochbahn in New York.

Von Fritz Müller von der Werra, Bauingenieur in Berlin.

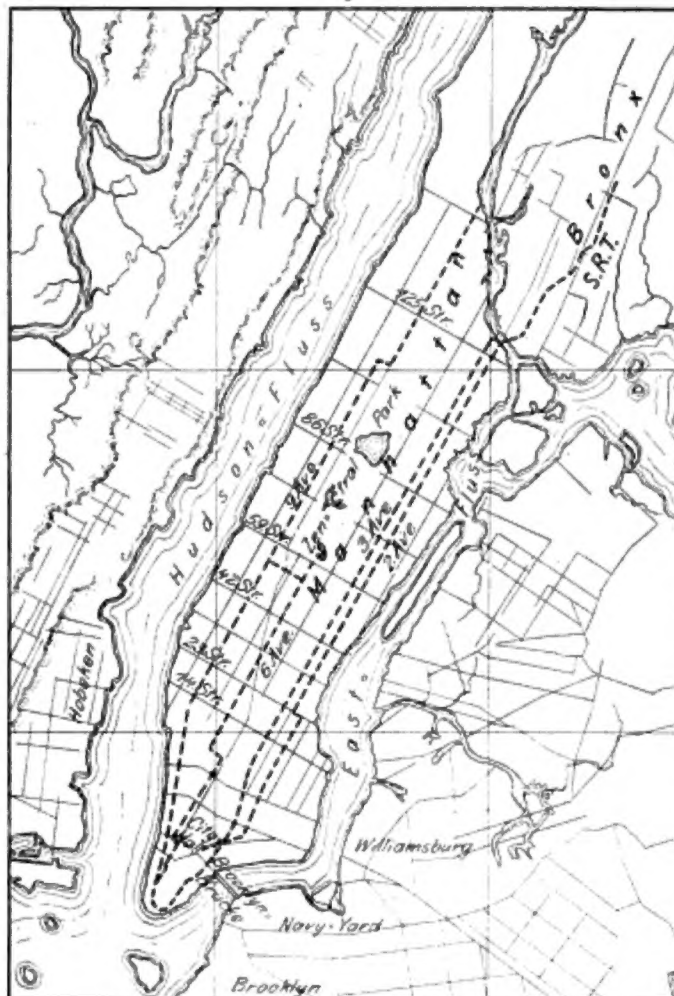
Der wechselnden Flut und Ebbe vergleichbar ergießt sich tagein, tagaus frühmorgens der Strom der New Yorker Geschäftswelt in die untere Stadt, das Geschäftsviertel, um nach Spätmittage den in den nördlichen Stadtteilen belagerten Wohnstätten wieder zuzuteilen. Dieser einseitige, aber darum desto gewaltigere Verkehr wird einmal durch die langgestreckte schmale Gestalt der Manhattan-Insel und der Bronx-Halbinsel, auf denen die Stadt New York liegt, bedingt, andererseits dadurch, dass das Wachstum der Stadt nur in einer Richtung, nach Norden hin, erfolgen kann. Unter diesen eigenartigen Bedingungen hat sich von Jahr zu Jahr zunehmend in New York ein Massenverkehr entwickelt, wie er heutzutage von keiner Stadt der Welt auch nur annähernd erreicht wird.

Die folgenden Zahlen mögen dies vergleichsweise veranschaulichen und belegen. Nach dem Bericht der United States Interstate Commerce Commission wurden im Jahre 1898 innerhalb der Grenzen der Vereinigten Staaten 501066681 Personen durch die Eisenbahnen befördert. Im Jahre 1899 wurden die Hoch- und Straßenbahnen von New York von 528228437 zahlenden Personen benutzt, oder von 5,4 vH mehr, als auf den Eisenbahnen der gesamten Union in einem Jahre befördert wurden.

Diesen ungeheuren Verkehr sucht neben einem weitverzweigten Netz von Straßenbahnen die rd. 50 km lange Hochbahnanlage der Manhat-

tan Railway Company zu bewältigen, welche nach Fig. 1 die Stadt in vier nahezu parallelen Strängen durchzieht. Von der genannten Verkehrsziffer entfallen auf die Manhattan-Hochbahn zwischen 175 und 180 Millionen beförderte Personen im Jahr.

Fig. 1.



Die ersten Strecken der Manhattan-Hochbahn entstanden im Anfang der siebziger Jahre, zu einer Zeit, als der Eisenbau noch in der Entwicklung begriffen war, Erfahrungen auf dem Gebiete des Eisenhochbahnbaues aber überhaupt noch nicht vorlagen. Die Suburban Rapid Transit-Linie jedoch, die nördliche Fortsetzung der beiden östlichen Stadtbahnlinien, s. Fig. 1, wurde Ende der achtziger Jahre ausgeführt, wird heute noch weiter ausgebaut und list, was Gesamtanordnung und Einzelheiten anlangt, die Grundregeln erkennen, nach denen der moderne amerikanische Eisenkonstrukteur arbeitet.

Bei der folgenden Betrachtung der wichtigsten Bauwerke der Manhattan-Hochbahn, deren Entwurf und Ausführung zumteil, wie gesagt, bis zu 30 Jahren zurückliegen, kann es nicht überraschen, wenn hier und da Anordnungen angetroffen werden, die heute in konstruktiver Beziehung als überlebt gelten und deren Beschreibung kaum mehr als geschichtlicher Wert innezuwohnen scheint. Vergegenwärtigt man sich jedoch, dass manche dieser Konstruktionen, die trotz der ihnen anhaftenden Mängel bis auf den heutigen Tag ihren Zweck erfüllt haben, ein wertvolles Anschauungs-

eines Schmiedehammers das Gusseisen zertrümmert wurde, ehe sich die Kittverbindung lockerte. Ein Zusatz von Schwefel beschleunigte zwar das Abbinden, beeinflusste jedoch die Festigkeit des Kittes nachteilig und wurde deshalb bald weggelassen.

Zwei C-Eisen, durch einfaches Gitterwerk vereinigt, oder zwei C-Eisen und zwei Bleche, als kastenförmiger Querschnitt ausgebildet, sind als Säule zahlreich vertreten; vergl. Fig. 10, 11 und 12. Das Gitterwerk besteht durchweg aus kräftigen Flacheisen, die meistens innen auf den Flanschen liegen, und ist, mit Ausnahme der zur Strecke der Suburban Rapid Transit-Linie gehörigen Säulen, Fig. 12, mit zwei Nieten an jedem Ende angeschlossen. Von den bei diesen beiden Säulengattungen vor-

kommenden Fußkonstruktionen kann ich in Ermangelung zeichnerischer Unterlagen nur kurz erwähnen, dass die Säulen der früher entstandenen Bauten fast durchweg in hohen Gussstücken stecken, ähnlich Fig. 17, die durch tief in den Unterbau greifende Bolzen wirksam verankert sind. Die in

Fig. 9.

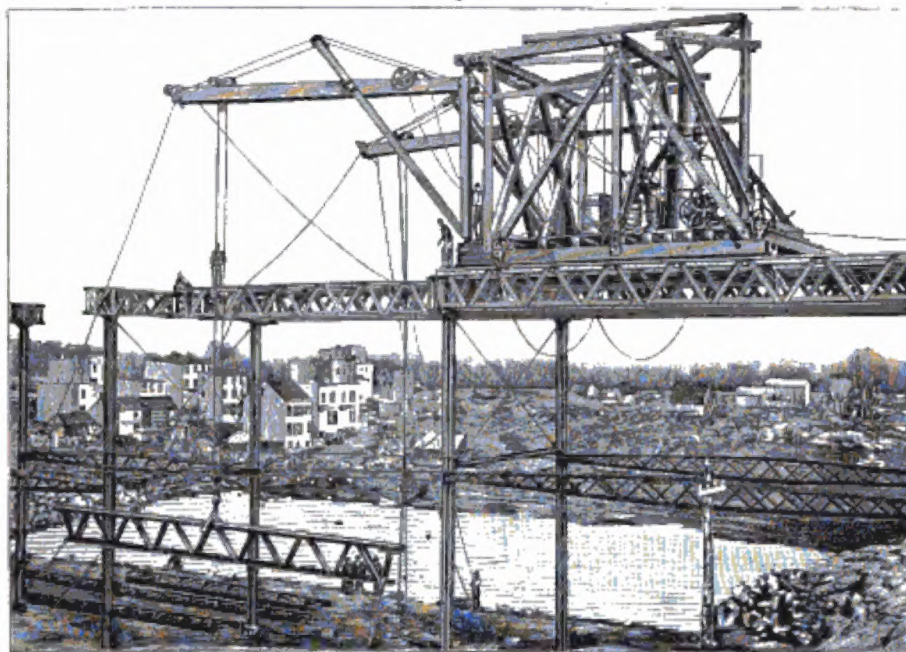


Fig. 13 abgebildete Fußkonstruktion gehört den Säulen der Suburban Rapid Transit-Linie an. Die Säule ist auf einen gusseisernen Stuhl aufgeschraubt, der durch vier Steinschrauben von 32 mm Dmr. mit einem Granitquader von $1,2 \times 1,2$ m Grundfläche und 52 cm Höhe verankert ist. Der Stein ruht sodann auf dem Betonfundament. Der Säulenfuß ist auch hier von einer gusseisernen Schutzglocke umgeben.

Dieser Säulenfuß kann mangels einer kräftigen Verankerung als eine befriedigende

Fig. 12.

Fig. 11.

Fig. 10.

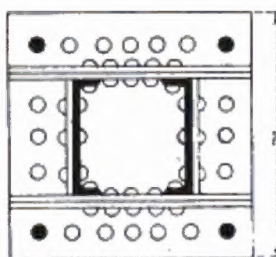
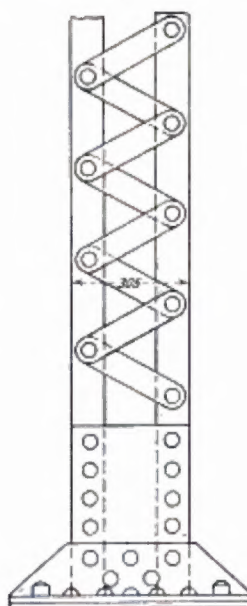
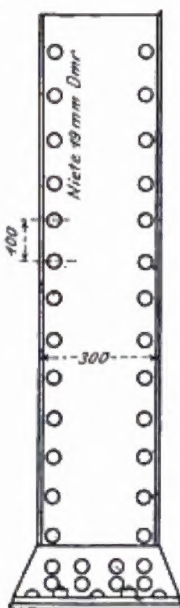
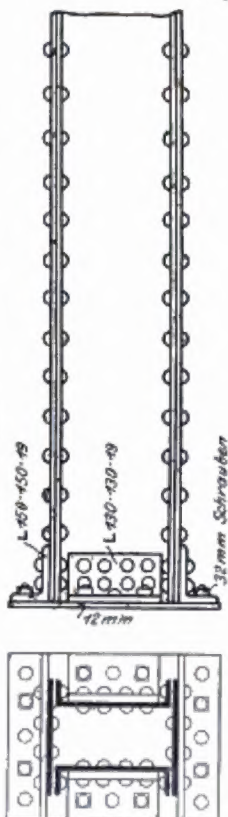
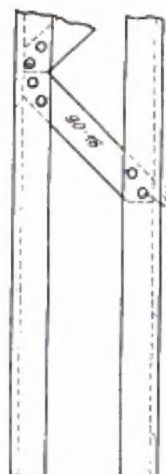
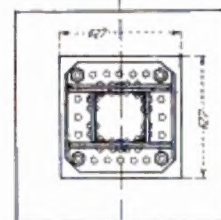
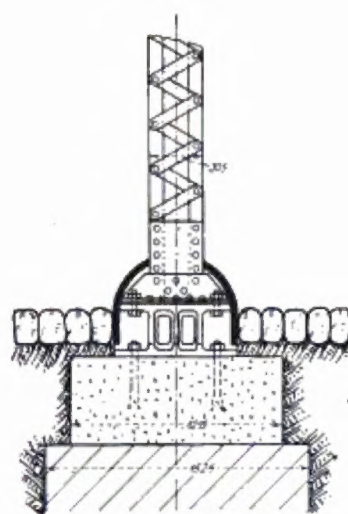


Fig. 13.



Die Weltausstellung in Paris 1900.

Hebemaschinen.

Von Kammerer, Charlottenburg.

(Fortsetzung von S. 22)

IV. Drehkrane für Kaibetrieb.

Im Gegensatz zu der von Anfang an nahezu hindernisfreien Entwicklung der elektrischen Laufkrane lagen der Einführung des elektrischen Betriebes bei Kaikranen die dornenvollsten Schwierigkeiten im Wege. Die ersten erfolgreichen

Versuche auf diesem Gebiet wurden bekanntlich in Hamburg im Jahre 1893 gemacht. Damals gab es noch keine elektrischen Straßenbahnen in Deutschland, abgesehen von Versuchsstrecken; Hauptstrommotoren und feuersichere Fahr- schalter waren so gut wie unbekannt. Der Nebenschlussmo-

Fig. 62.

114 t-Kaikran der Compagnie de Nive-Lille.

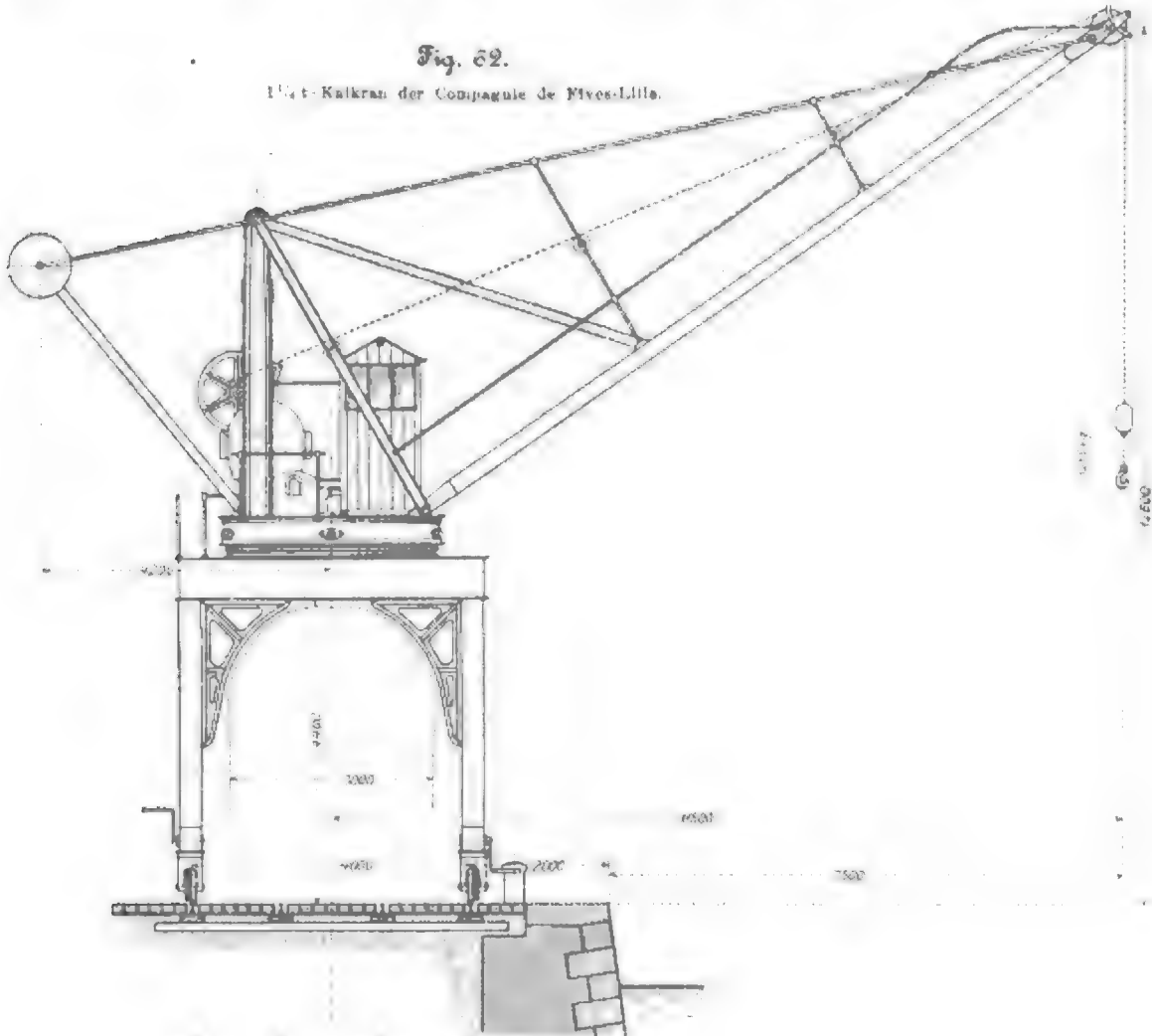
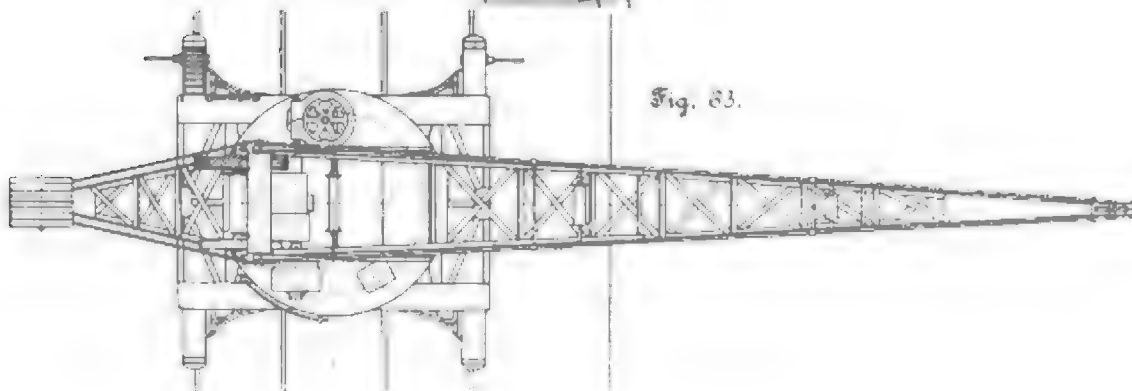


Fig. 63.



tor für Transmissionsbetrieb mit zugehörigem als Schaltbrettapparat gebautem Leerlaufanlasser war alles, was die damalige Elektrotechnik zunächst bieten konnte. Diese Mittel waren ausreichend für den bereits zu einiger Entwicklung gediehenen elektrischen Betrieb von Aufzügen und von Laufkränen, die mit Motoren von etwa 10 PS auskamen. Für

Die unzulänglichen Mittel der damaligen Elektrotechnik verführten jedes Kranbauwerk, das als Pionier an die neue Aufgabe herantrat, zunächst einen Versuch mit Reibkupplungen zu machen. Diese Versuche misslangen sämtlich, so sehr sie auch von unerfahrenen Wortführern als endgültige Lösung erklärt wurden. Die oben erwähnten ersten Versuche

Fig. 64 bis 66. Hubwerk des Krans der Compagnie de Fives-Lille.

Fig. 64.

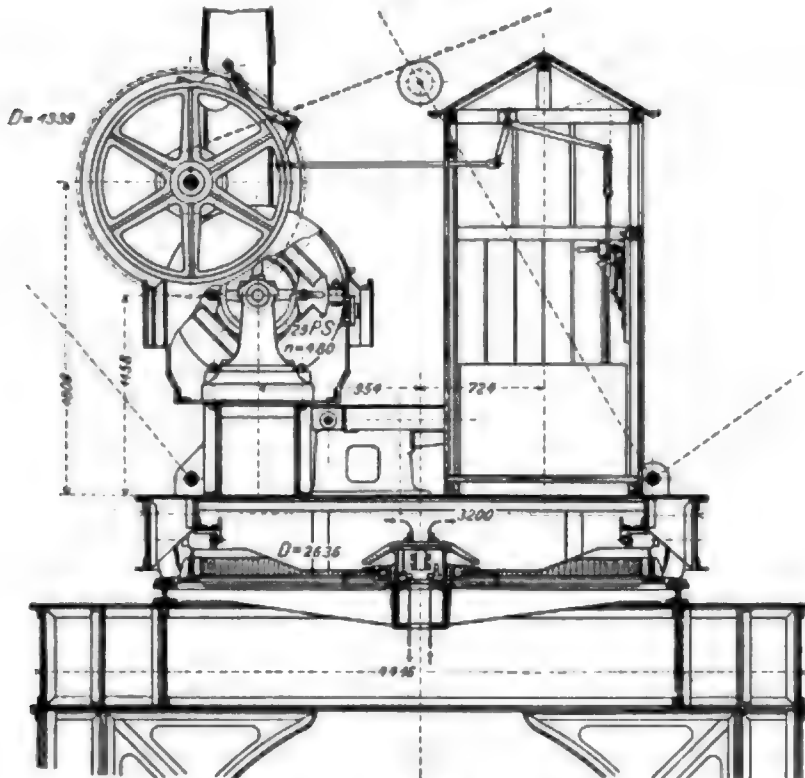


Fig. 65.

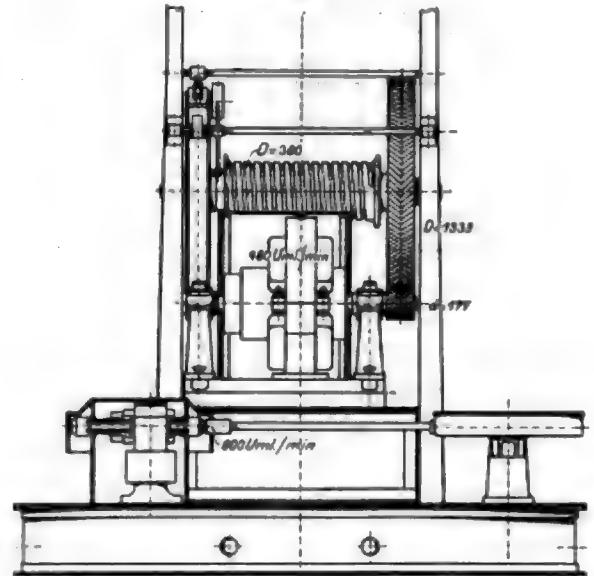
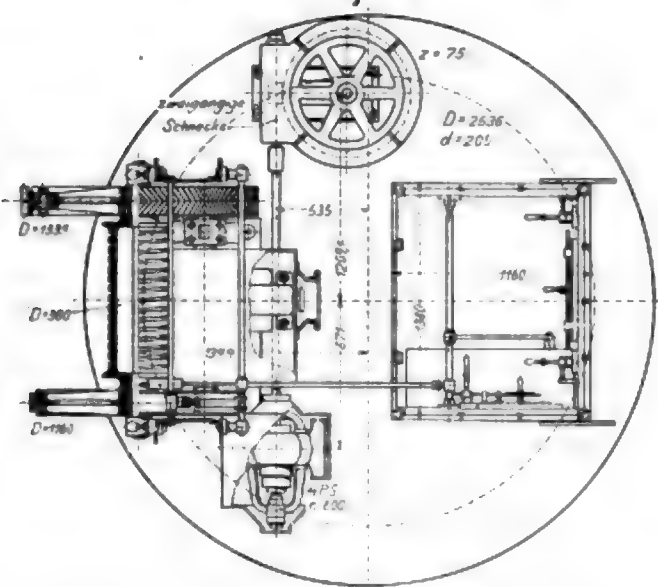


Fig. 66.



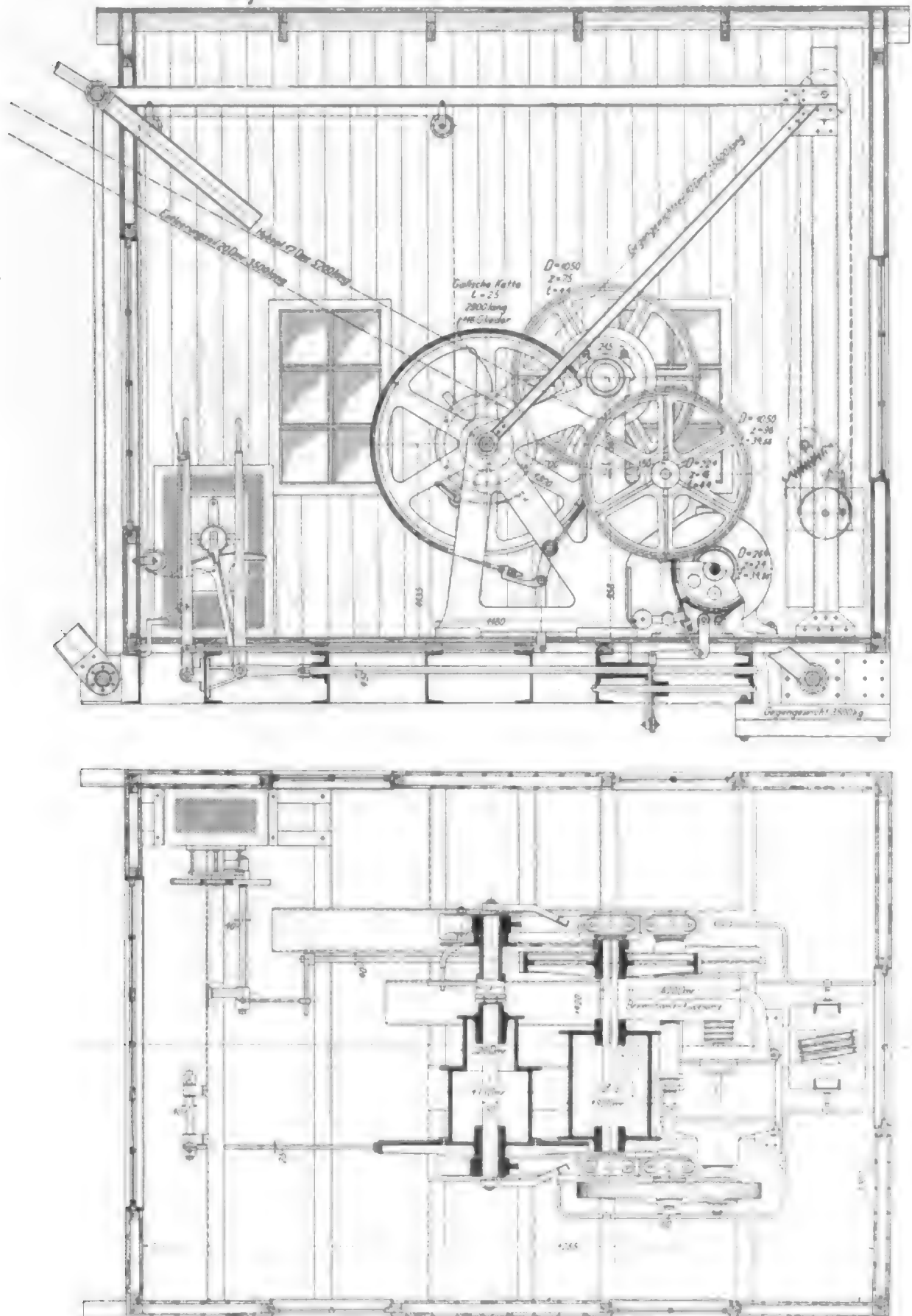
Kaikrane aber waren Motoren von durchschnittlich 40 PS mit Ankern von möglichst geringer Masse und möglichst geringer Geschwindigkeit sowie feuersichere Umsteuerungsanlasser notwendig, die Anlauf unter voller Last in 1 bis 2 Sekunden zuließen; solche Motoren und Anlasser mussten indessen erst geschaffen werden.

in Hamburg mit ungesteuertem Nebenschlussmotor suchten die Schwierigkeit des Anlaufes unter Last durch möglichst feingestuftes Anlassen zu überwinden. Letzterer erwies sich aber als viel zu empfindlich gegenüber dem rohen Kaibetrieb und dem nebligen Küstenklima und war außerdem viel zu schwer gangbar. Zur Lösung der Aufgabe führten in der Folge zwei Wege: der Anlasser mit Kohlenkontakten von Siemens & Halske A.-G., der bei der ersten größeren elektrischen Hafenanlage in Rotterdam — erbaut vom Eisenwerk vorm. Nagel & Kaemp A.-G. in Hamburg — in buchstäblichem Sinne seine Feuerprobe bestand, und der amerikanische Straßenbahn-Fahrschalter mit magnetischem Funkenlöcher, der von der Union Elektrizitäts-Gesellschaft zuerst für Kranbetrieb verwendet wurde. Als es erst gelungen war, die Bedenken der Elektrotechniker gegen den »durchgehenden« Hauptstrommotor durch gute Bremskonstruktionen zu verscheuchen, da verschwand allmählich der Nebenschlussmotor und machte dem viel anpassungsfähigeren Hauptstrommotor auf ganzer Linie Platz.

Zu den Hindernissen auf elektrotechnischem Gebiete traten Schwierigkeiten maschinentechnischer Natur. Eine Beleuchtung derselben giebt folgendes Vorkommnis: Eine damals an erster Stelle stehende Sonderfabrik für Zahnräder empfahl als geeignete Räder für Uebertragung von 40 PS von einer mit 500 Uml./min laufenden Motorwelle auf eine mit 85 Uml./min laufende Trommelwelle allen Ernstes die Verwendung von Winkelzahnradern mit rohen Zähnen; eine auf diesen Rat gegründete Ausführung brachte die Zahnräderübertragung für elektrische Antriebe auf lange Zeit in Verruf, bis endlich die Rohhautgetriebe mit geschlittenen Zähnen die Schwierigkeit in einfachster Weise beseitigten.

Schließlich war noch eine Umänderung des Krangertütes insofern notwendig, als die früher allgemein übliche Säulenkonstruktion für übersichtliche und zugängliche Aufstellung

Fig. 74 bis 76. Hubwerk des Kranes von Mohr & Federhaff.



noch eine Bandbremse zur Aufnahme der nach oben gerichteten Massendrücke des Triebwerkes eingebaut und hierzu dieselbe Scheibe benutzt, welche das Differentialband trägt.

Mit besonderer Sorgfalt ist von Siemens & Halske der Anlasser, Fig. 77, ausgeführt. Es sind Kohlenkontakte angewendet, die den großen Vorzug haben, dass sie nicht festschmoren und sich sehr leicht auswechseln lassen. Auf den im Kreise stehenden Kontakten wälzt sich eine Kupferrolle ab, sodass

nutzt, der normal 5 PS bei 940 Uml./min bieten kann und ebenfalls mit Schleifringanker ausgeführt ist. Mit seiner Ankerwelle ist eine Welle gekuppelt, die einerseits durch eine Klaue mit dem lose darauf drehbaren Rohhautgetriebe für Fahren und andererseits durch eine Klaue mit einer Schneckenwelle für Drehen gekuppelt werden kann. In letztere Schnecke greift ein Schneckenrad auf senkrechter Welle, die ihrerseits mit Getriebe auf den Zahnkranz wirkt. In das

Fig. 80 bis 82. Selbstgreifer des Kranes von Mohr & Federhaff.

Fig. 80.

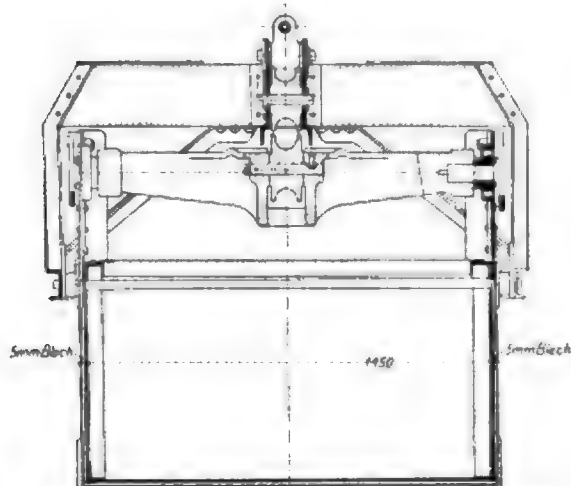
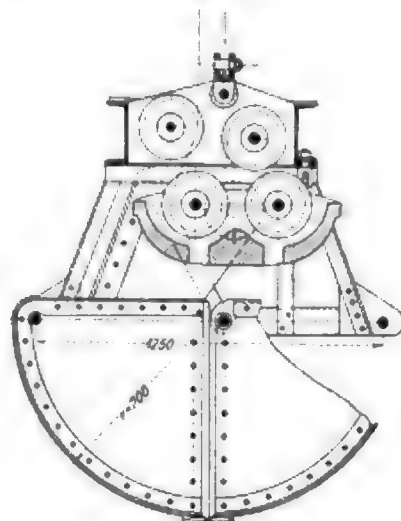


Fig. 81.



leichter Gang der Steuerung erzielt wird. In den drei Stromkreisen werden nicht gleichzeitig, sondern abwechselnd Widerstände ausgeschaltet; daher wird mit wenigen Kontakten eine reichlich feine Stufung erreicht. Der Primärstrom wird an besonderen Kohlenkontakten unterbrochen, wie aus dem Schaltungsschema, Fig. 78, ersichtlich ist. Der Motor wird nicht umgesteuert, muss vielmehr während des Senkens stromlos bleiben; um unnötige Bewegung des Anlassers zu vermeiden, haben Siemens & Halske zwischen Anlasser und Steuergriff eine Zahnradübertragung mit teilweisem Eingriff eingeschaltet. Die Wirkungsweise der Hubwerksteuerung ist aus Fig. 79 ohne weiteres ersichtlich.

Der Betrieb des Selbstgreifers, Fig. 80 bis 82, erfordert ein zweites Seil, das beim Entleeren festgehalten und beim Senken des geöffneten Greifers unter Bremsung nachgelassen werden kann. Die Wirkung ist durch die Priestniansche Anordnung des Gegengewichts erzielt: das Öffnungssseil ist an einer lose auf einem Bolzen drehbaren Trommel befestigt und diese mit einer zweiten Trommel kleineren Durchmessers zusammengegossen, von welcher ein drittes Seil über einen Rollenzug zu einem Gegengewicht führt. Letzteres bewegt sich an einer senkrechten, im hinteren Teil des Kranhauses eingebauten Führung und ist mit einer einfachen Fangvorrichtung ausgerüstet, damit bei etwaigem Bruch des dritten Seiles das stürzende Gewicht nicht den Boden des Kranhauses zertrümmert. Die lose drehbare Trommel kann durch eine Bandbremse mit besonderem Griffhebel und Sperrklinke festgebremst und dadurch bei gleichzeitigem Nachlassen des Hauptseiles der Greifer geöffnet werden. Der Widerstand des Hubwerkes ist in Fig. 83 dargestellt.

Der Trommelbolzen wird gleichzeitig benutzt, um eine Hubbegrenzung zu bilden. Dieser Bolzen liegt nämlich nicht fest, sondern ist durch eine Gelenkkette mit der Haupttrommel gekuppelt und trägt ein Schraubengewinde, auf dem sich eine durch freihängendes Gewicht an der Verdrehung gehinderte Mutter in bekannter Weise so lange verschiebt, bis es am Hubende gegen einen festen Anschlag auf der Spindel stößt, nunmehr die Drehung der Spindel mitmachen muss und dadurch die Steuerung der Hand des Führers entzieht und in die Nullstellung zurückbringt.

Zum Betrieb des Drehwerkes und des Fahrwerkes, Fig. 84 und 85, wird ein einziger Motor be-

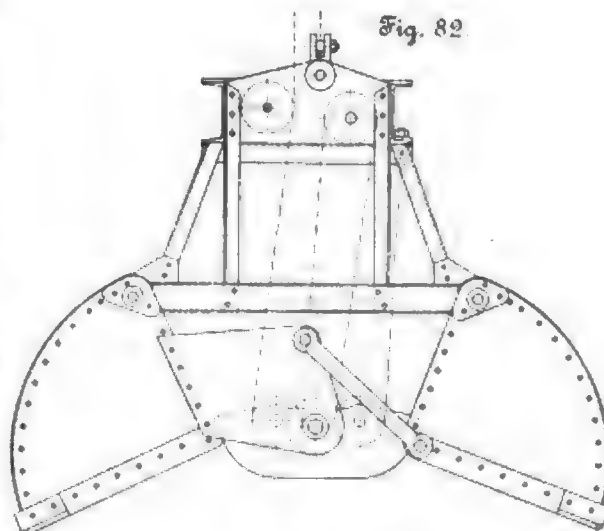
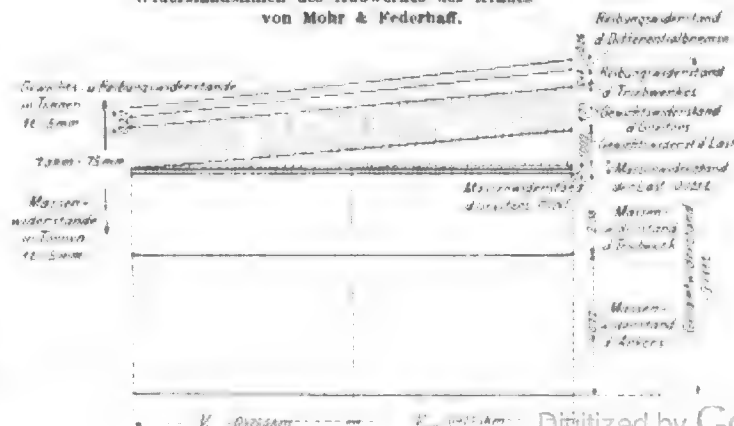


Fig. 83.

Widerstandslinien des Hubwerkes des Kranes von Mohr & Federhaff.



Robhautgetriebe dagegen greift ein Stirnrad auf einer zweiten Schneckenwelle, die ihrerseits mit einem Schneckenrad auf einer durch die Mittelzapfen gesteckten stehenden Welle in Eingriff steht. Von letzterer aus werden mit 6 Paar Kegekrädern, 2 Paar Stirnrädern und 6 Hülfswellen schliesslich die Laufräder angetrieben. Die Ersparnis eines besonderen Motors für das Fahrwerk nötigt also zu einem beträchtlichen Aufwand an Triebwerk.

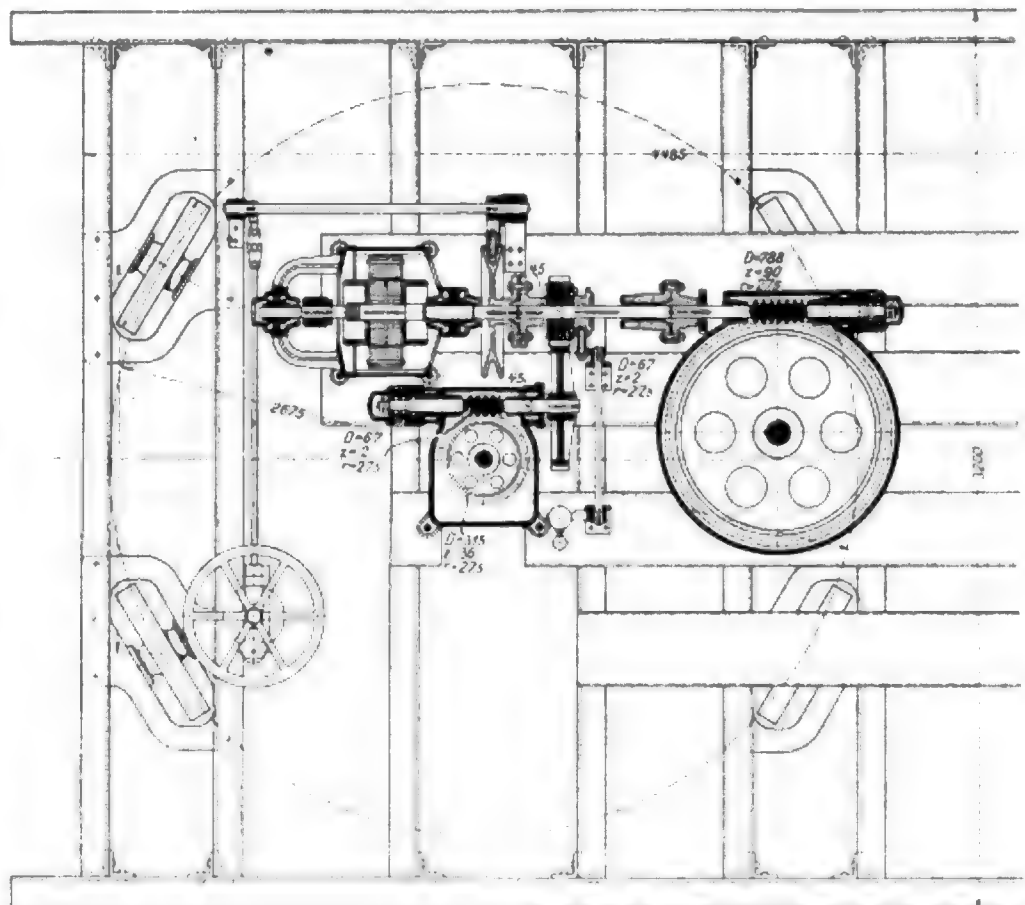
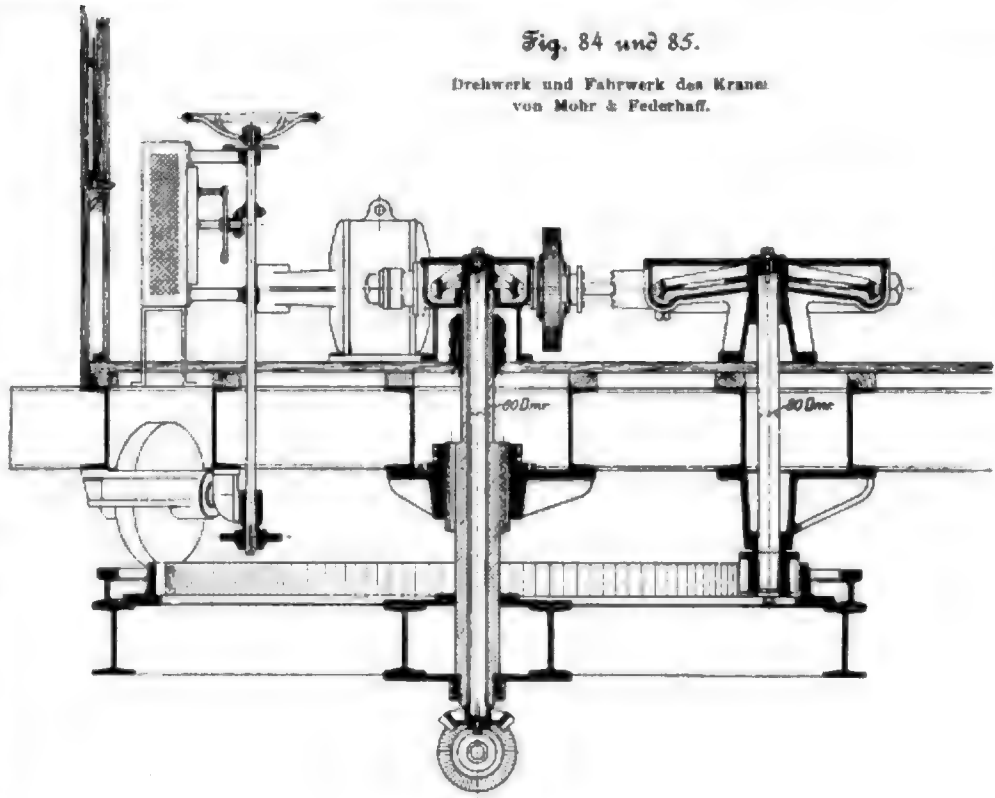
Die Umsteuerung wird durch einen Wendelasser, Fig. 86, mit Kohlenkontakten und Kupferrolle bewirkt; die zur Unterbrechung des Primärstromes dienenden Sonderkontakte werden hier gleichzeitig zur Umsteuerung benutzt. Die Steuerwelle ist nach unten verlängert, trägt dort eine Kurvenscheibe und betätigt mit dieser die Stoppbremse des Motors, die als gewichtbelastete Einklotzbremse ausgeführt ist, Fig. 87. Die Widerstände des Drehwerkes und des Laufwerkes sind in Fig. 88 und 89 zusammengestellt. Aus letzterer ist der Einfluss der umfangreichen Triebwerkmasse deutlich erkennbar.

Das Kranhaus ist vollständig in Holz ausgeführt, und zwar mit doppelteigener Schalung sowohl der Wände als auch des Daches. Die Hinterwand ist zum Auseinandernehmen des Triebwerkes im ganzen abnehmbar. Zu gleichem Zweck sind über dem Triebwerk Träger zum Anhängen von Flaschenzügen eingebaut. Das Triebwerk ist infolge reichlicher Breite des Kranhauses von allen Seiten gut zugänglich.

Die Stromzuführung konnte nicht durch die Hohlung des Zapfens geleitet werden, da diese schon durch die stehende Welle des Fahrwerkes in Anspruch genommen ist. Es ist daher der Zapfen im Lager verdickt, und in die Verdickung sind drei Boh-

Fig. 84 und 85.

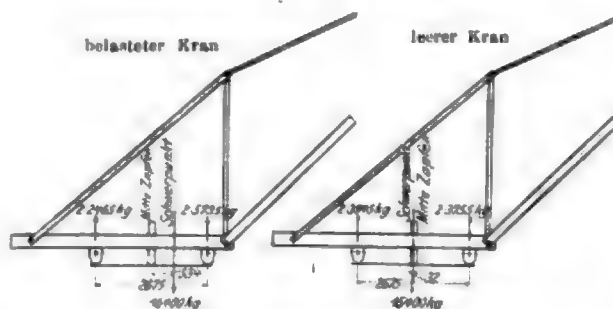
Drehwerk und Fahrwerk des Kranes
von Mohr & Federhaff.



führung zeigt, zu einer bedeutend verwickelteren maschinentechnischen Anordnung, da die fehlende Kurzschlussbremse durch mechanische Bremsen ersetzt werden muss, was zu einem vielgliedrigen Steuergerätinge nötigt. Es ist ein Beweis für die sorgfältige Werkstattenausführung des vorliegenden Kranes, dass trotz der verwickelten Konstruktion ein dauernd guter Betrieb erzielt wird.

Fig. 92.

Standfestigkeit des Kranes von Mohr & Federhaff.



Ein von Gaillard & Co. in Le Havre in der Maschinenhalle ausgestellter Kaikran von $1\frac{1}{2}$ Zugkraft auf eingleisigem Portal mit etwas alttümlichem Krangerüst zeigte als einzig Bemerkenswertes die Anwendung eines Riemetriebes für das Hubwerk, der für Kaibetrieb in nebligem Wetter wohl das denkbar ungünstigste und schwerfällige Maschinenelement vorstellen dürfte.

(Folia, foli.)

Der Wettbewerb um den Entwurf einer Straßenbrücke über den Neckar bei Mannheim.

Von Reg.-Baumeister Carl Bernhard, Privatdozent in Charlottenburg.

Quieren Textblatt 9)

(Fortsetzung von S. 849)

II. Die Bedingungen des Wettbewerbes.

Wie bereits berichtet und durch den Stadtplan von Mannheim erläutert worden ist, hat die schnelle Entwicklung der Neckar-Vorstadt infolge des Baues der neuen Häfen und großgewerblicher Anlagen an der Mündung des Neckars in den Rhein das Bedürfnis für den Bau einer neuen festen Straßenbrücke geweckt. Die Stadt Mannheim sah sich daher genötigt, schon seit längerer Zeit mit der Stromverwaltung über die grundlegenden Bedingungen für den Brückenneubau zu verhandeln. Nachdem diese Verhandlungen abgeschlossen und seitens des Tiefbauamtes ein allgemeiner Entwurf, der durch Fig. 5 wiedergegeben ist, aufgestellt war, konnte im November v. J. ein Wettbewerb ausgeschrieben werden. Es wurde ein vollständiger Entwurf mit Kostenschlag bis zum 1. Mai d. J. verlangt, welcher das Bauprogramm und die Bedingungen für den Wettbewerb, die nachstehend kurz aufgeführt sind, genau einzuhalten hatte.

Etwa 1 km unterhalb der Friedrichs-Brücke liegt die Baustelle. Zur Gewinnung des Platzes für die Brückentrampen soll auf dem linken Neckarufer der sogenannte Kohlenhafen zugeschüttet und die kleine Helling der Schiffs- und Maschinenbau A.-G. umgebaut werden. Die Baustelle liegt im Rückstaugebiet des Rheines; rasche Anschwellungen infolge starker Niederschläge, Hochwasser in der eigentlichen regenreichen Zeit, also während der Späthjahrmomente und bei Schneeeabgang im Winter oder Frühjahr, dauernd niedrige Wasserstände während der Sommermonate sind in der Regel zu erwarten. Der Nullpunkt des neuen Neckarpegels in kurzer Entfernung oberhalb der Brücke liegt auf 84,608 m über N.N. Das höchste Hochwasser, als welches dasjenige vom 28. Dezember 1892 gilt, stieg bis auf 94,60 m über N.N. Außerdem war zu berücksichtigen, dass im unteren Neckarlauf leicht Eisstockungen eintreten können, da der Eisgang im Rheine erst später als im Neckar auftritt. Im Jahre 1880 ging das Eis in der Gegend der Baustellen etwa bei einem Wasserspiegel von 92,8 m über N.N. ab. Mit Rücksicht hierauf und auf die Ansprüche der Rheinschifffahrt soll der tiefste

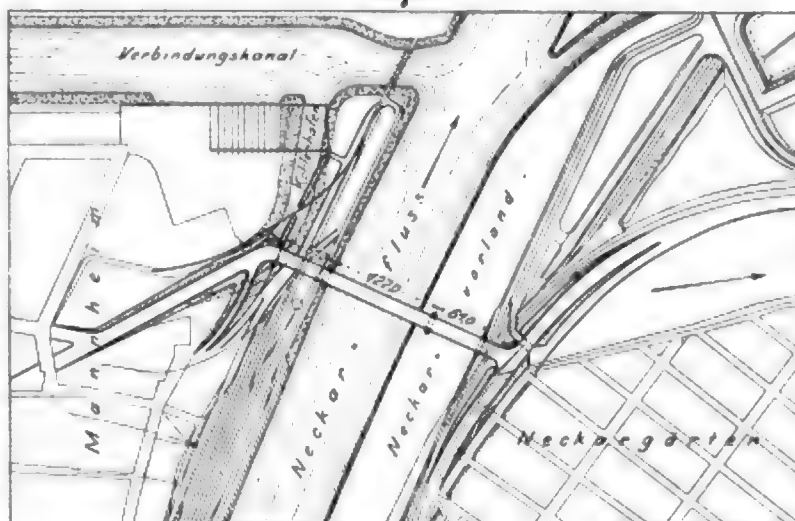
Punkt innerhalb 50 m Breite der Mittelloffnung nicht unter + 100,50 in über N.N., d. h. 5,70 m über H.W. liegen. Die Bausohle der beiderseitigen Strompfeiler muss bis auf 81,00 m über N.N. hinabreichen. Was die Brückennachse betrifft, so soll die im Plan, Fig. 5, angegebene Lage nicht als bindend angesehen werden und eine mäßige Verschiebung gestattet sein. Dagegen sind die Pfeiler durch die örtlichen Verhältnisse ziemlich festgelegt, nämlich der linksseitige Strompfeiler durch die Uferlinie am Kohlenbahnhof. Letzterer darf mit Zwischenpfeilern nicht besetzt werden, und so ergab sich auch mit Rücksicht auf den Hochwasserabfluss die Entfernung der Landfeste von Strompfeilermitte zu 61 m. Zu beiden Seiten

dieser Landfeste sollen sich Leiterräume anschließen, von denen der Strom auf gelegene Zugleich als Fahrrampe dienen soll. Nach rechts hin soll das eigentliche Strombett bis zu einer Entfernung von 5,4 m landwärts der Uferkante des rechten Vorlandes in einer Öffnung überspannt werden, wobei von dem Vorlande möglichst nur 3,5 m für die Pfeilerstärke in Anspruch zu nehmen sind. Aus diesen Bedingungen ergab sich der Mittenabstand der Pfeiler bei der Mittelloffnung zu etwa 122 m und daran anschließend bei der rechten Seitenoöffnung genau wie auf dem linken Ufer, eine etwa 61 m weite Flußöffnung; daneben

sind schließlich auch zwei Gleise der preussisch-hessischen Staatsbahn unter der Brücke durchzuführen.

Die Fahrbahn der Brücke ist auf 10 m lichte Weite festgesetzt, die Nutzweite der beiderseitigen Gehwege auf je 2,5 m. Querverbindungen sollen mit der Unterkaute mindestens 4,50 m über der Fahrbahn liegen. Bohlenbelag und Besotterung sind für die Fahrbahn und die Gehwege ausgeschlossen, und bei der Verwendung von Holzpflaster ist eine Klotzhöhe von 13 cm auf einer Betonlage von 8 cm vorgeschrieben. Auch ist die Anlage von 2 Gleisen für eine elektrische Straßenbahn mit 1 m Spurweite und 2,5 m Mittenabstand vorgesehen. Schließlich ist auf die Ueberführung größerer städtischer Gas- und Wasserrohre sowie auf die Unterbringung von elektrischen Kabeln Bedacht zu

Fig. 5.



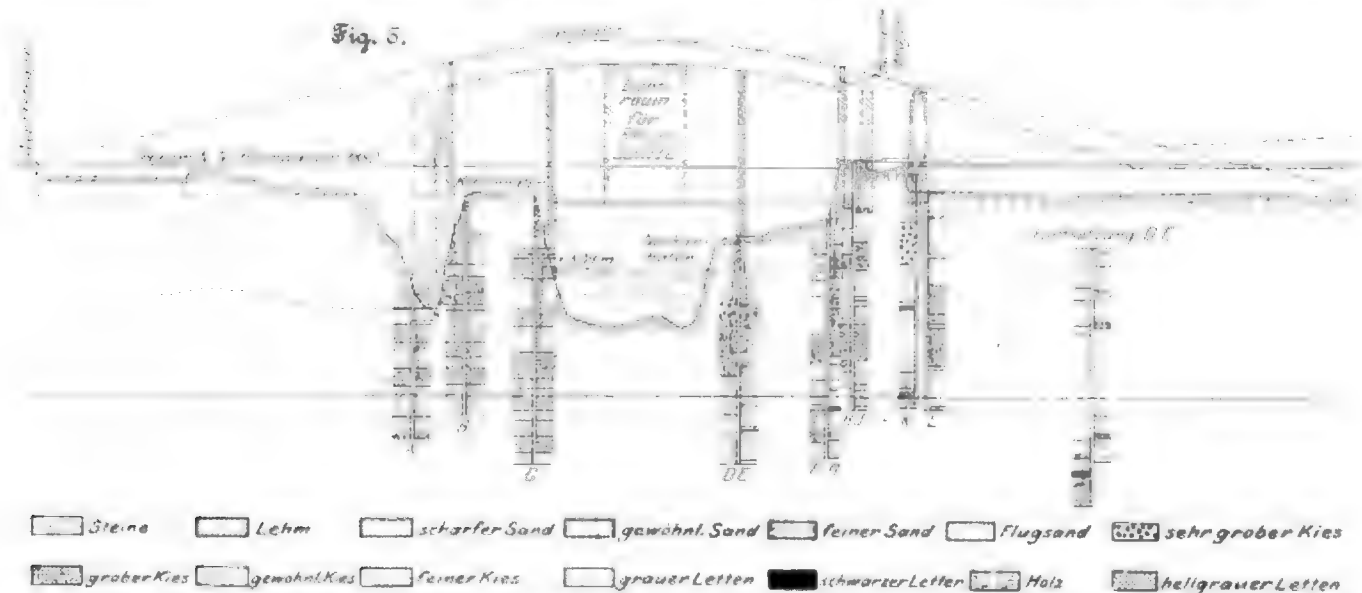
nehmen. Im übrigen ist die Wahl des Ueberbaues völlig den Bewerbern anheim gestellt. Die Steigung in den Haupttrampen soll, wie es für den großstädtischen Verkehr durchaus zweckentsprechend ist, nicht größer als 1:40 sein.

Mit dem Brückenentwurf war eine Aenderung und Ergänzung des Bebauungsplanes für die inbetracht kommenden Stadtteile verbunden, ebenso die Bearbeitung von Rampen mit Gewölben, die zum Vermieten einzurichten waren. Am rechten Ufer war die Bunsenstrasse durch die Rampe hindurchzuführen. An passenden Stellen sollten für Fuß-

gänger Treppenanlagen oder Steigwege vorgesehen werden.

In architektonischer Beziehung war ausdrücklich vorgeschrieben, das Bauwerk der Örtlichkeit entsprechend in einfachen Formen zu halten. Bohrproben, deren wichtigste Ergebnisse der Höhenplan, Fig. 6, wiedergibt, gestatten einen ausreichenden Einblick in die Bodenverhältnisse an der Baustelle.

Von Interesse ist ein Hinweis auf die Vorschriften für die statische Berechnung. Für die Hauptträger sollte eine gleichmäßig über die Brückenfahrbahn einschließend der Geh-



Zahlentafel III.

Kennwort	Pfeiler- stärke m	Weite der Öffnungen m	Breite der Durch- fahrt für die Schiffe m	Höhe der Fahrbahn über N. N. m	Steigung der Rampen	Höhe der Haussole über N. N.			Art der Gründung	Breite der Fabr- bahn m
						Strom- pfeiler m	linke Feste m	rechte Feste m		
1) Pyramide	3,0	1 × 122,0 2 × 61,0	118,5	102,15	l. 1:34,3 r. 1:31	81,8	81,8	81,8	offen zwischen Spundwänden	10,0
2) Ein Strom, ein Bogen	3,5	1 × 122,0 2 × 61,0	117,5	103,31	l. 1:34,3 r. 1:31	81,8	87,6	87,6	" " "	9,6
3) Stein und Eisen	4,0	1 × 106,0 2 × 59,0	50,0	102,74	l. 1:40 r. 1:40	81,8	82,68	86,23	Pfahlrost mit Betonklots zwischen Spundwänden	10,0
4) Hansa	4,0	1 × 116,5 2 × 58,3	104,0	103,45	l. 1:40 r. 1:40	81,5	83,5	84,0	Druckluft	10,0
5) Jungbusch-Neckarvorstadt	4,0	1 × 116,5 2 × 59,5	65,0	103,25	l. 1:40 r. 1:40	81,8	85,0	87,0	offen zwischen Spundwänden	9,2
6) Freie Bahn B	4,5	1 × 114,0 2 × 59,5	50,0	103,730	l. 1:40 r. 1:40	81,8	84,5	89,0	" " "	10,0
7) Freie Bahn C	6,0	1 × 112,0 2 × 58,7	80,0	105,39	l. 1:37 r. 1:37	81,8	85,25	86,2	" " "	10,0
8) Blehel	4,3	1 × 144,2 2 × 59,4	81,0	102,983	l. 1:40 r. 1:40	81,8	85,0	88,9	" " "	9,5
9) Billig	3,2	1 × 116,0 2 × 68,8	112,0	102,909	l. 1:40 r. 1:40	81,8	85,0	88,0	" " "	9,5
10) Neckarspitz	3,2	1 × 115,2 2 × 68,25	102,0	102,79	l. 1:40 r. 1:40	81,8	85,6	87,4	offen zwischen Spundwänden aus Holz und Eisen	9,0
11) Neckar A	3,5	1 × 117,0 2 × 58,5	105,0	103,30	l. 1:42 r. 1:40	81,8	85,6	87,4	Strompfeiler mit Druckluft offen zwischen Spundwänden aus Holz und Eisen	10,0
12) Ins Neckarthal	3,5	1 × 122,0 2 × 61,0	115,0	102,9	l. 1:40 r. 1:35	81,5	84,6	86,8	offen zwischen Spundwänden aus Holz und Eisen	9,2
13) Neckar B	3,0	1 × 114,48 2 × 61,8	90,0	102,5	l. 1:40 r. 1:40	81,8	84,5	82,9	offen zwischen Spundwänden aus Holz und Eisen	10,0
14) Karl Theodor	3,5	1 × 120,0 2 × 60,0	50,0	103,888	l. 1:40 r. 1:40	81,8	84,6	85,0	Druckluft mit Holzkasten	8,9
15) Kattowitz	3,5	1 × 122,0 2 × 61,0	118,0	—	l. 1:40 r. 1:40	81,8	—	—	offen zwischen Spundwänden	9,2
16) Antaeos	3,6	1 × 115,0 2 × 67,88	102,0	101,9	l. 1:40 r. 1:40	81,8	84,51	86,0	Druckluft	9,2
17) Rast ich, so rost ich	3,0	1 × 122,0 2 × 61,0	119,0	103,03	l. 1:33 r. 1:33	81,8	84,8	87,0	Brünnengründung ohne Holz	—
18) Freie Bahn A	—	2 × 61,65	—	—	—	—	—	—	—	—

Zahlentafel IV.
Kostenvergleich der wichtigeren Entwürfe.

	Hansa	Jungbusch-Neckar- vorstadt		Freie Bahn B		Freie Bahn C		Sichel		Billig	Neckarspit	Neckar B	Karl Theodor	Aufhaus
		mit Erdrampe	mit gewölbter Rampe	mit Erdrampe	mit gewölbter Rampe	mit Erdrampe	mit gewölbter Rampe	mit Erdrampe	mit gewölbter Rampe					
I) Brücke mit Bahnunterführung einschl. Treppenanlage.														
1) linke Landfeste	187 155	56 976	60 827	366 634	74 203	138 692	421 428	62 710	370 045	44 927	35 400	52 818	60 759	86 791
2) linker Pfeiler	240 424	71 288	119 690	110 517	138 692	137 315	137 315	107 130	370 045	70 415	67 939	30 981	146 031	42 484
3) rechter Pfeiler	285 618	59 488	110 517	110 517	137 315	137 315	137 315	99 205	370 045	58 574	61 000	27 688	145 472	42 484
4) rechte Landfeste	228 756	34 695	75 679	76 815	80 938	80 938	80 938	67 160	74 842	31 066	28 147	65 659	67 083	22 735
5) Eisenbau der Hauptbrücke	649 050	669 046	341 007	651 541	290 494	273 565	656 801	553 636	648 888	556 734 ¹⁾	411 358	486 100	479 911	630 300
6) Brückenträger, rechter Bogen			56 815	56 815	52 777	52 777	65 680	59 423	648 888	57 720	55 000	46 593	60 360	72 952
7) Brückenträger, linker Bogen			56 815	56 815	52 777	52 777	65 680	59 423	648 888	57 720	55 000	46 593	60 360	72 952
8) Aufbauten	150 000	13 624	57 273	57 273	87 945	87 945	87 945	27 929	27 929	25 827 ²⁾	—	90 291	150 000	40 769
9) Bahnunterführung	45 994	48 146	46 123	46 123	19 000	19 000	19 000	10 715	20 358	—	30 533	90 291	50 500	30 000
10) Treppenanlage		21 692	19 873	19 873	17 619	18 910	19 000	10 715	20 358	21 093	88 570	4 022	150 000	30 000
zusammen	1 800 739	1 019 105	1 020 264	1 020 264	1 093 146	1 171 173	1 097 329	994 308	1 011 553	870 113	927 997	1 045 152	1 649 123	388 515
II) Rampenanlage und Straßen- unterführung.														
1) linksseitige Rampe	89 312	92 201	92 201	92 201	98 562	98 562	98 562	87 242	90 880	88 570	90 000	71 684	107 668 ³⁾	90 000
2) Leitdamm	9 588	9 588	9 588	9 588	9 588	9 588	9 588	9 588	9 588	9 500	9 500	7 490	9 588	9 500
3) rechtsseitige Rampe	128 956	122 937	260 795	260 795	130 183	276 839	276 839	126 043	253 180	247 710 ⁴⁾	125 000	157 687	88 114	125 000
4) Unterführung der Bundesstraße	24 141	32 500	31 476	31 476	42 900	42 900	42 900	44 074	22 104	22 793	21 086	157 687	36 904	23 000
zusammen	251 997	247 644	384 475	384 475	258 566	380 677	376 826	266 947	371 114	869 573	245 586	236 311	242 214	249 500
III) Beleuchtung, Entwässerung, Gelände.														
1) Beleuchtung	30 000	31 043	30 272	30 272	29 872	27 697	29 867	30 388	43 721	26 688	80 000	16 000	30 000	30 000
2) Entwässerung	12 000	12 831	10 622	10 622	12 934	10 294	11 549	13 133	10 805	10 805	12 000	3 700	12 000	12 000
3) Gelände, rechtes Ufer, städtisch	165 975	162 750	129 750	129 750	133 950	108 000	133 950	130 675	105 600	107 530	134 250	150 000	156 250	127 195
4) Gelände, rechtes Ufer, privat	142 200	134 600	86 400	86 400	140 000	80 000	140 000	133 600	80 400	82 000	131 600	23 000	132 000	124 000
5) linkes Ufer	162 000	161 250 ⁵⁾	161 250	161 250	164 875	160 875	166 875	167 750	162 750	162 800	162 000	160 000	154 500	160 000
zusammen	512 175	502 068	418 294	418 294	483 631	392 866	482 241	470 946	392 471	389 943	469 850	352 100	486 750	453 195
IV) Verschiedenes.														
1) Anschüttung des Kohlenhafens	98 000													
2) Veränderung an der Heilung	30 000													
3) Ladestraße am Ufer	35 000													
4) Unverhörschienen	100 000													
5) Entwurfsbearbeitung, Bauleitung	100 000													
zusammen	358 000	358 000	358 000	358 000	358 000	358 000	358 000	358 000	358 000	358 000	358 000	358 000	358 000	358 000
Summe III	512 175	502 068	418 294	418 294	483 631	392 866	482 241	470 946	392 471	389 943	469 850	352 100	486 750	453 195
Summe II	251 997	247 644	384 475	384 475	258 566	380 677	376 826	266 947	371 114	869 573	245 586	236 311	242 214	249 500
Summe I	1 800 739	1 019 105	1 020 264	1 020 264	1 093 146	1 171 173	1 097 329	994 308	1 011 553	870 113	927 997	1 045 152	1 649 123	388 515
Gesamtsumme	2 922 911	2 126 812	2 181 035	2 181 035	2 193 343	2 902 715	2 914 296	2 690 201	2 133 318	1 996 629	1 995 433	1 992 668	2 736 154	1 999 130

¹⁾ ohne Abfahrt nach der Neckarvorland-Straße.
²⁾ Leuchtturm 130 000 M.

³⁾ 312 M. Preis wegen Ersparnis an Rüstung.
⁴⁾ Vermehrung des Gewichtes an den Landfesten bei Wegfall der Aufbauten.

⁵⁾ einschl. Bahnunterführung.
⁶⁾ in der Seitenöffnung enthalten.

⁷⁾ mit Stützmauer.
⁸⁾ gewölbte Rampe.

wege verteilte Last von 400 kg/qm angenommen werden, für die Gehwegträger 550 kg/qm, für die Fahrbahnteile eine Belastung durch neben einander fahrende Wagen von 12 t Gewicht, 3 m Radstand, 1,2 m Spur- und 2,5 m Ladebreite. Hierbei sollte auch ein schwerstes Fuhrwerk von 24 t Gewicht, 3,5 m Radstand, 1,5 m Spur- und 2,7 m Ladebreite oder aber eine Dampfwalze von 25 t Gewicht — 9 t für die Lenkwalzen, 16 t für die Treibwalzen bei 3,5 m Abstand —, 0,75 m Breite der Lenkwalzen, 0,50 m Breite der Treibwalzen und 2,25 m Arbeitsbreite in Vergleich gezogen werden. Die Wagen der elektrischen Bahn sollten mit einem Achsenabstand von 2 m, einem Pufferabstand von 8,0 m und einem Gesamtgewicht von 12 t in Rechnung gesetzt werden. Der nicht mit Wagen oder Walzen bedeckte Raum der Fahrbahn sollte mit Menschengedränge von 400 kg/qm belastet angenommen werden. Die Festigkeit des Geländers sollte einem wagerechten Drucke von 80 kg/m entsprechen. Für den Winddruck galten als Grenzwerte 250 kg/qm bei unbelasteter, 150 kg/qm bei belasteter Brücke mit einem Verkehrsbande von 2,5 m Höhe. Wärmeschwankungen von 30° unter oder über der Aufstellungstemperatur sollten den Berechnungen zugrunde gelegt werden. Für Flusseisen waren ohne Rücksicht auf den Winddruck 1000 kg/qm, mit Rücksicht auf den Winddruck 1200 kg/qm Grundspannung nicht zu überschreiten, gleichviel, ob die Glieder gezogen oder gedrückt werden. Bei wechselnden Inanspruchnahmen sollte die Grundspannung keinesfalls mehr als 600 kg/qm betragen. Bei Quer- und Längsträgern waren 750 kg/qm Spannung zugelassen und sowohl bei gedrückten wie bei gezogenen Stäben die Verschwächung durch Niete zu berücksichtigen.

Für die Bauausführung galten im Hinblick auf die oben gekennzeichneten Stromverhältnisse die besonderen Vorschriften, dass Aufstellungsgerüste und Hilfsbrücken die Schifffahrt unter keinen Umständen unterbrechen oder gefährden dürfen, dass sie in den Monaten Dezember, Januar und Februar überhaupt nicht statthaft sind, und dass stets 3 Öffnungen von 23 m Weite in den Gerüsten für die Schifffahrt frei bleiben sollen, deren mittlere bis auf +90,0 m über N.N. freie Durchfahrthöhe haben muss. Die Aufstellung von Gerüsten in dem Flussbett war äußerst zu beschränken und thunlichst auf schwimmende Rüstungen Bedacht zu nehmen.

Die in Aussicht gestellten vier Preise betrugen 8000 M, 5000 M, 3000 M und 2000 M unter dem Vorbehalte, dass es dem Preisgericht freistehe, dem Wertverhältnisse der Entwürfe entsprechend eine andere Verteilung zu bestimmen. Eine Verpflichtung, einen der preisgekrönten Entwürfe auszuführen, hat die Stadt Mannheim nicht übernommen. Das Preisgericht bestand aus den Herren Oberbürgermeister Beck-Mannheim als Vorsitzendem, Geh. Baurat Stübgen-Köln, Geh. Baurat Prof. Landsberg-Darmstadt, Oberbaurat Prof. Engesser-Karlsruhe, Stadtrat Rau-Mannheim, Stadtver-

ordneter Architekt Hartmann-Mannheim und Stadtbaurat Eisenlohr-Mannheim.

III. Die Preisverteilung.

Wie bereits im Vorbericht erwähnt, waren 18 Entwürfe eingegangen. Von diesen wurden 8 nach der ersten Prüfung wegen ihrer sofort ersichtlichen Mängel von der engeren Bewerbung ausgeschlossen. Unter den übrig gebliebenen Entwürfen wurden nach eingehenden Erwägungen die vier Preise wie folgt verteilt:

Erster Preis: Entwurf »Sichel«, Verfasser: Vereinigte Maschinenfabrik Augsburg und Maschinenbaugesellschaft Nürnberg, Zweiganstalt Gustavsburg, im Verein mit Grün & Bilfinger in Mannheim und Geh. Oberbaurat Prof. K. Hofmann in Darmstadt.

Zweiter Preis: Entwurf »Freie Bahn B«, Verfasser: Vereinigte Maschinenfabrik Augsburg und Maschinenbaugesellschaft Nürnberg, Zweiganstalt Gustavsburg, im Verein mit Grün & Bilfinger in Mannheim und den Architekten Billing und Mallebrein in Mannheim und Karlsruhe.

Dritter Preis: Entwurf »Neckarspitz«, Verfasser: Aktien-Gesellschaft für Eisenindustrie und Brückenbau vorm. C. J. Harkort in Duisburg (L. Seifert und L. Backhaus) in Gemeinschaft mit R. Schneider in Berlin und dem Architekten Bruno Möhring in Berlin.

Vierter Preis: Entwurf »Antaeos«, Verfasser: Eisenwerk Kaiserslautern (Oberingenieur Ph. Kraemer) im Verein mit Fr. Buchner in Würzburg (Oberingenieur Klett) und den Architekten Boisbarth und Fröh in Stuttgart.

Auf Textblatt 9 sind Schaubilder dieser Entwürfe wiedergegeben.

Eine Begründung des Urteils ist in großen Zügen bereits im Vorbericht gegeben worden. Ich füge hier zwei weitere Zahlentafeln hinzu, und zwar Zahlentafel III, die für sämtliche eingegangenen Entwürfe die Hauptmaße, die Scheitelhöhen in der Fahrbahn, d. h. die vom Landverkehr zu bewältigenden Höhen, die Steigungsverhältnisse der Rampen, die Lage der Bausohle und die Art der Gründung zu vergleichen gestattet. Zahlentafel IV giebt eine vergleichende Kostenaufstellung, die vom Tiefbauamt in Mannheim verfasst ist. Die Kosten sind im allgemeinen nach einem mittleren Eisenpreise von 330 M/t umgerechnet und bezüglich weiterer Unterschiede auf gleiche Grundlagen gebracht, die durch einige Fußbemerkungen angedeutet sind. Bei den besonders wichtigen Entwürfen ist noch eine Unterscheidung der Kosten für die Brücke mit Erdrampe oder mit gewölbter Rampe durchgeführt. Beim Entwurf »Billig« sind nur die Kosten mit gewölbter Rampe, bei den 4 letzten nur die mit Erdrampen angegeben. Beide Tafeln sind so lehrreich, dass eine Kürzung ihrer Angaben nicht angezeigt erschien.

(Fortsetzung folgt.)

Sitzungsberichte der Bezirksvereine.

Eingegangen 4. Februar 1901.

Hamburger Bezirksverein.

Sitzung vom 8. Januar 1901.

Vorsitzender: Hr. Lesser, nachher Hr. Hartmann.

Schriftführer: Hr. Lesser.

Anwesend 35 Mitglieder.

Nachdem einige geschäftliche Angelegenheiten erledigt sind und der neugewählte Vorsitzende, Hr. Hartmann, sein Amt übernommen hat, beantwortet Hr. Toussaint folgende Frage aus dem Fragekasten:

Welche Erfahrungen sind in letzter Zeit mit der künstlichen Zugvorrichtung von James Howden, Glasgow, gemacht? Werden durch Anordnung dieser Vorrichtung Kohlen erspart, und worauf begründet sich dies? Bietet die Vorrichtung weitere Vorteile? Weshalb sind in Hamburg und Bremen so viele Kessel, die früher mit dieser Vorrichtung versehen waren, außer Betrieb gesetzt bzw. die Vorrichtung wieder entfernt?

Der Redner führt etwa Folgendes aus: Von den heute bestehenden künstlichen Zuganlagen für Schiffskessel sind besonders die mit heißer Verbrennungsluft arbeitenden Druckluftanlagen von Howden und die Saugluftanlagen von Ellis & Eaves erwähnenswert. Ueber die Versuchszeit scheinen

beide hinaus zu sein; besonders kann man dies von der ersten behaupten, da sie schon über 1000 mal ausgeführt ist. Der Norddeutsche Lloyd, die Hamburg-Amerika-Linie und die Südamerika-Linie haben Schiffe, die mit künstlichem Zuge anagert sind, und scheinen auch damit zufrieden zu sein. Die Kohlenersparnis beträgt bis 10 vH, und die stündliche Kohlenverbrennung steigt von 90 kg pro st und qm Rostfläche auf 120 bis 150 kg. Die dadurch gewonnene Gewichtsersparnis bei der Kesselanlage wird allerdings wieder aufgewogen durch Ventilatoren, Windleitungen, die Vorwärmerrohre, schwerere und verwickeltere Feuerthüren usw. Ueberhaupt ist der letzte Punkt, die verwickelte Anlage, die Ursache, dass vor allem der Maschinist und der Praktiker ihre Bedenken dagegen haben. Die Wartung ist schwieriger als bei natürlichem Zuge, und vor allem wird die Zahl der Ausbesserungen im Laufe der Jahre bedeutend größer. »Kaiser Friedrich« hatte ursprünglich auch künstlichen Zug; dass die Anlage entfernt wurde, ist mehr auf die ungünstigen Rohrmessungen und die Konstruktion zurückzuführen. »Sardinia«, »Syria«, »Prinzessin Victoria Luise«, »Deutschland«, »Kiautschou« usw. sind Schiffe der Packetfahrt, welche Druckluftanlagen von Howden besitzen. Weniger sind die Saugluftanlagen von Ellis & Eaves

vertreten, z. B. bei dem Postdampfer »Hamburg«; beim Nord-deutschen Lloyd sind unter andern »König Albert«, »Rhein« und »Main« damit versehen. Letztere Gesellschaft bevorzugt jedoch in allernuester Zeit wieder die Anlagen mit natürlichem Zuge; so werden z. B. die im Bau befindlichen neuesten Schneldampfer keinen künstlichen Zug erhalten. Bei der Ausführung von Ellis & Eaves werden die heißen, mit Flugasche geschwängerten Heisgase durch ein Flügelrad, das oben im Schornstein eingebaut ist, angesaugt und ins Freie geschafft. Sehr oft kommt es vor, dass das Flügelrad verschmutzt und unbrauchbar wird, und dass dadurch Wellenbrüche eintreten. In dieser Beziehung ist die Anlage von Howden günstiger. Bei ihr wird die kalte Verbrennungsluft vom Maschinenraum aus durch den Vorwärmer über und unter den Rost gedrückt. Die Ventilatoren verschmutzen nicht, und die Gebläsemaschinen sind bequem zu erreichen; ferner ist es auch möglich, die Anlage stärker zu forciren als bei Ellis & Eaves.

Eingegangen 4. Februar 1901.

Bezirksverein an der Lenno.

Sitzung vom 16. Januar 1901.

Vorsitzender: Hr. Hase.

Anwesend 16 Mitglieder und 9 Gäste.

Hr. Holzmüller spricht über Ebbe und Flut in technischer, mechanischer und kosmischer Hinsicht, II. Teil: Die Theorie der Fluterscheinungen. Der Vortrag wird an besonderer Stelle veröffentlicht werden.

Eingegangen 6. Februar 1901.

Niederrheinischer Bezirksverein.

Sitzung vom 7. Januar 1901.

Vorsitzender: Hr. Gerdau. Schriftführer: Hr. Birsztejn.

Anwesend 95 Mitglieder und 15 Gäste.

Nach Erledigung geschäftlicher Angelegenheiten spricht Hr. Holzmüller über Ebbe und Flut in technischer, mechanischer und kosmischer Beziehung.

Eingegangen 4. Februar 1901.

Thüringer Bezirksverein.

Sitzung vom 7. November 1900.

Vorsitzender: Hr. Gutwasser. Schriftführer: Hr. Ritzer.

Anwesend 162 Personen.

Die Sitzung, zu der Einladungen an den Magistrat der Stadt Halle, den Naturwissenschaftlichen Verein, die Polytechnische Gesellschaft und die Ortsgruppe des Vereines deutscher Chemiker ergangen waren, fand im Hörsaal des Physikalischen Instituts der Universität Halle statt.

Hr. Brockmann aus Offenbach spricht über das Goldschmidt'sche Verfahren zur Erzeugung hoher Temperaturen und seine Anwendung in der Praxis¹⁾.

Sitzung vom 13. November 1900.

Vorsitzender: Hr. Gutwasser. Schriftführer: Hr. Ritzer.

Nach Erledigung geschäftlicher Angelegenheiten erstattet Hr. Dicker jr. Bericht über die Thätigkeit des Gasgewinde-Ausschusses.

Die Bestrebungen und jahrelangen Arbeiten des Vereines deutscher Ingenieure haben sich bisher nur auf einen Ersatz der Whitworth-Skala für Mutterschrauben erstreckt und die Röhrengewinde völlig außer acht gelassen; und doch zeigen die Schraubengewindetabellen nach Whitworth keine oder nur geringe Abweichungen von einander gegenüber dem Zustand fast schrankenloser Willkür, auf dem Gebiete der Gasröhrengewinde herrscht.

Bei der großen Bedeutung, die das Gasgewinde für weite Kreise der Industrie hat, ist es nicht angängig, es fernerhin als nebensächlich außer acht zu lassen. Es

kommen hier nicht nur die Walswerke, Rohrverlegungs- und Heizungsfirmen usw. in Betracht, sondern wesentlich auch die Metallwaren-, Armaturen- und Fittingsfabriken, die überwiegend nach der Röhrengewindeskala arbeiten, und in steigendem Maße neuerdings Maschinenfabriken und andere gewerbliche Unternehmungen. Während aber bei dem gewöhnlichen Schraubengewinde Bolzen und Muttern zumeist in derselben Fabrik hergestellt werden und zusammen in den Handel gelangen, ist bei den Gasröhrengewinden die Anfertigung der beiden Teile in verschiedenen Werken die Regel: die Rohre werden im Walswerk geschnitten, Muffen, Krümmer und L-Stücke in der Fittingsfabrik, die Armaturen wieder in einem andern Betriebe. Bei dieser Sachlage ist natürlich die genaueste Uebereinstimmung der Gewinde an den später zu verbindenden Stücken erwünscht, und Abweichungen und Fehler führen zu großen Unsutriglichkeiten. Betrachtet man dem gegenüber das Vorhandensein der erheblich verschiedenen Gasgewindetabellen und die geradezu heillose Verwirrung, die dadurch entsteht, dass jede Firma an ihrer Skala festhält, weil es keine anerkannte Norm giebt, dann hat man den Schlüssel zu all den Schwierigkeiten und unaufhörlichen Klagen in der Hand, die immer wieder in Interessentenkreisen laut werden. Die Unstimmigkeit erstreckt sich nicht nur auf die inneren und äußeren Durchmesser und die Gewindeform, sondern sogar auf die Gangzahl. Die Unterschiede im Durchmesser steigen bis 2,49 (1 1/4"), 3,13 (2 1/4") und 4,29 mm (2 1/4"). Das geht gewiss über das Maß hinaus, innerhalb dessen noch eine Rohrverbindung möglich ist. Ferner würde z. B. ein 1/4-zölliges Gewinde nach den Taschenbüchern von Uhlund und Stählen oder der Tabelle von Dreyer, Rosenkranz & Droop mit 0,85 mm Gewindetiefe auf Röhren der Düsseldorf und der Hahnischen Werke nur etwa zu 1/2 ausgechnitten werden. Die westfälischen Rohrwalswerke haben fast durchweg andere Durchmesser als die oberschlesischen. Bei der gebräuchlichen Abmessung 1/4" mit 19 Gang auf 1" engl. zeigt die Normaltabelle der Düsseldorf Röhrenwalzwerke 18 1/2 Gang; das Gleiche gilt für 3/8". Bei 1/2" finden wir zwei Drittel der verzeichneten Normen mit einer Gangzahl von 14, der Rest hat 11 Gang auf 1" engl.

Angesichts solcher einschneidenden Abweichungen liegt das Bedürfnis zu einer gründlichen Umgestaltung klar zutage, und schnelle Abhilfe thut dringend not. Mit Rücksicht auf eine baldige Aenderung der unhaltbaren Zustände dürfte es sich vielleicht zunächst empfehlen, eine der bestehenden Tabellen als Norm aufzunehmen und nachher etwa im Anschluss an das internationale metrische Gewinde neue Normen aufzustellen.

Der Vortragende schließt seine Ausführungen mit folgendem Antrag des Ausschusses: Gemäß dem Beschluss vom 13. November beantragt der Thüringer B.-V., die vorhandenen Normen für Gasgewinde einer erneuten Prüfung zu unterziehen und diejenigen Maßnahmen in die Wege zu leiten, welche geeignet erscheinen, mit thunlichster Beschleunigung die fehlende Einheitlichkeit auf diesem Gebiete zu sichern, sei es durch Aufstellung neuer Normen oder durch Anerkennung einer der bestehenden Tabellen als Normaltabelle für Röhrengewinde. Für den letzteren Fall werden die Normen der Firma Reinecker in Chemnitz zur Berücksichtigung empfohlen, weil sie auf zuverlässiger Grundlage aufgebaut sind und wesentlich mit denjenigen anderer namhafter Werkzeugfabriken, wie Reifshauer und Fischer, übereinstimmen. Gleichzeitig überreicht der Thüringer B.-V. dem Hauptverein das in einem vorbereitenden Ausschuss gesammelte Material zur Kenntnissnahme und weiteren Behandlung mit dem Antrage, die vorliegende Angelegenheit als dringlich anzuerkennen und bei den nächsten Verhandlungen des Vorstandsrates und der Hauptversammlung durchzubearbeiten.

Der Antrag wird mit Vorbehalt einiger redaktioneller Aenderungen, die dem Vorstand überlassen werden, angenommen.

Württembergischer Bezirksverein.

Die Feier zum Andenken Robert Mayers in Heilbronn.

Vom prächigsten Wetter begünstigt, fand am 2. Juni in Anwesenheit der Vertreter der staatlichen und städtischen Körperschaften und unter Beteiligung einer größeren Festversammlung die feierliche Enthüllung der vom Verein deutscher Ingenieure am früheren Wohnhause Robert Mayers in Heilbronn angebrachten Gedenktafel statt.

Stadtgemeinde und die Anwohner hatten Haus und Umgebung festlich schmücken lassen. Der Vorsitzende des Bezirksvereines, Hr. Bantlin, führte in seiner Festrede etwa Folgendes aus:

¹⁾ Z. 1900 S. 192, 897, 1778.

der französischen Staatsbahn. Auch die russische Abteilung bot viel Anregendes; Deutschland, England und Nordamerika waren dagegen nicht so vertreten, wie es der Bedeutung ihres Eisenbahnwesens entsprochen hätte. Bemerkenswert waren die das Kleinbahnwesen betreffende Ausstellung von Arthur Koppel, Berlin, die Ausstellung von Plänen der Berliner elektrischen Hoch- und Untergrundbahn von Siemens & Halske und die Ausstellung von Brückenbauwerken, die von deutschen Firmen ausgeführt sind. Zu nennen sind ferner Ausstellungen der Pariser Stadtbahn, von Schneider in Creuzot usw.

Auch in Vincennes überwogen französische Erzeugnisse.

Was Deutschland anbetrifft, so verdienten die Sammelgruppe der Norddeutschen Wagenbau-Vereinigung und die Lokomotiven Beachtung.

Die Ausstellung, soweit sie das Eisenbahnwesen betrifft, konnte trotz des vielen Bemerkenswerten weder nach ihrer Gesamtanordnung noch nach der Mannigfaltigkeit der vorgeführten Bauten und Betriebseinrichtungen ein zutreffendes Bild von dem geben, was auf diesem weiten Gebiet heute vor sich geht. Ebenso wenig ist anzunehmen, dass durch sie schwebende Fragen der Lösung näher gerückt seien, wie dies in Chicago der Fall war.

Bücherschau.

Bei der Redaktion eingegangene Bücher.

Ad. Stöckhardt's Schule der Chemie. 20. Aufl. Bearbeitet von Lassar-Cohn. Braunschweig 1900, Friedrich Vieweg & Sohn. 844 S. 8° mit 197 Fig. und einer Tafel. Preis 7 M.

(Die meisten Leser werden Stöckhardt's Schule der Chemie aus der Jugendzeit kennen; war das Buch doch beim Selbstlernen und beim Anstellen einfacher Versuche auch für den, der ohne Vorkenntnisse chemischen Studien oblag, ein treuer Berater. Aber auch im späteren Leben werden ihm die meisten Nichtchemiker ihre Gunst bewahren. Es giebt kaum einen Zweig der gewerblichen Wissenschaften, der nicht mit der Chemie in engem Zusammenhang stünde, sodass ein leicht verständlich, dabei aber doch mit umfassender Sachkenntnis geschriebenes Nachschlagewerk jedem willkommen sein wird. Die neue Auflage bedeutet gegen die vorige, vor 20 Jahren erschienene eine völlige Umarbeitung; jedoch sind Darstellung und Vortrag dieselben geblieben, sodass sich das Buch auch im neuen Gewande zahlreiche Freunde erwerben wird.)

Katechismus der Elektrotechnik. 7. Aufl. Von Theodor Schwartz. Leipzig 1901, J. J. Weber. 479 S. 8° mit 286 Fig. Preis 5 M.

(Der Verfasser ist bestrebt gewesen, auch den allernuesten wissenschaftlichen Ergebnissen der Elektrizitätslehre immer mit Rücksicht auf die Elektrotechnik Rechnung zu tragen. In 25 Kapiteln werden mechanisch-physikalische Grundsätze, absolutes Maßsystem, elektrische und magnetische Maßeinheiten, die Grundgesetze der Elektrostatik, der elektrische Gleichstrom, Stromverwidelungen, Thermoelektrizität, Elektromagnetismus, Elektrodynamik, Induktionserscheinungen, Messung des elektrischen Widerstandes, der Elektrizitätsmenge, der Stromstärke und von Potentialen, technische Mess- und Kontrollvorrichtungen, die elektrischen Strommaschinen, Transformatoren, Elektromotoren, elektrische Beleuchtung, Stromleitung und Stromverteilung, Kraftübertragung in die Ferne, elektrische Eisenbahnen und die Verfahren der Elektrolyse behandelt.)

Die Bearbeitung von Glaskörpern bis zu den neuesten Fortschritten. Von Carl Wetzel. Wien, Pest, Leipzig 1901, A. Hartlebens Verlag. 236 S. 8° mit 155 Fig. Preis geb. 4 M.

(Das Buch enthält die aus der neuesten Zeit stammenden Verfahren, Maschinen und Vorrichtungen zum Absprengen, Abschleifen und Schneiden des Glases, zum Verschmelzen der Schnittflächen, Polieren, Mattieren und Verätern mit Sandstrahl, durch Einbrennen, durch Ätzen, Auftragen von Metallverzierungen usw.)

Die Geschichte des Eisens in technischer und kulturellgeschichtlicher Beziehung. V. Abteilung: Das XIX. Jahrhundert von 1860 an bis zum Schluss. Von Dr. Ludwig Beck. 1. Lieferung: Braunschweig 1901, Friedrich Vieweg & Sohn. 176 S. 8° mit Figuren. Preis 5 M.

(Einleitung, Chemie, Physik, Vorbereitungsarbeiten für den Hochofenbetrieb, Eisengießerei, Schmiedeseisenbereitung, Schweißseisenbereitung, Fortschritte des Bessemerprozesses.)

Desgl. 2. Lieferung: 175 S. 8° mit Figuren. Preis 5 M.

(Zement- und Gusseisenfabrikation, Fortschritte in der Bearbeitung des Eisens, Fortschritte in der Verwendung des Stahles und Flusseisens, Geschichte des Eisens in den einzelnen Ländern, Geschichte des Eisens von 1871 bis zum Ende des Jahrhunderts.)

Emscherthallinie und Kanalisierung der Lippe. Von Sympher. Berlin, E. S. Mittler & Sohn. 16 S. 8° mit einer Karte. Preis 0,40 M.

Die wasserwirtschaftliche Vorlage. Von Sympher. Berlin, E. S. Mittler & Sohn. 145 S. mit 3 kolorierten Karten. Preis 1,50 M.

(In einem allgemeinen Teil sind die maßgebenden Gesichtspunkte zusammengestellt, während die Einzelentwürfe in besonderen Abschnitten eingehend behandelt werden.)

Übersicht neu erschienener Bücher.

zusammengestellt von der Verlagsbuchhandlung von Julius Springer, Berlin N., Monbijouplatz 3.

Chemische Industrie. Villon, A. M. Practical treatise on the leather industry. London 1901. Scott, Greenwood & Co. Preis 21 sh.

Wender, Neumann. Die Kohlensäure-Industrie. Berlin 1901. Max Brandt. Preis 2 M.

Wetzel, C. Die Bearbeitung von Glaskörpern bis zu den neuesten Fortschritten. Wien 1901. A. Hartlebens. Preis 4 M.

Wischin, R. A. Die Naphthene (cyclische Polymethylene des Erdöls) u. ihre Stellung zu anderen hydrirten cyclischen Kohlenwasserstoffen. Braunschweig 1901. Vieweg & Sohn. Preis 5 M.

Zipporer, Paul. Die Schokoladen-Fabrikation. 2. Aufl. Berlin 1901. M. Krays. Preis 7,50 M.

Dampfmaschinen. Foulon, V. Cours élémentaire de machines à vapeur. 2. édit. Gent 1901. Hoste. Preis 5 frs.

Pearce, E. L. Model boiler-making: A practical handbook on the designing, making and testing of small steam boilers. London 1901. Dawbarn & Ward. Preis 6 d.

Stodola, A. Die Dampfmaschinen auf der Weltausstellung in Paris 1900. (Aus: "Schweiz. Bauzeitg.") Zürich 1901. E. Rascher. Preis 1 M.

Druckerei. Frits, Geo. Handbuch der Lithographie und des Stein-druckes. 1. Bd. Handbuch der Lithographie. 8. Heft: Die Lithograph. Farbendruckmanieren. Halle 1901. W. Knapp. Preis 12 M.

Eisenbahnwesen. Alexander, J. T. Burton. Railway runs in three continents. London 1901. Elliot Stock. Preis 7 sh. 6 d.

Eisenbahn-Technik, Die, der Gegenwart. Herausgeg. v. Blum, v. Horries u. Barkhausen. 3. Bd.: Der Eisenbahn-Bau. 4. Abschnitt: Signal- u. Sicherungsanlagen. Wiesbaden 1901. Preis 12,40 M.

Desgl. 3. Bd.: Unterhaltung und Betrieb der Eisenbahnen. Wiesbaden 1901. Kreidel. Preis 10,40 M.

Foster, Wolcott O. A treatise on wooden trestle bridges according to the present practice on American railroads. 2^d ed. New York 1901. John Wiley & Sons.

Guédon, P. Traité pratique des chemins de fer d'intérêt local et des tramways. Paris 1901. Gauthier-Villars. Preis 11 frs.

Lutz, R. Skizzen zum Eisenbahnbau unter Berücksicht. in u. ausl. Bahnen. 1. Heft. Preussische Normalien. Berlin 1901. Polytechn. Buchh. A. Seydel. Preis 3,50 M.

Memorandum, A. on co-operative railroads. By an expert. London 1901. Eyre & Spottiswoode. Preis 2 sh.

Philippi, A., u. C. Griebel. Elektrische Schnellbahnen zur Verbindung großer Städte. Berlin 1901. Polytechn. Buchh. A. Seydel. Preis 0,80 M.

Statistik der im Betriebe befindlichen Eisenbahnen Deutschlands, nach den Angaben der Eisenbahn-Verwaltungen bearb. im Reichs-Eisenbahn-Amt. XX. Bd. Rechnungsjahr 1899. Berlin 1901. E. S. Mittler & Sohn in Komm. Preis 10 M.

Vereinbarungen, Technische, Ab. den Bau u. die Betriebseinrichtungen der Haupt- u. Nebeneisenbahnen nach den Beschlüssen der am 28., 29. u. 30. Juli 1896 zu Berlin abgeh. Vereins-Versammlung. 3. Nachtrag. Berlin 1901. Wiesbaden. C. W. Kreidel in Komm. Preis 0,10 M.

Verwaltungsbericht der Königl. württembergischen Verkehrsanstalten f. d. Etatjahr 1899 (1. April 1899 bis 31. März 1900). Herausgeg. v. d. Königl. Ministerium der auswärt. Angelegenheiten, Abthellg. f. d. Verkehrsanstalten. Stuttgart 1901. J. B. Metzlers Verlag. Preis 10 M.

Eisenbahnwesen. Darstellung, Gemeinfaßliche, des Eisenbahnwesens. Herausgeg. vom Verein deutscher Eisenbahnleute in Düsseldorf. 4. Aufl. Düsseldorf 1901. Bagel. Preis 3 M.

- Dürre, E. F. Die Hochofenbetriebe am Ende des 19. Jahrh. Eine den Bau und Betrieb der gegenwärt. Hochofen umfassende Darstellung der Rohlenherstellung an der Jahrhundertwende. Berlin 1901. Loewenthal. Preis 20 \mathcal{M} .
- Hubert, H. Utilisation directe des gaz de hauts-fourneaux pour la production de la force motrice. Paris 1901. Hérange. Preis 2 frs. 50 c.
- Kerpely's (Ant. v.) Bericht über die Fortschritte der Eisenhütten-Technik im Jahre 1896. Neue Folge. 18. Jahrg. Leipzig 1901. A. Pöhl. Preis 12 \mathcal{M} .
- Eisenkonstruktionen, Brücken.** Essex, Ernest H. Theory of engineering construction. London 1901. St. Bride's Press. Preis 5 sh.
- Heinsinger, Frdr. Die Brücken der Gegenwart. II. Abt.: Stahnerne Brücken. 2. Heft. Strombrücken, Thalbrücken, Kanalbrücken und schiefe Brücken in Stein, Beton und Beton mit Eiseneinlagen, mit Gelenken u. ohne Gelenke. 2. Aufl. Berlin 1901. W. & S. Loewenthal. Preis 30 \mathcal{M} .

- Waddell, J. A. L. Specifications for steel bridges (taken from "De Pontibus"). New York 1901. John Wiley & Sons.
- Elektrotechnik.** Avery, Alfred H. The ABC of dynamo design. London 1901. Dawbarn & Ward. Preis 1 sh.
- Bauer, Heins. Die elektrische Maschinenanlage. Eine allgemein-verständl. Darstellg. mit prakt. Ratschlägen für die Angestellten elektr. Betriebe. Berlin 1901. C. Duncker. Preis 1,50 \mathcal{M} .
- Blount, Bertram. Practical electro-chemistry. London 1901. Archibald Constable & Co. Preis 16 sh.
- Bradwell, J. F. Dynamo-Maschinen, ihre Berechnung und Konstruktion, durch praktische Beispiele erläutert. Potsdam 1901. Stein. Preis 1,50 \mathcal{M} .
- Burquet, R. Traité d'électricité industrielle, 2 vols. Paris 1901. Baillière et fils. Preis 12 frs.
- Castellani, L. Das Gasglühlicht. Die Fabrikation der Glühnetze (Strümpfe). Wien 1901. A. Hartleben. Preis 3 \mathcal{M} .

Zeitschriftenschau.¹⁾

(¹ bedeutet Abbildung im Text.)

Beleuchtung.

Theorie des Gasglühlichtes. Von Bössner. (Z. österr. Ing.- u. Arch.-Ver. 31. Mai 01 S. 401-04²) Erläuterung des Kirchhoffschen Gesetzes über das Absorptions- und das Emissionsvermögen fester Körper. Zusammensetzung der Auer-Mischungen. Versuche und Theorie von Bunte, wonach die hohe Leuchtkraft auf eine katalytische Wirkung des Ceroydes zurückgeführt wird. Versuche und Theorie von La Chatelier und Boudouard.

Zur Theorie des Gasglühlichtes. Von Bunte. (Journ. Gas- u. Wasserv. 8. Juni 01 S. 411-12) Der Verfasser teilt die Ergebnisse von Versuchen mit, die auf seine Veranlassung von Dr. Loggin ausgeführt wurden, um die katalytische Wirkung der seltenen Erden, insbesondere der Auer-Masse, zu untersuchen.

Zur Theorie des Auerlichtes. Von Nernst und Bose. (Journ. Gas- u. Wasserv. 8. Juni 01 S. 412-13²) Auszug aus einer in der Physikalischen Zeitschrift veröffentlichten Abhandlung über Versuche, die nachweisen, dass die hohe Leuchtkraft des Auer-Strumpfes lediglich auf die starke Erhitzung zurückzuführen sei, während eine katalytische Wirkung, wie sie Bunte annimmt, nicht in Betracht kommen soll.

Elements of illumination. XIV. Von Bell. (El. World 23. Mai 01 S. 863-64²) Lampenschirme und Reflektoren.

Messungen an Nernstlampen. (Z. f. Elektro. Wien 9. Juni 01 S. 288-89²) Die Messungen sind an einer Lampe für 220 V Spannung und 80 W Energieverbrauch ausgeführt. Es ergab sich eine mittlere räumliche Leuchtkraft von 30 Kerzen, 90 W als höchster Energieverbrauch und 2,9 WHK Energieverbrauch auf die mittlere räumliche Lichtstärke bezogen. Die größten Leuchtkraften ergaben sich in den in Richtung des Fadens verlaufenden Ebenen zu 82 HK. Für diese beträgt der Energieverbrauch rd. 1 WHK.

Bergbau.

Gold mining and milling in Western Australia. Von Charleston. (Eng. Magaz. Juni 01 S. 405-22²) Erzackleinerungs- und Cyanidverfahren im Goldfeld von Kalgoorlie.

Brennstoffe.

Neues Verfahren zur Gewinnung und Verarbeitung von Torf. (Dingler 8. Juni 01 S. 367-69²) Beschreibung der neuen Maschinen zur Herstellung von Torfbriketts nach dem Galechischen Verfahren. Kosten der Einrichtung einer Torfbrikett-Fabrik für verschiedene Leistungen.

Chemische Industrie.

Ueber die gleichzeitige Abscheidung von Eisen und Nickel aus den gemischten Lösungen der Sulfate. Von Köster. (Z. f. Elektro. 8. Juni 01 S. 688-92²) Fachbericht über Versuche, die ergeben haben, dass sich Nickel eher abscheidet als Eisen, im Gegensatz zu den Ergebnissen der Untersuchungen von Töpfer, bei denen sich die beiden Metalle in umgekehrter Reihenfolge abschieden. Aufklärung dieses scheinbaren Gegensatzes.

Dampfmaschinen und Kesselanlagen.

Trachewälzender. Von Geiger. (Z. bayr. Dampf.-Rev. V. Mai 01 S. 24-26²) Allgemeine über Verwendung, Betriebsweise und die gebräuchlichsten Bauarten. Darstellung der verschiedenen Bauarten. Schlichte wälzender Zylinder aus Eisen und Kupferblech alter Konstruktion. Neuere Ausführungen mit Kupferblech, Böden aus Stahl und sorgfältig ausgebildeten Verbindungen und Verschlussstücken. Forts. folgt.

Die Zeitschriftenschau wird, nach den obigen Stichwörtern in Verzeichnissen zusammengefasst und geordnet, gesondert herausgegeben, und zwar zum Preise von 3 \mathcal{M} pro Jahrgang für Mitglieder, von 10 \mathcal{M} pro Jahrgang für Nichtmitglieder.

Dampfkraftanlagen.

Cheminées en béton armé. (Rev. Ind. 8. Juni 01 S. 223-24²) Der von der Hansome Concrete Company gebaute Schornstein ist cylindrisch, 38 m hoch und hat 2,67 m l. Dmr. Kurze Angaben über den Bau.

Actual efficiency in steam generation. Von Bement. (Eng. Magaz. Juni 01 S. 370-79²) Der Verfasser verwirft das vielfach übliche Verfahren, den Wirkungsgrad von Dampfkesseln nach der Menge des pro qm Rostfläche verbrannten Brennstoffes zu schätzen, und erörtert die Verhältnisse, die für die richtige Beurteilung des Nutzeffektes maßgebend sind.

The Lane and Bodley twentieth century engine. (Eng. Rec. 25. Mai 01 S. 505²) Die durch ein Schaubild dargestellte liegende Corliss-Maschine ist vollständig nach neuen Modellen gebaut und zeichnet sich durch äußerst einfache Formen aus.

Double-eccentric Corliss engines and Corliss-Bennett air compressors. (Eng. News 30. Mai 01 S. 404-05²) Liegende Dreifach-Expansionsmaschine von 500 PS und 406, 660 und 710 mm Cyl.-Dmr. bei 1066 mm Hub. Liegende Verbund-Gebblasmaschine von 600 PS. Einzelheiten der eigenartigen Ventilsteuerung.

Birkenhead tramways. (Engineer 7. Juni 01 S. 601²) Darstellung der beiden Dampfmaschinen für das Elektrizitätswerk in New Chester-road: Stehende 240pferdige Verbunddampfmaschinen für 10 at Betriebsdruck, unmittelbar gekuppelt mit Gleichstromdynamos für 600 V.

High speed vertical compound engine at the Glasgow Exhibition. Constructed by Messrs. Ruston, Proctor and Co., Limited, Engineers, Lincoln. (Enging. 31. Mai 01 S. 713²) Die eingekapselte Verbundmaschine mit Kolbensteuerung hat 240 und 350 mm Cyl.-Dmr. bei 200 mm Kolbenhub. Sie dient zum Antrieb eines 80 KW-Gleichstromerzeugers mit gemischter Bewicklung und 250 V Spannung.

Die Doppelkessel und das Rinnen ihrer Heizröhren. Forts. (Z. bayr. Dampf.-Rev. V. Mai 01 S. 54-57²) Einfluss der Zugsführung. Eintreten des Rinnens infolge unweckmäßiger Herstellung und Behandlung. Konstruktionsfehler. Leitlinie zur Verhinderung des Uebelstandes. Statistik über die Ursachen des Rinnens. Schluss folgt.

The Braun-Lowener water softener, constructed by Messrs. Lassen and Hjort. London. (Enging. 7. Juni 01 S. 745²) Darstellung eines einfachen selbsttätigen Speisewasserreinigers, worin das Wasser mit Kalkmilch behandelt wird.

Abspriegen von Nietköpfen. (Z. bayr. Dampf.-Rev. V. Mai 01 S. 59-60²) An zwei Rundbohren waren Nietköpfe abgesprungen und die Fugen undicht geworden. Erst nach wiederholten Ausbesserungen wurde der Uebelstand behoben, dessen Ursachen in mangelhafter Vernietung und darin zu suchen sind, dass der Kessel immer nur kurze Zeit betrieben und wahrscheinlich zu rasch angeheizt wurde.

Eisenbahnwesen.

Der Eisenbahnwagenbau auf der Pariser Weltausstellung 1900. Von Schumacher. Forts. (Glaser 1. Juni 01 S. 224-29²) Wagen 2. und 3. Klasse für die Wiener Stadtbahn. Verschiedene Wagen der Ungarischen Staatsbahn. Forts. folgt.

Der elektrische Betrieb auf der Berliner Stadt- und Ringbahn und seine Vorteile für die Berliner. Von Pferr. Glaser 1. Juni 01 S. 217-20²) Geringere Fahrzeit. Verhältnis der aufgewendeten zur Nutzarbeit. Berechnung der Beförderungsgeschwindigkeit bei Dampf- und bei elektrischem Betrieb. Betriebsverhältnisse bei einer Vermehrung der Haltestellen. Vorteile des elektrischen Betriebes.

Schnellbetrieb auf den Eisenbahnen der Gegenwart. Von Richter. Forts. (Dingler 8. Juni 01 S. 367-68²) Ausnutzung der Maschinenleistung. Ruhiger Gang und Schöpfung des Oberbaues. Forts. folgt.

Elektrische Untergrundbahnen. Von Löwy. (Z. f. Elektrot. Wien 9. Juni 01 S. 284/88) Ausführung der Vorteile einer Untergrundbahn. Besprechung der Streckenführung, des Baus und des Betriebes anhand der bisher ausgeführten Untergrundbahnen in London, Glasgow, Paris, Budapest und Boston. Erörterungen über einige im Bau begriffene oder entworfene Untergrundbahnen. Meinungsaustausch.

Express engine. London, Brighton and South Coast of England. (Engineer 7. Juni 01 S. 604) $\frac{2}{3}$ -gekuppelte Lokomotiven mit vorderem Drehgestell und innen liegenden Cylindern von 483 mm Dmr. und 660 mm Hub.

New type of freight locomotives for the Chicago, Burlington & Quincy R. R. (Eng. News 30. Mai 01 S. 399/40) $\frac{2}{3}$ -gekuppelte Lokomotiven mit aufliegenden Cylindern von 508 mm Dmr. und 610 mm Hub, gebaut von den Baldwin Locomotive Works in Philadelphia.

Rhodéan Railway rolling stock. (Engng. 31. Mai 01 S. 698) Der für den Verkehr zwischen Kapstadt und Hluwajo bestimmte Luxuszug besteht aus 6 Wagen, von denen drei Schlafwagen, die anderen Speise-, Salon- und Gepäckwagen sind. Die 17 m langen Wagen haben zwei zweifelhafte Drehgestelle und sind mit Stonescher Beleuchtungsrichtung ausgestattet. Konstruktion der Wagenkasten und des Untergestelles. Bremsen und andere Einzelheiten.

Les freins continus. Von Seguela. Forts. folgt. (Rev. Méc. 31. Mai 01 S. 515/30) Bremsenventil von Ansley, Synnestvedt, Mann, Shortt und Clarke. Lipkowskische durchgehende Bremse. Druckminderungsventil von Westinghouse.

Exposition de 1900. Le chauffage des voitures de chemin de fer. Von Guérin. Schluss. (Génie civ. 1. Juni 01 S. 72/75) Heizvorrichtungen der Paris-Lyon-Mittelmeer-Bahn. Heizvorrichtungen einiger ausländischer Eisenbahnen.

Eisenhüttenwesen.

Improvements in blast furnace iron skimmers. (Iron Age 23. Mai 01 S. 22/28) Beschreibung einer von Baker erfundenen und bei der Illinois Steel Company in Chicago benutzten Vorrichtung zum Zurückhalten der Schlacke beim Absteigen von Eisen aus dem Hochofen.

Elektrotechnik.

Ueber den Einfluss der Umfangsgeschwindigkeit auf die äußeren Dimensionen und das aktive Materialgewicht von Drehstromgeneratoren. Von Siewert. (Elektrot. Z. 6. Juni 01 S. 462/65) Die Gewichte aller wirksamen Teile des feststehenden Ankers und des sich drehenden Magnetkörpers werden in Beziehung zur Umfangsgeschwindigkeit gebracht. Die Umlaufzahl, Periodenzahl, Kraftliniendichte im Eisen und in der Luft, Stromdichte in der Ankerwicklung und das Verhältnis von Polbögen zur Teilung bleiben unverändert. Eine Gewichtersparnis kann sich dem Ergebnis der Rechnung nach nur bei breiten Maschinen erzielen lassen. Diese Ersparnis wird aber durch die infolge erhöhter Beanspruchung notwendige festere und teurere Konstruktion wieder aufgehoben.

Electrical Development at Manchester, N. H. (El. World 23. Mai 01 S. 857/61) Die Stadt hat 3 Dampfkraftwerke von 3000 und 600 PS Maschinenleistung und 4 Wasserkraftwerke von rd. 1000, 1600, 1000 und 4000 PS. An Gleichstromerzeugern sind solche für Straßenbahnbetrieb von 600 V Spannung, solche für Motorenbetrieb von 500 V und Hogenlichtmaschinen vorhanden. Der größte Teil des erzeugten Stromes ist aber zwei- und dreiphasiger Wechselstrom von 2000 V Spannung, die für einzelne Speiseleitungen noch auf 6600 V erhöht wird. Angaben über die Kraftwerke, Maschinen und Verteilwerke.

Groupe Electrogène de 830 Kilowatts. Crépelle et Girard—Établissements Décauville aîné. (Génie civ. 8. Juni 01 S. 85/87) Die Hegende Verbunddampfmachine hat 710 und 1820 mm Cyl.-Dmr., 1600 mm Kolbenhub und macht normal 70 Uml./min. Zwischen den Cylindern sind zwei gleiche durch das Schwungrad getrennte Gleichstromdynamos angeordnet. Das Magnetgestell ist zwölfpolig, die Erregerspulen sitzen auf den Jochen. Der Anker hat 2823 mm Dmr. und ist 850 mm lang. Der Luftraum beträgt 18,5 mm.

Steam electric generators at the Glasgow Exhibition. (Engng. 31. Mai 01 S. 698) Williams & Robinson stellen zwei stehende Drillings-Dreifachexpansionsmaschinen aus, die 1200 bis 1500 PS leisten und von denen die eine mit einer Cromptonschen, die andere mit einer Gleichstromdynamo der Britischen Schnecken-Gesellschaft gekuppelt ist. Die Dampfmaschinen haben dreimal drei über einander in Tandemform angeordnete Cylinder von 380, 600 und 950 mm Dmr. Der Hub beträgt 430 mm, der Dampfdruck 13 at und die Umlaufzahl 250 l. d. Min. Die Dynamen haben gemischte Wicklung und 700 bis 950 KW Leistung bei 520 bis 600 V Spannung.

Neue Drehstromkontrollen. Von Ephraim. (Elektrot. Z. 6. Juni 01 S. 465/66) Die Schaltkontakte für den Läufer und den Ständer sind auf einer Walze angeordnet. Die ersteren stehen in zwei Reihen, wobei die Kontakte für die eine Phase geteilt sind. Das Schaltungs-schemata für das Umschalten des Ständers ist wesentlich anders als üblich. Beide Reihen der Walzenkontakte kommen gleichzeitig in Tätigkeit, während wie auch sonst nur 4 Kontaktstücke über einander stehen. Wiedergabe und Erläuterung des Schaltungs-schemata und Angaben über die Konstruktion und Verwendung des Steuerhalters.

Die Pufferbatterie im allgemeinen, im besonderen die der Aktiengesellschaft Thiederhall in Thiede bei Braun-schweig. Von Hoppe. (Geldkauf 1. Juni 01 S. 477/89 mit 1 Taf.) Eingehende Abhandlung über die Vorgänge in einer Pufferbatterie, deren Bemessung, Zweck und Vorteile im allgemeinen. Kurze Angaben über das Verhalten der Pufferbatterie im Betriebe der Schachtförder-anlage in Thiederhall. Schaulinien über die Strom- und Spannungsschwankungen. Anhang über die Theorie des Akkumulators nach Dolzalek.

The new Edison storage battery. Von Kennelly. (El. World 23. Mai 01 S. 867/69) Bericht über die Konstruktion und die Eigenschaften des neuen Akkumulators, dessen Elektroden aus Eisen und Zinksuperoxyd bestehen. Zellenspannung, Kapazität. Durch Schaulinien erläuterte Versuchsergebnisse. Behandlung des Akkumulators.

The storage of electricity. Schluss. (Engineer 7. Juni 01 S. 605/06) Aufspeicherung der Elektrizität in Pufferbatterien.

Erd- und Wasserbau.

Coefficient of friction in dam design and the failure of the dam at Austin, Tex. Von Gillette. (Eng. News 30. Mai 01 S. 392/93) Wiedergabe von Meinungsäußerungen verschiedener amerikanischer Fachleute über die Ursachen des Dammbruchs. In den Schlussfolgerungen wird ausgeführt, dass keine der bisherigen Erklärungen stichhaltig ist. Vermutlich ist der Bruch darauf zurückzuführen, dass zu wenig Kohäsion zwischen der Dammmauer und dem Fundament bestanden hat.

Explosionsmotoren und andere Wärmekraftmaschinen.

Der thermische Wirkungsgrad von Wärmekraftmaschinen nach neueren Versuchen an Petroleum-, Gas- und Dampfmaschinen. Von Bryan Donkin. (Z. bayr. Dampfkr.-Rev. V. Mai 01 S. 51/62) Die Wärmekraftmaschinen zählen in bezug auf ihren thermischen Wirkungsgrad in der Reihenfolge: Petroleummotoren, Lichtgasmotoren, Kraftgasmotoren, Naturgasmaschinen, Leuchtgasmaschinen und Dampfmaschinen. Diese Reihenfolge ändert sich aber zugunsten der Dampfmaschine, sobald man die aufgewendeten Kosten statt der pro PS-st zugeführten Wärmemenge berücksichtigt.

Power-gas and large gas-engines for central stations. Von Humphrey. (Proc. Inst. Mech. Eng. Jan. 01 S. 41/247 mit 11 Taf.) Abdruck des in Zeitschriftenschan v. 19. Jan., 2. Febr., 16. Febr. u. 2. März 01 erwähnten Vortrages und das sich daran anschließenden Meinungsaustausches.

Feuerungsanlagen.

The Aero system of pulverized-fuel combustion. (Eng. Rec. 23. Mai 01 S. 506) Die Aero-Pulverizer Company in New York baut eine Maschine, die aus 4 in gusseisernen Gehäusen umlaufenden Schaufelrädern besteht. Die Kohle wird an der einen Seite eingefüllt, durch die 3 ersten Schaufelräder zu Staub zermahlen und durch das vierte Rad, das einen Ventilator darstellt, mit der erforderlichen Verbrennungsluft einer Kesselfeuerung zugeblasen.

Gasindustrie.

Bewertung des Gases nach der Heizkraft. Von Pfeiffer. (Journ. Gasb.-Wasserv. 8. Juni 01 S. 409/11) Der Verfasser führt aus, dass heutzutage die Bewertung eines Gases nach seiner Leuchtkraft gar keinen Sinn mehr hat, dass vielmehr an deren Stelle die Bewertung nach der Heizkraft treten sollte, wenigstens es im Auerbrenner nicht auf den Heizwert, sondern auf die Temperatur der Flamme ankommt.

Rotirender Gaswäscher mit beweglichen Einlagen. Von Zechowke. (Journ. Gasb.-Wasserv. 8. Juni 01 S. 418/14) Die beweglichen Einlagen bestehen aus kugelförmigen Körpern, die lose in den Zellen des Wäschers angeordnet sind und bei der Drehung der Welle durch schaufelartige Vorsprünge an letzterer mitgenommen werden.

Sanitätstechnik.

Sewer siphons at Sheboygan and Milwaukee, Wis. Von Logeman und Nomsen. (Eng. News 30. Mai 01 S. 406/08) Durch die Messungen wurde die Menge der durch die Kanäle fließenden Abwässer bei normalen Verhältnissen und bei starkem Regenfall festgestellt.

Gießerei.

Cast iron pipe in the United States. X. (Engineer 7. Juni 01 S. 387/78) Angaben über Versuchsergebnisse mit Röhren, die von 4 verschiedenen Gießereien für die Metropolitan-Wasserwerke in Boston gegossen wurden.

The McCormick foundries. (Iron Age 30. Mai 01 S. 1/3) Ausführliche Angaben über die Leistungsfähigkeit und die Einrichtungen der Gießerei der McCormick Harvesting Machine Company in Chicago: Formmaschinen, ununterbrochenes Schmelz- und Formverfahren, Transport der Rohstoffe, Sandaufbereitung, Umfang des Betriebes.

Heizung und Lüftung.

Heating in the Marion County court house, Fairmont, W. Va. (Eng. Rec. 23. Mai 01 S. 503/05) Das Gebäude besteht

auss einem Erdgeschoss und 2 Obergeschossen und wird durchweg mittels warmer Luft geheizt, die durch Ventilatoren in Kanälen den einzelnen Zimmern zugeführt wird.

Kälteindustrie.

Kühlanlage der Molkerei Strückhausen. Von Schmitz. (Ele. u. Kälte-Ind. 5. Juni 01 S. 177/80*) Beschreibung der Anlage, die mit Kohlensäure arbeitet. Ausführlicher Bericht über einen Leistungsversuch.

Lager- und Ladevorrichtungen.

The coal terminals of the Norfolk and Western Railroad. (Iron Age 30. Mai 01 S. 435*) Darstellung und kurze Angaben über das neue Kohlenverladegerüst der genannten Bahngesellschaft bei Norfolk. Es sind 55 durch Gegengewichte ausgeglichene Kohlenschüttungen in 2 Reihen über einander angeordnet, um den verschiedenen Höhen der Schiffsdecks Rechnung zu tragen.

Some recent designs for steel coal-hoisting towers. Von Tyrell. (Eng. News 30. Mai 01 S. 386*) Darstellung eines auf Rädern verschlebbaren eisernen Kohlenladegerüsts von 19 m Höhe und 17 m Ausladung. Kurze Angaben über mehrere ähnlich gebaute Ladevorrichtungen.

Maschinenteile.

Some experiments on ball step-bearings. Von Benjamin. (Eng. News 30. Mai 01 S. 403/04*) Durch die Versuche sollte die Beanspruchung der Kugeln in Lagern bei verschiedenen Drehgeschwindigkeiten und bei stetig wachsender Belastung festgestellt werden. Beschreibung der Versuchseinrichtungen und Zusammenstellung der Ergebnisse.

Kettenantrieb. (Z. Werkzeugm. 5. Juni 01 S. 391/93*) Deutsche Bearbeitung des in Zeitschriftenchau vom 3. Juni 01 unter „Chains and chain gearings“ erwähnten Vortrages von Plez. Schluss folgt.

A new piston ring. (Engineer 7. Juni 01 S. 591*) Auf einer Endfläche des Kolbenringes sind Federn angeordnet, welche den Ring fest gegen den Kolbenkörper pressen und ihn dampfdicht abschließen sollen.

A new connecting rod end. Von Hunt. (Eng. News 30. Mai 01 S. 393*) Das Neue an der Konstruktion, deren Einzelheiten aus den Figuren ersichtlich sind, besteht in einer eigenartigen Nachstellvorrichtung der Lagerschalen.

Presse à boudrage hélicoïdal Vinsonneau. (Rev. Ind. 1. Juni 01 S. 215/16*) Die Stopfbüchse hat ein bronzenes Futter, in das über den größten Teil der gesamten Länge schmale Ringe aus Lagermetall eingelegt sind. Die Ringe werden durch 4 Federn aus Bronze am Drehen verhindert. Die Ringe haben nach der Rückseite der Stopfbüchse zu kegelförmige Form, sodass sie durch den Pressring in dem Futter festgezogen werden können.

Materialkunde.

Rationelle Durchführung der Materialprüfung aufgrund des Gesetzes der Kraftvermittlung und der inneren Reibung. Von Rejtd. Forts. (Baumaterialienk. 01 Heft 9 S. 125/28) Zusammenstellung der Berechnungswerte für die Bestimmung der Kohäsion. Forts. folgt.

Lecture on the structure of metals. Von Ewing. (Proc. Inst. Mech. Eng. Jan. 01 S. 249/56 mit 6 Taf.) Abhandlung über die Gefügebildungen in Metallen und Metalllegierungen und Erläuterung der Vorgänge beim Erhitzen und Erstarren durch Aetzbilder.

The properties of steel castings. Von Arnold. (Enging. 7. Juni 01 S. 748/51*) Die Versuche über die Zusammensetzung des Stahlgusses reichen bis zum Jahre 1895 zurück. Chemische Zusammensetzung und Abmessungen der Versuchstäbe. Das Ausglühverfahren. Veränderung des spezifischen Gewichtes durch das Ausglühen. Chemische, mechanische und mikroskopische Eigenschaften. Forts. folgt.

The influence of titanium on the properties of cast-iron and steel. Von Rossi. (Eng. News 30. Mai 01 S. 386/89*) Untersuchungen über die Festigkeitseigenschaften von titanhaltigem Eisen. Legierungen von titanhaltigem Eisen mit Nickel. Zusatz von Titanlegierungen zu Gusseisen. Einfluss des Titans auf Stahl.

Untersuchungen über Zement. Von Klein und Peckham. Forts. (Baumaterialienk. 01 S. 126/31) S. Zeitschriftenchau v. 15. Juni 01. Forts. folgt.

Tests of waste for packing car journal boxes. Von Symington. (Eng. News 30. Mai 01 S. 399*) Bericht über Versuche, durch welche die Beschaffenheit von Schmierölen in Bezug auf Aufsaugfähigkeit von Öl, Haltbarkeit usw. festgestellt werden sollte.

Mechanik.

Studie über eine neue Formel zur Ermittlung der Geschwindigkeit des Wassers in Flüssen und Strömen. Von Niedeck. (Z. österr. Ing. u. Arch.-Ver. 31. Mai 01 S. 397/401* und 7. Juni S. 409/13*) Kritik der Formel von Ganguillet und Kutter, insbesondere des in diese Formel eintretenden Begriffes Profilradius. Entwicklung einer neuen Formel, die aus 4 Gliedern besteht. Das

erste Glied gilt für ein bestimmtes Normalprofil, die 3 folgenden Glieder stellen Korrekturen dar, die bei abweichenden Tiefen-, Gefälle- und Mengenverhältnissen anzubringen sind. Diese Korrekturglieder werden eingehend besprochen. Schluss folgt.

Messgeräte und -verfahren.

Neuer Elektrizitätszähler für Gleich- und Wechselstrom. (Glaser 1. Juni 01 S. 230*) Motorszähler der Luxschen Industriewerke A.-G. in München mit offener, aus drei Spulen bestehender Ankerwicklung.

Metalbearbeitung.

J. E. Reinerkers Werkzeugmaschinen. Von Fregal. (Dingler 8. Juni 01 S. 357/61*) Holzdrehbank von 140 mm Spitzenhöhe. Winkeltisch zur Universal- und Standardfräsmaschine. Anschlusskopf für 2 Nebenspindeln bei der Fräsmaschine. Selbstthätiger Rundtisch. Parallelführmaschine. Forts. folgt.

Leichte Drehbänke und Schraubenbänke. Schluss. (Z. Werkzeugm. 5. Juni 01 S. 383/85*) S. Zeitschriftenchau v. 1. Juni 01.

Spindelpresse mit Reibungsantrieb für die Schraubenfabrication. (Z. Werkzeugm. 5. Juni 01 S. 383/84*) Schaubbilder und kurze Beschreibung einer kräftigen, senkrechten Spindelpresse. Darstellung des Reibräderantriebes. Mit der Maschine können in 10 at 4000 bis 5000 Schraubenbolzen mit gewöhnlichen Kopfgrößen geschmiedet werden.

Universal grinding machine. (Am. Mach. 8. Juni 01 S. 571/72*) Ausführliche Beschreibung der neuen Schleifmaschine der Universal Machine Company in Providence, R. I. Darstellung der Spindellagerung, der Wasserauführung und einer Hilfsvorrichtung zum Schleifen von Hohlflächen.

Keyseaters at the Glasgow Exhibition. (Enging. 31. Mai 01 S. 691/91*) Darstellung der ausgestellten Nuten-Hobel- und Fräsmaschinen von Charles Churchill & Co., Pollock, Whyte & Waddell in Johnstone, C. W. Griffiths & Co. in London und Smith & Coventry.

Machine à meuler mue par l'électricité, construite par E. Dubouché. (Rev. Ind. 1. Juni 01 S. 213*) Der Schleifstein ist auf einem gußeisernen Gehäusebock gelagert, in welchem der Elektromotor aufgestellt ist. Von der Motorwelle wird mittels zweistufiger Riemenscheibe ein Zahnradgetriebe mit doppelter Übersetzung angetrieben. Der Schleifstein hat eine sehr handliche Vorrichtung zum Umliegen des Riemens auf die andere Stufe der Riemenscheibe.

Die forging. III. Von Horner. (Enging. 7. Juni 01 S. 721/23*) Weitere Verfahren und Hilfsvorrichtungen zum Schmieden verschiedener Hebel, Handgriffe und Augenstäbe.

The Hughes process for manufacturing steel billets. (Iron Age 28. Mai 01 S. 18/19*) Darstellung und Beschreibung einer selbstthätigen liegenden Wasserdruknpresse zum Prägen flacher Gegenstände aus Stahl.

Elektrisches Schmelzverfahren, angewandt auf Zerbe Friedrich der Große. (Glückauf 26. Mai 01 S. 456/57*) Zum Zerteilen eines alten Pumpengestänges von 15 cm Dmr., das aus einem Schacht entfernt werden sollte, bediente man sich mit Erfolg des elektrischen Lichtbogens. Der Lichtbogen wurde unter 70 V Spannung zwischen einem Kohlenstift als negativem und dem Eisen des Gestänges als positiven Pol mittels einer Schraubvorrichtung eingestellt. Als günstigste Lichtbogenlänge ergab sich die Strecke von 1,5 bis 2 cm, bei 180 bis 200 Amp Stromstärke. Das Gestänge wurde in 20 min durchgeschmolzen, die ganze Arbeit dauerte 30 min gegenüber 10 at für das Durchschneiden des Gestänges.

Appareils à rectifier le bouton et les portées des arbres à manivelles. Von Marrier. (Rev. Ind. 8. Juni 01 S. 225*) Darstellung und kurze Beschreibung zweier einfacher in den Werkstätten von H. Bollinckx, Brüssel, benutzter Vorrichtungen zum Abdrücken der Kurbelzapfen und der Halszapfen an Kurbelwellen.

Motorwagen und Fahrräder.

The Liverpool motor wagon trials. (Engineer 7. Juni 01 S. 592/94*) Weitere Einzelheiten der an dem Wettbewerb teilnehmenden Wagen, s. a. Zeitschriftenchau v. 15. Juni 01 »The Liverpool heavy motor-car trials« und Bericht über die Probefahrten.

Physik.

Étude des machines à vapeur par le diagramme entropique. Von Boulvin. Forts. (Rev. Méc. 31. Mai 01 S. 493/514*) Anwendung des Verfahrens auf eine liegende einzylinderige Corliss-Maschine mit Dampfmanfell. Untersuchung von Verbund- und Dreifach-Expansionsmaschinen.

Neue Wirkungen des Gleichstromlichtbogens. Von Penkert. (Elektrot. Z. 6. Juni 01 S. 467/68*) Legt man an die mit Gleichstrom gespeisten Bogenlichtkathoden einen Kondensator als Nebenschluss, so entsteht ein zusätzlicher Wechselstrom von sehr hoher Frequenz und niedriger Spannung. Gleichzeitig treten akustische Erscheinungen ein, die sich ohne Mikrophon oder Telefon auf einen zweiten Lichtbogen, der einen gleichen Nebenschluss hat, übertragen, wenn beide Nebenschlüsse um den Kern eines Transformators geführt werden. Bericht über Versuche.

Pumpen und Gebläse.

Zwillinge-Verbundkompressor auf der Emscher Schachtanlage des Kölner Bergwerksvereines. (Glückauf 25. Mai 01 S. 453/56* mit 2 Taf.) Die Zwillingsdampfmaschine hat 475 mm, der Verbundkompressor 380 und 600 mm Cyl.-Dmr. Der gemeinsame Hub beträgt 750 mm, die höchste Geschwindigkeit 85 Uml./min, der Dampfdruck 5 at. Die Luft wird in zwei Stufen auf 2 und 3 at komprimiert. Die Dampfmaschine hat Ventilsteuern, der Kompressor zwangsläufige Kolbenschiebersteuerung. Wiedergabe von Versuchsergebnissen.

Test of an hydraulic air compressor. Von Webber. (Eng. News 30. Mai 01 S. 406) Der Bericht schildert die Leistungsversuche an einem Taylor-Kompressor und enthält die Versuchsergebnisse zusammengestellt in Tabellen und Diagrammen.

Inlet valves and their relation to the efficiency and volumetric capacity of air compressors. Von Corey. (Eng. News 30. Mai 01 S. 390/91*) Ratschläge für die zweckmäßige Konstruktion von Einlassventilen für verschiedene Arten von Kompressoren.

Schiffs- und Seewesen.

The mechanical equipment of the ship-yard. Von Biles. (Eng. Magaz. Juni 01 S. 380, 403*) Plattenblege- und Richtmaschinen, Maschinen zum Versenken von Löchern, Blechkantenböhlmäschinen, Winkelseilen-Biegemaschinen, hydraulische Niet- und Biegepressen, Mannlochstanze, tragbare Nietmaschinen.

La turbine à vapeur Parsons et son application aux navires rapides. (Rev. Ind. 1. Juni 01 S. 213/15* mit 1 Taf.) Darstellung einer Dampfturbine, Bauart Westinghouse-Parsons, und ihrer Anordnung auf einem 23 Knoten laufenden Kreuzer. Der Kreuzer erhält 4 Turbinen, deren Wellen je zwei Schiffschrauben tragen. Bericht über die Verwendung von Dampfturbinen auf den Torpedobooten „Turbinia“, „Viper“ und „Cobra“. Betriebsergebnisse.

The geometry of engine balancing. Von Gray. (Engng. 31. Mai 01 S. 715/18*) Rein geometrisches Verfahren zur Ermittlung des Massenungleiches bei Schiffsmaschinen in Anlehnung an die Verfahren von Yarrow, Schlick, Mallock, Sandey und Dalby.

The Darr water-tube boiler. (Schluss.) (Engineer 7. Juni 01 S. 586/87*) Bedienung des Kessels.

Wasserkraftanlagen.

Turbine building and turbo-electric stations in Switzerland. Von Prästl. (Eng. Magaz. Juni 01 S. 847/59*) S. Zeitschriftenschau v. 25. Mai 01.

Wasserversorgung.

The upper Belmont reservoir at Philadelphia. (Eng. Rec. 25. Mai 01 S. 301/02*) Der Bau und die Einrichtung des Klärbehälters und der zugehörigen Abperrschieber und Rohranlagen sind kurz beschrieben. Der Klärbehälter ist durch einen Querdamm in 2 Teile geteilt, die zusammen 274000 cbm fassen.

Six years of slow sand water filtration at Mount Vernon, N. Y. (Eng. News 30. Mai 01 S. 394/95*) Betriebskosten des Wasserreinigungsvorgangs. Reinkeln der Filter. Waschen des Filtersandes. Angaben über die Beschaffenheit des gereinigten Wassers.

Werkstätten und Fabriken.

Requirements of electricity in manufacturing works. Von Aldrich. (Eng. News 30. Mai 01 S. 400/02) Allgemeine Erörterungen über die Anwendung von Elektrizität in Fabriken vom wirtschaftlichen und technischen Standpunkte aus.

Ziegelei.

Neuerungen in Dachziegeln und ihrer Fabrikation in den letzten fünf Jahren. Von Fiebelkorn. (Baumaterialienk. 01 Heft 9 S. 131/33*) Biberachwauziegel. Hohl-, Pfannen- und Krüppelziegel. Falzziegel. Forts. folgt.

Rundschau.

Die Weltausstellung in Paris 1900. Natürliche Hilfsquellen und Entwicklung der kanadischen Industrie.

(Schluss von S. 526)

Infolge der weiten Verbreitung der Kraftquellen in Gestalt von Kohlenfeldern oder Wasserkraften über das ganze Land haben es die kanadischen Industrien nicht nötig, sich in einzelnen Bezirken zusammenzudrängen, sondern können sich da niederlassen, wo sie am bequemsten zu ihren Rohstoffen kommen. An der Schaffung guter Verkehrsverhältnisse, die allerdings dabei vorausgesetzt werden müssen, hat man es in Kanada nicht fehlen lassen, was wieder auf die Entwicklung der Verkehrsmittelindustrie von Einfluss gewesen ist. Am Ältesten ist darin der Wagenbau, der ja von der Holzindustrie seinen Ausgang nahm. In ihm waren schon 1891 44 Mill. \$ angelegt, und von seiner erfolgreichen Weiterentwicklung gab die von nicht weniger als 17 Firmen besichtete Wagenbauausstellung Zeugnis. Die einzige Industrie, die einen Rückgang zu verzeichnen hat, ist der Schiffbau. Seit der Verwendung des Eisens als Baustoff sank der Registertonnengehalt der in Kanada erbauten Fahrzeuge, der im Jahre 1874 seine größte Höhe von 191000 t erreicht hatte, bis 1878 auf 100873 und bis 1898 auf 24522 t. Bei der neuerdings gestiegenen Eisenerzeugung ist aber zu vermuten, dass sich auch dieser Industriezweig demnächst wieder heben wird, zumal die Regierung ihm volle Aufmerksamkeit zuwendet.

Die Länge der Eisenbahnen betrug im Jahre 1855 908 km, im Jahre 1899 27772 km, wovon, da die kanadischen Eisenbahnen auch den Zweck verfolgen, weniger besiedelte Gegenden zu erschließen, der im Verhältnis zur Bevölkerung größere Anteil auf die westlichen Provinzen kommt. So besitzen Columbia, die Nordwestbezirke und Manitoba mit 6,5 vH der Bevölkerung über 25 vH, Ontario, Quebec und Neuschottland mit 83,5 vH der Bevölkerung nur 65 vH der Schienenlänge. 1867 waren 491 Lokomotiven und 8000 Wagen im Betrieb, 1899 2116 Lokomotiven von bedeutend größerer Leistung und 65000 Wagen. Bis 1899 wurden 3764 Mill. \$ für Eisenbahnen verausgabt, wovon 16 vH vom Staate zugesprochen waren. Auf je 1000 Köpfe kamen im Jahre 1898 35000 Reisen. Außer den Dampfbahnen besitzt Kanada 10133 km elektrische Bahnen, die 1898 95 Mill. Menschen beförderten.

Nicht geringere Sorgfalt hat Kanada dem Ausbau seiner Wasserstraßen angedeihen lassen. Zu den älteren Kanälen, dem Welland-Kanal, dem Rideau-Kanal und dem Champlain-Kanal, sind in den letzten Jahren hinzugekommen der Kanal von Sault Ste. Marie zur Überwindung des Höhenunterschiedes von 3,5 m zwischen dem Huron- und dem Oberen See und der im Herbst 1899 eröffnete Soulangue-Kanal zwischen

dem St. Louis- und dem St. Francis-See, die, im St. Lorenz Strom nicht weit oberhalb der Einmündung des Ottawa gelegen, einen Höhenunterschied von 25 m haben. Beide Kanäle sind durch den elektrischen Betrieb ihrer Schleusen, deren der erstere eine, der letztere 3 besitzt, bemerkenswert. In jahrelanger Arbeit wurde im St. Lorenz-Strom zwischen Montreal und Quebec eine Fahrinne, die 1899 8,43 bis 9,74 m tief war, ausgebaggert, und Montreal dadurch den größten Seeschiffen zugänglich gemacht. Wenn man die Summe von 21 Mill. \$, die dafür ausgegeben ist, einrechnet, wurden in Kanada bis zum 30. Juni 1898 für Kanalbauten über 320 Mill. \$ aufgewandt.

Die wirtschaftlichen Bedingungen Kanadas und seine Entwicklung zeigen große Übereinstimmung mit denjenigen der Vereinigten Staaten; die Zahlen der kanadischen Berufstatistik für 1890 stimmen in überraschender Weise mit denen überein, die sich für die Vereinigten Staaten im Jahre 1880 ergeben hatten. Letztere wären demnach Kanada ein Jahrzehnt in der Entwicklung voraus. Ob sich bis dahin der Wettbewerb des Landes bereits in der Weise für Europa fühlbar machen wird, wie es jetzt mit dem der Vereinigten Staaten der Fall ist, darf vielleicht bezweifelt werden; jedenfalls wird aber Europa in Zukunft damit rechnen müssen. In Deutschland dürfte zunächst die Papierindustrie davon betroffen werden.

Von hoher Bedeutung für die Entwicklung der kanadischen Industrie ist der Holzreichtum des Landes. Kanada ist zum größten Teile mit Wald bedeckt. Der Wert der gesamten Holzausfuhr des Jahres 1898 belief sich auf 106,8 Mill. \$. Erzeugnisse der Zelluloseindustrie sind dabei nicht inbegriffen, und diese gerade steht in Kanada bereits in hoher Blüte. In seinen Wäldern hat man den besten Holzpapierstoff der Welt in der Weiß- oder amerikanischen Schimmelfichte und der Schwarzfichte entdeckt, von denen erstere mehr den Thälern folgt, letztere die Berge bedeckt und daher bei weitem vorwaltet; sie liefert auch die wertvollere Faser. Beide zusammen bilden über die Hälfte der Waldungen des nördlichen Gebietes, nehmen also einen Flächenraum von mindestens 3 Mill. qkm ein. 1 qkm erzeugt durchschnittlich 2500 t Holzschliff oder 1400 t Sulfizellulose.

Da zur Erzeugung von 25 bis 35 t Holzstoff täglich 2500 bis 3000 PS erforderlich sind, hätte sich die Holzfaserindustrie in der kurzen Zeit ihres Bestehens unmöglich zu ihrem heutigen Stande entwickeln können, wenn ihr nicht gewaltige Wasserkraften zur Verfügung ständen. Diese sind in den Stromschnellen und Fällen der zahlreichen großen und kleineren Wasserläufe nicht nur weit verbreitet, sondern auch in vielen Fällen ausgezeichnet regulierbar, da die meisten Wasserläufe Abflüsse von Seen sind, die sich mit Verhältnis-

mäßig geringen Unkosten in mächtige Thalsperren verwandelt lassen. Sehr häufig befinden sich die Hauptfälle an der Mündung der Flüsse, wie z. B. der berühmte Fall, in dem sich der Montmorency aus einer Höhe von 70 m unmittelbar in den Lorenzstrom ergießt, und welcher der 14 km weit entfernten Stadt Quebec Licht und Betriebskraft für die Straßenbahnen liefert.

Genauere Messungen und Schätzungen liegen nur über die Wasserkraft des Ostens vor. Aufnahmen, die vor kurzem über die Kraftquellen des Ottawa-Gebietes gemacht wurden, ergaben, dass sich um die Stadt Ottawa in einem Bezirk von 24 km Halbmesser Wasserkraft von zusammen beinahe 900 000 PS befinden. Die Berechnung bezieht sich auf niedrigen, das ganze Jahr benutzbaren Wasserstand. Bis jetzt werden erst 58 000 PS benutzt.

In erster Linie werden die Wasserkraft von der Zellstoffindustrie ausgebeutet. Im Jahre 1899 hatte Kanada 36 Holzstofffabriken mit einem Betriebskapital von 60 Mill. \$ und einer Tagesleistung von 1100 t, wovon die größte Fabrik 250, die zweitgrößte 170, die andern 100 bis 10 t beitrugen.

Durch Vergrößerung bestehender und durch Errichtung neuer Werke ist die Leistungsfähigkeit der kanadischen Zellstoffindustrie in raschem Steigen begriffen. Die Laurentid Pulp Co. hat in Grand Mere am St. Maurice-Fluss mit einem Kapital von 12 Mill. \$ eine ausgedehnte Anlage geschaffen. Ihre Waldungen bedecken eine Fläche von 4600 qkm, und im ganzen Betriebe sind über 3000 Arbeiter beschäftigt, die mit ihren Familien eine aus der Wildnis hervorgewachsene Stadt mit wohlausgebauten Straßen, Wasserleitung und elektrischer Beleuchtung bewohnen. Von ihrer Wasserkraft, die in der trockensten Jahreszeit 70 000 PS beträgt, verwendet die Gesellschaft gegenwärtig erst 16 000 PS zur Erzeugung sowohl mechanischer, als auch chemisch hergestellter Faser. Die Sault Ste. Marie Mill (Ontario) ist im Begriff, ihre anfängliche Tagesleistung von 100 t trockenem Holzschnitt, von dem ein Fünftel nach Japan geht, auf das Doppelte zu erhöhen, außerdem Einrichtungen für die Erzeugung von je 50 t Natron- und Sulfitzellulose zu treffen. Die ihr zur Verfügung stehende Wasserkraft beträgt 40 000 PS.

Da die kanadische Fichte eine für alle Zwecke der Papierherstellung ohne Beimischung anderer Fasern verwendbare Faser liefert, so darf man wohl annehmen, dass Kanada für die Zukunft den größten Teil des Weltbedarfes an Papier decken kann. 1899 wurden nach den Vereinigten Staaten für nahezu 6 000 000 \$, nach England trotz des skandinavischen Wettbewerbes für 2 800 000 \$ Faserholz und Holzfasern ausgeführt. Das in der gesamten Holzindustrie angelegte Kapital betrug bei der Zählung des Jahres 1891 bereits annähernd 400 Mill. \$; an Löhnen wurden 120 Mill. \$ gezahlt und Waren für 480 Mill. \$ erzeugt.

Dass die Holzindustrie unter den geschilderten Bedingungen auch heute noch den ersten Platz unter den verarbeitenden Industrien Kanadas einnimmt, ist nicht zu verwundern. In letzteren waren im Jahre 1891 insgesamt 1 418 484 000 \$ Kapital thätig, auf die Holzindustrie kamen demnach 28 vH.

Die Arbeiten der Studien-Gesellschaft für elektrische Schnellbahnen in Berlin sind soweit vorgeschritten, dass die Versuchsfahrten voraussichtlich im August begonnen werden können. Die vom Kriegsministerium zur Verfügung gestellte Strecke der Militärbahn zwischen Marienfelde und Zossen ist 23 km lang und eignet sich vorzüglich für Versuchsfahrten mit hoher Geschwindigkeit; denn sie hat nur wenige schwache Krümmungen mit Halbmessern von mindestens 2000 m und nur geringe Steigungen von höchstens 1:200. Die normalspurige Strecke ist eingleisig und hat nur an den Haltestellen Ausweichgleise; Weichen brauchen also nicht durchfahren zu werden. Das hohe Gewicht der Versuchswagen und die hohe Geschwindigkeit erfordern eine Verstärkung des Oberbaues. Die Bettung wird deshalb verbessert, die Schwellen werden dichter verlegt, und besonders die Stosschwellen werden näher an die Stöße gelegt. Schienen und Schwellen sind bis auf einige eiserne Schwellen von normaler Größe. Ein 2 bis 3 km langer Streckenabschnitt wird durch die Verwaltung der Militäreisenbahn auf eigene Kosten vollständig ausgewechselt.

Für den Betrieb der Versuchswagen wird Drehstrom von 10 000 bis 12 000 V Spannung verwandt werden, der vom Kraftwerk Oberspreewerke der Berliner Elektrizitätswerke hergeleitet wird. Der hochgepannte Strom wird den Fahrzeugen durch eine Oberleitung zugeführt, die aus 3 lotrecht über einander liegenden Drähten besteht. Zur Stromabnahme dienen nach der Seite ausliegende Kontaktbügel. Die Spannung wird sodann in den Wagen selbst durch Transformatoren erniedrigt. Siemens & Halske A.-G. haben bereits seit mehreren

Jahren auf ihrer Versuchsbahn in Groß-Lichterfelde mit derartig betriebenen Wagen Versuche angestellt, deren Ergebnisse nun dem jungen Unternehmen zugute kommen.

Für die Versuchsfahrten werden von van der Zypen & Charlier in Köln-Deutz zwei für je 40 bis 50 Personen berechnete Wagen gebaut, von denen einer von der Allgemeinen Elektrizitäts-Gesellschaft, der andre von Siemens & Halske A.-G. mit der elektrischen Ausrüstung versehen wird. Als Grundlage für ihre Konstruktion und Ausrüstung ist eine Geschwindigkeit von 200 km/st festgesetzt. Die Wagen wiegen 90 t und sind 22 bis 23 m lang. Ihr Profil entspricht bis auf die als Stromabnehmer dienenden Kontaktbügel dem der Staatsbahnen. Der Wagenkasten ruht auf zwei dreilachsigem Drehgestellen, deren Räder 1250 mm Dmr. haben. Die beiden äußeren Achsen jedes Drehgestelles werden unmittelbar von einem Induktionsmotor angetrieben. Die 4 Motoren des Wagens leisten zusammen 1100 bis 3000 PS. Bei dem einen Wagen bildet die Lauferwelle zugleich die Radachse, während bei dem andern die letztere durch eine hohle Lauferwelle geführt ist und mithilfe einer besonderen Kupplung angetrieben wird. Die Wagen werden Westinghouse- und Handbremsen erhalten; im Notfalle kann auch mit Gegenstrom gebremst werden. Der eine Wagen erhält außerdem noch eine Bremsvorrichtung, die darauf beruht, dass Gleichstrom aus der sonst zur Beleuchtung dienenden Akkumulatorbatterie in die Motoren geschickt wird.

Der zum Speisen der Motoren dienende Drehstrom hat eine Frequenz von 50 Per. sk, die ungefähr der Geschwindigkeit von 200 km/st entspricht. Der Drehstromerzeuger im Kraftwerk Oberspreewerke, der für den Bahnbetrieb bestimmt ist, wird von einer Dampfmaschine angetrieben, deren Umlaufzahl auf die Hälfte verringert werden kann. Hierdurch und durch Anwendung der Bremsvorrichtungen wird erreicht, dass man bei den ersten Versuchsfahrten nicht mit der hohen Geschwindigkeit zu fahren braucht. Man ist also in der Lage, mit etwa 70 km/st zu beginnen und die Geschwindigkeit nach und nach auf die angestrebte Höhe zu steigern.

Auf dem Kongress für gewerblichen Rechtsschutz, der am 13., 14. und 15. Mai d. J. in Köln getagt hat, sind zum Patentgesetz folgende Beschlüsse gefasst worden:

Zur Frage der Errichtung eines Patentgerichtshofes.

1) Es erscheint nach den bisherigen Resultaten unserer Rechtsprechung in Patentsachen eine Aenderung der Gesetzgebung notwendig dahin, dass die bisher nur von rechtsgelehrten abgeurteilten Sachen (Eingriffstreite, Abhängigkeitsklagen usw.) ebenso wie schon jetzt die Nichtigkeit- und Zurücknahmeklagen von Gerichten abgeurteilt werden, die aus Juristen und Technikern als ständigen Richtern zusammengesetzt sind.

2) Für den Fall, dass die Reichsgesetzgebung dieser Anregung nicht folgen sollte, wird vorgeschlagen:

a) Es empfiehlt sich, für größere Bezirke bestimmte Landgerichte als ausschließlichen Gerichtstand in Streitsachen des gewerblichen Rechtsschutzes zu bestellen und bei diesen derartige Sachen einer bestimmten Kammer zu überweisen, wobei es dahingestellt bleiben soll, ob an Stelle der Besetzung mit rechtsgelehrten Richtern solche mit Juristen und Technikern treten soll.

b) Es empfiehlt sich, dass schon jetzt bei allen Gerichten im Wege der Geschäftsverteilung die sämtlichen den gewerblichen Rechtsschutz betreffenden Rechtsstreitigkeiten an bestimmte Kammern bzw. Senate gebracht werden, und dass das Dezernat in den Strafsachen aus den gewerblichen Schutzrechten bestimmten Staatsanwälten übertragen werde.

3) Der Kölner Kongress für gewerblichen Rechtsschutz ist der Auffassung, dass in der den gewerblichen Rechtsschutz betreffenden Rechtsprechung, namentlich in Patentsachen, vielfache Mängel bestehen, die ihren Grund zum großen Teil darin haben, dass es an einem genügenden Zusammenwirken der Juristen und Techniker fehlt.

Schon heute kann es als notwendig anerkannt werden, dass die Juristen mehr als bisher auf die Fragen des gewerblichen Rechtsschutzes hingewiesen werden, z. B. durch Einrichtung besonderer Lehrstühle für Industrierecht an den deutschen Universitäten und Aufnahme von Vorlesungen über gewerblichen Rechtsschutz in den ordentlichen Lehrplan der Ausbildung der Rechtsbefähigten.

Zum materiellen Patentrecht.

1) Zu § 2 des Patentgesetzes: Es ist wünschenswert, dass die Beschränkung »aus den letzten 100 Jahren« gestrichen wird.

schinen sind billiger und betriebssicherer. Trotzdem ist man bei der Wahl von 50 Per./sk geblieben wegen des Vorteiles der Einheitlichkeit, die alle Maschinen und Apparate jederzeit auszuwechseln ermöglicht. In Amerika ist man, nachdem für die ersten Beleuchtungsanlagen eine Frequenz von etwa 130 Per./sk gewählt war, allmählich dazu übergegangen, für Beleuchtungsanlagen 60 Per./sk, für Kraftübertragungsanlagen 55 Per./sk zu verwenden. Es ist anzuerkennen, dass beide Zahlen für ihren jeweiligen Zweck besser geeignet sind als eine einheitliche Frequenz von 50 Per./sk. Da nun aber an Kraftübertragungsanlagen fast immer auch Beleuchtungsnetze anzuschließen sind, so gebraucht man, wenn man nicht den meistens verwendeten Drehstrom durch rotierende Umformer in Gleichstrom umwandelt, Frequenzumformer, mittels deren man die Frequenz auf 60 Per./sk erhöht.

Die Frequenzumformer bestehen aus einem Synchron- oder Asynchronmotor und aus einem Wechselstromerzeuger, der für die veränderte Periodenzahl gewickelt ist. Neuerdings ist von Allister¹⁾ eine besondere Anordnung angegeben worden, bei welcher der Umformer aus einem Induktionsmotor besteht, dessen Läufer von einem Synchronmotor gedreht wird. Die Ständerwicklung ist an das Primärnetz angeschlossen, ebenso der Synchronmotor. Der Läufer wird aber von letzterem rückwärts (entgegen dem Sinne des Drehfeldes) gedreht. Dadurch wird eine künstliche Schlüpfung erzeugt, die größer als eine ist. Durch richtige Wahl der Umlaufzahl des Synchronmotors, also der Schlüpfung, kann man dem Läufer Drehstrom von der gewünschten Periodenzahl entnehmen. Der Vorteil dieser Anordnung liegt in geringeren Verlusten und in der Verwendung einer kleineren Antriebsmaschine.

Auf dem von der Firma Yarrow & Co. erbauten Torpedoboot »Ophir« von 39,6 in Länge, 4,1 m Breite, 2,1 m Tiefe und 115 t Wasserverdrängung wurde ein Versuch mit Oelfeuerung, Bauart Holden, angestellt. Zunächst wurden die beiden vorhandenen Kessel nur mit Kohle geheizt, wobei 24,1 Knoten Geschwindigkeit eingehalten werden konnten. Dann wurde

¹⁾ Electrical World and Engineer 11. Mai 1901 S. 763.

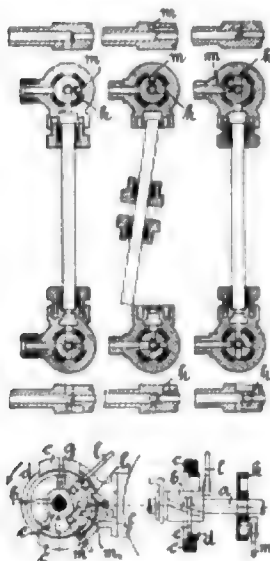
mit Oel- und Kohlenfeuerung gleichzeitig geheizt, und zwar wurden stündlich 1300 kg Kohle und 315 kg Oel verbrannt. Infolge der gesteigerten Dampfentwicklung liefs sich eine Geschwindigkeit von 26 1/2 Knoten erzielen. Bei einem weiteren Versuch wurde nur einer der beiden Kessel benutzt und mit Oel geheizt. Es wurden 225 kg st verbrannt, womit eine Geschwindigkeit von 14 Knoten erzielt wurde. (Schiffbau 8. Juni 1901)

Im Auftrage der Wassergenossenschaft für das Quellengebiet der Grolitzer Neisse hat Prof. Intze Entwürfe für 6 Thalsperren ausgearbeitet, die bei Hochwasser die Wassermengen zurückhalten und dem industriereichen Gebiete einen weitgehenden Schutz gewähren sollen. Gleichzeitig sollen auch die Thalsperren im Grünwalder Thale, am Harzsdorfer Bache und an der Schwarzen Neisse die benachbarten Industriewerke bei andauernd trockener Witterung mit Nutzwasser versorgen. Der Stauinhalt der einzelnen Sperren beträgt 250 000 bis 4475 000 cbm, die Stauhöhe 10 bis 18 m, die Mauerhöhe 15,5 bis 25 m und die Kronenlänge der Dämme 154 bis 501 m. (Oesterreichische Wochenschrift für den öffentlichen Baudienst 25. Mai 1901)

Die Stadt Berlin hat der Gesellschaft für den Bau von Untergrundbahnen den Auftrag erteilt, einen Entwurf für eine neue **Unterpflasterbahn** auszuarbeiten. Die neue Linie soll im Norden (Wedding) vom Nettelbeckplatz ausgehen und sich durch die Müller-, Chaussee- und Friedrichstraße, den Platz am Halleschen Thor, die Bellealliance-, York- und Mansteinstraße bis zur Grenze der Stadt Schöneberg erstrecken. Die Strecke ist schätzungsweise 10 km lang.

Ein vom deutschen Acetylen-Verein eingesetzter Ausschuss hat einen Entwurf von **Normen für Acetylenapparate** aufgestellt. Darin sind Bestimmungen über Baustoffe, Gröfse, Wandstärke und Herstellung der Entwickler, Wäcker und Reiniger, sowie über die Wandstärke der Gasbehälter enthalten. (Journal für Gasbeleuchtung und Wasserversorgung 1. Juni 1901)

Patentbericht.

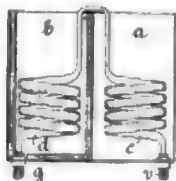


Kl. 13. Nr. 118197. Wasserstandzeiger. A. Luck, Magdeburg-Buckau. Bei dem Wasserstandzeiger mit achsialen Bohrungen der Abschlusskappe sind die Köken aufser mit den üblichen Durchbohrungen mit Winkelkanälen *k* und *m* versehen, die bei einer das Glas absperrenden Stellung der Köken die Kanäle zum Kessel mit seitlichen Auslasskanälen verbinden.

Kl. 14. Nr. 118329. Zwangläufige Ventilsteuerung. J. B. Eidel Jr., Kehl a. Rh. Die Steuerstangen *l, m* der Ein- und Auslassventile hängen an Lenkern *h, m* und werden mittels Rollen durch Seilheben bewegt, die in den Scheiben *k* der Auslassventile unveränderlich sind, für die Einlassventile aber durch Nockenscheiben *b* gebildet werden, die auf der Steuerwelle *a* verschoben werden können, und durch Ringe *d*, die in feststehenden Lagern *c* liegen und mit je einem Mitnehmer *e* so in eine Schraubennut *n* in *b* greifen, dass sie beim Verschieben von *b* auf *e* entsprechend in *c* gedreht werden und

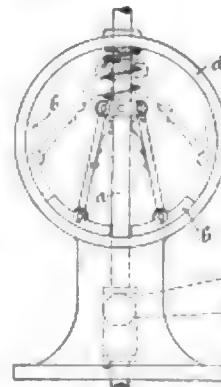
die Abflussfläche *f* an *d* stets der Abflussfläche *g* an *b* zum zwangsläufigen Schließen des Ventiles zugekehrt bleibt.

Kl. 17. Nr. 117499. Kondensator für Aufzuge- Kältemaschinen. P. Pfleiderer, London. Zwei neben einander angeordnete, mit



Kühlfüssigkeit (Wasser) gefüllte Gefässe *a, b* enthalten Rohrschlangen *c, d*; *a* ist unten und seitlich von schlechten Wärmeleitern umgeben. Wenn die Kälteflüssigkeit (Ammoniak) von *v* her vom Verdampfer kommt, wird *a* durchweg warm, *b* aber nur an der Oberfläche etwas erwärmt; das verdunstete Gas wird dann durch *g* in den Gefrierer oder den zu kühlenden Raum gelassen. Wenn dann das frisch verdunstete Gas umgekehrt

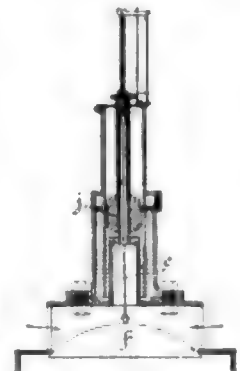
durch *g, d, e, v* zum Aufsauger strömt, werden die unteren Schichten in *b* am stärksten gekühlt, sodass sie stets eine möglichst kalte Kälteflüssigkeit durch *g* an den Gefrierer liefern können.



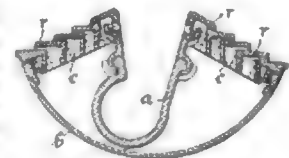
Kl. 14. Nr. 117499. Puffer für Ventilsteuerungen. C. H. Schilling, Gölitz. Durch die gleitende Reibung der mit der Ventilstange *a* gelenkig verbundenen Schlitten *b* auf abnehmend steiler Bahn, z. B. in einem Kreisringe *d*, wird der Spindel-niedergang derart verzögert, dass das Ventil ohne Schlag aufsteht.

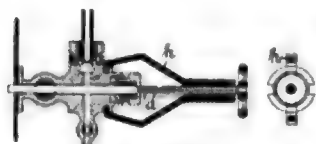
Kl. 24. Nr. 118914. Zugregler. La Société Mathélin et

Garnier, Paris. Der auf einer durch den Dampfdruck beeinflussten Quecksilbersäule ruhende Schwimmer *f* ist mit dem Luftzufuhrventil *g* durch eine in ihrer Länge einstellbare Stange *e* verbunden, um jederzeit von Hand die Stellung von *f* in bezug auf den Schwimmer ändern und somit die Luftzufuhr zur Feuerung regeln zu können.



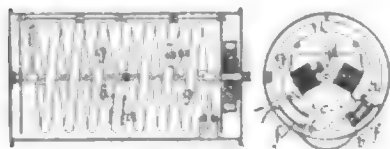
Kl. 24. Nr. 118164. Rost mit Beschickung von unten. The Underfeed Stoker Co., London. Zwischen dem Beschickungshäuser *a* und dem Luftgehäusemantel *b* sind durch Bolzen *c* und gegebenenfalls durch Abstandstücke in ihrer Lage gehaltene winkelförmige Roststäbe *r* angebracht. Der innere Roststab umgreift den Kopf des Gehäuses *a* gelenkartig, sodass die Stäbe ausgetauscht werden können.





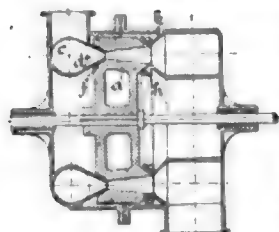
Kl. 13. Nr. 113337. Reinigung der Kanäle von Wasserstandsgeräten. R. D. Paul, Crimmitschau. Die zur Reinigung dienenden Spindeln *d* sind außerhalb der Wasserstandköpfe in geschlossenem Rahmen *A* mit Gewinde eingeschraubt.

Kl. 21. Nr. 117607. Bogenlampe. M. Laufer und L. Frischmann, Lodz. Die schraubenförmig gewundenen Kohlen *g* gehen je durch eine feste Hülse *a* und eine davor liegende *b*, die an dem längeren Arme eines Hebels



c sitzt, dessen kürzerer Arm je einen Elektromagneten trägt. Zu beiden Elektromagneten gehört der feststehende halbmondförmige Anker *d*. Die beweglichen Hälften *b* haben Klemmfedern *f*, welche die Kohlen festhalten, wenn die Hälften *b* gegen die festen Hälften *a* gepresst werden. Werden die Kohlen von den Hälften *b* freigegeben, so werden sie durch ein Uhrwerk gegen einander gedreht.

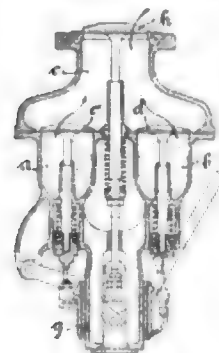
Kl. 14. Nr. 110512. Achsalterbine. A. Viset, Paris. Der ringförmige Zuführkanal *c* verengt sich an der mit gekrümmten Löffelschaufeln *d* versehenen Austrittsstelle, und das Laufrad *a* ist bei *f* mit einer Ringnut, bei *h* mit einem ringförmigen Vorsprunge versehen, die ihre Gegenformen im Gehäuse *k* haben, sodass an den kegelförmigen Spaltflächen eine Saugwirkung entsteht, wodurch Verluste an Dampf (Gas, Druckluft) vermieden und durch Absaugen der Luft aus *k* kraftverzehrende Gegenströmungen verhindert werden.



Kl. 20. Nr. 110183. Vorschubvorrichtung für Sägegatter. P. Fröh, Hofen. Zwei Wagen *a* und *b* werden durch zwei Ketten ohne Ende von einem gemeinsamen Kettenrade *c* bewegt. Man spannt das hintere Stamm-



ende in *a* ein, legt das vordere auf die Rollen *r* und schließt die Verbindung *ik* mit *c*. Sobald der Stamm über die Rollen *r* hinaus ist, spannt man das geschnittene Vorderende in *b* ein, schließt *ik*, löst *ik*, fährt *a* zurück und legt einen neuen Stamm auf. Schräge Klötze *n* können zum selbstthätigen Ausheben der mit Mitnehmerstiften versehenen Arme *h*, *i* benutzt werden.



Kl. 46. Nr. 117944. Mischvorrichtung.

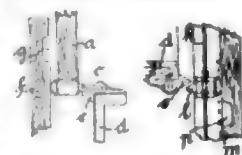
E. D. Dehouville, Fontaine le Bourg. Um ein für die ganze Dauer des Saughubes gleiches Mischungsverhältnis von Luft und Gas zu erhalten, wird nicht nur das Gas von *b* her, sondern auch die Luft von *a* her durch je ein gesteuertes Ventil *d*, *e* in die Mischkammer *c* eingeführt. Die Zuführkanäle sind für beide gleich gestaltet, beide liegen symmetrisch zum Ladeventil *A* und senkrecht darunter, und alle drei Ventile werden von derselben verschiebbaren Muffe *g* aus gesteuert.



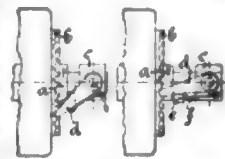
Kl. 46. Nr. 110607. Anlassvorrichtung. Luxsche Industriewerke A. G., Ludwigshafen a/Rh. Die Hauptwelle *a* erzeugt durch eine Luftpumpe *d* mit festgesetztem schädlichem Raume im Sammelbehälter *c* Druckluft von bestimmter Spannung, die beim Anlassen, wenn man sie durch den Dreiweghahn *A* auf den Kolben *n* wirken lässt, die Welle *a* mittels Schnecken-Handgetriebes *pl* und selbstthätig sich ein- und ausrückender Schaltklinke *r* in Drehung versetzt, worauf nach Ablassen der Luft durch *h* der Kolben *n*, dessen Cylinder *g* mit *c* durch *f* dauernd verbunden ist, durch ein entgegengesetzt wirkendes Handgetriebe *qm* die Teile wieder in die zum Anlassen erforderliche Lage bringt.

Kl. 35. Nr. 117389. Schachtverschluss. H. Kurtzig, Inowrazlaw.

Am Fahrstuhl *d* befestigte, keilförmig zugespitzte Zungen *a*, *c* erfassen wagrecht verschiebbare Riegel *e*, *f*, die sich gegen Führungen *f*, *m* stützen, und heben die Thür *a* bei Auffahrt unmittelbar, bei Abfahrt mittels Zugschleis *k*. Beim Weiterfahren treffen die Riegel *e*, *f* in Vertiefungen *g*, *p*, und die Thür fällt zu.

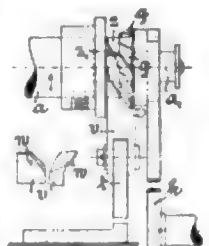


Kl. 40. Nr. 110442 (Neuerung an Nr. 96161, Z. 1898 S. 453). Anlassvorrichtung. C. Franzen & E. Knapp, Köln a/Rh. Beim Andrehen der Maschinenwelle *a* in der Pfeilrichtung gleitet eine an der Handkurbelnabe *c* gelagerte Stütz- oder Reibklinke *d* über einen ruhenden Zahnkrans *b* oder eine Reibfläche; bei Frühzündung aber dreht die zurückgedrehte Welle *a* die Klinke *d* um ihren augenblicklichen Stützpunkt und rückt dadurch die Kupplung *ef* zwischen *a* und *c* aus. Die Patentschrift zeigt noch drei andere Ausführungsformen. (Vergl. Nr. 101278, Z. 1899 S. 533.)

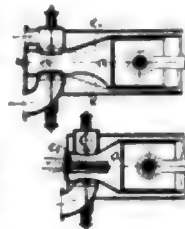


Kl. 40. Nr. 117368. Anlasskurbel. J. Rademacher, Berlin.

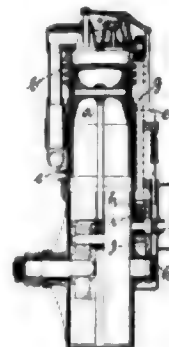
Beim Andrehen der Hauptwelle *aa* nimmt die einseitig wirkende Klauenkupplung *aa* zwischen der Kurbelnabe und der Welle diese mit, wobei die schrägen Zähne *g* eines an *k* festen Sperrrades unter der bei *t* gelagerten, an der Spitze abgeschrägten Sperrklinke *v* forrgleiten. Beim Voreilen von *a* schiebt *s*, beim Zurückschlagen infolge Vorsündung schiebt *v* die Kurbel nach rechts. In der ausgerückten Lage der Kurbel legt sich ein Hakenansatz *w* an *v* (Nebenspur) hinter einen der Kupplungszähne *s* und verhindert das Mitnehmen von *k* durch die Reibung auf *q*.



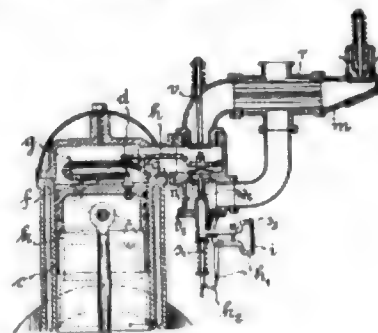
Kl. 49. Nr. 110634. Brennraum für Brennkraftmaschinen. Gebr. Körting, Körtingsdorf bei Hannover. Zur Vermeidung der bei zu hoher Verdichtung und Verbrennungstemperatur auftretenden Uebelstände wird die Ladung bei der Verdichtung dadurch abgekühlt, dass der außen von Kühlwasser umflossene Brennraum *a* mit einspringenden Falten *c* oder Rippen *q* oder mit einem oder mehreren hohlen, von innen gekühlten Metallkörpern *q* versehen ist.



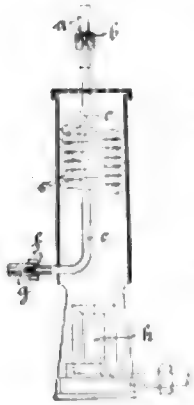
Kl. 46. Nr. 116187. Gaskraftmaschine. G. A. Fleury, Paris. Der Arbeitszylinder *b* ist auf dem in gewöhnlicher Weise betriebenen Kolben *a* und in dem ruhenden Cylinder *c* verschieblich, wird aber durch die Uebersetzung *k*:*j* = 1:2 mittels Hubscheiben *h*, *i* und Stange *g* nur während des Auspuffes und Ansaugens entgegen dem Kolben *a* so verschoben, dass sich beim Hubwechsel Kolben *a* und Boden von *b* berühren, sodass die Abgase vollständig ausgetrieben werden und die angesaugte Ladung vergrößert wird, um die Kraftleistung der Maschine zu erhöhen.



Kl. 46. Nr. 117319. Auspuffventilsteuern für Viertaktmaschinen. F. Dürr, Berlin. Das Auspuffventil besteht aus zwei Ventilen *v*, *v*, von denen *v* zwangsläufig gesteuert wird. Beim Arbeitshube geht das an den Kolben *k* anerschlossene, bei *d* im Cylinder *c* gelagerte Gestänge *fg* in die punktierte Lage, der Daumen *g* öffnet kurz vor dem äußeren Totpunkte mittels Hebels *h* das Ventil *v*, der Überdruck öffnet *v*, das hohle Ventilstange *v* drückt mittels Querarmes *q* den Winkelhebel *A* herab, und der Haken *h* fängt die Ventilstange *v*, sodass *v* beim Auspuffhube offen gehalten wird. Beim Saughube schließt sich nur *v*, und brennbares Gemisch wird aus der Mischkammer *m* durch



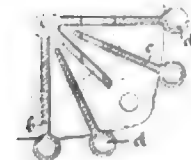
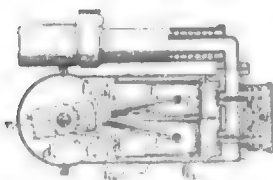
den Vergaser v und das Ventil e angesaugt, bis in der punktierten Lage v_1 wieder angehoben und h_2 durch die Feder f von s_2 entfernt wird. Beim Verdichtungsstadium sind dann v_1, v_2 geschlossen. Das Steuergetriebe für v_1, v_2 kann auch ganz außerhalb des Cylinders angeordnet werden.



Kl. 46. Nr. 117362. Vergaser. Ch. de Haupt, Brüssel. Das zu verdampfende Petroleum wird dem von A her gehetzten Schlaugenrohr c von a her durch einen verengten, düsenförmigen Rohreinsatz b eingeführt, um es vor der Erhitzung zu zerstäuben; ein ebensolcher Einsatz f führt in die Leitung g zur Maschine, um die Petroleumdämpfe genügend lange in c zurückzuhalten und etwa in c gebildete schwer verdampfbare Rückstände nachträglich zu zerstäuben.

Kl. 46. Nr. 116190. Vereinigtes Ein- und Auslassventil. Ch. de Haupt, Brüssel. Das von c her Gas und von v her Luft einführende

Ventil ag dient dem Auspuffventil ik als Sitz und wird beim Saughube mit diesem gegen die Federn e und f gehoben. Beim Auspuffhube wird k durch eine Steuerung von g abgehoben, und die Abgabe entweicht durch ein festes Rohr m . In einer Abänderung ist m durch eine hohle Spindel i an k ersetzt und g bei s geschlossen.



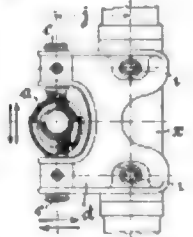
Kl. 46. Nr. 116398. Viercylinder-Viertaktmaschine. J. P. Murphy, Philadelphia (V. S. A.). Die Kolben k_1, k_2 und k_3, k_4 je zweier Cylinders sind derart zu gemeinsamer Bewegung verbunden, dass k_1 und k_2 durch Pleuelstangen l_1 und l_2 unmittelbar an entgegengesetzt gerichteten Kurbeln r, r_1 angreifen, während k_3 und k_4 durch Stangen l_3 und l_4 bei d und d_1 mit l_1 und l_2 verbunden sind. Die Ventile werden so gesteuert, dass je zwei über einander liegende Cylinders im abwechselnden Viertakte arbeiten, sodass bei jeder halben Umdrehung ein Krafthub eintritt.

Kl. 46. Nr. 117366. Zylinderkühlvorrichtung. M. Méran, Paris. An der Außenkante der Kühlrippen b, c sind Rohre d angebracht, die so mit einander in Verbindung stehen, dass das Kühlwasser darin frei umlaufen kann.



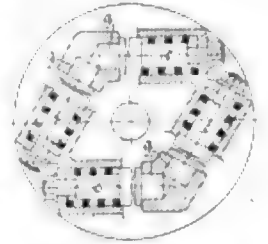
Kl. 47. Nr. 116237. Kettenverbindung. A. Nebel, Braunschweig. Zwei U-förmig gebogene, die Kettenlieder b aufnehmende Glieder a , die außen mit Schraubengewinde versehen sind, werden um 90° gegen einander verdreht, in einander geschoben und durch aufgeschraubte Muttern c zusammengehalten.

Kl. 47. Nr. 116403. Kolbenschieber. W. Buckley, Sheffield (Engl.). Um eine gefährliche Drucksteigerung bei übermäßigiger Verdichtung im Arbeitscylinder zu verhindern, werden im Kolbenschieber Kanäle angeordnet, die in der Abschlusstellung mit dem Eingange zum Arbeitscylinder in Verbindung stehen und durch Ventile geschlossen sind, die durch Innendruck gegen ihre Federbelastung geöffnet werden.



Kl. 47. Nr. 116335. Rollersches Lager. R. Kahlitz, Riga-Sassenhof. Die Befestigungsebene zwischen Säule und Lagerkonsole d steht rechtwinklig zur Längsachse der Lagerschalen a , und die Bolzenlöcher i sind länglich, sodass das Lager nicht nur durch die Schrauben e senkrecht, sondern unter Aenderung der Ausladung f auch in der Querrichtung genau eingestellt werden kann.

Kl. 47. Nr. 116398. Federnde Wellenkupplung. O. Scheiding, Völklingen a/Saar. Die eine Kupplungshälfte ist mit federbelasteten Druckbolzen e , die andere mit festen Mitnehmerbolzen g versehen, die durch Längsverschiebung in die Bahn von e gebracht werden können, sodass man die in beiden Drehrichtungen wirkende Kupplung leicht ein- und ausrichten kann.



Kl. 47. Nr. 116163. Bandbremse. A. Apel, Düsseldorf a/M. Um einen möglichst großen Umspannungsbogen sowie eine gleichmäßige Bremswirkung bei Vor- und Rückwärtsdrehen der Bremscheibe d zu erzielen, ist mit einem Schenkel des Bremshebels b ein Druckstück a gelenkig verbunden, das an einem Ende des Bremsbandes c angreift.

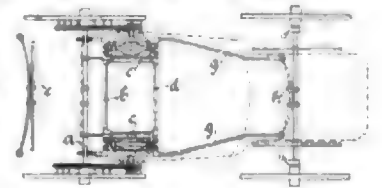


Kl. 47. Nr. 116309. Schraubenschlüssel mit Schaltwerk. Ch. Titus, Bamberg. Zur Benutzung des Schlüssels für eine der beiden Drehrichtungen wird die eine Schaltklinke c durch einen Bügel d aus dem Schalt-
rade b angehoben.



Kl. 47. Nr. 116169. Keilanziehvorrichtung. H. Simon, Manchester (Engl.). Ein mit viereckiger Längsöffnung a und seitlicher Aussparung d versehener Schraubensatz bc wird über die Keilnase g gesteckt und der Keil k durch Drehen der Mutter f gelöst.

Kl. 63. Nr. 117443. Federndes Wagenuntergestell. H. F. Joel, London. Das Untergerüst $abcdg$ ist am hinteren Ende mit den Enden einer senkrechten gebogenen Blattfeder e und am vorderen Ende mit den Enden einer wagerechten gebogenen Blattfeder h verbunden. Die beiden Federn sind mit ihrem mittleren Teil an der Mitte der Achsen befestigt.



Zuschriften an die Redaktion.

(Ohne Verantwortlichkeit der Redaktion.)

Die richtige Knickformel.

Hr. J. Kübler schließt in Z. 1901 S. 565 mit vollem Recht, dass auf fachmännischer Seite Zweifel über die Richtigkeit der in Z. 1900 S. 738 gefundenen Ergebnisse seiner „richtigen“ Knickformel bestehen¹⁾, und sucht einen strengen Beweis seiner Hauptbeweispunkte zu geben.

Hierbei geht er aber von der falschen Voraussetzung aus, dass ein Stab, welcher auf Knicken beansprucht wird, wie ein elastischer Bogen mit Kämpfergelenken aufzufassen ist, und dass seine Mittellinie bei gegebenen Stababmessungen und für die Belastung P gleich dem Kämpferdruck eine ganz bestimmte Stützweite $2a$ und eine Pfeilhöhe f annimmt.

¹⁾ Vergl. Z. 1900 S. 1182.

Es mag sein, dass ein Stab, der sich einmal unter einer Achsialkraft ausgebogen hat, die von Hrn. J. Kübler berechneten Pfeilhöhen annimmt; ist er aber noch vollkommen gerade und nicht ausgebogen, so spielt sich der Vorgang des Knickens ganz anders ab. Hierüber geben die Versuche von Prof. L. Tetmajer, veröffentlicht unter „Die Knickfestigkeit der mittleren Stäben und der Güterwert des Materials der Mönchensteiner Brücke“ in der Schweiz. Bauzeitung Bd. XXI Nr. 16 vom 22. April 1893, klaren Aufschluss.

Dasselbst ist angegeben, dass, so lange die spezifische Knicklänge l (freie Stablänge gemessen mit dem betreffenden Trägheitsradius) klein ist, im untersuchten Falle etwa $\frac{1}{5} \cdot 667$ 3,92

= 37,3, der gedrückte »Stab bis nahe an die Knickgrenze fast unbeweglich«, d. h. gerade, bleibt, um dann unter der Größtlast »ziemlich plötzliche Knickung« zu zeigen; wächst jedoch die Länge, so bleibt der Stab so lange gerade, bis die angreifende Kraft so groß geworden ist, dass sie sich zur schließlichen Größtkraft verhält wie die Streckgrenze zur Zugfestigkeit. Von diesem Zeitpunkte an biegt sich der Stab langsam mehr und mehr aus, wobei aber seine Tragfähigkeit immer noch wächst. Dieses Verhalten ist ganz deutlich bei der spezifischen Knicklänge von $\frac{667}{3,08} = 216,6$, während beim Verhältnis

$\frac{l}{i} = \frac{667}{3,82} = 174,6$ der eine Stab plötzlich knickt, die beiden andern aber allmählich ihr Tragvermögen verlieren. In beiden Fällen aber findet der Vorgang des Knickens so statt, dass die Stabmittellinie lange Zeit gerade bleibt und verhältnismäßig erst spät eine wahrnehmbare Ausbiegung zeigt.

Hr. J. Kübler wird vielleicht erwidern, dass die von ihm berechneten Pfeilhöhen für kleine Kräfte so gering sind, dass sie sich nicht messen lassen. Dies ist jedoch nicht der Fall. Sucht man nämlich für die von Prof. Tetmajer untersuchten Stäbe die betreffenden Werte zu bestimmen, so ergibt sich Folgendes:

Geprüft wurden Kreuzstreben \angle aus 2 Winkelisen von $100 \times 100 \times 14$ mm mit einer Fläche von $F = 52,3$ qcm, einem kleinsten Trägheitshalbmesser von $i = 3,82$ cm und einer freien Knicklänge von $l = 667$ cm, sowie solche aus 2 Winkelisen von $80 \times 80 \times 11$ mit $F = 33,0$ qcm, $i = 3,08$ cm und $l = 667$ cm. Der Vorgang des Knickens ist für beide Arten genau ange-

$$P = 3,0 \text{ t: } \sqrt{P} = 1,732; \sin \frac{\pi l}{4} = \sin 0,3578 = \sin 20^\circ 30' = 0,350; \sin \psi = 0,243; \operatorname{tg} \psi = 0,243; f = 1,10 \text{ cm;}$$

$$\begin{array}{llll} = 6,0 \text{ t:} & = 2,450; & = 0,5062 & = 29^\circ 00' = 0,485; & = 0,470; & = 0,533; & = 2,32 > \\ = 9,0 \text{ t:} & = 3,000; & = 0,6198 & = 35^\circ 30' = 0,581; & = 0,675; & = 0,914; & = 3,98 > \\ = 12,0 \text{ t:} & = 3,464; & = 0,7157 & = 41^\circ 00' = 0,650; & = 0,861; & = 1,692; & = 7,38 > \end{array}$$

Die Versuche aber zeigen, dass bis im mittel 10,3 t die Durchbiegung des Stabes gleich null ist und dass für die Knickkraft von im mittel 17,99 t der Biegungepfeil im mittel nur 0,7 cm, also noch weniger als der oben für 12 t berechnete, beträgt:

In gleicher Weise ergibt sich für Kreuzstreben $100 \times 100 \times 14$:

$$P = 5,0 \text{ t: } \sqrt{P} = 2,236; \sin \frac{\pi l}{4} = \sin 0,2952 = \sin 16^\circ 55' = 0,291; \sin \psi = 0,171; \operatorname{tg} \psi = 0,173; f = 0,93 \text{ cm;}$$

$$\begin{array}{llll} = 10,0 \text{ t:} & = 3,162; & = 0,4174 & = 23^\circ 55' = 0,405; & = 0,329; & = 0,348; & = 1,88 > \\ = 15,0 \text{ t:} & = 3,873; & = 0,5112 & = 29^\circ 18' = 0,489; & = 0,470; & = 0,544; & = 2,94 > \\ = 20,0 \text{ t:} & = 4,472; & = 0,5908 & = 33^\circ 49' = 0,557; & = 0,620; & = 0,701; & = 4,27 > \end{array}$$

Nach den Versuchen zeigte sich jedoch erst bei im mittel 18,7 t ein Beginn der Bewegung, während der Biegungepfeil bei der Bruchlast von im mittel 36,65 t rd. 6,0 cm beträgt.

b) Mit eingespannten Enden ist $l = \frac{1}{2} 667 = 333,5$ cm;

$$P = 15,0 \text{ t: } \sqrt{P} = 3,873; \sin \frac{\pi l}{4} = \sin 0,2556 = \sin 14^\circ 38' = 0,252; \sin \psi = 0,127; \operatorname{tg} \psi = 0,128; f = 1,38 \text{ cm;}$$

$$\begin{array}{llll} = 30,0 \text{ t:} & = 5,477; & = 0,3615 & = 20^\circ 43' = 0,354; & = 0,251; & = 0,260; & = 2,81 > \\ = 45,0 \text{ t:} & = 6,708; & = 0,4427 & = 25^\circ 22' = 0,429; & = 0,308; & = 0,395; & = 4,27 > \\ = 60,0 \text{ t:} & = 7,746; & = 0,5112 & = 29^\circ 17' = 0,489; & = 0,473; & = 0,544; & = 5,88 > \end{array}$$

In diesem Falle blieben die Stäbe bis zur Bruchlast von im mittel 64,25 t »fast unbeweglich«, während die Schlussausbiegungen 6 und 14 cm betrugen.

Man erkennt also deutlich, dass die auf Seite 566 abgedruckten Abminderungswerte mit der Wirklichkeit nicht übereinstimmen können, denn sie gründen sich auf einen Biegungepfeil der Stabmittellinie, welcher sich bei keinem Versuche gezeigt hat.

Noch augenscheinlicher ist der Beweis, dass die Küblerschen Abminderungswerte für die Praxis unzulässig große Stabquerschnitte ergeben würden, in der folgenden Figur geleistet.

Vervielfacht man nämlich die Küblerschen Abminderungswerte mit 3,500 t/qcm, so erhält man die Inanspruchnahmen für die Flächeneinheit, welche den Bruch herbeiführen würden, und zwar für Schweisseisen.

Prof. L. Tetmajer hat nun in der Schweizerischen Bauzeitung Bd. XVI Nr. 18 eine zeichnerische Darstellung von Knickversuchen für Schweisseisen veröffentlicht (wiederholt ebenda Bd. XXI Nr. 16), auf der als Abszissen die Werte $\frac{l}{i}$ und als Ordinaten die spezifischen Spannungen unter der Bruchlast angegeben sind. Trägt man die Küblerschen Werte (kräftige

geben, wenn sie an ein einfaches Blech angeschlossen waren, also frei drehbare Enden besaßen, während für die ersteren auch ihr Verhalten bei Kreuzplatten, also fester Endenspannung, beschrieben ist.

Nach Hrn. J. Kübler ist nun der Biegungepfeil:

$$f = i \sqrt{2} \operatorname{tg} \psi,$$

wobei ψ sich berechnet aus der Formel

$$\sin \psi = 2 \sin^2 \frac{\pi l}{4} \sqrt{1 - \frac{n^2}{4} (2i^2 + 2iy - y^2)},$$

in welcher zu setzen ist:

$$n = \sqrt{\frac{P}{EI}} = \sqrt{\frac{P}{EFi^2}} = \frac{1}{i} \sqrt{\frac{P}{EF}} \text{ und } \frac{\pi l}{4} = \frac{l}{4i} \sqrt{\frac{P}{EF}},$$

während $\sqrt{1 - \frac{n^2}{4} (2i^2 + 2iy - y^2)}$ angenähert gleich 1 angenommen werden darf.

Hierbei ist zu beachten, dass für feste Endenspannung die freie Knicklänge nur halb so groß ist wie für freie, der Pfeil jedoch doppelt so groß wie bei freibeweglichen Enden und der halben Knicklänge.

Es ist nun für Kreuzstreben $80 \times 80 \times 11$

$$i \sqrt{2} = 3,08 \times 1,414 = 4,36 \text{ cm;}$$

$$F = 33,0 \text{ qcm; } E = 2080 \text{ t/qcm}^2; l = 667 \text{ cm;}$$

daher:

$$\frac{\pi l}{4} = \frac{667 \sqrt{P}}{4 \times 3,08 \sqrt{33,0 \times 2080}} = 0,2066 \sqrt{P}.$$

Weiter ist für

$$i \sqrt{2} = 3,82 \times 1,414 = 5,40 \text{ cm; } F = 52,3 \text{ qcm; } E = 2091 \text{ t/qcm}^2$$

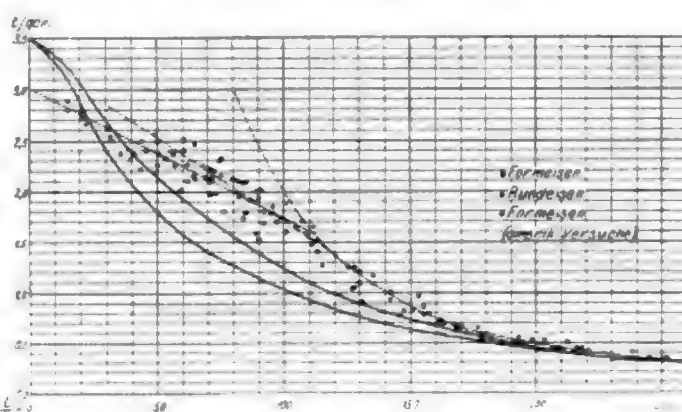
a) Für frei bewegliche Enden wird nun $l = 667$ cm, und

$$\frac{\pi l}{4} = \frac{667 \sqrt{P}}{4 \times 3,82 \sqrt{52,3 \times 2091}} = 0,1320 \sqrt{P},$$

und für

$$\frac{\pi l}{4} = 0,0660 \sqrt{P} \text{ und } f = 2i \sqrt{2} \operatorname{tg} \psi = 10,80 \operatorname{tg} \psi,$$

daher für



1) Sämtliche Zahlenwerte sind dem Aufsätze von Professor Tetmajer entnommen.

Linien) in diese Zusammenstellung ein, so lehrt ein Blick, dass sie mit der Wirklichkeit viel weniger gut als die Eulersche, Schwarzs-Rankinesche oder Tetmajersche Formel (feine Linien) übereinstimmen.

Die Knickfrage ist also leider immer noch nicht mathematisch übereinstimmend mit allen Versuchsergebnissen unumstößlich gelöst worden, und es wird voraussichtlich noch eine lange Zeit vergehen, bis für sämtliche Ingenieure nur eine einzige Knickformel Geltung hat.

Benrath, den 10. Mai 1901.

Ing. Md. Kinkel.

Verehrliche Redaktion!

Aus Vorstehendem ersehe ich, dass trotz meiner mathematischen Beweisführung immer noch Zweifel an der Richtigkeit meiner Knickformel bestehen.

Der Grund hiervon mag darin liegen, dass zur klaren Erkenntnis des Vorganges bei der Knickung eine besondere Vertrautheit mit dem elastischen Bogen Vorbedingung ist. Ich komme aber durchaus nicht auf den elastischen Bogen durch eine willkürliche Voraussetzung, wie Hr. Kinkel meint, und von der er ohne weiteres behauptet, dass sie falsch sei, sondern ich setze nichts weiter voraus, als dass man es mit einem elastischen Stab zu thun hat; alles übrige ergibt sich damit notwendigerweise von selbst, wie die folgende Betrachtung zeigt.

Wird der ursprünglich gerade und elastische Stab von der freien Knicklänge l zentrisch gedrückt mit P , so wird er jedenfalls durch diesen Druck kürzer. Mit meinen früheren Bezeichnungen wird seine ursprüngliche Länge l dadurch zu $2a$ werden, vorausgesetzt, dass der Stab nicht ausböge, also keinen Pfeil f annähme, in welchem besonderen Fall also $f=0$ wäre. Im allgemeinen aber biegt der Stab erfahrungsgemäß auch noch durch um einen Pfeil f , sodass also im allgemeinen unter $2a$ die Sehne des gedrückten Bogens zu verstehen ist. Um allgemein genug zu bleiben, ist man also gezwungen, eine Biegung f anzunehmen, die für den Sonderwert $f=0$ verschwindet. Man könnte sich wohl einen Stab vorstellen, dessen Achse eine mathematische Gerade bildet, die gleichzeitig auch noch vollkommene Symmetrieachse wäre in bezug auf seine physische Beschaffenheit; der Gleichgewichtszustand dieses Stabes wäre aber, selbst bei vollkommen zentrischem Druck, doch nur labil und müsste beim geringsten Anlass in den stabilen übergeführt werden. Weil in Wirklichkeit nichts mathematisch vollkommen ist und allein nur auf den stabilen Gleichgewichtszustand mit Sicherheit gerechnet werden kann, so ist man also genötigt, im allgemeinen eine Biegung anzunehmen, wie dies auch durch die Erfahrung rückhaltlos bestätigt wird.

Ist der Pfeil f auch noch so klein, ja selbst gleich null, so kann dies nichts daran ändern, dass der zentrisch gedrückte Stab im allgemeinen also ein elastischer Bogen ist vom Pfeil f , der Stützweite $2a$ und dem Kämpferdruck P . Verstehe ich jetzt noch unter l die freie Knicklänge, so nehme ich damit an, dass in den Stabenden niemals Momente auftreten, dass daseelbst also vollkommene Gelenke vorhanden sind. Es ist damit $2a$ nicht nur die Stützweite des gedrückten elastischen Bogens, sondern ganz allgemein als die Entfernung zweier aufeinander folgender Schwingungsknoten der bekannten Wellenlinie aufgefasst, wodurch die sonst noch üblichen Nebenbetrachtungen in bezug auf die Art der Einspannung in Wegfall kommen.

Mit der Annahme eines elastischen Stabes von der freien Knicklänge l kommt man also notwendigerweise ganz von selbst zum elastischen Bogen mit Kämpfergelenken von der Stützweite $2a$, dem Kämpferdruck P und endlich allgemein dem Pfeil f , der im besonderen Fall auch gleich null sein kann.

In diesem Zustand des gedrückten Stabes erleidet aber seine Mittellinie eine der Zusammendrückung entsprechende Druckspannung, und die Gleichung der gedrückten Stabmittellinie ist, wenn im allgemeinen f nicht gleich null angenommen wird:

$$y = f(1 - \cos \pi x / l).$$

Man kann nun durch eine künstliche Querbelastung, welche nach bestimmtem Gesetz auf die Stablänge l verteilt ist, den Stab weiter durchbiegen. Wird diese senkrecht zur Achse gerichtete Belastung p so gewählt, dass unter Beibehaltung der Stützweite $2a$ dadurch die Stabmittellinie genau in spannungslosen Zustand versetzt wird, so wird dadurch der Pfeil von im allgemeinen f auf $\sqrt{2f^2 + f^2}$ vergrößert.

In diesem spannungslosen Zustand ist in meiner früheren Figur die Stabmittellinie gestrichelt dargestellt und hat die

Gleichung: $y' = \sqrt{2f^2 + f^2}(1 - \cos \pi x / l)$. Weil jetzt die Stabmittellinie spannungslos ist, so muss der Kämpferdruck zu null geworden sein, und im Stab herrschen nur noch Momente von der Größe

$$M' = P(\sqrt{2f^2 + f^2} - y') = P\sqrt{2f^2 + f^2} \cos \pi x / l,$$

aber sonst kein Druck mehr.

Geht man jetzt von diesem gestrichelten Zustand so zu sagen als von dem Nullzustand aus und lässt nun genau dieselbe Querbelastung p wie oben, aber im entgegengesetzten Sinn, auf den Stab wirken, so wird dadurch genau wieder der frühere, d. i. also der tatsächliche Zustand des gedrückten Stabes hervorgerufen, vorausgesetzt, dass dabei immer dieselbe Stützweite $2a$ beibehalten wird.

Wer mit dem elastischen Bogen vertraut ist, erkennt daraus, dass, wenn in Gleichung

$$y' = \sqrt{2f^2 + f^2}(1 - \cos \pi x / l)$$

an die Stelle von y' die Ordinate y der gedrückten Stabmittellinie, das ist also

$$y = \sqrt{2f^2 + f^2}(1 - \cos \pi x / l),$$

gesetzt wird, dass damit die eigentliche Druckspannung h die Gleichung der deformierten Stabmittellinie aufgenommen worden ist. Dies ist aber bei der Knickfestigkeit ganz besonders wesentlich, denn sonst kommt man auf die Eulersche Formel, die — weil sie nur die eigentlichen Biegungsspannungen in Betracht zieht — gerade für die gewöhnlich in der Praxis vorkommenden Fälle widersinnige Ergebnisse liefert¹⁾.

Ich komme nun zum Schluss nach auf die vergleichenden Berechnungen zu sprechen, welche Hr. Kinkel anstellte zwischen meiner Formel und einigen Versuchsergebnissen. Vorausgesetzt, dass diese Rechnungen richtig sind, was ich nicht kontrolliert habe, so würde daraus doch nur geschlossen werden müssen, dass die Voraussetzungen, welche bezüglich der freien Knicklänge bei der Herleitung der betreffenden Versuchswerte gemacht worden sind, nicht zutreffen. Denn auch bei der allersorgfältigsten Stützung der Stabenden tritt dort, vom Druck P selbst erzeugt, immer eine gewisse Reibung auf, die — wenn auch noch so klein gehalten — niemals ganz auf null gebracht werden kann. Diese Reibung aber erzeugt dort Anfangsmomente, wodurch die freie Knicklänge mehr oder weniger beeinträchtigt, d. h. entsprechend verkleinert wird.

Eine solche vergleichende Rechnung wäre also wohl geeignet, die durch die Stützung hervorgerufenen Anfangsmomente in den Stabenden zu bestimmen; sie kann aber keineswegs dazu dienen, die Richtigkeit meiner Formel zu bemängeln.

Easlingen, 20. Mai 1901.

Kübler.

Geehrte Redaktion!

Im Einverständnis mit Hrn. Kriemler, Karlsruhe, erkläre ich, dass die in Z. 1901 S. 565 veröffentlichte neuerliche Abhandlung des Hrn. Kübler in keiner Weise die Einwendungen widerlegt, welche von Hrn. Kriemler und mir in Z. 1900 S. 1132 gegen die Küblersche Theorie erhoben worden sind. Wir halten diese Einwendungen in vollem Umlange aufrecht.

Hochachtungsvoll

Nürnberg.

Dr. L. Prandtl.

¹⁾ Vielleicht ist das Vorgesagte leichter verständlich, wenn ich es wie folgt ausdrücke: Man erteile dem ursprünglich geraden und spannungslosen Stab in seinen verschiedenen Querschnitten x künstlich die Momente $M' = P(f' - y')$. Dadurch biegt er durch und seine Mittellinie nimmt eine Bogenform an (die gestrichelte) von der Sehne $2a$ und der Pfeilhöhe f' , deren geometrische Gleichung $y' = f'(1 - \cos \pi x / l)$ ist. Hält man hierauf die Stabenden gelenkartig fest, sodass die Stützweite $2a$ unverändert beibehalten bleibt, aber keinerlei Momente in den Stützpunkten auftreten können, und überlässt den so vorbereiteten Stab jetzt vollständig sich selbst, dann muss er mit den dadurch hervorgerufenen Kräften ins Gleichgewicht kommen. Er hat das Bestreben, seine ursprünglich gerade Gestalt wieder anzunehmen, wird daran aber verhindert durch die gelenkartige Festhaltung seiner Enden und muss infolgedessen dort den bestimmten Kämpferdruck P hervorgerufen. Die Mittellinie des so von selbst geschaffenen elastischen Bogens nimmt infolgedessen den etwas kleineren Pfeil f an, und ihre geometrische Gleichung ist $y = f(1 - \cos \pi x / l)$. Damit der Kämpferdruck P identisch mit dem Druck P des zentrisch gedrückten Stabes werde, muss aber der künstlich erzeugte Pfeil $f' - \sqrt{2f^2 + f^2}$ gewesen sein, wenn für den tatsächlichen Zustand des gedrückten Stabes Gleichgewicht bestehen soll.

na
nn
nn
nn
nn
nn
nn

ZEITSCHRIFT DES VEREINES DEUTSCHER INGENIEURE.

Nr. 26.

Sonnabend, den 29. Juni 1901.

Band XXXV.

Inhalt:

Der Schraubendampfer »Cap Verde« (hierzu Tafel XIX und XX)	901	Handschau: Verwendung von Akkumulatoren für den Omnibus-	
Baukonstruktionen der Manhattan-Hochbahn in New York. Von		betrieb auf Hauptbahnen. — Kanalschiffahrt mithilfe von	
F. Müller v. d. Werra (Schluss)	907	dreirädrigen elektrischen Wagen. — Elektrisches Schiffslog. —	
Die Fabrikanlagen von F. A. Brockhaus in Leipzig (Schluss)	918	Amerikanische Unterseeboote. — Verschiedenes	931
Elektrisch betriebene Wasserhaltungen. Von H. Hoffmann	923	Patentbericht: Nr. 118764, 118862, 119939, 117056, 118864,	
Siegener H.-V.: Die elektrolytische Gewinnung von Metallen	926	120819, 119707, 117881, 118027, 117449, 117940, 119710,	
Bücherschau: Bei der Redaktion eingegangene Bücher. — Ueber-		117938, 116947, 117219, 117585, 117584, 116998, 117037,	
sicht neu erschienener Bücher	927	116877, 117551, 117221, 117582, 117412, 117560	934
Zeitschriftenschau	928	Angelegenheiten des Vereines: Beschlüsse der XXXII. Hauptver-	
		sammlung am 11. Juni 1901 in Kiel	936

(hierzu Tafel XIX und XX)

Der Schraubendampfer »Cap Verde«,

erbaut von der Flensburger Schiffbau-Gesellschaft in Flensburg.

(hierzu Tafel XIX und XX)

Der für Rechnung der Hamburg-Südamerikanischen Dampfschiffahrts-Gesellschaft erbaute Dampfer dient zur Vermittlung des Personen- und Güterverkehrs zwischen Hamburg, den nordwestlichen Häfen des Kontinents und der Ostküste Südamerikas. Das Schiff, Taf. XIX, welches nach den Vorschriften des Germanischen Lloyd's für die erste Klasse ganz aus Stahl als Dreidecker ausgeführt ist, hat bei 7,5 m mittlerem Tiefgang einschließlich Schutzkiel 6560 t Tragfähigkeit. Die Länge zwischen den Loten beträgt 126 m, die größte Breite 14,6 m über den Spanten, 14,4 m über dem Oberdeck und 14,3 m über dem Hütendeck; die Tiefe von Oberkante Kielplatte bis Oberkante Oberdeckbalken beläuft sich mitschiffs auf 10 m, an der Seite auf 9,75 m. Nach dem Bauvertrage war bei 6,7 m Tiefgang eine Geschwindigkeit von 12 1/2 Seemellen in der Stunde bei ruhiger See vorgeschrieben, wobei nicht mehr als 0,875 kg guter deutscher Kohle für 1 PS_{st} verbraucht werden durften und die Maschine höchstens 68 Uml./min machen sollte.

Mit ihrer Schonertakelung, der kurzen Back, dem langen Hütten- und Brückendeck, dem senkrechten Vorderstegen und dem elliptischen Heck hat die »Cap Verde« ein sehr gefälliges Aussehen. Die mit Blitzableitern versehenen Masten bestehen mit Ausnahme der oben aufgesetzten 3,8 m langen Flaggenstangen aus Stahlblech. Der Fockmast, der beim Laden und Löschen am meisten in Anspruch genommen wird, ist besonders stark gebaut und trägt außerdem beim Hangerband eine 3,6 m lange Versteifungsplatte. An jedem Mast sind 4 hölzerne Ladebäume in Stahlgussblöcken gelagert, die an den Masten vernietet sind. Unten am Fockmast befinden sich noch zwei stählerne Ladebäume, die mithilfe von 4 Spuren versetzt werden können. Sämtliche Ladevorrichtungen nebst dem zugehörigen Ladegeschirr sind so bemessen, dass sie 20 t heben können.

Unter der Back des Schiffes, die sich vom Vorderstegen bis Spant 160 erstreckt, liegen in üblicher Weise die Wohnräume für die Matrosen und Heizer, die Klossetts und die Waschräume, sowie Räume für Lampen, Farbe usw. Das Backdeck, auf dem sich Anker und Ankergeschirr befinden, trägt einen 380 bis 450 mm hohen Wellenbrecher aus Stahlblech. Das Mittelschiff enthält zwischen Spant 55 und Spant 118 22 Kammern für 44 Kajütfahrer, Speisezimmer, Badezimmer, Abort, Küche, Bäckerei, Posträume, Hospitaler und die Kajüten für den Kapitän, die Offiziere, die Maschinisten, die Stewards und die Köche. Unter dem Brückendeck sind von Spant 9 bis Spant 55 Schlafstellen für rd. 400 Zwischendeck-fahrer untergebracht. Die zugehörigen Waschküchen und

Abortanlagen befinden sich in Aufbauten auf dem Brückendeck. Die Betten im Zwischendeck lassen sich leicht entfernen, sodass dieser Teil des Schiffes bei Bedarf zur Aufnahme von lebendem Vieh eingerichtet werden kann. Vorn auf dem Brückendeck steht ein hölzernes Deckhaus, das als Kartenzimmer und Wohnraum des Kapitäns dient, und über dem sich die Kommandobrücke erhebt. Daran schließt sich ein stählernes Deckhaus mit einem Rauch- und einem Damenzimmer. Die Rettungsboote sind über das Sonnendeck verteilt; im ganzen sind 8 nach den Vorschriften der Seeverbogensenschaft gebaute Boote vorhanden, und zwar 7 Boote nach Francis' Patent aus Eisenblech von 9 m Länge, 2,5 m Breite und 1 m Höhe und 1 Arbeitsboot aus Holz von 6,7 m Länge, 2 m Breite und 0,7 Höhe. Zum Löschen und Laden dienen 10 Dampfwinden, die an den 5 Ladeluken aufgestellt sind, und die schon erwähnten Ladebäume.

Der Vorderstegen des Schiffes ist aus geschmiedetem Eisen hergestellt. Der Kiel ist als Plattenkiel von 990 mm Breite und 22 mm Dicke mit aufliegendem Schutzkiel von 254 mm Breite und 76 mm Höhe ausgebildet. Die beiden seitlich angeordneten, rd. 55 m langen Kimmkiel bestehen aus T-Eisen 152 × 152 × 12 und einer 300 mm breiten Bulbplatte. Der Hinterstegen, der aus Stahl gegossen ist, setzt sich aus Schrauben- und Ruderstegen zusammen. Die Oesen für die Fingerlinge des Ruders sind in den Ruderstegen gehöhrt und mit Pockholzbüchsen versehen. Das gleichfalls aus Stahlguss hergestellte Ruder ist mit dem Ruderschaft durch Flansche verbunden und so angeordnet, dass es eingesetzt werden kann, während das Schiff schwimmt. Die auf dem Ruderrahmen befestigten Platten sind 24 mm stark und nach dem Schaft zu doppelt sickzack genietet. Außer in den Fingerlingen ruht das Ruder noch in einem Fußzapfen, und am oberen Ende wird es durch einen zweiten Zapfen geführt. Die Zapfen sind aus Feinkornisen hergestellt, mit einem Weißmetallüberzug versehen und am Ruderrahmen mit Kegel und Mutter befestigt. Die Ruderpinne besteht aus Siemens-Martin Stahl.

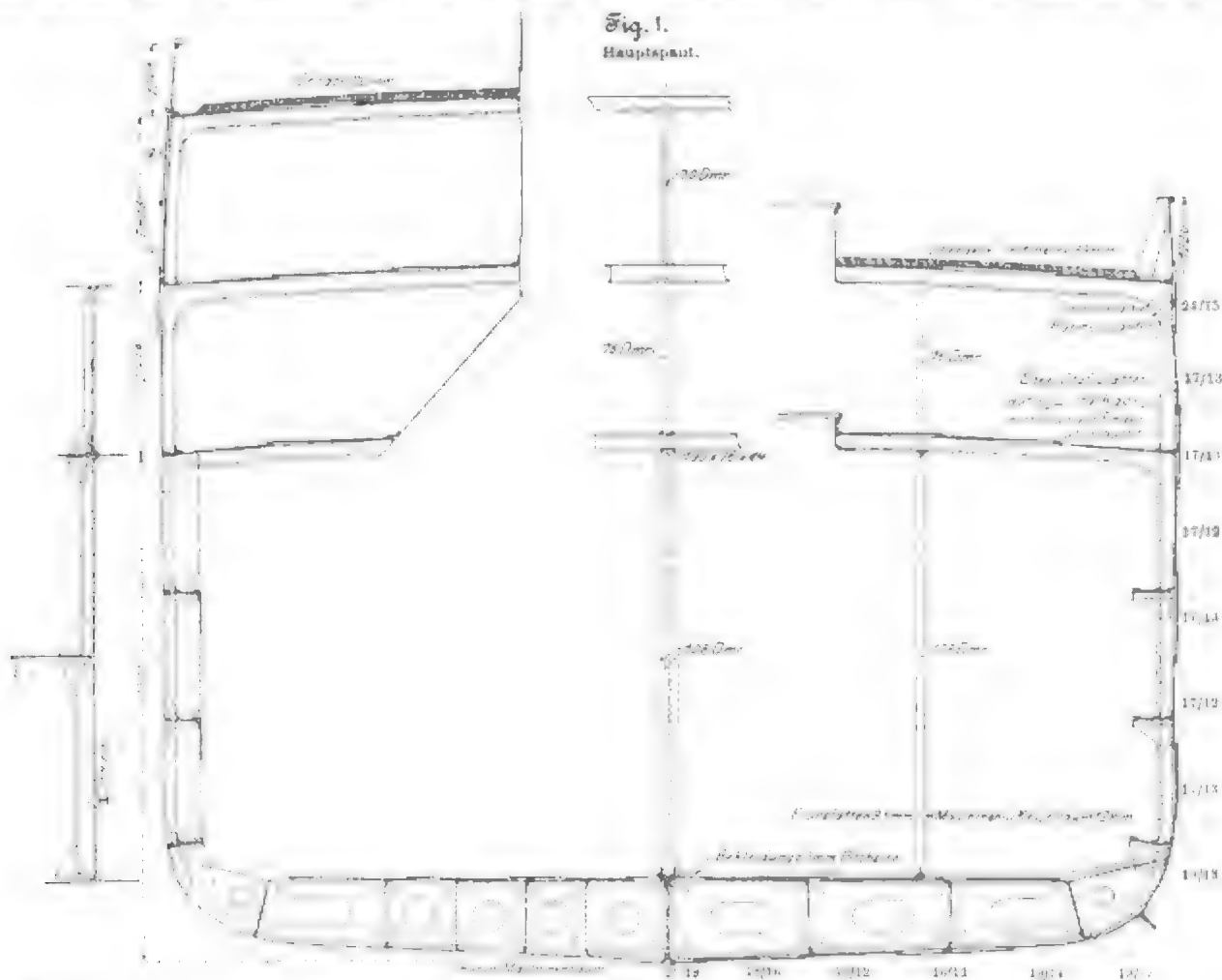
Durch 7 bis zum Oberdeck reichende Schotte ist das Schiff in 8 wasserdichte Abteilungen zerlegt, die so bemessen sind, dass das Schiff noch schwimmfähig bleibt, falls eine Abteilung vollkluft. Die Schottthüren im Maschinen- und Kesselraum sowie in den unteren Bunkern lassen sich vom Oberdeck aus schließen. Ein Doppelboden, der in Querabteilungen geteilt ist, erstreckt sich von Spant 10 bis Spant 173. Der Raum im vorderen Doppelboden mit 18 t Fassungsvermögen dient als Trinkwasserbehälter. Die übrigen

Abteilungen, deren Inhalt im Längsschnitt des Schiffes, Taf. XIX, angegeben ist, dienen teils zur Aufnahme von Wasserballast, teils als Kesselspeisewasserbehälter; der Raum unter den Kesseln bleibt leer. Der Gesamthalt aller Ballasttanks beträgt rd. 700 t.

Die Konstruktion des Doppelbodens ist aus der Zeichnung des Hauptspantes, Fig. 1, ersichtlich. Unter dem Maschinenraume sind, wie punktiert angegeben, zur Stützung der Maschinengrundplatte auf jeder Seite zwei Seitenträger mehr als im übrigen Schiff angeordnet. Der mittlere Längsträger ist innerhalb des Raumes vom Fockmast bis zur Hinterkante des Frischwasserbehälters wasserdicht hergestellt. Die aus Z-Eisen $178 \times 80 \times 11$ bestehenden Spanten haben in der Nähe des Buges rd. 450, auf der übrigen Schiffslänge 685 mm Abstand und reichen unter der Back und dem Hütendeck in einem Stück bis nach oben. Im Doppelboden bestehen die Spanten

decks nach der Seeseite zu bildet ein geschlossenes 1,2 m hohes Schanzkleid, dessen 7 mm starke Platten durch Stützen aus Bulbseisen gehalten werden, welche in Abständen von 1,8 m angebracht sind. Hütten- und Promenadendeck und die Deckaufbauten, welche als Kommandobrücke usw. benutzt werden, werden durch eine offene 1,2 m hohe Reling begrenzt. Ausgenommen ist hiervon die Stelle zu beiden Seiten des vorderen Brückendecks von den Leuchttürmen bis zur Hinterkante der Deckhäuser, wo sich zum Schutz gegen überkommendes Wasser ebenfalls ein Schanzkleid befindet.

An Kohlen für den Schiffbedarf können rd. 900 t in den zu beiden Seiten von Maschinen- und Kesselraum und vor dem Kesselraum angeordneten, von der Decke des Doppelbodens bis in das Zwischendeck reichenden Hauptbunkern untergebracht werden. Der vordere Laderaum unter dem



aus Winkelisen $102 \times 102 \times 11$. Die Gegenspanten aus Winkelisen von denselben Abmessungen reichen abwechselnd bis Mittel- und Oberdeck und in der Back an jedem zweiten Spant bis zur Stringerplatte. Unter den Maschinen- und Kesselträgern sind ferner zwischen den Tankeisenplatten doppelte Gegenspanten angeordnet. Um bei Getreideladungen Schlingerschotte einschieben zu können, sind die Raumstützen im Zickzack aufgestellt und auf dem Doppelboden und im Zwischendeck an L-Eisen befestigt. Die neben den Luken liegenden Stützen lassen sich fortnehmen, um die Uebernahme von Ladung zu erleichtern.

Die Stöße der Außenhaut sind bis zum Oberdeck-Schergang, nach den Vorschriften des Germanischen Lloyds überlappt genietet. Die Plattenstärke in den verschiedenen Plattengängen ist in Fig. 1 angegeben; am Bug befindet sich die übliche Verstärkung gegen Eis. Den Abschluss des Ober-

Zwischendeck von rd. 950 t Fassungsvermögen ist außerdem als Reservebunker eingerichtet und zu diesem Zwecke mit dem Heizraume mittels eines durch den vorderen Querbunker geführten Tunnels verbunden, der jedoch durch eine wasserdichte Thür abgeschlossen werden kann. Für die Zufuhr an Kohlen von außerhalb dienen Porten an den Schiffseiten und Schütten und Luken auf dem Brücken- und Oberdeck.

Was die innere Einrichtung des Schiffes anbetrifft, so wäre zunächst der große in der Mitte des Oberdecks gelegene Speisesaal für die Fahrgäste erster Klasse zu erwähnen. Die Decke ist mit einer Tüfelung aus Pappelholz belegt, während die Wandbekleidungen zum größten Teile aus Teak- und amerikanischem Walnussholz bestehen. An den Seitentischen, Taf. XIX, befinden sich 62 Sitzplätze, an dem langen Mittelisch 22 Drehsessel. Vom Speisesaal führt eine Podesttreppe aus Teakholz in die auf dem Hütendeck gelegenen Zimmer.

Im Damenzimmer stehen ein Piano, eine kleine Büchersammlung und einige Schreibtische, Sophas usw., während im Rauchzimmer Spieltische und bequeme Drehsessel aufgestellt sind. Die Fahrgastkammern, deren Lage aus Taf. XIX ersichtlich ist, enthalten je zwei eiserne Bettstellen, zwei Klapp-

versehen, sodass beständig frische Luft hindurchströmt. Für die Laderäume sind 3 Flügelrad-Gebläsemaschinen von Donkin & Co. in Newcastle vorgesehen, die ihren Dampf von den Hauptkesseln erhalten. Die Flügelräder haben 914 mm Dmr., der Cylinder 76 mm Dmr. und 50 mm Hub. Außerdem

Fig. 2.

Doppelenderkessel (S. 905)

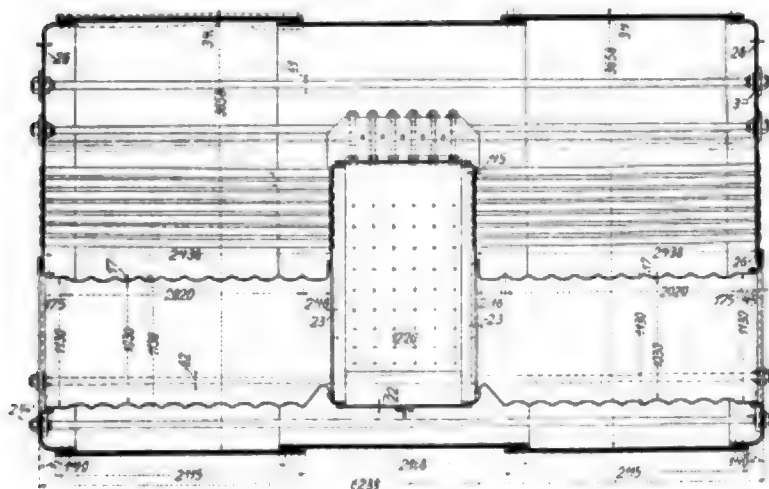


Fig. 3.

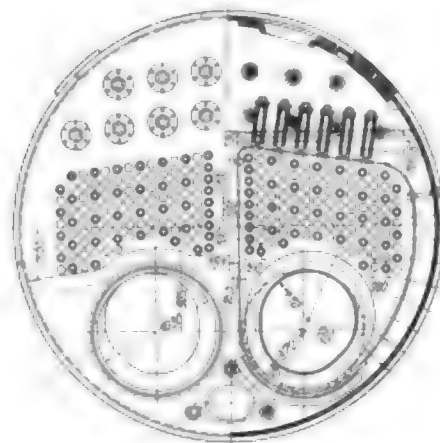


Fig. 4.

Kolbenschieber des Hochdruckzylinders (S. 906)

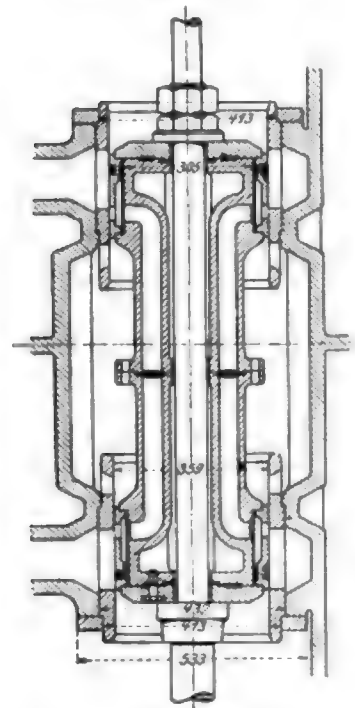
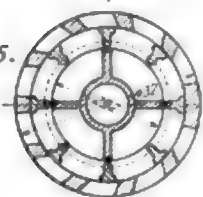


Fig. 5.



waschtische mit Zubehör, ein Sopha mit abnehmbarer Rückenlehne, das zugleich als Bett benutzt werden kann, und zwei Schränke. Die Fußböden sind mit Brüsseler Teppichen belegt, im übrigen alle

Einrichtungen geschmackvoll und wohnlich. Die Kammern der Schiffsoffiziere im Brückenhause sind einfacher ausgestattet; ihr Fußboden ist zementiert und mit Linoleum belegt. Für Badeeinrichtungen ist ausreichend gesorgt; für die Fahrgäste I. Klasse und für die Schiffsoffiziere sind besondere Badezimmer mit Wannen vorgesehen, während die Zwischendecksfahrgäste und die Mannschaften sich in Waschlusern mit Brauseeinrichtungen reinigen können.

In dem oberen Heizraumschacht befindet sich oberhalb des Brückendecks auf der einen Seite ein Desinfektionsraum, auf der andern Seite ein Trockenraum für nasses Zeug usw., der mit Dampf-Rippenheizkörpern versehen ist.

In einem Schiff, das wie die »Cap Verde« zur Fahrt in warmen Gewässern bestimmt ist, muss besondere Rücksicht auf gute Lüftung der Räume genommen werden. Die Fahrgastkammern sind deshalb außer mit Lüftrohren, die in den Decken angebracht sind, mit Lüfteinrichtungen in den Türen

befinden sich in jedem Laderaume mehrere Lüftrohre; die im Großraume gelegenen Rohre sind besonders stark gebaut und mit Beschlägen versehen, um als Stützpunkte für Ladebäume dienen zu können.

Alle Schlaf- und Wohnräume für Fahrgäste und Mannschaften sind mit Niederdruckdampfheizung von Gebr. Körting versehen. Im Speisesaal stehen zwei geschmackvoll ausgeführte Kamine, die je 2 Rippenheizkörper enthalten. Zur Erwärmung des Badewassers, zur Heizung der Dampfküche usw. wird gleichfalls Niederdruckdampf verwendet, der nach Gebrauch in einen Kondensationstopf geleitet wird, welcher mit dem Abdampfbehälter der Dampfwinden in Verbindung steht.

Zur Beleuchtung des Schiffes dienen abwechselnd 2 im Maschinenraume aufgestellte Gleichstromdynamos der Elektrizitäts-A.-G. vorm. Schuckert & Co., deren jede von einer stehenden zweicylindrigen Verbunddampfmaschine von Janssen & Schmilinsky A.-G. in Hamburg getrieben wird. Die Dampfmaschinen leisten bei 300 Uml./min 28 PS; in den Dynamos wird Strom von 100 V Spannung erzeugt, der zum Speisen von 280 Glühlampen von 16 Normalkerzen, mehreren Handlampen und Zigarrenanzündern, sowie zum Heizen von Brennscherenwärmern in den Schlafkabinen und zum Betriebe einiger kleinerer Ventilatoren benutzt wird.

Von Spant 49 bis 57 erstrecken sich zwischen Haupt- und Ober- und Zwischendeck ausgedehnte, durch Holzwände isolierte Kühlräume für Fleisch, Gemüse, Getränke usw. Die im Maschinenraum aufgestellte Eismaschine von J. C. Hall in Dartford arbeitet nach dem Kohlensäureverfahren. Der Druck im Kompressor beträgt 60 at.

Unter den Hilfsmaschinen für Deckbedarf ist zunächst das in einem besonderen Raume des Deckhauses auf dem Hinterdeck aufgestellte Dampfsteuer, Bauart Hasties, zu nennen. Eine stehende Dampfmaschine von 228 mm Cyl.-Dmr. und 228 mm Hub treibt ein Zahnrad, welches in das an dem Ruderschaft angebrachte Zahnsegment eingreift. Die Maschine erhält ihren Dampf durch eine mit dem Haupt- und dem Hilfskessel verbundene Leitung, die durch den Maschinentunnel und weiter durch ein Tunnelventilatorrohr in das Deckhaus geführt ist. In die Leitung ist ein Drosselventil von Aulds & Sons eingeschaltet, welches die Kesselspannung von 15 at auf 4 at verringert. Maschine und Rohrleitung sind jedoch für 15 at Dampfdruck konstruiert, um genügende Stärke zu haben, falls das Drosselventil versagen sollte. Der Abdampf der Steuermaschine wird in den Kondensator der Hauptmaschine geleitet. Mittels Wellenleitung und Kegelradübersetzung wird die Dampfsteuereinrichtung von der oberen

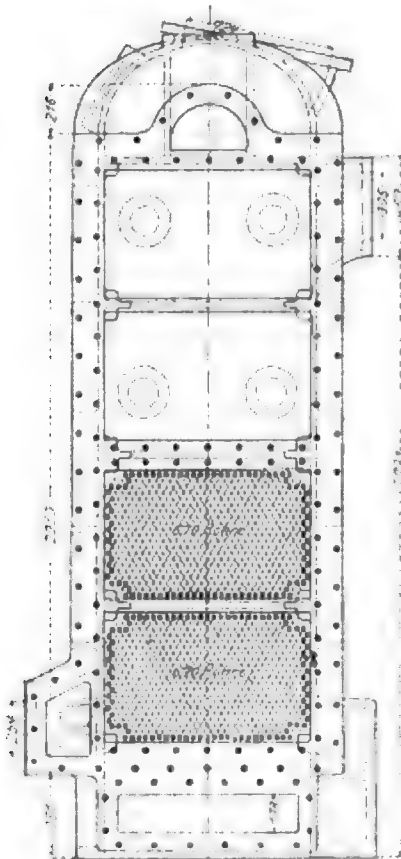
Kommandobrücke bedient; von Hand kann das Ruder nur vom hinteren Deckhaus aus mittels zweier Handräder und Zwischengeetriebes verstellt werden, das auf das erwähnte Zahnradsegment wirkt.

In der Back des Schiffes befindet sich eine Dampfwinde von Clarke Chapman & Co., die das über ihr gelegene Ankerspill antreibt und bei Bedarf auch mit einem in der Nähe des Vorderstevens angeordneten Gangspill verbunden

heben je 500 kg. Zwischen den Dampfkeßeln und der Dampfzuleitung für die Winden ist ebenfalls ein Ventil zur Verminderung des Dampfdruckes auf 4 at eingeschaltet; der Abdampf wird in einen im Heizraum aufgestellten Stahlbehälter, im Bedarfsfalle auch in den Hauptkondensator geleitet.

Zum Ankergeschire der „Cap Verde“ gehören 4 stoßlose Buganker, Patent Hall, von je 2700 kg Gewicht, 1 Stromanker, Patent Rodgers, von 1075 kg, 1 Warpanker, Patent Trotmann,

Fig. 6.



Kondensator (S. 906)

Fig. 7.

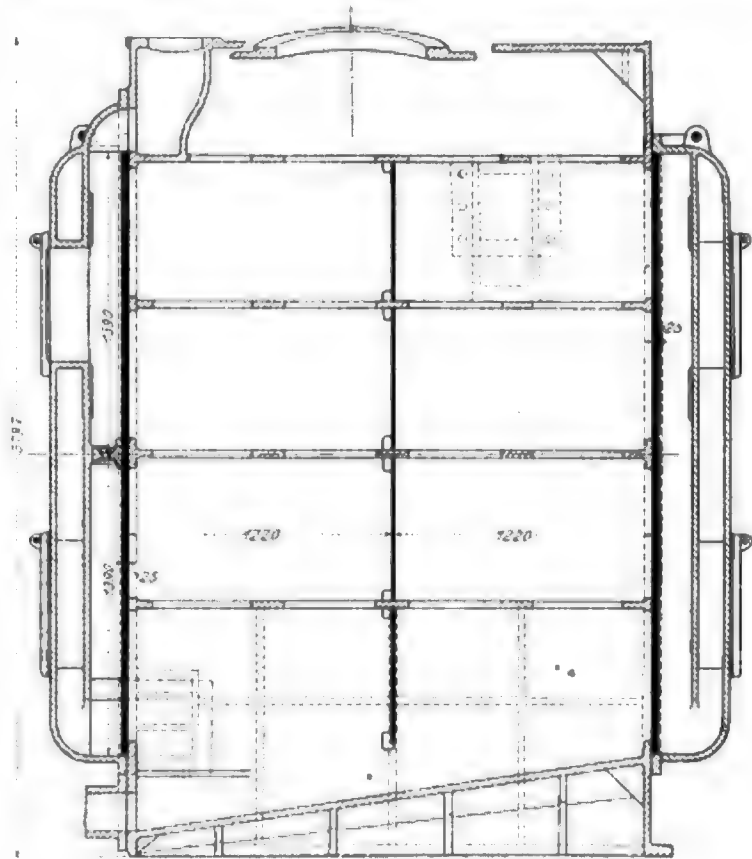
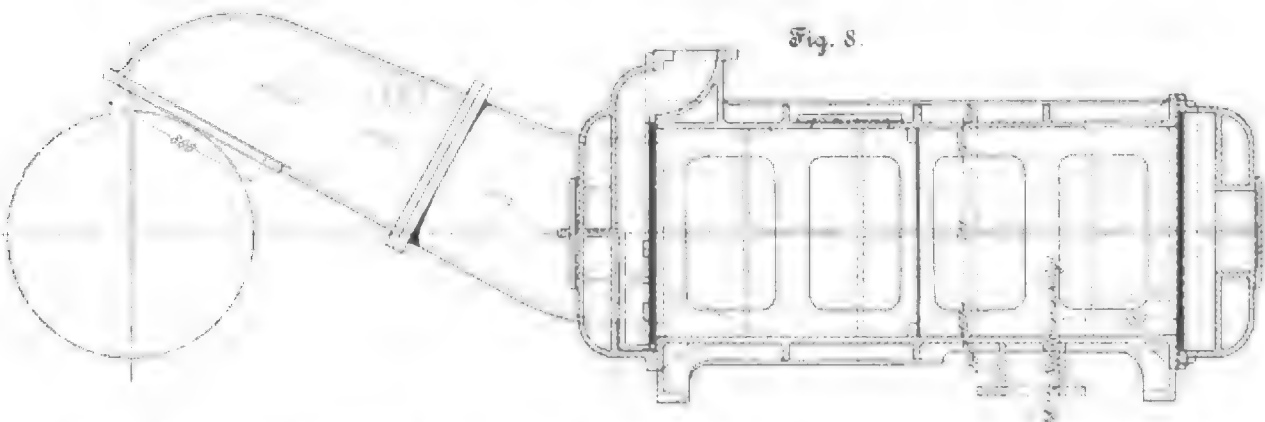


Fig. 8.



werden kann. Ankerspill und Gangspill sind außerdem für Handbetrieb eingerichtet. Ersteres kann 25 t, letzteres 20 t heben. Zu den übrigen Hilfsmaschinen gehören 12 liegende Dampfwinden, von denen 10 zum Versetzen der Ladung und zum Verholen des Schiffes, 2 zur Uebernahme von Kohlen dienen. Alle Ladewinden haben 178 mm Cyl.-Dmr. bei 304 mm Hub. Die von Donkin & Co., Newcastle, gebauten Kohlenwinden stehen auf dem Hauptdeck zu beiden Seiten des Maschinenschachtes und

von 600 kg, 486 m Kette und mehrere Stahl- und Hauttrossen.

Der Maschinenraum des Schiffes erstreckt sich von Spant 57 bis 73; hieran schließt sich, durch ein wasserdichtes Schott abgegrenzt, der Kesselraum bis Spant 89. Im letzteren befinden sich 3 Haupt- und ein Hilfskessel. Zwei Hauptkessel haben doppelseitige, der dritte Hauptkessel und der Hilfskessel einseitige Feuerungen. Sämtliche Kessel sind für 15 at Arbeitsdruck gebaut.

Während der Hochdruckzylinder durch einen Kolbenschieber gesteuert wird, haben die übrigen Cylinder Flachschiebersteuerung. Fig. 4 und 5 lassen die Konstruktion des gusseisernen Kolbenschiebers erkennen. Die ebenfalls aus Guss Eisen bestehenden Gleitringe sind mit einem Verschlussstück aus Rotguss versehen und werden durch aufgesetzte Deckel festgehalten. Die gusseisernen Kolben mit Ramsbottom-Ringen sind in den Hohlräumen durch starke Rippen versteift

bronzenen Stützplatten versehen. Bei 2680 Kühlrohren von 19 mm äußerem Durchmesser beträgt seine Kühlfläche 380 qm.

Die Luftpumpe und die Zirkulationspumpe, Fig. 9 bis 13, sind zusammenhängend gebaut und werden durch Balanziers aus doppelten Stahlblechen vom Kreuzkopf des ersten Mitteldruckzylinders angetrieben. Die Luftpumpe, Bauart Edwards, ist einfachwirkend. Der Pumpenkörper und der seitlich aufgesetzte Windkessel bestehen aus Guss Eisen, der

Fig. 14. Kurbelwelle.

Fig. 15.

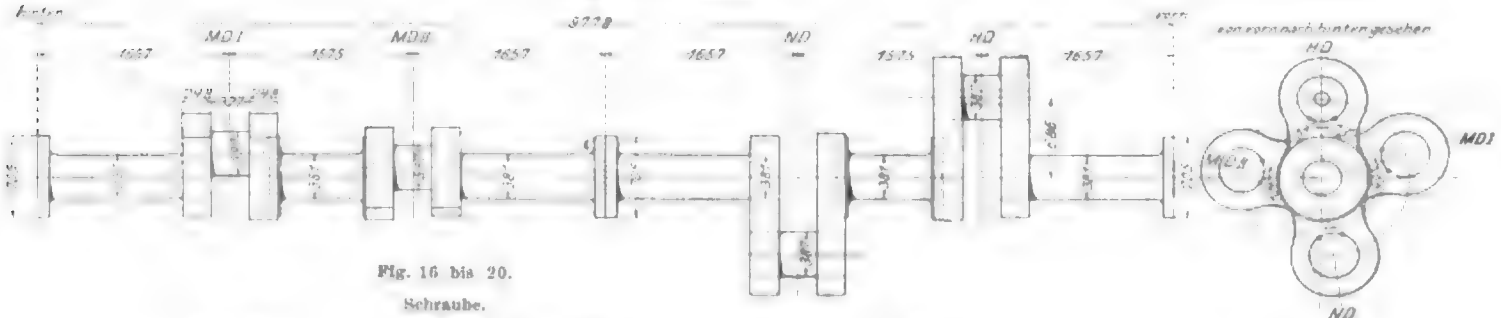


Fig. 16 bis 20.

Schraube.

Fig. 16.

Fig. 17.

Fig. 18.

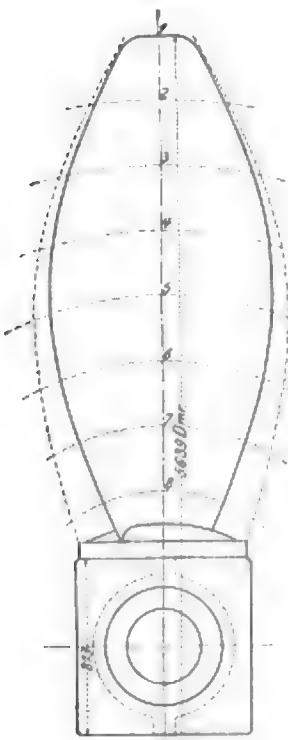


Fig. 20.

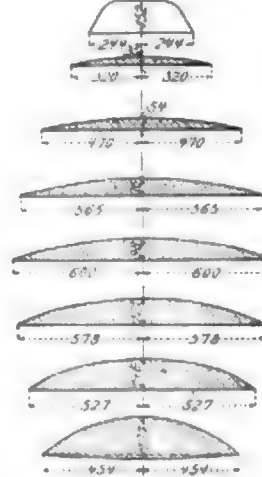
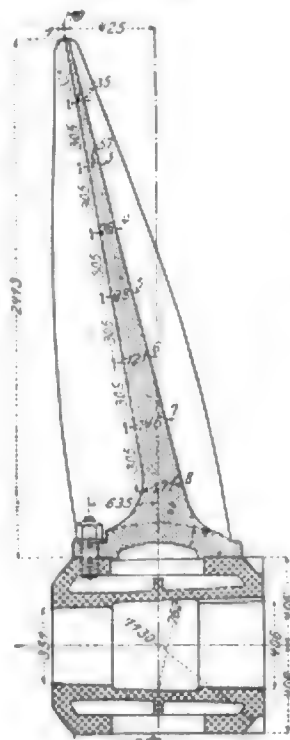
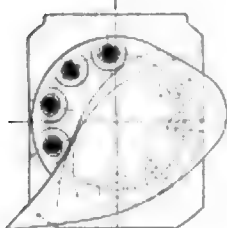
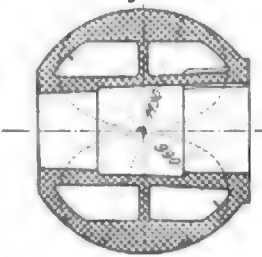


Fig. 19.



Pumpenzylinder, der Kolben und die Kopfventilplatte aus Rotguss und die Kolbenstange aus Delta-metall. Die Pumpe entleert nicht unmittelbar durch ein Ausgussrohr über Bord, sondern in einen gusseisernen Behälter, der mit einem Wasserstandzeiger versehen ist. Die doppelwirkende Zirkulationspumpe saugt aus See und drückt durch den Kondensator und weiter über Bord. Der Zylindereinsatz und der Kolben bestehen ebenfalls aus Rotguss, die Kolbenstange aus Delta-metall, das Gehäus aus Guss-eisen. Zu beiden Seiten der Luft- und der Zirkulationspumpe liegen je zwei einfachwirkende Lens- und Speisepumpen. Die Lenspumpen haben gusseiserne Cylinder von 127 mm Dmr. und Kolben aus Rotguss mit schmiedeisernem Kern. Der Ventilkasten besteht aus Guss-eisen mit Rotgussventilen. Eine Saugleitung der Lenspumpen führt unmittelbar nach der Mitte der Bilge, der andere Zweig nach der allgemeinen Lenzleitung. Die Speisepumpen sind ebenfalls einfach-wirkend. Ihre Pumpengehäuse sind aus Rotguss, die Kolben von 115 mm Dmr. aus Siemens-Martin-Stahl hergestellt. Sie saugen durch den Speisewasservorwärmer aus dem

erwähnten Wasserbehälter und drücken durch das Speisewasserfilter in die Haupt- und in die Hilfskessel. Außerdem ist eine doppelwirkende Klostertpumpe von 127 mm Kolbendurchmesser aus Rotguss vorhanden, die unmittelbar aus See saugt und in den Klostertank und die Destillirvorrichtung drückt. Alle von der Hauptmaschine angetriebenen Pumpen haben 811 mm Hub.

Am hintersten Grundlagerbock ist eine kleine Dampf-drehmaschine von 178 mm Cyl.-Dmr. und 230 mm Hub angebracht, deren Schnecke mit dem auf der Kurbelwelle sitzenden Schneckenrade in Eingriff gebracht werden kann. Außerdem ist noch eine Handdrehvorrichtung vorgesehen. Damit die Maschine nicht etwa durchgeht, falls bei hohem Seegange die Schraube zeitweise austaucht, ist ein Aspinall-Regulator angeordnet, der die Drosselklappe selbstthätig beeinflusst. Unabhängig von der Hauptmaschine arbeiten im Maschinenraume die beiden schon erwähnten Dampfdynamos, ferner 2 Dampfpeisepumpen, eine Ballastpumpe und eine

und mittels schmiedeiserner Muttern auf den aus Siemens-Martin-Stahl geschmiedeten Kolbenstangen befestigt.

Zum Anlassen der Maschine sind am zweiten Mitteldruck- und am Niederdruckzylinder Hilfsventile angebracht, durch welche den Cylindern Dampf unmittelbar aus den Kesseln zugeführt wird. Die zum Umsteuern dienenden Stephenson'schen Kulissen

werden durch eine am Ständer des Niederdruckzylinders angeordnete Dampfmaschine, Bauart Brown, verstellt; daneben ist eine Handumsteuervorrichtung vorhanden.

Der an die Maschinengrundplatte angeschlossene Kondensator, Fig. 6 bis 8, ist aus Guss Eisen hergestellt und mit

dem beschriebenen ähnlicher Entwurf bereits im Jahre 1883 von Pegram für die Hobokener Hochbahn vorgelegt wurde.

In Fig. 43 ist der Blechträger in Verbindung mit der gespreizten \square -Eisen-Säule (Fig. 19), in Fig. 46 in Verbindung mit der \square -Eisen-Säule (Fig. 27), abgebildet. Die Hauptabmes-

sungen sind auch hier, wie in der Folge, in die Skizze eingeschrieben. Die größten und kleinsten Höhenmaße der Bauwerke sind, wie in Amerika üblich, zwischen Straßenkronen und Schienenunterkante gemessen.

Die Figuren 47 bis 55 stellen die wichtigsten Formen

Fig. 43.

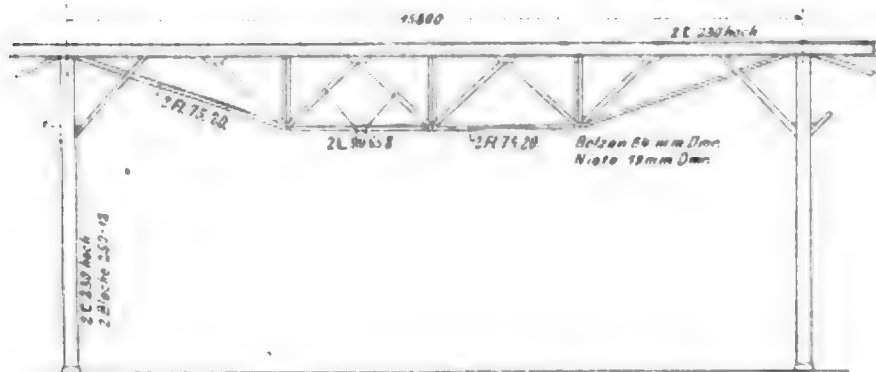


Fig. 44.

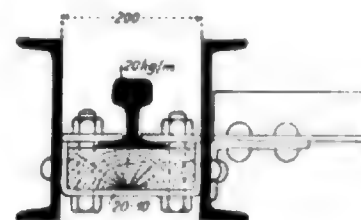


Fig. 46.

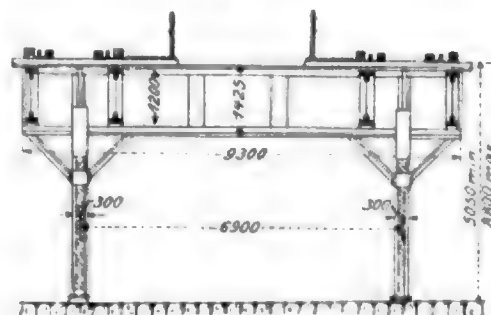


Fig. 45.

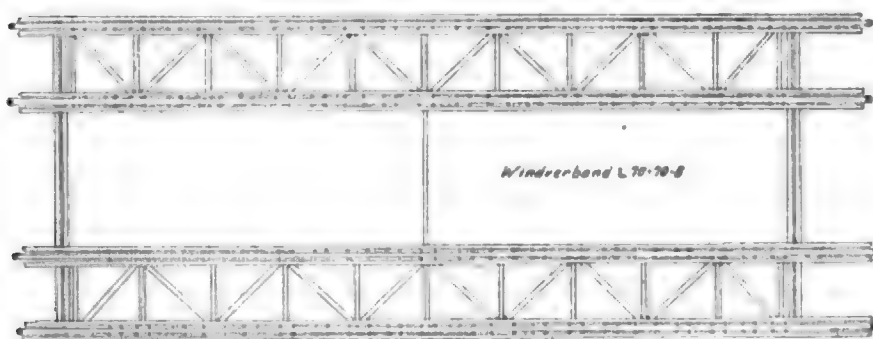


Fig. 47.

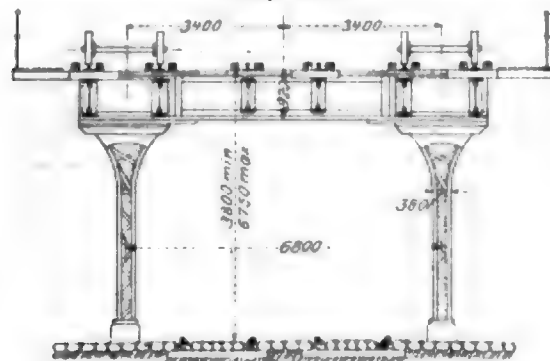


Fig. 48.

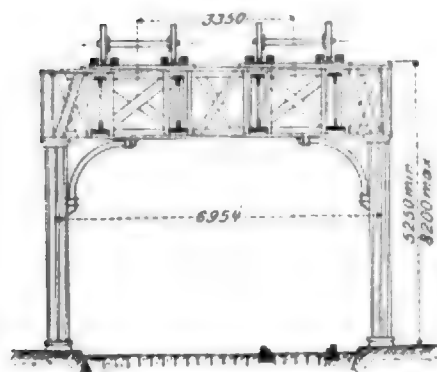
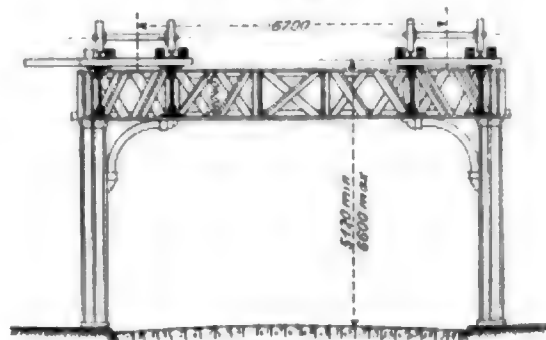


Fig. 49.

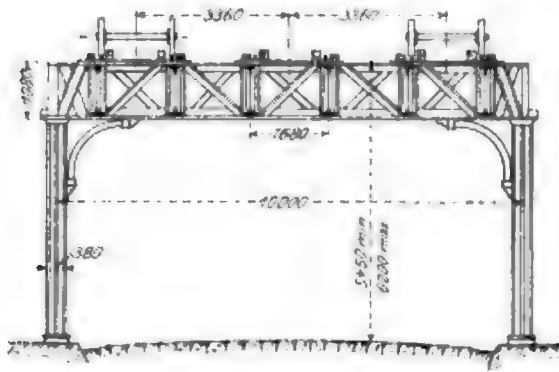


Fig. 50.

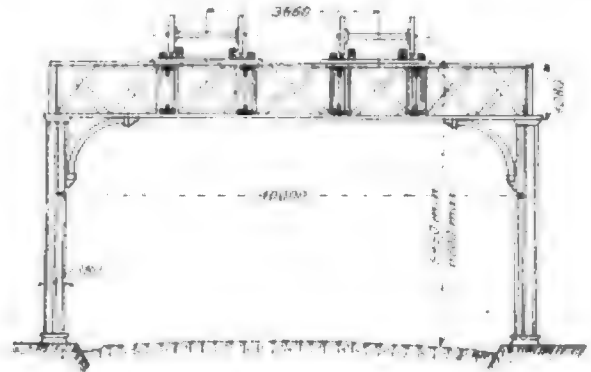


Fig. 51.

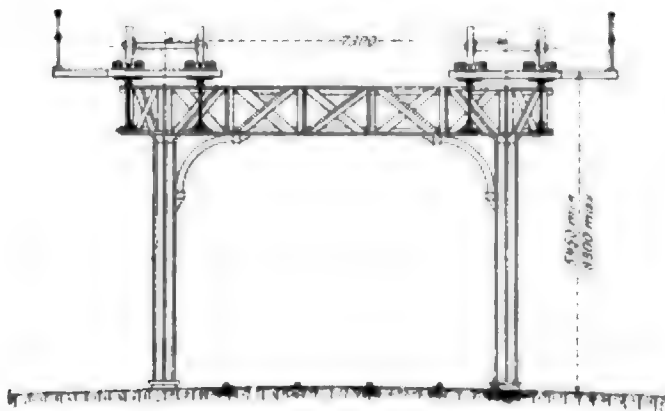


Fig. 52.

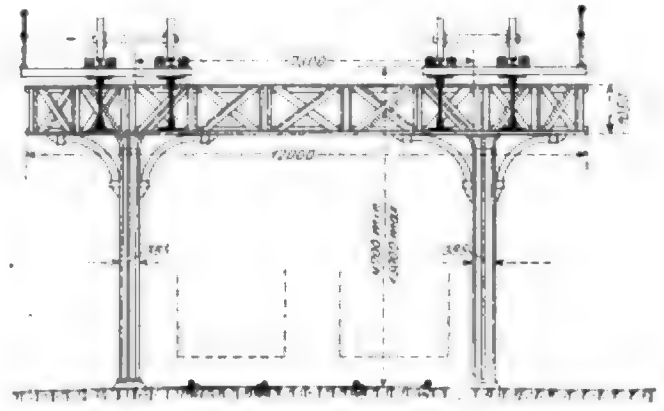


Fig. 53.

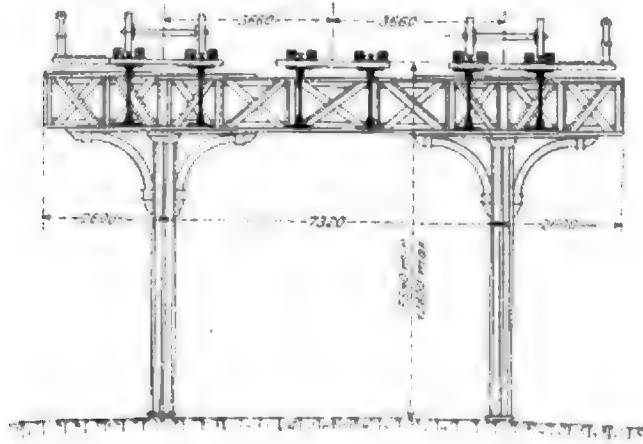


Fig. 54.

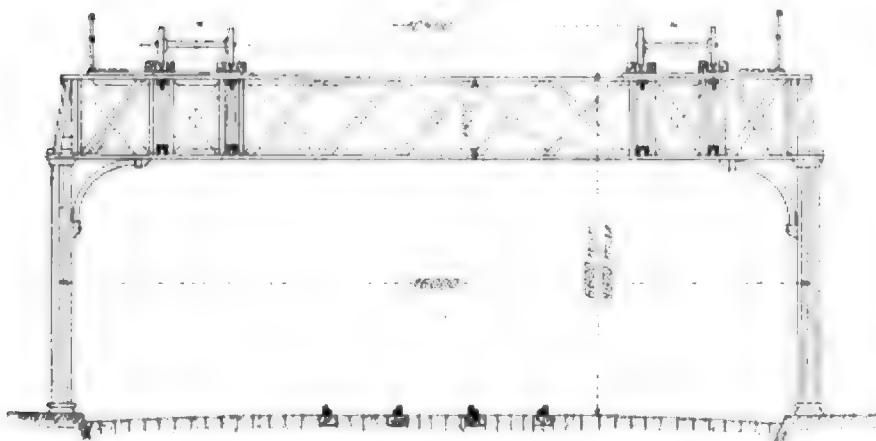
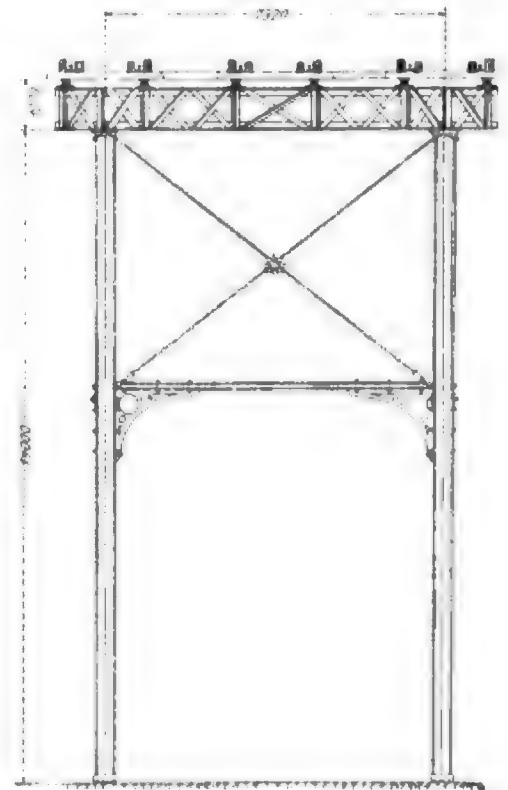
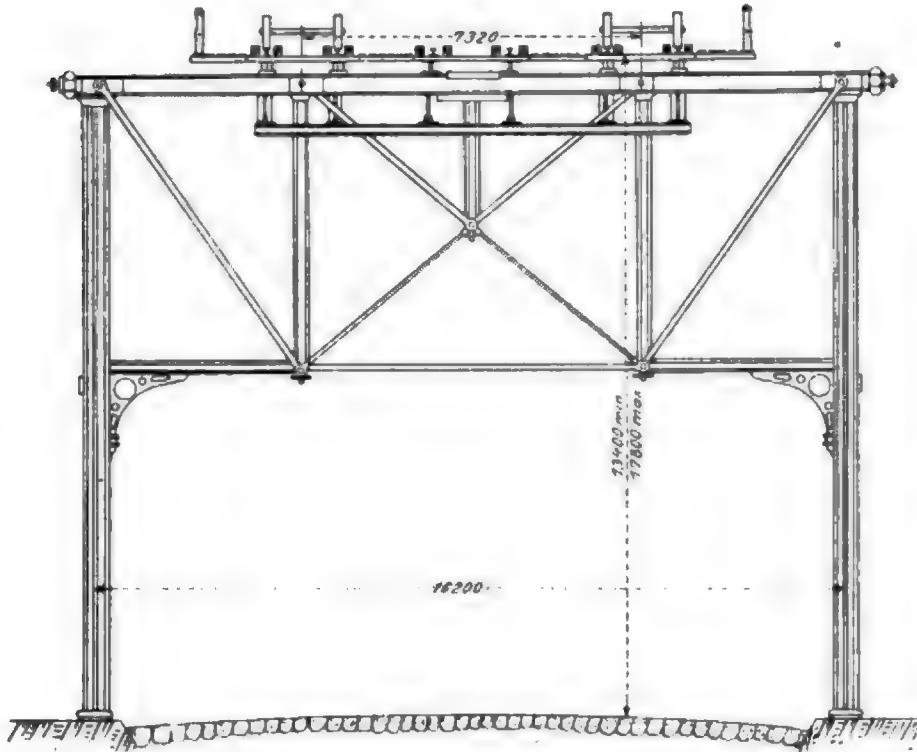


Fig. 55.



der Fachwerkquerträger in Verbindung mit der Phönixsäule dar. Fig. 56 zeigt den Querträger mit Gelenkbolzen. Die Säulen und Trägerpfosten bestehen aus Phönixprofilen. Der Obergurt ist aus 2 C-Eisen von 400 mm Höhe und zwei 16 mm starken Blechen von 510 mm Breite zu einem geschlossenen Kasten zusammengebaut. Die Schrägen sind Augenstäbe.

Fig. 56.



In Fig. 57 und 58 sind die Hauptmaße für die auch in Fig. 20 und 21 abgebildeten Konstruktionen eingetragen, während der Vollständigkeit halber in Fig. 59 die Anordnung der gemauerten Pfeiler, die auf einer kurzen, der Bahngesellschaft gehörigen Geländestrecke stehen, gezeigt ist.

Weiterhin sind in Fig. 60 bis 62 die genieteten Hauptträgersysteme der Manhattan-Hochbahn abgebildet; es sind einfache und doppelte Dreiecksträger. Hierbei ist, wie bei den Querträgern, auf das Zusammenlaufen der Stab-Schwerlinien in den Knotenpunkten nirgends Bedacht genommen.

Infolge der exzentrischen Anschlüsse und Schwellenlagerungen auf der oberen Gurtung treten hohe Nebenspannungen auf, denen die vorhandenen Winkelprofile, wie schon eine überschlägliche Rechnung lehrt, nicht genügen können. Knotenbleche sind gleichfalls nicht vorhanden, was bedingt, dass die meisten Füllungslieder mit fünf in einem dichtgedrängten Büschel stehenden Nieten an die Gurtungen angeschlossen sind. Dies bedeutet neben dem mangelhaften Anschluss auch eine erhebliche Vergeudung von Gurtungsmaterial. Auch die Windverbände, die in der Ebene der oberen und der unteren Gurtung liegen, und die Andreaskreuze, deren auf jedes Trägerpaar vier entfallen, können auf Steifheit wenig Anspruch machen, wie Fig. 63, ein Andreaskreuz der 3. Avenue-Linie, und Fig. 64, der Windverband auf derselben Strecke, erkennen lassen.

Während der letzten Jahre ist der Versuch gemacht worden, durch Aufnieten von Lamellen, Fig. 19, oder

Fig. 57.

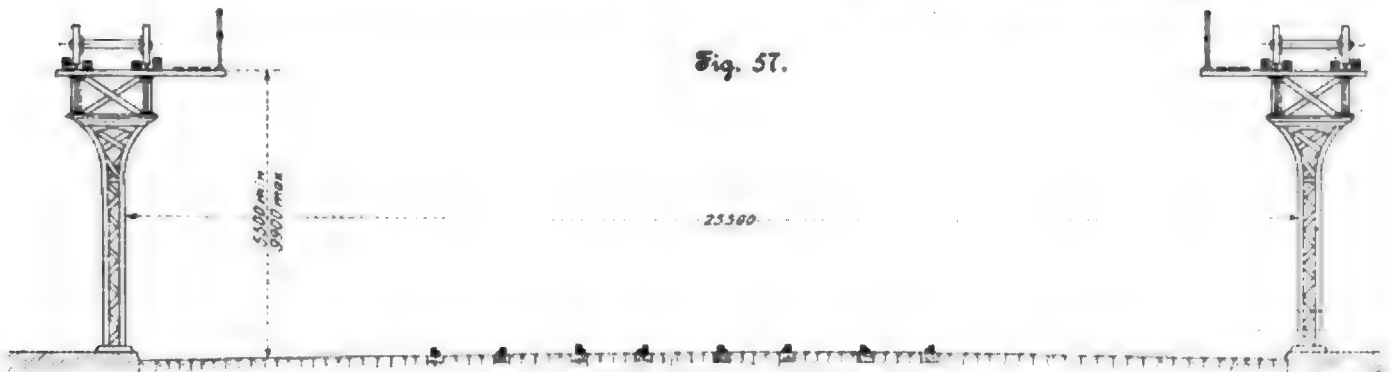


Fig. 58.

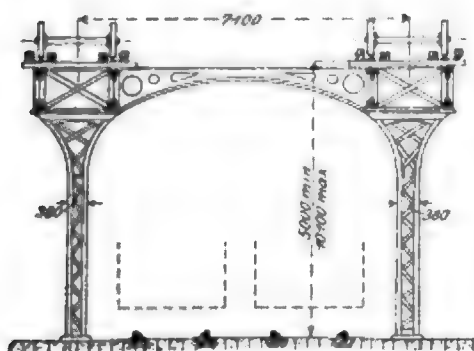
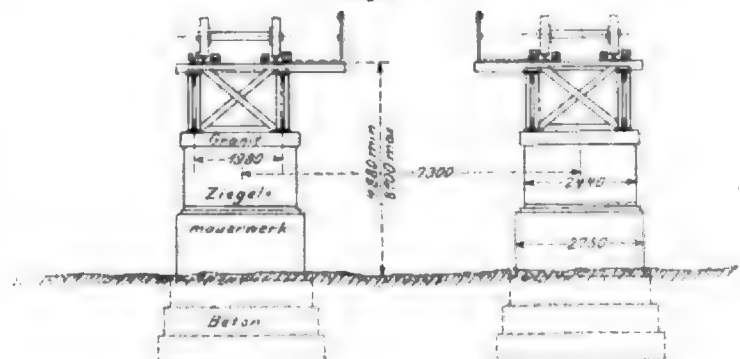


Fig. 59.



Einziehen eines zweiten Systems von Flacheisenschträgen die Hauptträger zu verstärken und den schädlichen Erschütterungen damit entgegenzuwirken. Zu dem Ende wurden, wie Fig. 61 zeigt, Flacheisen zwischen den vorhandenen Winkelstreben hindurch gezogen und auf die Gurtwinkel genietet. Bei dieser Anordnung müssen gewisse Flacheisen auf Druck angestrengt werden, was ihren Wert mehr als

Die Unterhaltungskosten, die in den ersten 17 Jahren des Bestehens der rd. 11,8 km langen Strecke der 2. Avenue-Hochbahn verbucht wurden, betrugen für das gesamte Bauwerk ausschließlich Oberbau und Anstrich \$ 40613,22, oder pro Jahr \$ 2390, oder pro km und Jahr \$ 203. Die Reparaturkosten pro Tonne Eisenkonstruktion betrugen innerhalb der 17 Jahre \$ 1,39 oder rd. 2 vH des Anlagekapitals. In demselben Zeitraum wurden 253356 693 t auf der Hochbahn der 2. Avenue befördert.

Bei Besprechung der Verstärkungen soll noch einer Armierung gedacht werden, die auf der in Fig. 65 abgebildeten scharfen Kurve im südlichsten Teile der Insel und weiter stadtaufwärts vorkommt und als höchst eigenartig zu bezeichnen ist. Die Querträger bestehen an dieser Stelle aus Fachwerkträgern, wie Fig. 66 und 67 erkennen lassen. Die Verstärkung wurde nun durch einen unter den vorhandenen Fachwerkträger genieteten Blechträger bewirkt. Der Anschluss des Blechträgers an die Säule erfolgte dabei entweder, wie in Fig. 66 abgebildet, durch eine Konsole, oder wie Fig. 68 zeigt, durch Vernieten mit dem C-Eisen-Steg

Fig. 60.

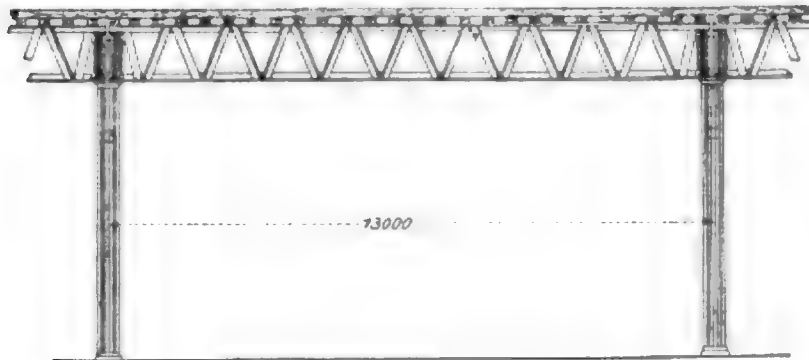


Fig. 61.

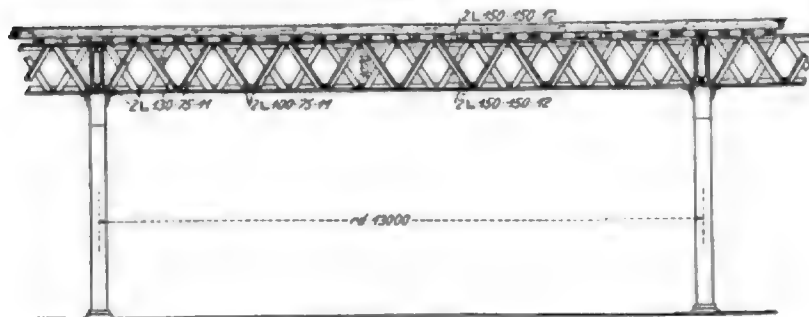


Fig. 62.

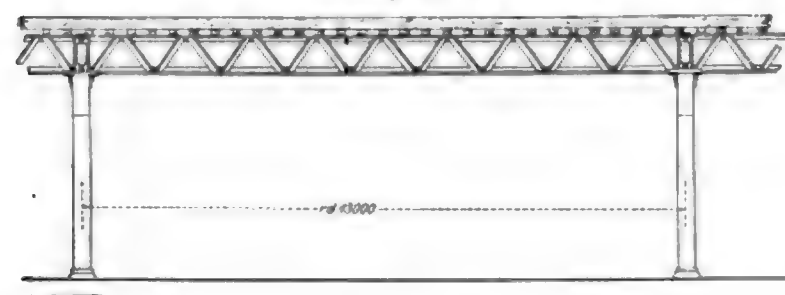
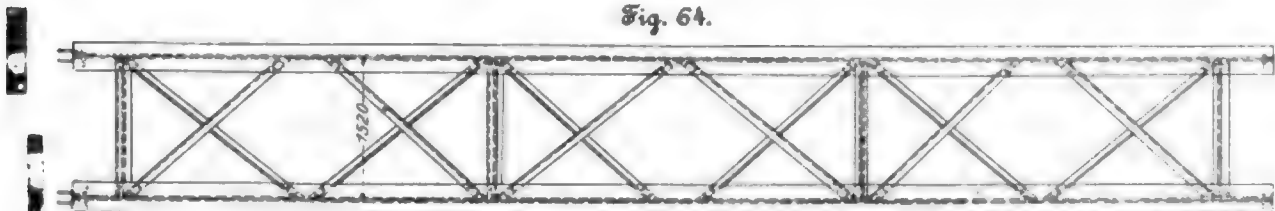


Fig. 64.



zweifelhaft erscheinen lässt. Die Anzahl der allmonatlich zu ersetzenden Niete ist auf diesen Strecken erstaunlich groß; auf der 3. Avenue-Linie sollen 35 bis 40 lockere Niete pro km und Monat vorkommen. Ueber Unterhaltungskosten der Bauwerke der Manhattan-Hochbahn war im übrigen leider nur wenig in Erfahrung zu bringen. Immerhin sind die folgenden Angaben, die sich allerdings nur auf eine kurze Strecke der Anlage beziehen, mitteilenswert.

Fig. 63.

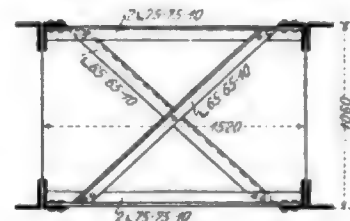
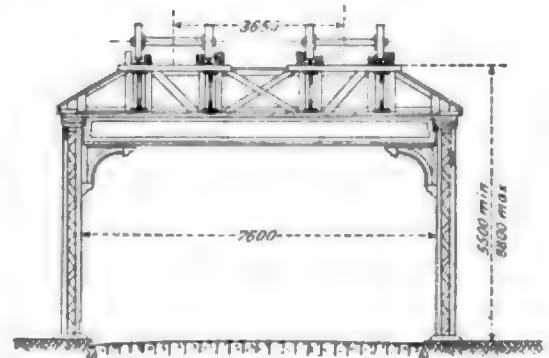


Fig. 66.



Die obersten Gitterstäbe wurden, um das Zusammenwirken der beiden C-Eisen zu erreichen, durch Bleche ersetzt, s. Fig. 68. Fig. 67 zeigt die Montagebühne, auf der die Knarr-, Autreib-, Niet- und Anstricharbeiten ausgeführt wurden.

Außer der schon gerügten mangelhaften Verbindung der Säulen mit den Querträgern und dem Fehlen von passenden Verstrebungen, welche die Längskräfte aus den Hauptträgern unmittelbar in die Säulen überführen, ohne dass die Quer-

Fig. 69.

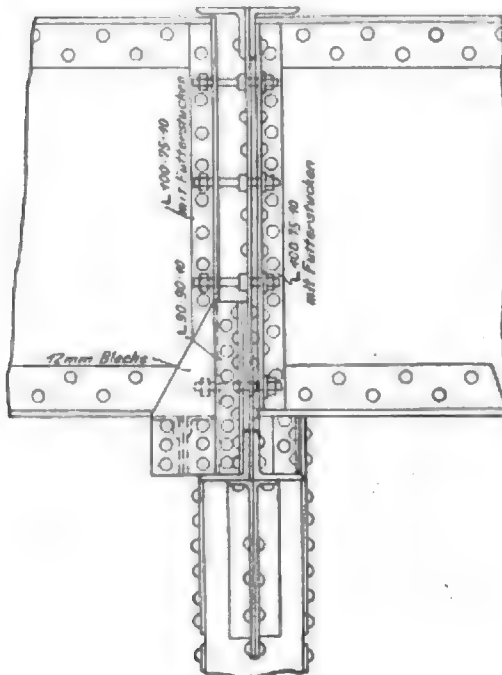


Fig. 70.

Versuchstück Nr 4 und 2

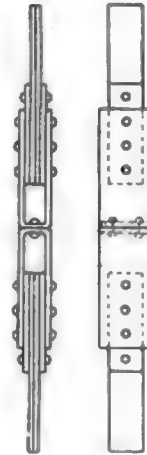


Fig. 71.

Versuchstück Nr 3 und 4

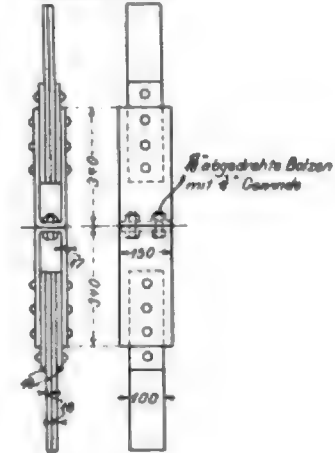


Fig. 72.

Versuchstück Nr 5 und 6

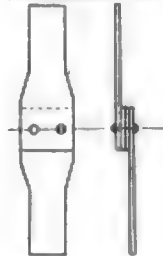


Fig. 73.

Versuchstück Nr 7 und 8

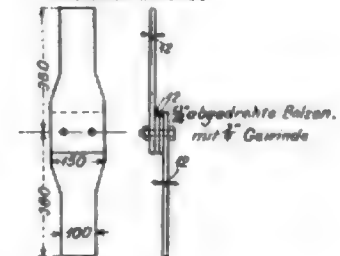


Fig. 74.

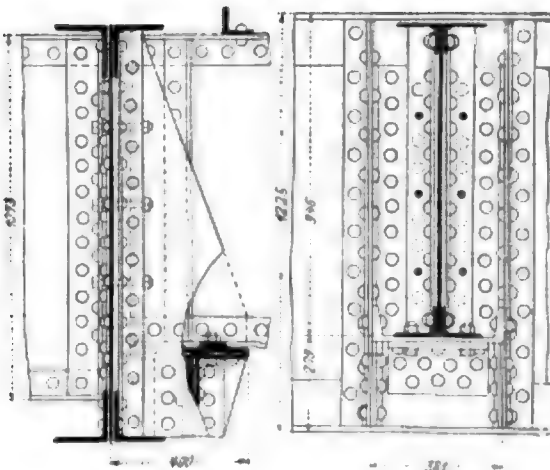
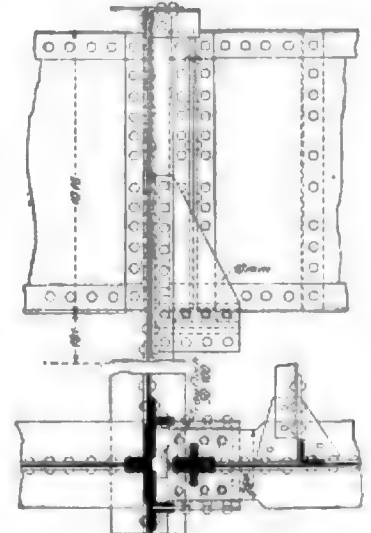
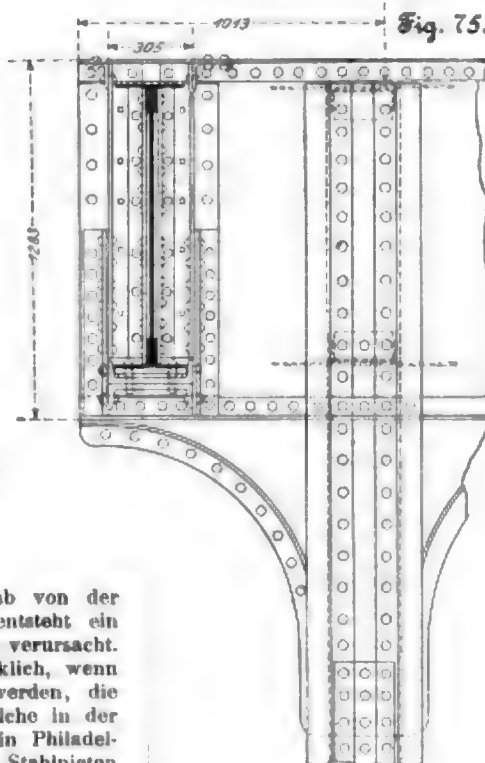


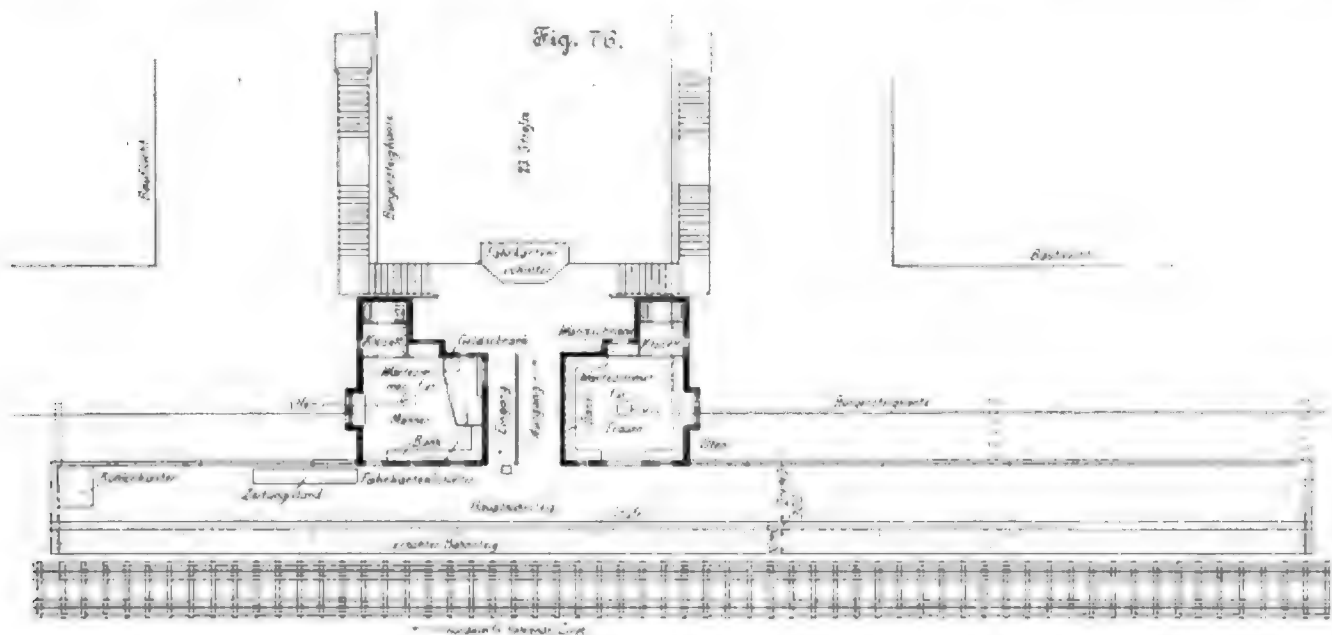
Fig. 75.



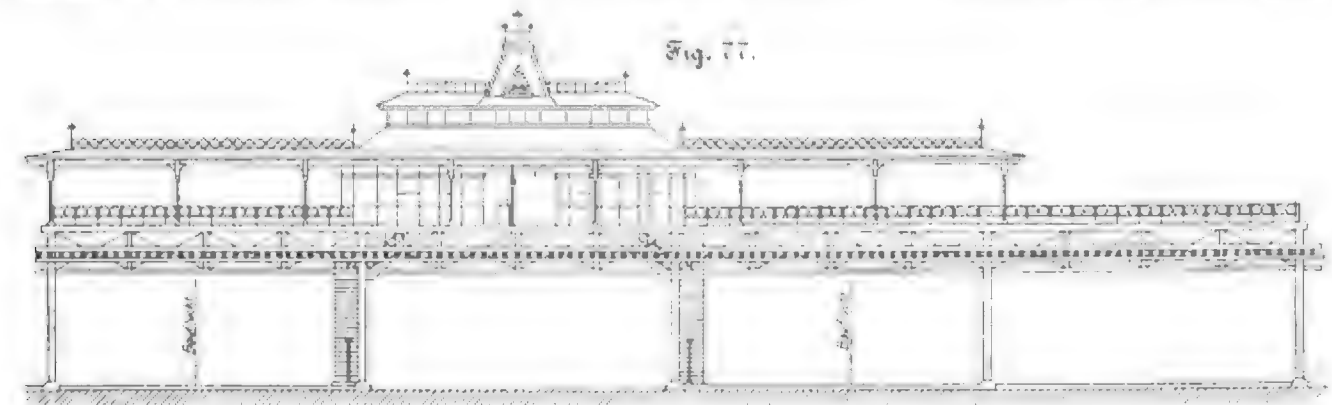
dessen sich durchbiegenden Hauptträgers weitab von der Gruppe der Anschlussniete wirken werden, so entsteht ein Moment, das erhebliche Zugkräfte in diesen Nieten verursacht. Immerhin erscheint die Anordnung kaum bedenklich, wenn die günstigen Ergebnisse in Betracht gezogen werden, die sich bei Zerreißproben herausgestellt haben, welche in der Brückenbauabteilung der Pencoyd Iron Works in Philadelphia im Jahre 1897 mit auf Zug beanspruchten Stahlnieten vorgenommen worden sind. Es ist um so interessanter, den Verlauf dieser Prüfungen zu verfolgen, als des Vergleiches wegen Zerreißversuche mit Schrauben unter gleichartigen Bedingungen angestellt worden sind.

Je zwei der nach Fig. 70 bis 73 angefertigten Versuchstücke wurden der Prüfung unterworfen. Das verwendete

Material war durchweg weiches Flußeisen. Die Löcher für die $\frac{3}{16}$ zölligen abgedrehten Bolzen wurden $\frac{11}{16}$ " weit gestanzt und aufgerieben. Die Löcher für die $\frac{3}{4}$ zölligen Niete wurden $\frac{13}{16}$ " weit gestanzt. Es ergab sich nun Folgendes:



Bahnachse

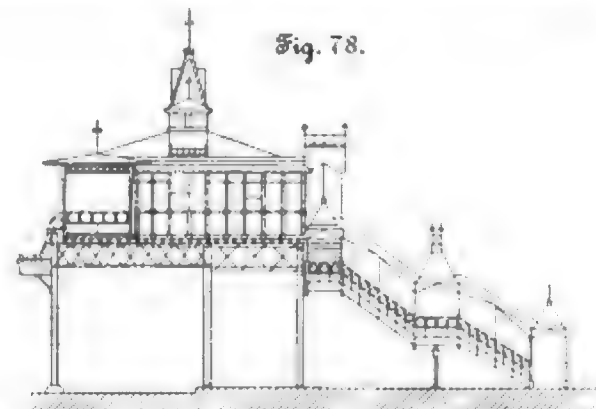


Nr. des Versuchstückes	Bruchlast kg	Beanspruchung im Schaft kg/qcm	Mittelwerte aus den vorigen	Beanspruchung im Gewinde- teil kg/qcm	Bemerkungen
1	35650	5300	5610	—	Bruch in den Niet- schäften
2	39700	5920			Bruch in den Schrau- benbolzen
3	23250	3320			Bruch in dem einen Schraubenbolzen.
4	21275	3130	3250	4720	Das Gewinde des andern riss auf die ganze Länge ab.
5	24200	3600	3460	—	Bruch in den Niet- schäften
6	22300	3320			Bruch in dem Schrau- benbolzen
7	20650	3080			
8	20250	3020	3050	4130	

Mit Ausnahme eines Bolzens, der rd. 20 vH kristallini-
sche Bruchfläche aufwies, zeigten alle Bruchstellen der Bolzen
und Niete ein tadelloses sammetartiges Gefüge.

Während die Schraubengewinde im allgemeinen Neigung
zum Abreißen zeigten, war dies an den Nietköpfen nicht be-
merkbar. Bei einzelnen der auf Zug beanspruchten Niete
wurde eine Querschniteinschnürung von 60 bis 65 vH und
eine Dehnung von 50 vH auf 25,4 mm gemessen.

Als zweites Beispiel für amerikanische Gleitlageranord-
nungen ist ein Lager der Asylum Street-Hochbahn in



Hartford, Conn., in Fig. 74 abgebildet. Die Strecke ist
nur ungefähr 220 m lang und wurde im Jahre 1888 erbaut.
Hier sind im Gegensatz zu dem vorigen Falle die Konsol-
bleche bis unter den Obergurt hochgeführt. In beiden Fällen
soll eine Anzahl in aufgeriebene Löcher eingepasster Sicher-
heitsschrauben von 25 mm Dmr. verhüten, dass bei Tem-
peraturabfall die Gleitlager ungleichmäßig in Wirksamkeit
treten und die Träger abgleiten.

Als drittes Beispiel soll noch eine von Waddell entwor-
fene Ausbildung des Gleitlagers der Northwestern and Union
Loop-Hochbahn von Chicago erwähnt werden, die in Grund-

an den Figuren 79 bis 81 beurteilen, welche die hier beschriebene Haltestelle an der 23. Straße, die an der 33. Straße und die an Battery-Park wiedergeben.

Fig. 82 und 83 sind Ansichten von Bahnsteigen solcher Haltestellen.

Fig. 84 stellt den Grundriss der Inselstation der Suburban Rapid Transit-Linie an der Tremont Avenue dar. Die Gesamtanordnung wird aus der Figur klar, sodass eine weitere Beschreibung überflüssig erscheint. Erwähnt sei nur noch, dass die Treppen auf dieser zum Teil um das Jahr 1890 und später erbauten Strecke mit einer Steigung von 17 cm und einem Auftritt von 30,5 cm angelegt sind. Auch andere Treppen-Neubauten der Hochbahn, z. B. die den Verkehr zwischen dem Viadukt der 155. Straße und der dortigen Hochbahnhaltestelle vermittelnde Treppenanlage, die in Fig. 85 abgebildet ist, weisen bequeme Steigungsvorhältnisse auf. Fig. 86 zeigt das Straßenschild in Verbindung mit einer Haltestelle der Suburban Rapid Transit-Strecke und Fig. 87 die Hanover Square Haltestelle, eine der Inselstationen auf dem Älteren Teile der Hochbahn¹⁾.

¹⁾ An dieser Stelle möchte ich Hrn. Geo. H. Pogram, dem Chef-Ingenieur der Manhattan-Hochbahn, nochmals für sein liebenswürdiges Entgegenkommen und die bereitwillige Ueberlassung der die Manhattan-Hochbahn betreffenden Zeichnungen bestens danken. Die beigelegten,

Um einen ungefähren Begriff von der Bedeutung und dem Umfange des Verkehrsunternehmens, dem die hier besprochenen Bauwerke dienen, zu geben, sei es mir gestattet, diese Abhandlung mit einigen statistischen Mitteilungen über die Manhattan Railway Company zu beschließen. Sie beziehen sich auf das Jahr 1898.

Um diese Zeit betrug die Länge der Bahnanlage 36,14 engl. Meilen. Der Wert der engl. Meile Bahnstrecke stand mit \$ 1548898, der Wert der Betriebsmittel für die engl. Meile mit \$ 124515 zu Buche.

Die Betriebseinnahme betrug \$ 9183542 und die sonstigen Einnahmequellen, besonders die Miete für Zeitungsstände und Reklameschilder, brachten \$ 211716 ein. Demgegenüber waren folgende Ausgaben zu verzeichnen: Die Steuern und Verzinsungen und die Betriebsunkosten, welche letztere rd. 58 vH der Betriebseinnahmen ausmachten, betrugen insgesamt \$ 7971892, sodass ein Reingewinn von \$ 1423275 verblieb.

Im Jahr 1898 wurden zu dem Einheitspreise von 5 cents 183360846 Personen bei einer Leistung von 10032003 Zugmeilen (engl.) befördert, wozu 334 Lokomotiven und 1122 Personenwagen verfügbar waren.

nach Photographien hergestellten Abbildungen sind mit Ausnahme der Figuren 7, 20, 21, 65 und 80 für diese Abhandlung von mir aufgenommen worden.

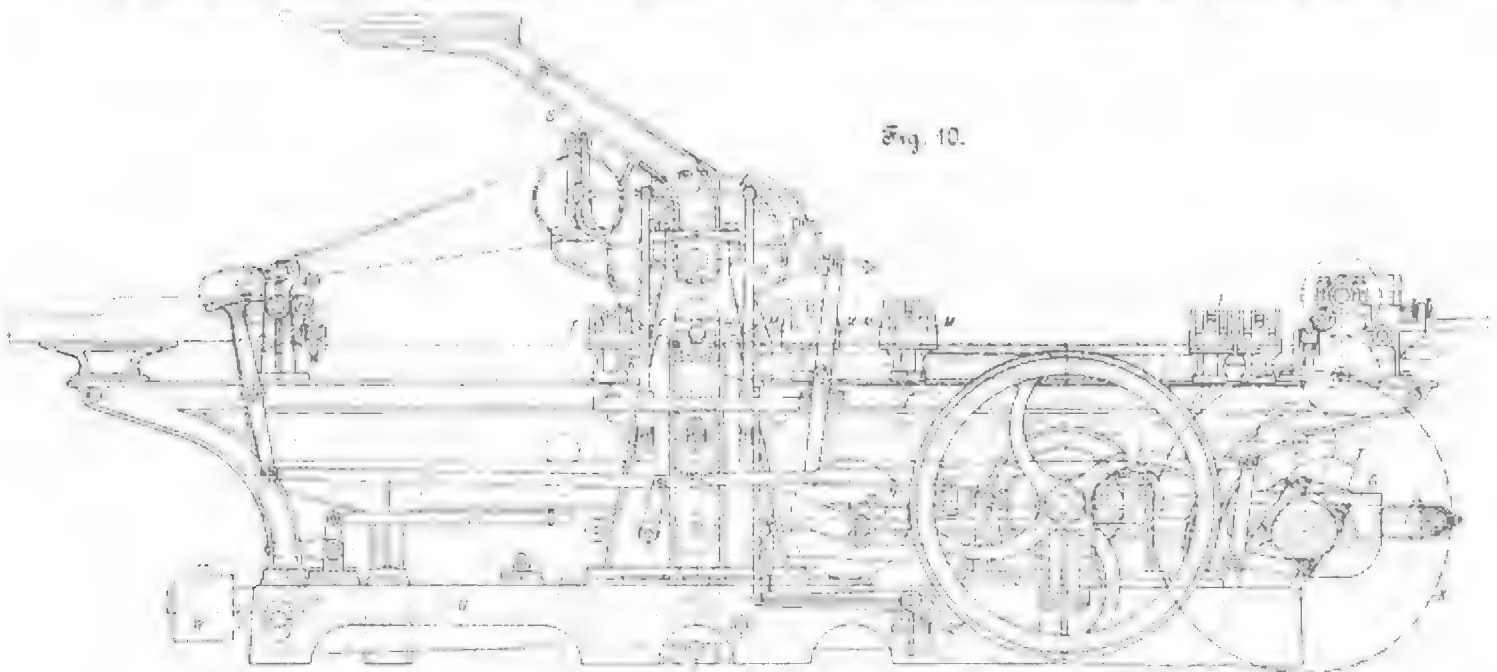
Die Fabrikanlagen von F. A. Brockhaus in Leipzig.

(Schluss von S. 805)

Von den Arbeitsmaschinen, die bei einer Wanderung durch die Brockhaus'schen Neubauten unsere Aufmerksamkeit auf sich lenken, ist vor allem die stattliche Reihe der Steindruck-Schnellpressen in dem ansehnlichen, 800 qm umfassenden Drucksaal zu nennen. Die Steindruck-Schnellpresse hat im ganzen und großen Aehnlichkeit mit der Buchdruck-Schnellpresse. Bei beiden Maschinen befindet sich die Druckform oder der Stein in einem in wagerechter Ebene hin- und hergehenden Rahmen oder Karren, dem sogenannten Fundament. Beim Hingange wird zunächst durch eine Walzengruppe Druckfarbe auf die Form gebracht, welche dann unter einen wagerechten Druckcylinder gelangt, auf dessen Umfange der zu bedruckende Bogen festgehalten ist. Der Druckcylinder wird von dem Fundament derartig gedreht, dass er sich auf der Form abwälzt und der Bogen auf diese Weise bedruckt

wird. Nachdem dies geschehen, wird der Bogen durch eine selbstthätige Auslegevorrichtung erfasst, von dem Druckcylinder abgenommen und auf eine Platte, den sogenannten Auslegtisch, abgelegt. Am Ende einer vollständigen Umdrehung steht der Druckcylinder so, dass eine an ihm vorhandene Abflachung die tiefste Lage einnimmt. In dieser Stellung wird der Cylinder solange verriegelt, bis das Fundament seinen Rücklauf vollendet hat; der Zweck der Abflachung ist also, zu verhindern, dass der Cylinder von der Form bei ihrem Rückgange berührt wird und dadurch Farbe aufnimmt, die den nächstfolgenden Bogen beschmutzen würde. Während der Cylinder still steht, wird ihm ein neuer Bogen zugeschoben, der vom Cylinder ergriffen wird, sobald das Spiel von neuem beginnt.

Eine wesentliche Abweichung der Steindruck- von der

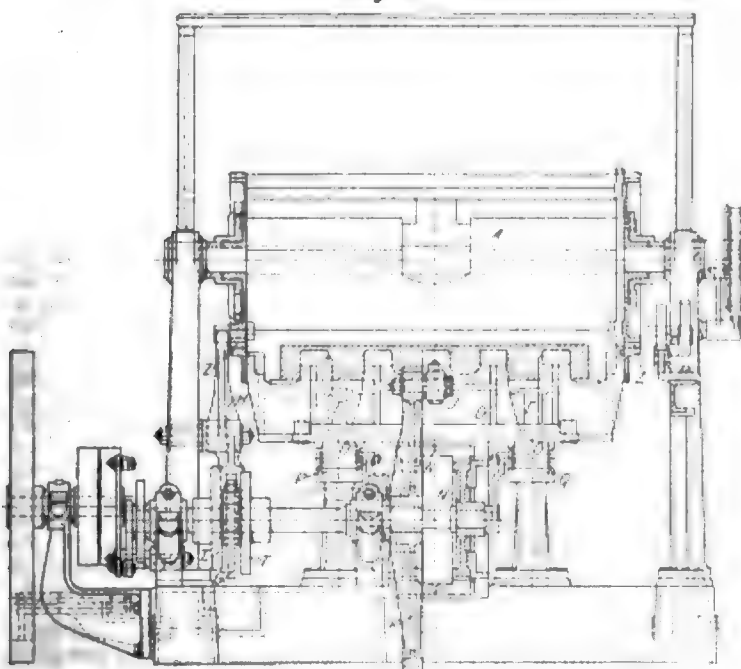


Buchdruck-Schnellpresse besteht darin, dass bei der ersteren das Fundament wesentlich länger ist, da es außer dem Stein noch den Farbtisch und den Feuchttisch zu tragen hat. Beide Einrichtungen sind zum Auftragen der Farbe notwendig, welche Arbeit beim Stein weit schwieriger als bei der Buchdruckform ist. Der Farbtisch, eine ebene gusseiserne Platte, empfängt die Farbe von den Verteilwalzen des Farbwerkes und giebt sie beim Hin- und Hergehen des Fundamentes an die Auftragwalzen ab, von denen der Stein sie abnimmt. Damit der Stein die Farbe nur an den richtigen Stellen erhält, muss er gut gefeuchtet werden. Das dazu erforderliche Wasser wird durch den mit Flanell oder Filz überzogenen Feuchttisch, welcher von Zeit zu Zeit mit einem Schwamm zu benetzen ist, den ebenfalls mit Stoff bekleideten Walzen zugeführt und von diesen auf den Stein übertragen.

Der Unterschied in der Konstruktion der Buchdruck- und der Steindruck Schnellpresse wird hauptsächlich dadurch bedingt, dass für erstere die Druckformen möglichst erhalten gehalten sein müssen, während die für die Steindruckmaschine bestimmten, durch einen chemischen Vorgang hergestellten Vervielfältigungen nur flach auf der Druckplatte aufliegen dürfen. Infolgedessen wird auch der Buchdruck kurzweg als Hochdruckverfahren und der Steindruck als Flachdruckverfahren bezeichnet.

Eine von der Firma Hugo Koch in Leipzig-Connewitz für die Brockhaus'schen Werkstätten gelieferte Steindruck-Schnellpresse ist in Fig. 10 und 11 dargestellt. Auf dem Grundgestell der Maschine bauen sich die Lagerbänke für den Druckcylinder und zwei daran anschließende Seitenwände auf. Außerdem trägt das Gestell zwei Laufschiene *P* und *Q*, die oben prismatische Formen haben. In diesen liegen zwei Rollenanordnungen *O*, die den Steinkarren *D* tragen und ihn gleichzeitig eine genaue seitliche Führung geben. Der Steinkarren ist zur Aufnahme des Drucksteines bestimmt; dieser liegt auf einer starken Platte, die mithilfe von zwei durch Schraubenspindeln verstellbaren Keilen *E* gehoben und gesenkt werden kann. Das Kurbelrad *K*, von dem die Bewegung der Maschine ausgeht, wird durch ein doppeltes Rädervorgelege angetrieben. Die Lenkstange *J* verbindet den Kurbelzapfen des Rades *K* mit dem Räderpaar *N*, das in zwei auf dem Grundgestell festgeschraubte Zahnstangen eingreift. An der unteren Seite des Steinkarrens *D* sind ebenfalls zwei Zahnstangen angeordnet, die mit dem genannten Räderpaar in Eingriff stehen. Es ist somit der Weg des Steinkarrens, welcher genau dem Umfange des Druckcylinders *A* entspricht, doppelt so groß wie die Verschiebung des Räderpaares *N*.

Fig. 11.



An beiden Seiten des Karrens sind noch zwei andere Zahnstangen *z* befestigt, deren Zähne in die mit dem Druckcylinder *A* verbundenen Zahnräder eingreifen. Der Druckcylinder wird jedoch nur bewegt, während der Steinkarren einen Hingang macht. Sowie der Karren zurückzukehren beginnt, wird der Druckcylinder von der Fanggabel *H* erfasst und so lange festgehalten, bis der Steinkarren seinen Hergang beendet hat. Die Fanggabel wird durch das auf der Achse des Kurbelrades *K* sitzende Exzenterpaar *T* bewegt, welches durch die Zugstange *G* mit ihr verbunden ist.

Der Stillstand des Druckcylinders wird dazu benutzt, den zu bedruckenden Bogen einzulegen. Zu diesem Zweck sind am Anlegetisch *S* und am Druckcylinder selbst besondere Einrichtungen getroffen, von denen später die Rede sein soll. Hinter dem Druckcylinder ist ein kleinerer Cylinder gelagert, der den bedruckten Bogen vom Cylinder abnimmt und nach dem Auslegetisch befördert.

Unterhalb der Anlagevorrichtung wird dem Stein durch Vermittlung des Feuchttisches *R* und der Feuchtwalzen *F* das erforderliche Wasser zugeführt. Am entgegengesetzten Ende der Presse ist das Farbwerk angeordnet, das dem Farbtisch durch Walzen *L* mit Lederbezug die Farbe zuführt, welche auf dem Tische zunächst nochmals verrieben und dann durch die Auftragwalzen *M* auf den Stein gebracht wird. Der durch das Gewicht des Druckcylinders hervorgerufene Druck auf den Stein wird noch durch das im Grundgestell der Maschine eingebaute Gewichtshebelwerk *UV* verstärkt. Durch Verstellen der beiden am linken Ende des Maschinengestelles sichtbaren Gewichte *W* kann der Druck geregelt werden.

Eine der wichtigsten Einzelheiten, ist die bereits erwähnte Anlagevorrichtung. Sie hat die Aufgabe, den Bogen genau an die richtige Stelle zu bringen, damit sich bei Mehrfarbendruck die Farben genau decken. Der Anlegetisch bildet eine Ebene, die um rd. 30° gegen die Wagerechte geneigt ist. Wenn der Druckbogen auf den Anlegetisch gebracht wird, so rutscht er infolge seines Eigengewichtes herab, bis er an zwei Marken, die sich in einem Kanal des Druckcylinders befinden und einige Millimeter über den Umfang des Cylinders hinausragen, einen Widerhalt findet. Unter der Eisenplatte des Anlegetisches ist ein verschiebbarer Stab gelagert, auf dem Anschlagleisten befestigt sind.

Beim Anlegen der Druckbogen verfährt die Anlegerin folgendermaßen: Sie legt den Bogen auf den Tisch, auf dem er so weit abwärts rutscht, dass seine untere Kante die Cylindermarken berührt. Hierauf zieht sie den Bogen soweit seitwärts, dass die zweite Kante des Bogens die Anschlagleiste des verschiebbaren Stabes berührt, dann lässt sie den Bogen lose liegen. Kurz bevor sich die Greifer schließen und den angelegten Bogen fest an den Cylinder drücken, wird der die Anschlagleiste tragende Stab seitlich verschoben und dadurch bis zu einem bestimmten Punkte gebracht, sodass der Bogen genau an der richtigen Stelle anliegt.

Hinter dem Druckcylinder ist die Auslegertrommel gelagert, die durch Zahnräder mit dem Cylinder derart in Verbindung steht, dass sie bei einer Umdrehung des Cylinders deren zwei macht. Im Kanal des Druckcylinders ist eine Hebelanordnung untergebracht, deren einzelne Hebel mit Drähten verbunden sind, die im gegebenen Augenblicke aus dem Cylindermantel heraustreten und gleich darauf wieder in das Innere des Cylinders zurückgezogen werden. Durch diese Vorrichtung werden die bedruckten Bogen vom Druckcylinder abgestoßen, sobald die Greifer den Bogen freigeben. Die Auslegertrommel ist mit ähnlichen Greifern wie der Druckcylinder ausgestattet; diese fassen den vom Druckcylinder abgestoßenen Bogen und lassen ihn erst dann wieder los, wenn er unter eine Reihe gleichachsiger Transportrollen gebracht ist. Bei einer weiteren Drehung der Auslegertrommel wird der Bogen durch die Rollen bis an einen Rechen gebracht, und von diesem durch eine halbreisförmige Schwingung auf den Auslegetisch niedergelegt.

Wie bereits erwähnt, werden die Schnellpressen

der Firma F. A. Brockhaus einzeln durch Elektromotoren getrieben. Fig. 12 bis 14 stellen den Antrieb dar. Der Elektromotor treibt mittels eines Riemens das Schwungrad der Presse. Eine bewegliche Spannrolle hält den Riemen gespannt und leitet ihn unterhalb des Trittbrettes hindurch, auf dem der Arbeiter steht. Der dicht neben dem Stände des Anlegers angeordnete Anlasser besteht aus einem Hebel, der mit isolierten Kontaktfedern über die Kontakte schleift, welche mit den entsprechenden Abteilungen des Widerstandes verbunden sind. Der Anlasser ist derart mit der Bremse verbunden, dass es nicht möglich ist, letztere wirken zu lassen, solange der Motor noch eingeschaltet ist.

Die Steine, welche in die Schnellpresse gebracht werden, sind im allgemeinen nicht die, auf denen der Lithograph seine Zeichnung gemacht hat. Vielmehr wird diese meist von dem ersten, dem sogenannten Originalstein, durch einen Umdruck auf einen zweiten, den Maschinen- oder Auflage-
druckstein, übertragen. Zu diesem Zwecke wird der Original-

Besondere Aufmerksamkeit verdienen die Einrichtungen der Buchbinderei; denn hier ist, so weitgehend wie vielleicht in keinem andern Betriebe, die Handarbeit durch die Maschinenarbeit verdrängt worden. Aus dem Handwerk ist eine Industrie geworden, und dennoch hat für manche Vorrichtungen die Handarbeit beibehalten werden müssen. So wird z. B. in der Brockhaus'schen Buchbinderei ein Teil der Druckbogen mit der Hand gefalzt, obwohl außerdem eine ganze Reihe Falzmaschinen in Thätigkeit sind. An das Falzen schließt sich das Pressen der Bogen, dann folgt das Walzen, Heften, Umklappen und Abpressen der Buchrücken, das Beschneiden der Bücher, das Färben der Schnitte und schließlich das Ansetzen der inzwischen vorbereiteten Deckel. Für einen erheblichen Teil dieser Arbeiten sind in der Buchbinderei von Brockhaus Maschinen vorhanden, von denen einige beschrieben werden sollen.

Zum Glätten und Packen von Papier und Büchern dienen in vielen Fällen Schraubenpressen; wenn jedoch ein sehr

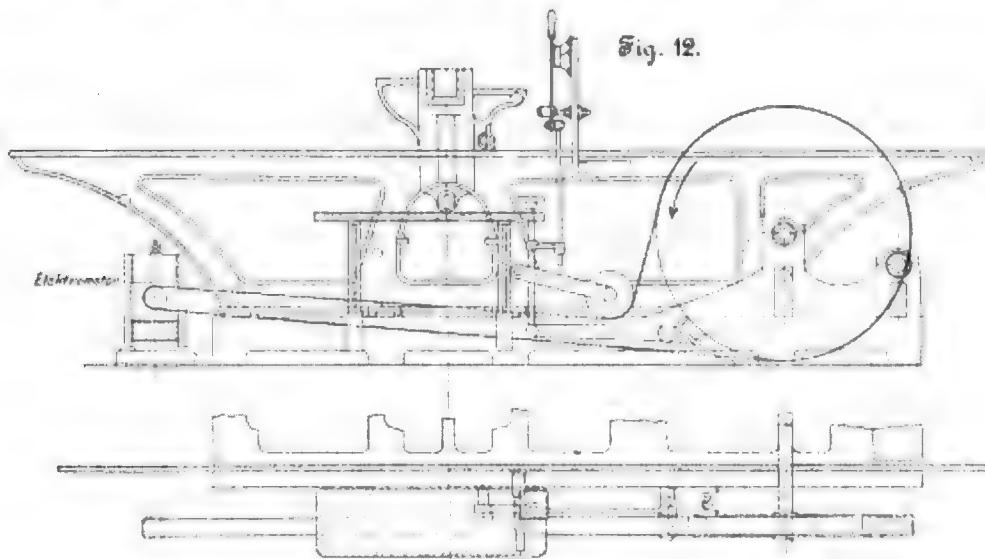


Fig. 12.

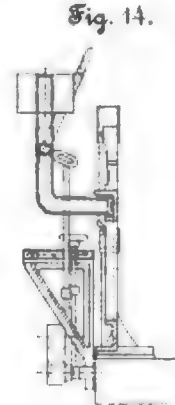
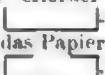



Fig. 14.

stein mittelst eines Ballens oder einer Lederwalze mit Farbe eingerieben oder eingewalzt, dann mithilfe einer Presse ein Abdruck auf einem besonderen Papier hergestellt und dieser mit der Bildseite auf den Maschinenstein gelegt. Darüber kommt ein Bogen Papier und eine Decklage, und das Ganze wird einigemale durch eine Presse gezogen. Eine Umdruckpresse enthält einen in wagerechter Richtung hin- und herbeweglichen Tisch, der zur Aufnahme des Steines dient, und einen darüber liegenden Reiber, einen kleinen Balken aus hartem Holze, durch welches das Umdruckpapier auf den Stein gedrückt wird. Eine durch einen Elektromotor mittels Riemens angetriebene derartige Presse der Firma Brockhaus, gebaut von Karl Krause in Leipzig, ist in Fig. 15 und 16 dargestellt. Der Tisch, der durch eine Rolle in der Mitte des Gestelles gestützt ist, wird durch einen Gurt gezogen, der sich um eine mit der angetriebenen durch eine Klauenkupplung verbundene Welle wickelt. Wenn der Tisch am Ende seines Hubes angelangt ist, wird die Kupplung durch einen verstellbaren Anschlag gelöst und der Tisch durch das am andern Ende des Gestelles befindliche Gegengewicht wieder in seine Anfangslage zurückgeführt. Zum Anpressen des Reibers dient ein Tritthebel *t*, der während der Arbeit in seiner tiefsten Stellung mithilfe einer senkrechten Welle *r* verriegelt werden kann. Durch die Bewegung des Hebels *t* wird die Zugstange *s* mithilfe des Zugshebels *h* und der Zunge *i* abwärts gezogen, und damit der den Reiber tragende Balken, der sich zwischen zwei Schienen *z* bewegt, gesenkt. Zum Einstellen des Reiberbalkens nach der jeweiligen Dicke des Steines dienen zwei Schraubenspindeln.

Die beschriebene Presse ist für große Formate bestimmt; für kleine kommen Handhebelpressen zur Anwendung, deren Spannung geringer ist.

starker Druck erforderlich ist, so benutzt man eine Druckwasserpresse, wie sie Karl Krause in Leipzig baut. Die Presse selbst ist von einfacher Bauart. Ein in senkrechter Richtung beweglicher Kolben trägt den Presstisch, dem ein von Säulen getragenes oberes Querstück entspricht. Die Pumpe ist für einen Druck von 350 bis 400 at konstruiert. Sie enthält zwei Kolben von verschiedenem Durchmesser, die zusammen bis 50 at arbeiten; dann löst ein Ueberdruckventil den größeren Kolben aus, indem es das Saugventil geöffnet hält, sodass nur noch der kleine Kolben weiter arbeitet. Der höchste Druck ist durch das Belastungsgewicht eines zweiten Ueberdruckventiles festgestellt, das den kleinen Kolben auslöst. Die Pumpe kann also ruhig weiter laufen, ohne dass sich der Druck steigert, da das angesaugte Wasser durch die Saugventile wieder hinausgedrückt wird. Um die Druckventile der Pumpe zu entlasten, wenn die Presse längere Zeit unter Druck stehen bleibt, ist ein Absperrventil in die Rohrleitung eingeschaltet. Der Druck der Presse beträgt 150 t.

Beim Heften der Bücher kommen zwei Vorgänge in Betracht: erstens das Zusammenheften der Blätter eines gefalzten Bogens und zweitens das Befestigen der gehefteten Blattrücken auf einem Zeugstreifen, dem sogenannten Heftzeug, das die einzelnen Bogen zu einem Buche vereinigt. Beim Heften von Broschüren fällt letzterer Vorgang fort, und dementsprechend sind die Broschüren-Heftmaschinen die einfachsten. Eine derartige Maschine, gebaut von Gebr. Brehmer in Leipzig-Plagwitz, arbeitet folgendermaßen: Durch ein paar Speisewalzen wird der Maschine das Ende eines auf eine Spule gewickelten Drahtes zugeführt. Ein Stück von der erforderlichen Länge wird abgeschnitten, und daraus eine  förmige Klammer gebildet. Diese Klammer wird in das Papier getrieben und ihre Enden rechtwinklig umgebogen .

Der Auflegetisch der Maschine steht fest; die bedienende Person schiebt den zu heftenden Bogen mit der Hand weiter, um die einzelnen Drahtklammern einschlagen zu lassen. Man kann die Klammern von außen nach innen oder von innen nach außen eintreiben, je nachdem man eine entsprechende Auflage auf den Tisch setzt. Die Maschine kann in 1 min 120 Klammern bilden; innerhalb dieser Grenze hängt die Leistungsfähigkeit von der bedienenden Person ab.

Die ebenfalls von Gebr. Brehmer gebaute Drahtheftmaschine für Bücher unterscheidet sich, abgesehen davon, dass mehrere Hefter gleichzeitig arbeiten, von der beschriebenen Maschine dadurch, dass die Klammern nicht nur die Blätter eines Bogens zusammenfassen, sondern zugleich durch

immer drei zu einer Gruppe vereinigt: je zwei Nähnadeln und dazwischen eine Hakennadel. Nachdem die Löcher für diese drei Nadeln vorgestoichen sind, stechen die mit Zwirn versehenen Nähnadeln *n* und *m*, Fig. 17, ein und bilden in ihrer äußersten Stellung eine Schleife. Hierauf treten die mit *a* und *b* bezeichneten Schieber in Wirkung, und zwar abwechselnd der rechte und der linke. Der eine Schieber fängt mit seiner Spitze die von der Nähnadel gebildete Schleife und führt sie der Hakennadel zu, welche sie in ihren Haken aufnimmt, durch den Bogen nach oben führt und auf diese Weise den Stich fest anzieht. Der Faden wird dann auf dem Rücken des Buches mit dem vorhergehenden Stich verbäkelt. Beim folgenden Bogen tritt der andere Schieber in Thätig-

Fig. 15.

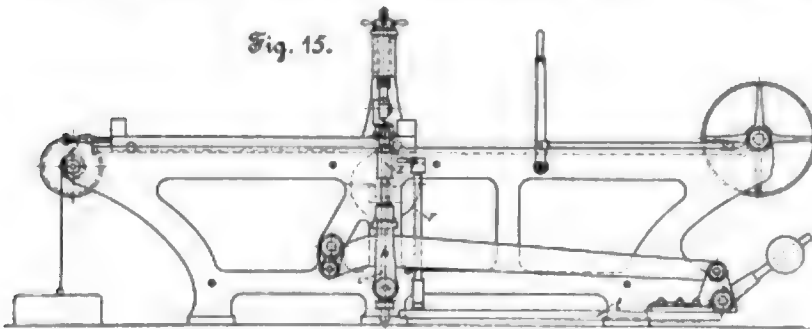


Fig. 16.

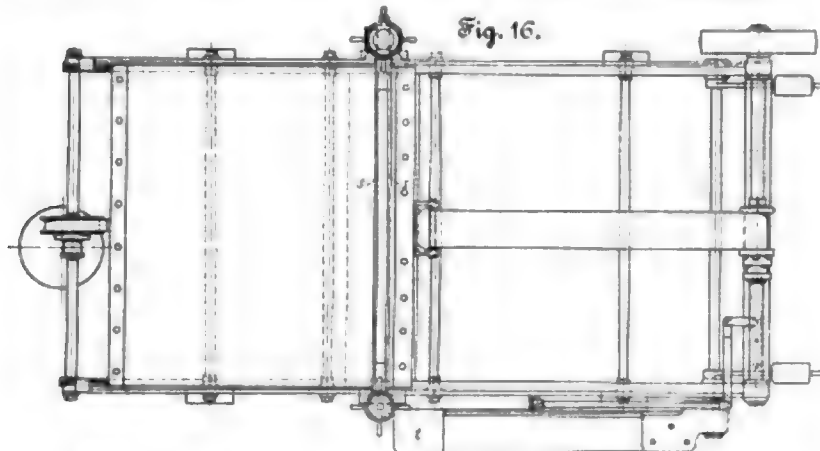
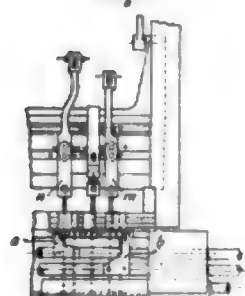


Fig. 17.



das Heftzeug greifen, auf das sich Bogen an Bogen reihen soll. Der Bogen wird auf einen schwingenden Tisch gelegt, der ihn unter die Hefter bringt. Der Tisch hat außer seiner Schwingbewegung noch zwei weitere. Einmal bewegt er sich nach jedesmaligem Heften um die Dicke eines Bogens nach unten, damit der nächste Bogen in die richtige Stellung vor den Drahtkopf gelangt. Dieser Vorschub ist einstellbar und kann, wenn ein Buch geheftet ist, ganz ausgelöst werden,

sodass der Tisch in seine Anfangslage zurückkehrt. Außerdem macht der Tisch nach jedem Spiel eine Bewegung in wagerechter Richtung, und zwar verschiebt er sich zweimal nach der einen Seite, jedesmal um die Breite einer Heftklammer, und kehrt dann wieder in die ursprüngliche Lage zurück. Dadurch werden die Klammern gegen einander versetzt, und erst jede vierte kommt an die Stelle der in den ersten Bogen eingehafteten. Die Maschine macht 200 Hübe in 1 min.

Eine recht verwinkelte Aufgabe ist bei den Fadenheftmaschinen von Gebr. Brehmer gelöst worden. Die zu heftenden Bogen werden auf einen schwingenden Sattel gelegt und von diesem vor die Nadeln gebracht. Von letzteren sind

Fig. 18.

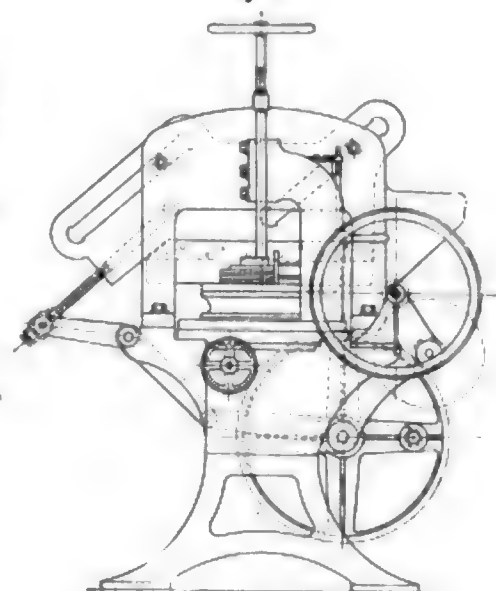
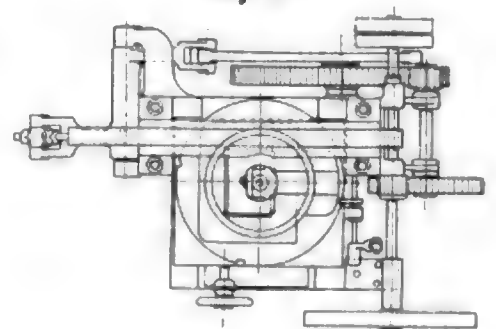


Fig. 19.



keit. Eine besondere Vorrichtung sorgt dafür, dass der geheftete Bogen immer um seine Dicke nach hinten geschoben wird, um dem nächsten Bogen Platz zu machen, sodass dieser wieder genau unter die Mitte der Nadeln gelangt. Ist ein Buch fertig geheftet, so wird ein Holzklötz eingeschoben, der doppelt so breit ist, wie man das an den Deckel anzusetzende Heftzeug zu haben wünscht. Die Bücher werden, sobald der Aufnahmekasten voll ist, mithilfe eines Messers herausgeschnitten, das in eine Nut dieses Holzklötzes eingesetzt wird. Die Leistungsfähigkeit der Heftmaschine beträgt 1200 bis 1500 Bogen in 1 st.

Scheren zum Schneiden von Papier oder Pappe sind in mannigfaltigen Formen in Betrieb. Die in Fig. 18 und 19 dargestellte, von Karl Krause gebaute Schere dient zum Beschneiden von Papier auf 3 Seiten nach einander. Die Bewegung des Messers wird von der Antriebswelle durch zwei Vorgelege, einen Hebel und eine Zugstange übermittelt. Die

letztere ist nachstellbar für den Fall, dass das Messer durch Schleifen an Höhe eingebüßt hat. Der Tisch ist durch Handrad und Schraube verschiebbar; er trägt eine drehbare Pressplatte und einen darauf befestigten Bock mit einer Schraubenspindel zum Festpressen der Bogen. Die Platte hat 3 um 90° versetzte Einschnitte, in die eine Klinke eingreift, um die Platte während des Schneidens zu verriegeln.

Eine Reihe bemerkenswerter Einzelheiten findet sich an einer Schere von Christian Mansfeld in Leipzig-Rendnitz, Fig. 20 bis 23. Zunächst ist die Ein- und Ausrückung der Maschine zu erwähnen. Eine Reibkupplung wird durch den Handhebel *a* eingerückt, welcher durch den Stift *b* festgehal-

zwei Gewichthebel *k* ausgeübt, die durch eine Stange *l* und einen Hebel *m* mit einer Pressspindel *n* und dem Pressbalken *o* verbunden sind. Durch die auf der Kurbelachse sitzende Kurvenscheibe *p* wird der Pressbalken jedesmal um rd. 10 mm gelüftet. Die größeren Höhenunterschiede werden durch das auf der Spindel *n* sitzende Handrad *q* eingestellt. Durch einen Bolzen *r* kann der Presshebel *m* festgestellt und die Einrichtung als Handpressvorrichtung gebraucht werden. Der verstellbare Anschlag *s*, auch Sattel genannt, ist auf dem Tisch in Schlitz geführt und mit zwei Stahlbändern verbunden, die über Scheiben laufen. Zur groben Einstellung dient ein an der einen Scheibe sitzendes Handrad, zur feinen Einstellung ein Schneckengetriebe *t*, das in Fig. 20 und 21 zu erkennen ist.

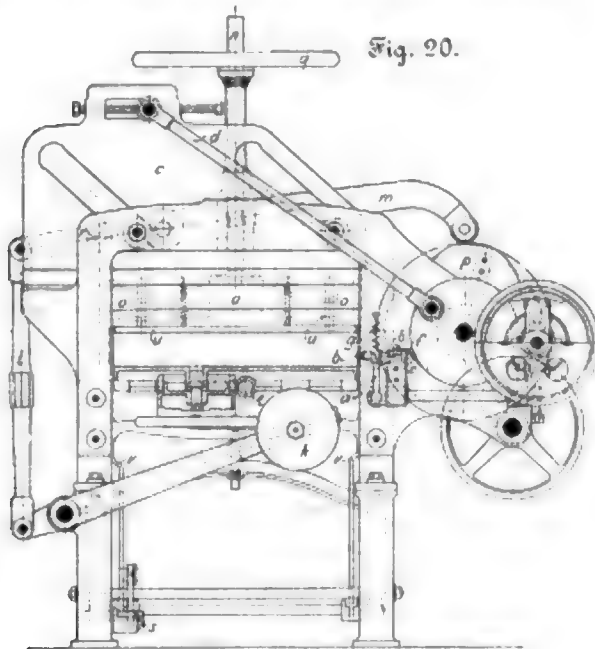


Fig. 20.

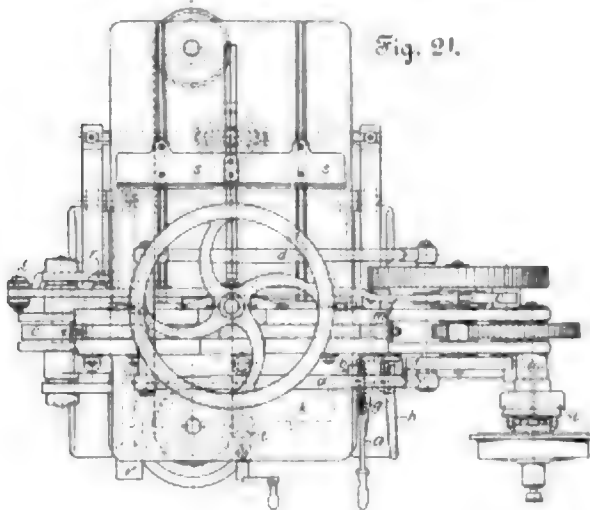


Fig. 21.

ten wird. Nachdem das Messer *c*, durch eine doppelt ausgeführte Zugstange *d* abwärts bewegt, seinen Schnitt vollführt hat und wieder in seiner höchsten Stellung angelangt ist, löst eine an der Kurbelscheibe befindliche Nase *e* mithilfe eines Bolzens *f* die Sperrung des Hebels aus, worauf eine Zugfeder *g* die Reibkupplung ausrückt. Die Sperrung kann auch durch den kleinen Hebel *h* in jeder beliebigen Stellung ausgelöst und die Maschine durch eine Kegelbremse *i* stillgesetzt werden.

Der Druck auf die zu schneidenden Bogen wird durch

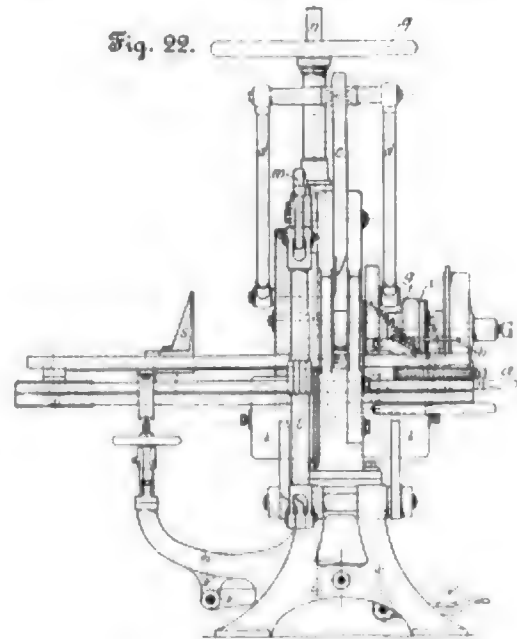


Fig. 22.

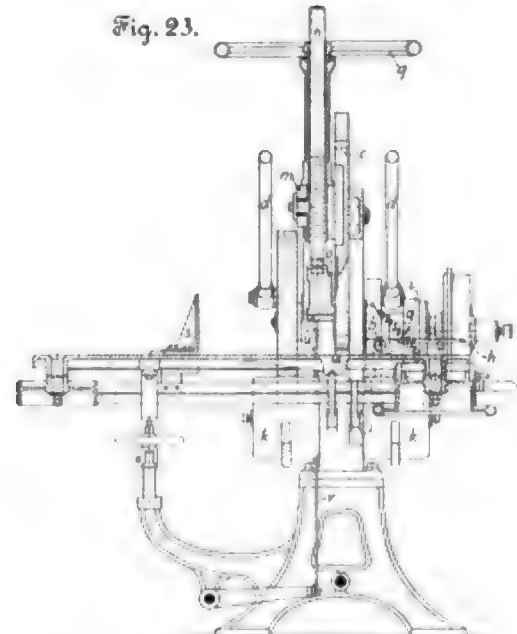


Fig. 23.

Die Maschine ist ferner mit einem sogenannten Schnitt-andenter versehen, mit dem man prüft, ob der Schnitt die beabsichtigte Stelle des Papierstoffs treffen wird. Man zieht zu diesem Zwecke die am Pressbalken an Zugfedern aufgehängte Platte *u* mittels eines Fußtrittes und eines Hebelgestänges *v* auf den Papierstoffs herunter. Der Tisch ist

unterhalb des Messers auf einem Halbzapfen drehbar gelagert und kann durch eine Schraube mit Handrad so eingestellt werden, dass er genau senkrecht zum Messerbalken steht.

Die jährliche Produktion der graphischen Zweige der Firma F. A. Brockhaus in Leipzig beträgt in der Buchdruckerei

rd. 60 Mill. Drucke, in der Steindruckerei rd. 20 Mill. Drucke, an denen die eigene Verlagsbuchhandlung als Auftraggeber des Konversations-Lexikons am stärksten beteiligt ist. Doch hat die Firma auch einen ausgedehnten auswärtigen zumteil überseeischen Kundenkreis für Kunstdruck und Werkdruck.

Elektrisch betriebene Wasserhaltungen.

Im Steinkohlenbergbau hat sich die Elektrizität als ein mit vorzüglichen Eigenschaften ausgestatteter Kraftträger im letzten Jahrzehnt ein großes und stetig sich erweiterndes Anwendungsgebiet überlagert und untertage erobert. Untertage sind es allerdings, wenn man die Verhältnisse des größten Bergbaubezirks des Kontinents, des Ruhrkohlenbezirks, in Betracht zieht, hauptsächlich die größeren, in schlagwetterfreien Räumen aufgestellten Arbeitsmaschinen, die elektrisch angetrieben werden. An Bedeutung stehen die elektrisch betriebenen Pumpen und Wasserhaltungen in erster Linie. Die Einführung des elektrischen Antriebes ging Schritt für Schritt vor sich. Man begann bei den Zubringerpumpen, die das Wasser von einer tiefer gelegenen Sohle zur Hauptwasserhaltungssohle heben. Die Bauart dieser ersten für verhältnismäßig kleine Leistungen bestimmten Pumpen war dadurch gekennzeichnet, dass ein normaler Elektromotor eine normale Pumpe mittels eines oder zweier Rädervorgelege trieb. Vollkommen war diese Anordnung selbstverständlich nicht; das starke Geräusch, das die arbeitenden Räder häufig verursachten, die verringerte Sicherheit der Konstruktion, der weitläufige Aufbau drängten dazu, das Zwischenglied der Räderübersetzung auszunutzen, und führten insbesondere bei Pumpen für größere Leistungen zur Forderung der Kuppelung des Elektromotors mit der Pumpe. Die elektrisch betriebenen Hauptwasserhaltungsmaschinen sind demgemäß von vornherein fast ausnahmslos trotz der aus der Natur des Elektromotors als raschlaufender und der Pumpe als langsamlaufender Maschine sich ergebenden konstruktiven Schwierigkeiten nach diesem Grundsatz gebaut.

Die erste größere elektrische Wasserhaltung dieser Art wurde im Jahre 1897 von der Elektrizitäts-A.G. vorm. W. Lahmeyer & Co., Frankfurt a/M., im Verein mit Haniel & Lueg, Düsseldorf, für die Zeche Zollverein in Caternberg bei Essen ausgeführt. Die Anlage, deren Leistung 3 cbm/min aus 400 m Tiefe, entsprechend 350 PS, beträgt, ist dadurch besonders bemerkenswert, dass der Elektromotor mit einer normallaufenden Pumpe (60 Uml./min) gekuppelt ist. Die Primäranlage und die Sekundäranlage bilden einen geschlossenen Maschinensatz. Die Primärdynamo leistet 300 kW und erzeugt bei 150 Uml./min Drehstrom von 1000 V und 25 Perioden; die Pumpe ist eine Zwillings-Differentialpumpe, deren Kurbelwelle in ihrer Mitte den als Schwungrad ausgebildeten rotierenden Teil des Motors trägt. Elektromotor und Pumpe machen, wie erwähnt, 60 Uml./min; die Tauchkolben haben 127 bzw. 180 mm Dmr. und 1000 mm Hub. Die Abmessungen des Elektromotors sind der niedrigen Umdrehungszahl wegen selbstverständlich sehr groß, indem das Magnetgestell beispielsweise 4,5 m Dmr. hat. Die Pumpe läuft ohne Anlasswiderstand gleichzeitig mit der Dynamo überlagert an; damit das Anlassen erleichtert wird, verwendet man das Wasser im Steigrohr, um die Pumpe als hydraulischen Motor anzutreiben.

Die Betriebserfahrungen mit dieser Anlage sind sehr günstig, sodass die Elektrizitäts-A.G. vorm. W. Lahmeyer & Co. auch bei den in der Ausführung begriffenen Wasserhaltungen diese Bauart, die durch die Verwendung der bei den unterirdischen Dampfwaterhaltungen längst erprobten Pumpen mit mäßig hoher Umdrehungszahl und großem Hube gekennzeichnet ist, festgehalten hat. Zurzeit sind eine 300-pferdige Wasserhaltung für die Zeche Tremonia bei Dortmund und eine gleiche Anlage für die Zeche Freie Vogel und Unverhofft bei Hörde in Bau, die mit Drehstrom von 1000 V und 26 Perioden betrieben werden und deren Pumpen 62 Uml./min machen; ferner für die Gewerkschaft Charlotte Czarnitz eine 130-pferdige Pumpe mit 70 Uml./min und eine

260-pferdige Wasserhaltung, die beide mit Drehstrom von 800 V und 15 Perioden betrieben werden sollen.

War bei den vorgenannten Anlagen der Elektrotechniker dem Pumpenbauer gewissermaßen den ganzen Weg entgegengekommen, so erhielt umgekehrt der Pumpenbauer durch die Anforderungen der Elektrotechnik einen mächtigen Anreiz, die bisherigen Bahnen zu verlassen und zur Konstruktion von Schnellläufern überzugehen. Die Bestrebungen und Arbeiten auf diesem Gebiete, die von verschiedenen Seiten in Angriff genommen wurden, sind, wie bekannt, von Erfolg gekrönt, sodass heute Wasserhaltungen mit Pumpen für 150 bis 180 Uml./min in Betrieb stehen und in Ausführung begriffen sind. Die Kolbengeschwindigkeit ist bei diesen Schnellläufern gegen früher im allgemeinen nicht erhöht worden — sie beträgt bei den großen Pumpen rd. 2 m —, sodass die Umdrehungszahl auf Kosten des Hubes gesteigert ist. Um die Schnellläufer richtig zu würdigen, muss man bedenken, dass durch ihre Einführung die Wettbewerbsbedingungen für die elektrischen Wasserhaltungen wesentlich günstiger gestaltet worden sind, da der unterirdische Teil der Wasserhaltung und damit die Maschinenkammer kleiner und billiger ausfällt, wenn auch der Einfluss auf die Verminderung der Kosten der Gesamtanlage nicht überschätzt werden darf. Ob dieser Vorteil die durch den Schnellbetrieb bedingten größeren Schwierigkeiten der Instandhaltung aufwiegt, wird sich erst aufgrund längerer Betriebserfahrungen, die jetzt noch nicht vorliegen, entscheiden lassen. Es wäre möglich, dass man die eigentlichen Schnellläufer wieder verlässt und sich mit einer mäßigen Steigerung der Umdrehungszahl begnügt, welche die Betriebssicherheit nicht beeinträchtigt und deren Grenze etwa bei 100 Uml./min liegen dürfte, ein Vorgang, wie er ähnlich im Dampfmaschinenbau stattgefunden hat. Zurzeit wird jedoch die überwiegend größte Zahl der elektrisch betriebenen Wasserhaltungen mit Schnellläufern ausgerüstet, und es seien im Folgenden über ihre Konstruktion und ihre Verbreitung nähere Mitteilungen gemacht.

Die heute für den Bergbau infrage kommenden Pumpen sind die Riedler-Expresspumpe, die von verschiedenen Maschinenfabriken nach den Patenten von Riedler und Stumpf gebaut wird, die Bergmans-Pumpe der Maschinenbauanstalt Breslau und die Expresspumpe »Schleifmühle« der Maschinenfabrik Ehrhardt & Sehmer in Schleifmühle bei Saarbrücken.

Die Riedler-Expresspumpe ist durch eine Reihe von Veröffentlichungen, u. a. auch in dieser Zeitschrift¹⁾, bereits bekannt geworden, sodass auf ihre Darstellung hier verzichtet werden kann. Ihr eigentümlich sind das Saugventil mit wagerechter Achse und Zwangschluss und die Anordnung des Saugwindkessels über dem Saugventil, die das Ansaugen begünstigt, aber die Wasserführung innerhalb der Pumpe beeinträchtigt. Das selbstthätige Druckventil hat senkrechte Achse; es besteht aus einzelnen Ringen, die durch Gummifedern belastet sind, während eine Hubbegrenzung nicht vorhanden ist. Eine Abänderung dieser normalen Bauart, wie sie in Z. 1901 Tafel I dargestellt ist, wird von der Maschinenbauanstalt Humboldt in Kalk für die Wasserhaltung des Schachtes Schleswig (Hörder Bergwerks- und Hüttenverein) ausgeführt. Hier kommen Zwillingspumpen mit Tauchkolben von 140 mm Dmr. und 150 mm Hub für je 1 cbm/min Leistung zum Einbau, deren Druckventile ebenfalls wagerecht, gleichachsig zu den Saugventilen, angeordnet sind, wodurch die Wasserführung innerhalb der Pumpe verbessert und der Pumpenkörper vereinfacht wird. Die ersten Riedler-Expresspumpen wurden dreikurbelig und einfachwirkend ausgeführt. Die größten dieser und aller späteren sind die beiden auf dem Hohenthalschacht der Mansfeldschen Kupferschiefer bau-

¹⁾ Z. 1900 S. 28; 1901 S. 43.

enden Gewerkschaft zu Eisleben eingebauten, durch Dampfmaschinen angetriebenen Pumpen, deren Tauchkolben 360 mm Dmr. und 350 mm Hub haben, und die bei 100 bis 200 Uml./min je 10 bis 20 cbm/min gegen 150 m Widerstandshöhe leisten. Die später gebauten Pumpen sind zweikurbelig mit einfachen oder Differential-Tauchkolben oder einkurbelig und in der Regel mit Differentialwirkung ausgeführt. Die Verbreitung der Riedler-Expresspumpe im Bergbau wird durch die Tatsache gekennzeichnet, dass mit ihnen zurzeit (Mai 1901) im In- und Auslande 25 Wasserhaltungen ausgerüstet sind oder werden, bei denen 49 Pumpen mit einer höchsten Gesamtleistung von 171,4 cbm/min zur Verwendung gelangen; von diesen sind in 4 Anlagen 8 Pumpen von zusammen 53 cbm/min Leistung mit Dampfmaschinen gekuppelt, während die übrigen elektrisch betrieben werden. Im Ruhrkohlenbezirk werden 4 elektrisch betriebene Wasserhaltungen mit zusammen 10 Riedler-Pumpen von 30,6 cbm/min höchster Gesamtleistung ausgeführt, von denen jedoch noch keine im Betriebe steht. Ueber die Leistungen und die Abmessungen dieser Pumpen, die alle zweikurbelig und einfachwirkend ausgeführt sind, und die im Laufe dieses Jahres in Betrieb kommen, giebt die nachstehende Zusammenstellung Aufschluss.

Verwendungsort	ausführende Fabrik	Leistung					
		cbm/min	Widerstandshöhe in m	Leistung in PS	Uml./min	Kolben-Dmr. in mm	Hub in mm
Zechen Engelsburg (Bochumer Verein)	Guthhoffnungshütte	2,5	568	400	200	185	250
Zechen Munsfeld bei Langendreer (Coloniaschacht)	Maschinenbauanstalt Humboldt	41 Pumpen für je 5	435	Je 650	160 bis 176	248	350
Zechen Neu-Iserlohn (Harpauer Bergbau-Ges.)	Guthhoffnungshütte	2 Pumpen für je 1,3 bis 1,8	400	Je 130	120 bis 220	185	200
Zechen Schleswig (Hörder Bergwerks- und Hüttenverein)	Maschinenbauanstalt Humboldt	2 Pumpen für je 1	350	Je 150	340	140	150

zweite während des Hubes öffnet, nachdem der Oeffnungsdruck allmählich den im Druckwindkessel herrschenden Druck erreicht hat. Diese Arbeitsweise ist durch folgende Anordnung erzielt: D_1 und D_2 sind die beiden über einander gelegenen Druckventile; zwischen ihnen liegt der Druckraum R , in den die Lufthaube L eingebaut ist, die hoch- und niederstellbar ist, um ihren Luftinhalt mit dem Rauminhalt des Druckraumes R in ein bestimmtes Verhältnis zu setzen. Der Druckraum R ist veränderlich, in Abhängigkeit von der Stellung des Kolbens, der aus einem stärkeren Verbundkolben P und dem schwächeren Kolben p besteht. Sein Inhalt nimmt zu, wenn der Kolben vorwärts geht, wobei der größere Kolben P aus dem Raume heraus-, der kleinere p hineintritt; umgekehrt bedingt der Rückwärtsgang des Kolbens eine Verminderung des Rauminhaltes. Dementsprechend wird die in L eingeschlossene Luft beim Saughube expandieren und beim Druckhube zusammengedrückt werden. Die Verhältnisse sind so gewählt, dass die Luft während des Saughubes bis zum Atmosphärendruck herab expandiert. Während also bei Beginn des Saughubes beide Druckventile belastet sind, vermindert sich der auf dem ersten Druckventil lastende Druck allmählich auf 1 at, sodass dieses bei der Bewegungsumkehr des Kolbens ohne Stoß abgehoben wird. Bei der Fortsetzung des Druckhubes wird die Luft in L wieder zusammengedrückt, bis der auf dem zweiten Druckventil lastende Druck erreicht ist und auch dieses öffnet, was wegen des allmählich anwachsenden Druckes ebenfalls sanft vor sich geht. Die Einschaltung des Druckraumes R bewirkt ferner, dass im Gestänge kein Druckwechsel eintritt, da der Kolben durch den Druck der in R eingeschlossenen Luft herausgetrieben wird; es erscheint dies für den ruhigen Gang des Triebwerkes bei hohen Umdrehungszahlen von besonderer Bedeutung. Um die besprochenen Wirkungen zu erzielen, muss die in L eingeschlossene Luftmenge, wie erwähnt, eine bestimmte Größe haben. Wird nun während des Druckhubes Luft verzehrt oder mitgerissen, so expandiert während des darauf folgenden Saughubes die Luft unter Atmosphärenspannung, worauf durch ein an der Lufthaube angeordnetes Schüffelventil frische Luft von der äußeren Spannung eintritt.

Was den Aufbau betrifft, so werden die Pumpen normal als Zwillingspumpen mit um 180° versetzten Stirnkurbeln

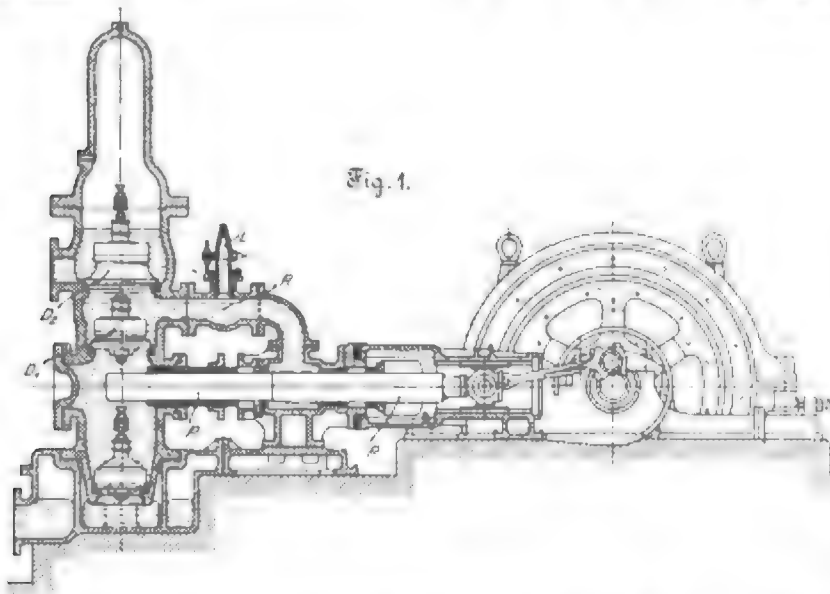


Fig. 1.

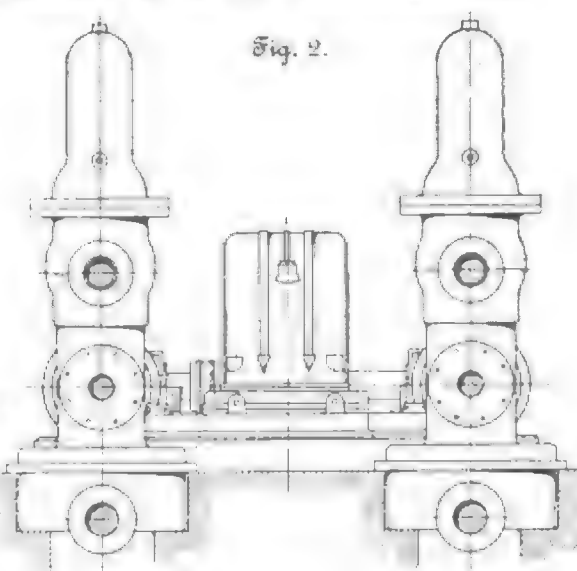


Fig. 2.

* Die elektrischen Teile dieser Wasserhaltungen werden von der Allgemeinen Elektrizitäts-Gesellschaft in Berlin ausgeführt.

Die von dem Oberingenieur Bergmans der Maschinenbauanstalt Breslau konstruierte und von der genannten Fabrik ausgeführte Pumpe ist in Fig. 1 im Längsschnitt, in Fig. 2 in Endansicht dargestellt. Die Bergmans-Pumpe ist einfachwirkend. Ihre grundsätzliche Eigenart ist die Anordnung zweier Druckventile, deren erstes sich zu Beginn des Hubes öffnet, ohne dass Druck auf ihm lastet, während sich das

ausgeführt, deren Welle zwischen den Lagern den als Schwungrad ausgebildeten umlaufenden Teil des Elektromotors trägt. Die Saugwindkessel und Saugleitungen werden in der Regel getrennt ausgeführt. Die Druckleitungen vereinigen sich zu einem Kugelstück und sind durch eine Klappe gegen den Hauptdruckwindkessel absperrbar, an den sich die Steigleitung anschließt.

Die Bergmans-Pumpen sind bereits zahlreich zur Ausführung gelangt, insbesondere in Oberschlesien. Für den

Ruhrkohlenbezirk sind 4 Anlagen im Bau, die mit diesen Pumpen ausgerüstet werden. Ihre Abmessungen und Leistungen sind der folgenden Zahlentafel zu entnehmen.

Verwendungsort	Leistung cbm/min	Teufe m	Kolben- Dmr. mm	Hub m	Uml./min
Zeche Julius Philipp bei Bochum	4	220	220/243 ¹⁾	400	146
Zeche Germania (Gelsenkirchener B.-Ges.)	3	160	175/200	400	175
Zeche Königin Elisabeth bei Essen a/Ruhr	2	400	150/175	400	167
Zeche Königsgrube bei Wanne	2,5	485	150/170	400	168

¹⁾ vorläufig mit auswechselbarem Kolben von 155/175 mm ausgerüstet.

Die elektrischen Teile dieser Anlagen werden von Siemens & Halske A.-G. ausgeführt, bis auf die Anlage auf Germania, wo sie von der Helios Elektrizitäts-Gesellschaft hergestellt werden.

Während bei den Riedler-Expresspumpen das Saugventil gesteuert wird und bei den Bergmans-Pumpen ein zweites Druckventil hinzugefügt ist, verzichten Ehrhardt & Sehmer auf Hilfsmittel besonderer Art und erreichen ihren Zweck durch eine sorgfältig durchgebildete Konstruktion. Die Firma, die außerordentlich reiche Erfahrungen im Bau unterirdischer Dampfwaterhaltungen besitzt, hat von jeher den Schnellbetrieb gepflegt, verwirft aber die Anwendung gesteuerter Ventile als überflüssig. Diesem Grundsatz entspricht der Aufbau ihrer Expresspumpe »Schleifmühle«, bei deren Konstruktion die Rücksichten auf Einfachheit und Betriebssicherheit maßgebend waren. Die in Paris ausgestellt gewesene Pumpe der Firma ist bekannt; es war dies eine einfachwirkende Drillingspumpe von 105 mm Kolbendurchmesser, 200 mm Hub und 210 Uml./min, deren Leistung 1 cbm/min auf 300 m betrug. Bei ihren neueren Ausführungen haben Ehrhardt & Sehmer die Drillingsbauart verlassen und konstruieren ihre größeren schnelllaufenden Pumpen hauptsächlich als doppelwirkende Tauchkolbenpumpen in Zwillingsanordnung. Die Tauchkolben sind, wie aus Fig. 3 zu ersehen, durch ein umgeführtes Gestänge verbunden, das in 4 Lagerbüchsen geführt ist; die bequem zugänglichen Stopfbüchsen sind mit Schmierung in den Grundbüchsen versehen. Das Gestell ist als Bajonettgestell ausgebildet, die Kurbelwelle eine glatte Welle mit Stirnkurbeln. Die Ventile sind Mehrfach-Ringventile aus Bronze mit Bronzesitzen und Dichtungsringen aus Hartgummi. Saug- und Druckventile sitzen in einem gemeinsamen Ventilkasten, in welchen der Kolben eintaucht. Um die Pumpe ohne Widerstand anlaufen zu lassen, ist eine Umföhrvorrichtung vorgesehen, welche gestattet, den Druck mit der Umdrehungszahl allmählich bis zur vollen Höhe zu steigern.

Solcher Pumpen haben Ehrhardt & Sehmer eine Anzahl für den Saarbezirk, Oberschlesien und Frankreich in Arbeit, von denen die größten 3 cbm auf 520 m bei 146 Umdr. (Saarbezirk) und 6 cbm auf 170 m bei 163 Umdr. (Königsgrube) leisten. Für die Ausstellung in Glasgow 1901 und die Ausstellung in Düsseldorf 1902 sind Zwillings-Doppelkolbenpumpen bestimmt, die bei 146 Uml./min 3 cbm auf 520 m Höhe heben. Für den Ruhrbezirk ist, wie erwähnt worden mag, außer kleineren Schnellläufern eine elektrisch betriebene Zwillingspumpe in Arbeit, die bei 60 bis 72 Uml./min 5 bis 6 cbm auf 410 m Höhe fördern soll.

Von den Elektrizitätsfirmen haben sich in erster Linie die Elektrizitäts-Gesellschaft vorm. W. Lahmeyer & Co., die Allgemeine Elektrizitäts-Gesellschaft und Siemens & Halske A.-G. mit dem Bau elektrischer Wasserhaltungen befasst.

Die Ausführungen der Elektrizitäts-Gesellschaft vorm. W. Lahmeyer & Co. sind bereits erwähnt.

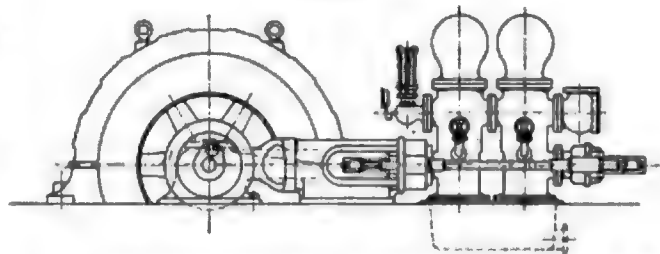
In den von der Allgemeinen Elektrizitäts-Gesellschaft ausgeführten Anlagen kommen hauptsächlich Riedler-Express-

pumpen zur Verwendung. Die im Ruhrkohlenbezirk im Bau begriffenen Wasserhaltungen sind schon genannt; außerdem kommt noch die Wasserhaltung des Erzbergwerkes Selbecker Bergverein in Betracht, die bei 137 bis 191 Uml./min 5 bis 7 cbm auf 370 m heben soll. Von derselben Gesellschaft ist die elektrische 800 pferdige Wasserhaltung mit Seiltrieb auf der Zeche Maria, Anna und Steinbank ausgeführt, die in dieser Zeitschrift veröffentlicht ist¹⁾; weiter baut sie zurzeit im Verein mit Haniel & Lueg in Düsseldorf eine Wasserhaltung für die Zeche Centrum, die bei 100 Uml./min 5 bis 7 cbm auf 590 m Höhe heben soll.

Die von Siemens & Halske A.-G. ausgeführten Anlagen sind mit Pumpen der drei oben besprochenen Bauarten ausgerüstet. Augenblicklich sind für deutsche Zechen bei Siemens & Halske 16 Wasserhaltungen im Bau oder in Montage, während eine weitere mit der Bergmans-Pumpe ausgerüstete Anlage auf den v. Arnimschen Steinkohlenwerken Planitz bei Zwickau seit Ende 1899 in Betrieb ist. Für den Ruhrkohlenbezirk werden 4 Wasserhaltungen ausgeführt. Drei von ihnen, die für die Zechen Julius Philipp, Königin Elisabeth und Königsgrube bestimmt sind und mit Bergmans-Pumpen ausgerüstet werden, sind bereits oben angeführt. Für diese Anlagen kommt Drehstrom von 2000 V zur Anwendung. Die vierte ist für die Gewerkschaft Ver. Gladbeck in Gladbeck i/W. bestimmt und soll 3 cbm auf 590 m heben. Die doppelwirkende Zwillingspumpe macht 123 Uml./min, die Spannung des Drehstromes beträgt 3000 V.

Die im Bau elektrisch betriebener Wasserhaltungen eingeschlagenen Wege weichen, wie man sieht, noch erheblich von einander ab; unverkennbar ist jedoch die außerordent-

Fig. 3.



lich rasche Einführung dieser neuen Betriebsweise, die dem Zusammenwirken von Maschinenbau und Elektrotechnik zu danken ist und bei den Zechenverwaltungen verständnisvolle Förderung gefunden hat. Von besonderem Interesse wäre es, in jedem einzelnen Falle die Gründe zu kennen, welche zur Entscheidung für die elektrisch betriebenen Wasserhaltungen gegenüber den unbestritten wesentlich wirtschaftlicheren unterirdischen Dampfwaterhaltungen geführt haben. Da die ausgeführten und im Bau befindlichen elektrischen Wasserhaltungen — was im übrigen auch für die hydraulischen gilt — zum größten Teil für Teufen bestimmt sind, die den unterirdischen Dampfwaterhaltungen durchaus keine Schwierigkeiten bereiten — nur ein geringer Prozentsatz der elektrischen und hydraulischen Wasserhaltungen soll Teufen über 500 m überwinden —, so sind Gründe rein bergmännischer Natur, bei den elektrischen Anlagen zumteil auch Rücksichtnahme auf die Zentralisation des Betriebes, für die Wahl der teureren, aber keine Wärme mit sich führenden Kraftträger maßgebend gewesen. In jedem Falle erscheint das so überaus schnelle Vordringen des elektrischen Antriebes als ein Beweis dafür, dass das Bedürfnis, den Dampf aus der Grube zu verbannen, nicht selten vorliegt. Dass Deutschland auf dem durch diesen Bericht gekennzeichneten Gebiete einen so entscheidenden Vorsprung vor andern Ländern hat, sei zum Schluss dieses Berichtes mit besonderer Genugthuung erwähnt.

Bochum.

Dr. H. Hoffmann.

¹⁾ Z. 1898 S. 1541.

Sitzungsberichte der Bezirksvereine.

Eingegangen 5. Februar 1901.

Siegener Bezirksverein.

Sitzung vom 2. Januar 1901.

Vorsitzender: Hr. Granhan. Schriftführer: Hr. C. Wolff.
Anwesend rd. 40 Mitglieder und Gäste.

Der Vorsitzende gedenkt des verstorbenen Mitgliedes Hrn. Carl Marx. Die Versammlung ehrt das Andenken an den Verschiedenen durch Erheben von den Sitzen.

Hr. Dr. Thomae aus Elberfeld spricht über die elektrolytische Gewinnung von Metallen.

Nachdem der Vortragende einleitend das Wesen der Elektrolyse besprochen, geht er auf die Bedingungen ein, die zu erfüllen sind, um ein Metall unter möglichst geringem Arbeitsaufwand aus einer Lösung abzuscheiden. Es muss nämlich erstens durch Bewegung der Lauge verhindert werden, dass durch die Tätigkeit des Stromes an der Anode eine stärkere Konzentration auftritt als an der Kathode. Wenn es möglich ist, muss im Gegenteil an der letzteren die Konzentration höher gehalten werden. Da man ferner das Metall als solches auszuscheiden wünscht, eine chemische Arbeitsleistung derselben also nicht stattfinden kann, muss man wenigstens dem Anion Gelegenheit, Arbeit zu leisten, geben. Endlich ist der Widerstand der Lösung durch Amalgamieren und Vergrößern der Elektroden möglichst zu verringern. Um unter diesen Bedingungen ein bestimmtes Metallgewicht in möglichst kurzer Zeit niederzuschlagen, muss man mit hoher Stromstärke arbeiten. Diese findet aber dadurch ihre Begrenzung, dass eine allzu rasche Abscheidung der Anionen ihre chemische Arbeitsleistung, wenn solche stattfindet, beeinträchtigen kann, während eine zu rasche Abscheidung der Kationen die Ausscheidung des Metalls in einer nicht gewünschten Form veranlasst. Es ist Sache der Praxis, das unter den jeweiligen Umständen passendste Verhältnis der Stromstärke zur Größe der Anodenfläche: die Stromdichte, festzustellen. Auf die Beschaffenheit des Niederschlages ist auch die Temperatur nicht ohne Einfluss.

In der Metallurgie der unedlen Metalle hat die Elektrolyse bisher die größten Erfolge beim Kupfer gehabt. Ungefähr die Hälfte der Gesamterzeugung, die jetzt über 360 000 t pro Jahr beträgt, wird elektrolytisch gereinigt. Der jährliche Wert des gereinigten Kupfers beträgt 184, der des dabei gewonnenen Silbers 50 und der des Goldes 8 Mill. M. Als Anode benutzt man Schwarzkupfer, als Kathoden Bleche aus reinem Kupfer; der Elektrolyt ist Kupfersulfat. Die Säurereste der Schwefelsäure leisten als Anionen chemische Arbeit, indem sie neues Kupfer und die elektropositiven Verunreinigungen auflösen. Die Zersetzungsspannung ist infolgedessen sehr gering, und die gelösten übrigen Metalle werden daher nicht an der Kathode ausgeschieden, da ihre Zersetzungsspannung nicht erreicht wird. Die Verunreinigungen, die im Vergleich zum Kupfer elektronegativer sind, gehen ungelöst in den Schlamm. Da von den Säureresten an der Kathode nicht für jedes ausgeschiedene Kupferatom ein anderes aufgelöst wird, giebt man, um die nötigen Säurereste zu schaffen, freie Schwefelsäure zu, die auch außerdem zur Oxydation von Arsen, Antimon und Wismut sowie zum Auflösen in den Schlamm gefallener Kupfertheilchen dient. Der Schwefelsäurezusatz bringt aber eine Abscheidung von Wasserstoff an der Kathode mit sich, der bei zu großer Menge eine schwammige Beschaffenheit des Kupfers hervorruft. In den älteren Anlagen konnte man, da man es noch nicht verstand, diesen Uebelstand zu beseitigen, nur mit Stromdichten bis zu 40 Amp arbeiten. Siemens & Halske und Gebr. Borchers in Goslar beseitigten das Anhaften des Wasserstoffes an der Kathode durch einen gegen sie gerichteten Luftstrom und konnten bis zu Stromdichten von 100 Amp gehen. Stanley und Frank Elmore schlugen das Kupfer auf sich drehenden Walzen in Röhrenform nieder und glätteten den Niederschlag durch ein darüber gehendes Achatprisma; sie konnten mit Stromdichten von 600 Amp arbeiten. Bherard Cowper-Coles beseitigte neuerdings den Wasserstoff durch Schleudwirkung, indem er die zylindrischen Kathoden bis 1800 Uml./min machen ließ, wobei die Reibung zwischen dem Elektrolyten und dem Niederschlag letzteren glättet. Indem er außerdem den Elektrolyten auf 65° erwärmte, erreichte er Stromdichten von 2000 Amp. Tothorn verwendet als Kathoden Bleiröhren mit zylindrischem Eisenkern, bei denen sich das Kupfer in dem zylindrischen Hohlraum in sich verzweigenden Fäden niederschlägt. Das nach diesen neueren Arbeitsweisen gewonnene Kupfer ist sehr rein, besitzt ausgezeichnete Leitfähigkeit und Festigkeitseigenschaften und kann ohne weiteres verarbeitet werden¹⁾.

Ein Verfahren von Siemens & Halske zur Gewinnung reinen Kupfers unmittelbar aus Erzen ist in Martinikenfelde bei Berlin und in Kadabeg und Kalakent im Kaukasus im Gebrauch. Die fein gepulverten Erze werden durch eine Ferrisulfatlösung ausgelaugt, wobei Kupfersulfat in Lösung geht und das Ferrisulfat sich in Ferrosulfat umwandelt. An der Kathode scheidet sich nur Kupfer ab; die an der Anode auftretenden SO₄-Ionen leisten chemische Arbeit, indem sie das Ferrosulfat wieder in Ferrisulfat verwandeln, das von neuem benutzt wird.

Bei dem Verfahren von Höpfner werden die Erze durch Kupferchlorid ausgelaugt, das, indem es Chlor zur Bildung von Kupferchlorür abgibt, selbst zu Chlorür wird. Das bei der Elektrolyse der Chlorürlauge anodisch abgeschiedene Chlor leistet Arbeit, indem es das Chlorür des Anodenraumes in Chlorid zurückverwandelt, das wieder zum Auslaugen benutzt wird. Die Elektrolyse der Oxydlösung hat den Vorteil, dass man zur Abscheidung derselben Gewichtsmenge Kupfer nur halb soviel Strom braucht wie bei der Oxydlösung. Eine Abänderung des Höpfnerschen Verfahrens von Coehn und Leuz liefert fast die theoretische Ausbeute.

Eine elektrolytische Reinigung des Zinks ist nicht lohnend; aber auch für die elektrolytische Gewinnung unmittelbar aus den Erzen wird der Wettbewerb mit den rein chemischen Verfahren beim Zink viel schwerer als bei dem Kupfer. Dies liegt daran, dass es nicht in befriedigender Weise gelungen ist, die an sich schon höhere, durch die Stellung des Zinks in der Spannungsreihe bedingte Zersetzungsspannung durch geeignete Arbeitsleistung an der Anode herunter zu drücken. Auch hat das Zink in viel höherem Grade als das Kupfer die Neigung, sich in schlammiger Form abzusetzen. Die Erze werden meist in die Chlorverbindung übergeführt, die der Elektrolyse unterworfen sind. Bei einem neueren Verfahren von Siemens & Halske geschieht dies durch Behandeln mit dem an der Kathode gewonnenen Chlor, bei einem Verfahren von Höpfner durch Auslaugen mit Chlornatrium- und Chlorkaliumlösung, während das ausgeschiedene Chlor durch Gewinnung von Chlorkalk ausgenutzt wird. Zinksulfat als Elektrolyten benutzt Cowper-Coles. Dass es ihm gelungen ist, die Bildung eines schwammigen Niederschlages durch Bestreichen der Kathode mit einem Strom aus Leuchtgas oder Kohlensäure zu unterdrücken, ist ein Beweis dafür, dass auch bei der Schwammbildung des Zinks der Wasserstoff die Hauptrolle spielt. Ein Verfahren von Aschcroft, wobei das Chlor an der Anode durch Auflösen und darauf folgendes höheres Chloriren von Eisen arbeitet, hat sich in einer großen, eigens dafür errichteten Fabrikanlage nicht bewährt, während ein Verfahren von Rontschewsky, wonach unter Zusatz von chlorsaurem Natrium zum Elektrolyten durch den anodischen Sauerstoff an den Bleianoden Bleisuperoxyd gebildet werden soll, noch keine praktische Anwendung gefunden hat. Im Verzinzen des Eisens scheint, nachdem es jetzt gelungen ist, die Schwammbildung zu vermeiden und ein festes Anhaften des Niederschlages zu erzielen, das elektrolytische Verfahren vor dem Eintauchen in geschmolzenes Zink den Vorzug zu verdienen.

Die Anwendung der Elektrolyse in der Metallurgie des Nickels beschränkt sich auf Reinigen des Rohnickels. Seit einigen Jahren werden nicht unbedeutliche Mengen von Elektrolytnickel durch die Canadian Copper Co. zu Copper Cliff, Sudbury, und die Orford Copper Co. zu Constable Hock, New Jersey, in den Handel gebracht.

Arsen und Antimon werden aus ihren Erzen von Siemens & Halske nach einem ähnlichen Verfahren, wie sie es bei der Kupfergewinnung aus Erzen anwenden, abgeschieden. Bei dem Zinn findet die Elektrolyse mit Vorteil Anwendung zum Entzinnen von Weißblechabfällen, die in Holzkörben als Anoden in Bäder aus Schwefelsäure oder Natronlauge eingetaucht werden. In ähnlicher Weise werden auf der Zinnhütte zu Tostedt im Kreise Harburg nach dem Verfahren von Bohne die Schlacken der Zinnerzschmelzen und die sogenannten Hätlingen auf Zinn verarbeitet. Die verschiedenen Verfahren, Zinn elektrolytisch aus Erzen zu gewinnen, müssen sich erst praktisch bewähren.

Eine sehr große Bedeutung hat die Elektrolyse in der Goldgewinnung durch das Verfahren von Siemens & Halske gewonnen, wodurch die bei dem sogenannten Cyanidverfahren erhaltenen Lauge, aus denen man vorher das Gold durch Zinnsäure nach McArthur-Forest oder durch verbleibende Zinkspäne nach Betty ausfällt, unter Anwendung von Eisenanoden und Bleikathoden zersetzt werden. Aus der Cyanidgold-Cyanalkalium enthaltenden Lauge scheidet sich an der Kathode Kalium ab, das aber sofort den Elektrolyten angreift und daraus unter Bildung von Cyanalkalium Gold fällt; das goldhaltige Anion tauscht an der Anode Eisen gegen Gold

¹⁾ Vergl. Z. 1900 S. 1005.

ein, das wieder in Lösung geht, und bildet damit Berliner Blau, das wieder auf Cyankalium verarbeitet werden kann. Aus den mit Gold beladenen Kathoden gewinnt man das Gold durch Abtreiben. Die erhaltene Glätte wird wieder zu Blei reduziert. Die Ueberlegenheit der elektrolytischen Goldfällung über Zink beruht darauf, dass man mit viel mehr verdünnten Lösungen arbeiten kann, daher beim Laugen weniger Cyankalium durch Zersetzen und Zurücklassen in den Schlümmen verliert, und bei der Fällung erhebliche Ersparnisse an Cyan macht. Auch kann man bei dem elektrolytischen Verfahren die Schlümmen verarbeiten, auf deren Goldgehalt man früher verzichten musste. Als vorteilhaft hat sich auch die Anwendung der Elektrolyse zum Scheiden des Goldes aus gold- und silberhaltigen Legierungen erwiesen.

Bei den am Anfange der Spannungsreihe stehenden Metallen ist eine Gewinnung durch Elektrolyse wässriger Salzlösungen nicht möglich, da die Metalle im Augenblicke, wo sie sich ausscheiden, das Wasser zersetzen. Wohl ist es gelungen, sie auch aus Lösungen niederschlagen, indem man das Wasser durch andere Lösungsmittel, z. B. Pyridin, ersetzt; in der Praxis aber bedient man sich geschmolzener Salze. Die Vorgänge werden dabei in derselben Weise wie bei der Elektrolyse der Lösungen durch Zerfall der Moleküle in Ionen und selbständige Wanderung derselben erklärt. Die Reibung,

die die Ionen dabei erfahren, ist aber im Schmelzfluss viel größer als in der Lösung, und entwickelt daher auch bedeutendere Wärmemengen, die bei der Thonerde sogar hinreichen, sie ohne äußere Wärmezufuhr geschmolzen zu erhalten.

Die beiden gebräuchlichen Verfahren der elektrolytischen Gewinnung von Aluminium, das Heroult'sche und das Hall'sche, unterscheiden sich eigentlich nur dadurch, dass bei dem ersteren reine Thonerde, bei letzterem Thonerde unter Zusatz der Fluoride des Aluminiums und noch elektropositiverer Metalle als Flussmittel zur Verwendung kommt. Die Elektroden bestehen aus Kohle, die bei der Anode die Form von Stäben hat und als Kathode die Auskleidung des Herdes bildet. Das sich auf der Sohle des letzteren abscheidende Metall wird von Zeit zu Zeit abgestochen; der an der Anode frei werdende Sauerstoff leistet Arbeit, indem er die Kohle verbrennt.

Magnesium wird durch Elektrolyse des geschmolzenen Carnallits nach dem Verfahren von Grützfeld gewonnen, und in gleicher Weise werden durch Elektrolyse ihrer Halogenverbindungen die Alkalimetalle zumelst nach dem Verfahren von Castner erzeugt. Dass man auch die Gewinnung von Schwermetallen aus dem Schmelzfluss für wirtschaftlich hält, zeigt das Verfahren von Swinburn zur Gewinnung der in sulfidischen Erzen enthaltenen Metalle.

Bücherschau.

Bei der Redaktion eingegangene Bücher.

Elektrische Schnellbahnen zur Verbindung großer Städte. Von A. Philipp und C. Griebel. Berlin 1901, Polytechnische Buchhandlung A. Seldel. 34 S. 8°. Preis 0,80 M.

(Die Verfasser gehören dem technischen Ausschuss der Studiengesellschaft für elektrische Schnellbahnen in Berlin an, der zur Lösung dieser wichtigen Fragen große Mittel für Versuche zur Verfügung stehen, sodass für die in der Broschüre gemachten Vorschläge auf eine Prüfung durch den Versuch zu hoffen ist.)

Kompendium der Gasfeuerung in ihrer Anwendung auf die Hüttenindustrie mit besonderer Berücksichtigung des Regeneratorsystems. Von F. Steinmann. 3. Aufl. Leipzig 1900, Arthur Felix. 118 S. 8° mit einem Atlas von 17 Taf. Preis 6,50 M.

(Allgemeiner Teil: Gasfeuerung und Generatoren, Arten der Generatoren, Zug- und Leistungsverhältnisse, Ofen und Verbrennungsgeherd der Gase. — Besonderer Teil: Ofen zur Glasfabrikation, zur Eisen- und Stahlfabrikation, Ofen verschiedener Gattung.)

Volkbücher der Naturkunde und Technik. Die Entwicklung der Eisenindustrie und des Maschinenbaues im 19. Jahrhundert. Von A. Kleinsteiber. Stuttgart, Ernst Heinrich Moritz. 180 S. Preis 1 M.

(Eine auch dem Nichtfachmann verständliche, fesselnd geschriebene Darstellung der Entwicklung derjenigen Zweige menschlichen Wissens und Könnens, die dem ganzen vorigen Jahrhundert ihr Gepräge aufgedrückt haben.)

Berlin und seine Arbeit. Amtlicher Bericht der Berliner Gewerbe-Ausstellung 1896. Herausgegeben vom Arbeitsausschuss. Neue Ausgabe mit dem Finanzbericht. Berlin 1901, Dietrich Reimer. 300 S. 4° mit 357 Fig. Preis 6 M.

(Das Prachtwerk, das die Gesamtleistung unserer Reichshauptstadt auf dem Gebiete von Gewerbe und Industrie schildert, ist zu dem genannten sehr niedrigen Preise von 6 M statt 16 M zu erhalten.)

Volkbücher der Recht- und Staatskunde. Der Arbeiterschutz. Von Karl Poellath. Stuttgart, Ernst Heinrich Moritz. 166 S. Preis 1 M.

Bestimmung der Biege-, Zug-, Druck- und Schubfestigkeit an Bausteinen der österreichisch-ungarischen Monarchie. Von August Hanisch. Wien 1901, Carl Grasser & Co. 47 S. mit einer Tafel. Preis 4,40 M.

Encyclopédie scientifique des Aide-Mémoire. Elaboration des Métaux Dérivés du fer. Foyer Métallurgiques. Von L. Gages. Paris, Gauthier-Villars. 160 S. kl. 8° mit 22 Fig. Preis 3 frs.

Technisches Auskunftsbuch für das Jahr 1901. Von Hubert Joly. 8. Jahrgang. Leipzig, K. F. Köhler. 1196 S. kl. 8° mit 142 Fig., Tabellen usw., Preis geb. 8 M.

Das Abstecken von Kreisbogenkurven mittels Strahlenbestimmung und der Universal-Kreisbogenkonstruktor. Von Hans Fischer. Ansbach 1900, C. Brügel & Sohn. 14 S. 8° mit 4 Fig. Preis 0,50 M.

Untersuchungen über den durch Luxforprismenfenster zu erreichenden Helligkeitserfolg. Von Dr. J. Classen. Hamburg 1901, Verlagsanstalt und Druckerei A.-G. (vorm. J. F. Richter). 15 S. 8° mit mehreren Figurentafeln und 2 Tabellen.

Anleitung zum Erkennen und Ausrichten der Sprünge und Wechsel im Steinkohlengebirge. Von E. Schaper. Gelsenkirchen 1900, Karl Bertenburg. 55 S. 8° mit 144 Fig. Preis 2 M.

Denkschrift betr. die Entwicklung des Kiautschou-Gebietes in der Zeit vom Oktober 1899 bis Oktober 1900. Berlin, Dietrich Reimer. 60 S. mit 10 farbigen Taf. Preis 5 M.

Gewerberecht und Arbeiterschutz. Von G. Laurisch. Berlin 1901, J. Gutentag. 210 S. 8°. Preis 1,50 M.

Herons von Alexandria Mechanik und Katoptrik. Von L. Nix und W. Schmidt. Leipzig 1900, B. G. Teubner. 415 S. kl. 8°.

Invalidenversicherungsgesetz vom 13. Juli 1899. 8. Aufl. Von Dr. E. v. Woodtke. Berlin 1901, J. Gutentag. 468 S. Preis 2,50 M.

Die Darstellung der Bauzeichnung. Im Anschluss an die vom Ministerium für öffentliche Arbeiten erlassene Anweisung zum praktischen Gebrauch für Baubeamte, Architekten, Maurer- und Zimmermeister sowie als Lehrbuch für die Hochbau- und Tiefbauabteilung der Baugewerkschulen. 2. Aufl. Von G. Benkwitz. Berlin 1901, Julius Springer. 15 S. 8° mit 4 farbigen Taf. Preis 1,50 M.

Fortschritte der Elektrotechnik. 14. Jahrgang 1900, 2. Heft. Von Dr. Karl Strecker. Berlin 1901, Julius Springer. 602 S. 8°.

Le Développement de l'Industrie des Moteurs à Gaz et à Pétrole. Von L. Marchis. Bordeaux 1901, G. Gounouilh. 52 S. gr. 8° mit Figuren.

Encyclopédie scientifique des Aide-Mémoire. Elaboration des Métaux Dérivés du fer. Reactions Métallurgiques. Von L. Gages. Paris, Gauthier-Villars. 160 S. kl. 8° mit 17 Fig. Preis 3 frs.

Verhältniszahlen zum Abstecken von Kreisbogenkurven mittels Strahlenbestimmung nebst Gebrauchsanleitung und Abszissen- und Ordinatenwerte zum Einrückungsverfahren. Von Hans Fischer. Ansbach 1900, Selbstverlag des Verfassers. 56 S. kl. 8° mit Figuren.

Die Brücken der Gegenwart. II. Aufl. II. Abteilung: Steinernen Brücken. 2. Heft: Strombrücken, Thalbrücken, Kanalbrücken und schiefe Brücken. Von Dr. F. Heinzerling. Berlin 1900, W. S. Liewenthal. 92 S. gr. 4° mit 176 Textabbild., 6 Textauf., 7 lithographierten Taf. Preis 20 M.

Die Eisenkonstruktionen der Ingenieur-Hochbauten. IV. Lieferung: Fortsetzung des III. Abschnittes. Kuppeldächer, Zelldächer, Walmdächer und Föppliche Tonnengewölbedächer. Von Max Foerster. Leipzig 1901, Wilhelm Engelmann. 63 S. gr. 8° mit vielen Figuren und einer Tafel. Preis 6 M.

Übersicht neu erschienener Bücher,

zusammengestellt von der Verlagsbuchhandlung von Julius Springer, Berlin N., Monbijouplatz 3.

- Elektrotechnik.** Claude, Georges. L'Electricité à la portée de tout le monde. Paris 1901. V^e édit. Prix 6 frs.
- Della Rella, A. Étude sur les paratonnerres. Liège 1901. Leon de Tüler.
- Dobrzanski, E. Die Theorie des Bleiakкумуляtors. Halle 1901. Knapp. Preis 6 M.
- Dunaway, E. Étude économique d'un transport d'énergie à grande distance, avec préface par J. Poncelet. Paris 1901. Desforges. Prix 2 frs. 50 c.
- Etha, Karl. Die Akkumulatoren. Eine gemeinfassl. Darlegung ihrer Wirkungsweise, Leistung u. Behandlung. 3. Aufl. Leipzig 1901. J. A. Barth. Preis 1 M.
- L'Electricité à l'Exposition de 1900, publiée par E. Hospitalier et J. A. Montpellier. 2^e fascicule: Téléphonie et télégraphie. 1^{re} section: Téléphonie par J. Montillet. Paris 1901. V^e édit. Dunod.
- Erldt, Th. De huistelegraphie en huistelephonie. Practische handleiding voor den aanleg van huistelegraphen, huistelephoniegeleidingen. Delft 1901. Eshuis. Preis 3 fl.
- Fahie, J. J. History of wireless telegraphy, 1838-1899, including barewire proposals for submarine telegraphs. 2nd edit. London 1901. Blackwood. Preis 4 sh.
- Ferrini. Recenti progressi nelle applicazioni della elettricità. 3. ediz. Mailand 1901. Hoepli. Preis 71. 50 c.
- Fleming, J. A. The alternate current transformer in theory and practice. Vol. I: The introduction of electric currents. 3rd ed. London 1901. Electrician Office. Preis 12 sh. 6 d.
- Geiger, G. Éclairage électrique domestique par piles, accumulateurs, dynamos (installation, entretien, usages). Paris 1901. Desforges. Preis 1 fr. 50 c.
- Gerard, Eric. Mesures électriques. 2^e éd. Paris 1901. Gauthier Villars. Preis 12 frs.
- Janet, P. Premières notions d'électricité industrielle. (Piles, accumulateurs, dynamos, transformateurs.) 4^e éd. Paris 1901. Gauthier Villars.
- Kraplin, Paul. Erläuterungen zu den Demonstrations-Apparaten zur Erzeugung von elektrischen Wellen nach Hertz u. deren Anwen-

- dung zur Marconischen Telegraphie ohne Draht. Hatzow 1901. S. Herz. Preis 9.75 M.
- Lorenz, R. Ueber die Ausdehnung des Elektrochemikers (Vortrag). Halle 1901. Knapp. Preis 2 M.
- Manual of electrical undertakings, 1900-01. Compiled under the direction of Emil Gareke. Vol. V. London 1901. Donnington House, Northall Street. Preis 12 sh. 6 d.
- Nachrichten v. Siemens & Halske, Aktiengesellschaft. IV. Jahrg. Berlin 1901. Julius Springer in Komm. Preis 3 M.
- Piazzoli. Impianti di illuminazione elettrica. 5. ediz. Milano 1901. Hoepli. Preis 6 l. 50 c.
- Sheldon, S. and H. Mason. Dynamo-electric machinery, its construction, design and operation. London 1901. Lockwood. Preis 10 sh. 6 d.
- Siemens & Halske, Aktiengesellschaft: Elektrische Bahnen. — Chemin de fer électriques. — Electric railways. Berlin 1901. J. Springer. Preis 10 M.
- Slingo, W. and A. Brooker. Electrical engineering. For electric light artisans and students. London 1901. Longmans. Preis 12 sh.
- Stewart, A. T. Electricity simplified: handbook for practical and domestic purposes. London 1901. Chambers. Preis 1 sh. 6 d.
- Stockhardt, E. Lehrbuch der Elektrotechnik. Zum Gebrauche beim Unterricht u. zum Selbststudium. Leipzig 1901. Veit & Co. Preis 6 M.
- Thomson, R. Die Entwicklung des Turbinenbaues m. den Fortschritten der Elektrotechnik. Antrittsvorlesung, geh. an d. k. techn. Hochschule in Stuttgart. Stuttgart 1901. K. Wittwer. Preis 0.80 M.
- Thompson, S. P. Die dynamoelektrischen Maschinen. 6. Aufl. Halle 1901. Knapp. Preis 2 M.
- Vivarez, Henry. Les phénomènes électriques et leurs applications. Étude historique, technique et économique des transformations de l'énergie électrique. Paris 1901. Carné & Naud. Preis 15 frs.
- Wietz, H. u. C. Erfurth. Hilfsbuch für Elektrotechniker. 2. Aufl. Leipzig 1901. Bachmeister & Thal. Preis 3 M.
- Witruha, R. Lehrbücher der Elektrotechnik. 1. Bd. Der elektrische Strom, seine Gesetze und Wirkungen in der Strombahn. Jena 1901. Costenoble. Preis 2.50 M.

Zeitschriftenschau.¹⁾

(¹ bedeutet Abbildung im Text.)

Brennstoffe.

Kraftgasbetrieb mit alpinen Braunkohle. Von Zeyringer. (Stahl u. Eisen 15. Juni 01 S. 622/28.) Durch Vergleich der Wirkbarkeit und Zusammensetzung verschiedener Gasarten gewinnt der Verfasser ein Mittel, um die Wirkbarkeit der aus den Alpen stammenden Braunkohle aus ihrer Zusammensetzung zu bestimmen. Er kommt zu dem Schluss, dass diese Braunkohle sich sehr wahrscheinlich gut für die Erzeugung von Kraftgas eigne.

Dampfkraftanlagen.

The steam engineering power station at the Brooklyn Navy Yard. (Eng. Rec. 1. Juni 01 S. 516/18.) Das Kesselhaus des Kraftwerkes der Brooklyn Staatswerft enthält 3 Babcock & Wilcox Kessel mit mechanischer Beschickung, einen Westinghouse-Vorwärmer, Spelwassererhitzer und Spelpumpen. Im Maschinenhause selbst sind 3 stehende Verbundmaschinen von je 630 PS mit um 90° versetzten Endkurkeln aufgestellt. Jede der Maschinen ist mit einer Zweiphasendynamo von 400 KW bei 220 V gekuppelt. Von den beiden Erzeugermaschinen wird die eine durch eine unmittelbar gekuppelte Dampfmaschine, die andere durch einen 30pferdigen Elektromotor angetrieben. Außerdem sind 2 rotierende Uniformer von 75 KW Leistung angeordnet, die die Laufkräne der Maschinenwerkstätten mit Gleichstrom versehen.

Fabrication des chaudières, matériaux employés, leur mise en oeuvre dans la construction et la réparation. Von Compière. (Rev. Ind. 8. Juni 01 S. 228/29) Eigenschaften der zum Kesselbau verwendeten Bleche. Forts. folgt.

¹⁾ Die Zeitschriftenschau wird, nach den obigen Stichwörtern in Vierteljahrsheften zusammengestellt und geordnet, gesondert herausgegeben, und zwar zum Preise von 3 M. pro Jahrgang für Mitglieder, von 10 M. pro Jahrgang für Nichtmitglieder.

Machine à vapeur à quadruple expansion de M. Charles Bourdon (construite par MM. H. Brulé & Cie). Von Eude. (Génie civ. 8. Juni 01 S. 87/90.) Die vierfache Expansion des Dampfes in der zweifachdrigen Maschine wird dadurch erreicht, dass der Dampf von der einen Seite der Differentialkolben auf die andere tritt. Die Maschine leistet 50 PS. Die Kolben haben 240 und 170 bzw. 400 und 243 mm Dmr.

Steam engine for Walker-on-Tyne electric station. (Engng. 14. Juni 01 S. 769/70.) Die von der Wallsend Shipway and Engineering Company gebaute stehende Dreifachexpansionsmaschine mit Corliss-Steuerung leistet bei 14 at Ueberdruck 1400 PS. Sie hat 445, 224 und 1220 mm Cyl.-Dmr., 914 mm Kolbenhub und macht 100 Umd./min. Die Maschine dient zum Antrieb einer 700 KW-Drehstromdynamo.

Trial of a turbo-generator after twelve months' work. (Engng. 14. Juni 01 S. 777/78.) Die Leistungsversuche, deren Ergebnisse in Tabellen und Schaulinien wiedergegeben sind, wurden von Prof. Ewing an einer Parsons-Verbundturbine, die im Elektrizitätswerk von Cambridge zum Antrieb eines vierpoligen 500 KW-Wechselstromerzeugers dient, ausgeführt. Der Dampfverbrauch bei 10 at Ueberdruck und gesättigtem Dampfe betrug bei 600 KW Leistung 11 kg/KWst, bei 500 KW 11.03, bei 300 KW 12.5, bei 200 KW 13.9, bei 100 KW 18.2 und bei 50 KW 25.7 kg/KWst.

Eisenbahnwesen.

Rhodesian railway rolling stock. Schluss. (Engng. 14. Juni 01 S. 764/66.) 8. Zeitschriftenschau v. 22. Juni 01. Wiedergabe von Konstruktionszeichnungen des Drehgestelles, des Wagenkastens und der Kuppel- und Puffervorrichtung.

Express engine, London, Brighton and South Coast Railway. (Engineer 14. Juni 01 S. 619^o) Längsschnitt und Grundriss der in Zeitschriftenschau v. 22. Juni 01 erwähnten Lokomotive.

Italian express locomotive. (Engng. 14. Juni 01 S. 767 mit 1 Taf.) Darstellung weiterer Einzelheiten der in Zeitschriftenschau v. 1. Juni 01 erwähnten Lokomotive und ihres Tenders.

American locomotives in England. Von Roux-Martin. (Engineer 14. Juni 01 S. 618) Kritische Besprechung einiger für britische Eisenbahnen gelieferten amerikanischen Lokomotiven. Im Gegensatz zu den in England gebauten Maschinen sollen die amerikanischen mehr Brennstoff und mehr Schmiermittel verbrauchen und öfter reparaturbedürftig sein. Im übrigen arbeiten sie zufriedenstellend.

Alimentation des locomotives en marche. (Génie civ. 8. Juni 01 S. 90/94 mit 1 Taf.) Allgemeines über Vor- und Nachteile sowie über das Anwendungsgebiet von Vorrichtungen, um die Lokomotiven auf der Fahrt mit Spießwasser zu versehen. Berechnung der Länge des Schöpfkanals. Darstellung von Einrichtungen auf englischen und amerikanischen Bahnen. Schöpfvorrichtungen in Frankreich: auf der Strecke Paris-Royan der Staatsbahn, auf der Strecke Aisy-Montbard der Paris-Lyon-Mittelmeer-Bahn und bei Channy auf der Strecke Paris-Erquelines der Nordbahn.

Versuche mit elektrisch angetriebenen Pumpen für Wasserstationen. Von Wittfeld. (Glaser 15. Juni 01 S. 233/34) Beschreibung einer elektrisch betriebenen Pumpanlage auf dem Bahnhof Kiel. Es sind dort Kreiselpumpen mit unmittelbar gekoppeltem Nebenschlussmotor zur Anwendung gekommen. Das Wasser fließt der Pumpe mit 4 m Druckhöhe zu; die Gesamtförderrhöhe beträgt 9,5 m. Vergleich der Wirtschaftlichkeit mit der anderer Anlagen.

Hochnehmen von Lokomotiven durch Hebebocke. die unter Benutzung des Motors der Schiebebühne elektrisch angetrieben werden. Von Cordes. (Glaser 15. Juni 01 S. 235/37 mit 1 Taf.) Die Walle der Schiebebühnenwindwerke wird durch ausziehbare Gelenkwellen verlängert und mit den Hebeböcken verbunden. Die Einrichtung soll sich in der Hauptwerkstatt Grunowald als sehr zweckmäßig erwiesen haben.

Eisenhüttenwesen.

Gegenüberstellung amerikanischer und englischer Walzwerkapparate. Von Garret. (Stahl u. Eisen 15. Juni 01 S. 630/36) Uebersetzung des in Zeitschriftenschau v. 1. Juni 01 erwähnten Vortrages.

An improved type of ingot heating furnace. Von Daniels. (Eng. News 6. Juni 01 S. 420/21^o) Der dargestellte Ingot-Glühofen ist für Kohlenfeuerung eingerichtet. Auf einer elektrisch betriebenen Plattform werden die Ingots in steiler Lage in den Ofen eingeführt. Anordnung der Glühkammer und der Beschickvorrichtung.

Die Reinigung der Hochofengase. Von Lürmann. (Stahl u. Eisen 15. Juni 01 S. 619/22^o) Darstellung der Windhausenschen Vorrichtung zum Reinigen von Gasen, die nach dem im Jahre 1888 anerkannten Patentanspruch darauf beruht, dass das Gas innerhalb einer fließenden Schicht Wasser oder anderer Flüssigkeiten durch einen Ventilator in Drehung versetzt wird. Die Staubteilchen werden dann durch die Fliehkraft ausgeschieden, in die Flüssigkeit geschleudert und von dieser fortgeschwemmt. Vergleich mit dem Theissenschen Gasreiniger.

Eisenkonstruktionen, Brücken.

An enclosed plate-girder park bridge. (Eng. Rec. 1. Juni 01 S. 519^o) Die Brücke besteht aus 2 Hauptträgern von 24,4 m Länge und 1,80 m Höhe in der Mitte. Zwischen die 3,1 m von einander entfernten Hauptträger sind alle 3 m gesteuerte Querträger gespannt, die wieder durch gewalzte Zwischenträger verbunden sind. Zwischen diesen Längsträgern sind Ziegelsteingewölbe angeordnet, welche die Fahrbahnabdeckung tragen. Die Hauptträger wurden nach Fertigstellen der Eisenkonstruktion vollständig mit Streckmetall ummantelt und dieses dann mit einer rd. 25 mm starken Schicht von Portlandementmörtel bekleidet.

The Glasgow Exhibition buildings. Schluss. (Engng. 14. Juni 01 S. 767^o) Einzelheiten der Brücke über die Dumbarton-Eisenbahn.

Elektrotechnik.

A fuel gas plant for a model isolated hospital in England. (El. World 1. Juni 01 S. 924/25^o) Die in Walthamstow bei London errichtete Anlage erzeugt Wassergas zum Betriebe eines elektrischen Blockwerkes. Die Maschinenanlage umfasst zwei 2sperrige stehende dreifachdrücker Gasmaschinen, die mittels Riemen zwei Gleichstromdynamos antreiben. Zur Unterstützung der Stromerzeuger dient eine 50zellige Akkumulatorenbatterie.

An isolated plant at Nassau, Bahama Islands. (El. World 1. Juni 01 S. 914/16^o) Das Blockwerk für zwei große Gasthäuser enthält 3 Babcock und Wilcox-Kessel, die Dampf von 11,5 at Überdruck erzeugen, und 4 zum unmittelbaren Antrieb von Zweiphasenstromerzeugern dienende Tandem-Verbindungsmaschinen. Diese haben 250 und 500 mm Cyl.-Dmr., 400 mm Kolbenhub und machen 775

Uml./min. Die Dynamomaschinen haben 2100 V Klemmenspannung; der Strom hat eine Frequenz von 60 Per. sek. Darstellung der Schaltungsanlage, der Leitungen und der Anschlüsse.

Electric light and power installation on steamer "Deutschlands". (El. World 1. Juni 01 S. 909/13^o) Zum Speisen der 2550 Glühlampen und 23 Motoren umfassenden elektrischen Anlage dienen fünf Gleichstrom-Dampfdynamos. Drei davon leisten je 770 KW. Die Verbund-Dampfmaschinen haben 300 und 500 mm Cyl.-Dmr. und 235 mm Kolbenhub. Die beiden kleineren Maschinen leisten je 440 KW. Sie haben 270 und 450 mm Cyl.-Dmr. und 200 mm Kolbenhub. Alle 5 Maschinen sind stehend angeordnet und machen 250 Uml./min und geben 110 V Spannung. Angaben über die Ausführung der Leitungen, Anschlüsse, Lampen und Apparate.

Determination of the angular displacement of prime movers. Von Fleischmann. (El. World 1. Juni 01 S. 920/21^o) Verfahren zur Berechnung der Winkelgeschwindigkeit und zur Anwendung der Winkelgeschwindigkeit bei der Berechnung von Dynamomaschinen.

Entwurf zu Normalien zur Prüfung von elektrischen Maschinen und Transformatoren. (Elektr. Z. 13. Juni 01 S. 477/86) Der Entwurf ist von dem Ausschuss für Maschinennormalien des Verbandes deutscher Elektrotechniker ausgearbeitet worden. Die Vorschriften erstrecken sich auf Bezeichnungen von Maschinen, Geräten und Begriffen und den Geltungsbereich der Vorschriften, auf die Bestimmung der Leistung, Temperaturzunahme, Überlastungsfähigkeit, der Isolatoren, des Wirkungsgrades und der Spannungshänderung.

Gerlikon triphase and monophase generators. (Engng. 14. Juni 01 S. 766/67^o) Darstellung einer 1800 KW- und einer 650 KW-Wechselstrommaschine, von denen die erstere, eine Wechselstrommaschine, in Paris ausgestellt war. Die andere ist eine Gleichstrommaschine. Beide Maschinen können für verschiedene Spannungen, als Drehstrom- und Einphasenstrommaschine gewickelt werden. Zeichnerische Darstellung von Versuchsergebnissen.

Erd- und Wasserbau.

An unusual phenomenon in the flow of water in flumes. (Eng. Rec. 1. Juni 01 S. 520) Im Frühjahr 1900 trat im Nashua-Fluss zweimal ein besonders starkes Hochwasser ein, dessen Folgen kurz geschildert werden.

Gate machinery for the Mersey docks. (Engineer 14. Juni 01 S. 620^o) Darstellung eines Ventilspliffs und einer Vorrichtung zum Öffnen der Schleusenthore, beides mit Druckwasserbetrieb.

Die Tunnelbauten der nordböhmischen Transversalbahn Tepitz-Heichenberg im Jeschkegebirge. Von Imhof. (Schweiz. Bauz. 15. Juni 01 S. 255/57^o) Bei dem Durchqueren des Jeschkegebirges mussten 5 auf einander folgende einzellige Tunnel angelegt werden. Darstellung der Tunnelprofile und Bericht über den Bauvorgang. Schluss folgt.

Explosionsmotoren und andere Wärmekraftmaschinen.

Efficiency test of a 125-horse-power gas engine. (Eng. Rec. 1. Juni 01 S. 527/28^o) Auszug aus einem Vortrage von Robertson, in welchem über weitere Versuche an der Gasmachine berichtet wird. Die Ergebnisse sind in Tabellen und Schaulinien zusammengestellt. S. a. Zeitschriftenschau v. 26. Jan. 01.

Gesundheitsingenieurwesen.

Beitrag zur Bestimmung des Einflusses der Verzögerung auf die in städtischen Kanälen abzuführenden Größtwassermengen. Von Fischer. (Gesundh. Ing. 15. Juni 01 S. 169/73 mit 2 Taf.) Mitteilung der bei einem Entwurf für eine Kanalisation der Stadt Bergen angewandten Berechnungsverfahren zur Bestimmung der Größtwassermengen. Zufuhrmengen an Abwasser und an Regenwasser; Gesamtzufuhren; Einfluss der Verzögerung.

The sewer system of Lake Huron. III. Von Griffith. (Eng. News 6. Juni 01 S. 423/24^o) Die Abwässer werden ohne vorherige Klärung in den Michigan-See geleitet. Die Ausflussöffnung der Kloaken mündet deshalb 120 m vom Seeufer entfernt. Einzelheiten der Abstützungen der eisernen Rohrleitung.

Hebwerke.

A 45-ton locomotive jib crane. (Eng. Rec. 1. Juni 01 S. 521^o) Der große fahrbare Drehkran mit veränderlicher Ausladung wiegt 400 t, wobei allein 120 t auf ein gußeisernes Gegengewicht entfallen. Er ruht auf 16 Tragrollen und 2 Treibrädern und ist mit einer 35perrigen Zwillingsdampfmaschine angetrieben. Die Ausladung kann in 6 min von 18 m auf 23 m gebracht werden, der Ausleger in 2 min einmal vollständig herumgeschwenkt werden. Die Hubgeschwindigkeit beträgt 4 m/min bei 45 t oder 10 m/min bei 15 t, die Fahrgeschwindigkeit 21 m/min.

Handling materials in a viaduct reconstruction. (Eng. Rec. 1. Juni 01 S. 522^o) Zeichnungen und kurze Angaben über eine einfache Laufkatze, die beim Neubau eines Viaduktes für die Pittsburg, Fort Wayne & Chicago-Eisenbahn gebraucht wurde.

Heizung und Lüftung.

Heating in the Fore River Engine Company's shops. (Eng. Rec. 1. Juni 01 S. 529/80*) Die Luft wird von einem Ventilator durch ein Heizröhrenbündel angesaugt und in großen Blechröhren, die unter der Decke angeordnet sind, den einzelnen Räumen zugeführt. Die Luft wird dreimal in der Stunde vollständig erneuert.

Hochbau.

Ein neues System von armiertem Beton. Von Recorden. (Schweis. Bauz. 15. Juni 01 S. 361/62*) Die Deckenkonstruktion besteht aus einer Reihe neben einander liegender hohler Balken aus Zement, deren seitliche Wände durch eine Einlage von Zugseilen verstärkt sind. Die Fugen der Balken werden nach dem Versetzen mit Mörtel ausgegossen.

Beam and column details in a factory building. (Eng. Rec. 1. Juni 01 S. 526*) Die Anordnung der gusseisernen Säulen und der hölzernen Deckenträger ist durch mehrere Einzelzeichnungen erläutert.

Holzbearbeitung.

A universal saw bench for pattern shops. (Eng. News 6. Juni 01 S. 412/13*) Holzsägebank mit 2 Kreissägen für Handbetrieb, gebaut von der American Machinery Co. in Grand Rapids, Mich.

Lager- und Ladevorrichtungen.

An accident to a concrete-steel grain bin. (Eng. Rec. 1. Juni 01 S. 590*) Bei einem auf Pfahlrost gegründeten, in Zement-eisenkonstruktion angeführten Silopfeiler zerbrachen beim probeweisen Einfüllen einer Zelle Teile der Seitenwände infolge von Bodensenkungen. Der Unfall ist kurz beschrieben.

Maschinenkunde.

The strength of U. S. standard bolts. Von Williams. (Journ. Am. Soc. Nav. Eng. Mai 01 S. 339/42) Zusammenstellung der im amerikanischen Bureau of Steam Engineering gebräuchlichen Formeln zur Berechnung von Schraubenbolzen.

A new friction clutch. Von Smith. (Eng. News 6. Juni 01 S. 412*) Darstellung einer eisenartigen Reibkupplung, die sich bei einer bestimmten Geschwindigkeit der treibenden Welle selbstthätig einschaltet.

Kettenantrieb. Schluss. (Z. Werkzeugm. 15. Juni 01 S. 408/09*) S. Zeitschriftenschau v. 23. Juni 01.

Patent cylinders for single-acting ram pumps. (Engin. 14. Juni 01 S. 619*) Die Cylinder sind tandemartig über einander ohne Zwischenwand angeordnet. Hoch- und Niederdruckcylinder bestehen aus einem Körper und arbeiten auf dieselbe Kolbenstange. Für den Niederdruckcylinder ist ein Flachschieber, für den Hochdruckcylinder ein Kolbenschieber vorgesehen. Die Firma F. Peare & Co. in Manchester wendet die Konstruktion bei einfachwirkenden Dampf-pumpen an.

Elektrische Regulatoren für Dampfmaschinen. Von Freytag. (Dingler 15. Juni 01 S. 373/76*) Deutsche Bearbeitung des in Zeitschriftenschau v. 27. April 01 erwähnten Aufsatzes von Lecornu »Les régulateurs des machines à vapeur«.

Materialkunde.

The properties of steel castings. Von Arnold. Schluss. (Enging. 14. Juni 01 S. 784/87) Veränderung der Festigkeitseigenschaften durch das Ausglühen. Zusammenfassung der Ergebnisse. Vergleich zwischen Stahlguss und geschmiedetem Stahl.

The influence of copper on steel rails and plates. Von Stead und Evans. (Enging. 14. Juni 01 S. 787/88) Bericht über frühere und über die von Evans ausgeführten Untersuchungen. Letztere ergaben, dass ein Kupfergehalt von 0,5 bis 1,5 vH auf den Stahl weder im kalten noch im warmen Zustande einen schädlichen Einfluss ausübt. Die Ergebnisse über die Veränderungen der Eigenschaften des Stahles bei verschiedenem Kupfergehalt sind in 3 weiteren Lehrsätzen zusammengefasst.

Erwiderung auf O. Rebuffats Abhandlung »Ueber die Konstitution des hydraulischen Zementes«. Von Rohland. (Baumaterialienk. 01 Heft 10 S. 146/48) Kritische Besprechung der Ausführungen von Rebuffat.

Untersuchungen über Zement. Von Klein und Peckham. Schluss. (Baumaterialienk. 01 Heft 10 S. 144/46) S. Zeitschriftenschau v. 15. Juni 01.

Studie über die Konstitution des Portlandzementes. Von Meyer. (Baumaterialienk. 01 Heft 10 S. 141/44) Ergebnisse von Zementuntersuchungen von L. Chatelier und Törnebohm. Mikroskopische und chemische Untersuchungen der Zemente. Forts. folgt.

Ueber die Isolation von Kabeln. (Elektrot. Z. 13. Juni 01 S. 485/87*) Wiedergabe eines von O'Gorman in der Institution of Electrical Engineers gehaltenen Vortrages. Rohstoffe für Isolationszwecke und ihr Verhalten gegen Nässe, Hitze, Säuren und gegen elektrische Spannungen. Winke für die Verarbeitung der Rohstoffe und das Aufbringen auf die Kupferseile. Bericht über Versuche an verschiedenen Isolationsstoffen.

Mathematik.

A multiplying index for the slide rule. (Am. Mach. 15. Juni 01 S. 596*) Darstellung und Beschreibung einer am Laufer des Rechenschiebers anzubringenden Hilfsvorrichtung zur Erhöhung der Ablesungsgenauigkeit. Die sonst nur geschätzte letzte Stelle kann damit genau abgelesen werden. Die Vorrichtung wird von John Davis & Son in Derby, England, hergestellt.

Mechanik.

I-beam girders with reinforcing plates. Von Blake. (Am. Mach. 15. Juni 01 S. 598/600*) Tabellen und Diagramme zur Erleichterung der Berechnung von I-Trägern mit aufgelegten Gussplatten.

Metallbearbeitung.

J. E. Reineckers Werkzeugmaschinen. Von Preckl. Forts. (Dingler 15. Juni 01 S. 377/80*) Langtschfräsmaschine, Antriebstufenscheibe mit übersetzendem Räderwerk für das Schaltwerk an Werkzeugmaschinen, Fräsvorrichtung an Hobelmaschinen. Forts. folgt.

30-in. vertical turret boring machine. (Enging. 14. Juni 01 S. 766*) Die von Warner & Swasey in Cleveland, O., gebaute Maschine hat einen wagerechten Drehtisch und lässt einen Schwingdurchmesser von 730 mm zu. Der Revolverkopf sitzt auf einem lotrecht verschiebbaren Schlitten von 400 mm Hub, der wieder auf einem wagerechten Schlitten um rd. 390 mm verschiebbar ist. Angaben über die Dreh- und Vorschubgeschwindigkeiten.

An improved automatic rack cutting machine. (Am. Mach. 15. Juni 01 S. 596/98*) Die durch 2 Schaubilder dargestellte, von der Heudey Machine Company in Torrington, Conn., gebaute Zahnstangenfräsmaschine gleicht äußerlich der bekannten Feilmaschine der selben Firma.

Twist drill tests. Von Peck. (Am. Mach. 15. Juni 01 S. 594/95*) Kurze Beschreibung einer von der Cleveland Twist Drill Company gebauten Vorrichtung zum Prüfen von Spiralbohrern. Zwei auf dieser Vorrichtung gewonnene Schaulinien, die den Verlauf des Andruckes und des Drehmoments zeigen, sind wiedergegeben.

Bending dies. Von Woodworth. (Am. Mach. 15. Juni 01 S. 595/96*) Darstellung der Stempel und Matrizen zur Herstellung einer eigenartig gestaltete Blechkammer.

Motorwagen und Fahrräder.

The tractive horse power of vehicles. Von Crane. (El. World 1. Juni 01 S. 926/28) Abhandlung über die Berechnung der Zugkraft von Motorwagen unter Berücksichtigung der Beschaffenheit des Fahrweges und des Einflusses der Geschwindigkeit auf den Fahrwiderstand, insbesondere auf den Luftwiderstand.

Pumpen und Gebläse.

Weir's triple-compound feed pump; Croydon electric light works. (Enging. 14. Juni 01 S. 781/82*) Die dreicylindrige einfachwirkende Speisepumpe leistet bei 12 Doppelhuben i. d. Min. rd. 4000 ltr st. Die 3 Dampfcylinder können in Verbundanordnung betrieben werden, wobei der mittlere als Hochdruckcylinder dient. Die Dampfcylinder haben 330 mm, die Pumpenzylinder 203 mm Dmr. Der Hub beträgt 610 mm. Bericht über Leistungsversuche.

Test of a centrifugal pump. (Eng. Rec. 1. Juni 01 S. 528) Auszug aus einem Vortrage von Webber über die Filteranlage der Stadt Albany. Der Leistungsversuch wurde unter Leitung von Allen Hazen vorgenommen und dauerte 24 Stunden. Die Ergebnisse sind tabellarisch zusammengestellt.

Schiffs- und Seewesen.

Die Bedeutung der Großgasmaschine als Schiffsmaschine. Von Mewes. (Dingler 15. Juni 01 S. 380/83*) Vergleichende Berechnung über die Beziehungen zwischen Ladefähigkeit, Maschinenstärke und Geschwindigkeit des Schiffes nach Engineer. Anwendung auf die Frage der Verwendbarkeit von Gasmaschinen auf Schiffen.

Interim report of the boiler committee appointed by the British Admiralty. (Journ. Am. Soc. Nav. Eng. Mai 01 S. 363/76) Zusammenfassender Bericht über die Wasserrohrkesselfrage in der englischen Marine.

The corrosion of boiler tubes in the United States Navy. Von Worthington. Forts. (Journ. Am. Soc. Nav. Eng. Mai 01 S. 333/37 mit 4 Taf.) Zusammenstellung der Gewichtverluste, welche die Röhren erlitten hatten, nachdem sie während 40 Wochen abwechselnd der Luft und destilliertem Wasser ausgesetzt waren. Schaubilder der so behandelten Röhren.

Details of construction of the Nielauss boiler. Von Hartley. (Journ. Am. Soc. Nav. Eng. Mai 01 S. 377/96* mit 3 Taf.) Anordnung und Beschaffenheit der Wasserkammern, Verdampfrohre, Laternen, Zusammensetzung eines Elementes, Dampfsammler. Angaben über die Instandhaltung der Kessel.

Straßenbahnen.

Berechnung des Wattstunden-Verbrauches elektrischer Bahnen. Von Volkens. (Elektrot. Z. 13. Juni 01 S. 480/83*) Berechnung des Arbeitsaufwandes zum Ueberwinden der Reibung zwischen Laufrädern und Schiene, der Lager- und der Zahnradreibung.

Angaben über den Luftwiderstand, Bestimmung der Arbeit zum Ueberwinden der Steigungen, Arbeitsverlust beim Bremsen, Wirkungsgrad der Motoren. Die für die Berechnungen verwendeten Koeffizienten sind aus dem Betriebe und aus Versuchen gewonnen.

Mechanical traction in Paris. (Engineer 14. Juni 01 S. 614/15*) Beschreibung des Betriebes der Druckluft-Straßenbahnen.

Wasserkraftanlagen.

The Cassel self-governing impulse wheel. (Engng. 14. Juni 01 S. 767/69*) Darstellung anhand von Konstruktionszeichnungen der in Zeitschriftenschau v. 12. Jan. 01 unter Turbo-moteur hydraulique usw. erwähnten Freistrahlturbine mit wagerechter Welle. Wiedergabe der Ergebnisse von Versuchen, die sich auf die Wirksamkeit der selbstthätigen Regelung erstrecken. Ergebnisse von Leistungsversuchen.

Wasserversorgung.

Ueber ein neues Verfahren zur Enteisung von Grundwasser. Von Helm. (Gesundheitsing. 15. Juni 01 S. 174/76) Bei dem Verfahren kommen Braun- und Raseneisenerze in Stücken von 4 bis 20 mm Dmr. zur Verwendung, über die das Wasser geleitet wird. Die Ergebnisse sollen bei einem Probebetrieb in Danzig sehr zufriedenstellend gewesen sein.

The new pumping plant of the Pennichuck water-works, Nashua, N. H. Von Dean. (Eng. News 6. Juni 01 S. 410/11* mit 1 Taf.) Das Trinkwasser für Nashua wird 2 Teichen entnommen. Das

neue Pumpwerk besteht aus einer doppelwirkenden Schwungradpumpe, die mittels Riemenübertragung von einem Wasserrad angetrieben wird und für eine tägliche Leistung von 22800 cbm berechnet ist. Konstruktionsskizzen der Pumpe und des Schwungrades.

The filter galleries at Painesville, Ohio. (Eng. Rec. 1. Juni 01 S. 518*) Die Saugleitung des Pumpwerkes liefert aus dem Erie-See oft stark verunreinigtes Wasser. Es wurden deshalb in die Leitung Filter eingeschaltet, die kurz beschrieben sind.

Aerator for mechanical filter plant at Winchester, Ky. Von Metcalf. (Eng. News 6. Juni 01 S. 410*) Der Lüfter besteht aus 5 wagerecht über einander angeordneten, siebartigen Eisenplatten. Das Wasser fließt aus der Leitung auf die oberste Platte und dann langsam durch die übrigen Platten in den Sammelbehälter.

Werkstätten und Fabriken.

Sandom Engine Works. (Engineer 14. Juni 01 S. 625/26*) Kurze Beschreibung der Neubauten der Firma Browett, Lindley & Co., die hauptsächlich ortsfeste Dampfmaschinen baut.

Ziegelerei.

Neuerungen in Dachziegeln und ihrer Fabrikation in den letzten fünf Jahren. Von Fiebelkorn. Forts. (Baumaterialienk. 01 Heft 10 S. 148/50*) Darstellung verschiedener patentlich geschützter Ziegelformen. Forts. folgt.

Rundschau.

Auf den Vollbahnstrecken Ludwigshafen-Neustadt und Ludwigshafen-Worms der Kgl. Bayerisch-Pfälzischen Eisenbahnen wurden Ende Januar 1896 Versuche begonnen, durch die festgestellt werden sollte, ob Personenwagen mit Elektromotoren, die ihren Strom aus einer mitgeführten Akkumulatorbatterie erhalten, zur Uebernahme des Vorortverkehrs (hauptsächlich Schüler-, Markt- und Gerichtsverkehr) geeignet seien.

Ueber diese Versuche hielt Direktionsrat Gayer am 11. Dezember v. J. im Verein für Eisenbahnkunde einen Vortrag: Verwendung von Akkumulatoren für den Omnibusbetrieb auf Hauptbahnen, dem das Folgende entnommen ist¹⁾.

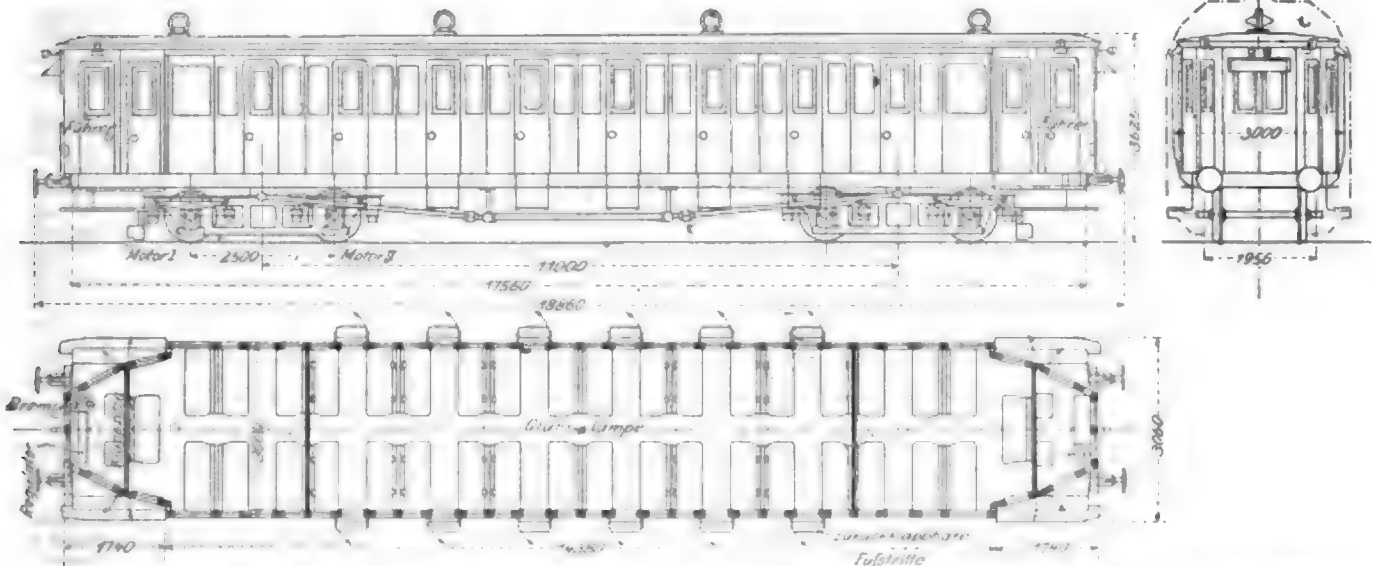
Die Strecke Ludwigshafen-Neustadt ist 30 km, die Strecke Ludwigshafen-Worms 22 km lang. Während aber in Ludwigshafen und Neustadt Kraftkuser zum Aufladen der Batterien zur Verfügung standen, fehlte in Worms ein solches.

Wagen war mit 2 Hauptstrommotoren versehen, die mittel eines Zahnradvorleges auf die Endachsen arbeiteten.

Wie nicht anders zu erwarten, da noch keine Erfahrungen über Akkumulatoren für solche Zugleistungen vorlagen, machten sich anfangs verschiedene Mängel in betreff der Konstruktion, der Haltbarkeit und des Zusammenbaues der Akkumulatorplatten bemerkbar. Die bei dem Versuchsbetriebe gemachten Beobachtungen führten indessen bald zu Verbesserungen, und Ende 1898 konnte die liefernde Firma Akkumulatorenfabrik-A.-G. Berlin (früher Hagen) eine Batterie zur Verfügung stellen, die den Anforderungen in jeder Hinsicht gewachsen war.

Jetzt ging man auch mit der Beschaffung besserer Wagen vor. Es wurden 2 vierachsige Wagen mit 112 Sitzplätzen und 2 dreiachsige mit 68 Sitzplätzen im Februar und März 1900 in Betrieb genommen.

Fig. 1 bis 3.



Die größte mit einer Ladung zurückzulegende Strecke betrug sonach 44 km (Ludwigshafen-Worms-Ludwigshafen). Als Fahrgeschwindigkeit wurden von vornherein 45 km/st verlangt.

Zu dem Versuchsbetriebe wurden 2 gewöhnliche Personenwagen 3. Klasse mit 5 Abteilen und 2 mit 6 Abteilen benutzt. Bei den ersteren wurde je ein Stirnabteil, bei den letzteren beide Stirnabteile zum Führerstand umgebaut und mit Fahrhalter, Messgeräten und Bremsen ausgerüstet. Die Akkumulatoren, Bauart Tudor, mit Groboberflächenplatten waren unter den aufklappbaren Sitzbänken untergebracht. Jeder

Die Konstruktion der nach Art der D-Wagen mit mittlerem Gange gebauten 4achsigen Wagen ist durch Fig. 1 bis 2 erläutert. Jeder der Endabteile enthält 20, der Mittelteil 72 Sitzplätze. Um eine rasche Entleerung zu ermöglichen, wurden außer den Türen in den Endabteilen noch auf jeder Seite im Mittelteil 6 nach außen aufschlagende Türen angebracht.

Bei der Breite der Wagen von 3000 mm liefs es sich nicht vermeiden, dass die geöffneten Türen und auch die Trittbretter über das Normalprofil herausragen. Durch die in Fig. 4 und 5 dargestellte Einrichtung wird es aber ermöglicht, die Trittbretter während der Fahrt zurückzuschieben und in diesem Zustande gleichzeitig zu verhindern, dass die Türen geöffnet werden können.

¹⁾ Gleis Annalen 15. März 1901 S. 114.

Fig. 4 zeigt die Stellung der Trittbretter beim Ein- und Aussteigen. Der durch die Feder *a* nach außen gedrückte Riegel *b* legt sich, sowie die Thür geöffnet wird, zwischen den Wagen und die Nase *c* am Fußtritt, sodass dieser nicht heruntergeschlagen kann. Wird die Thür geschlossen, so wird durch ein an ihr befestigtes Flachisen *d* der Riegel *b* zurückgeschoben und

Fig. 4.

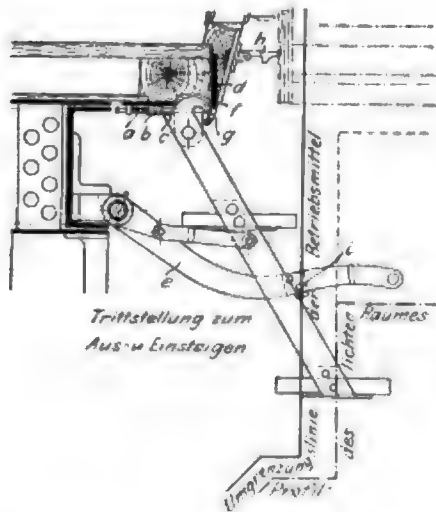
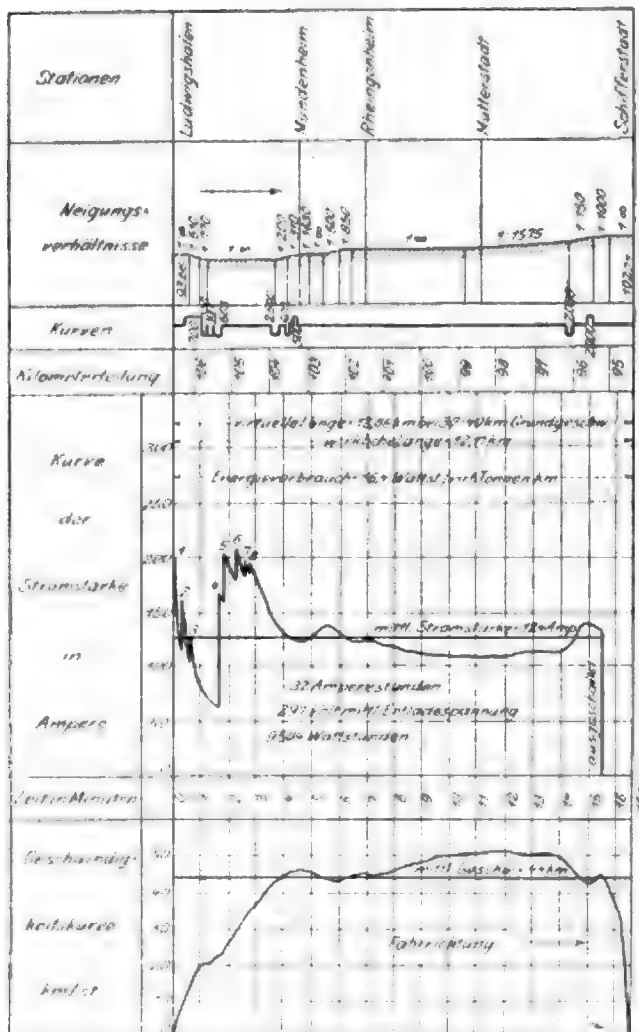
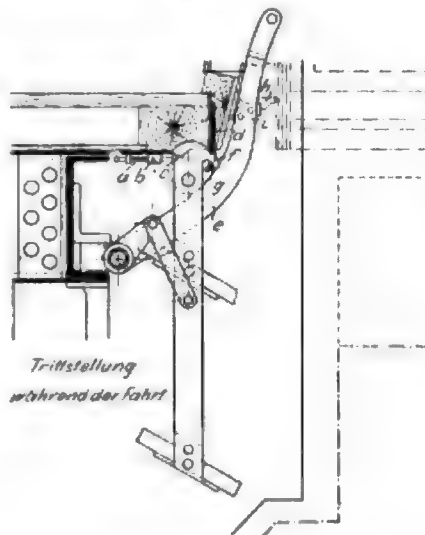


Fig. 6.



das Trittbrett durch Heraufklappen des Hebels *e* gesenkt. Dabei greift der Haken *f* in die Oese *g* des Flachisens und hält die Thür geschlossen. Hebel *e* wird in der hochgeklappten Stellung durch den Haken *h* gehalten, der hinter den Knaggen *i* fasst. Die Einrichtung hat sich gut bewährt.

Fig. 5.



Die Akkumulatorenbatterie besteht aus 156 Elementen, die zu je 6 in einem mit Isolazit und Linoleum ausgekleideten Holzkasten unter 26 aufklappbaren Sitzbänken aufgestellt werden.

Jedes Element besteht aus 7 positiven und 8 negativen Platten von je 300 mm im Geviert. Die Verbindungen der einzelnen Elemente eines jeden Kastens sind nicht durch Verlöten, sondern durch Verschrauben hergestellt. Es sind Einrichtungen getroffen, die es ermöglichen, einen Kasten bequem in 10 bis 15 min auszuwechseln. An dem Längsträger des Wagengestelles ist ein Umschalter angebracht, durch den die beiden Batteriehälften zum Laden parallel, zur Fahrt hintereinander geschaltet werden.

Die Anfangskapazität sollte nach der Zusage der Akkumulatorenfabrik A. G. Berlin 225 Amp-st betragen. Da für die oben genannte längste Strecke — 44 km — im Durchschnitt 120 Amp-st verbraucht werden, stand ein Ueberschuss von 105 Amp-st, d. h. rd. 90 vH zur Verfügung. In Wirklichkeit zeigte sich noch nach Zurücklegen der ersten 15000 Wagenkilometer bei Entla-

dung bis auf 1,1 V Zellenspannung eine erheblich höhere als die gewährleistete Kapazität von 225 Amp-st. Nach den im Betriebe gemachten Erfahrungen kann die Lebensdauer der positiven Platten auf etwa 70 bis 80000, die der negativen auf 35 bis 40000 Wagenkilometer angesetzt werden. Die Batterie wird stets unmittelbar nach Beendigung der Fahrt wieder aufgeladen; die Ladestromstärke beträgt 150 bis 200 Amp; die Ladung dauert 30 bis 75 min.

Die sonstige elektrische Ausrüstung der Wagen besteht aus 2 vierpoligen Hauptstrommotoren, die mittels einer Zahnübersetzung von 1:3 auf die beiden Achsen des einen Drehgestelles arbeiten, den beiden Fahrschaltern, den erforderlichen Sicherungen, Anlasswiderständen, Messgeräten und Zubehör; sie ist von der Elektrizitäts-A. G. vorm. Schuckert & Co. geliefert worden.

Die Fahrschalter haben 3 Kontakte für Reihenschaltung und 5 Kontakte für Parallelschaltung der beiden Motoren. Bei 1,1 V mittlerer Entladespannung für jede Zelle stehen an den Klemmen der Batterie im ganzen rd. 300 V zur Verfügung. Bei Parallelschaltung ist jeder Motor im Durchschnitt mit 65 Amp dauernd belastet. Die Motoren sind indessen so gebaut, dass sie dauernd 100 Amp und auf mindestens 20 min bis zu 120 Amp aushalten können, ohne unzulässig warm zu werden.

Das Gewicht eines solchen vierachsigen Wagens ergibt sich zu 45000 kg, wovon 25690 kg auf den Wagen mit Zubehör, 15250 kg auf die Batterie und 4060 kg auf die Motoren entfallen. Rechnet man für den Wagen 106 Fahrgäste (eines der Endabteile als II. Klasse mit nur 14 Sitzplätzen gerechnet) und 2 Mann Bedienung zu je 75 kg, so ergibt sich ein größtes Dienstgewicht von 53100 kg, also rd. 6540 kg Radruck. Das Wagengewicht für die beförderte Person beträgt 45000 : 106 = rd. 425 kg.

Die Beschaffungskosten eines betriebsfertigen vierachsigen Wagens mit vollständiger Ausrüstung betragen 55000 M (22500 M für den Wagen, 32500 M für die elektrische Einrichtung). Unter Zugrundelegung eines Strompreises von 10 Pf für 1 KW-st, eines Batteriewirkungsgrades von 65 vH und einer Lebensdauer der positiven Platten von 70000, der negativen von 35000 Wagenkilometern berechnete der Vortragende die Gesamtkosten für das Wagenkilometer auf der Strecke Ludwigshafen-Neustadt zu 27,52 Pf. Im vorliegenden Falle, wo die Akkumulatorenbatterien in den der Bahn gehörigen Lichtzentralen geladen werden, sind indes nur die Betriebs- und Unterhaltungskosten der Kraftanlage in Rechnung zu stellen, welche durch das Laden der Akkumulatoren verursacht werden. Diese betrugen nach genannten Ermittlungen im Jahre 1899 5,2 Pf für 1 KW-st, womit sich der Preis für das Wagenkilometer auf 21 Pf erniedrigt.

Aus dem Vergleich mit den Kosten des Dampfbetriebes,

die er unter günstigsten Annahmen auf rd. 25 Pfg für das Zugkilometer berechnete, schloss der Vortragende, dass die Einführung des Akkumulatorenbetriebes — auf den vorhin erwähnten Verkehr beschränkt — sich schon jetzt überall da lohnt, wo ein verhältnismäßig billiger Strom erhältlich und die zu befahrende Strecke bis zur nächsten Ladegelegenheit nicht zu lang und ohne starke und lange Steigungen ist.

Es sei noch auf die Diagramme, Fig. 6, von einer am 1. März 1900 stattgehabten Versuchsfahrt mit einem vierachsigen Wagen auf der Strecke Ludwigshafen-Schifferstadt aufmerksam gemacht. Der Berechnung der virtuellen Längen wurde eine Geschwindigkeit von 30 bis 40 km/st zugrunde gelegt. Die Stromkurven zeigen 8 den Fahrtstellungen der Schaltkurbel entsprechende Spitzen. Die Stromstärke überschreitet an keiner Stelle 210 Amp, während die mittlere Stromstärke 124 Amp beträgt. Die Geschwindigkeitskurve und die Stromkurve lassen deutlich die Anfahrzeit und weiterhin den Einfluss der Strecke erkennen.

Bei einer früheren Gelegenheit¹⁾ war in dieser Zeitschrift von dem Plane gesprochen worden, die Kanalschiffahrt mit Hilfe von dreirädrigen elektrischen Wagen durchzuführen, die ihren Strom von einer am Ufer gespannten Leitung erhalten und gewissermaßen die sonst beim Treideln verwendeten Pferde ersetzen sollen. Inzwischen ist dieser Plan durchgeführt worden, und das elektrische Pferd ist auf dem Kanal von Burgund und auf seinen beiden Seitenkanälen, insgesamt auf einer Strecke von 58 km Länge, in Betrieb²⁾.

Der Strom wird in 4 Kraftwerken durch Dampfmaschinen erzeugt, die zusammen eine Leistung von 1350 PS haben. Jedes Werk enthält 4 Dampfmaschinen, die indes nicht immer gleichzeitig, sondern je nach Bedürfnis arbeiten. Die Leistungsfähigkeit jedes Werkes ist so bemessen, dass es zur Bewältigung des Schiffsverkehrs auf 12,5 km Kanallänge genügt, wobei angenommen ist, dass die Schleusen voll in Wirksamkeit treten, d. h. 10 bis 12 Schiffe in der Stunde durchlassen, und zwar 5 bis 6 in jeder Richtung; dabei ist auf je zwei beladene Schiffe ein leeres gerechnet. Für die elektrischen Wagen sind außer bei den Kraftwerken 10 Standplätze vorhanden, die etwa 6 km von einander entfernt sind. Jeder Platz gewährt 10 bis 12 Wagen Unterkunft und ist mit einem Geräteraum und einem Aufseherzimmer mit Fernsprechanchluss verbunden.

Die elektrischen Leitungen sind an der Außenseite der Leinpfade auf Masten in 5 m Höhe über dem Erdboden angebracht; die Masten stehen 4 m von einander entfernt. Zur gleichmäßigen Stromverteilung sind die Leitungen auf beiden Seiten etwa alle drei Kilometer durch Querleitungen verbunden, die an Masten befestigt sind. Auch die Rückleitungen werden von Masten getragen und sind in Entfernungen von je 50 m mit der Erde verbunden.

Die Stromabnehmer bestehen aus 2 ausgekehlten Rollen, die in einem aus Messingblech gefertigten Sattel gelagert sind, der durch ein Gegengewicht in aufrechter Lage gehalten wird. Die zum Wagen führende 12 m lange biegsame Verbindungsleitung ist daran befestigt. Wenn zwei in entgegengesetztem Sinne laufende Wagen einander begegnen, wechselt man ihre Stromabnehmer gegen einander aus, was leicht von statten geht.

Der Wagen besteht aus einem Rahmen von Eisen, der am hinteren Ende auf 2 Triebrollen, am vorderen auf einem Steuerrad ruht. Die Triebrollen haben einen Abstand von 800 mm von einander; ihre Kränze bestehen aus Riffelblech und sind 0,12 m breit. Das Steuerrad wird von dem am hinteren Ende des Wagens sitzenden Führer gelenkt. Mitten auf dem Rahmen ist ein 12pferdiger Motor befestigt, dessen Drehung durch ein Schraubenge triebe auf die Achse der Hinterräder übertragen wird. Das Gesamtgewicht des Wagens beträgt 2480 kg, wovon 1920 kg von der Triebachse getragen werden. Die Zugkraft soll mehr als 1000 kg betragen. Der Wagen läuft ebenso leicht vor- wie rückwärts und soll dank einer Vorrichtung, die eines der beiden Hinterräder festzuhalten gestattet, auf der Stelle wenden können.

Auf der im ganzen 116 km langen Strecke sollen nach vollständiger Ausrüstung 130 elektrische Wagen zur Verfügung stehen. Man hofft, hiermit den ganzen Verkehr bewältigen zu können, wobei der Dienst auch in der Nacht aufrecht erhalten werden soll, dazu werden die Schleusen und die hauptsächlichsten Kunstbauten elektrisch beleuchtet. Jeder Wagen soll ein oder zwei Schiffe von 300 t

mit einer Geschwindigkeit von 2,5 bis 3 km/st oder 3 Schiffe mit 2 km/st fortbewegen können. Wenn beladene Schiffe aufeinander begegnen, ebenso an starken Krümmungen und in der Nähe von Kunstbauten, wird die Geschwindigkeit auf 1,5 bis 1,8 km/st vermindert. Der Betrieb, der noch nicht vollständig durchgeführt ist, soll sich günstig erweisen haben, und es soll gelungen sein, den Wettbewerb der Dampfschiffahrt zu verdrängen. Dagegen ist es bis jetzt nicht gelungen, gegen den Treidelbetrieb durch Pferde aufzukommen, der den elektrischen Betrieb empfindlich stört, indem er die elektrischen Wagen zwingt, ihre Geschwindigkeit zu vermindern.

Kapitän Gray hat ein elektrisches Schiffslot konstruiert, das seine Aufgabe, die Geschwindigkeit des Schiffes zu messen und aufzuzeichnen, im Betriebe gut erfüllt haben soll³⁾. Seine kräftige Ausführung trägt ebenfalls zu seiner weiteren Verbreitung viel bei. Fig. 1 giebt eine schematische Darstellung des Gerätes. Am Hinterende eines Rahmens sitzt ein oberer Pfiffel, der verbunden, dass sich der Rahmen um seine Achse dreht. In dem Rahmen ist eine Spindel gelagert, in die ein

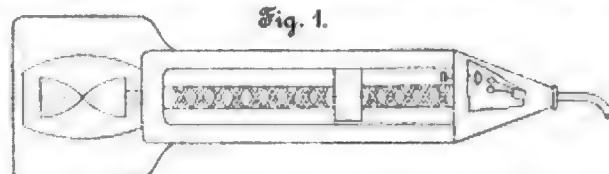


Fig. 1.

rechtwinkliges und ein linkswinkliges Gewinde geschnitten sind, und die während der Fahrt durch die an ihrem Ende angebrachte Flügelschraube gedreht wird. Dadurch wird eine in dem Rahmen geführte Schraubenmutter durch eines der beiden Gewinde nach vorn oder hinten verschoben, bis sie gegen das Querhaupt des Rahmens stößt. Die Mutter legt sich dann in das andere Gewinde ein und verschiebt sich in der entgegengesetzten Richtung; sie macht also eine fortwährende hin- und hergehende Bewegung. Im vorderen Querhaupt des Rahmens ist ein Stift eingelassen, der durch die Mutter jedesmal, wenn sie in ihrer vorderen Endstellung angelangt ist, vorgeschoben wird und zwei Kontaktknöpfe gegen einander drückt. Dadurch wird ein Stromkreis geschlossen, der aus einem vom Schiffe her und zu ihm zurücklaufenden Leiter und einem auf dem Schiffe befindlichen Relais gebildet wird. Das Relais drückt bei jedem Stromstoß ein Zeichen auf einen mittels Uhrwerkes bewegten Papierstreifen. Die Schiffsgeschwindigkeit kann bei entsprechender Bemessung der Geschwindigkeit des Papierstreifens unmittelbar aus der Anzahl der in einem bestimmten Zeitraume aufgedruckten Zeichen abgelesen werden.

Die Seetüchtigkeit der englischen Torpedobootzerstörer erscheint nach mehreren Ereignissen, die sich kürzlich während einer Übungsfahrt zugetragen haben, in recht ungünstigem Licht⁴⁾. An der Fahrt waren 8 Boote beteiligt, von denen jedoch nur 2 unbeschädigt zurückkehrten. Die Boote manövierten bei hohem Seegang an der Südwestküste Englands und sollten nach den erlassenen Befehlen wieder zusammen in Portsmouth eintreffen. Nachdem bereits während einer früheren Übungsfahrt bei einigen Booten die Verbände in der Mitte des Decks gerissen waren, hatte man diesem Umstand erhöhte Aufmerksamkeit zugewendet. Trotzdem rissen auf der letzten Übungsfahrt auf dem Torpedobootzerstörer „Seal“ nicht nur die Deckplatten in solchem Maße, dass das Tageslicht in die unten gelegenen Räume fiel, sondern auch in den mittleren Platten des Scherganges entstand ein 460 mm langer Riss. Eine Erklärung hierfür findet man in der sehr schwachen Bauart der Boote der „Seal“-Klasse. Bei rd. 64 m Länge und rd. 6,4 m Breite beträgt die Plattenstärke nur 3,1 mm. Die Beanspruchung auf Durchbiegung wird außerdem durch die Anordnung der Maschinen und Kessel bedeutend erhöht. Die eine Hälfte der Kessel ist in den vorderen Räumen, die andere in den hinteren Räumen aufgestellt, während der Maschinenraum sich dazwischen befindet. Die „Seal“ wäre sicherlich ganz auseinander gebrochen, wenn sich nicht das Wetter gebessert hätte, sodass das Schiff noch den nächsten Hafen erreichen konnte. Von den übrigen Booten erlitten 2 ähnliche, wenn auch nicht so bedeutende Beschädigungen, während bei drei andern Unregelmäßigkeiten in der Maschinenanlage auftraten.

¹⁾ Oesterreichische Wochenschrift für den öffentlichen Bauwesen 4. Mai 1901 S. 284.

²⁾ Journal of the American Society of Naval Engineers Mai 1901 S. 360.

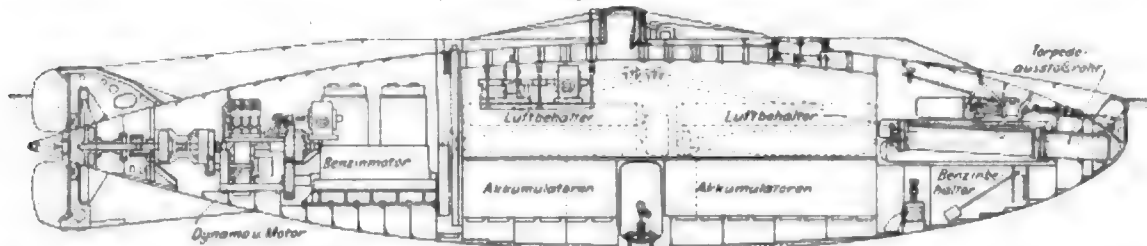
³⁾ Z. 1898 S. 693.

⁴⁾ Zentralblatt der Bauverwaltung 11. Mai 1904 S. 231.

Fig. 1 zeigt einen Längsschnitt durch die neuen amerikanischen Unterseeboote »Adder«, »Moccasin«, »Porpoise«, »Shark«, »Grampus« und »Pike«, von denen die ersten 4 auf der Werft von L. Nixon, Elizabeth, N. J., die beiden letzteren auf der Werft der Union Works in San Francisco im Bau begriffen sind. Die Boote haben bei 19 m äußerster Länge und 3,5 m

Am 7. Juni verschied Friedrich Adolph Siewerdt, Direktor der Maschinenfabrik Oerlikon, Oerlikon. Siewerdt war am 11. Oktober 1837 zu Waldenburg in Sachsen geboren, wo sein Vater eine Schmiede und Bauschlosserei betrieb. Nachdem er seine Lehrzeit in der Werkstatt seines Vaters durchgemacht und die Werkmeisterschule in Chemnitz besucht hatte, war er

Fig. 1.



größtem Dmr. im vollständig untergetauchten Zustande 120 t Wasserverdrängung. Die Schraube wird während der Oberflächenfahrt von einem viercylindrigen Benzinmotor von 160 PS angetrieben. Zum Antrieb unter Wasser dient ein Elektromotor von 70 PS, der aus einer im mittleren Raum des Bootes untergebrachten Akkumulatorenbatterie gespeist wird. Die Akkumulatoren werden während der Oberflächenfahrt von einer durch den Benzinmotor getriebenen Dynamo geladen. An Brennstoff für den Benzinmotor können 3070 cbm mitgeführt werden. Die Geschwindigkeit der Boote soll unter und über Wasser 7 Knoten betragen. Die Bewaffnung besteht aus 5 Whitehead-Torpedos von 450 mm Dmr. und 3,5 m Länge, die mittels Druckluft aus einem am Bug der Boote befindlichen Ausstoßrohr abgeschossen werden können. Der Steuerturm hat innen 534 mm Dmr. und ist mit 100 mm starken Stahlplatten gepanzert. Der Baupreis eines Bootes beträgt 170000 \$. (Journal of the American Society of Naval Engineers Mai 1901)

anfangs als Schlosser, später als Techniker in verschiedenen Fabriken thätig. Im Jahre 1867 gründete er in Gemeinschaft mit Gustav Daverio eine kleine Fabrik in Borsach zur Herstellung von Werkzeugen und Werkzeugmaschinen. Später wurde die Fabrik nach Oerlikon bei Zürich verlegt und unter der Firma Daverio, Siewerdt & Gieseler fortgeführt. Aus dieser Anlage hat sich allmählich die heutige Maschinenfabrik Oerlikon entwickelt. Der nunmehr Verstorbene war bis kurz vor seinem Tode als Vorsteher des Werkzeugmaschinenbaues thätig, und manche eigenartige Werkzeugmaschine zeugt von seiner schöpferischen Begabung. (Schweizerische Bauzeitung 15. Juni 1900)

In den Tagen vom 12. bis 14. September d. J. findet in Dortmund der 8. allgemeine Bergmannstag statt.

Der land- und forstwirtschaftliche Hauptverein Hildesheim veranstaltet vom 12. bis 14. September d. J. einen Wettbewerb für elektrische und für Gasanpflüge.

Patentbericht.

Kl. 13. Nr. 118760. Vorwärmen und Reinigen von Kesselspeisewasser. L. Carrer, Düsseldorf. Bei einer Vorrichtung der durch Nr. 108044 (Z. 1900 S. 618) geschützten Art sind zur Erzeugung eines wiederholt auf- und absteigenden Stromes des vorzuwärmenden Wassers zwischen einem 4 Kammern c_1, c_2, c_3, c_4 enthaltenden Oberkasten c und einem zwei Kammern g, h enthaltenden Unterkasten k vier Rohre s_1, s_2, s_3, s_4 mit Kesselsteinabsatzplatten n angebracht. Außer der Umkleidung m ist ein zweiter Mantel m_1 derart angeordnet, dass der zuerst im Innern aufsteigende Heizdampf zwischen beiden Mänteln nach unten zurückströmt und so eine erwärmende Abschlusschicht bildet.

Kl. 13. Nr. 118909. Gegenstrom-Überhitzer für Dampfkessel. Aschersleben. Maschinenbau-Aktiengesellschaft (vorm. W. Schmidt & Co.), Aschersleben. Bei dem Gegenstrom-Überhitzer sind zwei nach einander

durchströmte Röhrengruppen c und d angeordnet, von denen die vom Dampf zuerst durchströmte Gruppe c dem Feuer zunächst liegt. Sie besitzt engere Röhren oder Röhren mit geringerem Gesamtquerschnitt als die andere Gruppe, sodass

der Dampf mit größerer Geschwindigkeit durch die in der heißen Zone liegende Gruppe strömt und die Röhren besser kühlt, um zu vermeiden, dass die Röhren durchbrennen oder glühend werden.

Kl. 20. Nr. 119939. Stromabnehmer. Th. Weinert, Berlin. An dem Arm d sitzt in wagerechter Ebene drehbar um den kürzeren Arm des Pendels g der Arm t , an dem der Abnehmer k gleichfalls in wagerechter Ebene drehbar ist.

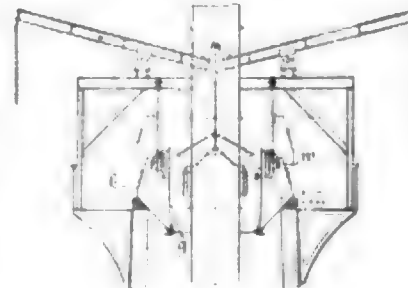
Kl. 14. Nr. 117066 (Zusatz zu Nr. 100643. Z. 1899 S. 306). Zweischiebersteuerung. B. Stein, Berlin. Zur Bewegung der in Nr.

100643 gekennzeichneten Schieber dienen zwei feste Exzenter r_0, r_1 , von denen r_0 den Grundschieber unmittelbar, r_1 aber den Deckschieber durch eine Schleife k und ein vom Regler verstelltes Gleitstück g antreibt. Der Zweck, die störende Auffüllung des Grundschieberkanals mit Voll- oder Druckdampf bei kleiner und Nullfüllung zu verhindern, wird dadurch erreicht, dass der Vorellwinkel δ_1 von r_1 größer als null, aber kleiner als der Vorellwinkel δ_0 von r_0 ist.

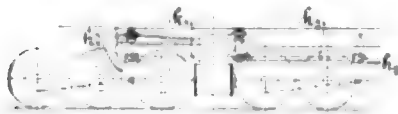
Kl. 13. Nr. 118994. Speisung sich drehender Dampferzeuger. Das durch die hohle Achse des sich drehenden Kessels eingeführte Speisewasser wird mittels einer feststehenden Sprühvorrichtung k derart eingespritzt, dass es bei der Umdrehung des Kessels stets auf neue stark erhitzte Teile der Wandung trifft.

Kl. 18. Nr. 120319. Doppelter Gichtverschluss für Hochöfen. Buderussche Eisenwerke in Wetzlar.

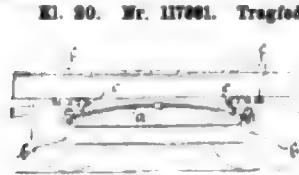
Die Abdichtung zwischen der inneren Glocke g und der äußeren Glocke k wird durch einen von beiden Glocken unabhängigen Wasserbehälter w vermittelt, der entweder einen beiden Glocken gemeinsamen oder für jede Glocke einen besonderen Wasserraum enthält.



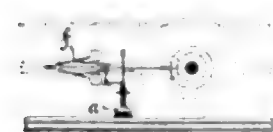
Kl. 30. Nr. 117707. Kupplung der Schwinghebel an Lokomotiven. Chr. Hagans, Erfurt. Um die Abmessungen der Kuppeltange zu verringern, wird sie in zwei oder mehrere Teile zerlegt,



von denen die hintere k_1 in einem Bogen zwangsläufig geführt werden, der dem Schwingungsbogen entspricht, welchen der Schwinghebel h_1 der Triebstange ausführt, während der vordere Teil k_2 , der den Schwinghebel h_2 des Drehgestelles treibt, mit dem hinteren Teil der Kuppeltange gelenkig verbunden ist.



Kl. 30. Nr. 117881. Tragfeder. Van der Zypen & Charlier, Köln-Deutz. Ueber beide Achsbüchsen A ist eine Feder a gespannt, auf die das Gewicht des Wagens durch Stützen c übertragen wird. Durch Verlegung des Stützpunktes von c vermittelt der Schraube f kann die Stärke des Federns verändert werden.



Kl. 30. Nr. 118087. Erdung elektrischer Wagen durch Schleifbürsten. Siemens & Halske A.G., Berlin. Um bei schlechter elektrischer Leitung von den Laufrollen des Wagens an den Schienen zu verhindern, dass der Strom die auf-



und absteigenden Fahrgäste treffe, wird beim Halten des Wagens oder bei langsamer Fahrt eine Schleifbürste a von einem von der Radachse angetriebenen Fliehkraftregler f an die Schienen gepresst, während der Fahrt jedoch von ihnen abgehoben.

Kl. 30. Nr. 117449. Zangenbremse. Gieseler Bern, Bern (Schweiz). Außer den in bekannter Weise seitlich gegen den Schienenkopf angepressten Bremsbacken a, b ist dicht über dem Kopf eine Bremsbacke c angeordnet, gegen welche die Schiene durch die lotrechte Mittelkraft des von a, b ausgeübten Druckes angepresst wird, die somit ein Verbiegen der Schiene verhindert und gleichzeitig die Bremswirkung erhöht.



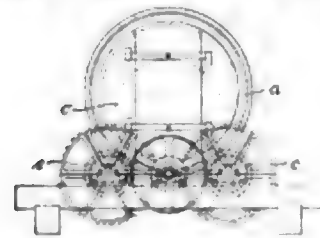
Kl. 21. Nr. 117940. Bogenlampenkohle. H. Bremer, Neheim a/Ruhr. Die hohle Kohle hat innen Längsrippen, mit denen sie auf dem unteren Vorsprung eines Metallstabes ruht. Im Verhältnis zu dem Abbrande dieser Rippen rutscht die Kohle nach.

Kl. 30. Nr. 119710. Luftdruckbremse. H. Kunz, St. Johanna S. In die Rohrleitung, die den Hölzluftbehälter mit der Luftkammer des Steuerventiles verbindet, ist über dem Füllventil d ein Sicherheitsventil e angeordnet, das sich nach



aufsen öffnet, sobald die Spannung im Hölzluftbehälter das festgesetzte Maß überschreitet.

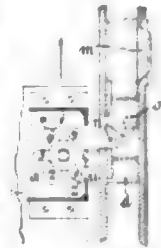
Kl. 29. Nr. 117988. Weichmachen von Faserstoffen. H. H. Benn, Prerau. Die Faserstoffe werden in einer auf Reibrollen e rollenden Trommel a von der frei in a beweglichen schweren Walze c durchgearbeitet.



Kl. 46. Nr. 118947. Regelungsvorrichtung. A. Ruhl, Verviers (Belgien). Die Dauer der Eröffnung der Auspuffventile v und somit die Größe der folgenden Ladung und die Maschinengeschwindigkeit kann durch Verstellen einer Scheibe s geregelt werden, die auf der halb so schnell als die Hauptwelle w umlaufenden Stenervelle m_1 sitzt und zwei von Zahnrädern r, r_1, r_2 angetriebene, durch Kurbelvierecke k, k_1 auf c, c_1 wirkende Nockenscheiben a, a_1 trägt.

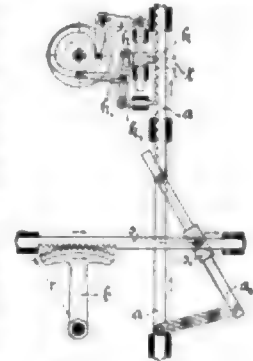


Kl. 34. Nr. 117819. Schachthüröffner an Personenaufzügen. J. Goddard, Bardsley (Engl.). Eine am Fahrstuhl c vor Abfahrt eingestellte Dammenscheibe a trifft beim Vorbeifahren an den Schachthüren mit ihren schmalen Daumen $s, 2, 1$ auf Anschläge m und wird dadurch jedesmal um eine Teilung gedreht, bis vor der richtigen Thür der breitere Daumen o sich auf der Kante d des unten schmalen Schlitzes u fängt und die Thür d hebt. Bei der Abfahrt kommt die Rolle o in die Vertiefung m , und die Thür fällt zurück. Bei der Niederfahrt des Fahrstuhles wirkt eine ähnliche Vorrichtung auf das Gegengewicht der Thür.

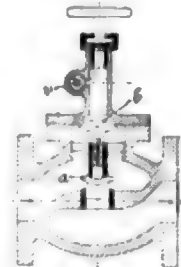


Kl. 46. Nr. 117838. Geheiztes Auspuff- oder Kinsaugventil. R. Pawlikowski, Görlitz. Das Kühlwasser wird durch ein frei in der hohlen Ventilschraube a bis nahe an den Ventilteller emporgeführtes Rohr r zu- und durch den Ringraum in e abgeleitet, sodass nirgends Reibung und Abnutzung entsteht; damit die hohle Spindel s nicht entleert wird, reicht sie unter einen Wasserspiegel u . Zur Luftkühlung wird r an die Saugleitung der Gasmachine angeschlossen, sodass die erhitzte Luft dicht am Ventilteller abgesaugt wird.

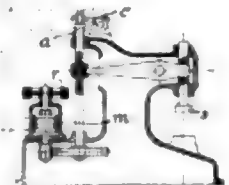
Kl. 47. Nr. 117884. Zahnschaltwerk für Kreisteilung. Siemens & Halske A.G., Berlin. Das für eine Zahnzahl zu teilende Stück (Ankerblech) von mehreren Metern Durchmesser wird mit dem im Teilkreise r beliebig gestellten Zahnbogen b verbunden, und die in b eingreifende Zahnstange s wird abseitsweise durch ein stellbares Kegelgetriebe aa, s_1, s_2 bewegt, dessen Glied a als Zahnstange mit der Teilung t durch ein von Hebeln A, B zwangsläufig angetriebenes Schaltwerk akt verschoben wird.



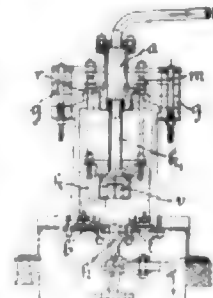
Kl. 47. Nr. 118998. Schnellschließventil. O. Bohlbeck Nachf., Magdeburg-Buckau. Mit dem Absperrventil a ist ein größeres, gegenströmiges Ventil b verbunden, und ein über b befindlicher Hohlraum kann durch ein kleines Doppelkegelventil entweder mit der Außenluft oder dem Hochdruckraum verbunden werden. Im ersteren Falle hält der Druck auf b die Leitung offen, im letzteren Falle wird b entlastet und a sofort geschlossen. Stellt man jetzt v wieder um, so entweicht nur ein Dampfstrahl, aber a bleibt geschlossen, bis man durch Auseinanderschrauben beide Ventile a, b schließt, dann den Druck über b ablassen lässt und nun a öffnet.



Kl. 38. Nr. 117087. Elektrische Presse. O. Kammerer, Charlottenburg. Der mit einem Schwungrad r angetriebene Elektromotor m bleibt stets mit dem Stempel s in zwangsläufiger Verbindung und glebt während eines abgemessenen Leerlaufes Arbeit an das Schwungrad ab, worauf der Strom selbsttätig unterbrochen und der letzte Teil der Pressarbeit vom Schwungrade allein geleistet wird. Zur Stromunterbrechung ist in das Triebwerk eine Feder a eingeschaltet, die den Kontakt c anhebt, sobald der Presswiderstand sich einer für den Elektromotor schädlichen Größe nähert.



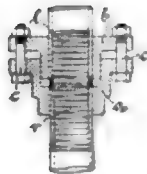
Kl. 39. Nr. 118877. Erzeugung von Pressdruck. Horach, Eberswalde. So lange die Druckwasserpresse oder das einem Probedruck zu unterwerfende Gefäß nicht ganz gefüllt ist, fließt das Niederdruckwasser (einer gewöhnlichen Wasserleitung) von A durch v, k_1, c ungehindert zur Druckstelle, indem ein Dichtungswing t , angedrückt durch eine abgemessene Belastung g , den Druck von der Unterfläche des Kolbens c abhält; sobald aber das Wasser in s zur Ruhe kommt und das Kolbenventil v sich schließt, wird k mit t vom Zylinderboden b abgehoben, und der Stufenkolben kk_1 erzeugt in a Hochdruck. Elastische Ringe r und stellbare Muttern m gestatten, den auf den Ring t ausgeübten Dichtungsdruck zu regeln.



Kl. 39. Nr. 117651. Fräser. L. Klaus, Berlin. Zum Vor- und Rückwärtsarbeiten sind die Präszähne g mit cylindrischen Köpfen g_1 versehen, die in Aussparungen f_1 der Fräserbüchse f sitzen und von zwei Deckscheiben a, b so gehalten werden, dass sie an einer der Anschlagflächen f_2, f_3 liegen bleiben; die Scheiben a, b erleichtern die Auswechslung. In einer Abänderung (Nebenfigur) werden die Anschlagflächen durch vorstehende Kreis-ausschnitte g_2 an g_1 und durch passende Aussparungen in a, b gebildet, wobei der Drehpunkt nahe an den Umfang von f gelegt werden kann.

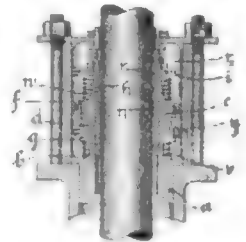


Kl. 47. Nr. 117991. Rollenlager. J. Post, Hamburg. Die Führungsringe zum Abstreifen der Rollen a sind aus einzelnen durch Querstifte d verbundenen Bogenstücken c, c (am besten für je zwei Rollen) zusammengesetzt, so dass man jedes Bogenpaar mit den Rollen herausnehmen und ausbessern oder auswechseln kann.

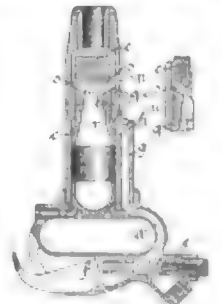


Kl. 47. Nr. 117543. Zweiteilige Bohrmuffe. F. Kaefert, Hannover. Der Muffenteil a hat Rechte-, b hat Linksgewinde; beide Teile sind durch Bolzen c verbunden. Dreht man abc als Ganzes linksrum, so werden die Rohrenden r, l zur Abdichtung an einander gedrückt. Nimmt man die Bolzen c heraus, so lässt sich a durch Linksdrehen so weit auf r schrauben, dass man die Rohrenden durch seitliche Verschiebung aus einander nehmen kann.

Kl. 47. Nr. 117419. Stopfbüchse. H. Grofskraumbach, Rheydt (Bez. Düsseldorf). Die geteilten und an den Teilstellen dichtend über einander greifenden kegelförmigen Dichtungsringe d, e , die in der Längsrichtung unter dem Drucke von Federn v, w stehen, werden auch durch radial gerichtete Federn g mittels hohlkegelförmiger Ringe g, f gegen die Kolbenstange gedrückt und sind mit Schmiermitten s versehen, in die das Schmiermittel aus Ringräumen r, r eindringt. Die Stützringe b und h der Federn v, w sind gegen den Fufßring a bzw. gegen e mit Kugelflächen versehen.



Kl. 57. Nr. 117560. Steuerung für Drucklufthammer. Ch. H. Johnson, Chicago Heights (Cook, Illinois, V. S. A.). Die beim Druck auf den Hebel f durch den Kolbenschieber s und den Kanal dga in den Ringraum g eingelassene Druckluft treibt den Stufenkolben c zurück, bis sie durch die Bohrung t und Kolbenhöhhlung r oder durch u, s, r (Nebenfigur) auch auf die Rückseite von c gelangen kann, um den Kolben zu verzögern; t oder u sind jedoch so eng bemessen, dass der Kolben nicht eher in seinem Rückhube gehemmt wird, als bis s vor b gekommen ist und die Druckluft durch hqr voll auf die Rückseite strömen kann. Beim Vorwärtshube von c strömt Druckluft durch t oder u noch weiter hinter den Kolben, um den Schlag zu verstärken, worauf s auf den Auspuß p trifft und das Spiel von neuem beginnt.



Angelegenheiten des Vereines.

Beschlüsse der XXXXII. Hauptversammlung des Vereines deutscher Ingenieure

am 11. Juni 1901 in Kiel.

(Die fortlaufenden Nummern und Titel entsprechen der Tagesordnung der XXXXII Hauptversammlung.)

1) Eröffnung durch den Vorsitzenden.
Kein Beschluss.

2) Geschäftsbericht des Direktors.
Kein Beschluss.

3) Vorträge.
Kein Beschluss.

4) Rechnung des Jahres 1900.

Die Rechnung wird aufgrund des Berichtes der Rechnungsprüfer genehmigt und dem Vorstände sowie dem Vereinsdirektor Entlastung erteilt.

5) Wahl des Vorsitzenden für die Jahre 1902 und 1903.
Zum Vorsitzenden wird Hr. Generaldirektor W. v. Oechelhäuser-Dessau gewählt.

6) Wahl zweier Rechnungsprüfer und ihrer Stellvertreter für die Rechnung des Jahres 1901.

Es werden gewählt: zu Rechnungsprüfern die Herren Bolze-Mannheim und Taake-Hannover, zu deren Stellvertretern die Herren Rein-Bielefeld und Reufs-Halle a/S.

7) Hilfskasse für deutsche Ingenieure.
Kein Beschluss.

8) Verleihung der Grashof-Denk Münze.

Die Hauptversammlung beschließt, die Grashof-Denk Münze dem Hrn. Justus Flohr, Direktor der Maschinenbau-A.-G. Vulcan in Stettin zu verleihen.

9) Berichte des Vorstandes.
Kein Beschluss.

10) Antrag des Vorstandes zu § 14 und 17 des Statuts.

Der Antrag ist vom Vorstand zurückgezogen worden.

11) Antrag des Hamburger Bezirksvereines.

Der Antrag ist in folgender Wortfassung angenommen worden:

»Diejenigen Beschlüsse des Vorstandes, welche als Anträge zur weiteren Beschlussfassung der Hauptversammlung vorgelegt werden sollen, sind, wenn möglich, sofort zu vervielfältigen und vor der zur Beschlussfassung bestimmten Sitzung an die anwesenden Mitglieder zu verteilen.«

12) Antrag des Hannoverschen Bezirksvereines.

Der Antrag ist von den Vertretern des Hannoverschen Bezirksvereines zurückgezogen worden.

13) Antrag des Pfalz-Saarbrücker Bezirksvereines.

Der Antrag ist in folgender Fassung angenommen worden:

»Die Redaktion der Zeitschrift wird beauftragt, den Unfallverhütungs-Vorrichtungen ihre Aufmerksamkeit zu widmen.«

14) Ort der nächsten Hauptversammlung.

Die Einladung des Niederrheinischen Bezirksvereines, die 43. Hauptversammlung in Düsseldorf abzuhalten, wird angenommen.

15) Haushaltsplan für 1902.

Der vom Vorstand vorgelegte Haushaltsplan wird mit der Aenderung genehmigt, dass in Ausgabe für die Hauptversammlung statt 8000 \mathcal{M} 13000 \mathcal{M} eingesetzt werden. Infolgedessen schließt der Haushaltsplan mit 930 600 \mathcal{M} in Einnahme und 838 200 \mathcal{M} in Ausgabe ab.

16) Verschiedene Vereinsangelegenheiten.

Als Beitrag zu der vom kgl. preussischen Ministerium der Unterrichts- usw. Angelegenheiten errichteten Zentralstelle für Wasserversorgung und Abwasserbeseitigung werden für das laufende Jahr 2000 \mathcal{M} aus den Betriebsmitteln bewilligt.

sorgt dabei eine nach dem Fluss zurückführende, in der Mitte der Kanalsohle angelegte Ablaufrinne, s. Fig. 1. Die Anlage eines Leerlaufes konnte umgangen werden, da das durchgehende Wasser ausschließlich für die Turbinenanlage

dlent und die Wehranlage den Ablass des Wassers im Kanal gestattet. Umsomehr Sorgfalt musste aber darauf gerichtet werden, Eis vom Kanal völlig fernzuhalten. Zu diesem Zwecke sind am Kanaleingang vier eiserne Böcke eingelassen, an die eine schwimmende Eisabweisvorrichtung angehängt werden kann. Vor dem Einflusse in die Turbinenkammern durchströmt das Wasser einen sich über die ganze Kanalbreite erstreckenden, an das Turbinenhaus angebauten Rechen.

Fig. 5 bis 9 auf S. 940 u. 941 geben das quer über den Kanal gebaute Haus wieder. Es enthält fünf Turbinenkammern, von denen zur Zeit vier ausgebaut sind, welche durch je zwei Drehtore abgeschlossen werden können.

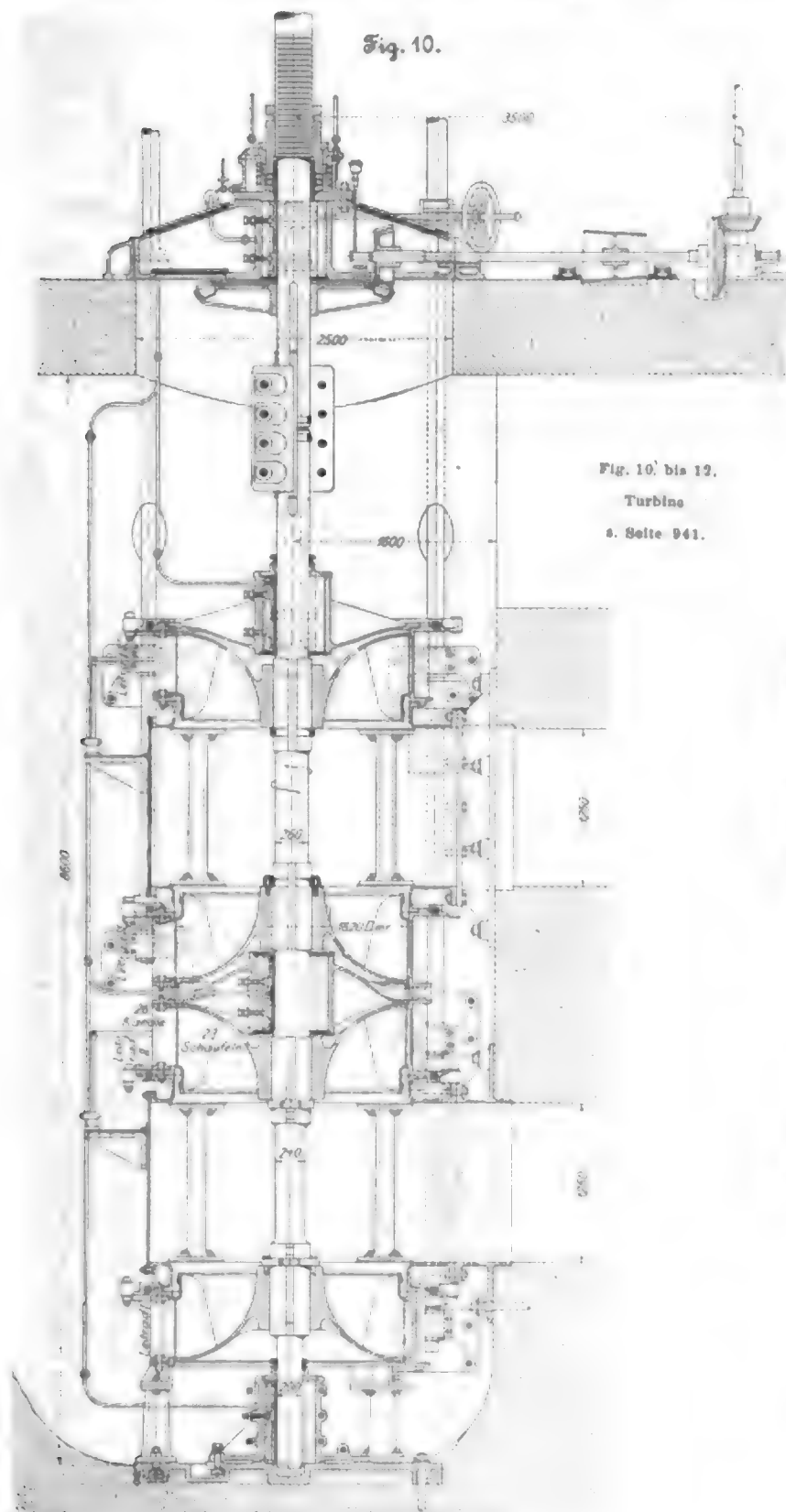


Fig. 10' bis 12.
Turbine
s. Seite 941.

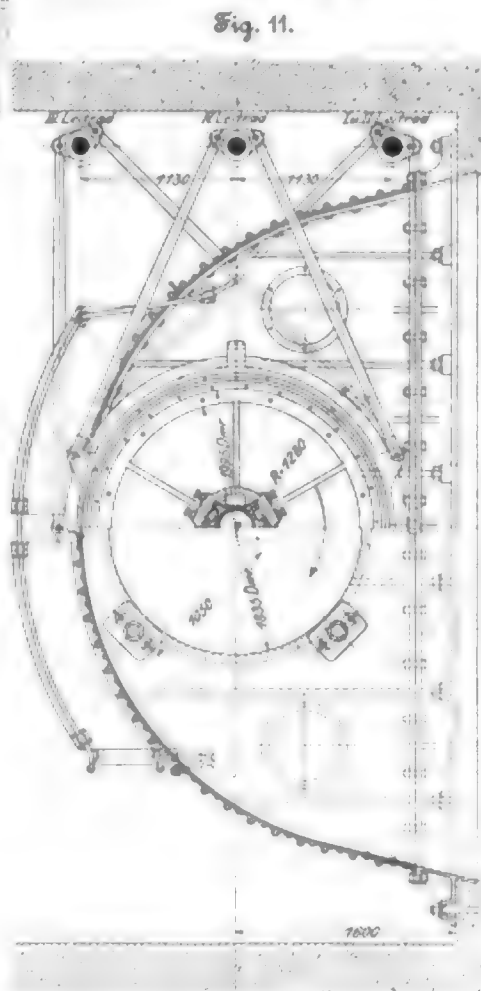
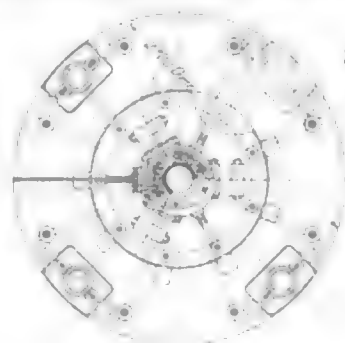


Fig. 12.



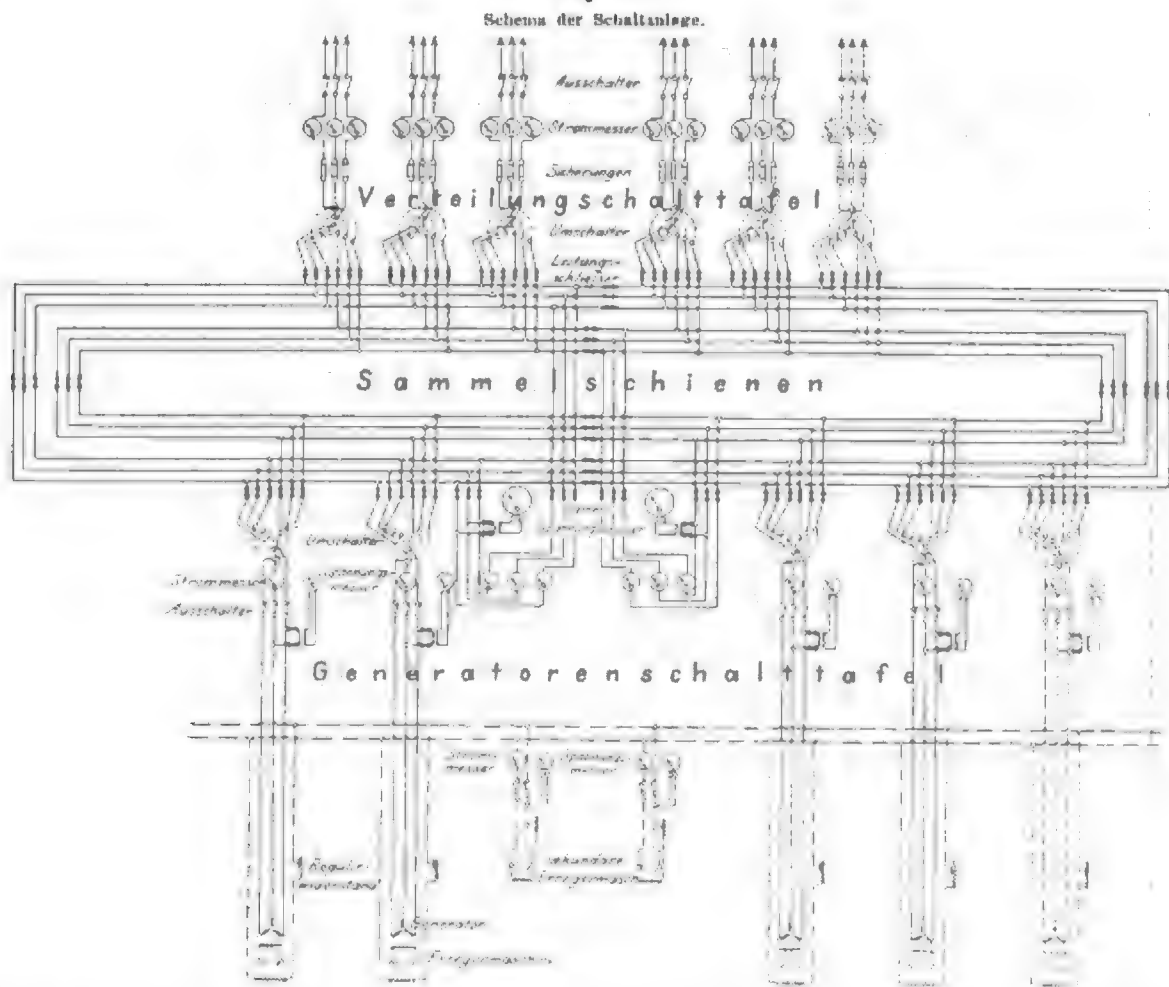




an vier geeignet gewählten Punkten geöffnet werden können. Jeder Generator sowohl als auch jede aus dem Maschinenhause führende Verteilleitung kann durch Umschalter auf das eine oder andere Sammelsystem geschaltet werden. Es besteht also die Möglichkeit, den gesamten Betrieb einheitlich von einem Sammelsystem aus zu führen, auf welches alsdann alle Generatoren und Verteilleitungen geschaltet werden. Der Betrieb kann aber auch jederzeit auf zwei von einander völlig unabhängige, in ihrer Zusammensetzung beliebig zu wählende Gruppen für getrennten Licht- und Kraftbetrieb verteilt werden. Auf diese Weise ist den mannigfaltigsten Betriebsverhältnissen Rechnung getragen und für einen ununterbrochenen, von Störungen im Maschinenhause unabhängigen Betrieb gesorgt. Die Energie wird mit der in den Generatoren erzeugten Spannung von 8000 V unmittelbar in die Ver-

Phasensysteme und einen Phasenspannungsmesser, die mittels Umschalters an das eine oder andere Sammelsystem angelegt werden können. Unterhalb dieser Vorrichtungen befinden sich noch auf diesen Generatorfeldern je ein Ausschalter und ein Handrad für den Regulirwiderstand, der den Magnetspulen der betreffenden Erregermaschine vorgeschaltet ist. Diese Handräder können von den einzelnen Feldern entweder für sich gehandhabt oder durch Kuppelvorrichtungen bei jedem Generator je nach der Gruppierung der Maschinen mit dem einen oder andern der auf den beiden mittleren Feldern angebrachten größeren Handräder gekuppelt werden. Die mittleren Felder tragen die Geräte, durch welche die insgesamt von den Generatoren den beiden Sammelsystemen zugeführte Energie gemessen wird. Je drei Strommesser sind hier um einen Sammelspannungsmesser gruppiert, der die Sam-

Fig. 17.



teileitungen gesandt; dementsprechend gestaltet sich die Anlage der Schalttafeln einfach. Sowohl für die Zuführung der Energie von den Generatoren, als auch für die Abnahme der Energie durch die Verteilleitungen ist je eine besondere Schalttafel errichtet worden. Letztere ist hinter der ersteren angeordnet, Fig. 16. Sie trägt die für die Zuführungen von den Generatoren erforderlichen Schalteinrichtungen und Messgeräte und besteht aus 8 Feldern, von denen je 3 auf beiden Seiten für die Aufnahme der für die einzelnen Generatoren erforderlichen Geräte bestimmt sind. Jedes dieser Felder — zurzeit sind vier ausgebaut — trägt zwei Schalter für Ein- und Ausschalten bzw. Umschalten des betreffenden Generators auf das eine oder andere der beiden Sammelsysteme, einen Spannungs- und einen Strommesser, eine

metallischen Spannung des einen oder andern Systems anzeigt. Außerdem tragen diese Sammelfelder noch die Schalter, Regulirwiderstände, Spannungs- und Strommesser der beiden den Strom für die Magnetwicklung der Erregermaschinen liefernden Nebenschlussmaschinen. Es kann also von diesen beiden Mittelfeldern aus die Netzspannung beider Systeme durch Aenderung der Spannung an den Klemmen dieser sekundären Erregermaschinen reguliert werden, während die Spannung eines einzelnen Generators an dem betreffenden Felde durch Aenderung der Erregung seiner Erregermaschine geändert werden kann.

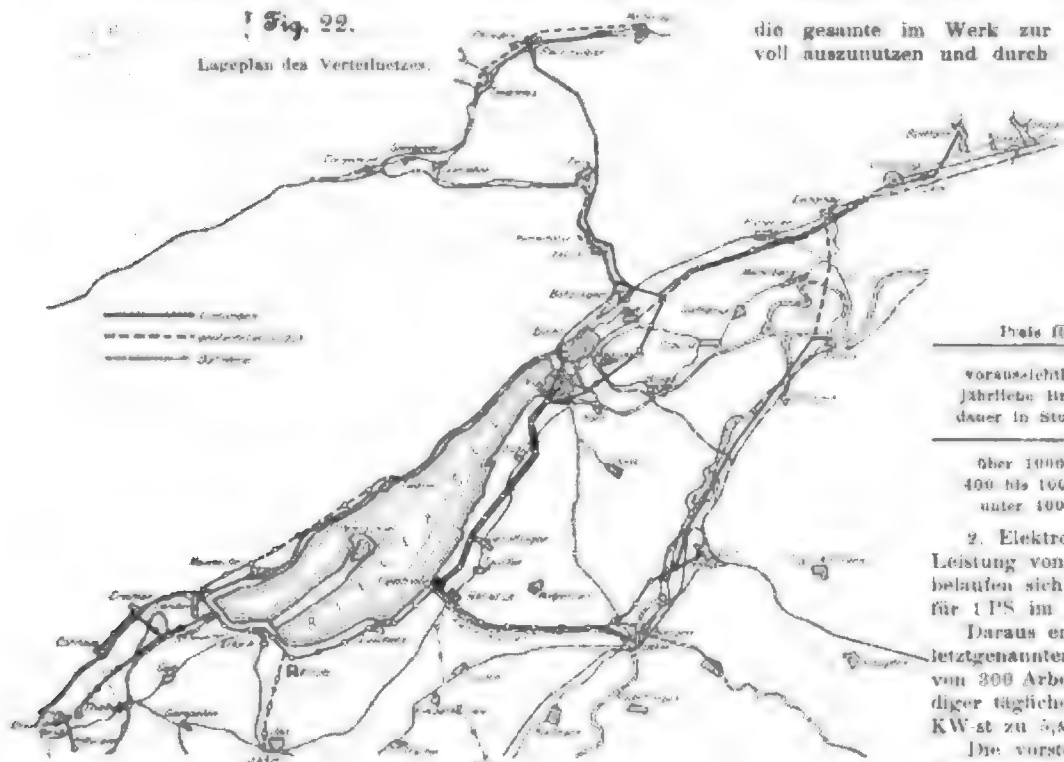
Auf der zweiten Schalttafel, die aus 7 Feldern besteht, sind die Schalter für Ein- und Ausschalten sowie für Umschalten der 5 von dem Maschinenhause ausgehenden





Fig. 22.

Lageplan des Verteilnetzes.



besondere, aus drei Drähten bestehende Leitung von dem Maschinenhause über drei Einphasentransformatoren aufnehmen kann. Auf diese Weise ist die Möglichkeit geboten, stets

die gesamte im Werk zur Verfügung stehende Energie voll auszunutzen und durch Entlastung dieses Leitstranges jederzeit eine dem jeweiligen Bedarf genau angepasste Reserve zu schaffen.

Licht und Kraft werden zu folgenden Preisen von dem Werke abgegeben:

1. Beleuchtung.

Preis für 1 Lampe im Jahre in frs.

voraussichtliche jährliche Brenndauer in Stunden	Leuchtkraft in NK			
	10	16	25	32
über 1000	18,50	21	33	42
400 bis 1000	10,50	16	25	32
unter 400	7	10,50	16,50	21

2. Elektromotoren. Die Preise für eine Leistung von $\frac{1}{10}$ 1 10 100 PS belaufen sich auf 270 210 185 145 frs. für 1 PS im Jahre.

Daraus ergibt sich bei einem Motor der letztgenannten Größe unter der Annahme von 300 Arbeitstagen pro Jahr und 11stündiger täglicher Arbeitszeit der Preis für die KW-st zu 3,3 Cts.

Die vorstehenden Preise erfahren eine Ermäßigung von 30 vH für solche Motoren, welche nur außerhalb der Beleuchtungszeit betrieben werden. Außerdem werden von Fall zu Fall unter Berücksichtigung der Verhältnisse besondere Vergünstigungen gewährt.

Der Dortmund-Ems-Kanal.

Die Betriebseinrichtungen des Dortmunder Hafens.

Von Dr. H. Hoffmann, Ingenieur, Bochum.

Der Dortmund-Ems-Kanal ist in dieser Zeitschrift bereits ausführlich behandelt. Die Bedeutung der neuen Wasserstraße für den Verkehr, der Wert einer Schiffsverbindung zwischen der Nordsee und dem Herzen der westfälischen Industrie, der Stadt Dortmund, ist gewürdigt worden. Der Bau des Kanals, seine Linienführung, die Ausgestaltung seiner Endglieder: des Dortmunder und des Emdener Hafens, vor allem aber das großartigste und interessanteste Bauwerk auf der Strecke, das Henrichenburger Schiffshebewerk, sind eingehend dargestellt¹⁾.

Den Gegenstand dieses Aufsatzes sollen die Betriebseinrichtungen des Dortmunder Hafens bilden; insbesondere soll auf den maschinellen Teil eingegangen werden²⁾. Des inneren Zusammenhanges wegen seien jedoch einige einleitende Worte über die Gesamtanordnung der Hafenanlagen und die bei ihrem Entwurf maßgebenden Gesichtspunkte vorausgeschickt³⁾.

Nachdem die Vorlage für den Bau des Dortmund-Ems-Kanals am 9. Juli 1886 Gesetzeskraft erhalten hatte, traten die städtischen Behörden Dortmunds auf der durch das Gesetz geschaffenen Grundlage in nähere Erwägungen über den Bau des Hafens ein, als deren Frucht der Staatsbauverwaltung

im Jahre 1890 ein vorläufiger Plan für die Hafenanlage vorgelegt wurde. Kennzeichnend für den Entwurf war, dass die Erweiterungsfähigkeit der Hafenanlagen in größtmögtem Maße vorgesehen war, wenn der Hafen auch von vornherein nur dem ersten Bedürfnis entsprechend ausgestaltet werden sollte. Es geschah dies aufgrund der häufig gemachten Erfahrung, dass die Entwicklung des Verkehrs vielfach unterschätzt wird. Im besonderen war ferner der Gesichtspunkt maßgebend, dass mit einer zukünftigen Verbindung des Dortmund-Ems-Kanals mit dem Rhein und der Elbe gerechnet werden musste, ein Gesichtspunkt, der auch später für die Vergrößerung des Kanalquerschnittes über die ursprünglich vorgesehenen Maße von 16 m Sohlenbreite und 2 m Tiefe auf 18 m Sohlenbreite und 2,5 m Tiefe bestimmend war. Dieser erste Hafenentwurf bildete die Grundlage für die näheren Verhandlungen zwischen Stadt und Staat. Finanzielle Rücksichten gaben später Anlass, diesen Entwurf nach den von dem damaligen Wasserbauinspektor Mathies in einer Denkschrift über den Hafen zu Dortmund (1893) entwickelten Gesichtspunkten umzuarbeiten. Durch eine gewisse Einschränkung des ursprünglichen Entwurfes und eine kleine örtliche Verschiebung wurden die Kosten des Anschlages wesentlich vermindert. Der endgültige Kostenanschlag (1895) belief sich auf 5500000 M., wozu die Kosten des Grunderwerbes für die spätere Erweiterung des Hafens mit 1250000 M. traten. Der Beitrag des Staates belief sich auf 1325000 M., die für diese Strecke durch das Kanalgesetz zur Verfügung gestellt waren. Den Bau, den Betrieb und die Verwaltung übernahm aufgrund des zwischen Stadt und Staat 1896 geschlossenen Vertrages die Stadt Dortmund allein, während der Staat an dem Reingewinn und dem Eigentumsrecht des Hafens in Gemäßheit seines Beitrages teilnimmt.

Der Bau des Hafens begann Ende 1895 und wurde mit

¹⁾ Z. 1899 S. 941 und 946.

²⁾ Bei der Besichtigung und dem Studium dieser Anlagen wurde der Verfasser von Hrn. Regierungs- und Baurat Mathies und von dessen Vertreter, Hrn. Ingenieur Lonken, aufs bereitwilligste unterstützt, wofür diesen Herren verbindlicher Dank gesagt sei. In gleicher Weise gebührt den beteiligten Maschinenfabriken Dank für die Ueberlassung der zeichnerischen Unterlagen.

³⁾ Eine ausführliche Darstellung der Baugeschichte und der Bauausführung des Dortmunder Hafens giebt die groß angelegte, mit reichem bildlichem Schmuck ausgestattete Denkschrift: »Der Hafen von Dortmund«, die von dem Erbauer des Hafens, Regierungs- und Baurat Mathies, verfasst ist.

aller Macht so schnell gefördert, dass der Hafen bereits im Frühjahr 1898 bis auf Nebenanlagen fertig gestellt war. Im März 1899 wurde der erste Frachtdampfer im Hafen gelöscht. Die feierliche Einweihung des Bauwerks durch den Kaiser im Juli 1899 ist noch in aller Gedächtnis.

Die Gesamtanordnung des Hafens geht aus dem Lageplan, Fig. 1, hervor. Der Hafen liegt im Nordwesten der Stadt. Er umfasst ein Gebiet von 152,47 ha; hierin ist das für die

ringer Gefahr für die Umgebung größere Mengen von Petroleum in Tanks aufzuspeichern. Um den Leinenzug am Ufer nicht zu unterbrechen und im Falle eines Brandes dem ausfließenden sich über die Oberfläche verbreitenden Petroleum den Ausweg zu versperren, ist die 14 m breite Einfahrt des Petroleumhafens durch eine schwimmende Pontonbrücke mit Laufstege verschlossen. Das Ponton ist ein hohler eiserner Schiffkörper von 15,1 m Länge, 1,61 m Breite und 0,96 m

Höhe. Die Dichtungsflächen des Pontons sind ebenso wie die der Pfeiler, gegen die es sich legt, mit Holz bekleidet. Besondere Verschlussvorrichtungen ermöglichen eine gewisse Beweglichkeit des Pontons in senkrechter Richtung, ohne die Dichtigkeit zu gefährden. Zum Schutz gegen Erhitzung im Falle eines Brandes sind die Seitenwandungen und die Oberfläche des Pontons mit feuerfesten Steinen bekleidet.

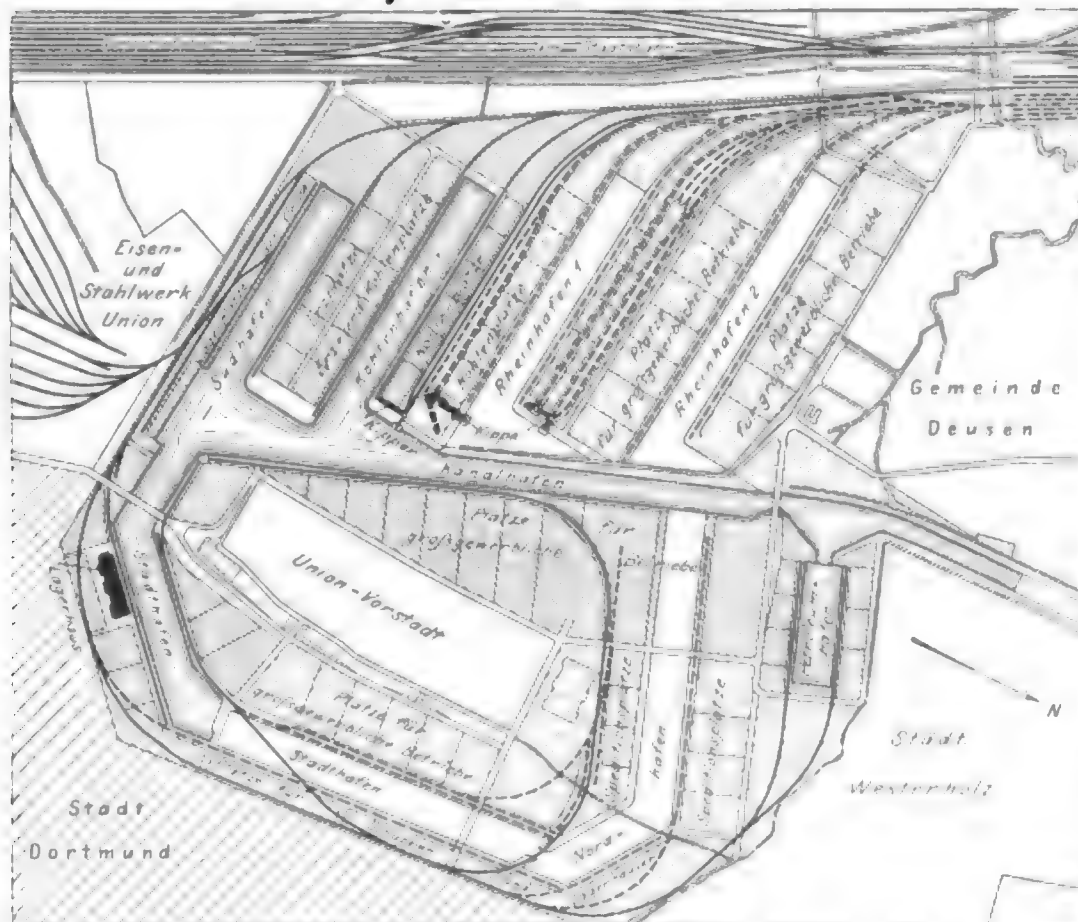
Der sich an den Petroleumhafen anschließende Kanalhafen hat 45 m Breite bei 1100 m Länge; an seinem östlichen Ufer ist eine Reihe von Schiffullagestellen mit anschließenden Plätzen für großgewerbliche Betriebe geschaffen.

Das südliche 658 m lange Ufer des Südhafens wird auf 520 m Länge von dem Eisen- und Stahlwerk Union zum Betriebe einer Schiffsverft, zum Verladen der auf dem Werk hergestell-

ten Erzeugnisse sowie als Lagerplatz für Erze in Anspruch genommen. Der Erzlagerplatz wird durch eine elektrisch betriebene Ladebrücke beherrscht. Das nördliche Ufer ist zum Ausladen und Lagern von Erzen für andere Hochöfen bestimmt; hier ist ein fahrbarer Dampfdrehkran von 4 t Tragfähigkeit aufgestellt.

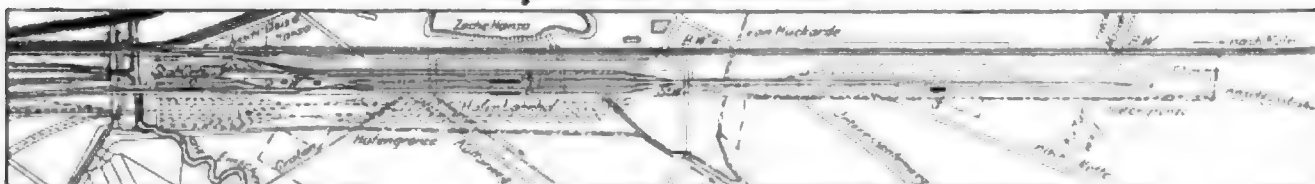
Die beiden Ufer des Kohlenhafens dienen vor allem für den Umschlag und das Lagern von Kohlen; doch wird

Fig. 1. Lageplan des Dortmunder Hafens.



Erweiterung vorgesehene Gebiet mit einbegriffen. (Die geplanten Neuanlagen sind in der Figur durch eine andere Schraffur gekennzeichnet.) Zurzeit sind für Hafenzwecke etwa 72 ha in Anspruch genommen. Das Hafenbecken erfüllt in den im Zuge des Kanales liegenden »Kanalhafen« und eine Reihe von Steilhäfen. Unmittelbar hinter dem Westerholz erweitert sich das normale Kanalprofil zu der zugleich als Schifswendeplatz dienenden Einfahrt für den »Petroleum-

Fig. 2. Gleisplan des Hafenbahnhofes.



hafen«. Vom Kanalhafen zweigen westlich der »Kohlenhafen« und der »Stüdhafen« ab, östlich der »Stadthafen«. Geplant sind die »Rheinhafen 1 und 2«, die Verlängerung des Stadthafens und der »Nordhafen«.

Der Petroleumhafen, der eine Länge von 205 m hat, ist soweit als möglich von allen andern Hafenbecken und der Stadt entfernt, um im Falle eines Brandes die Stadt und die Schiffe möglichst wenig zu gefährden. An seinen Ufern werden feuergefährliche Güter aller Art behandelt, und es sind deshalb Vorkehrungen getroffen, um mit möglichst ge-

das südliche Ufer bei eintretendem Bedürfnis auch zum Umladen von Erzen benutzt. Am Kopfende des nördlichen Ufers des Kohlenhafens ist eine hydraulische Kohlenkippe aufgestellt.

Der Umschlag der wertvollen Stückgüter und der Güter, die einer Abfertigung durch die Zollbehörde bedürftig, vollzieht sich am Stadthafen, der durch die Stadthafenbrücke überbrückt ist. Am südöstlichen Ufer des Stadthafens ist ein großes Lagerhaus erbaut. Für die Errichtung weiterer Lagerhäuser sind ausschließlich das südöstliche und das östliche

Ufer in Aussicht genommen, die daher in ihrer ganzen Ausdehnung mit einer senkrechten Ufermauer eingefasst sind. Um den Güterverkehr schnell bewältigen zu können, sind am Stadthafen zwei elektrisch betriebene Vollportalkrane aufgestellt; das Lagerhaus selbst ist mit elektrisch betriebenen Aufzügen und Wandkränen ausgerüstet.

Nachdem hiermit ein Ueberblick über Lage und Bestimmung der einzelnen Hafenbecken gegeben ist, sei nun näher auf die Betriebseinrichtungen selbst eingegangen. Was Umfang und Art der Neuanlagen anlangt, so war der ausführenden Baubehörde von vornherein klar, dass es, um den Verkehr aus seinen alten Bahnen zu lenken und ihn der neuen Wasserstraße, insbesondere dem Dortmunder Hafen, dauernd zu erhalten, nötig war, in weitgehendem Maße für eine schnelle und glatte Abwicklung des Lössch- und Ladegeschäftes Vor- sorge zu treffen.

Eines der wichtigsten Glieder der Betriebseinrichtungen bildet die Eisenbahnanlage. Der Staatsbahn steht als Inhaberin des Eisenbahnan schlusses die Hafenverwaltung gegenüber. Die von der Staatsbahn gewährte, meist nur knapp bemessene Friat für die Rückgabe der Wagen muss sie den Mietern der Hafenplätze in möglichst vollem Umfange zur Verfügung stellen; sie muss daher in der Lage sein, die ihr ungeordnet übergebenen Wagen auf schnellstem Wege nach Hafenbecken und Ladestellen zu ordnen und umgekehrt die vom Hafen abgeholten Wagen für die Staatsbahn nach 2 Haupt richtungen und nach beladenen und leeren Wagen geordnet aufzustellen. Diesem Austausch der Wagen zwischen der Staatsbahn und dem Hafen dient der Hafenbahnhof, der sich in der nördlichen Verlängerung des Verschlebebahnhofes Dortmund (Köln-Minden) an das

Fig. 3. Plan des

Netz der Staatsbahn anschließt. Der Gleisplan des Hafenbahnhofes ist in Fig. 2 dargestellt. Für die Uebergabe der ankommenden und abgehenden Züge dient die Gleisanlage *a*, bestehend aus 3 Gleisen von je rd. 520 m nutzbarer Länge; ein viertes Durchfahrtsgleis dient für den Rücklauf der Lokomotiven. Aus der Gleisgruppe *a* werden die Züge durch städtische Lokomotiven in die aus 2 Gleisen von je 465 m nutzbarer Länge bestehende Gruppe *d* vorgezogen. In Gruppe *b*, die 4 Gleise von 374 bis 401 m nutzbarer Länge umfaßt, werden die Wagen nach Hafenbecken, und in Gruppe *c*, die aus 5 Gleisen von 121 bis 133 m nutzbarer Länge besteht, nach Ladestellen geordnet. Zur Verteilung der im Hafenbahnhof geordneten Wagen auf die einzelnen Ladestellen schließt an das Durchfahrtsgleis ein an den Grenzen des Hafengebietes entlang führendes Hauptumfahrgleis an, von dem sämtliche Ladegleise abzweigen, s. Fig. 1. Um die Wagen schnell und sicher ordnen zu können, hat man die beiden Weichen- und Signalgruppen am Anfang und am Ende der Gleisgruppen *a* und *b* in besonderen, aufs zweckmäßigste ausgebildeten Stellwerken vereinigt, die in zwei Stellwerkgebäuden Aufnahme gefunden haben.

Lage der Verbrauchspunkte und dem von vornherein nur gering einschätzenden Bedarf an Energie erschien ihrer leichten Verteilbarkeit wegen die Elektrizität als der geeignetste Träger von Kraft und Licht. Der Strom wird dem städtischen Elektrizitätswerk, das gleichzeitig mit dem Hafen gebaut wurde, entnommen. Das Elektrizitätswerk, in welchem Gleichstrom und Drehstrom erzeugt werden, liegt 3,3 km vom Hafen entfernt. Für das Hafengebiet wird dem Werk ausschließlich Drehstrom von 2800 V Spannung entnommen, der durch zwei dreifachverleite, eisenarmierte Bleikabel von 3×30 bzw. 3×40 mm Kupferquerschnitt einem am Hafen gelegenen Schalt haus zugeführt wird. Vom Schalt haus aus wird der Strom mittels eines unterirdisch verlegten Hochspannungsnetzes verteilt; an den Verbrauchspunkten sind Transformatoren aufgestellt, welche die Spannung auf 120 V oder 220 V erniedrigen. Die Transformatoren sind teils in besondere Häuschen eingebaut, teils innerhalb der Gebäude aufgestellt. Fig. 3 ist ein Plan des Hochspannungs- und Niederspannungsnetzes im Hafengebiet. Die zurzeit verlegten Leitungen reichen für eine gleichzeitige Energieabgabe von rd. 600 PS aus. Zur Beleuchtung des Hafens dienen 36 Wechselstrom-Bogenlampen von 20 Amp Stromstärke und 19 stündiger Brenndauer, die in durchschnittlichen Abständen von 30 m an schmiedeeisernen Gittermasten von 18 m Lichtpunkthöhe aufgehängt sind. Die Lampen liegen einzeln an 120 V Niederspannung; jeder Lampe ist ein Bogenlampentransformator vorgeschaltet, der die Spannung auf etwa 34 V erniedrigt.

Es sei nun näher auf die Einzelausführungen der Betriebseinrichtungen eingegangen.

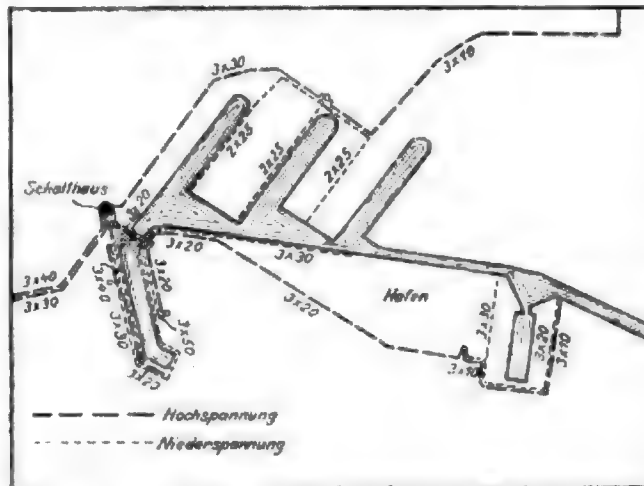
Zum Ueberladen von Kohlen, Koks, Kleinachslag und ähnlichen Gütern aus dem Eisenbahnwagen ins Schiff ist, wie bereits erwähnt, am westlichen Ufer des Kanalhafens, am Eingange zum Kohlenhafen, eine hydraulische Kohlenkippe, Bauart Schmitz-Rohde, aufgestellt, die von der Firma Fried. Krupp Grusonwerk in Magdeburg-Buckau ausgeführt worden ist¹⁾.

Die Kippe besteht im wesentlichen aus einem einseitig waagrecht um eine waagerechte Achse schwingenden Plattform, auf welche die Kohlenwagen gefahren und in ihrer Längsebene gekippt werden, sodass sich ihr Inhalt über Kopf entleert. Die Arbeit der Kippe geht, was besonders

hervorzuheben ist, selbstthätig, ohne Kraftzufuhr von außen, vor sich, sodass für das eigentliche Kippen besondere Betriebskosten nicht erwachsen. Der Klippenanordnung liegt der Gedanke zugrunde, die überschüssende Arbeit, die von dem niedergehenden beladenen Wagen geleistet wird, nicht durch Bremsen abzufangen, sondern in einem Kraftsammler aufzuspeichern, und diese aufgespeicherte Arbeit zu benutzen, um den entleerten Wagen wieder hoch zu bringen. Die Kippe ist für alle Kohlen- und Kokswagen der preussischen Staatsbahnen und der deutschen Reichseisenbahnen von 2,5 bis 4,5 m Achsstand und 10 bis 15 t Ladefähigkeit sowie für alle vorkommenden Bremskonstruktionen eingerichtet. Vorausgesetzt ist, dass die Wagen mit einer beweglichen Kopfwand versehen sind. Alle diese Wagen können ohne weiteres, d. h. ohne dass Aenderungen am Bremsgestänge oder an der Kippe erforderlich würden, gekippt werden.

Anhand der Figuren 4 bis 6 sei auf die Konstruktion der Kippe eingegangen. *A* ist die in Eisenkonstruktion ausgeführte Plattform, die um eine wagerechte, doppelt gelagerte Achse schwingt. Der nach der Wasserseite zu liegende Teil der Plattform, der in einen Rinnenkopf endet, stützt sich auf den Tauchkolben eines schwingenden Druckwassercylinders *B*; auf dem andern Ende der Plattform ist ein Gegengewicht angeordnet. Der Cylinder *B* steht mit einem Gewichtakkumu-

Fig. 3. Plan des Spannungnetzes im Hafen.



¹⁾ Vergl. Z. 1899 S. 279.

form durch den Ueberdruck des Akkumulators von 3 at gehoben wird.

Das Ventil C wird von der Bedienungsbühne neben der Plattform mittels Hebels gesteuert. Von derselben Stelle aus

Fig. 6.

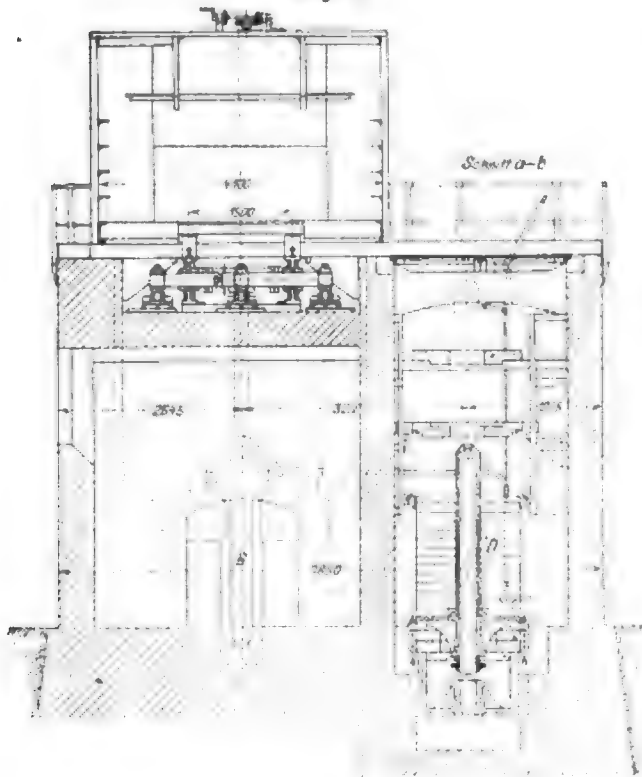


Fig. 7. Erzladebrücke.

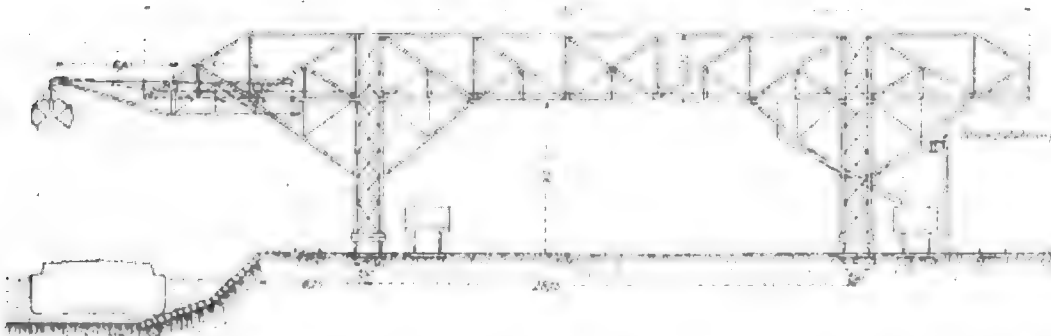


Fig. 8.



wird im Bedarfsfalle ein zweites Ventil, das sogenannte Auslassventil, bethätigt, durch welches das Wasser aus dem Cylinder B frei abgelassen werden kann, wenn das Gewicht der Ladung nicht genügen sollte, den Gegendruck des Akkumulators zu überwinden. Da das statische Moment der Last beim Kippen zunimmt, ist das Ventil sofort zu schließen, wenn die Plattform sich in Bewegung gesetzt hat, um möglichst an Druckwasser zu sparen. Schließend ist noch ein Sicherheitsventil vorhanden, das bei übermäßigem Druck im Cylinder B, veranlasst durch plötzliches Schließen des Steuerventiles, das Druckwasser aus B in den Akkumulator übertreten lässt.

Zum ersten Füllen des Cylinders B, der Leitung und des Akkumulators dient eine Handpumpe, durch die auch das Lackwasser und etwa durch das Auslassventil verlorenes Wasser ersetzt wird. Durch Anwendung einer Mischung von Glycerin und Wasser wird die Kippe auch bei großer Kälte betriebsfähig erhalten.

Zur Bedienung der Kippe gehören 3 Mann. Einer hat seinen Standpunkt auf der Bedienungsbühne neben der Plattform und steuert die Ventile; die beiden andern stehen auf einer kleinen Bühne im oberen Teile des Rinnekopfes und regeln, mit diesem auf- und niedergehend, mittels eines kleinen Windwerkes die Stellung der drehbaren Schüttrinne so, dass die Kohlen auf den gewünschten Platz fallen. Diese drei Mann bringen auch, durch zwei weitere Arbeiter unterstützt, die beladenen Wagen heran, wägen sie und fahren die leeren Kohlenwagen ab.

Ueber die Leistungsfähigkeit der Kippe ist zu bemerken, dass bei 10stündiger Arbeitszeit 120 bis 150 Wagen von 10 bis 15 t Ladefähigkeit gekippt werden können. Ein wesentlicher Vorzug der Kippe ist, dass der Kohlenwagen auf der Plattform frei steht. Es ist dies für die Sicherheit der Bedienung von hohem Wert, da man so die Kopfwände bequem entriegeln kann und die Fangvorrichtung der Beschädigung zugänglich bleibt. Die arbeitenden Teile liegen geschützt innerhalb des Fundamentblockes, aus dem nur die Steuerhebel hervorragen.

Es bedarf noch einiger Worte über das An- und Abfahren der Wagen. Vom Hafenbahnhof, der auf der Höhe der Ufermauer liegt, steigt das Zustellgleis in einer Rampe an, um nach der Kippe zu wieder abzufallen. In der Neigung liegt eine Gleisgabelung, auf der die Kohlenzüge aufgestellt werden, und von wo aus die Wagen einzeln der Kippe zulaufen. Sie überschreiten dabei erst eine Drehscheibe und eine Gleiswage. Die entleerten Wagen werden auf die Drehscheibe zurückgeschoben und auf das ebenfalls abfallende Ablaufgleis gesetzt. Um einzelne Wagen, die nicht zum Absturz gelangen sollen, anzusetzen, ist eine auf gemauerten Pfeilern ruhende »Pfeilerbahn« erbaut, die von der Drehscheibe in senkrechter Richtung abzweigt.

Wie aus dem Lageplan, Fig. 1, ersichtlich, ist Vorsorge getroffen, dass bei eintretendem Bedürfnis weitere Kippen ohne Störung des Betriebes hinzugefügt werden können.

Während die Kohlenkippe ausschließlich für den Gang des Ladegutes aus dem Eisenbahnwagen in das Schiff dient, ist eine zweite Vorrichtung, die ebenfalls schon erwähnte Erzladebrücke des Eisen- und Stahlwerkes Union,

umgekehrt hauptsächlich für die Entnahme der auf dem Wasserwege anlangenden Erze aus dem Schiff und ihre Verteilung auf dem Lagerplatz oder für das Verladen in Eisenbahnwagen bestimmt. Die Brücke, die in Fig. 7 und 8 dargestellt ist, hat eine Tragfähigkeit von 3000 kg und beherrscht den Lagerplatz in seiner ganzen Länge und einer Breite von etwa 40 m. Erbauerin der Brücke, die durch ihre hohen Betriebsgeschwindigkeiten besonderes Interesse erweckt, ist die Benrather Maschinenfabrik A.-G. in Benrath bei Düsseldorf. Die Betriebskraft ist Elektrizität; jedoch wird nicht Drehstrom aus dem Städtischen Elektrizitätswerk, sondern Gleichstrom aus den eigenen Anlagen der Eigentümerin der Brücke, des Stahlwerkes Union, verwendet. Die Brücke besteht aus zwei portalförmigen Pfeilern und dem die Pfeiler verbindenden Trägerriest für die Fahrbahn der Laufkatze. Der Strom wird durch 2 oberirdische blanke Drähte, die an eisernen Masten aufgehängt sind, zugeführt und durch Berührungsrollen abgenommen. Die Triebwerke der Brücke zerfallen in

das Fahrwerk für die ganze Brücke, das Fahrwerk für die Laufkatze und das Hubwerk. Jeder Pfeiler ist mit einem unabhängigen Fahrwerk ausgerüstet, da eine mechanische Kupplung beider Fahrwerke der Abmessungen der Brücke wegen ausgeschlossen war. Die notwendige Übereinstimmung in der Geschwindigkeit beider Fahrwerke bedingte für den Antrieb die Verwendung von Nebenschlussmotoren, deren Umdrehzahl sich genau einstellen lässt und sich bei wechselnder Belastung überhaupt nur innerhalb enger Grenzen ändert. Jeder Motor leistet 13 PS bei 900 Uml./min und treibt die 800 mm großen Laufräder der Pfeiler mittels eines doppelgängigen Schneckentriebes und eines Stirnrädervorgeleges im Gesamtübersetzungsverhältnis von 1:70 an, dem eine Fahrgeschwindigkeit der Brücke von rd. 32 m/min entspricht.

Wesentlich höhere Geschwindigkeiten sind für die Laufkatze, der die eigentliche Arbeit des Transportes zufällt, zugrunde gelegt. Die Laufkatze, die eine langgestreckte Gestalt hat, ist an 4 Laufrollen von

35 pferdigen Hauptstrommotor ebenfalls mit doppelter Stirnräderübersetzung angetrieben. Die Windentrommel misst 400 mm von Mitte Seil zu Mitte Seil, die Hubgeschwindigkeit beträgt 42 m/min. Der tiefste Punkt der Laufkatze liegt rd. 7,5 m über dem Erdboden, sodass Erzberge von annähernd dieser Höhe aufgeschüttet werden können. Der Radstand der Laufkatze beträgt 5 m, sodass sie bei 52,125 m Gesamtlänge der Fahrbahn einen Arbeitsweg von rd. 46,5 m

Fig. 12.

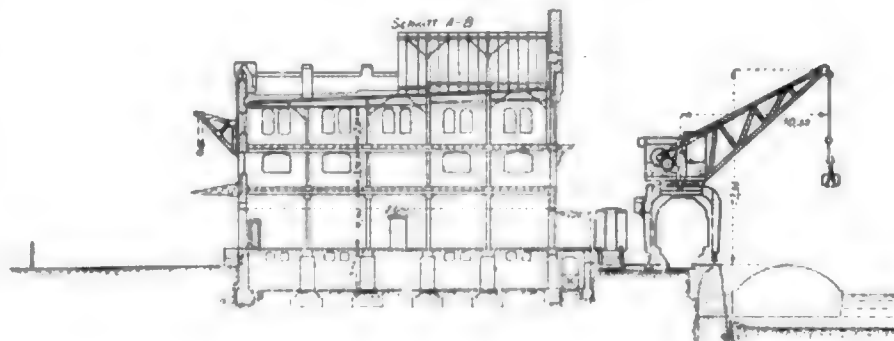
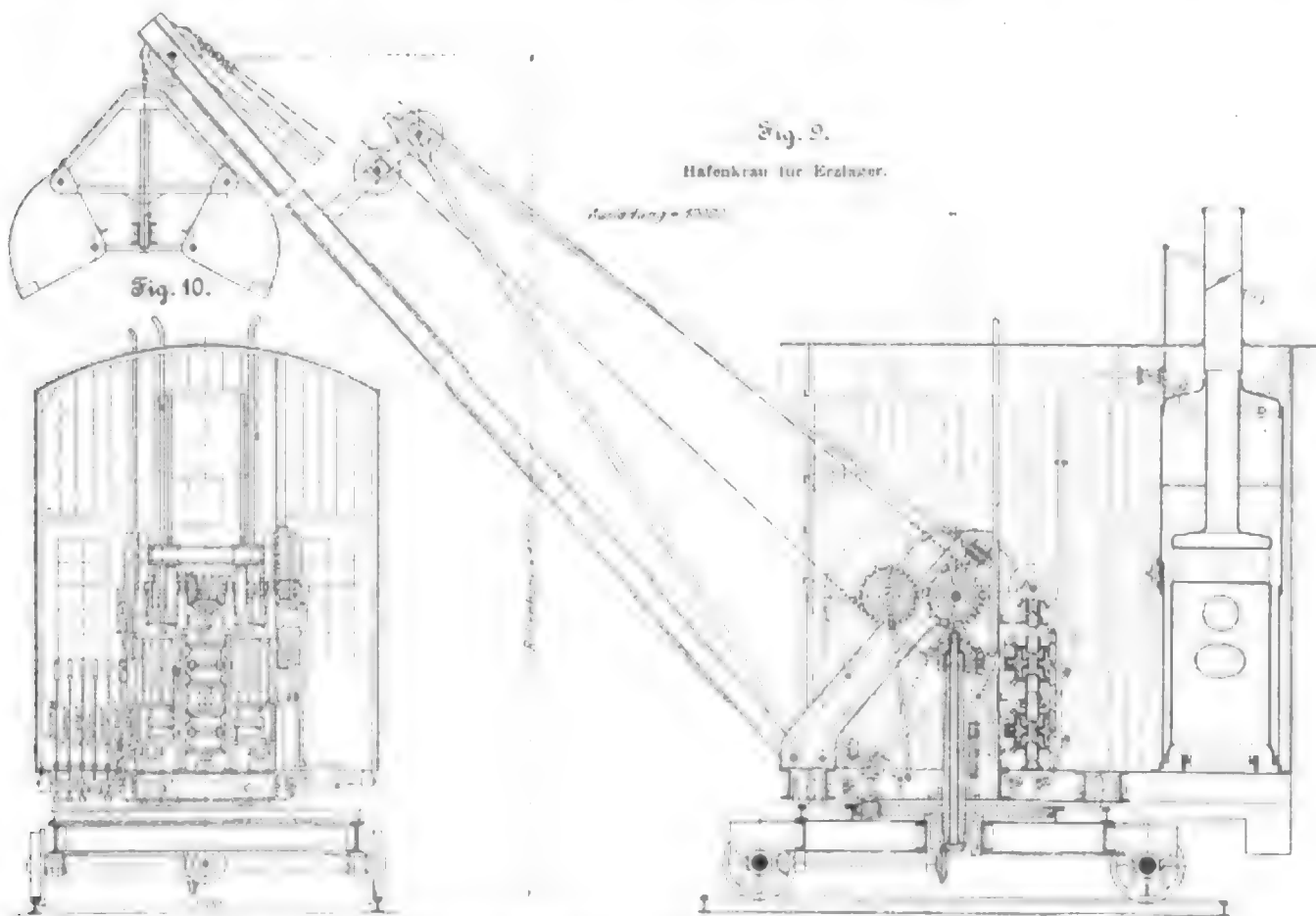


Fig. 9.

Hafenkran für Erzmaterial.

Ausladung = 32,50 m



600 mm Dmr. aufgehängt. In ihrem hinteren Ende, das als Führerhäuschen ausgebildet ist, sind das Hubwerk und das Katzenfahrwerk eingebaut, während ihr auskragendes vorderes Ende eine Leitrolle für das Trageil trägt. Die Laufrollen werden von einem 12 pferdigen Hauptstrommotor durch doppelte Stirnräderübersetzung mit 60 Uml./min entsprechend einer Fahrgeschwindigkeit von 120 m/min angetrieben. Das Hubwerk, das für Förderung mittels Selbstgreifer und mittels einfacher Fördergefäße eingerichtet ist, wird durch einen

zurücklegt. Um auch in Wagen jenseits des zweiten (inneren) Pfeilers ausschütten zu können, ist eine Rutsche angeordnet, die das Erz dem Wagen zuführt. Die Ladebrücke hat sich im Betriebe gut bewährt. Ihre Leistungsfähigkeit ist entsprechend den angewandten hohen Arbeitageschwindigkeiten sehr groß.

Das dem Erzlagerplatz des Stahlwerkes Union gegenüber gelegene Nordufer des Südhafens soll als Erzlagerplatz an einzelne Firmen vermietet werden. Hier wird das Ladege-

schäft durch einen der Hafenverwaltung gehörigen fahrbaren, durch Dampf betriebenen Drehkran von 4000 kg Tragfähigkeit und 10 m Ausladung besorgt. Der Kran, Fig. 9 und 10, der im Frühjahr 1900 aufgestellt wurde, ist von der Duisburger Maschinenfabrik J. Jäger erbaut. Der Grund dafür, trotz des vorhandenen Drehstromes von einem

Krane die Stromzuführung ausgenutzt hätten. So ist ein Dampfkran gewählt, der auf einem Gleis von 3 m Spurweite am Ufer entlang fährt. Der Kran, der auch für Selbstgreifetrieb eingerichtet ist, arbeitet mit hohen Geschwindigkeiten. Sämtliche Bewegungen werden mittels Wechselgetriebe von einer stehenden Zwillingmaschine abgeleitet, die bis zu

Fig. 11 bis 14.

Städtisches Lagerhaus,

a. R. 954.

Fig. 11.

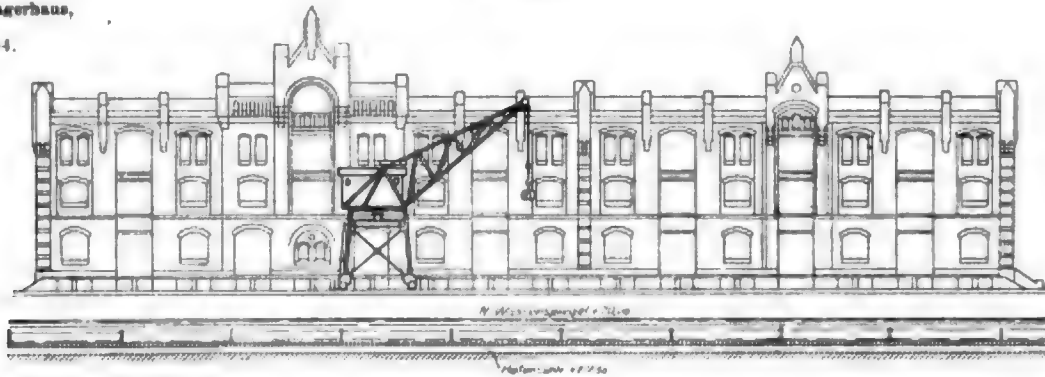


Fig. 13.

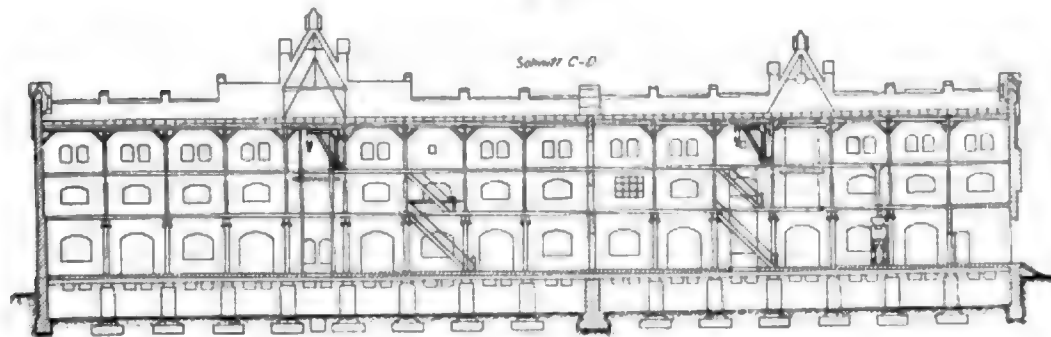
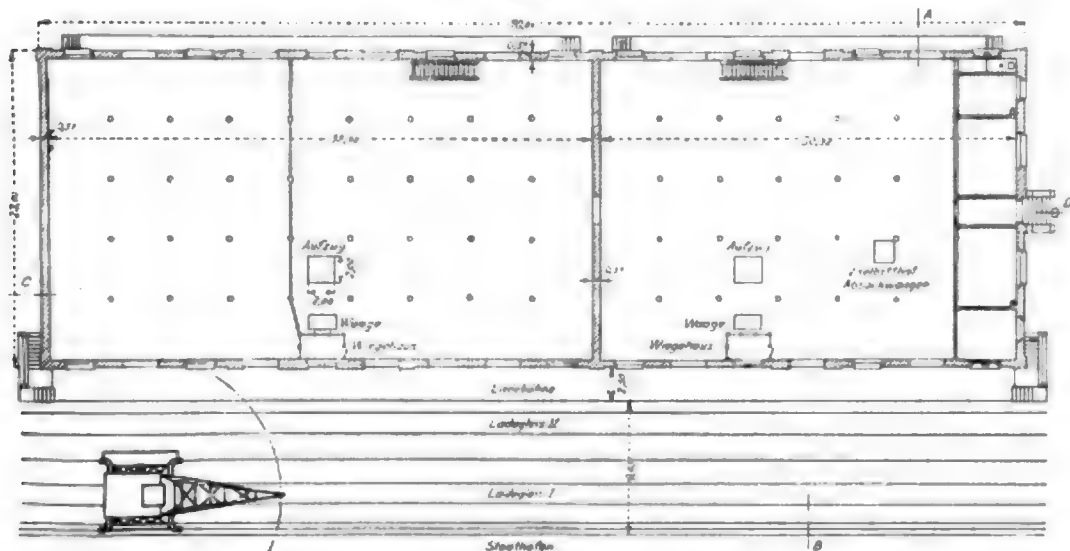


Fig. 14.



elektrisch betriebenen Kran abzusehen, war hauptsächlich der, dass die Stromzuführung für den fahrbaren Drehstromkran verhältnismäßig kostspielig und mit gewissen konstruktiven Schwierigkeiten verknüpft gewesen wäre, sodass die Vorteile der Elektrizität erst hervorgetreten wären, wenn mehrere

200 Uml./min macht. Hierbei beträgt die Hubgeschwindigkeit 36 m/min, die Fahrgeschwindigkeit ebenfalls 36 m/min, und eine ganze Umdrehung des Kranes erfordert $\frac{1}{2}$ min.

Wir wenden uns nunmehr dem am Stadthafen gelegenen städtischen Lagerhaus zu, das für die Aufnahme wertvoller

Fig. 15. Magazinkran, s. S. 953.

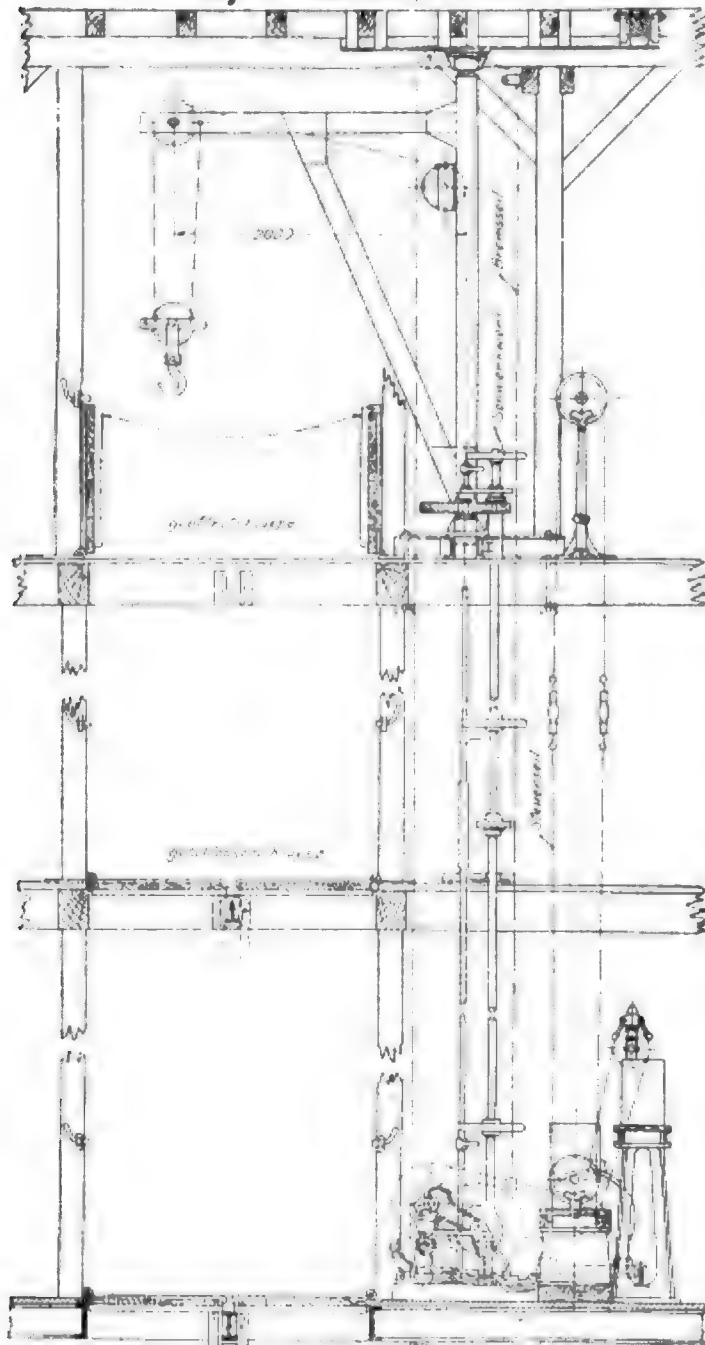
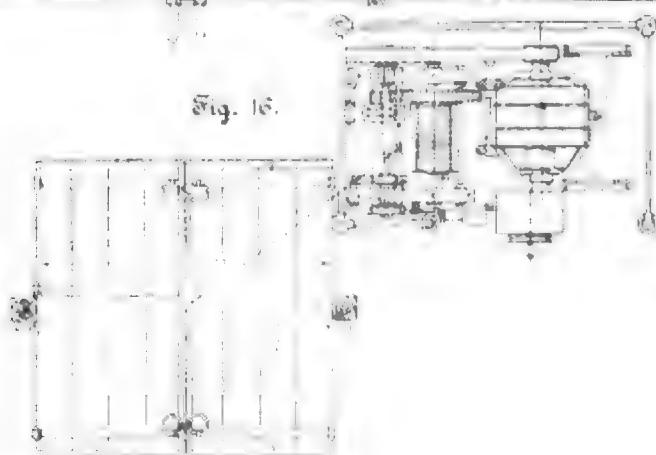


Fig. 16.



Güter, wie Getreide, Zucker, Kolonialwaren usw., bestimmt ist, die zu Wasser oder zu Lande ankomen und nach zeitweiliger Lagerung wieder in den Verkehr übergehen. Fig. 11 bis 14 stellen das Lagerhaus in Ansicht, Querschnitt, Längsschnitt und Grundriss dar. Bei einer Breite von 23 m umfasst das Gebäude zwei durch eine Brandmauer getrennte Abteilungen von 30,44 und 40 m äußerer Länge, denen bei eintretendem Bedürfnis eine dritte Abteilung von 30 m Länge hinzugefügt werden soll. In Höhe des Erdgeschosses ziehen sich auf den beiden Längsseiten des Gebäudes Ladebühnen entlang. Unter der Ladebühne an der Wasserseite ist ein breiter Gang angeordnet, in welchen die Güter durch Luken in der Ladebühne zwecks weiterer Verteilung im Kellergeschoss hinabgelangen.

Die auf dem Wasserwege oder mit der Eisenbahn — und zwar ebenfalls auf der mit 2 Ladegleisen ausgerüsteten Wasserseite des Lagerhauses — anlangenden Güter werden durch 2 elektrisch betriebene Vollportalkrane von 1800 kg Tragfähigkeit unmittelbar in jedes der 4 Geschosse des Speichers gehoben und durch dieselben Krane aus dem Lagerhaus in die Eisenbahnwagen ausgeladen. Die Landseite des Lagerhauses ist lediglich dem Fuhrwerkverkehr vorbehalten; hier dienen dem Ladegeschäft 2 elektrisch betriebene Wandkrane von 1200 kg Tragfähigkeit. Im Inneren des Speichers können die Güter durch 2 elektrisch betriebene Aufzüge von ebenfalls 1200 kg Tragfähigkeit von einem Geschoss in das andere befördert werden. Zwei eingebaute Bodenwagen sowie 2 fahrbare selbstthätige Getreidewagen mit Absackvorrichtungen vervollständigen die maschinelle Ausrüstung des Speichers, die von Butz & Lertz in Mannheim geliefert ist.

Von einer eingehenden Darstellung der Portalkrane kann Abstand genommen werden, da ihre Konstruktion grundsätzlich Neues nicht bietet; im einzelnen weisen beide Krane, die von verschiedenen Firmen ausgeführt sind, im elektrischen und im mechanischen Teile Verschiedenheiten auf. Der eine Kran ist von dem Eisenwerk vorm. Nagel & Kaemp in Hamburg erbaut, seine elektrische Ausrüstung stammt von Siemens & Halske A.-G.; der andere Kran ist von C. Hoppe, Berlin, erbaut und von der Elektrizitäts-A.-G. vorm. Lahmeyer & Co., Frankfurt a. M., elektrisch ausgerüstet.

Die Tragfähigkeit der Krane ist, wie erwähnt, 1800 kg, die Ausladung 10,5 m und die Hubhöhe 13 m. Der in Fig. 11 bis 14 enthaltene Kran stellt die Ausführung von Nagel & Kaemp dar. Das Portalgerüst überspannt das Äußere der beiden sich am Ufer entlang ziehenden Ladegleise und führt auf zwei besonderen Kranschienen, an denen es mit Klammern befestigt werden kann. Der Oberkran ist um eine Mittelachse drehbar und ruht auf 16 kegelförmigen Laufrollen. Das Hubwerk wird durch einen 15 pferdigen Drehstrommotor, das Drehwerk durch einen 5 pferdigen und das Kranfahrwerk ebenfalls durch einen 5 pferdigen Motor angetrieben. Um eine Ueberlastung des Kranes zu verhindern, ist das Lastseil über eine schwingend aufgehängte Ablenkrolle geführt, deren Stellung von der Spannung des Seiles, d. h. also von der Größe der Last abhängig ist. Beim Ueberschreiten einer gewissen Spannung wird der Hauptausschalter bethätigt. Der Strom wird durch ein freiliegendes 80 m langes Kabel zugeführt. Neuerdings sind in Abständen von 50 m Anschlussdosen eingerichtet, mit denen der Kran durch ein etwa 25 m langes Kabel verbunden wird. Die Arbeitgeschwindigkeiten des Kranes betragen für Heben 30 m/min, Drehen 90 m/min, Fahren 15 m/min.

Die Anordnung und Konstruktion der von Butz & Lertz ausgeführten Magazinkrane im Inneren des Lagerhauses ist aus Fig. 15 und 16 ersichtlich. Die Tragfähigkeit der Krane ist, wie erwähnt, 1200 kg.

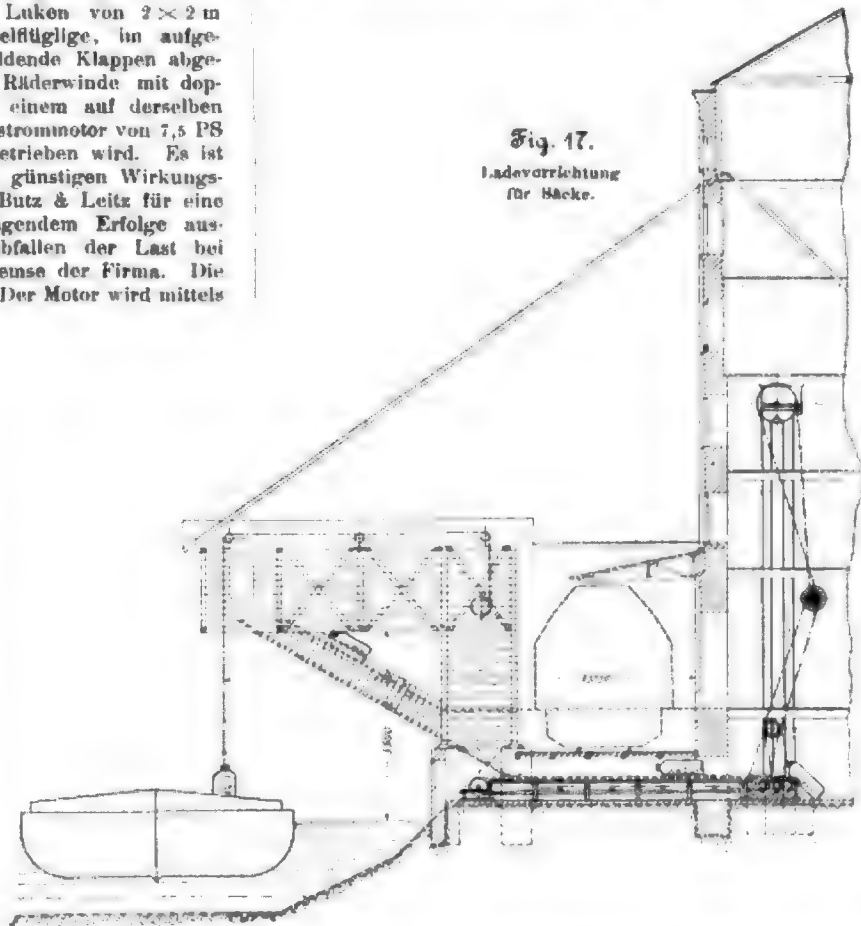
Das Windwerk ist im Erdgeschoss aufgestellt. Das Lastseil, ein 13 mm starkes Drahtseil, ist von der 260 mm großen Windtrommel aus senkrecht in der Drehachse eines im obersten Geschoss eingebauten (vergl. auch Fig. 13) drehbaren Auslegers von 2 m Ausladung emporgesührt und am Kopf des Auslegers zweitrümig aufgehängt. In die Decken der Zwischengeschosse sind Luken von 2×2 m l. W. eingeschnitten, die durch doppelflüglige, im aufgeklappten Zustande eine Schutzwehr bildende Klappen abgedeckt sind. Das Windwerk ist eine Räderwinde mit doppelter Stirnräderübersetzung, die von einem auf derselben Grundplatte pendelnd aufgebauten Drehstrommotor von 7,5 PS bei 945 Uml./min mittels Riemens angetrieben wird. Es ist dies eine Anordnung, die durch einen günstigen Wirkungsgrad ausgezeichnet ist, und die von Butz & Lertz für eine Reihe von Lagerhäusern mit befriedigendem Erfolge ausgeführt ist. Schutz gegen das Herabfallen der Last bei Riemenbruch gewährt die Lastdruckbremse der Firma. Die Steuerung des Motors ist sehr einfach. Der Motor wird mittels Selbstanlassers angelassen, d. h. der Primärstrom wird von Hand ein- bzw. umgeschaltet, während die in den Sekundärkreis eingeschalteten Anlasswiderstände der zunehmenden Geschwindigkeit des Motors entsprechend selbstthätig mittels eines kegelförmigen Pendels, das vom Motor aus durch einen Riemen angetrieben wird, stufenweise abgeschaltet werden. Um den Motor von jedem Stockwerk aus steuern zu können, ist der Ein- und Umschalter mittels Steuerseiles von jedem Stockwerk aus zu betätigen. Das Schwenkwerk des Auslegers wird von Hand angetrieben. Die Antriebswelle ist eine stehende Welle, die durch alle drei Geschosse geht und von jedem Stockwerk aus mittels Handrades zu bedienen ist. Eine zweite stehende Welle ermöglicht ebenfalls von jedem Stockwerk aus, das Sperrwerk des Schwenkwerkes zu betätigen und den Ausleger festzustellen.

Die ebenfalls von Butz & Lertz ausgeführten, an der Landseite des Lagerhauses befindlichen Wandkrane gleichen in der Konstruktion des Windwerkes den eben beschriebenen Magazinkranen.

Während das städtische Lagerhaus hauptsächlich für Stückgüter bestimmt ist, ist von privater Seite auf dem entgegengesetzten Ufer des Stadthafens ein zweites Lagerhaus errichtet, das hauptsächlich zur Lagerung von Getreide dienen soll. Es ist dies das Lagerhaus der Haupt-Ein- und Verkaufsgenossenschaft für Westfalen, Lippe und Waldeck, bezüglich dessen auf die Veröffentlichung in Z. 1901 S. 336 verwiesen werden kann.

In innigem Zusammenhange mit diesem Speicher steht die nachträglich erbaute, von Fr. Correll in Neustadt a/H. entworfene und ausgeführte Sackausladevorrichtung, die in Fig. 17 dargestellt ist. Sie ist an der Uferseite des genannten Gebäudes angeordnet und für die schnelle Beförderung von Säcken aus dem Schiff in den Speicher bestimmt. Ein in Eisenkonstruktion ausgeführter mit Holz bekleideter Turm erhebt sich auf kräftigen gemauerten Pfeilern. Nach dem Wasser hat er einen überhängenden Teil, der mit dem Speicher-

gebäude und den Quadern der Ufermauer verankert ist, und in welchem eine elektrisch betriebene Winde eingebaut ist. Die Säcke werden bis in den Ueberbau hinaufgewunden und von dort mittels einer Rutsche auf eine Plattform im Turm des Ausladegerüsts befördert, die in ihrer Höhenlage mit



den Plattformen der Eisenbahnwagen übereinstimmt. Sollen die Säcke in den Speicher geschafft werden, so gelangen sie auf einer zweiten, unter der ersten gelegenen Rutsche zu einem unter der Ladebühne entlang führenden Kanal und durch diesen hindurch auf einem Fördergurt in den Speicher. Wird an das Lastseil ein Kippgefäß angehängt, so kann die Ausladevorrichtung auch für loses Getreide verwendet werden. Die Geschwindigkeit des Fördergurtes wird durch Wechselgetriebe geändert, je nachdem Säcke oder loses Getreide befördert werden.

Im Vorstehenden ist ein — wenn auch nicht vollständiges — Bild der Betriebseinrichtungen des Dortmunder Hafens gegeben. Dass diese mit dem Anwachsen des Verkehrs an Art und Umfang wesentlich zunehmen werden, ist klar. In dieser Voraussicht sind seitens der Hafenverwaltung für eine Reihe von Zwecken bereits fertige Entwürfe für Erweiterungen und Neubauten ausgearbeitet, die bei eintretendem Bedürfnis sofort ausgeführt werden können. Dass der Verkehr in schneller Steigerung diese Voraussicht recht bald rechtfertigt, damit die großen Opfer für die neue Wasserstraße sich reichlich verzinsen, ist unser Wunsch.

Die Weltausstellung in Paris 1900.

Die Maschinen für Papierfabrikation.

Von A. Pfarr, Darmstadt.

(Fortsetzung von S. 516)

Die Papiermaschine von Escher, Wyß & Co.

Abmessungen:

Siebbreite	1850 mm
Papierbreite, beschnitten	1600 "
Sieblänge	15 m
Arbeitsgeschwindigkeit bis zu	80 m/min
erforderliche Betriebskraft bei 80 m Geschwindigkeit.	rd. 35 PS.
Dmr. der unteren Gaultschpresswalze	300 mm
" " oberen	450 "
" " unteren Nasspresswalze mit Gummi	300
" " oberen " Hartguss	320 "
" " 3 Papiertrockencylinder	1200
" eines Papiertrockencylinders	3000 "
" Filatrockencylinders	1000
" " "	800
Bahnbreite der Trockencylinder	1750 "

Aus Fig. 30, 31 und 32 ist die allgemeine Anordnung der Maschine ersichtlich; der Stoffverdicker ist bereits früher beschrieben.

Siebpattie. Escher, Wyß & Co. waren die ersten, welche statt der zuvor beschriebenen Stützung der Schüttellineale durch gelenkige Stangen von unten her die Lineale

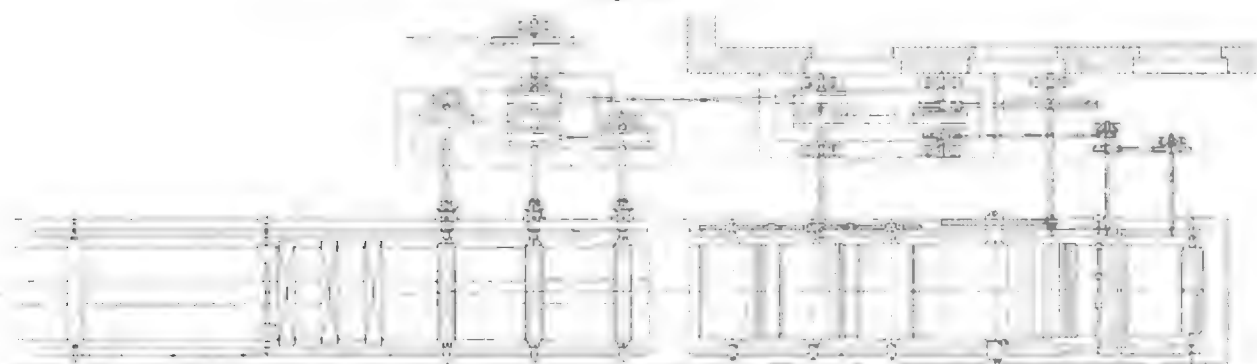
unteren Siebwalzen sind an den Schüttellinealen befestigt, und so folgen hier diese Walzen auch der Siebbewegung nach allen Seiten hin, s. Fig. 32. Ein Schüttelbock war nicht ausgestellt. In sehr hübscher Weise ist das Gestell, an dem die Tragfedern hängen, zum Anbringen einer Hebevorrichtung benutzt, welche gestattet, beim Siebwechsel den sogenannten Deckelwagen einfach hochzunehmen. Er braucht also nicht in beschwerlicher Weise zur Seite gehoben und abgelegt zu werden und ist vor Beschädigungen bewahrt. Leider sind die Rollen für die Deckelriemen verhältnismäßig klein, sodass dafür ein Antrieb von der Gaultschpresse aus nötig wird. In zweckmäßiger Art ist die angetriebene Trommelwelle noch besonders dicht an der ziemlich weit vom Gestell abstehenden Expansionsriemenscheibe gelagert. Die Lägerchen der Registerwalzen sind natürlich einstellbar und durch ihre Anordnung über dem Schüttelrahmen teilweise vor Wasser geschützt; nur haben sie keine sehr saute Auflagefläche gegen seitliche Kräfte.

Zum Auffangen des Siebwassers unter den Registerwalzen waren die jetzt meist üblichen dachförmig gebogenen Wellblechtafeln in handlicher Größe verwendet, die hier, dem Zweck der Maschine entsprechend, aus Kupfer hergestellt waren. Zu erwähnen ist die auch sonst durchweg übliche Ausbildung des Brustwalzenschabers als Ablaufrinne für das Abspritzwasser.

Fig. 30.



Fig. 31.



an federnden Zugstangen, einfachen Blattfedern, aufgehängt haben, was sich vielfach bewährt hat. Die ausgestellte Maschine besaß diese Aufhängung. Die Abwesenheit von Gelenken, die sich im Betriebe ausschlagen können, ergibt einen sehr ruhigen Gang der Schüttlung. In einfacher Weise wird hier die Siebneigung durch Heben oder Senken des Aufhängepunktes der Blattfedern verstellt, während der Grundrahmen unverrückt liegen bleibt. Die Tragböckchen der

Drei Sauger, von denen zwei offen für einfaches Saugerohr, der dritte für Saugpumpenbetrieb eingerichtet und deshalb mit einer gelochten Hartgummiplatte belegt ist, mit zwei Egoutteuren zwischen sich, nehmen an der Schüttelbewegung nicht teil. Im Unterschied von der Füllnerschen Maschine sind die Rohranschlüsse bei Escher soweit nur thunlich unter Vermeidung von Schlauchen durch Kupferrohre mit Ueberwurfmuttern und mit Niederschraubbahnen statt Reiberbahnen



Cylinder ist dafür gesorgt, dass der Arbeiter die Spitze gut einbringen kann. Es kann am großen Cylinder mit oder ohne Wickelwalze gearbeitet werden, je nachdem einseitige Glätte des Papiers gewünscht wird oder nicht, da der Antrieb auf den oberen Cylinder wirkt. Die Filzwickelwalze ruht auf einer mit Kupfer bezogenen gusseisernen Tragwalze mit auf beiden Seiten gleichzeitig wirkender Anpressvorrichtung.

Wenn mit Wickelwalze gearbeitet wird, bildet sich auf dem großen Cylinder sehr rasch eine Schicht von Leimrückständen infolge der Verdunstung des Wassers, und wenn eine gute einseitige Glätte erzielt werden soll, so muss der

rend des Betriebes nicht nur nachziehen, sondern auch erneuern kann. Zusammengepresst wird die Packung hier durch Druckschrauben mit Handrad, welche ihre Mutter in Bügeln haben, die am Cylinderlager befestigt sind und das angeflanschte Rohr durch einen nach unten gehenden Gabelarm gegen Drehung sichern. Um frisch zu verpacken, schiebt man den die Packung umschließenden Ring, nachdem die Stellschraube gelöst ist, nach aufsen, wodurch die Packung freigelegt wird. Zur Beseitigung des Kondensationswassers aus dem Innern des Cylinders dienen die meist üblichen, am Deckel ausgegossenen Schöpfer; s. Fig. 37.

Die vorliegende Maschine hatte einen Längsschneider und

Fig. 34 bis 36.

Dampfzuführung und Wasserabführung der Trockencylinder.

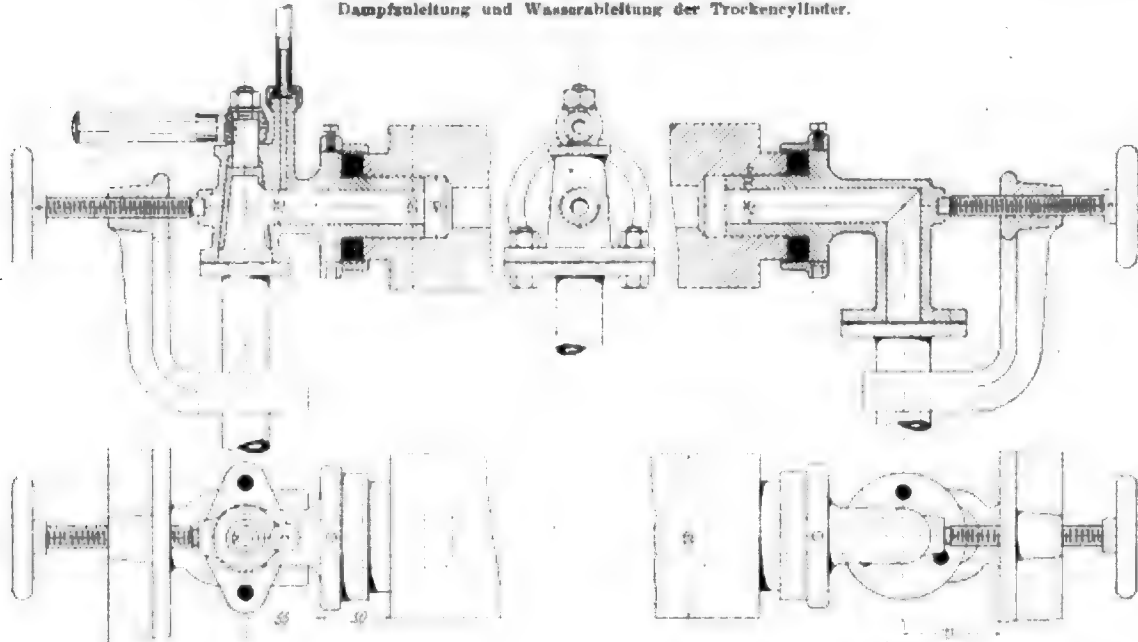
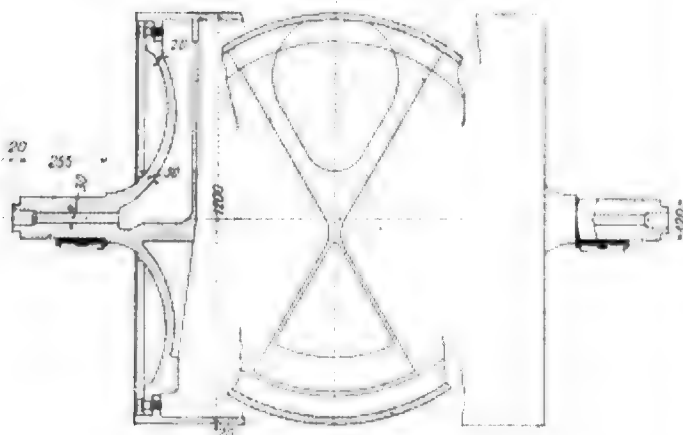


Fig. 37.



Cylinder stetig und sehr sorgfältig von dieser Kruste frei und blank gehalten werden; zwei bewegliche Schaber und eine mit Filz zu beklebende Putzleiste sind dafür angeordnet.

Escher, Wyß & Co. haben die Dampfzuführung auf der Bedienungseite, die Ableitung des Kondensationswassers auf der Triebseite ausgeführt, vergl. Fig. 34 bis 36. Da die Maschine nicht mit sehr hochgesteigerter Arbeitsgeschwindigkeit für ihren Sonderzweck gebaut werden konnte, so werden die Zuleitungsteile beim Aufführen auch nicht sehr hinderlich sein. Einzelheiten sind aus Fig. 34 bis 36 ersichtlich. Es ist wünschenswert, dass man die Packung zwischen dem stillstehenden Flansch des Regulirhahnes bzw. des Austritte und der sich drehenden Stirnfläche des Cylinderzapfens auch wäh-

demgemäß auch eine Rollvorrichtung zum Aufnehmen des bestimmten und in Einzelbahnen getrennten Papiers mit vier Rollstangen. Am Längsschneider waren die Kreismesser einzeln sehr hübsch zum Einstellen und Ausrücken eingerichtet, auch die ganze Einrichtung mittels Schraube quer zur Papierbahn verschiebbar. Die Handräder der Fraktionen an der Rollvorrichtung stehen während des Betriebes still und sind deshalb gut einstellbar.

Hinsichtlich des beabsichtigten Antriebes der Maschine sei auf Fig. 30 und 31 verwiesen; er ist einfach und übersichtlich angeordnet, wie auch die Maschine im ganzen einen sehr guten Eindruck machte.

Zum Abschnitt »Papiermaschinen« ist noch nachzutragen, dass sich abseits von den ausgestellten Maschinen das Modell einer von den Patentinhabern H. A. Schoeller Söhne, Düren, vorgeführten Nasspresse befand, welches die Verwendung von Syenit als Material für die obere Presswalze vor Augen führte. Im allgemeinen bleibt die nasse Papierbahn nach dem Auspressen am oberen Walzenkörper kleben, und zwar ist dies bei Gusseisen oder Hartguss am ausgesprochensten der Fall; an Bronze haftet das Papier weniger leicht, und Syenit soll sich, wie ich auch nachträglich an anderer Stelle bestätigt fand, hierin noch besser als Bronze bewähren.

Maschinen zu weiterer Bearbeitung des Papiers in der Papierfabrik.

Unter dieser Bezeichnung sollen solche Einrichtungen verstanden sein, in denen das von der Papiermaschine kommende Papier an erster Stelle, und ehe es die Papierfabrik verlässt, einer Bearbeitung unterliegt: Rollvorrichtungen, Kalandern, Schneidmaschinen.

Rollvorrichtungen. Von den eigentlichen großen Rollvorrichtungen, wie sie z. B. zur Herstellung von festen Rollen für die Rotationsdruckpressen benutzt werden, war

nichts zu sehen, außer einem künstlerisch ausgeführten Flachrelief als Wandschmuck in der österreichischen Abteilung, aus dem in natürlicher Größe die Bischofsche Rollmaschine in ihrer bekannten Heidenheimer Ausführung mich begrüßte.

P. Blache, Paris, hatte eine Rollmaschine ausgestellt, welche breite Papierrollen in schmale zerteilt, indem die im Ablaufen längsgeschnittene Bahn auf zwei von einander unabhängige Rollstangen aufgewickelt wird. Hierbei nimmt die eine Rollstange die erste, dritte, fünfte der schmalen Bahnen, die andere die zweite, vierte usw. auf, sodass die Papierkanten nicht in einander laufen können. Es erscheint fraglich, ob die Maschine für stöten Betrieb geeignet ist, da sich das Kleben auf den einzelnen, verteilten Rollen bei gerissener Hauptbahn doch recht umständlich gestaltet, und es beim Reißen einer Teilbahn nicht außer einem Zweifel ist, ob die betreffende schmale Rolle, nachdem wieder zusammengeklebt ist, ungestört weiter arbeiten wird. Eine Zeichnung der Maschine war nicht zu bekommen.

Die Maschinenfabrik zum Bruderhaus, Reutlingen, hatte im deutschen Anbau eine ihrer bekannten hübschen Umroll-, Feucht- und Schneidmaschinen ausgestellt, wie sie sich besonders auch zum Umwickeln fehlerhaft gelaufener Rollen vorzüglich eignen. Besondere Neuheiten sind mir an der sauber ausgeführten Maschine nicht aufgefallen.

Eine stierliche kleine Rollmaschine führte die Firma Ferd. Emil Jagenberg, Düsseldorf, im Obergeschoss des Anbaues vor, die allerdings nur dazu bestimmt ist, die großen von der Papierfabrik kommenden Rollen in für die weitere Verarbeitung geeignete kleinere und schmalere Rollen zu zerteilen. Sie gehört deshalb eigentlich nicht hierher, bietet aber doch auch für den Papierfabrikanten Interesse.

Kalander. Diese aus einer Folge von über einander liegenden Hart- und Papierwalzen (Körper aus gepresstem Papier) gebildeten Glättwerke waren von sechs Firmen ausgestellt:

Maschinenfabrik zum Bruderhaus, Reutlingen,
Fernand Dehautre, Paris,
Ferd. Flinsch A.-G., Offenbach a/M.,
Joh. Kleinewefers Söhne, Krefeld,
Karl Krause, Leipzig,
L. L'Huillier & Cie., Vienne (Isère),
wobei noch das

Kgl. Württ. Hüttenamt, Königsbrunn, als Aussteller von Hartwalzen im Kalander des »Bruderhauses« zu nennen ist.

Die von Voith-Heidenheim zuerst im großen eingeführte einseitige Gestellform zeigt sich bei allen ausgestellten Kalandern mit Ausnahme desjenigen vom Bruderhaus, das an dem ja recht kräftigen, aber doch für das Auswechseln der Papierwalzen unpraktischen symmetrischen Ständer heute noch festhält. Ebenso konservativ ist die genannte Fabrik in der Anordnung des Antriebes. Während bei allen andern Kalandern der, soviel ich weiß, zuerst von Schürmann-Düsseldorf angeordnete Antrieb auf die dritunterste Walze, die unterste der kleinen Hartwalzen, erfolgt, wird der Kalander des Bruderhauses an der untersten, großen Hartwalze angetrieben. Die Vorzüge des Antriebes einer kleinen Hartwalze gegenüber der älteren Art liegen auf der Hand: wesentlich kleineres Drehmoment, also rascher laufendes, leichteres Vorgelege, dazu bei vielwalgigen Kalandern die von der Antriebwalze nach abwärts eintretende teilweise Entspannung der Papierbahn, die ganz schwache Papiere zu verarbeiten gestattet, welche bei Unterantrieb reißen würden. So sind die Kalander von Dehautre, Flinsch, L'Huillier für Transmissionsantrieb mit unmittelbar an dem Zapfen der kleinen Hartwalze angreifendem Riemenvorgelege ausgestattet. Die Oldham-Kupplung, welche sich zur Übertragung der Drehung zwischen parallel liegenden Wellen, deren Achsen nicht genau zusammenfallen, vorzüglich eignet, ist durchweg als Verbindung zwischen der für sich gelagerten Vorgelegewelle und dem Walzenzapfen verwendet.

Kleinewefers und Krause haben elektromotorischen Antrieb ausgeführt, wobei naturgemäß nicht Riemen, sondern gefräste Zahnräder die Drehung auf den Walzenzapfen übertragen.

Kleinewefers lagert in anerkennenswerter Weise die Antriebswelle auch selbständig mit Zwischenschaltung der Oldham-Kupplung, während Krause, den Antrieb etwas frei behandelnd, das Zahnrad einfach auf den Walzenzapfen setzt.

Jetzt schon arbeiten viele Papierfabriken mit elektrischer Kraftübertragung von benachbarten Wasserkraften her, und bei ihnen wird sich der selbständige elektromotorische Antrieb großer Maschinen, zu denen ja auch die Kalander gehören, mit allen seinen Vorteilen rasch einführen. Dieser Antrieb bietet an sich schon die sehr erwünschte Möglichkeit, den Kalander mit ganz geringer Geschwindigkeit beim Einführen und mit beliebig großer Umdrehungszahl beim eigentlichen Arbeiten laufen zu lassen.

Bei den Kalandern mit Transmissionsbetrieb fanden sich die ziemlich bekannten verschiedenen Einrichtungen, meist für zweierlei Geschwindigkeiten bestimmt; das Bruderhaus zeigte einen Antrieb für zwei Geschwindigkeiten und Bethätigung durch nur einen Hebel mit unmittelbarem Uebergang von der größten Umdrehungszahl zum Stillstand, der sich durch sinnreiche, aber etwas verwickelte Anordnung auszeichnete.

Entweder hatten die Antriebe mit zweierlei Geschwindigkeiten nur einen Antriebsriemen, feste und lose Scheibe, und mit letzterer die ausdrückbare Uebersetzung für langsamen Betrieb vereinigt — Dehautre, L'Huillier (den Grundzügen nach auch das Bruderhaus) —, oder es waren zwei selbständige Antriebsriemen ohne lose Scheiben verwendet — Flinsch —, wobei die Scheibe für normalen Arbeitsgang durch Reibkupplung, die des langsamen Betriebes durch Klauenkupplung mit Schrägzähnen mit der Vorlegewelle verbunden war. Nachdem die Spitze bei langsamem Gange durchgeführt ist, lösen sich die Schrägzähne beim Einrücken des normalen Betriebes in bekannter Weise selbstthätig aus.

Rollstangen waren bei allen sechs Kalandern je paarweise am Ein- und Auslauf vorhanden, und auch für das Ein- und Auslegen der Papierrollen fanden sich die erforderlichen Hebevorrichtungen vor, die meist mit dem Kalander organisch zusammengebaut waren.

Auf die einzelnen Kalander übergehend, kommen wir zuerst zu denjenigen der

Maschinenfabrik zum Bruderhaus mit 12 eigentlichen Kalandervalzen von 1600 mm Bahnbreite und einer sogenannten Vorsatinirwalze. Die vom Hüttenwerke Königsbrunn gelieferten Hartwalzen haben 440, 230, 200 und 400 mm Dmr., die Papierwalzen 310 mm Dmr. Der Kalander ist in bekannter kräftiger und schöner Weise ausgeführt, zeigt aber, wie schon gesagt, außer dem neuen Riemenantrieb nichts erheblich Neues.

F. Dehautre. Es war für den langsamen Gang anscheinend eine Art Differentialgetriebe mit Stirnrädern angeordnet; Einsicht konnte ich nicht erlangen, da der Mechanismus völlig eingekapselt war und eingehende Beachtung sowie die Bitte um eine Skizze, wie bei manchem andern französischen Aussteller, sehr verbindlich, aber bestimmt abgelehnt wurde.

F. Flinsch. 7 Walzen, wovon 3 Papierwalzen. 2 Hartwalzen heizbar. Einrichtung für Rollen und Bogen. Obere und untere Lager mit Ringschmierung versehen. Arbeitsgeschwindigkeit 70 m/min. Die Einfachheit des Antriebes ist sehr anzuerkennen; doch waren die verschiedenen Hebel Drehpunkte für sich besonders und außer Zusammenhang mit den Lagerböcken montiert, und das ist nicht zweckmäßig. Die Fabrik wird dies sicher auch später zu ihrem und ihrer Abnehmer Vorteil ändern.

L. L'Huillier. 12 Walzen von 1700 mm Bahnbreite, 3 Walzen heizbar, Arbeitsgeschwindigkeit 80 bis 100 m/min. Gut ausgeführt, keine besonders bemerkenswerten Einzelheiten. Die unteren Lager sitzen, in der Höhe verstellbar, auf Tragschrauben, weil das Antriebsvorgelege fest montiert ist und deshalb dem wechselnden Papierwalzendurchmesser nicht folgen kann. Die Anordnung von Flinsch: feste untere Walzenlager, verstellbares Vorgelege, ist demgegenüber entschieden vorzuziehen.

J. Kleinewefers Söhne. 10 Walzen. Elektromotor mit einfacher Räderübersetzung. Die Firma hat nicht allein durch vorzügliche Arbeit, sondern auch infolge eingehender

konstruktiver Durcharbeitung ihrer Maschinen einen ganz hervorragenden Erfolg erzielt, und deshalb war die Berücksichtigung dieser Maschinen für den Berichterstatter eine wirkliche Freude. Einzelheiten, wie die besondere Lagerung der Vorlegewelle, die stillstehenden Stopfbüchsen an den heizbaren Hartwalzen, sorgfältig angeordnete Oelfänge usw. zeigten, dass dem Praktiker ein tüchtiger Konstrukteur zur Seite steht. Für die unteren und oberen Walzen sind Rollenlager nach Patent Mossberg in Anwendung gebracht, welche sich auch im regelrechten Betriebe gut bewähren sollen. Wenn auch erst längere Erfahrung zeigen kann, ob unter den Lagerbelastungen von 15 bis 20 000 kg, wie sie bei Kalandern üblich sind, die Rollen und deren Gegenflächen wirklich auf lange Zeit ihre anfängliche gute Gestalt und Oberfläche behalten, so ist doch an sich die Thatsache der Verwendung von Rollenlagern an solcher Stelle sicher sehr bemerkenswert; denn gerade hier wird bei gewöhnlichen, wenn auch gut geschmierten Lagern viel Kraft zunichte gemacht. Kleinere Söhne vertreten auch die gewiss richtige Anschauung, dass es gut ist, auf Einstellbarkeit der mittleren Walzenlager ganz zu verzichten und dafür sehr reichliche Lagerflächen zu bieten. Laufen Papierbahnen schlecht durch den Kalandr, so ist dies noch lange kein Zeichen, dass die Kalandrwalzen ihre parallele Lage verloren haben; der Kalandrführer ist aber vielfach geeignet, den Fehler nur in der Lage der Walze zu suchen, während vielleicht die Bahn auf der Papiermaschine schlecht gearbeitet war. Die Lagerdrücke der mittleren Walzen sind so unbedeutend, dass sich bei einigermaßen großen Anlageflächen sowie guter Ausführung und Wartung in Jahrzehnten keine Berichtigung nötig machen wird.

Karl Krause. 12 Walzen von 2000 mm Bahnbreite, Hartwalzen 450, 220 und 380 mm, Papierwalzen 350 mm Dmr. Arbeitsgeschwindigkeit 60 m/min. 3 mittlere Hartwalzen beizbar. Die ganz abseits von den sonstigen Papierfabrikationsmaschinen aufgestellte Maschine war von der bei Krause üblichen guten Werkstattausführung.

Schneidmaschinen. Die Papiermaschine liefert das Papier in fortlaufender Bahn, und wenn es auch schließlich fast ohne Ausnahme in Form von Bogen in die Hände des Verbrauchers kommt, so wird es doch am besten in Rollenform der vorläufigen weiteren Bearbeitung zugeleitet. Nur wenn das Blatt so dick ist, dass es sich nicht rollen lässt (Karton), muss die Bahn schon in der Papiermaschine selbst in Bogen geschnitten werden. Maschinen für diesen letzteren Zweck waren nicht ausgestellt, und es fand sich überhaupt nur eine Rollenquerschneidmaschine in der Ausstellung. Diese war von der für solche Maschinen rühmlichst bekannten Maschinenfabrik zum Bruderhaus, Reutlingen, neben dem

schon erwähnten Kalandr aufgestellt. VERNY, der Direktor einer französischen Papierfabrik, hat vor vielen Jahren eine Form für die sogenannte Querschneidmaschine geschaffen, die heute noch in einem alle andern Systeme weit überragenden Maße den Konstruktionen zugrunde liegt, dabei aber natürlich im Laufe der Zeit in den Einzelheiten aufs verschiedenste ausgebildet worden ist.

Im »Verny« werden die 6 bis 8 auf einander liegenden Papierbahnen durch eine hin- und hergehende Zuführpresse gefasst und dem Querschneidmesser zugeschoben, nachdem vorher Kreismesser die Vollbahnbreite in Einzelbahnen getrennt haben. Das abgeschnittene Format entspricht in seiner Länge dem verstellbaren Hub der Zuführpresse. So war auch die ausgestellte Maschine eingerichtet und natürlich mit einer Menge sorgfältig ausgeführter Einzelheiten ausgestattet, die zum richtigen Arbeiten nötig sind; erwartet man ja doch von solchen Maschinen, dass sie in 12 Stunden täglicher Betriebszeit das bewältigen, was eine mit mäßiger Erzeugung arbeitende Papiermaschine in 24 Stunden abfertigt.

Mit dem Schneiden in Bogen hört im allgemeinen die selbstthätige maschinelle Behandlung des Papiers in der Fabrik auf, und vielfach ist schon das Abnehmen der Bogen im Querschneider der Handarbeit überwiesen. Die vielen Versuche, dieses Abnehmen mechanisch durchzuführen, haben manche sinnreiche Konstruktion gezeitigt, und so zeigt auch das Bruderhaus einen mechanischen Bogenableger, welcher die Blätter auf einem Tisch in geordnetem Stöße ablegt. Für mittlere Papierstärken und nicht zu kleine Papierrollendurchmesser gehen diese Ableger vorzüglich, aber bei dünnen Papieren wird der Mechanismus wohl immer versagen, und man wird der geschickten Hand nicht entraten können.

Sehr dünne Papiere, die sogenannten Seidenpapiere, können bis jetzt überhaupt auf Rollenquerschneidmaschinen nicht mit Nutzen verarbeitet werden, da sie dem Luftwiderstand gegenüber zu wenig Steifheit und Masse besitzen; für diese wird der alte Haspel noch lange seine Geltung behalten.

Zum genauen kufserlichen Beschnitten der vom Haspel oder von der Rollenquerschneidmaschine erhaltenen Papierstücke hatte Karl Krause-Leipzig einen sehr hübschen sogenannten Planschneider ausgestellt, wie er in Papierfabriken manchmal Verwendung finden wird. Der Papierstoff wird in einem Aufspannen auf allen vier Seiten in genau einstellbarer Größe rechtwinklig beschnitten, wobei der Arbeiter jedesmal nur den Aufspanntisch ausfahren und um 90° drehen muss, was durch Rollen- und Walzenlagerung ganz wesentlich erleichtert ist. Ein Druck des Fußes auf einen Tritthebel setzt die Maschine in Gang, und nach vollbrachtem Schnitt stellt sie sich selbstthätig wieder ab. (Fortsetzung folgt.)

Sitzungsberichte der Bezirksvereine.

Eingegangen 6. Februar 1901.

Aachener Bezirksverein.

Sitzung vom 9. Januar 1901.

Vorsitzender: Hr. Savelsberg. Schriftführer: Hr. Holz.
Anwesend 67 Mitglieder und 3 Gäste.

Nach Erledigung geschäftlicher Angelegenheiten spricht Hr. P. Wolff über Expresspumpen mit elektrischem Antrieb¹⁾.

Der Redner bespricht die Anfänge des elektrischen Antriebes von Pumpen und die anfänglich gemachten Fehler, die ihre Hauptursache in der Verwendung von Zahnrädern hatten. Um einen vorteilhaften Betrieb durch Elektromotoren möglich zu machen, musste man erst die Umlaufzahlen beider Maschinen einander nähern.

Als einen ersten Versuch hierzu kann man die unterirdische Wasserhaltung für die Zeche Vereinigte Maria Anna und Steinbank in Höntrop bei Bochum bezeichnen; doch liegt hier das Entgegenkommen lediglich auf Seiten des 750pferdigen Elektromotors, der 180 Uml./min macht, während die Pumpe bei 45 Uml./min geblieben ist²⁾.

Als ein weiterer Schritt kann die jetzt zur Aufstellung kommende neue Wasserhaltung der Zeche Centrum angesehen werden. Hier hat man den Motor ganz den Pumpen an-

gepasst, ist jedoch mit diesen bis auf 100 Uml./min gegangen. Die Anordnung der Pumpen ist dieselbe wie bei der Bochumer Anlage, nur tritt an die Stelle der großen Seilscheibe jetzt der Motor selbst mit einer Leistung von 960 PS. Ein solcher Motor stellt sich natürlich erheblich teurer als ein Motor der gleichen Leistung mit größerer Umlaufzahl. Der Durchmesser des umlaufenden Teiles des Motors beträgt 3346 mm, während er bei einem entsprechenden Motor mit 180 Uml./min 2646 mm betragen würde.

Ungefähr gleichzeitig mit der ersten Anlage für den Bochumer Verein wurde eine Wasserhaltung für die Herzogliche Salzwärke-Direktion in Leopoldshall dem Betriebe übergeben. Hier handelte es sich um 3 Pumpen, jede mit einer Leistung von 1,9 cbm bei 360 m Förderhöhe. Ihre Umlaufzahl war auf 200 festgesetzt, und sie wurden durch Drehstrommotoren von je 130 PS angetrieben³⁾. Diese Pumpen waren die ersten Expresspumpen, die gebaut worden sind. Inzwischen sind 73 Anlagen mit diesen Pumpen ausgerüstet worden oder befinden sich im Bau.

Darauf spricht Hr. Rob. Hasenclever über die Fortschritte der chemischen Industrie unter Bezugnahme auf die Weltausstellung in Paris 1900.

Bei den meisten früheren Ausstellungen bot die chemische Industrie der einzelnen Länder für den Nichtfachmann wenig

¹⁾ Vergl. Z. 1900 S. 28.

²⁾ Z. 1898 S. 1245.

³⁾ Z. 1900 S. 28; vergl. auch Z. 1901 S. 1 u. f.

Ansiehendes. In den verschiedensten Schränken waren Gläser mit Präparaten ausgestellt, die sich häufig wiederholten, indem von mehreren Ausstellern dasselbe zur Anschauung gebracht wurde. Es war daher ein glücklicher Gedanke der Vertreter der chemischen Industrie Deutschlands, bei Gelegenheit der Weltausstellung in Paris im Jahre 1900 eine Sammelausstellung zu veranstalten. Die geschmackvolle Anordnung wurde nach den Entwürfen der Architekten Griesebach & Dincelage in Berlin ausgeführt und hat allgemein Beifall gefunden. Zur Uebersicht über die Sammelausstellung wurde eine Schrift verfaßt, deren allgemeiner Teil eine höchst bemerkenswerte Beschreibung der Gesamtentwicklung der chemischen Industrie Deutschlands von Dr. Witt enthält, während 1873 bei Gelegenheit der Wiener Ausstellung A. W. Hofmann mit einer Reihe von Freunden und Fachgenossen seinen bekannten Bericht über die Lage der chemischen Industrie verfaßt hatte.

Es ist erstaunlich, wie sehr sich seitdem die chemische Industrie Deutschlands weiter entwickelt hat, und lehrreich, die Zahlen hier wiedergeben, die Witt in seinem Bericht über einige der bedeutendsten Farbenfabriken veröffentlicht. Er sagt unter anderem: »Die Badische Anilin- und Sodafabrik ist unbestritten die größte chemische Fabrik der Welt. Sie beschäftigt in Ludwigshafen a/Rh. 148 wissenschaftlich gebildete Chemiker, 75 Ingenieure und Techniker, 305 kaufmännische Beamte. Die Zahl der Arbeiter, welche im Gründungsjahre der Fabrik, 1865, 30 betrug, ist fortwährend gestiegen; sie erreichte am 1. Januar 1896: 4806, 1898: 5127, 1899: 5495 und endlich am 1. Januar 1900: 6207.

Was die Farbenfabriken vorm. Friedrich Bayer & Co. betrifft, so sind in den Fabriken in Elberfeld, Leverkusen a/Rh., Barmen, Schelploh, Moskau, Fiers in Frankreich im ganzen 920 Beamte, davon 145 Chemiker, 27 Ingenieure, 148 technische Beamte und 500 Kaufleute tätig, ferner 4200 Arbeiter, davon etwa 1000 als Handwerker.

Das Personal der Farbwerke vorm. Meister, Lucius & Brüning mit der Hauptfabrik in Höchst a.M. und Zweigniederlassungen in Creil und in Moskau setzt sich zusammen aus 129 Chemikern, 36 Ingenieuren, 211 Kaufleuten, 121 Aufsehern und 3434 Arbeitern.

Die Erfolge unserer chemischen Industrie sind auf die tüchtige Heranbildung von Chemikern durch deutsche Professoren auf unsern Universitäten und technischen Hochschulen zurückzuführen. Mit Recht hebt Prof. Witt im allgemeinen Teile des Kataloges zur Weltausstellung hervor, dass die gleichzeitige Entwicklung der chemischen Wissenschaft und ihrer Anwendung bewirkt hat, dass beide sich inniger zusammenschlossen, als Theorie und Praxis sonst wohl zu thun pflegen. In der ungeteilten Anerkennung, welche die deutsche chemische Industrie auch im Auslande gefunden hat, liegt eine Gefahr für ihre weitere Entwicklung; sie darf nicht auf ihren Lorbeeren ausrufen, sondern muss mit dem bisherigen Elfer weiter vorwärts streben.

Darauf macht Hr. Scherrer aus Bonn (als Gast) Mitteilungen über von ihm konstruierte Rettungsfenster für Feuersbrünste, die von der Deutschen Rettungsfenster-A.G. in Beuel ausgeführt werden.

Eine Reihe lotrecht über einander liegender Fenster ist durch eine durchgehende Stange, die auf einem Kugellager ruht, verbunden. An dieser Stange befindet sich in jedem Stockwerk ein Hebelgriff oder eine Kurbel, durch die augenblicklich sämtliche Rettungsfenster bis unter 90° zur Gebäudedeckung geöffnet und festgestellt werden können. Nunmehr gleitet von jedem Rettungsfenster ein loser Leiterteil, der bis dahin von einem Riegel festgehalten wurde, durch sein eigenes Gewicht herunter und verbindet sich mit der an dem darunterliegenden Fenster befestigten Leiter, sodass sofort eine zusammenhängende feste Leiter vom Boden bis zum Dache hergestellt ist. Sehr wichtig ist es, dass die Leiter von jedem Stockwerke aus augenblicklich hergestellt werden kann. Die Rettungsfenster sind von außen nicht zu öffnen und von andern Fenstern kaum zu unterscheiden, da sie genau nach den vorhandenen Fenstern angefertigt werden. Die Fenster lassen sich an jedem Gebäude ohne irgend welche größere bauliche Veränderung anbringen. Eine Lärmglocke, die anzeigt, aus welchem Stockwerke die Fenster in Tätigkeit gesetzt worden, wird auf Wunsch ebenfalls vorgesehen.

Das Rettungsfenster bezweckt nicht allein, bei plötzlichem Ausbruch von Feuer einen möglichst schnellen Ausgang aus den bedrohten Räumen herzustellen, sondern auch der Feuerwehr sofort einen sichern Angriffsweg zu verschaffen, und zwar dort, wo es unmöglich sein wird, schnell mechanische Leitern, Hakenleitern usw. herbeizuschaffen.

Eingegangen 25. Februar 1901. Chemnitz'eer Bezirksverein.

Sitzung vom 19. Juni 1900.

Vorsitzender: Hr. Freytag. Schriftführer: Hr. Rebs.
Anwesend 26 Mitglieder und 1 Gast.

Der Vorsitzende teilt das Ableben des Vereinsmitgliedes Hrn. Max Krag mit. Die Versammlung ehrt das Andenken des Verstorbenen durch Erheben von den Sitzen.

Nach Erledigung geschäftlicher Angelegenheiten giebt Hr. Rohn Winke für die Besucher der Weltausstellung in Paris.

Besichtigung der Königin Marienhütte zu Cainsdorf bei Zwickau am 23. Juli 1900.

Am Auszuge beteiligten sich 35 Mitglieder.

Besichtigt wurden die beiden elektrischen Kraftwerke, von denen das eine von Turbinen mit selbstthätigen Regulatoren getrieben wird, während das zweite, noch im Bau befindliche eine von der Hütte selbst gebaute Dampfmaschine erhalten soll; ferner die Eisenbauwerkstätte, die Rohrgießerei, das Walzwerk, das Stahlwerk und der Hochofen. Bei letzterem erteilte Hr. Rössler Auskunft über den Betrieb des Hochofens, die Rohstoffe und die Erzeugnisse.

Besichtigung der Metallwerke in Glauchau i/S.
am 5. September 1900.

Die Metallwerke Glauchau vorm. Rich. Heinrich & Co. sind im Jahre 1888 gegründet und beschäftigen zurzeit rd. 100 Arbeiter und Beamte. Sie umfassen eine Phosphorbronze- und Eisengießerei, eine Maschinenbauwerkstatt und Kupferschmiede. Die Metallgießerei erzeugt monatlich rd. 50000 kg von Dr. Künzels Phosphorbronze. Außerdem liefert das Werk verbleite Rohre und Behälter, Kochgeräte, rotierende Pumpen, Hochdruckgebläse usw.

Besondere Beachtung fanden drei Kochgefäße aus Phosphorbronze von bedeutenden Abmessungen; das eine ist 2500 mm hoch, hat 2000 mm Dmr. und wiegt 5000 kg; die beiden andern sind ebenso schwer; ihre Höhe beträgt 3000 bzw. 3000 mm, ihr Durchmesser 1800 bzw. 1850 mm. Das zuletzt genannte ist innen mit einer 3 mm starken Zinnschicht übersogen.

Sitzung vom 9. Oktober 1900.

Vorsitzender: Hr. Freytag. Schriftführer: Hr. Schreihage.
Anwesend 20 Mitglieder und 3 Gäste.

Der Vorsitzende teilt das Ableben der Herren Ernst Edlich und Lindig mit, deren Andenken die Anwesenden durch Erheben von den Sitzen ehren.

Nach Erledigung geschäftlicher Angelegenheiten spricht Hr. Ruppert über die Konstruktionsanforderungen des neueren Werkzeugmaschinenbaues. Der Vortrag wird an besonderer Stelle veröffentlicht werden.

Sitzung vom 6. November 1900.

Vorsitzender: Hr. Freytag. Schriftführer: Hr. Rebs.
Anwesend 23 Mitglieder und 2 Gäste.

Nach Erledigung geschäftlicher Angelegenheiten spricht Hr. Marr aus Leipzig über Heizanlagen, insbesondere für Fabriken.

Der Redner führt aus, dass sich die Anforderungen an eine Fabrikheizanlage nach den Ansprüchen des Betriebes an den Feuchtigkeitsgehalt der Luft, die Stärke des Luftwechsels usw. zu richten haben. Er giebt eine kurze Anleitung zur Berechnung der erforderlichen Wärmemenge und zeigt an einem Zahlenbeispiel, dass sich der Betrieb einer Kondensationsdampfmaschine und die Verwendung von Frischdampf zur Heizung der Fabrik nicht teurer stellen, als die Heizung mit dem Abdampf einer Auspuffmaschine, deren gesamter Abdampf nur während der kalten Jahreszeit zur Heizung dient, sonst aber verloren geht.

Der Vortragende unterzieht dann die verschiedenen Heizarten einer Besprechung. Hochdruckdampfheizungen sind billig in der Anlage infolge ihrer kleinen Heizflächen und Rohrdurchmesser. Als Nachteile sind zu nennen: hohe Temperatur der Heizflächen, hierdurch bedingtes Versengen des Staubes, unangenehmer Geruch, Trockenheit der Luft, notwendige Entlüftung jedes einzelnen Heizkörpers, Knallen und Knattern in den Leitungen und schwierige Regelung der Temperatur.

Abdampfheizungen gestatten in ihrer einfachsten Form: Hindurchführung einer Leitung von der Weite des Auspuffrohres durch alle Räume, weder, die Temperatur zu regeln,

noch den Dampf auszunutzen. Gegenwärtig werden gute Abdampfheizungen nach Art der Hochdruckheizungen ausgeführt, nur sind die Ofen größer, die Rohre weiter. Die Kondensationsköpfe am Ende fallen weg und mit ihnen die Lufthähne an den Heizkörpern. Der überschüssige Dampf wird durch eine mit Drosselklappe versehene Zweigleitung abgeführt. Diese Heizart ist billig im Betrieb, wenn der Abdampf der Maschine anderweit nicht zu gebrauchen ist. Der geringe Druck gestattet, flachwandige Heizkörper zu verwenden. Nachteilig macht sich der Fettgehalt des Kondenswassers bemerkbar, der Leitungen und Ventile verschmiert. Unangenehm empfunden wird auch, dass die Erwärmung der Räume erst mit dem Inbetriebsetzen der Dampfmaschine beginnt.

Bei unzureichender Menge des Abdampfes muss Frischdampf zugeführt werden; hierzu sind zuverlässige Druckminderer nötig (Besonders gut haben sich die Konstruktionen von Salzmann sowie von Nachtigal & Jacoby bewährt, die den Dampfdruck bis auf $\frac{1}{20}$ at herabmindern, um einen schädlichen Gegendruck auf die Dampfmaschine zu verhüten. Einen Gegendruck, der dadurch entstehen könnte, dass eine größere Anzahl Heizkörper angeschlossen wird, verhindert der Körtingsche Druckminderer, bei dem ein Schwimmer ein Zulassventil für den Frischdampf betätigt, wenn die Spannung unter die normale sinkt, und anderseits ein Sicherheitsventil, sobald sie überschritten wird. Eine wesentliche Verbesserung war die Einführung von Regulirventilen anstelle der gewöhnlichen Einlassventile an den Heizkörpern. Diese sind so eingestellt, dass sie nur so viel Dampf zulassen, wie der betreffende Heizkörper kondensieren kann. Vorteile der gemischten Heizung sind: Die Heizung ist vor Beginn des Maschinenbetriebes möglich, ohne dass die zu beheizenden Räume betreten zu werden brauchen, da die Entlüftung der einzelnen Heizkörper wegfällt; die Temperatur ist durch ein einziges Ventil in allen Räumen unabhängig von einander regelbar; störende Geräusche fallen fort; die Anschlussstellen lassen sich leicht dicht halten, und es lässt sich Frisch- oder Abdampf allein oder beide gemischt verwenden. Nachteile sind mit dieser Heizart nicht verbunden.

In einer Umlaufheizung gelangt der hochgespannte Dampf aus dem Kessel in die höher als der Kessel gelegenen Heizkörper, wo er seine Wärme abgibt, um als Kondensationswasser wieder in den Kessel zu laufen. Die Umlaufheizungen sind einfach in der Anordnung, haben geringen Brennstoffverbrauch, kleine Heizflächen und keine Kondensationsköpfe. Hingegen sind als Nachteile zu nennen: hohe Temperaturen der Heizflächen, sehr schwierige Entlüftung und hiermit verbundene Störungen, unvollkommene Temperaturregelung und hoher Druck in den Leitungen. Letzterer Umstand kann dadurch umgangen werden, dass man den Druck des Kesseldampfes entsprechend vermindert und das Kondenswasser durch eine selbsttätig wirkende Dampfmaschine dem Dampfkessel wieder zuführt. An die Stelle der Dampfmaschine tritt mit Vorteil eine Körtingsche Schwimmerpumpe oder eine andere Rückspeisevorrichtung.

Dampfheizungen brauchen bedeutend größere Mengen Dampf (2,4 bis 3 mal so viel) als gewöhnliche Dampfheizungen; trotzdem ist ihre Anlage häufig geboten, wenn

kräftiger Luftwechsel oder Innehaltung eines bestimmten Feuchtigkeitsgehaltes der Luft verlangt wird. Im Sommer dient die Anlage zum Lüften und Kühlen. In besonderen Fällen kann die abgekühlte Luft aus den geheizten Räumen gezogen und wieder angewärmt werden.

Gasheizungen sind wenig oder garnicht eingeführt. Als Brennstoff kommt nur Dowson-Gas und Wassergas infrage, da Leuchtgas zu teuer ist. Gasheizungen kommen nur dort in Betracht, wo das betreffende Gas zum Betrieb von Motoren oder zu sonstiger Verwendung erzeugt wird. Es werden dann zweckmäßig Niederdruckdampfheizungen angelegt, deren Kessel mit Gas geheizt werden.

Zum Schlusse stellt der Vortragende die Betriebskosten der verschiedenen Heizarten wie folgt zusammen:

Für 1000 WE zum Ersatz der Ausstrahlung der Abkühlungsflächen und 10 vH Zuschlag für Erwärmen der Lufterneuerung sind stündlich nötig: bei Dampf 3,16, Luft 6,86, Wassergas 3,93, Dowsongas 2,86 kg Kohle.

Nach dem jetzigen Stand der Heiztechnik ist Dampf von niedriger Spannung, und zwar von $\frac{1}{10}$ bis $\frac{3}{10}$ at, auch für Fabrikheizung das richtigste. Hochdruckdampf wird voraussichtlich nur noch für besondere Trockenanlagen benutzt werden. Auch hier lässt er sich verdrängen, wenn man den Niederdruckdampf überhitzt oder wenigstens trocknet. Besonders letzteres empfiehlt der Redner.

In der sich an den Vortrag knüpfenden Erörterung bespricht Hr. Freytag die Fabrikation von Holzgas, die er auf der Ausstellung zu Paris kennen zu lernen Gelegenheit hatte. Er erklärt die Einrichtung des Gaserzeugers und weist auf die Billigkeit dieses Brennstoffes hin.

Sitzung vom 4. Dezember 1900.

Vorsitzender: Hr. Freytag. Schriftführer: Hr. Robs.

Anwesend 23 Mitglieder und 3 Gäste.

Nach Erledigung geschäftlicher Angelegenheiten erstattet der Vorsitzende den Jahresbericht des Bezirksvereines¹⁾. Alsdann werden die Wahlen zum Vorstände des Bezirksvereines und zum Vorstandsrat vollzogen. Darauf spricht Hr. Freytag über bemerkenswerte Gasmaschinen der Weltausstellung in Paris 1900²⁾.

Eingegangen 19. Februar 1901.

Kölner Bezirksverein.

Sitzung vom 16. Januar 1901.

Vorsitzender: Hr. Eulenberg. Schriftführer: Hr. Mathée.

Anwesend 67 Mitglieder und 5 Gäste.

Nach Erledigung geschäftlicher Angelegenheiten spricht Hr. Vierow über Entstehung und Beseitigung des nassen Dampfes³⁾.

¹⁾ Z. 1901 S. 755.

²⁾ Z. 1900 S. 1077 u. f.

³⁾ Z. 1900 S. 1581.

Bücherschau.

Grundsätze der Kinematik dargestellt von Heinrich Weifs, Ingenieur. Erstes Heft. 256 S. gr. 8° mit einem Atlas von 10 Tafeln. Leipzig 1900, Arthur Felix. Preis 10 M.

Der Verfasser hat sich die schwierige Aufgabe gestellt, in dem Werke, dessen erstes, offenbar nur einen kleinen Bruchteil des Ganzen bildendes Heft vorliegt, sowohl die reine Kinematik, als auch die Maschinen-Kinematik zu behandeln, wobei für die erstere hauptsächlich Burmesters, für die letztere Reuleaux' Kinematik zugrunde gelegt werden sollen.

In einer rd. 60 Seiten umfassenden Einleitung wird teilweise unter seitenlangen Ausführungen aus den genannten beiden Lehrbüchern die Entwicklung der Kinematik und ihre Stellung zu den mathematischen und mechanischen Wissenschaften behandelt. Auf den dann folgenden 200 Seiten werden die Anfänge der »abstrakten Kinematik« entwickelt. Hier folgt zunächst die Bewegung des Punktes (Geschwindigkeit, Hamiltonscher Hodograph, Beschleunigung), dann die Bewegung des starren Körpers im allgemeinen (Translation, Rotation, Äquivalenz der Bewegungen, Geschwindigkeiten und Beschleunigungen), schließlich die Bewegung des ebenen Systems in seiner Ebene. In diesem letzten Abschnitte wird eine rein geometrische Untersuchung der ebenen Bewegung ohne Benutzung der Zeit gegeben. Dann folgt die Erörterung

der Geschwindigkeitsverhältnisse unter Benützung des Burmesterschen Verfahrens der lotrechten Geschwindigkeiten, endlich die Untersuchung der Beschleunigungsverhältnisse.

Am umfangreichsten ist der Abschnitt, der die rein geometrischen Betrachtungen enthält. Hier werden nacheinander zwei, drei, vier und fünf Lagen des Systems untersucht, die zunächst diskret, dann unendlich benachbart vorausgesetzt werden. Zwei Lagen liefern die Sätze über Polbahn, Polkurve und die Beziehungen zwischen Systemkurve und Hüllbahn; drei Lagen die Sätze über die Krümmung von Systemkurve und Hüllbahn, die Bobilliersche Konstruktion, die Euler-Savarysche Formel, den Wende- und Rückkehrkreis; vier Lagen die Kreispunktkurve; fünf Lagen die Burmesterschen Punkte des ebenen Systems. Schließlich wird in diesem Abschnitt noch kurz die gleichzeitige Bewegung dreier und mehr komplakter ebener Systeme behandelt.

Die Schreibweise ist nicht besonders glücklich. Der Verfasser verfügt offenbar über eine sehr große Belesenheit und verweist fortwährend auf andere Schriften; nur auf wenigen Seiten des Buches dürfte sich kein Hinweis finden. Fast bei jeder Untersuchung wird angeführt, von welchen Mathematikern die ursprüngliche oder die gegebene Darstellung herrührt. Das macht dem Gewissen des Verfassers zwar alle

Ehre, wirkt aber doch auf die Dauer recht störend und macht auch zu sehr den Eindruck, als ob das ganze Buch aus den Abhandlungen von Burmester, Grübler, Aronhold, R. Müller, Schell, Rohn und Papperitz usw. zusammengetragen wäre. Recht hässlich ist auch die übermäßige Verwendung von Indices, in der der Verfasser sogar Burmester übertrifft, z. B.: Kreis k_2 (12, 13, 14), Punkt J (2), Punkt K_{123}^A ; und derartige Bezeichnungen sind noch in die sonst durchweg sehr gut gezeichneten Figuren eingetragen.

Man kann mit Interesse dem Erscheinen der die angewandte Kinematik enthaltenden Lieferungen entgegensehen, von der im vorliegenden Heft ja gar nichts enthalten ist, sodass auch ein Urteil über die Brauchbarkeit des Buches für den Techniker hiernach noch nicht möglich ist.

Berlin.

F. Preufs, Dipl. Ing.

Übersicht neu erschienener Bücher,

zusammengestellt von der Verlagsbuchhandlung von Julius Springer, Berlin N., Monbijouplatz 3.

- Erdbau- und Wasserbau.** Handbuch der Ingenieurwissenschaften in 5 Bänden. 2. Aufl. Herausg. v. L. Franzus u. a. 3. Bd. Der Wasserbau. 2. Abt. 1. Hälfte: Landwirtschaftl. Wasserbau. Binnenschiffahrt. Flussbau. Leipzig 1901. W. Engelmann. Preis 13 M.
- Junker, Karl M. Flächen-Tabellen für die Kubatur-Berechnung von Erdarbeiten. Budapest 1901. Wien. Lehmann & Wentzel. Preis 1,50 M.
- Kanalfrage. Die Leipziger, in Verbindung mit der Entwicklung der gesamten Verkehrs-Verhandlungen des Leipziger Verkehrs-Vereins am 27. XII. 1900. Leipzig 1901. Woerls Reisebücher-Verlag in Kommission. Preis 0,10 M.
- Satren, O. Les rivières de la Norvège. Christiania 1901. Marius Stammen.
- Sympher. Die wasserwirtschaftliche Vorlage. Berlin 1901. Mittler & Sohn. Preis 1,50 M.
- Explosionsmotoren usw.** Goldingham, A. H. The design and construction of oil engines, with full directions for erecting, testing, installing, running, and repairing. London 1901. Spon. Preis 6 sh.
- Feuerungsanlagen.** Barr, W. M. Catechism on combustion of coal and prevention of smoke. London 1901. Low. Preis 8 sh. 6 d.
- Herre, O. Moderne Dampfkesselfeuerungen. (Aus Dinglers polytechn. Journal.) Stuttgart 1901. Mittweida, Polytechn. Buchh. Preis 1,50 M.
- Hörens, O. Theorie und Praxis der Luftüberschussbeseitiger oder Zugregler für Dampfkesselfeuerungen. 4. Auflage. Leipzig 1901. J. J. Weber. Preis 1 M.
- Gasbereitung.** Hasluck, P. N. Practical gas-fitting, including gas manufacture. London 1901. Cassell. Preis 2 sh.
- Rexegh, F. Praktische Erläuterungen über Bau, Betrieb und Verwaltung der Kohlegasanstalten, mit besonderer Rücksicht für den Gebrauch kleinerer Städte. Wien 1901. Spielhagen & Schurig. Preis 6 M.
- Gesundheitsingenieurwesen.** Maquire, William R. Domestic sanitary drainage and plumbing. 3rd ed. London 1901. Paul, Trench, Trübner & Co. Preis 12 sh.
- Gießerei.** Möller, Albin. Der Former und Gießer. Praktische Winke und Ratschläge in der Sand-, Masse- und Lehmformerei, sowie für die Eisengießerei, deren Anlagen und Einrichtungen. Lösungs 1. Ergänz. 1901. Wallisch.
- Heizung und Lüftung.** Dye, Frederick. A practical treatise upon steam heating. Embracing methods and appliances for warming buildings, heating water, and cooking by steam, low pressure, high pressure and exhaust steam. London 1901. Spon. Preis 10 sh.
- Lawler, J. J. Modern plumbing, steam and hot water heating. London 1901. Lockwood. Preis 21 sh.
- Hochbau.** Beran, Felix. Bautechnische Neuheiten. Moderne Fortschritte der Bautechnik mit besonderer Berücksichtigung der Bauausstellung in Dresden. Dresden 1901. Gihlers. Preis 1 M.
- Handbuch der Architektur, herausgeg. von E. Schmitt. 1. T. Allgemeine Hochbaukunde. 5. Bd. Stuttgart 1901. A. Bergsträsser. Preis 12 M.
- Hart, J. W. External plumbing work: Treatise on lead work for roofs. London 1901. Scott, Greenwood & Co. Preis 7 sh. 6 d.
- Vorschriften über die Ausbildung und Prüfung für den Staatsdienst im Baufache im Großherzogthum Hessen. Amtliche Handausgabe. Darmstadt 1901. G. Jonghaus. Preis 2,40 M.
- Holzbearbeitung.** Wheeler, C. G. Woodworking for beginners. A manual for amateurs. London 1901. Putnam's Son. Preis 12 sh. 6 d.
- Instrumentenkunde.** Marpmann, Geo., Illustrierte Fachlexika der gesamten Apparaten-, Instrumenten- und Maschinenkunde, der Technik und Methodik, für Wissenschaft, Gewerbe und Unterricht. 1. Bd.

Bei der Redaktion eingegangene Bücher.

Technische Hilfsmittel zur Beförderung und Lagerung von Sammelkörpern (Massengütern). Von M. Buhle. I. Teil. Berlin 1901, Julius Springer. 120 S. 4° mit 563 Figuren, 3 Textblättern und 1 Tafel. Preis gebunden 15 M.

Vereinigung der Elektrizitätswerke. Statistik für das Betriebsjahr 1899/1900 und 1900. Von der Kommission für Statistik. Dortmund 1901. 131 S. 4°. Preis 20 M.

(Zu beziehen durch Direktor C. Döpke, Dortmund.)

Die Maschinenelemente, ihre Berechnung und Konstruktionen. Von C. von Bach. Achte vermehrte Auflage. 1. Bd. Text. 2. Bd. Tafeln und Tabellen. Stuttgart 1901, Arnold Bergsträsser. 810 S. mit vielen Figuren und Tafeln. Preis 30 M.

- Chemisch-analyt. Technik u. Apparatenkunde. Leipzig 1901. P. Schimmelwitz. Preis 1,50 M.
- Kältemaschinen.** Leack, A. Ritchie. Refrigerating machinery. Its principles and management. 2nd ed. London 1901. Simpkin. Preis 5 sh.
- Landwirtschaftl. Betriebe.** Le 6^e Congrès international d'agriculture, tenu à Paris du 1 au 5 juillet 1900. Paris 1901. Masson. Preis 20 fr.
- Jumelle, M. Les cultures coloniales. Paris 1901. J. B. Baillière. Preis 8 fr.
- Laurent, L. Le tabac, sa culture et sa préparation. Production et consommation dans les divers pays. Paris 1901. Challamel. Preis 9 fr.
- Légier, E. Manuel de fabrication de l'alcool de betterave. Paris 1901. Davy.
- Schwarz, O. Maschinenkunde für den Schlachthof-Betrieb. Berlin 1901. J. Springer. Preis 5 M.
- Luft- u. Wasserkraftmaschinen.** Frisell, Joseph P. Water power. New York 1901. John Wiley and Sons.
- Holz. Ueber Wasserkraftverhältnisse in Skandinavien und im Alpengebiet. (Aus Zeitschr. für Bauwesen.) Berlin 1901. W. Ernst & Sohn. Preis 24 M.
- Luftschiffahrt.** Niestolowski-Gawin v. Niestolowice, Vict., Ritter: Ueber das Problem der Luftschiffahrt. Vortrag. (Aus Organ der militär-wissenschaftl. Vereine.) Wien 1901. J. Dirnböck in Kommission. Preis 0,80 M.
- Maschinenteile, Getriebe.** Ernst, A. Eingriffsverhältnisse der Schneckengetriebe mit Evolventen- u. Cycloidenverzahnung und ihr Einfluss auf die Lebensdauer der Triebwerke. Berlin 1901. J. Springer. Preis 4 M.
- Gewindesystem, Internationales, auf metrischer Grundlage mit Skala der Normaldurchmesser, Ganghöhen und Schlüsselweiten. 2. Aufl. Zürich 1901. Ed. Rascher. Preis 0,30 M.
- Grove, O. Formeln, Tabellen und Skizzen für das Entwerfen einfacher Maschinenteile. 12. Aufl. Hannover 1901. Schmorl & v. Seefeld Nachf. Preis 7 M.
- Lorenz, H. Dynamik der Kurbelgetriebe mit besonderer Berücksichtigung der Schiffsmaschinen. Leipzig 1901. B. G. Teubner. Preis 5 M.
- Materialkunde.** Mitteilungen aus dem mechanisch-technischen Laboratorium der k. technischen Hochschule München. Geegründet von J. Bauschinger. Neue Folge. 27. Heft. München 1901. Th. Ackermann. Preis 12 M.
- Mitteilungen der Materialprüfungsanstalt am Eidgenöss. Polytechnikum. 9. Heft. Methoden und Resultate zur Untersuchung des Aluminiums und seiner Abkömmlinge. Zürich 1901. Speldel. Preis 6 M.
- Osmond, F., et G. Cartaud. Sur la cristallographie du fer. Paris 1901. V. Dunod.
- Pullen, W. W. F. Experimental engineering. Vol. I: A treatise on the methods and instruments used in testing and experimenting with engines, boilers, and auxiliary machinery. Manchester 1901. The Scientific Publishing Co. Preis 15 sh.
- Stöffler, Ernest. Siliceo-calcareous sandstones. London 1901. Spon. Preis 4 sh.
- Trauth, Ludw. Materiallehre. Praktisches Handbuch für Arbeiter und Lehrlinge in Maschinenfabriken und verwandten Gewerben. 5. Aufl. Luzern 1901. Frell & Eberle. Preis 2 M.
- Mathematik.** Brough, B. H. Treatise on mine surveying. 8th ed. London 1901. Griffin. Preis 7 sh. 6 d.
- Uhlich, P. Lehrbuch der Markscheidkunde. Freiberg 1901. Craz & Gerlach. Preis 14 M.

Zeitschriftenschan.¹⁾

(* bedeutet Abbildung im Text.)

Beleuchtung.

Elements of illumination. XXVI. Von Hell. (El. World 8. Juni 01 S. 970/729) Lampen mit Rückstrahlsiegeln und Prismen zum Sammeln der Lichtstrahlen.

Chemische Industrie.

L'industrie de l'alcool à l'Exposition de 1900. Von de la Coud. Schluss. (Génie civ. 15. Juni 01 S. 106/097 u. 22. Juni 01 S. 173/257) Zubereitung und Gärung der den Fruchtzucker enthaltenden Flüssigkeit. Verwendung von Pilzen zur Alkoholvergärung: Verfahren von Collette und Boldin. Verfahren und Geräte von Jacquemin zur Gewinnung von Reinkulturen. Desgl. von Barbet und von der Société des Ferments Industriels. Diffusion, Entkeimung und Gärung mittels andauernder antiseptischer Behandlung in Destillirapparat: Verfahren von Guillaume, Egrot & Grangé. Destillation und Rektifikation: ununterbrochen arbeitende Rektifikationsvorrichtung von Barbet; Vorrichtung für fraktionirte Destillation von Perrier; geeigneter Kolonnenapparat von Guillaume; staatliche Alkoholvergärung in Russland. Electrochemical action. Von Reed. Forts. (Journ. Franklin Inst. Juni 01 S. 301/137) Erschöpfung der elektrochemischen Energie der Zellen. Geschwindigkeit der Ionenwanderung. Schluss folgt.

Dampfkräftanlagen.

Babcock & Wilcox boilers at the Glasgow Exhibition. (Engng. 21. Juni 01 S. 800*) Die im Betriebe des Kraftwerkes arbeitenden Kessel sind in der Ausführung als Schiffskessel und als Landkessel ausgestellt. Beide Arten haben gleiche, je 1000 PS, entsprechende Leistung. Die Schiffskessel besitzen 252 qm Heizfläche, 6 qm Rostfläche und haben nach vorn geneigte Röhrenbündel und einen querliegenden Oberkessel. Die Landkessel haben nach hinten geneigte Röhren, je zwei in Richtung der Röhren liegende Oberkessel und sind mit selbstthätiger Feuerung ausgestattet. Sie haben 478 qm Heiz- und 7 qm Rostfläche. Angaben über die von derselben Firma ausgeführten Ueberhitzer der Dampfkräftanlagen.

Fabrication des chaudières, matériaux employés, leur mise en oeuvre dans la construction et la réparation. Von Compère. Forts. (Rev. ind. 15. Juni 01 S. 239) Flusseisen als Kesselbaustoff. Anforderungen, die an Kesselbleche in bezug auf Festigkeit und Dehnung zu stellen sind. Forts. folgt.

The Oke-servo water-tube boiler. (Engineer 21. Juni 01 S. 651/52*) Darstellung und Erläuterung der Wirkungsweise der neuesten Ausführungsform der in Zeitschriftenschan v. 11. Febr. 99 erwähnten Kesselart.

Risse im Oberkessel eines Wasserröhrenkessels. Von Reichenberg. (Mitt. Prax. Dampfkr. Dampfkr. 5. April 01 S. 249/50) Bei zwei Wasserröhrenkesseln eines ungarischen Elektrizitätswerkes zeigten sich an den Oberkesseln größere Risse, die vom Verfasser auf mangelhafte Wartung und übermäßige Beanspruchung sowie auf die ungleichmäßige Ausdehnung zurückgeführt werden.

Steam engines at the Glasgow Exhibition. IV. (Engineer 21. Juli 01 S. 642/45*) Ausstellung von Alley & Macellan in Glasgow. Stehende dreifache Tandem-Verbundmaschine mit einfachwirkenden Cylindern von 250 und 450 mm Dmr. und 230 mm Kolbenhub. Die Maschine arbeitet bei 12,5 at Dampfdruck und treibt einen Gleichstromerzeuger von 170 KW mit 400 Uml./min. Verbundkompressor für 7 at Ueberdruck mit einem in zwei Cylindern arbeitenden Differentialkolben. Abperr- und Umsteuerventil für Dampfmaschinen.

The report of the engine-trial committee of the American Society of Mechanical Engineers. (Eng. Rec. 8. Juni 01 S. 550) Auszug aus dem der genannten Gesellschaft vorgelegten Bericht über Normalen zu Leistungsversuchen an Dampfmaschinenanlagen.

Eisenbahnwesen.

Der Schnellverkehr und die Schwebbahnen. Von Dolezalek. (Organ 01 Heft 15 S. 82/100* mit 7 Taf.) Der Verfasser vertritt die Ansicht, dass der Schnellverkehr seine besonderen Bahnen und Bahnkörper verlange. Er bespricht sodann einen für die Strecke Berlin-Hamburg aufgestellten Entwurf einer Stundbahn, einen Entwurf für eine Mehrfache Schwebbahn zwischen Liverpool und Manchester und schließlich die Langsame Schwebbahn, insbesondere einen Entwurf für die Berliner Stadtbahn.

Die großen elektrisch betriebenen Pariser Stadtbahnen. Von Kohlhorst. (Z. f. Elektrot. Wien. 10. Juni 01 S. 296/301*) Die Strecke der Orleans-Bahn vom Quai d'Anversitz bis zum Quai d'Orsay. Forts. folgt.

¹⁾ Die Zeitschriftenschan wird, nach den obigen Stichwörtern in Vierteljahrsheften zusammengefasst und geordnet, gesondert herausgegeben, und zwar zum Preise von 3 M pro Jahrgang für Mitglieder, von 10 M pro Jahrgang für Nichtmitglieder.

Die nördliche Ringlinie der Pariser Metropolitan-Bahn. (Dingler 22. Juni 01 S. 899/402*) Die im Bau befindliche Strecke führt von der Place de l'Étoile in weitem Bogen am Parc Monceau vorbei über die Place Clichy, hinter den Nordbahnhof durch die zur Place de la Nation. Vom Boulevard Barbès bis zur Rue de Meaux wird die Bahn als Hochbahn, sonst als Unterpflasterbahn ausgeführt. Angaben über den Bauvorgang und die Kosten.

Vorschlag für eine neue Bezeichnung der Lokomotivbauarten. Von Friebe. (Organ 01 Heft 5 S. 102) Der Verfasser bezeichnet Treib- und Kuppelräder mit D, Laufräder mit a, b, die Anzahl der betreffenden Achsen durch vorgesetzte Zahlen: z. B. bezeichnet 2a2Db eine 2¹/₂-gekuppelte Lokomotive mit zwei in einem vorderen Drehgestell gelagerten Laufachsen und einer hinter den Treibachsen angeordneten Laufachse; die hinteren Laufräder haben andere Durchmesser als die vorderen (sonst würde hinten auch a zu schreiben sein).

Express locomotive for the South-Eastern and Chatham Railway; Glasgow Exhibition. Constructed by Messrs. Sharp, Stewart & Co., Ltd., Glasgow, from the designs of Mr. H. S. Wainwright, locomotive superintendent. (Engng. 21. Juni 01 S. 802*) Die Lokomotive ist 2¹/₂-gekuppelt mit vorderem zweiaxligem Drehgestell. Sie hat innenliegende Cylinder von 480 mm Dmr. und 660 mm Kolbenhub, 140 qm Heiz-, 1,9 qm Rostfläche, 12,5 at Dampfdruck, 2030 mm Triebhaddurchmesser, 16,85 t Reibungsgewicht und 30 t Gesamt-Betriebsgewicht. Der Tender fasst 1500 ltr Wasser und 4½ t Kohle. Er wiegt insgesamt 39,7 t.

Die Dampflokomotive für große Geschwindigkeit. Von V. Horries. (Glaser 15. Juni 01 S. 237/38*) Der Verfasser bespricht die in Zeitschriftenschan v. 4. Mai 01 unter »Bedingungen für die Bauart von Dampflokomotiven von 200 km Geschwindigkeit« erwähnten Forderungen Frankels, zu denen er einzelne Abänderungsvorschläge macht.

Der Eisenbahn-Wagenbau auf der Pariser Weltausstellung 1900. Von Schumacher. Forts. (Glaser 15. Juni 01 S. 239/44*) 4achsiger Speisewagen für die Internationale Schlafwagen-Gesellschaft, gebaut von Miani & Co. in Mailand; 4achsiger D-Zugwagen 1. Kl. für die Italienische Mittelmeerbahn, gebaut von Grandoni, Comi & Co. in Mailand; 4achsiger D-Zugwagen 1. und 2. Kl. der Italienischen Südbahngesellschaft in Florenz; 4achsiger D-Zugwagen sowie Gepäck- und Postwagen der Italienischen Mittelmeerbahn in Turin; 6achsiger Speisewagen der London and North-Western Railway Company; 6achsiger Schlafwagen für die East-Coast Express-Linie nach Schottland; Drehgestellwagen 1. und 2. Kl. der Russischen Süd-Westbahn, gebaut von der Russisch-Italienischen Wagenfabrik in Riga; Zisterne- und Güterwagen für Naphthalintransport von der Maschinenfabrik Colomna. Forts. folgt.

Elektrische Druckknopfsperre im Blockstromkreise zur Verhütung falschen Entblockens von Stations-, Einfahr- und Ausfahr-Signalen. Von Herricht. (Organ 01 Heft 5 S. 100/101*) Durch die Vorrichtung wird die Bedienung der freien von zwei benachbarten Blockstellungen von der Zustimmung des Wärter der gesperrten Einrichtung abhängig gemacht.

Eisenhüttenwesen.

Walzwerksanlage für Universalbleche der Carnegie Steel Co. in Homestead, Pa. Von Illies. (Stahl u. Eisen 15. Juni 01 S. 636/39* mit 1 Taf.) Das neu errichtete Universalwalzwerk ist für Platten von 45 m Länge und 1,2 m Breite eingerichtet. Die Anordnung der Rollgänge und Richtplatten ist aus der Tafel ersichtlich. Die Rollgänge werden durch liegende Dampfmaschinen angetrieben. Die Kesselanlage umfasst 16 Caball-Kessel mit selbstthätiger Beschickungsvorrichtung, von denen jeder einer Leistung von 250 PS entspricht.

Eisenkonstruktionen, Brücken.

The Northampton concrete bridge, Central Railroad of New Jersey. (Eng. Rec. 8. Juni 01 S. 541/42*) Die Brücke besteht aus 2 gewölbten Öffnungen von 16,5 m und 13,5 m Spannweite. Die beiden Seitenwände, die den Raum zur Aufnahme der Kiesschüttung begrenzen, sind durch Spannstangen zusammengehalten. Die Gewölbe haben Einlagen von Streekmittel.

Elektrotechnik.

Das städtische Elektrizitäts-Werk-Kraftwerk zu Dresden. Von Meng. (Elektrot. Z. 20. Juni 01 S. 495/99*) In dem 74 m langen und 16 m breiten Kesselhause stehen 16 Doppelkessel von je 112 bzw. 120 qm Heizfläche. Die Maschinenhalle ist 68 m lang und 20 m breit und ist mit 5 Dampfmaschinen von 634 KW Höchstleistung besetzt. Die Antriebsmaschinen sind Tandem-Verbundmaschinen von 85 Uml./min. Ausführliche Darstellung aller Einzelheiten.

Electric power supply on Tyneside. (Engng. 21. Juni 01 S. 810/11) Angaben über die geschichtliche Entwicklung der Elektrizitätswerke von Newcastleton-Tyne und über das neue kürzlich eröffnete Werk. Es umfasst 8 Babcock & Wilcox-Kessel, zwei 300-pferdige Beltus-Dampfmaschinen, jede gekuppelt mit zwei 100-KW-Gleichstrom-

erzeugern von 240 V Spannung, eine 75pferdige Dampfmaschine gleicher Bauart, gekuppelt mit einem 50 KW-Gleichstromerzeuger, vier 1400pferdige Dreifachexpansionsmaschinen, jede gekuppelt mit einem 700 KW-Drehstromerzeuger von 3500 V Spannung, eine 1500 KW-Turbindynamo, Bauart Parsons, und einen 150 KW-Motor-Generator für Drehstrom und Gleichstrom.

Elektrische Licht- und Kraftanlage mit selbstthätiger Ein- und Ausschaltung des Antriebmotors. Von Vierow. (Mitt. Prax. Dampfkr. Dampf. 27. März 01 S. 225/30*) Die Anlage nutzt eine Wasserkraft von 8 PS aus, während es durch Verwendung von Akkumulatoren ermöglicht ist, die gleichzeitige Stromabgabe auf eine 24 PS entsprechende Höhe zu bringen. Ausführliche Darstellung der Vorrichtung, die das Anlassen der Turbine, den richtigen Lauf der Dynamomaschine bis zur Abgabe der Ladenspannung und während des Ladens sowie das Abstellen der Maschine auf 2 km Entfernung ermöglicht.

Allgemeine Gesichtspunkte über den modernen Bau großer Maschinen für Gleichstrom und Wechselstrom. Von Heyland. (Z. f. Elektr. Wien 16. Juni 01 S. 293/96*) Erläuterungen über die zurzeit geltenden Grundsätze in der Konstruktion und Bemessung der Maschinen und ihrer Einzelheiten. Verhältnis zwischen Nutenbreite und Nutentellung; Kraftliniendichte in den Zähnen und im Luftraum. Form der Polschenkel. Ankerlänge. Mittel zum Erzielen eines funkenlosen Arbeitens des Kommutators. Mittel zum Verhindern des Pendelns bei Wechselstrommaschinen. Forts. folgt.

Erläuterungen zu den Normen zur Prüfung von elektrischen Maschinen und Transformatoren. Von Dettmar. (Elektr. Z. 20. Juni 01 S. 499/506*) Ausführliche Begründung der im Zeitschriftenscha v. 29. Juli 01 aufgeführten Bezeichnungen und Leitsätze.

Magnetic attraction in dynamos due to the armature and field being non-concentric. Von Kowiton. (El. World 8. Juni 01 S. 969/70*) Wiedergabe eines Verfahrens zur Berechnung der zusätzlichen magnetischen Anziehung zwischen dem Anker und den Magnetpolen einer Dynamomaschine im Falle, dass der Anker nicht genau gleichmäßig im Magnetgestell gelagert ist.

The polyphase induction motor for general power service. Von Mershon. (El. World 8. Juni 1901 S. 966/67*) Allgemeine Erläuterungen über die Eigenschaften des Induktionsmotors und seine Verwendbarkeit unter verschiedenen Bedingungen im Vergleich zum Gleichstrommotor mit Hauptstrom- oder Nebenschlusswicklung. Anlaufmoment. Regelung der Geschwindigkeit. Spannungsabfall im Netz beim Anlauf. Leistungsfaktor und Wirkungsgrad.

Rotary transformers: Their history, theory and characteristics. Von Calles. Forts. (Journ. Franklin Inst. Juni 01 S. 429/45*) Wechselstrom-Gleichstrom-Umformer mit feststehenden und umlaufenden, mit einfachen und doppelten Wicklungen ohne und mit magnetischem Kreislauf. Umformer von Zeprowski und Déri, von Humphrey, Rowland, sowie von Hutin und Le Blanc. Schluss folgt.

Spanning Carquinez straits with a high-potential transmission line. Von Sterling. (El. World 8. Juni 01 S. 963/66*) Ein ein großes Gebiet an der Küste der San Francisco-Bay einschließend der Stadt Oakland mit Strom zu versorgen, musste die für hochgespannten Strom bestimmte Fernleitung über die Meerenge von Carquinez gezogen werden. Zu diesem Zwecke wurden auf Hügeln an beiden Ufern Türme von 70 und 20 m Höhe errichtet, welche die vier 1350 m langen Luftleitungen hatten. Die linke Höhe über dem Wasserspiegel beträgt 60 m. Einzelheiten der Drahtbefestigung, der Isolatoren und der Verankerung der Türme.

Storage battery auxiliaries. I. Von Lyndon. (El. World 8. Juni 01 S. 972/74*) Schaltung, Spannung, Stromstärke, Leistung und Belastungsdauer von Zusatzmaschinen für Akkumulatorenbatterien. Pufferbatterien ohne Zusatzmaschinen. Zusatzmaschinen mit Nebenschlussanregung, deren Ankerstrom in Reihe mit der speisenden Dynamo und der gespeisten Batterie geschaltet ist. Zusatzmaschinen mit Hauptstromanregung und Reihenschaltung.

The new Edison storage battery. Von Kennelly. (Trans. Am. Inst. El. Eng. Mai 01 S. 331/32*) Wortgetreuer Abdruck des im Zeitschriftenscha v. 22. Juni 01 erwähnten Vortrages.

Erde- und Wasserbau.

Die Tunnelbauten der nordböhmischen Transversalbahn Teplitz-Reichenberg im Jeschkengebirge. Von Imhof. Forts. (Schweiz. Bauz. 22. Juni 01 S. 272/75*) Eingehende Beschreibung des Vortreibens der Tunnel, der Auszimmerung, des Einbringens der Unterzüge und der Ausmauerung. Schluss folgt.

Explosionsmotoren und andere Wärmekraftmaschinen.

Betrachtungen über die Bau- und Erdölmaschinen der Weltausstellung Paris. Forts. (Dingler 22. Juni 01 S. 390/95*) Bemerkenswerte Einzelheiten des Crossley-Motors; Wirkungsweise des Ravel-Motors. Motoren für flüssige Brennstoffe; allgemeine Betrachtungen über die Arbeitsweise der Spiritus-, Petroleum- und Benzinmotoren und des Diesel-Motors. Forts. folgt.

Moteur à pétrole, à deux cylindres, de 8 chevaux. MM. Millot frères, constructeurs, à Gray (Haute-Saône). (Portef.

écon. Mach. Juni 01 S. 84/85 mit 1 Taf.) Der dargestellte Motor ähnelt in vielen Punkten dem im Zeitschriftenscha v. 27. April erwähnten 3pferdigen Motor von Millot frères. Die besonderen Einzelheiten des Verlaupfers, der Zünd-, Auspuff- und Regelvorrichtung sind näher erläutert.

Gasindustrie.

Ueber den Leuchtwert des Wassergases und dessen Heizwert. Von Strache und Jahoda. (Journ. Gas- u. Wasserv. 22. Juni 01 S. 447/48) Tabellarische Zusammenstellung der Ergebnisse von Versuchen über die Leuchtkraft des Wassergases bei Anwendung eines von Strache konstruierten Brenners.

Difficulties in constructing a concrete gasholder tank. (Eng. Rec. 8. Juni 01 S. 544/45) Beschreibung des Baues eines in Beton ausgeführten Gasbehälterbodens in Newport auf der Insel Wight. Die schlechte Beschaffenheit des Untergrundes verursachte eine Reihe von Zerstörungen, die den Bau sehr verzögerten.

Gesundheitsingenieurwesen.

L'épuration bactérienne des eaux d'égout. Von Richou. (Génie civ. 15. Juni 01 S. 109/11*) Zusammenstellender Fachbericht und kritische Erläuterung der verschiedenen Verfahren zur bakteriologischen Reinigung der Abwässer. Allgemeines und Grundgesetz. Verfahren von Dildin und Cameron. Das im Manchester angewendete gemischte Verfahren. Die zur ausreichenden Reinigung erforderliche Oberfläche der Niederschlagbehälter. Schlussfolgerungen.

A combined syphon and overflow. (Eng. Rec. 8. Juni 01 S. 551*) Zeichnungen und kurze Beschreibung eines durch den Mill-Fluss bei Springfield, Mass., gelegten, in Beton ausgeführten Doppelröhren zum Durchleiten der Regen- und Abwässer.

Garbage cremation at Evanston, Ill. (Eng. Rec. 8. Juni 01 S. 553/54*) Der von La Chapelle & John Peaslee gebaute Müllverbrennungs-ofen besteht aus 3 Teilen. In einem oben liegenden eisernen Behälter wird der Müll getrocknet, fällt dann in einen oben und unten mittels durchbrochener Steingewölbe abgeschlossenen Raum, in welchem er weiter getrocknet wird, und schließlich in den untersten Raum, wo er zu Asche verbrannt wird.

Hebezeuge.

Valve gear for high pressure hydraulic elevators. Von Baxter. (Am. Mach. 22. Juni 01 S. 625/26*) Konstruktionszeichnung und eingehende Beschreibung der hydraulischen Hochdrucksteuerung für Aufzüge der Otis Elevator Co.

Hochbau.

Ein neues System von armiertem Beton (System Siegwart). Von Recordon. Schluss. (Schweiz. Bauz. 22. Juni 01 S. 269*) Anwendung der beschriebenen Bauart bei Auswechslung einer Balkenlage, bei der Konstruktion von Decken für große Spannweiten, von Unterzügen, Treppenabsätzen usw.

Schornsteinstabilität. Von Jucker. (Mitt. Prax. Dampfkr. Dampf. 2. April 01 S. 245/49 u. 10. April 01 S. 245/69*) Eigengewicht, Winddruck, Widerstand gegen Umkippen, Druck- und Biegespannungen, Druckspannung bei fehlender Zugfestigkeit. Annahmen über die Größe des Winddruckes. Wirkung der Beanspruchungen auf das Materialgefüge, zulässige Belastung. Berechnung eines Beispiels.

Kälteindustrie.

Versuche an Kühlmaschinen verschiedener Systeme im praktischen Betriebe. Versuche an der Kühlmaschinen-Anlage der Alkaliwerke Ronnenberg. Von Cattaneo. (Z. Kälte Ind. Juni 01 S. 104/09*) Die genannten Werke lassen zur Erschließung ihres Steinsalzlagern einen Schacht nach dem Gefrierverfahren abteufen. Die hierzu benutzte Kühlmaschinenanlage besteht aus zwei von einander unabhängigen liegenden Dampfmaschinen mittels Riemens angetriebenen Ammoniakkompressoren, zwei Verdampfern und zwei Kondensatoren. Für den Umlauf der Saole sind zwei doppelwirkende schwungradlose Dampfpumpen vorgesehen. Die Abnahmeversuche fanden unter Leitung von Prof. Lorenz statt und erstreckten sich auf die Ermittlung der Kälteleistung, der Kondensatorleistung und der indirekten Kompressorleistung.

The plant of the Norfolk Refrigerating Storage Company. (Eng. Rec. 8. Juni 01 S. 551/53*) Die Anlage umfasst ein fünfstöckiges Kühlhaus, ein fünfstöckiges Gebäude zur Herstellung von künstlichem Eis und ein dreistöckiges Lagerhaus. Angaben über die Ausrüstung des Maschinen- und Kesselhauses; Einzelheiten der Rohrleitungen.

Lager- und Ladevorrichtungen.

Einrichtungen für die mechanische Handhabung von Erzen, Kohlen und Koks auf der Pariser Weltausstellung. Von Frabm. Forts. (Stahl u. Eisen 15. Juni 01 S. 641/50*) S. Zeitschriftenscha v. 15. Juni 01. Die Ausstellung der Robins Conveying Belt Co. in New York. Fördererrichtungen der Jeffrey Manufacturing Co. in Columbus, O. Lager- und Ladevorrichtungen der Pariser Gasgesellschaft. Forts. folgt.

Einrichtungen zur Beförderung und Lagerung von Kohlen, Koks und Reineisermasse für Gasanstaltsbetrieb. Von Nuhle. (Journ. Gas- u. Wasserw. 15. Juni 01 S. 425/30*) Besprechung der de Brouwer'schen Röhre in ihren verschiedenen Entwicklungsstufen: Förderbänder, Hohl- und Kettenbahnen; Becherwerke, insbesondere das Bradley'sche Becherkabel. Forts. folgt.

Maschinenteile.

Cast iron pipe in the United States. (Engineer 21. Juni 01 S. 636/37*) Wiedergabe von Tabellen und Profilzeichnungen zu Normalkonstruktionen für Rohrdüsen und Rohrverbindungen mehrerer amerikanischer Röhren- und Wasserwerke.

Materialkunde.

Rationelle Durchführung der Materialprüfung. Von Rejto. Forts. (Baumaterialienk. 01 Heft 11 S. 166/67) Tabellen, enthaltend eine Gegenüberstellung der berechneten und durch Versuche ermittelten Werte für die Dehnung von Thomas-Flusssteinen. Forts. folgt.

Ueber den Einfluss von Zeit und Temperatur auf die mechanischen Eigenschaften der Metalle und auf die Materialprüfung. Von Le Chatelier. (Baumaterialienk. 01 Heft 11 S. 157/59) Eingehende Abhandlung, die sich auf die jahrelangen Untersuchungen des Verfassers stützt, deren einzelne Ergebnisse bereits früher veröffentlicht sind. Die Metalle mit Ausnahme von Stahl und Eisen. Das Ausglühen und sein Einfluss auf die mechanischen Eigenschaften der Metalle. Forts. folgt.

Machines à essayer les matériaux. Système Delaloe. (Rev. ind. 15. Juni 01 S. 233/35*) mit 1 Taf. Beschreibung einer wagenrechten Druckwasserprüfmaschine für 25 t mit Einzelheiten der Registrier Vorrichtung und des Hilfsmotors mit Geschwindigkeitsminderer. Stehende Maschine für Zug-, Druck- und Biegeversuche mit Schraubenspindel für 5 t. Liegende Maschine von 100 kg Zug für Stoff- und Papierprüfung.

Einfluss des Richtens auf die Festigkeitseigenschaften von Zerreißproben. Von Rudeloff. (Baumaterialienk. 01 Heft 11 S. 162/64*) Erläuterungen und tabellarische Wiedergabe der Ergebnisse von Versuchen an 30 Probestücken. Die Ergebnisse zeigen, dass man bei der Beurteilung von Festigkeitseigenschaften den Einfluss des Richtens der Probestücke berücksichtigen muss.

The flow of metal. Von Löss. (Journ. Franklin Inst. Juni 01 S. 456/64*) Ergebnisse von Versuchen über die zum Stanzen von Stahlblechen erforderliche Arbeit.

Studie über die Konstitution des Portlandzementes. Von Meyer. Forts. (Baumaterialienk. 01 Heft 11 S. 159/62) Zerlegbarkeit des Zementes in zwei Körper. Einfluss der Nebenbestandteile: Eisen und Eisenverbindungen, Alit, Felit, Belit, der isotropische Stoff und Celit. Forts. folgt.

Mechanik.

Untersuchung eines von gleichen und entgegengesetzt gerichteten Kräften beanspruchten dünnen Kreislingses. Von Ramiach. (Dingler 22. Juni 01 S. 389/90*) Der Kreislring wird unter Einwirkung der Kräfte eine elliptische Gestalt annehmen. Die Formänderung muss so vor sich gehen, dass die Tangente in dem vom Angriffspunkt der Last um 90° entfernten Punkte parallel zur Kraft- richtung bleibt. Aufgrund dieser Bedingung wird die Untersuchung geführt.

Ueber den Einfluss des Raddurchmessers auf den Kraftbedarf der Automobile. Von Möller. (Motorwagen 15. Juni 01 S. 143/44*) Der Verfasser sucht die durch Versuche gefundene Thatsache, dass der spezifische Kraftbedarf mit wachsendem Raddurchmesser abnimmt, theoretisch zu erklären. Die zeichnerische und rechnerische Untersuchung führt zu dem Satz, dass die Reibungskoeffizienten oder der Hebelarm der rollenden Reibung bei gleichem Material und gleicher Felgenreite nicht gleich bleibt, sondern mit wachsendem Raddurchmesser zunimmt. Forts. folgt.

Metallbearbeitung.

J. E. Reineckers Werkzeugmaschinen. Von Pregel. Forts. (Dingler 22. Juni 01 S. 395/98*) Wagenrechte Aushohr- und senkrechte Fräsmaschine. Kopf- und Mutternfräsmaschine. Forts. folgt.

The Hancea Falls gear cutting and milling attachment for lathes. (Iron Age 6. Juni 01 S. 10*) Auf dem Drehbankbett wird ein mit Kreuzschlitten versehener, um eine senkrechte Achse verstellbarer Hock befestigt, der eine Teilvorrichtung und auf einer wagenrechten Achse das zu fräsende Rad trägt. Auf der Drehbankspindel wird statt der Planscheibe ein breites Zahnrad aufgeschraubt. Auf dem Kreuzschlitten des Werkzeugschlittens wird ein einstellbares Vorgelege befestigt, das die Bewegung von dem erwähnten Zahnrad auf die senkrechte den Fräser tragende Spindel überträgt.

A powerful planer. (Am. Mach. 22. Juni 01 S. 624/25*) Die von der Firma Bennett, Miles & Co. in Philadelphia gebaute große Hobelmaschine trägt an dem Kreuzbalken zwei und an den beiden Seitenländern je einen Werkzeugschlitten. Der Hobelisch gleitet auf 3 ebenen Führungen. Die Mafse des größten Arbeitstückes sind 3,75 m Breite,

3,75 m Höhe, 10,7 m Länge. Das Gewicht der Maschine beträgt 300 000 kg.

Radial-drilling and tapping machine. (Am. Mach. 22. Juni 01 S. 625*) Der Hauptvorzug der von den Newton Machine Tool Works in Philadelphia gebauten Bohr- und Gewindeschneidmaschine besteht in einer Vorrichtung, die das Einstellen der den Gewindebohrer tragenden Spindel über das soeben gebohrte Loch erleichtert soll.

The forging. IV. Von Horner. (Engng. 21. Juni 01 S. 791/92*) Anstarben von Augen und Ausstoßen von Lößern verschiedener Form aus Stücken von geringer und erheblicher Stärke.

Metallhüttenwesen.

Utilization of the wastes from the use of white metals. Von Richards. (Journ. Franklin Inst. Juni 01 S. 445/55) Bericht über Untersuchungen, um die Abfallmengen von Zinn, Zink, Antimon, Wismut, Blei, Quecksilber und ähnlicher Metalle, insbesondere bei galvanischen Arbeiten festzustellen. Angabe von Verfahren zur Wiedergewinnung der Abfälle.

Motorwagen und Fahrräder.

Der internationale Automobilkongress von 1900 in Paris vom 9. bis 15. Juli. Schluss. (Motorwagen 15. Juni 01 S. 140/41*) Tabellen für Normalformen von Blockketten, Ketten mit einfachen und doppelten Rollen.

Voltures automobiles électriques. Von Rosset. (Portef. écon. Mach. Juni 01 S. 92/96*) Beziehungen zwischen dem Gewicht der Batterie, der zurückgelegten Wegstrecke und der Geschwindigkeit von elektrisch betriebenen Kraftwagen. Kostenberechnung für das Aufladen und das Instandhalten der Akkumulatoren.

Daimlers 35pferdiger Mercedes-Wagen. (Motorwagen 15. Juni 01 S. 145*) Der viersitzige Rennwagen hat ein niedriges Gestell; die Oberkante des Rahmens liegt 60 cm über dem Boden. Der Vierzylinder-Motor ist vierzylinderig und treibt das Differentialgetriebe mittels vierfach auswechselbarer Stirnräder. Die Zündung wird bei erhöhter Geschwindigkeit verstellbar. Die Geschwindigkeit kann von 10 bis auf 110 km/h geteilt werden. Der Wagen wiegt einschließlich des Tagesbedarfes an Benzin und Kühlwasser 1200 kg.

Der leichte Darracq-Wagen. (Motorwagen 15. Juni 01 S. 146/48*) Der Wagen ist mit stehendem einzylinderigem Motor ausgerüstet. Die Geschwindigkeit ist von 15 bis 50 km/h verstellbar. Bei Vordrängung und vermindertem Gaszutritt lässt sich die Geschwindigkeit bis auf 4 km/h herabdrücken. Der Wagen wiegt je nach Ausführung des Kastens und der Zahl der Sitzplätze 350 bis 400 kg. Darstellung des Gestelles und der Anordnung von Steuerung, Motor und Getriebe. Angaben über Einzelheiten.

Die Entwicklung des Spiritusmotors und dessen Anwendung bei Automobilen. (Motorwagen 15. Juni 01 S. 141/42) Allgemeines: Heizwert und Wirtschaftlichkeit des Spiritus zum Betriebe von Explosionsmotoren verglichen mit Benzin und Petroleum. Erklärung der vorteilhaften Eigenschaft des Spiritus, dass er trotz des bedeutend geringeren Heizwertes infolge der eigenartigen Gestaltung des Wärmekreisprozesses im Explosionsmotor eine dem Benzin und Petroleum gegenüber verhältnismäßig hohe Wirksamkeit entwickelt. Forts. folgt.

Motor-driven moving machine. (Engng. 21. Juni 01 S. 800*) Darstellung eines von der Deering Harvester Co. in Chicago gebauten dreirädrigen Vorspannwagens, der mittels eines zweizylinderigen liegenden Benzinmotors betrieben wird. Die beiden Hinterräder werden von der mit zwei um 180° versetzten Kurbeln versehenen Welle mittels Wendegetriebes, Kegel- und Stirnräder angetrieben. Das Vorderrad dient zum Steuern. Steuerung, Schaltvorrichtung des Getriebes und des Wagens werden von einer als Hebel ausgebildeten Handradwelle aus betätigt. Darstellung von Einzelheiten der Steuerung, der Schaltvorrichtung des Getriebes und des Motors.

Pumpen und Gebläse.

Air compressing engines. (Engineer 21. Juni 01 S. 632*) Verbundkompressor für 8000 cbm/min Pressluft von 5,6 at Ueberdruck, der von einer 290pferdigen Verbunddampfmaschine angetrieben wird. Die Cylinder sind liegend angeordnet. Die Dampfmaschine hat 780 und 1450 mm, der Kompressor 810 und 1300 mm Cyl.-Dmr.

The strocco fan. (Engineer 21. Juni 01 S. 650/51*) Darstellung der von Davidson & Co. in Belfast gebauten Kreisgebläse. Das Windrad besteht aus breiten, kurzen Schaufeln, die an seitlich angeordneten Ringen befestigt sind. Angabe der Abmessungen für verschiedene Größen. Wiedergabe der Ergebnisse von Leistungsversuchen.

Schiffs- und Seewesen.

Oil-burning torpedo-boat, constructed by Messrs. Yarrow & Co., Engineers, Poplar. (Engng. 21. Juni 01 S. 803*) Die drei sonst normal angeführten Boote für die holländische Regierung — »Pangrango«, »Ophir« und »Rindjan« — haben eine zusätzliche, im Falle äußerster Bedarfs zu verwendende Oelfeuerung. Bei den Versuchsfahrten lieferten die Kessel bei stärkester Kohlenfeuerung allein Dampf von 10,5 at Ueberdruck, die Dreifachexpansions-Maschine

machte dabei 840 Uml./min und erteilte dem Schiffe $7\frac{1}{2}$ Knoten Geschwindigkeit. Während des Zusammenwirkens der Kohlenfeuerung mit der Oelfeuerung gaben die Kessel 12,6 at Dampfdruck, und das Schiff erhielt bei 365 Uml./min der Maschine $26\frac{1}{2}$ Knoten Geschwindigkeit.

The Well boat-lowering gear. (Engng. 21. Juni 01 S. 815/16*) Die Davits für das Rettungsboot bestehen aus zwei nach dem Boot zu leicht gebogenen Kranbalken, die in lotrechter Ebene um ein Gelenk drehbar sind. Das Gelenk sitzt an der verschiebbaren Mutter einer Bewegungsschraube, die mittels Kurbel gedreht wird. Der Kranbalken ist über das Gelenk hinaus als Zahnradsegment ausgestaltet, das in eine Zahnstange eingreift. Werden die Gelenkmutter beider Davits durch Drehen der Schrauben bewegt, so nehmen die Davits das Rettungsboot, das in einer leicht auslösbaren Lagerung liegt, nach außen mit und senken sich gleichzeitig weit genug gegen den Wasserspiegel, dass das Boot durch Flaschenzüge ganz herabgelassen werden kann.

Schi- und Kettenbahnen.

Beschreibung der Förderbahn mit schiefen Ebenen und elektrischem Antrieb, ausgestellt auf der Pariser Ausstellung von der Fabrik Arthur Koppel, Berlin. (Baumaterialienk. 01 Heft 11 S. 169/72*) Das ausgestellte Modell hatte $\frac{1}{10}$ der natürlichen Größe einer in stark unebenem Gelände ausgeführten Bahn. Die Strecke hat Steigungen von 1:40, 1:28 und 1:5 und Krümmungshalbmesser von 10 m, die teilweise in einer Steigung liegen. Schienen, Schwellen, Weichen und Fahrdräht.

Straßenbahnen.

Elektrolytische Zerstörung der Gas- und Wasserröhren durch vagabundierende Bahnströme. (Journ. Gas- u. Wasserv. 22. Juni 01 S. 448/51*) Abbildungen vieler zerstörter Rohrstücke nach amerikanischen Quellen.

An electrolysis survey at Columbus, Ohio. (Eng. Rec. 6. Juni 01 S. 545) Bei Gelegenheit der Anlage neuer Straßenbahnen wurden ausgedehnte Potentialmessungen an den Wasserröhren vorgenommen, um den Einfluss vagabundierender Ströme zu bestimmen. Die Ergebnisse, die zur Aufstellung von 3 Leitsätzen über das Verlegen von Wasserröhren führten, sind kurz mitgeteilt.

Wasserkraftanlagen.

Wasserkraftanlage für das Elektrizitätswerk Wels. Von Janesch. (Z. österr. Ing.- u. Arch.-Ver. 21. Juni S. 439/41*) Das Werk leistet im ganzen 1500 PS und liefert für die Stadt Wels und 45 in der Nähe gelegene Werke Licht und Kraft. Angaben über die Wehranlage, das Turbinenhaus und die maschinelle Ausrüstung.

Bestimmungen zur Ausführung des Gesetzes betreffend die elektrischen Maßeinheiten.

erlassen vom Bundesrate; siehe Reichsgesetzblatt 1901 Nr. 16.

I. Auf Grund des § 5 des Gesetzes betreffend die elektrischen Maßeinheiten vom 1. Juni 1898 wird Folgendes bestimmt:

1) Zu § 5a.

Bedingungen, unter denen bei der Darstellung des Ampère die Abschcheidung des Silbers stattzufinden hat.

Die Flüssigkeit soll eine Lösung von 20 bis 40 Gewichtsteilen reinen Silbernitrats in 100 Teilen chlorfreien destillierten Wassers sein; sie darf nur so lange benutzt werden, bis im ganzen 3 g Silber auf 100 ccm der Lösung elektrolytisch abgeschieden sind.

Die Anode soll, soweit sie in die Flüssigkeit eintaucht, aus reinem Silber bestehen. Die Kathode soll aus Platin bestehen. Uebersteigt die auf ihr abgeschiedene Menge Silber 0,1 g auf das Quadratcentimeter, so ist das Silber zu entfernen.

Die Stromdichte soll an der Anode ein Fünftel, an der Kathode ein Fünftelstel Ampère auf das Quadratcentimeter nicht überschreiten.

Vor der Wägung ist die Kathode zunächst mit chlorfreiem destillierten Wasser zu spülen, bis das Waschwasser bei dem Zusatz eines Tropfens Salzsäure keine Trübung zeigt, alsdann 10 Minuten lang mit destilliertem Wasser von 70 bis 90° auszuwaschen und schließlich mit destilliertem Wasser zu spülen. Das letzte Waschwasser darf kalt durch Salzsäure nicht getrübt werden. Die Kathode wird warm getrocknet, bis zur Wägung im Trockengefäß aufbewahrt, und nicht früher als 10 Minuten nach der Abkühlung gewogen.

2) Zu § 5b. Bezeichnungen elektrischer Einheiten.

a) Die Elektrizitätsmenge, welche bei einem Ampère in einer Sekunde durch den Querschnitt der Leitung fließt, heißt

Wasserversorgung.

Trinkwasserversorgungen in tropischen Ländern. (Journ. Gas- u. Wasserv. 15. Juni 01 S. 423/34* und 22. Juni 01 S. 451/53*) Zusammenstellung der wichtigsten Angaben über Wasserwerke in Britisch-Indien und Niederländisch-Indien. Allgemeine Grundsätze für die Wasserversorgung in tropischen Ländern aufgrund der bei den besprochenen Anlagen gemachten Erfahrungen.

Artesian water supply in Australia. Von Cox. (Engng. 21. Juni 01 S. 635/36) Die Grundwasserbohrungen haben in den gebirgigen Gegenden Australiens, namentlich in Queensland, so gute Erfolge gezeigt, dass eine weitgehende Ausnutzung für die Wasserversorgung von Städten und für gewerbliche und landwirtschaftliche Betriebe vorteilhaft erscheint.

New pumping plant of the Pennsylvan water-works, Nashua, N. H. (Eng. Rec. 8. Juni 01 S. 542/44*) Kurze Angaben über die genannte Wasserwerkanlage. Einzelheiten der Pumpen, die von liegenden Verbundmaschinen mittels einer Zahradübersetzung angetrieben werden. Die Dampfmaschinen machen 100, die Pumpenkurbeln 33 $\frac{1}{3}$ Uml./min.

Werkstätten und Fabriken.

The shops of the Williams & Robinson Company at Rugby, England. (Am. Mach. 22. Juni 01 S. 618/21*) Umfangreiche Beschreibung der neuen Werke der bekannten Firma. Ein Lageplan und viele Schaubilder sind beigegeben.

Works of G. & J. Weir, Limited, Glasgow. (Engng. 21. Juni 01 S. 795/800* mit 1 Taf.) Die Ergebnisse des Werkes sind hauptsächlich Spiesepumpen, Spiesewasservorwärmer und andere Hilfsapparate für Dampfkraftanlagen. Die Fabrik ist durch Anlage einer neuen großen Werkstatt bedeutend vergrößert und beschäftigt rd. 950 Arbeiter. Die Arbeitsmaschinen der neuen Werkstatt werden durch 5 Crossley-Gasmotoren von je 53 PS, mittels Riementübertragung betrieben. Die Hauptwellen von 75 mm Dmr. sind je rd. 90 m lang und machen 200 Uml./min. Darstellung der einzelnen Gebäude, Maschinen und Einrichtungen: Massenherstellung für Austauschbau, Gießerei und Schmiede, Modelltischlerei und -lager, Hauptwerkstatt; Aufstellung der Werkzeugmaschinen; Herstellung der Werkzeuge, Lehren und Vorrichtungen; Arbeitsgang, Auftragszettel, Preisliste usw. Kraftanlage. Krane und Fördereinrichtungen. Sonderabteilungen der Werkstatt für die einzelnen Arbeitstufen. Darstellung einiger bewährter Werkzeugmaschinen und Vorrichtungen.

Some features of shop practice at the Detroit works of the Boyer Machine Company. (Am. Mach. 22. Juni 01 S. 627/30*) Darstellung einiger bemerkenswerter Einrichtungen in den Werkstätten genannter Firma. Arbeitspindel einer stehenden Schleifmaschine; Spindel für Schmirgelscheiben; Bohrschablone zum Bohren radialer Löcher in Cylindermäntel; Einspannfutter für Schraubenmaschinen; Kesselaufhängung; Beaufsichtigung des Betriebes.

eine Ampèrsekunde (Coulomb), die in einer Stunde hindurchfließende Elektrizitätsmenge heißt eine Ampèrestunde.
b) Die Leistung eines Ampère in einem Leiter von einem Volt Endspannung heißt ein Watt.

c) Die Arbeit von einem Watt während einer Stunde heißt eine Wattstunde.

d) Die Kapazität eines Kondensators, welcher durch eine Ampèrsekunde auf ein Volt geladen wird, heißt ein Farad.

e) Der Induktionskoeffizient eines Leiters, in welchem ein Volt induziert wird durch die gleichmäßige Aenderung der Stromstärke um eine Ampèrsekunde, heißt ein Henry.

3) Zu § 5c. Bezeichnungen für die Vielfachen und Teile der elektrischen Einheiten.

Als Vorsätze vor dem Namen einer Einheit bedeuten:

Kilo	das Tausendfache,
Mega (Meg)	das Millionfache,
Milli	den tausenden Teil,
Mikro (Mikr)	den millionten Teil.

4) Zu § 5d. Berechnung der Stärke, der elektromotorischen Kraft (Spannung) und der Leistung von Strömen wechselnder Stärke oder Richtung.

a) Als wirksame (effektive) Stromstärke — oder, wenn nichts anderes festgesetzt ist, als Stromstärke schlechthin — gilt die Quadratwurzel aus dem zeitlichen Mittelwerte der Quadrate der Augenblickstromstärken.

b) Als mittlere Stromstärke gilt der ohne Rücksicht auf die Richtung gebildete zeitliche Mittelwert der Augenblickstromstärken.

c) Als elektrolitische Stromstärke gilt der mit Rücksicht auf die Richtung gebildete zeitliche Mittelwert der Augenblickstromstärken.

d) Als Scheitelstromstärke periodisch veränderlicher Ströme gilt deren größter Augenblickswert.

e) Die unter a bis d für die Stromstärke festgesetzten Bezeichnungen und Berechnungen gelten ebenso für die elektromotorische Kraft oder die Spannung.

f) Als Leistung gilt der mit Rücksicht auf das Vorzeichen gebildete zeitliche Mittelwert der Augenblickleistungen.

II. Auf Grund des § 6 Abs. 1 des Gesetzes betreffend die elektrischen Maßeinheiten vom 1. Juni 1898 werden die äußersten Grenzen der bei gewerbsmäßiger Abgabe elektrischer Arbeit zu duldenen Abweichungen der Elektrizitätszähler von der Richtigkeit wie folgt bestimmt:

1) Gleichstromzähler.

a) Die Abweichung der Verbrauchsanzeige nach oben oder nach unten von dem wirklichen Verbrauche darf bei einer Belastung zwischen dem Höchstverbrauche, für welchen der Zähler bestimmt ist, bis zu dem zehnten Teile desselben nirgends mehr betragen als sechs Tausendstel dieses Höchstverbrauches vermehrt um sechs Hundertel des jeweiligen Verbrauches und ferner bei einer Belastung von ein Fünftel bis zum obigen Höchstverbrauches nicht mehr als zwei Hundertel des letzteren.

Auf Zähler, die in Lichtenanlagen verwendet werden, finden diese Bestimmungen nur insoweit Anwendung, als die anzuzeigende Leistung nicht unter 30 Watt sinkt.

b) Während einer Zeit, in welcher kein Verbrauch stattfindet, darf der Vorlauf oder der Rücklauf des Zählers nicht mehr betragen, als einem halben Hundertel seines oben bezeichneten Höchstverbrauches entspricht.

2) Wechselstrom- und Mehrphasenstrom-Zähler.

Für diese gelten dieselben Bestimmungen wie unter 1, jedoch mit der Maßgabe, dass, wenn in der Verbrauchsleistung zwischen Spannung und Stromstärke eine Verschiebung besteht, der nach 1a berechnete Fehler in Hundertel des jeweiligen Verbrauches umgerechnet und der entstehenden Zahl der Hundertel die doppelte trigonometrische Tangente des Verschiebungswinkels hinzugefügt wird. Dabei bedeutet der Verschiebungswinkel den Winkel, dessen Cosinus gleich dem Leistungsfaktor ist. Alle zur Berechnung der Fehler dienenden Größen sind mit dem gleichen Vorzeichen zu nehmen.

Zu diesem Gesetz hat die Physikalisch-technische Reichsanstalt dem Bundesrate die folgenden Erläuterungen vorgelegt:

I. Ausführungsbestimmungen zu § 5.

Die Bestimmungen sind in der Physikalisch-technischen Reichsanstalt entworfen und von einer Konferenz gutgeheißen worden, zu welcher aus ganz Deutschland Vertreter der elektrotechnischen Fabrikation, der Elektrizitätswerke und auch der Abnehmer von elektrischer Arbeit zugezogen waren.

1) (Zu § 5a.)

Das Silbervoltmeter bedarf wegen seiner grundlegenden Bedeutung für die Einheit der elektrischen Stromstärke einer Vorschrift, die seine Anwendung in der Weise sichert, dass die bei einer Strommessung gefundene Menge ausgeschiedenen Silbers, nach der gesetzlichen Vorschrift umgerechnet, die richtigen Werte für die Stromstärke giebt. Hierbei war einmal die Thatsache zu berücksichtigen, dass die Silberlösung unter dem Einfluss eines lange dauernden elektrischen Stromes einer allmählich eintretenden, noch nicht aufgeklärten Aenderung unterliegt, welche kleine Schwankungen der niedergeschlagenen Silbermenge zur Folge hat. Ferner sind, um einen fest zusammenhängenden Silberniederschlag zu erhalten, gewisse Grenzen in der Konzentration der Silberlösung und auch, je nach der Stromstärke, in der Größe der Elektroden innezuhalten. Endlich erschien es, weil Silberlösungen gegen Verunreinigungen besonders empfindlich sind, notwendig, über das Wasser, welches zum Auswaschen dient, und, um sicher nur den elektrolitischen Niederschlag zu wägen, für die Art des Auswaschens Maßregeln vorzuschreiben.

Bei diesen Anweisungen sind die von den zuverlässigsten Experimentatoren gemachten Erfahrungen berücksichtigt worden. Die vorgeschriebenen Maßregeln darf man nicht nur als vollkommen ausreichend für ihren Zweck erachten, sondern sie sind vielleicht den technischen Bedürfnissen gegenüber reichlich rigoros zu nennen. Da indessen neben den einfacheren Hilfsmitteln zur Strommessung ein Zurückgehen auf das Silbervoltmeter nur in seltenen Fällen notwendig ist, so dürfen die Vorschriften so streng formuliert werden.

2) (Zu § 5b.)

Außer den durch das Gesetz selbst bestimmten Grundeinheiten für Stromstärke, Widerstand und Spannung verlangt um des kurzen eindeutigen Ausdrucks willen der Verkehr noch einige andere, im Gesetz aufgezählte Einheiten mit festgelegten Benennungen und Begriffsbestimmungen. Diese sind durchweg dem bereits angenommenen Gebrauch entsprechend gewählt worden. Den einzelnen Festsetzungen liegen die folgenden physikalischen Sätze zu Grunde:

Zu a) Die von einem elektrischen Strome durch einen Querschnitt seiner Leitung hindurchgeführte Elektrizitätsmenge steht mit der Stärke und der Zeitdauer des Stromes im direkten Verhältnis. Die Benennung 1 Coulomb für die Einheit der Elektrizitätsmenge, nämlich für die bei der Stromstärke 1 Ampère in 1 Sekunde durchfließende Menge, würde für deutsche Verhältnisse nicht gerade notwendig sein. Sie ist der unmittelbar verständlichen Bezeichnung Ampèrsekunde indessen hinzugefügt worden, weil die Bezeichnung nach dem Namen des berühmten französischen Forschers Coulomb von internationalen Kongressen angenommen worden ist und weil die Auslassung vielleicht nur leicht gedeutet werden könnte.

Zu b) Die Arbeitsleistung eines Stromes zwischen zwei Punkten seiner Leitung in der Zeiteinheit ist gleich dem Produkt aus der Stromstärke und der zwischen den beiden Punkten bestehenden elektrischen Spannung.

Zu c) Die Gesamtarbeit während eines Zeitraumes ist das Produkt aus der obigen Leistung und der Zeit. Der Begriff der Stromarbeit ist für den Verkehr mit Elektrizität besonders wichtig, weil die verbrauchte Arbeit den Aufwand und den Preis bestimmt.

Zu d) Unter elektrischer Kapazität eines Leiters versteht man die Elektrizitätsmenge, mit der man ihn zu laden hat, um die Spannung 1 auf ihm hervorzubringen. Bei verschiedenen Ladungen ist die Spannung der Ladungsmenge proportional. Technischen Anwendungen genügt die Begriffsbestimmung für Kondensatoren.

Zu e) Durch Ströme von veränderlicher Stärke wird in den Leitungen eine, bei anwachsendem Strome diesem entgegengerichtete, bei abnehmendem Strome ihm gleichgerichtete elektromotorische Kraft induziert. Diese ist in den Anwendungen des elektrischen Stromes deswegen von hervorragender Bedeutung, weil sie in aufgespaltenen Leitungen und vor allem, wenn diese Eisen enthalten, besonders stark auftritt. Die Stromstärken können hierdurch wesentlich beeinflusst werden, insbesondere tritt eine oft bedeutende Verschiebung der Stromstärke gegen die Spannung ein, die in der Wechselstromtechnik eine große Rolle spielt.

Die induzierte elektromotorische Kraft steht in jedem Augenblick im direkten Verhältnis zu der Geschwindigkeit, mit der die Stromstärke sich ändert, außerdem aber zu einer von der Gestalt des Leiters und dem vorhandenen Eisen abhängigen Größe, die man, um sich dem Sprachgebrauch anzuschließen, mit dem allerdings etwas langen Namen Induktionskoeffizient belegt hat. Die Benennung der Einheit als 1 Henry gehört zu den Dingen, über welche der Geschmack verschieden urteilen mag. Da aber die Amerikaner großes Gewicht auf die durch diese Bezeichnung beabsichtigte Ehrung eines Landmannes legen, so glaubte man den auf dem elektrischen Kongress in Chicago adoptirten Namen übernehmen zu sollen.

3) (Zu § 5c.)

Von den Multiplikations- oder Divisionsvorsätzen vor den Namen einer Einheit haben sich die Vorsätze Kilo- und Milli- im Laufe eines Jahrhunderts schon eingebürgert. Da die Elektrotechnik, z. B. in ihren Anwendungen auf das Telephon und die Lichterzeugung, mit Stromstärken von viel größeren Unterschieden arbeitet, so sind die von der British Association zuerst angeregten weiteren Bezeichnungen Mega- und Mikro- hinzugefügt worden, deren Bedeutung ebenfalls schon als eine in sachverständigen Kreisen anerkannte angesehen werden darf. Dass Zwischenstufen, wie Dekka-, Hekto- usw. gesetzlich bezeichnet werden, wurde von den Vertretern der Technik ausdrücklich nicht gewünscht und würde, da es in der That nicht notwendig erscheint, durch die in mancher Hinsicht unbequeme Vermehrung anerkannter Bezeichnungen auch nachteilig wirken.

4) (Zu § 5d.)

Die Stärke eines Wechselstroms ist nicht so kurz festzulegen wie die des Gleichstroms. Zugleich erstreckt sich die Bedeutung der Wechselströme nach mehreren Richtungen, und es ist nicht immer derselbe Begriff, der die verschiedenen Wirkungen kennzeichnet. Daher bedarf man auch verschiedener Definitionen und Bezeichnungen für die Stärke eines solchen Stromes.

Zu a) Ganz überwiegend und für den Verkehrswert in fast allen Fällen maßgebend kommt die von dem Strome geleistete Arbeit in Betracht. Sie beherrscht z. B. die Lichtwirkung; von ihr werden auch wesentlich die Kosten der Stromerzeugung bedingt. Daher soll, wenn von Stromstärke schlechtweg gesprochen wird, immer die Größe verstanden werden, welche die Arbeitsleistung bestimmt. Um diese Größe ausdrücklich zu bezeichnen, ist der Zusatz »wirksam« gewählt worden; da aber das Wort »effektiv« bereits vielfach gebraucht wird, so enthält die Verordnung die Bestimmung, dass auch dieses seinen gebräuchlichen Sinn behalten soll.

Was die etwas umständlich erscheinende Begriffsbestimmung der »wirksamen Stromstärke« betrifft, so ist es ohne die Einführung von Bezeichnungen der Integralrechnung unmöglich, sie kürzer zu geben. Die erwärmende Wirkung, d. h. die in Wärmeentwicklung sich aussprechende Arbeit des Stromes z. B. ist in jedem Augenblicke dem Quadrate der Stromstärke proportional. Man muss deswegen, um die in einer bestimmten Zeit verrichtete Arbeit zu bekommen, die diesem Naturgesetze entsprechenden Einzelarbeiten addieren. Als mittlere Arbeitsleistung ist dann der Mittelwert über den ganzen Zeitraum zu bilden. Dieser entspricht dem Quadrate der Stärke eines Gleichstromes. Um schließlich die Stärke selbst zu bekommen, hat man aus diesem Mittelwerte die Quadratwurzel zu ziehen. Mit der so erhaltenen »wirksamen Stromstärke« kann man nachher in den meisten Fällen ebenso rechnen, wie mit der gewöhnlichen Stärke eines Gleichstromes.

Zu b und c) Da zu den Wirkungen des elektrischen Stromes auch die Magnetsirung und die Elektrolyse gehört und da einestheils die Entwicklung der Anwendungen von Wechselströmen zu einem ausgiebigeren Gebrauch auch dieser Wirkungen führen kann, andernteils auch etwa an einen zu liefernden Stromerzeuger die Anforderung gestellt werden kann, dass solche Wirkungen seines Stromes ein festzusetzendes Maß erreichen oder sich auf ein solches beschränken, so sind die dies bestimmenden Größen ebenfalls einer Definition unterzogen worden. Die Bedeutung der beiden Begriffe tritt indessen, zur Zeit wenigstens, gegen die Definition der wirksamen Stromstärke erheblich zurück.

Zu d) In der Scheitelstromstärke und Scheitelspannung sind Eigenschaften des veränderlichen Stromes gegeben, die jetzt schon als wichtige bezeichnet werden dürfen. Denn von der höchsten Spannung hängt z. B. die Durchschlagkraft des Stromes durch Isolationen ab und diese ist unter Anderm von Bedeutung für die Sicherheit von Anlagen, sei es in Bezug auf die innere Haltbarkeit von Isolationen, sei es für den Schutz des Verkehrs gegen unerwünschtes, die Gesundheit oder auch das Leben gefährdendes Ueberspringen des Stromes.

Zu e) Hier finden sich in kurzer Form die für die elektromotorische Kraft oder Spannung wechselnder Ströme nötigen einzelnen Begriffsbestimmungen. Es genügt die Uebertragung der unter a bis d für die Stromstärke gegebenen Definitionen.

Da das bequeme und gebräuchliche Wort »Spannung« im Gesetze nicht vorkommt, so wurde dem Wunsche der Technik, es an diesem Orte zu legalisieren, durch die Aufnahme der Bezeichnung »Spannung« neben »elektromotorische Kraft« Folge gegeben.

Zu f) Der hier für einen veränderlichen Strom definierte Begriff seiner »Leistung« entspricht in seiner Bedeutung genau dem, was unter Nr. 2b festgesetzt wird. Ein nochmaliges Zurückgehen auf Stromstärke und Spannung war nicht notwendig.

Für die Stromarbeit schließlich ist eine besondere Definition für veränderliche Ströme überhaupt unnötig, da die in Nr. 2c enthaltene Begriffsbestimmung ohne weiteres auch hier paast.

II. Festsetzung der Verkehrsfehler gemäß § 8 Abs. 1.

Die zulässigen Fehlergrenzen, welche hier für die Elektrizitätszähler vorgeschlagen werden, die im Verkehr mit elektrischer Arbeit den Verbrauch anzeigen, sind aus den eingehendsten Beratungen hervorgegangen. Gegen einander abzuwägen waren einestheils das Interesse der Abnehmer und der Geber elektrischer Arbeit an der Richtigkeit der Zähler, andernteils das Interesse der Industrie an einem Spielraume, der mit der Unvollkommenheit der gegenwärtigen Zähler im Verhältnis steht. Nachdem die Physikalisch-Technische Reichsanstalt sich über die Wünsche der beteiligten Kreise durch eine Umfrage bei 9 großen Zählerfabriken und 941 Elektrizitätswerken und Blockstationen unterrichtet hatte, hat die zur Begutachtung der Ausführungsbestimmungen einberufene (unter I erwähnte) Konferenz sich mit der Angelegenheit eingehend beschäftigt. Im Anschluss hieran sind die einzelnen Bestim-

mungen von der Reichsanstalt im Einvernehmen mit Vertretern der Technik formuliert worden.

Dass die Vorschriften auf die Elektrizitätszähler zu beschränken seien, d. h. dass es nicht nötig sei, Verkehrsfehler auch für Widerstände, Strom- und Spannungsmesser festzusetzen, wurde bei den Verhandlungen allseitig betont.

Die Vorschriften unterscheiden die beiden Arten des elektrischen Betriebes mit Gleichstrom und mit Wechselstrom, da für den letzteren eine besondere Zusatzbestimmung gemacht werden musste.

1) Gleichstromzähler.

Zu a) Es erscheint vielleicht zunächst befremdlich, dass die Grenze nach oben und unten gleich bemessen ist, da kein Grund vorzuliegen scheint, den Abgeber auch dafür verantwortlich zu machen, dass er zuviel liefert. Die Vorschrift entspricht indessen den für Maße und Gewichte bestehenden Vorschriften, nach welchen auch der Kaufmann keine zu schweren Gewichte usw. führen darf, und wurde auch im vorliegenden Falle als zweckmäßig erachtet.

Ueber das Weitere ist zunächst zu bemerken: Es liegt in der Konstruktion der Zähler, dass sie einen im Verhältnis zu ihrer größten bestimmungsmässigen Belastung geringen Verbrauch relativ ungenauer angeben. Dies ist in der Verordnung so berücksichtigt, wie der augenblickliche durchschnittliche Stand der Fabrikation es zu erheischen schien. Die Bestimmung zu a tabellarisch dargestellt ergibt für einen Zähler von der im Kleinverkehr gebräuchlichen Grösse von 2000 Watt Höchstbelastung die folgenden zulässigen Fehler:

Wenn der seitweilige Verbrauch	2000	1000	500	300 Watt
beträgt, so setzt sich der zugelassene Fehler zusammen aus sechs Tausendeln von 2000, also 12 Watt, im Einzelfalle vermehrt um sechs Hundertel des Verbrauches, nämlich um	+ 120	+ 60	+ 30	+ 12 Watt,
er beträgt also im ganzen	132	72	42	24 »

Rechnet man dies um in Prozente des jeweiligen Verbrauches, so kommen als grösste zulässige Fehler heraus:

	6,6	7,2	8,4	12 Prozent.
--	-----	-----	-----	-------------

Es lässt sich nicht leugnen, dass es für den Abnehmer elektrischer Energie freilich nicht gleichgültig erscheint, ob er 100 *M* oder 112 *M* bezahlt, und mit der Zeit werden die Bestimmungen auch zu verschärfen sein. Gegenwärtig aber erschien es, weil die Technik der Zähler noch nicht so weit vorgeschritten ist, nicht möglich die Grenzen enger zu greifen, da hierdurch häufige Fälle schuldloser Strafbarkeit des Elektrizitätswerks herbeigeführt werden könnten. Es kommt der Umstand hinzu, dass ja auch die Prüfung eines Zählers Fehlern unterworfen ist, die mit der zufälligen Aenderung des Gebrauches zusammengerechnet werden müssen.

Für den Fall, dass der Zähler noch weniger als zu 10 Prozent seiner Höchstanzeige belastet wird, wurde die Prüfungsvorschrift auf einen einzigen niedrig bemessenen Punkt, nämlich auf 4 Prozent der Höchstanzeige, beschränkt. Die zulässige Fehlergrenze beläuft sich dann freilich so, wie oben berechnet, auf 50 Prozent des Verbrauches, allein nach übereinstimmender Ansicht der Zählerfabrikanten und der Sachverständigen der Reichsanstalt ist es zurzeit nicht zulässig, eine schärfere Bestimmung zu treffen.

Dass bei einem absolut sehr kleinen Verbrauch in Lichtanlagen (wobei die Verbrauchskosten sich auf 1,5 Pfg in der Stunde reduzieren), die Bestimmungen überhaupt aufhören, hat kein Bedenken.

Zu b) Viele Zähler sind so konstruiert, dass sie auch ganz ohne Verbrauch einen geringen Gang einschlagen können. Es ist dies nicht zu vermeiden. Auch hier entspricht die Bestimmung den Verhältnissen, die in Wirklichkeit erreichbar sind. Auf den vorigen Zähler von 2000 Watt Höchstbelastung angewandt führt die Bestimmung zu dem Ergebnis, dass sein Leerlauf nicht mehr als ein halbes Hundertel von 2000, also 10 Watt betragen darf. Der Vorlauf oder Rücklauf muss sich demnach beispielsweise während 24 Stunden, in denen kein Verbrauch stattfindet, in den Grenzen ± 240 Wattstunden halten. Wenn in dem Entwurf auch keineswegs ein Ideal erreicht ist, sondern zugegebener Weise Verbesserungen des Zustandes angestrebt werden müssen, so wird man grobe Unzulänglichkeiten doch nicht finden. Die Unsicherheit bei der Verbrauchsmessung von Leuchtgas oder gar von Wasser ist zweifellos in Wirklichkeit grösser als der Fehler, der beim Verbrauch elektrischer Arbeit künftig gestattet sein wird. Die hauptsächlichsten bleibenden Uebelstände, die aus der An-

wendung zu großer Zähler entpringen, mehr zu berücksichtigen, als wohl häufig geschehen mag, liegt in der Hand der Abgeber und Abnehmer elektrischer Arbeit. Und im übrigen wird man annehmen dürfen, dass die Elektrizitätswerke selbst an der Richtigkeit ihrer Messwerkzeuge ein Interesse haben, welches anschließt, dass von den gestatteten Fehlergrenzen ein einseitiger Missbrauch gemacht werde.

2) Wechselstrom- und Mehrphasenstromzähler.

Es war neben den vorigen Bestimmungen, die alle Zähler betreffen, noch ein eigentümlicher Umstand zu berücksichtigen, nämlich die zu 1 2 e schon erwähnte Verschiebung zwischen Stromstärke und Spannung, welche bei Strömen veränderlicher Stärke eintritt, wenn der Stromweg Teile mit Selbstinduktion enthält; ein Fall, der immer vorliegt, wenn der Arbeitsverbrauch in Elektromagneten, z. B. in angetriebenen Maschinen, Transformatoren usw. stattfindet. Je größer diese Verschiebung, desto leichter unterliegen die Angaben des Messinstrumentes Fehlern und desto schwieriger wird auch seine fehlerfreie Prüfung.

Als ein günstiger Umstand ist es zu bezeichnen, dass man die Größe der Verschiebung, die nicht einmal leicht allgemein definiert werden könnte, und deren direkte zeitliche Messung nicht einfach ist, auf eine andere, durchaus eindeutige Größe zurückführen kann, auf den Leistungsfaktor. Falls nämlich die genannte Verschiebung besteht, so ist die Stromarbeit kleiner als die Arbeit, welche derselbe Strom mit derselben Spannung verrichtet, wenn der Strom in jedem Augenblick der Spannung proportional ist. Dieses Verkleinerungsverhältnis wird überall mit dem Worte »Leistungsfaktor« bezeichnet. Der Leistungsfaktor ist also stets ein echter Bruch, der mit steigender Verschiebung immer kleiner wird, und zwar ist seine Größe unter einfachen Verhältnissen (nämlich bei sogen. Sinusströmen) durch den Cosinus des Verschiebungswinkels gegeben, welchen man $= 90^\circ$ setzt, wenn die Stromstärke in dem Augenblick, wo die Spannung ihren größten Wert erreicht, gleich null ist.

Als ein weiterer günstiger Umstand stellt sich heraus, dass man in einfacher und den Wünschen der Technik entsprechenden Weise die Verordnung präzise und kurz fassen kann, wenn man noch eine trigonometrische Funktion des Winkels benutzt, nämlich die Tangente. Gebräuchlich ist es freilich nicht, staatliche Bestimmungen auf trigonometrischen Funktionen zu gründen. Eine Umschreibung durch Worte würde zu einer höchst verwinkelten Form der Verordnung führen, die von den meisten Lesern nicht und von einem Sachverständigen mühsam verstanden wird, während diesem die vorgelegte Fassung ohne weiteres durchsichtig ist.

Die Bestimmung 2) führt, wenn man sie auf das zu 1 a) gegebene Zahlenbeispiel bei einem bestimmten Falle anwendet, zu folgender Berechnung: Der Leistungsfaktor sei gleich 0,5,

also gleich $\cos 60^\circ$, sodass der Verschiebungswinkel zwischen Spannung und Stromstärke 60° beträgt. Es ist $\tan 60^\circ = 1,73$; der doppelte, bei der Fehlerberechnung in Betracht kommende Wert beträgt 3,46. Diese Zahl ist also dem auf Seite 969 bereits in Prozente des jeweiligen Verbrauches umgerechneten Fehler überall hinzuzufügen. Dabei ist zu beachten, dass bei dem als Beispiel angenommenen Leistungsfaktor 0,5 überhaupt nur Leistung bis zur Hälfte des Höchstverbrauches des Zählers in Betracht kommen. Denn der Höchstverbrauch wird aus der höchsten Spannung und der höchsten Stromstärke, die der Zähler verträgt, als das Produkt beider Größen abgeleitet, das oben, so lange keine Verschiebung besteht, den Verbrauch darstellt. Tritt aber Verschiebung ein, so wird der Verbrauch erst dann durch jenes Produkt gegeben, nachdem es noch mit dem echten Bruch multipliziert worden ist, den der Leistungsfaktor darstellt. Hieraus folgt, dass ein mit Verschiebung stattfindender Verbrauch, welcher den mit den zugehörigen Leistungsfaktor multiplizierten Höchstverbrauch des Zählers übersteigt, stets mit einer Überschreitung der höchsten zulässigen Spannung oder Stromstärke des Zählers, oder auch beider Größen, verbunden sein würde, also für einen ordnungsmässigen Betrieb nicht in Betracht kommt. Es genügt also, das obige Beispiel nur für den Verbrauch von 1000 Watt an abwärts weiter führen.

Fügt man, dem Verschiebungswinkel 60° oder dem Leistungsfaktor 0,5 entsprechend, zu den für einen jeweiligen Verbrauch von

1000	500	200 Watt
geltenden und bereits in Hundertel des jeweiligen Verbrauches umgerechneten Zahlen		
7,3	8,4	12 Prozent
gemäß der Bestimmung 2) je die Zahl 3,5 hinzu, welche oben für die angenommene Verschiebung von 60° berechnet wurde, so sind im vorliegenden Falle als Fehlergrenzen nach oben oder unten zulässig:		
10,7	11,9	15,5 Prozent
des jeweiligen Verbrauchs. Werden diese Zahlen durch Multiplikation mit		
1000	500	200
100	100	100
in Kilowatt umgerechnet, so entstehen die bei einer Verschiebung von 60° an diesem Zähler zulässigen Fehlergrenzen von		
107	60	31 Watt,
während ohne Verschiebung nur Fehler von		
72	42	24 Watt
zulässig waren.		

Rundschau.

In meinen Berichten über die Brücken und Eisenkonstruktionen der Pariser Weltausstellung 1900 stellte ich Z. 1900 S. 1046 den durch seinen Einsturz bekannt gewordenen, aus Beton und Eisen gebauten Brückentrog zur Verbindung des Ausstellungsgeländes mit dem Himmelsglobus über die Avenue de Suffren dar und versprach, auf diese traurige Berühmtheit zurückzukommen, sofern die gerichtliche Untersuchung eine bessere Beurteilung zulasse. Am 6. Juni d. J. hat nun das Gericht 3 Ingenieure, die beim Bau der Brücke mitgewirkt haben, mit Rücksicht auf ihr bislang tadelloses persönliches und berufliches Ansehen in mildester Weise zu 2 Monaten Haft und 600 M. Geldbusse verurteilt, obwohl ihnen schwere Nachlässigkeiten und Fehler bei Entwurf und Bauleitung nachgewiesen werden konnten. Ueber die Ursache des Einsturzes giebt der *Génie civil* vom 22. Juni d. J. eine lehrreiche Darstellung, die sich in einigen Punkten mit meiner an obengenannter Stelle ausgesprochenen Ansicht deckt, des weiteren aber noch neue Gesichtspunkte hinzufügt. Diese wie auch die weitere Darstellung des Falles giebt zu nachstehenden Mitteilungen Veranlassung.

Die Brücke wies als Gehweg eine Betoneisenkonstruktion nach der Bauart Matrai auf, die an ausgespannten Drahtseilen wie bei einer Hängebrücke (s. Z. 1900 S. 1046 Fig. 16 und 17) mit einer 17,40 m weiten Mittelöffnung und 2 anschließenden Seitenöffnungen von je 9 m Weite hing. Dieser Ueberbau ruhte auf absonderlichen Beton-Stützen mit Drahtseileinlagen. Zunächst stellten die Sachverständigen, meiner früheren Darstellung entsprechend, die zu große Schwäche dieser Stützen von 30×30 cm Querschnitt fest, die auf der Avenue de Suffren stehend, häufig während des Baues von Rollwagen angefahren wurden; sie waren kaum imstande, das Eigengewicht der Brücke zu tragen. Dann aber wurde noch die bislang noch nicht erörterte Art der Aufhängung von den Sachverständigen stark bemängelt. Die Brücke lag nämlich im

Grundriss nicht geradlinig, sondern die Seitenöffnungen bildeten mit der Mittelöffnung Knicke, die angeordnet waren, um einige Bäume die nicht beseitigt werden durften, zu umgehen. Infolgedessen hingen die Hängeseile auch nicht in einer Ebene, sondern wiesen entsprechende Knicke auf, wodurch auf die Fahrbahn wirkende Seitenkräfte entstanden, denen weder die Betoneisen-Fahrbahn, noch die an sich schon zu schwachen Betoneisen-Stützen gewachsen waren. Für die Aufnahme wagerechter Kräfte gab es überhaupt keinen Widerstand. Nachdem die Rüstung weggenommen war, stürzte, wie seiner Zeit berichtet, alles seitlich zusammen, 9 Vorübergehende tödlich und viele schwer verletzend.

Verurteilt ist der Unternehmer des »Himmelsglobus«, der sich um die Konstruktion des Bauwerkes kaum gekümmert hat und doch veranlasste, dass dem Bauwerk die geknickte Grundrissgestalt der Bäume wegen gegeben worden ist, der keiner Behörde von der beabsichtigten Abrüstung Kenntnis gegeben und die Unklugheit begangen hat, während der Abrüstung den Straßenverkehr unter der Brücke nicht absperrern zu lassen, bis die Belastungsprobe der Brücke stattgefunden hatte. Weiter ist der beratende Ingenieur der Gesellschaft des »Himmelsglobus« in gleichem Masse verurteilt, da er dem Unternehmer geraten hat, sich Entwurf und Ausführung von der Betoneisen-Gesellschaft mit Rücksicht darauf, dass die Zeit für eine andere Bauart fehlte, anfertigen zu lassen, und weil er als Bauleiter mitgewirkt und die schweren Konstruktionsfehler trotz seiner täglichen Besuche nicht bemerkt hat, obwohl er Hauptleiter der Zeitschrift »Le Clément« ist, also gerade von ihm besondere Sachkenntnis erwartet werden konnte. Schließlich ist der technische Direktor der ausführenden Betoneisen-Gesellschaft, der mir zufällig bereits 1897 die Belastungsproben seiner Decken in Charlottenburg vorgeführt hat, einer an sich durchaus fachgemäßen, der Königschen »Voutenplatte« sehr ähnlichen

Betonisenplatte, mit Rücksicht darauf verurteilt worden, dass er trotz seiner Kenntnis der geknickten Grundrissgestalt sich nicht über deren statische Wirkung Klarheit verschafft hat, und dass er die schwachen Stützen angeordnet hat, die kaum dem Eigengewicht, geschweige den wagerechten Zugkräften aus den im Grundris geknickten Hängeseilen Widerstand leisten konnten.

Aus Vorstehendem geht klar hervor, dass man im Ausstellungsleber eine Brücke gebaut hat, die allenfalls senkrechten Kräften gewachsen war, gegen seitliche Einwirkungen aber jedes Widerstandes entbehrte, die also auch einem starken Sturm, selbst wenn die Belastungsprobe günstig ausgefallen wäre, hätte zum Opfer fallen können. Ein ungünstiges Urteil über die Güte der Zementisenbauten im allgemeinen darf aus dem Einsturz nicht gezogen werden.

Eine lehrreiche Mahnung an die verantwortlichen Ausstellungsleiter liegt aber in der Sache doch, nämlich eine unerprobte Bauart weder durch den Verkehr zu belasten noch den Verkehr darunter frei zu lassen. C. Bernhard.

In einer der letzten Berliner Stadtverordnetenversammlungen ist der Bau eines neuen großen Gaswerkes für den nordwestlichen Teil von Berlin endgültig beschlossen worden. Die Pläne für die Neuanlagen sind bereits eingehend vom Direktor der Berliner städt. Gaswerke, Hrn. Schimming, ausgearbeitet¹⁾. Hiernach soll das neue Gaswerk auf dem zu den Gemeinden Tegel und Daldorf gehörigen Ufer des Tegeler Sees angelegt werden. Die tägliche Leistung soll 360 000 cbm betragen. Ein Ausbau bis zu 780 000 cbm täglicher Leistung ist jedoch für später vorgesehen. Es sollen in 2 Retortenhäusern im ganzen 10 Blöcke von Retorten angelegt werden, von denen jeder 3 Öfen zu je 3 Retorten enthält. An die Retorten soll unmittelbar eine Luftkühlanlage zum Abscheiden des ersten Teers angefügt werden. Die Anlagen zur nassen Reinigung des Gases sind auch zur Gewinnung von Cyan und Naphtalin eingerichtet. An Gasbehältern sind 3 Stück von je 140 000 cbm Inhalt vorgesehen. Die Wasserversorgung des Werkes soll aus mehreren Brunnen erfolgen, mit denen eine Enteisungsanlage in Verbindung steht. Für etwaige später anzulegende Wassergasanlagen ist ebenfalls Platz vorhanden. Für den Koks- und sonstigen Materialtransport dienen elektrisch betriebene Hängebahnen, die über die ganze Anlage verteilt sind. Die Gesamtkosten für den Bau des neuen Werkes sind auf rd. 24 Mill. \mathcal{M} veranschlagt. Voraussichtlich wird das alte Werk in der Müllerstraße nach Vollendung des neuen Gaswerkes eingehen.

Auch in Rixdorf bei Berlin haben die städtischen Körperschaften sich in den letzten Tagen entschlossen, eine große Gasanstalt neben der Ringbahn am Ende eines gleichzeitig zu erbauenden Stichkanals zu errichten, die für eine tägliche Leistung von 140 000 cbm ausgebaut werden soll. Bis zum 1. November 1902 soll sie zunächst auf 36 000 cbm gebracht werden. Zur Erlangung eines Entwurfes hatte die Stadt 1899 einen öffentlichen Ideenwettbewerb ausgeschrieben. Aufgrund des hierbei mit dem zweiten Preise ausgezeichneten Entwurfes

¹⁾ Polytechnisches Centralblatt 17. Juni 1901.

der Herren E. Körtling, Ingenieur der Imperial Gas-Association, und Regierungsbaumeister C. Bernhard, Charlottenburg, ist von letzterem der Entwurf ausgearbeitet, und ihm ist auch die Leitung der Bauausführung übertragen worden.

Die Anlage wird hinsichtlich der Gaszerzeugung und des Materialtransportes, sowie in baulicher Hinsicht auf das Modernste ausgestattet.

Wir haben bereits kurz berichtet, dass die Cunard-Linie auf ihren Schnelldampfern Marconi-Vorrichtungen für drahtlose Telegraphie eingerichtet hat¹⁾. Bei der Abfahrt der »Lucania« von Liverpool nach New York am 15. d. M. sind diese Vorrichtungen zum erstenmale und zur vollen Zufriedenheit in Tätigkeit gesetzt worden. Die Schiffe passieren zwischen Liverpool und Fastnet, dem äußersten Punkte Irlands, eine Reihe bereits bestehender Vermittlungsstellen, mit denen die »Lucania« Depeschen ausgetauscht hat. In der Mersey-Mündung wird die Verbindung durch das dort verankerte Schulschiff »Conway« vermittelt, an der Nordküste von Wales liegt die Vermittlungsstelle bei Holyhead, etwa 102 km von Liverpool entfernt. Die folgende Vermittlungsstelle liegt bereits auf Irland, bei Rosslare, nahe dem Tuscar-Leuchtturm an der Südoestspitze von Irland, und ist von derjenigen bei Holyhead in der Luftlinie 136 km entfernt. Wenn also die Vorrichtungen völlig in Ordnung sind, können die Schiffe mit Rosslare bereits verkehren, ehe die Verbindung mit Holyhead aufhört; bei dem erwähnten ersten Versuch war dies allerdings noch nicht der Fall. Die letzte Vermittlungsstelle ist Crookhaven in der Grafschaft Kerry, nicht weit von Fastnet, etwa 96 km von Queenstown entfernt. Es ist beabsichtigt, zwischen diesen Punkten noch weitere einzuschalten, sodass die Schiffe von Liverpool bis Fastnet in fortwährender Verbindung mit dem Lande bleiben und Depeschen austauschen können. In gleicher Weise soll auf der amerikanischen Seite verfahren werden. Die Zeit, während welcher die Schiffe auf ihrer Ozeanreise alsdann noch von der Verbindung mit dem Festlande abgeschnitten sind, würde auf diese Weise auf etwas weniger als 3 Tage verringert werden.

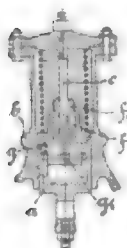
Der Verein für Eisenbahnkunde zu Berlin hat zwei Preisaufgaben zur Bearbeitung gestellt: 1) Für den Verschlebedienst sind unter Würdigung der bekannten Mittel zur Regelung der Geschwindigkeit ablaufender Wagen Vorschläge zur Verbesserung der Einrichtungen zu machen; 2) Aufgrund der bisherigen Erfahrungen ist eine wissenschaftliche Darstellung der Grundzüge sowie der Vor- und Nachteile für die Anordnung von Bahnen mit gemischtem Betrieb — Reibungs- und Zahnstangenstrecken — gegenüber reinen Reibungsbahnen zu geben, wobei sowohl die Betriebsweise durch Dampf wie durch Elektrizität zu erörtern ist.

Berichtigung.

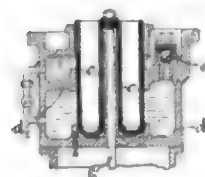
Z. 1901 S. 888 r. Sp. 2. 58 v. o. lies Taucher statt Tacker. Die Tafel stammt aus der kunstgewerblichen Werkstatt von Paul Stötz-Stuttgart; der Entwurf zur Tafel rührt von Hrn. Conr. Taucher her.

¹⁾ Z. 1901 S. 675.

Patentbericht.



Kl. 14. Nr. 117049. Flüssigkeitsbutter. F. Elmer, Görlitz. Das Eindringen von Luft in die Flüssigkeit und die damit verbundene Unregelmäßigkeit der Schlussbewegung des Ventiles wird dadurch verhindert, dass die (am Gestelle *b* befestigte) Kolbenstange *c* durch eine oder mehrere im Zylinderdeckel angeordnete Flüssigkeitskammern *f, f* ... abgedichtet ist, die mit dem Innenraum des (an der Ventilstange befestigten) Zylinders *a* durch Bohrungen *g* in der Zylinderwand oder *g* in der Kolbenstange in Verbindung stehen, um die von *c* verdrängte Flüssigkeit aufnehmen zu können.



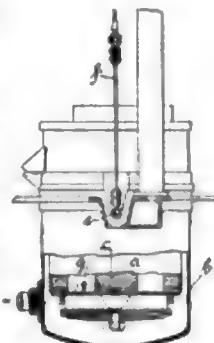
Kl. 14. Nr. 117897. Ventilschluss durch Saugwirkung. J. Maacke, Berlin. Der mit der Ventillapindel *b* verbundene Kolben *c*, der beim Heben in dem mit Öl usw. gefüllten Gefäße *d* einen als Schließkraft zu benutzenden Unterdruck erzeugt, wird durch eine über der Abchlusswand *d* stehende Flüssigkeitschicht abgedichtet, wodurch das Einströmen von Luft verhindert wird. Durch ein Ventil *e* in *d* wird die während des Unterdruckes einge-drungene Flüssigkeit zurückgedrängt.

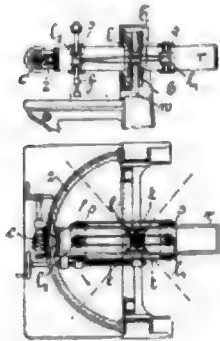
Kl. 14. Nr. 117800. Massenausgleich bei Lokomotiven. Lokomotivfabrik Krauss & Co. A.-G., München und Linz a/D.

Die Massenkraft der wagerecht hin- und hergehenden Massen *k* werden durch die wagerechte Komponente der Fliehkraft eines am Treibrade allein angebrachten Gegengewichtes *g* vollständig ausgeglichen, und zum Ausgleichen der störenden lotrechten Komponente der Fliehkraft wird ein senkrechtes Schubkurbelgewicht *b* neu hinzugefügt, so dass die Resultante *m* der Kräfte von *k* und *b* der Fliehkraft *c* von *g* gleich und entgegengesetzt ist.



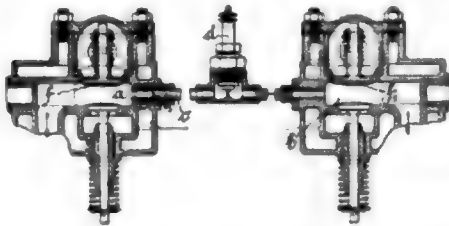
Kl. 31. Nr. 180941. Tiegelofenschmelzen mit Luftauführungsöffnungen in den Seitenwänden. E. W. Hopkins, Berlin. Der Tiegelofen *a* nebst Tiegel *c*, der auf dem mit dem Ofen verbundenen Boden *g* aufruhrt, ist mittels zweier Zapfen *e, e* an einer Aufstufvorrichtung *f* aufgehängt. Durch diese kann der Ofen *a* samt Tiegel aus dem feststehenden Windmantel *b*, der an die Windleitung angeschlossen ist, gehoben und so die Luftauführungsöffnungen ohne Unterbrechung des Betriebes von außen gereinigt werden.



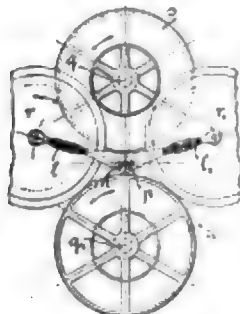


Kl. 33. Nr. 117643. Fräsmaschine. H. Ruf jun., Pirmasens (Rheinpfalz). Die Frässpindel f wird durch eine Schnur ohne Ende angetrieben, die über eine im Gestelle b gelagerte Doppelrolle l und über die durch Schienen t in unveränderlichem Abstände von einander gehaltenen Rollen h_1, h_2 geführt ist, deren Lager s durch eine Schraubenspindel e gemeinsam mit f auf einem Führungsrahmen r verschiebbar sind, während r selbst durch ein Schneckengetriebe cs um die Welle w geschwenkt werden kann.

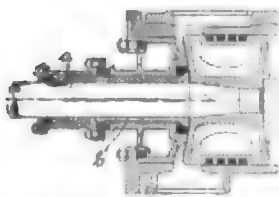
Kl. 46. Nr. 117900. Zwillings-Gasmaschine. L. Schreiner und G. E. N. Michaux, Paris. Beide Kolben saugen die Ladung gleichzeitig durch Einlassventile f, f_1 an; da aber f_1 etwas stärker als f



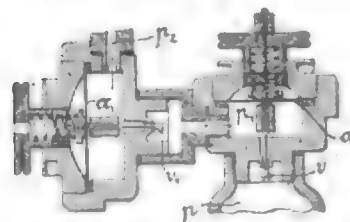
belastet ist, so entsteht in dem Verbindungsrohr c der Zündkammern a, b eine von a nach b gerichtete Strömung, die den Innenraum der gemeinsamen Zündvorrichtung d von Abgasen säubert und dadurch die Zündung sichert.



Kl. 47. Nr. 117180.



großer Wärmeinwirkung gebracht ist.



der Niederdruckleitung nach wie vor ein zu schnelles Nachströmen verhindert wird.

Kl. 47. Nr. 117816 (Zusatz zu Nr. 108049. Z. 1900 S. 900). Druckminderventil. J. B. Fourmiller, Paris. Das einstellbare Drosselventil v_1 des Hauptpatentes ist durch ein zweites Druckminderventil v_2 , v_3 von derselben Art wie das erste v_1 ersetzt, so dass auch bei unregelmäßig wechselndem Verbrauche drei Spannungsstufen p, p_1, p_2 erzielt werden und bei plötzlichem Druckabfall in

Kl. 46. Nr. 117814. Regler für Petroleummaschinen. B. Ch. Joy und E. Estcourt, Hampstead (Engl.). Ein schwingender Sperrhaken m wird entgegengesetzt der Richtung des Radius durch einen auf der Stange c des Auspuffventiles e befestigten Block b in der Pfeilrichtung durch eine Feder s gedreht, sodass er bei richtiger Geschwindigkeit den Block b wieder freilässt, bei zu großer Geschwindigkeit aber mit seiner Nase t unter die Nase b_1 an b greift und e offen erhält.



Kl. 60. Nr. 117160. Achsenregler. H. Doll, Zürich. Jede Schwingmasse besteht aus dem durch die Feder k unmittelbar belasteten, auf der Welle a radial geführten und durch Gleitstücke und

Fig. 1.

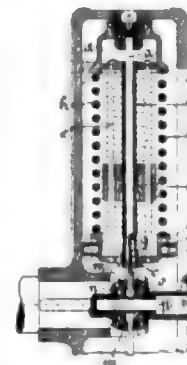
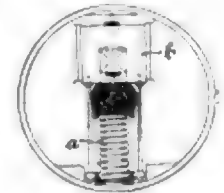


Fig. 2.

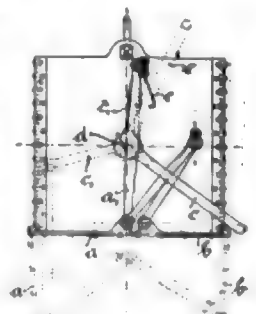


Hebelk des Exzenter verstellenden Gestell cd ef und dem darin zur Aenderung der Umlaufzahl während des Ganges verstellbaren Gewichte b , Fig. 1. Bremsen man einander Wellen p, q durch die Bremscheibe r oder s , Fig. 2, so wird durch das Wendegetriebe nom die Welle a gedreht, diese dreht durch das Gleitstück g die Schraubenspindel f und verschiebt das Gewicht b in einem oder dem andern Sinne. Bei der gegenseitigen Drehung von p und q wird durch Innengewinde in g der in p, r durch Stangen w gerade geführte Ring t verschoben. Ein an v drehbar gelagerter Zeiger z zeigt auf der ruhenden Röhre w die eingestellte Umlaufzahl an.

Kl. 60. Nr. 117168. Federregler. F. Strnad, Berlin-Schmargendorf. Der radial gerade geführte, der Federbelastung a unmittelbar entgegenwirkende Gewichtkörper b ist, um einen gedrängten und möglichst einfachen Bau zu erzielen, einseitig angeordnet.



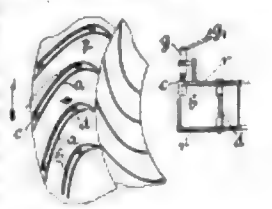
Kl. 81. Nr. 118694. Ladeklübel. R. Wering, Stettin. Die rechte Bodenklappe b wird von der linken a gehalten, und diese ist mit der Lenkstange e , an dem Arm c des um d drehbaren Hebels c, c_1 befestigt. Der Arm c ist um soviel schwerer als c_1 , dass der Verschluss in die gezeichnete Stellung zurückkehrt. Beim Herablassen stößt c gegen einen Anschlag und löst den Verschluss, der durch die Last schnell weiter geöffnet wird. Die Feder e , gegen die c schlägt, wird zurückgeworfen und leitet den Schluss wieder ein.



Kl. 67. Nr. 117788. Drucklufthammer. A. von Hessert, Darmstadt. Die bei a eintretende Druckluft treibt den Stufenkolben cd , auf die Ringfläche c drückend, zurück und die Abluft aus b durch f , hinaus, bis nach Abschluss von f in b Verdichtung eintritt. Sobald c den Anfang der Nuten e überschritten hat, treibt sie den Kolben zum Schlage nach rechts, sodass es ausgeschlossen ist, dass er auf den hinteren Boden auftrifft.



Kl. 88. Nr. 117405. Turbinenregelung. F. Ruefs, Bielefeld bei Ravensburg (Württ.). Die festen Schaufeln a des Lfsurades r sind auf ihrer Rückseite mit beweglichen, bei d an a oder r gelagerten Schaufeln b ausgestattet, die sich an die Rückwand von a anschließen und mit ihren freien Enden c durch ein beliebiges Gestänge gg ... auch während des Ganges eingestellt werden können, um den Wasseraustritt mehr oder weniger zu verengen.









keinen Änderungen unterliegen; ebenso wird stets größte Betriebssicherheit, Bequemlichkeit der Instandhaltung und Ausbesserung, beste Zugänglichkeit und thunlichst geringer Platzbedarf verlangt.

Außerst vielseitig hingegen sind die Bedingungen, die der Zusammenhang mit der Antriebsmaschine stellt. Sie haben sich im Laufe der letzten Jahre dauernd erweitert und auch verschoben. Aus der durch Riemen angetriebenen Dynamomaschine entwickelten sich die schnelllaufenden Dampfmaschinen, und von diesen kam man wieder zurück auf die normallaufende Dampfmaschine. Die heutige Bedeutung dieser normalen Umlaufzahl ist allerdings recht verschieden; für 1000 PS gelten 150 Uml./min schon als zulässig, und mit möglichst vielen Zwischenstufen werden auch noch 80, 75 und geringere Umlaufzahlen bei der gleichen Leistung verlangt. Es ist eben auf Betriebsbedingungen und sehr verschieden befähigte Bedienungsmannschaft Rücksicht zu nehmen. Ganz abweichende Umlaufzahlen bedingen die Turbinen, Umformmaschinen usw., und ist es demnach unumgänglich, für weite Grenzen der Leistungen etwa 10 bis 20 verschiedene Umlaufzahlen zu führen.

Aus verschiedenen Gründen erhalten die Dampfmaschinen Tandemanordnung oder 2 Kurbeln unter 180° oder 90° , oder auch 3 Kurbeln unter 120° ; daraus ergeben sich die verschiedensten Schwungmassen. Noch weiter gehen in diesem Sinne die Anforderungen der Hochfengasmotoren.

der Gleichstrommaschine ist hier die Schleifringanordnung der dreiphasigen Wechselstrommaschine getreten. Den magnetischen Kreislauf dieser Maschine zeigt Fig. 3.

Gegen das Herausleiten des Wechselstromes durch Schleifringe und Bürsten machte sich sehr bald geltend, dass diese Teile bei höher werdenden Spannungen nicht mehr genügend sicher konstruktiv durchgeführt werden konnten. Für den rotierenden Teil traten hier etwa die gleichen Schwierigkeiten wie beim Gleichstrom auf, bei welchem nur ausnahmsweise Spannungen von 500 bis 600 V überschritten werden.

Das Bestreben, Schleifringe und Bürsten gänzlich zu vermeiden, führte zur Schaffung von Zwischenformen, dem sogenannten A- und O-Modell. Heute ist man allgemein wieder dazu übergegangen, Schleifringe anzuwenden, allerdings nicht für die hochgespannten Ströme, sondern lediglich für die Zuleitung des geringen und nur niedrig gespannten Erregerstromes.

Bei den genannten Zwischenmodellen ist die Erregerwicklung ruhend, und auch die Drehstromwicklung liegt in dem ruhenden Gehäuse. Den magnetischen Kreislauf des O-Modells zeigt Fig. 4, den des A-Modells Fig. 5. Der magnetische Kreislauf der heute allgemein üblichen Drehstrommaschine ist in Fig. 6 dargestellt und zeigt die unmittelbare Umkehrung von Fig. 3.

Die fabrikmäßige Herstellung der A-Maschinen brachte in mancher Beziehung Schwierigkeiten. Es waren die Polhörner an das jeweilige Schwungrad der Dampfmaschine

Fig. 3 bis 5. Magnetischer Kreislauf.

Fig. 3. Ältere Drehstrommaschine.



Fig. 4. O-Maschine.



Fig. 5. A-Maschine.

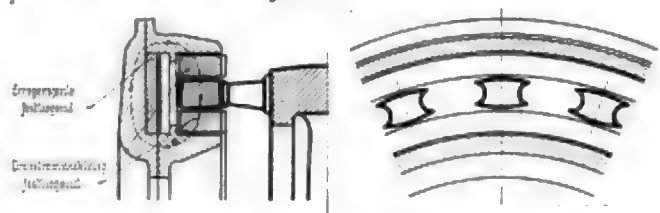
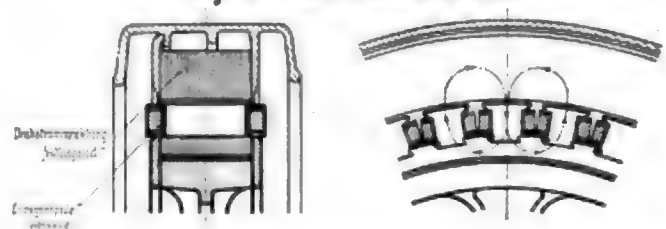


Fig. 6. neuere Drehstrommaschine.



Die verschiedenen Schwungmassen bedingen aber verschiedene Umfangsgeschwindigkeiten der Induktorräder und somit auch für gleiche Umlaufzahl und Leistung noch verschiedene Durchmesser der Dynamomaschinen.

Die Ausnutzung von Wasserkraften, insbesondere mit niedrigen Gefällen, verlangt wiederum eine andere Bauart der Dynamomaschinen, d. i. mit stehender Welle.

In anderer Richtung bringt der Markt mit seinen stark wechselnden Preisen der Rohstoffe stets neue Bedingungen; auch schwanken die Lieferzeiten der Materialien, es verschieben sich die Zollverhältnisse, es werden Bedingungen gestellt über den Bezug von Rohstoffen aus dem Lande, in welches ausgeführt werden soll, oder es wird die Fabrikation im Lande des Bestellers verlangt.

Die älteren Drehstrommaschinen waren für die verhältnismäßig niedrige Spannung von 500 V und weniger gebaut. Für die infrage kommenden Entfernungen genügten zunächst die für den Gleichstrom höchstens zulässigen Spannungen von etwa 500 bis 700 V. Es schloßen sich denn auch diese Maschinen, Fig. 3, in ihrem ganzen Aufbau unmittelbar an die üblichen Gleichstrommaschinen an. Das feststehende Gehäuse trägt die Pole mit den Erregerwindungen, der rotierende Teil erhält die Ankerwicklung. Der Strom wird durch Bürsten abgenommen; an die Stelle des Kommutators

anzuschrauben, sodass der Schwungradlieferant mit der Elektrizitätsfirma innig zusammenarbeiten musste. Der Durchmesser des Polhornringes musste genau eingehalten werden, auch die Teilung musste genau stimmen, und für höhere Umfangsgeschwindigkeiten wurde diese Konstruktion schließlich überhaupt unmöglich, weil die Polhornbefestigung eine recht ungünstige Belastung der Befestigungsschrauben mit sich brachte. Nach diesem Modell wurde eine große Anzahl Maschinen gebaut, Einheiten von 200, 400 und 800 PS, Fig. 2. Die Anordnung der Dynamo reichte bei Verwendung von stehenden Dampfmaschinen und Anordnung am Wellenende in bezug auf Zugänglichkeit und Reparaturfähigkeit völlig aus; bei Verwendung von liegenden Maschinen hingegen war die Vornahme von Reparaturen äußerst unbequem.

Die O-Maschine wurde zunächst entsprechend dem herrschenden Gebrauch als schnelllaufende Dynamomaschine zumeist für Riemen- und Seiltrieb hergestellt; eine Anzahl großer Ausführungen — Einheiten von 1000 PS — wurden auch für direkte Kupplung gebaut. So erhielt eines der Krafthäuser der Berliner Elektrizitäts-Werke vier O-Maschinen von je 1000 PS. Es sind dies die einzigen Drehstrom-Hochspannungsmaschinen von 3000 V Spannung, welche seitens der Berliner Elektrizitäts-Werke im Innern der Stadt aufgestellt worden sind, Fig. 7.

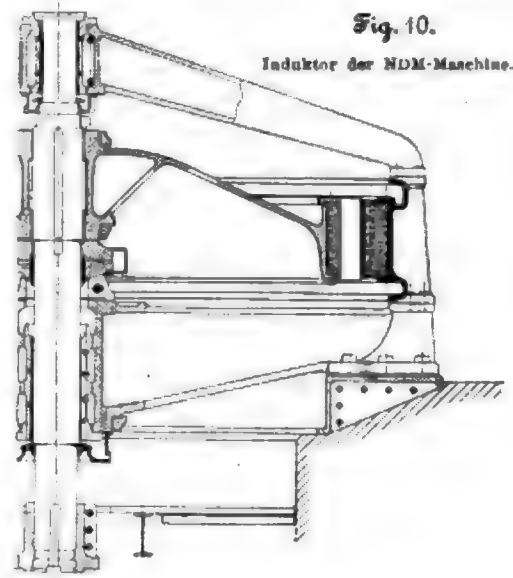
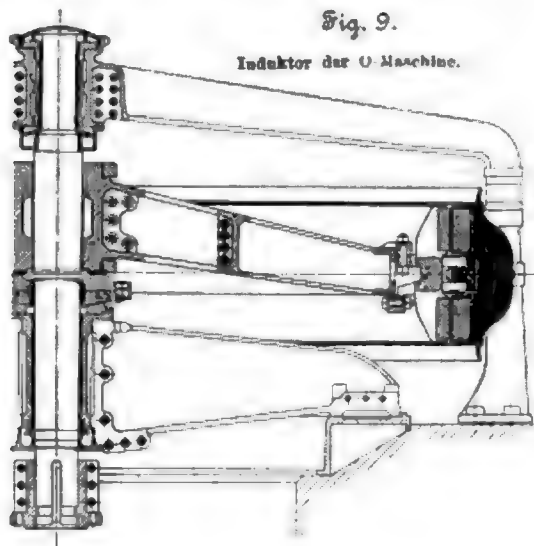
Die übliche Konstruktion wurde in den letzten Jahren das NDM-Modell, mit dem eine sehr große Anzahl von kleineren und größten Krafthäusern ausgerüstet ist; nichts anderes als die Forderungen einer geordneten Fabrikation gaben Anlass, dieses Modell zu verlassen und die nachfolgend erörterte neue Bauart aufzunehmen. Die Schaffung der NDM-Form fiel noch in die Entwicklungsperiode der eigentlichen Fabrikation von großen Dynamomaschinen, und es war naturgemäß ausgeschlossen, dass die erst später auftauchenden Verwendungsbedingungen bei den Konstruktionsgrundlagen voll und ganz berücksichtigt wurden. Das Gehäuse ist hier als Anker ausgebildet und trägt die Drehstromwicklung; die Erregerspulen sind auf einzelnen Magnetpolen angeordnet, welche vom rotirenden Induktor getragen werden. Bei Schaffung der NDM-Form war auch bereits auf Massenfabrication Rücksicht genommen, insofern innerhalb gewisser Grenzen bei der gleichen Umlaufzahl die verlangte höhere Leistung lediglich durch Verbreiterung der Maschinen erzielt wurde. Die Konstruktion des rotirenden Teiles gestattete auch schon eine hohe Umfangsgeschwindigkeit; denn die Pole

etwa 60 ltr/min zwischen den Platten hindurch, sodass also die Laufplatte darauf schwimmt. Die Reibungsverhältnisse des Laufflächenmaterials sind hiernach nur von geringem Belang; im ordnungsmäßigen Betriebe tritt nur Reibung innerhalb der Oelschicht selbst und nicht zwischen den Platten auf.

Fig. 8 zeigt eine Dynamo nach dem NDM-Modell in Verbindung mit einem Hochofengasmotor der Gasmotorenfabrik Deutz von 600 PS. In Fig. 12 sind einige Ausführungen des gleichen Modells von 3000 KW = rd. 4000 PS für die Berliner Elektrizitätswerke dargestellt. In den verschiedenen Krafthäusern dieser Werke sind außer vielen 1000 und 2000 PS-Einheiten bereits 8 derartige Maschinen im Betrieb.

2) Das verspannte gusseiserne Gehäuse.

Im allgemeinen Maschinenbau, Dampfmaschinenbau usw. besteht wegen der natürlichen elastischen Durchbiegungen aller Materialien der Grundsatz, alle größeren Stücke in der Lage zu bearbeiten, in welcher sie später zu arbeiten haben. Stehende Dampfcylinder soll man stehend ausbohren, solche



waren nicht an ein gusseisernes Rad angeschraubt, sondern wurden von einer Blechkette getragen.

Der Bau des Krafthauses Rheinfelden¹⁾, Fig. 11, fiel gerade in die Zeit des Uebergangs von der O-Form zu der NDM-Form. Dieser Wechsel des Modells traf zusammen mit einem Fortschritt im Turbinenbau, durch den bei dem gleichen Gefälle eine etwas höhere Umlaufzahl erreicht werden konnte. Aus dem schweren zehnteiligen Induktor der O-Maschine, Fig. 9, mit einem 5teiligen Armstern und einem wegen der gewählten 55 Pole 5teiligen Induktorkranz wurde ein leichter einteiliger Induktor, Fig. 10. Der Durchmesser der Induktorglocke war durch das Normalprofil der Staatsbahn beschränkt. Andere konstruktive Aenderungen konnten durchgeführt werden, deren Nutzen sich in den Herstellungskosten und in erheblich kürzerer Dauer der Montage zeigte. Die Dynamo wurde als ein in sich geschlossenes Ganzes auf einem gemeinsamen Grundring aufgebaut, die Skizzen zeigen die verschiedenen Abmessungen der beiden Modelle für die gleiche Leistung. Es lassen diese Skizzen auch die eigenartige Konstruktion der Traglager erkennen. Die Gewichte der rotirenden Teile, des Induktors und des Turbinenlaufrades, konnten nur zum kleinsten Teile vom Wasser selbst aufgenommen werden, den bei weitem größten Teil mussten diese Oel-drucklager tragen. Das Pressöl tritt mit 30 at Anfangsdruck zwischen die festgelegte Tragplatte und eine am Induktor befestigte mitlaufende Platte und fließt in einer Menge von

von liegenden Dampfmaschinen liegend. Die gleiche Forderung lässt sich auch auf die Fabrikation von Dynamomaschinen übertragen.

Für den Dynamobau verlangt diese Forderung aber einen zweiten Satz von großen Bearbeitungsmaschinen; denn bei dem üblichen Arbeitsverfahren wird der gegossene Gehäusekörper liegend ausgedreht, um die Blechmatur, welche aus einer großen Zahl segmentförmiger dünner Bleche besteht, einschleichen zu können. Die Blechsegmente sind für einen runden Gehäusekörper gestaut; das Gussstück muss also rund sein, wenn es wagerecht liegt, es musste somit auch in dieser Lage ausgedreht werden. Richtet man nun den eingeschlittenen Blechkranz mit seinem Gehäuse wieder auf, so wird er unrund, sofern nicht von außen her Einzelkräfte angebracht werden, die in den Punkten größter Ausbiegung angreifen. Geht man dazu über, äußere Einzelkräfte anzuwenden, um ein verdichtetes Dynamogehäuse wieder rund zu richten, so fällt auch die Bedingung des Ausbohrens in der Arbeitslage, d. h. im stehenden Zustand fort.

Will man nicht äußere Einzelkräfte anbringen, so muss man das Gehäuse außerordentlich schwer bauen, so schwer, dass die Verbiegung am ungünstigsten Punkte eine zulässige Grenze nicht überschreitet. Das größte Maß für das wegzudrehende Material ist beschränkt und somit auch das Maß der höchstens zulässigen Deformation; denn die im Blechkörper eingebettete Wicklung darf an keinem Punkte zu nahe an die Bohrung herantreten. Einen derartigen starren Aufbau hat keine der europäischen Firmen angestrebt; weiter

¹⁾ Vergl. Z. 1896 S. 770.

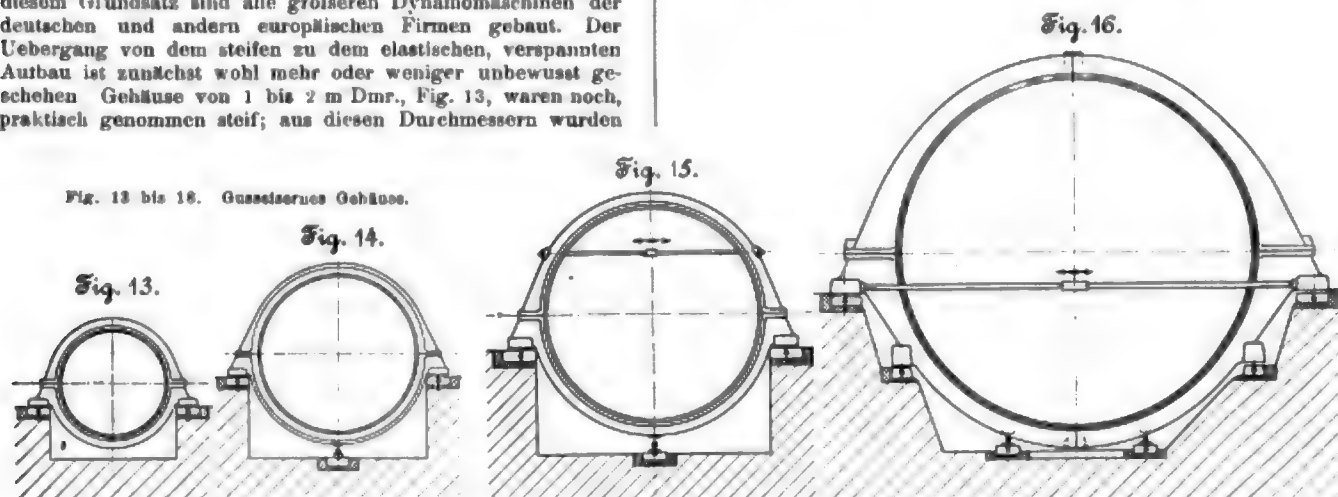
unten wird eine jüngst veröffentlichte Ausführung einer amerikanischen Firma (Westinghouse) erwähnt werden, bei welcher der Grundsatz des steifen Aufbaues in vollkommener Weise und mit enormem Materialaufwand durchgeführt ist.

Es war gesagt, dass ein runder Körper beim Aufrichten aus der wagerechten in die senkrechte Lage durch sein Eigengewicht eine Formveränderung erfährt; sein Material kommt erst durch die Gewichtswirkung unter Spannung und verändert seine Form bis zu einer gewissen Grenze, bis die inneren Materialkräfte den äußeren Gewichtskräften das Gleichgewicht halten. Die Gewichte können auch durch äußere Kräfte unmittelbar abgefangen werden, und nach diesem Grundsatz sind alle größeren Dynamomaschinen der deutschen und andern europäischen Firmen gebaut. Der Uebergang von dem steifen zu dem elastischen, verspannten Aufbau ist zunächst wohl mehr oder weniger unbewusst geschehen. Gehäuse von 1 bis 2 m Dmr., Fig. 13, waren noch, praktisch genommen steif; aus diesen Durchmessern wurden

alles weiter Hinzugefügte, das sogenannte konstruktive Material, ist ein notwendiges Übel: es hat Gewicht, kostet Geld und leistet nichts. Daher also auch das Bestreben, die Gehäuse so leicht wie möglich zu halten und die vorhandenen Gewichte durch irgendwelche Hilfsmittel unmittelbar aufzunehmen.

3) Der Armaturring als Spannwerk.

Es war anfangs von verschiedenen Dynamokonstrukturen unterlassen worden, die magnetisch beanspruchten Bleche unter genügende Spannung zu bringen. Allerdings waren



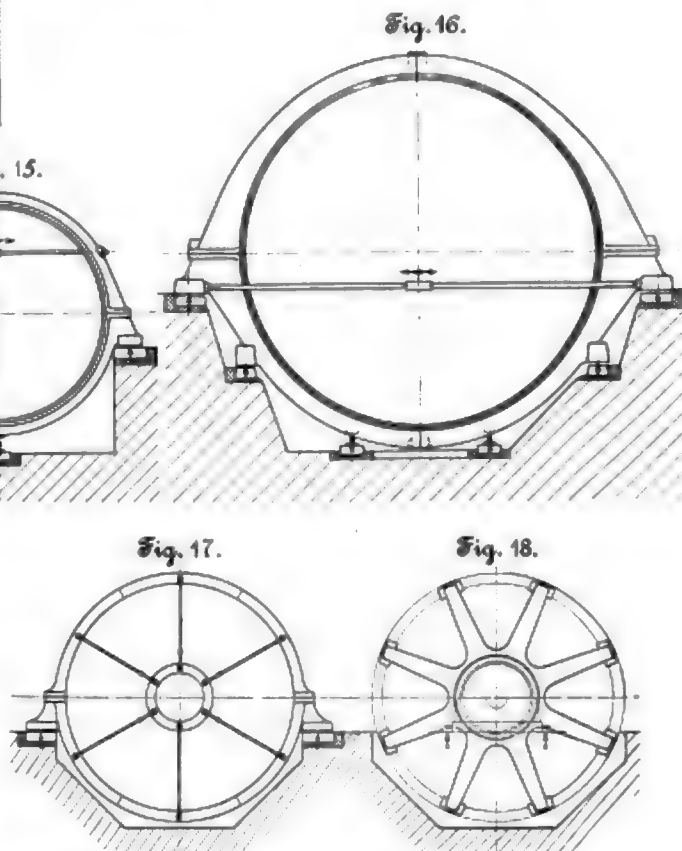
solche von 4 und 5 und schließlich 10 bis 12 m. Man griff hier zunächst zu einer Verspannung mit einem dritten Fuß, Fig. 14, dann zu 4 bis 6 Füßen, Fig. 15 und 25, und brachte durch Unterlagen oder Stellschrauben jeden der Füße in einem gewünschten Maße zum Tragen; d. h. man spannte das Gehäuse mit jedem einzelnen Fuß solange an, bis es wieder rund wurde, man baute das Gehäuse als ein Spannwerk gegen den Fundamentblock. Die Wirkungen gegen den Unterbau waren hierbei allerdings durchaus nicht unzulässig, sondern entsprachen nur einer gewissen Verteilung der Gewichte auf den Fundamentblock.

Fig. 25 zeigt die untere Hälfte einer 3000 KW-Dynamo, bei welcher die Füße in halber Höhe der unteren Hälfte die Haupttragfüße sind; die beiden unteren Füße dienen dazu, den unteren Scheitel nicht durchhängen zu lassen, und die beiden oberen Füße haben wenig zu tragen und sind mehr wegen des Aussehens so außerordentlich kräftig durchgebildet; sie sind bestimmt, dem ganzen Aufbau der Dynamo einen konstruktiven Abschluss zu geben.

Ein weiteres vielfach angewandtes Mittel zum Rundspannen der gusseisernen Gehäuse waren Zugstangen, die indes kaum als eigentliches Spannsystem aufgefasst werden konnten, sondern das Aussehen einer Hülfskonstruktion behielten. Fig. 15 zeigt die Einführung einer Spannstange durch die Punkte größter Ausbiegung der oberen Hälfte, während die Gewichtswirkung des unteren Gehäuseteiles im Punkte größter Ausbiegung im unteren Scheitel von einer Stellschraube und vom Fundament unmittelbar aufgenommen wird.

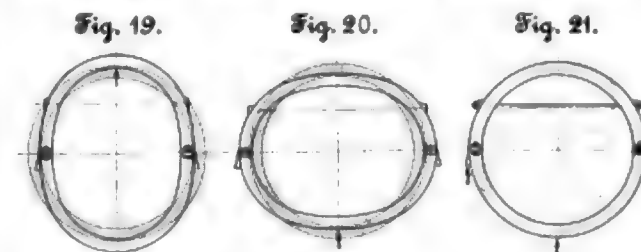
In Fig. 16 ist das Gehäuse mit einer Zugstange dargestellt, welche die Grundplatten und den Unterbau von einer etwa auftretenden Schubwirkung entlasten soll. Fig. 17 giebt die Versteifung des Gehäuses durch radiales Verspannen wieder. Ein noch anderes Mittel zur Versteifung des Gehäuses zeigt Fig. 18; hier ist dem Armaturringe die Verantwortung für Aufnahme der Gewichtskräfte abgenommen, und diese Gewichte werden auf zwei steife Druckstrebensterne übertragen, die zentrisch zur Welle auf besonderem Sockel gelagert sind.

Der Armaturring, der Blechring, in welchem die Wicklung eingebettet ist, wird in Durchmesser, Dicke und Breite nach der von der Dynamo verlangten Leistung bemessen;



schwere gusseiserne Gehäuse angewandt worden, aber diese wurden nur als Auflager für den Blechring benutzt; die Bleche selbst waren nicht genügend durch Querbolzen zusammengedrückt, nicht fest genug verspannt.

Die Folge war, dass die Maschinen wegen der fortgesetzten Ummagnetisierung der Bleche stark brummt; behauptete man doch sogar, dass Wechselstrommaschinen brummen müßten.



Mehrfach war das Geräusch so stark, dass jeder Teil des Gehäuses mitvibrierte, dass man das Erzittern sogar mit den Füßen fühlte. Zum Zusammenpressen des Blechkörpers in diesem Sinne ist aber kein Riesenaufbau, kein massiges Gehäuse erforderlich, es genügen vielmehr einige leichte Pressplatten und durch das Packet hindurchgehende Schraubbolzen. Durch das Zusammenpressen des ringförmigen Blechpaketes nähert







und lassen sich nur um ein geringes ändern. Dazu kommt, dass bei den älteren Konstruktionen das Steuerexzenter und die Uebertraghebel und Stangen, soweit sie nicht vollständig unter einander ausgeglichen (ausbalancirt) sind, einen wesentlichen Einfluss auf die Umlaufzahl haben und genau in Rechnung gezogen werden müssen. Das »Pendeln« des Reglers, der unter gewissen Verhältnissen labile Lagen findet, ist eine bekannte und gefürchtete Erscheinung. Weiter tritt hinzu, dass sich bei pendelnder Aufhängung der Gewichte der wirksame Hebelarm bei jeder Stellung ändert, was die Berechnung recht umständlich gestaltet.

Die verantwortlichen Konstrukteure der Maschinenfabriken sind meist derartig in Anspruch genommen, ja überlastet, dass sie sich diese mühsame Arbeit und die damit verbundene Verantwortung gern ersparen, wenn sich die Aufgabe mit einem fertig zu beschaffenden Geschwindigkeitsregler erledigen lässt.

Auch die Ausführung der Flachregler, welche der Werkstatt zufällt, ist nicht leicht. Die Zapfen, auf denen meist ein Federdruck von mehreren hundert Kilogramm lastet, müssen sehr sorgfältig geschmiert werden, und doch begnügt man sich (wegen der Unzugänglichkeit während des Betriebes) meist mit Fettschmierbüchsen. Wird übersehen, sie rechtzeitig nachzufüllen, so ist ein vollständiger Verschleiß die unausbleibliche Folge.

Auch bei gut geschmierten Zapfen ist die Reibung, welche durch den Federdruck verursacht wird, so bedeutend, dass bis zu Aenderungen der Umlaufzahl des Reglers von $1\frac{1}{2}$ bis 2 vH die Verstellkraft durch die Eigenreibung des Reglers aufgezehrt wird, demnach merkliche Schwankungen der Umlaufzahl eintreten müssen, um eine verhältnismäßig kleine Verschiebung an der Steuerung ins Werk zu setzen. Es ist bekannt, dass auch die Zapfen der Kegelregler, welche gewöhnlich auf einer stehenden Spindel hochliegend angeordnet sind, nur zu häufig ganz ohne Schmierung bleiben, sodass nach längerer Betriebszeit oft nur kaum kenntliche Ueberreste davon verbleiben und man sich wundern muss, dass nicht öfter Geschwindigkeitsregler wegen Zapfenbruchs aus einander fliegen.

In dem Ersatz der Zapfen durch Stahlschneiden hat man ein wirksames Mittel gefunden, um die Reibung herabzuziehen; doch wird von den ausführenden Maschinenfabriken darüber geklagt, dass dies ein sehr teures Mittel sei, und dass besondere Schleifmaschinen beschafft werden müssen, um die Schneiden genügend genau bearbeiten zu können¹⁾. Thatsächlich sind schon Explosionen von solchen Flachreglern (während des Betriebes) vorgekommen, die auf Bruch der Schneiden zurückzuführen sind. Es ist mir bekannt geworden, dass diese Umstände eine sehr bedeutende Dampfmaschinenfabrik veranlasst haben, nach jahrelanger Verwendung von Pendelflachreglern deren Bau wieder aufzugeben.

Weitere Schwierigkeiten liegen in der Rückwirkung der Steuerung auf den Regler sowie in den Stößen, welche durch die Massenbeschleunigung der Schieber und des Steuergetriebes veranlasst werden. Darauf werde ich weiterhin noch zurückkommen, ebenso wie auch auf die meist sehr störende Trägheitswirkung der Exzenter.

Als Hauptverbesserungen, die an Federreglern überhaupt, und besonders an Flachreglern, zu treffen sind und welche zumteil schon seit längerer Zeit angestrebt werden, möchte ich nennen:

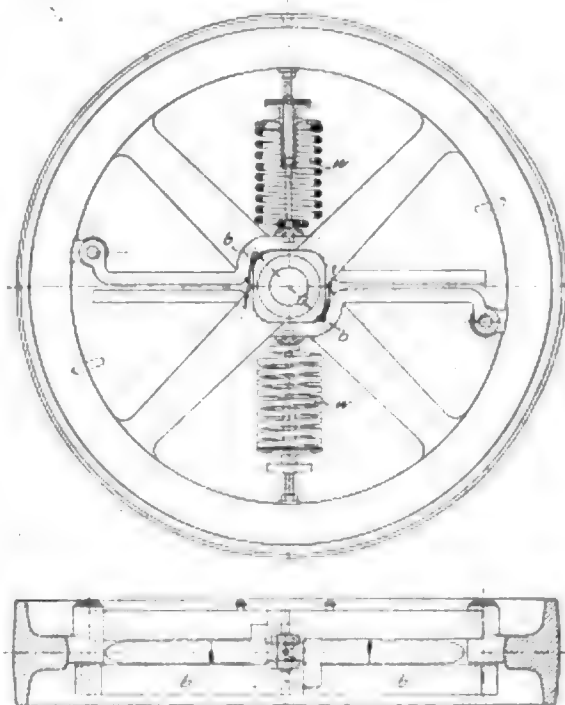
- 1) die unmittelbare Gegenwirkung von Gewichten und Federn,
 - a) bei Pendelreglern und
 - b) bei Reglern mit radial gerade geführten Gewichten;
- 2) die Herstellung des Steuerexzenter in einem Stück mit einem der Gewichte, also die starre Verbindung beider;
- 3) die Beseitigung der Oelbremse als des größten Feindes einer empfindlichen Regelung, insbesondere einer plötzlichen Aenderung in weiten Grenzen, und zwar
 - a) durch Anwendung großer Gewichte, welche die unmittelbare Gegenwirkung, also der Wegfall jeder Hebelübersetzung, bedingt,

- b) durch Beschaffung der bei Wegfall der federbelasteten Gelenke erforderlichen Eigenreibung durch eine die Rückwirkung hindernde Schraube,
- c) durch Anwendung von Trägheitsmassen;
- 4) die Herstellung vollkommen oder nahezu vollkommen astatisch arbeitender Regler durch Anwendung von Trägheitsmassen.

Zu 1) möchte ich bemerken, dass unmittelbar in der Federachse angebrachte Schwinggewichte schon im Anfange der 70er Jahre in Amerika von der Hoadley Co. ausgeführt wurden. Radinger beschreibt diesen Regler, bei welchem die Gewichte unmittelbar gegen symmetrisch angeordnete Blattfedern wirken (wenn ich nicht irre, war ein solcher Regler schon 1873 an einer Lokomobile der genannten Firma auf der Weltausstellung in Wien ausgestellt), in seinem Berichte über die Weltausstellung in Philadelphia 1876. Die praktischen Amerikaner haben uns auch in dieser Hinsicht die Wege gewiesen, doch ist der Wink nicht beachtet worden. Die Hoadleysche Konstruktion ist ohne Zweifel wesentlich

Fig. 1 und 2.

Flachregler von Dautenberg.



einfacher und besser als viele höchst verwickelte Anordnungen, die später in Amerika, Oesterreich und Deutschland in Aufnahme kamen. Trotzdem die Blattfedern einfach herzustellen und zu berechnen sind, auch die Bestimmung der Mitwirkung der eigenen Masse an der Fliehkraft bei verschiedenen Stellungen der Gewichte nicht schwieriger ist als bei cylindrischen Schraubenfedern, haben sich die letzteren doch als bequemer erwiesen und sich allgemein eingeführt¹⁾.

Was die Anwendung der unmittelbaren Gegenwirkung auf Pendelregler betrifft, so ist zu erwähnen, dass sie schon von Proell, der bekanntlich in gemeinsamer Arbeit mit Doerfel die Verbreitung der Flachregler sehr wesentlich gefördert hat, in seinem österr. Patent vom 5. Aug. 1885 erwähnt wird; doch ist von einer praktischen Ausbildung dieses Gedankens nichts bekannt geworden.

Die unmittelbare Gegenwirkung an Pendelflachreglern ist praktisch erst durch Dautenberg eingeführt worden. Da diese Konstruktion einen nicht unwesentlichen Fortschritt darstellt, so entnehme ich der deutschen Patentschrift Nr. 53214 die

¹⁾ Ein Mittelding zwischen Bölsen und Schneide beschreibt Frankel in Z. 1898 S. 322 unter der Bezeichnung »Stahlmessel«.

²⁾ Eine ähnliche unmittelbare Wirkung der Gewichte gegen Blattfedern zeigt übrigens D. R. P. 87225 von Robinson in Wantage (England).

Figuren 1 und 2, welche zeigen, dass die cylindrische Schraubenfeder *w* den Hebeln *b*, die zugleich die Gewichte darstellen, im Schwerpunkte entgegen wirken. Die Aufhängzapfen sind dadurch nahezu vollständig entlastet. Allerdings sind zwischen Federn und Gewichten noch Schneiden eingeschaltet, doch sind sie in ganz eigenartiger und vorzüglicher Weise geführt, sodass ein Bruch bei guter Arbeit wohl ausgeschlossen erscheint. Diese Regler sollen sich in der Ausführung gut bewährt haben.

Fig. 3.

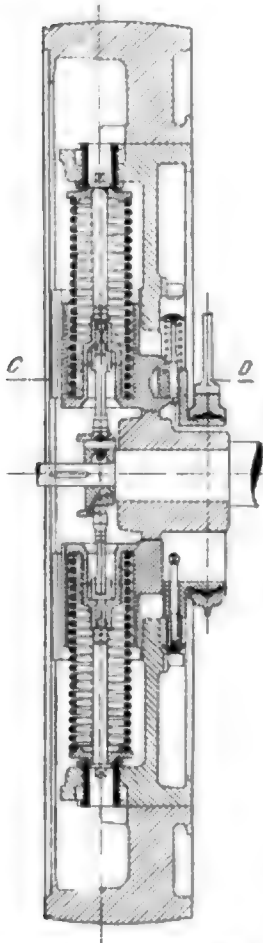
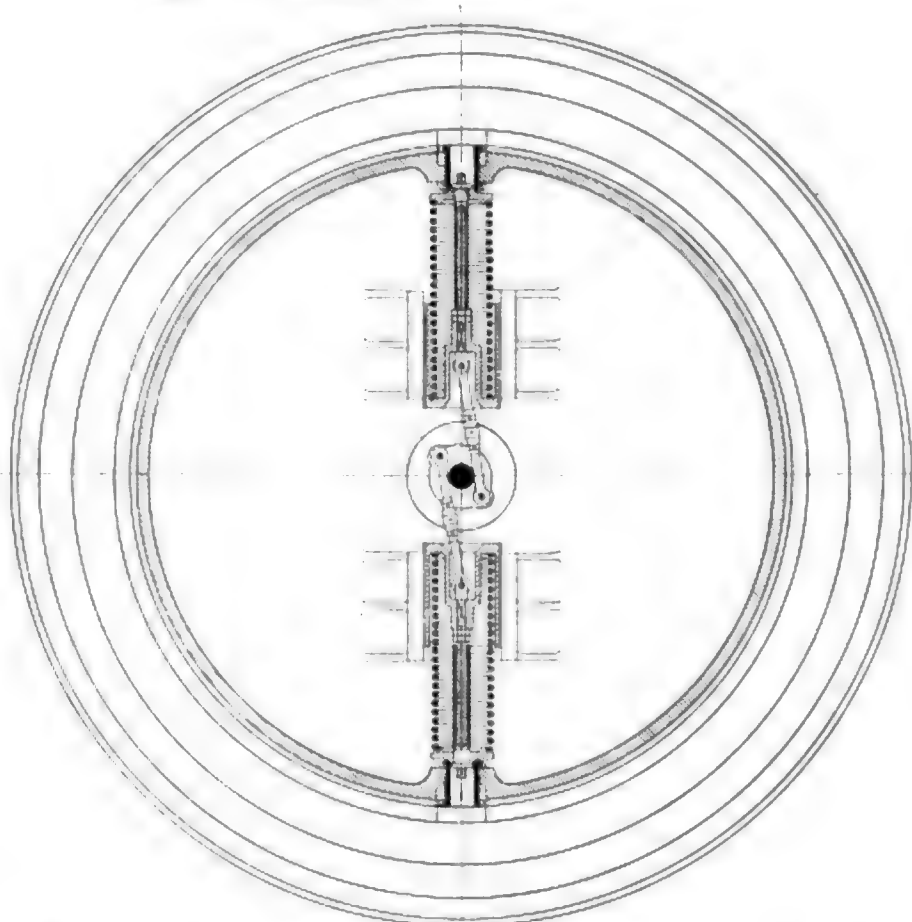


Fig. 4.

Fig. 3 bis 7. Flachregler der Skodawerke.



Die gleiche Anordnung ist von Geißler an der in Frankfurt ausgestellten Maschine der Firma J. S. Fries Sohn in Frankfurt angewendet worden¹⁾.

Die oben angeführten Bedenken gegen die älteren Flachreglerkonstruktionen haben mich im Jahre 1895 bewogen, für eine von der Firma L. A. Riedinger in Augsburg im Jahre 1896 auf der bayrischen Landesausstellung in Nürnberg vorzuführende 200pferdige stehende Dampfmaschine einen Flachregler zu konstruiren, an dem zum erstenmal radial gerade geführte Gewichte vorkommen, welche cylindrischen Schraubenfedern unmittelbar entgegen wirken. Die Konstruktion ist in Z. 1897 S. 366 dargestellt²⁾. Der Grund, warum man sich gerade bei einer Ausstellungsmaschine nicht mit einer der bereits erprobten Konstruktionen begnügen wollte, war einerseits das Misstrauen, welches man den federbelasteten Gelenken entgegenbrachte, während man sich auf die Herstellung von Schneidengelenken mangels der erforderlichen Einrichtungen und Erfahrungen nicht einlassen wollte, und anderseits die Furcht vor der Rückwirkung der Steuerung, da die vom Verfasser eingeführte zwangsläufige Corli-

Fig. 5.

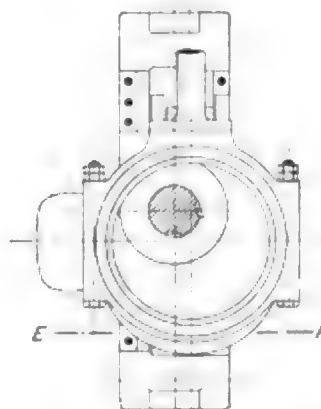
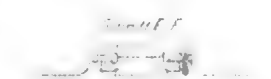


Fig. 6.



Fig. 7.



Die Schwierigkeiten sind bei der genannten Ausführung vollkommen gelöst worden. Der Regler arbeitet ohne Oelbremse; versuchsweise wurde am Schaltbrette die volle Be-

¹⁾ Z. 1891 S. 1362, Striebeck: Die Dampfmaschinen der Internationalen Elektrotechnischen Ausstellung zu Frankfurt a/M.

²⁾ Es sei hier bemerkt, dass diese Konstruktion aufgrund gemeinsamer Studien und Gedankenaustausches des Berichterstatters mit Hrn. Karl Reyscher, Maschinenfabrikant in Bielefeld, entstanden ist.

³⁾ s. Maschine von J. S. Fries Sohn, Z. 1891 S. 1362/63.

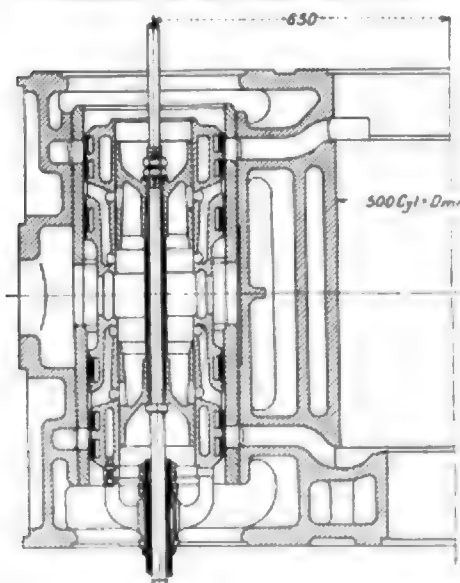
lastung der Dampfmaschine in 3 sk ausgeschaltet, wobei die Umlaufzahl von 196 auf 201 stieg und dabei stehen blieb. Es fand also bei 100 vH Lastschwankung nicht das geringste Ueberregulieren statt, da die Umlaufzahl 201 der kufsersten Stellung der Gewichte entspricht. Dabei ist zu berücksichtigen, dass es sich um eine mehrstufig arbeitende Maschine handelt, die vom Regler nicht so leicht zu beherrschen ist wie eine einzylindrige.

Erreicht ist dieses überraschende Ergebnis vor allem durch Anwendung radial gerade geführter, den Federn unmittelbar entgegen wirkender Gewichte, wobei die federbelasteten Gelenke fortfallen, entsprechend 1b) bzw. 3a) der aufgeführten Gesichtspunkte, ferner durch Einschaltung einer Schraube zwischen den Regler und das Steuerexzenter, entsprechend 3b). Es ist dabei zu berücksichtigen, dass die Reibung der Ruhe größer ist als die der Bewegung, was dem Regler bei Aufnahme eines Teiles der Rückwirkung durch die Schraube sehr zustatten kommt, während dabei doch der Regler ohne federbelastete Gelenke genügend empfindlich ist, um die Eigenreibung rasch zu überwinden und dann mit einem Rucke auch 100 vH der Lastschwankung sofort auszugleichen.

Bei der Beschreibung und Berechnung von Geschwindigkeitsreglern mit belasteten Zapfen wird immer wieder hervor-

Fig. 8.

Kolbenschieber der elektrischen Zentrale Pilsen.



gehoben, wie wichtig es sei, die Reibung der Gelenke möglichst zu verkleinern¹⁾; ja, in neuerer Zeit wird sogar vorgeschlagen, Kugellagerung an den Zapfen anzuwenden²⁾. Es ist dies ein ähnlicher Ausweg, wie die Anwendung von Schneidengelenken. Bei größeren Ausführungen müsste man die Kugellager etwa 10 bis 20 mal so stark belasten, wie es bei Fahrrädern üblich und erprobt ist. Außerdem ist zu bedenken, dass jede solche Verminderung der Eigenreibung verlangt, dass die in den meisten Fällen unentbehrliche Oelbremse schärfer angezogen wird. Was man demnach auf der einen Seite unter Mehrkosten erreicht, muss auf der andern Seite wieder abgebremst werden; man muss eine kräftigere Nummer des Reglers wählen, und dadurch werden die Anschaffungskosten unnötig erhöht. Professor Stodola beweist in Z. 1899 S. 512 ausführlich, dass eine Regulierung ohne irgend eine Dämpfung unmöglich ist, und dass die Eigenreibung bis zu einem gewissen Grade die Oelbremse ersetzen kann.

Der eingeschlagene Weg kann somit kaum als zweckmäßig bezeichnet werden. Einzig richtig erscheint es, die

¹⁾ s. z. B. Z. 1896, Tolle: Beiträge zur Beurteilung der Zentralregulatoren.

²⁾ D. R. P. 106881 v. A. Klenast in Merseburg.

belasteten Gelenke fortzulassen, was sich bei Verwendung von radial gerade geführten Gewichten in durchaus einwandfreier Weise ergibt. Von Weiss ist¹⁾ hervorgehoben, dass mit Rücksicht auf Ueberregulierung infolge von Rückwirkung des Stellzeuges und auch mit Rücksicht auf den durch das Schwungrad bedingten Ungleichförmigkeitsgrad der »Umpfindlichkeitsgrad« des Reglers nicht zu klein werden darf. Auch ist von ihm in ganz richtiger Einsicht für gewisse Fälle die Anwendung von »Reibungsbremsen« anstelle der Oelkatarakte empfohlen worden.

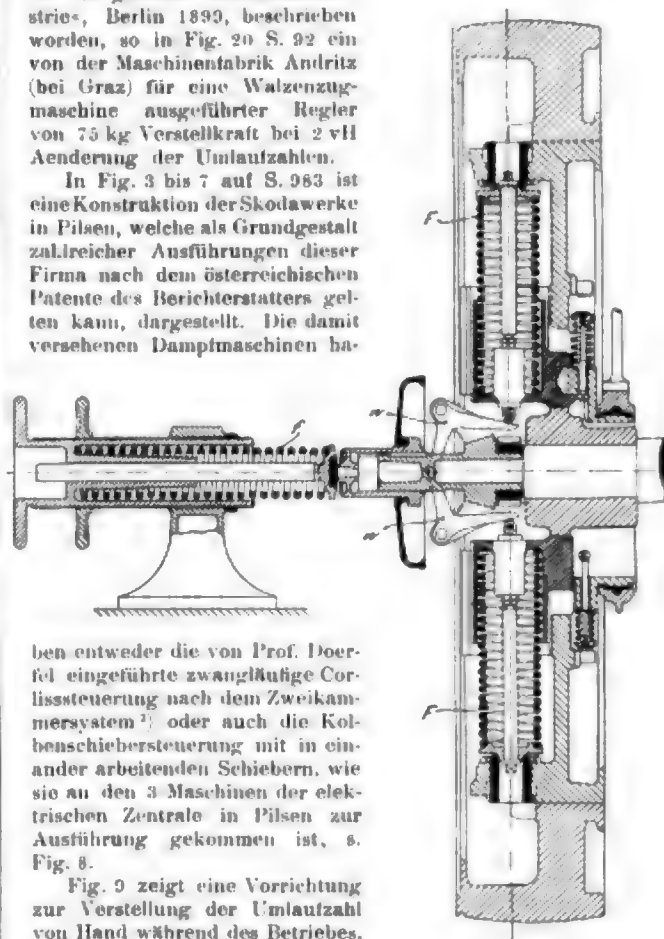
Die so außerordentlich scharfe Regelung an der Ausstellmaschine in Nürnberg lässt es gerechtfertigt erscheinen, wenn ich die weitere Entwicklung der Konstruktion hier vorführe.

Weitere Ausführungen sind in dem von Prof. Dr. Friedr. Vogel herausgegebenen »Jahrbuch für die gesamte Maschinenindustrie«, Berlin 1899, beschrieben worden, so in Fig. 20 S. 92 ein von der Maschinenfabrik Andritz (bei Graz) für eine Walzenzugmaschine ausgeführter Regler von 75 kg Verstellkraft bei 2 vH Änderung der Umlaufzahlen.

In Fig. 3 bis 7 auf S. 963 ist eine Konstruktion der Skodawerke in Pilsen, welche als Grundgestalt zahlreicher Ausführungen dieser Firma nach dem österreichischen Patente des Berichterstatters gelten kann, dargestellt. Die damit versehenen Dampfmaschinen ha-

Fig. 9.

Vorrichtung zur Verstellung der Umlaufzahl



ben entweder die von Prof. Doerfel eingeführte zwangsläufige Corlisssteuerung nach dem Zweikammersystem²⁾ oder auch die Kolbenschiebersteuerung mit in einander arbeitenden Schiebern, wie sie an den 3 Maschinen der elektrischen Zentrale in Pilsen zur Ausführung gekommen ist, s. Fig. 8.

Fig. 9 zeigt eine Vorrichtung zur Verstellung der Umlaufzahl von Hand während des Betriebes, wie sie auf Wunsch mitgeliefert wird; die Wirkung einer Zusatzfeder *f* ergänzt unter Vermittlung der Winkelhebel *ic* die der Hauptfedern *P*. Die aus der Figur ohne weiteres verständliche Einrichtung hat ihrem Zweck durchaus entsprochen.

Der Regler selbst unterscheidet sich von dem in Nürnberg gezeigten dadurch, dass die Schraube weggelassen und das Steuerexzenter (entsprechend Punkt 2 der erwähnten Verbesserungen) mit einem der Gewichte in starrer Verbindung hergestellt ist. Das ist für den Konstrukteur eine außerordentliche Vereinfachung und Erleichterung der Berechnung.

Bei dem beschriebenen Regler der in Nürnberg ausgestellt gewesen Maschine erzeugt das Exzenter eine Fliehkraft von mehreren hundert Kilogramm, die durch eine besondere Blattfeder ausgeglichen ist, was eine sorgfältige und

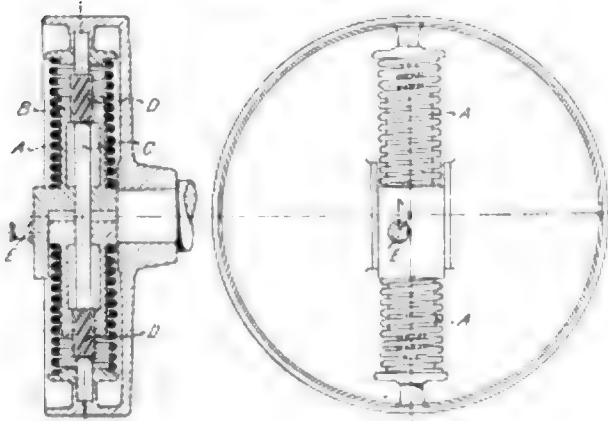
¹⁾ Z. 1899 S. 67, Weiss: Die Verstellkraft der Regulatoren.

²⁾ Z. 1892 S. 569.

zeitraubende Berechnung erfordert; auch könnte im Falle eines Bruches der Ausgleichfeder der Regler nicht wirken und müsste abgestellt werden, bis die Feder ersetzt ist. Das fällt nunmehr alles weg, weil das Steuerexzenter mit seinem Ringe gleich als Teil des wirksamen Schwunggewichtes zu betrachten ist und in die Berechnung mit einbezogen wird. Dadurch entfällt auch die Notwendigkeit, die teuren geschwin-

Fig. 10 und 11.

Flachregler von Strnad



die Weglassung der die Rückwirkung hemmenden Schraube als ein Rückschritt zu bezeichnen.

Dieser Gedankengang war maßgebend bei der Flachreglerkonstruktion nach D. R. P. 95140 des Berichterstatters. Die Wirkung ist aus der Darstellung in Fig. 10 und 11 zu erkennen. Die Federn *A* wirken den Gewichten *B* unmittelbar entgegen, die statt durch die früher gebräuchliche gelenkige Verbindung durch eine Spindel *C* mit Rechts- und Linksgewinde *D* zu symmetrisch gleichsinniger Bewegung veranlasst werden. Diese Spindel kann sich nicht mit den Gewichten verschieben, sondern nur drehen, hat also keinen Einfluss auf die Umlaufzahl. Der Steuerzapfen *E* ist mit einem der Gewichte starr verbunden und wird bei durchgehender Welle als Exzentering ausgebildet. Dieser Regler arbeitet mit zwangsläufigen Corliss-Steuerungen, die bekanntlich sehr starke Rückwirkung ausüben, ohne Oelbremse und ist in bezug auf die Raschheit der Wirkung überhaupt nicht weiter verbesserungsfähig.

Zur näheren Erörterung wähle ich eine Ausführung mit Beharrungsschwungscheibe, weil diese besonders interessante Eigenschaften aufweist, die weiter unten besprochen werden. Der in Fig. 12 bis 15 vorgestellte Flachregler treibt die Betriebsmaschine der Maschinenfabrik H. Jahn in Arnswalde. Es ist dies eine Tandemaschine mit zwangsläufiger Corliss-Steuerung, welche bei 10 bis 12 at Dampfdruck tadellos arbeitet. Diese von mir eigens für hohe Dampfspannungen konstruierte Steuerung möchte ich einer besonderen Besprechung vorbehalten.

Leider ist keine Vorrichtung vorhanden, um die ganze

Fig. 12 bis 15. Flachregler mit Beharrungsschwungscheibe von Strnad.

Fig. 12.

Fig. 13.

Fig. 14.

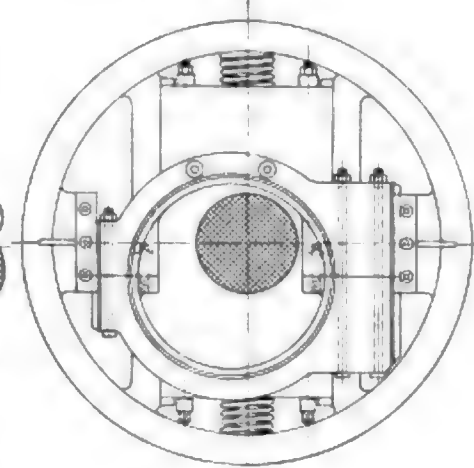
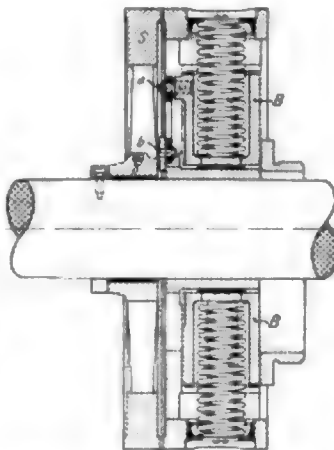
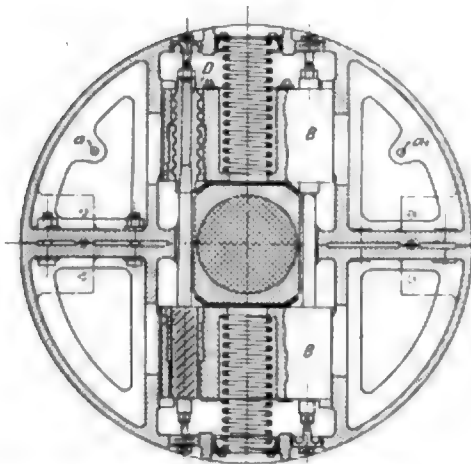
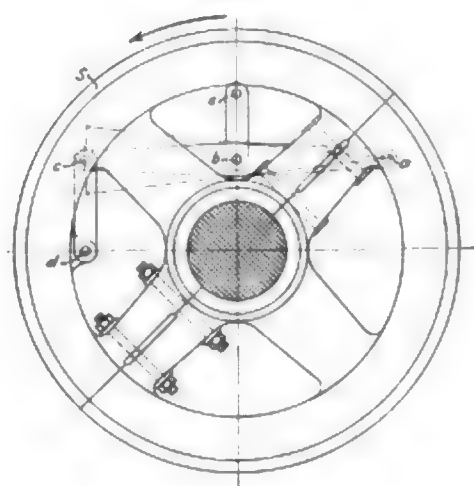


Fig. 15.



deten Exzenteringe anzuwenden, welche man der Gewicht-ersparnis wegen bei den Pendelflachreglern gewöhnlich wählt, um die schließenden Kräfte aufs Äußerste herabzumindern.

Die Weglassung der Schraube dagegen hatte zur Folge, dass bei zwangsläufigen Corlisssteuerungen und selbst bei nicht ausgeglichenen Kolbenschiebern eine Oelbremse angewendet werden musste, wobei die Regelung allerdings immer noch weit genauer ist als bei Reglern mit federbelasteten Gelenken.

Bei Kolbenschiebersteuerungen mit Ausgleich der Massenwirkung, die ohne Oelbremse arbeiten, war die Wirkung des Reglers wiederum ganz erstaunlich. Es wurde z. B. bei einer stehenden Einzylindermaschine mit Kolbenschiebersteuerung, welche normal mit 180 Uml./min arbeitet, die ganze Belastung der Maschine von 140 PS auf einen Ruck ausgeschaltet; dabei zeigte das Tachometer eine Änderung von nicht ganz 4 Uml./min, also kaum mehr als 2 vH bei 100 vH Lastschwankung; sofort ging dann die Umlaufzahl auf 182 zurück, was der äußersten Regulatorstellung entspricht.

Insofern man es oft mit stark rückwirkenden Steuerungen zu thun hat und sich die Massenausgleichung der Steuerung gern erspart, und da ein vollkommener Regler für alle Zwecke brauchbar sein soll, ohne einer Oelbremse zu bedürfen, ist

Belastung der Maschine auf einen Ruck auszuschalten; doch lassen sich durch Abwerfen eines Riemens rd. 35 vH der Belastung plötzlich ausschalten, wie das wiederholt geschehen ist. Der Zeiger des Tachometers zeigt im gleichen Augenblick ein kaum merkliches Zucken, sodass eine Aenderung der Umlaufzahl nicht abgelesen werden kann. Es ist nicht zu bezweifeln, dass sich der Regler bei Ausschaltung der gesamten Belastung ähnlich verhalten wird wie bei der Nürnberger Ausstellungsmaschine von L. A. Riedinger und wie die Flachregler der Skodawerke.

Zur Anwendung der Beharrungsscheibe *S* wurde ich durch Prof. A. Stodola in Zürich schon vor dem Erscheinen seiner hochbedeutsamen Arbeit: »Das Siemenssche Regulirprinzip und die amerikanischen »Inertie«-Regulatoren«¹⁾ veranlasst.

Die wichtigste Schlussfolgerung, zu der Prof. Stodola bei seinen wissenschaftlich begründeten Ableitungen gelangt, lautet: »Der Beharrungsregler lässt die Anwendung eines vollkommen astatischen, ja sogar eines durchweg labilen Regulators zu. Es kann die Umlaufzahl der Vollbelastung größer sein als die des Leerlaufes, ohne dass die Stabilität der Regulierung gefährdet wird«.

Um diese wichtige Folgerung praktisch zu beweisen, wurde der Regler mit einer Beharrungsschwungscheibe²⁾ versehen und von vornherein für astatisches Verhalten berechnet.

Die Beharrungsscheibe *S* ist mit demjenigen der beiden Gewichte, welches das Steuerexzenter trägt, durch ein Hebelwerk derartig verbunden, dass, wenn die Maschine plötzlich mehr belastet wird und die Beharrungsscheibe vorausseilt, das Gewicht nach innen gedrängt wird, sodass das Steuerexzenter nach dem Orte der größten Füllung hin geschoben wird. Der zweiarmlige Hebel *a b c*, Fig. 15, ist bei *a* an das Reglergehäuse angeschlossen und durch die Lasche *c d* mit der Beharrungsscheibe verbunden. Die Lasche *b e* verbindet den zweiarmligen Hebel gelenkig mit dem Gewichte *B*. Die Drehrichtung der Maschine entspricht dem eingezeichneten Pfeile. Bei umgekehrter Drehrichtung wird der Hebel *a b c* bei Punkt *a*, Fig. 12, an das Gehäuse geschlossen.

Die Nachmessung der ausgeführten Gewichte, Schwerpunktlagen und der Federkraft bei verschiedener Anspannung hat ergeben, dass der Regler von der Mittelstellung bis zur äußeren Stellung der Gewichte labil ist; die Umlaufzahl bei Leerlauf ist etwas kleiner als bei der mittleren Lage.

Für alle Fälle wurde auch eine Reibungsbremse angebracht, die jedoch als überflüssig nicht benutzt wurde. Die Regulierung war, wie schon erwähnt, tadellos; der Zeiger des Tachometers zeigte auch nicht die Spur einer Schwankung, sodass die von Prof. Stodola aufgestellte Behauptung glänzend bestätigt ist.

Das astatische Verhalten des Reglers ist ohne Zweifel in vielen Fällen, insbesondere bei elektrischer Beleuchtung, eine große Annehmlichkeit und wird in vielen Fällen die besondere Vorrichtung für Verstellung der Umlaufzahl von Hand während des Betriebes entbehrlich machen, welche immerhin kostspielig und bei durchgehender Welle auch nicht so bequem anzubringen ist wie bei fliegender Anordnung des Reglers an einem Ende der Welle.

Weiter ist zu bedenken, dass die Ausführung des Reglers leider immer mancherlei Ungenauigkeiten mit sich bringt, die leicht unbeabsichtigtweise ein labiles Verhalten des Reglers verursachen, wenn man sich nicht von vornherein von dem astatischen Zustande zu weit entfernen will. Auch die käuflichen Geschwindigkeitsregler (Kegelregler) werden manchmal labil, etwa durch unausgeglichene Massen am Steuerungsantriebe, und das bereitet manche Verlegenheit, da der Verkäufer sich dadurch gedeckt fühlt, dass eine große Anzahl gleicher Regler zufriedenstellend arbeitet.

Es unterliegt wohl keinem Zweifel, dass die Flachregler gerade infolge Einführung der Trägheitsmassen in Amerika eine viel allgemeinere Verbreitung gefunden haben als bei uns³⁾.

Man kann durch eine Trägheitsmasse Ungenauigkeiten der Ausführung oder Berechnung unschädlich machen, auch übernimmt die Trägheitsmasse ein gut Teil von der Rückwirkung der Steuerung und gestattet in Verbindung mit der schon erwähnten Schraube, ohne Oelbremse zu arbeiten.

Diese Umstände machen die Aufklärungen Prof. Stodolas besonders wertvoll und bedeuten einen wirklichen Fortschritt im Baue der Geschwindigkeitsregler.

Dass bei Beharrungsreglern der Regler selbst entsprechend dem hinzutretenden Arbeitsvermögen der Trägheitsmasse schwächer gewählt werden kann, was insbesondere bei Leistungsreglern sehr schätzenswert ist, ist schon von Prof. Stodola hervorgehoben¹⁾; ob es praktisch zulässig ist, mit der Stärke des Reglers, wie dort vorgeschlagen wird, bis zu $\frac{1}{10}$ herabzugehen, müsste erst erprobt werden, und es wäre eine dankenswerte Aufgabe, etwa für das Laboratorium einer technischen Hochschule, diese Verhältnisse näher zu prüfen, da man sich im praktischen Betriebe lieber von der äussersten zulässigen Grenze etwas entfernt hält. Wichtig ist die Wahl eines möglichst kleinen Flachreglers, wenn er auf der Steuerwelle einer Ventilmaschine sitzt, da die bis jetzt erforderlichen großen umlaufenden Trommeln bei dieser ihrer Einfachheit wegen erstrebenswerten Anordnung keinen guten Eindruck machen.

So nützlich die Wirkung richtig angewandeter Trägheitsmassen ist, so störend können unbeabsichtigte Nebenwirkungen bei den Pendelflachreglern werden. Es ist in der technischen Litteratur wiederholt darauf aufmerksam gemacht worden, dass nur diejenigen Flachregler-

Konstruktionen vorteilhaft sind, bei welchen die Drehrichtung so gewählt werden kann, dass die Trägheitswirkung der im Falle einer Geschwindigkeitsänderung ausschlagenden Pendelgewichte in günstigem Sinne auf das Steuerexzenter einwirkt. Nicht erwähnt wurde meines Wissens bisher, dass alle Nebenteile des Reglers, wie Übertragstangen und -hebel, auch wenn sie symmetrisch angeordnet sind und sich in ihrer Fliehkraftwirkung ausgleichen, doch durch ihre »Trägheitswirkung« stören müssen; denn, fällt diese Wirkung etwa bei Beschleunigung günstig aus, so wirkt sie bei Verzögerung im ungünstigen Sinne und umgekehrt. Insbesondere gilt das von den sogen. Drehexzentern, deren Massen trotz schmiedeiserner Exzenteringe und möglichst schwacher Wandstärke des Exzenterkörpers immer noch viel zu groß ausfallen.

Sehr deutlich ist in Z. 1898 S. 549 bei dem Flachregler von Nicholson zu ersehen, wie man die großen Fliehkkräfte der Drehexzenter ausbalancieren kann, was natürlich nur für eine einzige Stellung genau geschehen kann; dabei wird aber die Fliehkraft der Exzenter und damit auch die ungünstige Trägheitswirkung verdoppelt.

Alle diese Nebenwirkungen, welche sich rechnungsmäßig kaum noch verfolgen lassen, haben das vielfach noch gegen die Pendelflachregler herrschende Misstrauen mitverschuldet und machen es auch notwendig, diese Regler so kräftig zu wählen, dass sämtliche schädlichen Nebenwirkungen überwunden werden. So entstehen vielfach wahre Ungetume von Reglern, deren Federn kaum noch ausführbare Abmessungen erhalten.

Die unmittelbare Anbringung des Exzenters an einem der Gewichte, wodurch es allen schädlichen Nebenwirkungen

Fig. 16.

Regulirer von Strnad.

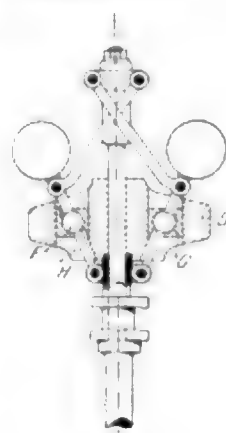


Fig. 17.



¹⁾ Z. 1899 S. 506 und 578.

²⁾ nach R.-G.-M. 131235.

³⁾ Nach Stodola (Z. 1899 S. 507) wurde das Beharrungsprinzip dort schon 1870 angewendet.

¹⁾ Z. 1899 S. 576.

entzogen wird und alle Uebertraghebel und -stangen wegfallen, ist in jeder Beziehung eine Verbesserung und Vereinfachung der Konstruktion von Flachreglern.

Wenn den Drehexzentrern nachgesagt wird, dass ihre Reibung ein gutes Mittel gegen die Rückwirkung der Steuerung sei, so hat schon Stribeck¹⁾ diese Anschauung richtig gestellt. Die Widerstandsfähigkeit der Drehexzenter gegen Rückwirkung dürfte mehr in der Fliehkraft unausgeglichener Massen, also in Nebenwirkungen zu suchen sein, wodurch eine große Reibung erzeugt wird; natürlich wird dadurch ein Teil der freien Energie des Reglers aufgezehrt. Jedenfalls ist die Anwendung einer Schraube oder einer nur

Fig. 18.

Flachregler von Strnad.

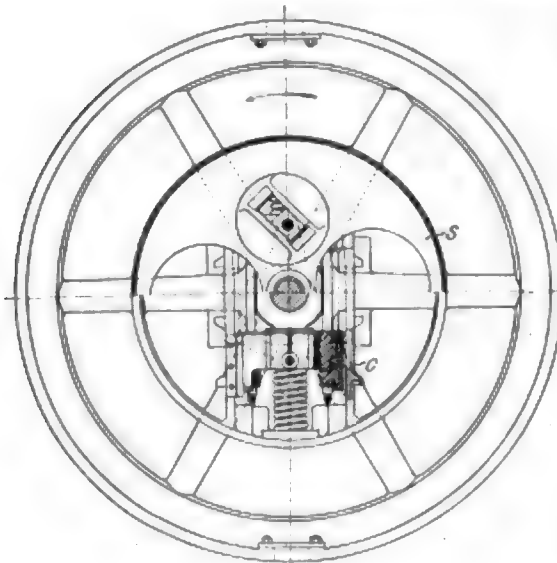
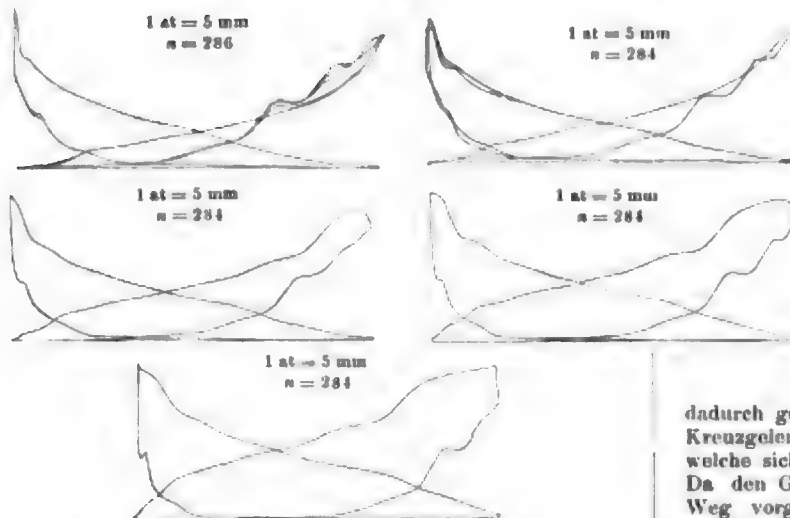


Fig. 21.



im günstigen Sinne wirkenden Trägheitsmasse ein viel gesunderes Mittel gegen Rückwirkung.

Der von H. Jahn ausgeführte Flachregler ist auch versuchsweise ohne Beharrungsscheibe betrieben worden und ist der Rückwirkung der Steuerung gewachsen; doch zeigte sich bei jeder Umdrehung ein Zucken, welches davon herrührt, dass der Regler astatisch ist. Man könnte sagen: das Schwungrad spielt mit dem Regler; er zeigt infolge seiner großen Empfindlichkeit genau den Ungleichförmigkeitsgrad der Maschine innerhalb einer Umdrehung an. Es ist dies die Be-

stätigung der Einsicht, dass ein Regler ohne Trägheitsmasse und ohne Oelbremse nicht astatisch arbeiten kann.

Es bedarf wohl kaum noch der Erwähnung, dass bei radial gerade geführten Gewichten die Eigenreibung nur sehr gering sein kann, da bei Beschleunigung oder Verzögerung von den Gleitflächen der Geradföhrung nur der geringe Druck der Gewichte aufgenommen wird, welchen die freie Energie erzeugt. Diese geringe Reibung ist aber, wie schon nachgewiesen wurde, durchaus unentbehrlich.

Da die Fliehkraft bei Abwesenheit federbelasteter Gelenke sofort in Wirkung tritt, so hat die Anbringung besonderer Beharrungsmassen nur dann einen Zweck, wenn ein

Fig. 19.

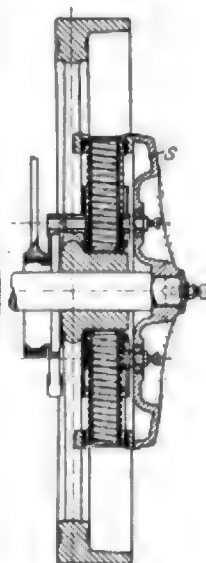
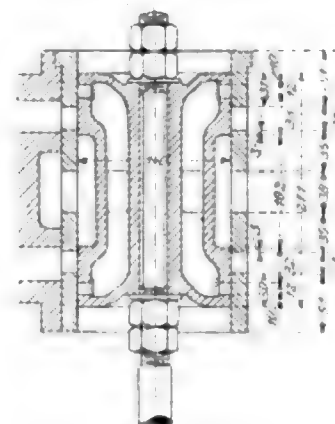


Fig. 20.



astatischer Regler verlangt wird, oder wenn es wünschenswert erscheint, den Regler selbst ungewöhnlich stark zu bemessen, wie bei Leistungsreglern oder bei sehr beschränktem Räume.

Die Flachregler mit radial gerade geföhrten Gewichten, mit und ohne besondere Beharrungsschwingmassen, lassen sich natürlich ebenso gut auf stehenden Antriebsspindeln anbringen, wie das bei den Kegelreglern üblich ist, wobei man die Gewichte auf Rollen laufen lässt.

Nachstehend möge noch eine Konstruktion des Berichterstatters vorgeföhrte werden, welche sowohl bei Kegelreglern, als auch bei Flachreglern beliebiger Konstruktion angewendet werden kann und ganz besonders einfach ist.

Fig. 16 und 17 zeigen die Anordnung an einem Kegelregler, dessen Birnengewicht *S* als Beharrungsmasse wirkt. Es ist lose aufgesteckt und kann gegenüber dem Regler voreilen und zurückbleiben; doch ist das Zusammenwirken dadurch gesichert, dass die Gewichtspendel bei *F* Kugel- oder Kreuzgelenke tragen, die in Kulissensteine *G* eingreifen, welche sich in schräg gestellten Führungsschlitzten *H* bewegen. Da den Gewichten auch durch die Pendelaufhängung ihr Weg vorgeschrieben ist, so kann eine Verschiebung nur durch ein Zusammenwirken mit der Beharrungsscheibe *S* zustande kommen, deren Masse an und für sich schon einer Rückwirkung der Steuerung kräftig entgegenwirken wird. Wenn der Winkel α , Fig. 17, klein genug gewählt ist, können die Führungsschlitzte *H* durch ihre Stellung sperrend wirken, sodass der Regler überhaupt gegen jede Rückwirkung unempfindlich ist und unter allen Umständen ohne Oelbremse arbeiten kann: wie schon geschildert, die unerlässliche Bedingung für eine hervorragend energische Regulierung. Die Beharrungsscheibe kann beliebig viele Führungsschlitzte erhalten, und zwar allgemein so viele, wie Gewichte vorhanden sind.

In Fig. 18 und 19 ist ein Ausführungsbeispiel eines Flach-

¹⁾ Z. 1891 S. 1861 Anmerk. 2.













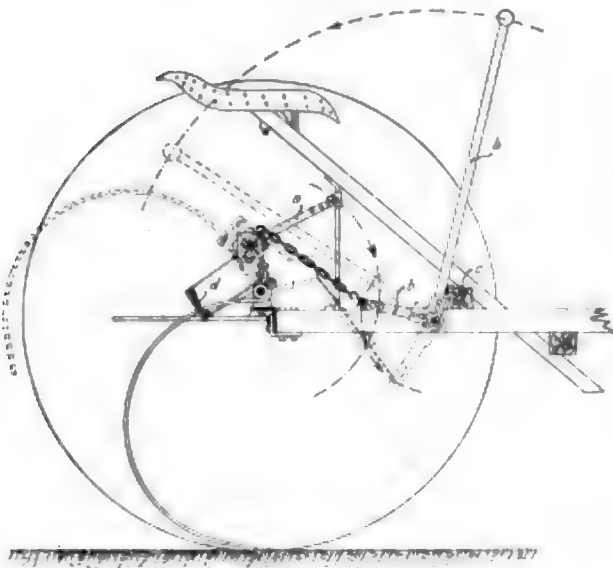


von The Plano Mfg. Co. in Chicago fabrizierten Pferderechen, Fig. 76, wird die Arbeitstellung der Zinken je nach der Größe der Pferde dadurch geregelt, dass der vom Stellhebel *s* abgehende Lenker *l* an einen Zahnbogen *a* angreift, an dem der Zinkenträger *s* durch Klinkenhebel *k* verdreht werden kann.

Der Pferderechen »Herkules« von Gebr. Lesser in Posen, Fig. 77, hat zwei Fußhebel, von denen der eine zum Hochheben, der andere zum stoßfreien Herablassen der Zinken dient. Die Achse wird durch den Zinkenträger und die Führschiene gebildet und ist durch ein Sprengwerk gegen Durchbiegung gesichert. In den beiden Stahlgussstücken *g* an den Enden der Achse sind die Radachsschenkel symmetrisch befestigt; nachdem die eine Hälfte abgenutzt ist, können

Fig. 75.

Pferderechen von Grob & Co.



sie umgekehrt werden. Jeder Zinken steckt in einer Hülse und kann leicht ausgewechselt werden. Die Hülse ist durch eine Schraube federnd am Balken befestigt; die Feder dient gleichzeitig als Schraubensicherung.

Auch das Gestell des neuen Pferderechens »Raffzahn« der Erzgebirgischen Maschinenfabrik in Schleitz besitzt ein Sprengwerk unter der aus kräftigen Vierkantisen bestehenden Achse. Die Zinken sind mit Schraubenschellen unmittelbar an dem Vierkantisen befestigt, Fig. 78, und können jeder für sich abgenommen oder je nach der gewünschten Entfernung verschoben werden. Die Scheren-deichseln können, wenn nötig, zu einer zweispinnigen Deichsel zusammengesetzt werden. Die Rechen werden bis zu 4 m Breite ausgeführt.

Fig. 76.

Pferderechen
von The Plano Mfg.

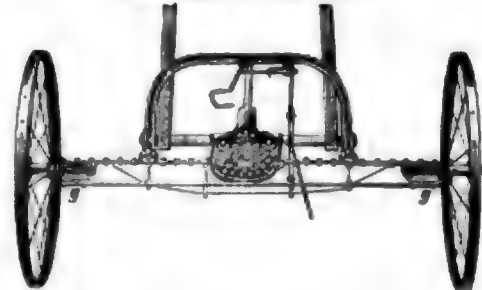


Zum Heben des gefüllten Rechenkorbes ist immer verhältnismäßig viel Kraft erforderlich; andererseits verursacht der niederfallende Korb dauernd für die Pferde und das Gerät nachteilige Stöße. C. F. Richter in Brandenburg hat deswegen das Gewicht des Rechenkorbes durch ein an einem Hebel *a*, Fig. 79, angebrachtes verstellbares Gegengewicht *g* ausgeglichen. Das Gewicht wird so bemessen, dass es dem Korb noch ein gewisses Uebergewicht lässt. Durch eine Sperrklinke *k* wird verhindert, dass sich der Korb bei der Arbeit unbeabsichtigt anhebt. Soll der Korb aber

gehoben werden, so löst der Fahrer die Sperrklinke mit dem Fuße aus. Fällt der Korb wieder nieder, so geschieht dies in sanfter Weise, da nur das Uebergewicht zur Wirkung kommt und außerdem ein Puffer am Ende des Falles den Stoß aufnimmt. Der Anschlag an dem Puffer ist verstellbar, je nachdem die Zinken tiefer oder weniger tief fallen sollen. (G.-M. 131657.)

Fig. 77.

Pferderechen von Gebr. Lesser



Dr. Fink in Berlin hatte zwei Hilfsmaschinen für die Heuernte ausgestellt. Die eine, eine Heuauflademaschine, besteht aus einem Fahrgestell mit verstellbarer schräger Plattform, das an den Heuerntewagen angehängt wird. Sowohl vor als auch auf der Plattform werden von den Fahrrädern angetriebene Rechen in harkende Bewegung versetzt, welche

Fig. 78.

Pferderechen der Erzgebirgischen Maschinenfabrik.

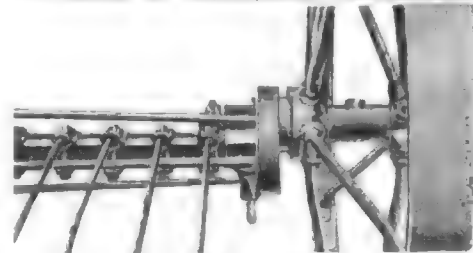
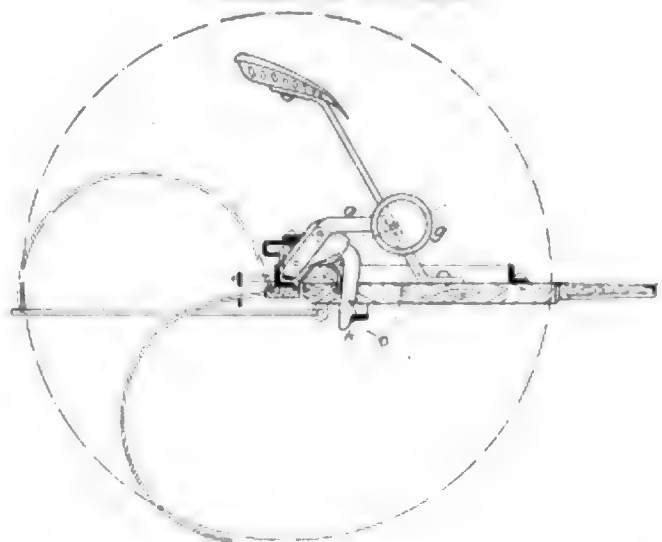


Fig. 79.

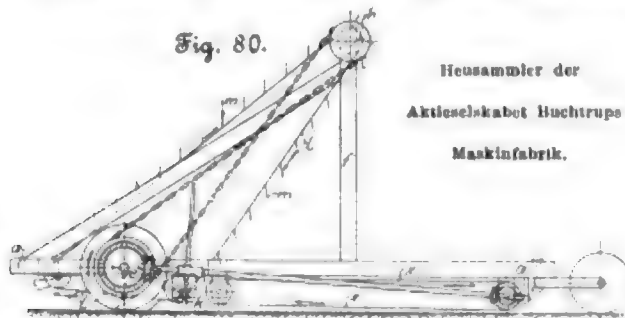
Pferderechen von C. F. Richter.



das auf dem Boden liegende Heu sammeln, auf die Plattform hinaufschaffen und auf dieser nach oben befördern, um es schließlich über die obere Kante auf den Wagen fallen zu lassen.

Das zweite Gerät ist ein von Aktieselskabet Buchtrup Maskinfabrik in Randers, Dänemark, hergestellter Heusammler, mit dem während des Fahrens Heuschober hergestellt

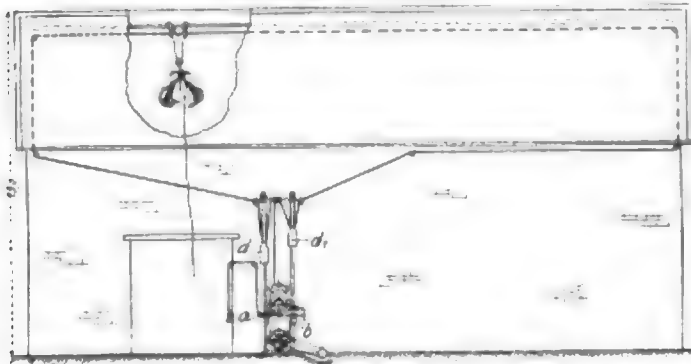
werden können. Die Maschine soll an der Hand der Zeichnung der Patentschrift 108 617, Fig. 80, erläutert werden; die ausgestellte Maschine wich in einzelnen unwichtigeren Teilen, besonders in der Anordnung der Fahrräder, etwas davon ab. In dem vorderen Teile eines mit Deichsel ausgestatteten Fahrgestelles *a* sind die Zinken *c* eines Sammelrechens angeordnet; vor und hinter diesem sind zwei breite Rollen *i* und *k* und auf einem Bock *f* eine dritte Rolle *h* gelagert. Ueber diese Rollen sind mit Zinken *m* besetzte Bänder *l* in der Richtung des Pfeiles geleitet, die durch die Zwischen-



räume des Rechens hindurchgehen und das vor ihm gesammelte Heu aufnehmen und nach oben schaffen. Um das Heu sicher zu erfassen, ist die hintere Rolle *k* etwas tiefer gelegt als die vordere *i*. Hierdurch wird der Rechen stets rein gehalten, und außerdem werden Stauungen vor dem Rechen verhindert. Der Elevator wird von den Fahrrädern aus angetrieben. Das Heu fällt von der oberen Rolle *h* auf ein im Gestell *a* gelagertes Tuch ohne Ende *x*, das gewöhnlich stillsteht. Hier sammelt sich das Heu nach und nach zu einem Schober an. Ist das geschohen, so rückt der Führer den Antrieb des Tuches *x* ein, der so eingerichtet ist, dass die Geschwindigkeit des Tuches gleich der Fahrgeschwindigkeit ist und die Bewegung in der Pfeilrichtung erfolgt. Der fertige Schober wird dann nach hinten getragen und ohne Stofs auf den Boden abgesetzt, worauf das Fördertuch wieder still

Fig. 81.

Heuaufzug von C. Böhmer.



gesetzt wird. Statt dieses Tuches ist jetzt eine mit Wänden von Stahldraht versehene Plattform eingesetzt worden. Zwischen den Wänden, die bis zum Elevator reichen, wird der Schober sicherer gebildet, während ein Mann, der hinter der Maschine geht, das Heu fest stopft. Wenn der Schober die erforderliche Größe erreicht hat, fällt die Hinterwand nieder und wird der Schober mittels eines Riemens, der vorn auf ihm liegt und an den Seitenwänden entlang läuft, herabgezogen. Die Maschine kann auch nur als Heuwender benutzt werden, wenn die Vorrichtung zum Bilden und Absetzen des Schobers abgenommen wird, sodass das Heu von ziemlich großer Höhe durch die Luft und locker auf die Erde fällt.

Noch viel zu wenig Beachtung wird den Hilfsvorrichtungen zum Abladen der Erntewagen und zum Staken zu Feimen und in Scheunen geschenkt. Die Deutsche Landwirtschaftsgesellschaft hat jetzt durch Verleihung der großen bronzenen Denkmünze für den im vorigen Jahre ausgestellten und inzwischen geprüften Heuaufzug-Greif von C. Böhmer

in Alzey eine hoffentlich fruchtbare Anregung zur weiteren Ausbildung dieser Geräte gegeben. Bis jetzt sind die in Deutschland aufgetauchten wenigen derartigen Vorrichtungen amerikanischen Ursprungs gewesen, die drüben allerdings weitgehende Verwendung gefunden haben. Bei der weiteren Ausbildung bedarf es aber einer eingehenden Berücksichtigung unserer deutschen Betriebsverhältnisse und baulicher Einrichtungen.

Der Heuaufzug-Greif, Fig. 81, besteht aus dem bekannten zangenartig zusammengehefteten gekrümmten Rechen, der an einer Laufkatze aufgehängt ist. Das Neue liegt nach dem Prüfungsbericht der D. L.-G. in den zum Betriebe dienenden Hilfsmitteln. Nach der meist üblichen Anordnung wird das Lastseil durch ein Zugtier gezogen, was sehr un bequem werden kann, wenn der Aufzug innerhalb eines Gebäudes auf dem vielleicht räumlich beschränkten Wirtschaftshofe angebracht wird. Um hierin eine Erleichterung [zu

Fig. 82.

Entladekorb von J. Caesar.



schaffen, wird an der äußeren Wand des Gebäudes eine Seilwinde aufgestellt, die durch einen Göpel oder einen andern Motor in Tätigkeit gesetzt wird. Indem die Winde das Seil aufwickelt, hebt sie zunächst die Last und befördert sie sodann über die gewünschte Lagerstelle, über welcher die Greifvorrichtung geöffnet und damit die Last zum Niederfallen veranlaßt wird. Hiernach wird das Seil mit der Laufkatze durch ein Gewicht bis über die Aufladestelle: den Heu-, Stroh- oder Getreidewagen, zurückgezogen. Um dies zu ermöglichen, wird die den hebenden und weiterbefördernden Teil des Seiles aufnehmende Winde durch einen Riemen getrieben, welcher nur wirken kann, wenn er gespannt worden ist. Mit dem die Spannrolle *b* tragenden Gewichthebel *a* ist ein Bremshebel verbunden und die Anordnung derart getroffen, dass beim Anheben von *a* die Rolle so weit von dem Riemen entfernt wird, dass er nicht mehr antreiben kann. Wird *a* noch weiter gehoben, so tritt der Bremshebel in Wirkung, und damit wird die Last an einer beliebigen Stelle sofort zum Stillstande gebracht. Von zwei Gegengewichten *d* und *d'* dient das erstere dazu, die von dem Aufzug bewegte Laufkatze zurückzuziehen, während *d'* das überschüssige Aufzugsseil aufspeichert und in Spannung erhält. Beide Gegewichte sind mit Flaschenzügen versehen und so angeordnet, dass sie bequem umgeschaltet werden können, sodass die Laufkatze nach zwei Seiten zu fahren vermag. (G. M. 117 766.)

Von Dr. J. Caesar in Rothenhoff bei Hausberge i/Westf. war eine ähnliche Vorrichtung zum Entladen von Hackfrüchten, Fig. 82, ausgestellt. In den Kastenwagen werden, bevor er mit der Hackfrucht beladen wird, mehrere Körbe *l* dicht neben einander eingesetzt, sodass sie den ganzen Laderaum des Wagens ausfüllen. Den Boden jedes Korbes bildet eine Fallthür *t*, die sich durch Anziehen eines Riegels zur Entleerung öffnet. Der Korb hängt mittels Flaschenzuges an einer Laufkatze *k*, die auf einem fahrbaren Bock läuft. Dieser Bock wird über Wagen und Miete aufgestellt und bei fortschreitender Entleerung der Miete daran vorwärts bewegt. Mit einem Mann Bedienung wird auf diese Weise ein Wagen schnell beladen und entladen und auch auf vorteilhafte Weise, weil die Kartoffeln nicht beschädigt werden, wie sonst unter Benutzung von Schaufeln und bei dem hohen und schweren Fall.

(Fortsetzung folgt.)

Sitzungsberichte der Bezirksvereine.

Bergischer Bezirksverein.

Besuch der westlichen Bezirksvereine in Elberfeld am 18. Mai 1901.

Die Mitglieder der westlichen Bezirksvereine des Vereines deutscher Ingenieure, die der Einladung des Bergischen Bezirksvereines in großer Anzahl gefolgt waren, versammelten sich im Kuppelsaale des Rathauses.

Der Vorsitzende des Bergischen Bezirksvereines, Hr. Lohse begrüßt die Anwesenden mit herzlichen Worten. Er dankt besonders den Vertretern der Städte Barmen und Elberfeld für ihr Erscheinen sowie den Behörden der Stadt Elberfeld für das freundliche Entgegenkommen, durch das ermöglicht sei, die Festversammlung in dem prächtigen neuen Rathause zu begrüßen. Er erinnert an die Zukunftspläne, welche Hr. Feldmann, der Vorsteher der Abteilung der Kontinentalen Gesellschaft für elektrische Unternehmungen, auf der letzten hier abgehaltenen Hauptversammlung des Hauptvereines vor 8 Jahren entwickelt hat, und stellt fest, dass sie wohl alle in Erfüllung gegangen seien. Er gedenkt auch des geistigen Urhebers der Schwebbahn, Eugen Langen.

Hierauf begrüßt der Vertreter des Oberbürgermeisters, Hr. Beigeordneter Lütze, die Anwesenden und weist darauf hin, dass die Stadt Elberfeld als Industriestadt die Bestrebungen des Vereines deutscher Ingenieure stets erkannt und wohl zu schätzen gewusst habe. Es sei freilich bei der letzten Hauptversammlung vor 8 Jahren noch nicht so viel technisch Bemerkenswertes zu sehen gewesen, aber umso mehr gereiche es der Stadt zur Befriedigung, dass sich heute eine so stattliche Anzahl von Fachleuten eingefunden habe zur Besichtigung neugeschaffener technischer Anlagen der Stadt, die zum Teil noch einzig in ihrer Art dastehen.

Darauf spricht Hr. Regierungsbaumeister Schaar über die Schwebbahn¹⁾.

Alsdann berichtet Hr. Scheranborg über das Elektrizitätswerk der Stadt Elberfeld. Der Redner hebt hervor, dass dieses das erste in Deutschland auf städtische Kosten und in städtischem Auftrag erbaute Elektrizitätswerk gewesen sei. Der erste Teil des Werkes, der 1896 in Betrieb genommen wurde, war für 1500 PS bemessen und als Gleichstromanlage ausgeführt worden. Die Zahl der Teilnehmer wuchs aber so rasch, dass schon im nächsten Jahre, am 14. Dezember 1897, die jetzt in der Vollendung begriffene Umwandlung und Vergrößerung des Werkes von der Stadtverordnetenversammlung beschlossen wurde. Die Ausführung wurde nach den Plänen des Hrn. Baurat Lindley bei einem Voranschlag von 4413000 M am 7. Juli 1898 in Angriff genommen.

Die neue Anlage liefert: 1) einphasigen Wechselstrom von 4000 V Spannung, der durch Transformatoren auf 2×110 V gebracht und in einem sekundären Dreileiternetz in der Stadt verteilt wird, 2) Gleichstrom von 600 V für die verschiedenen elektrischen Bahnen in Elberfeld und der näheren Umgebung. Die alte Kraftstelle wird gegenwärtig in eine Wechselstrom-Gleichstrom-Umformstation umgewandelt, die den Gleichstrom von 2×110 V in einem Dreileiternetz im Bezirke der alten Kraftstelle (vorzugsweise den inneren Stadtteilen) abgibt.

Der Vortragende bespricht hiernach anhand von zahlreichen ausgehängten Zeichnungen die baulichen und maschinellen Anlagen des Elektrizitätswerkes, das zur Zeit für eine Leistung von 6000 PS ausgebaut wird, während die baulichen Anlagen für die Aufstellung der Maschinen bis zur doppelten Leistung vorgesehen sind. Als Kraftmaschinen sind zwei Dreifach-Expansionsdampfmaschinen von Gebr. Sulzer und zwei Dampfturbinen, Bauart Parsons, aufgestellt, die mit überhitztem Dampf von 12 at Spannung je 1500 PS leisten. Im Anschluss hieran tritt Redner der vielfach verbreiteten Ansicht, die Turbinen sollen nur die Reserve bilden, entgegen und führt aus, dass sie sich in längerer Betriebsdauer ausgezeichnet bewährt und als wirtschaftlich vorteilhaft erwiesen haben. Der Dampfverbrauch betrage bei den Dampfmaschinen 8,3 kg und bei der Turbine nur wenig mehr, nämlich 9 kg für 1000 KW-st — die Ergebnisse der jüngst stattgehabten Abnahmeversuche werden demnächst veröffentlicht werden —. Er hebt sodann noch verschiedene Vorzüge der Dampfturbine gegenüber der Dampfmaschine hervor: größere Einfachheit, geringerer erforderlicher Raum, gänzliches Fehlen hin- und hergehender Massen, geringe Abnutzung usw. Weiter sei es nicht erforderlich, den Dampf zu schmierem, weshalb das Kondensat ohne weiteres wieder in den Kessel gepumpt werden könne.

Endlich kommt der Redner auf die Einrichtung der Stromverteilungstafeln und das Leitungsnetz zu sprechen und

erwähnt, dass zur Erlangung möglicher Uebersichtlichkeit nur die allererforderlichsten Geräte und Schalter auf der Vorderseite der Verteilungstafeln angebracht seien. Innerhalb der Stadt wird der Strom durch ein unterirdisches Kabelnetz verteilt, von dem zur Zeit 142 km verlegt sind.

Nachdem der Vorsitzende den Vortragenden und der Stadt Elberfeld für die freundliche Aufnahme gedankt hat, beichtigen die Teilnehmer in einzelnen Gruppen die Schwebbahn, das Elektrizitätswerk und die Gasanstalt.

Am Abend versammelten sich etwa 300 Festteilnehmer im großen Saal der Stadthalle zum gemeinsamen Abendessen. Zu Beginn desselben erhob sich Hr. Beigeordneter Tutje zu einer Ansprache, in der er die besondere Würdigung des Ingenieurstandes seitens unseres Kaisers hervorhob und betonte, welche besondere Beachtung der Kaiser auch der Schwebbahn entgegengebracht habe. Sein Trinkspruch klingt in einem dreifachen Hurra auf Seine Majestät den Deutschen Kaiser aus, in das alle Anwesenden begeistert einstimmen.

Der Vorsitzende bringt ein Hoch auf die Gesamtheit der deutschen Ingenieure, dargestellt durch den Verein deutscher Ingenieure, aus, indem er darauf hinweist, wie in diesem Vereine zuerst der deutsche Einheitsgedanke verwirklicht wurde. Er verliest ferner eingegangene Begrüßungsschreiben.

Hr. Tiemann vom Westfälischen Bezirksverein dankt dem Bergischen Bezirksverein im Namen der hier vertretenen Bezirksvereine und bringt ein Hoch auf den Vorstand des Bergischen Bezirksvereines aus.

Hr. Liebig, Vorsitzender des Bezirksvereines an der niederen Ruhr, feiert nach einem Hinweis auf die Werkthätigkeit und Strebsamkeit des deutschen Ingenieurs die Leiter der heute besichtigten technischen Anlage mit einem dreifachen begeistert aufgenommenen Hoch.

Hr. Gerdau, Vorsitzender des Niederrheinischen Bezirksvereines, bringt schließlich einen Trinkspruch auf die Stadt Elberfeld aus, deren Mut und Unternehmungsgelbst er besonders hervorhebt.

Im Anschluss an das Abendessen vereinigte ein Kommers die Gäste und Mitglieder des Bergischen Bezirksvereines.

Eingegangen 4. Februar 1901.

Berliner Bezirksverein.

Sitzung vom 2. Januar 1901.

Vorsitzender: Hr. Krause. Schriftführer: Hr. Kammerer.
Anwesend etwa 350 Mitglieder und Gäste.

Der Vorsitzende teilt mit, dass Herr Rosenberg gestorben ist; die Versammlung erhebt sich, um das Andenken des Dahingeschiedenen zu ehren.

Nach Erledigung geschäftlicher Angelegenheiten spricht Hr. Schroeter aus München über Dampfturbinen. Der Vortrag wird an besonderer Stelle veröffentlicht werden.

Eingegangen 26. Februar 1901.

Dresdner Bezirksverein.

Sitzung vom 10. Januar 1901.

Vorsitzender: Hr. Scheit. Schriftführer: Hr. O. Barnewitz.
Anwesend 53 Mitglieder.

Nach Erledigung geschäftlicher Angelegenheiten spricht Hr. W. Mattick über Speisewasservorwärmer.

Da es sich bei den Vorwärmern um eine Ersparnis an Brennstoff handelt, so muss der zum Erwärmen des Speisewassers dienende Heizstoff billiger sein als der für den Dampfkessel. Man nimmt daher entweder Auspuffdampf oder Abgase von Dampfkesseln oder andern Feuerungsanlagen. Der Redner beschränkt sich auf diejenigen Vorwärmer, die Auspuffdampf nutzbar machen.

Der einfachste Vorwärmer dieser Art besteht aus einem Fass oder einem eisernen Kasten, in den der Auspuffdampf einströmt. Vorwärmer dieser Art sind hauptsächlich bei Lokomobilen gebräuchlich. Der Dampf wird durch eine Abzweigung vom Auspuffrohr entnommen, die im Vorwärmer endigt und dort durch das Wasser abgeschlossen wird, sodass nur soviel Dampf in den Vorwärmer eintreten kann, als kondensiert wird, während der übrige Dampf entweicht. Das Wasser wird in den Kasten nach Bedarf eingegossen oder durch eine Leitung zugeführt. Im Durchschnitt wird bei diesen Vorwärmern die Temperatur nicht mehr als 50° betragen.

Bei einer andern Gattung von Vorwärmern, bei denen der Dampf ebenfalls mit dem Wasser in unmittelbare Berührung kommt, fließt das Wasser in feinen Strahlen durch den Dampf hindurch und wird dabei auf eine sehr hohe Temperatur er-

¹⁾ Z. 1900 S. 1373.

wärmt. Dabei wird aber ein Teil von dem Oel, das der Dampf mitführt, vom Wasser mitgerissen und dem Kessel zugeführt, was weder dem Kessel, noch für die Verdampfung förderlich ist.

Bei anderen Vorwärmern strömt der Dampf durch eine Rohrschlange, die in einem Wasserbehälter untergebracht ist, oder durch ein weites Rohr, das durch ein cylindrisches Gefäß hindurchgeht. Dabei wird das kalte Wasser nach und nach erwärmt.

Bei den Umlaufvorwärmern strömt das eintretende Wasser durch Rohre, die durch den Vorwärmer gehen. Diese Vorwärmer unterscheiden sich von den vorherigen insofern, als sie nur sehr wenig Wasser enthalten, und dass das Wasser nur während des Durchströmens erwärmt wird. Der Dampf geht teilweise in der Richtung des Wassers, teilweise strömt er dem Wasser entgegen. Die am unteren Teile des Vorwärmers befindlichen Kammern dienen zugleich als Schlamm-sack, aus dem der sich ablagernde Schlamm von Zeit zu Zeit entfernt werden kann. Die Temperatur des Speisewassers wird bei richtiger Wahl der Heizfläche annähernd die Dampftemperatur erreichen.

Bei den Gegenstrom-Vorwärmern strömt das Wasser ebenfalls durch ein Rohrbündel und tritt erwärmt aus. Diese Vorwärmer enthalten auch nur wenig Wasser, das während des Durchströmens erwärmt wird und bei richtiger Wahl der Heizfläche annähernd die Dampftemperatur erreicht. Um Wasser von so hoher Temperatur in den Kessel fördern zu können, werden die beiden zuletzt erwähnten Vorwärmer in die Druckleitung der Speisepumpe eingeschaltet, sodass die Pumpe nur kaltes Wasser zu saugen hat.

Der Gegenstrom-Vorwärmer besitzt außer andern Vortagen die Eigenschaft, dass der Dampf angesaugt wird, da am Dampfaustritt die geringste Temperatur herrscht. Infolgedessen kann der Vorwärmer auch neben oder in einer größeren Entfernung vom Auspuffrohr aufgestellt werden und ist nicht an einen bestimmten Platz gebunden.

Der Vortragende führt zwei Beispiele an, bei denen durch Gegenstrom-Vorwärmer seiner Bauart bei gleicher Leistung und gleicher Anfangsspannung in dem einen Falle 12, in dem andern 8,5 vH an Füllung gespart wurde.

In dem sich anschließenden Meinungsaustausch erwähnt Hr. Lewicki, dass bei der Bestimmung des Dampfverbrauches einer Dampfturbine in der technischen Hochschule mit einem Vorwärmer folgende Ergebnisse erzielt wurden: Mit 11,4 qm Kühlfläche sind 800 kg Dampf von 100° stündlich kondensiert worden; dabei wurden 6000 kg Kühlwasser benutzt, die von 12° auf 82° erwärmt wurden, was einen stündlichen Wärmeaustausch von 1000 WE pro Grad und qm ergibt. Auf die gesamte Kühlfläche des Vorwärmers entfallen 466 000 WE i. d. Std., d. h. auf 1 qm 40 000 WE. Der Vorwärmer hat sich auch inbezug auf Festigkeit der Rohreinssätze gut bewährt.

Eingegangen 18. Februar 1901.

Frankfurter Bezirksverein.

Hauptversammlung vom 16. Januar 1901.

Vorsitzender: Hr. Baumann. Schriftführer: Hr. Rissmann.
Anwesend 21 Mitglieder.

Der neugewählte Vorsitzende begrüßt die Anwesenden. Alsdann erstattet Hr. Rissmann den Jahresbericht¹⁾ und wirft einen Rückblick auf die Entwicklung der Technik in den letzten 25 Jahren. Hierauf dankt Hr. Weismüller dem Bezirksverein nochmals für die ihm bei Gelegenheit des 25-jährigen Stiftungsfestes zuteil gewordene Auszeichnung durch Ernennung zum Ehrenmitgliede des Bezirksvereines, wobei er an seinen Dank einige Betrachtungen über die Aufgaben der Bezirksvereine und des Frankfurter Bezirksvereines im besonderen knüpft.

Nachdem noch einige geschäftliche Angelegenheiten erledigt gefunden haben, berichtet Hr. Schubert über die Normen für Rohre, Rohrverbinden und Ventile für hohe Spannungen²⁾.

Hr. Baumann spricht über das metrische Gewinde³⁾ und die Normen für Muttern und Schlüsselweiten⁴⁾.

Hierauf spricht Hr. Korb über einen neuen Schienensstoff der Westfälischen Stahlwerke in Bochum, der unter andern bei der Halberstädter Straßenbahn mit Erfolg verlegt sei.

¹⁾ Z. 1901 S. 755.

²⁾ Z. 1900 S. 1481.

³⁾ Z. 1898 S. 1367.

⁴⁾ Z. 1900 S. 1556.

Eingegangen 12. Februar 1901.

Karlsruher Bezirksverein.

Sitzung vom 14. Januar 1901.

Vorsitzender: Hr. Helck. Schriftführer: Hr. Bonte.
Anwesend 33 Mitglieder und 3 Gäste.

Nach Erledigung einiger geschäftlicher Angelegenheiten berichtet Hr. Straube über die Höhe der von den Gerichten gezahlten Zeugen- und Sachverständigengebühren. In der Regel werden nur 2 M für die Stunde aufgewendeter Arbeit vergütet, doch ist es mehreren Herren gelungen, auch bedeutend höhere Sätze durchzusetzen¹⁾. Der Redner beantragt, den Hauptverein zu veranlassen, dass er geeignete Schritte zur einheitlichen Regelung dieser Angelegenheit unternimmt. Der Antrag wird einstimmig angenommen.

Darauf spricht Hr. Brauer über die Bewegung des Wassers in einem einfach gekrümmten Kanal.

Der Redner führt aus, dass man sowohl durch Versuche als auch auf analytisch-theoretischem Wege versucht hat, diese Aufgabe zu lösen, dass es jedoch nur in wenigen vereinfachten Fällen gelungen ist, die allgemeine Lösung zu finden. Er selbst hat es unternommen, die Aufgabe auf zeichnerischem Wege zu lösen, und teilt sein Verfahren eingehend mit. Mit Hilfe des Satzes, dass bei reibungslosen Flüssigkeitsströmungen die Summe der Druckhöhe und der Geschwindigkeitshöhe

$(h + \frac{c^2}{2g})$ während des ganzen Strömungsverlaufes gleich groß bleibt, und unter Berücksichtigung der Beschleunigungen durch die Fliehkraft lassen sich für die einzelnen Wasserfläden Druck- und Geschwindigkeitsrisse herleiten. Bisher war es nicht möglich, bei beliebiger Form eines Kanales die Gleichungen der Bewegung aufzustellen; umgekehrt jedoch, von einer angenommenen Bewegung der Flüssigkeit ausgehend, ist es möglich, die hierzu erforderliche Gestalt des Kanales zu ermitteln. Die erstere und vielleicht wichtigere Aufgabe lässt sich annäherungsweise durch das zeichnerische Verfahren des Redners lösen, und dieses ist vielleicht dazu bestimmt, den Turbinenbauern wichtige Aufschlüsse über die Strömungsverhältnisse in den Turbinen zu geben.

Hierauf macht Hr. Straube einige Mitteilungen über den Erzbergbau in Steiermark.

Das Städtchen Eisenerz, in den Ausläufern der Tauern gelegen, ist der Mittelpunkt der steirischen Erzförderung. Der hier gelegene Erzberg (1543 m) besteht fast ganz aus dem sehr abbaufähigen Spateisenstein, der im Tagebau in Staffeln abgebaut wird. 40 solcher Staffeln von 13 bis 17 m Höhe erreichen eine Gesamthöhe von rd. 600 m über dem Thale; auf jedem vierten Absatz ist ein Gleis für normalspurigen Lokomotivbetrieb verlegt und von den dazwischen Liegenden, die nur mit Grubengleisen versehen sind, führt ein Bamsberg das gewonnene Erz auf die Lokomotivbahn hinunter. Diese Bahnen ziehen wagerecht weiter, bis sie im nächsten Bergsattel in eine Zahnradbahn einmünden, welche die geförderten Erze zum größten Teil nach Donawitz bei Leoben führt. Hier hat die österreichische Alpine Montangesellschaft ihre großen Hüttenwerkanlagen, in denen sie rd. 3000 Arbeiter beschäftigt. Der bei Eisenerz geförderte Spateisenstein hat im gerösteten Zustande rd. 50 vH Eisengehalt und ist von vorzüglicher Reinheit, sodass er sich besonders zur Gewinnung von Qualitätseisen eignet.

Sitzung vom 28. Januar 1901.

Vorsitzender: Hr. Helck. Schriftführer: Hr. Reuter.
Anwesend 19 Mitglieder und 2 Gäste.

Nach Erledigung geschäftlicher Angelegenheiten berichtet Hr. Helck über einen von ihm konstruierten Differentialkolben-Apparat für den selbstthätigen Abschluss von unter Druck stehenden Rohrleitungen bei Rohrbrüchen.

Das Gerät besteht in seinen Hauptteilen aus einem Metallcylinder mit leicht beweglichem Kolben, einem von letzterem bewegten Drahtseil, das seinerseits den eigentlichen Abschlusssteil, eine im Hauptrohrstrang eingebaute Drosselklappe, bewegt, und endlich aus einer Anzahl kleinerer Hilfsrohrleitungen, von denen eine den Cylinderraum unter dem Kolben mit dem Hochbehälter, eine andere den Cylinderraum über dem Kolben mit dem zu sichernden Teil des Hauptrohrstranges verbindet. Bewegt sich das Wasser im Hauptrohr mit einer gewissen Geschwindigkeit, so wird über dem Kolben ein geringerer Druck herrschen als darunter, und dieser

¹⁾ s. Wochenschrift des V. d. I. 1883 S. 154 und 257; Z. 1892 S. 1412; 1899 S. 758.

Druckunterschied ist um so größer, je größer die Wassergeschwindigkeit im Hauptrohrstrang wird. Durch Gewichtbelastung des Kolbens kann die Vorrichtung so eingestellt werden, dass der Kolben erst bei einem ganz bestimmten Druckunterschied, d. h. einer ganz bestimmten Wassergeschwindigkeit im Hauptrohr, anfängt sich zu heben und damit die Drosselklappe zu schließen. Diese Wassergeschwindigkeit wird größer gewählt als die höchste durch nutzbare Wasserentnahme aus dem Rohrnetz hervorgerufene Geschwindigkeit. Das Gerät hat gegenüber den bisherigen Abschlussvorrichtungen für Rohrbrüche den Vorzug, jederzeit ohne Betriebsstörung und ohne erheblichen Flüssigkeitsverlust auf seine Betriebsbereitschaft hin geprüft werden zu können. Es wird

von Gehr. Rouling in Mannheim ausgeführt und ist zurzeit für die Hochbehälter der Wasserwerke in Karlsruhe, Freiburg, Mainz, Stettin usw. in Verwendung.

Hierauf berichtet Hr. Reuter über einen Vortrag von Reuleaux über den Taylor-Whiteschen Werkzeugstahl¹⁾.

Schließlich berichtet Hr. Holck über eine rd. 60 m lange fahrbare Kohlenladebrücke in Mannheim, die durch einen Sturm umgeworfen und zerstört wurde. Die Rechnung ergab, dass ein Winddruck von 120 kg/qm dazu genügt hatte.

¹⁾ Z. 1901 S. 462.

Zeitschriftenschau.¹⁾

(¹⁾ bedeutet Abbildung im Text.)

Bergbau.

Conditions d'exploitation à grande profondeur. (Bull. Soc. Ind. min. 01 Heft 1 S. 169/240 mit 6 Taf.) Vorträge von Ponsigne über das Abteufen und die Einrichtungen eines 1015 m tiefen Schachtes in dem Kohlenbergwerk Ronchamp, von Darphin über die Einrichtung der von der Compagnie des Mines d'Anzin angelegten Grube Arenberg, von Maurice über ein Verfahren zum Herstellen verjüngter Kabel und von Duprés über eine neue Fördervorrichtung.

Classification des mines au point de vue de la résistance, qu'elles opposent à la ventilation. Von Hanarte. (Bull. Soc. Ind. min. 01 Heft 1 S. 134/42*) Die Notwendigkeit, die Bergwerke einheitlich nach den in ihnen auftretenden Luftwiderständen zu ordnen, wird begründet und ein dazu geeignetes Verfahren gezeigt. Aufgrund der ausgeführten Rechnungen wird eine Tabelle aufgestellt, aus der man bei bekannter Luftmenge die zum Löften eines Schachtes erforderliche Druckhöhe und Leistung entnehmen kann. In einem Anhang werden die Messungen, die zum Ordnen der Schächte erforderlich sind, erläutert.

Composition chimique du gison des houillères du Donetz. Von Kournakow. (Bull. Soc. Ind. min. 01 Heft 1 S. 121/29) Wiedergabe der Ergebnisse zahlreicher Untersuchungen.

Dampfkraftanlagen.

Filters for removing oil and mud from boiler feed-water. (Eng. News 13. Juni 01 S. 486/37*) Die auf Schiffen vielfach gebräuchliche Filtervorrichtung von Blackburn Smith in Perth Amboy, N. J., besteht aus mehreren Siebeylindern, die mit türkischem Tuch umwickelt sind. Einbau des Filters auf Schiffen.

Steam electric generating plant at the Glasgow Exhibition. (Engng. 28. Juni 01 S. 823/25) Angaben über Leistung und Abmessungen von ausgestellten Maschinen, die nicht im Betriebe sind oder nicht mit ihrer vollen Leistung arbeiten. 800 KW-Generator von Mather & Platt. Stehende Verbund-Dampfmaschine von Hick, Hargreaves & Co in Bolton, gekuppelt mit einer 200 KW-Drehstromdynamo der Lancashire Dynamo and Motor Co. in Manchester. Motor-generator von Schuckert. Gas- und Dampfmaschinen der Westinghouse Co. und von Markham & Co. in Chesterfield. 240 pferdige Verbundmaschine der Anderson Foundry Co. in Glasgow. Kleine Schnellläufer von Clarke, Chapman & Co. 360 pferdige einfachwirkende Verbundmaschine von Davey, Paxman & Co., gekuppelt mit einer Gleichstromdynamo der General Electric Co. Vordruck- und Verbunddampfmaschine von Daniel Adamson & Co. in Dukinfield, letztere gekuppelt mit einer 75 KW-Gleichstromdynamo. Dampfmaschinen für Schiffsbeleuchtung und elektrisch betriebene Pumpen von Mavor & Coulson und von Drysdale & Co. in Glasgow. 38 pferdiger Kohlebohrer von Clarke, Stevenson & Co. Kleine Schnellläufer von Reavell & Co. in Ipswich.

350-Kilowatt steam generator at the Glasgow Exhibition. (Engng. 28. Juni 01 S. 833/35 mit 1 Taf.) Darstellung der von Robey & Co. in Lincoln und Mavor & Coulson in Glasgow gebauten Dampfmaschine. Die liegende Verbundmaschine hat 520 und 280 mm Cyl.-Dmr., 1066 mm Kolbenhub, Ventilsteuerung für den Dampfzulauf, Schiebersteuerung für den Dampfauflauf und macht 90 Uml./min. Zwischen den Kurbeln ist das Schwungrad von 4880 mm Dmr. und 500 mm Breite sowie der 8 polige Gleichstromerzeuger von 550 V und 630 Amp angeordnet.

The Restler engine at the Glasgow Exhibition. (Engng. 28. Juni 01 S. 833*) Die von Clarke, Chapman & Co. in Gateshead-on-Tyne gebaute stehende einfachwirkende Tandem-Verbundmaschine hat 184 und 318 mm Cyl.-Dmr., 152 mm Kolbenhub und leistet 70 PS bei 470 Uml./min und 11 at Dampfdruck.

¹⁾ Die Zeitschriftenschau wird, nach den obigen Stichwörtern in Vierteljahresten zusammengefasst und geordnet, gesondert herausgegeben, und zwar zum Preise von 5 M. pro Jahrgang für Mitglieder, von 10 M. pro Jahrgang für Nichtmitglieder.

Eisenbahnwesen.

Die großen elektrisch betriebenen Pariser Stadtbahnen. Von Kohlstrat. Forts. (Z. f. Elektrot. Wien 23. Juni 01 S. 310/12*) Die von der Compagnie Française Thomson-Houston erbauten elektrischen Lokomotiven. Forts. folgt.

Ragos government railway. (Engineer 28. Juni 01 S. 652*) Die Bahn verbindet Lagos an der Küste von Nigulinea mit der ungefähr 240 km entfernten Stadt Ibadan. Bericht über die Strecke, den Endbahnhof an der Lagos-Lagune, die Brücke nach der Idodo-Insel und die Betriebsmittel.

Die neueren Betriebsmittel der amerikanischen Eisenbahnen. Von Lenta. (Stahl u. Eisen 1. Juli 01 S. 673/79*) $\frac{1}{2}$ -gekuppelte Güterzuglokomotive der Consolidation-Bauart von den Brooks Locomotive Works; $\frac{1}{2}$ -gekuppelte Vaclain Güterzuglokomotive derselben Bauart von den Baldwin Locomotive Works; $\frac{1}{2}$ -gekuppelte Güterzuglokomotive von Brooks; $\frac{2}{3}$ -gekuppelte Schnellzuglokomotive von derselben Firma; $\frac{2}{3}$ -gekuppelte Vaclain-Schnellzuglokomotive der Atlantic-Bauart von Baldwin; $\frac{2}{3}$ -gekuppelte Schnellzuglokomotive mit einer Kuppelachse unter der Feuerbüchse. Die beim Bau der amerikanischen Lokomotiven benutzten Stoffe: Feuerbüchsenstahl und -kupfer; Stahlbolzen und -kupfer; Siederöhre aus Holzkohlenstahl, Messing und Kupfer; Schmiedestahl, Federstahl, Phosphorbronze. Leistungsfähigkeit der amerikanischen Lokomotivfabriken; amerikanische Wagen. Schluss folgt.

The ventilation of passenger cars. (Eng. News 13. Juni 01 S. 432/23) Kurze Angaben über eine bei der Pennsylvania Railroad Co. eingeführte Lüftungseinrichtung an Eisenbahnwagen.

Die auf Nebenbahnenlinien der französischen Staatsbahnen angewandte Zugstapelvorrichtung. (Dingler 29. Juni 01 S. 409/10*) Die Vorrichtung gestattet, dass auf demselben Gleis 4 Züge in gleicher Richtung fahren können, sichert aber zwischen ihnen den erforderlichen Abstand und verhindert das Ablassen von entgegenkommenden Zügen.

Eisenhüttenwesen.

Axel Sahlin's wassergekühlte Rast. (Stahl u. Eisen 1. Juli 01 S. 688/91*) Kritische Besprechung der in Zeitschriftenschau vom 9. März 01 unter »The Sahlin blast furnace hose« erwähnten Rastkonstruktion.

Über garen und rohen Stahl. Von Agthe. (Riga Ind. Z. 30. April 01 S. 133/37 n. 15. Mai 01 S. 151/58 mit 1 Taf.) Kurze Erörterungen über das Kleingefüge des Stahls: Ferrit, Zementit, Martensit. Einfluss des Phosphors und des Schwefels. Die Anwendung und die Vorteile des Rohstahlschlackens, Hochofenverestungen, Puddelverfahren; Bessemer-Verfahren; saures und basisches Siemens-Martin-Verfahren; Talbot'sches ununterbrochenes Martin-Verfahren; Herstellung des Tiegelstahls.

Compression de l'acier par tréfilage. Von Benitter. Schluss. (Compt. rend. Soc. Ind. min. Mai 01 S. 133/44 mit 8 Taf.) Erläuterung der technischen und wirtschaftlichen Vorteile des Verfahrens.

Hydraulic power in steelmaking. Von Daelen. (Engng. 28. Juni 01 S. 848/52*) Vortrag vor dem Iron and Steel Institute: die Konstruktion und Wirkungsweise von Schmiedepressen, sowie die Anordnung der Ofen und Pressen in den Pressräumen von Stahlwerken.

Eisenkonstruktionen, Brücken.

Short-span railway bridge standards. (Eng. Rec. 13. Juni 01 S. 569/70*) Die Atchison, Topeka and Santa Fe Railway Co. hat für ihre Eisenbahnbrücken bis 35 m Spannweite Normalkonstruktionen ausgearbeitet, die kurz besprochen werden.

The International Bridge, Buffalo. (Eng. Rec. 13. Juni 01 S. 565/68*) Die Brücke besteht aus einem drehbaren Überbau von 110 m Länge, 4 festen Überbauten von 28 m, 3 ebensolchen von 74,5 m und aus einem kurzen drehbaren Überbau von 60,5 m Länge. Besonders bemerkenswert sind der Arbeitsvorgang beim Abbrechen der alten und Aufstellen der neuen Träger.

The Sullivan Square station, Boston. (Eng. Rec. 15. Juni 01 S. 575/77*) Zeichnungen und Beschreibung einer neuen Bahnhofshalle für die Hochbahn in Boston. Die Halle überspannt die Fern- und Vorortgleise und hat 27 m Weite.

Elektrotechnik.

Chaudiere falls power transmission plant. Von Girond. (El. World 15. Juni 01 S. 1009/11*) Das Werk nutzt ein Gefälle von rd. 84 m aus und verfügt während der trocknen Jahreszeit über eine Wassermenge von 16,5 cfm/sk. Die Maschinenanlage umfasst im ersten Ausbau zwei 1400pferdige Turbinen von 400 Uml./min, unmittelbar gekoppelt mit zwei 750 KW Drehstromerzeugern von 10500 bis 11600 V Spannung und 66,6 Per/sk. Die Erzeugermaschinen von 30 KW Leistung und 120 V Spannung werden von besonderen 50pferdigen Turbinen mit 950 Uml./min angetrieben. Erd- und Wasserbauten; Maschinenhaus; Fernleitung; Unterstationen.

Recent additions to the plant of the Niagara Falls Hydraulic and Manufacturing Company. Von Weeks. (El. World 15. Juni 01 S. 1018/19*) Die Werke haben ein neues Oberwasserrohr eingebaut, das 5 Turbinen von zusammen 13000 PS Leistung speisen soll.

Allgemeine Gesichtspunkte über den modernen Bau großer Maschinen für Gleichstrom und Wechselstrom. Von Heyland. Schluss. (Z. f. Elektrot. Wien 23. Juni 01 S. 305/10*) Ankerwicklungen. Magnetische Sättigung in den Magnetschenkeln. Umlauf- und Polzahl. Meinungsaustausch.

Graphische Ermittlung des hysteretischen Vorellwinkels. Von Jacobson. (Elektrot. Z. 27. Juni 01 S. 529*) Der Sinus des Vorellwinkels wird aus dem Inhalt der Hysteresisschleife und aus dem Inhalt eines Kreises bestimmt, dessen Halbmesser von den maßstäblich gleichgemachten Höchstwerten der magnetomotorischen Kraft und der Induktion gebildet wird.

Overlaid electric generators. (Engng. 28. Juni 01 S. 833*) Darstellung eines Motorgenerators, der aus einem 300pferdigen Drehstrommotor von 1950 V, 110 Amp, 375 Uml./min und 50 Per/sk und aus einem Gleichstromerzeuger von 550 V und 360 Amp besteht. Zeichnerische Darstellung der Ergebnisse von Leistungsversuchen an dieser Maschine und an einem einpferdigen Einphasenstrom-Motor von 100 V, 1400 Uml./min und 50 Per/sk. Schaubild und Charakteristik eines 16pferdigen Einphasenstrom-Motors von 100 V, 117 Amp und 995 Uml./min.

A rotary field electrostatic induction motor. (El. World 15. Juni 01 S. 1012/14*) Angaben über ältere elektrostatische Drehfeldmotoren von Arno und von Professor Ho in Tokio. Der neueste Motor von Arno, dessen Ständer aus vielen Zinksegmenten besteht, die in 4 Kreisscheiben über einander stehen. Zwischen den Kreisscheiben des Ständers sind 3 Kreisscheiben des Läufers um eine lotrechte Achse drehbar angeordnet. Die Scheiben des Läufers bestehen aus Kork, auf der Zinksegmente, deren Form und Zahl denen des Ständers entsprechen, isoliert von einander angebracht sind. Angaben über Drehmoment und Schlupf der Motoren.

Storage battery auxiliaries. II. Von Lyndon. (El. World 15. Juni 01 S. 1015/17*) Zusatzmaschinen mit gemeinsamer Feldwicklung.

Entwurf zu Normalien für die Prüfung von Eisenblech. (Elektrot. Z. 27. Juni 01 S. 517) Die durch den Verband deutscher Elektrotechniker aufgestellten Normen erstrecken sich auf die Bestimmung der Eisenverluste, die zulässigen Abweichungen in der Blechstärke, die Anordnung der Messvorrichtung, das spezifische Gewicht des Eisens und auf die entscheidende Behörde bei zweifelhaften Ergebnissen von Messungen.

Entwurf zu Normalien für Gummiband- und Gummiautorechnüre und für einfache Gleichstromkabel mit und ohne Prüfdraht bis 700 V. (Elektrot. Z. 27. Juni 01 S. 517) Abdruck des durch den Verband Deutscher Elektrotechniker gemeinsam mit der Vereinigung der Elektrizitätswerke und den deutschen Fabriken isolierter Leitungen angearbeiteten Entwurfes.

Erd- und Wasserbau.

The protection of cities in the Mississippi valley against the encroachment of the river. Von Brown. (Eng. News 13. Juni 01 S. 427/29 mit 1 Taf.) Der Verfasser bespricht die bis jetzt beim Mississippi angewandten Uferschutzmittel: Faschinenbauten und Buhnen; Uferschutz durch eingerammte Pfähle.

Some dams recently built by the Spring Brook Water Supply Company. (Eng. Rec. 15. Juni 01 S. 568/69) Kurze Beschreibung des Mill Creek-Dammes, des Gardners Creek-Dammes und des Round Hole-Dammes. Angaben über die Bauausführung und die Entnahmeverrichtungen.

A concrete-faced stone dam for the St. Croix Power Co., Wisconsin. (Eng. News 13. Juni 01 S. 426*) Der Staudamm ruht auf Beton, der mit Verzahnung in den gewachsenen Felsen eingreift, und besteht aus einem Kern von weichem Sandstein, der mit Beton ummantelt ist.

Filling in tide-water flats at Seattle, Wash. (Eng. News 13. Juni 01 S. 440*) Kurze Angaben über die Trockenlegung eines an der Elliott Bay gelegenen Landstriches.

The design of arch culverts. Von Luten. (Eng. News 13. Juni 01 S. 435*) Bei den meisten amerikanischen Eisenbahnen ist es üblich, die Durchlässe an Eisenbahndämmen mit einem halbkreisförmigen Gewölbe auszuführen. Es wird eine sichere Form des Gewölbes empfohlen, die größere Standsicherheit aufweist und weniger Hauptstoff erfordert.

Explosionsmotoren und andere Wärmekraftmaschinen.

Oil-engine trials at Cardiff. (Engng. 28. Juni 01 S. 826/29) Die Versuche wurden an Petroleum-Lokomotiven von Crossley Brothers in Manchester, R. Cundall & Sons in Shipley, J. & F. Howard in Bedford, E. Humphries & Co. in Pershore, Naylor & Co. in Hereford und Ruston, Procter & Co. in Lincoln ausgeführt. Erläuterung der Gesichtspunkte, von denen aus die Maschinen beurteilt wurden. Verlauf und Ergebnisse der Versuche.

The Cardiff show. (Engng. 28. Juni 01 S. 844/46) Bericht über Gas-, Petroleum- und Dampflokomotiven auf der Ausstellung der Royal Agricultural Society of England.

Fenerungsanlagen.

Abänderungsvorschläge zu den Beschüssen der Schornsteinkommission. Von Jäcker. (Mitt. Prax. Dampf. 24. April 01 S. 305/07) Der Verfasser findet, dass die Abmessungen kleiner Schornsteine nach dem Berechnungsverfahren der Kommission zu groß, die größerer Schornsteine dagegen zu gering werden. Er macht mehrere Abänderungsvorschläge, die sich auf die Annahme des Winddruckes und die zulässige Belastung beziehen.

Gasindustrie.

The Porter water sealed gas producer. (Iron Age 13. Juni 01 S. 4*) Der Gasgenerator besteht in der Hauptsache aus einem aus feuerfesten Steinen hergestellten zylindrischen Mantel, an den sich unten ein kegelförmiges Gussstück anschließt, das bis in den Wassersumpf reicht. Eine Zone dieses Gussstückes ist rotarisch angeführt und von einem Windkanal umgeben. Außerdem wird Luft in der Mitte des Bodens eingeblasen.

Gesundheitsingenieurwesen.

Experience on septic tank action at Cornell University. Von Williams. (Eng. News 13. Juni 01 S. 435/37*) Die Versuchsanlage der Cornell Universität in Ithaca besteht aus 5 Faulräumen und 6 Filterbetten. Die Anlage dient dazu, den Einfluss der Dauer des Verbleihens in den Faulräumen auf die Ergebnisse der Abwasserreinigung zu untersuchen.

Kälteindustrie.

Trial of refrigeration machines at Cardiff. (Engng. 28. Juni 01 S. 823*) Bericht über Konstruktion und Wirkungsweise einer von J. & E. Hall in Dartford erbauten Eisabfertigungsanlage, die für eine Meierlei bestimmt ist und 350 kg Eis in 24 st erzeugt.

Lager- und Ladeverrichtungen.

Einrichtungen für die mechanische Handhabung von Erzen, Kohlen und Koks auf der Pariser Weltausstellung. Von Frahm. Schluss. (Stahl u. Eisen 1. Juli 01 S. 693/709*) Modell einer selbstthätigen Kohlen- und Koksfordereinrichtung für den Gesamtbetrieb, gebaut von der Berlin-Anhaltischen Maschinenbau-A.-G.; Kohlenladegerüst der französischen Nordbahn in Roubaix; Hantsche Verladevorrichtungen der A.-G. Titan in Kopenhagen.

Maschinenteile.

Commercial bevel gears for shafts at any angle. Von Conant. (Am. Mach. 29. Juni 01 S. 657/58*) Unter »commercial bevel gears« sind die Kegelhäder zu verstehen, die von den Zahnradfabriken für unter einem rechten Winkel sich schneidende Wellen und für alle möglichen Übersetzungen auf Lager gehalten werden. Der Verfasser zeigt, wie durch Zusammenstellen von geeigneten Rädern aus zwei Paaren dieser käuflichen Kegelhäder gut zusammen arbeitende Räderpaare für Wellen unter beliebigen von 90° abweichenden Winkeln gefunden werden können.

Cast iron pipe in the United States. Schluss. (Engineer 28. Juni 01 S. 659/61*) Krümmer, Abzweigmußen und Ausgleichstücke.

Materialkunde.

Examen optique des surfaces extérieures et intérieures des tubes des chaudières à vapeur. — Application de la méthode générale d'examen optique des surfaces des pièces métalliques, organes des machines ou d'appareils à vapeur; pièces pleines ou creuses. Von Vinsonneau. (Compt. rend. Soc. Ind. min. Mai 01 S. 144/47 mit 1 Taf.) Erläuterung der Gründe, die eine durchaus glatte Oberfläche von Kesselföhrnen ohne die kleinsten Risse erfordern. Angabe eines Verfahrens und einer Vorrichtung zu mikroskopischen Untersuchungen der Oberfläche von Röhren und anderer Kessel- und Maschinenteile.

Mathematik.

Holbrook's spiral curves. Von Holbrook. (Eng. News 13. Juni 01 S. 429/30*) Die Spirale, die der Verfasser als Übergangskurve bei der Gleisverlegung empfiehlt, ist dadurch bestimmt, dass das Produkt aus Krümmungsradius und Bogenlänge für alle Punkte konstant ist. Hilfstabellen zum Abstecken der Kurve; einige mathematische Eigenschaften werden entwickelt.

Mechanik.

Zur Theorie der Festigkeit krummer Träger. Von Herrmann. (Dingler 29. Juni 01 S. 403/09*) Die von Grashof und Bach abgeleitete Gleichung führt auf Widersprüche bei Körpern mit sprungweise wechselnden Krümmungshalbmessern. Der Verfasser entwickelt neue Formeln, die er durch Versuche zu prüfen empfiehlt.

Composite timber columns. Von Gillette. (Eng. News 18. Juni 01 S. 429/40) Der Verfasser erörtert verschiedene Kalkülformeln für hölzerne Säulen und empfiehlt, weitere Versuche anzustellen.

Messgeräte und -verfahren.

Pyrometer von Le Chatelier. (Mitt. Prax. Dampfkr. Dampfkr. 24. April 01 S. 301/05*) Der Wärmemesser besteht aus einem Thermoelement aus Platin und Platinrhodium, das in eine Porzellanröhre eingeschlossen ist. Ein sehr empfindliches Galvanometer dient zum Messen des entstehenden Stromes.

Metalbearbeitung.

J. E. Reineckers Werkzeugmaschinen. Von Pregel. (Dingler 29. Juni 01 S. 411/16*) Doppelte Schraubenbohrer-Fräsmaschine. Schneckenrad-Fräsmaschine. Forts folgt.

British machine tools at the Glasgow Exhibition. (Engineer 28. Juni 01 Heftage*) Hobelmaschine, Revolverdrehbank und wagerechte Bohr- und Fräsmaschine von Sharp, Stewart & Co. Drehbank mit wagerechtem Revolverkopf, Kellnuten-Fräsmaschine und Auslegerbohrmaschine von Smith & Coventry. Analogerbohrmaschine, wagerecht und lotrecht arbeitende Hobelmaschine und Stofsmaschine von Thomas Shanks & Co. Schraubenfräsmaschinen von John Holroyd & Co. Revolverdrehbank und lotrechte Fräsmaschine von Hales & Co. Drehbank mit sechseckigem Revolverkopf und selbstthätige Drehbank von Alfred Herbert. Kreissägen, Fräsmaschine mit wagerechter Welle, sowie Bohr- und Fräsmaschine mit lotrechter Welle von John Hetherington & Son. Leitspindeldrehbänke und leichte Bohrmaschinen der Carron Company. Röhren Drehbank und Schrauben-Schneidmaschine von John Lang & Sons.

Lagerung und Antrieb der Frässpindel einer senkrechten Fräsmaschine. Von Brzózka. (Z. Werkzeugm. 25. Juni 01 S. 420/21*) Die Lagerung der Frässpindel zeichnet sich durch eigenartige Konstruktion der Kugellager aus. Der Antrieb weist eine interessante Anordnung des Radvorgeleges auf.

Spacing for prime numbers on the universal milling machine — errata. Von Gribben. (Am. Mach. 29. Juni 01 S. 661) Der Verfasser weist auf einige Fehler hin, die in der Brown & Sharpe'schen Kädertabelle enthalten sind. S. den gleichnamigen Aufsatz von Luper in Zeitschriftenschau vom 15. Juni 01.

Back rests for grinding machines. (Am. Mach. 29. Juni 01 S. 658/59*) Es macht große Schwierigkeiten, lange dünne Wellen genau rund zu schleifen. Die Brown & Sharpe Manufacturing Company hat deshalb an ihrer Schleifmaschine besondere Unterstützungsabdeckungen gebaut, die in beliebiger Anzahl angeordnet werden können und die Schleifarbeit wesentlich erleichtern.

Riemenfallhammer. (Z. Werkzeugm. 25. Juni 01 S. 419/20*) Um Riemenfallhammer auch mit größeren Bürgewichten betreiben zu

können, haben die Slegener Stanz- und Hammerwerke oben auf dem Hammergerüst eine kleine als Kapselwerk anschießende rotierende Dampfmaschine angebracht, die den Bär anhebt.

Three box tools and some other fixtures. Von Cleaves. (Am. Mach. 29. Juni 01 S. 663/65*) Darstellung mehrerer Rahmen zum Einspannen von Sonderwerkzeugen; Rahmen für einen Formfräser und einen Bohrer, für einen Abstechstahl, für einen Drehstahl zum Eindrehen von profilierten Rinnen in zylindrische Körper. Die Rahmen sind mit besonderen Führungen für die Werkzeuge oder das Arbeitstück versehen.

Pumpen und Gebläse.

Woodeson's direct-acting feed pumps at the Glasgow Exhibition. (Engng. 28. Juni 01 S. 833*) Dampf- und Pumpen- cylinder einer stehenden Zwillingspumpe von Clarke, Chapman & Co. sind an einem Wasserbehälter befestigt. Die Dampfzylinder haben 267, die Pumpenzylinder 903 mm Dmr. Der Hub beträgt 610 mm. Jeder Pumpenzylinder genügt bei 12 Doppelhuben in der Minute zum Speisen eines Schiffskessels, dessen Leistung der einer Maschine von 3200 bis 3500 PS; entspricht. Ergebnisse von Leistungsversuchen.

Der Pulsator. (Mitt. Prax. Dampfkr. Dampfkr. 1. Mai 01 S. 820/21*) Beschreibung einer von Ed. Schürmann, Eisenwerk in Coswig, gebauten kolbenlosen Wasserpumpe, die ähnlich wie ein Pulsometer wirkt.

Schiffs- und Seewesen.

On the limits of economical speed of ships. Von Tennyson-D'Eyncourt. (Engng. 28. Juni 01 S. 854/55*) Erläuterung der Abhängigkeit der erreichbaren Geschwindigkeit von der Schiffsform. Wiedergabe der Ergebnisse von Versuchen zur Ermittlung der treibenden Kraft bei verschiedenen Geschwindigkeiten.

The shallow-draught gunboat "Teale," constructed by Messrs. Yarrow & Co., Limited, Poplar. (Engng. 28. Juni 01 S. 847*) Das Flussskanonenboot ist 48,8 m lang, 7,48 m breit und hat 0,89 m Tiefgang. Es ist mit 2 Wasserröhrenkesseln und 2 Verbundmaschinen von rd. 300 Uml./min ausgerüstet, die dem Zweischrauben-schiff eine Geschwindigkeit von rd. 13 Knoten erteilen. Ergebnisse von Probefahrten.

Straßenbahnen.

Die Schwebebahn Harmer-Elberfeld-Vohwinkel. Von Lüdorf. (Elektrot. Z. 27. Juni 01 S. 517/28*) Ausführliche Darstellung insbesondere des elektrotechnischen Teiles der Anlage.

The Boston elevated railway. (El. World 15. Juni 01 S. 1020/21*) Schaubilder und Angaben über den Baukörper und die Betriebsmittel der jetzt vollendeten Hochbahn.

Wasserversorgung.

Plumbing in the Broad Exchange building. (Eng. Rec. 15. Juni 01 S. 579/80*) Beschreibung der Wasserleitungsanlage in einem 20stöckigen Gebäude in New York. Einzelheiten der Rohrleitungen und der Ventilanordnung.

The new water works reservoir at Trenton, New Jersey. Von Hagne. (Eng. News 18. Juni 01 S. 437/39*) Der Wasserbehälter ist von einem Erdstamm umgeben, der nach der Wasseroberfläche hin mit Futtermauern umkleidet ist. Einzelheiten des Entnahmestollens und des Ventilbaues.

Werkstätten und Fabriken.

The Howard Axle Works of the Carnegie Steel Company. (Iron Age 18. Juni 01 S. 10/13* mit 1 Taf.) Grundriss der neuen Werke, Schaubilder der einzelnen Werkstätten und Angaben über den Produktionsgang.

Die Ausbildung der Chemiker für die Technik¹⁾.

Von Dr. Otto N. Witt.

»Heute vor etwa einem Jahre wurden in der Chemischen Abteilung der internationalen Weltausstellung zu Paris die letzten Hammerschläge gethan; wie das auf Ausstellungen so zu gehen pflegt, waren nur die wenigsten Teilnehmer mit dem Aufbau ihrer Vorführungen am Eröffnungstage fertig gewesen. Den ganzen Mai hindurch bildete der Marfeldpalast noch den Schauplatz einer fieberhaften Arbeit, und mit Ungeduld harreten diejenigen, welche ihre Pflicht oder ihr Interesse so früh schon nach Paris geführt hatte, des Tages, der ihnen gestatten würde, sich über das Resultat des großen Wettkampfes aller Völker der Erde ein erstes vorläufiges Urteil zu bilden. Den Chemikern unter den Harrenden ward heute etwa vor einem Jahre die Erfüllung ihrer Wünsche zuteil: Eine nach der andern fielen die hemmenden Barrieren,

¹⁾ Vorgetragen auf der Hauptversammlung des Vereines deutscher Chemiker in Dresden am 30. Mai 1901, nach einem vom Hrn. Verfasser zur Verfügung gestellten Sonderabdruck aus der Zeitschrift für angewandte Chemie 1901, Heft 26.

und der anbrechende Juni fand alles in schönster Vollendung.

Nun begann der Meinungsaustausch, aber es fehlte ihm diesmal an dem, worauf manche sich vielleicht schon im stillen gefreut hatten: an einer genügenden Verschiedenheit der Ansichten und an Gelegenheit zu lebhaften Kontroversen. Es gab nur eine Meinung, die ganz gleichmäßig von allen vertreten wurde und in den viel später gefällten Urteilen der Jury unverändert zum Ausdruck kam. Sie ging dahin, dass, so Großes und Anerkennenswertes fast alle Nationen und namentlich Frankreich, bei dem wir alle zu Gast waren, auf dem Gebiete der Chemie und ihrer Anwendungen auch geleistet hatten, die Ausstellung der deutschen chemischen Industrie alle Mitbewerber doch bei weitem überragte und ein Gemälde chemischer Arbeit von solcher Großartigkeit darstellte, wie es die Welt vordem noch nie gesehen hatte.

Unter den tausenden von Einzelobjekten, aus denen sich unsere Ausstellung in Paris zusammensetzte, befanden sich viele von ganz hervorragender Schönheit oder Seltenheit, aber auch andere, die in ebenso guten oder noch prächtigeren Krystallen oder in noch größeren Mengen in den Vorführun-

gen der andern Nationen vertreten waren. Wieder anderes, wodurch unsere Mitbewerber auf dem Weltmarkte glänzten, fehlte bei uns ganz und gar. Wenn trotzdem das Urteil einstimmig zugunsten Deutschlands ausfiel, so lag der Grund tiefer, als in dem Prunk mit handwerksmäßiger Geschicklichkeit, durch welches allein sonst auf Ausstellungen die chemische Industrie das Laienpublikum über ihre Existenz und ihre Bedeutung belehrt. Es war der wissenschaftliche und der wirtschaftliche Geist, der durch diese Sammelausstellung der deutschen chemischen Industrie wehte und bewuszt oder unbewuszt jedem, der sie betrat, fühlbar wurde, welcher den Eindruck des Großartigen, Gewaltigen, bisher Unerreichten zustande brachte. Auch der Laie fühlte es, ohne dass man es ihm zu sagen brauchte, heraus, dass die chemische Industrie Deutschlands eine Schöpfung ist, die in titanenhaftem Ringen aus eigener Kraft emporgewachsen ist und heute da steht, wie ein junger Held, zu stark, um die andern zu fürchten, zu groß, um ihnen ihre Erfolge zu missgönnen.

Diejenigen aber, welche dieses Wunderbare aufgebaut und vollbracht haben, sind die deutschen Chemiker. Wissenschaftliche Vertiefung, eiserner Fleiß und ein klares Urteil in wirtschaftlichen Dingen haben unsere Industrie zu dem gemacht, was sie heute ist, und da wir alle die Absicht haben, auf der einmal eingeschlagenen Bahn zu verharren und auch das heranwachsende Geschlecht auf derselben mit uns zu führen, so scheint die fortdauernde Blüte unserer chemischen Technik für die abschbare Zukunft gesichert zu sein.

Es mag daher fast als ein zweckloses Beginnen erscheinen wenn ich gerade jetzt, wo wir so begründete Ursache haben, mit den Leistungen unserer technischen Chemiker zufrieden zu sein, es unternehme, von der Ausbildung der Chemiker für die Technik zu sprechen. Sie erwarten nicht von mir, dass ich dieses Thema bloß anschlage, um Ihnen zu sagen, dass bei uns alles so vortrefflich ist, wie man es nur wünschen kann, und dass zu Verbesserungen weder Raum noch Veranlassung vorhanden sei, aber Sie befürchten auch nicht, dass ich heute wieder die alte Frage aufrollen werde, ob das humanistische oder Realgymnasium oder die Oberrealschule die geeignetste Vorbereitung für das Studium der Chemie bilde; oder jene andere, die uns noch vor wenigen Jahren so tief bewegte, nach der Gleichstellung der Universitäten und technischen Hochschulen.

In der That gedenke ich diese alten und wichtigen Fragen, welche ja zumteil schon ihre befriedigende Erledigung gefunden haben, nur in soweit zu streifen, als ich ihrer für meine sonstigen Ausführungen bedarf. In der Hauptsache aber möchte ich Ihnen meine Ansichten über die Organisation des chemischen Unterrichtes selbst entwickeln, des Unterrichtes für die große Zahl derer, welche gewillt sind, ihre junge Kraft für die Förderung dessen einzusetzen, was ihre Väter geschaffen haben, für den weiteren Ausbau der deutschen chemischen Industrie.

Wie heute, im Maien, draußen in der Apfelblüte der Feind an der Arbeit ist, dessen verderbliche Tätigkeit erst spät im Herbst bei der Fruchtreife als Wurmfraß zutage tritt, so trägt auch die Blüte jeder menschlichen Errungenschaft ihre eigene Gefahr in sich. Diese Gefahr heißt Selbstzufriedenheit. Nichts wäre verfehlter, als wenn wir jetzt, wo wir Großes erreicht haben, die Mittel, mit denen wir unsere Siege errangen, stereotypen wollten. Nichts wäre kurzsichtiger, als wenn wir die Vorbildung, welche das herrschende Geschlecht befähigte, seine Leistungen zu vollbringen, auch für alle Zukunft für unfehlbar und alleinseligmachend erklären wollten. Die Zeit schreitet fort, die Wissenschaft verändert sich und mit ihr ändern sich ihre Anwendungen. Aufgabe der Gegenwart ist es, die Zukunft richtig zu erkennen und dafür zu sorgen, dass sie, wenn sie kommt, uns bereit finde. Denn sie wird sicherlich den zertreten, der da glaubt, den immer grimmiger werdenden Kampf ums Dasein mit alten rostigen Waffen kämpfen zu können.

Sie erkennen, welche Frage ich aufrollen will: eine Frage, die alt ist, wie die Chemie selbst, und die ebenso wenig jemals endgültig entschieden werden wird, wie die Frage nach der besten Form des Mittelschulunterrichtes; aber auch eine Frage, die niemals ganz von der Tagesordnung abgesetzt werden darf. Hier ist der Ort, und heute ist der Tag, wieder einmal auf ihre Bedeutung hinzuweisen. Wir alle, die wir hier versammelt sind, diejenigen sowohl, welche in täglicher Laboratoriumsarbeit unmittelbar die Industrie betreiben, wie diejenigen, die sie mittelbar vom Katheder herunter zu fördern bestrebt sind, haben das Recht und die Pflicht, an der Lösung dieser Frage mitzuarbeiten.

Die Begründer der chemischen Industrie überhaupt, die Männer, die den Baum pflanzen, der heute uns allen seinen Schatten spendet, waren entweder Autodidakten oder die

Schüler eines Lavoisier, Davy, Berzelius, Klaproth. So hoch wir auch die Leistungen dieser Pioniere der technischen Chemie schätzen mögen, so werden wir doch die alten Küchen, in denen sie ihre ersten wissenschaftlichen Gehversuche machten, heute nicht mehr als typische Vorbilder zweckmäßiger Unterrichtslaboratorien anerkennen. Die Zeiten haben sich geändert, und wir stehen heute im Zeichen der chemischen Paläste. Nicht nur die Herstellung der chemischen Produkte, auch die Produktion der Chemiker selbst hat einen fabrikmäßigen Charakter angenommen. Die Industrie bedarf vieler Kräfte und vermag es, sie zu erhalten. Der Staat hat das Recht und die Pflicht, für die Schulung dieser Kräfte zu sorgen, und es wird von der Erwägung wechselnder Verhältnisse abhängen, welchen Umfang man den Instituten geben will, durch welche die gestellte Aufgabe bewältigt werden soll. Es wäre verfehlt, wenn man ausschließlich den großen oder auch den kleinen Unterrichtslaboratorien das Wort reden wollte. Ebenso wenig wird heute noch jemand erwarten, dass ein junger Chemiker seine gesamte Ausbildung bei einem einzigen Lehrer, in einem eluzigen Laboratorium empfangt. Die Forderung aber wird man stellen dürfen, dass, wo immer er auch gerade arbeite, er in der geistigen Berührung mit dem Leiter des Laboratoriums, der seine Spuren als Forscher bereits sich erworben hat, stehe. Das, was wir »Schule« nennen, die individuelle Eigenart in der Auffassung wissenschaftlicher Fragen, lässt sich nur einmal und nur unmittelbar übertragen. Die Schüler der Schüler von Berzelius stehen nicht mehr unter dem direkten Baue des großen schwedischen Meisters. Das ist nicht mehr als recht und billig. Denn wenn die Macht der Individualität so groß wäre, dass sie sich durch Generationen forterben würde, so bliebe für die Weiterentwicklung kein Raum übrig.

Desto größer ist die Macht der Persönlichkeit im unmittelbaren Verkehr zwischen Meister und Schüler. Demjenigen, den sein guter Stern in die Werkstatt eines bedeutenden Meisters führt und der, wohlverstanden, die Gepflogenheiten seiner Kunst von dem Meister selbst, nicht von den Gesellen des Meisters erlernt, erspart das gewonnene Vorbild die heißen Kämpfe, in denen der Autodidakt sich zu einer Methodik seiner Kunst durchringen muss. Denn auch der Autodidakt hat »Schule« — seine eigene. Aber da er ebenso lange ein schlechter Lehrer ist, wie er ein unerfahrener Schüler bleibt, so lehrt er sich neben vielen Wahrheiten auch tausend Irrtümer, die er später wieder abstreifen muss.

Bis zu einem gewissen Grade bleiben wir freilich alle Autodidakten, denn wir lernen niemals aus. Auch der chemische Hochschulunterricht kann den jungen technischen Chemiker nur — um ein Gleichnis unseres Bismarck zu benutzen — in den Sattel heben; das Reiten muss er selber lernen.

Das bringt mich zu der Frage, welche Eigenschaften, Fähigkeiten und Kenntnisse ein junger Mann für das Studium der Chemie auf die Hochschule mitbringen soll. Hier werden einige Bemerkungen über den vorangegangenen Mittelschulunterricht kaum zu vermeiden sein.

Darin glaube ich, sind wir Lehrer der Chemie an Hochschulen alle einig, dass es uns herzlich gleichgültig, ob unsere jungen Studierenden in der Mittelschule schon Chemie getrieben haben oder nicht. Aber das ist uns nicht gleichgültig, ob sie von der Natur zu chemischer Arbeit veranlagt sind oder nicht. Es giebt kaum eine Wissenschaft, bei welcher natürliche Neigung und Anlage für den späteren Erfolg so ausschlaggebend ist wie bei der Chemie. Von diesem Standpunkt aus erhoffe ich mehr von der Zukunft des Abiturienten eines humanistischen Gymnasiums, der an Sonn- und Feiertagen seinen Stockhardt studiert und hinter dem Rücken seiner Mutter bei bedenklichen Experimenten Löcher in ihre Tischdecken brennt, als von dem Oberrealschüler, dem der Direktor ins Zeugnis geschrieben hat: »Er scheint Neigung zur Chemie zu haben und gedenkt sich diesem Studium zu widmen.« Obgleich ich um keinen Preis die Reste der Kenntnis der klassischen Sprache missen möchte, die ich aus meiner Knabenzeit in das Mannesalter mit herübergerettet habe, so stehe ich doch in der bekannten Frage danach, welche von den drei Arten von Mittelschulen die geeignetste Vorbildung für das Studium der Chemie abgebe, auf seiten der Realanstalten. Nicht weil ich irgend welchen Wert auf die Kenntnisse lege, welche die Studierenden von diesen Anstalten mitbringen, sondern weil sie durch die bescheidene Pflege, welche sie den Naturwissenschaften gewähren, den Schülern Gelegenheit geben, sich schon vor Beendigung ihrer Schulzeit die Frage zu beantworten, ob sie für die Chemie die Begeisterung empfinden, die wir haben müssen, wenn wir ihr unser Leben weihen wollen. Der aussichtslose Student ist derjenige, welcher am Tage seiner Immatrikulation noch nie ein Expe-

riment gemacht hat, weil er nie das Bedürfnis empfand, dies zu thun, und der nur deshalb dem Studium der Chemie sich zuwendet, weil es seine rasche Karriere verbürgt, oder weil er einen Onkel hat, in dessen chemischer Fabrik er nach heutigem Studium unterzukommen hofft. Leider ist die Zahl dieser Art von Studierenden der Chemie viel größer, als man nach oberflächlicher Schätzung meinen sollte.

Der Drang nach der Erkenntnis des tieferen Wesens der Natur, diese großartige Triebfeder aller chemischen Forschung, ist in jedem normal veranlagten Menschen vorhanden; aber er ist, wie alle andern geistigen Anlagen, bei verschiedenen Menschen ganz verschieden stark entwickelt. Es ist gewiss sehr merkwürdig, dass kein Vater sich für berechtigt hält, seinen Jungen Maler werden zu lassen, wenn derselbe nicht schon von frühester Jugend auf jedes leere Blatt Papier, dessen er habhaft werden konnte, mit Zeichnungen bedeckt hat, dass aber trotzdem tausende von Vätern, deren Söhne nie das geringste Interesse für naturwissenschaftliche Dinge an den Tag legen, von den Hochschulen die Ausbildung ihrer Sprossen zu hervorragenden und erfolgreichen Chemikern erwarten.

Es ist gesagt worden, dass die Mittelschule lediglich die Aufgabe habe, den Geist des heranwachsenden Menschen zu logischem Denken zu schulen, und dass es ziemlich gleichgültig sei, ob sie als Hilfsmittel dazu das Studium der alten Sprache oder mathematisch-naturwissenschaftlichen Fächer benutze. Ich kann mich nicht auf diesen Standpunkt stellen, sondern möchte die ethische Aufgabe der Mittelschule etwas höher und weiter gefasst sehen. Die Mittelschule soll den heranwachsenden Knaben mit einem gewissen Vorrat an allgemeinen Kenntnissen ausfüllen, der ihn in derselben Weise befähigt, an seiner allgemeinen Bildung selbst weiter zu arbeiten, wie es das nachfolgende Fachstudium an der Hochschule für eine bestimmte Wissenschaft thun soll. Beide Arten des Unterrichtes sollen, jede in ihrer Weise und in einer dem Alter des Lernenden angemessenen Form, den Menschen in den Sattel setzen; das Reiten muss er selber lernen. Den Mittelschulunterricht lediglich als Vorbereitung für das Fachstudium zu betrachten, hiesse seine Bedeutung unterschätzen. Er soll uns junge Leute liefern, welche sich zu Menschen von einer umfassenden allgemeinen Bildung auswachsen, denn darüber sind wir uns alle einig, dass ein ungebildeter Mensch auch kein ordentlicher Chemiker werden kann.

Den schweren Vorwurf aber kann ich der Mittelschule, und zwar allen Abarten derselben, nicht ersparen, dass sie bei der Lösung ihrer Aufgabe sich so ganz und gar auf gewisse Fähigkeiten des menschlichen Geistes stützt, dass andere, gleich wichtige, darüber fast verküppeln. Es ist fast alles Gedächtniskram in unserer heutigen Mittelschule; dagegen wird das Beobachtungsvermögen, auf welches wir als Chemiker wohl eben so großen Wert legen müssen, wie auf das Gedächtnis, nicht im geringsten gepflegt. Die großen offenen Augen, aus denen das noch ungeschulte Kind in die Welt hinausblickt, schließen sich umso mehr, je länger es in der Schule bleibt. Die größte Mühe, welche uns chemischen Hochschullehrern erwächst, besteht darin, die letzten glimmenden Funken von Beobachtungsvermögen, welche dem jungen Mann aus seinen Kindertagen noch geblieben sind, wieder zur hellen Glut anzufachen. Und sehr oft finden wir nur Asche, wo wir nach Feuer suchen.

Obgleich nun alle Mittelschulen nach einem einheitlichen, ihnen vorgeschriebenen Plane arbeiten, so besteht doch nicht bei allen in gleichem Maße diese Gefahr einer Verkümmern des Beobachtungsvermögens. Ein einziger Lehrer, der aus Instinkt oder Überzeugung den Beobachtungssinn seiner Schüler wachhält, kann oft Wunder wirken; eine einzige von einem führenden Lehrer richtig geleitete Exkursion an einem schönen Sommertage vormag den regen Geist junger Kinder auf lange Zeit hinaus in die richtigen Bahnen zu lenken, und unendlich viel vermögen auf diesem Gebiete die Anregung der Eltern und der Freunde des väterlichen Hauses zu thun. Ich erinnere an das schöne Beispiel der Lebensgeschichte Wöhlers, in dessen Knabenzeit schon der Keim zu dem gelegt wurde, was sich später zu so hoher Vollendung entwickelte.

Jedenfalls haben wir bei der Organisation unseres chemischen Hochschulunterrichts mit der Thatsache zu rechnen, dass die Mittelschule lehrplanmäßig nicht für die Entwicklung derjenigen menschlichen Eigenschaften sorgt oder zu sorgen braucht, auf deren Vorhandensein wir bei dem werdenden Chemiker den allergrößten Wert legen müssen. Ich glaube, dass diese Thatsache bei der Organisation der meisten chemischen Lehrinstitute an Hochschulen nicht genügend berücksichtigt wird.

Ich glaube, dass heute noch wie früher die praktischen Übungen des angehenden Chemikers fast überall mit der

qualitativen Analyse beginnen. Da aber die qualitative Analyse sinnlos ist, so lange alle chemischen Grundbegriffe fehlen, so pflegt man wenigstens denjenigen Studierenden, welche sich auf der Mittelschule noch nicht mit Chemie befasst haben, zu empfehlen, das erste Semester überhaupt noch nicht praktisch zu arbeiten, sondern nur Kollegien über anorganische Chemie, Physik und andere, teils nötige, teils überflüssige Gegenstände zu hören. Auf diese Weise wird also die ausschließliche Beanspruchung des Gedächtnisses, der Hauptübelstand der Mittelschule, ganz überflüssigerweise ein volles Semester lang weitergesponnen, welches viel besser hätte angewandt werden können, um lang vernachlässigte Fähigkeiten, nämlich das Beobachtungsvermögen und die manuelle Geschicklichkeit des jungen Chemikers, aufzufrischen und so rasch als möglich auf die erforderliche Höhe zu bringen. Das kann nur dadurch geschehen, dass man ihn sofort mit der praktischen Arbeit beginnen lässt. Die Frage ist nun, in welcher Form dies geschehen soll.

An fast allen deutschen technischen Hochschulen stellen die mechanischen Abteilungen heutzutage die Forderung, dass der neu eintretende Student mindestens ein halbes Jahr als Lehrling an einer Maschinenfabrik gearbeitet haben muss. Ich sehe nicht ein, weshalb wir als Chemiker das gesunde Prinzip, welches dieser Forderung zugrunde liegt, nicht ebenfalls anerkennen und zur Geltung bringen sollten, natürlich in einer Form, die unseren Bedürfnissen und unserer Wissenschaft entspricht. Ich denke nicht daran, von unserer chemischen Industrie zu verlangen, dass sie unsere zukünftigen Studenten als Lehrlinge bei sich aufnehmen soll. Ich will auch nicht die von anderer Seite gestellte Forderung, dass zukünftige Chemiker zunächst als Lehrlinge in einer Maschinenfabrik arbeiten sollen, zu der meinigen machen, obschon ich der Ansicht bin, dass auch einem Chemiker eine solche Lehrlingszeit durchaus nichts schaden könnte. Was ich betonen will, ist, dass auch die Chemie ihren handwerkmäßigen Teil, ihr Können, hat, und dass dieses Können zu einem guten Teil schon vorhanden sein sollte, ehe wir mit dem Wissen beginnen dürfen.

Was lernt der junge Maschinenbauer in seiner Lehrlingszeit? Feilen, Drehen, Bohren, Hobeln, Löten; er sieht es mit eigenen Augen, dass der Stahl das Messing schneidet, aber nicht das Messing den Stahl, dass Bronze zäh ist, Tombak aber brüchig — kurz, er wird zunächst einmal in die Welt versetzt, in der er später leben und die er verstehen lernen soll. Das sollte auch mit dem jungen Chemiker geschehen.

Wir machen den Fehler, dass wir die Jünger unserer Wissenschaft am Geiste nippen lassen, ehe wir sie mit der Materie vertraut gemacht haben. Unsere jungen Chemiker erfassen mit Leichtigkeit den theoretischen Teil unserer Wissenschaft, aber mit der praktischen Arbeit, da hapert es meist noch bei den höchsten Semestern.

Nun aber kommt die merkwürdige und doch so naturgemäße Folge dieser Bevorrugung des Wissens vor dem Können: Wer das Wissen gleichsam geschenkt erhalten hat, wenn es nicht bei der praktischen Arbeit entgegenquoll wie der goldene Hirt dem emsig wühlenden Schatzgräber, für den ist es kein Schatz. Immer und immer wieder mache ich die Erfahrung, dass selbst die fleißigsten Studierenden ihr meist recht umfangreiches theoretisches Wissen zwar für die Examina, aber nicht bei ihrer praktischen Arbeit im Laboratorium zu verwerten verstehen. Das kommt daher, dass sie die chemischen Theorien nicht mit ihrem Verstand, sondern mit ihrem Gedächtnis erfasst haben. Für sie ist die theoretische Chemie eine Abstraktion. Wo es sich darum handelt, ein Stück aus dem sauber memorirten System herauszuholen und die Nutzanwendung zu ziehen, da versagen die mühsam erworbenen Kenntnisse. Eine lebendige Wissenschaft wie die Chemie duldet keine Abstraktion. In ihr muss auch das Theoretische erlebt sein, wenn es Früchte tragen soll. Man braucht nicht den Mechanismus chemischer Vorgänge entdeckt zu haben, um ihn zu verstehen, aber verworfen wird man chemische Erkenntnis fast immer nur dann können, wenn man sie durch Erfahrung erworben hat. Erfahrung aber erwirbt der Chemiker nur im Laboratorium.

Deshalb sollte auch die praktische Arbeit im Laboratorium das Alpha und Omega alles chemischen Unterrichtes sein, und mit ihr sollte der zukünftige Chemiker beginnen. Man braucht noch keine theoretischen Kenntnisse zu besitzen, wenn man daran geht, Körbe zu bohren, Röhren zu schneiden und zu biegen und Kugeln zu blasen, Apparate zu bauen und einfache Reaktionen stöchiometrisch durchzuführen. Diese und viele andere ähnliche und gleich wichtige Dinge, denen Berzelius einen ganzen Band seines Lehrbuches der Chemie gewidmet, über welche Faraday eines der klassischsten Werke

der gesamten chemischen Litteratur verfasst hat, werden heute gar nicht mehr oder nur so nebenbei gelehrt, weil sie für selbstverständlich gelten. Sie sind so selbstverständlich, dass fast neben jedem chemischen Unterrichtslaboratorium und häufig sogar in den Laboratorien selbst Kaufkäden vorhanden sind, deren Inhaber ein gutes Geschäft machen, indem sie den Studierenden die gebogenen Röhren, die gebohnten Gummistopfen, die Trichter und Pipetten, Faltenfilter und rundgeschmolzenen Glasstäbe liefern, welche die jungen Adepten sich selber fertigen sollten. So sehr ich jedem Kaufmann seinen ehrlichen Verdienst gönne, so kann ich doch nicht umhin, mitunter an das große Beispiel zu denken, wo es auch not that, aus dem Tempel die Krämer zu entfernen, die in ihm die An-dacht störten.

Ich habe mich oft gefragt, ob nicht die von mir von je her vertretene Forderung manueller experimentatorischer Gewandtheit bei jedem Chemiker ein Stück jener Pedanterie ist, in welche fast jeder, der den Unterricht zu seiner Lebensaufgabe macht, auf diesem oder jenem Gebiete verfällt. Aber ich kann mich nicht entschließen, zu glauben, dass dies der Fall ist. Ich vermag nicht einzusehen, dass selbst bei weitgehendster Inanspruchnahme unserer so leistungsfähigen und entgegenkommenden Apparateindustrie derjenige Instande sein soll, schwierige Experimentaluntersuchungen mit Geschick durchzuführen, der es verschmäht, die Anfangsgründe der Experimentierkunst sich zu eigen zu machen.

Von dem technischen Chemiker — und nur von diesem soll ja heute die Rede sein — muss man vor allem verlangen, dass er ein gewandter und vielseitiger Experimentator sei. Nur wer im Laboratorium nie um ein Hilfsmittel verlegen ist, wird auch die viel schwierigeren Fragen der technischen Apparatur erfolgreich zu lösen imstande sein.

Zusammenfassend möchte ich den Wunsch aussprechen, dass unser chemischer Hochschulunterricht auf die Förderung experimenteller Geschicklichkeit bei den für die Technik bestimmten jungen Chemikern größeren Nachdruck legen möge, als es gegenwärtig der Fall ist. Ich hoffe den Tag zu erleben, wo die Wertschätzung chemischen Könnens ebenso groß sein wird, wie diejenige chemischen Wissens, weil nach meinem Dafürhalten namentlich in der chemischen Technik das Wissen nur in Verbindung mit dem Können Früchte tragen kann.

Aber damit sind meine Wünsche nicht erschöpft. Ich stimme ein altes Lied an, wenn ich auch meinerseits die Forderung betone, dass der, der sich der chemischen Technik widmen will, ein tüchtiger Analytiker sein muss. Die Klagen, dass dies nicht allgemein der Fall sei, kehren immer wieder; sie müssen somit berechtigt sein. Und doch kann man der Erlernung der Analyse kaum einen breiteren Raum gönnen, als es jetzt schon in dem gedruckten oder stillschweigend angenommenen Lehrplan der meisten chemischen Lehranstalten der Fall ist, in denen mindestens drei Semester auf analytische Übungen verwendet werden.

Diese Frage fällt in gewisser Hinsicht mit meiner ersten Forderung zusammen. Denn ich glaube, dass es den meisten jungen Chemikern nur deshalb nicht gelingt, in drei Semestern die wünschenswerte analytische Gewandtheit und Sicherheit zu erwerben, weil es ihnen beim Beginn ihrer analytischen Thätigkeit noch zu sehr an experimentellem Geschick fehlt. Da nun alle analytische Arbeit zwar große Anforderungen an die Geschicklichkeit desjenigen stellt, der ihr obliegt, dabei aber durch ihre Gleichförmigkeit und ihre Beschränkung auf geringe Substanzmengen eine nur bescheidene Gelegenheit zur Übung dieser Geschicklichkeit darbietet, so bleibt derjenige, der sich ihr ohne vorher erworbene Übung im Experimentieren hingibt, lange Zeit unsicher in seiner manuellen Arbeit. Eine den analytischen Übungen vorgeschaltete Übung in der bloßen Kunst des Experimentierens würde auch eine bessere Ausnutzung der auf analytische Arbeit verwandten Studienzeit verbürgen.

Meine dritte Forderung geht dahin, dass es mit Ausnahme des Unterrichtes in der chemischen Manipulation und der qualitativen Analyse keine andere als quantitative Arbeit in chemischen Unterrichtslaboratorien geben möge. Ich denke dabei an die präparativen und namentlich an die sogenannten selbstständigen organischen Arbeiten der Studierenden.

Es ist üblich geworden, beim Unterricht im präparativen Arbeiten, ebenso wie beim analytischen Unterricht, gedruckte Leitfäden zu benutzen, von denen es viele ganz vortreffliche giebt. Sie alle entspringen dem bei jedem Lehrer sich geltend machenden Bedürfnis, den Unterrichtsstoff in ein gewisses System zu bringen und in wohlverwogenen Dosen zu verabreichen. Aber diese Leitfäden bergen auch eine große Gefahr in sich. Sie berauben den Studierenden der so notwendigen und nützlichen Misserfolge und des mit ihnen verbundenen Nachdenkens über die Ursachen derselben. Es geschieht

nur zu leicht, dass die mit solchen Leitfäden Arbeitenden es unterlassen, sich darüber Rechenschaft zu geben, weshalb sie so vorgehen, wie sie es thun. Und eine weitere Gefahr ist die, dass der junge Chemiker vollständig mit sich zufrieden ist, wenn er qualitativ das in dem Leitfaden angegebene Ergebnis erzielt, ohne zu bedenken, dass in seiner späteren praktischen Laufbahn in der ungeheuren Mehrzahl der Fälle der qualitative Erfolg selbstverständlich und nur der quantitative dasjenige sein wird, worauf es ankommt.

Wenn es nun gar zu der »selbstständigen Arbeit« kommt, nach der die Seele des jungen Adepten seit den ersten Semestern gelehrt hat, dann wird die Wage vollends beiseite gestellt. Die goldene Freude über die gefundenen »neuen Verbindungen« hält ihren Einzug in das Herz des jungen Forschers, und der alte Professor gedenkt der Tage, wo auch er die Wonnen des Entdeckens kostete.

Solche Räusche sind die Kinderkrankheiten des werdenden Chemikers; aber Aufgabe des Lehrers ist es, dafür zu sorgen, dass sie keine dauernden Folgen hinterlassen. Hier hilft es: rechtzeitig wieder einlenken in die Bahnen der Präzision. Nicht nur eine strenge analytische Kontrolle der Zusammensetzung des Neuentdeckten ist hier geboten, sondern namentlich auch die Kontrolle der Ausbeuten und die Rechenschaft über den Verbleib dessen, was an diesen Ausbeuten im Vergleich zur Theorie mangelt. Das sind oft schwierige Aufgaben; aber nur dem, der sich ihnen mit vollem Ernst und mit unermüdlicher Ausdauer widmet, wird seine erste »selbstständige Arbeit« zu einer Lehre, deren wohlthätigen Einfluss er sein ganzes späteres Leben hindurch empfindet. Sie lehrt ihn, exakt zu arbeiten. Exakte Arbeit aber ist es, welche die deutsche chemische Industrie auf ihre heutige Höhe gehoben hat, und nur exakte Arbeit kann ihr auch für die Zukunft frommen.

Man werfe mir nicht ein, dass ich Eulen nach Athen trage und Forderungen stelle, welche längst erfüllt sind. Wir haben es zwar oft genug gehört und gesagt, dass die Wage das Zeichen ist, in dem wir Chemiker siegen, aber sie ist es noch lange nicht genug. Die analytische Wage halten wir hoch; aber die Tarirwage hat in unseren Laboratorien noch lange nicht den Ehrenplatz, der ihr gebührt. Auch die Literflasche, der Maßcylinder und die Bürette sollten das Handwerkzeug nicht nur dessen sein, der titrieren will, sondern auch dessen, der präparativ arbeitet.

Ich gehöre gewiss nicht zu denen, welche den Wert des ungeheuren, in unserer Litteratur niedergelegten Materials unterschätzen. Aber ich teile die vorhandenen Berichte über Experimentaluntersuchungen je nach der Bedeutung, welche sie als Grundlage weiterer chemischer Arbeit besitzen, in mehrere Gruppen. Da sind zunächst die Arbeiten, welche über die erzielten Ausbeuten gar nicht angeben. Sie gewinnen ihren Wert für den, der sich ihrer bedienen will, meist erst dadurch, dass er sie aufs neue nacharbeitet. Dann sind da die Arbeiten, welche die Ausbeuten klipp und klar in Prozenten der Theorie oder des Ausgangsmaterials mitteilen. Sie sind in den meisten Fällen ohne weiteres verwendbar. Und endlich sind da die Arbeiten, bei denen die Ausbeuten als »nahezu theoretisch« angegeben werden. Bei diesen findet man, wenn man durch Wiederholung der Arbeit die etwas ungewisse Angabe ins Zahlenmäßige zu übersetzen sucht, dass sehr oft die gefundene Zahl in Prozenten der Theorie den Fünftel näher ist als den Hundert. Der Unterschied zwischen dem »nahezu Theoretischen« und der Zahl in Prozenten ist der, dass das erste geschätzt, die Zahl aber mit der Wage gefunden ist. Lassen Sie es mich als den letzten meiner Wünsche für die Ausgestaltung der Laboratoriumsausbildung unserer jungen Techniker aussprechen, dass ich hoffe, das »nahezu Theoretische« aus ihrer Arbeit verschwinden und durch zahlenmäßige Belege ersetzt zu sehen.

Eine weitere bedeutsame Frage berrührt die Ausbildung unserer jungen Chemiker für die Technik ist die Frage nach dem Umfang und der Methode des Unterrichtes in der chemischen Technologie. Es ist eine erfreuliche Folge des Wettstreites, der vor einigen Jahren zwischen den Universitäten und den technischen Hochschulen entbrannte, dass die Wichtigkeit und die Notwendigkeit dieses Lehrgegenstandes allgemein anerkannt worden ist. Die Universitäten, welche gewiss mit Recht beanspruchen, nach wie vor der Technik wohlgeschulte Kräfte liefern zu können, haben vielfach für eine Erweiterung und Vertiefung ihres früher als Nebenfach behandelten chemisch technologischen Unterrichtes Sorge getragen, und die technischen Hochschulen betonen aufs neue den Grundsatz, dem sie ihre Entstehung verdanken, dass nämlich erst die Anwendung der Wissenschaft das ganze Volk an dem Segen der Forschung teilnehmen lässt und somit dieser die Krone aufsetzt.





Rauch der zahlreichen Fabriken in und um Paris zu beseitigen und unschädlich zu machen. Im Jahre 1898 hatte bereits der Pariser Polizeipräsident eine Verordnung erlassen, worin die Entwicklung anhaltenden dichten schwarzen Rauches verboten wurde. Das scheint, wie man aus dem neuen Preisaus-schreiben schließen darf, den erhofften Erfolg nicht gehabt zu haben. (Gesundheitsingenieur 30. Juni 1901)

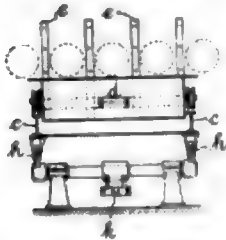
In der Zeit vom 5. bis 21. Oktober d. J. findet in Frankfurt a/M. eine Ausstellung für Unfallschutz und -verhütung, Sanitäts- und Rettungswesen statt.

In der Zeit vom 9. bis 13. Oktober d. J. findet in den Ausstellungshallen des Institutes für Gärungsgewerbe in Berlin eine Ausstellung von Brauereimaschinen statt.

Patentbericht.

Kl. 7. Nr. 120187. Blockwende- und Verschiebevorrichtung. W.

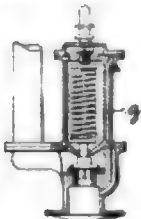
Oswald, Rombach. Unterhalb des Rollganges ist auf Winkelhebeln *a* ein Gleis *c* angeordnet, das durch Vermittlung der Zugstange *k* durch Druckwasser-Cylinder gehoben und gesenkt werden kann. Auf den Schienen *c* läuft ein durch eine Zugstange von zwei weiteren Druckwasser-Cylindern bewegbarer Wagen *d*, der in rechteckigen Öffnungen die Doppeldammung *e* trägt. Der auf dem Rollgange liegende Block wird durch Anheben des Gleises *c* mittels eines der Dammung *e* gekantet und durch Bewegen des angeho-



benen Wagens *d* verschoben.

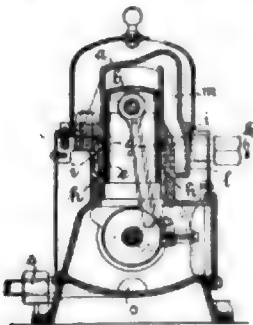
Kl. 13. Nr. 118769. Sicherheitsventil. H.

Stein, Hamburg. Um unbefugtes Einwirken auf das Ventil, insbesondere auf die Belastung zu verhindern, ist das Federgehäuse durch eine Schutzhaube abgeschlossen, unter deren Flansch der mit dem Dampfraum in Verbindung stehende Kanal *g* mündet. Beim unbefugten Abnehmen der Haube während des Betriebes strömt Dampf in das Freie und verhindert das Weiterarbeiten an der Spannschraube, solange der Kessel unter Dampf steht.



Kl. 14. Nr. 117989. Mehrcylindermaschine. P. Luden, Charlottenburg.

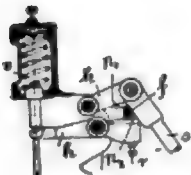
Jeder Zylinder *a* wird durch die kolbenschieberartige Verlängerung *e* des Arbeitskolbens *b* im vorbegehenden Zylinder gesteuert, wobei sich der letzte Zylinder an den ersten anschließt. Der von *k* kommende Dampf erfüllt beständig den Ringraum *i*. Sobald beim Abwärtsgehen die Oberkante der Kolbenverlängerung *e* die ringum angeordneten Öffnungen *h* freilegt, strömt Frischdampf von *i* durch *g*, *h*, *i* in den Kanal *m* des folgenden Zylinders (während der dargestellte Kanal *m* seinen Dampf in derselben Weise vom vorbegehenden Zylinder erhält), bis beim Rückhube von *b* die Öffnungen *h* abgeschlossen werden. Sobald dann die Unterkante von *e* die Öffnungen *h* freilegt, kehrt der Dampf auf demselben Wege nach *i* zurück und strömt durch *h* in den Auspuff *s*. Der beständig von *i* her auf der Ringfläche von *s* lastende Voldampf hindert den Druckwechsel in den Gelenken.



und strömt durch *h* in den Auspuff *s*. Der beständig von *i* her auf der Ringfläche von *s* lastende Voldampf hindert den Druckwechsel in den Gelenken.

Kl. 14. Nr. 117811. Ventilsteuerung. K. Vogelsang, Berlin.

Zwischen den von der Steuerstange *s* bewegten Mitnehmerhebel *k* und den Ventilebeln *h* wird eine Feder *f* eingeschaltet und durch die Schraube *r* so gespannt, dass kurz vor dem Zusammentreffen der Platten *p*, *p* das von *f* auf *a* wirkende Drehmoment gleich dem Moment der Ventildfeder *v* und der beim Öffnen des Ventiles auftretenden Massenkraft ist. Diese Einrichtung ermöglicht es, dass das Ventil sich ohne vorangehende Drosselung öffnet und schließt und dennoch auch bei großer Umlaufzahl geräuschlos arbeitet.



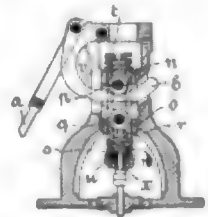
Kl. 20. Nr. 118985. Elektrische Leitung. Siemens & Halske A.-G., Berlin.

Um gleichmäßigen Durchhang mehrerer parallel laufender Drähte unabhängig von Temperaturschwankungen zu erhalten, werden die Leitungsschnitte an den Masten *a* an drehbaren Auslegern *b* aufgehängt und an den Enden unter Einschaltung von Isolatoren *i* durch Federn oder Gewichte gespannt.



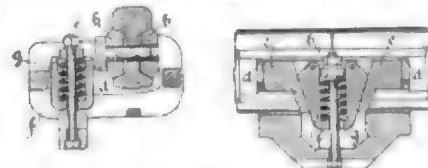
Kl. 14. Nr. 117967. Ventilsteuerung. Gebr. Sulzer, Winterthur (Schweiz).

An eine von der Steuerstange *a* in (veränderliche) Schwingungen versetzte Schubkurve *b* werden zwei in starr verbundenen Gleitstücken *m*, *c* gelagerte Rollen *p*, *q* gedrückt, und zwar von Federn *v*, *w*, die zwischen *m*, *c* und einem mit der Ventilstange verbundenen Rahmen *retu* liegen. Die Lage des Rahmens zur Ventilstange und den Federn kann durch die Mutter *s* so geregelt werden, dass sich das Ventil auch bei großer Maschinengeschwindigkeit sanft anhebt und aufsetzt, und die Schubkurve *b* ist so gestaltet, dass das Ventil rasch geöffnet und geschlossen und dazwischen möglichst lange auf vollem Hube offen gehalten wird.



Kl. 19. Nr. 118803. Schienenverbindung. The White Patent

Rail Fastening Co., Adelaide. Die Laschen *b*, *b* werden von einer unter die Schiene greifenden Klammer umfasst und mithilfe einer



Platte *d* zusammengepresst, die von dem lotrecht beweglichen Keil *f*, den die Feder *g* nach abwärts zieht, und zwei wagerecht beweglichen Keilen *e* gegen die Lasche *b* gedrückt wird.

Kl. 26. Nr. 117689. Fangvorrichtung. F. J. Klimpel, Teplitz-Schönau.

Beim Brechen des Förderselbes zieht die Feder *s* den Hängebolzen *a* herab und dreht mittels Gestänges *b*, *c* die Wellen *d*, auf denen die Fangexzenter *f* sitzen und durch je einen in einen Bogenschlitz *g* greifenden Keil *h* zum ersten Eingriff in die Leitbäume gebracht werden, worauf sie sich unabhängig von einander weiter drehen, so dass ein bei einem Exzenter auftretendes Hindernis die übrigen Exzenter nicht unwirksam machen kann.

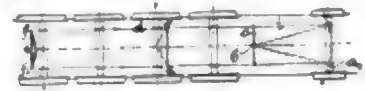


Kl. 30. Nr. 117973. Sägenscharfmachmaschine. G. Ott, Ulm a/D.

Zum Ausbeugen der Felle beim Rückhube des Füllenschiebers *f* sind die Führungstangen *s*, *s* an Endstücken *e* befestigt, die mit kreisbogenförmigen Rippen *n* in entsprechende Nuten des Gestelles greifen und Nasen *z*, zum Angriffe von Hebodaumen tragen.

Kl. 20. Nr. 119414. Zwangslängige Einstellung der Achsen in Krümmungen. Ch. Hagans, Erfurt.

Die vordere Achse *a*, des Bissel-Gestelles verstellt durch ihre Drehung um den Punkt *b* mittels der Zugstangen *i* den Schwinghebel *c* und dieser überträgt die Drehung mittels der Zugstangen *d* auf die Hebel *e*, *f*, *f*, mit deren kürzeren Armen die Achslager verbunden sind, sodass je nach der Lage der Hebel auf der einen oder andern Seite der Achse, diese nach der einen oder andern Seite verschoben wird. Da *f*, *f* als Feder ausgeführt ist, bleibt eine gewisse Freiheit der Bewegung gewahrt.



Kl. 20. Nr. 118716. Elektrische Bahn. Union Elektrizitäts-

Gesellschaft, Berlin. Die Verschaltwiderstände werden als Magnetspulen ausgebildet und auf den Radachsen in der Weise angeordnet, dass von einem Rad zum andern durch die Schienen ein magnetischer Stromkreis entsteht, der die Adhäsion zwischen Rad und Schiene vermehrt.

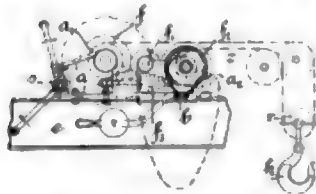




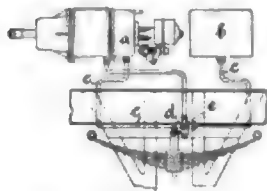
Kl. 19. Nr. 118841. (Zusatz zu Nr. 103787, Z. 1899 S. 1082). **Schienenstoßverbindung.** R. Barlen, Duisburg-Wanneheimerort. Der Schienenkopf wird niedergetaucht und dann ein Teil des Kopfes und des Fußes nach der punktierten Linie fortgeschritten.

Kl. 20. Nr. 119473. Gasbereitung. Deutsche Continental-Gas-Gesellschaft und Dr. J. Bueb, Dessau. Um bei der Gasgewinnung den Kokereikoks gleichende hochwertige Koks zu gewinnen, werden die Retorten mit einer Koble beschickt, die vorher fein gemahlen und mit Wasser gemischt worden ist.

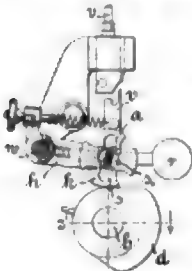
Kl. 25. Nr. 117690. Windwerk. E. Scholle, Düsseldorf. Beim Aufwinden einer leichten Last oder des leeren Hakens *a* wird die in festen Schilden *a* des Rahmens *s* gelagerte Kettennuss *a* unmittelbar durch das Vorgelege *s*, dagegen die in verschiebbaren Schilden *b* gelagerte Kettennuss *a* mittels Reibrädergetriebes *f*/*f*₁ angetrieben, wobei die auf Linksverschiebung von *b* wirkenden Federn *f*₂ den Reibungsdruck erzeugen; es werden also beide Kettenenden der losen Rolle *r* aufgewickelt, und *b* wird mit großer Geschwindigkeit gehoben. Bei großer Last wird *b* durch die Spannung im Kettentrass *s* nach rechts gezogen, das Reibrädergetriebe *f*/*f*₁ angetrieben, *a* durch ein Gesperre am Rücklauf gehindert und *a* allein gedreht.



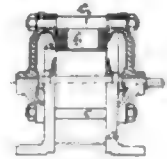
Kl. 20. Nr. 118877. Luftdruckbremse. G. Knorr, Britz. Die beiden zum Speisen des Bremszylinders dienenden Hölzluftbehälter *a* und *b* von verschiedenem Rauminhalt können durch die Rohrleitung *c* und den Hahn *d* so getrennt oder verbunden werden, dass bei leerem Wagen nur der Inhalt des kleineren Behälters, bei beladenem der Inhalt beider Behälter in den Bremszylinder übergeführt wird, sodass die Bremsen mit einer dem Gewicht der Fahrzeuge entsprechenden Kraft angezogen werden; der Kükenshebel *e* des Hahnes ist mit dem Wagenkasten verbunden, dessen Lage zu den Achsen die verschiedenen Stellungen des Hahnes *a* bedingt.



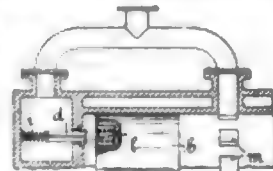
Kl. 40. Nr. 117899. Schaltsteuerung für Viertaktmaschinen. La Compagnie des Moteurs «Duplex», Paris. Auf der festen Welle *w* stecken zwei lose Hebel, von denen der hintere *A* ein drehbares Kreuz *k* mit Schlitz *s* trägt, während der (nicht gezeichnete) vordere, ein Rollenhebel, von der Hauptwelle *b* durch den Daumen *d* sowohl beim Verdichtungs- als beim Auspuffhube angehoben wird, beim Verdichtungs- aber sich mit seinem Ansatz *a* leer in *s* bewegt, ohne *A* mitzunehmen, dagegen beim Auspuffhube, nachdem der Zahn *c* an *b* das Kreuz *k* um 90° gedreht hat, an eine der Flächen *e* trifft und die Auspuffventilstange *v* unmittelbar oder unter Vermittlung eines Reglers *r* hebt.



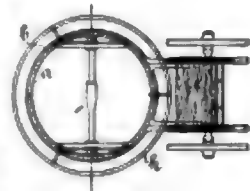
Kl. 31. Nr. 118785. Ständerkern für elektrische Maschinen. K. Moritz, Davosdorf (Schweiz). Um die gusseisernen Gehäuse an Wechselstrommaschinen zu vermeiden, werden die Bleche *b* der Ständer durch Pressringe *a* und Bolzen *c* zusammengehalten, die in Nuten am Umfange der Bleche nur soweit eingreifen, dass sich die Bleche nicht verdrehen können. Die Bolzen dienen gleichzeitig zur Befestigung der Lagerträger; an den Pressring sind die Füße des Motors angegosson.



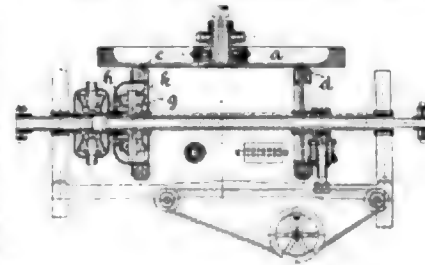
Kl. 46. Nr. 117813. Auslassventilsteuerung für Zweitaktmaschinen. F. Sperling, Berlin. Das nach innen öffnende Auslassventil *d* ist durch eine Feder *i* so belastet, dass es unter dem Arbeitsdruck der Gase geschlossen bleibt, bis der Kolben *b* die Auspufföffnungen *m* freilegt, worauf es beim Rückhube zum Auslassen des Restes der Abgase offen bleibt, bis es durch den Kolbenbuffer *l* oder durch eine Steuerung geschlossen wird.



Kl. 63. Nr. 119770. Lenkvorrichtung für Motorwagen. O. Stoll, Dresden. Das Vordergestell besteht aus einem von der Vorderachse getragenen und den Motor umschließenden Ring *a*, der von einem mit dem Hintergestell starr verbundenen Kranz *b* ganz oder teilweise umschlossen ist. *a* wird von dem auf dem Hintergestell angeordneten Führersitz aus durch eine unmittelbar mit ihm verbundene und senkrecht zu ihm angeordnete ringförmige Führerstange *k* gedreht.



Kl. 63. Nr. 119780. Antriebsvorrichtung. P. Landis, Thälwil (Schweiz). Von den beiden von der Reibscheibe *a* in Umdrehung versetzten, durch das Differentialrädergetriebe *g* mit einander verbundenen Reibrollen *c* und *d* kann nur die eine Rolle *d* axial verschoben werden, während die andere Rolle *c* in stets gleicher Entfernung von der Mitte der Reibscheibe *a* angeordnet und mit dem einen Rade *A* des Differentialrädergetriebes fest verbunden ist.



Kl. 81. Nr. 117867. Vorrichtung der Selbstentzündung von Kohle. D. Morek, Dortmund. Der Kohlenstapel wird mit gut wärmeleitenden bis nach außen reichenden Körpern, am besten Rohren, durch die unter Umständen kalte Luft geblasen werden kann, durchschleht.

Angelegenheiten des Vereines.

Am Sonntag den 30. Juni morgens 4 Uhr starb nach langen schweren Leiden unser Mitglied

Herr Ingenieur Hugo Luther,

Inhaber der Grashof-Denk Münze, im 52. Lebensjahre zu Goslar a/Harz.

Der Verein deutscher Ingenieure.

Diese Nachricht erhielten wir zu spät, um sie noch in Nr. 27 zu veröffentlichen. Bei dem Begräbnis am 3. Juli in Braunschweig war unser Verein durch seinen Vorsitzenden Hrn. Alb. Lemmer vertreten. Wir hoffen, demnächst in einem Nachruf der großen Leistungen und Verdienste des Verstorbenen zu gedenken.

halb des Unterthores führen. Von jedem Umlaufkanal zweigen 7 Nebenkanäle nach der Sohle der Schleusenkammer ab, die sich nach der Kammer hin erweitern, sodass das eingelassene Wasser mit möglichst geringem Stofs unterhalb des Schiffsbodens eintritt. Das aus zwei einander gegenüberliegenden Öffnungen austretende Wasser trifft sich in der Längsachse der Schleuse und wirkt senkrecht auf den Schiffsboden, sodass das Schiff keine bedeutenden Seitenschwankungen macht. Durch Vorversuche ist festgestellt worden, dass die nach dem Oberwasser hin liegenden Austrittöffnungen größer sein müssen als die unteren, wenn alle gleich viel Wasser in die Schleuse lassen sollen. Dieser scheinbare Widerspruch erklärt sich dadurch, dass das Wasser vermöge seiner lebendigen Kraft an den oberen Öffnungen vorbeischießt, sich an dem unteren Verschluss der Umläufe stößt und infolgedessen aus den unteren Öffnungen unter größerem Druck abfließt. Eine gleichmäßige Füllung der Schleusenkammer wird auch erreicht, wenn alle Öffnungen gleich sind, die oberen aber einander näher liegen als die unteren. Gegen das Ober- und Unterwasser werden die Umläufe durch Rollschützen, Fig. 9, gegen die Sparbecken durch Cylinderventile, Fig. 8 und 10, abgeschlossen. Die Mündungen der Umläufe sind wie allgemein üblich trompetenartig erweitert, damit das Wasser besser eintreten und mit geringerer Geschwindigkeit austreten kann.

Vom Oberwasser ist ein kleiner Kanal neben dem rechten Seitenbecken entlang nach dem Unterwasser geführt, durch den das Oberwasser der die Dynamomaschine treibenden Turbine zugeführt wird.

Die Schleuse ist in der üblichen Weise mit Steigleitern, Schiffshaltepfählen usw. ausgerüstet. Auch das Mauerwerk entspricht der üblichen Ausführung unter Berücksichtigung des hohen Gefälles und der Anlage von Sparbecken. Die Einzelheiten ergaben sich aus den Abbildungen, sodass von der näheren Beschreibung abgesehen werden kann.

Eine Schleusung vollzieht sich entsprechend den eingangs gemachten Ausführungen folgendermaßen:

Fig. 13 bis 14. Oberthorssgel.

Fig. 12.

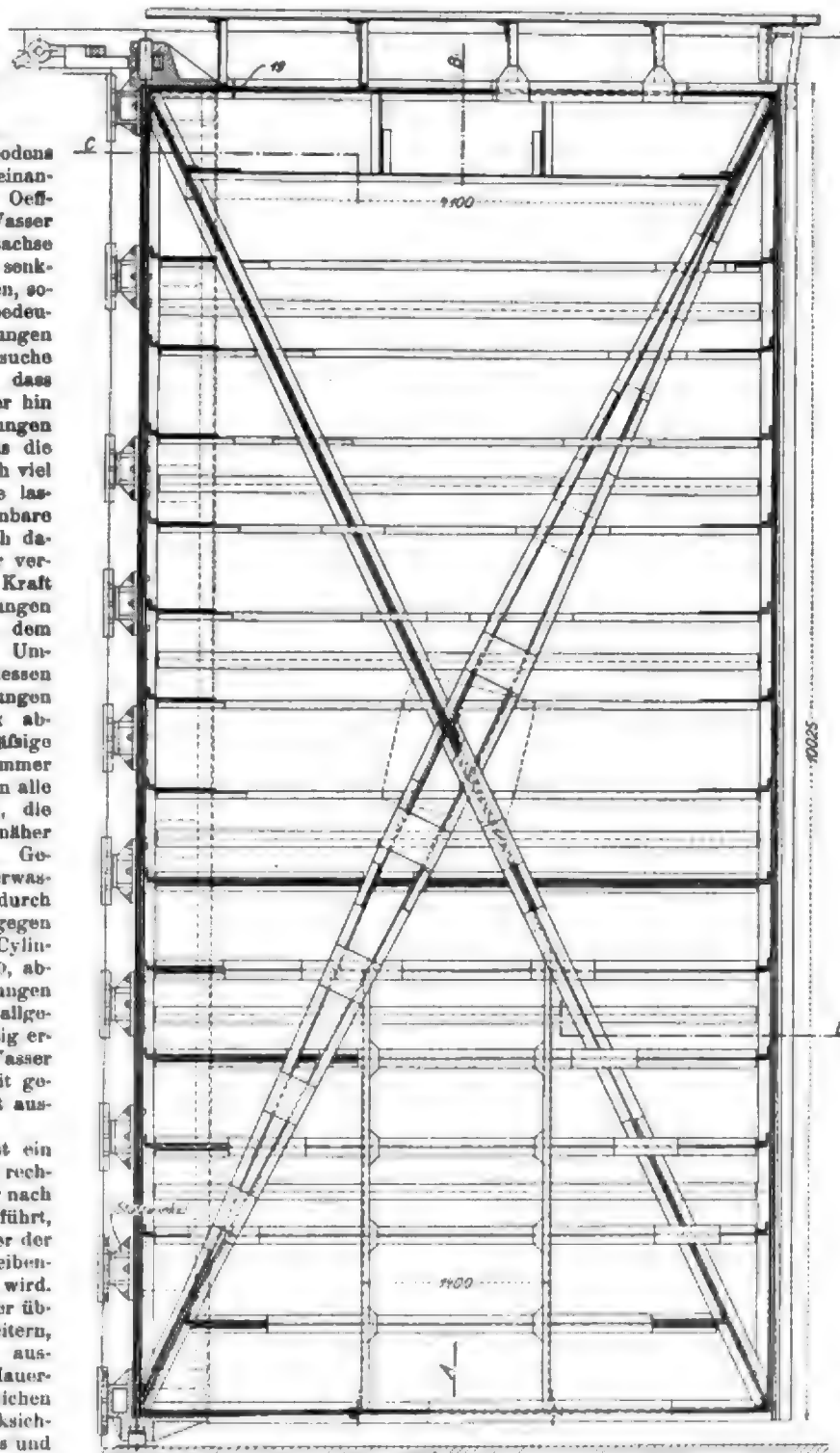


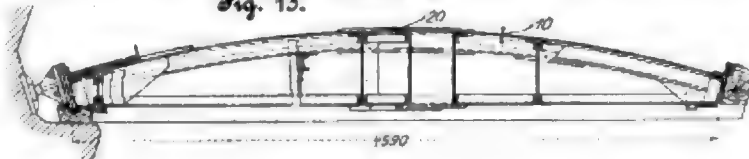
Fig. 14.

Schnitt A-B



Fig. 13.

Schnitt C-D



Das im oberen Vorhafen liegende Schiff fährt durch das geöffnete Oberthor in die gefüllte Schleuse (1); die die Umläufe abschließenden Rollschützen, Fig. 9, sind geschlossen. Das Oberthor wird geschlossen (2), und die die Verbindung der Schleusenammer mit den beiden oberen Sparbecken (1, Fig. 5) abschließenden Cylinderventile, Fig. 7, werden geöffnet (3). Nachdem sich das Wasser zwischen Schleusenammer und Sparbecken ausgespiegelt hat (4), werden die oberen Ventile geschlossen (5) und die unteren geöffnet (6), bis sich das weiterfallende Wasser in der Schleusenammer mit den unteren Sparbecken II ausgespiegelt hat (7). Nunmehr werden die unteren Ventile geschlossen (8) und die unteren Rollschützen geöffnet (9), bis das Wasser zwischen Schleusenammer und Unterwasser ausgespiegelt ist (10). Danach wird das Unterthor geöffnet (11), das Schiff fährt

Fig. 15 bis 17. Unterthorflügel.

Fig. 15.

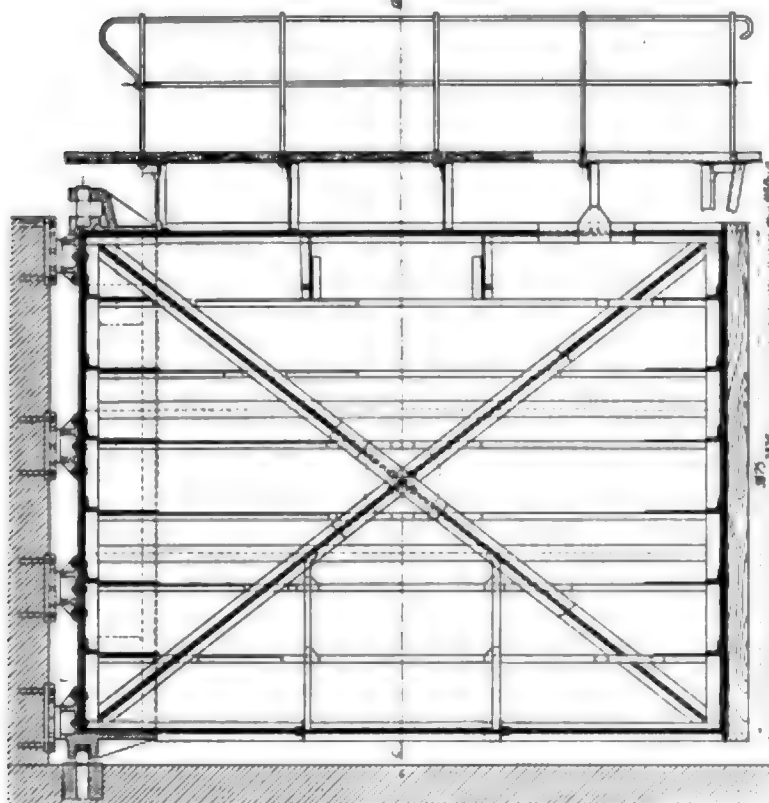


Fig. 16.



in den unteren Vorhafen (12) und ein aufwärts gehendes Schiff wieder in die Schleusenammer (13). Die weiteren Vorgänge sind: Schließen des Unterthores (14), der unteren Rollschützen (15), Öffnen der unteren Ventile (16), Abfluss des Wassers aus den unteren Becken in die Schleusenammer (17), Schließen der unteren Ventile (18), Öffnen der oberen Ventile (19), Abfluss des Wassers aus den oberen Becken in die Schleusenammer (20), Schließen der oberen Ventile (21), Öffnen der oberen Rollschützen (22), Ausspiegelung des Wassers zwischen oberer Haltung und Schleusenammer (23), Öffnen des Oberthores (24), Ausfahrt des Schiffes in die obere Haltung (25), Schließen der oberen Rollschützen (26).

Aus dieser Darstellung ergibt sich, dass bei Sparschleu-

sen mit 2 Sparbecken wesentlich mehr Vorrichtungen auszuführen sind als bei einer gewöhnlichen Schleuse, bei der die Vorrichtungen Nr. 3 bis 8 und 16 bis 21 fortfallen, und dass mithin bei den Sparschleusen auch für eine Schleusung mehr Zeit erforderlich ist. Die Sparschleusen müssen jedoch denselben Verkehr bewältigen wie die übrigen Schleusen. Um das zu erreichen, haben einerseits die Umläufe, Rollschützen und Cylinderventile entsprechende Abmessungen erhalten, andererseits ist für die Bewegung der Thore, Schützen und Ventile sowie zum Hereinziehen der Schiffe mechanischer Betrieb vorgesehen worden, wodurch die Zeiten für die einzelnen Vorrichtungen erheblich abgekürzt werden konnten.

Für den Betrieb der Sparschleusen war zunächst Druckwasser in Aussicht genommen worden, das bei Schleusen schon häufig vorteilhafte Verwendung gefunden hat. Die

Druckwasseranlagen leiden indessen an dem erheblichen Mangel, dass sie leicht einfrieren, und dadurch entstehen Betriebsstörungen und Beschädigungen der Maschinenanlagen. Der Zusatz von Glycerin zum Betriebswasser kann bei Schleusen nicht mit Vorteil ins Auge gefasst werden¹⁾. Zwischen der Aufstellung der Entwürfe und der Bauausführung war eine bedeutende Zeit verfloßen. Die Elektrotechnik hatte inzwischen so große Fortschritte gemacht, dass die Erwägung nahe lag, ob sich die Vorzüge des elektrischen Betriebes nicht auch bei den Sparschleusen ausnutzen ließen. Das Ergebnis solcher Erwägungen stand nicht ohne weiteres fest, weil bei dieser ersten elektrisch betriebenen Schleuse noch mancherlei Hindernisse, wie die Einflüsse der Feuchtigkeit, zu überwinden und neue Konstruktionen zu entwerfen und zu erproben waren.

Es war nicht zu bezweifeln, dass die Kosten einer elektrischen Anlage diejenigen einer hydraulischen übersteigen würden. Um einen sicheren Vergleich beider Betriebsarten in bezug auf die Herstellungs-, Betriebs- und Unterhaltungskosten sowie rücksichtlich der Betriebssicherheit anstellen zu können, forderte die Baubehörde einige namhafte Firmen zur Abgabe von Angeboten auf. Nach eingehender Prüfung wurde der Entwurf der Firma Eisenwerk (vorm. Nagel & Kaemp) in Hamburg-Uhlenhorst in Verbindung mit Siemens & Halske A.-G. in Berlin, bei dem Elektrizität als Betriebskraft angenommen war, zur Ausführung bestimmt.

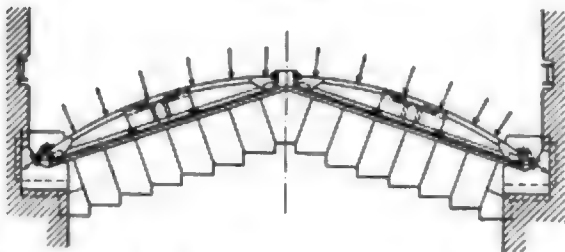
Bevor die elektrische Betriebseinrichtung beschrieben wird, wird es erforderlich sein, zunächst die zu bewegenden Thore, Schützen usw. darzustellen.

Fig. 12 bis 14 stellen einen Oberthorflügel, Fig. 15 bis 17 einen Unterthorflügel der Schleuse dar. Die nur einseitige Blechhaut bildet einen Teil eines Cylindermantels, Fig. 18, in dessen Verlängerung beim geschlossenen Thore die Berührungspunkte zwischen den Stützwinkeln und der Wendeskule liegen, sodass die Blechhaut als Gewölbe beansprucht wird und theoretisch den ganzen Wasserdruck aufnimmt. Die Aussteifungen könnten sich danach auf die Schlag- und die Wendeskule, den oberen und den unteren Querriegel und eine das Durchhängen verbindende Schräge beschränken. Die wirkliche Beanspruchung des Thores entspricht indessen nicht den theoretischen Erwägungen, die zu-

¹⁾ Vergl. Z. 1894 S. 1044.

nächst zu der Wahl dieser Form geführt und auch schon früher zu ähnlichen Ausführungen Veranlassung gegeben haben¹⁾. Wenn z. B. beim Schließen des Thores ein Gegen-

Fig. 18.



stand zwischen die Schlagstulen geklemmt wird, sind die Grundbedingungen für die Theorie nicht mehr vorhanden. Man muss deshalb alle Teile ganz erheblich stärker machen,

scheint deshalb vorteilhafter, die Cylinderform der Außenhaut beizubehalten, einzelne Querriegel indessen so stark zu machen, dass die Schrägen nicht mehr als Blechträger ausgebildet zu werden brauchen, sondern als Flacheisen, Winkel-eisen oder dergl. auf die Rückseite der Querriegel gelegt werden können. Dadurch wird die Herstellung erleichtert, während die übrigen Vorzüge der Anordnung beibehalten sind. Das geschlossene Thor legt sich mit den gussstählernen Stützwinkeln gegen die in die Wendennische eingelassenen, gleichfalls stählernen Stützplatten. Die Thorflügel werden gegen einander, gegen den Dremel und die Wendennische in der üblichen Weise durch Holzeinlagen abgedichtet. In die unteren Dichtungshölzer des Unterthores, die sich gegen den Dremel legen, sind versuchsweise Gummicylinder eingelegt worden, um die Wasserdichtigkeit zu erhöhen.¹⁾

Die Zapfenreibung eines solchen Thores ist verhältnismäßig gering. Die im Thorflügel sitzende gehärtete ebene Spurplatte aus Gussstahl dreht sich bei natürlicher Wasserschmierung leicht auf dem abgerundeten, gleichfalls gehär-

Fig. 19 bis 22. Rollschütze.

Fig. 19.

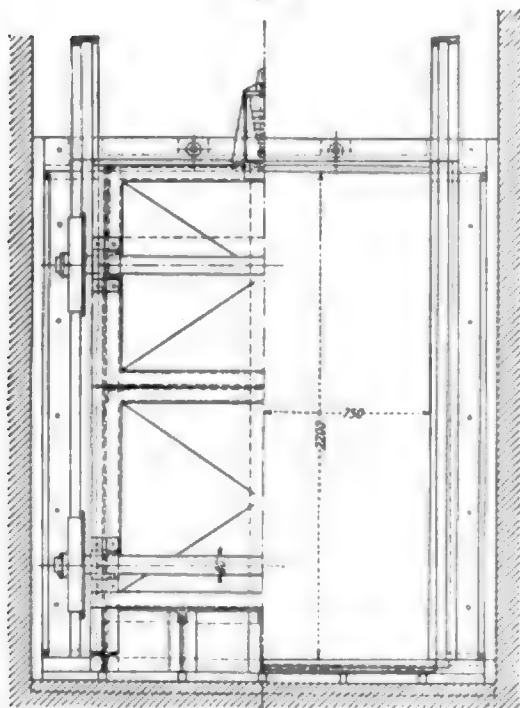


Fig. 20.

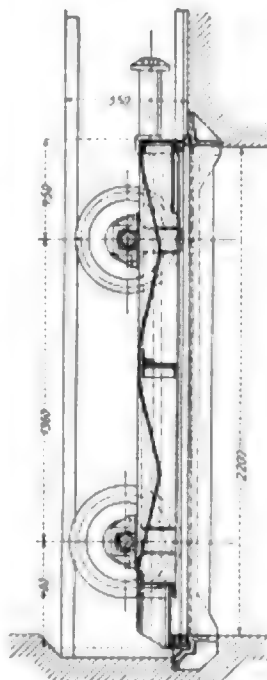


Fig. 21.

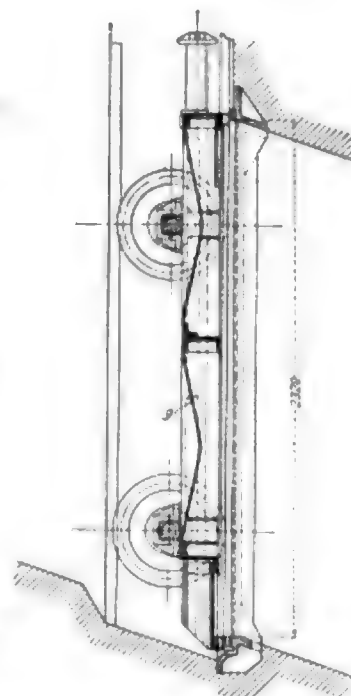
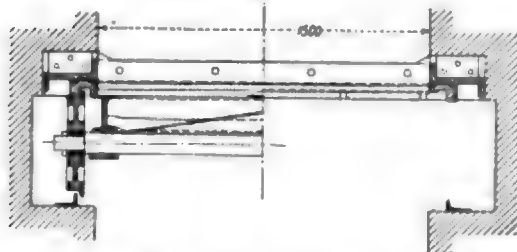


Fig. 22.



namentlich auch eine Anzahl kräftiger Querriegel und die zweite Schräge anordnen, wenn die Thore den Anforderungen des Betriebes genügen sollen, sodass eine nennenswerte Ersparnis an Material bei dieser Ausführungsart nicht vorhanden ist. Andererseits wird die Herstellung durch die als Blechträger ausgebildeten Schrägen sehr erschwert. Es er-

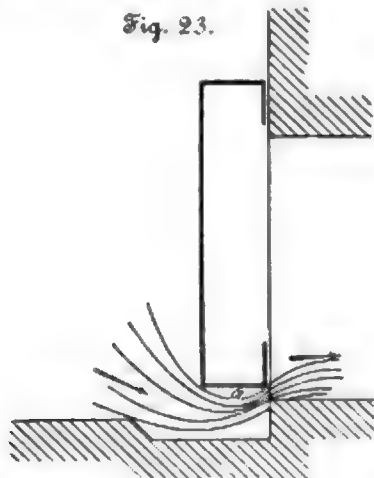
ten stählernen Spurzapfen. Das obere Halslager kann geschmiert werden. Ein verhältnismäßig schwacher Wind ist deshalb auch imstande, ein solches Schleusenthor zu bewegen. Widerstände können am Ende des Schließens und am Beginne des Öffnens eines Thores eintreten, wenn die Thorflügel nicht ganz genau passen und sich infolgedessen klemmen, oder wenn sich die Stützwinkel stark an den Stützplatten der Wendennische reiben.

Diese Widerstände entziehen sich vollständig der Rechnung. Auch die hydraulischen Widerstände, die von der Drehgeschwindigkeit abhängen und erheblich zunehmen, wenn das Thor in die Nische tritt, können rechnerisch nur annähernd ermittelt werden, ebenso der Einfluss des Windes. Bei der Ermittlung der Kraft, die zum Öffnen eines Schleusenthores erforderlich ist, bleibt indessen außerdem noch zu beachten, dass man zur Ersparung an Zeit beim Schließen die Thore öffnen können muss, bevor der Wasserstand auf beiden Seiten des Thores vollständig ausgeglichen ist.

Im Anfang erfolgt das Füllen oder Entleeren einer Schleuse sehr schnell, um allmählich mit dem Unterschiede des

¹⁾ v. Z. 1896 S. 1329.

Wasserstandes abzunehmen. Der Ausgleich der letzten Centimeter beansprucht verhältnismäßig die meiste Zeit. Deshalb bestimmt man die Bewegungsmaschinen von Schleusenthoren zweckmäßig derart, dass man vorschreibt, das Thor solle, wenn es sich nicht klemmt und kein Winddruck vorhanden ist, also unter gewöhnlichen Verhältnissen, bei einem bestimmten davor liegenden Stau geöffnet werden können. Bei den Sparschleusen ist für alle vier Thorflügel der gleiche Stau von 16 cm angenommen, entsprechend einem höchsten Widerstande eines Thorflügels von 4500 kg an der Zahnstange. Wenn die Ausspiegelung nahezu bis zu diesem Punkte gekommen ist, lässt man die Bewegungsmaschine an, die zu arbeiten beginnt, sobald die Ausspiegelung soweit gediehen ist, dass die Maschine die Gesamt Widerstände zu überwinden vermag. Das wird keineswegs immer bei demselben Wasserstandsunterschiede geschehen, vielmehr von Winde und den sonstigen oben angegebenen Widerständen abhängen. Auf diese Weise beansprucht eine Schleusung die geringste Zeit. Wenn man die Maschine so stark macht, wie hiernach erforderlich ist, wird sich das Thor immer noch vor der vollständigen Ausspiegelung öffnen. Die Maschine wird demnach meist nicht gleich anspringen, sondern so lange stehen bleiben, bis die der Bewegung des Thores entgegen stehenden Widerstände soweit gesunken sind, dass sie überwunden werden können. Bei hydraulischem Betriebe ist das sehr einfach und ohne besondere Vorkehrungen möglich; beim elektrischen Betriebe sind dafür geeignete Einrichtungen zu treffen, die unten näher beschrieben werden sollen.



Die früher erwähnten Umlaufkanäle sind gegen das Ober- und das Unterwasser durch Rollschützen von besonderer Art, Fig. 19 bis 22, abgeschlossen, wie sie mit geringen Abweichungen in den Einzelheiten nach längeren Versuchen bei allen Schleusen des Dortmund-Ems-Kanales ausgeführt worden sind.

Erfahrungsmäßig geht durch die Undichtigkeiten der Schleusenverschlüsse eine erhebliche Menge Wasser verloren. Diese Verluste sind besonders bei Kanälen in wasserarmen Gegenden, wie sie in neuerer Zeit immer mehr gebaut werden, sehr empfindlich und kostspielig und müssen deshalb auf ein möglichst geringes Maß herabgesetzt werden. Außerdem kommt es darauf an, die freie Durchflussöffnung möglichst groß zu erhalten, um die Zeit für die Ausspiegelung des Wassers abzukürzen. Diese letzte Bedingung wird am besten durch Schützen erfüllt. Während man bei den alten Schleusen mit geringem Gefälle die verhältnismäßig kleinen Schützen mit ihrem Holzrahmen einfach auf dem am Mauerwerk befestigten gleichfalls hölzernen Anschlagrahmen gleiten ließen, war dies hier nicht mehr angängig, weil einerseits bei den großen Schützen und dem hohen Gefälle die gleitende Reibung von Holz auf Holz mit Wasser zu groß wird, und andererseits die hölzernen Dichtungsrahmen durch Körper, die infolge des hohen Gefalles mit großer Geschwindigkeit mitgerissen sind, beschädigt werden, sodass die erforderliche Dichtigkeit bald nicht mehr vorhanden ist. Aus diesem Grunde

wurden am Dortmund-Ems-Kanal die Schützen zur Verminderung des Reibungswiderstandes mit Rollen versehen, die Mauerwerksrahmen aus Gusseisen, die Schützentaafeln aus Flusseisen und die beiderseitigen Dichtungsleisten aus Stahl und abnehmbar hergestellt. Weiter ist die Schützenform mit Rücksicht auf die hydraulischen und hydrostatischen Verhältnisse bestimmt. Hat die Schütze z. B. unten einen breiten Querriegel, so schießt das Wasser, nachdem sie ein wenig angehoben ist, in der in Fig. 23 angedeuteten Weise durch die entstandene schmale Öffnung, wodurch bei a eine Druckverminderung entsteht, das Wasser also saugend wirkt und die Schütze nach unten zieht.

Bei den Rollschützen reichen die beiden senkrechten, aus C-Eisen mit angenieteten Winkeln bestehenden, durch drei Querriegel verbundenen Längsträger bis zur unteren Schützenkante. Der untere Querriegel liegt, um Saugwirkung des Wassers zu vermeiden, etwas oberhalb. An diesen schließen sich nach unten drei aus kräftigen L-Eisen gebildete Konsolen, welche das unten mit einem Flacheisen bestümmte Deckblech tragen. Zwischen den Querriegeln wird die Schützentaafel aus

Fig. 24.

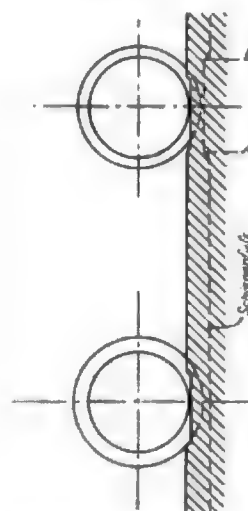
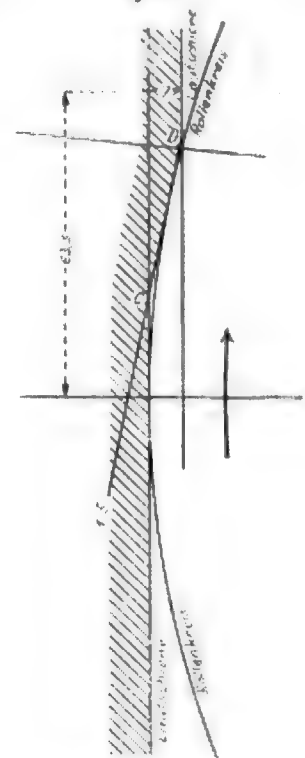


Fig. 25.



Buckelplatten gebildet. Die gussstählernen Achsen werden von Flusseisenbügeln gefasst, die mit den Längsträgern des Rahmens verschraubt sind. Der Steg der Längsträger ist an diesen Stellen durch C-Eisen verstärkt. Die auf den Achsen drehbaren gussstählernen Scheibenräder sind mit Rotgussbüchsen versehen. Der Raddurchmesser ist nicht bei allen Schleusen gleich; er beträgt bei der Schleuse bei Münster 430 mm, während die Flansche der unteren Räder 505 mm, die der oberen 480 mm Dmr. haben. Die Dichtungsleisten bestehen aus hartem, gewalztem Gusstahl, sind an der Gleitfläche gehobelt und geschliffen und mit der Schütze vernietet.

Die Anschlagfläche für die Schütze am Mauerwerk bildet ein gusseiserner Rahmen, dessen vier einzeln hergestellte Seiten so mit einander verschraubt sind, dass sie sich nicht gegen einander verschieben können. Der Rahmen ist durch Steinschrauben von 30 mm Dmr. und 750 mm Gesamtlänge mit dem Mauerwerk verbunden. Wie bei der Schütze werden auch am Anschlagrahmen die Dichtungsflächen aus abnehmbaren Gusstahlleisten gebildet, die in den Ecken in geeigneter Weise über einander greifen und verbunden sind. Die Laufschienen für die Rollen sind mit den senkrechten Dichtungsleisten in einem Stück hergestellt. In der tiefsten Stellung der Schütze weichen die Laufschienen mit der Steigung 1:5 um 7 mm zurück, Fig. 24 und 26. Das

Fig. 25.

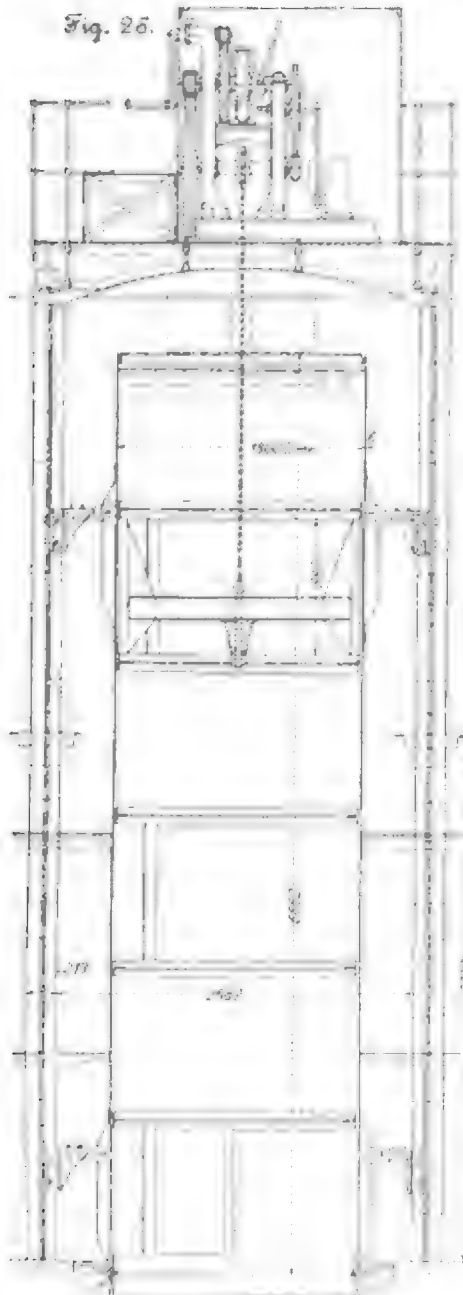


Fig. 26 bis 32.
Cylinderschlösser.

Fig. 30.

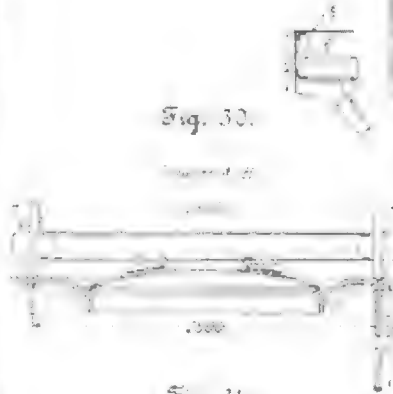


Fig. 31.

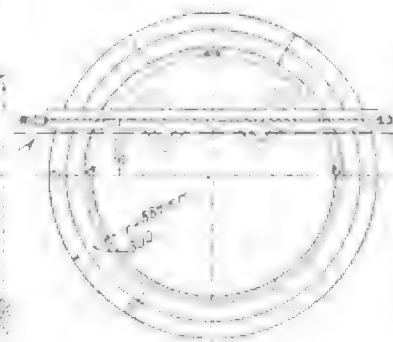


Fig. 32.



Fig. 23.

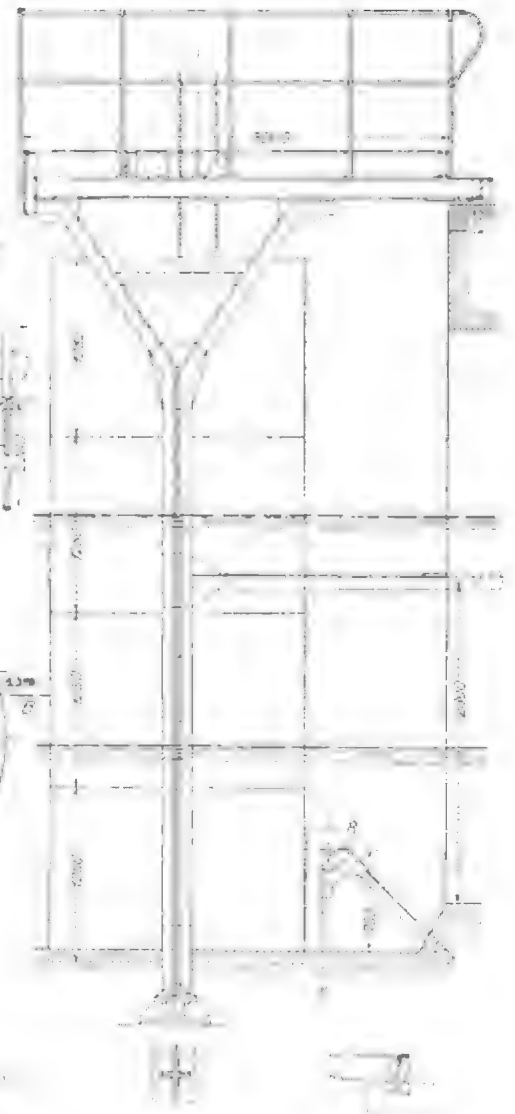


Fig. 27.

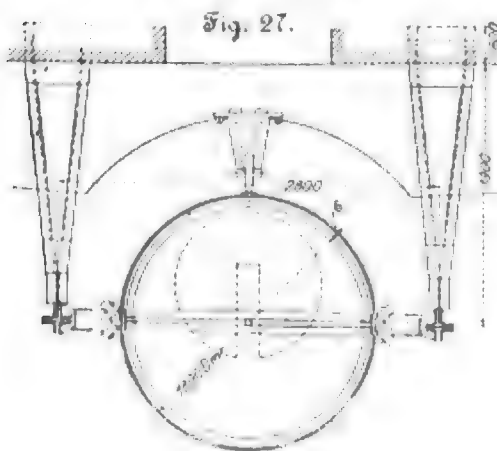
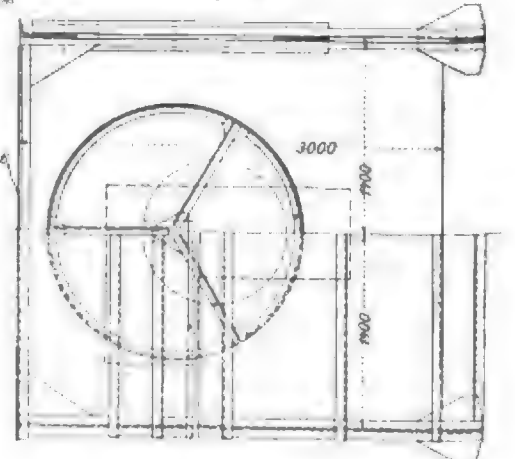


Fig. 2.



untere Rad stützt sich, während es über die obere Aussparung hinweggeht, mit seinem Flansch auf der Strecke *AB* auf den dort erhöhten Schienenfuß, sodass die sichere Führung der Räder überall gewahrt bleibt.

Sobald sich die Schütze beim Öffnen in der Pfeilrichtung bewegt, rollen die Räder die kleine Schräge *CD* hinauf und heben die Schütze ab. Die gleitende Reibung geht dadurch in rollende über. Umgekehrt rollt die Schütze beim Schließen zunächst und legt sich erst am Ende des Hubes, indem sie auf *CD*, Fig. 25, hinabrollt, gegen die Dichtungsleisten. Diese sind so angeordnet, dass die zur Befestigung verwendeten Rotgusschrauben nicht auf Abscheren beansprucht werden. In ihrer tiefsten Lage stützt sich die Schütze auf angegossene Knaggen des Anschlagrahmens. Sie hängt an einer starken, auf dem Kettenrade der Winde liegenden Gallschen Kette und ist durch ein Gegengewicht abgelastet. Der Kettenzug wird durch eine an der Schütze sitzende Bufferfeder elastisch gemacht.

Die Lage des Schützenschwerpunktes zur Mitte der Zugkette ist so gewählt, dass die Schütze das Bestreben hat, sich auch beim Niederlassen ohne Wasserdruck mit den unteren Rädern stets auf die Laufschienen zu stützen, sodass sie in der tiefsten Stellung sofort mit der unteren Kante am Anschlagrahmen liegt und nicht erst in gleitendem Zustande durch den Wasserdruck angepresst zu werden braucht. Die Dichtungsfläche ist nur 30 mm breit. Die gussstählernen Dichtungsleisten sind 30 mm stark und 50 mm breit gemacht, damit sie sich nicht verziehen und durch die Befestigungsniete nicht zu sehr geschwächt werden. Die Dichtungsleisten am Anschlagrahmen sind mehr der Abnutzung und Beschädigung unterworfen; sie müssen daher ausgewechselt werden können, ohne den mit dem Mauerwerk fest verbundenen Rahmen loszumachen. Die Dichtungsleisten sind demzufolge gesondert hergestellt, und zwar wie beim Schütz aus hartem gewalztem Gussstahl, welcher an den erforderlichen Stellen bearbeitet wird.

Die Führungsschienen für die Räder auf der Rückseite der Schütze bestehen aus Winkelleisen. Beim Öffnen der Schütze ist, wie oben angegeben, zunächst gleitende Reibung zwischen den gussstählernen Dichtungsleisten vorhanden, die in rollende Reibung übergeht, sobald die Räder die Schütze abgehoben haben.

Es wurde bei der vorhandenen Wasserschmierung ein Beiwert (Koeffizient) der gleitenden Reibung zwischen den stählernen Dichtungsleisten von 0,25 erwartet, der sich auch tatsächlich ergeben hat. Der Berechnung der Winden wurde indessen zur Sicherheit ein Reibungsbeiwert von 0,31 zugrunde gelegt. Der Schütz Antrieb ist so gewählt, dass er

bei allen Schützen in der Kette einen Zug von 3850 kg erzeugen kann.

Während die die Umläufe gegen das Ober- und das Unterwasser abschließenden Rollschützen nur durch einseitigen Wasserdruck beansprucht werden, ist bei den Abschlüssen der Sparbecken bald auf der einen, bald auf der andern Seite Ueberdruck vorhanden. Hier sind deshalb Cylinderventile nach Fig. 26 bis 29 angewendet. Diese Ventile bestehen aus einem schmiedeisernen, bis über den höchsten Wasserstand reichenden Cylinder und setzen sich mit ihrem unteren, mit einem J-Eisen bestimmten Rande auf den gusseisernen, im Verbindungsschacht eingemauerten kegelförmigen Ventilsitz. Das Wasser steht bald im Innern, bald außerhalb des Ventiles höher. Ein solches Abschlussventil ist stets entlastet und lässt sich deshalb trotz der großen Ventilöffnung leicht bewegen. Das Ventil befindet sich in einem eisernen Gerüst, das oben eine Plattform für die Aufnahme der Winde trägt. Geführt wird es mittels L-Eisen zwischen 4 Rollenpaaren. Eine weitere Rolle *R*, Fig. 28, stützt es am unteren Teile gegen den durch die Wirbelungen des Wasser entstehenden Seitendruck. Der Ventilhub beträgt 500 mm; das Gewicht von rd. 3000 kg ist wie bei den Rollschützen durch ein Gegengewicht ausgeglichen.

Wenn ein Ventil oder ein Sparbecken längere Zeit außer Betrieb gesetzt werden soll, so kann man die Öffnung durch einen in Fig. 30 bis 32 dargestellten Deckel verschließen.

Sehr viel Zeit geht beim Schleusen durch das Hinein- und Herausfahren der Schiffe verloren. Bei den Sparschleusen musste man darauf bedacht sein, diese Zeitverluste möglichst abzukürzen, damit sie in ihrer Leistungsfähigkeit nicht hinter den einfachen Schleusen des Kanals zurückbleiben. Wegen des hier eingerichteten mechanischen Betriebes ist das leicht durchführbar. Es sind zu dem Zwecke zwei elektrisch betriebene Spille, je eines am Ober- und am Unterhaupt, und zwar das erstere auf der rechten, das letztere auf der linken Schleusenseite aufgestellt worden, mittels deren die Fahrzeuge leichter bewegt werden können. Die Spille haben zwei Trommeln von verschiedenem Durchmesser und sind imstande, eine Zugkraft von 300 kg bei 0,8 m Geschwindigkeit oder von 600 kg bei 0,3 m zu entwickeln.

Zur elektrischen Beleuchtung der Schleuse für den Nachtbetrieb sind 4 Bogenlampen vorgesehen; das Maschinenhaus wird mit Glühlampen beleuchtet.

Die elektrischen Anlagen waren demnach einzurichten für

- 4 Schleusenthorflügel,
- 4 Rollschützen,
- 4 Cylinderventile,
- 2 Spille und
- die Schleusenbeleuchtung.

(Schluss folgt.)

Der Aufbau und die planmäßige Herstellung der Drehstrom-Dynamomaschine.

Von O. Lasche, Berlin.

(Schluss von S. 981)

4) Die Größe und Anordnung der Schwungmassen.

Als eine der Hauptbedingung für die geforderte Vielseitigkeit der Modelle war oben die verschiedene Größe der Schwungmassen genannt. Das Einbauen dieser Schwunggewichte in die Dynamo selbst zur Vermeidung besonderer Schwungräder bedingte die Einführung verschiedener Durchmesser der Induktoren bei derselben Umlaufzahl, d. h. verschiedene zumteil recht hohe Umfangsgeschwindigkeiten.

Für die erforderlichen Schwungmassen bieten die Tangentialdruckdiagramme, Fig. 35, die Unterlagen. Sie zeigen, welche Arbeiten periodisch von dem Schwungrad aufgenommen und wieder abgegeben werden. Obenan steht hier mit seinen hohen Forderungen der Viertakt-Gasmotor mit einem Cylinder, dessen einer Arbeitshub je für 2 Umdr. Arbeit zu liefern hat. Erheblich günstiger liegen die Verhältnisse bei Verbindung von zwei solchen Cylindern zu einer Ein-

heit, beim Zweicylindermotor, wo die Arbeitshübe nach 360° auf einander folgen. Fig. 36 zeigt eine Deutzer Ausführung nach dieser Konstruktion. Fig. 37 giebt eine weitere Vereinigung von 2 solchen Sätzen, sodass die Arbeitshübe einander hier unter 180° folgen. Die Schwungmassen sind jetzt bereits leicht zu beherrschen, zumal die Umlaufzahl der Deutzer Motoren hoch liegt, was bekanntlich die Größe der Schwungmasse in der dritten Potenz beeinflusst.

In Fig. 39 ist ein Gasmotor der Vereinigten Maschinenfabrik Augsburg und Maschinenbaugesellschaft Nürnberg dargestellt; zwei dieser Motoren werden zurzeit in der Hütte Phönix aufgestellt. Die Arbeitshübe der beiden hinter einander liegenden Cylinder folgen einander unter 360°, die Kurbeln stehen unter 180°, und dementsprechend folgen die Explosionen einander unter 180°.

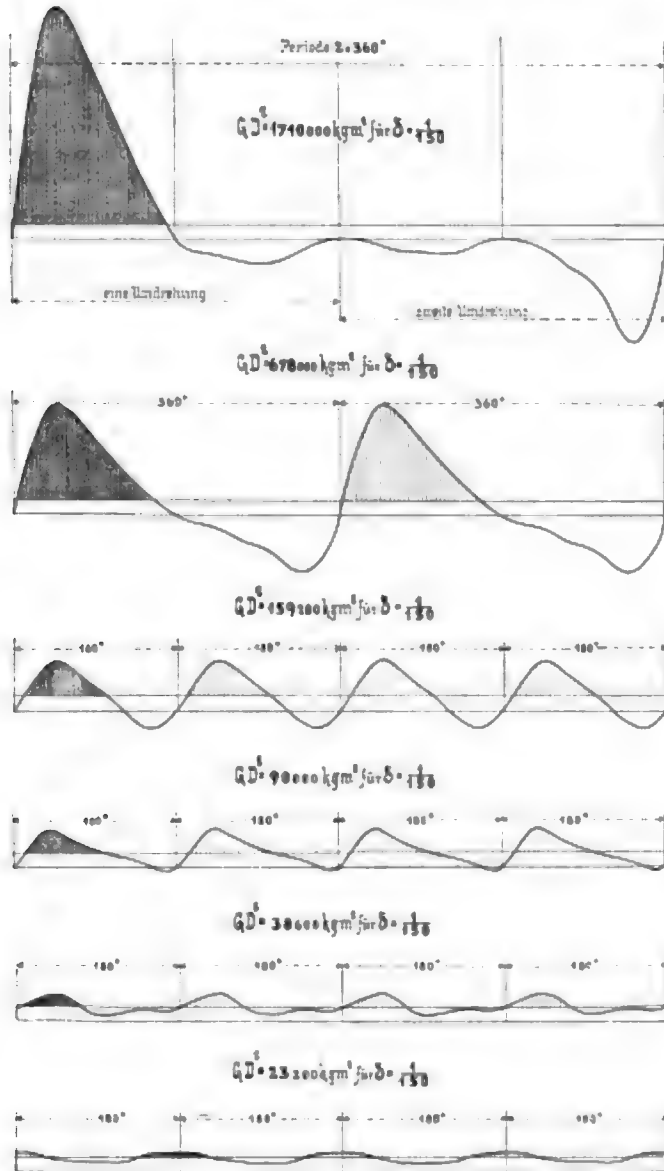
Bei dem doppelwirkenden Zweitaktmotor von Körting,

Fig. 38, sind die Kurbeln der beiden Maschinenseiten unter 90° gekuppelt. Es liegt hier also die gleiche Folge der Arbeitshübe wie bei der üblichen Zweikurbel-Dampfmaschine vor. Die Gaszylinder arbeiten mit jeder der beiden Kolben-seiten im Zweitakt, indem während des dem Arbeitshube folgenden Rückganges sowohl die Verbrennungsgase austreten

als auch neues Gemisch angesaugt und komprimiert wird. Die Arbeit, welche das Schwungrad aufnehmen und leisten muss, ist trotz der Perioden von 90° allerdings noch erheblich größer als bei der Zweikurbel-Dampfmaschine, da die Kolbenkraft innerhalb des einzelnen Diagrammes größere Verschiedenheit aufweist. Bei allen diesen Ausführungen

Fig. 35.

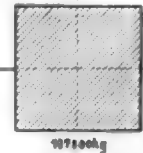
Tangentialdruckdiagramme für 600 PS Einheiten bei 150 Umdrehungen pro Minute.



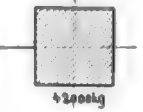
Ausführung als:

für $\delta = \frac{1}{150}$ sind
Schwungradmassen erforderlich
 GD^2 .statistische
Schwungradmassen
für $\delta = \frac{1}{150}$ Faktor c für
die Formel

Einzelzylinder (links)

 1710000 kgm^2  $c = 0.6$

Zweizylinder (links)

 678000 kgm^2  $c = 0.35$

Dampfzylinder (links)

 1591000 kgm^2  $c = 0.6$

Einzelzylinder (rechts)

 900000 kgm^2  $c = 0.35$

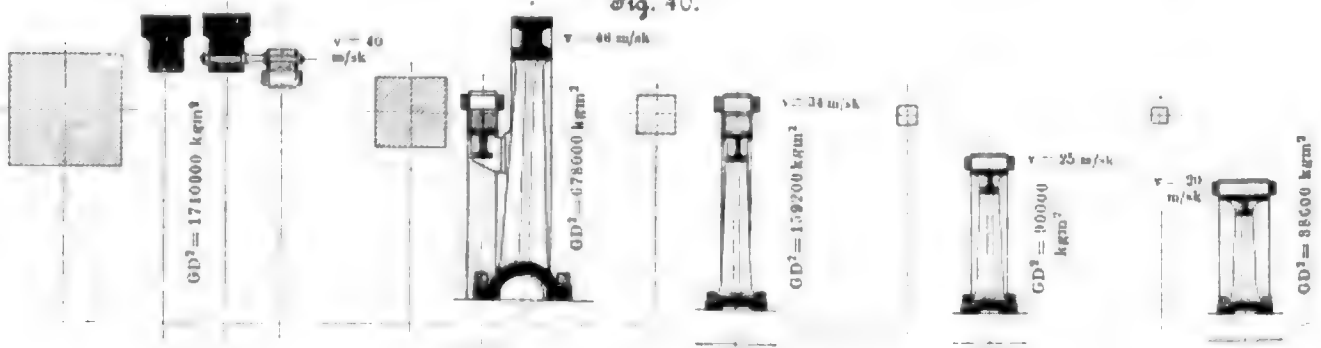
Zweizylinder (rechts)

 386000 kgm^2  $c = 0.35$

Dampfzylinder (rechts)

 232000 kgm^2  $c = 0.35$

Fig. 40.



war es möglich, Zusatzschwungräder zu vermeiden und die gesamte Schwungmasse in den Induktor selbst zu legen. Auf die durch diese Anordnung gebotenen Vorteile sowie auf die durch höhere Umfangsgeschwindigkeiten bedingten eigenartigen Konstruktion soll später eingegangen werden.

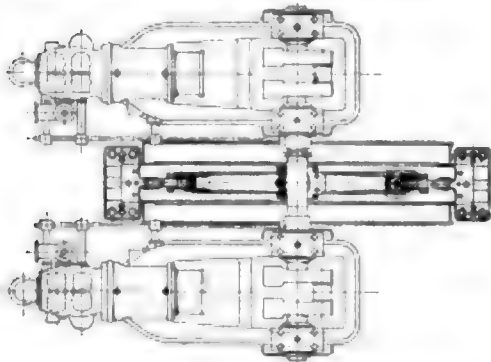
Unter Berücksichtigung der Flächen für die Arbeitsgrößen, Fig. 35, welche das Schwungrad aufzunehmen hat, ergibt sich folgender Ausdruck für die zur Erzielung eines gewünschten Gleichförmigkeitsgrades erforderlichen Schwungmassen:

$$\text{Arbeit pro Periode von } \gamma \text{ Umläufen} = A_2 = \frac{60 \cdot 75 N \gamma}{\gamma},$$

$$\text{Arbeitsüberschuss } A_1 = M v^2 \delta = \frac{G}{g} v^2 \delta = \frac{G D^2 \pi^2 n^2 \delta}{g 60^2},$$

$$\frac{A_1}{A_2} = \alpha \text{ oder } A_1 = \alpha A_2,$$

Fig. 36. Gasdynamo der Gasmotoren-Fabrik
Deutz. 300 KW; 150 Uml./min.



$$\frac{G D^2 \pi^2 n^2 \delta}{g 60^2} = \frac{60 \cdot 75 N \gamma}{\gamma},$$

$$G D^2 = \frac{60 \cdot 75 \cdot 60^2 \cdot 9,81}{\pi^2 n^2 \delta} N \gamma = \frac{10^6 \cdot 16,2 N \gamma}{n^2 \delta},$$

oder, wenn

$$16,2 \alpha \gamma = c:$$

$$G D^2 = \frac{1000000 c N}{\delta n^2} \text{ in kgm}^2 \quad (1),$$

$$G D^2 = \frac{1000 c N}{\delta n^2} \text{ in tm}^2 \quad (2).$$

Die Konstante c ergibt sich für eine bestimmte Maschine als Mittelwert der einzelnen Cylinderdiagramme, s. Fig. 35.

Fig. 40 zeigt in den quadratischen Flächen die Schwungmassen für gleiche Umlaufzahl und gleiche Leistung bei gleicher Schwerpunktschwindigkeit in geometrischer Form.

Fig. 37. Gasdynamo der Gasmotoren-Fabrik
Deutz. 600 KW; 150 Uml./min.

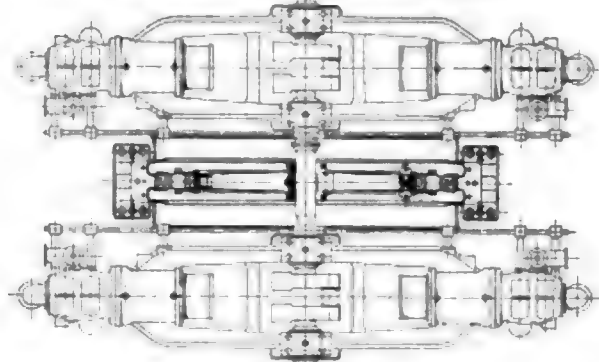


Fig. 38.

Gasdynamo der Vereinigten Maschinenfabrik Augsburg
und Maschinenbaugesellschaft Nürnberg. 750 KW; 150 Uml./min.

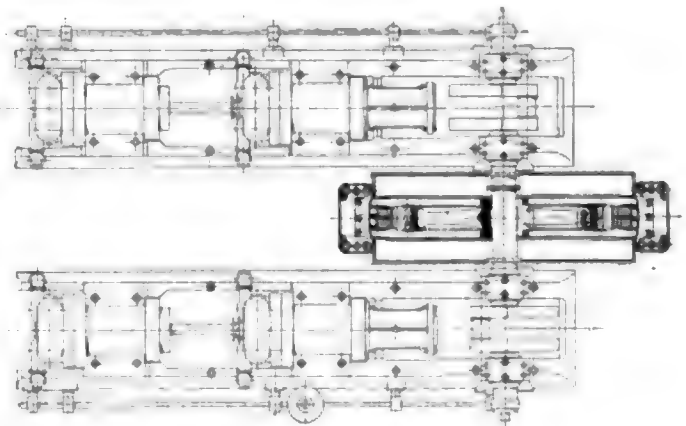


Fig. 42.

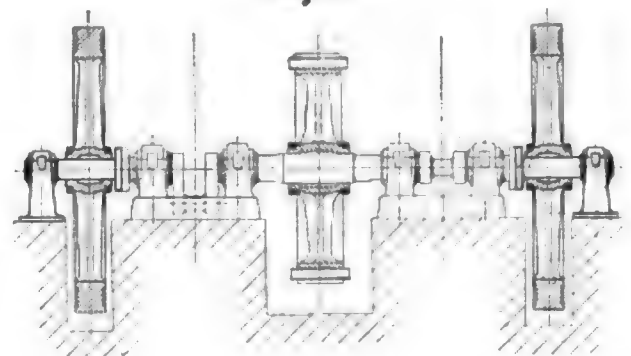


Fig. 38. Gasdynamo von Gebr. Körting.
800 KW; 94 Uml./min.

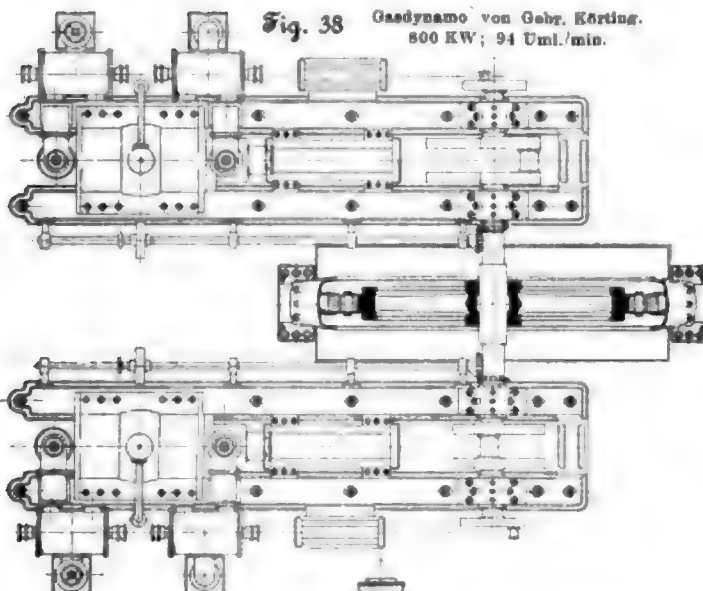
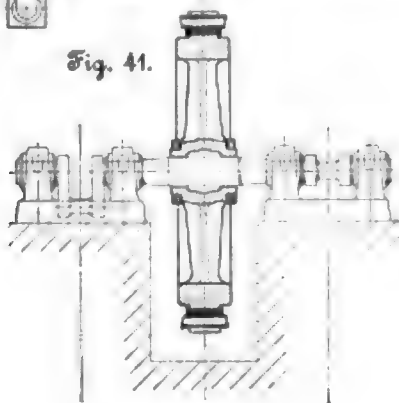


Fig. 41.



Die Skizzen daneben deuten an, wie der Konstrukteur diese mathematischen Größen umsetzen muss, um Schwungräder und Induktoren wirtschaftlicher Bauart zu erhalten. Es ergeben sich verschiedene Durchmesser je nach Wahl der für die Schwungmassen zweckmäßigsten Umfangsgeschwindigkeit. Auf die Konstruktion der Räder und auf die zulässigen Umfangsgeschwindigkeiten sei später eingegangen.

Der Gleichförmigkeitsgrad gilt für die arbeitende Masse im Schwerpunktkreise des Schwungranzes, und es ist somit am natürlichsten, diesen Kranz, d. h. den Induktor selbst, als Schwungrad und thunlichst als einziges Schwungrad (Anordnung Fig. 41) auszubilden. Fig. 42 zeigt eine Anordnung, bei der allerdings die normale Dynamo Verwendung fand, aber die geforderten Schwungmassen in besondere Schwung-

Diese Grenze ergab sich aus der Erfahrung und rechnerisch unter der Annahme, dass keine höhere Beanspruchung als 100 kg/qcm zuzulassen sei. Diese Grenze muss einmal wegen der Materialfestigkeit auch in gesunden Stücken eingehalten werden, andererseits wegen der nie mit Sicherheit zu vermeidenden Gusspannungen, und schließlich wegen der Unmöglichkeit, die durch die Zentrifugalkraft und Umfangskraft verursachten Beanspruchungen im Material rechnerisch zu verfolgen.

Noch ungünstiger werden die Verhältnisse bei den Induktoren, weil hier der Kranz nicht nur durch die Zentrifugalkraft des Eigengewichtes beansprucht wird, sondern zu dieser Beanspruchung noch eine weitere Belastung des gesunden Kranzquerschnittes und der Teilfugen durch die Zen-

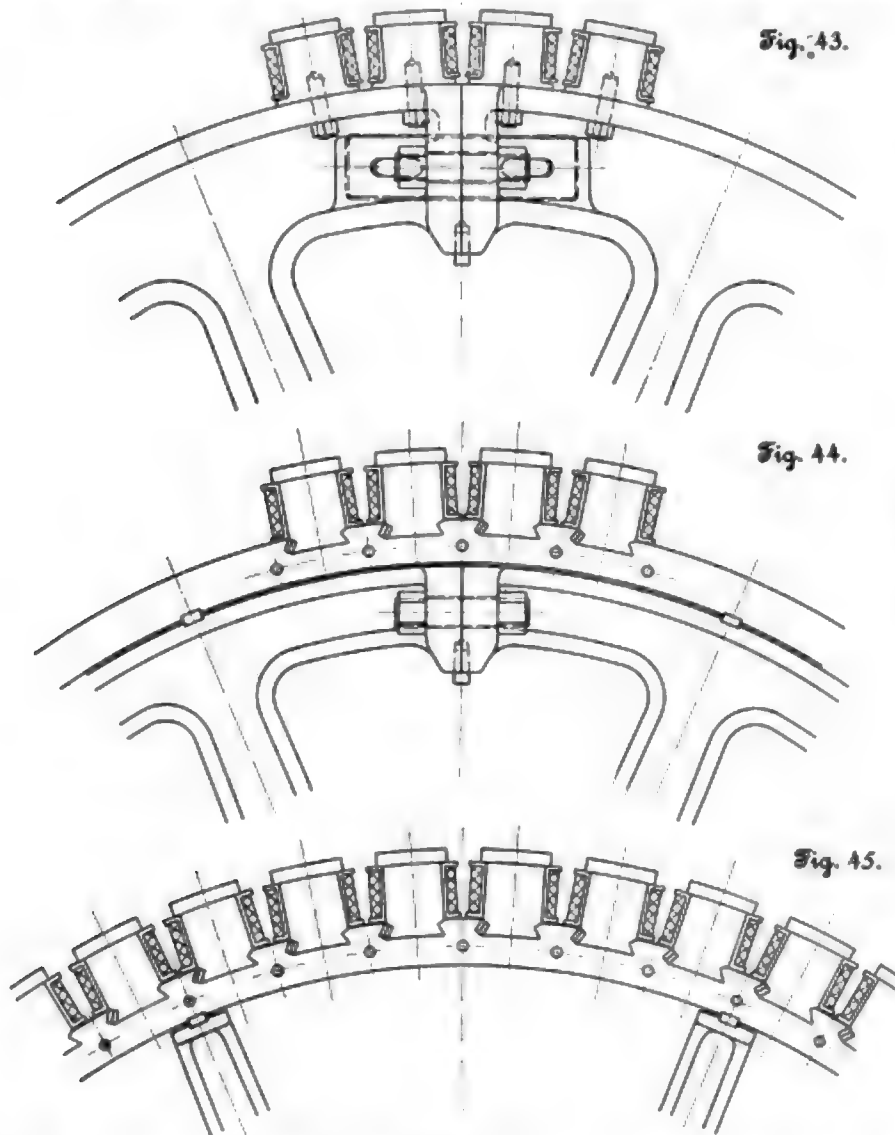
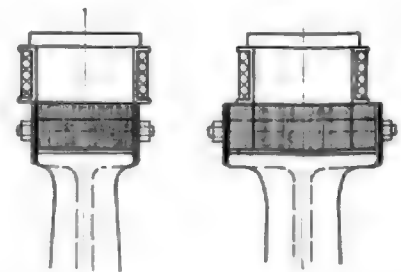
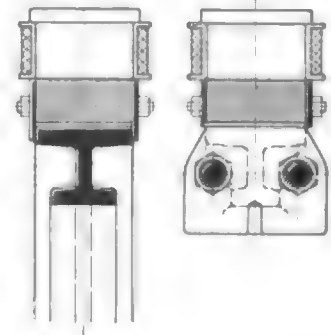
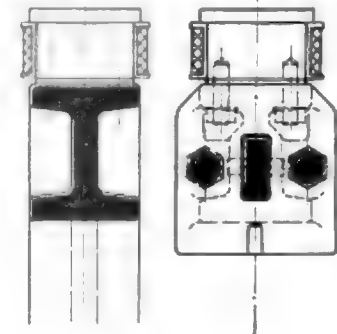


Fig. 43.

Fig. 44.

Fig. 45.



räder gelegt sind, die wiederum Wellenenden und Lagerböcke verlangten. Jenem Bestreben stand zunächst der Wunsch nach einer Normalform der Dynamomaschine entgegen; es ist das aber ein Wunsch, der nie in Erfüllung gehen kann. Man fand sich aber auch zunächst an der Grenze der zulässigen Lagerbelastung und der Wellenbeanspruchung und -durchbiegung.

5) Der Induktor für hohe Geschwindigkeit.

Die Forderung großer Schwungmassen und kleiner Gewichte bei Tandem-Dampfmaschinen und Gasmotoren bedingte eine Vermehrung der Umfangsgeschwindigkeiten. Es war im Maschinenbau üblich, die Umfangsgeschwindigkeit von Schwungrädern aus Gussisen nicht über 30 m zu steigern.

trifugalkraft der Polhörner und Erregerspulen hinzutritt; s. Fig. 43. Durch geeignete Wahl des Kranzquerschnittes in I-Form und durch vorsichtige Uebergänge der Arm- und Kranzquerschnitte lassen sich noch gut zulässige Beanspruchungen (bis etwa 25 m Umfangsgeschwindigkeit) erreichen. Höhere Geschwindigkeiten sind bei dieser Konstruktion kaum zulässig; die Unmöglichkeit, genau zu rechnen, bedingt ein vorsichtiges und falsches Bemessen: ein Querschnitt fällt überkräftig aus, der andere ist zu schwach. Die anzustrebende gleiche Beanspruchung, die stete Dehnung in allen Konstruktionsteilen, ist nicht zu erzielen.

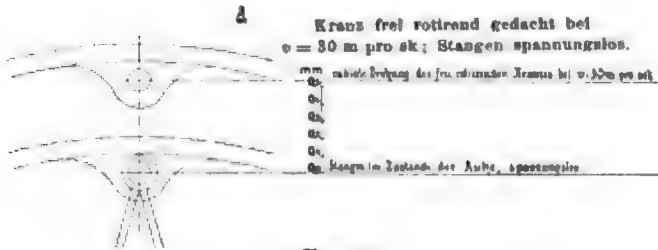
Diese Erwägungen waren für die Konstruktionen, Fig. 44 und 45, maßgebend, welche die Geschwindigkeiten mit Sicherheit bis hinauf zu der durch die Wirtschaftlichkeit



würde er sich bei dieser vollen Geschwindigkeit um rd. 0,5 mm radial ausdehnen, d. h. es würde, rechnerisch gesprochen, zwischen dem Gelenkmittelpunkt der Stange und dem gleichen Mittelpunkt des Kranzes ein Abstand von rd. 0,5 mm entstehen wollen. Mit andern Worten: denkt man sich zwecks Durchführung der Rechnung das Gelenk zunächst gelöst, so würde der Gelenkmittelpunkt des Kranzes von dem Mittel des Stangenendes um 0,5 mm absteilen.

Um nun den Kranz wieder mit den Stangen zu verbinden, müssen einerseits auf den Kranz von außen her an den

Fig. 50.



großer Durchmesser für die Schwungmassen, führt zuweilen, bei sehr hohem GD^2 zu einer Trennung, d. h. es wird ein Schwungrad getrennt neben den Induktor gesetzt, oder aber es wird bei verhältnismäßig kleinen Leistungen ein Induktor von kleinem Durchmesser seitlich an ein Schwungrad mit der größten zulässigen Umfangsgeschwindigkeit geschraubt. Fig. 55 stellt einen solchen seitlich gegen die Speichen des Schwungrades gesetzten Induktorkranz dar. Fig. 56 zeigt die erwähnte Blechkette seitlich neben dem Schwungrade, mit dem sie durch lange Bolzen verbunden ist. Diese Bolzen sollen dem Blechkranz gestatten, sich unabhängig von dem Gusskranz auszudehnen, obschon die Blechkette durch ihre eigene Zentrifugalkraft einschließlich Gewicht der Polhörner und Spulen um nahezu ebensoviel gedehnt wird, also ihr Durchmesser gleichviel wächst, wie sich der Gusskranz durch sein Eigengewicht vergrößert.

Fig. 55.

Fig. 56.

Schwungrad mit Induktor,

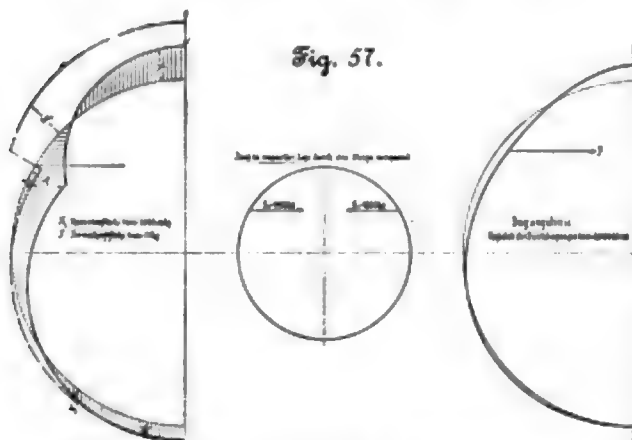
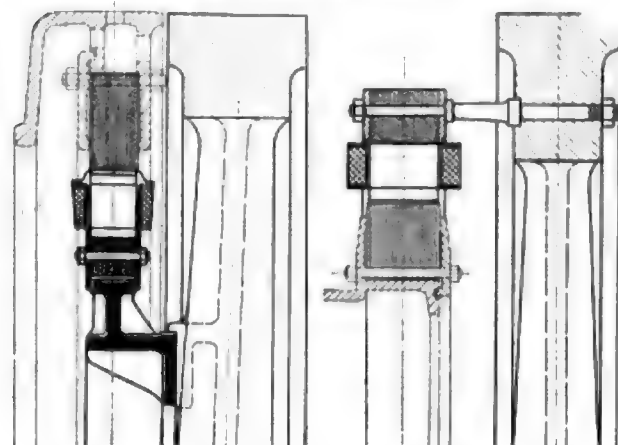


Fig. 57.

c) Die Theorie des Spannwerkes.

In den ersten Kapiteln war der Uebergang vom freistehenden Gusseisengehäuse und dem elastischen durch Hilfskonstruktionen versteiften Gehäuse zu dem Spannwerk entwickelt; im Folgenden sei noch eine kurze theoretische Betrachtung über dieses Spannwerk angefügt.

Eine annähernde Untersuchung der Durchbiegungen und der Kräfte beim Spannwerk schien erwünscht, um die sich ergebenden Formveränderungen denen gegenüberzustellen, die bei einem als steif konstruierten Gusseisengehäuse bestehen. Die wirtschaftliche Frage lautet: Welche Gewichte sind aufzuwenden, um einen gegebenen Armaturring genügend steif zu machen, einmal bei einem Spannwerk und zum andern bei einem ebenso oder wenigstens doch genügend steifen gusseisernen Gehäuse?

Zunächst sei ermittelt, um wieviel der aus einzelnen Segmenten zusammengesetzte und durch viele Schrauben verbolzte Blechring in seinen elastischen Eigenschaften von

einem schmiedeisernen Ringen vollen Querschnittes abweicht. Hierzu wurden die elastischen Deformationen eines massiven Ringes rochnerisch aufgrund von Beanspruchungen festgelegt, wie sie der aufgestellte Armaturring erfährt. Die größte Stangenkraft war an einem Spannwerk von 4500 mm Dmr. bei Dreieckverspannung zu 2×4000 kg ermittelt worden. Mit dieser Kraft wurde ein wagerecht aufgelagerter Blechring an den entsprechenden Stellen angefasst und eingebogen; bei dieser Lage war der Ring also gewichtlos, es wirkte lediglich die Zugkraft der Stange als äußere und das Widerstandsmoment des Blechringes als innere Kraft. Die Prüfung ergab eine Verkleinerung des Durchmessers um 5 mm, während nach der Rechnung die Verkleinerung des massiven schmiedeisernen Ringes 3 bis 4 mm betrug. Dass Verhalten eines Blechringes ist also nicht gar so verschieden von dem eines massiven Ringes.

Für einen wagerechten Ring liegt es am nächsten, die Verspannung durch den Angriff möglichst vieler gleich großer radial gerichteter, gleichmäßig auf den Umfang verteilter Kräfte zu erzielen. Dadurch werden nur geringe, gleichmäßig über den Umfang verteilte Einbiegungen hervorgerufen. Es war dieses das Prinzip des Spannwerkes nach Fig. 1 und 33 usw. Das Ganze kam unter Spannung, und die beim Aufrichten eintretenden Gewichtskräfte konnten nur kleine Formveränderungen bringen, welche durch entsprechendes Festlegen einiger Gelenkpunkte berichtigt werden konnten.

Fig. 57 zeigt die Momenten- und Normalkraftflächen für den wagerecht freiliegenden Ring, belastet durch eine der Stangen des Dreiecksystems. Die Deformationen sind von dem als festgehalten angenommenen Punkte D aus aufgetragen. Der Eisenring wird zu einem eiförmigen Körper verbogen, und zwar liegt die Spitze dem Punkte D gegenüber. Von diesem ausgehend erfährt der Kreis bei einem Winkel von etwa 30° eine Ausbiegung, die bei etwa 80° in eine Einbiegung übergeht und allmählich im Punkte C wieder um stark ausbiegt.

Fig. 58 zeigt den aufgestellten Ring zunächst unter der Annahme, dass er an zwei Gelenkpunkten in der wagerechten Mittellinie aufgehängt sei. Durch das Auftreten der Gewichtswirkung biegt sich der obere Scheitel stark ein, während die

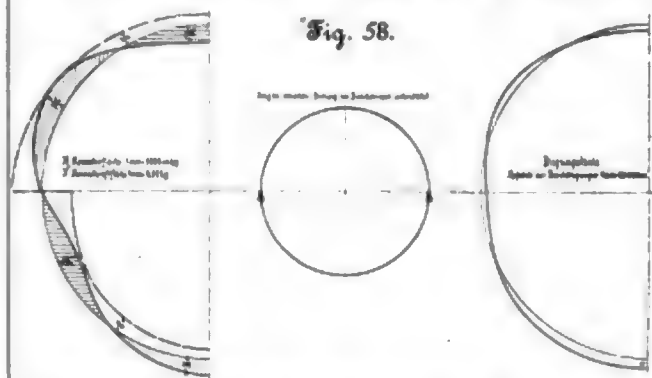


Fig. 58.

größte Ausbiegung unter einem Winkel von 30° gegen die Wagerechte auftritt. Der untere Kranz sackt erheblich nach unten durch, und die als Rollen gedachten Auflager treten infolgedessen herein.

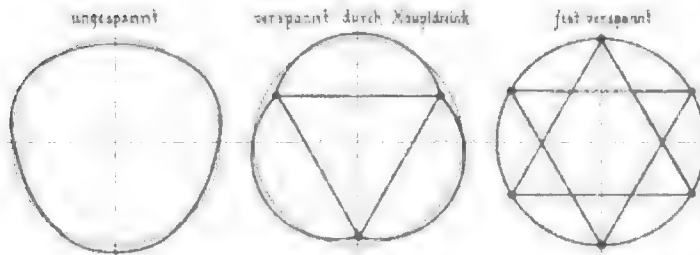
Bei Auflagerung des Ringes auf Füßen, die nicht unmittelbar in der Schwerpunktlinie des Ringes, sondern wie üblich in einiger Entfernung davon angebracht sind, ändern sich die Verhältnisse wiederum, wenigstens bezüglich der Größe der Verbiegungen.

Die konstruktive Durchbildung des Spannwerkes verlangt hiernach zunächst ein Zugorgan in etwa $\frac{1}{3}$ der Höhe von der Wagerechten aus und weitere Zugorgane von denselben beiden Punkten aus nach dem unteren Scheitel. Gelöst wurde diese Aufgabe sowohl durch zwei seitlich angebrachte Dreieckverspannungen, Fig. 59, als auch durch ein im Rücken liegendes System, Fig. 60. Die zwischen den Angriffspunkten liegenden Bogen waren gegen zu weites Ausbiegen zu schützen: entweder bei dem seitlich liegenden System durch

Einschaltung eines umgekehrt liegenden Dreiecks, oder bei dem im Rücken liegenden System durch Einschalten von getrennten Spannwerken.

Entsprechend diesen Überlegungen dürften die Stangen des mit der Spitze nach oben liegenden Dreiecks schwächere Abmessungen haben als die Stangen des auf der Spitze stehenden Dreiecks. Bei dem aufsenliegenden Spannwerk könnten gleichfalls unter Festlegung einiger Gelenkpunkte ver-

Fig. 59.

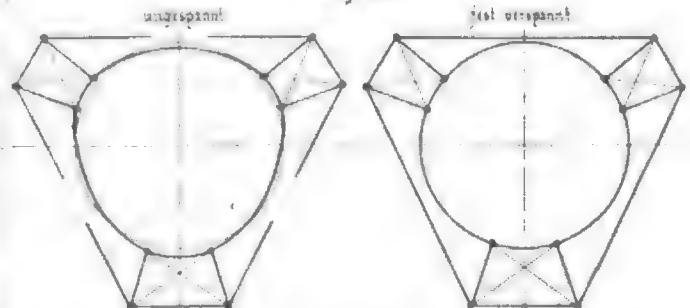


schiedene Stangendurchmesser angewandt werden. Alle diese Konstruktionsgewichte sind aber so verschwindend klein, dass dies alles aus Rücksicht auf die Werkstatt außer Erwägung bleibt.

Gegen das in Photographie, Fig. 1 und 22, bzw. im Schema, Fig. 30, dargestellte Prinzip bestanden Bedenken. Es erschien unmöglich, den Ring mit dem angeordneten Spannsystem rund zu richten, und auch trotz Festlegens einiger Druckstücke war die Anordnung für das Rundbleiben nicht so überzeugend wie bei der Dreieckverspannung. Diese Unsicherheit wurde zwar durch den Bau und Betrieb der obengenannten 1500 PS-Dynamo behoben, und auch die Montage ging unter Benutzung leichter Winden glatt von statten. Das Bestreben, das Rundrichten mit dem Spannwerk selbst zu erreichen, also das Rückenspannwerk in dieser Hinsicht dem Dreieckspannwerk gleichwertig zu machen und doch das elegante Aussehen zu

erhalten, führte zu der im Folgenden beschriebenen konstruktiven Abänderung, welche leicht übertrieben in Fig. 61 dargestellt ist. Die äußere Form des Achteckes blieb erhalten, und das Stangensystem liegt, entgegen der Skizze, hart an dem Blechringen an. Die Druckstütze wurde aber nicht mehr radial gegen den Kranz gestellt, sondern unter verschiedenem Winkel, und zwar derart, dass die oberen Druckstützen aa' mit den unteren Druckstützen bb' in

Fig. 60.

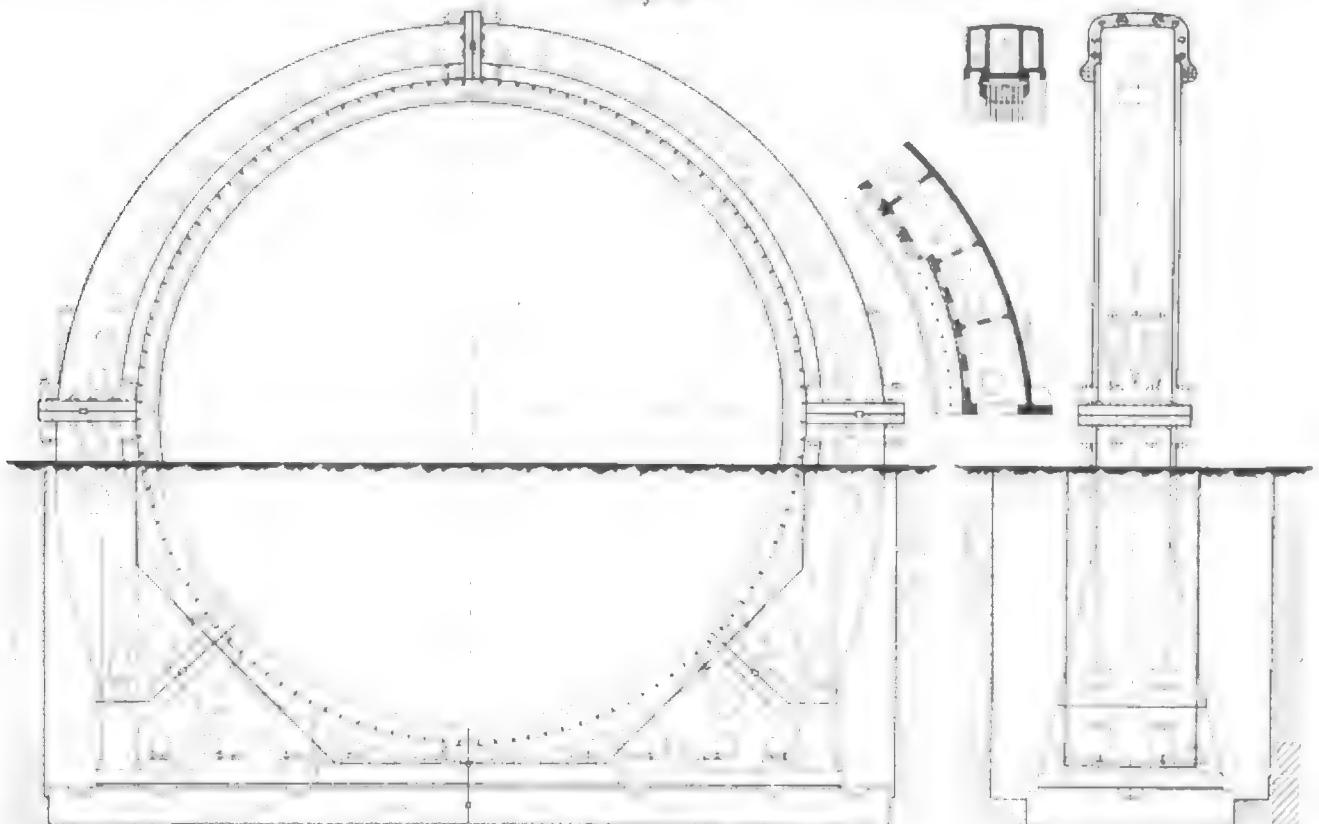


eine Gerade fallen und keine radialen Komponenten ergeben. Die an diesen Punkten hervorgerufenen Einbiegungen können somit beliebig klein gehalten werden. Durch Festlegen eines Punktes c der wagerechten Stangen ist für die Montage auch ein etwa erwünschtes getrenntes Spannen der Ringviertel ermöglicht.

Diese Betrachtungen lehrten ferner, dass es nicht erforderlich ist, den Blechring durchweg und lediglich in sich selbst zu verspannen, sondern es genügt auch, wenn er an den tiefsten Ausbiege- bzw. Einbiegestellen durch Zug- oder Druckorgane berichtigt wird, wie sie z. B. in Fig. 62 und 63 zu sehen sind.

Die Ausbiegungen werden nach Fig. 61 dadurch behoben, dass an den geeigneten Stellen der Bordscheiben, welche die

Fig. 65.



Bleche zusammenpressen, Gelenkpunkte geschaffen werden, welche durch Zugbolzen an einem Hobelarm angreifend, ein Eindrücken hervorrufen, d. h. die Deformation des Ringes

eine genaue zentrische Montage vorausgesetzt; die Wirkung ist also ähnlich wie die eines um den Blechring herumgelegten Schrumpfringes, und die Aufgabe des Spannerkes

Fig. 61.

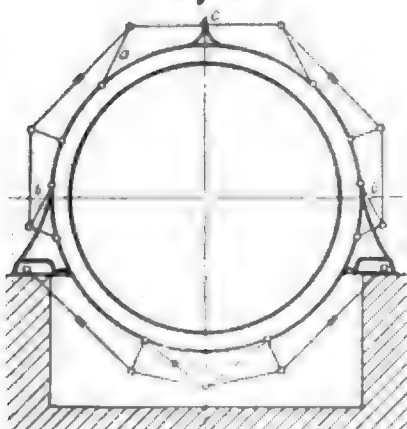


Fig. 62.

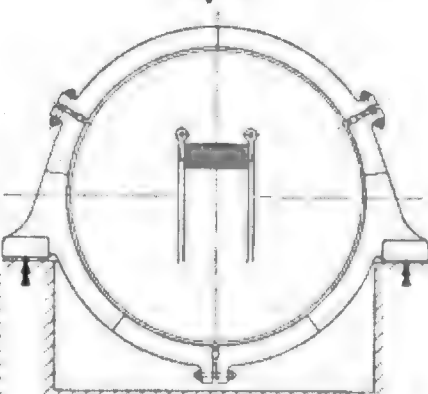
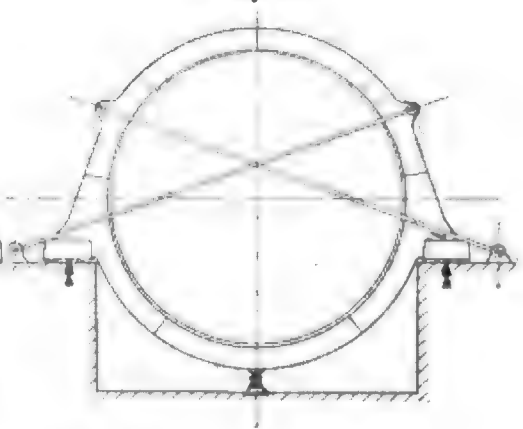


Fig. 63.



durch das Eigengewicht aufheben. Diese Ankerzugbolzen können auch an Flanschen angreifen, welche am Blechkranz selbst angebracht sind; es muss dann der elastische Blechring, ähnlich einer Blattfeder, als Gelenk dienen.

Ebenso wie sich Zugorgane konstruieren lassen, mit denen man die Ausbiegungen hineindrücken kann, lassen sich auch Druckorgane anwenden, welche an den Punkten größter Einbiegungen angeordnet, durch Hinausdrücken den Ring rund machen.

Fig. 63 zeigt, dass die Ausbiegungen auch durch Zugstangen, welche an den Punkten größter Ausbiegung angreifen und mit dem Fundament verankert werden, beseitigt werden könnten. Die untere Hälfte des Ringes könnte dabei auch unmittelbar gegen das Fundament abgestützt werden. Diese Bauart dürfte aber wohl kaum ausgeführt werden.

Die magnetische Erregung der Maschinen, der von den Polhörnern ausgehende magnetische Zug, äußert sich auf den Armaturring als ein völlig zentrischer Zug nach innen,

wird dadurch in gewissem Sinne noch unterstützt. Eine andere, weniger günstige Kraftwirkung erzeugt die Umfangskraft, d. h. jenes Drehmoment, welches von der Antriebsmaschine und von dem Induktor auf das Gehäuse übertragen wird; die Umfangskraft sucht das Gehäuse entsprechend der Anordnung seiner Füße zu einem schräg liegenden Oval zu verbiegen, Fig. 64. Durch Messungen wurde versucht, an einer Dynamo von 1500 PS mit Rückenspannwerk, Fig. 1 und Fig. 33, die auftretende Kraftwirkung zu ermitteln. Trotz nur schwacher Ausbildung der gusseisernen Füße gelang dies nicht, obsehon die Messung vom Leerlauf bis zur Erregung und zur vollen Belastung ausgedehnt wurde. Nach langem Dauerbetrieb zeigte sich ein geringer Ausschlag der Federwagen, da der Ring infolge der dauernden

Fig. 64.

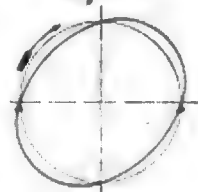
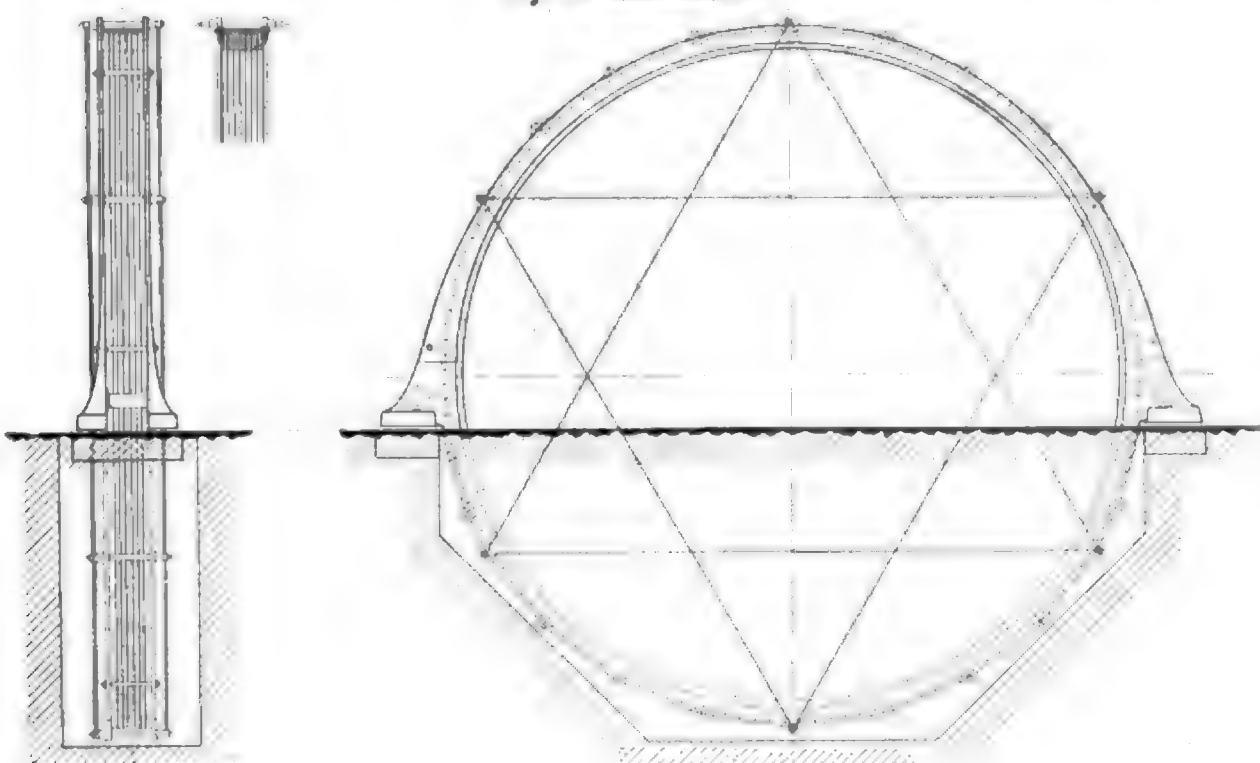


Fig. 66. Spannwerk-dynamo.



Ummagnetisierung wärmer geworden war und sich dadurch die Entfernung des zur Messung benutzten Punktes bis zum Fundament vergrößert hatte. Das Spannwerk wird zudem durch die Erwärmung des Blechringes bei gleich bleibender Temperatur der Zugstangen noch mehr angespannt, also noch steifer. Die Thatsache, dass diese unsymmetrisch angreifende Umfangskraft eine messbare Formveränderung nicht hervorgerufen konnte, ist ein weiterer Beweis für die Steifigkeit des ganzen Aufbaues.

7) Die wirtschaftliche Bedeutung des Spannwerk-systems.

Fig. 1 zeigt eine Spannwerk-dynamo von 1200 bis 1500 PS und eine Dynamomaschine älterer Bauart der gleichen Leistung und Umlaufzahl. Bei der älteren Maschine sitzt neben dem Induktor noch ein Schwungrad auf der Welle, bei der Neukonstruktion ist die ganze Schwungradmasse in den Induktor selbst gelegt.

Eigenartig an dieser Maschine nach dem Spannwerk-system und ungewöhnlich erscheint, dass die Hochspannungswicklung vollständig frei liegt. Gegen zufällige Berührung ist die Bedienungsmannschaft reichlich durch das in weiter Entfernung um die Maschine geführte Geländer geschützt. Gegen eine mutwillige Berührung aber giebt es auch bei einer noch so sehr verpackten Maschine keinen Schutz. Ein Schutz, wie er an Gehäusemaschinen besteht, könnte selbstverständlich auch hier angebracht werden; der Nutzen jedoch ist zweifelhaft, denn auch bei peinlichster Sorgfalt bleibt die Wicklung frei für den Oelstaub, für den Oelbauch, welcher in der Luft des Maschinenraumes unvermeidlich ist, und der durch das mit 20 oder 30 m Geschwindigkeit umlaufende Rad gegen die Wicklung geworfen wird und sich dort absetzt. Für Instandhaltung, Beaufsichtigung und Reinigung ist die Maschine mit freiliegender Wicklung sicher am zweckmäßigsten.

In Fig. 65 ist eine unlängst veröffentlichte Maschine von Westinghouse wiedergegeben. Die Dynamo hat rd. 5000 KW Nennleistung bei 75 Uml./min. Fig. 66 zeigt zum Vergleich die Skizze einer Spannwerkmaschine von genau gleichem Querschnitt des magnetisch beanspruchten, also des arbeitenden Materials. Die Konstruktion von Westinghouse ist äußerst charakteristisch und an sich völlig einwandfrei; bei ihr liegt das Bestreben vor, einen steifen Aufbau zu schaffen, und sie ist in dieser Hinsicht vorzüglich durchgeführt. Es ist angestrebt, die unvermeidlichen Verdrückungen durch das Eigengewicht so klein als irgend möglich zu halten. Das gleiche Ergebnis: geringste Abweichungen von genau kreisförmiger Form, ist aber auch mit dem Spannwerk-system zu erreichen. Der grundsätzliche Unterschied ist, dass die Konstruktionsteile beim gusseisernen Gehäuse auf Biegung beansprucht sind und sich somit durch die Gewichtswirkungen unbedingt verbiegen; hingegen erfolgt beim Spannwerk das Anspannen durch auf Zug beanspruchte Stangen, und es

werden die Gewichts- und Stangenkräfte ohne Verlust der genauen Kreisform, d. h. ohne äußerlich erkennbare Deformationen, unmittelbar in sich selbst geschlossen.

Soweit den Angaben und Skizzen entnommen werden kann, stellt sich der Vergleich der Gewichte wie folgt:

	stilles, gusseisernes Gehäuse	Spannwerk-gehäuse
Gewicht des magnetisch beanspruchten Materials (Ring aus Eisenblech)	40 t	40 t
zusätzliches Konstruktions-gewicht	195 "	10 "
Gesamtgewicht des feststehenden Teiles	235 "	50 "

Hiernach ist das Gesamtgewicht im ersteren Falle rd. 6 mal größer als das elektrisch erforderliche Gewicht, gegenüber dem $\frac{1}{6}$ fachen beim Spannwerk; mit anderen Worten: dasjenige Gewicht, welches der Bestimmung der Dynamo gemäß zu arbeiten hat, beträgt noch nicht 20 vH des Gesamtgewichts, mehr als $\frac{1}{3}$ sind lediglich zur Versteifung aufgewandt. Im anderen Falle arbeiten 80 vH, und nur 20 vH sind aus konstruktiven Gründen zugefügt.

Die Skizzen lassen erkennen, welche Erleichterungen bei der Montage durch das Spannwerk-system geboten werden. Das Montieren der schweren gusseisernen Gehäusestücke verlangt sehr schwere Krane. Auch schon die Herstellung der Verbindungsfächen unter 90 und 45° und die Werkstattbearbeitung mit den vielen Nuten und Federn ist schwierig. Ferner verlangt das massige Gehäuse eine tief eingeschnittene Fundamentgrube, die Verbindung der Wellenlager wird infolge der Zerstückelung des Fundamentes weniger steif, und es bleiben Platzbedarf und Fundamentkosten auch entsprechend den sehr verschiedenen zu tragenden Gewichten zu berücksichtigen. Die eingezeichnete Linie in Fig. 66 zeigt den erheblichen Unterschied in den Hauptabmessungen der Fundamente.

Für die Werkstatt sind für das Spannwerk-system, welches in allen Kulturstaaten patentirt ist, die Vorteile der ermöglichten Massenfabrication ausschlaggebend. Die Bleche für alle Maschinen mit gleicher Umlaufzahl sind die gleichen, ebenso die Endplatten, die Füße und die Zugstangen; für alle Breiten sind wiederum alle Einzelteile die gleichen, die Bolzen, die Querversteifungen.

Die Lieferungstermine waren bisher bekanntlich durch den Gehäusekörper begrenzt. Die langen Lieferzeiten für die oft schwierigen Gehäusegussteile fallen jetzt fort, die ganze Lieferzeit der Gießerei und die langwierige Bearbeitung dieser Stücke in der mechanischen Werkstatt kommen in Fortfall. Der Gusskörper des Induktors ist leicht beschafft, und die Fabrikationsdauer ist gering. Blechkranz, Polhöfner und Spulen werden als Einzelteile und in Massenfabrication hergestellt.

Für den Transport kommen noch die erheblichen Ersparnisse an Gewicht infolge ebenso wie für die Ausfuhr das Ersparen von hohem Zoll.

Die Weltausstellung in Paris 1900.

Hebemaschinen.

Von Kammerer, Charlottenburg.

(Fortsetzung von S. 883)

Von der Compagnie Internationale d'Electricité in Lüttich war ein Drehkran von $1\frac{1}{2}$ t Zugkraft bei 5,2 m Ausladung und 0,3 m/sk Hubgeschwindigkeit zur Schau gestellt worden, welcher seiner Arbeitsweise nach zu den Kai-kranen zu rechnen ist. Das Gerüst indessen war so ausgebildet, dass der Kran auf dem Oberdeck von Frachtdampfern montiert werden kann; eine Verwendung des drehbaren Teiles für Kaibetrieb ist ohne weiteres durch Aufsetzen auf ein fahrbares Untergestell möglich.

Krangerüst. Die Aufstellung an Bord nötigt zu möglicher Beschränkung der Grundfläche und kreisförmiger

Gestalt derselben. Der festliegende Teil des Krans, Fig. 91, ist dementsprechend aus einem sternförmigen Gussstück mit eingepresser hohler Stahlgusskule gebildet, über welches der drehbare Teil gestülpt ist, bestehend aus gebogenem Kastenträgerausleger mit daranhängender kreisförmiger Gussplattform und angeschraubtem cylindrischem Blechmantel, sodass ein glatter Drehkörper von 2,5 m Dmr. entsteht. Der Vertikaldruck wird durch Stahlzapfen mit Bronzeplatte, der Horizontaldruck oben durch Zapfen, unten durch Stahlrollen aufgenommen. Der Kastenträger-Ausleger ist an den Seiten gegittert, um Luftwiderstand und Eigengewicht zu vermindern.

Das Triebwerk eines Schiffsdeckkranes muss drei wesentliche Sonderanforderungen befriedigen: Raumbeschränkung, Witterungsbeständigkeit und Geräuschlosigkeit. Es sind daher eingekapselte Schneckentriebe ausgeführt, und zwar eine eingängige selbstperronde Schnecke mit Übersetzung 1:40 für das Hubwerk und eine zweigängige rückläufige Schnecke mit Übersetzung 1:24 für das Drehwerk.

Das Hubwerk, Fig. 94 und 95, wird von einem gekapselten Hauptstrommotor von normal 15 PS bei 450 Umdr. angetrieben. Die Selbstperrung des Hubwerkes ist erzielt durch Wahl einer auf ihre Welle aufgeketteten Schnecke von 180 mm Teilkreisdurchmesser bei einer Teilung von 175 mm; die Bremswirkung ist durch Kurzschlussbremsung des Motors zu erreichen, wodurch die lebendige Arbeit des Ankers und der Kupplung abgebremsst wird.

Wenn man sich über die Wirkung dieser Anordnung ein Urteil bilden will, so braucht man sich nur vorzustellen, dass eine selbstperrrende Schnecke beim Senken genau wie eine Lastdruckbremse wirkt, d. h. es wird die Arbeit der sinkenden Last aufgenommen durch eine Reibungsarbeit, die proportional mit der Last wächst und stets um geringes größer ist als die Lastarbeit; es hat also der Motor beim Senken nur den Unterschied der beiden Reibungsarbeiten zu leisten, Fig. 96 und 97.

Beim Heben dagegen macht sich der wesentliche Unterschied bemerkbar, dass die Reibungsarbeit der Lastdruckbremse durch Gesperre ausgeschaltet wird, während sie bei dem selbstperrrenden Triebwerk eingeschaltet bleibt. Es muss also bei gleichstarkem Motor in letzterem Falle eine größere Übersetzung und kleinere Lastgeschwindigkeit gewählt werden, d. h. der Motor wird unvollkommen ausgenutzt. Schließlich erscheint es auch richtiger, die Bremsarbeit an auswechselbaren Reibflächen statt an den Triebwerkflächen aufzunehmen. Bei Ausführung einer zweigängigen Schnecke lässt sich die Übersetzung kleiner, die Zahnpressung wegen der geringeren Reibungsarbeit größer wählen; man kann also in einem nur unbedeutend vergrößerten Raum ein Triebwerk größerer Leistungsfähigkeit bei gleichstarkem Motor einbauen.

Die Drehwerkschnecke ist in üblicher Weise mit ihrer Achse in einem Stück hergestellt, und zwar wie die Hubwerkschnecke aus gehärtetem Stahl mit 56 mm Teilkreisdurchmesser und einer Teilung von 9π mm. Die Spurlager beider Schnecken sind als Kugellager ausgeführt; bemerkenswert ist hierbei die Anordnung eines geschlitzten Stahlringes in einer eingedrehten Nut der Schneckenwelle, der den Zweck hat, das Herausfallen der Kugeln beim Herausnehmen der Schnecke zu verhüten, Fig. 98. Besondere Sorgfalt ist auf Anordnung einer gut zugänglichen Stauffer-Schmierung für alle Triebwerkteile verwendet. Der Strom wird durch Schleifringe innerhalb des Auslegers zugeführt. Ein Blick auf die Widerstandsdiagramme, Fig. 99 und 100, zeigt, dass das Drehwerk verhältnismäßig geringe Reibungswiderstände, aber großen Massenwiderstand infolge der Verwendung eines raschlaufenden Ankers äußert, während sich beim Hubwerk hauptsächlich der Reibungswiderstand der eingängigen Schnecke bemerkbar macht.

Die Steuerung erfolgt mit wagerecht gelegten Schaltwalzen, die unmittelbar auf dem Widerstandskasten gelagert sind, sodass sich einfache Verbindungen ergeben. Die wagerechte Lage ermöglicht einfache Stirnradübertragung von den Steuerhebeln auf die Wellen der Schaltwalzen, die der Kegelradübertragung gegenüber den Vorzug etwas leichter Gangbarkeit bietet. Die beiden Steuerhebel sind dicht zusammengelegt, sodass gleichzeitiges Heben und Drehen gut ausführbar ist.

V. Drehkrane für Verladebetrieb.

Ein Drehkran für Verladebetrieb — d. h. ein Kran, der nicht Massengüter, sondern Einzellasten auf Fabrik- und Bahnhöfen zu bewegen hat — verhält sich zu einem Drehkran für Kaibetrieb oder für Stahlwerksbetrieb wie eine Universal-Werkzeugmaschine zu einer Spezial-Werkzeugmaschine: er soll möglichst verschiedenartig verwendbar sein, daher über veränderliche Ausladung, Maschinensfahrwerk und Anpassung

an verschieden große Lasten verfügen, kann und braucht dagegen weder große Geschwindigkeiten noch Gleichzeitigkeit der Bewegungen zu haben. Die besonderen Anforderungen führen nicht nur zu einer ganz andern Gerüstkonstruktion, sondern auch zu einer ganz andern Triebwerkanordnung.

Dazu kommt noch ein Anderes. Der Verladebetrieb ist in den meisten Fällen nur vorübergehend an einen bestimmten Ort gebunden; dies war beispielsweise der Fall bei denjenigen Kranen, die für Umladung der Ausstellungsgegenstände gebraucht wurden. In solchen Fällen ist Energiezufuhr zu fahrbaren Kranen durch Kontaktleitungen nicht ausführbar, da diese dem Bau durchaus hinderlich wären. Die naturgemäße Energieerzeugung für solche Betriebe ist die chemische: der Benzinmotor ist für diese Fälle ganz besonders geeignet, da sein Betrieb keinerlei Leitungen erfordert, und da die Energiezufuhr die denkbar einfachste ist. Gegenüber Dampftrieb bietet der Benzinbetrieb die wesentlichen Vorteile steter Betriebsbereitschaft und einfacherer Bedienung.

An eine Unvollkommenheit allerdings ist der Benzinbetrieb gebunden, nämlich an die Anwendung von Reibkupplungen oder Reibrädern. Dies bedingt die Beschränkung der Leistung eines einzelnen Triebwerkes auf etwa 10 PS und entsprechend geringe Geschwindigkeiten; denn über diese Grenze hinaus sind Reibkupplungen für Hebemaschinen unbrauchbar.

Eine andere Möglichkeit chemischer Energieversorgung für fahrbare Krane besteht in der Anwendung einer Akkumulatorenbatterie, die an einer Ladestation geladen wird und den Kran befähigt, sich von der Station zu entfernen und mehrere Stunden mit seinem Energievorrat zu arbeiten. Diese Einrichtung ist bei zwei unter sich gleichen Kranen für den Verladebetrieb der Ausstellung zur Ausführung gekommen.

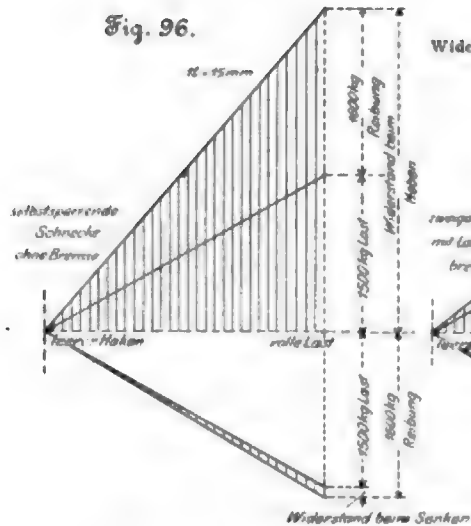
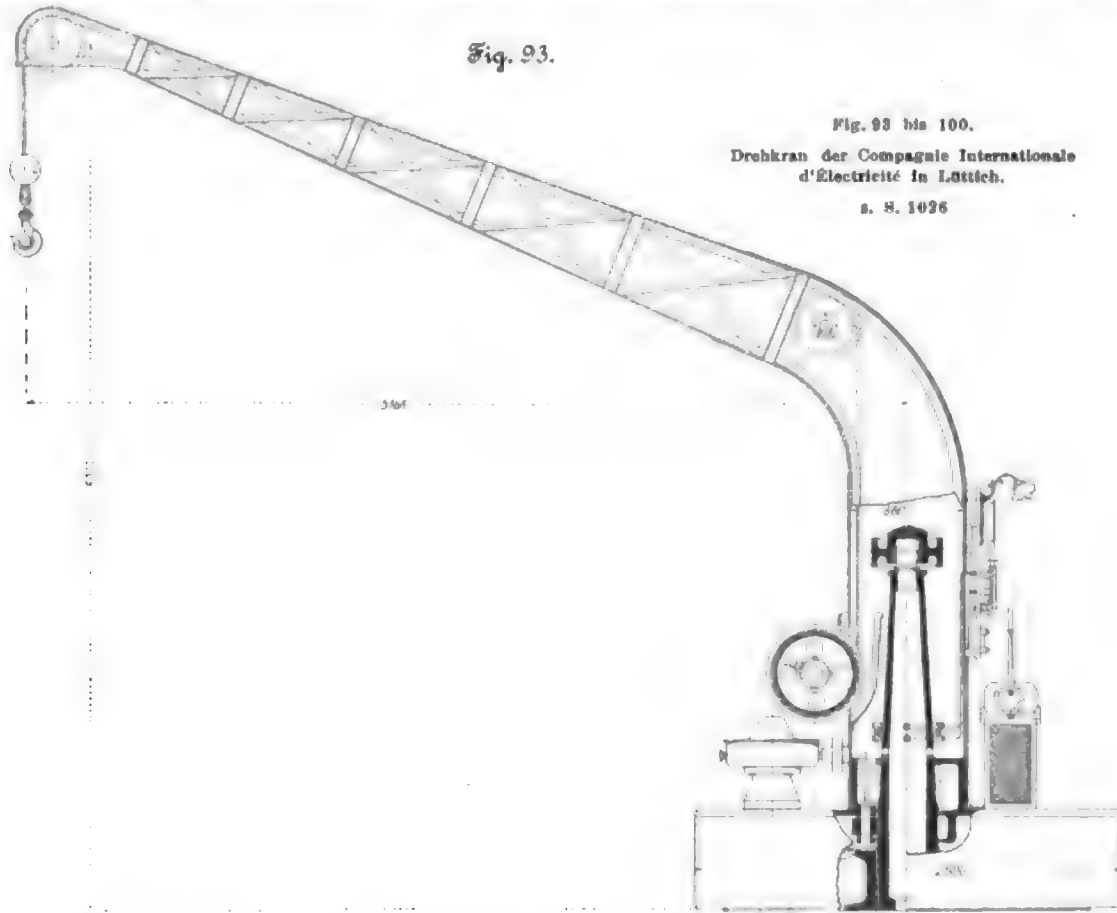
Der Batteriebetrieb würde die Anwendung mehrfacher Motoren mit Wendeanlassern in derselben Weise wie bei Kaikranen gestatten; da es sich bei Verladebetrieb indessen einerseits nur um geringe Geschwindigkeiten handelt, die durch Wendetriebe noch beherrscht werden können, und da andererseits drei bis vier verschiedene Bewegungen verlangt werden, was ebenso viele Motoren und entsprechend hohe Anlagekosten bedingen würde, so werden Wendetriebe hier gerechtfertigt sein.

Einen Verladebetrieb besonderer Art hatte ein von de Mocomble ausgeführter Petroleumkran von 2 t Tragkraft bei einer höchsten Ausladung von 5 m und einer Hubgeschwindigkeit von 0,06 m/sk zu leisten, nämlich die Hochnahme und Verlegung der Einzelteile der Stufenbahn, die von dem gleichen Werk ausgeführt war und bekanntlich das Hauptverkehrsmittel innerhalb der Ausstellung bildete¹⁾. Da diese Stufenbahn dem ausschließlichen Personenverkehr entsprechend nur für eine geringe Belastung gebaut war — die auf Querschwellen in 1,5 m Abstand aufliegenden hölzernen Langschwellen des Hauptgleises trugen bei $k_1 = 75$ kg/qm nur je 2 t zwischen den Querschwellen —, so war es notwendig, den Kran so leicht wie möglich zu konstruieren und das Gewicht auf beide Gleise der Stufenbahn und auf eine entsprechend große Achsenzahl zu verteilen. Diese eigenartigen Verhältnisse haben zu einer besonderen Bauart des Kranwagens geführt, Fig. 101 bis 103: er setzt sich aus 6 Drehschemeln zusammen, von denen 2 auf dem Hauptgleis von 1,16 m Spurweite und 4 auf dem Nebengleis von 0,47 m Spurweite laufen. Von den letzteren sind je zwei zunächst durch 2 Längsträger gekuppelt; auf den Mittelzapfen dieser beiden Längsträger und auf den Mittelzapfen der beiden Drehschemel des Hauptgleises ist der quadratische Walzenrahmen des Kranwagens gelagert. Durch diese Anordnung wird das Gesamtgewicht des belasteten Kranes von 14 t so verteilt, dass jedes der 8 Räder auf dem Hauptgleis höchstens mit 1,5 t, jedes der 16 Räder auf dem Nebengleis höchstens mit 0,5 t belastet wird.

Geringes Eigengewicht des drehbaren Kranteiles ist durch möglichste Vermeidung von Gussstücken und durch Anwendung eines Petroleummotors anstelle einer Dampfmaschine mit Kessel erzielt worden.

Krangerüst. Der Walzenrahmen des Kranwagens ist in der Mitte durch aufgenietete Bleche auf 35 mm ver-

¹⁾ s. Z. 1900 S. 933.



Widerstandslinien des Hubwerkes.

Fig. 97.

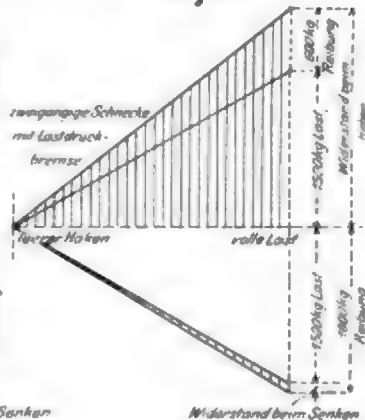


Fig. 98. Drehwerkschnecke.

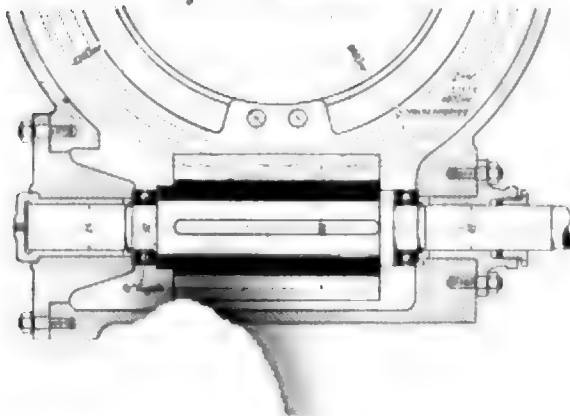
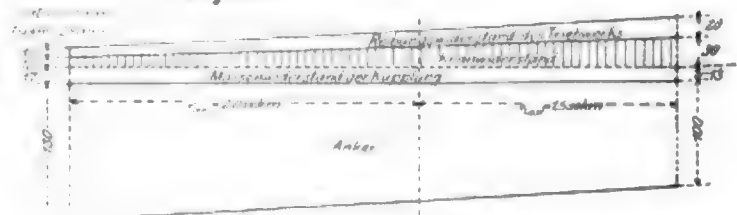


Fig. 99 und 100.

Widerstandslinien des Hubwerkes.

Fig. 99.



stärkt, sodass er unmittelbar — ohne Gussstücke — die geschmiedete Stahlskule aufnehmen kann. Letztere trägt mittels Zapfenspurlagers und frei drehbaren Walzenkranzes als Halslager den drehbaren Teil, bestehend aus 10 mm starken Blechschildern mit angehängter Walzisenplattform. Die Auslegerstrebe besteht ebenfalls aus Blechwangen, die Auslegerung-

Punkte zu beschränken. War es also notwendig, diese beiden Bewegungen und außerdem diejenige der Auslegerverstellung durch Maschinenkraft auszuführen, so schien es andererseits zweckmäßig, für genaues Einstellen und Montieren der Stufenbahnteile ein Handtriebwerk einzubauen, welches geringe Bewegungen des Fahrwerkes und des Drehwerkes zuließ.

Ein Petroleummotor, Bauart Niel, der bei 300 Uml./min eine Leistung von $4\frac{1}{2}$ PS zu entwickeln vermag und auf einem hölzernen Sockel am hinteren Plattformende angeordnet ist, betreibt mittels dreier geflochtener Ledersaile eine stetig laufende Welle. Mit dieser kann mittels cylindrischer Reibräder — Beanspruchung = 9 kg für 1 cm Breite bei 3 msk Umfangsgeschwindigkeit — ein Vorgelege gekuppelt werden, welches mit Wechselrädern die Nusswelle antreibt. Letztere nimmt eine mit $k = 220$ kg/qcm beanspruchte kalibrierte Kette auf und ist mit der Nuss aus einem Stück Stahl geschnitten und gehärtet. Die Reibräder werden in üblicher Weise durch exzentrische Lagerung des Vorgeleges an einander gepresst, wobei ein Klippgewicht in der einen Lage die Anpressung der Reibräder unverändert hält, in der andern Lage das Reibrad gegen einen Bremsklotz preest. Die Hubgeschwindigkeit für 2 t Last beträgt 0,06 m/sk, für 1 t Last 0,12 m/sk.

Die Verstellung des Auslegers von 5 m auf 3 m Ausladung wird von einer stetig laufenden Welle durch Kegelreibräder abgeleitet. Bemerkenswert ist, dass nicht wie sonst die Getriebe auf der stetig laufenden Welle verschoben werden — was bekanntlich zu starker Abnutzung der Halsringe führt —, dass vielmehr diese Getriebe fest aufgekeilt sind und das Gegenrad verschoben wird, und zwar in Richtung der stetig laufenden Welle. Ermöglicht ist diese Querverschiebung dadurch, dass die angetriebene senkrechte Welle an dem einen Ende gelenkig, an dem andern Ende exzentrisch gelagert ist; durch Verdrehung des Exzentrums wird das Reibrad an das rechte oder linke Reibgetriebe gepresst, Fig. 101 und 103. Am oberen Ende trägt die stehende Welle eine selbst sperrende Schnecke, welche eine Nusswelle für zwei Gallsche Ketten betreibt.

Von denselben beiden Reibgetrieben wird in einer sehr eleganten, raumsparenden Anordnung eine nach unten gehende zweite senkrechte Welle mit ebenfalls exzentrisch gelagertem Reibrad angetrieben, die mittels eines lose auf der Kranstule drehbaren Stirnradpaares in üblicher Art das Fahrwerk des Krans betätigt.

In das obere dieser beiden Stirnräder kann ein Getriebe gesenkt werden, das auf einer durch Handrad betriebenen dritten stehenden Welle steckt, Fig. 103. Ist der drehbare Kranteil gegen die Skule verriegelt, so wirkt dieser Handbetrieb auf das Fahrwerk; ist hingegen der drehbare Kranteil freigegeben, so betätigt das Handrad das Drehen des Krans.

Die vier Reibräder sind in einem gemeinsamen Gussrahmen gelagert, was für ihre dauernd sichere Wirkung als unerlässlich zu bezeichnen ist. Die beiden Wellen des Hubwerkes haben ebenfalls ihre Lagerung in einem Gussrahmen gefunden, während die stetig laufende Welle in weniger glücklicher Art getrennt hiervon auf einem Blechkasten gelagert ist.

Die drei Steuerhebel für Hubwerk, Fahrwerk und Auslegerverstellung sind übersichtlich und gut zugänglich gelagert; die Bethätigung des Handrades für das Drehwerk hingegen erfordert Uebersteigen auf die andere Kranseite. Ein Behälter für 250 ltr Wasser dient zur Kühlung des Motors; die tägliche Verdunstung hierbei beträgt 10 ltr. Die Standfestigkeit und die Druckverteilung sind aus Fig. 104 bis 106 ersichtlich.

Zur Verladung der zu Wasser ankommenden Ausstellungsgegenstände auf Fahrwerk diente ein ebenfalls von de Mo-

Fig. 94.

Hubwerk.

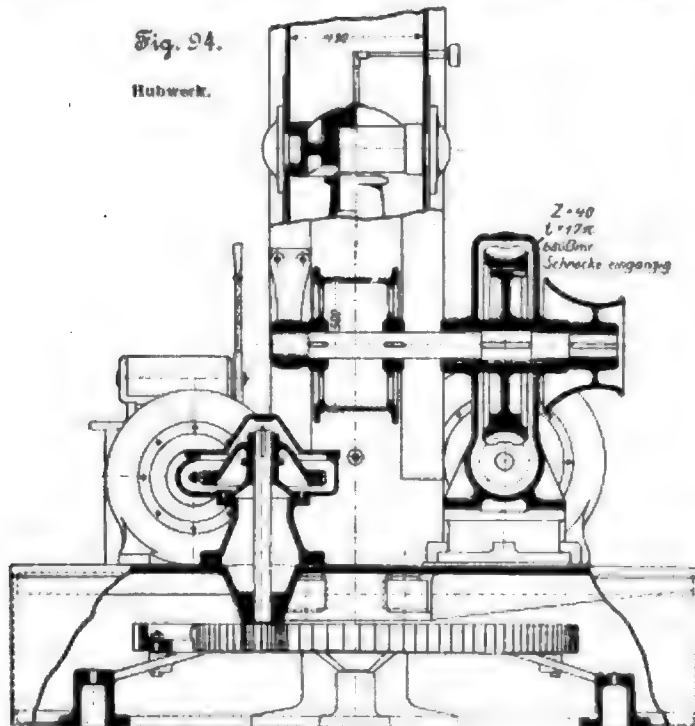
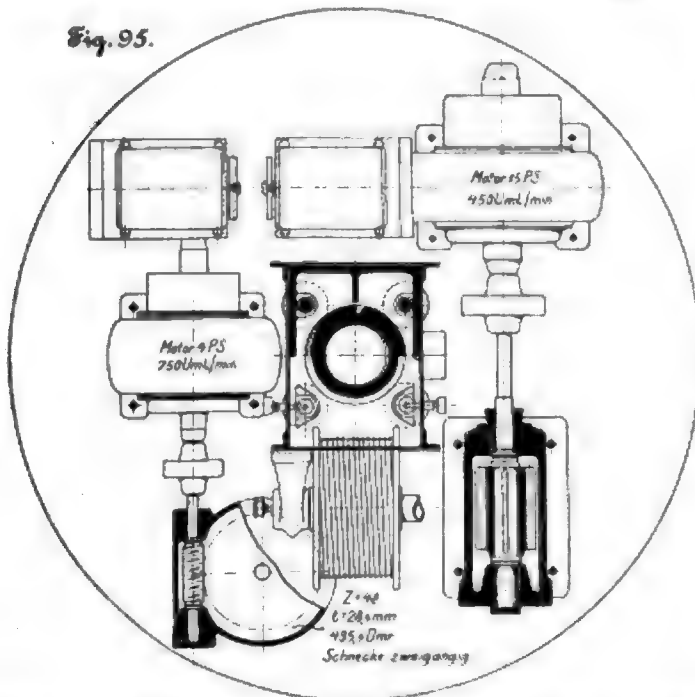


Fig. 95.



stangen aus Flacheisen mit eingehängten Rollenzügen aus Gallschen Ketten.

Triebwerk. Der eigenartige Zweck des Krans stellte auch besondere Anforderungen an das Triebwerk: der Kran musste die Einzelteile der Stufenbahn rasch hochnehmen und rasch verfahren können, um die Abladestellen auf einige

comble ausgeführter Benzinkran von 30 t Tragkraft bei 14 m Ausladung und 0,01 m/sk Hubgeschwindigkeit, der im wesentlichen als Werftkran zum Einsetzen von Kesseln und Geschützen in Schiffe gebaut ist, Fig. 107. Dieser Kran musste einerseits bis auf die oberhalb des Kais laufende Straße aus-

lastkrane den außerordentlichen Vorteil, dass eine vorzügliche Druckverteilung auf das Portal bei gleichzeitig geringem Reibungswiderstand und bei großer Betriebssicherheit erzielt wird; letztere ist einmal der Vermeidung aller stark belasteten Rollenzapfen zu verdanken und außerdem dem Umstande,

Fig. 101 bis 102. Petroleum-Kran von de Mocomble; s. S. 1027 u. f.

Fig. 101.

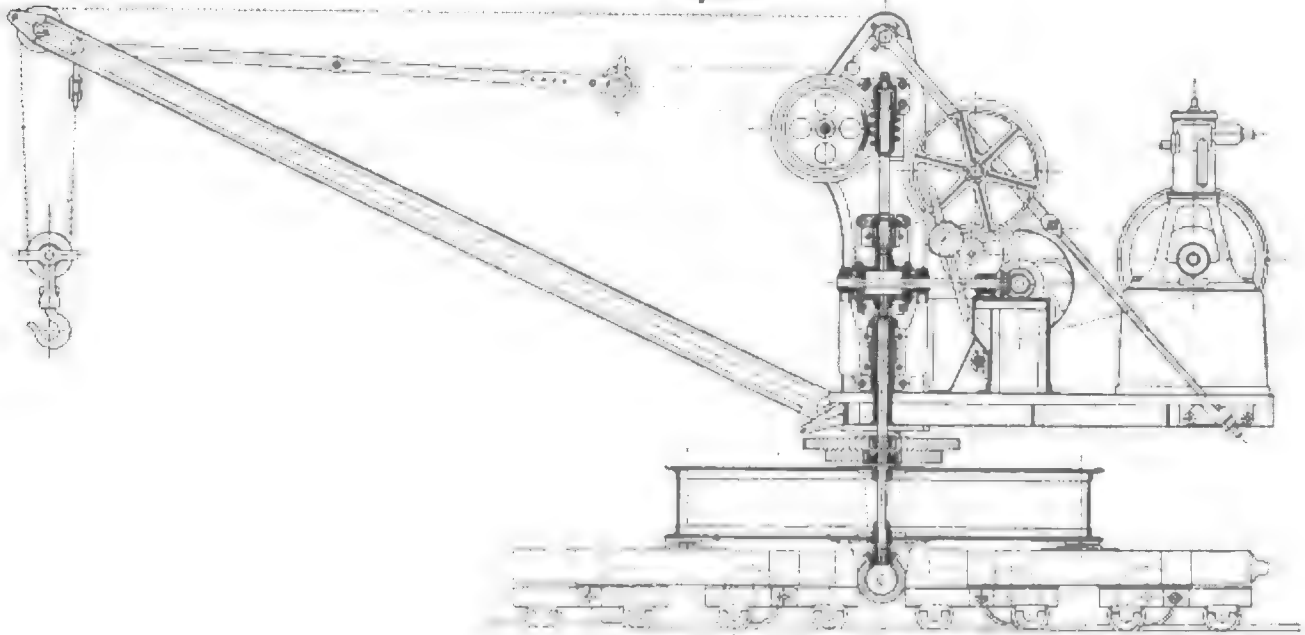
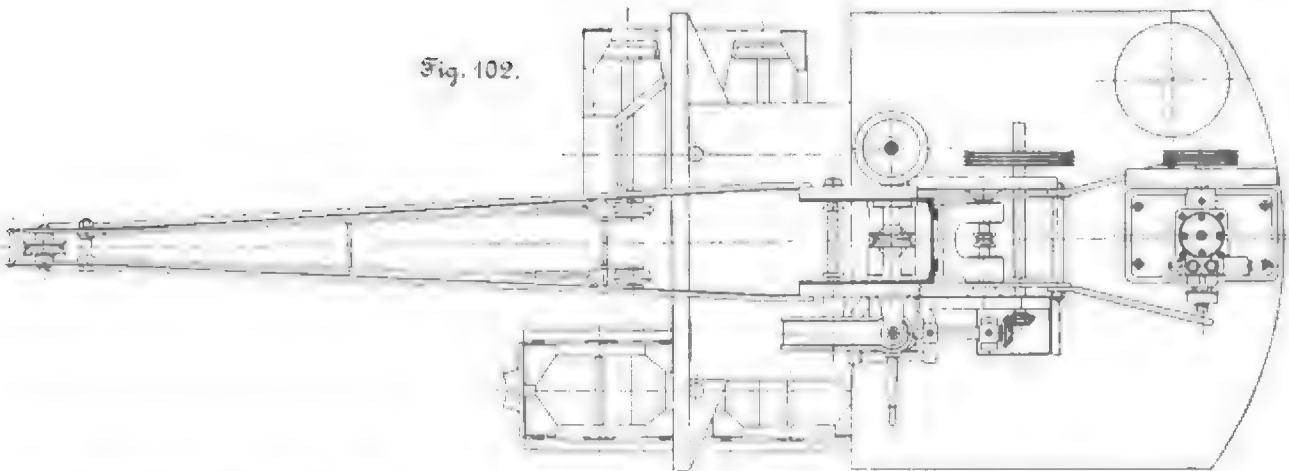


Fig. 102.



kragen, andererseits bis zur Mitte eines 8 m breiten Schiffes reichen können. Aus diesen Bedingungen ergab sich eine unveränderliche Ausladung von 14 m. Um die Möglichkeit zu haben, ausnahmsweise schwere Lasten bis zu 40 t unter Beschränkung der Ausladung noch bewältigen zu können, sind die Ausleger-Zugstangen mittels innerhalb der Stangenenden liegender Bolzenlöcher zum Verkürzen auf 12,25 m eingerichtet. Die hohe Lage der Fahrstraße sowohl wie die erforderliche Ueberspannung des Kaiweges führten dazu, das Untergestell als Portal anzuordnen, und zwar als feststehendes, da das Verholen der Schiffe bei der geringen Geschwindigkeit der Seine keine Schwierigkeiten verursacht. Bei Konstruktion des Portals ist übrigens auf den etwaigen nachträglichen Einbau eines Laufwerkes Rücksicht genommen.

Das Krangerüst baut sich auf dem aus Kastenträgern gestalteten Portal ganz in Walzeisen unter Verwendung einer Walzendrehseile auf. Diese Konstruktion bietet für Schwer-

lastkrane den außerordentlichen Vorteil, dass eine vorzügliche Druckverteilung auf das Portal bei gleichzeitig geringem Reibungswiderstand und bei großer Betriebssicherheit erzielt wird; letztere ist einmal der Vermeidung aller stark belasteten Rollenzapfen zu verdanken und außerdem dem Umstande, dass die Drehscheibenkonstruktion eine Kransäule mit zugehörigem starkem Gussstück völlig entbehrlich macht und es dadurch ermöglicht, sowohl das Portal als die drehbare Plattform ganz in Walzeisen auszuführen. Die Querversteifung des an die Plattform angeschlossenen Auslegers wird durch einen aus vier aufrechtstehenden Blechträgern gebildeten Ständer erreicht, der gleichzeitig als Lagerrahmen für das Triebwerk dient. Die Druckstrebe des Auslegers setzt sich aus zwei Kastenträgern von 500 mm Höhe und 300 mm Gurtbreite zusammen, die durch Schrägen unter sich verstrebt sind. Die Zugstangen bestehen aus vier Flacheisen, die unmittelbar an die vier Blechwände des Ständers angehängt sind, und denen vier Zugstangen für das Gegengewicht entsprechen. Die Kastenträger des Portals, die Plattform und der Gegengewichtskasten sind mit geschichteten Pflastersteinen und Sand gefüllt, um die nötige Standfestigkeit zu erzielen. Der hohle Mittelzapfen aus geschmiedetem Stahl und ein

Ihn durchdringender Anker dienen als Sicherungen gegen Kippen.

Das Triebwerk des Krans, Fig. 108 bis 110, beschränkt sich auf Hubwerk und Drehwerk, da Auslegerverstellung und Laufwerk für den vorliegenden Fall entbehrlich waren. Gleichzeitigkeit der beiden Bewegungen war ebenfalls nicht erforderlich, wogegen eine Anpassung an die sehr verschiedene

her Vertreterin für die Daimler-Motoren war und aus dem Daimler-Motor heraus ihre Motorform entwickelt hat. Derartige Wagenmotoren bieten den standfesten Motorformen gegenüber für Kranbetrieb den Vorteil, dass sie ihre Geschwindigkeit in weiten Grenzen ändern können, und dass sie anspruchslos in Bezug auf Raum und Gewicht sind: der sehnepferdige Motor wiegt 330 kg. Der mit zwei senkrechten

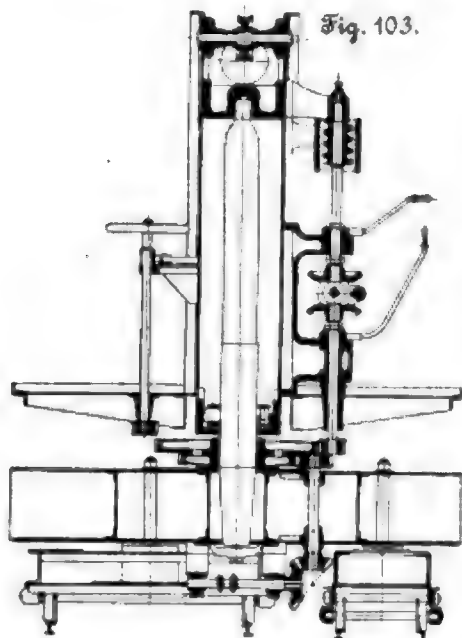


Fig. 104 bis 106. Druckverteilung bei dem Petroleum-Kran von de Mocomble.

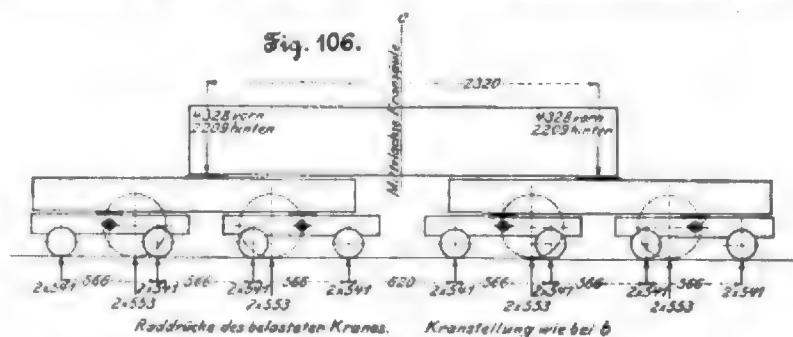
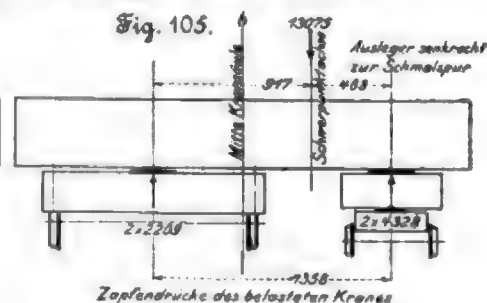
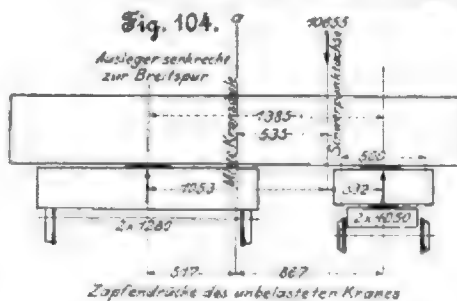
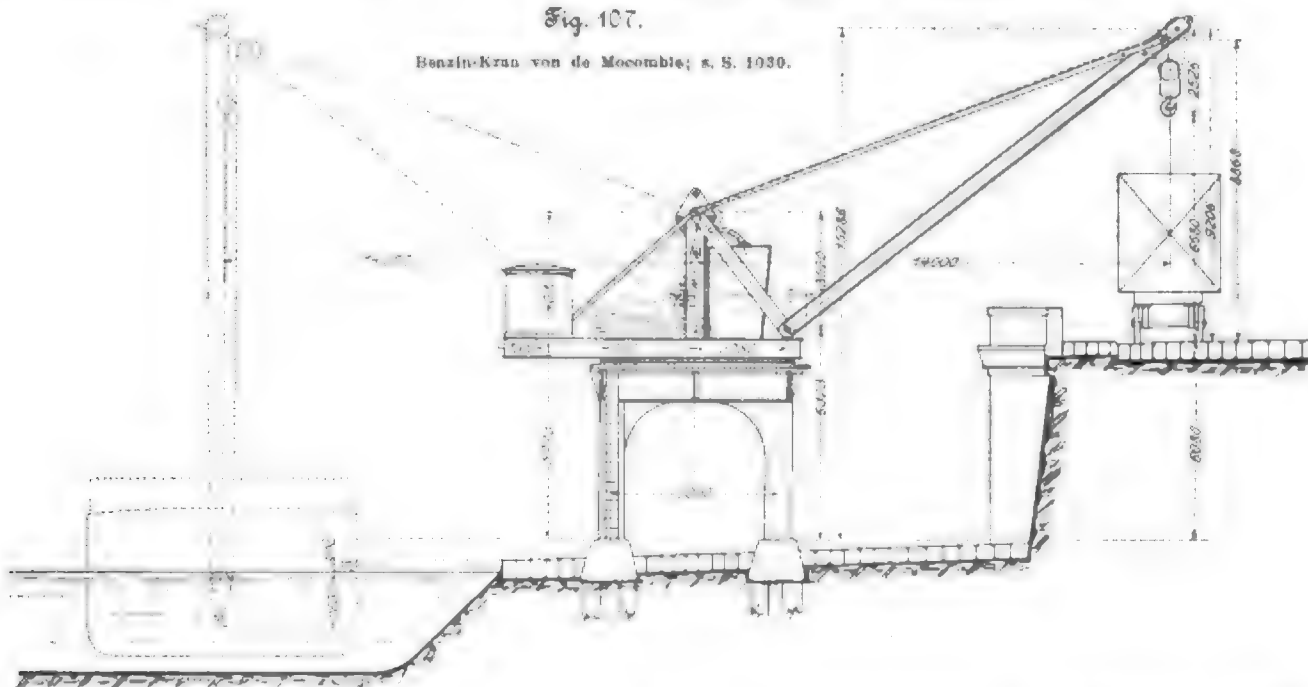


Fig. 107.

Benzin-Kran von de Mocomble; s. S. 1030.



Lastgröße durch Einbau von drei verschiedenen Uebersetzungen unbedingt notwendig war. Es lagen also ähnliche Forderungen vor, wie sie an das Uebersetzungstriebwerk eines Kraftwagens gestellt werden, und sie sind auch mit genau denselben Hilfsmitteln befriedigt worden.

Die Energie liefert ein Benzinmotor — Bauart Phönix — von 10 PS bei 600 Uml./min, ausgeführt von der bekannten Kraftwagen-Firma Panhard & Levassor, die frü-

Cylindern arbeitende Motor ist auf ein Untergestell aus Walzeisen gesetzt und mit Wasserkühlung, Glühzündung und Zerstäubungs-Karburator ausgerüstet.

Der Motor betreibt zunächst mit Umsteuerriemen ein am hinteren Ende der Plattform angeordnetes Vorgelege, das seine Energie mittels einfachen Riemens an die gemeinsame Triebwerkswelle für Heben und Drehen abgibt. Zur Erleichterung der Umsteuerung sind die Riemengabeln mit Rollen

Fig. 108.

Fig. 108 bis 110.

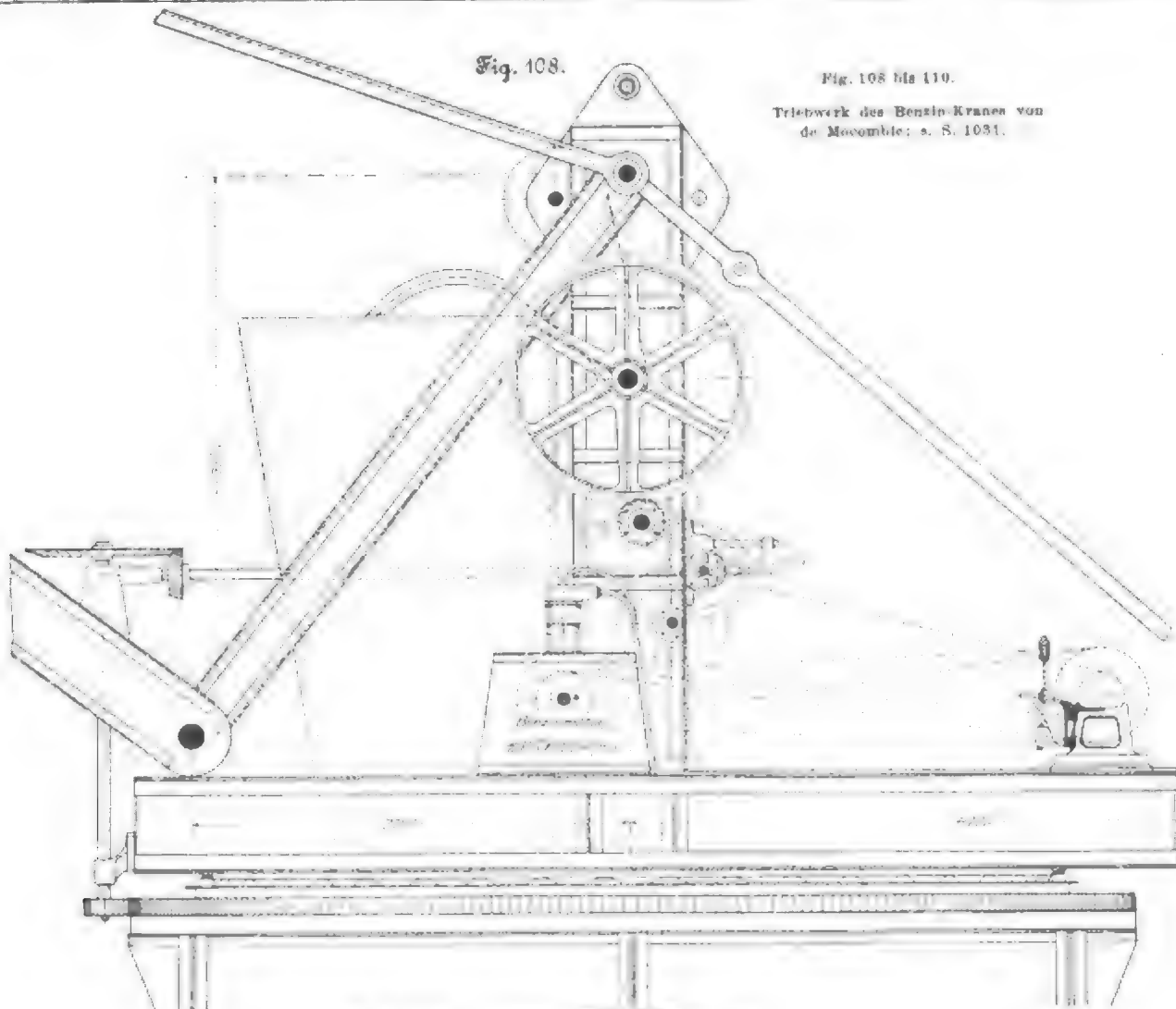
Triebwerk des Benzol-Kranes von
de Mocomble; s. S. 1031.

Fig. 109.

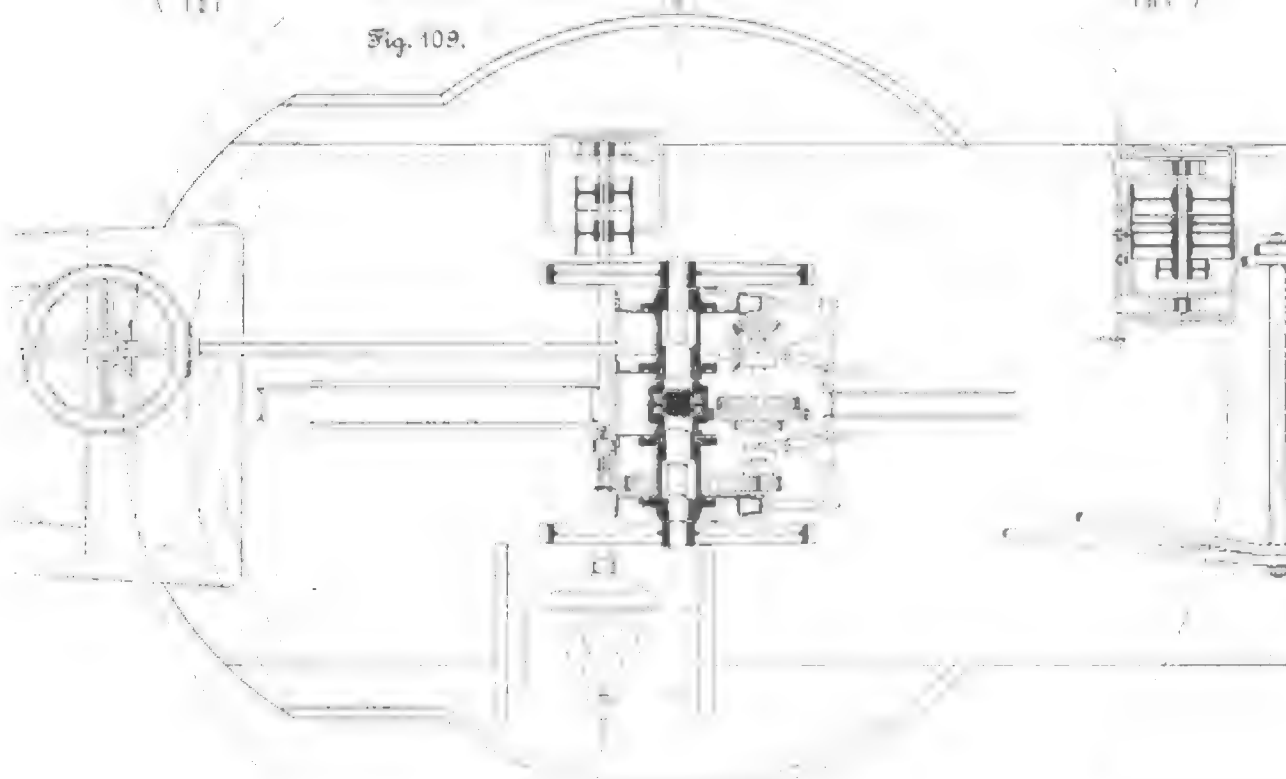
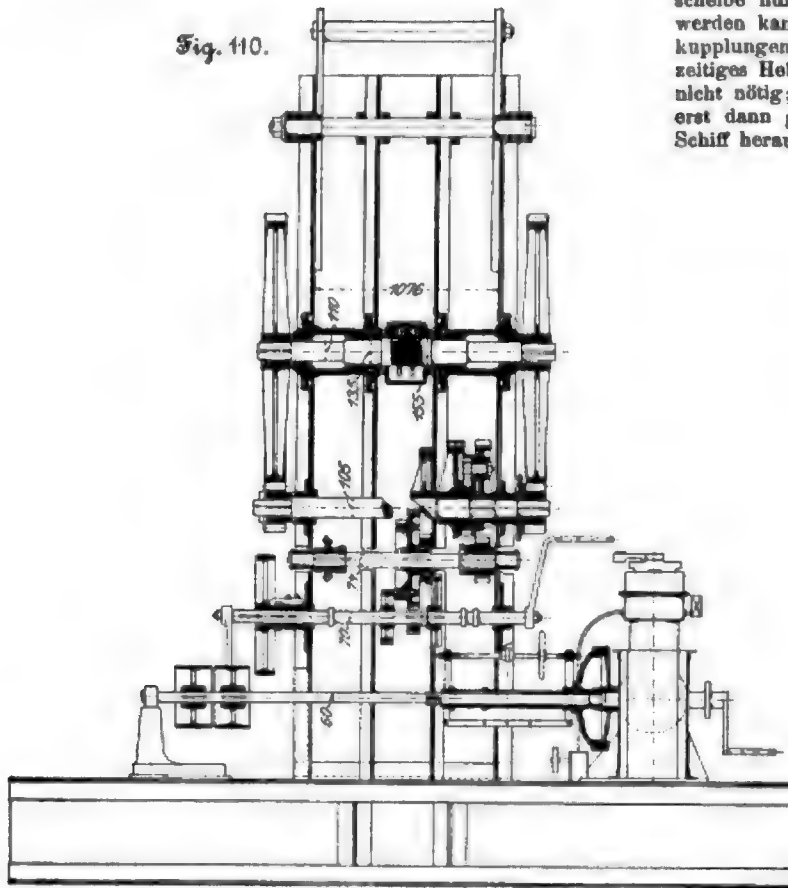


Fig. 110.

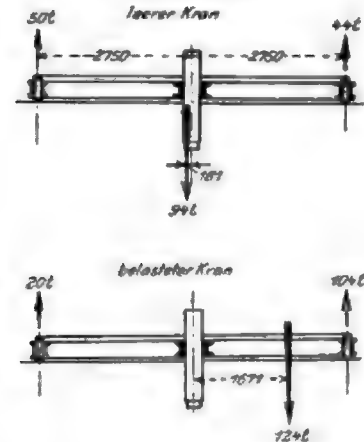


von 70 mm Dmr. ausgerüstet. Auf die Triebwerkswelle können außerdem Handkurbeln aufgesteckt werden, um bei Betriebstörungen am Motor eine Aushülfe zu haben. Damit beim Anlassen des Motors die Riemen nicht mitzuschieben sind, ist das Schwungrad als Reibkupplung ausgeführt, die auf gleichem Grundsatz beruht wie diejenige der Kraftwagen; eine über die Welle geschobene Spiralfeder hält in normalem Betriebe die kegelförmigen Reibflächen geschlossen, sodass kein Achsialdruck auf die Wellenlager abgegeben wird. Eine Schraubenspindel mit Handrad gestattet, die Kupplung durch Zusammenpressen der Feder zu lösen; der Achsialdruck tritt hierbei nur zwischen stillstehenden Teilen auf.

Von der durch Riemen getriebenen Welle wird zunächst eine zweite mittels dreier Paare Wechselräder betrieben. Die Umschaltung dieser Räder erfolgt wie bei Kraftwagen einfach

Fig. 111 und 112.

**Druckverteilung des Benzol-Krises
von de Meccombe.**



Von der dritten Welle wird durch doppelte Stirnräder die aus einem Stück geschmiedete Nusswelle angetrieben, die eine Gallische Kette mit dreifacher Laschung betätigt und mit loser Rolle die Last hebt. Auf der dritten Welle — also dicht an der

Nusswelle — sitzen zwei Bandbremsen: die eine ist als Sperrradbremse gebaut, die andere wird von der Riemengabel an gesteuert. Die Energie zum Drehen wird, wie erwähnt, von der zweiten Welle durch Klauen und Kegelräder auf eine Längswelle und von da durch ein zweites Kegelräderpaar und eine stehende Welle auf den Zahnkranz übertragen. Das Triebwerk ergibt:

Hubgeschwindigkeit	=	0,01 m/sk für	30 t
"	=	0,02 " " "	12,5 t
"	=	0,05 " " "	leeren Haken
Drehgeschwindigkeit	=	0,6 " " "	30 t

Die Druckverteilung auf die Drehscheibe ist aus Fig. 111 und 112 ersichtlich. Die höchste Belastung eines Portalfußes beträgt 120 t; jeder der vier Füße ruht auf vier geramnten Pfählen.

(Fortsetzung folgt.)

Zur Festigkeitslehre.

Von W. Voigt.

Die Abhandlung obigen Namens, in der Hr. Prof. Mohr meine Stellung zu seinem Festigkeitsgesetz und die im Göttinger physikalischen Institut ausgeführten Festigkeitsbeobachtungen bespricht (s. Z. 1901 Heft 21 S. 740 u. f.), zwingt mich zu einer Erwiderung. Um bei derselben dem Wunsch der Redaktion nach einer Beschränkung auf faktische Berichtigungen und überhaupt auf größte Kürze zu entsprechen, sehe ich dabei von jeder theoretischen Erwägung vollständig ab, ohne mich dadurch mit den bezüglichen Mohrschen Darlegungen einverstanden zu erklären, und beschränke mich auf das, was nach meiner Ansicht Hr. Prof. Mohr bei der Beurteilung der Göttinger Beobachtungen tatsächlich außer acht gelassen hat.

An die Spitze stelle ich die graphische Darstellung der Resultate jener Messungen nach dem Mohrschen Verfahren.

Fig. 1 bezieht sich auf ein bestimmtes künstliches «echtes Gestein», dessen Zusammensetzung durch gewisse (hier zu übergehende) Überlegungen an die Hand gegeben war und unerört bleiben mag, Fig. 2 auf krystallinisches Steinsalz.

Die Kreise 1, 2, 3 sind die Mohrschen »Hauptkreise«, und zwar entspricht 1 der Zerreißfestigkeit von prismatischen Präparaten im Lustraum, 2 dem analogen innerhalb eines hochgespannten Gases, 3 der gewöhnlichen Druckfestigkeit. Die Steinsalzpräparate waren mit allen Flächen parallel zu Spaltungsflächen orientiert.

Nach dem Mohrschen Fundamentalgesetz sollen die Tangenten pg an den Kreisen 1 und 3, auch (sehr nahezu) die Kreise 2 berühren; die Beobachtungen scheinen mir hiermit unvereinbar zu sein.

Hr. Mohr sieht den Grund für die Abweichungen ausschließlich in Fehlern der Beobachtung, und die Tendenz seiner Einwände geht dahin, die Kreise 2 als zu klein, die Kreise 3 als zu groß gegen die Kreise 1 erscheinen zu lassen. In der That enthält schon die gefundene Gleichheit der Kreise 1 und 2 für sich allein einen gewissen Widerspruch mit der Mohrschen Regel.

Fig. 1.

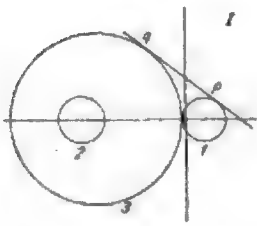
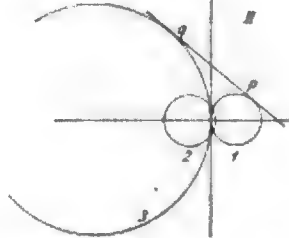


Fig. 2.



Die bezüglichen Beobachtungen haben nun für die Durchmesser der Kreise 1 und 2 in Atmosphären die Werte geliefert:

	(1)	(2)
I.	$14,6 \pm 0,10$	$14,6 \pm 0,05$
II.	$57,2 \pm 3,4$	$56,2 \pm 1,2$

dabei geben die mit \pm zugefügten Zahlen die wahrscheinlichen Fehler an. Bekanntlich bieten letztere (abgesehen natürlich von Fehlern der Methode) ein Maß der Zuverlässigkeit der Resultate, nicht die von Hrn. Mohr herangezogenen Grenzwerte der beobachteten Zahlen.

Die Gleichheit der Kreise 1 und 2, oder anders ausgedrückt: die Unabhängigkeit der scheinbaren Zugfestigkeit von dem Gasdruck, ist nun zwar mit der Mohrschen Regel unvereinbar, aber sie hat an sich so viel Einleuchtendes, dass es mir wichtig scheint, noch vor Erörterung der Mohrschen Einwände darauf hinzuweisen.

Wenn man einem durch theoretische Vorstellungen nicht Voreingenommenen die Frage vorlegt — und ich habe diese Probe gemacht —, ob Zerreißungsversuche in Atmosphären von verschiedenen Drucken merklich verschiedene Resultate ergeben würden, so wird man fast immer die Antwort erhalten: »Schwerlich; denn der allseitig gleiche Druck ändert die Dichte der Präparate kaum merklich, warum soll sich durch ihn also die Festigkeit erheblich ändern?« Eine solche naive Auffassung steht allerdings im direkten Gegensatz zu der Mohrschen Regel, stimmt aber, wie man leicht sieht, genau mit unsern experimentellen Resultaten.

Was nun die gegen die Beobachtungen gemachten Einwände angeht, so sind die Vermutungen, dass die Präparate bei der Herstellung beschädigt und schlecht zentriert waren, vollständig willkürlich. Das »dichte Gestein« bearbeitet sich mit scharfen Werkzeugen ebenso schön und sauber wie Elfenbein, und eine gute Zentrierung ist durch das auch von Hrn. Mohr beschriebene Verfahren gewährleistet.

Aber was die Hauptsache ist: selbst wenn die von Hrn. Mohr gemachten Annahmen zuträfen, würden sie nicht den beabsichtigten Effekt haben. Denn die zu 1 und 2 benutzten Präparate waren vollständig gleichartig, aus denselben Stücken, nach dem gleichen Verfahren hergestellt, mit derselben Vorrichtung zerrissen. Diese Fehlerquellen könnten somit die Kreise 1 und 2 nur in (nahe) gleicher Weise modifizieren.

Anders verhält es sich anscheinend mit dem dritten Einwand, der von Hrn. Mohr angenommenen Sprengwirkung des hochgespannten Gases, das in die Poren der Präparate eindringt. Wenn Hr. Mohr sagt, dass ich Sprünge und Luftbläschen im Material »zugebe«, so liegt hier ein Missverständnis vor. Ich habe die Möglichkeit zugelassen (natürlich!), sage aber ausdrücklich, dass die Steinsalzpräparate hochpolirt und glasklar, die aus dem dichten Gestein völlig dicht mit blanker Oberfläche waren.

Indessen versagt auch hier das Mohrsche Argument, selbst wenn seine Voraussetzungen zuträfen. Jene Sprengwirkung existiert nicht; nach der Elastizitätstheorie wird der Spannungszustand eines (allseitig gleichem) Gasdruck ausgesetzten Körpers dadurch nicht geändert, dass man in ihm Hohlräume anbringt, die mit der Gasatmosphäre kommunizieren.

Keiner der von Hrn. Mohr gegen unsere Zerreißungsversuche erhobenen Einwände hat nach meiner Ueberzeugung Gewicht. Und auch der Versuch, die Beobachtungen unter hohem Gasdruck wenigstens als unsicherer hinzustellen als die unter niedrigerem, wird durch die oben angegebenen Zahlen widerlegt:

Die wahrscheinlichen Fehler sind bei beiden Beobachtungsreihen fast genau die gleichen.

Während die Zerreißungsversuche ausführlichere Reihen darstellen, sind die Druckversuche, die auf die eigene Veranlassung des Hrn. Mohr ausgeführt sind, nur vorläufige, orientierende Messungen; aber da sie die wichtigen von Hrn. Föppl angegebenen Verbesserungen benutzten, kann ich sie für erheblich unsicher nicht halten.

Wie die Figuren zeigen, handelt es sich bei der Frage der Gültigkeit des Mohrschen Gesetzes aber nicht um zehn oder zwanzig, sondern um hundert von Prozenten. Ich sehe demgemäß keine Möglichkeit, die Beobachtungen am »dichten Gestein« mit der Mohrschen Regel in Uebereinstimmung zu bringen; wenigstens würde jeder Einwand gegen die benutzte Methode sich sofort auch gegen die Föpplschen Resultate richten, die bisher eine wichtige Bestätigung des Mohrschen Gesetzes liefern.

Was die Druckversuche mit dem Steinsalz angeht, so ist ihre Beweiskraft keine so unmittelbare, weil ihre Auffassung davon abhängt, welche Lage der Bruchflächen man als bei homogen gedrückten prismatischen Präparaten nachgewiesen ansieht.

Hrn. Föppls Beobachtungen zeigen meines Erachtens, dass es sich bei so ziemlich allen früheren Messungen um inhomogene Druckverteilung gehandelt hat, und seine sicher viel homogener gedrückten Präparate zeigen keine Spur von jenen typischen Pyramiden und Kegeln. Sie scheinen mir vielmehr übereinstimmend mit hiesigen Beobachtungen an Glaspräparaten die Bruchflächen wesentlich der Druckrichtung parallel zu geben.

Die Frage ist offenbar, wie so manche andere dieses Gebietes, noch nicht geklärt. Ist meine Auffassung die richtige, so ist auch das Resultat der Steinsalzversuche beweiskräftig, wie Hr. Mohr gleichfalls ausspricht. Für die Entscheidung für oder gegen sein Gesetz ist das Resultat aber entbehrlich; hier genügt es meines Erachtens an den übrigen Beobachtungen.

Zum Schluss noch eine Bemerkung über die allgemeine Frage, ob man den Augenblick des Bruches bei Druckversuchen nach dem Auftreten des ersten Sprunges oder nach dem vollständigen Zertrümmern beurteilen soll. Die Zugversuche legen anscheinend das erstere nahe. Trotzdem halte ich das letztere für richtiger, falls es sich um theoretische Fragen handelt.

Bei den Druckversuchen ist unzweifelhaft selbst bei dem Föpplschen Verfahren die Homogenität der Spannung unvollkommener, wie bei Beobachtungen über Dehnung, Biegung, Drillung usw., und die ersten Sprünge scheinen mir fast stets auf örtlichen Maxima der Spannung zu beruhen, die eben durch den Sprung (infolge vergrößerter Nachgiebigkeit des Materials neben dem Sprung) ausgeglichen werden. Geht der Sprung der Druckrichtung parallel, so wird durch sein Auftreten nach einem bekannten Satz der Elastizitätstheorie der homogene Spannungszustand des Präparates im übrigen nicht geändert. Einzelne derartige Sprünge ändern somit auch den Charakter der homogenen Deformation des Präparates nicht. Sie machen dabei auch den Augenblick des gänzlichen Zerfalles keineswegs (wie Hr. Mohr anzudeuten scheint) unklar. Bei den Steinsalzpräparaten zerfällt, wie ich seinerzeit beschrieb, das vorher nur wenig zersprungene Präparat plötzlich gleichzeitig in seiner ganzen Ausdehnung in unzählige schillernde Stäbchen — ein wirklich überraschender, hübscher Anblick —, um dann in sich zusammenzubrechen. Mir scheint, der Vorgang beweist, dass die ge-

treffene Anordnung die Forderung einer homogenen Spannungsverteilung nicht auffallend verletzte, sondern sie umgekehrt recht vollständig erfüllte.
Göttingen, Juni 1901.

Auf die vorstehenden Einwände gestatte ich mir zunächst mit einigen Zahlenbeispielen zu antworten.

Hr. Föppl bestimmte die Druckfestigkeit einer Granitsorte nach einem Verfahren zu 407, nach einem andern zu 1460 kg/qcm. Hr. Grübler ermittelte die Zugfestigkeit einer Sandsteinsorte nach einem Verfahren zu 22, nach einem andern zu 65 kg/qcm. Nach den eigenen Messungen des Hrn. Voigt beträgt die Druckfestigkeit des Steinsalzes 150 oder 300 kg/qcm, je nachdem das Entstehen der ersten Sprünge oder der vollständige Zerfall als Bruchgrenze bezeichnet wird. Es ist bis zur Stunde nicht entschieden, welches Verfahren in den einzelnen Fällen das richtige war; selbst darüber haben wir keine Gewissheit, ob die wahren Werte zwischen den angegebenen Grenzen lagen. Angesichts solcher Unsicherheit wäre es mir schwerlich in den Sinn gekommen, meinen Aufsatz zu schreiben, wenn es sich nur um die Darstellung der Bruchgrenze spröder Steine gehandelt hätte. Hr. Voigt aber besteht darauf, alles übrige beiseite zu lassen und die streitigen Fragen durch Versuche zu entscheiden, die er mit einem künstlichen spröden Gestein, und zwar mit Stäben halb so dick wie eine Bleifeder angestellt hat. Ich habe ausführlich die Gründe dargelegt, weshalb ich seine Ergebnisse als beweiskräftig nicht anerkennen kann, und überlasse es dem Leser, selbst zu urteilen. Nur auf das Neue in der vorstehenden Mitteilung muss ich mit einigen Worten eingehen.

Hr. Voigt behauptet, es sei ein Missverständnis gewesen, als ich annahm, dass er nicht nur die Möglichkeit, sondern auch das wirkliche Vorhandensein von Sprüngen und Luftbläschen im Material zugegeben habe. Die von mir angeführten Worte des Hrn. Voigt, mit denen er die Abweichungen zwischen den erhaltenen Festigkeitszahlen in ganz überwiegendem Maße den Unregelmäßigkeiten des Materials, Luftbläschen, Sprüngen usw. zuschreibt, scheinen mir ein Missverständnis auszuschließen. Denn die Unregelmäßigkeiten müssen doch wohl wirklich vorhanden gewesen sein, wenn sie

die bezeichnete Wirkung gehabt haben sollen. Ich habe das ungleichmäßige Eindringen des hochgespannten Gases in jene Poren als eine Ursache bezeichnet, die das Versuchsergebnis beeinträchtigen konnte. Bei dieser Annahme, auf die ich übrigens keineswegs ein Hauptgewicht lege, hatte ich besonders die Erfahrungen im Auge, die Hr. Föppl beim Zerdrücken verschiedener Materialien durch hydrostatische Pressungen gewonnen hat. Demgemäß setzte ich selbstverständlich nicht voraus, dass alle Poren eines Körpers frei mit dem Außenraum kommunizieren, und noch weniger habe ich an eine Sprengwirkung gedacht, wie Hr. Voigt irrtümlich behauptet.

Es ist mir ferner durchaus verständlich, wie Hr. Voigt zu der falschen Auffassung gekommen ist, es sei mit meiner Regel unvereinbar, dass die Hauptkreise zweier Spannungszustände an der Bruchgrenze gleich große Durchmesser erhalten. Zwei solche Hauptkreise stehen mit meiner Regel nur dann im Widerspruch, wenn der eine den andern umschließt; der Fall der Gleichheit beider Durchmesser ist also, wie hervorgehoben zu werden verdient, gerade der, in dem jener Widerspruch mathematisch unmöglich ist, die beiden Hauptkreise mögen liegen, wie sie wollen. Vielleicht ist es nützlich, den Gegenstand noch an einem Beispiel zu erläutern. Hr. Voigt glaubt, für die Bruchgrenze seines künstlichen Gesteins drei Spannungszustände ermittelt zu haben, deren Hauptkreise, wie oben Fig. 1 zeigt, Durchmesser von 15, 15 und 60 kg/qcm haben. Dieses Resultat würde, wenn es richtig wäre, meine Regel widerlegen, nicht wegen der Größenverhältnisse der Durchmesser, sondern weil Kreis 2 innerhalb des Kreises 3 liegt, und die Umhüllung der drei Kreise durch eine Kurve daher unmöglich ist. Wären die berichtigten Durchmesser der drei Kreise übereinstimmend z. B. gleich 37,5 kg/qcm, so würde der berichtigte Irrtum in allen drei Fällen 60 vH der wahren Werte betragen. Möglicherweise sind die vorgekommenen Irrtümer viel größer, doch darauf kommt es hier nicht an. Die Hüllkurve würde in dem angenommenen Falle aus den beiden zur σ -Achse parallel gerichteten gemeinschaftlichen Tangenten gebildet werden, und es würden nicht zwei, sondern unendlich viele verschiedene Spannungszustände an den Bruchgrenzen bestehen, deren Hauptkreise alle denselben Durchmesser haben.

Dresden, den 27. Juni 1901.

Mohr.

Sitzungsberichte der Bezirksvereine.

Eingegangen 7. Februar 1901.

Pommerscher Bezirksverein.

Sitzung vom 8. Januar 1901.

Vorsitzender: Hr. Cornells. Schriftführer: Hr. Hamann.
Anwesend 27 Mitglieder und 3 Gäste.

Nach Erledigung geschäftlicher Angelegenheiten spricht Hr. Böttcher über neuere Geräte zur Prüfung von Dampfkraftanlagen.

Das Gebiet der Prüfung und Betriebsüberwachung von Dampfkraftanlagen ist so umfangreich, dass Einschränkungen in der Behandlung des Stoffes erforderlich sind. Um aber ein abgeschlossenes Bild zu geben, hat der Vortragende die Gruppe von Geräten herausgegriffen, die der Untersuchung des wärmetechnischen Teiles der Gesamtanlage dienen.

Es ist vor allem zwischen der Prüfung einer Neuanlage und derjenigen des Betriebes einer bestehenden, längere Zeit im Betriebe befindlichen Anlage zu unterscheiden. Im ersteren Falle handelt es sich fast ausschließlich darum, die der Berechnung der Betriebskosten zugrunde zu legenden Gesamtzahlen, d. h. die Anzahl PS. auf 1 kg Kohle, zu ermitteln, oder, da häufig Maschinen und Kessel von verschiedenen Firmen geliefert werden, die Speisewassermenge auf 1 PS. und die Verdampfungsziffer des Kessels zu finden. Hierbei steht stets eine größere Anzahl gut geschulter Beobachter zur Verfügung. Der Natur der Sache entsprechend, liegt stets mehr oder weniger das Bestreben vor, kleine Schwächen zu bemängeln, um ein möglichst günstiges Ergebnis zu erzielen. Die Heizer und Maschinisten werden bei diesen Versuchen peinlichst überwacht. Im zweiten Falle dagegen handelt es sich darum, die Wirtschaftlichkeit des Betriebes zu überwachen; es sollen alle Mängel klagestellt werden, damit ihr Einfluss zu ermessen und ihre Beseitigung möglich ist. Das Personal ist beschränkt in der Zahl und nicht immer tüchtig; die Bedienung ist mehr

oder weniger sich selbst überlassen. Hier sind aufzeichnende Geräte am Platze, weil dadurch die Ueberwachung verdoppelt ist.

In beiden Fällen ist für die Beurteilung der Beobachtungsergebnisse die Kenntnis der Hauptfehlerquellen wichtig, die sich am deutlichsten anhand des Wärmeplanes von Sankel verfolgen lassen¹⁾. Der Vortragende erklärt einen Wärmeplan, der nach Versuchen von Prof. Schröter²⁾ an einem Schmidt-Motor entworfen ist. Die Betrachtung ergibt, dass die Hauptverluste durch die abziehenden Heißgase, den Einfluss der Wandungen, den Abdampf und die Kondensation bedingt sind. Der zuletzt angeführte Verlust ist in den physikalischen Eigenschaften des Dampfes begründet; hieran ist also nichts zu ändern. Der Einfluss der Wandungen lässt sich am besten anhand des Indikatorgrammes unter Benutzung der Kurve der Sättigungstemperaturen beurteilen. Die Verluste durch den Wärmeinhalt der Rauchgase bestehen in unverbrannten Bestandteilen, in zu großem Luftüberschuss und zu hoher Temperatur der Abgase.

Bei der Untersuchung einer Dampfkraftanlage handelt es sich zunächst darum, Wasser, Luft und Kohle zu messen. Das gewöhnliche Verfahren, die Speisewassermenge durch Wägen festzustellen, ist für die fortlaufende Betriebskontrolle unanwendbar. Beim Ablesen der Wasserstände entstehen beim Beginn und am Ende des Versuches Fehler, welche unter Umständen 10 vH betragen. Besser für diesen Zweck geeignet sind Wassermesser, denen im allgemeinen, aber ohne Berechtigung, wenig Vertrauen entgegengebracht wird. Bei den Wassermessern sind mehrere Arten zu unterscheiden: Kolbenwassermesser (Schmidt-Zürich), die mit einer Genauigkeit von 2 vH den Wasserdurchgang aufzeichnen; Wägemesser mit geeichtem Gefäß (der Messer von Reuter & Reiser in Henuß ist bezüglich der Genauigkeit beim Aichmaß zuge-

¹⁾ Z. 1900 S. 539.

²⁾ Z. 1895 S. 5.

lassen), Wassermesser mit Verdrängung eines bekannten Rauminhalts (Trommelmesser von Hans Reiser in Köln, Genauigkeit 1/2 vH), Flügelrad-Wassermesser (Siemens & Halske, Genauigkeit 1 bis 2 vH).

Die unmittelbare Messung der Luftmenge ist durch die später zu besprechenden Rauchgasanalysen überflüssig. Für die Kontrolle des Zuges sind sogenannte Zugmesser sehr zweckmäßig, bei denen eine Aluminiumzunge vom Zuge angesaugt wird und durch ihre geneigte Stellung auf einer Skala den Druck anzeigt. (Zugmesser von Schacht & Rohkohl in Buckau.)

Die Kohle muss nach Menge und Beschaffenheit geprüft werden. Zur Untersuchung der Heizwertbestimmung dienen die Mahlersche Bombe und ähnliche Vorrichtungen; sie sind jedoch wegen der Umständlichkeit in der Handhabung für den Betrieb schwer anwendbar. Mit Rücksicht auf die Beurteilung der Wärmeausnutzung sind Heizwertbestimmungen auch nicht erforderlich, wenn die Heizgase untersucht werden. Zum Messen der Kohle benutzt man zweckmäßig selbsttätige Wagen (Schenk in Darmstadt, Reuter & Reiser in Hennef). Diese Wagen werden mit Vorrichtungen versehen, die jederzeit durch Abstampeln einer eingeschobenen Karte die Anzahl der Wagen und das geförderte Gewicht angeben. Vor betrügerischen Handhabungen können die Wagen einen Schutz nicht gewähren; ihr Wert liegt in der gegenseitigen Ueberwachung von Arbeiter und Wage.

Die größte Verlustquelle besteht, wie bereits erwähnt, in den abziehenden Heizgasen. Die Untersuchung dieser Gase hat sich auf ihre Zusammensetzung und Temperatur zu erstrecken. Bei der Zusammensetzung der Rauchgase kommen nur Kohlensäure, Sauerstoff und Kohlenoxyd in Frage. Die Rauchgasanalyse wird zweckmäßig mit den Hempelschen Pipetten oder dem Orsat-Apparat¹⁾ ausgeführt; der letztere ist handlicher. Der Redner führt den Gang der Rauchgas-

¹⁾ Z. 1879 S. 190.

analyse mit Geräten von Dr. Rob. Muencke, Berlin, vor. Das Gas wird in einem Glasgefäß aufgefangen und in eine Messröhre übergeleitet. Dann geht es der Reihe nach durch Kalilösung zur Absorption von Kohlensäure, durch Pyrogallussäure zum Entziehen von Sauerstoff und durch ammoniakalische Kupferchloridlösung zur Aufnahme des Kohlenoxydes. Bei der letzten Absorption entstehen Ammoniakdämpfe, die das Ergebnis stören würden und deshalb durch Ueberleiten des Gases in ein Gefäß mit verdünnter Schwefelsäure entfernt werden müssen. Der Gehalt an Kohlensäure, Sauerstoff und Kohlenoxyd wird an der Teilung der Messröhre abgelesen, in die das Gas nach jeder Absorption zurückgeleitet wird. Diese genauen Analysen gestatten nur ein Urteil nach Stichproben, während für den Betrieb fortlaufende Beobachtungen wertvoller sind. Hierzu eignet sich das Arndtsche Oekonometer¹⁾ (Ww. Joh. Schuhmacher in Köln).

Die Temperatur der Heizgase wird mittels des Pyrometers bestimmt, dem im allgemeinen wenig Vertrauen geschenkt wird. Das ist nicht so ganz berechtigt, da es ja hierbei nicht so sehr auf genaue Temperaturen ankommt, sondern nur auf Verhältniszahlen, die zur Beurteilung der Feuerung dienen. Als zweckmäßige Geräte zum Messen der Temperatur von Rauchgasen werden Stahl-Quecksilber-Thermometer verwendet, die aus einem mit Quecksilber gefüllten stählernen Haarrohr bestehen. Diese Geräte lassen sich leicht selbstzeichnend herstellen, wodurch, besonders für Rauchgasbeobachtungen und Ueberhitzerbetriebe, ein wertvolles Ueberwachungsgerät gegeben ist. Derartige Geräte können stets vom Betriebsleiter selbst mithilfe eines Normal Glas-thermometers nachgeachtet werden.

Der Vortragende bespricht ferner Geräte zur Bestimmung der Dampfdrücke²⁾ und Indikatoren.

¹⁾ Z. 1900 S. 23.

²⁾ Z. 1898 S. 601 u. f.

Zeitschriftenschan.¹⁾

(*) bedeutet Abbildung im Text.)

Aufbereitung.

Die magnetische Erzanneicherung zu Pitkäranta in Finnland. Nach Gröndal. (Glückauf 29. Juni 01 S. 365/69*) Darstellung einer älteren und einer neueren Konstruktion von magnetischen Erzscheidern; Angaben über die Leistungsfähigkeit und die Betriebskosten.

Beleuchtung.

Ueber die Verteilung des Gauglühlichtes im Raume und die zweckmäßige Anwendung des Milchglases in der Beleuchtungstechnik. Von Schott und Herschkwitsch. (Journ. Gaab. Wasserv. 29. Juni 01 S. 461/66*) Zeichnerische Darstellung der Ergebnisse umfangreicher Versuche über die Leuchtkraft bei verschiedenen Cylinderformen und Umbüllungsglocken. Insbesondere wurde eine vom Glaswerk Jena hergestellte Milchglasart untersucht, die gute Ergebnisse geliefert haben soll.

Elements of illumination. XXVII. Von Reil. (El. World 22. Juni 01 S. 1062/70*) Verwendung von Rückstrahlampen zu verschiedenen Zwecken.

Bergbau.

Emploi de l'électricité dans les mines. Forts. (Bull. Soc. Ind. min. 01 Heft 2 S. 242/432 mit 13 Taf.) Verwendung der Elektrizität in belgischen Bergwerken. Elektrische Anlagen der Kohlengruben l'Espérance und Bonne Fortune, im Bergwerksbezirk Carmaux und Grand Combe. Elektrisch betriebene Schrämmaschinen in französischen Bergwerken. Bohrverfahren beim Durchtiefen eines Tunnels bei Gardanne à la mer. Schrämmaschinen in Bergwerken von Nordamerika. Elektrische Bohrmaschine mit Wasserspülung, Bauart Bornet. Mechanische Kohlenaufbereitung und elektrisch betriebene Lokomotiven im Bergwerksbezirk von Noeux. Aufbereitung von Erzen und Kohlen in Deutschland, Frankreich und Belgien.

Les appareils de sécurité à l'Exposition de 1900. Von Schuerber. (Géol. etc. 29. Juni 01 S. 138/40* mit 1 Taf.) Beschreibung verschiedener Vorrichtungen, die durch selbsttätiges Abstellen der Fördermaschine das Ueberfahren des Förderkorbes über den Endpunkt vermeiden sollen. Forts. folgt.

Brennstoffe.

Powdered fuel for boiler furnaces at the Alpha Cement Co.'s works, Alpha, N. J. (Eng. News 20. Juli 01 S. 452/53*)

¹⁾ Die Zeitschriftenschan wird, nach den Stichwörtern in Vierteljahrsheften zusammengefasst und geordnet, gesondert herausgegeben, und zwar zum Preise von 8 M pro Jahrgang für Mitglieder, von 10 M pro Jahrgang für Nichtmitglieder.

Der Brennstoff wird zuerst in Stücke von der Größe eines Reiskornes zermahlen, dann in Trockencylindern getrocknet und in einer Mühle gepulvert, von wo aus er durch eine Fördermaschine in den Brennstoffbehälter geschafft wird. Darstellung der Kesselfeuerung und Angaben über einen Heizversuch mit dem so zubereiteten Brennstoff an einem Stirling-Kessel.

Emploi des résidus de naphte pour la fabrication des agglomérés de houille. Von Roux. (Bull. Soc. Ind. min. 01 Heft 2 S. 453/61) Kurze Angaben über die Verwendung von Naphtha-Presssteinen bei der russischen Eisenbahn und Marine.

Dampfässer und Kocheinrichtungen.

Trockencylinder. Von Geiger. Forts. (Z. bayr. Dampfkr.-Rev.-V. Juni 01 S. 63/64*) Konstruktion der gusselernen Trockencylinder von Papiermaschinen. Forts. folgt.

Dampfkraftanlagen.

Penman's water tube boiler, constructed by Messrs. Penman & Co., Glasgow. (Engin. 5. Juli 01 S. 27*) Zeichnung mit kurzer Erläuterung der Konstruktion. Der Kessel hat einen Oberkessel und zwei darunter liegende schräg nach hinten geneigte Rohrbündel mit je zwei Wasserkammern, die durch geschweifte Rohren mit dem Oberkessel verbunden sind.

Fabrication des chaudières, matériaux employés, leur mise en oeuvre dans la construction et la réparation. Von Compère. Forts. (Rev. Ind. 22. Juni 01 S. 749/50) Ausschreibungsbedingungen der Association Parisienne des Propriétaires d'Appareils à vapeur für die Lieferung von Stahlrohren für Wasserrohrkessel. Das Behältnis, Bördeln und Rohren der Bleche. Forts. folgt.

Explosion in Sachsen. Von Haage. (Mitt. Prax. Dampfkr. Dampf. 29. Mai 01 S. 394/96*) Explosion eines kombinierten Flammrohr- und Heizrohrkessels, die auf Wassermangel zurückgeführt wird. Der Verfasser nimmt Gelegenheit, auf Mängel an den Wasserstandgläsern hinzuweisen, die den Unfall mit verschuldet haben.

Eine glücklich abgelaufene Kesselexplosion. (Z. bayr. Dampfkr.-Rev.-V. Juni 01 S. 70/72*) Bei der Explosion wurde ein Flammrohr eingedrückt und aufgerissen. Es wird kurz besprochen, wie der Unfall wahrscheinlich zustande gekommen ist.

Dampfkesselexplosion in Saalfeld, Ostpreußen. Von Reil. (Mitt. Prax. Dampfkr. Dampf. 15. Mai 01 S. 357/58*) Die Explosion wird auf Wassermangel zurückgeführt, den der Heizer nicht bemerkte, da der Verbindungskanal des unteren Hahnkopfes an Wasserstandglase verstopft war und verstopft wurde, den Zustand des Wasserstandglases durch wechselseitiges Durchblasen der Verbindungskanäle zu prüfen.

Dampfkesselexplosion in Bilderweischen, Ostpr. Von Bobst. (Mitt. Prax. Dampf. Dampf. 23. Mai 01 S. 375/76*) Bei dem zum Betriebe einer Dreschmaschine benutzten Lokomobillkessel wurde die Feuerbüchse aufgerissen und ein Heizrohr aus der Rohrwand gezogen. Die Untersuchung ergab als Ursache der Explosion Wassermangel infolge nachlässiger Beobachtung des Wasserstandes.

Dampfmaschinensteuerung von A. Kleinast. Von Carlo. (Mitt. Prax. Dampf. Dampf. 3. Juli 01 S. 482/85*) Bei der von der Maschinenfabrik Th. Groke in Merseburg ausgeführten Steuerung dienen Kolbenschieber zur Dampfverteilung. Der Einslasschieber wird durch Dampfdruck gehoben und durch Federkraft frei fallend geschlossen. Die Auslasschieber werden zwangsläufig bewegt.

Ueber Versuche an kombinierten Kesseln. Von v. Doepp. (Mitt. Prax. Dampf. Dampf. 8. Mai 01 S. 339/43*) Die Versuche fanden in den Puttlowischen Werken bei St. Petersburg statt. Der Kessel bestand aus einem Unterkessel mit einem Flammrohr und einem Heizrohr-Oberkessel. Bei dem einen Versuch kam eine mechanische Beschickvorrichtung, Bauart Münchner, zur Anwendung, das andere mal wurde die Feuerung von Hand bedient.

Arbeitsteilung und Dampfverbrauch von Dampfmaschinen. (Z. bayr. Dampf. Rev. V. Juni 01 S. 67/69) Tabellarische Zusammenstellung der Ergebnisse von vielen Leistungsversuchen und erläuternde Bemerkungen dazu.

Eisenbahnwesen.

Die günstigste Geschwindigkeit der Gütersüge. Von Rühle von Lillienstern. (Organ 01 Heft 6 S. 127/28) Darstellung der Förderleistung einer Güterzuglokomotive als Funktion der Zuggeschwindigkeit. Bedingung für den Größtwert der Förderleistung. Zahlenbeispiel.

Ueber elektrische Schnellbahnen. Von v. Reymond-Schiller. Forts. (Z. f. Elektrot. Wien 30. Juni 01 S. 317/21*) Analyse der Schnellbahnen als Schwebbahn oder als gewöhnliche zweigleisige Bahn. Besprechung verschiedener Arten von Schwebbahnen, insbesondere der zwangsläufigen Schwebbahnen von Lartigue und von Hehr. Forts. folgt.

Die großen elektrisch betriebenen Pariser Stadtbahnen. Von Kohlforst. Schluss. (Z. f. Elektrot. Wien 30. Juni 01 S. 321/27* u. 7. Juli 01 S. 332/35*) Die Pariser Stadtbahn; Strecke; Tunnel; Haltestellen; Endbahnhöfe; Treib- und Anhängewagen; Kraftwerk am Quai Jemappes; Gestaltung des Betriebes und Sicherheitsvorrichtungen.

Note sur la construction de la ligne de Toul à Pont-Saint-Vincent. Von Descubes. Forts. (Rev. gén. Chem. de Fer Juni 01 S. 521/54*) Vorkahrungen zum Schutze der Bahndämme gegen Hochwasser. Steinpackungen der Böschungen. Forts. folgt.

Le chemin de fer métropolitain de Vienne. Von Philippi. (Rev. gén. Chem. de Fer Juni 01 S. 569/99*) Vorarbeiten für den Bau der Wiener Stadtbahn. Längen der einzelnen Strecken und ihre Baukosten. Beschreibung der Erd- und Maurerarbeiten. Tunnel, Ueber- und Unterführungen. Oberbau. Einzelheiten der Bahnhöfe und ihrer Einrichtungen. Forts. folgt.

Die neuen Linien der Rhätischen Bahn. Von Hennings. (Schweiz. Bauz. 6. Juli 01 S. 57*) Lageplan und Bauplan für die Albulabahn; die Tunnelbauten und Viadukte auf der 63 km langen Strecke von Thusis nach St. Moritz.

Les locomotives italiennes à l'Exposition de 1900. Von Harbier. (Rev. gén. Chem. de Fer Juni 01 S. 562/66*) 2/3-gekuppelte Schnellzuglokomotive mit Drehgestell und aufsteckenden Cylindern von 480 mm Dmr. bei 610 mm Hub, gebaut von Breda in Mailand. 2/3-gekuppelte Schnellzug-Verbundlokomotive mit aufsteckenden Cylindern von 340 und 800 mm Dmr. bei 680 mm Hub, gebaut von Ansaldo & Cie. in Sampierdarena.

Three-cylinder compound locomotive for the North-Eastern railway. (Engng. 5. Juli 01 S. 13/16*) Ausführliche Darstellung der 2/3-gekuppelten Lokomotive und der wesentlichen Einzelheiten. Der innenliegende Hochdruckcylinder hat 480, die beiden außenliegenden Niederdruckcylinder haben 660 mm Dmr. Der Kolbenhub beträgt 625 mm. Die Kurbeln der Niederdruckcylinder sind um 90° gegen einander und um 185° gegen die Kurbel des Hochdruckcylinders versetzt. Der Kessel hat 123 qm Heizfläche. Das Leertgewicht der Lokomotive beträgt 35,5 t, das gesamte Betriebsgewicht 52 t.

Bildliche Bestimmung der Gegengewichte in den Triebrißern der Lokomotiven. Von v. Harries. (Organ 01 Heft 6 S. 129*) Das einfache zeichnerische Verfahren wurde bei der Exportförmigen Ausstellungsmaschine für Paris angewandt. Es wurden dabei außer den rotierenden Massen noch 10 vH der hin- und hergehenden Massen ausgeglichen; der Verfasser ist jedoch der Ansicht, dass bei Viercylinder-Lokomotiven mit entgegengesetzt gerichteten Außern und Innern Kurbeln ein Ausgleich der hin- und hergehenden Massen überhaupt entfallen kann.

Suggested methods for reducing locomotive fuel consumption. (Eng. News 27. Juni 01 S. 460/61*) Als Mittel, Brenn-

stoff zu sparen, werden die allgemeinere Anwendung von Verbundlokomotiven, die Anordnung von Speisewasservorwärmern, größere Rostfläche des Kessels, aufmerksame Kesselbedienung, Anwendung von überhitztem Dampf und selbstthätige Beschickvorrichtungen empfohlen.

Feed water heating for locomotives. (Eng. News 27. Juni 01 S. 469/70) Der Verfasser bespricht verschiedene Ursachen, die der Anwendung von Speisewasservorwärmern bei Lokomotiven entgegenstehen.

Der Eisenbahnwagenbau auf der Pariser Weltausstellung 1900. Von Schumacher. (Glaser 1. Juli 01 S. 16/21* mit 2 Taf.) Salonwagen, gewöhnliche Personenzüge, Gepäckwagen und Glas- und Steintransportwagen belgischer Bahnen. Verschiedene von französischen Firmen gebaute Wagen für die sibirische Bahn. Forts. folgt.

100 000 lbs. ore cars; Chicago, Milwaukee & St. Paul Ry. (Eng. News 20. Juni 01 S. 456*) mit 1 Taf.) Die Wagen haben 2 Drehgestelle und hölzerne Wagenkästen von rd. 6 m Länge und 2,7 m Breite. Konstruktions Einzelheiten der Wagengestelle.

Car trucks, car wheels and derailments. (Eng. News 20. Juni 01 S. 448*) Der Verfasser schreibt die vielen Entgleisungen auf amerikanischen Eisenbahnen der unzureichenden Beschaffenheit der Wagenuntergestelle zu und schlägt verschiedene Aenderungen in der Konstruktion der Drehgestelle und Räder vor.

New passenger, dining and observation cars. (Eng. News 20. Juni 01 S. 442*) Kurze Angaben über die Abmessungen von Salonwagen der Cleveland, Cincinnati, Chicago & St. Louis Eisenbahn, Speisewagen der Chicago, Burlington & Quincy Eisenbahn, Versuchswagen der Northern Pacific Eisenbahn und Salonwagen der Intercolonial Eisenbahn.

Uebergang von der Schraubenkupplung zur selbstthätigen Mittelkupplung. Von Welfs. (Organ 01 Heft 6 S. 136 mit 1 Taf.) Darstellung der bei den bayerischen Staatseisenbahnen getroffenen Einrichtung, durch die es ermöglicht wird, allmählich und ohne Störung des Betriebes die bisherige Schraubenkupplung durch die amerikanische, seitlich lösbare selbstthätige Kupplung zu ersetzen.

Note sur le chariot roulant sans fosse ni électricité. Von Carlat. (Rev. gén. Chem. de Fer Juni 01 S. 555/61*) mit 1 Taf.) Die rd. 9 m lange Schleppbahn befördert Wagen bis zu 22 t Gewicht. Zur Bewegung dient ein Gleichstrommotor von 115 V Spannung. Einzelheiten des Betriebes.

The construction and equipment of a modern round-house. (Eng. News 27. Juni 01 S. 479/80*) Ergebnisse eines Rundschreibens an die Mitglieder der American Railway Master Mechanics' Association über die zweckmäßigste Anlage eines kreisförmigen Lokomotivschuppens.

Eisenhüttenwesen.

La sidérurgie dans l'Oural méridional. Von Gouvy. (Mém. Soc. Ing. Civ. Mai 01 S. 714/68*) mit 3 Taf.) Geographische und geologische Verhältnisse im Ural. Zusammenstellung der Eisenhütten und Angaben über ihre jährlichen Leistungen. Beschaffenheit der Erzlager und ihr Abbau. Zubereitung von Holzkohle. Darstellung verschiedener Hochofenformen. Einrichtung einiger Eisenhütten. Beschickvorrichtungen. Winderhitzer. Dampfkessel. Gebläsemaschinen. Verfahren zur Rohlsenerzeugung. Stahlerzeugung, Puddelöfen und Walzwerke. Beförderung der Erzeugnisse. Entwürfe für Anschlussbahnen.

Note sur la laminage des rails, toles et larges plats en acier. Von Pasquier. (Rev. univ. Mines Mai 01 S. 121/36*) mit 1 Taf.) Studie über zweckmäßige Walztemperaturen aufgrund mikroskopischer Untersuchungen des Kielegusses im Stahl.

Eisenkonstruktionen, Brücken.

Die Reyher-Brücke bei Maudsberg. (Deutsche Bauz. 3. Juli 01 S. 329/30*) Die Brücke ist 10 m breit und hat 15 m Spannweite. Die Tragkonstruktion ist als Hängewerk-Trägerdecke, Bauart Möller, ausgeführt worden. Trotz der eigenartigen Form des Untergrundes macht die Brücke einen sehr guten Eindruck.

Substructure for the fourth East River Bridge, New York City. (Eng. News 20. Juni 01 S. 453/55*) mit 1 Taf.) Bauvorschriften und Konstruktions Einzelheiten der gemauerten Brückenpfeiler und ihrer Gründungen.

Des Moines River viaduct; Chicago and Northwestern Ry. (Eng. News 27. Juni 01 S. 466/67*) Die Thalbrücke besteht aus vollständigen Hochtträgern, die auf eisernen Gerüstpfählen ruhen. Die Spannweiten der Uferträger betragen 14 und 21 m; die Hauptöffnung über den Fluss hat 91 m Spannweite. Angaben über die Aufstellung der Brücke.

Elektrotechnik.

Los Angeles transmission plants. (El. World 23. Juni 01 S. 1067/69*) Angaben über die Stromerzeugung, -fernleitung und -verteilung des Wasserkraftwerkes in San Gabriel, das mit 16000 V Primärspannung arbeitet.

Zur Theorie des kurzgeschlossenen Wechselstromgenerators. Von Hirschitz. (Elektrot. Z. 4. Juli 01 S. 537/39*) Ableitung von Formeln zur Berechnung des Ankerstreufeldes, der Ankerspannung, der resultierenden Amperewindungen, der Phasenverschiebung zwischen Strom und Spannung und des Kurzschlussstromes. Beziehung zwischen Kurzschlussstrom und Wechselzahl. Anwendung der Formeln bei Untersuchung eines Wechselstromerzeugers.

Ueber Energiemessung an Drehstrommotoren. Von Stern. (Elektrot. Z. 4. Juli 01 S. 539/42*) Untersuchungen über die Energieverteilung in den Phasen ergaben, dass die Bestimmung des Energieverbrauches mittels augenüblicher Verfahren (Nullpunkt- und Dreileitervorverfahren) sehr ungenau ist und daher für die Prüfung von Motorsählern und Wattmessern zu verwerfen ist.

Drehstrommotoren, 500 PS, 100 U. p. M. (Elektrot. Z. 4. Juli 01 S. 547/49*) Die von der Elektrizitäts-Gesellschaft Althuth erbauten zum Antrieb von Kompressoren bestimmten Induktionsmotoren haben bei 5000 V und 25 Per. sk eine Stromaufnahme von rd. 50 Amp., eine Phasenverschiebung von $\cos \gamma = 0,93$ und 3 vH Schlüpfung. Der Läufer hat 2996,5 mm Dmr., der Ständer 3000 mm Bohrung, die wirksame Länge des Motors 750 mm. Der Motor ist in Sternform gewickelt, der Läufer mit Schleifringen versehen. Wiedergabe von Prüfungsergebnissen.

Self-starting single-phase motor without brushes. Von Fischer-Hinnen. (El. World 22. Juni 01 S. 1066/67*) Der Motor besteht aus einem Anker mit Kurzschlusswicklung und aus zwei magnetischen Feldern, die nebeneinander auf den Anker einwirken; die Polachsen der Felder sind um 90° versetzt, wenn p die Polzahl

jedes der beiden Felder bezeichnet. Statt die Polachsen zu versetzen, können auch die Teile der Ankerwicklung unter den beiden Magnetfeldern entsprechend versetzt werden. Der Motor arbeitet asynchron, bei größerer Leistung verwendet man besser zwei getrennte Motoren mit umlaufendem Magnetfeld und Schleifringen.

Storage battery auxiliaries. III. Von Lyndonn. (El. World 22. Juni 01 S. 1071/73*) Zusatzmaschinen mit gemischter Feldwicklung oder mit Nebenschlusswicklung, die so geschaltet sind, dass sie bei starker Belastung die Spannung des Batteriestromkreises erhöhen, bei schwacher Belastung erniedrigen und bei normaler Belastung mit der Generatorspannung ausgleichen.

Ueber den Einfluss der Polform von Magneten auf die Zugkraft derselben. Von Hencke. (Elektrot. Z. 4. Juli 01 S. 542/44*) Nach den rechnerischen Untersuchungen des Verfassers ist die kegelförmige die beste Polform. Wiedergabe der Berechnung des günstigsten Kegelschnitts.

Some notes on dielectric losses. Von Steinmetz. (El. World 22. Juni 01 S. 1065/66) Wiedergabe der Ergebnisse von Untersuchungen an Kondensatoren, die aus Stanliol- und Papierblättern bestanden und unter Hitze und Luftfeuchtigkeit mit Paraffin ausgegossen waren. Die Untersuchungen wurden bei verschiedenen Wechselzahlen und Spannungen ausgeführt.

Beitrag zur Theorie des Akkumulators. Von Abel. (Z. f. Elektroch. 27. Juni 01 S. 731/33) Es wird gezeigt, dass auch die Le Blancsche Auffassung, in der die Superoxydelektrode hinsichtlich der Pb-Ionen als umkehrbar angenommen wird, zu einer einfachen Formel für die elektromotorische Kraft des Akkumulators führt.

Erde- und Wasserbau.

Die Tunnelbauten der nordböhmischen Transversalbahn Teplice-Reichenberg im Jeschkengebirge. Von Imhof, Schloss. (Schweiz. Bauz. 29. Juni 01 S. 279/80*) Angaben über den monatlichen Fortschritt der Arbeiten und über die Kosten.

Explosionsmotoren und andere Wärmekraftmaschinen.

La poussière dans les gaz des hauts-fourneaux. Von Greiner. (Rev. univ. Mines Mai 01 S. 139/44) Der Verfasser erörtert die Notwendigkeit, Hochofengas zu reinigen, das zum Betriebe von Explosionsmotoren benutzt werden soll, und schildert eine Reinigungsanlage im Differdinger Hüttenwerk.

Gesundheitsingenieurwesen.

Beiträge zur Abwasserklärung. Von Nussbaum, Schluss. (Gesundhstng. 30. Juni 01 S. 187/89) Erörterung der Frage, ob die Forderung, städtische Abwässer zu reinigen, gerechtfertigt ist. Besetzung des Klärschlammes.

Gießerei.

Cast Iron in the United States. (Engineer 5. Juli 01 S. 10*) Nachtrag zu dem in Zeitschriftenchau v. 13. Juli 01 erwähnten Aufsatz.

Heizung und Lüftung.

Künstliche Lüftungsanlagen. Von Knorr. (Gesundhstng. 30. Juni 01 S. 189/94 mit 2 Taf.) Allgemeine Betrachtungen über die Notwendigkeit von Lüftungsanlagen in Räumen, in denen sich eine größere Zahl Menschen längere Zeit aufhält. Grundgesetze für die Anordnung einer Lüftungsanlage. Wirkung der künstlichen Lüftungsanlagen. Beschreibung der Heiz- und Lüftungsanlage im Apollo-Theater in Mannheim.

Holzbearbeitung.

Conservation des bois par le procédé Kötgers. Von Besson. (Mém. Soc. Ing. Civ. Mai 01 S. 689/713*) Das Verfahren, bei dem das Holz durch Chlorzink und Kreosot imprägniert wird, wird seit vielen Jahren bei den Schwellen für die preussischen Staatsbahnen angewendet. Einzelnde Beschreibung des Verfahrens und Darstellung der Betriebsrichtungen.

Inflammabilité des bois. (Rev. Ind. 22. Juni 01 S. 248/49*) Darstellung des elektrolitischen Bades, in welchem das Holz nach dem Verfahren von Nodon und Bretonneau behandelt wird. S. Zeitschriftenchau v. 15. Juni 01. «Le séchage rapide des bois et leur inflammabilité».

Kälteindustrie.

Die Kältetechnik auf der Landwirtschaftlichen Ausstellung in Halle a. S. 1901. Von Schmitt. (Ele- u. Kälte-Ind. 5. Juli 01 S. 1/3*) Ausstellung des Bergedorfer Eisenwerkes. Kühlmachine der Aktiengesellschaft Thomas Th. Sabro & Co. Ltd. in Aarhus. Kohlenäuremaschine von Wegelin & Hiltner. Ammoniakkompressor der Firma Eduard Aulhorn, Hildesheim.

Lager- und Ladevorrichtungen.

Moderne Transportanlagen als Mittel für Zeit- und Raumersparnis im Betriebe industrieller Werke. (Glückauf 29. Juni 01 S. 563/64*) mit 1 Taf.) Kurze Angaben über Hunteche Industriebahnen. Becherketten und Verladevorrichtungen.

Einrichtungen zur Beförderung und Lagerung von Kohlen, Koks und Reinzugmasse für Gasanstaltsbetrieb. Von Buhle, Forts. (Journ. Gas- u. Wasserv. 29. Juni 01 S. 471/72*) Einrichtungen der Gasanstalt Winterthur. Forts. folgt.

Landwirtschaftliche Betriebe.

The Cardiff show. Forts. (Engng. 5. Juli 01 S. 2/4*) Petroleumlokomobile der Dudbridge Iron Works in Stroud. Erntemaschinen. Maschinen und Geräte für Meloraten. Maschinen und Geräte für verschiedene Zwecke, darunter eine doppelwirkende Pumpe von W. H. Wilson & Co.

Maschinenteile.

Absperrventile von Schrüffer & Rudenberg, nach den Normdaten des Vereines deutscher Ingenieure vom Jahre 1900. (Mitt. Prax. Dampfkr. Dampfkr. 22. Mai 01 S. 378/79*) u. 29. Mai 01 S. 393) Die Ventile zeichnen sich durch eigenartige Anordnung der Föhrung und der Dichtungsfäche aus.

Grafit als Schmiermaterial. Von Koerppen. (Mitt. Prax. Dampfkr. Dampfkr. 15. Mai 01 S. 358/59*) Kurze Beschreibung einer Grafit-Schmiervorrichtung, die einige Nachteile der bisherigen vermeiden soll.

Materialkunde.

Rationelle Durchführung der Materialprüfung. Von Rejts. Forts. (Baumaterialienk. 01 Heft 12/13 S. 188/91*) S. Zeitschriftenchau v. 6. Juli 01. Forts. folgt.

Kontrolle der Materialprüfmaschinen mittels Kupferzylinderchen (Crushers). Von Amster-Laffon und Sohn. (Baumaterialienk. 01 Heft 12/13 S. 184/87) Das Verfahren besteht darin, dass man eine Anzahl Kupferzylinderchen in der Maschine zusammenbrückt, die dazu nötige Kraft an der Maschine abliest und dann die Größe der bleibenden Zusammendröckung misst. Die Abhängigkeit der Zusammendröckung eines einzelnen Zylinderchens vom Druck wird vorher festgestellt. Angaben über die Kupferzylinder. Wiedergabe von Prüfungsergebnissen.

Eisen von Stahl in dünnen Blechen zu unterscheiden. (Mitt. Prax. Dampfkr. Dampfkr. 8. Mai 01 S. 343) Es werden 10 Prüfverfahren zur Unterscheidung von Feinblechen aus Eisen und Stahl mitgeteilt.

Ueber den Einfluss von Zeit und Temperatur auf die mechanischen Eigenschaften der Metalle und auf die Materialprüfung. Von Le Chatelier. Forts. (Baumaterialienk. 01 Heft 12/13 S. 177/80*) Einfluss der chemischen Zusammensetzung der Metalle auf das Ausglöhen, Selbstglöhen, Ausglöhen, Einfluss der Zeit auf die mechanischen Eigenschaften der Metalle mit Ausnahme von Stahl und Eisen; Bericht über Zugversuche mit langer während Belastung bei gewöhnlicher Temperatur. Forts. folgt.

Ueber die Konstitution des hydraulischen Zements. Von Rebuffat. (Baumaterialienk. 01 Heft 12/13 S. 192/93) Erwiderung auf die in Zeitschriftenchau v. 23. Juni 01 erwähnten Ausführungen von Rothland.

Mechanik.

Studie über eine Formel zur Ermittlung der Geschwindigkeit des Wassers in Flüssen und Strömen. Von Siedeck. Schluss. (Z. österr. Ing. u. Arch. Ver. 28. Juni 01 S. 445/51) Umfangreiche Tabellen über Versuche an verschiedenen Flüssen und Vergleich der gemessenen Geschwindigkeitswerte mit den nach der Formel des Verfassers errechneten.

Messgeräte und -verfahren.

Prüfung von Indikatortiefen. Von Eberle. (Z. bayr. Dampf-Rev.-V. Juni 01 S. 44/46*) Kurze Angaben über die bisher gebräuchlichen Verfahren; Prüfung unter Dampfdruck und Prüfung unter Gewichtbelastung. Eingehende Beschreibung der vom bayerischen Revisions-Verein benutzten Prüfvorrichtung. Schluss folgt.

Einige Untersuchungen über Normalelemente. Von Rupp. (Elektrot. Z. 4. Juli 01 S. 444/46) Beschreibung der Ausführung und Wiedergabe der Ergebnisse von Feinmessungen am Clark- und am Cadmiumelement. Bestimmung der elektromotorischen Kraft bei stromlosem Element unter Berücksichtigung des Temperatureinflusses. Forts. folgt.

Metallbearbeitung.

Glasgow Exhibition — machine tools. (Engineer 28. Juni 01 S. 664/65*) Drehbank mit sechsseitigem Revolverkopf und Planscheibe, sowie Abstech- und Ankehrmaschine von John Lang & Sons. Plan-drehbank von London Bros. mit zwei Werkzeughaltern und Längsschlitzen, die auf einem Kreuzschlitten angeordnet sind. Auslegerbohrmaschine von derselben Firma. Revolverdrehbank mit hohler Spindel von Kendall & Gent in Manchester.

Turret lathe at the Glasgow Exhibition. (Engng. 3. Juli 01 S. 13*) Darstellung der in Zeitschriften v. 18. Juli 01 erwähnten Revolverbänke von Alfred Herbert und John Lang & Sons.

A pneumatic hammer riveter with power grip. (Eng. News 27. Juni 01 S. 461*) Das zum Nieten von Kesselblechen dienende Werkzeug wird von den Allen Pneumatic Machine Works in New York gebaut und zeichnet sich vor den üblichen Druckluftnietern dadurch aus, dass zu seiner Befestigung am Arbeitsstück eine besondere Druckluftvorrichtung angeordnet ist.

Erfahrungen aus der Stanzerei. Von Schön. (Z. Werkzeugm. 5. Juli 01 S. 441/42*) Der Verfasser führt aus, dass vielfach Fehler der Bearbeitungsverfahren zu Unrecht den Blechen zur Last gelegt werden. Er giebt alsdann Ratschläge für sachgemäße Ausführung der Stanz- und Zieharbeiten.

Das Stauchen. Einziehen der Holzrohrenden. Von Richter. (Organ 01 Heft 6 S. 124/25 mit 1 Taf.) In der Eisenbahn-Hauptwerkstätte Speldorf ist zum Einziehen der Holzrohre ein Schnellhammer im Gebrauch, der sich vorzüglich bewährt haben soll. Der Arbeitsvorgang ist ausführlich dargestellt. Eine Kostenberechnung weist eine bedeutende Ersparnis gegenüber den bisherigen Verfahren auf.

Motorwagen und Fahrräder.

L'emploi de l'alcool dans les moteurs d'automobiles. (Général. 29. Juni 01 S. 140/43) Zusammenstellung von Angaben über Brennstoffverbrauch, Geschwindigkeit, Gewicht usw. verschiedener mit Spiritusmotoren betriebener französischer Motorwagen.

Light oil-motor cars. I. Von Longridge. (Engineer 5. Juli 01 S. 2/3) Die Eigentümlichkeiten der verschiedenen Arten von Explosionsmotoren werden inbezug auf ihre Verwendbarkeit bei Motorwagen beleuchtet.

Physik.

Ein Modell zur Demonstration von Ionenbeweglichkeiten- und Ueberführungsmessungen. Von Steele. (Z. f. Elektroch. 27. Juni 01 S. 729/31*) Die mechanische Vorrichtung ist verwendbar, um die Bewegung der Ionen während der Elektrolyse zu veranschaulichen, und zeigt die Veränderungen der Konzentration und Geschwindigkeit eines gemeinsamen Ions auf beiden Seiten der Grenze zwischen zwei Elektrolyten.

Pumpen und Gebläse.

Wire rope driven triple ram pump. (Engineer 5. Juli 01 S. 20*) Doppeltwirkende Transmissionspumpe, von 81 cbm/h Leistung bei 212 m Förderhöhe, gebaut von J. Evans & Sons in Wolverhampton.

Schiffe und Boote.

The Dutch torpedo-boat "Rindjant". (Engng. 3. Juli 01 S. 74) Bericht über die Probefahrten des in Zeitschriften v. 6. Juli 01 erwähnten Torpedobootes.

The largest electrically operated dry dock in the world. (El. World 22. Juni 01 S. 1063/65*) Das im Hafen von New York kürzlich erbaute Schwimmdock besteht aus fünf 36,6 m breiten Pontons, ist insgesamt fast 150 m lang und kann augenblicklich Schiffe von 15000 t aufnehmen. Darstellung der elektrischen Ausrüstung des Docks, dessen Pumpen von asynchronen Drehstrommotoren angetrieben werden. (Dieses Dock ist nicht das größte Schwimmdock der Welt, denn die Werft von Blohm & Voss in Hamburg hat eins von 17500 t Tragfähigkeit, während ein Schwimmdock von 28000 t bereits im vorigen Jahre bei derselben Werft im Bau war.)

Floating dock for the Spanish Government. (Engineer 5. Juli 01 S. 17/18*) Das eiserne Schwimmdock ist 137 m lang und außen 35 m breit und hebt Schiffe von 13000 t. Es ist von Stephenson & Co. in Hebburn-on-Tyne gebaut.

Seil- und Kettenbahnen.

Beschreibung der Förderbahn mit schiefen Ebenen und elektrischem Antrieb, ausgestellt auf der Pariser Ausstellung von der Fabrik Arthur Koppel, Berlin. Forts. (Baumaterialienk. 01 S. 300/03*) Die Betriebsmittel. Schluss folgt.

Wasserversorgung.

Über die Erschließung unterirdischer Quellwasser und die zweite Hochquellenleitung. Von Tschebull. (Z. österr. Ing.-u. Arch.-Ver. 28. Juni 01 S. 451/58*) Beschreibung der Wasserversorgungsanlagen der österreichischen Städte Judenburg, Maria-Zell, Villach, Triest, Pötschach. Besprechung des Entwurfes für eine Wasserversorgung Wiens durch eine zweite Hochquellenleitung. An dem Vortrag schließt sich ein längerer Meinungsaustausch.

Wasserstationsanlage auf Bahnhof Kiel. (Zentralbl. Bauw. 6. Juli 01 S. 380/31*) Die Anlage ist für eine tägliche Leistung von 350 cbm Wasser bestimmt und saugt aus 4 Sammel- und einem Bohrbrunnen. Der Wasserbehälter, Bauart Intas, faßt 150 cbm. 3 Kreiselpumpen von je 86 cbm/st werden von 2 zweipferdigen Nebenschlussmotoren angetrieben. Die Motoren werden durch eine besondere elektrische Steuerung, die von dem Wasserstande im Behälter abhängt, an- und abgestellt.

The water supply of Gibraltar. Von Mason. (Eng. News 27. Juni 01 S. 458/59*) Der Wasserbedarf für die Stadt und Festung wird teils Brunnen, teils Behältern entnommen, in denen das Regenwasser gesammelt wird. Im Felsen von Gibraltar soll ein neuer Sammelbehälter angelegt werden, über den kurz berichtet ist.

The operations of the Albany slow sand filtration plant to the close of 1900. (Eng. News 27. Juni 01 S. 463/64) Angaben über den Betrieb der Filter und über den Einfluss der Neuanlage auf die gesundheitlichen Verhältnisse der Umwohner. Bakteriologische und chemische Reinigungsverfahren. Betriebskosten und Leistungsfähigkeit der Filter.

Mechanical filtration at Elmira, N. Y. Von Caird. (Eng. News 27. Juni 01 S. 475/76) Die Anlage besteht aus 10 Sandfiltern von 785000 cbm täglicher Leistungsfähigkeit. Angaben über Betriebsergebnisse.

Zementindustrie.

Studie über die Konstitution des Portland-Zementest. Von Meyer. Forts. (Baumaterialienk. 01 Heft 12/13 S. 181/84), Theorie der Klinkerbildung. Forts. folgt.

Ziegel.

Neuerungen in Dachziegeln und ihrer Fabrikation in den letzten fünf Jahren. Von Fiebelkorn. Forts. (Baumaterialienk. 01 Heft 12/13 S. 193/95*) Fortschritte in der Herstellung von Thondachziegeln, Strangfalzziegel, Zementdachziegel. Schluss folgt.

Rundschau.

In der Maschinenhalle des Kraftwerkes der **Manhattan-Hochbahn in New York**, über die wir bereits in Z. 1901 S. 1006 berichtet haben, werden 4 Dampfmaschinen aufgestellt. Die Antriebsmaschinen werden von der E. P. Allis Company geliefert und unterscheiden sich wesentlich von den in den Elektrizitätswerken bisher üblichen. Es sind Verbundmaschinen mit Corliss-Steuerung, deren Hochdruckcylinder liegend, deren Niederdruckcylinder aber stehend angeordnet sind. Die Pleuelstangen beider Cylinder greifen an derselben Kurbel an, sodass sie ebenso wirken wie bei Verbundmaschinen mit gleichgerichteten Cylinderachsen und um 90° versetzten Kurbeln. Der Hochdruckcylinder hat 1119 mm, der Niederdruckcylinder 2224 mm Dmr.; der Kolbenhub beträgt 1524 mm, die Geschwindigkeiten 75 Uml./min. Je 2 solcher Maschinen treiben die zwischen ihnen aufgestellten Dynamos. Sie haben zusammen eine Normalleistung von 5000 PS, ihre Höchstleistung beläuft sich auf 10000 PS. Die Kurbeln eines solchen Maschinensatzes sind um 135° ver-

setzt, sodass schon durch die Verteilung der Kurbeln ein großer Gleichförmigkeitsgrad erreicht wird. Das Fundament erhebt sich bis auf 6400 mm über die Sohle des Gebäudes, auf der die Kondensatoren angeordnet sind. Deren Luftpumpen haben 3 stehende Cylinder und werden von einem Gleichstrommotor durch ein Zahnradgetriebe mit 30 Uml./min angetrieben. Die gewöhnlich als Einspritzkondensatoren arbeitenden Apparate sind so eingerichtet, dass sie leicht in Oberflächenkondensatoren umgewandelt werden können. Das Zahnradgetriebe für die Luftpumpenwelle wird dann ausgewechselt, und die Luftpumpen werden mit nur 10 bis 15 Uml./min angetrieben. Die 4 Erregerdynamos sind mit 400pferdigen Dampfmaschinen gekuppelt, die zwei besondere Kondensationsvorrichtungen haben. Sämtliche Hilfsmaschinen der Anlage werden von Elektromotoren angetrieben, und zwar diejenigen, die vor dem Anlassen der Hauptmaschinen laufen müssen, von Gleichstrommotoren. Zum Speisen dieser Motoren dient eine kleine Akkumulatorenbatterie.

Kohlensäure	10	bis 20	vH
Sauerstoff	0,1	» 3,1	»
schwere Kohlenwasserstoffe	1	» 2	»
Kohlenoxyd	10	» 25	»
Wasserstoff	10	» 30	»
Stickstoff	10	» 30	»
Schwefelwasserstoff	1	» 3	»

Auch der Heizwert der Schwälgame ist sehr schwankend; er wurde an einer Stelle zu 1600 bis 2000, an einer andern zu 1800 und an einer dritten Stelle zu 2700 WE festgestellt. Das von Teer befreite Schwälgame wird aus den Kondensationsrohren abgesaugt und durch eine Reinigeranlage nach einem Gasbehälter geführt.

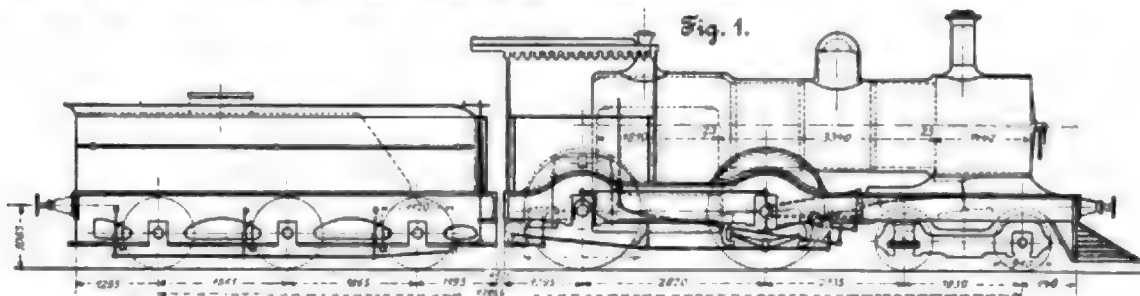
Die A. Riebeck'schen Montanwerke A.-G. und die Wersch-Weissenfelder Braunkohlen-A.-G. in Halle a/S. haben zunächst mit kleinen Motoren Versuche angestellt, und da diese gute Ergebnisse zeigten, so ist die erstgenannte Firma zur Aufstellung eines 100 pferdigen Motors auf der Grube Kupferhammer bei Oberröblingen geschritten. Nachdem dieser etwa 3 Jahre im Betrieb war, hat man einen zweiten Motor von gleicher Leistung aufgestellt. Die an zweiter Stelle genannte Firma hat auf ihrer Grube »Emma« in Streckau innerhalb der Jahre 1897 bis 1899 eine Anlage von drei 125 pferdigen Gasmotoren ausgeführt. Dort befindet sich eine Schmelerei mit 40 Cylindern, deren Gase in einem mit Wasser betriebenen Skrubber und 2 mit Luxscher Masse gefüllten Kasten gerei-

der elektrischen Anlage notwendig. Die Motoren verbrauchen rd. 60 ltr Kühlwasser pro PS-st. Das Wasser hat eine Temperatur von rd. 14° und läuft mit rd. 30° ab.

Der Lokomotivfabrik von Henschel & Sohn in Cassel sind 15 Stück Personenzug-Lokomotiven von der ägyptischen Staatsbahn in Bestellung gegeben worden, von denen die ersten bereits zu Anfang kommenden Jahres zu liefern sind. Die Lokomotiven, Fig. 1, erhalten zwei gekuppelte Achsen und ein vorderes zweiachsiges Drehgestell; die Dampfcylinder liegen innen. Es gelangt die Vakuumbremse, Bauart Hardy, zur Anwendung. Vorn sind die Maschinen nach den von der Bahn gegebenen Vorschriften mit einem Kuhlflügel zu versehen. Die Tender sind dreiachsiger.

Die wichtigsten Hauptabmessungen sind folgende:

Lokomotive.	
Cylinderdurchmesser	457 mm
Kolbenhub	610 »
Treibraddurchmesser	1905 »
Dampfdruck	11,25 at
Heizfläche der Feuerbüchse (innen)	11,5 qm
» » Siederohre	89,3 »
gesamte Heizfläche (innen)	100,7 »
Rostfläche	1,95 »
Dienstgewicht rd.	45 t



Tender.	
Inhalt des Wasserkastens	13,7 t
Kohlenvorrat	4 »
Raddurchmesser	1190 mm
Dienstgewicht rd.	34 t

nigt und in einem Gasbehälter von 150 cbm gesammelt werden.

Die Gasmotoren, gebaut von Fried. Krupp, Grusonwerk in Magdeburg-Buckau, sind liegende einzylindrige Viertaktmaschinen, bei denen das Mischventil vom Regulator beeinflusst wird. Jeder Motor leistet bei 160 Uml./min normal 125 PS, bei Abnahmeversuchen sind bis zu 145 PS erreicht worden. Das Rahmengestell und der Kühlwassermantel des Arbeitszylinders bestehen aus einem Gussstück, in das der Arbeitszylinder eingeschoben ist. Der Zylinderkopf, in welchem der Explosionsraum und die Ventile untergebracht sind, ist besonders sorgfältig gekühlt. Die Ventile sind in einer Achse über einander angeordnet derart, dass nach Abschrauben des Einlassventilgehäuses das Auslassventil vollständig frei liegt und nach oben herausgezogen werden kann. Die Führung der Ventilstange des Auslassventiles und die Stange selbst sind besonders gekühlt. Zur Zündung dient eine magnet-elektrische Vorrichtung. Der Zündkopf ist an der Außenseite des Zylinders angeschraubt. Beim Anlassen der Motoren bilden sich in der Zündkammer Niederschläge, welche die Zündung des Gemisches erschweren würden. Um diese abzuführen, ist am tiefsten Punkte der Kammer ein kleiner Kanal angeordnet, der beim Anlassen geöffnet wird. Die Pleuellwelle hat drei Lager und trägt ein Schwungrad, das gleichzeitig als Riemenscheibe dient, und außerdem noch eine zweite Riemenscheibe. Vom Schwungrad wird durch einen Riemen eine Drehstromdynamo angetrieben, von der zweiten Riemenscheibe eine Gleichstromdynamo zu Erregung und zur Beleuchtung.

Wenn ein Motor sich in Betrieb befindet, und ein anderer angelassen werden soll, so müssen die Umlaufzahlen beider Maschinen genau übereinstimmen, damit die Drehstromdynamen parallel geschaltet werden können. Zu diesem Zweck ist an jedem Gasmotor ein kleiner Gleichstrommotor von 0,2 PS angebracht, der auf den Regulator einwirkt. Die Motoren werden durch Druckluft von 20 bis 25 at angelassen. Zur Erzeugung der Druckluft diente früher ein kleiner liegender Gasmotor, der sich jedoch als zu schwach erwies. Es wurde deshalb ein zweiter stehender Motor beschafft, der den erforderlichen Druck in 8 min erzeugt. Außerdem sind zwei Druckluftbehälter vorhanden, von denen jeder genügt, um einen Motor ingangzusetzen.

Der Betrieb ist zurzeit in der Weise geregelt, dass jeder Motor 48 at ununterbrochen läuft und dann 12 at stillsteht. Da auch die Exhaustorenanlage der Schmelerei durch Elektromotoren betrieben wird, so ist ein ununterbrochener Betrieb

In England hat man keine guten Erfahrungen mit amerikanischen Lokomotiven gemacht, wie aus einem in der »Railway News« veröffentlichten Bericht von S. W. Johnson, dem Vorsteher der Lokomotivabteilung bei der Midland-Eisenbahn, hervorgeht. Die Bahn hatte 30 Güterzuglokomotiven von den Baldwin-Werken und 10 von den Schenectady-Werken bezogen. Diese waren in der zweiten Hälfte des Jahres 1899 in Betrieb gekommen, und im Januar 1900 hatte man 6 monatige Versuche mit ihnen und den normalen Güterzuglokomotiven begonnen. Der Bericht darüber stellt zwar fest, dass sich die amerikanischen Lokomotiven im Betriebe hinreichend bewährt haben, dass aber die Kosten wesentlich höher als bei den einheimischen waren, und zwar betrugen die Mehrausgaben an Brennstoff 20 bis 25 vH, an Oel 50 vH und an Reparaturen 60 vH.

Der Hafen in Emden hat in der letzten Zeit eine bedeutende Vergrößerung erfahren. Bei der Ausgestaltung der Anlage wurde natürlich besonders darauf Rücksicht genommen, die Transportmittel möglichst zweckmäßig und nach den neuesten Erfahrungen einzurichten. Um die Ruhrkohlen schnell aus den Eisenbahnwagen in die Schiffe verladen zu können, ist deshalb die Anlage einer elektrisch betriebenen Kohlenkippe beschlossen worden. Die Ausführung ist dem Eisenwerk (vorm. Nagel & Kaemp) A.-G., Hamburg-Uhlenhorst, übertragen, das außerdem für denselben Hafen auch das elektrische Kraftwerk sowie 15 elektrisch betriebene Winkelporthäfen und 2 ebenfalls elektrisch betriebene Standwinden zu liefern hatte. Der Auftrag wurde im Januar 1900 erteilt, während die von derselben Firma ausgeführte Kohlenkippe in Rotterdam¹⁾ noch im Bau war. Der elektrische Teil wird, wie in Rotterdam, von der Firma Siemens & Halske in Charlottenburg ausgeführt. Die Kippe wird wie die in Rotterdam gebaut, abgesehen von einigen kleinen unwesentlichen Änderungen, die sich bei der Inbetriebsetzung der Rotterdamer Kippe als wünschenswert herausgestellt haben und den Be-

¹⁾ Z. 1901 S. 793.

trieb noch etwas vereinfachen. Die Kippe soll noch im Laufe dieses Monats in Betrieb gesetzt werden.

Die Prüfungsordnung für Studierende des Maschinenbaues an der technischen Hochschule zu Berlin ist in der Weise geändert worden, dass bei der Diplom-Hauptprüfung dem Kandidaten die Wahl zwischen Statik der Baukonstruktionen und Elektromechanik als Prüfungsfach frei gestellt ist.

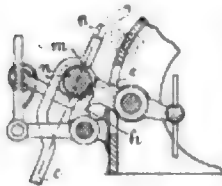
In der Zeit vom 9. bis 14. September d. J. findet in Budapest ein Kongress des internationalen Verbandes für die Materialprüfungen der Technik statt. Anmeldungen deutscher Mitglieder zu Vorträgen sind an Hrn. Geheimen Registrarat Prof. Martens in Berlin zu richten.

An der technischen Hochschule zu Charlottenburg hat die Wildenschaft ein Arbeitsamt eingerichtet, das Studierenden Beschäftigung als Zeichner, Rechner u. dergl., insbesondere während der Ferien, verschaffen soll.

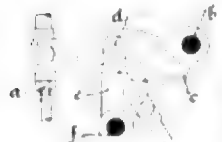
Patentbericht.



Kl. 13. Nr. 118488. Wasserrammlaufeinrichtung (Zusatz zu Nr. 114928, 2. 1901 S. 71). R. Knappik, Dabrowa-Gorniecka (Russ.-Polen). In das Rohr *b* des Hauptpatentes mündet innerhalb der Dampfsammelhaube *a* ein kurzes Rohr *c*, durch das der Dampf zur Bewegung der Wasserröhre in Rohr *b* tritt, sodass das untere Ende von *b* innerhalb der Haube *a* stets im Wasser verbleibt.



Kl. 14. Nr. 118002. Dampfmaschinensteuerung. O. Zeldler, Görlitz. Die Bewegung der Steuerstange *c* wird durch eine gegen Längsverschiebung gesicherte lose Rolle *m* auf den Ventilhebel *e* übertragen, und dieser wird ohne Zapfenreibung durch Abrollen der Nase *w* auf *m* und von *m* auf *e* ausgelöst, sobald *m* (oder eine Verlängerung *p* von *e*) auf dem vom Regler eingestellten Daumen *h* trifft.

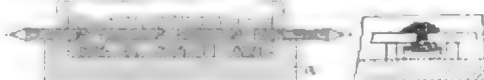


Kl. 14. Nr. 118032. Zwangsläufige Ventilsteuerung. E. König, Aschersleben. Der die Ventilstange *a* bewegende, bei *b* gelagerte Hebel *c* ist zur Schließe ausgebildet, die so gestaltet ist, dass das Obleistück (Rolle) *d* eines bei *f* gelagerten schwingenden Hebels *e* das (Ein- bzw. Auslass-) Ventil rechtzeitig und völlig zwangsläufig öffnet und schließt.

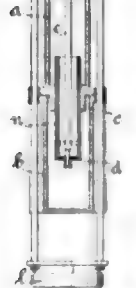


Kl. 19. Nr. 119490. Schwelle für Breitspurschienen. E. Schellbach, Berlin. Die Schwelle besteht aus einem äußeren festen Mantel *e* aus Zement und einem inneren elastischeren Kern *t* aus Kunststein, Steinholz oder dergl., der um die Schiene herumgegossen wird.

Kl. 21. Nr. 119464 und 119465. Schmelzofen. Elektrizitäts-A.-G. vorm. Schuckert & Co., Nürnberg. Die Kohlen sind in mehreren Reihen in dem Trog *a* so angeordnet, dass der in Richtung

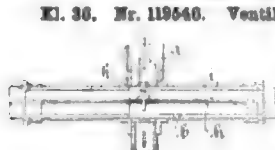


der Pfeile verlaufende Strom an mehreren Stellen das aufzugehene Gut zum Schmelzen bringt. Nach dem Zusatzpatent sind die Elektroden der unteren Reihe als Wannen ausgebildet, in die das Schmelzgut nur durch den Zwischenraum zwischen zwei Elektroden der oberen Reihe gelangen kann.



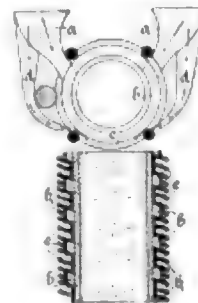
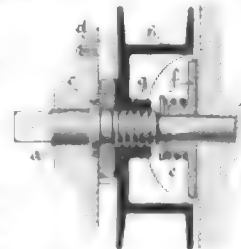
Kl. 24. Nr. 119204. Regelung der Luftzufuhr. F. Pinther, Berlin. Zur selbstthätigen, absatzweisen Regelung der Luftzufuhr bei Feuerungsanlagen ist ein mittels Kolbenstange *c* in der Führung *c* zweier mit Flüssigkeit gefüllter Gehäuse *a* *b* leicht laufender, durch Gewicht *f* belasteter Kolben *d* an seiner Wandung mit einer Nut *w* versehen, die der Hemmschließung einen schnelleren Durchgang aus *b* nach *a* gestattet, solange durch *w* eine Verbindung beider Gehäuse hergestellt ist.

Kl. 24. Nr. 119390. Rauchkammer für Lokomotiven. H. Thuile, Alexandrien. Eine gewöhnliche Rauchkammer ist durch eine lotrechte Scheidewand in zwei Abteilungen geteilt.



Kl. 30. Nr. 119646. Ventil für Dampfheizungen. B. Schramm, Erfurt. In dem Rohr *b* sind die beiden Bänder *A*, *t* von verschiedenem Ausdehnungskoeffizienten gelagert, von denen *t* das Ventil *k* trägt, das zum Abschließen des Rohres *a* dient. Sobald nun durch *a* Dampf nach *b* tritt, biegt sich *t* durch und verschließt *a*.

Kl. 36. Nr. 118349. Bremsvorrichtung für Winden. Kleindienst & Co., Augsburg. Beim Heben der Last wird die Handkurbelwelle *a* mit der Trommel *b* (oder einem Vorgelegerrad) dadurch gekuppelt, dass *b* vom Gewinde *g* an das lose Sperrrad *c* gezogen wird; beim Niederkurbeln der Last wird *c* von der Sperrklinke *d* festgehalten und *b* von *c* schrittweise gelöst. Damit nun bei großer Reibung zwischen *b* und *g* die Welle *a* nicht von *b* lose mitgenommen werde, ist auf *a* eine undrehbare, aber verschiebbare Bremscheibe *f* angeordnet, die durch eine Feder *e* an eine feste Reibfläche gedrückt wird und dadurch den Reibungsangriff zwischen *b* und *c* sichert.



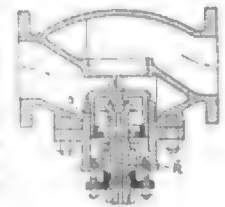
Kl. 46. Nr. 113499. Zylinderkühler. A. Macquart und O. Macquart, Brüssel. Rippen *e* bilden innere geschlossene Schraubenkanäle *b* und äußere offene *b*. Saugtrichter *a* führen die Luft durch *b*, und Saugtrichter *d* führen sie auf die Rückseite von *b*.

Kl. 46. Nr. 118167. Zweitaktmaschine. A. Radovanovic, Zürich. Gegen Ende des Krafthubes legt der Pleuelkolben *k* *h* Öffnungen

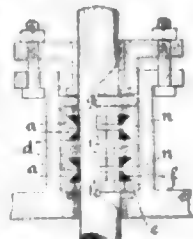


c, *k*, dann *k* frei; durch *c* pfeifen die Abgase aus, durch *k* wird frische Luft und durch *k* Brennstoff eingeführt. Beim Verdichtungsstöße bis *k* sind alle Öffnungen verdeckt. Die Patentschrift zeigt noch eine doppeltwirkende Maschine.

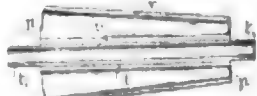
Kl. 47. Nr. 118196 (Zusatz zu Nr. 113926, 2. 1901 S. 394). Selbstschliessventil. O. Richter, Kiel. Der Doppelsitzventilteiler schließt in der Offenstellung nicht einen in der Rückseite angebrachten Ringschlitz, sondern bei *d* einen in der Spindel *e* angebrachten Luftkanal *k* ab, der wie beim Hauptpatente die Offenstellung durch inneren Ueberdruck sichert und nach selbstthätigem Abchluss der Leitung bei Rohrbruch den Dampf nach außen zu einer Lärmvorrichtung strömen lässt.



Kl. 47. Nr. 118119. Stopfbuchsenspannung. W. Reinhold, Berlin. In hohlkegelige einseitige oder aus fest verbundenen Teilen bestehende Ringe *a*, *c* oder *w* werden vollkegelige Ringe *d* gelegt, die aus vielen Teilen *f*, *e* mit versetzten Fugen *k*, *t* durch Stiftschrauben *g* kettenartig so verbunden sind, dass die Bohrungen für die Schrauben *g* Spielraum zum Nachziehen bieten, und dass die Gliederringe, nachdem eine Verbindungsstelle gelöst ist, leicht um die Stange gelegt werden können. Die Ringe *a*, *c* oder *w* können durch ähnliche Gliederringe oder durch eine Faserstoffpackung ersetzt werden.



Kl. 47. Nr. 118223. Rolle für Rollenlager. Ch. V. Thierry, Paris. Die hohl ausgebildete, aus Mantel *r*, Rippen *p* und Nabe *e* bestehende Rolle für schwer belastete Rollenlager (Drehscheiben, Drehbrücken usw.) ist auf eine hohle oder volle (stählerne) Achse *t* mit Zapfen *k*, *h* aufgegossen oder aufgetrieben.

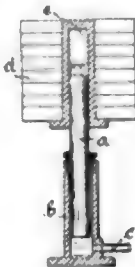




Kl. 47. Nr. 118039. Wärmeschutzhülle. E. L. Léveque, Fourmies. In die Schutzmasse *c* werden in einander greifende Drahtschrauben *b* so eingebettet, dass sie einen mit dem Rohre *a* gleichachsigen Mantel bilden, der die Masse *c* gegen Zerreißen schützt.

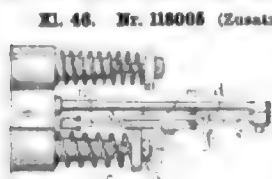


Kl. 48. Nr. 118006. Steuerung für Sechstaktmaschinen. E. Bünier und M. Taylor, Papier. Das Auslassventil *v* trägt einen hohlen Kolbenschieber *s* und wird durch eine Nockenscheibe mittels Gestänges *op* so gesteuert, dass es bei den ersten drei Hüben geschlossen bleibt, beim vierten (Auspuß-)Hube den Weg *te* zur Auspuffleitung frei giebt, beim fünften und sechsten Hube aber *tr* verschließt und den Weg *ur* ins Freie öffnet, sodass zur Kühlung von Cylinder und Ventilkasten frische Luft eingesaugt und ausgestoßen wird.

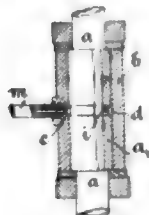


Kl. 49. Nr. 118216. Kraftsammler für Druckwasserbetriebe. C. Pröts, Hagen i. W., und R. Bachmeyer, Berlin. Das die Stöße in der

Leitung *c* und die Massenwirkungen der Belastung *d* aufnehmende Luftkissen *e* ist zwischen dem Kolben *a* und den Gewichten *b* angebracht, sodass es mit dem Druckwasser nicht in Berührung kommt und von diesem nicht aufgesaugt werden kann.

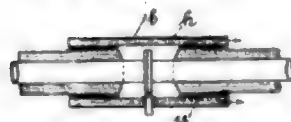


Kl. 46. Nr. 118006 (Zusatz zu Nr. 104704, Z. 1900 S. 32). Regler für Gasmaschinen. A. Bauer, Donaueschingen. Der wie beim Hauptpatente durch die Steuerrolle *d* und den Nocken *f* emporgeschleuderte Gewichthebel *e* fängt bei zu schnellem Gange das Auspuffventil *c* mittels eines durch den Stift *g* gehobenen Hebels *a*, sodass das zurückstakende Gewicht *a* die Fangnase *g* nicht herabreißen



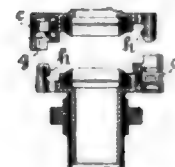
kann.

Kl. 47. Nr. 118154. Manometeranschluss. Akkumulatorenfabrik A.-G., Berlin. Auf dem zylindrischen Teil *a* der Leitung *a* vom Hochdruckbehälter zum Druckminderer wird eine drehbare Muffe *b* geschoben und in diese der Manometerstutzen *m* geschraubt, wobei eine Ringnut *c* in *b* oder *d* in *a* die Verbindung herstellt, sodass man dem Manometer eine von der Seitenbohrung *f* unabhängige Stellung geben kann.

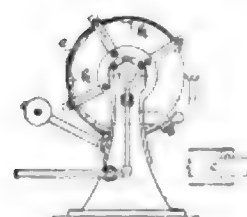


Kl. 47. Nr. 118040. Wärmeschutz für Flanschrohre. H. Kempchen, Oberhausen (Rhld.). Um die Flanschen wird eine doppelwandige, mit Wärmeschutzmasse *a* gefüllte Hülle *t* gelegt, die durch eine besondere Unterlage *u* abgedichtet wird und sich zum Nachsehen der Flanschverbindung leicht

auf der übrigen Rohrumhüllung nach einer oder nach beiden Richtungen verschieben lässt.



Kl. 47. Nr. 118168. Schlauch- und Bohrverbindung. L. Wiktor, Zwiesel. Beim Zusammenschieben beider Teile schnappt je ein federbelasteter Riegel *c* des einen Teiles mit seinem Vorsprunge *g* hinter den Haken *h* des andern Teiles.

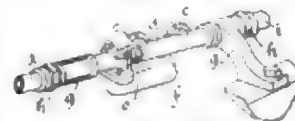


Kl. 67. Nr. 118620. Schuhverrichtung für Schmirgelschleifräder.

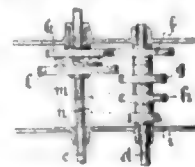
Gesellschaft des echten Naxos-Schmirgels. Naxos-Union, Schmirgel-Dampfwerk, Frankfurt a/M., und J. Pungst, Frankfurt a/M. Um die Schmirgelscheibe ist in einiger Entfernung ein Stahlband *e* gelegt, das Bremsbacken *k* trägt. Beim Brechen der Scheibe wird das Stahlband von den hervortretenden Stücken mitgenommen und fest um die Scheibe gezogen; gleichzeitig wird ein Gewichthebel ausgelöst, der die Kupplung der Riemenscheibe mit der Scheibenwelle löst.

Kl. 69. Nr. 118011. Schwingende Dampfmaschine. A. H. Overman & J. H. Bullard, Springfield. Das mittels der Stützen *c*

und des Zweigrohrs *f* an die Dampfzylinder angeschlossene, mit einer Scheidewand *e* versehene Rohr *d* ist in den am Gestell des Fahrzeuges angeordneten Lagerböcken *g* drehbar gelagert und steht einerseits mit dem Dampfzuleitungsrohr *i*, andererseits mit dem Auspuffrohr *j* mittels je einer Kupplung *A* in drehbarer Verbindung, sodass die Dampfmaschine bei einer Aenderung des Abstandes der Kurbelwelle von der angetriebenen Achse geschwungen werden kann.

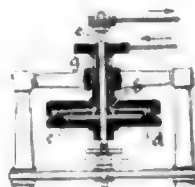


Kl. 69. Nr. 119311. Antriebsvorrichtung. C. Jacobi, Wannesee. Zwischen dem kleinsten Rade *i* und dem zweitkleinsten Rade *g* der auf der Antriebswelle *d* aufgetheilten Zahnräder *f, g, i* ist ein Rad *h* lose angeordnet, das zusammen mit *i* und zwei auf einer Zwischenwelle sitzenden Rädern *m, n* ein rückkehrendes Räderwerk bildet und zum Erzielen der kleinsten Vorwärtsgeschwindigkeit dient, wenn das auf der angetriebenen Welle *c* verschiebbare Rad *l* mit *h* in Eingriff steht. Durch Kuppeln des Rades *l* mit dem auf Welle *c* drehbaren und mit dem größten Rade *f* der Welle *d* in Eingriff befindlichen Rade *k* wird die größte Vorwärtsgeschwindigkeit und beim Eingriff der Räder *l* und *n* die Rückwärtsbewegung erzielt.

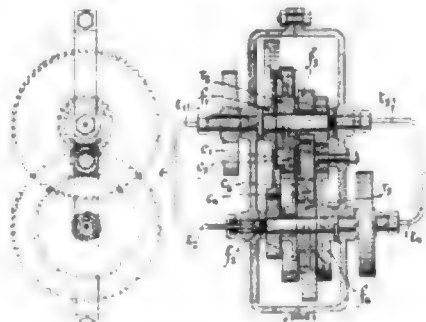


Vorwärtsgeschwindigkeit

Kl. 67. Nr. 119190. Kugelschleifmaschine. N. H. Gauthier, Pforzheim. Die Kugeln liegen in der zwischen der festen Scheibe *b* und der drehbaren Scheibe *c* gebildeten Rinne. *c* wird von der Feder *g* gegen *b* gezogen, sodass die Kugeln bei der Drehung mitgenommen werden. Unter *b* und *c* läuft in entgegengesetzter Richtung zu *c* die Schmirgelscheibe *d*, die mit der verstellbaren Welle *e* gegen die Kugeln gepresst wird.

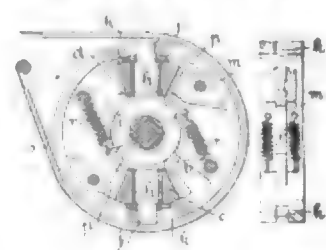


Kl. 69. Nr. 118670. Kupplung für Motorwagen. H. Crouan, Paris. Die durch ein flüssiges Druckmittel anzusprechenden Kuppelkörper bestehen aus ringförmigen Lederstulpen *c₁, c₂, c₃, c₄*, die in



ringförmigen mit der betreffenden Gaszutrittsleitung *t₁, t₂, t₃* oder *t₄* in Verbindung stehenden Aussparungen der Räder *r₁* und *r₂* gleiten, und sich unter dem Druck des Druckmittels gegen die Reibflächen der benachbarten auf den Wellen drehbaren Räder *f₁, f₂, f₃* oder *f₄* pressen.

Kl. 69. Nr. 118300. Wendgetriebe für Motorwagen. A. de Dion & G. Bouton, Puteaux. Der Träger *i* der Zwischenkegelräder *d, e* und diese selbst werden von einem Bremsringe *m* umschlossen, der mit Schlitten *k* zur Aufnahme der Verlängerungen *f* an den Lagerzapfen *a* der Zwischenkegelräder versehen ist und an der Innenfläche einen oder mehrere in die Zahnflanken der Zwischenräder *d, e* passende Zähne *p* trägt. Das Getriebe, bestehend aus den Umlaufkegelrädern *d, e* und mit diesen auf entgegengesetzten Seiten in Eingriff stehenden und auf konzentrischen Wellen befestigten Kegelrädern, wirkt infolge des durch die Federn *r* gesicherten Eingriffes der Zähne *p* mit den Kegelrädern *d, e* als starre Kupplung, so lange der Kranz *m* an der Drehung nicht gehindert wird. Beim Feststellen des Kranzes *m* durch das Stahlband *s* wird infolge der Einwirkung des in der Pfahrlagerung sich drehenden treibenden Kegelrades *b* der Zwischenradträger *i* der Länge der Schlitten *k* entsprechend gedreht, wodurch die RM-



der 4. e mit den Zähnen p aufser Eingriff gelangen und alsdann das dem Kegelrad b gegenüberliegende Kegelrad in entgegengesetzter Richtung umtreiben.

El. 47. Hr. 118183. Herstellung von Asbestdichtungsringen. G. & A. Thoenes, Radabaut bei Dresden. Um die großen Abfälle,

die sich beim Ausschneiden von Dichtungsringen aus Asbesttafeln ergeben, zu vermeiden, wird eine Asbestschnur schneckenförmig um einen passenden Kern gewunden, bis die Ringbreite erreicht ist, dann werden die Windungen durch Tranken mit Kautschuk vereinigt, und schließlich wird der Ring sach gepresst.

Angelegenheiten des Vereines.

Verwendung von Gusseisen zu Dampfüberhitzern. Sicherheitsvorrichtungen für Dampfüberhitzer.

Vom kgl. preussischen Ministerium für Handel und Gewerbe ist folgendes Schreiben zugegangen:

Berlin, den 30. März 1901.

Die zunehmende Verwendung von Dampfüberhitzern und die Erkenntnis der Notwendigkeit der Beschränkung des Gusseisens nicht nur am Dampfkessel, sondern auch bei Dampfleitungen hat den Anlass gegeben, besondere Maßnahmen gegen die schrankenlose Verwendung des Gusseisens zu Ueberhitzerrohren anzuregen. Mit Rücksicht darauf, dass der Verein deutscher Ingenieure in seinen kürzlich veröffentlichten Rohrnormen Gusseisen für Dampfleitungen mit einem Druck von über 13 at ausschließt, und in ansehnlicher Umstände, dass die Wandungen von Ueberhitzerrohren durch die Einwirkung der heißen Feuergase stärker beansprucht werden als gewöhnliche Dampfleitungen, wird empfohlen, die Grenzen der Zulassung von Gusseisen zu Ueberhitzern enger zu ziehen, als dies vom Verein deutscher Ingenieure für Dampfleitungen geschehen ist. Es wird daher beantragt, den § 1 der allgemeinen polizeilichen Bestimmungen über die Anlage von Dampfkesseln vom 5. August 1890, wie folgt zu ergänzen:

„Gusseiserne Röhren dürfen bei Ueberhitzern in Dampfkesselanlagen nur dann verwendet werden, wenn die Feuergase, bevor sie die Wandungen des Ueberhitzers berühren, eine Kesselfläche bestrichen haben, die bei natürlichem Luftzuge mindestens das 20fache, bei künstlichem mindestens das 40fache der Rostfläche beträgt.“

Bis zu 6 at darf die lichte Weite der Röhren 25 cm, und von 6 bis 10 at 15 cm l. W. nicht überschreiten. Bei einem Druck von mehr als 10 at darf Gusseisen zu Ueberhitzern in Dampfkesselanlagen nicht verwendet werden.“

Bevor ich dieser Anregung weitere Folge gebe, ersuche ich den Zentralverband¹⁾, mir die Erfahrungen der Mitgliedsvereine über die Verwendung von Gusseisen zu Dampfüberhitzern, namentlich bei hohen Dampfspannungen, mitzuteilen. Dabei sind auch diejenigen Vorsichtsmaßnahmen, welche bei der Anlage und dem Betriebe von Ueberhitzern zur thunlichsten Vermeidung von Gefahren für unbedingt erforderlich gehalten werden, anzugeben (z. B. Sicherheits- und Absperrventil, Kondenswasserablass, Wechselklappen usw.). Falls in Uebereinstimmung mit dem mitgeteilten Antrage eine Aufnahme beschränkender Vorschriften für Ueberhitzer in die allgemeinen polizeilichen Bestimmungen für wünschenswert erachtet wird, möchten übrigens manche Erwägungen dafür sprechen, die Vorschriften nicht auf Ueberhitzerrohre zu beschränken, sondern allgemein auf Dampfleitungen für hohe Spannungen, nach dem Vorgang der Normen des Vereines deutscher Ingenieure, jedoch in ähnlicher knapper Form, wie oben vorgeschlagen ist, auszudehnen. Da in Aussicht steht, dass die allgemeinen polizeilichen Bestimmungen eine neue Fassung erhalten, so würden formelle Schwierigkeiten der allgemeinen Regelung des Gegenstandes kaum entgegenstehen. Dagegen erscheint es fraglich, ob die Erfahrungen schon dazu ausreichen, feste Zahlgrößen anzugeben, und falls dies zutrifft, ob nicht das Genehmigungsverfahren und der § 120a der Gewerbeordnung ausreichen, um drohenden Missständen vorzubeugen.

Der Uebersendung der Berichte der Mitgliedsvereine sehe ich binnen 6 Wochen entgegen.

Im Auftrage
Neubaus.

An
den Verein deutscher Ingenieure

hier.

Berlin, den 16. Juli 1901.

betrifft Dampfüberhitzer.

Euerer Exzellenz erlauben wir uns Infolge der Aufforderung vom 30. März d. J. — III a 2710 — und im Anschluss an unser Schreiben vom 22. Mai d. J.¹⁾ ehrerbietigst Folgendes zu berichten:

Wie bereits mitgeteilt, haben wir uns an etwa 50 Maschinenfabriken, Civilingenieure, Lehrer technischer Hochschulen usw., bei denen wir eine besondere Sachkenntnis und Erfahrung auf diesem Gebiete voraussetzen zu dürfen glaubten, mit der Bitte gewandt, dass sie sich zu den in Euerer Exzellenz Erlass gestellten Fragen gutachtlich äußern möchten. Fast sämtliche Angefragte haben, zumteil in ausführlichen Mitteilungen, dieser Bitte entsprochen. Eine Zusammenstellung der eingegangenen Äußerungen legen wir hier bei.

Dann haben wir eine kleinere Zahl von Sachverständigen zu mündlicher Verhandlung eingeladen. Den Bericht über diese Verhandlung, an welcher Hr. Geh. Regierungsrat Jäger teilzunehmen die Güte hatte, legen wir gleichfalls hier bei.

Das Ergebnis der bei uns eingegangenen schriftlichen Äußerungen sowohl, als auch der Beratung der Sachverständigen lässt sich dahin zusammenfassen, dass die gegenwärtig zur Verfügung stehenden Erfahrungen keine Veranlassung geben, die Verwendung des Gusseisens zu Dampfüberhitzern einzuschränken oder gar zu verbieten. Freilich ist dabei vorausgesetzt, dass das Gusseisen von besonders geeigneter Beschaffenheit, vor allem sehr zäh und feuerbeständig sei. Soweit diese Voraussetzung bisher ausreichend erfüllt worden ist, haben die gusseisernen Ueberhitzer kaum zu irgend welchen Beschwerden Veranlassung gegeben. Vielmehr ist das der Fall gewesen bei Ueberhitzern aus engen schmiedeeisernen (schweiß- oder flusseisernen) Röhren, aber auch bei diesen hat die fortschreitende Erfahrung schon viele Mängel beseitigt.

Auch über die Sicherheitsvorrichtungen an Ueberhitzern sind die Meinungen noch nicht genügend geklärt und die Erfahrungen reichen noch nicht aus, um für behördliche Vorschriften geeignete Grundlagen zu bieten.

Der Meinungsaustausch in der von uns veranlassenen Sachverständigen-Konferenz hat zu dem Beschlusse geführt, die Beratungen fortzuführen, insbesondere auch in der Richtung, dass durch Versuche die Eigenschaften ermittelt werden sollen, welche die für Ueberhitzer anzuwendenden Materialien besitzen müssen, um ausreichende Sicherheit zu gewähren. Freilich wird es die Art dieses Vorgehens mit sich bringen, dass geraume Zeit vergehen wird, bis die Beratungen zu einem solchen Abschluss gelangen, dass Euerer Exzellenz wir darüber berichten können. Wir wiederholen deshalb unsere schon früher ausgesprochene Bitte, das Ergebnis unserer Arbeiten abwarten zu wollen, bevor weitere Schritte in dieser Angelegenheit erfolgen.

Ehrerbietigst

Der Verein deutscher Ingenieure

Vorsitzender: Vorsitzender-Stellvertreter:
Lemmer. Voith.

Direktor:
Th. Peters.

Seiner Exzellenz
dem Minister für Handel und Gewerbe
Hrn. Möller, Berlin.

¹⁾ Die Urschrift ist an den Zentralverband der preussischen Dampfkessel-Überwachungsvereine gerichtet; dem Verein deutscher Ingenieure ist Abschrift davon zugegangen.

²⁾ Im Schreiben vom 22. Mai d. J. hatte der Verein deutscher Ingenieure über seine Schritte zur Beantwortung der an ihn gerichteten Fragen berichtet und gebeten, seinen weiteren Bericht abzuwarten.

emporblühte. Aber schon nach wenigen Jahren, am 23. April 1879, endete der Tod das arbeitsreiche Leben Gottlieb Luthers eines Mannes, der aus kleinsten Verhältnissen heraus zu hochangesehener Stellung gelangt war, und das rasch emporblühende Unternehmen verblieb der alleinigen Leitung Hugo Luthers. Wie sich dank seiner Umsicht und rastlosen Arbeit der Kundenkreis mehr und mehr erweiterte, der sich bald auch auf das Ausland: England, Belgien, Holland, Frankreich und die überseeischen Länder, erstreckte, so wurden auch immer neue Gebiete in die Fabrikation aufgenommen: zu dem Bau von Mühlen aller Art kam die Herstellung von Turbinen und Dampfmaschinen, von Zementfabriken, von Boden- und Silospelchern, von Hafen- und Verkehrsanlagen. Im Jahre 1888 wandelte Hugo Luther sein Geschäft in eine Kommandit-Gesellschaft um, welcher im Jahre 1891 der Ingenieur Albert Lemmer, bis dahin Direktor der Sächsischen Maschinenfabrik in Chemnitz, als persönlich haftender Gesellschafter beitrug. Ferner ging am 1. Januar 1897 die Mühlenbauanstalt, Maschinenfabrik und Eisengießerei vorm. Gebr. Seck in Darmstadt durch Kauf in den Besitz der Firma G. Luther über.

Das Unternehmen, welches am meisten dazu beigetragen hat, Hugo Luthers Namen und seine Leistungen als Ingenieur rühmlichst bekannt zu machen, ist die Regulierung der Donau-Katarakte, worüber in dieser Zeitschrift 1896 S. 93 u. f. ausführlich berichtet ist. Es knüpft an seine Thätigkeit in Temosvar an, wo er den ungarischen Wasserbau-Ingenieur Hajdu kennen gelernt hatte. Mit ihm gemeinsam und nach Zuziehung der Diskonto-Gesellschaft in Berlin bewarb sich Hugo Luther um die Ausführung der genannten Arbeiten, die denn auch der von ihm gebildeten General-Unternehmung übertragen wurden. Wenn die Regulierung des eisernen Thores für die Schifffahrt nicht den Erfolg gehabt hat, den man schaffen wollte und voraussah, so ist die Ausführung der Arbeiten nicht Schuld daran, sondern lediglich die von der ungarischen Regierung entworfenen, für die Arbeiten maßgebend gewesenen Pläne. Es war Luther und seinen Mitarbeitern von vornherein klar, dass nur mittels Schleusen eine durchaus sichere Wasserstraße geschaffen werden könne; aber seine Vorschläge, den fertiggestellten Kanal zu verbessern, wurden abgelehnt.

Die außerordentlich großen Schwierigkeiten der übernommenen Regulierungsarbeiten konnten nur dadurch überwunden werden, dass Hugo Luther während der ersten zwei Jahre fast ununterbrochen an Ort und Stelle selbst die Arbeitsweise und Wirkung der zahlreichen Maschinen und Werkzeuge beobachtete, die für diesen Zweck erst ersonnen und hergestellt werden mussten. Diese aufreibende Thätigkeit war es wohl auch, die den Grund zu dem schweren Herzleiden legte, dem Hugo Luther so früh erliegen ist.

Die Regulierung der Donau-Katarakte, wenn auch nicht in der Weise ausgeführt, wie Luther es für richtig hielt, stellt doch eine so außerordentlich schwierige und umfangreiche Ingenieurarbeit dar, dass sie die Augen aller Fachgenossen auf den kühnen Mann lenkte, der sie unternommen hatte. Deshalb fiel im Jahre 1898 die Wahl des Vereines deutscher Ingenieure bei Verleihung seiner höchsten Auszeichnung, der Grashof-Denkmünze, auf Hugo Luther. Die Urkunde, welche die Denkmünze begleitete, lautet:

Der Verein deutscher Ingenieure
hat in seiner XXXIX. Hauptversammlung zu Chemnitz 1898

Herrn Hugo Luther
Ingenieur und Maschinenfabrikant zu Braunschweig,

welcher durch ebenso bedeutende wie schwierige und mit großem Erfolg durchgeführte Arbeiten auf dem Gebiete der Fluss- und Hafenbauten, der Speicher- und Fabrikanlagen das Ansehen deutscher Ingenieurkunst im In- und Auslande gemehrt und durch die von ihm zur Ausführung dieser Arbeiten ersonnenen Werkzeuge und Arbeitsweisen den Fortschritten der Technik neue Wege gebahnt hat,

die Grashof-Denkmünze

verliehen, worüber diese Urkunde ausfertigt ist.

Berlin, den 2. November 1898.

H. Bissinger
Vorsitzender

A. Rieppel
Vorsitzender-Stellvertreter

Th. Peters
Direktor.

Wenig mehr als zwei Jahre sind seitdem verflossen. Die Erkrankung, an der Luther schon damals litt, hat mit raschen Schritten seinen Tod herbeigeführt; eine an Erfolg des Geleisteten wie an Hoffnung weiteren Wirkens gleich reiche Lebenslaufbahn eines echten deutschen Ingenieurs ist jäh abgebrochen. Wir aber, die wir ihn den unsrigen nennen durften, und stolz waren, es zu thun, wollen in der Trauer um seinen Verlust eingedenk bleiben dessen, was er der deutschen Technik geleistet hat.

Der Verein deutscher Ingenieure.

Die neuesten Fortschritte auf dem Gebiete der Funkentelegraphie.

Von A. Slaby.

(Hierzu Textblatt 10.)

(Vorgetragen in der XLII. Hauptversammlung des Vereines deutscher Ingenieure zu Kiel.)

M. H.! Jede unvermittelte Wechselwirkung zwischen räumlich getrennten lebenden Wesen hat etwas merkwürdig Beackendes, und die Befreiung von den Schranken des Raumes auch in dieser Beziehung war von jeher ein Lieblings Traum der Menschheit. Einzelnen Naturen, so lautet der Glaube im Volke, soll die Fähigkeit innewohnen, Dinge zu wissen, die weit entfernt sich ereignen, und besonders aus dem Orient werden merkwürdige Vorkommnisse berichtet. Wenn während der englisch-afghanischen Kriege die schnellsten Reiter entsendet wurden, um Truppenkörpern, 50 Meilen entfernt, Befehle zu überbringen, so kamen sie häufig zu spät: die Eingeborenen hatten bereits davon erfahren und Gegenmaßregeln ergriffen. Der Tod des Generals Gordon war in den Straßen von Kairo am selben Tage bekannt, obwohl die Telegraphenlinie zerstört war. Weniger wunderbar, aber nicht minder interessant klingt, was ein Reisender von einem Indianerstamm des Amazonasflusses berichtet. Er fand dort in der Hütte des Häuptlings, zur Hälfte in Erde vergraben, ein Instrument, das, mit einem Hammer berührt, Signale nach einer andern weit entfernten Hütte übertrug. Eine verbindende Erzader oder ein unterirdischer Wasserlauf könnte uns dieses Phänomen erklären.

Ratlos standen aber die meisten den ersten Versuchen Marconis gegenüber, obwohl die Telegraphie ohne verbindenden Draht an sich nicht neu war. Tesla, Edison und Preece hatten bereits vor Jahren Einrichtungen hierfür erdacht, Edison sogar das Problem gelöst, von einem fahrenden Eisenbahnzuge aus zu telegraphieren. Auch die von Marconi zuerst benutzte fernwirkende Kraft des Funkens war an sich durchaus nicht neu, ja schon vor mehr als hundert Jahren hatte sie sich der Forschung gleichsam aufgedrängt, sie war nur nicht beachtet und in ihrer wahren Bedeutung erkannt worden. Der Beobachtung einer Frau verdanken wir nach den Ueberlieferungen die erste Wahrnehmung des Phänomens. Die Gattin Galvanis half ihrem Manne mit geschickten Händen die feinen Nerven eines Froschschenkels für physiologische Untersuchungen präparieren. Er selbst arbeitete in einiger Entfernung davon an einer Elektrisiermaschine und zog Funken aus derselben. Da beobachtete sie mit Staunen jedesmal, wenn dort an entfernter Stelle ein Funke übersprang und sie selbst zugleich mit dem Messer den Nerv des Frosches berührte, eine Zuckung des Schenkels. Zwischen dem funkenerzeugenden Gatten und ihr selbst bestand also ein geheimnisvoller elektrischer Zusammenhang, der seine Wirkungen durch den Raum übertrug — eine drahtlose Telegraphie.

Die damalige Beobachtung blieb fruchtlos; der eigensinnige Gelehrte wollte sie durchaus auf geheimnisvolle animalische Kräfte zurückführen. Es wurde eine berühmte wissenschaftliche Streitfrage daraus, welche bald hinüberspielte auf ein anderes Gebiet, dasjenige der Berührungselektrizität, und ein größerer als Galvani: Alessandro Volta, beendete den Kampf durch die glänzendste Entdeckung des naturwissenschaftlichen Zeitalters, den elektrischen Gleichstrom. Nach fast hundert Jahren kehrt die Wissenschaft zu jenem ersten Phänomen zurück, ein deutscher Forscher, Heinrich Hertz, deutet uns den Zusammenhang durch das Spiel elektrischer Wellen, und ein jugendlicher Landsmann Galvanis: Guglielmo Marconi, zieht in wenigen Jahren rastloser Arbeit daraus die wichtigsten technischen Folgen, indem er Telegramme durch die Luft entsendet auf hundert Kilometer und mehr.

Die Sensation, welche diese Versuche hervorriefen, ließ sich in dem Kursrückgange der englischen Telegraphengesellschaften ziffernmäßig erkennen. Doch die Gewöhnung des Menschen an die Verwertung früher unbekannter Naturkräfte ist eine erstaunlich schnelle. Was uns vor wenig Jahren fast wie ein Wunder berührte, erscheint uns heute als selbstverständlich und naheliegend. Ich spreche mit Ab-

sicht von »Gewöhnung«, denn von eigentlichem Verstehen ist auf dem ganzen Gebiete der Elektrizität leider noch wenig die Rede. Je schneller wir eine neue Thatsache in den Kreis unserer gewohnten Vorstellungen einordnen können, desto leichter vollzieht sich der geistige Assimilierungsvorgang, den wir »Verstehen« nennen. Bei der Funkentelegraphie hatten diejenigen, welche mit ihren physikalischen Vorstellungen an die Thatsachen anknüpfen mußten, die sie vor dreißig und mehr Jahren auf der Schulbank erfahren, allerdings mit etwas größeren Schwierigkeiten zu kämpfen. Sie hatten sich zunächst in der für sie neuen Welt der elektrischen Wellen zurechtzufinden. Denn es schien anfangs unmöglich, die Fernwirkung des Funkens anders als durch den Begriff einer wellenartigen elektrischen Strahlung, wie ihn Maxwell eingeführt hatte, zu erklären. Und doch ist dieser Begriff nur eine Hypothese, wie so viele andere Grundvorstellungen der Physik. Heute, wo wir die Gesetze der Funkentelegraphie besser übersehen, können wir ihre Erklärung ganz gut auch auf ältere Vorstellungen zurückführen. Es sind die wohlbekannten Erscheinungen der elektrischen Induktion, die ich dazu heranziehen will.

Wenn ein stromführender Leiter auf längerer Strecke einem zweiten an sich stromlosen Leiter parallel geführt ist, so kann in diesem unter gewissen Umständen ein Strom hervorgerufen werden, ohne dass direkte elektrische Kräfte dabei mitwirken. Wir brauchen nur den Strom in dem ersten Leiter, den wir »Primärstrom« nennen wollen, in seiner Stärke zu ändern, sofort entsteht in dem zweiten Leiter ein allerdings schnell vorübergehender »Sekundärstrom«. Und zwar entspricht jeder Zunahme des Primärstromes ein entgegengesetzt gerichteter, jeder Abnahme desselben ein gleichgerichteter Sekundärstrom. Da beide Stromleiter metallisch völlig getrennt sind, so kann kein Zweifel darüber bestehen, dass die elektrische Erscheinung von dem Primärdraht durch die Luft auf den Sekundärdraht übertragen wird. Besonders auffallend und regelmäßig wird das Phänomen bei einem periodisch unterbrochenen oder wechselnden Primärstrom. Dann wird der Sekundärdraht zum Träger eines andauernden Wechselstromes, dessen Periodenzahl oder Frequenz mit der des Primärstromes übereinstimmt. Von dem Primärdraht gehen die Wirkungen aus, der Sekundärdraht ist gewissermaßen nur ein elektrischer Fühler, der uns von dem Vorgang in dem Primärdraht Kenntnis gibt.

Der elektrische Gleichstrom hat diese merkwürdige Eigenschaft nicht. Mag er tausende von Pferdestärken durch einen Draht dahinragen, kein sichtbar oder fühlbar nach außen dringendes Zeichen verrät uns die Herkulosarbeit der elektrischen Kräfte. Es ist ähnlich wie mit dem Wasser, das durch eine Rohrleitung dahinbraust — kein Merkmal an der Außenwand des Rohres läßt auf den Vorgang im Innern schließen. Und doch können wir mit dem Druckwasser gewaltige Kräfte übertragen. Wie ändert sich aber das Bild, wenn der Wasserstrom plötzlich gehemmt wird, etwa durch Schließen eines Ventiles! Ein heftiger Stoß erschüttert das Rohr, nicht selten so stark, dass die Wandung zerreißt. Nehmen wir an, dass das Wasser sogar seine Bewegungsrichtung ändert, viele male in einer Sekunde, so würden die Erschütterungen des Rohres in gesetzmäßiger Wiederholung sich der umgebenden Luft mitteilen und Schallwellen von bestimmter Tonhöhe in unser Ohr senden. Die Erschütterungen unseres Trommelfelles geben uns jetzt Kunde von dem inneren Vorgang im Wasserrohr. Wir wissen, sie werden übertragen durch die gesetzmäßigen Schwingungen der in Mitleidenschaft gezogenen Luft.

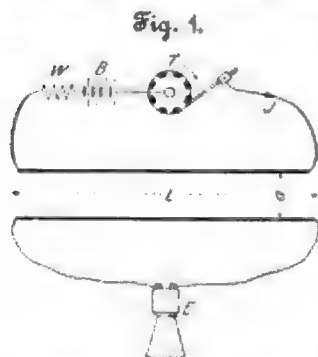
Ganz ähnlich können wir uns den Vorgang bei der Uebertragung einer elektrischen Erschütterung denken. Nur die Luft ist entbehrlich, denn die Uebertragung erfolgt ebenso gut auch durch den luftleeren Raum. Nun ist aber die heutige mechanische Naturauffassung ein geschworener Feind aller

Erklärungen, welche die Möglichkeit einer Uebertragung von Kräften ohne die Mitwirkung stofflicher Materie zur Voraussetzung haben; man hat darum einen Stoff erfunden, den Weltäther, welcher, den menschlichen Sinnen zwar nicht wahrnehmbar, dennoch elektrische Impulse ebenso weiterzutragen imstande sein soll, wie der Wasserspiegel die Wellenringe eines Steinwurfes, oder wie die Luft, wenn sie das leise Erzittern der Violine durch rhythmische Schwingungen auf unser Ohr überträgt.

Wir dürfen aber in diesen Erklärungen nichts weiter suchen, als ein Mittel, um die verschleierte Aeußerungen der Natur dem beschränkten Fassungsvermögen des menschlichen Geistes greifbarer zu gestalten und ihre Einschachtelung in die verschiedenen Fächer und Kasten unseres Gehirns zu erleichtern. Wir gleichen hierin den Kindern, die bunte Muscheln am Strande des Ozeans sammeln und nach Größe und Farbe ordnen. Ein herrliches Geschenk hat uns aber die Allmacht verliehen: das ist die Fähigkeit, die Gesetze zu erkennen, nach denen das Walten der Natur sich ordnet, und diese Gesetze wiederum zum Wohle der Menschheit schöpferisch zu verwerten. In dieser Thätigkeit reichen sich Forscher und Ingenieur zu ersprießlichem Bunde die Hände.

Betrachten wir von diesem Gesichtspunkt aus die neue Naturerscheinung, welche an der Wende des Jahrhunderts der Menschheit gleichsam als eine reife Frucht zuteil geworden ist. Die Ermittlung der Gesetze der elektrischen Induktion verdanken wir dem größten naturwissenschaftlichen Forscher des vergangenen Jahrhunderts: Michael Faraday. Er und seine Nachfolger zeigten uns, dass die Kräfte, welche ein elektrischer Strom in einem von diesem völlig getrennten Drahte hervorruft, am stärksten sind, wenn die Drähte eine parallele Lage haben, wenn sie thunlichst lang sind, wenn der Mittelwert des Primärstromes und die Schnelligkeit der Aenderung möglichst groß sind. Unter sonst gleichen Verhältnissen nimmt die übertragene Wirkung mit der Entfernung ab, aber nicht wie bei den von einem elektrischen Zentrum ausstrahlenden Kräften mit dem Quadrat, sondern mit der einfachen Entfernung. Bezeichnet l die Länge der parallelen Leitungen, a ihren Abstand, J die mittlere primäre Stromstärke und T die Zeitdauer der periodischen Schwankungen, also $\frac{1}{T}$ die Anzahl derselben in einer Sekunde oder ihre Frequenz, so ist die elektrische Erregung in dem Sekundärdrath proportional dem Ausdruck $\frac{PJ}{aT}$, die Uebertragungsweite also

proportional $\frac{PJ}{T}$. Ein einfaches Experiment wird uns von der Richtigkeit dieses Gesetzes überzeugen. Hier sind, Fig. 1, in



der Länge des Saales zwei parallele Leitungen über einander ausgespannt; die obere ist Teil eines Kreises, in welchem ich mittels einer Batterie B und eines regulirbaren Widerstandes W durch einen rotierenden Unterbrecher T absetzende, also veränderliche Ströme J erzeugt. Der zweite, darunter befindliche Draht ist gleichfalls durch eine Leitung geschlossen und enthält zum Nachweis der darin erzeugten Sekundärströme ein Telefon E ; dieser Kreis ist von dem ersten völlig isolirt. Lasse ich nun den Unterbrecher spielen, so liefert das Telefon weithin hörbare Töne. Eine schnellere Unterbrechung erzeugt einen lautereren und höheren Ton; eine Vergrößerung der Entfernung der parallelen Leitungen verringert die Tonstärke. Kürze ich die parallel geführten Drähte, so geht der Ton gleichfalls merklich zurück. Eine Verstärkung des Stromes durch Ausschaltung des Widerstandes W lässt ihn von neuem anschwellen.

Das sind die einfachen Grundgesetze, welche auch die heutige drahtlose Telegraphie befolgt. Man könnte die Frage aufwerfen, warum die Nutzanwendung auf große Entfernun-

gen, die das Ueberraschende der neuen Erfindung ausmacht, nicht schon zu Faradays Zeiten versucht wurde. Der Grund liegt heute klar zutage. Dass bei Verlängerung der Parallel-drähte die Uebertragungsweite zunimmt, wurde zwar erkannt, zunächst indessen nur als Störung empfunden in langen Telephonleitungen, welche vorhandenen Telegraphenleitungen auf weite Strecken hin parallel liefen. Sir William Preece verdanken wir ein näheres Studium dieser Erscheinung. Zwischen Durham und Darlington liefen auf 26 km zwei parallele Telegraphenleitungen, 16 km von einander entfernt; Preece stellte fest, dass mithilfe eines Telefons in der einen Leitung Morse-Telegramme, die auf der andern Leitung gesandt wurden, gehört werden konnten. Er gründete darauf ein System der drahtlosen Telegraphie und richtete auf verschiedenen Inseln in der Nähe des Festlandes mithilfe von parallelen Leitungen Telegraphenstationen ein, die zumteil noch heute im Betriebe sind. Die kilometerlangen Drahtführungen, welche dieses System benötigt, beschränken indessen seine Verwendbarkeit auf einzelne besonders geeignete Fälle und genügen nur für geringe Entfernungen. Für telegraphischen Verkehr von Schiff zu Schiff oder von Schiff zu Land ist das System ungeeignet.

Abgesehen von der Stromstärke, die bis jetzt nur einer geringen Steigerung fähig ist, bleibt sonach, wie unsere Formel zeigt, die Frequenz der Stromschwankungen $= \frac{1}{T}$ der

einzige Faktor, von dessen Zunahme sich ein nennenswerter Erfolg hoffen lässt. Dass dies nun in einem alle Erwartungen weit übersteigenden Maße möglich geworden ist, verdanken wir den glanzvollen Entdeckungen der letzten Jahrzehnte des vorigen Jahrhunderts, die mit dem Namen Heinrich Hertz ruhmvoll verbunden sind. Um den gewaltigen Unterschied, um den es sich handelt, gleich vorweg zu betonen, will ich erwähnen, dass die Zahl der Unterbrechungen oder Stromschwankungen, welche wir mit den früher allein bekannten rein mechanischen Mitteln erzeugen konnten, wenige hundert in der Sekunde nicht überschreitet, dass die neuen Hilfsmittel dagegen uns Wechselströme liefern, deren Frequenz sich nach Millionen in der Sekunde beziffert. Die Uebertragbarkeit von elektrischen Impulsen wird also dadurch auf 10000 mal größere Entfernungen gesteigert.

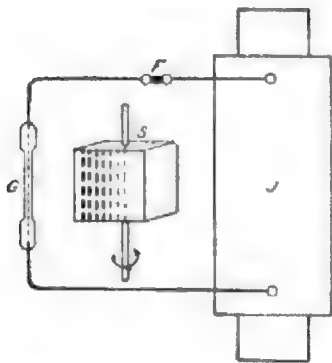
Mit welcher kunstvollen Einrichtungen muss die Maschine versehen sein, welche die Wechselzahl der Ströme in so erstaunlicher Weise vermehrt, dass schon ihr bloßes Zählen die Fähigkeit unserer Sinne weit übersteigt!

Als Faraday am Ende seines Lebens von einer Dame gefragt wurde, was die Elektrizität denn eigentlich sei, antwortete er: »Vor vierzig Jahren hätte ich geglaubt, die Frage beantworten zu können, heute vermag ich es nicht«. Was würde er geantwortet haben, wäre ihm die Leistungsfähigkeit jener wunderbaren Maschine in ihrem vollen Umfange bekannt gewesen, jener Maschine, welche aus der Werkstatt der Natur unmittelbar ohne menschliches Zutun hervorgeht und die schon in den Kindheitstagen der Elektrizität den unbeholfenen Händen und Sinnen der Menschen zum ahnungslosen Spiel und unverständenen Gebrauch sich auslieferte? Es ist der elektrische Funke, der diesen kunstvollen Mechanismus in sich birgt und seine erstaunliche Wirkung in dem rätselvollen Experiment der Frau Galvanis der Menschheit zum erstenmal offenbarte.

Der elektrische Funke ist nach der üblichen Ausdrucksweise der plötzliche Ausgleich entgegengesetzt gespannter Elektrizitäten. Dieser Ausgleich vollzieht sich zwar in der Form eines elektrischen Stromes, ist aber durchaus nicht etwa als ein einmaliger Austausch zu betrachten. Vergleichen wir die übertretenden Elektrizitätsmengen mit einer ungeheuren Anzahl elastischer Bälle, die hinübergeworfen werden und wieder zurückprallen und dieses Spiel in unermüdlicher Folge wiederholen, so kommen wir zu einem treffenden Bilde. Unfassbar unsern Sinnen und durch mechanische Analogien nicht zu erläutern bleibt aber die ungeheure Geschwindigkeit, mit der dieser poudelnde Ausgleich sich vollzieht. Die Geschwindigkeit einer Kanonenkugel wäre ein kindlicher Vergleich mit dem oszillierenden Sturm der elektrischen Partikel, die in einer Sekunde viele millionenmal in dem Funken ricochetieren.

Und doch, wenn ich alle Mittel in Anwendung bringe, die geeignet sind, die Geschwindigkeit herabzusetzen, kann ich dieses absetzende Ballspiel in seine einzelnen Phasen zerlegen. Wir wollen den von einem Funken F erzeugten Wechselstrom durch eine evakuierte Röhre G leiten, welche in bekannter Weise dadurch zum Leuchten kommt, und den Lichtstreifen in einem rotierenden Spiegel S betrachten, Fig. 2. Das Bild wird dadurch zu einem breiten leuchtenden Bande auseinandergezogen. Bei näherer Betrachtung aber löst sich dieses Band in eine Reihe von parallelen Streifen mit abnehmender Breite und Helligkeit auf. Hierbei erkennen wir die absetzenden, hin- und herschwingenden Entladungen, welche der Funke hervorruft.

Fig. 2.



Wir können den Vorgang vergleichen mit der schwingenden Saite der Violine oder mit der vibrierenden Bewegung, in welche die entspannte Sehne einer Armbrust versetzt wird. Nach Auslösung der Spannung dauert es geraume Zeit, ehe diese zitternde Bewegung zur Ruhe kommt. Ganz ähnlich ist die schwingende oszillierende Entladung, wenn die elektrisch gespannten Kugeln durch den springenden Funken in Verbindung gesetzt werden.

Die schnell oszillierenden Funkenströme haben nun aber weiter eine merkwürdige Eigenschaft, die wir noch vor dreißig Jahren als ganz unmöglich und allen Grundlehren der Elektrizität widersprechend bestritten hätten. Wir haben damals gelernt, dass elektrische Ströme nur in geschlossenen Leitungen bestehen können. Für Gleichströme gilt dieses Gesetz auch noch heute; die oszillierenden Funkenströme haben sich jedoch gänzlich davon freigemacht; sie können auch in ungeschlossenen Leitern bestehen, ja sie entwickeln in diesen erst recht die Fähigkeit, weittragende Induktionswirkungen auszuüben. Alles Philosophieren würde uns diese Möglichkeit niemals erschlossen haben; ein einfacher Versuch führt es uns aber unmittelbar vor Augen. Mithilfe des bekannten Ruhmkorffschen Induktors erzeugte ich zwischen zwei kleinen Metallkugeln ein dauerndes Funkenspiel — eine Reibungselektrizitätsmaschine oder eine Influenzmaschine könnte ebenso gut dazu dienen. Mit beiden Kugeln habe ich nach rechts und links geradlinig ausgespannte Drähte verbunden, die isoliert an den Wänden des Saales befestigt sind, Fig. 3. Eingeschaltet in diese Drähte sind ein Paar gewöhnliche Glühlampen mit linearem Faden. Das Aufleuchten der Lampen zeigt uns unwiderleglich, dass sie von einem Strom durchflossen werden. Von den sich entladenden Kugeln stürzen sich die elektrischen Ströme gleichsam nach beiden Seiten in die offenen Leitungen, werden am Ende reflektiert und wiederholen dieses Spiel einige millionenmal in der Sekunde.

Sie haben bemerkt, dass die beiden Glühlampen in der Nähe der Funkenstrecke stärker leuchten als die andern. Schalteten wir Messinstrumente an verschiedenen Stellen in die Leitungen, so würden wir die Ströme sogar messen können. Eine auffallende Tatsache würde sich dabei enthüllen: die Stärke der elektrischen Strömung ist nicht an allen Stellen die gleiche. Hier in der Mitte des Saales, in der Nähe der Funkenstrecke, würden die Ampèremesser wesentlich größere Ausschläge zeigen als dort in der Nähe der freien Drahtenden. Tragen wir die größten Stromstärken als positive und negative Ordinaten an den verschiedenen Stellen der Drähte auf, so erhalten wir den gesetzmäßig gerundeten Bauch einer Sinuslinie, ABC , Fig. 4. An den Drahtenden, den Reflexstellen, sinkt die Strömung auf null. In der Funkenstrecke, wo die hocherhitzten Gase und Metaldämpfe die beiden Drähte leitend verbinden, erreicht die Strömung ihren größten Wert.

Noch an einer anderen Eigenschaft können wir die

Eigentümlichkeit der Erscheinung erkennen. Jedes Teilchen der Drähte nimmt eine elektrische Spannung an, welche aber eine Wechsellspannung ist und ähnlich wie der Strom an jeder Stelle millionenmal in einer Sekunde zwischen einem positiven und negativen Größtwert schwankt. Diese Wechsellspannungen befolgen nun das entgegengesetzte Verhalten wie die Ströme: sie erreichen ihre höchsten Schwankungen an den freien Enden, DD' und EE' , Fig. 4, und zeigen in der Nähe der Funkenstrecke nur geringe Werte.

Der experimentelle Nachweis dieser Erscheinungen ist nicht so einfach wie bei den Strömen. Könnten wir diesen Saal völlig verdunkeln, so würden wir allerdings wahrnehmen, dass die Enden der Drähte leuchten. Das rührt nicht von einem Stromdurchgang wie bei den Glühlampen, sondern von elektrischen Ausstrahlungen her, die lediglich von den Spannungen abhängen. Der sichere Nachweis lässt sich durch die photographische Trockenplatte führen. Es ist schon längere Zeit bekannt, dass mit elektrischer Spannung versehene Körper bei Berührung auf die Trockenplatte einwirken. Beim Entwickeln der Platte erhält man strahlenartige Figuren mit feinen und scharfen Verästelungen. Vor einigen Jahren erregte ein Russe namens Jodko die allgemeine Aufmerksamkeit durch Veröffentlichung von strahlenartigen Photographien, die er erhalten hatte durch Auflegung von menschlichen Händen auf die geschützte Trockenplatte. Man konnte die Form der Hände deutlich erkennen und sah besonders von den Fingerspitzen merkwürdige fiederartige Gebilde ausgehen. Die Spiritisten vermuteten darin sofort über-

Fig. 3.

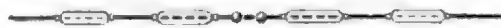


Fig. 4.

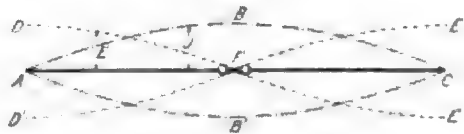


Fig. 5.

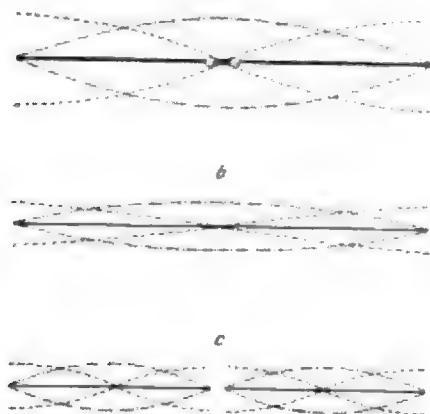


natürliche Kräfte, wurden aber bald durch den geistvollen und witzigen Dr. Jacobsen ad absurdum geführt. Dieser zeigte Handbilder mit den merkwürdigsten Strahlungserscheinungen und verriet das Geheimnis ihrer Herstellung erst, nachdem die Begelsternung den Gipfelpunkt erreicht hatte: er hatte warme Jauersche Würste kunstvoll zu einer Hand vereinigt und auf die Platte gelegt. Die Jodkosen Figuren waren also lediglich eine Folge der menschlichen Wärme. Die Einwirkung elektrisierter Körper auf die Trockenplatte bleibt indessen unbestreitbar. Die kurze Bestrahlung eines lichtempfindlichen Bandes, das ich mit dem Draht in seiner ganzen Länge zur Berührung brachte, zeigte deutlich eine Zunahme der elektrischen Spannung nach dem freien Ende hin, und weitere eingehende Versuche ergaben sogar ein einwandfreies Sinusgesetz für diese Zunahme, Fig. 5.

Nach dem, was ich vorhin über die Fernwirkung durch Induktion pulsirender Ströme ausgeführt habe, kann es nun nicht wundernehmen, dass die hohe Frequenz der pulsierenden Funkenströme in offenen Leitern besonders wirkungsvolle Fernwirkungen liefert. Und in der That lässt sich der Nachweis mit Leichtigkeit führen. Ich habe hier parallel zu den von dem Funkenstrom gespeisten Drähten einen zweiten völlig isolierten Draht durch die ganze Länge des Saales gezogen. Sobald wir die Funkenstrecke des Primärdrabtes in Thätigkeit setzen, wird der Sekundärdrabt von ganz ähnlich verlaufenden Induktionsströmen durchzuckt. Sie sind zwar so schwach, dass ich sie mit den rohen und einfachen Hilfsmitteln, die mir hier zur Verfügung stehen, nicht dem ganzen Auditorium zeigen kann. Wohl aber kann ich die ebenso erzeugten entsprechenden Wechsellspannungen an

diesem Draht zur Wahrnehmung bringen. Ich wähle dazu die bekannten luftentleerten Geißlerschen Röhren; setze ich sie einer Wechselspannung aus, so leuchten sie auf. Hier am Ende des Drahtes geben sie ihr volles Licht, in der Mitte desselben leuchten sie nicht. Der Verlauf der Spannungen an diesem Sekundärdraht ist nun, wie Untersuchungen gezeigt haben, genau dem Schwingungszustand des Primärdrahtes entsprechend. Sogar das Gesetz der Sinuslinie wird diesen Spannungen aufgeprägt. Ebenso lässt sich zeigen, dass die elektrische Strömung in der Mitte des Drahtes ihren Größtwert erreicht und nach den Enden hin abnimmt; vergl. Fig. 6b.

Fig. 6.



Besonders merkwürdig ist aber das Folgende: Schneide ich den Sekundärdraht in der Mitte durch, so bildet sich in jeder Hälfte des Drahtes eine eigene Schwingung aus, die durch die Länge des Drahtes bestimmt ist, Fig. 6c. Wenn fällt hier nicht der Vergleich mit einer Klaviersaite ein, die in einem tiefen Grundton schwingt und zwei halb so lange Saiten durch Resonanz zum Mitschwingen in dem eine Oktave höher liegenden Oberton veranlasst? In der That, die Analogie mit dem Tönen schwingender Saiten ist eine völlige und wird uns bei den weiteren Betrachtungen wertvolle Fingerzeige für das elektrische Mittönen von Drähten bieten können.

Die einander zugekehrten Enden der halblangen Drähte nehmen Spannungen an, deren Polaritäten entgegengesetzt sind. Nähern wir die Enden, so nehmen wir deshalb ein Funkensprühen wahr. Es ist, als ob die Stromwelle, die in den Drähten induziert ist, hier an der Unterbrechungsstelle zwischen den Drähten hinüberspritzt, ähnlich wie die Wasserwelle über ein Hindernis in Millionen von glitzernden Tropfen. Sie können von Ihren Plätzen aus diese Funken nicht sehen; ich will aber eine Wirkung damit hervorrufen, die allen sichtbar wird. Ich schalte zwischen die freien Enden der Drähte die Kohlenstäbe einer Bogenlampe, welche an die hier vorhandene elektrische Leitung angeschlossen ist. So lange die Stäbe sich nicht berühren, kann der Gleichstrom aus der Leitung von Kohle zu Kohle nicht übertreten. Lasse ich nun aber die primäre Funkenstrecke spielen, so spritzen an den Kohlen feine Funken über, bilden eine Brücke für den Gleichstrom, und die Lampe leuchtet auf.

Wie sollen wir nun die eigentümliche Wirkung erklären, deren Zeugen wir soeben gewesen sind? Es sind dieselben Kräfte, welche den Froschschenkel zum Zucken brachten; sie breiten sich aus durch den Raum, sie durchdringen unsere Körper, durchbrechen die dicken Steinwände dieses Hauses und pflanzen sich fort durch das grenzenlose Weltall. Man hat die Geschwindigkeit der Ausbreitung gemessen; sie stimmt überein mit der Lichtgeschwindigkeit von 300000 km. sek. Befände sich etwa auf dem Mars zu dieser Stunde ein Berufsgenosse, vertieft in das Studium der gleichen Erscheinung, und ständen, der vorgeschrittenen Kultur der Marshewohner entsprechend, unendlich viel feinere Hilfsmittel zum Erkennen dieser Kräfte zu seiner Verfügung; genau nach 3 min würde das Leuchten einer Röhre, das

Licht einer Bogenlampe oder das Zucken einer höher organisierten frischen Tierleiche ihm Kunde geben von unserem Thun. Sie sehen, bis auf diese kleinen Voraussetzungen ist Tesla durchaus im Recht, wenn er mit dichterischer Phantasie von einer Mars-Telegraphie der Zukunft träumt.

Es ist aber eigentlich auch nicht viel mehr als dichterische Phantasie, wenn wir uns nach der üblichen Anschauung den Weltraum als ein unendliches Aethermeer vorstellen, dessen Wellenschlag die elektrischen Kräfte weiterleitet. Es ist bekannt, dass die Fortpflanzung des Lichtes in ähnlicher Weise erklärt wird, und dass man in dem Licht selbst eine elektrische Erscheinung vermutet, deren Wellenfrequenz noch millionenmal größer ist. Ich muss es mir versagen, auf diesen interessanten Zusammenhang hier näher einzugehen, möchte aber daran erinnern, wie schnell die Vorstellung des Lichtes als Wellenbewegung in unsere Denk- und Ausdruckweise übergegangen ist. Wir reden von den »Fluten des Lichtes«, Goethe lässt Faust »die irdische Brust im Morgenrot baden« und schildert das All als »ein ewiges Meer, ein wechselndes Weben«. Die Aetherstürme der Sonne tragen ihre Wellenschläge zu uns, sie brechen sich an der Netzhaut unseres Auges und verschaffen uns die Empfindung des Lichtes. Schallwellen überträgt der Aether nicht — zu unserem Glück, denn mit den Strahlen des Lichtes würde uns sonst auch der ungeheure Spektakel auf der Sonne zugetragen. Die »Sphärenmusik« ist nur eine dichterische Lizenz.

Kehren wir nach dieser kleinen Abschweifung wieder zu unserem elektrisch schwingenden Draht zurück. Bisher haben wir mit den Kugeln oder sogenannten Polen der Funkenstrecke nach beiden Seiten hin Drähte verbunden. Eine neue wertvolle Eigenschaft derselben erkennen wir, wenn wir den einen Pol mit der Erde verbinden und den Draht vom andern Pol senkrecht in die Höhe führen, Fig. 7. Die Verteilung der elektrischen Spannung an diesem Draht verändert sich dadurch nicht, ebensowenig die Ströme. Es ist genau so, als nähme in der Erde ein Spiegelbild des Vertikaldrahtes die auf- und niederzuckenden Ströme auf. Stellen wir ebenso die eine Hälfte des Sekundärdrahtes senkrecht und legen das untere Ende an Erde, so vollzieht sich die Induktion in unveränderter Weise; auch hier können wir die Erde durch ein Spiegelbild des Vertikaldrahtes ersetzt denken, Fig. 7. Die Tragweite der Wirkung, die Entfernung, auf welche wir die elektrischen Impulse senden können, nimmt dabei zu. Es scheint so,

Fig. 7.



als ob in der Erde eine zweite Bahn für die Weiterleitung der elektrischen Stöße oder Schwingungen sich darböte; Tesla hat sogar eine Telegraphie, lediglich durch die Erde, darauf gegründet. Dass dies in gleicher Weise wie bei den Drähten auf Induktion durch Ströme zurückgeführt werden könne, muss bezweifelt werden. Ich möchte vielmehr vermuten, dass es sich um Spannungerschütterungen handelt. Zweifellos hat die Erde eine bestimmte elektrische Spannung, deren wahre Größe uns unbekannt ist; da sie sich als ein unendlich großer Behälter darstellt, so ist ihre mittlere Gesamtspannung sicherlich als eine nur wenig veränderliche Größe aufzufassen, etwa wie die mittlere Tiefe der Weltmeere. Man nimmt sie deshalb auch als willkürlichen Nullpunkt der Spannung an und zählt elektrische Spannungen, die größer sind, als positiv, solche, die kleiner sind, als negativ.

Nun ist uns bekannt, dass örtliche Erschütterungen der Erdschwingung sich auf weite Entfernungen bemerkbar machen, wie der Sturm in der Mitte des Ozeans nach einiger Zeit seine Wellen bis an die Küste sendet. Das große Wechselstrom-Krafthaus in Deptford bei London erhielt eines Tages Erdschluss, und die dadurch hervorgerufenen Störungen des Erdschwingungspotentials machten sich in Paris an den feinen Messinstrumenten des Observatoriums, die mit der Erde in Verbindung standen, deutlich bemerkbar.

Die wesentliche Steigerung der Induktionserscheinung durch Erdverbindung soll uns wieder ein Experiment zeigen. Wir legen den einen Pol des Induktoriums an Erde und verbinden mit dem andern einen mit feinen Kupferdrähten bespannten Bindfaden. Eine zweite Schnur aus gleichem Material spannen wir 1 m entfernt parallel dazu aus und legen das eine Ende derselben gleichfalls an Erde. Wenn wir nun den Saal verdunkeln, können Sie deutlich die mehrere Centimeter langen Funken sehen, die ich aus dem Sekundärdrabt ziehe. Jetzt werden Sie auch ein Leuchten beider Drähte bemerken. Hätte ich die Drähte nicht parallel, sondern senkrecht zu einander angeordnet, würden Sie ein solches Leuchten nicht wahrnehmen.

Die durch Erdverbindung eines Poles der Funkenstrecke am ausgespannten Draht des andern Poles hervorgerufene Erscheinung ist dadurch gekennzeichnet, dass die elektrischen Wechselspannungen von der Funkenstrecke aus nach dem freien Ende des Drahtes hin stetig zunehmen, während die hin- und herzuckenden Wechselströme in der Nähe der Funkenstrecke ihre größten Werte erreichen und nach dem freien Ende des Drahtes hin abnehmen. Die Zunahme des Leuchtens nach dem freien Ende des Drahtes hin haben Sie bei dem Experiment nicht wahrnehmen können. Dies rührt daher, dass ich durch einen Kunstgriff, dessen Erörterung mich hier zu weit führen würde, die Drähte künstlich verlängert habe, um das Phänomen zu verstärken. Was Sie gesehen haben, waren tatsächlich nur die äußersten Enden wesentlich längerer Drähte. Die Stellen der größten Schwankung nennt man in der Theorie der schwingenden Saiten die Schwingungsbäuche, die Orte der Ruhe, an denen eine Schwingung nicht bemerkbar ist, dagegen Schwingungsknoten. Übertragen wir diese Bezeichnung auf den elektrisch schwingenden Draht, so müssen wir sagen: die elektrischen Wechselspannungen besitzen an der Spitze einen Bauch, an der Funkenstrecke einen Knotenpunkt, die Wechselströme dagegen haben an der Funkenstrecke den Bauch und an der Spitze den Knotenpunkt.

Dies führt uns dazu, ein ganz ähnliches mechanisches Beispiel zu betrachten. Ich habe hier ein federndes Stück Band-eisen von 1 m Länge mit einem Ende in einem Schraubstock festgespannt. Schlage ich an irgend einer Stelle mit dem Hammer dagegen, so versetze ich das Eisen in Schwingungen von gesetz-mäßiger Frequenz, die ich aus den Abmessungen und der Elastizitätskonstante des Eisens berechnen kann. Der Schwingungsfrequenz, die sich der Luft mitteilt, entspricht die Tonhöhe, die wir hören. Sie bleibt unverändert, an welcher Stelle ich das Eisen auch berühre. Wir erkennen also eine dem Eisen eigentümliche Schwingungsfrequenz, seine Eigenfrequenz, die, wie ein Versuch sofort ergibt, nur von der Länge des schwingenden Bandes abhängt. Die seitlichen Ausbiegungen, welche der Stab erfährt, seine Amplituden, sind am freien Ende am größten, an der Befestigungsstelle am geringsten. Umgekehrt sind aber die Biegungsspannungen, die Beanspruchungen des Eisens, an der Spitze am kleinsten, hier unten dagegen am größten. Wir erkennen also an der Spitze einen Bauch für die Bewegungsamplituden, am Schraubstock einen Bauch für die Biegungsspannungen, und umgekehrt ihre Knotenpunkte. Es bestehen somit ganz analoge Verhältnisse wie bei dem elektrisch schwingenden Draht.

Nun gestattet uns aber das mechanische Beispiel, die Übertragung der Schwingung auf einen zweiten Sekundärdrabt durch eine Wellenbewegung zu veranschaulichen. Ich spanne einen Winkel aus Band-eisen mit gleich langen Schenkeln am Winkelpunkt fest und erschüttere durch einen Schlag mit dem Hammer den einen Schenkel. Sie sehen, dass auch der zweite Schenkel sofort in Schwingung versetzt wird; die Schwingung hat sich von dem ersten Schenkel durch den Knotenpunkt auf den zweiten übertragen. Dies geschieht aber nur dann, wenn die Schenkel gleich lang sind, wenn also die Eigenfrequenz des zweiten Schenkels mit der durch den Knotenpunkt auf ihn übertragenen völlig übereinstimmt. Wiederhole ich das Experiment mit ungleichen Schenkeln, so bleibt die Bewegungsübertragung aus. Zum guten Gelingen des Experimentes ist aber erforderlich, dass der Knotenpunkt eine geringe Erschütterung erfährt;

würde er völlig festgehalten sein, könnte die Bewegungsübertragung nur durch Molekularkräfte im Eisen erfolgen; die Erschütterung würde nicht sichtbar werden, vorhanden ist sie aber trotzdem.

Die weitere Betrachtung geschieht am besten anhand einer Skizze, Fig. 8. *ABFG* sei ein elastischer Stab von der sechsfachen Länge des freien Schenkels *AB*. Jede Erschütterung desselben pflanzt sich durch den Knotenpunkt *B*

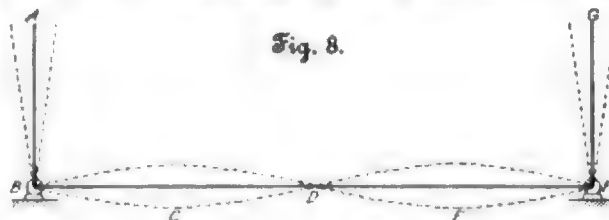


Fig. 8.

nach *C* fort und erzeugt dort einen Schwingungsbauch von gleicher Frequenz. Dieser überträgt sich durch den freien Knotenpunkt *D* nach *E* und von hier aus durch den Knotenpunkt *F* auf den Sekundärstab *FG*, welcher wie der Primärdrabt *AB* wieder senkrecht angeordnet sein mag. Jede Erschütterung des Primärdrahtes bewirkt eine synchrone Schwingung des Sekundärdrahtes, die Übertragung der Bewegung erfolgt durch den verbindenden Draht *BF*, der die Schwingungsbewegung einer stehenden Welle annimmt. Wählt man Band-eisen, so kann man die Bäuche *C* und *E* sowie den Knotenpunkt *D* deutlich erkennen, wenn man diese Stellen mit trockenem Sand bestreut. Bei *C* und *E* gerät der Sand in lebhaftes Hüpfen, bei *D* bleibt er in Ruhe. Bekanntlich nennt man die Strecke, welche einen Wellenberg und ein Wellenthal umfasst, die Länge der Welle, und wir erkennen das folgende einfache Gesetz: Die Bewegungsübertragung von *A* nach *G* erfolgt durch eine stehende Welle, deren Länge gleich dem Vierfachen der schwingenden Vertikaldrähte ist.

Dieses einfache Gesetz können wir nun sofort auf unsere elektrisch schwingenden Drähte übertragen, Fig. 9. Stöße ich einen geerdeten Draht *AB* elektrisch an, indem ich an beliebiger Stelle, etwa bei *C*, einen Funken auf ihn überschlagen lasse, so gerät er in elektrische Schwingungen, deren Frequenz lediglich von der Länge des Drahtes abhängt. An der Spitze des Drahtes bildet sich ein Bauch für die elektrischen Wechselspannungen aus, an der Erdungsstelle, bei *A*, ein Bauch für die Ströme. Befindet sich in einiger Entfernung davon ein zweiter paralleler Draht von gleicher Länge *DE*, so wird er durch Induktion gleichfalls in elektrische Schwingungen versetzt. Diese Schwingungen haben aber die doppelte Frequenz des Primärdrahtes, wenn der Draht an beiden Enden isoliert ist; in der Mitte entsteht ein Knotenpunkt für die Spannung, an beiden Enden Bäuche. Der Draht schwingt gewissermaßen nur in einem Oberton. Um den starken Grundton, d. h. Sekundärschwingungen gleicher Frequenz zu erhalten, müssen wir dem Sekundärdrabt entweder die doppelte Länge geben oder ihm am unteren Ende die Spannung null aufdrücken, indem wir ihn erden; vergl. *FG*, Fig. 9.

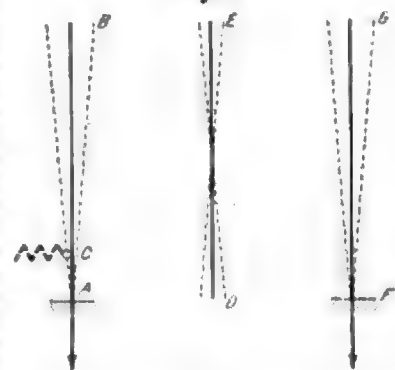


Fig. 9.

Im letzteren Falle können wir annehmen, dass die Übertragung sich in ganz entsprechender Weise vollzieht wie bei dem mechanisch schwingenden Eisenstab. Die Schwingungen teilen sich einem elastischen Mittel mit, dem Aether innerhalb und außerhalb der Erde, und tragen den elektrischen

Impuls in der Form von stehenden Wellen bis an den Sekundärdrabt. Die beste Wirkung ergibt sich hiernach, wenn beide Drähte auf gleiche Frequenz gestimmt, d. h. von gleicher Länge sind. Der Primärdrabt entspricht einem Viertel dieser Wellenlänge. Sind die Längen der Drähte nicht in Uebereinstimmung, so wird der Sekundärdrabt zwar auch durch den ersten Anstoß in Eigenschwingung versetzt, aber mit wesentlich geringerer Intensität. Ist seine Länge dagegen ein ungerades Vielfaches des Primärdrabtes, so unterstützen die einzelnen Impulse die eingeleitete Eigenschwingung und verstärken sie.

Die Natur zeigt uns ähnliche Erscheinungen in großer Fülle. Es ist bekannt, dass die Schwingungen eines Schiffes für ganz bestimmte Umlaufzahlen der Maschine, die den Eigenschwingungen des Schiffskörpers entsprechen, am fühlbarsten sind. Verhängnisvoll für eine eiserne Brücke kann der Gleichschritt marschirender Soldaten werden. Das angenehme Fahren in den langen D-Wagen der Eisenbahn rührt nicht zum wenigsten davon her, dass ihre Eigenschwingungen gegenüber der Frequenz der Schienenstöße verringert sind.

Wir kommen nun zu den Mitteln, welche angewendet werden müssen, um die elektrischen Induktionsercheinungen am Sekundärdrabt zur Wahrnehmung zu bringen. Wir wollen diese Einrichtungen als Indikatoren bezeichnen. Es ist ohne weiteres klar, dass sich hierfür zwei Wege darbieten, je nachdem wir den Strom oder die Spannung dazu heranziehen. Beide müssen aber zur Aufnahme der größten Wirkung in die ihnen entsprechenden Schwingungsblücke eingeschaltet werden. Diejenigen Einrichtungen, welche auf Wechselströme ansprechen, sind in dem unteren Teil des Fangedrahtes, dicht über der Erdungsstelle, anzubringen, denn dort ist der Schwingungsbauch für die Ströme. Spannungsindikatoren wären dagegen, wenn möglich, an der Spitze des Fangedrahtes anzuordnen. Dass beide Mittel außerordentlich empfindlich und präzise wirkend sein müssen, ist selbstverständlich.

Ich will zunächst mit wenigen Worten die Stromindikatoren behandeln. Das durch hohe Empfindlichkeit ausgezeichnete Telephon ist für sich allein nicht verwendbar; seine Spule würde, in den Fangedraht unmittelbar eingeschaltet, durch ihre hohe Selbstinduktion die herangeführten schnellen Schwingungen gleichsam abdrosseln und wirkungslos bleiben. Vorzüglich geeignet ist aber das Telephon in Verbindung mit einem Mikrophon, Fig. 10. Der Mikrophonkontakt *M* hat an sich nur einen geringen Widerstand und kann in die Erdleitung des Fangedrahtes eingeschaltet werden, ohne die elektrischen Schwingungen zu stören. Die ganz schwachen Wechselströme, welche durch den Kontakt hindurchgeführt werden, lagern sich über dem Gleichstrom, den eine Batterie *B* ständig durch den Mikrophonkreis sendet, und versetzen ihn in geringe Schwingung, ähnlich wie die leise Berührung einer Libelle oder die Flaumfeder eines Vogels die stille Fläche eines Weihers kräuselt. Werden diese Schwingungen durch eine Induktionsspule in bekannter Weise

transformiert, so können wir sie mit dem Telephon wahrnehmen. Allerdings entspricht der Ton nicht den schnellen Schwingungen, welche die Funkenstrecke aussendet — denn unser Ohr vermag nur Schwingungen bis zu 40000 in der Sekunde wahrzunehmen, hier aber handelt es sich um Millionen —, wohl aber den ersten Stößen des Wogenschwalles, den das Einsetzen des Funkens auslöst; mithin entspricht der gehörte Ton den Unterbrechungen der Primärrolle des Induktors.

Der Mikrophon-Empfänger ist das bei weitem empfindlichste Mittel, welches wir zur Aufnahme funkentelegraphischer Signale verwenden können. Zwischen dem Krafthaus Schiffbauerdamm in Berlin und dem Kabelwerk Oberspre, 14 km

in der Luftlinie entfernt und getrennt durch Berlin in seiner größten Ausdehnung von Nordwest nach Südost, konnte eine vollkommen sichere Verständigung mit 12 m langem Aufangedraht erzielt werden, der noch dazu völlig im Schatten großer Gebäude lag.

Wunderbarerweise ist aber der Mikrophon-Empfänger nicht nur der allerempfindlichste, sondern auch der älteste, und zwar war es der geniale Erfinder des Mikrophons selber, Professor Hughes, der Ende der siebziger Jahre diese Eigenschaft entdeckte. Er erzählt, wie er mit seinem Mikrophon ausgerüstet die lange StraÙe, in der er wohnte, hinunterschreitend deutlich das absetzende Funkspiel des in seiner Wohnung befindlichen Induktors hören konnte. Eine eigene Fügung des Schicksals hielt ihn davon ab, die Entdeckung weiter zu verfolgen. Einige gelehrte Freunde, die er einlud, dem Experimente beizuwohnen, überzeugten sich zwar von der Richtigkeit desselben, fanden aber die Erklärung des Erfinders, der die Wirkung auf elektrische Ausstrahlungen der Funkenstrecke zurückführen wollte, so absurd, dass sie ihm ernstlich abrieten, einen Vortrag darüber in der Royal Society zu halten, weil sie fürchteten, sein wohlgegründeter wissenschaftlicher Ruf könnte dabei Schaden leiden. Die Zunftgelehrsamkeit erwies sich hierbei nicht zum erstenmal als ärgster Feind der Wissenschaft.

Leider ist die Verwendung des Mikrophon-Empfängers auf einzelne Fälle beschränkt. Die schwachen Wellenströme, welche er aufnimmt, lassen sich zwar im Telephon hörbar machen, gestatten aber nicht die Benutzung eines Relais mit Schreibvorrichtung, um die Zeichen in Morse-Schrift festzulegen. Für viele Zwecke ist dies aber eine nicht zu umgehende Forderung.

Dieser Bedingung lässt sich nun aber in weitestgehendem Maße genügen, wenn wir zur Aufnahme der elektrischen Schwingungen Spannungsindikatoren benutzen. Einen solchen haben wir bereits vorhin beim Anzünden der Bogenlampe kennen gelernt. Im Spannungsbauch der schwingenden Drähte stellen wir durch Funkensprühen den Kurzschluss eines Gleichstromkreises her und lösen dadurch bereitstehende elektrische Kräfte aus, welche die Signalgebung in beliebig verstärkter Form gestatten. Hier bei der geringen Entfernung erhielten wir millimeterlange Funken und konnten durch verhältnismäßig einfache und rohe Mittel die Wirkung verstärken und die Signale weithin sichtbar machen. Bei Entfernungen von 100 km und mehr sind die am Spannungsbauch der Drähte zu erhaltenden Funken millionenmal kleiner, es sind deshalb entsprechend feinere Mittel zu wählen.

Die moderne Funkentelegraphie ist erst möglich geworden durch die Erfindung eines hochempfindlichen Spannungsindikators, nach seinem Erfinder die Branly'sche Röhre oder Fritter genannt. Ich darf in dieser Versammlung die Wirkungsweise des Fritters im allgemeinen wohl als bekannt voraussetzen und kann mich kurz fassen. In einer evakuierten Glasröhre, Fig. 11, befinden sich zwei eingeschliffene Silberkolben, zwischen denen ein feines Metallpulver in loser Schichtung einen fast unendlich großen

Übergangswiderstand bildet. Mit den Silberkolben sind Platindrähte verbunden, die, in die Glaswand eingeschmolzen, einerseits dazu dienen, die elektrischen Schwingungen des Fangedrahtes an das Pulver heranzuführen, andererseits einen Stromkreis zu schließen, in dem sich außer einem kleinen Trockenelement noch ein Relais befindet. Wird die Röhre einer pulsirenden Wechselspannung ausgesetzt, so schließen die unendlich feinen Funken, die in dem Metallpulver auftreten, den Relaiskreis und geben durch den Schluss einer stärkeren Lokalbatterie ein nieder-schreibbares Zeichen. Dabei bilden sich aus

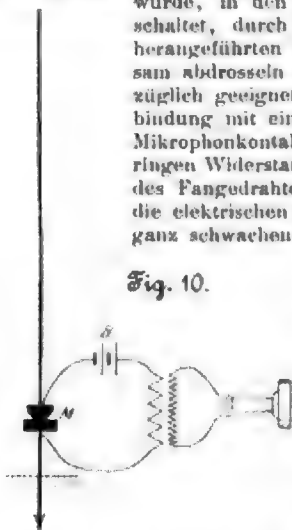


Fig. 10.

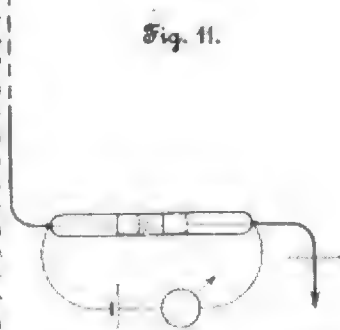


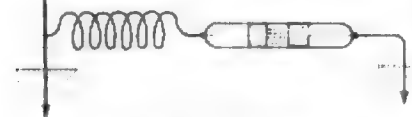
Fig. 11.

kondensierten Metallteilen lose Brücken. Die geringe Erschütterung eines gegen die Röhre schlagenden Klöppels bringt die Brücken zum Zerfall und stellt den unendlich großen Widerstand der Röhre wieder her. Durch kürzere oder längere Zeichengebung kann man somit Punkte und Striche des Morsealphabets erzeugen.

Wie mehrfach erwähnt, muss der Fritter, da er nur auf Spannungen anspricht, thutlichst in einem Spannungsbauche angeschlossen werden. Vorgegenwärtigen wir uns nun die Verhältnisse am Fangedraht. Wollen wir den starken Grundton der Schwingung ausnutzen, so müssen wir den Fangedraht unten erden; dann bildet sich aber der Spannungsbauch an der Spitze aus, die für uns unzugänglich ist. Es hat langer Ueberlegungen und eingehender Studien bedurft, ehe das überaus einfache Mittel gefunden wurde, den zündenden Funken des Spannungsbauches aus luftiger Höhe in erreichbare irdische Nähe zu bringen. Das Experiment mit den schwingenden Eisenbändern giebt uns jetzt einen deutlichen Fingerzeig. Schließen wir in der Nähe der Erdungsstelle an den Fangedraht einen gleichgestimmten Verlängerungsdraht, so pflanzen sich die Schwingungen durch den Knotenpunkt fort und bilden am Ende dieses Drahtes einen Spannungsbauch in ähnlicher GröÙe wie an der Spitze. Der Verlängerungsdraht braucht nicht geradlinig geführt zu werden; wir können ihn auch aufrollen zu einer elektrisch äquivalenten Spule, Fig. 12.

Jedes richtige Mittel pflegt aber eine Reihe von günstigen Nebenwirkungen mit sich zu führen. So auch hier. Die Erdverbindung des Fangedrahtes schützt den Fritter vor unbefugten elektrischen Störungen. Zu den unerträglichsten gehörten früher die elektrischen Entladungen der Atmosphäre. Es ist bekannt, dass in den höheren Schichten der Luft andere elektrische Spannungen herrschen als in der Nähe der Erdoberfläche; zudem wechseln diese Spannungen besonders an schwülen Tagen. Es war früher keine Freude für den Funkentelegraphisten, wenn die geschwätzige Atmosphäre mit un-
aufhörlichem Geplapper seine Morsezeichen verwirrte. Dieser Störenfried ist jetzt endgültig beseitigt, und zwar so nachdrücklich, dass

Fig. 12.



eine fehlerfreie Zeichengebung mitten im stärksten Gewitter möglich ist, wie dies mehrfache Versuche in Berlin gezeigt haben. Das herannahende Gewitter, dessen Donner wir soeben hören, giebt mir erwünschte Gelegenheit, Ihnen die Störungsfreiheit an den hier aufgestellten Vorrichtungen zu zeigen.

Die besprochene Schaltung sichert aber auch gegen das Eindringen nicht abgestimmter Zeichen eines fremden Funkengebers; allerdings darf er nicht allzu nah aufgestellt und allzu wirksam sein. Dann tritt der Fall ein, dass der Empfänger durch den ersten Stoß des Funkens in geringe Eigenschwingungen versetzt wird. Bei größeren Entfernungen reichen diese einmaligen Stöße nicht aus, sondern das Ansprechen erfolgt erst, wenn die zahlreichen Pulsationen des einzelnen Funkens in ihrem Zeitmaß mit den Perioden der Eigenschwingung zusammentreffen und dadurch die Wirkung allmählich verstärken. Was ich allmählich nenne, vollzieht sich allerdings in Bruchteilen von zehntausendstel Sekunden.

Die Sicherheit der Zeichengebung ist durch Anwendung dieser Schaltungen nicht nur wesentlich erhöht, sondern die Uebertragungsweite auch beträchtlich vergrößert worden. Von hoher praktischer Bedeutung ist der Umstand, dass vorhandene Erdleiter, wie Blitzableiter und eiserne Schifsmaste, ohne weiteres zum Geben und Empfangen der Funkentelegramme benutzt werden können. Die Abstimmung korrespondirender Apparate sowie das gleichzeitige Empfangen verschiedener Telegramme mit einem Fangedraht ist, wie ich bei einer früheren Gelegenheit durch Versuche beweisen konnte, als eine nunmehr gelöste Aufgabe zu betrachten.

Die Mittel zur Vervollkommenheit der Funkentelegraphie

sind aber damit nicht erschöpft. Legen wir uns zunächst die Frage vor, wie ein Empfangsapparat bei gleicher Sicherheit der Wirkung empfindlicher gestaltet werden kann, so werden wir in erster Linie an den wesentlichsten Teil des Apparates, den Fritter, denken. Jahrelange Bemühungen haben mir gezeigt, dass alle Bestrebungen, den Fritter empfindlicher zu machen, aussichtslos sind. Es ist dies zwar durchaus möglich durch Benutzung feineren Pulvers bei vornehmter Beimischung von Silber — doch nur auf Kosten der Präzision der Auslösung. Wenn aber ein Fritter durch den leisen Schlag des Klopfers nicht sofort seinen unendlich großen Widerstand annimmt, ist er für praktische Verwendung unbrauchbar. Die Sicherheit des Betriebes der Funkentelegraphie ist zurzeit noch von erheblich größerer Bedeutung als die Uebertragungsweite, denn sie hat zunächst den Nachweis der völligen Zuverlässigkeit zu erbringen. Man wird deshalb gut thun, sich vorläufig mit einer geringeren Empfindlichkeit des Fritters zu begnügen.

Ein anderer Gesichtspunkt ist aussichtsvoller. Die Funkentelegraphie ist eine Energiedübertragung, und nur ein bestimmtes Maß von Energie gelangt am Fangedraht zur Aufnahme. Die Energie setzt sich aus Strom und Spannung zusammen; da nun der Fritter ausschließlich auf Spannung anspricht, so wird man darauf Bedacht nehmen müssen, die Spannung des verfügbaren Energiebetrages auf Kosten des Stromes thutlichst zu erhöhen. Marconi hat in neuerer Zeit nach dem Vorgange von Lodge mit Erfolg das Prinzip des Transformators für diesen Zweck in Anwendung gebracht. Ein anderes Mittel ist aber noch wesentlich wirkungsvoller. Ein akustisches Analogon soll uns dieses erläutern. Ich habe hier eine Stimmgabel, welche ich mit einem Hammer berühre und dadurch in Schwingungen versetze. Der Ton ist nur leise — setze ich die Stimmgabel aber auf einen geeigneten Resonanzboden, so schwillt er sofort an zu beträchtlicher Stärke. Eine ähnliche Resonanzwirkung können wir auch bei elektrischen Schwingungen erzielen. Jedem Elektrotechniker ist der sog. Ferranti-Effekt bekannt. Wenn man die Klemmen einer Wechselstrommaschine mit den beiden Leitern eines offenen Kabels verbindet, kann man die elektrischen Verhältnisse so wählen, dass die Spannung an den Enden des Kabels zu beträchtlicher GröÙe anschwillt, welche die Spannung der Maschine um ein Vielfaches überschreitet. Es ist dazu nur erforderlich, die elektrischen Dimensionen des Kabels, d. i. Widerstand, Kapazität und Selbstinduktion, so zu wählen, dass seine Eigenfrequenz mit der von der Maschine erzeugten Frequenz nahezu übereinstimmt. Das Kabel muss also auf die Frequenz des eingeleiteten Wechselstromes abgestimmt sein.

Verbinden wir nun mit einem von schnell pulsirenden Strömen durchzuckten Drahte eine auf die Frequenz der Schwingungen abgestimmte Spule mit großer Selbstinduktion bei geringer Kapazität, so erhalten wir an dem freien Ende der Spule eine wesentlich größere Spannung. Die übertragene Energie wird gewissermaßen auf einen stärker schwingenden Resonanzboden übersetzt; die eingeleitete Spannung wird auf Kosten des Stromes gleichsam multipliziert; ich habe darum für diese Einrichtung den Namen Multiplikator vorgeschlagen. Mit einem Transformator hat er nichts gemein, denn bei diesem wie auch bei dem bekannten Autotransformator oder dem sogen. Spartransformator haben wir stets mit zwei für sich bestehenden Schwingungskreisen zu thun. Bei dem Multiplikator dagegen wird in eine einzelne Spule niedrig gespannte Energie eingeleitet und am Ende als hoch gespannte Energie abgeleitet. Die folgenden Versuche werden Ihnen die merkwürdige Wirkung, die man damit erzielen kann, schneller begreiflich machen, als meine Worte es vermöchten.

(Eine Reihe von abgestimmten Multiplikationsspulen, die alle zugleich an einen Schwingungskreis angeschlossen sind, kommen bei Einstellung verschiedener Frequenzen mithilfe einer veränderlichen Selbstinduktion nach einander zur Wirkung und zeigen weithin leuchtende elektrische Strahlungserscheinungen.)

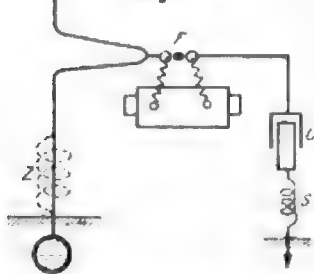
Die vorgetragenen wissenschaftlichen Grundgesetze der Funkentelegraphie, welche aus längeren Untersuchungen hervorgegangen und seit einem halben Jahre Gemeingut geworden sind, wurden von der Allgemeinen Elektrizitäts-Gesell-

schaft unter Leitung des Grafen von Arco zur Ausbildung zahlreicher erfolgreicher Schaltungen für die Funkentelegraphie benutzt, die alle zu beschreiben hier zu weit führen würde, deren neueste Form aber die hier im Saal befindlichen Vorrichtungen darstellen. Ihre Wirkungsweise ist nach dem Gesagten sofort verständlich.

Der Sender, Fig. 13, besteht aus einem an der Fahnenstange des Gebäudes befestigten Draht, der bis herunter zur Erde geführt und dort mit der Wasserleitung verbunden ist.

Eine Schlinge dieses Drahtes ist durch das Fenster hier in den Saal geleitet und wird bei *F* durch ein Induktorium mit Funkenstrom gespeist. Um dies zu ermöglichen, ist der andere Pol der Funkenstrecke durch einen abgestimmten Kondensator *C* an Erde gelegt. Ähnlich wie das angeschlagene Eisenband des früheren Versuches wird der Draht hier durch elektrische Funken angestoßen und gerät in Schwingungen, deren Wellenlänge der vierfachen Drahtlänge entspricht. Wollen wir mit einer größeren Wellenlänge telegraphieren,

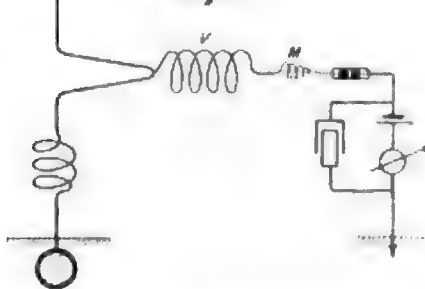
Fig. 13.



so haben wir nur nötig, in die Erdleitung eine Zusatzspule *Z* zu schalten, die ich durch Punktierung angedeutet habe. Sie entspricht einer bestimmten äquivalenten Drahtlänge, um welche wir somit die Viertelwellenlänge vergrößern. Ein ganzer Satz von solchen Ergänzungsspulen steht für die Verwendung bereit. In jedem Fall ist aber die Schwingung in dem durch die Erdverbindungen geschlossenen Kreise auf die Schwingung des Drahtes abzustimmen, um die größte Wirkung zu erhalten. Dies geschieht in einfachster Weise durch Verstellen einer regulären Selbstinduktion *S* oder des Kondensators *C*, die zu diesem Zweck mit bestimmten Marken gezeichnet sind.

Als Empfänger, Fig. 14, dient der gleiche Draht, an welchen ebenfalls vermittels der Schlinge ein Verlängerungsdraht in Form einer äquivalenten Spule *V* befestigt ist. Der Spannungsbauch am Ende derselben wird verstärkt durch eine abgestimmte Multiplikationsspule *M* und diese unmittelbar mit dem Fritter verbunden. Es ist auch möglich, die Wirkung beider

Fig. 14.



Spulen durch eine einzige von entsprechender Wicklung zu ersetzen. Die Erdleitung des Fritters enthält das Trockenelement und das Relais, welche, um die Schwingungen nicht zu stören, durch einen Kondensator überbrückt sind. Die Allgemeine Elektrizitäts-Gesellschaft garantiert bei diesen Einrichtungen Abstimmung auf bestimmte Wellenlängen innerhalb der gebotenen Grenzen und sichere Verständigung auf 100 km über See bei 50 m Masthöhe. Nach Schluss des Vortrages wird Hr. Graf v. Arco die Freundlichkeit haben,

einige Telegramme mit den im Hafen liegenden Schiffen sowie mit der 14 km entfernten Landstation Bülk auszutauschen.

Die Funkentelegraphie hat, wie Sie hieraus ersehen werden, das Stadium der tastenden Versuche verlassen, sie ist jetzt einer zielbewussten Ingenieurthätigkeit erschlossen, und die regsamsten Kräfte der Industrie werden schon das ihrige thun, das Anwendungsgebiet in schnellem Tempo zu erweitern. Zunächst wird dort, wo Leben und Gut der Menschen noch am meisten gefährdet ist, an der Küste und auf offener See, die Funkentelegraphie bald ein unentbehrliches Verkehrsmittel sein, und ich schätze die Zeit nicht fern, wo jedes größere Schiff mit dem so einfachen und nützlichen Apparate ausgerüstet sein wird.

Aber auch als überseeisches Verkehrsmittel wird der Funkentelegraph in Zukunft in vielen Fällen das Kabel entbehrlich machen, wenngleich wir in dieser Beziehung die Erwartungen nicht allzu hoch spannen dürfen. Die Grenzen können wir heute annähernd übersehen. Lassen wir ausschweifende Pläne, wie beispielsweise 1000 m lange von Luftballons getragene Drähte, die bei einmaligem Versuch wohl möglich, aber für sicheren Dauerbetrieb praktisch wertlos sind, völlig bei Seite, so werden wir, selbst bei feinerer Ausbildung der vorhandenen Mittel, eine Uebertragung von Zeichen auf mehr als einige hundert Kilometer schwerlich erhoffen dürfen.

Auch der Weg, der für weiteren Fortschritt sich öffnet, liegt klar zutage. Die zum Beginn meines Vortrages erörterten Gesetze zeigten uns, dass die Uebertragungsweite im wesentlichen von 3 Umständen abhängt: von der Länge der parallelen Drähte, der Frequenz der Pulsationen und dem Mittelwert der benutzten Ströme. Die ersten beiden sind kaum noch einer Steigerung fähig; auch bedingt die Verlängerung der Drähte größere Wellenlängen und damit verminderte Frequenzen, es sei denn, ein völlig neues Mittel werde gefunden, welches die Wellenlänge unabhängig von der benutzten Drahtlänge zu machen gestattet. Es bleibt also nur eine Verstärkung der induzierenden Ströme. Dies hängt von zwei Größen ab: von der Kapazität oder Aufnahmefähigkeit der Drähte und von der wirksamen Funkenspannung. Je höher wir die Drähte führen, desto geringer wird die Kapazität der von der Erdoberfläche entfernten Teile; je umfangreicher wir sie gestalten, desto schwieriger ihre Befestigung in Sturm und Wetter. Auch hier ist also dafür gesorgt, dass die Bäume nicht bis in den Himmel wachsen.

Ich hoffe somit, den überzeugenden Nachweis geführt zu haben, dass die Zukunft der Funkentelegraphie ausschließlich auf dem Gebiete der Erzeugung hoher elektrischer Spannungen liegt. Was wir in dieser Beziehung bisher verwenden und an den hier aufgestellten Apparaten zeigen, ist eine außerordentlich bescheidene Leistung, wenn wir damit vergleichen, was fern von hier, jenseits des Ozeans, auf den Höhen der Rocky Mountains an den Quellen des Colorado-flusses ein von der Welt sich abschließender Forscher nur wenigen Eingeweihten bis jetzt gezeigt hat — Nikola Tesla. Auch ich kann nicht als Augenzeuge darüber berichten, sondern nur urteilen nach einigen Photographien, die er in freundschaftlicher Gesinnung mir vor wenigen Tagen gesandt hat. Hier (vergl. Textblatt 10) sehen Sie ihn selber in seinem einsamen Bretterhaus, umzuckt von künstlich erzeugten Funkenentladungen, die alles in den Schatten stellen, was unsere kühnste Phantasie sich träumen lässt. Möchte er sein theoretisches Wissen und sein eminentes technisches Können bald in den praktischen Dienst der Funkentelegraphie stellen; dann könnten wir einen neuen gewaltigen Fortschritt erleben, der dem ersten genialen Impuls Marconis würdig zur Seite tritt.

Man hat Tesla den Vorwurf gemacht, dass er bis jetzt aus seinen Versuchen keine praktischen Folgerungen gezogen hat, und viele haben die dichterisch phantastischen Aufseuerungen, die hin und wieder von ihm durch die Presse verbreitet wurden, dazu geführt, seine Leistungen überhaupt zu bezweifeln. Aber angesichts der wunderbaren Erscheinungen, welche uns die Natur in dem geheimnisvollen Spiel des elektrischen Funkens offenbart, wird man unwillkürlich zum Dichter, ja selbst ein so ernster Gelehrter wie Prof. Ayrton kann es sich nicht versagen, ein Zukunftsbild wachend zu

träumen: »Einst wird kommen der Tag, wenn wir alle vergessen sind, wenn Kupferdrähte, Guttaperehabillen und Eisenband nur noch im Museum ruhen, dann wird das Menschenkind, das mit dem Freunde zu sprechen wünscht, und nicht weiß, wo er sich befindet, mit elektrischer Stimme rufen, welche allein nur jener hört, der das gleichgestimmte elektrische Ohr besitzt. Es wird rufen: Wo bist du? und die

Antwort wird klingen in sein Ohr: Ich bin in der Tiefe des Bergwerkes, auf dem Gipfel der Anden oder auf dem weiten Ozean. Oder vielleicht wird keine Stimme antworten und er weiß dann, sein Freund ist tot.« Ewig aber und jugendfrisch — so wollen wir hinzufügen — lebt die Wissenschaft und schöpft Jahrhundert um Jahrhundert neue wertvolle Schätze aus dem unversieglischen Born der Natur.

Der Wettbewerb um den Entwurf einer Straßenbrücke über den Neckar bei Mannheim.

Von Reg.-Baumeister Carl Bernhard, Privatdozent in Charlottenburg.

(Fortsetzung von S. 886)

IV. Die preisgekrönten Entwürfe.

1. Entwurf »Sichel«, erster Preis.

Verfasser: Zweiganstalt Gustavsborg der Vereinigten Maschinenfabrik Augsburg und Maschinenbaugesellschaft Nürnberg im Verein mit Grün & Bilfinger in Mannheim und Geh. Oberbaurat Prof. K. Hofmann in Darmstadt.

Die allgemeine Anordnung des Entwurfes »Sichel« ist in Fig. 7 und 8 im Aufriss und Grundriss dargestellt. Die Mittelöffnung wird durch einen sichelförmigen Zweigelenkbogen von 114,20 m Stützweite überbrückt, der sich zum größten Teil über die Fahrbahn erhebt. Die Gurte sind stetig nach Kreisbogen gekrümmt. Die Höhe der zu beiden Seiten der Fahrbahn liegenden Tragbogen (der lotrechten Abstand der Schwerlinien der Gurtungen) beträgt im Scheitel 3 m, an den Kämpfern 1,20 m; ihre Pfeilhöhe ist in der Bogenachse gemessen 14 m. Diese Bogen sind, s. Fig. 10, mit Ständerfachwerk gefüllt, dessen Pfosten 3,1 m von einander entfernt sind, und dessen Schrägen nach der Mitte zu fallen. Die Fahrbahnplatte wird, soweit sie über den Tragbogen liegt, von Pfosten gestützt, im übrigen durch Hängesäulen getragen, die in der Verlängerung jedes zweiten lotrechten Pfostens errichtet sind. Im ganzen sind die Mittelbogen in 18 Felder von je 6,30 m und zwei Endfelder von je 1,20 m Breite geteilt. Die Kämpfer liegen auf + 95,40 NN, der Fahrbahnscheitel auf + 102,993 NN. Hier beträgt die Bauhöhe nur 1,924 m, und die geforderte Durchfahrthöhe ist auf 80 m Breite eingehalten. Die Sichelbogen in den Seitenöffnungen, Fig. 14, die ganz unter der Fahrbahn liegen, haben eine Stützweite von 59,10 m erhalten. Ähnlich wie bei den Bogen der Mittelöffnung ist auch hier die Fachwerkteilung; nur sind hier 9 Felder von 6,55 m mit zwei Endfeldern von 1,20 m Breite vorhanden; die Pfeilhöhe beträgt 4,55 m. Die Seitenbogen sind in der Mitte nur 1,5 m und an den Kämpfern 0,9 m hoch. Beide Gurte sind auch hier stetig gekrümmt, haben jedoch, um einen besseren Einklang mit der Linienführung des Mittelbogens zu erreichen, elliptische Form. Sämtliche Kämpferpunkte liegen in der Wagerechten, während die Fahrbahn symmetrisch zur Mitte der Hauptöffnung nach einer Parabel verläuft.

Die Breite des Fahrdaumes, s. Fig. 8 und 11, beträgt 9,5 m zwischen den Bordkanten. Der Abstand der Hauptträger ist 10,9 m, ihr lichter Abstand 10,0 m. Bei den Seitenöffnungen, Fig. 15, beträgt die Breite der gesamten Brücke zwischen den Geländern 15 m, in der Mittelöffnung dagegen 18,5 m, da die Gurtkopfsplatten 0,9 m breit sind. Überall ist für eine Fußwegbreite von 2,5 m im Lichten gesorgt. Die Fahrbahnplatte, die aus Holzpflaster auf Zementbeton besteht, wird von querlaufenden Belageisen N. P. Nr. 11 in Abständen von 0,30 m getragen, s. Fig. 12 und 13. Um den Ausgleich der ständigen Belastungen der großen Öffnung gegenüber den kleinen Nebenöffnungen zu vermitteln, ist die Betonunterlage des Pflasters in der Mittelöffnung nur 11,5 cm, in den Seitenöffnungen dagegen 25 cm stark, s. Fig. 14 und 15. Der Fußweg ist aus 2 cm starkem Asphalt auf einer Betonunterlage gebildet, die von Belageisen N. P. Nr. 5 in Abständen von 0,25 m getragen wird. Die Verwendung der Belageisen wird besonders deshalb empfohlen, weil damit eine Verminderung

des Eigengewichtes, die Möglichkeit, sie leicht auszuwechseln und eine gewisse Wasserdurchlassfähigkeit bei Rissen im Beton verbunden ist, und weil sich diese Bauart bei der Friedrichsbrücke in Mannheim gut bewährt hat. Die Fußwege sollen infolge ihrer Nachgiebigkeit weich und angenehm begehbar sein. Das Gewicht der Fahrbahn mit Holzpflaster, Kiesbeton und Belageisen beträgt in der Mittelöffnung 400 kg/qm, das Gewicht der Gehwege, für die Bimabeton in Vorschlag gebracht ist, nur rd. 160 kg/qm.

Eine besonders glückliche Lösung hat die Querverspannung beim Entwurf »Sichel« dadurch gefunden, dass die bei einer Straßenbrücke so ungünstig wirkenden Quer- und Schrägaussteifungen über der Fahrbahn bis auf eine einzige Quersteife in der Mitte völlig vermieden sind und diese eine als Lichtträger passend benutzt ist, s. Fig. 11. Die Querträger der Mittelöffnung sind nämlich, um die erforderliche Quersteifigkeit für die über der Fahrbahn liegenden Tragwandteile zu erzielen, mit deren Hängepfosten zu steifen Halbrahmen verbunden, Fig. 12¹⁾. Sie sind nur mit 0,75 t/qm beansprucht, um diese Steifigkeit möglichst zu erhöhen. Die Hängepfosten nehmen jedoch außer den Windkräften auch noch die durch Montagefehler oder sonstige der Berechnung sich entziehende Einflüsse auftretenden Seitenkräfte der Gurtungen auf. Nach

Gerberschen Versuchen ist diese Seitenkraft zu $Q = \frac{1}{500} J, P$ angenommen, wo F den Querschnitt, J , das seitliche Trägheitsmoment und P die Kraft in den Gurtstäben bedeutet. Für die Querträger ist angenommen, dass beide Seitenkräfte zugleich nach innen wirken; dann werden die Zusatzspannungen in der Nähe der Mitte des Querträgers nur etwa 125 kg/qcm groß. Ein eigentlicher Windverband befindet sich infolgedessen nur in der Ebene der Fahrbahn und in der Fläche des Untergurtes soweit dieser unter der Fahrbahn liegt. Der mittlere Teil der Fahrbahnverspannung ist ein einfacher Flachträger mit gekreuzten Schrägstäben, s. Fig. 7 und 9, der auch die Querkraft aus den Halbrahmen aufnimmt und sie bei Punkt 9 M an die Spitze einer Windkonsole abgibt. Dieser Flachträger hängt an dem Sichelbogen und ist frei schaukelnd befestigt, sodass er ungehindert dem Wärmespiel und der Einbiegung der Hauptträger folgen kann, ohne auf diese selbst einen Einfluss auszuüben. Die von der Konsole bei Punkt 9 M aufgenommenen Kräfte werden nach den Auflagern geführt, und zwar werden infolge der gebrochenen Flächen dieser Auskragung Quer- und Längskräfte an verschiedenen Stellen ausgeleitet. Die an der Auskragung 9 bis 6 an den Querträgern erzeugten Kräfte werden bei 6 von den Hauptträgern als äußere Kräfte aufgenommen, die Querkraft bei 6 selbst werden dagegen von der Spitze der Auskragung bei 6 M im Bogenuntergurt übernommen und unmittelbar nach den Kämpfern übergeleitet. Für das Stück der Fahrbahn zwischen 0 und 6 werden die Windlasten nach dem Pfeiler einerseits und nach der Bogenverspannung anderseits übertragen. Die Einzelheiten

¹⁾ Auf Anregung von Prof. Müller-Breslau brachte ich beim Entwurf der Weidendammer Brücke in Berlin im Jahre 1889 und 1896 im Wettbewerb um die dritte Oderbrücke in Stettin die Halbrahmenbildung ohne oberen Verband in Vorschlag.

ders schwer gehaltene Fahrbahndecke angenommen ist, dass der Wind auf den Verkehr und die Fahrbahn durch diese selbst auf die Pfeiler übergeleitet wird. Fig. 15 erläutert des weiteren die Art, wie der Obergurt der Bogen gegen die Versteifung des Untergurtes gestützt ist. In gleicher Weise ist auch der Obergurt der Hauptträger in der Mittelöffnung abgesteift, soweit er unter der Fahrbahn liegt. Weitere Einzelheiten dieser Windverspannungen sind in verschiedenen Abbildungen wiedergegeben. Fig. 7 bis 9 geben eine Uebersicht, Fig. 10 die Einzelheiten der Windkonsolen bei 6 und die K-förmige Verspannung nach den Kämpfern. Fig. 14 zeigt die gleichfalls K-förmige Verspannung der Bogen in den Seitenöffnungen. Die zulässige Inanspruchnahme für diese Windverspannungen ist auf $0,8 \frac{t}{cm}$ herabgesetzt, damit durch eine recht widerstandsfähige Ausbildung die Verbiegungen gering ausfallen.

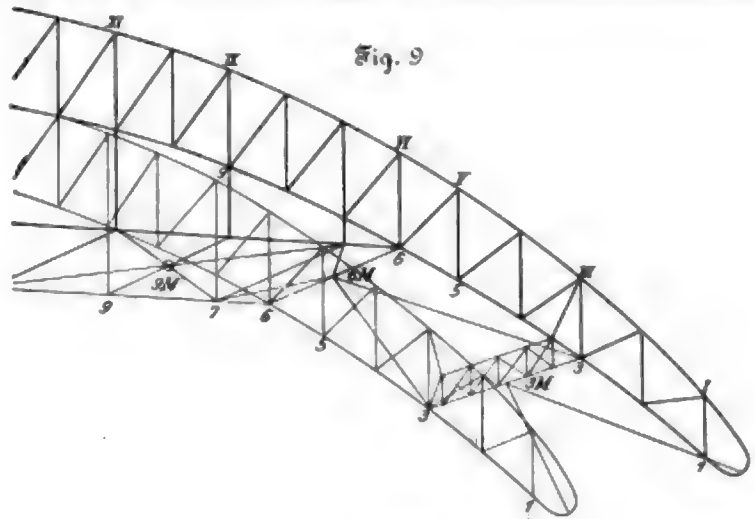
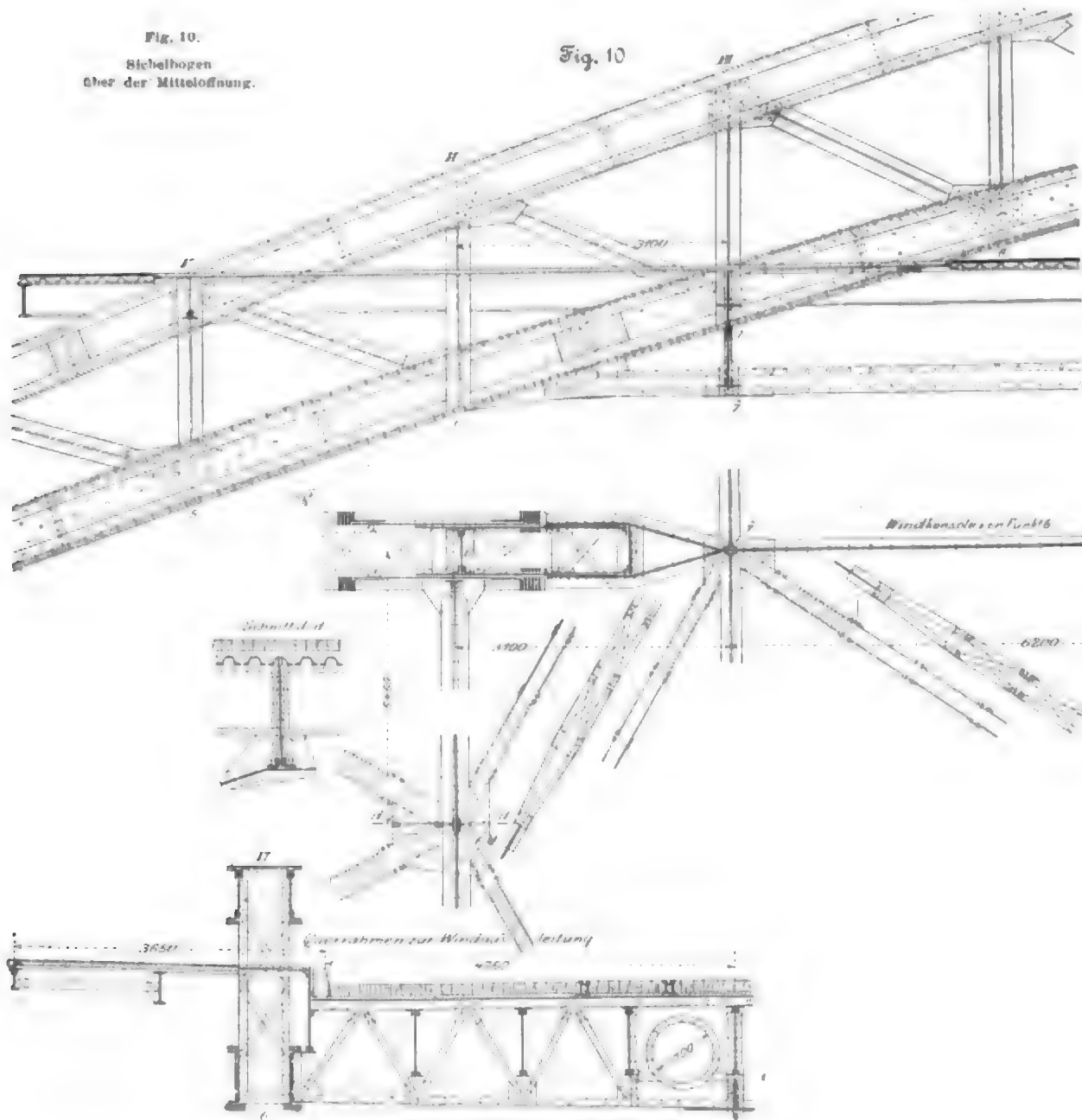


Fig. 10.
Stachelbogen
über der Mittelöffnung.

Fig. 10



Die Anordnung der Hauptträger ist gleichfalls durch die Figuren deutlich zur Darstellung gebracht. Ihre Ausbildung im einzelnen möge hier im Zusammenhang mit der statischen Berechnung betrachtet werden. Das Eigengewicht für 1 m Tragwand in der Hauptöffnung ist zu 6,3 t, in den Nebenöffnungen zu 7,5 t ermittelt. Für die Verkehrslasten sind die Angaben der Wettbewerbsbedingungen, s. S. 386, in beachtenswerter Weise ergänzt. Es ist nämlich mit Recht angenommen, dass, falls nur eine Walze über die Brücke geführt wird, dieser Transport strassenpolizeilich überwacht wird und die Walze nur in der Brückenmitte oder ganz nahe derselben fahren darf, während für die Hauptträger im übrigen eine gleichmäßig verteilte Last von 0,4 t/qm maßgebend ist. Ferner wird auch ein Unterschied zwischen gewöhnlicher

Berechnung der Bogen sein, während das Verfahren selbst mithilfe der elastischen Gewichte, wie es von Müller-Breslau z. B. in seiner Statik der Baukonstruktionen Bd. II S. 203 u. ff. eingehend dargestellt ist, als allen Brückeningenieurern hinreichend bekannt angenommen werden darf. Die Formänderungen der Füllungsstäbe sind, wie auch dort empfohlen, hier vernachlässigt; beachtenswert ist, dass der Einfluss der Verschiebung der Widerlager um je 1 cm in Rechnung gesetzt ist. Bei dieser Berechnung sind bei den Seitenöffnungen auch die Füllungsstäbe mit in Rechnung gezogen. Bekanntlich setzt die Berechnung des statisch unbestimmten wagerechten Schubes die Querschnitte der Stäbe voraus, deren Bestimmung gerade das Ziel der Berechnung ist; man wird infolgedessen zu einer vorläufigen Annahme, wenigstens

Fig. 11.

Querschnitt durch den Scheitel der Brücke.

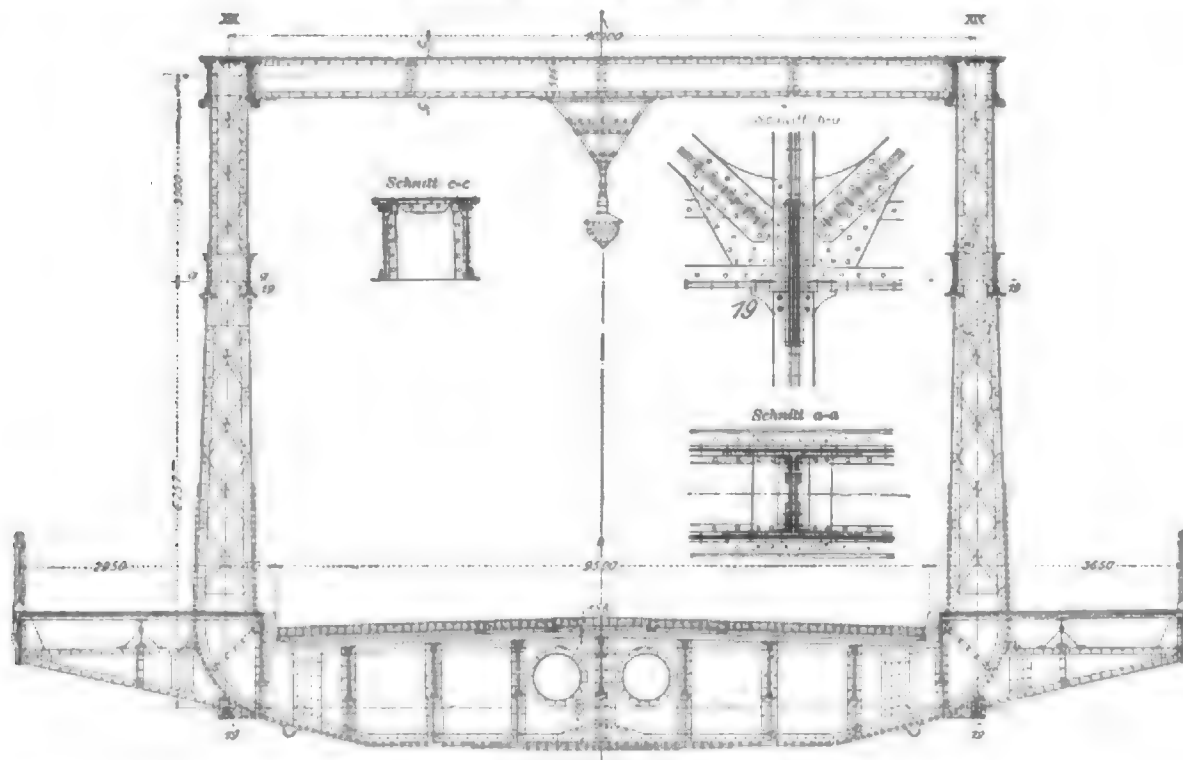
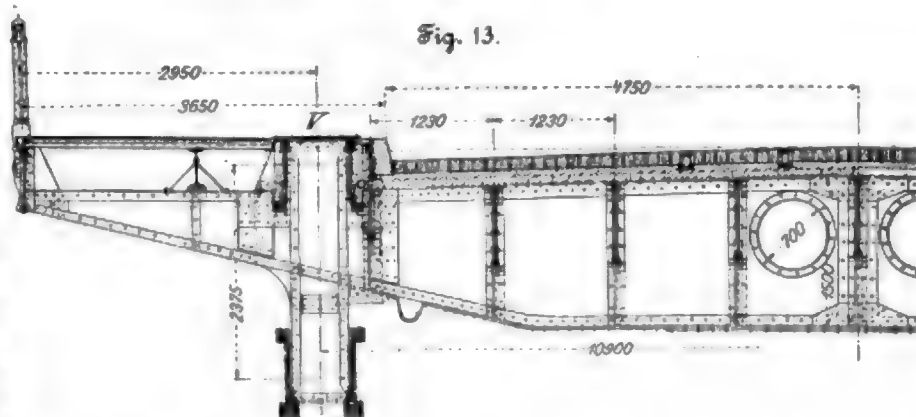


Fig. 13.



und außergewöhnlicher Belastung eingeführt und als erstere eine Gesamtbelastung in ganzer Brückenbreite mit 3 t pro m Hauptträgerlänge angesehen. Als außergewöhnlich hingegen ist die Belastung des Fahrweges und nur eines Fußweges vorausgesetzt. Letztere ergibt nämlich eine Verkehrsbelastung von 3,52 t pro m Tragwand für die Hauptöffnung und 3,077 t pro m für die Nebenöffnung. In diesem Falle, wo noch Wärme und Windeinfluss hinzutreten, also bei Zusammenfassung aller Umstände und Einflüsse zu einer äußerst seltenen Belastungsart, die kaum bei Regatten oder Unfällen auf der Brücke denkbar ist, soll eine äußerste Spannung von 1,5 t/qcm zugrunde gelegt werden, eine Spannung, die auch bei den Brücken in Bonn und Harburg zugelassen ist, während bei der Straßenbrücke in Worms diese Grenze sogar mit 1,7 t/qcm überschritten worden ist.

Beachtenswert dürfte noch das Ergebnis der statischen

des Verhältnisses der Obergurtquerschnitte zu den Untergurtquerschnitten F_u , gezwungen, um sich durch eine zweite Berechnung den genauen Werten zu nähern. Daher erscheint mir die Wiedergabe der wirklichen Verteilung der Querschnitte in den Bogen von praktischem Werte.

Ober- gurt- stab	Querschnitt für die zweite Berechnung	ausgeführter Querschnitt	Unter- gurt- stab	Querschnitt für die zweite Berechnung	ausgeführter Querschnitt
	qm	qm		qm	qm

Mittelbogen.

O ₁	0,0701	—	U ₁	0,0619	—
O ₂	0,0598	0,0586	U ₂	0,0709	0,0681
O ₃	0,0596	0,0632	U ₃	0,0709	0,0696
O ₄	0,063	0,0636	U ₄	0,0745	0,071
O ₅	0,063	0,0694	U ₅	0,0745	0,0748
O ₆	0,0693	0,07	U ₆	0,0728	0,0748
O ₇	0,0695	0,0746	U ₇	0,0728	0,0741
O ₈	0,0720	0,0746	U ₈	0,0674	0,0704
O ₉	0,0720	0,0767	U ₉	0,0674	0,0684
O ₁₀	0,0721	0,0748	U ₁₀	0,0640	0,0677
O ₁₁	0,0721	0,0746	U ₁₁	0,0640	0,0631
O ₁₂	0,0720	0,0757	U ₁₂	0,0559	0,0574
O ₁₃	0,0720	0,0761	U ₁₃	0,0559	0,0566
O ₁₄	0,0720	0,0744	U ₁₄	0,0529	0,0517
O ₁₅	0,0720	0,0742	U ₁₅	0,0529	0,0449
O ₁₆	0,0720	0,0715	U ₁₆	0,0493	0,0469
O ₁₇	0,0720	0,0713	U ₁₇	0,0493	0,0452
O ₁₈	0,0720	0,0695	U ₁₈	0,0462	0,0428
O ₁₉	0,0720	0,0711	U ₁₉	0,0462	0,0428

Seitenbogen.

O ₁	0,0262	—	U ₁	0,066	—
O ₂	0,0336	0,0343	U ₂	0,0736	0,0591
O ₃	0,0412	0,0446	U ₃	0,0855	0,0718
O ₄	0,0490	0,0446	U ₄	0,0866	0,0667
O ₅	0,0551	0,0555	U ₅	0,0835	0,0635
O ₆	0,0513	0,0568	U ₆	0,0774	0,0536
O ₇	0,0640	0,0636	U ₇	0,0703	0,0488
O ₈	0,0674	0,0624	U ₈	0,0620	0,0395
O ₉	0,0674	0,0667	U ₉	0,0520	0,0372
O ₁₀	0,0674	0,0637	U ₁₀	0,0395	0,0331

Die Einflusslinie des wagerechten Schubes für lotrechte Lasten, bekannt als die *H*-Linie, hat bei diesen Bogen nachstehend aufgeführte Höhen ergeben, deren größte ich

Knoten- punkt	Mittelbogen		Knoten- punkt	Seitenbogen	
	Höhe auf- grund der <i>w</i> -Kräfte	angenähert berechnete Höhe		Höhe auf- grund der <i>w</i> -Kräfte	angenähert berechnete Höhe
	m	m		m	m
1	0,063	0,069	1	0,189	0,187
2	0,209	0,213	2	0,636	0,606
3	0,351	0,361	3	1,015	0,973
4	0,485	0,496	4	1,353	1,292
5	0,612	0,624	5	1,640	1,562
6	0,730	0,743	6	1,878	1,783
7	0,841	0,850	7	2,067	1,955
8	0,943	0,952	8	2,205	2,080
9	1,037	1,043	9	2,289	2,158
10	1,122	1,127	10	2,308	2,177
11	1,200	1,199			
12	1,268	1,266			
13	1,327	1,322			
14	1,378	1,370			
15	1,419	1,409			
16	1,451	1,440			
17	1,473	1,462			
18	1,486	1,474			
19	1,489	1,479			

beiläufig nach der Formel von Müller-Breslau, Statik der Baukonstruktionen Bd. II S. 218, für parabelförmige Sichelträger nachgerechnet und im übrigen die *H*-Linie als Parabel verlaufend angenommen habe. Die Sichel in der großen Oeffnung mit dem Pfeilverhältnis $\frac{h}{i} = \frac{1}{8,2}$ sind, wie bereits erwähnt, nach Kreisbogen gebildet, die Sichel in den Seitenöffnungen mit $\frac{h}{i} = \frac{1}{12}$ nach Ellipsenbogen.

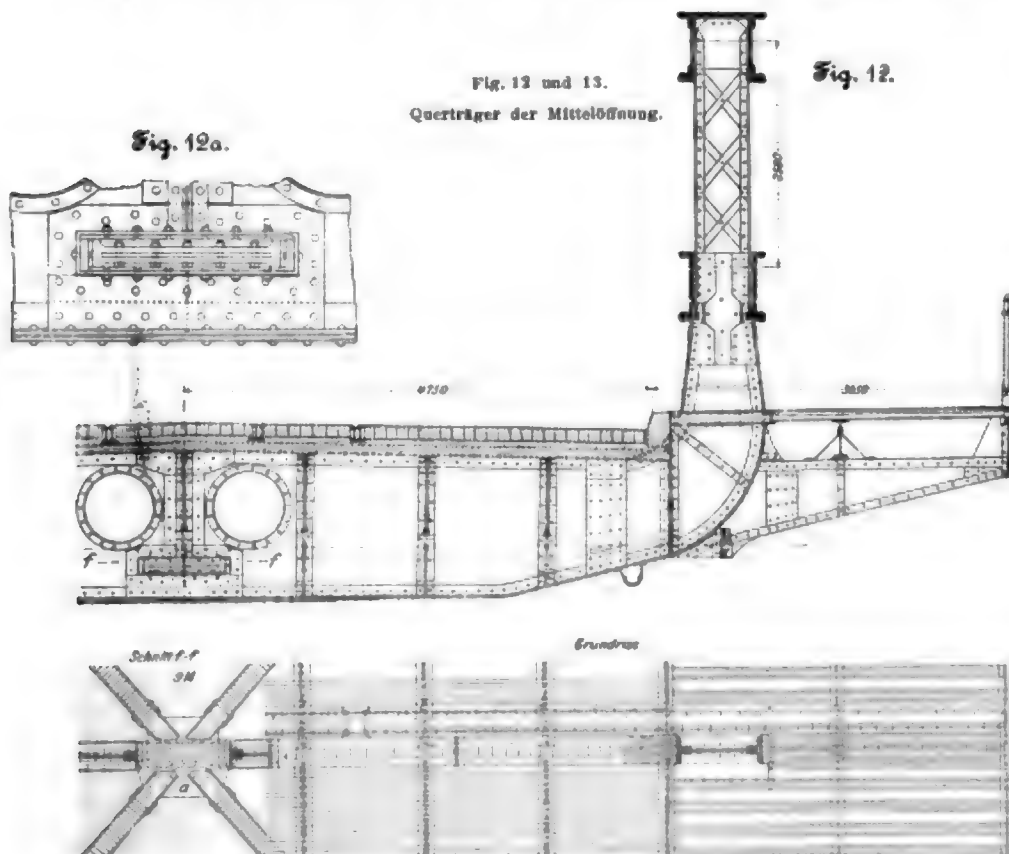


Fig. 12 und 13.
Querträger der Mittelöffnung.

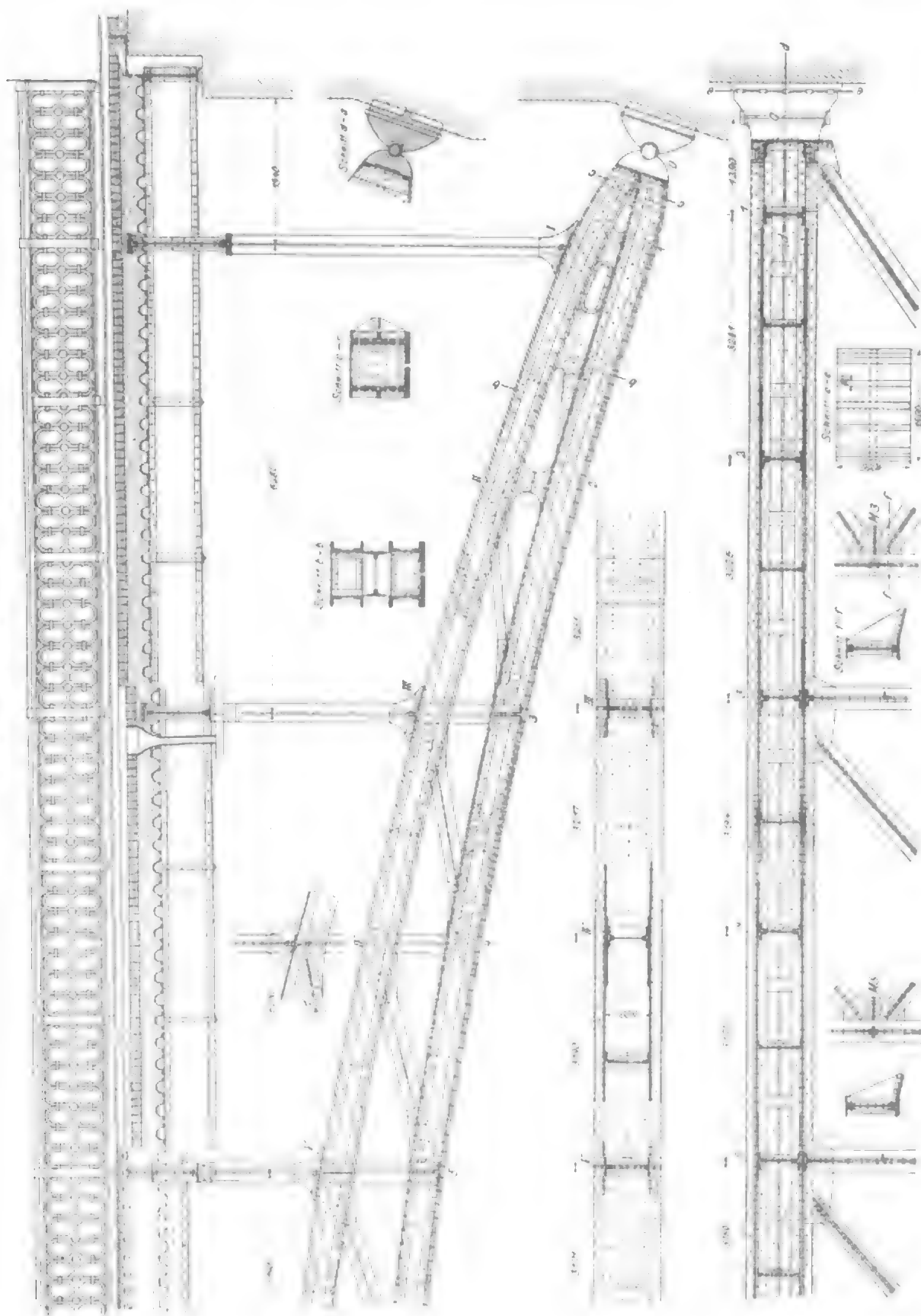
Fig. 12.

Fig. 12a.

Beim Mittelbogen verhalten sich die Summen der angenäherten Höhen zu den genaueren wie 36,299:36,279 = 1,0006, und der größte Unterschied im einzelnen bei Knotenpunkt 6 wie 0,743:0,730 = 1,018. Die Abweichungen sind derart gering, dass sich die einfache Berechnung nach der Parabelform ohne Kenntnis der Querschnittfläche für derartige Verhältnisse praktisch dringend empfiehlt, da die Bestimmung dieser *H*-Linie kaum $\frac{1}{2}$ Stunde Zeit erfordert hat. Weniger Uebereinstimmung ergibt sich bei den elliptisch gekrümmten flachen Sichel in den Seitenöffnungen. Die Abweichungen betragen hier etwa 5 vH, und zwar ergeben die elliptischen Bogen größere Schübe als die parabolischen, was ja auch der Zweck ihrer Anordnung sein sollte. Bei den großen Bogen beträgt der wagerechte Schub für Eigengewicht 707,48 t, für gewöhnliche Verkehrslast 336,48 t, für außergewöhnliche Verkehrslast 394,78 t, der Schub infolge von Wärmewechsel $\pm 16,78$ t, der infolge von Widerlagerverschiebung $- 7,84$ t; für die kleinen Bogen hat sich der wagerechte Schub durch Eigengewicht zu 680 t, durch gewöhnliche Ver-

Fig. 14.

Nebelbogen über der Balkenöffnung.



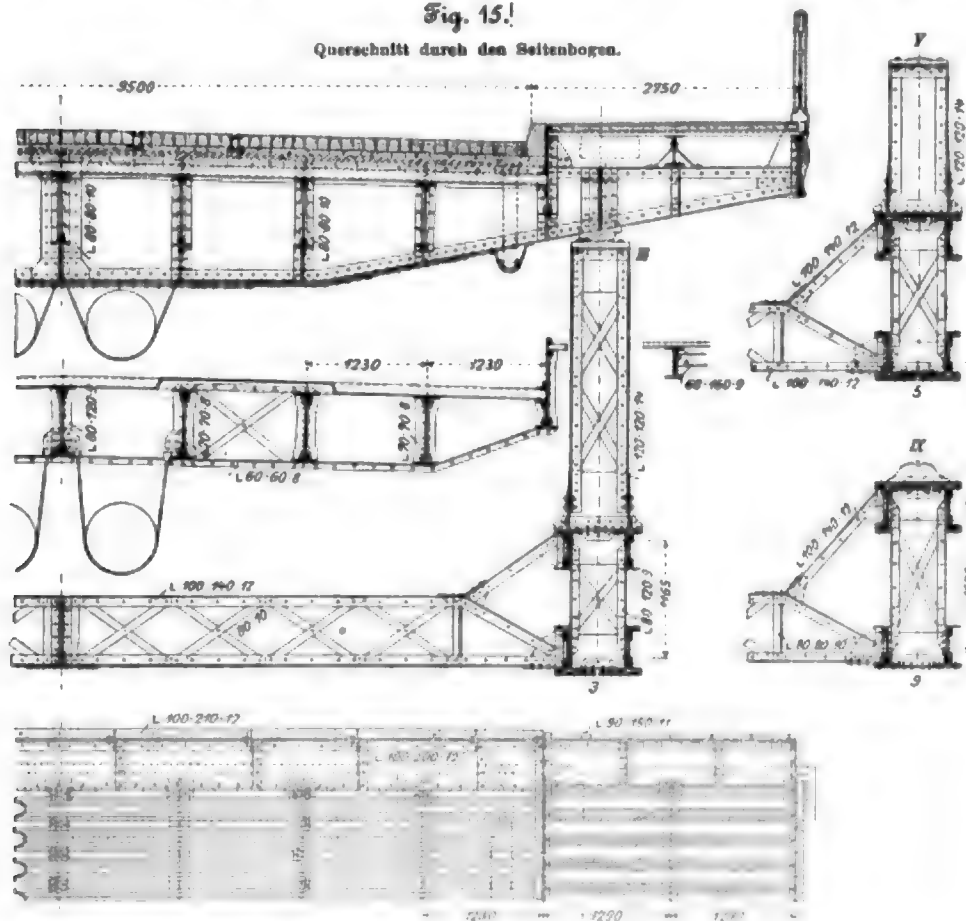
kehrslast zu 268,86 t, durch außergewöhnliche zu 276,70 t
ergeben.

Die Querschnitte der Stäbe des Bogenfachwerkes sind, wie die Figuren 10 bis 15 zeigen, steif, möglichst massig und in vorzüglicher Weise anschlussfähig durchgebildet. Auf gute Zugänglichkeit und gleichmäßiges Aussehen der Glieder ist besonderer Wert gelegt, ebenso auch auf ihre zentrische Zusammenführung. Die Stößverbindungen sind mustergültig einfach und klar, Fig. 14; auch die Anschlüsse bei den Anstricherneuerungen sind leicht zugänglich, und der Wasserablauf ist überall gut angelegt. Es ist nur zu bedauern, dass sich bei den Schrägen die sicher ungleichmäßig wirkende Vernietung teils an die Knotenbleche allein, teils an diese und die steifen Gurtungen, Fig. 10, nicht hat vermeiden lassen.

Die Hauptpfosten, welche die Lasten der Querträger auf die Hauptträger übertragen und zugleich zum steifen Halbrahmen gehören, sind so mit den Hauptbögen verbunden, dass die Längenänderung der Fahrbahn keine unzulässigen

Fig. 15.!

Querschnitt durch den Seitenbogen.



Zusatzspannungen auf sie überträgt, und dementsprechend sind auch Flachgelenke im Bogenuntergurt, s. Fig. 11, bei Punkt 19 angeschlossen, die in der Längsrichtung der Fahrbahn federn. Auch die Stützpfeiler, Fig. 10, sind aus gleichem Grunde mit Flachgelenken federnd auf den Obergurt gesetzt. Die Querträger sind kugelig auf diesen Pfeilern gelagert.

Die Anordnung der Lager ist in Fig. 10 dargestellt. Die sonst sehr klar durchgebildeten Bogen sind hier etwas zu massig geraten; sie sitzen mittels Kippbolzens, dessen Halbmesser, 90 mm, nach Weyrauch durch $r = \frac{4K}{5\sigma l}$ bestimmt ist, wo K der größte Kämpferdruck (1402 t im großen Bogen), $\sigma = 1,3$ t/qem und l die Bogenlänge, auf einem Lagerstuhl aus Gusseisen, der sich mit Verteilleisten auf die Lager-

platte stützt. Die Dicke der Verteilleisten wird erst bei der Aufstellung bestimmt.

Alle weiteren Einzelheiten dieses hervorragend durchgearbeiteten Entwurfes, wie z. B. die Längenausgleichvorrichtungen der Fahrbahn, Anschlüsse an Land, Entwässerung, Geländer, Ueberführung der Rohrleitungen, gehen aus der Wiedergabe der zeichnerischen Darstellungen ohne weitere Erläuterung hervor.

Was die Vorschläge für die Ausführung betrifft, so sind die Pfeiler auf Beton zwischen Spundwänden gegründet gedacht, und zwar ist ihnen eine derartige Gestalt gegeben, dass bei mittleren Beanspruchungen von 2,5 bis 3 kg/qcm die Kantenpressungen auf den Baugrund 4,5 kg/qcm nicht überschreiten, worin eine hinreichende Gewähr liegt, dass keine Seitenbewegungen der Pfeiler und Widerlager das Bauwerk gefährden. Die Seitenbogen sollen auf festen Rüstungen mit Durchfahrten für die Bahngleise zuerst aufgestellt werden, und dann erst die Bogen der Mittelöffnung, deren Rüstungen sich teilweise aus weitgespannten Hilfs-

brücken zusammensetzen, die schwimmend aufgestellt und eingefahren werden sollen. Dabei kommt erschwerend hinzu, dass es für den mittleren Teil infolge der Halbrahmenseifung nicht möglich ist, die Bogen in ganzer Ausdehnung unmittelbar auf der Rüstung aufzubauen. Nachdem hierfür die Fahrbahn vollendet und genau ausgerichtet ist, müssen die einzelnen Bogenstücke an die bereits stehenden Hängeskäulen angeschlossen werden.

Zum Schluss möge noch auf die architektonische Durchbildung und die Gesamtwirkung des Bauwerkes, welche durch Fig. 16 und 17 und auf Textblatt 9, S. 886 gekennzeichnet sind, hingewiesen werden. Schon bei der Wahl der Brückengattung und der Gestaltung des Ueberbaues spielte hier wie bei mehreren andern Entwürfen die Frage eine ausschlaggebende Rolle, ob mit Rücksicht auf den schönen Ausblick, den die Neckarufer unterhalb der neuen Brücke sowie auch oberhalb der auf S. 847 dargestellten Friedrichsbrücke gewähren, und auf das Städtebild, in welchem beide Brücken gleichzeitig in die Erscheinung

treten, eine Ähnlichkeit in der Linienführung ihrer Tragwerke geboten sei oder nicht. Bei dem Entwurf »Sichel« ist die Ansicht maßgebend gewesen, dass man von vornherein ein hängebrückenartiges Tragwerk für die neue Brücke ausschließen müsse, damit der Reiz jenes Stadtbildes durch die Abwechslung erhöht werde. In andern Entwürfen wird das Gegenteil behauptet und gesagt, die Ähnlichkeit beider Tragwerke sei ein Gebot der Schönheit für das Gesamtbild. Das Preisgericht hat den Widerstreit dieser Behauptungen, wie bereits bemerkt, unmittelbar nicht entschieden. Da es aber zweifellos erscheint, dass die verschiedenen Meinungen der Verfasser in dieser Frage das Schicksal ihrer Entwürfe in hohem Maße beeinflussen haben, so soll hierüber an dieser Stelle noch ein Wort gesagt werden. An sich halte ich den Ueberbau des Entwurfes Nebenlösung zu »Jungbusch Neckarvorstadt«.

hitzerbüchse und des Ueberhitzers bringt es mit sich, dass zur Regelung der Ueberhitzung keine Klappen für den Ein- und Austritt der Feuergase erforderlich sind. Die Bedienung der Feuerung ist hierdurch wesentlich vereinfacht, und der Heizer hat nur nötig, das Feuer dem Dampfverbrauch der Maschine anzupassen.

Die Ueberhitzerbüchse ist durch eine Platte mit einseitig angebrachten Austrittöffnungen be-

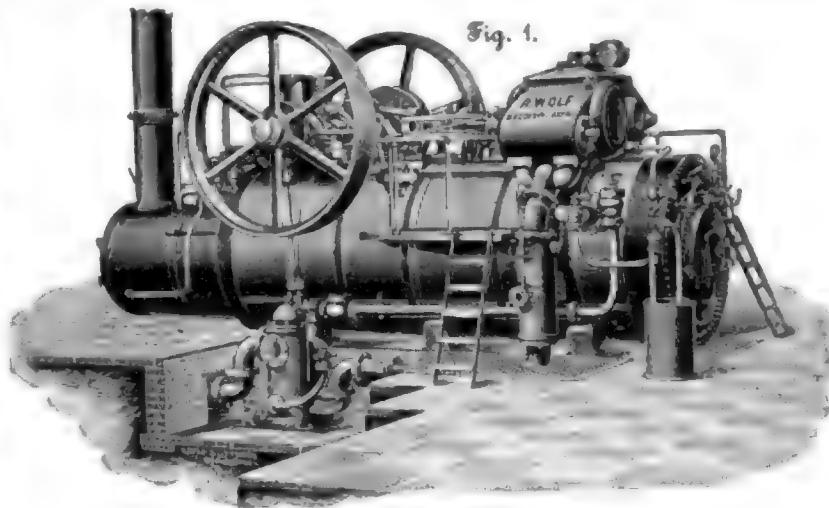


Fig. 1.

grenzt, die nicht verschließbar sind. Die Anordnung der Öffnungen im Verein mit der vor der Rohrwand befindlichen ersten Verteilspirale bewirkt, dass die Heizgase gleichmäßig durch die ganze Ueberhitzerbüchse geführt werden. Um beim Anheizen die Feuergase schneller abzuführen, ist eine größere Öffnung in der Verschlussplatte vorhanden, die mit einer verstellbaren Klappe versehen ist. Diese

Fig. 2.

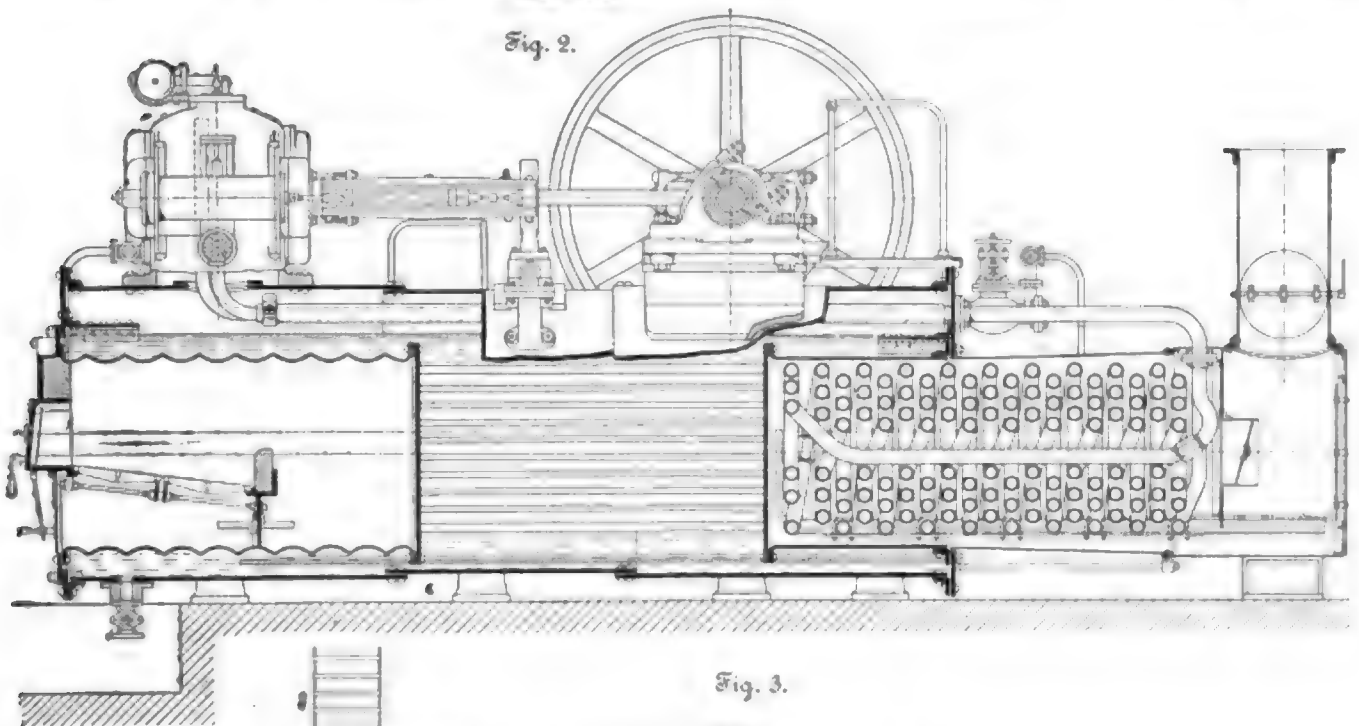
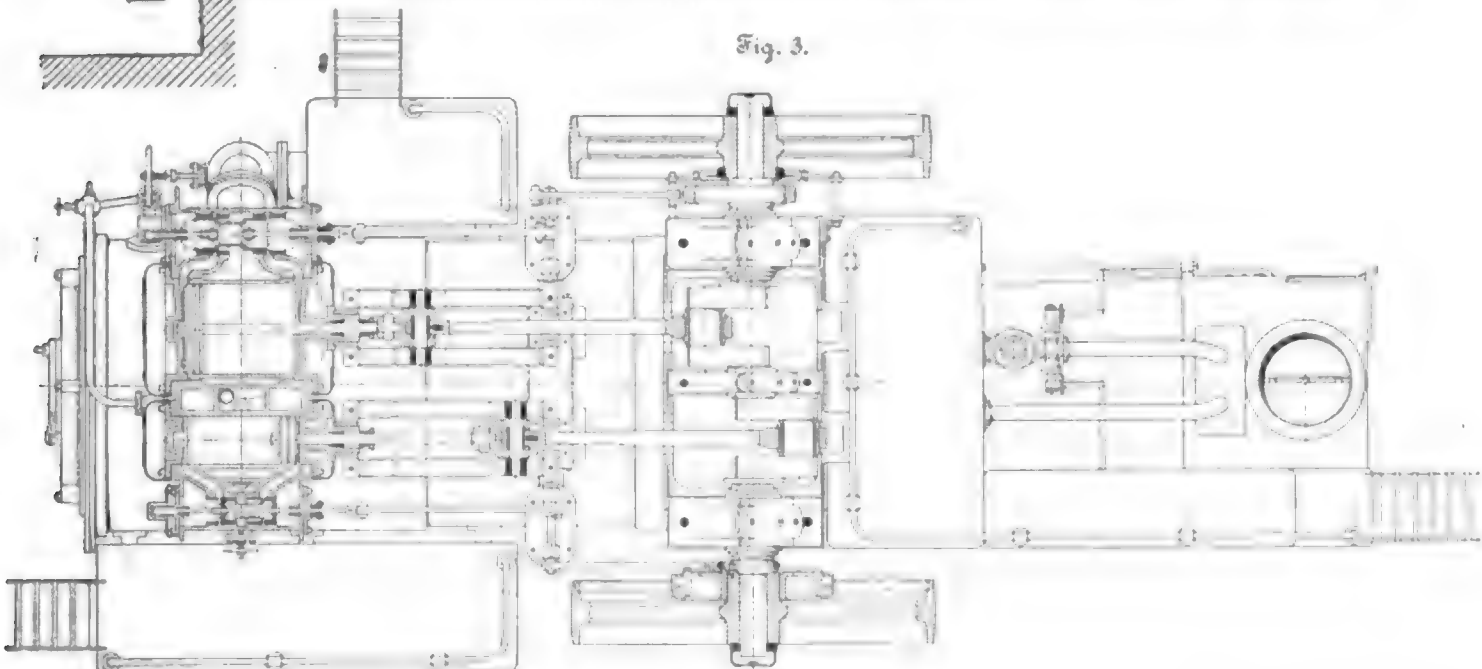


Fig. 3.



Öffnung bleibt während des Anheizens offen, wird aber beim Betriebe in der Regel geschlossen. Bei den bisher ausgeführten Lokomobilen wird der Dampf bis auf 350° C überhitzt, während die abgehenden Heizgase eine Temperatur haben, welche wenig höher als die des Kesseldampfes ist. Das Verlegen des Ueberhitzers in den Kessel selbst bietet noch den erheblichen Vorteil, dass die heißen Gase da, wo sie den Ueberhitzer treffen, gegen Wärmeverluste geschützt sind, weil das Rauchrohr vom Kesselwasser umgeben ist. Bei Ueberhitzern, die außerhalb des Kessels liegen, sind die Wärmeverluste oft die Ursache dafür, dass sich der Vorteil der Ueberhitzung erheblich vermindert.

Die Siederöhren, die Ueberhitzerbüchsen und die Ueberhitzerschlange werden von Flugasche und Ruß mittels einer Ausblasevorrichtung gereinigt, die aus zwei drehbaren, mit kleinen Öffnungen versehenen Kniebögen besteht; die beiden senkrechten Schenkel dieser Bögen sind zwischen dem Ueberhitzer und der Rohrwand derartig drehbar, dass von der einen Seite der Schenkel wagerechte Dampfstrahlen durch sämtliche Siederöhren geblasen werden, während von der andern Seite ebenfalls wagerechte Dampfstrahlen die Heizschlange bestreichen. Durch die Ausblaselöcher der wagerechten Schenkel werden senkrechte Dampfstrahlen durch die Heizschlange geleitet. Die Ausblasevorrichtung kann vor, während und nach dem Betriebe benutzt werden, sobald Dampfdruck im Kessel vorhanden ist. Sie wird mittels eines Aufsteckschlüssels durch zwei kleine, mit Deckeln verschlossene Öffnungen in der Rauchkammerthür bedient. Der leichte Ruß fliegt dabei zum Schornstein heraus, die schwere Flugasche bleibt innerhalb der Rauchkammer an der Rauchkammerthür liegen und kann während einer Arbeitspause leicht entfernt werden. In der Regel braucht nur alle zwei Tage einmal ausgeblasen zu werden, bei aschenreicher oder stark raufender Kohle hat es täglich zu geschehen.

Der Ueberhitzer hat ein Sicherheitsventil, ein Thermometer und einen Ablasshahn. Zum Schutze gegen äußere Abkühlung ist der ganze Kessel nebst dem Ueberhitzer mit einer Schutzmasse bekleidet, die von einem abnehmbaren, dichtschießenden Blechmantel umgeben ist.

Vom Dom des Kessels, in welchem die Dampfzylinder gelagert sind, führt ein Rohr zum Ueberhitzer. Der überhitzte Dampf wird durch ein zweites, durch den Dampfraum des Kessels gelegtes Rohr der Maschine zugeführt. Der Dom ist auf den Kessel genietet und wird ebenso wie der Kessel durch einen Mantel aus Schutzmasse und Blech gegen Wärmeverluste geschützt.

Beide Cylinder werden mittels Kolbenschieber gesteuert. Die Schieberstangen sind auf beiden Seiten in langen Büchsen geführt, wodurch einer erheblichen Abnutzung der Schieber vorgebeugt werden soll. Ein in dem Schwungrad angebrachter Achsenregulator beeinflusst den Schieber des Hochdruckzylinders.

Die mit Flugschmierung versehenen Kurbelwellenlager sind auf einem einzigen starken, sockelartigen Lagerbock angeordnet, der mit dem Kessel vernietet ist. Die Dampfkolben bestehen aus Stahlguss. Alle Teile der Maschine sind äußerst kräftig gehalten. Die Kurbelwelle, die Pleuel- und Schieberstangen, Zapfen usw. sind aus geschmiedetem Stahl hergestellt. Die Schwungräder sind sauber abgedreht und zum Riemenbetrieb eingerichtet.

Die wichtigsten Abmessungen der Lokomobile sind folgende:

Kessel.

wasserberührte Heizfläche des Kessels	31 qm
feuerberührte Heizfläche des Ueberhitzers	20 „
Rostfläche	0,85 „
Verhältnis der Rostfläche zur Kesselheizfläche	1:36,47
Verhältnis der Ueberhitzerfläche zur Kesselheizfläche	0,645

Maschine.

Dmr. des Hochdruckzylinders (warm gemessen)	240,1 mm
Dmr. des Niederdruckzylinders (warm gemessen)	450,8 „
gemeinschaftlicher Hub	480 „

Dicke der Kolbenstangen (innen)	50 mm
Länge der Pleuelstangen	1440 „
Verhältnis der Pleuelstangenzahl zum Kurbelradius	6:1

Die Lokomobile soll bei 12 at Ueberdruck im Kessel und bei 170 Uml./min 100 PS. leisten.

Bei Beginn des Versuches war das Feuer rein und soweit abgebrannt, dass der Dampfdruck im Fallen begriffen war. Am Ende des Versuches wurde derselbe Zustand des Feuers festgestellt, und der Dampfdruck war ebenfalls im Sinken. Da sehr regelmäßig und mit kurzen Unterbrechungen gespeist wurde, so konnte der Wasserstand zu Anfang und zu Ende des Versuches auf derselben Höhe erhalten werden. Der durch das Kontrollmanometer gemessene Dampfüberdruck war zu Ende des Versuches derselbe wie zu Anfang. Auch während der ganzen Dauer des Versuches schwankte der Dampfdruck nur ganz unmerklich und stand sehr nahe auf 12 at.

Die Temperatur des Speisewassers, das die von der Maschine betriebene Pumpe aus dem Kondensator entnahm, und die Temperatur des Kühlwassers für letzteren wurden durch gewöhnliche Thermometer gemessen. Zur Bestimmung der Temperatur des Ueberhitzerdampfes wurde ein Thermometer mit Ölhülse benutzt, für die Feuergase Pyrometer. Zur Beobachtung der Zugstärken im Schornstein, unter dem Rost und im Feuerraum dienten Wasser-Piezometer.

Die effektive Leistung der Maschine wurde durch zwei mit Holzbacken besetzte Bandbremsen bestimmt, die einseitig mit Gewichten belastet waren. Eine davon war auf der Schwungradwelle angebracht, die andere auf einer Vorgelegewelle, die vom Schwungrade der Maschine aus durch einen Riemen angetrieben wurde. Beide Bremsen wurden mit Rücksicht auf ihre ungleiche Umdrehungsgeschwindigkeit so belastet, dass ihnen nahezu gleiche Leistungen zugeteilt waren.

Zur Bestimmung der indizierten Leistung wurden vier Indikatoren von Schäffer & Rudenberg verwendet, mit denen alle 15 Minuten vier Diagramme entnommen wurden. Die dabei benutzten Federn waren neu geprüft und zeigten für die Hochdruckindikatoren 4,5 mm Federung pro at, für die Niederdruckfeder 24 mm. Bei der vierten und fünften Kraftstufe des zweiten Versuches wurde die Niederdruckfeder mit einer andern vertauscht, die 14 mm pro at Federung besaß. Zur Bestimmung der Umlaufzahlen der Bremscheibenwellen waren Hubzähler angebracht. Die Bremsgewichte wurden nach dem Versuche nochmals nachgewogen. Das Speisewasser und der Brennstoff wurden ebenfalls durch Waagen bestimmt.

Als Brennstoff wurde Saarkohle (Grube Rosenblumen-delle) verwendet. Diese wurde nachträglich hinsichtlich ihres Heizwertes untersucht, wozu während des Versuches eine Mittelprobe der verfeuerten Kohle entnommen wurde. Die Analyse der grubenseuchten Kohle ergab:

Grubenseuchteigheit	0,72 vH
hygroskopische Feuchtigkeit	1,336 „
verbrennliche Stoffe	93,07 „
Asche oder unverbrennliche Stoffe	5,345 „

Die kalorimetrische Untersuchung ergab einen

Heizwert von	7910 WE.
--------------	----------

Die Versuche begannen um 8 Uhr früh und endeten um 3 Uhr 4½ Min; sie währten also 7 st 4½ min. Im Folgenden sind die wichtigsten Beobachtungswerte zusammengestellt.

Dampfdruck am Anfang	12 at
» » Ende	12 „
» im mittel	rd. 12 „
Temperatur im Kesselhause	17 bis 20° C
» des Kühlwassers	11° „
» » Speisewassers	35° „
» » Auswurfwassers aus dem Kondensator	38° „
» » gesättigten Kesseldampfes	190,57° „
» » überhitzten Dampfes im mittel	329,6° „
» der Feuergase	215° „
Ueberhitzung	139,05° „
Unterdruck im Kondensator im mittel	89 vH

Zugstärke im Schornstein	12,5 mm Wassersäule
» unter dem Rost	1 » »
» im Flammenraum	3 » »
Belastungsgewicht an der Bremse auf der Kurbelwelle	206,85 kg
Bremshebelarm an der Bremse auf der Kurbelwelle	1,041 m
Umdrehzahl der Kurbelwelle	170,9
Belastungsgewicht an der Bremse des Vorgeleges	160,9 kg
Bremshebelarm an der Bremse des Vorgeleges	1,003 m
Umdrehzahl der Vorgelegewelle	244
Bremsleistung an der Kurbelwelle	51,37 PS _e
» » » Vorgelegewelle	54,06 »
gesamte Bremsleistung (zusätzlich 4 vH der Bremsleistung an der Vorgelegewelle für Reibung	108,547 »

Die Bremsleistung der Lokomobile ist daher um 8,547 PS_e größer, als angegeben war.

Die mit vier Indikatoren alle 15 Minuten entnommenen Diagramme, 116 an der Zahl, geben im vorliegenden Falle, wo die Belastung der Maschine eine ganz gleichförmige war, eine indizierte Leistung, die man als die wahre mittlere betrachten kann. Sie sind alle bei frei schwebenden Bremsgewichten genommen.

Durch Platinmetrieren ergaben sich die folgenden mittleren indizierten Drücke:

Hochdruckzylinder außen	4,397 at
» innen	4,277 »
Niederdruckzylinder außen	0,8725 »
» innen	0,8028 »

Die nutzbaren Kolbenflächen berechnen sich	
am Hochdruckzylinder außen zu	452,72 qcm
» » innen	433,13 »
am Niederdruckzylinder außen zu	1596 »
» » innen	1576 »

Die mittlere Kolbengeschwindigkeit für 170,9 Uml./min und 480 mm Hub berechnet sich auf 2,734 m.

Die indizierten Leistungen ergaben sich dann	
für den Hochdruckzylinder zu	70,012 PS _e
für den Niederdruckzylinder zu	48,463 »
indizierte Gesamtleistung	118,47 »

Der Brennstoffverbrauch und die Verdampfung ergeben sich aus Folgendem:

zugewogen 10 Körbe Steinkohlen zu 50 kg	500 kg
zurückgewogen	25,1 »
verbrannt im ganzen	474,9 »
» stündlich	67,123 »
auf 1 qm Heizfläche wurden stündlich verbrannt	78,94 »
» 1 » Kesselheizfläche wurden stündlich verbrannt	2,165 »
an Asche wurden gezogen	1,94 vH oder 9,7 »
» Schlacken wurden gezogen	5,08 » 25,4 »
Schlacke und Asche zusammen	7 » 35,1 »

Da der Aschenbetrag nach der Analyse 5,345 vH betrug, so ersieht man, dass in den Rückständen noch verbrennliche Stoffe enthalten waren, deren Menge 1,05 vH betrug.

Da stündlich 67,123 kg Kohle verbraucht und dabei 108,547 PS_e einschließlich des Arbeitsverbrauches für das Vorgelege, der mit 4 vH der auf der Vorgelegebremse gemessenen Leistung in Rechnung gestellt ist, als Gesamtleistung der Maschine gefunden wurden, so beträgt der Kohlenverbrauch pro PS_e-st 0,618 kg, bezogen auf die benutzte Kohle, die nach der kalorimetrischen Untersuchung 7910 WE Heizwert besitzt. Auf Kohle von 7500 WE Heizwert bezogen, berechnet sich der Verbrauch auf 0,6518 kg pro PS_e-st.

Der Speisewasserverbrauch betrug in 7 st 4 1/2 min nach genauer Wägung	4065,3 kg
der stündliche Speisewasserverbrauch war	574,58 »
auf 1 qm Heizfläche des Kessels entfallen	18,535 »
1 kg Kohle verdampfte	8,500 »
1 » Dampf von rd. 13 at absolutem Druck erfordert zu seiner Erzeugung aus Speisewasser von 0°.	664,3 WE

1 kg Dampf von derselben Spannung erfordert zu seiner Erzeugung aus Speisewasser von 35° 629,2 WE

Der Kessel ohne den Ueberhitzer hat demnach aus dem Brennstoff 629,2 · 8,500 = 5345,95 WE entnommen.

Der Wirkungsgrad des Kessels ergibt sich hieraus zu $\frac{5345,95}{7910} = 68,1$ vH.

Nun hat der Ueberhitzer für jedes Kilogramm Dampf aus dem Brennstoff, da die Ueberhitzung 139,03° betrug und die spezifische Wärme zu 0,48 angenommen wird, und weil 1 kg Brennstoff 8,55 kg Speisewasser verdampfte,

$$139,03 \cdot 0,48 \cdot 8,55 = 571,2 \text{ WE}$$

aufgenommen.

Der Ueberhitzer hat demnach

$$\frac{571,2}{7910} = 7,23 \text{ vH}$$

des Heizwertes der Kohle nutzbar gemacht.

Der Wirkungsgrad des Kessels mit dem Ueberhitzer beträgt somit

$$68,1 + 7,23 = 75,33 \text{ vH.}$$

Die Wärmeübertragung auf 1 qm Kesselheizfläche berechnet sich zu 11662 WE. 1 qm der Ueberhitzerheizfläche hat stündlich eine Wärmemenge von

$$\frac{66,7 \cdot 574,58}{20} = 1916,5 \text{ WE aufgenommen.}$$

Der Ueberhitzer ist jedenfalls nur sehr mäßig angestrengt, da die Heizgase ihn erst treffen, nachdem der Kessel ihre Temperatur schon bedeutend herabgezogen hat. Das hier angewandte große Verhältnis der Ueberhitzerheizfläche zur Kesselheizfläche ist daher sehr sachgemäß und einer sehr hohen Gesamtausnutzung der Verbrennungsprodukte förderlich. Eine Schädigung des Ueberhitzers ist aus demselben Grunde unter solchen Umständen völlig ausgeschlossen.

Da es im vorliegenden Falle, wo Kessel, Ueberhitzer und Dampfmaschine ein Ganzes bilden, in wirtschaftlicher Beziehung nur darauf ankommt, wieviel Kohle von gegebenem Heizwert auf eine gebremste Pferdestärke stündlich entfällt, so hat der Dampfverbrauch hier nur mitzusprechen, wenn es sich um die Frage des mechanischen Wirkungsgrades der Maschine oder das Verhalten des Dampfes während des Arbeitsvorganges handelt. Der Dampfverbrauch pro PS_e-st ergibt sich, wie schon nach dem sehr geringen Kohlenverbrauch zu erwarten war, als sehr gering; er beträgt $\frac{574,58}{118,47}$ oder 4,85 kg.

Da die Erzeugungswärmemenge des der Maschine zugeführten Dampfes über 0°

$$664,2 + 66,72 = 730,92 \text{ WE}$$

ist, so ergibt sich ein Dampfverbrauch, bezogen auf Dampf von 100°, aus Wasser von 0° erzeugt, von

$$\frac{4,85 \cdot 730,92}{637} = 5,565 \text{ kg.}$$

Der Wärmeverbrauch pro PS_e-st ist jedoch um den Betrag der Speisewasserwärme geringer. Er beträgt (730,92 — 35) · 4,85 = 3375,26 WE pro PS_e-st.

Der Dampfverbrauch pro PS_e-st ist $\frac{574,58}{108,547} = 5,293$ kg und auf Dampf von 100° und Speisewasser von 0° reduziert 6,07 kg.

In Wärmeeinheiten ausgedrückt und nach Abzug der Speisewasserwärme musste der Kessel aus der Brennstoffwärme eine Wärmemenge von (730,92 — 35) · 5,293 = 3687 WE pro PS_e-st entnehmen.

Da 1 PS_e-st theoretisch eine Arbeitswärmemenge von 636,8 WE erfordert, wenn eine vollkommene Verwandlung von Wärme in Arbeit möglich wäre, so stellt sich der wirkliche Wärmewirkungsgrad bei der untersuchten Maschine auf 17,3 vH, d. h. so hoch, wie er nur bei den allerbesten neuesten Heißdampfmaschinen von größeren Abmessungen zuweilen erreicht worden ist. Auf 1 PS_e bezogen, wird der Wärmewirkungs- oder Ausnutzungsgrad 18,9 vH.

Die Maschine hat bei 170,9 Uml./min 118,47 PS Indizirt. Die Bremsleistung einschließlich der 4 vH für den Widerstand des Vorgeleges war 108,547 PS; daher war der Wirkungsgrad der Dampfmaschine

$$\frac{108,547}{118,47} = 91,6 \text{ vH.}$$

Die Maschine erforderte stündlich 115 g hochsiedendes Öl zur Schmierung der Cylinder.

Außer der Belastung, die der normalen Leistung der

lichen bedeutenden Aenderungen der Füllung unter Einhalten eines sehr hohen Gleichförmigkeitsgrades zu erzielen. Wie die Zahlentafel zeigt, stieg die Bremsleistung von 68,008 PS bis auf 172,423 PS, während die indizierten Leistungen von 79,30 bis auf 178,62 PS stiegen. Die Füllungen veränderten sich von 10 vH bis 58 vH im Hochdruckcylinder. Der Unterdruck ging bei den größeren Leistungen herab und stand bei der größten Leistung auf 88 vH, während er bei der niedrigsten Kraftstufe 90 vH betrug. Die Umlaufzahl

Versuchsnummer	Füllungen in vH des Hubes			Uml./min		Bremsgewichte in kg		Unterdruck im Kondensator vH	mittlere indizierte Drücke in at		indizierte Leistungen PS			Bremsleistung PS	mechanischer Wirkungsgrad vH
	H.-D.	N.-D.		Kurbelwelle	Vorgelegewelle	Kurbelwelle	Vorgelegewelle		H.-D.	N.-D.	H.-D.	N.-D.	zusammen		
1	10	45		171,5	245,7	139,40	93,30	90	3,046	0,517	49,356	30,006	79,36	68,008	85,7
2	20	45		171,5	245,7	184,40	138,30	90	3,997	0,719	64,684	41,732	106,41	95,375	89,6
3	27	45		170,9	244,0	206,85	160,90	89	4,336	0,838	70,012	48,468	118,47	108,547	91,6
4	40	45		170,0	240,0	251,90	205,70	88	5,010	1,067	80,469	61,373	141,84	133,906	94,4
5	45	45		168,0	237,0	296,90	228,50	88	5,607	1,276	87,411	72,531	159,94	151,942	94,6
6	58	45		165,0	233,0	364,40	250,70	88	5,857	1,564	91,308	87,318	178,62	172,423	96,5

Lokomobile am nächsten steht, wurden noch fünf andere Belastungsstufen in den Bereich der Untersuchung gezogen, und zwar zwei, die unter, und drei die über der normalen Leistung liegen. Dabei blieb der Dampfdruck bei allen Stufen bis auf die letzte sehr genau auf 12 at. Der Druckabfall bei der letzten Kraftstufe bis auf 11,2 at ist nicht etwa einer Ueberanstrengung der Maschine oder des Kessels zuzuschreiben, sondern bloß dem Umstande, dass das Feuer nicht der raschen Steigerung der Leistung entsprechend schnell verstärkt wurde, was sehr wohl möglich gewesen wäre.

Die Wirkung des energischen, wohl ausgeglichenen und empfindlichen Federregulators reichte völlig aus, die erforder-

ging von 171,5 auf 165 herab. Da das Mittel der Umlaufzahlen bei den sechs Kraftstufen sehr nahe bei 169,5 liegt, so ergibt sich, dass der Regulator innerhalb eines Ungleichförmigkeitsgrades von

$$\frac{171,5 - 165}{169,5} = 3,84 \text{ vH}$$

eine Veränderung der Leistung um 104,34 PS, oder um 80,5 vH bewirken konnte. Hätte man den Dampfdruck bei der letzten Kraftstufe auf 12 at gehalten, so wäre die Ungleichförmigkeit noch geringer gewesen.

Selbst bei der größten Belastung war der Gang der Maschine ruhig, obwohl eine Leistung von 172 PS, auf die Dauer als zu groß zu bezeichnen ist.

Sitzungsberichte der Bezirksvereine.

Eingegangen 20. Februar 1901.

Hamburger Bezirksverein.

Sitzung vom 22. Januar 1901.

Vorsitzender: Hr. Hartmann. Schriftführer: Hr. Lesser.
Anwesend 58 Mitglieder und 6 Gäste.

Hr. Debes spricht über Kautschuk im Maschinenbau und in der Elektrotechnik. Der Redner beginnt mit den Weichgummiwaren, von denen besonders Dichtungstoffe heute schon vielfach angewendet werden. Bezüglich der letzteren hat sich gezeigt, dass kein Stoff, der praktisch so gut wie unelastisch ist, wie geölte Pappe, Asbestpappe, Kupferringe, Blei, den Anforderungen genügen kann. Man muss eben mit der Ausdehnung bei wechselnder Wärme rechnen, weshalb sich zu dauernder Dichtung nur ein Stoff eignet, der gleichzeitig als Puffer dienen kann. Ein solcher ist das von der Harburger Gummikamm-Co. hergestellte Dichtungsgummi »Ideal«, das bei Temperaturen bis zu 250° und den höchsten Dampfdrücken Verwendung findet. Zu verwerfen ist es, Weichgummiwaren nach dem Gewichte zu kaufen, da die Abnehmer durch Beimengungen von Beschwerstoffen leicht getäuscht werden können.

Der Redner bespricht Ventilkappen aus Weichgummi und zeigt eine von der Harburger Gummikamm-Co. hergestellte Klappe, die sich vornehmlich dadurch von andern unterscheidet, dass sie nach dem Rande zu wesentlich dünner wird. Hierdurch wird der Platte eine große Elastizität verliehen. Seit mehreren Jahren hat sich ferner die Dichtung der Muffen von Wasserleitungsrohren mit Weichgummi immer mehr eingebürgert. Ein gewöhnlicher Weichgummiring wird anstelle der bisher üblichen Blei- oder Hanfpackungen zwischen Rohr und Muffe geschoben, wodurch nicht nur eine vorzügliche Abdichtung, sondern auch eine gewisse Elastizität des Rohrstranges erzielt wird. Dieses Verfahren ist insofern weiter ausgebaut worden, als auch die Schwanzenden der Wasserleitungsrohre innen und außen mit Kautschuk belegt werden. Hierdurch wird der Uebergang elektrischer Ströme von einem Rohr zum andern unmöglich gemacht oder sehr erschwert, und die Erfahrung muss zeigen, ob damit die durch vagabondierende Ströme sonst häufig eintretende vorzeitige Zerstörung der Wasserleitungsrohre aufgehalten werden kann.

Eine andere Anwendung betrifft das Aus- oder Umlieiden von Flanschrohren, z. B. von Bilgerohren, Kondensator-Pumpenrohren auf Schiffen usw., mit Hartkautschuk. Diese Rohre, einerlei, aus welchem Metall sie bestehen, werden durch elektrolytische Vorgänge in kürzester Zeit zerstört, und es ist erst der Harburger Gummikamm-Co. gelungen, sie durch Belegen aller dem Wasser erreichbaren Teile mit Kautschuk vor der Zersetzung zu bewahren.

Eine weite Verbreitung haben Kolbenringe aus lederhartem Kautschuk für Wasserpumpen gefunden. Derartige Ringe arbeiten selbst bei den höchsten vorkommenden Wassertemperaturen gut und sicher. Die Abnutzung der Ringe hat bei einem 30stündigen Versuch mit 4 at Ueberdruck und 93° Wassertemperatur nur 0,004 vH des Gewichtes betragen. Auch Ventilsitze werden jetzt vielfach aus Hartgummi hergestellt, weil die Abdichtung sehr gut und dauerhaft und die Abnutzung sehr gering ist, was sich namentlich bei sandhaltigem Wasser gezeigt hat. Ebenso werden Ventilkugeln mit Vorliebe aus Hartgummi hergestellt, und zwar sowohl leichte für Spiritus u. dergl. als auch schwere für Laugen. In letzterem Falle kann das spezifische Gewicht der Kugeln bis zu 2 gebracht werden. Von andern Gegenständen werden noch erwähnt: Wassermesser-Schneidräder ganz aus Hartkautschuk, Ventilscheiben, Kurbelgriffe usw., mit Hartkautschuk überzogen. Bei den letztgenannten wird dank der hohen Isolirfähigkeit des Hartkautschuks gegen Wärme die menschliche Haut vor Verbrennen oder Erfrieren geschützt.

Der Vortragende erläutert dann die für oberirdische Leitungen elektrischer Bahnen gebräuchlichen Hartkautschuk-Isolatoren. Sie setzen sich zusammen aus der sogenannten Kappe mit Konus, einem eisernen, in eine dachförmige Kappe einvalkanisierten Holzes, der den eigentlichen Leitungsdraht trägt, und einem dazu passenden Tragkegel aus Hartkautschuk. Von diesen »Kappen mit Konus« gehen die seitlichen Spanndrähte zu den Masten oder Hausrossetten ab; sie werden jedoch, bevor sie die Masten erreichen, noch einmal durch einen Wirbelisolator isoliert. Dieser besteht aus einem hohlen, mit Hartkautschuk überzogenen Holzes, dessen eines Ende zu einer Mutter mit Spannschraube ausgebildet ist, während das andere kopfförmig gestaltet und von einer kühlerartigen drehbaren Tragvorrichtung umschlossen ist. Eine ebenso gute Isolation erreicht man an gewissen Stellen durch den Weitspann-Kugel-

isolator, der aus zwei in einander gegossenen, aber durch Hartkautschuk von einander isolierten und in Hartkautschuk eingebetteten Keitengliedern aus Temperglass besteht.

Alle diese Isolatoren zeigen den Nachteil, dass die Metalleinlage von einer Stelle aus dem Zutritt der Luft und damit dem Anrosten ausgesetzt ist, was zur Folge hat, dass über kurz oder lang die Isolierschichten abspringen. Ferner ist der Uebergang der hochgespannten Ströme nur durch die Dicke einer Isolierschicht aufgehalten, was ernste Betriebsstörungen im Gefolge haben kann, wenn die Isolierschicht verletzt wird. Diese Nachteile haben die Harburger Gummi-Kamm-Co. zur Konstruktion der Schnallenisolatoren geführt, die aus einem länglichen, vollständig in Hartkautschuk gebetteten Stahlringe bestehen, dessen beide Endseiten von eisernen Schellen zum Anbringen von Aufhängedrähten umfasst werden. Abgesehen davon, dass die Schnallenisolatoren nicht anrosten können, gewähren sie eine hohe Sicherheit gegen Verluste elektrischer Energie, indem immer zwei undichte Stellen der Isolierschicht zusammentreffen müssen, um Stromübergänge zu ermöglichen. Eine weitere Ausbildung hat dieser Isolator durch Einfügen eines durchbohrten Steges erfahren, der den Tragbolzen für den Leitungsdraht aufnimmt. Dadurch ist der »Doppel-Schnallenisolator«, der sich durch Leichtigkeit und Zierlichkeit auszeichnet, befähigt, die oben erwähnte »Kappe mit Konus« zu ersetzen.

Ferner werden jetzt häufig Armaturteile, die von hochgespannten Strömen durchflossen werden, z. B. Schaltergriffe und Lichtkupplungen, in Hartgummi ausgeführt oder eingebettet, weil es billigen Isolierstoffen gegenüber eine weit höhere Sicherheit sowohl im Betriebe, als auch gegen Stromschläge bietet.

Die Möglichkeit, dass der Arbeiter von solchen Stromschlägen getroffen wird, hat dazu geführt, auch die bei der Montage elektrischer Anlagen am meisten gebrauchten Werkzeuge, z. B. Mutter-schlüssel, Schraubenzieher und Zangen, so weit mit Hartkautschuk zu überziehen, dass nur die unumgänglich notwendigen Metallteile bloß bleiben. Zum Verlegen elektrischer Leitungen hat die Harburger Gummi-Kamm-Co. eine neue Art »Panzer-Röhren« konstruiert, die aus einem starkwandigen eisernen Außenmantel und einem evulkanisierten Hartkautschukrohr bestehen. Ein hervorstehender Stofsrund, ebenfalls aus Hartkautschuk, isoliert die einzelnen Röhre gegen einander, die durch geschlitzte Muffen entweder am Rohre selbst oder durch selbständige kurze Doppelmuffen und Klemmringe verbunden werden. In eine solche Panzerrohrleitung können isolierte Leitungen mit der höchsten erreichbaren Sicherheit verlegt werden.

Beim Bau von Akkumulatorenkasten ist die Harburger Gummi-Kamm-Co., gedrängt durch die Bedürfnisse der Motorwagenindustrie, ebenfalls mit einer wichtigen Neuerung hervorgetreten, indem sie die nicht unzerbrechlichen Hartkautschukkasten durch solche aus einem sehr zähen, scharfgedurtharten Stoff ersetzt und diese Kasten in Holzkasten stellt. Da hierzu, ebenso wie zu vielen andern Zwecken, wo Säuren benutzt werden, oder nichtmagnetische Eigenschaften erforderlich sind, metallene Nägel nicht Verwendung finden dürfen, so hat diese Neuerung eine zweite im Gefolge gehabt, nämlich die Herstellung von Nägeln aus Hartgummi. Letztere werden aus einem besonders für diesen Zweck hergestellten Hartkautschuk angefertigt, dessen Bruchgrenze bei 8 kg/qmm liegt. Weiter werden gewöhnliche eiserne Nägel und Schrauben mit einer dünnen Schicht Hartkautschuk überzogen, die nach dem Hineintreiben der Nägel vollständig unversehrt bleibt.

Zum Schlusse bespricht der Redner noch die Verbindung des Hartkautschuks mit anorganischen billigeren Isolierstoffen, wie Porzellan, Glas, Thon. Schalter, Kurbelgriffe, Sockelplatten usw. lassen sich so sauber in Hartkautschuk einbetten, dass alle Stellen, die nachträglich bearbeitet werden sollen, nur aus Hartkautschuk bestehen.

Darauf spricht Hr. G. Behrend über den Aufstieg des Luftschiffes des Grafen Zeppelin; seinen Ausführungen ist Folgendes entnommen:

In der Halle, die zur Aufnahme des Luftschiffes errichtet war¹⁾, sind 30 Schlosser und Monteure beim Zusammensetzen des Ballongerippes, zu dem rd. 10 t Aluminium erforderlich waren, thätig gewesen. Das Gerippe birgt die Ballonhülle, die aus 17 Einzelballons von 4 bzw. 6 m Länge und 11,5 m Dmr. besteht, damit nicht das Luftschiff bei Beschädigung eines Hüllenteiles betriebsunfähig wird. Das Füllen mit Wasserstoffgas kostet jedesmal rd. 10000 M. Dem Winde wird im Höchstfall eine Querschnittfläche von rd. 110 qm dargeboten. Die beiden Gondeln des Fahrzeuges, die 6,5 m lang, 1,5 m breit und 1 m hoch sind,

bestehen aus Aluminium und haben doppelte Böden, welche mit Wasser, das abgelassen werden kann, gefüllt werden. Die Gondeln sind 32 m von den Spitzen des Fahrzeuges entfernt und durch Gitter an dem Hauptschiff befestigt. In jeder der beiden Gondeln, die unter der Mitte ein federndes Profillrad tragen, ist ein 16pferdiger Benzinmotor von Daimler untergebracht zum Betrieb zweier Schrauben von nur 1,15 m Dmr., von denen die eine vierflügelig, die andere aber dreiflügelig ist. Die Umlaufzahl der Schrauben von 1200 pro Min. soll bei windstillem Wetter eine Fahrgeschwindigkeit von 9 m/sk oder 32,3 km/st ermöglichen. Als Steuer dient an jeder Spitze des Luftschiffkörpers ein aus Aluminium bestehendes Steuerflächenpaar, das von den durch eine 50 m lange Laufbrücke mit einander verbundenen Gondeln zu bedienen ist.

Das vom Grafen Zeppelin konstruierte Fahrzeug wird »Luftschiff System Schwarz-Zeppelin« genannt, wodurch an die Erfindung des Ingenieurs David Schwarz erinnert wird.

Als erste Vorbedingung für die Lenkbarkeit eines Luftschiffes hatte Schwarz eine starre Verbindung zwischen der Gondel und dem Schiffskörper erkannt, wozu anstelle des sonst weichen Ballonstoffes ein fester, widerstandsfähiger und luftundurchlässiger Stoff von geringem Gewicht gewählt war. Er verwendete zum Bau seines zylindrischen, vorn sich spitzenden Ballons von 41 m Länge und 13 bis 14 m Dmr. Aluminiumblech. Auch der in der Gondel befindliche 16pferdige Motor war aus demselben Metall und trieb vier Windschnecken: je eine hinter und über dem Motor, winkelrecht gestellt zum Antrieb, zwei weitere seitlich in der Mitte des Ballons, verstellbar zum Zwecke des Antriebes und der Lenkbarkeit. Der Inhalt des Ballons von 3250 cbm gab dem Fahrzeuge eine Gesamthebe-kraft von etwa 3250 kg, während das Eigengewicht der gesamten Konstruktion 2600 kg betrug; die Motoren sollten gegen einen Wind von 10 m/sk arbeiten können. Dieses Luftschiff stieg in Berlin im November 1897 auf. Die Lenkbarkeit wurde tatsächlich bei einem Winde von 7,5 m/sk erwiesen, während das Fahrzeug gefesselt war. Als es aber zum freien Aufstieg losgelassen worden war, blieb die rechte Windschnecke stehen, weil die Treibriemen herabgeweht waren, und das Schiff im Werte von rd. 200000 M. scheiterte.

Graf Zeppelin hat den Schwarzschen Gedanken weiter verfolgt, und es ist ihm gelungen, eine Aktiengesellschaft zur Ausführung seines Fahrzeuges zu bilden. Sehr zu statten kam ihm die Unterstützung des Kommerzienrates Berg in Lüdenscheidt, der seinerseits das Luftschiff von Schwarz erbaut und dessen Erfindungen erworben hatte.

Der Vortragende berichtet des weiteren über die erste Auffahrt des Zeppelinschen Luftschiffes²⁾ und bespricht alsdann dessen Konstruktion. Das Schiff ist aus einem Aluminiumgerippe mit Spanndrähten aus Stahl von 128 m Länge und 11,65 m Dmr. mit je einer Spitze vorne und hinten erbaut, und zwar, wie schon gesagt, aus 17 Teilen. In jeder Abteilung befindet sich ein Ballon, der bei Temperatursteigerungen oder der Fahrt nach oben dem Gase sich ausdehnen gestattet. Jede Zelle hat ein Sicherheitsventil, welches das Einsaugen von Außenluft verhindert. Nach außen sind die Abteilungen oben mit Pegamoid, unten mit Seidenstoff überzogen. Das Fahrzeug wird nicht durch Auswerfen von Ballast und Auslassen von Gas regiert, wenn es steigen oder sinken soll, sondern die Längsachse wird durch Verschieben des Laufgewichtes und der Steuerung verstellt. Die angegebene Größe ist erforderlich, um das Eigengewicht sowie die beiden Gondeln mit den Motoren nebst je 60 ltr Benzin, die Ausrüstung, den Ballast und 5 Mann zu tragen. Durch eine starre Aluminiumkonstruktion sind die Gondeln, Maschinen, Betriebsteile, Laufgewichte usw. an dem Schiffskörper befestigt. Vorn oben und unten sowie hinten rechts und links befindet sich am Ballon je ein Steuer, an den Seiten über den Gondeln je zwei Schrauben von 1,15 m Dmr. In dem beschriebenen Zellen-system liegt hauptsächlich der Fortschritt des Zeppelinschen Ballons, indem er trotz des größeren Gewichtes größere Festigkeit und Sicherheit hat.

Das Gewicht der beiden Motoren beträgt 650 kg oder etwa 20 kg/PS. An Benzin werden stündlich 12 kg verbraucht.

Der Gaskörper umfasst 11300 cbm und hat 11300 kg Tragkraft. Das Eigengewicht einschließlich der Besatzung beläuft sich auf etwa 10000 kg, sodass rd. 1300 kg für Wasserballast übrig bleiben. Bei 6 kg/st Benzinverbrauch jeder Maschine können die Maschinen 10 st arbeiten, und es ist darauf gerechnet, dass bei 8,15 m/sk Geschwindigkeit, wie sie sich nach den Erfahrungen mit dem Luftschiff von Krebs und Renard rechnerisch ergibt, das Luftschiff 288 km in 10 st zurücklegen

¹⁾ s. Z. 1899 S. 934.

²⁾ s. Z. 1900 S. 1035.

kann. Wenn aber statt 120 kg das 5fache an Benzin mitgenommen wird, was bei der überflüssigen Tragkraft möglich ist, so soll das Schiff auch das 5fache leisten. Die Fahrten mit dem Winde brauchen hierbei nicht berücksichtigt zu werden. Zum Landen werden Landungsstellen eigener Art errichtet werden müssen; denn eine so günstige Lage wie auf dem Bodensee wird man nicht überall finden.

Bei der Fahrt am 2. Juli wurde die berechnete Geschwindigkeit nicht erreicht, weil die Laufgewichtskurbel brach. Die weiteren Fahrversuche haben am 17. und 21. Oktober stattgefunden und sind durch schlechtes Wetter sehr gestört worden.

Graf Zeppelin hat über die Ergebnisse und die Aussichten der Luftschiffahrt am 7. Januar d. J. einen Vortrag in der Deutschen Kolonialgesellschaft in Berlin gehalten, aus dem der Vortragende einige kurze Bemerkungen anführt.

Am 17. Oktober war man gezwungen, aus einer Höhe von 300 m herabzuschleusen. Das geschah in 32 sek, und der Aufstofs war nicht stärker, als wenn man von einem Stuhle herabspringt; kein Tropfen Wasser spritzte in die Gondel.

Am 21. Oktober wühlte sich der Mittelbau etwas, was für die Folge durch Einbauen von etwas Ballast beseitigt werden soll. Die Geschwindigkeit war nach den Feststellungen der kgl. preussischen Luftschifferabteilung ausreichend, indem sie die durchschnittliche Geschwindigkeit der Windströmung an 300 Tagen des Jahres übertrifft. Der Ballon kann also gegen den Wind segeln. Die Daimler-Motorengesellschaft soll neuerdings Motoren liefern, die bei gleichem Gewicht die gleiche Arbeit leisten können, d. h. bei 650 kg Gewicht 180 PS.

Graf Zeppelin sagt, es sei nicht sein Ziel, die Eisenbahn oder das Schiff zu ersetzen, sondern dorthin zu gehen, wohin mit keinem andern Transportmittel ebenso schnell und sicher zu gelangen ist, z. B. nach noch unbefahrenen Küsten oder unbekannten Binnenländern, nach Meeren zum Aufsuchen von Schiffen in gerader Linie, zur Verbindung von Armeen oder Flotten usw. Solche Fahrzeuge müssen mindestens mehrere Tage fahren können, und diese Möglichkeit scheint dem Redner durch die Versuche des letzten Jahres erwiesen zu sein. Wenn man mit den Augen des Maschinentechnikers die Sache betrachtet, so erscheint manches an dem Luftschiff wunderbar. Damit ist freilich nicht gesagt, dass unsere Anschauungen richtig sind, weil man hier mit ganz neuen Dingen zu thun hat, in die man sich erst hineinendenken muss. Im ganzen steht

man hier noch im Beginn einer beachtenswerten technischen Wissenschaft, die mancherlei gute Erfolge verspricht.

Hr. Michaelsen bemerkt in der Besprechung, dass Magnalium leichter sei als Aluminium und dabei nahezu die Festigkeit von Schmiedeeisen habe; er hat in seiner Eisengießerei Kernkasten aus Magnalium angewendet und gute Erfolge damit erzielt.

Eingegangen 22. Februar 1901.

Verein für Eisenbahnkunde.

Sitzung vom 12. Februar 1901.

Hr. Geheimer Regierungsrat Professor Dr. Reuleaux spricht über die Stellwerkanlage des Bostoner Südbahnhofes¹⁾. In diesem größten Bahnhofe der Vereinigten Staaten laufen 8 verkehrsreiche Hauptbahnen zusammen. Außerdem enthält er eine Station für mehrere stark benutzte Stadtbahnlinien, die in den Untergrund unter die 23 Kopfgleise der Fernbahnen verlegt ist. Die Entwürfe für die gesamte Ausrüstung des Bahnhofes sind von einem Stabe von 15 Ingenieuren in sehr kurzer Zeit Anfang 1896 ausgearbeitet worden. Es handelte sich dabei um die elektro-pneumatische Stellwerkanlage, die Ausrüstung des Krafthauses, die Aufzüge, die Heizung und Lüftung, die Eisbereitungsanlage für die Erfrischungskühe und die Wagen, eine Pressluftanlage u. dergl. mehr. Der Umzug der beteiligten Bahnen in den neuen Bahnhof begann im Januar 1899 und war im Oktober desselben Jahres in der Hauptsache beendet. Seitdem laufen 737 Züge täglich ein und ebenso viele aus. Das Kraftwerk ist für eine Leistung von 1550 PS bemessen. Die vom Vortragenden eingehend erläuterten Stellwerkanlagen sind so eingerichtet, dass zur Umstellung der Weichen und Signale Pressluft verwendet wird, die auf die unmittelbar an den Weichen und Signalen angebrachten Bewegungsvorrichtungen wirkt, während diese Vorrichtungen von einer Stelle aus mittels elektrischen Stromes in Gang gesetzt werden. Die Anordnung rührt von Westinghouse, dem Leiter der Union Switch Signal Co. in Pittsburg, her.

Ferner macht Hr. Oberstleutnant Buchholz Mitteilungen über die Ergebnisse der vom Grafen Zeppelin mit seinem lenkbaren Luftschiff angestellten Versuche.

¹⁾ Z. 1907 B. 207.

Bücherschau.

Festschrift zur 42. Hauptversammlung des Vereines deutscher Ingenieure in Kiel. Herausgegeben vom Schleswig-Holsteinischen Bezirksverein. 231 S. 4^o mit zahlreichen Abbildungen. Kiel 1901. Preis 11 M¹⁾.

Die überaus rego Beteiligung an der diesjährigen Hauptversammlung in Kiel ist wohl nicht zum geringsten Teile der Anteilnahme an Schifffahrt und Seewesen zuzuschreiben, die, geweckt durch das Kaiserwort: „Unsere Zukunft liegt auf dem Wasser“, im Herzen des deutschen Volkes Wurzel geschlagen und sich mächtig entfaltet hat. Aus demselben Grunde darf man annehmen, dass die Festschrift einen großen Leserkreis finden und mehr sein wird als eine angenehme Erinnerung für die Festteilnehmer, wie dies im Vorwort bescheiden gesagt ist.

Der Inhalt der Festschrift lässt sich in drei Gruppen gliedern, von denen sich die eine mit der Stadt Kiel, die zweite mit den Werft- und Fabrikanlagen und die dritte mit technischen Anlagen und ähnlichen Dingen beschäftigt, die dem Verkehr auf dem Wasser dienen und der Stadt räumlich angegliedert sind. Zunächst giebt Stadthaupinspektor Kruse ein anschauliches Bild von der eigenartigen Entwicklung Kiels, das in den letzten Jahrzehnten einen so gewaltigen Aufschwung genommen hat, und berichtet dann über die Kanalisationsanlagen. Es folgt eine Darstellung der Licht- und Wasserwerke von Direktor Pippig, wobei besonders auf die erst im Jahre 1898 in Betrieb gesetzte Gasanstalt und das noch im Bau befindliche Elektrizitätswerk hingewiesen sei.

Bei der Beschreibung der Werften steht die kaiserliche Werft an der Spitze. Ihre Entwicklung ist vom Geh. Admiralitätsrat Franzins, Organisation und Betrieb vom Geh. Marinebaurat Hossfeld besprochen. Die Bedeutung der kaiserl. Werft vermag man zu ermessen, wenn man

erfährt, dass auf ihr 600 Offiziere und Beamte und 6200 Arbeiter beschäftigt sind. Seit ihrer Eröffnung im Jahre 1872 hat die Werft 37 Schiffe neu gebaut und mehrere umgebaut. Von den Umbauten ist die Verlängerung des Panzerschiffes „Hagen“ bemerkenswert, die in einer Abbildung sehr anschaulich wiedergegeben ist. An die Beschreibung der kaiserlichen Werft schließt sich eine Reihe von Bildern deutscher Kriegsschiffe und ein eingehender Bericht über den Bau des am 1. April 1900 in Dienst gestellten Panzerkreuzers „Fürst Bismarck“, den Marine-Oberbaurat Hüllmann verfasst hat. Anhand zahlreicher wohlgelegener Bilder sieht der Leser ein großes Kriegsschiff entstehen und wandert durch die einzelnen Räume, deren Bedeutung und Einrichtung ihm von dem sachkundigen Führer erläutert wird.

Nun folgt eine Darstellung der Germania-Werft, die, im Jahre 1865 gegründet, im Begriffe steht, eine Reihe umfangreicher Neuanlagen auszuführen, ferner der Howaldtswerke, deren Schiffbauten demnächst die Zahl 400 erreichen werden, und der Kieler Maschinenbau-Aktiengesellschaft vorm. C. Daewel, die vorzugsweise schnelllaufende Maschinen baut.

Viel Eigenartiges bieten die Betriebseinrichtungen für den Bau der beiden neuen Trockendocks für die kaiserl. Werft, die von Philipp Holzmann & Co. ausgeführt werden und von dieser Firma in der Festschrift besprochen sind. Die Docks erhalten 175 m Länge und am Boden 30 m Breite. Das Betonmauerwerk wird unter Pressluft mithilfe von Taucherglocken ausgeführt.

Die Festschrift enthält ferner eine knappe Darstellung des Kaiser Wilhelm-Kanales von Regierungsrat und Baurat Scholer. Den Schluss bildet eine Abhandlung über den Segelsport in Kiel von Marinebaumeister August Müller, welche anschaulich und ausreichend die Vorbereitungen und den Verlauf einer Wettfahrt wiedergibt.

Die vorstehende kurze Inhaltsangabe dürfte genügen, um zu zeigen, welche Menge anziehenden und eigenartigen

¹⁾ u. a. die Ankündigung am Schlusse dieser Nummer.

Stoffes in der Festschrift zusammengelagert ist, und um unser Urteil zu rechtfertigen, dass der Festausschuss, an dessen Spitze die Geh. Marinebau- und Veith und Hossfeld standen, im Verein mit den einzelnen Verfassern ein Werk von bleibendem Werte geschaffen hat. Die glänzende Ausstattung des Buches entspricht durchaus seinem Inhalt; besonders die Wiedergabe der zahlreichen Photographien, eine Leistung der Firma Meisenbach, Riffarth & Co., verdient lobend hervorgehoben zu werden.

Technische Hilfsmittel zur Beförderung und Lagerung von Sammelkörpern (Massengütern). Von M. Buhlo, Regierungsbaumeister in Charlottenburg. I. Teil. Berlin, Julius Springer. 159 S. 4° mit 1 Tafel, 563 Figuren und 3 Textblättern. Preis gebunden 15. M.

Wie die hohen Arbeitslöhne und der Mangel an Arbeitern schon vor länger als 40 Jahren die amerikanische Landwirtschaft zur Einführung von Maschinen zwangen; wie der gleiche Grund nach und nach alle andern Erwerbszweige in Amerika veranlasste, die Handarbeit möglichst durch Maschinenarbeit zu ersetzen, und insbesondere auf dem Gebiete der Bewegung von Massengütern in den letzten Jahrzehnt gewaltige Fortschritte zeitigte; so werden wir auch in Deutschland immer mehr und mehr dazu übergehen müssen, solche Arbeiten auf mechanische Weise möglichst selbstthätig ausführen zu lassen, die jetzt noch vorzugsweise durch Menschenhände und Menschenkraft verrichtet werden. Dahin gehören in erster Linie die Arbeiten zur Bewegung der Massengüter beim Einladen, Umladen, Aufstapeln und dergl. Abgesehen von der wesentlichen Verminderung der Unkosten beim Einführen des maschinellen Betriebes für derartige Arbeiten muss es als eine soziale Aufgabe betrachtet werden, die sehr häufig außerordentlich gesundheitsschädlichen und sehr anstrengenden Arbeiten nicht mehr durch Menschen, sondern durch Maschinen ausführen zu lassen und dadurch zugleich einen Ausgleich auf dem Arbeitsmarkt zu schaffen, indem den landwirtschaftlichen und andern Betrieben mehr Arbeiter zur Verfügung bleiben.

Es ist deshalb ein verdienstvolles und zeitgemäßes Unternehmen des Verfassers, in übersichtlicher Weise und durch zahlreiche Abbildungen unterstützt den betreffenden Industriezweigen und Fachingenieuren wie nicht minder den Studierenden der technischen Hochschulen eine Zusammenstellung aller derjenigen Hilfsmittel zur Beförderung und Lagerung von Massengütern zu geben, die er auf einer Studienreise in Amerika kennen zu lernen Gelegenheit hatte. Hinzugefügt hat er auch dasjenige, was in Deutschland bis jetzt auf diesem Gebiete ausgeführt worden ist.

Der Verfasser hat es sich zweifellos angelegen sein lassen, möglichst viel Stoff zusammen zu tragen. Kritische Betrachtungen knüpft er nicht daran und überlässt es dem Leser und dem Fachmann, die Spreu von dem Weizen zu sondern. Die Tafel IV, die den Plan einer Portland-Zementfabrik darstellt, aber aus der über Transportanlagen kaum etwas zu ersehen ist, hätte füglich fortfallen können; ganz besonders durch sie wird der Eindruck hervorgerufen, dass der Verfasser mehr Wert auf Quantität als auf Qualität gelegt habe, wie auch einige andere zur Darstellung gekommene Anlagen kaum als nachahmungswert bezeichnet werden können.

Wie der Verfasser in seinem Vorwort ausführt, ist das Werk vornehmlich für die Studierenden der technischen Hochschulen geschrieben. Es ist aber eben so sehr den in der Praxis stehenden Ingenieuren und Industriellen warm zu empfehlen, da sie im Bedarfsfalle sich leicht darüber Kenntnis verschaffen können, was schon ausgeführt worden ist.

Die Verlagshandlung Julius Springer hat, wie man dies bei ihr nicht anders kennt, auch diesem Werke durch guten Druck, gutes Papier und saubere Ausstattung alle Sorgfalt angedeihen lassen.

Bei der Redaktion eingegangene Bücher.

Der Schornsteinbau. Von Gustav Lang. III. Heft: Anordnung gemauelter Schornsteinschäfte. Hannover 1901, Helwingsche Verlagshandlung. 336 S. 8° mit 103 Fig. und 2 Taf. Preis 9. M.

Motor-Posten. Technik und Leistungsfähigkeit der heutigen Selbstfahrersysteme und deren Verwendbarkeit für den öffentlichen Verkehr. Von Dr. G. Schaetzel. München 1901, R. Oldenbourg. 84 S. 8° mit 14 Fig. Preis 2. M.

(Nach einer kurzen Beschreibung der verschiedenen heutigen Fahrzeugmotoren (Dampf-, Explosions- und Elektromotoren, auch elektrischer Betrieb mit Oberleitung) und ihrer technischen Eigentümlichkeiten folgt an der Hand umfassender statistischer Aufzeichnungen eine eingehende Untersuchung des Standes der Leistungsfähigkeit der verschiedenen Motoren in Bezug auf Geschwindigkeit, Ueberwindung von Steigungen und Geländeschwierigkeiten (Infolge von Witterungseinflüssen, Schnee, Eis usw.), auf Verwendbarkeit bei Dauerfahrten, in städtischen Betrieben, auf Betriebssicherheit usw.)

Lehrbuch der Ingenieur- und Maschinen-Mechanik. Von Dr. Julius Weisbach. III. Teil: Die Mechanik der Zwischen- und Arbeitsmaschinen. Von Gustav Herrmann. 2. Aufl. Braunschweig 1901, Friedrich Vieweg & Sohn. 335 S. 8° mit vielen Figuren. Preis 9,50. M.

(Maschinen zur Verbindung: Webstühle, Strickmaschinen, Flechtmaschinen, Nähmaschinen, Stickmaschinen, Maschinen zur Oberflächensbearbeitung: Poliermaschinen, Kalander, Mangeln, Raubmaschinen, Druckerpresen.)

Handbuch der Metallhüttenkunde. Von Dr. Carl Schnabel. I. Band. Kupfer, Blei, Silber, Gold. 2. Aufl. Berlin 1901, Julius Springer. 1186 S. gr. 8° mit 717 Fig. Preis 28. M.

Die Ziegeleifabrikation. Ein Handbuch umfassend die Herstellung aller Arten von Ziegeln, sowie die Anlage und den Betrieb von Ziegeleien. Von Otto Bock. 9. Aufl. Leipzig 1901, Bernh. Friedr. Voigt. 396 S. mit 353 Fig. und 12 Taf. Preis 10,50. M.

Die Prinzipien der Mechanik. Mathematische Untersuchungen. Von Leo Königsberger. Leipzig 1901, B. G. Teubner. 228 S. gr. 8°.

Communications présentées devant le congrès international des méthodes d'essai des matériaux de construction tenu à Paris du 9. au 16. juillet 1900. Paris 1901, V^e Ch. Dunod. Bd. 1: Etudes générales. I. Etudes sur la constitution moléculaire des corps et leurs lois de déformation sous l'application des efforts. II. Historique des méthodes d'essai: laboratoires et appareils d'essai. 536 S. 4° mit vielen Textfiguren und 14 Tafeln. Preis 25 frs. Bd. 2, Heft 1: Métaux. I. Essais mécaniques. II. Etudes des essais de divers métaux et de certaines pièces assemblées. 350 S. 4° mit vielen Textfig. und 6 Taf. Preis 18 frs. Heft 2: Matériaux autres que les métaux. 210 S. 4° mit vielen Textfig. und 6 Taf. Preis 12 frs.

Elementare Experimentalphysik für höhere Lehranstalten. Von Dr. Johannes Russner. Hannover 1901. Gebrüder Jänecke. 3. Teil: Akustik, Optik. 184 S. 8° mit 175 Fig. Preis 4. M. 4. Teil: Wärme und Reibungs-elektrizität. 148 S. 8° mit 221 Fig. Preis 3,50. M.

Elektromotoren für Wechselstrom und Drehstrom. Von G. Roessler. Berlin 1901, Julius Springer. München 1901, R. Oldenbourg. 230 S. 8° mit 89 Fig. Preis 7. M.

Essais et vérifications des canalisations électriques. En fabrication à la pose et en exploitation. Von Paul Charpentier. Paris 1901, Ch. Béranger. 384 S. gr. 8° mit 265 Fig. Preis 15 frs.

Die Francis-Turbinen und die Entwicklung des modernen Turbinenbaues in Deutschland, der Schweiz, Oesterreich-Ungarn, Italien, Frankreich, England und den Vereinigten Staaten von Amerika. Von Wilh. Müller. Hannover 1901, Gebrüder Jänecke. 333 S. 8° mit 214 Fig. u. 16 Taf. Preis 18. M.

Die Ausblühungen des Mauerwerkes, ihre Entstehung und Bekämpfung. Zusammengestellt im Auftrage des deutschen Vereines für Thon-, Zement- und Kalkindustrie. Von Dr. H. Mäckler. Berlin 1901, Verlag der Thonindustrie-Zeitung. 20 S. 8°. Preis 0,10. M.

Die Verteilung des Wassers über, auf und in der Erde und die daraus sich ergebende Entscheidung des Grundwassers und seiner Quellen mit einer Kritik der bisherigen Quellentheorien. Von Fr. König. Jena 1901, Hermann Costenoble. 150 S. gr. 8°. Preis 4. M.

Zeitschriftenschau.¹⁾

(* bedeutet Abbildung im Text.)

Beleuchtung.

Nauere Acetylenentwickler und Zubehör. Forts. (Dingler 6. Juli 01 S. 429/33*) Mehrkammeriger Acetylenentwickler von Kandler und Wehner. Vorrichtung zum Abmessen des Karbids für Acetylenentwickler. Vorrichtung zum Festhalten der Karbidbecher. Acetylerzeuger von Schreck, von Peterson, von Speiser, von Hernsdorf und von der Chemischen Fabrik in Falkenberg. Forts. folgt.

Bergbau.

Gisement de minéral de fer de Meurthe-et-Moselle. Von Villain. (Compt. rend. Soc. Ind. min. Juni 01 S. 182/95) Entwicklung der Eisenindustrie in Lothringen, insbesondere im Département Meurthe-et-Moselle. Geologische Untergrundverhältnisse. Lagerung der eisenerzführenden Schichten. Gewinnungsverfahren, Zusammenfassung und Verwendbarkeit der Erze. Kalk- und Phosphorgehalt der Erze.

Les appareils de sécurité à l'Exposition de 1900. Von Schmerber. Forts. (Génie civ. 6. Juli 01 S. 164/65*) Sicherheitsvorrichtungen in den Bergwerken von Liévin. Forts. folgt.

Dampfstraßanlagen.

Clarksons liquid fuel burner. (Engineer 12. Juli 01 S. 47*) Das Öl wird in einer Heizschlange verdampft und strömt dann in einen Behälter, in dem es mit Luft vermischt wird. Die Ausströmung des so erzeugten Gemisches in die Feuerung wird durch einen von Hand einstellbaren V-förmigen Ventilverschluss geregelt.

The softening of feed water for boilers. Von Hendit. (Journ. Ass. Eng. Soc. Mai 01 S. 285/304) Reinigen des Wassers in Verdampfern und Filtern. Reinigen des Wassers im Kessel selbst durch chemische Mittel und in besonderen Niederschlagbehältern. Untersuchung des Wassers. Kosten der Wasserreinigung.

Evaporateurs-condenseurs, système Blair et Baillie. Von Leestang. (Rev. Ind. 6. Juli 01 S. 265/66*) Kurze Beschreibung eines Speisewasservorwärmers mit senkrechtem Heizröhrenbündel, das oben und unten in eigenartig geformte Anschlussstücke zur Zuführung des Dampfes mündet. Darstellung einer selbstthätigen Vorrichtung zum Füllen des Vorwärmers.

Fabrication des chaudières, matériaux employés, leur mise en oeuvre dans la construction et la réparation. Von Compère. Forts. (Rev. Ind. 6. Juli 01 S. 269/70) Das Nieten und Verstemmen. Die Wasserdruckprobe. Forts. folgt.

Condenseurs par mélange et pompes à air. Von Nadal. (Rev. Méc. 30. Juni 01 S. 609/21*) Einfachwirkende Luftpumpe in Verbindung mit einem Einspritzkondensator. Doppelwirkende Luftpumpe. Luftpumpen von Allen, Hudson, Nordberg und Worthington. Stehende Luftpumpen verschiedener Bauart ohne Saugventile. Theorie der Kuhnischen Luftpumpe. Liegende Luftpumpen ohne Saugventile. Bauart Eastwood und Smith; Kapselpumpe von Johnson. Forts. folgt.

Eisenbahnwesen.

Die neuen Linien der Rhätischen Bahn. Von Hennings. Forts. (Schweiz. Bauz. 13. Juli 01 S. 13/16*) Arbeiten an der Strecke von Tiefenstal, Filisur, Bergün bis zum Albula-Tunnel. Der Albula-Tunnel und die Anschlussstrecken. Schluss folgt.

Nouvelle ligne de Paris à Versailles, section d'Issy-les-Moulineaux à Meudon-Val-Fleury. Von Dumas. (Génie civ. 6. Juli 01 S. 449/58*) mit 1 Taf. Die 17 km lange Strecke geht vom Invaliden-Bahnhof aus und endet in Versailles. Lageplan und Profil. Herstellung der gemauerten und eisernen Viadukte und Brücken. Anordnung der Haltestellen.

A piston speed chart. Von Fry. (Am. Mach. 13. Juli 01 S. 708/10*) Aus dem Diagramm können entnommen werden: die Kolbengeschwindigkeit bei gegebenem Hub und gegebener Umdrehungszahl; die Kolbengeschwindigkeit bei einer Lokomotive, wenn Hub, Treibradurchmesser und Zuggeschwindigkeit, die minutliche Umlaufzahl, wenn Treibradurchmesser und Zuggeschwindigkeit gegeben sind.

Zugsteuerungen. Von Kubierschky. (Elektrot. Z. 11. Juli 01 S. 558/63*) Die Zugsteuerung der Union Elektrizitäts-Gesellschaft besteht aus einzelnen Fahrhaltern für jeden Treibwagen. Jeder Fahrhalter wird durch einen kleinen Motor und eine elektromagnetische Kupplung eingeschaltet und durch eine Feder ausgeschaltet. Die Motoren aller Fahrhalter werden von dem Spitzenzug des Zuges aus durch einen einfachen Schalter und durch eine einfache Hin- und Rückleitung betätigt. Schaltungsschema der Gesamtanordnung und Konstruktions Einzelheiten des Schaltwerkes.

The pressed steel box car. Von Hansen. (Iron Age 20. Juni 01 S. 8/10*) Eingehende Beschreibung eines Güterwagens

für 40 t Tragfähigkeit. Die Eisenkonstruktion des Bodens; Konstruktion der Seitenwände und des Daches. Einzelheiten der Trägerverbindungen.

Draft gear for freight cars. (Eng. News 4. Juli 01 S. 13/15*) mit 1 Taf. Konstruktion der Untergestelle von Eisenbahnwagen in bezug auf vorteilhafte Anbringung der Kupplungen. Darstellung einer großen Anzahl von amerikanischen Kupplungen. Kupplungsfedern.

Recent practice in freight train braking. (Eng. News 4. Juli 01 S. 8/9) Kritische Besprechung der Verwendbarkeit von Druckluftbremsen bei amerikanischen Güterzugwagen.

Geogheuens automatic railway coupler. (Engng. 12. Juli 01 S. 49*) An dem Mittelpuffer jedes Wagenendes ist eine Gabel aus Stahlguss mit starken eigenartig gekrümmten Zinken angebracht. Die Gabeln werden vom Oberteil der Wagen aus bei genügender Annäherung gedreht und die Wagen dadurch gekuppelt. Konstruktionszeichnungen der Kupplung.

Central Ave. freight station at Cincinnati C., C. & St. L. Ry. (Eng. News 4. Juli 01 S. 16*) Der Güterbahnhof ist 226 m lang und 40 m breit und besteht aus einem Mittelgebäude, einem niedrigen seitlichen Anbau und einer überdachten Halle. Darstellung eines Querschnittes durch das Gebäude.

Eisenhüttenwesen.

Wire rope works at Wakefield. 1. (Engineer 12. Juli 01 S. 35/36*) Lageplan, Schaubilder und Beschreibung des Drahtwalzwerkes, das sämtliche Einrichtungen zur Herstellung und Verarbeitung schmiedbaren Eisens enthält.

Der Kanalarfen und sein Wert für die Hüttenindustrie. (Dingler 6. Juli 01 S. 121/25*) Eigenheiten der Kanalarfen. Billiger Betrieb und höhere Leistungsfähigkeit. Verwendung von Kanalarfen in verschiedenen Industrien. Konstruktions Einzelheiten. Schluss folgt.

Eisenkonstruktionen, Brücken.

Tal-Y-Cafn bridge. (Engng. 12. Juli 01 S. 46*) mit 1 Taf. Gitterträgerbrücke über den Fluss Conway in Nord-Wales mit einer 46 m weiten Mittelloffnung, zwei 27 m weiten Seitenöffnungen und einer 6 m weiten Landöffnung. Schaubild und Zeichnungen von Einzelheiten.

The Chicago Coliseum roof. (Eng. Rec. 29. Juni 01 S. 627*) Die Blätter des genannten Gebäudes sind Dreiecksträger; die Entfernung von Kämpfergelenk zu Kämpfergelenk beträgt 43,6 m, die Höhe zwischen Kämpfergelenken und Scheiteltgelenk 20,3 m. Einzelheiten der Eisenkonstruktion.

A steel car barn roof. (Eng. Rec. 23. Juni 01 S. 602*) Der dargestellte eiserne Dachbinder ist ein zusammengesetzter Polonceau-Träger mit aufgesetzter Lüftlaterne.

A 4427-foot span in an electric transmission line. (Eng. Rec. 22. Juni 01 S. 590/93*) Darstellung der Abspanttürme für die Kabel der in Zeitschriftenschau vom 6. Juli 01 unter »Spanning Carquinez straits with a high-potential transmission line« erwähnten Kraftübertragungsanlage. Einzelheiten der Verankerung, der Isolatoranordnung auf den Türmen. Beanspruchung der Türme durch Winddruck und Kabelzug.

Elektrotechnik.

Ueber die Transformatoreigenschaften der Gleichstromarmatur. Von Eichberg. (Elektrot. Z. 11. Juli 01 S. 563/64*) Theoretische Abhandlung über die Verteilung der Spannung im Anker und im Kommutator einer Gleichstromdynamo.

A study in electro-hydraulics. Von Pattison. (Eng. News 4. Juli 01 S. 4/6*) Verwendung eines Elektromotors zum Antrieb einer Schraubenpumpe. Bauart Quimby. Elektromotorisch getriebene Quimby-Pumpe zur Erzeugung von Druckwasser zum Betriebe von Aufzügen. Wirtschaftlichkeit einer solchen Anlage. Elektromotorpumpen für Feuerlöschzwecke.

Einige Untersuchungen über Normalelemente. Von Rupp. Forts. (Elektrot. Z. 11. Juli 01 S. 564/65) Innerer Widerstand des Clark-, des Weston- und des Cadmiumelementes. Schluss folgt.

Note sur un nouvel appareil électrolytique permettant la démonstration rapide des lois de Faraday. Von de la Roeyere. (Ann. Assoc. Ing. de Gand 01 Heft 2 S. 101/08*) Erklärung des Voltameters und Durchrechnung mehrerer Beispiele zur Erläuterung der elektrolitischen Vorgänge.

Schutzvorrichtung gegen schädliche Überspannungen. Von Denischka. (Elektrot. Z. 11. Juli 01 S. 569/74*) Vortrag über Wirkungsweise und Konstruktion von Schutzvorrichtungen der Allgemeinen Elektrizitäts-Gesellschaft gegen atmosphärische Entladungen. Meinungsaustausch.

¹⁾ Die Zeitschriftenschau wird, nach den obigen Stichwörtern in Vierteljahrsheften zusammengefasst und geordnet, gesondert herausgegeben, und zwar zum Preise von 3 M pro Jahrgang für Mitglieder, von 10 M pro Jahrgang für Nichtmitglieder.

Winding machine for magnetic coils. (Am. Mach. 6. Juli 01 S. 683/84*) Querschnitt und Schaubild einer einfachen Maschine zum Wickeln von Elektromagnetpolen. Einzelheiten der Vorrichtung zum Zählen der Windungen.

Erd- und Wasserbau.

La Saône canalisée et le barrage de la Mulatière à Lyon. Von Marote. (Ann. Assoc. Ing. de Gand 01 Heft 3 S. 83/100* mit 3 Taf.) Zur Schiffbarmachung der Saône sind auf einer Strecke von 407 km verschiedene Stauwerke und Schleusen angelegt. Kurze Beschreibung der einzelnen Schleusen und Uebersicht über den Schiffsverkehr auf dem Flusse. Stauwerk von Mulatière. Konstruktion der Wehre.

Section four of the New York Rapid Transit Railway. (Eng. Rec. 29. Juni 01 S. 622/24*) Beschreibung der Bauarbeiten an dem vierten Abschnitt der genannten Bahnlinie. Das Ausbrechen, die Ausmörtelung und Ausmauerung des Tunnels; die Gleisverlegung.

La construction des murs en surface gauche. Von van Haute. (Ann. Assoc. Ing. de Gand 01 Heft 3 S. 73/81*) Erläuterung eines Verfahrens zur Anlage von Mauern auf windschiefen Böschungen, insbesondere für Hafen- und Dammbauten.

The Greens Ledge lighthouse, Norwalk Harbour, Conn. (Iron Age 27. Juni 01 S. 13*) Der Leuchtturm auf Greens Ledge ruht auf einem mächtigen Felspfeiler, der von einem aus gusseisernen Többlings zusammengesetzten Mantel umgeben ist. Eingehende Darstellung des Bauvorganges.

Feuerungsanlagen.

Wie soll man den Planrost beschicken? Von Blacher. (Riga Ind. Z. 15. Juni 01 S. 177/83*) Theorie des Verbrennungsvorganges. Regenerativfeuerung von C. Haupt in Brigg. Feuerung von Scholz-Knaudt. Verbrennungsvorgang in der Donnoley- und der Tenbrink-Feuerung. Uebersetzung der gewonnenen Anschauungen auf den Planrost. Schluss folgt.

Gesundheitsingenieurwesen.

The proposed sewerage and drainage systems of Havana. (Eng. Rec. 22. Juni 01 S. 593/95*) Entwürfe für die Anlagen zur Abführung der Regenwässer und der Schmutzwässer in Havana. Angaben über die Bevölkerungsziffer, die Regenstärke und die sonstigen den Entwürfen zugrunde gelegten Zahlen.

Gießerei.

The foundry, its equipment and management. Von Gilmore. (Iron Age 20. Juni 01 S. 12/21*) Besprechung zweier vom Verfasser aufgestellter Entwürfe für eine moderne (Gießerei) größten Umfanges und für eine kleinere Gießerei. Ausrüstung von Gießereien, Betriebsführung.

Fitting up a brass foundry. (Am. Mach. 6. Juli 01 S. 690/91*) Kurze Beschreibung einer kleinen Gelbfarberlei: Einzelheiten der Tiegelöfen, der Trockenöfen für die Kerne, der Werkbänke für die Formen.

Molding a crosshead guide with a pattern which makes its own core. Von Palmer. (Am. Mach. 6. Juli 01 S. 686/88*) Eingehende Beschreibung des Einformens einer symmetrischen runden Kreuzkopfführung. Gussform und Kern werden mittels desselben Modells hergestellt.

Hebengeräte.

The Otis double power hydraulic elevator. Von Baxter. (Am. Mach. 13. Juli 01 S. 713/16*) Eingehende Beschreibung einer von der Otis Elevator Co. getroffenen Einrichtung, durch die eine wesentliche Energieersparnis beim Heben leichter Lasten erreicht wird. Es sind zwei Druckwassersammler angeordnet, deren Drücke sich etwa wie 1 zu 2 verhalten. Bei leichten Lasten kommt das niedriger gespannte Wasser zur Verwendung.

Heizung und Lüftung.

Gedanken und Vorschläge über Heizungsanlagen. Von Ritt. (Gesundheitsz. 15. Juli 01 S. 205/06*) Einführung und Verteilung der frischwarmen Luft. Entfernung der kalten Luft aus den Räumen.

Heating the Reptile House at Bronx Park, New York. (Eng. Rec. 22. Juni 01 S. 608/04*) Das einstöckige Reptilienhaus im Zoologischen Garten zu New York ist mit einer Niederdruck-Warmwasserheizung versehen, die kurz beschrieben wird.

Maschinenteile.

Table for the strength of gear teeth by diametral pitch. (Am. Mach. 6. Juli 01 S. 689/90) Die von der New Britain Machine Company aufgestellte Tabelle gründet sich auf die bekannte Formel von Lewis $W = \frac{epf}{p}$, worin W die zu übertragende Umfangskraft, e die zulässige Beanspruchung, p die Zahnteilung, f die Zahnbreite und y ein von der Zahnzahl und der Zahnform abhängiger Faktor ist.

Roller thrust bearing. Von Pratt. (Am. Mach. 13. Juli 01 S. 705*) Schaubild eines Rollenspurfahrens. Die Rollen sind ganz kurze Cylinder und in 2 spiralförmigen Kurven angeordnet.

Materialkunde.

Machine cast foundry pig iron. Von Colby. (Iron Age 20. Juni 01 S. 22 mit 1 Taf.) Kurze Bemerkung über die Vorzüge des in Metallformen gegossenen Roh Eisens vor dem in Sandformen gegossenen. Photographische Wiedergabe mehrerer Bruchflächen beider Eisensorten.

On the engineering difficulties attending a proper inspection of cement. Von Coleman. (Journ. Ass. Eng. Rec. Mai 01 S. 305/14*) Der Verfasser erläutert in längeren Ausführungen, weshalb die bisherigen Zementprüfverfahren unvollkommen sind. Meinungsaustausch.

Mechanik.

Ueber den Einfluss des Raddurchmessers auf den Kraftbedarf der Automobile. Von Müller. Forts. (Motorwagen 30. Juni 01 S. 156/58) Ermittlung des Zusammenhanges zwischen rollender Reibung, Raddruck und der Einsenkung bei starren Reifen. Forts. folgt.

Beitrag zur Theorie der Bewegung des Wassers in geschiefbeführenden Rinne. Von Meythaler. (Schweiz. Bauz. 13. Juli 01 S. 12/13*) Da die bisherigen Verfahren zur Ermittlung der Bewegung des Wassers in Gerinnen mit beweglicher Sohle unvollkommen sind, sucht der Verfasser durch aufgeschriebene Kurven diese Bewegungsformen zu veranschaulichen.

Metallbearbeitung.

Boring machine at the Glasgow Exhibition. (Engng. 12. Juli 01 S. 46*) Die von Sharp, Stewart & Co. gebaute Bohrmaschine mit wagerechter Spindel dient zum Ausbohren der Cylinder und Hahngeläuse von Corliss-Dampfmaschinen. Der rd. 900 x 1200 mm große Tisch ist nach allen Richtungen verschiebbar.

A special milling and boring machine for small lathe beds. (Am. Mach. 6. Juli 01 S. 681*) Schaubild einer von der Automatic Machine Co. in Greenfield, Mass., gebauten wagerechten Bohr- und Fräsmaschine.

Universal and cutter grinder. (Engng. 12. Juli 01 S. 46*) Darstellung einer von A. Falkenau in Philadelphia gebauten Schleifmaschine mit 2 Schleifscheiben und 2 Aufspannfuttern, von denen eines für schräge Einspannung der Achse des zu schleifenden Fräasers oder Zahnrades bestimmt ist.

Testing ram pressures in presses. Von Smith. (Am. Mach. 6. Juli 01 S. 681/83) Der Verfasser berichtet über seine Versuche, ein brauchbares Vergleichsmaß für die Leistung von Pressen zu finden. Er empfiehlt, Kupfercylinder oder der Billigkeit halber Cylinder aus weichen Schmiedeleisen als Versuchskörper zu benutzen, deren Formänderung das gewünschte Maß liefert.

Die forking. V. Von Horner. (Engng. 12. Juli 01 S. 87/88*) Schmiedewerkzeuge für Schubstangen mit gegabelten Enden.

An improved blanking and piercing die, and two bending dies. Von Doran. (Am. Mach. 13. Juli 01 S. 711/13*) Darstellung und Erläuterung der Verwendungsweise mehrerer Stempel und Matrizen, die bei der Herstellung vielfach gebogener Blechgegenstände für Hogenlampen benutzt werden.

Motorwagen und Fahrräder.

Die Entwicklung des Spiritusmotors und dessen Anwendung bei Automobilen. Schluss. (Motorwagen 30. Juni 01 S. 153/56) Bericht über ältere Konstruktionen und Versuche mit Spiritusmotoren. Berechnung der Brennstoffkosten. Fahrversuche mit Kraftwagen, die mit Spiritusmotoren betrieben wurden.

Light oil motor cars. II. Von Longridge. (Engineer 12. Juli 01 S. 28/29) Erzeugung des Gasgemisches bei verschiedenen Motoren und bei verschiedenen Brennstoffen.

Lorry automobile pour le transport des dépêches. (Rev. Ind. 6. Juli 01 S. 263*) Kurze Beschreibung eines auf der Lokalbahn von Marnes nach Saint-Germain im Betrieb befindlichen Depeschewagens. Er ruht auf 4 leichten mit Spurräuren versehenen Rädern und ist mit einem 8pferdigen Daimler-Motor ausgerüstet.

Die Marot-Gardon Voiturette. (Motorwagen 30. Juni 01 S. 162/63*) Zweisitzer mit 6pferdigem liegendem Motor und Wasserkühlung. Einzelheiten des Getriebes, das dem Wagen 3 verschiedene Fahrgeschwindigkeiten anzunehmen gestattet.

Motorwagen-Kühlstein-Vollmer. Von Conrad. (Motorwagen 30. Juni 01 S. 158/62*) Besprechung der Vorteile des Klemmenantriebes. Forts. folgt.

Schiffs- und Seewesen.

On freeboard. Von Denny. (Engng. 5. Juli 01 S. 29/30*) Geschichtlicher Ueberblick über die Entwicklung der Frage des Freibords bei englischen Schiffen.

A solution of the vibration problem. Von Macalpine. (Engng. 12. Juli 01 S. 63/66*) Vortrag vor der Institution of Naval Architects über den Ausgleich der hin- und hergehenden Massen an Schiffsmaschinen. Forts. folgt.

The transverse strength of ships. Von Bruhn. (Engng. 5. Juli 01 S. 30/34*) In einer längeren Abhandlung leitet der Verfasser

ein Verfahren zur Ermittlung der Beanspruchung in den Querträgern von Ein- und Zweidecksschiffen ab. Besprechung der äußeren Kräfte, die hierbei in Betracht gezogen werden müssen. Beanspruchung der Stringerplatten, Schotten und freitragenden Deckstützen. Kräfte, die in den Trägern infolge heftiger Bewegungen der Schiffe in See auftreten.

Les marines de guerre modernes. Von Chasseloup-Laubat. Forts. (Bull. d'Ingenieur, Juni 01 S. 838-841) Panzerschiffe und Kreuzer der französischen Marine. Forts. folgt.

Trials of H. M. first-class battle-ship "Vengeance". (Engng. 12. Juli 01 S. 59) Das Panzerschiff von 13000 t Wasserverdrängung hat zwei Maschinen von zusammen 13500 PS, die dem Schiffe 18,5 Knoten Geschwindigkeit erteilen. Bei 2885 PS fuhr das Schiff 11,35, bei 10387 PS: 17,5 Knoten.

H. M. cruiser "Leviathan". (Engineer 12. Juli 01 S. 46-47) Das auf der Clydebank-Werft gebaute Schiff ist 162 m lang, 22 m breit und hat 8 m mittleren Tiefgang. Die beiden Maschinen sollen 30000 PS entwickeln und dem Schiffe 23 Knoten Geschwindigkeit erteilen.

Hydraulically-operated bulkhead doors, constructed by Messrs. J. Stone & Co., Engineers, London. (Engng. 12. Juli 01 S. 48*) Die Druckwassercylinder können vom Oberdeck und vom Ort aus hydraulisch und mechanisch gesteuert werden. Die Kolben der beiden gleichachsigen liegenden Cylinder sind durch eine Zahnstange verbunden, die auf ein Zahnrad wirkt. Von der Welle des Zahnrades wird die Schieberhülse wieder durch Zahnräder und Zahnstangen bewegt.

Seil- und Kettenbahnen.

Cabling the Edinburgh tramways. I. (Engineer 12. Juli 01 S. 27-28*) Die Seilbahn umfasst ein Netz von 69 km Länge. Ihre Spurweite beträgt 618 mm. Die Seilen sind auf Beton gelagert. Darstellung der Seilenprofile. Angaben über die Abmessungen und Kosten der Wagen. Konstruktion der Greifer.

Straßenbahnen.

Tramcar emergency brake, constructed by the British Electric Car Company, Limited, London. (Engng. 13. Juli 01 S. 61*) Darstellung einer Seilenbremse, deren Bremsbacken an zwei gelenkigen Kniehebeln hängen und durch Federn hochgehalten werden. Durch Zugstange und Hebel werden die Kniehebel gestreckt und die Backen gegen die Seilen gedrückt.

Some effects of poor rail bonding. (Eng. Rec. 22. Juni 01 S. 601-602*) Mitteilung über elektrolitische Zerstörungen an Gas- und Wasserleitungsröhren in Norristown, Pa., die auf schlechte Seilenverbindungen der Straßenbahngleise zurückzuführen sind.

Gebühren für technische Sachverständige bei Gericht.

Die Frage, welche Gebühren Ingenieure für ihre Thätigkeit als Sachverständige bei Gericht zu berechnen berechtigt sind, wird seit vielen Jahren im Verein deutscher Ingenieure, in seinen Bezirksvereinen usw. erörtert).

Immer wieder wird die Klage erhoben, dass die Gerichte sich weigern, für solche Arbeit mehr als die in § 2 der Gebührenordnung vom 30. Juni 1878 vorgesehenen 2 M für die Stunde zu vergüten, und immer wieder wird der Wunsch ausgesprochen, dass der Verein deutscher Ingenieure Schritte thun möchte, um eine Aenderung dieser Zustände herbeizuführen. Die Gründe, weshalb das bisher nicht geschehen ist, sind in W. 1882 Beilage zu Nr. 33 mitgeteilt; sie kommen im wesentlichen darauf hinaus, dass die Gebührenordnung nur mittels eines auf verfassungsmäßigem Wege zustande gekommenen Reichsgesetzes geändert werden kann, also durch gemeinsame Beschlüsse des Reichstages und des Bundesrates, und dass die Reichsbehörden sich nicht bereit finden lassen, um dieses einen Punktes willen das ganze umständliche Triebwerk der Gesetzgebung in Gang zu setzen.

Es sind aber im Laufe der Zeit wiederholt aus den Kreisen der Ingenieure Fälle mitgeteilt worden, aus denen hervorgeht, dass die Gerichte sich zu einer günstigeren Wertschätzung der Mitarbeit, die ihnen die Ingenieure als Sachverständige leisten, bewegen lassen, wenn die Ansprüche auf höhere Gebühren berechtigt sind und mit Nachdruck vertreten worden. Einige solcher Fälle sind in dieser Zeitschrift (Z. 1898 S. 275; 1897 S. 174; 1899 S. 758) mitgeteilt; in der Regel wurde der Anspruch auf höhere Vergütung aus § 4 der Gebührenordnung hergeleitet, welcher lautet:

„Bei schwierigen Untersuchungen und Sachprüfungen ist dem Sachverständigen auf Verlangen für die aufgetragene Leistung eine Vergütung nach dem üblichen Preise derselben und für die außerdem

Z. 71 S. 724; W. 81 S. 154, 132, 205, 239; W. 83 Beilage zu Nr. 33; W. 82 S. 374; W. 83 S. 154; Z. 92 S. 1413; Z. 93 S. 425 u. 877; Z. 96 S. 375; Z. 97 S. 174; Z. 99 S. 758.

Textilindustrie.

Ueber Berechnung der Drehung der Gespinste. Von Rosakoth. (Leipz. Monatschr. Textilind. 30. Juni 01 S. 404/07*) Eingehende Abhandlung über die Entstehung und Berechnung der Drehungszahl bei der Flügeldrossel, der Ringdrossel und dem Selfactor.

Behandlung der Jute für den Spinnprozess mit Rücksicht auf die Verschiedenheit im Ausfall der Jute-Ernte. Schluss. (Leipz. Monatschr. Textilind. 30. Juni 01 S. 407/08) Behandlung gut gereifter Jute von starker und schwacher langer Faser, von nicht ganz ausgereifter Jute und stark wurseliger Jute. Das Rauchen, das Strecken und das Vornimmen der Jute.

Die Vorbereitung der Kette. Von Horlbeck. (Leipz. Monatschr. Textilind. 30. Juni 01 S. 410/12) Das Spulen, Scheren und Leimen der Kette bei Maschinen- und Handbetrieb. Schluss folgt.

Strickmaschinennadeln. Von v. Glasser. (Leipz. Monatschr. Textilind. 30. Juni 01 S. 416*) Nadelkonstruktionen von G. Ebner in Hainichen, F. Rabe, Lise & Reuter und Joseph Reister, sämtlich in Chemnitz.

Wasserversorgung.

Gegen die Thalsperren als Quelle der Trinkwasserversorgung der Städte. Von Glass. (Gesundtsing. 15. Juli 01 S. 207/12) Das Wasser in den Thalsperren enthält zu viel Keime und ist deshalb gesundheitsschädlich. Als ideales Mittel wird die Grundwasserversorgung empfohlen. Verfahren, mittels Wiesenerleesung Oberflächennasser zu reinigen. Forts. folgt.

Neue Wasserversorgung der Stadt Schweinfurt. (Gesundtsing. 15. Juli 01 S. 201/05* mit 1 Taf.) Grundwasserversorgungsanlage mit 40 Bohrbrunnen. Eingehende Beschreibung der Vorarbeiten; Geologische Verhältnisse der Oertlichkeit; Anlage und Betrieb der Versuchsbrunnen; chemische Untersuchung der Bohrlochwasser. Schluss folgt.

Werstätten und Fabriken.

Die Mehrphasen-Kraftverteilung der Deering Harvester Co. in Chicago. (Schweiz. Bauz. 13. Juli 01 S. 16/19*) Nach dem endgültigen Ausbau sollen in den Anlagen, in denen Werkzeugmaschinen, Messer, Gussteile usw. hergestellt werden, 5500 KW zum Betriebe der Arbeitmaschinen zur Verfügung stehen. Die Motoren werden durch Drehstrom von 40 Per./sk betrieben. Angaben über die Motoren und Schallvorrichtungen. Schluss folgt.

Zementindustrie.

A combined clinker cooler and air heater. (Eng. Rec. 29. Juni 01 S. 628*) Darstellung einer bei der Nazareth Cement Co. in Gebrauch befindlichen Vorrichtung zum Kühlen der in den Drehretorten gebrannten Steine und zum gleichzeitigen Anwärmen von Luft.

stättfindende Teilnahme an Terminen die in § 3 bestimmte Vergütung zu gewähren.“

und ferner auf § 13 Absatz 1:

„Soweit für gewisse Arten von Sachverständigen besondere Taxvorschriften bestehen, welche an dem Orte des Gerichtes, vor welchem die Ladung erfolgt, und an dem Aufenthaltsorte des Sachverständigen gelten, kommen lediglich diese Vorschriften in Anwendung.“

Kürzlich ist uns wieder ein solcher Fall mitgeteilt worden, über dessen Hergang wir von dieser Stelle zu nutz und frommen unserer Fachgenossen zu berichten für geboten erachten. Wir entnehmen dem Brief Folgendes:

„Am 30. März d. J. reichte ich dem kgl. Amtsgericht zu S. (Rheinland) zugleich mit meinem Gutachten und dem mir zum Studium überlassenen Prozessakten die von mir aufgestellte Gebührenrechnung ein. Das Amtsgericht schickte mir die Stücke zurück mit dem Ersuchen, ein mir vorgelegtes, gedrucktes Formular zur Berechnung der Vergütung und Reiseentschädigung auszufüllen, wie auch anstelle des für Anfertigen des Gutachtens mit 4 M für die Stunde angesetzten Betrages einen solchen von 2 M in Ansatz zu bringen, da nach der Gebührenordnung ein höherer Betrag nicht zugestanden werden könne.“

Diesen Anforderungen zu entsprechen, wurde mittels Schreibens vom 10. April unter Hinweis auf §§ 4 und 13 der Gebührenordnung abgelehnt, und im Anschluss daran wurde ausgeführt:

„Solche Taxvorschriften existieren für Ingenieurarbeit gemäß dem Beschlusse der Delegation-Versammlung des Vereines deutscher Ingenieure in Gotha vom Jahre 1878 und haben für das ganze Deutsche Reich Geltung.“

„Im Uebrigen ersuche ich höflichst, aufgrund des § 17 Absatz 1 der Gebührenordnung meine Liquidation an das kgl. Landgericht in E. (Westfalen) weiterzugeben.“

Darauf erschien am 18. April ein Bote des Amtsgerichtes in S. mit einem bereits ausgefüllten Formular der schon oben erwähnten Berechnung und wollte mir den darauf vermerkten Betrag, welcher denjenigen meiner Forderung wesentlich unterschritt, einhändigen. Die Annahme wurde verweigert und dies dem Amtsgericht in S. am 30. bestätigt.

Am 26. April wurde beim Oberlandesgericht in H. (Westfalen) Beschwerde eingereicht, in der u. a. ausgeführt wurde, dass die Weigerung der Gerichte, den Ingenieuren die ihnen gebührende Vergütung zu zahlen, zur Folge haben werde, dass die Ingenieure sich der von den Gerichten gewünschten Thätigkeit soviel wie irgend möglich zu entziehen suchen würden.

Das Oberlandesgericht überwies die Sache dem für das Amtsgericht in S. zuständigen Landgericht, welches den Nachweis verlangte, dass es für Ingenieure Taxvorschriften gäbe, und dass der berechnete Satz von 4. M für die Stunde die übliche Vergütung bilde. Dieser Nachweis wurde durch Einsendung der Honorarnormen für Ingenieure und Architekten erbracht, und darauf erfolgte Entscheidung des Landgerichtes, in welcher der Anspruch auf eine Vergütung von 4. M für die Stunde anerkannt wurde.

Die Begründung des Urteils enthält folgende Ausführungen:

»Der Sachverständige hat zur Glaubhaftmachung dieser Behauptung die von der Delegiertenversammlung deutscher Ingenieure in Gotha am 12./13. April beschlossenen und seitdem in Ingenieurkreisen als maßgebend betrachteten Honorarnormen für maschinen-technische und Ingenieurarbeiten vorgelegt, welche unter 1b besagen, dass bei Gutachten die Stunde der in der Wohnung oder dem Geschäftslokal aufgewendeten Zeit

mit 4. M berechnet werden soll. Diesen Honorarnormen ist indessen nicht die Bedeutung besonderer Taxvorschriften im Sinne des § 13 Absatz 1 Geb.-Ordnung beizulegen, da sie weder amtlich erlassen, noch behördlich genehmigt sind, vielmehr lediglich privater Vereinbarung ihre Entstehung und Geltung verdanken. Erwägt man aber, dass nach § 4 Geb.-Ordnung bei schwierigen Untersuchungen und Sachprüfungen dem Sachverständigen auf Verlangen für die aufgetragene Leistung eine Vergütung nach dem üblichen Preise derselben auch über den Satz des § 3 hinaus zu gewähren ist, dass im vorliegenden Falle eine solche schwierige Untersuchung offenbar infrage kommt und für deren Preisbestimmung die bezogenen Honorarnormen den bei Ingenieurarbeiten üblichen Maßstab bilden, so erscheint es geboten, dem Beschwerdeführer für die Anfertigung des Gutachtens eine Vergütung von $35 \times 4 = 140$ M zuzubilligen. Die Anwendung der fraglichen Honorarnormen hat sich jedoch auf diese Vergütung zu beschränken. Die übrigen dem Sachverständigen zu gewährenden Beträge beziehen sich, abgesehen von den ihm zu erstattenden Auslagen für Analysen, Abschrift des Gutachtens usw., lediglich auf die Wahrnehmung des Beendigungstermines vom 8. Februar 1901 und auf die von dem Sachverständigen ausgeführte Reise nach der Grube der Klägerin und sind seitens des Amtsgerichtes zutreffend unter Zugrundelegung der Bestimmungen der Gebührenordnung für Zeugen und Sachverständige festgesetzt worden.«

Rundschau.

Die W. H. Beard Dredging Co. in New York hat einen Greifbagger gebaut, dessen Schaufeln durch Druckluft geöffnet und geschlossen werden, ein neues und eigenartiges Beispiel dafür, wie beliebt in Amerika die Anwendung von Druckluft ist¹⁾. Bei den üblichen Konstruktionen der Greifbagger wird die Drehung der Schaufeln durch Ketten veranlasst, und in dieser Anordnung ist es begründet, dass der Greifkorb sich erst auf den Boden fest aufsetzen muss, bevor man ihn schließen kann; auch wird durch den Zug der Kette das Gewicht des zu hebenden Baggergutes beschränkt.

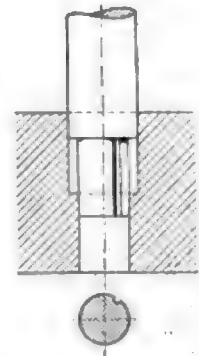
Bei den in der Figur dargestellten Greifschaufeln sollen diese Uebelstände dadurch vermieden werden, dass zum Öffnen und Schließen ein Druckzylinder angewendet wird. An der Baggerkette hängt ein Rahmen, der den Zylinder, die Kreuzkopfführung und die festen Zapfen einer doppelt ausgeführten Schubkurbelkette trägt, deren Prisma durch den Kreuzkopf des Druckluftkolbens gebildet wird, und deren Kurbelzapfen Schaufeldrehpunkt ist.

Einige Schwierigkeiten bereitete die Aufgabe, die beiden Seiten des Druckluftzylinders mit dem auf dem Floss befindlichen Druckluftbehälter so zu verbinden, dass die Schaufeln ungehindert auf- und abwärts bewegt werden können. Man hat hierzu an jede Zylindersseite einen Schlauch angeschlossen und die Schläuche um eine Winde gelegt, die auf dem oberen Auslegerbalken untergebracht ist. Vom Druckluftbehälter führen 2 Rohrleitungen zu den hohlen Zapfen der Schlauch-

winde und in diese Zapfen münden auch die beiden Schläuche. Beim Senken der Schaufeln werden die Schläuche durch das Gewicht der letzteren von der Winde abgewickelt. Die sich drehende Winde hebt aber gleichzeitig mithilfe eines Seiles ein Gewicht, das auf einer Führung am Ausleger gleitet. Wenn die Schaufeln gehoben werden, so versetzt das sich senkende Gewicht die Schaufelwinde in Drehung, und die Schläuche wickeln sich wieder auf. Zum Steuern dient ein Dreiwegehahn, der auf dem Floss angebracht ist.

¹⁾ Engineering News 2. Mai 1901 S. 327.

Bei der bekannten Firma H. Bollietx in Brüssel wird beim Aufpressen von scheibenförmigen Körpern auf Achsen folgendes Verfahren eingeschlagen²⁾. Die einzupressende Achse wird, wie es die Figur zeigt, abgedreht; die Scheibe erhält zwei entsprechende Ausbohrungen. Der an die Achse angeordnete Zapfen hat eine Länge gleich der halben Scheibenstärke. Beim Einpressen wird also auch nur ein Weg von der halben Scheibenstärke unter Druck zurückgelegt. Außerdem wird die Achse auf diese Weise sehr gut geführt. Der Zapfen ist mit einer halbkreisförmigen Nut versehen, durch welche die zwischen Schulter von Achse und Scheibe eingeschlossene Luft entweichen kann.



In dem ersten Heft seiner Mitteilungen aus dem Maschinenbaulaboratorium der Kgl. Techn. Hochschule zu Berlin hatte Professor Josse über eine Abwärme-Kraftmaschine berichtet, durch welche die in dem Abdampf einer Dampfmaschine enthaltene Energie dadurch nutzbar gemacht wird, dass man sie zum Betriebe einer Schwefligsäure-Maschine verwendet. Die ersten Versuche³⁾ hatten bei einer Verbunddampfmaschine von 340 und 530 mm Cylinderdurchmesser und 500 mm Hub durch Hinzufügen eines Schwefligsäure-Motors eine Mehrleistung von 56 vH, d. h. einen Dampfverbrauch von nur 5,5 kg/PSi statt früher 8,6 kg/PSi ergeben.

Seither hat Professor Josse die Versuche auf diesem Gebiete eifrig fortgesetzt und ist nach seiner neuesten Veröffentlichung⁴⁾ zu noch weit günstigeren Ergebnissen gelangt. In der Technischen Hochschule zu Berlin befindet sich eine Dreifachexpansionsmaschine von 150 PS mit Cylinderdurchmessern von 370, 430 und 650 mm, 500 mm Hub und 150 Uml/min, die sich ihrer Bauart nach besonders gut zum Anfügen einer Abwärme-Kraftmaschine eignete. Es wurde ein Schwefligsäure-Cylinder mit Ventilsteuerung von 266 mm Dmr. und 500 mm Hub eingebaut und ein Röhren-Verdampfer von 3 m Länge, 800 mm innerem Dmr. und 70 qm wirksamer Oberfläche, sowie ein ähnlich gebauter Kondensator von gleicher Länge, 1040 mm Dmr. und 160 qm Oberfläche aufgestellt. Zur Förderung der im Kondensator verflüssigten schwefligen Säure in den Verdampfer dient eine kleine Pumpe, die durch ein Exzenter angetrieben wird und etwa 0,75 vH der gesamten Maschinenleistung erfordert.

Diese Abwärme-Kraftmaschine ist während einer sechsmonatigen Betriebszeit zahlreichen Versuchen unterworfen

²⁾ Engineering News 2. Mai 1901 S. 327.

³⁾ Z. 1899 S. 1604.

⁴⁾ Mitteilungen aus dem Maschinenbaulaboratorium der kgl. Techn. Hochschule zu Berlin III. Heft.

worden und hat im günstigsten Falle bei einem Dampfverbrauch der Dampfmaschine von 5 kg/PS₁-st 34,8 vH der Dampfmaschinenleistung geliefert, sodass sich der Dampfverbrauch der vereinigten Maschine auf 3,74 kg überhitzten Dampf stellt. Der ungünstigste aller angeführten Versuche zeigt einen Dampfverbrauch von 4,98 kg, ebenfalls bei Ueberhitzung. Bei einer andern Versuchsreihe arbeitete die Maschine mit ausgeschaltetem Mitteldruckcylinder, und man erzielte fast dieselben Ergebnisse; der Dampfverbrauch

führt ist¹⁾. Sie dient dazu, die Koks, die aus den Oefen gezogen werden, aufzunehmen und unmittelbar in Eisenbahnwagen zu verladen. Die Einrichtung besteht aus einem fahrbaren Rahmen, zwischen dessen Seitenwangen ein rechteckiges, schräggelagertes Gefäß auf und nieder bewegt werden kann. Durch Kurvenführung wird erreicht, dass dieses Gefäß beim Heben sich zuerst lotrecht nach oben bewegt und dann eine seitliche Verschiebung erhält, sodass die Gefäßmündung über dem Eisenbahnwagen liegt. Die Mündung ist durch ein Gitter

Fig. 1.

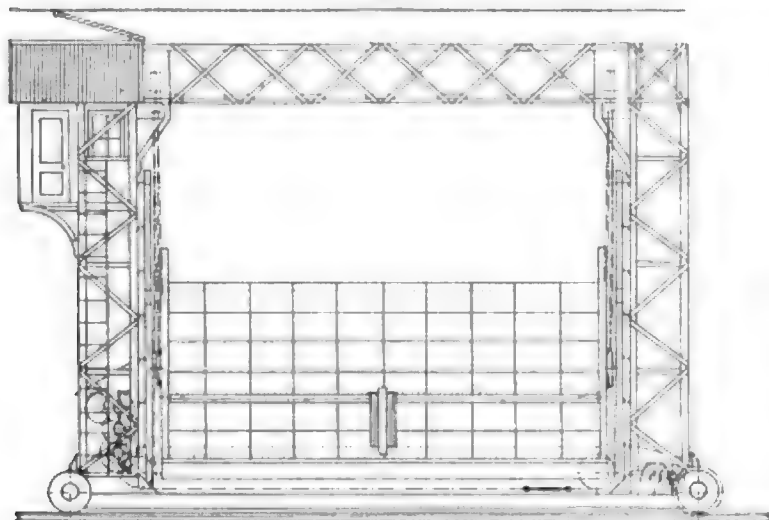
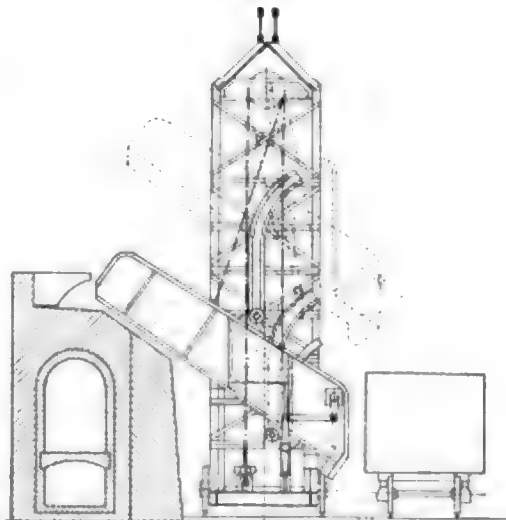


Fig. 2.



schwankte nämlich zwischen 4,33 und 4,73 kg/PS₁-st, wobei der Dampf wie zuvor überhitzt war. Bei der Anwendung von gesättigtem Dampf stieg der Verbrauch auf 5,15 kg.

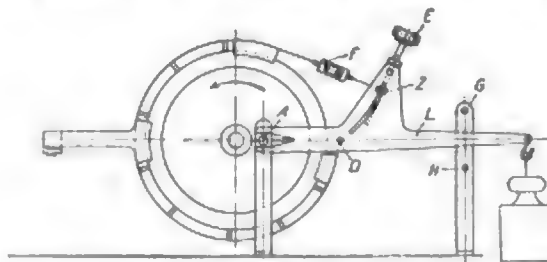
Während bei der Anlage in der technischen Hochschule der Schwefligsäure-Cylinder mit der Dampfmaschine zu einem einheitlichen Ganzen verbunden ist, besteht eine beim Erscheinen des Josseschen Berichtes nahezu betriebsfertige Abwärmemaschine des Kraftwerkes der Berliner Elektrizitätswerke in der Markgrafenstraße als selbständige Maschine für sich. Dort laufen stehende 360pferdige Verbundmaschinen, die einen Dampfverbrauch von rd. 8,2 kg/PS₁-st haben. Die Abwärmemaschine ist mit einer Dynamomaschine gekuppelt, die auf das Kabelnetz arbeitet. Sie ist eincylindrig, hat 450 mm Cylinderdurchmesser, 500 mm Hub und leistet bei 130 Uml./min 150 PS.

Die Maschine hat einen kräftigen Gabelrahmen, an den sich der durch einen Fuß gestützte Cylinder anschließt. Der Rahmen ist mit einer Art Laterne versehen, um die lange Stopfbüchse aufzunehmen und bequem zugänglich zu machen. Der Cylinder wird durch einen Kolbenschieber gesteuert, der von einem mit einem Achsenregulator verbundenen Exzenter angetrieben wird. Der Regulator hat im wesentlichen nur das Durchgehen der Maschine bei plötzlicher Entlastung zu verhüten. Eine eigentliche Regulierung ist unnötig, weil die Dynamos der Dampf- und der Abwärmemaschine sich gegenseitig beeinflussen, indem sie auf dasselbe Netz arbeiten.

Bei dieser Anlage werden ein Verdampfer und 2 Kondensatoren verwendet. Der Kondensator musste wegen der schwierigen Zugänglichkeit des Maschinenraumes geteilt werden. Die Schwefligsäure-Pumpe ist unter dem Fußboden aufgestellt und wird durch eine auf der Maschinenwelle sitzende Kurbel mittels einer Lenkstange angetrieben. Zum Wegschaffen des Kondensats aus dem Verdampfer wird die Luftpumpe des vorhandenen Einspritzkondensators der Dampfmaschine verwendet, wobei gleichzeitig das etwa abfließende Kühlwasser mit abgesaugt wird. Diese Anordnung hat den Vorzug, dass bei Betriebsstörung der Abwärmemaschine die Dampfmaschine einfach umgeschaltet und mit Kondensation betrieben werden kann. Für den Schwefligsäure-Kondensator steht das für die Dampfmaschine vorhandene Einspritzwasser zur Verfügung, das aus Tiefbrunnen beschafft wird und eine gleichmäßige Temperatur von 10° hat.

verschlossen, das von Hand oder durch maschinelle Einrichtungen geöffnet werden kann. Zum Antrieb der Vorrichtung wird elektrischer Strom verwendet, der einer Oberleitung entnommen wird.

Seit einem Jahre ist auf dem Versuchsfelde des Charlottenburger Werkes der Firma Siemens & Halske A.-G. eine einstellbare Bandbremse²⁾ in Betrieb, bei der sich die Bremsklötze auf der Bremscheibe nicht festbremsen können, sodass die Bremse, einmal eingestellt, ohne Aufsicht gelassen werden kann. Der gabelförmige Hebel *l*, der in Fig. 1 dargestellten Bremse trägt einen Ansatz, in dem eine kreisbogenförmige Führung für den Gleitschuh *z* ausgearbeitet ist. An diesen Gleitschuh ist das freie Ende des Bremsbandes angeschlossen, während das andere Ende bei *D* an dem Bremshebel befestigt ist. Beim Anlassen des Motors befindet sich



der Gleitschuh *z* in der höchsten Lage, sodass das Bremsband lose ist; er wird dann mithilfe der Schraube *E* allmählich in der Führung vorgeschraubt und dadurch der Druck auf die Bremsklötze verstärkt. Das vordere Ende des Bremshebels ist gegabelt und greift um den Zapfen *A*, während das hintere Ende, an welchem das Gewicht hängt, zwischen 2 Stiften *G* und *H* pendelt; diese treten jedoch nur bei stark pendelndem Bremshebel, wenn die Bremse falsch eingestellt ist, in Tätigkeit. Das Bremsband wird so lang gemacht, dass beim Drehen der Scheibe in der Pfeilrichtung der Hebel bei *A* anliegt, ehe er an *G* anschlägt. Zu diesem Zweck ist bei *F* eine Doppelmutter eingeschaltet.

Durch den Anschlag *A* wird die Bremse entlastet, indem

Fig. 1 und 2 stellen eine Kokskippe dar, die von der Wellman Seaver Engineering Co. in Cleveland, Ohio, ausge-

¹⁾ The Iron Age 9. Mai 1901 S. 16.

²⁾ Elektrot. Z. 18. April 1901 S. 339.

sich der Hebel bei größerer Reibung von unten gegen den Anschlag legt; dadurch wird das Bremsband etwas gelöst, der Druck der Bremsklötze auf die Scheibe wird geringer, und das Festbremsen ist verhindert. Andererseits legt sich bei zu geringer Reibung der Hebel von oben auf A; dadurch wird der Druck auf die Bremscheibe und damit die Reibung vergrößert.

Die Bremscheibe hat einen ringförmigen Hohlraum und wird von innen mit Wasser gekühlt; die Bremsklötze arbeiten trocken, sodass sich die Reibungsziffer nur wenig ändern kann. Die Belastungsschwankungen werden daher sehr klein. Beim Anlaufen wird zweckmäßig etwas Talg auf die von den Bremsklötzen und der Seilenführung bedeckten Flächen der Bremscheibe gestrichen.

Im Gleichgewichtszustande müssen sich der Mittelpunkt der Bremscheibe, der Schlitz in dem Ende des Bremshebels und die Achse des Bolzens, auf dem der Gewichtshaken hängt, in einer wagerechten Linie befinden. Man stellt in der Weise ein, dass man eine an dem Hebel befestigte Feder in einem wagerechten Schlitz des Anschlages A frei spielen lässt.

Die beschriebene Ausführungsform hat den Vorzug, dass der Motor bei belasteter Bremsse in Betrieb gesetzt werden kann, was für Elektromotoren von besonderem Wert ist.

Die Gesamtlänge der in Afrika vorhandenen Eisenbahnen beträgt rd. 20000 km; davon befinden sich außer kleineren Bahnen mehr als 4500 km in britischen Kolonien und Schutzgebieten, etwas über 3200 km in Ägypten, über 4800 km in französ-

sichen Gebieten, 1930 km in Transvaal, 1180 in Natal und rd. 960 km im Orangestaat. (Nachrichten für Industrie und Handel)

Berichtigungen.

Wir tragen der Veröffentlichung über die Manhattan-Hochbahn, Z. 1901 S. 1039 und 1040, nach, dass die großen, 5000 KW leistenden Drehstromerzeuger in dem Kraft Hause dieser Bahn von der Westinghouse Electric and Manufacturing Company, Pittsburg, gebaut worden sind.

In dem Aufsatz: Der Aufbau und die planmäßige Herstellung der Drehstrom-Dynamomaschine sind

1) die Figurennummern 33 u. 32 auf S. 980 vertauscht worden.
2) S. 1024, rechte Spalte, Zeile 2 von unten lies Fig. 62 statt Fig. 61.

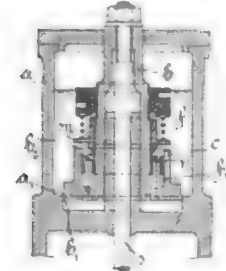
3) S. 1026, rechte Spalte, 4. Absatz von unten, vorletzte Zeile, lies Fig. 65 statt Fig. 66.

4) Ferner steht in dem Text der Aufschrift der Fig. 36, 37, 38 und 39, S. 1019, das Wort Gasmotor; statt dessen muss es lauten: Gasmotor. Die besprochenen Dynamomaschinen sind Konstruktionen der Allgemeinen Elektrizitäts-Gesellschaft.

Hr. Strnad ersucht uns, zu seinem in Z. 1901 S. 981 u. f. veröffentlichten Aufsatz über Flachregler nachzutragen, dass die in Fig. 16 bis 19 auf S. 986 und 987 dargestellten Konstruktionen von Kegel- und Flachreglern zum Patent angemeldet sind.

Patentbericht.

Kl. 14. Nr. 118447. Flüssigkeitspuffer. M. Kaufhold, Düsseldorf. Nachdem bei der Schließbewegung der Ventiltange *s* die Kanten *a*, *b* des Gehäuses *a* und des Kolbens *b* auf einander getroffen sind, wird eine unveränderliche Flüssigkeitsmenge zur Bremsung der bewegten Massen benutzt, indem die von *b* aus *a* verdrängte Flüssigkeit einen in *b* verschiebbaren Hohlkolben *r* gegen den Spannungsunterschied der Federn *f*, *f* zurückgedrängt. Wenn diese Flüssigkeitsmenge durch Verschleiss zu klein geworden ist und der Ring *m* sich vorzeitig auf *b* legt, so wird beim Anheben von *s* Flüssigkeit durch Öffnungen *c* nachgesaugt, bis *b* die Kante *a* nach oben verlässt.



sigkeit durch Öffnungen *c* nachgesaugt, bis *b* die Kante *a* nach oben verlässt.

Kl. 14. Nr. 118592. Zweistufige Dampfmaschine. C. Sondermann, Stuttgart. Die Scheidewand zwischen den Zylinderenden *c*, *c* wird durch einen lose in *c* eingesetzten Ring *r* gebildet, der durch Sprengringe *r*, *r* festgehalten und abgedichtet wird.

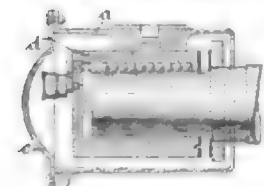


Kl. 14. Nr. 118448. Ventil- und Schieberpuffer. E. König, Aschersleben. Der mit der Ventil- oder Schieberstange *a* verbundene, im Gefäße *a* unter Öl tauchende kolbenartige Körper *b* trifft bei der Schließbewegung auf die obere Oelschicht einer an das Widerlager *f* durch eine Feder *c* angeordneten Platte *d* und drückt auf dem letzten Teil seines Weges das Öl zwischen *b* und *d* und zwischen den Blattwindungen von *e* heraus und durch die Öffnungen in *d* nach *e*. Die Spannung von *c* kann während des Ganges durch die Schraube *h* geregelt werden. Der Körper *b* ist als Schwimmer ausgebildet, um einen Teil der bewegten Massen auszugleichen.

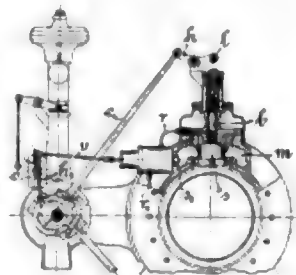


sehen den Blattwindungen von *e* heraus und durch die Öffnungen in *d* nach *e*. Die Spannung von *c* kann während des Ganges durch die Schraube *h* geregelt werden. Der Körper *b* ist als Schwimmer ausgebildet, um einen Teil der bewegten Massen auszugleichen.

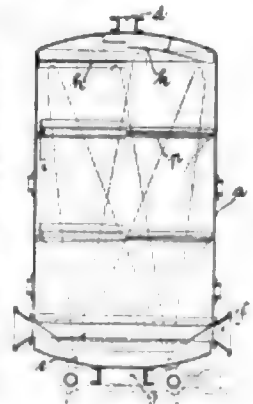
Kl. 20. Nr. 120184. Kugellager. W. Lautenschläger, Heidelberg. In dem Lagergehäuse *a* ist eine als Träger für die Lagerkugeln dienende Hülse *d* angeordnet, welche den Lagerzapfen auch an seiner Stirnseite umschließt und an der andern Seite abgedichtet ist, sodass sie als Schmierkammer dienen und nach Öffnen des Lagergehäusedeckels *c* von dem Zapfen als geschlossenes Ganzes abgezogen werden kann.



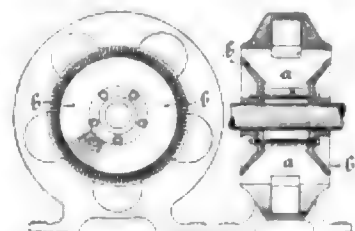
Kl. 14. Nr. 118594. Steuerung. A. Kienast, Merseburg. Der Einlassstiel *s* (Kolbenschieber, Doppelventil usw.) wird durch Dampfdruck mittels Kolbens *b* geöffnet, indem der Dampf von *a* her durch *r* ein- und durch *r*, *r* ausgelassen wird mittels eines Schiebers *a*, dessen Getriebe *h*, *e* *e* für rechtzeitigen Abschluss geregelt ist. Um nun auch rechtzeitiges und unveränderliches Voröffnen zu erhalten, wird das vorzeitige Eröffnen von *s* durch ein Getriebe *chl* verhindert, das den Kolben *b* bis zum richtigen Zeitpunkte niederhält und ihn auch bei etwaigem Hängenbleiben niederdrückt.



Kl. 17. Nr. 118796. Einspritzendensator. Maschinenbau-A.-G. vorm. Breilfeld, Daněk & Co., Prag-Karolinenthal. Das von unten durch einen Kranz von Düsen *e* hinaufgeschleuderte und zerstäubte Kühlwasser fällt vom oberen Boden *h* oder *k* zurück und wird auch von den Wänden *a* durch kegelförmige Rinnen *p* oder *i* zum freien Fall nach innen geleitet, sodass es den bei *f* eingeführten Dampf (bei *d* ist die Luftpumpe angeschlossen) zuerst im Gleichstrom, dann im Gegenstrom durchdringt (bei Dampfzuführung von oben umgekehrt). Das bei *g* abgeleitete warme Wasser ist laut Patentschrift nur 3 bis 4° C weniger warm als der eingeführte Dampf.



Kl. 21. Nr. 120225. Ankerkern. G. Koppelman, Schüttorf. Der Kern wird aus einzelnen Blechpacketen zusammengewetzt, die aus dünnen von einander isolierten Blechscheiben *a* bestehen. Die Pakete sind radial zwischen die Scheiben *b* so eingesetzt, dass sie sich an den der Achse zugekehrten Enden berühren und nach dem Umfange hin auseinander laufen. Dadurch soll der quermagnetische Kraftlinienfluss des Ankerfeldes und das Zustandekommen einer elektromotorischen Kraft der Selbstinduktion beseitigt werden.



ZEITSCHRIFT DES VEREINES DEUTSCHER INGENIEURE.

Nr. 31.

Sonntag, den 3. August 1901.

Band XXXV.

Inhalt:

<p>Kritik der neueren Senksperrbremsen für Krane. Von Ad. Ernst 1081</p> <p>Die Weltausstellung in Paris 1900: Die Starkstromtechnik. Von R. M. Friese (Fortsetzung) 1087</p> <p>Die 3000 pferdigen Turbinen am Niagara. Von R. Thomann 1095</p> <p>Beitrag zur Bestimmung der größten Schubspannung im Querschnitt eines geraden, auf Drehung beanspruchten Stabes. Von Autenrieth 1099</p> <p>Die landwirtschaftlichen Maschinen und Geräte auf der 14. Wanderausstellung der deutschen Landwirtschafts-Gesellschaft in Posen. Von H. Grundke (Fortsetzung) 1104</p>	<p>Breslauer H.-V.: Die Wasserversorgung von Paris 1108</p> <p>Hannoverscher H.-V.: Die Bedeutung der Fremdwörter und der alten Sprachen in der Technik. — Elektrisch betriebene Krane. — Künstliche Seide. — Bituminöse Stoffe. — Gussstahl-Formguss 1109</p> <p>Zeitschriftentausch 1111</p> <p>Rundschau: Elektromagnetische Umsteuervorrichtung. — Verschiedenes 1114</p> <p>Patentbericht: Nr. 118855, 119822, 119742, 119379, 118217, 118859 1116</p>
--	---

Kritik der neueren Senksperrbremsen für Krane.

Von Ad. Ernst, Professor an der Technischen Hochschule Stuttgart.

(Vorgetragen im Württembergischen Bezirksverein.)

Hohe Leistungsfähigkeit der Krane durch Steigerung der Lastgeschwindigkeit ohne Einbuße der Betriebssicherheit bestimmt den Wert der modernen Krankonstruktionen für lebhaften Lastverkehr.

Die Forderung großer Hubgeschwindigkeiten lässt sich ohne weiteres durch Wahl entsprechend kräftiger Motoren erfüllen. Größere Schwierigkeiten bietet die Steigerung und zuverlässige Regelung der Senkgeschwindigkeiten mit vollkommener Beherrschung des An- und Festhaltens der schwebenden Last.

Die Eigenschaft der einfachen, von Hand bedienten Senkbremse, durch Verändern des Anpressungsdruckes die Geschwindigkeit in beliebigen Grenzen bis zum vollständigen Festhalten der Last regeln zu können, erweist sich in der Praxis wenig zuverlässig, weil bei den unelastischen Bremsorganen geringfügige Änderungen im Hebelauschlag scharfe Wechsel im Bremsdruck und sehr erhebliche Unterschiede in der Bremswirkung hervorrufen, die sich nur bei außerordentlich Uebung und Aufmerksamkeit vermeiden lassen.

Aus diesem Grunde haben sich seit Jahrzehnten hervorragende Konstrukteure bemüht, die von Hand gesteuerten Bremsen durch selbstthätig wirkende zu ersetzen. Zahlreiche verschiedene Ausführungen verdanken diesem Bestreben ihre Entstehung, und mannigfache Misserfolge in dem langen Zeitraum lassen die Schwierigkeiten erkennen, welche einer befriedigenden Lösung der Aufgabe entgegenstehen, die neuerdings durch die gesteigerten Ansprüche an die Betriebssicherheit, durch das unaufhaltsame Wachsen der zu bewältigenden Lastgrößen, durch das allgemeine Drängen nach Schnellbetrieb und schließlich durch die eigenartigen Verhältnisse des elektrischen Kranbetriebes ganz besonders in den Vordergrund gerückt ist.

Um die Fortschritte der letzten Jahre auf diesem Gebiet richtig zu würdigen und wichtige Neuerungen nach ihrem vollen Werte einzuschätzen, müssen wir in eine kurze Kritik der früher versuchten Konstruktionslösungen eintreten. Soweit es sich um selbstthätige mechanische Bremsen handelt, sind in der Hauptsache zwei getrennte Wege eingeschlagen, die einerseits zur Ausbildung der Schleuderbremsen, anderseits zu den mannigfachen Formen der Drucklager- oder Senksperrbremsen geführt haben.

Die Wirksamkeit der Schleuderbremsen beschränkt sich auf die eines Geschwindigkeitsreglers für die sinkende Last. Man benutzt hierbei den Rücklauf des Windenräderwerkes, um bewegliche Klötze oder belastete Hebel durch ihre Zen-

trifugalkraft zum Ausschlag zu bringen und mit ihnen an einer rubenden Scheibe einen Bremswiderstand zu erzeugen. Bei Klotzbremsen kann die Zentrifugalkraft mit oder ohne Hebelübersetzung das Anpressen der Klötze bewirken, bei Bandbremsen vermittelt die Schleuderkraft eines exzentrischen Gewichtes das Anspannen des Bremshebelwerkes. In beiden Fällen ist für eine bestimmte Ausführung der jeweilige Bremswiderstand ausschließlich abhängig von der Umdrehungszahl der Bremswelle. Dieselbe Abhängigkeit besteht auch für Kapellräderwerke, mit denen man eine konstante Flüssigkeitsmenge im stetigen Kreislauf durch eine enge Durchgangsöffnung treibt, um den Durchtrittswiderstand der Flüssigkeit als Bremskraft für die sinkende Last auszunutzen, wobei das Windenwerk den Antrieb der Flüssigkeitsbremse während des Lastsenkens vermittelt.

Alle diese Einrichtungen leiden unter dem Uebelstand, dass der Gleichgewichtszustand des Triebwerkes zwischen der Last und dem Bremswiderstand bei wechselnden Lastgrößen für verschiedene Umdrehungszahlen erreicht wird, und dass im vollkommenen Gegensatz zu den praktischen Bedürfnissen mit einer und derselben Winde kleine Lasten langsamer gesenkt werden als große, weil für erstere der Beharrungszustand im Triebwerk schon bei kleinerer Bremskraft, d. h. geringerer Umdrehungszahl der selbstthätigen Schleuderbremse erreicht wird.

Damit scheiden die Schleuderbremsen für die Befriedigung der Ansprüche des Schnellbetriebes bei Kranen von selbst aus, weil im Kranbetrieb der leere Haken im allgemeinen ebenso oft wie eine angehängte Last zu senken ist und die zwangläufige Beschränkung der Senkgeschwindigkeit für die größten Lasten, die für die Bremskonstruktion mafegebend ist, störend langsame, schleichende Senkgeschwindigkeiten des leeren Hakens zur Folge hat.

Versuche, durch weitere Zuthaten die Senkregelung im umgekehrten Sinne zu beeinflussen, führen zu verwickelten, in der Praxis nicht bewährten Konstruktionen.

Die Schleuderbremsen bilden hiernach nur einen selbstthätigen Schutz gegen willkürliche Geschwindigkeitszunahme der sinkenden Last, vermitteln aber auch diesen Schutz nur in unvorteilhafter Weise, unter störender Verlangsamung der Senkgeschwindigkeit für kleine Lasten und leere Haken.

Zu diesen Unvollkommenheiten der Konstruktion gesellt sich die weitere, dass die Wirkung der Bremse je nach den Lastverhältnissen erst bei einer bestimmten Geschwindigkeit beginnt und daher für kurze Senkrecken, die vor allem bei

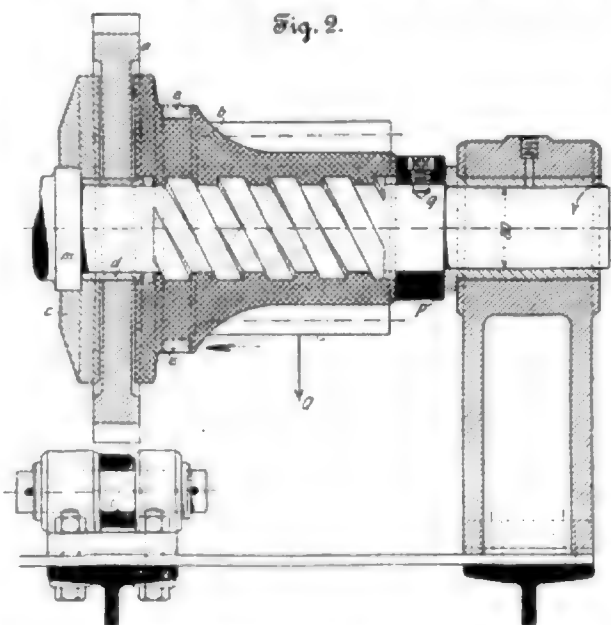
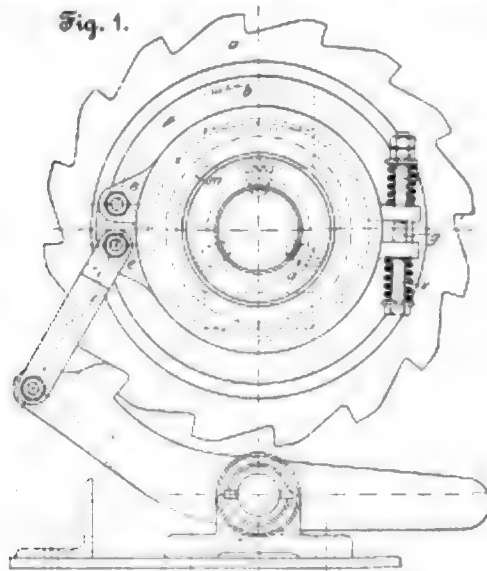
Montierungs- und Gießereikranen zum genauen Aufsetzen und Anhalten der Lasten durch den Kranführer scharf zu begrenzen sind, nicht vorhanden ist, weil die selbstthätige Bremsung erst nach einer gewissen Anlaufperiode mit der Umlaufzahl des Gleichgewichtszustandes zwischen Last und Reibungswiderstand auftritt. So bleibt gerade in diesen wichtigen Augenblicken für die genaue Einstellung der Last die Kranwinde lediglich von der Einwirkung einer besonderen Handbremse abhängig, der auch die Aufgabe zutrifft, das vollständige An- und Festhalten der Last zu vermitteln.

Die zweite Gruppe der selbstthätigen mechanischen Bremsen verwertet den zuerst von Weston in seiner Klemmbremse ausgeführten Gedanken, durch den Widerstand, welchen die Last beim Anheben dem Windentriebwerk entgegensetzt, eine Reibkupplung zu schließen und die eine Hälfte dieser Kupplung mittels eines einseitig wirkenden Sperrwerkes an der umgekehrten Drehrichtung zu hindern, sodass gehobene Lasten durch diese Sperrung und den Reibungsschluss

größer, je schneller man diesen laufen lässt, also bei regulierbaren Motoren innerhalb beliebiger Grenzen nach freier Wahl veränderlich und steuerbar, während mit dem Anhalten des Motors auch die sinkende Last frei schwebend zur Ruhe gelangt.

Aber so einfach und vollkommen der leitende Konstruktionsgedanke der Senksperrbremsen mit zwangsläufigem Luftspiel erscheint, begegnet man auch hier in der Ausführung unerwarteten Schwierigkeiten und störenden Nebenwirkungen, die ein reichliches Beispiel liefern, dass zwischen dem Erfindungsgedanken und seiner vollständigen praktischen Verwirklichung noch eine Kluft liegt, die erst durch Betriebserfahrungen überbrückt wird und die Lücken bloßlegt, welche erfahrungsgemäß jede rein theoretische Ueberlegung in der Kette der vorausseilenden Gedanken und Erwägungen zurückläßt.

Aus der Zahl der verschiedenen Senksperrbremsen, die im Laufe der Jahre entstanden sind, greife ich die nach-



frei schwebend festgehalten werden und das Senken einen äußeren Antrieb verlangt, der den Reibungswiderstand der nunmehr als Bremse wirkenden Kupplung überwindet. Diese als Drucklagerbremsen oder Senksperrbremsen bezeichneten und vorzüglich für kleine Hubhöhen und mäßige Lasten in Laufkatzen, Flaschenzügen und kleinen gedrängt gebauten Winden vielfach benutzten Konstruktionen, von denen der Beckersche Schneckenflaschenzug mit Drucklagerbremse ein bekanntes Beispiel liefert, bieten bei richtiger Ausführung und Wartung ausreichende Sicherheit gegen willkürliche oder selbstthätige Lastbewegungen, wenn sie auch von einigen der später zu erörternden Missstände nicht ganz frei sind. Der Umstand, dass das beim Senken zu überwindende Reibungsmoment der Bremskupplung proportional der Last wächst, lässt sie aber für häufig benutzte und vor allem für schwere Krane wirtschaftlich nicht hinreichend günstig erscheinen, weil hierbei die zum Senken verbrauchte Leistung des Motors ins Gewicht fällt.

Wir finden daher weitere Bestrebungen darauf gerichtet, den Senkewiderstand dadurch herabzusetzen, dass der Rücktrieb des Windenwerkes die Bremskupplung lüftet und die Last vorübergehend frei giebt, die aber hierdurch alsbald mit selbstthätiger Beschleunigung der im Senksinne angetriebenen Arbeitswelle vorzuschieben sucht und die Sperrkupplung aufs neue schließt, worauf sich das Lüft- und Bremspiel in gleicher Weise so lange fortsetzt, wie der äußere Rücktrieb der Winde dauert.

Der Vorzug der Senksperrbremsen gegenüber den Schleuderbremsen liegt auf der Hand; denn die Senkgeschwindigkeit ist hier ausschließlich vom Motor abhängig und um so

stehende, verhältnismäßig noch junge Ausführung für einen 60 t-Kran als Beispiel heraus, um die typischen Irrtümer klar zu legen, welche mehr oder minder bis in die letzte Zeit der ganzen Konstruktionsgruppe anhaften¹⁾.

Das Sperrrad *a*, Fig. 1 und 2, sitzt lose auf einer zerteilten bronzenen Büchse *d* zwischen den beiden Klemmkupplungscheiben *b* und *c* auf der Welle, die durch ein einfaches Stirnrädervorgelege unmittelbar von dem Elektromotor der Winde angetrieben wird. Die Scheibe *c* stützt sich links gegen einen festen Wellenbund *m* von der in Fig. 1 punktiert angegebenen Scheibenform mit zwei parallel angeordneten Mitnehmerflächen, welche zwischen die passend bearbeiteten Angüsse der Scheibe *c* eingreifen und diese mit der Welle auf Drehung kuppeln. Die Muffenscheibe *b* ist mit dem Ritzel für den Antrieb der nächsten Vorgelegewelle zusammengegossen und greift mit dem Muttergewinde ihrer langen Hülse in das steile Flachgewinde der Welle ein. Die Kuppelscheibe *b* nimmt außerdem in einer eingedrehten Ringnut den zerteilten Stellbaum *e* der Sperrklinke *i* auf, dessen Reibungsschluss durch einen Klemmbohlen *g* mit untergelegten Spiralfedern *v* genau nach Bedürfnis eingestellt werden kann und vermittels der Lenkschiene *f* die Klinke selbstthätig ein- und auslegt.

Zum Heben der Last *Q* wird die Welle, Fig. 1, entgegengesetzt dem Uhrzeigerlauf im Sinne des Pfeiles, Fig. 2, angetrieben, das von der Last zurückgehaltene Ritzel *b* dadurch bis zum Schluss der Reibkupplung nach links geschraubt und

¹⁾ Weitere Beispiele siehe des Verfassers »Hebemaschine« 3. Aufl. 1899 Bd. I S. 258 bis 271.

gleich im Beginne der Bewegung die Sperrklinke i durch den Reibungschluss ihres Steuerzuges mittels der Lenkstange f nach außen gedrängt. Sobald man den Motor abstellt, sucht sich die Welle unter dem Einfluss der Last rückwärts zu drehen. Die kleine hierbei im Sinne der Lastsenkung eintretende Bewegung führt die Sperrklinke durch den Stellbaum selbstthätig in die Eingriffslage zurück und hindert das weitere Sinken der Last, die ihrerseits das Spannwerk der Kupplung geschlossen hält.

Bei umgekehrtem Antrieb der Welle, durch Umsteuern des Motors zum Senken der Last, sucht die Druckschraube die Kupplung zu lüften, weil der Reibungschluss der Kupplung und die Sperrklinke anfänglich die Drehung des gegen die Sperrscheibe a angepressten Ritzels b hindern und ihm nur das lineare Ausweichen nach rechts gestatten. Sobald aber die Lüftung so weit geht, dass die Ritzelscheibe b unter der Einwirkung des Lastzuges selbstthätig vorschieben beginnt, wirkt diese relative Drehung sofort wieder im Sinne des Zusammenschraubens der Kupplung und bringt die Last wieder unter die Gewalt der Brems- und Sperrwirkung, bis sich durch den fortgesetzten Rücklauf des Motors das Lüftspiel aufs neue wiederholt. Der Lüftweg ist in der Ausführung durch den Stellring p begrenzt.

So bleibt die Lastengeschwindigkeit zwangsläufig abhängig von der Umlaufzahl des Motors, der hierbei im wesentlichen nur die Lüftarbeit der Kupplung zu leisten hat. Während des Lastaufwindens tritt der Sperrbremswiderstand ganz außer Wirkung, ohne den Wirkungsgrad des Triebwerkes zu beeinflussen. Auch der axiale Anpressungsdruck der Bremskupplung äußert keine störenden Nebenwirkungen, weil er sich in der Welle selbst durch die Reaktionskräfte des Gewindes und des Widerlagerbundes m der Scheibe c vollkommen aufhebt.

Das Anhalten des Motors stellt die Last durch die Sperrklinke fest.

Nach dieser Schilderung, welche den Konstruktionsgedanken wiedergibt, wäre eine tadellose, vollkommen zuverlässige Wirkung der Senksperrbremse zu erwarten, aber eine schärfere Prüfung und unliebsame Erfahrungen in der Praxis zeigen, dass wesentliche Gesichtspunkte dabei außer acht gelassen sind.

Der Grundgedanke, dass durch den Widerstand der Last beim Anheben in der Kupplung ein ihr proportionaler Reibungschluss erzeugt wird, ist zutreffend; die weitere Voraussetzung aber, dass dieser Reibungschluss auch genügt, um die hoch genommene schwebende Last festzuhalten, ist nicht unter allen Umständen ausreichend gesichert und kann durch die von der Wartung der Kupplung wesentlich beeinflussten wechselnden Werte der Reibungskoeffizienten, die sich in den Entwurfsrechnungen nur unter Annahme gewisser Grenzwerte berücksichtigen lassen, vollkommen infrage gestellt werden.

Auch wenn das Reibungsmoment in der ausgeführten Konstruktion kleiner als der für den Entwurf eingesetzte untere Rechnungswert ist, wird nämlich die Last beim Hochwinden unbedingt mitgenommen, weil sich im Augenblicke des Kupplungsschlusses außer dem Reibungschluss auch eine starre Klemmkupplung zwischen den schrägen Gewindeflächen der Welle und dem Muttergewinde des Lastritzels ausbildet, sobald das Ritzel durch den Widerlagbund der Scheibe c an der Grenze seiner axialen Verschiebung anlangt. Diese Klemmkupplung wirkt aber nur im Sinne des Lastaufwindens und bildet kein Hindernis gegen die umgekehrte Bewegung, sodass eine unter solchen Umständen hochgenommene Last beim Abstellen des Motors das unzureichende Reibungsmoment in der Kupplung überwindet und alsbald unerwartet, mehr oder minder beschleunigt wieder zurücksinkt, wenn nicht eine zweite besondere Stoppbremse das Triebwerk festhält. Aber auch wenn dieser Fall durch eine besondere Stoppbremse verhindert wird, geht unter den angenommenen Verhältnissen doch mindestens die selbstregulierende Wirkung der Bremse beim Senken verloren, weil ihre Wirkung nicht mehr die Sperrlage der Last beherrscht.

Derartig gefährvolle Zustandsänderungen der Senksperrbremsen können auch bei sonst richtig gewählten Verhältnissen ganz unerwartet erst im Laufe des Betriebes auftreten, und zwar sowohl durch mangelhafte Wartung und Ver-

schmutzen der Druckschraube, deren erhöhte Eigenwiderstände den Anpressungsdruck der Kupplung herabsetzen, wie durch gelegentlich überreiches Schmieren der Bremsflächen, deren Reibungsmoment außerordentlich vermindert wird, sobald zwischen den Gleitflächen durch übermäßige Fettschicht mehr oder minder reine Flüssigkeitsreibung auftritt.

Bei der großen Empfindlichkeit der Reib- und Druckflächen erschweren zufällige Ungleichförmigkeiten in der Güte der Werkstattdarbeit nicht selten bereits die erste Montierung erheblich und geben von Anfang an im Betriebe zu berechtigten Klagen Veranlassung.

Es liegt nahe, gegen derartiges Versagen der Sperrbremsen einen möglichst weitgehenden Schutz durch diejenigen Maßnahmen im Entwurf anzustreben, welche unter Annahme eines mittleren Reibungskoeffizienten für die Rechnung auf einen reichlichen Ueberschuss des Bremsmomentes über das Lastmoment hinwirken, also große Durchmesser für die Reibflächen bzw. Lamellenkupplungen mit großer Scheibenzahl und starke Druckübersetzung im Spannwerk anzuwenden.

Die freie Wahl des Bremsdurchmessers wird meist durch beengte Raumverhältnisse eingeschränkt. Außerdem steht aber auch diesem wie den andern Mitteln zur Steigerung des Bremsmomentes der gleichzeitig damit wachsende Arbeitsaufwand zum Lösen der Bremskupplung hindernd im Wege.

Nach der Bauart der Senksperrbremse, Fig. 1 und 2, und anderer ähnlicher Konstruktionen ist im ersten Augenblicke des Lüftens aus der Ruhelage vom Motor nicht nur der Reibungswiderstand der Druckschraube, sondern auch der Ueberschuss des Bremsmomentes zwischen der festgehaltenen Sperrscheibe a und der mit der Welle verbundenen Gegenscheibe c zu überwinden und diese Arbeit während der ganzen Senkperiode immer wieder so oft zu leisten, wie sich im Laufe des Bremsspiels die Kupplung vorübergehend bis zur Sperrlage schließt.

Verfolgt man das selbstthätige Spiel der Sperrbremse während der Senkperiode, so ist ersichtlich, dass zwar sofort mit dem Umsteuern des Motors die Sperrkupplung durch den Rücklauf der Welle gelöst wird, die freigegebene Last aber erst allmählich in Bewegung kommt, weil sie die Beschleunigungsarbeit für die Trommel und die Zwischenvorlege zu leisten hat. Solange die unmittelbar oder mittelbar mit der Lasttrommel in zwangsläufiger Verbindung stehenden Schraubenflächen des Bremsperrwerkes die gleichsinnige Umlaufgeschwindigkeit des zur Bremswelle gehörigen Gegengewindes noch nicht erreicht oder überholt haben, löst sich die Kupplung weiter. Andersseits muss während des darauf folgenden Voreilens des Trommeltriebwerkes der ganze Lüftweg der Kupplung zurückgeschraubt werden, bevor die Last wieder unter die Gewalt der sich schließenden Sperrbremse gelangt.

Da die Bremswirkung, welche die Verhältnisse aufs neue verändert, erst als Folge des Kupplungsschlusses auftritt, erfolgt dieser bei den starren Flächen mit dem Vernichtungsdruck der jeweiligen Massenenergie, also unter höherer Pressung als durch den einfachen Lastzug.

Je weniger elastisch und feinfühlig die Bremse ist, umso mehr wird unter diesen Verhältnissen das Sperrwerk den Lastaufstoßweise unterbrechen und ruckweise wieder freigeben. Nachgiebige Widertager, wie Lederscheiben, oder Vermehrung der Lamellenzahl, wodurch die Bremskraft infolge des nicht vollkommen gleichzeitigen Zusammenpressens des ganzen Lamellensatzes gewissermaßen stufenförmig anwächst, mildern diese störenden Erscheinungen ebenso wie die Verwendung von Bremskupplungen mit hölzernen Backen oder mit Bremsbändern, die sich erst allmählich voll an die Bremsfläche anlagern.

Ausreichende Beschränkung der spezifischen Pressung zwischen den Gleitflächen und homogene Beschaffenheit der letzteren mit geeigneter Schmierung, um Trockenlaufen und Fressen zu verhüten, sind selbstverständliche Voraussetzungen in allen Fällen. Dazu kommen aber noch folgende Konstruktionsgesichtspunkte:

Bei gleichem Lüftweg in axialer Richtung ist unter sonst gleichen Verhältnissen die Periode der freien Lastbewegung zwischen Öffnen und Schließen der Bremse und da-

mit das Anwachsen der Bewegungsenergie um so größer, je kleiner die Gewindesteigung der Druckschraube gewählt wird. Gleichzeitig wächst mit der Verkleinerung der Schraubensteigung auch die Druckübersetzung wie der passive Lüftungswiderstand des Schraubengewindes. Die Wahl der Schraubenverhältnisse beeinflusst hiernach durch zwei getrennt neben einander herlaufende mechanische Vorgänge in doppelter Weise die Intensität des Kupplungsschlusses und erschwert dessen Wiederlösung.

Aus allen diesen Gründen kann es kommen, dass sich die Sperrkupplung während des wechselnden Spieles der Senkperiode kräftiger schließt als vor r beim Anheben der Last, und dass schließlich ganz unerwartet der Motor durch die aussetzende Lüfterarbeit der Bremse beim Senken stärker beansprucht wird als beim Heben der Last. Dieser Uebelstand macht sich in der Praxis bei nicht wenigen Senksperrbremsen äußerst störend bemerkbar, ohne dass bisher die technische Litteratur die Thatsache und ihre Gründe erwähnt hat.

Der unwirtschaftliche Kraftverbrauch tritt um so eher ein, je größer von Haus aus der Ueberschuss des Bremsmomentes bei ruhend wirkender Last und je größer die Druckübersetzung der Spannschraube gewählt wurde.

Man findet daher für die inrede stehenden Konstruktionen in der Praxis vorzugsweise stetigängiges Spannungsgewinde und einen mäßigen Ueberschuss des Bremsmomentes im Verhältnis zur ruhig wirkenden Last. Je weiter man aber diese Gesichtspunkte im Entwurf in den Vordergrund stellt, um so näher rückt aus den oben erörterten Gründen bei der Veränderlichkeit des Reibungskoeffizienten die andere Gefahr, dass die Kupplung die Last beim Aufwinden nur durch innere Klemmwirkung, ohne ausreichendes Reibungsmoment zum Festhalten, hochnimmt und dann, nachdem der Antrieb aufgehört hat, überraschend wieder fallen lässt.

Der Konstrukteur befindet sich bei der Wahl der Verhältnisse nach zwei entgegengesetzten Richtungen in einer Zwangslage, ohne bei der Unzuverlässigkeit der Reibungskoeffizienten durch die Wahl mittlerer Werte einen genügenden Schutz gegen Misserfolge zu finden. Vor allem wächst mit dem Streben nach erhöhter Sperricherheit die Senkbarkeit des Motors in unzulässiger Weise.

Ein weiterer Mangel der vorliegenden Konstruktion liegt in der starren Begrenzung des Lüftungsweges der Kupplung durch den Wellenring p . Je nach der Gewindesteigung und den Reibungsverhältnissen kann dieser Wellenbund beim Lüften der Senkbremse durch das anfängliche Zurückbleiben des Lasttritzels zu einem kräftigen Klemmschluss mit diesen führen, der auch durch den Ueberschuss des Lastmomentes nicht wieder selbstthätig gelöst wird, und damit nicht nur die Sperrbremse ganz außer Thätigkeit setzt, sondern unter Umständen auch die Last treibend auf den Motor einwirken lässt, also bei elektrischem Betrieb mit Hauptstrommotoren das Durchgehen des Motors begünstigt. Diese unbeabsichtigte und dem Konstruktionsgedanken widersprechende Kupplung tritt am leichtesten beim Senken leerer Haken und kleiner Lasten auf, deren Eigengewicht zum selbstthätigen Rücklauf nicht genügt oder ihn zu langsam einleitet.

Schließlich verlangt die hier wie in vielen andern Fällen benutzte Anordnung für den geräuschlosen Gang der Sperrklinke, Fig. 1, noch eine besondere Untersuchung.

Der zum selbstthätigen Ein- und Ausrücken der Klinke dienende Steuerzaun beseitigte das lästige Klappern der einfachen nur mit Federdruck betätigten Sperrkegel und lässt die Richtung und Geschwindigkeit der Wellendrehung zwangsläufig auf die selbstthätige Bewegung der Klinke derart einwirken, dass sie beim Lastaufwinden dauernd ausgerückt bleibt, während sie sich von selbst rechtzeitig einlegt, sobald der Antrieb aufhört und die Last das Triebwerk umgekehrt zurückdrehen sucht oder der Motor im Sinne des Senkens umgesteuert wird.

Nun ist aber der Zeitpunkt, des Klinkeneingriffs abhängig von der jeweiligen Stellung der Klinke zur Sperrradteilung im Augenblick des Beginnes des Rücklaufs. Erfolgt dieser Eingriff zufällig gerade, wenn Sperrklinke- und Zahnspitze einander gegenüberstehen, so reicht der Reibungsschluss des Steuerzaunes nicht aus, um die Klinke weiter in den Eingriff hineinzuziehen. Der Spitzendruck erzeugt ein Drehmoment in bezug auf die Klinkenachse im Sinne des Auslösens. Die Klinke gleitet nicht nur ab, sondern wird dabei auch noch kräftig nach außen bis an die Grenze ihres Ausschlages zurückgedrängt. Das Sperrrad läuft ungehemmt im Sinne des Lastsenkens beschleunigt weiter und dreht sich unter Umständen um den Betrag der vollen Sperrzahnteilung, bis die Klinke aus ihrer falschen Ausschlaglage umgesteuert ist und sich dann in diesem Augenblick der knappen Spitzeneingriff am nächsten Radzahn mit dem gleichen Erfolg wie kurz vorher wiederholt, oder die Klinke erst kurz darauf heftig gegen den Rücken des Zahnes gepresst und durch den Anprall zurückgeschleudert wird, weil der Reibungsschluss des Steuerzaunes keine vollkommen zwangsläufige Bewegung vermittelt.

Derartige Erscheinungen sind in der Praxis mehrfach beobachtet. Die damit verbundene Gefahr ungehemmter Laststurzbewegungen steigert sich im Laufe des Betriebes, wenn die Zahn- oder Klinkenapitzen durch die übermäßige spezifische Pressung in den knappen Berührungsfächen ausbrechen oder sich abrunden und dadurch das Abgleiten bei

Fig. 3.

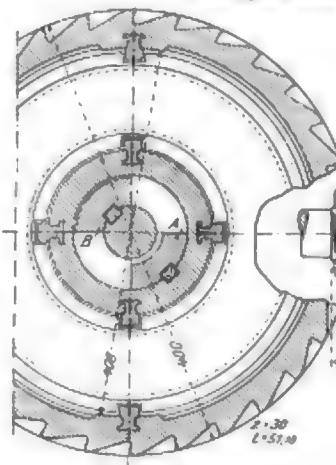
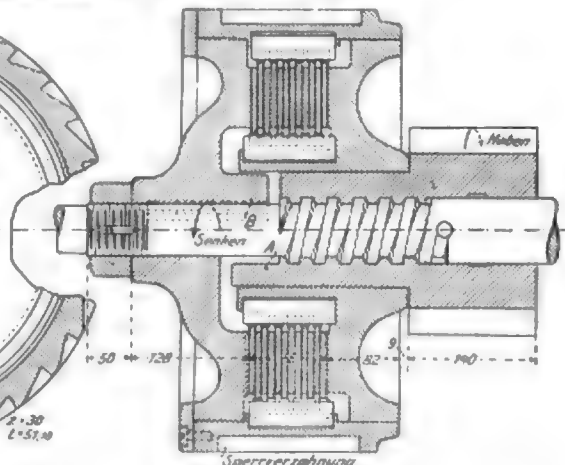


Fig. 4.

Senksperrbremse der Yale & Towne Mfg. Co.



der Wiederholung der Zufallstellungen des Eingriffes erleichtern.

Die ganze Erscheinung wird ferner um so mehr begünstigt, je langsamer sich die Klinke im Verhältnis zur Wellengeschwindigkeit einlegt, wenn also, wie z. B. im vorliegenden Falle, der Angriffspunkt der Lenkstange f in verhältnismäßig großem Abstände von der Klinkenachse gewählt wird. Verlegt man diesen Punkt in grössere Nähe der Achse, so wächst die Einrückgeschwindigkeit im umgekehrten Verhältnis der Hebelarme und vermindert damit die Möglichkeit, dass die Klinke in den Zufallslagen durch schleichende Geschwindigkeit gerade an der Zahnspitze hängen bleibt.

Unter allen Umständen ist die Anwendung einer einzigen, durch Reibungsschluss von der Welle gesteuerten Sperrklinke für Senkbremsen als bedenklich und unzureichend zu bezeichnen.

Die im allgemeinen bevorzugte Anordnung von 2 oder 3 Klinken mit versetzter Teilung und getrennten Steuerwerken, für die weiter unten mehrere Beispiele folgen, liefert nicht nur den hierfür als maßgebend betonten Vorteil, dass der Spielraum der freien Lastbewegung auf die Hälfte oder ein Drittel gegenüber einfachen Klinken unter sonst gleichen Triebwerk- und Sperrradverhältnissen beschränkt wird, sondern bietet vor allem den Schutz, dass sich beim Abgleiten der einen Klinke durch zufälligen Kantenangriff mindestens

in fester Verbindung stehen. Die Drehzapfen f der zum Sperrrade a gehörigen Klinken g sind im äußeren Bremsgehäuse h gelagert, das einerseits auf der Nabe von a , andererseits durch eine vorgeschraubte Stirnscheibe auf der Nabe der Scheibe d frei drehbar abgestützt ist.

Das Gehäuse ist im vorliegenden Falle durch äußere Sperrverzahnung gegen Rücklauf gesichert; bei andern Ausführungen hat Krell aber auch für denselben Zweck eine mit Holz gefüllte selbstthätige Differentialbremse benutzt, die ebenfalls als stummes Gesperre wirkt, indem sie die Triebwerkbewegung zum Lastaufwinden mit vernachlässigbarem Reibungswiderstande zulässt, den freien Rücklauf aber hindert.

Beim Antreiben der Kernwelle im Sinne des Hebens, Fig. 7, drücken die Hubdaumen der unrunder Scheibe b die Hebelruckrollen r nach außen und kuppeln durch den Klotzdruck das Gehäuse h mit der Scheibe d und der Ritzelhohlwelle e , während gleichzeitig das Sperrzahnrad a durch die Mitnehmerklinken g das Gehäuse und damit auch das Lastritzel antreibt.

Beim Aufhören des Antriebes hält das äußere Sperrwerk das Gehäuse und damit durch die Kupplung auch das Lastritzel fest; wird aber der Motor umgesteuert, so werden die Kuppelklötze durch die Rückwärtsdrehung der Hubdaumen entlastet, und es beginnt mit dem Lüften der Kupplung das selbstthätige Bremspiel unter abwechselndem Festziehen und Wiederlüften, je nachdem das Lastritzel vorzueilen beginnt oder wieder durch den Kupplungsschluss gehemmt wird.

Das selbstthätige geräuschlose Ein- und Ausklinken der Mitnehmer g wird in ähnlicher Weise wie bei der Konstruktion Fig. 5 und 6 durch kleine keilförmige Reibschuhe k in einer passenden Ringbahn vermittelt.

Auch die äußere Sperrverzahnung arbeitet geräuschlos.

Die hornförmigen Ansätze w der Hubdaumenscheiben stoßen beim Ueberschreiten des regelrechten Lüftspierraumes seitlich gegen die Druckrollen r und treiben durch die Bremsbackenhebel, ihre Drehzapfen c und die Scheibe d die Ritzelhohlwelle an, wenn das Windentrommel-Triebwerk mit leerem Haken oder kleinen Lasten zum Senken nicht selbstthätig anläuft.

Die Stellschrauben o in den Bremschuhen dienen zum Nachziehen der hölzernen Bremsbacken bei eintretendem Verschleiß und heben die Unterlagplatte der Klötze einseitig an, während die gegenüberliegende Plattenkante das Stützgelenk für das Nachstellen bildet.

Die Konstruktion ist nur für mäßige Umfangskräfte geeignet, weil auch in dieser Bauart die Betriebssicherheit gegen Zurücksinken schwebender Lasten wesentlich von einem reichen Ueberschuss des Reibungsmomentes in der Kupplung über das Lastmoment abhängt und die Konstruktion mit den einfachen Holzkuppelklötzen für große Kräfte unheimlich große Abmessungen annimmt. Im übrigen erhöht der Sicherheitsüberschuss des Reibungsschlusses die Lüftarbeit der Bremse in der Senkperiode noch weniger als in der Krellschen Lamellenbremse, weil hier nur die passiven Widerstände des Spannwerkes zu überwinden sind, ohne einen Teil des Kupplungsmomentes zu überwinden. Bei unzureichendem Reibungsschluss ist eine unmittelbare Kraftübertragung zwischen Antriebswelle und Lastritzel durch die starre Konstruktionsverbindung nicht ausgeschlossen, welche an der Grenze des Rollenhebelauschlages zwischen dem Hubdaumen, der Druckrolle r und dem Hebelzapfen c auftritt und, wie oben betont wurde, zu vermeiden ist, um sich gegen ungesteuertes Zurücksinken aufgewundener Lasten nach dem Abstellen des Motors zu schützen. (Schluss folgt.)

Die Weltausstellung in Paris 1900.

Die Starkstromtechnik.

Von Professor Rob. M. Friese.

(Fortsetzung von S. 520)

Unmittelbar neben den Schuckertschen Maschinen lief die große Drehstrommaschine von Siemens & Halske A.-G. in Charlottenburg, angetrieben von der stehenden Dreifachexpansions-Dampfmaschine von Borsig¹⁾. Der mechanische Aufbau der Drehstrommaschine ist bereits in Z. 1900 S. 474 anhand von Konstruktionszeichnungen ausführlich erläutert worden, sodass wir uns hier in der Hauptsache auf die Ergänzung des elektrischen Teiles beschränken können. Die Maschine leistet bei 83,5 Uml./min 2000 KVA, d. i. 2200 V und 525 Amp. Die Wechselzahl beträgt 100 i. d. Sek. Somit ist die Polzahl der Maschine 72 (und nicht 64, wie in Z. 1900 S. 474 angegeben ist). Das aus 0,5 mm starken Blechen aufgebaute Blechpaket des Ankers enthält keine Luftschlitze. Die Nutenzahl beträgt insgesamt 648, also pro Pol und Phase 3. Die Nuten sind 13 mm breit und 55 mm hoch. In jeder Nute liegt, mit Mikant umkleidet, 1 Stab aus Flachkupfer von 7 × 44 mm. Durch seitliche Verbindungsgabeln sind die Stäbe zu einer offenen Dreiphasenwicklung (Sternschaltung) vereinigt. Die Nuten sind unten offen und mit schwalbenschwanzförmigen Rillen versehen, sodass durch eingeschobene Lineale aus Stahlblech die eingelegten (vorher fertig isolierten) Stäbe an ihrer Stelle festgehalten werden. Das Gesamtgewicht des Ankerkupfers beläuft sich auf 2400 kg.

Der Widerstand der warmen Wicklung beträgt ^{0,057} Ohm pro Schenkel (Phase), der Kupferverlust somit rd. 15,5 KW. Die Feldmagnete sind aus Blechscheiben aufgeschichtet und haben langgestreckten rechteckigen Querschnitt (Polschuh, Breite zu Länge 1 : 3,4). Inmitten der Pole ist je ein Lüftschlitz von etwa 2 cm Breite vorgesehen (vergl. Z. 1900 S.

475, Fig. 22). Diesen Schlitzen entsprechen ebensolche Aussparungen im Kranze des gusseisernen Polrades, Fig. 26. Durch diese Spalten soll zur Kühlung beständig frische Luft in den Raum zwischen Anker und Polschuhen bzw. Schenkeln eisen geführt werden, was bei der beträchtlichen axialen Länge der Pole nötig erschien. Die Magnetbewicklung besteht aus hochkantig gewickeltem Flachkupfer von 4 × 23 mm Querschnitt. An den Stirnseiten legt sich das Kupfer um halbrunde hohle Bronzegussstücke, durch die während des Betriebes ebenfalls die Luft zur Kühlung in radialer Richtung hindurchstreichen kann.

Auf jedem Pole befinden sich 40 Windungen, die dadurch von einander isoliert sind, dass nur eine um die andere Windung eine Bandumwicklung hat. Zwischen je zwei solchen liegt somit eine Windung blank. Feld- und Ankerwicklung sind mit einem schwarzen Lackanstrich versehen. Das Gesamtgewicht der Magnetbewicklung beträgt 4000 kg, und sie hat im warmen Zustande einen Gesamt Widerstand von rd. 1 Ohm. Die Erregerspannung steigt bis auf 210 V; der mittlere Effektbedarf für die Erregung wird zu 28 KW, der größte zu 42,5 KW angegeben. Der Leerlaufverlust ist nicht genannt. Die Erregung wird von einer 8poligen unmittelbar gekuppelten Gleichstrommaschine mit Reihenschaltung von 215 Amp bei 210 V geliefert. Die Feldmagnete sind aus Gusseisen; der Anker hat Trommelwicklung. Fig. 27 giebt eine Gesamtansicht der Drehstrom- mit der Erregermaschine. Die Hauptabmessungen der Drehstrommaschine sind: Ankerbohrung 600 cm Dmr. (Umfangsgeschwindigkeit 26,3 m/sk), Ankerlänge 60 cm, Luftzwischenraum 1,3 cm, Polteilung 26,16 cm, Polschuhbogen 17,6 cm, Magnetkernbreite 11 cm, Magnetkernlänge 60 cm, Spulenhöhe 22,5 cm. Die Dampfdynamo ist mit einem besonderen Schwungrade ausgestattet, dessen

¹⁾ Vergl. Z. 1900 S. 473.

Elektrisch betriebene schnelllaufende Pumpe von W. Lahmeyer & Co.
und Erhardt & Sehmer.

Fig. 40.

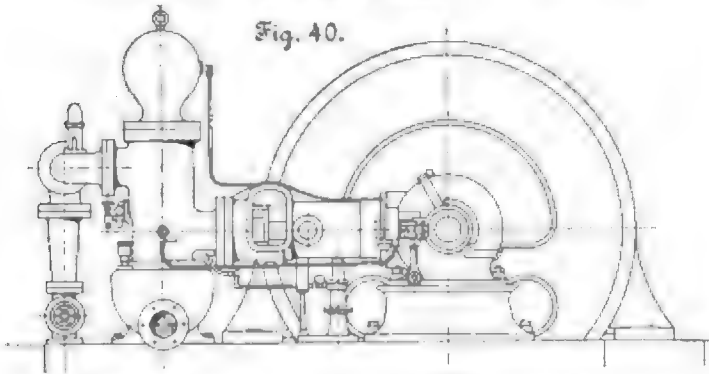


Fig. 41.

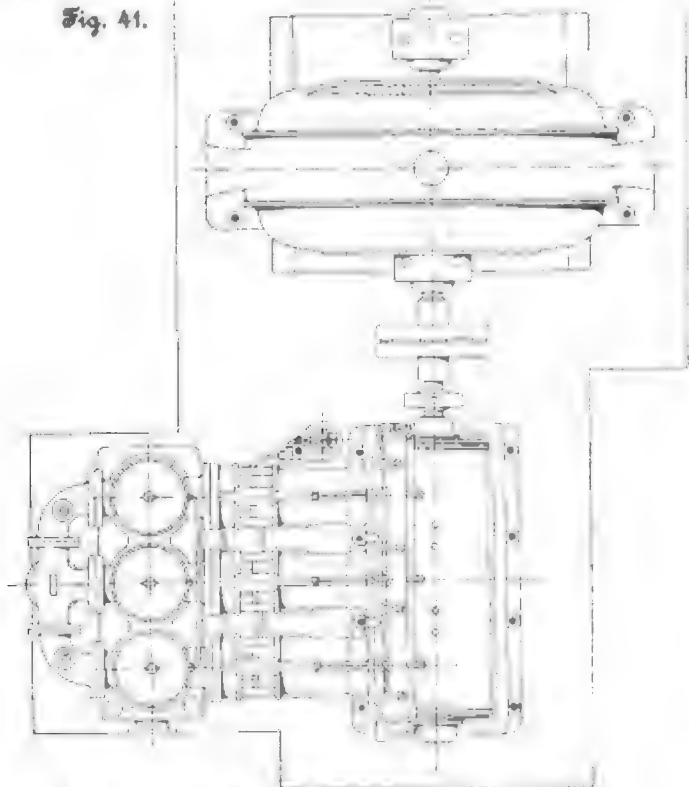
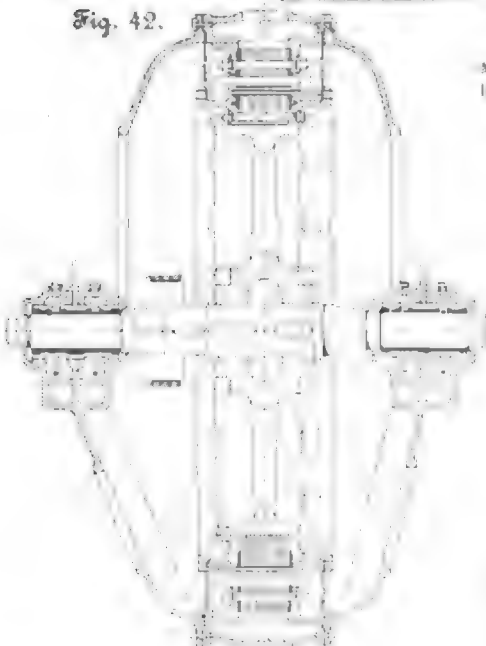


Fig. 42.



Motor zur Pumpe
in Fig. 40 u. 41.
v. S. 1095

Fig. 43.



ser 240 cm (Umfangsgeschwindigkeit 11,8 m), Ankerlänge 42 cm, Luftzwischenraum 0,5 cm, Polteilung 63 cm, Polbogen 42,6 cm, Magnetkerndurchmesser 34,5 cm, Magnetkernlänge 19 cm, Kollektordurchmesser 200 cm, Kollektorbreite 15 cm. Das Gewicht des Ankers beträgt etwa 12000 kg, das Gewicht der fertigen Maschine etwa 28000 kg. Der Wirkungsgrad wird bei voller Belastung und 550 V zu 98,2 vH einschließlich Lagerreibungen angegeben. Von den Verlusten kommen etwa 2 vH auf Kupferverluste im Anker, während die Erregung etwa 1 1/2 vH beansprucht. Die Temperaturzunahme soll bei Dauerbetrieb und 550 V für den Anker rd. 30°, für die Spulen rd. 25° C betragen. Nach Angabe der Firma sind die Sättigungsgrade des magnetischen Stromkreises so hoch gewählt, dass der Spannungsabfall zwischen Leerlauf und Vollbelastung nur rd. 10 vH bei gleicher Erregung beträgt. Die Maschine ist für Straßenbahnbetrieb bestimmt. Während der Ausstellung lief sie nur mit 440 V.

Fig. 37 giebt eine Gesamtansicht der von der Maschinenbaugesellschaft Nürnberg gebauten Dampfmaschine mit der angekuppelten Drehstrommaschine links, der Gleichstrommaschine rechts. Links hinter der Erregungsmaschine ist die Schalttafel zu erkennen, welche die bereits erwähnten Schalt- und Messeinrichtungen für die Drehstrommaschine enthält.

Um den hochgespannten Strom in Niederspannungsstrom zu verwandeln, benutzt die Firma Lahmeyer Transformatoren in der durch Fig. 38 veranschaulichten Bauart. Um hohe Sicherheit gegen Durchschläge zu erzielen, zieht die Firma vor, die Hochspannungswicklung in Abteilungen getrennt in Anbrechkästen einzuschließen. Auf diese Weise ist sie instande, Transformatoren bis zu 20000 V ohne Verwendung von Öl zu bauen, und sie hat Transformatoren mit dieser Spannung mehrfach in dauerndem Betrieb.

Unter den verschiedenen in Verbindung mit Arbeitsmaschinen ausgestellten Elektromotoren ist der in Fig. 39 in geöffnetem Zustande dargestellte Kapselmotor erwähnenswert. Er diente zum Antrieb einer Lederbearbeitungsmaschine, hat also in feuchtwarmen Räumen zu arbeiten. Wie ersichtlich, ist der Motor durch Umkonstruktion aus einem Straßenbahnmotor entstanden und trägt auch wie dieser Hauptstrombewicklung.

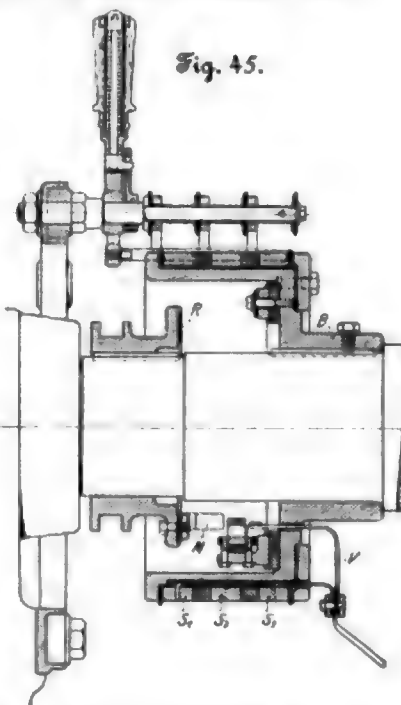
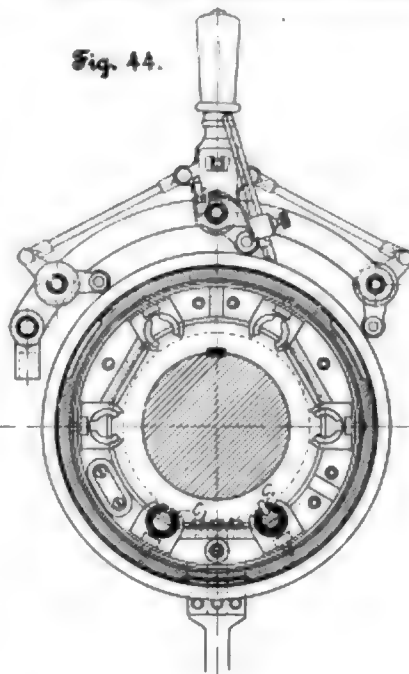
Ferner hatte die Firma im Bergwerksgebäude gemeinschaftlich mit der Firma Erhardt & Sehmer in Schleifmühle bei Saarbrücken eine schnelllaufende Pumpe mit Drehstrommotorbetrieb ausgestellt. Fig. 40 und 41 geben Grund- und Aufriss dieser Pumpe nebst Motor. Die Pumpe hat 3 Tauchkolben, macht 250 Uml./min und fördert dabei 1,22 cbm/min auf 300 m Höhe. Der Induktionsmotor ist indessen nur für 214 Uml./min bei 100 Polwechseln i. d. Sek. gebaut und leistet normal 75 PS. Wie Fig. 41 erkennen lässt, ist der Motor mit der Pumpe nicht organisch vereinigt, sondern bildet eine ge-

geschlossene Konstruktion für sich. Vermittels elastischer Kuppelung stehen Motor- und Pumpenwelle in unmittelbarer Verbindung. Der Drehstrommotor ist für 1000 V Betriebsspannung gebaut und nur während der Ausstellung auf 500 V umgeschaltet worden. Fig. 42 und 43 geben Schnitt und Ansicht durch den Motor, aus denen alles Wissenswerte zu ersehen ist. Die Lager sind mit den Seitenschilden vereinigt, um die genaue Zentrierung des Ankers im Gehäuse zu sichern. Die Hauptabmessungen des Motors sind: Blechkörper des Ständers: äußerer Dmr. 190 cm, Bohrung 170 cm; Blechkörper des Läufers: äußerer Dmr. 169,7 cm, innerer Dmr. 150 cm; Luftzwischenraum 0,16 cm; Eisenbreite 17 cm. Der Motor hat 28 Pole und 168 Nuten. Nutenzahl pro Pol und Phase 2; Nutenabmessung $2 \times 3,4$ cm. In jeder Nute liegen 13 Drähte (bei 1000 V) von 4,8/5,3 mm Dmr. Der Motor ist in Sternschaltung gewickelt. Die Wicklung des Läufers ist als Mantel-Stabwicklung ausgebildet und besteht aus 3 parallel geschalteten Kupferstäben von 3×9 mm. Nach Angaben der Firma beträgt der Leerlaufstrom bei 500 V 3,4 Amp, die Leerlaufarbeit 3,5 KW, $\cos \varphi$ bei 75 PS rd. 0,8. Gewicht des fertigen Gehäuses 2670 kg, des Ankers 2345 kg, der beiden Seitenschilder mit Lager und Achse 1995 kg, Gesamtgewicht des Motors 7250 kg.

Der Anker des Motors ist, wie ersichtlich, mit Schleifringen versehen, um in bekannter Weise einen guten Anlauf zu erzielen; er besitzt aber außerdem noch eine Kurzschluss- und Bürstenabhebevorrichtung, deren Einzelheiten durch Fig. 44 und 45 wiedergegeben sind. An der Buchse B, welche die Schleifringe S_1 , S_2 und S_3 trägt, sind 6 federnde Kontaktstücke C_1 , C_2 usw. isoliert befestigt, die mit den Schleifringen paarweise durch die Verbindungsstücke V leitend verbunden sind. Den Kontaktfedern C_1 , C_2 gegenüber sind an einem in einer Feder verschiebbar geführten Stulp R die messerförmigen Gegenkontakte M befestigt. Durch den Kupfer ring R sind alle Schlussstücke M leitend mit einander ver-

bunden. Bei achsialer Verschiebung des Stulpes greifen die Kontakte M in C ein und schließen so die Ankerwicklung kurz. Die Bürsten sind alsdann entbehrlich und können abgehoben werden, was durch Drehen des oben sichtbaren Hand-

Kurzschluss- und Bürstenabhebevorrichtung des in Fig. 42 u. 43 dargestellten Motors.



griffes geschieht. Es schieben sich hierbei die mit dem Handgriff durch Verbindungstangen gekuppelten Abhebestifte unter die Bürsten. Eine federnde, im Innern des Griffes untergebrachte Feststellvorrichtung sorgt durch Einschnappen dafür, dass die Vorrichtung in den Endstellungen stehen bleibt. Der beschriebene Motor hatte eine hiervon etwas abweichende Kurzschlussvorrichtung, bedingt durch die Anbringung der Griffe außerhalb des Lagers, wodurch eine leichtere Zugänglichkeit und bequemere Bedienung erzielt wurde.

(Fortsetzung folgt.)

Die 3000 pferdigen Turbinen am Niagara,

ausgeführt von der Firma Ing. A. Riva, Monneret & C., Mailand.

Von R. Thomann, Professor der Technischen Hochschule Stuttgart.

(Vorgetragen im Württembergischen Bezirksverein.)

Die Hamilton Electric Light and Cataract Power Co. Ltd. in Hamilton, Ont., Canada, baute bis zum Jahre 1899 an einem den eigentlichen Niagara fall abschneidenden Industriekanal ein nutzbares Gefälle von 78 m mithilfe von zwei Turbinengruppen zu je 1500 PS aus. Die Zeichnungen zu den Turbinen: Doppel-Jonvalturbinen mit liegender Welle, stammten von einer europäischen Firma; die Ausführung hatten die Amerikaner selbst übernommen. Reguliert wurden die Turbinen von mechanischen Regulatoren. Da Bremsversuche einen schlechten Wirkungsgrad der Turbinen ergaben, so sah die Gesellschaft davon ab, ihr Werk in der angefangenen Weise auszubauen; sie ließ vielmehr von den bedeutendsten Turbinenfirmen Europas neue Entwürfe ausarbeiten und bestellte dann Ende Dezember 1899 bei der Firma Ing. A. Riva, Monneret & C. in Mailand zwei Turbinen für folgende Werte:

Nettogefälle	78 m
Wassermenge	3850 ltr/sk
Leistung	3000 PS
Uml./min	286

Uebrigens musste sich der Konstrukteur an folgende Bedingungen halten:

Die neue Gruppe von 3000 PS soll nicht mehr Platz beanspruchen als die alte von 1500 PS;

die neue Turbine muss bequem an die bestehende Hauptleitung angeschlossen werden können, und die letztere soll möglichst wenig durch schwere Teile belastet werden; auch das bestehende Saugrohr ist, wenn möglich, auszunutzen;

der Regulator soll mit hydraulischem Servomotor arbeiten;

auch bei raschem Schluss des Regulirschleibers darf sich der Druck in der Hauptleitung nicht in gefährlicher Weise erhöhen;

das Abschlussorgan soll rasch und leicht bedienbar sein.

Wie aus Fig. 1 bis 3 ersichtlich, sind die Platzverhältnisse durch die gedrungene Konstruktion der Turbinen sehr günstig ausgenutzt. Das Hauptlager ist so sicher mit der Grundplatte verschraubt, dass eine zu starke Belastung der Leitung nicht zu befürchten ist; überdies sind die auf

das Lager wirkenden Gewichte nicht sehr groß. Auf der Krümmerseite der Turbine ist immerhin noch genügend Raum für die hier sehr bescheidene Bedienung. An die Hauptleitung schließt sich ein schräger Stutzen an, dessen Flansch mit dem Einlasschieber verschraubt ist.

Die Turbine ist eine einfache Francis-Turbine mit waagrechter Welle. Das Wasser tritt durch einen zentrisch gelegenen Einlauf von 1200 mm l. W. in das Turbinengehäuse und verteilt sich gleichmäßig zu beiden Seiten der waagrechten Mittelebene in einer ringförmig ausgebildeten Kammer, Fig. 4. Dann durchfließt es Leitrad Schieber und

zieht, und es ist wohl nicht mit Unrecht dem zu weiten Saugrohr bei der alten Anlage ein wesentlicher Teil der Verluste an Wirkungsgrad zuzuschreiben. Die Eintrittsgeschwindigkeit beträgt im Durchmesser von 1200 mm 3,4 m/sk, entsprechend einer Geschwindigkeitshöhe von 0,16 vH des Gesamtgefälles, bewegt sich also ebenfalls vollständig in den zulässigen Grenzen.

Der Laufradkranz von 1500 mm äußerem Durchmesser, mit den Schaufeln aus einem Stück in Bronze gegossen, ist mit seiner Nabenscheibe durch versenkte Schrauben verbunden. Die Umfangsgeschwindigkeit beträgt am äußeren Laufraddurchmesser $0,575 \sqrt{2gH}$. Die Schaufelung ist normal. Zwei-

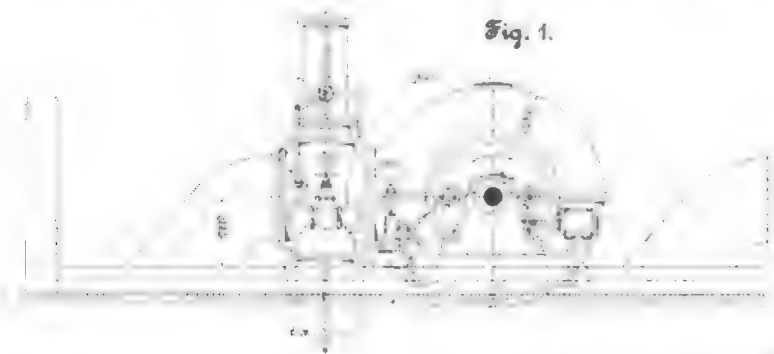


Fig. 1.

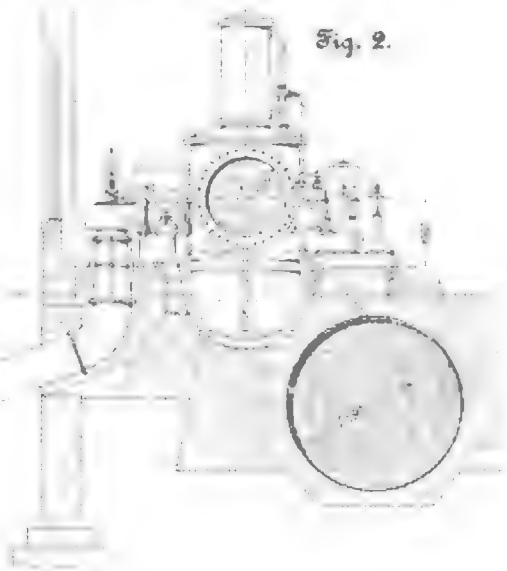
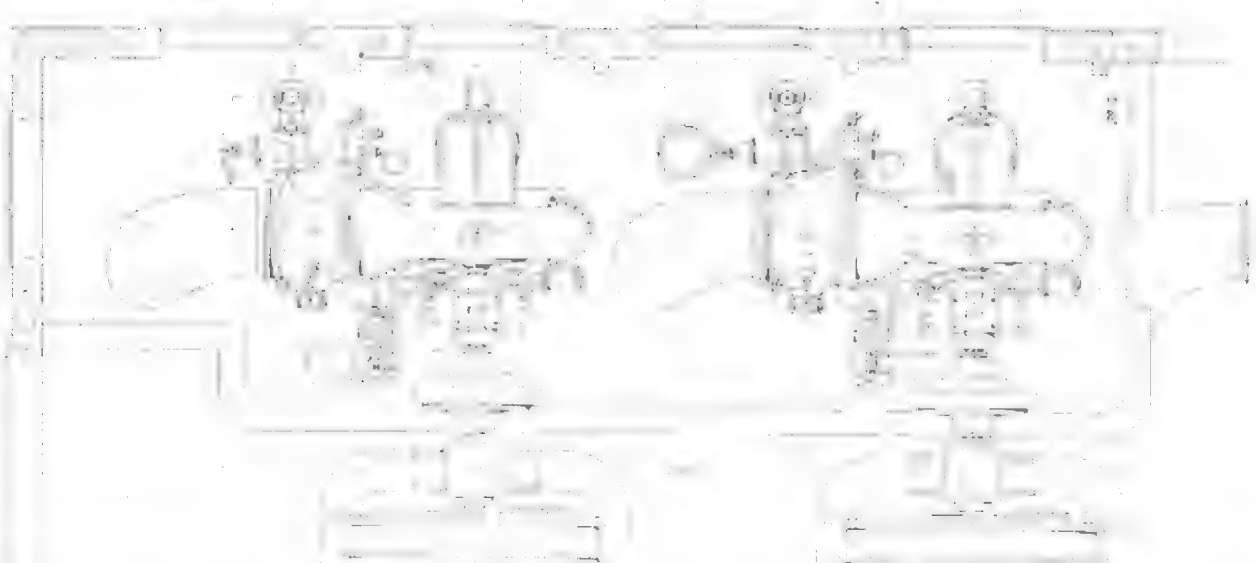


Fig. 2.

Fig. 1 bis 2.

Anlage mit 2 Turbinen von je 3000 PS
am Niagara, gebaut von A. Riva,
München & Co.

Fig. 3.



Dynamo

Dynamo

Laufrad und wird durch ein Saugrohr von 1000 mm Eintritt- und 1500 mm Enddurchmesser dem Unterwasserkanal zugeführt. Es sei gleich hier bemerkt, dass, wie Fig. 5 zeigt, das alte Saugrohr fast bis zur Turbine mit 1500 mm Dmr. ausgeführt war. Die Geschwindigkeiten im neuen Saugrohr beim Ein- bzw. Austritt sind bei Vollbeaufschlagung 4,0 und 2,2 m/sk, entsprechend den Geschwindigkeitshöhen von 1,6 bzw. 0,2 vH des Gesamtgefälles. Nach den letzten Zahlen muss die an sich ziemlich große Geschwindigkeit von 4,0 m/sk als vollständig richtig gewählt anerkannt werden, besonders wenn man das lange, schräg liegende Saugrohr inbetracht

sehen Laufrad und Leitrad bewegt sich ein Gitterschieber von 45 mm radialer Stärke, wie er von der erbauenden Firma vielfach ausgeführt wird¹⁾. Der Kranz, der ebenso wie das Laufrad aus Bronze besteht, ist durch ein Armkreuz gegen die Decknabe zentriert. Zwei in der Mittelebene gelegene Regulirwellen schließen und öffnen die Turbine, indem sie mittels Schubstangen und Kurbeln den Schieber um eine halbe Teilung vorwärts oder rückwärts drehen. Das Leitrad trägt ebenso viele Schaufeln aus Gusseisen wie der

¹⁾ v. Z. 1899 S. 1121 u. f.

hülfe und der Welle fast vollständig aufgenommen; drei Ringe sorgen für reichliche Schmierung. Bewegliche Stopfbüchsen dichten die Welle gegen Deckel und Krümmer ab; ein an letzterem angeschraubtes Konsollager von 130 mm Dmr. und 360 mm Schalenlänge stützt sie nochmals auf der

Fig. 4.

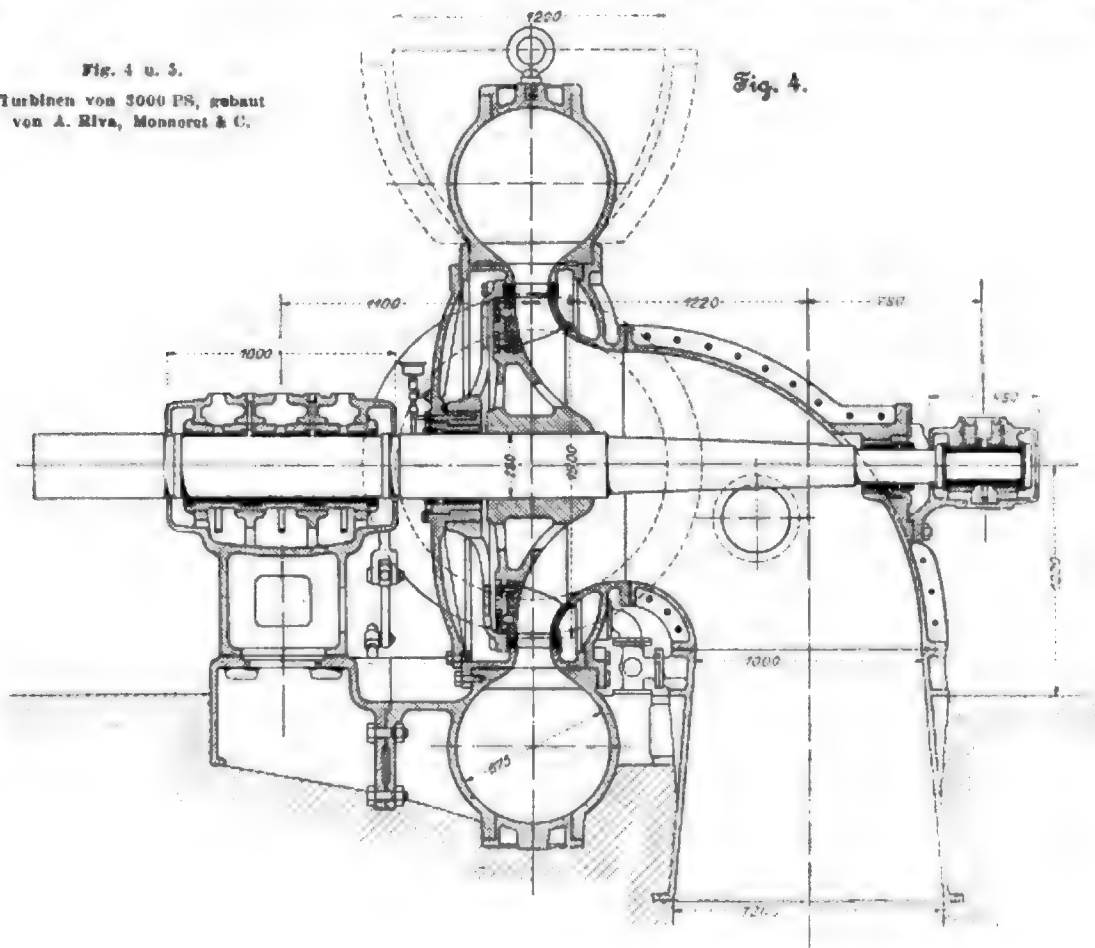
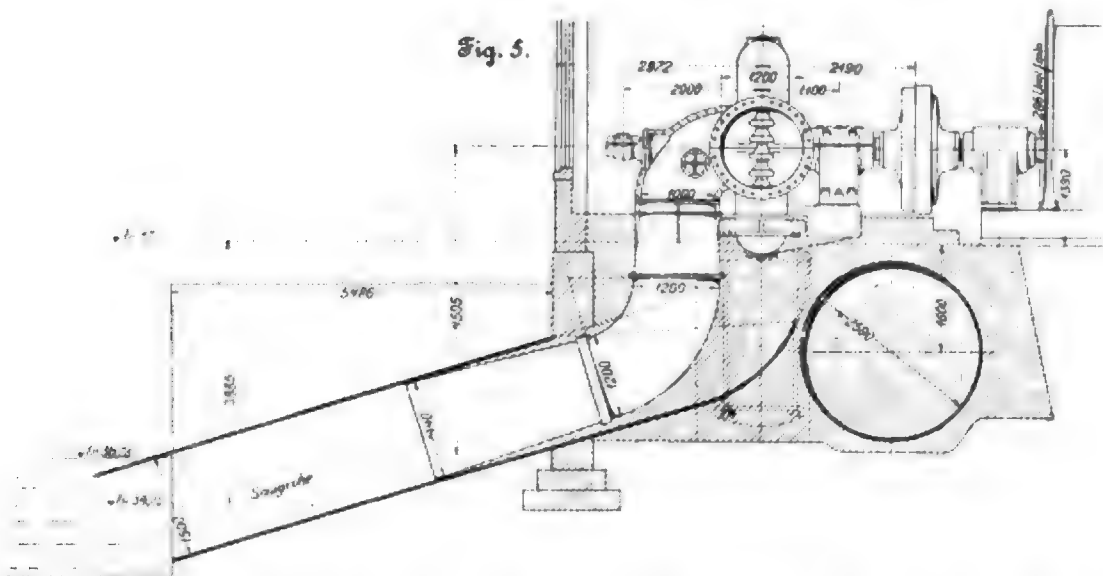


Fig. 5.



Saugseite. Ist dieses auch nur sehr wenig durch radial wirkende Kräfte beansprucht, so fällt ihm doch die wichtige Aufgabe zu, alle Achsialschübe aufzunehmen. Diese setzen sich zusammen aus dem zwischen Deckel und Laufrad sich

große Wassermenge, wie der Turbinenschieber abschließt, entweichen. Steht der Schieber wieder ruhig und ist der Leitungsdruck wieder auf seinen normalen Wert gesunken, so schließt sich auch das Sicherheitsventil wieder langsam.

Als Einlassorgan ist ein Absperrschieber von 1200 mm l. W. gewählt. Da auf diesem, wenn er geschlossen ist, 88000 kg lasten, so muss, bevor er bewegt werden kann, durch eine Umleitung bei geschlossenem Turbinenschieber in der Turbine Gegendruck erzeugt werden. Nur unter dem kleinen Unterschied der beiderseitigen Pressungen stehend, kann der Hauptschieber dann leicht geöffnet werden, und zwar durch bloßes Umstellen eines Steuerhahnes, der einen mit dem Schieber verbundenen Kolben steuert. Die ganze Bauhöhe des Schiebers beträgt ungefähr 5 m.

Wie schon erwähnt, wurden die Turbinen Ende Dezember 1899 bestellt. Anfang Juni 1900, nach wenig mehr als 5 Monaten, stand die erste samt Regulator und Zubehör fertig montiert in der Werkstätte und 10 Tage darauf auch die zweite. Die Aufstellung am Bestimmungsort übernahmen die Amerikaner.

Wenn man die Schwierigkeiten bedenkt, die der ausführenden Firma durch die gewaltigen Kräfte, die ungünstigen Raumverhältnisse, die kurze Lieferfrist und dadurch erwachsen sind, dass die Maschinen von fremden Monteuren aufgestellt wurden, und wenn man bedenkt, dass die Turbinen nach monatelangem Betrieb noch nicht den mindesten Anstand ergeben haben, so hat das aufstrebende italienische Haus den Beweis erbracht, dass es sich den übrigen Weltfirmen im Turbinenbau würdig zur Seite stellen darf.

Beitrag zur Bestimmung der größten Schubspannung im Querschnitt eines geraden, auf Drehung beanspruchten Stabes.

Von Professor Autenrieth in Stuttgart.

Bekanntlich pflegt man in der technischen Mechanik zur Berechnung der größten Schubspannung in den Querschnitten auf Drehung beanspruchter gerader Stäbe bei verschiedenen Querschnittsformen je besondere, mögliche Übereinstimmung von Rechnungs- und Versuchsergebnis erzielende Voraussetzungen zu machen. So erkennt man es als gerechtfertigt, bei einem durch ein gegebenes Drehmoment M_d auf Drehung beanspruchten Kreiscylinder anzunehmen, dass die Schubspannung τ , welche in einem beliebigen Punkte P des kreisförmigen Querschnittes infolge Einwirkung des Drehmomentes M_d auftritt, senkrecht zu dem durch P gehenden Halbmesser OP gerichtet und proportional sei dem Abstand ρ des Punktes P vom Kreismittelpunkt O . Aufgrund dieser Annahme ergibt sich dann die bekannte Formel:

$$\tau = \frac{\rho M_d}{\Theta_0} \text{ oder auch } \tau' = \frac{r M_d}{\Theta_0},$$

unter $\Theta_0 = \frac{r^4 \pi}{2}$ das polare Trägheitsmoment der Querschnittsfläche $F = r^2 \pi$ in Beziehung auf den Mittelpunkt O und unter τ' die „Umfangsschubspannung“ verstanden.

Aber diese Formel für τ gilt lediglich für Stäbe von kreisförmigem Querschnitt. Wollte man sie ohne weiteres auch auf den elliptischen oder gar den rechteckigen Querschnitt anwenden, so würde man durchaus falsche Ergebnisse erhalten. Daher hat man denn auch bezüglich des Gesetzes, nach welchem sich die in einem Querschnittspunkte P auftretende Schubspannung τ mit der Lage des Punktes P , d. h. mit den Koordinaten y und z deselben ändert, für den elliptischen und den rechteckigen Querschnitt je besondere Grundannahmen gemacht. So ließen gewisse Erwägungen es gerechtfertigt erscheinen, beim elliptischen Querschnitt, Fig. 1, für die Komponenten τ_y und τ_z , welche die Schubspannung τ im Punkt (y, z) des Querschnittes senkrecht zu den mit den Ellipsenachsen zusammenfallenden Koordinatenachsen liefert, zu setzen:

$$\tau_y = m y \text{ und } \tau_z = n z \quad (1),$$

wobei m und n Konstanten bedeuten.

Danach wären die Schubspannungen τ in den Punkten P eines beliebigen Ellipsenhalmessers OP alle gleichgerichtet, und zwar in ansehung des Umstandes, dass die Umfangsschubspannung τ' stets den Umfang des Querschnittes zu berühren hat, parallel der Tangente im Punkte P des Umfanges und überdies proportional den Abständen ρ der Punkte P vom Mittelpunkt O der Ellipse.

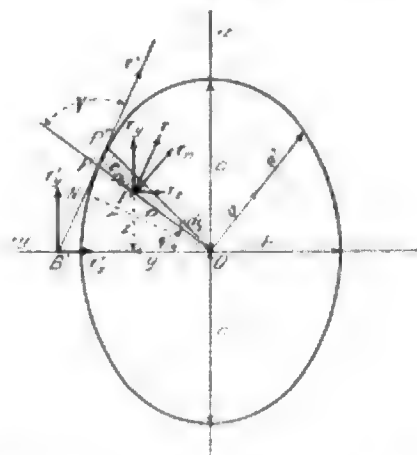
Ganz anders verhält es sich beim rechteckigen Querschnitt. Wollte man auch hier $\tau_y = m y$ und $\tau_z = n z$ setzen, so erhielte man für die Umfangsspannungen τ' Ungereimtes. Bezüglich der τ' haben die Versuche von Bach den Beweis geliefert, dass die Schubspannungen τ' in den Mitten der Rechteckseiten am größten, dagegen in den Ecken des Rechteckes

ecken $= 0$ sind, und dass diese τ' von den Mitten der Rechteckseiten gegen die Enden derselben stetig abnehmen. Diesen Thatsachen ist nun in einfacher Weise dadurch Rechnung getragen, wenn man setzt (siehe Grasshof, „Theorie der Elastizität und Festigkeit“, und Bach, „Elastizität und Festigkeit“):

$$\tau_y = m \left[1 - \left(\frac{y}{b} \right)^2 \right] y; \tau_z = n \left[1 - \left(\frac{z}{c} \right)^2 \right] z \quad (2),$$

wobei unter m und n Konstanten, unter b und c die Hälften der Rechteckseiten verstanden und die Koordinatenachsen mit den Hauptachsen des Rechtecks zusammenfallend angenommen sind.

Fig. 1.



Hierbei wären die Schubspannungen τ in den auf einem Fahrstrahl OP gelegenen Flächenelementen im allgemeinen nicht mehr gleichgerichtet und auch nicht mehr proportional den Abständen ρ der Flächenelemente vom Querschnittsmittelpunkt O .

Welche Voraussetzungen hinsichtlich der Werte von τ_y und τ_z soll man aber machen, wenn es sich um andere als die erwähnten Querschnitte handelt? Darüber gab die technische Elastizitätslehre seither keinen Aufschluss. Hier war man eben auf die allgemeine Elastizitätstheorie (de Saint-Venant'sches Problem) angewiesen. Darum erscheint es angezeigt, nachzuforschen, ob nicht vielleicht an die Stelle der für Ellipse und Rechteck verschiedenen lautenden Grundannahmen gewisse andere, aber gemeinsame Voraussetzungen treten könnten, aufgrund deren dann nicht bloß bei diesen beiden, sondern unter Umständen auch bei noch weiteren

Querschnitten die Querschnittsschubspannungen τ sich berechnen ließen. Hierbei liegt es nahe, da es sich um Drehungsschubspannungen handelt, statt der rechtwinkligen Koordinaten Polarkoordinaten ins Auge zu fassen und die zur Bestimmung der Schubspannungen τ notwendigen Grundannahmen durch Voraussetzungen bezüglich der Komponenten τ_r und τ_n von τ nach dem betreffenden Fahrstrahl und senkrecht darauf zum Ausdruck zu bringen.

Zu diesem Zwecke ziehen wir noch einmal den kreisförmigen Querschnitt in Betracht. Bei ihm ist die Umfangsschubspannung τ' ausgedrückt durch

$$\tau' = \frac{\tau M_d}{\theta} = \frac{\tau M_d}{r^2 \pi}, \text{ woraus } \tau' r = \frac{2 M_d}{r^2 \pi} = \frac{2 M_d}{F} = 2 C.$$

Es ist also beim Kreis das statische Moment der Umfangsschubspannung τ' konstant. Zudem sind die normal zu den Halbmessern gerichteten Schubspannungen $\tau = \tau_n$ proportional den Abständen ϱ der betreffenden Flächenelemente vom Kreismittelpunkt.

Dies berücksichtigend, wollen wir versuchen, zunächst für beliebige Querschnitte, welche durch eine stetige, nach außen konvexe Linie begrenzt sind und einen Mittelpunkt besitzen, der Berechnung der Schubspannungen τ die nachstehenden, beim Kreis zutreffenden Voraussetzungen zugrunde zu legen:

a) Das statische Moment der Umfangsschubspannung τ' in Beziehung auf den Mittelpunkt O des Stabquerschnittes ist konstant.

b) Die Komponenten τ_n der Schubspannungen τ , welche in den auf einem und demselben Halbmesser gelegenen Flächenelementen auftreten, nach den Normalen zu diesem Halbmesser sind proportional den Abständen ϱ der betreffenden Flächenelemente vom Mittelpunkt O des Querschnittes.

Diese beiden Voraussetzungen lassen sich auch zu einer einzigen zusammenziehen:

I. Es ist das statische Moment der Schubspannung τ eines beliebig auf irgend einem Halbmesser OP bei P gelegenen Flächenelementes proportional dem Quadrat des Verhältnisses $OP:OP'$, oder analytisch ausgedrückt, wenn $OP = \varrho$ und $OP' = \varrho'$:

$$\tau_n \varrho = m \left(\frac{\varrho}{\varrho'} \right)^2 \quad (3),$$

unter m eine Konstante verstanden. Diese Konstante m ist nichts anderes, als das statische Moment der Umfangsschubspannung τ' in Beziehung auf den Punkt O , das wir oben beim Kreis mit $2C$ bezeichnet haben. Setzt man nämlich $\varrho = \varrho'$, so wird $\tau_n = \tau_n'$, $\frac{\varrho}{\varrho'} = 1$ und damit $\tau_n' \varrho' = m$.

Mit diesem m liefert aber Gl. (2)

$$\tau_n \varrho = \tau_n' \varrho' \left(\frac{\varrho}{\varrho'} \right)^2; \quad \tau_n = \frac{\tau_n'}{\varrho'} \cdot \frac{\varrho^2}{\varrho'^2},$$

d. h. τ_n proportional ϱ . Gl. (3) bringt also tatsächlich die beiden oben erwähnten Voraussetzungen a) und b) zum Ausdruck.

Aufgrund der Annahme I, nämlich der Gleichung

$$\tau_n \varrho = m \left(\frac{\varrho}{\varrho'} \right)^2,$$

lassen sich, wie wir schon werden, die Komponenten τ_n der Schubspannungen τ normal zum Fahrstrahl und damit auch die Umfangsschubspannungen τ' berechnen. Will man aber die τ selbst haben, so muss noch bezüglich der in den Fahrstrahl fallenden Komponenten τ_p von τ eine Annahme gemacht werden, die wir mit II bezeichnen wollen. Würde man beispielsweise τ_p proportional ϱ annehmen, so wäre die Grundannahme II ausgedrückt durch die Gleichung

$$\tau_p = n \varrho \quad (4),$$

wobei wieder n eine Konstante. Bei gleichzeitigem Stattfinden der Gl. (3) und (4) zeigten sich dann die Schubspannungen τ in dem auf einem und demselben Fahrstrahl gelegenen Flächenelemente alle von gleicher Richtung und da-

mit auch wegen der vorgeschriebenen Richtung der Umfangsschubspannung τ' parallel der Tangente an den Umfang des Querschnittes im Endpunkte des Fahrstrahles und überdies proportional den Abständen ϱ der Flächenelemente vom Mittelpunkt des Querschnittes.

Schon wir jetzt nach, welche Ergebnisse wir bei einem elliptischen Querschnitt erhalten, wenn wir anstelle der bisher gebräuchlichen Voraussetzungen $\tau_n = m \varrho$ und $\tau_p = n \varrho$ zunächst Gl. (3), d. h. $\tau_n \varrho = m \left(\frac{\varrho}{\varrho'} \right)^2$, als Grundlage annehmen, oder, was dasselbe, wenn wir voraussetzen, dass das statische Moment der Umfangsschubspannung τ' in Beziehung auf den Mittelpunkt O des Querschnittes einen konstanten Wert $2C$ habe und dass überdies die Komponenten τ_n der Schubspannungen τ proportional den Abständen ϱ seien.

Das Gleichgewicht des durch den betrachteten Querschnitt abgegrenzt gedachten freien Stabtheiles, an dessen freiem Ende das gegebene Kräftepaar vom Moment M_d wirke, erfordert, dass die Summe der statischen Momente der im Querschnitt auftretenden Schubwiderstände bezogen auf den Mittelpunkt des Querschnittes gleich dem gegebenen Drehmoment M_d sei. Demgemäß hat man, wenn man die Summe der statischen Momente der Schubwiderstände für den Ausschnitt OPP' , Fig. 1, mit dM bezeichnet, zunächst

$$dM = \int \varrho d\varrho d\tau_n \varrho = \int \varrho d\varrho d\tau_n' \frac{\varrho^2}{\varrho'^2} \varrho = \int \frac{d\varphi \tau_n'}{\varrho'^3} \int \varrho^3 d\varrho = \frac{\varrho'^3 d\varphi \tau_n'}{2} = dF \frac{\tau_n' \varrho'}{2},$$

wobei dF der Inhalt des Ausschnittes OPP' . Nach der Voraussetzung ist aber $\tau_n' \varrho' = 2C$, also $dM = C dF$ und damit, wenn F die ganze Querschnittfläche, $M = CF$ oder, da $M = M_d$,

$$C = \frac{M_d}{F} \quad (5).$$

Somit wäre $\tau_n' \varrho' = \frac{2 M_d}{F}$, oder, wenn ψ der Winkel des Halbmessers OP' mit der Tangente an den Umfang des Querschnittes im Punkte P' ,

$$\varrho' \tau' \sin \psi = \frac{2 M_d}{F}.$$

Fällt man jetzt in Fig. 1 von O das Lot ON auf die in P' gezogene Tangente und bezeichnet die Länge ON dieses Lotes mit r , so ergibt die letzte Gleichung, da $\varrho' \sin \psi = r$, für das statische Moment der Umfangsschubspannung

$$\tau' r = \frac{2 M_d}{F} \quad (6),$$

woraus in jedem beliebigen Punkte des Querschnittumfanges die betreffende Schubspannung τ' berechnet werden kann, wenn man das betreffende r zuvor bestimmt hat. Aus Gl. (6) erhält man aber weiter

$$\tau'_{\max} = \frac{2 M_d}{F r_{\min}} \quad \text{und} \quad \tau'_{\min} = \frac{2 M_d}{F r_{\max}}.$$

Bei dem dem Mittelpunkte des Querschnittes am nächsten liegenden Umfangspunkt fällt aber das Lot ON mit dem Halbmesser OP' , oder r mit ϱ' zusammen. Man kann daher schreiben:

$$\tau'_{\max} = \frac{2 M_d}{F \varrho'_{\min}} \quad (7).$$

Bis jetzt wurde gar nicht berücksichtigt, dass es sich um einen elliptischen Querschnitt handeln soll. Darnach hat auch Gl. (7) unter den gemachten Voraussetzungen allgemeine Gültigkeit für alle Querschnitte mit Mittelpunkt, welche durch eine stetige, nach außen konvexe Linie begrenzt sind. Ist der Querschnitt ein elliptischer von den Halbachsen b und c , so hat man in diesem Falle $F = \pi bc$; auch erkennt man, dass $r_{\min} = b$ und $r_{\max} = c$, womit

$$\tau'_{\max} = \frac{2 M_d}{c b^2 \pi} \quad \text{und} \quad \tau'_{\min} = \frac{2 M_d}{b c^2 \pi}.$$

Was aber die Schubspannung τ in dem beliebigen Punkt P des Halbmessers OP betrifft, so können wir sie, wie schon oben bemerkt worden ist, nur aufgrund einer Voraussetzung über das Gesetz bestimmen, nach dem sich die in den Halbmesser fallenden Komponenten τ_x von τ mit ρ ändern. Nimmt man nun bei der Ellipse außer der Grundvoraussetzung I, nämlich Gl. (3), als Grundvoraussetzung II die Gl. (4) an, wonach die Schubspannungen τ in dem auf einem und demselben Halbmesser OP gelegenen Flächenelemente als parallel und proportional ρ bezeichnet sind, so lassen sich jetzt auch die τ und damit ihre Komponenten τ_x und τ_y nach den Koordinatenachsen berechnen. Nach Gl. (6) ist

$$\tau'(ON) = \frac{2M_d}{r}.$$

Statt $\tau'(ON)$ können wir aber setzen, wenn wir uns τ' bis B' verschoben und dort in die Komponenten τ'_x und τ'_y zerlegt denken: $\tau'_y(B'O)$.

Bei der Ellipse lässt sich beweisen, dass $B'O = \frac{b^3}{y'}$, wenn y' , x' die Koordinaten des Punktes P' sind.

Man erhält daher:

$$\tau'_y \frac{b^3}{y'} = \frac{2M_d}{cb\pi} \quad \text{und damit} \quad \tau'_y = \frac{2M_d}{cb^3\pi} y'.$$

$$\text{Ebenso wird } \tau'_x = \frac{2M_d}{bc^3\pi} x'.$$

Weiter ergibt sich dann schließlich:

$$\tau_y = \frac{2M_d}{cb^3\pi} y \quad \text{und} \quad \tau_x = \frac{2M_d}{bc^3\pi} x.$$

Das sind aber die Ausdrücke für τ_x und τ_y , welche sich auch aufgrund der beim elliptischen Querschnitt seither üblichen, durch Gl. (1) angegebenen Voraussetzungen ergeben. Daraus geht nun hervor, dass beim elliptischen Querschnitt unsere Voraussetzungen (I und II) ebenso gerechtfertigt sind wie die seither üblichen (Gl. (1)).

Handelte es sich um einen elliptischen Ring, bei welchem das Verhältnis der auf einen und denselben Fahrstrahl OP fallenden Halbmesser $\rho_0 : \rho' = v$ konstant ist, so hätte man hier

$$\begin{aligned} dM &= \int_{\rho_0}^{\rho'} \rho d\rho \tau_x \rho = \int_{\rho_0}^{\rho'} \rho d\rho \tau'_x \frac{\rho'}{\rho} = \frac{dF}{4} \tau'_x \rho'^2 (1-v^4) \\ &= \frac{\tau'_x \rho'^2}{2} \frac{dF}{2} (1-v^4) = C dF_1 (1-v^4), \end{aligned}$$

woraus

$$M = M_d = C(1-v^4) F_1 = C(1+v^2)(1-v^2) F_1,$$

unter F_1 den Inhalt der vom äußeren Halbmesser ρ' beschriebenen Fläche verstanden. Bezeichnet man die vom inneren Halbmesser ρ_0 beschriebene Fläche mit F_0 und mit F den Inhalt des ringförmigen Querschnittes, so hat man

$$F = F_1 - F_0 = F_1 \left(1 - \frac{F_0}{F_1}\right) = F_1 (1-v^2).$$

Damit wird

$$M_d = C(1+v^2) F; \quad C = \frac{M_d}{F(1+v^2)} \quad \text{und}$$

$$\tau'_{\max} = \frac{2M_d}{F(1+v^2)} \rho'_{\min} \quad \dots \quad (8).$$

Dieser Ausdruck gilt wieder allgemein für ringförmige, durch stetige Linien begrenzte Querschnitte, bei welchen das Verhältnis $\rho_0 : \rho' = v$ konstant ist und die Voraussetzung I zugrunde gelegt wird. Beim Ellipsenring würde dann

$$\tau'_{\max} = \frac{2M_d}{(cb - c_0b_0)\pi(1+v^2)b} = \frac{2M_db}{\pi(cb - c_0b_0)(b_0^2 + b^2)}$$

und mit $v = \frac{c_0}{c} = \frac{b_0}{b}$ oder $bc_0 = cb_0$:

$$\tau'_{\max} = \frac{2M_db}{\pi(b^3 - c_0b_0^3)}$$

und demgemäß beim Kreisring:

$$\tau'_{\max} = \frac{2M_d r}{\pi(r^4 - r_0^4)} = \frac{rM_d}{\Theta_0},$$

ein bekannter Ausdruck.

Es spricht also nichts dagegen, überhaupt bei Querschnitten, welche von einer stetigen, nach außen konvexen Linie begrenzt sind, der Berechnung der Schubspannungen τ unsere durch die Gleichungen (3) und (4) zum Ausdruck ge-

brachten Voraussetzungen zugrunde zu legen. Anders verhält es sich dagegen bei Querschnitten, die die Form regelmäßiger Vielecke besitzen, Fig. 2.

Hier bemerken wir zunächst, dass das statische Moment der Umfangschubspannung τ' in Beziehung auf den Mittelpunkt des Querschnittes nicht mehr konstant angenommen werden kann, dass vielmehr der Ausdruck für dieses statische Moment einer Erweiterung bedarf. Setzte man nämlich wieder $\tau'r = 2C$, so erhielte man für die notwendigerweise in den

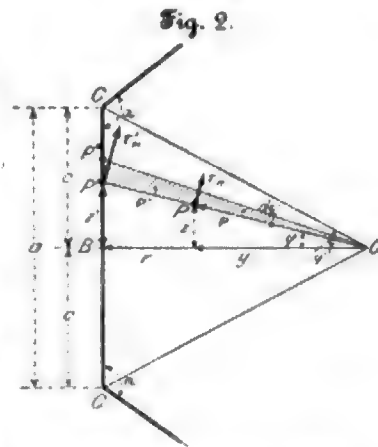
Seiten CC des Vielecks wirkenden Umfangschubspannungen τ' je konstante Werte, was mit der Wirklichkeit im Widerspruch steht. Es haben nämlich, worauf schon oben aufmerksam gemacht ist, die Bachschen Versuche an Stäben von quadratischem und rechteckigem Querschnitt gezeigt, dass in den Ecken des Querschnittes die $\tau' = 0$ sind und in den Mitten der Seiten ihre größten Werte besitzen.

Aber auch bei Vielecken, bei welchen der Eckwinkel α von 90° verschieden ist, pflegte man in den Eckpunkten die Umfangschubspannung $\tau' = 0$ anzunehmen, indem man sagte, dass beim Uebergang von einer Vielecksseite in die folgende τ' durch null gehen müsse, weil bei einem endlichen Wert die Umfangschubspannung in den Vielecksecken nicht gleichzeitig die Richtung der beiden auf einander folgenden Vielecksseiten haben könne. Damit war dann zugleich ausgesprochen, dass überhaupt bei jedem Vieleck, also auch bei einem Vieleck von großer Seitenzahl, das sich von einem Kreis kaum unterscheidet, in den Eckpunkten die Umfangschubspannung τ' gleich null sei. Beim Kreis ist jedoch erwiesenermaßen die Umfangschubspannung τ' nicht gleich null, es müsste also beim Uebergang des Vielecks in den Kreis ein plötzlicher Uebergang der Umfangschubspannung vom Werte null in den für den Kreis bestmöglichen endlichen Wert von τ' erfolgen, was widersinnig ist.

Dehnte man die von Bach an Hartbleistäben von kreisförmigem, elliptischem, quadratischem und rechteckigem Querschnitt angestellten Versuche auch auf Stäbe von sechseckigem, achteckigem usw. Querschnitt aus, so würden sich ohne Zweifel auch an den Außenflächen der Stäbe Verschiebungen zeigen, die auf tatsächlich vorhandene Umfangschubspannungen τ' in den Eckpunkten der Querschnitte schließen ließen. In Wirklichkeit findet aber kein plötzlicher Uebergang von einer Seite des Querschnittes in die nächstfolgende statt, die Ecken sind stets mehr oder weniger abgerundet. Wird diesem Umstand Rechnung getragen, so kann auch angenommen werden, dass in den abgerundeten Ecken des Querschnittes von null verschiedene Schubspannungen τ' auftreten können, welche von dem Winkel α abhängen, den zwei auf einander folgende Seiten des Querschnittumfangs mit einander bilden. Hierbei müsste aber in anbeacht der Bachschen Versuchsergebnisse $\tau' = 0$ sich zeigen für $\alpha = 90^\circ$. Dem ist nun entsprochen, wenn man für das statische Moment der Umfangschubspannung τ' nicht mehr den konstanten Wert $2C$ annimmt, sondern setzt, unter Berücksichtigung der Bezeichnungen in Fig. 2:

$$\tau'r = 2C \left[1 - \left(\frac{\rho'}{r}\right)^2 \sin^2 \alpha\right] \quad \dots \quad (9).$$

unter C eine Konstante verstanden. Dieser Ausdruck geht für $\alpha = 180^\circ$ über in $\tau'r = 2C$, d. i. unsere Voraussetzung (a) bei stetigem Umfang des Querschnittes. Sollte jedoch angenommen werden, dass nicht bloß bei Quadrat und Rechteck, sondern überhaupt bei den Vielecken die Schubspannung τ' in den Eckpunkten gleich null sei, so wäre in Gl. (9) und



in allen weiteren aus ihr folgenden Gleichungen, wie bei Quadrat und Rechteck, 1 statt $\sin \alpha$ zu setzen¹⁾.

Was sodann die Komponenten τ_x der Schubspannungen τ nach den Normalen zu den vom Mittelpunkt O des Querschnittes aus gezogenen Fahrstrahlen betrifft, so kann jetzt auch die bei stetigem Umfang oben unter (b) angeführte Voraussetzung nicht beibehalten werden. Nähme man nämlich τ_x proportional ϱ , so erhielte man beim Quadrat und Rechteck in allen auf den Diagonalen gelegenen Flächenelementen wegen $\tau'_x = 0$ auch $\tau_x = 0$, was nicht richtig erscheint. Viel besser dürfte dagegen den tatsächlichen Verhältnissen entsprechen die Annahme:

$$\tau_x = \frac{x}{c^2} (c^2 - \varrho^2 \sin^2 \varphi \sin \alpha) \varrho \quad (10),$$

worin x eine Konstante. Mit $\alpha = 180^\circ$ wird hierbei $\tau_x = x\varrho$, d. h. τ_x proportional ϱ , in Uebereinstimmung mit unserer Voraussetzung (b) bei stetigem Umfang.

Des weiteren erkennt man, dass für $\varphi = 0$ $\tau_x = 0$ und dass für $\varphi = \varphi'$ und $\varphi = \varphi'$ mit Rücksicht auf $\varphi' \sin \varphi' = \varphi \sin \varphi$ gleichfalls $= 0$ wird, dagegen bei $\varphi > 0$ und $\varphi < \varphi'$ $\tau_x > 0$.

Bestimmen wir jetzt aufgrund dieser unserer Voraussetzungen (9) und (10) für ein regelmäßiges Vieleck von der Seitenlänge a , dem Eckwinkel α und dem Halbmesser r des eingeschriebenen Kreises die größte Umfangschubspannung τ_{\max} .

Nach (10) ist

$$\tau_x = \frac{x}{c^2} (c^2 - \varrho^2 \sin^2 \varphi \sin \alpha) \varrho$$

und demgemäß

$$\tau'_x = \frac{x}{c^2} (c^2 - \varrho'^2 \sin^2 \varphi' \sin \alpha) \varrho',$$

also

$$\frac{\tau_x}{\tau'_x} = \frac{c^2 - \varrho^2 \sin^2 \varphi \sin \alpha}{c^2 - \varrho'^2 \sin^2 \varphi' \sin \alpha}.$$

Ferner folgt aus (9):

$$\tau' r = 2C \left[1 - \frac{\varrho'^2 \sin^2 \varphi' \sin \alpha}{c^2} \right]$$

oder, da $\tau_x \varrho' = \tau' r$,

$$\tau_x \varrho' = \frac{2C}{c^2} (c^2 - \varrho'^2 \sin^2 \varphi' \sin \alpha) \quad (11).$$

Nunmehr ergibt sich als Summe der statischen Momente der Schubwiderstände im Ausschnitt $OP'P''$, Fig. 2:

$$dM_1 = \int \varrho d\varphi d\varrho \tau_x \varrho = \int \varrho^2 d\varphi d\varrho \tau_x \frac{c^2 - \varrho^2 \sin^2 \varphi \sin \alpha}{c^2 - \varrho'^2 \sin^2 \varphi' \sin \alpha} \varrho' \\ = \frac{d\varphi \tau'_x}{c^2 - \varrho'^2 \sin^2 \varphi' \sin \alpha} \frac{1}{\varrho'} \int (c^2 - \varrho^2 \sin^2 \varphi \sin \alpha) \varrho^3 d\varrho \quad (12),$$

oder wenn man die Summe nimmt von $\varphi = 0$ bis $\varphi = \varphi'$:

$$dM_1 = \frac{d\varphi \tau'_x}{c^2 - \varrho'^2 \sin^2 \varphi' \sin \alpha} \frac{1}{\varrho'} \left(\frac{c^2 \varrho'^4}{4} - \frac{\varrho'^6}{6} \sin^2 \varphi' \sin \alpha \right) \\ = \frac{\varrho'^3 d\varphi (\tau'_x \varrho')}{c^2 - \varrho'^2 \sin^2 \varphi' \sin \alpha} \left(\frac{c^2}{4} - \frac{\varrho'^2}{6} \sin^2 \varphi' \sin \alpha \right) \quad (13).$$

Wird jetzt für $\tau_x \varrho'$ der Ausdruck (11) eingesetzt und der Inhalt $OP'P''$ mit dF_1 , $P'P''$ mit dZ , der Inhalt des Dreiecks OBC mit F_1 bezeichnet, so ergibt sich:

$$dM_1 = \frac{2dF_1}{24} \frac{2C}{c^2} (6c^2 - 4\varrho'^2 \sin^2 \varphi' \sin \alpha) \\ = \frac{rds'}{24} \frac{2C}{c^2} (6c^2 - 4z^2 \sin \alpha), \\ M_1 = \frac{r^2 C}{24c^2} \int (6c^2 - 4z^2 \sin \alpha) dz = \frac{r^2 C}{24c^2} \left(6c^2 z - \frac{4}{3} z^3 \sin \alpha \right) \\ = \frac{3Crc}{3 \cdot 24} (18 - 4 \sin \alpha) = \frac{2C^2 F_1}{3 \cdot 24} (18 - 4 \sin \alpha).$$

¹⁾ Bezüglich der abgerundeten Ecken möge noch Folgendes bemerkt werden: Der Unterschied zwischen der Strecke $BC = c$, Fig. 2, und der Ordinate a' des Anfangspunktes des Bogens, welcher die Ecke C des regelmäßigen Vielecks abrundet, kann vernachlässigt und demgemäß auch als Umfangschubspannung am Anfang dieses Bogens der aus Gl. (9) für $z' = c$ sich ergebende Wert von τ' , nämlich $\tau' = \frac{2C}{r} (1 - \sin \alpha)$ genommen werden. Der Wert von τ' in der Mitte des Bogens wäre dann, da das statische Moment der Umfangschubspannung längs des Bogens wieder konstant, nach Maßgabe des größeren Hebelarmes von τ' kleiner als derjenige am Bogenanfang.

Hieraus folgt

$$2C = \frac{36M_1}{F_1(18 - 4 \sin \alpha)} \quad (14),$$

oder wenn der Inhalt des ganzen Querschnittes, welcher ein regelmäßiges n -Eck darstellt, wieder mit F bezeichnet wird und die algebraische Summe der statischen Momente sämtlicher Schubwiderstände im Querschnitt mit M , wobei wegen des Gleichgewichtes des durch den Querschnitt abgetrennten Stabteiles $M = M_1$,

$$2C = \frac{36 \cdot 3n M_1}{2n F_1 (18 - 4 \sin \alpha)} = \frac{36 M_1}{F(18 - 4 \sin \alpha)}.$$

Damit ergibt sich, da $\tau_x \varrho' = \tau' r$, unter Berücksichtigung von Gl. (9):

$$\tau' = \frac{36 M_1}{r F (18 - 4 \sin \alpha) c^2} (c^2 - \varrho'^2 \sin^2 \varphi' \sin \alpha) \quad (15).$$

Hieraus lässt sich für jeden Umfangspunkt P' die Größe der nach der betreffenden Vieleckseite gerichteten Umfangschubspannung τ' berechnen. Aus Gl. (15) geht aber hervor, dass der größte Wert von τ' für $\varphi = 0$, also in der Mitte der Vieleckseite eintritt, womit man erhält:

$$\tau'_{\max} = \frac{36 M_1}{r F (18 - 4 \sin \alpha)} \quad (16).$$

Setzt man hierin $\alpha = 180^\circ$, so erhält man

$$\tau'_{\max} = \frac{36 M_1}{r F 18} = \frac{2 M_1}{r F},$$

den bekannten Ausdruck für die größte Umfangschubspannung bei stetigem Umfang, d. h. dem Kreis.

Jetzt fehlt uns nur noch der Ausdruck für τ'_{\max} bei den Querschnitten von Hohlstäben. Um diesen für einen regelmäßigen Vieleckring zu bekommen, gehen wir von Gl. (12) aus und integrieren sie nicht mehr zwischen den Grenzen 0 und φ' , sondern zwischen den Grenzen φ'_0 und φ'_1 , wodurch wir erhalten:

$$dM_1 = \frac{d\varphi \tau'_x}{\varrho' (c^2 - \varrho'^2 \sin^2 \varphi' \sin \alpha)} \left[\frac{c^2 \varrho'^4 - \varrho'^6}{4} - \sin^2 \varphi' \sin \alpha \frac{\varrho'^6 - \varrho'^6_0}{6} \right],$$

oder wenn wir das Verhältnis $\varphi'_0 : \varphi'_1$ wieder mit v bezeichnen:

$$dM_1 = \frac{d\varphi \tau'_x \varrho'^4}{24 \varrho' (c^2 - \varrho'^2 \sin^2 \varphi' \sin \alpha)} \left[6c^2 (1 - v^2) - 4\varrho'^2 \sin^2 \varphi' \sin \alpha (1 - v^2) \right].$$

Schreibt man jetzt

$$1 - v^2 = 1 - v^2 + v^2 - v^2 = 1 - v^2 + v^2 (1 - v^2) \\ = (1 - v^2) (1 + v^2 + v^4),$$

so wird

$$dM_1 = \frac{\varrho'^2 d\varphi \tau'_x \varrho' (1 - v^2)}{24 (c^2 - \varrho'^2 \sin^2 \varphi' \sin \alpha)} [6c^2 (1 + v^2) - 4\varrho'^2 \sin^2 \varphi' \sin \alpha (1 + v^2 + v^4)],$$

und mit Berücksichtigung von Gl. (11) und den Bezeichnungen von Fig. 2:

$$dM_1 = \frac{ds' r^2 C (1 - v^2)}{24 c^2} [6c^2 (1 + v^2) - 4z^2 \sin \alpha (1 + v^2 + v^4)].$$

Daraus ergibt sich durch Integration von $z' = 0$ bis $z' = c$

$$M_1 = \frac{r^2 C (1 - v^2) c}{24} [6(1 + v^2) - \frac{4}{3} \sin \alpha (1 + v^2 + v^4)],$$

und wenn man wieder den Inhalt $\frac{1}{2} r c$ des Dreiecks OBC , Fig. 2, mit F_1 bezeichnet,

$$M_1 = \frac{2CF_1(1-v^2)}{36} [18(1+v^2) - 4\sin\alpha(1+v^2+v^4)].$$

Wir erhalten daher beim Hohlstab entsprechend der Gl. (14):

$$2C = \frac{36 M_1}{F_1 (1 - v^2) [18(1 + v^2) - 4 \sin \alpha (1 + v^2 + v^4)]},$$

unter F_1 den Inhalt des Dreiecks OBC und unter M_1 die Summe der statischen Momente der in Fläche OBC auftretenden Schubwiderstände in Beziehung auf den Mittelpunkt O verstanden.

Mit diesem Wert von $2C$ und mit

$$F_1 (1 - v^2) = F_1 - F_1 \frac{F_1}{F_1} = F_1 - F_0 = F$$

ergibt sich dann schließlich, der Gleichung (5) entsprechend, der größte Wert der Umfangschubspannung τ' , nämlich

$$\tau'_{\max} = \frac{18 M_1}{[9(1 + v^2) - 2 \sin \alpha (1 + v^2 + v^4)] F_1 \varrho'_{\min}} \quad (17).$$

oder allgemein

$$\tau'_{\max} = \zeta \frac{M_d}{F \rho'_{\min}} \quad (18),$$

wobei jetzt unter F die ganze Querschnittsfläche zu verstehen wäre und unter

$$\zeta = \frac{18}{9(1+r^2) - 2 \sin \alpha (1+r^2+r^4)}$$

ein von der Querschnittsform abhängiger Koeffizient, welcher bei vollen Querschnitten mit $r=0$ die Form annimmt:

$$\zeta = \frac{18}{9-2 \sin \alpha}$$

Bei einem durch eine stetige Linie begrenzten vollen Querschnitt, wie beim kreisförmigen und elliptischen, ist $\alpha = 180^\circ$ und $\sin \alpha = 0$ und damit

$$\zeta = 2,$$

wodurch wie früher

$$\tau'_{\max} = \frac{2 M_d}{F \rho'_{\min}}$$

Bei einem Kreisring vom inneren Halbmesser r_0 und dem äußeren r würde sich dagegen ergeben mit $\sin \alpha = 0$:

$$\zeta = \frac{2}{1+r^2} = \frac{2}{1+\left(\frac{r_0}{r}\right)^2} = \frac{2r^2}{r^2+r_0^2}$$

und damit

$$\tau'_{\max} = \frac{2r^2}{r^2+r_0^2} \frac{M_d}{(r^2-r_0^2)\pi r} = \frac{2r M_d}{(r^2-r_0^2)\pi} = \frac{r M_d}{\Theta_0},$$

wobei Θ_0 das polare Trägheitsmoment der Kreisringfläche in Besiehung auf ihren Mittelpunkt.

Handelte es sich um einen quadratischen Querschnitt von der Seitenlänge a , so wäre hier $\alpha = 90^\circ$, $\sin \alpha = 1$ und damit

$$\zeta = \zeta_1 = \frac{18}{9-2} = 2,57.$$

Den gleichen Wert ζ_1 für ζ erhielte man auch bei den übrigen regelmäßigen Vielecken, wenn bei ihnen angenommen werden müsste, dass in den Eckpunkten die Schubspannungen τ' gleich null seien. In diesem Falle hätte man nämlich, wie schon oben bei Gl. (9) bemerkt ist, 1 statt $\sin \alpha$ zu setzen, womit sich dann tatsächlich $\zeta = \zeta_1$ herausstellte. Mit $\zeta = \zeta_1 = 2,57$ ergibt sich nun beim quadratischen Querschnitt

$$\tau'_{\max} = \frac{2,57 M_d}{F \frac{a}{2}} = 5,14 \frac{M_d}{a^3}.$$

Aufgrund der strengen Rechnung nach de Saint-Venant findet sich dagegen, wie Herrmann in der Zeitschrift des österreichischen Arch.- und Ing.-Vereines 1883 gezeigt hat:

$$\tau'_{\max} = 4,83 \frac{M_d}{a^3}.$$

Somit wäre beim Quadrat nach unseren Grundannahmen der Koeffizient im Ausdruck für τ'_{\max} um 0,31 größer als nach der von Herrmann ausgeführten strengen Rechnung, während nach den durch Gl. (2) ausgedrückten Grundannahmen von Grashof und von Bach dieser Koeffizient = 4,5, also um 0,33 kleiner als der von Herrmann berechnet ist. Bei einem Rechteck von den Seitenlängen b und h ($b < h$) würden wir mit unserem Wert ζ_1 von ζ erhalten:

$$\tau'_{\max} = 5,14 \frac{M_d}{b^2 h}.$$

Das weitere liefern für ein gleichseitiges Dreieck von den Seitenlängen a unsere Formeln:

$$\zeta = \frac{18}{9-2 \sin 60^\circ} = 2,48,$$

womit

$$\tau'_{\max} = 2,48 \frac{M_d}{\frac{a}{2} a \sin 60^\circ} = 19,81 \frac{M_d}{a^3};$$

Dagegen ergäbe sich, wenn wir für die Ecken des Dreiecks die Bedingung $\tau' = 0$ aufstellten und demgemäß $\zeta = \zeta_1 = 2,57$ setzten:

$$\tau'_{\max} = 20,54 \frac{M_d}{a^3},$$

während in diesem Fall nach der strengen Rechnung von Herrmann

$$\tau'_{\max} = 20 \frac{M_d}{a^3}$$

wird.

Endlich findet sich bei unserm Vorgehen im Falle eines regelmäßigen Sechsecks von der Seitenlänge a :

$$\tau'_{\max} = 2,48 \frac{M_d}{\frac{a}{2} a \sin 60^\circ \cdot a \sin 60^\circ} = 1,10 \frac{M_d}{a^3},$$

und mit $\zeta = \zeta_1 = 2,57$

$$\tau'_{\max} = 1,14 \frac{M_d}{a^3},$$

nach Herrmann dagegen

$$\tau'_{\max} = 1,09 \frac{M_d}{a^3}.$$

Gehen wir jetzt auch noch über zu einigen praktisch wichtigen Querschnitten, die zwar einen Mittelpunkt haben, jedoch Einbuchtungen zeigen und aus diesem Grunde nicht ohne weiteres nach den seitherigen Regeln behandelt werden dürfen. Es sind dies der kreuzförmige und der I-förmige Querschnitt. Was den ersteren Querschnitt betrifft, so kann er als aus zwei rechtwinklig sich kreuzenden Rechtecken gebildet angesehen werden (wobei allerdings das Quadrat, mit welchem sich die beiden Rechtecke decken, doppelt gerechnet wäre). In diesem Falle käme dann auf jedes der beiden Rechtecke, deren Inhalt wir mit f bezeichnen wollen, das Drehungsmoment $\frac{1}{2} M_d$. Damit erhielte man für jedes der beiden Rechtecke, wenn s die Rippenstärke:

$$\tau'_{\max} = \zeta_1 \frac{\frac{1}{2} M_d}{f \frac{s}{2}}.$$

Hiernach könnte man für den kreuzförmigen Querschnitt setzen:

$$\tau'_{\max} = \zeta_1 \frac{M_d}{F \frac{s}{2}},$$

worin F den Inhalt der ganzen Querschnittsfläche bedeuten und für ζ_1 der für das Quadrat und das Rechteck gefundene Wert von ζ zu nehmen wäre. Mit $\zeta_1 = 2,57$ ergäbe sich dann:

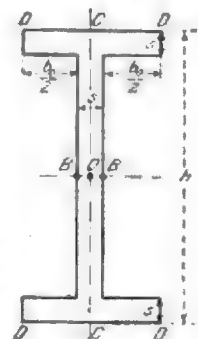
$$\tau'_{\max} = 2 \zeta_1 \frac{M_d}{F s} = 5,14 \frac{M_d}{F s}.$$

Beim I-förmigen Querschnitt, Fig. 3, bemerken wir bezüglich der Aenderung der Umfangschubspannung τ' längs CD , dass τ' in D , wohl wie beim Rechteck, = 0 und dass, wenn man sich die Rippen bei CD weggenommen denkt, τ' bei B den größten und bei C den kleinsten Wert annimmt. Ebenso erkennt man, dass, wenn die Höhe h des Steges beträchtlich größer als dessen Stärke s ist, die Schubspannung τ' bei C gegenüber derjenigen in B verhältnismäßig klein erscheint und dass demnach überhaupt die Schubspannungen längs DD nicht sehr ins Gewicht fallen. Immerhin würde man einen zu großen Wert von τ'_{\max} erhalten, wenn man die Querschnittsflächen der Rippen ganz vernachlässigte und setzte

$$\tau'_{\max} = \zeta_1 \frac{M_d}{h s \frac{s}{2}}.$$

Wir bekommen nun einen besseren Wert von τ'_{\max} , wenn wir in obigem Ausdruck für τ'_{\max} an die Stelle von $h s$ den

Fig. 3.



Inhalt F der ganzen I-förmigen Querschnittsfläche setzen. Demgemäß würde man beim I-förmigen Querschnitt erhalten:

$$r'_{\max} = \zeta_1 \frac{M_d}{F} = 2 \zeta_1 \frac{M_d}{F_s} = 5,14 \frac{M_d}{F_s},$$

oder mit dem aus den Grashof'schen und Bach'schen Grundannahmen = $\frac{1}{2}$ sich ergebenden Wert des Koeffizienten $2 \zeta_1$:

$$r'_{\max} = \frac{1}{2} \frac{M_d}{F_s}.$$

Bedeutete M_d das Bruchmoment und damit $r'_{\max} = K_d$ die Bruchspannung, so lieferte die letzte Gleichung:

$$M_d = \frac{1}{2} K_d F_s,$$

oder mit den Bezeichnungen der Figur 3, wenn zugleich die Stärke der Rippen übereinstimmend mit derjenigen des Stages angenommen wird:

$$M_d = \frac{1}{2} K_d (h s + 2 b_0 s) s = \frac{1}{2} K_d s^2 (h + 2 b_0).$$

Das ist aber genau die Gleichung, welche Bach aufgrund der von ihm erhaltenen Versuchsergebnisse für die von ihm untersuchten I-Querschnitte als gültig erkannt hat. Daher erscheint es auch nicht ungerechtfertigt, zur Berechnung der größten Schubspannung r' im I-förmigen Querschnitt die Formel zu benutzen:

$$r'_{\max} = 2 \zeta_1 \frac{M_d}{F_s},$$

worin dem ζ_1 der für Quadrat und Rechteck gefundene Wert von ζ beizulegen wäre. Danach würden nun bei gleichem Flächeninhalt des Querschnittes und gleicher Rippen- und Stegstärke s der kreuzförmige und der I-förmige Querschnitt gegenüber einem und demselben Drehmoment M_d die gleiche Widerstandsfähigkeit gegen Bruch durch Drehung besitzen.

Überblicken wir zum Schluss noch einmal das Vorangegangene, so können wir sagen: die größte Umfangschubspannung r'_{\max} , welche in den Querschnitten eines durch ein gegebenes Drehmoment M_d auf Drehung beanspruchten geraden Stabes auftritt, und damit auch, wenn man bei der vorliegenden Näherungstheorie ohne weiteres annimmt, dass die größte Querschnittschubspannung r_{\max} überhaupt am Um-

fang des Querschnittes auftritt, r_{\max} selbst, lässt sich bei Querschnitten wie die betrachteten berechnen aus der allgemeinen Formel:

$$r'_{\max} = \zeta \frac{M_d}{F r_{\min}},$$

wobei F die Querschnittsfläche und $r_{\min} = \rho'_{\min}$ den kürzesten, vom Mittelpunkt des Querschnittes nach dem äußeren Umfang gezogenen Fahrstrahl bedeutet und der Koeffizient ζ sich bestimmt aus der Gleichung

$$\zeta = \frac{18}{9(1+r^2) - 2 \sin \alpha (1+r^2+r^2)},$$

unter α den Winkel von zwei auf einander folgenden Seiten des Querschnittumfangs und unter r bei Hohlstäben das konstant angenommene Verhältnis $\rho'_s : \rho'$ des inneren Fahrstrahles zum entsprechenden äußeren verstanden. Dieser Ausdruck für ζ nimmt bei vollen Querschnitten, in welchem Falle $\rho'_s = 0$ und damit $r = 0$, die einfachere Form an:

$$\zeta = \frac{18}{9 - 2 \sin \alpha}.$$

Diese Gleichungen zur Berechnung der größten Umfangschubspannung im Querschnitt eines auf Drehung beanspruchten geraden Stabes haben sich ergeben aufgrund der beiden durch die Gleichungen (9) und (10) zum Ausdruck gebrachten allgemeinen Voraussetzungen.

Aus der Gleichung für r_{\max} geht hervor, dass, je kleiner für einen Querschnitt der Koeffizient ζ ausfällt, um so größer die Widerstandsfähigkeit des Stabes gegen Verdrehung ist. Demgemäß erscheint auch ein Querschnitt von stetigem Umfang, wegen $\sin \alpha = 0$, vorteilhafter als ein mit Ecken versehenen, und ein ringförmiger Querschnitt, weil bei ihm $r > 0$, zweckmäßiger als ein voller.

Des weiteren bemerken wir, dass r_{\max} um so kleiner wird, je größer r_{\min} . Aus letzterem Grunde ist denn auch bei gleichem Flächeninhalt F der kreisförmige Querschnitt dem elliptischen vorzuziehen. All dies berücksichtigend, können wir nunmehr behaupten, dass ein Kreisring von möglichst großem Durchmesser und entsprechender möglichst geringer Stärke sich für einen auf Drehung beanspruchten Stab als geeignetster Querschnitt erweist.

Die landwirtschaftlichen Maschinen und Geräte auf der 14. Wanderausstellung der deutschen Landwirtschafts-Gesellschaft in Posen.

Von H. Grundke, Berlin.

(Fortsetzung von S. 996)

Die im Herbst 1899 ausgeführte Hauptprüfung von Kartoffelerntemaschinen, an der allerdings nur 6 Maschinen beteiligt waren, hat ergeben, dass diese Maschinen den Anforderungen des landwirtschaftlichen Betriebes noch nicht entsprechen, sodass auch ein erster Preis nicht vergeben wurde. Bei der Prüfung wurde festgestellt: die Zahl der Zugpferde, die Zahl der zur Bedienung notwendigen Arbeiter, die Arbeitsdauer für eine bestimmte Anzahl Reihen, der Aufenthalt in Minuten während dieser Zeit, die Zugkraft bei der Arbeit, die Zugkraft bei Leergang, aber mit eingerücktem Getriebe, das Gewicht der freiliegenden, das der verdeckt liegenden und das der verletzt befundenen Kartoffeln. Der Prüfungsbericht enthält sehr viel Beachtenswertes für den Bau von Kartoffelerntemaschinen, worauf hier des Umfanges wegen nicht näher eingegangen werden kann; es wird deshalb auf das Jahrbuch der D. L.-G. Band 14 1899 S. 404 verwiesen. Darüber, ob Schlenderräder die Kartoffeln zu sehr verletzen, gehen die Meinungen der erfahrenen Landwirte weit aus einander. Zur sicheren Überwindung von bohem Kraut durch das Schläggerrad wird ein etwa die Mitten der Schläger verbindender Flacheisenring empfohlen, der auch zur Verstärkung dient.

Das Schläggerrad der Kartoffelerntemaschine von D. Wachtel in Breslau ist mit einem vereinfachten Mitnehmer, Fig. 83

Fig. 83.

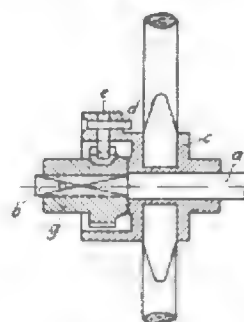
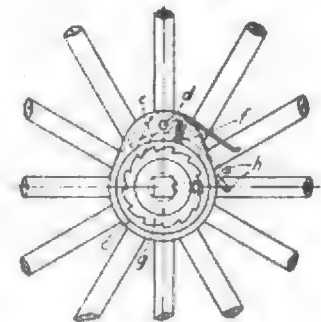


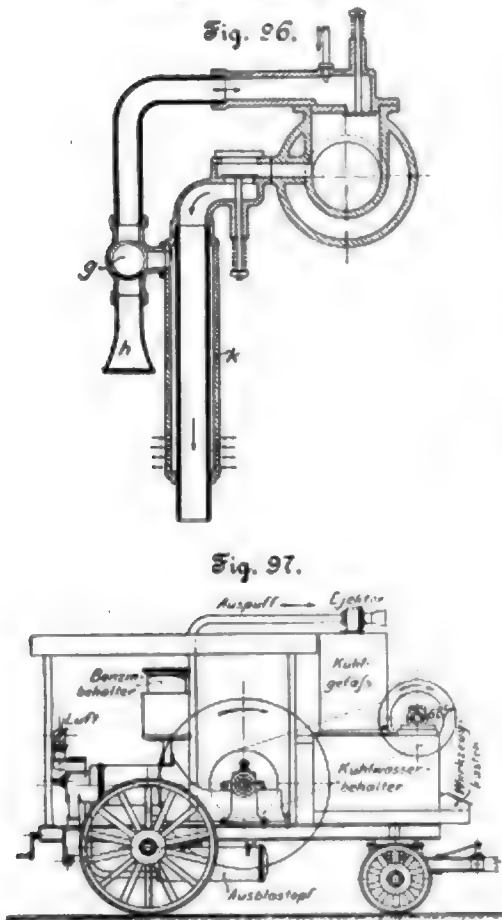
Fig. 84.



und 84, versehen. Auf den Vierkantenden b der Welle m sitzen die Sperrräder g , die von Flanschen der lose auf der Achse laufenden Radnaben c überdeckt werden; die Flansche

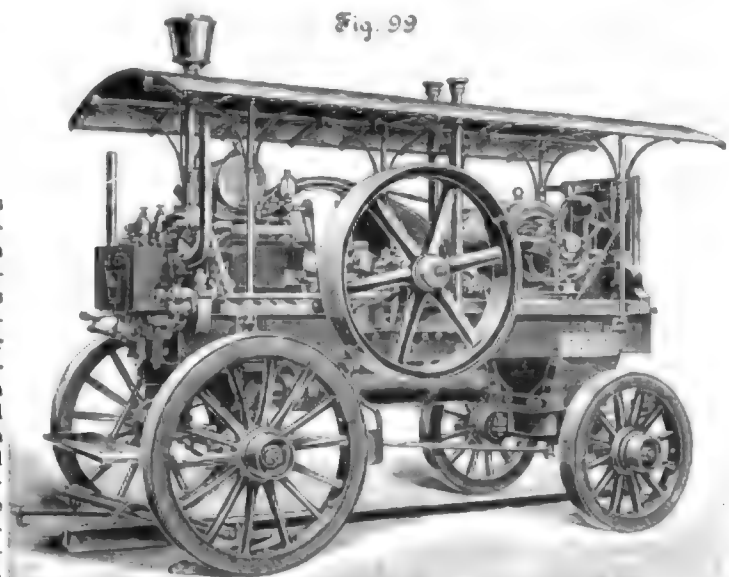
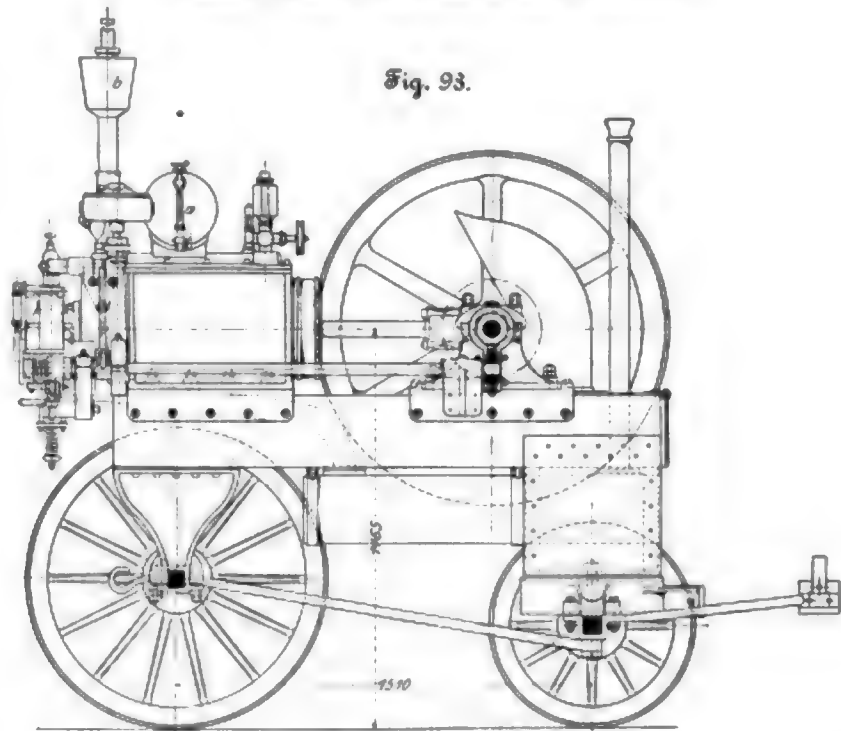
sichtigung des Motors während des Betriebes bedingt ist. Während jeder Ansaugperiode wird der angesaugten Luft durch eine Pumpe die genau ausgemittelte Menge Benzin zugeführt und dadurch ein stets gleichmäßiges und gut entzündbares Gemenge gebildet. Die Zündung erfolgt elektrisch. Durch Verbindung des Benzinmotors E4 mit einer neuen Luftvorwärmvorrichtung, Fig. 96, mit Wechselhahn (D. R.-P. 109982) entsteht ein Motor, der für alle flüssigen Brennstoffe brauchbar ist. Das Petroleum wird hier nicht,

Fig. 96 u. 97. Benzinlokomobile der Gasmotorenfabrik Deuts.



Diese Lokomobilen werden in neuester Zeit sämtlich mit selbstthätiger Rückkühlung und Verdunstereinrichtung versehen, Fig. 97. Das durch eine Pumpe durch den Cylindermantel gedrückte und allmählich erhitze Kühlwasser wird in die über dem Wasserbehälter angeordnete Verdunstereinrichtung geleitet, wo es über die treppenförmigen Rieselflächen von oben herabtrüffelt, während gleichzeitig ein Strom kalter Luft durch einen von den Ausströmungen betriebenen Ejektor zwischen den Wassertropfen hindurchgesaugt wird.

Fig. 98 u. 99. Petroleum-, Spiritus- und Benzinlokomobilen von Altmann.



wie bei den meisten Motoren, durch äußere Beheizung des Vergasers, sondern durch die mehr oder weniger starke Vorwärmung der Luft vergast, die vor ihrem Eintritt in den Cylinder, bevor sie mit dem eingespritzten Brennstoff zusammentrifft, an den heißen Wandungen des Ausströmrohres vorbeigeleitet wird. Je nach der Stellung des in die Saugleitung eingeschalteten Wechselhahnes *g* umspült nämlich mehr oder weniger Luft entweder einen von den Auspuffgasen beheizten Vorwärmer *k*, oder sie strömt unmittelbar durch den Saugstutzen *h* in den Verdampfer. Die kalte Maschine wird durch eine kleine Menge Benzin in Gang gesetzt, welche in einem Schälchen über dem Einströmventil enthalten ist, und von der ein Teil während der Saugperioden durch ein Heberrohr dem Luftstrom zugeführt wird. Nachdem die bestimmte Benzinmenge verbraucht ist, wird die Brennstoffpumpe eingeschaltet, sodass der Motor dann mit dem schwereren Brennstoff, sei es Petroleum oder Spiritus, ohne Betriebsunterbrechung weiter arbeitet. Der Motor kann aber auch mit Benzin selbst betrieben werden, indem man den Luftbahn entsprechend einstellt, d. h. die Luftvorwärmung ausschaltet.

Dieser neue Motor bietet also den außerordentlichen Vorteil, dass er dem Besitzer die Wahl des flüssigen Brennstoffes vollständig frei lässt. Die Motoren, die in Stärken von 1 bis 30 PS ausgeführt werden, verbrauchen beim Betrieb mit Benzin 0,3 bis 0,4 kg pro PS-st, mit Benzolspiritus 0,35 bis 0,45 kg und mit Spiritus 0,4 bis 0,5 kg.

In diesem Falle ist nur das durch Verdunstung verbrauchte Wasser (rd. 1,5 ltr pro PS-st) zu ersetzen.

Von der Motorfahrzeug- und Motorenfabrik Berlin vorm. Ad. Altmann & Co. in Marienfelde war eine Spirituslokomobile ausgestellt, die sich von der bekannten Bauart der Altmannschen Petroleumlokomobilen nur dadurch unterscheidet, dass ein besonderer Vergaser und Mischer angesetzt ist. In dem Gefäß *a*, Fig. 98, befindet sich Spiritus.

tus, in 5 Benzin. Diese Gemische sind durch Kupferrohre mit dem Mischer verbunden, und der Zufluss wird durch ein Einstellventil geregelt. Das zum Anlassen der Maschine benutzte Benzin wird in dem Mischer zerstäubt und mit Luft gemischt. Dieses Gemisch gelangt dann in den Verdampfer und von da in den Cylinder, wo es in bekannter Weise komprimiert und zur Entzündung gebracht wird. Die Auspuffgase umspülen und erhitzen den Verdampfer. Die Zündung ist ebenfalls elektrisch. Zur Regelung dient ein Zentrifugalregulator. Zum Betrieb wird gewöhnlicher denaturierter Spiritus verwendet, von dem 0,4 kg pro PS-st ver-

braucht werden. Die neuesten Lokomobilen von 16 PS haben Lenkachsen, d. h. Achsen mit senkrechten Stielen, die durch Lenker gemeinschaftlich gedreht werden; dadurch wird nicht nur das Lenken erleichtert, sondern es können auch gleich große Laufräder benutzt und die Lokomobile tiefer gelegt werden.

Eine von dieser Firma noch ausgestellte Zwillingslokomobile für Petroleum, Benzin oder Spiritus, Fig. 99, treibt eine auf der Plattform angeordnete Dynamo durch Riemen an. Das Schaltbrett ist an der Stirnseite angebracht. Die Maschine stellt eine transportable Kraftstation zu allen möglichen Zwecken dar.

(Fortsetzung folgt.)

Sitzungsberichte der Bezirksvereine.

Eingegangen 27. Februar 1901.

Breslauer Bezirksverein.

Sitzung vom 21. September 1900.

Vorsitzender: Hr. Schindler. Schriftführer: Hr. Debusmann.
Anwesend 30 Mitglieder und 2 Gäste.

Der Vorsitzende gedenkt des verstorbenen Vorsitzenden Hrn. Dr. Heintz, dessen Andenken die Mitglieder durch Erheben von den Sitzen ehren.

Alsdann spricht Hr. Kleinstüber über die 41. Hauptversammlung in Köln und über die Feste und Ausflüge im Anschluss daran¹⁾.

Sitzung vom 19. Oktober 1900.

Vorsitzender: Hr. Schindler. Schriftführer: Hr. Debusmann.
Anwesend 26 Mitglieder und 10 Gäste.

Hr. Debusmann spricht über die Pariser Weltausstellung, insbesondere über Wasserversorgungsanlagen. Er giebt zunächst eine allgemeine Uebersicht über die Ausstellungsbauten und deren Inhalt und wendet sich sodann zu den ausgestellten Zeichnungen und Modellen von Be- und Entwässerungsanlagen und Ausrüstungsgegenständen für Wasserleitungen, wobei er die von der Stadt Paris ausgestellten besonders hervorhebt. Paris besitzt 2 Leitungsnetze, eines für Trinkwasser und eines für Nutzwasser. Die gesamte Rohrlänge beträgt 2600 km. Zur Wasserversorgung dienen 25 Pumpwerke von zusammen 6000 PS. 18 Behälter von 700 000 cbm Fassung liefern täglich 600 000 cbm Wasser.

Das Trinkwasser wird weit entfernten Quellgebieten entnommen und in gedeckten Behälter geleitet. Es sind 4 Zuleitungen vorhanden. Die älteste ist die von La Dhuis; sie hat eine Länge von 131 km, kommt aus dem östlich gelegenen Marnegebiet und liefert täglich 20 000 bis 25 000 cbm in den 100 000 cbm fassenden Behälter von Ménilmontant. Die Anlage hat 18 Millionen frs gekostet.

Die zweite Wasserleitung ist die aus dem Gebiet der Vanne. Sie ist 173 km lang, liefert täglich 120 000 cbm nach dem Behälter von Montrouge und hat 50 Millionen frs gekostet. Das Wasser wird teilweise aus den tiefegelegenen Quellen durch Dampf- oder Wasserkraft in die Leitungen gepumpt.

Die dritte Wasserleitung ist 105 km lang, sammelt die Quellen aus dem Thal der Avre und führt täglich 100 000 cbm in den Behälter von Montretout. Ihre Kosten haben 35 Millionen frs betragen.

Die vierte Wasserleitung ist jene von Loing und Lunain; sie führt dem Behälter Montsouris täglich 500 000 cbm zu. Die Trinkwasserleitungen liefern also täglich 295 000 cbm Wasser, was pro Kopf der Bevölkerung 112 ltr ausmacht.

Das Nutzwasser dient nur für Zwecke der Straßenreinigung, der Industrie und der Gartenpflege; es wird der Seine, der Marne, dem Ourcq und den artesischen Brunnen von Grenelle und Passy entnommen.

Für die Nutzwasserleitung sind 3 Höhenzonen eingerichtet; Die tiefste wird aus dem Ourcq, einem Seitenfluss der Marne, bedient. Der Zuleitungskanal ist 107 km lang. Für die Mittelzone wird aus der Seine durch verschiedene Schöpfwerke, deren wichtigstes jenes von Jory ist, Wasser entnommen, während für die Hochzone aus der Marne bei St. Maur mittels acht Wassermotoren und vier Dampfmaschinen mit zusammen 1400 PS geschöpft wird. Die Nutzwasserleitung liefert täglich rd. 558 000 cbm Wasser oder 215 ltr pro Kopf und Tag.

Die Schwemmkanalisation ist in großartigstem Maßstabe durchgeführt. Hierbei ist das Stadtgebiet durch große Sam-

melkanäle in 4 Zonen eingeteilt. Die Querschnittprofile der Kanäle überraschen durch ihre ansehnlichen Maße. Der Sammler von Asnières hat beispielsweise eine größte Breite von 5,60 m und eine Höhe von 3,05 m über den Seitenwegen; die Gesamthöhe beträgt 4,40 m.

In diese großen Sammelkanäle münden die Sammelkanäle 2. Ordnung (von 3,7 m bis 2 m größter Breite), welche die Straßenkanäle aufnehmen; die Gesamtlänge der Kanäle beträgt mehr als 1500 km, davon sind 68 km Sammelkanäle und 450 km Zweigkanäle.

In den Kanälen sind die Rohre der beiden Wasserleitungen, die Telegraphen- und Fernsprechröhre, die Rohrpost sowie Leitungen für Druckluft untergebracht. Nur die Gasleitungen sind aus Sicherheitsgründen oberhalb der Kanäle in die Erde verlegt. Um Höhenunterschiede zu überwinden, sind 3 Hebewerke eingeschaltet.

Das Kanalnetz dient für die Ableitung des Regenwassers, der gewerblichen und häuslichen Abwässer und zur Aufnahme der Abfallstoffe. Letztere gelangen sumteils auch in Senkgruben, Tonnen und Separatoren (eiserne Fässer mit doppeltem Boden), aus denen nur der flüssige Teil in die Kanäle abfließt.

Zur Reinigung der Kanäle wird Wasser in reichlichen Mengen verwendet, wodurch die Kanäle auch ziemlich geruchlos erhalten werden.

Die Hauptsammelkanäle münden bei Clichy und St. Denis und besitzen Notauslässe in die Seine. Diese Kanäle führen durchschnittlich rd. 550 000 cbm Abwasser in 24 Stunden.

Im ganzen stehen 6000 ha Grundfläche zur Berieselung zur Verfügung. Die Menge des Rieselwassers darf nach dem Gesetze vom 10. Juli 1894 nicht mehr als 4 cbm auf 1 qm Bodenfläche betragen. Die Be- und Entwässerungsanlagen haben einen Wert von 440 Millionen \mathcal{A} , wovon 260 Millionen auf die Wasserwerke und 180 Millionen auf die Kanalisationswerke entfallen.

Sitzung vom 16. November 1900.

Vorsitzender: Hr. Schindler. Schriftführer: Hr. Proskauer.
Anwesend 25 Mitglieder und 5 Gäste.

Hr. Adomeit spricht über die Pariser Weltausstellung mit besonderer Berücksichtigung der Arbeiten und Fortschritte auf dem Gebiete des Bau- und Maschinen-Ingenieurwesens.

Nachdem der Redner die Ausstellungsbauten, insbesondere die Alexanderbrücke¹⁾ und ihre Herstellung besprochen, wendet er sich den Maschinen auf der Weltausstellung zu.

Auf dem Gebiete des Maschinenwesens bemerkt man einen scharfen Wettbewerb in der technischen Vervollkommenung und wirtschaftlich günstigen Betriebsweise der Kraft- und Arbeitsmaschinen zwischen den verschiedenen Ländern. Der Großdampfmaschinenbau Deutschlands und Oesterreichs legt besonderen Wert auf die konstruktive Durchbildung aller Maschinenelemente und auf nur mäßig schnellen, aber sparsamen Betrieb, bedingt durch die Verwendung mehrstufiger Expansion. Er unterscheidet sich hiernach vorteilhaft von den großen Elzylindermaschinen Frankreichs und den minder sparsam arbeitenden Schnellläufern Englands und Amerikas. Die besondere Gestaltung der meisten Großdampfmaschinen Deutschlands als Dampfdynamos entsprach dem Kraft- und Lichtbedürfnis der Ausstellung. Auch die deutschen Verbundlokomobilen zeichnen sich durch zweckentsprechende Konstruktion und Betriebsweise vorteilhaft aus. Im Dampfkesselbau macht sich die zunehmende Schwelfung einzelner Teile statt der Nietung immer mehr bemerkbar.

¹⁾ s. Z. 1900 S. 1182 u. f.

¹⁾ Z. 1899 S. 1053, 1900 S. 1041.

Das Borsigwerk O/S. hatte einen ganz geschweiften Dampfkessel von ungewöhnlich großen Abmessungen ausgestellt. Auf den Bau von Arbeitsmaschinen, insbesondere von Werkzeugmaschinen, hat die Elektrotechnik den bedeutendsten Einfluss geübt. Der Betrieb durch einen Elektromotor, der mit der Kraftquelle nur durch ein paar dünne Drähte verbunden zu sein braucht, macht diese Maschinen leicht aufstellbar und verschiebbar, erspart Wellen, Räder, Riemen und andere Transmissionsteile und vereinfacht oft durch Anbringen zweier oder mehrerer Elektromotoren die ganze Bauart. Deutschland hatte auf diesem Gebiete nur Leistungen ersten Ranges ausgestellt. Allerdings weisen der amerikanische und der englische Werkzeugmaschinenbau mancherlei Neuerungen auf, welche die Menge und Beschaffenheit der Erzeugnisse erhöhen und die Bedienung vermindern sollen, wodurch aber auch die Maschinen wieder verwickelter und teurer ausfallen. Recht Bemerkenswertes boten auch die Hebemaschinen für feste und flüssige Körper, insbesondere der Flohrsche Kran¹⁾.

Sitzung vom 21. Dezember 1900.

Vorsitzender: Hr. Schindler. Schriftführer: Hr. Debusmann.
Anwesend 26 Mitglieder und 1 Gast.

Der Schriftführer verliest den Jahresbericht, aus dem hervorgeht, dass der Verein sich gedeihlich weiter entwickelt und bereits 296 Mitglieder zählt. Dann werden die Wahlen zum Vorstände und zum Vorstandsrat vorgenommen.

Am Schluss der Sitzung gedenkt der Vorsitzende der im vergangenen Jahre dem Verein durch den Tod entrissenen Mitglieder, deren Andenken die Versammlung durch Erheben von den Sitzen ehrt.

Eingegangen 26. Februar 1901.

Hannoverscher Bezirksverein.

Sitzung vom 16. November 1900.

Vorsitzender: Hr. Joh. Körting. Schriftführer: Hr. Gail.
Anwesend 47 Mitglieder und Gäste.

Hr. Taaks spricht über neue behördliche Bestimmungen für den Betrieb von Aufzügen.

Sitzung vom 23. November 1900.

Vorsitzender: Hr. Joh. Körting. Schriftführer: Hr. Berding.
Anwesend 45 Mitglieder und Gäste.

Hr. Prof. Dr. Hemme (Gast) spricht über die Bedeutung der Fremdwörter und der alten Sprachen in der Technik. Der Vortragende giebt zunächst einen Ueberblick über die Entstehung unserer Sprache und weist auf die große Zahl der im Laufe der Entwicklung eingedrungenen Lehn- und Fremdwörter hin, die zum Teil nicht mehr zu vermeiden sind; es ist demnach einer auf gänzliche Ausrottung der Fremdwörter gerichteten Bestrebung ebenso entschieden entgegen zu arbeiten wie der Sucht, unsere Sprache mit möglichst vielen dieser Worte zu verunstalten. Namentlich sind die Fremdwörter zum Studium der Wissenschaften unentbehrlich. Der Vortragende ist der Ansicht, dass zum Verständnis der Fremdwörter das Erlernen der griechischen Sprache nicht erforderlich sei, und dass man sich die sprachliche Erkenntnis derselben durch das Studium der Hauptregeln der griechischen Wortbildung erwerben könne, wozu das in diesem Jahre von ihm herausgegebene Buch: »Was muss der Gebildete vom Griechischen wissen?«, eine geeignete Unterlage bilde.

Der Redner wendet sich hierauf unter Anlehnung an eine Schrift von Griesbach der Frage zu, welche Bedeutung die griechische Sprache für das Studium der Technik, der Medizin und der Rechtswissenschaft habe, und kommt zu dem Schluss, dass sie selbst für die beiden letztgenannten Wissenschaften entbehrlich sei. Es ist demnach eine möglichst gleichartige Vorbildung zum Studium auf der Universität, der Kunstakademie, der technischen Hochschule, sowie auch für den Offiziersberuf anzustreben. Das Ziel dieses höheren Schulunterrichtes, bei dem das Deutsche mit erhöhter Stundenzahl im Mittelpunkt stehen muss, ist die Erziehung zu selbständiger geistiger Arbeit und die Anleitung zum richtigen Verständnis der wesentlichen Bestandteile der gegenwärtigen Kultur und ihres Zusammenhanges mit der Vergangenheit. Die Bekanntheit mit dem Hellenentum ist mithilfe von Uebersetzungen zu erzielen; für künftige Theologen und Altertumsforscher muss das Studium des Griechischen, soweit es auf der Schule nicht als wahlfreier Lehrgegenstand behandelt werden könne, auf die Universität verwiesen werden. Zur Einführung dieser

Einheitschule wird noch lange Zeit erforderlich sein, es ist aber zu fordern, dass bis dahin die jetzt bestehenden 3 höheren Schulen als gleichberechtigt anerkannt werden, und dass der Uebergang von einer zur andern möglichst erleichtert wird.

Sitzung vom 7. Dezember 1900.

Vorsitzender: Hr. Joh. Körting. Schriftführer: Hr. Ast.
Anwesend 52 Mitglieder und Gäste.

Hr. Rosenberg spricht über elektrisch betriebene Krane²⁾.

Er erörtert die Anwendung der Gleich- und Drehstrommotoren für Kranbetrieb und hebt hervor, dass Gleichstrom-Nebenschlussmotoren sowie Drehstrommotoren vorzüglich geeignet sind, mit fast gleich bleibender Geschwindigkeit zu arbeiten und beim Abwärtsgehen der Last Strom an das Netz abzugeben, während der Hauptstrommotor das etwas größere Anzugmoment und die Möglichkeit einer dynamischen Bremsung bis zu kleiner Umlaufzahl herunter als Vorzüge aufweist. Durch die Zahl der notwendigen Leitungen ist der Drehstrommotor gegenüber dem Gleichstrommotor im Nachteil, da Kurzschlussmotoren, die eine Leitung weniger erfordern, in der Regel nur bei ganz kleinen Kranen zur Anwendung kommen können. Es ist übrigens durchaus nicht ausgeschlossen, auch kleine Gleichstrommotoren bis zu etwa 1 bis 2 PS als Kurzschlussmotoren, d. h. für unmittelbare Einschaltung ohne Widerstand, zu bauen.

Der Vortragende bespricht dann die Anlasser. Er erwähnt, dass wegen des gedruckten Zusammenbaues, des einfachen Schutzes durch Einkapselung und hauptsächlich wegen der Möglichkeit der magnetischen Funkenlöschung der Fahrhalter wie im Straßenbahnbetrieb so auch im Kranbau die meiste Verbreitung gefunden habe³⁾. Bei Anwendung von Wechselstrom ist die magnetische Funkenlöschung viel schwerer durchzuführen, und man muss deshalb zu andern Mitteln greifen, hauptsächlich dazu, dass man die Funken an leicht auswechselbaren Kohlenstücken auftreten lässt. Die Drehstromanlasser werden auch aus dem Grunde verwickelter, weil sie drei oder wenigstens 2 Kontaktreihen anstelle der einzigen beim Gleichstrommotor erfordern.

Der Vortragende geht dann zur Besprechung der Bremsvorrichtungen über. Ausser der dynamischen Bremse hat sich am meisten die amerikanische Lüftungsbremse Eingang verschafft. Für sehr vorsichtigen Senken der Last, wie es besonders der Gießereibetrieb erfordert, ist eine Wirbelstrombremse am Platze. Der Redner erläutert eine von ihm angegebene Schaltung einer elektromagnetischen Lüftungsbremse, die es ermöglicht, die Abmessungen der Bremse klein zu halten und doch eine sehr wirksame Bremsung zu erzielen, weil nur beim Einschalten des Motors die Bremsen an die volle Spannung angeschlossen werden, während sie nach dem Anlassen des Motors nur unter halber Spannung stehen, daher nur ein Viertel der Anlaufenergie verzehren.

Zur Erläuterung des Vortrages werden Photographien von elektrischen Kranen der Firma Gebr. Körting vorgelegt.

Nach Schluss der Vorträge werden die Wahlen zum Vorstand und zum Vorstand des Bezirksvereins vollzogen.

Sitzung vom 14. Dezember 1900.

Vorsitzender: Hr. Joh. Körting. Schriftführer: Hr. Gail.
Anwesend 56 Mitglieder und Gäste.

Hr. Prof. Dr. Haupt (Gast) spricht über die in Mainz preisgekrönten Entwürfe für Feuerbestattungsanlagen.

Während die bisher errichteten Anlagen in Bezug auf die äussere architektonische Ausstattung mit Rücksicht auf die geringen Geldmittel mehr oder minder zu wünschen übrig liessen, ist man in Mainz bestrebt, auch in dieser Hinsicht Wandel zu schaffen und vorbildlich zu wirken. Von 80 eingegangenen Entwürfen sind drei preisgekrönt und zwei angekauft worden.

Sitzung vom 11. Januar 1901.

Vorsitzender: Hr. Schliemann. Schriftführer: Hr. Uhde.
Anwesend 41 Mitglieder und Gäste.

Hr. Dr. Asbrand spricht über künstliche Seide⁴⁾. Die Raupenseide ist unsere edelste, hauptsächlich durch ihren Glanz wirkende Gespinnstfaser. Es liegt nahe, dass man bestrebt ist, Ersatz dafür zu finden. Die Muschel- und die Spinnenseide kommen hierfür ihrer äusserst geringen Menge

¹⁾ Z. 1900 S. 468.

²⁾ Vergl. Z. 1897 S. 758 u. f.

³⁾ a. Z. 1900 S. 370.

⁴⁾ Vergl. Z. 1890 S. 796, 1894 S. 999.

wegen nicht inbetracht. Auch die vegetabilische Seide, das Erzeugnis amerikanischer Askepladen, hat ihrer Brüchlichkeit wegen die auf sie gesetzten Erwartungen nicht erfüllt.

Einen bedeutenden Fortschritt in dieser Richtung bildet hingegen die Mercerisation der Baumwolle. Mercer stellte schon 1844 fest, dass Baumwolle durch starke Natronlauge verändert wird; jedoch erst in den letzten Jahren gelang es Thomas und Prevost, der Baumwollfaser durch Natronlauge in gespanntem Zustande Seidenglanz zu verleihen, der auch nach dem Färben bleibt und durch Feuchtigkeit nicht leidet. Die geringen Kosten tragen zu der großen Anwendung bei, die das Verfahren gefunden hat. Als Glangarn, Siriusgarn usw. ist die mercerisierte Baumwolle im Handel. Durch örtliches Mercerisieren lassen sich hübsche Krepp- und Damastwirkungen erzielen. Auch Wolle nimmt beim Behandeln mit schwach saurer Chlorkalklösung Seidenglanz an.

Der Erfinder der künstlichen Seide ist Graf Hilaire de Chardonnet. Die von ihm gegründete Hauptfabrik liegt in Besançon und beschäftigt über 300 Arbeiter. Eine genaue Beschreibung des Verfahrens findet sich in der Zeitschrift für angewandte Chemie 1899. Baumwolle wird durch ein Gemisch von Salpetersäure und Schwefelsäure nitrirt und die erhaltene Nitrocellulose noch feucht in Aethanol gelöst. Die zähe Lösung wird unter hohem Druck gefiltert und aus ganz feinen gläsernen Röhren, Seidenraupen genannt, herausgepresst, wobei die Lösung in Fadenform erstarrt, indem das Lösungsmittel verdunstet. Mehrere Fäden werden zusammen aufgespaltelt, um die leichte Entzündlichkeit zu beseitigen, mit Schwefelammonium denitrirt und schließlich gefärbt und getrocknet.

Neben dem Verfahren von Chardonnet kommen noch die von Dr. Lehner in Augsburg und von Pauly in M. Gladbach hauptsächlich inbetracht. Lehner benutzt gleichfalls Nitrocellulose, setzt aber noch Lösungen von Leinöl, Harzen oder geschwefelten Ölen hinzu. Pauly vermeidet die Nitrocellulose und die mannigfachen feuergefährlichen Lösungsmittel. Er löst Cellulose in Kupferoxydammoniak und lässt die Lösung dann durch feine Oeffnungen in verdünnte Essigsäure austreten. Kupfer und Ammoniak werden ausgewaschen und wiedergewonnen; die Fäden werden getrocknet. Nach diesem sehr einfachen Verfahren arbeitet die Glanzstoffabrik in Aachen.

Gute Ansichten scheint auch die aus Viskose hergestellte Kunstseide zu haben. Viskose ist ein wasserlösliches Erzeugnis aus der Einwirkung von Schwefelkohlenstoff auf Natroncellulose. Aus der wässrigen Viskoselösung wird durch Erhitzen oder durch Salze, besonders durch Salmiak, die Cellulose abgeschieden. Die Fäden werden auf gewöhnliche Art gewonnen.

Müller in Glasgow benutzt zur Fadenbildung Gelatine, die durch Zusatz von Kaliumbichromat, Alaun, Formaldehyd u. dergl., wenn sie getrocknet und dem Licht ausgesetzt ist, ihre Wasserlöslichkeit verliert. Diese sehr schöne Seide verträgt aber leider keine Wärme.

Schließlich sind noch die Verseidungsverfahren zu erwähnen. Man kann jeden beliebigen Faden mit einer seidenglänzenden Schicht dadurch überziehen, dass man ihn mit einer der vorerwähnten Seidenlösungen trinkt und die Seide dann auf der Faser niederschlägt.

Die Anwendung der künstlichen Seide ist schon jetzt recht bedeutend; sie wird besonders für Horden und Besätze, zu Stickereien, Bändern, Dekorations- und Vorhangstoffen verwendet. Ganz aus Kunstseide hergestellte Kleiderstoffe haben sich wegen der geringen Festigkeit der Kunstseide in feuchtem Zustande nicht eingeführt. Es steht jedoch zu erwarten, dass sich auch diese Schwierigkeiten noch beseitigen lassen.

Nach dem Vortrage verliest Hr. Riechers den Jahresbericht des Bezirksvereines, Hr. Adriani den Kassenbericht.

Sitzung vom 25. Januar 1901.

Vorsitzender: Hr. Schliemann. Schriftführer: Hr. Ast.

Anwesend 36 Mitglieder und Gäste.

Hr. Schliemann spricht über bituminöse Stoffe: Asphalt, Petroleum usw. In erster Linie sind als Träger dieser Stoffe die Pflanzen zu nennen, aus denen die verschiedensten Öle, wie Rüb-, Lein-, Mohn-, Palm-, Sesamöl usw. gewonnen werden, dann der Torf, aus dem in früheren Jahren durch Destillation Öle und Paraffin, auch Gas hergestellt wurden. Paraffin und Öle stellt man jetzt durch Destillieren und Schwelen aus Braunkohle her, wobei man in jüngerer Zeit entdeckt hat, dass Braunkohle Bergwachs enthält, welches durch Ausziehen mit Benzin gewonnen wird. Mehrere sehr schöne Proben dieses Waxes legt der Redner der Versammlung vor.

Aus dem vierten Gliede der Reihe der Steinkohle wird in der bekannten Weise bei der Herstellung des Leuchtgases Teer gewonnen.

Die bituminösen Stoffe tierischen Ursprunges sind Talg, Tran usw., ferner nach der Theorie von Engler die Verwesungserzeugnisse von Leichen: Petroleum, Erdpech, Asphalt. Hierher gehören auch die Asphaltsteinlager, die als alte Muscheln und Austernbänke zu betrachten sind.

Was die Gewinnung des Asphaltes betrifft, so wird der Asphaltstein gemahlen und unter Hinzufügen weiteren Bitumens zu Mastix verarbeitet, wobei die bei der Öl- und Fettindustrie erhaltenen bitumenhaltigen Rückstände verwandt werden. In Hannover ist man dabei der Billigkeit halber auf die Rückstände der Braunkohle angewiesen. Das so erhaltene Erzeugnis ist der sogen. Gussasphalt, der, damit er gegossen werden kann, große Bitumenmengen enthalten muss; infolgedessen eignet er sich aber nur für Fußgängerwege.

Für Fahrstraßen ist der sogen. Stampfasphalt besser geeignet, der aus dem gemahlenen Asphaltsteinpulver besteht, und dem nur soviel Bitumen zugesetzt ist, dass das Pulver sich im kalten Zustande zu einem festen Körper zusammenpressen lässt. Die richtige Wahl der Art und Menge des verwendeten Bitumens ist dabei von großer Wichtigkeit. Zu viel davon ruft Schiebungen in der Fahrrichtung, zu wenig Reißen und Bröckligwerden im Winter hervor.

Man fertigt auch sowohl Guss- als Stampfasphaltplatten an, die unter großem Druck gepresst werden. Die Haltbarkeit dieser Platten, die, auf den Beton verlegt, mit diesem fest abbinden, ist sehr groß und der Preis nicht höher als der von Gussasphalt.

Diese Asphaltplatten wurden in neuerer Zeit vielfach, unter anderm auch in der Stadt Hannover, zum Einfassen der Schienenstränge der Straßenbahn benutzt, da gewöhnlicher Stampfasphalt, der in Pulverform gegen die Schienen gestampft wird, zu andauernden Ausbesserungen Veranlassung gab, hervorgerufen einerseits dadurch, dass der Schienenunterbau für die schweren Akkumulatorenwagen zu schwach war, andererseits dadurch, dass der Stampfasphalt nur in seinen oberen Schichten vollkommen dicht wurde, darunter aber ein ziemlich loses Pulver blieb. Nach langen Streitigkeiten zwischen den Asphaltgesellschaften und der Straßenbahnverwaltung schritt man dazu, die Schienen mit Stampfasphaltplatten einzufassen, wobei sie und auch die Platten selbst in Gussasphalt eingebettet wurden. Dieser Verfahren hat sich, soweit es sich bis jetzt beurteilen lässt, gut bewährt.

Zu einer eingegangenen Anfrage: »Mit wieviel vH Genauigkeit kann man die Nutzarbeit einer Dampfmaschine bestimmen, wenn man bei Belastung und Leerlauf indiziert und den Unterschied der beiden Diagrammflächen in Pferdestärken umrechnet?«, äußern sich mehrere Redner ziemlich übereinstimmend dahin, dass man den Leerlaufdiagrammen, weil sie zu unzuverlässig sind, keinen hohen Wert zur Bestimmung des Anteiles der Leerlaufarbeit beilegen dürfe, und dass deshalb der Unterschied der Indikatorflächen für Voll- und Leerlauf in Pferdestärken umgerechnet kein genaues Bild der geleisteten effektiven Arbeit ergibt. Außerdem lässt sich die mit inbetracht zu ziehende zusätzliche Reibung nicht genau bestimmen.

Sitzung vom 1. Februar 1901.

Vorsitzender: Hr. Schliemann. Schriftführer: Hr. Gail.

Anwesend 56 Mitglieder und Gäste.

Hr. Schrader spricht über Gussstahl-Formguss.

Die Fortschritte, die in den letzten Jahren die Verwendung von Gussstahl-Formguss in fast allen Zweigen der Industrie gemacht hat, sind so bedeutend, dass es heute kaum noch eine Fabrik giebt, die ihn nicht in irgend einer Weise schon verarbeitet hat. So bekannt Stahlformguss in den letzten Jahren auch geworden ist, so wenig weiß man doch im allgemeinen über die Art und Weise, wie ein Stahlgussstück entsteht. Der Redner schildert die Entwicklung der Fabrikation und der Anwendung von Gussstahl-Formstücken von der Zeit der Erfindung durch den verstorbenen Direktor des Bochumer Vereines Jacob Mayer¹⁾ bis zu den heutigen Verhältnissen. Statt des ursprünglich benutzten Tegelstahles verwendet man jetzt zum Gießen den im Siemens-Martin-Ofen geschmolzenen, vereinzelt auch den in der Bessemer-Birne erblasenen Stahl.

Der Vortragende bespricht ferner die Vorgänge beim Gießen und die Herstellung der Formen und knüpft daran die eingehende Beantwortung der Frage: Wie hat der Ingenieur Stücke zu konstruieren, die sich zur Herstellung von Stahlformguss eignen? Als Erfordernisse in dieser Beziehung

¹⁾ s. Z. 1900 S. 1568.

beseichnet er einfache Formen, gleichmäßige Stoffverteilung, Vermeidung scharfer Uebergänge und scharf einschneidender Ecken, Vermeidung von Formen, die das Schwinden verhindern, Möglichkeit zum Anbringen wirksamer Druckköpfe.

Zum Schlusse schildert der Redner die Einrichtung des Glühofens, der zum Ausglühen der fertigen Gussstücke dient. Beständig der Festigkeit des Gussstahls giebt er an, dass die Zerreissfestigkeit des für die meisten Maschinenteile benutzten Stahles 50 bis 65 kg/qmm bei 15 vH Dehnung betrage. Die schwersten bis jetzt gegossenen Stücke wogen etwa 57 t.

Eine dem Fragekasten entnommene Frage über die Bestandteile und die Verwendung der amerikanischen Vulkanfaser beantworteten die Herren Fink und Mildner dahin, dass Vulkanfaser ein Kautschukersatz in Verbindung mit Faserstoffen sei, der als Isolirstoff in der Elektrotechnik und zur Herstellung abdichtender Teile von Ventilen u. dergl. Anwendung finde.

Sitzung vom 8. Februar 1901.

Vorsitzender: Hr. Schroeter. Schriftführer: Hr. Gail.
Anwesend 36 Mitglieder und Gäste.

Hr. Bauinspektor Hoyer (Gast) spricht über die geologischen Verhältnisse von Niedersachsen. Er giebt an-

hand einer Skizze einen Ueberblick über die Gebiete der Weser und der Leine und bespricht die verschiedenen für Baustoffe inbetracht kommenden Gesteinsarten, unter anderem den Hilsandstein vom Deister, besonders den Oberkirchener Sandstein, die Dolomite des weissen Jura an den die Leine begleitenden Bergen, ferner die an der Porta, bei Hildesheim, am Rande des Sollings, im Okerthal, am Brocken und bei Thale sich vorfindenden Steine. Selbst die aus denselben namhaften Steinbrüchen herstammenden Steine zeigen außerordentliche Verschiedenheit und Ungleichmäßigkeit. Die Dolomite der die Leine begleitenden Berge sind durchweg von grosser Druckfestigkeit und Wetterbeständigkeit; vielfach findet sich reiner Dolomit infolge des Auslaugens des Kalkes vor.

Der Redner bespricht auch die Untergrundverhältnisse und deren Berücksichtigung bei Neuanlagen. Mehrfach sind Senkungen und Verschiebungen beobachtet worden, deren Ursachen jedoch schwer festzustellen waren. Bei Neuanlagen sei es daher empfehlenswert, den Untergrund genau zu prüfen und geeignete, den Verhältnissen angepasste Baustoffe zu verwenden.

Nach Beendigung des Vortrages werden geschäftliche Vorklagen beraten.

Zeitschriftenschau.¹⁾

(* bedeutet Abbildung im Text.)

Beleuchtung.

Incandescent lamp economy. (El. World 6. Juli 01 S. 19/21*) Wiedergabe der Ergebnisse von Dauerversuchen an Glühlampen.

Bergbau.

Les appareils de sécurité à l'Exposition de 1900. Von Schmerber. Forts. (Génie civ. 18. Juli 01 S. 177/79*) Schachtverschlüsse. Forts. folgt.

Chemische Industrie.

Electrochemical action. Von Read. Schluss. (Journ. Franklin Inst. Juli 01 S. 46/58*) Zeitpunkt und Bedingungen, bei denen die Elemente einer Verbindung frei werden. Gesetze der elektrolytischen Trennung von Metallen. Veränderung der Konzentration des Elektrolyten. Gesetze von Faraday und Kohlrausch.

Dampfstraßanlagen.

Ueber den Betrieb von Großdampfstraßanlagen. Von Binder. (Mitt. Prax. Dampfstr. Dampfstr. 10. Juli 01 S. 499/502*) Anordnung des Kohlenlagers, der Zufuhrtrasse, der Kohlentransportmittel. Dampfkessel und Feuerung; Entfernung der Asche; Feststellung des Wasserverbrauches; Verbrennungsverhältnisse; Ascheanalysen; Anlage und Bedienung des Rostes; Zugregler; Kesselmauerwerk; Kohlenuntersuchung.

Fabrication des chaudières, matériaux employés, leur mise en oeuvre dans la construction et la réparation. Von Compère. Schluss. (Rev. ind. 18. Juli 01 S. 278/79) Ausbesserungen an Kesseln. Das Dichten der lecken Nähte.

The effect of scale on boiler efficiency and capacity. Von Bryan. (Engineer 19. Juli 01 S. 76) Nach den Ausführungen des Verfassers haben Ablagerungen auf der Innenseite der Kesselbleche im allgemeinen keinen Einfluss auf die Kesselleistung. Schädlich hingegen sind die Ablagerungen auf der feuerberührten Seite der Bleche.

Test of engines under different loads. (Eng. Rec. 6. Juli 01 S. 7*) Diagramm über den Dampfverbrauch einer von den Ames Iron Works in Oswego, N. Y., gebauten Dampfmaschine pro PS-st und PS-st bei Belastungen von 140 PS bis 15 PS.

Eisenbahnwesen.

„Chautauqua“ type passenger locomotive; Chicago, Rock Island and Pacific Railway. (Eng. News 11. Juli 01 S. 18*) Die von den Brooks Locomotive Works in Dunkirk, N. Y., gebaute Maschine hat $\frac{2}{3}$ -gekuppelte Achsen. Die beiden außenliegenden Cylinder haben 514 mm Dmr. bei 660 mm Hub.

Die neueren Betriebsmittel der amerikanischen Eisenbahnen. Von Lantz. Schluss. (Stahl u. Eisen 13. Juli 01 S. 740/48*) Wagen der Pressed Steel Car Co. in Pittsburgh. Die Fabrikanten dieser Firma. Selbstentlader aus gepresstem Stahl. Vergleichsrechnung über die Wirtschaftlichkeit von älteren und neueren Wagen.

Der Eisenbahn-Wagenbau auf der Pariser Weltausstellung 1900. Von Schumacher. Forts. (Glaser 13. Juli 01 S. 38/43* mit 1 Taf.) 2achsiger Schnellzugwagen 1. Klasse der Fran-

zösischen Südbahn; 2achsiger Wagen mit Seitengang 1., 2. und 3. Klasse der Französischen Staatsbahn. D-Wagen 1. Klasse, Luxuswagen und 3achsiger Wagen 2. Klasse der Paris-Lyon-Mittelmeer-Bahn; 2achsiger D-Wagen 1. Klasse, 2. Klasse und 2achsiger Wagen 3. Klasse mit offenem Seitengang der Französischen Ostbahn. 4achsiger D-Wagen 1. Klasse der Französischen Nordbahn. Schluss folgt.

A new style of dump car. (Eng. News 11. Juli 01 S. 82*) Die auf 2 Drehgestellen ruhenden Wagen werden von der Ingoldby Automatic Car Co. in St. Louis, Mo., gebaut. Der Wagenkasten ist 41 m lang, 3 m breit und enthält im Boden mehrere Schüttöffnungen.

Ueber die elektrische Steuerung für Luftdruckbremsen, System Siemens, und die mit derselben auf der kgl. Militärbahn Berlin-Jüterbog angestellten Bremsversuche. Von Wagner. (Glaser 15. Juli 01 S. 25/31*) Bremsung von Personen-, Güter- und Militärszügen. Nachteile der Druckluftbremse bei längeren Zügen. Elektrische Steuerung der Luftdruckbremsen: ein elektrisch gesteuertes Ventil ist zwischen der Hauptleitung und den Bremszylinder eines jeden Wagens geschaltet. Die Steuerventile werden von der Lokomotive aus auf elektrischem Wege betätigt und öffnen der Druckluft einen Weg in die Bremszylinder. Durch die so in der Hauptleitung entstehende Druckverminderung werden dann auf dem gewöhnlichen Wege die Funktionsventile der Luftdruckbremse in Tätigkeit gesetzt, die eine entsprechende Luftmenge aus den Hilfsluftbehältern in die Bremszylinder überströmen lassen. Vorteile dieser Einrichtung. Betriebs- und Versuchsergebnisse mit Bremsdiagrammen.

Eisenhüttenwesen.

Zur Metallurgie des Nickelstahles. Von Zdanowicz. (Stahl u. Eisen 15. Juli 01 S. 763/57) Die Zusammensetzung und Beurteilung des Nickelstahles. Herstellung des Stahles. Erhitzen und Schmieden der Blöcke. Das Erkalten und Ausglühen der geschmiedeten Gegenstände.

The manufacture of iron and steel in Cape Breton. Von Mc. Grath. (Eng. Magas. Juli 01 S. 571/85*) Krörterung über die günstige geographische Lage Cape Bretons (Canada) inbezug auf die Eisenausfuhr nach Europa. Wirtschaftlicher Betrieb der Eisenhütten infolge nahe liegender Eisenerzgruben. Förder- und Ladavrichtungen. Kurze Angaben über die Anlage einer neuen Eisenhütte bei Sidney und ihre wirtschaftliche Wirtschaftlichkeit.

Pneumatischer Gichtglockenaufzug. Von Munker. (Stahl u. Eisen 15. Juli 01 S. 734/35*) Bei den Gichtglockenaufzügen der Bremerhütte in Gelsenkirchen kommen seit längerer Zeit die bekannten Druckluft-Hebezeuge mit Oelsteuerung von Ridgway zur Verwendung. Der Cylinder des Hebezeuges ist an dem Gegengewichtskasten des Glockenbalancers frei aufgehängt, während die Kolbenstange am der Gichtbühne fest verankert ist. Die Einrichtung soll sich vortrefflich bewähren.

Die neuen Stahlwerksanlagen der Charlottenhütte zu Niederschelden a/Sieg. (Stahl u. Eisen 13. Juli 01 S. 729/34*) Die Neuanlagen umfassen ein elektrisches Kraftwerk mit Kesselanlage, ein Dolomitwerk, ein Martinstahlwerk mit Generatoren, eine Modellschneiderei, Formerei und Gießerei für Stabformen, eine Hauptkesselanlage, ein Hammerwerk mit Radreifenwalzwerk und eine mechanische Werkstatt mit Radsatzdreherei.

Die elektrischen Anlagen in den Werken der Parkgate Iron and Steel Company in Rotherham bei Sheffield. (Oesterr. Z. Berg- u. Hüttenw. 6. Juli 01 S. 362/68*) Die Werke liefern wö-

¹⁾ Die Zeitschriftenschau wird, nach den Stichwörtern in Vierteljahrsheften zusammengefasst und geordnet, gesondert herausgegeben, und zwar zum Preise von 3 M pro Jahrgang für Mitglieder, von 10 M pro Jahrgang für Nichtmitglieder.

chendlich 1500 t Stahlknüppel, 1000 t Eisen- und Stahlbleche, 600 t Eisen und Stahl in Formstählen und 1500 t Rohisen. Die Stahlwerke bestehen aus 6 Siemens-Martin-Öfen von je 30 t und 2 Öfen von je 40 t Inhalt. Darstellung des Kraftwerkes mit 3 Dampfdynamos; stehenden Verbundmaschinen und achtpoligen Gleichstromerzeugern mit gemeinsamer Wicklung. Beschreibung der Martinöfen, Vorräts- und Blechwalzen, des Blechwalzwerkes und der Schaltbühne.

The Sharon Steel Company. (Iron Age 4. Juli 01 S. 1/10*) Eingehende Beschreibung der neuen Werke bei Sharon, Pa., mit Lageplan und Querschnitt der Anlage, Abbildungen der Ladevorrichtungen für Erze und Kohlen, der Beschickungsrichtungen und Gichtglockenaufzüge der Hochofen, der Martinanlage, des Blechwalzwerkes.

Anwendung von Hochdruckwasser im Eisenhüttenbetriebe. Von Daalen. (Stahl u. Eisen 15. Juli 01 S. 749/53*) Deutsche Bearbeitung des in Zeitschriftenscha vom 13. Juli 01 unter »Hydraulic power in steelmaking« erwähnten Vortrages vor dem Iron and Steel Institute.

Eisenkonstruktionen, Brücken.

The Janesville bridge. (Eng. Rec. 6. Juli 01 S. 6/7*) Die eingleisige Brücke hat zwei Öffnungen von je 35 m Weite, die durch Blechträger von 2,4 m Höhe überspannt werden. Einzelheiten der Lager. Angaben über Transport und Aufstellung der Träger.

Construction of the Cambridge bridge piers. (Eng. Rec. 6. Juli 01 S. 8/9*) Eine alte Holzbrücke zwischen Boston und Cambridge wird jetzt durch eine 700 m lange eiserne Brücke mit 10 Blechträgerüberbauten ersetzt. Angaben über die Gründung und den Bau der gemauerten Pfeiler.

Elektrotechnik.

Tyneside electrical power distribution plant. (El. World 6. Juli 01 S. 5/10*) Ausführliche Darstellung der in Zeitschriftenscha v. 6. Juli unter: »Electric power supply on Tyneside« erwähnten Anlage.

The Los Angeles 33000-Volt transmission plant and electric railway. (El. World 29. Juni 01 S. 1113/15*) Das von der Edison Electric Company im Thal des Flusses Santa Ana errichtete Wasserkraftwerk enthält vier 750pferdige Turbidodynamos von 750 V und 50 Per./sek. Die Spannung wird in Transformatoren, die durch Ventilatoren gekühlt werden, auf 33000 V erhöht. Bericht über die für den hochgespannten Strom verwendeten Geräte und über ihr Verhalten im Betriebe.

Missouri River Power Company's 50000 Volt transmission plant. (El. World 13. Juli 01 S. 53/56*) Bericht über die geplante Vergrößerung der Wasserkraftanlage, die jetzt vier von Turbinen mit wasserspeicher Welle angetriebene Drehstromerzeuger von zusammen 1200 PS Kraftbedarf umfasst. Die im Bau begriffene Fernleitung nach Butte für 50000 V Spannung ist 112 km lang.

Western practice in long distance transmission. I. (El. World 13. Juli 01 S. 59/60) Zusammenfassender Fachbericht über die zahlreichen Fernleitungsanlagen im Westen von Nord-Amerika. Ausführung der Leitungen, der Isolatoren und Leitungsmasten.

Conversion from alternating constant potential to constant alternating current. (El. World 6. Juli 01 S. 21/22*) Es wird vorgeschlagen, für Bogenlampen ähnlich wie bei Gleichstrom auch bei Wechselstrom Reihenhaltung anzuwenden. Wiedergabe des Schaltungschemas und Darstellung der zu verwendenden Transformatoren. Berechnung des Wirkungsgrades und des Leistungsfaktors derartiger Anlagen.

The heating of magnet coils. Von Neu, Levine und Havill. (El. World 13. Juli 01 S. 56/58*) Verteilung der Wärme über Querschnitt und Länge der Spulen. Beziehungen zwischen Temperaturerhöhung und Wärmeverlust, auf die Einheit der ausstrahlenden Oberfläche gerechnet. Beziehungen zwischen den Ergebnissen von Temperaturmessungen mittels Thermometers und mittels Bestimmung der Widerstandsunnahme.

The efficiency curve of a shunt motor and its relation to operating characteristics and the cost of operation. (El. World 6. Juli 01 S. 17/19*) Abhandlung über verschiedene Verfahren zur Bestimmung des Wirkungsgrades und über die Wahl der normalen Belastung eines Motors, dessen Wirkungsgrad für alle Belastungen ermittelt ist.

Rotary transformers: Their history, theory and characteristics. Von Colles. Schluss. (Journ. Franklin Inst. Juli 01 S. 12/26*) Frequenzumformer.

Notes on the construction and protection of aerial transmission and distribution systems. Von Thornton. (El. World 13. Juli 01 S. 61/64*) Darstellung zweckmäßiger Anordnungen der Isolatoren, der Querträger und der Schutzvorrichtungen an den Leitungsmasten.

A true ground detector. (El. World 13. Juli 01 S. 54/56*) Beschreibung eines Verfahrens zur Prüfung des Isolationswiderstandes von Leitungsnetzen gegen Erde.

Über den Einfluss der Säuretemperatur auf die Kapazität des Bleiakкумуляtors. Von Schoop. (Z. f. Elektrot. Wien

21. Juli 01 S. 353/56*) Durch Versuche wurde festgestellt, dass die Kapazität der Akkumulatoren durch Erwärmen beim Laden erheblich größer, der innere Widerstand kleiner wurde. Es gelang jedoch nicht, bei dem auf das Entladen folgenden Laden alles gebildete Sulfat wieder zu lösen. Die Kapazität nahm deshalb wieder bedeutend ab. Versuche über die Selbsterwärmung von Akkumulatoren.

On theoretical concentration changes in the new Edison battery. Von Roebber. (El. World 21. Juni 01 S. 1105/08*) Die Ergebnisse der rein theoretischen Untersuchung der Vorgänge im Eisen-Nickel Akkumulator bestätigen das günstige Urteil, das bereits in der in Zeitschriftenscha vom 22. Juni 01 erwähnten Abhandlung von Kennelly: The new Edison battery, ausgesprochen wird.

Storage battery auxiliaries. IV. Von Lyndon. Schluss. (El. World 29. Juni 01 S. 1112/13*, 6. Juli S. 13/14* und 13. Juli S. 64/65*) Zusatzmaschinen für gleichbleibende Stromstärke.

Einige Untersuchungen über Normalelemente. Von Rupp. Schluss. (Elektrot. Z. 18. Juli 01 S. 585/588*) Klemmenspannung. Elektromotorische Kraft nach Abgabe von Strom.

Erd- und Wasserbau.

The Soulanges canal works, Canada. H. Von Coutlee. (Eng. News 11. Juli 01 S. 30/32* mit 1 Taf.) Einzelheiten der Treppenschleusen. Gründungsarbeiten. Hülfsschieber der Schleusen Maschinen-einrichtungen für den Betrieb der Schleusen. Angaben über das elektrische Kraftwerk.

Sewer reconstruction in New York. (Eng. Rec. 6. Juli 01 S. 12) Beim Bau des Tunnels für die Rapid Transit-Stadtbahn müssen viele Abzugskanäle verlegt werden. Die dabei vorkommenden Arbeiten werden an einigen Beispielen erläutert.

Feuerungsanlagen.

Wie soll man den Planrost beschicken? Von Blacher. Schluss. (Riga Ind. 2. 30. Juni 01 S. 189/93) Unzuverlässigkeit des gleichmäßigen Heizeffekts des Planrosts. Aufstellung mehrerer Leitsätze für das Bedienen von Planrostfeuerungen.

Gasindustrie.

Der Bau der Wiener städtischen Gaswerke. Von Kappaun. (Journ. Gasb.-Wasserv. 20. Juli 01 S. 521/27* mit 3 Taf.) Die Anlagen sind für eine Jahresleistung von 100 000 000 cbm berechnet. Das Ofenhaus leistet vorläufig 86 000 000 cbm, soll jedoch später ausgebaut werden. Im ganzen sind 1620 Retorten vorhanden, die zu je 9 in 180 Öfen untergebracht sind. Zur Aufspeicherung des Gases dienen 4 ummauerte Gasbehälter. Angaben über den Bau und die Einrichtung der Gebäude.

Beseitigung von Naphthalinverstopfungen aus Gasbehälter-Anschlüssen. Von Wahl. (Journ. Gasb.-Wasserv. 20. Juli 01 S. 533/34*) In den Verschlussdeckel des zu reinigenden Gasrohrs wird ein Rührrohr eingefügt, durch welches Wasser und ein Lösungsmittel gegossen werden. Die Flüssigkeit wird so lange im Gasrohr gelassen, bis sich das Naphthalin gelöst hat, und dann durch Auspumpen entfernt.

Neue Acetylenentwickler und Zulehörer. Forts. (Diagler 13. Juli 01 S. 450/51*) Karbidzuführvorrichtung von Berger. Acetylenlampe mit als Falltrichter ausgebildetem Laternengehäuse von Mahle. Acetylenentwickler von Labbe de Montais und von v. Schmidt. Ventil-anordnung von Kieffer. Forts. folgt.

Sanitätswesen.

Sewage disposal at Oswestry, England. (Eng. Rec. 6. Juli 01 S. 10/11) Die Abwasseranlage der genannten Stadt arbeitet lediglich mit mechanischen Filtervorrichtungen und ohne jeden Zusatz von Chemikalien. Angaben über den Erfolg der Abwasserreinigung.

Adjustable catchbasin and manhole covers. (Eng. News 11. Juli 01 S. 30*) Das dargestellte Gully ist in sich teleskopartig verschiebbar, sodass es bei Erhöhungen der Straßenoberfläche nicht neu gegelbt zu werden braucht, sondern durch Ausziehen verlängert werden kann. Das dargestellte Verschlussgitter für Abwasserkanäle ist in ähnlicher Weise bei Erhöhungen des Straßenspaltens verstellbar.

Gießerei.

Foundry metallurgy. Von Field. (Eng. News 11. Juli 01 S. 22/30) Der Verfasser schlägt die allgemeinere Einführung von metallurgischen Prüfungen vor und empfiehlt kleineren Gießereien, sich zu mehreren an einer Prüfungsanstalt zu beteiligen. Erörterung des Einflusses von Silizium und Schwefel auf die Eigenschaften des Eisens.

Hebzeuge.

Test of Sprague-Pratt elevators in the Park Row Building, New York. (Eng. Rec. 6. Juli 01 S. 9/10) Bericht über umfangreiche Leistungsversuche an den elektrischen Aufzügen des genannten Gebäudes.

Heizung und Lüftung.

The mechanical plant of the Newark Free Public Library. (Eng. Rec. 6. Juli 01 S. 1/4*) Eingehende Beschreibung der Kessel-, Maschinen-, Beleuchtungs-, Holz- und Lüftungsanlagen der genannten Bibliothek.

Hochbau.

Difficult foundation work on a New York apartment house. (Eng. Rec. 6. Juli 01 S. 12) Gründung eines 12stöckigen Eisenwerkgebäudes auf 58 Betonpfeilern, die bis zum gewachsenen Felsen herabgeführt sind. Angaben über den Bauvorgang.

Holzbearbeitung.

Bewährte Konstruktionen von Werkzeugmaschinen. (Z. Werkzeugm. 15. Juli 01 S. 452/53*) Zeichnungen einer wagerechten Bohr- und Stemmmaschine für Holz.

Lager- und Ladevorrichtungen.

Beschreibung der Förderbahn mit schiefen Ebenen und elektrischem Antrieb, ausgestellt auf der Pariser Ausstellung von der Fabrik Arthur Koppel, Berlin. Schluss (Baumaterialienk. 01 Heft 14 S. 321/24*) Einzelheiten über den Betrieb der Bahn.

Eine neuartige Kohlensturzanlage. Von Václavík. (Oesterr. Z. Berg- u. Hüttenw. 13. Juli 01 S. 377/78*) Auf dem Bettina-Schachte der Witkowitz Steinkohlengruben ist eine Kohlenförderanlage errichtet, die aus zwei etwa 88 m langen festen Brücken besteht, zwischen denen eine der beiden festen Brücken verbindende rd. 39 m lange laufkrantartige Brücke fahrbar angeordnet ist. Die Wagen werden auf der einen festen Brücke angefahren, auf die Kranbrücke übergeführt, von dieser aus gekippt und dann auf der zweiten festen Brücke zurückgefahren.

Einrichtungen zur Beförderung und Lagerung von Kohlen, Koks und Reinigermasse für Gasanstaltsbetrieb. Von Ruble. Forts. (Journ. Gasb. Wasserv. 13. Juli 01 S. 504/08* u. 20. Juli 01 S. 527/31*) Koksförderanlage in Bielefeld. Hydraulische Hobeszeuge in der Charlottenburger Gasanstalt. Vorrichtungen zum Heben der Reinigerdeckel, zum Füllen und Leeren der Reinigerkasten. Forts. folgt.

Maschinenteile.

Régulateur-détenteur de vapeur, construit par la I. d'Esté Co. (Rev. ind. 13. Juli 01 S. 375/76*) Darstellung eines Drosselventils für Dampfheizanlagen mit einem Hauptachse und einem kleineren Regulierschieber.

Materialkunde.

Rationelle Durchführung der Materialprüfung. Von Rejto. Forts. (Baumaterialienk. 01 Heft 14 S. 214/15*) Werte für die Dehnung von Siemens-Martin-Eisensorten. Mikroskopische Darstellung des Kleingefüges. Forts. folgt.

Ueber den Einfluss von Zeit und Temperatur auf die mechanischen Eigenschaften der Metalle und auf die Materialprüfung. Von Le Chatelier. Forts. (Baumaterialienk. 01 Heft 14 S. 209/11) Zugversuche bei verschiedenen Temperaturen der Metalle. Einfluss der Temperatur auf die mechanischen Eigenschaften der Metalle mit Ausnahme von Eisen und Stahl. Forts. folgt.

Ueber die Elektrochemie des Eisens. Von Abegg. (Stahl u. Eisen 15. Juli 01 S. 736/40) Die Stellung des Eisens in der Spannungsreihe gegenüber dem Kupfer, Zinn, Zink und Wasserstoff. Die Ionenbildende Tendenz des Eisens. Das Rosten des geschützten und des mit Metallüberzügen versehenen Eisens.

Ueber die günstige Struktur von Kohlenelektroden. Von Hürden. (Elektrot. Z. 18. Juli 01 S. 581/85*) Anhand mikroskopischer Photographien wird gezeigt, dass die Elektroden fein gekorneter Kohle höheres Leitvermögen und einen viel gleichmäßigeren Abbrand haben als solche aus grobkörnigem Stoffe.

Die Prüfung von Trass. Von Gary. (Mitt. techn. Versuchsanst. 01 Heft 1 S. 33/39) Prüfung von Trass in bezug auf seine Verwendbarkeit zu Mörtel; Bedingungen für die Prüfungen und deren Ausführung; Ermittlung der Zug- und Druckfestigkeit. Verwendung von Puzzolan- und Trassmörteln.

Druckfestigkeit von Beton. Von Burcharts. (Mitt. techn. Versuchsanst. 01 Heft 1 S. 33/39) Der Verfasser verteidigt seine früheren Abhandlungen über denselben Gegenstand, die von Dyckerhoff angegriffen worden sind, und fügt zum Beweise der Richtigkeit seiner Behauptungen Ergebnisse weiterer Druckfestigkeitsversuche bei.

Tests of Texas and California fuel oils. Von Stillmann. (Eng. News 11. Juli 01 S. 23) Bericht über Versuche, durch welche die Verwendbarkeit der beiden Erdölsorten für Lokomotivfeuerung festgestellt werden sollte.

Mechanik.

Ueber den Einfluss des Raddurchmessers auf den Kraftbedarf der Automobile. Von Müller. Schluss. (Motorwagen 15. Juli 01 S. 172/74) Durchrechnung mehrerer Beispiele.

Kinematische Untersuchung der Elastizität von Federn. Von Ramisch. (Dingler 20. Juli 01 S. 453/56*) Kinematische Behandlung einer in Müller-Breslau »Neuere Methoden usw.« mithilfe der Sätze über die Formänderungsarbeit gelösten Aufgabe über die Elastizität einer zwischen zwei gelenkig verbundenen Backen eingespannten Feder.

Messgeräte und -verfahren.

Untersuchungen über D'Arsonval-Galvanometer. Von O. Kümmel. (Z. f. Elektrot. 4. Juli 01 S. 745/50*) Die Versuche wurden an Galvanometern von Carpenter, Elliot Brothers, Edelmann, Hartmann & Braun und Siemens & Halske ausgeführt und erstreckten sich auf die Bestimmung des kritischen Widerstandes, bei dem die Schwingungsdauer unendlich groß wird, sowie auf den Zusammenhang zwischen Feldstärke und Empfindlichkeit.

Leistungsmessung mittels anemometrischer Methoden. Von Stern. (Elektrot. Z. 18. Juli 01 S. 377/80*) Theoretische Abhandlung über Drehstromzähler.

Metallbearbeitung.

The Prentice gang drill for locomotive work. (Iron Age 4. Juli 01 S. 13*) Schaubild einer Capindigen Bohrmaschine mit elektrischem Antrieb. Die Bohrspindel sind auf einem langen wagerechten Querbalken verschiebbar angeordnet und können in einer lotrechten Ebene beliebig geneigt werden.

The Sittman screw machine. (Iron Age 11. Juli 01 S. 1/6*) Darstellung einer neuartigen von der Firma Sittman & Pitt in Brooklyn gebauten Schraubeumaschine mit eingehender Beschreibung aller wichtigen Einzelheiten.

J. K. Reinsch's Werkzeugmaschinen. Von Pragel. Forts. (Dingler 20. Juli 01 S. 459/63*) Universal-Werkzeugschleifmaschine. Schluss folgt.

Two drill jigs. Von Woodworth. (Am. Mach. 20. Juli 01 S. 739*) Beschreibung zweier beim Bohren kleiner Messinggegenstände mit Vorteil anwendbarer Schablonen.

Two drill jigs for odd shaped castings. Von Doran. (Am. Mach. 20. Juli 01 S. 742/43*) Darstellung zweier Bohrschablonen für einen komplizierten sternförmigen Gegenstand.

The Auburn ball bearing and grinding machine. (Am. Mach. 20. Juli 01 S. 737*) Die Maschine zum Schleifen der Laufringe für die von der Auburn Ball Bearing Co. in Auburn, N. Y., hergestellten Kugellager zeichnet sich durch ein eigenartiges Aufspann- (utter) und durch die Form der Schleifscheibe aus.

Improved pneumatic riveter. (Am. Mach. 20. Juli 01 S. 738*) Die neue Verbesserung an der bekannten Allenschen Nietmaschine besteht auf die Verbindung zwischen dem Druckstempel und der Pleuelstange.

A large hydraulic press operating valve. Von Stillman. (Iron Age 11. Juli 01 S. 8/11*) Beschreibung der Steuervorrichtung für eine große Seydlitz'sche Wasserdampf-Pressen, die in den Werken der American Pulley Co. zur Herstellung von Riemenscheiben aus Stahlblech dient. Darstellung vieler Einzelheiten.

Elektrolyt-Schleifwerkzeuge. Von Rieder. (Z. f. Elektrot. 11. Juli 01 S. 765/67*) Die Schleifwerkzeuge werden hergestellt, indem der Schmirgelsand mit einer Lösung von Wachs oder Paraffin in Benzol anfeuchtet, durch Schütteln mit Grafit mit letzterem bedeckt und dann in eine elektrolytische Zelle gebracht wird. Hier wird er zusammen mit Kupfer auf entsprechend gestaltete Metallkörper niedergeschlagen. Das Kupfer wird sodann abgeschliffen und abgetrennt. Darstellung vieler Schleifwerkzeuge und Anleitung zu ihrer Verwendung.

Some points of experience in making twist drills, taps and dies. Von Fox. (Am. Mach. 20. Juli 01 S. 740/42*) Der Verfasser giebt einige Ratschläge über das Einfräsen der Nuten bei Spiralbohrern, das Hinterdrehen von Fräsern, Gewindebohren usw., das Härten und Anlassen verschiedener Werkzeuge.

Tube-forming tools. Von Dougherty. (Am. Mach. 20. Juli 01 S. 735/36*) Die Herstellung kegelförmiger Röhren aus dünnem Blech mittels kegelförmigen Dornes und zugehöriger Matrize wird kurz erläutert.

Shops of John Lang & Sons, Johnstone, Scotland. (Am. Mach. 20. Juli 01 S. 731/35*) Beschreibung der von der genannten Firma gebauten leichten und mittelschweren Drehbänke und Angaben über die Einrichtung der Werkstätten.

Metallhüttenwesen.

Utilisation of the wastes from the use of white metals. Von Richards. Schluss. (Journ. Franklin Inst. Juli 01 S. 59/63) Legierungen aus Zink und Blei, aus Zinn, Antimon und Kupfer und aus Zinn, Antimon und Blei.

Motorwagen und Fahrräder.

Motorwagen »Köhlestein-Vollmer«. Von Conrad. Forts. (Motorwagen 15. Juli 01 S. 169/72 mit 1 Taf.) Berechnung der Motorleistung, der Zugkraft bei den drei Geschwindigkeiten des Wagens und des Getriebes. Erläuterungen über verschiedene Konstruktionseinzelheiten. Schluss folgt.

Light oil-motor cars. III. Von Longridge. (Engineer 19. Juli 01 S. 58/59) Zündvorrichtungen; Explosion und Verbrennung des Gasgemisches.

Papierindustrie.

Der Holländer. Von Hausener. (Dingler 13. Juli 01 S. 437/44*) Allgemeines über Zweck und Betrieb des Holländers. Der Trog; Versuche über Stoffströmung. Forts. folgt.

Steam engineering in paper and pulp mills. Von Ennis. (Eng. Magaz. Juli 01 S. 518/24) Der Verfasser erörtert die Vereinfachung des Betriebes in Papier- und Lumpenmühlen, seitdem die Wasserkraft durch die Dampfkraft verdrängt ist. Anwendung des Dampftriebes bei den einzelnen Maschinen und Verfahren.

Pumpen und Gebläse.

Die neueren Luftkompressoren in Pfibram. Von Dirij. (Oester. Z. Berg- u. Hüttenw. 8. Juli 01 S. 358/62 u. 13. Juli 01 S. 378/81 mit 1 Taf.) Besprechung der Vorteile, die der Druckluftbetrieb in Bergwerken gegenüber andern Betriebsarten besitzt. Angaben über die älteren zum Betriebe von Bohrmaschinen, Förderhaspeln und Pumpen in Pfibram aufgestellten Kompressoren. Darstellung des neuen Kompressors für den Prokopschacht, der 400 mm Tauchkolben-Dmr., 650 mm Kolbenhub, 80 Doppelhübe in der Minute, 19 Saug- und 19 Druckventile von je 29,45 qcm freiem Durchgangsquerschnitt hat. Bericht über Leistungsversuche und kritische Besprechung von Konstruktion und Wirkungsweise anhand der Versuchsergebnisse. Vergleich mit älteren Konstruktionen. Forts. folgt.

Compresseur d'air "Horeas" à deux phases. (Rev. Ind. 13. Juli 01 S. 273*) Darstellung eines von Lacy Hulbert & Co. gebauten Kompressors mit Differentialkolben und zweistufiger Kompression. Die durch Riemen angetriebene Welle ist in einem Ölebehälter eingekapselt. Angaben über die Ausführung der Maschine für verschiedene Leistungen.

Schiffs- und Seewesen.

A solution of the vibration problem. Von Macalpine. Schluss. (Engng. 19. Juli 01 S. 97/100*) S. Zeitschriftenchau v. 27. Juli 01.

The mechanical equipment of the ship yard. Von Hille. (Eng. Magaz. Juli 01 S. 525/47*) Anwendung von Druckluftmotoren im Schiffbau. Tragbare elektrische Bohrmaschinen. Einrichtungen zur Beförderung des Baumaterials. Gedeckte Hellinge mit Laufkränen.

S. M. Linienschiff "Zähringen". (Stahl u. Eisen 15. Juli 01 S. 758*) Das Schiff hat 120 m Länge zwischen den Loten, 20,8 m größte Breite, 7,68 m Tiefgang und 11800 t Wasserverdrängung. 3 dreifach- und 6 zweifach-Expansionsmaschinen, die aus 6 Zylinder- und 6 Schiffschen Wasserröhrenkesseln gespeist werden, sollen dem Schiff bei 15000 PS 19 Knoten Geschwindigkeit erteilen. Angaben über die Bewaffnung.

H. M. S. "Cornwallis". (Engineer 19. Juli 01 S. 69) Das Linienschiff ist 131 m lang, 23 m breit und verdrängt bei 8 m Tiefgang 14000 t. Die beiden Maschinen sollen zusammen 18000 PS entwickeln, womit eine Geschwindigkeit von 19 Knoten erreicht werden soll.

United States army transport "Sumner". (Engng. 19. Juli 01 S. 50* mit 1 Taf.) Deckpläne und Ansicht des rd. 107 m langen, 13 m breiten und 9 m tiefgehenden Schraubendampfers.

The constructive development of the Dürr boiler in the German navy. Von v. Buchholz. (Engng. 19. Juli 01 S. 50/83*) Darstellung der Kessel in ihren verschiedenen Ausführungen und Erläuterung der Einzelheiten. Die Kessel des Hafendampfers "Rhein". Die Probekessel für die deutsche Marine. Die Kessel der Panzerschiffe "Baden" und "Bayern" und des Kreuzers "Victoria Luise". Forts. folgt.

Seil- und Kettenbahnen.

Cabling the Edinburgh tramways. II. (Engineer 19. Juli 01 S. 57/58*) Kurze Beschreibung der Kraftwerke der Seilbahnen.

Straßenbahnen.

Neuerungen an Trambahngleisen. (Dingler 20. Juli 01 S. 468/66*) Rillenschienen von Léon Franq; Zwillingschienen mit zwischengelegter Lasche. Schienenstöße von Scheinle-Hofmann: eine Unterlagplatte umgreift den einen Flansch der Schiene, ein Klemmbolzenstück den anderen; zwischen Klemmbolzenstück und dem freien Rand der Unterlagplatte wird ein Keil eingetrieben, ähnlich wie bei der Montage von Lagern auf der Unterlagplatte. Demerbo-Schienen.

Untersuchungen über die Gefährdung städtischer Rohrnetze durch vagabundierende Ströme. Von Lubberger. (Journ. Gasb.-Wasserv. 13. Juli 01 S. 508/11* und 20. Juli 01 S. 531/33*) Die Untersuchungen erstreckten sich auf Messungen der in den Rohren und in der Erde fließenden elektrischen Ströme. Krörterung über die Gefährdung des Rohrnetzes durch Erdströme anhand der Ergebnisse von Messungen.

Nouvelles voitures à air comprimé de la Compagnie générale des Omnibus à Paris. Von Boëtto. (Génie civ. 13. Juli 01 S. 169/75* mit 1 Taf.) Allgemeines über die Straßenbahnstrecken mit Druckluftbetrieb und über die Kraftwerke. Beschreibung der zweischaligen Motorwagen. Vorrichtungen für die Komprimierung der Luft durch Dampfdruck auf den Wagen. Einzelheiten des Getriebes und der Bremsen. Brennstoffverbrauch der Dampf- und Druckluftantriebe. Betrieb der Wagen. Forts. folgt.

The London United Electric Tramways. (Engineer 19. Juli 01 S. 62/63*) Die Bahnen werden mit Gleichstrom von 500 V, der oberirdisch angeleitet wird, betrieben. Zur Stromerzeugung dienen 2 Gleichstromdynamos von je 250 KW, die von 2 Allis-Verbundmaschinen angetrieben werden. Zur Erzeugung des Stromes für die Umformerwerke dient außerdem eine 500 KW Drehstromdynamo von 5000 V. Schaubilder der Anlage.

Wasserversorgung.

Plumbing in the Prudential Buildings, Newark, N. J. (Eng. Rec. 6. Juli 01 S. 13/14*) Eingehende Beschreibung der Wasserleitungsanlage in einem 4 Häuser umfassenden Gebäudeblock.

Die Schaufelräder der Dampfschöpfanlagen an der Neuen Maasmündung. (Glaser 15. Juli 01 S. 43/45*) Die Schaufelräder werden von Zwillings-Dampfmaschinen mit 5 1/2 at Ueberdruck betrieben. Das eine Rad hat 8 m Dmr., ist 2 m breit und hat 20 ebene Schaufeln; das andere Schaufelrad hat 7,5 m Dmr., 2,5 m Breite und 22 ebene Schaufeln. Die Räder machen rd. 4 Uml./min.

Werkstätten und Fabriken.

The Stanley works at Newark. (Engng. 19. Juli 01 S. 71/72*) Die Fabrik für Holzbearbeitungsmaschinen von A. Ramsome & Co. hat eine kleine neue Anlage errichtet, deren Übersichtsplan, enthaltend die Anordnung der verschiedenen Werkstätten, der Gießerei und des Kraftwerkes, wiedergegeben ist. Angaben über Werkzeugmaschinen, Arbeitsverfahren, Hebezeuge und Fördervorrichtungen.

Zementindustrie.

Studie über die Konstitution des Portlandzementes. Von Meyer. Forts. (Baumaterialienk. 01 Heft 14 S. 212/13) S. Zeitschriftenchau v. 30. Juli 01. Forts. folgt.

Ziegel.

Neuerungen in Dachziegeln und ihrer Fabrikation in den letzten fünf Jahren. Von Fiebelkorn. Schluss. (Baumaterialienk. 01 Heft 14 S. 217/19*) Herstellung von Zementfalstziegeln.

Der Kanalarbeiter und sein Wert für die Hüttenindustrie. Schluss. (Dingler 13. Juli 01 S. 443/49*) Verschiedene Bauarten von Kanalarbeitern.

Rundschau.

In den Werkstätten der General Electric Co. zu Schenectady sind nach dem Vorschlage ihres Oberingenieurs Riddell alle größeren Werkzeugmaschinen mit hin- und hergehender Bewegung, vor allem Hobel- und Stofmaschinen, mit einer **elektromagnetischen Umsteuervorrichtung** versehen worden, die sich sehr gut bewährt haben soll¹⁾.

Fig. 1 stellt eine mit der Vorrichtung ausgerüstete Hobelmaschine dar. Die Schneckenwelle *a* ist nach links hin verlängert und endigt in ein Wellenstück *b*, das zwei genutete Bunde *c* und *d* trägt. Auf diesem Wellenstück *b* ist, in den Nuten der Bunde durch Leisten geführt, das Rohrstück *e* mit den oberen Endscheiben *f* und *g* verschiebbar angeordnet. Gegenüber diesen Scheiben befinden sich die mit einer Magnetwicklung versehenen Scheiben *h* und *i*. Sie sind drehbar auf der Welle *b*, aber gegen Längsverschiebung gesichert. Die langen Naben dieser Scheiben tragen je 2 isolierte Schleifringe, auf denen Bürsten zur Zuführung des Erregerstromes schleifen. Zwischen den Schleifringen und den Scheiben selbst sitzen auf den Naben noch die beiden Zahnräder *k* und *l*. Das rechts auf der Elektromotorwelle sitzende Zahnritzel *m* greift

unmittelbar in Rad *k* ein; das links auf der Motorwelle befindliche Ritzel *n* arbeitet unter Vermittlung des Zwischenrades *o* auf das Rad *l*. Von dem rechts gelegenen Räderpaar *m* und *k* sonach der langsame Arbeitsgang, von dem Rädergetriebe *n* und *l* der schnelle Rückgang bewirkt, wenn die Scheiben *h* und *i* abwechselnd durch geeignete Stromzuführung magnetisch gemacht und dadurch mit dem zur Uebertragung der Drehbewegung auf die Schneckenwelle *a* dienenden Rohrstück *e* gekuppelt werden. Der Magnetsirungsastron wird durch die gewöhnlichen am Hobelmaschinenentisch verschiebbar angebrachten Steuervornaggen umgeschaltet, indem diese zwei an den Enden des Maschinenbettes befestigte Umschalter in Thätigkeit setzen. Der Sicherheit halber ist noch ein Ausschalter am Bett angeordnet, der betätigt wird, wenn der Tisch die durch die Umschalter festgelegten Stellen überfahren hat.

Von dem Motorritzel *m* wird auch die lotrechte Bewegung des die Werkzeugschlitzen tragenden Kreuzbalkens abgeleitet, da das auf einer kurzen am Maschinenentisch gelagerten Welle verschiebbar angeordnete Stirnrad *p* mit dem Motorritzel zum Eingriff gebracht werden kann. Dabei kommt *p* gleichzeitig mit dem Stirnrad *q* zum Eingriff, das seinerseits die Bewegung auf das Getriebe zum Heben und Senken

¹⁾ American Machinist 18. Mai 1901 S. 477.

des Kreuzbalkens weiter überträgt. Soll die Bewegung des Balkens umgesteuert werden, so muss auch die Drehrichtung des Motors umgekehrt werden, oder es muss statt des einfachen Vorgeleges mp ein aus 3 Rädern bestehendes Wendeherz¹⁾ zur Anwendung kommen.

Will man den Kreuzbalken heben oder senken, ohne den Tisch zu bewegen, so kommt die links in Fig. 1 sichtbare, in Fig. 2 besonders herausgezeichnete Mittelstellvorrichtung zur Anwendung. Durch den mit der Hülse e vernieteten Bolzen r ,

Gabelstück x und damit Welle s und Kuppelhülse e festgehalten, und zwar letztere in ihrer Mittelstellung zwischen den beiden magnetischen Kuppelscheiben h und i , sodass die Tischbewegung ausgeschaltet ist.

Im regelrechten Betriebe dagegen sind der Handgriff und der Bolzen e um 90° umgelegt, sodass die kleine Achse des elliptischen Querschnittes von e wagerecht liegt. Dann macht das Gabelstück x die beim Kuppeln von e mit einer der beiden Scheiben h und i eintretende hin- und hergehende Be-

Fig. 1.

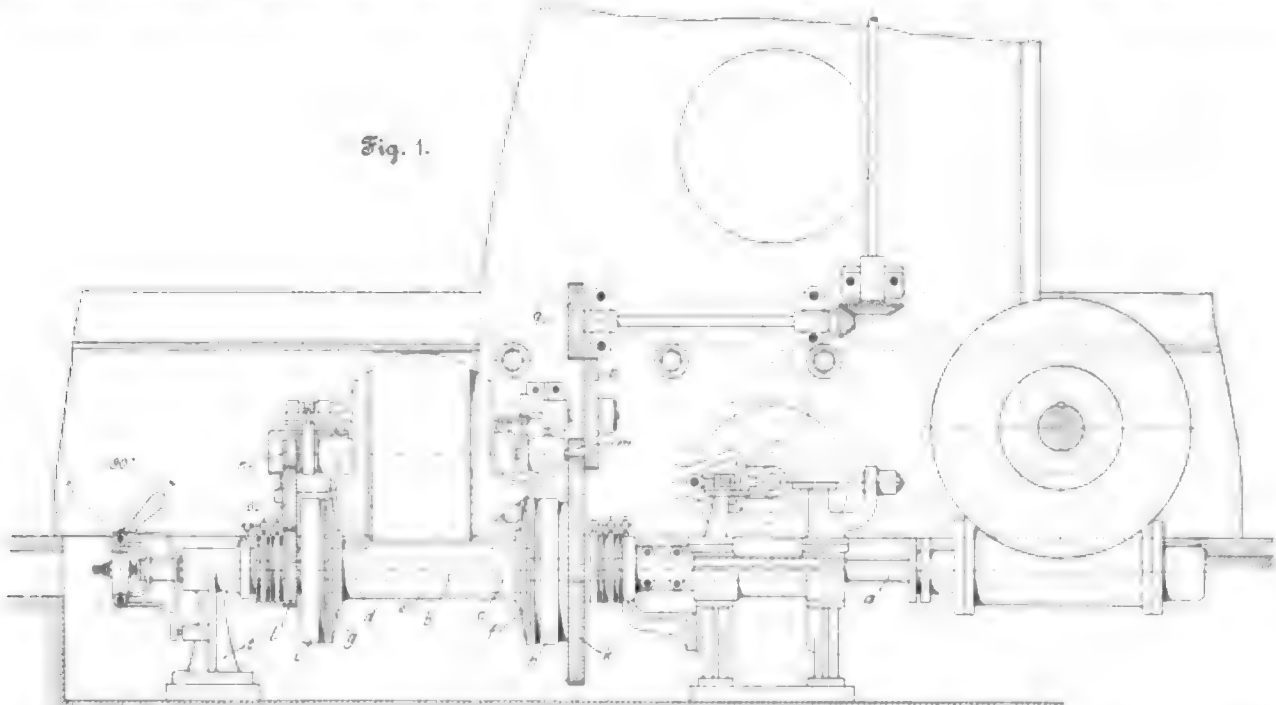
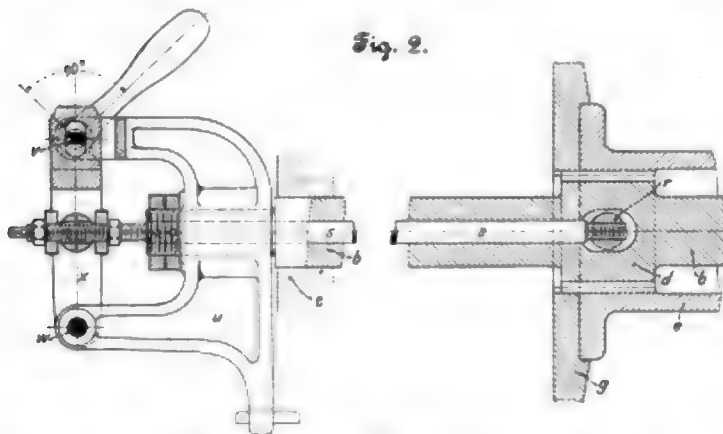


Fig. 2.



wird die dünne Welle s , die in r eingeschraubt ist, mit der Hülse gekuppelt. Außerdem ist durch diese Verbindung die Welle s gezwungen, an der hin- und hergehenden Bewegung der Kuppelhülse e teilzunehmen; damit dies geschehen kann, ohne dass die Welle b mitgenommen wird, ist der Bund d der letzteren mit einer länglichen Querbohrung versehen. Links sitzt auf einem Absatz der Welle b , durch zwei Schraubenmutter an der Längsverschiebung und durch einen in das Lager A eingreifenden Stift an der Drehung verhindert, das Gussstück u . Es trägt an seinem oberen gegabelten Ende (die vordere Zinke der Gabel ist in der Figur weggelassen) einen durch einen Handgriff um 90° drehbaren Bolzen r , der in seinem mittleren freien Stück den gezeichneten elliptischen Querschnitt hat. Dieses Bolzenstück wird von dem oberen geschlitzten Ende des unten bei w drehbar gelagerten Gabelstückes x umfasst. Bei der gezeichneten Stellung des Handgriffes und des Bolzens r ist das

wegung ohne Hindernis mit, da der Unterschied zwischen der kleinen Ellipsenachse und der großen Ellipsenachse (Schlitzweite) hinreichend groß gewählt ist.

Bei Gelegenheit des internationalen Ingenieurkongresses in Glasgow am 3. bis 6. September d. J. wird der Automobile Club of Great Britain and Ireland eine Wettfahrt für Motorwagen veranstalten, die entgegen andern ähnlichen Veranstaltungen nicht eine Probe der Schnelligkeit, sondern der Betriebsfähigkeit abgeben soll. Die Geschwindigkeit darf 16 km/st nicht überschreiten. Jeder Wagen wird von einem Aufseher begleitet werden, der den Grund und die Dauer jedes Anhaltens aufzeichnet. Für die Preisverteilung werden diese Aufzeichnungen und die Verfassung des Wagens am Ende der Fahrt maßgebend sein. Für besondere Versuche auf Steigungen sind drei steile Bergstraßen in Aussicht genommen.

Auf dem Grenzbahnhof Illowo ist seit kurzem eine Einrichtung getroffen, die es ermöglicht, Eisenbahnwagen von dem deutschen auf das russische Eisenbahnnetz überzuführen, indem die Achsen ausgewechselt werden. Bei dem geringen Unterschied in den Spurweiten — 1435 und 1525 mm — ist es nicht möglich, Rollböcke zu verwenden, wie sie beim Uebergang von normalspurigen Wagen auf Schmalspurbahnen vielfach üblich sind²⁾; bislang mussten daher alle Wagen an den Grenzstationen umgeladen werden. Bei der neuen Einrichtung werden Wagen von besonderer Bauart verwendet, die nach den Plänen des Direktors der Marienburg-Mlawkaer Eisenbahn, Baurat Breidsprecher, hergestellt sind. Das Wagenobergestell wird zu diesem Zwecke mittels untergeführter Seitenwagen abgefangen, von den Achsen genommen und auf einer besonderen Verbindungsgleisstrecke wagerecht fortgeführt. Auf dieser Strecke rollen die Achsen auf dem

¹⁾ Vergl. Fischer, Die Werkzeugmaschinen I. S. 177.

²⁾ A. Z. 1899 S. 100.

allmählich geneigten Hauptgleise weiter, lösen sich von dem Wagen und rollen in eine Grube, in welcher bereits die Achsen für die andere Spurweite bereit stehen. Diese werden durch Fangvorrichtungen bei dem weiteren Fortschreiten des Wagenoberkastens auf einem ansteigenden Gleise emporgeholt und unter den Kasten gebracht, sodass er auf der andern Spur weiterlaufen kann. Die auszuwechselnden Achsen sind bei beiden Spurweiten bis auf die Nabensitze der Räder, deren Entfernung sich nach der Spurweite richtet, genau gleich. Die Ausführung in Ilowo ermöglicht, gleichzeitig 5 Eisenbahnwagen in geschlossenem Zuge umzusetzen; dabei wird der Zug von der Lokomotive der einen Spurweite über die Grube geschoben und dort von der Lokomotive der andern Spurweite übernommen. Das Umsetzen, bei welchem zwei Arbeiter nötig sind, dauert 6 min. (Zeitschrift des Vereines deutscher Eisenbahnverwaltungen)

Die Einführung durchgehender Bremsen auf Güterwagen macht in Amerika stetige Fortschritte. Nach der Zählung der American Railway Association vom 1. Januar 1901 waren 989 127 Wagen der zu dieser Gesellschaft gehörenden Bahnen mit Luftdruckbremsen ausgerüstet und nur 375 000 Güterwagen noch ohne eine solche Einrichtung. Seit dem Jahre 1897 sind bei sämtlichen Wageneubauten Luftdruckbremsen angeordnet worden. Nach der erwähnten Statistik betrug die Zahl der in Auftrag gegebenen Wageneubauten am 1. Januar 1901 54 118 Stück. Da die Züge beträchtlich verlängert sind, sind auch die Abmessungen der Luftpumpe vergrößert worden; der Durchmesser des normalen Kompressorcyinders ist von 152 mm auf 241 mm und der Hub auf 254 mm gestiegen. (Eng. News 4. Juli 1901)

In einem Vortrage vor der Municipal Electrical Association in Glasgow giebt Highfield einige Zahlen über die Wirtschaftlichkeit der Müllverbrennung in dem Elektrizitätswerk St. Helens. Dort sind in einem Jahre 977,1 t Müll verbrannt und damit 365 000 KW-st erzeugt worden. Die Verbrennungskosten einschließlich der Löhne belaufen sich für die Tonne Müll auf 2,35 £, von denen 0,25 £ auf Ausbesserungen und 0,15 £ auf das Fortschaffen der Asche entfallen. Für jede Tonne werden 7,1 KW zum Betriebe der Gebläse aufgezehrt. (Elektrotechnische Zeitschrift 18. Juli 1901)

Am 26. Juli d. J. wurde von den Mitgliedern des Aufsichtsrates und des Vorstandes der Studien-Gesellschaft für elektrische Schnellbahnen in der Maschinenfabrik der Allgemeinen Elektrizitäts-Gesellschaft Berlin,

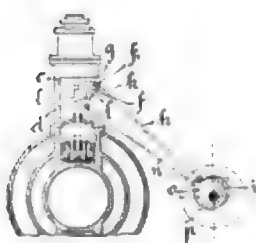
der von dieser Gesellschaft gebaute elektrische Schnellbahnwagen besichtigt. In einem kurzen Vortrage ging Oberingenieur Lasche von der A.-E.-G. näher auf die Bedingungen ein, die eine elektrische Vollbahn zu erfüllen hat. Er führte dabei u. a. aus, dass die größten Geschwindigkeiten, welche bisher mit Dampflokomotiven erzielt worden sind (auf amerikanische Bahnen bis rd. 111 km/st), sich bereits jetzt durch elektrischen Betrieb erreichen lassen. Es fehlen aber zu einer genauen Feststellung der wirtschaftlichen Bedingungen der Elektrizität bei Vollbahnbetrieb noch die erforderlichen Unterlagen. Die Konstruktion der Fahrzeuge, der Kraftbedarf und die Beanspruchung des Oberbaues sind durch Versuche festzulegen. Die Geschwindigkeit bei den Erprobungen wird zunächst bis auf rd. 200 km/st getrieben werden, ohne das hiermit eine endgültige obere Grenze festgelegt werden soll. Ueberhaupt soll die Ermittlung der höchst zulässigen Schnelligkeit durchaus nicht den einzigen Hauptzweck der vorzunehmenden Untersuchungen bilden. Es soll vielmehr auch festgestellt werden, in wie weit der elektrische Betrieb eine größere Bequemlichkeit der Reisenden ermöglicht, und ob er sich nicht auch bei geringeren Geschwindigkeiten der Dampflokomotive gegenüber angenehmer und billiger gestaltet. Der mit Drehstrom betriebene Schnellbahnwagen der A.-E.-G., über den wir demnächst eingehend berichten werden, ist ungefähr 22 m lang. An jedem Ende hat er einen Führerstand, sodass also der Führer seinen Stand stets am Vorderende des Wagens nehmen kann, ganz gleich, welche Fahrrihtung eingeschlagen wird. Der übrige Innenraum ist zur Aufnahme von Fahrgästen bestimmt. Der Wagen ruht auf zwei dreiaxigen Drehgestellen, deren jedes durch zwei Drehstrommotoren von je 750 PS größter Leistung angetrieben wird. Die vier Elektromotoren entwickeln also zusammen bis zu 3000 PS. Sorgfältig durchkonstruierte Schaltvorrichtungen, Sicherungen, elektrische Beleuchtung und Heizung, Vorrichtungen für die Bremsung usw. vervollständigen die Einrichtung.

Der Wagen wurde auf dem Probirgestell in der Maschinenfabrik der Allgemeinen Elektrizitäts-Gesellschaft mit voller Geschwindigkeit von 200 km/st vorgeführt.

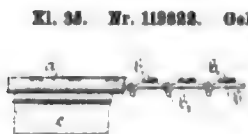
Es werden nunmehr die Versuchsfahrten auf der zur Verfügung gestellten Militärbahn zwischen Schöneberg und Zossen begonnen werden, sobald der Oberbau auf dieser Strecke in dem erforderlichen Maße verstärkt sein wird. Den Strom von 12000 V Spannung liefert das Krafthaus Oberspreewald der Berliner Elektrizitätswerke.

b) s. Z. 1901 S. 11.

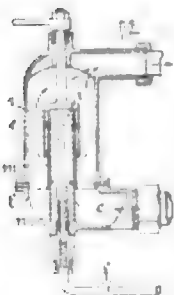
Patentbericht.



Kl. 14. Nr. 118635. Ventilsteuerung. J. Stumpf, Berlin. Ein festes Exzenter *f* bewegt durch die Stange *A* die bei *d* gelagerte und bei *f* die Mitnehmerklinke *p* tragende Schwinge *f*. Ein loses, durch einen Achsenregler *p* eingestelltes Exzenter *e* bewegt durch die Stange *a* einen auf *d* drehbaren Daumen *h*, der die Klinke *kp* früher oder später vom Ventilhebel *cb* auslöst, wodurch Füllungsänderungen zwischen *0* und *95* vH erzielt werden können.



Kl. 35. Nr. 118922. Geländer für Treppenaufzüge. J. W. Reno, New York. Ein aus elastischem Stoffe hergestellter endloser Streifen *a* mit seitlichen Ansätzen *a*, ist an einer endlosen Gelenkkette *b* durch Lappen *b* befestigt, und die Kettenglieder werden durch Nasen *b* in einer Nut des Geländer-T-Eisens *c* geführt.



Kl. 48. Nr. 119742. Petroleumvaporisier. Ch. Bouché und F. P. de la Montluel, Chateau (Frankr.). Das von *f* unter Druck zugeführte Petroleum wird am oberen Ende des Rohres *a* durch feine Öffnungen an den Sieb-cylinder *a* gespritzt und fließt an dessen Maschen herab; ein Mantel *w*, der den oberen Teil von *a* verdeckt, trägt unten einen Drehschieber *l*. Beim Saughube der Maschine strömt ein Teil der von *c* her angesaugten warmen Luft durch die unteren unverdeckten Siebmaschen und die oberen Öffnungen *f* in *w* und mischt sich dann mit dem durch *l* gereinigten Strome reiner Luft.

Kl. 47. Nr. 118370. Kranbefestigung. F. Phillips, Philadelphia.

Die Mittelrippe *f* des im Querschnitt T-förmigen Scheitels- oder Radkranes *fg* wird in die geschlitzten Enden *e* der Speichen *d* eingefügt und durch Holzen *A* oder dergl. befestigt. Bei Riemen-scheitels kann *f* durch Zusammenfallen erzeugt und durch bloße Klemmung in *e* befestigt werden.

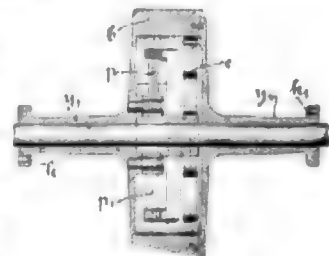


Kl. 56. Nr. 118217. Presse. Maschinenfabrik und Mühlen-

baustalt G. Luther, A.-G., Braunschweig. Da bei fest gelagerten Pressformen *c* die aus pulverförmigen oder bildsamen Stoffen gepressten Körper unten weniger dicht werden als oben, wird die Form *c* gegen *a* und den Gegenstempel *d* frei beweglich geführt. Leichte Federn *f* halten *c* vor Beginn des Pressens in Stellung.



Kl. 60. Nr. 118350 (Zusatz zu Nr. 112610, Z. 1901 S. 504). Achsenregler. H. Lentz, Brunn, und W. Volt, Magdeburg. Federn *e* und Schwinggewichte *p, q* werden vom Trägerschlingensystem *b* umhüllt, der derselbe halsartige Verlängerungen *g, h* hat, die bei *k, k* mit den verstellbaren Exzenter der beiden Dampfhebelventile verbunden sind.



ZEITSCHRIFT DES VEREINES DEUTSCHER INGENIEURE.

Nr. 32.

Sonnabend, den 10. August 1901.

Band XXXV.

Inhalt:

Die Weltausstellung in Paris 1900: Die Eisenbahnwagen. Von E. Brückmann (Fortsetzung) (hierzu Tafel XXI und XXII)	1117
Kritik der neueren Senksperrbremsen für Kraus. Von A. Ernst (Schluss)	1128
Der Wettbewerb um den Entwurf einer Straßenbrücke über den Neckar bei Mannheim. Von C. Bernhard (Fortsetzung)	1129
Mittelthüringer B.-V.: Verdampfungsversuche an einem Dörr-Kessel	1135
Pommerscher B.-V.: Die Bezeichnung der vertieften Fahrtrinne zwischen Stettin und Swinemünde	1135
Bücherschau: Ad. Wernickes Lehrbuch der Mechanik in elementarer Darstellung mit Anwendungen und Übungen aus den	

Gebieten der Physik und Technik. Von A. Wernicke. — Bei der Redaktion eingegangene Bücher. — Übersicht neu erschienener Bücher	1136
Zeitschriftenschau	1138
Rundschau: Eisenbahnversuchswagen der Universität des Staates Illinois und der Illinois Central Railroad Co. — Verschiedenes	1141
Patentbericht: Nr. 118979, 117986, 118948, 119741, 119683, 119857, 118435, 118730, 118301, 118658, 118640, 119056, 118784, 118387, 119589, 118646, 119053	1144
Angelegenheiten des Vereines: Versammlung des Vorstandes am 9. Juni 1901 in Kiel	1146

(hierzu Tafel XXI und XXII)

Die Weltausstellung in Paris 1900.

Die Eisenbahnwagen.

Von E. Brückmann, dipl. Ingenieur, Chemnitz.

(Fortsetzung aus Z. 1900 S. 1712)

(hierzu Tafel XXI und XXII)

III. Vorbericht über Wagen.

Die im allgemeinen Vorbericht, Z. 1900 S. 1711, in Tabelle III aufgeführten 111 Wagen sind auf den Tafeln XXI und XXII skizziert, während ihre Hauptabmessungen und Gewichte in Tabelle IV enthalten sind. Aus dieser ist Tabelle V zusammengestellt, aus welcher hervorgeht, dass auf der Ausstellung nicht weniger als 47 Wagenbauarten zu finden waren, während aus der Tabelle VI zu erschen ist, dass unter den ausgestellten 111 Wagen 67 Personenwagen, 3 Postwagen, 5 Zugführer- und Gepäckwagen, 15 normale und 12 Sonder-Güterwagen sowie 1 Heizwagen für normalspurige Gleise, und

3 Personenwagen, 1 Postwagen und 3 Güterwagen für schmalspurige Gleise vertreten waren. Die Zahl der ausgestellten Personenwagen überwiegt daher bei weitem diejenige der Güter- und Sonderwagen.

Von Interesse ist noch Tabelle VII, denn sie zeigt, dass von den 67 Wagen für Personenbeförderung nur einer 3 feste Achsen hatte, während 37 Drehgestellwagen waren und 29 Lenkachsen aufwiesen. Weiter kann aus der Tabelle IV entnommen werden, dass von allen 71 ausgestellten Personenwagen (67 normalen und 4 schmalspurigen) 60 Durchgangswagen waren, d. h. nicht weniger als rd. 85 vH.

Tabelle IV.

Nr. des Landes

Aussteller

Fabrikant

Bahn

Wagenform

Länge

Kasten-Über Buffer

Achsenzahl

gesamter Radstand

Zahl der Plätze

Klasse

I. II. III.

Steh.

Leergewicht

Ladegewicht

Nr. des Landes

Aussteller

Fabrikant

Bahn

Wagenform

Länge

Kasten-Über Buffer

Achsenzahl

gesamter Radstand

Zahl der Plätze

Klasse

I. II. III.

Steh.

Leergewicht

Ladegewicht

I. Frankreich.

1

1

Paris-Lyon-Mittelmeer-Bahn

S. Nouv. d. Etabl. de l'Horme et de la Butte, Lyon

Paris-Lyon-Mittelmeer-Bahn

8achs. Pers. Wagen III. Kl. mit Seitengang, Kl. CC Nr. 18960

11 680

13 020

3

7 350

—

—

58

—

15 170

—

2

2

desgl.

E. Chevalier, Paris

desgl.

4achs. Luxus- (Salon- u. Schlaf-) Wagen m. Seitengang, Nr. 32

18 020

19 290

4

14 960

12

2

—

—

37 470

—

3

3

desgl.

Cie. Franc. de Matériel de Chemins de fer, Ivry-Port

desgl.

4achs. Durchgangswagen I. Kl. mit Seitengang, Kl. A Nr. 207

18 780

20 040

4

15 710

—

42

—

—

26 570

—

4

4

Südbahn

Bahnwerkstätten in Bordeaux

Südbahn

2achs. Pers. Wagen I. Kl. mit Seitengang, Kl. A Ax Nr. 601

14 010

15 100

2

9 000

—

38

—

—

19 200

—

5

5

desgl.

S. Dyle & Baralau, Atel. de Bordeaux

desgl.

2achs. offener Hochbord-Güterwagen mit Brems, Kl. Ufr.

6 400

7 650

2

3 400

—

—

—

—

7 940

15 000

6

6

Cie. Intern. des Wagons Lits et des gr. Expr. Europ.

Soc. Générale de Construction de St. Denis

Aegyptische Bahn

4achs. Durchgangs-Schlafwagen »für halbes Ländere«, Nr. 778

18 590

19 830

4

15 700

14

—

—

—

34 000

—

7

7

Soc. Anonyme de la Carrosserie Industrielle, Paris

Trainway de l'Aude (1 m Spur)

2achs. Flachbord-Güterwagen mit Vakuumbremse

5 550

6 350

2

2 200

—

—

—

?

?

8

8

2achs. Hochbord-Güterwagen mit Handbremse

5 550

6 350

2

2 200

—

—

—

?

?

Nr. des Landes	Nr. des Landes	Aussteller	Fabrikant	Bahn	Wagenform	Länge		Achsenzahl	Gesamter Bestand	Zahl der Plätze				Leertgewicht	Ladegewicht	
						Kasten	über Hoffen			Schlaf.	Klasse					Steh.
											I.	II.	III.			
9	9	Staatsbahn	Carol Aimé, Fouché & Cie., Le Mans	Staatsbahn (Tramway de la Vendée) 1 m Spur	3achs. Pers.-Wagen I. u. II. Kl. mit Mittelgang, Kl. AB Nr. 1	7200	8050	2	2500	—	9	12	—	14	3100	—
10	10	Soc. Dyle & Bacalan, Ateliers de Bordeaux		Staatsbahn	3achs. Pers.-W. I. Kl. m. Seitengang u. Schlafpl., Kl. ALZ Nr. 388	13400	14600	2	7900	9	12	—	—	—	18950	—
11	11				2achs. Pers.-Wagen II. Kl. mit Seitengang, Kl. Bz Nr. 1083	13400	14600	2	7900	—	—	48	—	—	17600	—
12	12				2achs. Pers.-Wagen III. Kl. mit Seitengang, Kl. CP 2 Nr. 2413	12400	14600	2	7900	—	—	70	—	—	18200	—
13	13	Ostbahn	Bahnwerkstätten in Mohon	Ostbahn	2achs. Flachbord-Plattformwagen mit Bremse, Kl. St Nr. 43867	7200	8100	2	3750	—	—	—	—	—	6730	15000
14	14	Nordbahn	Soc. Générale de Constr. d. St. Denis	Nordbahn	4achs. Durchgangs-W. I. u. II. Kl. m. Seiteng. u. Gepäckraum, Kl. 199	18200	19470	4	15130	—	18	24	—	—	33000	—
15	15	deagl.	Bahnwerkstätten in Helleme	deagl.	2achs. Flachbord-Güterwagen für Koks- und Kohlentransport	6600	7450	2	2600	—	—	—	—	—	2600	20000
16	16	deagl.	Bahnwerkstätten in St. Martin, Charleroi	Belgische Nordbahn	4achs. Sonderwagen für den Transport großer Maschinenteile	14060	15190	4	12700	—	—	—	—	—	28050	35000
17	17	Bône-Guelma-Bahn (Algier-Tunis)	Cie. Franç. de Matériel de Chemins de fer, Ivry-Port	Bône-Guelma-Bahn (Algier-Tunis)	4achs. Übergangs-Pers.-Wagen I. u. II. Kl., Kl. A BOD ² Nr. 106	17120	18190	4	13800	—	8	16	41	—	19700	—
18	18	Westbahn	Dessouches, David & Cie., Puntin (S.)	Westbahn	2achs. Pers.-Wagen I. Kl., Kl. A Nr. 2340	9780	10800	2	5000	—	24	—	—	—	12700	—
19	19	deagl.	Bahnwerkstätten in Batignolles	deagl.	2achs. Pers.-Wagen II. u. III. Kl., Kl. BC Nr. 2003	11240	12300	2	7000	—	—	25	25	—	18300	—
20	20	deagl.	Bahnwerkstätten in Gagny-les-Bains	deagl.	2achs. Pers.-Wagen I. Kl. mit 2 Plattformen, Kl. B Nr. 3040	11900	12800	2	6500	—	—	44	—	—	10500	—
21	21	deagl.	De Dietrich & Cie., Lunéville	deagl.	4achs. Pers.-Wagen II. u. III. Kl. mit Postabteilung, Kl. A B ² Nr. 5	10300	12500	4	9100	—	15	21	—	—	10500	—
22	22	Soc. Nouvelle des Etabl. Decauville	Alain, Petit-Bourg	Schmalspurbahn Breizago (1 m Spur) Tramway Département de la Loire	2achs. veränderter Pers.-Wagen I. u. II. Kl. u. Postwagen TD1, Kl. CP Nr. 51	5340	7480	2	1300	—	—	6	—	3	4500	—
23	23	Soc. Dyle & Bacalan, Ateliers de Bordeaux		Paris-Orléans-Bahn	2achs. Pers.-Wagen III. Kl., Kl. GCF Nr. 34248	12540	14212	2	8200	—	—	—	50	—	18100	—
24	24	Usines et Fonderies de Baume et Marpent, Marpent		Beaujeu-Paris-B. (1 m Spur)	2achs. Holztransportwagen	6070	6970	2	2800	—	—	—	—	—	3600	10000
25	25	Ostbahn	Bahnwerkstätten in Remilly-sur-Saône	Ostbahn	2achs. Durchgangs-Zugfuhrer u. Gepäckwagen, Kl. CP Nr. 7147	9620	10700	2	6500	—	—	—	—	—	12000	15000
26	26	De Dietrich & Cie., Lunéville		Nordbahn	4achs. Durchg.-best.-Schlafw. I. Kl. m. Seiteng. u. Gepäckraum, Kl. ALD ²	18200	19470	4	15130	5	12	—	—	—	32500	laden. 1,4qm
27	27	deagl.		Ostbahn	2achs. Durchgangs-Schlafwagen I. Kl. m. Seitengang, Kl. A Nr. 67	11300	12370	2	7500	8	15	—	—	—	17510	—
28	28	Paris-Orléans-Bahn	Chantiers de la Baïre, Lyon	Paris-Orléans-Bahn	2achs. Durchgangswagen I. Kl. m. Seitengang, Kl. AP Nr. 1036	14724	15896	2	8200	—	26	—	—	—	18460	—
29	29	deagl.	Soc. Belgo, Reims	deagl.	2achs. Pers.-Wagen II. Kl. mit Seitengang, Kl. BBB Nr. 964	12672	13851	2	8200	—	—	58	—	—	17400	—
30	30	deagl.	Cie. Franç. de Matériel de Chemins de fer, Ivry-Port	deagl.	2achs. Pers.-Wagen III. Kl. mit Seitengang, Kl. CCS Nr. 992	12752	15281	2	8200	—	—	—	74	—	13650	—
31	31	Ostbahn	Bahnwerkstätten in Paris-La-Villette	Ostbahn	2achs. Durchgangswagen I. Kl. m. Seitengang, Kl. A Nr. 265	11400	12370	2	7500	—	24	—	—	—	18680	—
32	32				2achs. Durchgangswagen II. Kl. mit Seitengang, Kl. B Nr. 2624	11700	12770	2	7500	—	—	40	—	—	17760	—
33	33				2achs. Pers.-Wagen III. Kl., Kl. C Nr. 0713	10740	11640	2	6500	—	—	—	50	—	17210	—

II. Russland.

34	1	Moskau-Kasan-Bahn	Bahnwerkstätten in Moskau	Moskau-Kasan-Bahn	8achs. Durchgangs-Schlafwagen III. Kl., Kl. B ² Nr. 1289	12560	13330	8	9000	20	—	—	—	—	19935	—
35	2	Kolomnaer Masch.-Fabr. in Kolomna (Gouv. Moskau)	I. Gesellschaft, russisch.	I. Gesellschaft, russisch.	4achs. Durchg.-Pers.-W. II. u. III. Kl., Kl. 7 x 1035, 750 mm Spurw.	9825	11965	4	8685	—	16	13	—	—	10660	—
36	3	deagl.	deagl.	Wladikavkaz-Bahn	4achs. Durchgangs-Schlafwagen I. Kl., amerik. Bauart, Nr. 72	15450	19640	4	11630	34	—	—	—	—	36080	—
37	4	Kaiserl. Russische Staatsbahnen	Alexandrowski-Fabr. St. Petersburg	Nicolai-Bahn	2achs. Schlafwagen mit Bremse, Nr. 316983	7046	8246	2	8810	—	—	—	—	—	12775	7370
38	5	deagl.	Bahnwerkstätten in Kiew	Süd-West-Bahn	4achs. Durchgangs-Schlafwagen I. Kl.	17640	18580	4	13970	20	—	—	—	—	32400	—
39	6	deagl.	deagl.	Charkow-Nicolajef-Bahn	4achs. Durchgangswagen III. Kl., Nr. 345	17990	19190	4	14480	—	—	62	—	—	35600	—
40	7	deagl.	Waggon-Fabrik »Phoenix« in Riga	Nicolai-Bahn	2achs. Petroleum-Zisternenwagen Nr. 313672 (erbaut 1897)	6445	7645	2	8810	—	—	—	—	—	7450	13765
41	8	deagl.	Kolomnaer Masch.-Fabr. in Kolomna (Gouv. Moskau)	Mittlere Asiatische Eisenbahn	2achs. Petroleum-Zisternenwagen (System Kubassow) Nr. 2371	6445	7646	2	8810	—	—	—	—	—	9775	14760

Nr. des Landes		Aussteller	Fabrikant	Bahn	Warenform	Länge		Achsenzahl	Gesamter Radstand	Zahl der Plätze				Leergewicht	Ladegewicht
						Kasten-	über Buffer			Schlaf.	Klasse				
										I.	II.	III.			
III. Amerika.															
42	1	Pressed Steel Car Co., Pittsburgh	Aegyptische Staatsbahn	Great Northern Railway	4achs. Hochbord-Güterwagen	9150	9964	4	8082	—	—	—	8400	25000	
43	2				Bahn-Nr. 1215, 1067 mm Spur	10517	11015	4	8563	—	—	—	—	13675	40000
44	3				desgl.	4achs. Selbstentlader-Erwagen	9607	10421	4	8337	—	—	—	—	12727
45	4	desgl.	Pennsylvania Railway	Bahn-Nr. 74201	4achs. Selbstentlader-Erwagen	10797	11611	4	9021	—	—	—	16680	50000	
46	5	The Mac Conway & Dorley Co., Pittsburgh (Janney coupler)	Gloucester Railway Carriage and Wagon Co. (England)	?	2achs. Hochbord-Güterwagen	Diese beiden kleinen Güterwagen sind nur wegen der zur Anwendung gekommenen Zentralkupplungen von Janney ausgestellt worden									
47	6				desgl.										
IV. England.															
48	1	London and North Western R. Co.	Bahnwerkstätten in Wolverton	L. N. W. and Caledonian Railway's Co.	6achs. Durchgangs-Speisewagen I. Kl., Nr. 200	19964	21183	6	16305	30	—	—	39000	—	
49	2	North-Eastern Railway Co.	Bahnwerkstätten in York	East Coast R. R.'s Co.	6achs. Durchgangs-Schlafwagen I. Kl., Nr. 276	16763	17067	6	14018	9	—	—	35560	—	
V. Belgien.															
50	1	Soc. An. des Ateliers Germain, Monceau-sur-Sambre	Belgische Staatsbahn		3achs. Gepäck- u. Zugführerwagen mit Gasbehältern	7970	9080	3	5450	—	—	—	7800	5000	
51	2	Belgische Staatsbahn	Zentralwerkst. in Quenmes	desgl.	halbfertiger 3achs. Kohlenwagen mit Bremse, Nr. 11056	7000	8080	2	2750	—	—	—	8010	15000	
52	3	Soc. An. des Ateliers Nicaise & Delcuve, La-Louvière	desgl.		4achs. Durchgangs-Pers.-Wagen II. Kl.	17300	18580	4	14400	—	45	—	30700	—	
53	4	Soc. An. de Construction «La Metallurgique», Sambre	desgl.		Lowry mit 4 festen Achsen von 35000 kg Tragkraft	5800	6500	4	4000	—	—	—	9350	35000	
54	5	desgl., Nivelles	desgl.		4achs. Durchgangs-Pers.-Wagen I. Kl., Nr. 19201 (ohne Kiosett)	17800	18500	4	14400	—	45	—	30750	—	
55	6	Soc. Franco-Belge, La-Croixère	desgl.		3achs. Personenwagen II. u. III. Kl., Nr. 6426	11650	12620	3	7000	—	19	21	?	—	
56	7	Soc. An. des Forges et Ateliers de Senefé	desgl.		3achs. Sonderwagen für Glas-transport, Nr. 83195	11700	12780	2	9000	(Glasladung 6000 X 4000 X 400)				?	?
57	8	Soc. An. des Ateliers de Construction, Bruges	desgl.		3achs. geschlossener Güterwagen mit Handbremse, mit 4 Türen (davon 2 an den Enden), Nr. 73583	6000	7080	2	3080	—	—	—	9700	15000	
58	9	Ateliers de Construction Canon-Logrand, Mons	desgl.		3achs. geschlossener Güterwagen mit Handbremse, Nr. 58051	5000	6078	2	2800	—	—	—	6900	5000	
59	10	Usines Ragheno S. A., Malines	desgl.		3achs. Personenwagen II. Kl. mit Seitengang, Nr. 1363	11085	12005	3	7000	—	33	—	17000	—	
60	11	Soc. Dyle & Bacalan, Louvain	desgl.		4achs. Durchgangs-Gepäck- und Zugführerwagen, Nr. 19801	16200	17430	4	13300	—	—	—	29680	—	
61	12	Soc. An. des Usines de Braine-Le-Comte	desgl.		4achs. Durchgangswagen III. Kl., Nr. 19201	17300	18500	4	14400	—	70	—	?	—	
62	13	Soc. Dyle & Bacalan, Louvain	desgl.		4achs. Durchgangswagen II. Kl., Nr. 18001 (mit Kiosett)	17300	18380	4	14400	—	42	—	30720	—	
63	14	Cie Intern. d. Wagons-Lits & Grand-Express Europ.	Usines Ragheno, S. A., Malines	Cie. Intern. des Wagons-Lits	4achs. Salon-Buffer-Wagen mit Mittelgang	18500	19740	4	15370	41	—	—	34500	—	
VI. Oesterreich.															
64	1	Brünn-Königsfelder Maschinenfabrik Lederer & Forges	Oesterr. Staatsbahnen		3achs. Gepäck- u. Konduktorenwagen, D ⁿ 16612	10150	11340	3	8000	—	—	—	15650	3250	
65	2				2achs. Durchgangs-Pers.-Wagen III. Kl., W Serie C ⁿ 10378	9420	10660	2	6500	—	—	48	—	12900	—
66	3	Nesseldorfer Wagenbau-Fabriks-Gesellschaft	desgl.		4achs. Durchgangs-Pers.-Wagen I. u. II. Kl., AB ⁿ 2179	16900	18090	4	14500	—	12	36	32180	—	
67	4	desgl.	desgl.		2achs. Hochbordwagen f. Brettertransport, JK 89969	8180	9420	2	4350	—	—	—	8980	15000	
68	5	Grazer Waggon- u. Masch.-Fabr. A.-G. vorm. Jean Weltzer	desgl.		2achs. Durchgangs-Pers.-Wagen III. Kl. mit Gepäck, CD ⁿ 10320	7700	10000	2	5000	—	—	38	10500	—	
69	6	Masch. u. Waggon-Fabr. A. G. in Simmering vorm. H. D. Schmid	desgl.		2achs. Durchgangs-Pers.-Wagen II. Kl., B ⁿ 4340	7600	10000	2	5000	—	36	—	10850	—	
70	7	Grazer Waggon- u. Masch.-Fabr. A.-G. vorm. Jean Weltzer	desgl.		3achs. Durchgangs-Pers.-Wagen III. Kl., C ⁿ 12164	7400	10000	2	5000	—	—	38	10100	—	
71	8	F. Ringhoffer, Smielow	desgl.		3achs. Bierwagen, Type Pilsen, Gb 223036	6810	8640	2	4000	—	—	—	14120	12500	
72	9				4achs. Durchgangs-Hof-Salonwagen, Hs 0012	12940	14180	1	10500	—	—	—	27250	—	
73	10				4achs. Speise- und Rauchwagen, DE Nr. 681	18500	19740	4	15700	—	31	—	36500	—	
74	11				4achs. Schlafwagen I. Kl., A Nr. 680	18500	19740	4	15700	18	—	—	38060	—	
75	12	desgl.	Orientalische Bahnen		4achs. Durchgangswagen I. u. II. Kl., AB ^{IV} 248	18350	19600	4	15500	—	12	32	35900	—	
76	13	Masch. u. Waggon-Fabr. A.-G. in Simmering vorm. H. D. Schmid	Oesterr. Staatsbahnen		3achs. Postwagen, FW 18005	10710	12440	3	8000	—	—	—	19000	6250	

Nr. des Landes	Aussteller	Fabrikant	Bahn	Wagenform	Länge		Achsenzahl	Gesamter Radstand	Zahl der Plätze				Leergewicht	Ladegewicht
					Kasten	über Buffer			Schlaf	Klasse			Steh.	
										I.	II.	III.		
VII. Ungarn.														
77	1	A.-G. Danubius Schönlöcher-Hartmann, Budapest	Ungar. Staatsbahn	2achs. Durchgangswagen III. Kl., C ^b 3821	9900	10850	2	6000	—	—	—	50	—	15400
78	2	Ganz & Co., Budapest	desgl.	4achs. Schlafwagen I. u. II. Kl., AB ^b 100516	16980	18210	4	14500	—	12	30	—	—	36460
79	3	desgl.	Oesterr. Südbahn	2achs. Durchgangs-Pers.-Wagen I. u. II. Kl., AB ^b 3335	10250	11480	2	7000	—	8	9	—	—	15370
80	4	desgl.	Kaschau-Oderberg-B.	2achs. Gepäck- u. Kond.-W. D 758	9000	12250	2	5000	—	—	—	—	—	11270 6000
81	5	desgl.	Ungar. Staatsbahn	Hochbord-Kohlenw. mit Bremse, K ^a 141495	6804	7536	2	3600	—	—	—	—	—	7460 15000
82	6	Masch.-Fabrik Schlick A.-G., Budapest	desgl.	2achs. bedeckter Güterwagen mit Bremse, G ^b , 111882	7510	9280	2	4000	—	—	—	—	—	8350 15000
83	7			2achs. Durchgangs-Pers.-Wagen I. u. II. Kl., AB ^b 928	9400	10350	2	6000	—	8	9	—	—	17060
84	8	Masch. u. Waggon-Fabrik Jean Welter, Arad	Priv. Südbahn	2achs. bedeckter Güterwagen mit Bremse, C ^b 6751	7160	8350	2	3600	—	—	—	—	—	8830 12000
85	9	desgl.	Ungar. Staatsbahn	4achs. Durchgangs-Pers.-Wagen I. u. II. Kl., AB ^b 100528	16980	18210	4	14500	—	12	30	—	—	34000
86	10	Ganz & Co., Budapest	desgl.	4achs. Durchgangs-Speisewagen I. Kl., Aa ^b 100198	17000	18210	4	14500	—	18	—	—	—	34710
87	11			2achs. Holzwagen Nr. 93885	7520	10250	2	5400	—	—	—	—	—	15180
88	12	Waggon- u. Masch.-Fabr. A.-G. zu Győr	Zsolna-Rajecz Lokalbahn	2achs. Durchgangs-Pers.-Wagen I. u. II. Kl., AB 5	7920	10500	2	6000	—	10	16	—	—	12300
89	13	desgl.	Priv. Oesterr.-ungar. Staatsbahn	2achs. Bierwagen mit Bremse, G ^b Nr. 40061	7510	8710	2	4000	—	—	—	—	—	11180 12500
90	14	desgl.	Spiritusfabrik Raab	3achs. Spiritus-Zist.-W., R ^b 502103	7400	8640	3	4000	—	—	—	—	—	11250 18000
91	15	A.-G. Danubius Schönlöcher-Hartmann, Budapest	Ungar. Staatsbahn	2achs. Gepäck- und Konduktorenwagen mit Bremse, D 300	6050	7230	3	3300	—	—	—	—	—	8630 6000
VIII. Deutschland.														
92	1	Breslauer A.-G. für Eisenbahnwagenbau	Reichspost	4achs. Briefpostwagen	12000	13700	4	10500	—	—	—	—	—	26500
93	2	Waggonfabrik Gebr. Gastell, Mombach bei Mainz	kgl. preuss. u. großh. Hess. Eisenh.-Direkt. Mainz	3achs. Revisionswagen	11000	12300	3	8000	—	—	—	—	—	16500
94	3	Eisenbahnwagen- u. Masch.-Fabr. van der Zypen & Charlier, Köln	Siamesische Staatsb.	2achs. Hofwagen S.M. des Königs von Siam	7500	9300	2	4000	—	—	—	—	—	13000
95	4	A.-G. für Fabrikation von Eisenbahnmaterial zu Götting	Preuss. Staatsbahn	4achs. Durchgangs-Salon-Krankenwagen	16260	17550	4	14000	—	16	3	—	—	37900
96	5	Maschinenwerkstätte de Dietrich & Co., Reichshofen (Elsass)	desgl.	4achs. Durchgangs-Pers.-Wagen III. Kl.	17000	18290	4	14500	—	—	—	64	—	32800
97	6	Eisenbahnwagen u. Masch.-Fabr. van der Zypen & Charlier, Köln	desgl.	4achs. Speisewagen I. Kl.	18500	19740	4	15500	—	10	—	—	—	32000
98	7			6achs. Schlafwagen	18450	19740	6	16800	20	—	—	—	—	36500
99	8	Breslauer A.-G. für Eisenbahnwagenbau	desgl.	6achs. Durchgangs-Salonwagen I. Kl.	18200	19490	6	16420	—	—	—	—	—	48000
100	9	A.-G. Düsseldorf Eisenbahnbedarf vorm. Carl Weyer & Co.	desgl.	4achs. Durchgangs-Pers.-Wagen I. u. II. Kl., Nr. 403	18150	19440	4	15700	—	12	24	—	—	38000
101	10	Waggonfabrik A.-G. vorm. P. Herbrand & Co., Köln-Khrenfeld	desgl.	4achs. Durchgangs-Pers.-Wagen I. u. II. Kl.	18150	19440	4	15700	—	8	30	—	—	33000
IX. Italien.														
102	1	Miani, Silvestri & Cie., Mailand	?	4achs. bedeckter Güterwagen zum Getreidetransport	10175	11455	4	8645	—	—	—	—	—	13400 30000
103	2	desgl.	Cie. Int. d. Waggon-Lite.	4achs. Durchgangs-Speisewagen Nr. 759 DE	18500	19740	4	15700	—	32	—	—	—	36500
104	3	Società Nazionale delle officine di Savigliano	Mittelmeer-Bahn (R. M.)	4achs. Post- und Gepäckwagen DDDUre ^{PC} Nr. 19601	17960	19120	4	14960	—	—	—	—	—	33600
105	4			4achs. Durchgangs-Pers.-Wagen I. Kl., AAA ^{re} 2501	17000	18160	4	14000	—	24	—	—	—	35340
106	5			4achs. Durchgangs-Pers.-Wagen II. Kl., BBB ^{re} 8651	17000	18160	4	14000	—	—	42	—	—	35640
107	6	?	?	2achs. Personenwagen III. Kl., Nr. 7028	?	?	2	?	—	—	?	—	?	?
108	7	Società Italiana per le Strade Ferrate Meridionali (R. A.)	Mittelmeer-Bahn (R. A.)	4achs. Durchgangs-Pers.-Wagen I. Kl., Serie BI	17450	18580	4	15270	—	—	56	—	—	35000
109	8			4achs. Durchgangs-Pers.-Wagen I. u. II. Kl., Serie AB1	17650	18780	4	15470	—	15	28	—	—	35000
110	9			4achs. Durchgangs-Pers.-Wagen I. Kl., Serie AI	18000	19130	4	15820	—	39	—	—	—	35000
111	10	A. Grondona, Comi & Cie., Mailand	desgl.	2achs. bedeckter Güterwagen, Serie FA ^c Nr. 14074	8700	9880	2	4500	—	—	—	—	—	11920 15000

		Normalspur												Schmalspur							
		Wagen für Personenzüge												Wagen für Güterzüge				1000 mm		750 mm.	
		4achsige				3achsige				2achsige				4achs.		2achsige		4achs.			
	6achs.	Kranken-W.				Revisions-W.				Gepäck-W.				3achs.				Sonderwagen			
		I				I				I				I				I			
		II				II				II				II				II			
		III				III				III				III				III			
		IV				IV				IV				IV				IV			
		V				V				V				V				V			
		VI				VI				VI				VI				VI			
		VII				VII				VII				VII				VII			
		VIII				VIII				VIII				VIII				VIII			
		IX				IX				IX				IX				IX			
		X				X				X				X				X			
		XI				XI				XI				XI				XI			
		XII				XII				XII				XII				XII			
		XIII				XIII				XIII				XIII				XIII			
		XIV				XIV				XIV				XIV				XIV			
		XV				XV				XV				XV				XV			
		XVI				XVI				XVI				XVI				XVI			
		XVII				XVII				XVII				XVII				XVII			
		XVIII				XVIII				XVIII				XVIII				XVIII			
		XIX				XIX				XIX				XIX				XIX			
		XX				XX				XX				XX				XX			
		XXI				XXI				XXI				XXI				XXI			
		XXII				XXII				XXII				XXII				XXII			
		XXIII				XXIII				XXIII				XXIII				XXIII			
		XXIV				XXIV				XXIV				XXIV				XXIV			
		XXV				XXV				XXV				XXV				XXV			
		XXVI				XXVI				XXVI				XXVI				XXVI			
		XXVII				XXVII				XXVII				XXVII				XXVII			
		XXVIII				XXVIII				XXVIII				XXVIII				XXVIII			
		XXIX				XXIX				XXIX				XXIX				XXIX			
		XXX				XXX				XXX				XXX				XXX			
		XXXI				XXXI				XXXI				XXXI				XXXI			
		XXXII				XXXII				XXXII				XXXII				XXXII			
		XXXIII				XXXIII				XXXIII				XXXIII				XXXIII			
		XXXIV				XXXIV				XXXIV				XXXIV				XXXIV			
		XXXV				XXXV				XXXV				XXXV				XXXV			
		XXXVI				XXXVI				XXXVI				XXXVI				XXXVI			
		XXXVII				XXXVII				XXXVII				XXXVII				XXXVII			
		XXXVIII				XXXVIII				XXXVIII				XXXVIII				XXXVIII			
		XXXIX				XXXIX				XXXIX				XXXIX				XXXIX			
		XL				XL				XL				XL				XL			
		XLI				XLI				XLI				XLI				XLI			
		XLII				XLII				XLII				XLII				XLII			
		XLIII				XLIII				XLIII				XLIII				XLIII			
		XLIV				XLIV				XLIV				XLIV				XLIV			
		XLV				XLV				XLV				XLV				XLV			
		XLVI				XLVI				XLVI				XLVI				XLVI			
		XLVII				XLVII				XLVII				XLVII				XLVII			
		XLVIII				XLVIII				XLVIII				XLVIII				XLVIII			
		XLIX				XLIX				XLIX				XLIX				XLIX			
		L				L				L				L				L			
		LI				LI				LI				LI				LI			
		LII				LII				LII				LII				LII			
		LIII				LIII				LIII				LIII				LIII			
		LIV				LIV				LIV				LIV				LIV			

1) Nur wegen der zur Anwendung gekommenen amerikanischen Janney-Kopplung ausgestellt.

	Achsenzahl				zusammen
	6	4	3	2	
A) Normalspurige Wagen:					
Luxuswagen	1	2	—	2	5
Schlafwagen	2	6	—	—	8
Spelswagen	1	5	—	—	6
Personenwagen	—	19	4	23	46
Krankenwagen	—	1	—	—	1
Revisionswagen	—	—	1	—	1
Postwagen	—	2	1	—	3
Zugführer- und Gepäckwagen	—	1	2	3	6
Güterwagen (normale).	—	2	—	18	17
Sonder-Güterwagen	—	3	1	6	10
Heizwagen	—	—	—	1	1
B) Schmalspurige Wagen:					
Personenwagen	—	1	—	1	2
Personen- u. Postwagen	—	1	—	1	2
Güterwagen	—	—	—	3	3

Aus diesen Angaben kann man, namentlich unter der Annahme, dass die Ausstellungswagen zweifelsohne die neuesten Bestrebungen der Wagenfabriken und der Bahnverwaltungen vorführten, den Schluss ziehen, dass der Bau von Personenwagen mit festen Achsen, also kleinen Radständen, und Abteilungen mit Seitenthüren so gut wie aufgegeben ist, dass dagegen die Beschaffung von Durchgangswagen mit langen Radständen und daher ruhigem Lauf auf der Tagesordnung steht. Bemerkenswert ist allerdings, dass, wenigstens nach der Ausstellung zu urteilen, drei Länder eine Ausnahme von dem Bestreben, diese amerikanische Wagenbauart einzuführen, machen. Insbesondere tritt solches bei den französischen Bahnen hervor; denn während Oesterreich nur ganz leichte Personenwagen mit 2 Lenkachsen (von 10 bis 13 t Leergewicht und 5 bis 6 1/2 m Radstand, zumteil Wagen für den Vorortverkehr) und Ungarn mittelschwere ebensolche Wagen (von 12 1/2 bis 17 t Leergewicht und 5 1/2 bis 7 m Radstand) ausstellte, führten die französischen Bahnen bei insgesamt 32 ausgestellten normalspurigen Personenwagen nicht weniger als 16 mit Lenkachsen vor, davon 15 von 12 bis 19 1/2 t Leergewicht und 6 bis 9 m Radstand mit nur 2 Lenkachsen.

In dieser Beziehung gehen die französischen Bahnen ihren eigenen Weg. Doch auch sonst bot die französische Ausstellung des Interessanten genug; umfasste sie doch 33 Wagen in 22 Bauarten, darunter 6 Schmalspurwagen.

Die 3 nächstgrößten Ausstellungen waren diejenigen von Ungarn (15 Wagen), Belgien (14 Wagen) und Oesterreich (13 Wagen), welche gleichmäßig Personen-, Güterzug- und Sonderwagen, jedoch keine schmalspurigen Wagen vorführten.

Eine gleiche Anzahl von Wagen, nämlich je 10 Stück, hatten Deutschland und Italien ausgestellt, und zwar insbesondere Deutschland zwei 6achsige und sechs 4achsige sowie 2 Wagen mit Lenkachsen. Güter- und Schnalspurwagen hatte Deutschland nicht ausgestellt. Italien führte 2 Sonderwagen für Getreidetransport, sieben 4achsige und einen 2achsigen Personenwagen vor.

Während nun die Wagen der sechs bisher erwähnten Landesausstellungen in bezug auf Bauart, allgemeine Anordnung, Ausstattung usw. im allgemeinen gleiche Bestrebungen zeigten und kaum grundsätzliche Abweichungen, sondern vielmehr einen internationalen Anstrich aufwiesen, lag die Sache bei den Ausstellungen Russlands, Amerikas und Englands ganz anders.

Russland hatte durchaus typisch und national ausgestellt, und zwar einen auf 2 Drehgestellen laufenden Personenwagen für 750 mm Spurweite, 2 Sonderwagen für Petroleum- und 1 für Milchtransport, sowie 4 normalspurige Personenwagen, von welchen zwei 4achsige Schlafwagen I. Kl. (einer amerikanischer und einer europäischer Bauart) und zwei (ein 4achsiger und ein 3achsiger) Wagen III. Kl. waren; die letzteren beiden können für die Nachtfahrt in Schlafwagen mit 2 Geschossen umgewandelt werden. Die



Tabelle VIII.

	Länder	Zahl der angestellten Wagen	Zahl der Aussteller	Zahl der Aus- steller hors con- cours	Zahl der Preise								
					für Wagen				für Mitarbeiter				
					großer Preis	goldene Medaille	silberne Medaille	zusammen	goldene Medaille	silberne Medaille	bronzene Medaille	ehrenvolle Erwähnung	zusammen
1	Frankreich	33	—	10	5	3	1	9	9	23	42	38	111
2	Ungarn	15	5	—	1	1	3	5	—	1	8	16	25
3	Belgien	14	12	—	4	4	4	12	1	2	11	1	15
4	Oesterreich	13	5	—	1	1	1	3	3	7	10	20	40
5	Deutschland	10	7	1	2	2	2	6	—	—	—	—	—
6	Italien	10	4	—	1	2	1	4	4	4	4	5	17
7	Russland	8	3	—	3	—	—	3	6	9	10	7	32
8	Amerika	6	2	—	1	—	—	1	1	2	—	—	8
		(davon 2 nur wegen Kupplung)	(davon 1 nur wegen Kupplung)										
9	England	2	2	—	2	—	—	2	2	1	2	1	6
	zusammen	111	89	11	20	12	12	44	26	48	87	88	249

Zu ihrer sowie aller deutschen Besucher Erinnerung sei in Fig. 4 eine Abbildung des deutschen Vertreterheimes auf der Ausstellung in Vincennes wiedergegeben. Wie den Besuchern erinnerlich, bestand dieses Heim aus 2 durch einen kühnen Wellblechbogen verbundenen Räumen, welche

nach dem neuesten Patente von Professor E. Seidl in München aus einem Stücke aus Eisen gegossen, leider aber auch durch Feuchtigkeit (die Gießer waren alle Münchner Kind'l) etwas angerostet waren.

(Fortsetzung folgt.)

Kritik der neueren Senksperrbremsen für Krane.

Von Ad. Ernst, Professor an der Technischen Hochschule Stuttgart.

(Vorgetragen im Württembergischen Bezirksverein.)

(Schluss von B. 1087)

c) Senksperrbremse mit Kuppelband. Die dritte Ausführungsform der Kreischen Senksperrbremsen, Fig. 11 und 12, verwertet die schon früher der Nürnberger Maschinenbaugesellschaft patentierte Bandbremse D. R.-P. 102767, Fig. 9 und 10, mit doppelter Scheibenumschlingung. Das Band gabelt sich nach der ersten Umschlingung durch eine Verbindungsflache in zwei seitliche Streifen, die sich auf der Scheibe rechts und links neben die erste Windung legen.

Wie in den beiden ersten Ausführungsformen ist das innere Sperr- oder Mitnehmerad *a*, Fig. 12, mit der Welle verkeilt. Die Drehzapfen *b* der zugehörigen Klinken *c*, Fig. 11, sind in dem äußeren, das Rad *a* lose umschließenden Gehäusedeckel *d* untergebracht. Dieser bildet den Stirnabschluss einer Trommel *e*, deren Nabe auf der andern Seite ebenfalls frei drehbar angeordnet ist.

Deckel und Boden des Gehäuses tragen nach innen vorspringende cylindrische Kranzangüsse zum freien Auflagern des dreiteiligen, mit Holz gefüllten Bremsbandes *f*, *f*, *f* und lassen zwischen sich einen Spalt für den Bandträger mit dem Spannwerk.

Der Bandträger besteht aus einem geschwungenen Arm *g* mit kranssegmentförmigem Kopf von L-förmigem Querschnitt zur Befestigung der gegabelten Bremsbandenden *f*, *f* und wird durch einen Gegenarm *g*, in bezug auf seine Eigengewichtswirkung ausgeglichen. Ein seitlicher Anguss nimmt den durch Gegenmuttern einstellbaren Bolzen *h* der Gelenkgabel auf, welche den Drehzapfen *i* des Bremsband-Spannhebels *k* fasst, an den das freie Ende des einfachen Bandes *f* angeschlossen ist.

Die Nabe des Bandträgers sitzt lose drehbar in der äußeren Kupplungstrommel *e*, ist aber mit der ihrerseits wieder auf der Kernwelle lose angeordneten Hohlwelle *l* verkeilt, deren Verlängerung nach links das nicht mehr in der Zeichnung dargestellte Lastritzel trägt.

Zum Anspannen der Bremse ist der Hebel *k* winkel-

förmig verlängert und ruht mit einem cylindrischen Kopf *m* auf dem ringförmigen exzentrischen Rande *n* des Rades *a* auf.

Beim Antreiben der Kernwelle zum Lastheben folgt das Klinkenrad *a* der Bewegung und dreht durch den Mitnehmer *c* das äußere Kupplungsgehäuse *d*. Gleichzeitig drängt der exzentrische Ringanguss *n* den Bremshebel in die Spannlage, schließt die dreiräumige Kupplungsbremse und zwingt dadurch auch den Bandträger *g*, an der Drehung teilzunehmen, der seinerseits mit dem Lastritzel, wie angegeben, in fester Verbindung steht.

Der freie Rücklauf wird durch eine einseitig als Klemmgesperre wirkende Differentialbremse gehindert, die das Gehäuse *e* außen umschlingt und sich sowohl beim Aufhören des Antriebes wie während der Senkperiode bei rückwärts umlaufendem Motor selbstthätig festzieht, sobald das Lastritzel der vom Motor festgehaltenen oder rückwärts angetriebenen Welle vorzueilen sucht. Die selbstthätige Steuerung der Differentialbremse wird durch den am längeren Winkelhebelarm des Spannwerkes drehbar angeordneten und durch sein Eigengewicht am Gehäusenumfang schleifenden Mitnehmer *p* mit exzentrischer Druckfläche vermittelt, der bei umgekehrter Laufrichtung auch das punktförmige Lüften unterstützt.

Die geräuschlose Arbeitsweise der inneren

Fig. 9. Bandbremse der Maschinenbau-Gesellschaft Nürnberg.

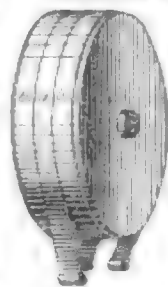


Fig. 10.



Klinken wird durch Mitnehmerschuhe mit Spiralfederanpressung bewirkt, deren Lenkarme in die Schuhe mit Drehspielraum eingreifen und in die Klinkenachsen fest eingelenkt sind.

Für Lasten, die beim Lüften der Bremse nicht selbstthätig niedergehen, wird der zwangsläufige Rücklauf durch Anschläge zwischen dem Gegengewichtsarm g des Bandträgers und dem Radkörper a vermittelt, die zusammentreffen, sobald der regelrechte Lüftungspielraum überschritten wird,

Fig. 11.

Kralische Senksperrbremse mit Kuppelband.

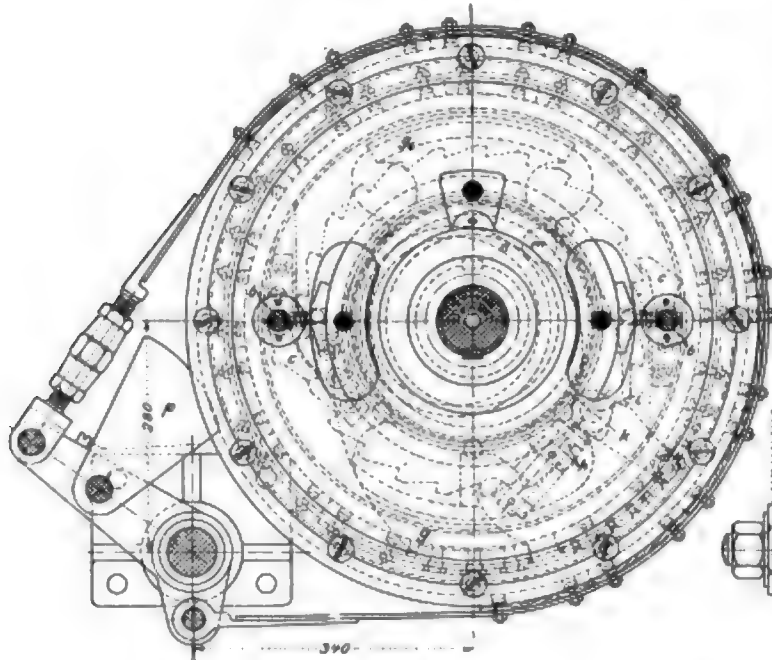
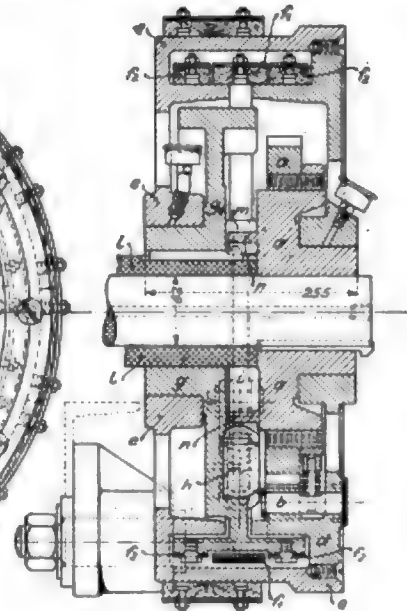


Fig. 12.



und den Senkantrieb des Motors von a auf das mit g fest verbundene Ritzel übertragen. Die Einzelheiten dieser durch die Beschreibung genügend erläuterten Anordnung sind in der Zeichnung wegen der sonstigen Ueberfüllung der Figur fortgelassen.

Auch diese Konstruktion bietet wie die beiden vorher besprochenen einen wertvollen Schutz gegen gefährvolles Zurücksinken schwebender Lasten, weil es der Konstrukteur in der Hand hat, den Kupplungschluss mit sehr reichlichem Ueberschuss des Reibungsmomentes der Sperrbremse zu entwerfen, ohne die Lüftarbeit in der Senkperiode nachteilig zu erhöhen, da sich diese ausschließlich auf das Lockern des Spannwerkes beschränkt und die selbstthätige Rücklaufarbeit in dem als Bremse festgehaltenen Teil der Kupplung aufgezehrt wird.

Das allmähliche Schließen und Lüften des Kuppelzaumes auf der langen Strecke der doppelten Umschlingung wirkt besonders günstig auf die Ruhe und Sanftheit der Bremswirkung. Die doppelte Bandumschlingung gestattet selbst für große Lasten noch verhältnismäßig gedrückte Konstruktionen und macht die Ausführung den Lamellenkupplungen ebenbürtig. Die vorliegende Ausführung ist für einen 50 t-Laufkran benutzt; eine andere für einen 60 t-Kran, bei dem die Senksperrbremse ein Drehmoment von 100 000 kg \times cm aufnehmen hat, ist im Bau begriffen.

Senksperrbremse der Shaw Electric Crane Co.
in Muskegon, Mich.

Abweichend von den vorstehend beschriebenen Nürnberg-er Bremsen, die den Westonschen Konstruktionsgedanken weiter ausgebaut und verbessert haben, wendet die Shaw Electric Crane Co. in Amerika eine Spiralfederkupplung als Sperrbremse an.

Die Einzelheiten der Ausführung sind in Fig. 13 bis 22 dargestellt¹⁾.

Auf dem Wellenkopf des ersten Stirnrädervorgeleges des Motors ist die Trommel a , Fig. 13, und ihr gegenüber auf dem Kopf der anschließenden Welle für die weiteren Vorgelege die Mitnehmerscheibe b aufgekittet. Beide haben gleichen Durchmesser und werden von einer 4,5 mm dicken und 25 mm breiten, genau passend ausgedrehten Messing-

spiralfeder ohne Spannung umschlungen, die an einem Ende mit der Trommel a , am andern mit der Scheibe b durch Schrauben fest verbunden ist und sich außerdem mit ihren abgeschragten Enden noch gegen schwalbenschwanzförmig in die Gusskörper eingelassene Stahlwiderlager f , Fig. 18, in der Umfangsrichtung auf Druckbeanspruchung abstützt. Ein lose auf den gleichachsigen Wellen angeordneter Hohlzylinder c umschließt das Ganze als Kupplungsgehäuse und ist am linken Ende mit einer Sperrverzahnung versehen, in welche ein geräuschlos selbstthätig gesteuertes Klinkenpaar derart eingreift, dass je nach der Drehung um eine halbe Zahn-teilung die eine oder die andere Klinke den Rücklauf des Gehäuses abstützt.

Beim Antreiben zum Heben wird die Spiralfeder nach außen gegen die innere Gehäusefläche gedrängt, kuppelt sich durch Reibungschluss mit dem Zylinder c , pflanzt gleichzeitig die vom Motor am einen Federende aufgenommene Umfangskraft in ihren Windungen als Tangentialdruck fort und treibt so die Ritzelwelle des Windenwerkes unmittelbar durch die Mitnehmerscheibe b an. Das Kupplungsgehäuse beschränkt hierbei zunächst nur die Ausweichgrenze der Feder.

Beim Abstellen des Motors bleibt die Federspannung und damit der Kupplungschluss mit dem Gehäuse unverändert bestehen; denn der Lastzug wirkt in gleicher Weise fort, und bei der Größe des Umspannungswinkels der sechsfachen Umschlingung genügt ein sehr geringer vom Reibungswiderstand des ruhenden Motors und seines Vorgeleges ausgeübter Gegendruck, um den Reibungschluss der Feder aufrecht zu erhalten und damit die schwebende Last an den Sperrklinken der Kupplungstrommel abzustützen.

¹⁾ Die Ausführung weicht vollständig von der in Z. 1900 S. 1786 Fig. 26 und 27 gegebenen schematischen Skizze ab und besitzt weder die im Text S. 1787 angegebenen Lamellen-Reibflächen noch eine Pressschraube.

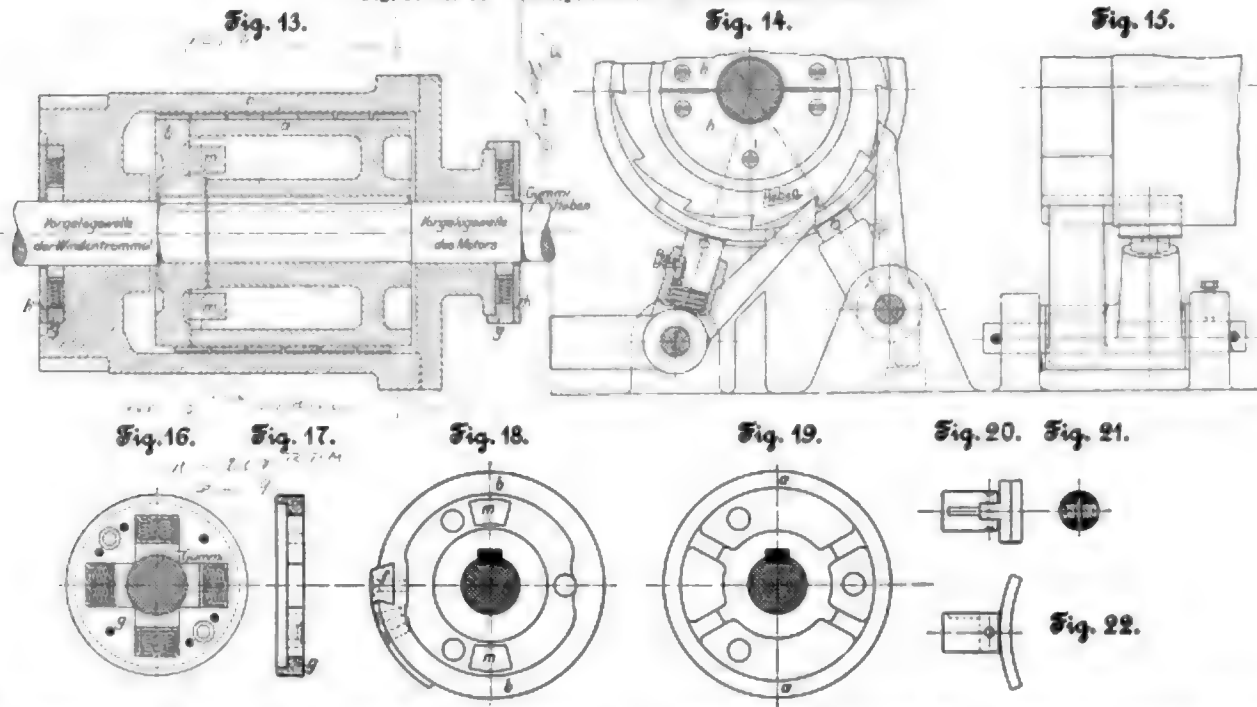
Durch Umsteuern des Motors wird die Spiralfeder auf ihr inneres Widerlager zusammengezogen oder wenigstens der Reibungsschluss soweit vermindert, dass sich der Rücktrieb auf die Windentrommel fortplanzen kann. Der hierbei vom Motor aus in den Federwindungen ausgeübte tangentielle Zug treibt die Last sofort mit der vollen vom Motor abhängigen Geschwindigkeit abwärts, ohne die Selbstbeschleunigung des Triebwerkes durch die freigegebene Last abzuwarten, und sichert daher auch unter allen Umständen das zwangsläufige Senken des leeren Hakens; aber sobald die Last vorzueilen sucht, schließt sich auch hier die Kupplung durch Spannen der Feder im Sinne der Sperrbremswirkung.

Die Intensität des Reibungsschlusses und der Bremswirkung und damit die erforderlichen Abmessungen entspringen sich einer zuverlässigen rechnerischen Bestimmung, weil erhebliche und sehr verwickelte Spannungen in dem gewundenen Federbande auftreten und keine unmittelbare Übertragung der einfachen Bremsbandwirkungen zulassen, die

schaltet zu werden pflegt und größere Sicherheit als mechanisch bethätigte Haltbremsen bietet, schwebend festgehalten. Nur beim Senken wäre, falls Hauptstrommotoren vorhanden sind, nach dem Bruch der Kuppelfeder ein stark beschleunigter Lastniedergang zu befürchten. Da aber der Kranführer auch bei regelrechtem Betriebszustand die Last stets mit dem Steuerhebel in der Hand verfolgen muss und durch den Anlasswiderstand und die Stoppbremse die Geschwindigkeiten vollständig regeln und unterbrechen kann, ist auch selbst in diesem Gefahrfall bei aufmerkamer Bedienung die Konstruktion noch hinreichend betriebsicher.

Der Umstand, dass, wie bei einigen älteren Sperrbremskonstruktionen, so auch hier das zum Festhalten der Last erforderliche Reibungsmoment erst beim Schweben oder Senken derselben zur Geltung kommt, hat deshalb keine Bedenken, weil das Kupplungsgehäuse zum Schutz gegen Federverschleiß und unzulässige Wärmezeugung durch die Bremsreibung von vornherein ganz mit Oel gefüllt wird, also die Kon-

Fig. 13 bis 22. Senksperrbremse der Shaw Electric Crane Co.



sich unter der Annahme eines vollkommen schmiegsamen Bandes aus den Gesetzen der Mechanik ergeben. Die Bemessung der Konstruktion muss also aufgrund von Versuchen und Erfahrungen an ausgeführten Anlagen vorgenommen werden. Die Biegungs- und Torsionsspannungen, welche neben den Zug- oder Druckkräften in der Feder auftreten, werden durch den geringen Spielraum begrenzt, der bei 1 mm Durchmesserunterschied zwischen dem äußeren Federumfang im ungespannten Zustande und der inneren Gehäusfläche eine Bewegung der Feder in radialer Richtung um nur 0,5 mm zulässt. Aber selbst im Falle einer durch Verschleiß bis zur Bruchwirkung gesteigerten Beanspruchung, die nach den bisherigen mehrjährigen Betriebserfahrungen mit zahlreichen Shaw-Kranen in den Werkstätten der bekannten Werkzeugmaschinenfabrik von Ludw. Loewe & Co. A.-G. in Berlin nicht zu befürchten ist, geht wenigstens der Zusammenhang zwischen der Motor- und der Windentrommelwelle in der zerstörten Bremskupplung nicht verloren, weil die Mitnehmerscheibe *b* mit zwei angelegenen Kraggen *m* unter ausreichendem Spiel für die regelrechte relative Verdrehung gegen die Trommel *a* zwischen die Trommelspeichen faast, vergl. Fig. 13, 18 und 19, und dann die Bremsfederkupplung in eine einfache Klauenkupplung verwandelt.

Die hochgewundene Last wird unter solchen Umständen beim Abstellen des Motors durch die gleichzeitig einfallende elektromagnetische Stoppbremse, welche zum pünktlichen Anhalten der Last auch sonst bei elektrischem Betrieb einge-

schaltet von vornherein die reichlichste Schmierung benutzt und dafür geprüft wird, während die bisher beschriebenen Senksperrbremsen und andere ähnliche im regelrechten Betriebe mit mäßiger Schmierung arbeiten, für diese Verhältnisse entworfen werden und bei übermäßiger Schmierung versagen.

Der kräftige Reibungsschluss der mehrfachen Bandwindungen bildet in der amerikanischen Konstruktion einen äußerst wirksamen Ausgleich für den auf der äußersten herabgesetzten Reibungskoeffizienten und beschränkt die erforderlichen Gesamtabmessungen in der günstigsten Weise.

Nachlässige Wartung der Shawschen Bremse, d. h. verspätetes Ergänzen der durch Sickerverluste verminderten Oelfüllung, könnte höchstens den Reibungsschluss und das Warmlaufen der Kupplung erhöhen, aber auch das nur in sehr beschränktem Maße, weil das Oel nur in Wellenhöhe durch schadhafte Stopfbüchsendichtung entweichen kann und die Trommel daher mindestens bis zur Wellenhöhe, d. h. nahezu bis zur Hälfte, dauernd gefüllt bleiben muss.

Die Oeltrommel wird gegen die Welle durch Rotgusscheiben *g*, Fig. 13, 16 und 17, abgedichtet, die mit zwei versenkten Kopschrauben an der Nabenstirnfläche festgehalten werden und in ihrem kreuzförmigen Ausschnitt vier sich an der Welle vereinigende Gummi-segmente aufnehmen, die durch messingene Unterlagen mittels paarweise eingesetzter Spiralfedern angepresst werden. Den Deckelverschluss dieser Stopfbüchsen bilden zweiteilige Ringplatten aus Rotguss mit ebenfalls versenkten Kopschrauben.

Fig. 20 bis 22 stellen die Verbindung der Mitnehmer-
schuhe für die Klinken mit ihrem Druckstempel dar, der
in einem cylindrischen Topf der Klinkenarme, wie Fig. 14
zeigt, durch eine Spiralfeder nach oben gepresst wird.

Die Figuren geben die Konstruktion für einen 5 t-Kran
wieder, dessen Bremswelle mit einer Stirnräderübersetzung
des Motors von 1:2 bei 400 minütlichen Motorumläufen
200 Umdrehungen macht und dabei während des Hebens
bis zu 9 PS überträgt.

Die Einfachheit, die auffallend kleine Größe und kleine
Masse der amerikanischen Senkbremse von 350 mm Länge
und 200 mm äußerem Trommeldurchmesser bilden sowohl
hinsichtlich des Platzbedarfes wie der Trägheitskräfte beach-
tenswerte Vorzüge, die auch noch für schwere Krane be-
stehen bleiben, wofür die gleiche Konstruktion benutzt wird.
Die unmittelbare Einwirkung des Motors auf die Last beim
Senken und Heben entspricht den Anforderungen des Schnell-
betriebes; die radiale Anpressung und Lüftung der Kuppel-
feder sowie schließlich das volle Oelbad verbindern Klemmun-
gen und stoßweises Arbeiten, sodass die Bremse beim Spiel-
wechsel dauernd sanft läuft. Der Verschleiß ist sehr gering
und eine Belastung des Motors durch Lüftarbeit der Brems-
kupplung in der Senkperiode vollkommen ausgeschlossen.

Senksperrbremse von E. A. Wahlström,
D. R.-P. Nr. 114371.

Die unter der Überschrift: »Spannvorrichtung für das
Bremsband an Bandbremsen und Bremsbandkupplungen«, in
Kl. 47 patentierte Konstruktion von Wahlström, Oberingenieur
der elektrotechnischen Abteilung der Maschinenfabrik Ess-
lingen in Cannstatt, geht von dem Gedanken aus, auf das
eine Ende eines schraubenförmig um die Bremsstrommel ge-
schlungenen Bremsbandes unmittelbar oder im allgemeinen
mit Zwischenhebel die Last, am andern Ende ein kleines
Spanngewicht einwirken zu lassen, das ausreicht, um bei
freier Einwirkung der Gewichte an den Bandenden den
Reibungsschluss zwischen Band und Trommel aufrecht zu er-
halten. Wahlström benutzt also in ganz eigenartiger Weise
ein freies Bremskupplungsband, das je nach der Drehrich-
tung die Last oder das Spanngewicht mitnimmt.

Die so eingeleitete Bewegung wird durch Abfangen des
niedergehenden Gewichtes unterbrochen und durch diese
selbstthätige Entlastung und Abstützung des zugehörigen
Bandendes der Reibungsschluss soweit gelüftet, dass die
Trommel sich in der ruhenden Bandschleife unter dem weite-
ren Antrieb der Welle durch den Motor dreht und dabei nur
die einseitige Umfangskraft des jeweilig angehobenen Ge-
wichtes als Reibung zu überwinden hat.

Die Konstruktion kann als rotierende Reibungswage mit
selbstthätig veränderlicher Einstellung der Brems- und Kuppel-
wirkung bezeichnet werden.

Die Grundzüge der Ausführung für eine Kranwinde er-
läutert die schematische Figur 23. Die Last Q hängt an einer
losen Rolle, deren Arbeitstrum a von der Kettennuss k auf-
genommen wird, während das stehende Trum s am hinteren
Ende des schraubenförmig um die Trommel t geschlungenen
Bandes b mit q wirkt. Bei der Anzahl der Windungen ge-
nügt ein sehr kleines Spanngewicht q am vorderen Band-
ende, um den Reibungsschluss zwischen Kupplungsband und
Trommel gegenüber Q am andern Ende ohne Gleiten auf-
recht zu erhalten.

Kettennuss k und Trommel t sitzen fest auf der Welle.
Die Querstücke f und g bezeichnen die Anschläge der Band-
enden, von denen der eine oder der andere durch das da-
unter befindliche feste Widerlager s abgefangen wird und
auf die Kupplung lüftend zurückwirkt.

Unter der vorläufigen Annahme, dass Kettennuss und
Bremsstrommel gleichen Durchmesser haben, wird die Last
frei schwebend hängen bleiben, weil die Welle dann durch
entgegengesetzt wirkende Drehmomente von gleicher Größe
belastet ist.

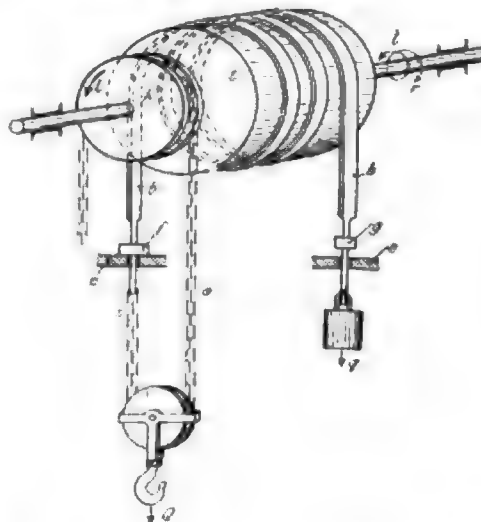
Ein Antrieb der Welle im Sinne des Pfeiles l windet das
Kettentrüm a auf, senkt gleichzeitig den Anschlag f auf sein
Widerlager nieder und entlastet das zugehörige Bandende

von der bis dahin wirksamen Zugkraft Q fast vollständig, so-
dass nur am andern Ende das Spanngewicht q wirksam
bleibt. Dieses Gewicht bestimmt gleichzeitig die während
des Lastaufwindens im Kupplungsband vorhandene Umfangs-
reibung, deren geringer Betrag im Verhältnis zur Nutzlast
den Motor kaum merklich mehr beansprucht.

Beim Aufhören des Antriebes sucht die Last zurückzu-
sinken, aber sobald sich die Welle mit der Trommel t im
umgekehrten Sinne zu drehen beginnt, zieht sich das Kupp-
lungsband b auch wieder mit der vollen Spannung fest,
lüftet den Anschlag f und ruft dadurch die Gleichgewichts-
bedingungen für den Stillstand der Welle hervor.

Treibt man die Maschine durch den Motor zum Senken
im Sinne des Pfeiles r an, so wird der Bandanschlag g auf
sein Widerlager niedergesenkt und das Spanngewicht q abge-
fangen. Es wirkt daher jetzt, durch den Reibungsschluss an
der Trommel frei schwebend gehalten, der Zug Q am hinte-
ren Bandende und bestimmt die Größe der als Widerstand
wirkenden Umfangsreibung. Da aber auf der andern Seite
das ablaufende Kettentrüm mit Q den Rücklauf unterstützt,
hat der Motor beim Senken fast nur Leerlaufarbeit zu
leisten.

Fig. 23. Senksperrbremse von E. A. Wahlström.



Der nahezu vollkommene Gleichgewichtszustand lässt
unter den angenommenen Verhältnissen beim Abstellen des
Motors die Bremse nicht kräftig genug wirken, um die Winde
schnell anzuhalten. Sobald man aber, wie in Fig. 23, den
Trommeldurchmesser größer als den der Kettennuss wählt,
zieht das beim Senken angehobene Bandtrüm die Welle so-
fort, nachdem der Motor abgestellt ist, an dem größeren
Hebelarm der Trommel zurück, hebt die im Sinken begriffene
Last durch das andere Kettentrüm etwas an und vermittelt
den sofortigen Stillstand durch Vernichten der lebendigen
Kräfte.

Der Überschuss des Reibungsmomentes ist selbstver-
ständlich für die ganze Senkperiode vorhanden und bestimmt
die Belastung des Motors während derselben. Für Haupt-
strommotoren gewinnt man dadurch ein wirksames Mittel,
die Möglichkeit des Durchgehens beim Lastsenken unter allen
Umständen auszuschließen und durch einfache Wahl der
Trommel- und Kettennussdurchmesser die Größe der Motor-
belastung im Verhältnis zur wechselnden Nutzlast von vorn-
herein zu bestimmen. Dem gleichen Zweck dient eine ent-
sprechende Zahnradübersetzung zwischen Last- und Trommel-
welle.

Das Spanngewicht q lässt sich durch eine Spiralfeder
oder durch ein Bremsband mit selbstfederndem Anpressungs-
druck ersetzen.

Nicht ganz so einfach ist in der Praxis der andern Bedingung zu genügen, dass das Bremsspiralband gleichzeitig genügende Tragfähigkeit für die angehängte Nutzlast und genügende Schmiegsamkeit für vollkommenes Anliegen an der Bremsstrommel besitzt, weil die erste Forderung kräftige Querschnitte, die zweite, gerade umgekehrt, schwache voraussetzt. Da im übrigen die Umfangskraft im Bande durch den Reibungsschluss von einem Ende zum andern von q_2 bis q

abnimmt, wird man im Interesse der Schmiegsamkeit stetig oder wenigstens stufenweise verminderte Querschnitte anzuwenden haben. Auch kann man daran denken, als Ersatz für die schwierig herzustellenden abgestuften Bremsblätter nach Art der Laschenkettten an einander gereibte, gelenkig verbundene kleine abgestufte Bremschube aus Bronze zu verwenden, wobei die einzelnen Schuhe für die schraubenförmige Wicklung in stetiger Folge seitlich gegen einander versetzt an einander anzuschließen wären.

Unter allen Umständen ist zur Beschränkung der Bandbelastung zwischen Last und Kuppelband eine Hebelüber-

Betriebe liegen befriedigende Ergebnisse mit der Versuchsausführung vor, die in der Cannstatter Fabrik in einem elektrisch betriebenen Laufkran von 10 t Tragfähigkeit eingebaut ist, wobei die Bremsstrommel von 216 mm Dmr. und 700 mm Länge im Grenzfall 1800 kg Umfangreibung zu leisten hat und unter $4\frac{1}{2}$ facher Umschlingung des Bremsbandes mit 10 Uml./min arbeitet. Auch für Krane mit Handbetrieb ist die Konstruktion als Senksperrbremse mit Erfolg benutzt.

Elektrische Senkbremse der Elektrizitäts-A.-G. vormals Schuckert & Co. in Nürnberg.

Die unmittelbare Verwendung von Hauptstrommotoren als Bremsmaschine dadurch, dass man den Motor für diesen Zweck vom Netz abschaltet und als Generator auf den eigenen Anlasswiderstand arbeiten lässt, ist bekannt und unter andern von der Elektrizitäts-A.-G. vormals Schuckert & Co. schon vor mehreren Jahren für die von Mohr & Federhaff in Mannheim ausgeführten elektrisch betriebenen Hafenkrane in Hamburg verwertet¹⁾.

Die ersten Ausführungen dieser Art krankten aber an

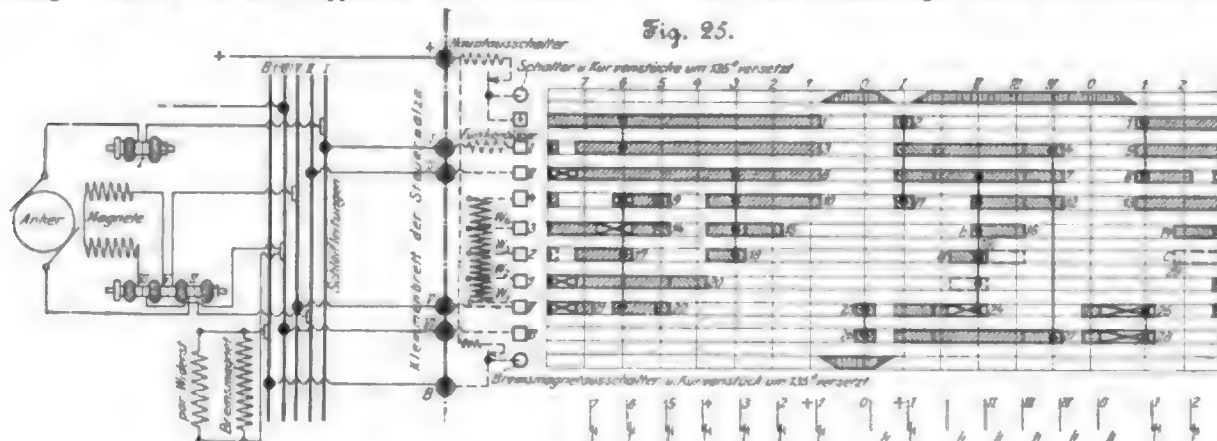


Fig. 25.



Fig. 26.

Fig. 25: Schaltungs- und Stromlaufplan der elektrischen Senkbremse von Schuckert & Co.

■ Messingkontakt
■ Kupferkontakt
■ abgewinkelte Hartmetallkontakte

setzung einzuschalten, derart, dass, wie z. B. in Fig. 24 schematisch angedeutet, das stehende Lasttrum im Punkt s des um o drehbaren Hebels und das Bandtrum b am Hebelende d angreift. Je größer die Hebelübersetzung gewählt wird, um so größer

Fig. 24.



ist aber auch der Bandtrommeldurchmesser im Verhältnis zur Kettennuss oder die Räderübersetzung zwischen Trommel und Nuss zu wählen, um eine entsprechende Belastung des Motors beim Senken und kräftigen Bremschluss zu erzielen, weil sich beide Verhältnisse in dieser Beziehung teilweise aufheben.

Die Gefahr, dass die Kupplung durch überreichliches Schmieren gelegentlich wirkungslos werden könnte, ist kaum zu befürchten, weil der Trommelumfang fast ganz vom Bremsband bedeckt wird und deshalb auch unvorsichtig, im Übermaß aufgebracht Oel oder Fett nur in kleinen Mengen im engen Spalt zwischen den Windungen hängen bleiben kann und sich erst von hier durch eine gewisse Neigung der Spiralwindungen, sich je nach der Drehrichtung nach rechts oder links zu schrauben, unter die Gleitflächen verteilt.

Ueber das Verhalten der Wahlströmschen Senkbremse im

einem ähnlichen Uebelstand wie ein Teil der älteren selbstthätigen mechanischen Senkbremsen, dass nämlich die Bremswirkung erst nach einem gewissen Zeitverlauf mit Eintritt einer bestimmten, erst durch den anfangs ungehinderten freien Lastniedergang erzeugten Umdrehungszahl auftrat und in Fällen, wo der leere Haken nicht selbstthätig abläuft, noch besondere tote Gewichte am Haken geschirrt angebracht werden mussten, um die Senkbewegung einzuleiten und zu beschleunigen.

Schaltet man den Anker eines Hauptstrommotors einfach vom Netz ab und überlässt ihn dem Antrieb in der Senkrichtung durch die freischwebende ungebremste Last, so vergeht je nach der Lastgröße, den Beschleunigungswiderständen und der Bauart des Motors eine mehr oder minder große Zeit, bis der als Generator geschaltete Motor die ziemlich hohe Umlaufzahl erreicht, welche zu seiner Selbsterregung und Bremswirkung erforderlich ist. Während dieser ganzen Zeit senkt sich die ausschließliche vom Motor abhängige Last ungesteuert und fällt trotz der verhältnismäßig großen

¹⁾ Vergl. des Verfassers „Hebezeuge“, 3. Aufl. 1899 Bd. I S. 614 u. f. und Bd. III Taf. 38.

Uebersetzung, die zwischen Motor und Windentrommel vorhanden zu sein pflegt, eine ziemlich freie Strecke, bis sie abgebremst wird.

Dieser Uebelstand macht sich besonders bei Montage- und Gießereikranen störend bemerkbar und ist erst durch eine neue eigenartige Schaltweise vollkommen beseitigt, welche den Hauptstrommotor in der ersten Anlassstellung zum Senken zunächst als Nebenschlussmotor aus dem Netz speist, dadurch den Lastniedergang sofort kräftig einleitet, und die Senkgeschwindigkeit noch innerhalb der ersten Ankerumdrehung auf die kritische Umlaufzahl des Nebenschlussmotors bringt, mit der die elektromotorische Gegenkraft, die weitere Geschwindigkeitszunahme bremsend, Strom in das Netz zurückerliefert. Erst nachdem so der Beharrungszustand erreicht ist, erfolgt dann die Abtrennung des Ankers vom Netz durch Weiterschalten von Hand und die Umwandlung in einen Hauptstromgenerator für die weitere Bremsregelung, indem das mechanische Arbeitsvermögen in die elektrische Energie umgesetzt und diese in den vorgeschalteten Widerständen durch Wärmezerzeugung vernichtet wird.

Der obere kreisförmig angedeutete Stromfinger bethätigt beim Aufgleiten auf den Walzenbelag 0 II III IV 0 der ersten Horizontalreihe den Hauptausschalter, vor dem wieder eine besondere Funkenbläerspule eingeschaltet ist. Dieselbe Aufgabe fällt dem untersten Stromfinger für den Bremsmagnetschalter zu und wird hier in gleicher Weise durch eine kurze Auflaufschiene in der Mittelstellung der Walze gelöst.

Die dicken senkrechten Verbindungslinien zwischen den Walzenschiene sind die im Innern der Walze liegenden Stromführungen, welche durch Kontaktschrauben mit dem äußeren Walzenbelag leitend verbunden sind.

In der Mittelstellung 0 ist der Motor und zugleich der Bremsmagnet, eine durch Gewicht oder Feder bethätigte Haltbremse, aus dem Stromkreis ausgeschaltet, also die Bremse angezogen, der Motor abgestellt und die Last freischwebend festgehalten. In allen übrigen Stellungen durchfließt der Netzstrom das Solenoid des Bremsmagneten und hält die Stoppbremse gelüftet.

Wird die Walze aus der Mittelstellung nach rechts gedreht, gelangen also die feststehenden Stromfinger der Reihe

Fig. 27.]

Regelung beim Heben und Senken an einem Schuckertschen 80 t. Kran.

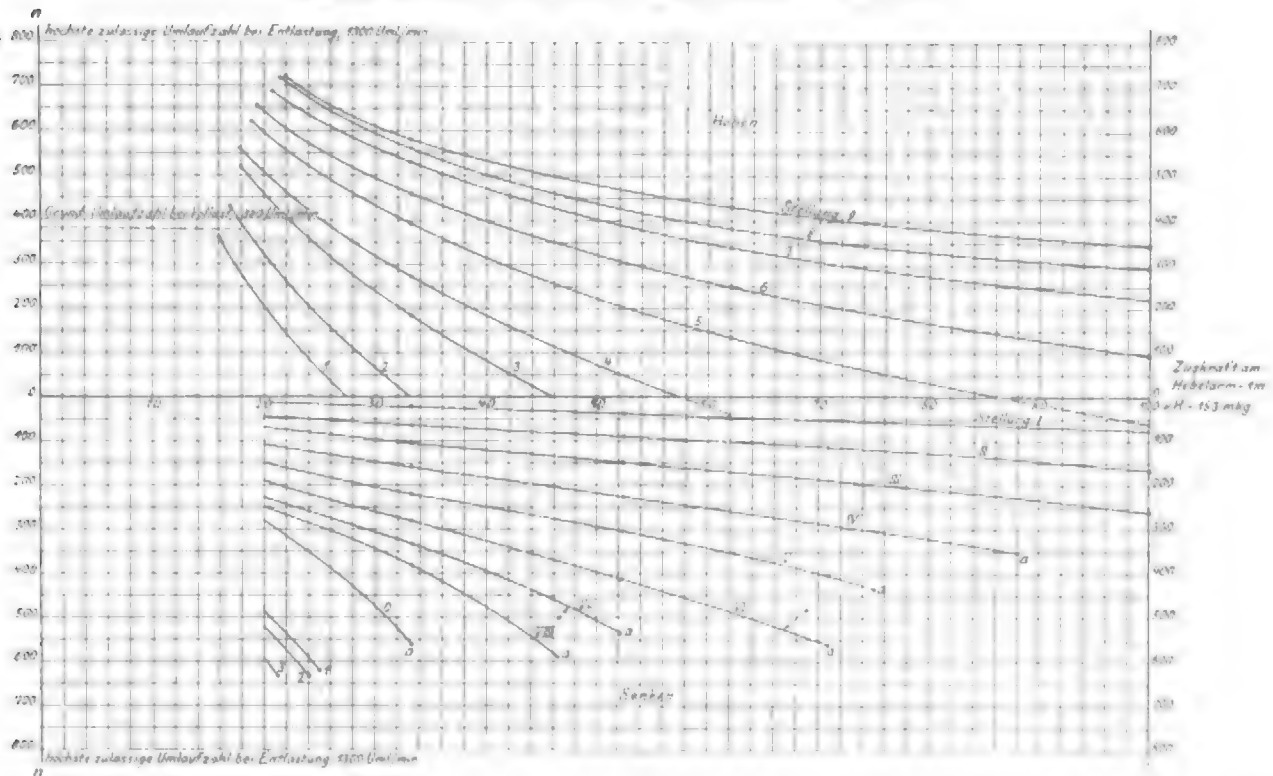


Fig. 25 stellt das vollständige Schaltschema der in die Zeichenebene abgewinkelten Schaltwalze in Verbindung mit dem gleichfalls hierdurch gesteuerten Bremsmagneten zum Festhalten der schwebenden Last dar. Fig. 26 giebt eine Uebersicht über den Stromlauf und die Wechsel in der Schaltung der Anlasswiderstände für die verschiedenen Hauptstellungen, welche durch die Steuerwalze mit einem Ratschenrad wie bei den bekannten Steuerwalzen der elektrischen Straßenbahnwagen festgelegt sind. In dieser Figur bedeuten die über dem Ankerkreis A angedeuteten, mit F bezeichneten Spulen in allen Einzeldarstellungen eine Funkenbläerspule, die unten liegenden Spulen M die Felderregung und die langen durch helle Punkte abgetheilten rechteckigen schwarzen Streifen die Anlasswiderstände W_1 bis W_7 mit den verschiedenen durch schwache Verbindungslinien angedeuteten Kurzschlüssen. Die in Fig. 25 links von den abgewinkelten Kontaktschienen des Walzenbelages senkrecht unter einander stehenden Quadrate mit den beiden Kreisen darüber und darunter bedeuten die Kontakthülse oder Stromfinger, die beim Drehen der Walze über deren Belag fortgleiten und den Wechsel der Stromführung vermitteln.

nach auf die Hauptstellungen 1, 2 ... 7, so werden dadurch, wie übersichtlich aus Fig. 26 zu entnehmen ist, der Reihe nach die Anlasswiderstände zum Anlaufen des Motors ausgeschaltet, bis unter stufenweise wachsender Umlaufzahl in Stellung 4 nur noch der Widerstand W_1 im Stromkreis liegt. Die weitere Steigerung der Umlaufzahl erfolgt in Stellung 5, um weitere Widerstandspulen zu ersparen, durch Parallelschalten der Widerstände W_1 und W_2 . Hierdurch sinkt nach dem Parallelschaltungsgesetz der Gesamtwiderstand auf $\frac{W_1 W_2}{W_1 + W_2}$ und würde beispielsweise mit $W_2 = 2 W_1$ nur noch $\frac{2}{3} W_1$ betragen. In Stellung 6 ist statt dessen der Widerstand W_1 mit W_3 parallel geschaltet, die übrigen Widerstände sind, wie vorher, kurz geschlossen und damit der Gesamtwiderstand auf $\frac{W_1 W_3}{W_1 + W_3}$ herabgesetzt. Ist beispielsweise $W_3 = \frac{1}{2} W_1$ gewählt, so beträgt der eingeschaltete Widerstand für den Motorstromkreis nur noch $\frac{1}{3} W_1$, also die Hälfte der Stufe 5. Die Abstufung

der Umlaufgeschwindigkeiten hängt hiernach sowohl für die ersten Steuerstellungen mit Reibenschaltung wie für die letzten mit Parallelschaltung lediglich von der Wahl der einzelnen Widerstandsgrößen ab. In der Stellung 7 sind sämtliche Widerstände für die größte Hubgeschwindigkeit kurz geschlossen.

Die rechts von der Mittelstellung liegenden römisch bezifferten Schaltstufen, Fig. 26, beziehen sich auf die Bremsstufen, von denen uns hier vor allem die Stufe I interessiert, deren sehr beachtenswerte Anordnung Gegenstand des Schuckertschen D. R.-P. Nr. 120073 ist. Bei dieser Stellung der Steuerwalze fließt der Strom, so lange der Anker noch nicht durch die Last von selbst rückwärts umgetrieben wird oder der Motor noch eine geringe Umlaufzahl hat, von I durch die Widerstände W_1, W_2, W_3, W_4 nach V, von da einerseits durch die Feldmagnetspulen nach VI und —, andererseits durch den parallel geschalteten Anker von der Bürste a nach b durch die Funkenlöschspule ebenfalls nach VI und — in die Rückleitung des Netzes. Der Motor wird also, wie oben angegeben, unmittelbar aus dem Netz erregt und als Nebenschlussmotor im Sinne des Senkens angetrieben; die Last unterstützt diesen Anlauf. Sobald dann die kritische Umlaufzahl erreicht wird, überwiegt die elektromotorische Gegenkraft im Anker und dreht den Strom im Nebenschluss um, der nunmehr von der Bürste b über a nach V geht, dann gemeinsam mit dem Netzstrom die Magneterregung durchläuft und von der Gabelung durch die Funkenlöschspule im Kreislauf nach b zurückkehrt, während der aus dem Netz entnommene Strom von VI allein nach — in die Rücklaufleitung abfließt. Mit dem Erreichen der kritischen Umlaufzahl beginnt die Bremsung, deren weitere Regelung durch die nachfolgenden Schaltstufen II bis IV mit Abtrennung des Ankers vom Netz und Umwandlung in einen sich selbst erregenden Hauptstromgenerator bei wechselnder Schaltung der Widerstände vorgenommen werden kann. Die Stellung zwischen I und II schaltet den bereits rückwärts laufenden Motor nur vom Netz ab, ohne den Stromlauf im übrigen im Ankerkreis im Vergleich mit dem Endzustand bei Stellung I zu verändern. Stellung II schaltet die Widerstände W_1 und W_2 , Stellung III W_1, W_2 und W_3 , und schließlich Stellung IV sämtliche Widerstände in den Stromkreis des als Generator vom Netz abgetrennten Motors ein und schwächt damit in entsprechend abgestufter Zunahme die Bremswirkung des Generators im Sinne wachsender Senkgeschwindigkeit.

In der darauf folgenden Null-Stellung ist die Bürstenleitung für den Anker unterbrochen, die elektrische Selbstbremsung der Maschine also ganz aufgehoben, während gleichzeitig auch die elektromagnetische Bremse außer Tätigkeit bleibt, weil ihr Solenoid am Netz liegt und das zugehörige Stromhebelwerk gelöst ist. Das Windtriebwerk bleibt während dieser Steuerstufe mit der sinkenden Last sich selbst überlassen.

Die beiden im Schema Fig. 26 rechts wiedergegebenen Stellungen 1 und 2 sind schließlich zum Senken der Last mit Stromverbrauch bestimmt und liefern somit die größten Senkgeschwindigkeiten. Hier liegt der Motor am Netz, aus dem der Anker durch den Bürstenanschluss, ähnlich wie in Stellung I, gespeist und im Senksinne angetrieben wird, aber wieder als Hauptstrommotor arbeitet, und zwar in Stellung I

mit vollständig eingeschalteten Widerständen, in Stellung 2 mit kurz geschlossenem Widerstand 6 und dadurch weiter gesteigerter Umlaufzahl¹⁾. Diese Stufen kommen nur für den leeren Haken und leichte Lasten in Betracht, deren Eigengewicht nicht für genügend schnelles selbstthätiges Sinken ausreicht.

Zu beachten ist, dass beim Heben wie auch in allen Senkstellungen der Strom, gleichgültig ob er dem Netz entnommen oder bei Umwandlung des Motors in einen Generator im eigenen Leitungskreis der Maschine erzeugt wird, die Felderregung M stets im selben Sinne durchläuft, sodass Richtungswechsel nur im Anker auftreten. Hierdurch ist der Gefahr vorgebeugt, dass die zuverlässige Pünktlichkeit der Steuerwirkungen durch störenden remanenten Magnetismus beim Stromwechsel beeinträchtigt werden könnte. Die bei jeder Unterbrechung des Netzstromes selbstthätig einfallende elektromagnetische Stoppbremse sichert den Betrieb auch bei unbeabsichtigtem und zufälligem Ausbleiben des Stromes gegen Unfälle, und da der Kranführer das Steuerhändel ständig zum Regeln der Geschwindigkeit in der Hand behalten muss, sind auch keine ernsthaften Gefahren zu befürchten, wenn selbst der abgeschaltete Motorstromkreis während des Senkens eine unerwartete Beschädigung erleidet.

Die Bremsung ist vom Beginn des Anlaufes an durchaus zuverlässig, sodass man Lasten auch aus der Ruhelage mit Sicherheit beliebig kurze Strecken senken kann, wie es bei Montierungen und im Gießereibetrieb verlangt wird. Ein Beispiel für die vor allem mit größeren Vorrichtungen zu erreichende Feinheit der Regulierung beim Heben und Senken verschiedener Lasten liefert die graphische Darstellung in Fig. 27, die sich an einem 80pferdigen Schuckertschen Hub-Hauptstrommotor (Kin 55) eines 80 t-Kranes mit zugehörigem Anlasser ergeben hat. Die minutlichen Umlaufzahlen sind als Ordinaten, die Zugkräfte als Abszissen aufgetragen.

Der Anlasser ist für die starke Beanspruchung in diesem Falle als Spezial-Kohlenanlasser ausgebildet und wegen der Größe des Motors mit einer größeren Stufenzahl für Heben und Senken hergestellt, stimmt aber sonst mit den Grundzügen der Schaltung Fig. 25 und 26 überein.

Die Schwierigkeiten, welche bei älteren mechanischen Senksperrbremsen auftauchten und zu mannigfachen Misserfolgen in der Praxis geführt haben, bilden den Grund, weshalb eine Anzahl der ersten Kranbauformen: die Duisburger Maschinenbau-A.-G. vorm. Bechem & Keetman in Duisburg, Fried. Krupp Grusonwerk in Magdeburg-Buckau, Zobel, Neubert & Co. in Schmalkalden, in neuerer Zeit vorzugsweise die Schuckertsche elektrische Senkbremsung anwenden, während andere, wie weiter oben erwähnt, an der Verbesserung der mechanischen Bremsen weiter arbeiten.

¹⁾ Die punktiert angedeuteten Kurzschlussverbindungen der Widerstände in Fig. 26 für die Steuerlagen II, III und 2 rechts deuten andere Schaltstufen für andere gewählte Senkgeschwindigkeiten an, denen auf der Walze, Fig. 25, die ebenfalls punktiert angedeuteten Lagenänderungen der Kontaktschienen entsprechen. Durch Versetzen der Kontaktschiene b von 16 nach 19 und durch Tieferücken von a auf den nächsten Ring werden die Senkgeschwindigkeiten in Stellung II und III kleiner. Das Einfügen einer weiteren Kontaktschiene c , Fig. 25, steigert die Geschwindigkeit beim Senken des leeren Hakens mit Strom aus dem Netz in der Endsteuerlage 3 rechts.

Der Wettbewerb um den Entwurf einer Straßenbrücke über den Neckar bei Mannheim.

Von Reg.-Baumeister Carl Bernhard, Privatdozent in Charlottenburg.

(Fortsetzung von S. 1062)

2. Entwurf »Freie Bahn« B, zweiter Preis.

Verfasser: Zweiganstalt Gustavsburg der Vereinigten Maschinenfabrik Augsburg und Maschinenbaugesellschaft Nürnberg im Verein mit Grün & Bilfinger in Mannheim und den Architekten Billing und Mallebrein in Mannheim und Karlsruhe.

Vom strassenbautischen Standpunkte ist im Entwurfe »Freie Bahn« B, der ja nur bezüglich der Architektur andere Verfasser hat als der mit dem ersten Preise gekrönte Ent-

wurf »Sichel«, eine Lösung gegeben, deren wesentlicher Vorzug darin besteht, dass der Verkehr durch das Tragwerk, welches völlig unter der Fahrbahn liegt, in keiner Weise gehindert wird und ihm tatsächlich »freie Bahn« gegeben ist. Den modernen Verkehrsanforderungen entspricht der Entwurf somit am vollkommensten, und das hat ihm wohl auch in erster Linie die hohe Bewertung bei der Beurteilung durch das Preisgericht mit vollem Rechte eingebracht. Erkauft ist dieser Vorzug durch eine um 80 cm größere Höhe, welche

vom Rampenfuße aus, der am linken Ufer auf $+94,76$ m liegt, zu überwinden ist. Der Scheitel liegt hier auf $+103,739$ m NN gegenüber $+102,922$ m NN beim Entwurf »Sichel«. Es sind also rd. 9 m statt 8,20 m zu übersteigen, was nicht übermäßig in die Wagschale fällt. Die Mittelöffnung von 114 m l. W. ist durch vier Blechbogen mit 2 Gelenken von 113 m Stützweite und 7,3 m Pfeilhöhe überbrückt. Das Pfeilverhältnis beträgt 1:15,5. Nach der in Z. 1899 S. 1053 von mir gelegentlich der Darstellung der Alexanderbrücke in Paris (mit einem Pfeilverhältnis 1:17,12) gegebenen Zusammenstellung würde eine derartige Bogenbrücke zu den

Ingenieure alle Folgen dieser Anordnung trotz der einfach statischen Unbestimmtheit völlig beherrscht. Dem gewaltigen Schube der Mittelöffnung wird durch Betongewölbe von 58,7 m Stützweite und 5,93 m Pfeilhöhe entgegengewirkt, sodass die Strompfeiler durchaus nicht übermäßig stark, nur 4,5 m in Wasserhöhe, zu sein brauchen.

Die Gesamtanordnung der Brücke geht aus Fig. 18 hervor. Die Einteilung der Öffnungen weist also keine wesentlichen Abweichungen vom Entwurf »Sichel« auf. In der Mittelöffnung ist die Fahrbahn und ihre Unterstützung in ähnlicher Weise wie dort aus Holzpfaster auf Beton und

Fig. 18. Gesamtanordnung.

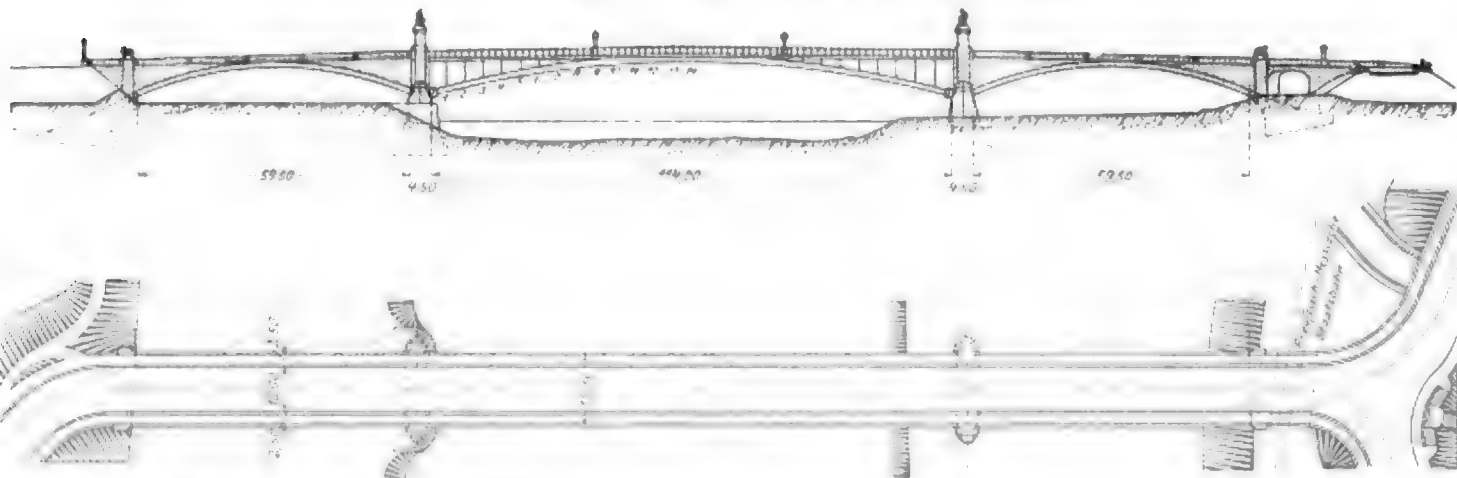


Fig. 19. Kämpferschnitt in der Hauptöffnung.

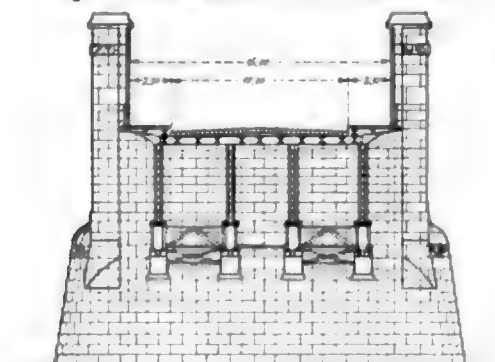
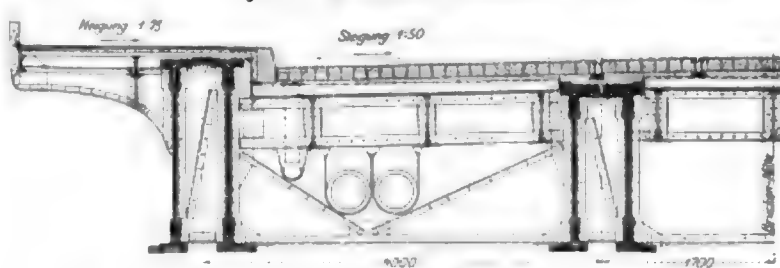


Fig. 20. Kämpferschnitt in der Seitenöffnung.



Fig. 21. Querschnitt in Brückenmitte.



Querschnitt bei Punkt 10.

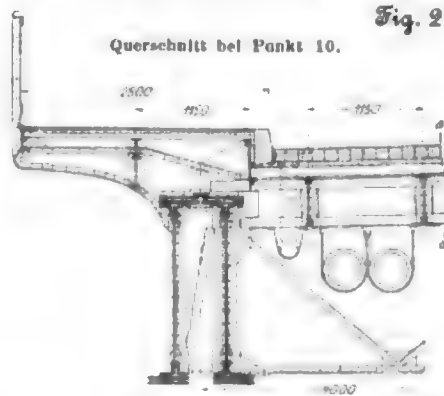
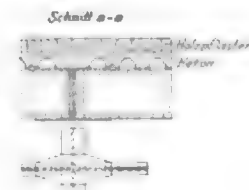


Fig. 22.

Anschluss des Längsträgers
an den Querträger.

kühnsten gehören. Diese Bogen hätten vor denen der Alexanderbrücke aber noch das voraus, ohne Scheitelgelenk und bei größerer Spannweite wesentlich höheren Anforderungen in theoretischer und baulicher Hinsicht zu dienen. Es wäre mit großer Freude zu begrüßen, wenn der deutschen Brückenbaukunst Gelegenheit gegeben würde, dieses Gegenstück zur Alexanderbrücke auszuführen, um zu beweisen, dass die Ausgestaltung einer derartigen Brücke mit den Mitteln der durch die Entwicklung gegebenen Technik möglich ist — die Bogen der Alexanderbrücke bestehen bekanntlich aus zusammengeschraubten Stahlgussstücken —, und dass die wissenschaftliche Gründlichkeit der deutschen

Belageisen, wie aus den Figuren 19 und 21 bis 24 hervorgeht, gebildet. Die ganze Fahrbahnplatte wird hier von vier Bogen getragen, welche 4,0 m, 3,4 m und 4,0 m von einander entfernt sind, damit ihnen eine gleich starke Belastung zufällt. Um die Verteilung der Lasten durch kontinuierlich aufgelagerte Querträger nicht wieder unbestimmt zu machen, sind die Querträger über den mittleren Bogen getrennt; s. Fig. 24. Sie haben dort ein gemeinsames Auflager. Die Belageisen gehen allerdings kontinuierlich durch, in der Annahme, dass infolge der Weichheit der Fahrbahnplatte dadurch keine aufhebende Gegenwirkung zu erwarten ist. Die Obergurtaschen des Querträgers haben auf der einen Seite

Fig. 23. Querschnitt bei Punkt 9.

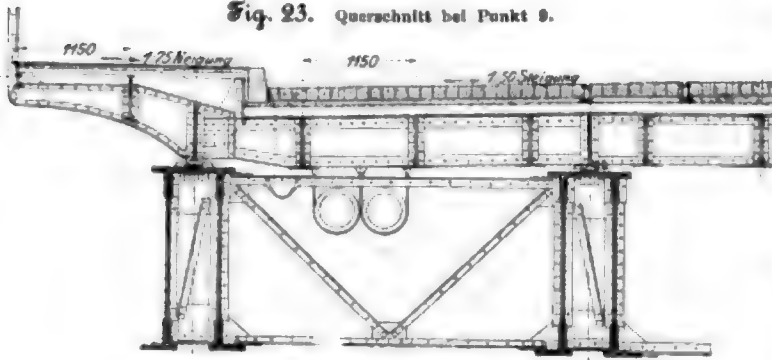
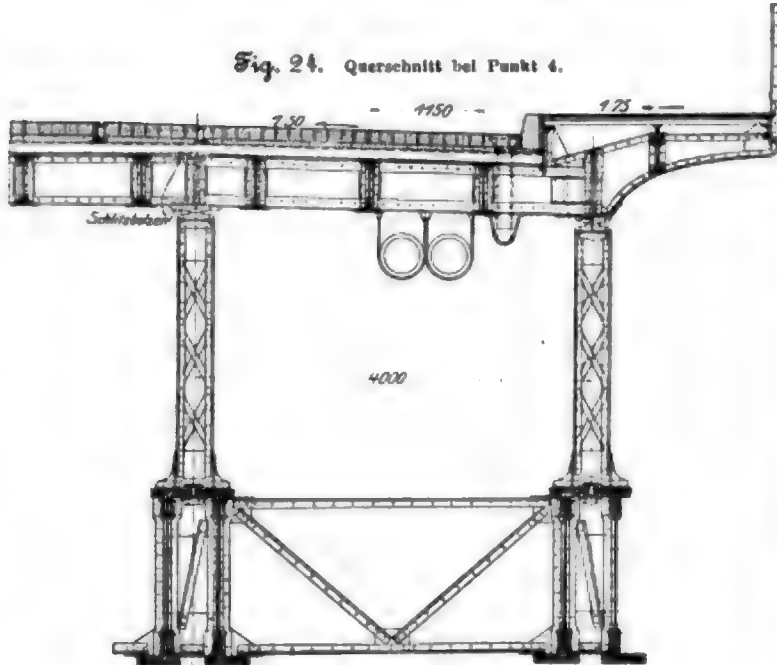
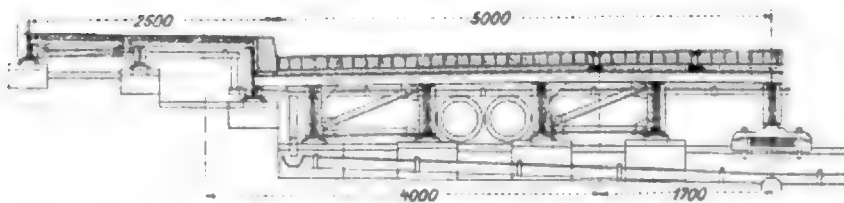


Fig. 24. Querschnitt bei Punkt 4.



Querschnitt über dem Pfeiler.



Langlöcher, um das Mittelstück in Richtung der Brückenachse zu sichern.

Die Eigengewichte der Fahrbahnplatte sind genau dieselben wie beim Entwurf »Sichel«. In Fig. 25 sind die Fahrbahnabschlüsse und die Entwässerung der Fahrbahn durch Längsrinnen ohne weiteres verständlich dargestellt. Die äußeren Blechbogen haben nur 1,8 m Höhe im Scheitel, d. h. $\frac{1}{30}$ der Stützweite, also gegenüber dem üblichen Verhältnis von $\frac{1}{10}$ beim Zweigelenkbogen etwas wenig. Am Kämpfer ist die Höhe 1,2 m. Die Bogen sind durch Kreislinien begrenzt. Wie aus Fig. 21, dem Querschnitt im Scheitel, zu ersehen ist, mussten die beiden mittleren Bogen sogar noch niedriger gemacht werden, weil sie, um an Bauhöhe zu sparen, in sehr beachtenswerter Weise auf 25,8 m Länge unmittelbar die Fahrbahn tragen; ihre Obergurte sind hier deshalb parallel der parabolisch verlaufenden Oberfläche der Fahrbahn gekrümmt.

Die ungewöhnlich geringe Bogenhöhe ist jedoch in bezug

auf die größten Durchbiegungen in der Brückenmitte eingehend rechnerisch untersucht. Für das Eigengewicht der Bogen allein ist die Durchbiegung zu 41 mm ermittelt. Bei den äußeren Bogen erhöht sie sich infolge der Fahrbahnlast um 50 mm, während sie für die Verkehrslast 44 mm betragen wird. Bei den inneren Bogen beträgt die Durchbiegung infolge des Fahrbahngewichts 48 mm, infolge der Verkehrslast 38 mm. Dass natürlich 30° Wärmeunterschied beträchtliche Bewegungen des Scheitels verursachen, ist nicht zu verwundern; diese sind zu $\pm 121,2$ mm bestimmt. Einer Längenänderung der Stützweite um je 1 cm entspricht eine Bewegung von 29 mm. Bedenken haben diese Bewegungen durchaus nicht. Auch müssen sich die Fußgänger daran gewöhnen, dass der Verkehr auf derartig weitgespannten schlanken Bogen unangenehmes Zittern der Fahrbahn erzeugt. Es ist beachtenswert, dass die Gehwegkonsolen zur Verminderung dieser Erschütterungen besonders steif ausgebildet worden sind.

Fig. 22 zeigt die gut durchgearbeitete Auflagerung der Querträger und Konsolen an einer Stelle, wo die Bogenoberfläche nur wenig unter dem Obergurt der Querträger liegt. In Fig. 23 ist die unmittelbare Stützung der Querträger auf dem Bogen selbst, in Fig. 24 dagegen die Stützung mittels senkrechter Pfosten gezeigt, welche, um nur lotrechte und achsiale Kräfte aufzunehmen, am Obergurt des Bogens Flachgelenke, unter den Querträgern Kugelgelenke erhalten haben. Durch die Querträger und dementsprechend durch diese Pfosten entsteht eine Fachteilung von 4,12 m Weite. Die auf die Fahrbahn wirkenden wagerechten Kräfte werden im mittleren Teile unmittelbar in die Bogen übergeleitet und von einer in Höhe der Untergurte liegenden tonnenartigen Verspannung aufgenommen. Die beiden mittleren Bogen haben unter sich jedoch keine Schrägverspannungen und Aussteifungen, sondern sind nur durch Querriegel verbunden, um die wagerechten Kräfte auf die beiden äußeren Verspannungen, d. h. die zwischen Äußerem und mittlerem Bogen angebrachten, gleichmäßig zu übertragen. Während je zwei Bogen unter sich quer ausgesteift sind, haben die senkrechten Pfosten, Fig. 24, keinerlei Verspannung erhalten, um in klarer Weise den statischen Grundlagen gerecht zu werden, denen zufolge die Fahrbahn in den Bogenswickeln, d. h. in den 9 äußeren Feldern, eine Schrägverspannung erhalten hat, die als Flachträger einerseits in dem Querschnitt bei Punkt 9, Fig. 23, mit einer Spitze vernietet, andererseits auf dem Pfeiler mit einer Spitze, Fig. 25, längsbeweglich aufgelagert ist und hier die wagerechten Kräfte einwandfrei abzugeben

Fig. 25.

Auflagerung des mittleren Längsträgers über dem Pfeiler. Auflagerung des Fahrbahn-Längsträgers über dem Pfeiler.



Anschluss der oberen Windverspannung über dem Pfeiler.



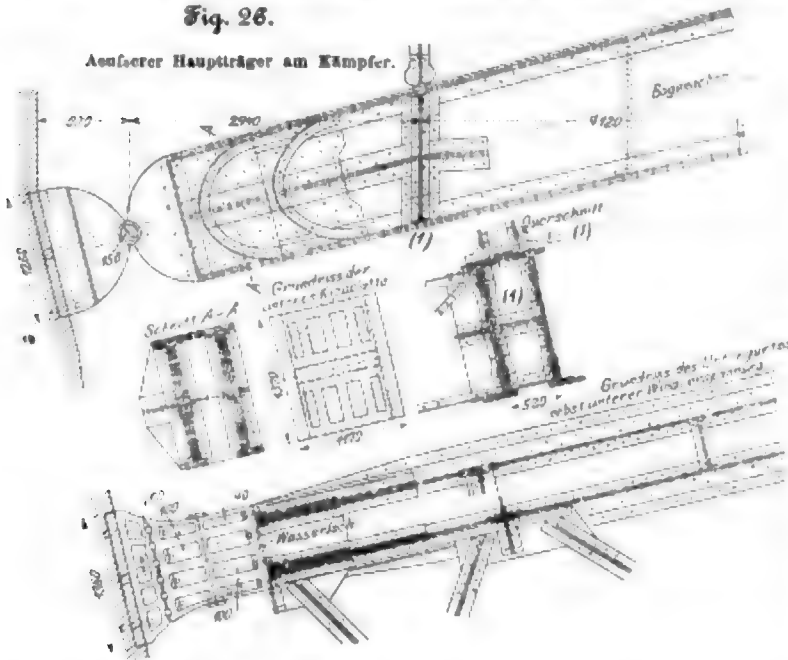
vermag. Der Flachträger stützt sich also mit dem festen Lager gegen die Bogenverspannung, bei der übrigens mit Rücksicht auf das sehr kleine Pfeilverhältnis von einer Berechnung des Einflusses der Bogenkrümmung Abstand genommen worden ist. Die Zugschlagspannungen würden bei genauerer Berechnung jedoch nicht außer Acht gelassen werden.

Auch die statische Berechnung der Tragbogen erhebt nicht den Anspruch einer endgültigen Genauigkeit. In völlig ausreichender Näherung ist der wagerechte Schub nach Weyrauch: »Elastische Bogenträger«, 1897, S. 214 u. f., berechnet. Es dürfte auch hier von Interesse sein, den Verlauf der Querschnittsgrößen F , J und W und den Einfluss einer Last »Eins« auf den wagerechten Schub H vom Kämpfer an bis zum Scheitel des äußeren Bogens in nachstehender Zusammenstellung zu verfolgen.

Punkt	1	2	3	4	5	6	7	8	9	10	11	12	13	14
														Scheitel
für die H -Berechnung P qm	0,11102	0,11246	0,11668	0,12447	0,13482	0,13883	0,15084	0,16072	0,14478	0,13168	0,13211	0,13240	0,13274	0,13288
wirklich vorhanden F =	0,11582	0,13070	0,13830	0,14860	0,15656	0,15782	0,16878	0,15958	0,15700	0,15392	0,13070	0,14900	0,14552	0,14558
J m ⁴	0,033497	0,037857	0,045490	0,054075	0,064822	0,071206	0,091662	0,090610	0,086027	0,080219	0,082742	0,094051	0,085846	0,084461
H	0,02603	0,6162	0,0348	1,2710	1,6626	1,8283	2,0685	2,2850	2,4741	2,6315	2,7643	2,8424	2,8954	2,9130
Kernmomente M mt	-619,3	-768,3	-876,8	-964,5	-1014,8	-1068,3	-1074,0	-1060,6	-1014,3	-975,7	-938,8	-911,6	-893,4	-889
vorhandene Widerstands- momente W dm ³	57,26	69,88	78,29	89,73	97,96	102,53	106,02	109,02	109,84	108,27	106,29	105,51	103,26	103,46
W_u =	58,03	70,56	79,08	89,84	98,32	102,89	106,4	109,39	109,18	108,38	106,63	106,07	103,56	103,70

Für den äußeren Hauptträger ergibt sich bei einer Pfostenbelastung von 7,915 t durch ständige Last der wagerechte Schub zu $H = 410$ t, für das Eigengewicht der Hauptträger, das zu 1,571 t/m ermittelt ist, $H = 335$ t, im ganzen also $H = 745$ t für Eigengewicht, während für die inneren Hauptträger $H = 736$ t ist. Für die außergewöhnliche Verkehrs-
last ist $H = 362$ t für den äußeren, $H = 312$ t für den inneren Träger; bei einer auf die ganze Brückenbreite gleichförmig verteilten Belastung beträgt der Schub nur 278 t. Für 30° Wärmeunterschied ist $H = 22$ t und für jedes Centimeter, um das die Spannweite größer wird, $H = 5,44$ t. Der größte wagerechte Schub beträgt im ganzen 1108 t, der größte Kämpferdruck 1145 t. Der auf 1 m Brückenweite entfallende wagerechte Schub ist etwa 288 t, d. i. zufällig genau derselbe Schub, den die Bogen der Alexanderbrücke in Paris¹⁾ auf 1 m Länge ihrer Widerlager ausüben. Dort liegen die Bogen

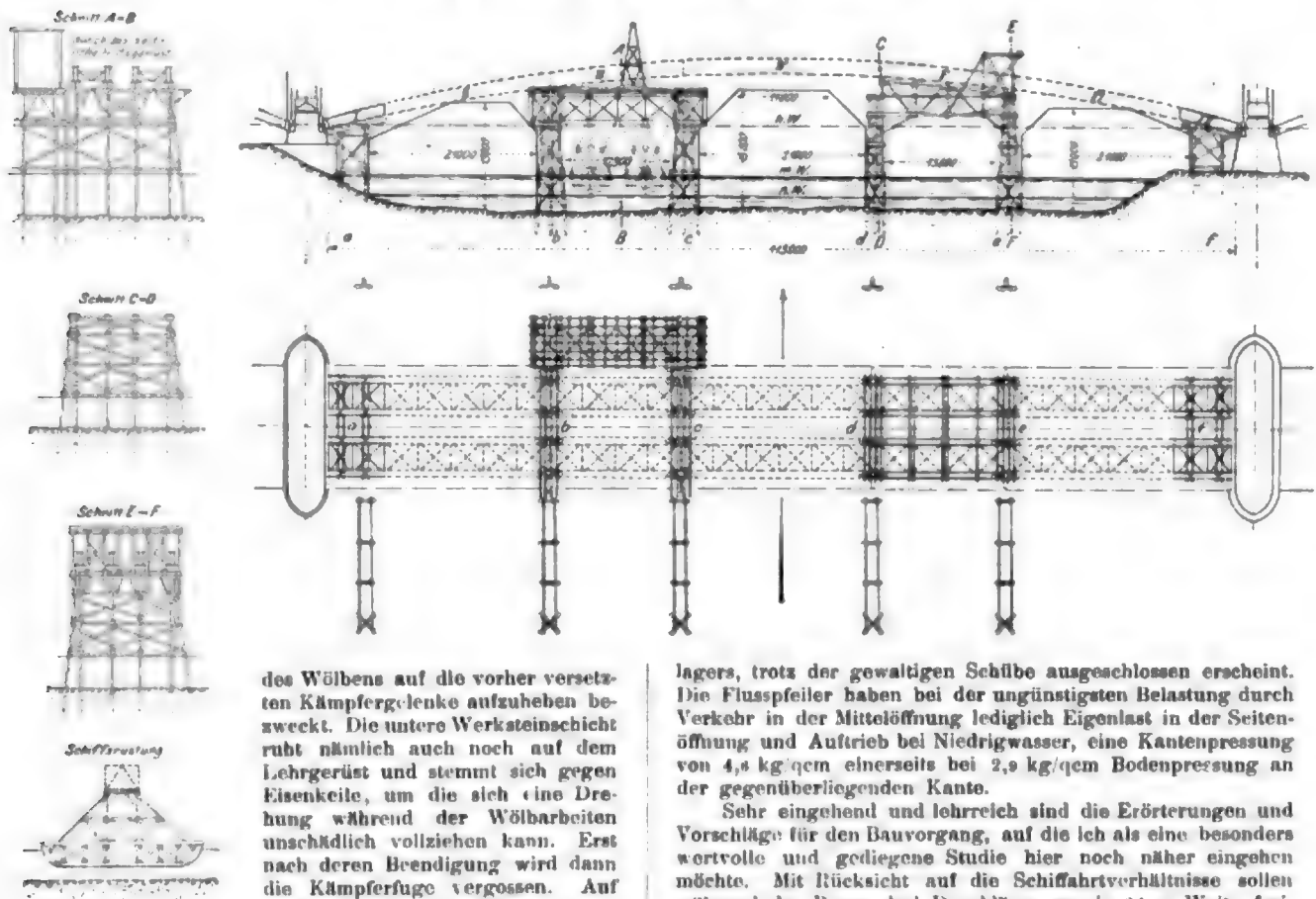
Fig. 28.



gen für Phosphorbeton sicher als nicht zu hoch ansehen. Die Gewölbachse fällt mit der Drucklinie für Eigengewicht zusammen; die Stärke beträgt im Scheitel 0,90 m, am Kämpfer 0,66 m und erreicht dazwischen 1,22 m. Auch die Stirnen zeigen diese Gewölbeform. In sorgfältigster Weise sind die Gelenke durchgebildet. Sie bestehen nicht aus Drehzapfen, welche der Drehung beträchtliche Widerstände entgegenzusetzen und unter Umständen bedeutende Ueberspannungen in den Gewölben erzeugen können, sondern aus Stahlplatten, die sich auf einander wälzen. Dabei dürfen die infolge einzelner Belastungen auftretenden Seitenkräfte in den Berührungsfächen noch sicher durch die vorhandene Reibung übertragen werden. Zur Vermittlung der Druckübertragung zwischen Stahlgelenk und Beton dienen Basaltquader von 1000 kg/qcm Druckfestigkeit. Recht geschickt ist die Anordnung, welche den Einfluss der Setzung des Lehrgerüsts während

der Entwurf der Seitenöffnungen in allen wohl erwogenen Einheiten als in hohem Maße gediegen gelten. Bei Besprechung der Nebenlösung „Freie Bahn“ C werden diese Einheiten noch eingehender vorgeführt werden, weshalb hier davon Abstand genommen werden soll. Bei der Gründung und Gestaltung der Widerlager ist noch besonders hervorzuheben, dass sie nach unsern Anschauungen über Druckübertragung wesentlich vorsichtiger ist als bei der Alexanderbrücke, bei der ich¹⁾ den dort zugelassenen starken Wechsel der Bodenpressungen aufgrund eigener Erfahrungen als nicht nachahmenswert bezeichnete. Hier ist nämlich die Kiessohle unter Berücksichtigung des Auftriebes bei den verschiedenen Wasserständen mit 4,1 kg/qcm höchstens belastet, während die Pressung an der gegenüberliegenden Kante 2,4 kg/qcm beträgt, wodurch ein ungleichartiges Nachgeben des festgelagerten Kieses, also eine nachteilige kantende Bewegung des Wider-

Fig. 27. Montage der Unterrüstung zum Hauptträger.



des Wölbens auf die vorher versetzten Kämpfergelenke aufzuheben bezweckt. Die untere Werksteinschicht ruht nämlich auch noch auf dem Lehrgerüst und stemmt sich gegen Eisenkeile, um die sich eine Drehung während der Wölbarbeiten unschädlich vollziehen kann. Erst nach deren Beendigung wird dann die Kämpferfuge vergossen. Auf diesen Gewölben, s. Fig. 20, ruht die Fahrbahn mittels Ziegelstein-

pfeiler von 40 auf 40 cm Querschnitt, um die Elgengewichtsbelastung thunlichst einzuschränken. Die Stirnmauern sind geschlossen und nur 40 cm stark aus Sandsteinplatten hergestellt. Diese und die Pfeilerchen sind durch eingemauerte I-Träger gegenseitig abgesteift. Während die Fahrbahn aus Holzplaster in der Gegend des Scheitels auf einer Unterlage von Bimsbeton unmittelbar auf dem Gewölbe ruht, liegt sie über den Pfeilerchen auf einer Beton-Eisen-Platte. Die Gehwege sind aus 10 cm starken Monier-Platten mit Asphaltbelag gebildet, um auch den Raum für die verschiedenen Rohrleitungen zu gewinnen. Natürlich muss der ganze steinerne Brückenkörper über den Gelenken freie Beweglichkeit haben, es sind also drei senkrechte, von unten bis oben durchgehende Fugen von 3 cm Stärke offen zu halten. Die vielen Ausgleichfugen auf der Brücke dürften vielleicht namentlich bei der Unterhaltung des anstossenden Holzplasters einige Unzuträglichkeiten im Gefolge haben. Sonst aber kann auch

lagers, trotz der gewaltigen Schülbe ausgeschlossen erscheint. Die Flusspfeiler haben bei der ungünstigsten Belastung durch Verkehr in der Mittelöffnung lediglich Eigenlast in der Seitenöffnung und Auftrieb bei Niedrigwasser, eine Kantenpressung von 4,8 kg/qcm einerseits bei 2,9 kg/qcm Bodenpressung an der gegenüberliegenden Kante.

Sehr eingehend und lehrreich sind die Erörterungen und Vorschläge für den Bauvorgang, auf die ich als eine besonders wortvolle und gediegene Studie hier noch näher eingehen möchte. Mit Rücksicht auf die Schiffahrtverhältnisse sollen während des Baues drei Durchlässe von je 21 m Weite freigehalten werden. Die flachen Blechbogen unter Fahrbahn gestatten wegen mangelnder Durchfahrthöhe jedoch keinerlei feste Unterrüstung, sodass nur die außerhalb der Durchfahrten vorbeilebenden Teile unmittelbar auf einer solchen eingebaut werden können, während über den Durchfahrten die Bogenstücke nur mittels Schiffartüsten eingefahren werden können. Diesem Umstande entsprechend sind die Bogen aus 7 Stücken zusammengesetzt, vergl. Fig. 27. Die Stöße liegen symmetrisch. Während die Gerüstpfeiler a bis f geschlagen werden, sollen seitlich von der Baustelle die Schiffartüsten und die Hilfsträger gebaut werden, welche dann auf die stromabwärts verlängerten Rüstpfeiler b und c eingefahren und abgesetzt werden. Zwischen den Gerüstpfeilern d und e sind feste Lüstungen möglich, die aus später zu erkennenden Gründen gleichzeitig ausgeführt werden sollen. Mit diesen verhältnismäßig geringen Unterrüstungen, die den Flusslauf wenig ein-

¹⁾ Z. 1899 S. 1054.



Nach allen Richtungen spricht aus diesem Entwurfe eine solche Meisterschaft und Erfahrung, dass seine zunächst überraschende Kühnheit als eine wohl begründete und volles Vertrauen verdienende schöpferische That unserer besten Ingenieure angesehen werden muss. Während der Ausgleich der Schübe infolge der gegebenen ungleichen Spannweiten beim Entwurf »Sichels« durch strassenbaulich nicht ganz einwandfreie Hebung des mittleren Bogenteiles über die Fahrbahn erreicht ist, ruft hier die Ausführung der Seitenöffnungen in Stein den erforderlichen Widerstand hervor, durch den die flachgespannten Mittelbogen unter der Fahrbahn erst möglich werden. Die zur Entfaltung kommenden Kräfte sind hier zwar wesentlich größer; aber technische Bedenken liegen bei der hohen Stufe, auf welche der deutsche Brückenbau nament-

lich auch nach der wissenschaftlichen Seite gelangt ist, nicht vor. Der Kraftausgleich ist völlig gesichert. Die Erscheinung des Bauwerkes lässt darüber keinen Zweifel. Deshalb ist die schlichte Wirkung auch trotzdem so ungewöhnlich großartig und kraftvoll. Die architektonische Gliederung, welche durch die Ansicht des Strompfeilers in Fig. 29 zur Schau gebracht ist, passt sich dem Ganzen würdig an. Die Stadt Mannheim wäre zu beglückwünschen, wenn sie sich entschliesse, diesen ebenso kühnen wie schönen Entwurf auszuführen, dessen Baukosten ja nur unwesentlich von denen des Entwurfs »Sichels« abweichen.

Für die deutsche Brückenbaukunst wäre das ein neuer großer Gewinn, ein stolzes Baudenkmal ersten Ranges stünde in Aussicht.
(Forts. folgt.)

Sitzungsberichte der Bezirksvereine.

Eingegangen 28. Februar 1901.

Mittelthüringer Bezirksverein.

Stiftungsfest am 26. Januar 1901.

Vorsitzender: Hr. A. Rohrbach. Schriftführer: Hr. W. Voges.
Anwesend 100 Mitglieder und Gäste.

Zur Feier seines Stiftungsfestes hatte der Bezirksverein Einladungen zu einem Festvortrag erlassen, denen unter anderem Vertreter der Regierung, der Oberpostdirektion, der Eisenbahndirektion und der städtischen Behörden gefolgt waren.

Der Vorsitzende betont in seiner Begrüßungsrede, dass der annähernd 16000 Mitglieder zählende Hauptverein, von dem der Mittelthüringer Bezirksverein nicht ganz der 100. Teil sei, sich schon Verein deutscher Ingenieure genannt habe, ehe eine deutsche Einheit vorhanden war. Lange bevor man allgemein einheitliches Maß und Gewicht gekannt, habe der Verein nach diesen Einheiten gerechnet. Auch sonst habe sich der Verein an der Entwicklung der Industrie im 19. Jahrhundert in hervorragendem Maße beteiligt und mitgewirkt, dass der deutsche Ingenieurstand und die deutsche Industrie im In- und Auslande zu achtunggebietendem Ansehen gelangt sind. Im beginnenden 20. Jahrhundert müsse der Verein bestrebt sein, das Erreichte noch weiter auszubauen und zu erweitern. Der Wahrspruch des deutschen Ingenieurs möge sein: »Voll dampf voraus«.

Darauf spricht Hr. Fr. Clausen über neue Erfindungen auf physikalisch-technischem Gebiet, wobei er durch von Hrn. von Bronk angestellte Versuche unterstützt wird.

Der Redner bespricht die Nernst-Lampe¹⁾ und die Osmium-Glühlampe von Auer²⁾, ferner die drahtlose Telegraphie nach Marconi³⁾ und Zickler⁴⁾, Neuerungen auf dem Gebiete des Fernsprechwesens, besonders den Telephonographen von Poulsen⁵⁾ und die Herstellung farbiger Photographien nach dem Verfahren von Ives. Zum Schluss behandelt der Vortragende die singende Bogenlampe. Diese Lampe wird in einem Scheinwerfer untergebracht; die vom Flammenbogen ausgehenden Strahlen werden zunächst gleich gerichtet und nach der Empfangsantenne geleitet, von der sie auf eine Bergkristalllinse treffen, die die Strahlen auf eine lichtempfindliche Selenplatte lenkt. Mit der Selenplatte stehen die Telephonhörner in Verbindung. Der angestellte Versuch gelang ausgezeichnet; das von einem Phonographen gespielte Musikstück wurde dem Flammenbogen mitgeteilt und von diesem so übertragen, dass man mit Fernsprechhörnern das Stück deutlich vernehmen konnte.

An den Vortrag schloss sich ein Festmahl, an welchem sich 50 Mitglieder und Gäste beteiligten.

Sitzung vom 3. Februar 1901.

Vorsitzender: Hr. A. Rohrbach. Schriftführer: Hr. W. Voges.
Anwesend 17 Mitglieder.

Nachdem eine Reihe geschäftlicher Angelegenheiten erledigt ist, berichtet Hr. Voigt über einen im Dredner Bezirksverein gehaltenen Vortrag über Verdampfungsver-suche an einem Dürr-Kessel der Koks- und Kaumazit-

werke von C. Melhardt in Wesseln¹⁾. Er sucht die außerordentlich günstige Verdampfung dadurch zu erklären, dass vermutlich der Dampf sehr nass gewesen sei. Im Anschluss daran bespricht der Redner noch die in der Zeitschrift der Dampfkesseluntersuchungs- und Versicherungs-Gesellschaft zu Wien 1901, Heft 1, veröffentlichten Ergebnisse eines an einem Versuchs-Wasserrohrkessel, Bauart Rautenkranz, ausgeführten Heizversuches, bei dem eine Verdampfung von nicht weniger als 43,8 kg/qm erreicht worden war, was anscheinend gegen die allgemein verbreitete Ansicht über die sehr eng begrenzte Leistungsfähigkeit von Wasserrohrkesseln spricht. Aber dieses Ergebnis entbehrt bei näherer Betrachtung jeder Beweiskraft. Der Kessel ist bei 16,8 qm Heizfläche mit einem Ueberhitzer von 19 qm verbunden gewesen; trotz dieses ganz ungewöhnlichen Verhältnisses der Heizflächen von Ueberhitzer und Kessel wurde nur eine Ueberhitzung von 82° erzielt, sodass bei der sehr reichlich bemessenen Rostfläche von 0,9 qm nur die Erklärung übrig bleibt, dass ein sehr großer Teil des Wassers übergerissen und erst im Ueberhitzer verdampft wurde. Aus diesem Versuch ist also auf die wirkliche Leistung der Kesselheizfläche kein Schluss zu ziehen, und so giebt dieses Beispiel erneuten Anlass, sorgfältigste Prüfung solcher Heizversuchsergebnisse anzuerkennen. Einzelne, aus dem Zusammenhang gerissene Zahlen sind für Schlussfolgerungen meist wertlos.

Eingegangen 1. März 1901.

Pommerscher Bezirksverein.

Sitzung vom 12. Februar 1901.

Vorsitzender: Hr. Cornehlis. Schriftführer: Hr. Hamann.
Anwesend 20 Mitglieder und 1 Gast.

Nachdem geschäftliche Angelegenheiten erledigt sind, spricht Hr. Rudolph über die Bezeichnung der vertieften Fahrwinne zwischen Stettin und Swinemünde.

Am 15. September 1900 ist durch eine Verordnung des Regierungspräsidenten zu Stettin die Fahrwinne zwischen Stettin und Swinemünde für Schiffe bis 6,7 m Tiefgang freigegeben worden. Die Fahrwinne ist unterhalb der Baumbrücke im Stettiner Hafenbezirk 7,10 m, in der Oder und dem Haff 7,50 m, in der Kaiserfahrt 7,10 m tief. Die Sohlenbreite der Fahrwinne beträgt in der Oder 80 m, im Haff 150 m und in der Kaiserfahrt 70 m. Eine genaue Bezeichnung der Rinne ist für die tiefgehenden Fahrzeuge erforderlich. Man hat dabei zwischen Fahrzeichen für Sommer und Winter, für Tag und Nacht zu unterscheiden. Die Bezeichnung für die Tagesfahrt im Sommer ist am leichtesten und besten zu bewerkstelligen und besteht einerseits in Landmarken (Richtungsbaken), anderseits in Tonnen, und zwar liegen auf der Ostseite der Fahrwinne schwarze Spitztonnen, die getrennt für den Stettiner und den Swinemünder Bezirk der Reihe nach durch arabische Zahlen unterschieden sind; auf der Westseite liegen rote Spierentonnen, die mit lateinischen Buchstaben bezeichnet sind. Am Anfang und Ende der Krümmungen haben die Spierentonnen Toppzeichen, Flaggen, Körbe oder dergl. Im Winter haben sich die Tonnen nicht bewährt, da sie durch das Eis leicht verschleppt werden und dadurch zu Täuschungen Veranlassung geben. Die Richtungsbaken sind meist beleuchtet und bilden im Winter ausschliesslich, im Sommer in dunkeln Nächten, wenn die Tonnen nicht sichtbar sind, die Bezeichnung der Fahrwinne.

¹⁾ Z. 1898 S. 370.

²⁾ Z. 1901 S. 397.

³⁾ Z. 1901 S. 1047.

⁴⁾ Z. 1898 S. 867; 1899 S. 53.

⁵⁾ Z. 1901 S. 553.

¹⁾ Z. 1901 S. 156.

Bei den Richtungsbaken soll nach Stevenson die Entfernung des Unterfeuers von dem äußersten Punkte seines Wirkungskreises nicht mehr als das Sechsfache der Bakenentfernung betragen. Diese Bedingung ist allgemein innegehalten worden. Als untere Grenze des Sichtwinkels sind $5^{\circ} 30'$ durch Versuche ermittelt worden. Alle als Richtungsfeuer dienenden Unterfeuer sind Blinklichter oder werden in solche umgewandelt und geben schwarze und weiße Blinks. Andere Feuer zeigen zum Unterschied davon farbige Blinks.

Wenn man von der See kommt, so steuert man zunächst auf die vor dem Swinemünder Hafen liegende Anseglungstonne und folgt von dort aus der durch die demnächst auch beleuchteten Mühlen- und Gallerie-Baken gegebenen Richtung bis an den mit rotem Licht versehenen Ost-Moelenkopf, von wo aus man hinreichende Führung an den nahen Ufern hat, die noch durch einige weniger bedeutende Lichter unterstützt wird. Die Hauptaufgabe für die Beleuchtung bieten das Haff und das Papenwasser. Die rd. 20 km lange gerade Fahrinne über das Haff mit nur 150 m Sohlenbreite bietet eine der Beleuchtungstechnik bisher noch nicht vorgekommene Aufgabe. Eine gute Beleuchtung dieser Fahrinne ist um so bedeutsamer, als bei unsichtiger Luft die Tagesmarken nicht zu sehen sind; deshalb ist im Winter, wenn keine Tonnen ausliegen, die Nachtfahrt bei guter Beleuchtung für tiefgehende Schiffe noch am sichersten. Diese Rinne wird jetzt im Winter durch zwei Richtungsbaken von 18 und 56 m Höhe und 1100 m Entfernung an der Kaiserfahrt, die zusammen mit den beiden in 22 m Höhe beleuchteten Baken auf den Moelenköpfen am Haff eine vorzügliche Leitung geben, und durch zwei Richtungsbaken im Papenwasser von 15 und 38 m Höhe und 1800 m Entfernung beleuchtet. Die beiden Baken an der

Kaiserfahrt und die im Papenwasser sind zunächst versuchsweise mit elektrischen, durch Batterien gespeisten Glühlampen von niedriger Spannung beleuchtet, die in Glasparabolspiegeln von Wilhelm Weule in Goslar von 50 mm Brennweite und 220 mm Tiefe sitzen, welche die Strahlen von 250° des Kugelumfanges zusammenfassen. Mit 5 Normalkerzen wurde schon ein ziemlich gutes, mit 10 Normalkerzen ein recht branchbares Licht in den vorzüglichen Spiegeln erzielt.

Im Papenwasser macht die Fahrinne mehrfache Krümmungen, zu deren Bezeichnung 6 Paar Richtungsbaken und 3 farbig blinkende Einzelfeuer vorläufig aufgestellt sind. Von der Kaiserfahrt aufwärts bis Stettin wird die hier wenig breite Oder durch die Lichter der an ihren Ufern liegenden Fabrikanlagen und der Stadt Stettin hinreichend beleuchtet, sodass weitere Lichtfeuer nicht erforderlich sind.

Die ganze Beleuchtung der Fahrinne befindet sich noch im Versuchszustande, sowohl hinsichtlich der Zahl, Höhe, Entfernung usw. der Baken, als auch namentlich in Bezug auf die Lichtquellen. Es sind gegenwärtig Petroleumlampen, elektrisches Glühlicht und Acetylenlicht im Gebrauch, von denen das letztere in fünf im Fuß der Baken angeordneten Acetylen-Erzeugern verschiedener Art hergestellt wird. Ein endgültiges Urteil über die beste Lichtquelle hat noch nicht gefällt werden können.

In der Besprechung des Vortrages wird besonders der Grund der vielfachen Krümmungen der Fahrinne, die Beleuchtung der Zeichen sowie die Bedienung der Lampen erwähnt.

Hierauf spricht Hr. Beyer über die Nernst-Lampe¹⁾.

¹⁾ Z. 1898 S. 870; 1899 S. 842.

Bücherschau.

Ad. Wernickes Lehrbuch der Mechanik in elementarer Darstellung mit Anwendungen und Übungen aus den Gebieten der Physik und Technik. In zwei Teilen. Erster Teil: Mechanik fester Körper. Von Dr. Alex. Wernicke, Direktor der städtischen Oberrealschule und Professor an der herzogl. Technischen Hochschule zu Braunschweig. Vierte völlig umgearbeitete Auflage. Erste Abteilung: Kinematik — Phoronomie — Lehre vom materiellen Punkte. Braunschweig 1900, Friedrich Vieweg & Sohn. 314 S. gr. 8° mit 168 Fig.

Der erste Teil des vielen Älteren und jüngeren Technikern wohlbekannten Elementarlehrbuches der Mechanik ist von dem Sohne des ursprünglichen Verfassers umgearbeitet und in ein neues Gewand gekleidet worden. Dabei ist der elementare Charakter des Buches durchaus gewahrt worden.

Vor allem hat der neue Bearbeiter sein Augenmerk darauf gerichtet, die grundlegenden Betrachtungen in aller Ausführlichkeit und mit einer für den Techniker ausreichenden Schärfe zu behandeln und die Mechanik in streng logischer Folge aufzubauen, die im 3. und 4. Kapitel der Einleitung gewonnen wird. Man kann vielleicht mit diesem oder jenem in dieser Einleitung (z. B. der Begründung des Begriffes »Masse« als Menge der Materie = Volumen \times Dichte) nicht ganz einverstanden sein; jedenfalls ist es freudig zu begrüßen, dass man auch einmal in einem technischen Lehrbuche einige ausgiebigere Erörterungen über die Begriffe »Kraft« (statisch und dynamisch), »Gewicht«, »Masse« findet. Die erwähnte Einteilung lautet wie folgt:

- I) Phoronomie (reine Bewegungslehre ohne Massen- und Kraftbegriff)
 - 1) Grundbegriffe
 - 2) Richtungsgrößen
 - 3) Bewegung des starren Körpers
- II) Dynamik (Lehre von den Kräften)
 - 1) materieller Punkt
 - 2) Dynamik starrer Körper
 - a) Kräfte am starren Körper
 - b) Schwerpunkt
 - c) Statik (Ruhe unter dem Einfluss von Kräften)
 - a) Reaktionen
 - b) Reibung
 - d) Kinetik (Bewegung unter dem Einfluss von Kräften)

3) Dynamik fester Körper

- a) Elastizität und Festigkeit
- b) Stoß
- c) allgemeine Theorie der Maschinen

4) Dynamik flüssiger Körper von bleibendem und veränderlichem Volumen.

Das vorliegende erste Heft des ersten Teiles geht bis zur Dynamik des materiellen Punktes.

Als besonders bemerkenswert seien hervorgehoben: die sorgfältigen Untersuchungen über das Parallelogrammgesetz in Kapitel 2 und die eingehende Behandlung der Deviation (Abtritt bei Brauer) ebendasselbst; ferner der Satz von Coriolis über die Bestimmung der resultierenden Bewegung, wenn die Seitenbewegungen keine Verschiebungen sind, in Kapitel 3; hübsche Untersuchungen über die Planetenbewegungen, Wellenbewegungen, kinematisch-geometrische Behandlung verschiedener Kurven in Kapitel 4; im letzten Kapitel hauptsächlich das Zykloidenpendel und die Theorie der Radialturbine.

Der Verfasser arbeitet viel mit dem Begriff Vektor, was wegen der Anschaulichkeit sehr erwünscht ist; auch erscheint die Einführung eines besonderen Zeichens für geometrische Addition und Subtraktion, um die zeichnerisch so einfache Operation kurz andeuten zu können, gerechtfertigt. Zu weit geht aber meines Erachtens das auf Föppel zurückzuführende Bestreben, den Begriffen »äußeres und inneres Produkt zweier Vektoren« Eingang auch in die technische Mechanik zu verschaffen. Die Vektorenrechnung ist für den Techniker zu rein formal; für die praktische Ausrechnung (und die ist stets der Endzweck einer technischen Rechnung) leistet sie gar nichts. Schon die einfache Formel $\vec{P} + \vec{Q} = \vec{R}$ (+ und = für geometrische Addition und Gleichheit) muss für die Ausrechnung durch $R^2 = P^2 + Q^2 + 2PQ \cos(\angle P, Q)$ ersetzt werden. Gegen den Begriff »äußeres Produkt« möchte ich insbesondere einwenden, dass durch ihn der Begriff des Momentes einer Einzelkraft zu sehr in den Vordergrund gestellt wird gegenüber dem Moment eines Kräftepaares. Bei den praktischen Anwendungen treten aber wohl immer Kräftepaare auf, wenn es sich um Momente handelt (z. B. bei dem wagrecht eingespannten am Ende belasteten Stab die äußere Last und die Scherkraft im betrachteten Querschnitt; bei einem Zahnrade auf Welle der Zahndruck und die Resultante der Lagerreaktionen usw.). Zudem liegt die Einführung eines

Vektors (des Achsenmomentes) für das Kräftepaar infolge der bei der Zusammensetzung von Paaren hervortretenden Analogie zur Einzelkraft sehr nahe, während die Einführung des äußeren Produktes zweier Vektoren stets etwas Gekünsteltes enthält. Indessen werden die beiden Vektorenprodukte nur an wenigen Stellen des vorliegenden Buches benutzt.

Die den einzelnen Abschnitten beigegebenen Übungen sind lediglich Zahlenbeispiele.

Es sei noch hervorgehoben, dass die Figuren zum großen Teile sehr gut angeordnet und ausgeführt sind.

Hoffentlich erscheint der Rest des ersten Teiles, der unter andern auch die mehr technischen Gebiete Elastizität und Festigkeit bringen wird, recht bald. Es wird dann zweifellos ein Werk vorliegen, das sich den besten Lehrbüchern der technischen Mechanik an die Seite stellen kann.

Zweiter Teil: Flüssigkeiten und Gase. Von Richard Vater, Dozent an der kgl. Technischen Hochschule zu Aachen. Dritte völlig umgearbeitete Auflage. Braunschweig 1900, Friedrich Vieweg & Sohn. 373 S. gr. 8° mit 234 Fig.

Keine so durchgreifende Veränderung hat der zweite Teil, die Mechanik der flüssigen und gasförmigen Körper, erfahren. Der neue Bearbeiter hat sich vielmehr damit begnügt, die Darstellungsweise in den theoretischen Abschnitten thöricht zu vereinfachen und in den den Anwendungen behandelnden Teilen diejenigen Änderungen vorzunehmen, die durch die Entwicklung des Maschinenbaues seit dem Erscheinen der vorhergehenden Auflage im Jahre 1873 bedingt sind. Der Abschnitt über die Heißluftmaschine ist noch mehr gekürzt, dagegen eine ziemlich eingehende Besprechung der Viertaktgasmaschinen, der Petroleum- und Benzinmotoren, ja sogar einige kurze Bemerkungen über den Diesel-Motor eingefügt. Auch die de Lavalsche Dampfturbine ist aufgenommen; dagegen fehlt die immer mehr an Boden gewinnende Parsons-Turbine. Auf S. 108 findet sich übrigens bei Besprechung der Dampfwirkung in der Dampfmaschine ein Flüchtigkeitsfehler, der leider sehr häufig gemacht wird und deshalb erwähnt sei; es wird dort der Expansion (und auch der Kompression) das Gesetz $p v = \text{konst.}$ zugrunde gelegt und behauptet, dies bedeute isothermische Zustandsänderung; für den gesättigten Wasserdampf ist aber bekanntlich die Isotherme eine wagerechte Gerade und keine Hyperbel. Weitere Abschnitte der Anwendungen befassen sich mit den Wassersäulenmaschinen, den Pumpen (die dargestellten Ventilkonstruktionen sind übrigens teilweise nicht sehr mustergültig), den Gebläsen, den Strahlpumpen für Wasser und Dampf (Injektoren), den Wasserrädern, Turbinen, Kreiselpumpen und Ventilatoren. Wünschenswert wäre es, wenn bei einer etwaigen Neuauflage die guten alten Physikbüchern entnommenen Figuren mit ihren unendlichen Schraffuren und Schattierungen durch neue zeitgemäßere ersetzt würden.

Berlin.

F. Preufs, Dipl.-Ing.

Bei der Redaktion eingegangene Bücher.

Beiträge zur Praxis der Eisengießerei. Separatdruck aus der Eisen-Zeitung. Von Carl Rott. Berlin 1901, Otto Elsner. 32 S. 8° mit mehreren Figuren. Preis 1,50 M.

(Die Fortschritte in der Flusseisendarstellung für den Gießereibetrieb, die Gasfeuerungen für die Trockenkammern des Gießereibetriebes.)

Photographische Bibliothek. Nr. 13. Anleitung zur Projektion. Von Hans Schmidt. Berlin, Gustav Schmidt (vorm. Rob. Oppenheim). 121 S. 8° mit 56 Fig. Preis 2,50 M.

(Das Buch enthält praktische Angaben über die Projektionskamera, die verschiedenen Lichtquellen und ihre Bedienung, sowie über die Projektion lebender Bilder.)

Leitfaden der Landschafts-Photographie. Von Fritz Loescher. Berlin, Gustav Schmidt (vorm. Rob. Oppenheim). 162 S. 8° mit 24 Taf. Preis 3,00 M.

(Das rein Technische tritt mehr in den Hintergrund gegenüber den schwierigen und selten erörterten Fragen der künstlerischen Auswahl und Wiedergabe der Landschaftsbilder.)

Der städtische Tiefbau. Bd. III: Die Städtereinigung. Von F. W. Büsing. 2. Heft: Technische Einrichtungen der Städtereinigung. Stuttgart 1901, Arnold Bergsträsser. 265 S. 8° mit 563 Fig. Preis 24 M.

Zeitschrift für komprimierte und flüssige Gase sowie für die Pressluft-Industrie. Von Dr. M. Altshul und C. Heinel. Weimar, Carl Steinert. Monatlich ein Heft. Preis halbjährlich 8 M.

(Die im 5. Jahrgang stehende Zeitschrift beginnt mit dem neuen Jahrgang auch die Pressluft-Industrie zu bearbeiten, und bringt in dem ersten (April-)Heft einen Vortrag über die neueren Bestrebungen in der Erzeugung und Verwendung der Druckluft von Prof. Gutermuth.)

Die Elektrochemie und ihre weitere Interessensphäre auf der Weltausstellung in Paris 1900. Von Dr. W. Borchers. Halle a/S. 1901, Wilhelm Knapp. 107 S. mit 45 Fig. und 1 Taf. Preis 3,00 M.

(Erweiterte Ausgabe des in der »Zeitschrift für Elektrochemie« erschienenen Berichtes.)

Patentgesetz und Gesetz betreffend den Schutz von Gebrauchsmustern. 2. Aufl. Von Dr. A. Seligsohn. Berlin 1901, J. Gutentag. 557 S. gr. 8°. Preis 12 M.

Arbeiten der deutschen Landwirtschafts-Gesellschaft. Heft 57: Die notwendigsten Schutzvorrichtungen an den in landwirtschaftlichen Betrieben benutzten Maschinen. Von F. Schotte. Berlin 1901, Deutsche Landwirtschafts-Gesellschaft. 49 S. gr. 8°.

Das Pfandrecht der Bauhandwerker. Von Heinrich Freese. Leipzig 1901, Friedrich Emil Perthes. 340 S. kl. 8°. Preis 3,00 M.

Die Wärmeausnutzung bei der Dampfmaschine. Von W. Lynen. Berlin 1901, Julius Springer. 59 S. 8° mit 24 Fig. Preis 1 M.

Berichte über die Weltausstellung in Paris 1900. Herausgegeben vom k. k. Oesterreichischen General-Kommissariate. V. Band: Dampfkessel, Dampfmaschinen, Explosionskraftmaschinen, Turbinen. Wien 1901, Carl Gerolds Sohn. 83 S. mit mehreren Figuren und Tafeln.

Der elektrische Kraftwagen. Theoretisch-praktisches Handbuch für Konstruktion, Bau und Betrieb elektrisch bewegter Fahrzeuge. Von H. W. Hellmann. Berlin, Georg Siemens. 328 S. 8° mit 225 Fig. und einem Verzeichnis der elektrischen Zentralstationen Deutschlands. Preis 8 M.

Die Elektrolyse wässriger Metallsalzlösungen. Mit besonderer Berücksichtigung der in der Galvanotechnik üblichen Arbeitsweisen. Von Dr. Eduard Jordis. Halle a/S. 1901, Wilhelm Knapp. 137 S. 8° mit 11 Fig. und 2 Taf. Preis 4 M.

Sammlung elektrotechnischer Vorträge. 2. Band. 9. und 10. Heft. Das elektrische Blocksignal. System Kfz. Von Adolf Prasch. Stuttgart 1901, Ferdinand Enke. 414 S. gr. 8° mit 58 Fig. Preis 2,40 M.

Die Wirkungsweise, Berechnung und Konstruktion der Gleichstrom-Dynamomaschinen und Motoren. 2. Aufl. Praktisches Handbuch für Elektrotechniker, Konstrukteure und Studierende an techn. Mittel- und Hochschulen. Von Georg Schmidt-Ulm. Leipzig 1900, Oskar Leiner. 264 S. 8° mit rd. 200 Fig., 41 Taf., Konstruktions-skizzen und 1 Diagrammtafel. Preis geb. 9,00 M., brosch. 8,50 M.

Die Entwicklung des deutschen Warenzeichenwesens unter besonderer Berücksichtigung der Fabrik- und Handelsmarken der Eisen- und Stahlindustrie. Von M. Geitel. Berlin 1901, Otto Elsner. 19 S. Preis 0,60 M.

Leitfaden des Dampfbetriebes für Dampfkesselheizer und Wärter stationärer Dampfmaschinen, sowie für Fabrikbeamte und Industrielle. 5. Aufl. Von Josef Pechan. Leipzig und Wien 1901, Franz Deuticke. 481 S. 8° mit 267 Fig. und 8 Figurentaf. Preis brosch. 6 M., geb. 7 M.

Dynamomaschinen, ihre Berechnung und Konstruktion. 4. und 5. Heft. Von James P. Bradwell. Berlin, Potsdam, A. Steins Verlagsbuchhandlung. 44 S. gr. 8° mit Figuren und Tafeln. Preis pro Heft 2 M.

Brockhaus' Konversations-Lexikon. 14. vollständig neubearbeitete Auflage. Neue revidierte Jubiläumsausgabe. II. Band: Athen-Bisenz. Leipzig, Berlin, Wien 1901, F. A. Brockhaus. 1040 S. mit 58 Taf., 14 Karten und Plänen und 214 Fig.

Uebersicht neu erschienener Bücher.

zusammengestellt von der Verlagsbuchhandlung von Julius Springer, Berlin N., Monbijouplatz 3.

- Mechanik.** Barber, F. M. The mechanical triumphs of the ancient Egyptians. London 1901. Paul, French, Trübner & Co. Preis 3 sh. 6 d.
- Berg, Heinrich. Handbuch des Maschinentechnikers. (Bernoulli's Vademecum des Mechanikers. 22. Aufl.) Nachschlagebuch für Techniker, Gewerbetreibende und technische Lehranstalten. Stuttgart 1901. A. Bergsträsser. Preis 6 M.
- Charnock, G. F. Exercises in graphic statics. Part II: Beams and girders. London, Manchester and Newcastle-on-Tyne 1901. J. Halden & Co.
- Cotterill, J. H. Applied mechanics. Elementary general introduction to the theory of structures and machines. 3. edit. London 1901. Macmillan. Preis 18 sh.
- Köbler, J. Beitrag zur Knet-Elastizität und -Festigkeit. (Aus »Zeitschrift für Mathematik und Physik.«) Leipzig 1901. B. G. Teubner. Preis 0,90 M.
- Löser, B. Hilfsbuch zur Aufertigung der im Hochbau vorkommenden statischen Berechnungen. Dresden 1901. Gilders. Preis 5 M.
- Ostenfeld, A. Teknik statik. 1. del. Kopenhagen 1901. Gjelstrup. Preis 10 kr. 50 ø.
- Rankine, William John Macquorn. A manual of civil engineering. 21. ed. Thoroughly revised by W. J. Millar. London 1901. C. Griffin. Preis 16 sh.
- Roberts, H. A. A treatise on elementary dynamics, dealing with relative motion in two dimensions. London 1901. Macmillan & Co. Preis 4 sh. 6 d.
- Slate, Frederick. The principles of mechanics. Part I. New York 1901. The Macmillan Co. Preis 7 sh. 6 d.
- Weickert, A., und R. Stollé. Praktisches Maschinenrechnen. Eine Zusammenstellung der wichtigsten Erfahrungswerte aus der allgemeinen und angewandten Mechanik in ihrer Anwendung auf den praktischen Maschinenbau. 4. Aufl. Berlin 1901. Polytechn. Buchh. A. Seydel. Preis 4,80 M.
- Metallbearbeitung.** Brohier, E. Traité de la chaudronnerie industrielle en cuivre et en fer. Paris 1901. E. Bernard & Cie. Preis 10 frs.
- Codron, C. Travail des métaux dans les ateliers de construction mécanique. Outils et machines outils. Paris 1901. Bernard. Preis 75 frs.
- Diegel. Röhrenfabrikation. Die verschiedenen Methoden zur Herstellung von Röhren aus Eisen, Kupfer und Kupferlegierungen, und der Einfluss einiger Methoden auf die Festigkeitseigenschaften des Materials. Berlin 1901. Simon. Preis 5 M.
- Gages, L. Travaux des métaux dérivés du fer. Paris 1901. Manson & Co. Preis 2 frs. 50 c.
- Hart, John W. Hints to plumbers on joint wiping, pipe bending and lead burning. 3rd ed., revised and enlarged. London 1901. Scott, Greenwood & Co. Preis 7 sh. 6 d.
- Marshall, P. Practical lessons in metal turning. London 1901. Dawbarn. Preis 2 sh.
- Motorwagen und Fahrräder.** Farman, Maurice. Manuel pratique du constructeur d'automobiles à pétrole. Paris 1901. Tignol. Preis 9 frs.
- Forestier, G. Essai d'une étude didactique des conditions d'établissement d'une voiture à traction mécanique sur routes. Paris 1901. Béranger. Preis 7 frs. 50 c.
- Gildner, Hugo. Konstruktion und Betriebsergebnisse von Fahrzeugmotoren für flüssige Brennstoffe. Mit einem theoretischen Teil: Berechnung der Motorleistung und des Kraftbedarfes von Motorwagen, und einem Anhang: Leistungsversuche an Fahrzeugmotoren. (Aus »Zeitschrift des Vereines deutscher Ingenieure.«) Berlin 1901. J. Springer. Preis 4 M.
- Müllerei.** Stockli, James P. Der Bau der Getreide-Mahlmühlen. Lehr- und Handbuch des Mahl-möhlen-Bauens. 1. Teil. Arbeitspläne zur Anlage von Getreideputzereien, Weizen-, Roggen- und Maismühlen verschiedener Systeme, Postenmüllerei, halbautomatisch und automatisch und für Leistungen von 2500 bis 100000 kg in 24 Stunden. Leipzig 1901. M. Behrler. Preis 6 M.
- Physik.** Bolton, Henry Carrington. Evolution of the thermometer, 1592–1748. Easton, Pa. 1901. The Chemical Publishing Co. Preis \$ 1.
- Deschanel's natural philosophy. Part III: Electricity. By J. D. Everett. London, Glasgow and Dublin 1901. Blackie & Son. Preis 4 sh. 6 d.
- Gray, P. L. The principles of magnetism and electricity. London 1901. Methuen. Preis 3 sh. 6 d.
- Hagenbach, E. Der elektromagnetische Rotationsversuch und die unipolare Induktion. Basel 1901. Lendorff. Preis 2 M.
- Looser. Versuche aus der Wärmelehre und verwandten Gebieten mit Benutzung des Doppel-Thermoskops. 2. Aufl. Anhang: Ein neuer Wärmeleitungsapparat, ein hydromechanischer Apparat. Essen 1901. H. G. Geck. Preis 3 M.
- Poincaré, H. Électricité et optique, la lumière et les théories électrodynamiques. 2^{ème} éd., revue et complétée par J. Blondin et E. Nœlles. Paris 1901. Georges Carré & C. Nand. Preis 22 frs.

Zeitschriftenschau.¹⁾

(* bedeutet Abbildung im Text.)

Selenchtung.

Elements of Illumination. XXVIII. Von Bell. (El. World 20. Juli 01 S. 98/99*) Lampen und Vorrichtungen zur Theaterbeleuchtung.

Bergbau.

Versuche und Verbesserungen beim Bergwerkbetriebe in Preußen während des Jahres 1900. (Z. Berg-Hütten-Sal.-Wes. 01 Heft 2 S. 288/350* mit 5 Taf.) Gewinnungsarbeiten: Sprengarbeit und Schrämarbeit. Betrieb der Baue. Grubenausbau. Wasserhaltung. Förderung und Verladung: Streckenförderung, Bremsbergförderung, Schachtförderung, Tageförderung. Grubenbeleuchtung: Wetterführung; Unschädlichmachung des Kohlenstaubes. Ein- und Ausfahrt. Erzaußbereitung. Kohlenaußbereitung. Kokabereitung. Bricketherstellung. Dampfkessel und Dampfmaschinen. Salinenbetrieb. Verschiedenes.

Zukunft und Ziele der Schachthobertechnik. Von Schneiders. (Glückauf 27. Juli 01 S. 641/52 mit 2 Taf.) Eingehende Erörterung der Uebelstände des bisher fast allgemein angewendeten Kind-Chaudronischen Stoßbohrverfahrens. Vorschlag, zum Bohren der Schächte ständig arbeitende Drehbohrer mit augeförmigen Arbeitsflächen anzuwenden und den Bohrerhohlraum durch Saugbagger zu entfernen. Darstellung der zu diesem Verfahren erforderlichen Maschinen und Vorrichtungen und des Arbeitsganges.

Fördererichtung mittels Mehlenbremsen an der Hängebank eines ausziehenden Wetterschachtes. (Glückauf 27. Juli 01 S. 653/54*) Darstellung der auf Schacht III der Zeche Rheinpreußen eingerichteten Anlage, durch die 100 Wagen i. d. Std. leicht gefördert werden können.

Les appareils de sécurité à l'Exposition de 1900. Von Schmerber. Forts. (Génie civ. 20. Juli 01 S. 193/95* u. 27. Juli 01 S. 207/09*)

Sicherheitsthüren für Aufzüge in den Bergwerken von Böhme und Lens. Aufsatzvorrichtungen für Aufzüge in Lens. Sicherheitsthür. Bauart Warocqué. Sicherheitsvorrichtungen an Kippwagen. Forts. folgt.

Chemische Industrie.

L'oxygène industriel. Von Pictet. (Mém. Soc. Ing. Civ. Joni 01 S. 878/905*) Neuere Verfahren zur Trennung der Bestandteile der Luft. Anwendung des Sauerstoffes in der Metallindustrie, in der chemischen Industrie und in der Gesundheitspflege. Verwendung des Sauerstoffes zur Beleuchtung und Herstellung von Wassergas.

Dampfkräftenanlagen.

Reparatur eingebauter Flammrohre. Von Carlo. (Mitt. Prax. Dampfkr. Dampfkr. 24. Juli 01 S. 538/41) Beschreibung einiger Flammrohrverbesserungen, die mit der vom Magdeburger Revisionsverein beschafften Wasserdampfdruckpresse vorgenommen wurden. S. a. Zeitschriftenschau v. S. Nov. 1900 »Flammrohrreparatur«.

Eisenbahnen.

Ueber elektrische Voll- und Schnellbahnen. Von Schiemann. (Elektrot. Z. 26. Juli 01 S. 595/98*) Zusammenfassender Fachbericht über die bisherigen Arbeiten und Entwürfe. Personen- und kurze Güterzüge mit häufiger Zugfolge. Die Arbeiten der Studiengesellschaft für elektrische Schnellbahnen. Entwürfe für elektrische Vollbahnen in Belgien, Italien, Frankreich, Österreich-Ungarn und Russland. Verschiedene Stromführungsarten. Erhöhung der Fahrgeschwindigkeiten bei Dampftraktion.

Note sur la construction de la ligne de Toul à Pont-Saint-Vincent. Von Deschamps. Forts. (Rev. gén. Chem. de Fer Juli 01 S. 3/33* mit 5 Taf.) Gemeinarte Abwasserkanäle und Tunnel. Eisenkonstruktionen. Forts. folgt.

Le Métropolitain de Paris. Von Dumas. (Génie civ. 20. Juli 01 S. 195/97*) Lageplan des Bahnnetzes und Angaben über die neuen Linien. Konstruktion der elektrisch betriebenen Motorwagen.

¹⁾ Die Zeitschriftenschau wird, nach den obigen Stichwörtern in Vierteljahrsheften zusammengefasst und geordnet, besonders herausgegeben, und zwar zum Preise von 3 M. pro Jahrgang für Mitglieder, von 10 M. pro Jahrgang für Nichtmitglieder.



Die neuen Linien der Rhtischen Bahn. Von Hennings. Schluss. (Schweiz. Bauz. 27. Juli 01 S. 41/43*) Linie Reichenau Hans. Les locomotives autrichiennes à l'Exposition de 1900. Von Barbier. (Rev. gén. Chem. de Fer Juli 01 S. 59/61* mit 3 Taf.) Lokomotiven der österreichisch-ungarischen Staatsbahnverwaltungen, der Lokomotivfabrik in Wiener-Neustadt, Floridsdorf und von Kraus & Co. in Linz.

American locomotives in England. III. (Engineer 26. Juli 01 S. 88/89) Erörterung der Ursachen, weshalb die Reparaturkosten bei amerikanischen Lokomotiven größer sind als bei englischen.

Manutention mécanique des bagages dans la gare du Quai d'Orsay. Von Pons. (Rev. gén. Chem. de Fer Juli 01 S. 34/36* mit 2 Taf.) Schilderung der elektrisch betriebenen Gepäckaufzüge, Konstruktionseinzelheiten und Vergleich der verschiedenen Bauarten.

Increasing the revenue train-load by large capacity cars and improvements in car details. Von Gaines. (Eng. News 18. Juli 01 S. 47) Verminderung des Zuggewichtes durch Anwendung einzelner großer Güterwagen anstelle vieler kleiner. Ausrüstung von Güterwagen mit Drehgestellen. Anordnung von Bremsen an Güterwagen. Meinungsaustausch.

Weichen- und Signaleinrichtung mittels Luftdruck. Von Rank. (Z. österr. Ing.- u. Arch.-Ver. 19. Juli 01 S. 498/501*) Beschreibung der in Paris ausgestellt gewesenen Druckluftsteuerung für Weichen- und Signaleinrichtung, Bauart Dodgeon. Darstellung der Steuer-ventile und -schieber und Erörterung der Wirkungsweise.

Appareils répéteurs sur la machine des signaux optiques. Von Mémard. (Rev. Ind. 27. Juli 01 S. 295/96 mit 1 Taf.) Eingehende Beschreibung einer von Conin, Rochatte und Soubrier konstruierten Vorrichtung, die zwischen den Schienen eines Gleises angeordnet wird und durch Berührung mit einem an der Lokomotive angebrachten Kontaktdraht auf dieser ein Knallsignal ertönen lässt, wenn das Haltsignal überfahren ist.

Eisenhüttenwesen.

The Baker stock indicator for blast furnaces. (Iron Age 18. Juli 01 S. 13*) Bei den Hochofen der Illinois Steel Company wird eine einfache Vorrichtung benutzt, um die Füllung des Hochofens festzustellen und anzuzeigen, wann neu beschickt werden muss. Ein 25 mm starker rd. 9 m langer Eisenstab ruht auf der Hochofenfüllung auf und ist an einem über mehrere Rollen geleiteten Seil befestigt, dessen anderes Ende einen Zeiger trägt, der an der Hüttensohle über einer Skala spielt. Der Stab ist mit dem Lichtglockenaufzug so verbunden, dass er beim Senken der Glocke zum Einfüllen einer neuen Gicht ausgehoben und erst beim Schließen der Glocke wieder in den Hochofenschacht gesenkt wird.

Wire rope works at Wakefield. II. (Engineer 26. Juli 01 S. 98/100*) Schilderung des Arbeitsverfahrens.

By-product coke ovens in the United States. Von Scheinwind. (Iron Age 18. Juli 01 S. 14/15*) Für die Maryland Steel Company ist eine neue Koksofenanlage im Bau, die kurz beschrieben wird. Bemerkenswert ist, dass die Öfen auf einem eisernen Trägerrost, der von Säulen gestützt ist, ruhen. Dadurch sind sie auch von unten bequem zugänglich gemacht.

Eisenkonstruktionen, Brücken.

Die Straßenbrücke über die Süderelbe bei Harburg. Von Narten und Müller. Schluss. (Z. Bauw. 01 Heft 7/9 S. 422/31*) Grundzüge der statischen Berechnung der Hauptbogen und der Stützrahmen. Tragwerk der Flutbrücken. Aufstellung. Baukosten.

The Boone viaduct. (Eng. Rec. 13. Juli 01 S. 29/31*) Der zweigleisige Viadukt führt die Chicago and North Western Railway über den Des Moines-Fluss. Die Länge des Bauwerkes beträgt 820 m, die größte Höhe 56,5 m. Der eisernen Ueberbau besteht, abgesehen von einer 91,5 m langen Fachwerkbauweise mit eigenartigem Ausfüllsystem, aus Blechträgern und ruht auf 21 eisernen Gerüstpfählen, einem Pendelbock und zwei gemauerten Pfeilern.

Chute par gauchissement d'un pont démontable. Von Férissé. (Mém. Soc. Ing. Civ. Juni 01 S. 823/47* mit 1 Taf.) Untersuchung der Ursachen des Zusammenbruchs einer eisernen, einseitigen Eisenbahnbrücke, die mit einer Öffnung von 45 m den Adour überspannte.

Notes sur le viaduc de Mussy. Von Pouthier. (Ann. Ponts Chauss. 01 1. Vierteljahr S. 235/74* mit 4 Taf.) Der gemauerte Thalübergang mit halbkreisförmigen Gewölben hat eine Gesamtlänge von 561 m und ruht auf 17 Pfeilern. Im Grundriss besteht der Viadukt aus einem mittleren geradlinigen Teil und zwei an den Seiten anschließenden Kreisbogen von 450 und 500 m Halbmesser. Eingehende Darstellung des gesamten Bauwerkes, der Vorarbeiten und des Bauvorganges.

Concrete-steel bridge and culvert construction on the Illinois Central R. R. (Eng. News 18. Juli 01 S. 43/47* mit 1 Taf.) Darstellung verschiedener Zement-Eisen-Konstruktionen im Zuge der Illinois Central R. R. Beschreibung der Bauweise und Vorschriften für die Zusammensetzung des Zementes.

Structural details of the Manhattan Railway power house, New York. (Eng. Rec. 13. Juli 01 S. 85/97*) Einzelheiten

der Eisenkonstruktionen an dem genannten Kraft Hause Säulen- und Deckenkonstruktion im Kesselhaus, Konstruktion der Kohlenbunker, Säulen und Kranträger im Maschinenhaus, Dachstuhl.

Elektrotechnik.

Excursion en Suisse des élèves de l'École des Ponts et Chaussées. Les Usines de la Vallée de l'Aarose. Von Halting. (Ann. Ponts Chauss. 01 1. Vierteljahr S. 163/96*) Beschreibung der Wasser- und Gefälleverhältnisse der Aarose. Darstellung der Kraftwerke im Val-Travers, auf dem Champ du Moulin, in Combe-Garrot, Neuchâtel und Lausanne.

The influence of the load factor on the design and operation of a lighting and power system. (El. World 20. Juli 01 S. 97/98) Bericht von Robertson vor der Canadian Electric Association über die Gestaltung des Betriebes von gemischten Beleuchtungs- und Kraftübertragungsanlagen mit mehrphasigem Wechselstrom in nördlich gelegenen Gegenden, wo die Zeiten der größten Belastungen für Licht- und Kraftbetrieb teilweise zusammenfallen.

New high tension work of the Niagara Falls Power Company. (El. World 20. Juli 01 S. 94/95*) Darstellung der Schalter, Stromunterbrecher, Sicherungen und ihrer Anordnung auf den Schaltbreitern. Alle Vorrichtungen sind in den Niederspannungs-Stromkreise eingeschaltet.

Western practice in long distance transmission. II. (El. World 20. Juli 01 S. 95/96*) Schalter und Schaltvorrichtungen.

Ueber die Kraftlinienverteilung in Nutenankern bei stark gesättigten Zähnen und die Bestimmung der zugehörigen magnetomotorischen Kraft, wie des minimalen Luftabstandes. Von Dick. (Elektrot. Z. 25. Juli 01 S. 59/601*) Die Untersuchungen führen zu den Sätzen, dass der Luftabstand auf das kleinste mechanisch zulässige Maß beschränkt und dass die sonst für den Luftraum verwendete Erregerarbeit auf die Überwindung des magnetischen Widerstandes der sehr hoch gesättigten Zähne übertragen werden soll.

The reactance drop and reactance factor of transformers. Von Kennelly. (El. World 20. Juli 01 S. 92/94*) Es wird ein Verfahren angegeben, um aus dem induktiven Spannungsabfall eines Transformators oder aus dem Quotienten aus dem ohmschen und dem induktiven Spannungsabfall den Leistungsfaktor des Transformators bei verschiedenen Phasenverschiebungen zu bestimmen. Das Verfahren ist umkehrbar.

Die Ladung von Freileitungen mit statischer Elektrizität und deren Ableitung. Von Müller. (Elektrot. Z. 25. Juli 01 S. 601/03*) Erörterung der Vorgänge beim Laden der Leitungen insbesondere durch die Induktionswirkung atmosphärischer Entladungen. Besprechung der bekannten Schutzvorrichtungen. Hörner- und Kreuzsicherung. Induktionspolen. Erdleitungen.

Ueber den Einfluss der Sauerstempertur auf die Kapazität des Bleiakkulators. Von Schoop. Schluss. (Z. f. Elektrot. Wien 28. Juli 01 S. 362/64*) Versuche mit schwacher Säurelösung. Die bisherigen Ergebnisse lassen das Erwärmen der Säure zum Erhöhen der Kapazität als nicht vorteilhaft erscheinen.

Der neue Edison-Akkumulator. (Dingler 27. Juli 01 S. 469/74*) Darstellung und kritische Besprechung des Akkulators. Vorbereitung der Stoffe zur Herstellung. Erörterung der Eigenschaften anhand der in Zeitschriftenschau v. 22. Juni 01 erwähnten Untersuchungen von Kennelly.

Erd- und Wasserbau.

Notes sur une drague à pétrole pour dragages d'entretien. Von Wender. (Ann. Ponts Chauss. 01 1. Vierteljahr S. 275/86) Angaben über einen bei den Arbeiten auf der Seine benutzten kleinen Hagger mit Antrieb durch Petroleummotor. In einem Anhang wird der Lieferungsvertrag mit dem Erbauer des Baggers mitgeteilt.

Der Bau des Dortmund-Ems-Kanals. Forts. (Z. Bauw. 01 Heft 7/9 S. 431/52*) Die Schleusen: Allgemeines, einfache Kammer-schleusen, Sparschleusen, Schloppschleusen mit gemauerten und geböchten Wänden, Schleuse bei Oldersum, Schleuse bei Borsum, Schleuse im Verbindungskanal bei Emden. Forts. folgt.

The progress of Penarth Dock. (Engineer 26. Juli 01 S. 91/92*) Allgemeines über die Hafenanlagen in Penarth und Beschreibung der Kohlenladevorrichtungen.

The Third Street concrete and brick-lined tunnel, Los Angeles, Cal. Von Quinton. (Eng. News 18. Juli 01 S. 84/87*) Der Tunnel ist unter einer Straße durchgeführt und enthält einen Fuß- und einen Fahrweg. Der halbkreisförmige Querschnitt hat rd. 9,7 m Dmr. Bericht über die Bauausführung.

Gasindustrie.

Die Inbetriebsetzung des städtischen Zentralgaswerkes Wien. Von Wobbe. (Journ. Gasb. Wasserv. 27. Juli 01 S. 541/44*) Erörterung der Gründe, welche die Vorichtsmaßnahmen bei dem Neubetrieb des Werkes und des Leitungsnetzes bedingten. Kurze Angaben über den ersten Betrieb.

Heizung und Lüftung.

Der Dampfkreislauf von A. Krantz in Aachen. Von Pakusa. (Gesundheitsing. 31. Juli 01 S. 221/22*) Ergänzung zu dem in Zeitschriftenschan v. 11. Mai und 1. Juni 01 aufgeführten Aufsatz von Marr: Ueber Fabrikheizungen.

Zum Luftumwälzungsverfahren für Niederdruckdampf-Heizungskörper. Von Steiner. (Gesundheitsing. 31. Juli 01 S. 221) Meinungsaussatz zu dem in Zeitschriftenschan v. 1. Juni 01 erwähnten Aufsatz: Zum Luftumwälzungsverfahren für Niederdruckdampf-Heizkörper der Firma Gebr. Korting.

Volume of water in hot-water heating apparatus. (Eng. Rec. 13. Juli 01 S. 39) Auszug aus einem Vortrage von Mackay vor der American Society of Heating and Ventilating Engineers. Der Redner behandelt die Frage, wieviel Wasser man auf die Einheit der Oberfläche der Heizkörper rechnen soll.

Zur Theorie der Rippenheizkörper. Von Schroeter. (Gesundheitsing. 31. Juli 01 S. 219/21*) Erwiderung auf die in Zeitschriftenschan v. 16. März 01 erwähnte gleichbenannte Abhandlung von Rothgiefser.

Tests of radiators with superheated steam. (Eng. Rec. 13. Juli 01 S. 39/40) Die Versuche von Prof. Carpenter ergaben eine sehr gleichmäßige Wärmeübertragung pro Grad Temperaturunterschied bei Dampfdrücken von 0,14 bis 0,7 at.

The power plant of the Newark Public Library. (Eng. Rec. 13. Juli 01 S. 38/39*) Berichtung der Darstellung der Heizanlage in dem genannten Gebäude. S. Zeitschriftenschan v. 8. Aug. 01

Lager- und Ladevorrichtungen.

Einrichtungen zur Beförderung und Lagerung von Kohlen, Koks und Reinkornmasse für Gasanstaltsbetrieb. Von Buhle. Forts. (Journ. Gas- u. Wasserv. 27. Juli 01 S. 544/45*) Schlepprieme für Koks von Brouwer. Forts. folgt.

Fire proof grain elevators in America. Von Kennedy. (Eng. News 18. Juli 01 S. 42/43) Kritische Besprechung verschiedener Konstruktionen von Aufgusschächten für Getreide: Viereckige Schächte aus Stahlplatten; zylindrische Schächte aus Stahlplatten, aus Ziegeln durch Eisenträger verstärkt und aus Zement-Eisen-Konstruktion

Luftschiffahrt.

The Santos-Dumont navigable balloon. (Engineer 26. Juli 01 S. 89/91*) Beschreibung des Luftschiffes und kurzer Bericht über die Probefahrten.

Materialkunde.

Rationelle Durchführung der Materialprüfung. Von Rejto. Forts. (Baumaterialienk. 01 Heft 15 S. 384/85*) S. Zeitschriftenschan v. 8. Aug. 01. Forts. folgt.

Ueber den Einfluss von Zeit und Temperatur auf die mechanischen Eigenschaften der Metalle und auf die Materialprüfung. Von Le Chatelier. Forts. (Baumaterialienk. 01 Heft 15 S. 229/32*) Darstellung einer Vorrichtung zum Prüfen von Kupfer bei Temperaturen von über 250° C. Ausführung und Ergebnisse der Versuche. Forts. folgt.

Mechanik.

Étude sur la résistance des barrages en maçonnerie. Von Ruffieux. (Ann. Ponts Chaus. 01 1. Vierteljahr S. 197/234* mit 1 Taf.) Ermittlung eines trapezförmigen Normalquerschnittes für Stau-mauern. Einfluss der Gewölbeform; Berechnung einer gewölbeartigen Stau-mauer; Berechnung der Widerlager; Verstärkung durch einlegte Eisenträger; Anwendung auf ein Zahlenbeispiel. Schlussfolgerung.

Messgeräte und -verfahren.

Wirbelstrombremsen. Von Feufner. (Elektrot. Z. 26. Juli 01 S. 608/11*) Wirkungsweise der Wirbelstrombremsen. Vorzüge vor Reibungsbremsen. Angaben über die Bremsen von Pasqualini, von Grau und von Rieter. Darstellung der Wirbelstrombremsen der Physikalisch-Technischen Reichsanstalt. Folgerungen für die Verbesserung der Konstruktion aus den vorliegenden Betriebs- und Versuchsergebnissen.

Permeameter von Lamb und Walker. (Z. f. Elektrot. Wien 26. Juli 01 S. 364/66*) Mit dem dargestellten Gerät wird die Permeabilität bestimmt, indem der magnetische Widerstand eines Probekörpers mit dem einer Luftstrecke von gleichbleibendem Querschnitt aber veränderlicher Länge verglichen wird. Handhabung des Gerätes und Ausführung der Messungen. Versuchsergebnisse.

Some tests of very large water meters. (Eng. Rec. 13. Juli 01 S. 32) Da der Wasserbedarf bei der Prüfung großer Wassermesser sehr erheblich ist, so ist in der Prüfungsanstalt der National Meter Company in Brooklyn Vorsorge getroffen, dass das abfließende Wasser immer wieder benutzt wird. Ergebnis einer Prüfung mit der neuen Einrichtung.

Metallbearbeitung.

J. E. Reineckers Werkzeugmaschinen. Von Progl. Schluss. (Dingler 27. Juli 01 S. 477/84*) Randschleifmaschine. Stehende Hohl-schleifmaschine.

Machinery at the Pan-American Exposition. I. (Iron Age 18. Juli 01 S. 9/10*) Schaubilder zweier elektrisch betriebener Säulen-bohrmaschinen, einer Radialbohrmaschine und einer Drehbank mit Elektromotorantrieb, sämtlich von der Prentice Bros. Company in Worcester, Mass.

Light lathes and screw machines. Von Ashford. (Proc. Inst. Mech. Eng. Febr./März 01 S. 259/369* mit 33 Taf.) Ausführliche Wiedergabe des in Zeitschriftenschan vom 9. März 01 u. f. erwähnten Vortrages mit anschließendem Meinungsaustausch.

Winkeltisch für Drehbänke. (Z. Werkzeugm. 25. Juli 01 S. 468*) Der Winkeltisch wird auf dem gewöhnlichen Bettschlitten der Drehbank befestigt und erleichtert in hohem Maße das Aufspannen von Cylindern, Lagern usw., die auf der Drehbank ausgebohrt werden sollen.

Cincinnati universal miller with positive feed. (Am. Mach. 27. Juli 01 S. 783*) Das neue Modell der bekannten Fräsmaschine zeichnet sich durch den Fortfall sämtlicher Riemen aus. Die Bewegung wird von der Arbeitspindel auf die Schaltspindeln durch Kegelräder, starre Wellen und Norton'sche Stufenrädervorgelege übertragen.

A new shaper. (Am. Mach. 27. Juli 01 S. 776/77*) Die von der Cincinnati Shaper Company in Cincinnati, O., gebaute doppelte Fellmaschine zeichnet sich durch ihre Verschiebvorrichtungen aus. Die beiden Schlitten haben 2 getrennte Leitspindeln, aber eine gemeinsame Zahnstange.

Filing machine. (Am. Mach. 27. Juli 01 S. 780/81*) Die von den Cochrane-Hy Machine Works in Rochester, N. Y., gebaute Maschine trägt eine in einen Bogen eingespannte Felle, die durch Kurbel- und Pleuellstange in lotrechter Richtung auf- und abwärts bewegt wird. Die forging. VI. Von Horner. (Eng. 26. Juli 01 S. 105/06*) Das Schmieden flacher oder flanschförmiger Enden von Maschinen-teilen.

Punching and forming heavy blanks in one operation. Von Doran. (Am. Mach. 27. Juli 01 S. 783/86*) Darstellung des Stempels und der zugehörigen Matrize zur Herstellung gebogener Metallgegenstände aus starkem Blech.

Zur Frage der Wirkungsweise des Taylor-White- und des Böhrler-Rapid-Stahles. Von Kick. (Baumaterialienk. 01 Heft 15 S. 227/29*) Die in Zeitschriftenschan v. 29. Dez. 1900 erwähnte Reulenausgabe Auffassung, dass der Span durch den Stahl abgespalten werde, wird bestritten. Der Taylor-White-Stahl wirkt nach den Beobachtungen des Verfassers ebenso wie gewöhnliche Drehstähle.

Motorwagen und Fahrräder.

Light oil-motor cars. IV. Von Longridge. (Engineer 26. Juli 01 S. 81) Regulierung des Motors. Konstruktionen von Einzel-teilen.

Papierindustrie.

Der Holländer. Von Hausner. Forts. (Dingler 20. Juli 01 S. 456/59* u. 27. Juli S. 474/77*) Auswertung der Versuche über die Stoffverdrängung: Widerstandsziffern, Widerstände im kurzen kegelförmigen Auslaufrohr, Reibungsziffern. Forts. folgt.

Pumpen und Gebläse.

Elektrisch betriebene Wasserhaltung der Zeche Kaiserstuhl II bei Dortmund. Von Weizenmiller. (Glockauf 20. Juli 01 S. 625/36*) Die unterirdische Wasserhaltungsmaschine ist für 5 cbm/min bei 400 m größter Teufe berechnet. Der Tauchkolbendurchmesser beträgt 225 mm, der Hub 600 mm. Die Maschine macht 75 Uml./min und ist als einfachwirkende Drillingspumpe mit Kurbeln unter 120° angeordnet. Zum Betriebe dient ein Drehstrommotor von 570 PS der Maschinenfabrik Oerlikon. Kurze Beschreibung der Primäranlage.

Pompe a grande vitesse, système Fafeur. Von Chevillard. (Rev. Ind. 27. Juli 01 S. 293/94*) Die Firma Xavier Fafeur in Carcassonne baut eine sehr gedrängte schnelllaufende Pumpe, die 2 unter 90° gegen einander geneigte doppeltwirkende Cylinder hat. Die Druckventile sind als Kugelventile ausgebildet. Die Pumpe wird für Druckhöhen bis 100 m und für Leistungen bis 160 cbm/min bei bis zu 300 Uml./min ausgeführt. Angaben über eine stehende Differentialpumpe derselben Firma.

Die neuen Luftkompressoren in Fribourg. Von Divis. Forts. (Centr. Z. Berg- u. Hüttenw. 20. Juli 01 S. 394/97 u. 27. Juli S. 408/12) Vergleich der Leistungen bei verschiedenen Umlauffzahlen. Berechnung der Kosten der Windlieferung. Einfluss der Umlauffzahl auf die Leistung und Betriebsergebnisse der Kompressoranlage des Albertschachtes. Beschreibung der neuen Verbundkompressoren, Bauart Riedler. Schluss folgt.

Schiffs- und Seewesen.

New protected cruisers for the United States navy. (Engineer 26. Juli 01 S. 87/88*) Die Schiffe sollen 130 m lang und 20 m breit werden und bei 7 m Tiefgang 9700 t verdrängen. Mittels zweier Dreifach-Expansionsmaschinen von zusammen 21000 PS soll eine Geschwindigkeit von 22 Knoten erreicht werden.





Pumpe durch Röhren mit dem Ölbehälter und den Dynamometercylindern und überdies mit einem Gefäße für das aus den Cylindern durch Undichtheiten entweichende Tropöl in Verbindung. Dadurch ist es ermöglicht, mittels Druckluft das Öl aus den Dynamometercylindern und aus dem Tropölgefäße in den Hauptölbehälter zurückzudrücken und auch das Füllen der Cylinder zu beschleunigen.

Zwei mit dem Dynamometer aufgenommene Original-Diagramme geben die Figuren 8 und 9 wieder.

Auf jedem Diagramm sind 4 Linien eingetragen; zunächst

diagramme auf der Lokomotive betrauten Personen durch Niederdrücken eines Knopfes geschlossen. Das Registrirmanometer (Bauart Richard) muss vor jeder größeren Versuchsreihe mithilfe des Zeigermanometers geeicht werden, wodurch auch die Lage der Grundlinie festgelegt wird.

Die besonders in Fig. 8 auftretenden Schwingungen des Schreibstiftes können durch Drosselung mittels des Eingangsventiles zum Registrirmanometer gemildert werden; jedoch geschieht dies meistens nicht, da der sackige Verlauf der Kurve für das Planimetrieren der von der Zugkraftlinie

Fig. 8.

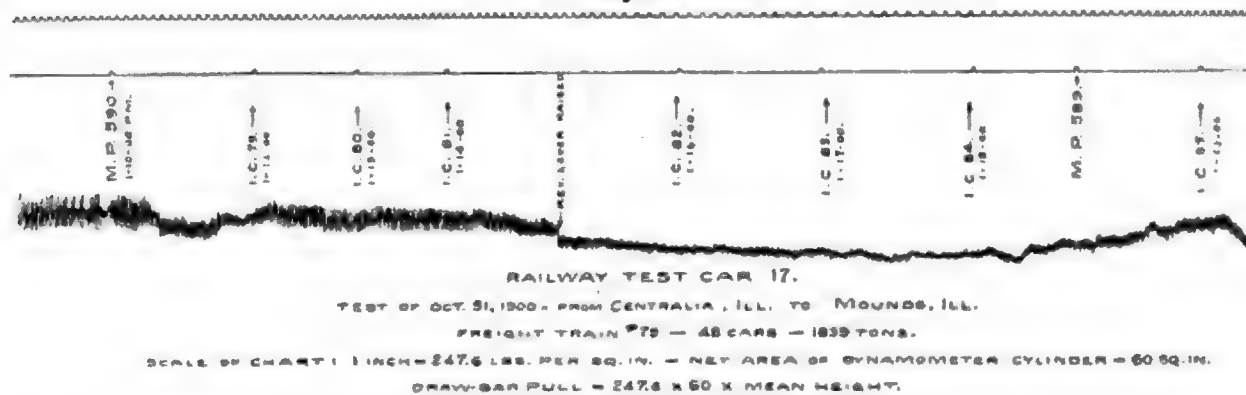
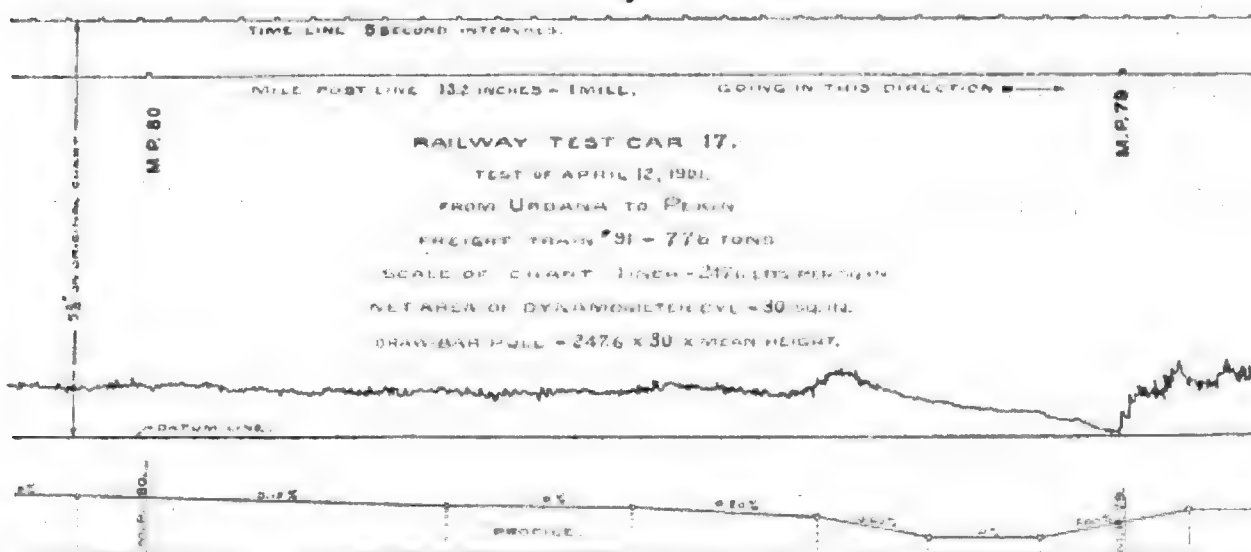


Fig. 9.



die Grundlinie, von der aus die Ordinaten der Zugkraftlinie gemessen werden, dann die Zugkraftlinie selbst, weiterhin die Ortslinie, auf der das Vorbeifahren an den Meilensteinen, den Stationen, die Aufenthalte und die Entnahme der Indikator-diagramme verzeichnet werden, schließlich die Zeitlinie. Wie schon erwähnt, werden die Marken auf der Zeitlinie dadurch hervorgebracht, dass alle 5 oder 10 Sekunden von einer Uhr ein elektrischer Strom geschlossen wird, der einen Elektromagneten erregt. Dieser zieht die die Zeitlinie aufzeichnende Schreibfeder einen Augenblick zur Seite. In derselben Weise werden die Marken für die Meilensteine usw. auf der Ortslinie der Diagramme hervorgebracht. Nur wird der elektrische Strom vonseiten des Beobachters an den vorderen Wagenfenstern und von den mit der Abnahme der Indikator-

und der Grundlinie eingeschlossenen Fläche keine Schwierigkeit bietet.

Die Diagramme enthalten alle zur Ausrechnung erforderlichen Zahlenangaben; auch ist unterhalb der Diagramme das Profil der durchlaufenen Strecke aufgezeichnet. Als Zeitmaß dienen die Marken der Zeitlinie, während das Registrirmanometer nur dazu da ist, den allgemeinen Verlauf der Geschwindigkeit festzustellen und dadurch die Orientierung auf der Zeitlinie zu erleichtern.

Die wirksamen Kolbenflächen des Dynamometers betragen 60 □" = 387 qcm, 30 □" = 193,5 qcm und 5 □" = 32 qcm. Bei einer höchsten zulässigen Flüssigkeitsspannung von 1200 lbs □" = rd. 80 at sind demnach die höchsten mit den einzelnen Cylindern messbaren Zugwiderstände 31 t, 15,5 t und 2,6 t.

Die Kolben des Dynamometers sind ebenso wie die Stopfbüchsen nur mit einer Labyrinthdichtung versehen, die sich sehr gut bewähren und nur geringe Ölverluste ergeben soll.

Mit dem Wagen wurden schon verschiedene Zugkraftmessungen ausgeführt. Im Oktober und November 1900 wurde er zu einer Reihe von Versuchen auf der Illinois Central Railroad zwischen Centralia und Cairo benutzt, die zur Bestimmung der Abhängigkeit zwischen der indizierten und der am Zughaken gemessenen Leistung für 4 auf jener Strecke fahrende Lastlokomotiven dienten. Im Mai d. J. wurde mit dem Wagen eine Reihe von Blasrohrversuchen zwischen Champaign und Chicago auf der Illinois Central Railroad vorgenommen.

Wir haben bereits mehrfach über die Einrichtung von Marconis Funkentelegraphie auf Schnelldampfern zum Verkehr mit Vermittlungsstellen am europäischen Festlande berichtet. Auf amerikanischer Seite hat nunmehr die Regierung dem New York Herald die Erlaubnis erteilt, derartige Einrichtungen auf dem Leuchtschiff der Insel Nantucket einzubauen. Die Vermittlungsstelle ist im Juli in Betrieb gekommen. Da das Leuchtschiff 308 km ostwärts von Sandy Hook liegt, von wo die Schiffe bis jetzt angemeldet wurden, bedeutet dies eine Verkürzung von 10 bis 15 Stunden. (Elektrotechnische Rundschau 15. Juli 1901)

Die englische Admiralität hat beschlossen, die Werftanlagen in Portsmouth neu einzurichten, da die Arbeitsmaschinen, die zum größten Teil zwanzig und mehr Jahre alt sind, den neueren Anforderungen nicht mehr genügen. Zugleich soll allgemein elektrischer Antrieb eingeführt werden. Für Niet- und Bohrarbeiten wird eine Prossluftanlage von einer amerikanischen Gesellschaft eingerichtet. Für den Umbau ist ein Zeitraum von mehreren Jahren in Aussicht genommen.

Um die Eigenschaften der Belleville-Kessel im Gegensatz zu den gewöhnlichen Zylinderkesseln zu prüfen, hat die englische Marine kürzlich Versuchsfahrten angestellt, die am 20. Juli beendet waren. Für die Versuche waren die beiden Kreuzer »Hyazinthe« und »Minerva« bestimmt, die von Portsmouth nach Gibraltar und wieder zurück führen. Der erstere, das neuere der beiden Schiffe, war mit Belleville-Kesseln versehen, die mit 18 at arbeiten; die beiden Maschinen leisteten durchschnittlich 9000 PSi. Die mit Zylinderkesseln von 10,5 at versehene »Minerva« hat Maschinen von rd. 9600 PS. Um die Verhältnisse auszugleichen, sollten jedoch bei den Probefahrten beide Schiffe mit 7000 PSi fahren. Die Er-

gebnisse der Fahrt werden dahin zusammengefasst, dass die Zylinderkessel den Belleville-Kesseln überlegen sind. Die »Minerva« ist, abgesehen von einer geringfügigen Maschinenhavarie unterwegs, in voll betriebsfähigem Zustande 3 Stunden vor der »Hyazinthe« wieder am Ausgangspunkte eingetroffen. Die Belleville-Kessel auf dem letztgenannten Schiffe begannen bald nach Antritt der Fahrt derart zu lecken, dass die Verdampfer das zur Aufpeisung nötige Wasser nicht mehr beschaffen konnten, und dass das Schiff mit nur $\frac{1}{10}$ der Maschinenkraft den als Zwischenstation gewählten Hafen erreichte. Trotz eingehender Revision stellte sich auf der Rückreise wieder der Wassermangel ein, der zur Folge hatte, dass ein Wasserrohr riss. Auch der oft gerühmte Vorzug der Wasserrohrkessel, das schnelle Dampfaufmachen, hat sich bei dieser Probefahrt nicht als sehr bedeutend herausgestellt. Die »Hyazinthe« dampfte $\frac{1}{2}$ Stunden nach dem Befehl »Dampf auf« aus dem Hafen, jedoch nicht mit voller Kraft. Die »Minerva« hatte nach 2 Stunden auf allen 8 Kesseln Volldampf, eine tüchtige Leistung, die auch dadurch nicht geschmälert wird, dass, wie der Bericht sagt, ein Kessel im Hafen zum Speisen der Hilfsmaschinen unter Dampf war. (Engineer 26. Juli 1901)

Das erste Eisen- und Stahlwerk in Mexiko wird in nächster Zeit in Betrieb kommen; es ist 160 km von der Küste landeinwärts bei Monterey in Nuevo Leon, nahe der Grenze von Texas, gelegen und hat günstige Verbindungen zu den Eisenbergwerken in Guanajuato und Zacatecas. Das Werk, das bei der Inbetriebnahme täglich 1000 t, später bis zu 2000 t erzeugen wird, soll Roheisen, Stahlschienen, Träger, Röhren, Profileisen und Platten liefern und lediglich dem inländischen Bedarf dienen, der zurzeit vorwiegend aus England gedeckt wird. (Nachrichten für Handel und Industrie 20. Juli 1901)

Der fünfte Verbandstag des Deutsch-Oesterreichisch-Ungarischen Verbandes für Binnenschifffahrt wird vom 2. bis 4. September d. J. in Breslau stattfinden.

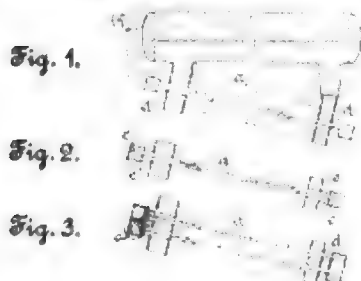
Der von der Deutschen Gesellschaft für Mechanik und Optik veranstaltete Deutsche Mechanikertag findet am 16. und 17. August d. J. in Dresden statt.

Der Verband deutscher Architekten und Ingenieure-Vereine hält seine 38. Abgeordneten-Versammlung in den Tagen vom 23. bis 26. August in Königsberg i. Pr. ab. Auf der Tagesordnung stehen u. a. folgende Gegenstände: die Beteiligung an der Zentralstelle für Wasserversorgung und Wasserreinigung, die Frage der Schulreform und die Erörterung der Bestimmungen über die Promovierung zum Dr. Ing.

D. a. Z. 1900 S. 1409, 1901 S. 675 u. 971.

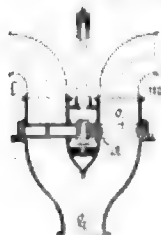
Patentbericht.

Kl. 13. Nr. 118779. Wasserröhrenkessel mit Dampfüberhitzerrohren. Rath Röhrenkesselfabrik vorm. M. Gehrre, O. m. b. H., Rath bei Düsseldorf. Bei einem Wasserröhrenkessel nach Art der Nr. 69273 mit unter dem Wasserspiegel liegenden und durch Rohrstücke der Wasserkammern hindurchgeführten Dampfüberhitzerrohren sind die Rohrstücke um die Überhitzerrohre herum durch Wände d abgeschlossen. Fig. 1, oder an den Überhitzerkammern c unmittelbar, Fig. 3, oder unter Benutzung von Verlängerungsrohren e abgedichtet, Fig. 2, um das Eindringen kalter Luft in den Feuerungsraum des Kessels zu verhüten.



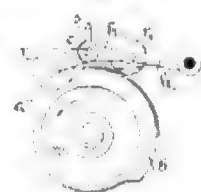
gedichtet, Fig. 2, um das Eindringen kalter Luft in den Feuerungsraum des Kessels zu verhüten.

Kl. 21. Nr. 117906. Aufbau des Ankers als Spannwerk. Allgemeine Elektrizitäts-Gesellschaft, Berlin. Zeichnung und Beschreibung S. 973 u. f.

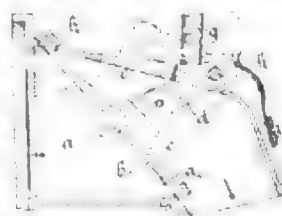


Kl. 35. Nr. 118948. Absperrvorrichtung an Saugbaggern. C. Bongor, Leyden (Holland). Zur ununterbrochenen Förderung des Baggerschlammes aus Pfählen hat die bei k angeschlossene Saugbaggerpumpe zwei Saugleitungen l, m, und ein Drehschieber a ist mit einer oder zwei Durchbrechungen o in der Weise versehen, dass beim Drehen eine der Saugleitungen schon geöffnet wird, bevor die andere völlig geschlossen ist.

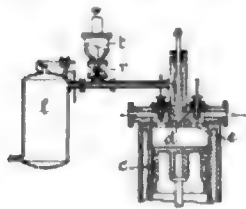
Kl. 14. Nr. 119741. Nockenstehensteuerung. A. Radovanovic, Zürich. Die Steuerwelle w trägt zwei Nocken, von denen die auf w feststehende Scheibe b das Öffnen, die durch den Regler verdrehbare a das Schließen besorgt. Von zwei durch eine Stange v verbundenen Rollen r, und r, rollt jede auf einer der Scheiben und öffnet mittels der bei c gelenkig an b angeschlossenen Steuerstange s den Dampfzulauf, wenn beide Rollen auf den Nocken laufen, schließt ihn dagegen, wenn beide die Nocken verlassen haben; das Auf- oder Abrollen einer Rolle ob keinen Einfluss. Ein beliebiger Punkt von a wird gerade oder durch einen Lenker h im Bogen geführt. Eine der Rollen kann auch in h gelagert werden.



Kl. 47. Nr. 119639. Verschlussklappe. J. Labhart, Steckborn (Schweiz). Die Verschlussklappe c wird aus der strichpunktirten Offenstellung zunächst in den Winkel b bewegt, sodass im Ausfallstutzen der Rohrleitung noch eine kleine Öffnung a bleibt; dann wird sie auf der Sitzfläche d bis zum vollständigen Abschlusse verschoben, um feste Teile in der ausströmenden Flüssigkeit wegzuschieben oder abzuschneiden. Das Führungsstück wird durch eine Feder h so beeinflusst, dass die Klappe c sowohl in der Abschlusstellung als auch in der den Schlitz für den Griff g verdeckenden Offenstellung festgehalten wird.



Kl. 46. Nr. 118807. Verbrennungsverfahren. F. Krupp, Essen a. Ruhr, und Vereinigte Maschinenfabrik Augsburg und Maschinenbaugesellschaft Nürnberg A.-G., Augsburg. In das



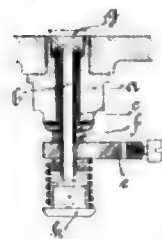
lauf von der Steuerung der Einlassvorrichtungen r und d abhängt.

Kl. 46. Nr. 118435. Petroleummaschine. Pope Manufacturing Company, Hartford (Conn., V. S. A.). Der beim Kraft-
hube frei stiegende Kolben setzt durch den Pleuellkopf e und zwei end-
lose Blinder op zwei



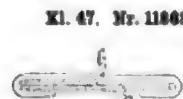
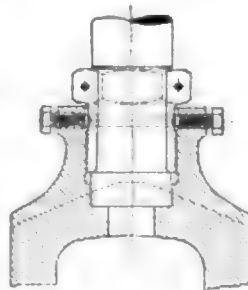
Schalträder i, l in Dre-
hung und spannt mittels
Seiles s eine Feder r ,
die beim Rückhube des
Kolbens die Kraft an die
Treibwellen f, g abgibt.

Zwischen s und r ist ein
Gewicht t eingeschaltet,
das sich entgegengesetzt
dem Kolben bewegt, um die Massenwirkungen
auszugleichen.



größerer Ausdehnung stattdes und
gleichzeitig das über g verdichtete Ge-
misch durch den Pleuellkopf hindurch
in den Raum unter g strömt.

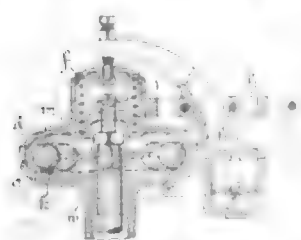
**Kl. 47. Nr. 118501. Verbindung von
Kreuzkopf und Pleuellstange.** E. Boser,
Stuttgart-Berg. Ueber die Stange
wird eine aufsen mit Gewinde und Schrau-
benkopf versehene zweiteilige Hülse ge-
bracht, die in den Pleuellkopf einge-
schraubt und durch Stellschrauben ge-
halten wird.



che keiner Streckung bedürfen.



Kl. 47. Nr. 118640. Pleuellschleiberdichtung.
J. Wilson, Jersey Shore (Penn., V. S. A.).
Neben dem breiten Pleuellring r ist in der
entsprechend gestalteten Ringnut a ein Keilring
 s angeordnet, der leicht nach aufsen federt und
von dem in der Pleuellkammer k befindlichen
Kesseldampf so belastet wird, dass er den
Pleuellring in seiner Stellung festklemmt,
sodass dieser durch den von c her wirkenden
Zylinderdampf nicht zusammengedrückt wird
und man keinen Gegendampf nach a zu leiten
braucht.



Kl. 60. Nr. 119058. Kugelregler. Gebr. Sulzer, Winterthur
und Ludwigshafen a/Rh. Zwischen einer ruhenden ebenen Scheibe
 a und einem durch die Feder
 f belasteten längverschiebblichen,
durch Zapfen j des Reglerhebels
 k am Drehen gehinderten Hohl-
kegel d rollen gleich große Kugeln
 h , die frei in den Ausschnitten
eines sternförmigen Mitnehmers m
der Spindel w liegen und sich
beim Abrollen ohne gleitende Reib-
ung um Achsen $z-z$ drehen, so-
dass ihre Mittelpunkte im Be-
harrungszustande Kreise, beim
Heben und Senken von d aber
sich erweiternde bzw. verengende Schneckenlinien beschreiben.

Kl. 60. Nr. 118734. Regelvorrichtung. W. Pröll, Charlotten-
burg. Auf dem festen Ex-
zenter a der Pleuellwelle e , Fig. 1,
ist ein Exzenter b und auf diesem
ein Exzenter c drehbar, sodass der
wirksame Exzentrismus von zwei Dreh-
winkeln α, β abhängt. Bei regel-
mäßigem Gange verstellt das Schwin-
gungsgewicht p_1 eines Achsenreglers mittels
Armes i nur das Exzenter c , während
das Schwingungsgewicht p_2 , dessen Be-
lastungsfeder schwächer ist, in der
außersten Lage verharrt. Bei plötz-
licher Ueberlastung aber, wo andere
Regler die größte Füllung einstellen,
wird durch p_2 mittels Armes k (nach-
dem β durch p_1 auf den kleinsten
Wert eingestellt worden ist) das Ex-
zenter b so verstellt, dass die Ma-
schine mit angemessener mittlerer
Füllung bei niedriger Umdrehungs-
zahl weiter läuft. Dasselbe Regelungs-
verfahren kann durch zwei getrennte
Fliehkraftregler r_1, r_2 , Fig. 2, erreicht
werden, die nach einander auf einen
gemeinsamen Hebel h einwirken.

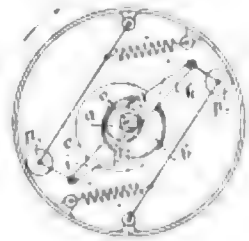
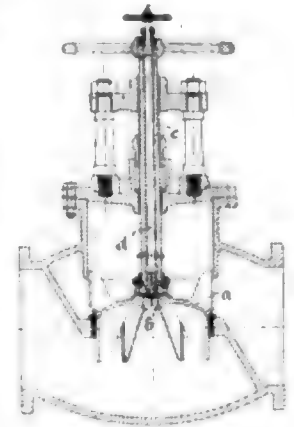


Fig. 2.

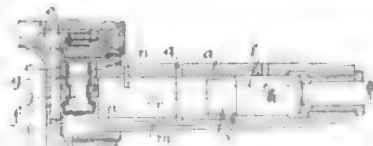
**Kl. 47. Nr. 118387. Zweiteilige Rie-
menscheibe.** C. Schaller, Zürich.
Die Lauffläche des Riemens ist aus dau-
erhaften Querbälzern c hergestellt, die
von Seitenwänden a der Scheibe in Nuten
 b gehalten werden.



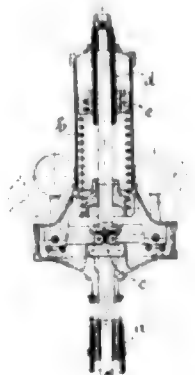
**Kl. 47. Nr. 119589. Absperr-
ventil.** H. Müller, Bochum i/W. Der
Hauptventilkegel a wird durch
eine Schraubenspindel c bewegt,
und der in a angeordnete kleine
Ventilkegel b kann durch eine be-
sondere Spindel d für sich bewegt
werden, sodass man unabhängig
von der Dampfstromrichtung das
Absperrventil entlasten und auch
bei hohem Drucke und großen
Abmessungen leicht öffnen und
schließen kann.



**Kl. 47. Nr. 118644. Steuerung für
Drucklufthammer.** H. J. Kimman
und E. N. Hurley, Chicago. Der
aus einem weiteren Teile d und einem
engeren e bestehende hohle Steuer-
kolben ist bei d geschlossen, bei e
aber offen, sodass, wenn der vor-
schnellende Kolben i mit seiner Ein-
schnürung s den in der Wand des
Zylinders a angebrachten Kanal r
freilegt, die Druckluft durch
 r, s, m auf die große Fläche
 d wirkt und den Steuer-
kolben in die gezeichnete
Lage hebt. Nun strömt
Druckluft durch f an der
vollständigen Einschnürung
 f vorbei und durch k vor i ,
während die Abluft durch m
und die durchbrochene Ein-
schnürung g in den Aus-
puff o entweicht; sobald aber der zurück-
gehende Kolben i mit s die Bohrung g frei-
gelegt und s verschlossen hat, wird der Bo-
den von d durch m, s, g entlastet, und die
auf die Ringfläche von d wirkende Druckluft
bewegt im Verein mit dem Ringgewicht das
Steuerventil herab, sodass durch f, p wieder
Druckluft hinter i tritt usw.



Kl. 60. Nr. 119055. Federregler. H.
Lanz, Mannheim. Schwunggewichte und
Hölsen hängen an der bei e befestigten,
auch auf Zug beanspruchten und durch die
Schraubenhülse d spannenden Feder b , und
die Federarme stützen sich bei c auf einen
Bund der Spindel, sodass die Massen im
Sinne der Fliehkraft wirken, wodurch zwar
die Energie verkleinert, aber die Empfind-
lichkeit erhöht und die Umlaufzahl vermin-
dert und außerdem der Gesamtschwerpunkt
nahe an das Halslager a gerückt wird.



Angelegenheiten des Vereines.

Versammlung des Vorstandsrates des Vereines deutscher Ingenieure

am 9. Juni 1901 in Kiel.

Anwesend vom Vorstände:

Hr. Lemmer, Vorsitzender
 » Veith, Vorsitzender-Stellvertreter
 » v. Borries, Kurator
 » v. Lossow } Beigeordnete;
 » Nimax }

als Abgeordnete der Bezirksvereine:

Aachen	Hr. Lynen
»	» Pützer
Bayern	» Finckh
»	» Hausenblas
Bergisch	» Breidenbach
»	» Lohse
Berlin	» Hartmann
»	» Hausbrand
»	» Hersberg
»	» Hjarup
»	» Krause
»	» Martens
»	» Rietschel
Bochum	» Winterberg
»	» Rump
Braunschweig	» Greiner
Bremen	» Evers
Breslau	» Kleinstüller
»	» Schindler
Chemnitz	» Freytag
»	» Rohn
Dresden	» Pfütznor
»	» Scheit
Elsass-Lothringen	» Müff
»	» Rohr
Franken-Oberpfalz	» Utzinger
»	» Wagner
Frankfurt	» Baumann
»	» Bergner
Hamburg	» Hartmann
»	» Lesser
Hannover	» Körting
»	» Taake
Hessen	» Grau
Karlsruhe	» Helck
Köln	» Eulenberg
»	» Franzen
»	» Reimbold
Lenne	» Hase
Mark	» Schmetszer
Magdeburg	» Prüssmann
Mannheim	» Bolze
»	» Post
Mittelrhein	» Müller
Mittelthüringen	» Schmidt
Niederrhein	» Gerdau
»	» Lührmann
Oberschlesien	» Bolts
»	» Tümmeler
Ostpreußen	» Hüser
Pfalz-Saarbrücken	» v. Horstig
»	» Uge
Pommern	» Cornehlis
Posen	» Haegermann
Ruhr	» Backhaus
»	» Liebig
»	» Otto
Sachsen	» Ranft
»	» Zechel
Sachsen-Anhalt	» Waldau
Schleswig-Holstein	» Bartsch
Siagen	» Wischel
Teutoburg	» Rein
Thüringen	» Gutwasser

Westfalen	Hr. Beukenberg
»	» Franzius
Westpreußen	» Münster
Württemberg	» v. Bach
»	» Bantlin
»	» Cox
»	» Stocker
Zwickau	» Otto

ferner anwesend:

Hr. Th. Peters, Vereinsdirektor, und
 » D. Meyer, Redakteur der Vereinszeitschrift.

1) Eröffnung durch den Vorsitzenden.

Der Vorsitzende eröffnet die Versammlung und stellt fest, dass sie nach Vorschrift des Statuts rechtzeitig einberufen ist; er begrüßt die Mitglieder des Vorstandsrates und dankt ihnen für ihr Erscheinen.

Die Anwesenheit des Hrn. D. Meyer wird genehmigt.

2a) Ernennung zweier Schriftführer.

Zu Schriftführern werden vom Vorsitzenden die Herren Haegermann und Otto ernannt.

2b) Wahl von 3 Mitgliedern des Vorstandsrates, welche die Verhandlung der Hauptversammlung zu vollziehen haben.

Es werden gewählt die Herren Pützer, Rietschel und Taake.

3) Geschäftsbericht des Direktors.

In Ergänzung des gedruckt vorliegenden Geschäftsberichtes (s. Z. 1901 S. 678) macht Hr. Peters die Mitteilung, dass auf Veranlassung des Vereines deutscher Ingenieure kürzlich in Heilbronn an dem Hause, wo Robert Mayer den größten Teil seines Lebens und bis zu seinem Tode gewohnt hat, eine Gedenktafel aus Erz angebracht worden ist. Der Württembergische Bezirksverein hat es auf Wunsch des Vorstandes übernommen, die Tafel herstellen und anbringen zu lassen, und sie in einer besonderen Feier der Stadt Heilbronn übergeben (s. den Bericht in Z. 1901 S. 887). Ein Dankschreiben des Sohnes Robert Mayers wird verlesen.

4) Rechnung des Jahres 1900.

Die Rechnung ist gedruckt in den Händen der Anwesenden (s. Z. 1901 S. 681 u. f.). Sie ist von den dazu gewählten Herren Rein und Reufs geprüft und richtig befunden worden.

Hr. Bolze: M. H., wenn Sie die Rechnung des Jahres 1900 ansehen, so werden Sie gleich mir den Eindruck haben, dass sie außerordentlich ungünstig abschließt, sowohl in bezug auf die finanzielle als auch in bezug auf die wissenschaftlich technische Leistung. Letzteres haben wir in den Bezirksvereinen sehr empfunden, indem wir vom Hauptverein fast keinerlei Anregung zu wissenschaftlichen Arbeiten erhielten. In den 27 Jahren meiner Mitgliedschaft kann ich mich eines gleich ungünstigen Jahres nicht erinnern.

Besonders betäubend ist aber auch die Finanzlage, indem in diesem Jahre zum erstenmale die Bilanz ohne Ueberschuss abschließt.

Die Art der Zusammenstellung des Budgets erschwert außerordentlich die Prüfung der einzelnen Posten, zumal uns hierfür die erforderlichen Unterlagen fehlen. Ich bitte daher, dies zu berücksichtigen, falls mir in meinen Ausführungen Irrtümer unterlaufen sollten.

Ich beginne mit der Hausrechnung.

M. H., Sie finden da in den Einnahmen bei dem Haus Charlottenstraße 24115 \mathcal{M} Kapitalzinsen aus eigenem Vermögen. Im Bilanzkonto ist unser ganzes Vermögen ausgewiesen mit 654000 \mathcal{M} . Hiervon sind rd. 54000 \mathcal{M} in Debitoren, Waren, Inventar usw. angelegt, bringen also keine Zinsen. Es sind also 600000 \mathcal{M} im Haus Charlottenstraße verzinslich angelegt, welches auch mit rd. 600000 \mathcal{M} zu Buch steht. Nach Angabe der Abrechnung werden diese Zinsen mit $3\frac{1}{2}$ vH berechnet; 600000 \mathcal{M} zu $3\frac{1}{2}$ vH geben aber 21000 \mathcal{M} und nicht 24115, wie angegeben.

Wenn Sie nun die Hausrechnung der beiden Häuser Dorotheenstraße ansehen, so finden Sie dort: Hypothekenzinsen 16668,38 \mathcal{M} . Es ist dies eine mit 4 vH verzinsliche Hypothek von 500000 \mathcal{M} , und alsdann erscheinen noch einmal Zinsen aus eigenem Kapital in Höhe von insgesamt 12758 \mathcal{M} . Welches eigene Kapital ist denn da gemeint? Wir haben unser ganzes flüssiges Geld in Höhe von 600000 \mathcal{M} in dem Haus Charlottenstraße angelegt. Die Häuser Dorotheenstraße kosten 960000 \mathcal{M} . Hiervon haben wir keinen Pfennig bezahlt, denn alle unsere flüssigen Mittel stecken im alten Haus. Woher kommen also hier die Zinsen aus eigenem Kapital? Wenn Sie etwa meinen, dass die Abschreibungen bei der Verzinsung mit in Anrechnung zu bringen sind und wir uns von den Abschreibungen Zinsen zu rechnen haben, so müsste ich das ernstlich bestreiten. Wir können nur das Vermögen verzinsen, das in der Bilanz nachgewiesen ist.

Es sind also in den Hausrechnungen 37000 \mathcal{M} Zinsen aus eigenem Kapital angesetzt, statt 21000; im Gewinn- und Verlust-Konto dagegen ist das gesamte Zinsertragnis mit 29732,50 \mathcal{M} angegeben.

Ich will bei dieser Gelegenheit berühren, wie ich über die Abschreibungen denke. M. H., wenn wir einmal bauen wollen, dann brauchen wir Kredit und werden diesen um so günstiger erhalten, je günstiger unsere Bilanz steht. Infolge der gemachten Abschreibungen, welche aber aus der Bilanz nicht zu sehen sind, ist diese weniger gut. Auf ein neues Haus wie das in der Charlottenstraße mit den bisherigen starken Abschreibungen fortzufahren, halte ich überhaupt nicht für richtig, dagegen erscheint es mir bei den Häusern Dorotheenstraße wohl notwendig, weil diese später abgerissen werden sollen.

Im Interesse einer besseren Gestaltung unserer Bilanz würde ich mich aber auch bereit finden lassen, hier eine andere Form zu wählen, und zwar die Form einer Sonderrücklage.

Bei den Zinszahlen ist noch bemerkenswert, dass diese nur auf der Einnahmeseite verbucht sind, und nicht in der Ausgabe. Es wäre aber von Interesse, zu wissen, wieviel Zinsen wir im abgelaufenen Geschäftsjahr für geliehenes Geld gezahlt haben. Es muss das ein ganz bedeutender Posten sein, denn wir müssen gegen Ende des Jahres eine Bankschuld von nahezu 300000 \mathcal{M} gehabt haben. Der Kontokorrent-Zinssatz betrug aber im vorigen Jahr für feinste Sicherheiten mindestens 6 vH.

Ich habe ferner auch in diesem Jahr wieder zu moniren, dass die Bilanz einen Kassenbestand von 58000 \mathcal{M} und dagegen eine Bankschuld von 41000 \mathcal{M} ausweist. Da ich unseren Hauptdebitor Hrn. Springer in der Bilanz nicht finde, so täusche ich mich wohl nicht, wenn ich annehme, dass jene 58000 \mathcal{M} nicht baare Kasse waren, sondern dass dieser Betrag uns am Jahreschluss von Hrn. Springer geschuldet wurde. Dieser Posten hätte also nicht als Kassenbestand, sondern als Debitorenposten erscheinen müssen.

Wie ungünstig sich unsere Finanzwirtschaft nachgerade gestaltet hat, wollen Sie noch aus Folgendem erkennen. Wir haben ein paar Tage vor dem Jahreschluss diesmal bereits die Beiträge für das Jahr 1901 erhoben in Höhe von 282000 \mathcal{M} . Wir haben also am 1. Dezember 1900 mindestens eine Bankschuld von 324000 \mathcal{M} gehabt.

Auf den Grundstücken Dorotheenstraße lastet eine Hypothek von 500000 \mathcal{M} zu 4 vH. Da die Grundstücke mit rd. 950000 \mathcal{M} zu Buch stehen, unser eigenes Geld aber im Grundstück Charlottenstraße steckt, so ist das Restkaufgeld von 450000 \mathcal{M} also zu 6 vH auf Kontokorrent entnommen worden.

Wenn wir erkennen wollen, wie unsere Grundstückspekulation den Etat belastet, so zeigt dies der Voranschlag für 1902, der einen Ueberschuss von 37000 \mathcal{M} ausweist. Nun beträgt die Ersparnis an Zeitungsporto infolge des neuen Posttarifs rd. 80000 \mathcal{M} und die Mehreinnahme aus den höheren Beiträgen der ausländischen Mitglieder infolge des letztjährigen Beschlusses rd. 15000 \mathcal{M} . Ohne diese würden wir also im Jahre 1902 wieder ohne Ueberschuss abschneiden, während wir z. B. im Jahre 1898 bei weniger Mitgliedern ohne Portomäßigung und ohne höhere Beiträge 138000 \mathcal{M} Ueberschuss hatten.

Aus der Bilanz erkennen Sie ferner, dass dem Passivum der Häuser Dorotheenstraße in Höhe von nahezu einer Million ein Aktivum überhaupt nicht gegenübersteht. M. H., ich halte das bei der Stärke unseres Vereines ja durchaus nicht für bedenklich, und wir werden diese Schwierigkeit zweifel-

los überwinden, aber wir müssen daraus die Lehre für uns ziehen, mit großer Sorgfalt und Klarheit in Zukunft das Budget so aufzustellen, dass es sich innerhalb der Grenzen unseres Geldbeutels bewegt.

Dadurch, dass der Verein in das Vereinsregister eingetragen ist, ist die Stellung des Vorstandes auch wesentlich verantwortungsvoller als früher.

Zur Frage der Abschreibungen führt der Vorsitzende aus, dass der Verein deutscher Ingenieure keine Erwerbsgesellschaft sei; er sei deshalb in der Lage, durch reichliche Abschreibungen sich selbst das Rückgrat zu stärken. Der Redner bedauert, dass aus den Ausführungen des Hrn. Bolze, so dankenswert sie auch seien, doch ein gewisses Misstrauen hervorgehe. Verantwortlich für die Rechnung sei der Vorstand, in dessen Namen er die Richtigkeit der Rechnung in ihrer Gesamtheit zu vertreten habe. Ueber die Einzelheiten werde Hr. Peters Auskunft geben.

Hr. Peters: Die Ausführungen des Hrn. Bolze gingen zunächst davon aus, dass wir laut der aufgestellten Bilanz am 31. Dezember 1900 ein einstrageudcs Vermögen von nur rd. 600000 \mathcal{M} gehabt haben sollen, und dass deshalb die in der Gesamtrechnung und in den Hausrechnungen angegebenen Zinsbeträge nicht richtig sein könnten. M. H., die 600000 \mathcal{M} stehen in den Büchern; sie stellen das Vermögen dar, wie es die Bilanz ergibt, nachdem wir Jahr für Jahr große Abschreibungen gemacht haben. In Wirklichkeit beträgt aber unser Vermögen nach mäßiger Schätzung weit über 800000 \mathcal{M} . Es geht uns in dieser Beziehung wie andern soliden Firmen. Ich kenne deren, welche ihre ganzen Werke: Hochöfen, Walzwerke usw., bis auf 1 \mathcal{M} abgeschrieben haben. Darum hat ihr Vermögen aber doch nicht nur den Wert des abgeschriebenen Betrages; es steht nur so zu Buche.

Was dann die Zinsen betrifft, so enthält die Rechnung nur den Saldo des Zinskontos, und zwar steht er mit 29732,50 \mathcal{M} auf der Kreditsseite, weil unsere Zinseinnahme um diesen Betrag größer war als die Zinsausgabe. Wenn gewünscht wird, dass beide Seiten des Kontos in der Abrechnung erscheinen sollen, also die Einnahmen und die Ausgaben in ihrem vollen Betrage, so kann das leicht und gern geschehen.

Indem Hr. Bolze von den Zahlen des zu Buche stehenden Vermögens ausging, ist er auch zu andern Zinsergebnissen gekommen, als die Rechnung aufweist. Den 3 Grundstücken sind in den Hausrechnungen außer den Hypothekenzinsen nicht 3 1/2 vH Zinsen auf die abgeschriebenen Werte belastet worden, sondern — wie bisher stets geschehen — auf diejenigen Beträge, die außer den übernommenen Hypotheken für den Ankauf und die Herstellung der 3 Grundstücke aufgewendet worden sind. Das sind insgesamt etwas über 1 Million \mathcal{M} , und demgemäß beträgt die Summe dieser Zinsen in den 3 Hausrechnungen etwas über 35000 \mathcal{M} .

Würden wir nicht so verfahren, sondern würden wir, wie Hr. Bolze es will, den Grundstücken in der Hausrechnung nur 3 1/2 vH Zinsen von den abgeschriebenen Werten berechnen, so würden wir bei unseren Grundstücken einen höheren Ertragsüberschuss herausrechnen, als wirklich vorhanden ist, und mit jeder weiteren Abschreibung würde dieser verrechnete, aber nicht vorhandene Ueberschuss größer werden, obwohl die Mieteinnahmen der Grundstücke unverändert bleiben. Wir würden uns also selbst ein falsches Bild von dem Ertrag unserer Grundstücke machen.

Hr. Bolze hat ferner übersehen, dass wir eine ganz erhebliche Zinseinnahme aus den Beiträgen unserer Mitglieder haben, die wir um Neujahr herum erheben, aber erst im Laufe des Jahres ausgeben. Es handelt sich da um mehr als 300000 \mathcal{M} Einnahme, und man kann rechnen, dass uns daraus im Laufe des Jahres, bis diese Einnahme verbraucht ist, etwa 6000 \mathcal{M} Zinsen zufließen.

Hr. Bolze hat ferner aus dem Umstande, dass die Rechnung des Jahres 1900 — seit einer langen Reihe von Jahren das erste mal — ohne Ueberschuss abschließt, sehr trübe Betrachtungen über den Stand unserer Finanzen herleiten zu müssen geglaubt. Ich kann ihm darin nicht zustimmen. Dass der Ueberschuss der Betriebseinnahmen über die Betriebsausgaben im Jahre 1900 um rd. 100000 \mathcal{M} geringer war als im Jahre 1899, beruht einzig und allein auf den Beschlüssen des Vorstandes und der Hauptversammlung vom Jahre 1898, wo der Redaktion der Zeitschrift diese Mittel zur Verfügung gestellt wurden, um den Umfang der

Zeitschrift zu vermehren, stärkeres Papier zu nehmen und rd. 80000 M mehr Porto anzugeben. Dass diese Mehrkosten, die über 100000 M betragen, im Laufe der Zeit durch Zunahme der Anzeigen gedeckt werden möchten, war unser aller Hoffnung, als die Mehrkosten bewilligt wurden, und ist es wohl auch noch; aber dass das schon gleich im ersten Jahre der Fall sein werde, hat doch wohl niemand erwartet.

Hr. Bolze hat ferner herausgerechnet, dass wir im Jahre 1900 über 300000 M Schulden gehabt haben müssen. Das ist ganz zutreffend, aber keineswegs bedenklich. Wenn man 3 Grundstücke besitzt, im Werte von 1700000 M, auf denen nur 500000 M Hypotheken lasten, dann stehen den 300000 M schwebender Schulden 1200000 M Aktiva gegenüber, und das ist nicht bedenklich. Der größere Teil dieser schwebenden Schulden ist ja daher entstanden, dass wir eine Hypothek im Betrage von 165000 M am 1. Juli 1900 zurückgezahlt haben. Kein Mensch würde etwas darin gefunden haben, wenn wir statt der 300000 M Schulden eine feste zweite Hypothek im gleichen Betrage auf unsere Grundstücke aufgenommen und uns auf diese Weise frei von schwebenden Schulden gemacht hätten. Der Vorstand hat vorgezogen, das nicht zu thun. Denn erstens war schon damals mit Sicherheit vorauszusehen, dass unsere Ueberschüsse in wenigen Jahren ausreichen werden, um unsere Schulden zu tilgen, und zweitens wäre es Mitte vorigen Jahres schwierig gewesen, auf kurze Zeit eine Hypothek zu mäßigem Zinsfuß, unter 5 vH, zu bekommen. Da uns aber das Geld, welches wir brauchten, zu 5 vH zur Verfügung stand, sah der Vorstand davon ab, eine feste zweite Hypothek aufzunehmen.

Hr. Bolze hat nach dem Kassenbestand am 31. Dezember 1900 gefragt und es bemängelt, dass nicht die Firma Julius Springer unter unseren Debitoren aufgeführt ist. Darüber habe ich schon öfter Auskunft gegeben. Hr. Springer ist erstens unser Kassirer, hat aber sein Geschäftszimmer in dieser Eigenschaft nicht bei uns Charlottenstr. 43, sondern bei sich Monbijouplatz 3. Derselbe Hr. Springer ist auch unser Anzeigenpächter. Als solcher hat er uns die Anzeigenpacht für das 4. Vierteljahr und den Rest seiner Abgaben für den buchhändlerischen Absatz am Schlusse des Jahres zu zahlen. Das kann aber nicht bereits am 31. Dezember geschehen; es vergeht bis zur genauen Feststellung der betr. Zahlen und bis zur gegenseitigen Anerkennungserklärung einige Zeit. Wie stets bisher, so ist auch bei dem Rechnungsabschluss für 1900 diese theoretisch am 31. Dezember fällige, in Wirklichkeit aber erst etwa Mitte Januar zahlenmäßig festgestellte Einnahme nachträglich per 31. Dezember auf Kassa-Konto verbucht worden. Wäre das nicht geschehen, so hätten wir, da wir dank dem Entgegenkommen der Firma Julius Springer bereits im Laufe des Monats Dezember auf diese noch zu erwartende Einnahme Ausgaben im Betrage von etwa 73000 M gemacht haben, im Kassa-Konto ein Minus von 73000 M, dagegen unter Debitoren das von Hrn. Bolze vermisste Guthaben bei der Firma Julius Springer von rd. 131500 M gehabt. In der vorgelegten Rechnung sind wie stets bisher diese beiden Konten: Kassa-Konto und Konto Julius Springer unter der Bezeichnung Kassa-Konto vereinigt, und demgemäß weist letzteres Konto einen Bestand per 31. Dezember 1900 von 58531,46 M auf.

Was die Blicke betrifft, die Hr. Bolze in die Zukunft gethan hat, so bin ich auch hierin anderer Meinung. Die Mehrausgabe von rd. 100000 M, die Sie vor 2 Jahren für die Zeitschrift bewilligt haben, wird ja schon durch die inzwischen eingetretene Portosparnis wettgemacht. Ich hege deshalb die feste Zuversicht, dass wir, wie bisher, mit Ausnahme des Jahres 1900 aus Gründen, die ich Ihnen vorge tragen habe, auch in Zukunft reichliche Ueberschüsse haben werden. (Lebhafter Beifall.)

Hr. Bolze: Ich will gleich an das letzte Wort anknüpfen. Hr. Peters sagt, dass wir durch den neuen Posttarif in Zukunft Ueberschüsse haben werden. Früher haben wir sie aus der eigenen Finanzwirtschaft ermöglicht. Wenn Sie den Ueberschuss von 1902 ansehen, dann macht der kaum so viel aus, wie wir am Postversand sparen und an erhöhtem Beitrag einnehmen. Die Ueberschüsse der Vorjahre, die außerdem über 100000 M betragen, haben wir also nicht mehr.

Ich muss mich nun noch dagegen wenden, als ob in meinen Ausführungen ein Misstrauen gegen den Vorstand enthalten wäre. M. H., habe ich denn nötig, hier zu betonen, dass ich von der Ehrlichkeit der Bilanz vollkommen

überzeugt bin? Meine Ausführungen richten sich nur gegen die Art der Aufstellung der Bilanz, welche ich nicht für klar und richtig halte, und ich wünsche nur für uns ausführlichere Darlegungen zu jedem Budgetposten, damit wir uns ein klares Bild darüber schaffen können.

Die Zinssache ist mir durch das, was Hr. Peters vorge tragen hat, nicht klarer geworden. Ohne die Abschreibungen beträgt das in den Häusern ursprünglich angelegte Vermögen rd. 900000 M. Zu 3 1/2 vH ergibt dies 31500 M. In der Hausrechnung ist das Erträgnis aber mit 37000 M und im Bilanzkonto mit 29000 M ausgewiesen.

Sie sagen, wir haben mehr Ausgaben gehabt für die Erweiterung und bessere Ausstattung der Zeitung; das haben wir vorher gewusst und genehmigt. Wir haben aber angenommen, und es wurde uns auch so dargestellt, dass durch die vermehrte Anzeigenpacht das wieder herauskommen müsse. Das ist aber nicht der Fall, und wir haben die Mehrausgaben, während Hr. Springer die Mehreinnahmen hat. So stellt sich die Sache rein geschäftlich. (Heiterkeit.)

Bezüglich der Abschreibungen spreche ich den Wunsch aus, dass diese aus der Bilanz ersichtlich sein möchten. Denn wenn man nicht jahrelang zurückblättert, kann man garnicht erfahren, was uns die Häuser eigentlich kosten.

Hr. Lesser findet es bedenklich, dass die Kapitalien der Hilfskasse und der Pensionskasse nicht in mündelsicheren Werten vom Vereinsvermögen getrennt angelegt sind, sondern sich in den Händen des V. d. I. befinden; besonders sei ihm das bedenklich bei der Hilfskasse, deren Vermögen doch nicht vom Verein allein, sondern hauptsächlich von Beiträgen vieler einzelner herrühre. Er wünscht, dass dafür wenigstens eine Sicherheit in Form einer Hypothek oder dergl. bestellt werden möchte.

Der Redner ersucht ferner um Auskunft über die Mieterträge der 3 Häuser des Vereines, über die Zinsen der Hypotheken und darüber, ob der Grund für die Einzahlung der Beiträge, nämlich die Verpflichtung, die Bestellgebühr für die Zeitschrift im Voraus zu zahlen, noch besteht oder durch Verabredungen mit der Post hinfällig geworden ist.

Hr. Krause schlägt vor, in der Erwägung, dass den meisten Mitgliedern des Vorstandsrates die Rechnung in einigen Punkten nicht ohne weiteres verständlich sei, einen Ausschuss aus mehreren besonders sachkundigen Herren zu bilden, der die Rechnung prüfen und dem Vorstandsrat darüber berichten soll, um irtümlichen Anzweiflungen und überflüssigen Erörterungen, wie sie bei diesem Punkte der Etatsberatung alljährlich wiederkehren, in Zukunft vorzubeugen.

Hr. Taaks ist der Meinung, dass die Bedenken des Hrn. Bolze durch die Darlegungen des Hrn. Peters behoben seien. Dass über die Rechnung des Vereines im Vorstandsrat ausführlich verhandelt wird, findet er nötig und nützlich, schon allein im Hinblick auf die Auskünfte, welche die Mitglieder des Vorstandsrates daheim ihren Bezirksvereinen zu geben haben. Eine größere Klarheit der Rechnung könnte wohl noch erreicht werden, besonders dadurch, dass die Hausrechnung ganz von der Bilanz getrennt würde. Inbezug auf das Kassa-Konto teilt er die Meinung des Hrn. Bolze. Ob es zulässig sei, das Vermögen der Hilfskasse in den Händen des Vereines zu lassen, oder ob es gesondert angelegt werden müsse, sei nach dem Statut der Kasse zu entscheiden. Einen besonderen Revisionsausschuss einzusetzen, hält der Redner nicht für geboten. Jede Einzelheit zu verfolgen, sei nicht Aufgabe des Vorstandsrates, und es würde den Eindruck des Misstrauens machen, wollte der Vorstandsrat außer den auf seinen Vorschlag gewählten Rechnungsprüfern noch einen besonderen Ausschuss einsetzen. Die Rechnungsprüfer sollten einen schriftlichen Bericht erstatten und mit dem Vorstand zusammen die Rechnung unterschreiben.

Auch Hr. v. Horstig, der zuerst angesichts der Rechnungsvorlage dieselben Zweifel und Bedenken wie Hr. Bolze gehabt hat, ist durch die Darlegungen des Vereinsdirektors vollständig befriedigt; er wünscht, es möchten in Zukunft diese Darlegungen der Rechnungsvorlage als Bericht beigegeben werden.

Der Vorsitzende sagt namens des Vorstandes zu, dass den von Hrn. Taaks, Hrn. Bolze und andern Herren geäußerten Wünschen Rechnung getragen werden solle.

Hr. Bolze: Ich muss der Meinung entgegen treten, als sei nun alles aufgeklärt. Hr. Peters sagt, man habe bei der Hausrechnung nicht die Zinsen vom gegenwärtigen abge-

schriebenen Wert zu rechnen, sondern vom Anschaffungswert. Aber auch wenn dies geschieht, kommen immer noch lange keine 37000 M. heraus.

(Hr. Peters (Zwischenruf): Und die Zinsen des Geldes, das wir im Anfang des Jahres einnehmen und im Laufe des Jahres verbrauchen.)

Nein, in der Hausrechnung können wir nur das Kapital verzinsen, welches wir tatsächlich hineingesteckt haben.

M. H., Hr. Krause sagt sehr richtig, wir können das Budget hier ohne jede Unterlage nicht prüfen, und ich kann seinem Antrage, diese Prüfung einer Kommission zu übertragen, nur beitreten, da die Rechnungsprüfer nur die Richtigkeit der Buchungen und deren Übereinstimmung mit den Beilagen zu prüfen hatten, die, wie ich vorhin betonte, von uns niemand bezweifelt. Ueber die Bewegung unserer Wirtschaftsmittel und die Form der Budget-Aufstellung zu berichten, haben die Rechnungsprüfer keinen Anlass. Ich möchte den Antrag Krause noch erweitern und demselben etwa folgende Fassung geben: »Der Vorstandsrat wählt aus seiner Mitte eine Budgetkommission von 3 bis 5 Mitgliedern, welche im Monat April das Budget zu prüfen hat und nach Einvernehmen mit dem Vorstande einen ausführlichen schriftlichen Erläuterungsbericht an die einzelnen Mitglieder des Vorstandes zu machen hat.«

Wir haben im vorigen Jahr und in früheren Jahren immer wieder betont, wir wollen eine kaufmännische Buchführung haben; dazu gehört natürlich, dass wir einen geeigneten Beamten anstellen und unsere Kasse selbst verwalten. Nur hierdurch werden wir die nötige Klarheit in unser Budget bringen. Ich werde jedes Jahr hier diesen Wunsch wiederholen, von dem ich weiß, dass er Ihnen allen aus dem Herzen gesprochen ist.

Wenn die zu wählende Kommission ihres Amtes richtig walten will, so muss ihr ein solcher kaufmännischer Beamter dabei zur Seite stehen.

Hr. Herzberg: M. H., ich stehe hier vielleicht auf einem etwas vereinzelten Standpunkte, wenn ich erkläre, dass ich diese Verhandlung, die in dankenswerter Weise von Hrn. Bolze angeregt ist, garnicht missen möchte. Ich habe garnicht die Empfindung, als ob uns damit hier etwas Uebles zugefügt würde. Ich glaube, es liegt ein bisschen in der von Hrn. Bolze angewandten Form, weshalb hier die allgemeine Meinung eine andere ist. Wenn Hr. Bolze die Freundlichkeit gehabt hätte, seine ganzen Ausführungen in Form von Fragen zu machen: 1, 2, 3, 4, dann würden ebenso sachlich die Fragen 1, 2, 3, 4 beantwortet worden sein, und dann würde garnicht das Gefühl entstehen, dass wir uns etwas zu lange und zu viel darüber unterhalten. Dies ist mein Standpunkt. Ich sage auch weiter noch als vielbeschäftigter praktischer Geschäftsmann: Sie können mir so viel Drucksachen ins Haus schicken, wie Sie wollen: so viel wie ich heute durch die Verhandlung gelernt habe, hätte ich durch keine Drucksache gelernt, und ich will diese Verhandlung nicht missen, ich will Hrn. Bolzes Ausführungen auch in Zukunft nicht missen. Wir kränken daran, dass wir hier etwas zu viel Menschen sind — aber darauf will ich nicht zurückkommen; wir sind ein Parlament geworden. Es wäre viel einfacher, wenn wir etwas weniger wären.

Aus meiner grundsätzlichen Auffassung geht ferner hervor, dass ich nicht wünschen möchte, dass jetzt noch eine Kommission ernannt würde. (Bravo!) Der Vorstand ist dazu da, um hier Fragen zu beantworten. Ich habe gar keine Veranlassung, besonders wenn es durch Drucksachen usw. geschehen soll, ihn noch weiter zu entlasten. Der Vorstand hat sich bereit erklärt, weitere Klarheit zu geben, und damit wollen wir uns begnügen. Wenn Sie noch eine besondere Kommission einsetzen, dann schaffen wir neue Schwierigkeiten. In welcher Weise die Gelder der Hilfskasse angelegt werden sollen, darüber hat nach Ansicht des Redners das Kuratorium dieser Kasse zu entscheiden; für die Gelder der Pensionskasse ist das Statut maßgebend.

Hr. Beukenberg widerspricht der Auffassung des Hrn. Bolze, als habe der Vorstand die Stellung des Aufsichtsrates einer Aktiengesellschaft. Der Verein deutscher Ingenieure als juristische Person hat einen für alle Geschäfte verantwortlichen Vorstand und von der Hauptversammlung gewählte Rechnungsprüfer. Deshalb sei auch der Antrag des Hrn. Krause abzulehnen, weil damit der Vorstandsrat eine ihm bisher nicht oblie-

gende Verantwortung auf sich nehmen würde. Bezüglich des Kassakontos ist der Redner im Gegensatz zu Hrn. Bolze und Hrn. Taaks der Meinung, dass sehr wohl so verfahren werden könne, wie geschehen, und dass es bei zahlreichen Verwaltungen ebenso gemacht werde.

Hr. Rietschel ist auch nicht für den von Hrn. Krause beantragten Ausschuss, möchte aber doch einige Mitglieder beauftragt sehen, mit dem Vorstand eine solche Form der Rechnungsablage nebst Erläuterungen zu vereinbaren, dass auch den mit der Verwaltung nicht vertrauten Mitgliedern alles klar und durchsichtig werde.

Da sich inzwischen herausgestellt hat, dass das Statut der Pensionskasse die Anlegung des Vermögens in das Ermessen des Vorstandes des V. d. I. stellt, sind die Anfragen über diesen Punkt erledigt. Namens des Kuratoriums der Hilfskasse bestätigt Hr. Krause, dass der Zugang zu dem Vermögen dieser Kasse aus dem Jahre 1900 zunächst noch in Händen des V. d. I. gelassen worden sei.

Der Vorsitzende empfiehlt, die Anträge der Herren Krause und Rietschel aus den von Hrn. Herzberg vorgebrachten Erwägungen abzulehnen; die Einsetzung eines Prüfungsausschusses seitens des Vorstandes werde zur Folge haben, dass in Zukunft so wertvolle Verhandlungen wie die heutige fortfallen würden.

Die Anträge der Herren Krause und Rietschel werden hierauf zurückgezogen.

Hr. Bolze stellt folgenden Antrag: »Es ist eine Kommission aus dem Vorstandsrat zu wählen, welche die Bilanz vorprüft, und der die nötigen Unterlagen vom Vorstand zu geben sind. Die Kommission berichtet schriftlich vor der Hauptversammlung dem Vorstandsrat.«

Dieser Antrag wird mit großer Mehrheit abgelehnt.

Die Versammlung beschließt, die Genehmigung der Rechnung des Jahres 1900 und Entlastung des Vorstandes und des Vereinsdirektors für diese Rechnung bei der Hauptversammlung zu beantragen.

5) Wahl des Vorsitzenden für die Jahre 1902 und 1903.

Der Vorsitzende teilt mit, dass der Vorstand einstimmig vorschlägt, Hrn. Generaldirektor W. v. Oechelhaeuser in Dessau zu wählen, und dass Hr. v. Oechelhaeuser sich bereit erklärt habe, eine auf ihn fallende Wahl anzunehmen.

Hr. v. Horstig bringt den Wunsch des Frankfurter und des Pfalz-Saarbrücker Bezirksvereines zur Sprache, dass bei der Wahl des Vorsitzenden und bei der Verleihung der Grasbof-Denkmünze vorher den Bezirksvereinen die Namen der zu Wählenden mitgeteilt werden möchten; ebenso bei der Bestimmung des Ortes der nächsten Hauptversammlung.

Hr. v. Borries hält dies für unausführbar, wenigstens was die Wahl des Vorsitzenden und die Verleihung der Grasbof-Denkmünze betrifft; denn die Personenfragen seien so zarter Natur und müssen mit solcher Vorsicht behandelt werden, dass man nicht daran denken könne, damit an die Öffentlichkeit zu treten. Man würde sicher die Erfahrung machen, dass Herren, die für solche Wahl infrage kämen und sie anzunehmen bereit wären, ablehnten, weil sie sich nicht der Kritik der Bezirksvereine aussetzen wollten. So viel ihm bekannt, bestehe ein solcher Brauch, wie von Hrn. v. Horstig vorgeschlagen, nirgends.

Hr. Lesser empfindet gleichfalls die von Hrn. v. Horstig angedeutete Schwierigkeit, sich als Mitglied des Vorstandes sofort über mehr oder minder unbekannte Personen zu entscheiden, und regt an, den Beschluss über die Wahl des Vorsitzenden bis nach der Frühstückspause zu vertagen.

Der Vorsitzende ist gern bereit, dieser Anregung zu entsprechen.

Hr. Taaks teilt die Ansicht des Hrn. v. Borries, glaubt aber, dass den Bezirksvereinen anheim gegeben werden könne, Vorschläge für die Wahl zu machen. Selbstverständlich müsse der Vorstand für seine Vorschläge freie Hand behalten; aber gewiss würde es ihm willkommen sein, die Wünsche der Bezirksvereine kennen zu lernen.

Hr. v. Horstig zieht zugunsten des Vorschlages des Hrn. Taaks seine Anregung zurück; nur inbezug auf die Grasbof-Denkmünze möchte er den Bezirksvereinen das Vorschlagsrecht gegeben sehen.

Hr. v. Borries entgegnet, dass das nach dem Statut der

Grashof-Denk Münze, nach welchem das Vorschlagsrecht dem Vorstand zusteht, nicht möglich sei.

Hr. Pützer hält es für selbstverständlich, dass über die Personen, sowohl bei der Wahl des Vorsitzenden als auch bei der Verleihung der Grashof-Denk Münze, keine Verhandlung, sondern nur eine Abstimmung stattfindet.

Es wird beschlossen, den Punkt 5 nach der Pause zu erledigen.

6) Wahl zweier Rechnungsprüfer und ihrer Stellvertreter wegen der Rechnung des Jahres 1901.

Hr. Taaks schlägt vor, darauf bedacht zu sein, dass die Rechnungsprüfer mehr, als bei dem bisherigen Wechsel der Personen möglich, sich in das Rechnungswesen des Vereines und in den Haushalt einarbeiten können. Deshalb sollten bewährte Mitglieder, die möglichst jahrelang im Vorstandsrat thätig gewesen sind, auch wiederholt zu Rechnungsprüfern gewählt werden.

Hr. Schmetztor ist derselben Ansicht, und teilt mit Hrn. Taaks die Auffassung, dass die Rechnungsprüfer das Recht und die Pflicht haben, sich um jede Einzelheit der vorgelegten Rechnung zu kümmern.

Hr. Pützer fürchtet, dass es auf diesem Wege schwierig sein werde, jemals einen Wechsel in der Person der Rechnungsprüfer vorzunehmen, ohne die bisherigen Prüfer zu kränken; er würde deshalb lieber bei der bisherigen Handhabung verbleiben.

Es wird beschlossen, die Wahl der Rechnungsprüfer erst nach der Pause vorzunehmen.

7) Hilfskasse für deutsche Ingenieure.

Der Bericht liegt gedruckt vor (s. Z. 1901 S. 752); eine Verhandlung findet nicht statt.

8) Verleihung der Grashof-Denk Münze.

Hr. Veith führt namens des Vorstandes aus, dass unter den neueren Werken der deutschen Technik keines so großes Aufsehen erregt und so große Anerkennung gefunden habe, wie der Bau der beiden Schnelldampfer »Kaiser Wilhelm der Große« und »Deutschland«. Deshalb sei der Vorstand der Ansicht, dass an diese hervorragenden Merkmale des Könnens deutscher Ingenieure, und der deutschen Schiffbaukunst im besonderen, die Erwägungen, wem die Grashof-Denk Münze zu verleihen sei, anknüpfen sollten. Die Erbauerin dieser Schiffe sei die Stettiner Maschinenbau-Aktiengesellschaft Vulcan in Stettin. Deshalb würde es geboten sein, dieser Gesellschaft die Grashof-Denk Münze zu verleihen, wenn das nach dem Statut zulässig wäre. Sie müsse aber nach dem Statut an Personen verliehen werden, und so entstehe die Frage, wer innerhalb dieser Gesellschaft die auszuzeichnende Person sei. Wie fast immer bei allen großen Ingenieurwerken handle es sich auch hier nicht um das Werk eines Einzelnen. Den drei Direktoren der Gesellschaft Vulcan, von denen jeder seinen großen Anteil an den Erfolgen dieser Schiffe hat, die Denk Münze gleichzeitig zu verleihen, hält der Vorstand nicht für zulässig, weil dadurch der Wert der Denk Münze zu sehr vermindert würde. Nach sachverständigem Urteil sei in erster Linie den Maschinenanlagen der große Erfolg der beiden Schiffe zuzuschreiben, und der Direktor der Maschinenbau-Abteilung, aus der diese Erzeugnisse hervorgegangen, sei Hr. Justus Flobr. Demgemäß sei der Vorstand zu dem Vorschlage gekommen, die Grashof-Denk Münze Hrn. Direktor Justus Flobr in Stettin zu verleihen.

Auch hierüber soll nach der Pause Beschluss gefasst werden.

9a) Bericht über die Vereinszeitschrift.

Hr. Peters berichtet, dass zwar die Anzeigen der Zeitschrift noch immer in Zunahme begriffen seien, aber doch nicht in so starker Zunahme wie in den vorhergehenden Jahren. Es sei das wohl auf die derzeitige ungünstige Geschäftslage der Industrie zurückzuführen.

Bezüglich des buchhändlerischen Absatzes der Zeitschrift wurde im vorigen Jahre die Befürchtung ausgesprochen, dass vielleicht die Erhöhung des Preises von 32 M auf 36 M einen kleinen Rückgang herbeiführen würde. Diese Befürchtung hat sich nicht bestätigt; der buchhändlerische Absatz ist gegenwärtig schon wieder um 100 Exemplare größer als zu derselben Zeit im vorigen Jahre; er beträgt gegenwärtig über 1200 und wird 2000 bald erreicht haben. Die gesamte Auflage der Zeitschrift beträgt, wie schon im Geschäftsbericht

mitgeteilt, gegenwärtig 19000. (Bei 20000, der Auflage des nächsten Jahres, beträgt das Gewicht des Jahrganges 45 bis 50 Doppelwaggons; wöchentlich also fast 1 Doppelwaggon.)

Ueber den Inhalt der Zeitschrift erstattet der Redner folgenden Bericht:

»M. H. Es würde mich freuen, von Ihnen zu hören, dass Sie die Entwicklung unserer Zeitschrift günstig beurteilen, und wenn Sie der Meinung wären, dass die großen vom Verein für die Zeitschrift zur Verfügung gestellten Geldmittel gut benutzt worden sind. Nicht nur, was den Umfang betrifft, der — wie schon im Geschäftsbericht dargelegt — um fast 1 Bogen wöchentlich gegen den Umfang vor 4 Jahren gestiegen ist, sondern hauptsächlich auch in der Güte und Mannigfaltigkeit des Inhaltes. Wir haben zwar, wie bisher stets, danach gestrebt, möglichst viel Originalarbeiten hervorragender Fachleute zu bringen, und sind darin, so hoffe ich sagen zu dürfen, erfolgreich fortgeschritten. In noch stärkerem Maße jedoch konnten — dank den vom Verein gewährten Geldmitteln — diejenigen Beiträge vermehrt werden, welche von eigenen Kräften der Redaktion bearbeitet sind. Wir beschäftigen jetzt außer mir, Hrn. Meyer und Hrn. Seyffert, denen schon seit einer Reihe von Jahren die eigentlichen Redaktionsarbeiten obliegen, 6 jüngere Ingenieure in der Redaktion, mit deren Hülfe wir nicht nur die früher von Zeman bearbeitete Litteraturübersicht, mit unserer Zeitschriften-schau verschmolzen, fortgeführt haben, sondern denen wir auch neben der allen Lesern gewiss sehr erwünschten wöchentlichen Rundschau eine ganze Reihe von größeren selbständigen Aufsätzen zu danken haben, wozu sie sich die Unterlagen persönlich von den Ingenieuren und Werken, welche die Anlagen gebaut haben, beschafft haben. Ich nenne von solchen Aufsätzen im vorigen und im jetzigen Jahrgang der Zeitschrift:

Die Motorwagen und ihre Motoren.

Das Wasserwerk der Stadt Prenzlau.

Die Steuerschalter für elektrische Motoren.

Der Salondampfer »Kaiserin Auguste Victoria«.

Neuere elektrische Lokomotiven.

Neuere elektrisch betriebene Hebezeuge.

Der Eisbrecher, Bergungs- u. Lotsendampfer »Haidamak«.

Der Elbe-Trave-Kanal.

Die Elektrizitätswerke der Stadt Prag.

Die Schwebobahn Barmen-Elberfeld-Vohwinkel 1900.

Stühlerner Dampfschoner.

Der Doppelschrauben-Schnelldampfer »Deutschland«.

Hydraulisch betriebene Wasserkhaltungsmaschinen.

Die Doppelschrauben-Dampfyacht Prinzessin »Victoria Luise«.

Die neue Hochofenanlage der Lorain Steel Co.

Elektrisch betriebene Kohlenkippe für den Hafen von Rotterdam.

Um den Stoff für solche Aufsätze zu erlangen, gehen unsere Redaktionsingenieure hinaus zu den Fabriken, auf die Arbeitsplätze der Neubauten usw. Eine Reihe von Berichten, die sie über diese Studienreisen erstattet haben, und die dem Vorstand vorgelegt worden sind, lassen die zahlreichen und wertvollen Beziehungen erkennen, die von ihnen angeknüpft worden sind. Wenn auch nicht jede Anknüpfung gleich zu einem Ergebnis führt, so ist doch zu erwarten, dass die angebahnten Beziehungen, wenn sie eifrig gepflegt werden, sich immer lebhafter gestalten und zu immer neuen Anregungen führen. Ich kann deshalb nur bitten und wünschen, dass die bereitwillige Unterstützung, welche hervorragende Mitglieder unsern Redaktionsingenieuren haben zu teil werden lassen, und für die ich namens der Redaktion hier verbindlichst danke, den letzteren auch ferner nicht fehlen möge.

Reicher Stoff ist unserer Zeitschrift auch wieder in den Berichten über die Pariser Ausstellung zugeströmt, auch der Menge nach so reich, dass wir noch einige Zeit damit zu thun haben werden. Wenn es getadelt werden sollte, dass diese Berichte nicht früher erschienen sind, so möchte ich bitten, einige Umstände zu berücksichtigen, welche dieses späte Erscheinen erklären. Zunächst war die Ausstellung nicht rechtzeitig fertig: vor Mitte Juni v. J. konnte kein Berichterstatter sein Gebiet übersehen. Dann erst konnten die Unterlagen von den Ausstellern eingeholt werden. Wie schwierig die Aussteller zum großen Teil in der Hergabe von Zeichnungen und solchen Angaben, wie wir sie zu einem guten Bericht verlangen müssen, sich gebärden, wißts nur der, der

solches zu erlangen versucht hat. Nun flingt der Strom der Berichte an zu fließen, aber nicht allmählich wachsend und dann gleichmäßig fließend, sondern plötzlich, massenhaft, von allen Seiten. Und daneben kann und darf die — gestatten Sie den Ausdruck — laufende Kundschaft der Verfasser und Mitarbeiter nicht gar zu sehr zurückgesetzt werden. So erklärt sich die Verzögerung in den Pariser Berichten, die wir übrigens mit andern großen Zeitschriften teilen.

Zum Schlusse dieses Berichtes möchte ich noch hervorheben, dass ich der Wahrheit nicht die Ehre gäbe, wollte ich in dem Maße wie früher das Hauptverdienst für die Redaktion der Zeitschrift für mich in Anspruch nehmen. Wenn ich auch die verantwortliche Leitung nach wie vor ausübe, so leistet doch die tägliche Arbeit des Redakteurs schon seit geraumer Zeit Hr. D. Meyer, dem ein ansehnlicher Stab von eifrigen und gewandten Mitarbeitern in der Redaktion zur Seite steht; ihnen gebührt in erster Linie das Lob, das Sie hoffentlich zu spenden in der Lage sind.

Hr. Backhaus spricht den Wunsch aus, dass bei den Textfiguren zur Erleichterung des Ueberblickes angegeben werde, was sie darstellen und auf welcher Seite der zugehörige Text zu finden sei.

Hr. Peters verspricht, diesem Wunsche Rechnung zu tragen.

Hr. Hausbrand möchte weniger stark satinirtes Papier verwendet sehen, worauf Hr. Peters entgegnet, dass mit Rücksicht auf die immer mehr in Aufnahme kommenden Autotypen die starke Satinage des Papierses notwendig sei.

Der hierauf folgende Bericht des Vereinsdirektors über die Versendung der Zeitschrift lautet wie folgt:

»M. H., vom Vorstande habe ich den Auftrag erhalten, Ihnen über die Zeitschrift und ihre neue Versendungsweise ausführlich zu berichten.

Als im vorigen Jahre der Vorstand Ihnen die Anträge vorlegte, welche statt der bisherigen Kreuzbandversendung die Versendung im Postzeitungsverkehr einzuführen bezweckten, war sich der Vorstand der Nachteile vollständig bewusst, die mit der letzteren Versendungsart verknüpft sind; hatten wir sie doch schon in den 80er Jahren aus eigener Erfahrung kennen gelernt, und waren doch diese Erfahrungen so unerfreulich gewesen, dass wir damals trotz höherer Kosten zur Kreuzbandversendung zurückkehrten. Wenn Sie sich trotzdem im vorigen Jahre dem Antrage des Vorstandes angeschlossen haben, so liegt — wie Ihnen bekannt — der Grund vor allem darin, dass die jetzt mit der Versendung im Postzeitungsverkehr erzielte Ersparnis an Portokosten viel größer ist als vor 15 Jahren. Wenn wir heute noch unter Kreuzband versendeten, so würden sich die Portokosten für die betr. 14000 Exemplare auf $14000 \times 10,40 = 145600 \text{ M}$ belaufen, während sie bei der jetzigen Versendung im Postzeitungsverkehr rd. 3 M pro Exemplar — genau nur 2,17 M, aber es sind anderseits einige kleine Mehrkosten zu berücksichtigen — betragen, also 42000 M im Jahr; das macht eine Ersparnis von 103600 M im Jahr. Davon gehen die Mehrkosten der Beilagen ab, die früher kostenfrei waren, jetzt aber 1/4 Pfg pro Stück kosten. Das macht bei 300 Beilagen $300 \times 14000 = 4200000 \text{ Pfg} = 42000 \text{ M}$, sodass eine Ersparnis von 61600 M bei 14000 Exemplaren herauskommt.

Die Schwierigkeiten des Postzeitungsverandes entstehen bei uns hauptsächlich daraus, dass wir in hohem Grade der Mitwirkung unserer Mitglieder bedürfen, wenn alles klappen soll. Dabei muss ich vorweg betonen, was zwar eigentlich selbstverständlich ist, aber doch von manchem nicht verstanden zu werden scheint: dass nämlich die Vorschriften für den Postzeitungsverand nicht von uns, sondern von der Postverwaltung herrühren, und dass uns gar nichts anderes übrig bleibt, als diese Vorschriften zu erfüllen, wenn wir diese Versendungsart anwenden wollen. Ich hebe das hervor, weil häufig Mitglieder, denen es lästig ist, den Anforderungen der neuen Versendungsart zu entsprechen, uns für die betr. Vorschriften der Post verantwortlich machen möchten.

Ich sagte, dass die Schwierigkeiten des Postzeitungsverandes bei uns hauptsächlich daraus entspringen, dass wir in hohem Grade der Mitwirkung unserer Mitglieder bedürfen, wenn alles klappen soll. Nur wenn jedes Mitglied uns rechtzeitig die von der Postverwaltung verlangten

Angaben über seine Wohnung und seine Postanstalt macht, sind wir imstande, ihm die Zeitschrift auch rechtzeitig zu liefern. Dass diese Angaben trotz wiederholter Aufforderung von manchen Mitgliedern nur unvollständig, verspätet, ja zuweilen garnicht zu erlangen waren, hat einerseits unsere Arbeit sehr erschwert, anderseits uns viel Vorwürfe von denen zugezogen, die unsere Forderungen nicht begriffen und sich durch unsere Mahnungen belästigt fühlten. Alles dies ist natürlich bei der ersten Anwendung der neuen Versendungsart in ungewöhnlich hohem Maße hervorgetreten; in Zukunft wird es schon besser gehen. Dennoch bleibt die Notwendigkeit bestehen, dass uns jedes Mitglied, welches mit seinem Wohnungswechsel auch seine Postanstalt ändert, sofort auf neue die betr. Angaben macht; denn nur so kann ihm die Zeitschrift rechtzeitig und richtig an den neuen Wohnort geliefert werden.

Ein großer Teil der Schwierigkeiten bei der ersten Bestellung der Zeitschrift im Dezember vorigen Jahres ist auch darauf zurückzuführen, dass auch für die Post die Sache in mancher Beziehung neu war, und dass infolge der durch den Reichstag genehmigten Erleichterungen diese Versendungsart einen alle Erwartung übersteigenden Umfang annahm. Auf diese Weise kam eine riesige Vermehrung der Arbeitslast mit einschneidenden neuen Vorschriften zusammen, ein Zustand, der selbst unserer Reichspost die größten Schwierigkeiten bereitet hat. Für uns entstand hieraus noch die besondere Erschwerung, dass uns die maßgebenden Vorschriften der Reichspost erst gegen Mitte Dezember zugehen. So mussten wir trotz frühzeitiger Vorherbereitung geraume Zeit die Hände sozusagen in den Schoß legen, und mussten dann in wenigen Tagen eine ganz gewaltige Arbeit vollbringen.

Dass dabei auch bei uns manches Vorsehen vorgekommen ist, wird unter diesen Umständen zu entschuldigen sein. Ich darf aber doch wohl behaupten, dass nur ein kleiner Teil der Beschwerden uns und unserer Expedition zur Last gelegt werden kann. Wenn Sie es gestatten, will ich einige Fälle vortragen, die besonders geeignet sind, den Hergang der Dinge zu kennzeichnen.

(Auf Wunsch der Versammlung werden einige Beispiele mitgeteilt.)

M. H., ich kann meine Mitteilungen über diese Angelegenheit nicht schließen, ohne mit Dank und Anerkennung derjenigen zu gedenken, die bei uns und für uns diese schwierige Arbeit geleistet haben, der Firma Julius Springer und unserer an der Versendung beteiligten Beamten. Der Firma Julius Springer muss ich das Zeugnis ausstellen, dass sie mit der größten Umsicht und Bereitwilligkeit die Arbeiten ausgeführt hat, die sich bei diesem erstenmale weit über Erwarten umfangreich und schwierig erwiesen; und unsere Beamten, die bisher mit der Expedition sozusagen nichts zu thun gehabt hatten, haben keinen Augenblick den großen Anforderungen gegenüber versagt, die der neuen Versendung wegen an sie gestellt werden mussten.

In Zukunft wird, wie ich schon sagte, die Arbeit minder schwierig sein. Unsere Mitglieder werden sich besser daran gewöhnen, die nötigen Angaben zu machen, und unsere Expedition wird sich besser eingearbeitet haben. Einige Punkte bedürfen noch der Regelung, vor allem die der Ueberweisung der Zeitschrift, wenn Mitglieder ihren Wohnort wechseln. Es ist noch fraglich, ob die Reichspost uns gestatten wird, dass wir diese Ueberweisung beantragen, nicht aber das Mitglied selbst es thun muss; und darüber, wer die Ueberweisungskosten tragen soll, ob der Verein oder das Mitglied, beabsichtigt der Vorstand, Ihre Meinung zu hören. Bisher kann nach Vorschrift der Reichspost der Antrag auf Ueberweisung nicht vom Absender, sondern muss vom Empfänger bei seiner Postanstalt gestellt werden. Deshalb hat der Verein bisher in allen Fällen, wo ein Mitglied seinen Wohnort innerhalb Deutschlands wechselte, das Mitglied auffordern müssen, die Ueberweisung bei seiner Postanstalt selbst zu beantragen. Mit dem Ueberweisungsantrage sind 50 Pfg Ueberweisungsgebühr zu zahlen. Es würde eine umständliche geschäftliche Behandlung erfordern, wenn der Verein stets den Mitgliedern diese 50 Pfg ersetzen wollte; die Zusage müsste durch Postanweisung erfolgen, und das Mitglied müsste eine Quittung über die an die Postanstalt gezahlten 50 Pfg zurücksenden. Deshalb hat der Vorstand zunächst angeordnet, dass die 50 Pfg jeweils von den Mitgliedern gezahlt werden sollen. Nachdem sich jedoch

einige Mitglieder geweigert haben, dies zu thun, indem sie sich darauf beriefen, dass ihnen nach dem Statut die Zeitschrift kostenfrei zu liefern sei, hat der Vorstand die rechtliche Seite der Frage genauer geprüft und ist zu dem Ergebnis gelangt, dass rechtlich der Verein verpflichtet sei, die 50 Pfg zu zahlen. Um die Geschäftsbehandlung zu erleichtern, hat der Vorstand deshalb angeordnet, dass jedem Mitgliede, welches es beansprucht, die 50 Pfg ersetzt werden, und dass der Postchein als ausreichender Kassenbeleg für diese Zahlung gelten soll.

Es ist zu hoffen, dass diese Angelegenheit noch besser geordnet wird. Der Verein hat an die Reichspostbehörde einen Antrag gerichtet, dahingehend, dass dem Verein gestattet werde, für die Mitglieder bei deren Postanstalt die Anträge auf Ueberweisung der Zeitschrift zu stellen. Die Antwort auf diese Eingabe steht noch aus. Sollte die Postbehörde zustimmend antworten, so werden für die Mitglieder jede Bemühung und Kosten wegfallen; sie brauchen nur der Geschäftsstelle in Berlin die Aenderung ihres Wohnortes und der zugehörigen Postanstalt anzugeben; die Geschäftsstelle beantragt dann die Ueberweisung und zahlt die Gebühr.

Hr. Franzen stellt die Frage, ob ein Mitglied, wenn es seinen Wohnort wechselt, davon aber der Geschäftsstelle erst nach einigen Wochen Mitteilung macht, die inzwischen erschienenen Zeitschriften nachgeliefert bekommt.

Hr. Peters ist der Meinung, dass man hiermit vorsichtig sein sollte. Die Post habe ausdrücklich jede Verpflichtung der Aufbewahrung und Nachlieferung abgelehnt. Es würde also die Nachlieferung nur durch wiederholte Hergabe der betr. Zeitschriftenhefte seitens des Vereines möglich sein, und das auf Kosten des Vereines zu thun, wo es sich doch gewissermaßen um ein Verschulden der Mitglieder handelte, sei bedenklich.

Hr. Post fragt an, ob es nicht möglich sein möchte, das Mitgliederverzeichnis früher als bisher herauszugeben.

Hr. Peters erwideret, dass es in diesem Jahre bereits fast drei Monate früher als sonst herausgekommen sei, und stellt in Aussicht, dass, wenn die Branten sich noch besser in die Bestellung der Zeitschrift am Anfang des Jahres eingearbeitet hätten, es möglich sein werde, noch etwas früher damit herauszukommen. Immerhin sollte man doch bis etwa Mitte April warten, weil die Hochflut der neu eintretenden Mitglieder erfahrungsgemäß bis in den März hinein sich erstreckt und es doch gewiss wünschenswert sei, noch möglichst viele von den neuen Mitgliedern in das Verzeichnis hineinzubekommen.

Hr. Liebig regt an, bei den Namen der als verstorben gemeldeten Mitglieder anzugeben, welchem Bezirksverein sie angehört haben.

(Pause.)

Zur Erledigung des Punktes 6): Wahl der Rechnungsprüfer schlägt Hr. Schmetzer vor, folgenden Beschluss zu fassen:

»Die Rechnungsprüfer haben einen Revisionsbericht zu verfassen, welcher mit der Bilanz den Mitgliedern des Vorstandes zugesandt werden soll, und ferner in der Versammlung des Vorstandes persönlich Bericht über ihre Arbeit zu erstatten und etwa noch gewünschte Auskunft zu geben.«

Als Rechnungsprüfer schlägt Hr. Schmetzer die Herren Bolze und Taaks vor.

Bei dieser Verhandlung wird erörtert, ob es zulässig sei, dass ein Mitglied des Vorstandes zum Rechnungsprüfer gewählt wird. § 22 des Statuts besagt: »Zur Prüfung der Rechnung des laufenden Jahres und der Kassentführung erwählt die Hauptversammlung alljährlich zwei Rechnungsprüfer und zwei Stellvertreter aus der Zahl derjenigen Vereinsmitglieder, welche ein anderes Vereinsamt nicht bekleiden.« Von der einen Seite wird geltend gemacht, dass das Amt eines Abgeordneten im Vorstandesrat als ein Vereinsamt im Sinne dieses Paragraphen zu betrachten sei, und deshalb könne kein Mitglied des Vorstandes Rechnungsprüfer sein, von der andern Seite, dass man auf den Sinn und die Absicht des Statuts eingehen müsse, wonach niemand Rechnungsprüfer sein solle, der mit der Führung der Rechnung und der Kasse

etwas zu thun hätte. Letzteres sei aber bei den Mitgliedern des Vorstandes nicht der Fall, und deshalb sei es unbedenklich und nicht gegen das Statut, ein Mitglied des Vorstandes zum Rechnungsprüfer zu wählen.

Die Versammlung entscheidet sich für die letztere Auffassung.

Zu Rechnungsprüfern werden die Herren Bolze und Taaks, zu deren Stellvertretern die Herren Rein und Roufs gewählt.

Wahl des Vorsitzenden.

Es wird einstimmig beschlossen, zum Vorsitzenden für die Jahre 1902 und 1903 der Hauptversammlung Hr. Generaldirektor W. v. Oechelhaeuser in Dessau in Vorschlag zu bringen.

Verleihung der Grashof-Denk Münze.

Hr. Veith äußert sich namens des Vorstandes zu einigen Punkten, die ihm in der Pause vorgebracht worden sind, insbesondere dazu, dass es dem Statut der Grashof-Stiftung nicht entsprechen würde, einer Aktiengesellschaft oder der Direktion eines Werkes die Grashof-Denk Münze zu verleihen, und dass es andererseits nicht möglich sei, ohne den Wert der Grashof-Denk Münze herabzusetzen, sie allen an einem großen Werk Beteiligten zu verleihen.

Hr. Bolze ist der Meinung, dass es nicht nötig sei, die Grashof-Denk Münze jedes Jahr zu verleihen. Diese Erwägung gelte jedoch nicht für den vorliegenden Fall, sondern für die Zukunft.

Hr. Veith entgegnet, dass auch der Vorstand in diesem Sinne gehandelt haben würde, wenn die Sache so läge, dass er nach Ingenieurleistungen, welche diese hohe Auszeichnung verdienten, hätte suchen müssen. Die Erfolge der vom Vulcan gebauten Schnelldampfer seien aber so außerordentlich groß und hätten in der ganzen Welt eine solche Bewunderung erregt, dass es ganz unmöglich gewesen sei, achtlos an ihnen vorüberzugehen.

Hr. Herzberg giebt seiner Freude über die mit der vorgeschlagenen Verleihung verbundene grundsätzliche Stellungnahme des Vereines Ausdruck. Von jeher habe er den Standpunkt vertreten, dass — und zwar ganz besonders in Deutschland — bei Ingenieurwerken die Person des Erbauers viel zu sehr zurücktritt gegen sein Werk, gegen das Amt, in dem er sich befindet, gegen die Gesellschaft oder die Firma, innerhalb deren er thätig ist. Bei der Chicagoer Ausstellung sowohl wie bei der vorjährigen in Paris habe er bei den unter seiner Leitung zustande gekommenen Ausstellungen von deutschen Ingenieurwerken darauf hingewirkt, dass überall auf den Zeichnungen die Namen derjenigen angegeben würden, welche als die geistigen Urheber und Verfasser der Arbeiten zu betrachten seien. Leider geschehe das viel zu wenig, und deshalb sei es erfreulich, dass jetzt der Verein deutscher Ingenieure in dieser Richtung wirken wolle.

Auch Hr. Peters hebt hervor, dass die grundsätzliche Bedeutung der vorliegenden Entscheidung von ganz besonderer Wichtigkeit sei. Würde der Verein Hr. Flohr die Grashof-Denk Münze versagen, nicht, weil seine Leistungen nicht genügten, sondern weil außer ihm auch seine Kollegen im Direktorium des Vulkans daran beteiligt seien, dann würde eine ganze Reihe unserer hervorragendsten Ingenieure in Zukunft überhaupt für die Verleihung der Grashof-Denk Münze nicht in Betracht kommen können; denn mehr und mehr gestalten sich die großen industriellen Unternehmungen zu Aktiengesellschaften, mehr und mehr werden die öffentlichen Bauten von Behörden mit kollegialischer Gestaltung ausgeführt. Wenn es auch noch so schwierig erscheinen möchte, jedesmal im Einzelfall die hauptsächlich in Betracht kommende Persönlichkeit zu ermitteln und zu bezeichnen, so sollte man doch deshalb nicht ein für allemal eine ganze Reihe von hervorragenden Männern von der Liste für die Grashof-Denk Münze streichen.

Hierauf wird einstimmig beschlossen, der Hauptversammlung vorzuschlagen, die Grashof-Denk Münze Hr. Direktor Justus Flohr von der Stettiner Maschinenbau-Aktiengesellschaft Vulcan in Stettin zu verleihen.

(Schluss folgt.)

ZEITSCHRIFT DES VEREINES DEUTSCHER INGENIEURE.

Nr. 33.

Sonnabend, den 17. August 1901.

Band XXXV.

Inhalt:

Ueber den Bau von Kriegsschiffen. Von Hüllmann	1158	Mach. — Bei der Redaktion eingegangene Bücher. — Ueber-	
Die Peiffenitz-Brücke in Halle a. S. Von M. Ziegler	1160	sicht neu erschienener Bücher	1174
Die Weltausstellung in Paris 1900: Spinnermaschinen. Von		Zeitschriftenschau	1176
G. Rohn (Fortsetzung)	1166	30. Delegirten- und Ingenieur-Versammlung des internationalen	
Berliner B.-V.: Mittheilungen über die Weltausstellung in Paris	1171	Verbandes der Dampfkessel-Überwachungsvereine	1178
Lenne-B.-V.: Flugschiffahrt.	1172	Rundschau: Musterglaserien. — Verschiedenes	1179
Niederrheinischer B.-V.: Werkzeugstahl der Bethlehem Steel Co. —		Patentbericht: Nr. 119231, 118929, 118978, 119057, 119926,	
Erfahrungen an Rollenlagern	1172	119240, 119058, 118950, 119745, 118733	1181
Schleswig-Holsteinischer B.-V.: Die Entwicklung des Dürr-Kessels	1173	Zuschriften an die Redaktion: Die Maschinen für Papierfabri-	
Siegener B.-V.	1175	kation auf der Weltausstellung in Paris 1900	1182
Bücherschau: Die Mechanik in ihrer Entwicklung. Von K.		Angelegenheiten des Vereines: Versammlung des Vorstandes	
		am 9. Juni 1901 in Kiel (Schluss)	1182

Ueber den Bau von Kriegsschiffen.

Von Marine-Oberbaurat Hüllmann.

(Vorgetragen in der 42. Hauptversammlung des Vereines deutscher Ingenieure zu Kiel.)

Der Versuch, in dem engen Rahmen eines Vortrages auch nur in groben Zügen alles das zu vereinigen, was heutzutage beim Bau von Kriegsschiffen zu berücksichtigen ist, muss von vornherein als ein etwas gewagtes Unterfangen erscheinen, weil die Fülle des Materials zu groß ist. In einer ähnlichen Lage befindet sich der Konstrukteur beim Entwurf eines Kriegsschiffes, wenn er alle die an ihn heran tretenden Forderungen erfüllen und in einem der Größe nach scharf begrenzten Bau vereinigen soll. Um diese Aufgabe lösen zu können, muss er Vergleiche, Kompromisse schließen, und wenn auch jedes Bauwerk mehr oder weniger ein Kompromiss ist, so sind doch wohl nur wenige vorhanden, bei dem dies in so hohem Maße der Fall wäre wie bei einem Schiffe, im besondern einem Kriegsschiffe. Es sei mir gestattet, hier nur einige der Forderungen anzuführen, die sich zumteil geradezu widersprechen. Das Schiff soll ein möglichst kleines Displacement haben, d. h. die von dem voll ausgerüsteten Schiffe verdrängte Wassermasse soll möglichst gering sein, das Schiff soll aber möglichst viele militärische Eigenschaften besitzen, die nur durch Gewicht erreicht werden können. Das Schiff soll eine große Festigkeit haben, um auch nach Havarien bei Grundberührungen, Zusammenstoßen oder nach einem Gefecht noch durchaus seefest zu sein, das Gewicht des Schiffskörpers soll aber niedrig sein, um einen möglichst großen Teil des Displacements für Waffen zum Angriff und zur Verteidigung verwenden zu können. Das Schiff soll stets eine möglichst große Geschwindigkeit, also eine zur Erreichung der verlangten Geschwindigkeit günstige Form haben, d. h. das Verhältnis von Länge zu Breite muss thunlichst groß sein; dem gegenüber steht die Forderung, dass das Schiff gute, wesentlich mit der Breite wachsende Stabilität besitzen und gut steuern, d. h. möglichst kurz sein soll, und der Umstand, dass lange Schiffe schwerer werden als kurze. Das Schiff soll einen großen Kohlenvorrat mit sich führen, um eine möglichst lange Wegstrecke durchlaufen zu können, aber jede Tonne Kohlen bedeutet eine Tonne Panzer, Munition, Vorräte usw. weniger, oder aber sie bedingt eine Vergrößerung des Displacements um 2 t oder mehr, wenn die sonstigen Verhältnisse nicht geändert werden sollen. Das Schiff soll ein gutes Seeschiff sein, d. h. auch beim Dampfen mit großer Fahrt gegen schwere See möglichst trocken sein, es soll hohe und geräumige Wohnräume haben, es soll voll ausgerüstet noch ge-

nügend weit über seine Schwimmbene vorragen. Thut es dies aber, so bietet es wieder eine gute Zielfläche für Geschosse und große Angriffsdächer für den Wind. Es soll in allen Teilen gut und bequem zugänglich sein, jede zu diesem Zwecke eingeschnittene Öffnung vermindert aber den Schutz gegen Geschosse bei Panzerdecks und den Schutz gegen eindringendes Wasser bei Durchbrechung wasserdichter Schotte. So stößt man beim Entwurf eines Kriegsschiffes überall auf Widersprüche. Das Kriegsschiff ist eben in allen Teilen ein Kompromiss. Es ist deshalb falsch, es von einem Standpunkte aus zu betrachten, indem man eine Eigenschaft gößentlich hervorhebt und betont oder eine andere absichtlich übersieht; weil man bei einem einwandfreien Vergleiche von Kriegsschiffen alle Eigenschaften berücksichtigen muss, ist es sehr schwierig, einen solchen Vergleich richtig anzustellen, und bei der Vielseitigkeit der Forderungen, die gestellt werden, ist es leicht, ein Schiff schlecht zu machen, indem man einen schwachen Punkt desselben herausgreift.

In früheren Zeiten, noch bis zur Einführung des Dampfes, waren die Verhältnisse wesentlich einfacher. Der Typ der Kriegsschiffe, ihre Form, ihre Einrichtungen und die Anordnung der Geschütze, stand im allgemeinen fest. Auch ihre Größe war begrenzt und überschritt bis Ende des 18. Jahrhunderts 2500 t nicht. Es handelte sich im wesentlichen um Nachbildung erprobter Schiffstypen, und der Entwurf wurde mehr handwerksmäßig behandelt, indem Schiffe von so und so viel Kanonen bestellt wurden. Man baute nicht nach Rissen, sondern nach dem durch Erfahrung geschulten Auge, und die jungen Schiffbauer lernten durch Anschauung von ihren Meistern.

Erst Ende des 18. Jahrhunderts beginnt die wissenschaftliche theoretische Behandlung des Schiffbaues, und von da an entwickelt sich diese Wissenschaft fortwährend. Sie ist international, wie alle Wissenschaften; kein Volk hat ein Vorrecht auf sie oder ist im Besitze der absolut richtigen Erkenntnis, sondern alle schiffahrttreibenden Völker arbeiten daran, um zur richtigen Erkenntnis durchzudringen, die von dem jeweiligen Stande der Technik wesentlich abhängt.

Es würde hier zu weit führen, wollte ich auf die Erwägungen eingehen, welche der Wahl der Abmessungen und der Form beim Entwurf eines modernen Kriegsschiffes vorangehen, das möglichst viele taktische und strategische Eigenschaften in sich vereinigen soll; es mag genügen, zu er-

wähnen, dass für unsere Schiffe die geringen Wassertiefen unserer Küsten und die Abmessungen unserer Docks und Hafeneinfahrten beschränkend und erschwerend wirken. Als man vor nunmehr reichlich 40 Jahren bei uns in Deutschland anfang, die Staatswerft in Wilhelmshaven und etwas später die hier in Kiel einzurichten — bei der dritten vorhandenen deutschen Staatswerft in Danzig bestehen andere Verhältnisse —, da glaubte jeder, dass die Abmessungen, die man für die Hafeneinfahrten und die Docks festlegte, für alle Ewigkeit ausreichen würden, und man würde sicher den einen Verschwender gescholten haben, der über die für die damalige Zeit schon hoch gegriffenen Maße hinausgehen wollte. Die Grösse der Handelschiffe ist seit jener Zeit, besonders in den letzten 10 Jahren, gewaltig gewachsen; über die zweckmässigste Grösse der Kriegsschiffe ist man auch heute noch lange nicht einig. Zwar hält wohl die überwiegende Mehrheit es für richtig, Linienschiffe unter 12000 t Displacement nicht mehr zu bauen, man spricht aber, während die grössten Kriegsschiffe bisher ein Displacement von 16000 t noch nicht erreichen, heute bereits von 30000 t grossen Schiffen. Die grossen Schiffe haben den Vorteil, dass bei gleicher Geschwindigkeit die für 1 t erforderliche Maschinenleistung mit der wachsenden Grösse abnimmt, dass die Sicherheit des Schiffes wesentlich erhöht, dass Armierung und Panzerung wesentlich verstärkt werden können. Sie haben den Nachteil, dass die taktische Einheit sehr gross wird und der Verlust eines Schiffes eine zu grosse Schädigung der Kampfmittel bedeutet, und es ist deshalb noch nicht abzusehen, bis zu welcher Grenze die Grösse der Kriegsschiffe gesteigert werden wird.

Einer der wichtigsten Punkte beim Entwurfe eines Schiffes ist die Frage nach der Anzahl der Pferdestärken, die geleistet werden müssen, um die verlangte Geschwindigkeit zu erreichen. Wir kennen das Wasser noch viel zu wenig, wir wissen nicht genau, welche Richtung die Stromfäden annehmen, wenn das Schiff das Wasser durchfährt, wir können vor allem den Widerstand des Wassers nicht wie andere Reibungswiderstände in richtige, mathematische Formeln bringen und müssen ihn deshalb auf andere Weise zu ermitteln suchen. Ungefähr kann man die erforderliche Leistung aus Vergleichen mit anderen, erprobten Schiffen abschätzen, wenn in der Form ähnliche Schiffe mit gleichen oder grösseren Geschwindigkeiten bereits vorhanden sind. Will man aber genauere Werte haben, oder handelt es sich um neue Schiffsförmern oder um grössere Schiffsgeschwindigkeiten, so muss man zu Modellversuchen greifen. Diese Versuche, zuerst von dem englischen Privatgelehrten Froude anfangs der 70er Jahre ausgeführt, erfordern ein etwa 160 m langes Wasserbecken, in dem die 3 bis 4 m langen, aus Paraffin hergestellten Modelle durch sehr gleichmässig laufende Maschinen geschleppt werden.

Bei uns in Deutschland war bisher nur eine kleinere Privatanstalt in Uebigau vorhanden, und erst neuerdings hat der Norddeutsche Lloyd eine solche Anstalt aus eigenen Mitteln in Bremerhaven errichtet, um für seine Neubauten mit ungewöhnlich grossen Geschwindigkeiten die erforderliche Maschinenleistung im voraus sicher bestimmen zu können. Eine Staatsanstalt hierfür besitzen wir nicht.

Aus dem gemessenen Widerstande bestimmt man die Anzahl der indizierten Pferdestärken, und hieraus berechnet man das Gewicht der Maschinenanlage, da man nach ähnlichen Ausführungen weiss, welches Gewicht in jedem einzelnen Falle notwendig ist. Dieses Gewicht hat sich natürlich im Laufe der Zeit geändert; die Entwicklung drängt darauf hin, es immer kleiner und kleiner zu machen, um mit einem gegebenen Gewicht möglichst viele Pferdestärken leisten zu können. Dabei darf die Sicherheit des Betriebes in keiner Weise gefährdet werden; im Gegenteil strebt man dahin, sie stets zu vergrössern und so hoch wie nur möglich zu machen. Ich kann hier auf die Mittel, wie Wasserrohrkessel, höherer Dampfdruck, höhere Kolbengeschwindigkeit, welche es ermöglicht haben, die Maschinenanlage immer leichter zu machen, nicht näher eingehen und beschränke mich darauf, anzuführen, dass das Gewicht der Linienschiffmaschinen mit etwas mehr als 100 kg für 1 PS, um mehr als ein Drittel, ja fast um die Hälfte kleiner geworden ist, als es vor

30 Jahren beim Bau der ersten deutschen Kriegsschiffmaschinen war.

Das Gewicht des Schiffskörpers ist ebenfalls nach ähnlichen Ausführungen ungefähr bekannt und wird bei den ersten Entwürfen meist in Hundertteilen des Displacements bei voll ausgerüstetem Schiffe ausgedrückt. Es ist von etwa 44 vH bei dem alten, seinerzeit (1868) mächtigsten Panzerschiffe der Welt, unserm grossen Kreuzer »König Wilhelm«, auf 31 bis 32 vH bei unsern modernen Linienschiffen gesunken, obgleich die Einrichtungen zur Sicherung des Schiffes ganz wesentlich verbessert und vermehrt sind, und ohne dass die Festigkeit vermindert ist. Es bleiben also noch fast 70 vH für andere Zwecke übrig, und doch glaubten in England bei Beginn des Eisenschiffbaues ganz ernsthafte Leute, dass eiserne Schiffe überhaupt nicht schwimmen könnten.

Ich übergehe die schwierigen und langwierigen Berechnungen zur Feststellung der Beanspruchungen, die ein im bewegten Wasser hin- und hergeworfenes Schiff erleidet, Beanspruchungen, die beständig wechseln, je nachdem das Schiff auf einem Wellenberg reitet oder im Wellenthal versinkt. Trotz diesen gewaltigen Beanspruchungen ist bei der modernen Bauart ein Kriegsschiff auf offener See auch im schwersten Sturme gar nicht oder nur wenig gefährdet, aber wehe ihm, wenn es bei solcher Gelegenheit dem festen Boden zu nahe kommt. Dann muss auch das stärkste Schiff zugrunde gehen, wie das Beispiel der unglücklichen »Gneisenau« zeigt, die an der Mole von Malaga im Dezember vorigen Jahres ihr massiges Grab gefunden hat. Es ist deshalb auch falsch, wie geschehen, gerade aus diesem Falle schliessen zu wollen, dass dieses Schiff nicht fest genug gebaut gewesen sei; denn stärker als dieses kurze Holzbeplankte Schiff können wir beinahe kein Kriegsschiff bauen. Solche Unglücksfälle kommen überall vor, und ein ähnliches Ereignis hat z. B. erst im Januar d. J. die englische Flotte betroffen, die man so gern auch inbezug auf Seecerfahrung als unserer kleinen aber wohlgeschulten Flotte überlegen hinstellt. England hat den Verlust des grösseren, noch nicht 10 Jahre alten, modern eingerichteten, mit zwei für 20 Knoten bemessenen Maschinen ausgerüsteten Kreuzers »Sybille« zu beklagen, der in der Lamberts-Bai gestrandet und vollständig verloren gegangen ist. Was aber unsere deutschen Kriegsschiffe auszuhalten vermögen, das beweist recht klar und deutlich der Unfall, den »Kaiser Friedrich III.« Anfang April d. J. hier in der Ostsee bei Adlarsgrund erlitten hat. Das 11000 t schwere Schiff war mit 16 Knoten Geschwindigkeit sehr heftig auf Grund geraten und unter starken Stössen lockgesprungen. Trotzdem stellte sich bei der Untersuchung heraus, dass die Beschädigungen verhältnismässig gering waren. Zwar war die Aufsenhaut überall verbeult, unter andern auf eine Strecke von 40 m 300 mm tief eingedrückt und aufgerissen; trotzdem war das Schiff in seiner Sicherheit und Gefechtsbereitschaft nur so wenig geschädigt, dass es nach ganz geringfügigen Ausbesserungen unter eigenem Dampf nach Wilhelmshaven gehen konnte.

Einen noch etwas grösseren Teil des Displacements als der Schiffskörper mit Zubehör nimmt auf unseren modernen Linienschiffen, die allein ich hier berühre, das Gewicht der Panzerüstung in Anspruch. So lange Kriegsschiffe gebaut werden, hat das Bedürfnis bestanden, Schutz gegen feindliche Geschosse zu schaffen. Bei den alten Holzschiffen war dieser Schutz durch die mehrere Fuß dicken, massiv aus kernigem Eichenholz gezimmerten Bordwände in hinreichendem Masse vorhanden, und als schlimmste Gefahr blieb das Feuer bestehen, das durch glühend gemachte Kugeln hervorgerufen wurde. Mit glühenden Kugeln hat unter andern das kleine Häuflein tapferer Schleswig-Holsteiner am Gröningen Donnerstag 1849 hier in der benachbarten Eckernförder Bucht das mächtige dänische Kriegsschiff »König Christian VIII.« in Brand geschossen. Im allgemeinen reichte aber der durch die Bordwand gebotene Schutz gegen die damalige Artillerie aus, und dieses Verhältnis dauerte so lange, bis die von dem Franzosen Paixhans erfundenen Granatkanonen ihre gewaltige Ueberlegenheit über hölzerne Schiffe im Krimkrieg bewiesen. Durch Versuche stellte man dann in Frankreich fest, dass 100 mm dicke schmiedeeiserne Platten genügenden Widerstand gegen die schwersten damals vorhandenen Geschütze,

die 30-Pfünder, boten. Die auf Anregung Napoleons III. gebauten schwimmenden Panzerbatterien, die ersten Panzerschiffe, die überhaupt gebaut wurden, erwiesen sich noch im Krimkrieg im wesentlichen als unverwundbar: der Panzer hatte den Sieg über die Artillerie davongetragen, und von da ab wogt der Kampf zwischen Geschütz und Panzer hin und her. Bald hat jenes, bald dieser die Oberhand, und der Kampf ist auch heute noch bei weitem nicht als abgeschlossen zu betrachten, wenngleich augenblicklich der Panzer trotz des erheblich verbesserten Panzergeschosses bedeutend im Vorteil ist, besonders unter Berücksichtigung des Umstandes, dass nur wenige Schüsse senkrecht auftreffen.

Ein Bild dieses hin- und herwogenden Kampfes können wir schon aus den Panzerschiffen unserer Marine gewinnen. Der »Gloire«, dem ersten seegehenden Panzerschiffe, das nach den Plänen des genialen Ingenieurs Dupuy de Lôme noch aus Holz hergestellt und in Frankreich 1859 vom Stapel gelassen wurde, sehr ähnlich sind unser »Friedrich Karl«, der in Toulon, und unser »Kronprinz«, der in London, beide 1867 schon aus Eisen, erbaut wurde. Das auch bei den modernen Panzerschiffen für den vollen Gefechtswert unumgänglich notwendige Ruder ist hier schon durch Panzer geschützt, und zugunsten eines etwas dickeren Panzers sind nur die Schwimmebene und die Batterie gepanzert, eine Bauart, die — ich übergehe dabei den schon erwähnten »König Wilhelm« — auf »Kaiser« und »Deutschland« 1874 und auf der in Stettin 1884 gebauten »Oldenburg« weiter ausgebildet wurde.

Die ersten in Deutschland entworfenen und zu Anfang der 70er Jahre gebauten Panzerschiffe sind »Preußen«, »Friedrich der Große« und »Großer Kurfürst«. Sie sind im Sinne der damals maßgebenden Strömung als Turmschiffe gebaut, d. h. die schwere Artillerie (vier 26 cm-Geschütze) ist zu je zwei Geschützen in drehbaren, 254 mm dick gepanzerten Türmen aufgestellt. Auf allen zuletzt genannten Schiffen sind nur ein schmaler Streifen in der Wasserlinie und die Geschützaufstellung gepanzert, und weiter beschränkte man bei allen Marinen, mit Ausnahme Frankreichs, das überall einen rings herumlaufenden Gürtelpanzer beibehielt, den Panzer bald auch der Länge nach auf die sogenannte Zitadelle, um die Dicke des Panzers, die bei der englischen »Inflexible« 610 mm erreichte, noch mehr erhöhen zu können. Wir besitzen die 4 Zitadellschiffe der »Sachsen«-Klasse, die heute noch, nachdem ihre Maschinenanlage erneuert ist, Dienst in der aktiven Flotte thun. Ihre Panzer, die bei den nur 7300 t großen Schiffen 400 mm dick sind, bestehen aus einer äußeren 250 mm dicken und einer inneren 150 mm dicken Lage, weil die Industrie damals so dicke homogene Platten nicht liefern konnte.

Unsere nächsten Linienschiffe, die 10000 t großen, aus dem Anfang der 90er Jahre stammenden vier Schiffe der »Brandenburg«-Klasse, haben wieder einen 400 mm dicken ringsherumlaufenden Panzergürtel, aber außer einem 300 mm dicken Panzerschutz für die schweren Geschütze bereits auch einen 50 mm dicken Schutz für einen Teil der leichten Geschütze, die bisher nur durch Schilde geschützt waren. Von da an wächst das Bedürfnis nach Schutz gegen die schnellfeuernde Mittelartillerie, die inzwischen durch Einführung der Schnellladekanonen einen gewaltigen Aufschwung genommen hatte, immer mehr. Auf den neuen Schiffen der »Kaiser«-Klasse ist die gesamte Mittelartillerie einzeln oder zu zwei Geschützen vereinigt durch 150 mm dicken Panzer geschützt, und auf den neuesten im Bau befindlichen Schiffen ist die gepanzerte Fläche noch wieder größer geworden, sodass wir uns äußerlich wieder den Anfängen des Panzerschiffbaues nähern. Innerlich ist aber die Sache ganz anders geworden; zwar hat die Dicke immer abgenommen, aber unser heutiger 100 mm dicker gehärteter Nickelstahlpanzer bietet den gleichen Schutz wie vor 30 Jahren 250 bis 300 mm dicke schmiedeeiserne Platten.

Dieses Panzermaterial, das wegen seines Nickelgehaltes, der schwierigen und langwierigen Verfahren, die es durchzumachen hat, des unvermeidlichen Ausschusses, der kostspieligen Betriebseinrichtungen und der teuren Beschussprobe etwas mehr als 2 Mk/kg kostet, wird nur zum Schutze senkrechter Wände gegen die im großen und ganzen wagerecht

eintreffenden Geschosse verwendet. Für die zum Schutze gegen die von krepirenden Granaten umbergeschleuderten Sprengstücke und gegen Stollbahngeschosse, die neuerdings wieder eine größere Rolle zu spielen beginnen, angeordneten Panzerdecks, die allgemein aus mehreren Lagen von dünnen Platten hergestellt werden, um an den Nähten und Stößen die erforderliche Festigkeit zu erreichen, wird billigeres Material verwendet.

Die Panzerdecks waren eine Notwendigkeit für die Zitadellschiffe, um wenigstens den unter Wasser liegenden Teil der ungepanzerten Schiffsenden vor der Zerstörung zu schützen. Sie haben hier und bei den ungepanzerten Kreuzern eine stark gekrümmte Form, da sie in der Bordwand mindestens 1,4 m unter Wasser reichen müssen, um alle Geschosse aufzufangen, und mittschiffs bis über die Schwimmebene hinauf geführt werden, um die Durchgangsöffnungen gegen Wassereinbruch möglichst zu sichern. Bei den ganz unter Wasser liegenden Panzerdecks halten wir strenge an dem Grundsatz fest, überhaupt keine Öffnungen einzuschneiden, um unter allen Verhältnissen eine möglichst große Sicherheit gegen Wassergefahr zu haben. — Etwas später baute man leicht geknickte oder fast ganz ebene Panzerdecks auch auf den Gürtelpanzerschiffen ein, um den durch Wasser und Gürtelpanzer geschützten Teil des Schiffes mit der leicht verletzlichen Maschinenanlage auch von oben zu sichern, und heute erhalten unsere schweren Schiffe zwei über einander liegende Panzerdecks, von denen das eine an der Unterkante, das andere an der Oberkante des senkrechten Panzers liegt.

Neben dem Panzer, dessen wesentlichster Zweck der Schutz der Wasserlinie, der schweren und der mittleren Artillerie ist, besitzen wir in den Korkdämmen noch ein leichteres Mittel wenigstens gegen eindringendes Wasser, wenn die Bordwand zerschossen ist. Der Korkdamm wird aus Korkholzstücken und Marineleim, einer pechartigen Asphaltmasse, ähnlich wie Mauerwerk hergestellt und oberhalb der Panzerdecks an den Bordwänden angeordnet. Er hat wegen der Elastizität des Korkes die Eigenschaft, sich nach dem Durchgleiten des Geschosses so fest wieder zusammenzuziehen, dass keinerlei Öffnung bestehen bleibt.

Mit der Anordnung des Panzers Hand in Hand geht die Anordnung der Artillerie, die immer noch die Hauptwaffe des Kriegsschiffes bildet. In großen Zügen ist hier das Bild heute bei allen Nationen ähnlich: schwere Geschütze an den Enden, Mittelartillerie dazwischen und leichte Geschütze ohne Panzerschutz auf den Aufbauten; aber im einzelnen, ob Einzel oder Doppeltürme, oder gar 4 Kanonen in einem Turm wie in Amerika, ob Einzelkasematten oder Batterien, geht jede Nation ihren eigenen Weg. Was das beste ist, das zu entscheiden muss dem Ernstfalle überlassen bleiben, weil neben den Ergebnissen des Schießplatzes die Schulung und Erziehung des Personals eine zu große Rolle spielt. Die größten auf unsern modernen Schiffen aufgestellten Geschütze sind Schnellladekanonen mit einem Kaliber von 24 cm; die neuesten jetzt in Bau gegebenen Linienschiffe erhalten 28 cm, die andern Nationen haben 30 cm. Amerika vereinzelt sogar 33 cm-Geschütze auf ihren neuen Schiffen.

Um Ihnen ein Bild zu geben, um welche Gewichte es sich hierbei handelt, erwähne ich, dass ein Panzerturm mit zwei 24 cm-Kanonen und Laffeten etwa 250 t wiegt, ohne die Panzerung, die den Unterbau des ganzen Turmes schützt.

Während die Kanonen mit lautem Donner ihre Geschosse meilenweit versenden, wirken, nur für den Nahkampf berechnet, lautlos und unsichtbar mehrere Meter unter der Wasserlinie die unheimlichen Torpedos, ihre bis fast 100 kg betragende Schießbaumwollladung mit mehr als 30 Knoten Geschwindigkeit durch das Wasser treibend. Die Torpedokanone, die zu ihrer Bedienung notwendige Einrichtung und der Torpedo selbst mit seinen eng zusammengedrängten Ausrüstungen erfordern bei der Herstellung, Unterhaltung und Verwendung viel Sorgfalt und Umsicht; erreicht ein Torpedo aber sein Ziel, so muss auch die Wirkung gewaltig sein.

Kehren wir nach dieser kurzen Abschweifung zu unserem Entwurfe zurück! Es handelt sich nicht nur darum, alle diese Gewichte, die zusammen ein Kriegsschiff ausmachen, an Bord

unterzubringen und zu verstauen, selbstverständlich immer so, dass jede Einrichtung den für ihren Zweck günstigsten Platz hat, sondern es treten noch zwei wichtige Gesichtspunkte hinzu, deren Vernachlässigung den ganzen Entwurf unbrauchbar machen würde:

1) Das Schiff soll der Länge nach genau auf der verlangten Schwimmbene liegen, d. h. es darf weder kopf- noch zu achterlastig werden, und es soll eine annähernd ebenso günstige Lage auch nach dem Verbräuche der an Bord befindlichen Vorräte behalten;

2) es soll die verlangte Stabilität haben.

Allein die Innehaltung des beabsichtigten Displacements nur der Größe nach ist durchaus nicht so einfach, wie man vielleicht zu denken geneigt ist. Es handelt sich um die Summe aus den Gewichten des Schiffskörpers mit seinen Einrichtungen, der Maschinenanlage mit Wasser und Inventar, der Panzerung, der Artillerie- und Torpedobewaffnung mit Munition, der Kohlen- und Wasservorräte, des Gewichtes der Besatzung mit Effekten, des losen Inventars, wie Boote, Möbel, Arbeitsgerät, und des Materials, wie Schmieröle, Holz, Tauwerk usw. Alle diese Gewichte müssen im einzelnen genau ermittelt werden — bei den unendlich vielen Bauteilen, aus denen allein der Schiffskörper zusammengesetzt ist, eine umständliche und zeitraubende Arbeit —, und alle diese einzelnen Winkel und Bleiche müssen nicht nur nach ihrem Gewichte, sondern auch nach ihrer Schwerpunktlage im Schiffe bestimmt werden. Der Schwerpunkt der vom fertigem Schiffe verdrängten Wassermasse wird aus der festgelegten Konstruktionszeichnung berechnet. Der Schwerpunkt des Schiffseigengewichtes, bei uns Systemschwerpunkt genannt, muss genau darüber liegen, damit das Schiff richtig taucht, und es müssen deshalb die einzelnen Gewichte so verschoben werden, dass die richtige Lage der Länge nach erreicht wird.

Schwieriger noch ist die zweite Bedingung, dass das Schiff in seinen verschiedenen Ausrüstungszuständen eine genügende Stabilität haben soll. Sie wird bedingt durch zwei Umstände: durch die Form des Unterwasserschiffes und durch die Lage des System Schwerpunktes. Durch das Unterwasserschiff wird das Metazentrum M festgelegt, derjenige Punkt der Längsebene des Schiffes, durch den bei unendlich kleinen Neigungen die durch den Schwerpunkt des verdrängten Wassers gelegte Senkrechte, der Auftrieb, geht. Die Lage des System Schwerpunktes G wird aus den Gewichten des Schiffes berechnet. Er muss unter M liegen, damit das Schiff nicht umfällt, und das Maß MG , das wir metazentrische Höhe nennen, giebt einen Anhalt für die Größe der Stabilität. Es ist mit etwa 1 m am größten bei unsern Linienschiffen, die auch nach einstweiliger Schädigung ihrer Stabilität durch eingedrungenes Wasser noch durchaus sicher sein sollen, und es ist mit etwa 0,5 m am kleinsten bei den mächtigen transatlantischen Passagierdampfern, von denen man angenehme Bewegungen verlangt. Der Konstrukteur hat es in der Hand, durch Vergröbern oder Verkleinern der Breite des Schiffes den Punkt M höher oder tiefer zu legen, oder durch Verschieben einzelner Gewichte im Schiffe den Systemschwerpunkt zu beeinflussen. Dieser einfache Begriff der Stabilität eines schwimmenden Körpers wird außerhalb der Fachkreise auch von Technikern oft nur wenig verstanden: die Tatsache, dass das wesentlich Maßgebende die Form der Schwimmbene und des Unterwasserschiffes ist, und dass es sehr wohl möglich ist, einem Schiffe mit ganz leichtem Boden und übermäßig schwerem Oberschiffe eine zu große Stabilität zu geben.

Aber nicht nur bei den Entwürfen, die in unserer Marine sämtlich im Reichs-Marineamt ausgearbeitet werden, sondern auch bei der praktischen Ausführung stößt der Kriegsschiffbau-Ingenieur auf bedeutende Schwierigkeiten, die zumteil in den gestellten Anforderungen, zumteil aber auch, und zwar nicht zum geringsten, in den räumlichen Verhältnissen begründet sind. Ein Kriegsschiff ist nun einmal ein Bauwerk eigner Art, weil es ein Seeschiff, eine Kaserne und eine Festung, alle drei unter den erschwerenden Umständen des äußerst beschränkten Raumes, in sich vereinigt, und gerade diese Vereinigung bedeutet wieder neue Schwierigkeiten, weil eins das andere ausschließt oder einschränkt. Um hier nur

eines zu erwähnen: derselbe Platz dient oft zum Essen und Schlafen und zur Bedienung der Geschütze. Ebenso wie beim Entwerfe müssen auch hier Kompromisse geschlossen werden, und wenn dies nicht rechtzeitig bei einem entsprechend wenig vorgeschrittenen Bauzustande geschieht, so sind unliebsame Geldausgaben und Bauverzögerungen die Folge.

Zu der allgemein an alle Bauwerke zu stellenden Forderung, dass jeder Teil für seine Zwecke brauchbar sein soll, kommt beim Seeschiffe als wichtigste Forderung: Dichtigkeit gegen Leckwasser. Diese so selbstverständlich erscheinende Forderung ist durchaus nicht leicht zu erfüllen. Zwar ist es bei guter Arbeitsausführung im allgemeinen nicht schwer, die eigentliche Außenhaut, die Schale, auf der das Schiff schwimmt, völlig dicht herzustellen. Viel schwieriger ist es unter Umständen, das im Seegange überkommende oder das zur Reinigung absichtlich an Bord gebrachte Wasser an einer unbeabsichtigten Ausbreitung zu hindern, weil es oft unmöglich ist, die Leckstelle zu finden. Ganz besondere Vorsicht erfordern natürlich die fest in das Schiff eingebauten Zellen zur Aufnahme von Heizöl, das durch jede noch so kleine Fuge tritt. Aber durch sorgfältige Anordnung und Ausführung der Bauteile ist es möglich, das Öl sicher einzuschließen, obwohl es die unangenehme Eigenschaft hat, Gummi und alle mit Öl angemachten Kitten aufzulösen.

Eine zweite Forderung ist die, alles so leicht wie möglich zu machen, weil jedes unnütz an Bord gebrachte Kilogramm Ballast ist. Zwar wird auch von andern Industriezweigen die Forderung gestellt, unnützes Gewicht zu vermeiden, am schärfsten bei Brückenbauten und Dachkonstruktionen; aber wohl kein Zweig der Industrie ist in dieser Beziehung so scharf und opfert so viele Geldmittel für diesen Zweck wie der Schiffbau, im besondern der Kriegsschiffbau. Der bauleitende Ingenieur muss natürlich bei der Ausarbeitung der Einzelheiten selbst durch geeignete Formgebung die Hauptsache leisten. Viel macht aber auch bei der reinen Blecharbeit die Schulung und Erziehung des Arbeiters und des Unterpersonals aus, die nur durch jahrelange folgerichtige Arbeit erreicht werden kann. Sehr viel Gewichtsparsnis bringen auch die neuerdings in Aufnahme gekommenen versenkten Niete, die zwar auch etwas höhere Kosten bedingen, bei einem Schiffe wie dem jetzt auf Stapel stehenden großen Kreuzer B aber gegenüber den bisher üblichen Kopfnieten eine Gewichtsparsnis von etwa 70 t ausmachen. Wie viel gespart werden kann, zeigt unter andern der Schiffskörper des großen Kreuzers »Fürst Bismarck«, bei dem mehr als 160 t gegen das gestattete Gewicht gespart sind. Dieses »leicht Bauen« kostet natürlich Geld, aber das Geld ist gut angelegt, da das Schiff, so lange es lebt, davon Vorteil hat. Es ist deshalb wohl auch ganz selbstverständlich, dass die Staatsverwalter den Privatwerften unter andern auch in dieser Beziehung vorangehen und so auf die Entwicklung des Kriegsschiffbaues fördernd einwirken, wenn sie dafür auch den zahlenmäßig durchaus nicht nachweisbaren Ruf, teurer zu bauen als die Privatwerften, in den Kauf nehmen müssen.

Wenn ich das sogenannte Komposit-System übergehe — eiserne Spanten mit hölzerner Beplankung —, eine Bauart, die nur bei kleinen Schiffen mit Vorteil angewandt werden kann, aber auch hier ihre Nachteile hat, so werden die eigentlichen Schiffskörper bei allen Nationen im großen und ganzen nach einem System und in derselben Weise gebaut, wie dies bereits vor etwa 35 Jahren der Fall war. Nur wird ein Teil der für ausländische Gewässer bestimmten Schiffe zum Schutz gegen Anwuchs unter Wasser mit Holz beplankt und mit Kupferplatten beugelt. Kupfer oder Messingplatten bewachsen nur sehr wenig, rufen aber in Verbindung mit Eisen im Seewasser einen kräftigen, das Eisen rasch zerstörenden galvanischen Strom hervor, und es muss deshalb eine isolierende Holzschicht angebracht werden. Holz ohne Kupferbeschlag geht nicht, weil das Holz von einem bandwurmartigen Tiere, dem Bohrwurm, in kurzer Zeit ganz zerstört werden kann. Diese Bauart kostet je nach der Größe des Schiffes ein bedeutendes, für andere militärische Zwecke verlorenes Gewicht — bei dem 11000 t großen »Fürst Bismarck« alles in allem etwa 400 t — und erfordert

eine sehr sorgfältige Bauausführung. Sie hat aber den großen militärischen Vorteil, dass der Schiffshoden auf längere Zeit fast rein bleibt, das Schiff also durch Anwuchs keinen Fahrtverlust erleidet, der unfehlbar eintritt, wenn es im Auslande — oder in Kriegszeiten auch im Inlande — keine Gelegenheit zum Docken hat. Ein zweiter wesentlicher Vorteil ist die ganz bedeutend grössere Widerstandsfähigkeit gegen örtliche Beanspruchungen und die wesentliche Beschränkung des eindringenden Leckwassers bei Bodenschädigungen. Unser grosser Kreuzer »Prinzess Wilhelm«, der im Jahre 1894 bei der Insel Bornholm mit solcher Fahrt aufgelaufen war, dass das Vorschiff etwa 2 m aus dem Wasser kam, wäre ohne Holzbeplankung vielleicht verloren gewesen; sicher wäre dies aber wohl der Fall gewesen bei dem kleinen Kreuzer »Cormoran«, der 1898 auf die Korallenriffe Australiens gekommen war.

Diese Bauweise, die in der Festschrift¹⁾ etwas ausführlicher besprochen ist, hat sich seit einem Menschenalter nicht wesentlich verändert; die Bauausführung ist aber in vielen Beziehungen erheblich verbessert. Es muss heutzutage vor allen Dingen damit gerechnet werden, grosse Massen von Arbeitern auf einmal zu beschäftigen, um die meist kurz bemessenen Bauzeiten innehalten zu können.

Die Zeit verbietet mir, auf die Bauausführung des Schiffskörpers im einzelnen näher einzugehen, und ich beschränke mich darauf, allgemein zu betonen, dass wir gute, sachgemässe Arbeit unter allen Umständen verlangen, wie es eine auch in höchster Seenot kriegsbrauchbare Waffe erfordert. Wir müssen deshalb auch sehr hohe Anforderungen an die Güte des verwendeten Materials stellen.

Es ist wohl allgemein bekannt, dass das Siemens-Martin-Flusseisen, das allein wir zum Bau unserer Schiffe verwenden, zur Vermeidung von Brüchen bei Havarien lieber eine etwas geringere Festigkeit haben soll, wenn es nur genügende Dehnung besitzt. Und doch haben wir leider in letzterer Zeit wiederholt Bleche und Winkel gehabt, die so spröde waren, dass sie die Bearbeitung nicht aushielten und den Arbeitern unter den Händen entzweisprangen.

Als eine besonders den Staatswerften eigentümliche Schwierigkeit beim Bau der Schiffe erwähne ich hier den durch andere Verhältnisse häufig notwendig werdenden Arbeiterwechsel. Der wichtigsten den Staatswerften zufallenden Aufgabe, die Schlagfertigkeit der Flotte auf einem möglichst hohen Stande zu erhalten, müssen alle andern Rücksichten weichen, und aus ähnlichen Gründen müssen sogar die Baummeister wechseln, obgleich allein schon wegen der sonst in der Technik nur selten erreichten Höhe der unter ihrer Verantwortung verbauten Summen, die mitunter 2 Mill. M. jährlich überschreiten, eine Stetigkeit sehr am Platze wäre.

Ehe ich auf den Ausbau des Schiffes komme, möchte ich aber noch einen Augenblick bei dem Stapellauf verweilen, weil dies ein Vorgang ist, der in der Technik sonst nirgends vorkommt. Der Stapellauf bedeutet für das Bauwerk den Uebergang von einem toten Blechgefässe zum schwimmenden Schiffe, für die Werft, wenn sie nicht Staatswerft ist, die Auszahlung einer beträchtlichen Rate und für den Techniker das Fortschaffen eines Gewichtes, das bei grösseren Handelsdampfern die Höhe von etwa 15000 t erreicht hat.

Das während des Baues von Stapelklötzen, Kimmstapeln und Stützen getragene Gewicht wird durch Antreiben einer grossen Anzahl von hölzernen Keilen soweit gehoben, dass die Unterstüzungen entfernt werden können; das Schiff ruht dann wie ein Boot auf gewöhnlichem Holzschlitten auf einer Gleitbahn, die vorher untergebaut und geschmiert ist. Die Gleitbahn, meistens gerade, mitunter, wie z. B. auf der Germania-Werft, kreisförmig gekrümmt, wird so angeordnet, dass das Schiff durch sein eigenes Gewicht hinunter getrieben wird. Bei der hohen Belastung — man wählt in der Regel die Gleitfläche so, dass der Druck roh gerechnet etwas über 20000 kg/qm beträgt — muss der Unterbau natürlich ausserordentlich sorgfältig ausgeführt werden, um Ver-

änderungen in der Form der Gleitbahn zu vermeiden, die so grosse Widerstände herbeiführen können, dass der Stapellauf nicht gelingt, oder dass das Schiff verbault wird. Der Stapellauf selbst ist, wenn er gelingt, an und für sich sehr einfach und vollzieht sich in der Weise, dass, nachdem alles vorbereitet ist, im letzten Augenblick eine Haltevorrichtung entfernt wird. Trotzdem ist die Spannung besonders der beteiligten Personen nicht gering, weil ein an irgend einer Stelle durch Nachlässigkeit oder böse Absicht gebliebenes Hindernis das Gelingen des Ablaufs infrage stellen kann, ohne dass dies sofort bemerkt wird. Schiffbautechnisch interessant sind beim Stapellauf die Beanspruchungen, die das Schiff, besonders die langen und schweren Kriegsschiffe, beim Zuwasserlassen erleidet. Da die Lage des schwimmenden Schiffes eine andere ist als die des auf Stapel stehenden, muss das Hinterschiff, nachdem es genügend Wasser verdrängt hat, aufschwimmen. In diesem Augenblicke hebt sich das gleichmässig unterstützte Schiff von der Gleitbahn ab und wird nur noch an zwei Stellen getragen: das Hinterschiff ruht auf dem Wasser, und das ganze Gewicht des Vorschiffes, mehrere hundert Tonnen gross, ruht allein auf der kurzen Vorderkante des Schlittens, den Druck auf 1 qm bis zu hundert von Tonnen steigend. Das Schiff erleidet hierbei gewaltige, messbare Durchbiegungen, die nicht unbedenklich sind, weil die obersten Gurtungen behufs Einsetzens von Maschinen und Kesseln noch nicht fertig sein können.

Der Einbau der Maschinenanlage beginnt meist erst gleich nach dem Stapellauf, und erst dann kann der Schiffskörper geschlossen und weiter ausgebaut werden. Die Leistung der in Kriegsschiffen eingebauten Maschinen wird beständig gesteigert und ist von den 2000 PS, des alten englischen Linienschiffes »Renown«, das in den 50er Jahren von uns als Artillerieschulschiff erworben ist und dessen Maschine, aus Sparsamkeitsgründen in unser jetziges Artillerieschulschiff »Mars« eingebaut, heute noch fährt, bei den neuen deutschen Schnelldampfern auf 30000, ja neuerdings auf fast 40000 PS gestiegen. Auf die Herstellung und Montage der Maschinenanlage will ich hier nicht näher eingehen und nur erwähnen, dass die Zuverlässigkeit der von uns gebauten Schiffsmaschinen unter andern auch von dem hier in Kiel gebauten »Fürst Bismarck« bewiesen ist, der im vergangenen Jahre nach kurzen Probefahrten die Reise nach China schneller zurücklegte als irgend ein Kriegsschiff zuvor.

Mit dem Anwachsen der Maschinenleistung hat sich eine unangenehme Erscheinung immer mehr fühlbar gemacht, das sind die Erschütterungen des Schiffskörpers, die durch den Gang der Maschinen und Schrauben hervorgerufen werden. Zwar sind wir mit Erfolg bestrebt, die Erschütterungen durch geeignete Bauart zu beseitigen oder zu mildern, aber trotz der vielen fleissigen Arbeit, die besonders in den letzten Jahren auf diese Wissenschaft verwendet ist — denn eine Wissenschaft ist es geworden, und zwar eine, in der nur sehr wenige bewandert sind —, trotz vieler Arbeit sind die Ursachen der Erschütterungen der Hauptmaschinen und Mittel zur Abhilfe noch nicht mit Sicherheit bekannt.

Wenn ich die Aufstellung dieser gewaltigen, eng zusammengedrängten modernen Kriegsschiffsmaschinen, deren Fundamentierung natürlich ganz besondere Sorgfalt erfordert, hier kurz streife, so verdient erwähnt zu werden, dass sämtliche Maschinen durch Panzer oder durch ihre Lage unter Wasser geschützt sind. Jede der drei bei uns für grössere Schiffe üblichen Maschinen und jede Kesselgruppe, deren Zahl und Grösse sich nach der Grösse der Rostfläche und den örtlichen Verhältnissen richtet, ist ringsherum durch wasserdichte Beplankungen eingeschlossen und nur von oben her jede durch zwei dampfticht umschottete getrennte Niedergänge zugänglich. In den senkrechten Umschottungen sind weder Thüren noch andere Oeffnungen gestattet, um die von Dampf oder Wasser drohende Gefahr auf einen möglichst kleinen Raum zu beschränken. Die Niedergangsluken im Panzerdeck sind durch Panzerdeckel und die Oeffnungen für Luft und Rauch durch fest eingebaute Panzerstäbe geschützt. Der Betrieb wird durch Telegraphen und Sprachrohre geregelt, und sonst besteht keine Verbindung zwischen den einzelnen Räumen.

Abgesehen von allem, was wir unter dem Namen »Maschineninventar« zusammenfassen, das auf einem Linienschiffe

¹⁾ Verh. Z. 1901 S. 1072.

ein Gewicht von etwa 50 t ausmacht, und abgesehen von dem Material zur Unterhaltung der Maschinen, wie Schmieröl, Wischbaumwolle usw., sind für den Maschinenbetrieb vor allem drei Dinge notwendig: Wasser, Brennstoff und Luft. Süßwasser wird aus den Trinkwasserleitungen am Lande und aus den für diese Zwecke eingerichteten Destilliranlagen entnommen oder an Bord durch Speisewassererzeuger hergestellt, deren tägliche Leistung bis etwa 120 cbm beträgt. An Brennstoff haben wir neben unserer westfälischen, aus einzelnen bestimmten Zechen stammenden Kohle seit mehreren Jahren auch Heizöle, wie Masut, Kreosot, Teeröl, an Bord. Kohlen bilden einen recht wirksamen Schutz gegen krepierende Geschosse, und die Bunker werden deshalb auch so angeordnet, dass dieser Schutz möglichst ausgenutzt wird. Heizöle dagegen erhöhen wie alle Flüssigkeiten die Wirkung der Geschosse, indem sie die Wandungen ihrer Zellen sprengen, und sie müssen deshalb schussicher, d. h. unten im Schiffe, meistens im Doppelboden, untergebracht werden. Um die Transporteinrichtungen zum Anbordschaffen der Kohlen und zum Bewegen derselben im Schiffe an die Feuer sowie die Schwierigkeiten zu besprechen, die hierbei an Bord eines Kriegsschiffes zu überwinden sind, würde ich allein die Zeit gebrauchen, die mir heute zur Verfügung gestellt ist, und ich beschränke mich darauf, zu erwähnen, dass wir eifrig bemüht sind, durch geeignete mechanische Hilfsmittel die Zeit des Kohlennehmens so viel wie möglich abzukürzen. Luft endlich wird den Heiz- und Maschinenräumen durch Zentrifugalventilatoren zugeführt, die so bemessen sind, dass die Luft in den Maschinenräumen etwa einmal in einer Minute erneuert werden kann.

Gleichzeitig mit dem Einbau der Hauptmaschinenanlage beginnt das Anbordschaffen aller jener Einrichtungen, die zum Betriebe eines Kriegsschiffes erforderlich sind. Abgesehen von dem Panzerschutz sind es wesentlich gerade diese Einrichtungen, die das Schiff zum Kriegsschiff machen, und die, wenn sie auf Handelsschiffen überhaupt vorhanden sind, dort in einer wesentlich einfacheren Form den minder scharfen Anforderungen entsprechend auftreten. Beim Kriegsschiff ist eben alles auf den furchtbaren Ernst des Krieges zugeschnitten, und wird einmal für alle Einrichtungen soweit zugänglich Schutz gegen Geschosse verlangt, so fordert man andererseits bei allen wichtigeren Dingen Hilfseinrichtungen für den Fall, dass die Haupteinrichtung im entscheidenden Augenblicke versagt. Die Verwicklungen, die sich hieraus ergeben, liegen auf der Hand, werden aber noch bedeutend erhöht durch die Forderung, den Panzerschutz durch Öffnungen und Löcher möglichst wenig zu schädigen und die unter Wasser liegenden Panzerdecks überhaupt nicht zu durchbrechen.

Welche dieser Einrichtungen mit der Hand und welche mit Maschinen zu bedienen sind, ist nicht allgemein entschieden, sondern unterliegt dem Wechsel der Ansichten. Auch die militärischen Forderungen weichen in diesem Punkte von einander ab und hängen zum Teil auch von der Höhe der technischen Entwicklung ab, auf der man sich befindet. Auf den alten Linienschiffen wurde alles mit der Hand gemacht, sodass überhaupt keine Hilfsmaschinen vorhanden waren, und jetzt sind, obgleich man danach strebt, die Einrichtungen zur Erhöhung ihrer Zuverlässigkeit so einfach wie möglich zu gestalten, auf den modernen Linienschiffen oft 100 und mehr selbständige Maschinen vorhanden. Die Frage, welche Art von Energie man für die einzelnen Maschinen am besten verwendet, ist bei uns jetzt etwa dahin entschieden, dass außer den Maschinen zum Bedienen des Ankergeschirres und zum Heißen der schweren Boote auch die Maschinen zum Bewegen des Ruders mit Dampf, die Maschinen zur Bedienung der schwersten Geschütze mit Wasser und alle andern mit Elektrizität betrieben werden. Allgemein wird von allen diesen Maschinen einerseits möglichst gedrängte und dabei leichte Bauart verlangt, weil mit Raum und Gewicht sehr sparsam umgegangen werden muss, andererseits soll aber alles möglichst fest, einfach und zugänglich sein, um Ausbesserungen schnell ausführen zu können.

Diese selbständigen Hilfsmaschinen sind über das ganze Schiff verteilt; man stellt sie auch absichtlich in verschiedenen wasserichten Abteilungen auf, um bei Wassergefahr nur eine möglichst geringe Zahl lahm zu legen, und man sorgt

durch geeignete Isolationen dafür, dass der Dampf in den bei Wassereintrich von Wasser umspülten Rohrleitungen nicht übermäßig kondensiert wird. Die Maschinen zum Bewegen des Ruders stehen ganz hinten, die Bug-Spilmaschinen vorn, die Dynamomaschinen tief unten, die Winden zum Kohlennehmen, die Bootheißmaschinen und Scheinwerfer oben, die Munitionswinden unter ihren Geschützen und die Ventilationsmaschinen, Pumpen usw. überall im Schiffe verteilt, wo es ihr Zweck erfordert. Für die Zuleitung der Energie ist infolgedessen ein sehr verwickeltes Netz von Kabeln und Rohrleitungen erforderlich, das noch komplizierter wird durch die Notwendigkeit, den verbrauchten Dampf zur Vermeidung von Speisewasserverlusten den Kesseln wieder zuzuführen.

Abgesehen von den Hauptdampfrohrleitungen, deren Ventile zur Beschränkung von Dampfgefahr zum Teil von höher gelegenen Decks bedient werden können, durchziehen folgende Stränge und Leitungen das Schiff: die Rohrleitungen für die Hüllmaschinen, die Hin- und Rückleitungen für die Dampfheizung, die Rohrleitungen für die Entwässerung, von den 500 mm weiten Hauptlenzrohren bis zu den 100 mm weiten Speigatten, die Rohrleitungen für die Versorgung des Schiffes mit Trinkwasser, mit Speisewasser für die Kessel, mit Badewasser für Wasch- und Badeeinrichtungen, mit Seewasser zum Reinigen des Schiffes, zum Feuerlöschen und Fluten der Munitionskammern, zum Spülen der Aborte und für die Bilder, die Sprachrohr-, Telefon- und Telegraphenleitungen für die Befehlseinrichtungen, die elektrischen Kabel für Kraftübertragung und für Lichterzeugung, die Pressluftleitungen zum Aufpumpen der Torpedos, die Presswasserleitungen für die schweren Geschütze und die zahlreichen weitverzweigten Kanäle für Zu- und für Abführung von Luft und zu allen diesen Einrichtungen, die an das Wissen und die Umsicht des Kriegsschiffbau-Ingenieurs große Forderungen stellen, kommt neuerdings noch die Forderung, Kühleinrichtungen zu schaffen, die uns zwingt, auch dieses von uns bisher nur wenig berührte Gebiet von Grund aus neu zu studieren.

Auf die Einzelheiten der verschiedenen Einrichtungen kann ich hier nicht eingehen. Nur zwei Punkte möchte ich berühren.

Der ziemlich allgemein verbreiteten Ansicht, dass es möglich sei, allein durch gute Lüftung die Temperatur eines durch strahlende Wärme erhitzten Raumes niedrig genug zu halten, kann nicht oft genug entgegengetreten werden. Wir wissen, dass eine sachgemäße Isolierung die Hauptsache macht, dass wir an manchen Stellen vielleicht schon zu schnell die Luft erneuern — einmal in der Minute bei Maschinenräumen —, und dass deshalb die Luft schon zu trocken ist und den in den Räumen arbeitenden Menschen zu viel Feuchtigkeit entzieht. In den Wohnräumen ist andererseits in den Tropen die Luft zu feucht, als dass man durch Einblasen künstlich gekühlter Luft ohne Schaden für andere Einrichtungen Erleichterung verschaffen könnte.

Dann möchte ich eine Erscheinung erwähnen, die uns in den letzten Jahren sehr unangenehm geworden ist. Alle Seewasserleitungen sind an Bord aus Kupfer hergestellt, das, wie die wiederholt vorgenommene Untersuchung ergeben hat, fast chemisch rein ist und nur 0,02 vH Beimischungen enthält. Seit etwa 3 oder 4 Jahren machen wir nun die früher bei weitem nicht in dem Maße aufgetretene Wahrnehmung, dass viele dieser Rohrleitungen in kurzer Zeit, nach Jahresfrist, mitunter schon nach Monaten, durchgefressen werden, ohne dass es bisher möglich gewesen wäre, uns dagegen zu schützen oder die Ursache einwandfrei festzustellen. Wir scheuen zunächst vor der Wahl eines neuen Materials zurück, weil die Folgen im Falle des Misslingens zu ernst sein könnten, und würden sehr dankbar sein, wenn uns von dem vielen Wissen und den reichen Erfahrungen, die hier heute vereinigt sind, Aufklärung werden könnte.

Ich möchte dann noch einiges über die Wohnungseinrichtungen erwähnen, die ja jetzt in immer weiteren Kreisen Interesse erwecken, seitdem alljährlich aus allen Ecken unseres schönen großen Vaterlandes hunderte unserer besten Söhne in die Reihen der Marine treten.

Nach einigen erfolglosen Versuchen anderer Länder ist es unsere deutsche Marine gewesen, die beständig den Weg verfolgt hat, das Holz an Bord der Kriegsschiffe zu vermeiden. Der Grund hierfür ist der, dass man einmal dem Feuer, das durch krepierende Geschosse leicht hervorgerufen unter Umständen ein Schiff kampfunfähig machen kann, möglichst jede Nahrung entziehen und zweitens die durch die Geschosse umhergeschleuderten Splitter vermeiden will, die mehr und unangenehmere Verwundungen hervorrufen können als die Geschosse selbst. Andererseits ist das Holz für viele Gegenstände, wie Stühle, Tische und dergl., überhaupt nicht oder nur durch große Opfer an Gewicht und Geld zu ersetzen. Es hat ferner so vorzügliche Eigenschaften als Deckbelag, es ist sauber zu halten und nicht zu glatt, es schützt genügend gegen Schall und Temperaturwechsel und kann auch im Auslande überall ausgebessert werden, es ist für gewisse Zwecke so erheblich viel billiger und dauerhafter als Eisen, dass der Wunsch sehr lebhaft ist, an Bord von Kriegsschiffen wenigstens an den Stellen, wo die Splitterwirkung nicht in Frage kommt, ein Holz zu verwenden, das durch irgend eine Behandlung nicht oder nur schwer brennbar gemacht ist. Die Versuche, die eisernen Decks, die wegen Feuergefahr und Verkohlung auf Kriegsschiffen auch unter den Holzplanken vorhanden sein müssen, und die ohne Belag wegen ihrer Glätte und der Unmöglichkeit, sie sauber in Ordnung zu halten, unbrauchbar sind, mit einem andern harten Stoff zu belegen, sind wohl als aufgegeben zu betrachten. Ich erwähne nur Torgament, Xylolith und Papyrolith, und es ist bezeichnend für die Verhältnisse, mit denen die Technik in der Marine zu rechnen hat, dass die Mängel und schlechten Eigenschaften des Torgaments z. B. in der Marine sehr viel schneller zutage getreten sind als bei Landbauten.

Die Versuche, Holz gegen Feuer unempfindlich zu machen, sind noch nicht zum Abschluss gekommen, werden aber lebhaft fortgesetzt. Das Ausland, Amerika und England, soll Zeitungsnachrichten zufolge schon seit etwa 10 Jahren gutes nicht brennbares Holz haben; in Wirklichkeit ist das aber heute noch ebensowenig der Fall wie bei uns. Die Schwierigkeit scheint darin zu liegen, die Feuersicherheit dem Holze dauernd zu geben, ohne seine Festigkeit zu viel herabzumindern, und ohne andere Eigenschaften in den Kauf nehmen zu müssen, die seine Verwendung an Bord ausschließen. Gewisse Holzarten werden sich überhaupt nicht imprägnieren lassen, und dann wissen wir noch nicht, wie groß die Gefahr ist, die dem Eisen erwächst, das mit dem Holz in Berührung kommt. Es ist wohl allgemein bekannt, dass Eichenholz wegen seines Gehaltes an Gerbstoffe Eisen sehr schnell zerstört und deshalb auf Kriegsschiffen durch das aus Hinterindien stammende fettreiche Teakholz ersetzt ist. In welchem hohem Maße aber auch unter unschädlichen Holzarten, wie Kiefer und Yellowpine, eiserne Beplattungen durch Rost zerstört werden können, beweist der bei Ausbesserungen vorgefundene Rost, der 20 und mehr Millimeter dick wird.

So lange wir nun kein feuersicheres Holz besitzen, sind wir im wesentlichen auf Eisenblech angewiesen. Kojen, Waschtische, Kleider- und Wäschespinde, Schreibtische, die Trennungswände der einzelnen Wohnräume, alles wird aus Eisen hergestellt, einem Stoff, der sich sonst für diesen Zweck allein schon wegen der guten Leitung von Schall und Wärme möglichst wenig eignet. Da aber unserer Flottenleitung daran liegt, der Besatzung in den dienstfreien Stunden die verdiente Erholung in möglichst hohem Maße zu gewähren, damit sie zu neuem Dienst und wenn es sein muss zum Gefecht mit frischen Kräften bereit ist, werden alle Kammern und Messen gegen Schall, Schwitzwasser und wo erforderlich gegen Wärme

durch Stoffe isoliert, die selbst gegen Feuer, Wasser und Ungestiefen gesichert sein müssen.

Zu den zahllosen Schwierigkeiten bei der Erbauung von Kriegsschiffen kommt noch die Schwierigkeit der Erhaltung des fertigen Bauwerkes. Von all den hierher gehörenden Fragen möchte ich nur die Erhaltung des Unterwasserschiffes berühren. Eisen im Seewasser rostet sehr stark. Es muss deshalb durch Anstriche geschützt werden, und die beste Grundlage hierfür ist immer noch der alte Bleimennigeanstrich, wenn er vor dem Zuwasserbringen gut erhärtet ist. Außer dem Rost droht aber noch der Anbruch von Tieren, weniger von Pflanzen, die dem Schiff einen beträchtlichen Teil seiner Beweglichkeit rauben und den Kohlenverbrauch ganz erheblich erhöhen.

Ich erwähne die in allen Seehäfen massenhaft vorkommenden Miesmuscheln, die das Schiff dicht bewachsen, mit einem zentimeterdicken unebenen Felze umgeben; ferner die Seepocken, die für die Geschwindigkeit wohl noch ungünstiger sind und in den Tropen Zigarronbochergröße erreichen. Das Beste, was wir als Schutz gegen diese Tiere haben, sind vergiftete Spirituslackfarben, die naturgemäß nur kurze Zeit vorhalten und eigentlich alle 6 Monate erneuert werden müssen. Zur Ausführung dieser Arbeit müssen die Schiffe trocken gestellt werden, und dazu sowie zur Ausbesserung von Bodenbeschädigungen, zum Nachsehen der Bodenventile, des Ruders, der Wellen, Schrauben usw. werden die Docks gebraucht, die an die Festigkeit der Schiffe wieder nach neuer Richtung hin Ansprüche stellen.

Wer von Ihnen, meine Herren, mit der Marine in geschäftliche Verbindung getreten ist, wird es vielleicht schon einmal unangenehm empfunden haben, dass die Marinetechnik sehr hohe Forderungen stellt. Wir müssen aber diese Forderungen stellen, um unsere Seerüstung, was das Material anbelangt, so sicher und zuverlässig zu machen, wie nur möglich. Der alte Grundsatz: »Das Beste ist für ein Kriegsschiff gerade gut genug«, gilt heute noch so gut wie früher. Das Beste herauszufinden ist aber durchaus nicht leicht, weil wir auf sehr vielen Gebieten das Beste heraussuchen müssen.

Besonders erschwerend wirkt die reißende Entwicklung, die der Kriegsschiffbau in den letzten Jahren genommen hat, und die auch dem Laien auffallen muss, wenn er ein altes Segellinienschiff aus der Mitte des letzten Jahrhunderts mit den etwa ein Menschenalter jüngeren Schiffen der Brandenburg-Klasse vergleicht, obgleich auch diese nicht mehr ganz auf der Höhe der Zeit stehen. Sie werden mit mir einig sein, dass es uns unmöglich ist, alle die Gebiete der Industrie, mit denen wir in Berührung kommen, bis ins einzelne hinein ganz zu beherrschen. Aber das ist auch nicht nötig; es genügt, wenn unsere Kenntnisse soweit reichen, dass wir aus jedem Sondergebiet das Beste und Richtigste auswählen und verwerten können. Wir sind deshalb in hohem Maße auf die Mitarbeit der Privatindustrie angewiesen, mit deren Hilfe es möglich geworden ist, uns in verhältnismäßig wenigen Jahren vom Auslande so unabhängig zu machen, dass wir einen Vergleich nicht zu scheuen brauchen. Diese Mitarbeit ist durchaus nicht immer so einträglich, wie mancher vorher gedacht hat. Von vielen Seiten ist diese Mitarbeit trotzdem in liebenswürdigster, bereitwilligster Weise geleistet worden, und es gereicht mir zur besonderen Freude, dies hier öffentlich aussprechen zu können. Wir hoffen gern, dass dieses Zusammenarbeiten sich für beide Teile immer ersprießlicher gestalten und dass die in diesen Tagen hier durch die Vereinigung von Fels und Meer in unserm schönen Kiel gesäte Saat auch in dieser Beziehung gute Früchte tragen möge, zum Besten unseres gemeinsamen Vaterlandes.



besonderes Feld zwischen die inneren Trägerenden einzuhängen. Die äußeren Kragarme waren nach Möglichkeit, und soweit es das Aussehen nicht schädigte, kurz zu halten, damit das Bauwerk nicht zu lang und teuer wurde, eine Maßnahme, welche die Anordnung starker Anker zur Erzielung des Gleichgewichts erforderte.

Waren diese Konstruktionsgrundsätze durch die örtlichen Verhältnisse gleichsam gegeben, so übten die letzteren weiteren Einfluss auf die Gestaltung der Brücke und die Ausbildung der Einzelheiten aus; vergl. Fig. 3 bis 12.

Ein Bauwerk in einer Landschaft mit ausgesprochen parkähnlichem Gepräge, die wegen ihrer Schönheit jährlich von Hunderttausenden besucht wird, ist mit der Landschaft in engste Beziehung zu bringen. Schwere, formenarme Gestaltungen zerstören das anmutigste Landschaftsbild, während ein diesem angepasster Bau zur Erhöhung des Eindrucks beitragen kann.

Für den vorliegenden Fall wurde anhand bewährter Beispiele die Obergurtlinie nach einem Polygon ausgebildet, dessen Knotenpunkte auf hängenden Parabellinien liegen. Weiter wurden alle Stabteile des Ueberbaues so gestaltet, dass sie dem Beschauer möglichst leicht und fein erscheinen.

Für den Obergurt der Mittelöffnung gelangte eine Pfeilhöhe von etwa $\frac{1}{6}$ der Spannweite zur Ausführung, wobei der Scheitel der Parabel bis auf Geländehöhe herabzuführen war, damit der freie Ausblick von der Brücke unbehindert blieb. Für die Obergurte der seitlichen Kragarme war der Verbindungspunkt mit der mittleren Parabel auf den Pylonen gegeben, und anderseits mussten die Scheitel ebenfalls in Geländehöhe liegen.

Der Untergurt der Mittelöffnung steigt von beiden Ufern nach der Mitte zu sanft an und geht im eingehängten Brückenfeld in eine Wagerechte über. Die Untergurte über den seitlichen Öffnungen, die übrigens durch vorgeblendete Sandsteinbögen verdeckt werden, verlaufen wagerecht.

Die Feldweiten der Kragträger sind nicht gleich groß angenommen, weil die hohen schmalen Földer in der Nähe der Pylonen unschön ausgesehen hätten; besser entsprach es den Verhältnissen, die Felderteilung von der Brückenmitte nach den Pylonen zu nach dem Gesetz der geometrischen Reihe wachsen zu lassen. Mit Rücksicht hierauf ergaben sich für die große Brückenöffnung 21 Felder, während für die Seitenöffnungen je 4 Felder gewählt wurden, deren Weiten denen der vier entsprechenden Földer der Mittelöffnung gleich sein mussten; s. Fig. 3.

Der Obergurt der Mittelöffnung verjüngt sich nach der Mitte zu und läuft ohne Unterbrechung auch durch das eingehängte Brückenfeld. Geringe Flächenwirkung des Obergurtes ist durch Anordnung mehrerer Lagen Flacheisen erzielt, die in einem Doppelstrang geführt sind. Zur Vermeh-

rung der Steifigkeit dienen aufgenietete Γ -Eisen. Die Höhe der Obergurte beträgt in Brückenmitte 20 cm und vergrößert sich nach den Pylonen hin auf 30 cm. Anstelle der üblichen unruhig wirkenden Verstrebung des Gurtes durch Flacheisenkreuze sind in größeren, rechnerisch bestimmten Entfernungen Flacheisenquerstücke angeordnet.

Die Obergurte der Seitenöffnungen sind je aus 2 in gleicher Stärke durchlaufenden Γ -Eisen N. P. 30 und den damit vernieteten Flacheisen gleicher Höhe gebildet.

Dem Bestreben, den Ueberbau in der Ansicht möglichst dünn und durchsichtig zu gestalten, entsprang auch der Gedanke, für die Senkrechten Rundisen zu verwenden, den Schrägen bei üblicher Sicherheit in der Längsansicht der Brücke ganz geringe Stärke zu geben, den Untergurt aber als Hauptmasse kräftiger hervortreten zu lassen.

Die Querschnittform des letzteren verjüngt sich entsprechend der des Obergurtes von den Pylonen nach beiden Seiten zu; es wird gebildet aus verjüngt zulaufenden Blechen mit gehobelten Kanten, deren Zahl nach den Hauptlagern zu von 2 Stück auf 6 Stück für jeden Doppelstrang wächst und die durch Winkelisen versteift werden. Die weitere Querversteifung des auf Knickung beanspruchten Untergurtes erfolgt auch hier nicht durch Vergitterung, sondern mittels aufgelegter Blockquerstücke und zwischengesetzter Futter aus Γ -Eisen.

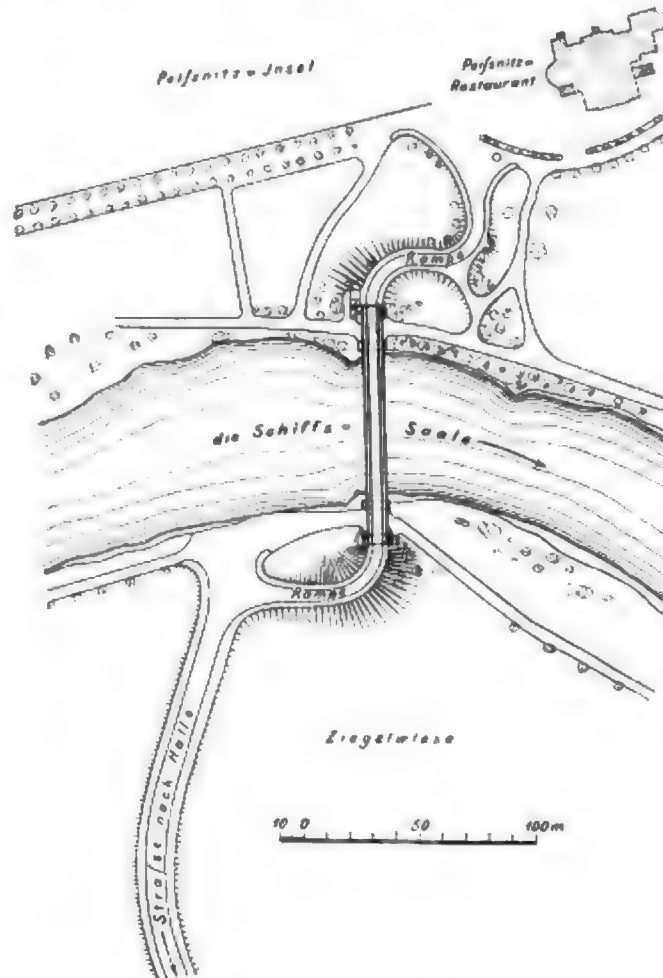
Schwieriger gestaltete sich die Entwicklung der Rundisenstäbe. Der Querschnitt dieser Glieder musste, um anschlussfähig zu sein, an beiden Enden in Vierecke übergeführt werden, welche wie bei Maschinenkurbelstangen hätten angestaucht werden können. Das ausführende Werk hat indes ein anderes Verfahren zur Herstellung der Rundstäbe vorgezogen. Es ließ sie vom Borsigwerk aus Vierkantstäben unter dem Hammer rund schmieden, wobei an beiden Enden Vierkante zur Aufnahme einer entsprechenden Anzahl bearbeiteter Schraubenbolzen stehen blieben. Letztere dienten zur Befestigung an doppel-

ten Passstücken aus Γ -Eisen, mittels deren die Senkrechten mit den Knotenblechen vernietet wurden.

Die vier längsten, zunächst den Pylonen liegenden Senkrechten, die man ihrer Länge wegen zur Herstellung der Köpfe weder ausschmiedete noch anstauchen konnte, erforderten in dieser Hinsicht besondere Maßnahmen. Sie wurden an beiden Enden mit scharfgängigem Gewinde versehen, auf welches vierkantige Anschlussköpfe soweit aufgeschraubt wurden, dass die Befestigungsbolzen nicht allein den Vierkantkopf, sondern auch das Rundisen durchdrangen und somit die Unveränderlichkeit der Verbindung gewährleisteten.

Die Senkrechten der kurzen Kragarme erforderten, weil sie teilweise auf Knickung beansprucht werden, einen erheblich größeren Querschnitt; sie konnten mithin einfach nach Fig. 13 angeschlossen werden.

Fig. 2. Lageplan.



Bearbeitung mittels Werkzeugmaschinen vorgeschrieben. Gussstahl wird heute in so hoher Vollkommenheit hergestellt, dass der Verfasser seine Verwendung für die angeführten Zwecke für durchaus unbedenklich hielt; man sollte dieses Material

mehr als bisher üblich im Brückenbau verwenden.

Die Ergebnisse von Zerreißversuchen mit Gussstahl für die hier beschriebene Brückenkonstruktion sind nachstehend wiedergegeben.

Fig. 14 und 15. Verankerung der äußeren Kragarme.

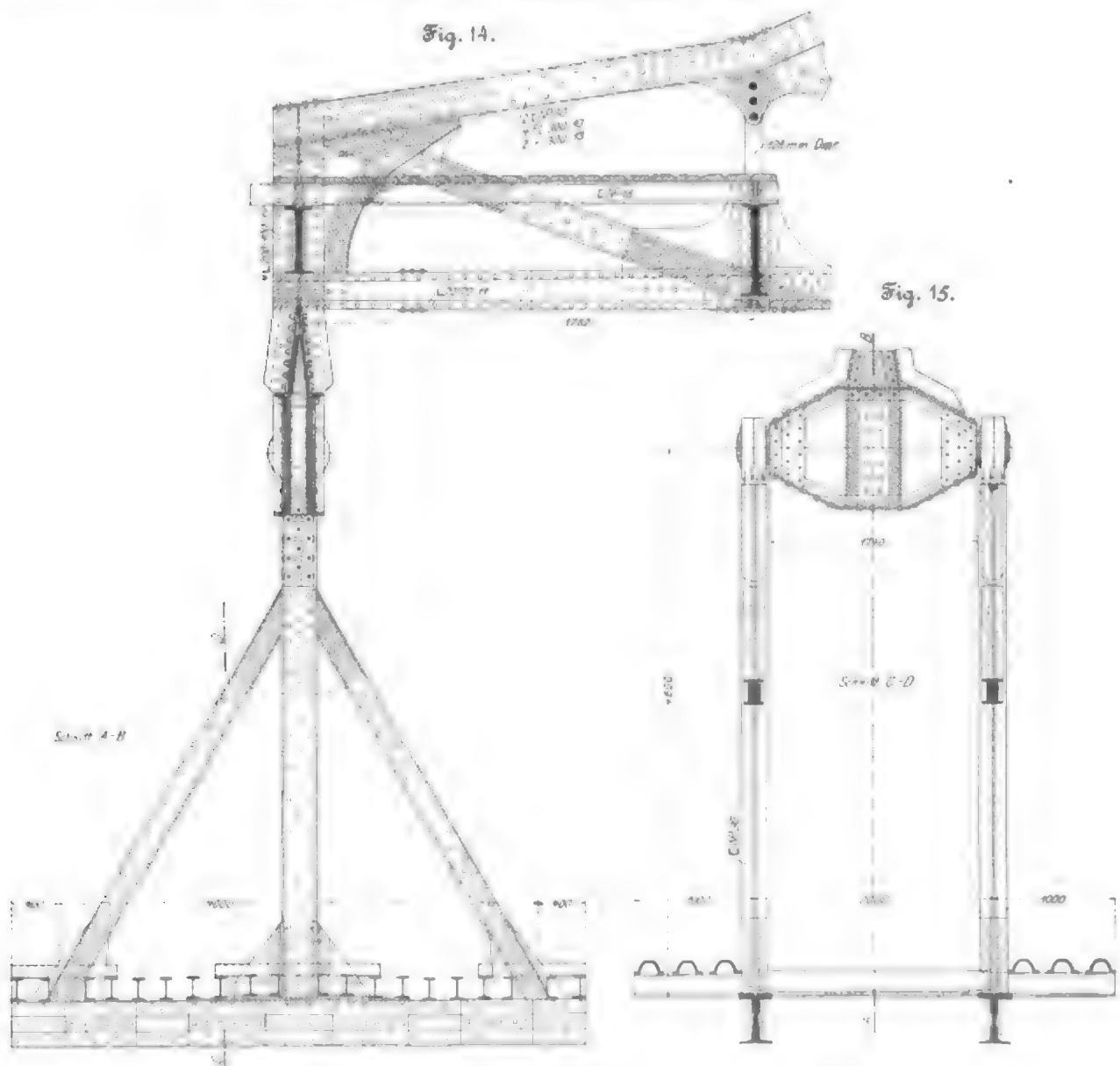
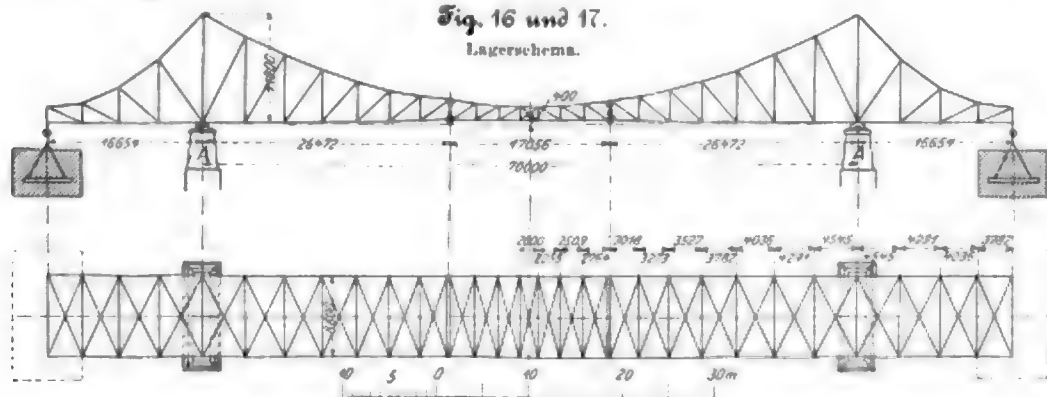


Fig. 16 und 17.
Lagerschema.







leistung auch erzielt; man bekommt aber einen aus zwei Schichten bestehenden, also gewissermaßen doch ungleichen Doppelflor, nachdem erst wegen der Ungleichheit die Flor-doppelung aufgegeben war. In anderer Hinsicht wird dabei jedoch ein Vorteil zu erreichen gesucht, indem die Faser-schicht des oberen Abnehmers, die bekanntlich unreiner als die des unteren ist, einer Ausscheidung der Unreinigkeiten unterzogen wird. Diese Unreinigkeiten sollen in der Faser-schicht oben sitzen und infolgedessen mittels einer die Faser-schicht ganz sanft berührenden, entgegengesetzt umlaufenden Kratzenwalze entfernt werden können. Hierzu ist allerdings nötig, den oberen Abnehmer gegen die übliche Arbeiterich-tung umlaufen zu lassen, was gerade nicht als Vorzug anzu-sehen ist; denn die starke Krümmung, auf die der grofse

walzen s bestehende Vorkrempelvorrichtung¹⁾ vorgearbeitet, ob es in die Vorkrempel gelangt, von der es durch die Walze u zur Hauptkrempel geschafft wird. Die Flores der beiden Ab-nnehmer P der Reifskrempel werden von Lattentüchern t auf-genommen, auf einander gelegt und daraus ein flaches Band mit Längsfaserlage gebildet, das über eine Lattentuchbrücke B zur Vorspinnkrempel geleitet und quer auf deren Zuführtisch hin- und hergelegt wird. Die Vorspinnkrempel ist in Fig. 24 in derjenigen Arbeitstellung gezeichnet, in welcher nur ein Flor vom unteren Abnehmer geliefert wird, wobei der Flor des oberen Abnehmers durch die Walzen c und d mit Unter-stützung durch den unteren Volant, also nach Art des Bohle-schen Patentes²⁾, auf den unteren Abnehmer übertragen wird. Punktirt sind beim oberen Abnehmer der Hacker und das

Fig. 23.

Reifskrempel von Josephy.

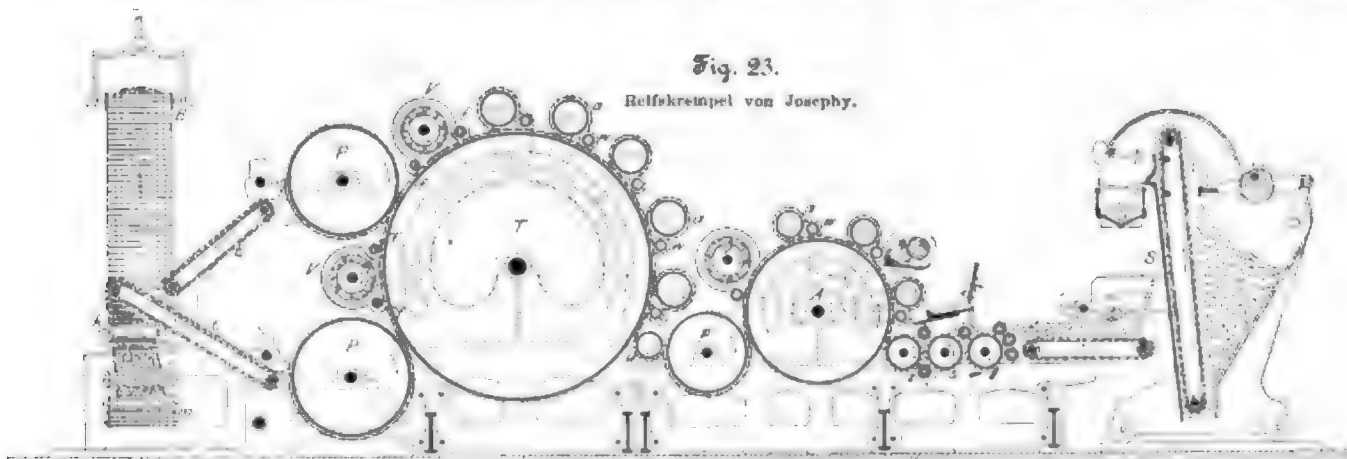
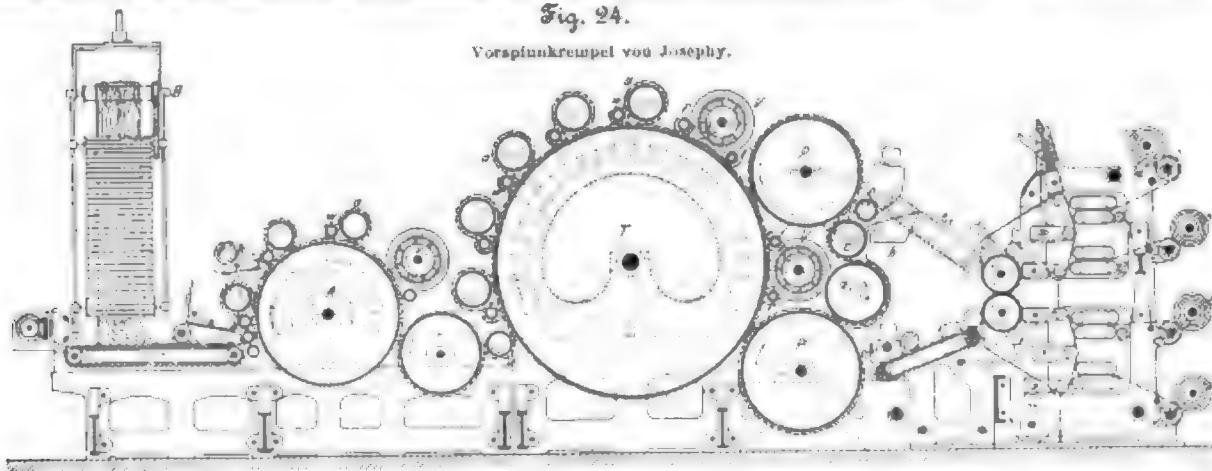


Fig. 24.

Vorspinnkrempel von Josephy.



Geschwindigkeitsunterschied der gegen einander arbeitenden Kratzenflächen der Haupttrommel und des Abnehmers hinwirkt, ist oft von Nachteil, weil die Faserschicht in weniger schonen-der Weise auf den Abnehmer aufgetragen wird und eine Faserverkürzung die Folge ist.

Die Josephysche Einrichtung geht aus Fig. 24 hervor, welche die Vorspinnkrempel des ausgestellten Zweikrempel-satzes veranschaulicht, dessen Reifskrempel Fig. 23 wieder-giebt¹⁾. Beide Krempeln des Satzes sind Doppelkrempeln, so-dass jede aus einer Haupttrommel T mit 6 Paaren Arbeits-walzen a, w , 2 Läuferwalzen (Volants) V mit oberen und unteren Flugwalzen f und 2 Abnehmern P , sowie aus einer Vortrommel A mit 3 Paaren Arbeitswalzen a, w , einem Volant v mit unterer Flugwalze f und einem Abnehmer p zusamen-gesetzt ist. Das Fasergut wird von einem Wagespeiser S , Fig. 23, auf den Zuführtisch der Reifskrempel gelegt und durch eine aus 3 Stützwalzen s mit Zwischenarbeits-

Flor-Traglattelentuch t , angegeben, für den Fall, dass die Krem-pel mit 2 Floren arbeiten soll, welche dann über einander ge-legt und in den Viernitschelforteller geführt werden. Zu beachten ist, dass der obere Abnehmer beim Uebertragen des Flores auf den unteren Abnehmer diesem entgegengesetzt um-läuft; in den Winkel zwischen dem oberen Abnehmer P und der Uebertragwalze c ist die Kratzenwalze e eingelegt, welche entgegen der Bewegungsrichtung des Flores läuft und die von ihm mitgeführten Unreinigkeiten abstreifen und in den Fangkasten k werfen soll. Da diese Abscheidung, die bei gewissen Wollarten erforderlich erscheint²⁾, beliebig abstell-bar ist und das Arbeiten mit einem Flor oder mit Doppelflor wahlweise bei einfacher Umstellung möglich ist, ist der Krem-

¹⁾ wie in dem Krempelsatze Z. 1899 S. 756 mit Abb.

²⁾ Z. 1899 S. 754 mit Abb., also umgekehrt wie bei der Berau-schen Anordnung, Z. 1900 S. 1766 mit Abb.

³⁾ Vergl. die besonderen Einrichtungen hierzu D. R. P. Nr. 98122 und Zeitschrift für die gesamte Textilindustrie, Leipzig 1898 S. 407 mit Abb.

⁴⁾ Ein Schaubild der Vorspinnkrempel findet sich in Uhlands techn. Rundschau, Ausg. V 1901 S. 1.



schon wegen der Kanten der Hüllenteile, welche die zur Ver-
bütung von Schmutzansatz erforderliche glatte Innenfläche
nicht geben, ihren Zweck nicht ganz erfüllt, ist daneben auch
umständlich zu nennen. Die Läufer sind nach der neueren
deutschen Ausführung auch mit oberen Flugwalzen versehen¹⁾.

Fig. 26.

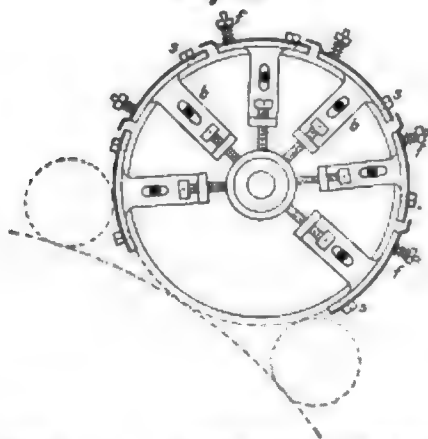
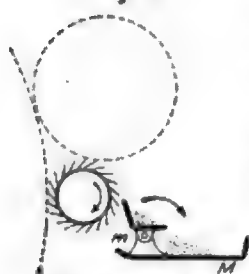


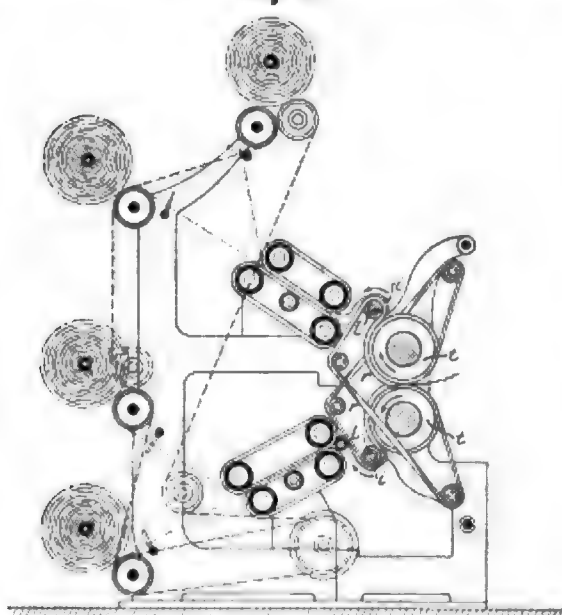
Fig. 27.



Die Arbeitswalzen ruhen in ganz aus
Rotguss hergestellten Kugellager-
büchsen, die besondere Schmier-
vasen besitzen, vergl. Fig. 30. Die
sogenannten Schmutzfangmulden
sind kippbar, wobei nach Fig. 27 die
vom Wender abgestreiften Schmutz-
teile aus der Mulde *m* in die untere
feste Mulde *M* geschüttet werden;
in der zurückgeschlagenen Stellung
kann die Fangkante der Mulde *m*
durch Abwischen gefahrlos gereinigt
werden.

Am Riemenflorteller dieser Martinschen Krempel ist
zunächst die Lejeunesche Riemenrückführung²⁾ zu er-
wähnen. Sie kommt in Betracht für Florteller mit tief einge-
drehten Teilwalzen³⁾, ist aber auch für Florteller ohne Ein-

Fig. 28.



fürwärtchen anwendbar und in Fig. 28 für den Martinschen
Riemenzug voranschaulicht. Dort, wo die zurückkehrenden
Riemen *r* zwischen den Walzen *t* und *l* die mit Florstreifen

beladenen Riemen *i* kreuzen, werden bekanntlich die Riemen
halb geschränkt, damit für den Durchgang der seitlich
an den Riemenrändern heraushängenden Fasern Platz ge-
schaffen wird und diese Fasern nicht etwa von den zurück-
kehrenden Riemen ergriffen werden. Um dies noch voll-
kommener zu vermeiden, da die Riemenschränkung nur in
einem Punkte eine senkrechte Stellung des Riemens giebt,
welches sonst schräg steht, und dieser eine Punkt sich mit
der Verstellung der Riemenstauwalze verschiebt, werden
die Teilwalzen nur auf Riemenstärke
eingedreht, Fig. 29, sodass das Riemen
bei der Kreuzung zwangsläufig senkrecht
geführt zurücklaufen muss. So vorteil-
haft diese Einrichtung auf den ersten Blick
erscheinen mag, so ist doch zu beachten,
dass die gezwungene Führung des Riemen-
schens, namentlich wenn es eine andere
Geschwindigkeit als die Führflächen hat,
nicht empfehlenswert ist und bei schmutzbeladenen Riemen
leicht zu Verschmierung der Führungsuten und einer schäd-
lichen Abstreifung des Schmutzes Veranlassung geben kann.

Fig. 29.

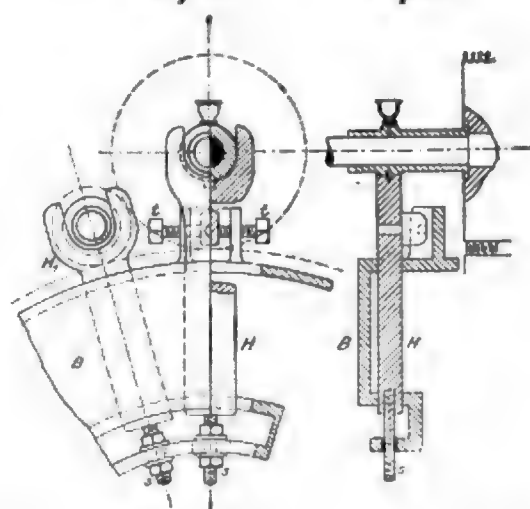


Der Florteller hat auch die beweglichen Vorgarnspulen-
halter von E. Bastin in Verviers¹⁾ und ist mit einer Zähl-
einrichtung für die Umläufe der Spultrommeln ausgerüstet,
sodass ein Glockenzeichen auf die Abnahme der stets gleich
groß zu haltenden Spulen aufmerksam macht.

Der neuere französische Krempelbau lehnt sich
ganz an die belgischen Vorbilder an. Auffällig war es, dass
Alexandre père & L. Antoine in Harcourt neben dieser
neueren Bauart an einer Krempel noch die ältere, in Deutsch-
land schon in den 60er Jahren aufgekommene Ausführung der
Lagerhalter der Arbeitswalzen als runde Bolzen mit Lager-
mühlern, sogenannte Ballonköpfe, zeigten. Zum Vergleiche
mit der beschriebenen²⁾ deutschen Ausführungsform der Wal-
zenstellsen sei in Fig. 30 und 31 die belgisch-französische
Art³⁾ dieser für Krempeln kennzeichnenden Konstruktions-

Fig. 30.

Fig. 31.



einzelheit wiedergegeben. Die Lagerhalter *H* stecken be-
weglich in Schlitten des Krempelbogens *B* und werden radial
durch Zugschrauben *s* mit Doppelmuttern eingestellt. Wäh-
rend die Wenderstellsen *H*₁ nur so verstellbar sind, können
die Arbeiterstellsen *H* auch gegen die ersteren mithilfe der
Schrauben *t* eingestellt werden. Es fehlt also das erforder-
liche Festschrauben der Stellsen nach ihrer Einstellung, und
die Schrauben *s*, welche letztere besorgen, haben das ganze
Gewicht der Walzen und den Zug der Triebwerkzeuge auf-

¹⁾ D. R.-P. Nr. 60905; vergl. auch Dinglers polyt. Journal 1894
Bd. 291 S. 10.

²⁾ Z. 1899 S. 1624 mit Abb.

³⁾ die man auch in den Abbildungen französischer Krempeln in
dem Buche „Cardes et Cardages“ von J. Renal, Paris 1899, Haudry &
Cie., finden kann.

¹⁾ Vergl. Z. 1898 S. 1886 Fußnote rechte Spalte.

²⁾ D. R.-P. Nr. 95996 von Armand Lejeune in Verviers.

³⁾ wie z. B. in Z. 1899 S. 1680 Fig. 86 und 89 dargestellt.



Sitzungsberichte der Bezirksvereine.

Berliner Bezirksverein.

Sitzung vom 5. Dezember 1900.

Vorsitzender: Hr. Krause. Schriftführer: Hr. Hjarup.

Nach Erledigung der geschäftlichen Angelegenheiten nimmt Hr. Buhlo das Wort zu Mitteilungen über die Weltausstellung in Paris.

Er behandelt zunächst die Lokomotiven und spricht insbesondere über die Mittel, die Leistungsfähigkeit der Kessel zu vergrößern. Die von A. Borsig ausgestellte 2-gekuppelte Schnellzuglokomotive zeigt, wie durch den Einbau eines Schmidtschen Ueberhitzers in die Rauchkammer die normale Größe des Kessels beibehalten werden kann, sodass auch das Gewicht der Schnellzuglokomotive nicht wesentlich erhöht und eine Vermehrung der gebräuchlichen Achsenzahl nicht erforderlich wird.

Anders verhält es sich mit der von Schneider & Co., Creuzot, ausgestellten 2-gekuppelten Schnellzuglokomotive (System Thuile), welcher der 3-förmige Kessel von 298 qm Heizfläche mit einem von 2 Heizern zu bedienenden Rost und eigenartig gestalteter Rauchkammer, der nach vorn verlegte Führerstand und manche andere Einzelheiten ein von den gebräuchlichen Lokomotiven erheblich abweichendes Aussehen verleihen.

Im weiteren Verlauf seines Vortrages geht der Redner auf Eisenbahnwagen für Massengüter ein. Dieser Teil des Vortrages ist in Z. 1901 S. 733 bereits veröffentlicht.

Hierauf spricht Hr. Leist über die Steuerungen der Dampfmaschinen¹⁾ auf der Weltausstellung.

Am wenigsten traten in der Maschinenausstellung auf dem Marsfelde die Schiebermaschinen hervor, wenn auch einzelne von ihnen volle Aufmerksamkeit verdienten, wie die stehenden Schnellläufer von Mertz und Tosi, die Walzenzugmaschine von Ehrhardt & Schmer usw. Von Bauarten mit rotirendem Schieber waren diejenigen von Gebr. Sulzer und von Carels freres vertreten. Die der Zahl nach stark überwiegenden Präzisionsmaschinen zeigten, soweit von französischen Firmen ausgestellt, fast sämtlich Corliss-Steuerung, im übrigen meist Ventilsteuerung, entsprechend dem Umstand, dass England und Nordamerika nur wenig Präzisionsmaschinen ausgestellt hatten. Die neueren Bestrebungen, die Anwendung der Ventilsteuerungen auch auf stehende Maschinen auszudehnen, kamen in Paris durch mehrere große Ausführungen zur Geltung; hier sind z. B. die Maschinen der Vereinigten Maschinenfabrik Augsburg und Maschinenbaugesellschaft Nürnberg, Werk Nürnberg, diejenigen von Borsig und von Ringhoffer zu nennen. Von den Ventilmaschinen war die große Mehrzahl mit Ausklinksteuerungen versehen; die zwangsläufigen Bauarten traten diesen gegenüber sehr in den Hintergrund. Von den ersteren waren wieder die Ventilsteuerungen mit freifallender Klinken zahlreicher vertreten als diejenigen mit zwangsläufiger Klinkbewegung.

Der Redner geht sodann auf die Einzelausbildung der Steuerungen an den ausgestellten Maschinen ein. Von Abschlussorganen, welche eine Besonderheit zeigen, gelangen die viersitzigen Ventile von Gebr. Sulzer²⁾ zur Darstellung und Besprechung, ferner die von van den Kerchove bei einer liegenden Maschine ausgeführten vier Steuerkolben, welche die Ventile bei ähnlicher Anordnung am Cylinder und gleichem Steuerungsantrieb zu vertreten bestimmt sind, sowie die in besonderer Weise mit der Spindel verbundenen Corliss-Hähne von Bollinckx.

Bezüglich der Anordnung der Steuerung, zunächst bei Corliss-Maschinen, wird die Art und Weise verglichen, wie die Hähne bei verschiedenen Bauarten (z. B. Farcot und Bollinckx) am Cylinder untergebracht sind. Dann wird hervorgehoben, dass sich bei den Ausstellungsmaschinen besonders häufig der Antrieb von Ein- und Auslass von getrennten Exzentern abgeleitet findet, um bei freierer Wahl des Aufkeilwinkels für das Einlassexzenter die obere Grenze der Füllung über den sonst gegebenen Wert hinaus verschieben zu können. Ferner werden verschiedene Anordnungen der äußeren Steuerung bei Corliss-Maschinen einander gegenübergestellt, bei welchen zumteil, wie neuerdings vielfach, die Steuerscheibe und auch die Kniehebelwirkung für den Auslass allein oder auch zugleich für den Einlass weggelassen ist. Zur Anordnung von Ventilsteuerungen übergehend, zeigt der Redner die Unterbringung der Abschlussorgane seitlich am Cylinder bei stehenden Maschinen sowie deren Verbindung mit der Steuerwelle an den Beispielen der Borsigschen und der Nürnberger Maschinen³⁾ und geht auf die Frage des Antriebes von Ein- und Auslass ein, welcher auch hier in der Regel mit

Rücksicht auf die oben erwähnte Unabhängigkeit von zwei getrennten Exzentern abgeleitet wird. Er erwähnt ferner die Abweichung vom Exzentergesetz, welche sich auf der Ausstellung mehrfach beim Exzenterantrieb der Ventile verwirklicht fand, in der Absicht, die Eröffnungs- und Abschlussgeschwindigkeit zu erhöhen.

Von Einzelheiten der äußeren Steuerung bei Corliss-Maschinen wird die Ausklinkvorrichtung der Maschinen von Dujardin & Co., Lille, vorgeführt, welche wie die Frikart-Steuerung die sonst bei Corliss-Steuerungen nicht gebräuchliche zwangsläufige Klinkbewegung zeigt, und zwar hier von einem besonderen kleinen Exzenter abgeleitet. Bezüglich der Ventilsteuerungen, und zwar zunächst der zwangsläufigen, wird hervorgehoben, dass der für den Schieber seit längerer Zeit so vielfach verwandte Antrieb von einem Achsenregler aus neuerdings auch immer mehr in Verbindung mit dem Ventil auftritt und dass die Ausstellung mehrere bierher gehörige Bauarten aufwies. Als Beispiel wird die Steuerung von Knoller (an einer Maschine von Brand & Jhuillier)⁴⁾ gezeigt und erklärt. Von Ausklinksteuerungen mit zwangsläufiger Klinkbewegung wird die neuerdings von Gebr. Sulzer meist ausgeführte »Herzkurvensteuerung« (Sulzer-Steuerung von 1878) erwähnt und ausführlicher auf die in Paris zum erstenmal vorgeführte neue Sulzer-Steuerung⁵⁾ eingegangen, welche auch (weiter unten) eine Ausklinkung, zugleich aber einen Wälzhebel wie die zwangsläufigen Steuerungen zwischen der Ventiltzugstange und der Spindel des Einlassventiles besitzt und den Luftpuffer an der Ventiltzugstange statt an der Spindel angreifend zeigt. Zweck der Anordnung ist vor allem, sowohl das erste Anheben als auch das Aufsetzen des Ventiles sicher mit kleiner Geschwindigkeit vor sich gehen zu lassen und so auch bei größeren Ventilen und höherer Umlaufzahl stoßfreien Gang zu erzielen. Zu den Bauarten mit freifallender Klinken übergehend, zeigt der Redner mehrere Beispiele dieser in Paris besonders stark vertretenen Gattung von Ventilsteuerungen. Er weist hierbei auf die große Ähnlichkeit dieser Bauarten untereinander hin, welche sie nur als Konstruktionsabarten eines und desselben Grundgedankens erscheinen lässt.

Der Redner betont zum Schluss, dass die häufigere oder seltene Anwendung der verschiedenen Steuerungsarten, wie sie auf der Pariser Ausstellung hervorgetreten ist, in anbetrach der hier mitteilenden Zufälligkeiten nicht für jede einzelne Bauart als ein Maßstab für ihre Beliebtheit im allgemeinen angesehen werden könne, dass man vielmehr nur die im großen und ganzen gewonnenen Eindrücke verallgemeinern dürfe. Er glaubt nach dem von ihm Ausgeführten feststellen zu dürfen, dass sich auch in Paris bei den Präzisionssteuerungen die wachsende Vorliebe für möglichst einfache Mechanismen gezeigt hat.

Darauf berichtet Hr. Treptow über die ausgestellten Pumpen und Wasserhebevorrichtungen, besonders über die Wasserversorgung der Ausstellung und des Eiffelturmes. Die Wasserversorgung der Ausstellung geschah durch vier Worthington-Pumpen von je 500 ltr/sk Leistung. In einem besonderen Maschinenhause an der Seine standen diese Pumpen, die für eine größte Förderung von 180000 cbm auf 20 m Höhe in 24 Stunden berechnet waren. Das Wasser wurde zunächst in einen Behälter auf der Höhe des »Wasserschlosses« gepumpt, speiste die Wasserkünste und floss dann nach dem Maschinenhause, wo es zur Speisung der Dampfkessel und der Kondensationsanlagen diente. Von hier floss es in die Seine zurück. Auf dem ganzen Wege dienten die Leitungsrohre durch zahlreiche Hydrantenanschlüsse zur Sicherung gegen Feuergefahr. Die Maschinen selbst waren direkt wirkende Dreifachexpansions-Dampfpumpen mit dem bekannten auf ein hydraulisches Spannwerk arbeitenden schwingenden Ausgleich, der während des ersten Teiles des Hubes Kraft aufspeichert, um sie, dem sinkenden Dampfdruck entsprechend, auf der zweiten Hälfte des Kolbenweges abzugeben. Der Eiffelturm wurde durch 17 Worthington-Pumpen versorgt, die in seinem südlichen Fuß aufgestellt waren. Darunter befanden sich 5 Dreifach-Expansionspumpen für die indirekten hydraulischen Aufzüge. Die übrigen dienten für Feuerlöschzwecke, für die Beschaffung des Trink- und Nutzwassers und als Kondensationspumpen. Bemerkenswert war auch in der ungarischen Abteilung die große 300 pferdige stehende Worthington-Pumpmaschine der Budapest Wasserwerke für eine Leistung von 27000 cbm auf 73 m Höhe in 24 Stunden.

Das eigentlich Neue in diesem Zweige des Maschinenbaues waren die direkt gekuppelten elektrischen Pumpen in der deutschen Bergbauabteilung: die Kiedlersche Express-Pumpe und die Pumpe von Ehrhardt & Schmer⁶⁾.

¹⁾ Vergl. Z. 1900 S. 1155.

²⁾ Z. 1901 S. 764.

³⁾ Z. 1900 S. 473; 1901 S. 187.

⁴⁾ Z. 1901 S. 759.

⁵⁾ Z. 1901 S. 764.

⁶⁾ s. Z. 1901 S. 923.

In der französischen Abteilung waren einige seit Jahren in der Praxis bewährte, in Deutschland nicht übliche Pumpen zu bemerken. Bemerkenswert war die große Vorliebe der Franzosen für Zentrifugalpumpen, wohl vor allen Dingen des geringen Raumbedarfes und des bequemen elektrischen Antriebes wegen. Es waren Anordnungen zu finden, bei denen solche Kreiselpumpen zu dreien oder vierein hinter einander auf gleicher Welle befestigt waren. Mit diesen Pumpen kann, allerdings bei stark sinkendem Nutzeffekt, die drei- bis vierfache Förderhöhe der einfachen Kreiselpumpe erreicht werden.

Sehr beachtenswert war die vielfache Verwendung des hydraulischen Widlers für die Wasserversorgung von Landhäusern, einzelnen Gehöften, Gärtnereien usw. Als Ersatz für den hydraulischen Widler wurden vielfach Druckwasserpumpen mit selbstthätiger hydraulischer Kolbenschiebersteuerung verwendet. Auch dienten Luftdruckhebwerke dem gleichen Zweck.

Sitzung vom 19. Dezember 1900.

Vorsitzender: Hr. Krause. Schriftführer: Hr. Hjarup.

Anwesend etwa 150 Mitglieder und Gäste.

Die Sitzung dient zur Fortsetzung der Mitteilungen über die Weltausstellung in Paris.

Hr. Bauch äußert sich über die Grofdynamos und erläutert deren Konstruktionseigentümlichkeiten.

Dann spricht Hr. Frölich über die Beteiligung Russlands an der Weltausstellung¹⁾.

Schließlich erstattet Hr. Koester noch einen kurzen Bericht über seine Pariser Eindrücke.

Eingegangen 4. März 1901.

Besirksverein an der Lenne.

Sitzung vom 6. Februar 1901.

Vorsitzender Hr. Hase.

Anwesend 39 Mitglieder und 40 Gäste.

Hr. Freyer spricht über Flugschiffahrt mit besonderer Berücksichtigung der Zeppelinischen Versuche.

Der Vortragende kennzeichnet die beiden Richtungen, in denen sich die Luftschiffahrt entwickelt hat: die aerostatische und die aviatische²⁾, und giebt dann einen Abriss der ersteren durch Beschreibung der bisher konstruierten Ballonflieger³⁾. Insbesondere wird das Flugschiff des Grafen Zeppelin eingehend beschrieben und erläutert⁴⁾.

In der nun eintretenden Pause giebt Hr. Kommerzienrat Berg aus Lüdenscheid, der Erbauer der Aluminiumkonstruktion sowohl der beiden Schwarzschen wie auch des Zeppelinischen Fahrzeuges, Auskunft über einige Einzelheiten und über die Vorzüge der Schwarzschen Konstruktion sowie auch über die näheren Umstände des Unfalles, welcher dem Versuche mit jenem Luftschiff ein schnelles Ende bereitete. Er betont die Notwendigkeit, künftige Fahrzeuge kleiner, und zwar zerlegbar, auszuführen.

Im nun folgenden zweiten Teil des Vortrages behandelt der Redner die dynamische Flugschiffahrt, die Aviatik. Er erwähnt die verschiedenen Drachenflieger und hebt insbesondere die Verdienste Lilienthals um diesen Zweig der Luftschiffahrt hervor.

Fragt man nach den praktischen Zielen der Flugschiffahrt, so ist zu erwidern, dass sie lange nicht so umfassend sein können, wie der Laie anzunehmen geneigt ist. Sie liegen wohl zunächst wesentlich auf militärischem Gebiete. Daneben wird sich die Wissenschaft der Luftschiffahrt bei der Erforschung unzugänglicher Hochgebirge und Polargegenden mit Erfolg bedienen können.

Eingegangen 2. März 1901.

Niederrheinischer Bezirksverein.

Sitzung vom 4. Februar 1901.

Vorsitzender: Hr. Gordan, später Hr. Lührmann.

Schriftführer: Hr. Birsztejn.

Anwesend 61 Mitglieder und 10 Gäste.

Der Vorsitzende gedenkt des verstorbenen Mitgliedes Hrn. Jul. Brügelmann. Die Versammlung ehrt das Andenken des Dahingegangenen durch Erheben von den Sitzen.

Nach Erledigung der geschäftlichen Angelegenheiten spricht Hr. Scheerer über Einrichtungen zur Errettung aus Feuergefahr⁵⁾.

¹⁾ a. Z. 1901 S. 98.

²⁾ Z. 1895 S. 377.

³⁾ Z. 1896 S. 631.

⁴⁾ Z. 1901 S. 1071.

⁵⁾ Vergl. Z. 1901 S. 961.

Hr. Franz Schmitz beantwortet die Frage: »Welche Erfahrungen sind mit dem auf der Pariser Weltausstellung 1900 vorgeführten neuen Werkzeugstahl der Bethlehem Steel Company gemacht und wie ist dessen Zusammensetzung?« Er verweist auf die bisherigen Veröffentlichungen über diesen Gegenstand¹⁾ und zieht aus dem Mitgeteilten folgende Schlussfolgerung:

Aus diesen Versuchen ist ersichtlich, dass der Schnelldrehstahl nur für gleichmäßig weiches Material mit Vorteil verwendet werden kann; bei ungleichmäßigem Material mit harten Stellen, ganz besonders aber bei hartem Material versagt der Stahl sofort. Dabei ist die Steigerung des Kraftbedarfes und der an die Arbeitsmaschinen zu stellenden Anforderungen so bedeutend, dass dadurch der größte Teil der durch die schnellere Arbeitsmöglichkeit erzielten Vorteile verloren gehen dürfte. Der Redner hat über diese Frage mit vielen in der Praxis stehenden Fachleuten gesprochen und überall die gleiche Ansicht gehört. Es kommt ja im Betriebe schon einmal vor, dass eine Arbeit so rasch wie irgend möglich ausgeführt werden muss, dass keinerlei Rücksichten auf die Kosten genommen werden, wenn nur die Arbeit gefördert wird; aber diese Fälle sind doch wohl so selten, dass man die Frage erwägen muss, ob der Vorteil des vereinzelt rascheren Arbeitens nicht durch die Nachteile: die Kraftvergeudung und die Abnutzung der Maschinen, aufgehoben wird.

Ein weiterer großer Nachteil des Stahles dürfte in dem Umstande zu suchen sein, dass die Stähle nach der Abnutzung nicht von dem Verbraucher selbst wieder zurecht gemacht werden können, sondern zu diesem Zwecke in die Stahlfabrik zurückgesandt werden müssen.

Zur Beantwortung der Frage: »Welche Erfahrungen hat man mit Rollenlagern für schwere Belastungen gemacht, wie berechnet man solche? Sind Rollenlager oder Kugellager vorzuziehen?« führt Hr. Jungbluth Folgendes aus:

Die Frage ist nicht neu; sie lag schon vor 7 bis 8 Jahren der Firma Haniel & Lueg vor. Veranlassung gab damals die Bauausführung des Schiffshebewerkes bei Henrichenburg.

Wie Ihnen bekannt ist, wird die tote Last bei diesem Hebewerke²⁾ durch den Auftrieb von Schwimmkörpern ausgeglichen, dagegen erfolgt die Bewegung des Schleusentrogges durch ein Schraubenge triebe. Es lag nun das Bestreben nahe, die Reibungswiderstände durch geeignete Verlagerung des Getriebes möglichst zu verringern. Aus diesem Grunde wurde die Verlagerung der großen Schraubenspindeln auf Kugellagern in Erwägung gezogen. Da Erfahrungen über Kugellager mit großer Belastung fehlten, wurden Versuche mit einer dem späteren Betriebszustande entsprechenden Probe-spindel angestellt.

Das Kugellager am Kopfende der Schraubenspindel enthielt 33 Kugeln von 38 mm Dmr., das Lager am Fußende 29 Kugeln von gleichem Durchmesser. Die Kugeln und ihre Laufbahnen waren englische Erzeugnisse. Die Kugeln, die im Durchmesser keinen größeren Unterschied als $\frac{1}{60}$ mm hatten, waren aus gehärtetem Diamantstahl und die Laufbahnen aus naturhartem Stahl hergestellt. Die Belastung der Endlager, also der Kugeln, konnte durch einen hydraulischen Stempel beliebig geregelt und die Widerstände der Kugellager bei der Rotation durch die Kraftabgabe eines Elektromotors genau gemessen werden.

Die erste Versuchsreihe wurde ohne Wasserdruck ausgeführt, sodass also das Kugellager am Fußende der Spindel leer lief, das Kugellager am Kopfende der Spindel aber nur durch das Eigengewicht der Spindel und deren Zubehör mit 7033 kg belastet war.

Die zweite Versuchsreihe erfolgte mit Wasserdruck, entsprechend einer Belastung des oberen Kugellagers von 11 t und des unteren von 4 t. Die Belastung von 11 t entsprach der später im Betriebe zu erwartenden Belastung des Kugellagers durch das Eigengewicht der Schraubenspindel mit ihrem Zubehör.

Bei der dritten Versuchsreihe wurde das obere Lager mit 23,5 t, das untere mit 16,5 t belastet.

Die letzte Versuchsreihe diente zur Ermittlung des Reibungskoeffizienten der Ruhe. Unter Ausschaltung des Motors wurde eine Rolle durch Anhängen von Gewichten soweit belastet, bis Bewegung im Getriebe eintrat.

Am Schlusse der Versuche wurde das obere Kugellager aus einander genommen und gereinigt. Das in dem Lager vorgetriebene Schmieröl wurde filtriert. Schon nach diesen Vorversuchen zeigte sich, dass eine Menge feinen Eisenstaubes ausgeschieden wurde. Nach Reinigung des Lagers wurde die Maschine wieder angelassen und die Lager einer Dauerprobe unter den Betriebsverhältnissen der Versuchsreihe 3 unter-

¹⁾ Vergl. Z. 1901 S. 462.

²⁾ Vergl. Z. 1898 S. 946.

worfen. Als die Lager 59474 Umdr. gemacht hatten, wurde der Betrieb unterbrochen. Dabei hatten die Kugeln einen Weg von rd. 75 km zurückgelegt, bei einem Durchmesser der Laufbahn im oberen Kugellager von 400 mm und einer Geschwindigkeit im Laufkreis von etwa 1,35 msk. Die Untersuchung ergab, dass die Kugeln 3 bis 4 mm tiefe Rillen in die Bahnen eingelaufen hatten und dass sie stark abgenutzt waren. Das abgelaufene Öl enthielt wiederum viel feinen Eisenstaub. Der Redner zeigt die benutzten Kugeln den Versammelten.

Die Belastung des oberen Lagers bei dem Dauerversuch betrug 33½ t; das macht bei 33 Kugeln, gleichmäßiges Tragen vorausgesetzt, für jede Kugel eine Belastung von 712 kg.

Nach alle dem muss also angenommen werden, dass die infrage stehenden Kugeln eine Belastung von durchschnittlich 712 kg bei einer dauernden Laufgeschwindigkeit von 1½ msk nicht aushalten.

Als ruhende Belastung waren 8 t für 1 Kugel garantiert. Es wurde deshalb das obere Kugellager durch Wasserdruck mit 480 t belastet, sodass auf jede der 33 Kugeln bei gleichmäßigem Tragen eine Belastung von 14½ t entfiel. Keine von den Kugeln wurde zerdrückt.

Das Versuchsergebnis mit den Kugellagern war nicht befriedigend, und man glaubte die Ursachen in der Beschaffenheit des Materials für die Laufbahnen suchen zu müssen. Die Laufbahnen wurden deshalb gegen gehärtete Bahnen aus Werkzeugstahl ausgewechselt, die sich aber vielleicht infolge eines geringen Verschleißes (die Bahnen waren allerdings nach dem Härten wieder gerade geschliffen) und wegen Spannungen beim Härten noch weniger gut hielten.

Die für hohe Belastungen und Geschwindigkeiten ungünstigen Ergebnisse mit den Kugellagern gaben schon nach den ersten Versuchen Veranlassung, auch Lager ohne Kugeln mit ebenen Laufflächen in den Bereich der Versuche zu ziehen. Von den Lagerringen mit ebenen Laufflächen bestand je einer aus Tiegelstahl von 65 bis 70 kg Festigkeit und je einer aus Phosphorbronze. Auch hier war auf ausreichende und gute Schmierung besondere Sorgfalt verwendet. Die Belastung der Lager entsprach den Belastungen in den vorher erörterten Versuchsreihen. Ein nennenswerter Unterschied im Kraftverbrauch zwischen diesen Lagern und den Kugellagern hat sich dabei für den Zustand der Bewegung nicht ergeben; nur das Anlaufmoment war bei den Kugellagern kleiner als bei den Lagern mit ebenen Laufflächen. Unter Berücksichtigung aller bei den Versuchen aufgetretenen Erscheinungen war es zweifellos, dass den Lagern mit ebenen Laufflächen der Vorzug vor den Kugellagern zu geben sei.

Eingegangen 13. März 1901.

Schleswig-Holsteinischer Bezirksverein.

Sitzung vom 11. Januar 1901.

Vorsitzender: Hr. Veith. Schriftführer: Hr. Stellter.

Anwesend 18 Mitglieder und 3 Gäste.

Hr. von Buchholtz spricht über die Entwicklung des Dürr-Kessels.

Zu den wenigen Typen von Wasserrohrkesseln, welche sich auf den Schiffen der deutschen Kriegsmarine so bewährt haben, dass eine größere Anzahl von Schiffen mit ihnen ausgerüstet werden konnte, gehört der Dürr-Kessel¹⁾. Dieser Kessel hat von Anfang an den gestellten Anforderungen im allgemeinen genügt, und die ausführende Firma ist außerdem stets bemüht gewesen, die Mängel, welche sich bei den Erprobungen gezeigt haben, bei den späteren Ausführungen zu verbessern. Der erste Dürr-Kessel für die deutsche Marine wurde im Jahre 1893/94 für das Minenschiff »Rhein« gebaut, das eine Maschine von 350 PS hat. Der Kessel ist mit längsliegender Oberkessel ausgeführt und hat weite Rohre und weite Rohrleitung. Der Wasserumlauf ist hier bereits in gleicher Weise wie bei sämtlichen späteren Dürr-Kesseln angeordnet. Das in den Oberkessel eingeführte Speisewasser tritt durch die vordere Hälfte der Wasserkammer in die zentrisch in den Kesselrohren liegenden Einsteckrohre, verlässt diese am hinteren Ende und tritt in die Kesselrohre selbst ein, um von ihnen aus, größtenteils in Dampf verwandelt, durch die hintere Hälfte der Wasserkammer in den Oberkessel zu gelangen. Die Kesselrohre werden gegen die Wasserkammer in der Weise abgedichtet, dass die mit einem konischen Bunde versehenen Rohre in die entsprechend konisch geformten Löcher der hinteren Wasserkammer gepresst werden.

Die Bunde an den Rohren sind zur Rohrachse geneigt, sodass die Rohre bei senkrecht stehender Wasserkammer etwa 8° vH nach hinten fallen. Auf beiden Seiten sind die äußeren Rohrreihen soweit nach rechts und links abgebogen, dass die Rohre dicht über einander liegen, dadurch einen dichten Abschluss bildend. Der Ueberhitzer ist gleichlaufend zum Oberkessel, aber gesondert über ihm angeordnet. Die Rohrbünde sind auf die patentgeschweißten Rohre aufgeschweisft; die hintere Rohrstützwand ist aus Gusseisen hergestellt. Der Kessel ist seit dem Jahre 1894 fast dauernd im Betriebe und hat, allerdings ohne hoch beansprucht zu sein, stets zufriedenstellend gearbeitet und wenige Reparaturen nötig gemacht.

An der Hand zahlreicher Zeichnungen werden sodann die Ausführungen auf den Schiffen »Baden«, »Bayern«, »Victoria Luise«, »Sachsen«, »Vineta«, »Prinz Heinrich« und Großer Kreuzer B vorgeführt, wobei der Vortragende zu folgenden Schlüssen kommt:

Als Vorzüge der Dürr-Kessel sind anzusehen:

- 1) die große Unempfindlichkeit der Kessel gegen schnelles Dampfaufmachen, rasches Abkühlen, starke Forcierung und Öl;
- 2) die Zugänglichkeit jeder einzelnen Stelle zur Untersuchung, Reinigung und Ausbesserung;
- 3) die Ausführbarkeit aller Reparaturen mit Bordmitteln;
- 4) die Möglichkeit, aushilfsweise auch mit Brunnenwasser zu speisen;
- 5) der gute Wasserumlauf in allen Teilen und unter allen Betriebsverhältnissen;
- 6) die gute Verdampfungsfähigkeit der Kessel bis zu einer Verbrennung von 180 kg und mehr Kohlen pro qm Rost;
- 7) die voraussichtlich lange Lebensdauer.

Als Nachteile sind anzusehen:

- 1) die Empfindlichkeit gegen Seewasser und die dadurch notwendig gewordene große Sorgfalt in der Bedienung der Reservespeisepumpen und in der Ueberwachung der Kondensatoren;
- 2) die Notwendigkeit, die Kessel längschiefs aufzustellen;
- 3) der verhältnismäßig große Arbeitsaufwand bei der teilweisen inneren Reinigung und beim Wasserwechsel;
- 4) die vielen einzelnen Kesselteile und die dadurch bedingten vielen kleinen Reparatur- und Reinigungsarbeiten sowie die vielen Reserveteile und Sonder-Handwerkzeuge;
- 5) das Erfordernis eines geschickten und eingetübten Personals zur inneren Reinigung.

Den gewichtigen konstruktiven Vorteilen der Dürr-Kessel stehen sonach fast ausschließlich solche Nachteile gegenüber, die sich auf die Bedienung und Reinigung beziehen und sich dem Bordpersonal besonders fühlbar machen. Die stärkere Beanspruchung der Heizer ist zwar ein für die Kriegsmarine besonders ins Gewicht fallender Nachteil, doch ist zu erwarten, dass mit der zunehmenden Vertrautheit der Bedienung mit den Eigenschaften der Dürr-Kessel der Betrieb und die Reinigung vereinfacht werden können, und dass es der gemeinsamen Arbeit der Marine und der Firma Dürr gelingen wird, die Dürr-Kessel noch weiter zu verbessern.

In der Besprechung des Vortrages werden noch einmal als hauptsächlichste Mängel der Kessel angeführt: die Schwierigkeit der Untersuchung und Reinigung sowie die Wahrscheinlichkeit, dass der Kessel große und lang andauernde Forcierungen wohl kaum aushalten wird, während er die ihm vorgeworfene schwierige Bedienung mit fast allen Wasserrohrkesseln teilt.

Vom Kieler Nautischen Verein ist ein Schreiben eingegangen, nach welchem er der Anregung des Vereines, auf deutschen Schiffen die Tiefgangsmarken wenigstens auf einer Seite in metrischen Maß anzubringen, Folge geben und die Angelegenheit bei den zuständigen Behörden verfolgen wird. Hr. Hüllmann teilt im Anschluss daran mit, dass dieses Verfahren bei den neueren Schiffen der Hamburg-Amerika-Linie schon angewendet werde.

Eingegangen 4. März 1901.

Siegener Bezirksverein.

Sitzung vom 6. Februar 1901.

Vorsitzender: Hr. Grauhan. Schriftführer: Hr. Wolff.

Anwesend 18 Mitglieder und 8 Gäste.

Hr. Haedicke spricht über die elementare Bestimmung des Diagrammes der Dampfmaschine.

Der Redner führt die Formeln für die Inhaltsberechnung des Diagrammes der Dampfmaschine vor und weist darauf hin, dass sie zur Berechnung des Füllungsgrades nur sehr umständlich zu handhaben seien, weil in ihnen der Wert für den

¹⁾ s. Z. 1896 S. 1170; 1900 S. 379.

Füllungsgrad als Exponent enthalten ist. Man kann aber alle Kurven, die sich auf die bisher bekannten Formeln gründen, mit Erfolg durch eine Parabel ersetzen, wenn man letztere ohne Berücksichtigung des schädlichen Raumes zeichnet. Diese Linie gibt freilich nicht den richtigen Verlauf der Expansion, wohl aber mit vollständig genügender Genauigkeit den Inhalt des Diagrammes an und liefert sehr einfache, leicht im Gedächtnis zu behaltende Formeln für die Eintrittsspannung, die mittlere Spannung und den Füllungsgrad.

Darauf werden die geschäftlichen Angelegenheiten erledigt.

Hr. Haedicke zeigt einen auf seine Veranlassung von der Bleistiftfabrik Joh. Faber hergestellten Bleistift vor, der sowohl in seiner äußeren Gestalt wie auch in der Grafitlage länglich-rechteckigen Querschnitt zeigt; er ist geeignet für die Zeichner, welche einer schneidenförmigen Spitze des Bleistiftes den Vorzug geben.

Hr. Straub schildert die Fabrikation des Spiegelglases und bespricht die maschinellen Hilfsmittel, die zum Schmelzen, Gießen, Kühlen, Schleifen und Polieren der Spiegelglasscheiben nötig sind.

Bücherschau.

Die Mechanik in ihrer Entwicklung. Von Dr. Ernst Mach, Professor an der Universität zu Wien. Vierte verbesserte Auflage. Leipzig 1901, F. A. Brockhaus. 550 S. mit 257 Fig. Preis geb. 8 M.

Die Mechanik des bekannten Wiener Physikers und Philosophen liegt in vierter Auflage vor, nachdem erst wenig mehr als 3 Jahre seit dem Erscheinen der dritten Auflage verstrichen sind. Das ist ein erfreuliches Zeichen nicht nur für den Wert des Buches selbst, sondern auch für das wachsende Interesse, das man an der Erörterung der Grundlagen unserer heutigen Mechanik nimmt und das auch durch das Erscheinen vieler anderer Schriften über denselben Gegenstand bekundet wird.

Die Zusätze, die die vierte Auflage gegenüber der dritten aufweist, bestehen hauptsächlich in der Zurückweisung der Einwürfe des Leipziger Mathematikers Hölder und des Königsberger Physikers Volkmann gegen die Machsche Darstellungsweise. Hölder hatte in seiner Antrittsvorlesung: „Denken und Anschauung in der Geometrie“, Archimedes' Untersuchungen über die Hebelgesetze gegen die Machsche Kritik verteidigt. Volkmann glaubte bei der Erörterung der Grundlagen der Dynamik einen möglichst engen Anschluss an die Newtonschen Principia philosophiae naturalis anstreben zu sollen. (Vergl. seine Schrift: „Einführung in das Studium der theoretischen Physik“, Leipzig 1900, die besonders in ihrem ersten Teile sehr lesenswerte Erörterungen über das Denken und Forschen in den exakten Naturwissenschaften enthält.)

Jeder Ingenieur, der Interesse für die Grundlagen seiner wichtigsten Hilfswissenschaft hat, müsste das Machsche Buch, insbesondere seine Erläuterung des Trägheitsgesetzes und des Massenbegriffes, gelesen haben.

Berlin, 25. Juli 1901.

F. Preufs, Dipl. Ing.

Bei der Redaktion eingegangene Bücher.

Die Hundertjahrfeier der kgl. Technischen Hochschule zu Berlin am 18. bis 21. Oktober 1899. Berlin 1900, Wilhelm Ernst & Sohn. 210 S. gr. 4°. Preis 5 M.

(Der von dem Dozenten der Technischen Hochschule Prof. Dr. Alfred G. Meyer bearbeitete Text enthält nicht nur alle Reden, Erlasse und Urkunden der Feier in wortgetreuer Fassung, sondern auch eine Beschreibung des Festes und seiner künstlerischen Gaben. Der Hundertjahrfeier ist ein Bericht über die Feier der Jahrhundertwende am 9. Januar 1900 und des Geburtstages des Kaisers am 26. Januar 1900 beigegeben, da diese Gelegenheiten brachten, die mit den neuen Errungenschaften der technischen Lehranstalten erwachenden Aufgaben ausführlich zu würdigen.)

Der Hafen von Dortmund. Denkschrift zur Feier der Hafeneinweihung am 11. August 1899 für die Stadt Dortmund, bearbeitet von Mathies. Dortmund 1899, Fr. Wilh. Ruhfus. 83 S. 4° mit 7 Kupferdrucken, 6 Karten und vielen Textfiguren. Preis 20 M.

(Das Prachtwerk, welches seinerzeit als Festgabe für die zur Eröffnungsfester geladenen Gäste hergestellt war und den Fachkreisen unzugänglich war, ist nunmehr zu dem obengenannten sehr niedrigen Preise im Buchhandel käuflich.)

Gemeinfassliche Darstellung des Eisenhüttenwesens. Vom Verein deutscher Eisenhüttenleute. 4. Aufl. Düsseldorf 1901, A. Bagel. 144 S. gr. 8° mit 10 Fig. Preis 3 M.

(Die dritte Auflage der berühmtesten bekannten Schrift war bereits seit längerer Zeit vergriffen; bei der Neubearbeitung sind die Fortschritte im Eisenhüttenwesen und die Vorgänge auf den zugehörigen

wirtschaftlichen Gebieten berücksichtigt worden. In einem Anhang ist ein Verzeichnis der deutschen und luxemburgischen Eisenhütten und Stahlwerke eingefügt worden.)

Ueber Wasserkraftverhältnisse in Skandinavien und im Alpengebiet. Von Prof. Holz. Berlin 1901, Wilhelm Ernst & Sohn. 48 S. gr. 4° mit 78 Textfig. und 8 Taf. Preis 24 M.

(Das Werk, ein Sonderabdruck aus der Zeitschrift für Bauwesen, ist die Frucht einer Studienreise des Verfassers. Von den natürlichen geologischen und hydrologischen Verhältnissen des Landes ausgehend, bespricht er die Durchführung der Wasserkraftgewinnung und ihre durch die Eigenart der örtlichen Verhältnisse bedingte Technik im allgemeinen, woran sich die Beschreibung einer großen Anzahl bemerkenswerter Wasserkraftanlagen schließt. Gerade diese durch zahlreiche Schaubilder und Konstruktionszeichnungen unterstützten Darstellungen machen das Buch der Reichhaltigkeit und Vielseitigkeit der zur Lösung gekommenen Aufgaben wegen für den Ingenieur wertvoll.)

Ueber die Feuersicherheit der Bauten. Von Dr. O. v. Ritgen. Berlin 1901, Wilhelm Ernst & Sohn. 28 S. 8°. Preis 80 Pfg.

(Sonderabdruck aus Zentralblatt der Bauverwaltung.)

Bergbahnen der Schweiz bis 1900. I. Drahtseilbahnen. Von E. Strub. Wiesbaden, J. F. Bergmann. 31 S. mit 61 Fig. und 8 Taf. Preis 6 M.

Licht und Kraft. Die Elektrizität und ihre Anwendung im täglichen Leben. Von Th. Schwartz. 2. Aufl. Stuttgart, Berlin, Leipzig 1900, Union, Deutsche Verlagsgesellschaft. 412 S. gr. 8° mit 356 Fig.

The Cement Industry. Descriptions of Portland and Natural Cement Plants in the United States and Europe, with Notes on Materials and Processes in Portland Cement Manufacture. New York, The Engineering Record. 235 S. 8°. Preis 3 \$.

Encyclopédie scientifique des aides-mémoire. Les Diastases et leurs applications. Von M. E. Pozzi-Escot. Paris, Gauthier-Villars. 217 S. kl. 8°. Preis 3 frs.

Handbuch der Elektrotechnik. 9. Bd.: Elektromotoren und elektrische Arbeitsübertragung. Von F. Niethammer und E. Schulz. Leipzig 1901, S. Hirzel. 193 S. mit vielen Figuren und Tafeln. Preis geb. 18 M.

Anweisung zur Herstellung und Unterhaltung von Zentralheizungs- und Lüftungsanlagen. Amtliche Ausgabe vom 24. März 1901. Berlin 1901, Wilhelm Ernst & Sohn. Preis 2 M.

Chronik der kgl. Technischen Hochschule zu Berlin 1799 bis 1899. Von der kgl. Technischen Hochschule. Berlin 1899, Wilhelm Ernst & Sohn. 270 S. kl. 2° mit vielen Figuren, 6 Beilagen und 4 Bildnissen in Kupferlichtdruck. Preis 12 M.

Cours de mécanique élémentaire à l'usage des écoles industrielles. Von Prof. Ph. Moulan. Paris und Lüttich 1901, Ch. Beranger. 1124 S. 8° mit 1067 Fig. Preis 18 frs.

Kanalisation. Anlage und Bau städtischer Abzugskanäle und Hausentwässerungen. 3. Aufl. Von E. Dobel. Stuttgart, W. Kohlhammer. 159 S. gr. 8°. 15 Pläne. Preis 4,50 M.

Die Hochofenbetriebe am Ende des 19. Jahrhunderts. Von Prof. Dr. E. F. Dürre. Berlin, W. & S. Loewenthal. 169 S., 10 Taf. Preis geb. 22 M.

Theorie und Praxis der Ventilation und Heizung. 4. Aufl. Bd. III: Die Ventilation. Von Dr. A. Wolpert. Berlin 1901, W. & S. Loewenthal. 608 S. 8° mit 215 Fig.

L'Électricité à l'Exposition de 1900. Heft 11: Électrothermie. Appareils de chauffage électrique, fours électrothermiques. Von J. A. Montpellier, A. Bainville und A. Brochet. Paris 1901, V^e Ch. Dunod. 63 S. 4° mit 89 Fig. Preis des ganzen, etwa 15 Hefte umfassenden Werkes 50 frs.

Ministère des travaux publics. Commission des méthodes d'essai des matériaux de construction. Deuxième session. Bd. I: Documents généraux. 86 S. 4° mit Figuren. Preis 3 frs. Bd. II: Rapports particuliers métaux. 351 S. 4° mit 46 Taf. und vielen Textfiguren. Preis 25 frs. Bd. III: Rapports particuliers autres matériaux. 258 S. 4° mit vielen Figuren. Preis 17 frs. Paris 1900, V^e Ch. Dunod.

Die Zukunft der Hohlkönigsburg. Ein Beitrag zur Klärung der Wiederherstellungsfrage. Von C. Krollmann. Berlin 1901, Wilhelm Ernst & Sohn. 34 S. Preis 1 M.

Handbuch für den Eisenschiffbau. 2. Aufl. Erste Lieferung. Darstellung der beim Bau eiserner und stählerner Handelsschiffe üblichen Konstruktionen. Von Otto Schlick. Leipzig 1901, Arthur Felix. 144 S. 8° mit Atlas, enthaltend Taf. I bis X. Preis 7 M.

Übersicht neu erschienener Bücher.

zusammengestellt von der Verlagsbuchhandlung von Julius Springer, Berlin N., Monbijouplatz 3.

- Physik.** Rapports présentés au Congrès physique réuni à Paris en 1900 sous les auspices de la Société française de physique, rassemblés et publiés par Ch. Ed. Guillaume et L. Poincaré. 3 vols. Paris 1901. Gauthier-Villars. Preis 50 frs.
- Rudolphi, M. Einführung in das physikalische Praktikum. Göttingen 1901. Vandenhoeck & Ruprecht. Preis 3,30 M.
 - Schurig, E. Die Elektrizität. Das Wissenswerteste aus dem Gebiete. 5. Aufl. Leipzig 1901. Klinkhardt. Preis 1,75 M.
 - Schuster, Arthur, and Charles H. Lees. Advanced exercises in practical physics. London 1901. Cambridge University Press. Preis 8 sh.
 - Urbanitzky, A. Ritter v. Die Elektrizität. Eine kurze und verständliche Darstellung der Grundgesetze sowie der Anwendungen der Elektrizität. 6. Aufl. Wien 1901. A. Hartleben. Preis 1,50 M.
 - Volta, A. Untersuchungen über den Galvanismus. Leipzig 1901. W. Engelmann. Preis 1,50 M.
 - Warburg, E. Lehrbuch der Experimentalphysik für Studierende. 5. Aufl. Tübingen 1901. J. C. B. Mohr. Preis 7 M.
 - Weinstein, B. Thermodynamik und Kinetik der Körper. 1. Bd. Allgemeine Thermodynamik und Kinetik und Theorie der idealen und wirklichen Gase und Dämpfe. Braunschweig 1901. Vieweg & Sohn. Preis 13 M.
- Pianofortebau.** Münnich, Wilh. Mechanik und Technik des Piano-fortes. Berlin 1901. Moritz Werschauser. Preis 3 M.
- Pumpen und Gebläse.** Colyer, Frederick. Pumps and pumping machinery. Part II. 2nd ed. London 1901. E. & F. N. Spon. Preis 28 sh.
- Schiffs- und Seewesen.** Chaigneau, H. Architecture navale. Théorie et construction du navire. Paris 1901. Bernard. Preis 12 frs.
- Gaget, Maurice. La navigation sous-marine. Paris 1901. Ch. Beranger. Preis 10 frs.
 - Haddon, J. H. and H. A. A practical treatise for the use of boiler-makers, ironship builders and mast-makers. Cardiff 1901. Published by the Authors.
 - Jahrbuch der Schiffbautechnischen Gesellschaft. 2. Bd., 1901. Berlin 1901. J. Springer. Preis 40 M.
 - Jungclauss, H. A. Magnetismus und Deviation der Kompaß in eisernen Schiffen für den Unterricht in Navigationsschulen und zum Selbstunterricht. 3. Aufl. Bremerhaven 1901. G. Schipper. Preis 5 M.
 - Martinenq, B. Aide-mémoire du constructeur de navires, de machines et chaudières marines, de mécaniciens etc. 2^e édit. Paris 1901. Bernard & Co.
 - Our naval heroes. Edited by G. E. Marindin. With an introduction by Admiral Lord Charles Beresford. London 1901. J. Murray. Preis 16 sh.
 - Scott, T. Reed's electric lighting for steamers and its management. London 1901. Simpkin. Preis 2 sh. 6 d.
 - Verzeichnis der Leuchtfener aller Meere. Herausgegeben von dem Reichs-Marine-Amt. Berlin 1901. Mittler & Sohn in Komm. Preis 6 M.
 - Wilda, H. Der Schiffsmaschinenbau. Grundlagen der Theorie,

Sammlung Schubert. Leipzig, G. J. Göschen.

II. Elementare Planimetrie. Von W. Pflieger. 430 S. mit 248 Fig. Preis 4,00 M.

IX. Analytische Geometrie des Raumes. I. Teil: Gerade, Ebene, Kugel. Von Dr. Max Simon. 152 S. mit 32 Fig. Preis 4 M.

XII. Darstellende Geometrie. I. Teil: Elemente der darstellenden Geometrie. Von Dr. J. Schröder. 282 S. 8° mit 236 Fig. Preis 5 M.

XIII. Differentialgleichungen. Von Dr. L. Schlesinger. 310 S. Preis 8 M.

XXV. Analytische Geometrie des Raumes. II. Teil: Die Flächen zweiten Grades. Von Dr. Max Simon. 176 S. mit 29 Fig. Preis 4,40 M.

Bergbahnen der Schweiz bis 1900. I. Drahtseilbahnen. Von E. Strub. Wiesbaden 1900, J. F. Bergmann. 71 S. mit 61 Fig. und 8 Taf. Preis 1 M.

Faraday und die Englische Schule der Elektriker. Vortrag, gehalten am 9. Januar 1901 im Urania-Theater. Von Dr. Silvanus P. Thompson. Halle a. S. 1901, Wilhelm Knapp. 43 S. gr. 8°. Preis 1,50 M.

Handbuch der Architektur. 2. Aufl. III. Teil, 3. Bd., Heft 1: Fenster, Türen und andere bewegliche Wandverschlüsse. Von Hugo Koch. Stuttgart 1901, Arnold Bergsträsser. 395 S. mit 933 Fig. Preis 21 M.

- Berechnung und Konstruktion. Auf Grund des Werkes »Machines marines« von L. E. Berthel bearbeitet. Hannover 1901. Gehr. Jänecke. Preis 26 M.
- Straßenbau.** Loewe, F. Die Bahnen der Fuhrwerke in den Straßenbögen. Eine ergänzende Untersuchung zu des Verfassers »Straßenbaukunde«. Wiesbaden 1901. C. W. Kreidel. Preis 1 M.
- Textilindustrie.** Donath, Ed., and H. M. Margosches. Das Wollfett, seine Gewinnung, Zusammensetzung, Untersuchung, Eigenschaften und Verwertung. (Aus »Sammlung chemischer und chemisch-technischer Vorträge«) Stuttgart 1901. F. Enke. Preis 3,60 M.
- Dreger, Mor. Entwicklungsgeschichte der Spitze. Mit besonderer Rücksicht auf die Spitzensammlung des k. k. ö. terr. Museums für Kunst und Industrie in Wien. Wien 1901. A. Sebröhl & Co. Preis 20 M.
 - Hickmann, A. L. Verzeichnis der österreichischen Baumwoll-Spinnereien, der bedeutendsten Baumwoll-Webereien, Druckereien, Bleichereien, Färbereien und Appreturen; der grösseren Wirk-, Stick-, Strick-, Spitzen-Erzeugungen usw., der Wachs- und Fabrikation. Wien 1901. W. Braumüller. Preis 10 M.
 - Joell's, Vict., chemische Bearbeitung der Schafwolle oder das Färben, Waschen und Bleichen der Wolle. In 2. Aufl. neu herausgegeben von W. Zöcher. Wien 1901. A. Hartleben. Preis 5 M.
 - Kutsar, Reiner. Garn-Nummernungen, Haspelungen und vergleichende oder Umrechnungstabellen. (Verbrauchstafeln.) Wien 1901. A. Hartleben. Preis 2 M.
 - Pussell, E. A. Recent improvements in textile machinery relating to weaving. London 1901. Low. Preis 15 sh.
 - Textil-Industrie, die deutsche, im Besitze von Aktien-Gesellschaften. Statistisches Jahrbuch über die Vermögensverhältnisse und Geschäftsergebnisse derselben im Betriebsjahre 1899/1900. 4. Aufl. Leipzig 1901. Verlag für Börsen- und Finanzliteratur. Preis 5 M.
- Wasserversorgung.** Boursault, H. Recherches des eaux potables et industrielles. Paris 1901. Masson & Co. Preis 2 frs. 50 c.
- Gasser, J. Analyse biologique des eaux potables. Paris 1901. Masson & Co. Preis 2 frs. 50 c.
 - Macpherson, J. A. Waterworks distribution: Practical guide to laying out of systems of distributing mains for the supply of water to cities and towns. London 1901. Batsford. Preis 6 sh.
 - Schuyler, James Dix. Reservoirs for irrigation, water power, and domestic water supply. New York 1901. John Wiley & Sons. Preis 5 \$.
- Werkstätten und Fabriken.** Arnold, Horace Lucian. The complete cost-keeper. Some original systems of shop cost-keeping or factory accounting. New York and London 1901. The Engineering Magazine Press.
- Zucker- und Stärkeindustrie.** Malpeaux. La betterave à sucre. Paris 1901. Masson. Preis 3 frs. 50 c.
- Verzeichnis der Rübenzuckerfabriken und Raffinerien in Russland, nebst einem Adressbuch renommierter Bezugsquellen von Bedarfsartikeln für Zuckerfabriken und Empfehlungs-Anzeiger einer Anzahl Firmen, welche mit der Zuckerfabrikation in Verbindung stehen. Magdeburg 1901. A. Rathke. Preis 6 M.

Zeitschriftenschau.¹⁾

(* bedeutet Abbildung im Text.)

Beleuchtung.

Untersuchungen über die Nernst-Lampe. Von Wadding. (Elektrot. Z. 1. Aug. 01 S. 629/34*) Die Untersuchungen beziehen sich auf die Richtigkeit der von der A. E. G. für die einzelnen Lampen angegebenen Zahlenwerte, auf die räumliche Lichtverteilung, auf den spezifischen Wattverbrauch gegenüber der Kohlenfadenlampe, auf das Verhalten des Stäbchens bei verschiedenen Spannungen.

Bergbau.

Notes sur les installations électriques des mines du Grand-Duché de Luxembourg. Von Koch. (Rev. univ. Mines Juli/Aug. 01 S. 116/20) Kurze Angaben über die elektrischen Einrichtungen in den Gruben des Aachener Hüttenvereines und in den Gruben von Collart.

Théorie des parachutes. Étude, construction et essais d'un parachute autocompresseur. Von Henry. (Rev. univ. Mines Juli/Aug. 01 S. 158/211*) Kritische Besprechung der üblichen Fangvorrichtungen. Theoretische Studie über die Verfahren, die dazu dienen sollen, den Fall eines Förderkorbes aufzuhalten.

Les appareils de sécurité à l'Exposition de 1900. Von Schmerber. Schluss. (Génie civ. 3. Aug. 01 S. 225/27*) Sicherheitsvorrichtungen in den Gruben von Courrières.

Dampfkraftanlagen.

Rôle de l'enveloppe dans les machines à vapeur monocylindriques. Von Duchesne. (Rev. univ. Mines Juli/Aug. 01 S. 212/40*) Erörterungen, ob und inwiefern die Anordnung von Dampfmanövern zweckmäßig ist. Tabellarische Zusammenstellung von Versuchsergebnissen über den thermischen Wirkungsgrad einer Maschine.

Die Systemfrage bei der Neubeschaffung von Dampfmaschinen. Von Brauns. (Z. Kälte-Ind. Juli 01 S. 127/30) Ratschläge für die Wahl der Dampfmaschine und des Arbeitsdruckes, Bauart und Anlage des Dampfkessels, Rauchschwache Feuerungen, Kostenpunkt.

Effect of circulation on the capacity of fire-box heating surfaces. (Eng. Rec. 20. Juli 01 S. 63) In einer Tabelle sind die Ergebnisse von Versuchen angegeben, durch welche die Beziehungen zwischen Wassenumlauf und Heizfähigkeit einer Feuerung festgestellt werden sollten.

Druckerei.

The electrical plant of a Philadelphia newspaper. (El. World 27. Juli 01 S. 129/32*) Beschreibung der elektrischen Anlagen in der Druckerei des »North American«: Krafthaus, Schalttafel und Schaltungsschema, Verlegung der Leitungen, Antrieb der Druckerpressen.

Eisenbahnwesen.

Ueber elektrische Schnellbahnen. Von v. Reymond-Schiller. Forts. (Z. f. Elektrot. Wien 4. Aug. 01 S. 880/82*) Erörterungen über die Zweckmäßigkeit einer großen Spurweite von rd. 4,5 m. Forts. folgt.

Der Eisenbahn-Wagenbau auf der Pariser Weltausstellung 1900. Von Schumacher. Schluss. (Glaser 1. Aug. 01 S. 54/55*) Vierachsiger D-Wagen mit Gepäckraum, Wagen der Pariser Untergrundbahn.

Wide firebox locomotive for burning anthracite culm; Delaware, Lackawanna and Western R. R. (Eng. News 25. Juli 01 S. 622*) $\frac{3}{4}$ -gekuppelte Lokomotive mit Drehgestell und aufsenliegenden Cylindern von 508 mm Dmr. bei 660 mm Hub. Darstellung eines Längsschnittes durch Kessel und Aschkasten.

Die Vergrößerung der Ladefähigkeit der Güterwagen auf den englischen Eisenbahnen. Von Frahm. (Stahl u. Eisen 1. Aug. 01 S. 804/10*) Deutsche Bearbeitung des in Zeitschriftenschau vom 15. Dez. 1900 u. f. erwähnten Vortrages von Twibberrow: »The capacity of railway wagons as affecting cost of transport.«

Le système de chauffage des voitures à bogies de la Compagnie du chemin de fer du Nord. Von L'Heureux. (Rev. univ. Mines Juli/Aug. 01 S. 121/24) Die Wagen sind mit Wasserheizung versehen. Das Wasser wird in einem Behälter durch eine Dampfheizung erwärmt, strömt durch die Heizrohre und kehrt wieder in den Behälter zurück, wo es von neuem erwärmt wird.

Ueber die elektrische Steuerung für Luftdruckbremsen. System Siemens und die mit derselben auf der kgl. Militärbahn Berlin-Jüterbog angestellten Bremsversuche. Von Wagner. Schluss. (Glaser 1. Aug. 01 S. 49/54*) Tabellarische Zusammenstellung der Ergebnisse verschiedener Bremsversuche. Meinungsaustausch.

¹⁾ Die Zeitschriftenschau wird, nach den Stichwörtern in Vierteljahrsheften zusammengefasst und geordnet, gesondert herausgegeben, und zwar zum Preise von 3 \mathcal{M} pro Jahrgang für Mitglieder, von 10 \mathcal{M} pro Jahrgang für Nichtmitglieder.

Das elektrisch-selbstthätige Blocksignal der Pariser Metropolitanbahn. Von Kohlfürst. (Schweiz. Bauz. 3. Aug. 01 S. 46/50*) Die Vorrichtung ist eine verbesserte Art des Halbschen Blocksignals. Die Stellwerke sind vereinfacht und mit einer neuen Stromlaufanordnung versehen, während die Streckentaster dieselben geblieben sind.

Eisenhüttenwesen.

Steinerne Winderhitzer. Von Lürmann. (Stahl u. Eisen 1. Aug. 01 S. 785/93*) Der Verfasser berichtet zunächst über Zerstörungen von Winderhitzern und erörtert dann eingehend die an die Steine zu stellenden Anforderungen betreffs Feuerfestigkeit, Druckfestigkeit und Raumbeständigkeit. Zum Schluss wird empfohlen, die Gase vor ihrer Verbrennung im Winderhitzer zu reinigen; man könne dann einen Winderhitzer für jeden Hochofen sparen, könne bestes Material verwenden und behalte noch genügend Geld, um eine ausgiebige Gasreinigung anzuwenden.

Die Rohmaterialien für die Herstellung von Stahl in Großbritannien. (Stahl u. Eisen 1. Aug. 01 S. 798/95) Angaben über die Zusammensetzung des im Cleveland-Distrikt benutzten Eisens, des Durham-Kokskohle, der Durham-Koks, der Kleinkohle für Holzwerke, des Kalksteins und des erzeugten Roh Eisens. Berechnung der Herstellungskosten.

Eisenkonstruktionen, Brücken.

A factory suspension bridge. (Eng. Rec. 20. Juli 01 S. 561) Die Brücke verbindet 3 Lagerhäuser, die 76 m von einander entfernt stehen. Die Brückenfahrbahn ist 1,3 m breit und hängt an 4 Stahlsäulen von 22 mm Dmr.

The Dunsbach Ferry bridge. (Eng. Rec. 20. Juli 01 S. 54/55*) Die Brücke ist rd. 6 m breit und 68 m lang. Der eiserne Überbau besteht aus 3 Pratt-Trägern, die auf 2 gemauerten Widerlagern und 2 mit Eisenblech ummantelten Betonpfählen ruhen.

Elektrotechnik.

Requirements in electricity in manufacturing work. Von Aldrich. (Eng. Rec. 20. Juli 01 S. 57/61) Wirtschaftlichkeit bei der Anwendung von Elektrizität in Fabriken. Anlage und Einrichtung der Gebäude, in denen elektrischer Antrieb verwendet werden soll. Elektrischer Betrieb der Arbeitsmaschinen. Wahl des elektrischen Systems. Betrieb und Leistungsversuche an elektrischen Anlagen in Fabriken.

Die Berechnung des Kurzschlussstromes von Drehstrommotoren. Von Siewert. (Elektrot. Z. 1. Aug. 01 S. 615/30*) Der Grundgedanke bei den theoretischen Berechnungen des Verfassers ist: Der Kurzschlussstrom muss ein Feld erzeugen, das eine der Klemmenspannung entsprechende elektromotorische Gegenkraft im Ständer zu induzieren vermag. Die abgeleiteten Formeln werden auf 4 Beispiele angewandt.

Vorausbestimmung des Kurzschlussstromes bei Drehstrommaschinen mit Folgepolen. Von Hauch. (Z. f. Elektrot. Wien. 4. Aug. 01 S. 373/80) Kritische Besprechung der bisherigen Verfahren. Zum Schluss empfiehlt der Verfasser, statt des bei den Rechnungen meist gebrauchten Faktors 1,5 die Zahl 1,3 zu setzen.

Western practice in long distance transmission. III. Schluss. (El. World 27. Juli 01 S. 138/39) Umformer und Transformatoren; Leistungsfaktor, Selbstinduktion und Kapazität; Netzseffekt von Wasserkraftmaschinen; wirtschaftliche Erörterungen.

Installation, operation and economy of storage batteries. Von Lunn. (Journ. Ass. Eng. Soc. April 01 S. 255/72*) Beschreibung der in Amerika üblichen Akkumulatoren. Betrieb einer Edison-Akkumulatorenbatterie. Aufstellung einer neuen Batterie in den Kraftwerken der Edison Illuminating Co. in Detroit, Mich. Leistungs- und Ladediagramme der Akkumulatoren.

Erde- und Wasserbau.

Submerged pipe crossings of the Metropolitan Water Board. Von Saville. (Journ. Ass. Eng. Soc. März 01 S. 193/223*) Schilderung der Arbeiten bei der Verlegung verschiedener Kanalisationsrohre durch Flüsse. Einzelheiten der Rohrverbindungen.

The collapse of the Pennsylvania Railroad tunnel in Baltimore. Von Allen. (Eng. News 25. Juli 01 S. 54*) Erörterung der Ursachen des Zusammenbruches und Bericht über die Wiederherstellungsarbeiten.

Explosionsmotoren und andere Wärmekraftmaschinen.

Berechnung der Höchsttemperaturen der Verbrennungskraftmaschinen. Von Mewes. (Motorwagen 31. Juli 01 S. 185/86) Bei der Berechnung wird die Veränderlichkeit der spezifischen Wärme bei steigenden Temperaturen berücksichtigt.

Gasindustrie.

The Climax gasoline gas generator. (Iron Age 25. Juli 01 S. 8/9*) Kurze Darstellung einer Vorrichtung zur Erzeugung eines Art Oelgas zu Beleuchtungszwecken.

Untersuchung einer Äthrogas-Anlage der van Vries- und Äthrogas-Gesellschaft. Von Wedding. (Journ. Gasb.-Wasserv. 3. Aug. 01 S. 571/74) Schilderung der Untersuchungen, welche einen Einblick in das Verhalten der Luftgaszerzeugung geben sollen. Vor- und Nachteile des Luftgases vom wirtschaftlichen Standpunkte aus.

Gesundheitsingenieurwesen.

The sewerage system of Havana. (Eng. Rec. 20. Juli 01 S. 50/51*) Beschreibung der Kanäle und Einstiegschächte für die geplante Kanalisation der Stadt Havana.

Gießerei.

Casting a housing for a saw mill. Von Palmer. (Am. Mach. 2. Aug. 01 S. 809/10*) Eingehende Darstellung des Arbeitsvorganges beim Einformen des Rahmens für eine Bandsäge.

Heizung und Lüftung.

Ueber Ventilation gekühlter Räume. Von Götsche. (Elekt.-u. Kälte-Ind. 5. Aug. 01 S. 17/18*) Elektrische Lüftanlage für einen Gar- und Lagerkeller.

Hochbau.

A steel rolling mill building. (Eng. Rec. 20. Juli 01 S. 61/62*) Darstellung der Eisenkonstruktion eines 103 m langen, 41 m breiten und 13 m hohen Gebäudes für ein Walzwerk.

Ueber Betonmauerwerk. Von Schmidt. (Zentralbl. Bauv. 21. Juli 01 S. 369*) Der Verfasser empfiehlt, statt der reinen Ziegelbauweise die gemischte Bauweise des Betonmauerwerkes anzuwenden, und erläutert dieses Verfahren an einem schematischen Beispiel.

Kälteindustrie.

Direkte oder indirekte Verdampfung. Von Mail. (Z. Kälte-Ind. Juli 01 S. 124/27) Erzielung guter Kälteleistung durch zweckmäßige Anlage der Rohrleitungen für den Kälteflüssigkeit.

Die Kälteanlage für Molkeerzeugnisse der Gesellschaft La Fermière in Brüssel. Von Stetefeld. (Z. Kälte-Ind. Juli 01 S. 121/24* mit 1 Taf.) Wirtschaftliche Verhältnisse in Belgien. Lageplan der Molkeerei und der Kühlräume der Aktiengesellschaft La Fermière. Schluss folgt.

Maschinenteile.

Correct form of the Sellers friction disks. (Am. Mach. 3. Aug. 01 S. 804*) Auf eine Anfrage aus dem Leserkreise des Am. Mach. teilt die Firma Wm. Sellers & Co. die genaue Profilform für Reibscheiben mit.

Table of formulas for bevel gears. (Am. Mach. 3. Aug. 01 S. 804*) Tabellarische Zusammenstellung der wichtigsten Abmessungen von Kegelschnecken für Achsen, die sich unter 90° oder einem kleineren Winkel schneiden. Die Formeln erleichtern das schnelle Aufzeichnen von Kegelschnecken in hohem Maße.

Materialkunde.

Eisen und Stahl vom Standpunkt der Phasenlehre. Von v. Jäptner. (Stahl u. Eisen 1. Aug. 01 S. 795/801*) Besprechung der Erläuterungen von Osmond und Le Chatelier zu der Abhandlung von Roseboom. S. Zeitschriftenausgaben vom 5. Jan. 01: »Le fer et l'acier au point de vue de la doctrine des phases.«

Concrete construction. Von Neher. (Journ. Am. Eng. Soc. April 01 S. 273/84*) Ratschläge für die Zusammensetzung des Baustoffes bei Zementbetonkonstruktionen. Meinungsaustausch.

Mechanik.

Druckkräfte bei Mauerwerk unter Ausschluss von Zugspannungen. Von Neumann. (Zentralbl. Bauv. 31. Juli 01 S. 370/72*) Der Verfasser weist nach, dass die von Wilcke in dem gleichnamigen Aufsatz, s. Zeitschriftenausgaben v. 20. April 01, aufgestellten Formeln nicht allgemein richtig sind, sondern nur für besondere Fälle gelten.

A study in hydraulics. Von Fenkell. (Journ. Am. Eng. Soc. März 01 S. 155/92 mit 4 Taf.) Der Verfasser untersucht die Ergebnisse der in den letzten Jahren gemachten hydraulischen Untersuchungen einer kritischen Besprechung. Meinungsaustausch.

Messgeräte und -verfahren.

The interferometer. Von Gale. (Am. Mach. 27. Juli 01 S. 773/75* u. S. Aug. S. 799/802*) Eingehende Beschreibung eines mit Interferenzspiegeln ausgerüsteten Instrumentes zur Messung sehr kleiner Längen und Winkel. Als Maßeinheit dient die Wellenlänge des Lichtes. Prüfung der Genauigkeit von Schrauben und Linealen mit Hilfe der Vorrichtung.

Metalbearbeitung.

The Pan-American Exposition. I. (Am. Mach. 3. Aug. 01 S. 802/04) Allgemeiner Vorbericht über die Ausstellung. Vergleich

mit der Chicagoer Ausstellung. Nernst-Lampen der Westinghouse Electric and Mfg. Co. Uhr in der Ausstellung »Alt-Nürnberg«. Maschinenhalle. Werkzeugmaschinen.

Machinery at the Pan-American Exposition. II. (Iron Age 25. Juli 01 S. 1/3*) Ausstellung der Norton Emery Wheel Company. Seitenhobelmaschine, allgemeine Bohr- und Fräsmaschine, Schraubenschneidmaschine, Mutterdrehbank, sämtlich von der Detrick & Harvey Machine Company in Baltimore.

Doppelte Kurbelachsen-Drehbank. (Stahl u. Eisen 1. Aug. 01 S. 801/04*) Die von Ernst Schiefs in Düsseldorf-Oberbilk gebaute Drehbank hat folgende Abmessungen: Bettlänge 34,0 m, Bettbreite 3,6 m, Betthöhe 0,7 m, größte Spitzenweite 24 m, Spitzenhöhe 1,8 m. Auf dem Bett sind 12 Werkzeugschlitzen unabhängig von einander verschiebbar.

Electrically driven lathe. (Am. Mach. 3. Aug. 01 S. 809*) Die von Schumacher & Hoyer in Cincinnati O. gebaute Drehbank zeichnet sich durch eigenartige Getriebe zur Übertragung der Motorbewegung auf die Arbeitspindel aus.

A jig for accurately drilling a plate. Von Woodworth. (Am. Mach. 3. Aug. 01 S. 810/11*) Darstellung einer Bohrschablone zum Bohren der Löcher in ein Stück einer Leiterrahmenmaschine.

Bohrer für Löcher in Aussparungen. (Z. Werkzeugm. 5. Aug. 01 S. 482*) Der Bohrer ist in der Nabe eines Zahnrades befestigt, das in einem flachen Gehäuse gelagert ist und in ein durch die Bohrspindel angetriebenes Stirnrad eingreift.

Bewährte Konstruktionen von Werkzeugmaschinen. (Z. Werkzeugm. 5. Aug. 01 S. 484*) Zeichnungen für eine Metallpendelsäge zum Schneiden heißen Eisens.

Motorwagen und Fahrräder.

Motorwagen »Kühnstein-Vollmer.« Von Conrad. Schluss. (Motorwagen 31. Juli 01 S. 182/84*) Konstruktionseinzelheiten des Motors.

L'automobile à vapeur L. Serpollet. Von Lachaussee. (Rev. univ. Mines Juli/Aug. 01 S. 141/37*) Wärmetheoretische Untersuchungen über den Serpollet-Dampfmotor.

Papierindustrie.

Der Holländer. Von Haufener. Forts. (Dingler 3. Aug. 01 S. 490/94*) Bestimmung des Gesetzes für die Krümmungs- und Kontraktionswiderstände. Forts. folgt.

Pumpen und Gebläse.

Pulseur à explosions pour la compression de l'air et des gaz, système Emile Gobbe, ingénieur à Jumez. Von Bruyère. (Rev. univ. Mines Juli/Aug. 01 S. 125/140 mit 1 Taf.) In einem Behälter wird eine Explosion erzeugt, welche auf Luft und Gas in 2 unten am Behälter befindlichen Kanälen drückt. Die Luft und das Gas werden hierdurch komprimiert und können zur Krafterszeugung verwendet werden.

Textilindustrie.

Organisations-Berechnung einer Baumwoll-Spinnerei. Von Boushard. (Leipzig. Monatsschr. Textilind. 31. Juli 01 S. 484/87*) Bestimmung der erforderlichen Maschinen für eine tägliche Leistungsfähigkeit von 2500 Pfd. engl. Louisiana-Baumwolle Nr. 20. Berechnung der erforderlichen Selfactor-Spindeln, Batteurs, Karden, Strecken, Vorspinnmaschinen. Aufstellungsplan für diese Maschinen.

Die Vorbereitung der Kette. Von Horlbeck. Schluss. (Leipzig. Monatsschr. Textilind. 31. Juli 01 S. 490/92) Das Trocknen, Blümen, Reihen, Anschuelen, Andrehen, Blattstechen und Spannen der Kette.

Neue Schussgabel. (Leipzig. Monatsschr. Textilind. 31. Juli 01 S. 493*) Die neue Schussgabel von Hamel und Schnelder, welche kurz beschrieben wird, soll sich bei einem längeren Probetrieb in der Webeschule zu München sehr gut bewährt haben.

Wasserversorgung.

Trinkwasserreinigung durch Ozon nach dem System von Siemens & Halske A.-G. Von Erlwein. Schluss. (Journ. Gasb.-Wasserv. 3. Aug. 01 S. 574/79*) Ozon-Röhrenapparat zur Entfärbung und Enteisung des Wassers. Bewegliche Ozon-Reinigungsrichtungen. Größeres Ozon-Wasserwerk und Berechnung seiner Wirtschaftlichkeit. Betriebssicherheit bei Ozon-Wasserwerken.

Werkstätten und Fabriken.

The new power plant at the Joseph Dixon Crucible Company. (Eng. Rec. 20. Juli 01 S. 55/56*) Der Dampf für die Anlagen wird mit 6 at in 2 Babcock & Wilcox-Kessel erzeugt. Zum Betrieb der Arbeitsmaschinen und Hebezeuge dient eine schnelllaufende Fischer-Dampfmaschine, die unmittelbar mit einer Gleichstromdynamo von 100 KW gekuppelt ist, in der Strom von 230 V erzeugt wird.

30. Delegirten- und Ingenieur-Versammlung des internationalen Verbandes der Dampfkessel-Überwachungsvereine.

Am 27. und 28. Juni d. J. fand in Graz die 30. Delegirten- und Ingenieur-Versammlung des internationalen Verbandes der Dampfkessel-Überwachungsvereine statt. Von ordentlichen Mitgliedern des Verbandes waren 39 Herren in Vertretung von 32 Verbandsvereinen erschienen. Ferner nahmen von österr. Behörden, Instituten und Vereinen Delegirte des k. k. Kriegsministeriums, des k. k. Ministeriums des Innern, des k. k. Handelsministeriums, der k. k. steierm. Statthalterei, der k. k. technischen Hochschule in Graz, des österr. Ingenieur- und Architekten-Vereines und des Graser polytechnischen Clubs an der Versammlung teil.

Als Gäste waren aus Lille, Lyon und Paris Vertreter der dortigen Vereine von Dampfkesselbesitzern erschienen.

Die Verhandlungen der Versammlung fanden im Stadtsaale des Rathhauses statt.

Vorsitzender war Hr. Zinkeisen-Hamburg, dessen Stellvertreter Hr. Zwiauer-Wien.

Nach Mitteilung des Geschäftsberichtes durch Hrn. Oeblich-Bernburg erstattete Hr. Eckermann-Hamburg den Bericht über die Arbeiten der Hamburger Normen-Kommission. Die Arbeiten erstrecken sich auf schriftliche Beratungen der von der vorjährigen Versammlung zugewiesenen Gegenstände, betreffend die in Abschnitt VI der Hamburger Normen gegebene Gleichung für Berechnung der Bügel und Deckenträger für Feuerbüchadecken und die Festsetzung der Mindest-Blechdicke cylindrischer Kesselwandungen. Ferner lagen der Kommission schriftliche Mitteilungen vor, wonach einige Bestimmungen der Normen irrthümliche Anwendung gefunden und Meinungsverschiedenheiten hervorgerufen hatten. Die Kommission kam zu der Ansicht, dass Aenderungen der Normen, wenngleich diese auch als verbesserungsfähig betrachtet werden, nur bei wichtigen und dringlichen Anlässen platzgreifen sollten, hält indessen die Aussprache der Delegirten in der Versammlung über die Fälle verschiedener Auslegung für sehr wünschenswert. Die hierauf stattfindende Verhandlung führte zu dem Ergebnis, dass, um einer irrthümlichen Verwendung der in Abschnitt VI gegebenen Gleichung zur Berechnung der Deckenträger vorzubeugen, die Größe h künftighin die Gesamtdicke der je einen Träger bildenden Teile bezeichnen soll. Ebenso schloss sich die Versammlung bei der Verhandlung über die Frage der geringsten Blechdicke cylindrischer Dampfkesselwandungen dem Vorschlag an, dass die geringste Wanddicke in der Regel nicht weniger als 7 mm betragen soll.

Nach dem von Hrn. Bücking-Düsseldorf vorgetragenen Bericht der Würzburger Normen-Kommission hielt die Versammlung die Bestimmung der Würzburger Normen über die Wanddicke der Siederöhre, wie sie beim vorjährigen Verbandstage vorgetragen worden waren, aufrecht.

Hr. Vogt-Barmen erstattete namens der Kommission Bericht über die Abmessungen der Schornsteine. Der Zentralverband der preussischen Dampfkessel-Überwachungsvereine war vom preussischen Minister für Handel und Gewerbe aufgefordert worden, mit den Dampfkessel-Überwachungsvereinen und dem Verein deutscher Ingenieure wegen einheitlicher Bestimmungen über den Bau und die Abmessungen von Schornsteinen in Beratung zu treten und über das Ergebnis zu berichten.

Der von den beteiligten Verbänden eingesetzte Ausschuss hat unter Beteiligung von Sachverständigen auf dem Gebiete des Schornsteinbaues einen Bericht ausgearbeitet, der in dieser Zeitschrift 1900 S. 842 veröffentlicht ist.

Hr. Vinçotte-Brüssel berichtete über die Fortschritte im Bau und in der Verwendung von Dampfturbinen. Nach seinen Mitteilungen macht sich ein Rückgang in der Verwendung von Laval-Turbinen bemerkbar, während die Parsons-Turbine die Oberhand gewinnt und den Dampfmaschinen den Rang streitig zu machen verspricht. Ein unvermeidlicher Nachteil ist bei den Laval-Turbinen darin gelegen, dass sie nicht mit der ihrem vorteilhaftesten Gang angemessenen Geschwindigkeit laufen können, da die eingehaltenen Geschwindigkeiten bereits an die Grenze des Zulässigen gehen. Bei Turbinen, die frei in die Luft auspuffen, entsteht durch die Reibung der Schaufeln am Auspuffdampf ein zweiter Verlust, weshalb es nicht zweckmäßig ist, ohne Kondensation zu arbeiten. Die Schaufeln der Turbinen nutzen sich mitunter sehr rasch ab, und der Bruch einer Schaufel führt bei der hohen Geschwindigkeit zur Zerstörung der Maschine. Der Berichterstatter ist der Ansicht, dass die Unreinigkeiten des vom Dampf mitgerissenen Wassers Ursache der häufig beobachteten raschen Abnutzung sind. Eine neuere Verbesserung der Laval-Turbine besteht in der Anordnung von Verbund-Kon-

densations-Turbinen, deren Luftpumpe, als Zentrifugalpumpe ausgeführt, von der Turbine selbst getrieben wird.

Bei den Turbinen von Parsons, die mit 1000 bis 3000 Uml./min laufen, wirkt die Energie des Dampfes nicht einmal, sondern das Druckgefälle ist in eine große Anzahl — beispielsweise 100 — kleiner Druckabfälle geteilt, indem der Dampf durch eine große Anzahl von Turbinenrädern nach einander strömt¹⁾.

Infolge der Ungenauigkeit bei der Herstellung arbeiteten die ersten Parsons Turbinen mit großem Dampfverbrauch. Diese Schwierigkeiten scheinen durch verbesserte Konstruktion und Ausführung beseitigt zu sein. Immerhin bestehen noch gewisse Uebelstände, die als Verlustquellen anzusehen sind. Die einzelnen Turbinenräder können nicht gemeinsam mit der vorteilhaftesten Geschwindigkeit laufen, da sich das Volumen des Dampfes mit der fortschreitenden Expansion vergrößert; auch die bedeutende Reibung, die man dem im Dampf enthaltenen Wasser zuschreibt, und der man durch Überhitzung des Dampfes zu begegnen sucht, bildet eine wesentliche Verlustquelle.

Genaue Versuche an den Turbinen in Elberfeld²⁾ haben aber ergeben, dass die Nutzleistung der Parsons-Turbinen der der besten Dampfmaschinen gleichkommt. Mehrere hundert Parsons-Turbinen sind heute schon in Verwendung; sie dienen nicht allein für den Betrieb von elektrischen Lichtmaschinen, sondern auch von Schiffen, Ventilatoren und sogar von Spinnereien.

Ueber die Frage: Welche Schlüsse lassen sich bei Dampfkesseln mit hohem Druck auf das Verhalten einzelner Kesselkonstruktionen aus den bisherigen Erfahrungen ziehen? berichtete Hr. Zwiauer-Wien.

Vom Standpunkt des Kesselbaues ist die Beanspruchung der Kessel nach zwei Richtungen zu untersuchen: gemäß den Einflüssen der Spannung und den Einflüssen der Temperatur.

Die Erfahrung zeigt, dass die Dampfspannung der Kessel in einer fortwährenden Steigerung begriffen ist; doch wird diese Steigerung im allgemeinen von den üblichen Bauarten gutwillig mitgemacht, ohne dass sich daraus ergäbe, dass bestimmte Bauarten eine größere oder geringere Eignung für hohe Dampfspannungen besitzen. Eine Umfrage an die Verbandsvereine hat sehr wertvolle, zumteil aber widersprechende Auskünfte ergeben. Von 22 eingelaufenen Arbeiten sagen 10, dass keine auffällige Veränderung wahrzunehmen ist, während 8 die Zunahme der übrigen Kessel betonen. Bei der Wiener Dampfkesseluntersuchungs-Gesellschaft, deren Kesselzahl in den letzten 15 Jahren von 8400 auf 16000 angewachsen ist, ist unzweifelhaft festzustellen, dass die Kessel mit Außenfeuerung in ebenso raschem Rückgang begriffen sind, wie die Innenfeuerung und die Wasserröhrenkessel an Verbreitung zunehmen. Die Zunahme der Zahl von Flammröhrenkesseln, Lokomobil- und Lokomotivkesseln und der Wasserröhrenkessel ist auf das Streben nach hoher Nutzleistung, nach bequemer Heizflächenanlage und nach Verwendung hoher Dampfspannung zurückzuführen. Die Großraumkessel mit Innenfeuerung sind in Oesterreich heute noch am verbreitetsten. Die Anwendung hoher Dampfspannung hat die Anwendung größerer Blechdicken, stärkerer Nietverbindungen, die Vermeidung ebener und die Anwendung bombirter Böden zur Folge, während die Bearbeitung größerer Sorgfalt erheischt.

In der dem Bericht folgenden Verhandlung kam die Meinung zum Ausdruck, dass bei Kesseln für hohe Spannungen besondere Rücksicht auf rasche Wärmeübertragung von den Heizgasen auf den Kesselinhalt durch guten Wasserumlauf, Vermeidung von Kesselsteinbelag und Anstrichen und Speisung in dem Dampfraum zur Vermeidung großer Temperaturunterschiede im Innern empfehlenswert sei.

Zu der Frage: Welche Brennstoffe entwickeln bei der Verbrennung Bestandteile, welche die Kesselbleche erfahrungsgemäß angreifen? erstattete Hr. Haage-Chemnitz einen schriftlichen, Hr. Widell-Stockholm einen mündlichen Bericht. Schwefelhaltige Kohle ruft Zerstörungen jener Kesselteile hervor, in deren Innerem das Wasser eine niedrige Temperatur hat, sodass sich die Feuchtigkeit der Essegasen außen niederschlägt. Bei lebhaftem Wasserumlauf werden die Bleche nicht durch Schwefelsäure zerstört. Kochsalz, das bei hoher Temperatur Zerstörungen verursacht, findet sich in der Kohle nur in seltenen Fällen. Bei den Kesseln des schwedischen Vereines sind schnelle Zerstörungen durch Essigsäure an Flammröhrenkesseln beobachtet worden, die mit Laubholz gefeuert werden. Die Zerstörungen treten schon nach kurzer Betriebszeit im Feuerraum auf. Um sie zu verhüten, werden die Flammröhre oberhalb des Rostes mit einem Schamottfutter versehen.

¹⁾ S. Z. 1889 S. 606.

²⁾ Z. 1900 S. 829.

Zur Frage: Welche Erfahrungen liegen über die Entstehung von Rissen bei der Bearbeitung von Kesselblechen in der Kesselschmiede vor? berichtete Hr. Lechner-Stuttgart über einen bemerkenswerten Fall des Auftretens zahlreicher Risse, teils an Kanten und Nietlöchern, teils im vollen Blech an einem aus gutem Material hergestellten Tenbrink-Dampfkessel. Der Redner kommt zu dem Schlusse, dass die Ursachen auf Vorgänge bei der Anfertigung des Kessels zurückzuführen sind. Eine Umfrage an die bedeutendsten Blechwalzwerke hat zu der Erklärung geführt, dass die Walzwerke an der strengen Einhaltung der vom Verband deutscher Grobblechwalzwerke gegebenen Vorschriften festhalten müssen.

Ueber die Frage, wie sich Grafit zur Schmierung von Dampfmaschinen eignet, machte Hr. Cario-Magdeburg in Fortsetzung seines Berichtes vom vorigen Jahre¹⁾ eine ausführliche Mitteilung. Dampfmaschinen werden im allgemeinen viel zu viel geschmiert; sie könnten, wenn sie mit gesättigtem Dampf betrieben werden, wahrscheinlich ganz ohne Schmierung laufen. Reichliche Oelschmierung vergrößert den schädlichen Widerstand einer Maschine, während ihn Grafit herabsetzt. Reine Grafit schmierung (ohne Oel) ist wegen des ölfreien Kondensats und der Sauberkeit und Billigkeit der Grafit-Emulsionsschmierung vorzuziehen.

Hr. Wagner-Hannau bemerkte aufgrund eingehender Versuche, dass seine Erwartungen, durch die Anwendung von Cylinderöl mit Grafit oder Grafitöl bedeutende Ersparnisse zu erzielen, nicht erfüllt worden sind.

Die Dampfkessel der Pariser Weltausstellung bildeten den Gegenstand eines von Hrn. Kraufs-Wien vorgebrachten Berichtes. Viele Dampfkessel zeigten besondere Einrichtungen oder Verbesserungen, die einen raschen Wassenumlauf bezwecken. Bei den Wasserröhrenkesseln bestanden diese Verbesserungen zum Teil darin, dass die untersten Röhrenlagen vom Hauptbündel abgeondert und unmittelbar mit dem Oberkessel verbunden waren. Auch die Dubiau-Pumpe war mehrfach vertreten. Von Schiffskesseln waren diejenigen von Niclausse und Babcock & Wilcox besonders bemerkenswert; bei erstoren sind alle Teile auswechselbar und mit löslichen Verbindungen versehen, wohingegen die Schiffskessel von Babcock & Wilcox, in allen Teilen aus Flusseisen gefertigt, ausschließlich Verbindungen enthalten, die mithilfe der Rohrdichtmaschinen hergestellt sind. Für die Eignung dieser Kessel zu verschiedenen Zwecken ist der Wasserinhalt entscheidend, der bei einfachen Großraumkesseln ungefähr 200 ltr, bei kombinierten Großwasserraumkesseln 100 ltr, bei normalen Wasserröhrenkesseln 50 ltr und bei Schiffskesseln höchstens 30 ltr pro qm Heizfläche beträgt.

Hr. Hilliger-Berlin berichtete über Einrichtungen zur Prüfung des Feuerungsbetriebes durch ununterbrochenes Absaugen von Heizgasproben und ein darauf gegründetes System von Kohlenersparnis-Prämien. Ein Berliner Elektrizitätswerk hat eine große Anzahl der in neuer Zeit in den Handel gebrachten Kohlenstature-Messgeräte »Ados« in Anwendung gebracht. Die Anzeigen ergaben gute

Uebereinstimmung mit gleichzeitigen Analysen mittels des Orsat-Apparates. Der Berichtersteller gab anhand von Wandtafeln eine genaue Beschreibung des Baues und der Wirkungsweise der Ados-Vorrichtung. Die Versuche in Berlin sind noch nicht abgeschlossen; doch sind die bisher erzielten Ergebnisse sehr zufriedenstellend.

Ueber die Frage, welche Maßregeln zur Erhaltung außer Betrieb stehender Kessel in Verwendung sind und wie sie sich bewähren, erstattete Hr. Münster-Danzig Bericht. Die Maßnahmen zur Erhaltung eines Dampfkessels sollten bereits bei der Anfertigung beginnen, und zwar mit einem dauerhaften Anstrich des fertigen Kessels. Der gebräuchliche Mennigeanstrich bildet für sich allein keinen Schutz, es muss ihm ein Anstrich mit gekochtem Leinöl auf dem gründlich gereinigten Dampfkessel vorhergehen. Für außer Betrieb stehende Kessel sind zahlreiche Anstrichmassen, die die Anhaftung von Wasser erschweren und von Wasser nicht gelöst werden, in Gebrauch. Im allgemeinen lassen sich 2 Arten der Behandlung zur Erhaltung außer Betrieb stehender Kessel unterscheiden: die trockene und die nasse. Die Vorschriften hierzu sind in der Unterweisung vom 17. Januar 1882 für die Schiffdampfkessel der kaiserl. deutschen Marine gegeben. Bei der trockenen Behandlung wird der leere Kessel durch ein kleines Holz- oder Kohlenfeuer vollkommen ausgetrocknet. Nachdem ungelöschter Kalk oder Chlorcalcium in entsprechend großen Schalen in den Kessel eingebracht ist, wird dieser luftdicht verschlossen. Außen erhält der Kessel einen Firnis- oder Mennigeanstrich. Beim nassen Verfahren wird der Kessel vollkommen mit Wasser angefüllt, aus dem die Luft durch Kochen bei offenen Sicherheitsventilen ausgetrieben wird; darauf wird er luftdicht verschlossen. Für eingemauerte Kessel richtet sich die Behandlung nach der Jahreszeit, in welcher die Kessel kalt stehen. Kessel, die im Winter kalt stehen, werden am besten entleert, getrocknet und luftdicht verschlossen; Kessel, die im Sommer kalt stehen, können offen bleiben. Besonders verkehrt ist es, Kessel nur teilweise mit Wasser gefüllt zu lassen. Für außer Betrieb befindliche Kessel in feuchten und mit Dampf erfüllten Räumen empfiehlt sich die nasse Behandlung.

Ueber das Zurückdrücken von Ausbeulungen der Dampfkessel nach dem Verfahren von Weinbrenner berichtete Hr. Eggors-Braunschweig. Bei einigen Flammrohrkesseln ist es mit Erfolg angewendet worden, in andern Fällen ist das Material rissig geworden. Bei Schweißkesseln ist das Verfahren weniger bedenklich als bei Flusseisen. Jedenfalls ist bei alten Kesseln die größte Vorsicht geboten. Auch bei scheinbar gut gelungener Ausrichtung hat die genaue Untersuchung mit der Lupe ergeben, dass Risse vorhanden waren. Hr. Cario-Magdeburg teilte die Erfahrungen seines Vereines mit, der das Verfahren seit einiger Zeit anwendet. Der Erfolg hängt von der Art der Ausbeulung ab. Das Verfahren kann mit Erfolg in der Regel dort benutzt werden, wo das Rohr unrand geworden ist, ohne dass sich die Länge des Umfangs wesentlich verändert hat. In jedem Falle setzt es Sachkenntnis voraus.

Als Ort der nächstjährigen Versammlung wurde Zürich bestimmt.

¹⁾ Z. 1900 S. 1027.

Rundschau.

In der kürzlich zu Buffalo abgehaltenen Versammlung der American Foundrymen's Association hielt Gilmour einen Vortrag über Gießereien und deren Einrichtung, wobei er insbesondere zwei von ihm aufgestellte Pläne für **Mustergießereien** mitteilte, die kurz besprochen werden sollen¹⁾.

Die Gießerei soll bequeme Verbindung zu den übrigen Werkstätten, insbesondere zum Modellager und der mechanischen Werkstatt haben; sie soll möglichst hell und gut gelüftet sein. Es muss dafür gesorgt werden, dass die Arbeiter im Winter nicht unter zu großer Kälte, im Sommer unter zu großer Hitze zu leiden haben.

Einen Entwurf für eine Gießerei größten Maßstabes stellen Fig. 1 und 2 dar. Bezeichnend ist die vielschiffige Anordnung. Der Vortragende verwirft nämlich die langgestreckte Form von Gießhallen wegen der langen Wege vom Kupolofen bis zu den äußersten Formen und weil sich die Laufkrane bei nur einem Schiff leicht im Wege stehen.

Die Laufkrane sollten mit 2 Laufkatzen ausgerüstet werden, damit man anstelle einer für den Kran vielleicht zu schweren Gießpfanne besser zwei leichtere nehmen kann, ohne doch zwei Krane nötig zu haben. Auch können schwere Gussstücke leicht noch mit einem Kran ausgehoben werden, wo sonst zwei Krane erforderlich wären. Ist an einer der

Laufkatzen irgend etwas nicht in Ordnung, so kann der Kran auch immer noch gebraucht werden, bis der Schaden ausgebessert ist, und braucht nicht still zu liegen.

An der einen Giebelwand sind senkrechte Kerndrehspindeln angeordnet. Wenn nicht gebraucht, werden sie aus den stützenden Armen herausgenommen und die Arme an der Wand hochgeklappt, sodass sie nicht im Wege stehen. Zum Bedienen der Kerndrehladen dienen kleine Wanddrehkrane, die auch in den Figuren angedeutet sind und entweder für Hand- oder für elektrischen Betrieb eingerichtet sein können.

Die Trockenöfen sind zu je dreien an beiden Seiten angeordnet. 3 das Gebäude durchquerende Gleise verbinden je 2 gegenüberliegende Trockenkamern. Die Wagen zur Aufnahme der Kerne werden mittels einer kurzen Kette in irgend ein Glied der zwischen den Schienen jedes Gleises laufenden endlosen Gliederketten eingehakt und so hin- und herbewegt.

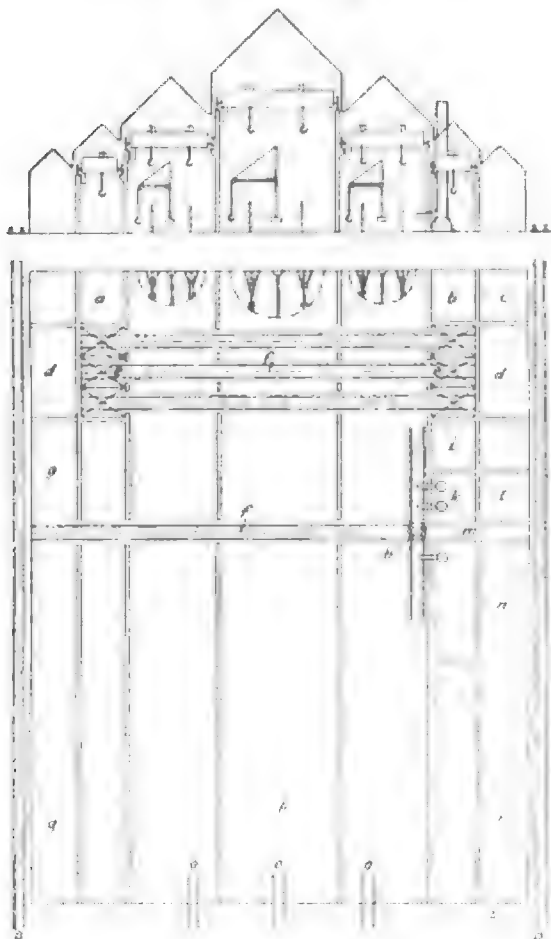
In der Mitte des einen Seitenschiffes sind die Kupolöfen aufgestellt. Sie sollten so hoch angeordnet sein, dass eine 8 bis 9 t fassende Gießpfanne auf einem Wagen unter die Ausgussöffnung gefahren werden kann. Nach der Füllung kann sie mittels der Drehscheibe und des das Gebäude in der Mitte durchquerenden Gleises unter jeden Kran gefahren werden.

Das den Kerndrehladen gegenüberliegende Ende der Gießerei ist zum Putzen der Gussstücke bestimmt. Gleise

¹⁾ Iron Age 20. Juni 1901 S. 19.

führen an diesem Ende weit genug in jedes Schiff hinein, um mithilfe der Krane die Gussstücke auf Wagen laden zu können. In den Seitenflügeln sind Schmirgelschleifmaschinen und Werkbänke mit Schraubstöcken aufgestellt, um die kleinen Gussstücke zu reinigen und von Angüssen, Windpfeifen und dergl. zu befreien. In eines der erwähnten Gleise sollte zweckmäßigerweise eine Gleiswage eingebaut sein, die für die Tragfähigkeit eines vollen Eisenbahnwagens berechnet sein muss.

Fig. 1 und 2.



- | | |
|----------------------------|----------------------|
| a Schmiede | k Kupolöfen |
| b Lehmkneterel | l Koks für Kupolöfen |
| c Lehm, Sand | m Durchgang |
| d Koks für die Trockenöfen | n Rohisen |
| e Trockenöfen | o Gleis |
| f endlose Kette | p Gussputzerel |
| g Lehmformnerel | q Formkasten |
| h Drehscheibe | r Formsand |
| i Kernformnerel | s Gussputztrommeln |

Auf alle Gussstücke sollte das Gewicht und das Datum des Gusses geschrieben werden, sowie eine Marke, die anhand einer besonderen Liste die genaue Zusammensetzung der Metallmischung ergeben lässt.

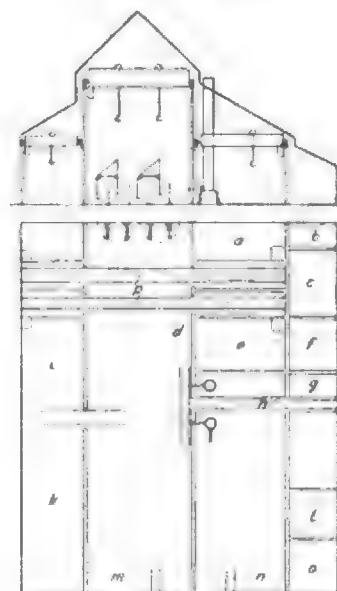
Mit jeder Gießerei sollte nach Ansicht des Vortragenden ein chemisches Laboratorium mit einem vollständigen Satz von Materialprüfmaschinen verbunden sein.

An jeder Seite des Gießereigebäudes ist ein Eisenbahngleis zum Zubringen der Koks, des Formsandes und der sonstigen Materialien anzulegen.

Zur Bedienung der Kupolöfen sind reichlich Gleise oder Hängebahnschienen anzuordnen, die vom Roheisenlager zum Gichtaufzug und von diesem zur Gichtthür führen. Die Transportwagen werden am besten so groß bemessen, dass sie einen vollen Gichtsatz aufnehmen können. Zweckmäßig ist es auch, in der Nähe des Kupolofens eine Gleiswage zum Wägen der einzelnen Gichten anzuordnen. Der Wage benachbart sollte eine Tafel aufgehängt sein, auf der Reihenfolge und Zusam-

mensetzung der Gichten vom Gießmeister aufgeschrieben werden. Dieselben Angaben sind auch in ein besonderes Buch einzutragen.

Fig. 3 und 4.



- | | |
|------------------------|-----------------------------|
| a Lehmkneterel | f Lehmformnerel |
| b Lehm, Sand | g Formkasten |
| c Koks für Trockenöfen | h Formsand |
| d Drahtkran | i Putzerel für große Stücke |
| e Koks | m Putzerel für kleinen Guss |
| f Koks, Sand | n Gussputztrommeln |
| g Koks für Kupolöfen | p endlose Kette |
| h Durchgang | |

Fig. 3 und 4 stellen eine nach denselben Grundsätzen entworfene Gießerei mittleren Umfanges dar; eine nähere Erläuterung ist nach dem Gesagten nicht erforderlich.

Am 15. Juli fand die Betriebsöffnung des neuen Kraftwerkes an der Bille der **Hamburgischen Elektrizitätswerke** ¹⁾ statt, sodass die Gesellschaft nunmehr über vier Kraftwerke verfügt. Die Leistungen derselben betragen:

Poststraße	3600 PS
Zollvereinsniederlage	8400 „
Barmbeck	3600 „
an der Bille	7500 „
insgesamt	23100 PS

Nach vollem Ausbau der beiden Kraftwerke Barmbeck und an der Bille erhöht sich die Maschinenleistung um je 7500 PS, sodass sich die Gesamtleistung der vollausgebauten vier Kraftwerke auf 38100 PS stellen wird. Die drei erstgenannten Werke: Poststraße, Zollvereinsniederlage und Barmbeck, mit denen je eine Unterstation verbunden ist, verfügen außerdem über zusammen 2800 KW an Akkumulatoren. Am 1. April d. J. waren an die Werke angeschlossen: 148811 Glühlampe zu je 50 W, 1984 Bogenlampen zu je 10 Amp und 5252 PS an Motoren. Außerdem betreiben die Hamburgischen Elektrizitätswerke ein ausgedehntes Straßennetz.

Güterwagen amerikanischer Bauart ²⁾ aus gepresstem Eisen finden auch auf europäischen Bahnen Eingang. Die Pressed Steel Car Company in Pittsburg hat kürzlich 70 Erwagen von je 36 t Ladefähigkeit für die Spanische Südbahn geliefert. Die australische Regierung hat 450 Wagen für die Bahnen in Neu-Süd-Wales in Auftrag gegeben. (The Iron Age 25. Juli 1901)

Die Schweizerische Bauzeitung giebt nach dem Jahresbericht des Schweizerischen Vereines von Dampfkesselbesitzern folgende Zusammenstellung über die in der Schweiz vorhandenen Kessel:

¹⁾ s. Z. 1899 S. 1509; Z. 1898 S. 282.

²⁾ s. Z. 1899 S. 1249.

Industrie	Kessel	Anteil an der Gesamtzahl	Anteil an der Gesamtsäche
		vH	vH
Textilindustrie	1065	23,7	30,3
Leder-, Kautschuk-, Stroh-, Rosshaar-, Filz-, Horn- und Borstenbearbeitung	183	2,0	2,0
Nahrungs- und Genussmittel	876	19,5	14,3
chemische Industrie	241	5,4	6,9
Papier- und Druckereigewerbe	124	2,8	4,0
Holzindustrie	464	10,3	7,0
Metallindustrie	402	8,9	8,9
Baustoffe, Thon- und Glaswaren	211	4,7	5,2
verschiedene Industrien	62	1,4	1,4
Verkehrsanstalten	313	7,0	9,8
andere Betriebe	603	13,4	10,4
zusammen	4494	100,0	100,0

Von diesen gehören nur 5 vH dem Vereine nicht an. (Schweizerische Bauzeitung 3. August 1901)

Wir berichteten bereits mehrfach¹⁾ über Versuche, den elektrischen Betrieb für die Kanalschlepperei einzuführen. Die preussische Regierung hat nunmehr die Einrichtung elektrischen Schiffsuges auf dem Teltow-Kanal beschlossen und bestimmt, dass der Kanal nur unter Benutzung der elektrischen Schleppvorrichtung befahren werden darf. Das Fortbewegen durch eigene Dampfkraft, durch Treideln oder Staken ist ausgeschlossen und kann nur in besonderen Fällen von der Kanalverwaltung im Einvernehmen mit dem Regierungspräsidenten in Potsdam zugelassen werden. Die Ausgestaltung der elektrischen Schleppvorrichtung wird von der zuständigen Ministerialbehörde noch näher erörtert werden.

Die Hauptversammlung des Vereines deutscher Revisionsingenieure wird vom 2. bis 4. September d. J. in Ham-

¹⁾ Z. 1895 S. 1068; 1896 S. 690; 1899 S. 1112.

burg stattfinden. Der genannte über acht Jahre alte Verein bezweckt durch den Zusammenschluss aller Revisionsingenieure Deutschlands den Austausch und die Verbreitung der von diesen Technikern auf dem Gebiete der Unfallverhütung und Arbeiterwohlthätigkeit gesammelten Erfahrungen. Die Zwecke des Vereines werden angestrebt durch eine jährliche Hauptversammlung, durch Veröffentlichung von Arbeiten der Mitglieder in geeigneten Zeitschriften und durch örtliche Zusammenkünfte der Mitglieder. Den bisherigen Einrichtungen ist am 1. Juli d. J. eine neue hinzugefügt: der Verein hat ein eigenes Organ, den »Gewerblich-Technischen Ratgeber«, Zeitschrift für Unfallverhütung, Gewerbehigiene und Arbeiterwohlthätigkeit sowie für Genehmigung und Feuersicherheit gewerblicher Anlagen, ins Leben gerufen, die von Dr. Werner, Heffter, Berlin, geleitet wird¹⁾.

Unter den großen Dampfschiffsgesellschaften der Welt haben die deutschen die Führung, wie die folgende Zusammenstellung zeigt:

	Flagge	t
Hamburg-Amerika-Linie	deutsch	615 000
Norddeutscher Lloyd	»	540 000
British India St. N. Co.	englisch	380 000
Elder Dempster Ltd.	»	375 000
Leyland (jetzt Morgan)	amerikan.	325 000
Penins. u. Oriental	englisch	315 000
Union Cable	»	245 000
Messageries Maritimes	franzö.	245 000
Nippon Yusen Kaisha	japan.	195 000
Navigazione Generale	ital.	180 000
Russ. Schiff- u. Handelsges.	russisch	165 000
Oesterreichischer Lloyd	österreich.	155 000
Fernede Dampfskibe	dänisch	130 000

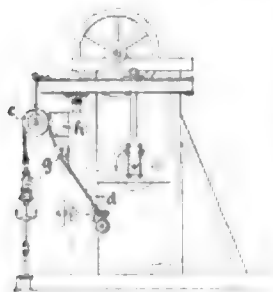
(Nachrichten für Handel und Industrie 5. August 1901)

¹⁾ Zu beziehen von der Polytechnischen Buchhandlung, Berlin zum Preise von 6 M. pro Jahrgang.

Berichtigung.

Z. 1901 S. 1132 r. Sp. Z. 29 v. u. und im folgenden lies Phosphor-sand, Porphyrgrafs usw. statt Phosphorsand, Phosphorgrafe usw.

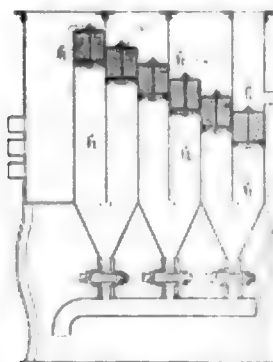
Patentbericht.



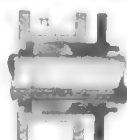
Kl. 5. Nr. 119931. Bohreran-
hängung. A. und M. Fauck, Mar-
cinowice bzw. Kobylanka (Ga-
lizen). Das Bohrer d wird nur
durch die Zwischenrolle g so geleitet,
dass es die Rolle c beim Arbeiten des
Bohrschwengels stets gegen eine senk-
rechte Führungssfläche A zieht. Hier-
durch wird ein genau senkrechtcs Auf-
und Niedergehen des Bohrgestänges
erzielt.

Kl. 7. Nr. 119929. Schweißen
kugelförmiger Rohre. B. Quast,
Düsseldorf. Die Schraubenkaliber-
walzen, zwischen denen das vorge-
rundete Blech mit dem verjüngten Ende
voran verschweisst wird, werden
durch das hindurchgezogene Werkstück
in Drehung versetzt. Hier-
durch wird infolge des toten Gewich-
tes der Walzen ein größerer
Schweißdruck erzeugt, der durch die
Vorschubgeschwindigkeit des Werk-
stückes geregelt werden kann.

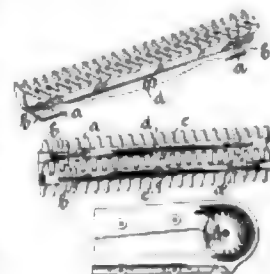
Kl. 13. Nr. 119978. Reinigen von
Kesselspeisewasser. E. Kny und P.
Tatschke, Berlin. Bei der Vor-
richtung, bei welcher das Speisewasser
in einem oben offenen Behälter durch
eine Anzahl Klärkammern im Zick-
zackwege geleitet wird, ist über den
Klärkammern A eine gleiche Anzahl
Filter k stufenförmig und einzeln her-
ausnehmbar angeordnet, damit das
Speisewasser selbstthätig über die
Filter zum Ausgang f gelangt und die
Filter k ohne Störung des Betriebes
herausgenommen und gereinigt werden
können.



Kl. 47. Nr. 119937. Stopfbüchsenpackung. C.
Endruewelt, Berlin. Dünne Ringplättchen a aus
chemisch reinem Nickel oder Kupfer und Zwischen-



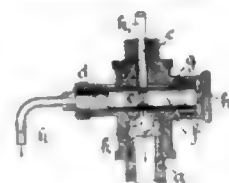
Kl. 24. Nr. 119926. Wanderrost. P. L. Crowe, Duluth. Bei
dem Wanderrost mit zahnartig in ein-
ander greifenden Roststäben hängen
diese an beiden Enden mit Haken a
frei in den Gliedern der Laufketten
und werden durch seitliche Ansätze b,
die sich auf die Laufketten legen,
am Kippen verhindert. Die Haken a
sind so gerichtet, dass die Roststäbe
von einer Seite aus in die Ketten-
glieder eingeschoben werden können.
In der Mitte jeden Roststabes ist ein
vorpringender Arm c angeordnet,
welcher in die Gabel d des Nachbar-
roststabes eingreift und das Verschieben
in waagrechter Richtung verhindert.



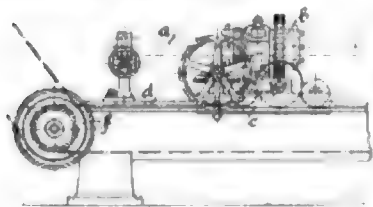
Kl. 35. Nr. 119940. Fangvorrichtung. J. P. Halket, Poplar,
und J. Kennedy, South Hampstead (Middl. Engl.) In wa-
gerechten Führungen f₁ des Fahr-
stuhles a ist die Welle b zweier
Daumenscheiben c gelagert, und
die verschiebblichen Lager l stehen
mit Feder- (oder Flüssigkeits-)
Büffern e, f, h in Verbindung. Ein-
gerückt wird c entweder wie ge-
wöhnlich (durch eine Tragsfeder
bei Seilbruch) oder durch einen
Gewichthebel mit Feder, die seiner Beschleunigung entgegen wirkt,
oder durch eine gespannte Feder, die bei zu großer Geschwindigkeit
durch einen Fliehkraftregler ausgelöst wird.



Kl. 47. Nr. 119958. Fernbetrieb für Niederdruckleitungen. C.
A. Weber-Marti, Zürich. Zum Öff-
nen und Schließen einer Niederdrucklei-
tung, z. B. einer Gasleitung a c für einen
Brenner (die Nebenleitung k₁ speist eine
Zündflamme), ist in einer Querbohrung d
ein Kolbenschieber f mit Durchlass e be-
weglich, der nach rechts in die Offen-
stellung oder nach links in die Schluss-
stellung geschoben wird, je nachdem man
(mittels Handpumpe) die Luft in einer
Leitung k verdichtet oder verdünnt, wobei ein Kanal g den Gas- oder
Luftaus- und -eintritt zum Raume A vermittelt.



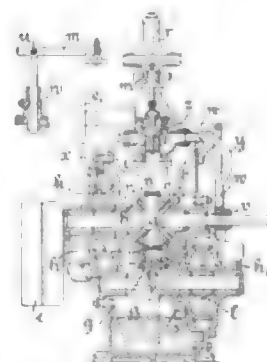
Kl. 47. Nr. 118940 (Zusatz zu Nr. 95434, Z. 1898 Z. 803). **Kolbenstangenführung.** A. Proschinsky, Leipzig. Der gewellte oder federnd ausgestanzte Führungerring ist zu einer Haube ergänzt und am Kolben befestigt, um dem Ecken des Kolbens im Cylinder (der Hand-Luftpumpe) wirksamer vorzubeugen.



Kl. 49. Nr. 119745. **Wellendrehbank.** W. Lorenz, Ettlingen - Karlsruhe. Die Kette *d*, die an beiden Enden des Bettes über Rollen *f* geführt ist, dreht nicht nur den das Werkstück *a* umkreisenden Werkzeughalter *b*, sondern verschiebt auch den Werkzeugschlitten *c*.

Kl. 60. Nr. 115733. **Geschwindigkeitsregler für Wasserkraftmaschinen.** J. Schaad, Luzern. Die bei *a* angetriebene Welle *f* dreht bei richtigem Gange die losen Räder *A, A*, mit gleicher Geschwindigkeit in derselben Richtung, indem die Umlaufräder *g* einfach als Mitnehmer wirken. Dadurch werden zwei Kapselwerke *k, l* in derselben Richtung mit gleicher Geschwindigkeit angetrieben, und da in dem Umlaufräderwerke *n o p* das Rad *n* fest mit *k* verbunden ist, *o* aber von *l*

durch die gleich großen Stirnräder *s, t* angetrieben wird, so drehen sich die Umlaufräder *p, q* an ihrem Orte, und die den Kraftfluss einstellende Welle *b* bleibt in Ruhe. Die Kapselwerke *k, l* fördern Flüssigkeit aus dem Gefäße *a* durch Röhren *x, y* zum hohlen Kolbenschieber *s* und durch *t* nach *a* zurück, weil *s* in seiner Mittellage oben und unten gleich große Ring-spalten frei lässt. Wenn aber bei steigender Geschwindigkeit der bei *a* angetriebene Regler *r* mittels zweiarmligen Hebels *m* (Nebendügel) den Kolbenschieber *s* senkt, also den Weg *a t* erweitert, dagegen *y t* drosselt oder absperrt, so wird *k* schneller als *l* gedreht, also auch *n* schneller als *o*, und *b* wird im Sinne der Verminderung des Kraftausflusses gedreht, wobei aber zur Vermeidung des Überregels das Gewinde *v* des Winkelhebels *w* nach links schraubt, den Setzpunkt *u* des Reglerhebels *m* hebt und *s* in seine Mittellage zurückbringt; umgekehrt beim Sinken der Geschwindigkeit.



Zuschriften an die Redaktion.

(Ohne Verantwortlichkeit der Redaktion.)

Die Maschinen für Papierfabrikation auf der Weltausstellung in Paris 1900.

Geehrte Redaktion!

In Z. 1901 S. 359 findet sich unter »F. Flinsch« folgender Satz: »Die Einfachheit des Antriebes ist sehr anzuerkennen; doch waren die verschiedenen Hebelkreise für sich besonders und außer Zusammenhang mit den Lagerböcken montiert, und das ist nicht zweckmäßig. Die Fabrik wird dies sicher auch später zu ihrem und ihrer Abnehmer Vorteil ändern.« Ihrem Berichterstatter wird es wohl bei der großen Menge der von ihm zu beurteilenden Maschinen entgangen sein, dass die Drehpunkte der verschiedenen Hebel des ausgestellten Kalenders allerdings direkt mit den Lagerböcken verbunden sind und durchaus nicht ohne Zusammenhang mit diesen stehen. Er hat wahrscheinlich das Schutzgitter, welches vor den Antriebscheiben steht und nur dazu dient, die Hebelenden abzustützen, als Gestell für die Drehpunkte angesehen. Wir legen zum Beweis des oben Gesagten Zeichnung A. 597 bei.

Hochachtungsvoll

Offenbach, 11. Juli 1901. Ferdinand Flinsch,
Akt.-Ges. für Maschinenbau und Eisengießerei.

Verehrliche Redaktion!

Gestatten Sie mir zu der Zuschrift der Firma Flinsch die folgenden Bemerkungen:

Die Hebelkreise für das Anheben der Belastungsgewichte der Walzenlager waren laut meinen unmittelbar vor der Maschine gemachten Notizen nicht mit dem Gestelle verbunden, sondern standen ohne Zusammenhang damit auf dem Fundament des Kalenders.

Dass ich ein Schutzgitter als Gestell für Hebelkreise angesehen, wird im Ernste niemand glauben, es ist auch nicht geschehen. Die eingesandte Zeichnung zeigt ja deutlich, dass die Reaktion der Kraft, welche jedesmal für das Einrücken der Reibungskupplung thätig sein muss, an den hochbeinigen, freistehenden Riemenführergestellen angreift und diese mit der Zeit lockern muss.

Ich hätte gedacht, dass ein Hinweis auf kleinere konstruktive Mängel, und besonders in der gewiss nicht verletzendsten Form, von einer großen Firma richtig aufgefasst würde. Der Berichterstatter hat nicht nur die Interessen der Lieferanten, sondern auch die der Abnehmer ins Auge zu fassen, seine Berichterstattung darf deshalb nicht zur kritiklosen alleinigen Aufzählung der Vorzüge unter Verschweigen der etwaigen Mängel herabsinken. Der Flinsch'sche Kalender war, meines Erachtens, gegenüber den andern am wenigsten von in sich abgeschlossener Konstruktion, am wenigsten das, was der Engländer sehr treffend self contained nennt.

Hochachtungsvoll

Darmstadt, 31. Juli 1901.

Pfarr.

Angelegenheiten des Vereines.

Versammlung des Vorstandsrates des Vereines deutscher Ingenieure

am 9. Juni 1901 in Kiel.

(Schluss von S. 1152)

9b) Das vom Verein deutscher Ingenieure herauszugebende technische Wörterbuch.

(An der Verhandlung über diesen Gegenstand nimmt mit Genehmigung des Vorstandsrates Hr. Dr. Jansen teil.)

Hr. v. Borries berichtet über den Verlauf des Unternehmens seit der letzten Hauptversammlung und verweist auf den Bericht in der Vorstandsversammlung vom 3. Januar und 4. Mai d. J. (s. Z. 1901 S. 282 und 648) und den Geschäftsbericht (s. Z. 1901 S. 676). Es geht daraus hervor, dass zur Leitung für das vom Frankfurter Bezirksverein angeregte Unternehmen in der Person des Hrn. Dr. Hubert Jansen eine sachkundige Persönlichkeit gewonnen ist, der sich dem Verein zu dauernder Leistung verpflichtet hat. Außerdem hat der Vorstand einen Ausschuss eingesetzt, bestehend aus dem Redner, dem Hrn. Patentanwalt Hasselacher aus Frankfurt a. M., dem Redakteur der Vereinszeitschrift Hrn. D. Meyer, dem Vereinsdirektor Hrn. Th. Peters und dem Verlagsbuchhändler Hrn. Fritz Springer. Die Arbeiten sind in vollem Gang. Freilich hat sich bereits herausgestellt, dass die Kosten des Manuskripts, die auf 50- bis

60000 M. geschätzt waren, sich bedeutend höher stellen werden.

Ueber die Einzelheiten des Unternehmens erstattet Hr. Dr. Jansen folgenden Bericht:

»M. H., die Schaffung des vom Verein deutscher Ingenieure im Bunde mit vielen verwandten in- und ausländischen Vereinen begonnenen mehrsprachigen allgemeinen technischen Wörterbuches ist ein unseres Vereines höchst würdiges, außerordentlich nützliches und ehrenvolles, dabei aber auch schwieriges Unternehmen. Die Schwierigkeiten liegen hauptsächlich in der Bearbeitung, Verwertung, Sichtung und Ordnung des durch viele hunderte von Mitarbeitern zu sammelnden Materials. Ein solches Wörterbuch kann unmöglich von einem einzelnen Menschen gemacht werden; es ist vielmehr, wenn ich so sagen soll, die Arbeit einer Reihe von technischen Akademien. Ich denke hierbei an das zurzeit ebenfalls in Bearbeitung befindliche, allerdings kolossale Wörterbuch der gesamten lateinischen Sprache, an den »Thesaurus linguae latinae«, der unter den Auspizien der 5 zu diesem Zwecke verbundenen wissenschaftlichen

Akademien in Berlin, Göttingen, Leipzig, München und Wien durch einen Redaktionsstab von 12 Gelehrten unter der Leitung des Hrn. Prof. Vollmer in München zusammengestellt wird; die Beiträge werden von mehreren hundert gelehrter Mitarbeiter geliefert. Ähnliche »Akademien« sind in unserem Falle die zusammenarbeitenden technischen Vereine, Behörden und Hochschulen des In- und Auslandes unter der Führung und Leitung des Vereines deutscher Ingenieure: in Deutschland einschließlich Österreichs und der deutschen Schweiz bis jetzt 64 Vereine, Behörden usw., in England und Nordamerika bis jetzt 12, in Frankreich und Belgien bis jetzt 11.

Der Hauptgrund für die allseitig zugestandene Unvollständigkeit aller bisherigen allgemeinen technischen Wörterbücher liegt darin, dass das Material entweder durch einen einzelnen oder höchstens durch einige wenige, statt durch Vertreter aller technischen und gewerblichen Fächer gesammelt wurde. Dies hat der Verein deutscher Ingenieure sehr wohl erkannt, als von seinem Frankfurter Bezirksverein die Anregung gegeben und der Antrag auf Schaffung eines mehrsprachigen allgemeinen technischen Wörterbuches gestellt wurde; dies haben aber auch, in Beantwortung unseres I. Rundschreibens vom Juli v. J., alle verwandten Vereine des In- und Auslandes einhellig anerkannt, mit dem Eingeständnis, dass alle bisherigen allgemeinen technischen Wörterbücher unvollständig und sehr lückenhaft seien, wie sehr auch einzelne Spezialwörterbücher auf Vollständigkeit Anspruch erheben mögen.

Der Antrag des Frankfurter Bezirksvereines auf Schaffung eines allgemeinen technischen Wörterbuches durch den Verein deutscher Ingenieure datirt vom 28. Februar 1899. Nach mancherlei Verhandlungen des Vereinsvorstandes und Beschlüssen des Vereines, insbesondere nach dem Beschlusse der vorjährigen Hauptversammlung in Köln vom 8. Juni v. J., wodurch die Mittel für die Vorarbeiten bewilligt worden waren, wurde ich vom Vereinsvorstande mit der Leitung der Redaktion und mit dem Beginn der Vorarbeiten betraut.

Ueber die bisherigen Vorarbeiten, insbesondere über die Werbung bei technischen Vereinen und Behörden, die Gewinnung von Mitarbeitern sowie über die Thätigkeit des Redaktionsstabes ist einerseits dem Vorstande schon wiederholt eingehend berichtet worden¹⁾, und anderseits werden die Vereinsmitglieder wohl die hierauf bezüglichen Drucksachen gelesen oder doch das Wesentliche ihres Inhaltes erfahren haben. Ich kann mich daher hier auf die kurzen Angaben beschränken, die ich dem heutigen Berichte nach Auswahl, soweit sie für Sie von Belang sind, eingefügt habe.

Am 15. Januar 1901 wurde die Geschäftsstelle in Berlin, Dorotheenstr. 49, eröffnet.

Am 26. Januar fand in Berlin die erste Sitzung des vom Vorstande einberufenen Technolexikon-Ausschusses statt, der zur Entscheidung grundlegender Fragen zusammentritt.

Die wichtigsten Beschlüsse vom 26. Januar wurden im 2. Rundschreiben des Vereines (vom März d. J.) den verwandten Vereinen sowie den bis dahin gewonnenen Mitarbeitern mitgeteilt. Danach soll das mehrsprachige technische Wörterbuch »Technolexikon« heißen, alle technischen und gewerblichen Gebiete umfassen und in 3 Bänden erscheinen:

- I. Band: Deutsch-Englisch-Französisch,
- II. Band: Englisch-Deutsch-Französisch,
- III. Band: Französisch-Deutsch-Englisch.

Der Titel »Technolexikon« erschien für dieses internationale Werk deshalb angemessen, weil er von jedem gebildeten Deutschen, Franzosen und Engländer ohne weiteres verstanden wird, und weil er sich durch Kürze auszeichnet. Es giebt so viele technische Wörterbücher in den verschiedenen Kultursprachen; unseres aber soll das technische Wörterbuch sein, das jeder unter dem sich sicher bald einbürgernden Eigennamen »Technolexikon« bestellen, kaufen und zitieren soll. Uebrigens erhält jeder Band unter dem Haupttitel noch den Sondertitel: »Technisches Wörterbuch« oder »Technical Dictionary« oder »Dictionnaire technique«.

Die Thätigkeit der Geschäftsstelle bestand bisher in Folgendem:

- 1) Einrichtung der Geschäftsstelle.
- 2) Drucklegung der vom Verein deutscher Ingenieure und von der Redaktion des Technolexikons ausgehenden Rundschreiben, einerseits an Vereine, Behörden usw., anderseits an die Mitarbeiter.
- 3) Bestellung und Einrichtung der von Hrn. Haaslacher erdachten Merkhefte mit 3 Registern (einem für jede der drei Sprachen). Diese Merkhefte sind eines der besten Mittel zum Werben für das Unternehmen, weil sie die Empfänger gewissermaßen dazu zwingen, sich mit der Sache bekannt zu machen und zu beschäftigen.
- 4) Werbung für unser Unternehmen durch den umfangreichen Briefwechsel, sowie durch die Versendung der Drucksachen, Merkhefte usw.
- 5) Einrichtung und Durchführung des Zettelwesens.

Auf die 4 ersten Punkte brauche ich nicht näher einzugehen, da sie Ihnen entweder durch die Zeitschrift unseres Vereines oder durch die Drucksachen selbst bekannt geworden sind. Nur über den letzten Punkt, das Zettelwesen und was damit zusammenhängt, möchte ich hier einiges mitteilen, um Ihnen die Art der Entstehung eines solchen Werkes klar zu machen; denn die wenigsten unter Ihnen werden sich jemals mit der Herstellung eines Wörterbuches befasst haben. Vorher aber darf ich Ihnen wohl die Worte auszugeweiht vortragen, die der Vater der englischen Lexikographie, Samuel Johnson, in seinem 1755 erschienenen »Dictionary of the English Language« über die Thätigkeit des Lexikographen sowie über die Schwierigkeit und Ruhmlosigkeit seiner Arbeit geschrieben hat. Denn seine Worte, obwohl etwas übertrieben, gelten mit dieser Einschränkung heute noch. Im Vorwort sagt er etwa Folgendes, was ich hier gleich verdeutsche: »Es ist das Schicksal derer, die sich in den härteren Lebensberufen abrackern, mehr durch Angst als durch Hoffnung angetrieben zu werden, denn sie unterliegen stets strengem Tadel, ohne Hoffnung auf Anerkennung. Zu diesen unglückseligen Sterblichen gehört auch der Wörterbuchschreiber, den man nicht als den Zögling, sondern als den Züchtling der Wissenschaft, bloß als den Pionier der Literatur betrachtet, der dazu verdammt ist, nur Abfälle zu entfernen und Hindernisse zu beseitigen von jenen Pfaden, auf denen Wissenschaft und Genie zur Eroberung und zum Ruhme vorwärts schreiten, ohne dem niedrigen Tagelöhner auch nur ein Lächeln zu gönnen, der ihnen ihre Fortschritte erleichtert. Jeder andere Schriftsteller kann nach Anerkennung streben; der Wörterbuchschreiber aber kann höchstens hoffen, dem Tadel zu entgehen, und selbst diese negative Belohnung ist nur sehr wenigen zuteil geworden.«

Was nun die äußere Einrichtung der Wörterbuchherstellung, insbesondere das Zettelwesen betrifft, so wurden zunächst die Form oder der Vordruck sowie das Format und die Papiersorte für die Millionen von Zetteln festgestellt, auf denen die Redaktionsmitglieder ihre Auszüge aus Wörter- und Lehrbüchern, aus Katalogen und Preislisten sowie aus den später von tausend Mitarbeitern einzusendenden Merkheften niederzuschreiben haben.

Die genannten Auszüge aus den bisher vorhandenen großen allgemeinen technischen Wörterbüchern bilden den Grundstock unseres Technolexikons: sie liefern uns diejenigen technischen Ausdrücke, die kein einziger Mitarbeiter für uns sammelt, die aber viele Benutzer in unserem Werke suchen werden. Dies sind, um einige Beispiele zu geben, die allgewöhnlichsten Wörter, wie bohren, sägen, schneiden, stechen, Gas, Luft, lüften, Lüftung usw. Fehlen dürfen derlei Ausdrücke in keinem Falle, denn die meisten von ihnen kommen in vielen Fächern wieder in eigener Bedeutung oder Anwendung vor; sie werden aber, weil als bekannt vorausgesetzt, nur zum allergeringsten Teile in den Merkheften aufgezeichnet und eingeliefert werden. Diesen Grundstock bringt die Redaktion zusammen durch plangemäße Ausziehung der vollständigsten Wörterbücher, wie Sachs-Villatte, Muret Sanders, Century Dictionary usw. Bisher nimmt der Briefwechsel, der Versand der Drucksachen und Merkhefte usw. einen allzu großen Teil der Thätigkeit des Redaktionsstabes ein; in Zukunft, nach der durchaus notwendigen Vergrößerung des Redaktionsstabes, wird die Aussammlung dieses Grundstockes,

¹⁾ a. Z. 1900 S. 594, 1222; 1901 S. 282.

das Exzerpieren auf Zetteln, die hauptsächlich, die grundlegende Arbeit der Redaktionsmitglieder sein.

Um in der Beschreibung des Zettelwesens fortzufahren, so ging es nach Schaffung der Zettel an die Einrichtung der Zettelschachteln oder Pappkartons für die Aufbewahrung der soeben besprochenen Technolexikonzetteln; mithilfe dieser Schachteln werden nach einigen Jahren sämtliche Zettel zur Herstellung des druckfertigen Manuskriptes geordnet. Jede Schachtel fasst etwa 1750 Zettel.

Zur Aufstellung dieser Zettelschachteln dienen starke Zettelschränke; jeder Schrank enthält $15 \times 8 = 120$ Schachteln mit zusammen rd. 330000 Zetteln.

Diese Schränke kommen in einen eigens hierzu eingerichteten feuersicheren Keller. Mit möglichster Ausnutzung des gegebenen Raumes fasst dieser 6 Schränke, also 6×330000 oder annähernd 2 Millionen Zettel. Sobald das letzte der Merkhäfte gefüllt zurückgekehrt und exzerpiert ist, werden diese Millionen von Zetteln aus ihrem Kellergrabe wieder auferstehen, um von neuem das Tageslicht zu erblicken und nach den 3 Sprachen alphabetisch geordnet zu werden; schließlich folgt die Ausarbeitung der einzelnen Wörter oder Titelköpfe für das Manuskript.

Als Ergebnis der bisherigen nur als Vorarbeit zu rechnenden Tätigkeit kann ich kurz Folgendes mitteilen:

1) Die Anzahl der mitarbeitenden Vereine, Behörden usw. ist, wie schon bemerkt, bis jetzt

in Deutschland, Oesterreich und in der Schweiz . . .	64
in England und Amerika . . .	12
in Frankreich . . .	11
zusammen	87

Von amerikanischen Vereinen hat bisher nur die American Society of Mechanical Engineers in New York ihre Mitwirkung zugesagt.

2) Die Anzahl der bearbeiteten Sonderfächer (Hauptfächer) beträgt bis jetzt

in Deutschland, Oesterreich und der Schweiz . . .	134
in England und Amerika . . .	59
in Frankreich und Belgien . . .	16
zusammen	209

Hierbei sind die vielen Unterfächer mancher Sonderfächer (z. B. der Elektrotechnik, des Eisenbahnwesens, der Chemie usw.) nicht mitgerechnet.

3) Die Anzahl der Mitarbeiter beträgt bis jetzt

in Deutschland, Oesterreich und der Schweiz . . .	441
in England und Amerika . . .	57
in Frankreich und Belgien . . .	41
zusammen	539

Im ganzen sind von den Hasslacherischen Merkhäften bis jetzt 1396 Stück hinausgesandt worden.

Alles, was vom Verein deutscher Ingenieure und von der Redaktion des Technolexikons bis heute gethan ist, ist nur als Vorarbeit anzusehen. Erst diese Vorarbeiten haben uns in den Stand gesetzt, die Ausdehnung des Werkes und den Plan der Arbeiten genauer zu überschauen. Mein erster Arbeitsentwurf vom 14. Januar 1900 sollte und konnte nur eine rohe Skizze sein; denn bei einem so neuen und eigenen Werke wäre es eine Annäherung, zu sagen, dass man das Ganze von vornherein überblicken könne. Große Gebiete, sowohl im eigentlichen wie im übertragenen Sinne, sind für das Technolexikon noch zu erobern — im eigentlichen Sinne, also Ländergebiete, Frankreich und Belgien, Nordamerika und Oesterreich, von Fachgebieten besonders noch viele Handwerke. An die weitere Propaganda, an die Werbung tüchtiger Mitarbeiter in diesen Ländern und für die noch fehlenden Fächer wird jetzt thätigst herangegangen werden.

M. H., Sie werden aus dem Mitgetheilten erkennen, dass das Wörterbuch-Unternehmen des Vereines deutscher Ingenieure nicht gering und leicht ist; desto größer wird aber auch die Befriedigung unseres Vereines und aller verwandten Vereine und Verbände sein, wenn das Werk in absehbarer Zeit zu einem guten Abschlusse gebracht ist. Die Schwierigkeiten unserer Arbeit werden von den Förderern un-

serer Sache im Inlande wie im Auslande wohl gewürdigt. Um eine Aeußerung aus den vielen herauszugreifen, so schreibt uns ein englischer Mitarbeiter: „I hope we may see this important work accomplished satisfactorily. If you are young and full of dictionary energy, with health and hard work you will have done a great work.“ Aber andererseits ist auch nicht zu vergessen, dass es bei einem so eigenen Unternehmen nicht leicht sein wird, es gleich von vornherein allen recht zu machen. Ich glaube jedoch und vertraue, dass in unserem Vereine nur eine Meinung über die Notwendigkeit und Verdienstlichkeit eines vollständigen und guten mehrsprachigen technischen Wörterbuches besteht, mögen auch die Kosten des Unternehmens im Laufe der nächsten Jahre eine immerhin verhältnismäßig bedeutende Höhe erreichen.

Nur noch ein Wort, und ich bin mit meinen Ausführungen zu Ende. Bei Samuel Johnson, den ich schon einmal erwähnte, findet sich manche spafsige, aber doch treffende Bemerkung. So z. B. schildert er den Wörterbuchschreiber unter dem Worte lexicographer mit folgenden Worten: „a writer of dictionaries, a harmless drudge“, sein Wörterbuchschreiber, ein harmloser Tagelöhner! M. H. Fördern Sie, ich bitte, diese harmlosen, doch fleißigen und hoffentlich nützlichen Tagelöhner durch eifrige Mitarbeit, jeder von Ihnen, soweit seine Zeit es ihm erlaubt; das ist für uns die beste und wirksamste Anerkennung unserer bescheidenen Tätigkeit.“ (Beifall.)

Hr. Krause schlägt vor, das Wörterbuch nicht bloß auf die drei Sprachen: Deutsch, Englisch und Französisch, zu beschränken, sondern auch die russische Sprache gleich mit aufzunehmen.

Hr. Helck fürchtet, dass von den Mitarbeitern für manche Wörter, die in den verschiedensten Betriebszweigen vorkommen, z. B. für Hammer, von den verschiedensten Seiten dasselbe eingehen werde; er schlägt deshalb vor, bei einer Reihe von gebräuchlicheren Wörtern für die verschiedensten Anwendungen und Formen eine Zusammenstellung zu machen und sie jedem Mitarbeiter zu schicken, damit er sehen könne, was schon berücksichtigt sei und was noch nicht.

Hr. v. Borries entgegnet, dass es ebenso unvermeidlich wie unschädlich sei, ja, dass es geradezu gewünscht werden müsse, durch die Vielheit der Einsendungen die Anwendung der einzelnen Wörter in den verschiedensten Zweigen kennen zu lernen, und dass es Aufgabe der Redaktion sein werde, die Mannigfaltigkeit zu sichten. Jede Beschränkung würde die Gefahr in sich bergen, dass der Redaktion der eine oder andere Ausdruck entginge, und das würde viel schlimmer sein, als wenn sie denselben Ausdruck wiederholt von mehreren Seiten erhielte.

Hrn. Krause entgegnet Hr. v. Borries, dass, wenn man über die drei Sprachen hinausgehen wollte, andere Sprachen doch sehr viel näher liegen würden als russisch, z. B. spanisch, die Geschäftssprache im gesamten Amerika südlich von den Ver. Staaten. Es würde aber nach Ansicht des Vorstandes die Ausführbarkeit des Unternehmens infrage stellen, wenigstens die Fertigstellung bedeutend verzögern, wollte man noch weitere Sprachen aufnehmen, sodass er deshalb beschlossen habe, es bei den drei Sprachen zu belassen.

Nachdem noch eine Reihe von Vorschlägen wegen Heranziehung deutscher Fachgenossen sowie der deutschen Botschaften im Ausland gemacht ist, wird dieser Gegenstand der Tagesordnung verlassen.

2c) Die vom Verein in Angriff genommenen technisch-wissenschaftlichen Versuche.

In seinem Bericht über diesen Gegenstand der Tagesordnung verweist Hr. v. Borries in erster Linie auf den Bericht über die letzte Sitzung des Ausschusses für technisch-wissenschaftliche Versuche, welche am 26. Januar 1901 stattgefunden hat, s. Z. 1901 S. 322. Es ist darin ausführlich mitgeteilt worden, welche Versuche in Angriff genommen und wie weit die Versuchsarbeiten gediehen sind. Wenn über große Fortschritte seitdem nicht zu berichten sei, so liege das in der Natur der Sache, da die Versuche umfangreiche Vorbereitungen notwendig machen.

10) Antrag des Vorstandes zu § 14 und § 17 des Statuts:

a) dem § 14 einen Absatz 5 einzufügen, lautend:

„Nach dem Ausscheiden aus dem Vorstande bleiben dessen Mitglieder noch weitere 5 Jahre Mitglieder des Vorstandes“;

b) dem § 17, welcher jetzt lautet:

„Der Vorstand besteht aus dem Vorstande und den Abgeordneten der Bezirksvereine“, folgende Fassung zu geben:

„Der Vorstand besteht aus dem Vorstande, den früheren Vorstandsmitgliedern (§ 14) und den Abgeordneten der Bezirksvereine.“

Hr. v. Borries verweist zur Begründung des Antrages auf das Rundschreiben des Vorstandes vom 1. Februar d. J., mit dem der Antrag den Bezirksvereinen zur Beratung vorgelegt worden ist. Der Antrag habe an einigen Stellen die Auffassung gefunden, als solle er die Machtbefugnisse des Vorstandes erweitern, indem mehr Herren in den Vorstand gebracht würden, welche dem Vorstand angehört haben und deshalb wahrscheinlich auch weiter mit ihm stimmen würden. Diese Auffassung habe dem Vorstand ferngelegen, und sie sei auch durchaus nicht stichhaltig. Auch im Vorstand sei nicht immer Einstimmigkeit über alles vorhanden, und es sei nicht anzunehmen, dass die aus dem Vorstand ausgeschiedenen Herren sich ihrer Selbständigkeit entschlagen würden. Es sei aber auch recht unerfreulich, dass dem Vorstand überhaupt solche Absichten untergelegt würden, denn es liege keine Veranlassung vor, zu vermuten, dass der Vorstand seine Machtbefugnisse erweitern wolle. Im Gegenteil! Es würde den Vorstand nur freuen, wenn sich die Mitglieder des Vorstandes stärker als bisher an den Vereinsarbeiten beteiligten, was ihnen bisher aus Mangel an Kenntnis der Geschäfte häufig nicht möglich gewesen sei, und dies zu ermöglichen, sei eine der Absichten, die den Vorstand bei Einbringung des Antrages geleitet haben.

Hr. Baumann begrüßt namens des Frankfurter Bezirksvereines die Absicht des Antrages, die Vorstandsmitglieder länger als bisher der Vereinsarbeit zu erhalten, nachdem sie sich in den zwei Jahren ihres Vorstandsamtes damit vertraut gemacht haben. Das würde aber besser zu erreichen sein, wenn die Mitglieder dem Vorstand nicht zwei, sondern drei Jahre angehörten. Gegen den Antrag des Vorstandes sei einzuwenden, dass damit eine ganz neue Art von Vorstandsmitgliedern geschaffen werde, welche den Einfluss der Bezirksvereine vermindern würden. Der Frankfurter Bezirksverein halte es aber für zweckmäßig, gerade den kleineren Bezirksvereinen mehr Einfluss zu gewähren, und habe einen Vorschlag in diesem Sinne gemacht, der jedoch bei der Kürze der Zeit den Bezirksvereinen nicht mehr zur Beratung zugestellt werden konnte. Der Redner schlägt deshalb vor, den Antrag des Vorstandes abzulehnen, gebotenfalls ihn zurückzusetzen, damit im Laufe des nächsten Jahres die Bezirksvereine über die vorliegende Frage weitere Vorschläge machen können.

Der Vorsitzende macht darauf aufmerksam, dass zwar die Bezirksvereine durch ihre Abgeordneten vertreten werden, dass aber die große Zahl der Mitglieder, die keinem Bezirksverein angehören, etwa ein Viertel sämtlicher Mitglieder, im Vorstand überhaupt nicht vertreten seien. Des weiteren sei es Wunsch des Vorstandes, dass in den Versammlungen des Vorstandes und der Hauptversammlung die Berichterstattung nicht ausschließlich von Mitgliedern des Vorstandes und vom Vereinsdirektor ausgeübt werden möchte, sondern auch von Herren aus der Mitte des Vorstandes. Das sei zurzeit oft nicht möglich, weil es im Vorstand an Herren fehle, welche die nötige Kenntnis der Vergangenheit besitzen. Im übrigen habe der Vorstand mit diesem Antrage in erster Linie einem Auftrage entsprochen, der ihm in Nürnberg erteilt worden sei, als damals die früheren Vorsitzenden und die Ehrenmitglieder zur Beratung des Vorstandes über den Ankauf der Grundstücke hinzugezogen wurden. Der Antrag sei also nicht aus dem eigenen Wunsch des Vorstandes, sondern aus dem ihm gewordenen Auftrage hervorgegangen.

Hr. Lesser hält die Ansicht aufrecht, dass der Antrag in erster Linie den Zweck habe, den Einfluss des Vorstandes im Vorstand zu steigern. Ein Bedürfnis dazu sei nicht

anzuerkennen, denn der Vorstand habe in den letzten Jahren alles glatt bewilligt, was der Vorstand verlangt habe. Wenn Versehen vorgekommen seien, so sei die Erklärung meist darin zu suchen, dass die in den Vorstand gewählten Mitglieder nicht lange genug vorher dem Vorstande angehört haben und deshalb der Geschäfte zu unkundig waren. Eine Aenderung sollte in der Weise geschaffen werden, dass die Vorstandsmitglieder grundsätzlich aus Leuten gewählt werden, die wiederholt Versammlungen des Vorstandes mitgemacht oder mindestens in den Bezirksvereinen die Geschäfte geführt haben.

Hr. Herzberg erblickt in dem Antrage des Vorstandes nichts anderes als eine weise Fürsorge für die Zukunft und für die Fortentwicklung des Vereines. Der Antrag soll die Sachkenntnis des Vorstandes erhöhen; das sei sein Zweck und seine Absicht. Von Hintorgedanken könne garnicht die Rede sein. Der Vorschlag, die Vorstandsmitglieder auf drei Jahre zu wählen, sei an sich gut; er werde aber der Schwierigkeit begegnen, dass sich dann wenig Leute finden lassen, die das Amt so lange übernehmen. Ob die Vorstandsmitglieder nach ihrem Austreten aus dem Vorstand, nachdem sie also reiche Erfahrungen gesammelt haben, dadurch, dass sie von den Bezirksvereinen in den Vorstand gewählt werden, zu weiterer Mitarbeit gewonnen werden, sei Sache des Zufalls. Der Antrag habe den Zweck, es zur Gewissheit zu machen. Der Schwerpunkt des ganzen Vereines liege in dem Vorstand, und den sollte man deshalb so stark und sachkundig machen, wie nur irgend möglich. Der Vorstand habe nicht die Aufgabe, die Bezirksvereine zu vertreten, ebensowenig wie im Parlament der Abgeordnete den Auftrag habe, die Interessen und Ansichten seines besonderen Wahlkreises zu vertreten. Wie jeder Abgeordnete, sei auch das Mitglied des Vorstandes ein Abgeordneter der Gesamtheit, und stets sei daran festgehalten worden, dass die Mitglieder des Vorstandes nach freiem Ermessen, nicht aber nach Auftrag ihrer Bezirksvereine im Vorstand zu stimmen haben. Der Antrag werde die Wirkung haben, die Leistungen des Vereines zu erhöhen, indem wohlbewährte Vorstandsmitglieder auch nach ihrer Thätigkeit im Vorstand noch längere Zeit zur Mitarbeiterschaft herangezogen werden.

Hr. Liebig billigt zwar den Zweck des Antrages, fürchtet aber, dass die Zahl der Mitglieder des Vorstandes zu groß werden möchte. Die größere Stetigkeit in der Zusammensetzung des Vorstandes könnte auch erlangt werden, wenn die Bezirksvereine mehr daran dächten, Mitglieder zu entsenden, die mit den Geschäften des Vereines schon seit längerer Zeit vertraut sind. In vielen Bezirksvereinen geschehe das schon; wo es nicht geschehe, sollte man darauf hinwirken. So dringlich sei die Sache aber jedenfalls nicht, dass der Antrag, der eine Statutenänderung in sich schliesse, jetzt angenommen werden müsse.

Hr. Rohu kann sich der Besorgnis nicht entschlagen, dass die früheren Vorstandsmitglieder doch sehr geneigt sein werden, zum Vorstand zu halten, und dass unter ihrer Einwirkung der Einfluss der Bezirksvereine geschwächt werden möchte. Er verweist auf die Beratung über den Ankauf der Grundstücke in Nürnberg und ist der Meinung, dass auch damals dieser Beschluss nicht zustande gekommen wäre, wenn nicht die zur Beratung zugezogenen früheren Vorsitzenden so warm für den Antrag des Vorstandes eingetreten wären.

Hr. Pützer verweist, was die Verwertung der Erfahrungen älterer Mitglieder anbetrifft, auf den Aachener Bezirksverein und ist der Meinung, dass bei richtiger Handhabung der Sache in den Bezirksvereinen der Antrag des Vorstandes nicht nötig sei. Besonders Gewicht lege auch der Aachener Bezirksverein auf die Stellung des Kurators, der dazu berufen sei, die Ueberlieferung im Verein aufrecht zu erhalten, und schließlich meint der Redner, es würde manchen abschrecken, sich in den Vorstand wählen zu lassen, wenn er wüsste, dass er nachher noch 5 Jahre verpflichtet sein würde, dem Vorstand anzugehören.

Hr. Cox teilt mit, dass der Württembergische Bezirksverein beschlossen habe, den Antrag des Vorstandes abzulehnen, damit der Vorstand, jetzt schon eine sehr große Körperschaft, nicht noch mehr Mitglieder erhalte. Dass die Mitglieder des Vorstandes möglichst sachkundig sein möchten, sei erwünscht. Deshalb sollte der Vorstand die Be-

zirksvereine ersuchen, möglichst mit den Vereinsgeschäften vertraute Abgeordnete in den Vorstandsrat zu entsenden, und ferner sollten die Bezirksvereine möglichst die aus dem Vorstand ausgeschiedenen Herren zu ihren Beratungen zuziehen.

Der Vorsitzende glaubt es nicht empfehlen zu können, dass den Bezirksvereinen inbezug auf die Wahl ihrer Abgeordneten zum Vorstandsrat irgend welche Beschränkungen auferlegt werden.

Bei der hierauf erfolgenden Abstimmung wird der Antrag des Vorstandes abgelehnt.

11) Antrag des Hamburger Bezirksvereines.

Der Antrag lautet:

„Diejenigen Beschlüsse des Vorstandes, welche als Anträge zur weiteren Beschlussfassung der Hauptversammlung vorgelegt werden sollen, sind sofort zu vervielfältigen und vor der zur Beschlussfassung bestimmten Sitzung an die anwesenden Mitglieder zu verteilen.“

Zur Begründung des Antrages weist Hr. Hartmann darauf hin, dass die Beschlüsse, wie sie aus der Beratung des Vorstandes für die Hauptversammlung hervorgehen, von den Teilnehmern der Hauptversammlung nicht immer richtig verstanden werden, wenn sie nur vom Vorstandstisch aus vorgelesen werden.

Hr. Nimax entgegnet namens des Vorstandes, dass ein Bedürfnis zu diesem Antrag nicht vorliege, da auch schon bisher stets, soweit es möglich war, gemäß dem Antragsverfahren worden sei. Es sei aber doch zu berücksichtigen, dass, wenn der Hamburger Antrag angenommen würde, die Sachlage wohl auch einmal recht unangenehm werden könnte, falls dann diesem Beschlusse aus irgend welchen Gründen nicht entsprochen werden könnte. Die Möglichkeit dazu liege jederzeit vor; es brauche nur einmal in der Druckerei, welche die Drucksachen herstellen soll, ein unerwartetes Hindernis eintreten; dann könnte sehr leicht der Vorstand ganz außerstande sein, die Beschlüsse des Vorstandes rechtzeitig gedruckt vorzulegen. Deshalb empfehle der Vorstand folgenden Beschlüsse zu fassen:

„In Erwägung einerseits, dass der Vorstand gern bereit ist, wie bisher den dem Antrage zugrunde liegenden Wünschen zu entsprechen, und andererseits, dass eine bindende Verpflichtung zu großen Schwierigkeiten führen könnte, empfiehlt der Vorstandsrat, über den Antrag zur Tagesordnung überzugehen.“

Hr. Lesser hält die von Hrn. Nimax geschilderten Schwierigkeiten für übertrieben, und auf der andern Seite seien doch solche Fälle vorgekommen, welche der Hamburger Antrag beseitigen solle.

Auch Hr. Post hält die Schwierigkeiten nicht für so bedeutend und unterstützt den Antrag, dergleichen.

Hr. Cornebls, der der Meinung ist, dass die Beschlüsse ja auch hektographisch vervielfältigt werden könnten. Dieser Auffassung widerspricht

Hr. Veith, der darauf aufmerksam macht, dass im Augenblick schon 850 Anmeldungen für die Kieler Hauptversammlung vorliegen; da höre denn doch die Möglichkeit des Hektographirens auf, und die Möglichkeit, dass einer Druckerei etwas passieren könne, werde niemand in Abrede stellen.

Hr. Nimax weist auch noch auf folgendes Bedenken hin. Wenn in einer Hauptversammlung ein Antrag des Vorstandes geändert wird, so muss dieser Antrag wieder an den Vorstandsrat zurück gehen. Es sei wiederholt vorgekommen, dass zu diesem Zwecke innerhalb der Hauptversammlung Versammlungen des Vorstandes stattgefunden haben, und zwar in der Weise, dass die Hauptversammlung auf kurze Zeit unterbrochen und dann nach der eingeschobenen Beratung des Vorstandes wieder eröffnet worden ist. In solchen Fällen würde es einfach unmöglich sein, dem Hamburger Antrage zu entsprechen.

Hr. Hartmann schlägt für den Fall der Ablehnung des ursprünglichen Antrages vor, die Worte „soweit es möglich ist“ in den Wortlaut des Antrages einzuschleichen.

Hr. Lohse ist der Meinung, dass bisher stets so verfahren worden sei, wie der Antrag es will.

Hr. Taaks glaubt nicht, dass daraus Schwierigkeiten entstehen können, wenn wegen besonderer Umstände wirklich

einmal nicht gemäß dem Antrage verfahren werden könnte, und hält es deshalb für unbedenklich, ihn anzunehmen.

Hr. Peters widerspricht dieser Auffassung. Wäre der Antrag so harmlos, also nur ein Wunsch, dann wäre es nicht nötig, ihn durch den Vorstandsrat und die Hauptversammlung beschließen zu lassen. Geschehe aber das letztere, so erfordere es die Würde dieser Versammlungen, den angenommenen Antrag als eine bindende Verpflichtung zu betrachten, und gerade darin liege für den Vorstand die Schwierigkeit. Angesichts der Zusage des Vorstandes, dass er, wenn irgend möglich, so verfahren wolle, wie beantragt, würde es besser sein, den Antrag zurückzuziehen.

Die Vertreter des Hamburger Bezirksvereines erklären, dazu nicht berechtigt zu sein.

Da der Vertreter des Hamburger Bezirksvereines den Antrag mit den eingeschobenen Worten „soweit möglich“ als Eventual-Antrag bezeichnet hat, lässt der Vorsitzende erst über den ursprünglichen Antrag abstimmen; derselbe wird abgelehnt; dann über den Antrag mit dem Zusatz der Worte „soweit möglich“; dieser Antrag wird angenommen.

12) Antrag des Hannoverschen Bezirksvereines.

„Die Hauptversammlung wolle beschließen, den beabsichtigten Bau des neuen Vereinshauses länger Hand vorzubereiten, und zu dem Zweck den Vorstand beauftragen, mit den Bezirksvereinen in Verbindung zu treten, damit deren Mitwirkung bei dem Bau gewahrt bleibt.“

Der Vorsitzende teilt mit, dass dieser Antrag den Vorstand, der sich mit der Frage eines Neubaus noch garnicht beschäftigt habe, außerordentlich überrascht habe. Auch müsse er bemerken, dass die Begründung des Antrages noch nicht zur Kenntnis des Vorstandes gelangt sei. Das, was der Antrag wolle, sei auch bereits durch Beschluss der Hauptversammlung festgelegt, und zwar auf der Hauptversammlung in Nürnberg, als es sich um den Ankauf der Grundstücke handelte. Dort sei auf seinen — des Redners — Antrag ausdrücklich ausgesprochen worden, dass zur Frage eines Neubaus erst die Bezirksvereine gehört und ein besonderer Beschluss der Hauptversammlung gefasst werden müsste. Eine Veranlassung, jetzt schon zu einem Neubau zu schreiten, liege nicht vor. In den vom Verein erworbenen Grundstücken sei alles noch auf beinahe 4 Jahre vermietet. Namens des Vorstandes ersucht der Vorsitzende, den Antrag des Hannoverschen Bezirksvereines abzulehnen.

Hr. Körting glaubt es auf ein Versehen zurückführen zu müssen, wenn die den Bezirksvereinen zugegangene Drucksache über diesen Antrag nicht auch in die Hände des Vorstandes gelangt sei, und bittet das Versehen zu entschuldigen. Der Antrag selbst bringe den Wunsch des Hannoverschen Bezirksvereines zum Ausdruck, dass, wenn zum Neubau eines Vereinshauses geschritten würde, die Bezirksvereine gehört werden möchten. Nach den Erklärungen des Vorsitzenden ziehe er den Antrag zurück.

13) Antrag des Pfalz-Saarbrücker Bezirksvereines.

„Es mögen die Neuerungen auf dem Gebiete der Unfallverhütungs-Vorrichtungen, soweit dieselben sich bewährt haben, in der Zeitschrift veröffentlicht werden.“

Hr. v. Horstig begründet den Antrag. Es sei von großem Wert für die Empfänger von Maschinen, wenn letztere mit den von den Berufsgenossenschaften vorgeschriebenen Unfallverhütungs-Vorrichtungen versehen seien. Deshalb sei es nötig, diese Vorschriften zu allgemeiner Kenntnis zu bringen, und das sollte durch kurze Veröffentlichungen in der Zeitschrift geschehen.

Hr. v. Lossow empfiehlt namens des Vorstandes, den Antrag abzulehnen. Soweit der Antrag Wünschenswertes enthält, werde ihm bereits seit Jahren von der Redaktion der Zeitschrift in zufriedenstellender Weise entsprochen. Man könnte angesichts des Antrages zu der Meinung kommen, als ob die Vereinszeitschrift dieses gewichtige Gebiet bisher völlig vernachlässigt habe; das sei durchaus nicht der Fall. Eine Reihe zumteil recht umfangreicher Aufsätze haben dieses Gebiet behandelt.

In der Begründung des Antrages sei gesagt, dass es keine Zeitschrift gebe, welche die Neuerungen auf diesem

Gebiete behandle; das sei nicht zutreffend; eine ganze Reihe neuerer Zeitschriften und Jahresberichte seien ausdrücklich den Unfallverhütungs-Vorrichtungen gewidmet. Wollte die Zeitschrift diese Sache erschöpfend behandeln, so würde ihr Raum bei weitem nicht dafür ausreichen.

Hr. Peters macht ergänzend zu diesen Ausführungen noch darauf aufmerksam, dass es in dem Antrage heiße: »soweit sich diese Vorrichtungen bewährt haben«: damit werde der Redaktion eine Aufgabe auferlegt, die sie nicht leisten könne.

Hr. Körting macht auf eine in neuester Zeit erscheinende Zeitschrift aufmerksam, welche sich »Gewerblich-technischer Ratgeber« nennt und unter Mitwirkung des Vereines deutscher Revisionsingenieure von Hrn. Dr. Werner Heffter in Berlin herausgegeben wird; damit sei doch just das geboten, was der Pfalz-Saarbrücker Bezirksverein haben wolle.

Hr. Breidenbach will zwar den Antrag nicht in seinem ganzen Umfange unterstützen, wünscht aber doch, dass die Redaktion dieses Gebiet stärker als bisher pflegen möchte, und fordert die Mitglieder auf, ihr dabei behülflich zu sein.

Hr. Uge hat erwartet, dass die Anregung des Pfalz-Saarbrücker Bezirksvereines mit Freude begrüßt werden würde, nicht aber, dass ihr Schwierigkeiten entgegengestellt werden würden. Alle die Zeitschriften zu halten und zu lesen, die sich mit Unfallverhütungs-Vorschriften beschäftigen, sei für den einzelnen nicht möglich; die Zeitschrift sollte auch gar nicht alles ausführlich bringen, sondern etwa so, wie im Patentbericht über die neuen Erfindungen. Der Redner verbreitet sich des weiteren über die Statistik der Unfälle und begründet damit die Bedeutung des Antrages. Der neue Gewerblich-technische Ratgeber sei vorläufig noch Zukunftsmusik, auf die man sich nicht verlassen solle.

Hr. v. Borries empfiehlt, wenigstens die Worte zu streichen »soweit dieselben sich bewährt haben«.

Hr. Lesser hält es für bedenklich, die Redaktion der Zeitschrift in dieser Richtung zu sehr zu verpflichten. Wenn sie nur bewährte Sachen bringen solle, dann könne sie selbstverständlich nur veraltetes bringen. Dagegen sei es recht bedenklich, neue Sachen zu bringen, die sich noch nicht bewährt haben.

Hr. Peters schlägt folgende Fassung vor:

»Die Redaktion der Zeitschrift wird beauftragt, dem Gebiet der Unfallverhütungs-Vorrichtungen ihre Aufmerksamkeit zu schenken«.

Mit dieser Fassung erklären sich die Vertreter des Pfalz-Saarbrücker Bezirksvereines einverstanden, und in dieser Fassung wird der Antrag angenommen.

14) Ort der nächsten Hauptversammlung.

Hr. Gerdau überbringt die Einladung des Niederrheinischen Bezirksvereines, die 43. Hauptversammlung in Düsseldorf abzuhalten, indem er darauf binweist, dass im nächsten Jahre eine Industrie- und Gewerbeausstellung des Niederrheinisch-Westfälischen Industriebezirkes in Düsseldorf stattfinden wird. Der Redner spricht dem Bayerischen B.-V., der bereits für das Jahr 1902 eingeladen hatte, den Dank des Niederrheinischen B.-V. für seinen lebenswürdigen Verzicht aus.

Im Anschluss an diese Einladung wird ein Schreiben des Oberbürgermeisters der Stadt Düsseldorf verlesen, womit gleichfalls der Verein eingeladen wird, seine nächste Hauptversammlung in Düsseldorf abzuhalten. Unter lebhaftem Beifall der Versammlung wird beschlossen, als Ort der nächsten Hauptversammlung Düsseldorf in Vorschlag zu bringen.

Im Anschluss hieran teilt der Vorsitzende einen Antrag der Gruppe IV, Maschinenwesen, der Düsseldorfer Ausstellung mit, zur Errichtung eines Arbeits- und Empfangszimmers für die Mitglieder des Vereines deutscher Ingenieure einen Geldbetrag zu bewilligen. Der Vorsitzende des Niederrheinischen Bezirksvereines hat diesen Antrag dem Vorstande zugesandt, mit dem Bemerkten, dass er ihn unterstütze, und dass er einen Betrag von 10000 M für angemessen erachte.

Der Vorsitzende teilt mit, dass der Vorstand nicht empfehlen könne, dem Antrage zu entsprechen, da es nicht Absicht des Vereines deutscher Ingenieure sei, sich durch Abhaltung von Kongressen usw. in hervorragendem Maße an der Ausstellung zu beteiligen.

Hr. Gerdau hebt hervor, dass es sich um eine Repräsentation des Vereines handle, und dass es vielen Mitgliedern, insbesondere auch solchen, die aus dem Auslande nach Düsseldorf kommen, sehr erwünscht sein würde, einen Vereinigungspunkt zu finden. Erscheinen die beantragten 10000 M zu viel, so möge man weniger bewilligen.

Zunächst wird durch Abstimmung die Dringlichkeit des Antrages anerkannt.

In weiterer Begründung des Antrages erinnert Hr. Lührmann an die Düsseldorfer Ausstellung vom Jahre 1880, wo das dort veranstaltete Zimmer für die deutschen Ingenieure von außerordentlicher Annehmlichkeit und Wichtigkeit gewesen sei, obwohl der Raum sehr klein war. Das jetzt Beabsichtigte sei anders und besser. Es solle ein ansehnlicher Raum, verbunden mit Schreibstube, Auskunftstelle usw., geschaffen werden. Nachdem schon andere technische Vereine sich bereit erklärt haben, zu den Kosten beizutragen, sollte der Verein deutscher Ingenieure nicht zurückstehen.

Hr. Breidenbach unterstützt den Antrag, hält aber einen Betrag von etwa 5000 M für ausreichend.

Hr. Uge bestätigt, dass das Versammlungszimmer des Ingenieurvereines bei der 1880er Düsseldorfer Ausstellung sehr besucht und vielen höchst willkommen war. Nachdem der Verein in Paris so großes geleistet, sollte er im eigenen Vaterland nicht zurückstehen.

Hr. Körting macht darauf aufmerksam, dass, was dem einen recht, dem andern billig sei; man würde sich mit einer Bewilligung für zukünftige Fälle binden und habe zu erwarten, dass allerlei Ausstellungen mit ähnlichen Wünschen an den Verein herantreten werden.

Hr. Lesser hat Bedenken, die Sache als dringlich vor die Hauptversammlung zu bringen, und schlägt vor, den für die nächstjährige Hauptversammlung im Haushaltplan ausgeworfenen Betrag um 5000 M zu erhöhen.

Hr. Rein schließt sich den Ausführungen des Hrn. Körting an und bemerkt, dass bei der Ausstellung 1896 in Kiel ein Beitrag nicht gezahlt sei.

Bei der Abstimmung erklärt sich die Versammlung mit dem Vorschlage des Hrn. Lesser einverstanden.

15) Haushaltplan für 1902.

Hr. Peters: Der Haushaltplan ist als Entwurf des Vorstandes den Mitgliedern der Versammlung gedruckt zugesandt worden, s. Z. 1901 S. 683. Durch die heutige Beratung ist der Ausgabeposten »Hauptversammlungen« von 8000 M auf 13000 M erhöht. Bei den übrigen Posten der Einnahme und Ausgabe dürften die beigefügten Erläuterungen ausreichen; nur die Erhöhung des Ausgabepostens: Beiträge zu andern Vereinen, um 2000 M bedarf wohl der näheren Begründung, da es sich hier um etwas Neues handelt.

Infolge einer Anregung aus den Kreisen von Sachverständigen und Interessenten hat sich das kgl. preussische Ministerium der geistlichen, Unterrichts- und Medizinal-Angelegenheiten entschlossen, eine Zentralkasse für Fragen der Wassergewinnung und Abwasserbeseitigung ins Leben zu rufen. Ihre Thätigkeit hat bereits am 1. April d. J. begonnen. Es wird die Aufgabe dieser Zentralkasse sein, die technischen und wissenschaftlichen Fragen auf dem genannten Gebiete zu prüfen, die Behörden bei gesetzgeberischen und Konzessionsangelegenheiten zu beraten, den Stadtgemeinden und Industriellen Auskunft zu erteilen usw. Das Ministerium hat sich bereit erklärt, den beteiligten Kreisen eine gewisse Mitwirkung, einen Einfluss auf die Leitung des Unternehmens einzuräumen, wenn sie durch Geldbeiträge ihr Interesse betätigen. Deshalb sind an die größeren Städte, die technischen und industriellen Vereine Aufforderungen zur Zeichnung von Beiträgen ergangen, und zwar zunächst auf die Dauer von 5 Jahren. Bei der großen Bedeutung der hier zu behandelnden Fragen für die technische Wissenschaft und für viele Kreise der Industrie hat es der Vorstand für angemessen erachtet, dass sich der Verein deutscher Ingenieure mit einem Jahresbeitrage von 2000 M beteilige.

Hr. Schmetzer unterstützt diesen Antrag.

Auch Hr. Uge billigt das Vorgehen der preussischen Regierung, ist aber nicht damit einverstanden, dass der Verein deutscher Ingenieure Geld dazu hergäbe, weil es sich um eine wirtschaftliche Frage handle.

Gegenüber dieser Auffassung legt Hr. Herzberg die Aufgaben und Ziele der Anstalt eingehender dar und führt den Nachweis, dass es sich in hohem Grade um technisch-wissenschaftliche Fragen handle. Die Regierung sei bereit, den Interessenten eine erhebliche Mitwirkung zu gestatten, und deshalb sei es nicht unbillig, dass sie den Nachweis des Interesses durch Beiträge fordere.

Hr. Scheit ist der Meinung, dass den hieran beteiligten industriellen Kreisen die erforderlichen Geldmittel reichlich zur Verfügung stehen; es sei deshalb nicht nötig, dass auch der Verein deutscher Ingenieure sich beteilige; seine Geldmittel sollte er sich für wichtigere Aufgaben bewahren.

Hr. Taaks empfiehlt, die 2000 M. zu bewilligen. An den Fragen, die hier in Betracht kommen, seien sehr viele Industrien sehr lebhaft beteiligt, und durchaus nicht alle seien kapitalkräftig. Die Mitwirkung der technischen Kreise werde dafür sorgen, dass die Anstalt nicht abstrakt theoretisch, sondern den Bedürfnissen der Praxis entsprechend arbeite.

Hr. v. Lossow teilt mit, dass in Bayern eine solche Einrichtung, wie jetzt von Preußen geschaffen, für die Frage der Wasserversorgung seit längerer Zeit besteht und segensreich wirkt.

Ebenso tritt Hr. Liebig für die Bewilligung der 2000 M. ein.

Die 2000 M. Jahresbeitrag zur Zentralstelle für Angelegenheiten der Wasserversorgung und Abwasserbeseitigung werden auf 5 Jahre bewilligt, davon 2000 M. für das Jahr 1901 aus den Betriebsmitteln.

Hr. Cornells empfiehlt, den für »Vorträge der Bezirksvereine« im Haushaltsplan ausgeworfenen Betrag von 12000 M., wenn auch nicht jetzt gleich, so doch in Zukunft zu erhöhen; denn der Nutzen, den dieses Geld stifte, sei sehr groß, die jetzt bewilligten Beträge aber zu gering. Man sollte 25000 M. dafür auswerfen.

Hr. Baumann erinnert daran, dass nach dem vorjährigen Beschluss den Bezirksvereinen auf ihr Verlangen je bis zu 500 M. für Vorträge zur Verfügung gestellt werden sollten, und tadelt es, dass das nicht geschehen sei. Man sollte lieber auf die Grundstücke weniger abschreiben und hier mehr einsetzen.

Hr. v. Borries entgegnet, dass für die Zuwendungen an die Bezirksvereine doch erst das Bedürfnis nachgewiesen werden sollte, und dass vorausgesetzt worden sei, dass die Bezirksvereine sich so weit wie irgend möglich selbst helfen sollten. Hierüber müssten noch Erfahrungen gesammelt werden.

Hr. Post ist zwar für Verstärkung dieser Mittel, will aber in jedem Falle den Nachweis der zweckgemäßen Verwendung von den Bezirksvereinen beigebracht sehen.

Der Redner nimmt die schon früher gemachte Anregung wieder auf, dass seitens des Gesamtvereines für Vorträge in den Bezirksvereinen gesorgt werden möchte.

Hr. Lesser bemerkt, dass in Hamburg nicht die Vorträge, sondern die Sitzungslokale große Kosten verursachen. Vor allem ist es ihm darum zu tun, festgestellt zu sehen, ob nach den vorjährigen Beschlüssen der Vorstand verpflichtet sei, auf Verlangen 500 M. zur Verfügung zu stellen. Der Redner stellt demgemäß einen Antrag.

Hr. Taaks fürchtet, dass sich der Verein mit der Hergabe von Geldmitteln an die Bezirksvereine auf abschüssiger Bahn bewegt. Schon habe die Mehrzahl der Bezirksvereine von dieser Bewilligung Gebrauch gemacht, und schließlich werde es dahin kommen, dass sie es alle tun. Wenn die Bezirksvereine der Stamm des Vereines deutscher Ingenieure sein wollen, dann müssen sie sich aus eigenen Kräften erhalten; um so geringer Beträge willen dürfen sie nicht die Hilfe des Gesamtvereines in Anspruch nehmen. In Ausnahmefällen und bei kleineren Vereinen könne das wohl vorkommen; aber zur Regel dürfe es nicht werden; sonst sei es besser, den Posten ganz zu streichen.

Hr. Liebig teilt diese Auffassung vollständig und schlägt vor, den Verfügungsfonds des Vorstandes zu erhöhen, damit der Vorstand von Fall zu Fall erwäge und beschliesse.

Hr. Cornells hebt nochmals hervor, dass sich die kleinen Bezirksvereine bei Beschaffung von Vorträgen in viel schwierigerer Lage befinden als die großen.

Hr. v. Horstig bestätigt diese Ansicht und meint, dass

missbräuchlicher Verwendung dieser Gelder leicht begegnet werden könne.

Zur Abstimmung gelangt:

erstens der Antrag des Hrn. Lesser, auszusprechen: »Der Vorstandsrat bekennt sich zu der Auffassung, dass der Gesamtverein verpflichtet sei, den Betrag von 500 M. für Vorträge jedem Bezirksverein zu gewähren, der ihn verlangt«;

dieser Antrag wird abgelehnt;

zweitens der Antrag des Hrn. Liebig, welcher dahin geht, die 12000 M. im Haushaltsplan zu streichen, dagegen den Verfügungsfonds des Vorstandes zu dem gedachten Zwecke von 5000 auf 15000 M. zu erhöhen;

auch dieser Antrag wird abgelehnt, und es verbleibt bei der Bewilligung der 12000 M., wie vom Vorstand in den Haushaltsplan eingesetzt.

Danach wird beschlossen, den Haushaltsplan für 1902 gemäß der Vorlage des Vorstandes und den vorstehenden Beschlüssen der Hauptversammlung zur Annahme zu empfehlen.

Hergabe der Vereinszeitschrift zu ermäßigtem Preise an Studierende technischer Hochschulen und Schüler technischer Mittelschulen.

Wiederholt und in neuerer Zeit in verstärktem Maße ist an den Verein das Ersuchen gerichtet worden, seine Zeitschrift den jungen Fachgenossen, welche die technischen Hoch- und Mittelschulen besuchen und deshalb noch nicht Mitglieder werden können, zu einem billigeren als dem Buchhandelspreise von 38 M. zu überlassen. Der Vorstand ist geneigt, diesem Wunsche zu entsprechen, und schlägt vor, den Preis auf 20 M. gleich dem Mitgliedsbeitrage zu setzen.

Hr. Bolze fürchtet, es könne Missbrauch damit getrieben werden, wenn man den einzelnen Personen die Ermäßigung zugestehen wollte, umso mehr, da es sehr schwer sein werde, die Berechtigung der Besteller zu überwachen. Er schlägt vor, die Vergünstigung den fachwissenschaftlichen Vereinen zuzuwenden.

Der Vorstandsrat erklärt sich damit einverstanden, dass den fachwissenschaftlichen Vereinen von Studierenden technischer Hochschulen und von Schülern technischer Mittelschulen die Vereinszeitschrift zum ermäßigten Preise von 20 M. geliefert wird.

Internationaler Ingenieurkongress in Glasgow.

Eine Anzahl angesehener englischer Vereine hat die Veranstaltung eines internationalen Ingenieurkongresses im Herbst dieses Jahres in Glasgow unternommen und den Verein deutscher Ingenieure eingeladen, Vertreter zu entsenden. Der Vorstand ist geneigt, dieser Einladung zu entsprechen und beabsichtigt, für die Reisekosten der zu entsendenden Herren usw. insgesamt bis zu 2000 M. aufzuwenden.

Die Versammlung ist damit einverstanden.

Austausch von Lichtbildplatten.

Von Hrn. Hase-Hagen i/W. ist die Anregung ausgegangen, dass die Bezirksvereine die Lichtbildplatten, die sie bei ihren Vorträgen verwenden, einander kostenfrei zur Verfügung stellen und dadurch die Wiederholung von Vorträgen an verschiedenen Orten erleichtern möchten. Wie Hr. Hase berichtet, sind von sehr vielen Bezirksvereinen Zustimmung zu diesem Vorschlage eingegangen, weshalb er empfiehlt, die Sache weiter zu verfolgen.

Hr. Lynen regt an, für den Verkehr der Bezirksvereine unter einander und mit dem Gesamtverein eine Geschäftsordnung zu machen.

Der Vorsitzende verspricht, diese Anregung in Erwägung zu ziehen.

Hierauf wird die von den Schriftführern aufgenommene Verhandlung verlesen und genehmigt.

Hr. Lohse dankt unter lebhaftem Beifall dem Vorstände und dem Vereinsdirektor, insbesondere aber dem Vorsitzenden für die vorzügliche Vorbereitung und Leitung der Versammlung.

(Schluss der Sitzung gegen 6^{1/2} Uhr.)

ZEITSCHRIFT DES VEREINES DEUTSCHER INGENIEURE.

Nr. 34.

Sonnabend, den 24. August 1901.

Band XXXV.

Inhalt:

Neuere Turbinenanlagen	1189
Die Weltausstellung in Paris 1900: Hebe- maschinen. Von Kammerer (Fortsetzung)	1197
Verfahren zur Bearbeitung von Maschinenkörpern	1202
Elsass-Lothringer B.-V.	1206
Karlsruher B.-V.: Untersuchungen auf Undichtheiten am Stadt- rohrnetz des Pirmasenser Wasserwerkes. — Das Elektrizi- tätswerk Karlsruhe	1206
Bücherschau: Public Water-supplies. Von F. E. Turneaure und H. L. Russell. — Bei der Redaktion eingegangene Bücher. — Übersicht neu erschienener Bücher	1207
Zeitschriftenschau	1209

Rundscha: Normales zur Prüfung von elektrischen Maschinen und Transformatoren. — Unfall an der Brooklyn-Brücke. — Verschiedenes	1211
Patentbericht: Nr. 120480, 120675, 119889, 119467, 119635, 119019, 121193, 119165, 121008, 121007, 119639, 120574, 120782, 121216, 119714, 119088, 118947, 120365, 120783, 120462, 118665, 119094, 119197, 120496, 118911, 118997, 121120	1212
Angelegenheiten des Vereines: Die 42. Hauptversammlung am 10., 11. und 12. Juni 1901 in Kiel. — Ueberweisung der Zeitschrift bei Veränderung des Wohnsitzes unserer Mit- glieder	1215

Neuere Turbinenanlagen,

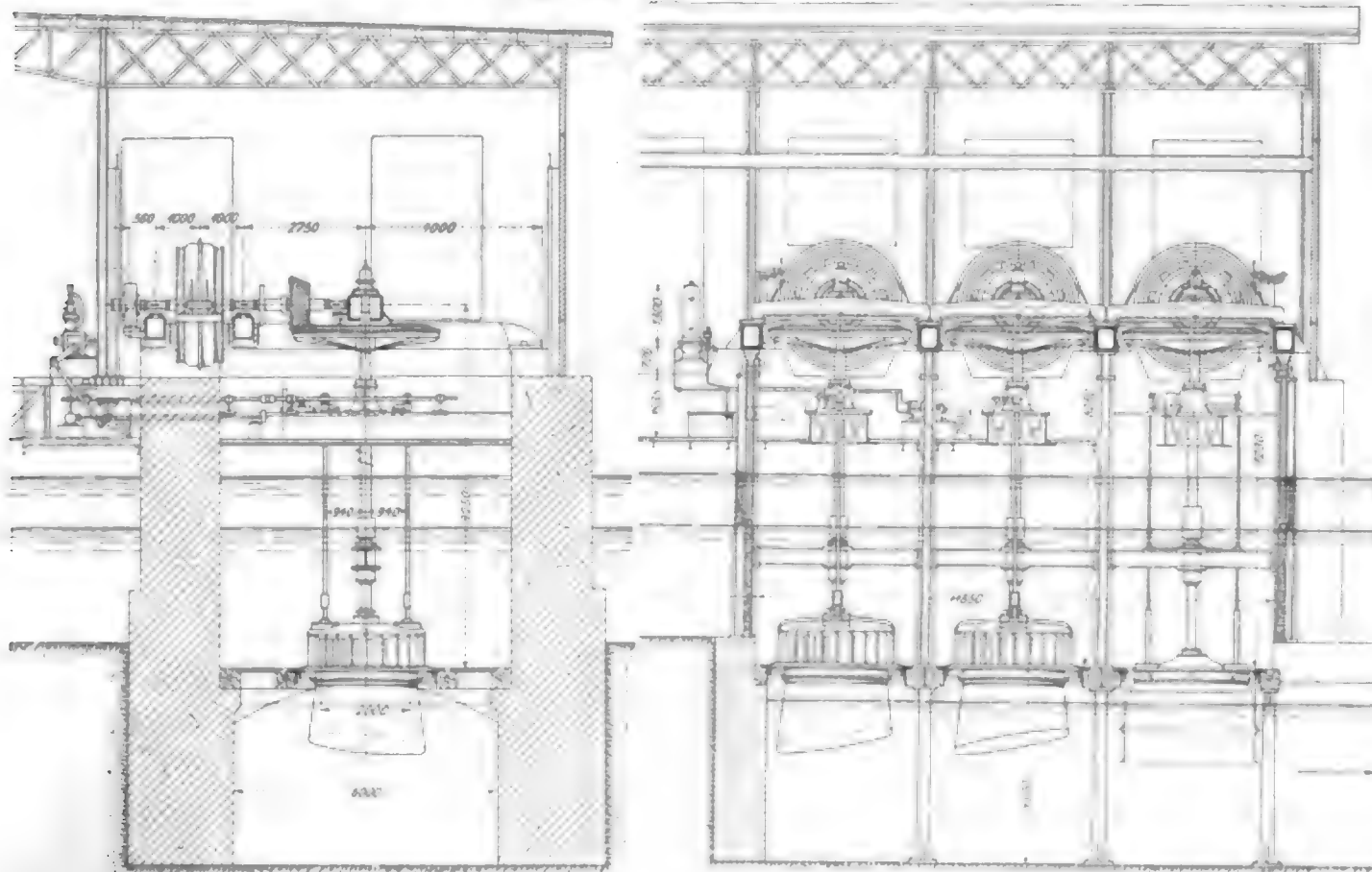
ausgeführt von der Aktiengesellschaft der Maschinenfabriken von Escher Wyfs & Co. in Zürich¹⁾.

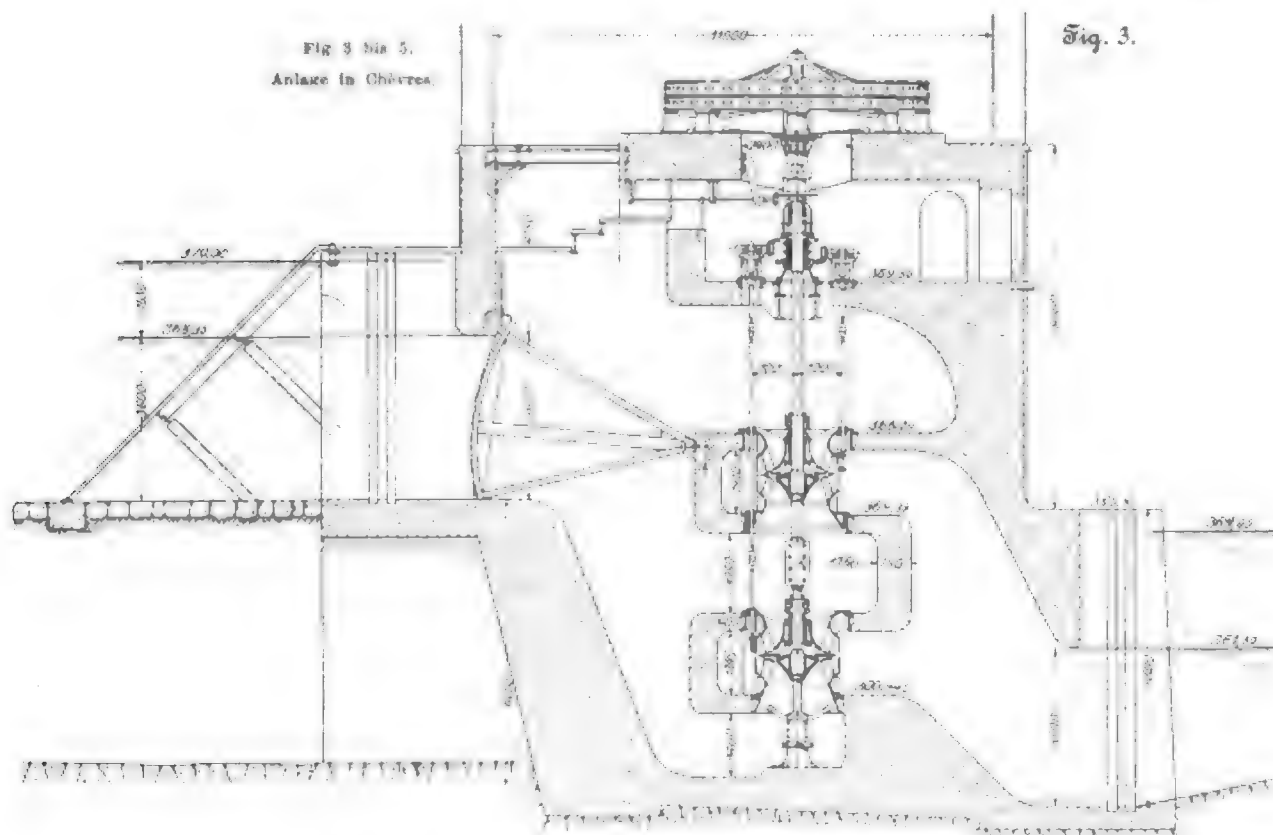
Der moderne Turbinenbau verdankt seine Entwicklung den weitgehenden Anforderungen, welche die Elektrotechnik an Wirkungsgrad, hohe Umlaufzahl und Regulirbarkeit der Turbinen stellt. Dabei hat sich gezeigt, dass diese

¹⁾ Mit Benutzung eines von Hrn. Ingenieur Zölly, Direktor der Firma Escher Wyfs & Co., im Züricher Ingenieur- und Architektenverein gehaltenen Vortrages.

drei Forderungen bei niedrigem und mittlerem Gefälle am besten durch die Francis-Turbine, eine Reaktionsturbine mit außerer Beaufschlagung und axialer Abführung des Wassers, erfüllt werden. Ihr gegenüber ist die Jonval-Turbine fast völlig verschwunden, und auch die Ausführungen der Girard-Turbine sind selten geworden. Die letztere wird nur noch bei großen Kräfteinheiten gebaut; so lange aber die Austritts-
querschnitte nicht zu groß werden, sieht man ihr die Löffel-

Fig. 1 und 2. Anlage in Schaffhausen.





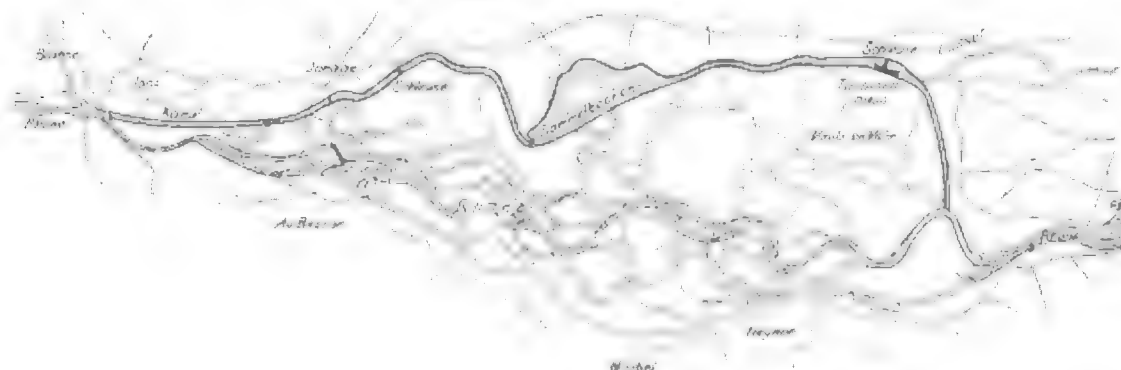
radturbine vor, eine reine Aktionsturbine mit äußerer Beaufschlagung. Dementsprechend zeigen die im Nachfolgenden dargestellten Ausführungen der Firma Escher Wyß & Co. bei kleinem und mittlerem Gefälle bis zu 100 m Francis-Turbinen, bei hohem Gefälle Löffelradturbinen. Nur in gewissen Fällen, wenn bei kleinem Gefälle eine hohe Umlaufzahl gefordert wird, wendet die Firma Turbinen mit axialem Einlauf und radialem Austritt nach außen, sogenannte Zentrifugalturbinen, an.

Was die Eigenschaften der Francis-Turbine betrifft, so bietet sie vor allem die Möglichkeit, Sauggefälle in vollkommener Weise auszunutzen. Dadurch läßt sich der Laufraddurchmesser klein halten, die Umlaufzahl also hoch; die Abmessungen der Turbine und damit die Kosten vermindern sich. Durch Anordnung einer Saugleitung hat man es ferner in der Hand, der Turbine eine fast beliebige Aufstellung zu geben, was beim Entwurf einer Anlage zugleich dem Elektrotechniker und dem Wasserbauer zugute kommt: man kann die Turbinenachse wagerecht oder lotrecht stellen, die Anlage nahe oder weit entfernt vom Unterwasser errichten, die Turbine geschlossen oder offen ausführen usw.

Auch für die Regulierung eignet sich die Francis-Turbine vorzüglich. Durch Drehschaukeln am Leitrade läßt sich die Turbine so regeln, dass der Wirkungsgrad in den Grenzen zwischen voller und halber Belastung fast gleich bleibt. Ja, man kann sogar erreichen, dass der Wirkungsgrad bei $\frac{1}{4}$ oder bei $\frac{1}{2}$ Belastung größer als bei voller ist. Das ist von großer Bedeutung in Fällen, wo sich wie bei Hochwasser das Gefälle vermindert. Der Wirkungsgrad der Francis-Turbine ist sehr hoch. In der Papierfabrik an der Sihl haben Messungen bei $\frac{1}{4}$ bis voller Beanspruchung bis zu 86 vH ergeben; bei halber Belastung fanden sich noch 82 vH und bei $\frac{1}{4}$ 78 vH. In dem Kraftwerk zu Schaffhausen sind sogar Wirkungsgrade bis zu 86 $\frac{1}{2}$ vH ermittelt worden.

Bei Gefällen über 100 m würden für die Francis-Turbine entweder die Umlaufzahlen wegen der kleinen Abmessungen des Laufrades zu hoch, oder, wenn man den Laufraddurchmesser hinreichend groß wählte, die Einlaufquerschnitte zu klein werden. Man baut deshalb für große Gefälle Aktionsturbinen, die Teilbeaufschlagung zulassen. Von diesen giebt die Firma Escher Wyß & Co. der Löffelradturbine vor der Girard-Turbine den Vorzug, weil sie

Fig. 6. Anlage bei Lyon.



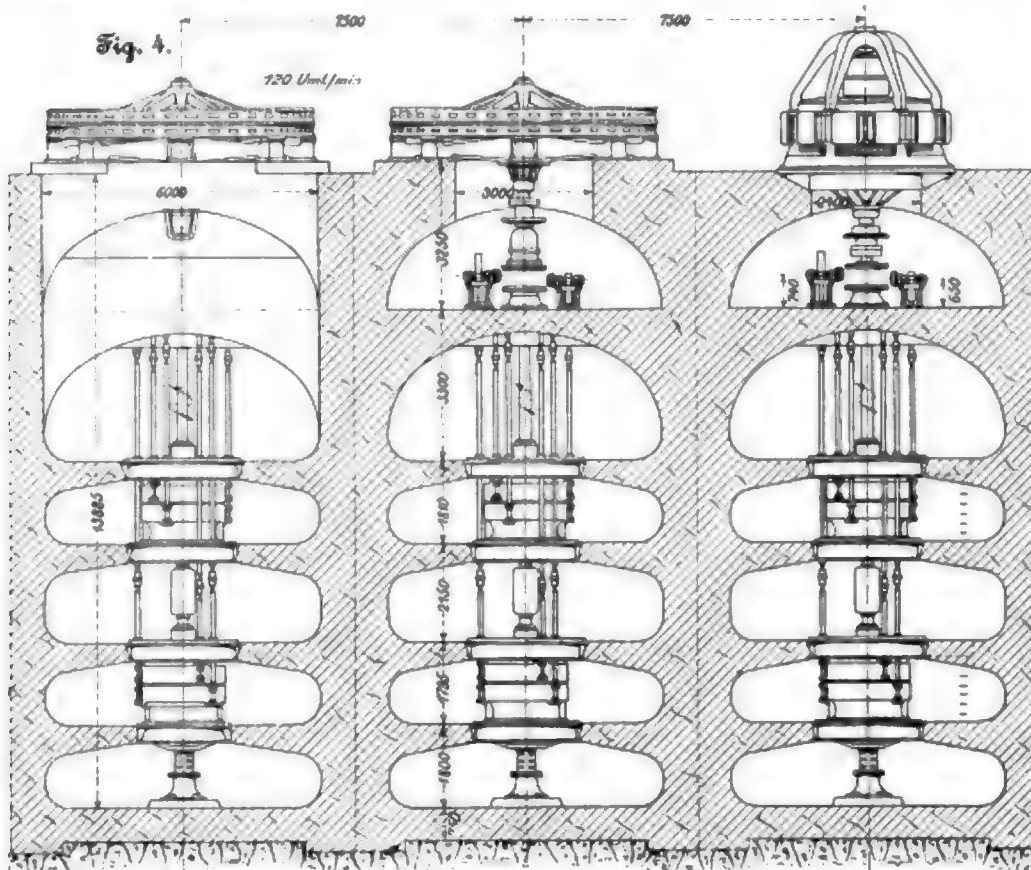
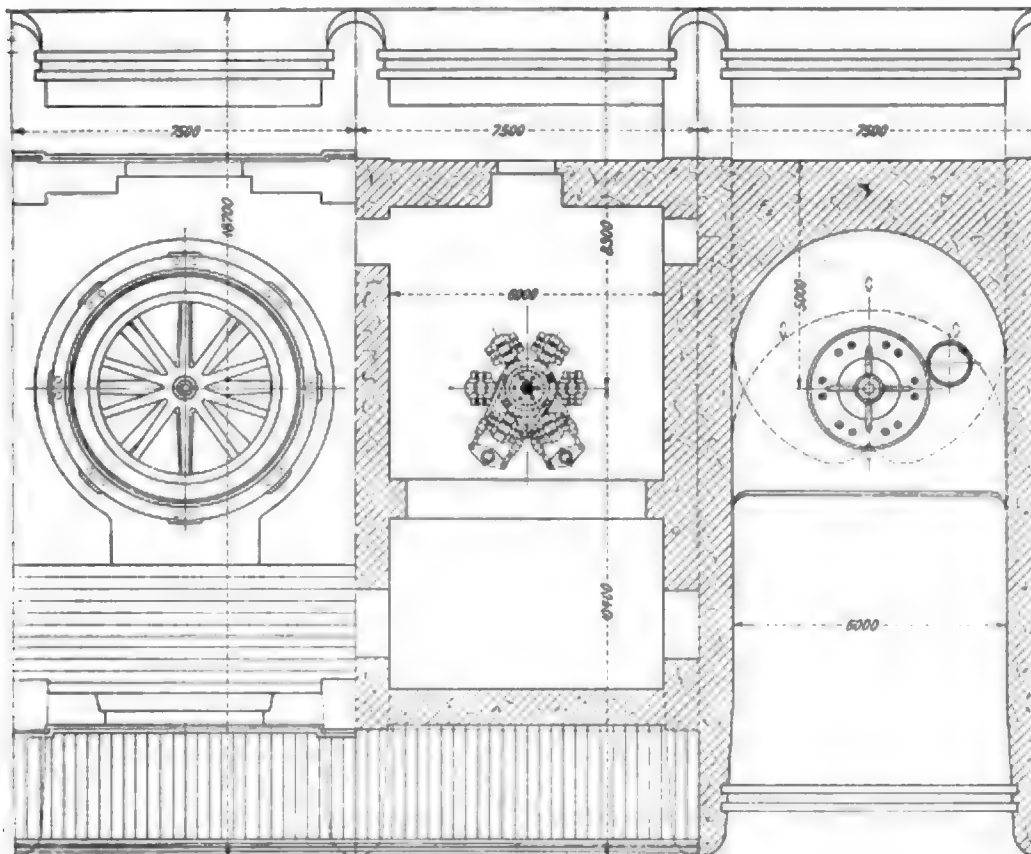


Fig. 5.



leichter zugänglich ist und einen besseren Wirkungsgrad hat.

Die neueren Regulir-
vorrichtungen haben
allgemein eine beson-
dere Maschine, den Ser-
vomotor, zum Verstellen
der Regulirschieber, und
einen Regulator, der
zum Steuern des Ser-
vomotors dient. Escher
Wyß & Co. verwenden
Pendelregulatoren mit
Federbelastung, die bei
geringem Gewicht große
Energie besitzen, und
deren Reibung sehr ge-
ring ist, da die Gelenke
als Schneiden ausgebil-
det sind. Bei der Aus-
führung der Servomoto-
ren haben Escher Wyß
& Co. von den mecha-
nischen, welche die Ver-
stellkraft durch Rie-
men oder Räder zu-
geleitet erhalten, mit
Hinblick auf die oft
ganz bedeutenden
Kräfte und die auf-
tretenden Stöße voll-
ständig abgesehen und
bauen nur hydraulische,
die mittels Druckwassers
oder Drucköles betrie-
ben werden. Da aber
das Wasser oft nicht ge-
nügenden Druck besitzt
oder zu unrein ist und
die Anlage einer eigen-
en Wasserleitung oder
Pumpe zu teuer werden
würde, so hat die Firma
in letzter Zeit die Aus-
führung eines neuen Re-
gulators, Bauart Weber,
aufgenommen, der eine
Vereinigung des mecha-
nischen und des hydrau-
lischen Servomotors dar-
stellt.

Für eine Francis-Turbinenanlage bei kleinem Gefälle bietet der Umbau im städtischen Licht- und Wasserwerk zu Schaffhausen, Fig. 1 und 2, ein doppelt bemerkenswertes Beispiel, erstens weil hier die Überlegenheit der Francis-Turbine über die Jonval-Turbine deutlich zutage tritt, und weil ferner durch vorhandene Bauten, gegebene Umlaufzahlen usw. besondere Schwierigkeiten geboten waren. Der Firma Escher Wyß & Co. war nämlich der Auftrag erteilt worden, im unteren Wasserwerk der Stadt Schaffhausen von den dort befindlichen drei



je eines oberhalb und unterhalb der Laufräder. Das Wasser strömt in axialer Richtung von oben und unten her in die Laufräder und tritt am Außenkranz in radialer Richtung aus. Das obere Leitrad jeder Turbine hat eine volle Scheibe, die in der Mitte eine Stopfbüchse für den Durchtritt der Welle trägt; ebenso hat das Laufrad eine volle Scheibe, das untere Leitrad dagegen ist offen. Auf diese Weise ist erreicht, dass das Wasser allein auf die untere Fläche der Laufradscheibe einen Druck ausübt und dadurch einen Teil der Gewichte ausgleicht. Infolge dieser Entlastung ist es möglich gewesen, statt eines Oeldrucklagers ein einfaches Ringspurlager zu verwenden. Die Turbinen werden durch Ringschieber reguliert, die das Laufrad umgeben, und zwar ist der Schieber jedes Rades zweiteilig, und beide Teile werden durch einen hydraulischen Regulator gegenläufig bewegt.

Die Zentrifugalturbinen haben die Vorteile großer Umlaufzahl bei kleinem Gefälle, einfacher Entlastung vom Wasserdruck und zumteil von dem Gewicht der Eisenmassen, guter Regulierung und hohen Wirkungsgrades. Als nachteilig ist aber zu bezeichnen, dass die Bauarbeiten etwas verwickelt werden. In Chèvres sind, wie bemerkt zu werden verdient, die Bauten in Zement-Eisen-Konstruktion ausgeführt.

Unter den von der Firma errichteten Anlagen von Francis-Turbinen für mittleres Gefälle ragt durch seine mächtige Ausdehnung das Kraftwerk der Stadt Lyon hervor, das mit seiner Leistung von 22000 PS die größte derartige An-

lage in Europa ist. Das Werk ist von der Société des Forces motrices du Rhône errichtet. Man hat oberhalb der Stadt Lyon einen Kanal von 18,6 km Länge gebaut, Fig. 6, und zwar ist der Oberwasserkanal 16 km, der Unterwasserkanal 2,6 km lang. Der erstere beginnt in der Nähe des Dorfes Jonage und liegt fast auf seiner ganzen Länge mit seiner Sohle auf gleicher Höhe wie das benachbarte Gelände. Auf der einen Seite konnte fast durchweg die natürliche Böschung als Damm verwendet werden,

Fig. 8.

Anlage bei Lyon. Turbine
von 1250 PS.

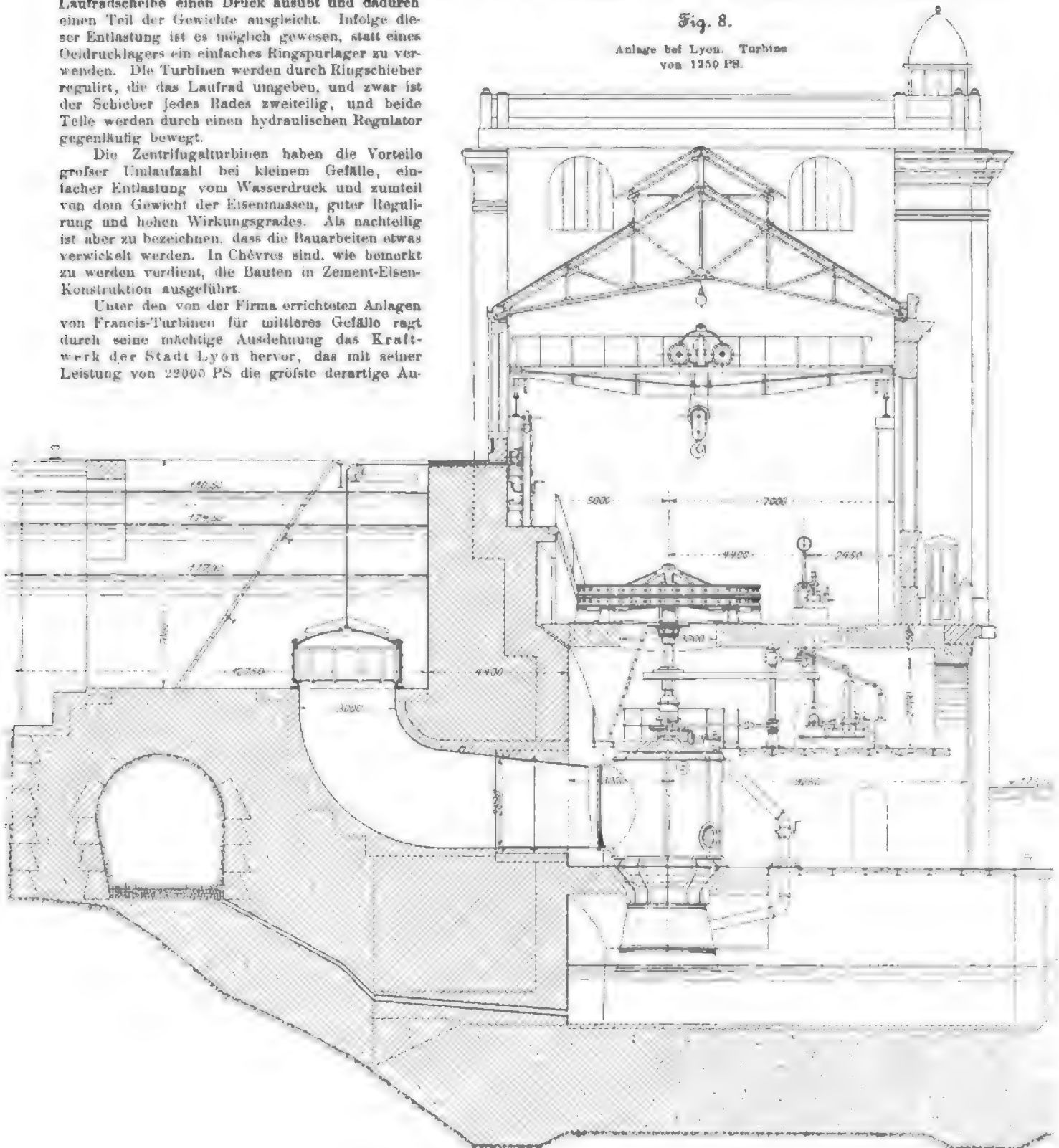
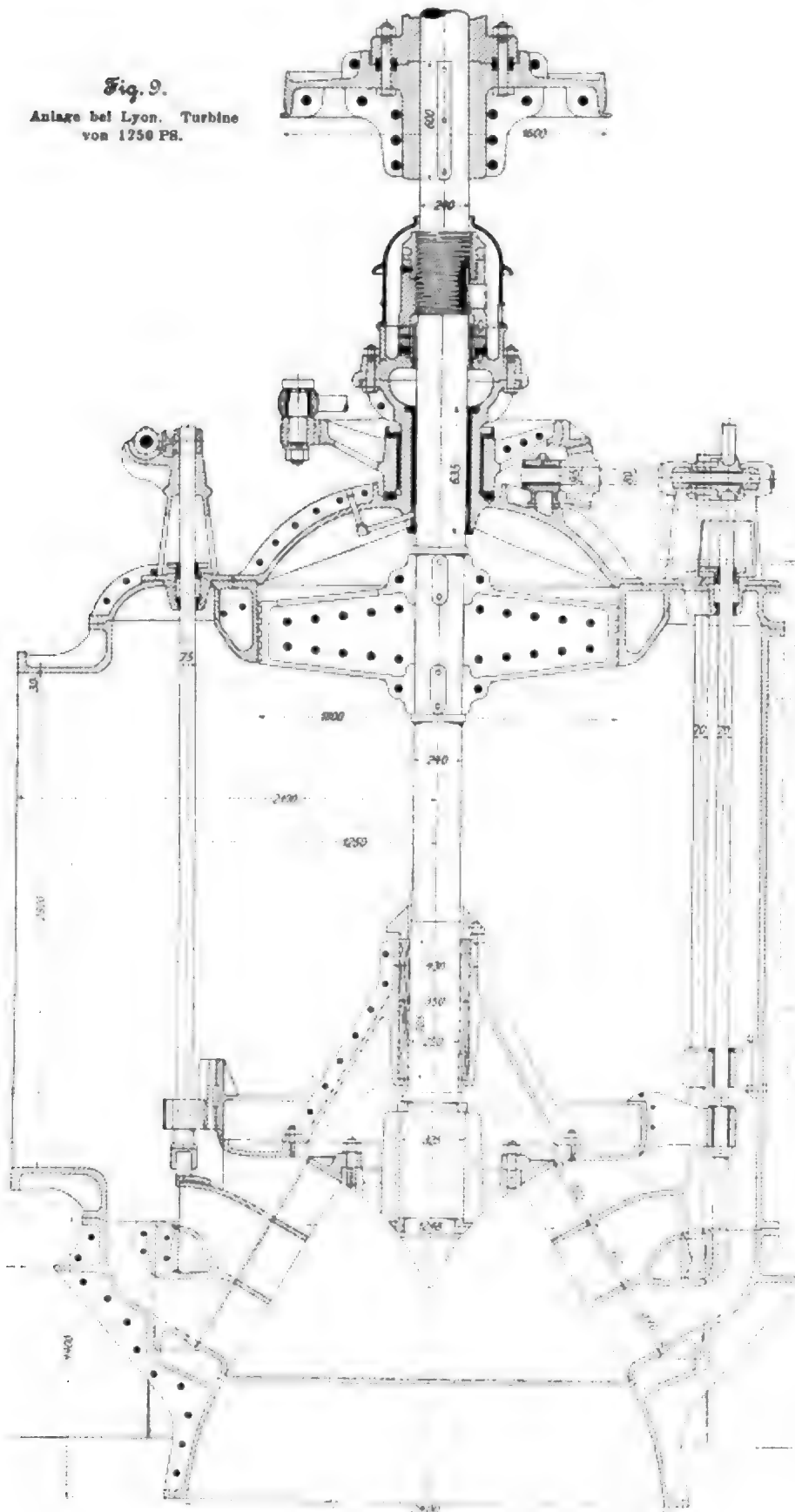


Fig. 9.
Anlage bei Lyon. Turbine
von 1250 PS.



auf der andern war es erforderlich, einen künstlichen Damm aufzuschütten. Bei Cusset liegt das Turbinenhaus, Fig. 7, das sich quer über den Kanal hinreckt und 160 m lang ist. Der Unterwasserkanal musste durchweg ausgehoben werden, wobei man die zu entfernenden Erdmassen für den anzuschüttenden Damm des Oberwasserkanales verwendete. Die Breite des Oberwasserkanales schwankt zwischen 60 und 105 m, die geringste Wassertiefe beträgt 2,5 m. Zwischen km 9 und 11 erweitert sich der Kanal zu einem gewaltigen Becken von 150 ha Oberfläche, das sich aus der Bodengestaltung ohne besondere Kunstbauten von selbst ergab. Oberhalb dieses Beckens ist ein Ueberlauf angeordnet, damit das Wasser im Kanal nicht über eine bestimmte Höhe steigen kann. Der Kanal ist zugleich für die Bewässerung der Felder und für die Schifffahrt bestimmt. Für letzteren Zweck ist beim Turbinenhaus eine Schleuse von 160 m Länge und 18 m Breite angelegt. Doch scheint es, als ob der Kanal für seine Nebenzwecke noch nicht häufig verwendet wird. Das durch den Kanal gewonnene Gefälle beträgt 10 bis 12 m; bei starkem Hochwasser kann es jedoch auf kurze Zeit bis auf 8 m herabsinken. Der Kanal hat recht erhebliche Schwierigkeiten bereitet. Zuerst waren die natürlichen Dämme nicht dicht genug und mussten durch Kunstbauten ergänzt werden; später zeigten sich die aufgeschütteten Dämme undicht, besonders nicht genügend gegründet; schließlich erwies sich auch die Kanalschle in der Nähe des Turbinenhauses undicht, der Boden war sumpfig und musste auf eine lange Strecke mit Beton belegt werden.

Infolge dieser widrigen Umstände wurde die Fertigstellung arg verzögert, und die Baukosten wuchsen recht erheblich. Zur Zeit sind in dem Unternehmen 45 Mill. frs festgelegt; der Kanal nebst Turbinenhaus kostet rd. 22 Mill., die Turbinen, Dynamos, Motoren und Leitungen bis Ende 1899 rd. 10 Mill., und

die übrigen Kosten für Erteilung der Bauerlaubnis, Land-
erwerb und dergl. betragen rd. 6 Mill. Bis jetzt sind 8 Tur-
binen zu 1250 PS, 3 zu 250 und 2 zu 1500 PS aufgestellt.
6 weitere Einheiten von je 1500 PS sind in der Fabrik von
Escher Wyß & Co. in der Ausführung begriffen. Sämtliche

Die Einlaufkanäle sind außerdem noch durch schwimmende
Spundwände zu schließen. Das Krafthaus, Fig. 8, hat 3 Ge-
schosse, das unterste für die Turbinen, das zweite für die
Regulirgetriebe, die Spurlager und die Ölpumpen, und das
dritte für die Dynamos und die hydraulischen Regulatoren.

Die Räume sind sehr gut zugänglich
und zeichnen sich durch Helligkeit und
Reinheit aus.

Die Turbinen von 1250 PS, Fig. 8
und 9, stecken in einem Gehäuse von
Gussisen. Sie machen 120 Uml./min,
und ihre Welle ist mit der Dynamo-
welle gekuppelt. Jede Turbine hat drei
Kranze, von denen der oberste nur
bei Hochwasser, also bei niedrigem Ge-
fälle, in Betrieb kommt. Der Regulirschie-
ber dieses Kranzes, der für gewöhnlich
geschlossen ist, kann deshalb in das Re-
gulirgetriebe ein- und ausgeschaltet wer-
den. Alle drei Kranze werden durch senk-
recht bewegte Ringschieber regulirt, die
das Leitrad außen umgeben. Die Schlie-
ber der beiden unteren Kranze bewegen

Fig. 10.

Anlage bei Lyon. Regulator
der Turbine von 1250 PS.

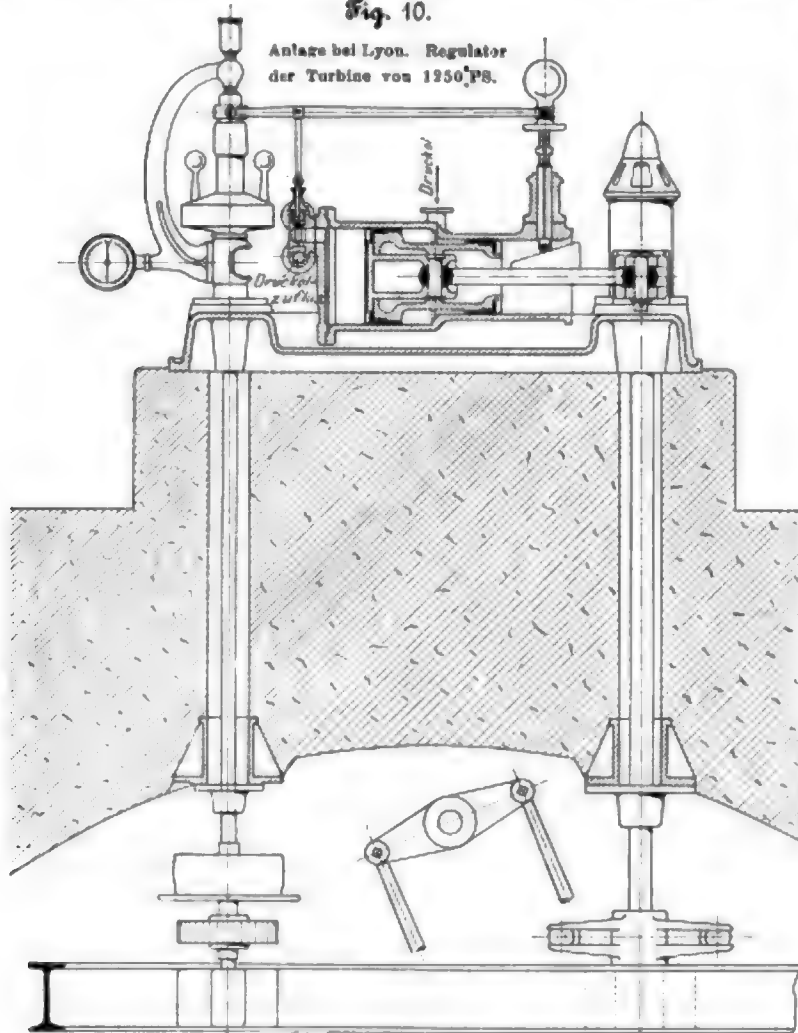
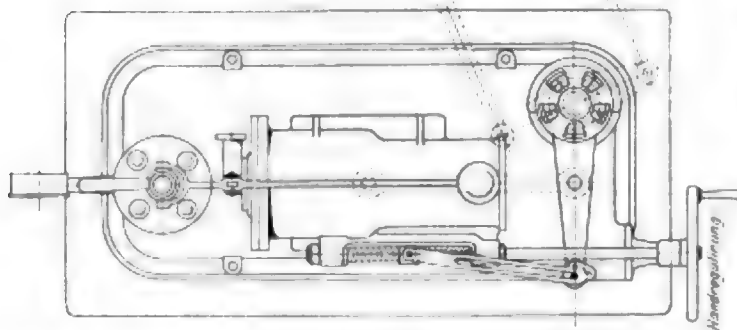


Fig. 11.



Turbinen sind mit Drehstromdynamos von der Firma Brown,
Boveri & Co. gekuppelt.

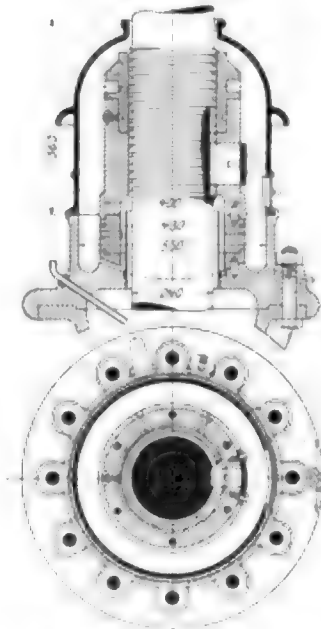
Das Wasser wird jeder Turbine, welche geschlossen ausge-
führt ist, durch ein besonderes Rohr zugeführt; wie Fig. 8 und 12
zeigen, kann jedes Rohr durch eine Glocke abgesperrt werden.

jede Turbine eine besitzt.

Oben an der Turbinenwelle befindet sich ein Entlastungs-
kolben mit Labyrinthdichtung, dessen untere Seite dem
Wasserdruck ausgesetzt ist, während das auf die obere
Seite hindurchdringende Wasser durch ein mit dem Saug-

Fig. 12.

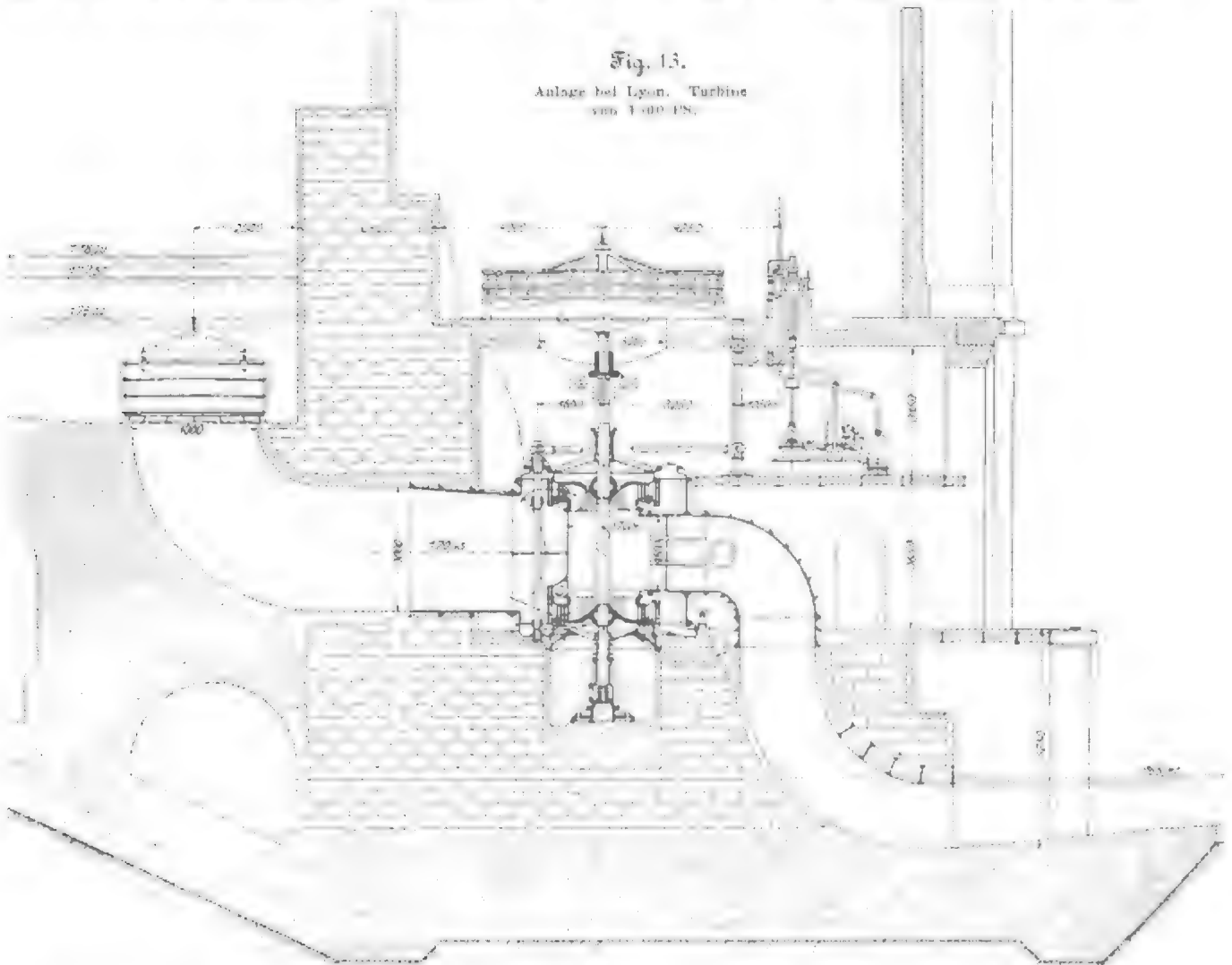
Anlage bei Lyon. Zapfen der Turbine
von 1250 PS.



sich gegenläufig und sind derartig mit
einander verbunden, dass ihre Gewichte
sich ausgleichen und der Regulator nur
die Reibung des Gestänges zu überwin-
den hat. Der Servomotor des Regulators,
Fig. 10 und 11, enthält einen Differentialkol-
ben, dessen kleinere Fläche beständig unter
Öldruck steht, während der Zutritt zu
der größeren Kolbenfläche durch einen
Fliehkraftregler beeinflusst wird. Auf
der Kolbenstange ist eine keilförmige
Führung befestigt, um beim Vorrücken
des Druckkolbens den Regulator in
seine Mittelstellung zurückzuführen. Das
für den Servomotor erforderliche Drucköl
wird durch Pumpen geliefert, von denen

rohr verbundenes Rohr abgeführt wird. Hierdurch werden von der Gesamtbelastung, die 42,685 t beträgt, 22 t aufgehoben. Der übrig bleibende Rest von 20,685 t wird durch ein Ringlager, Fig. 12, von rd. 745 qcm Druckfläche aufgenommen. Infolge dieser verhältnismäßig geringen Belastung konnte man von einer Schmierung durch Drucköl beim Lager absehen. Man hat vielmehr den unteren Teil des Lagergehäuses als Ölbehälter ausgebildet, von dem aus das Öl durch schräge Bohrungen in einem innenliegenden Ringraum ansteigt. Von hier tritt es in Schmiernuten ein, die in die untere Lagerlinse, und zwar schräg zum Umfange, eingearbeitet sind. Die obere sich drehende Lagerlinse enthält ähnliche, aber entgegengesetzt gerichtete Schmiernuten, sodass bei der Drehung hinreichend viel Öl aufgenommen wird.

wesentlich von der oben dargestellten ab. Sie sind nämlich als Doppelturbinen ausgeführt, was notwendig erschien, um ihnen eine größere Leistung zu geben, und weil es sich gezeigt hatte, dass die Schwankungen des Gefälles stärker sind und häufiger auftreten, als anfänglich angenommen war. Die beiden Turbinenkränze haben einen gemeinschaftlichen geschlossenen Saugraum, an den sich ein teils aus Blech, teils aus Gusseisen ausgeführtes Saugrohr anschliesst, das schließlich in einen betonierten Kanal übergeht. Der Querschnitt des Saugrohres wächst allmählich, sodass das Wasser äußerst ruhig austritt. Die beiden Turbinenkränze werden durch Finksche Drehklappen reguliert, deren Bewegung von einem mit Oeldruck arbeitenden Servomotor, wie zuvor, abgeleitet wird. Infolge der getroffenen Anordnung heben sich die



Das überschüssige Öl tritt am Umfange der Linse aus, um seinen Kreislauf von neuem zu beginnen. Wenn die Zapfenringe herausgenommen werden sollen, so wird zunächst die oben am Lager sitzende Mutter gedreht, worauf sich die Turbine senkt. Die Bewegung nach unten hört auf, sobald sich die Turbine unten auf den Ring des Gehäuses aufsetzt. Wird dann die Mutter noch weiter gedreht, so hebt sich das Lager in die Höhe, und man kann die zweiteiligen Lagerringe herausziehen.

Die Turbinen von 250 PS, welche zum Antriebe der Erregerdynamos dienen, zeigen die gleiche Konstruktion und Anlage wie die eben erwähnten, mit entsprechend geringeren Abmessungen.

Die zuletzt gelieferten Turbinen von 1500 PS, Fig. 13, machen ebenfalls 120 Uml./min; ihre Konstruktion weicht aber

Wasserdrücke, welche auf die Räder wirken, vollkommen auf; dasselbe ist hinsichtlich der Saugwirkung der Fall. Zur Entlastung der Gewichte ist die Scheibe des unteren Laufrades als Druckscheibe benutzt, unter welche das Wasser freien Zutritt hat. Die Scheibe des oberen Laufrades hingegen ist durchbrochen, sodass auch über ihr der Druck des Saugraumes herrscht. Durch diese Anordnung ist der auf den Zapfen entfallende Druck derartig gering, dass ein verhältnismäßig kleiner, in üblicher Weise konstruierter Spurzapfen vollkommen genügt.

Als Wirkungsgrad der Turbinen waren bei einem Gefälle von 10 bis 12 m 76 vH gewährleistet, doch ist diese Zahl beträchtlich überschritten worden. Für die Turbinen von 1250 PS war für ein Gefälle von 8 m eine Leistung von 1350 PS ausbedungen. Bei Versuchen, die bei einem mittlere-

(Schluss folgt.)

(Fortsetzung von S. 1038)

Eigenartig ist das Krangerüst, Fig. 113. Der Kranwagen besteht aus einem Sternstück, dessen vier diagonal gegen das Gleis gerichtete Arme aus Kasten-trägern sich mit Gelenkzapfen auf vier Balanciers aus Walzisen

Fig. 113.

Akkumulatorenkran
von de Mocomble.

Technical drawing of a battery crane (Akkumulatorenkran) by Mocomble. The crane is mounted on a four-wheeled carriage. It features a large gear mechanism for lifting, with a hook at the end of a long arm. Dimensions are indicated: 5500, 2500, 275, 1925, 3750, 4250, 5000, and 6000. The drawing includes dashed lines indicating the crane's range of motion and a cross-section of the carriage.

Fig. 114.

stützen, die ihrerseits auf den acht Endzapfen der vier Achsen gelagert sind. Die Einschaltung des Balancers bezweckt möglichst gleichmäßige Druckverteilung auch bei schlecht ausgerichteten Schienen. Die Enden der Sternarme sind durch Gitterträger ausgesteift und tragen vier Zugspindeln, an die zwei

7 m lange und 0,9 m breite Kastenträger so angehängt sind, dass sie das Verfahren des Kranes nicht stören, Fig. 120. Zum Hochnehmen von Lasten über 8 t werden diese Zugspindeln nachgelassen, die Kastenträger dadurch bis auf den Boden gesenkt und gleichzeitig etwas nach außen geschwenkt.

Nun werden vier starke Stützspindeln, die in kräftigen Gussstücken an den Sternarmen geführt sind, heruntergeschraubt und dadurch der Kran auf eine 4,9 m breite und 7 m lange Standfläche abgestützt.

Die Mitte des Sternstückes ist durch quadratische Gurtplatten kräftig versteift und trägt mittels umgebördelter Blechringe eine aus gebogenen Blechen vernietete kegelige Hohl säule. Diese Walzeisen säule nimmt das gesamte Biegemoment und den gesamten Vertikaldruck des drehbaren Kranteiles auf, ohne dass Stützrollen zuhilfenommen wären. Zu diesem Zweck ist in das obere Ende der Säule ein Spurzapfen eingesetzt, während am unteren Ende eine abgedrehte Lauffläche zur Stützung eines frei drehbaren Walzenkranzes angebracht ist, der den unteren Horizontaldruck auf die Säule überträgt.

Der drehbare Kranteil setzt sich zusammen aus einem pyramidenförmigen Blechkasten, der sich mit einem eingelassenen Gussstück auf den Spurzapfen stützt, und aus einer Walzeisen-Plattform, die mittels vier Zugstangen an das Gussstück angehängt ist. An die Plattform ist vorn der gebogene Ausleger gelenkig angeschlossen und durch Zugstangen mit lösbarem Schloss ebenso mit der Säule verbunden; rückwärts trägt die Plattform die als Gegengewicht ausgenutzte Akkumulatoren batterie.

Die Batterie ist in zwei von einander völlig unabhängige Hälften geteilt, damit die Möglichkeit gegeben ist, bei festgestelltem Kran die eine Batteriehälfte zu laden, während die andere arbeitet. Die beiden Hälften sind rechts und links von dem Ket-

Fig. 115.

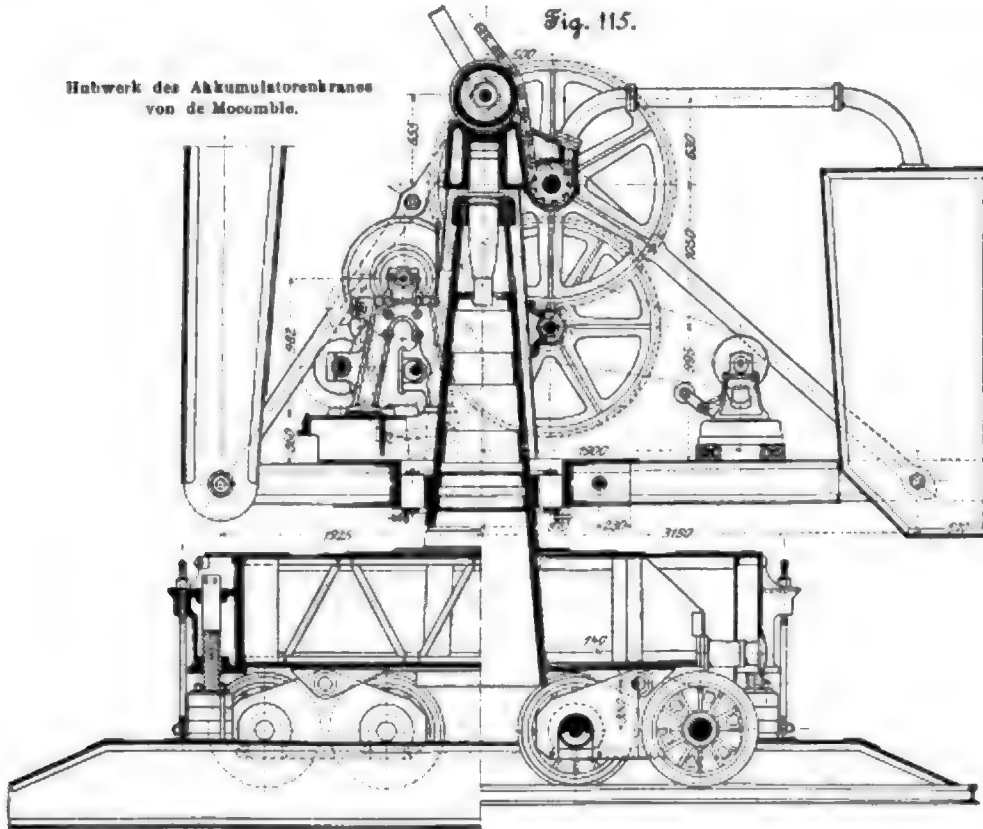
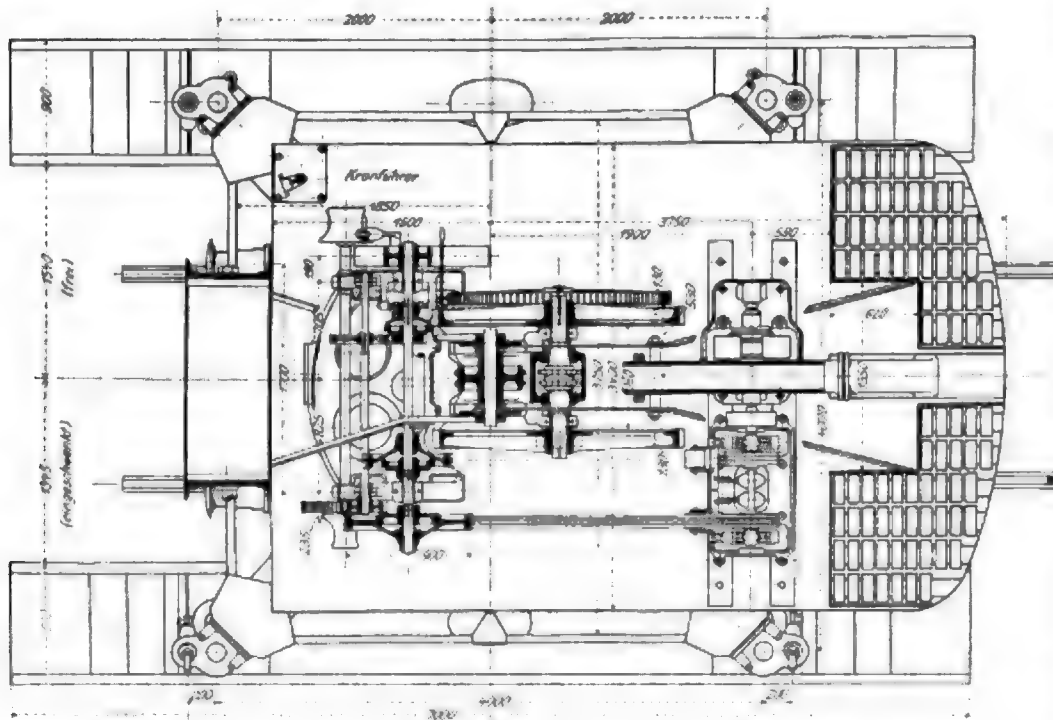
Hubwerk des Akkumulatorenkranes
von de Mocomble.

Fig. 116.



tenkasten aufgestellt, und zwar in je zwei über einander stehenden Blechkasten in der Weise, dass die unteren Zellen zugänglich sind, ohne dass die oberen entfernt werden müssen. Jede Hälfte besteht aus 96 Straßenbahn-Tudor-Zellen, die nach dem Verfahren von Planté formiert sind. Jede Zelle enthält zwei positive und drei negative Platten von 270×200 mm Fläche und 13 mm Stärke. Da die wirksame Oberfläche 8,5 mal so groß ist wie die scheinbare, so arbeitet die aktive Fläche

bei 60 Amp mit einer Stromdichte von 0,75 Amp/qdm. Das Laden wird bei konstanter Spannung von 225 bis 250 V mit einer Anfangsstromstärke von 100 bis 125 Amp und einer Endstromstärke von 40 bis 50 Amp für jede Batteriehälfte ausgeführt; das Laden der vollständig erschöpften Batterie erfordert $1\frac{1}{2}$ st. Die Entladestromstärke ist je nach Art der Kranbewegung sehr schwankend und wechselt von einigen Ampère beim Heben des leeren Hakens bis zu 100 Amp beim

Heben von 25 t. Die nutzbare Kapazität jeder Batteriehälfte kann unter diesen Umständen auf 80 bis 100 Amp-st geschätzt werden, sodass bei 180 bis 195 V Entladespannung ein Arbeitsvorrat jeder Batteriehälfte von ungefähr $2 \times 16 = 32$ KW-st zur Verfügung steht. Mit diesem Vorrat ist der Kran imstande, 6 bis 7 st lang zu arbeiten.

Thatsächlich kehrt der Kran von Zeit zu Zeit an seinen Standplatz zurück, wo bei gleichzeitiger Thätigkeit eine Batteriehälfte wieder aufgeladen wird, sodass der Kran ununterbrochen arbeiten kann.

Die gesamte Batterie wiegt 4224 kg, deckt daher den größten Teil des erforderlichen Gegengewichtes.

Die Schalttafel enthält:

1 Regelwiderstand für das Laden der Batterie mit Augenblicksausschalter, Minimalausschalter, Ampèremesser und Voltmeter,

1 Umschalter für Anschluss der einen oder andern Batteriehälfte an die Ladeklemmen,

1 Umschalter für Anschluss der einen oder andern Batteriehälfte an den Motor,

1 Anlasser für den Motor,

1 Umschalter für den Motor zum Senken des leeren Hakens.

Der Elektromotor ist dicht an der Batterie aufgestellt und vermag 20 PS bei 850 Uml/min abzugeben. Er ist als Nebenschlussmotor mit besonders starkem Feld ausgeführt, um beim Anfahren ein Anzugmoment gleich dem 1,5 fachen des normalen Moments entwickeln zu können.

Hubwerk, Fig. 115 und 116. Mit der Ankerwelle ist ein Vorgelege gekuppelt, das zwei drailillige Seilscheiben trägt; mittels belasteter Spannrollen übertragen die Seile die Energie auf eine stetig laufende Welle, die 375 oder 550 Umdrehungen macht, je nachdem die eine oder

Fig. 117.

Dreh- und Fahrwerk des
Akkumulatorkranes von de Mocomble.

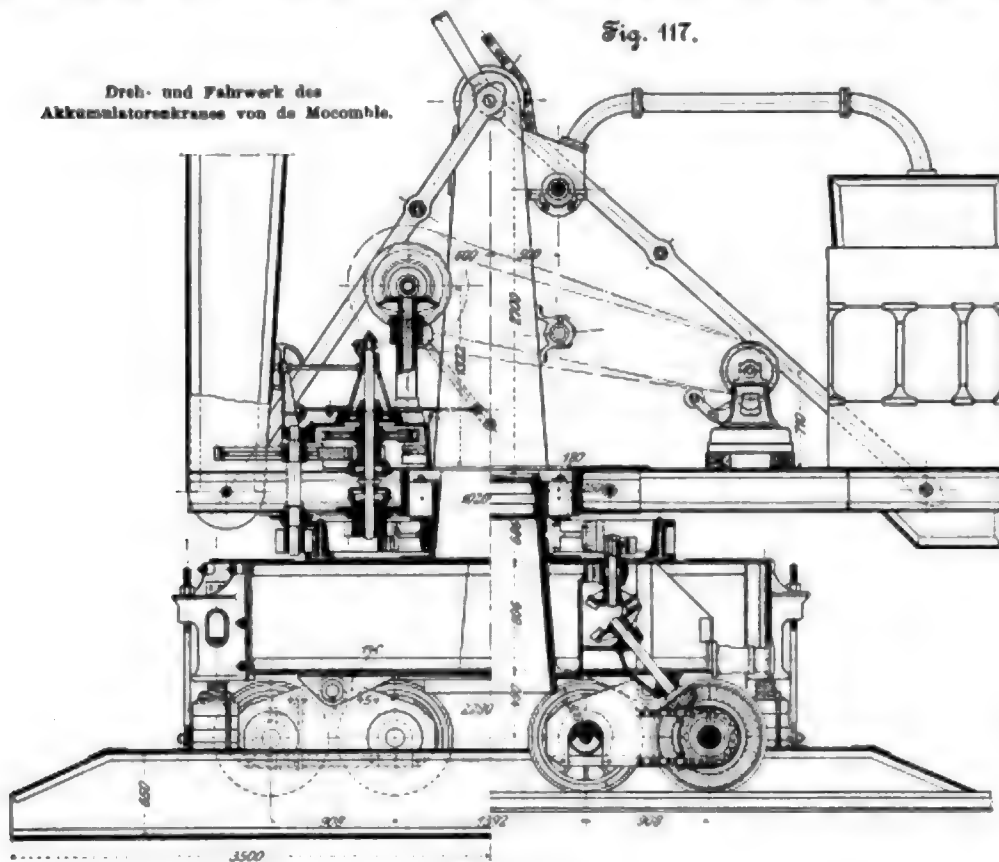
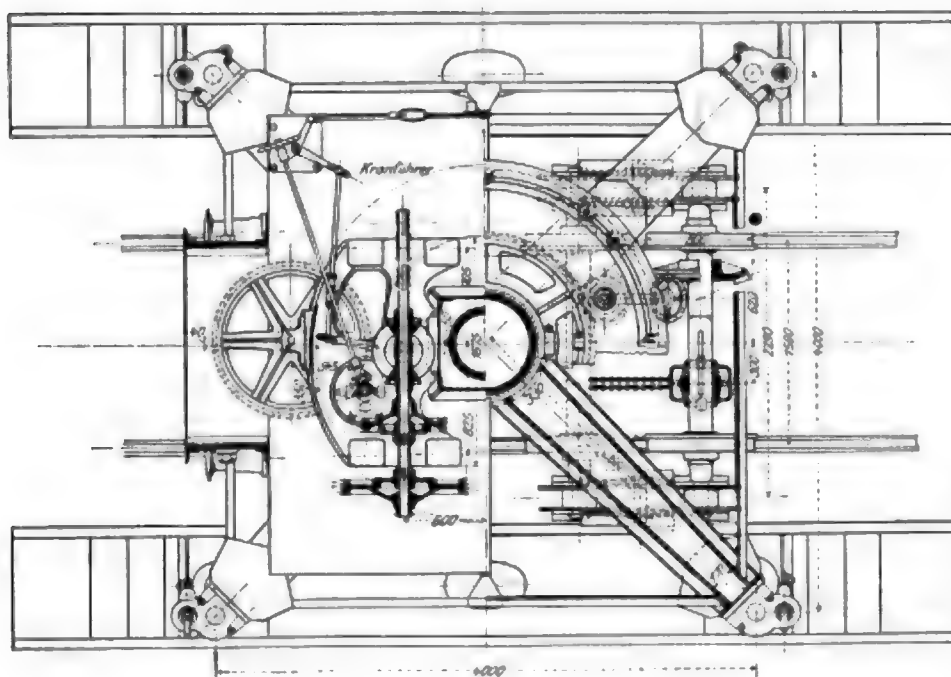


Fig. 118.



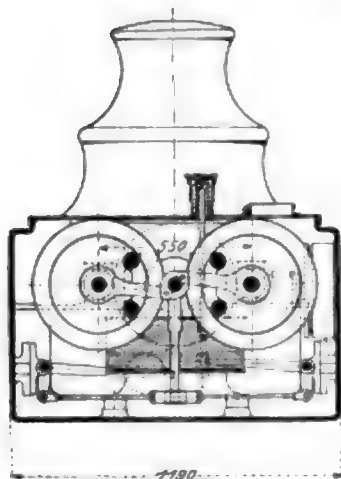
Der Ausleger nimmt während des Betriebes eine un-
Anderliche mittlere Stellung ein; Senken des Auslegers
ist nur notwendig bei Durchfahrt durch das Hallenportal,
s. Fig. 113; Heben ist nur erforderlich, um vollbeladenen Eisen-
bahnwagen das Normalprofil zwischen den beiden Kranen
freizugeben, Fig. 119. Dieses Heben und Senken des leeren
Auslegers wird einfach in der Weise bewirkt, dass der Haken
bis dicht an den Auslegerkopf gefahren wird, worauf das
Zugstangenschloss gelöst und nun mit der Gallechen Kette
und dem Hubwerk bis zur gewünschten Stellung gehoben
wird. Die hohe Lage der Nusswelle giebt auch bei tiefer
Auslegerstellung einen ausreichend großen Hebelarm.

Fig. 120 giebt Aufschluss über die Gewichte und die
Standfestigkeit des Kranes in abgestüttem und in fahrbarem
Zustande und zeigt gleichzeitig die Lage der Stützscheit-
en in beiden Zuständen. Aus Fig. 121 ist ersichtlich, wie die
beiden Krane zusammenarbeiten, wenn Gewichte über 25 t zu
heben sind.

VI. Winden.

Dampfhaspel für Bergwerke und Dampfschiffwinden in
üblicher Bauart waren von verschiedenen französischen Wer-
ken ausgestellt worden, boten indessen weder hinsichtlich An-
ordnung noch hinsichtlich Eisenkonstruktion irgend etwas
Neues und Bemerkenswertes.

Fig. 122.



Eine elektrisch betriebene Schiffs-
winde von 1 t Tragkraft bei 1,5 m/sk Hub-
geschwindigkeit war von der Lidger-
wood Mfg. Co. in New York ausgestellt
worden. Sie ist in Z. 1900 S. 1692 Fig. 22
bis 25 dargestellt.

Den Antrieb besorgt ein Straßen-
bahnmotor von 25 PS bei 320 Uml./min
mit angebaute Stirnradvorgelege 1:2,75.
Es war also zwischen dieses Vorgelege,
das mit $\frac{320}{2,75} = 116$ Umdrehungen läuft,
und die Seiltrommel von 510 mm Dmr.,
die 68 Umdrehungen macht, nur noch
eine Stirnradübersetzung von 1:2 einzu-
schalten. Die erwähnte Vorgelegewelle
ist in den beiden an den Motor ange-
gossenen Lagern und außerdem noch in
den beiden Windenschilden, insgesamt also an vier Stellen
gelagert, was bei der geringen Wellenlänge von 1,5 m recht
überflüssig erscheint. Die Stirnräder zwischen Motor und
Vorgelege sind mit geschnittenen Zähnen ausgeführt und in
ein Gussgehäuse eingekapselt, während die Stirnräder zwischen
Trommel und Vorgelegewelle nur rohe Zähne haben und frei-
liegend laufen, trotzdem ihre Zahngeschwindigkeit beinahe
ebenso groß wie die der ersten Räder ist.

Fig. 123.

Elektrisches Spill der Compagnie de Fives-Lille.

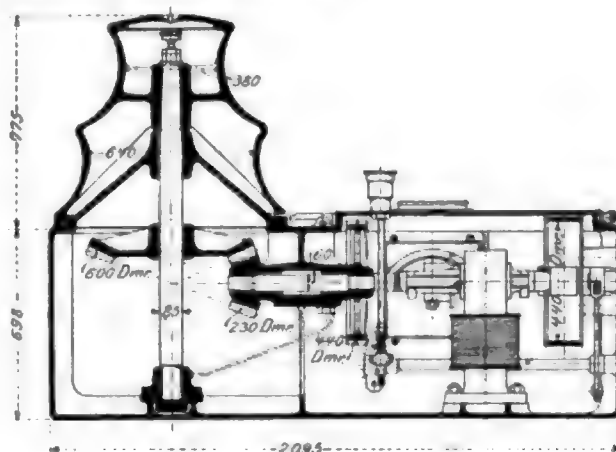
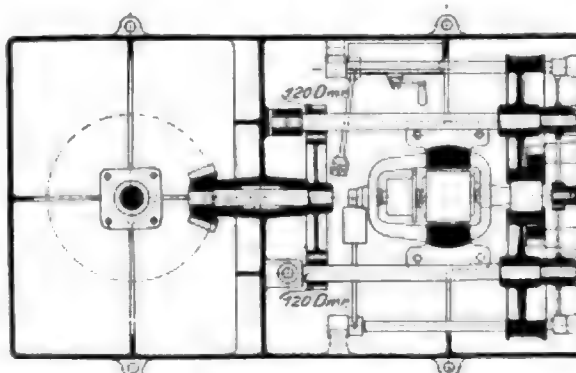


Fig. 124.



Bei Verschleißleistung auf das an den Motor angebaute
Vorgelege hätte sich mit einem Stahlgetriebe von 200 mm
Dmr. und einem Gegenrad mit Bronzekranz von 1000 mm
Dmr. gleiche Raumbeschränkung erzielen lassen bei nur
einem einzigen Räderpaar und bei nur vier Lagern gegen
acht Lager und zwei Räderpaare der ausgestellten Winde.

Die Wahl eines Motors mit nur 320 Umdrehungen ist
sehr vorteilhaft, da sie die Reibungs- und Massenwiderstände
im Triebwerk beträchtlich beschränkt.

Ein elektrisch betriebenes Spill, Fig. 122 bis 124, zum Ver-
holen von Eisenbahnwagen mit einer höchsten Zugkraft von 0,8 t
bei 0,6 m/sk Geschwindigkeit war von der Compagnie de
Fives-Lille zur Schau gestellt worden. Das Verholen er-
fordert bekanntlich eine beträchtliche Zugkraft im ersten Au-
genblick der Bewegung, während der Widerstand bei Fahrt
nur etwa ein Drittel so groß ist. Umgekehrt soll die Ge-
schwindigkeit beim Anfahren gering sein — rd. 0,6 m/sk —,
bei voller Fahrt dagegen auf etwa das Doppelte — rd. 1,2 m/sk
— wachsen. Endlich ist dafür Sorge zu tragen, dass das
Spill beim Abwerfen des Seiles nicht durchgeht, und dass
Motor und Triebwerk wasserdicht eingebaut und trotzdem zu-
gänglich sind.

Diese Bedingungen erfordern einen sehr widerstands-
fähigen, feuersicheren und leicht gangbaren Anlasser mit
Hauptstrommotor und Kurzschlussbremsung. Um den Schwierig-
keiten zu entgehen, welche die Konstruktion eines solchen Anlagers
bietet, hat das ausfüh-
rende Werk das Patent
von F. Singre zur An-
wendung gebracht, das
einen ständig laufenden
Motor mit Reibrädern
benutzt. Zur Verhin-
derung des Durchgehens
bei Ausrücken der Reib-
räder ist der Haupt-
strommotor mit einer zu-
sätzlichen Nebenschluss-
wicklung versehen. Der
Motor läuft leer mit
1500, vollbelastet mit
1000 Uml./min.

Weitere Geschwindig-
keitssteigerung ist durch
Anwendung einer ge-
stufen Spilltrommel ge-
wonnen. Der Anlasser
ist nur für Leeranlauf
bemessen.

Die gewöhnlichen
Reibräder haben be-
kanntlich folgende Nach-
teile: Vor Beginn des
Anlaufes fräst das lau-
fende Getriebe eine
Fläche an das stillste-
hende Rad, sodass letz-
teres mehr und mehr
unrund wird, wenn es
nicht aus sehr viel här-
terem Material besteht
als das Getriebe. Fern-
er führt der notwendige
starke Anpressungs-
druck hohe Lagerpres-
sungen herbei, die zu

Verbiegungen der Achsen, zu starker Abnutzung und zu schlech-
tem Wirkungsgrad Veranlassung geben. Diese Nachteile wer-
den bei den Reibrädern, Patent Singre, Fig. 124, in folgender
Weise beseitigt oder wenigstens vermindert: Auf das große
Reibrad ist zunächst lose drehbar ein Ring aus Leder und
auf dieses ein lose drehbarer Stahlring gelegt; infolgedessen
findet das Gleiten während der Anlaufperiode nicht an der
kleinen Arbeitsfläche statt, sondern an der großen nicht arbei-









ganz anders beansprucht. Die vielen oft sehr plötzlichen Zapfungen in den Häusern werden bei der Prüfung nicht berücksichtigt, und diese unregelmäßige Entnahme von kleinen Mengen hat einen sehr nachteiligen Einfluss auf die richtige Anzeige der Messer. Durch einige Versuche wurde dies bestätigt.

Sitzung vom 25. Februar 1901.

Vorsitzender: Hr. Helck. Schriftführer: Hr. Bonte.
Anwesend 29 Mitglieder und 5 Gäste.

Hr. F. Winawer spricht über das Elektrizitätswerk Karlsruhe.

Der Bau des Elektrizitätswerkes Karlsruhe wurde im Jahre 1898 beschlossen. Für den Betrieb wurde Drehstrom gewählt, wofür der Vortragende die Gründe auseinandersetzt. Das Elektrizitätswerk befindet sich in der Nähe des Rheinhafens auf städtischem Gebiet.

Als Primärspannung sind 4000 V angenommen. Diese Spannung wird durch 3 Dampfdynamos von je 400 KW Normal- und 540 KW größter Leistung erzeugt, die einzeln erregt werden. Die Erregerspannung beträgt 70 V.

Die Spannung im Verteilungsnetz ist zu 120 V gewählt. Das Speisewasser für die Dampfkessel wird von 2 elektrisch betriebenen Zubringerpumpen von je 20 cbm/st Leistung einem Brunnen entnommen und einem Wassereinleiter zugeführt, aus dem es in 2 Behälter von 100 cbm Inhalt gelangt. Aus diesen wird es durch Dampfspeisepumpen von je 30 cbm/st Leistung entweder durch einen Economiser oder unmittelbar in die Kessel gedrückt.

Die Dampfkesselanlage besteht aus 6 Steinmüller-Kesseln von je 200 qm wasserberührter Heizfläche. Die Dampfspannung beträgt 9,5 at. Die Dampfmaschinen sind für überhitzten Dampf von 250° eingerichtet. Die Ueberhitzer haben je 57 qm Heizfläche.

Der Raum hinter den Kesseln ist für die Unterbringung der meisten Rohrleitungen benutzt. Alle zu den Dampfmaschinen gehörigen Leitungen sind im Fundamentraum übersichtlich angeordnet. Die Rohrleitung ist im Ringssystem bis an die Absperrventile der Dampfmaschinen herangeführt.

Für den ersten Ausbau des Elektrizitätswerkes sind 3 Dampfdynamos von je 600 PS vorgesehen. Die Dampfmaschinen sind von der Firma G. Kuhn, Stuttgart-Berg, als Tandemmaschinen mit Kuchenbeckerscher Ventilsteuerung¹⁾ ausgeführt. Die Dynamomaschinen der Gesellschaft für elektrische Industrie, Karlsruhe, sind als Schwungraddynamos ausgebildet. Das Schwungrad hat 34000 kg Gewicht und 66 Pole. Bei Beschädigungen der Spulen können die Gehäuse zusammen mit dem Schwungrad gedreht werden, wodurch die einzelnen Spulen bequem zugänglich gemacht sind.

Die Erregermaschinen sind der Form nach den großen Drehstrommaschinen durchaus ähnlich. Die Bürsten der Erreger können gleichzeitig verschoben werden. Die Anker sind so eingerichtet, dass sie bei Bedarf mit Leichtigkeit herausgezogen werden können.

¹⁾ s. Z. 1896 S. 43.

Im Maschinenhause ist Platz für eine Maschine von 1000 PS vorgesehen, und ebenso hat man bei der Raumbemessung des Kesselhauses auf weitere 2 Doppelkessel Rücksicht genommen.

Während der Fundamentraum des Maschinenhauses nach dem Kesselhaus zu für die Rohrleitungen bestimmt ist, sind in dem Raum nach dem Verwaltungsgebäude zu die elektrischen Leitungen untergebracht. Die einzelnen Dynamos sind mit der Schalttafel durch dreifache eisenbandarmierte Kabel verbunden. Die Schaltanlage selbst ist sehr geräumig und zerfällt im wesentlichen in 2 Teile: für die hohe und für die niedrige Spannung.

Vom Krafthause aus wird der Strom nach den beiden Speisepunkten (der erste auf dem Ludwigsplatz, der zweite bei der kleinen Kirche in der Kreuzstrasse) geleitet und von hier aus das Hochspannungsnetz mit Strom versehen.

Für den ersten Ausbau ist angenommen, dass durch die Speiseleitungen je rd. 500 KW nach den beiden Speisepunkten geleitet werden. Als Speiseleitungen sind versilberte Kabel von 3×120 qmm Querschnitt gewählt. Die Speisepunkte sind als unterirdische Schächte angeordnet. Sie dienen vor allen Dingen als Schaltstellen, indem hier die Speisekabel an die Sammelschienen angeschlossen werden und von diesen wieder die Hochspannungskabel nach den übrigen Transformatoren gehen. Gleichzeitig sind aber auch die Speisepunkte selbst als Transformatoren und zwar so groß vorgesehen, dass hier wie in jeder anderen Transformatorenstation 2 Transformatoren von je 30 KW Leistung Aufstellung finden können.

Als Verteilungsleitungen für die Hochspannung sind durchweg Kabel von 3×35 qmm Querschnitt, bei Ausläufern solche von 3×25 qmm verwendet.

Die beiden Speisepunkte sind durch ein Hochspannungsausgleichskabel von 3×70 qmm verbunden, das späterhin auch die etwaigen weiteren Speisepunkte mit einander verbinden soll.

An Speisekabeln sind rd. 8 km, an Verteilungs-Hochspannungsleitungen von 3×35 qmm rd. 12 km und von 3×25 qmm 1 km verlegt.

Was die Spannungsverluste des Netzes anlangt, so sind sie im Hochspannungsnetz nicht von ausschlaggebender Bedeutung. In dem Speisekabel vom Maschinenhause nach den Speisepunkten ergeben sich rd. 2 vH Spannungsverlust, in den Verteilungskabeln überschreitet der Spannungsverlust nicht 0,5 vH.

Die Hochspannungskabel sind rd. 70 cm unter der Erde verlegt und mit einer Lage Backsteine zudeckt. Die Niederspannungskabel liegen in demselben Graben, nur etwas höher und seitlich von den Hochspannungskabeln.

Im Niederspannungsnetz werden 2 vH Spannungsverluste nur an Ausläufern überschritten.

Für die Einführungskabel bei Hausanschlüssen werden drei Querschnitte: 25, 16 und 10 qmm, verwendet; der erste genügt für 200 gleichzeitig brennende Glühlampen zu 16 NK, der zweite für 130, der dritte für 100 Glühlampen, natürlich nur mit Rücksicht auf die größte Stromdichte.

Bücherschau.

Public Water-supplies. By F. E. Turneure, C. E. Professor of Bridge and Sanitary Engineering, and H. L. Russell, Ph. D. Professor of Bacteriology. With a Chapter on Pumping-machinery by D. W. Mead, C. E. etc. 746 S. mit 231 Fig. im Text. New York 1901, John Wiley & Sons. Preis 5 \$.

Dieses Werk stellt ein ausführliches und gediegenes Lehrbuch der städtischen Wasserversorgung dar, welches seine eigentliche Aufgabe in dem Heimatlande der Verfasser gut erfüllen wird. Für uns diesseits des Ozeans liegt seine Bedeutung aber in anderer Richtung, nämlich in seiner treuen Schilderung amerikanischer Bauweisen und Gepflogenheiten. Es kann für jeden Fachmann mitunter von Wert sein, nachzusehen, wie eine ihm vorliegende Aufgabe da drüben angefasst und behandelt werden würde, abgesehen davon, dass die Kenntnis fremder Zustände, auch wo diese nicht nachahmenswert sind, stets Interesse bieten muss. So ist es bekannt (vergl. z. B. Kreuter, Z. 1895 S. 1219), dass in den Vereinigten Staaten 3- bis 4 mal größere Wassermengen als in Deutschland verbraucht werden, derart, dass man dort bei Städten mit mehr als 20000 Einwohnern durchschnittlich ungefähr 400 ltr pro Kopf und Tag rechnet. Bemerkenswert erscheint es, wie sich nach den Verfassern der

Verbrauch zusammensetzt. Sie geben nämlich den häuslichen Bedarf zu 57 bis 151, den gewerblichen zu 19 bis 133, den öffentlichen zu 11 bis 38 und die Verluste zu nicht weniger als 57 bis 114 ltr pro Kopf und Tag an. Die großen Anforderungen bezüglich der Menge des Wassers mögen die Ursache gewesen sein, dass man nur geringe bezüglich seiner Eigenschaften erhob, wie daraus hervorgeht, dass von den bestehenden Werken 38,2 vH offenes Wasser, 54,2 vH Grund- und Quellwasser und 7,6 vH beiderlei Gattungen beziehen und dabei nur etwa 7 vH Filter besitzen, die überdies fast durchweg erst in jüngster Zeit entstanden sind. Da bei dem häufigen Genuße ungefilterten Flusswassers dessen Beschaffenheit von noch größerer Tragweite als bei uns ist, widmen die Verfasser den bakteriologischen Fragen mit Recht besondere Aufmerksamkeit. Von der Filterarbeit fällt im Gegensatz zu europäischen Verhältnissen den mechanischen Filtern der Löwenanteil zu, indem diese im Jahre 1900 täglich über 1 Million cbm zu liefern vermochten, während die Sandfilter nur für 216000 cbm eingerichtet waren. Doch sind letztere — namentlich dank den Arbeiten Hazens — in lebhafter Entwicklung begriffen, und ihre konstruktive Behandlung verspricht manchen neuartigen Fortschritt. In der Wassergewinnung bildet die Entnahme aus Seen eine amerikanische

Eigentümlichkeit; bedeutsamer für uns sind aber die jenseits des Ozeans mit Erd- und Gerölledämmen gemachten Erfahrungen. In den Absätzen über Wasserleitung verdienen die Angaben über asphaltierte, genietete oder verklemmte Eisentröhren, Holzdaubenröhren mit Eisenreifen und Gelenkstränge, sowie über das Auftauen durch elektrischen Strom am meisten Beachtung. Im Abschnitte über Behälter fällt es auf, dass Wassertürnen nicht ausdrücklich der Vorzug vor Standröhren gegeben wird; übrigens kann gerade die Besprechung letzterer, über welche unsere Handbücher nichts bringen, erwünscht sein. Diese Andeutungen mögen genügen, um den Inhalt des wohl gelungenen Werkes zu kennzeichnen.

Forchheimer.

Bei der Redaktion eingegangene Bücher.

Drittes Jahressupplement (1900/1901) zu Meyers Konversations-Lexikon, 5. Aufl. Mit rd. 700 Fig. und 65 Taf. Preis geb. 10 M.

Formeln und Tabellen zum Gebrauche bei der Berechnung von Konstruktionsteilen auf Zug, Druck (Knicken) und Biegung. Von René Koechlin. Zürich 1901, Eduard Rascher. 97 S. Preis 4,80 M.

Uebersicht neu erschienener Bücher,

zusammengestellt von der Verlagsbuchhandlung von Julius Springer, Berlin N., Monbijouplatz 3.

Abwässerung. Dohet, E. Kanalisation. Anlage und Bau städtischer Abzugskanäle und Hausentwässerungen. 3. Aufl. Stuttgart 1901. W. Kohlhammer. Preis 4,80 M.

— Freynoldt, Oac. Die diaspazische Arbeits-Methode zur Behandlung flüssiger und gasförmiger Massen im Großbetriebe, besonders der Abwässer aus Städten, Bergwerken, Fabriken usw. Berlin 1901. R. Friedländer & Sohn. Preis 3 M.

— Goodrich, W. F. The economic disposal of towns' refuse. London 1901. P. B. King. Preis 10 sh. 6 d.

— Ist das Budapest Mülleutigungs-Vorfahren in Berlin anwendbar? Leipzig 1901. F. Leineweber. Preis 0,70 M.

— Meyer, Andr. Die städtische Verbrennungsanstalt für Abfallstoffe am Ballerdeich in Hamburg. 2. Aufl. Braunschweig 1901. F. Vieweg & Sohn. Preis 3 M.

— Moore, E. C. S. Sanitary engineering. 2nd ed. London 1901. Batsford. Preis 39 sh.

— Möller, Sv. Etwas über die Reinhaltung von Stockholm. Leipzig 1901. F. Leineweber. Preis 0,70 M.

— Uhlfelder, H. Ueber die Reinigung städtischer Abwässer, insbesondere die Frankfurter Klärbecken. Leipzig 1901. F. Leineweber. Preis 0,70 M.

Anstellungen. Berichte über die Weltausstellung in Paris 1900: 3. Bd. Nostalökonomie, Hygiene, Handel. 7. Bd. Elektrotechnik. 10. Bd. Chemische Industrie. Wien 1901. C. Gerolds Sohn. Preis je 2 M.

— Berichte über die Weltausstellung in Paris 1900: 4. Bd. Hüttenwesen, landwirtschaftliche Maschinen, Petroleum. 11. Bd. Diverse Industrieen. Wien 1901. C. Gerolds Sohn. Preis je 2 M.

— Berichte über die Weltausstellung in Paris 1900: 6. Bd. Metall- und Holzbearbeitung, Material-Prüfungsmaschinen, Messwerkzeuge, 8. Bd. Wasserbau, Seilfahrt, Ingenieurwesen, Automobile. Wien 1901. C. Gerolds Sohn. Preis je 2 M.

Bergbau und Hüttenwesen. Leybold. Stein- und Kohlenfall-Verglückungen im Oberbergamtsbezirk Dortmund. Berlin 1901. W. Ernst & Sohn. Preis 4 M.

— Villain, Georges. Le fer, la houille et la métallurgie à la fin du XIX^e siècle. Paris 1901. Collin. Preis 3 frs. 50 c.

Brennstoffe. Beckers Taschenbuch für Kohlen-Interessenten: Enthaltend eine Zusammenstellung der im Betriebe befindlichen Kohlenwerke von Österreich Ungarn, Bosnien, Bayern und Sachsen. (Mit Uebersichtskarte.) Teplitz 1901. A. Becker. Preis 3 M.

— Fischer, Ferd. Die chemische Technologie der Brennstoffe II. Presskohlen, Kokerel, Wassergas, Mischgas, Generatorkas, Gasfeuerungen. Braunschweig 1901. F. Vieweg & Sohn. Preis 15 M.

— Schwachhöfer, Frz. Die Kohlen Österreich-Ungarns und Preussisch-Schlesiens. 2. Aufl. Wien 1901. Gerold & Co. in Komm. Preis 15 M.

Chemische Industrie. Berget, A. La photographie des couleurs par la méthode interférentielle de M. Lippmann. 2^e éd. Paris 1901. Gauthier-Villars. Preis 1 fr. 75 c.

— Delbrück, M. Die Lage des Brenneisengewerbes. Die Verwendung des Spiritus zu technischen Zwecken. Die Denaturierungspflicht. Berlin 1901. P. Parey. Preis 0,25 M.

— Encyclopédie universelle des industries tinctoriales et des industries annexes, publiée sous la direction de Jules Garton. 1^{re} fasc. Paris 1901. V^{re} Dunod.

Münchener Volkswirtschaftliche Studien. Von Lujó Brentano und Walther Lotz. Handel und Industrie der Provinz Sachsen 1880 bis 1899 unter dem Einfluss der deutschen Handelspolitik. Von Dr. Heinrich Haacke. Stuttgart 1901. J. G. Cotta'sche Buchhandlung. 152 S. 8^o. Preis 4 M.

Die Ziegel- und Röhrenbrennerei einschliesslich der neuesten Maschinen und Geräte für die Ziegelfabrikation. Von Edmund Heusinger v. Waldegg. 5. Aufl. Von L. Schmelzer. Leipzig 1901, Theod. Thomas. 706 S. 8^o mit rd. 500 Fig. Preis 20 M.

Die Beleuchtung der Eisenbahn-Personenwagen mit besonderer Berücksichtigung der Elektrizität. Von Dr. Max Büttner. Berlin 1901, Julius Springer. München 1901, R. Oldenbourg. 134 S. 8^o mit 60 Fig. Preis 5 M.

Encyclopédie scientifique des aide-mémoire. Expertises et Arbitrages. Von F. Rigaud. Paris, Gauthier-Villars u. Masson & Cie. 177 S. 8^o. Preis 3 frs.

Die Elektrizität. Von Dr. Alfred Ritter von Urbanitzky. 6. Aufl. Wien, A. Hartlebens Verlag. 160 S. 8^o. Preis geb. 1,50 M.

— Forrer, R. Geschichte der europäischen Mieseneramik vom Mittelalter bis zum Jahre 1900. Straßburg 1901. J. H. E. Heitz. Preis 100 M.

— Friedländer, P. Fortschritte der Teerfarbenfabrikation und verwandter Industriezweige, 1897 bis 1900. Berlin 1901. J. Springer. Preis 40 M.

— Führer durch die chemische Industrie Deutschlands. Leipzig 1901. Th. Weber. Preis 5 M.

— Führer durch die Glas- und keramische Industrie Deutschlands. Leipzig 1901. Th. Weber. Preis 4 M.

— Gahler, Aug. Der praktische Destillateur und Spirituosenfabrikant. Wien 1901. A. Hartleben. Preis 4,80 M.

— Grimm, Hans. Die Fabrikation des Feldspat-Porzellans. Wien 1901. A. Hartleben. Preis 3,80 M.

— Hasenlehn, F. H. Die deutschen Reichtspatente der Klasse 28. (Gerberei.) Freiberg 1901. Craz & Gerlach. Preis 2 M.

— d'Héliécourt, R. La photographie vitrifiée mise à la portée des amateurs. Procédés complets pour l'exécution, la mise en couleur et la cuisson des émaux photographiques, miniatures, céramiques, vitraux. Paris 1901. Meudel.

— Hurst, George H. Dictionary of chemicals and raw products used in manufacture of paints, colours, varnishes, and allied preparations. London 1901. Scott, Greenwood & Co. Preis 7 sh. 6 d.

— Jottmar, Jos. Handbuch der Chromgerbung einschliesslich der übrigen Mineralgerbungen, mit besonderer Berücksichtigung der Kombinations-Gerbungsverfahren. Leipzig 1901. Schulze & Co. Preis 20 M.

— Jørgensen, Alfr. Die Hefe in der Praxis. Berlin 1901. P. Parey. Preis 2,50 M.

— Lambert, T. Bone products and manures. Recent improvements in manufacture of fat, glue, animal charcoal, size, gelatine, manures. London 1901. Scott, Greenwood & Co. Preis 7 sh. 6 d.

— Leide, E. Palladium, Iridium, Rhodium. Paris 1901. V^{re} Dunod. Preis 17 frs. 50 c.

— Thomas, V. Les matières colorantes naturelles. Paris 1901. Masson & Co. Preis 2 frs. 50 c.

— Vanino, L. Der Formaldehyd. Seine Anwendung in der Technik und Medizin. Wien 1901. A. Hartleben. Preis 3,80 M.

— Wanklyn, J. A. Arsenic. London 1901. Paul (Kegan), Trench, Trübner & Co. Preis 2 sh. 6 d.

— Watt, Alexander. The art of soap making. 6th ed. Including an Appendix on modern candle making. London 1901. Crosby, Lockwood & Son. Preis 7 sh. 6 d.

Dampfkraftanlagen. Hurst, Charles. Hints on steam engine design and construction. London 1901. Charles Griffin & Co. Preis 1 sh. 6 d.

— Lynen, W. Die Wärmeeinsparung bei der Dampfmaschine. Berlin 1901. J. Springer. Preis 1 M.

— Mitteilungen aus dem Maschinenlaboratorium der kgl. technischen Hochschule zu Berlin. 3. Folge, E. Neuere Erfahrungen und Versuche mit Abwärmekraftmaschinen. München 1901. R. Oldenbourg. Preis 2,50 M.

— van Oven, A. De Stoom. 2 dln. 's Gravenhage 1901. Preis 6 fl.

— Pechan, Jos. Leitfaden des Dampfbetriebes für Dampfkesselheizer und Wärter stationärer Dampfmaschinen usw. 5. Aufl. Wien 1901. F. Deuticke. Preis 6 M.

— Pohlhausen, A. Berechnung, Konstruktion und Anlage der Transmissions-Dampfmaschinen. (In 2 Bdn.) 2. Aufl. Mittweida 1901. Polytechnische Buchh. Preis 30 M.

Druckerei. Ziegler, Walt. Die Techniken des Tiefdruckes mit besonderer Berücksichtigung der manuellen, künstlerischen Herstellungsverfahren von Tiefdruckplatten jeder Art. Halle 1901. W. Knapp. Preis 8 M.

Eisenbahnwesen. Betriebsordnung für die Hauptbahnen Deutschlands. Herausgegeben vom Reichs-Eisenbahn-Amt. Berlin 1901. W. Ernst & Sohn. Preis 0,60 M.

— Blum. Ueber Verschleißbahnhöfe. Wiesbaden 1901. C. W. Kreidel. Preis 2 M.

— Büttner, Alfr. Der Lokomotivbauer. Leipzig 1901. C. F. Müller. Preis 8,80 M.

— Galin, L. Exploitation technique des chemins de fer. Paris 1901. V^e Dunod. Preis 16 fr.

— Kompass. Taschenfahrplan der Klein- und Straßenbahnen, sowie der Lokalbahnlinien, nebst umfangreichem Staatsbahnfahrplan. (Mit einem vollständigen Führer.) Barmen 1901. Hüll & Klein. Preis 0,50 M.

— Nachrichten, Statistische, von den Eisenbahnen des Vereines Deutscher Eisenbahn-Verwaltungen für das Rechnungsjahr 1899. Herausgegeben von der geschäftsführenden Verwaltung des Vereines. Berlin 1901. A. Nauck & Co. Preis 12,50 M.

— Praseh, Adf. Das elektrische Blocksignalssystem KMK. Stuttgart 1901. F. Enke. Preis 2,40 M.

— Roux, O. Routes et chemins vicinaux. Paris 1901. V^e Dunod. Preis 12 fr.

— Signalling: How to learn the New International Code of Signals. Glasgow 1901. James Brown & Son. Preis 1 sh.

— Signalordnung für die Eisenbahnen Deutschlands. Mit Abänderungen nach der Bekanntmachung vom 23. Mai 1898. Berlin 1901. W. Ernst & Sohn. Preis 1,50 M.

— Statistik der in den im Reichsrath vertretenen Königreichen und Ländern im Jahre 1900 gestandenen elektrischen Eisenbahnen, Drahtseilbahnen und Tramways mit Pferdebetrieb für die Jahre 1898 und 1899. Wien 1901. Hof- und Staatsdruckerei. Preis 2 M.

— Stretton, Clement E. The history of the Midland Railway. London 1901. Methuen & Co. Preis 12 sh. 6 d.

— Tratman, E. E. Russell. Railway track and trackwork. 2nd ed. New York. The Engineering News Publishing Comp.

Eisenhüttenwesen. Gages, L. Elaboration des métaux dérivés du fer. 2 vols. Tome I: Foyers métallurgiques. Paris 1901. Masson & Co. Preis 2 fr. 50 c.

Eisenkonstruktionen, Brücken. Bell, Joseph. A practical treatise on segmental and elliptical oblique or skew arches. Carlisle 1901. Chas. Thumam & Sons.

— Meyer, Mark. Eisenkonstruktion des Hochbaues. Deutsch-Krone 1901. F. Ziebarth. Preis 3 M.

— Normalbedingungen für die Lieferung von Eisenkonstruktionen für Brücken- und Hochbau, aufgestellt von dem Verbands deutscher Architekten- und Ingenieurvereine. 6. Aufl. Hamburg 1901. O. Meißners Verlag. Preis 0,60 M.

Elektrotechnik. Albrecht, F. Die wichtigsten elektrischen Maßeinheiten für Gleichstrom und die Messung verbrauchter elektrischer Energie, nebst kurzer Uebersicht über die direkten Betriebskosten von Gleichstrom-Licht- und Kraftanlagen. Berlin 1901. S. Calvary & Co. Preis 1 M.

Zeitschriftenschau.¹⁾

(* bedeutet Abbildung im Text.)

Bergbau.

Theorie der Fangvorrichtungen und ihre praktische Anwendung bei der Konstruktion einer Fangvorrichtung mit hydraulischer Bremse. Von Henry. (Glückauf 3. Aug. 01 S. 663/71*) Deutsche Uebersetzung des in Zeitschriftenschau v. 17. Aug. 01 erwähnten Aufsatzes: »Théorie des parachutes«. Schluss folgt.

Coal cutting by machinery. Von Scott. (Proc. Inst. Civ. Eng. 01 Teil II S. 247/68*) Einteilung der Kohlenschneidmaschinen in Klassen und Besprechung einzelner Konstruktionen. Verwendung von Elektromotoren zum Betriebe von Schrämmaschinen.

Chemische Industrie.

Arrangement of an electro-plating room. (Am. Mach. 10. Aug. 01 S. 830*) Einrichtung einer kleinen galvanoplastischen Anstalt mit Versilberungs- und Vernickelungsbädern. Angaben über die Zusammensetzung der Bäder.

Dampfkräftenanlagen.

Aus dem Jahresbericht des Ruhrorter Vereines 1900 bis 1901. (Mitt. Prax. Dampfkr. Dampfsm. 7. Aug. 01 S. 576/78) Mitteilungen über mehrere Unfälle an Dampfkesseln und deren Ursachen.

Die Explosion in Leopoldshall. (Mitt. Prax. Dampfkr. Dampfsm. 7. Aug. 01 S. 574/75*) Die Ursache der Explosion des Zweidampfkessels, bei der der Kessel vollständig zerissen wurde, wird auf Wassermangel bei teilweise schlechtem Material zurückgeführt.

The Kottlingley boiler explosion. (Engineer 9. Aug. 01 S. 154/56*) Untersuchung über die Ursachen der Explosion eines Lokomotivkessels, erläutert durch zeichnerische Darstellung der beschädigten Kesselteile.

Eisenbahnwesen.

Ueber elektrische Schnellbahnen. Von v. Reymond-Schiller. Forts. (Z. f. Elektrot. Wien 11. Aug. 01 S. 388/91*) Erörterung der Formeln von Hoffmann für Grundwiderstand, Luftwiderstand und Widerstand in den Krümmungen. Ermittlung des Grundwiderstandes bei Schnellbahnen mit Breitspur. Forts. folgt.

The counter-balancing of locomotives. Von Hearson. (Proc. Inst. Civ. Eng. 01 Teil II S. 227/40*) Ableitung eines zeichnerischen Verfahrens zum Ausgleich der Gewichte im Lokomotivtriebwerk.

Coupled express engines on the Great Western Railway. Von Rous-Marten. (Engineer 2. Aug. 01 S. 115/16*) 7/8-gelockte Lokomotiven mit Dreigestell und innenliegenden Cylindern von 457 mm Dmr. und 660 mm Hub.

Rhodesian Railway rolling stock. (Engng. 9. Aug. 01 S. 182*) Schaubilder eines 20 t-Güterwagens mit niedrigen Seitenwänden aus Holz, eines 30 t-Kohlenwagens mit hohen Seitenwänden aus Weißblech und eines gedeckten Wagens von 20 t Tragfähigkeit mit

Abteil für den Zugführer. Ähnliche Wagen sind von der Lancaster Railway Carriage and Wagon Co. in Lancaster gebaut.

Railway station roofs. (Engineer 2. Aug. 01 S. 112/13) Kritik der Dachkonstruktionen einiger älterer Bahnhofsanlagen in England.

Notes on locomotive shop practice: Baltimore and Ohio Southwestern Railway. (Eng. News 1. Aug. 01 S. 80*) Konstruktion einer Lössgrube. Tabellen zum Anmerken von schadhafte Strohholzen in Lokomotivfeuerbüchsen, Vorrichtung, um den Dampf einer im Lokomotivschuppen befindlichen Lokomotive nach außen abzulassen.

Pneumatic railway signals. (Engineer 9. Aug. 01 S. 151/52*) Schema der Signaleinrichtung auf dem Bahnhof zu Graseley. Einrichtung und Betrieb der Druckluftsignale.

The signalling on the Waterloo and City Railway. Von Salunper. (Proc. Inst. Civ. Eng. 01 Teil II S. 1/10 mit 1 Taf.) Darstellung verschiedener elektrisch bewegter Signalvorrichtungen.

Standard load-gauges on railways. Von Fleidher. (Proc. Inst. Civ. Eng. 01 Teil II S. 215/22*) Die Ausführungen des Verfassers gehen dahin, statt der vielen bei den verschiedenen englischen Eisenbahngesellschaften üblichen Lademaße ein einheitliches Lademaß zu schaffen.

Eisenkonstruktionen, Brücken.

Die neuen Belastungsvorschriften für die eisernen Brücken der preussischen Staatsbahnenverwaltung vom April 1901. Von Direksent (Zentralbl. Bauv. 7. Aug. 01 S. 381/83*) Besprechung der neuen Vorschriften inbezug auf ihre Anwendung in der Praxis.

The Niagara Falls and Clifton steel arch bridge. Von Buck. (Proc. Inst. Civ. Eng. 01 Teil II S. 60/94 mit 2 Taf.) Die eiserne Brücke besteht aus einem mittleren Zweigelenkträger von 256 m Spannweite und zwei seitlichen Halbparabelträgern von je 64 m Spannweite. Die Fahrbahn ist 6 m breit. Einzelheiten der Verbindungen und Bericht über die Bauausführung. Meinungsaustausch.

Railway bridge over the Fitzroy River at Rockhampton, Queensland. Von Donk. (Proc. Inst. Civ. Eng. 01 Teil II S. 51/68 mit 1 Taf.) Eiserne Gitterträgerbrücke mit 2 Öffnungen von je 75 m und drei Öffnungen von je 30 m Spannweite. Die Fahrbahn ist 8 m breit; an beiden Seiten sind 1,8 m breite Plattformen für Fußgänger ausgekragt.

Glasgow bridge. Von Blyth. (Proc. Inst. Civ. Eng. 01 Teil II S. 45/50 mit 1 Taf.) Die 24 m breite Zement-Beton-Brücke besteht aus 2 Öffnungen von je 17 m Spannweite. Die Pfeiler sind auf Senksteinen gegründet. Beschreibung der Bauausführung.

Tai-Y-Cain bridge, North Wales. (Engng. 2. Aug. 01 S. 145* mit 1 Taf.) Darstellung der Quertträger, der Fahrbahnkonstruktion, der Auflager und einiger bemerkenswerter Knotenpunkte der in Zeitschriftenschau vom 27. Juli 01 erwähnten Straßenbrücke.

Aber swing bridge, Carnarvon. (Engineer 2. Aug. 01 S. 136*) Die Brücke besteht aus zwei festen Ueberbauten von zusammen 29 m Spannweite und einem drehbaren Ueberbau von 4 m Länge. Die Kraft zum Öffnen der Brücke liefert ein Crossley-Gasmotor von 3 PS. Darstellung der Drehvorrichtung.

¹⁾ Die Zeitschriftenschau wird, nach dem Stichworte in Vierteljahrheften zusammengefasst und geordnet, gesondert herausgegeben, und zwar zum Preise von 3 M. pro Jahrgang für Mitglieder, von 10 M. pro Jahrgang für Nichtmitglieder.

The Quebec bridge piers. (Eng. Rec. 27. Juli 01 S. 74/76*) Die Hängebrücke soll eine Länge von 1009 m erhalten und 46 m über Hochwasser liegen. Die Mittelloffnung erhält eine Spannweite von 550 m. Die Brücke soll 2 Eisenbahngleise, 2 Straßenbahngleise und 2 Fahrwege tragen. Eingehende Darstellung der Gründung und des Aufbaues der Pfeiler.

Concrete steel bridges in Porto Rico. Von Thacher. (Eng. News 1. Aug. 01 S. 68/68*) Bericht über den Bau zweier Hängebrücken, von denen die eine eine Mittelloffnung von 86 m Spannweite und zwei Seitelloffnungen von je 30 m Spannweite, die andere drei Öffnungen von je 21 m Spannweite hat.

Bridge riveting in India. Von Graham. (Engineer 9. Aug. 01 S. 185*) Schilderung der Verfahren bei der Feldnietung von Brücken.

The Brooklyn bridge accident. (Iron Age 1. Aug. 01 S. 13*) Die Querträger der Fahrbahn sind mit Seilen und Hängeeisen an die Kabel angeschlossen. Es brachen 7 Hängeeisen und 2 Seile, wodurch eine starke Senkung der Fahrbahn herbeigeführt wurde.

Elektrotechnik.

Distribution d'énergie électrique et chemin de fer de Rex-Gryon-Villars (Suisse). Von Breder. (Génie civ. 10. Aug. 01 S. 233/39* mit 1 Taf.) In den Anlagen wird das Gefälle des Avonçon-Flusses mit 162 m in 6 Horizontal-Turbinen von zusammen 1600 PS ausgenutzt. Die Turbinen sind mit Dynamos gekuppelt und zwar 4 mit Wechselstromdynamos von 5000 V für Beleuchtungszwecke und 2 mit Gleichstromdynamos von 650 V zum Betriebe einer Bahn von 12 km Länge und 1 m Spurweite. Einzelheiten der Maschineneinrichtung. Schaltungsdiagramm. Forts. folgt.

Der maximale Wirkungsgrad von Gleichstrommaschinen. Von Finzi. (Elektrot. Z. 8. Aug. 01 S. 634/35) Der Verfasser beweist, dass der größte Wirkungsgrad bei derjenigen Belastung eintritt, bei der Leerlaufverlust und Belastungsverlust einander gleich sind.

Asynchroner Induktionsmotor bzw. Generator ohne Phasenverschiebung (cos φ = 1) zwischen Strom und Spannung. Von Heyland. (Elektrot. Z. 8. Aug. 01 S. 633/34*) An einem Drehstrommotor mit Kurzschlussanker wird das Grundsätzliche der neuen Schaltung erläutert. Aus einigen wenigen Windungen der Statorwicklung wird dem Anker durch 3 auf dem Schlussring schließende Bürsten Strom zugeführt. Die Vorteile werden kurz besprochen.

Installationsmaterial für oberirdische Starkstrom-Verteilungsnetze mit Spannungen unter 1000 Volt. Von Rönninghofen. (Elektrot. Z. 8. Aug. 01 S. 635/37*) Beschreibung des von der A. E. G. für Kupfer- und Aluminiumleitungen ausgebildeten Streckenmaterials.

Neuere Arbeiten über Sammler aus andern Metallen als Blei. Von v. Laszarynski. (Z. f. Elektroch. 8. Aug. 01 S. 821/27) Bericht über die Arbeiten von Jungner und Michalowski, die Silberoxyd bzw. Nickeloxyd verwenden, über den neuen Edison-Akkumulator, in dem auch Nickeloxyd benutzt wird und über den Wadell-Entz-Sammler mit löslicher Zinkelektrode. Ausblick auf die zukünftige Entwicklung der Akkumulatorentechnik.

Er- und Wasserbau.

Zur Eröffnung des neuen Außenhafens von Emden. (Deutsche Bauz. 7. Aug. 01 S. 398/90* u. 10. Aug. 01 S. 391/94*) Geschichtliches über die Lage der Stadt Emden und den Seeverkehr im Hafen von Emden. Übersichtsplan und kurze Beschreibung der neuen Hafenanlagen.

The present condition and prospects of the Panama Canal works. Von Ford. (Proc. Inst. Civ. Eng. 01 Teil II S. 150/214 mit 1 Taf.) Lageplan des Kanals. Darstellung der Profile. Schilderung der verschiedenen Entwürfe und Kostenanschläge derselben. Meinungsaustausch.

The Sanayta lock and bridge-regulator. Von Dalgleish. (Proc. Inst. Civ. Eng. 01 Teil II S. 223/26 mit 1 Taf.) Die Schleusen-kammer ist aus Mauerwerk aufgeführt, 160 m lang und 8 m breit. Zur Regulierung des Wasserspiegels dient eine rechtwinklig zur Schleuse angeordnete Nebenkammer mit 7 Auslassöffnungen von je 3 m Breite.

Underpinning the Columbus Monument, New York. (Eng. Rec. 27. Juli 01 S. 77/78*) Der Tunnel der Rapid Transit-Stadtbahn durchschneidet das Fundament des genannten Denkmals. Die zur Abstützung des Denkmals während des Tunnelbaues vorgenommenen Arbeiten werden kurz geschildert.

Kaimauern und Futtermauern aus Beton und Eisen (System Hennebique). (Z. österr. Ing. u. Arch.-Ver. 9. Aug. 01 S. 539/41*) Darstellung einer Kaimauer für den Hafen von Southampton und einer Futtermauer für den Quai Debilly in Paris und Schilderung der Bauausführungen.

Well boring machinery in Australia. Von Cox. (Engineer 9. Aug. 01 S. 135/37*) Beschreibung verschiedener Verfahren zum Bohren artesischer Brunnen. Maschinen und Geräte beim Seilbohrverfahren in Australien.

Explosionsmotoren und andere Wärmekraftmaschinen.

The efficient working of gas plants for engines. Von Downson. (Proc. Inst. Civ. Eng. 01 Teil II S. 269/85) Ratschläge für die zweckmäßige Anlage von Kraftgaszeugern. Kritische Besprechung der Verfahren von Downson, Lencauchoz, Mond und Biner. Versuchsergebnisse von Downson-Kraftgasanlagen.

Gesundheitsingenieurwesen.

The main drainage of Woking. Von Mangham. (Proc. Inst. Civ. Eng. 01 Teil II S. 295/307*) Die Abwässer der Gemeinde Woking werden teils in natürlichem Gefälle, teils mittels Pumpen zuerst in Niederschlagbehälter und dann auf Rieselfelder geleitet. Einzelheiten der Pumpstation, Anordnung der Behälter und Lageplan der Rieselfelder.

Gießerei.

The molding of test pieces and standard specifications for gray iron castings. (Eng. News 1. Aug. 01 S. 76*) Vorschriften der American Foundrymen's Association über die Herstellung von Probestäben und von grauem Eisenguss.

Hebesäge.

80-ton floating crane. (Engng. 9. Aug. 01 S. 182/83* mit 1 Taf.) Der Schwimmkran ist für den Hafen von Santos bestimmt und in Holland gebaut. Das Ponton ist 30,5 m lang, 10,7 m breit und 7,3 m tief. Die Ausladung des Scherenkranes beträgt 10,5 m. Angaben über das Windwerk.

The electric elevator in the Washington Monument. Von Lewis. (El. World 3. Aug. 01 S. 176/79*) Die alten Dampfaufzüge der Otis Elevator Co. sind kürzlich durch elektrische Aufzüge ersetzt worden, die in allen Teilen beschrieben werden. Besonders eingehend sind die Fangvorrichtungen behandelt.

Heizung und Lüftung.

Central heating plant, Ellis Island, N. Y. — I. (Eng. Rec. 27. Juli 01 S. 80/88*) Eingehende Darstellung der Krafanlage und der umfangreichen Heizeinrichtungen der Auswandererhallen in New York. Es sind zu heizen und mit Licht zu versorgen: 2 Krankenhäuser, ein Fahrhaus, eine Erfrischungshalle, ein Badehaus und eine große Unterkunftshalle.

Hochbau.

Résistance du béton armé aux chocs répétés. (Rev. Ind. 10. Aug. 01 S. 318) Kurze Angaben über vergleichende Versuche mit Deckenkonstruktionen aus armiertem Beton und aus I-Trägern mit gemauerten Kappen. Die Decke aus Zement-Eisen-Konstruktion bog sich unter einem aus 4 m Höhe herabfallenden Gewicht von 50 kg nur 1,3 mm durch.

Lager- und Ladevorrichtungen.

Einrichtungen zur Beförderung und Lagerung von Kohlen, Koks und Reinsiegmasse für Gasanaltsbetrieb. Von Buhle. Forts. (Journ. Gasb.-Wasserv. 10. Aug. 01 S. 585/89*) Kohlenförderanlagen der Gaswerke in Kiel, Stockholm und Basel. Forts. folgt.

Transferring grain from boats to cars at Hickman, Ky. (Eng. News 1. Aug. 01 S. 76/77*) Die Anlage besteht aus einer leicht geneigten Förderbahn, auf welcher das Getreide mittels einer endlosen Kette nach zwei andern rechtwinklig dazu angeordneten wagerechten Förderbahnen geschafft wird. Außerdem ist noch eine geneigte Seilbahn zum Fördern schwerer Güter vorhanden.

The new Penarth coal tips. (Engineer 2. Aug. 01 S. 118/19*) Darstellung einer Kohlenkippe, deren Einzelheiten in dem in Zeitschriftenschau v. 10. Aug. 01 erwähnten Aufsatz: "The progress of the Penarth Dock", beschrieben sind.

Maschinenteile.

Wards metallic gland packing. (Engng. 2. Aug. 01 S. 163*) Die Stopfbüchsenpackung besteht aus einem sechsteiligen Ring, dessen einzelne Teile keilförmig in einander greifen und der eine ebene und eine kegelige Stirnfläche hat. Durch eine mittels Feder aufgedrückte Hölse wird das Ganze zusammengehalten.

Materialkunde.

Structural steel for bridges, ships and buildings. (Eng. Rec. 27. Juli 01 S. 78/79) Mitteilung der Änderungen, welche die amerikanischen Walzwerke an den ihnen vorgelegten Lieferbedingungen für Eisen und Stahl vorgenommen haben, die von der amerikanischen Abteilung des Internationalen Verbandes für die Materialprüfung der Technik aufgestellt sind.

Magnetische Eigenschaften des Stahls. (Dingler 10. Aug. 01 S. 313/15) Kurze Erörterungen über die magnetischen Grundgriffe: Koerzitivkraft, Hysterese usw. Härten des Stahles bei verschiedenen Temperaturen. Einfluss der chemischen Zusammensetzung.

Mechanik.

Thickness of plates encased. Von Barrett. (Am. Mach. 10. Aug. 01 S. 828/29*) Der Verfasser teilt einige Formeln für die Stärke gusselerner Platten mit, die sich in der Praxis bewährt haben

sollen. Fünfeckige unregelmäßige Platte. Quadratische und rechteckige Platte. Kreisförmige Platte.

Metalbearbeitung.

Expériences sur le travail des machines-outils. Von Codron. Forts. (Bull. d'Encour. 31. Juli 01 S. 40/73*) Vorkänge beim Zerschneiden von Eisen in der Schere. Trennung in einem Schnitt. Schneiden von Winkelisen. Versuche über den Kraftbedarf von Scheren beim Zerschneiden verschiedener Metalle. Forts. folgt.

Pipe-flange drilling machine. (Engng. 3. Aug. 01 S. 143*) Die wagerechte Flanschbohrmaschine von George Addy in Sheffield besteht aus einem langen Bett, das zwei Stützen für das zu bearbeitende Rohr trägt. Auf dem Bett sind in wagerechter Richtung verschiebbar zwei senkrechte, die Werkzeugschlitzen tragende Ständer angeordnet.

Tool steel. (Engng. 2. Aug. 01 S. 145) Kurze Angaben über einen von Seebohm & Dickstahl in Glasgow ausgestellten naturharten Werkzeugstahl für hohe Schnittgeschwindigkeiten.

Machinery at the Pan-American Exposition. III. (Iron Age 1. Aug. 01 S. 4/5*) Schaubilder zweier wagerechter Planschleibendrehbänke von der Rogers & Hemphill Machine Co. in Alfred, N. Y. Die eine der beiden Maschinen trägt einen Revolverkopf und einen gewöhnlichen Stahlhalter, die andere nur einen Revolverkopf für vier Werkzeuge.

Motorwagen und Fahrräder.

Light oil-motor cars. V. Von Longridge. (Engineer 2. Aug. 01 S. 111/12) Luft- und Wasserkühlvorrichtungen bei Explosionsmotoren.

Papierindustrie.

Der Holländer. Von Hausener. Forts. (Dingler 10. Aug. 01 S. 509/18*) Das Längenprofil der günstigsten Tragform. Forts. folgt.

Physik.

Beitrag zur Beurteilung der Polytrope. Von Bräuer. (Dingler 10. Aug. 01 S. 501/07*) Entwicklung eines Verfahrens zur Bestimmung des Exponenten der Expansions- und Kompressionspolytropen bei Explosionsmotoren ohne Kenntnis des Kompressionsraumes.

Pumpen und Gebläse.

Ventilation des tunnels. (Rev. ind. 10. Aug. 01 S. 318) Angaben über die wichtigsten Abmessungen eines von Favot gebauten Ventilators zur Lüftung eines Tunnels auf der Strecke Saint-Germain

des Fossés-Nimes der Paris-Lyon-Mittelmeerbahn. Der Ventilator hat einen Kraftbedarf von 150 PS.

Die neueren Luftkompressoren in Fribourg. Von Diviä. Schluss. (Oesterr. Z. Berg- u. Hüttenw. 3. Aug. 01 S. 420/23) Zusammenstellung der Betriebskosten und Folgerungen hieraus für den Druckluftbetrieb in Bergwerken.

Schiffs- und Seewesen.

The arrangement and equipment of shipbuilding works. Von Dunn. (Engng. 2. Aug. 01 S. 169/70* u. 9. Aug. 01 S. 183/86*) Vortrag vor der Institution of Mechanical Engineers. Allgemeine Grundsätze für die Anlage von Schiffswerften. Elektrischer Antrieb von Werkzeugmaschinen. Anordnung der Werkzeugmaschinen in der Blechschmiede. Einige große Werkzeugmaschinen. Offene und überdachte Hellinge. Hellingekrane. Auslegerkrane von Brown auf der Schiffswerft in Harrow. Forts. folgt.

Lengthening a steam yacht. (Engng. 9. Aug. 01 S. 182*) Die Yacht »Atmah« des Barons Rothschild wurde auf der Werft von William Beardmore & Co. in Glasgow um 9,3 m verlängert, sodass noch ein neuer Doppelender-Kessel eingebaut werden konnte. Die Yacht macht im neuen Zustande einen Knoten mehr als früher.

Review of marine engineering during the last ten years. Von Mc Keehle. (Engineer 9. Aug. 01 S. 157/59*) Verminderung des Brennstoffverbrauches bei Schiffsmaschinenanlagen. Arbeitsdruck der Schiffskessel und Vorschriften für die Prüfung der Kessel. Anwendung von künstlichem Zug und von Wasserreinigern. Verwendung von flüssigem Brennstoff. Selbstthätige Beschießvorrichtungen. Dampfüberhitzung. Nachteile von hohem Dampfdruck. Forts. folgt.

Straßenbahnen.

The Toledo, Ohio-Monroe, Mich., interurban railway. (El. World 3. Aug. 01 S. 165/67*) Die die beiden genannten Städte verbindende Straßenbahn ist 39 km lang. Das Kraftwerk in Toledo erzeugt Drehstrom von 380 V und 25 Per./sk. der teilweise im Kraftwerk selbst in Gleichstrom von 620 V umgewandelt wird, teils nach Erhöhung der Spannung auf 15000 V einer Unterstation zugeführt wird. Nach Erniedrigung der Spannung wird auch hier der Drehstrom in Gleichstrom transformiert.

Werkstätten und Fabriken.

An outline of the drawing office system of the General Electric Company. Von Knox. (Am. Mach. 10. Aug. 01 S. 823/27*) An mehreren Beispielen wird gezeigt, welche Grundsätze bei der General Electric Co. inbetr. der Anfertigung, Beschreibung und Ordnung der Zeichnungen und der Aufstellung von Stücklisten herrschen.

Rundschau.

Der Verband Deutscher Elektrotechniker hat den jüngst veröffentlichten¹⁾ Entwurf für Normaleinrichtungen zur Prüfung von elektrischen Maschinen und Transformatoren auf seinem diesjährigen Verbandstage in Dresden angenommen. Die Normen haben den Zweck, dem Handel mit elektrischen Maschinen eine sichere Grundlage zu geben, derart dass solche Teile der Prüfungen, über die der Fachmann verschiedener Ansicht sein konnte, jetzt eindeutig festgelegt sind. Die Ausschreibungen und die Verkaufsangebote werden dadurch sehr vereinfacht. Auch für die Herstellung der Maschinen ist es sehr vorteilhaft, dass die Gesichtspunkte, nach denen die Maschinen später beurteilt werden sollen, ein für allemal festgelegt und vorher bekannt sind.

Die Normen beschäftigen sich im ersten Abschnitt damit, die Bezeichnungen bestimmter Begriffe festzulegen. Der Entwurf ist seitens des Verbandstages insofern verändert worden, als die Bezeichnung »Dynamo« auf den Begriff eines umlaufenden Stromerzeugers beschränkt und nicht allgemein auf eine rotierende Maschine angewandt werden soll, die mechanische Leistung in elektrische, elektrische in mechanische oder elektrische in elektrische Leistung umwandelt. Mit »Generator« und »Motor« werden umlaufende Maschinen bezeichnet, die mechanische in elektrische bzw. elektrische in mechanische Leistung verwandeln. »Umformer« ist eine Maschine, in der die Stromart in einem gemeinsamen Anker in eine andere Stromart umgewandelt wird. »Motorgenerators« ist eine dem gleichen Zwecke dienende Doppelmachine, bestehend aus einem Motor und einem damit gekuppelten Stromerzeuger. »Anker« bezeichnet den Teil einer elektrischen Maschine, in welchem durch die Einwirkung eines magnetischen Feldes elektromotorische Kräfte erzeugt werden. »Transformators« ist ein Apparat ohne bewegliche Teile für Wechselströme, in welchem elektrische Leistung in elektrische umgewandelt wird. Unter »Spannung« ist bei Drehstrom die verkettete effektive Spannung, d. h. die Spannung zwischen je zwei der drei Hauptleitungen zu verstehen. »Übersetzung« bedeutet bei Transformatoren das Verhältnis der Spannungen bei Leerlauf.

»Frequenz« bezeichnet die Anzahl der vollen Perioden in der Sekunde. Die für Wechselstrom gegebenen Vorschriften gelten sinngemäß auch für mehrphasigen Wechselstrom.

Die Bestimmungen der Normaleinrichtungen können in einzelnen Fällen durch besondere Lieferbedingungen abgeändert oder ergänzt werden. Die Vorschriften für Leistungsschilder sollen dagegen immer erfüllt werden.

Die abgegebene Leistung der Maschinen und Transformatoren ist stets auf einem Schild anzugeben. Sie ist bei Gleichstrom in KW, bei Wechselstrom in KW mit Angabe des Leistungsfaktors und bei Abgabe von mechanischer Leistung in PS zu vermerken. Außerdem sind auf dem Leistungsschild oder einem besonderen Schild die normalen Werte von Umlaufzahl oder Frequenz, Spannung und Stromstärke zu verzeichnen.

Die Vorschriften unterscheiden hinsichtlich der Leistung drei Betriebsarten: den intermittierenden Betrieb, den kurzzeitigen und den Dauerbetrieb. Bei dem intermittierenden Betrieb wechseln Ruhe- und Arbeitszeiten, die nach Minuten zählen, mit einander ab, z. B. bei Motoren für Krane, Aufzüge, Straßenbahnen usw. Als normale Leistung von Maschinen für derartige Betriebe ist diejenige Leistung zu verstehen und auf dem Schild mit dem Zusatz »intermittierend« anzugeben, die ohne Unterbrechung eine Stunde lang abgegeben werden kann, ohne dass der weiter unten als zulässig bezeichnete Wert der Temperaturzunahme überschritten wird. Die Leistung des gleichen Motors für andere Betriebe wird natürlich meist einen andern Wert haben. Auch innerhalb der verschiedenen als intermittierend geltenden Betriebe wird für denselben Motor je nach der in den einzelnen Fällen auftretenden Länge der Arbeits- und Ruhezeiten eine verschiedene Leistung angegeben werden müssen.

Unter »kurzzeitig« ist ein Betrieb verstanden, bei dem die Arbeitszeit nicht so lang ist, dass die zulässige Endtemperatur erreicht wird, und bei dem die Ruhepause genügt, um die Temperatur wieder annähernd auf die Lufttemperatur sinken zu lassen. Für solche Betriebe ist eine bestimmte Stundenzahl für die Arbeitszeit zu vereinbaren und auf dem Leistungsschild zusammen mit der für diese Zeit zulässigen Leistung anzugeben.

¹⁾ Elektrotechnische Zeitschrift 18. Juni 1901 S. 477 u. f.

Bei Dauerbetrieb muss die auf dem Schild mit dem Zusatz »dauernd« angegebene Leistung während beliebig langer Zeit abgegeben werden können. Die Temperaturzunahme darf den zulässigen Wert nicht überschreiten.

Für Maschinen mit Kommutator wird verlangt, dass sie bei jeder Belastung innerhalb der zulässigen Grenzen bei günstigster Bürstenstellung und eingelaufenen Bürsten soweit funkenfrei laufen, dass der Kommutator höchstens nach 24 Betriebsstunden mit Glaspapier oder dergl. behandelt werden muss.

Die Temperaturzunahme soll nach Ablauf der für den Gegenstand angegebenen Betriebszeit bestimmt werden. Bei Maschinen für Dauerbetrieb muss dies nach 10 st geschehen, bei Transformatoren nach Ablauf der Betriebszeit, die nötig ist, um die endgültige dauernde Erwärmung zu erreichen. Diese Zeit kann in diesem Falle sehr leicht ermittelt werden, da die Transformatoren ja keine beweglichen Spulen enthalten. Bei kleineren Maschinen, bei denen die Endtemperatur unzweifelhaft in weniger als 10 st erreicht wird, kann eine entsprechende Zeit festgesetzt werden. Für die Lieferung sehr grosser Maschinen, bei denen die Endtemperatur nach Ablauf von 10 st noch nicht erreicht sein dürfte, werden fast immer besondere Prüfungsbedingungen aufgestellt, die die Normalien in einzelnen Punkten ergänzen.

Die Maschinen dürfen nur in völlig betriebsmäßigem Zustande mit allen vorgesehenen Umhüllungen untersucht werden. Eine im Betriebe vorhandene besondere Kühlung kann ausser bei Straßenbahnmotoren künstlich nachgeahmt werden. Die Lufttemperatur ist während des letzten Viertels der Versuchszeit in regelmässigen Zeitabschnitten zu messen. Der Mittelwert aus den erhaltenen Ergebnissen ist für die Temperaturzunahme der Maschine zugrunde zu legen. Ausser bei den mit Gleichstrom erregten Feldspulen soll die Erwärmung aller Teile von Maschinen und Transformatoren mittels Thermometers gemessen werden. Zwischen dem Thermometer und dem zu messenden Maschinenteil ist eine gut wärmeleitende Verbindung herzustellen. Nach aussen hin sind die Messstelle und das Thermometer durch schlechte Wärmeleiter zu schützen. Bei Oeltransformatoren wird die Temperatur der oberen Oelschicht gemessen. Die Temperatur der mit Gleichstrom erregten Feldspulen ist aus der Widerstandszunahme zu berechnen. Wird der Temperaturkoeffizient des Kupfers nicht für jeden Fall besonders bestimmt, so ist er zu 0,004 anzunehmen.

Bei Lufttemperaturen bis zu 35° C darf die Temperaturzunahme von isolierten Wicklungen, Kollektoren und Schleifringen je nach Ausführung der Isolation die folgenden Werte nicht überschreiten:

bei Isolierung durch Baumwolle	50° C
» » » Papier	50 »
» » » Glimmer, Asbest und deren Zusammensetzungen	80 »

Ruhende Wicklungen können mit einer um 10° höheren Temperatur beansprucht werden. Straßenbahnmotoren können nach einstündigem ununterbrochenem Betrieb mit normaler Belastung im Versuchsraum um 20° C höhere Temperaturen haben. Bei dauernd kurz geschlossenen Wicklungen, wie Kurzschlussankern und Dämpferwicklungen, können die vorstehenden Grenzwerte überschritten werden.

Die Maschinen und Transformatoren sollen im praktischen Betriebe nur so kurze Zeit oder bei so niedriger Erwärmung überlastet werden, dass die zulässige Temperaturzunahme nicht überschritten wird. Die Normalien bestimmen, dass Generatoren, Motoren und Umformer während einer halben Stunde um 25 vH, Motoren, Umformer und Transformatoren während 3 min um 40 vH überlastungsfähig sein müssen. Bei dieser Prüfung soll aber die Erwärmung nicht berücksichtigt werden. Die Prüfung ist daher nur zu Anfang der Dauerprobe oder erst nach hinreichender Abkühlung anzustellen. Die Spannung von Generatoren soll bis zu 15 vH Ueberlastung unverändert bleiben. Diese Vorschrift gilt auch für Generatoren mit veränderlicher Spannung bei proportionaler Änderung der Umlaufzahl. Dynamomaschinen mit annähernd gleichbleibender Umlaufzahl und abgeschwächtem Felde bei normaler Spannung sowie Motoren, die normal mit abgeschwächtem Felde arbeiten, sollen hingegen nicht auf Ueberlastung geprüft werden.

Eine Messung des Isolationswiderstandes wird nicht vorgeschrieben, sondern nur eine Durchschlagprobe, bei der die Isolationsfestigkeit geprüft wird. Die Isolation der Wicklungen gegen das Gestell und von elektrisch getrennten Wicklungen gegen einander muss einer die Betriebsspannung wesentlich überschreitenden Spannung in warmem Zustande eine halbe Stunde lang ausgesetzt werden. Diese Spannung soll bei Maschinen und Transformatoren bis 5000 V das Doppelte der Be-

triebsspannung, jedoch nicht weniger als 100 V, betragen. Bei 5000 bis 10000 V soll die Zusatzspannung 5000 V und von 10000 V an das Einhalbfache der Betriebsspannung betragen.

Bei Maschinen und Transformatoren, die in Reihe geschaltet sind, müssen Durchschlagproben mit einer der Gesamtspannung entsprechenden Ueberspannung vorgenommen werden. Werden die Prüfungen von Gleichstrommaschinen mit Wechselstrom oder die von Wechselstrommaschinen mit Gleichstrom ausgeführt, so ist das Verhältnis der maximalen Wechselstromspannung zu der Gleichstromspannung zu berücksichtigen. Wicklungen, die im Betriebe mit dem Gestell leitend verbunden sind, werden bei der Prüfung von letzterem getrennt; die Prüfspannung ist aber nur nach der höchsten zwischen irgend einem Punkte der Wicklung und dem Gestell auftretenden Spannung zu bemessen. Magnetspulen mit Fremderregung sind mit dem Dreifachen der Erregerspannung, Sekundäranker von asynchronen Motoren mit der doppelten Anlaufspannung, beide jedoch mindestens mit 100 V zu prüfen. Kurzschlussanker brauchen nicht geprüft zu werden.

Der Wirkungsgrad ist das Verhältnis der abgegebenen zur zugeführten Leistung bei der auf dem Maschinenschild angegebenen Betriebsart und bei normaler Belastung und Erwärmung. Die für die Felderregung nötige und die im Reglerwiderstand des Feldes verlorene Leistung sind als Verlust zu rechnen.

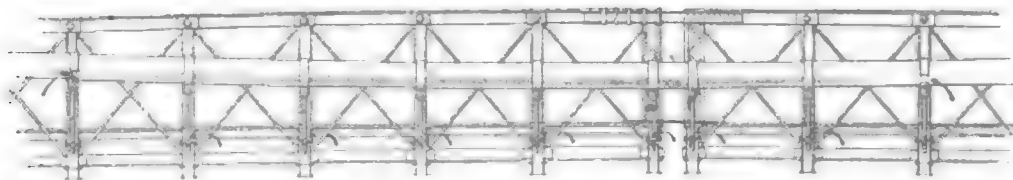
Als geeignetstes Verfahren zur Bestimmung des Wirkungsgrades wird das mittelbare durch Messen der Verluste gegenüber dem unmittelbaren durch Messen der Leistungen selbst empfohlen. Bei Wechselstromerzeugern, synchronen Motoren und Transformatoren ist der Wirkungsgrad bei Phasengleichheit von Strom und Spannung anzugeben. Der Wirkungsgrad von Erregermaschinen ist gesondert anzugeben. Das unmittelbare elektrische Verfahren zur Bestimmung des Wirkungsgrades kann bei Motorgeneratoren, Umformern und Transformatoren angewendet werden. Das mittelbare elektrische Verfahren ist am Platze, wenn zwei Maschinen gleicher Bauart und Leistung vorhanden sind. Es ist besonders bei grossen Maschinen leicht durchführbar, da man den gekuppelten Maschinen, von denen die eine als Motor, die andere als Stromerzeuger arbeitet, nur den Gesamtverlust zuzuführen braucht. Das mittelbare und das unmittelbare Bremsverfahren, das Leerlaufverfahren, das Verfahren mittels Hilfsmotors, mittels Indikators bei Dampf- und Gasdynamos und das Verfahren zur Trennung der Leerlaufverluste werden sodann im einzelnen besprochen, ihre Anwendungsgebiete und die bei jedem Verfahren zu berücksichtigenden Umstände eingehend erläutert. Diese Verfahren sind allgemein bekannt und werden in der Art, wie die Normalien sie vorschreiben, fast überall durchgeführt, sodass wir nicht näher auf sie eingehen brauchen.

Der letzte Abschnitt enthält die Vorschriften über die Spannungsänderung. Die Spannungsänderung von Wechselstromerzeugern ist für normalen Ankerstrom bei induktionsloser Belastung und für ein Drittel des normalen Ankerstroms bei induktiver Belastung anzugeben. Im letzteren Falle darf der Leistungsfaktor 0,3 nicht überschreiten. Als Spannungsänderung ist der Spannungsunterschied anzusehen, der auftritt, wenn man die wie vorstehend angegeben belastete Maschine vollständig entlastet, ohne Erregung und Umlaufzahl zu ändern. Bei Gleichstromerzeugern ist die Spannung der vollbelasteten Maschine bis zur Leerlaufspannung bei gleichbleibender Umlaufzahl und Erregung mindestens viermal in möglichst gleichen Abstufungen zu messen. Der grösste ermittelte Unterschied gilt als Spannungsänderung. Bei Transformatoren sind der Ohmsche Spannungsverlust und die Primärspannung anzugeben, die nötig ist, um in der kurzgeschlossenen Sekundärwicklung den normalen Strom zu erzeugen. Es ist zulässig, die Versuche bei einer von der normalen um ± 30 vH abweichenden Stromstärke auszuführen, da dies in manchen Fällen nicht anders möglich ist. Die Spannungsänderungen müssen dann aber auf normale Stromstärke umgerechnet werden.

Die Brooklyn-Brücke in New-York ist von einem eigenartigen Unfall betroffen worden. Die Brücke ist eine Kabelbrücke mit 4 Drahtseilen, an denen 6 Längsträger aufgehängt sind. Zur Aufhängung dienen Kabelstiecke mit Ausnahme des in der Mitte gelegenen Brückenteiles. Dort, wo der Abstand zwischen Kabel und Versteifungsträger nur sehr gering ist, sind nämlich anstelle der Kabel Flusseisenstäbe von 63 mm Dmr. benutzt worden, Fig. 1. Die Stäbe sind an die Kabel mithilfe von Schellen gehängt, die aus einem Eisenband von 12,7 mm Dicke und 127 mm Breite bestehen. An diesen Schellen sind die Tragstäbe mit einem Schraubbolzen, wie Fig. 2 zeigt, aufgehängt. Die Stäbe tragen an

ihrem unteren Ende ein Gewinde, und darüber ist ein würfelförmiges durchbohrtes Blockstück geschoben, das wagerechte Zapfen hat und durch eine Schraubenmutter in seiner Lage festgehalten wird. Die Zapfen ruhen in Lagern, die mit dem Versteifungsträger verbunden sind. Am 24. Juli d. J. wurde nun an dem am meisten östlich gelegenen Kabel entdeckt,

Fig. 1.



dass 7 von den Hängestangen und 3 von den Kabelbändern gebrochen waren. Die erforderlichen Reparaturen wurden in 48 Stunden ausgeführt und der Verkehr in gewöhnlicher Weise wieder aufgenommen, nur mit dem Unterschied, dass man den Abstand zwischen den Straßenbahnwagen vergrößerte.

Wie Fig. 1 erkennen lässt, ist die Beweglichkeit des Versteifungsträgers durch Schleppbleche in der Mitte gesichert: an den beiden Enden sind die Träger festgelagert. Die Verschiebung beider Teile soll bis zu 178 mm betragen. Dazu kommt noch die Bewegung des Kabels in senkrechter Richtung. Unsere Quelle¹⁾ vermutet, dass die Gelenke der Verbindungen zwischen Kabel und Versteifungsträgern, Fig. 2, versagt haben, und infolgedessen die Hängestäbe auf Biegung beansprucht worden sind. Ferner dürfte der Umstand mitgewirkt haben, dass die Brücke durch Schienen, Straßenbahnstrahle, elektrische Kabel, Rohrleitungen und Straßenbahnwagen mit einer weit größeren Last beansprucht worden ist, als ursprünglich der Berechnung zugrunde gelegt war.

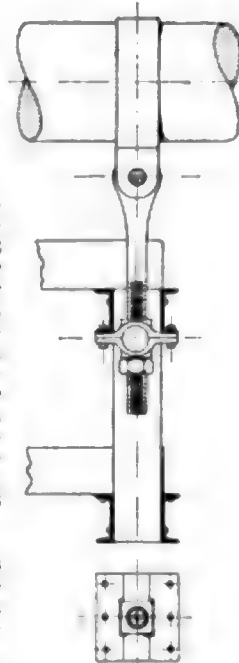
Während die mit drahtloser Telegraphie auf See erreichten Ergebnisse im allgemeinen recht befriedigend sind — die Allgemeine Elektrizitäts-Gesellschaft gewährt eine sichere Verständigung über See auf 100 km²⁾ —, ist die Uebertragung auf dem Lande durch die dazwischen liegenden Hindernisse bisher auf verhältnismäßig kurze Entfernungen beschränkt geblieben. Bei den Versuchen von Slaby und Arco zwischen Berlin und Ober-Schöneweide betrug der Abstand zwischen Sender und Empfänger rd. 15 km. Neuerdings ist es nun Emile Guarini gelungen, eine Verbindung zwischen Brüssel und Antwerpen, deren Entfernung in Luftlinie 41 km beträgt, herzustellen, und zwar mithilfe eines Zwischenübertragers, der in Mecheln etwa in der Mitte zwischen den beiden erstgenannten Städten aufgestellt war. Der Uebertrager besteht aus einem Empfänger und einem selbsttätig wirkenden Sender, deren Einwirkung auf einander durch besondere Schutzvorrichtungen ausgeschlossen ist. (Elektrotechnische Zeitschrift 8. August 1901)

Während bislang Güterwagen von 50 t Ladefähigkeit nur für Ertransport gebaut und dann völlig aus Eisen hergestellt wurden, hat jetzt die Pennsylvania Railroad Co. 2000 geschlossene Güterwagen mit Eisengestellen und Holz-

¹⁾ The Iron Age 1. August 1901 S. 1.
²⁾ Vergl. Z. 1901 S. 1034.

wänden für diese Ladefähigkeit in Auftrag gegeben; die größten bisherigen Wagen dieser Bauart fassten 40 t. Der Auftrag wird von der Pressed Steel Car Co. und der American Car and Foundry Co. ausgeführt. (The Iron Age 1. August 1901)

Fig. 2.



Auf der Werft von William Beardmore & Co. in Glasgow ist mit günstigem Erfolg eine **Dampfyacht umgebaut** worden, die, vor 3 Jahren von einer andern Firma erbaut, hinsichtlich ihrer Geschwindigkeit den Ansprüchen nicht genügt hatte. Das Schiff war ursprünglich 94,38 m lang, 10,44 m breit und 6,4 m tief und lief 15 Knoten. Der Umbau bestand im wesentlichen darin, dass der Rumpf um 9,35 m verlängert und ein neuer Kessel eingebaut wurde. Der Erfolg war, dass das Schiff bei den Probefahrten die Geschwindigkeit von 16,143 Knoten erreichte. (Engineering 9. August 1901)

Der Verein zur Beförderung des Gewerbefleißes hat ein **Preisanschreiben** erlassen, das die **Untersuchung von Explosionen und Zersetzungen** zum Gegenstand hat, die bei Acetylen ohne nachweisbare äußere Einwirkung auftreten. Die Ursachen dieser Erscheinungen sollen durch experimentelle Untersuchungen festgestellt werden, besonders inwieweit die Gegenwart von Verbindungen des Phosphors, des Schwefels, des Siliciums und des Stickstoffs in den Karbiden und im Acetylen und namentlich die Bildung von Metallacetylen hierbei mitwirkt. Die Lösungen müssen bis zum 15. November 1903 eingeliefert werden; als Preis für die beste Arbeit sind 3000 M. und eine silberne Denkmünze ausgesetzt.

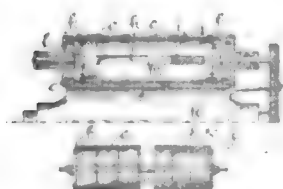
Eine **elektrisch betriebene Güterbahn** bei Berlin ist kürzlich dem Betrieb übergeben worden. Sie verbindet die industriellen Anlagen an dem rechten Ufer der Oberspre mit den Güterbahnhöfen in Rummelsburg und Nieder-Schöneweide.

Am 10. ds. Mts. verschied in Prag **Friedrich Joseph Steiner**, Professor an der deutschen Technischen Hochschule, im 52. Lebensjahre. Der Verstorbene hatte sich im Jahre 1874 an der Technischen Hochschule in Wien habilitiert und war 1878 als Professor nach Prag berufen worden. Sein Arbeitsgebiet war sehr mannigfaltig; es erstreckte sich unter anderem auf Eisenbau, Eisenbahnoberbau und Flusskanalisierung.

Der Senat der Technischen Hochschule zu Aachen hat **Friedrich Alfred Krupp** zum Dr. Ing. ehrenhalber ernannt.

Patentbericht.

Kl. 14. Nr. 120430. **Oelabscheider für Dampfmaschinen.** L. A. Cooper, Springfield (Mass., V. St. A.).

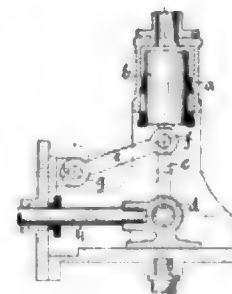


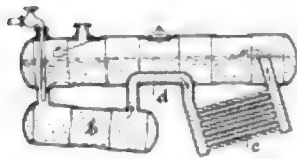
Behälter *l* fließt. Die Walze *h* ist an einer oder mehreren Stellen *n* unterbrochen, und Drahtbündel *m* ragen in die Unterbrechung hinein, um den Dampf an der Drehbewegung zu hindern.

Der Auspuffdampf wird von *k* nach *l* durch ein Gehäuse *a* geleitet, in dem sich eine aus strahlig stehenden Drahtstiften *c* bestehende Walze dreht. In der Mitte offene Scheiben *f* leiten den nach dem Umfange stehenden Dampf stets nach der Mitte zurück, sodass er das mitgerissene Schmieröl an die Rülfe abgibt, die es an die Wandung von *a* abschleudern, von wo es in die Bodennut *h* und in einen

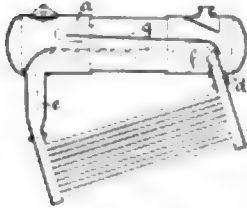
Kl. 14. Nr. 120675. **Ausgleichsvorrichtung für Dampfmaschinen.** Oddesse.

Dampfmaschinen-G. m. b. H., Hamburg. Der rechtwinklig zur Kolbenstange *k* bewegliche, dauernd belastete Kolben *b* wirkt auf einen mit dem Kreuzkopf *d* verbundenen, durch eine Schwinge *e* geführten Lenker *c* durch Kraftschluss, ohne mit dem Gelenke *f* verbunden zu sein, sodass seitliche Beanspruchungen des Cylinders *a* nicht eintreten können. Zur Ausgleichung der verschiedenen Kraftwirkungen beim Vorwärts- und Rückwärtsgange von *k* kann der feste Drehpunkt *g* von *e* verstellt werden.

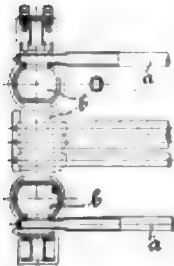


Kl. 13. Nr. 119389. Wasserrumlauf-Einrichtung. H. Diekmann,

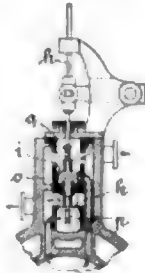
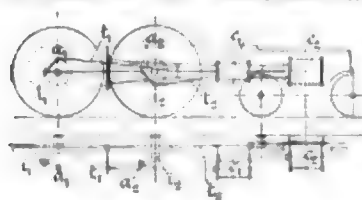
Dortmund. Bei einem Dampfkessel, bei dem getrennt von einander ein Röhrenbündel *c* und ein cylindrischer Stoker *b* an einen Oberkessel angeschlossen sind, ist zur Herstellung des Wasserrumlaufes zwischen dem hinteren Fallstutzen von *c* und dem vorderen Steigstutzen von *b* eine Verbindung mittels eines den Ausdehnungsverhältnissen sich leicht anpassenden geschlossenen Kanals *d* hergestellt.

Kl. 13. Nr. 119467. Schnellumlaufvorrichtung für Wasserröhrenkessel. F. Kollmann, Dortmund.

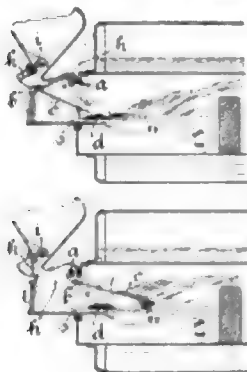
Zur Beförderung des Wasserrumlaufes ist das aus dem Steigstutzen *d* kommende, mittels der Leitdecke *g* nach dem Fallstutzen *e* zurückgeleitete Treibwasser von der übrigen Wassermasse im Oberkessel *a* nicht durch einen Boden getrennt, so dass es beim Austritt aus dem Steigstutzen *b* sofort und unmittelbar auf diese Wassermasse eine Treibwirkung nach dem Fallstutzen *e* hin überträgt.

Kl. 13. Nr. 119625. Stoderröhrenverbindung. H. Döring, Charlottenburg.

Die Köpfe der geraden oder U-förmig gebogenen Röhren *a* sind prismatisch geschmiedet, wobei seitliche gerade Flächen der Wasserkammern oder Feuerbüchsen *b* den seitlichen Anschluss der mit Öffnungen von der Größe des inneren Rohrquerschnittes versehenen Rohrköpfe gestatten. Das Andrücken erfolgt durch Kell (Figur unten) oder Schrauben (Figur oben).

Kl. 14. Nr. 119019. Ventilsteuerung. A. Raabe, Grünberg i. Schl. Einlassventil *i* und Auslassventil *k* sind auf einer und derselben Ventilstange *A* verschieblich und werden von einem und demselben (Exzenter-) Getriebe abwechselnd geöffnet und geschlossen, indem die Verstärkung *o* auf *A* die Ventile öffnet und Federn *q*, *p* sie schliessen. Die Pause zwischen dem Abschluss von *i* und der Eröffnung von *k* während der Expansion wird entweder durch Stillstand von *A* oder durch toten Gang zwischen *o* und *i*, *k* erzielt.**Kl. 14. Nr. 121193. Verbundlokomotive.** Ch. Hagans, Erfurt.

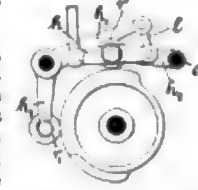
Die Achsen der vier Außencylinder *c*₁, *c*₂ ... liegen in einer wagerechten Ebene, und auf jeder Seite ist die Kolbenstange von *c*₂ hinter dem Cylinder *c*₁ durchgeführt. Die inneren und äußeren Kurbelzapfen *f*₁, *f*₂, *a*₁, *a*₂ sind so versetzt, dass *f*₁ und *f*₂ als Kuppelzapfen für die Kuppelstange *o* dienen, die Treibzapfen *a*₁ und *a*₂ für die Pleuelstangen *t*₁ und *t*₂ aber entgegengesetzt gerichtet sind, wodurch das Schwanen der Lokomotive um eine Querachse (Wippen, Galoppieren) verhindert wird.

Kl. 34. Nr. 119165. Beschickvorrichtung. W. Holdinghausen, Siegen.

Zwei gelenkartig verbundene, um die Achse *a* drehbare, von Hand oder maschinenmäßig verbundene Platten *b* und *c*, von denen die letztere zur Brennstoffaufnahme manuell erweitert ist, schieben den auf den Vorderteil des Rostes aufgegebenen Brennstoff *d* in den bereits in Glut befindlichen. Hierbei gleitet das Maul der Platte *c* während des Vorschubes auf einer Schiene *e* derart, dass auf dem Vorderteil des Rostes eine Schicht Kohlen von der Höhe der Schiene *e* liegen bleibt. Achse *a* wird mittels Hebels *A* bewegt, der durch ein Sperrwerk mit der unter Federdruck stehenden Zuführwalze *f* und dem ebenfalls unter Federdruck stehenden Wurfhaken *h* so verbunden ist, dass bei Beendigung des Vorschubes der Platte *c* die Beschickung stattfindet.

Kl. 14. Nr. 121008. Auspuffregulung. A. D. Curran und S. P. Burton Jr., Boston.

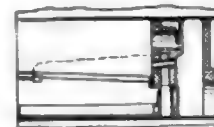
Zur Erzielung eines gleichmäßigen Auspuffs ist mit den zum Blasrohr *b* führenden Abdampfleitungen *a* durch Röhren *r*, *r*₁ ein Behälter *c* verbunden, der beim Auspuffstöße einen Teil des Abdampfes aufnimmt und ihn in der folgenden Pause wieder zurück nach *a* und *b* strömen lässt. Durch einen Schieber *d* kann die Eintrittsöffnung des Rohres *r*₁ verengt oder eine von *c* ins Freie führende Leitung *e* geöffnet werden, um die Wirkung des Blasrohres nach Bedarf zu schwächen.

**Kl. 14. Nr. 121007 (Zusatz zu Nr. 119741, Z. 1901 S. 1144). Nockenscheibensteuerung.** A. Radovanović, Zürich.

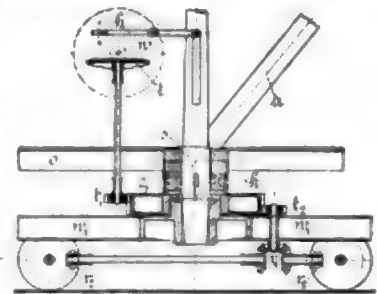
Die die beiden Rollen *r*, *r*₁ tragenden Hebel *A*, *A*₁ sind nicht unmittelbar durch ein Drehgelenk, sondern mittels eines Lenkers *l* mit einander verbunden; geführt wird *A* durch eine bei *d* fest gelagerte Schwinge *A*₂.

Kl. 24. Nr. 119639. Feuerbrücke mit Verbrennungskammer. Von H. Mehrrens, Haspe i/W.

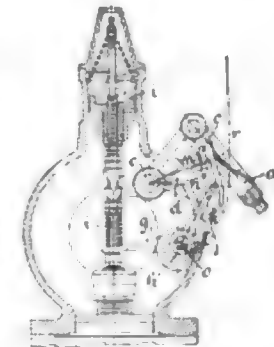
Die durch eine Wand von der Feuerung getrennte Verbrennungskammer steht mit dem Feuerraum außer durch das Flammloch noch durch eine Reihe unterhalb der Beschickungsoberfläche liegender Öffnungen so in Verbindung, dass die hier ausströmenden Gase rechtwinklig in den nach unten geführten Feuerstrom münden.

**Kl. 36. Nr. 120574. Fahrbarer Drehkran.** F. Müller, Heilbronn.

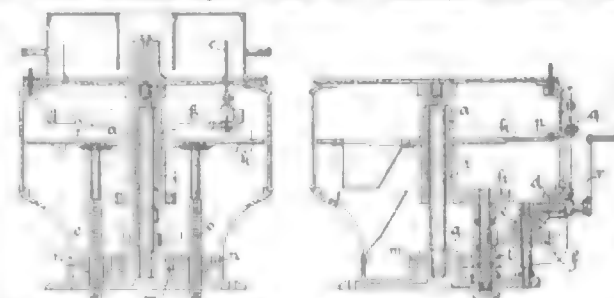
Das von Hand oder elektrisch usw. angetriebene Triebwerk *u* treibt entweder den Kranwagen *w*₁ an oder dreht das Obergestell *o* mit dem Ausleger *a*. Wenn man mittels Handhebels *h* die auf der Kranachse *s* undrehbare Kupplungsscheibe *k* hebt, so wird *o* auf *s* und *w*₁ undrehbar, und *w*₁ wird durch das Getriebe *f*₁, *s*, *f*₂, *r*₁, *r*₂ bewegt. Wenn man *k* senkt und dadurch *s* auf *w*₁ feststellt, so wälzt sich *k* auf *s* ab und dreht *o* um *s*.

**Kl. 14. Nr. 120782. Auslösende Ventilsteuerung.** K. F. Jungmann, Zeitz i/S.

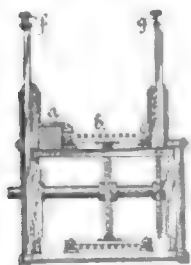
Kurz bevor die Exzenterstange *a* ihre höchste Lage erreicht, schnappt die Mitnehmerklinke *c* über den Ventilhebel *d* und trifft dabei an einen um *o* drehbaren Hebel *g*, der beim Heben der Ventilstange *i* mitgenommen wird und *c* von *d* früher oder später herabschiebt, je nachdem der Regler (mittels Gestänges *r* an *k* *h* oder dergl.) den Drehpunkt *o* mehr nach rechts oder nach links einstellt hat.



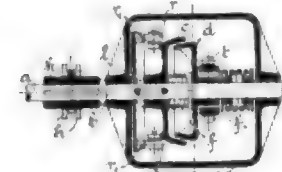
Der auf dem Schneidkopf *a* in dem Arm *b* befestigte Formstahl *c* wird durch das Getriebe *d*, *e*, *f*, *g*, *h*, *i* gedreht und gleichzeitig von der Scheibe *k* mitgenommen, die durch das Getriebe *d*, *e*, *f*, *g*, *h*, *i*, *m*, *n* gehoben wird. Zur selbständigen Einstellung der Höhe des Formstückes dient der Arm



p an k, der unter einem einstellbaren Anschlag q greifend das Getriebe mittels des Ausrückers r stillstellt.



Kl. 35. Nr. 119714. Treppenaufzug. J. W. Renow, New York. An der einen (linken) Seite der zur schrägen Auffahrt dienenden Förderbahn b mit beweglichem Geländer g ist eine festliegende, dem Aufzuge parallele Plattform a mit festem Geländer f angeordnet, auf die man bei Gefahr über-treten kann.



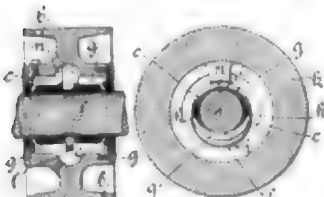
Kl. 35. Nr. 119068. Selbstthätige Ausrückvorrichtung für elektrische Hebesäge. Maschinenbau-A.-G. vorm. Beck & Henkel, Kassel. Wenn mittels des auf der Kupplungsmuffe k sitzenden Steuerhebels h die Anlasswelle a gedreht wird, so nimmt die Welle b den Kupplungsteil c mit, dessen Rollen r laufen aus den Lücken l auf den festen Ring r₁ und rücken unter Spannung der Federn f, f₁ die Reibungskupplung e d ein. Wenn dann kurz vor Beendigung der Fahrt die selbstthätige Ausrückvorrichtung des Fahrstuhls mittels Kettenrades t und Kupplung d c die Welle b a wieder zurückdreht, so wird die Kupplung e d durch f ausgerückt, sobald die Rollen r in l einfallen, sodass eine



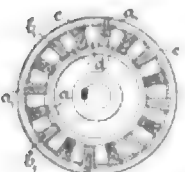
Einrückung für die umgekehrte Bewegungsrichtung nicht stattdessen kann, auch wenn der Fahrstuhl und mit ihm das Rad t noch weiter laufen sollte. Der Handhebel h wird nur beim Anfahren mit k (mittels Fingerhebels) gekuppelt, damit er bei der selbstthätigen Ausrückung nicht herumschlage.

Kl. 35. Nr. 118947. Druckluft-Hebesaug. H. Wetzel, Tarbes (Frankr.). Zum Anheben schwerer Gegenstände stellt man die Hebepratzen d oder i durch Verschiebung von a in c und durch Einstecken des Stiftes f vorläufig ein und bläst dann durch eine Lei o; anzuweisende Luftpumpe den elastischen Hohlkörper e auf.

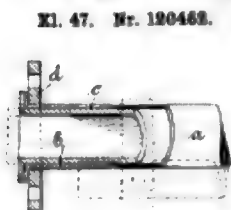
Kl. 47. Nr. 120365. Ringschmierung für Leerlaufschleiben. H. John, Erfurt. Ein in der Oelkammer c der Leereschleibe b



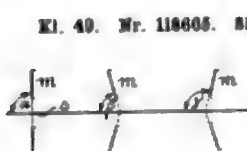
laufender Ring l wird von einer Büchse g, die abwechselnd mit Durchbohrungen i und Erhöhungen k versehen ist, nicht nur gedreht, sondern auch gesenkt und gehoben, um die Oelauführung zur ruhenden Welle f zu sichern. Knaggen m in der Oelkammer c dienen zur Führung des Ringes l.



Kl. 47. Nr. 120789. Elastische Kupplung. H. Heilmann, Berlin. Radiale Zähne a; der Scheibe e greifen wie die Klauen einer Klauenkupplung zwischen radiale Zähne b; der andern Scheibe, und die Zwischenräume werden vom Umfange her mit Holzplatten c und Gummischeiden d ausgefüllt, die dann durch einen umgelegten Ring e festgehalten werden.

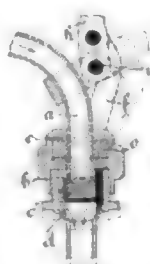


Kl. 47. Nr. 120462. Rohrverbindung. L. Arras und J. Grill, Burgfried bei Hallein. Das Blei-rohr b steckt frei verschieblich in dem eisernen Verstärkungsrohre a und erhält an den Enden aufgelötete bleierne Bund-ringe c, auf die zur Verbindung lose eiserner Flanschringe d geschoben sind, sodass das Rastwerden bei ungleicher Wärmanndeckung und die Berührung der Eisenteile durch den Inhalt (Säuren usw.) vermieden wird.

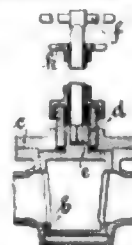


Kl. 49. Nr. 118605. Sägenbaummaschine. F. Wiss, Unter-Barmen. Um geschränkte Zähne unmittelbar in das Sägeblatt für Metallzägen einbauen zu können, werden mehrere Meißel m, deren Schneiden unter verschiedenen Winkeln zum eingespannten Sägeblatt s stehen und in einem drehbaren oder auf einem Schlitzen verschiebbaren Halter sitzen, abwechselnd unter den Hammer einer Sägenbaummaschine gebracht.

baren Halter sitzen, abwechselnd unter den Hammer einer Sägenbaummaschine gebracht.

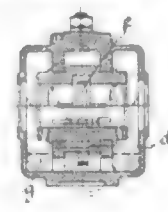
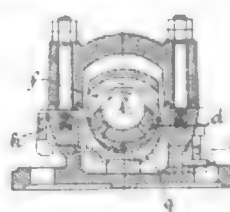


Kl. 47. Nr. 118094. Kniehebelventil. Bier-Siphon-A.-G., Kassel. Das Ventil c liegt in einer Büchse d, die in das Gehäuse e eingeschraubt ist. Beim Aufheben des bei i fest gelagerten Handhebels h werden die Teile c, d, e durch die Stangen f auf dem Ausflussrohre a verschoben, dessen Mündung b als Ventilmündung dient. Durch Einschrauben von d in e wird sowohl die Packung o zusammengedrückt, als auch c gegen b eingestellt.



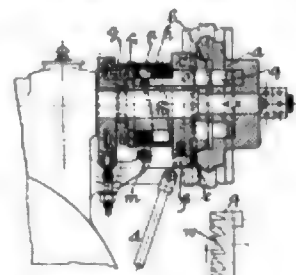
Kl. 47. Nr. 119197. Niederschraubhahn. H. M. S. Han-rot, Paris. Ueber das Auf-schrauben der Verlängerung e des Hahnkegels b ist eine Büchse d geschraubt, deren äußeres, im Deckel c geführtes Gewinde geringere Steigung als das Gewinde auf e hat. Zum Öffnen oder Festdrücken des Hahnkegels dreht man mittels Handgriffes k nur die Büchse d, während der zum Öffnen und Schließen dienende Handgriff f festgehalten wird.

Kl. 47. Nr. 120490. Ringschmierlager. H. Kröger, Altenburg, S.-A. Zwei Oelkammern g und d sind in und über einander angeordnet. Aus der unteren Kammer g fördert ein Schmierling f das Oel in

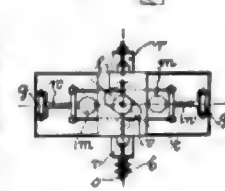


die obere Kammer d, und durch Bohrungen i der unteren Lagerschale gelangt es zur Welle, die somit stets in Oel läuft. Eine oder beide Kammern werden mit Oelstandsiegeln o, k versehen.

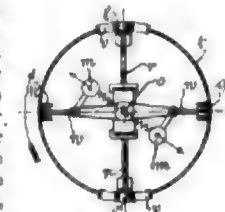
Kl. 47. Nr. 118911. Reib- und Zahnkupplung. R. Tömmler, Döbeln i/S. Bewegt man (durch Niedertreten eines nach oben federnden Trittes) mittels Zugstange d das Bogenstück e nach unten, so drücken die Federn g den Reibkegel c₁ in den Hohlkegel b des treibenden Kupplungssteiles a, der in c längerverschiebbliche Mitnehmer o bewegt sich mit seiner Rolle p in der in sich zurückkehrenden Schraubennut k der bei m am Mitdrahen gehinderten Hülse h und wird dadurch in Eingriff mit der Verzahnung q an a gebracht, so dass die Zahnkupplung schon nach kurzer Drehung eingerückt ist. Trifft o auf die schräge Flanke w eines Zahnes (Nebenfigur), so lockert der Druck von p auf h und auf c₁ die Reibkupplung c b, und o gelangt in die Tiefe der Zahnflanke.



Nach jedem Umlaufe wird o durch k aus q ausgerückt, und wenn gleichzeitig auch das Bogenstück e wieder an seinem Platze ist, so läuft die Rolle f auf c und rückt auch c b aus, sodass der getriebene Teil stets in derselben Stellung zur Ruhe kommt.



Kl. 60. Nr. 118997. Flachregler. W. Ly-nen, Aachen. Der Träghelmsring t wird gleichzeitig benutzt zur zwangsläufigen Verbindung der beiden Fliehkraftpendel m und zur Verschiebung der Reglermuffe b auf der Spindel e. Er ist zu diesem Zwecke als Trommel ausgebildet, die auf s drehbar, nicht verschiebbar und mit Führungen k für die Gleitstücke g der Winkelpendel u sowie mit schrägen Schlitzen v versehen ist, die mittels Rollen l den auf s verschiebbaren, aber nicht drehbaren Rahmen r bewegen.



Kl. 57. Nr. 121120. Schlagwerkzeug. H. Wagner, Walden-burg i/Schl. Das mit auswechselbaren Spitzen d, Schneiden c usw. versehene Werkzeug wird in einen Hammer verwandelt durch eine Hülse e, die über eines der Werkzeuge, z. B. die Spitze d, geschoben werden kann.



Angelegenheiten des Vereines.

Die 42. Hauptversammlung des Vereines deutscher Ingenieure

am 10., 11. und 12. Juni 1901 in Kiel.

Erste Sitzung.

Montag, den 10. Juni.

Vorsitzender: Hr. Lemmer.

1) Eröffnung durch den Vorsitzenden.

Der Vorsitzende eröffnet die Sitzung mit folgender Ansprache:

»Eure Excellenzen! Meine hochverehrten Herren! Unsere 42. Hauptversammlung ist diesmal bei unserm Schleswig-Holsteinischen Bezirksverein zu Gast. Von weither aus allen deutschen Gauen sind die Mitglieder in ungewöhnlich starker Zahl herbeigeeilt. Ich danke allen diesen Herren, die hier zusammen gekommen sind, um an unsern Arbeiten mitzuwirken und uns auch diesmal die Ziele unseres Vereines fördern zu helfen, für Ihr Erscheinen und helfe Sie hier herzlich willkommen.

Meine Herren Mitglieder des Vereines! Auch diesmal haben wir die hohe Freude, eine Anzahl hochbedeutender Herren in unserer Mitte willkommen zu heißen, die unserer Einladung gütigst gefolgt sind. Wir erblicken darin gewiss ein Zeichen, dass sie uns Interesse entgegenbringen, und wir erblicken ferner darin einen Sporn, auf unserer Bahn weiter fortzufahren, die geistigen Kräfte der deutschen Technik zusammenzufassen zum Wohl der ganzen deutschen Industrie.

Wir haben die hohe Ehre, in unserer Mitte zu sehen: Se. Exc. Hrn. Admiral v. Koester, Se. Exc. Hrn. Vizeadmiral v. Arnim, Hrn. Oberlandesgerichtspräsidenten Beseler, Hrn. Fufs, Oberbürgermeister der Stadt Kiel, Hrn. Geh. Kommerzienrat Sartori. Ausserdem haben wir die Ehre, Mitglieder verwandter Vereine in unserer Mitte zu sehen, und zwar Hrn. Daelen als Vertreter des Vereines deutscher Eisenhüttenleute, Hrn. Baumeister Eiselen als Vertreter des Verbandes deutscher Architekten- und Ingenieurvereine, Hrn. Dr. Langfuhr als Vertreter des Vereines deutscher Chemiker und Hrn. Dr. Blochmann als Vertreter des Elektrotechnischen Vereines in Kiel.

M. H., Sie werden gewiss ebenfalls die Beobachtung gemacht haben, dass die Vorbereitungen zur diesjährigen Hauptversammlung infolge des starken Besuches dem Festausschusse einige Schwierigkeiten gemacht haben. Wenn es trotzdem gelungen ist, alles zur Zufriedenheit zu ordnen, so danken wir das der vorzüglichen Organisation, die der Schleswig-Holsteinische Bezirksverein getroffen hat. (Beifall.)

Zunächst möchte ich also dem Festausschusse des Schleswig-Holsteinischen Bezirksvereines den Dank für seine mühevollen Arbeit ausdrücken, und ich bin überzeugt, dass im Zeichen dieser günstigen Vorbedingungen unsere Hauptversammlung sowohl in Beziehung auf die ernste Arbeit, wie in Beziehung auf den dem Vergnügen gewidmeten Teil gut verlaufen werde.

M. H., auch im vergangenen Jahre hat der Verein schmerzliche Verluste unter seinen Mitgliedern zu beklagen gehabt. Ich will nur einen Herrn nennen, der den meisten von Ihnen näher gestanden hat durch seinen stetigen und fleissigen Besuch der Vorstandersitzungen, durch seine unermüdete Mitarbeit an den Arbeiten des Vereines, der Ihnen auch bekannt gewesen ist als Verfasser der von uns herausgegebenen Litteraturübersicht, ich meine Hrn. Oberbaurat Professor Zeman in Stuttgart. Alle die ihm näher gestanden haben, haben ihn als eines der eifrigsten Mitglieder unseres Vereines kennen gelernt.

Ich bitte Sie, meine Herren, sich zum Andenken an die im letzten Jahre verstorbenen Mitglieder unseres Vereines von Ihren Plätzen zu erheben.

Indem ich hoffe, dass auch unsere diesjährige Hauptversammlung unsere Vereinsziele und unser Vereinsleben kräftig fördern werde, eröffne ich hiermit die 42. Hauptversammlung.

M. H., wie weit unser Verein in der Verfolgung des von seinen Gründern vor nahezu fünfzig Jahren gesteckten

Zieles: durch ein inniges Zusammenwirken der geistigen Kräfte deutscher Technik das Wohl der gesamten vaterländischen Industrie zu fördern, seit unserer vorjährigen Hauptversammlung thätig gewesen ist, wird durch den nachher zu erstattenden Geschäftsbericht zu Ihrer Kenntnis gelangen.

Seit unserer letzten Hauptversammlung in Köln sind besonders hervorragende Leistungen auf dem Gebiete des Maschinenbaues und des Ingenieurwesens nicht in die Erscheinung getreten. Ueber die Leistungen der deutschen Industrie, besonders auch im Vergleich mit denjenigen Ländern, welche mit uns auf dem Weltmarkte in Wettbewerb stehen, hat die im vorigen Jahre stattgefundene internationale Ausstellung in Paris ein Urteil zu bilden Gelegenheit gegeben. Mit grosser Genugthuung dürfen wir es aussprechen, dass an des Jahrhunderts Wende Deutschlands Industrie durch unablässige ernste Arbeit, durch Wissen und Können sich in die vorderste Reihe der Leistungen hat.

Von der Erkenntnis durchdrungen, dass Wissenschaft und Praxis Hand in Hand arbeiten müssen, wenn die Leistungen auf unserm Gebiete den Erfordernissen der neuen Zeit in immer grösserem Masse gerecht werden sollen, hat unser Verein auch im vergangenen Jahre für technisch wissenschaftliche Versuche reichliche Mittel zur Verfügung gestellt. Den Herren, welche sich an diesen fruchtbringenden Arbeiten unermüdet beteiligt haben, spreche ich an dieser Stelle den Dank des Vereines aus.

M. H., nachdem unsere Industrie nach Jahren des Aufschwunges und zumteil fieberhafter Thätigkeit in eine ruhigere Periode eingetreten ist, allerdings mit einer Preisbildung, die bei manchen Zweigen den notwendigen Gewinn nahezu vermissen lässt, ist auch die Zeit der Sammlung wieder gekommen, während deren der Industrielle u. a. darauf bedacht ist, Mittel und Wege ausfindig zu machen, welche geeignet sind, die mit seinem Betriebe verknüpften Unkosten zu vermindern, für die Zeit des zu erwartenden Aufschwunges dem Mangel an Lohnarbeitern durch Einführung mechanischer Hilfsmittel zu begegnen und endlich die Arbeit selbst den Arbeitern zu erleichtern, also deren Leistungsfähigkeit und damit gleichzeitig ihren Verdienst zu steigern.

Es wird meines Erachtens auf die Dauer immer schwieriger werden, die Arbeiter, angesichts ihrer erfreulicherweise in stetiger Zunahme begriffenen Bildung und Intelligenz, zu solchen Verrichtungen heranzuziehen, zu denen in der Hauptsache nur die Kraft und die Hände, also keine nennenswerten intellektuellen Fähigkeiten notwendig sind. Es bedeutet somit auch eine soziale Aufgabe, mindestens jene Arbeiten, die häufig nicht einmal als menschenwürdig bezeichnet zu werden verdienen, möglichst durch Maschinen vorzunehmen. Denn je weniger die Industrie auf Handarbeiter und dergleichen Hilfskräfte angewiesen ist, desto mehr werden diese für solche Erwerbsgruppen zur Verfügung stehen, welche heute unbestritten unter dem Mangel an Arbeitskräften leiden und bei der Art ihrer Betriebe mehr oder weniger mit solchen rechnen müssen.

Ein Gebiet, welches in Deutschland, und zwar ganz besonders nach der angedeuteten Richtung hin, eingestandenemassen der Verbesserung und Vervollkommenung bedarf, ist jenes der Beförderung und der Bewegung von Massengütern beim Umschlagverkehr an den Stellen ihrer Erzeugung und Verarbeitung.

Ich bitte Sie, meine Herren, mir zu gestatten, Ihnen hierüber im Rahmen der üblichen Präsidialansprache einige Mitteilungen zu machen.

Eine jener Waren, die in grossen Mengen vom Auslande den Häfen zur Weiterverfrachtung in das Hinterland zugeführt werden, ist das Getreide. Das Löschen der Getreidedampfer geschieht bis jetzt meistens auf dreierlei Art:

- 1) vermittels Körbe oder Säcke lediglich durch Handarbeit;
- 2) durch Kaikrane mittels Greifer oder anderer Gefässe;
- 3) durch Becherelevatoren, und zwar durch feste oder bewegliche.

War Gelegenheit hatte, dem Löschen des Getreides durch Handarbeit zuzusehen, der wird auch beobachtet haben, wie mühselig und unter wie schweren Arbeitsbedingungen eine große Zahl von Leuten thätig sein muss, um die Entladung in einem für das Schiff noch statthaften Zeitraum zu bewältigen.

Wenn 10 bis 15 Arbeiter in einem unter der Luke befindlichen Schiffsraum das Getreide in Körbe und andere Gefäße schaufeln, so wird dadurch, besonders bei dem bekanntermaßen viel Schmutz enthaltenden russischen Getreide, viel Staub entwickelt, der auf die Atmungsorgane der Arbeiter eine besonders nachteilige Wirkung ausübt und es den Zuschauern fast unmöglich macht, bei ihrer Beschäftigung längere Zeit hindurch ohne Unterbrechung zu verbleiben; man ist deshalb genötigt, sie in gewissen Zwischenräumen abzulösen.

Beim Löschen der Flussschiffe wirkt der Staub wegen der flacheren Bauart dieser Fahrzeuge zwar nicht im gleichen Maße störend; immerhin ist aber auch hier die notwendige Arbeit des Zuschauens noch sehr verbesserungsfähig und verbesserungsbedürftig.

Mag nun, wie dies z. B. im Rotterdamer Hafen, welchem sehr bedeutende Getreidemengen zugeführt werden, noch ausnahmsweise geschieht, nur mittels Körbe und Handarbeit, oder, wie vielfach in deutschen Einfuhrhäfen üblich, mittels Kranes und Greifers oder mittels Becherelevatoren (Paternosterwerke) gelöscht werden, so ist doch bei allen diesen Löscharbeiten die Zuschauelarbeit nicht zu entbehren.

Man rechnet, dass zur stündlichen Entladung einer Getreidemenge von etwa 75 t 20 bis 25 Leute bei Handarbeit und 12 bis 15 Leute bei Benutzung der vorher unter 2) und 3) genannten Löschmittel erforderlich sind.

Ganz bemerkenswerte Fortschritte im Löschen der Getreidedampfer haben die Hamburg-Amerika-Linie und der Norddeutsche Lloyd aufzuweisen. Unsere beiden weltberühmten großen Reedereien haben den hervorragenden Wert guter Löschmittel schon längst erkannt und marschieren somit auch in dieser Beziehung an der Spitze aller Handelsmarinen. Sie haben sich, wenigstens soweit das Löschen von Getreidedampfern infrage kommt, durch die Einführung pneumatischer Elevatoren unabhängig gemacht von den Hafenarbeitern, von Wind und Wetter und vom Liegeplatz, weil damit die Dampfer zu jeder Zeit, bei jeder Witterung und an einer beliebigen Stelle des Hafenbeckens oder inmitten des Stromes liegend gelöscht werden können.

Ich werde versuchen, Ihnen mit wenigen Worten ein Bild von der Einrichtung und Wirkungsweise dieser pneumatischen Getreideheber zu geben, und lasse zum besseren Verständnis Skizzen davon herunreichen.

Auf einem eisernen, mit allen notwendigen Ausrüstungen wie Dampfankerwinden, Kabinen, elektrischer Lichtanlage usw. versehenen Ponton ist ein eisernes Turmgerüst errichtet; teils in, teils auf diesem Gerüst sind die pneumatischen Vorrichtungen untergebracht. Oben auf befindet sich der Rezipient, darunter und zwar im Innern des Turmes anschließend die Luftschleuse, ferner der Getreidesammelbehälter und die selbstthätigen Getreidewagen, und schließlich zu unterst die Getreideablaufschurre mit Teleskoprohr.

Im Innern des Pontons finden wir eine liegende Zwillingsluftpumpe, deren Antrieb durch eine Verbunddampfmaschine mit Kondensation bewirkt wird, sowie den Dampfkessel mit Rohrleitung und allem Zubehör.

Von den beiden Luftpumpencylindern führt eine Saugluftrohrleitung nach dem Rezipienten, und von hier aus nach dem Seedampfer die Getreidesaugleitungen. Masten und Ausleger mit Handwinden und aller Takelage sind zur Führung der Getreidesaugleitung angeordnet.

Die Arbeitsweise ist folgende: Sobald die Luftpumpe in Thätigkeit tritt, wird die Luft durch die Saugluftrohrleitung aus dem Rezipienten abgesaugt, und es strömt infolgedessen sofort durch die Getreidesaugleitungen von außen Luft nach. Am äußersten Ende der im Seedampfer unter Deck verlegten Getreidesaugleitungen befinden sich die sogenannten Saugdüsen, durch welche das Aufsaugen des Getreides bewirkt wird. Bei diesem wichtigsten Teile der gesamten Einrichtung und der Getreidesaugleitung im besonderen sind der Querschnitt und die Form des cylindrischen und trompeten-

förmigen Mundstückes so gewählt, dass die im Ruhestand befindliche Luft allmählich beschleunigt wird, wenn sie in die Getreidesaugleitung eintritt. Die größte Geschwindigkeit der Luft in der Saugdüse beträgt etwa 40 m/sk bei einer Luftverdünnung an der Luftpumpe von 20 cm. Die Geschwindigkeit, bezogen auf das Vakuum, welches die Luftpumpencylinder leisten, beträgt in der Getreidesaugleitung an der Düse etwa 80 m/sk.

Die mit einer Geschwindigkeit von ungefähr 40 m/sk in die Saugdüse eintretende Luft streicht über die sich darbietende Getreideoberfläche hinweg und giebt dem in die Düse eintretenden Getreide eine Beschleunigung, mittels deren es 15 bis 20 m hoch in den Rezipienten eingesaugt wird. Die Beschleunigung genügt auch noch, um das Getreide bis 120 m wagerecht bis zum Rezipienten zu befördern. Dort gelangt die Luft wieder zur Ruhe, das Getreide lagert sich auf dem Boden des Rezipienten ab und wird durch eine selbstthätig unter Luftabschluss arbeitende Vorrichtung, die Luftschleuse, aus dem Rezipienten in den Getreide-Sammelbehälter ausgeschieden. Von da aus gleitet das Getreide zwecks Verwägung in die selbstthätige Wage, dann durch die Auslaufschurre und das Teleskoprohr nach dem Leichter oder nach dem Eisenbahnwagen. Die mit Getreidestaub erfüllte Luft im Rezipienten wird an dessen oberstem Ende durch die Saugluftrohrleitung von den Luftpumpen abgesaugt und in eine Staubkammer wieder ausgeblasen. Der Staub lagert sich in der großen Staubkammer von 170 cbm Inhalt fast vollständig ab, und die Luft tritt durch ein Abzugrohr ins Freie.

Die Häntrungen mit den pneumatischen Getreidehebern lassen sich mannigfaltig gestalten. Das Getreide kann sowohl unverwogen als abgewogen, lose oder in Säcken (zu je 100 kg) weiter verladen werden, und zwar in Leichter, Eisenbahnwagen oder Magazine. Das Getreide wird bei dieser Beförderungsweise von dem beigemengten Staub befreit, sodass es wesentlich vorgereinigt den Getreideheber verlässt.

Es ist sogar leicht möglich, durch Einschalten weiterer Getreideereinigungsmaschinen Unkrautsämereien und andere Unreinigkeiten aus dem Getreide zu entfernen. Andererseits ist es aber auch ebenso leicht einzurichten, dass der gesamte Staub und Unrat in dem Getreide verbleibt, also mitverwogen zur Ablieferung gelangen kann.

Die pneumatischen Getreideelevatoren können je nach Bedarf für eine stündliche Leistungsfähigkeit, die zwischen 50 und 200 t schwankt, erbaut werden. Diese Leistungsfähigkeit ist als mittlere zu betrachten; in vollem Korn leistet der Elevator entsprechend mehr, bei Restarbeit und niedriger Getreideschicht entsprechend weniger.

Das Zuschaueln des Getreides fällt gänzlich fort; zur Bedienung der 2 Saugdüsen eines 100 t-Elevators sind nur 4 Mann erforderlich, bei einem 200 t-Elevator mit 4 Saugdüsen nur 7 bis 8. Diese Leute haben nur darauf zu achten, dass das Saugrohr mit der Düse beständig im Getreide steckt und nicht lediglich Luft ansaugt.

Die Betriebskosten bei einem 100 t-Elevator stellen sich auf etwa 0,30 Mk für 1 t geförderten Getreides, wobei sämtliche Unkosten, als Löhne, Gehälter, Koble, Schmiermaterial usw., berücksichtigt sind.

Die pneumatischen Elevatoren haben für die Entladung von Getreide aus Seeschiffen eine ganz hervorragende Bedeutung. Es ist in der That unmöglich, mit irgend einer andern Getreide-Löschvorrichtung, sei es nun ein Becherwerk oder ein Greiferkübel, bei einer gleich geringen Anzahl von Bedienungsmannschaften auch nur annähernd derartige Dauerleistungen zu erreichen.

Die Vorzüge des pneumatischen Getreideelevators sind nochmals kurz zusammengefasst folgende:

- 1) Möglichkeit des Löschens der Getreideschiffe bei Wind und Wetter; die Schiffsleute brauchen nur so weit geöffnet zu werden, dass die Saugrohre Platz finden;
- 2) gleichzeitige Entladung der Stückgüter und des Getreides aus den verschiedenen Schiffsräumen und deshalb bedeutende Zeitersparnis; die Saugrohre finden in den Ecken der Luken Platz, bilden also kein Hindernis für das Löschen der Stückgüter;
- 3) es kann durch mehrere Luken zugleich beladen und entladen werden, was namentlich bei Flussfahrzeugen von

Wichtigkeit ist, da hierdurch eine gleichmäßige Entlastung und Belastung des Schiffskörpers erzielt wird;

4) durch Verholen des zu beladenden Leichters wird ein Stillstand des pneumatischen Betriebes nicht erforderlich, da das aufgesaugte Getreide in dem über den selbstthätigen Wagen befindlichen Behälter aufgespeichert wird und nach Verholen des Leichters ohne Zeitverlust entleert werden kann;

5) Verlust von Getreide auf dem ganzen Transportwege ist nicht vorhanden, da die Bewegung des ersteren nur in geschlossenen Rohren und den zugehörigen, ebenfalls geschlossenen Vorrichtungen stattfindet;

Bahn unterbrochen werden kann, um das Gefäß bis auf die gewünschte Höhe zu senken und selbstthätig zu entleeren.

Die Kübel kippen entweder selbstthätig um, und zwar durch Anstoßen gegen eine Ausklinkvorrichtung, oder es öffnen sich im Boden des Kübels selbstthätig Klappen, sobald der Seilzug aufhört.

Die Rückbewegung erfolgt selbstthätig dergestalt, dass die Fahrbahn eine Neigung von 1:12 bis 1:8 erhält, sodass die Katzen infolge der Schwerkraft zurückrollen. Für große Leistungen baut man ein System von 3 solchen Verladebrücken, sodass z. B. bei Dampfzügen je eine Luke von einer Verladebrücke aus bedient wird. Die Brücken sind auf einer

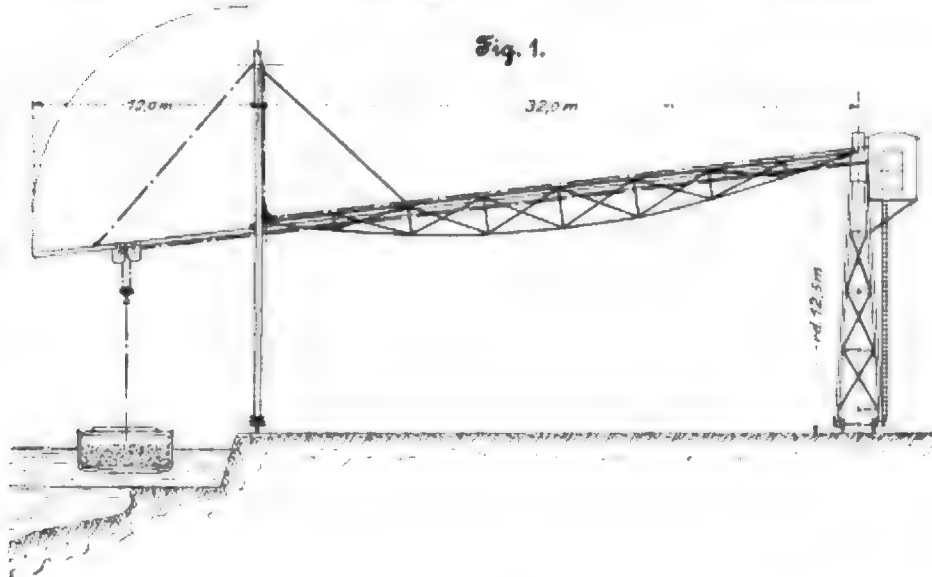


Fig. 1.

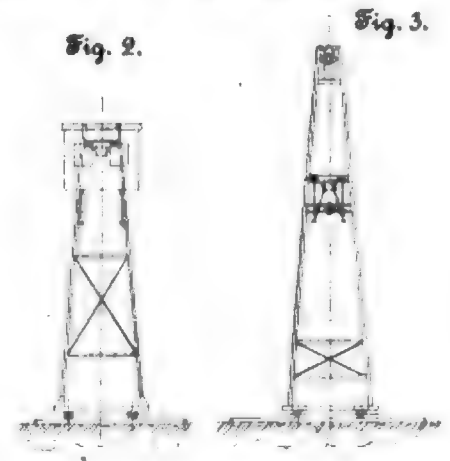


Fig. 2.

Fig. 3.

6) das Getreide kann auf seinem Wege selbstthätig verwogen werden, und es sind auch hierbei Verluste und Unregelmäßigkeiten ausgeschlossen;

7) das Getreide gewinnt bedeutend an Wert, da die Körner durch Reibung unter sich und an den Rohrwandungen von einem Teil des anhaftenden Schmutzes befreit und durch die Luftpumpen große Mengen von Staub, feinem Sand und Hüllsen abgesogen werden;

8) das Getreide wird gründlich durchlüftet;

9) vollständige Unabhängigkeit von den Hafenarbeitern; außer für die Dampfmaschinen und die Luftpumpen, die jeder gute Maschinist bedienen kann, einem Kesselheizer und einem Manne zur Beobachtung der Entleervorrichtung und der selbstthätigen Wagen ist keine geschulte Mannschaft erforderlich;

10) der Betrieb ist vollständig gefahrlos;

11) bedeutende Ersparnis an Arbeitskräften.

Ich will mir jetzt noch gestatten, kurz auf einige Einrichtungen hinzuweisen, die besonders zur Beförderung der beiden Massengüter: Erze und Koble, mit außerordentlichem Vorteil angewendet werden. Die geringe mir noch zur Verfügung stehende Zeit gestattet es mir nicht, Ihnen eine ausführliche Beschreibung der Vorrichtungen zu geben. Ich muss mich darauf beschränken, kurz deren Merkmale anzugeben; jedoch hoffe ich, dass es mir mithilfe der ausliegenden Skizzen gelingt, meine Ausführungen trotzdem verständlich zu machen.

In Fig. 1 bis 3 ist eine Anlage dargestellt, die sowohl zum Entladen als auch zum Beladen sei es von Schiffen sei es von Eisenbahnwagen dient.

Die Kohlen oder Erze, Getreide, Kies usw. werden in Gefäße gefüllt, die in Stande sind, 1 t des jeweiligen Rohstoffes zu fassen. Mittels eines Seiles und einer besonders konstruierten Winde wird das Gefäß senkrecht gehoben; nachdem die Hubgrenze erreicht ist, geht die senkrechte Hubbewegung sofort ohne weiteres in die wagerechte Transportbewegung über, welche an einem beliebigen Punkte der

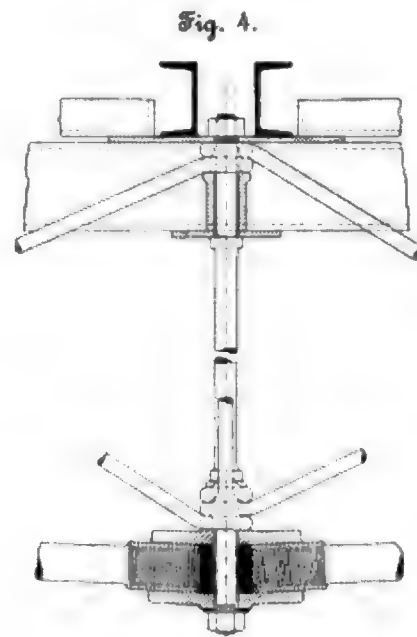


Fig. 4.

Fahrbahn beweglich, sodass man einestheils große Lagerplätze bestreichen kann, andernteils das Verholen der Schiffe, bekanntermaßen eine zeitraubende Arbeit, vermieden wird. Damit die Verladebrücken an der Takelage des Schiffes vorbei können, wird der Ausleger der Brücke zum Aufklappen eingerichtet.

Es sind derartige Verladebrücken bis zu einer Transportlänge, d. h. mit einer Laufkatzen-Fahrbahnlänge, von 150 m gebaut worden.

Eine Brücke leistet im Mittel 40 t stündlich, wenn das Füllen des Transportgefäßes gewöhnlicher Schaufelarbeit entsprechend geschieht. Es sind aber auch Leistungen von 80 t stündlich erzielt worden, was einem Windenspiel von 45 sk entspricht, sobald es möglich war, das Transportgefäß tief genug zu stellen, sodass es leichter als bei Schaufelarbeit gefüllt werden konnte.

Man hat versucht, die Schaufelarbeit durch Selbstgreifer zu ersetzen, hat aber gefunden, dass die Leistung dadurch keineswegs gesteigert wird, ganz abgesehen davon, dass die Schläge und Stöße des Greifers für viele Schiffe nachteilig sind.

Eine solche Anlage ist in Fig. 5 und 6 dargestellt. Das zu entladene Gut wird senkrecht gehoben, dann bis über den Fülltrichter befördert und durch diesen in die unterhalb stehenden Wagen gekippt. Diese stehen auf einer schiefen Ebene mit 1:25 bis 1:30 Neigung und werden durch ein Gegengewicht gehalten. Sobald der Wagen beladen ist, treibt ihn das Ubergewicht hinab, bis er seine Entladestelle erreicht hat. Durch Anschlag werden hier die Seitenklappen des Wagens geöffnet, er entleert sich und läuft, durch das beim Bergablaufen gehobene Gegengewicht gezogen, wieder in seine Anfangsstellung zurück. Die Laufbahn des Auslegers ist eine Parabel, in deren Brennpunkt die Zugseilscheibe aufgehängt ist.

Fig. 5.

Fig. 6.

Fig. 10.

Fig. 7.

Fig. 11.

Fig. 8.

Fig. 9.

Die unmittelbaren Kosten für Entladen und Beladen betragen, nach hiesigen Löhnen und Kohlenpreisen berechnet, für 1 t etwa 4 1/2 Pfg.

In Fig. 4 ist ein Knotenpunkt der Brücke dargestellt. Da die Stäbe nicht durch Niete verbunden sind, so ist der Nietquerschnitt auch nicht den Zugbändern hinzuzufügen. Die Brücke baut sich dadurch leichter. Ebenso ist die Beanspruchung durch Winddruck geringer, da dem Winde kleinere runde Flächen entgegenstehen. Die Muffen sind aus Stahlguss.

Ähnlich wie die Verladebrücken ordnet man die Anlagen an, die zur Beförderung der Rohstoffe in gedeckte Magazine dienen, wie beispielsweise bei großen Gasaustalten.

Die Leistung hängt natürlich von der Länge der Laufbahn des Wagens ab. Man nimmt in der Regel eine stündliche Leistungsfähigkeit von 40 t an.

Ein Transportmittel, welches auch in Deutschland auf Hüttenwerken (auf Schienen- und Trägerlagerplätzen) schon Anwendung gefunden hat, ist der Kragträgerkran, Fig. 7 bis 11. Er wird mit einer oder mit zwei Katzenlaufbahnen ausgeführt und eignet sich vortrefflich zu allen Verlade- und Transportarbeiten. Auch für Schiffbauzwecke werden Kragträgerkrane vorteilhaft angewendet. Sie sind sehr leicht beweglich, und ihre Standfestigkeit entspricht allen Anforderungen. Jedes Zerren des Oberbaues, wie es bei Brückenkranen, deren Brücke mit den Unterstützungen fest verbunden ist,

immer vorkommt, und zwar der wechselnden sehr ungleichen Stützendrücke wegen, ist ganz ausgeschlossen. Ein bewegliches Gegengewicht, das sich unter allen Umständen auf dem der Last entgegengesetzten Arm in der entsprechenden Stellung befindet, gestattet die Verwendung dieser Krane für die schwersten Lasten. Als Betriebskraft kann man Dampf oder elektrischen Strom anwenden. Bei elektrischer Energie muss je ein Elektromotor für die 3 Bewegungen: Lastheben,

vorteilhaft auf einer festen Brücke fahrbar gemacht. Fig. 12 zeigt die Anwendung eines solchen Kranes mit 10 t Tragkraft. Die im Bau begriffenen Schiffe liegen zu beiden Seiten der Brücke. Die Kranbahn ist 250 m lang. Die Kranausleger ragen über beide Schiffe hinweg. Ihre Gesamtausladung beträgt 60 m, die größte Fahrgeschwindigkeit des Kranes 200 m/min.

Selbstthätige Hemmvorrichtungen sind am Ende der

Fig. 12.

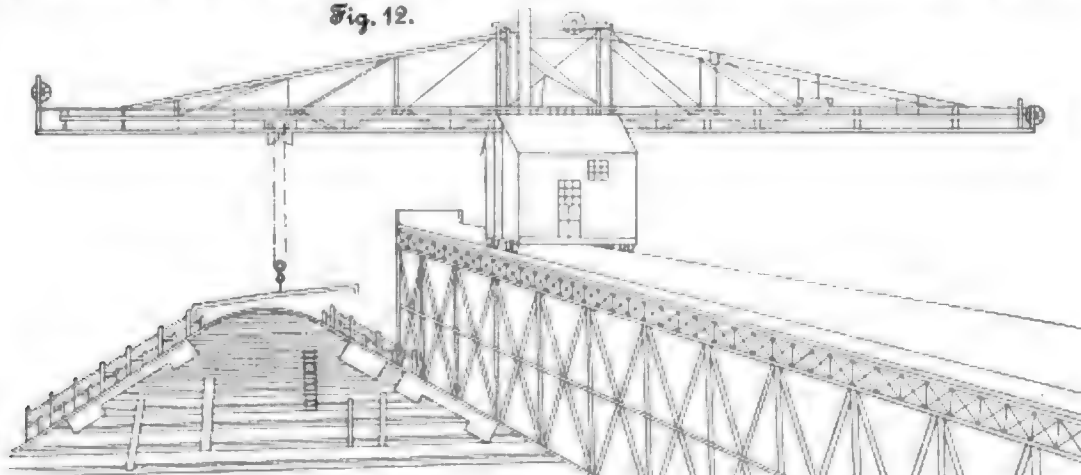


Fig. 14.



Fig. 13.

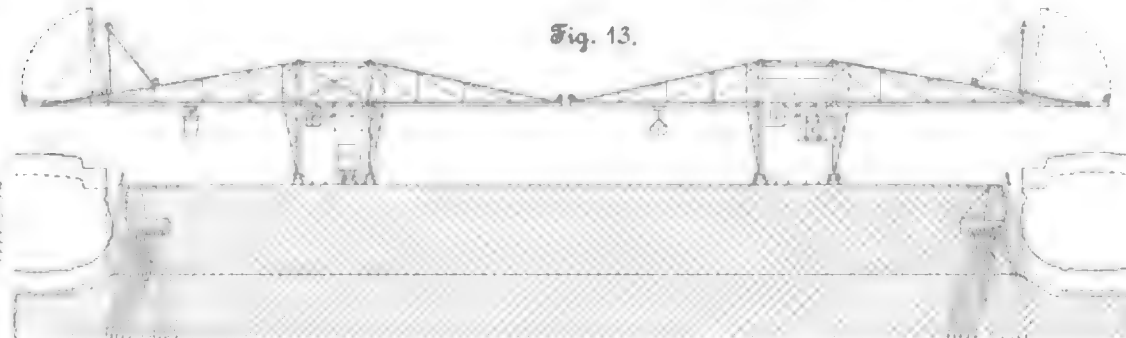


Fig. 15.

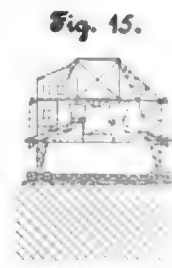
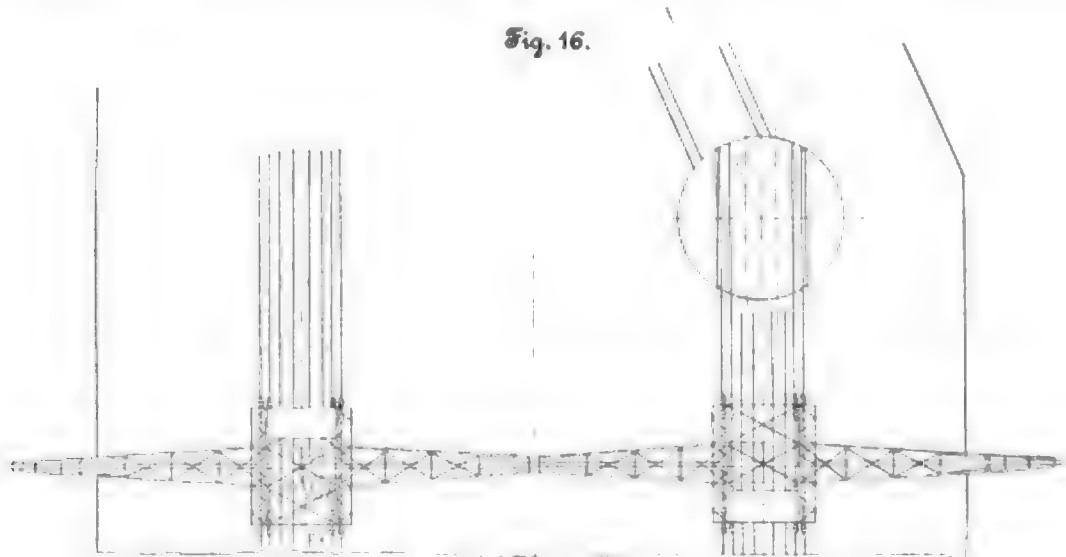


Fig. 16.



Katzenfahren und Kranfahren, angewendet werden. Sämtliche Maschinen sind im Führerhause untergebracht.

Die gebräuchlichen Geschwindigkeiten sind: Lastheben 90 m/min, Katzenfahren 300 m/min, Kranfahren 60 m/min.

Diese Kragträgerkrane sind für eine Gesamtausladung von 45 bis 130 m und für Lasten von 3 bis 15 t ausgeführt worden.

Für die Anwendung beim Schiffbau werden die Krane

Brückenbahn angebracht. Sie bestehen hauptsächlich darin, dass die rollende Bewegung des Kranes in stark gebremste gleitende Bewegung umgewandelt wird.

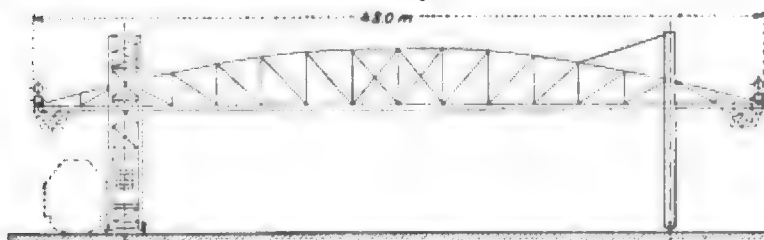
Fig. 13 bis 16 zeigen zwei Kragträgerkrane auf einer Mole zum Verladen der in Eisenbahnwagen ankommenden Kohlen in die Schiffe. Der leitende Gedanke ist dabei — neben großer Leistungsfähigkeit —, die ganze Mole zu bestreichen und die Kohle möglichst bruchfrei zu verladen. Die Kohlen werden

zweckmäßig in Wagen von 15 t Inhalt mit Entleerung durch eine bewegliche Stirnwand, sogen. »Vorderkipper«, angefahren, durch die Kranmaschine auf die unterhalb des Kranes stehende Kippbühne gezogen, gehoben und mittels dreiteiligen Einlauftrichters in 3 Gefäße von 5 t Inhalt entleert. Darauf wird der Wagen in seiner Fahrtrichtung — oder auch umgekehrt — zum Abfließen gebracht.

Auf einer Wago stehen 3 gefüllte und ein viertes leeres Gefäß. Die leeren Gefäße sind tarirt, sodass die Wago nur das Nettogewicht der Kohle anzeigt. Der Kran hebt ein Gefäß, bringt es bis über die Schiffsluke oder bis dicht auf die Abladestelle, der Seilzug lässt nach, und es öffnet sich der Boden des Gefäßes, sodass es sich entleert, ohne dass die Kohlen aus größerer Höhe herunterfallen. Der Kran bringt das Gefäß zurück, und das Spiel beginnt von neuem. Während des letzten Spieles sind zwei bereits leere und das vorher erwähnte vierte Gefäß wieder gefüllt worden, sodass der Betrieb ununterbrochen ist. Die Hubgeschwindigkeit des Kranes beträgt 90 m, die Fahrgeschwindigkeit der Katze 300 m/min, die stündliche Leistungsfähigkeit 10 Wagen oder 150 t.

Dieselben Krane können auch die Kohlen von Stapelplätzen mittels Greiflers entnehmen; dabei erreicht die Leistungsfähigkeit aber nur die Hälfte der eben angegebenen. Der über das Schiff hinwegreichende Ausleger kann auf-

Fig. 17.



geklappt werden, damit das Schiff nicht verholt zu werden braucht.

Sämtliche Bewegungen werden vom Maschinenhause aus eingeleitet und gesteuert.

Zum Schluss möchte ich noch auf Brückenkranen mit beweglich gelagerter Brücke, Fig. 17 und 18, aufmerksam machen. Krane dieser Art dienen ebenfalls allen Verladezwecken. Sie unterscheiden sich von den üblichen Brückenkranen durch die beweglich gelagerte Brücke.

Bei allen Kranen dieser Art sind die Stützendrucke sehr verschieden, je nach Stellung der Last. Steht die Last an einem Ende der Bahn, so bekommt die zunächst stehende Unterstüttzung den vollen Lastdruck, während die Pressung der andern Stütze negativ ausfällt. Soll jetzt die ganze Brücke fortbewegt werden, so muss, falls die Verbindung zwischen Brücke und Unterstüttzung starr ist, die Brücke selbst die Ungleichheit der Widerstände gegen die Fortbewegung ausgleichen. Das Ergebnis ist ein Zerren der Brücke, welches bei großer Spannweite zum Bruch führen kann, und ein Klemmen in den Lagern des Lauftrades. Das Ausrüsten einer guten Unterstüttzung mit einem besonderen Motor verbessert nicht viel.

Das dargestellte System vermeidet diese Mängel. Die Brücke wird gewöhnlich über der Doppelstütze am Maschinenhause drehbar gelagert; die andere Unterstüttzung kann sich senkrecht zur Brückenbahn etwas verstellen. Sind nun beide Unterstüttzungen ungleich belastet, so hat der Motor ohne Vermittlung der Brücke den ungleichen Widerstand jeder Unterstüttzung zu überwinden. Da beide Stützen mittels Welle und Rades mit dem Motor verbunden sind, eine Stütze also nicht zurückbleiben kann, ohne den Motor in dem seiner Drehrichtung entgegengesetzten Sinne zu beeinflussen, und auch ein Klemmen in den Lagern gleichfalls ausgeschlossen ist, so erfolgt die Bewegung glatt, gleichförmig und stoßfrei.

Das mechanische Bekohlen der Schiffe in den Häfen und, was für die Kriegsmarine von besonderer Wichtigkeit sein dürfte, das mechanische Uebernehmen der Kohle vom Tender oder Kohlendampfer auf die Kriegsschiffe, auch auf offener

See und bei Seegang, sind Aufgaben, welche eine befriedigende Lösung noch nicht gefunden haben. Der Maschineningenieur und der Schiffingenieur müssen hierbei Hand in Hand arbeiten. Wesentlich für eine Lösung der Aufgaben wird die Anordnung der zu den Kohlenbunkern führenden Luken usw. sein.

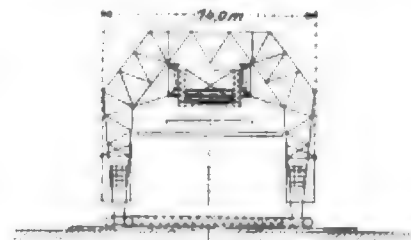
Leicht ist die Aufgabe nicht, aber ich habe die Ueberszeugung, dass sie gelöst werden wird.

Hierauf nehmen folgende Herren das Wort zu Begrüßungsansprachen:

Se. Exc. Hr. Admiral v. Koester:

»M. H., im Namen der Offiziere und Beamten der hiesigen Station heiße ich Sie herzlich willkommen und danke Ihnen, dass Sie uns Gelegenheit gegeben haben, an Ihrer Versammlung teilzunehmen. Bei der hohen Bedeutung, die der Verein deutscher Ingenieure für die Entwicklung der deutschen Industrie hat, und bei dem engen Bande, welches sich um Technik und Marine schlingt, hat es uns mit ganz besonderer Freude erfüllt, dass Sie Kiel diesmal als Hauptversammlungsort gewählt haben. Wir werden dazu thun, soweit es in unseren Kräften steht, Ihnen zu zeigen, was Kiel bietet. Wir hoffen, dass Ihre Versammlung zu einem guten Ergebnis führen werde, und dass Sie stets mit Freuden zurückdenken werden an die Tage Ihres Aufenthaltes in Kiel.« (Lebhafter anhaltender Beifall.)

Fig. 18.



Hr. Oberbürgermeister Fuß:

»Hochansehnliche Versammlung! Gönnen Sie auch mir die Ehre, im Auftrage der hiesigen städtischen Kollegien und im Auftrage der Stadt Kiel der 42. Hauptversammlung deutscher Ingenieure ein herzliches Willkommen zuzurufen.

Es ist mir wohl gestattet, an den Jubel anzuknüpfen, mit dem Sie schon gestern bei Ihrem Erscheinen hier in dieser Stadt allseitig begrüßt worden sind. Ich darf aber zur Begründung meines Willkommens heute noch etwas näher eingehen auf das Verhältnis ihrer Versammlung zu dem Wohl und Wehe unserer Stadt.

Wenn der Vorstand einer großen und bedeutungsvollen Vereinigung, wie Sie sie darstellen, mit sich zurate geht, wohin er seinen Kongress verlegen soll, so treten ihm wohl vor allem die beiden allgemeinen Gesichtspunkte entgegen: einmal, einen Ort auszuwählen, der Ihnen, m. H., reichlich Gelegenheit zur Belehrung bietet, andererseits aber auch einen Ort, in dem Sie belehrend und anregend wirken, in dem Sie Saaten für die Zukunft streuen können.

Wenn nun in diesem Jahre Kiel von Ihnen gewürdigt worden ist, der Vereinigungspunkt Ihrer Beratungen zu werden, so gereicht das unserer Stadt nach beiden Richtungen zu hoher Ehre, nach der zuletzt genannten zu ausgiebigstem Gewinn.

Ob nun unsere Stadt solche Ehre verdient hat, das wird sich Ihnen am Ende Ihrer Versammlungstage noch deutlicher ergeben. Vielleicht ist es wohl auch richtig, dass diese Ehre im allgemeinen den großen Städten zuteil wird nicht deshalb, weil die Thätigkeit des Ingenieurs an die Großstadt gebunden wäre. O nein! Wenn Sie Eisenbahnen und wenn Sie Kanäle bauen, so ziehen Sie oft weit hinaus vom Getriebe der großen Stadt. Der Bergbau, der Meliorationsbau, der Wasserbau sind zunächst an ganz andere als an städtische Unterlagen gebunden. Und doch steckt in der Arbeit des Ingenieurs etwas, was ihn unwiderruflich mit der Großstadt verbindet. Bedarf der Großstadt nicht zu seiner Arbeit, so hilft doch seine Arbeit, die Städte zu stärken und

zu vergrößern; denn dem Fleiße des Ingenieurs folgt überall die Hebung des Verkehrs.

M. H., unser Kiel ist vor Jahresfrist erst in die Reihe der Großstädte eingetreten, wenn man darunter in Deutschland diejenigen verstehen darf, die die Zahl von 100 000 Einwohnern überschritten haben. Der Schritt war aber sogleich ein entschiedener, denn noch ehe ein weiteres Jahr veronnen ist, hat die Stadt, allerdings mithilfe einer wichtigen Eingemeindung, fast schon das erste Viertel auf dem Wege zu den zweiten 100 000 zurückgelegt. Aus dieser gewaltigen Entwicklung folgen mancherlei Schwierigkeiten. Kiels innere Natur war von Hause aus nicht auf eine Großstadt angelegt. Wohl hat die Stadt eine schöne ruhmvolle Geschichte. Lange Zeit stand sie auf der nationalen Warte des Deutschlands, ist sie eine Stätte edler Geistesbildung gewesen, seitdem im 17. Jahrhundert ihre Christiana Albertina, die Christian Albrechts-Universität, begründet worden ist. Aber, m. H., darüber ist kein Zweifel, das Zeug zur Großstadt bekam sie erst, als mit Gottes Hülfe der Zwang sie anfügte und angliederte an das große preussische Staatswesen, als der Zwang, ein glücklicher Zwang, ihr das Geschenk in den Schoß warf, der Sitz des ersten Kriegshafens des wieder erstandenen Deutschen Reiches zu werden. Seit dieser Zeit fühlt sie die Kraft zu einer Großstadt.

Nicht die kommunalen Einrichtungen sind es, auf die ich mit Stolz hier bei der Begrüßung des Vereines deutscher Ingenieure hinweisen will. Wohl aber kann ich mit Stolz Sie auf das hinweisen, was hier im Anschluss an den Reichskriegshafen geleistet worden ist durch die Arbeit der dazu berufenen Reichsbehörden, insbesondere derer der kaiserlichen Marine und der Kanalverwaltung, großartige Leistungen, die das Herz jedes deutschen Ingenieurs stolzer schlagen machen. Wenn Professor Baumeister in Karlsruhe in seiner bemerkenswerten Antrittsrede zum Rektorat recht gehabt hat, dass der deutsche Ingenieur, wenn er wirklich Tüchtiges leisten will, unter andern auch Volkswirt sein muss, so ist hier in Kiel von den Reichsmarinebehörden bewiesen worden, dass diese Vereinigung zweier schwieriger Ziele möglich ist.

Bescheidener, meine hochverehrten Herren, habe ich dann zu reden von dem, was Ihnen die kommunalen Leistungen hier zu bieten vermögen. Wohl besitzen wir eine Wasserleitung, die unserer Stadt vortreffliches, auf künstlichem Wege vollständig von Eisen befreites Trinkwasser liefert. Der elektrische Strom bewegt den Verkehr auf den Straßen, eine elektrische Beleuchtungszentrale ist ihrer Vollendung nahe und soll diesen Herbst noch in Betrieb gesetzt werden. Das Straßennetz wird unablässig verbessert und erweitert nach einem einsichtigen Plane, dessen Urheber der bekannte Geh. Baurat Stübgen in Köln ist. Auch der wundeste Punkt, den Sie an unseren öffentlichen Einrichtungen bemerkt haben werden: die Kanalisation, soll der Heilung entgegensehen. Der Entwurf einer großen Kanalisationsanlage mit Trennsystem ist in der Ausarbeitung, und wenn das Rezept auch teuer sein wird — ich glaube die Stadt wird nicht umhin können, diese Arznei einzunehmen.

Meine hochverehrten Herren! Der Hr. Präsident hat in seiner einleitenden Rede den bedeutungsvollen Gedanken ausgesprochen, die Aufgabe Ihres Vereines sei es, durch Hebung der geistigen Kräfte die deutsche Industrie zu fördern, die Aufgabe des Vereines sei es, Wissenschaft und Praxis zusammenzuspannen zur Förderung des allgemeinen Wohles. Wenn es also richtig ist, dass auch die Wissenschaft für Ihren Verein ein Lebenselement ist, dass Sie nicht bloß die Vertretung eines bestimmten Standes sein wollen, sondern dass Sie in der Vielheit der Sie bewegenden Interessen das Gemeinsame suchen und festhalten wollen, dann gereicht es Ihnen vielleicht zur Freude, dass in den letzten Wochen sich hier in Kiel ein Plan zur Reifung ausgestaltet hat, dem ein gleiches ideales Streben zugrunde liegt. Gemeinsame Verhandlungen von staatlichen und Reichsbehörden, von Industriellen und von Vertretern der Stadt haben es als nahezu gesichert erscheinen lassen, dass hier in Kiel vom 1. April 1903 ab eine höhere Schiffs- und Maschinenbauschule errichtet werden soll (Beifall), die erste dieser Art auf preussischem Boden und eigenartig für das ganze Deutsche Reich, insofern als eine ihrer Hauptaufgaben in der Vorbildung tüchtiger technischer Kräfte für die kaiserliche Marine bestehen soll. Aber auch hierin sehe ich nur eine Stufe zu

weiterem Fortschritt hinaus. Vor wenigen Jahren ist es Kiel nicht vergönnt gewesen, als es sich darum handelte, eine technische Hochschule an die drei älteren bestehenden anzugliedern, in dem Wettkampf die Palme davonzutragen. Aus nationalen Gründen hat das unserer Stadt engbefreundete Danzig den Sieg davongetragen, und den nächsten Sieg scheint das für die Montanindustrie so wichtige Breslau erringen zu sollen. Aber, m. H., ich spreche die Ueberzeugung aus, dass auch damit noch lange nicht alles geschehen sein wird, was geschehen muss für die Hebung des so hochwichtigen technischen Hochschulwesens. Auch mit 5 Schulen für die Monarchie ist das Bedürfnis noch nicht befriedigt, und meine feste Hoffnung ist, dass die Zeit kommen wird, wo auch hier in Kiel der Grundstein zu einer technischen Hochschule gelegt werden kann. (Beifall.) Ob ich es in meinem Amte erleben werde, steht freilich dahin. Das aber glaube ich wohl, wenn der Verein das nächstmal der Stadt Kiel die Ehre seiner Versammlung schenken wird, dann wird von dieser Stelle aus schon der Rektor einer Kieler technischen Hochschule zu Ihnen sprechen. Er wird mit gründlicherer, scharfsinniger Würdigung Ihrer Bestrebungen zu Ihnen reden, er wird auch herzliche Worte zu Ihnen zu sprechen wissen; aber dass er Sie mit größerer Herzlichkeit begrüßen wird, als wenigstens mein innigster Seelenwunsch gewesen ist, Sie heute hier zu begrüßen, das glaube ich nicht. Und nun zum Schlusse Heil und Segen den Arbeiten und den Männern der 42. Hauptversammlung des Vereines deutscher Ingenieure! (Lebhafter Beifall.)

Es richten ferner Worte der Begrüßung an die Versammlung:

Hr. R. M. Daelen namens des Vereines deutscher Eisenhüttenleute;

Hr. Regierungs-Baumeister Eiselen namens des Verbandes deutscher Architekten- und Ingenieur-Vereine;

Hr. Dr. Langfurth namens des Vereines deutscher Chemiker;

Hr. Dr. Blochmann als Vertreter des Elektrotechnischen Vereines zu Kiel.

Der Vorsitzende dankt den Rednern für ihre freundlichen Begrüßungen und erteilt dem Vereinsdirektor das Wort zum

3) Geschäftsbericht.

Der Geschäftsbericht ist bereits in Z. 1901 S. 678 veröffentlicht; Abdrücke desselben befinden sich in den Händen der Anwesenden. Der Vereinsdirektor giebt eine kurze Uebersicht der Geschäfte und Arbeiten des Vereines seit der letzten Hauptversammlung.

3) Vortrag des Hrn. Geh. Regierungsrates Prof. Dr. Slaby über die neuesten Fortschritte auf dem Gebiete der Funkentelegraphie.

(Der Vortrag ist an besonderer Stelle veröffentlicht worden.)¹⁾

Der Vorsitzende dankt dem Redner für den von der Versammlung mit stürmischem Beifall aufgenommenen Vortrag.

Zweite Sitzung.

Dienstag, den 11. Juni.

Vorsitzender: Hr. Lemmer.

Der Vorsitzende teilt mit, dass Sr. kgl. Hohheit Prinz Heinrich v. Preussen dem Verein für die ihm gestern gebotene Gelegenheit, einige Stunden im Kreise der Mitglieder zu verweilen, bestens danken lässt, und wünscht, dass wie bisher so auch in Zukunft die Arbeit des Vereines zu des Vaterlandes Nutzen und Gedeihen beitragen möchte. (Lebhafter Beifall.)

4) Rechnung des Jahres 1900.

Die Rechnung ist in Z. 1901 S. 681 veröffentlicht und liegt in Abdrücken vor. Das Wort wird nicht verlangt. Aufgrund des Berichtes der Rechnungsprüfer und auf Antrag des Vorstandes wird die Rechnung genehmigt und dem Vorstände sowie dem Vereinsdirektor Entlastung erteilt.

5) Wahl des Vorsitzenden für die Jahre 1902 und 1903.

Auf Vorschlag des Vorstandes, dem der Vorstandsrat sich angeschlossen hat, wird Hr. Generaldirektor W. von Oechelhaeuser-Dessau gewählt.

6) Wahlen zweier Rechnungsprüfer und ihrer Stellvertreter für die Rechnung des Jahres 1901.

Es werden gewählt: zu Rechnungsprüfern die Herren Holze-Mannheim und Taake-Hannover, zu deren Stellvertretern die Herren Rein-Bielefeld und Reufs-Halle a/S.

7) Hilfskasse für deutsche Ingenieure.

Der Bericht des Kuratoriums ist in Z. 1901 S. 752 veröffentlicht und liegt gedruckt vor.

Hr. Wischel wünscht, dass diejenigen Bezirksvereine, die sich bisher noch nicht an der Hilfskasse beteiligt haben, aufgefordert werden möchten, es zu thun.

8) Verleihung der Grashof-Denkmünze.

Hr. Veith berichtet über die Erwägungen, welche den Vorstand veranlassen haben, für die Auszeichnung durch die Grashof-Denkmünze Hrn. Justus Flohr, Direktor der Stettiner Maschinenbau-A.-G. Vulkan in Stettin, in Vorschlag zu bringen — s. Z. 1901 S. 1150 —, und dass der Vorstandsrat sich diesem Vorschlage angeschlossen habe.

Die Versammlung erklärt sich einstimmig mit diesem Vorschlage einverstanden.

9a) Vereinszeitschrift.

Hr. Peters berichtet, dass die Zeitschrift eine Auflage von 19000 erreicht und dass trotz der im vorigen Jahre beschlossenen Preiserhöhung von 32 auf 36 M der buchhändlerische Absatz nicht ab-, sondern wieder um mehr als 100 Exemplare zugenommen habe, sodass er jetzt nahezu 2000 beträgt.

Dank den bereitwilligst gewährten Geldmitteln hat der Umfang der Zeitschrift bedeutend vermehrt werden können, woran auch die vermehrten eigenen Kräfte der Redaktion erheblich beteiligt sind.

Ueber den Inhalt der Zeitschrift sowie über die bei der neuen Versendungsart gemachten Erfahrungen erstattet der Redner den schon in Z. 1901 S. 678 veröffentlichten Bericht.

Hr. Büssinger fragt, weshalb jetzt schlechteres Papier für die Zeitschrift verwendet werde als früher; er beklagt es, dass die Hefte jetzt häufig beschädigt in die Hände der Empfänger gelangen, und fragt, ob der Ertrag aus den Anzeigen infolge des neuen Vertrages gestiegen sei.

Hr. Peters giebt in Beantwortung der letzten Frage eine zeichnerische Darstellung des Umlanges der Anzeigen in den letzten Jahren umher, aus der sich ergibt, dass dieser Umfang sich weiter vermehrt hat, wenn auch nicht in so raschem Schrittmass wie in den Jahren 1898 und 1899; er glaubt die Erklärung dafür in dem schlechten Gange der industriellen Geschäfte suchen zu müssen. Die Einnahme des Vereines hat sich infolge des neuen Vertrages erhöht, aber die Preise der Anzeigen sind nicht geändert worden.

Hinsichtlich des Papiers müsse sich Hr. Büssinger wohl irren. Als in den letzten Jahren aus dem Gewicht der Hefte des Portos wegen Schwierigkeiten entstanden, sodass an Gewicht möglichst gespart werden musste, sei man allmählich zur Verwendung eines sehr dünnen Papiers gekommen, das, um noch genügend fest und undurchsichtig zu sein, aus sehr teurem Rohstoff, aus reinen Lumpen, gemacht werden musste. Nachdem dann die Rücksicht auf das Gewicht infolge der Beschlüsse des Vereines fortgefallen, sei man zu dem früher verwendeten schwereren Papier zurückgekehrt, ja man habe es noch stärker als früher gemacht. Damit sei die Veranlassung zur Verwendung des teureren Rohstoffes fortgefallen, aber von einer Verschlechterung des Papiers könne nicht die Rede sein.

Die Frage, ob die Zeitschriftenhefte jetzt, wo sie offen versandt werden, in weniger gutem Zustande in die Hände der Empfänger gelangen, sei Gegenstand erster Besorgnis der Vereinsleitung gewesen; sie habe es nicht an Versuchen der Versendung in Umschlägen fehlen lassen, und habe über den Zustand, wie die Hefte jetzt abgeliefert werden, sich eingehend unterrichtet. Das Ergebnis sei, dass der jetzige Zu-

stand als befriedigend erachtet werden könne. Gegen die Verpackung der Hefte sprechen u. a. auch die größeren Kosten: 1 Pfg Mehrkosten am Heft sind bei den 14000 inbetracht kommenden Exemplaren und dem größeren Zeitaufwand 7000 M Mehrkosten im Jahre. Ein Vorteil ist jedenfalls gegen früher zu verzeichnen: die Hefte brauchen nicht mehr gekniffen zu werden. (Beifall.)

9b) Technolexikon.

Hr. v. Borries und Hr. Dr. H. Jansen erstatten die bereits in Z. 1901 S. 1182 veröffentlichten Berichte. Hr. v. Borries hebt noch besonders hervor, dass die Kosten des Unternehmens, die auf 50- bis 60000 M veranschlagt waren, sich erheblich höher stellen werden. Er berichtet ferner über die Verhandlungen des Vorstandsrates und dass beschlossen worden sei, sich auf die 3 Sprachen: Deutsch, Englisch und Französisch, zu beschränken.

Hr. Buhle fragt, ob auch Abbildungen in das Wörterbuch aufgenommen werden sollen. Es wird ihm geantwortet, dass das nur in besonderen Fällen zu thun beabsichtigt werde. Ebenso werden einige Anfragen wegen Benutzung der Merkhefte und nach dem Zeitpunkt ihrer Rücklieferung beantwortet.

Hr. v. Oechelhaeuser, der inzwischen in die Versammlung eingetreten ist, spricht seine Bereitwilligkeit aus, die Wahl zum Vorsitzenden für die Jahre 1902 und 1903 anzunehmen; ebenso nimmt Hr. Bolze die Wahl zum Prüfer der Rechnung des Jahres 1901 an.

9c) Technisch-wissenschaftliche Versuche des Vereines.

Hr. v. Borries macht anhand des in Z. 1901 S. 322 veröffentlichten Berichtes Mitteilungen über den Fortgang dieser Arbeiten, welche betreffen:

elektrisch und hydraulisch betriebene Bergwerkspumpen;
Riemen- und Seiltriebe;
Schmierfähigkeit von Gleitflächen unter Dampfdruck;
Wassergehalt des Kesseldampfes;
Regulirfähigkeit der wichtigeren Regulatoren für Dampfmaschinen;
Festigkeit von Schrauben;
Größe des Winddruckes, besonders bei Schornsteinen;
Festigkeit von Schmirgel- und Karborundscheiben;
Gleichförmigkeit des Ganges von Dampfmaschinen innerhalb der einzelnen Umdrehung;
Geschwindigkeit und Spannungen des Dampfes beim Durchfluss durch Rohrleitungen, Steuerungsorgane, Kanäle usw.;
Belastung von Brückenauflegern;
Festigkeit von Bronze bei höheren Temperaturen;
Wärmedurchgang durch Heizflächen;
Eigenschaften des überhitzten Dampfes;
Messung der Menge des durch eine Rohrleitung strömenden Wasserdampfes.

Für die Ausführung dieser Versuche sind bis jetzt insgesamt rd. 70000 M bewilligt.

10) Antrag des Vorstandes zu § 14 und § 17 des Statuts.

Der Vorsitzende teilt mit, dass der Vorstandsrat sich gegen die Annahme des Antrages erklärt und dass der Vorstand deshalb den Antrag zurückgezogen habe.

11) Antrag des Hamburger Bezirksvereines betr. Drucksachen für die Hauptversammlung.

Der Antrag ist vom Vorstandsrat in folgender Fassung zur Annahme empfohlen worden:

»Diejenigen Beschlüsse des Vorstandsrates, welche als Anträge zur weiteren Beschlussfassung der Hauptversammlung vorgelegt werden sollen, sind, wenn möglich, sofort zu vervielfältigen und vor der zur Beschlussfassung bestimmten Sitzung an die anwesenden Mitglieder zu verteilen.«

In dieser Fassung wird der Antrag angenommen.

12) Antrag des Hannoverschen Bezirksvereines betr. Maßnahmen zum Bau eines neuen Vereinshauses.

Der Antrag ist zurückgezogen.

13) Antrag des Pfalz-Saarbrücker Bezirksvereines betr. Berichte der Vereinszeitschrift auf dem Gebiete der Unfallverhütung.

Der Antrag ist vom Vorstandsrat in folgender Fassung zur Annahme empfohlen worden:

»Die Redaktion der Zeitschrift wird beauftragt, den Unfallverhütungs-Vorrichtungen ihre Aufmerksamkeit zu widmen.«

Hr. v. Horstig begründet den Antrag mit dem Bedürfnis der Industrie, über die genannten Vorrichtungen dauernd gut unterrichtet zu werden.

Hr. K. Hartmann ist der Meinung, dass diesen Vorrichtungen in der technischen Litteratur und besonders auch in der Vereinszeitschrift bei weitem nicht die ihrer Bedeutung entsprechende Beachtung geschenkt werde.

Hr. Pützer und Hr. Peters widersprechen diesem Vorwurf; gerade der V. d. I. und seine Zeitschrift seien in der Behandlung der Schutzvorrichtungen bahnbrechend vorgegangen. Da sich in neuerer Zeit besondere Organe: die Berufsgenossenschaften, und besondere Zeitschriften für das Unfallverhütungswesen gebildet haben, habe selbstverständlich der V. d. I. ihnen mehr und mehr die ausgiebige Bearbeitung dieses Gegenstandes überlassen.

Hr. Schmidt als langjähriger Vorsitzender einer Berufsgenossenschaft ist mit diesem Gang der Dinge vollständig einverstanden.

Der Antrag wird in der vom Vorstandsrat empfohlenen Fassung angenommen.

14) Ort der nächsten Hauptversammlung.

Hr. Gerdau überbringt die Einladung des Niederrheinischen Bezirksvereines, die 43. Hauptversammlung in Düsseldorf abzuhalten.

Die Versammlung begrüßt diese Einladung mit lebhaftem Beifall und beschließt demgemäß.

15) Haushaltsplan für 1902.

Der Haushaltsplan, wie er aus der Versammlung des Vorstandsrates hervorgegangen ist, liegt gedruckt vor; er schließt in Einnahme mit 930600 M., in Ausgabe mit 838200 M. ab, sodass 92400 M. verfügbar bleiben.

Einige Ausgabenposten werden auf Wunsch durch den Vereinsdirektor näher erläutert.

Hr. Metge empfiehlt, den Bezirksvereinen mehr Geldmittel als bisher für Vorträge zur Verfügung zu stellen.

Hr. Taaks warnt davor, in dieser Richtung noch weiter zu gehen, weil darunter das selbständige Leben und Arbeiten der Bezirksvereine leiden würde. Nur innerhalb enger Grenzen und in besonderen Fällen sollten sich die Bezirksvereine vom Hauptverein durch Geldmittel unterstützen lassen. Die Gelder des Hauptvereines seien für dessen große Aufgaben bestimmt: für den Ausbau der Zeitschrift und die Förderung wissenschaftlicher Bestrebungen. (Lebhafter Beifall.)

Hr. Lesser widerspricht dieser Auffassung lebhaft; von einer Unterstützung der Bezirksvereine könne man gar nicht reden, weil sie nur vom Hauptverein erhalten, was ihnen gebühre.

Auch Hr. Cornells ist der Ansicht, dass die kleineren Bezirksvereine die Geldmittel des Hauptvereines nicht entbehren können.

Hr. Engelhardt wünscht die Zeitschrift mit sehr reich-

lichen Mitteln ausgestattet zu sehen, damit sie ihrer schwierigen und umfassenden Aufgabe in vollem Maße gerecht werden könne.

Hr. Peters ist der Meinung, dass nicht nur der Kosten wegen, sondern auch aus Rücksicht auf den Umfang, der jetzt schon 4 1/2 Bogen wöchentlich betrage, und den zu bewältigen den Lesern nachgerade unmöglich werden möchte, die Redaktion eine zunehmend strengere Auswahl des reichlich sich darbietenden Stoffes eintreten lassen müsse.

Hr. Bissinger entgegnet, dass die Zeitschrift nicht nur dem Augenblicksbedarf genügen, sondern eine Fundgrube sein solle, auf die noch nach Jahren zurückgegriffen werden könne; deshalb müsse ihr Inhalt so reich wie möglich sein, und deshalb sollte sich die Redaktion bei ihren Ausgaben nicht gar zu ängstlich an die durch den Haushaltsplan gezogenen Grenzen halten.

Hr. Herzberg berichtet über die von der preussischen Regierung errichtete Zentralstelle für Fragen der Wasserversorgung und Abwässerbeseitigung und teilt mit, dass der Vorstandsrat beschlossen habe, die Bewilligung von je 2000 M. auf 5 Jahre als Beitrag des V. d. I. zu den Kosten dieser Anstalt zu beantragen.

Die Versammlung bewilligt 2000 M. für das laufende Jahr, nachdem sie die Dringlichkeit dieses Antrages erkannt hat, und genehmigt den Haushaltsplan für 1902, wie er vom Vorstandsrat vorgelegt ist.

Nachdem hiermit die Tagesordnung erschöpft ist, wird auf Antrag des Hrn. Rietschel die Absendung eines Telegrammes an Se. Majestät den Kaiser beschlossen, welches lautet:

Euerer Kaiserlichen und Königlichen Majestät bringt der Verein deutscher Ingenieure auf seiner 42. Hauptversammlung in der Kriegshafenstadt Kiel, angesichts der gewaltigen Schöpfungen, die bestimmt sind, unter Eurer Majestät erhabener Führung Deutschlands Stellung auf dem Weltmeere zu sichern, seine unterthänigste Huldigung und das Gelöbnis unwandelbarer Treue dar.

Lemmer, Vorsitzender.

Hierauf spricht Hr. Pützer dem Vorsitzenden, dem Vorstand, dem Vereinsdirektor und der Redaktion der Zeitschrift, insbesondere Hrn. D. Meyer, den Dank des Vereines aus.

(Schluss gegen 12 Uhr.)

3. Sitzung.

Vorsitzender: Hr. Veith.

Hr. Marine-Oberbaurat Hüllmann hält einen Vortrag über den heutigen Stand der deutschen Kriegsschiffbautechnik.

Nach dem mit lebhaftem Beifall aufgenommenen Vortrage, der in Z. 1901 S. 1153 veröffentlicht ist, dankt der Vorsitzende dem Redner namens der Versammlung.

Es folgt der Vortrag des Hrn. Marinebaumeisters Mönch über die neuen Trockendocks der kaiserlichen Werft zu Kiel.

Auch für diesen Vortrag wird dem Redner reichlicher Beifall der Versammlung und der Dank des Vorsitzenden erteilt.

Hierauf wird der geschäftliche Teil der 42. Hauptversammlung geschlossen.

(Schluss folgt.)

Ueberweisung der Zeitschrift bei Veränderung des Wohnsitzes unserer Mitglieder.

Bei der mit Beginn dieses Jahres eingerichteten Zustellung der Zeitschrift an die in Deutschland wohnhaften Mitglieder durch das Postzeitungsamt war es nach den postalischen Bestimmungen bisher unzulässig, dass wir die Ueberweisung der Zeitschrift an eine neue Adresse eines Mitgliedes beantragten; diesen Antrag musste das Mitglied selbst stellen. Da sich jedoch daraus mancherlei Schwierigkeiten ergaben, hat das Reichspostamt auf unsern Antrag nunmehr darin gewilligt, dass wir diese Ueberweisung beantragen können, und zwar vom 1. September d. J. ab.

Damit nun nicht durch Stellung doppelter Ueberweisungsanträge den Mitgliedern und uns vergebliche Kosten, der Postbehörde vergebliche Arbeit erwächst, richten wir an die

Herren Mitglieder das dringende Ersuchen, vom 1. September d. J. ab keine Ueberweisungsanträge an die Post zu richten, sondern von diesem Zeitpunkt ab ihre Adressenänderungen einzig und allein unserer Expedition,

der Verlagsbuchhandlung von Julius Springer,
Berlin N. Monbijouplatz 3,

mitzuteilen, unter Erwähnung ihrer Zugehörigkeit zu unserm Vereine. Von dieser Stelle werden die Ueberweisungsanträge unter Benützung vorgeschriebener Vordrucke und unter Zahlung der Ueberweisungsgebühren gestellt werden.

Verein deutscher Ingenieure.

ZEITSCHRIFT DES VEREINES DEUTSCHER INGENIEURE.

Nr. 35.

Sonnabend, den 31. August 1901.

Band XXXV.

Inhalt:

<p>Die Weltausstellung in Paris 1900: Die Lokomotiven. Von E. Brückmann (Fortsetzung) 1225</p> <p>Die Weltausstellung in Paris 1900: Spinnereimaschinen. Von G. Rohm (Fortsetzung) 1234</p> <p>Neuere Turbinenanlagen (Schluss) (hierzu Textblatt 11) 1239</p> <p>Dresdner B.-V.: Die Schulfrage 1246</p> <p>Württembergischer B.-V.: Die Materialprüfungsanstalt der Technischen Hochschule Stuttgart 1246</p> <p>Böchershausen: Die Brücken der Gegenwart. Von F. Heinserling. — Uebersicht neu erschienener Bücher 1247</p> <p>Zeitschriftenwesen 1249</p> <p>Rundschau: Universal-Fräsmaschine der Cincinnati Milling Machine Co. — Elektrische Voll- und Schnellbahnen. — (hierzu Textblatt 11)</p>	<p>Verschiedenes 1251</p> <p>Patentbericht: Nr. 119666, 120735, 120640, 119657, 119457, 119658, 119349, 120409, 120379, 119380, 119564, 120497, 121431, 121197, 120756, 121333, 120635, 121485, 119418, 120781, 119481, 121089, 121091, 119417, 119001, 119439, 120668, 119416, 119570, 119095, 119086, 119385 1258</p> <p>Zuschriften an die Redaktion: Bremsversuche an einer von R. Wolf in Magdeburg-Buckau gebauten Hilfsdampf-Verbundlokomobile. — Der Aufbau und die planmäßige Herstellung der Drehstrom-Dynamomaschine 1256</p> <p>Angelegenheiten des Vereines. Festlichkeiten und technische Ausfälle im Anschluss an die 42. Hauptversammlung in Kiel 1901. — Technolexikon 1257</p>
--	--

Die Weltausstellung in Paris 1900.

Die Lokomotiven.

Von E. Brückmann, dipl. Ingenieur, Chemnitz.

(Fortsetzung von S. 267)

In dem nachfolgenden Hauptberichte sollen die Lokomotiven in derjenigen Reihenfolge besprochen werden, in welcher sie in Tabelle VIII (S. 1226/29) aufgeführt sind.

Da die Unterlagen für diesen Bericht in ungemein verschiedenartiger Form und Fülle bezw. Mangelhaftigkeit eingegangen sind — haben sich doch viele Aussteller durchaus nicht dazu bewegen lassen, auch nur das geringste Material an Zeichnungen und Beschreibungen herzugeben, während andere Aussteller, denen schon an dieser Stelle besonders gedankt sei, in zuvorkommendster Weise jede gewünschte Auskunft gegeben und ganze Reihen von Gesamt- und Einzelzeichnungen zur Verfügung gestellt haben —, so werden die Berichte über die einzelnen Lokomotiven in ihrer Vollständigkeit leider sehr verschieden ausfallen, immerhin aber, soweit ich es bis jetzt beurteilen kann, doch ein ziemlich gutes Bild von den heutigen allgemeinen Bestrebungen des Lokomotivbaues abgeben. Damit aber gleichzeitig auch ein Ueberblick über die besonderen zeitweiligen Bestrebungen und Leistungen der einzelnen Länder geboten werde, sollen neueste Lokomotiven der entsprechenden Gruppe, welche nicht auf der Ausstellung vertreten waren, in diesem Berichte ebenfalls kurz erwähnt werden.

A) Normalspurige Lokomotiven.

I. Eilzuglokomotiven.

Auf der Ausstellung wurden insgesamt 32 Eilzuglokomotiven vorgeführt, und zwar

1 Stück	3/4-gekuppelte	Zwillingslokomotive
6 „	2/4- „	„
2 „	2/4- „	Zweicylinder-Verbundlokomotiven
10 „	2/4- „	Viercyylinder-
2 „	2/4- „	Zwillingslokomotiven
1 „	2/4- „	Zweicylinder-Verbundlokomotive
2 „	2/4- „	Viercyylinder-
1 „	2/4- „	Zweicylinder-
1 „	2/4- „	Zwillingslokomotive
1 „	2/4- „	„
2 „	2/4- „	Zweicylinder-Verbundlokomotiven
2 „	2/4- „	Viercyylinder-

d. h. 12 Bauarten, welche in folgende 4 Hauptgruppen zerlegt werden können:

- I. Gruppe: Eilzuglokomotiven mit einer freien Treibachse für leichte Schnellzüge } 1 Stück
- II. Gruppe: Eilzuglokomotiven mit 2 gekuppelten Treibachsen und vorderem Drehgestell für mittelschwere Schnellzüge:
 - a) ältere Bauart für mittlere Fahrgeschwindigkeit mit 2 Cylindern 8 Stück
 - b) neuere Bauart für große Fahrgeschwindigkeit mit 4 Cylindern 10 Stück
- III. Gruppe: Eilzuglokomotiven mit 2 gekuppelten Treibachsen, vorderem Drehgestell und hinterer Laufachse oder hinterem Drehgestell für mittelschwere Schnellzüge und größte Fahrgeschwindigkeiten mit 2 und 4 Cylindern } 7 „
- IV. Gruppe: Eilzuglokomotiven mit 3 gekuppelten Achsen und vorderem Drehgestell für schwere Schnellzüge:
 - a) ältere Bauart für mittlere Fahrgeschwindigkeit mit 2 Cylindern 4 Stück
 - b) neuere Bauart für große Fahrgeschwindigkeit mit 4 Cylindern 2 Stück

I. Gruppe: Eilzuglokomotiven mit einer freien Treibachse für leichte Schnellzüge.

Diese Lokomotivart wird zurzeit nur noch in England gebaut, und zwar nicht etwa als vereinzelte Ausnahme, sondern vielmehr an den meisten Hauptbahnen als ständige Form für die Beförderung der am schnellsten fahrenden Eilzüge. Während die Neubeschaffung von Lokomotiven mit freier Treibachse bis etwa zum Jahre 1886 in England mehr und mehr nachließ, nahm sie von dem genannten Jahre ab einen neuen Aufschwung, welcher mit der Einführung des Dampfsandstreuers zusammenhing; denn während diese Form infolge ihrer einfachen Konstruktion, ihres geringen inneren Widerstandes, ihres ruhigen weichen Ganges und ihrer geringen Unterhaltungskosten sonst eine

Tabelle

Nr.	Anstatter	Fabrikant	Bahn	Maschinenart	Dampfzylinder							Radstand		Kessel- oberdruck
					Zahl	Dmr.	Kolben- hub	Treibrad	Lauf- rad	fester	gesamter			
						mm	mm	mm	mm	mm	mm			at
A) Normalspurige														
I. Eilzug.														
1	Midland Railway	Bahnwerkstätten zu Derby	Midland Railway	1/4-gek. Zwillingslokomotive mit 4achsigen Tender	2	495	660	2875	1168	2972	6997	12,6		
2	Neilson, Reid & Co., Glasgow		Nederl. Centraal Spoorweg My.	3/4-gek. Zwillingslokomotive mit 3achsigen Tender	2	457	660	3146	1086	3743	6845	10,3		
3	Französische Westbahn	Bahnwerkstätten in Batignolles	Französische Westbahn	2/4-gek. Zwillingslokomotive ohne Tender	2	460	660	3010	930	2700	7410	11		
4	Französische Staatsbahn	Schneider & Cie., Creusot	Französische Staatsbahn	3/4-gek. Zwillingslokomotive mit 2achsigen Tender	2	440	650	2920	960	2700	7250	14		
5	A. Borsig, Berlin		Preussische Staatsbahn	2/4-gek. Zwillingslokomotive mit 3achsigen Tender	2	500	600	1980	1000	2600	7400	12		
6	Great Eastern Railway	Bahnwerkstätten in Stratford	Great Eastern Railway	3/4-gek. Zwillingslokomotive mit 3achsigen Tender	2	483	660	2134	1143	2743	7163	12,65		
7	Ernesto Breda, Mailand		Italienische Südbahnen	3/4-gek. Zwillingslokomotive mit 3achsigen Tender	2	480	600	1940	970	2480	6700	14		
8	Schweizerische Lokomotiv- und Maschinenfabrik, Winterthur		Schweizerische Nord-Ost-Bahn	2/4-gek. Verbundlokomotive mit 3achsigen Tender	2	460/680	660	1830	930	2600	7200	13		
9	Wiener Lokomotivfabrik A.-G., Floridsdorf		k. k. österr. Staatsbahn	2/4-gek. Verbundlokomotive mit 3achsigen Tender	2	500/760	680	2140	1035	2800	7300	13		
10	Hannoversche Masch.-A.-G. vorm. Georg Ekerstorff		Preussische Staatsbahn	3/4-gek. 4 Cyl. Verbundlokomotive mit 3achsigen Tender	4	830/320	600	1980	1000	2700	7300	14		
11	Französische Staatsbahn	Baldwin-Lokomotiv-Werke	Französische Staatsbahn	3/4-gek. 4 Cyl. Verbundlokomotive mit 4achsigen Tender	4	330/558	660	2140	914	2438	7162	15		
12	London & North Western Railway	Bahnwerkstätten in Crewe	London and North Western Railway	3/4-gek. 4 Cyl. Verbundlokomotive mit 3achsigen Tender	4	381/521	610	2159	1148	2947	7061	14		
13	Französische Südbahn	Schneider & Cie., Creusot	Französische Südbahn	2/4-gek. 4 Cyl. Verbundlokomotive mit 3achsigen Tender	4	350/550	640	2130	1040	3000	7500	14		
14	Französische Westbahn	Bahnwerkstätten in Sotteville	Französische Westbahn	2/4-gek. 4 Cyl. Verbundlokomotive ohne Tender	4	340/580	640	2010	980	2900	7400	14		
15	Pontiloff-Werke, St. Petersburg		Petersburg-Warschau-Bahn	2/4-gek. 4 Cyl. Verbundlokomotive mit 3achsigen Tender	4	365/547	610	2000	1000	3000	7500	13		
16	Schweizerische Lokomotiv- u. Masch.-Fabr., Winterthur		Schweizerische Centralbahn	2/4-gek. 4 Cyl. Verbundlokomotive mit 3achsigen Tender	4	330/510	600	1730	850	2600	7000	14		
17	Société de Constructions de Batignolles		Paris-Lyon-Mittelmeer Bahn	1/4-gek. 4 Cyl. Verbundlokomotive mit 2achsigen Tender	4	340/540	620	2000	1000	3000	7250	15		
18	Paris-Orléans-Bahn	Soc. franç. de Constr. méca., Paris (früher Caill)	Paris-Orléans-Bahn	2/4-gek. 4 Cyl. Verbundlokomotive mit 3achsigen Tender	4	350/550	640	2130	1040	3000	7500	15		
19	Französische Ostbahn	Bahnwerkstätten in Epervay	Französische Ostbahn	2/4-gek. 4 Cyl. Verbundlokomotive mit 3achsigen Tender	4	350/550	640/660	2030	1060	3030	7350	15		
20	A.-G. der Lok.-Fabrik vorm. G. Sigl, Wiener Neustadt		Kaiser Ferdinands-Nordbahn	2/4-gek. Zwillingslokomotive mit 3achsigen Tender	2	470	600	2000	1010	2300	6360	13		
21	Baldwin-Lokomotiv-Werke, Philadelphia		Französische Staatsbahn	2/4-gek. Zwillingslokomotive mit 4achsigen Tender	2	438	660	2140	914	2210	6128	15		
22	Masch.-Fabrik der kgl. ungar. Staatsbahnen, Budapest		Ungarische Staatsbahn	3/4-gek. Verbundlokomotive mit 3achsigen Tender	2	500/730	680	2100	1040	2420	6665	13		
23	Französische Nordbahn	Soc. Alsac., Belfort	Französische Nordbahn	2/4-gek. 4 Cyl. Verbundlokomotive mit 4achsigen Tender	4	340/560	640	2040	900	4550	6200	15		
24	Sächs. Masch.-Fabrik vorm. Rich. Hartmann, Chemnitz		Sächsische Staatsbahn	2/4-gek. 4 Cyl. Verbundlokomotive mit 4achsigen Tender	4	350/555	660	1980	1045	2150	9150	15		
25	Kraufs & Co., München		?	2/6-gek. Verbundlokomotive mit Vorsepannscheibe ohne Tender	4	440/630	660	1870	1000	1940	8940	14		
26	Schneider & Cie., Creusot		?	2/7-gek. Zwillingslokomotive mit 3achsigen Tender	2	510	700	2500	1060	2800	12250	15		
27	North Eastern Railway	Bahnwerkstätten in Gateshead	North Eastern Railway	2/3-gek. Zwillingslokomotive mit 3achsigen Tender	2	505	660	1861	1009	4268	7938	14		
28	Masch.-Fabrik Kolomna		Russische Süd-Ost-Bahn	2/3-gek. Verbundlokomotive ohne Tender	2	500/730	650	1830	1030	4310	8030	11,5		
29	Gio. Annaldi & Co., Sampierdarena		Italienische Mittelmeer-Bahn	2/3-gek. Verbundlokomotive mit 3achsigen Tender	2	540/800	680	1834	974	3920	6995	13		
30	Masch.-Fabr. der priv. österr.-ungar. Staatsbahn-Ges., Wien		k. k. österr. Staatsbahn	2/3-gek. Verbundlokomotive ohne Tender	2	530/810	720	1820	1034	3900	8460	14		
31	Französische Südbahn	Soc. Alsacenne, Belfort	Französische Südbahn	2/3-gek. 4 Cyl. Verbundlokomotive mit 2achsigen Tender	4	350/350	640	1750	850	3900	7600	14		
32	Italienische Südbahnen	Bahnwerkstätten in Florenz	Italienische Südbahnen	2/3-gek. 4 Cyl. Verbundlokomotive mit 3achsigen Tender	4	350/570	650	1940	1115	4100	8350	15		
II. Personenzug.														
1	Berliner Masch.-A.-G. vorm. L. Schwartzkopff		Preussische Staatsbahn	2/4-gek. 2 Cyl. Verbundlokomotive mit 3achsigen Tender	2	460/680	600	1750	1000	2600	7400	13		
2	Sächs. Masch.-Fabrik vorm. Rich. Hartmann, Chemnitz		Norwegische Staatsbahn	2/3-gek. 2 Cyl. Verbundlokomotive mit 4achsigen Tender	2	450/670	650	1445	988	3350	6880	13		
3	Schweizerische Lokomotiv- u. Masch.-Fabrik, Winterthur		Jura-Simplon-Bahn	2/4-gek. 3 Cyl. Verbundlokomotive mit 3achsigen Tender	3	1 = 500 2 = 510	600	1520	850	3900	6810	14		

VIII.

Lokomotive											Tender				Lokomotive und Tender		Verbund-einrichtung		
Siederohr			Rostfläche	feuertührte Heizfläche			Gewicht			Zugkraft 0,65 kg od. 0,5 D	Vorräte		Gewicht		Gesamt- Radstand	Länge über die Buffer			
Zahl	innerer und außerer Dmr.	freie Länge		Feuer- büchse	Rohr- l)	gesamte ¹⁾	Leer-	Ad- häsions-	Dienst-		Wasser	Kohlen	Rad-Dmr.	Radstand				Leer-	Dienst-
	mm	mm	qm	qm	qm	t	t	t	t	t	mm	mm	t	t	mm	mm			
Lokomotiven.																			
Lokomotiven.																			
228	87/41,3	3355	2,27	13,65	88,95	102,6	46,8	18,8	50,95	5580	18,16	5,0	1067	5105	26,72	49,88	15 120	17 960	—
94	65/70 Serve	3391	2,14	10,0	123,9	133,9	42,94	28,5	46,33	4275	14,07	3,5	1184	4420	17,63	36,83	13 919	17 158	—
195	45/49	4180	1,78	10,9	111,6	123,5	48,4	28,8	46,3	4970	—	—	—	—	—	—	—	—	—
111	60/65 Serve	3582	2,0	11,1	147,0	158,1	46,3	30,0	51,0	5670	10,0	6,0	1280	3100	13,6	29,6	13 150	16 300	—
199	41/46	3900	2,27	9,0	99,5	108,5	51,33	32,4	56,5	5910	12,0	5,0	1000	3300	15,8	32,08	13 325	16 150	—
1	247/267																		
274	39,3/44	3683	1,98	10,88	124,11	134,7	46,73	33,6	50,85	5930	12,7	1,5 Kohle 2,3 Oel	1245	3658	17,96	35,6	13 309	16 154	—
125	60/65 Serve	3200	2,37	12,0	147,8	159,8	44,0	29,2	48,1	6280	12,0	3,5	1020	4000	14,0	29,0	13 605	16 096	—
220	41/45	3800	2,18	10,4	118,1	128,5	45,07	30,0	50,0	4960	12,0	4,0	1030	3200	12,8	28,7	12 800	15 800	Wechselventil
205	46/51	4400	3,0	11,5	130,8	141,8	50,5	28,7	55,7	5165	16,5	5,0	1035	3200	15,8	38,0	12 935	16 177	Gölsdorf
217	46/51	3900	2,27	9,7	109,0	118,7	45,5	30,0	51,0	4620	12,0	5,0	1000	3800	15,3	33,0	13 425	16 620	vom Regulator betätigte Frisch- dampfleitung
282	44/51	3642	2,38	12,0	146,0	158,0	50,8	32,0	54,8	5090	13,8	6,8	927	4940	15,07	35,64	14 837	17 549	Vancloin
221	41,5/47,6	3470	1,90	14,8	99,7	114,5	50,8	36,6	55,8	5140	9,05	4,5	1143	3810	13,57	27,12	13 400	15 740	?
111	65/70 Serve	3900	2,46	12,34	160,66	173,0	48,9	32,0	54,0	5150	15,8	4,0	1240	3200	15,5	35,6	13 360	16 430	Wechsel- schieber
96	65/70 Serve	3800	2,40	11,10	122,6	133,7	46,3	31,6	50,0	5155	—	—	—	—	—	—	—	—	?
216	45/50	3916	2,62	12,93	121,8	134,7	51,5	30,0	56,5	5280	14,0	5,0	1010	3380	16,0	35,0	13 635	16 954	?
224	41/45	3800	2,30	10,4	120,1	130,5	44,1	30,0	48,3	5285	18,0	4,0	1020	3200	13,6	30,0	12 720	15 680	selbstthätiges Ventil
150	60/65 Serve	3400	2,43	12,53	176,0	189,5	51,5	33,6	55,5	5375	10,3	4,0	1200	2500	13,3	27,9	12 885	16 003	Hahn m. Frisch- dampfleitung
111	65/70 Serve	3900	2,46	14,95	178,0	192,9	51,9	33,5	55,0	5520	17,0	4,5	1230	3200	16,9	38,4	13 860	16 440	Wechsel- schieber
140	65/70 Serve	3800	2,52	12,6	194,0	207,5	52,9	34,0	58,0	5735	20,0	6,0	1240	4000	18,3	44,3	14 115	17 275	Wechselklappe mit Ventil
229	47,2/52,7	4110	2,9	12,1	189,6	151,7	53,5	28,0	59,5	5600	15,0	6,0	1010	3200	16,1	37,1	13 842	16 972	—
246	44,5/50	4597	3,26	15,83	158,47	174,3	56,35	32,6	63,0	5770	13,6	6,1	914	4938	15,08	35,8	16 815	19 532	—
239	46/52	4500	2,82	13,32	155,9	169,3	57,5	20,9	64,7	5260	17,7	6,5	1030	3200	15,98	40,2	14 635	18 889	Wechselventil
126	65/70 Serve	4200	2,74	15,5	195,8	211,3	57,5	38,0	63,0	5440	20,0	5,0	1040	5450	20,5	45,5	16 405	18 788	Wechsel- schieber
228	45/50	4790	2,42	13,5	151,5	165,0	60,3	33,0	67,7	6125	18,0	5,0	1045	4700	19,9	42,9	16 350	19 485	Lindner
238	47/52	5100	2,91	11,8	179,3	191,0	63,0	28,2 41,6	68,0	6720	—	—	—	—	—	—	—	—	Lindner-Kraufs
183	65/70 Serve	4350	4,68	24,5	273,2	297,7	75,0	32,0	88,6	7100	27,5	7,0	1060	7800	23,7	58,2	22 230	24 840	—
204	46/51	4678	2,18	12,1	187,0	150,0	57,8	48,6	63,6	8325	16,6	5,0	1150	3860	17,0	38,8	15 521	18 559	—
192	46/51	4600	2,15	10,95	127,6	138,6	55,6	39,7	61,1	5115	—	—	—	—	—	—	—	—	Lindner
214	47/52	3800	2,6	10,9	121,0	131,3	60,3	45,0	65,8	7025	13,0	3,0	1210	3100	16,75	32,74	13 930	16 820	v. Borries- Giordana
273	46/51	4400	3,1	14,2	173,6	187,8	63,2	49,5	69,8	7780	—	—	—	—	—	—	—	—	Gölsdorf
111	65/70 Serve	4100	2,46	12,41	168,9	181,3	52,3	41,7	57,5	6270	9,0	3,0	1240	2700	12,1	24,4	13 270	16 040	Wechselschieber
278	45/50	4000	3,0	11,7	155,0	166,7	57,5	43,5	66,5	7220	15,0	4,0 auf d. Lok.	1020	6000	14,0	29,0	19 215	23 600	Frischdampfleit- zung vom Hochdruck- schieber betätigt
Lokomotiven.																			
217	41/46	3900	2,3	9,01	109,01	118,02	45,5	30,0	50,96	4350	12,0	5,0	1000	3300	15,78	32,78	13 325	16 511	Daltz
210	42,3/47,5	3900	1,9	8,5	108,8	117,3	46,8	36,14	51,12	3920	11,0	3,5	988	4350	14,43	29,0	13 250	15 625	v. Borries
238	44/45	3800	2,3	12,3	128,0	140,3	50,3	45,1	55,5	6190	12,0	5,0	1020	3200	12,14	28,1	12 350	16 000	selbstthätig bewegter Frisch- dampfhebel

¹⁾ nach den Angaben der Aussteller.

Tabelle

Nr.	Aussteller	Fabrikant	Bahn	Maschinenart	Dampfzylinder			Dmr.		Radstand		Kessel- überdruck at
					Zahl	Dmr. mm	Kolben- hub mm	Treibrad mm	Lauf- rad mm	fester mm	gesamter mm	
III. Güterzug.												
1	S. A. des Forges, Uaines et Fonderies, Haine-St. Pierre		Belgische Staatsbahn	$\frac{3}{4}$ -gek. Zwillingslokomotive mit 3achsigen Tender	2	457	660	1520	—	4572	4572	11
2	S. A. de St. Léonard, Lüttich		"	$\frac{3}{4}$ -gek. Zwillingslokomotive ohne Tender	2	457	660	1520	—	4572	4572	11
3	Französische Schenckel & Cie., Südbahn Creusot		Französische Südbahn	$\frac{3}{4}$ -gek. Zwillingslokomotive mit 4achsigen Tender	2	450/680	650	1610	1180	4000	6600	15
4	Baldwin-Lokomotiv-Werke, Philadelphia		Great Northern Railway	$\frac{3}{4}$ -gek. 2 Cyl.-Verbundlokomotive ohne Tender	2	457	610	1563	838	4495	6909	12,3
5	Masch.-Fabrik Poutiloff, St. Petersburg		Nicolai-Bahn	$\frac{4}{4}$ -gek. 2 Cyl.-Verbundlokomotive mit 3achsigen Tender	2	500/780	650	1200	—	3890	3890	11,5
6	Stettiner Masch.-A.G. Vulcan, Bredow bei Stettin		Preussische Staatsbahn	$\frac{4}{4}$ -gek. 2 Cyl.-Verbundlokomotive mit 3achsigen Tender	2	530/750	630	1250	—	4500	4500	12
7	Cie. de Fives-Lille		Chinesische Ost-Bahn	$\frac{4}{4}$ -gek. 2 Cyl.-Verbundlokomotive mit 4achsigen Tender	2	530/750	650	1250	830	4400	6750	12
8	A.-G. der Lok.-Fabrik vorm. O. Sigl, Wiener Neustadt		Oesterreichische Staatsbahn	$\frac{4}{4}$ -gek. 2 Cyl.-Verbundlokomotive ohne Tender	2	540/800	632	1300	870	4300	6800	13
9	Masch.-Fabrik der kgl. ungar. Staatsbahnen, Budapest		Ungarische Staatsbahn	$2 \times \frac{3}{4}$ -gek. 4 Cyl.-Lokomotive (Bauart Mallet) mit 3achs. Tender	4	385/580	610	1220	—	1750	5800	13
10	J. A. Maffel, München		Bayerische Staatsbahn	$\frac{3}{4} + \frac{3}{4}$ -gek. 4 Cyl.-Lokomotive (Bauart Mallet) mit 4achs. Tender	4	400/635	650	1340	950	4025	8200	15
11	Moskau-Kasan-Bahn	Masch.-Fabrik Brjansk	Moskau-Kasan-Bahn	$2 \times \frac{3}{4}$ -gek. 4 Cyl.-Lokomotive (Bauart Mallet) mit 4achs. Tender	4	475/710	650	1220	—	2700	8200	12
IV. Tender.												
1	Zimmermann-Hanzen & Cie., Monceau sur Sambre		Belgische Staatsbahn	$\frac{3}{4}$ -gek. Zwillingslokomotive	2	350	460	1450	1060	2320	4270	8
2	Französische Staatsbahn, Ateliers de Constr. de la Meuse, Lüttich	S. A. Franco-Belge, Ralsmes	Französische Staatsbahn	$\frac{3}{4}$ -gek. Zwillingslokomotive mit Gepäckabteilung	2	300	400	1320	1040	4640	4640	12
3	degl.		Fabrikbahn der Gesellschaft	$\frac{2}{4}$ -gek. Zwillingslokomotive	2	320	460	900	—	2800	2800	12
4			Belgische Staatsbahn	$\frac{3}{4}$ -gek. Zwillings-Personenzuglokomotive	2	430	610	1800	1066	2650	8434	11
5	Kraufs & Co., München		Bayerische Staatsbahn	$\frac{3}{4}$ -gek. Zwillings-Personenzuglokomotive	2	450	560	1640	1006	2700	8800	12
6	Henschel & Sohn, Kassel		Preussische Staatsbahn	$\frac{3}{4}$ -gek. Zwillings-Personenzuglokomotive	2	430	600	1600	1000	2000	6800	12
7	Französische Westbahn	Schneider & Cie., Creusot	Französische Westbahn	$\frac{3}{4}$ -gek. Zwillings-Personenzuglokomotive	2	460	600	1510	930	4310	7860	12
8	S. A. Franco-Belge, La Croixère		Barry Railway	$\frac{3}{4}$ -gek. Zwillingslokomotive	2	457	660	1295	1067	4394	6299	10,5
9	Masch.-Fabrik der priv. österr.-ungar. Staatsbahn-Ges., Wien		Oesterr. Staatsbahn, Wiener Stadtbahn	$\frac{3}{4}$ -gek. Verbundlokomotive	2	520/740	632	1290	860	2900	7700	13
10	Henschel & Sohn, Kassel		Preussische Staatsbahn	$\frac{3}{4}$ -gek. Zwillings-Güterzuglokomotive	2	520	630	1200	—	2680	6860	12
V. Zahnrad.												
1	Maschinenfabrik Esslingen		Württembergische Staatsbahnen	$\frac{3}{4}$ -gek. 4 cylindrige kombinierte Adhäsions- und Zahnradlokomotive	4	A = 420 Z = 420	612 540	1230 1082	943	3020	5600	14
B) Schmalspur.												
VI. Lokomotiven mit												
1	Masch.-Fabrik Kolonna		I. Ges. der Schmalspurbahnen (Russl.)	$\frac{4}{4}$ -gek. Zwillingslokomotive (750 mm Spur) ohne Tender	2	355	300	750	—	2700	3700	12
2	Schweizerische Lokomotiv- u. Masch.-Fabrik, Winterthur		Aethiopische Bahn	$\frac{3}{4}$ -gek. Zwillingslokomotive mit 4achsigen Tender (1000 mm Spur)	3	360	550	1220	700	3000	5100	12
VII. Tender.												
1	Kraufs & Co., München		für Kleinbahnen	$\frac{3}{4}$ -gek. Zwillingslokomotive (600 mm Spur)	2	200	300	620	430	1100	2400	12
2	Sächs. Masch.-Fabrik vorm. Rich. Hartmann, Chemnitz		Nederl. Indische Spoorweg-Maatsch.	$\frac{3}{4}$ -gek. Verbundlokomotive (1067 mm Spur)	2	280/415	400	1050	760	3600	3600	12,65
3	Derauville ainc, Paris		Französ. Staatsbahn, Tramway d. l. Vendée	$\frac{3}{4}$ -gek. Zwillingslokomotive (1000 mm Spur)	2	280	360	840	—	1800	1800	15
4	Schweizerische Lokomotiv- u. Masch.-Fabrik, Winterthur		Tramway Lyon	$\frac{3}{4}$ -gek. Zwillings-Straßenbahnlokomotive (1000 mm Spur)	2	240	350	800	—	1800	1800	14
5	Kraufs & Co., Linz a/Donau		k. k. Eisenbahn-Ministerium	$\frac{3}{4}$ -gek. Zwillingslokomotive (750 mm Spur)	2	290	400	820	570	2100	4000	12
6	Masch.-Fabrik der kgl. ungar. Staatsbahn-Ges., Budapest		Ungarische Staatsbahn	$\frac{4}{4}$ -gek. Zwillingslokomotive (750 mm Spur) mit Hohlnachsen	2	330	350	750	—	1400	4000	12
7	Corpet & Louvet, Paris		Ch. d. f. économiques du Sud-Est.	$\frac{3}{4}$ -gek. Zwillingslokomotive (1000 mm Spur)	2	305	450	900	—	2040	2040	12,5

VIII.

Lokomotive										Tender				Lokomotive und Tender		Verbund-einrichtung
Stiefrohre			feuerberührte Heizfläche				Gewicht			Vorräte		Gewicht		Gesamt-Radstand	Länge über die Räder	
Zahl	innerer und äußerer Dmr.	freie Länge	Rostfläche	Feuer-böcher	Rohr- ^{l)}	gesamte ^{l)}	Leer-	Ad-häsions	Dienst-	Wasser	Kohlen	Rad-Dmr.	Radstand	Leer-	Dienst-	
	mm	mm	qm	qm	qm	qm	t	t	t	m	t	mm	mm	t	t	mm

Lokomotiven.

228	40/45	4370	2,52	11,04	93,71	105,35	44,0	48,0	48,0	6000	13,0	7,0	1060	3962	18,0	38,0	12209	16371	—
228	40/45	3270	2,52	11,04	93,71	105,35	44,0	48,0	48,0	6000	—	—	—	—	—	—	—	—	—
104	65/70 Servé	4300	2,15	12,11	164,13	176,3	48,3	41,5	53,3	6130	—	—	—	—	—	—	—	—	Hilfsregulator mit Frischdampf-leitung
254	39/44,5	3350	1,55	11,15	104,15	115,8	40,9	38,8	45,7	6523	15,97	7,0	915	4868	17,4	42,7	13258	15722	—
190	46/51	4660	1,85	10,7	127,6	138,5	45,2	51,2	51,2	7775	14,0	5,0 Naphtha	1010	3880	16,0	35,0	11650	16332	?
224	45/50	4100	2,25	10,5	129,5	140,0	46,0	52,0	52,0	8500	12,0	6,0	1000	3300	15,0	33,0	11775	16620	v. Horric (Wechselventil)
224	45/51	4660	2,48	13,9	147,6	181,5	58,2	56,0	65,3	8763	20,8	23 cbm Holz	850	3550	18,7	50,7	15690	18909	—
295	46/51	5000	3,37	13,8	213,3	227,0	60,5	57,0	68,5	9215	—	—	—	—	—	—	6800	11007	Gölsdorf
228	46/52	4150	2,60	12,3	136,7	149,0	50,3	56,0	56,0	9630	12,5	8,0	1026	3160	13,7	34,2	12600	17309	?
227	47,5/52	4300	2,65	11,9	145,6	157,6	60,5	58,0	67,0	11385	18,0	6,0	1005	5000	20,7	44,7	15400	18007	Anfahrhahn
234	46/51	4965	2,45	14,0	166,0	180,0	75,75	81,6	81,6	14420	20,0	5,5 Naphtha	850	3550	23,5	48,5	16540	21140	•

Lokomotiven.

136	40/45	2707	1,50	6,58	43,22	52,80	26,0	22,3	32,0	2010	3,6	1,2	—	—	—	—	4270	8418	—
87	40/50	2600	1,0	5,10	32,7	37,8	27,0	20,0	33,0	2340	3,2	1,5	—	—	—	—	4640	10002	—
133	40/45	2410	1,0	4,3	40,3	44,6	18,5	24,0	24,0	4080	2,8	0,6	—	—	—	—	2500	6840	—
218	40/45	3122	1,8	10,3	85,5	95,8	51,0	32,5	61,5	4480	6,5	1,8	—	—	—	—	8434	11260	—
200	40/45	3830	1,96	8,37	98,63	107,0	52,5	30,0	68,8	5395	9,1	2,8	—	—	—	—	8800	11928	—
171	41,6/46	4000	1,57	7,95	59,4	97,35	41,5	31,4	58,18	5410	5,7	2,0	—	—	—	—	6800	11260	—
96	65/70 Servé	3800	1,8	9,06	122,6	131,7	46,5	43,9	58,7	6560	7,0	2,0	—	—	—	—	7860	11010	—
182	46/51	3290	1,9	10,13	86,47	96,8	45,0	48,0	56,8	7265	5,8	2,0	—	—	—	—	6299	10665	—
200	46/51	4164	2,33	10,5	120,3	130,8	55,8	42,3	70,3	8610	8,5	2,0	—	—	—	—	7700	11334	Gölsdorf
210	45/50	4350	2,38	8,38	129,12	137,5	56,0	71,5	71,5	11075	6,0	1,5	—	—	—	—	6860	11910	—

Lokomotiven.

201	41/45	4070	1,4	7,02	105,4	112,4	42,7	42,0	54,1	6140 13980	4,0	1,2	—	—	—	—	3600	9316	—
-----	-------	------	-----	------	-------	-------	------	------	------	---------------	-----	-----	---	---	---	---	------	------	---

Lokomotiven.

Schlepptender.

136	38/43	2700	1,15	6,0	44,0	50,0	19,0	21,0	21,0	3939	—	—	—	—	—	—	—	—	—
142	41/45	3200	1,0	6,4	64,0	70,4	24,4	22,4	27,0	4560	11,0	3,5 Kohle 1,8 Oel	700	4650	10,5	27,0	11750	14050	—

Lokomotiven.

60	40/44	2000	0,39	1,95	15,08	17,03	8,0	8,0	10,6	1510	1,28	0,5	—	—	—	—	2400	5450	—
120	36/41	2550	0,9	4,7	34,4	39,3	19,48	16,96	25,26	1900	2,75	0,7 Kohle 0,5 Naphtha	—	—	—	—	3600	7680	Lindner
64	45/50	1660	0,65	3,0	25,0	28,0	14,5	17,3	17,3	2210	1,5	0,5	—	—	—	—	1800	5650	—
131	34/38	1483	0,52	2,6	23,3	26,1	14,0	17,0	17,0	2295	1,65	0,5	—	—	—	—	1800	5440	—
103	40/44	3250	1,0	4,42	42,08	46,5	18,0	20,0	24,5	3200	3,2	1,3	—	—	—	—	4000	7225	—
101	38,5/44	3200	0,9	4,38	44,23	48,6	18,75	24,08	24,08	3235	2,3	1,1	—	—	—	—	4000	8105	—
119	44/48	2560	0,86	4,2	42,0	46,2	18,0	22,3	22,3	3830	2,03	0,47	—	—	—	—	2040	6580	—

¹⁾ Nach den Angaben der Aussteller.

geradezu ideale Schnellzuglokomotive darstellte, machte sich mit der Einführung schwererer Züge der Mangel starker Anzugkraft immer mehr bemerkbar. Dieser Mangel aber fiel weg, als der Greshamsche Dampfsandstreuer erfunden und

gleichzeitig mit dem neueren schweren englischen Oberbau, welcher Schienendrucke von 18 bis 19 t erlaubt, eingeführt wurde. Seit jener Zeit wandte man dieser Lokomotivform erneutes Interesse zu und bildete sie weiter aus, sodass sie heute bei fast allen Hauptbahnen eine Normalbauart bildet.

Fig. 4.

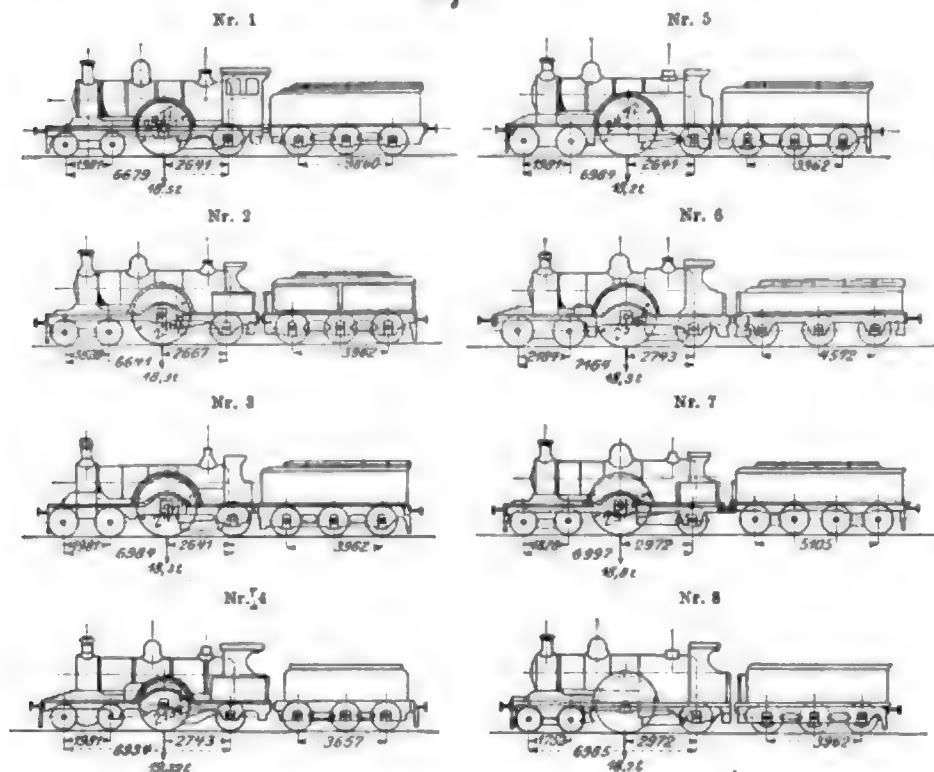


Fig. 4 und Tabelle IX geben Auskunft über Anordnung, Hauptabmessungen und Gewichte der neuesten Ausführungen mit vorderem 2-achsigem Drehgestell. Besonders erwähnt sei noch, dass die Treibachse immer beiderseitig Dampfsandstreuer besitzt, welche ziemlich sorgsam unterhalten werden, da sie eine Lebensbedingung dieser Maschine bilden; denn das Adhäsionsgewicht wird stündig bis zu $\frac{1}{4}$, ja beim Anziehen bis zu $\frac{1}{2}$ ausgenutzt, wozu es außerdem sehr gewandter Lokomotivführer bedarf.

Es muss zweifelsohne zugestanden werden, dass die 4-achsigen ungekuppelten Schnellzuglokomotiven mit vorderem 2-achsigem Drehgestell, rd. 7 m Radstand und 100 bis 110 qm innerer Heizfläche, namentlich wenn der Tender ein leichter 3-achsiger mit Wasserschöpfer ist, eine wirklich ideale Bauart darstellen. Aus Tabelle IX geht nun hervor, dass von den englischen ungekuppelten Lokomotiven die der Great Western und der Great Eastern Railway als die zweckmäßigsten bezeichnet werden müssen. Insbesondere gilt dies für die ersteren

Tabelle IX.

	1.	2.	3.	4.	5.	6.	7.	8.
	North Eastern R.	Midland R.	Great Northern R.	Great Eastern R.	Great Northern R.	Great Western R.	Midland R.	Great Central R.
Jahr der Einführung	1895	1896	1896	1898	1898	1899	1900	1900
Leitender Ingenieur	Wordsell	Johnson	Ivatt	Holden	Ivatt	Dean	Johnson	Pollitt
Bahn-Nr. der Lokomotive	1519	116	776	10	266	3080	2601	967
A) Lokomotive.								
Lage der Cylinder	innen	innen	aussen	innen	innen	innen	innen	innen
Cylinder-Dmr. mm	483	495	495	457	495	483	495	495
Kolbenhub "	610	660	711	660	711	610	660	660
Schieber	Kolbensch.	Kolbensch.	normal	normal	normal	entlastet	Kolbensch.	Kolbensch.
Steuerung	Stephenson	Stephenson	Stephenson	Stephenson	Stephenson	Stephenson	Stephenson	Stephenson
Treibrad-Dmr. "	2318	2362	2477	2134	2477	2340	2375	2363
Kesseloberdruck at	12,3	12,0	12,0	11,25	13,0	11,25	12,65	14,6
Rostfläche qm	1,92	1,98	1,86	1,98	2,13	1,93	2,27	2,30
Feuerbüchsenheizfläche	11,43	11,80	11,30	10,61	11,61	11,80	13,65	13,36
Rohrheizfläche, innere	85,0	92,40	76,10	98,52	96,02	119,90	88,95	88,81
Gesamtheizfläche	96,43	104,30	87,40	109,13	108,23	131,70	102,60	101,07
fester Radstand mm	2641	2667	2641	2641	2641	2743	2972	2972
Gesamtradstand "	6679	6641	6984	6679	6984	7164	6997	6983
Adhäsionsgewicht t	18,5	18,3	18,3	19,32	18,3	18,3	18,6	18,7
Dienstgewicht "	45,2	48,2	45,07	49,32	49,85	48,7	50,95	47,5
B) Tender.								
Kohlenvorrat kg	3 000	5 000	5 000	(Petroleum) 3 250	5 000	4 070	5 000	5 000
Wasservorrat "	17 700	15 875	16 000	12 670	16 660	13 600	18 160	18 160
Wasserschöpfer	nein	nein	nein	Ja	nein	Ja	nein	nein
Dienstgewicht "	40 000	39 045	40 930	36 500	42 400	33 950	49 800	42 500
Gewicht von Lokomotive und Tender t	85,2	87,245	86,6	85,82	92,25	81,75	100,83	90,0
Adhäsionsgewicht kg	3700	3600	3660	3864	3640	3660	3760	3740
Adhäsionsgewicht "	5300	5330	5230	5520	5200	5230	5370	5340
Adhäsionsgewicht "	35							
Maschinenzugkraft $0,65 \frac{pd^2 l}{D}$ kg	4907	5340	5177	4947	5477	4446	5580	6500



die Schieberkasten dem Zugwinde stark ausgesetzt sind. Die Steuerung ist die Stephenson'sche. Sämtliche Stopfbüchsen haben Metallpackungen.

Die Steuerung hat folgende Verhältnisse:

Cyl.-Dmr.	495 mm
Querschnitt	1924,4 qcm
Abmessungen der Dampfeintrittskanäle	441 × 35 mm
Querschnitt	164,95 qcm
Kanalquerschnitt	1:12,4
Kolbenschieber-Dmr.	303,2 mm
Äußere Ueberdeckung	+ 23,6 "
Innere negative Ueberdeckung	- 3,1 "

d) Ausrüstung. Die Lokomotive ist mit 2 Gresham-Resetting-Injektoren an der Feuerbüchsenrückwand, einem Doppel-Nathan-Lubrikator, 4 Gresham-Dampfsandstreuern und der Hardy-Vakuumbremse für den Zug ausgerüstet. Die Treibachse kann beiderseitig durch einen Dampfzylinder gebremst werden, der unter dem Aschkasten am Bremsgestänge hängt; die Dampfleitung teilt sich unter dem Zugkasten und geht auch zum Tender-Bremszylinder hinüber.

e) Tender. Der Tender, Fig. 8 und 9, ist sehr schwer gebaut. Er läuft auf 2 zweischigen Drehgestellen mit Außenrahmen. Der Wasserkasten fasst 18,16 cbm Wasser, während 5 t Kohlen über ihm untergebracht werden können. Alle Achsen können einseitig von hinten gebremst werden, und zwar von Hand durch eine Spindelbremse oder durch einen Dampfzylinder vom Führerstande aus.

Die Hauptabmessungen und Gewichte von Lokomotive und Tender sind folgende:

Lokomotive:

Cyl.-Dmr.	495 mm
Kolbenhub	660 "
Treibrad-Dmr.	2375 "
vorderer Laufrad-Dmr.	1168 "
hinterer	1334 "
Kesselüberdruck	12,6 at
Rostfläche	2,97 qm
Feuerbüchsenheizfläche	13,65 "
Rohrheizfläche (innere)	88,95 "
Gesamtheizfläche	102,60 "

Fig. 10.

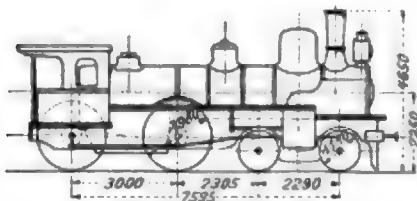


Fig. 11.

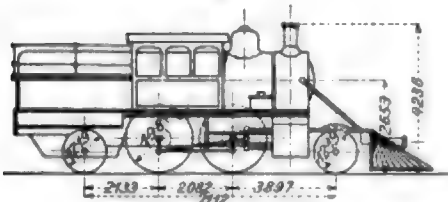


Fig. 12.

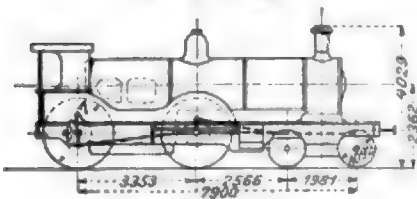


Fig. 13.

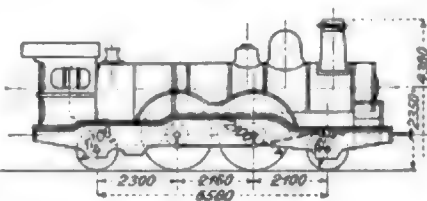


Fig. 14.

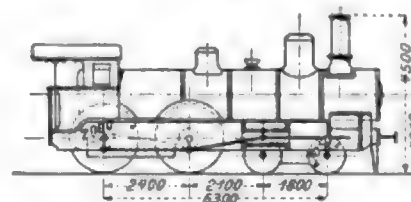
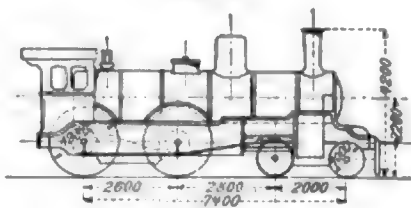


Fig. 15.



fester Radstand	2972 mm
Gesamtradstand	6997 "
Leergewicht	46600 kg
Achsdruck des Drehgestelles	17400 "
der Treibachse	18800 "
hinteren Laufachse	14750 "
Dienstgewicht	60950 "

Tender:

Rad-Dmr.	1067 mm
Drehgestell-Radstand	1676 "
Gesamt-	5105 "
Wasservorrat	18160 kg
Kohlenvorrat	6000 "
Leergewicht	26720 "
Achsdruck des Vordergestelles im Dienst	26300 "
Hintergestelles	23530 "
Dienstgewicht	49830 "

Lokomotive und Tender:

Gesamtradstand	16120 mm
ganze Länge über die Buffer	17960 "
Gesamtdienstgewicht	100830 kg
Zugkraft $s = \frac{0,66 p d^2}{D}$	5580 "

Lokomotive und Tender waren kräftig gebaut und schön gearbeitet, im übrigen leuchtend violettbraun gestrichen, sehr gut gespachtelt und halbmatt lackiert. Die großen Treibachsbüchsen und andere Teile aus Rotguss waren blank gehalten, sodass die Lokomotive zwar sehr in die Augen fiel, aber im Betriebe zwecks Reinhaltung viel Mühe und Arbeit verursachen muss.

II. Gruppe: Eilzuglokomotiven mit 2 gekuppelten Achsen und vorderem 3achsigen Drehgestell für mittelschwere Schnellsüge.

Wie zu erwarten, waren Lokomotiven dieser Klasse, die heute in allen Ländern und an allen Bahnen die normale Form für den Schnellsugdienst bilden, in großer Anzahl vertreten.

Bis auf Belgien hatten alle neun an der Ausstellung beteiligten Länder derlei Lokomotiven ausgestellt (Amerika sozusagen eine in der französischen Abteilung), und zwar insbesondere

Frankreich 2 Zwillingslokomotiven (1 mit Innen- und 1 mit Außen-cylindern) sowie 8 Viercylinder-Verbundlokomotiven (darunter eine amerikanischer Bauart von Baldwin); keine neuere Form fehlte daher;

Russland 1 Viercylinder-Verbund-Tandemlokomotive. Da die russische normale Eilzuglokomotive 3 gekuppelte Achsen hat, $\frac{3}{4}$ -gekuppelte in Russland nur wenig in Dienst gestellt sind, so fehlte zu einem richtigen Bilde der russischen $\frac{3}{4}$ -gekuppelten Bauart

a) die $\frac{3}{4}$ -gekuppelte Zweicylinder-Verbundlokomotive der Petersburg-Warschauer Bahn (Fig. 10);

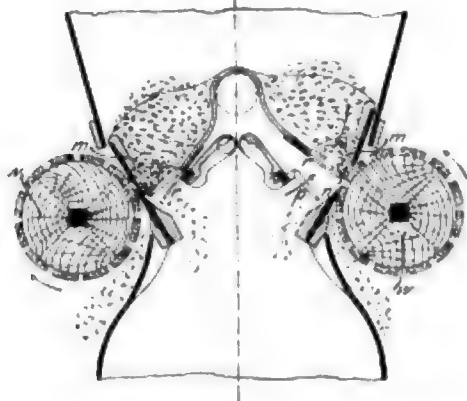
Amerika eine Viercylinder-Verbundlokomotive (Bauart Vaclain) in der französischen Abteilung; es fehlte als charakteristisch die »Columbia«-Bauart mit vorderer Bissel- und hinterer Laufachse, d. h. etwa

b) die $\frac{3}{4}$ -gekuppelte Viercylinder-Verbundlokomotive mit Wootten-Feuerbüchse der Philadelphia and Reading Railway (Fig. 11);



Baumwolle bestimmt, die stark mit kurzen Fasern bewachsene Samenkörner hat; als hauptsächlichste Abart gilt die amerikanische »Upland«, die aber auch in Ostindien und West-

Fig. 37.



afrika vorkommt. Die Leistung der Maschine bei solchen Baumwollen beträgt 30 bis 40 kg stündlich, wobei die Antriebsscheiben 600 Uml./min machen. Die Walzen w werden durch Gewichte gegen die Messer n gepresst.

Mit Rücksicht auf den Umstand, dass die leichte Baumwolle von der Pflanzung zur Verarbeitungsstelle einen großen Seeweg zu machen hat, und dass sie deshalb stark zusammengepresst werden muss, wird die Verpackungsweise für den Baumwollspinner nicht gleichgültig sein. Die beste Ausnutzung des Laderaumes der Schiffe gewährt die prismenartige Packung; diese aber erfordert Spanneisen und eine feste Schutzhülle zur Bewahrung der Form des gepressten Körpers. Ersteres erhöhen unnützerweise das Ladegewicht, letztere ist an ihren Kanten Beschädigungen ausgesetzt, die zu empfindlichen Verlusten an Baumwolle führen. Deshalb hat man in neuerer Zeit die cylindrische Form des Baumwollballens eingeführt, und in der Sonderhalle für amerikanische Werkzeugmaschinen in Vincennes wurde eine Wasserdruknpresse zur Herstellung solcher cylindrischer Baumwollballen¹⁾ von der Indo-Egyptian Compress Co. in Boston im Betriebe vorgeführt²⁾. Fig. 38 stellt diese Presse teilweise im Schnitt dar. Die in den Trichter T geschüttete Rohbaumwolle wird durch Schlitz a im Boden von dem darunter in einer sich drehenden Hülse stehenden Presteller s erfasst, wobei sie durch schwingende Bogenstücke b in die Schlitz a eingedrückt wird. Die Baumwolle trägt sich daher in schraubenförmigen Schichten auf den Presteller auf, an den sie durch den Gegendruck eines Presswasserkolbens dicht angedrückt wird. Der so erzielte cylindrische Baumwollballen B wächst also bei gleichmäßiger Zuführung der Baumwolle in den Trichter T gleich-

mäßig, bis der Presskolben völlig zurückgedrückt ist. Der Ballen B wird nunmehr bei seiner Drehung durch ein Messer m abgeschnitten und das abgeschnittene Stück auf seinem Presteller aus der Maschine gedreht, wobei ein zweiter leerer Presteller t auf den Presskolben gebracht wird. Letzterer wird dann wieder in die Höhe gelassen, und die Ballenbildung beginnt von neuem. Währenddessen kann der herausgedrehte Ballen umhüllt und geschnürt werden, zu welchem Zweck der Presteller Einschnitte hat.

Wie schon bemerkt, ist für die Presse eine gleichmäßige Zuführung der Baumwolle erforderlich; die dazu in Paris benutzte Einrichtung wird durch Fig. 39 veranschaulicht. Die von den Entsamungsmaschinen kommende Baumwolle wird

Fig. 38.

Presse für cylindrische Baumwollballen von Lowry.

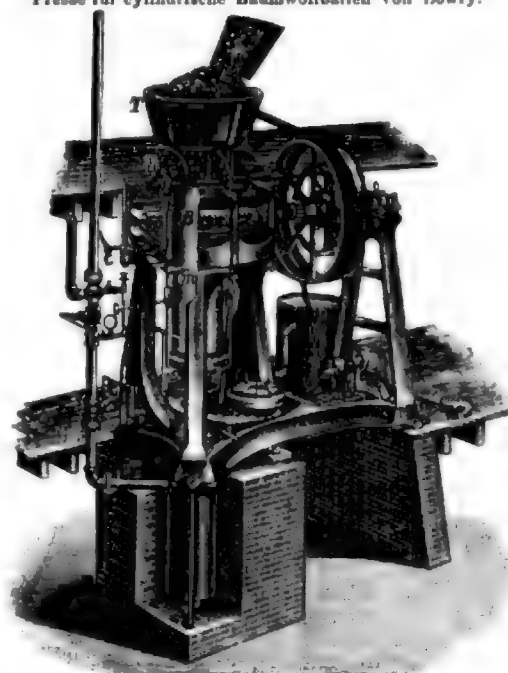
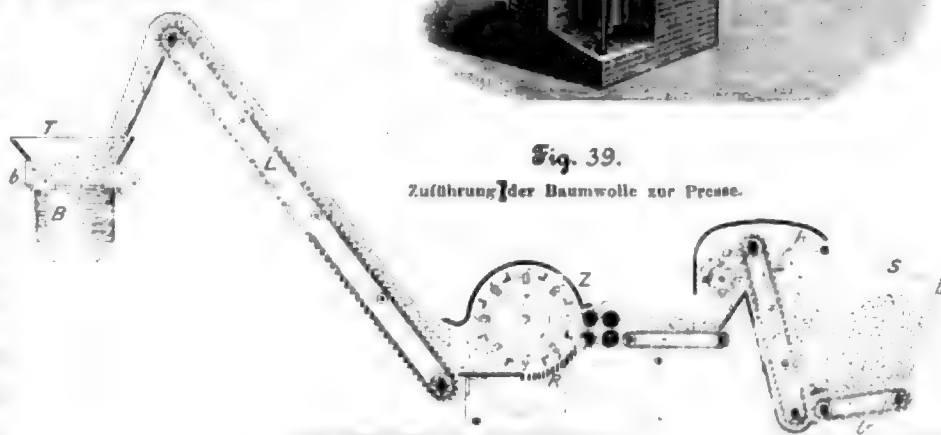


Fig. 39.

Zuführung der Baumwolle zur Presse.



einem Speiser S zugeführt, an dessen Boden ein Lattentuch t die Baumwolle an das Nadelstuch e fördert, von welchem ein schwingender Kamm k den Ueberschuss abhackt und eine Abnehmerwalze a die übrigen Faserflocken auf den Zuführstisch einer Schlag- und Zupfmachine Z abwirft. Der Speiser¹⁾ ist von Harwood & Son in Boston, die Zupfmachine von der Clark Machine & Foundry Co. in Franklin Mass. gebaut. Die Zupfmachine hat eine Breite von 1250 mm, ein doppeltes Zuführzylinderpaar: das erste geriffelt, das zweite gezahnt und beide mit Federdruck versehen, und eine Trommel von 600 mm Dmr. mit 8 Zahnleisten und 8 Schlagleisten. Die Trommel streicht die Baumwollflocken über einen Rost R zur Abscheidung von Unreinigkeiten und wirft die Flocken

¹⁾ D. R. P. Nr. 118218 von G. A. Lowry in Chicago.

²⁾ Die verschiedenen Verpackungsarten der Baumwolle und die Pressen hierzu sind anschaulich in einem Vortrage von G. Lowry in Boston, dem Erfinder der genannten Presse, in der American Society of Mechanical Engineers 1898 besprochen, über welchen Vortrag Engineering vom 12. Aug. 1898 S. 197 mit Abb. berichtet. Der sogenannte Baumwoll-Rundballen und die Lowry-Pressen in älterer Ausführung finden sich auch besprochen in »Oesterreichs Wollen- und Leinenindustrie« 1900 S. 71 mit Abb. Vergl. ferner Textile Recorder 1897 Bd. 14 S. 329 und 1898 Bd. 16 S. 61 mit Abb.

¹⁾ Ein Nebenbild des Speisers findet sich in Textile Record of America 1891 S. 153.







Neuere Turbinenanlagen,

ausgeführt von der Aktiengesellschaft der Maschinenfabriken von Escher Wyß & Co. in Zürich.

(Schluss von S. 1197)

(hierzu Textblatt 11)

Die neue Anlage am Niagara bietet ein Beispiel für eine Ausführung von Francis-Turbinen, und zwar sogenannter Spiralturbinen, für ein bedeutendes Gefälle. Die Niagara-Fälle werden vom Niagara-Fluss zwischen dem Erie- und dem Ontario-See gebildet. Der Unterschied zwischen den Wasserständen beider Seen beträgt rd. 100 m, wovon etwa 50 m auf den Niagara-Fall kommen, während der Rest auf die Stromschnellen (Rapids) entfällt. Ueber die Wassermenge sind keine zuverlässigen Angaben zu erhalten. Für gewöhnlichen Wasserstand wird sie zu 100 Mill. cbm/min angegeben, was für den Niagara-Fall allein 16 800 000 PS oder bei einem Wirkungsgrade von 75 vH 12 600 000 PS ausmachen würde.

Die Niagara Falls Power Company hat das Recht, einen Teil dieser gewaltigen Wasserkräfte auszunutzen. Ihre Krafthäuser liegen oberhalb des Falles ganz in der Nähe des Flusses; vergl. Fig. 14 bis 16, von denen die letzte ein in der panamerikanischen Ausstellung in Buffalo ausgestelltes Modell wiedergibt.

Ein Oberwasserkanal von 85 m Breite, 14 m Tiefe und 570 m Länge führt das Wasser den Turbinen zu. An beiden Seiten des Oberwasserkanals sind zwei Turbinenschächte angeordnet, der eine für 10 Turbinen, der andere nach vollständigem Ausbau für 11 Turbinen bestimmt,

deren Leistung je 5000 oder 5500 PS beträgt. Ein Bild vom Bau des letzteren Schachtes giebt Textblatt 11; einen Blick in das Turbinenhaus gestattet Fig. 17. Die Schächte sind 47 m lang, 6 m breit und 80 m tief und bilden in ihrem unteren

Teile die Unterwasserkanäle. Sie sind ganz in den Felsen gehauen und haben nur unten gemauerte Pfeiler, weiter oben eiserner Verstreben. Die beiden Unterwasserkanäle münden in einen großen Abflautunnel, der unter der ganzen Stadt hindurchgelegt ist und unterhalb des Falles das Wasser wieder dem Fluss zuführt, vergl. Fig. 14. Dieser Tunnel ist rd. 3,3 km lang; er ist aus dem Felsen gehauen und ausgemauert; sein Querschnitt ist 7 m hoch und 6 m breit. Sein Gefälle beträgt 6 ‰, und zwar hat man diese hohe Zahl aus Sparsamkeitsrücksichten gewählt, da man den Tunnel so klein wie möglich herstellen wollte, wenn auch dadurch einige Meter Gefälle verloren gingen. Das tatsächliche Gefälle ergab sich infolgedessen im Mittel zu 45 m.

Die erste Anlage der Niagara Falls Power Company enthielt Fourneyron-Doppelturbinen, die in dieser Zeitschrift bereits früher besprochen sind¹⁾. Zur Ausführung ihrer zweiten Kraftanlage ver-

Fig. 14. Turbinenanlage am Niagara; Lageplan.

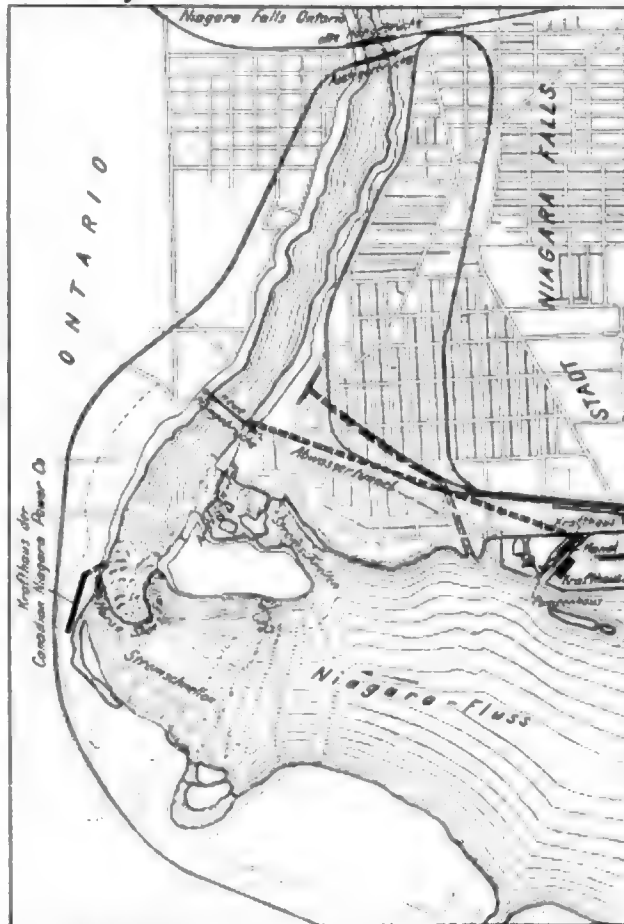
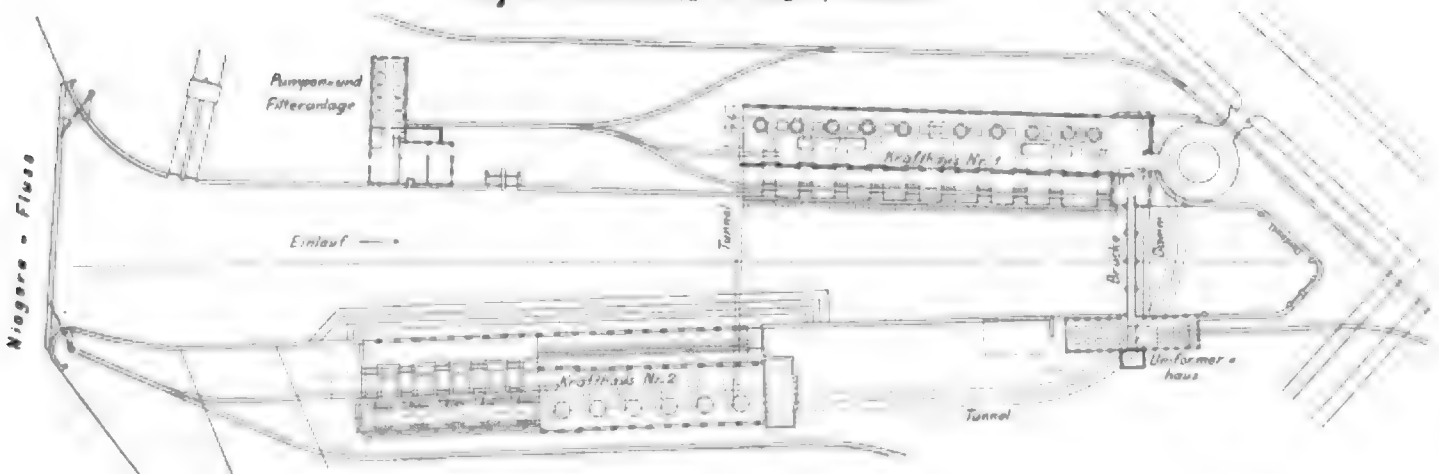


Fig. 15. Turbinenanlage am Niagara; Krafthäuser.



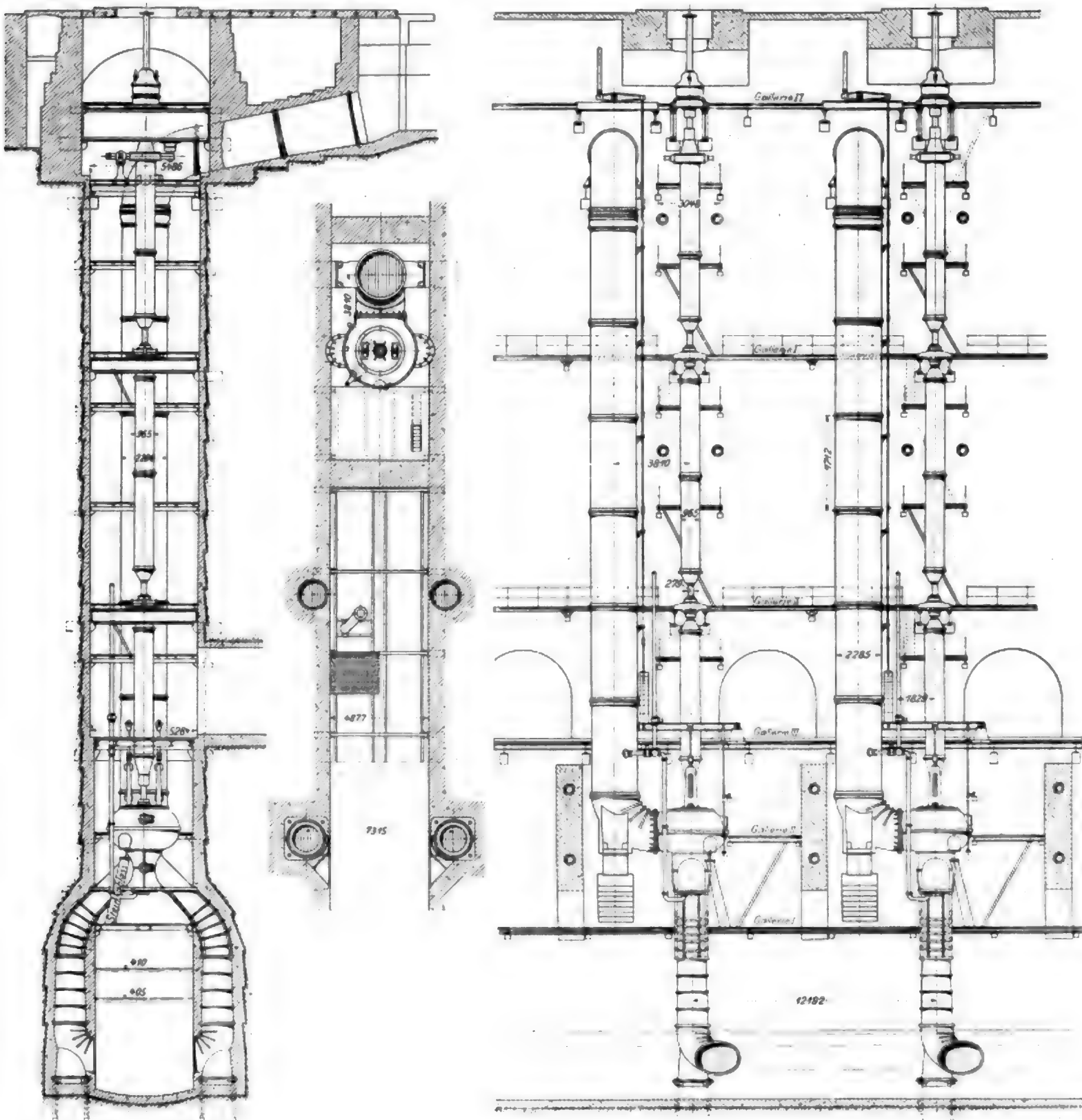
¹⁾ Z. 1893 S. 833.



die Turbinenzellen sollen einen großen Querschnitt erhalten;
von einem Kammlager soll, wenn möglich, abgesehen werden.

Die Wahl der Gesellschaft fiel nach sorgfältiger Prüfung auf den Entwurf von Escher Wyß & Co., die einfache Francis-Turbinen mit einer Entlastungscheibe und einem oberliegenden Ringspurzapfen vorgeschlagen hatte. Das Wasser wird jeder

Fig. 18 bis 20. Turbinenanlage am Niagara; Einbau der Turbinen.



Turbine, Fig. 18 bis 20, durch ein Blechrohr von 2,3 m Dmr. und 13 mm Wandstärke zugeführt; die Zuflussgeschwindigkeit beträgt 3,1 m. Das Saugrohr ist gegabelt und seitlich schräg in den Unterwasserkanal eingeführt. Infolgedessen bleibt der Unterwasserkanal ganz frei, was wichtig ist wegen der Schwankungen des Unterwasserspiegels, die, je nachdem eine oder sämtliche Turbinen im Betriebe sind, bis zu 5 m betragen können. Auch wegen der Querschnittsverengung des Unterwasserkanals wäre ein einfaches Saugrohr unmöglich gewesen. Das Turbinengehäuse, Fig. 21, besteht aus Gusseisen und ist zweiteilig. Es ist so weit, dass die Geschwindigkeit des Wassers sich darin erheblich verringert, sodass sich mitgeführte Steine absetzen und von Zeit zu Zeit durch ein nach unten geführtes Rohr abgelassen werden können; vergl. Fig. 18. Vom Wasser mitgerissenes Holz soll oben im Gehäuse schwimmen und so zurückgehalten werden.

Das Leitrad ist aus einem Stück gegossen und hat 25 Schaufeln. Das ebenfalls ein Stück bildende Laufrad besteht aus zweiprozentiger Manganbronze. Es hat 21 Schaufeln, 1,6 m Dmr. und ein Gewicht von rd. 1800 kg.

Unterhalb der Turbine sitzt auf der Welle eine Entlastungscheibe mit Labyrinthdichtung von 1,6 m Dmr., der durch eine besondere Rohrleitung Wasser von unten zugeführt wird. Durch diese Scheibe wird der nach unten gerichtete Druck je nach Beanspruchung der Turbine um 60 t bis 77 t entlastet. Die bewegten Teile einschließlich des Ankers der Dynamo wiegen 71 t, sodass für gewöhnlich auf das Lager rd. 5 t entfallen. Das Lager, Fig. 22 und 23, ist als gewöhnliches Ringspallager ausgeführt; das Öl

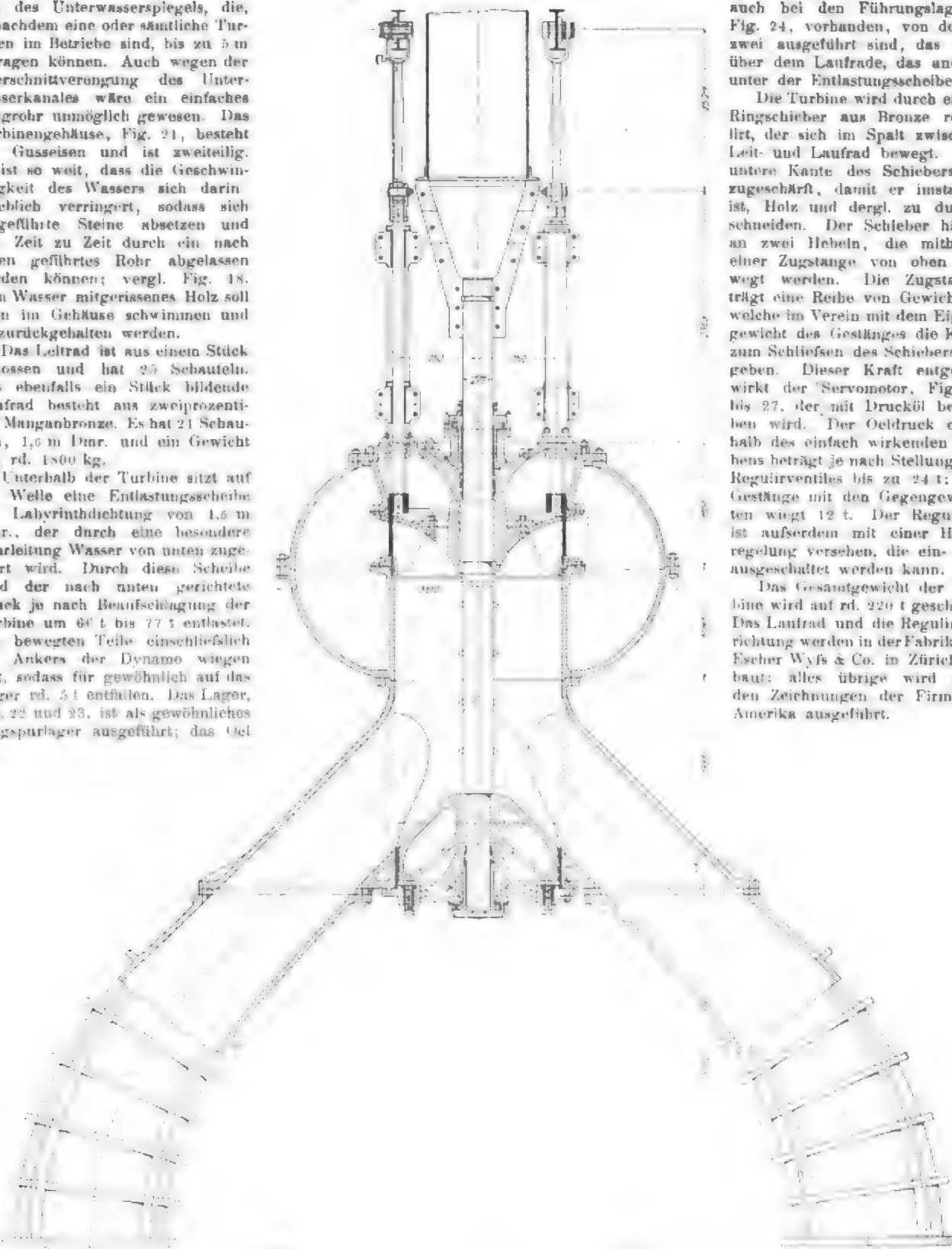
wird durch eine beständig von Wasser durchflossene Rohrschlinge gekühlt.

Die Turbinenwelle besteht aus Blechrohren von 1 m Dmr. und 10 mm Wandstärke, zwischen denen massive Wellenstücke von 280 mm Dmr. eingeschlachtet sind. Diese Stücke sind auch bei den Führungslagern, Fig. 24, vorhanden, von denen zwei ausgeführt sind, das eine über dem Laufrade, das andere unter der Entlastungscheibe.

Die Turbine wird durch einen Ringschieber aus Bronze reguliert, der sich im Spalt zwischen Leit- und Laufrad bewegt. Die untere Kante des Schiebers ist zugespitzt, damit er imstande ist, Holz und dergl. zu durchschneiden. Der Schieber hängt an zwei Hebeln, die mithilfe einer Zugstange von oben bewegt werden. Die Zugstange trägt eine Reihe von Gewichten, welche im Verein mit dem Eigengewicht des Gestänges die Kraft zum Schließen des Schiebers abgeben. Dieser Kraft entgegen wirkt der Servomotor, Fig. 25 bis 27, der mit Drucköl betrieben wird. Der Öldruck oberhalb des einfach wirkenden Kolbens beträgt je nach Stellung des Regulirventils bis zu 24 t; das Gestänge mit den Gegengewichten wiegt 12 t. Der Regulator ist außerdem mit einer Handregelung versehen, die ein- oder ausgeschaltet werden kann.

Das Gesamtgewicht der Turbine wird auf rd. 220 t geschätzt. Das Laufrad und die Regulirvorrichtung werden in der Fabrik von Escher Wyss & Co. in Zürich gebaut; alles übrige wird nach den Zeichnungen der Firma in Amerika ausgeführt.

Fig. 21. Turbinenanlage am Niagara; Turbinen.



Man hat bereits mit einem der Regulatoren Versuche in Niagara Falls angestellt, die außerordentlich günstige Ergebnisse hatten. Das Diagramm, Fig. 28, zeigt die Schwankungen der Umlaufgeschwindigkeit bei großen Belastungsänderungen. Es wurden beispielsweise 5000 PS so rasch wie

möglich ausgeschaltet, und die dabei eintretende Schwankung der Geschwindigkeit betrug nur 3,8 vH. Das zweite Diagramm, Fig. 29, zeigt an seinem rechten Ende die Schwankungen der Geschwindigkeit von 5 alten parallel geschalteten Maschinen mit ihren mechanischen Regulatoren. Der

Fig. 22 und 23. Turbinenanlage am Niagara; Drucklager.

Fig. 25 bis 27. Turbinenanlage am Niagara; Servomotor.

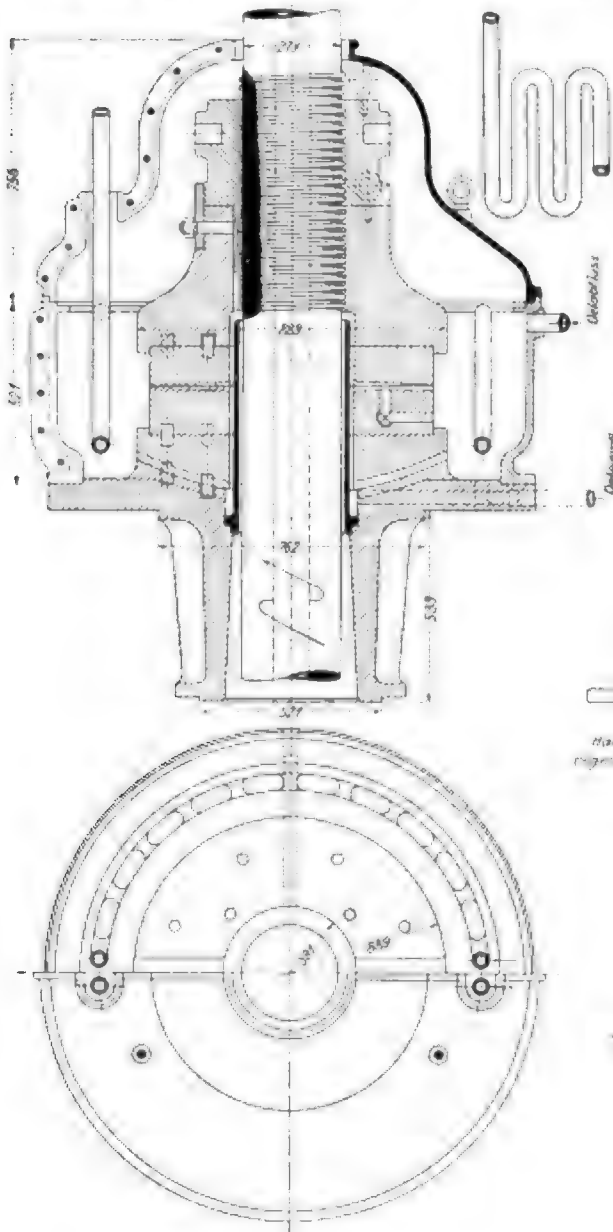
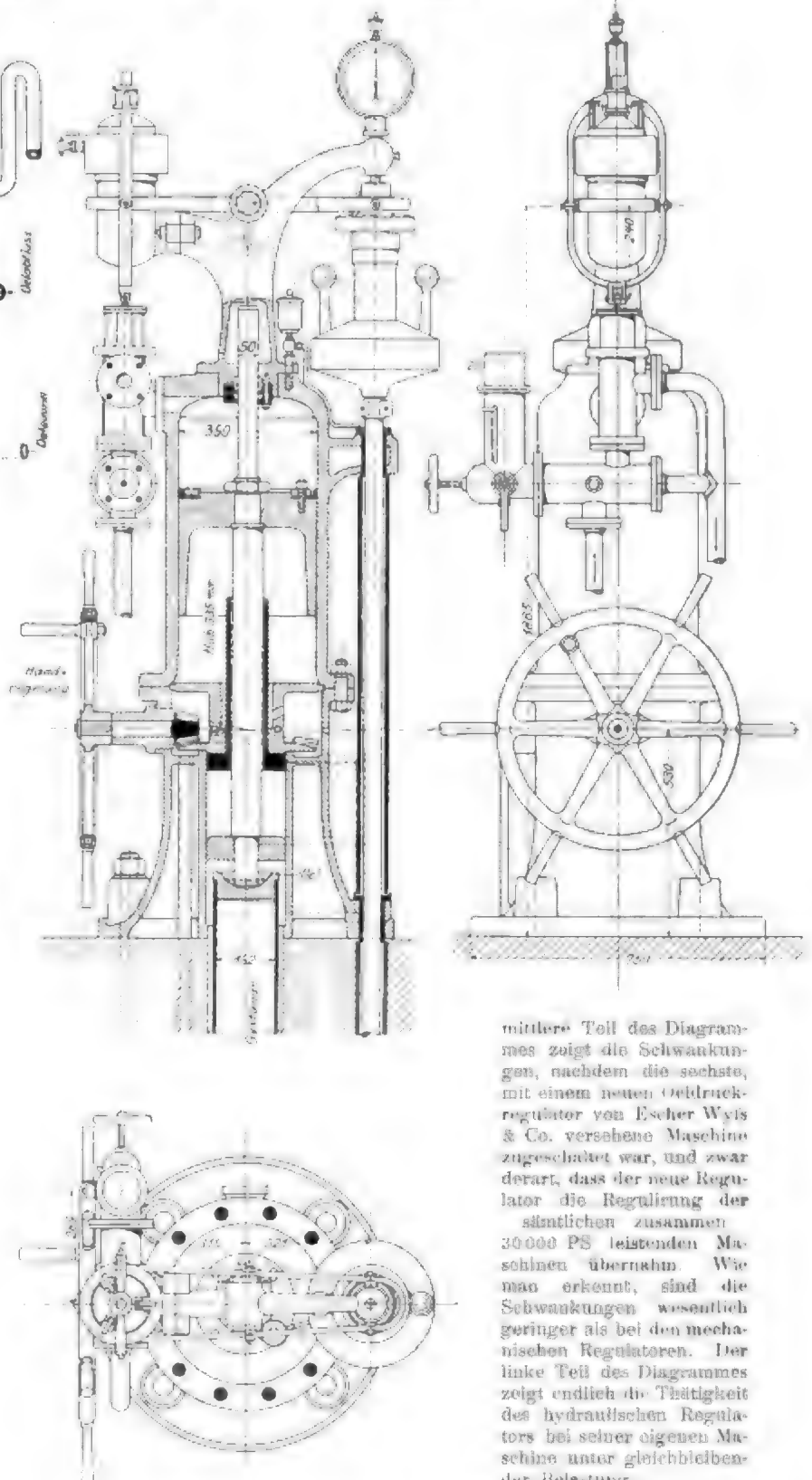


Fig. 24. Turbinenanlage am Niagara; Führungslager der Turbinenwelle.



mittlere Teil des Diagrammes zeigt die Schwankungen, nachdem die sechste, mit einem neuen Oeldruckregulator von Escher Wyss & Co. versehene Maschine zugeschaltet war, und zwar derart, dass der neue Regulator die Regulierung der sämtlichen zusammen 30000 PS leistenden Maschinen übernahm. Wie man erkennt, sind die Schwankungen wesentlich geringer als bei den mechanischen Regulatoren. Der linke Teil des Diagrammes zeigt endlich die Tätigkeit des hydraulischen Regulators bei seiner eigenen Maschine unter gleichbleibender Belastung.



erhalten, lässt man die Turbinen, obwohl sie Aktionsturbinen sind, mit Sauggefälle arbeiten. Man hat nämlich das Turbinengehäuse luftdicht abgeschlossen und lässt durch das aus der Turbine tretende Wasser Luft mitreißen, sodass im Gehäuse eine Luftverdünnung eintritt. Infolgedessen wird die Druckhöhe, unter welcher das Wasser aus der Aufschlagdüse austritt, vergrößert. Das Sauggefälle wird natürlich nur in dem Maße ausgenutzt, wie es die Luftverdünnung gestattet. Würde die Luftverdünnung zu groß, so würde der Unterwasserspiegel ansteigen und schließlich das Gehäuse anfüllen, wodurch der Wirkungsgrad, wenn das Laufrad im Wasser liefe, außerordentlich verschlechtert würde. Um zu verhindern, dass das Wasser zu hoch steigt, sind im Krafthaus ein Schwimmer und ein Luftventil angebracht; sobald das Wasser zu hoch

steigt, wird das Ventil durch den Schwimmer geöffnet, und es strömt so lange Luft in das Turbinengehäuse, bis der Schwimmer durch das Sinken der Wassersäule wieder in seine normale Stellung gebracht ist. Diese Hilfsvorrichtung soll so genau arbeiten, dass der Unterwasserspiegel nur um wenige Zentimeter schwankt.

Eine ähnliche Anlage ist im vergangenen Jahre in Flums zum Betrieb einer Karbidfabrik errichtet worden. Dort arbeiten drei mit Drehstromdynamos gekuppelte Löffelradturbinen von 800 PS mit einem Gefälle von 300 m. Wegen des hohen Druckes sind die Düsen und die Laufräder aus Manganbronze hergestellt. Diese Turbinen haben bei Vollbelastung einen Wirkungsgrad von 81,5 vH gezeigt.

Sitzungsberichte der Bezirksvereine.

Eingegangen 16. März 1901.

Dresdner Bezirksverein.

Sitzung vom 14. Februar 1901.

Vorsitzender: Hr. Scheit. Schriftführer: Hr. Schiemann.
Anwesend 63 Mitglieder und 2 Gäste.

Hr. Buschkiel macht Mitteilungen über die Schulfrage¹⁾. Er begründet die Erörterung dieses Gegenstandes hauptsächlich damit, dass die Technik bei ihrem stetig steigenden Einflusse auf unser Kulturleben die Pflicht habe, aus ihrer einseitigen Zurückhaltung herauszutreten und befruchtend, mindestens aber klärend, auch auf allgemeine Bildungsfragen einzuwirken. Dabei verkennt der Vortragende den Wert der humanistischen Bildungsform durchaus nicht; er erörtert kurz die außerordentlich wertvollen Fortschritte, die seinerzeit durch den Sieg des Humanismus über die Scholastik erreicht worden sind, und warnt vor einseitiger Bildung der Techniker ausschließlich durch reale Dinge.

Die Ziele der gewünschten Schulreform sind zweierlei Art, und zwar wird angestrebt, dass in Zukunft das Gymnasium nicht als allein anerkannte Schulgrundlage für den Stand der Gebildeten gelte, sondern dass in dieser Beziehung auch die Realgymnasien und Oberrealschulen als gleichberechtigt zu betrachten seien, und dass ferner durch einen gemeinsamen, vielleicht bis zur Tertia reichenden Unterbau für die Schulen beider Arten die Möglichkeit geschaffen werde, eine grundsätzliche Entscheidung über den zukünftigen Beruf bzw. die Berufsklasse erst in einem Alter zu treffen, wo die besondere Eigenart und die geistige Richtung des Betreffenden besser erkennbar sind. Zugleich würde der jetzt so große Unterschied zwischen den beiden Bildungsarten verringert werden.

Das erste Ziel sei der Erfüllung nahe gerückt durch die in dem kaiserlichen Erlass²⁾ in die Wege geleitete Verleihung der Berechtigung zum Universitätsstudium an die Abiturienten der Realgymnasien und Oberrealschulen; das zweite Ziel werde hoffentlich auch bald erreicht werden, nachdem sich die Erfolge der jetzt schon bestehenden Reformschulen als günstig erwiesen haben werden. Im übrigen sei es sehr schwer, gerade in dieser Frage ein einwandfreies Urteil abzugeben, weil jeder Beurteiler, die Lehrer nicht ausgeschlossen, doch mehr oder weniger durch die Bildungstoffe beeinflusst wird, die ihm seine Schule zugeführt hat, und durch die Anschauungen, die in dem Kreise seiner Berufs- und Standesgenossen heimisch sind.

Der Redner verliest darauf einen Aufsatz von F. Bettex: »Die Zukunft der Schule, Humanismus oder Amerikanismus«, der in der Zeitschrift »Der Türmer« (Heft 1 Jahrg. 1901) veröffentlicht ist, und empfiehlt, den Aufsatz weder in der einen noch der andern Richtung als unanfechtbar aufzufassen.

Darauf spricht Hr. Schiemann über die Weltausstellung zu Paris, insbesondere über das Verkehrswesen³⁾. Er macht Mitteilungen über die Pariser Omnibusse und Droschken, die Druckluft-Straßenbahnen, die elektrischen Bahnen, die meist mit Akkumulatoren oder Teilleitern betrieben werden, ferner über die unterirdische Stadtbahn⁴⁾ und den elektrischen Betrieb auf der Verlängerung des Orleans-Bahn⁵⁾. Endlich geht er auf die Verkehrsmittel innerhalb der Ausstellung, die Stufen-

bahn⁶⁾ und die elektrischen Motorwagen mit oberirdischer Zuführung, Bauart Lombard Götin⁷⁾, ein.

Zu einer im Fragekasten vorgelundenen Frage über die Widerstandsfähigkeit der Phosphorbronze gegen Wärme teilt der Fragesteller mit, dass die Festigkeit bereits bei 240° abnehme⁸⁾. Hr. Weeren bemerkt hierzu, dass er bei Versuchen bis auf 400° gekommen sei während Hr. Pfützner der Meinung ist, man könne bei 250° Rotguss nicht mehr anwenden; die Fabriken leisten auch nur höchstens bis 250° Gewähr.

Eingegangen 5. August 1901.

Württembergischer Bezirksverein.

Sitzung vom 8. Januar 1901.

Vorsitzender: Hr. Bantlin. Schriftführer: Hr. Haier.
Anwesend 70 Mitglieder und 22 Gäste.

Hr. v. Bach spricht in der Aula der Technischen Hochschule über Versuche über die Druckfestigkeit hochwertigen Gusseisens und über die Abhängigkeit der Zugfestigkeit desselben von der Temperatur⁹⁾.

Alsdann bespricht derselbe Redner die Materialprüfungsanstalt der Technischen Hochschule Stuttgart.

Die Materialprüfungsanstalt enthält die Einrichtungen zur Prüfung der Konstruktionsmaterialien sowie zu Untersuchungen auf dem Gebiete der Elastizitäts- und Festigkeitslehre. Über ihre Errichtung giebt das Vorwort des Sammelwerkes »Abhandlungen und Berichte« von C. Bach, Stuttgart 1897, Auskunft¹⁰⁾.

Der Zweck der am 24. Februar 1884 dem öffentlichen Betriebe übergebenen Anstalt bestand in der Hauptsache zunächst darin, aufgrund eingehender Aufträge Materialien zu prüfen. Allmählich gelang es dem Vorstände, sie auch zu einer Arbeitsstätte für Unterrichts- und Forschungszwecke zu machen.

Für die erste Einrichtung standen Geldmittel im Betrage von nur 16000 M und im Keller der Technischen Hochschule ein Raum von 81 qm Grundfläche zur Verfügung, welcher mit dem zu gleicher Zeit sich entwickelnden Laboratorium für Elektrotechnik zu teilen war. Im Laufe der Zeit konnten weitere 35000 M auf maschinelle Einrichtungen und für Messinstrumente verwendet werden; an Raum sind zugewachsen 254 qm, sodass die Anstalt jetzt über 335 qm Grundfläche verfügt.

6 Jahre führte der Vorstand die Geschäfte mit einem Arbeiter allein. 1890 trat ein Assistent hinzu. Heute beträgt das etatsmäßige Personal außer dem Vorstände: 1 Betriebsingenieur (Haberer), 2 Assistenten, welche wechseln und vorzugsweise für den Unterricht da sind, und 2 Arbeiter (Schlosser).

An eigentlichen Prüfungsmaschinen sind vorhanden:

- | | | |
|---|-------------------|--|
| 1 | liegende Maschine | mit Werderscher Wage und Schraubenspindel, für Kraftversuchen bis 60000 kg, eingerichtet zu Zug-, Druck-, Biege-, Scher- und Verdrehungsversuchen; |
| 1 | stehende | mit Hebelwage und Schraubenspindel, für Zug und Druck bis 50000 kg; |
| 1 | » | (Amstler-Laffon) für Druck bis 150000 kg; |
| 1 | » | » » » » » 30000 |
| 1 | » | für Zug (27000 kg) und Vordrehung (16500 kg/cm); |

¹⁾ Z. 1900 S. 934.

²⁾ Z. 1900 S. 1533.

³⁾ Vergl. Z. 1900 S. 1745.

⁴⁾ s. Z. 1901 S. 168.

⁵⁾ Vergl. auch Wochenschrift des Vereines deutscher Ingenieure 1882 B. 6 und 151, sowie Z. 1895 S. 419.

¹⁾ Vergl. Z. 1900 S. 649.

²⁾ Z. 1900 S. 1742.

³⁾ Z. 1900/91 S. 933 u. f.

⁴⁾ Z. 1899 S. 893.

⁵⁾ Z. 1899 S. 890.

Übersicht neu erschienener Bücher.

zusammengestellt von der Verlagsbuchhandlung von Julius Springer, Berlin N., Monbijouplatz 3.

- Elektrotechnik.** Album de 32 plans de pose de sonneries électriques, par S. Denis fils aîné. 4^e tirage. Paris 1901. Gotty.
- Barni, E. Il montatore elettricista. 6^a ed. Milano 1901. Preis 3 l.
- Blondel, André. Moteurs synchrones à courants alternatifs. Paris 1901. Gauthier-Villars. Preis 7 frs. 50 c.
- Canter, O. Die Technik des Fernsprechwesens in der deutschen Reichs-Post- und Telegraphen-Verwaltung. 3. Aufl. Breslau 1901. J. U. Kern. Preis 10 M.
- Caye, Georges, et Saillard, A. Traité pratique de mécanique et d'électricité industrielles. Tome I. Paris 1901. Berger-Levrault. Preis 12 frs.
- Charpentier, Paul. Nouvelle méthode générale de contrôle de l'isolement et de recherche des défauts sur les réseaux électriques pendant le service. Paris 1901. Béranger. Preis 2 frs. 50 c.
- Crocker, Francis B. Electric lighting. Vol. II: Distributing system and lamps. London 1901. Spon. Preis 12 sh. 6 d.
- Förster, Fritz. Die elektrotechnische Praxis. 2. Bd.: Elektrische Lampen und elektrische Anlagen. Berlin 1901. L. Marcus. Preis 6 M.
- Gerteis, A. Wissen und Leistungen der modernen Starkstrom-Elektrotechnik. Mit Ausschluss der elektrischen Bahnen. I. Teil: Die Elektrizität. Ihre Eigenschaften, Wirkungen und Gesetze. Halle 1901. C. O. Lehmann. Preis 6 M.
- Grünwald, F. Der Bau, Betrieb und die Reparaturen der elektrischen Beleuchtungsanlagen. 9. Aufl. Halle 1901. W. Knapp. Preis 4 M.
- Hoppe, Fritz. Vergleich zwischen Bogenlampen mit offenem und geschlossenem Lichtbogen in bezug auf ihre Wirtschaftlichkeit. (Aus: Zeitschrift für Beleuchtungswesen.) Leipzig 1901. E. Wartig Verlag. Preis 0,35 M.
- Jenisch, P. Haustelegraphie. Gemeinverständliche Anleitung zum Bau von elektrischen Haustelegraphen-, Telephon-, Blitzableiter- und Sprachrohranlagen. 2. Aufl. Berlin 1901. M. Rockenstein. Preis 4,50 M.
- Knight, John Henry. Electric light for country houses. 3rd ed. London 1901. Crosby, Lockwood & Sons. Preis 1 sh.
- Loppé, F. Les accumulateurs électriques. 2^e éd. Paris 1901. Gauthier-Villars. Preis 2 frs. 50 c.
- Parr, G. D. Aspinall. Practical electrical testing in physics and electrical engineering. London 1901. Longmans. Preis 8 sh. 6 d.
- Roefeler, G. Elektromotoren für Wechselstrom- und Drehstrom. Berlin-München 1901. J. Springer, R. Oldenbourg. Preis 7 M.
- Russell, Stuart A. Electric light cables and the distribution of electricity. 2nd ed. London 1901. Whitaker. Preis 10 sh. 6 d.
- Sheldon, S. Dynamo-electric machinery; its construction, design and operation. New York 1901. Preis 12 sh. 6 d.
- Verkerk, G. C. J., en G. J. van de Well. Vierdallig elektro-technisch-werktuigkundig woordenboek. Amsterdam 1901. Scheikema & Holkema. Preis 7 fl. 50 c.
- Worthingham, Charles Henry. Central electrical stations: their designs, organisation and management. London 1901. C. Griffin. Preis 24 sh.
- Erde- und Wasserbau.** Bartlett, J. Quantities. Vol. I: Roadmaking and sewer construction. London 1901. The St. Bride's Press, Limited. Preis 7 sh. 6 d.
- Egan, Edward. Die Schiffbau-Einrichtung am Eisernen Thor. Kanal der unteren Donau. (Aus: Verbands-Schriften des deutsch-österreich. Verbandes für Binnenschifffahrt.) Berlin 1901. A. Troschel. Preis 0,75 M.
- Fuchsberger, O. A. H.** Studien über das Pruth-Projekt. Regulierung und Schiffbarmachung des Pruths von Czernowitz nach Oesterreich. Nowosielitz und Anschluss an die weitere Stromstrecke nach Rens. Berlin 1901. Stenemroth & Troschel. Preis 3 M.
- **Hafen.** Die wichtigsten Chinas. Herausgegeben von der Direktion der Deutschen Seewarte. Berlin 1901. E. S. Mittler & Sohn. Preis 3 M.
- **Handbuch der Südküste Irlands und des Bristol-Kanals.** Herausgegeben von der Direktion der Deutschen Seewarte. 2. Aufl. Hamburg 1901. L. Friederichsen & Co. Preis 3 M.
- **Jasmond, R.** Die Arbeiten der Rheinstrom-Bauverwaltung 1851 bis 1900. (Denkschrift anlässlich des 50jährigen Bestehens.) Berlin 1901. E. S. Mittler & Sohn. Preis 11 M.
- **König, Fr.** Die Verteilung des Wassers über, auf und in der Erde, und die daraus sich ergebende Entstehung des Grundwassers und seiner Quellen mit einer Kritik der bisherigen Quellentheorien. Jena 1901. H. Costenoble. Preis 4 M.
- **Kuhn, Rich.** Die Binnenschiffahrtskanäle auf der Pariser Weltausstellung 1900. Wien 1901. A. Holder. Preis 2,50 M.
- **Lernet, A.** Bewegliche Uferschutzbauten und Nohlenversicherungen. Reform der üblichen Uferschutzbauten. (Aus: Technische Vorträge und Abhandlungen.) Wien 1901. Spielhagen & Schurich. Preis 1 M.
- **Moore, E. C. S.** New tables for the complete solution of Ganguillet and Kutter's formula for the flow of liquid in open channels, pipes, sewers, and conduits. London 1901. T. Batsford. Preis 15 sh.
- **Symphar.** Emscherthalinie und Kanalisierung der Lippe. Berlin 1901. E. S. Mittler & Sohn. Preis 0,40 M.
- Gasbereitung.** Brackenbury, C. E. Modern methods of saving labour in gas works. London 1901. P. S. King. Preis 3 sh. 6 d.
- **Grafton, Walter.** A handbook of practical gas fitting. London 1901. Batsford. Preis 5 sh.
- **Newbigging, Thomas.** A hundred years of gas enterprise. London 1901. "The Gas World" Office. Preis 2 sh. 6 d.
- **Roberts, R. W.** The gas engine handbook. London 1901. Crosby, Lockwood & Son. Preis 8 sh. 6 d.
- Gesundheitsingenieurwesen.** Hime, Thos. Whitealde. Practical guide to the Public Health Acts. 2nd ed. London 1901. Baillière, Tindall & Cox. Preis 15 sh.
- Gießerei.** Ledebur, A. Handbuch der Eisen- und Stahlgießerei, umfassend die Darstellung des gesamten Gießereibetriebes usw. 3. Aufl. Leipzig 1901. B. F. Voigt. Preis 18 M.
- **Rott, Carl.** Beiträge zur Praxis der Eisengießerei: I. Die Fortschritte in der Flusseisendarstellung für den Gießereibetrieb. II. Die Gasfeuerungen für die Trockenkammern des Gießereibetriebes. Berlin 1901. O. Eisner. Preis 1,50 M.
- Heizung und Lüftung.** Befeisteln, Wilh. Die Installation der Warmwasseranlagen. Theoretisch-praktische Darstellung aller Systeme zur Erzeugung von Warmwasser für Leitungszwecke. 2. Aufl. Leipzig 1901. B. F. Voigt. Preis 3,75 M.
- **Wolpert, A.** Theorie und Praxis der Ventilation und Heizung. 4. Aufl. in 5 Bdn. 3. Bd.: Die Ventilation. Berlin 1901. W. & S. Loewenthal. Preis 15 M.
- Hochbau.** Benkwitz, G. Die Darstellung der Bauzeichnung. Im Anschluss an die vom Ministerium für öffentliche Arbeiten erlassene Anweisung. 2. Aufl. Berlin 1901. J. Springer. Preis 1,30 M.
- **Löser, B.** Hilfsbuch zur Anfertigung der im Hochbau vorkommenden statischen Berechnungen, Formeln und Tabellen für die Praxis. Dresden 1901. Gilders. Preis 5 M.
- Holbearbeitung.** Hesse, Wilh. Der Modellhändler. Praktische Anleitung zur Anfertigung von Modellen und Schablonen für den Eisen-, Stahl- und Metallguss. Leipzig 1901. B. F. Voigt. Preis 4,50 M.
- Ingenieurwesen. (Allgemeines.)** Mitteilungen über Forschungsarbeiten auf dem Gebiete des Ingenieurwesens, insbesondere aus den Laboratorien der technischen Hochschulen, herausgegeben vom Vereine deutscher Ingenieure. 1. Heft. Berlin 1901. J. Springer. Preis 1 M.
- Lager- und Ladevorrichtungen.** Rühle, M. Technische Hilfsmittel zur Beförderung und Lagerung von Sammelkörpern (Massengütern). Berlin 1901. J. Springer. Preis 15 M.
- Landwirtschaft.** Kopecky, Jos. Die Bodenuntersuchung zum Zwecke der Drainagearbeiten, mit besonderer Berücksichtigung der Ausführung mechanischer Bodenanalysen mittelst eines neu kombinierten Schlemmapparates. Prag 1901. J. G. Calve. Preis 1,20 M.
- Luft- und Wasserkraftmaschinen.** Müller, Wilh. Die Francis Turbinen und die Entwicklung des modernen Turbinenbaues in Deutschland, der Schweiz, Oesterreich-Ungarn, Italien, Frankreich, England und den Vereinigten Staaten von Amerika. Hannover 1901. Gebr. Jänecke. Preis 18 M.
- Maschinenelemente.** Bach, C. Die Maschinenelemente. Ihre Berechnung und Konstruktion mit Rücksicht auf die neueren Versuche. 8. Aufl. Stuttgart 1901. A. Bergsträsser. Preis 30 M.
- Maschinenteile.** Brahtz, E. B., H. Kirsch und Kracht. Atlas zur Vorschule für das Maschinzeichnen. Dortmund 1901. Ruhfus'sche Kunst- und Buchhandlung. Preis 20 M.
- **Unwin, W. Cawthorne.** The elements of machine design. Part I. General principles, fastenings, and transmission machinery. New ed. London, New York, and Bombay. Longmans, Green & Co. Preis 7 sh. 6 d.
- Materialkunde.** Hanausek, T. F. Lehrbuch der technischen Mikroskopie. Stuttgart 1901. F. Enke. Preis 14,40 M.
- **Hanisch, Aug.** Bestimmung der Biegezug-, Zug-, Druck- und Schubfestigkeit an Hausteilen der österreichischen Monarchie. Wien 1901. C. Gröner & Co. Preis 4,40 M.
- **Ministère des Travaux Publics.** Commission des méthodes d'essai des matériaux de construction. Deuxième Session. Tome I: Documents généraux. Tome II et III: Rapports particuliers. Paris 1901. V^{ie} Ch. Dunod. Preis 40 frs.
- **Pedrotti, Marco.** Der Gips und seine Verwendung. Wien 1901. A. Hartleben. Preis 4,80 M.
- **Popplewell, William Charles.** Experimental Engineering. Vol. II: A treatise on the methods and machines used in the mechanical testings of materials of construction. Manchester 1901. The Scientific Publ. Co. Preis 10 sh. 6 d.

Zeitschriftenschau.¹⁾

(¹⁾ bedeutet Abbildung im Text.)

Aufbereitung.

Die magnetische Ersaufbereitung zu Pitkäranta in Finland. Von Gröndal. (Oesterr. Z. Berg- u. Hüttenw. 10. Aug. 01 S. 429/31) Mineralogische Zusammensetzung der Erze. Einrichtung der Aufbereitungsanlage. Das Aufbereitungsverfahren und seine Ergebnisse.

Beleuchtung.

Bestimmungen betreffend die Prüfung von Leuchten für die Füsse und Fassungen von Edison-Glühlampen nach den Vorschriften des Verbandes deutscher Elektrotechniker. (Elektrot. Z. 15. Aug. 01 S. 647/50*) Veröffentlichung der Bestimmungen, nach denen die Physikalisch-Technische Reichsanstalt die Prüfung der nach den Verbandsnormen angefertigten Leuchten übernehmen will. Begründung der Bestimmungen. Cylindrischer Lehrholzen; cylindrischer Lehrhörn; Gewindelehrkörper für die Fassungen; Gewindelehrkörper für die Lampenfüsse.

Elements of illumination. XXIX. Von Bell. (El. World 10. Aug. 01 S. 221/22*) Gegenstände für Schmuckbeleuchtung und ihre Anordnung.

Beleuchtungswagen der Elektrizitäts-Aktiengesellschaft vorm. Schuckert & Co. Von Conrad. (Motorwagen 15. Aug. 01 S. 194/99*) Der von Pferden zu ziehende Wagen enthält unter Dach aufgestellt einen 12pferdigen zweicylindrigen Petroleummotor von Daimler, der eine Dynamomaschine mit gemischter Wicklung von 80 V und 90 Amp mit 500 Uml. min unmittelbar antreibt.

Bergbau.

Theorie der Fangvorrichtungen und ihre praktische Anwendung bei der Konstruktion einer Fangvorrichtung mit hydraulischer Bremse. Von Henry. Schluss. (Glückauf 10. Aug. 01 S. 685/91*) mit 2 Taf.) S. Zeitschriftenschau v. 24. Aug. 01.

Dampfkraftanlagen.

Hydrofenerung. (Mitt. Prax. Dampfk. Dampf. 14. Aug. 01 S. 594/95) Bericht des Kattowitzer Dampfkesselvereines über die Wirksamkeit der Feuerung, bei der fein zerteiltes Wasser gleichzeitig mit dem Unterwind dem Roste zugeführt wird.

Appareils de sûreté des chaudières à vapeur. Von Sinigaglia. (Rev. Méc. 31. Juli 01 S. 20/24) Zusammenstellung der wichtigsten behördlichen Bestimmungen über die Anordnung der Sicherheitsventile an Dampfkesseln in den verschiedenen Kulturstaaten. Forts. folgt.

Berechnung der Dampfmaschinen. Von Herrmann. (Dingler 17. Aug. 01 S. 517/22*) Berechnung der absoluten Dampfarbeit in der Maschine ohne schädlichen Raum. Die indirekte Arbeit der Einzylindermaschine. Der Dampfverbrauch der Einzylindermaschine. Schluss folgt.

Buckeye engines with cut-off adjustable by hand. (Eng. News 8. Aug. 01 S. 96*) Die zur Verstellung des Expansionschiebers von Hand dienende Vorrichtung soll den Regulator bei Maschinen ersetzen, die keinen plötzlichen Belastungsschwankungen ausgesetzt sind.

Dampfmaschinenbrüche. (Mitt. Prax. Dampfk. Dampf. 14. Aug. 01 S. 591/93*) Beschreibung zweier Maschinen in ihrem Zustande nach dem Unfall, der in beiden Fällen durch Eindringen erheblicher Wassermengen in die Cylinder verursacht war.

Kondenswasser und die Apparate zu seiner Wiedergewinnung. (Gesundheit. 15. Aug. 01 S. 237/40*) Erläuterung der Vorgänge beim Kondensieren des Wassers. Kondensationswasserabnehmer, deren Wirkungsweise auf dem Temperaturunterschied zwischen Dampf und abgekühltem Kondensationswasser und den dadurch hervorgerufenen verschiedenen Ausdehnungen beruht: Ableiter von Wals, Kohlmann und Heintz. Forts. folgt.

Mechanische Feuerungsbeschickung. System Mankner. (Mitt. Prax. Dampfk. Dampf. 14. Aug. 01 S. 595) Wiedergabe der Ergebnisse von Versuchen an einem mit der genannten Beschickungsvorrichtung ausgerüsteten Dampfkessel von 109 qm Heizfläche.

Zerstückung von Dampfkesseln. (Mitt. Prax. Dampfk. Dampf. 14. Aug. 01 S. 593/94) Auszug aus dem Jahresbericht des Oberschlesischen Dampfkesselvereines zu Kattowitz. Vorschläge zur Beschaffung guten Speisewassers. Schäden bei Kesseln, die mit den Abgasen von Hoch-, Putz- oder Koksöfen geheizt wurden.

Eisenbahnwesen.

Ueber elektrische Schnellbahnen. Von v. Reymond-Schiller. Schluss. (Z. f. Elektrot. Wien 18. Aug. 01 S. 400/06*) Vergrößerung des Zugwiderstandes bei erhöhter Geschwindigkeit. Zug-

widerstand auf gerader wagerechter Bahn. Entwürfe für einen normalspurigen und einen breitspurigen Wagen. Verwendung der Wagen bei Bahnen von verschiedener Ausdehnung.

Le chemin de fer métropolitain de Vienne. Von Philippe. Schluss. (Rev. gén. Chem. de Fer Aug. 01 S. 103/44*) Lokomotiven und Wagen. Weichen und Signalvorrichtungen. Angaben über den Betrieb der Bahn Statistik des Verkehrs. Fahrpreise.

New Union passenger station at Dayton, O. (Eng. News 8. Aug. 01 S. 82/83*) Der Bahnhof besteht aus 3 überdachten Bahnsteigen und einem Gebäude zur Unterkunft der Reisenden, für die Verwaltung usw. Konstruktionseinzelheiten der Bahnsteigüberdachungen.

Les locomotives russes à l'Exposition de 1900. Von Godfernaux. (Rev. gén. Chem. de Fer Aug. 01 S. 145/55 mit 10 Taf.) Angaben über die Abmessungen und Darstellung der Konstruktionen von Lokomotiven mit 2, 3 und 4 gekuppelten Achsen; Lokomotive Banart Mallet. Schmalspurlokomotiven.

Fast passenger engines for the New York Central and Hudson River R. R. (Eng. News 8. Aug. 01 S. 94/95*) ³/₄-gekuppelte Lokomotiven mit Drehgestell und aufsenliegenden Cylindern von 533 mm Dmr. und 660 mm Hub.

Anlagen der französischen Eisenbahnen für das Wassernehmen der Lokomotiven während der Fahrt. (Dingler 17. Aug. 01 S. 526/31*) Die geschilderten Anlagen bestehen aus langen mit Wasser gefüllten Rinnen aus Eisenblech, die zwischen oder neben den Gleisen angeordnet sind, und aus denen das Wasser in bekannter Weise entnommen wird.

Eisenbahnwagenkupplung für die Umwandlung der europäischen Schraubenkupplung in die amerikanische Mittelbuffer-Kupplung. Von Grimme. (Glaser 15. Aug. 01 S. 76/77*) Eine aus dem Kopfräger des Wagens hervortretende starke Zug- und Druckhülse ist zur Aufnahme des Kopfes der Janney-Kupplung wie auch der gewöhnlichen Schraubenkupplung eingerichtet.

Fahrstraßensicherung (Muster Niehagen). Von Nipkow. (Zentralbl. Bauv. 17. Aug. 01 S. 401/03) Eingehende Beschreibung der Stellwerkanlage, welche die Weichen gegen vorzeitiges Umstellen sichern soll.

Eisenhüttenwesen.

A comparison between American and British rolling-mill practice. Von Garrett. (Journ. Iron Steel Inst. 01 Bd. 1 S. 101/45) Vollständige Wiedergabe des in Zeitschriftenschau vom 1. Juli 01 erwähnten Vortrages mit mündlichem und schriftlichem Meinungsaustausch. S. a. Zeitschriftenschau vom 29. Juni 01: »Gegenüberstellung amerikanischer und englischer Walzwerkpraxis«.

The use of hydraulic power in the manufacture of iron and steel. Von Darlen. (Journ. Iron Steel Inst. 01 Bd. 1 S. 146/57 mit 5 Taf.) Ausführliche Veröffentlichung des in Zeitschriftenschau vom 13. Juli 01 erwähnten Vortrages. Meinungsaustausch. S. a. Zeitschriftenschau vom 8. Aug. 01: »Anwendung von Hochdruckwasser im Eisenhüttenbetriebe«.

A description of the Bessemer shop and heating pits at the Barrow Haematite Steel Company's works, Barrow-in-Furness. Von White. (Journ. Iron Steel Inst. 01 Bd. 1 S. 299/305 mit 5 Taf.) Die Bessemeranlage enthält 4 Birnen von je 20 t Fassungsvermögen. Kurze Beschreibung und zeichnerische Darstellung der Einzelheiten.

The economical significance of high silicon in pig iron for the acid steel processes. Von Sahlin. (Journ. Iron Steel Inst. 01 Bd. 1 S. 158/74) Ausführliche Wiedergabe des in Zeitschriftenschau vom 13. Juni 01 erwähnten Vortrages nebst Meinungsaustausch.

A water-cooled blast furnace bosh. Von Sahlin. (Journ. Iron Steel Inst. 01 Bd. 1 S. 236/42 mit 1 Taf.) S. Zeitschriftenschau vom 9. März und 13. Juli 01.

The design of angle rolls. I. Von Hirst. (Iron Age 8. Aug. 01 S. 6/9*) Eingehende Darstellung des Kalibrons von Walzen zur Herstellung von Winkelisen aus quadratischen und rechteckigen Blöcken.

Dichten des Stahles. Von Zdanowicz. (Stahl u. Eisen 15. Aug. 01 S. 857/66*) Deutsche Bearbeitung des in Zeitschriftenschau v. 1. Juni und 13. Juli 01 erwähnten Aufsatze von Bantier: »Compression de l'acier par tréfilage«.

Dust in blast-furnace gases. Von Greiner. (Journ. Iron Steel Inst. 01 Bd. 1 S. 56/78 mit 2 Taf.) Ausführliche Veröffentlichung des in Zeitschriftenschau v. 1. Juni 01 erwähnten Vortrages nebst mündlichem und schriftlichem Meinungsaustausch.

Eisenkonstruktionen, Brücken.

Riveted lattice truss drawbridge: Chicago & Northwestern Ry. (Eng. News 8. Aug. 01 S. 84/86*) Die 66 m lange Brücke besteht aus einem auf einem Mittelpfeiler drehbaren Überbau

¹⁾ Die Zeitschriftenschau wird, nach den Stichwörtern in Vierteljahrsheften zusammengefasst und geordnet, gesondert herausgegeben, und zwar zum Preise von 3 Mk pro Jahrgang für Mitglieder, von 10 Mk pro Jahrgang für Nichtmitglieder.

aus Fachwerkträgern. Zum Antrieb der Drehvorrichtung dient ein 22-pferdiger Benzinmotor. Einzelheiten der Eisenkonstruktion und der Drehvorrichtung.

The steelwork in skeleton buildings. Von Furber. (Eng. Rec. 3. Aug. 01 S. 106 08) Schutz der Eisenkonstruktion vor Rost. Feuersicherheit von Eisenbauten. Anordnung der Windverstrebung. Exzentrische Belastung von Säulen. Wahl der Trägerspannweiten. Wahl der Säulenquerschnitte.

Elektrotechnik.

Distribution d'énergie électrique et chemin de fer de Baz-Gryon-Villars (Suisse). Von Breßer. Schluss. (Génie civ. 17. Aug. 01 S. 249 54 mit 1 Taf.) Beschreibung der Bahnstrecke. Oberbau. Rollendes Gut. Konstruktionseinzelheiten der Lokomotiven.

Große Generatoren für Gleichstrom. Von Hobart. (Elektrot. Z. 15. Aug. 01 S. 650 53) Kritische Erläuterung der in Zeitschriftenschau v. 16. März 01 unter „Große Generatoren“ von Roßert beschriebenen 1000 KW-Maschine von Siemens & Halske A. G. Gegenüberstellung eines vom Verfasser entworfenen und eines Gleichstromerzeugers der General Electric Company. Polzahl; Strom- und Kraft-Hüllendichte; Umfangsgeschwindigkeit des Ankers und des Kommutators; Erwärmung; Querschnitt des Luftfeldes. Materialaufwand.

Der neue Edison-Akkumulator und seine Bedeutung für die Motorwagen-Industrie. Von Neuburger. (Motorwagen 15. Aug. 01 S. 190 55) Kritische Besprechung der elektrochemischen Eigenschaften und der Konstruktion der Platten und Zellen. Forts. folgt.

Explosionsmotoren und andere Wärmekraftmaschinen.

Les moteurs à gaz des hauts fourneaux. Von Deschamps. (Rev. Méc. 31. Juli 01 S. 25 44) Gasmotor von Thwaites & Mossforth; Crossley-Atkinson-Motor. Eingehende Beschreibung des Simpax-Motors der Gesellschaft Cockerill. Premier-Motor für Mondgas. Otto-Motor. Letombe-Motor. Westinghouse-Motor. Forts. folgt.

Gasindustrie.

Séparation mécanique des mélanges gazeux par application de la force centrifuge. Von Bardolle. (Rev. Ind. 17. Aug. 01 S. 323 26) Beschreibung mehrerer Vorrichtungen zur Trennung von Gasen mit geringen Dichtigkeitsunterschieden.

Gießerei.

New foundry of the E. W. Bliss Company. (Iron Age 8. Aug. 01 S. 1) Kurze Angaben über die Einrichtungen der neuen Gießerei der bekannten Pressenfabrik.

Robeisen-Gießmaschine. Von Heland. (Stahl u. Eisen 15. Aug. 01 S. 850 53) Kritische Besprechung der bekannten Gießmaschinen-Gießmaschine und der Gießmaschine von Ramsay (s. Z. 1901 S. 389). Der Verfasser skizziert dann einen eigenen Entwurf, bei dem die Massentrücke, ähnlich wie die Zellen eines Wasserrades, an einem um eine wagerechte Achse drehbaren Eisengerüst befestigt sind.

Hebezeuge.

Moderne Hafen- und Werftkrane schwerster Konstruktion. Von Mehlis. (Glaser 15. Aug. 01 S. 62 75) Derrick-Kran von 150 t auf der Werft von Blohm & Voß. Verschiedene Ausführungen von Scherenkränen. Schwinnkran. Große Drehkrane.

Heizung und Lüftung.

Welche Lage ist die für Luftabzüge geeignetster? Von v. Selter. (Gesundtwing. 15. Aug. 01 S. 240 43) Meinungsäußerung zu dem in Zeitschriftenschau v. 11. Mai 01 unter gleicher Überschrift erwähnten Aufsatz von Nussbaum und zu der in Zeitschriftenschau v. 27. Juli 01 erwähnten Abhandlung von Rittz (Gedanken und Vorschläge über Heizungsanlagen).

Zur vorteilhaftesten Anordnung der Luftabzüge. Von Lesup. (Gesundtwing. 15. Aug. 01 S. 243) Beitrag zu den im vorstehend erwähnten Aufsatz behandelten Fragen.

Präzisions-Regulirvorrichtung mit auswechselbarer Stopfbuchseneinpackung unter Wasserdruck für Öfen von Warmwasserheizungen. Von v. Rekowsky. (Gesundtwing. 15. Aug. 01 S. 244) Erläuterung der bei der Konstruktion von Regulirvorrichtungen, insbesondere bei der Stopfbuchseneinpackung, zu beachtenden Grundsätze.

Central heating plant, Ellis Island, N. Y. — II. (Eng. Rec. 3. Aug. 01 S. 108 10) Einzelheiten der Heizanlagen im Kirchen- und Badehaus und im Krankenhaus. Forts. folgt.

Hochbau.

Tests of the strength of Gustavino floor arches. Von Ewing. (Eng. Rec. 3. Aug. 01 S. 111 12) Bericht über mehrere Belastungsversuche mit einer gewölbten Decke aus Zementbeton. Die Ergebnisse sind in Tabellen zusammengestellt.

Lager- und Ladevorrichtungen.

Einrichtungen zur Beförderung und Lagerung von Kohlen, Koks und Reinkiesmasse für Gasanstaltsbetrieb. Von Huble. Forts. (Journ. Gasb. Wasserv. 17. Aug. 01 S. 612 15)

Kohlenförderanlagen in den Gasanstalten von Warschau, Bromberg, Kassel, Frederiksberg und Zürich. Schluss folgt.

Chain-belt conveyors for wood-working plants. (Eng. News 8. Aug. 01 S. 86) Darstellung zweier Fördervorrichtungen, die aus endlosen Gelenkketten bestehen, auf denen schmale Bretter befestigt sind. Die Fördergeschwindigkeit beträgt 30 m/min.

Materialkunde.

Brinelle method of determining hardness and other properties of iron and steel. Von Wahlberg. (Journ. Iron Steel Inst. 01 Bd. 1 S. 243 95 mit 6 Taf.) S. Zeitschriftenschau v. 10. Nov. u. 1. Dez. 1900, 9. Febr. u. 9. März 01: „Ein Verfahren zur Härtebestimmung nebst einigen Anwendungen desselben.“

Measurement of Young's modulus for iron rods by tension and by bending. Von Wimperis. (Journ. Iron Steel Inst. 01 Bd. 1 S. 306 12) Der Elastizitätsmodul von Eisenstäben wurde einmal bei reiner Zugbeanspruchung, das andere mal bei reiner Biegung bestimmt, um den Einfluss des Walzens festzustellen. Bei einem Modul von rd. $2,1 \times 10^{10}$ kg/cm betrug der Unterschied bei beiden Messungen nur bis $0,03 \times 10^{10}$ kg/cm.

Crystals of carbo-silicide of manganese and iron. Von Stead. (Journ. Iron Steel Inst. 01 Bd. 1 S. 79 85) Beschreibung von Kristallen, die in einem ausgeblasenen Hochofen zu Blaina gefunden wurden. Der Hochofen hatte zuletzt zur Herstellung von Ferro-mangan gedient. Angaben über die kristallographische und chemische Untersuchung.

The properties of steel castings. Von Arnold. (Journ. Iron Steel Inst. 01 Bd. 1 S. 175 204 mit 6 Taf.) Ausführliche Wieder-gabe des in Zeitschriftenschau von 22. und 29. Juni 01 erwähnten Vortrages mit mündlichem und schriftlichem Meinungsaustausch.

The heat of formation of carbides and silicides of iron. Von Campbell. (Journ. Iron Steel Inst. 01 Bd. 1 S. 211 28) Der Verfasser berichtet über seine Versuche, mittels des Kalorimeters die Bildungswärme von Kohlenstoff- und Siliciumverbindungen des Eisens zu bestimmen. Eingehende Beschreibung des Kalorimeters, des Beobachtungs- und Berechnungsverfahrens.

Iron and steel from the point of view of the „phase-doctrine“. Von Jüptner von Johnstorf. (Journ. Iron Steel Inst. 01 Bd. 1 S. 229 35) Kurze Angaben über die Versuche von Mannesmann, Royston, Santer, Marguerite und Le Chatelier über das Verhalten des Eisens bei verschiedenen Temperaturen.

The influence of copper on steel rails and plates. Von Stead und Evans. (Journ. Iron Steel Inst. 01 Bd. 1 S. 89 100) Ausführliche Veröffentlichung des in Zeitschriftenschau v. 29. Juni 01 erwähnten Vortrages.

Der Einfluss von Kupfer auf Stahlschienen und Bleche. Von Ruhfus. (Stahl u. Eisen 15. Aug. 01 S. 853 57) Deutsche Bearbeitung des vorstehenden Vortrages von Stead und Evans.

A machine for investigating the rate and time of set of cement mortars. (Eng. News 8. Aug. 01 S. 95 96) Die Prüf-vorrichtung der Maschine besteht aus einer Nadel, die in bestimmten, genau einzustellenden Zwischenräumen in den Zementblock einsticht. Mit zunehmender Erhärtung des Zementes dringt die Nadel immer weniger tief ein; die Tiefe des Stiches wird durch eine selbstthätige Vorrichtung aufgezeichnet.

Messgeräte und -verfahren.

Nebenschlusskasten für Galvanometer. Von Volkmann. (Elektrot. Z. 15. Aug. 01 S. 653) Angabe einer Galvanometerschaltung mit 3 Nebenschlüssen und 3 Vorschaltwiderständen, mit denen man die Empfindlichkeit des Messgerätes in sieben Stufen verändern kann. Der Widerstand des Stromkreises des Galvanometers bleibt in jedem Falle gleich.

Ueber Drehfeldmessgeräte. Von Schrottker. (Elektrot. Z. 15. Aug. 01 S. 657 68) Ausführlicher Vortrag über die Entwicklung, Theorie und Konstruktion der Drehfeldmessgeräte. Darstellung der älteren und neueren von Siemens & Halske gebauten Ferraris-Messgeräte für Strom, Spannung, Leistung und Arbeit. Messtransformatoren. Meinungsaustausch.

Metallbearbeitung.

A twisting die. Von Rowe. (Am. Mach. 17. Aug. 01 S. 872) Darstellung eines Stempels und einer Matrize zur Herstellung von Klammern aus Messingblech von 1,5 mm Stärke.

Die für umbrella rib tips. Von Doran. (Am. Mach. 17. Aug. 01 S. 875 79) Beschreibung der Herstellung von Blechgelenken für Schirmstangen mittels dreier Sätze von Stempeln und Matrizen, die eingehend dargestellt sind.

Eine Verbesserung der Goldschmidt'schen Methode des aluminothermischen Schweißens und Gießverfahrens. Von Cohn. (Journ. Gasb. Wasserv. 17. Aug. 01 S. 615 17) Im Gegensatz zu dem älteren Verfahren wird das Thermo nicht über den Rand des Schmelztiegels in die Form gegossen, sondern fließt durch eine selbstthätige Abstichvorrichtung ab. Anstelle der Blechform wird eine Form aus feuerfestem Material verwendet.



die Hochebene von Meudon in einem Tunnel von 3350 m Länge unterfährt, und dass bei kurzen Abständen der Züge die Lüftung des Tunnels nicht ausreichend gewesen wäre, wenn man Dampflokomotiven angewendet hätte.

Der elektrische Strom wird von einem Kraftwerk in Les Moulineaux als Drehstrom von 5500 V und 25 Per./sek bezogen, in 3 Umformerwerken auf dem Marsfeld, in Meudon und in Viroflay in Gleichstrom von 550 V verwandelt und durch eine seitliche Schiene den Motoren zugeführt. Es werden zwei Arten von Zügen abgelassen: erstlich Züge von 100 bis 150 t, aus gewöhnlichen Wagen bestehend, die von 52 t schweren Motorwagen gezogen werden; diese dienen zugleich als Gepäckwagen und sollen auf Steigungen von 10 ‰ eine Geschwindigkeit von 50 km/st erreichen. Zweitens sind leichte Züge eingeführt, die aus zwei Motorwagen und einem Anhängewagen zwischen ihnen zusammengesetzt sind. Probe-weise will man auch Züge von 8 bis 9 Motorwagen laufen lassen. (Revue générale des chemins de fer August 1901)

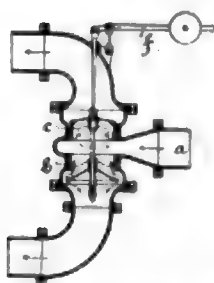
Der Betrieb der Bostoner Hochbahn, die zur Ergänzung der bisherigen Unterpfasterbahn erbaut ist, wurde am 15. Juni auf einer 18,95 km langen Strecke eröffnet, von der 3,6 km noch unterirdisch sind. Die Züge bestehen aus Wagen der Unterpfasterbahn, von denen 1600 in sehr kurzer Zeit für den Hochbahnbetrieb hergerichtet und auf die Gleise der Hochbahn geschafft werden mussten. Die Wagen sind mit den auf der Hoch- und Unterpfasterbahn eingeführten elek-

trisch betätigten Druckluft-Sicherheitsvorrichtungen ausgestattet. Sie enthalten 43 Sitz- und 80 Stehplätze und werden durch 3 Motoren der Westinghouse Co. von je 150 PS angetrieben. Nach den bisherigen Beobachtungen betrug der Stromverbrauch auf einer 2,4 km langen Strecke, auf der 9 Züge liefen, 5000 bis 6000 Amp bei mindestens 500 V Spannung und der mittlere Stromverbrauch für das Wagen-km 2,6 KW-st. (Electrical World and Engineer 10. August 1901)

Der deutsche Verein für öffentliche Gesundheitspflege hält vom 18. bis 21. September d. J. zu Rostock seine 26. Versammlung ab. Zu den zur Verhandlung gestellten Gegenständen gehören: Fortschritte auf dem Gebiete zentraler Heiz- und Lüftanlagen im letzten Jahrzehnt; Straßenbefestigungsmaterialien und Ausführungsarten sowie ihr Einfluss auf die Gesundheit.

In der Zeit vom 29. Juni bis 5. Juli 1902 wird in Düsseldorf der 9. Internationale Schifffahrtskongress stattfinden. Die Verhandlungen gliedern sich in zwei Gruppen: Binnenschifffahrt und Seeschifffahrt. Von den einzelnen Beratungsgegenständen sind hervorzuheben: Die Ueberwindung großer Höhen; Untersuchungen über Anlage- und Unterhaltungskosten von Schleusenthoren, Dockanlagen. Zuschriften wegen des Kongresses sind an Hrn. Regierungs- und Baurat Sympher, Berlin, zu richten.

Patentbericht.

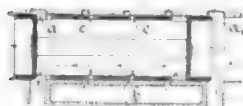


Kl. 14. Nr. 119638. Umschaltventil für Kondensator-Dampfmaschinen. E. Karrer, Frankfurt a/M. Bei genügend großem Unterdruck fließt der Abdampf von a durch das Ventil b in den Kondensator; bei Verringerung des Unterdruckes aber stellt der Gewichtshebel f das Ventil um, und der Abdampf strömt durch c ins Freie, bis die Luftpumpe den richtigen Unterdruck wieder hergestellt hat.

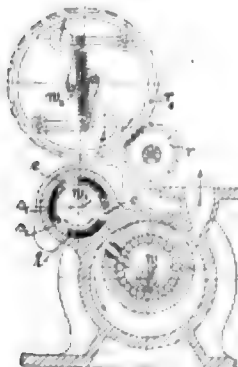
Kl. 14. Nr. 120755. Muschelschieber. M. Hochwald, Berlin. Der Dampf zu- oder abführende Cylinderkanal b, Fig. 1 und 2, mündet am (hohlcylindrischen oder ebenen) Spiegel in 3 (allgemein n) Öffnungen aus, und der mittlere Teil (Steg) des Schiebers ist mit Durchbrechungen c ausgerüstet, deren Anzahl (n-1) und deren Lage so gewählt ist, dass bei Beginn der Eröffnung, wo die Ein- und Ausström-

Fig. 1.

Fig. 2.



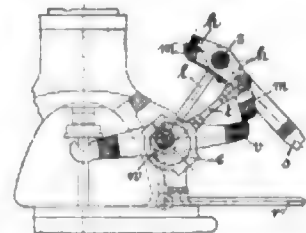
kanäle a, s₁ schon $\frac{2}{3}$ offen sind, 3 (allgemein n) Durchtrittspalten gebildet werden. Fig. 2 zeigt die Anwendung auf den Muschelschieber des Patentes Nr. 94979, Z. 1898 S. 188, wobei eine der beiden nach b führenden Spiegelöffnungen (rechts) in zwei Öffnungen zerlegt ist und der zugehörige Steg eine Durchbrechung c erhalten hat, sodass auch hier 3 Durchtrittspalten entstehen.



Kl. 14. Nr. 120640. Steuerung für Kapselwerke. C. Bruijnis, Amsterdam. Die Hauptwelle w des Kapselwerkes treibt durch Räder r₁ und Hohlwelle w₁ den röhrenförmigen Steuerschieber s₁ mit mehreren Dampfeinlassöffnungen e und bestimmt dadurch den unveränderlichen Dampfeintritt, während der in r₁ angebrachte Flachregler mittels Vollwelle w₂ den mit Leisten l in die Öffnungen e eingreifenden Abschlusschieber s₂ ver- stellt und dadurch den Füllungsgrad nach dem Kraftbedarfe regelt.

Kl. 14. Nr. 119637. Auslassende Ventilsteuerung. G. Honegger, Berlin. Um die Rückwirkung auf den Regler zu vermeiden, ist

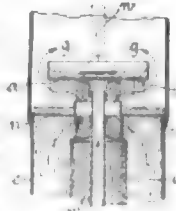
auf der vom der Reglerstange r zur Füllungsänderung verstellbaren Welle w ein Exzenter e befestigt, dessen Stange t den zwelarmigen Auslöshebel h bein- flusst. Dieser hat mit der Steuer- exzenterstange s, mit deren Lenkern l und dem Mitnehmer m einen gemeinsamen Drehzapfen s und drängt den Mitnehmer von dem um w schwingenden Ventilhebel v früher oder später herab.



Kl. 17. Nr. 119457. Füllvorrichtung für Gefrierzellen. F. Hasslacher, Frankfurt a/M. Zum blasenfreien Einfüllen des durch einen Schlauch bei e zugeleiteten entlüfteten Wassers dient ein unten mit einem Ventil i und oben mit einem einstellbaren Schwimmer versehenes Rohr b, das nach Vervollendung der Füllung vom Schwimmer angehoben wird, sodass sich i selbstthätig schließt. Durch ein Sammelgefäß g können mehrere solcher Füllrohre zu gleichzeitiger Wirkung vereinigt werden.

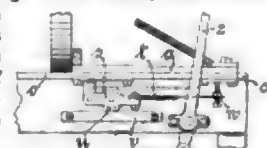


Kl. 17. Nr. 119666 (Zusatz zu Nr. 92177, Z. 1897 S. 279). Kon- densator. W. Greiner, Braun- schweig. Die dünnwandige Wasser- glocke des Hauptpatentes zum Kühlen der im Regen-Gegenstrom n.c nicht niederschlagbaren Gase wird durch einen aus gleichschaligen Wasserglocken a oder einzelnen Strahlen des von w her frisch zu- strömenden Wassers gebildeten



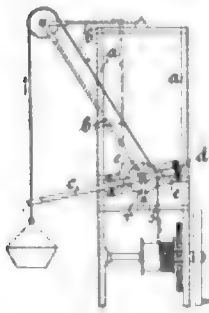
brausenartigen Cylinder von großer Wandstärke ersetzt, den die Gase auf ihrem Wege g durchdringen müssen.

Kl. 38. Nr. 119349. Schlittenlagerung. J. S. Oram, Cleveland (Cleveland, Ohio, U. S. A.). Damit man den das Werkzeug tragenden Schlitten a mittels Handhebels s schnell und genau einstellen könne, wird sein Gewicht auf zwei Schienen v durch Rollen u übertra- gen, die in federnden, bei w einstellbaren Gliedern e, t gelagert sind, sodass die Schlittenschienen e entlastet sind und nur zur genauen Führung dienen.



Kl. 38. Nr. 120409. Quersäge mit Dampftrieb. J. B. Kelly, Portland (Oregon), und Ch. L. van Buskirk, Lodi (Kalifornien, U. S. A.). Zur Vermin- derung der Gesamtlänge ist der Sägeblattkopf s mit dem Dampfkolben k durch einen Arm a fest verbunden, der durch einen Schlitt t im Cy-

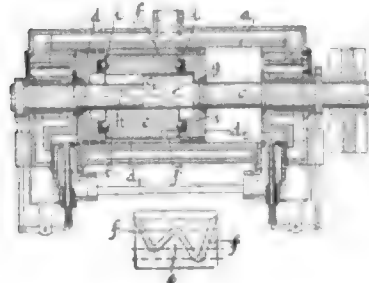




hinder hindurchragt, und dieser Schlitz wird durch ein biegsames Band b verschlossen, das in der Öffnung e in a gleitet.

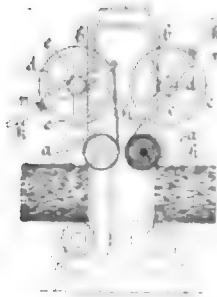
Kl. 33. Nr. 130579. Drehkran-Einschwenkvorrichtung. W. Deutsch, Köln-Stülz. Kurz vor dem Hubende stößt die Last an den äußeren Arm eines mit dem Ausleger b verbundenen Hebels c , worauf dessen innerer Arm mittels Rolle d auf einer am Gerüst a befestigten, schräg liegenden Halbkreisführung e samt b um 180° herumgeschwenkt wird. Beim Herabwinden wird c mit b durch sein Gewicht und den schrägen Zug des Seiles s an der Rolle r zurückgeschwenkt.

Kl. 46. Nr. 119380. Kolbenmaschine. Ch. Casman, Anderlecht-Brüssel. Der von entzündetem Gasgemisch oder Dampf usw.

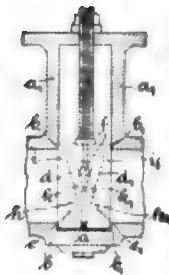


hin- und hergetriebene Kolben d_1, d_2 wird durch einen in d_1 angebrachten Schlitz s und einen im Cylinder a befestigten Zapfen (Rolle) g an der Drehung gehindert, nimmt dabei eine auf Kugeln f zwischen d und d_2 drehbare Scheibe e mit und setzt sie infolge Eingriffes von g in eine Nut f auf e (s. Abwicklung) gleichzeitig in Drehung, die durch prismatische Paarung zwischen e und c_1 auf die

unverschieblich gelagerte Welle c übertragen wird. Die dargestellte Form der Nut f ist für Viertaktmaschinen berechnet.



Kl. 38. Nr. 119564. Druckwalzen-Spannvorrichtung. J. E. Flodstrom, Stockholm. Eine Feder h greift (mittels Sehnurzug oder dergl.) an einem Hebel k an, der (mittels Klemmschraube a usw.) mit einem Handrade c verbunden werden kann, dessen Achse d durch ein geeignetes Getriebe e, b so auf die Druckwalze a wirkt, dass beim Heben der Walze die Feder h stärker gespannt wird. Durch Umstellen von k auf c kann man den Druck während des Betriebes regeln.



Kl. 47. Nr. 130497. Absperrschieber. K. Wehner, C. Maltner und F. Hanson, Leipzig. Die Schraubenspindel treibt beim Schließen mittels Keilstückes d, d_1 die mit schrägen Schlitzern k, k_1 auf dem Stütz f am Keilstücke hängenden, mit leistenförmigen Vorsprüngen in einander greifenden Absperrplatten l, l_1 an die Sitzflächen b, b_1 und stellt sie beim Öffnen mittels Haken a, a_1 und Nasen h, h_1 sowie mittels k, k_1 und f zunächst von b, b_1 ab, bevor sie zur Erzielung eines freien Durchflusses in den Aufsatz a_1 gehoben werden.



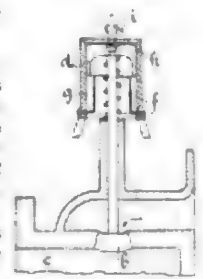
Kl. 46. Nr. 131481. Elektrische Zündvorrichtung. J. F. Duryea, Springfield (Hampden, Mass., V. S. A.). Die halb so schnell wie die Hauptwelle gedrehte Steuerwelle g hat für jeden der Cylinder a der mehrcylindrigen Gasmaschine einen stellbaren gebogenen Arm e . Dieser nimmt den Arm v einer Welle t mit, schließt in der Zündkammer f einen Kontakt u, s und hält ihn geschlossen, bis die Kante von v von der Innenfläche an e abgelenkt und der Strom in der Induktionsspule seine volle Stärke erreicht hat, um beim Abreißen des Armes v von s mittels Feder z einen kräftigen Funken zu erzielen.



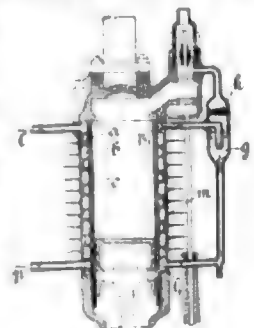
Kl. 47. Nr. 131197. Selbstschließventil. F. Böcken, Osnabrück. Das bei Rohrbruch durch die verstärkte Dampfströmung sich schließende Ventil hat einen erweiterten Führungszapfen e , der im geöffneten Zustande die im Gehäuse d angebrachten Nuten a verschleift, nach Abschluss des Ventiles sie aber freigibt und den Dampf zu einer

bei b angeschlossenen Lärmvorrichtung strömen lässt.

Kl. 46. Nr. 130750. Füllungsregelung. A. Holstein und A. O. Teschlich, Loda (Russl.). Beim Saughube wird das Einlassventil b umso mehr geöffnet, also eine um so größere Gemischmenge in den Laderaum c gesaugt, je weniger durch den Hahn t die vom Kolben d in den Cylinder g gesaugte Luft gedrosselt wird. Damit die angesaugte Luft den schnellen Abschluss des Ventiles b durch die Feder f nicht hindert, ist der Deckel h von g ventilarig ausgebildet.

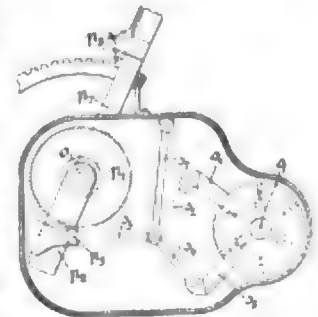


Kl. 46. Nr. 131333. Elektrische Zündvorrichtung. J. Ricard und C. Gary, Toulouse (Frankreich). Eine Muffe d aus Porzellan, Steingut oder dergl. ist von dem leitenden Bolzen e und der metallischen Hülse k durch Asbestfüllungen q, p getrennt und vor Bruch geschützt. Zur Abdichtung von p wird der kegelförmige Kopf von d durch Muttern m, m_1, m_2 angesogen, und zur Abdichtung von q dienen Asbestscheiben g, h . Bund b und Muttern e, d .

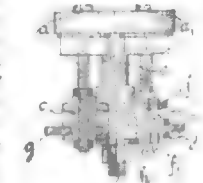


Kl. 46. Nr. 130835. Vergaser und Zylinderkühler. F. Rose, Schl. i. Th. Ein auf dem Cylinder c durch Schrumpfung abgedichteter Mantel m bildet schraubenförmige Kanäle a, b für das von p nach p_1 hindurchgeleitete Petroleum und die von l nach l_1 strömende Luft, die sich, nachdem das Petroleum vergast ist, in der Kammer g mischen und durch eine durchlässige Schicht k der Maschine zugeführt werden.

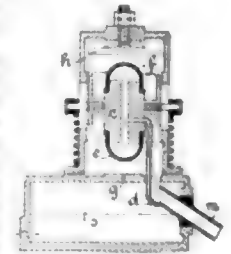
Kl. 47. Nr. 131435. Kniehebelschaltwerk. G. J. Altham, Swansea (Mass., V. S. A.). Das doppeltwirkende Kniehebelschaltwerk s_1, s_2, s_3, s_4 zum Antreiben der Welle q wird von der Triebwelle e aus durch Zahnräder p_1, p_2 und ein Schwingkurbelgetriebe p_3, s_1, s_2 angetrieben. Um das Übersetzungsverhältnis zu ändern, wird mittels Stellhebels p_1, p_2 das Kurbelrad p_3 konzentrisch um p_1 verstellt, wodurch der Ausschlag der Schalthebels s_1, s_2 verändert wird.



Kl. 47. Nr. 119418. Ventilgetriebe. F. L. Lane und W. Rainforth, Leeds (York, Engl.). Die Ventillapindeln a, a_1 werden durch Erhöhungen h einer drehbaren Steuerscheibe g gehoben und gesenkt. Damit der hierbei auftretende Seitendruck die Ventile nicht schädlich beeinflusst, sind auf dem Drehzapfen e über und unter g Führungsscheiben f, f_1 und auf den Ventillapindeln stellbare Hülsen c befestigt, die durch Langlöcher in g gehen und in f, f_1 undrehbar geführt sind, sodass der durch die schrägen Flächen a auf die seitlichen Nasen d an c ausgeübte Seitendruck durch f und f_1 aufgenommen wird.



Kl. 46. Nr. 130781. Petroleumpumpe. L. Kigelmann, Braunschweig. Beim Niederdrücken des Gleitstückes c taucht das Rohr d unter den Flüssigkeitspiegel s , die federnde Haube e wird auf s zusammengedrückt und treibt die Luft aus d aus. Beim Aufgange von c saugt e Petroleum in d ein, das dann durch Zusammendrücken der Haube f an h in die Ablaufrinne m gedrückt wird, sodass es mit keiner der Hauben e, f in Berührung kommt.



Kl. 47. Nr. 119481. Reihkuppelung. A. Hoffritz, Nürnberg. Die durch die Muffe d und Lenker e in Führungen f nach aufsen gedrückten Klötze c dienen nicht als Bremsbacken, sondern greifen mit ihrem Aufhängewinde



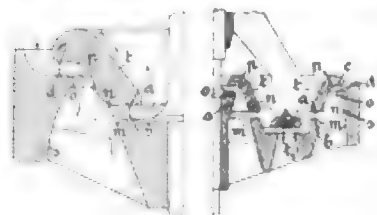
in das Innengewinde des Kupplungsteiles *a* und ziehen ihn an *b* heran, wodurch jeder Druck in der Achsenrichtung aufgehoben, das Ein- und Ausrücken erleichtert und die Nachstellung überflüssig gemacht wird.

Kl. 47. Nr. 121069. Absperrschieber. J. Hartmann, Mülhausen i./R. Der ohne Gehäuse ausgeführte, in geöffneter Stellung einen Teil der Rohrleitung bildende Schieber *f* wird an dem Sitz *c*, der an dem unter höherem Druck stehenden Rohrstrange befestigt ist, in bekannter Weise durch Schrauben, Kelle usw. gedrückt. Damit nun der an der Seite des niedrigeren Druckes befindliche Sitz *d* durch Federn *g* oder dergl. dicht an *f* gedrückt werden kann, ist er mit dem Niederdruckrohrstrange durch einen biegsamen Blechring *h* verbunden.



Kl. 47. Nr. 121061. Ventil mit Wärmeausdehnungskörper. F. L. Bickel und L. Weber, Philadelphia. Das Ventil *c* zum Auslassen von Niederschlagwasser aus der Leitung *a* wird durch ein Hilfsventil *h* gesteuert, das unter dem Einflusse des Wärmeausdehnungskörpers *p* steht. Wenn der Dampf mit Dampf erfüllt ist, wird *a* durch *p* geschlossen, und der durch *o* in den Cylinder *k* tretende Dampf drückt mittels Kolbens *m* das Ventil *c* zu. Wenn *o* durch Niederschlagwasser geschlossen und der Dampf in *a* durch Abkühlung niedergeschlagen wird, zieht *p* das Ventil *h* nach oben, der Druck in *k* gleicht sich nach *d* hin aus, und *c* wird durch den Druck in *a* geöffnet.

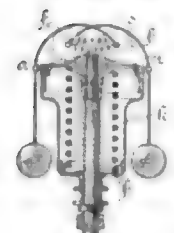
Kl. 47. Nr. 119417. Flachsitz-Ringventil. W. Koch, Berlin. Bei diesem Ringventil mit zwei oder mehr in parallelen Ebenen liegenden Sitzflächen *ab, cd* werden die Zufuhräume nach den Durchgangsöffnungen hin durch Aus- und Einbuchtungen *mn, op*, die sich unmittelbar an die Sitzflächen anschließen, düsenartig so verjüngt, dass der Flüssigkeitsstrom allmählich aus der Achsenrichtung in die radiale Richtung übergeführt wird. Die Abflussröhren führen durch ähnliche Aus- und Einbuchtungen den Strom in die Achsenrichtung zurück und erweitern sich allmählich, sodass die Geschwindigkeit wieder in Druck umgesetzt und der Abschlusskörper *t* an unregelmäßigen Bewegungen (Tausen) gehindert wird. Die Trichterform der Ein- und Ausströmräume *s, t* begünstigt diese Wirkung. Bei großen Ventilen (Fig. rechts) werden die durch *mn* eintretenden Flüssigkeitsströme durch einen Zwischenring *t₂* in die Achsenrichtung gelenkt; *t₂* kann als besonderer Ventilling dienen.



Kl. 47. Nr. 119001. Kurbel mit Selbstsperrung. J. Herchenbach, Düsseldorf. Dreht man die Kurbel *k* auf der Welle *g* nach rechts oder links, so wird durch eine der schrägen Flächen der Öffnung *o* und durch den Zapfen *s* zunächst die Sperrklinke *m* aus dem feststehenden Sperrrade *r* ausgehoben und dann der auf *g* undrehbare Arm *d* mitgenommen. Lässt man *k* los, so rückt die Feder *f* die Sperrklinke *m* wieder ein.

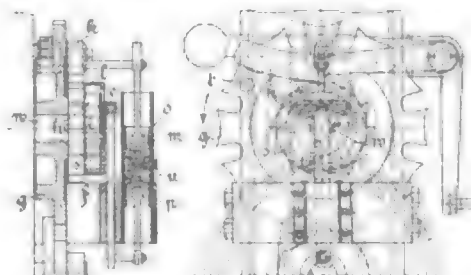


Kl. 60. Nr. 119459. Fliehkraftregler. W. Jahns, Offenbach a/M. Der Hub der Hülse *k* ist durch Anschläge so begrenzt, dass der Ausschlag des Winkelpendelarmes *ab* nicht über die wagerechte Lage hinausgeht, der Weg des Rollpunktes der Rolle *s* also auf der Rollbahn *t* keinen Rückkehrpunkt bildet, sodass die Bahn *t* gemäß der Federbelastung *f* oder *f₁* (oder *f* und *f₁*) für beliebig große Gleichförmigkeit oder auch für vollkommene Astasie ausgeführt werden kann und für die Zapfenreibung von *b* in *s* nur der Unterschied der Drehungen des Pendels um *a* und der Rolle um *b* in Betracht kommt.



Kl. 47. Nr. 120668. Sperrvorrichtung für Kurbelantriebe. J. v. Götz, Wien. Um die ununterbrochene Drehung einer (z. B. zur Bewegung einer Bahnsehranke mit Vorlauftwerk dienenden) Kurbelwelle *w* in der Pfeilrichtung zu sichern, wird die Welle bei jeder Umdrehung durch Drehung mittels Sperrrades *s* und Hakenklinke *k* gesperrt, sodass sie nur zurückgedreht werden kann; hierbei hebt der Stift *t* des

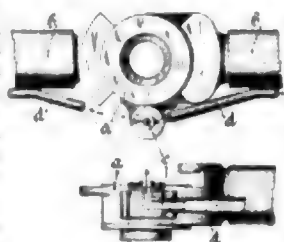
ruckweise geschalteten Sperrrades *g* die Klinke *k* aus. Bei der nun folgenden Vorwärtsdrehung setzt die durch ein Gesperrte *h* mitgenommene Kurbelscheibe *l* mittels Kreuzschleife *e* eine Pumpe *p* in Bewegung, die eingepumpte Luft (oder Flüssigkeit) hebt den Kolben *m*



bis zur Öffnung *o* und hält *k* ausgerückt, bis beim Stillstande von *w* die Luft durch die stellbare Öffnung *u* entweicht und *k* wieder in *o* einfällt.

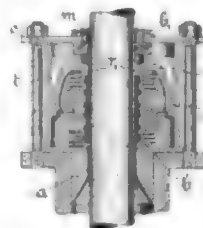
Kl. 47. Nr. 119416. Rohrverbin-

dung für Eisenbahnzüge. H. Laessig, Berlin. An der Hauptleitung *b* ist eine Nebenleitung *d* (zum Betriebe von Haltestellenanzeigern oder dergl.) angebracht, deren Enden in Winkelbohrungen *e* der Verbindungsstücke *a* münden und gleichzeitig mit den Dichtungsfächen der Hauptleitung zusammengefügt werden.

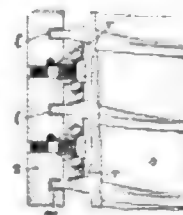


Kl. 47. Nr. 119570 (Zusatz zu Nr. 117412, Z. 1901 S. 936).

Stopfbüchse. H. Grofskraumbach, Rheidt (Bez. Düsseldorf). Der dem Ringraum *r₁* bildende Ring *r* ist als Kugeltück ausgebildet und im Sitze *s* am Stopfbüchsenmantel *t* eingepasst, und die sich gegen das Fußstück *a* und den Ring *m* legenden Ringe *b* und *b₁* sind mit Kugelschliffflächen zu demselben Mittelpunkte wie bei *r, s* versehen, um die radial wirkenden Federn zu vermeiden und die Nachstellung ohne Abnehmen der Brille zu ermöglichen. Der Stopfbüchsenmantel *t* ist ohne Verschraubung zwischen dem Fußstück *a* und der Brille eingeschliffen, sodass man nach Lösen der Stopfbüchsenmutter die Brille abnehmen und das Innere zugänglich machen kann.



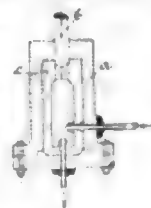
Kl. 47. Nr. 119096. Schneckengetriebe. E. G. Hoffmann, Chelmsford (Essex, Engl.). Die Windungen der Schnecke *s*, die in ein Schneckenrad oder (bei Aufzügen usw.) in eine Zahnstange *c* eingreifen, deren Zähne durch Rollen *r* gebildet werden, haben Ansätze *w*, die ohne Berührung in Zahnlücken *l* laufen, mit ihnen aber in Berührungseingriff treten, sobald die tragenden Rollen brechen.



Kl. 47. Nr. 119046. Schneckengetriebe. Chelmsford (Essex, Engl.). Das Schneckenrad *r* trägt an den Innenseiten einer an seinem Umfange angeordneten Rille zwei Rollenkränze *r₁* und *r₂*, zwischen denen sich die Schnecke *s* dreht; diese steckt mit einer nach den Enden zu erweiterten Hohlung *h* beweglich auf ihrer Welle und wird durch Zapfen *s* und Nuten *w* mitgenommen, während ihre Endflächen *k* mit den auf der Welle feststehenden Schalen *l* ein Kugelenk bilden, sodass sie Ungleichmäßigkeiten des Rollendruckes durch kleine Schwingungen ausgleichen kann.



Kl. 47. Nr. 119346. Dichtung für hohen Druck. R. M. Daalen, Düsseldorf. Statt der wenig haltbaren Lederstulpe wird zur Dichtung bei sehr hohem Druck ein den Pumpenstempel oder Cylinder *a* für Druckwasser sackförmig auskleidender Körper *c* aus Gummi oder ähnlichem Stoffe verwendet, der sich beim Eindringen des Tauchkolbens *b* nicht längs der Tonnenwand verschleift, sondern sich darauf abwickelt. Statt des Hohlkörpers kann ein mündenförmiger Vollkörper benutzt werden, dessen Rand unverschieblich festgeklemt wird.



Zuschriften an die Redaktion.

(Ohne Verantwortlichkeit der Redaktion.)

Bremversuche an einer von R. Wolf in Magdeburg-Buckau gebauten Heißdampf-Verbundlokomobile.

Geehrte Redaktion!

In der Abhandlung über die Bremsversuche an einer von R. Wolf in Magdeburg-Buckau gebauten Heißdampf-Verbundlokomobile, Z. 1901 S. 1066, die wegen der vorzüglichen Resultate besonderes Interesse erweckt, ist noch eine Unklarheit enthalten, welche vielleicht auf einen Beobachtungsfehler zurückzuführen ist. Der mechanische Wirkungsgrad ist für niedrige Belastung zu 83,7 vH und für Vollbelastung zu 96,5 vH angegeben. Wenn es auch durchaus klar ist, dass der Wirkungsgrad mit zunehmender Belastung steigt, so erscheint doch eine derartige Steigerung unerwartet hoch, besonders wenn man die absoluten Zahlen der Pferdestärken in Vergleich stellt. Bei geringer Belastung ist $N_1 = 79,34$ und $N_2 = 68,083$, die Differenz von 11,27 PS wird also zur Ueberwindung der Reibungswiderstände aufgezehrt. Bei Vollbelastung ist $N_1 = 178,62$ und $N_2 = 172,423$; die Differenz von nur 6,197 PS soll also bei Vollbelastung genügen, um die erhöhten Reibungswiderstände zu überwinden, während bei der geringen Belastung schon 11,27 PS nötig waren. Unter diesen Umständen liegt die Vermutung nahe, dass sich ein Rechen- oder Beobachtungsfehler eingeschlichen hat, und daher wäre es sehr erwünscht, dass der Hr. Verfasser hierüber noch eine spezielle Aufklärung gäbe.

Nürnberg, 9. August 1901.

H. Bonte.

Geehrte Redaktion!

Bei der Beurteilung des Wirkungsgrades einer Heißdampfmaschine ist es unerlässlich, die Steuerung der Maschine mit in Betracht zu ziehen. Aus dem Grundriss der Lokomobile auf S. 1067 ist deutlich ersichtlich, dass die Steuerung aus einem einfachen Kolbenschieber in Verbindung mit einem Achenregulator besteht. Bei dieser Steuerung ändern sich bekanntlich mit der Füllung die Exzentrizität und der Voreilwinkel, und zwar in der Weise, dass der größeren Füllung eine größere Exzentrizität und ein kleinerer Voreilwinkel entspricht. Es muss demnach bei kleinerer Füllung ein früherer Beginn der Kompression eintreten und eine kleinere Kanalöffnung vorhanden sein. Dieser Umstand ist allein imstande, den Wirkungsgrad der Dampfmaschine bei immer kleiner werdenden Füllungen immer mehr zu beeinträchtigen.

Zieht man ferner in Betracht, dass infolge des Ausschlagwinkels der Pleuelstange die Kanalöffnungen des Schiebers nur bei einer bestimmten Füllung, der normalen, auf beiden Seiten gleich gemacht werden können, so ergibt sich daraus ohne weiteres, dass bei ganz kleinen Füllungen, bei denen im vorliegenden Falle auch die Kanalöffnungen sehr klein sind, eine kleine Ungleichheit in den Kanalöffnungen von bedeutend größerem Einflusse auf den Wirkungsgrad der Maschine sein muss als bei den ganz großen Füllungen, bei denen die Kanalöffnung am größten ist und diese Einwirkung fast verschwindet.

Bei richtiger Würdigung dieser Verhältnisse kann aus der Tabelle auf S. 1070 nur ein Beweis für die Richtigkeit der Beobachtung und der Rechnung gefunden werden.

Im übrigen haben die Lokomobilen bei so großen Füllungen fast immer einen Wirkungsgrad von 96 vH. Der Grund hierfür ist wohl in der warmen Lagerung der Maschine auf dem Kessel zu suchen.

Hochachtungsvoll

Magdeburg-Buckau, 13. August 1901.

R. Wolf.

Der Aufbau und die planmäßige Herstellung der Drehstrom-Dynamomaschine.

Hr. O. Lasche, Berlin, behandelt unter diesem Titel in Nr. 28 und 29 dieser Zeitschrift einige interessante Konstruktionen der Allgemeinen Elektrizitäts-Gesellschaft, Berlin, welche Neuerungen an großen Dynamos sowohl betreffs des ruhenden wie des rotierenden Teiles aufweisen. Was in diesem Aufsatz über das Spannwerk gesagt wird, muss bei denjenigen Lesern, welche mit dem Gegenstande weniger vertraut sind, eine unrichtige Vorstellung von der historischen Entwicklung dieser Konstruktion erzeugen. Es sei deshalb dem Einsender gestattet, diesen Teil des Aufsatzes näher zu beleuchten.

Hr. L. sagt auf S. 973 rechts:

»Doch wurde es bei noch größeren Durchmessern bald erforderlich, die Gehäuse zu versteifen; man verspannte die Gehäuse in sich durch Zugstangen, durch Druckorgane oder gegen den Unterbau durch Füße.«

Diese summarische Uebersicht ist unzutreffend. Es sei ihr gegenüber nur an die zahlreichen großen Maschinen, darunter auch diejenige der A. E.-G. auf der vorjährigen Pariser Ausstellung erinnert. Ihre Gehäuse waren im allgemeinen nicht verspannt, sondern selbständig steif, bei mehr oder weniger rationell gewählten Querschnitten. Nur zwei Konstruktionen hatten das Prinzip des selbständig steifen Gehäuses verlassen, und zwar erstens die bekannte Anordnung von Brown, Boveri & Co., Baden, entsprechend Fig. 18 S. 978, bei welcher indessen die gusseisernen Armsterne nicht nur zur Verspannung bezw. Versteifung, sondern gleichzeitig zum Tragen und Verdrehen des Gehäuses dienen, also ein notwendiges Verbindungsglied für den eigenartigen Gesamtaufbau sind; sowie zweitens diejenige der Elektrizitäts-A.-G. vormals Schuckert & Co., Nürnberg, entsprechend Fig. 17 S. 978, das einzige Beispiel eines relativ leichten Gehäuses mit rationell angeordneter Verspannung durch Zugstangen¹⁾. Gehäuse mit Verspannung »gegen den Unterbau durch Füße«, Fig. 14 und 16, kommen hier überhaupt nicht in Betracht; sie sind nicht verspannt, da ihre obere Hälfte ebenso frei dasteht wie in Fig. 13.

Hr. L. sagt ferner auf S. 978 links.

»Die Gewichte können auch durch äußere Kräfte unmittelbar abgefangen werden, und nach diesem Grundsatz sind alle größeren Dynamomaschinen der deutschen und andern europäischen Firmen gebaut. Der Übergang von dem steifen zu dem elastischen, verspannten Aufbau ist zunächst wohl mehr oder weniger unbewusst geschehen. Gehäuse von 1 bis 2 m Dmr., Fig. 13, waren noch, praktisch genommen, steif; aus diesen Durchmessern wurden solche von 4 und 5 und schließlich 10 bis 12 m. Man griff hier zunächst zu einer Verspannung mit einem dritten Fuß, dann zu 4 bis 6 Füßen, Fig. 16 und 25, und brachte durch Unterlagen oder Stellschrauben jeden der Füße in einem gewünschten Maße zum Tragen; d. h. man spannte das Gehäuse mit jedem einzelnen Fuß so lange an, bis es wieder rund wurde; man baute das Gehäuse als ein Spannwerk gegen den Fundamentklotz.«

Hier wird bei allen europäischen Firmen das Bestreben nach Verspannung der großen Gehäuse als wenigstens unbewusst vorhanden hingestellt, während es doch bekannt ist, dass noch immer viele große Maschinen nach Fig. 13 ausgeführt werden. Die Hinzufügung von Füßen soll ferner als Übergang vom selbständig steifen zum verspannten Gehäuse aufgefasst werden. Dies ist ebenfalls, wie schon bemerkt, gänzlich unzutreffend. Es leuchtet doch ohne weiteres ein, dass durch Verstellung des einen unteren Fußes, Fig. 14, oder selbst der vier unteren Füße, Fig. 16 und 25, eine genügende Korrektur der Rundung der oberen Gehäusenhälfte unmöglich ist; solche wäre nur möglich, wenn das Gehäuse rund herum abgestützt, also etwa in einen Tunnel eingebaut wäre, statt auf horizontalen Fundamentflächen zu stehen. Diese Konstruktionen sind also keine Verspannungen des Gehäuses, sondern lediglich Hilfsmittel für die Montage der unteren Gehäusenhälfte und für die Druckverteilung im Fundament.

Hr. L. sagt ferner auf derselben Seite links:

»Ein weiteres vielfach angewandtes Mittel zum Rundspannen der gusseisernen Gehäuse waren Zugstangen, die indes kaum als eigentliches Spannsystem aufgefasst werden konnten, sondern das Aussehen einer Hilfskonstruktion behielten.«

Nach dem eben Gesagten darf nicht von einem weiteren Mittel zum Rundspannen der Gehäuse die Rede sein, vielmehr sind die nun zur Besprechung gelangenden Zugstangen das erste für diesen Zweck eingeführte Mittel, wenn man von dem oben charakterisierten System von Brown, Boveri & Co. absieht. Ebenso ist es eine irreführende Bemerkung, dass dieses Mittel vielfach angewandt worden sei. Die Anwendung der Spannstangen für Dynamogehäuse ist eine Erfindung der E.-A.-G. vorm. Schuckert & Co. Spannstangen wurden bis vor kurzem ausschließlich von dieser Firma angewandt; zum erstenmale im März 1896 für eine Maschine von 4 m Bohrung für die Baumwollspinnerei in Leipzig-Lindenau und seitdem konsequent, nicht unbewusst, für alle Maschinen über 4 m Bohrung, sofern nicht besondere Wünsche für ein selbständig steifes Gehäuse vorlagen. Irreführend ist auch die subtile Unterscheidung zwischen Spannsystem und Hilfskonstruktion; Spannstangen sind selbstverständlich niemals Selbstzweck, sondern immer nur Hilfskonstruktion zum Rundspannen der ungenügend steifen Gehäuse, also lediglich zur Materialersparnis.

¹⁾ Die Konstruktion der Comp. Gén. Electrique, Nancy, war eine Nachahmung der Schuckert'schen.

Hr. L. sagt weiter:

»Fig. 15 zeigt die Einführung einer Spannstange durch die Punkte größter Ausbiegung der oberen Hälfte, während die Gewichtswirkung des unteren Gehäuseteiles im Punkte größter Ausbiegung im unteren Scheitel von einer Stellschraube und vom Fundament unmittelbar aufgenommen wird. In Fig. 16 ist das Gehäuse mit einer Zugstange dargestellt, welche die Grundplatten und den Unterbau von einer etwa auftretenden Schubwirkung entlasten soll. Fig. 17 giebt die Versteifung des Gehäuses durch radiales Verspannen wieder.«

Fig. 15 ist ein rationelles und für Gehäuse von mittlerer Größe ausreichendes Spannsystem, indem es die drei Punkte der größten Ausbiegung radial nach innen zwingt; es ist ebenfalls und m. W. zum erstenmale von der E.-A.-G. vorm. Schuckert & Co. angewandt worden, und zwar für Gleichstrommaschinen von 6 m Bohrung in Düsseldorf und Oberhausen. Fig. 16 ist, wie gesagt, kein Spannsystem, da hierbei die ganze obere Gehäushälfte der Deformation durch das Eigengewicht überlassen bleibt. Fig. 17 ist das typische System der E.-A.-G. vorm. Schuckert & Co.; es hat unverkennbar für die Verspannung nach Fig. 31, die von Schuckert ebenfalls gelegentlich ausgeführt worden ist, als Vorbild gedient und wird jedermann rationaler und natürlicher erscheinen als diejenigen nach Fig. 1, 30, 60 und 61.

Hr. L. sagt auf S. 978 rechts:

»Alles weiter Hinzugefügte, das sogenannte konstruktive Material, ist ein notwendiges Uebel: es hat Gewicht, kostet Geld und leistet nichts. Daher also auch das Bestreben, die Gehäuse so leicht wie möglich zu halten...«

Dies sind ungefähr dieselben Worte, die der Vertreter der E.-A.-G. vorm. Schuckert & Co. der Jury der Pariser Ausstellung gegenüber gebraucht hat, um die damals einzigartige und durch ihre Leichtigkeit auffällige Konstruktion der genannten Firma zu charakterisieren und gleichsam zu rechtfertigen.

Hr. L. sagt auf S. 1023 links:

»... der Uebergang vom freistehenden Gusseisengehäuse und dem elastischen durch Hülfkonstruktionen versteiften Gehäuse zum Spannsystem...«

Hier wie a. a. O. wird versucht, das »Spannsystem« in einen Gegensatz zu allen bisherigen Konstruktionen zu bringen. Diese Gegenüberstellung ist unlogisch. Man kann bei den jetzt üblichen Innenpolmaschinen nur unterscheiden zwischen Maschinen mit selbständig steifem Gehäuse und solchen mit durch Spannsystem versteiftem Gehäuse. Die A. E. G., Berlin, hat seither nur die erstere Ausführung geliefert und sich jetzt erst dem schon fünf Jahre früher erfolgten Vorgehen der E.-A.-G. vorm. Schuckert & Co. angeschlossen. Bei ihr ist das Schuckertsche Spannsystem aber weder in seiner Bedeutung erhöht, noch in seiner Konstruktion verbessert worden; neu ist nur die wesentlich weitergehende Beschränkung

des Gusseisengewichtes: die Weglassung des Rückens (S. 980 links), womit übrigens auch schon verschiedene Firmen für kleine Maschinen vorgegangen sind, und die Weglassung jeglichen Wicklungsschutzes (S. 1026 links). Ob diese Neuerungen einen Fortschritt bedeuten, wird verschieden beurteilt werden, je nachdem man auf diese oder jene der vielen, sich teilweise widersprechenden Forderungen, welche an eine gute Konstruktion gestellt werden, das Hauptgewicht legt.

Nürnberg, 9. August 1901.

R. Böttcher.

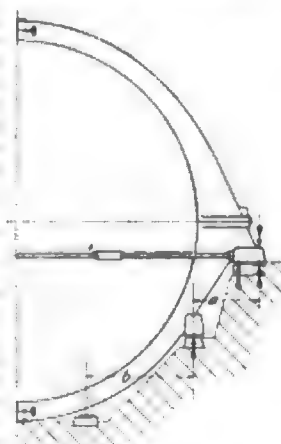
Die ersten großen Drehstrom-Innenpolmaschinen, Fig. 15 S. 978, der A. E. G. erhielten in der oberen Hälfte beiderseitig je eine Zugstange und in der Mitte der unteren Hälfte eine Druckschraube zum Verspannen. Diese Gehäuse wurden also bereits im Prinzip einer Dreiecksverspannung ausgeführt.

Beim Uebergang zu den 4000 PS-Modellen, Fig. 16 und 25, hatten wir als vorsichtige Konstrukteure gleichfalls Zugstangen vorgesehen; doch zeigte sich, dass bei der gewählten Anordnung durch entsprechendes Anziehen der an der unteren Hälfte sitzenden Füße sehr wohl das angestrebte Rundspannen der oberen Hälfte des Gehäuses möglich war. Die untere Hälfte des Gehäuses wurde gegen das Fundament rund gedrückt (s. Hebelarm *b* in nebenstehender Figur), und durch den Hebelarm *a* wurde die obere Hälfte in völlig genügender Weise rund gespannt.

Ein Prioritätskampf für dieses Verspannen gusseiserner Gehäuse dürfte im übrigen kaum lohnen, denn dieses Verspannen von an sich ungenügend bemessenen Konstruktionsteilen durch Zugstangen ist allbekannt. Der Unterschied jedoch zwischen Spannsystem und Hülfkonstruktion ist keineswegs »subtil«, sondern sehr scharf charakterisiert. Die Eigenart der Konstruktion liegt nicht in einem leichten und somit versteifungsbedürftigen Gehäuseaufbau, sondern in dem völligen Vermeiden dieses Gehäuses. Nur durch den völligen Wegfall des jeweils zu beschaffenden Gusskörpers lassen sich kürzeste Liefertermine, geordnete Massenfabrikation, beste Kühlung und ferner Verminderung des Konstruktionsgewichtes bis auf wenige Prozente des arbeitenden Gewichtes erreichen.

Berlin, 16. August 1901.

O. Lasche.



Angelegenheiten des Vereines.

Festlichkeiten und technische Ausflüge im Anschluss an die 42. Hauptversammlung in Kiel 1901.

Die 42. Hauptversammlung in Kiel übertraf hinsichtlich der Anzahl ihrer Besucher alle ihre Vorgängerinnen bei weitem. Während, abgesehen von den Ehrengästen, die Hauptversammlung in Berlin 1894 von 533 Mitgliedern und 202 Damen (Zahl der Vereinsmitglieder damals 9443), die in Stuttgart 1896 von 488 Mitgliedern und 263 Damen und Gästen (Zahl der Vereinsmitglieder 10818) besucht war, hatten sich in Kiel von 15929 Vereinsmitgliedern 644 mit 274 Damen und Gästen eingefunden. Gewiss ist es sehr anzuerkennen, dass trotz dieser alle Erwartungen übertreffenden Besuchszahl und trotz der räumlichen Beschränktheit der Unterkunftseinrichtungen der Festausschuss in aufopfernder Arbeit allen Ansprüchen genüge geleistet hat.

Die Reihe der Festlichkeiten wurde am Sonntag den 9. Juni durch den Begrüßungsabend im Saale Wriedt, dargeboten von der Stadt Kiel, eingeleitet. Gegen 9½ Uhr verkündete eine Fanfare den Beginn des launigen Festspiels »Von Aegirs Gnadens«, das Hrn. Max Krause, Berlin, zum Verfasser hat. Nachdem das Spiel unter rauschendem Beifall beendet war, ergriff Hr. Oberbürgermeister Fufs das Wort, um die Versammelten mit einem Hoch auf den Verein deutscher Ingenieure willkommen zu heißen. Der Vereinsvorsitzende Hr. Lemmer dankte für den warmen und herzlichen Empfang und schloss mit dem Ruf: »Hr. Oberbürgermeister Fufs, die Stadt Kiel und der Kieler Bezirksverein, sie leben hoch!«

Das Festmahl am Montag erhielt eine besondere Weihe durch die Anwesenheit Sr. kgl. Hoheit des Prinzen Heinrich, des ersten Dr. Ing. Als Ehrengäste waren u. a. ferner anwesend die Herren Admiral von Koester, Oberbürgermeister

Fufs, Oberlandesgerichtsrat Beseler, Geh. Baurat Loewe. Der Vorsitzende des Vereines Hr. Lemmer feierte Sr. Majestät den Kaiser als Erhalter des Reiches, des Heeres und der Flotte. Hr. Admiral von Koester zog einen Vergleich zwischen der Entwicklung des Vereines deutscher Ingenieure und der des deutschen Schiffbaues. Als er vor 50 Jahren in die Marine eingetreten sei, da habe man nur auf kleinen Werften hölzerne Kriegsschiffe gebaut, größere Schiffe seien in England bestellt worden. Mit der Eingung des Deutschen Reiches sei auch der Bau von Kriegsschiffen, besonders auf Anregung von Stosch's, bei uns heimisch geworden, und ebenso sei es mit dem Bau der Handelschiffe gewesen. Der Redner schloss mit einem Hoch auf die deutsche Industrie. Hr. v. Borries brachte ein Hoch auf die Stadt Kiel aus, das von Hrn. Oberbürgermeister Fufs mit einem Trinkspruch auf den Verein deutscher Ingenieure beantwortet wurde. Hr. Volth sprach dem Prinzen Heinrich und den Ehrengästen den Dank für ihr Erscheinen aus. Hr. Geheimrat Sartori gedachte mit warmen Worten des Schleswig-Holsteinischen Bezirksvereines und seines Festausschusses. Hr. Max Krause widmete sein Glas den Damen.

An die Versammlung des zweiten Sitzungstages schloss sich eine Besichtigung der im Hafen liegenden Kriegsschiffe und eine Fahrt in den Kaiser Wilhelm-Kanal bis zur Levensauer Brücke.

Am dritten Tage hatte die Germania-Werft die Festteilnehmer zum Stapellauf des Linienschiffes »Es« eingeladen. Nachdem die große Zahl der Geladenen zuvor in liebenswürdigster Weise mit einem Frühstück bewirtet worden

war, begann sich gegen 3 Uhr nachmittags der Strom auf den Festplatz zu ergießen, der bald von einer dicht gedrängten, in freudiger Erregung harrenden Menge gefüllt war. Um 4 Uhr erschien Se. Majestät der Kaiser in Begleitung des Großherzogs und der Großherzogin von Baden sowie des Prinzen und der Prinzessin Heinrich und begab sich mit diesen und seinem Gefolge auf die Taufkanzel. Dort ergriff der Großherzog von Baden das Wort zur Taufrede. Rückschauend in die Vergangenheit, wies er darauf hin, dass stets eine kräftige Flotte der mächtigste Schutz für das Gedeihen und Blühen großer Reiche gewesen sei. Deshalb sei auch zugleich der Gründer des Deutschen Reiches der Schöpfer der deutschen Flotte geworden. Ihre mächtige Fortentwicklung aber verdanke die Marine unserm jetzigen Kaiser, dem der Ruf erklinge: »Se. Majestät der Kaiser, Hurrah«. Nachdem das von den Festgästen begeistert aufgenommene Hurrah verklungen war, vollzog die Großherzogin von Baden in üblicher Weise die Taufe des Schiffes auf den Namen »Zaeheringens«. Als bald gab der Direktor der Germania-Werft, Kontre-Admiral Barandon, das Zeichen zum Stapellauf, und als bald glitt der Rumpf des Schiffes in sein Element.

Am Abend vereinigten sich die Teilnehmer der Hauptversammlung zu einem Mahle im Arbeiter-Erholungshaus der kaiserlichen Werft. Dort begrüßte der Oberwerftdirektor Hr. Kapitän zur See von Ahlefeld die Erschienenen. Hr. Max Krause widmete sein Glas dem Schleswig-Holsteinischen Bezirksverein und seinem Festausschuss. Hr. Veith gedachte in Erinnerung an den Stapellauf des Direktors der Germania-Werft, Oberbaurat Rauchfuß. Hr. Marinebaumeister Berling brachte in plattdeutscher Sprache ein Hoch auf die Damen aus. Hr. Veith verlas bei dieser Gelegenheit ein Antworttelegramm des Kaisers, der dem Vereine deutscher Ingenieure für die am Tage vorher übersandte Huldigungsdepesche dankte. Nach dem Essen wurde im Saale getanzt, während draußen ein glänzendes Feuerwerk abgebrannt wurde.

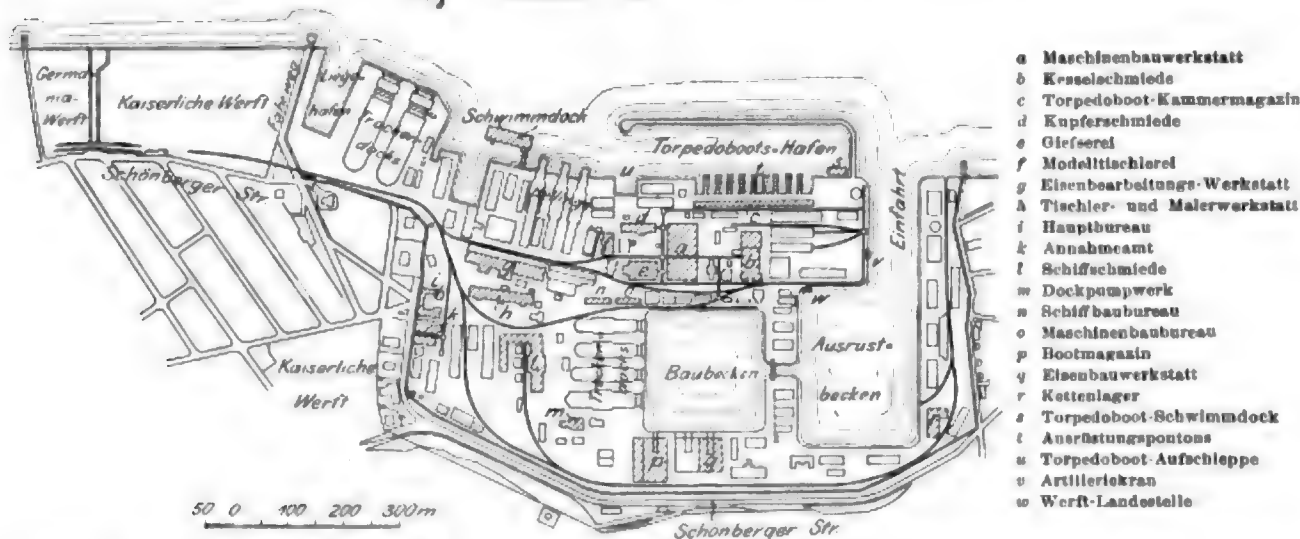
Den Beschluss der Festlichkeiten machte ein am Donnerstag den 13. Juni zu Schiff unternommener Ausflug nach dem Seebade Glücksburg. Zwar zeigte das Wetter bei der Ausfahrt am Morgen ein recht unfreundliches Gesicht; doch das vermochte der guten Laune keinen Eintrag zu thun, und bei dem Mittagessen in Glücksburg entwickelte sich die heiterste Stimmung¹⁾. Gegen Abend kam dann auch die Sonne zum Durchbruch, und so entschädigte eine herrliche Rückfahrt für die regnerische Herfahrt. Ein prächtiges Seefeuerwerk zeigte den Herannahenden die Kieler Förde noch einmal in ihrer ganzen Schönheit und machte das Bedauern, dass nunmehr geschieden sein müsse, um so lebhafter.

Das Wasserwerk der Stadt Kiel am Schulensee liegt an der Kiel-Hamburger Landstraße im Süden der Stadt, etwa 3 km vom südlichen Ende des ausgebauten Stadtbezirkes entfernt. Das Wasser wird aus zwei Brunnenanlagen gewonnen und durch Heberrohre in einen Pumpenbrunnen dicht am Werke geschafft. Jede der drei im Maschinenhaus untergebrachten Pumpmaschinen hat eine tiefstehende Rohwasserpumpe, die das Wasser dem Pumpenbrunnen entnimmt und in die Reinigungsanlage hebt, und eine Reinwasserpumpe, die das gereinigte Wasser aus einem Reinwasserbehälter schöpft und zur Stadt oder in die Hochbehälter führt. In dem an das Maschinenhaus angebauten Kesselhaus sind drei Dampfkessel aufgestellt. Die beiden älteren Pumpmaschinen leisten 7500 cbm, die neuere Maschine 7500 bis 10000 cbm pro Tag. Jeder Dampfkessel reicht für eine Förderung von 7500 cbm aus.

Die Reinigungsanlage dient zur Beseitigung des Eisengehaltes und zerfällt in die Lüfter und in die Filter. Das Rohwasser wird zuerst über die Lüfter gepumpt, wo das Eisen ausgeschieden wird. Das gefilterte Wasser, welches Eisen in fein verteilter Zustände enthält, wird auf die Filter geleitet und dort vollständig von den Eisenverbindungen befreit. Das gefilterte Wasser sammelt sich in zwei Reinwasserbehältern. Die Lüfter enthalten eine 3 m hohe Schicht grober Koksstücke, die in 8 Abteilungen mit einer Gesamtgrundfläche von rd. 200 qm verteilt sind. Die Absetzbehälter haben einen Ueberfall nach der Entnahmekammer, die durch eine Längswand in zwei Teile geschieden ist. Die zweite dieser Abteilungen ist durch Querwände in 5 Schächte zerlegt. Von 4 Schächten geht je eine Leitung nach einem der vorhandenen Filter. Die fünfte Kammer ist für ein später zu errichtendes fünftes Filter vorgesehen. Die Filter sind überwölbte Sandfilter der üblichen Art von 21 m Länge und 15 m Breite. Die Füllung besteht von unten nach oben aus 48 cm hohem Packmaterial, Steinen und Kies von abnehmender Stück- bzw. Korngröße und schließlich aus einer 70 cm starken Schicht von scharfem Sand. Das gefilterte Wasser sammelt sich in einem gemeinschaftlichen Rohr, das in die beiden überwölbten Reinwasserbehälter von 440 und 800 cbm Inhalt bei 3 m Wasserstand mündet.

Die kaiserliche Werft, Fig. 1. Nachdem Schleswig-Holstein in den preussischen Staat einverleibt und die Kieler Bucht zum Kriegshafen des Norddeutschen Bundes erklärt worden war, wurde im Juli 1867 die Uferstrecke zwischen den Dörfern Gaarden und Ellerbeck als am besten für eine Werft geeignet gewählt und im Marineministerium mit der Ausarbeitung der Pläne begonnen. An dem gewählten Platze waren schon im Jahre 1848 auf der Schleswig-Holsteinischen

Fig. 1. Kaiserliche Werft.



Wir berichten nunmehr kurz über die technischen und industriellen Anlagen, die bei Gelegenheit der 42. Hauptversammlung von den Festteilnehmern besucht worden sind²⁾.

¹⁾ Eine auf der Fahrt nach Glücksburg veranstaltete Geldsammlung zugunsten der am Tage zuvor bei der Zurechtung des Stapellaufes verunglückten Arbeiter ergab einen Ertrag von 947 M.

²⁾ Der Beschreibung der Werke liegen Angaben der Festschrift zur 42. Hauptversammlung (Z. 1901 S. 1072) zugrunde, der auch die Figuren entnommen sind.

Werft einige Kanonenschaluppen erbaut worden, und es bestand eine kleine Privatwerft, die nunmehr dem Marine-Unternehmen weichen musste.

Als Unterlage für Größe und Gestalt der herzustellenden Anlagen dienen der vorläufig geplante Umfang der zu schaffenden Flotte und das in Wilhelmshaven in Ausführung befindliche Werftbecken mit seinen Docks und Hellingen. Man erwarb für die zunächst herzustellenden Bauten ein Grundstück, dessen Wassereite 1000 m lang war. Schon im Jahre

1873, als ein fester Flottengründungsplan aufgestellt war, erwiesen sich weitere kleine Gebietserwerbungen notwendig, während für spätere Erweiterungen kein Gelände übrig blieb.

Die Uferlinie wurde, um an Erdarbeiten zu sparen, nicht beibehalten, sondern eine neue Ufergrenze bis zur Tiefenlinie von 6 m vorgeschoben. Nach dem ersten Entwurfe waren für Neubauten 5 Hellinge vorgesehen, die unmittelbar in die Bucht mündeten, während ein einziges Becken, an das sich drei Trockendocks schlossen, für die Ausbesserung und auch für die Ausrüstung der Schiffe dienen sollte. Später wurde ein viertes Trockendock neben die vorhandenen gelegt. Die Zahl der Hellinge wurde später auf 3 verringert, dagegen ein besonderes Ausrüstungsbecken beschafft.

Bei der Feststellung der Abmessungen beider Becken wurde das Maß von 110 m als mittlere Schiffslänge angenommen, sodass bei einer Breite des Beckens von 220 m an jeder Ufermauer 2 derartige Schiffe anlegen können. Das Ausrüstungsbecken steht mit der Kieler Bucht durch einen 190 m langen Einfahrkanal in Verbindung, dessen Weite anfangs auf 63, während der Ausführung jedoch auf 64 m festgesetzt wurde. Die Oberkante der Ufermauern war 3,14 m über dem mittleren Wasserstande angenommen, wurde jedoch nach einer Sturmflut im Jahre 1872 auf 3,45 m erhöht. Auch die anfangs für beide Becken zu 9 m angenommene Wassertiefe wurde während der Ausführung für das Ausrüstungsbecken auf 10,4 m vergrößert, und zwischen beiden Becken wurde ein Pontonverschluss eingerichtet, der allerdings bisher noch nicht benutzt worden ist.

In der Gesamtanordnung der Arbeitsplätze richtete man sich möglichst nach der Wilhelmshavener Anlage. An dem Baubecken fanden die Werkstätten des Schiff- und des Maschinenbaues, das Boot- und das Rundholzmagazin und die Takler- und Segelmacherwerkstatt Platz, am Ausrüstungsbecken die Schiffskammern, die Artillerie- und die Kohlenmagazine. Neben den Hellingern wurde der Holzhafen mit den Holzspeichern und auf dem mehr landeinwärts gelegenen Gelände die Reservemagazine, das Annahmeamt, Geschäftshäuser und Dienstwohnungen angeordnet. Der Holzhafen diente ursprünglich als Lagerplatz für Rundhölzer; als sich jedoch der Bohrwurm zeigte, wurden die Rundhölzer auf dem Lande gelagert, und nun wird der Holzhafen zur Unterbringung von kleinen Fahrzeugen und als Anlegestelle für die Werftarbeiter befördernden Dampfer benutzt.

Das dritte, für die Torpedoboote bestimmte Becken ist in den Jahren 1886 bis 1890 errichtet worden, und zwar, indem man eine 400 m lange Mole erbaute. Das ganze ursprünglich zur Erweiterung der Maschinenbauwerkstätten bestimmte Gelände ist für die Anlage der Torpedoeinheit benutzt.

Die Bauten der Werft wurden im April 1868 begonnen, und schon im Jahre 1870 nahm man den Bau des Panzerschiffes »Friedrich der Große« in Angriff. Der Krieg mit Frankreich verzögerte den Stapellauf dieses Schiffes bis zum 30. September 1874. Während die Erdarbeiten im Gange waren, musste den schon vorhandenen Fahrzeugen der Marine Gelegenheit zu Reparatur und Ausrüstung an einer andern Stelle gegeben werden. Zu diesem Zwecke wurde vorübergehend das Marindepot am Kieler Ufer in Düsterbrook angelegt, welches im Jahre 1897 wieder einging. 1877 waren die beiden Hafenbecken, Hellinge, Ufermauern und Trockendocks soweit fertig, dass das Wasserschöpfen eingestellt und das Wasser von außen eingelassen werden konnte. Im Juni 1878 lief als erstes Schiff der Aviso »Grille« aus der Hafeneinfahrt in See. Dann wurde der Bau der Werkstätten, Magazine, Straßen und Gleise in Angriff genommen, sodass die Werft im nächsten Jahre dem Betriebe übergeben werden konnte.

Da bei der Bebauung der Grundsatz festgehalten war, die Größe der Gebäude dem augenblicklichen Bedürfnis anzupassen, so stellte sich fast annahmslos nach kurzer Zeit die Notwendigkeit heraus, die Räume zu vergrößern. Nur einzelne Gebäude, wie die der Artillerieabteilung, sind bisher unverändert geblieben.

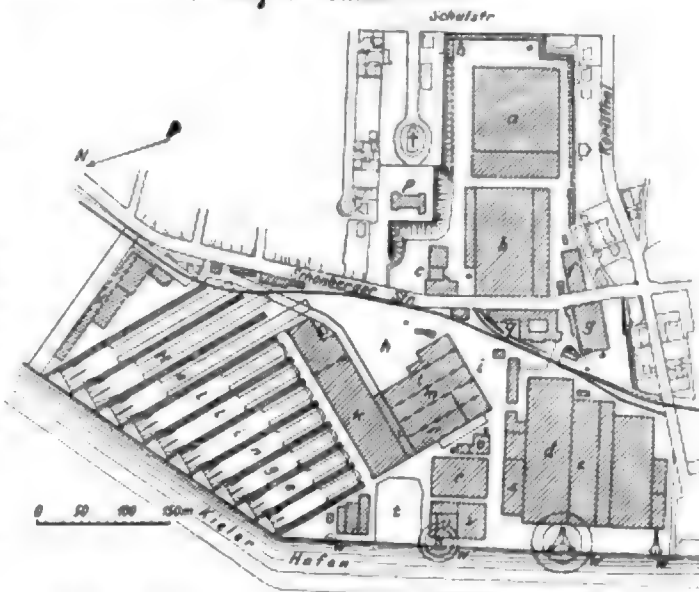
Die Germania-Werft¹⁾, Fig. 2, ist eine der ältesten Schiffbauanstalten Deutschlands. Die Werft wurde im Jahre 1865 unter dem Namen »Norddeutsche Werft« in Gaarden bei Kiel angelegt und im Jahre 1879 mit der seit 1825 bestehenden Maschinenfabrik in Tegel bei Berlin zu einem gemeinsamen Unternehmen vereinigt. Im Jahre 1883 wurden beide Werke von der jetzigen Firma Schiffs- und Maschinenbau-A.-G. Germania übernommen; 1896 ging der gesamte Betrieb für einen Zeitraum von 25 Jahren durch Vertrag auf die Firma Fried. Krupp in Essen über, wobei diese sich vorbehält, die Unternehmen käuflich zu erwerben.

¹⁾ Vergl. Z. 1897 S. 180.

Im Jahre 1899 wurde mit der kaiserlichen Marine ein Vertrag abgeschlossen, wonach fast das gesamte Gelände der Germania-Werft an die Marine abgetreten und dagegen von dieser ein entsprechendes an der inneren Hörn gelegenes Gelände der Germania überlassen wurde. Auf diesem sowie auf einem weiteren von der Firma Fried. Krupp erworbenen Gelände werden zurzeit die umfangreichen Neubauten für die Werft und für die von Tegel nach Kiel zu verlegende Maschinenfabrik aufgebaut.

Die Werft hat sich seit ihrem Bestehen in hervorragender Weise an dem Bau und der Lieferung von Schiffen für die deutsche und für fremde Kriegsmarinen beteiligt. An größeren Kriegsschiffen hat sie bis jetzt 16 gebaut; 4 sind noch im Bau und eines im Umbau begriffen. Ferner sind 6 Torpedoboote größerer Art für die deutsche Marine in Ausführung. Neben diesen Kriegsschiffen ist eine beträchtliche Anzahl größerer und kleinerer Schiffe für die Handelsmarine, ferner Bagger, Prähme u. dergl. gebaut worden.

Fig. 2. Germania-Werft.



- a Eisen- und Messinggießerei
- b Kesselschmiede
- c elektrisches Kraftwerk
- d Montage
- e Dreherei
- f Modellschreinerei
- g Hammerschmiede
- h Plattenlager
- i Winkel- und Profilstablage
- k Schiffbauschuppen
- l Schnürboden
- m Richtplatten

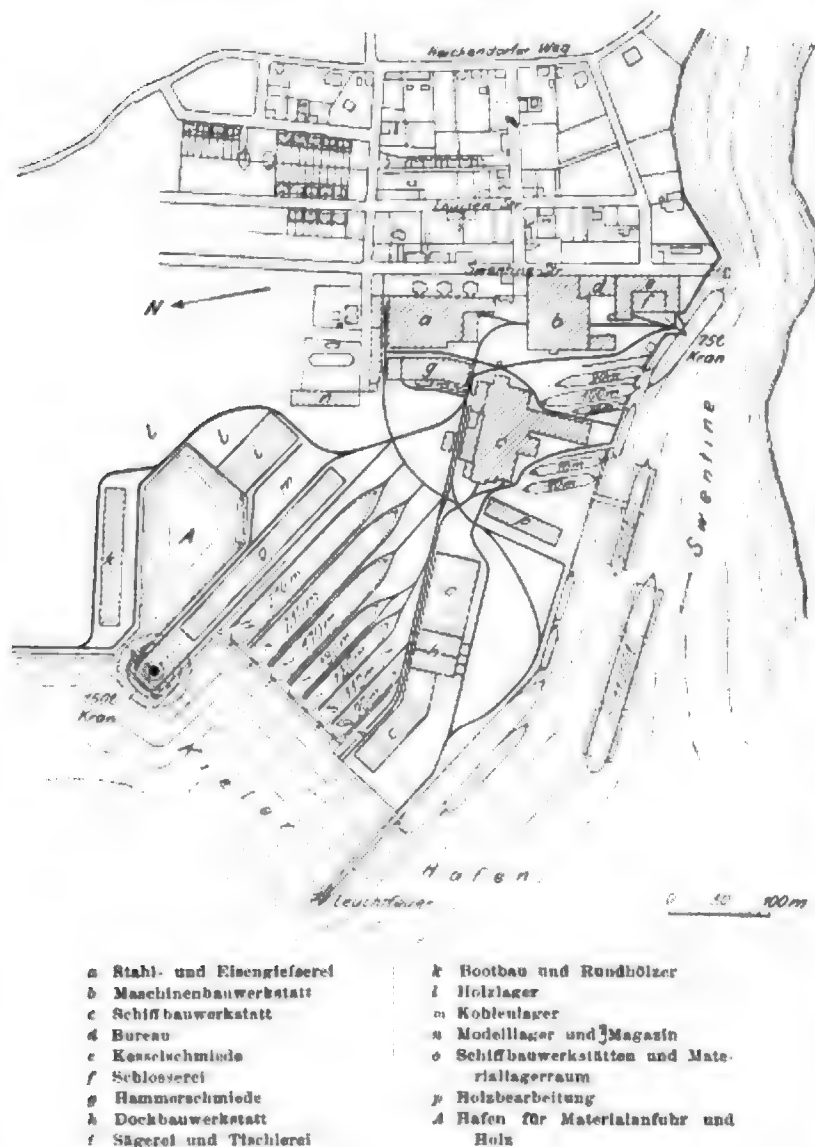
- n Winkel- und Schiffschmiede
- o Kesselbau
- p Speisesaal
- q Verwaltungsgebäude
- r Schlosserei
- s Kupferschmiede
- t Torpedoboot-Helling
- u Malerei
- v Tischlerei
- w Uferkrane
- x Nutzholzuschuppen

Das Gelände der ganzen Anlage, die durch die Schönberger Straße in zwei Hälften: Ober- und Unterhof, geteilt wird, umfasst rd. 235 000 qm, von denen rd. 63 200 mit Werkstätten bedeckt sind. Auf dem oberen Teile befinden sich ausschließlich die Gebäude und Anlagen für den Maschinenbaubetrieb: die Kesselschmiede, die Modellschreinerei, das elektrische Kraftwerk und die Eisen- und Modellgießerei, von denen die erstgenannten Bauten bereits betriebsfertig sind. Die dreischiffige Kesselschmiede ist 125 m lang und 65 m breit; sie erhält ihr Licht durch große Fenster in den Längs- und Giebelwänden sowie durch Oberlicht. Jedes der drei Schiffe ist mit elektrisch betriebenen Laufkränen von 50 und 15 t Tragkraft ausgestattet. Die Modellschreinerei ist 50 m lang und im Erdgeschoss 20, im ersten Stockwerk 10 m breit. Das Kraftwerk enthält in dem der Straße zunächst gelegenen Teil die Dampfdynamos, in dem anschließenden Teil die Pumpen und dahinter die Dampfkessel. Die Eisen- und Messinggießerei bedeckt eine Grundfläche von 9600 qm.

Den bei weitem umfangreicheren Teil der Anlage bildet der Unterhof. Auf ihm befindet sich von den zum Maschinenbau gehörigen Werkstätten die Montagehalle mit Kupferschmiede, Dreherei und Magazinen mit einer Grundfläche von 16 700 qm, ferner die Hammerschmiede mit einer Grundfläche

von 1500 qm, beide Bauten am Südende des Unterhafens. Den größten Teil des Platzes werden die geplanten 10 Hellinge einnehmen, von denen zunächst 7 ausgeführt werden. Sie werden in ihrer ganzen Länge mit glasgedeckten Eisenkonstruktionen überdacht, und jede erhält zwei elektrisch betriebene Laufkrane. Die Länge der Hellinge schwankt zwischen 115 und 225 m, die freie Höhe zwischen 30 und 40 m, und die gesamte Breite der 10 Hellinge beträgt 254 m. An die Hellinge schließt sich im Norden ein langgestreckter Raum für Versuchswerke, der eine Grundfläche von rd. 1500 qm bedeckt. Darauf folgt ein aus drei Stockwerken bestehendes Gebäude für die Sägeerei, das in seinen oberen Geschossen Lagerräume enthält. Endlich gehört zu dieser Gruppe ein für die Beschäftigung der Bauten bestimmtes Gebäude. In dessen Nähe liegen an der Schönberger Straße die Wohlfahrteinrichtungen für Arbeiter: Badeanstalt, Frühstückshalle, weiterhin die Feuerwache und das Verwaltungsgebäude, das eine Länge von rd. 80 m hat und auch die ausgedehnten Zeichensäle enthält.

Fig. 3. Howaldtwerke.



Zwischen ihm und den Hellinggen befinden sich die Werkstätten für den Schiffbau, und zwar der Schiffbauschuppen mit Stanzen, Scheren, Hobelbänken, Blechwalzen, Schmirlscheiben, Bohr- und Versenkmaschinen usw., an den sich die Winkel- und Schiffsschmiede nebst dem Schnürboden zum Aufreissen anschließt. Am westlichen Ende der Hellinge liegen die Werkzeugschmiede und Magazine für Werkzeuge, Schrauben und Nieten. Daran grenzt der Bauplatz für Torpedoboote, auf welchem Hellinge zur gleichzeitigen Herstellung von 6 der größten Torpedoboote hergerichtet sind. Hinter der Torpedoboot-Helling befinden sich die Schlosserei mit einer Bodenfläche von 2950 qm und das aus einem Erd- und einem Obergeschoss bestehende Gebäude für Tischler, Maier und Taktler mit rd. 2560 qm. Außer diesen wesentlichen Gebäuden sind kleinere Baulichkeiten für verschiedene Zwecke über den weiten Raum zerstreut. Sämtliche Werkstätten sind so angelegt, dass sie bei wachsendem Betriebe erweitert werden können. Alle Hilfsmaschinen haben elektrischen Antrieb. Für den Transport innerhalb des Werkes dienen normalspurige und schmalspurige Eisenbahngleise.

Die Howaldtwerke¹⁾, Fig. 3. Der Anfang der Werke ist auf das Jahr 1835 zurückzuführen, zu welcher Zeit A. F. Howaldt in Kiel eine kleine Werkstatte eröffnete, die später unter dem Namen Schweißel & Howaldt erweitert wurde und anfänglich Eisengießerei und Maschinenbau betrieb, wozu später Kesselbau und schließlich Eisenschiffbau kamen. Schon 1849 hat die Firma die Maschinenanlage nebst Kessel für das schleswig-holsteinische Kanonenboot »von der Tanne« geliefert. Auch das Bauersche Unterseebboot ist 1849 von ihr gebaut worden. Im Jahre 1879 ging das Werk in den Besitz der Gebrüder Howaldt über und wurde bis zur Vereinigung mit der Kieler Schiffswerft unter diesem Namen fortgeführt. Die letztere war 1865 von dem dritten Bruder, Georg Howaldt, auf dem jetzigen Gelände der kaiserlichen Werft gegründet worden. Der Bau der kaiserlichen Werft erforderte, dass dieser Betrieb aufgegeben wurde. Die Kieler Schiffswerft wurde später, im Jahre 1876, von Georg Howaldt auf eigenem Grunde an der Swentine wieder errichtet. Im Anfang der 80er Jahre endlich vereinigten die drei Brüder Howaldt ihre Unternehmungen.

Das jetzige Werk, Fig. 3, enthält nach der Swentine zu 5 Hellinge, die nur eine Schiffslänge bis zu 100 m zulassen. Die neuen Hellinge nach dem Kriegshafen zu gestatten jedoch eine Länge von 230 m. 7 derartige Hellinge sind geplant; 4 sind bereits fertig und seit 2 Jahren in Betrieb. Das Gelände des Werkes umfasst rd. 300 000 qm; die für Arbeiter und Beamtenwohnungen sowie für andere Wohlfahrtszwecke verfügbaren Grundstücke haben etwa den gleichen Flächeninhalt.

Der Arbeitsgang auf dem Werke ist so geregelt, dass aus der Mitte heraus große Schiffe nach dem Kriegshafen zu, kleine nach der Swentine erbant werden. Jedes für den Schiff- und Maschinenbau erforderliche Stück wird im Werke selbst ausgeführt. Erwähnung verdient ein Ausrüstungskran von 150 t Tragkraft, der bis zum Oktober fertig gestellt sein soll. Die zum Werk gehörige Uferlänge beträgt 2000 m, die Wassertiefe an den neuen Ufermauern 7 m; sie kann auf 9 m vergrößert werden. An der Swentine liegen Schwimmdocks, deren Hebekraft im Anfange nächsten Jahres auf 7500 t vergrößert sein wird. Dadurch wird es möglich werden, die größten in der Ostsee vorkommenden Handelschiffe trocken zu legen.

1) s. Z. 1897 S. 180.

Technolexikon

Die Redaktion des vom Verein deutscher Ingenieure herauszugebenden mehrsprachigen technischen Wörterbuches bedarf zum Sammeln der aufzunehmenden Wörter Kataloge technischer Firmen. Wir richten daher an die inbetracht kommenden Firmen die ergebene Bitte, ihre Kataloge und sonstigen Druckschriften an die

Redaktion des Technolexikons Berlin N. W. Dorotheenstr. 49

senden zu wollen, wobei wir hervorheben, dass besonderer Wert auf mehrsprachige Ausgaben gelegt wird.

Der Verein deutscher Ingenieure.



ZEITSCHRIFT DES VEREINES DEUTSCHER INGENIEURE.

Nr. 36.

Sonnabend, den 7. September 1901.

Band XXXV.

Inhalt:

Der Schnellbahnwagen der Allgemeinen Elektrizitäts-Gesellschaft, Berlin. Von O. Lasche (hierzu Textblatt 12)	1261	Hörschau: Dynamik der Kurbelgetriebe mit besonderer Berücksichtigung der Schiffsmaschinen. Von H. Lorenz	1289
Die internationale Ausstellung in Glasgow 1901	1270	Zeitschriftenchau	1291
Die Weltausstellung in Paris 1900: Die Lokomotiven. Von E. Brückmann (Fortsetzung)	1278	Rendschau: Geflektbeförderung auf dem Bahnhof der Orléans-Bahn in Paris. — Dampfmaschinensteuerung von Kienast. — Verschiedenes	1298
Die Weltausstellung in Paris 1900: Die Maschinen für Papierfabrikation. Von A. Pfarr (Schluss)	1280	Patentbericht: Nr. 120613, 122484, 122777, 120858, 119569, 119041	1296
Frankfurter H.-V.	1285	Angelegenheiten des Vereines: Technoziklon	1296
Schleswig-Holsteinischer B.-V.: Physikalische Rückblicke	1285		

(hierzu Textblatt 12)

Der Schnellbahnwagen der Allgemeinen Elektrizitäts-Gesellschaft, Berlin.

Von O. Lasche, Berlin.

(hierzu Textblatt 12)

Die Studiengesellschaft für elektrische Schnellbahnen hat sich zu dem Zwecke gebildet, über den elektrischen Betrieb von Vollbahnen Erfahrungen zu sammeln, so unter anderem auch über die Konstruktion der Fahrzeuge, über den Kraftverbrauch und die Beanspruchung des Oberbaues, d. h. über die Grenzen der technischen und der wirtschaftlichen Möglichkeit des elektrischen Betriebes. Die Studien und Versuche sind vorläufig ganz allgemeiner Art und beziehen sich nicht auf den Ausbau einer bestimmten Strecke. Bekanntlich sollen die Versuche auf der von der Verwaltung der kgl. Militärbahn bereitwilligst zur Verfügung gestellten Strecke der Linie Berlin-Zossen vorgenommen werden.

Als obere Grenze der in Aussicht zu nehmenden Geschwindigkeit ist für die Konstruktion der Fahrzeuge zunächst 200 km/st angenommen, ohne dass damit gesagt sein soll, dass der Hauptzweck in der Erreichung dieser Geschwindigkeit zu erblicken sei; ebenso wie die Möglichkeit offen gelassen ist, die Versuchsfahrten auch auf noch höhere Geschwindigkeiten auszudehnen. Die Versuche sollen vor allem sichere Unterlagen schaffen, um Vollbahnen mit den heute üblichen oder mit in gewissem Maße gesteigerten Geschwindigkeiten zu entwerfen, zu bauen und zu betreiben. In technischen Zeitschriften und in der Tagespresse ist vielfach über die 200 km/st gespöttelt worden; auch ist mehrfach behauptet worden, dass man auch mit Dampflokomotiven mit 200 km/st fahren könne, wie andererseits die Amerikaner selbstverständlich mit noch viel höheren Geschwindigkeiten fahren wollen. Entsprechend unsern heutigen Anforderungen an den Verkehr bleibt es wohl anzustreben, schneller zu reisen; vor allen Dingen aber muss dem Publikum das Reisen angenehmer gemacht werden, und gerade hierzu ist die Elektrizität berufen. Es wird allerdings die Aufgabe der vorliegenden Versuche und der Arbeiten der nächsten Jahre sein, über die Wirtschaftlichkeit des elektrischen Betriebes gegenüber dem jetzigen Dampftrieb Unterlagen zu schaffen. Festzulegen ist, wie sich in der Gegenüberstellung die gesamten Kosten bei den verschiedenen Geschwindigkeiten verhalten, insbesondere auch bei den höheren Geschwindigkeiten. Wie jedoch bei der Einführung des elektrischen Lichtes und der elektrischen Kraft durchaus nicht der Faktor »Geld« ausschlaggebend war, wie im Gegenteil auch heute noch das elektrische Licht oft erheblich teurer ist als Gaslicht und trotzdem sehr weite Gebiete erobert hat, ebenso wird auch der elektrische Bahnbetrieb viele Anwendungsgebiete finden, wo nicht die unmittelbare Gegenüberstellung der Kosten ausschlaggebend ist, son-

dern schon allein die Annehmlichkeit, welche die elektrische Betriebskraft bietet, alle weiteren Erörterungen beseitigt. Von diesen Anlagen aus wird sich dann die Einführung des elektrischen Fernverkehrs leicht weiter entwickeln und verallgemeinern.

So bleibt die schnelle Folge der Züge oder der einzelnen Motorwagen sicher ein Vorrecht der elektrischen Betriebskraft. Wie für die Arbeiten der Studiengesellschaft die Versuchswagen als Motorwagen zur Aufnahme von rd. 30 Personen vorgesehen sind und keine Lokomotiven und Züge verwendet werden, so sind auch bei bereits geplanten Vorort- und Fernlinien Einzelfahrzeuge, nach Bedarf mit Anhängern, vorgesehen. Diese Betriebsart mit Einzelwagen ohne Rauchbelästigung und in kurzen Zeitabständen, wird aber für viele Verhältnisse schon heute vom Publikum gefordert und gern entsprechend bezahlt. Was nun die Schnelligkeit anlangt, so ist unbedingt zu wünschen, dass auch mit der Dampflokomotive höhere Geschwindigkeiten angestrebt werden möchten. Naturgemäß spielt der Oberbau und seine Instandhaltung eine sehr wichtige Rolle auch für den elektrischen Betrieb, und gerade am Oberbau sind noch erhebliche Verbesserungen erforderlich, die den elektrischen Fahrzeugen ebenso wie den Dampflokomotiven und ihren Zügen zugute kommen. Die vorzunehmenden Versuche werden erweisen, inwieweit die Lösung dieser Frage beim elektrischen Einzelbetriebe durch den Fortfall der schweren Dampflokomotiven erleichtert wird. Mit dem Bau der Wagen ist ja nur der eine Teil der gestellten Aufgabe erledigt; der andere Teil, welcher ungleich mehr Zeit kosten wird, soll jetzt in Angriff genommen werden. Seine Lösung hängt nicht nur vom Bau der Wagen ab, sondern von vielen andern Fragen, wie vor allen Dingen von der Beschaffenheit des Oberbaues, der Strecke, ferner auch von der Stromzuführung u. a. m.

Die Versuche müssen die Grundlage schaffen für die Betriebskosten von elektrischen Vollbahnen, für die Motorleistungen bei den verschiedenen Geschwindigkeiten unter wachsendem Einfluss des Luftwiderstandes und für die Größe der Krafthäuser. Die Geschwindigkeiten, bis zu welchen hinunter der elektrische Betrieb wirtschaftlich sein dürfte, sind heute ebenso wenig bekannt wie die oberen Grenzen. Bekannt ist nur, dass bei den Dampflokomotiven der Dampfverbrauch und insbesondere der Kohlenverbrauch mit steigender Geschwindigkeit für die Einheit der beförderten Nutzlast sehr stark anwächst. Bei Zentralisierung der Krafterzeugung, bei Verwendung bester Dampferzeuger mit Ueberhitzung und

Vorwärmung, bei Verwendung bester Großdampfmaschinen, deren gleichmäßige Belastung thunlichst anzustreben ist, stellen sich diese Verhältnisse für den Kohlenverbrauch selbstverständlich völlig anders. Heute ist diese Zentralisierung für weite Entfernungen und Gebiete gut möglich, und somit kann auch bis zu einem gewissen Grade die gleichmäßige Belastung der Zentrale erreicht werden. Es ist heute eine gelöste Frage, Drehstrom mit 40000 und 50000 V Spannung zu erzeugen, und in dieser Form ist es möglich, die elektrische Energie ohne große Verluste sehr weit zu leiten; es können somit von dem günstig gelegenen Kraft Hause aus viele weit verzweigte Bahnlinien gespeist werden.

Wahl der Stromart.

Die Stromart ist durch die eben angestellte Überlegung — Rücksicht auf große Entfernungen — gegeben: Drehstrom von hoher Spannung. Für die vorzunehmenden Versuche sind nur 10 bis 12000 V erforderlich. Der Strom wird von dem Kraft Hause Oberspree der Berliner Elektrizitätswerke geliefert, das von dem Anschluss an den Fahrdrat rd. 15 km entfernt liegt. Die gleiche Spannung von 10 bis 12000 V hat bei den Versuchen der Fahrdrat. Die Transformatoren sind im Wagen selbst untergebracht; als Spannung für die Motoren wird Niederspannung — 435 V — verwen-

erhält 2 Drehgestelle von je 3 Achsen, und die Motoren sind für eine wohl weitläufige Gesamtleistung von 1100 PS normal, 3000 PS maximal zu bemessen. Der zur Verfügung stehende Betriebsstrom ist Drehstrom von 12000 V bei 100 Wechseln, d. h. 50 Perioden. Die Gewichte der Wagen sollten thunlichst gering sein, keinesfalls 8 t pro Rad übersteigen, und der Wagen muss sich wegen der gelegentlichen Überführung über die Gleise der Staatsbahn innerhalb des Normalprofils halten.

In dem zweiten Hauptabschnitt der vorliegenden Arbeit wird der Wagen mit seiner elektrischen Einrichtung beschrieben werden. Zunächst sei jedoch hier ein Teil der vorbereitenden Versuche und der Entwicklung der Konstruktionsentwürfe geschildert; gerade dies wird bei der Neuheit des Ganzen von Interesse sein, weil in der langen Reihe der Studien die angestrebten Ziele viel mehr hervortreten als in der fertigen Lösung selbst.

Hierbei sei gleich bemerkt, dass das Bestreben von Anfang an dahin ging, einen Wagen zu bauen, der nach Durchführung der Versuche im regelrechten dauernden Betriebe mit der vollen oder mit einer geringeren Geschwindigkeit ohne weiteres Verwendung finden kann.

Andererseits wurde die Aufgabe durchaus als Studie aufgefasst, d. h. es wurde von Vorhandenem möglichst wenig

Fig. 1 Entwurf mit 2 Apparateräumen.

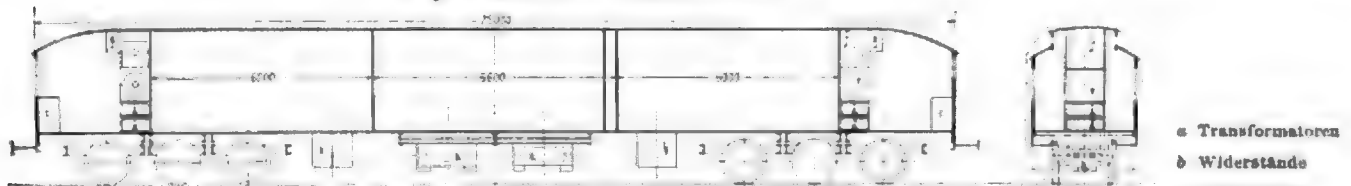
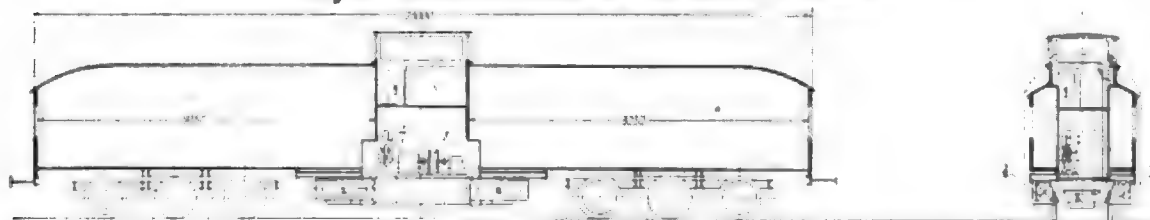


Fig. 2. Entwurf mit Apparateraum und Führer in der Mitte.



det. Für weitere Ausführungen bleibt die Frage offen, ob es zweckmäßig ist, die Transformatoren im Wagen beizubehalten oder ob es nicht vielmehr vorzuziehen wäre, die Hochspannung, rd. 50000 V, durch Transformatoren an der Strecke auf eine Mittelspannung, rd. 2000 V, zu bringen und für diese Spannung auch die Motoren zu wickeln.

Die Umformung des Drehstromes in Gleichstrom bleibt für den Betrieb von Fernbahnen ausgeschlossen. Diese Umformung verlangt bekanntlich umlaufende Maschinen und somit Bedienung, im Gegensatz zu den ruhenden Transformatoren für Spannungsänderung bei Drehstrom. Gleichstrom verlangt zudem noch sehr niedrige Spannung, also kurze Entfernungen zwischen den Umformerstationen. Für den Verkehr in den Städten, für unmittelbares Weiterführen der Fernzüge oder wenigstens der Vorortzüge in ein weitverzweigtes Straßennetz des Stadtkerns mag im Einzelfalle die Verwendung von Gleichstrom für die Anschlusszweige zweckmäßig sein; denn beim Vorkommen vieler Abzweigungen und Weichen sind die drei Leitungen des Drehstromes unbequem. Diese kurzen Anschlussstrecken müssten, wenn sie überhaupt von den Fernwagen durchfahren werden, durch langsamlaufende kleine Vorspannlokomotiven bedient werden.

I. Die Studien für den Bau des Wagens.

Die der Allgemeinen Elektricitäts-Gesellschaft und der Siemens & Halske A.-G. gestellte Aufgabe lautete etwa:

Bau je eines Motorwagens für eine Geschwindigkeit von 200 km/st und zur Aufnahme von 50 Personen. Der Wagen

übernehmen. Wenn es ja auch möglich gewesen wäre, einzelnes von dem Althergebrachten zu übertragen, so erschien doch eine Neuschaffung von Grund aus mehr geeignet, um völlig Entsprechendes zu leisten oder wenigstens doch anzubahnen.

Die im Folgenden gegebene Entwicklung bezieht sich zunächst auf das Anstreben der leichtesten Gewichte des Wagens, insbesondere der elektrischen Ausrüstung, d. h. der Transformatoren, Motoren und der Anlass- und Reguliereinrichtungen (Kapitel 1).

Schon bei geringen Geschwindigkeiten und um so eher bei der vorliegenden hohen Geschwindigkeit wurde es seitens der A. E.-G. für unbedingt erforderlich gehalten, die Achsen von den schweren Gewichten der Motoren zu entlasten oder wenigstens den Radsatz nicht starr mit diesem Gewichte zu belasten (Kapitel 2).

Die Anlasseinrichtungen für eine Leistung von max. 3000 PS ließen sich nicht nach den Vorbildern derjenigen früherer Fahrzeuge mit kaum 100 PS Leistung bauen; es wurden deshalb Versuche erforderlich, um gänzlich neue Konstruktionen zu erproben (Kapitel 3), und eine Vorrichtung wurde geschaffen, mit der die Umlaufzahl dauernd geregelt werden kann, auch bei geringster Geschwindigkeit und in beliebiger Feinheit der Stufen.

Ueber das Bremsen mit Backenbremsen bei einer Fahrgeschwindigkeit von 200 km/st, d. h. einer Reibgeschwindigkeit an den Backen von 50 msek, fehlten Unterlagen; es erschien deshalb erforderlich, auch ein energieliches Bremsen auf elektrischem Wege vorzusehen (Kapitel 4).

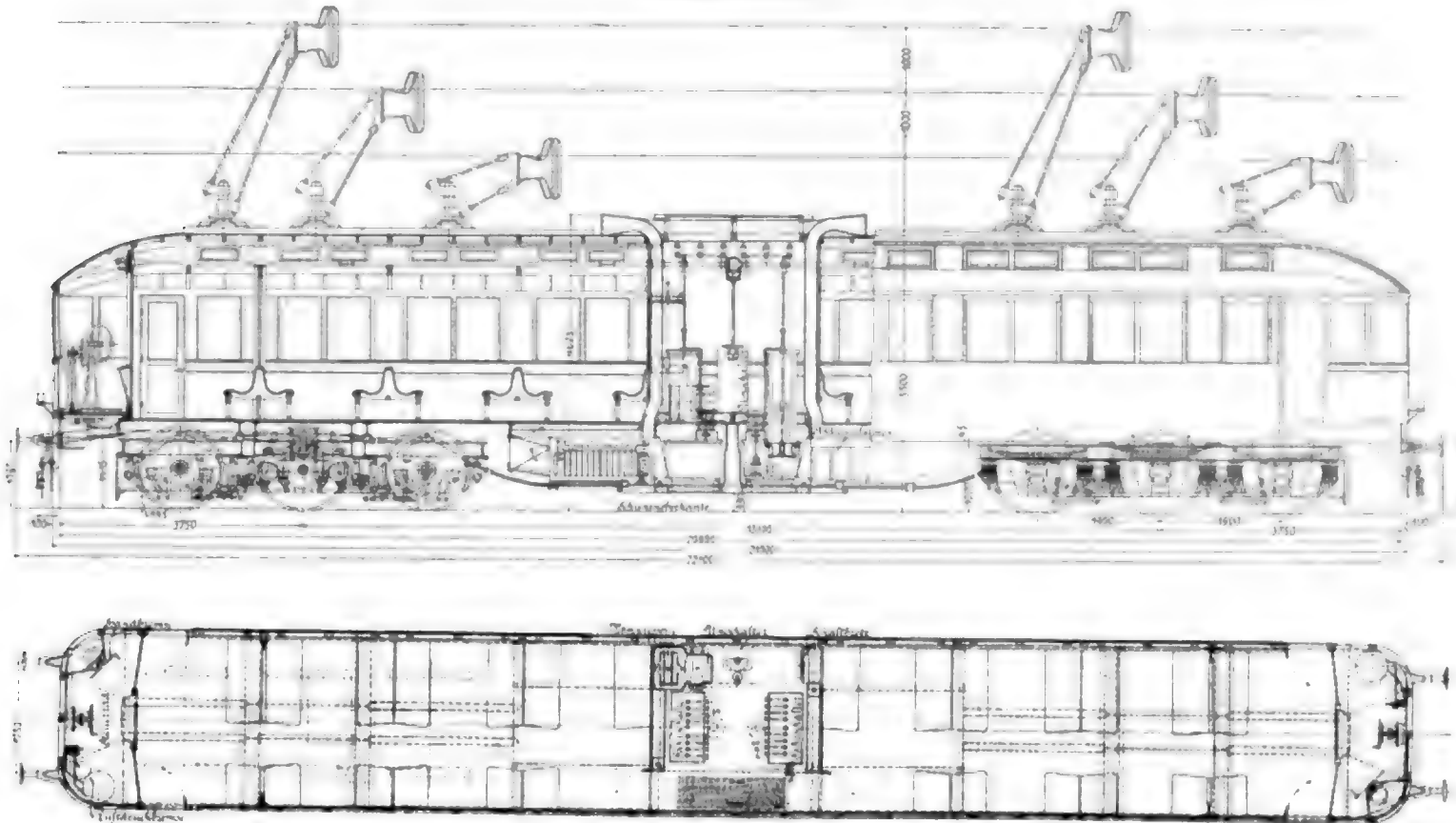
Eine ganze Anzahl von weiteren neuen Einzelteilen war auszuarbeiten. Die Motorlager müssen mit rd. 14 m Geschwindigkeit in den Gleitflächen, die Schleifringe der Drehstrommotoren mit einer Laufgeschwindigkeit von 30 m, die Anker mit einer Umfangsgeschwindigkeit von 40 m arbeiten. Eine weitere neue und wohl mit am schwierigsten zu lösende Einzelheit bilden die Stromabnehmer. Ueber die hierzu erforderlichen Vorarbeiten ist gleichfalls berichtet (Kapitel 5).

werden durch die Teilung der elektrischen Einrichtungen in zwei völlig getrennte Stromkreise und die Bedienung der Anlassvorrichtungen, insbesondere des jeweils hinteren Anlassers, durch eine Fernsteuerung, sei es mit Elektromotor, Druckluft, Druckwasser oder Ähnlicher Zwischenübertragung.

Fig. 2 zeigt die Zusammenfassung der beiden Führerstände zu einem mittleren Führerstand bzw. zu einem ge-

Fig. 3.

Ausgeführter Wagen.



1) Die Gewichte der elektrischen Ausrüstung.

Die Gegenüberstellung der Figuren 1, 2 und 3 zeigt die Veränderung, welche der Hauptentwurf, insbesondere auch der Entwurf des Wagenkastens, im Laufe des Durcharbeitens erfahren hat. Zunächst war angenommen, entsprechend der Bedingung des Fahrens in beiden Richtungen — vorwärts und rückwärts —, dass an jedem Ende des Wagens ein Führerstand ausgeführt werde, in dem zugleich auch die Anlassvorrichtungen unterzubringen seien; von dem jeweils vorderen Anlasser aus sollte dann der ganze Wagen, also auch die Motoren des andern Drehgestelles, gesteuert werden. Die hierfür erforderlichen Kabelleitungen erwiesen sich jedoch bei den verlangten Leistungen — 4 Motoren mit je 250, maximal 750 PS — als praktisch unmöglich. Eine Erleichterung konnte geschaffen

meinsamen Maschinen- und Geräteraum, bei dem aber die Trennung der beiden Stromkreise erhalten blieb. Es war hier angenommen, dass dieser Raum in zwei Geschossen ausgeführt werde, sodass im unteren Räume die Apparate und Maschinen aufgestellt würden, und dass darüber der Wagenführer und auch die eigentlichen Anlass- und Regulirvorrichtungen ihren Platz erhielten. Obschon bei der hohen Geschwindigkeit die letzten 30 Meter der Fahrstrecke unmöglich beobachtet und besichtigt werden können, wurde der Entwurf doch umgeändert und die Führerstände an die Stirnwände des Wagens verlegt. Angestrebt wurde hierbei bereits, wie dies auch später durchgeführt werden konnte, dass die vorderen und hinteren Fenster des Wagens dem Publikum offen gehalten werden, da ein Ausblick vor allen Dingen in diesen Richtungen erwünscht und angenehm ist.

Diese Hauptbedingungen: der Führer vorn im Wagen, die Apparate an der Stelle, von wo aus die Kabelverbindungen am kürzesten werden, und weitgehende Rücksicht auf Annehmlichkeit und Sicherheit der Fahrgäste, führten zu dem letzten Entwurf, Fig. 3. Alle Apparate und Sicherungen sind in dem mittleren Räume, dem Apparatestand, angeordnet. Dieser sowohl wie die untergebaute Transformator sind durch Luftschächte mit doppelten eisernen Blechwänden vom Personenraume getrennt. Der Führer hat, abgeschlossen vom Publikum, in einem Räume, der ebenfalls



Eingefügt sei hier, dass diese großen Gewichte — der fertige Wagen wiegt nahezu 90 t — durchaus keinen Anhalt für die Beurteilung von elektrisch betriebenen Fahrzeugen normaler Fahrgeschwindigkeit bieten können.

2) Die Lagerung des Motors gegenüber der Achse.

Zwischen den beiden Grenzfällen: Wagenkasten ohne jedwede Abfederung starr auf den Achsen und nahezu vollkommene Abfederung, wie beim Kraftwagen mit Luftreifen, ist eine große Anzahl von verschiedenen Kombinationen möglich. Elektrische Lokomotiven sind in kleinsten Abmessungen entsprechend dem oberen Grenzfall so ausgeführt, dass auch der Oberkasten in nicht abgefederter, starrer Verbindung mit den Radsätzen steht; bei der Central London Railway sind trotz 30 km/st Geschwindigkeit die Untergestelle der Lokomotiven nicht abgefedert, und es dürften hierdurch, wenigstens zum großen Teil, die starken Erschütterungen hervorgerufen werden, welche zu so vielen Klagen Anlass geben. An andern Stellen sind die Motoren unmittelbar auf den Achsen ruhend angeordnet, und wieder an andern sind sie am abgefederten Wagenkasten oder am abgefederten Untergestell befestigt, wobei also ihre Gewichte die Achsen nicht unmittelbar belasten. Die am Untergestell hängenden Motoren haben hier gegen die Radachsen die gleichen Federwege zu beschreiben wie das Untergestell selbst, d. h. bis zu 60 mm in einem Sinne. Fig. 6, 7, und 8 zeigen die genannten drei grundsätzlichen verschiedenen Ausführungsmöglichkeiten bei einem Radsatz von 1000 mm Dmr. für geringere Geschwindigkeiten. Die eingeschriebenen Hauptabmessungen geben ein Bild von dem im einzelnen Falle verfügbaren Raum und zeigen auch, wieviel von dem kostbaren Platze bei Fig. 7 und 8 durch die Lager verloren geht. Bei weitem am einfachsten bauen sich die Motoren bei starrer Lagerung der Achse im Drehgestell, Fig. 6. Die Achse macht hier, ebenso wie der starr aufgebaute Motor, keine Relativbewegung gegen die übrigen Konstruktionsteile. Allerdings haben leider die Achsbüchsen auch die zentrische Lagerung des umlaufenden Ankers in dem mit dem Untergestell fest verbundenen Motorgehäuse zu sichern, und diese Konstruktion ist kaum zulässig bei kleinsten Ausführungen mit Gleichstrommotoren; bei Verwendung von Drehstrommotoren ist sie wohl gänzlich ausgeschlossen, weil der radiale Luftzwischenraum zwischen Anker und Gehäuse nur wenige Millimeter beträgt.

Eine gute und sichere Lagerung erhält der umlaufende Teil gegen den ruhenden bei der Bauart Fig. 7. Das Motorgehäuse ist auf der Achse aufgelagert, der Anker sitzt gut zentrisch geführt dazwischen auf der gleichen Achse. Diese Gewichte sind also vom Radsatz unmittelbar

zu tragen, und die Umfangskraft geht von der Achse durch die Pressflächen in die Räder. Das Gehäuse ist entgegen der Umfangskraft am Untergestell gelenkig zu befestigen, wobei auf das Spiel zwischen der Achse und dem abgefederten Gestell Rücksicht zu nehmen ist.

In Fig. 8 ist der Motor fest mit dem Untergestell verbunden, welches seinerseits gegen die Achse abgefedert ist.

Das Abfedern des Motors und das Verbinden des Motorgehäuses mit dem Untergestell bedingt die Verwendung einer Hohlachse, welche die eigentliche Radachse in dem erforder-

Fig. 6.

Motor und Untergestell starr auf der Achse.

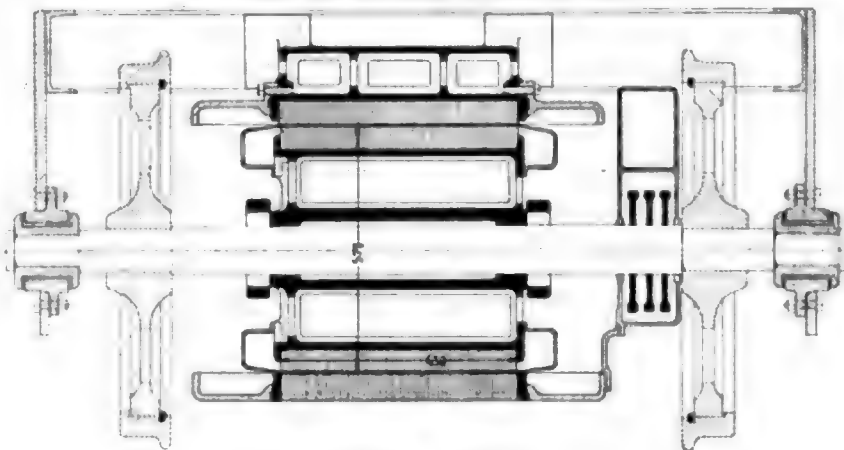


Fig. 7.

Motor starr auf der Achse, Untergestell abgefedert.

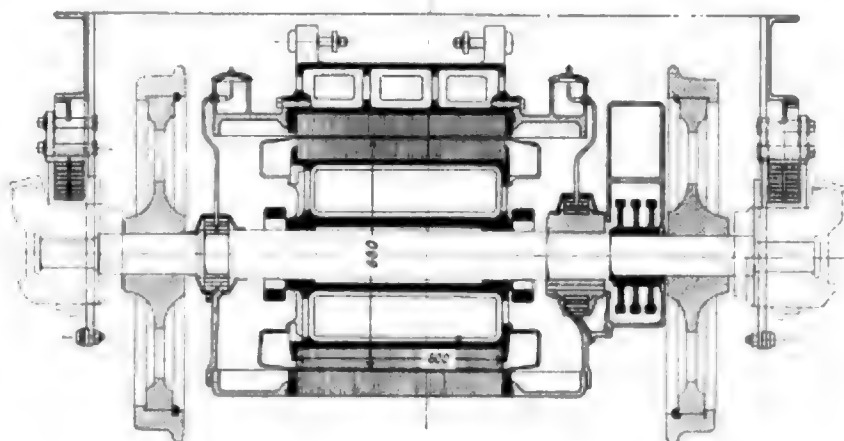
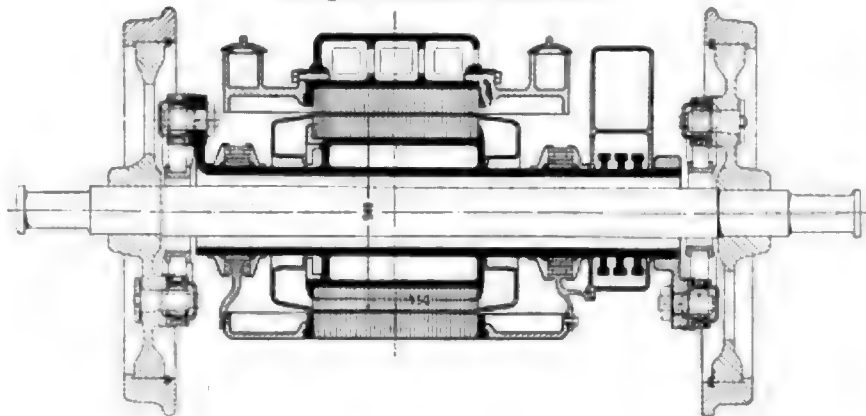


Fig. 8.

Motor am abgefederten Untergestell.





menen großen Raddurchmesser von rd. 1800 mm bei entsprechend geringerer Umlaufzahl der Motoren. Die Zugänglichkeit des Motors ist bei a und b vorzüglich, weniger gut bei c; doch ist hier wieder das Achslager frei.

An sich wären für die hohe Geschwindigkeit die großen Räder günstiger gewesen, da die Umlaufzahl der Motoren und somit auch die Geschwindigkeit im Lager kleiner geworden wäre. Da aber der Wagen Drehgestelle erhalten sollte, so wäre der über den Rädern liegende Teil des Wagenkastens

bahnwagenfedern angewendet. Durch Vermittlung einer einstellbaren Kurvenbahn a, Fig. 14, sind die ersten Millimeter dieses Federweges mit sehr weicher Abfederung ausgeführt, der weitere Weg mit dauernd steifer werdender Federung bis zu höchstens 8 bis 10 mm. Der Motor ist mit einem Rahmen aus gepressten Blechträgern und C-Eisen fest zu sammengeschraubt. Dieser Rahmen stützt sich an beiden Seiten des Wagens auf Blattfedern, ähnlich den allgemein üblichen Wagenfedern, und der Federbund sitzt durch Ver-

Fig. 11.

Motor fest an der Radnabe; große Räder.

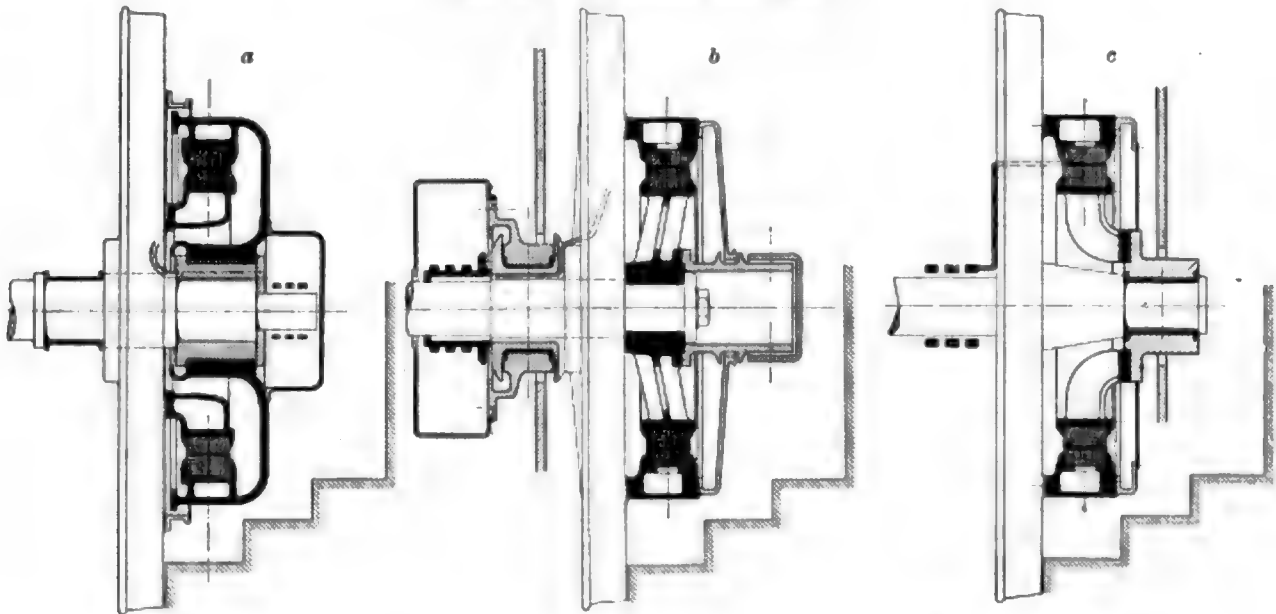


Fig. 12.

Drehgestell mit großen Rädern.

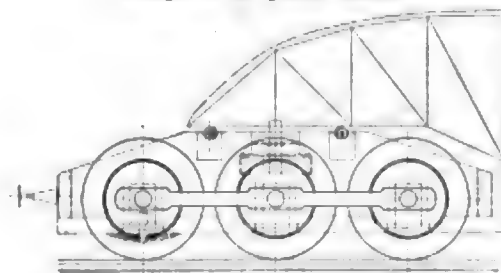
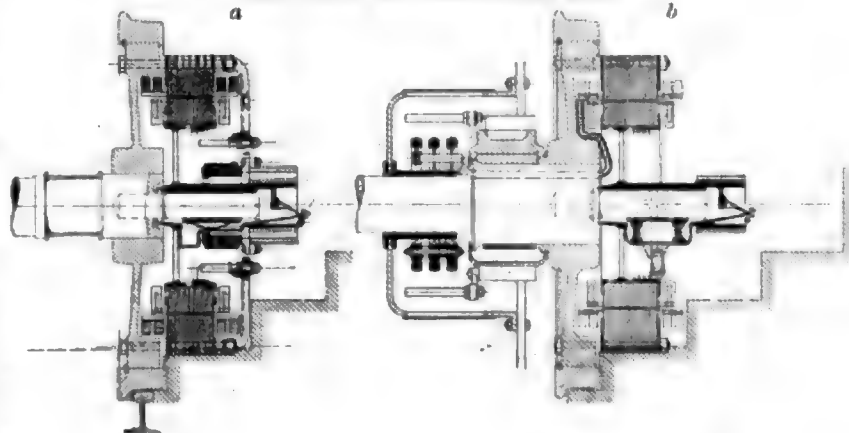


Fig. 13.

Motor fest an der Radnabe; kleine Räder.



für den Gebrauch verloren gegangen, und ein großer Teil der Länge hätte unbenutzt bleiben müssen, wie Fig. 12 deutlich zeigt. Es wurden daher die Studien mit kleinen Rädern in der gleichen Richtung aufgenommen.

Fig. 13 giebt ein Bild dieser Studien. Der Raddurchmesser ist hier für eine Umlaufzahl des Motors von rd. 1000 mit 1250 mm angenommen und das magnetisch beanspruchte Material des Motors bis nahe an das Normalprofil herangeführt. Weiter zeigen diese Skizzen bereits den Verzicht auf einen eignen Gehäusekörper und die Ausführung des Motors als Rippenkörper. Durch die Gewichte dieser Motoren wurde das Eigengewicht der Radätze etwa auf das Doppelte vergrößert, die Anzahl der Motoren hätte aber von vier Stück, d. h. zwei pro Drehgestell, auf sechs pro Drehgestell, d. h. 12 pro Wagen, vermehrt werden müssen. Der Gewinn erschien zu gering im Vergleich zu dem höheren Preise und der umständlichen Kabelführung für die vielen außen liegenden Motoren.

Als eine Hauptschwierigkeit bei der Durchführung der Konstruktion von Kuppelung und Lager war oben die sehr große Abfederung bei Verbindung des Motors mit dem Untergestell bezeichnet worden; anderseits erschienen alle angeführten Abstützungen des Motorgewichtes durch eine Anzahl kleinerer Federn nicht genügend zuverlässig. Für die Federwege hingegen sollten, wie schon gesagt, einige Millimeter genügen, entsprechend den obigen Studien, bei denen der Motor nicht mehr mit dem Untergestell verbunden gedacht war. Nun wurde er durch eine eigne Abfederung gegen die Achsbüchse abgestützt. Für diese Abstützung der Motoren wurden nunmehr die altbewährten Eisen-





motor, dessen Kraftverbrauch dauernd abgelesen werden kann. Die Versuchsreihen wurden fast ausschließlich mit Laufzylinder aus Weismetall und Zapfen aus Nickelstahl durchgeführt, einige Versuche mit Stahlguss und auch mit Schalen aus Magnoliametall. Mit der Schmierung wurden im Verlauf der Versuche erhebliche Wandlungen vorgenommen. Zunächst war Pressölschmierung vorgesehen, um von einer zentralen Stelle aus jedem der Lager eine bestimmte Menge Schmieröl zuzuführen. Dies bedingte eine ausgedehnte Druckölversorgung durch den ganzen Wagen mit recht lastigen Zwischengliedern für den Ausschlag der Drehgestelle und für die gegenseitigen Bewegungen zwischen Achsen und Unterstell bzw. Wagenkasten. Auf die Schmierung mit Pressöl konnte bald verzichtet werden, und es wurde eine Spülschmierung eingerichtet, d. h. eine reichliche Zuführung von Öl, aber ohne Druck. Für den vorliegenden Bahnbetrieb

war die Anwendung der üblichen Ringschmierlager naturgemäß ausgeschlossen; auch andere Verfahren waren entweder nicht sicher genug, oder sie verursachten ein Schäumen des Oeles. Eine zentrisch um die Achse gelegte glatte Scheibe von großem Durchmesser brachte in vorzüglichster Weise eine große Menge Öl hoch, und zwar ohne Schaumbildung. Die Versuche wurden mit der üblichen Geschwindigkeit von etwa 3 m/sk und mit Nebenversuchen über die Reibung der Ruhe begonnen und bis zu 20 m/sk fortgeführt; ebenso ging man mit dem Druck von 0,5 kg/qcm bis zu 5 und 6 kg. Über die Ergebnisse soll später eingehend berichtet werden; nur sei schon hier die Abhängigkeit des Reibungskoeffizienten von Geschwindigkeit und Temperatur durch Fig. 17 in moderner Darstellung mit einem Drei-Koordinatensystem gegeben.

(Schluss folgt.)

Die internationale Ausstellung in Glasgow 1901.

Unter den Städten Schottlands ist Glasgow seiner umfangreichen und blühenden Industrie wegen wohl der geeignetste Ort für eine Industrieausstellung. Bereits im Jahre 1888 veranstaltete die Stadtverwaltung eine Ausstellung, die einen Ueberschuss von 1080000 £ ergab; dieser Betrag wurde als Grundstock für eine Kunsthalle verwendet, die mit einem Aufwande von 5 Mill. £ erbaut und im letzten Frühjahr eingeweiht worden ist. Das im Kelvingrove-Park im Westen hinzugezogen, und um dieses Gebäude sind die übrigen Bauwerke der Stadt gelegene Gebäude ist zu der diesjährigen Ausstellunglichkeiten gruppiert worden. Die Ausstellung bedeckt ein Ge-

eine Reihe von kleinen Gebäuden enthält außerdem Sonderausstellungen.

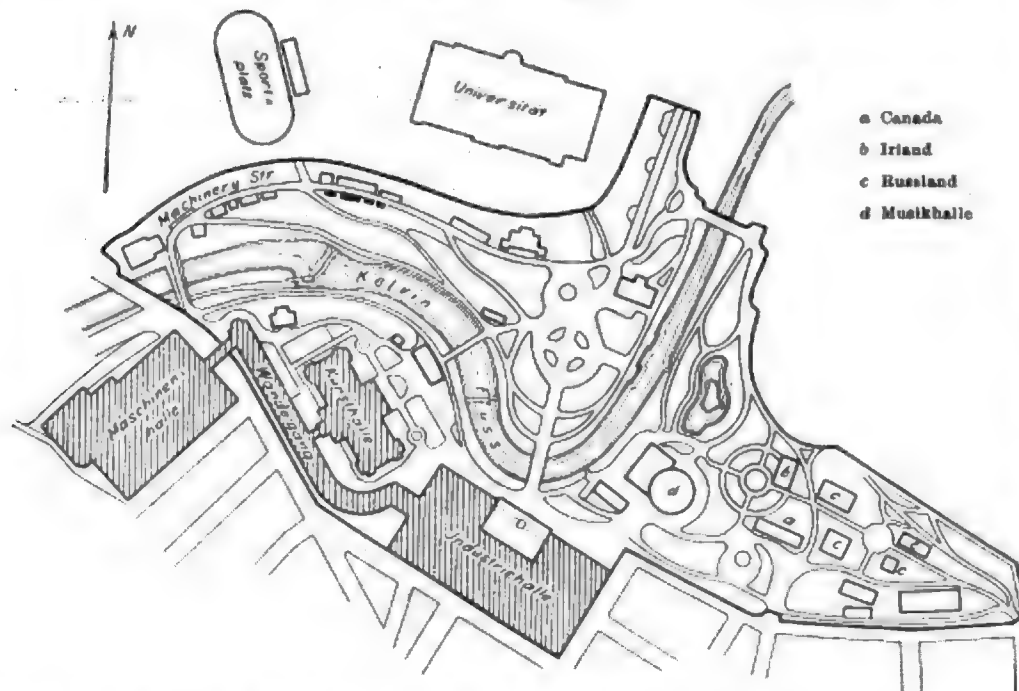
Oberster Leiter und Sekretär der Ausstellung ist H. A. Hedley, der in gleicher Eigenschaft an der Spitze der früheren Ausstellung stand; ihm war in erster Linie der damalige außergewöhnlich günstige Erfolg zu danken, und auch in diesem Jahre hat es die Ausstellungsleitung verstanden, den finanziellen Erfolg des Unternehmens bereits zu sichern. Bauleitender Architekt war James Miller, dem für die Berechnung der Eisenbauten Ingenieur Bonn zur Seite stand. Leitender Ingenieur für die maschinellen und elektrischen

Einrichtungen ist Thomas Young. Die in der üblichen Weiß- und Gold-Architektur der neueren Ausstellungsgebäude erbauten Hallen sind größtenteils in Eisenkonstruktion mit Gipsverkleidung aufgeführt; ein Teil der ursprünglich in Eisenkonstruktion geplanten Gerippe musste allerdings wegen der während des Baues stark ansteigenden Eisenpreise, und da die Eisenwerke zu lange Lieferfristen beanspruchten, in Holz ausgeführt werden.

Die Ausstellung nennt sich eine internationale, doch ist diese Bezeichnung nicht gerechtfertigt; sie kann nicht einmal Anspruch auf Vollständigkeit als großbritannische Ausstellung machen. Die Mehrzahl der Aussteller sind Schotten; von den englischen Firmen fehlen viele bedeutende, oder aber ihre Ausstellungen entsprechen nicht ihren sonstigen Leistungen.

Das Ausland ist, abgesehen von amerikanischen Werkzeugmaschinen, recht dürftig vertreten. Russland und Canada, die eigene Gebäude haben, zeigen im Vergleich zu dem, was sie in Paris geboten haben, nur wenig und hierunter fast garnichts von unmittelbarem technischem Interesse. Frankreich und die britischen Kolonien sind in der Industriehalle, jedoch auch nur sehr unvollkommen, vertreten. Immerhin weist die Ausstellung eine Reihe von bemerkenswerten Gegenständen auf, über die, soweit es möglich war, Unterlagen zu erhalten, noch berichtet werden soll.

Fig. 1. Lageplan.



ände von 30 ha und ist mit den vorhandenen Verkehrsmitteln: Straßenbahnen und Untergrund-Kabelbahn, bequem zu erreichen; sie wird vom Kelvin-Fluss durchschnitten, dessen Flussbett ziemlich tief liegt und über den mehrere Fußgängerbrücken den Verkehr vermitteln. Ausser der erwähnten Kunsthalle, in der eine Ausstellung von Gemälden und Werken der bildenden Kunst untergebracht ist, sind zwei Hauptausstellungsgebäude errichtet: die Industriehalle und die Maschinenhalle, die durch einen ebenfalls zu Ausstellungszwecken benutzten überdeckten Wandelgang verbunden sind;





Tabelle I.
Dampfdynamos.

Nr.	Dampfmaschine	Aussteller der Dynamo	Leistung PS
1	Williams & Robinson	Crompton	1200
2	desgl.	British Schuckert Co.	1200
3	Robey & Co.	Ernest Scott & Mountain	90
4	desgl.	desgl.	90
5	desgl.	Mavor & Coulson	500
6	Ruston, Proctor & Co.	Ruston, Proctor & Co.	100
7	Ernest Scott & Mountain	Ernest Scott & Mountain	375
8	Alley & Maclellan	Mavor & Coulson	200
9	Browett, Lindley & Co.	Edison, Swan & Co.	200
10	Belliss & Morcom	D. Bruce, Peebles & Co.	275
11	W. Sisson & Co.	Clarke, Chapman & Co.	125
12	Davey, Paxman & Co.	Electrical Construction Co.	600
		zusammen	4845

In der Ausstellung sind noch zum Antriebe der beiden in Fig. 4 eingezeichneten Wellenleitungen eine Dampfmaschine von John Cochrane und ein Elektromotor von D. Bruce, Peebles & Co. aufgestellt.

Tabelle II.
Dampfkessel.

Nr.	Anzahl	Bauart	Aussteller
1	1	Schiffskessel	Babcock & Wilcox
2	2	Wasserröhrenkessel	desgl.
3	3	"	Stirling Boiler Co.
4	1	"	Davey, Paxman & Co.
5	4	Flammröhrenkessel	Penman & Co.

Der Kessel von Davey Paxman und die Gruppe der vier Flammröhrenkessel von Penman & Co. haben je einen Speisewasservorwärmer von E. Green & Sons. Bei letzterer Gruppe ist zwischen Speisewasservorwärmer und Schornstein ein Sturtevant-Gebläse eingeschaltet. Die vier Flammröhrenkessel liefern den Dampf für die in der Ausstellung verteilten, im Betrieb vorgeführten Dampfmaschinen; zu diesem Zweck ist an die Kessel die in Fig. 4 eingezeichnete Ringleitung angeschlossen, die Dampf von 8,5 at führt. Die übrigen Kessel liefern den Dampf für die Dampfdynamos mit 12 at Spannung. Die beiden Leitungen für hochgespannten und für niedrig gespannten Dampf sind

an zwei Stellen, α in Fig. 4, mit einander verbunden. Hier sind Drosselventile eingeschaltet, die in Thätigkeit treten, sobald die Pressung in der Ringleitung für die in der Ausstellung befindlichen Maschinen zu niedrig wird. Für die Kohlenzufuhr ist an das Kesselhaus ein Anschlussgleis mit einer Wage herangeführt, auf der die beladen anlangenden und die unbeladen zurückgeführten Wagen selbstthätig gewogen werden. Die Kohle wird durch Oeffnungen in der Wand unmittelbar in das Kesselhaus entladen.

Die kleineren Dampfmaschinen sind sämtlich als Kapselmaschinen ausgeführt; darunter sind verschiedene bemerkenswerte Konstruktionen, die später ausführlicher besprochen werden sollen. Auch die Kessel und ihre Feuerungen, — eine ist als Gasfeuerung ausgeführt — sollen eingehender behandelt werden.

Von den übrigen im Ausstellungsgelände verteilten Sondergebäuden sind vor allem diejenigen von Canada, von Irland, in welchem eine Reihe von Schiffsmodellen der englisch-irischen Dampferlinien untergebracht ist, und die in heimischer Bauart ausgeführten russischen Häuser zu erwähnen. In der Nähe dieser Gebäude ist eine Musikhalle für 5000 Zuhörer errichtet, die von einer in Eisen ausgeführten Kuppel von fast 40 m Dmr. überdeckt ist. An der „Machinery Street“ hat eine Anzahl bekannter Firmen Sonderausstellungen veranstaltet; u. a. zeigen die International Pneumatic Tool Co. und die Taite Howard Pneumatic Tool Co. ihre Druckluftwerkzeuge und die Ingersoll Sergeant Drill Co. ihre Druckluft-Gesteinbohrmaschinen im Betriebe. Die Darlington Forge Co. hat Schiffstesen besonderer Größe, allerdings nur in Holzmodellen, ausgestellt; die Skodawerke zeigen große Stahlgussstücke. In einem ziemlich großen Gebäude führt die British Schuckert Electric Co. Motoren, Schaltvorrichtungen, Gesteinbohrmaschinen und eine elektrische Grubenlokomotive vor; mit einem der Motoren ist eine schnelllaufende Pumpe von Ehrhardt & Schmeier gekuppelt, die mit 145 bis 165 Uml./min im Betriebe vorgeführt wird. In dem Gebäude der British Westinghouse Electric and Manufacturing Co. sind eine 500pferdige Dampfdynamo, eine 125pferdige Gasdynamo, Motoren und Schaltvorrichtungen und ein Wagen der Glasgower Straßenbahn ausgestellt. John J. Thornycroft & Co. und Hawthorn, R. & W. Leslie & Co. zeigen Schiffsmodelle und den bekannten Thornycroft-Kessel; Sellig, Sonnenthal & Co., Ludwig Loewe & Co., Chas. Curchill & Co. haben Werkzeugmaschinen, größtenteils amerikanischer Bauart, ausgestellt. (Fortf. folgt.)

Die Weltausstellung in Paris 1900.

Die Lokomotiven.

Von H. Brückmann, dipl. Ingenieur, Chemnitz.

(Fortsetzung von S. 1234)

Da die nächst zu besprechende Lokomotive mit Rippenrohren (Pat. Serve) ausgerüstet ist, so seien an dieser Stelle folgende allgemeine Betrachtungen über

Serve'sche Rippenrohre

eingeschaltet.

Da es allgemein bekannt ist, dass sich die Wärme viel leichter von einem Metallrohr an Wasser als von Heizgasen an ein Metallrohr überträgt, so lag der Gedanke nahe, die innere feuerberührte Heizfläche von Kesselfeuerrohren dadurch zu vergrößern, dass man sie nicht glatt ausführte, sondern mit Vorsprüngen, Rippen usw. ausstattet; denn es war zweifellos, dass solche Rohre in der Zeiteinheit mehr Wasser verdampfen würden als glatte, dass also kürzere Rippenrohre gleich viel verdampfen würden wie längere glatte Rohre.

Diese Erwägung veranlasste den englischen Ingenieur Howden, in Feuerrohre spiralförmig gedrehte Bandelisenstreifen einzuführen, welche sich mit ihrem äußeren Durch-

messer fest an die Rohre anlegen. Versuche mit diesen sogenannten Howden retarders wurden von der Schiffswerft John Brown & Co. in Sheffield an Schiffskesseln vorgenommen und bewiesen, dass die Feuergase einmal wegen der größeren feuerberührten Metallfläche, dann aber auch infolge ihrer kreisenden Fortbewegung viel mehr Wärme abgaben, als bei Verwendung normaler Rohre¹⁾.

Einen besseren Gedanken hatte der französische Ingenieur Jean Serve in Givors, indem er zu Anfang der 80er Jahre sogenannte Rippenrohre aus einem Stück herstellte; und zwar wurden gerippte Bleche gewalzt, alsdann gebogen und endlich bei α zusammengeschweißt.

Diese Rippenrohre wurden zuerst, und zwar im Jahre 1884, von der Compagnie Bonnardel de la navigation du



¹⁾ s. auch Engineering News November 1890 S. 410; The Engineer 1. April 1892: „The Serve tube“.

Rhône an Schiffskesseln erprobt, dann 1885 von der Paris-Lyon-Mittelmeer-Bahn an Lokomotivkesseln und 1888 von dem Arsenal der französischen Marine in Brest an Torpedokesseln.

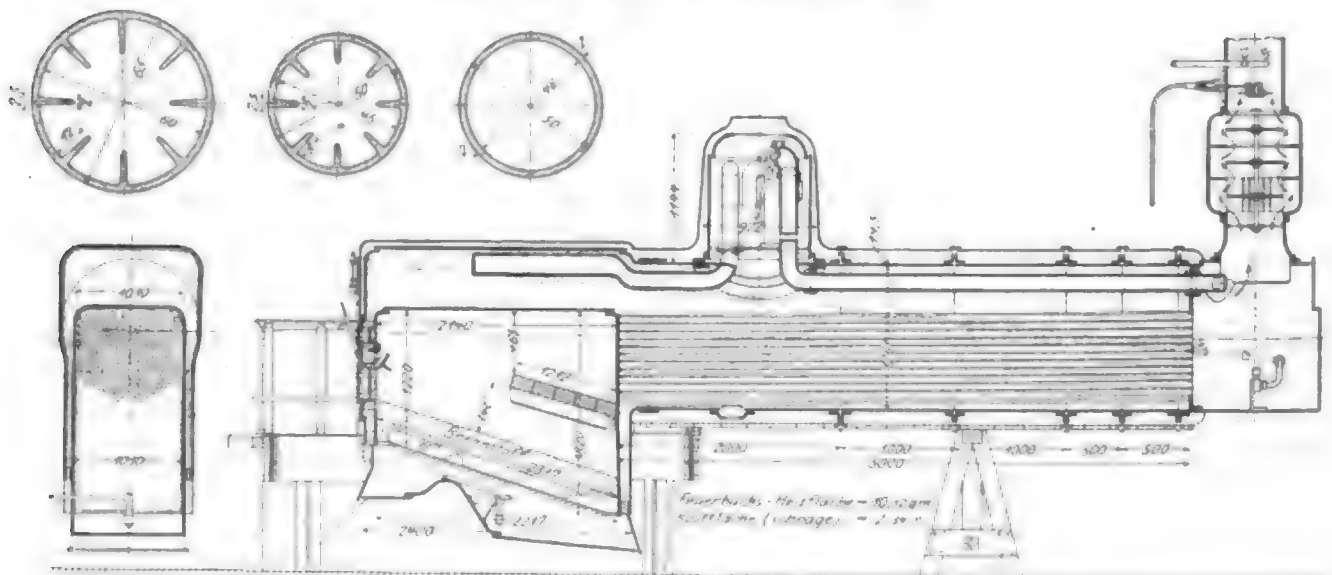
Von diesen Versuchen interessieren uns vor allem diejenigen der Paris-Lyon-Mittelmeer-Bahn¹⁾. Diese Bahn veranstaltete im Jahre 1885 Vorversuche, indem sie an drei gleichen $\frac{3}{4}$ -gekuppelten Güterzuglokomotiven die alten Siederohre von 45/50 mm Dmr. und 4252 mm freier Länge herausnehmen und durch neue ersetzen ließ, und zwar bei einer Lokomotive durch glatte Eisenrohre (I), bei der zweiten durch glatte Messingrohre (II) (in beiden Fällen mit den oben erwähnten gleichen Abmessungen) und bei der dritten durch Rippen-Messingrohre von 4252 mm freier Länge und 45/50 mm Dmr., versehen mit 8 Rippen von 8 mm Höhe und 2,5 bzw. 2 mm Stärke (III). Die so ausgerüsteten Lokomotiven wurden 10 Monate lang (bei fortwährend wechselnden Bedienungsmannschaften) in bezug auf ihren Kohlenverbrauch pro tkm verglichen.

den Unterschied der Blasrohrwirkungen vollkommen ausschweigt, andererseits aber auch von einer gewissen Schwierigkeit des Reinhaltens der Rippenrohre spricht, so kann man aus diesen Vorversuchen ohne Zweifel den Schluss ziehen, dass sich unter selbstverständlicher Voraussetzung gleichbleibender sonstiger Verhältnisse bei einem Lokomotivkessel mit 4252 mm langen Rohren von 45/50 mm Dmr. durch Verwendung von Rippenrohren mit 8 mm langen Rippen eine gleiche Wasserverdampfung wie bei Verwendung von glatten Rohren aus gleichem Material nicht erzielen lässt, noch viel weniger aber eine bessere.

Zu dieser Erkenntnis kam auch der Prüfungsausschuss der Paris-Lyon-Mittelmeer-Bahn; denn er leitete nunmehr eingehende Vergleichversuche an einem feststehenden Lokomotivkessel, Fig. 16, ein. Es wurde nämlich der Kessel einer $\frac{3}{4}$ -gekuppelten Eilzuglokomotive derart umgebaut, dass der teilbare Langkessel die Verwendung von 2 bis 7 m langen Rohren zuließ; dieser Kessel wurde in einem besonderen

Fig. 16.

Versuchs-Lokomotivkessel der Paris-Lyon-Mittelmeer-Bahn.



Die Ergebnisse waren folgende:

Lokomotive I mit glatten Eisenrohren
brauchte pro tkm 0,04118 kg Kohle
Lokomotive II mit glatten Messingrohren
brauchte pro tkm 0,04000 " "
Lokomotive III mit Rippenrohren brauchte
pro tkm 0,03827 " "
oder

III brauchte gegen II 4,3 vH, gegen I 7,3 vH weniger Kohle.

Diese Ergebnisse wurden jedoch nicht unter gleichen Verhältnissen erzielt, indem der Widerstand der Gase beim Durchströmen der Rippenrohre infolge der vergrößerten Reibung an den Rippen und des verringerten freien Durchgangs- querschnittes so groß war, dass der gleiche Effekt bei gleichen Blasrohröffnungen nicht erreicht werden konnte. Bei der mit Rippenrohren ausgestatteten Lokomotive musste vielmehr die Blasrohrwirkung, um zu den oben angeführten Ergebnissen zu gelangen, bedeutend verstärkt werden. Da dies natürlich bei den glatten Rohren auch hätte geschehen können, und da der Bericht sich über

Gebäude aufgestellt, mit allen möglichen Registrir- und Messgeräten versehen und nunmehr den verschiedenartigsten Verdampfungsversuchen unterworfen.

Bei Benutzung derselben Feuerbüchse wurden erprobt:

- 1) Rohrlängen von 7, 6, 5, 4, 3, 2, 1, 0, 5 und 0 m;
- 2) von Rohrarten (nur aus Messing) glatte Rohre von 46/50 mm und Rippenrohre von 45/50 und 60/65 mm Dmr.;
- 3) Feuerbüchsen mit kurzem und langem Steingewölbe sowie mit Tenbrink-Sieder, und zwar bei einem Rauchkammer-Unterdruck von 25, 45, 75, 100 und 120 mm Wasser- stule,

wobei es sich um die Feststellung von folgenden Ergebnissen handelte:

- 1) Kohlenverbrauch pro Stunde und qm Rostfläche,
- 2) Wasserverdampfung pro Stunde,
- 3) Wasserverdampfung pro Stunde und kg Kohle,
- 4) Rauchkammertemperatur.

Von diesen Versuchen interessieren uns bei diesem Berichte, der nur praktischen Zwecken dienen soll, nur diejenigen, welche mit Rohrlängen von 2 bis 5 m und mit dem kurzen 1,212 m langen Steingewölbe, Fig. 16 (das lange war 1,65 m lang), vorgenommen worden sind.

Ueber die Hauptabmessungen und -verhältnisse des Kessels bei den jeweiligen Versuchen giebt die folgende Zusammenstellung Auskunft.

¹⁾ s. auch Annales des Mines Bd. VI S. Lfrk. 1894 S. 119 bis 234: A. Henry, "Étude expérimentale de la vaporisation dans les chaudières de locomotives faite dans les ateliers du Chemin de fer de Paris à Lyon et à la Méditerranée".

			glatte	Rippenrohre	
			Rohre	50 mm	65 mm
			50 mm	aufa.	aufa.
			Dmr.	Dmr.	Dmr.
1	Zahl der Rohre		185	185	113
2	Außerer Dmr. mm		50	50	65
3	Innerer Dmr. "		46	45	60
4	freier innerer Gesamt-Rohrquerschnitt in der Feuerbüchsenwand (Brandringe waren vorhanden)	qm	0,18833	0,18833	0,22190
5	freier innerer Gesamt-Rohrquerschnitt im Langkessel	"	0,30747	0,36755	0,30047
6	Rostfläche (geneigte)	"	2,34	2,34	2,34
7	Feuerbüchsenfläche (bei Anwendung des kurzen Steingewölbes)	"	10,12	10,12	10,09
8	innere feuerberührte Rohrheizfläche				
	Rohrlänge: 5 m	"	153,68	—	—
	" 4,5 "	"	120,81	—	—
	" 4 "	"	106,94	—	163,54
	" 3,5 "	"	93,58	165,24	142,72
	" 3 "	"	80,21	141,19	121,90
	" 2,5 "	"	—	117,14	101,08
	" 2 "	"	—	93,09	—
9	Gesamtheizfläche				
	Rohrlänge: 5 m	"	143,80	—	—
	" 4,5 "	"	130,43	—	—
	" 4 "	"	117,06	—	178,66
	" 3,5 "	"	103,70	175,36	152,84
	" 3 "	"	90,33	151,31	132,02
	" 2,5 "	"	—	127,86	111,20
	" 2 "	"	—	103,21	—
10	Kesselüberdruck at		10	10	10

Leider wurden die Versuche für die 3 Rohrarten nicht gleichmäßig vollständig durchgeführt, indem namentlich bei Verwendung glatter Rohre nur Rauchkammer-Unterdrücke von 25 bis 75 mm, bei Verwendung von Rippenrohren aber solche von 25 bis 120 mm Wassersäule berücksichtigt wurden, desgleichen bei den Rippenrohren nur die kürzeren Rohrlängen von 4 bis 2 m, bei den glatten aber solche von 7 bis 3 m.

Die Ergebnisse der uns interessierenden Versuche sind in Fig. 17 von a bis m graphisch dargestellt. Sie beantworten 2 Fragen, nämlich:

1) Können mit Rippenrohren gleiche oder bessere Verdampfungsergebnisse erzielt werden als mit glatten Rohren von gleicher Länge und gleichem innerem und äußerem Durchmesser?

2) Welche geänderten Abmessungen müssen Rippenrohre haben, um bessere Ergebnisse zu erzielen als glatte Rohre von bestimmten Abmessungen?

Anhand der in Fig. 17 dargestellten Ergebnisse beantworten sich diese beiden Fragen wie folgt:

I. Vergleich von glatten und Rippenrohren von demselben äußeren Durchmesser von 50 mm.

a) Kohlenverbrennung auf dem Roste.

Bei Verwendung von Rippenrohren können bei gleicher Blasrohrwirkung (infolge der vergrößerten Gasreibung und des verringerten freien Rohrquerschnittes) auf dem Roste pro Zeiteinheit nicht so viel Kohlen verbrannt werden wie bei Verwendung von glatten Rohren, Fig. a und b.

Obgleich nun

b) die Wasserverdampfung pro kg Kohle bei Verwendung von Rippenrohren durchweg höher ist, Fig. g und h, und ebenso

c) die Rauchkammertemperatur bei Verwendung von Rippenrohren bei weitem niedriger ist, Fig. k und l, der Brennstoff bei Rippenrohren also viel günstiger und sparsamer ausgenutzt wird, so kann bei gleicher Blasrohrwirkung bei den üblichen Rohrlängen bis zu 3 m hinab bei Anwendung von Rippenrohren

d) nicht dieselbe Gesamt-Wasserverdampfung, Fig. d und e, erreicht werden wie bei der Verwendung glatter Rohre. Erst bei den kleinen Rohrlängen von 2,75 bis 2 m neigt sich das Verhältnis zugunsten der Rippenrohre, wobei aber wohl zu beachten ist, dass bei diesen letzten Versuchen der Langkessel nicht viel länger als die Feuerbüchse, das Verhältnis der direkten zur indirekten Heizfläche also ein ganz außergewöhnliches war.

Im übrigen haben die Versuche ergeben, dass es für jedes Rohrquerschnittprofil eine bestimmte Rohrlänge giebt, bei welcher das Rohr, ganz einerlei welcher Unterdruck in der Rauchkammer herrscht, die größte Verdampfung leistet. Diese günstigste Rohrlänge beträgt für glatte Rohre von 45/50 mm Dmr. rd. 4,1 m, für Rippenrohre von 45/50 mm Dmr. mit 8 Rippen von 8 mm Höhe rd. 2,34 m. Es ist nun bemerkenswert, dass bei gleicher Blasrohrwirkung der mit Rippenrohren von günstigster Länge ausgerüstete Kessel weniger Wasser verdampft hat als der mit glatten Rohren von günstigster Länge.

Aufgrund dieser Betrachtungen kann die erste Frage mit Sicherheit dahin beantwortet werden, dass es ganz falsch ist, bei vorhandenen Lokomotivkesseln (namentlich solchen von rd. 2 bis 2,4 qm Rostfläche, rd. 10 qm Feuerbüchsenheizfläche und bei der alsdann üblichen Rohrlänge von 4 bis 4,5 m) die glatten Rohre durch Rippenrohre von gleichem äußerem Durchmesser zu ersetzen, da solch eine Aenderung die Leistungsfähigkeit des Kessels trotz besserer Ausnutzung des Brennstoffes bestimmt nur verringern würde.

Der Hauptversuch hat eben das Ergebnis der Vorversuche nur bestätigt.

II. Vergleich von glatten Rohren von 50 mm äußerem Durchmesser mit Rippenrohren von 65 mm äußerem Durchmesser.

a) Die in der Zeiteinheit auf dem Roste verbrannte Kohlenmenge ist bei beiden Rohrarten bei gleicher Blasrohrwirkung genau die gleiche, demnach auch der Zugwiderstand in beiden Rohrarten der gleiche, Fig. a und c.

b) Die pro kg Kohle verdampfte Wassermenge, Fig. g und i, ist für alle Unterdruckgrade bei den Rippenrohren größer; der Unterschied steigt mit Verkürzung der Rohrlänge. Dementsprechend sind auch

c) die Rauchkammertemperaturen, Fig. k und m, bei Verwendung von Rippenrohren durchweg niedriger.

Als natürliche Folge der hierdurch bekundeten günstigeren Ausnutzung des Brennstoffes ist

d) die Gesamt-Wasserverdampfung, Fig. d und f, des Kessels bei Verwendung von Rippenrohren bei 4 m Rohrlänge nahezu die gleiche, bei 3,5 m rd. 4 bis 5 vH, bei 3 m aber rd. 10 vH größer als bei Verwendung von gleich langen glatten Rohren.

Aufgrund all dieser Ergebnisse lässt sich nun auch die zweite Frage beantworten, und zwar wie folgt:

A) Vorhandene ältere gut entworfene Lokomotivkessel behalten ihre Leistungsfähigkeit, wenn man die glatten Siederohre durch Rippenrohre von größerem Durchmesser ersetzt.

Da die Rippenrohre aber verhältnismäßig sehr teuer sind, auch bei solcher Auswechslung noch beide Rohrwände durch neue zu ersetzen sind, so ist ein Vorteil durch solchen Umbau bestimmt nicht zu erzielen; denn vergrößern lässt sich die Leistungsfähigkeit bei Beibehaltung einer für glatte Rohre gut gewählten Rohrlänge keinesfalls.

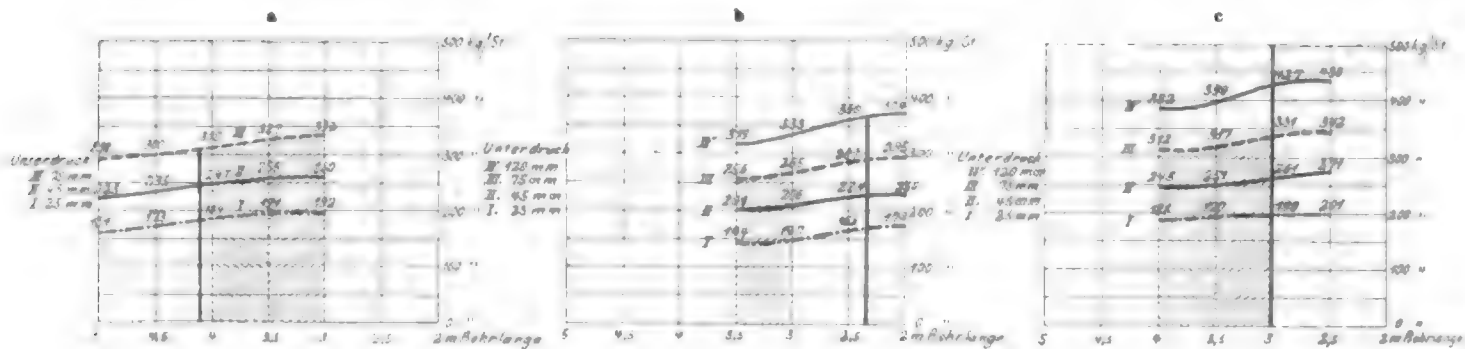
B) Bei umzubauenden Lokomotiven, welche infolge schlechter Lastverteilung oder schlechten Lautes (Ummänderung $\frac{3}{4}$ -gekuppelter in $\frac{2}{4}$ -gekuppelte Maschinen) nicht genügen, kann die erwünschte Verschiebung des Schwerpunktes bei Beibehaltung der Kesselleistung dadurch erreicht werden, dass der Langkessel verkürzt wird und die langen glatten

Fig. 17.

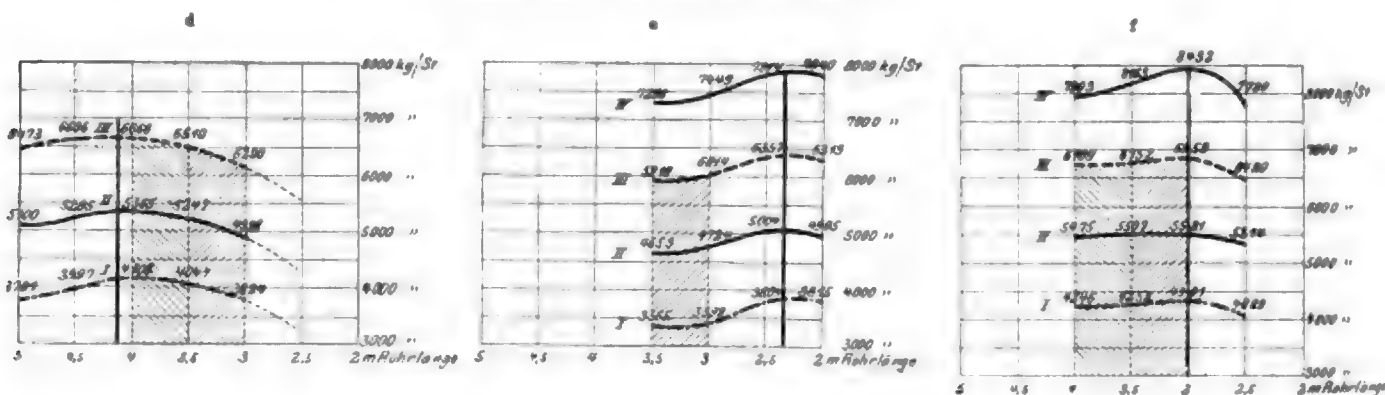
Glatte Rohre, 45/50 mm Dmr.

Rippenrohre, 45/50 mm Dmr.

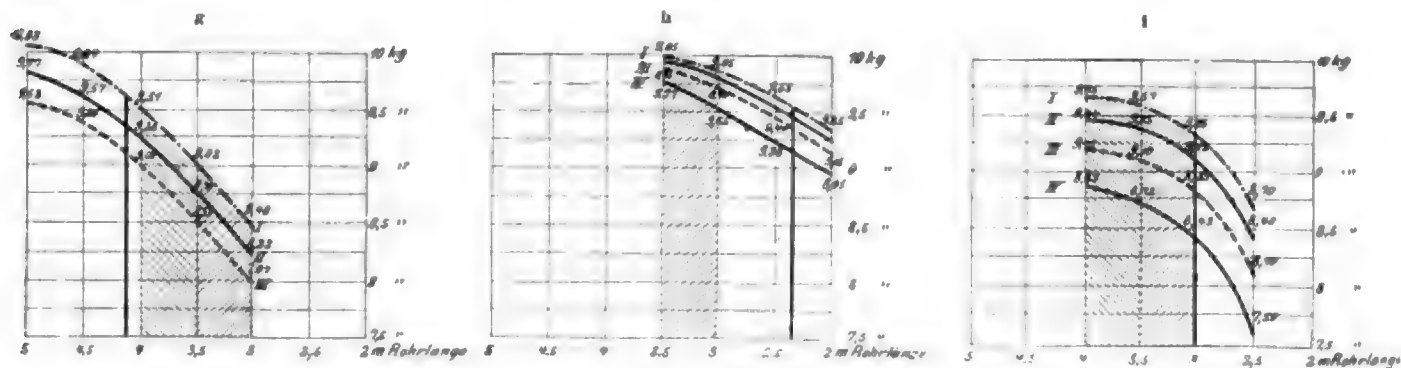
Rippenrohre, 60/65 mm Dmr.

Kohlenverbrauch pro Stunde und q_m Rostfläche.

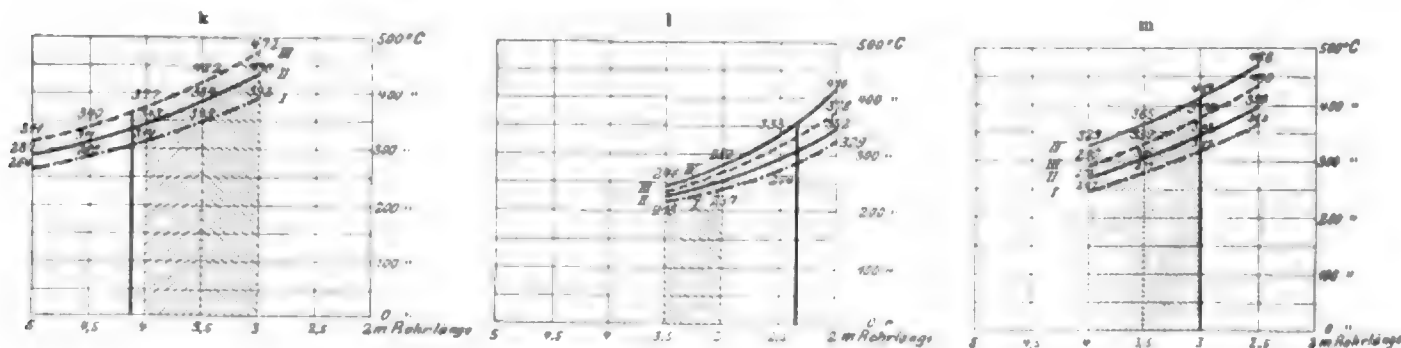
Gesamt-Wasserverdampfung des Kessels.



Wasserverdampfung pro kg Kohle.



Rauchhammertemperaturen.



Rohre durch kürzere Rippenrohre von entsprechend größerem Durchmesser ersetzt werden, wobei die Verkürzung rd. 25 vH betragen kann.

C) Beim Entwurfe von neuen Lokomotiven kann wohl erwogen werden, ob etwa bei notwendig werdender Verlegung des Kesselschwerpunktes oder bei erwünschter Verkürzung der ganzen Lokomotive der Langkessel nicht abzukürzen sei; denn nach den erwähnten Versuchen geben kurze Rippenrohre von größerem Durchmesser nicht nur dieselbe Kesselleistung wie lange glatte Rohre von kleinerem Durchmesser, sondern nutzen auch den Brennstoff sparsamer aus, wozu noch der Vorteil einer Gewichtsersparnis hinzukommt. Denn es ist z. B. das Gewicht des Versuchskessels bei Verwendung von 113 Rippenrohren von 65 mm äußerem Dmr. und 3 m Rohrlänge um 1205 kg geringer als bei Verwendung von 185 glatten Rohren von 60 mm äußerem Dmr. und 4 m Rohrlänge. Von diesem Mindergewicht entfallen 559 kg auf das Langkesselrohr und 654 kg auf das Wasser, während die Rippenrohre 8 kg mehr wiegen.

Aufgrund dieser Versuche entschloss sich die Verwaltung der Paris-Lyon-Méditerranée-Bahn zur allgemeinen Einführung der Rippenrohre an ihren Lokomotiven. Es wurden vorerst einige ältere $\frac{3}{4}$ -gekuppelte Viercylinder-Eilzuglokomotiven mit hinterer und vorderer Radialachse in $\frac{3}{4}$ -gekuppelte mit vorderem zweiachsigen Drehgestell umgebaut, bei welcher Gelegenheit der Langkessel soweit gekürzt wurde, dass die Siederohrlänge nur 2,5 m betrug (I. Umbau).

Die Hauptabmessungen beider Formen sind in folgender Tabelle enthalten:

		Viereylinder-Verbund-Eilzuglokomotive			
		Form 1888 C 1	I. Umbau	II. Umbau	Neubau 1892 C. 11 u. 12
Kesselüberdruck	at	11	11	11	15
Rostfläche	qm	2,34	2,34	2,34	2,41
Feuerbüchsenfläche	"	10,68	10,50	10,56	10,28
Rohre: Art (Russeiserne)		glatt	mit Rippen	mit Rippen	mit Rippen
Anzahl		183	185	118	133
Dmr.	mm	46/50	45/50	60/65	60/65
Länge	"	4085	2500	8350	3000
innere Rohrfläche	qm	107,66	117,14	131,03	137,28
Gesamtholzfläche	"	119,48	127,04	141,53	147,66
Cylinderdurchmesser	mm	310/500	?	?	340/540
Kolbenhub	"	620	?	?	620
Treibraddurchmesser	"	2000	2000	2000	2000
Dienstgewicht	t	53,5	?	?	47,01
		mit Brand-	mit Brand-	ohne	ohne
		ringen	ringen	Brandringe	Brandringe
Gesamt-Rohrquerschnitt im		0,18833	0,18833	0,2883	0,3393
der Feuerbüchsenrohrwand (s)	qm	ohne	ohne		
		Brandringe			
		0,26865			
Gesamt-Rohrquerschnitt					
mittlen im Rohrbündel (s)	"	0,30747	0,26758	0,2915	0,3481

Der äußere Rohrdurchmesser von 50 mm wurde bei diesem Umbau nur beibehalten, um von der vorhandenen Feuerbüchse einschließlich der Rohrwand Gebrauch machen zu können.

Ein Blick auf die Figuren d und f zeigt, dass diese Ersparnisrücksicht sehr falsch war; denn Rippenrohre von 50 mm äußerem Dmr. und 2,6 m Länge ergaben nach den Versuchen eine geringere Gesamtverdampfung als glatte Rohre von 50 mm äußerem Dmr. und 4,035 m Länge. Versuche mit den umgebauten Lokomotiven zeigten denn auch alsbald, dass die Maschinen nach dem Umbau weniger leisteten als vorher; weiter erwies sich der Wassereinhalte des Kessels als zu gering; es war keine Wasserreserve da.

Man entschloss sich daher, eine größere Anzahl weiterer Lokomotiven (II. Umbau), die mit Rohren von 60/65 mm Dmr. und 3350 mm Länge ausgestattet waren, umzubauen, was auch geschah. Um sich nun aber über die Wahl der zweckmäßigsten Abmessungen endlich klar zu werden, nahm man einige (leider nicht planmäßig durchgeführte) Ver-

suche darüber vor, welche Folgen es hätte, wenn die Abmessungen (Zahl, Durchmesser und Länge der Rohre) des Rohrbündels gegenüber denen der Feuerbüchse in gewissen Grenzen geändert würden.

Da an der Feuerbüchse nichts zu ändern war, beschränkten sich diese Versuche darauf, dass man die Siederohrzahl um 5, 10 und 15 vH verringerte und alsdann die Dampferzeugung beobachtete.

Das Ergebnis aller dieser Beobachtungen war Folgendes¹⁾:

Wenn man unter Beibehaltung derselben Rostfläche für jede Rohrart die Länge der größten Leistung (welche für jedes Rohrprofil unveränderlich bleibt: rd. 4,1 m für 46/50 glatte, rd. 3,0 m für 60/65-Rippen- und rd. 2,34 m für 45/50-Rippenrohre) anwendet, so berechnet sich die Mehrerzeugung an Dampf in der Zeiteinheit in Hundertteilen (annähernd nach der Formel

$$x = \frac{\sqrt{s_{\theta\theta}}}{\sqrt{s_{\theta}}} - 1,$$

worin bedeutet:

S	den freien Rohrquerschnitt in der Mitte der Rohre	} bei Rippen-
s	Feuerbüchsenrohrwand	
S	Mitte der Rohre	} bei glatten
s	Feuerbüchsenrohrwand	

Wird für die Rippenrohre die Länge der größten Leistung nicht gewählt, so vermindert sich die Mehrleistung mehr oder weniger: der prozentuale Betrag kann dann aus Fig. 17 annähernd bestimmt werden.

Aufgrund dieser Ergebnisse gab die P.-L.-M.-Bahn 1892 2 neue $\frac{3}{4}$ -gekuppelte Vordryylinder-Eilzuglokomotiven (C 11 und 12) mit 3 m langen Rippenrohren von 60/65 mm Dmr. in Auftrag und bald darauf, nachdem sich diese Maschinen als durchaus zweckmäßig erwiesen hatten, 38 weitere gleicher Bauart.

Die Mehrleistung der Kessel dieser Lokomotiven berechnet sich nach der vorstehenden Formel im Vergleich zur Form C 1 (Jahrgang 1888) unter der Annahme, dass bei beiden Lokomotivarten keine Brandringe zur Verwendung gekommen sind, zu

$$X = \frac{\sqrt{s_{r,s}}}{\sqrt{s_s}} - 1 = \frac{\sqrt{0,3431 \cdot 0,3393}}{\sqrt{0,30747 \cdot 0,26865}} - 1,$$

$X = 18,7 \text{ vH.}$

wobei allerdings zu bemerken ist, dass der Langkesseldurchmesser, um 133 Rippenrohre unterbringen zu können, um 60 mm vergrößert werden musste.

Soviet über die Versuche mit und die Einführung von Rippenrohren an der P.-L.-M.-Bahn, um welche sich der verstorbene Chefingenieur Henry und der jetzige Chr. Baudry besondere Verdienste erworben haben.

Inzwischen hatte auch Du Bousquet, Chefingenieur der französischen Nordbahn, dieser Frage seine Aufmerksamkeit zugewandt. Er ließ 1892 3 Lokomotiven verschiedener Bauart, und zwar eine Eilzuglokomotive, eine für gemischten Betrieb und eine $\frac{1}{4}$ -gekuppelte Güterzuglokomotive mit 3,5, 3,8 bzw. 4,09 m Rohrlänge, ferner 1893 7 vorhandene und 16 neue Eilzuglokomotiven mit 3,0 m Rohrlänge mit flussweisen Rippenrohren ausrüsten, wobei aufgrund der Versuche an der P.-L.-M.-Bahn wegen der größeren Rohrlängen ein Rohrdurchmesser von 65/70 mm gewählt wurde.

Die Hauptabmessungen und -verhältnisse aller vier soeben erwähnten umgebauten Lokomotivformen sind in der folgenden Tabelle enthalten, ebenso auch die nach der obigen Formel berechneten annähernden Mehrleistungen der mit Rippenrohren ausgerüsteten Kessel.

¹⁾ s. Revue générale des Chemins de Fer April 1893 S. 17: Locomotives compound à 4 cylindres et à grande vitesse du chemin de fer P.-L.-M., von Ch. Baudry.

Rohrart		Eilzuglokomotive		Personenzuglokomotive		1/4-Güterzuglokomotive		Verbund-Eilzuglokomotive	
		glatt	mit Rippen	glatt	mit Rippen	glatt	mit Rippen	glatt	mit Rippen
1 Rohrlänge	mm	3500	3500	3800	3800	4090	4090	3900	3900
2 Rohr-Dmr.	"	40/45	65/70	45/50	65/70	45/50	65/70	40/45	65/70
3 Rohrzahl		201	96	160	88	197	130	202	94
4 innere Rohrheizfläche	qm	88,88	129,60	86,00	124,00	114,06	210,49	98,98	144,43
5 mehr in vH.		—	46	—	55	—	84	—	46
6 äußere Rohrheizfläche	"	100,00	74,23	98,00	73,50	126,78	117,12	110,50	81,00
7 weniger in vH.		—	26	—	19	—	8	—	27
8 Rostfläche	"	2,81	2,81	1,60	1,60	2,08	2,08	2,04	2,04
9 freier Querschnitt des Rohrbündels in der Rohrwand s bzw. s ₁	"	0,22796	0,28055	0,23285	0,28718	0,28610	0,27093	0,2291	0,27471
10 desgl. in der Mitte der Rohre S bzw. S ₁	"	0,25258	0,29546	0,25447	0,27086	0,31231	0,29217	0,25864	0,28932
11 Produkt sS bzw. s ₁ S ₁		0,057578	0,082897	0,059126	0,069659	0,089628	0,152025	0,058155	0,078479
12 Dampfmehrerzeugung bei der Rohrlänge der größten Leistung		—	+ 19,90	—	+ 8,1	—	+ 29	—	+ 16,9
13 berichtigte Mehrerzeugung		—	+ 19	—	+ 6,6	—	+ 26,5	—	+ 14,9

Da schon die rechnerischen Mehrleistungen zumteil ziemlich beträchtlich sind, so kann es nicht wundernehmen, wenn der amtliche Bericht dahin lautete ¹⁾, dass alle Versuchlokomotiven vorzüglichen Dienst geleistet und mehr Dampf erzeugt hätten als die normalen Lokomotiven. Besonders wird noch im Bericht hervorgehoben, dass man mit weiterem Blasrohrquerschnitt fahren konnte (120 qcm) als bei den Normallokomotiven (90 qcm).

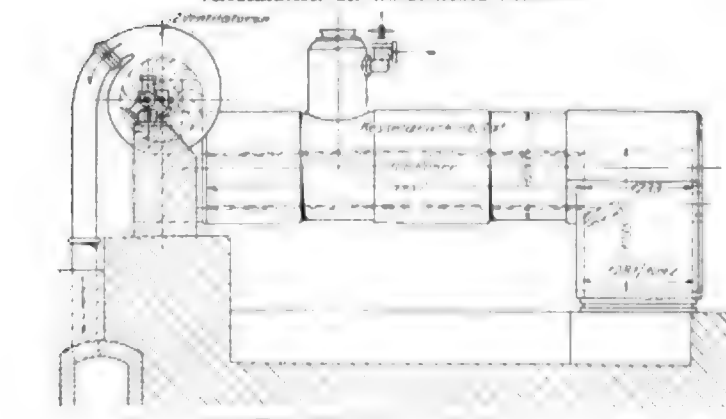
Immerhin kostete der Umbau der Lokomotiven viel Geld, weil wegen der größeren Rohrdurchmesser und der neuen Rohrteilung die beiden Rohrwände ausgewechselt werden mussten. Es lag daher der Verwaltung der französischen

Nordbahn viel daran, festzustellen, ob sich diese Umbaukosten nicht dadurch bedeutend verringern ließen, wenn man den normalen Rohrdurchmesser von 50 mm beibehielt und nur den Rippenrohren irgend welche besondere Abmessungen gab.

Aus diesem Grunde schritt man zu besonderen Versuchen an einem feststehenden Lokomotivkessel, Fig. 18, der einer Gruppe von 4 gleichen Kesseln angehörte, welche in der Schmiedewerkstätte zu La-Chapelle aufgestellt waren und die untenstehenden Hauptabmessungen hatten.

Fig. 18.

Versuchskessel der französischen Nordbahn.

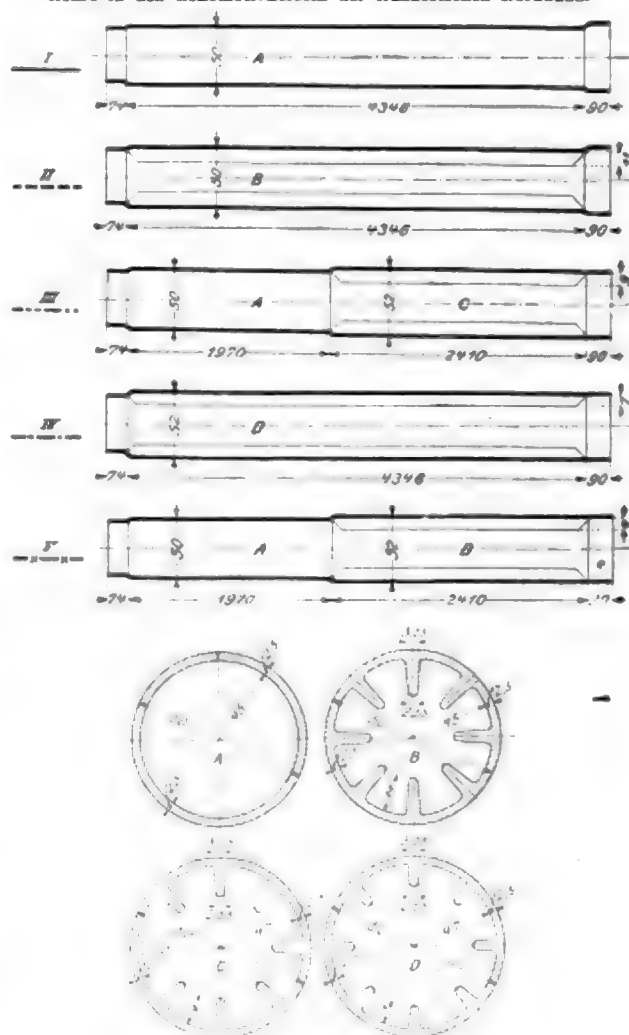
Rippenrohre, Fig. 19¹⁾

Rohrart		Rippenrohre, Fig. 19 ¹⁾				
		11 mm-Rippen glatte Rohre I	über die ganze Länge II	glatt und 9 mm-Rippen III	7 mm-Rippen über die ganze Länge IV	glatt und 7 mm-Rippen V
Kesseldruck	at	6,5	6,5	6,5	6,5	6,5
Rostfläche	qm	1,34	1,34	1,34	1,34	1,34
Feuerbüchsenheizfläche	"	7,82	7,82	7,82	7,50	7,50
Rohr: Zahl		160	166	166	166	166
Dmr.	mm	45/50	45/50	45/50 u. 47/52	47/52	45/50 u. 47/52
Länge	"	4457	4457	4457	4457	4157
Rohrheizfläche innere	qm	106,91	209,14	152,71	176,33	144,49
" äußere	"	116,23	116,23	118,52	120,89	118,52
Gesamtheizfläche innere	"	114,63	217,06	160,33	183,83	154,99
" äußere	"	122,85	122,85	126,14	128,32	126,14

¹⁾ Comptes rendus de la Société des Ingénieurs Civils de France
Juli 1893, 5. Ser. 7. Heft S. 42, M. Kerommes: Tubes à ailerons,
système Serve.

Fig. 19.

Rohre in den Lokomotivkesseln der französischen Nordbahn.



Der Versuchskessel wies hiernach nicht sehr günstige Verhältnisse auf, indem der Dampfdruck sehr niedrig, die Rostfläche klein und die Siederohre verhältnismäßig lang waren.

Der Versuchskessel wurde nach einander in der durch die Tabelle gekennzeichneten Weise mit glatten und Rippenrohren verschiedener Art ausgerüstet und bei verschiedenartig forciertem Zuge (30, 50, 80 und 120 mm Wassersäule) vom 20. Juli 1899 bis 18. März 1893 eingehenden Verdampfungsversuchen unterworfen.

Die Ergebnisse dieser Versuche sind in Fig. 20a bis d dargestellt; kurz in Worte zusammengefasst, lauten sie wie folgt:

zu Fig. a. Das Gewicht der auf 1 qm Rostfläche stündlich verbrannten Kohlenmenge ist nur beim Versuche V und nur bei großem Rauchkammer-Unterdruck größer als bei Verwendung von glatten Rohren, bei den 3 andern Rohrarten durchweg niedriger. Der Grund hierfür liegt in dem starken Zugwiderstande, welcher durch die starke Verengung des Rohrbündelquerschnittes infolge der Rippen verursacht wird.

zu Fig. b. Die Rauchkammertemperaturen sind bei Verwendung von Rippenrohren durchweg niedriger als bei Verwendung von glatten Rohren. Den Grund hierfür weist Fig. c nach.

zu Fig. c. Das Gewicht der stündlich von 1 kg Kohle verdampften Wassermenge ist bei Verwendung aller vier Arten von Rippenrohren bedeutend größer als bei Verwendung glatter Rohre¹⁾. Es unterliegt eben gar keinem Zweifel, dass die durch die Rippen stark vergrößerte innere Heizfläche den Gasen ganz bedeutend mehr Wärme entzieht, als es bei Verwendung glatter Rohre möglich ist.

Obleich nun die Wärmeausnutzung besser ist und die Rauchkammertemperaturen infolgedessen niedriger liegen, ist

zu Fig. d die stündliche Gesamt-Wasserverdampfung nur bei den Versuchen IV und V größer als beim Versuche I. Es liegt das erstens daran, dass wegen des vergrößerten Zugwiderstandes in der Zeiteinheit nicht dieselbe Kohlenmenge auf 1 qm Rostfläche verbrannt werden konnte wie bei glatten Rohren, und zweitens daran, dass sich die Rohre, deren Querschnitte beim Versuche II sehr stark verengt sind, rasch mit Asche und Zinder vollständig zusetzten. Beim Versuche III geschah letzteres weniger rasch, jedoch noch so stark, dass der

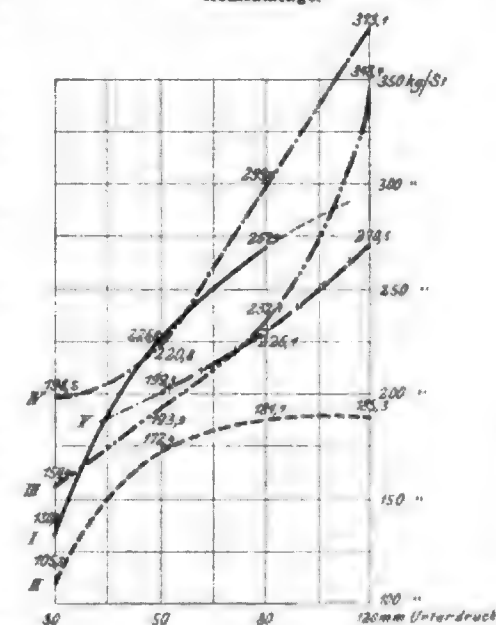
Versuch öfter unterbrochen werden musste. Erst bei den Versuchen IV und V, d. h. bei Verwendung von Rippenrohren von 2 mm größerem Durchmesser und mit Rippen von nur 7 mm Höhe, blieb selbst bei stärkstem Zuge das vollständige Zusetzen der Rohre aus.

Da sich nun selbst bei den Versuchen IV und V nicht immer vermeiden ließ, dass sich die Rohre zusetzten, und da außerdem, um mit stärkerem Zuge arbeiten zu können, die Kohlschicht auf dem Roste sehr niedrig gehalten werden musste und die Mehrleistungen des Kessels daher nur gering und unsicher waren, so muss aus diesen Versuchen der Schluss gezogen werden, dass sich glatte Rohre von 45/50 Dmr. und 4457 mm freier Länge keinesfalls durch Rippenrohre von demselben Durchmesser ersetzen lassen.

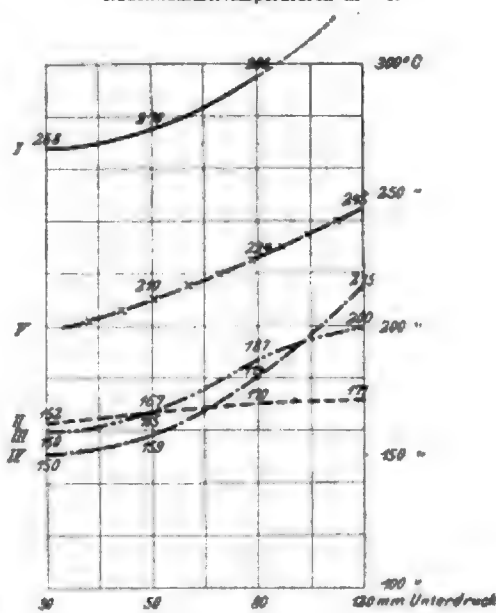
Die Versuche an der französischen Nordbahn haben da-

Fig. 20.

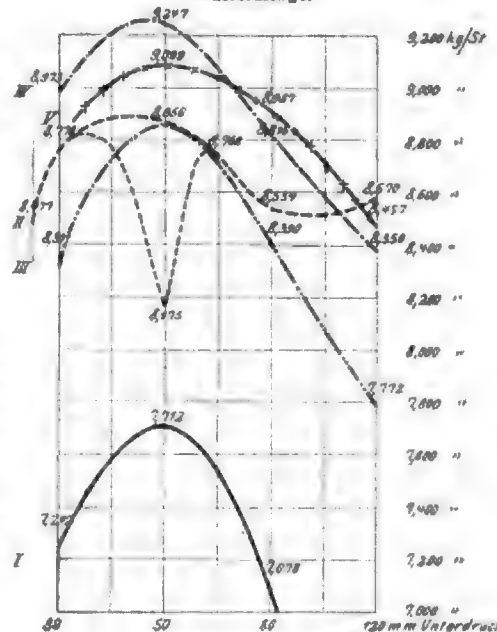
Gewicht der auf 1 qm Rostfläche stündlich verbrannte Kohlenmenge.



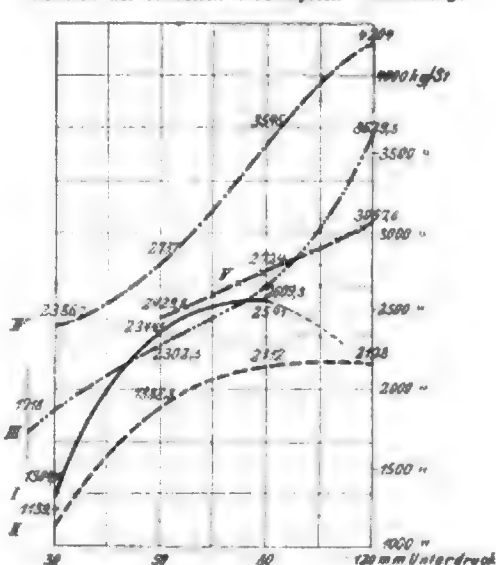
Rauchkammertemperaturen in °C.



Gewicht der stündlich von 1 kg Kohle verdampften Wassermenge.



Gewicht der stündlich verdampften Wassermenge.



¹⁾ Der Wert von 8,175 kg beim Versuche II und bei 50 mm Wassersäule ist jedenfalls ungültig oder er ist festgestellt worden, während sich die Rohre durch Asche zugesetzt hatten.

her nur das Ergebnis der Versuche der P.-L.-M.-Bahn ganz und gar bestätigt.

Das gesamte Ergebnis der Versuche an beiden Bahnen kann in folgenden Worten zusammengefasst werden:

I. Die Leistung eines Lokomotivkessels mit glatten normalen Rohren, dessen Abmessungen und Verhältnisse zweckmäßig gewählt sind, kann nicht erhöht werden, wenn man die glatten Rohre durch Rippenrohre von gleichem Durchmesser und gleicher Länge ersetzt; sie wird vielmehr verringert.

II. Die Leistung eines Lokomotivkessels mit glatten normalen Rohren, dessen Abmessungen oder Verhältnisse sehr unzweckmäßig gewählt sind, dessen Rohre z. B. bei großer Anzahl sehr kurz (d. h. unter 3 m Länge) angenommen worden sind, was bei Tenderlokomotiven oft unvermeidbar ist, kann, wenn der Rohrdurchmesser nicht zu klein ist, erhöht werden, wenn man die glatten Rohre durch Rippenrohre von gleichem Durchmesser und gleicher Länge ersetzt.

III. Die Leistung des Kessels einer vorhandenen Lokomotive, welche infolge schlechter Lastverteilung nicht genügt, kann beibehalten werden, wenn man, um den Schwerpunkt zu verrücken, den Langkessel kürzt, die glatten Rohre durch Rippenrohre ersetzt und den Kessel auf dem Rahmengestell verschiebt. Dieser Fall kann eintreten, wenn Lokomotiven älterer Bauart mit kurzer Rauchkammer vorn, oder wenn Lokomotiven, deren Feuerbüchse sich nach vorn schieben lässt, hinten zu schwer belastet sind. In beiden Fällen schneidet man vom Langkessel ein Stück (bis 25 vH) ab, wodurch Gewicht von Langkessel und Wasser wegfällt, und verlängert im ersten Falle die Rauchkammer, oder schiebt im zweiten Falle den ganzen Kessel vor. Man bestimmt im übrigen mit Rücksicht auf die erwünschte Gewichtsverminderung oder Schwerpunktverschiebung die zweckmäßigste Rohrlänge, setzt solche als diejenige der größten Leistung voraus und wählt den entsprechenden Rohrdurchmesser, d. h.:

45/50 mm Rohrdurchmesser für rd.	2,35 m Rohrlänge
50/55 " " " " " " " " " " " " " " " "	2,55 " "
55/60 " " " " " " " " " " " " " " " "	2,80 " "
60/65 " " " " " " " " " " " " " " " "	3,00 " "
65/70 " " " " " " " " " " " " " " " "	3,30 " "

IV. Die Leistung eines Lokomotivkessels kann erhöht werden, wenn man an einer mit glatten Rohren entworfenen, erst zu erbauenden Lokomotive, deren Kesselleistung zu klein erscheint, den Kessel unter Beobachtung des unter III Gesagten neu entwirft und Rippenrohre vorsieht.

V. Die Größe der zu erhoffenden Mehrleistung kann annähernd, aber auch nur annähernd, nach der Formel $X = \frac{\sqrt{s_2}}{\sqrt{s_1}} - 1$ bestimmt werden, wobei die Voraussetzung

besteht, dass nur Rohrlängen größter Leistung verwendet werden.

VI. Kosten des Umbaus bzw. Mehrkosten bei Verwendung von Rippenrohren.

Die Rippenrohre wiegen und kosten verhältnismäßig viel mehr als glatte Rohre.

Es wiegen:

	glatte kg/m	Rippenrohre kg/m
Flusseiserne Rohre von 45/50	2,90	4,20
" " " 50/55	3,20	4,76
" " " 55/60	3,52	5,24
" " " 60/65	3,83	5,82
" " " 65/70	4,13	6,31
" " " 70/75	4,44	6,62

Was die Preise der Rippenrohre anbelangt, so liegt hier die Frage folgendermaßen:

A) Rippenrohre aus Messing werden von der Société Industrielle et Commerciale des Métaux in Paris fabriziert. Da sie doch nur höchst selten benutzt werden, so sei auf ihren Preis hier nicht weiter eingegangen.

B) Rippenrohre aus Flusseisen werden von John Brown & Co., Atlas Works in Sheffield und der Société anonyme d'Escaut et Meuse, Paris, angefertigt. Bemerkenswert ist nun, dass erstere Firma nur auf Vereinbarung von Gewichtspreisen eingeht und sich die Rohre (bei alleiniger Abnahme derselben auf ihrem Werke in England) nur nach dem wirklichen Liestergewichte bezahlen lässt, dabei aber für Einhaltung der Abmessungen und damit des Gewichtes keine Gewähr übernimmt. Mir ist ein Fall bekannt, dass von dieser Firma gelieferte Rohre 20 vH mehr wogen als das theoretisch errechnete Gewicht.

Besser kommt man beim Bezug der Rohre von der Société anonyme d'Escaut et Meuse weg. Diese stellt die Preise auf Verlangen nach Gewicht und nach Länge. Ihre Gewichtspreise sind höher als bei ersterer Firma, dafür hält sie aber auch die Abmessungen soweit ein, dass die Abweichungen vom theoretischen Gewichte nur nahezu ± 5 vH betragen.

Da die normalen glatten Siederohre zurzeit 0,30 bis 0,35 Mk/kg kosten, Rippenrohre aber rd. 1,35 bis 1,45 Mk, so ist ersichtlich, dass die Rippenrohre verhältnismäßig sehr teuer sind, namentlich da beide Firmen, welche allein diese Rippenrohre anfertigen, der zeitweiligen allgemeinen Rohrmarktlage nicht zu folgen brauchen.

Soviel an dieser Stelle über Rippenrohre. Weitere neueste Angaben folgen bei Besprechung der mit Rippenrohren ausgerüsteten Lokomotiven.

(Fortsetzung folgt.)

Die Weltausstellung in Paris 1900.

Die Maschinen für Papierfabrikation.

Von A. Pfarr, Darmstadt.

(Schluss von S. 950)

Abfälle in der Fabrik und ihre Verwertung.

Wie in jedem andern Fabrikationszweige, so ist auch hier diesem Punkte alle Aufmerksamkeit zu widmen, und so fanden sich auch in Paris mancherlei Einrichtungen für diesen Zweck ausgestellt.

Fangstoff. H. Füllner, Warmbrunn, zeigte das Modell seines Stofffängers, der dazu dient, aus den Abwässern der Holländer, der Papiermaschine usw. diejenigen Teile herauszufangen, welche sich nicht leicht zu Boden setzen, weil sie nur um ein ganz geringes schwerer sind als Wasser, vor allem also die Stofffasern.

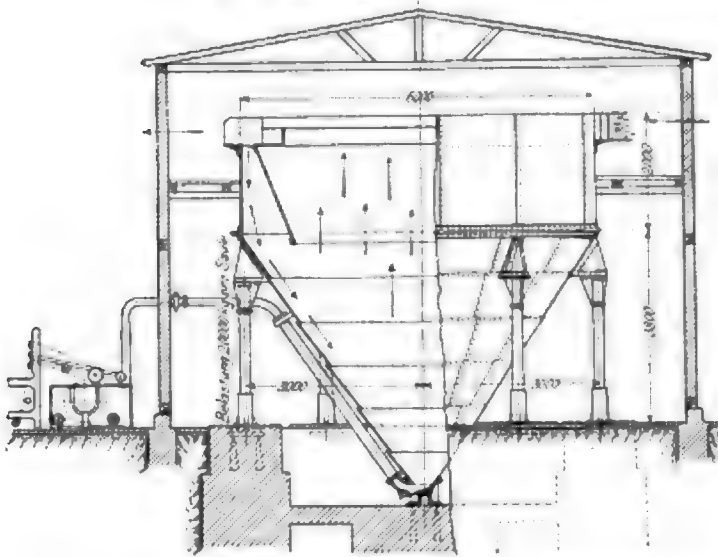
Der Grundgedanke der Vorrichtung, Fig. 38, ist der häufig angewendete: Man zwingt den Träger der abzufangen-

den Teile, hier das Abwasser, zu scharfer Richtungsänderung, wodurch die Teile sich nach außen drängen, und giebt dann durch verlangsamt Geschwindigkeit des Wassers den schon nach unten strebenden Teilen Gelegenheit, sich weiter nach abwärts zu bewegen. Gegen die Spitze des Kegels zu findet deshalb eine Konzentration der Fasern statt, und man zieht den stark mit Fasern beladenen Teil des Wassers ununterbrochen an der Spitze des Kegels ab, um die Fasern dann auf einer sog. Entwässerungsmaschine in bekannter Weise abzufangen. Das von den Fasern fast ganz befreite Wasser fließt über eine kreisförmige Ueberlaufkante rundum ab. Auf diese Art ist eine selbstthätige Reinigung der Abwässer von mechanisch mitgeführten Stoffen, die nur

sehr geringer Wartung bedarf, in hübscher Weise erzielt. Die zurückgewonnenen Fasern, der Fangstoff, haben für Anfertigung von Verpackungsmaterial, Papier oder Pappen noch ihren Wert¹⁾.

Stücker. In den Papierfabriken handelt es sich auch um Wiederverwertung trockener Abfälle, besonders um den Papierabfall, der beim Frischaufrufen der Bahn usw. in der Papiermaschine garnicht zu vermeiden ist. Diese Papierfetzen, Stücker genannt, werden meistens alsbald wieder in Papierbrei umgearbeitet und treten vom Holländer aus den

Fig. 38. Stofffänger von H. Füllner.







ern bildet. In Europa schloß man bis vor einiger Zeit ausschließlich »kalt«, d. h. man liefs den Schleifflächen so viel Wasser zufließen, dass sich die Temperatur des letzteren beim Abfließen nur verhältnismäßig wenig erhöht zeigte. In Nordamerika betreibt man schon seit lange das »Heißschleifen« mit so knapper Kühlwasserszufuhr, dass der geschliffene Stoff dampfend den Schleifer verlässt.

Seit einer Reihe von Jahren schon währt bei uns der Streit der Meinungen, welches Verfahren für die Erzielung guten Holzstoffes vorzuziehen sei, und er ist wohl heute noch nicht entschieden. Wahrscheinlich ist, dass jedes Verfahren für bestimmte Papiersorten bestimmte Vorzüge besitzt, sodass beide Schleifarten neben einander bestehen können.

Die Heißschleifer erhalten meist nur wenige Schleifpressen mit starkem Anpressungsdruck, wogegen die Kaltschleifer verhältnismäßig viele Pressen haben, die leichter angedrückt sind.

Der Bellische Schleifer zeigt die Anordnung nach amerikanischem Vorgange: zwei wagerecht liegende Arbeitspressen, zum Aufheben des Lagerdruckes einander gegenüberliegend, aber zum Durchmesser versetzt, s. Fig. 42, dazu eine Reservepresse oberhalb, in der Drehrichtung des Steines geneigt. Ausbalancierte Klappen verschließen die Einlageöffnungen der Presskasten, welche letztere die Presscylinder tragen und dem Steindurchmesser entsprechend nachgestellt werden können.

Die Zuführrohre für das Presswasser folgen dem Nachstellen durch Verschiebung in Stopfbüchsen, die beim Betriebe wieder fest angesogen sind. Für das Einziehen eines neuen Schleifsteines lässt sich die ganze obere Schleiferhälfte nach Lösen der Halteschrauben um den rechts sichtbaren Drehzapfen hochklappen. Eine Schärfvorrichtung, welche beliebige Anwendung der Handanpressung oder der Schrauben- und Spindel für die Schärfrolle gestattet, befindet sich am oberen Teile. Für gewöhnlich arbeiten nur die beiden liegenden Pressen, wobei jede etwa 100 bis 150 PS. aufnimmt. Es ist klar, dass für den Zeitraum, in dem eine Presse neu beschickt wird, also ausgelöst ist, eine Reserve einzutreten hat, damit der normale Gang der Turbinen nicht zu sehr gestört wird. Ausschließlich dazu dient die obere Presse, welche stets gefüllt gehalten wird, aber nicht unter Druck steht. In sehr hübscher Weise haben Bell & Co. die Einrichtung getroffen, dass die obere Presse sofort selbstthätig unter Druck tritt, also arbeitet, sowie eine der unteren Pressen vom Arbeiter zur Neubeschickung ausgerückt worden ist; die an der Steinwelle verbrauchte Arbeit bleibt sich dann ungefähr gleich, die Turbine wird also weniger gestört. Wegen der eintretenden hohen Lagerbelastung wird man die Reservepresse immer nur möglichst kurze Zeit im Betrieb halten, d. h. die Arbeitspressen recht rasch beschicken.

Der Schleifstein hat 1400 mm Dmr., 550 mm Breite und soll 325 Uml./min machen; dass hierbei wegen Explosionsgefahr nur vorzügliches Steinmaterial verwendet werden darf, ist selbstverständlich. Unterstützt wird die Haltbarkeit des Steines wesentlich durch die von Bell angewandte gute Steinbefestigung. Der Stein wird beiderseitig durch große Scheiben gefasst, welche, die eine mit rechtem, die andere mit linkem starkem Gewinde, auf der Steinwelle sitzen. Die Drehrichtung der Gewinde ist so gewählt, dass die Scheiben durch den Betrieb den Stein fest zwischen sich pressen; Keile auf der Welle sind dann unnötig und deshalb auch weggelassen.

Zur Erzeugung des Pressendruckes von etwa 6 at ist eine besondere Pumpe mit Regulator aufgestellt, s. Fig. 42. Das Tachometer wirkt auf ein Regulirventil in folgender Art: Für den normalen Gang fördert die Pumpe absichtlich reichlich zuviel Presswasser, und dadurch würde der Druck auf die Presskolben der Schleifkasten sehr rasch übergroß werden, die Turbine überlastet werden und zu langsam gehen, wenn nicht dieses überschüssige Presswasser durch ein verstellbares Freilaufventil entweichen könnte. Das Tachometer wirkt in der Weise, dass es jenes Ventil weiter öffnet, wenn die Umdrehungszahl sinkt, und es bei steigender Geschwindigkeit der Turbine mehr schließt. Hierdurch wird bei Neigung zum Langsamgehen der Pressendruck vermindert, für vorkommende Entlastung der Pressendruck entsprechend ge-

steigert und damit die Umdrehungszahl der Turbine in gewissen Grenzen gehalten. Ein großer Windkessel gleicht die Druckschwankungen des Pumpenkolbenbetriebes aus, und indirekte hydraulische Steuerung des Freilaufventiles erlaubt ein feinfühliges Spiel des Regulators an sich.

Sortirapparate, Raffineure, Entwässerungsmaschinen waren von Darblay im Betrieb mit dem oben genannten Schleifer aufgestellt. Die Sortirer sind die modellgetreue Kopie der Voithschen Sortirmaschine mit 2 Sieben; der Raffneur mit laufendem Bodenstein bot an sich nichts besonderes, ebensowenig die Entwässerungsmaschine, soviel bei der allein gestatteten Besichtigung des Ausförsers zu bemerken war.

Holzstofftrocknung. Der Versand des Holzstoffes auf weite Strecken ist wegen des großen Wassergehaltes im feuchten Stoffe nicht billig, und es giebt, um die Versendung auf große Strecken zu ermöglichen, verschiedene Verfahren zum Trocknen desselben, sei es für die Art als Schabstoff oder für die Pappenform. Besonders die nordischen Länder mit ihrer großen Holzstoffherzeugung haben an der Ausdehnung der Versandfähigkeit ein natürliches Interesse.

Ein Modell eines Trockenapparates für Holzspalten hatte die Aktiengesellschaft Kvaerner Brug in Christiania ausgestellt, welches, dem Wesen nach sich an bekannte Vorbilder anlehnend, ähnlich früheren Wolltrockenmaschinen u. dergl. das Trockengut unter Anwendung von Heißluftgegenstrom in einem Turmschacht hoch, im andern niedersteigen lässt. Die Pappen sind an wandernden Gerüsten mittels der bekannten Klammerkämme aufgehängt.

Zellulosefabrikation.

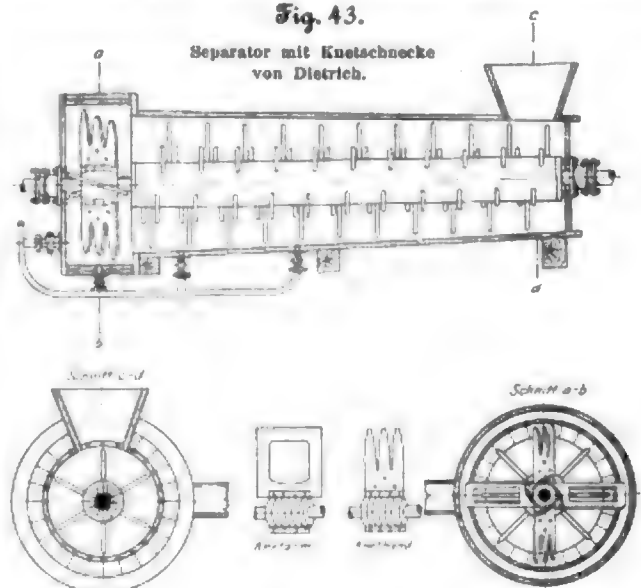
Eine einzige grössere Maschine, von P. Jametel, Paris, ausgestellt, hatte Beziehung zu diesem bedeutenden Industriezweige, der beispielsweise allein im Deutschen Reiche im Jahre 1897 etwa 225000 t Holzcellulose im Werte von 42 Mill. M. erzeugte.

Man schneidet für Zellulosefabrikation die Hölzer meist mittels umlaufender großer Messerscheiben in Scheiben quer ab, und es ist bekannt, dass das Schneiden wesentlich besser geht, wenn der Stamm nicht senkrecht zur Holzfaser, sondern schräg durchgehauen wird.

Während man die Messerwelle fast stets wagerecht anordnet und den Stamm sich in schräger Rutsche durch sein Eigengewicht gegen die Messer verschieben lässt, hat Jametel

Fig. 43.

Separator mit Knet-schnecke
von Dietrich.



den Stamm wagerecht gelegt und die Messerscheibe vornüber geneigt angeordnet. Dementsprechend liegt auch die Messerwelle schräg im Raume und bedarf zum Antriebe spitzwinklig konischer Räder, eine Anordnung, die nicht gut ist. An der ausgestellten Maschine fielen besonders auch die

sehr geringen Stärken von Messerscheiben- und Antriebswelle auf, die kaum auf längere Zeit einen guten Gang gewährleisten können, und die bei den Stößen, wie sie das Durchhacken von Stämmen bis zu 30 cm Stärke mit sich bringt, zweifellos sehr gefährdet sind.

Der selbstthätige Vorschub des Stammes erfolgt durch eine ununterbrochen laufende Gallsche Kette, in die ein Mitnehmer eingehakt wird; Selbstauslösung, nachdem der Stamm aufgeschnitten, ist vorhanden. Auf der Messerscheibe wechseln Messer mit durchlaufender Schneide mit solchen, bei denen die Schneide rechtwinklig ausgezackt ist. Letztere sollen Nuten in die Stirnseite des Holzes einschneiden, worauf das nachfolgende Planmesser die stehen gebliebenen Teile wegnimmt. Dass der Kraftbedarf dadurch verringert wird, ist gewiss; aber die Astkerne werden dabei durchweg in kleine Trümmer zerschlagen und sind so viel schwerer aus dem ge-

kochten Stoff zu entfernen, als wenn ganze Scheiben geschnitten werden.

Nach der Kochung muss die Stoffmasse durchgeknetet werden, um die Fasern zu lösen und die Aeste freizulegen. Von dazu dienlichen Maschinen hatte Dietrich, Mersburg, das Modell eines sogen. Separators mit Knetschnecke ausgestellt, Fig. 43, bei dem besonders der stete Wechsel der Knetstüßelform: Knetarm und Knetband, betont wird.

Auch die Knetmaschine von Werner & Pfleiderer erscheint hierfür geeignet.

Hiermit schließt der Ausstellungsbericht über die Maschinen für Papierfabrikation, und es erübrigt noch, denjenigen Ausstellern, welche mich durch Ueberlassung von Zeichnungen und sonstige Angaben bereitwilligst unterstützt haben, den gebührenden Dank auszusprechen.

Sitzungsberichte der Bezirksvereine.

Eingegangen 16. März 1901.

Frankfurter Bezirksverein.

Sitzung vom 20. Februar 1901.

Vorsitzender: Hr. Baumann. Schriftführer: Hr. Rissmann. Anwesend 30 Mitglieder und 58 Gäste.

Hr. Holzmüller spricht über Ebbe und Flut in technischer, mechanischer und kosmischer Hinsicht.

Schleswig-Holsteinischer Bezirksverein.

Sitzung vom 8. Februar 1901.

Vorsitzender: Hr. Veith. Schriftführer: Hr. E. Schmidt. Anwesend 27 Mitglieder und 7 Gäste.

Hr. Professor Weber (Gast) hält einen Vortrag:

Physikalische Rückblicke.

»M. H., das neue Jahrhundert hat begonnen, aber noch stehen wir seinem Anfange so nahe, dass es mir erlaubt schien, in diesem äußerlichen Merkstein unserer Kulturarbeit die Berechtigung zu einem Rückblick auf das verflossene Jahrhundert zu suchen. Zwar muss ich es mir versagen, bei diesem Rückblick in erster Linie die technischen Wissenschaften, in denen Sie, m. H., leben und arbeiten, zu berücksichtigen. Auch will ich Ihnen keine Abrechnung darüber aufmachen, ob die Technik mehr der Physik oder die Physik mehr der Technik verdankt. Aber davon darf ich, ohne als Physiker unbeschelden zu sein, wohl ausgehen, dass Sie mit mir von dem befruchtenden wechselseitigen Einfluss überzeugt sind, den rein wissenschaftliche Physik und Technik auf einander ausüben, und dass daher auch bei Ihnen ein greifbares Interesse an der Entwicklung und den Fortschritten der reinen Physik vorhanden ist.

Wie es aber dem Wanderer ein Bedürfnis ist, hin und wieder stille zu stehen und Umschau zu halten nach rückwärts und vorwärts, so bitte ich Sie, in dem Siegeslaufe ihrer gewaltigen technischen Arbeiten für ein Stündchen innezuhalten und die wichtigeren Ausgangspunkte oder, um es mit modernem elektrischem Schlagwort zu nennen, jene Quellpunkte neuer physikalischer Gesetze aufzusuchen, aus denen neue Zweige der Physik sowohl wie ganz neue technische Wissenschaften entspringen sind.

Die Mechanik trat in das verflossene Jahrhundert bereits mit jener hohen Vollkommenheit ein, die ihr Leonhard Euler und die großen französischen Physiker Lagrange, Laplace, d'Alembert gegeben hatten, und wenn auch Gauss und Hamilton wertvolle Sätze dazu gethan haben und sich einzelne Teile, wie z. B. die Graphostatik, zu beinahe selbständigen Wissenschaften entwickelt haben, so ist jenes Fundament doch unverändert geblieben und bildet für unabsehbare Zeit die sichere Grundlage aller mechanischen Berechnungen.

Ähnlich wie die Mechanik, hatte auch die Elastizitätstheorie schon zu Anfang des Jahrhunderts eine gewisse abgeschlossene Vollendung erfahren. Lediglich auf ganz einfachen Hypothesen über die Größe der Molekularkräfte fußend, haben Navier, Poisson, Cauchy eine Theorie entwickelt, welche für gegebene Körper mit gegebenen Konstanten die Deformation und die elastischen Gegenkräfte zu berechnen gestattet. Die hier sowie auf fast allen andern Gebieten der theoretischen Physik befolgte Methode besteht darin, sogenannte Elementargesetze, gewöhnlich in Gestalt von Differentialgleichungen, sei es nun hypothetisch aufzustellen oder aus Beobachtungen abzuleiten und alsdann auf dem Wege der reinen

Rechnung auf gegebene Körper endlicher Dimension in Anwendung zu bringen. Dazu sind dann Integrationen jener Differentialgleichungen erforderlich, die sich meistens nur für gewisse einfache Fälle exakt berechnen lassen. Darüber hinaus behilft man sich mit Annäherungsmethoden. Die Technik stellt meist verwickeltere Fragen, und die technischen Wissenschaften teilen sich daher mit den rein theoretischen in die Ausbildung zweckmäßiger Annäherungsmethoden.

Die Akustik steht mit einem Fusse auf der Elastizitätstheorie, mit dem andern auf der Physiologie des Gehörorgans. In ersterer Beziehung kam sie gleichzeitig mit der Elastizitätstheorie zu einem gewissen Abschluss, nach der andern Seite war es das Verdienst von Helmholtz, durch die Analyse der Töne und des Gehörorgans der Akustik neue Wege gewiesen zu haben. Im Gefolge dieser Theorien nahm die Technik der Musikinstrumente gewaltigen Aufschwung, Telephone und Phonographen konnten rationell konstruiert werden. Der Lösung harren noch 2 Aufgaben auf akustischem Gebiet: die Messung der Schallstärke, besonders des diffusen Schalles, nach Analogie der inzwischen in Angriff genommenen Messung des diffusen Lichtes, und dann die Akustik geschlossener Räume. In beiden Richtungen würden die Technik der Schallsignale und die Hochbautechnik von neuen theoretischen Grundlagen manches zu hoffen haben.

Aus der glänzenden Entwicklung der Optik mag zunächst die Entdeckung der Spektralanalyse durch R. Bunsen und G. Kirchhoff hervorgehoben werden. Mit einer für alle Zeiten bewundernswürdigen Schärfe des Denkens wurde das Kirchhoffsche Absorptions- und Emissionsgesetz auf jene selten dunklen Linien im Spektrum der Sonne in Anwendung gebracht, die Fraunhofer gefunden hatte, aber nicht erklären konnte. Seitdem hat die Spektralanalyse nicht bloß zahllose wissenschaftliche Arbeiter in Tätigkeit gesetzt und einen ganz neuen Zweig der Astronomie geschaffen, auch die Technik hat aus ihr Nutzen gezogen. Nach vielen Tausenden zählen die Spektrometer und Polarimeter, welche nicht nur physikalischer Forschung, sondern ihrer größten Masse nach der chemischen Industrie dienstbar sind.

Die einfachen Gesetze der Lichtbrechung und des Durchganges der Lichtstrahlen durch sphärische Linsen waren teils schon im Anfang des Jahrhunderts bekannt, teils wurden sie von Gauss und Listing in den 30er Jahren soweit entwickelt, dass man zusammengesetztere Instrumente, die Fernrohre und Mikroskope, »berechnen« konnte, und dass eine ausgiebige wissenschaftliche Grundlage gewonnen wurde, auf welcher sich eine große Industrie der dioptrischen Instrumente etwa von der Mitte des Jahrhunderts an entwickeln konnte. Ein neuer gewaltiger Aufschwung, den uns auf diesem Gebiete die letzten Jahrzehnte gebracht haben, hat wiederum seinen Ausgangspunkt von den überaus schwierigen und tief sinnigen theoretischen Untersuchungen genommen, die Professor Abbe in Jena angestellt hat, und in deren Gefolge die zielbewusste Herstellung der Jenenser Gläser auftrat.

Wie viel Nutzen nun auch die Technik aus dem Besitze guter Spektroskope, Mikroskope, Fernrohre und photographischer Geräte oder der Fabrikation dieser Massengegenstände ziehen mag, näher steht ihr wohl noch das große Kapitel der Wärme.

Die Dampfmaschine trat schon im wesentlichen fertig und gebrauchsfähig in das alte Jahrhundert ein, aber ihre Theorie fehlte noch, und ohne diese würde wohl kaum jener gewaltige Siegeszug stattgefunden haben, in welchem die Dampfmaschine in Fabriken, auf Eisenbahnen und Schiffen die Welt erobert und dem Kulturfortschritt des Jahrhunderts den eigent-

lichen Stempel aufgedrückt hat. Die Theorie ihrerseits fußt aber nicht bloß auf den feinen Maßbestimmungen eines Regnault, sondern zur Hauptsache auf dem großen Gesetz von der Äquivalenz der Wärme und der Arbeit, das 1842 von einem Arzte, Julius Robert Mayer in Heilbronn, aus seinen auf keinerlei praktische Ziele gerichteten Beobachtungen abgeleitet und dessen universelle Bedeutung als das Gesetz von der Erhaltung der Energie von Helmholtz dargelegt wurde. Der »Wärmestoff« wurde beseitigt; an die Stelle der Imponderabillen trat die Bewegung, und in den Fußstapfen von Fresnel und Melloni entwickelte sich die Strahlungs- und Wellenlehre, welche für die gesamte Physik ein neues methodisches Gewand und den gemeinsamen Erklärungsgrund für Licht, Wärme und Elektrizität schuf. Unstreitig ist vom rein wissenschaftlich-philosophischen Gesichtspunkte aus die Erkenntnis des Energiesatzes die größte Errungenschaft des Jahrhunderts. Hatte uns das 18. Jahrhundert die sichere Erkenntnis von der Unzerstörbarkeit der Materie gebracht, so fügte das 19. den Satz von der Unzerstörbarkeit der Energie hinzu. Für immer abgethan sind mit diesen beiden Gesetzen die alchemistischen Goldsucher und die Erfinder des perpetuum mobile. Neues Leben quoll hervor, nicht bloß auf dem zunächst beteiligten Gebiete der Wärme, sondern auf allen Gebieten der Physik. Ueberall folgt uns das Gesetz, zugleich führend und mäßigend. Unzerstörbar ihrer Menge nach, ist die Energie in der Form wandelbar. Sie erscheint bald als mechanische, bald als thermische, bald als chemische, bald als elektrische Energie. Alles Sein und Werden wird durch ihre Wandlungen erklärt, das Bild der Welt hat eine neue Beleuchtung erfahren. Das Weltkitt ist, wenn auch noch lange nicht gelöst, doch um einen Grad einfacher geworden. Was Wunder, dass sich die Theoretiker, welche diesem Gedankengange folgten, vielleicht allzu kühnen Hoffnungen hingaben. Betrachten doch die Energetiker vom reinsten Wasser die Energie als etwas, das genau ebenso wie die Materie seinen Ort verändern kann, und versuchen sie doch geradezu, die Bewegungsgesetze der Materie auf die Bewegung der Energie in Anwendung zu bringen. Wohl kennen wir zahlreiche Klassen von Erscheinungen, in denen die Energie am Orte *A* verschwindet und in einem mechanisch oder elektrisch verkoppelten Orte *B* wieder erscheint. Aber die Art des Transportes ist uns bisher nur bei mechanischen und Strahlungsvorgängen, keineswegs bei allen elektrischen bekannt. Der Transmissionsriemen, der die Arbeit von der Welle *A* auf die Welle *B* überträgt, ist auf Hin- und Rückgang verschieden gespannt. In dem Transport der höher gespannten Teile haben wir ein gewisses greifbares Bild von dem Transport der Energie. Wie ist es aber, wenn wir von einer Dynamomaschine die Energie einem Motor zuführen? Hin- und Rückleitung haben genau gleiche Stromintensität, genau die gleichen Spannungsdifferenzen. Hier fehlt uns eine Vorstellung über den Transport der Energie. Daher empfiehlt es sich, mit dem Energietransport nicht allzu flott zu rechnen. Ein spekulativer Hitzkopf versandte noch erst vor kurzem eine Broschüre, in welcher er die Energie in den kühnsten Parabeln und Hyperbeln ganz nach Art der Materie durch das Weltall strömen ließ. Soweit sind wir also noch nicht. Aber darüber können und müssen wir uns bei jeder Maschine, bei jedem technischen Betriebe durchaus klar sein, wo die Energie herkommt und wo sie schließlich bleibt. Je vollkommener die Ausnutzung der Energie, desto vollkommener der Betrieb, und wehe dem Techniker, der heutzutage bei den steigenden Kohlenpreisen Energie unnütz verschwendet.

M. H., das Gesetz von der Erhaltung der Energie ist für den gesamten Aufbau und die deduktive Herleitung der meisten physikalischen Disziplinen zum Grund- und Eckstein, zum leitenden Faden geworden, und in gleich hohem Maße wirkt es befruchtend und regelnd auf unzählige rein technische Fragen.

In engem Zusammenhange mit dem Energieprinzip steht der später von Clausius erkannte zweite Hauptsatz der mechanischen Wärmetheorie, dessen Kernpunkt das Clausius'sche Prinzip ist, wonach Wärme nicht von selbst von einem kalten zu einem warmen Körper übergehen kann. Es kommt in diesem zweiten Hauptsatz zum Ausdruck, dass einige Energieverwandlungen von selbst stattfinden können, d. h. ohne gleichzeitige andere Verwandlungen, dass aber die umgekehrten Energieverwandlungen nur dann möglich sind, wenn gleichzeitig eine dritte andere Verwandlung der ersten Art eingeleitet wird. Hiernach kommt jedem Vorgange, bei welchem Energie von einer Art in die andere verwandelt wird, ein gewisser positiver oder negativer Wahrscheinlichkeitsgrad zu, und der jeweilige Zustand der gesamten Welt lässt sich nach der Quantität der vorhandenen Energiequalitäten beziffern, was zu dem Begriffe der Entropie führt. Die Entropie der

Welt strebt einem Maximum zu, d. h. die für eine Verwandlung verfügbaren Energiemengen nehmen ständig ab, bis schließlich alle Energie in die am schwersten verwandelbare Energie der Wärme umgewandelt sein wird, was ja freilich noch etwas Zeit hat. Um die wissenschaftliche Klarstellung dieses Entropiegesetzes wird noch gerungen. Aber doch hat sich schon ein weittragender Einfluss des Satzes bemerkbar gemacht. Warum z. B. chemische Prozesse, Verbindungen oder Ausscheidungen gerade in dem einen und nicht in dem umgekehrten Sinne erfolgen, ist bereits durch den Entropiesatz erklärbar. Freilich soweit ist die wissenschaftliche Verarbeitung dieses Satzes noch nicht vorgeschritten, dass er unmittelbar in den Dienst der mehr physikalischen Gebiete der Technik gestellt werden könnte. Einschaltend möchte ich hierbei auf eine gewisse Klasse von Kräften hinweisen, deren Betrachtung schon wiederholt zu Tragischkeiten Veranlassung gegeben hat. Es sind das Kräfte, die entstehen, wenn irgend welche Energieverwandlungen im Gange sind. Der elektrische Strom ist eine solche im Gange begriffene Energieverwandlung. Lassen wir ihn durch einen Elektromagneten fließen und hängen einen schweren Anker daran, so wird das Gewicht getragen. Man kann dann leicht dazu geführt werden, diese Kraft, die sich übrigens auch in der ganzen Umgebung des Drahtes als magnetische Feldspannung bemerkbar machen würde, mit einer Arbeit zu verwechseln. Arbeit wird hier an dem getragenen Anker garnicht geleistet, denn Arbeit ohne Energieverbrauch ist $\text{Weg} \times \text{Kraft}$. Der Weg aber ist null. Die Frage, wie viel Arbeit gebraucht wird, um den Klotz zu halten, wäre also absurd, ebenso wie die häufig gestellte Frage, wie viel Arbeit verbraucht wird, um einen Vogel in gleicher Höhe schwebend, oder den Arm ausgestreckt zu halten. Die richtige Fragestellung müsste hier so lauten: Wie viel Energie muss sich mindestens von einer Form in die andere verwandeln, damit in der Nachbarschaft eine Kraft zustande kommt, welche der Schwere des Ankers das Gleichgewicht hält?

Derartige Kräfte sind offenbar wesentlich anderer Natur als die Kraft der Schwere oder die Kraft der gespannten Feder, welche zu bestehen scheinen, auch ohne dass gleichzeitig zwischen andern Körpersystemen Energieverwandlungen stattfinden.

Ich kann das Kapitel der Wärme nicht verlassen, ohne im Hinblick auf die technische Vervollkommenung der zu Heiz- und Beleuchtungszwecken verwandten Verbrennungsprozesse darauf hinzuweisen, dass auch hier vielfach die Weiterentwicklung der Theorie den Ausgangspunkt gebildet hat. So ergab sich als eine der mathematischen Folgerungen des Energieprinzips der Satz, dass die Verbrennungstemperatur mit zunehmender Anfangstemperatur der Brennstoffe steige; und die Technik entwickelte hierauf unter der Führung der Brüder Siemens die namentlich für die Eisengewinnung so überaus wertvollen Regenerativ- oder Vorwärmverfahren.

Ich komme nun zur Elektrizität. Bevor das 18. Jahrhundert begann, waren nur die als physikalische Kuriositäten behandelten elektrischen Funken bekannt, neben jener großen elektrischen Kundegebung der Natur in Blitz und Donner, die mit heiliger Scheu betrachtet wurde, und deren Verwandtschaft mit dem künstlichen elektrischen Funken ganz zuletzt von Franklin erkannt war. In der Konstruktion des Franklin'schen Blitzableiters, also in der Erfindung einer Schutzmaßregel gegen die Elektrizität, könnte man den Anfang der Elektrotechnik sehen. Aber an irgend welche nützbringende kulturelle Anwendung der sich hier verratenden Naturkräfte wurde noch nicht gedacht. Erst die noch mit mystischem Beiwerk versehenen Versuche Galvanis, an den elektrisch erregten Froschschenkeln die Lebenskraft zu studiren, rüttelten einen Zipfel jener Decke, durch welche bis dahin Dasein und Möglichkeit galvanischer Ströme und deren technische Verwendung dem menschlichen Wissen überhaupt verhüllt waren. Der Galvanismus trat im 19. Jahrhundert, von Volta seines mystischen Beiwerkes entkleidet und wissenschaftlich getauft durch das Voltasche Spannungsgesetz, als unentwickeltes Kind ein. Wer hätte es damals wohl voraussehen können, zu welchem Riesensatz des Leibes das Kind in hundert Jahren heranwachsen werde, welche Fülle von theoretischem Scharfsinn an seine Erziehung gesetzt werden, wie vielseitig seine Leistungen sein würden und welche kulturelle Arbeitskraft schließlich der Riese Elektrizität für die Menschheit werden würde!

Davy zeigte mit seinem Lichtbogen schon 1803, wie man die neu entdeckte Kraft als mächtige Lichtquelle verwenden könne. Freilich, so lange man Zink und Schwefelsäure als Brennstoff hierzu brauchte, war noch kein Geschäft zu machen; das änderte sich erst nach weiteren 50 Jahren. Inzwischen fand Oerstedt 1820 die Ablenkung der Magnetnadel durch den Strom, Ampère die Gesetze des Elektromagnetismus, und als

Gauß und Weber dann 1833 elektromagnetische Signale vom physikalischen Institut in Göttingen nach der Sternwarte mittels eines über den Göttinger Kirchturm gespannten Drahtes sandten, da war die Grundlage der Telegraphie geschaffen, deren technischer Ausbau durch die Namen von Wheatstone, Morse, Siemens, Hughes gekennzeichnet wird. Die Schwachstromtechnik mit allen ihren Zweigen entwickelte sich zu einer besonderen Wissenschaft.

Wieder einen neuen Ausgangspunkt bildeten die Entdeckungen Michael Faradays. Auf seinem Gesetze der Elektrolyse fußten die Galvanoplastik, die Galvanostegie, die Heranführung des galvanischen Stromes zu den technisch so wichtigen chemischen Arbeiten der Kupfer- und Aluminiumgewinnung und neuerdings des Calciumkarbids. Faradays höchster Ruhm ist aber die Entdeckung der Induktionsgesetze, denen von Wilh. Weber und Franz Neumann die strengere Begründung gegeben wurde. Er sah und untersuchte, wie elektrische Ströme entstehen können auch ohne Zinkverbrennung, lediglich durch das Entstehen und Verschwinden benachbarter Ströme und schließlich durch bloße mechanische mit Arbeit verbundene Bewegung von Magneten. So enthüllte sich ihm die Möglichkeit einer Verwandlung von mechanischer in elektrische Energie. Pacinotti, Gramme und Werner Siemens schufen auf dieser Grundlage die Technik der Dynamomaschine, und damit begann erst das eigentliche Zeitalter der Elektrizität. Denn nun war es möglich, in wirtschaftlich zweckmäßiger Weise die von der Natur gelieferten Energien der Kohle, des Wassers und des Windes in elektrische Energie und diese wieder in die bequemsten Formen der mechanischen Energie oder in Licht und Wärme umzuwandeln und von einem Orte nach dem andern überzuführen.

Hand in Hand mit der technischen Vervollkommenung der elektrischen Maschinen ging die Ausbildung der sie beherrschenden Gesetze, und wenn auch die grundlegenden Induktionsgesetze Faradays und das Ohmsche Gesetz noch unverändert ihre Gültigkeit haben, so musste doch mancherlei Anpassung dieser Gesetze an die praktischen Anwendungen gemacht werden. Ein folgerichtiges einfaches elektrisches Maßsystem war schon 1833 von Gauß und Weber geschaffen und wurde 1881 international vereinbart. Statt der theoretisch berechtigten Coulombschen Fernwirkungsformeln wurde der technisch handlichere Kraftlinienbegriff mehr und mehr eingeführt. Die zeitlichen Veränderungen von Strom und Magnetismus in den Maschinen mussten genauer studiert werden, neue Begriffe, wie Impedanz, Induktion, magnetische und elektrische Hysteresis mussten definiert und in die Rechnung eingeführt werden.

So sehen wir die Elektrizität täglich mit wachsender Kraft immer mehr in unser wirtschaftliches und technisches Leben eindringen, überall die Kultur vorwärts treibend und die Natur dem Menschen dienstbar machend. Manches Weltkräusel wird durch sie enthüllt, andere harren ihrer Lösung und wir verstehen die Worte William Thomsons: »Erkläre mir, was Elektrizität ist, so will ich dir alles übrige erklären.«

Denn das eigentliche Wesen der Elektrizität, ihre Erklärung nach Art sinnlich greifbarer Vorgänge, ist uns noch immer unbekannt, und daher ist sie noch unbegreifbar in ihrem innersten Grunde.

Manche Wege sind hierzu eingeschlagen. Ueber den gangbarsten möchte ich etwas eingehender reden, zumal er nicht bloß greifbare theoretische und rein wissenschaftliche Ergebnisse gehabt hat, sondern bereits seit kurzer Zeit in der Wellentelegraphie und der Röntgen-Technik die Grundlage für neue technische Disziplinen geworden ist.

Wir müssen zu diesem Behufe unsern Blick nochmals zurückwenden auf die Entwicklung der Theorien des Lichtes. Newton ging von der Vorstellung besonderer Lichtmoleküle aus und versuchte mit außerordentlicher Kunst alle jene wunderbaren Farbenerscheinungen zu erklären, die das Licht bei der Brechung oder bei der Reflexion an den Oberflächen sehr dünner Lamellen hervorbringt. Er musste seinen wie Projektile fortgeschleuderten Lichtmolekülen sehr komplizierte besondere Eigenschaften hinzufügen, um dem Experimente erklärend folgen zu können. Schließlich versagten auch alle seiner Emissionstheorie hinzugefügten Hypothesen. Erst als Huyghens mit der Theorie auftrat, dass das Licht aus sehr schnellen Schwingungen bestehe, und als Young die Gesetze der Interferenz aussprach, war ein neuer Ausgangspunkt für die Theorie gewonnen, die nun im Anfang des verflorenen Jahrhunderts von dem Franzosen Fresnel in bewunderungswürdiger Weise ausgearbeitet wurde. Diese sogenannte elastische Lichttheorie nimmt bekanntlich einen besonderen Stoff, den Lichtäther, an, der von überaus großer Feinheit, sich jeder Massenbestimmung entzieht, das ganze Weltall er-

füllt und alle greifbaren Körper mit Leichtigkeit durchdringt. Dabei wird dem Äther ein außerordentlich hoher Grad von Elastizität beigelegt, derart, dass schon bei den kleinsten erzwungenen Formänderungen sehr große Gegenkräfte, wie bei stahlharten Körpern, auftreten. So schwierig es nun auch sein mag, sich eine Vorstellung von diesem gleichzeitig unendlich dünnen und doch inkompressibeln hypothetischen Körper zu machen, so zeigte Fresnel doch, dass sich aus den einfachsten Eigenschaften solcher elastischer Körper mit mathematischer Notwendigkeit Schwingungen und Wellensysteme herleiten ließen, welche die verwirklichten Erscheinungen der Optik: die Reflexion, die Brechung, die Farbenstreuung, nicht weniger gut als die Interferenz und die Beugung des Lichtes und alle jene farbenprächtigen Experimente mit größter Genauigkeit zu erklären gestatteten, die wir beim Durchgang des Lichtes durch den isländischen Doppelspat und viele andere Krystalle beobachten. Bekanntlich nehmen wir nach dieser Theorie an, dass ein Lichtstrahl aus Ätherschwingungen besteht, welche nicht wie beim Schall in der Richtung der Fortpflanzung, sondern senkrecht dagegen liegen, sodass die längs eines Lichtstrahles liegenden Äthertheilchen etwa ebenso wie die Punkte einer gestrichenen Saite transversal um ihre Gleichgewichtslage schwingen und mit endlicher Geschwindigkeit jede Störung, jeden Anstoß fortpflanzen. Mit dieser Theorie feierte die Physik ihre höchsten Triumphe, besonders als es der mathematischen Analyse gelang, auch solche Lichterscheinungen voraussagen, wie z. B. die von Hamilton berechnete konische Refraktion, welche vorher kein Auge gesehen hatte. Die merkwürdige Polarisation des Lichtes erklärte sich nun einfach dadurch, dass bei einem durch Reflexion oder Brechung polarisierten Lichtstrahle die Schwingungen nicht mehr nach allen möglichen senkrecht zum Lichtstrahl liegenden Richtungen, sondern nur in einer den Strahl enthaltenden Ebene, der Polarisationsebene, stattfinden. Freilich zeigte sich hierbei, dass, wenn man etwa bei einem durch Reflexion polarisierten Lichtstrahle die Einfallsebene als Polarisationsebene bezeichnet, alsdann eine Erklärung der Einzelheiten auch möglich ist, wenn man die Schwingungen nicht in der Polarisationsebene, sondern senkrecht dazu annimmt. F. Neumann in Königsberg hielt an der ersten Vorstellung, Fresnel an der letzteren fest, und die Theorie schien keine sichere Entscheidung geben zu können.

Diese Lichtschwingungen gehen nun unfassbar schnell vor sich. Mehrere hundert Billionen mal in der Sekunde schwingt ein Äthertheilchen, und wenn man sich die zu gleicher Zeit vorhandenen Stellungen der längs des Lichtstrahles liegenden Teilchen als Wellenlinie nach Art einer Seilwelle vorstellt, so beträgt der Abstand der Wellenberge von einander, die sog. Wellenlänge, nur etwa $\frac{1}{1000000000}$ mm, oder auf 1 mm kommen rd. 2000 Wellen. Die längsten, als tief rotes Licht empfundenen Wellen haben, in millionstel mm ausgedrückt, die Wellenlänge von 760, die kürzesten als äußerstes Violett erkennbaren Wellen eine Länge von 430. Dieses verhältnismäßig kleine, kaum einer Oktave entsprechende Intervall der überhaupt als Licht erkennbaren Wellen legt naturgemäß die Frage nahe, was die Wellen von noch kürzerer oder von größerer Länge für Eigenschaften haben. Eine erste Antwort ergab sich durch Untersuchung der nicht sichtbaren Strahlen auf beiden Seiten des Spektrums. Man fand, dass die ultra-violetten Strahlen besonders durch chemische Wirksamkeit, die ultra-roten durch Wärmewirkung ausgezeichnet seien. Immerhin blieben solche Untersuchungen auf Ätherwellen beschränkt, die nur nach winzigen Bruchteilen eines Millimeters zählten. Wenn es nun Wellen gäbe, die vielleicht ganze Millimeter, ganze Centimeter oder Meter lang wären, was würden diese Wellen wohl für Eigenschaften haben? Darauf ist erst viel später auf einem weiten Umwege eine Antwort erfolgt.

Faraday bildete sich die Vorstellung aus, dass die magnetischen und elektrischen Fernwirkungen durch Vermittlung besonderer Polarisationszustände der Zwischenkörper zu erklären seien. Wenn ein elektrisch geladener Körper auf einen zweiten influenzierend wirkte, so sollte dies dadurch zustande kommen, dass in jedem kleinsten Teilchen des dazwischen liegenden Raumes, gleichgültig, ob er mit festen, flüssigen, gasförmigen Körpern oder mit nichts angefüllt sei, eine Trennung von positiver oder negativer Elektrizität stattfände, und dass so in diesem Dielektrikum die elektrische Wirkung sich von Teilchen zu Teilchen fortsetzte. So stellte er sich die elektrische Fernwirkung wie durch elastische Fäden vermittelt vor, welche an Quellungspunkten, d. h. positiv geladenen Stellen, entspringend, längs der Kraftlinien von einem Körper zum andern durch das Dielektrikum hindurch gingen und an den Sinkstellen, d. h. den negativen Punkten, endeten. Ebenso

zogen sich von dem Pole eines Magneten magnetische Kraftlinien durch den Raum, um allmählich herumbiegend zum andern Pol und innerhalb des Magneten zum ersten Pol zurückzugelangen. Faraday sah mit seinem gewaltigen Forscherauge, wie jede zeitliche Aenderung in der Lage oder Stärke der magnetischen Kraftlinien ein System senkrecht zu ihnen verlaufender elektrischer Kraftlinien erzeugte und umgekehrt. So erfüllte sich ihm der ganze Raum, in dem gleichzeitig magnetische und elektrische Kräfte auftraten, mit zwei sich gegenseitig umschlingenden Liniensystemen mit der bemerkenswerten Eigenschaft, dass jedes derselben eine gewisse rechtwinklige Lage zum andern hatte. In diesen Bildern fanden die Grundgesetze des Elektromagnetismus und der Induktion, wie sie von Biot und Savart, von Faraday und Lenz aufgestellt waren, eine anschauliche, ihre wechselseitige Verknüpfung erklärende Darstellung.

Faraday machte alles mit Anschauung. Er war kein geschulter Mathematiker. Erst Clerk Maxwell kleidete die Anschauungen Faradays in analytische Formeln. Er stellte seine berühmten Gleichungen auf. Diese treten immer zu Paaren auf, bedingt durch die Vertauschung elektrischer und magnetischer Kräfte, und haben die folgende Bedeutung: Auf der einen Seite der Gleichung steht z. B. die zeitliche Aenderung der elektrischen Kraft, also etwa $\frac{dN}{dt}$; dann steht auf der andern Seite die Größe der hierdurch bedingten magnetischen Kraft in Gestalt eines sogenannten Quirls $\frac{dM}{dz} - \frac{dN}{dy}$, d. h. einer

die elektrische Kraft rechtwinklig umlaufenden magnetischen Kraft. Ähnlich gilt dann umgekehrt eine Gleichung zwischen zeitlicher Aenderung der magnetischen Kraft und dem Quirl der (negativ genommenen) elektrischen Kraft. Eine gewisse Komplikation erfahren diese Gleichungen, wenn man die Art des materiellen Körpers mit berücksichtigt, für dessen Punkte die Gleichungen aufgestellt sind. Hier muss die verschiedene Magnetisierbarkeit und die verschiedene elektrische Leitfähigkeit mit in den Formeln zum Ausdruck kommen. Auch ist es nötig, eine Unterscheidung zwischen den gewöhnlichen elektrischen Strömen zu machen, die wir uns in einem Transport von Elektrizität vorstellen, und den sogen. dielektrischen Verschiebungsströmen, welche nur darin bestehen, dass sich im Dielektrikum eine Trennung der beiden Elektrizitäten innerhalb eines kleinsten Raumteilchens vollzieht. Ohne dass ich mich hier auf diese Verhältnisse einlasse, wird doch so viel aus den gemachten Andeutungen hervorgehen, dass, wenn irgendwo im Raume eine plötzliche Störung einer der Kraftarten eintritt, dies die Entstehung einer dazu senkrecht liegenden Kraft der andern Art zur Folge hat. Die Entstehung dieser Kraft muss wieder rückwärts auf die Veränderung der ersteren wirken, und so sehen wir die Möglichkeit eines vielfach wiederholten Wechsels, einer Art von Oszillation oder elektromagnetischer Schwingung vor uns. Maxwell machte nun die weitere Annahme, dass solche irgendwo im Raum ausgelöste Störungen einer der Kraftarten nicht bloß elektromagnetische Oszillationen an derselben Stelle hervorbringen, sondern auch die ursprüngliche Störung in den Raum nach andern Stellen fortpflanzen müssten. Nimm er diese Fortpflanzung nicht augenblicklich und zeitlos an, sondern gab er ihr eine endliche Geschwindigkeit, so war er imstande, aus seinen Grundgleichungen ganz ähnliche Wellengleichungen herzuleiten, wie sie Fresnel aus den elastischen Eigenschaften des Lichtäthers abgeleitet hatte, und aufgrund deren er alle Eigenschaften der Lichtstrahlen erklären konnte. So war zunächst im Einklang mit den bekannten Gesetzen der Induktion und des Elektromagnetismus die Möglichkeit erwiesen, dass elektrische Wellen mit im wesentlichen gleichen analytischen Formeln, Eigenschaften, wie die Lichtwellen existieren könnten. Ja noch mehr, die Vermutung lag nahe, dass der hypothetische Lichtäther, dessen wirkliches Dasein durch die beispiellosen Erfolge der theoretischen Optik gesichert schien, auch zugleich die Rolle jenes Dielektrikums spiele, welches als der Träger und Vermittler der elektrischen und magnetischen Fernwirkungen vorausgesetzt wurde, und dass die elektrischen Wellen uns vielleicht nur deshalb nicht ohne weiteres wahrnehmbar seien, weil ihre Länge sehr viel größer sei als die der Lichtwellen. Maxwell konnte dies nur als Vermutung hinstellen. Um Gewissheit zu erhalten, hätte man entweder das Vorhandensein elektrischer Wellen nachweisen müssen, oder es musste erwiesen sein, dass die Fortpflanzungsgeschwindigkeit der elektrischen Impulse dieselbe sei wie die Fortpflanzungsgeschwindigkeit des Lichtes. Zwar waren mehrfache experimentell gefundene Thatsachen bekannt, welche auf innige Beziehung der Elektrizität zum Licht zum mindesten hindeuteten. Die Zahl, welche in cm/sk gemessen die Fortpflanzungsgeschwindigkeit des Lichtes angab ($3 \cdot 10^{10}$), war

genau dieselbe wie die Verhältnisszahl der elektrischen Einheiten im elektrostatischen und elektromagnetischen Maßsystem, beide bezogen auf cm und sk. Sollte das bloß ein unbegreiflicher Zufall sein? Ferner war eine genau erwiesene Proportionalität zwischen dem Quadrate der Lichtbrechungs-exponenten und den Dielektrizitätskonstanten ermittelt. So wurde es immer wahrscheinlicher, dass der großen mathematischen Spekulation Maxwells die Wirklichkeit entsprechen müsse. Vor 13 Jahren hat nun Heinrich Hertz durch seine meisterhaften Versuche das geliefert, was noch fehlte. Schon 1865 waren im Physikalischen Institut in Kiel von Dr. Feddersen photographische Versuche gemacht, welche den Nachweis erbrachten, dass ein überschlagender elektrischer Funke aus einer Anzahl von Teilentladungen bestehe. Hier war also eine periodische elektrische Erschütterung vorhanden, die erste Vorbedingung für elektrische Wellen. Hertz experimentierte mit solchen Funken. Aber nicht jeder hätte die Wirkung einer elektrischen Strahlung gefunden. Denn zunächst musste Hertz sich darüber klar werden, dass und wie die Oszillationsgeschwindigkeit des Funkens von den Abmessungen der sich entladenden Metallkörper abhängt. Dann musste er den Gedanken eines elektrischen Resonators fassen und diesem die entsprechende Abmessung geben, bis es ihm endlich gelang, zunächst in kurzen Entfernungen mikroskopisch kleine sekundäre Plättchen als wirklichen Effekt der Strahlung zu beobachten. Als er dann den primären Funken in die Brennpunktlinie eines parabolischen Metallspiegels brachte, konnte er seine elektrischen Strahlen zusammenhalten und auf weitere Entfernungen durch Mauern und Wände hindurchleiten. Seitdem haben sich diese Strahlen in jeder Weise den Lichtwellen gleichartig gezeigt. Sie befolgen die Gesetze der Brechung, der Reflexion, der Beugung, der Interferenz und der Polarisation des Lichtes. Ihre Fortpflanzungsgeschwindigkeit wurde gemessen und schon von Hertz annähernd gleich der Lichtgeschwindigkeit, später immer genauer dieser gleich gefunden. Nur die Wellenlänge der elektrischen Strahlung war von anderer Größenordnung. Man fand zuerst mehrere Meter. Heute kennt man bereits die Mittel, auch kleinere elektrische Wellen von Centimeter-Länge herzustellen, immer freilich noch sehr groß gegen Lichtwellen.

So ist durch die genialen Forschungen von H. Hertz die von Faraday und Maxwell vorausgesehene Identität oder Verwandtschaft zwischen Elektrizität und Licht zur sicher begründeten Erkenntnis geworden. Wir dürfen darauf rechnen, dass Lichtwellen und elektrische Wellen dasselbe sind, nur verschieden durch Wellenlänge und Wirkung auf unsere Sinnesorgane. Die Lichttheorie wird ihren Ausgangspunkt künftig nicht mehr von den elastischen Grundgleichungen des Äthers, sondern von den elektromagnetischen Gleichungen Maxwells nehmen. Der alte Streit zwischen Fresnels und Neumanns Meinung, ob das Licht senkrecht oder in der Polarisations-ebene schwinde, wird gegenstandslos, wenn auch das Licht zugleich aus elektrischen und magnetischen Schwingungen besteht, die senkrecht auf einander stehen.

Wie die früher erwähnten rein wissenschaftlichen Entdeckungen der Physik die Grundlage geworden sind für neue Gebiete der Technik, so haben auch die Hertzischen Wellen bereits die neue Technik der Marconischen oder Wellentelegraphie hervorgerufen, deren rasche Entwicklung wir zurzeit beobachten.

Unzweifelhaft dürfen wir diese so gewonnene Einsicht in die nahe Verwandtschaft zwischen Elektrizität und Licht als einen bedeutenden Beitrag zu der Frage: Was ist Elektrizität? betrachten. Aber diese Verwandtschaft bezieht sich zunächst nur auf elektrische Schwingungen, also auf zeitlich veränderliche elektrische Zustände. Die stationären elektrischen und magnetischen Zustände, also der Gleichstrom, der geladene elektrische Körper und der Magnetismus des Eisens sind ihrem eigentlichen Wesen nach noch immer ein Rätsel. In dieser Beziehung hat Röntgens schöne Entdeckung, die gewiss ein wichtiger Quellpunkt in dem Strahlgebiete physikalischer Forschung und nicht minder der technischen Verwertung geworden ist, uns noch keine endgültige Erkenntnis gegeben. Die hier auftretenden Strahlen, welche die festen Körper und selbst Metalle durchsetzen, haben durchaus andere Eigenschaften als die Lichtstrahlen. Vielleicht kennen wir die letzteren und ihre unsichtbaren Verwandten aber noch nicht genau genug, und vielleicht findet sich auch hier noch ein verbindendes Glied.

Das Studium der Röntgen-Strahlen und die damit in weiterem Zusammenhang stehenden, von sehr vielen Physikern untersuchten elektrischen Entladungen durch Gase drängen nun immer mehr und mehr dazu, irgend eine bestimmte Vorstellung zu bilden, worin der Zustand eines elektrisierten Gases besteht. Merkwürdigerweise kommt man hier fast gaus un-

bewusst und mit Notwendigkeit auf die ältesten Vorstellungsbilder zurück. Oder erinnern die von den Elektroden der Röntgen-Röhren fortgeschleuderten Gas- oder Metallatome nicht höchst auffällig an Newtons Emissionshypothese, an seine fortgeschleuderten Lichtmoleküle? Oder, wenn wir nicht einmal soweit zurückgehen, kommen wir mit den elektrisch geladenen unendlich kleinen Gastelchen, welche lustig durch die Geißler- und Röntgen-Strahlen fliegen, nicht wie von selbst auf die lange Zeit so heftig verpönte Vorstellung elektrischer Fluide zurück? In der That scheint es so, als wenn auch hier das Wort gelten sollte: »On revient toujours à ses premiers amours«. Nur giebt man dem Kinde jetzt einen andern Namen. Als Corpuscular-Theorie wird diese Vorstellung jetzt bezeichnet, und statt des Fluidums erscheinen die elektrischen Ionen.

Diese von namhaften Physikern, insbesondere von J. J. Thomson, Heydweiller, Elster und Götzel entwickelte Vorstellungsweise ist etwa folgende: Ein Gas im gewöhnlichen Zustande ist ein vollkommener Nichtleiter. Es kann aber durch verschiedene Einflüsse, wie hohe Temperatur, Durchstrahlung mit Röntgen- oder Becquerel-Strahlen, leitend werden. Der so erorbene Zustand wird erklärt, indem man einen Zerfall der Gasmoleküle in ein positiv und ein negativ elektrisches Ion annimmt. Diese Ionen tummeln sich nun von einander getrennt zwischen den unersetzten Gasmolekülen umher. Bringt man zwei Elektroden verschiedenen elektrischen Potentials in das Gas hinein, so werden die negativen Ionen nach der positiven Elektrode und die positiven Ionen zur negativen Elektrode gezogen, kompensieren einen Teil von deren Ladungen und bewirken sonach dasselbe, was das Gas als regelrechter Leiter gemacht haben würde. Dieser Zustand des Gases heißt nun ionisirt.

So wird der Zustand der atmosphärischen Luft als ionisirt angenommen. Das ultraviolette Sonnenlicht bewirkt ihn. Die Erde selbst ist negativ geladen. Daher müssen die positiven Ionen in die unteren Schichten wandern, und sie bewirken hier das positive Vorzeichen der Schönwetter-Elektrizität. Mit großem Erfolg ist diese Vorstellungsweise zur Erklärung der

höchst verwickelten Vorgänge der atmosphärischen Elektrizität in Anwendung gebracht, besonders nachdem ermittelt war, dass die elektrischen Ionen als Kondensationskerne für Wasserdampf wirken, die negativen in höherem Maße als die positiven.

Wir brauchen schließlich nur anzunehmen, dass diese Ionen, deren Kleinheit unbegrenzt gedacht werden kann, ebenso leicht wie der Aether die festen Körper durchdringen können, so sind wir damit ganz zu den elektrischen Fluidis, die jetzt nur umgetauft sind, zurückgekommen.

Ich habe mit diesen Bemerkungen darauf hinweisen wollen, dass wir trotz aller Fortschritte von Maxwell und Hertz doch noch nicht davon loskommen, mit einem Etwas zu rechnen und zu denken, das wir Elektrizität nennen. Sprechen doch Maxwell und Hertz selber überall von dieser Elektrizität. Was sie ist, bleibt nach wie vor ein Rätsel, und vermaßen wäre es, zu sagen, dass wir die Lösung desselben in absehbarer Zeit erwarten könnten. Doch das ist Zukunftsmusik und gehört nicht mehr zum Rückblick auf die verflossene Zeit mit ihren sicheren und greifbaren und technisch verwertbaren Ergebnissen.

So viel aber mag uns dieser scheue Blick nach vorwärts doch lehren, dass der physikalischen Forschung der Weg nicht mit Brettern vernagelt zu sein scheint, sondern dass noch weite Gebiete voraus liegen, in deren Dichtigkeit wir hoffen dürfen, gangbare Wege zu schlagen.

Dass wir dabei auf neue Quellungsgebiete physikalischer Erkenntnis stoßen werden, auf ungeahnte Bergesgipfel mit weitem Umblick, das darf erwartet werden. Und dass in Verbindung damit auch der Technik neue Gebiete erschlossen, alte befruchtet werden, ist nicht minder zu erwarten.

Darum gestatten Sie mir, m. H., den Wunsch, dass auch Sie der bisher so fruchtbaren Wechselwirkung zwischen Theorie und Praxis Anerkennung zuteil werden lassen und von diesem Gesichtspunkte aus auch die Arbeiten und Fortschritte der Theoretiker mit Ihrem freundlichen Interesse begleiten.

Bücherschau.

Dynamik der Kurbelgetriebe mit besonderer Berücksichtigung der Schiffmaschinen. Von Dr. phil. H. Lorenz, dipl. Ingenieur, Professor an der Universität Göttingen. Leipzig, B. G. Teubner. 156 S. 8° mit 66 Fig. Preis geb. 5 M.

Der Verfasser hat in Z. 1897 S. 998 einen Aufsatz »Die Massenwirkungen am Kurbelgetriebe und ihre Ausgleichung bei mehrkurbeligen Maschinen« veröffentlicht, dessen Inhalt jedoch nicht in allen Teilen einwandfrei war (s. Z. 1899 S. 83). Das veranlasste ihn, den Gegenstand einer gründlichen Neubearbeitung zu unterziehen, deren Ergebnisse in den Jahrgängen 1899 und 1900 der Zeitschrift für Mathematik und Physik veröffentlicht sind und jetzt mit einigen Zusätzen in geschlossener Buchform vorliegen.

Bei dem großen Interesse, das dem genannten Problem von vielen Ingenieuren entgegengebracht wird, sei im Folgenden der Inhalt der äußerst lehrwerten Schrift ausführlich wiedergegeben. Dabei werde zunächst von der Einleitung abgesehen.

Es wird angenommen, dass alle Kurbeltriebe in parallelen Ebenen und auf dieselbe Achse wirken, außerdem, dass die Schubrichtungen (Kreuzkopfbahnen) sämtlich in derselben durch die Achse gehenden Ebene liegen. Die gemeinschaftliche Achse wird als Z-Achse, eine durch einen beliebigen Punkt der Achse parallel zu den Kreuzkopfbahnen gelegte Gerade als X-Achse und eine zu beiden senkrechte Gerade als Y-Achse eines rechtwinkligen räumlichen Koordinatensystems gewählt. Aus dem geometrischen Zusammenhange ergibt sich dann in sehr einfacher Weise zunächst für ein Kurbelgetriebe die Kreuzkopfgeschwindigkeit und -beschleunigung $\frac{dx}{dt}$ und $\frac{d^2x}{dt^2}$, die Komponenten der Geschwindigkeit und Beschleunigung für einen einzelnen Punkt der Pleuelstange $\frac{dx'}{dt}$ und $\frac{d^2x'}{dt^2}$, schließlich die Komponenten der Geschwindigkeit und Beschleunigung für einen einzelnen Punkt der Kurbel $\frac{dx''}{dt}$ und $\frac{d^2x''}{dt^2}$. Die Geschwindigkeiten stellen sich

als Funktionen des Kurbeldrehwinkels φ und der Winkelgeschwindigkeit $\omega = \frac{d\varphi}{dt}$ dar, und zwar als unendliche Reihen, die nach \sin bzw. \cos der Vielfachen von φ fortschreiten; in die Formeln für die Beschleunigungen tritt natürlich noch die Winkelbeschleunigung $\frac{d\omega}{dt}$ ein. An einigen Zahlenbeispielen wird gezeigt, dass es genügt, die Reihen mit $\sin 2\varphi$ bzw. $\cos 2\varphi$ abzubreaken. Multipliziert man die Beschleunigungen mit den Massen der in den Punkten x, x', x'' und y, y', y'' liegenden Elemente von Gleitstück, Schubstange und Kurbel (die bezüglichen Gewichte seien mit dP, dG und dK bezeichnet), so erhält man mit Rücksicht auf das Vorzeichen die Massendrücke (Trägheitswiderstände) als: $dX = -\frac{dP}{g} \frac{d^2x}{dt^2}$; $dX' = -\frac{dG}{g} \frac{d^2x'}{dt^2}$; $dX'' = -\frac{dK}{g} \frac{d^2x''}{dt^2}$; $dY = -\frac{dP}{g} \frac{d^2y}{dt^2}$; $dY' = -\frac{dG}{g} \frac{d^2y'}{dt^2}$; $dY'' = -\frac{dK}{g} \frac{d^2y''}{dt^2}$, aus denen sich durch einfache Integrationen die Gesamtmasendrücke der einzelnen Glieder und damit der Massendruck des ganzen Getriebes berechnen lassen: $D_z = X + X' + X''$; $D_y = Y + Y'$. Die Formeln für den Massendruck eines zweiten Kurbelgetriebes unterscheiden sich nur dadurch von den so entwickelten Formeln, dass an die Stelle von φ der Winkel $\varphi_1 = \varphi + \alpha_1$ tritt, wo α_1 der Voreilwinkel der zweiten Kurbel vor der ersten ist. Für eine n -kurbelige Maschine findet sich so der Massendruck aus:

$$D_z = \sum_{i=1}^{n-1} D_z^{(i)}; \quad D_y = \sum_{i=1}^{n-1} D_y^{(i)}.$$

Die Formeln für diese Massendrücke haben folgende Gestalt:

$$D_z = \omega^2 \cos \varphi \sum A_i - \omega^2 \sin \varphi \sum B_i + \frac{d\omega}{dt} \cos \varphi \sum C_i + \frac{d\omega}{dt} \sin \varphi \sum A_i + \omega^2 \cos 2\varphi \sum C_i - \omega^2 \sin 2\varphi \sum D_i + \frac{d\omega}{dt} \cos 2\varphi \sum D_i + \frac{d\omega}{dt} \sin 2\varphi \sum C_i$$

und

$$D_i = \epsilon^2 \sin \varphi \sum E_i + \epsilon^2 \cos \varphi \sum F_i + \frac{d\epsilon}{dt} \sin \varphi \sum F_i - \frac{d\epsilon}{dt} \cos \varphi \sum E_i;$$

soll die Maschine ausgeglichen sein, sollen also die Massendrücke stets, d. h. für jedes φ , ϵ und $\frac{d\epsilon}{dt}$, verschwinden, so müssen die 6 Größen $\sum A_i$, $\sum B_i$, $\sum C_i$, $\sum D_i$, $\sum E_i$, $\sum F_i$, die nur die konstanten Massen der Getriebeteile, deren Abmessungen und die Kurbelvoreilwinkel enthalten, einzeln = 0 werden. Das liefert also 6 erste Bedingungsgleichungen.

Zum völligen Ausgleich müssen aber nicht nur die Summen der D_i und D_i verschwinden, sondern auch die Momente der D_i und D_i in bezug auf einen beliebigen Punkt der Achse; andernfalls würde das Moment der D_i Pendelungen um eine wagerechte Querachse (parallel der Y-Achse) des Schiffes, das der D_i solche um eine lotrechte Achse (parallel zur X-Achse) des Schiffes hervorrufen. Bezeichnet man also den Abstand der Ebene des i -ten Kurbelgetriebes von dem beliebig gewählten Momentenpunkt mit a_i , so muss auch sein:

$$\mathcal{M}_i = \sum_{i=1}^n a_i D_i^{(0)} = 0; \quad \mathcal{M}_i = \sum_{i=1}^n a_i D_i^{(0)} = 0;$$

das liefert in derselben Weise wie früher die 6 neuen Bedingungen:

$$\sum A_i a_i = 0; \quad \sum B_i a_i = 0; \quad \sum C_i a_i = 0; \quad \sum D_i a_i = 0; \\ \sum E_i a_i = 0; \quad \sum F_i a_i = 0.$$

Die beiden Gruppen von je 6 Bedingungsgleichungen lassen sich nun sehr einfach so umformen, dass in den ersten 4 Gleichungen jeder Gruppe mit gewissen Strecken multipliziert nur das Gewicht der hin- und hergehenden Massen (Kreuzkopf, Kolbenstange, Kolben) und der Anteil vom Gewicht der Schubstange auftritt, der nach den Gesetzen der Statik als Auflagerdruck auf den Kreuzkopf entfällt. In den übrig bleibenden 2 Gleichungen jeder Gruppe erscheinen dann, ebenfalls mit bestimmten Strecken multipliziert, das Gewicht der Kurbel und der als Auflagerdruck auf den Kurbelzapfen entfallende Teil des Schubstangen Gewichtes. Bezeichnet man diese Produkte aus den erwähnten Gewichten und den zugehörigen Strecken (Lorenz nennt sie reduzierte Momente der hin- und hergehenden Massen bzw. rotirenden Massen) mit Q_i bzw. R_i für das i -te Kurbelgetriebe, so nehmen schließlich die sämtlichen Ausgleichbedingungen folgende Gestalt an:

$$\begin{array}{ll} 1) \quad \sum Q_i \cos \alpha_i = 0; & \sum Q_i \sin \alpha_i = 0 \\ 2) \quad \sum Q_i \frac{r}{l} \cos 2\alpha_i = 0; & \sum Q_i \frac{r}{l} \sin 2\alpha_i = 0 \\ 3) \quad \sum R_i \cos \alpha_i = 0; & \sum R_i \sin \alpha_i = 0 \\ 4) \quad \sum Q_i a_i \cos \alpha_i = 0; & \sum Q_i a_i \sin \alpha_i = 0 \\ 5) \quad \sum Q_i \frac{r}{l} a_i \cos 2\alpha_i = 0; & \sum Q_i \frac{r}{l} a_i \sin 2\alpha_i = 0 \\ 6) \quad \sum R_i a_i \cos \alpha_i = 0; & \sum R_i a_i \sin \alpha_i = 0. \end{array}$$

Für eine unendlich lange Schubstange wird $\frac{r}{l} = 0$; damit entfallen die Gleichungen (2) und (5). Die noch verbleibenden Gleichungen, die den vollständigen Ausgleich von Kurbelschleifengetriebenen umfassen, nennt Lorenz Ausgleichbedingungen erster Ordnung; die Gleichungen (2) und (5), die den Einfluss der endlichen Schubstangenlänge darstellen, heißen Ausgleichbedingungen zweiter Ordnung.

Eine kurze Ueberlegung führt nun dazu, den Schlickschen Vorschlag anzunehmen, nämlich die rotirenden Massen für sich durch besonders an den beiden äußeren Kurbeln in geeigneter Lage angebrachte Gegenarme auszugleichen. Die aus den Gleichungen (3) und (6) folgenden Bedingungen für die Größe und den Aufkeilwinkel dieser Gegengewichte werden abgeleitet.

Es bleiben sonach noch als Grundlage für alles folgende die 8 Gleichungen (1), (4), (2), (5) übrig.

Der Rest des ersten Kapitels ist nun der Diskussion dieser 8 Ausgleichbedingungen für die hin- und hergehenden Massen bei der Vierkurbelmaschine gewidmet. Dabei wird insbesondere der in der Praxis beliebte Fall der symme-

trisch angeordneten Vierkurbelmaschine mit 2 rechten Winkeln im Kurbelkreis behandelt, der freilich nur einen Massenausgleich erster Ordnung zulässt. Die 8 Ausgleichbedingungen lassen sich auch, wie man sieht, als Gleichgewichtsbedingungen auffassen für die Kräfte Q_i , die unter den Winkeln α_i und für die Kräfte $Q_i \cdot \frac{r}{l}$, die unter den Winkeln $2\alpha_i$ gegen die

Wagerechte geneigt sind. Diese Ueberlegung führt zu einer zeichnerischen Konstruktion für die Ermittlung des Massenausgleichs, die ebenfalls kurz besprochen wird. Schließlich werden die Massendrücke im Balanciergetriebe der Kondensatorluftpumpen bei Schiffsmaschinen in derselben Weise behandelt wie die des einfachen Schabkurbelgetriebes.

Das zweite Kapitel bringt die Erörterungen über den Energieaustausch.

Die kinetische Energie (lebendige Kraft) des Getriebes ist schnell berechnet als

$$J = \int \frac{dP}{2g} \left(\frac{dx}{dt} \right)^2 + \int \frac{dG}{2g} \left[\left(\frac{dx}{dt} \right)^2 + \left(\frac{dy}{dt} \right)^2 \right] + \int \frac{dK}{2g} \left[\left(\frac{dx}{dt} \right)^2 + \left(\frac{dy}{dt} \right)^2 \right];$$

noch leichter berechnet sich die potentielle Energie als

$$V = Ph + Gk + Kk',$$

wo h , k und k' die Höhen der Schwerpunkte von Kreuzkopf mit Kolbenstange und Kolben, Schubstange und Kurbel über einer beliebigen wagerechten Ebene bedeuten.

Es folgen jetzt die Untersuchungen über die Arbeit der treibenden Kraft. In bekannter Weise wird aus dem Indikatorgramm das Kolbenkraftdiagramm und aus diesem das Tangentialdruckdiagramm abgeleitet. Um dieses der Rechnung zugänglich zu machen, muss der Tangentialdruck in eine nach \sin und \cos der Vielfachen des Kurbeldrehwinkels φ fortschreitende Fouriersche Reihe entwickelt werden, deren Koeffizienten nur durch mechanische Integration mittels des Planimeters oder Integrations oder durch ein besonderes, übrigens sehr kostbares Instrument, den harmonischen Analysator, ermittelt werden können. Nachdem dies aber geschehen ist, lässt sich die Arbeit des Tangentialdruckes

$$A = \int T r d\varphi \text{ mit Leichtigkeit berechnen.}$$

Jetzt kommt nur noch die Widerstandsarbeit in Betracht, die sich aus Reibungsarbeit und Nutzwiderstandsarbeit zusammensetzt. Die Reibung wird am besten dadurch berücksichtigt, dass man an dem Tangentialdruck einen entsprechenden Abzug vornimmt, also einen wirksamen Tangentialdruck T' einführt. Für den Nutzwiderstand wird das einfache Gesetz $W = C v^2$ zugrunde gelegt, jedoch wird auch eine allgemeinere Form $W = f(v, \epsilon)$ in Betracht gezogen, wie auch der Fall, dass der Nutzwiderstand nur graphisch in Gestalt einer Kurve gegeben ist.

Das ganze Vorhergehende war nur die Vorbereitung der wichtigen Frage, welches Gesetz die Winkelgeschwindigkeit ϵ befolgt. (Man muss berücksichtigen, dass die wirkliche Größe der Massendrücke bis hierher noch nicht berechnet werden konnte, weil die Werte ϵ und $\frac{d\epsilon}{dt}$ in den Formeln vorkamen.)

Zur Lösung dieser Frage führt nun das Arbeitsprinzip: der Ueberschuss der treibenden Arbeit über die Widerstandsarbeit dient zur Erhöhung der kinetischen Energie und potentiellen Energie (Hebung der Gewichte), oder

$$dJ + dV = T r d\varphi - W r d\varphi.$$

Die Integration des letzten Gliedes dieser Gleichung muss natürlich für den Fall, dass die Widerstandskurve gegeben ist, wieder mechanisch mittels des Planimeters ausgeführt werden; unter Zugrundelegung der beiden oben genannten Widerstandsgesetze führt die Anwendung eines integrierenden Faktors zum Ziele. Eine kleine Schwierigkeit ergibt sich noch insofern, als bei praktischen Aufgaben nicht die Totpunktgeschwindigkeit ϵ_0 , sondern die mittlere Geschwindigkeit ϵ_m gegeben ist.

Die letzten beiden Paragraphen beschäftigen sich noch mit dem Einfluss der elastischen Formveränderungen der Kurbelwelle. Am Maschinenlager wirkt das Tangentialdruckmoment $T r$, am Propeller das Widerstandsmoment $W r$. Der Drehwinkel an der ersteren Stelle sei φ_1 , der an der letzteren

q_1 , die Länge des Wellenstückes sei a_0 , der Schubelastizitätsmodul S und das polare Trägheitsmoment des Wellenquerschnittes θ . Dann ist das Torsionsmoment

$$M_0^2 = \frac{S\theta}{a_0} (q_1 - q_2).$$

Denkt man sich nun der Einfachheit halber die Welle dicht hinter dem Maschinenlager durchgeschnitten und das Torsionsmoment als Widerstand eingeführt, und umgekehrt am Propellerende das Torsionsmoment als treibende Kraft, so lauten die Energiegleichungen:

$$Tr - M_0 = \Theta_1 \frac{d^2 q_1}{dt^2}; \quad M_0 - W'r = \Theta_2 \frac{d^2 q_2}{dt^2},$$

wo Θ_1 und Θ_2 die Trägheitsmomente der an den beiden Stellen angehängten Massen bedeuten. Durch Einsetzen des Wertes von M_0 in diese beiden Gleichungen resultieren 2 simultane Differentialgleichungen für q_1 und q_2 , die sich einzeln nicht integrieren lassen, die aber zu einer Differentialgleichung für die Winkeldifferenz $\Delta q = q_1 - q_2$ von folgender Gestalt führen:

$$\frac{d^2 \Delta q}{dt^2} + c^2 \Delta q = f(t),$$

wo f eine periodische Reihe, die nach Vielfachen des Winkels t_{-1} fortschreitet, und c^2 eine von Θ_1 , Θ_2 , S , θ und a_0 abhängige, aber von T und W' vollständig unabhängige GröÙe ist. Das allgemeine Integral dieser Gleichung setzt sich aus 2 Gliedern $\Delta q'$ und $\Delta q''$ zusammen, deren erstes die beiden erforderlichen Integrationskonstanten enthält und die Gleichung $\frac{d^2 \Delta q'}{dt^2} + c^2 \Delta q' = 0$ für sich erfüllt. Dieses Glied stellt eine einfache harmonische Schwingung dar, die, da sie nur von den Abmessungen und dem Material der Kurbelwelle abhängt,

die Eigenschwingung genannt wird. Das zweite Glied des Integrates enthält keine Integrationskonstante mehr und befriedigt für sich die Gleichung $\frac{d^2 \Delta q''}{dt^2} + c^2 \Delta q'' = f(t_{-1})$.

Dieses Glied giebt den Einfluss der äußeren Kräfte T und W' wieder und stellt die sogenannten erzwungenen Schwingungen dar. Gefahr für den Bestand der Welle kann nun eintreten, wenn die Periode der erzwungenen Schwingungen der der Eigenschwingung nahe kommt; dann entsteht Resonanz. Die Bedingungen hierfür werden eingehend erläutert. Schließlich werden die gewonnenen Ergebnisse mit den Versuchen von Rädinger, Fränzel, Bauer über die Torsionsschwingungen von Kurbelwellen verglichen.

Es muss noch nachgetragen werden, dass der Verfasser an die Erörterungen über das Tangentialdruckdiagramm einen Paragraphen über die Mittel zur Erzielung eines möglichst günstigen Verlaufes dieses Diagrammes anschließt, und dass in der Einleitung mithilfe des d'Alembertschen Prinzips und des Lagrangeschen Verfahrens zur Untersuchung zwangsläufiger Systeme erforscht wird, inwiefern sich die Bewegungsgleichungen für ein Schiff mit laufender Maschine von den Bewegungsgleichungen für ein starres System unterscheiden.

Gerade diese einleitenden Bemerkungen sind etwas recht allgemein und wenig anschaulich gehalten; auch sonst hätte bei den allgemeinen Prinzipien der Dynamik, die dem Ingenieur doch noch wenig geläufig sind, etwas mehr Ausführlichkeit nichts geschadet. Sonst sind mir nur wenige formelle Fehler (schlechte Buchstabenbezeichnungen usw.) und allerdings ziemlich viel Flüchtigkeits-Druckfehler aufgefallen.

Das Studium des Buches kann jedem Ingenieur, der mit dem nötigen mathematischen Rüstzeug versehen ist, warm empfohlen werden.

Berlin, Juli 1901.

F. Preufs, Dipl.-Ing.

Zeitschriftenscha.¹⁾

(*) bedeutet Abbildung im Text.)

Beleuchtung.

Dauerbogenlampe Regina. (Journ. Gasb.-Wasserv. 24. Aug. 01 S. 685/86*) Bei der neuen Bogenlampe soll durch selbstthätige Regelung der Bauernstoffzufuhr eine vollkommene Verbrennung erzielt werden. Beide Kohlen brennen stumpf ab. Die Lampe kann unmittelbar an eine Spannung von 110 V angeschlossen werden. Eine 110-voltige Lampe mit 8 Amp Stromverbrauch erforderte 1,075 Watt pro HK-st. Darstellung der räumlichen Lichtverteilung.

Bergbau.

Die Abbauwürdigkeit der Lagerstätten. Von Höfer. (Oesterr. Z. Berg- u. Hüttenw. 17. Aug. 01 S. 441/48*) Der Verfasser bestimmt die Grenze der Bauwürdigkeit, d. h. diejenige Grenze, wo die durch den Verkauf des Minerals erzielten Einnahmen die Auslagen gerade decken. Bestimmung dieser Grenze für den Streckenbetrieb, den Abbaubetrieb, den ganzen Betrieb. Zahlenbeispiele.

Dampfkräftenanlagen.

On the science of steam making. Von Parker. (Iron Age 15. Aug. 01 S. 4/6*) Das Wichtigste über das physikalische Verhalten des Wasserdampfes. Erfordernisse einer zweckmäßigen Dampferzeugungsanlage. Schlüsse auf die Konstruktion von Wasserrohrkesseln.

The chemistry of deposits in steam boilers. Von Rideour. (Journ. Franklin Inst. Aug. 01 S. 113/18) Die Ergebnisse der chemischen Analyse mehrerer Kesselsteinablagerungen werden kurz mitgeteilt.

Berechnung der Dampfmaschinen. Von Herrmann. Schluss. (Dingler 24. Aug. 01 S. 536/41*) Berechnung der Woolfschen Maschine und der Verbundmaschine.

Druckerei.

Four-roll printing machine for the Glasgow Herald at the Glasgow Exhibition, constructed by Messrs. R. Hoe and Co., London. (Enging. 23. Aug. 01 S. 265/66*) Die große Druckmaschine druckt stündlich 48000 4-, 6- oder 8seitige Zeitungen; sie wird von einem 6poligen Doppelschlussmotor von 50 PS bei 500 U und 400 Uml./min angetrieben. Eingehende Beschreibung der Wirkungsweise. Schaltschema des elektrischen Antriebes.

¹⁾ Die Zeitschriftenscha wird, nach den Stichwörtern in Vierteljahrsheften zusammengefasst und geordnet, gesondert herausgegeben, und zwar zum Preise von 3 Mk pro Jahrgang für Mitglieder, von 10 Mk pro Jahrgang für Nichtmitglieder.

Eisenbahnen.

Elektrische Schnellbahnen. I. Von Reichel. (Elektrot. Z. 22. Aug. 01 S. 671/76*) Allgemeine Bedingungen, die dem Entwurf der elektrischen Schnellbahn Marienthal-Zossen zugrunde gelegt sind. Bestimmung des Kraftbedarfes. Reibungswiderstand, Luftwiderstand, Versuche über den letzteren. Allgemeiner Entwurf des Wagens; Bedingungen für den mechanischen Teil; Bedingungen für die Verteilung der elektrischen Ausrüstung. Leitungsanlage. Forts. folgt.

Vergleichende Versuche mit durchgehenden Bremsen, ausgeführt auf Strecken des Ariberges am 26., 27., 28. und 29. März 1901. (Organ 01 Heft 7/8 S. 149/54 mit 1 Taf.) Die Versuche wurden an Zügen vorgenommen, die aus einer $\frac{1}{4}$ -gekuppelten Lokomotive, einem 3achsigen Tender und 30 zweiaxialigen Personen- und Dienstwagen bestanden. Es wurden erprobt die Schleifseiche Einkammerbremse, die mit Schnellbremsventilen ausgerüstete selbstthätige Sangsbremse der Vacuum Comp. Limited (Hardy) und die Westinghouse-Doppelbremse. Letztere konnte noch in 3 verschiedenen Schaltungen benutzt werden. Die Versuche ergaben, dass die selbstthätigen Luftdruckbremsen für Verhältnisse, wie sie bei der Versuchsstrecke vorlagen, nicht geeignet sind.

Ein Beitrag zur Umwandlungsfrage der bisherigen Zweibufferwagen in Wagen mit selbstthätiger Mittelkuppelung. Von Grundner. (Organ 01 Heft 7/8 S. 159/60) Der Verfasser weist nach, dass bei der in Zeitschriftenscha vom 1. Juni 01 erwähnten Konstruktion von Jedlicka die Beanspruchung der Stoßvorrichtung für den Betrieb mittels Schiebelokomotiven auf Gebirgstrecken zu groß wird.

Schaltung Siemenscher Blockwerke. Von Walzel. (Organ 01 Heft 7/8 S. 158/59 mit 1 Taf.) Der Verfasser schlägt vor, die bekannte symbolische Schreibweise von Boda durch schematische Skizzen zu ersetzen. Darstellung der Schaltungselemente. Anwendung auf ein Beispiel.

Appareils répéteurs sur la machine des signaux optiques. Von Ménard. Schluss. (Rev. ind. 24. Aug. 01 S. 334/35 mit 1 Taf.) Eingehende Beschreibung einer rein mechanisch wirkenden Vorrichtung ähnlicher Art von Marin.

Die neue Lokomotiv-Ausbesserungswerkstätte in Oppum. Von Mammert. (Organ 01 Heft 7/8 S. 154/54 mit 3 Taf.) Die Werkstätte ist für einen Ausbesserungsstand von 45 Lokomotiven eingerichtet. Beschreibung der Dreherei, Kesselschmiede, der Zusammenbauwerkstatt, der Schmiede, der Kraftübertragungs- und Beleuchtungsanlage. Schluss folgt.

Eisenkonstruktionen, Brücken.

Rolling loads on railway-bridges. (Engineer 23. Aug. 01 S. 191/92) Der Verfasser verwirft den Ersatz einer beweglichen Last durch eine Äquivalente gleichmäßig verteilte Last bei Brückenberechnungen. Er empfiehlt den englischen Brückenbauformen vielmehr, den statischen Berechnungen bestimmte Normalzüge zugrunde zu legen.

Effects of splicing and riveting. Von Morison. (Eng. Rec. 10. Aug. 01 S. 129/30) Dehnungszahl, Elastizitätskurve und Bruchfestigkeit und ihr Einfluss auf das Verhalten von Zug- und Druckstäben bei Eisenkonstruktionen. Bericht über Versuche mit Stäben, die in zwei Teile geschnitten und dann überlappt gestetst oder durch genau passende Bolzen verbunden wurden.

Rebuilding pier No. 4 of the Aqueduct bridge, Georgetown, D. C. (Eng. Rec. 10. Aug. 01 S. 125/27) Die Pfeiler der genannten Brücke waren teilweise nicht bis auf den gewachsenen Felsen hinabgeführt worden und mussten, nachdem sich schwere Schäden an ihnen herausgestellt hatten, neugebaut werden. Eingehende Beschreibung des Bauvorganges, des Fangdamms und des Gerüsts zum zeitweiligen Unterstützen des eisernen Ueberbaues.

Elektrotechnik.

Die elektrische Kraftanlage Tollinggraben. Von von Sidel. (Oesterr. Z. Berg- u. Hüttenw. 17. Aug. 01 S. 447/51) Die Bergbaustation Tollinggraben. Gründe für die Wahl des elektrischen Betriebes und der Stromart. Beschreibung der Primäranlage, der Leitungen, der Motoren, insbesondere der Fördermaschine und der Grubenlokomotive. Kosten des Lokomotivbetriebes. Schluss folgt.

Installations électriques du barrage de Posen. Von Bret. (Génie civ. 24. Aug. 01 S. 265/70 mit 1 Taf.) Das kleine Kraftwerk enthält eine 30pferdige Achsalternative mit Rollschütze und zwei Grammesche Gleichstrommaschinen für 40 Amp bei 275 V. Außerdem ist eine Akkumulatorenbatterie von 34 Zellen und 200 Amp-st Kapazität vorhanden. Der erzeugte Strom dient zur Bewegung der Wehrschützen, der Thore mehrerer Schleusen, sowie der Schieber zum Füllen und Entleeren der letzteren.

A large polyphase workshop distribution plant. (El. World 17. Aug. 01 S. 349/50) Die Kraftanlage der Staatswerft in New York enthält 3 Wasserschleusen für je 400 PS Leistung und 3 stehende Verbundmaschinen, die mit Zweiphasen-Stromerzeugern von je 400 KW gekuppelt sind. Der Strom dient zur Versorgung von über 200 Induktionsmotoren und von 9 Laufkränen.

Künstliche Belastung von Wechselstrommaschinen. Von Goldschmidt. (Elektrot. Z. 22. Aug. 01 S. 682/84) Das Verfahren, das sich auf dem Prüffelde der Firma Kolben & Co. in Prag bei der Bestimmung der Erwärmungsverhältnisse größerer Drehstrommaschinen gut bewährt haben soll, besteht in Folgendem: man lässt die Versuchsmaschine mit voller Spannung leer laufen, sodass das Eisen normal beansprucht wird, und erwärmt das Kupfer mit dem normalen Strom, den man aus einer fremden Quelle in die Wicklung schlekt. Als Heizstrom kommt vorzugsweise Gleichstrom in Betracht. Durchführung des Verfahrens für verschiedene Fälle.

Erd- und Wasserbau.

Künstliche Speisung von Schleusenkanälen. Von Werneburg. (Zentralbl. Bauv. 24. Aug. 01 S. 410/13) Allgemeines über den Wasserbedarf bei Schleusen und dessen Ersatz. Anlage- und Betriebskosten des bekannten Dampfeschöpfwerkes in Briare; Vergleich mit den Kosten einer größeren Anzahl kleinerer Schöpfwerke an dem einzelnen Schleusen des Briare-Kanales. Schluss folgt.

The increasing elevation of floods in the lower Mississippi River. Von Brown. (Journ. Am. Eng. Soc. Juni 01 S. 345/401) Ausführliche Veröffentlichung des in Zeitschriftenchau v. 11. Mai 01 erwähnten Vortrages mit anschließendem Meinungsaustausch.

The Redridge dam. (Eng. News 15. Aug. 01 S. 101/02 mit 1 Taf.) Die Atlantic Mining Co. und die Baltic Mining Co. bauen durch den Salmon Trout-Fluss einen Staudamm aus Eisenkonstruktion auf Betongründung, durch den ein Sammelwehrr von 2270000 cbm Inhalt gebildet wird. Die Eisenkonstruktion besteht aus A-förmigen Gerüstpfellern, die an der dem Wasser zugekehrten Seite durch Tonnenbleche verbunden sind. Beschreibung des Fundamentes, der Eisenkonstruktion, der Entnahmeverrichtungen, des Freiflutens und einer am Damm entlang führenden Eisenbahnbrücke.

Effects of dams and like obstructions in all-bearing streams. Von Harris. (Eng. News 15. Aug. 01 S. 110/11) Der Verfasser macht darauf aufmerksam, dass Dammbauten, Wehre u. dergl. in Strömen, die viel Schluffstoffe mit sich führen, eine allmähliche Veränderung der Flusssohle herbeiführen, indem sich die Schluffstoffe hinter dem Wehr ablagern.

Steam excavating and grading machine. (Eng. News 15. Aug. 01 S. 98) Die von der Hannel Machinery Co. in Chicago gebaute Maschine besteht aus einer 20pferdigen Lokomotive. Parallel zum Kessel hängt an Ketten ein kräftiger T-Träger, der mit mehreren Hängescharen besetzt ist. Die ausgegrabene Erde wird durch eine quer unter dem Kessel gelagerte, ausziehbare Riemenförderung in einen nebenstehenden Wagen geschickt.

Der Bau des Simplon-Tunnels. (I. Jänner 1900 bis 1. Jänner 1901.) Von Wagner. (Z. Österr. Ing.- u. Arch.-Ver. 23. Aug. 01 S. 266/70) Uebersicht über den Fortschritt im Jahre 1900, Geologische Verhältnisse, Wasserverhältnisse, Gesteinswärme, Neubauten von Werkstätten u. dergl. Neu in Betrieb genommene Maschinen. Schluss folgt.

Simplon-Tunnel. (Schweiz. Bauz. 24. Aug. 01 S. 83/84) Auszug aus dem Vierteljahrsbericht über den Stand der Arbeiten am 30. Juni 1901.

Subaqueous tunnels for gas conduits. (Journ. Am. Eng. Soc. Juni 01 S. 327/44 mit 7 Taf.) Eingehende Darstellung der Konstruktion und des Baues von 3 großen Dükern zur Verlegung von Gasrohren in der Nähe von Boston.

Hebzeuge.

A novel way of constructing a derrick. (Eng. News 15. Aug. 01 S. 99) In den Werken der Lackawanna Iron and Steel Co. wurde an einen schmiedeeisernen Schornsteinschaft ein Ausleger gelenkig angeschlossen, dessen freies Ende durch ein am Schornsteinkopf befestigtes Seil gehalten wurde. Auf diese Weise entstand ein einfacher Derrickkran, der bei vorübergehenden Arbeiten gute Dienste leistete.

Heizung und Lüftung.

Central heating plant, Ellis Island, N.Y. — III. (Eng. Rec. 10. Aug. 01 S. 134/36) Heiz- und Lüftanlagen im Keller- und Erdgeschoss des Hauptgebäudes.

Hochbau.

Diagrams for calculating the safe load on cast-iron columns according to the New York Building Code. Von Herquist. (Eng. News 15. Aug. 01 S. 99/100) Diagramme über die Kniekraft, den Trägheitsradius und den Querschnitt hohler guss-eiserner Säulen. Anleitung für die Benutzung dieser Diagramme bei statischen Berechnungen.

Holzbearbeitung.

The Fay and Egan band scroll saw. (Iron Age 15. Aug. 01 S. 10) Bei der neuen Bandsäge der Fay & Egan Co. in Cincinnati ruht die obere Sägenrolle in einem Lager, das an einem Hebel befestigt ist. Dieser Hebel ruht dicht am Lager auf einer am Sägengestell verschlebbaren Schneide. Das freie Ende des Hebels ist durch ein Gegengewicht belastet.

Lager- und Ladevorrichtungen.

Einrichtungen zur Beförderung und Lagerung von Kohlen, Koks und Reineigermasse für Gaseinstaltbetrieb. Von Buhle. Schluss. (Journ. Gasb.-Wasserv. 24. Aug. 01 S. 625/32) Eingehende Darstellung des Bradleyschen Becherwerkes und seiner Vorzüge. Kohlenbrech- und Förderanlage in der neuen Gaseinstalt zu Darmstadt.

Locomotive coal and ashes handling plant, Philadelphia & Reading Ry., Philadelphia, Pa. (Eng. News 15. Aug. 01 S. 102/03) Die Verladeanlage hat einen Fassungsraum für 1000 t Kohle und 40 t Asche, sie ist für eine Leistung von 120 t Kohle und 20 t Asche in der Stunde bestimmt. Es können gleichzeitig 11 Lokomotiven mit Kohle versehen werden, von denen außerdem 7 gleichzeitig ihre Asche an die Aschenförderung abgeben. Die Anlage ist von der Link Belt Engineering Co. in Philadelphia gebaut.

Machine for loading box cars. (Eng. News 15. Aug. 01 S. 108) Kurze Darstellung einer Vorrichtung zur gleichmäßigen Verteilung von Stückgütern in Eisenbahnwagen. Die Maschine wird von der Box Car Loader Co. in Ottumwa O. hergestellt.

Materialkunde.

Effect of different methods of molding upon the strength of cement. Von Baker. (Eng. Rec. 10. Aug. 01 S. 128/29) Einfluss des Wassers, des Sandes und der Herstellungsweise des Probeflickens auf die Festigkeit des Zementes.

Mechanik.

Kinematische Untersuchung eines belasteten ebenen Stabzuges. Von Ramisch. (Dingler 24. Aug. 01 S. 553/26) Kinematische Behandlung einer von Möller-Breslau mithilfe der Sätze über die Formänderungsarbeit gelösten Aufgabe.

Comparison of formulas for flow of water in clean cast-iron pipes. Von Bailey. (Eng. News 15. Aug. 01 S. 95/99) Zusammenstellung der Ergebnisse von 8 verschiedenen Formeln für die Geschwindigkeit des Wassers in gusseisernen Röhren. Sämtliche Formeln haben die Gestalt: $v = \text{konst} \times d^x \times h^y$, wo d der Durchmesser des Rohres, h der Sinus des Neigungswinkels, x und y erfahrungsmäßig zu bestimmende Exponenten sind.

Messgeräte und -verfahren.

The Clarke automatic scales. (Am. Mach. 24. Aug. 01 S. 893/95) Kurze Beschreibung der Anforderungen, die an eine selbsttätige Waage gestellt werden müssen. Beschreibung zweier Aufst.

rungsformen der selbstthätigen Wage der Clarkes Automatic Scales Company in New York. Die erste ist für abwärtsweises, die zweite für ununterbrochenes Wägen bestimmt. Eingehende Darstellung der Wirkungsweise.

A system of corrections for heat losses in calorimetric experiments. Von Richards. (Journ. Franklin Inst. Aug. 01 S. 81/89) Der Verfasser berichtet über seine Versuche zur Bestimmung der Strahlungsverluste von 3 Kalorimetern und der Verbesserungen, die infolge dieser Verluste an den Ergebnissen kalorimetrischer Messungen angebracht werden müssen.

Verbrauchs-Stufenmesser und selbstthätige Staffel-Tarifanzeiger. Von Kallmann. (Elektrot. Z. 22. Aug. 01 S. 676/82*) Eingehende Darstellung der Grundsätze, die für eine zweckmäßige Abstufung der Strompreise maßgebend sind. Beschreibung eines hierauf gegründeten Stufenzählers und seiner Anwendung im Betriebe.

Metallbearbeitung.

Glasgow Exhibition — machine tools. (Engineer 23. Aug. 01 S. 193/94*) Schaubilder und kurze Angaben über eine Planfräsmaschine, eine Universalfräsmaschine und eine Zahnradfräsmaschine von Brown & Sharpe und eine Drehbank von Pratt & Whitney.

Pneumatic tools at the Glasgow Exhibition. (Engng. 23. Aug. 01 S. 249/50*) Beschreibung der Druckluftwerkzeuge der Firma R. G. Ross Son in Glasgow: Stemmmaschine, Nietmaschine für Warmblech, Stehbohlen-Nietmaschine, Bohrmaschine.

Spindelstock mit zwei verschiedenen Räderübersetzungen. Von Bráska. (Z. Werkzeugm. 25. Aug. 01 S. 513/14*) Darstellung des Spindelstockes einer Langdrehbank von Geo. Richards & Co. in Broadbeath bei Manchester. Auf der Vorgelegewelle und entsprechend auf der Spindel sitzen nicht wie sonst üblich 3, sondern 3 Stirnräder. Vorteile der Einrichtung.

Spacing for prime numbers on the universal milling machine. Von Schneider. (Am. Mach. 24. Aug. 01 S. 891/92*) Weiterer Beitrag zur Handhabung der Teilvorrichtung an der Universalfräsmaschine beim Fräsen von Zahnrädern, deren Zahnzahl eine Primzahl ist.

The Bath combination cutter grinder. (Am. Mach. 24. Aug. 01 S. 898/900*) Beschreibung einer äußerst vielseitigen Schleifmaschine, die von der American Watch Tool Company in Waltham Mass. hergestellt wird. An vielen Schaubildern ist die Handhabung der Maschine bei verschiedenen Arbeiten erläutert.

Riemenabheber für Riemenfallhämmer. (Z. Werkzeugm. 25. Aug. 01 S. 512/13*) Die Firma Koch & Co. in Remscheid-Vieringhausen hat an ihren Riemenfallhämmer eine Vorrichtung angebracht, durch die der den Bär tragende Riemen beim Loslassen von der Riemenseilbohle abgehoben wird. Die Vorteile sind: größere Schlagkraft, geringerer Kraftbedarf, Schonung des Riemens.

Verwendung gezogenen Eisens im Werkzeugmaschinenbau. Von Bráska. (Z. Werkzeugm. 25. Aug. 01 S. 522) Vorteile des gezogenen Eisens bei Herstellung von Führungsläufen, Ausdruckschienen, Zugstangen, Bolzen, Schrauben, Einlochkellen.

Papierindustrie.

Der Holländer. Von Hausfuer. Forts. (Dingler 24. Aug. 01 S. 541/48*) Die Stoffbewegung durch die Walze. Forts. folgt.

Schiffs- und Seewesen.

Review of marine engineering during the last ten years. Von McKechnie. Schluss. (Engineer 23. Aug. 01 S. 206/09*) Kolbendichtungen, Hilfspumpen, Propeller, Schiffsgeschwindigkeiten, Dampfturbinen. Schlussfolgerungen.

Lighting an antarctic ship. (El. World 17. Aug. 01 S. 255/56*) Das britische Südpolarerschiff »Discovery« wird mithilfe zweier Dynamos beleuchtet, die durch ein großes Windrad angetrieben werden. Eine Akkumulatorenbatterie unterstützt die Dynamos.

Seil- und Kettenbahnen.

Die Davos-Platz-Schätzalp-Bahn. Von Wetsel. Schluss. (Schweiz. Bauz. 24. Aug. 01 S. 81/83*) Das Krafthaus mit Dowsen-Gasmotoren, Nebenschluddynamos und Akkumulatorenbatterie. Das Windwerk auf der oberen Station. Die mechanische Seilbahnanlage. Angaben über den Bauvorgang.

Straßenbahnen.

Machinery at the Pan-American Exposition. IV. (Iron Age 15. Aug. 01 S. 1/2*) Schaubilder einer elektromagnetischen Schienen- und Radbremse für Straßenbahnwagen von der Westinghouse Air Brake Company.

Wasserkraftanlagen.

The water-power plant of the Empire State Power Company. (Eng. Rec. 10. Aug. 01 S. 122/25*) Die beschriebene Anlage nutzt 3000 PS des Schoharie Flusses bei einem Gefälle von 13,4 m aus. Es sind vorläufig 2 Francis-Doppelturbinen mit wagerechter Achse aufgestellt, die durch Seile zwei 900 KW-Drehstrommaschinen mit 12000 V Spannung antreiben. Der elektrische Strom wird nach den benachbarten Ortschaften Howes Cave und Amsterdam geleitet und hauptsächlich für motorische Antriebe benutzt. Darstellung des Staudammes, der Wasseraufführung und der Turbinenanlage.

Wasserversorgung.

Waterworks for the O. R. Baird Co.'s iron mines at Ogden, Va. Von Ambler. (Eng. News 15. Aug. 01 S. 110*) Kurze Angaben über die Wasserversorgungsanlage des genannten Werkes. Zwei Drillingspumpen fördern das Wasser in einem Druckrohr von 1800 m Länge und 152 mm Dmr. in einem Sammelbrunnen, dessen Wasserspiegel 61 m über dem Saugwasserspiegel der Pumpen liegt. Von da fließt das Wasser mit natürlichem Gefälle den Werken zu.

Werkstätten und Fabriken.

The Clidebank Shipbuilding and Engineering Works. (Engng. 23. Aug. 01 S. 242/43 mit 1 Taf.) Allgemeine Anordnung der Schiffswerft. Die Hellinganlagen. Schiffbauwerkstatt. Lagerräume. Schiffschmiede. Maschinenbauwerkstatt. Schiffszimmererei. Ausstattungsbecken. Forts. folgt.

Zucker- und Stärkelindustrie.

The Indian sugar industry. II. (Engineer 23. Aug. 01 S. 189/91*) Der Umfang der Zuckerindustrie in Ostindien. Angaben über den Entwurf und den Betrieb von Rohrzuckerfabriken.

Rundschau.

Wir haben bereits früher¹⁾ über die Verlängerung der Orleans-Bahn in Paris vom Austerlitz-Bahnhof zum Quai d'Orsay berichtet. Der neue Endbahnhof ist zweigeschossig angelegt in der Weise, dass die Warte- und Expeditionsräume in Straßenhöhe, die Bahnsteige 5,17 m darunter liegen. Von den Bahnsteigen, deren Anzahl 7 beträgt, sind Nr. 1 und 2 für die Abfahrt der Fernzüge, Nr. 3 und 5 für die Abfahrt und Ankunft der Vorortzüge, Nr. 4 für die Ankunft der Fernzüge bestimmt, während Nr. 1a und 2a ausschließlich für den Verkehr der Gepäckkarren dienen. Die abfahrenden Personen treten an der Längsseite vom Quai d'Orsay her in das Gebäude ein, Fig. 1, während die Ankommenden es auf der Schmalseite nach einem besonders angelegten Platz zu verlassen. Besonders eigenartig sind die neben den Aufzügen angeordneten Einrichtungen, mittels deren das Gepäck von oder nach dem Bahnsteige befördert wird²⁾. Sind diese Einrichtungen auch an sich nicht neu — sie bestehen bereits seit geraumer Zeit in großen Pariser Warenhäusern —, so sind sie doch bisher noch nicht in einem derartigen Umfange und zu dem genannten Zweck verwendet worden.

Wie bereits erwähnt, hat man Aufzüge beibehalten, und zwar sind 17 vorhanden, deren Plätze aus dem Lageplan,

Fig. 1, hervorgehen. Es sind elektrische Aufzüge, die eine Last von 500 kg mit einer Geschwindigkeit von 1 m/sk, von 1000 kg mit 0,5 m/sk befördern. 12 davon dienen zum Herunterschaffen des Gepäcks zu den Bahnsteigen, 5 zum Heben desselben in die Auslieferungshalle; von den ersteren ist einer bis zu einem Obergeschoss verlängert, das einen Raum zur Gepäckaufbewahrung enthält. Neben diesen Aufzügen bestehen für die Abwärtsbeförderung des Gepäcks 10 Rutschen; für das ankommende Gepäck ist eine Reihe von Förderbändern vorgesehen.

Die Ladestelle jeder Rutsche ist dicht neben einen Aufzug gelegt. Die Neigung der Rutschen beträgt 0,4 bis 0,6, der geringste Krümmungsradius 1,4 m. Im Querschnitt, Fig. 2, zeigen die Rutschen zwei 10 mm dicke aufrecht stehende Bleche, die durch Winkelleisen in Abständen von je 1 m verbunden sind. Dieses Gerippe trägt Blechplatten von 5 mm Dicke, die den Boden und die Seitenwände bilden und mit Eisenstäben von halbrundem Querschnitt besetzt sind, um das Gleiten der Gepäckstücke zu erleichtern. Die Breite der Rinne beträgt 800 mm, und die Höhe des freien Profils ist auf dasselbe Maß festgelegt. Der unterste Teil der Rutschen ist in wagerechten Zapfen drehbar und wird hochgezogen, wenn die Rutsche laufend Gebrauch ist, damit der Bahnsteig frei bleibt. Die Mündung liegt wagerecht, und zwar ist nach Erfahrungen, die man im Warenhaus des Louvre gemacht hat, eine wagerechte Strecke von 2 m erforder-

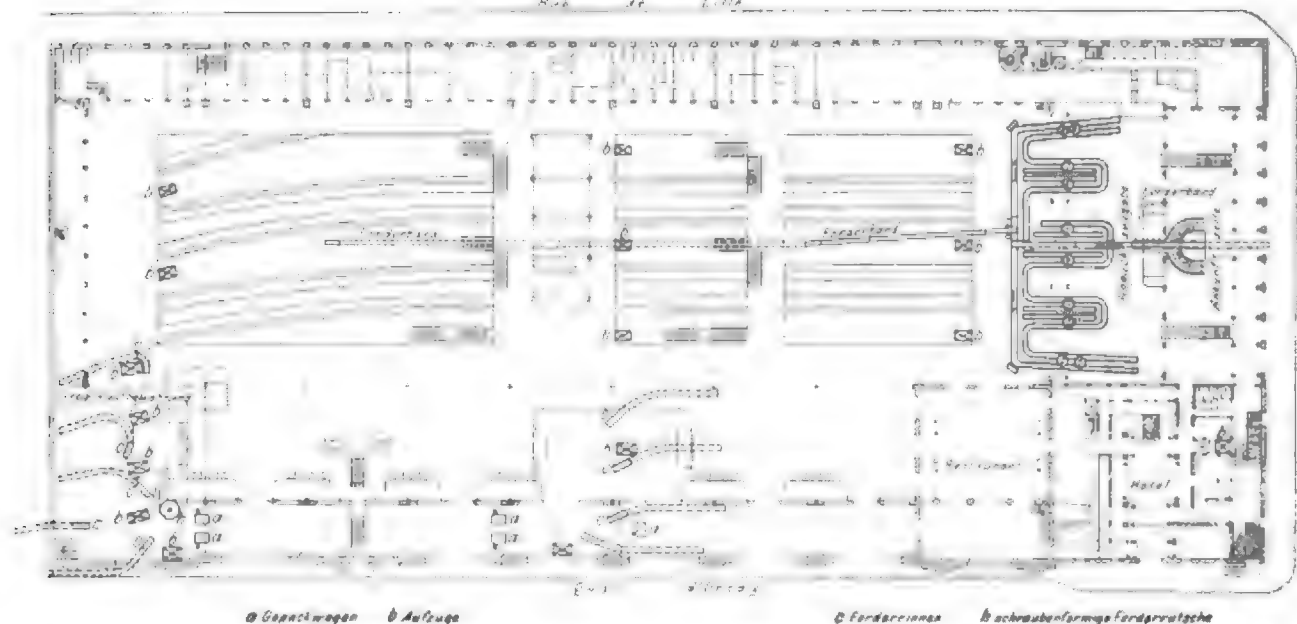
¹⁾ Z. 1899 S. 890.

²⁾ Revue générale des chemins de fer Juli 1901 S. 34.

derlich, um die Gepäckstücke sicher abzufangen. Wo jedoch aus örtlichen Rücksichten diese Länge nicht erreicht werden konnte, hat man den Boden der Mündung mit einer Bürstendecke belegt, die genügende Reibung hervorruft, um das Stück sicher aufzuhalten. Für die Beförderung aus dem vorerwähnten Aufbewahrungsraum in die 7,5 m tiefer gelegene Bahnhofshalle dient eine schraubenförmige Rutsche, deren mittlerer Halbmesser 0,9 m beträgt. Hier regelt sich der Betrieb mithilfe eines Aufzuges für die Gepäckzettel, die von dem unten stehenden Beamten dem oben befindlichen zugesandt werden. Der Aufzug besteht aus einem Riemen ohne Ende, der über 2 Rollen läuft und zwei leichte Körbchen trägt; An-

die Gepäckstücke auf und bringen sie ohne weiteres dicht an die Auslieferungsstelle, während sie bei Benutzung eines Aufzuges erst auf einen Karren gesetzt, zum Aufzug hingefahren und, oben angelangt, wieder zur Auslieferungsstelle hingerollt werden müssen. Außerdem ist die Leistungsfähigkeit der Bänder recht erheblich; andererseits darf nicht übersehen werden, dass die Bänder, wie wir später sehen werden, eine zahlreiche Bedienungsmannschaft erfordern, und dass die Größe und das Gewicht der aufzunehmenden Stücke beschränkt sind. Im Betriebe zieht man auch bei kleinen und zerbrechlichen Gepäckstücken den Aufzug vor.

Fig. 1. Endbahnhof der Orléans-Bahn.



schläge lassen beim Bewegen des Riemens oben eine Glocke ertönen.

Die Annahme des Gepäcks geht in der Weise vor sich, dass die anlangenden Stücke auf einen leichten dreirädrigen Karren gesetzt und mit diesem auf eine der Wagen gestellt werden, von denen 2 Gruppen vorhanden sind. An die beiden Wägräume schließt sich eine Reihe von Aufzügen und Rutschen.

Erstaunt muss man fragen, weshalb man denn zwei verschiedene Fördererrichtungen, die doch die Anlage einigermaßen verwickeln, für erforderlich gehalten hat, und es ist wohl außer Zweifel, dass die Abfertigung schneller vor sich geht, wenn die auf dem Karren ruhenden Gepäckstücke von der Wage ohne weiteres auf die Plattform eines Aufzuges gebracht werden, ohne dass sie vom Karren heruntergenommen würden, und ebenso, unten angelangt, an die Gepäckwagen gerollt werden. Die Rutschen haben denn auch, unserer Quelle zufolge, nur den Zweck, die Aufzüge bei Betriebsstörungen, wie sie etwa durch Versagen des

Die Anordnung der verschiedenen Förderbänder auf dem Ankunftsbahnsteig Nr. 4 ist in Fig. 3 skizziert. Es sind 2 schräge Bänder A und B zum Hochfördern vorhanden, von denen das letztere, dem die Stücke durch die feste Rinne C₁ zugeführt werden, zum Entladen der am Kopfende des Zuges befindlichen Gepäckwagen dient. Für Gepäckwagen in der Mitte oder am Ende des Zuges ist das schräge Förderband A bestimmt, von dem die Gepäckstücke auf das wagerechte Band A₁ durch die Rinne C₂ hinübergelassen. Das schräge

Fig. 2.

Querschnitt der Rutschen.

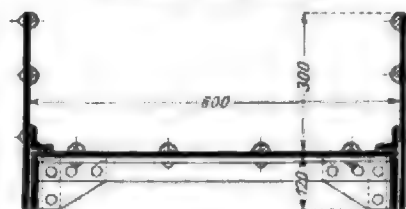


Fig. 3. Anordnung der Förderbänder.

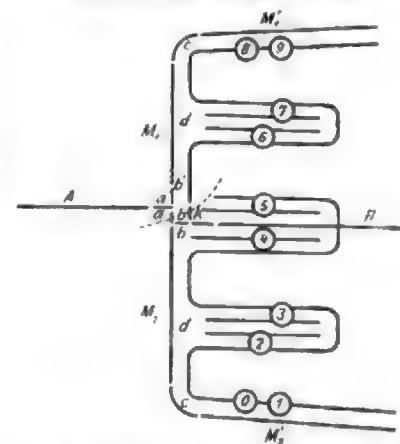


elektrischen Stromes eintreten können, zu ersetzen, oder sie bei großem Andrang zu unterstützen.

Andera liegt die Sache bei dem ankommenden Gepäck, das nach oben geschafft werden soll. Hier sind die Aufzüge zur Aushilfe bestimmt. Die Förderbänder, von denen sich immer eines in der Nähe des Gepäckwagens befindet, nehmen

Fig. 4.

Tischreihen der Ausgabestelle.

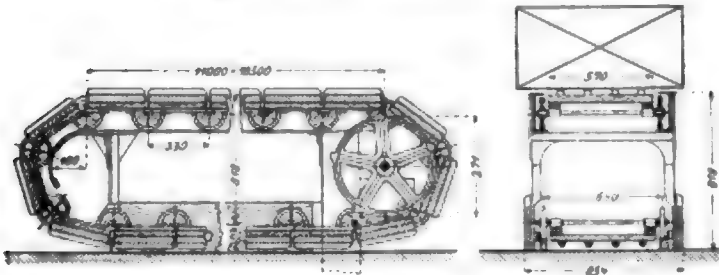


Band A kann aber auch unmittelbar durch die Rinne C₁ beladen werden, die drehbar und durch ein Gegengewicht ausbalanciert ist, damit Gepäckstücke, die vom Bande A₁ herkommen, darunter hindurchgehen können. In ähnlicher Weise wird das Band A₁ durch die drehbare Rinne C₂ oder die feste Rinne C₃ beschickt. Die für die beiden letztgenannten Rinnen

im Fußboden gelassenen Öffnungen können durch ausbalancierte Klappthüren geschlossen werden.

Die Förderbänder sind 90 cm breit und aus je 45 Aloo-Hanfseilen von 20 mm Dmr. zusammengeknüpft; sie wiegen 15,7 kg/m und sind imstande, Stücke von mehr als 100 kg zu tragen. Das Band A ist 54, B 57, A₁ 135 m lang. A hat eine Neigung von 0,47, B von 0,5. Das freie Profil beträgt, wie bei den Rutschen, 800 × 800 m. Zum Antrieb dienen 2 Elektromotoren, einer für das Band B, der andere

Fig. 5 und 6. Wandernder Tisch.



entweder für das Band A allein oder nach Einrücken einer Kupplung für die beiden Bänder A und A₁ zugleich. Jedes Band ist mit einer Gewichtrolle zum Ausgleich der Längenänderung versehen. Diese läßt sich jedoch dadurch fast vollständig vermeiden, dass man die Bänder täglich einmal mit Wasser besprengt. Damit verhindert man gleichzeitig, dass die Gepäckstücke auf den Bändern gleiten.

Die schrägen Bänder heben das Gepäck 3 m hoch über den Boden der Bahnhofshalle, damit der Verkehr darunter ungestört vor sich gehen kann, und lassen es dann von dieser Höhe durch Rinnen auf die Tische der Ausgabestelle herabgleiten. Diese enthält 8 mit einer bzw. mit zwei Zahlen bezeichnete Tische, Fig. 4, auf denen jedesmal diejenigen Gepäckstücke ausgeliefert werden, deren letztstellige Ziffer mit der entsprechenden Tischnummer übereinstimmt. Jede Reihe besteht aus zwei neben einander stehenden Tischen; auf dem inneren werden die Gepäckstücke niedergesetzt, auf dem äußeren 10 mm niedrigeren dem Eigentümer ausgehändigt. Zum Transport der Stücke dienen wandernde Tische M₁, M₂, M₁, M₂. Die beiden letzteren dienen zugleich als Ablegetische; sie können deshalb durch Ausrücken einer Kupplung stillgesetzt werden. Zwischen ihnen und den beiden Tischen an der Stirnseite stehen feste viertelkreisförmige Tische. Einer der wandernden Tische, die durch Elektromotoren angetrieben werden, ist in Fig. 5 und 6 dargestellt.

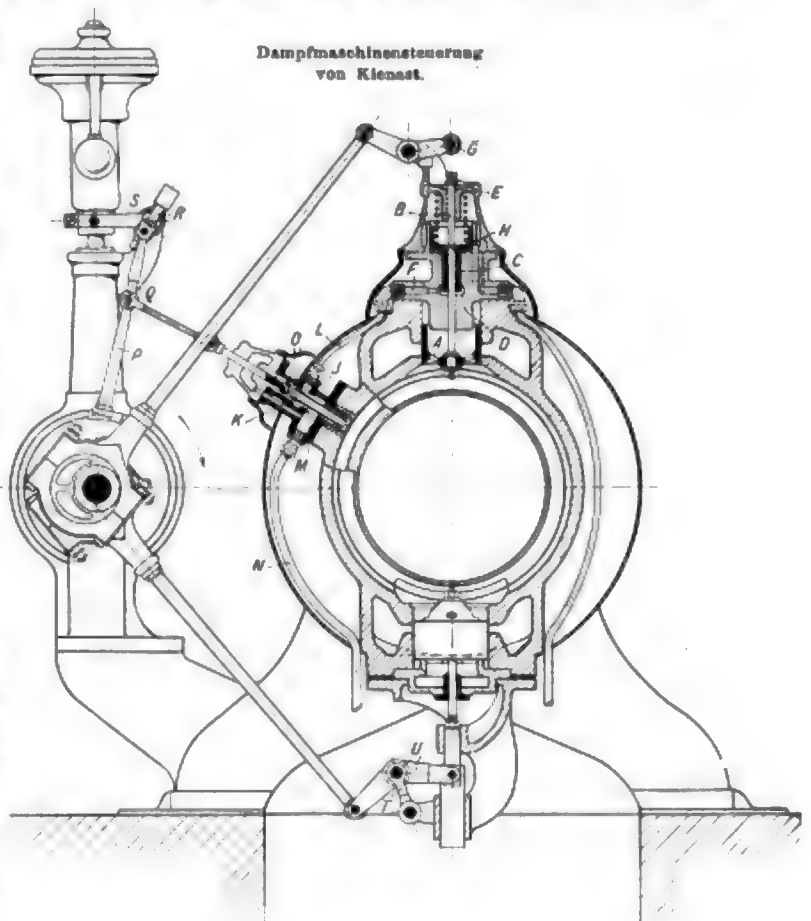
Der Betrieb der Ausgabestelle läßt sich anhand der Figur 4 verfolgen. Die auf dem Förderbande B ankommenden Stücke werden von 2 Beamten bb ergriffen und, wenn sie nicht auf die Bank 4 gehören, entweder auf den wandernden Tisch M₂ geschoben oder auf den Hülftisch K, von wo ein dritter Beamter b' sie auf den wandernden Tisch M₁ oder auf die Bank 5 schafft. Die von Band A herangeführten Stücke werden von 2 weiteren Beamten aa den Tischen M₁ oder M₂ übergeben. Zwei Beamte dd bedienen die Tische 2, 3, 6 und 7, zwei Beamte cc schieben die Stücke auf die Tische M₁ oder M₂. Wenn gleich diese Anordnung ein ziemlich großes Beamtenpersonal erfordert, so läßt sich nicht läugnen, dass die Fahrgäste recht schnell abgefertigt werden können, wofür die Beamten hinreichende Übung besitzen.

Eine eigenartige neue Dampfmaschinensteuerung ist von dem Oberingenieur Kienast der Maschinenfabrik Th. Grohe in Merseburg konstruiert worden und arbeitet an der liegenden eincylindrigen Betriebsmaschine genannter Fabrik¹⁾.

Als Abschlussorgane dienen sauber eingeschlifene entlastete Kolbenschieber aus Gussseisen. Der Einlasschieber A sitzt auf der Schieberspindel B, die außerdem den fest mit ihr verbundenen Steuerkolben C trägt. Dieser ist an seinem oberen Ende als cylindrisches Gefäß ausgebildet, das in dem cylindrischen

Aufsatz des Gussstückes D gleitet und im Innern eine Feder aufnimmt. Die Feder stützt sich oben gegen die Spindelführung E und drückt den Steuerkolben und mit ihm Spindel und Schieber nach unten. Wird durch die sogleich zu beschreibende Hülfssteuerung Frischdampf durch den Kanal F unter den Steuerkolben C gelassen, und drückt das Steuergeräth nicht mithilfe der Rolle G auf die Schieberspindel, so wird der Kolbenschieber A angehoben und öffnet dem Dampf den Zutritt zum Cylinder. Wird jetzt dem Dampf unter dem Steuerkolben durch den Kanal F ein Ausweg ins Freie geöffnet, so sinkt der Kolbenschieber, durch den Federdruck beschleunigt, wieder zurück. Die abwärts gerichtete Geschwindigkeit wird verringert, sobald die Öffnung H in dem cylindrischen Aufsatz von D überschritten ist, da dann die zwischen dem Gehäuse D und dem Federteller des Kolbens C eingeschlossene Luft als Puffer wirkt. Die Öffnung H ist nun so angeordnet, dass sie erst überschritten wird, nachdem soeben der Kolbenschieber A den Dampfeinlasskanal abgeschlossen hat; dieser Abschluss erfolgt daher nicht schleichend, sondern bei höchster Geschwindigkeit.

Die schon erwähnte Hülfssteuerung besteht in Folgendem: Auf einem am Dampfmantel angehängten Stutzen ist das Gehäuse J befestigt, in dem der hohle Kolbenschieber K gleitet. In der gezeichneten Stellung ist dem unter dem Steuerkolben C befindlichen Dampf durch das Rohr L, die ringförmige Öffnung M und das Rohr N der Weg ins Freie geöffnet. Geht der Schieber K nach innen, so wird zunächst durch den starken cylindrischen Teil die Öffnung M geschlossen und dann durch die Bohrung und die Kanäle O des Schiebers Frischdampf aus dem Dampfmantel unter den Steuerkolben geführt, und zwar ziemlich frühzeitig, nachdem nämlich der Dampfkolben kaum die Hälfte seines Hubes zurückgelegt hat. Die durch Exzenter und Winkelhebel gesteuerte Druckrolle G befindet sich dann in der Nähe ihrer tiefsten Lage und regelt zurückweichend (die Ueberdeckung des Schiebers A ist ziemlich groß = 70 mm) den Augenblick der Voreinströmung des Dampfes in den Cylinder. Beim Schließen des Schiebers drückt die Rolle G die Spindel nieder und verhindert so ein etwaiges Hängenbleiben infolge von Klemmungen. Das die Bewegung von G regelnde Exzenter ist fest auf der Steuerwelle aufgekittet, irgend welche sonstige verstellbare Glieder



¹⁾ Mitteilungen aus der Praxis des Dampfkessel- und Dampfmaschinenbetriebes 3. Juli 1901 S. 482 und Angaben der ausführenden Firma.

enthält das Steuergestänge auch nicht; es ist also die Voreinstellung für alle Füllungsgrade unveränderlich.

Die Größe der Füllung hängt davon ab, wann der Schieber *K* bei seiner nach außen gerichteten Bewegung die Öffnung *M* zum Ausströmen freigibt. Nun wird *K* durch eine Pleuelstange bewegt, die an die Exzenterstange *P* im Punkte *Q* angeschlossen ist. Das zu *P* gehörige Exzenter sitzt fest auf der Steuerwelle. Die Exzenterstange ist oben gegabelt und trägt dort eine Hülse, die auf der cylindrischen Stange *R* gleitet. Die Neigung dieser Stange gegen die Wagerechte wird durch einen Hebel *S* verstellt, der mit dem die Regulatorhülse umfassenden Hebel *S* aus einem Stück besteht. Da der Hilfschieber *K* so gut wie vollständig entlastet ist, so erfordert die Verstellung der Kulisse *R* und damit die Aenderung der Füllung nur eine kleine Verstellkraft des Regulators.

Der Auslasskolbenschieber wird durch ein Getriebe gesteuert, das sich aus einem festen Exzenter, der zugehörigen Exzenterstange und dem durch die Schwinge *T* gestützten Winkelhebel *U* zusammensetzt. Auch hier sind, wie sonst überall, Stopfbüchsen vermieden, die Reibung ist also auf ein geringes Maß zurückgeführt. Dass die Steuerung geräuschlos arbeiten muss, geht aus der Konstruktion zureichende hervor.

Die Füllungsgrade sind 0 und 80 vH. Die Regulirfähigkeit soll bei fehlender Oelbremse vorzüglich sein.

Das russische Verkehrsministerium hat den Entwurf einer Moskauer Ringbahn endgültig genehmigt. Die Bahn wird etwa 43 km lang werden, die Baukosten sind auf 86 bis 107,5 Mill. *R* veranschlagt. Zunächst soll mit dem Bau der westlichen Teilstrecke begonnen werden. (Zentralblatt der Bauverwaltung 24. August 1901)

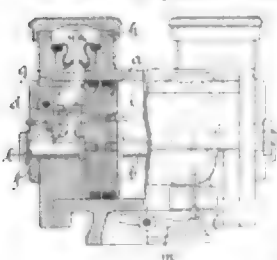
Der Riesendampfer *Celtic* der White Star-Linie ist am 4. August nach seiner ersten Ozeanreise in New York angekommen. Für die Reise wurden 8 Tage 46 Minuten gebraucht, was einer mittleren Geschwindigkeit von 14,95 Knoten entspricht. (The Iron Age 8. Aug. 1901)

Auf der 3. Hauptversammlung des Deutschen Acetylen-Vereines am 1. bis 4. August d. J. sind unter andern die Normen für feststehende Acetylenapparate angenommen worden, über die wir bereits früher¹⁾ kurz berichtet haben. (Journal für Gasbeleuchtung und Wasserversorgung 24. August 1901)

¹⁾ Z. 1901 S. 896.

Patentbericht.

Kl. 14. Nr. 120613. Dampfmaschinensteuerung. K. Wolff & Co., München.

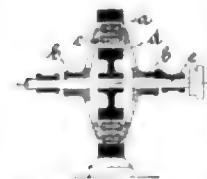


Der Kolben *a* ist mit eingekerbten Zapfen *b* und schrägen Nasen *c* versehen, von denen *c* mittels Winkelhebels *d* und Spindel *e* das Einlassventil *f* zur Voreinstellung etwas anhebt, worauf *b* mittels leicht beweglicher Fallklinke *g* beim Hubbeginns das Ventil völlig öffnet und so lange offen hält, bis *d* von *b* abgleitet. Der Dampfdruck schließt das eine Auspuffventil, und dieses öffnet mittels Spindel *h* und Hebels *i* das andere.



Kl. 20. Nr. 123494. Selbstthätige Anstellung von Bremsen. Ch. Gouzin und Ph. Bleyss, Drauzgnan. In dem Cylinder *c* werden die drei auf derselben Kolbenstange sitzenden Kolben *p*, *p*₁, *p*₂ durch die Stange *t* des von der einen Seite durch die Feder *h* belasteten, auf der andern unter Wasserdruck stehenden Kolbens *d* bewegt. Bei Stillstand der Maschine strömt die Druckluft von *f*₂ nach *f*₁ und zum Führer-Bremsventil. Eine Nebenleitung führt von *f*₂ nach *f*, sodass die Druckluft auch den Raum zwischen *p* und *p*₁ ausfüllt. Beim Ingangsetzen der Maschine wird durch eine Pumpe Druck unter *d* gegeben, der bei bestimmter Geschwindigkeit so stark wird, dass er die Verbindung *f*₂ *f*₁ schließt und *f* mit *f*₁ verbindet, sodass der Druck von *f*₂ über *f*₁ entweicht und die Bremsen gezogen werden.

Kl. 21. Nr. 123777. Elektromotor. O. Kammerer, Charlottenburg.



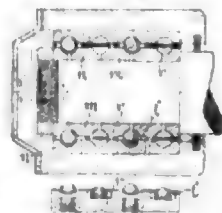
Um bei Förderhaspeln mit großer Geschwindigkeit und unmittelbarer Kupplung Vorschaltwiderstände in den Ankerstromkreisen zu vermeiden, sind Elektromotor und Stromerzeugerkupplung an einer Maschine zusammengebaut. Der Anker *a* des Motors ist als Hohlkörper ausgebildet und auf den durchbohrten Zapfen *b* gelagert. Der Anker *c* der Stromerzeugerkupplung ist mit *a* verschraubt, und ihre Feldmagnete *d* sind auf der Welle *e* aufgekittet, die mit der Haspelwelle unmittelbar gekuppelt ist. Motor und Stromerzeuger sind als Nebenschlussmaschinen gewickelt, können aber auch mit Drehstrom betrieben werden.

Kl. 47. Nr. 120668. Biegesame Welle. P. Weddeler, Berlin.

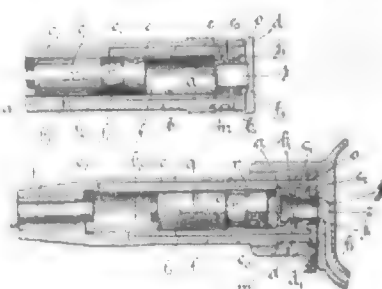
Eine Anzahl Glieder *g* mit kreisförmig einander gegenüber stehenden Zahnlücken *l* und Zähnen *s* greifen ohne Zapfenverbindung oder dergl. in einander und werden bei bestimmter Wellenlänge durch ein ruhendes gebogenes Rohr oder durch ein mitgedrehtes biegsames Rohr zusammengehalten.



Kl. 47. Nr. 119669. Kugellager. Schweinfurter Präzisions-Kugellagerwerke Fichtel & Sachs, Schweinfurt a/M. Der die Kugeln aus einander haltende Führungerring *r* hat Öffnungen *l*, die in der Achsenrichtung länglich gestaltet sind, um die Kugeln leicht einführen und die Laufringe *w*, *a* ohne Zwängung der Kugeln im Ring *r* nachstellen zu können.



Kl. 87. Nr. 119041. Steuerung für Drucklufthammer. J. Koller, Philadelphia. Das hinter dem Arbeitcylinder *q* angeordnete Gehäuse *w* mit Deckel *e* enthält einen mit dem Hammerkolben *r* gleichachsigen Kolbenschieber *j*, der die von *e* kommende Druckluft, wenn *r* und *j* sich beide in ihrer Endstellung rechts befinden, durch Kanal *a* hinter *r* leitet, während die Abluft durch *b*₁ *b*₂ und *c*₁ *c*₂ *d*₁ *d*₂ entweicht, bis *r* kurz vor Ausübung der Schläge auf das Werkzeug *t* durch seine Einschnürung *r*₁ die Druckluft auf dem Wege *e*₁ *e*₂ *r*₁ *r*₂ *f*₁ *f*₂ hinter *j* leitet, wodurch *j* in seine linke Endstellung kommt. Nun strömt Druckluft durch *c*₁ *c*₂ vor *r* und Abluft durch *a* *f*₁ (Einschnürung) *d*₁ *d*₂ ins Freie, bis *r* durch Freilegung von *f*₂ und *b*₁ die hintere Fläche des Kolbenschiebers *j* vom Druck entlastet und der beständig auf dessen Vorderfläche wirkende Druck ihn wieder nach rechts schiebt. Diese gleichzeitige Bewegung von *r* und *j* verhindert unzeitige und unregelmäßige Bewegungen von *j*, die sonst durch die Erschütterungen der Schläge verursacht werden.



Angelegenheiten des Vereines.

Technolexikon.

Die Redaktion des vom Verein deutscher Ingenieure herausgegebenen mehrsprachigen technischen Wörterbuchs bedarf zum Sammeln der aufzunehmenden Wörter Kataloge technischer Firmen. Wir richten daher an die inbetracht kommenden Firmen die ergebene Bitte, ihre Kataloge und sonstigen Druckschriften an die

Redaktion des Technolexikons

Berlin N. W. Dorotheenstr. 49

senden zu wollen, wobei wir hervorheben, dass besonderer Wert auf mehrsprachige Ausgaben gelegt wird.

Der Verein deutscher Ingenieure.

ZEITSCHRIFT DES VEREINES DEUTSCHER INGENIEURE.

Nr. 37.

Sonnabend, den 14. September 1901.

Band XXXV.

Inhalt:

Untersuchungen am Gasmotor. Von E. Meyer	1297	Bücherschau: Theorie des Schliekschen Massenausgleiches bei mehrkräftigen Dampfmaschinen. Von H. Schubert. — Bei der Redaktion eingegangene Bücher. — Uebersicht neu erschienener Bücher	1324
Der Schnellbahnwagen der Allgemeinen Elektrizitäts-Gesellschaft, Berlin. Von O. Lasche (biersu Textblatt 12) (Schluss)	1308	Zeitschriftenschau	1326
Die Internationale Ausstellung in Glasgow 1901: Streifzüge durch das Gebiet des Schiff- und Schiffmaschinenbaues	1318	Rundschau: Kraftübertragungsanlage der Bay Counties Power Company. — Schnelldampfer „Kronprinz Wilhelm“. — Verschiedenes	1328
Die Weltausstellung in Paris 1900: Die Lokomotiven. Von E. Brückmann (Fortsetzung)	1319	Patentbericht: Nr. 121076, 119348, 122538, 119093, 116744, 121612, 119590, 119952, 119384, 120357, 118426, 119972, 119035, 119936, 119923, 122682, 119538, 119539, 119387, 119337, 119852, 119442	1331
Hamburger B.V.	1323		
Maasbeimer B.V.: Der Drachenballon	1323		
Mittelthüringer B.V.	1323		
Niederrheinischer B.V.	1324		
Riesener B.V.	1324		

Untersuchungen am Gasmotor.

Mitteilungen aus dem Institut für technische Physik der Georg August-Universität zu Göttingen.

Von Eugen Meyer, Professor an der Technischen Hochschule zu Berlin.

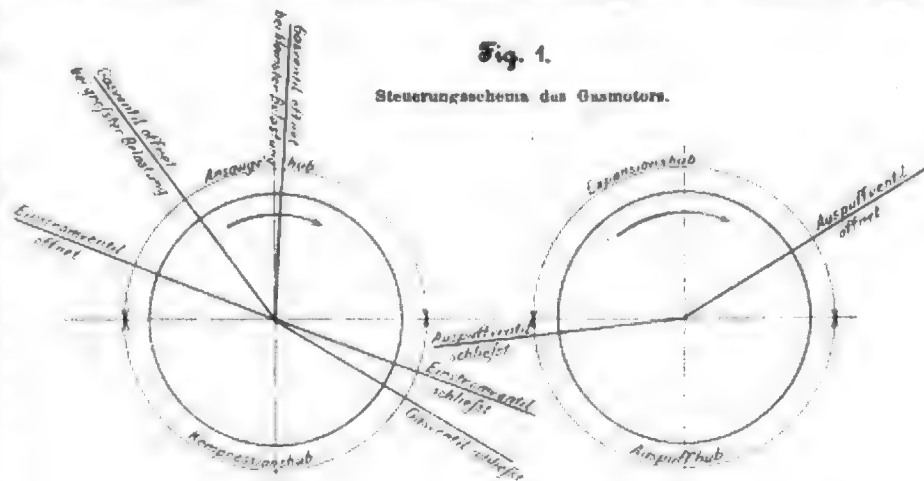
Im Verlaufe des Jahres 1899 haben die Herren G. Horowitz, B. F. Brooke Sewell und mein damaliger Assistent, Hr. Ingenieur Fritz Meyenberg, unter meiner Leitung eine große Zahl von Versuchen an der Gasmotorenanlage des Göttinger Institutes für technische Physik ausgeführt. Vor allem sollte dabei der Gasmotor unter sonst gleichen Bedingungen sowohl mit Leuchtgas als mit Kraftgas arbeiten und somit der Einfluss des Heizwertes auf die Erscheinungen im Gasmotor beobachtet werden. Dabei konnten der Kompressionsgrad der Maschine und der Gasgehalt der Ladung innerhalb weiter Grenzen geändert werden. Einen wichtigen Teil der Versuche bildete auch die Untersuchung der Verbrennungsrückstände auf unvollständige Verbrennung. Eine Reihe anderer Untersuchungen, so insbesondere diejenigen über den Genauigkeitsgrad der Angaben des Indikators, über den Einfluss der Zylinderschmierung und der Kühlwassertemperatur auf den Gang des Motors und des Beginnes der Zündung auf den Gasverbrauch, musste damit verbunden werden. Die folgende Abhandlung enthält einen ersten Teil der Versuchsergebnisse und der sich daran anschließenden Erörterungen; der Rest soll später folgen.

1) Die Gasmotorenanlage des Institutes für technische Physik und die Versuchseinrichtungen.

Der untersuchte 10pferdige Deutscher Gasmotor war im Oktober 1897 zum Zwecke der elektrischen Beleuchtung der kgl. Universitätsbibliothek schon vor meiner Ankunft in Göttingen geliefert und hatte daher zunächst die übliche (in Z. 1897 S. 564 beschriebene) Bauart mit Glührohrzündung ohne Zündregler und ohne besondere Versuchseinrichtung. Die Gasmotorenfabrik Deutz stellte mir später kostenlos einen neuen Zylinderkopf zur Verfügung, der mit elektrischer Zündung durch die bekannte magnet-elektrische Zündeinrichtung ausgestattet ist. Dabei kann die Länge des durch den Zündnocken betätigten Zündhebels durch eine Schraube während des Betriebes geändert werden, sodass dieser Hebel früher oder später vom Nocken ab-schnappt und somit die Bildung des elektrischen Funkens und die Zündung früher oder später einleitet. In dem höchsten und in dem tiefsten Punkte des Kompressionsraumes sind außer-

dem an diesem Zylinderkopf Bohrungen angebracht, die ins Freie münden und während des Betriebes durch Schrauben verschlossen sind. Diese Bohrungen erleichtern die Messung des Kompressionsrauminhaltes in hohem Maße. Die Maschine wird in der bekannten Weise durch Verändern des Gasgehaltes der Ladung mittels eines schrägen Nockens geregelt. Leider ist der Ungleichförmigkeitsgrad des Regulators sehr groß: Bei der äußersten Stellung des schrägen Nockens (größte Belastung) beträgt die Umlaufzahl 194 Uml./min, bei der innersten Stellung (kleinste Belastung) 203 Uml./min. Durch Anhängen von Gewichten an den Regulator war man bestrebt, die Umlaufzahl bei verschiedenen Versuchen gleich zu erhalten, was jedoch nicht immer gelang. Auch schwankte der Regulator bei einer Reihe von Versuchen trotz gleichmäßiger Bremsbelastung erheblich, Umstände, die naturgemäß die Genauigkeit der Versuche beeinträchtigen mussten.

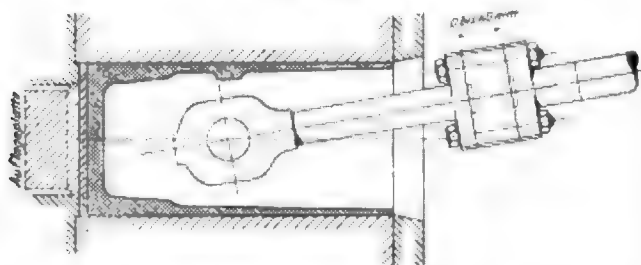
Das Steuerungsschema des Motors ist in Fig. 1 wiedergegeben, in der links der Kurbelkreis beim Ansaug- und beim Kompressionshub, rechts derjenige beim Expansionshub und Auspuffhub dargestellt ist. Das Einströmventil (für Luft und Gas) öffnet bei einem Kurbelwinkel von $21^{\circ}10'$ nach der inneren Totpunktstellung und schließt bei $19^{\circ}30'$ nach der äußeren Totpunktstellung. Das Gasventil öffnet je nach der Stellung des Regulators bei $53^{\circ}55'$ (größte Belastung) bis zu $91^{\circ}30'$ (kleinste Belastung) nach der inneren Totpunkt-



stellung und schließt bei allen Belastungen $33^{\circ} 10'$ nach der äußeren Totpunktstellung. Das Gasventil schließt sich somit später als das Einströmventil. Die Ausströmung beginnt während des Expansionshubes $35^{\circ} 55'$ vor der äußeren Totpunktstellung und schließt während des Auspuffhubes $6^{\circ} 10'$ vor der inneren Totpunktstellung.

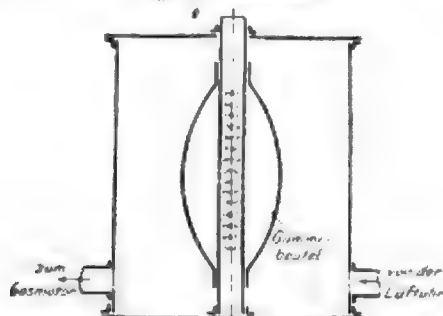
Da eine Kreuzkopfführung, die für Versuchsmotoren sehr zu empfehlen ist, nicht vorhanden war, so mußte man den Kompressionsraum dadurch veränderlich machen, dass man die Länge der aus zwei Teilen bestehenden Schubstange durch Einschalten von geeigneten Zwischenstücken zwischen die beiden Teile, Fig. 2, veränderte. Da aber der Durch-

Fig. 2.



messer des Kompressionsraumes kleiner ist als der Cylinderdurchmesser, so konnte der Kolben nicht weiter in den Cylinder hineingeschoben werden, als der normalen Kompression, für die der Motor geliefert war, entsprach. Um trotzdem höhere Kompressionsgrade zu erreichen, wurde ein »neuer« Kolben angefertigt, auf dessen Rückseite konzentrisch mit ihm eine eiserne Platte von 148 mm Dmr. und 80 mm Dicke aufgenietet war. Es wurden nun Versuche mit dem »alten«, glatt abgeschnittenen Kolben bei normaler Kompression mit der ungeteilten Schubstange gemacht und dann unter Verwendung des neuen Kolbens die Länge der geteilten Schubstange durch geeignete Wahl der Zwischenstücke so eingestellt, dass der Kompressionsraum wie beim alten Kolben war. Die beiden Versuchsreihen sind im Folgenden mit »kleinste

Fig. 3. Luftkessel.



Kompression (alter Kolben)« und »kleinste Kompression (neuer Kolben)« bezeichnet. Mit dem neuen Kolben wurde noch bei einer mittleren Kompression und schließlich bei nahezu der größten am Motor erreichbaren Kompression gearbeitet.

Die Abmessungen des Motors sind:

Cylinder-Durchmesser	220 mm
Hub	330 »
Hubvolumen V_h	12,558 ltr

Bei der kleinsten Kompression (alter Kolben) war der Inhalt des Kompressionsraumes (durch Wasserfüllung mehrmals gemessen) $V_c = 4,444$, daher das Gesamtvolumen $V_c + V_h = 16,998$ und somit der Kompressionsgrad

$$\epsilon = \frac{V_c + V_h}{V_c} = 3,840.$$

Die gleichen Zahlen gelten für die kleinste Kompression (neuer Kolben).

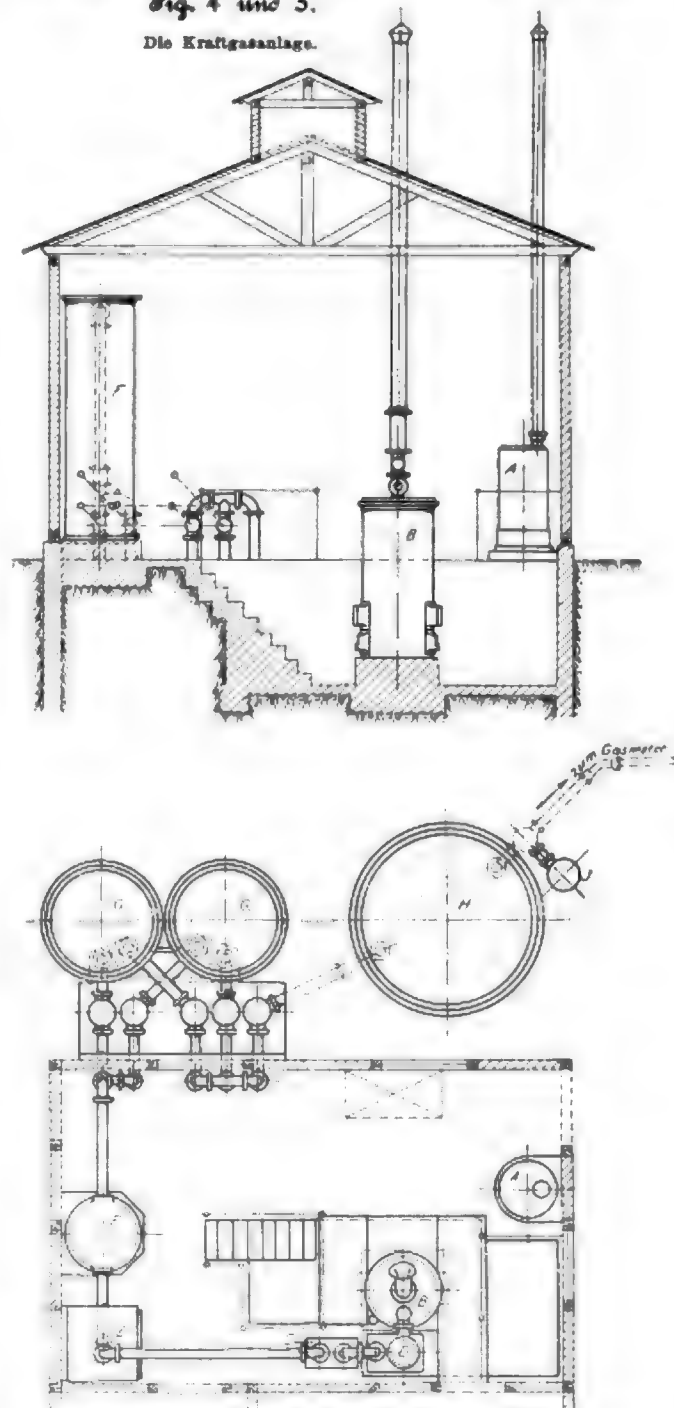
Für die mittlere Kompression (neuer Kolben) ist $V_c = 3,459$, $V_c + V_h = 16,017$ und $\epsilon = 4,59$.

Für die größte Kompression (neuer Kolben) ist $V_c = 3,146$, $V_c + V_h = 15,684$ und $\epsilon = 4,98$.

Die für genaue Messungen eingerichtete Gasuhr von 142,9 ltr und die Luftuhr von 1200 ltr Trommelinhalt zum Messen des Gas- und Luftverbrauches des Motors hat S. Elster in Berlin geliefert. Um einen gleichmäßigen Durchgang der Luft durch die Luftuhr zu erzielen, wurden zwischen die Luftuhr und

Fig. 4 und 5.

Die Kraftgasanlage.



den Motor zwei Ansaugeköpfe und außerdem noch ein Luftkessel von ungefähr 1 cdm Inhalt eingeschaltet. In den letzteren ist nach Fig. 3 ein Gummibeutel so eingebracht, dass das Innere des Beutels mit der Außenluft in Verbindung steht und somit der Beutel aufgebläht wird, wenn sich im Luftkessel infolge des Ausganges eine Luftverdünnung bildet. Diese Anordnung hat sich sehr gut bewährt. Ein

Fig. 6 Messvorrichtung.

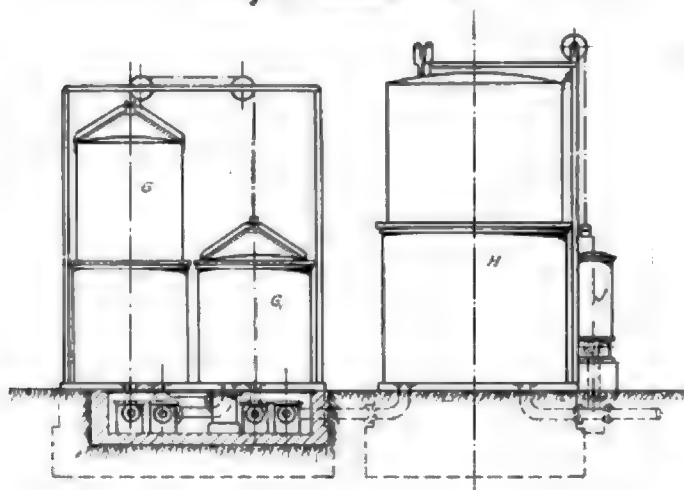
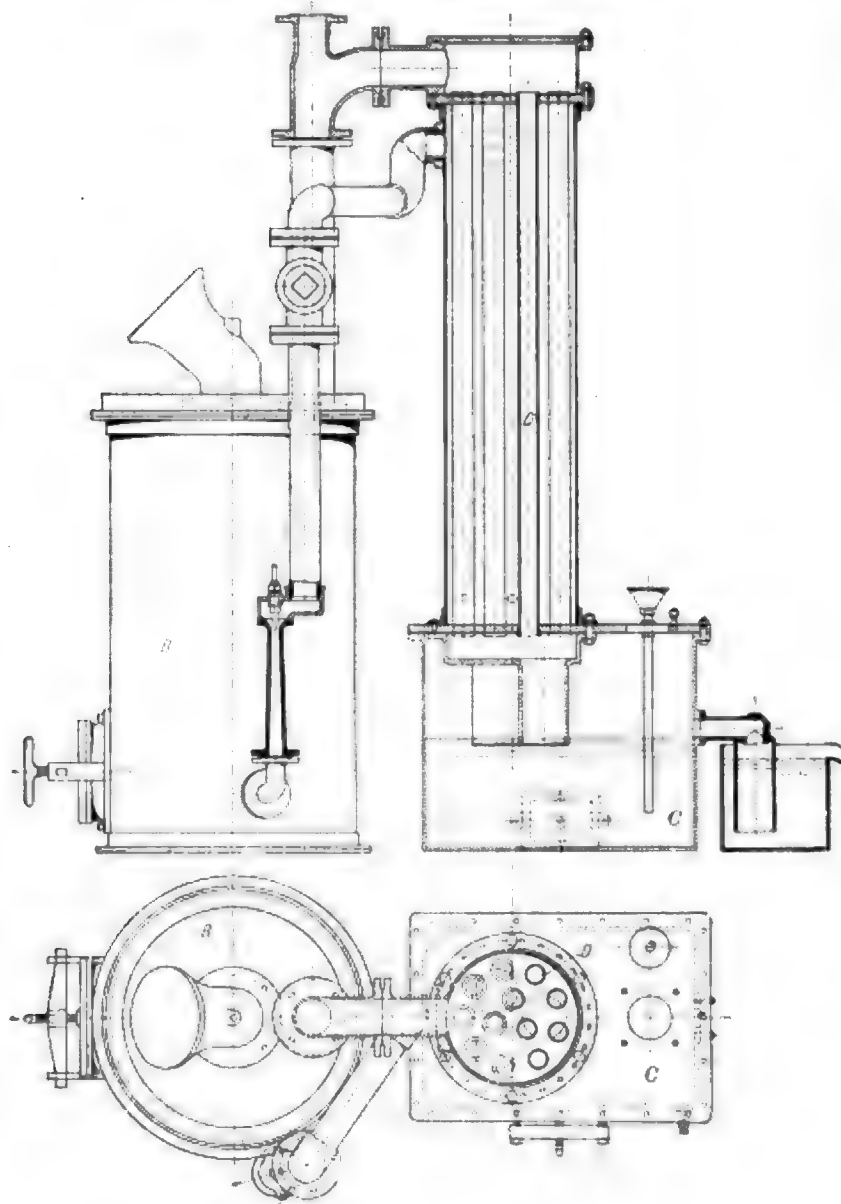


Fig. 7 und 8. Generator und Wärmetauscher.



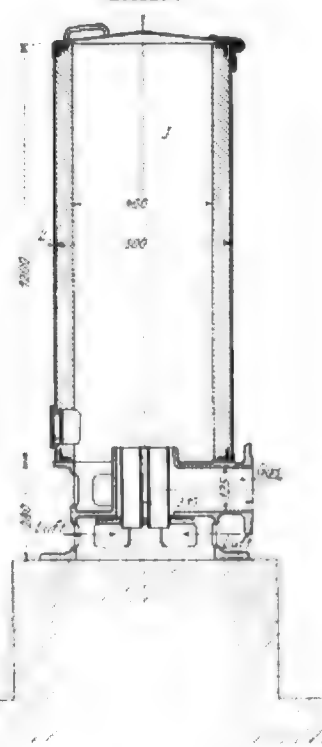
Ventilator, der die Luft durch die Luftuhr treiben sollte, zeigte sich entbehrlich, ja er störte sogar die Gleichmäßigkeit des Luftansaugens.

Die Leuchtgaszufuhr kann unmittelbar vor dem Gashahn des Motors abgeschraubt und der Motor an dieser Stelle mit einer Kraftgasleitung verbunden werden, sodass es möglich ist, ihn mit Kraftgas zu betreiben. Dabei müssen dann der Gashahn, das Gasventil und die Löcher, durch die am Einströmventil das Gas zur Luft tritt, einen größeren Durchgangsquerschnitt haben, als dies beim Leuchtgasbetriebe erforderlich ist. Die entsprechenden Teile wurden daher am Motor neu angebracht. Es zeigte sich nun, dass sich diese neuen Teile auch beim Leuchtgasbetrieb verwenden ließen, wenn man nur den Gashahn auf einen kleineren Durchgangsquerschnitt einstellte. Statt eines Gummibeutels ist in die Kraftgaszufuhr unmittelbar vor dem Motor ein größerer Gaskessel eingeschaltet.

Erzeugt wird das Kraftgas in einer Kraftgasanlage von 220 cbm/st Leistungsfähigkeit, die im Jahre 1898 von der Gasmotorenfabrik Deutz auf meine Bestellung für das Institut geliefert wurde. Ueber ihre Einrichtung geben Fig. 4 bis 9 Aufschluss. Der Generatorschacht ist quadratisch ausgemauert. Zwischen dem Generator *B* und der Wasservorlage *C* befindet sich ein Wärmetauscher *D* mit einem Röhrenbündel. Durch die Röhren streicht das mit ungefähr 500° C aus dem Generator austretende Kraftgas und giebt seine Wärme an die außerhalb der Röhren vorbeistreichende Frischluft ab, die dadurch auf ungefähr 250° vorgewärmt wird. Das Dampfstrahlgebläse (Dampfkessel *A*), durch das die Frischluft angesaugt, mit dem überhitzten Dampfe gemischt und in den Generator eingeblasen wird, befindet sich zwischen dem Wärmetauscher und dem Generator. Durch Umstellen zweier Hähne kann man bewirken, dass die Frischluft nicht vorgewärmt wird, sondern mit der Temperatur der Außenluft in das Gebläse tritt. Die Temperatur des erzeugten Gases wird unmittelbar nach Verlassen des Genera-

Fig. 9.

Brenner.



tors durch ein Lechateliersches Pyrometer gemessen. In den Generatorschacht können an 6 Stellen Thermoelemente zur Bestimmung der Schachttemperatur seitlich eingelassen werden. Nachdem das Gas die Wasservorlage C, den Sägemehreiniger E und den Kokaskrubber F durchströmt hat, gelangt es durch eine der beiden kleinen Gasglocken G₁ zur Gasglocke H von 2,6 m Dmr. und 3 m nutzbarer Höhe, in der es zur Verwendung bereit steht. Von ihr aus führt eine Leitung zum Gasmotor. Will man aber lediglich die Gesetze bei der Erzeugung des Kraftgases untersuchen, so kann man die gesamte erzeugte Gasmenge aus der Glocke H in den Brenner J, Fig. 9, überleiten und sie dort verbrennen. Dieser Brenner hat sich sehr gut bewährt. Auch wenn der Gasmotor läuft, muss immer ein Teil des erzeugten Kraftgases in dem Brenner verbrannt werden, da die Gasanlage für ungefähr 85 PS. ausreichen würde, während der Motor nur 10 PS. leistet.

Die Menge des erzeugten Gases könnte man in einer großen Gasuhr messen. Es ist aber die Gefahr vorhanden, dass die Gasuhr verschmutzt und dann unrichtig zeigt. Daher hielt ich es für besser, eine zwar weniger bequeme, aber auf alle Fälle zuverlässige Messvorrichtung anzuwenden. Sie ist durch die beiden kleinen Gasglocken G und G₁, Fig. 5 und 6, gebildet, die durch ein über zwei Führungsrollen laufendes Drahtseil so verbunden sind, dass die eine steigt, wenn die andere fällt. G und G₁ können entweder mit den Reinigungseinrichtungen und dem Generator oder mit der Gasglocke H durch insgesamt 4 Hähne, die von einem einzigen Hebelwerk aus bedient werden, in folgender Weise verbunden werden: Ist die Glocke G mit den Reinigungseinrichtungen in Verbindung, so ist sie gegen die Gasglocke H abgeschlossen; gleichzeitig ist dann G₁ gegen die Reinigungseinrichtungen abgeschlossen und mit H verbunden. G steigt also, indem es sich mit neuem Gas vom Generator her füllt, G₁ fällt dagegen, indem es seinen Gasinhalt an H weiter giebt. Hat nun G seinen höchsten, G₁ seinen tiefsten Stand erreicht, so werden durch ein Klingelwerk mittels zweier elektrischer Kontakte zwei rasch auf einander folgende Signale gegeben. Beim Erörten des ersten fasst man das Hebelwerk, und beim zweiten schaltet man es von Hand so um, dass nunmehr G mit der Gasglocke, G₁ mit dem Generator verbunden wird. Es entleert sich also jetzt G, und G₁ füllt sich wieder, bis mittels zweier anderer Kontakte ein weiteres Doppelsignal zum abermaligen Umschalten ertönt. Aus der Anzahl der Umschaltungen kann somit die Menge des erzeugten Gases bestimmt werden, wenn noch die Temperaturen beim Eintritt in die Gasglocken und nach dem Austritt von Zeit zu Zeit abgelesen werden, da der Querschnitt der Glocke und ihr Weg zwischen zwei Umschaltungen bekannt ist.

Diese Einrichtung leistete bei den Versuchen über den Nutzen des Wärmeaustausches, über deren Ergebnisse ich in Z. 1900 S. 333 kurz berichtet habe, gute Dienste. Um den Verbrauch des Gasmotors an Kraftgas zu messen, musste aber naturgemäß in anderer Weise verfahren werden.

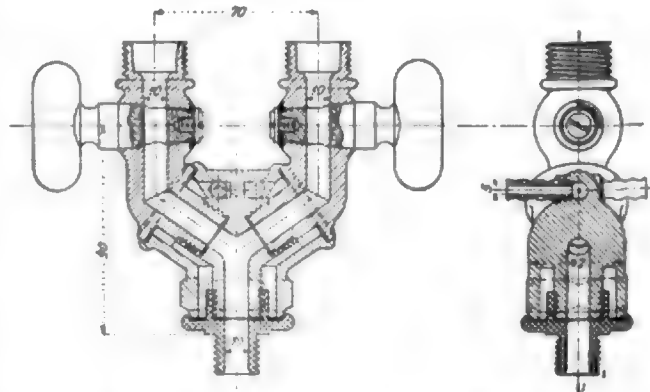
Wenn der mit Kraftgas betriebene Motor im Bohrungszustande war und die große Gasglocke H möglichst hoch stand, wurde plötzlich die Verbindung der letzteren mit den kleinen Glocken einerseits und mit dem Brenner J andererseits abgesperrt; die große Glocke gab daher ihren Inhalt abschließend an den Motor ab, und aus ihrem Fallen konnte der Gasverbrauch des Motors gemessen werden. Diese Art der Gasmessung ist besonders seit der Einführung der Gichtgasmotoren von großer Wichtigkeit; es dürften daher einige Bemerkungen über die Erzielung richtiger Ergebnisse am Platze sein. Dass man mit Rücksicht auf das Schiefstellen der Glocke ihren Stand an verschiedenen (mindestens drei) gleichmäßig am Umfang verteilten Stellen ablesen muss, habe ich in Z. 1899 S. 483 ausgeführt. Besonders wichtig ist es, auf die Temperaturverhältnisse im Innern der Glocke zu achten. Ändert sich die Temperatur während des Versuches, so ist die verbrauchte Gasmenge als der Unterschied zwischen der am Anfang und am Ende in der Glocke enthaltenen Gasmenge zu berechnen. Man muss daher nicht bloß wissen, um wie viel die Glocke gefallen ist, sondern auch, welchen Raum der am Ende des Versuches in ihr enthaltene Gasrest noch einnimmt. Um hieraus die verbrauchte Menge zu bestimmen, müsste man aber die mittlere Tempe-

ratur am Anfang und am Ende des Versuches kennen, eine Forderung, die bei eintretenden Temperaturänderungen sehr schwer zu erfüllen ist. Daher dürfte es auch geradezu unmöglich sein, einigermaßen genaue Werte zu erhalten, wenn während des Versuches die Sonne auf die Gasglocke scheint. Am besten nimmt man infolgedessen derartige Versuche an trübigen Tagen vor. Um aber auch bei Sonnenschein die Temperatur im Innern der Glocke unverändert zu erhalten, ließ ich über der Glocke eine Wasserbrause anbringen, die ihr Wasser gleichmäßig an deren Außenwänden herabrieseln ließ. Auch bei Sonnenschein wurden damit die Messungen, die vorher unbrauchbar waren, genau. Da dann das überschüssige Wasser über den Rand des äußeren (Wasser-)Behälters abfließt, so steht außerhalb der Glocke das Wasser immer gleich hoch; der Wasserstand im Innern nimmt dabei gegen Ende des Versuches zu, da der Gasdruck infolge des vermehrten Auftriebes bei zunehmender Eintauchtiefe der Glocke abnimmt. Hierfür ist bei genauen Versuchen eine Berichtigung an der Fallhöhe der Glocke anzubringen.

Durch Umschalten der Rohrleitungen kann die Gasglocke H auch mit der Gasuhr oder mit der Luftpumpe verbunden werden. Wird sie mit Luft gefüllt, und lässt man diese Luft aus der Glocke durch eine der beiden Uhren treten, so ist eine Aichung der Uhren mittels der Gasglocke möglich. Diese Aichung wurde verschiedene Male durchgeführt; man muss dabei nach dem Obigen sehr sorgfältig verfahren und alle notwendigen Berichtigungsrechnungen hinsichtlich Temperatur und Druck in der Gasglocke und beim Durchtritt durch die Uhren ausführen. Bei der Gasuhr ergaben 3 Versuche Fehler von $-0,35 \text{ vH.}$, $-0,1 \text{ vH.}$ und $+0,6 \text{ vH.}$, also im Mittel $-0,3 \text{ vH.}$, was innerhalb des Genauigkeitsgrades der Versuche liegt. Auch bei der Luftpumpe sind der Aichung zufolge die Fehler unbedeutend. Dass man übrigens bei allen derartigen Messungen Glocke und Leitungen aufs sorgfältigste auf ihre Dichtheit zu prüfen hat, ist selbstverständlich.

Zum Entnehmen der normalen und der verschobenen Diagramme sind am Gasmotor die gleichen Antriebsvorrichtungen vorgesehen wie bei dem 8 pferdigen Leuchtgasmotor des Ingenieurlaboratoriums der Technischen Hochschule Hannover (vergl. hierüber Z. 1899 S. 363). Damit man zum Zweck gegenseitiger Kontrolle gleichzeitig an zwei Indikatoren Diagramme abnehmen kann, hat die Firma Dreyer, Rosenkranz & Droop auf meine Bestellung den in Fig. 10 dargestellten Doppelhahn ge-

Fig. 10. Indikatorhahn.



liefert, der ebenso wie der in Z. 1899 S. 363 Fig. 10 beschriebene Indikatorhahn mit Wasserkühlung versehen ist. Er wird auf den Auspuffventildeckel aufgeschraubt. Bei den Versuchen Nr. 10 bis 29 arbeiteten gleichzeitig ein Indikator von Schüffler & Budenberg, großes Modell, und ein Crosby-Indikator, bei den Versuchen Nr. 30 bis 54 wurden nur an dem Indikator von Schüffler & Budenberg, großes Modell, Diagramme entnommen bei den Versuchen Nr. 55 bis 64 gleichzeitig mit dem letzteren und mit einem Indikator derselben Firma, kleines Modell.

Die Einrichtungen zum Messen der Kühlwassermenge und der Kühlwassertemperaturen gleichen der Hauptsache nach denen am Gasmotor des Hannoverschen Ingenieurlabora-

toriums, ebenso die Einrichtung zum Messen der Auspufftemperatur mittels des Lechatellierschen Pyrometers.

Der Heizwert des Leuchtgases und des Kraftgases wurde stets im Junkersschen Kalorimeter bestimmt. Bei der Heizwertbestimmung von Kraftgas und insbesondere von Gichtgas muss man auf etwaige Fehler in der Angabe der Thermometer genau achten. Die verwendeten Thermometer waren in $\frac{1}{10}^{\circ}$ geteilt. Ihre Vergleichung mit einem Normalthermometer ergab, dass infolge ihrer Fehler der Unterschied zwischen der Eintritt- und der Austrittstemperatur des Kalorimeterwassers bis auf $0,1^{\circ}$ falsch angegeben werden konnte. Da nun dieser Unterschied bei der Heizwertbestimmung von Leuchtgas in der Regel ungefähr 15 bis 20° beträgt, so wird bei $0,1^{\circ}$ Fehler die Angabe des Heizwertes nur um 0,6 bis 0,7 vH falsch. Bei Kraftgas dagegen beträgt häufig der Temperaturunterschied des Kalorimeterwassers beim Ein- und Austritt nur 2,5 bis 5° ; wird er also um $0,1^{\circ}$ zu hoch oder zu niedrig angegeben, so wird der Heizwert um 2 bis 4 vH falsch. Noch ungünstiger gestalten sich diese Verhältnisse beim Gichtgas. Neben der Anwendung möglichst zuverlässiger, mindestens mit Zehntelgradteilung versehener Thermometer ist es infolgedessen auch erforderlich, die Heizwertbestimmung möglichst lange dauern zu lassen, damit man aus recht vielen Einzelablesungen einen zuverlässigen Mittelwert für die Temperatur bekommt¹⁾. Besonders vorsichtig muss man bei Kraftgas und Gichtgas dann vorgehen, wenn die Zufusstemperatur des Kalorimeterwassers starken Schwankungen unterworfen ist, da dann die Schwankungen der Ausflusstemperatur denjenigen der Zufusstemperatur zeitlich nachziehen. Schon öfter habe ich darauf hingewiesen, dass man sich bei genauen und verantwortungsvollen Versuchen auf die kleine Gasuhr, in der die im Kalorimeter verbrannte Gasmenge bestimmt wird, nicht verlassen und daher stets die Gasuhr mit einer genau geeichten Gasglocke vergleichen sollte. Diese Vergleichung wurde vor und nach allen wichtigeren Heizwertbestimmungen, die im Institute gemacht wurden, ausgeführt. Dabei ergab sich, dass die Fehler der Gasuhr häufig unter 1 vH lagen und in der Regel +1,0 und

2) Kolbenschmierung und Temperatur der Wandungen.

Von Wichtigkeit für die Beurteilung ausgedehnter Versuchsreihen ist die Frage, innerhalb welcher Grenzen sich der mechanische Wirkungsgrad und der Gasverbrauch eines Motors ändern, wenn man dem Kolben einmal ungemein reichliche Mengen von Schmieröl zuführt und ein andermal nur soviel, dass eben noch ohne Festfressen des Kolbens ein Dauerbetrieb möglich ist. Um diese Frage zu beantworten, hat Hr. Meyenberg infolge meiner Anregung am 21. September 1899 eine Versuchsreihe durchgeführt, bei der die Menge des zugeführten Kolbenschmieröls innerhalb möglichst weiter Grenzen geändert wurde. Der von der Gasmotorenfabrik Deutz damals auf allen kleineren Motoren angebrachte Zylinderöler bestand aus einem Glasgefäß, das nach außen luftdicht verschlossen war und auf dem Zylinder am oberen Ende einer senkrechten, zum Kolben führenden Bohrung saß. Der Querschnitt, durch den das Öl aus dem Gefäß zur Bohrung und somit zum Kolben trat, konnte durch eine Regelschraube verändert werden. Infolge von unvermeidlichen Undichtheiten am Kolben sollten nun Blasen von Verbrennungsprodukten in den Oel aufsteigen und so die Veranlassung bilden, dass das Öl auf den Kolben tropft. Während der Versuche blieben die Bremsbelastung und alle sonstigen Verhältnisse gleich; lediglich der Stand der Oelregelschraube, die auch bei der Stellung null noch etwas Öl durchließ, wurde geändert, und bei jeder neuen Stellung der Beharrungszustand abgewartet. Begonnen wurde mit dem geringsten Ölzufuss, da sich dann nach Vermehrung der Ölmenge der Beharrungszustand viel rascher einstellt, als wenn man umgekehrt von größerem auf kleineren Ölzufuss übergeht. Da die Versuche zunächst nur einen Ueberblick gewähren sollten, so wurde davon abgesehen, den Heizwert des verwendeten Leuchtgases und den Wärmeverlust an das Kühlwasser zu bestimmen. Die Zufusstemperatur wurde auf 35 bis 36° gehalten. Die Bremsbelastung betrug bei allen Versuchen 50 kg am Hebelarm 716 mm. Die Versuchsergebnisse sind in der Zahlentafel I zusammengestellt.

Zahlentafel I.

Versuchsnummer	Stand der Oelregelschraube	mittlere Umlaufzahl der Kurbelwelle	indizierte Leistung der Gasmaschine N_i	Bremsleistung N_b	mechanischer Wirkungsgrad $\eta = \frac{N_b}{N_i}$	Gasverbrauch bei 14,7° Gas-temperatur und 746 mm Barometerstand			Bemerkungen über die Schmierölszufuhr
						Insgesamt l. d. Std.			
						litr	für 1 PS _i -st	für 1 PS _b -st	
		Uml./min	PS	PS					
I	0	204,9	14,51	10,24	0,706	8446	583	823	alle 40 sk ein Tropfen
II	$\frac{1}{3}$	208,7	14,31	10,18	0,716	8466	593	831	• 25 • • •
III	1	206,3	14,10	10,31	0,732	8220	589	796	• 5 • • •
IV	$1\frac{1}{2}$	205,0	13,19	10,26	0,776	7184	543	703	• 2 • • •
V	2	206,7	13,48	10,34	0,767	6948	515	671	sehr stark tropfend
VI	3	208,0	13,18	10,40	0,790	6736	512	646	fast in geschlossenem Strahl ausfließend

–1,9 vH nicht überschritten, dass aber bei drei Versuchen die Fehler –8 vH, –8 vH und –7 vH betrugen. Die verlangte Vorsicht ist also wohl berechtigt. Wenn man die Gasglocke anwendet, so hat man bei Kraftgas und Gichtgas auch noch den Vorteil, dass eine richtig gebaute Glocke²⁾ zum Ausgleichen von Druckschwankungen und zum Ablagern von Staub, Schmutz und mitgerissenem Wasser dienen kann. Auf vollkommenen Verbrennung des Gases im Kalorimeter ist naturgemäß vor allem zu achten³⁾. Wenn man die Regulirschlitze am Bunsen-Brenner etwas öffnet, so kann es, falls das Kraftgas oder Gichtgas unter sehr niedrigem Druck steht, vorkommen, dass etwas Gas durch die Schlitze ins Freie entweicht, was naturgemäß die Heizwertbestimmung falsch macht.

Zum Bremsen des Motors diente ein Pronyscher Zaum in der Form einer Pendelbremse. Die Bremshebellänge betrug 716 mm.

¹⁾ Vergl. meine Ausführungen hierüber in Z. 1899 S. 485.

²⁾ Eine geeignete Glocke hat nach meinen Angaben die Maschinen- und Apparatebauanstalt von Dr. Rudolf Franke in Hannover geliefert.

³⁾ Vergl. hierüber A. Wagener, Z. 1900 S. 1519.

Bei gleicher Belastung und unter sonst gleichen Umständen nimmt also der Gasverbrauch für 1 PS_i-st von 823 ltr auf 646 ltr, d. h. um über 21 vH seines anfänglichen Wertes ab, wenn man von sehr schwacher, aber noch ausreichender auf sehr reichliche Kolbenschmierung übergeht. Der mechanische Wirkungsgrad nimmt dabei von 0,706 auf 0,790, d. h. um 12 vH seines anfänglichen Wertes zu. Dieser Betrag ist sehr bedeutend; allein die so erhebliche Abnahme des Gasverbrauches vermag er doch nicht zu erklären. Denn bei den ersten 3 Versuchen bleibt zwar der Gasverbrauch für 1 PS_i-st nahezu gleich, mechanischer Wirkungsgrad und Gasverbrauch für 1 PS_b-st stehen daher hier im umgekehrten Verhältnis, bei den Versuchen IV bis VI aber wird der Gasverbrauch für 1 PS_i-st sehr viel kleiner als bei den drei ersten Versuchen, wenn er auch wieder bei V und VI nahezu gleich ist. Die Vermutung liegt nahe, dass bei sehr reichlicher Ölszufuhr ein Teil des Schmieröls in den Verbrennungsraum gelange, mit dem Leuchtgas zur Verbrennung komme und dadurch einen Teil des sonst erforderlichen Leuchtgases ersetze. Um diese Frage eingehend zu untersuchen, wurde am 6. Dezember 1899 eine weitere Versuchsreihe ausgeführt, bei

der aber auch der Einfluss der Kühlwassertemperatur mit in Betracht gezogen wurde. Die Menge des zur Kolbenschnürung verwendeten Schmieröles, der Heizwert des verbrauchten Leuchtgases, die Wärmeabfuhr an das Kühlwasser, die ausgesaugte Luftmenge und der Beginn und die Dauer der Verbrennung (soweit die letztere auf den verschobenen Diagrammen sichtbar ist) wurden sorgfältig bestimmt. Um die indizierte Arbeit zuverlässig zu messen, wurden auf die oben beschriebene Weise gleichzeitig mit zwei Indikatoren alle 5 Minuten Diagrammbündel mit je 15 Diagrammen abgenommen. Zahlentafel 2 enthält die Versuchsergebnisse. Die Bremsbelastung betrug wieder 60 kg bei allen Versuchen. Verstellt wurden nur die Oelschraube und der Regelhahn in der Kühlwasserleitung. Die Zufusstemperatur des Kühlwassers betrug während der Versuche $9,0^{\circ}$ bis $9,4^{\circ}$.

ratur und durch vermehrte Kolbenschnürung der indizierte Wärmeverbrauch nicht oder nur unerheblich geändert wird, der Verbrauch für die Nutzpferdestärke aber innerhalb weiterer Grenzen, da infolge beider Ursachen die Kolbenreibung stark abnimmt. Bei Versuch XII aber, bei dem die Oelmenge für die Kolbenschnürung ungemein hoch ist und stündlich 371 g beträgt, ist nun plötzlich auch der Wärmeverbrauch für 1 PS_{st} (2405 WE) erheblich geringer als bei den vorhergehenden Versuchen (im Mittel aus IX bis XI 2588 WE). Der Unterschied beläuft sich also auf über 7 vH. Da die übrigen Verhältnisse gleich geblieben sind und die Wärmeabfuhr an das Kühlwasser eher größer ist als bei Versuch IX, so liegt es auch bei dieser Versuchreihe sehr nahe, diesen geringen Wärmeverbrauch durch das Mitverbrennen von Schmieröl zu erklären. Wären die 7 vH Minderverbrauch

Zahlentafel 2.

Versuchsnummer	VII	VIII	IX	X	XI	XII
Dauer des Versuches	9 ^h 11'	10 ^h 27'	11 ^h 35'	1 ^h 41'	2 ^h 45'	3 ^h 41'
	9 ^h 41'	10 ^h 52'	12 ^h 05'	1 ^h 26'	2 ^h 28'	3 ^h 26'
Stellung der Oelregelschraube	0	0	0	1,5	1,5	1,5
stündlicher Verbrauch an Schmieröl für den Kolben	9,6	14,0	26,4	49,0	64,3	371
Abflusstemperatur des Kühlwassers	17,7	35,2	68,3	17,1	35,5	69,0
Uml./min der Kurbelwelle	197,6	198,5	198,1	199,1	203,0	200,8
Indizierte Leistung N_i	13,82	13,20	12,67	13,52	13,30	12,84
Bremsleistung N_b	9,88	9,93	9,80	9,98	10,15	10,04
mechanischer Wirkungsgrad $\eta = \frac{N_b}{N_i}$	0,712	0,752	0,768	0,736	0,763	0,782
Gasverbrauch bezogen auf 0°	525	530	513	514	514	480
und 760 mm	743	765	667	698	673	615
unterer Heizwert bezogen auf 0° und 760 mm	5050	4985	5040	5045	5042	5010
Wärmeverbrauch des Motors	2650	2640	2585	2590	2590	2405
für 1 PS _{st}	3750	3510	3360	3520	3395	3080
Wärmeabfuhr an das Kühlwasser	2,59	2,43	2,13	2,38	2,32	1,99
bezogen auf an Leuchtgas wurde angesaugt für ein Spiel	0,391	0,391	0,359	0,381	0,385	0,363
an Luft wurde angesaugt für ein Spiel	1,32	1,25	1,16	1,24	1,20	1,10
Barometerstand	9,42	9,35	9,29	9,31	9,38	9,34
Mischungsverhältnis Luft: Gas	10,74	10,60	10,47	10,78	10,58	10,44
Kurbelstellung vor dem Totpunkt, bei der die Zündung beginnt	— 5	— 5	— 5	— 4	— 4	— 4
Kurbelstellung nach dem Totpunkt, bei der die sichtbare Verbrennung vollendet ist	29,6	29,4	32,5	32,6	32,9	36,9

Die Versuche VII bis IX wurden also bei derselben Stellung (0) der Oelregelschraube, aber bei verschiedenen Kühlwasserabflusstemperaturen ($17,7^{\circ}$, $35,2^{\circ}$ und $68,3^{\circ}$) gemacht. Die Versuche X bis XII sind eine Wiederholung der drei vorhergehenden, nur hatte hier die Oelschraube stets die Stellung 1,5. Zunächst zeigt sich, dass bei derselben Stellung der Oelregelschraube ganz verschiedene Mengen von Oel aus dem Oeler abtropfen. Denn die höhere Temperatur der Cylinderwandung teilt sich auch dem Oel mit, dadurch wird dieses dünnflüssiger und fließt somit bei demselben Querschnitt rascher aus. Der mechanische Wirkungsgrad nimmt aus zwei Gründen mit zunehmender Kühlwasser- und Wandungstemperatur zu: erstens weil bei höherer Temperatur infolge der Eigenart des Oelers stärker geschmiert wird, und zweitens, weil die Kolbenreibung offenbar mit zunehmender Wandungs- und Oeltemperatur abnimmt. Der Gasverbrauch und damit der Wärmeverbrauch für 1 PS_{st} nehmen daher mit zunehmender Wandungstemperatur und mit zunehmender Schmierölmenge ab, und zwar der letztere zunächst innerhalb der Versuche VII bis XI von 3750 auf 3360 WE, d. h. um über 10 vH seines anfänglichen Wertes. Trotzdem bleibt der Wärmeverbrauch für 1 PS_{st} bei den Versuchen IX bis XI genau gleich, und von dem hierbei erhaltenen mittleren Werte von 2588 WE weicht der bei den Versuchen VII und VIII erhaltene Wert von 2645 WE nur um 2,2 vH ab, was wohl innerhalb der Versuchsfehler liegen kann. Diese 5 Versuche ergeben also, dass durch die Erhöhung der Wandungstempe-

an Leuchtgaswärme durch Erzeugung von Verbrennungswärme aus Schmieröl gedeckt worden, so würden hierzu ($2688 - 2405$) 12,64 = rd. 250 g Schmieröl erforderlich sein, wenn

das letztere wie z. B. das Rüböl einen Heizwert von 10 WE/g besitzt. Da aber 371 g Schmieröl aus dem Oeler ausgeflossen sind, so ist es in der That nicht undenkbar, dass diese Menge mitverbrannt wurde, wenn es auch nicht streng bewiesen ist.

Dass bei 69° Abflusstemperatur die Wärmeabfuhr an das Kühlwasser um ungefähr 8 vH kleiner ist als bei 35° und 17° Abflusstemperatur, rührt ohne Zweifel daher, dass im ersteren Falle die Abgabe von Strahlungswärme an den Motorenraum recht beträchtlich ist. Je höher die Abflusstemperatur ist, um so geringer ist unter sonst gleichen Verhältnissen die Menge der frischen Ladung und damit das Füllungsverhältnis. Doch ist diese Abnahme nicht sehr bedeutend. Der Beginn und die Dauer der sichtbaren Zündung ändern sich bei den verschiedenen Versuchen nur wenig.

Da bei der soeben erörterten Versuchsreihe nur bei sehr hoher Kühlwassertemperatur Cylinderschmieröl in überrücklichem Maße zugeführt wurde, so wollte ich noch weiter sehen, ob auch bei sehr niedriger Temperatur eine überreichliche Schmierölzufuhr Veranlassung zu einem auffallend niedrigen Wert für den indizierten Wärmeverbrauch geben würde. Daher wurden am 13. Dezember 1899 die in der Zahlentafel 3 wiedergegebenen Versuche XIII bis XV ausgeführt.





3000 PS überzugehen. Diese Förderhaspel sind alle, mit Ausnahme einer Förderung mit etwa 80 bis 150 PS, welche seit rd. 7 Jahren auf der Grube Hol'ertszug bei Siegen mit einer wirtschaftlichen Regulierung, d. h. ohne Strom in Widerständen in Wärme umzusetzen, arbeitet, durchgehends mit Widerstanderegulierung gebaut, sei es bei Gleichstrom mit oder ohne Akkumulatorenbatterie, sei es bei Drehstrom.

Die Lösung der gestellten Aufgabe wurde schließlich durch einen Flüssigkeitsanlasser auf ganz neuer Grundlage erreicht, welcher in allen Kulturstaaten durch Patente geschützt ist. Fig. 20 zeigt eine Versuchsanordnung mit diesem Anlasser. Ein Drehstrommotor von 200 bis 400 PS ist unmittelbar mit einem sehr schweren Schwungrad gekuppelt, zu dessen Beschleunigung in 15 sk ein Drehmoment entsprechend einer Leistung des Motors von 400 PS erforderlich ist. Bei der gleichen Leistung wird ein anderes, schwereres Schwungrad in $1\frac{1}{2}$ bis 2 min auf volle Umlaufzahl gebracht. Das erstere entspricht den Verhältnissen bei einer Fördermaschine, das letztere den beim Schnellbahnwagen gestellten Bedingungen. Hinter dem Motor steht das Hochspannungsschaltbrett, von welchem aus die Gehäusewicklung des Motors für Vorwärts- und Rückwärtsgang eingeschaltet wird. Eine Kombination dieser Schaltung mit dem eigentlichen Anlasser wurde bei dieser Versuchsanordnung fortgelassen.

Im Vordergrund des Bildes steht eine kleine durch einen Elektromotor von rd. $\frac{1}{4}$ PS Leistung angetriebene Zentrifugalpumpe, welche die Flüssigkeit aus einem im Fundament liegenden Behälter entnimmt und dauernd in das darüberstehende Gefäß befördert, in dem sich die Elektroden, d. h. die Endplatten der geöffneten Ankerstromkreise, befinden. Die Pumpe läuft dauernd, die Flüssigkeit wird also auch dauernd erneuert und gemischt, auch hängen die Elektroden nicht in ruhemdem, sondern in bewegtem Wasser. Durch das Umlegen der hier noch recht primitiv angeordneten senkrechten Stange nach rechts wird ein im Boden befindliches Ventil, durch welches das Wasser bisher dauernd wieder abfließen konnte, geschlossen. Die Flüssigkeit beginnt zu steigen, d. h. die Ankerstromkreise werden unter Vorschalten von Widerstand geschlossen: der Motor läuft an. Mit weiter steigender Flüssigkeit wird der zwischengeschaltete Widerstand geringer, und der Motor läuft schneller. Es entspricht also bei einer gewissen Belastung des Motors jede bestimmte Höhe des Flüssigkeitsstandes einer bestimmten Umlaufzahl des Motors. Durch einen einstellbaren Ueberfall im Elektrodengefäß lässt sich nun die Flüssigkeitshöhe und somit eine bestimmte Umlaufzahl des Motors leicht einstellen, sei es, dass bei der Fördermaschine auf Schachtrevision oder Mannschaftförderung eingestellt wird, oder hier beim Schnellbahnwagen auf 50 oder 60 km/st.

Die Elektrodenbleche sind am unteren Ende sehr weit von einander entfernt und mit Zacken von verschiedener Länge ausgeführt. Die Anordnung ist so getroffen, dass die längste Zacke des ersten Bleches der längsten Zacke der andern Elektroden diagonal gegenübersteht, dass also im Anfang nicht nur die eintauchende Fläche klein ist, sondern vor allen Dingen die Entfernung, also der Weg für den Strom durch die Flüssigkeit, sehr groß. Die eingetauchte Fläche der Bleche kann daher hier wegen des großen Abstandes erheblich größer sein, als sie für den Durchtritt der gleichen Strommenge bei geringer Entfernung sein dürfte, d. h. die spezifische Stromabgabe des Bleches an die Flüssigkeit ist geringer, und demnach können auch hier die Spitzen nicht verschmoren, wie bei der alten Konstruktion. Nach oben hin liegen die Elektrodenbleche sehr nahe an einander herangeführt, und es sind noch weitere Bleche eingehängt, um die stromleitende Oberfläche recht groß zu erhalten und dadurch den Widerstand, welchen die Flüssigkeit dem Stromdurchtritt entgegensetzt, auf ein sehr kleines Maß zu verringern. Es ist also die Verwendung von metallischen Kurzschlusskontakten nicht mehr erforderlich.

Der wesentliche Unterschied des neuen Anlassers gegenüber den bisherigen, durch den auch seine Verwendung allein ermöglicht wird, beruht darin, dass die Flüssigkeit für den

Widerstand in ständiger Bewegung gehalten wird. Die erwärmte Flüssigkeit bleibt also nicht an dem Orte, wo ihr die Wärme zugeführt wird, sondern sie wird stets bewegt und aufs neue gemischt; dabei fließt die erwärmte Flüssigkeit oben am Ueberfall ab, während die frische unten eintritt. Es lässt sich leicht berechnen, welche Wärmemenge der Flüssigkeit durch den Widerstand bei einer bestimmten Belastung und einer bestimmten Unterschreitung der normalen Umlaufzahl zugeführt wird. Andererseits ist bei bewegtem Wasser in einfachster Weise die Möglichkeit geboten, die lästige Wärme abzuführen. Die Kühlfläche, welche hierzu erforderlich ist, lässt sich berechnen. So sind beispielsweise bei der vorliegenden Ausführung im Schnellbahnwagen, Fig. 4, einige kupferne Rohrschlangen mit kleinem Durchmesser vorgesehen, die das im Elektrodengefäß erwärmte Wasser nach seinem Austritt durchströmen muss, ehe es wieder zu arbeiten hat.

Man kann also bei dem neuen Flüssigkeitsanlasser dauernd einen beliebig großen Widerstand eingeschaltet lassen, d. h. man kann dauernd mit einer beliebig kleinen Umlaufzahl arbeiten.

Die Anfahrzeit des Motors, d. h. die Zeit, bis zu welcher der Widerstand ganz ausgeschaltet sein kann, ist durch die Zufussgeschwindigkeit der Flüssigkeit zum Elektrodenbehälter gegeben. Durch Einführung eines regelbaren Absperrorgans in die Zuleitung von der Zentrifugalpumpe lässt sich die Zufussgeschwindigkeit vermindern und somit die Anfahrzeit beliebig verlängern. Es ist demnach ohne weiteres möglich, die Wassergeschwindigkeit so zu regeln, dass die Anfahrzeit nicht kürzer, also die Beschleunigung und somit das Drehmoment nicht größer wird, als die Ueberlastungsfähigkeit der Motoren gestattet. Somit ist eine Ueberlastung der Motoren infolge einer Unachtsamkeit des Führers ausgeschlossen. Andererseits ist diesem aber die Möglichkeit belassen, durch ein entsprechend langsames oder unvollständiges Schließen des Bodenventiles die Geschwindigkeit für das Anfahren und ebenso für das Bremsen noch beliebig zu verringern. In gleicher Weise kann der Führer, indem er das Bodenventil dauernd etwas offen lässt, eine beliebig langsame Fahrt erzielen. Er kann also dauernd die Umlaufzahl regeln. Hierzu tritt noch gegenüber den Anlassern mit Widerstandspacketen der große Vorzug, dass die Widerstände ganz allmählich und nicht stufenweise ausgeschaltet werden, dass also auch das Anfahren und Bremsen sanft und nicht ruckweise vor sich geht. Welche Annehmlichkeit das für die Fahrgäste bedeutet, weiß jeder, der das ruckende Anfahren und störende Bremsen in Straßenbahnwagen kennen gelernt hat.

Für den Abfluss des Wassers bei ganz gefülltem Anlassergefäß ist ein Ueberlauf vorgesehen, der zwecks Einstellens einer jeweils größten Umlaufzahl verstellbar ist. Es bleibt also dem Führer zwar überlassen, beliebig langsam zu fahren; eine größte Geschwindigkeit aber kann nicht überschritten werden. Diese Grenzgeschwindigkeit kann selbstverständlich auch von einem Zentrifugalregulator abhängig gemacht werden.

Bei der großen Einfachheit der Vorrichtung ist seine Bedienung auch von sehr entfernt gelegenen Punkten ohne weiteres möglich, da ja der erforderliche Kraftaufwand ganz geringfügig ist. So konnte denn auch im Schnellbahnwagen auf die Zwischenschaltung von Druckluft oder Elektrizität als Antriebsmittel für die Steuerung verzichtet werden. Es brauchte nur eine Transmissionswelle angebracht zu werden, welche durch ein Handrad von jedem der beiden Führerstände aus bethätigt wird.

Infolge der Verwendung des neuen Flüssigkeitsanlassers war der schon in der Ausführung befindliche Metallanlasser nicht mehr erforderlich. Es wurden die hunderte von Kontakten und Kabelleitungen vermieden, und betriebs der Instandhaltung waren alle Befürchtungen gegenstandslos geworden, da natürlich die Instandhaltung von in Sodalösung eingetauchten Blechen, die dem Rosten nicht ausgesetzt sind, überhaupt nicht zu vergleichen ist mit der Instandhaltung von vielen und großen Schaltwalzen, Kontaktstücken, Kontaktbürsten, Kabelanschlüssen und Packeten aus Widerstandsmaterial.

4) Das Bremsen.

Mit der gleichen Versuchsanordnung, wie sie für das Prüfen der Anlaufvorrichtung gebaut worden war, ist auch das Bremsen auf elektrischem Wege durch die Motoren selbst erprobt worden.

Der Wagen ist mit einer Westinghouse-Druckluftbremse ausgerüstet, welche für die beiden Drehgestelle vollständig getrennt durchgeführt ist. Bethätigt werden die Druckluftcylinder jeweils gemeinsam von dem vorderen Führerstande aus. Der Bremsdruck ist sehr hoch angenommen, mit 170 vH des Gesamt-Wagengewichtes, weil der Reibungskoeffizient zwischen Bremsklotz und Rad bei der hohen Geschwindigkeit von über 50 m/sk erheblich anders ist als bei den üblichen geringeren Geschwindigkeiten. Entsprechend den geführten Verhandlungen ist die Maßnahme getroffen, den Bremsdruck mit geringer werdender Geschwindigkeit sinken zu lassen. Trotzdem in gewissem Sinne die Bremsvorrichtung für das eine Drehgestell die Reserve für das andere bildet, wurde es nicht für zulässig erachtet, auf eine weitere völlig unabhängige Bremsvorrichtung zu verzichten, welche auch für die höchste Geschwindigkeit unbedingt brauchbar war. Diese Bremsleistung konnte von den Motoren selbst übernommen werden; es wurden also nicht besondere Schienenbremsen oder ähnliche wenig erprobte Vorrichtungen angeordnet.

Das Bremsen mittels Elektromotors geschieht auf zwei verschiedene Arten: einmal durch Wirbelstrombremsung, indem das Feld des Motors mit Gleichstrom erregt und der Anker allmählich kurz geschlossen wird, und das anderemal, indem die Stromrichtung des Drehfeldes umgeschaltet wird, also dem bisherigen Sinne des Feldes und dem Drehsinne des umlaufenden Ankers entgegengerichtet.

Beide Arten des Bremsens werden im Schnellbahnwagen angewendet. Nachdem der Ankerstromkreis durch Öffnen des Auslaufventiles am Flüssigkeitsanlasser geöffnet ist, wird der Feldstrom durch einen Umschalter ausgeschaltet und auf eine im Wagen eingebaute Akkumulatorenatterie oder auf Gegenstrom umgeschaltet, indem die zweite und dritte Phase umgewechselt werden, indem also die Reihenfolge der Phasen von 1, 2, 3 in 1, 3, 2 umgetauscht wird.

Nachdem umgeschaltet ist, wird im einen wie im andern Falle der Ankerstromkreis allmählich wieder geschlossen, d. h. die einströmende Flüssigkeit stellt unter zunächst sehr großem Widerstand einen Schluss der Phasen des Ankerstromkreises her, und je nach der gewünschten Intensität des Bremsens lässt man den Spiegel der Flüssigkeit höher oder weniger hoch ansteigen.

Das Bremsen mit Gegenstrom allein erschien nicht als ausreichend, weil es vorkommen könnte, dass der Hochspannungsstrom aus irgend welchem Grunde, z. B. wegen Durchschmelzens einer Streckensicherung, gerade im Augenblick des Bremsens ausbleibt; andererseits hat die Verwendung von Gegenstrom einen weiteren Nachteil. Entsprechend der elektrischen Bemessung des Motors und der für das Feld gewählten Stromspannung von 435 V hat der Anker bei geöffnetem Stromkreise eine Spannung von rd. 325 V. Nach Umschalten des Feldes steigt bei noch voller Geschwindigkeit des Ankers im Sinne nach vorwärts die Spannung im Anker auf nahezu die doppelte an, d. h. auf etwa 650 V. Obschon der Flüssigkeitsanlasser für diese Spannung konstruiert ist und auch der Motoranker die Spannung längst aushalten könnte — er wurde auf 4000 V geprüft —, so erscheint es doch nicht richtig, gerade im Augenblick des Bremsens, wo also möglicherweise eine Gefahr vorliegt, die Sicherheit des Bremsens von einer sonst nicht erforderlichen höheren Spannung abhängig zu machen.

Dies waren die Gründe, welche dazu führten, auch eine Wirbelstrombremsung vorzusehen, und zwar wurden zu diesem Zweck auch wieder, wie für die Westinghouse-Bremse 2 getrennte Luftbehälter, hier 2 gänzlich getrennte Akkumulatorenbatterien angewendet, für jedes Drehgestell eine besondere. Dabei ist angenommen, dass die Batterie zunächst die hohe Geschwindigkeit abbremsen soll, während die Druckluft-Backenbremse erst zum Schlusse angezogen wird, da ja die elektrische Bremsung mit Wirbelstrom bei geringerer Umlaufzahl weniger wirksam wird.

Für den Rangirdienst ist zudem eine Handbremse vorgesehen, die auf je eines der Drehgestelle wirkt.

5) Die Stromabnehmer.

Der Strom wird dem Wagen durch 3 senkrecht übereinander liegende Schleifdrähte zugeführt, von denen er durch Bügel abgenommen wird. Bei dieser Art der Stromentnahme, die den Einfluss des Durchhängens des Arbeitsdrahtes zwischen den Befestigungsstellen auf den Stromabnehmer beseitigen soll, wird dieser weniger leicht von der Kontaktbahn abspringen als bei dem, wie üblich, von unten berührten Fahrdrabt. Trotzdem musste naturgemäß der Frage der Stromabnahme die größte Aufmerksamkeit entgegengebracht werden, und wenn schon die Verhältnisse bei der wirklichen Arbeitsleistung und bei voller Fahrgeschwindigkeit von 50 bis 60 m/sk nur sehr unvollkommen nachgeahmt werden konnten, so wurde doch eine Versuchsanordnung aufgebaut, welche den Kopf der Stromabnehmer in seiner nahezu fertigen Gestalt enthielt. Es konnten bei dieser Versuchsanordnung doch wenigstens verschiedene Konstruktionen von Abnehmern mit einander verglichen werden.

An beiden Enden des Wagens sind auf dem Dach für die drei Phasen die drei Stromabnehmer getrennt angeordnet. Die geringste zulässige Entfernung der Abnehmer von einander ist durch die Bedingung gegeben, dass die Abnehmer um ihre senkrechte Achse gedreht werden müssen. Die Entfernungen der Abnehmer von einander sind im übrigen thunlichst gering gehalten und die Abnehmer in der Nähe der Zapfen der Drehgestelle angeordnet, um so auch in den wenn auch sehr weiten Kurven keine nennenswerte Veränderung der Entfernung bis zum Arbeitsdraht zu erhalten. Die beiden Gruppen von Abnehmern wurden für erforderlich erachtet, um beim etwaigen Abschlagen des einen keine Flammenbildung zu erhalten, sondern den Strom durch den andern Abnehmer allein zu entnehmen.

In der Richtung, eine größere Anzahl von Kontaktfächen zu erhalten, ist noch weiter gegangen worden. Dieses Bestehen deckte sich mit dem Wunsche, die Massen, welche der Leitung unmittelbar zu folgen haben, möglichst zu beschränken. Es wurde eine Anzahl Stäbchen aus leichtem Metall durch Blattfedern von verschiedener Länge mit dem eigentlichen Ausleger verbunden. Diese weiche und unmittelbare Abfederung soll ein andauernd gutes Anliegen gewährleisten, und beim Abblättern des einen Stabes sollen die andern noch reichlich zur Stromentnahme genügen. Für größere Abweichungen des Fahrdrabtes tritt die Hauptabfederung des ganzen Stromabnehmers durch den senkrechten, in Kugeln gelagerten Schaft in Thätigkeit, mittels dessen auch der Abnehmer angelegt und der Anpressungsdruck eingestellt wird. Die weitere Beschreibung folgt später gelegentlich der Beschreibung der Stromentnahme und der Stromführung am Wagen.

II. Die Beschreibung des Wagens und seiner elektrischen Ausrüstung.

6) Der Wagenkasten.

Nach Maßgabe der durch die elektrische Einrichtung gegebenen Unterlagen wurde der Wagen mit Ausstattung als I. Klasse für die Aufnahme von 50 Personen von van der Zypen & Charlier in Köln-Deutz gebaut. Unter Berücksichtigung der für den Maschinenraum und den Führerstand erforderlichen Längen ergab sich als Gesamt-Außenmaß des Wagenkastens 21 m und als Maß von Pufferfläche bis Pufferfläche 22,10 m. Die volle Breite des Wagens beträgt 2800 mm. Der Wagenkasten bleibt in allen seinen Teilen noch innerhalb des Normalprofils; doch ist insbesondere sein mittlerer Teil mit den weiten Luftlängen bis nahe an das Normalprofil herangerückt. Die Fenster des Wagens sind geschlossen angenommen. Die Luft wird durch die Seitenfenster der sehr hohen Laterne erneuert. An beiden Enden des Wagens sind zu beiden Seiten Wagenthüren zum Ein- und Aussteigen angeordnet.

Fig. 21 zeigt das Innere eines der beiden Personräume. Durch die lichte hohe Laterne und die großen Fenster auch an den Stirnseiten des Wagens ist ein schickes





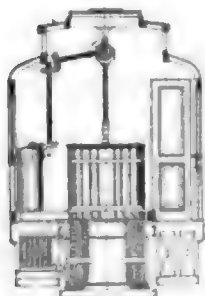




Hochspannungsisolatoren verlegt, also wie blanke Leitungen behandelt.

Unmittelbar neben den einzelnen Stromabnehmern sind Schmelzsicherungen eingebaut; sobald also durch irgend einen Zufall Schluss zwischen einer der Phasen und dem geerdeten Wagendache entsteht, wird der Wagen durch das Schmelzen dieser Sicherung stromlos. Von den Sicherungen aus führen die Leitungen der beiden Abnehmer-systeme gemeinsam nach dem Hochspannungsausschalter. Dieser ist für das Manövrieren nicht erforderlich und dient lediglich zum Ausschalten der Spannung nach beendeter Fahrt. Bethätigt wird der Schalter vom Maschinenraum oder auch von einem der Führerstände aus und dient so zugleich auch als Notschalter, falls bei einem Unglücksfall die Motoren nicht in normaler Weise ausgeschaltet werden können.

Von diesem Hauptausschalter gehen die beiden Stromzweige getrennt nach den beiden Transformatoren der beiden Drehgestelle. Jeder dieser Stromkreise und Transformatoren ist durch Schmelzsicherungen geschützt. Von den Transformatoren aus führen die Niederspannungsleitungen durch einen Umschalter nach den Motoren. Wegen des Spieles zwischen Untergestell und Wagenkasten sowohl beim seitlichen Ausschlagen während des Durchfahrens von Kurven als auch wegen des senkrechten Ausschlages infolge des Federspieles mussten die Kabel nachgiebig verlegt werden; sie sind dementsprechend aufgehängt und durch einen kräftigen Traggurt gestützt. Durch einen gleichen Traggurt werden die Kabel, welche von den Motoren zurück zu dem Anlasser führen, gehalten.



Der oben erwähnte Umschalter vermittelt einmal die Zuführung des Stromes zu den Motorgehäusen von den Transformatoren her und gestattet ferner das Einstellen für die eine oder andere Fahrtrichtung bzw. das Geben von Gegenstrom. Ferner wird von hier aus die Akkumulatorenbatterie mit den Gehäusestromkreisen der Motoren verbunden, wenn das Fahrzeug unabhängig vom Fahrdrabt gebremst wird.

11) Die Wagenführung.

Der Wagenführer hat zur Ausführung aller Maßnahmen nur ein Handrad, Fig. 30 und 31, zu betätigen; durch Drehen nach rechts erfolgt das Anfahren und schnelleres Fahren.

Fig. 29. Kabelführung.

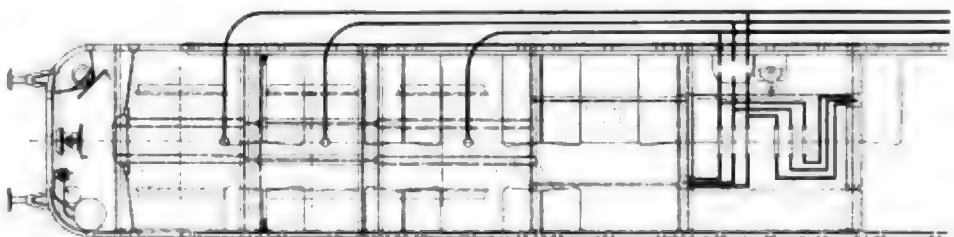
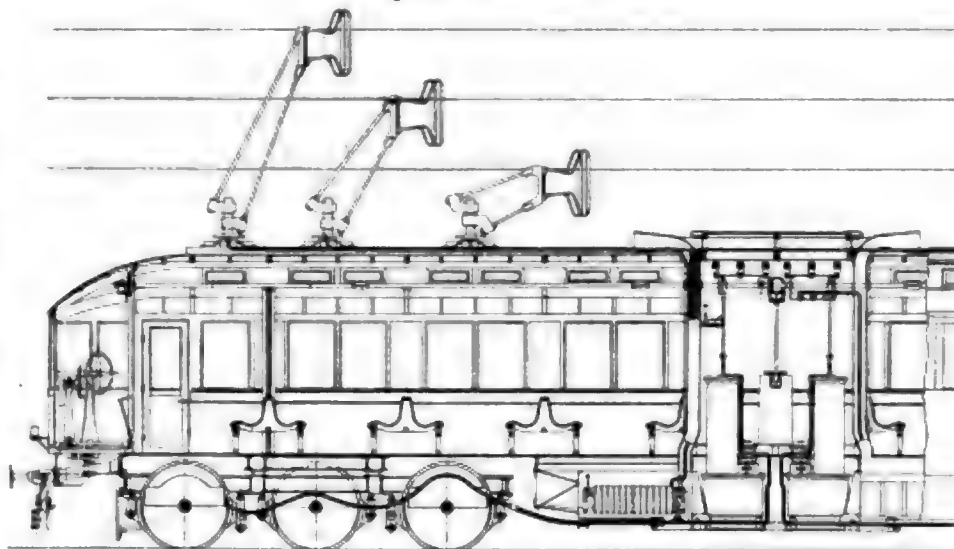
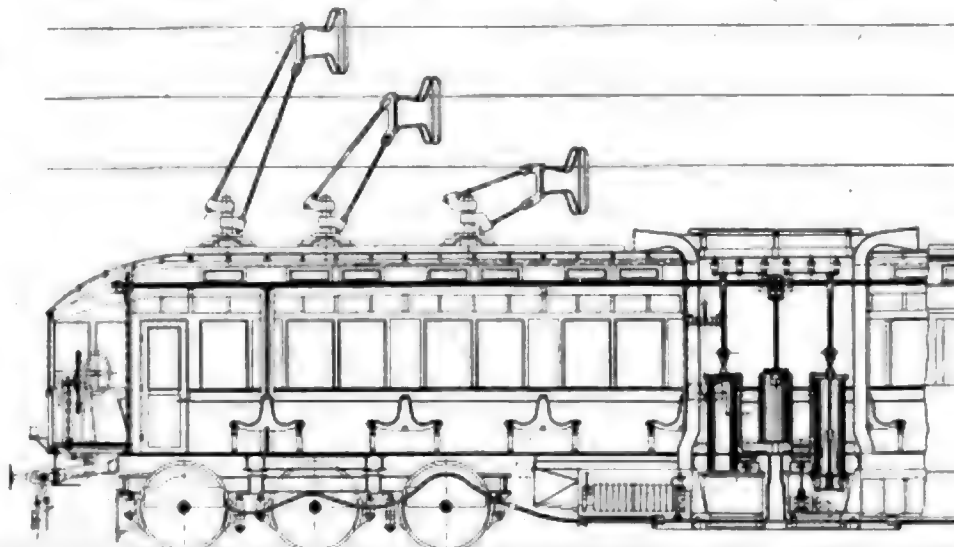


Fig. 30. Steuerung des Wagens.

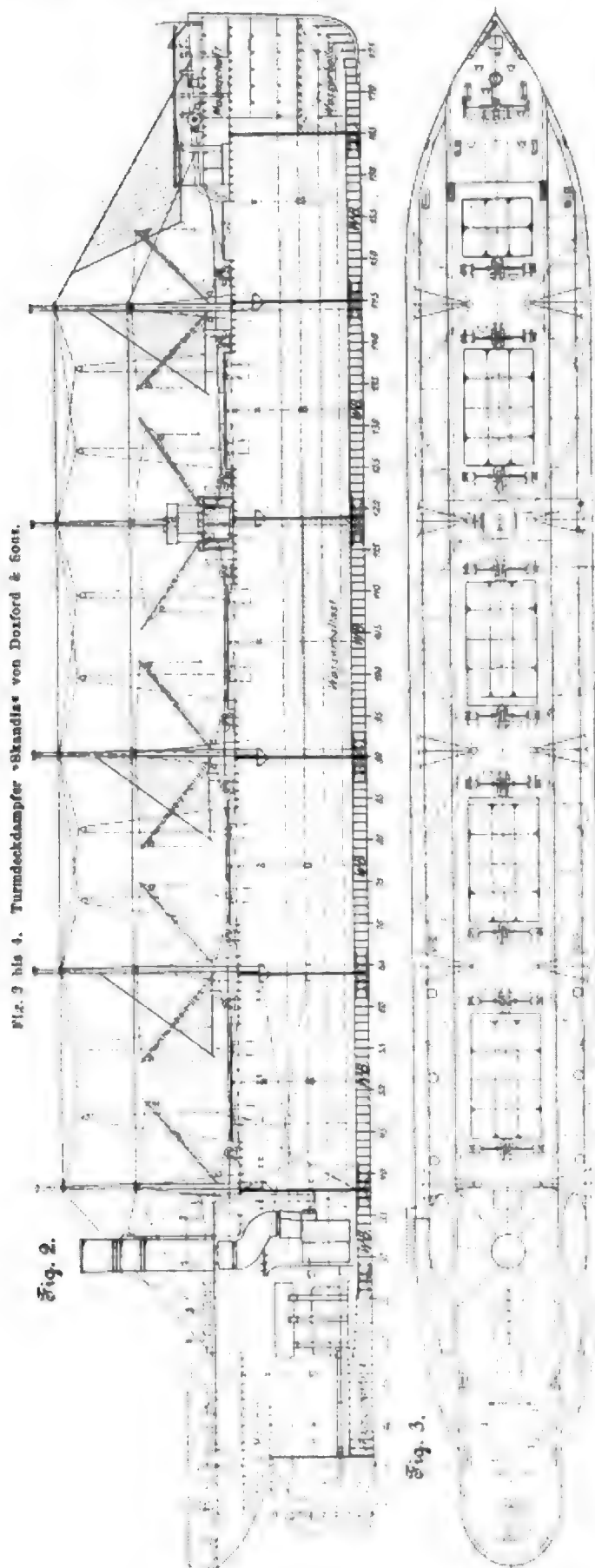


nach links langsames Fahren, Haltstellung und sanftes bzw. kräftiges Bremsen. In wenigen Sekunden kann der Führer von »volle Kraft voraus« auf »volles Bremsen« umschalten. Durch einen Zeiger ist er jederzeit über die Stellung der Vorrichtungen unterrichtet; an einem Ampèremesser erkennt er die Belastung der Motoren; eine weitere Vorrichtung zeigt stetig die Fahrgeschwindigkeit an.

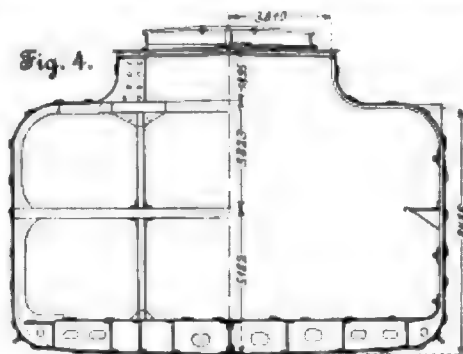
Mit dem Handrade bewegt der Führer eine durch die







Menge Schwergut bei kleinstem Netto-Tonnengehalt unter bringen, da der unmittelbar unter dem Turmdeck befindliche Raum als Laderaum mit benutzt wird und außerdem der weitere Laderaum fast ganz von Stützen und Schotten frei ist und somit voll ausgenutzt werden kann. Bei Getreideladungen fällt der im Turmdeck befindliche Teil der Ladung eine durch das Schlingern des Schiffes entstehende Leere im unteren Raume sofort aus, wodurch das Uberschießen der Ladung vermieden wird. Bei allen Turmdeckdampfern sind möglichst viele und große Luken und eine große Anzahl Ladevorrichtungen angeordnet, um das Laden und Löschen in kurzer Zeit bewerkstelligen zu können. Das Turmdeck nimmt ungefähr den dritten Teil der ganzen Breite des Schiffes ein. Im Gegensatz zu der sonst üblichen Konstruktion hat das Deck keinen Sprung, sondern läuft genau wagerecht vom Heck bis zum Vordersteven. Die Beplattung des Schiffskörpers ist durchweg von gleicher Stärke. Fig. 1 bis 4 zeigen einen nach diesen Grundsätzen gebauten Turmdeckdampfer, der hauptsächlich für Getreide-, Erz- und Baumwolltransport bestimmt ist. Das Schiff, welches den Namen »Skandia« führt, gehört zu der Reederei von Wm. H. Müller in Rotterdam, ist 123 m zwischen den Loten lang, 15,2 m breit und hat 8,6 m Seitenhöhe; der Brutto-Raumgehalt beträgt 4527 t, der Netto-Raumgehalt 2026 t. Maschine und Kessel sind ganz nach dem Heck verlegt, sodass der gesamte Raum von Spant 38 bis Spant 165 für die Ladung zur Verfügung steht. Die äußere Erscheinung der »Skandia« mit den vielen zu je zweien neben einander gesetzten Lademasten ist zwar wenig schön und lässt jegliche Schnelligkeit,



die man selbst kleinen Frachtdampfern zu geben bemüht ist, vermiesen. Dagegen ist vom praktischen Standpunkte aus sehr viel erreicht. So lassen sich in den 5 Hauptladeräumen, von Spant 46 bis 165 an gerechnet, verstauen:

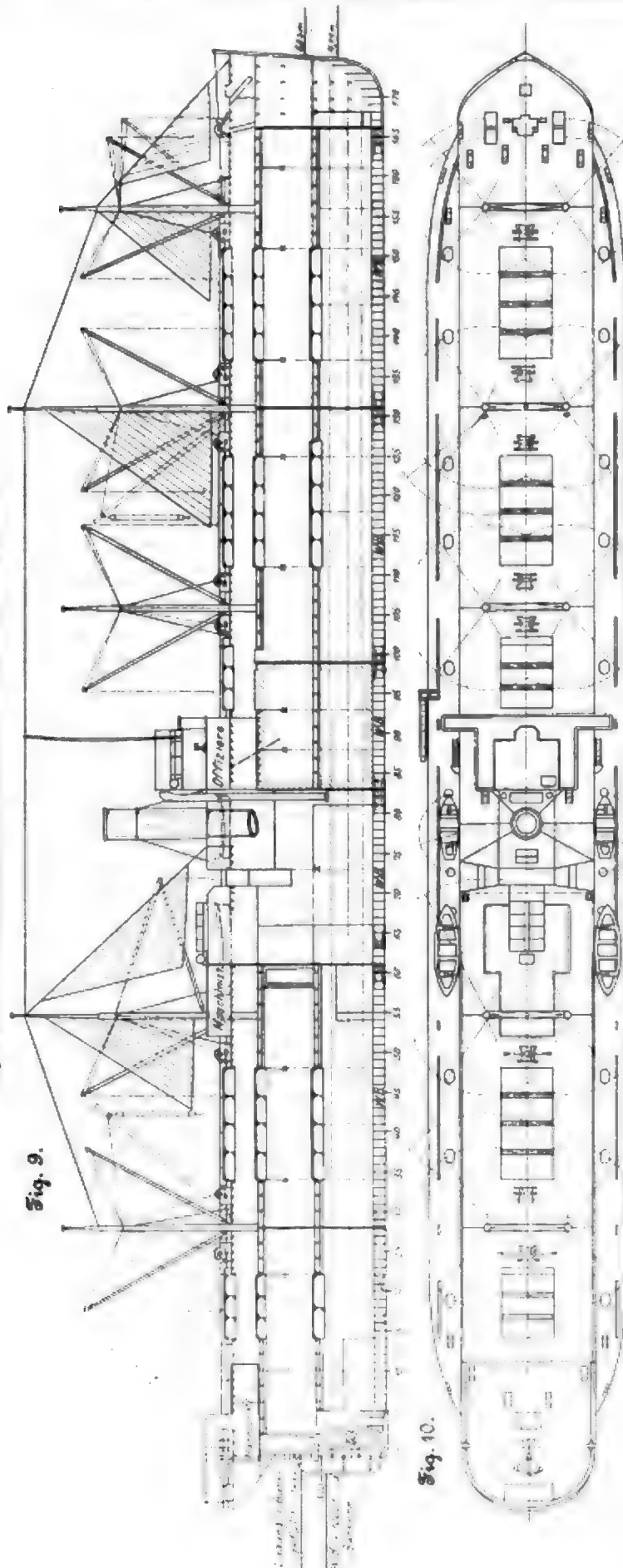
1583 cbm
2284 »
1368 »
2284 »
1343 »

zusammen 8862 cbm.

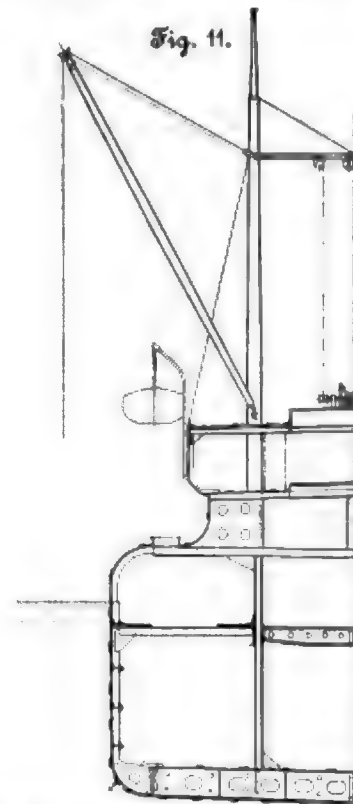
Dazu kommen noch ein kleiner Raum vor dem Kollisionsschott des Schiffes und der Reservebunker, in denen bei Bedarf ebenfalls Ladung untergebracht werden kann. Die Hauptbunker fassen 854 t. Die 10 Masten tragen je 2 Laderäume, die von zusammen 18 starken Winden bedient werden; mittels derselben wurden in einer Stunde 100 000 kg Erz aus den Räumen der »Skandia« gelöscht. An Stagen zwischen den Masten sind außerdem noch Lastrollen angebracht, die gleichfalls zum Bewegen der Ladung dienen. Die Masten selbst sind der Raumersparnis halber nicht bis zum Boden des Schiffes durchgeführt, sondern auf Konsolen gelagert, die an den Schotten kurz unter Deck angebracht sind. Die Ladeluken sind möglichst groß bemessen; die vorderste ist $4,5 \times 6$ m, die 4 übrigen je $2,5 \times 6$ m groß. Durch die Breite der Luken im Verhältnis zu dem schmalen Deck ist der Raum sehr beschränkt; man hat daher noch seitlich ausgekragte Stöge, s. Fig. 1, angeordnet, um Platz für die Bedienung des Ladegeschirrs zu schaffen. Der Doppelboden des Schiffes ist vom Kollisionsschott bis zum Sternbüchsenchott in der üblichen Weise zur Aufnahme von Wasserballast eingerichtet.



Fig. 9 bis 11. Turmdeckdampfer mit Schutzdeck von William Doxford & Sons.



Während die beiden eben beschriebenen Schiffe nur mit einem Deck versehen sind, ist in Fig. 9 bis 11 ein Turmdeckdampfer mit 2 starken Decks und einem leichten Schutzdeck dargestellt. Das zurzeit auf der Werft von Doxford & Sons für die Nautilus Steamship Co. im Bau begriffene Schiff ist 120 m lang, 17 m breit und hat 8,5 m Seitentiefe. Der Brutto-Raumgehalt beträgt 5368 t. In den Bunkern können 619 t Kohlen verstant werden. Falls das Schiff ohne Ladung fährt, kann außer im Doppelboden auch noch in dem zwischen Spant 63 und 99 bis zum Hauptdeck reichenden Räume Wasserballast im Gesamtgewicht von 2778 t untergebracht werden. Die 10 Masten mit je 2 Ladebäumen sind wie bei der »Skandia« neben einander gestellt; sie ruhen in Lagern auf dem Hauptdeck. Das Schutzdeck, welches ohne Sprung von vorn bis hinten glatt durchgeführt ist, trägt 8 Dampfsladewinden, 1 Ankerwinde und 3 Deckhäuser. Da keine Back vorhanden, ist die Mannschaft im hinteren Deckaufbau untergebracht. Die Ausnutzung der Räume geht so weit, dass das Vorderschott dieses Raumes verschiebbar und die



in der Nähe angebrachten Kojen fortnehmbar sind, sodass bei Bedarf auch in einem Teil des Mannschaftsraumes Ladung untergebracht werden kann. Der Querschnitt, Fig. 11, lässt die eigenartige Schiffsförmigkeit und die Anordnung der Decks erkennen. Gleichfalls ist daraus die Führung der Zugseile für die Ladewinden ersichtlich. Außen an dem zurückspringenden Turmdeck sind die Boote aufgehängt, wodurch auf dem Deck an Platz gespart wird; das Zuwasserbringen der Boote dürfte jedoch mit Schwierigkeiten verknüpft sein, da die Davits bei weitem nicht über Außenbord hinausreichen.

William Simons & Co., die bekannte Baggerbaufirma in Renfrew, hat eine Reihe verschiedenartiger Modelle von Trichterbaggern (hopper dredges) ausgestellt. Bei diesen Fahrzeugen wird das Baggergut in einen oder mehrere trichterförmige Behälter geschüttet, die auf dem Bagger selbst angeordnet sind. Wenn sie gefüllt sind, fährt der Bagger mit eigener Maschinenkraft nach der Ent-



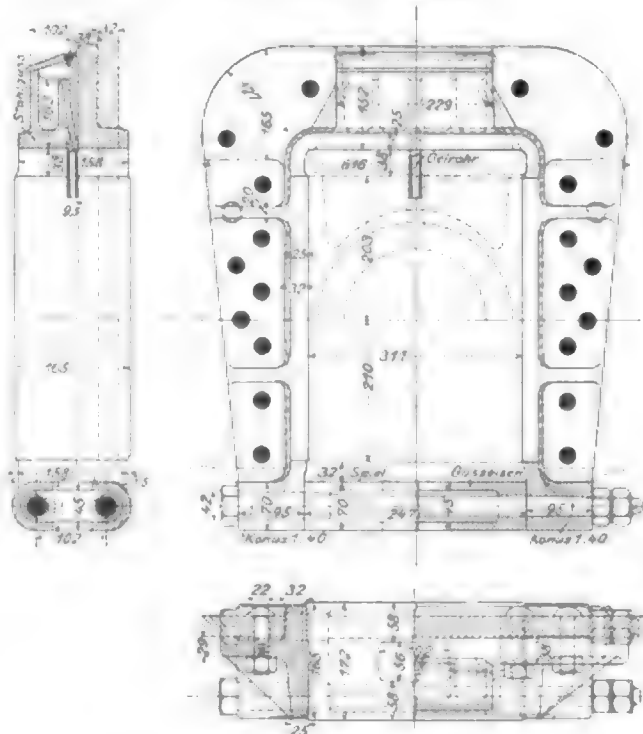




Unter der Annahme einer mittleren Mehrleistung des Kessels von 12,5 vH entspricht die Gesamtheizfläche mit Rippenrohren von 133,90 qm in ihrer Wirkung einer Gesamt-

Rostfläche	2,14	qm
Feuerbüchseisfläche	10,00	"
Rohrheizfläche, innere	106,84	"
Gesamtheizfläche, innere	116,84	"
Rostfläche : Gesamtheizfläche	1 : 54,3	
Feuerbüchseisfläche : Gesamtheizfläche	1 : 11,6	

b) Rahmen. Der Rahmen besteht aus zwei 32 mm starken Hauptblechen, welche durch eine hölzerne Bufferbohle, die in einem Stücke gegossenen Zwillingcylinder, einen Gleitbahnträger aus Stahlguss und ein einfaches senkrechtes Querblech vor der Feuerbüchse, sowie hinten durch den Zugkasten verbunden sind. Da irgendwelche wagerechte Querverbindungen zwischen den Cylindern und der Feuerbüchse nicht vorhanden sind, so scheint das Rahmengestell wenig steif zu sein; allerdings sind die Hauptrahmenbleche sehr stark gewählt, was auch beim Drehgestell der Fall ist, dessen Bleche 36 mm dick sind.



Trotz geringer Höhenmaße ist das Drehgestell sehr steif und tragfähig, da die Hauptquerverbindung, welche zu gleicher Zeit das Zapfenlager bildet, aus einem langen Stahlgussstück mit starken Rippen besteht. Das Drehgestell wird durch 2 Blattfedern in die Mittelstellung zurückgeführt.

Bemerkenswert ist die Bauart der Achslager, Fig. 25 bis 27, und Gleitbacken, Fig. 28 bis 30. Die Treibachslager enthalten keine besonderen Lagerschalen, sondern Achsbüchsegehäuse und

Die Steuerung ist die Stephenson'sche mit Schraubenumsteuerung; ihre Hauptverhältnisse sind folgende:

Cyl.-Dmr.	457 mm
» -Querschnitt	1640,3 qcm
Abmessungen der Dampfeintrittskanäle . . .	38,1 × 381 mm
Querschnitt »	145,16 qcm
Kanalquerschnitt : Cylinderquerschnitt . .	1 : 11,3
Äußere Ueberdeckung	+ 25,4 mm

Fig. 31 bis 33. Tender der $\frac{3}{4}$ -gekuppelten Zwillings-Ellslokomotive.

Fig. 31.

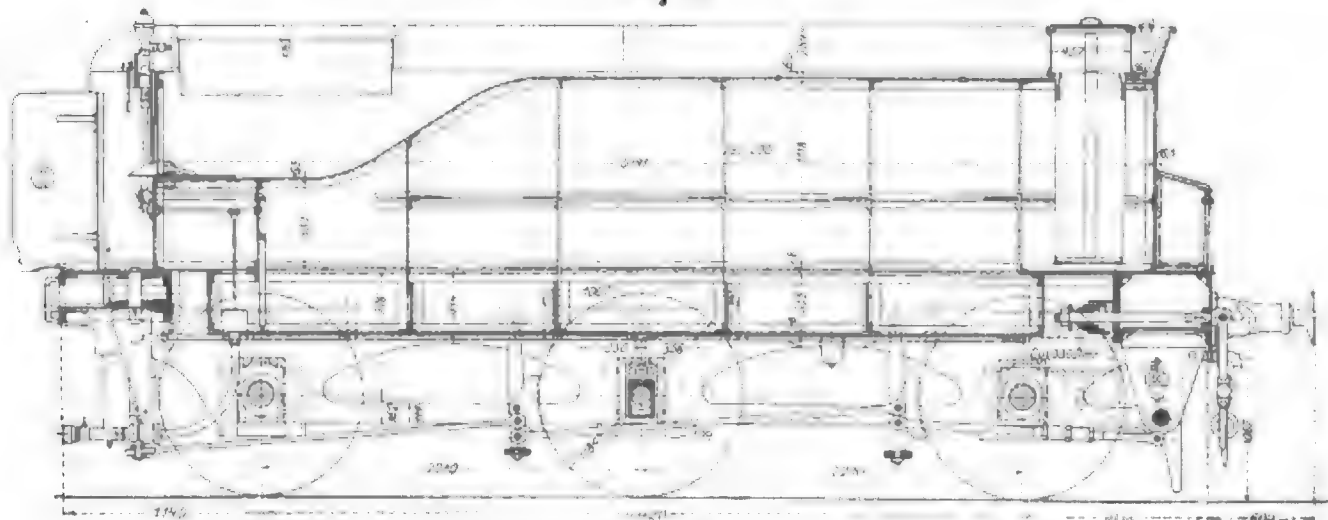
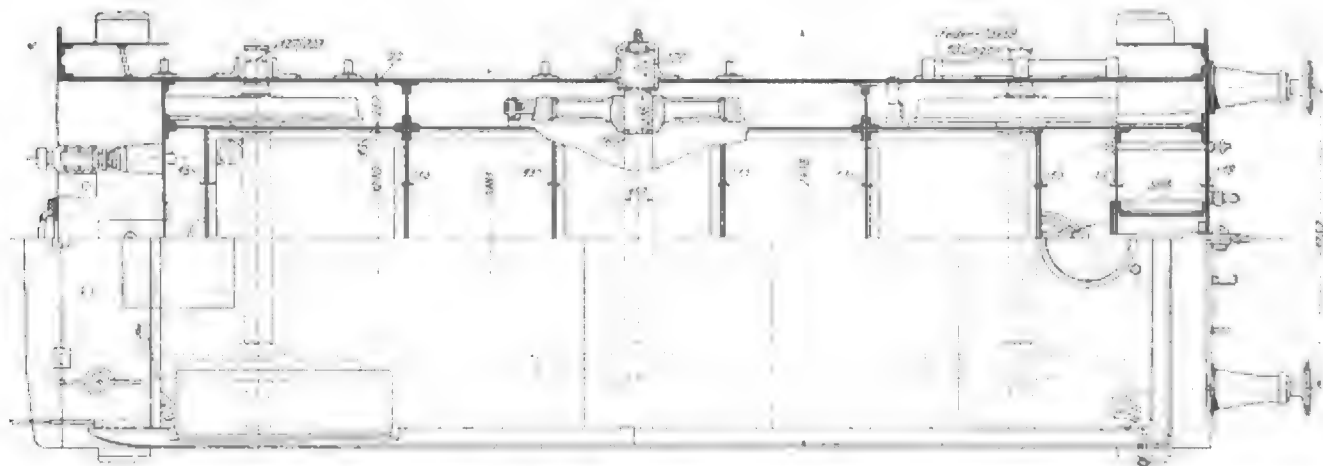


Fig. 32.



Lagerschale sind in einem Stück aus Rotguss hergestellt. Damit sich der Bolzen für die Federaufhängung nicht so leicht in den Rotguss einarbeiten kann, ist ein gebogenes Eisenband von 13 × 114 mm Querschnitt als Tragband in die Achsbüchse eingegossen.

Auch die Konstruktion der Gleitbacken ist eigenartig, indem einmal ihr oberer Seitenflansch in den Ecken garnicht, sondern nur in der Mitte durch 2 Schrauben mit dem Rahmen verbunden ist, dann aber die Achsgabeln durch ein gusseisernes Zwischenstück und 2 lange konische Bolzen verbunden sind.

Die Treib- und Kuppelachslager haben 203 mm Dmr. bei 229 mm Länge, die Lantachslager 153 bzw. 203 mm.

c) Maschine. Die Zwillingscylinder von 457 mm Bohrung und 680 mm Kolbenhub sind genau wagerecht innerhalb des Rahmens angeordnet, die Schieberkasten oberhalb derselben nach 2 Richtungen geneigt. Die Kolbenstangen sind vorn durchgeführt, die Kreuzköpfe haben nur obere Gleitbahnen von 76 × 152 mm Querschnitt; die Lagerschalen der Kuppelstangen bestehen aus eingepressten Rotgussbüchsen.

d) Ausrüstung. Die Lokomotive ist mit 2 tief unter der Feuerbüchsrückwand angeordneten nicht saugenden Gresham-Injektoren (eine ganz neue Lage derselben), einem dreifachen Nathan-Lubrikator für die Schmierung der Schieber und Luftpumpen, Patrickschen Oelgefäßen für die Kolben-schmierung, Dampfheiz-einrichtung für den Zug, Westinghouse-Schnellbremse für Lokomotive und Tender und einem Stroudleyschen Geschwindigkeitsmesser ausgerüstet. Letzterer wird durch eine links an der Kuppelachse sitzende Gegenkurbel mit Riemenscheibe und Riemenübertragung in Umdrehung versetzt.

e) Tender. Der Tender, Fig. 31 bis 33, weist folgende Eigentümlichkeiten auf:

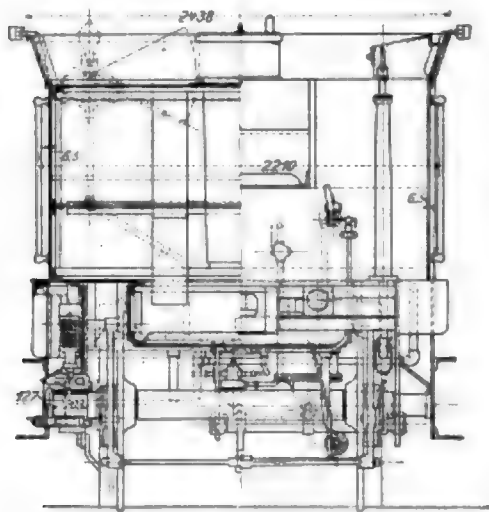
- 1) der feste Radstand von 4420 mm ist außergewöhnlich lang;
- 2) der Wasserkasten ist zumteil zwischen die Räder eingebaut;
- 3) der hintere große Werkzeugkasten ist aus Holz hergestellt, während die beiden Kleiderkasten aus Blech bestehen;
- 4) die Kupplung zwischen Lokomotive und Tender ist derart angeordnet, dass die Lokomotive beim Rückwärts-

fahren gegen eine mittlere, am Tenderstirnblech angebrachte
Platte stößt, sodass das sehr lange Zugeisen nur auf Zug
beansprucht wird;

5) die Seitenschutzthüren zwischen Lokomotive und Tender werden durch umlegbare große flache Federn gegen die Führerhauswände angedrückt;

6) die vereinigte Hand- und Westinghouse-Bremse weist als vollständige Neuheit die Anordnung des Brem-cylinders.

Fig. 33.



des Luftbehälters usw. unter dem hinteren Zugkasten auf;
7) rechts vorn am Tender ist eine Handpumpe zum
Kohlennässen usw. vorgesehen.

Die Hauptabmessungen und -gewichte von Lokomotive und Tender sind folgende:

Lokomotive:

Cyl.-Dmr.	457 mm
Kolbenhub	660 »
Laufrad-Dmr.	1 86 »
Treibrad- »	2148 »
Kesselüberdruck	10,3 at
Rostfläche	2,14 qm
Feuerbüchsenheizfläche	10,06 »
Rohrheizfläche (innere)	106,34 »
Gesamtheizfläche	116,34 »
fester Radstand	2743 mm
Gesamtrradstand	6845 »
Leergewicht	42840 kg
Achsdruk des Drehgestelles	17892 »
» der Treibachse	14348 »
» Kuppelachse	14100 »
Dienstgewicht	46330 »

Tender:

Rad-Dmr.	1184 mm
fester Gesamttradstand	4420 »
Wasservorrat	14070 kg
Kohlenvorrat	3500 »
Leergewicht	17630 »
Dienstgewicht	36830 »

Lokomotive und Tender:

Gesamtradstand	13919 °
ganze Länge über die Buffer	17158 °
Gesamtdienstgewicht	83160 kg
Zugkraft $Z = \frac{0,65 d^3 l p}{n}$	4275 °

Lokomotive und Tender waren leuchtend bronzefarben gestrichen, Zughaken, Buffer usw. blank vernickelt, d. h. mit andern Worten ganz besonders für das Auge der großen nicht sachverständigen Menge hergerichtet. Den Fachmann kann dieses Verfahren nur abstoßen. (Fortsetzung folgt.)

Sitzungsberichte der Bezirksvereine.

Eingegangen 29. März 1901.

Hamburger Bezirksverein.

Sitzung vom 26. Februar 1901.

Vorsitzender: Hr. Hartmann. Schriftführer: Hr. Lesser.
Anwesend 61 Mitglieder und 5 Gäste.

Nach Erledigung geschäftlicher Dinge spricht Hr. Scharpwinkel über Pressluft und ihre Anwendung auf Maschinen und Werkzeuge¹⁾.

In der sich anschließenden Erörterung erwidert Hr. Scharpwinkel auf eine Anfrage, wie sich das Geräusch der Handhämmer vermindern lasse, dass sich das Geräusch im Innern des Hammers durch Umlkleiden des Gerätes sehr mildern lasse, das des Schläges auf den zu bearbeitenden Gegenstand dagegen sei unvermeidlich. Des weiteren erklärt der Vortragende, der Vorzug der Druckluft vor dem Druckwasser beim Nieten liege in der größeren Leichtigkeit der Vorrichtungen. Die Druckluftgeräte mit Umlaufbewegung seien weniger zu empfehlen, da sie unvorteilhaft arbeiteten.

Eingegangen 4. April 1901.

Mannheimer Bezirksverein.

Sitzung vom 25. Januar 1901.

Vorsitzender: Hr. Schmidt. Schriftführer: Hr. Hahn.
Anwesend 51 Mitglieder und 14 Gäste.

Hr. Lindner aus Karlsruhe spricht über den Entwurf zu einem neuen lenkbaren Luftschiffe, dem Drachenballon. Die Form des Ballons ist flach und länglich gedacht, beispielsweise 60 m lang, 20 m breit, 3 m hoch, mit 3200 cbm Inhalt. Der Auftrieb bewirkt, wenn die Längsachse nach vorn aufwärts gerichtet ist, eine schräg ansteigende Bewegung, sodass das Schiff z. B. bei 4 km Erhebung 20 km weit fährt. Danach soll das Schiff in gleicher Weise vermöge eines Gewichtes schräg nach abwärts gerichtet fallen und sofort in wellenförmiger Bahn weiterfliegen. Die Antriebskraft lässt sich durch Erwärmen des Ballongases ändern. Gerade die flache Form gestattet dabei dem Ballon, sich mehr oder weniger aufzublähen. Zum Heizen braucht man das $\frac{1}{2}$ - bis $1\frac{1}{2}$ -fache des

Gase, wobei seine Temperatur auf 70° gesteigert wird, was für die Hülle unschädlich ist. Schon bei 55° Erwärmung dehnt sich der Ballon um ein Fünftel aus, für das gewählte Beispiel um 640 cbm, entsprechend einer Verdrängung von 800 kg Luft. Hiervon entfällt etwa die Hälfte auf den Ausgleich des Uebergewichtes, und 400 kg bleiben als Antriebs wirksam. Die Kraft verzehrt sich nicht mit dem zurückgelegten Wege, sondern läßt erst mit der Abkühlung in den oberen kalten Schichten nach. Die Schwimmringe des Ballons wird durch Kapseln mit Quecksilber gesichert, deren Inhalt in Stahlrohren nach Bedarf von einer Stelle zur andern übergeführt werden kann. Das Luftschiff soll durch Krümmen des keilförmig auslaufenden Ballonschwanzes mittels harmonikaartiger Teile mit veränderlichem Gasinhalt gelenkt werden.

Eingegangen 29. März 1901.

Mittelthüringer Bezirksverein.

Ausflug nach Gotha am 24. Februar 1901.

Die Teilnehmer begaben sich zuerst zu der Eisengießerei und Maschinenfabrik von Briegleb, Hansen & Co. Die Fabrik wurde im Jahre 1861 begründet und hat seit 1872 einen besonderen Fabrikationszweig, die Herstellung von Rädern aller Art und Riemenscheiben mittelst Schablonenformerei, aufgenommen; nach diesem Verfahren werden die schwersten Schwungräder, Seil- und Riemenscheiben, Zahnräder sowie die Klop-Turbinen in genauester Teilung und Schaustellung gefertigt. In der Gießerei liegen mehrere kürzere Langeschiffe neben einander, und durch die Anordnung der Krane ist es ermöglicht, gleichzeitig von verschiedenen Schiffen aus große Stücke zu gießen. Zum raschen Betriebe der Gießerei trägt ferner die Benützung von Trockenöfen für die Formen bei.

Darauf wurde die Gothaer Waggonfabrik A.-G. vorm. Bothmann & Glück beauftragt. Die Fabrik erhält ihre Betriebskraft von einer Verbund-Ventildampfmaschine mit Collmann-Steuerung von 250 PS, gebaut von R. Trenck in Erfurt, die mit einer Schuckertschen Dynamomaschine gekuppelt ist. Das Maschinenhaus ist auf Verdopplung des Betriebes eingerichtet. Die Kessel von Gebr. Wolf, Erfurt, haben Braunkohlenfeuerung und verbrennen sumteils die Holzspläne aus

¹⁾ а. 2. 1894 Б. 86; 1899 Б. 25; 1901 Б. 311.

der Tischlerei, die durch Gebläse nach dem Kesselhause geschafft werden. In der Schmiede ist die Gesenkearbeit sehr gut durchgebildet. Die Tischlerei erhält ihren Antrieb vom Kellerraum her; die Arbeitsmaschinen werden gruppenweise von Elektromotoren angetrieben.

Sitzung vom 5. März 1901.

Vorsitzender: Hr. Rohrbach. Schriftführer: Hr. W. Vogel.

Nach Erledigung geschäftlicher Dinge spricht Hr. C. Schaltenbrand über die internationale Konferenz zur Aufstellung des S. I.-Gewindes¹⁾.

Eingegangen 28. März 1901.

Niederrheinischer Bezirksverein.

Sitzung vom 4. März 1901.

Vorsitzender: Hr. Gerdau. Schriftführer: Hr. Birsteijn. Anwesend 60 Mitglieder und 10 Gäste.

Der Vorsitzende gedenkt des verstorbenen außerordentlichen Mitgliedes Hrn. Asbeck. Die Versammlung ehrt das Andenken des Dahingegangenen durch Erheben von den Sitzen.

Darauf spricht Hr. Baumann über die Weltausstellung in Paris 1900 mit besonderer Berücksichtigung der Maschinen und Kesselanlagen²⁾.

Eingegangen 1. April 1901.

Slegener Bezirksverein.

Sitzung vom 6. März 1901.

Vorsitzender: Hr. Grauhan. Schriftführer: Hr. Wolff. Anwesend 14 Mitglieder und 3 Gäste.

Hr. Wolff spricht über Konstruktion und Wirkungsweise eines Motorsweirades.

¹⁾ Z. 1898 S. 1267.

²⁾ s. Z. 1899 S. 741; 1901 S. 415.

Der Vortragende wendet sich gegen einen früher in dieser Zeitschrift erschienenen Bericht¹⁾, in welchem auf die Gefahr des Umstürzens hingewiesen wurde, der ein mit 30 km/h und mehr fahrendes Motorsweirad durch ein Hindernis oder den Bruch eines Rahmentheiles ausgesetzt ist. Dem gegenüber macht er geltend, dass das Lenken, das für die Sicherheit beim Fahren die Hauptsache sei, beim Motordreirade mehr Schwierigkeiten mache als beim Motorsweirade. Ferner sei der Dreiradfahrer infolge der drei Spuren, die seine Räder verfolgen, erheblich mehr Stößen durch Unebenheiten der Straßen ausgesetzt, als der Zweiradfahrer. Als weitere Vorzüge des Motorsweirades führt der Redner dessen kleineres Gewicht und den geringeren Umfang an. Er giebt alsdann eine eingehende Beschreibung des Zweirades »Wartburg« der Fahrzeugfabrik Eisenach²⁾.

Die Konstruktion des Motorsweirades ist dadurch gekennzeichnet, dass sich vor der Lenkstange der Motor befindet, welcher bei 1500 Uml./min rd. $\frac{1}{4}$ PS. leistet und mittels eines runden Riemens die Schnurscheibe in Umdrehung versetzt, die auf der Achse des Vorderrades befestigt ist.

Sitzung vom 16. März 1901.

Vorsitzender: Hr. Grauhan. Schriftführer: Hr. Reimer. Anwesend 50 Mitglieder und Gäste.

Hr. Hase aus Hagen spricht über antarktische Forschungen und den Plan der deutschen Südpolarexpedition 1901. Er giebt zunächst einen Ueberblick über die bisherigen Forschungsreisen nach den Südpolargegenden, erläutert dann den Plan der deutschen Südpolarexpedition und giebt eine Darstellung des für diese Expedition gebauten Schiffes »Gauß«³⁾.

¹⁾ s. Z. 1900 S. 154.

²⁾ Z. 1900 S. 1256.

Bücherschau.

Theorie des Schlickschen Massenausgleiches bei mehrkurbeligen Dampfmaschinen. Von Prof. Dr. Hermann Schubert in Hamburg. Leipzig 1901, G. J. Göschen. 132 S. 8° mit 24 Fig. Preis geh. 12 M.

Der Verfasser hat sich in der Theorie des Schlickschen Ausgleiches seinerzeit einen Namen gemacht durch formvollendete Untersuchung der Ausgleichbedingungen, die insbesondere für Vierkurbelmaschinen zu dem eleganten Satz führten, dass das Strahlenbüschel der Kurbelradien mit dem Diagramm der Zylinderabstände in perspektive Lage gebracht werden kann, da die Doppelverhältnisse beider übereinstimmen.

Das vorliegende Buch giebt nun die vollständige Diskussion der 8 Ausgleichbedingungen (1), (4), (2), (5) (s. die Besprechung des Lorenz'schen Buches, Z. 1901 S. 1289). Dabei werden folgende Fälle unterschieden:

- 1) primärer senkrechter Ausgleich — nur die beiden Gleichungen (1) sind erfüllt;
- 2) Schlickscher Ausgleich — die Gleichungen (1) und (4) sind erfüllt;
- 3) völliger senkrechter Ausgleich — die Gleichungen (1) und (2) sind erfüllt;
- 4) verbesserter Schlickscher Ausgleich — die Gleichungen (1), (4) und (2) sind erfüllt;
- 5) völliger Ausgleich — alle 8 Gleichungen (1), (4), (2) und (5) sind erfüllt.

Diese sämtlichen 5 Fälle werden eingehend erörtert unter Berücksichtigung der durch die Praxis gestellten Bedingungen, dass niemals 2 oder mehr Kurbeln gleichzeitig im Totpunkt stehen dürfen und dass auch nicht die Zylinderabstände gleich null werden dürfen. Der völlige Ausgleich gelingt dann erst bei der sechskurbeligen Maschine.

Die Darstellungsweise ist im allgemeinen einfach und klar; auch ist durch passende Unterteilung des Stoffes für genügende Ruhepunkte beim Studium des Buches gesorgt.

Häufig ist der immer wiederkehrende Ausdruck »Ausgleich der kippenden Kräfte« anstatt »Ausgleich der Massendruckmomente«.

Eigenartig wirkt auch, dass der Verfasser die von ihm abgeleiteten Formeln immer in Lehrsätze kleidet, die natürlich bei dem nicht immer einfachen Bau der Formeln recht lang ausfallen und keinen rechten Zweck haben.

Wenn im Vorwort die elementare Behandlungsweise als ein Vorrug gegenüber dem Lorenz'schen Buche erwähnt wird, so muss man bedenken, dass der Verfasser seine Aufgabe wesentlich enger gefasst hat als Lorenz. Zur Diskussion der 8 Ausgleichbedingungen, auf die sich Schubert allein beschränkt, braucht auch weder Lorenz noch sonst jemand die Hilfsmittel der höheren Mathematik. Eine recht anschauliche und elementare Behandlung der Aufgaben der Mechanik ist für den Techniker selbstverständlich erwünscht, an was für Ingenieure muss aber der Verfasser gedacht haben, wenn er seinen Lesern Folgendes aufischt: »Was die Stellung der Cylinder zu einander anbetrifft, so können wir dieselbe durch Punkte auf einer geraden Linie darstellen, indem wir jeden Punkt mit derselben Nummer bezeichnen, die der durch den Punkt bezeichnete Cylinder hat. Wenn dann z. B. Punkt 1 von Punkt 3 einundeinhalbmal so weit entfernt ist, als Punkt 2 von Punkt 4, so heisst dies, dass der mit 1 bezeichnete Cylinder von dem mit 3 bezeichneten Cylinder einundeinhalbmal so weit entfernt ist, als die Cylinder 2 und 4 von einander entfernt sind. Wir haben oben die Cylinder nach der Reihenfolge numeriert, die ihre Kurbeln im Kurbeldiagramm haben, bei welchem auf einander folgende Richtungen auch durch aufeinander folgende Zahlen wiedergegeben werden. Hierdurch kommt es, dass auf der geraden Linie, auf welcher die Cylinder ihrer Stellung nach durch Punkte gekennzeichnet werden, zwei auf einander folgende Punkte nicht notwendig durch auf einander folgende Zahlen bezeichnet sind.«?

Die Ausstattung des Buches in Druck und Papier ist ausgezeichnet, der Preis aber auch unverhältnismässig hoch. Berlin, Juli 1901. F. Preufs, Dipl.-Ing.

Bei der Redaktion eingegangene Bücher.

Acetylenzentralen. Gemeinverständliche Darstellung des zeitigen Standes der Beleuchtung ganzer Ortschaften mit Acetylen. Von Dr. J. H. Vogel. Halle a/S. 1901, Carl Marhold. 139 S. 8° mit mehreren Figuren. Preis 4 M.

(Das Acetylenlicht hat im allgemeinen nicht so schnell Eingang gefunden, wie bei seiner vorzüglichen Beschaffenheit und Billigkeit zu erwarten stand. Immerhin besteht schon eine Reihe gut eingerichteter

und gut geleiteter kleinerer Geseanstalten, die in jeder Hinsicht zufriedenstellende Ergebnisse aufzuweisen haben. Den Bau solcher Werke anzuregen, ist der Zweck des Buches, der sich vor allem an das Laienpublikum wendet und hier das durch einige Unglücksfälle entstandene ungünstige Urteil, Unkenntnis und Voreingenommenheit durch Veröffentlichung wirklicher Betriebsergebnisse zu beheben sucht.)

Jahrbuch für Acetylen und Karbid. Bd. II. Jahrgang 1900. Berichte über die wissenschaftlichen und technischen Fortschritte. Von Dr. M. Altschul, Dr. Karl Scheel und Dr. J. H. Vogel. Halle a/S. 1901. Carl Marhold. 195 S. 8° mit mehreren Figuren. Preis 10 M.

Wie stellt man Kostenanschläge und Betriebskosten-Berechnungen für elektrische Licht- und Kraftanlagen auf? Von Fritz Hoppe. Leipzig 1901, Ed. Wartigs Verlag, Ernst Hoppe. 364 S. Preis 3 M.

(Anleitung zur Ausarbeitung von Kostenanschlägen, Ermittlung der zu verwendenden Verbrauchgegenstände, der erforderlichen Leistung, der zweckmäßigsten Antriebskraft, der Uebertragung, des Leitungsnetzes usw. — Angaben über Aufstellung von Betriebskosten- und Rentabilitätsberechnungen — Durchschnittspreise elektrischer Anlagen.)

Die hydraulischen Motoren (ausschließlich Turbinen und Wasserräder). Ein Handbuch für Ingenieure, Fabrikanten und Konstrukteure. Zum Gebrauche für technische Lehranstalten sowie ganz besonders zum Selbstunterricht. Zugleich als dritter Band von Meißner, Hydraulik und hydraulische Motoren. Von Dr. H. Hederich. Jena 1899, Hermann Costenoble. 437 S. 8° mit 42 Tafeln. Preis 21 M.

(Das Buch dient hauptsächlich dem Zwecke, dem auf diesem Gebiete schöpferisch thätigen Konstrukteur eine Uebersicht zu geben, welche verschiedenen Formen bereits ausgeführt oder auch nur vorgeschlagen worden sind. Es ist daher eine große Anzahl verschiedenartiger Konstruktionen beschrieben, die zum Teil Patentschriften entnommen sind.)

Die Dächer, Dachformen und Dachkonstruktionen. »Handbuch der Architektur III. Teil, 2. Bd., Heft 4.

2. Aufl. Von Th. Landsberg und Dr. E. Schmitt. Stuttgart 1901, Arnold Bergsträsser. 405 S. 8° mit 784 Fig. und 2 Taf. Preis 18 M.

Die Weltausstellung in Paris 1900 und ihre Ergebnisse in technisch-wirtschaftlicher Beziehung. Von Wilh. Gentsch. Berlin 1901, Carl Heymanns Verlag. 104 S. 8°. Preis 2 M.

Brockhaus' Konversations-Lexikon. 14. vollständig neubearbeitete Auflage. Neue revidierte Jubiläumsausgabe. III. Bd. Biserta-Cesuola. Leipzig, Berlin, Wien 1901. F. A. Brockhaus. 1040 S. mit 40 Taf., 16 Karten und Plänen und 250 Fig. Preis 12 M.

Automobil-Kalender und Handbuch der Automobil-Industrie für 1901/02. I. Jahrgang. Berlin 1901, M. Krayn. 64 S. mit vielen Figuren. Preis 3 M.

Deutschland als Industriestaat. Von Dr. F. C. Huber. Stuttgart 1901, J. G. Cotta'sche Buchhandlung. 512 S. 8°.

Der Blitzschutz. Praktische Anleitung und Projektierung, Herstellung und Prüfung von Gebäude-Blitzableitern jeder Art aufgrund der neuern Anschauungen über das Wesen der Blitzentladungen. Von Max Lindner. Leipzig 1901, Oscar Leiner. 176 S. 8° mit 143 Figuren. Preis 4 M.

Die Automobilen für schwere Lasten und ihre Bedeutung für militärische Verwendung. Von Cav. Pietro Mirandoli. Uebersetzt von Otfried Layritz. Berlin 1901, E. S. Mittler & Sohn. 60 S. 8° mit 31 Figuren. Preis 1,25 M.

Encyclopädie der mathematischen Wissenschaften mit Einschluss ihrer Anwendungen. Band IV 2, Heft 1: Mechanik der deformirbaren Körper. Von F. Klein. Leipzig 1901, B. G. Teubner. 147 S. 8°.

Uebersicht neu erschienener Bücher,

zusammengestellt von der Verlagsbuchhandlung von Julius Springer, Berlin N., Monbijouplatz 5.

Mathematik. Breithof, N. et F. Traité de géométrie descriptive. 1^{re} Partie. 4^e éd. Louvain 1901. Uystpruyt. Preis 9 frs.

— de la Gournerie, J. Traité de géométrie descriptive. 3^e éd. 8^e partie. Paris 1901. Gauthier-Villars.

— Marchand, J. Partage des terrains. Arpentage, levé des plans et nivellement. Louvain 1901. Uystpruyt. Preis 4 frs.

— Meisel, F. Praktische Beispiele zur Schattenkonstruktionslehre. Leipzig 1901. Seemann & Co. Preis 15 M.

— Miller, W. Die Vermessungskunde. Ein Taschenbuch für Schule und Praxis. Hannover 1901. Gebr. Jänecke. Preis 3 M.

— Paganini, P. Fotogrammetria, fotografia pratica in Italia e applicazione della fotogrammetria all' idrografia. Milano 1901. Hoepli. Preis 3,50 l.

— Torres, L. Machines à calculer. Paris 1901. Impr. Nationale.

— Vogt, H. Elements de mathématiques supérieures à l'usage des physiciens, chimistes et ingénieurs etc. Paris 1901. Nony.

Mechanik. Calderara, P. Corso di meccanica razionale. Vol. I. Palermo 1901. Preis 12 l. 50 c.

— Föppl, Aug. Vorlesungen über technische Mechanik. 4. Bd.: Dynamik. 2. Aufl. Leipzig 1901. B. G. Teubner. Preis 12 M.

— Hausbrand, E. Hilfsbuch für den Apparatebau. Berlin 1901. J. Springer. Preis 3 M.

— Keck, Wilh. Vorträge über Mechanik als Grundlage für das Bau- und Maschinenwesen: II. Teil. Mechanik elastisch-fester und starrer Körper. 2. Aufl. Hannover 1901. Helwing. Preis 13,50 M.

— Zilllich, Karl. Statik für Baugewerkschulen und Baugewerksmeister. 1. Tl.: Graphische Statik. 2. Aufl. Berlin 1901. W. Ernst & Sohn. Preis 1,80 M.

Metallbearbeitung. Cunyngghame, H. H. On the theory and practice of art enamelling upon metals. 2nd ed. London 1901. Constable. Preis 6 sh.

Metallhüttenwesen. Longridge, C. C. A précis of lead smelting. London 1901. The Mining Journal. Preis 2 sh.

— Minet, Adolphe. Traité théorique et pratique d'électro-metallurgie. Paris 1901. Héranget. Preis 20 frs.

— Schmatolla, Ernst. Die Tiegelöfen. Eine Abhandlung der zum Schmelzen von Metall, Eisen und Stahl gebräuchlichen, sowie vorgeschlagenen Tiegelöfen-Systeme usw. Berlin 1901. A. Seydel in Komm. Preis 1,50 M.

— Stevens, Horace J. The Copper Handbook. Houghton, Michigan, U. S. A.

Motorwagen und Fahrräder. Ford, R. Moffat. The motor car manual. 3rd ed. London 1901. Motor Car Company. Preis 2 sh. 6 d.

— Wilson, A. J. Motor cycles, and how to manage them. 4th ed. London 1901. Hiffe, Sons & Sturmy, Limited. Preis 2 sh. 6 d.

Papierindustrie. Beveridge, James. Papermaker's Pocket-Book. London 1901. Wood Pulp, Limited. Preis 10 sh.

Physik. Calaque, Belmonte, E. M. J. Energie en electriciteit. Groningen 1901. Wolters. Preis 1 fl. 50 c.

— Glazebrook, R. T. Electricity and magnetism. Cambridge 1901. University Press.

Pumpen und Gebläse. Bale (M. Powis). Pumps and pumping. 4th ed. London 1901. Crosby, Lockwood & Son. Preis 3 sh. 6 d.

— Dreyer, Geo. Die Kolbenpumpen und deren Details. Skizzen-sammlung bewährter Ausführungen für den Konstruktionsunterricht an technischen Lehranstalten. Himmelo 1900. H. Reimann. Preis 4,50 M.

Schiff- und Seewesen. Busley, Carl. Die Schiffsmaschine, ihre Bauart, Wirkungsweise und Bedienung. 3. Aufl. Kiel 1901. Lipsius & Tischer. Preis 40 M.

— Ferber, Kurt. Das hamburgische Lotwesen auf der Unterelbe bis zum Jahre 1810. Cuxhaven 1901. A. Rauschenplat. Preis 2 M.

— Hartmann, Carl. Der Schiffsmaschinen-Dienst. 8. Aufl. Hamburg 1901. Eckardt & Messtorff. Preis 3 M.

— Lehrbuch der Navigation. Herausgegeben vom Reichs-Marine-Amt: 1. Terrestrische Navigation. 2. Astronomische Navigation. 3. Anleitung zu Küstenvermessungen. Berlin 1901. E. S. Mittler & Sohn. Preis 16 M.

— Leitfaden für den Unterricht in der Navigation. Auf Veranlassung der Inspektion des Bildungswesens der Marine ausgearbeitet. 3. Aufl. Nebst Anhang. Berlin 1901. E. S. Mittler & Sohn. Preis 16,50 M.

— Liste, amtliche, der Schiffe der deutschen Kriegs- und Handels-Marine mit ihren Unterscheidungs-Signalen, als Anhang zum internationalen Signalfach. Herausgegeben im Reichsamte des Innern. Berlin 1901. G. Reimer. Preis 1,60 M.

— Ludolph, W. Leuchtsender und Schallsignale der Erde. 9. Aufl. Bremerhaven 1901. L. v. Vangerow. Preis 0,60 M.

— Ragg, Manfr. Die Schiffsbodenfarben. Handbuch für Seeoffiziere, Schiffsaingenieure, Schiffsbau- und mast. Anstalten. Wiesbaden 1901. O. Nemaich. Preis 3,50 M.

— Reinecke, Fra. Taschen-Signalfach. Hannover 1901. Hahn in Komm. Preis 2 M.

— Seaton, A. E., and H. M. Rounthwaite. A pocket book of marine

- engineering rules and tables. 6th ed. London 1901. C. Griffin. Preis 8 sh. 6 d.
- Sothorn, J. W. Verbal notes and questions for marine engineers. 2nd ed. London 1901. Whitaker & Co. Preis 3 sh. 6 d.
- Straßenbahnen.** Bericht des k. k. Gewerbe-Inspektors für die öffentlichen Verkehrsanlagen in Wien. Wien 1901. Hof- und Staatsdruckerei. Preis 0,40 M.
- Straßenbau.** Gillette, Halbert Powers. Economics of road construction. New York 1901. »Engineering News« Publishing Co.
- Textilindustrie.** Hawksworth, A. Australian sheep and wool. London 1901. T. Fisher Unwin. Preis 7 sh. 6 d.
- La Ramie. Culture, préparation, utilisation industrielle. Paris 1901. Bureaux de la Revue des cultures coloniales. Preis 4 frs.
- Margosches, B. M. Ueber die Viscosin, mit besonderer Berücksichtigung ihrer Verwertung in der Textil-Industrie. Leipzig Gohlis 1901. L. A. Klopzig. Preis 1,50 M.
- Taggart, W. S. Cotton spinning. Vol. II. 2nd ed. London 1901. Macmillan. Preis 4 sh.
- Tunnelbau.** Pretini, Charles. Tunnelling. With additions by Charles B. Hill. London 1901. Crosby, Lockwood & Son. Preis 16 sh.
- Spezial-Berichte der Direktion der Jura-Simplon-Bahn an das schweizerische Eisenbahn-Departement über den Bau des Simplon-tunnels. 1. Rosenmund, M. Die Bestimmung der Richtung, der

- Länge und der Höhenverhältnisse. Bern 1901. Schmid & Francke. Preis 7,50 M.
- Wasserversorgung.** Guichard, P. Analyse chimique et purification des eaux potables. Paris 1901. Gauthier-Villars. Preis 2 frs. 50 c.
- Helm, Otto. Ueber ein neues Verfahren zur Enteisung von Grundwasser. Leipzig 1901. F. Leineweber. Preis 0,70 M.
- Werkstätten und Fabriken.** Acsády, Kug. Ungarisches und deutsches technisches Wörterbuch. Budapest 1901. Wien, W. Braumüller. Preis 20 M.
- Bericht der k. k. Gewerbe-Inspektoren über ihre Amtstätigkeit im Jahre 1900. Wien 1901. Hof und Staatsdruckerei. Preis 4 M.
- Zementherzeugung.** Dibdin, W. J. Lime, mortar, and cement: Their characteristics and analysis. London 1901. Sanitary Pub. Co. Preis 5 sh.
- Ziegel.** Beck, Otto. Die Ziegelfabrikation. 9. Aufl. Leipzig 1901. H. F. Voigt. Preis 10,50 M.
- Hausinger v. Waldegg, Edm. Die Ziegel-, Röhren- und Kalkbrennerei in ihrem ganzen Umfange nach den neuesten Erfahrungen. 5. Aufl. 1. Th. Leipzig 1901. Th. Thomas. Preis 23 M.
- Zucker- und Stärkeindustrie.** Gonnermann, M. Tabellen für den täglichen Gebrauch im Laboratorium der Zuckerfabriken bei der Untersuchung der Säfte, Füllmassen, Zucker und Abläufe. Magdeburg 1901. A. Rathke. Preis 8 M.

Zeitschriftenschau.¹⁾

(* bedeutet Abbildung im Text.)

Beleuchtung.

Elements of Illumination. XXX. Von Bell. (El. World 24. Aug. 01 S. 995/96*) Kleins Glühlampen für Schmuckzwecke. Schellawerfer.

Bergbau.

Das Schachtabteufen bei Ronnenberg (Hannover), ein Beitrag zur Geschichte des Potoschen Gefrierverfahrens. Von Wiese. (Glückauf 24. Aug. 01 S. 731/36*) Eingehender Bericht über das Abteufen des Schachtes zur Gewinnung von Kalisalz, bei dem von 32 m bis 128 m Tiefe das Gefrierverfahren angewendet wurde.

Die Gesteinbohrmaschine »Triumph« der Ruhrthaler Maschinenfabrik. (Glückauf 24. Aug. 01 S. 729/31* mit 1 Taf.) Der Druckluftbohrer wird durch den Arbeitskolben ohne besondere Steuertaste gesteuert. Die Maschine wird in 3 Größen von 75 und von 84 mm Kolbendurchmesser für rd. 3 at Betriebsdruck gebaut. Der Luftverbrauch wird auf 0,2 cbm/min berechnet.

Dampfkraftanlagen.

Two new water tube boilers. (Eng. News 22. Aug. 01 S. 127/28*) Darstellung eines Wasserrohrkessels von J. C. Parker, Philadelphia, und eines Wasserrohrkessels der Hammond Iron Works in Warren, Pa.

Kondenswasser und die Apparate zu seiner Wiedergewinnung. Schluss. (Gesundheitsg. 31. Aug. 01 S. 253/55*) Offene Kondensationsvorrichtungen mit Glocke, Schwimmtöpfe.

Eisenbahnen.

Die Verbindungslinie des russischen Schienennetzes mit der sibirischen Eisenbahn. Von Thiefs. (Glaser 1. Sept. 01 S. 89/91*) Lageplan und Beschreibung der 1127 km langen Samara-Slatoust-Eisenbahn.

Vergleich einer elektrischen Lokomotive mit einer Dampflokomotive. Von Böhm-Raffay. (Z. f. Elektrot. Wien 1. Sept. 01 S. 420/23) Dampf- und Kohlenverbrauch beider Lokomotivarten. Gewicht, Zugkraft und Reibungswiderstände. Schluss folgt.

Locomotive à crémaillère et à adhérence pour le chemin de fer de Fourvière et de l'Ouest-Lyonnais. Von Barbier. (Génie civ. 31. Aug. 01 S. 286/88*) Zweifelsache elektrisch betriebene Zahnrad- und Reibungslokomotive für 1 m Spurweite. Zum Reibungsbetrieb dienen 2 Gleichstrommotoren von je 50 PS, zum Zahnradbetrieb ein Gleichstrommotor von 150 PS. Die Stromspannung beträgt 500 V.

Mineral locomotive for the Caledonian Railway. (Engug. 30. Aug. 01 S. 281*) Angaben über eine 4 gekuppelte Güterzuglokomotive mit 335 mm Cyl. Dmr., 660 mm Hub und 13000 kg Gesamtzugkraft.

Ballasting new railways. (Eng. News 22. Aug. 01 S. 123/24) Der Verfasser empfiehlt, erst dann Besotterung zu verwenden, wenn das unter den Schwellen liegende Gefälle fest geworden ist.

Bemerkungen über Gleisanlagen. (Zentralbl. 31. Aug. 01 S. 426/27*) Einige Vorschläge zu Verbesserungen an Gleis- und Bahnhofsanlagen werden kurz besprochen.

¹⁾ Die Zeitschriftenschau wird, nach den Stichwörtern in Vierteljahrsheften zusammengefasst und geordnet, gesondert herausgegeben, und zwar zum Preise von 3 M pro Jahrgang für Mitglieder, von 10 M pro Jahrgang für Nichtmitglieder.

Eisenhüttenwesen.

Berechnung der Zusammensetzung der Hochofengase, der in den Hochofen eingeführten Windmenge und der Windverluste. Von Oaann. (Stahl u. Eisen 1. Sept. 01 S. 905/13) Ausführliche Wiedergabe und Begründung des Berechnungsverfahrens, erläutert durch zahlreiche Tabellen. Leit-Sätze für Einrichtung und Betrieb von Hochofenanlagen.

Hochofen amerikanischer Konstruktion auf dem Hüttenwerke zu Martinpolak. Von Bregunow. (Stahl u. Eisen 1. Sept. 01 S. 914/22*) Die Anlage umfasst 8 paarweise angeordnete Hochofen von je 250 t Tageszeugung. Der Aufbau der Hochofen. Die Armatur der Hochofen. Schluss folgt.

The design of angle rolls. II. Von Wirst. (Iron Age 22. Aug. 01 S. 12/18*) Die neueren Kalbrivverfahren, Kalber mit geradlinigem und mit gekrümmtem Profil für die Schenkel des Winkel-eisens. Anordnung der Kalber auf den Walzen. Unterschied der Walzendurchmesser.

Eisenkonstruktionen, Brücken.

Bestimmung der Achsenlagen der Füllungsmitglieder ebener Fachwerke bei veränderlichen Gurtquerschnitten. Von Umlauf. (Z. österr. Ing.- u. Arch.-Ver. 30. Aug. 01 S. 582/54*) Einfluss des Biegemomentes in einem Knotenpunkte des Obergurtes, in dem eine Gurtplatte aufliegt. Angabe einer Konstruktion, bei der dieses Biegemoment vermieden wird.

Boone cut-off and Des Moines River viaduct; Chicago and Northwestern Ry. (Eng. News 22. Aug. 01 S. 117/18 mit 1 Taf.) Konstruktionseinzelheiten der schon in Zeitschriftenschau vom 10. Aug. 01 unter »the Boone viaduct« beschriebenen Brücke.

A giant gas holder and its erection. (Iron Age 22. Aug. 01 S. 11/5*) Der Gasbehälter fasst 680 000 cbm Wassergas und besteht aus 4 ineinanderschließbaren Schüssen. Durch zahlreiche Abbildungen ist die Aufstellung des Behälters erläutert.

Elektrotechnik.

Die elektrische Kraftanlage Tollinggraben. Von v. Lidl. Schluss. (Österr. Z. Berg- u. Hüttenw. 24. Aug. 01 S. 460/62*) Betrieb der Pumpen, Ventilatoren und Bohrmaschinen. Beleuchtungsanlage.

Electrical supply in Rangor, Maine. Von Adams. (El. World 24. Aug. 01 S. 291) Bericht über die Stromversorgung der Stadt für rd. 14 000 Glühlampen, über 100 Bogenlampen, für Motoren von insgesamt 200 PS und für die Straßenbahn. Der Drehstrom wird von einer Wasserkraftanlage mit Dampfkraft als Aushilfe in Vezie mit 2000 V zugeführt und für das Lichtnetz auf 110 V, für das Kraftnetz auf 550 V Spannung gebracht. Der Gleichstrom für die Straßenbahn wird unmittelbar mit 500 bis 600 V der Arbeitsleitung unter großen Verlusten zugeführt. Es soll deshalb für die Straßenbahn eine Uniformanlage errichtet werden.

Bericht über Untersuchungen an einem Drehstrommotor mit ablesbarer Tourenzahl, Patent WdSt. Von Weher und Denzler. (Schweiz. Bauz. 31. Aug. 01 S. 89/93*) Der Drehstrommotor hat 3 Ständer, von denen der eine 4polig, der zweite 6polig, der dritte 8polig gewickelt ist. Ausführliche Wiedergabe der Versuchsergebnisse eines im elektrotechnischen Laboratorium zu Zürich untersuchten Motors.

Messung und Berechnung der Leerlaufverluste von Drehstrommotoren. Von Benischke. (Elektrot. 2. 29. Aug. 01 S. 688/700*) Bei den Messungen wurde die Schlupfung äußerst genau

mittels einer stroboskopischen Scheibe bestimmt, wodurch die Einzelverluste gut von einander getrennt werden konnten. Ausführung und Hilfsmittel des Verfahrens. Bestimmung der Luft- und Lagerreibung. Eisenverluste bei Leerlauf, Stillstand und bei Leerlauf mit offenem Laufer. Schlussfolgerungen aus den Ergebnissen; Unterschiede der Ergebnisse von Berechnung und Messung. Verhalten des Feldes bei Stillstand; Einfluss der Stanzens auf die magnetischen Eigenschaften der Bleche.

Papins Vorschläge zur Verbesserung der Uebertragung von Wechselströmen auf langen Leitungen. (Elektrot. Z. 29. Aug. 01 S. 700/02*) Erörterung der Vorgänge in einem Leiter mit Widerstand, Selbstinduktion und elektrostatischer Kapazität anhand des Beispiels einer Stimmgabel, die mit einer elastischen gespannten Saite verbunden ist. Bei sehr langen Leitungen zur Uebertragung elektrischer Wechselströme sollen zur Aufhebung der schädlichen Wirkung der Kapazität Induktionsrollen in die Leitungen oder parallel zu ihnen geschaltet werden. Beschreibung einer Versuchsanordnung und Durchrechnung von Beispielen.

Erd- und Wasserbau.

Barrow docks and approaches by land and sea. Von Stilleman (Engng. 30. Aug. 01 S. 285/86*) Uebersicht über die Eisenbahnen, die zu den Hafenbecken von Ramaden, Buccleuch, Devonshire und Cavendish führen, und Beschreibung der Einfahrtverhältnisse der Häfen. Darstellung von Einzelheiten der Petroleum-Lagerhäuser an den Häfen.

Künstliche Speisung von Schleusenkanälen. Von Werneburg. (Zentralbl. Bauw. 31. Aug. 01 S. 424/26) Durchrechnung des Schöpfwerkes am Kanal von Bourgoigne.

Ore docks with metal piling. (Eng. News 22. Aug. 01 S. 118*) Darstellung der Konstruktion und Anordnung der Bekleidung für eine Hafenmauer.

Der Bau des Simplon-Tunnels. (1. Jänner 1900 bis 1. Jänner 1901.) Von Wagner. Schluss. (Z. österr. Ing.- u. Arch.-Ver. 30. Aug. 01 S. 376/82*) Brandtsche Druckwasser-Bohrmaschine. Transportmittel. Materialbeschaffung. Arbeiten im Tunnel. Wohlfahrtseinrichtungen. Unfälle.

Die Weltausstellung in Paris 1900. Dampfkavatoren oder Trockenbagger der Firma Ruston, Proctor & Co. Ltd., Lincoln, England. (Glaser 1. Sept. 01 S. 96/102*) Beschreibung der Baggerkonstruktion, Schilderung des Arbeitsverfahrens und Bericht über die Leistungsfähigkeit.

Explosionsmotoren und andere Wärmekraftmaschinen.

Die Spiritusmotoren auf der landwirtschaftlichen Ausstellung in Halle a/S. (Mit. Prax. Dampfkr. Dampfkr. 28. Aug. 01 S. 626/28) Kurze allgemein gehaltene Beschreibung der ausgestellten Motoren und Zusammenstellung der Abmessungen der von den verschiedenen Fabriken gebauten Größen.

Les moteurs à alcool. Von Perissé. (Mém. Soc. Ing. civ. Juli 01 S. 25/95*) Allgemeines über die Erzeugung von Spiritus und seine Verwendung zum Betrieb von Maschinen. Physikalische und chemische Eigenschaften des Spiritus und seiner Nebenprodukte. Verschiedene Konstruktionen von Spiritusmotoren. Vergaser. Versuche mit ortsfesten und beweglichen Spiritusmotoren. Vor- und Nachteile von Spiritusmotoren. Betriebskosten.

Feuerungsanlagen.

Die Bedienung von Feuerungen und der Schutz der Arbeiter. (Dingler 31. Aug. 01 S. 549/56*) Beschickung der Rostfläche durch Doppelthür. Beschickung fahrbarer Roste. Beschickung der Rostfläche durch hin- und hergehende Kolben und durch hin- und hergehende Schieber. Vorschneilen der Beschickung auf die Rostfläche. Forts. folgt.

Gasindustrie.

Schnellgasmessung und Schnellgasanalyse. Von Strache. (Journ. Gasb.-Wasserv. 31. Aug. 01 S. 646/50*) Taschengasmesser. Kraltscher Pneumometer. Gasmesser von Johnson und Rabe. Apparat von Uehling und Steinhardt zur selbstthätigen Gasanalyse. Desgl. vom Verfasser und von Jahoda. Entwurf eines Apparates zur fortwährenden Bestimmung des spezifischen Gewichtes eines Gases.

Gießerei.

Thin brass castings. Von Vickers. (Am. Mach. 31. Aug. 01 S. 925/26) Eingehende Beschreibung der Vorsichtsmaßregeln, die beim Einformen von dünnen Gegenständen, welche in Bronze gegossen werden sollen, zu beobachten sind.

Hochbau.

The Lincoln power station, Boston, Mass. (Eng. Rec. 17. Aug. 01 S. 147/51*) Das Krafthaus enthält einen Kesselraum von 44 x 25 qm und einen Maschinenraum von 40 x 20 qm Grundfläche. Eingehende Darstellung der Eisenkonstruktionen des Gebäudes; Einzelheiten der Säulen-, Decken- und Dachkonstruktionen und der Kohlenbunker.

Holzbearbeitung.

Wood-working machinery at the Glasgow Exhibition. (Engng. 30. Aug. 01 S. 281/83*) Darstellung der von John M'Dowall & Sons ausgestellten Holzbearbeitungsmaschinen. Schwere Hobelmaschine mit Walzenvorschub. Selbstthätiges Doppelgatter. Spezialmaschine zum Bohren und Verbohlen von Lukendeckeln für Schiffe. Fahrbare Kreissäge.

Kälteindustrie.

Kühlverfahren mit Gewinnung saurer Arbeit. Von Mewes. (Z. Kälte-Ind. Aug. 01 S. 151/52) Beschreibung der Verfahren, durch welche die äußere Arbeitsleistung einer Kälte- und Kältdampfmaschine zur Unterstützung der Kompression des Arbeitsgases verwendet werden soll.

Die Kühlanlage für Molkerieerzeugnisse der Gesellschaft La Fermière in Brüssel. Von Stetefeld. Schluss. (Z. Kälte-Ind. Aug. 01 S. 141/45*) Beschreibung der Maschinenanlage. Einrichtung der verschiedenen Kühlräume.

Landwirtschaftliche Betriebe.

Faucheuse automobile à pétrole. Von Coupan. (Génie civ. 31. Aug. 01 S. 281/83* mit 1 Taf.) Darstellung einer dreirädrigen Mähmaschine der Deering Harvester Co. in Chicago, die durch einen liegenden zweizylindrigen Petroleummotor betrieben wird.

Maschinenelle.

An improved speed controller. (Am. Mach. 31. Aug. 01 S. 926*) Beschreibung einiger Verbesserungen, die an der in Zeitschriftenschaue vom 25. Aug. 1900 unter »A novel speed varying device« erwähnten Vorrichtung zur Geschwindigkeitsänderung angebracht sind.

Materialkunde.

Magnetische Untersuchungen zu neueren Eisensorten. Von Gumlich und Schmidt. (Elektrot. Z. 29. Aug. 01 S. 691/98*) Zusammenstellung der Ergebnisse zahlreicher Untersuchungen zur Bestimmung der Feldstärke, der magnetischen Induktion und Durchlässigkeit. Versuche an ausgeglühtem Eisen verschiedener Art. Bestimmung des elektrischen Leitvermögens und der Koerzitivkraft. Höchstwerte der magnetischen Durchlässigkeit.

Eisen und Wasserstoff. Von Heyn. (Stahl u. Eisen 1. Sept. 01 S. 913/14) Flusseisen, das in wasserstoffhaltiger Atmosphäre erhitzt und sodann abgeschreckt ist, wird spröde. Lässt man ein derartiges Eisen jedoch längere Zeit an der Luft bei Zimmerwärme liegen, so wird die Sprödigkeit wieder vermindert. Der Verfasser debütierte diese Zeit bis auf 251 Tage aus, nach der sich die Sprödigkeit von sehr weichem Draht im Verhältnis 5:17 vermindert hatte.

Mechanik.

The internal speed variation of a vertical cross-compound engine. Von Abbott. (Eng. Rec. 17. Aug. 01 S. 155/58*) Zeichnerische Untersuchung der Geschwindigkeitsschwankungen einer Verbunddampfmaschine, die mit einer Wechselstromdynamo gekuppelt ist.

Messgeräte und -verfahren.

Apparat zum Photometrieren in allen Richtungen des Raumes. Von Herachkowitzsch. (Journ. Gasb.-Wasserv. 31. Aug. 01 S. 650/51*) Darstellung des Gerätes, bei dem der Lichtkegel des zu messenden Leuchtkörpers durch drei Spiegel stets wagerecht gegen den Schirm des Lichtmessers geworfen wird.

Metallbearbeitung.

A new engine lathe. (Am. Mach. 31. Aug. 01 S. 916/18*) Die von der Springfield Machine Tool Co. gebaute Drehbank hat Zahnstange, Leitspindel und Zugschindel. Die Wechselräder sind auf einer Scheibe angeordnet, die sich um einen mittleren Zapfen dreht.

Spacing the teeth of a rack. (Am. Mach. 31. Aug. 01 S. 918/19*) Darstellung einer Hilfs-Teilvorrichtung für eine Fellmaschine. Anwendung der Vorrichtung bei Herstellung verschiedener Zahnstangen.

Die Herstellung der Flachschrauben. Von Haedicke. (Stahl u. Eisen 1. Sept. 01 S. 922/24*) Darstellung des Arbeitsganges unter Benutzung der in Zeitschriftenschaue v. 24. Nov. 1900 erwähnten Abhandlung »Rolling screw conveyors«.

Motorwagen und Fahrräder.

Carbureteurs récents. Von Laverne. (Rev. Ind. 31. Aug. 01 S. 345/46*) Konstruktion der Vergaser von de Dion-Bouton und von Panhard & Levassor. Forts. folgt.

Papierindustrie.

Der Holländer. Von Haufener. Forts. (Dingler 31. Aug. 01 S. 556/61) S. Zeitschriftenschaue v. 7. Sept. 01. Forts. folgt.

Pumpen und Gebläse.

Machinery at the Pan-American Exposition. V. Iron Age 22. Aug. 01 S. 23/24) Ausstellung von Nehmedventilatoren der Buffalo Forge Co. Ausstellung elektrolitischer Erzeugnisse von E. G. Acheson.

Schiffs- und Seemann.

The boiler trials of H. M. S. "Hyacinth" and "Minerva". (Engng. 30. Aug. 01 S. 247 85). Wiedergabe der amtlichen Berichte über die Leistungsveruche an den Kesseln auf der Probefahrt nach Gibraltar und zurück. Tabellarische Zusammenstellung der Versuchszahlen. N. a. Zeitschriftenschan v. 19. Aug. 01.

Seil- und Kettenbahnen.

Drahtseilbahn zum Transport von Schachtbergen. (Stahl u. Eisen 1. Sept. 01 S. 924 35). Die von J. Pöhlig in Köln gebaute Seilbahn ist 589 m lang und führt von dem Bergsturm der Zeche Prosper II der Arenbergischen Aktiengesellschaft für Bergbau und Hüttenbetrieb nach einem 49 m hohen Entladeturm an der Escherichal Bahn. Mit der Seilbahn, deren Gefälle 31 m beträgt, können in 14 Arbeitstagen 1600 t Berge gefördert werden. Die Bahn erfordert 9²/₃ PS Betriebskraft, die von einer besonderen Dampfmaschine geliefert werden.

Wasserversorgung.

Die Wasserreinigung. Von Fehrmann. (Protok. Petersburg. Polyt. Ver. 01 Heft 1 S. 4/25). Kritische Besprechung der Wasserreinigungsverfahren auf mechanischem, chemischem und physikalischem Wege mit Berücksichtigung der verschiedenen Zwecke. Meinungsaustausch.

Noteworthy water storage and irrigation works of Southern California. Von Fletcher. (Eng. News. 22. Aug. 01 S. 124 27). Wasserversorgungsanlagen der San Diego Land & Town Co. und der Northern California Mountain Water Co. Angaben über den Bau der Stauwehrr.

Werkstätten und Fabriken.

Elektrische Antriebe. (Z. f. Elektrot. Wien 1. Sept. 01 S. 423 24). Zusammenstellung von Betriebsergebnissen. Verluste durch

Transmissionen. Elektrischer Betrieb von Hebezeugen, Bohrmaschinen, Hobelmaschinen, Fräsmaschinen und Drehbänken. Vergleich zwischen Gleichstrom- und Drehstrombetrieb. Die elektrischen Anlagen der Patent Shaft & Axletree Company in Wednesbury, England, und der Papierfabrik in Millinocket, Nordamerika.

Eine moderne Maschinenfabrik. Von Alberts. (Stahl u. Eisen 1. Sept. 01 S. 926 33). Darstellung der Fabrik der Ascherlebenser Maschinenbau-Aktiengesellschaft (vormals W. Schmidt & Co.), in der Heißdampfmaschinen, Ueberhitzer und Gaskraftmaschinen, Bauart Oechelhäuser, gebaut werden. Lageplan und Anordnung der Gebäude. Maschinenhaus. Kesselhaus. Gießereigebäude. Krane. Putzerei. Werkstatt.

The Clydebank Shipbuilding and Engineering Works. (Engng. 30. Aug. 01 S. 275 76 mit 1 Taf.) Werkstätten für Schiffsmaschinen. Gelbgießerei. Zusammenbau. Werkstatt für Belleville-Kessel. Gelbgussputzer. Werkstatt für Blechbearbeitung. Galvanoplastische Anlage. Schmiede für Maschinenteile. Kupferschmiede. Kraftanlage. Verwaltung.

Concrete-steel foundry and power station floors. (Eng. Rec. 17. Aug. 01 S. 154/55). Kurze Angaben über Zement-Holz- und Zement-Eisen-Decken, Benart Ransome, in einer Maschinenfabrik zu Paterson, N. J.

Zementindustrie.

The Omega Portland Cement Works, Jonesville, Mich. (Eng. Rec. 17. Aug. 01 S. 158/60). Lageplan, Einrichtung und Fabrikationsgang der genannten Fabrik. Beschreibung der Konstruktion und Wirkungsweise eines Steinausschleiders.

Zucker- und Stärkeindustrie.

The Indian sugar industry. III. (Engineer 30. Aug. 01 S. 317/19 mit 1 Taf.) S. Zeitschriftenschan v. 7. Sept. 01.

Rundschau.

Im äußersten Westen Nordamerikas sind in den letzten Jahren mehrere elektrische Anlagen errichtet worden, welche die Wasserkräfte der reissenden, vom Kaskaden-Gebirge und der Sierra Nevada dem Großen Ozean zuströmenden Gebirgsflüsse ausnutzen. Eine der bedeutendsten darunter ist die Kraftübertragungsanlage der Bay Counties Power Company¹⁾, die kurzeit Kraftwerke von zusammen etwa 16000 PS besitzt, deren Leistung noch erheblich gesteigert werden kann, und die eine Fernleitung von 225 km Länge von Colgate nach Oakland und der Ostküste der San Francisco-Bai ausgeführt hat.

Das größte der drei Kraftwerke in Colgate am nördlichen Yuba-Flusse wurde im September 1899 in Betrieb genommen. Mit den jetzt in Bau befindlichen Maschinen wird es eine Leistung von 15000 PS abgeben. Das Oberwasser wird aus dem Yuba durch einen 12 km langen geschlossenen Kanal von 2,3 m Breite, 1,5 m Tiefe und 0,25 vH Gefälle bis zu einem 214 m über dem Kraftwerk liegenden Punkt geleitet, von wo aus es durch 5 Rohre den Turbinen zuströmt. Die Rohre haben 760 mm l. W. und bestehen in ihrem oberen Teil aus Flusseisen, unten aus Gusseisen. Im Kraftwerke stehen 3 Maschinensätze von je 3000 und 4 von je 1500 PS, deren jeder aus einer radial beaufschlagten Freistrahlturbine mit waagrechter Welle und einem damit gekuppelten Drehstromerzeuger besteht. Die größeren Maschinen laufen mit 285, die kleineren mit 400 Uml./min. Die Klemmenspannung der Maschinen beträgt 2400 V. Durch Transformatoren mit Dreieckschaltung wird die Spannung auf 24000 V und dann dadurch, dass die drei Phasen der Sekundärwicklung der Transformatoren in Sternform umgeschaltet werden, auf $\frac{1}{3} \cdot 24000 = 41600$ V, unter Berücksichtigung der Spannungsverluste also auf rd. 40000 V erhöht. Sollte der Stromverbrauch derartig anwachsen, dass die Leitungsverluste 10 vH überschreiten, so kann die Uebersetzung der Transformatoren geändert und die verkettete Spannung auf 50000 oder 60000 V gesteigert werden.

Das alte Kraftwerk am Yuba liegt 16 km vom Colgate-Werk entfernt und nutzt eine Wasserkraft von etwa 90 m Gefälle aus. Hier sind drei mit Zweiphasenstromerzeugern von 2400 V Klemmenspannung gekuppelte Pelton-Räder aufgestellt. Der Strom wird mit 18000 V Spannung in die Fernleitung geschickt, die mehrere kleine Städte und Bergwerke durchläuft. Das dritte Kraftwerk liegt am südlichen Yuba, 8 km von der Stadt Nevada entfernt, und nutzt zwei Wasserkräfte mit 88,5 und 245 m Gefälle aus. Die Maschinenanlage umfasst vier 500 KW-Zweiphasenstromerzeuger, die mit je 2 Pelton-Rädern gekuppelt sind. Von den beiden Pelton-Rädern

ist eines für das kleine und eines für das große Gefälle gebaut, und je nachdem aus einer der beiden Wasserkräfte geschöpft werden soll, wird das betreffende Pelton-Rad in Betrieb genommen und das andere abgekuppelt. Von diesem Kraftwerk wird ein Netz mit 5000 V Maschinenspannung gespeist, das die Städte Grassvalley, Nevada, Oroville, Marysville und die umliegenden Bergwerke mit Strom versorgt.

Die oben erwähnte 225 km lange Kraftübertragung von Colgate nach Oakland besteht aus zwei einzelnen Drehstromleitungen, die auf zwei Reihen Holzmasten mit 7,6 m Abstand von einander geführt sind. Die eine Leitung wird aus drei Hartkupferdrähten von 9,3 mm Dmr., die andere aus 3 Aluminiumdrähten mit derselben Leitfähigkeit wie die Kupferdrähte gebildet. Mit Rücksicht auf die überaus hohe Spannung ist auf Konstruktion und Anordnung der Isolatoren aus Porzellan und Glas die größte Sorgfalt verwendet. Die Leitung durchläuft die Städte Woodland, Dickson und Vallejo, und ein 19 km langer Zweig führt nach Napa; der größte Teil des Stromes wird aber in dem Industriegebiet an der Ostküste der San Francisco-Bai und in der Stadt Oakland verbraucht. In Oakland ist bereits eine Unterstation mit drei 450 KW-Motorgeneratoren und an beiden Seiten der Carquinez-Straße, eines Meeresarmes nördlich von Oakland, je eine Unterstation von 1500 KW errichtet. Die Transformatoren sind auf der Hochspannungsseite in Sternform, auf der Niederspannungsseite in Dreieckform geschaltet. Die Sekundärspulen sind derartig umschaltbar, dass die Spannung, wie bereits oben erwähnt, später geändert werden kann.

Eine der schwierigsten Aufgaben, die sich den Erbauern der Anlage bot, war die Ueberführung der Leitung über oder durch die Carquinez-Straße, die an ihrer schmalsten Stelle 340 m breit ist. Die Straße verbindet die San Pablo-Bai mit der Suisun-Bai, die sich etwa 50 km weit ins Land erstreckt und die reissenden Ströme Sacramento und San Joaquin aufnimmt. Da außerdem noch die Gezeiten eine heftige Wasserbewegung hervorrufen, konnte man nicht daran denken, eine unter 40000 oder gar 60000 V Spannung stehende Leitung in das Wasser zu versenken. Aber auch der Weg, die Hochspannung auf eine geeignete Spannung zu erniedrigen, mit dieser die Straße unter Wasser in Kabeln zu kreuzen und die Spannung auf der andern Seite wieder zu erhöhen, war wegen der Verluste in den Transformatoren und wegen der immer noch großen Gefahr, dass die Spannung die Isolation der im ständig bewegten Wasser liegenden Kabel durchschlüge, nicht gangbar. Es blieb also nur noch übrig, die Carquinez-Straße mittels Luftleitung zu überspannen. Von der Regierung wurde eine lichte Höhe von 61 m verlangt; außerdem war zu berücksichtigen, dass in dieser Gegend Stürme von 33,3 m/s Windgeschwindigkeit auftreten.

¹⁾ Electrical World and Engineer 16. Februar 1901 S. 273 und 8. Juni 1901 S. 963

Fig. 1 giebt eine schematische Darstellung der ausgeführten Luftleitung, die aus 4 einzelnen Drähten besteht. Drei davon übertragen den Drehstrom, während der vierte als Aus-
hülle dient. Auf der Südseite der Meeresstraße erbaute man auf einem 129 m hoch gelegenen Punkt am Abhange des Gebirges einen 19,5 m hohen Turm aus Eisensachwerk, Fig. 2; auf der Nordseite wurde ein 48,5 m hoher Hügel ausgewählt, auf dem der in Fig. 3 dargestellte 69,5 m hohe Turm errichtet wurde. Hinter dem nördlichen Turm werden die vier Kabel noch über einen 25,5 m hohen Stütz-
turm geführt, bevor sie

ter einander angeordneten Isolatoren befestigt. Diese werden mithilfe verschiedener Verbindungsteile von zwei Zugfedern gehalten, deren Rahmen durch zwei Ankerbolzen mit einer 63 mm dicken, etwa 1 m breiten und 1,5 m langen verankerten Platte verbunden ist. Der Ankerisolator, Fig. 8 und 9, besteht aus einem mit Porzellan- und Mikanithülsen umgebenen Zugbolzen, der sich vollkommen isolirt mittels eines schweren gegossenen Unterlagstückes auf einen Stahlring aufsetzt. Der Schraubenkopf, das Unterlagstück und die Isolationsteile des Bolzenkopfes sind außerdem in einem gegen den Stabring

Fig. 1. Luftleitung über die Carquines-Straße.

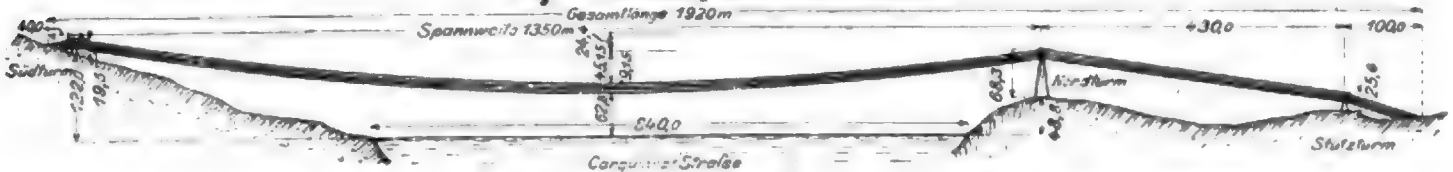


Fig. 2. Turm auf der Südseite.

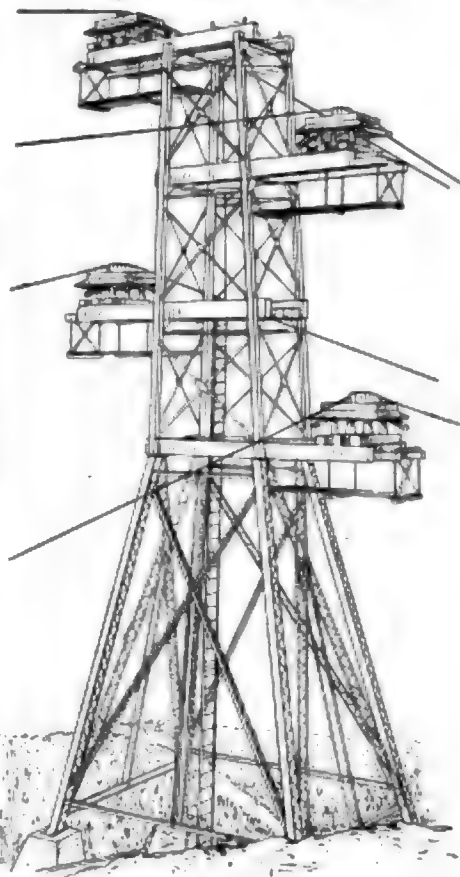
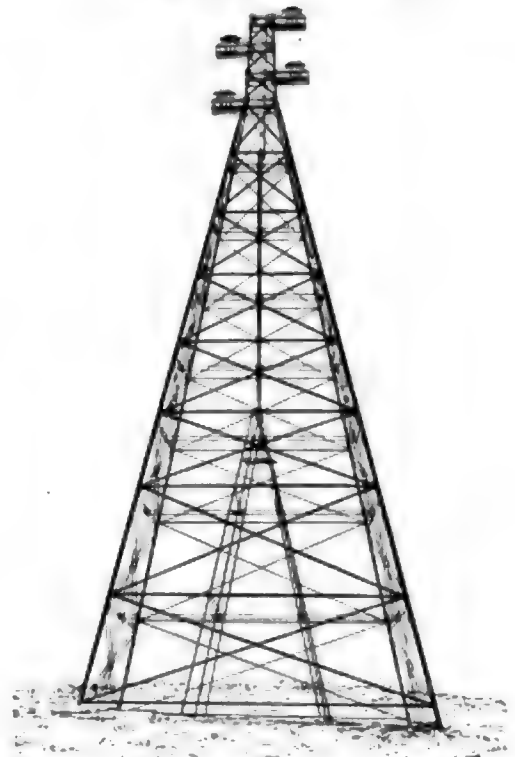


Fig. 3. Turm auf der Nordseite.

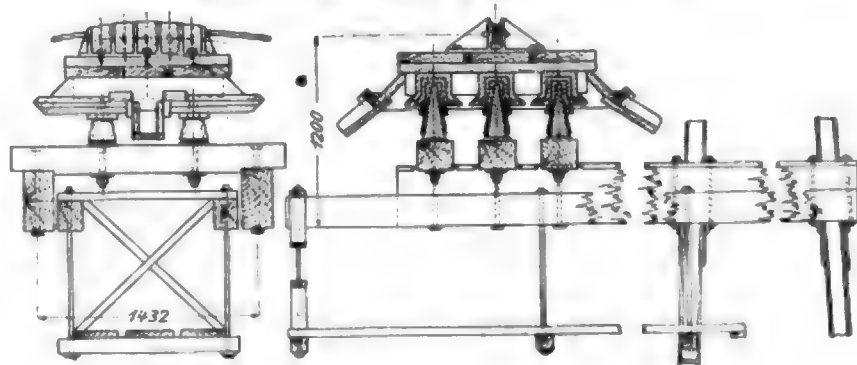


verankert werden. Für die Kabel ergibt sich eine Spannweite von 1350 m; der Durchgang beträgt 45,15 m unter dem Stützpunkt des Nordturmes und 69,55 m unter dem des Südturmes. Für die Durchfahrt bleibt eine lichte Höhe von 62,5 m.

Da an die Festigkeit der Kabel sehr hohe Ansprüche gestellt werden mussten, wurden dafür Stahleile gewählt, die aus 19 Drähten bestehen, 22 mm Dmr. haben, und deren elektrische Leitfähigkeit der eines Kupferdrahtes von 6,54 mm Dmr. entspricht. Das Gewicht dieses Drahtseiles beträgt für die ganze Spannweite 3200 kg. An den Türmen sind 4 hölzerne Auslegerarme angebracht, welche die Sättel für die Drahtseile tragen. Diese Sättel, Fig. 4 und 5, bestehen aus 6 Isolatoren, die sich auf die hölzernen Querbalken des Auslegers aufsetzen, und aus einer auf den Isolatoren ruhenden Holzplatte mit dem gusseisernen Rahmen für die 5 Seilrollen. Die Isolatoren werden aus einem Stahlbolzen gebildet, der mit einem Porzellanmantel umhüllt ist und die durch Gewinde und Einschweifeln befestigten Isolirkörper aus Porzellan trägt. Die Holzplatte, die den Rollenrahmen trägt, hat seitliche dachrinnenartige Ansätze, in denen das Regenwasser aufgefangen und so abgeleitet wird, dass die übrigen Holzteile nicht davon getroffen werden. Das Holz für die Ausleger und Sättel ist sorgfältig getränkt, sodass neben der Wetterbeständigkeit auch ihre Isolirfähigkeit erhöht ist. Damit sich die Drähte gegenseitig nicht berühren, ist ihnen ein Abstand von rd. 6 m gegeben worden, der sich im Betriebe auch bei sehr starkem Winde als sehr reichlich erwiesen hat.

Fig. 6 und 7 stellen die Verankerung dar. Das Seil bildet eine Schleife, die um eine Rolle von 600 mm Dmr. geschlungen ist. Die Rolle ist mittels einer Gabel an zwei hin-

Fig. 4 und 5. Sattel für die Hochspannungseileitung.



maschinen, Milch- und Schokoladekochern, Kühlmaschinen usw. angeordnet. Die Zahl der Badezimmer beträgt 33. Gut isolierte Proviant-Kühlräume, ein Eiskeller für den Schiffsgebrauch und große Vorräume liegen in den unteren Decks. Die rings um die 4 Kesselgruppen angeordneten Kohlenbunker fassen rd. 4550 t Kohlen.

Zur Uebernahme von Ladung, Gepäck und Vorräten dienen 6 Dampfwinden. An Booten führt das Schiff 18 Rettungsboote und 6 Halbklappboote. Die Rettungsboote sind aus Holz hergestellt und mit Luftkassen versehen. Die Halbklappboote bestehen aus versinktem Stahlblech. Um die Boote schnell zu Wasser lassen zu können, sind 4 Dampfbootwinden an Bord aufgestellt.

Hervorzuheben ist, dass das Schiff in Uebereinstimmung mit den Anforderungen der Marine mit Einrichtungen zum Aufstellen von Geschützen versehen ist, um es im Kriegsfall als Kreuzer verwenden zu können. Deshalb sind auch das Ruder, die Steuermaschine und die Hüllsteuermaschine unter Wasser angeordnet.

Die Maschinenanlage umfasst 2 sechscylindrige Viertach-Expansionsmaschinen mit Massenausgleich nach Schlicks Anordnung, die zusammen mindestens 30000 PS_i leisten sollen. Die vierteiligen Kurbelwellen und die Druckwellen von 610 mm Dmr. bestehen aus Nickelstahl, die 630 mm starken Schraubenwellen aus Tiegelstahl und die einzelnen Teile der Wellenleitung aus Siemens-Martin-Stahl. Der Dampf wird von 12 Doppel- und 4 einfachen Kesseln geliefert, die mit 15 at Ueberdruck arbeiten, 8700 qm Heizfläche und 261 qm Rostfläche besitzen. Die Kessel sind in 4 Gruppen angeordnet, deren jede einen Schornstein von 4,4 m äußerem Durchmesser und 34,5 m Höhe über dem Kiel hat. Die Kesselräume werden auf natürlichem Wege und außerdem durch 8 kräftige Ventilatoren gelüftet. Die Gesamtzahl der Dampfmaschinen beträgt 68, die der Dampfcylinder 124.

Über die Probefahrten, die vom 28. bis 31. August während, wird berichtet, dass sich anfänglich das Schmieröl als un-

geeignet erwiesen hatte. Nachdem jedoch anderes Öl an Bord geschafft war, liefen die Maschinen ohne jeden Tadel, und es wurde während einer 4 1/2 stündigen Volldampffahrt eine mittlere Maschinenleistung von 33300 PS_i festgestellt. Diese Leistung wurde schon mit einer Füllung der Hochdruckcylinder von 66 vH erreicht, während die Steuerung bis zu 78 vH Füllung ausgelegt werden kann, sodass reichliche Reserve vorhanden ist. Der Dampf konnte während der Probefahrten überaus leicht gehalten werden; es musste, um unnötige Wasserverluste zu vermeiden, meistens mit halb geschlossenen Dämpfern gefahren werden. Leider mussten die Volldampffahrten an zwei verschiedenen Tagen jedesmal, kurz bevor man eine Geschwindigkeitsmessung machen konnte, unterbrochen werden, da in beiden Fällen infolge unsichtiger Witterung die Geschwindigkeit des Schiffes vermindert werden musste, um Unglücksfälle zu verhüten. Die Witterung während der Probefahrten war überhaupt sehr ungünstig; das Schiff hat also Gelegenheit gehabt, sich in jeder Weise als ein vorzügliches Seeschiff zu bewähren. Ganz besonders verdient der ruhige Gang der Maschinen hervorgehoben zu werden, die bei voller Leistung nicht die mindesten Erschütterungen im Schiff hervorriefen.

Der Erweiterungsbau der Technischen Hochschule in Charlottenburg, dessen Entwurf im kgl. preuss. Ministerium der öffentlichen Arbeiten unter Oberleitung des Geh. Ober-Baurates H. Eggert aufgestellt worden ist, wird zum kommenden Wintersemester der Abteilung für Maschineningenieure übergeben werden. Für das Gebäude einschließlich der inneren Einrichtung sind rd. 1200000 M aufgewendet worden.

Der neue städtische Hafen von Breslau, mit einem Kostenaufwand von 5 1/2 Mill. M. erbaut, ist am 3. September eröffnet worden.

Patentbericht.

Kl. 38. Nr. 131076.

Kreiselsäge. A. Hillmann, Herne i/W. Die beiden Teile a, b einer zweiteiligen Welle tragen an ihren Enden Scheiben c, c₁ und Asbest- oder Gummischiebenlagen d, d₁, um bei Warmlaufen der Welle die Erhitzung des eingespannten Sägeblattes f zu verhindern. Das Blatt ist mit einem mittleren Ausschnitt g und strahligen Ausschnitten h für die vierkantigen Schraubenbolzen e versehen, sodass es sich bei der Erwärmung durch

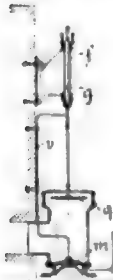


die Arbeit frei ausdehnen kann.

Kl. 38. Nr. 119343. Schutzvorrichtung für Abfrichtbühnenmaschinen. A. Zillich, Offenbach a/M. Ein die Messeröffnung m des Tisches t überdeckendes Schutzblech a, b ist mit einem durch Schlitz g₁ geführten



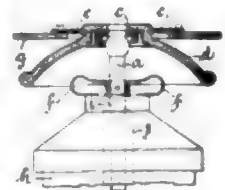
Gleitstück g durch eine Blattfeder s so verbunden, dass es sich sowohl in der Höhenrichtung (mittels Griffes k), als auch vorwärts und seitwärts bewegen lässt und dann durch ein Gewicht w mittels Schnurzug a in seine Lage zurückgebracht wird. Der Teil b mit Anlauffläche d ist durch Führungen o mit dem Teile a des zweiteiligen Schutzbleches so verbunden, dass er allein zurückgezogen werden kann, um mit seinem Falz b₁ das Ende des Arbeitstückes zu ergreifen und vorzuschieben. An a ist ein Schieber i mit seitlichem Ansatz i₁ angebracht, der das Kantholz h auf den Tisch t drückt, während es von a an den Anschlagwinkel v gedrückt wird.



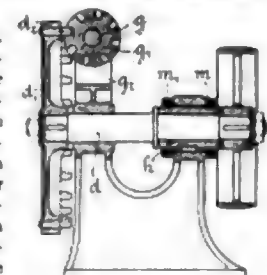
Kl. 38. Nr. 129433. Feuerungsregler für Warmwasserheizungen. G. Friedrichs, Berlin. Als Expansionsgefäße ist ein dünnes hohes Rohr gewählt, in welchem das Wasser infolge der durch die Wärme bedingten Ausdehnung ansteigt. Der dadurch erhöhte Druck pflanzt sich auf eine Membran m fort, die durch Rohr v Flüssigkeit in das Rohr f drückt, in welchem der Schwimmer g auf- und absteigt und mittels des Tellers q den Zutritt der Luft zum Rost regelt.

Kl. 47. Nr. 119093. Aufhängung umlaufender Massen. A. J. Ch. Guénée, Paris. Gegen den Kopf der Welle a stützt sich eine schwere

Scheibe d, die mit dem Gestelle g durch eine biegsame Scheibe e verbunden ist, in welcher das Lager c der Welle sitzt, sodass das Lager bei langsamer Bewegung den Schwankungen der Welle folgt, sie aber bei schneller Bewegung dämpft. Der von a mitgenommene schwere Maschinenteil (Schleuder) h ist durch Federn f mit a verbunden und wird an einer Verengung i des weiten Kanals f so an a gehalten, dass etwaige Ulfungen der (am unteren Ende angetriebenen) Welle a die selbstthätige Einstellung von a nicht stören.



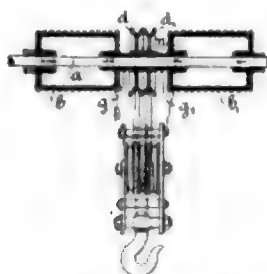
Kl. 47. Nr. 116744. Schneckengetriebe. R. Hundhausen, Berlin. Das Schraubenrad d₁ ist mit kegelförmigen, zur Achse d parallelen Triebstücken d₂ versehen, die in entsprechend reformte Schraubengänge g₂ der Schnecke g₁ eingreifen. Die Welle d kann mit ihrem Lager h durch Muttern m, m₁ in ihrer Richtung verschoben und eingestellt werden, um einen richtigen und spielfreien Eingriff auch nach Abnutzung zu erhalten; ähnlich einstellbar ist auch die Welle g der Schnecke.



Kl. 13. Nr. 121612. Ueberhitzer. W. Schmidt, Wilhelmshöhe bei Cassel. Der Ueberhitzer ist so in die Rauchkammer eingebaut, dass er sich an einen Teil der Heizrohre anschließt und die Feueergase dieser Heizrohre die Innenrohre des doppelwandigen Dampf-Überhitzers bestreichen müssen, während von den dem andern Teil der Heizrohre entstehenden Feueergasen die Außenrohre des Ueberhitzers umspült werden.

Kl. 47. Nr. 119690 (Zusatz zu Nr. 81666, Z. 1893 S. 1173). Doppelseits-Schwimmerventil. H. Springmann, Berlin. Die mit dem Bügel c des Schwimmerhebels verbundene, das Doppelseitsventil des Hauptpatentes bewegende Schraubenspindel e bewegt sich in einer Mutter m, die nach Abnutzung der Ventilstiftflächen nachgestellt werden kann, indem man um den Schraubenstift o das Ventilgehäuse g mittels eines auf Abdichtungen a gesetzten Schließels ein Exzenter h dreht, das in eine Ausparung n des Mutterdrehes d greift und durch Muttern k, l festgeklemmt werden kann.

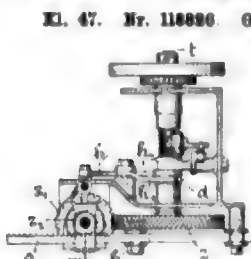




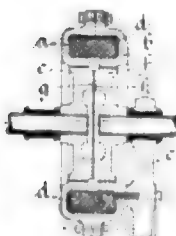
Kl. 36. Nr. 110958. Laufkatze. H. Rieche, Wetter a. Ruhr. Bei Laufkatzen mit Flaschenzug werden zur Erzielung großen Hubes und kleiner Bauhöhe die oberen Rollen d, d_1 des Flaschenzuges auf der Trommelwelle a lose angeordnet, und zwar bei einfacher Trommel b neben dieser, bei doppelter Trommel b, b_1 im Zwischenräume. Zur Entlastung der Trommelwelle a wird am Gestelle der Katze bei g, g_1 eine Buchse w für die Rollen d, d_1 befestigt.



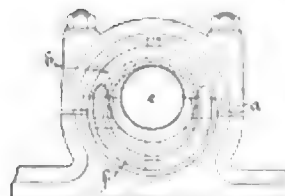
Kl. 47. Nr. 110384 und Zusatz Nr. 120257. Schmierpresse. Sächsisches Armaturenfabrik, A.-G., vorm. A. Michalk, Deuben bei Dresden. Die Schraubspindel a ist zur Aufnahme des Längendruckes im Querhaupte b und im Presskörper c mit Spurlagern versehen, um die bei den gewöhnlichen Bundlagern eintretende ungleichmäßige Abnutzung und die daraus sich ergebende ungleichförmige Schmierung zu vermeiden. Diese Spurlager f, g sind längsverstellbar, sodass man sie nach Abnutzung nachstellen und den Hubbereich der Presskolben sowie die benutzte Stelle des Schneckenrades nach Belieben einstellen kann. Nach dem Zusatzpatente wird dieselbe Einrichtung zu demselben Zwecke auch an der Schneckenwelle d angebracht.



Kl. 47. Nr. 110896. Getriebe für umlaufende oder schwingende Bewegung. E. Jenckes Manufacturing Company, Pawtucket (Rhode Island). Die treibende Welle t erteilt durch das Schraubenzahnrad s dem Rade z_1 eine dauernd umlaufende, durch die Kurbel k und die gerade geführte gezahnte Kreuzachse s dem Rade z_2 eine schwingende Bewegung; die getriebene Welle w nimmt an einer oder der andern dieser Bewegung teil, je nachdem sie mit s_1 oder z_2 gekuppelt wird. Zum Kuppeln dient eine auf t verschiebbare Daumenscheibe d , die mittels dreiarmligen Hebels h_1, h_2 am Kupplungsarm w auf w in dem einen oder andern Sinne verschiebt.



Kl. 47. Nr. 110978. Elektromagnetische Reibkupplung. Union Elektrizitäts-Gesellschaft, Berlin. Die mit ihrem Gehäuse ab am Gestelle c befestigte, also selbst nicht mitgedrehte Erregerspule d , die den Strom ohne Verwendung von Schleifringen usw. empfängt, erzeugt in den Strömfächern g, h der Kupplungsscheiben e, f entgegengesetzte Pole, sodass die Scheiben einander anziehen.



Kl. 47. Nr. 110935. Ringschmierlager. P. Thönke, Lodz (Russland). Die cylindrische Bohrung a der zweitheiligen Lagerbüchse b liegt ungleichmäßig zur cylindrischen Bohrung des zweitheiligen Lagerkörpers a , und die Teilflächen in a und b sind gegen einander versetzt, um ohne Verzäpfung usw. eine Verschiebung der Schalen zu verhindern und durch Ausparung in der Unterschale einen Ölbehälter / oder Ölkanal zu erhalten.

Kl. 47. Nr. 110950. Bohr- und Schlauchverbindung. O. Ledowsky und E. Cambiagio, St. Petersburg. Jedes der beiden gleichen, mit Bajonnetverschlußstellen m, n versehenen Anschlussstücke d enthält



ein Hahnköken d , und die Vorsprünge k und Ausschnitte a beider Köken greifen beim Zusammenfügen so ineinander, dass beide Köken wie ein einziges wirken und bei einer durch Anschläge i begrenzten Drehung mit ihren Durchbrechungen k auf Öffnungen h des Gehäuses c treffen, beim Auseinandernehmen aber diese Öffnungen wieder verdecken und gleichzeitig den Innenraum der Köken durch Kanäle o mit der Außenluft verbinden, um den Ueber- oder Unterdruck dieses Innenraumes auszugleichen.

Kl. 47. Nr. 110928 (Zusatz zu Nr. 110908, Z. 1900 S. 1708). Kugellaufring für Kugellager. Deutsche Waffen- und Munitionsfabriken, Berlin. Das den Ausschnitt e zum Ein- und Ausbringen der Kugeln verschließende Füllstück wird bei kleinen Laufringen w durch eine Schraube e ersetzt, die die Kugellaufrille ergünst und das Austrreten der Kugeln verhindert.



Kl. 67. Nr. 120682. Staubabsaugvorrichtung. Erste Offenbacher Spezialfabrik für Schmirgelwarenfabrikation, Mayer & Schmidt, Offenbach a.M. Die Auflagerstütze c für das Werkstück ist hohl und mit dem hohlen Gestellbock so verbunden, dass der Staub durch vordere und oben liegende Öffnungen von einem Ventilator eingesaugen wird.



Kl. 67. Nr. 110638 und 110639. Drucklufthammer. Ch. B. Albree, Allegheny (Penns., V. St. A.). Der in der Bohrung g des Stufenkolbens cd verschiebbare hohle Stauerkolbenschieber A wird bei jedem Hubwechsel durch sein Beharrungsvermögen umgesteuert, auch wenn beim Arbeitshube (nach links) das bei e eingespannte Werkzeug vor Beendigung des Hubes auf das Werkstück trifft. Nach Nr. 110638, Fig. 1, schiebt die von f durch $grif$ in den Ringraum s strömende Druckluft den Kolben cd nach rechts, Abluft entweicht durch $ghimo$, bis beim inneren Hubwechsel A nach rechts verschoben und sowohl die Einstromung bei r und f als die Ausströmung bei i geschlossen wird, worauf die aus e durch ihg in den hinteren Cylinderraum a sich ausdehnende Druckluft den Kolben nach links treibt; Federn v, w, y führen den Schieber A und Kolben cd nach dem Anhalten des Werkzeuges in die dargestellte, zum Anlassen geeignete Stellung zurück. Die Patentschrift zeigt noch drei Abänderungen.

Fig. 1.

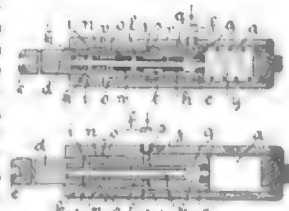
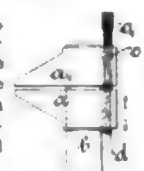


Fig. 2.

Nach Nr. 110639, Fig. 2, steht der Ringraum s stets unter Hochdruck, der Kolben cd wird also nach rechts getrieben, so lange a durch $ghimo$ mit der Außenluft verbunden ist, dagegen nach links, sobald k, i geschlossen und j, l geöffnet wird, sodass die Druckluft von f sowohl nach s als auch durch j, l, h, g nach a strömen kann.

Kl. 67. Nr. 110387. Schraubenschlüssel. O. Münch, Altenwürde i.W. Der mit Spielraum auf dem Handgriff b sitzende und durch Ecken sich festklemmende verschiebbare Backen a hat das Muttergewinde für die Stellerschraube d , die durch den aus b herostigenden Backen a frei hindurchgeht und mit ihrem Kopfe c in der erweiterten Bohrung e ihr Lager findet, sodass sie bei Bruch leicht ausgewechselt werden kann.



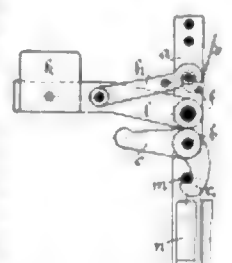
Kl. 67. Nr. 110337. Schraubenschlüssel. W. J. L. Guest, Al- phington bei Melbourne (Victoria, Austr.). Der mit der beweglichen Backe c gelenkig verbundene Handhebel d bildet mit der in ihm gelagerten, in die Zähne b des Schaftes a eingreifenden Klinke e ein Kniehebelpaar, das die frei an die Mutter geschobene Backe kräftig vorwärts drückt und stützt.



Kl. 68. Nr. 110362. Stromkraftmaschine. A. Hansa, Triest. Jede der im Schwimmkörper ab gelagerten, zur Stromrichtung parallelen Wellen w trägt mehrere Schraubenturbinen e gleicher Stellung, aber mit in der Stromrichtung zunehmender Füllzahl und mit mittlerer freier Durchflussöffnung g , um die von den vorderen Turbinen nicht ausgenutzte Stromkraft nach und nach in den hinteren Turbinen auszunutzen.



Kl. 69. Nr. 110442. Ausrückvorrichtung für Schützen. E. Hoffmann, Niederschlema i.S. Die Schütze a ist mit Zugstange e durch einen Stift m und einen bei b in a gelagerten Sperrhaken cd losbar verbunden. Wird mittels Fortriebes e der Daumen f gedreht und dadurch der Sperrhaken A ausgehoben, so löst der herabfallende Gewichtshebel k die Verbindung aus, und a fällt herab.















dampfmaschine verdeckt sind, können durch fortnehmbare Platten in diesem Boden für den Laufkran zugänglich gemacht werden, wie dies der Grundriss, Fig. 11, an mehreren Stellen erkennen lässt. Das 4 m hohe Mittelthor der Maschinenhalle, vergl. Fig. 1, 3, 11 und 12, ermöglicht in Verbindung mit den an dieser Stelle ebenfalls fortnehmbar angeordneten Bodenplatten in bequemer Weise das Aus- und Einbringen von großen Teilen durch den Laufkran, wie z. B. der Hälften der großen Schwungradriemenscheibe auf der Kurbelwelle des Pumpwerkes.

In der Maschinenhalle, deren Dachkonstruktion mit Oberlicht und Ventilationsklappen, die von unten betätigt werden können, namentlich Fig. 6 deutlich erkennen lässt, finden Sie ferner die Einrichtungen zu Versuchen mit Ventilen, zur Bestimmung der Maßstäbe für Indikatorfedern, ein Quecksilbermanometer, bis 23 at reichend, eine Zentrifugalpumpe usw.

Die Zentrifugalpumpe, vergl. Fig. 15, 14 und 17, Kellergeschoss, welche durch die Transmission, auf die ein Gasmotor wirkt, betrieben wird, hat bei eintretendem Hochwasser, in welchem Falle der Saugschacht gegenüber dem Neckarkanal abgesperrt wird, noch die Aufgabe, das trotz dieses Abschlusses durch undichte Stellen eintretende Wasser fortzuschaffen und so das zum großen Teile unter dem Hochwasserspiegel liegende unterste Geschoss freizubalten.

Die Beschaffung eines weiteren Luftkompressors sowie von Kältemaschinen ist in Aussicht genommen.

Das Kesselhaus, Fig. 11, 16, 14, 7 und 8, enthält zunächst 3 Dampfkessel für Dampf bis 15 at Betriebsdruck, und zwar (vergl. insbesondere Fig. 7, 11 und 14):

1 Kessel von reichlich 100 qm Heizfläche nach System Prégardien mit Schrägrostfeuerung, geliefert von der Maschinenfabrik Esslingen,

1 Kessel von 15 qm Heizfläche, Lokomobilsystem, von derselben Firma,

1 Kessel von 8 qm Heizfläche, Dampfspritzensystem (Querühren), geliefert von der Wagenbauanstalt und Waggonfabrik für elektrische Bahnen vormals W. C. F. Busch in Bautzen, ferner

1 Dampfgefäß (mittelbar geheizter Dampfkessel) zur Erzeugung von Dampf bis 12 at Betriebsüberdruck, geliefert von der Maschinenfabrik Esslingen, Fig. 8, 16 und 14,

1 Dampfüberhitzer für Ueberhitzung bis 400° C, geliefert von A. Hering in Nürnberg, Fig. 7 links und Fig. 16 rechts,

1 Speisewasserreiniger, geliefert von Hans Reiser in Köln, Fig. 8 im Hintergrund oben,

1 Wägevorrückung für die Kohlen und 3 Wägevorrückungen für das Speisewasser, Fig. 8,

4 Speisepumpen,

1 Injektor,

1 kleinen Dampfkessel, den Generator und den Vorwärmer für die Kraftgasanlage, in Fig. 8 rechts gelegen.

An den inneren Umfangswandungen des Kesselhauses entlang ist ein Kanal angeordnet, Fig. 8, 11, 12, 16 und 14, in welchem die Rohrleitungen untergebracht sind. Von ihm führt, wie aus Fig. 12 ersichtlich, eine Kanalabzweigung nach dem Kellergeschoss des Lehrgebäudes, um, falls es zu Versuchszwecken herangezogen werden soll, Dampf und Wasser bequem nach dort leiten zu können.

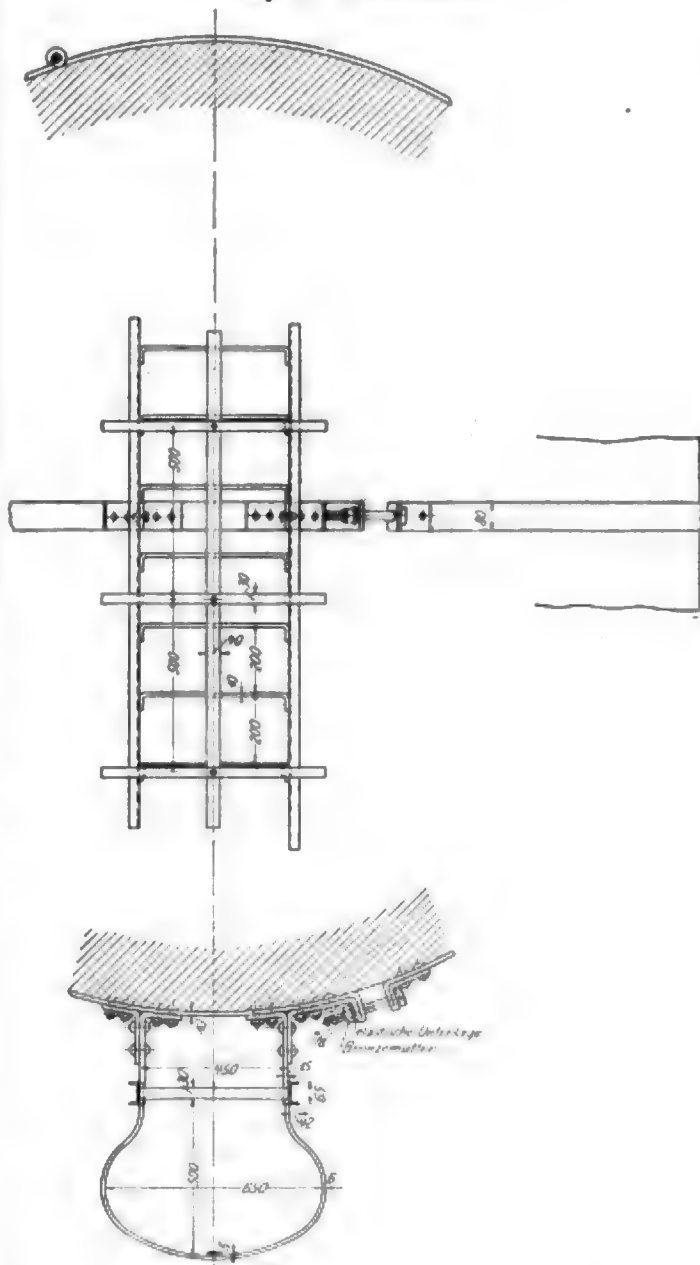
Der vom Kohlenraum kommende Kohlenwagen, Fig. 11, kann auf der beim Eintritt in das Kesselhaus vorhandenen Brückenwaage gewogen werden.

Der Schornstein von 35 m Höhe und 1 m kleinster lichter Weite trägt außen eine Leiter, Fig. 1, 2, 15, 14, damit in verschiedenen Höhen Temperatur und Zug bestimmt werden können, zu welchem Zwecke an den Stellen, wo dies geschehen soll, Rohrstücke in den Schornstein eingemauert sind, durch die Zugmesser und Thermometer eingebracht werden. Auch Abgase können hier zur Untersuchung entnommen werden. In Fig. 14 sind 4 solcher Stellen bezeichnet. Um das Abstürzen von Studierenden oder andern Personen, welche die Ablesungen dieser Instrumente oder sonstige Beobachtungen zu besorgen haben, zu verhindern, ist die Leiter mit Schutzbügeln versehen¹⁾. Wie Fig. 18 zeigt, wird die Leiter

lediglich durch Ringe festgehalten, die sich um den Schornstein spannen.

Der an das Kesselhaus in Fig. 11 links sich anschließende Kraftgasraum, vergl. auch Fig. 16, enthält den Skrubber mit Wasserrieselung, den Wascher, den Gasbehälter und eine Gasuhr. Für die Kraftgasanlage in dem danebenliegenden Gasmotorenraume sind eine 8 pferdige und eine 25 pferdige Gaskraftmaschine nebst den zur Untersuchung gehörigen Einzelheiten aufgestellt, Fig. 11, 16 und 9. Für gewöhnlich wird der 8 pferdige Motor mit Leuchtgas be-

Fig. 18. Schornsteinleiter.



trieben; doch kann er ebenso mit Kraftgas gespeist werden, wie dem 25 pferdigen Kraftgasmotor Leuchtgas zugeführt werden kann.

Die Kraftgasanlage und die Gasmotoren nebst allem Zubehör sind von der Gasmotorenfabrik Deutz geliefert.

In der über dem Gasmotorenraum liegenden Werkstatt, Fig. 10, 13 und 16, befinden sich 2 Drehbänke, 1 Bohrmaschine, 1 Feilmaschine, Schleifstein usw., sowie die Einrichtungen zur Durchführung von Untersuchungen mit Getrieben. So z. B. zeigen die Abbildungen Fig. 10, 13 und

¹⁾ Diese Einrichtung habe ich schon vor etwa 15 Jahren für ein hohes Quecksilbermanometer ausführen lassen.

16 die Anordnung, welche zur Untersuchung der Grison-Getriebe¹⁾ getroffen ist.

Die Schmiede ist durch eine behufs Abhaltung von Rauch verglaste Wendeltreppe, Fig. 11 und 13 links, von der Werkstatt leicht zugänglich. Ein Drehkran, Fig. 10, 11, 13 und 16, ermöglicht die Bewegung schwerer Gegenstände in die Werkstatt und von ihr ins Freie.

Der hinter dem Kesselhaus stehende Schuppen, Fig. 2, 14 und 19, ist zur Hälfte für die Aufbewahrung von Brennmaterial bestimmt, zur andern Hälfte zur Unterbringung der beweglichen Einrichtungen, insbesondere zu hydraulischen Versuchen. Außerdem ist daselbst ein Erdölmotor aufgestellt und ein Fallwerk untergebracht. Die vorhandene Gleisver-

rungen der Einzelheiten muss ich mir für später vorbehalten —, wird es zweckmäßig sein, uns die Lage des Laboratoriums zur Umgebung etwas näher anzusehen. Fig. 19 zeigt den Neckarkanal und das durch die Dammstrasse von ihm getrennte Institut in seiner jetzigen Ausdehnung, links daneben — punktiert angedeutet — die von Anfang an geplante Erweiterung durch die Einrichtungen zur Untersuchung von Turbinen und Wasserrädern. Zum Betriebe von Hochdruckturbinen würde das vorhandene Pumpwerk bereits jetzt das erforderliche Wasser liefern. Zur Förderung großer Wassermengen, wie sie mit der bezeichneten Erweiterung nötig werden, ist die Anordnung einer grossen Zentrifugalpumpe mit einer stündlichen Leistung bis etwa 3000 cbm in Aussicht

Fig. 19. Lageplan.



bindung mit Drehscheibe ermöglicht den leichten Transport der betreffenden Einrichtungen.

An etatsmäßigem Betriebspersonal stehen dem Ingenieurlaboratorium ausser dem Vorstand heute zur Verfügung: ein wissenschaftlich gebildeter Maschineningenieur (Maschineninspektor), ein Maschinenmeister, ein Heizer, ein Schlosser und ein Arbeiter. Die Vermehrung um einen zweiten Schlosser ist beantragt.

M. H., nachdem wir einen Blick auf die Einzelheiten im Laboratorium geworfen haben — weitergehende Erörte-

genommen. Zu dem Zwecke wurde die lichte Weite des Rohres, welches den Saugschacht mit dem Neckarkanal verbindet, Fig. 11, 17 und 19, zu 1000 mm gewählt. Mein inzwischen leider verstorbener Kollege Prof. Teichmann, dem die Behandlung des Gebietes der Wasserkraftsmaschinen an der Technischen Hochschule oblag, hatte es auf meine Anregung übernommen, einen Plan für die Einrichtung zur Untersuchung von Turbinen usw. auszuarbeiten. Die Ausführung wurde auch mit beantragt, jedoch, wie bereits oben bemerkt, wegen der hohen Kosten des Ganzen zunächst zurückgestellt.

Der Plan, Fig. 19, lässt erkennen, dass das Wasser dem Neckarkanal bei a (durch das 1000 mm weite Rohr) entnommen wird und nach Erfüllung seiner Aufgabe im Labo-

¹⁾ C. Bach, Die Maschinenelemente, 8. Auflage (1901 S. 256 u. f.)

ratorium bei b durch ein 600 mm weites Rohr wieder in den Kanal zurückfließt.

Er zeigt ferner, dass dem Institut noch ein bedeutender Raum für spätere Erweiterungen zur Verfügung steht.

In Hinsicht auf die Bauzeit sei bemerkt, dass die Grabarbeiten im April 1898 begonnen wurden, und dass bereits im Januar 1900 die ersten Uebungen mit Studirenden an der Hauptdampfmaschine aufgenommen werden konnten. Würde die Industrie weniger stark beschäftigt gewesen sein, sodass die vereinbarten Lieferzeiten eingehalten worden wären, so hätten die ersten Uebungen bereits im Oktober 1899 begonnen werden können. Um diese rasche Fertigstellung zu erreichen, war allerdings eine recht sorgfältige Vorbereitung sowie eine sehr eingehende, viel Zeit und Mühe fordernde Durcharbeitung der Einrichtungen und ihrer Einzelheiten in verhältnismäßig kurzer Zeit nötig. Dass diese Umstände zu einer recht starken Anstrengung, die zu den normalen Amtspflichten und den sonstigen Inanspruchnahmen hinzutrat, führte, liegt auf der Hand. Ich ergreife diese Gelegenheit, meinem treuen Gehilfen bei dieser Arbeit, dem damaligen Assistenten an der Materialprüfungsanstalt Hrn. Regierungsbauführer Roser, für seine unermüdete Thätigkeit Dank zu sagen.

M. H., gestatten Sie mir schließlic noch einige allgemeine Bemerkungen.

Bei dem Entwurf des ganzen Baues und seiner Einzelheiten bin ich — soweit es die Verhältnisse jeweils erlaubten — auf möglichste Zugänglichkeit, auf möglichst viel Licht (vergl. insbesondere Fig. 3 bis 9, 14, 15 und 16) sowie darauf bedacht gewesen, dass die Räume, die Maschinen und sonstigen Einrichtungen sauber gehalten werden können, und zwar nicht bloß im unmittelbaren Interesse des Unterrichts sowie zum Zwecke, die Instandhaltung zu sichern, sondern namentlich auch deshalb, damit die Studirenden, welche in dem Laboratorium gearbeitet haben werden, sich während ihrer späteren

Thätigkeit als entwerfende und ausführende Ingenieure der gleichen Rücksichtnahme befleißigen möchten. In den bezeichneten Richtungen wird bekanntlich heute noch genug gesündigt.

Um den Aufwand an Brennstoff zur Erzeugung von Dampf usw., den sonstigen inbetracht kommenden Materialverbrauch, sowie den Aufwand an Hilfs- und Lehrpersonal bei Durchführung und Ueberwachung der Versuche möglichst niedrig zu halten, bin ich bestrebt gewesen, die Einrichtungen so zu treffen, dass gleichzeitig eine thunlichst große Anzahl von Studirenden üben kann.

Um den Laboratoriumsunterricht ohne Verlängerung der Studienzeit durchzuführen, muss die Dauer der einzelnen Versuche nach Möglichkeit beschränkt werden. Dazu gehört, dass die Einrichtungen auch bei kurzer Dauer der Versuche die nötige Genauigkeit der Versuchsergebnisse zu erreichen gestatten.

Dass das Laboratorium seiner Natur nach nicht ein auf Jahrzehnte hinaus fertiges Institut, sondern eine in fortwährender Entwicklung begriffene Unterrichts- und Forschungsstätte ist, habe ich dabei jeweils soweit berücksichtigt, als es die Umstände zulässig erscheinen ließen.

Die für den staatlichen Architekten Hrn. Baurat Knoblauch aus der Eigenart des Instituts entstehenden Anforderungen waren wegen des Ungewöhnlichen nicht selten recht erheblich. Denken Sie an die vielen Abweichungen vom Ueblichen; ein Ingenieurlaboratorium ist eben kein Dutzendbau und hatte zur Zeit noch keinen Vorgang. Es ist mir eine angenehme Pflicht, Hrn. Baurat Knoblauch an dieser Stelle für die eingehende und erfolgreiche Beschäftigung mit der Aufgabe, für die Liebe, mit welcher er an der Sache gearbeitet hat, besten Dank zu sagen.

Inwieweit es mir gelungen ist, den zu stellenden Anforderungen gerecht zu werden, darüber werden Sie sich bei der Besichtigung des Laboratoriums und seiner Einrichtungen Ihr eigenes Urteil bilden können.

Untersuchungen am Gasmotor.

Mitteilungen aus dem Institut für technische Physik der Georg August-Universität zu Göttingen.

Von Eugen Meyer, Professor an der Technischen Hochschule zu Berlin.

(Schluss von S. 1803)

3) Aichung der Indikatorfedern und Genauigkeitsgrad der Angaben des Indikators.

Da sich fast alle Betrachtungen über die Vorgänge im Innern von Wärmekraftmaschinen auf die Angaben des Indikators stützen, so ist es notwendig, bevor man solche Betrachtungen anstellt, die Frage zu überlegen, wie man diese Angaben möglichst zuverlässig erhalten und in wie weit man ihnen trauen kann. Zu dieser Frage sollen die folgenden Erörterungen einige Beiträge liefern, wenn sie auch ebenso wenig wie die früheren schätzenswerten Arbeiten über diesen Gegenstand abschließend sein können.

Für die Bestimmung des Maßstabes der Indikatorfedern (bezogen auf den Schreibstiftweg) hat sich mir das in Z. 1896 S. 214 beschriebene, von H. Bollinckx angewandte Aichverfahren am meisten bewährt. Der betriebsfertige Indikator wird mit nach unten gerichtetem Schreibzeug in eine Konsole a , Fig. 11, eingeschraubt, die an der Wand oder irgendwo sonst so befestigt ist, dass die Achse des Indikatorcyllinders genau senkrecht steht. Hierauf wird der Indikator Kolben durch einen Stift b unter Vermittlung des Bügels c mit Gewichten d unmittelbar belastet. Die Stellungen des Schreibstiftes, die einer Aufeinanderfolge verschiedener Belastungsstufen entsprechen, zeichnet man, indem man die Indikator trommel von Hand dreht, auf ein Blatt Indikatorpapier in einer Aufeinanderfolge von parallelen Geraden, deren Abstände dividirt durch den Belastungsunterschied eine

Teilung für den Federmaßstab ergeben. Dabei ist aber auf die Reibung des Indikator Kolbens an den Cylinderwänden, der Kolbenstange im Indikatordeckel und auf diejenige in den Gelenken des Schreibgestänges zu achten, während die Reibung zwischen Schreibstift und Papier hier nicht inbetracht kommt. Lässt man die Belastung des Indikator Kolbens ganz allmählich wachsen, etwa indem man die Belastungsgewichte von Hand anhebt und dann ganz langsam freigiebt, so wird die Stellung des Schreibstiftes um den der Reibung entsprechenden Betrag niedriger sein, als der Gewichtbelastung entspricht. Wird umgekehrt der Indikator Kolben sehr langsam entlastet (etwa indem man den Bügel stark niederzieht und dann ganz langsam freigiebt), so wird der Schreibstift jetzt höher stehen, als der Gewichtbelastung entspricht. Mit derjenigen Annäherung, mit der man annehmen darf, dass bei derselben Gewichtbelastung die Reibung gleich sei, ob man nun in zunehmender oder abnehmender Belastung begriffen ist, kann man auch annehmen, dass die wirkliche Stellung des Schreibstiftes bei reibungslosem Indikator dem Mittel aus den beiden Stellungen bei zunehmender und abnehmender Belastung entspricht.

Die folgende Zahlentafel 4 giebt die Aichungsversuche unter allmählicher Belastung und Entlastung, die an einem Indikator von Schäffer & Budenberg, großes Modell, angestellt wurden. Für die verwendete Feder war von der Firma angegeben, dass $2\frac{1}{2}$ mm Schreibstiftweg 1 kg/qcm Kolbenbelastung entsprechen.

Zahlentafel 4.

Belastung am Bügel kg	Schreibstiftweg in mm, gemessen von derjenigen Linie (Nulllinie) aus, die beschrieben wird, wenn nur der Bügel mit 0,5 kg Gewicht den Kolben belastet									
	a) Versuche bei allmählicher Belastung					b) Versuche bei allmählicher Entlastung				
	1	2	3	4	Mittel aus 1 bis 4	5	6	7	8	Mittel aus 5 bis 8
5	7,5	7,4	7,4	7,5	7,45	7,5	7,5	7,5	7,5	7,50
10	15,0	15,1	14,9	15,1	15,02	15,0	15,2	15,2	15,1	15,13
15	22,3	22,9	22,0	22,5	22,58	23,2	23,1	22,8	22,8	23,00
20	29,7	29,9	30,3	30,0	29,97	30,7	31,0	30,3	30,6	30,65
25	37,2	36,3	37,7	37,1	37,08	38,0	39,2	37,7	38,0	38,38
30	44,6	43,9	45,2	44,6	44,58	46,2	46,7	45,5	45,4	45,95

Zahlentafel 6.

Belastung am Bügel	Schreibstiftweg in mm, von der Nulllinie aus gemessen							Im mittel aus allen Ver- suchen	Schreibstift- weg für 5 kg Belastungs- unterschied
	am 21. 6. 1899			am 22. 6. 1899					
	1	2	3	4	5	6	7		
5	7,6	7,4	7,4	7,4	7,4	7,5	7,5	7,46	7,46
10	15,0	15,0	15,0	14,9	15,0	15,0	15,1	15,00	7,54
15	22,7	22,7	22,5	22,6	22,4	22,7	22,4	22,57	7,57
20	30,3	30,3	30,0	29,7	30,1	30,2	30,1	30,10	7,52
25	37,9	38,1	37,7	37,5	37,1	37,4	37,6	37,61	7,51
30	45,5	45,2	45,0	45,5	45,0	45,3	44,8	45,18	7,57
Summe									157,92

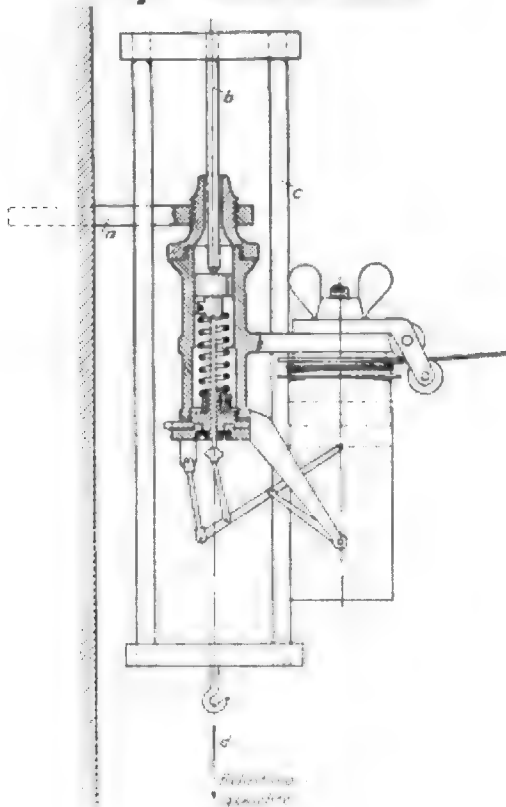
Zahlentafel 5.

Belastung am Bügel kg	5	10	15	20	25	30
Schreibstiftweg im mittel aus 1 bis 4 (allmähliche Belastung) mm	7,45	15,09	22,58	29,97	37,66	44,58
„ „ „ 5 bis 8 (Entlastung) „	7,50	15,13	23,00	30,65	38,38	45,95
Unterschied beider { in mm	0,05	0,11	0,42	0,68	1,30	1,37
„ { in vH des Mittelwertes	0,7	0,7	1,8	2,2	3,4	3,0
Mittelwert aus den Belastungs- und Entlastungsversuchen . .	7,47	15,07	22,79	30,31	37,73	45,26

Sowohl bei den Versuchen 1 bis 4 als bei den Versuchen 5 bis 8 weichen die Einzelwerte teilweise um mehr als 1 mm von einander ab. Es ist eben zu bedenken, dass das allmähliche Be- oder Entlasten von Hand durch Anheben oder Herabziehen der Gewichte nicht gleichmäßig genug sein kann, und dass leichte Stöße und Erschütterungen die Reibung teilweise aufheben können. Immerhin dürften die Mittelwerte aus Versuch 1 bis 4 bzw. 5 bis 8 einigen Aufschluss über den Betrag der Reibung und die Mittel aus diesen Mittelwerten annäherungsweise die Schreibstiftwege bei reibungslosem Indikator geben. Diese Zahlen enthält die Zahlentafel 5.

Der Einfluss der Reibung nimmt also, wie zu erwarten ist, mit der Belastung zu. Der Unterschied der Schreibstiftwege für Belastung und Entlastung bleibt aber auch bei den

Fig. 11. Aichung des Indikators.



größten Belastungen im mittel unter 3 vH; somit betragen infolge der Reibung die Abweichungen vom reibungslosen Indikator im mittel höchstens $1\frac{1}{2}$ vH. Da sehr allmählich belastet und entlastet wird, so hat man es hier offenbar nahezu mit dem Reibungskoeffizienten der Ruhe, wenn nicht gar mit gelegentlichen Klemmungen zu tun. Bei der Entnahme von Indikatorgrammen handelt es sich aber um den Reibungskoeffizienten der Bewegung; außerdem ist der Indikator am Motor stets Erschütterungen und Stößen ausgesetzt, die die Reibung erheblich verringern. Um nun bei dem vorliegenden Aichverfahren nach Möglichkeit diejenigen Verhältnisse herbeizuführen, unter denen der Indikator am Motor steht, habe ich den Bügel mit den Belastungsgewichten und damit die bewegten Teile des Indikators durch rasches Herabdrücken des Bügels in Schwingungen versetzt und die Linien auf das Indikatorpapier erst dann aufgeschrieben, wenn die Teile wieder zur Ruhe gekommen waren. Am gleichen Indikator und mit derselben Feder wie vorher wurden an zwei verschiedenen Tagen auf diese Weise bei 7 Versuchsreihen die in Zahlentafel 6 folgenden Aichergebnisse erhalten. Natürlich ist es hier gleich, ob man in einer Versuchsreihe mit zunehmender oder abnehmender Belastung begriffen ist.

Die Werte der einzelnen Versuchsreihen stimmen nicht ganz überein¹⁾; immerhin weichen sie selten um mehr als 1 vH und im Höchstwert um $1\frac{1}{2}$ vH von ihren Mittelwerten ab. Diese Mittelwerte sind aber fast denen gleich, die in Zahlentafel 5 bei derselben Feder für den reibungslosen Indikator erhalten wurden. Es zeigt sich somit, dass dieses Schwingungsverfahren sehr rasch hinreichend genaue Werte für den Schreibstiftweg, bei denen die Reibung ausgeschaltet ist, ergibt. Denn eine der obigen Versuchsreihen kann in wenigen Minuten ausgeführt werden. Dass die verschiedenen Versuchsreihen nicht genau unter einander übereinstimmen, rührt daher, dass auch während der Schwingungen offenbar noch Reibung (und ab und zu vielleicht auch Klemmung) vorhanden ist, sodass der Schreibstift in verschiedenen Lagen zur Ruhe kommt. Vergleicht man aber die Abweichungen der Einzelwerte in Zahlentafel 4 gegenüber ihren gemeinschaftlichen Mittelwerten in Zahlentafel 5 mit den Abweichungen der Einzelwerte in Zahlentafel 6 von ihren Mittelwerten, so findet man, dass die letzteren erheblich kleiner sind, und dass demnach bei dem Schwingungsverfahren geringere Reibungswiderstände auftreten als bei allmählicher Belastung und Ent-

¹⁾ Bei späteren Versuchen mit anderen Federn und bei größerer Übung des Beobachters ist häufig eine wesentlich bessere oder eine völlige Übereinstimmung in den Angaben der einzelnen Versuchsreihen erzielt worden. Trotzdem habe ich die obigen ersten Versuche wiedergegeben, um für die Praxis zu zeigen, wie weit bei geringer Übung und bei weniger guten Federn der Genauigkeitsgrad geht.

lastung. Seit Juni 1899 habe ich daher zur Federzeichnung stets das Schwingungsverfahren angewandt und damit jederzeit bei kurzer Versuchsdauer recht zuverlässige Werte für den Federmafsstab erhalten.

Die letzte Spalte der Zahlentafel 6 giebt die Schreibstiftwege für je 5 kg Belastungsunterschied. Sie bleiben über das gesamte Belastungsgebiet offenbar innerhalb der Fehlergrenzen gleich, und daher weist auch innerhalb dieses Belastungsgebietes die Feder einen konstanten Federmafsstab auf. Um den mittleren Schreibstiftweg für 5 kg zu erhalten, wird man in diesem Falle die 6 Zahlen der vorletzten Spalte in Zahlentafel 6 addiren und die Summe durch $(1 + 2 + 3 + 4 + 5 + 6)$ dividiren; denn damit legt man z. B. der Angabe des Schreibstiftweges zwischen 0 und 30 sechsmal mehr Gewicht bei als derjenigen zwischen 0 und 5 kg. Der mittlere Schreibstiftweg für 5 kg ist daher $\frac{157,92}{6} = 26,32$ mm. Für die Versuche am Gasmotor ist stets der dem Indikator beigegebene kleine Indikatorkolben verwendet worden. Sein Durchmesser wurde mittels eines Schraubenmikrometers zu 14,27 mm bestimmt, sein Querschnitt beträgt daher 1,603 qcm. 5 kg Gesamtbelastung entsprechen somit $\frac{5}{1,603} = 3,12$ kg/qcm Belastung. Der Federmafsstab, auf den Schreibstiftweg bezogen, ist also $\frac{26,32}{3,12} = 8,44$ mm.

Bei vielen von mir untersuchten Federn war der Federmafsstab konstant; man konnte ihn daher aufgrund der Versuche in der soeben angegebenen Weise berechnen. Natürlich könnte man auch die einzelnen Schreibstiftwege graphisch auftragen, durch die so erhaltenen Punkte eine gerade Linie legen und hieraus den Federmafsstab bestimmen. Bei mehreren Federn zeigte sich aber der Mafsstab als veränderlich; in diesem Falle wird man die Schreibstiftwege ebenfalls graphisch auftragen und die so erhaltenen Punkte durch eine Kurve verbinden. Will man nun aus dem Indikatorgramm nur die augenblicklich herrschenden Pressungen bestimmen, so hat man eben für jede aus ihm abgegriffene Diagrammhöhe den Federmafsstab zu benutzen, der dieser Höhe nach der Kurve zukommt. Will man aber aus dem Diagramm die indizierte Arbeit berechnen, so hat es Sinn, von einem mittleren Federmafsstabe zu sprechen. Er hängt von der Gestalt des Indikatorgrammes ab und kann auf die Weise bestimmt werden, die Schröter in Z. 1897 S. 845 angegeben hat¹⁾. Ändert sich der Federmafsstab nur wenig, so wird es statt dessen häufig genügen, das arithmetische Mittel aus den Mafsstäben für die einzelnen Belastungsstufen zu bilden. Bei manchen Federn war der Federmafsstab bis zur letzten Belastungsstufe konstant und änderte sich nur innerhalb dieser letzten Stufe, die der höchsten im Diagramm vorkommenden Pressungen halber bei der Aichung noch einbezogen werden musste. Diese höchsten Pressungen bilden aber am Ende der Verbrennung und am Anfang der Expansion nur die Spitze des Diagrammes, die sehr wenig Fläche einschließt. Man kann daher zur Ermittlung der indizierten Arbeit in diesem Falle fast ohne Fehler den konstanten Federmafsstab, der sich aus der ersten bis vorletzten Belastungsstufe ergibt, benutzen.

Bei den oben angeführten Aichungen besaß die Indikatorfeder Zimmertemperatur. Von Wichtigkeit ist die Frage, wie sich der Federmafsstab mit der Temperatur ändert. Es wurden daher Versuche ausgeführt, bei denen vor und während der Aichung ein Dampfstrahl gegen den Indikatorcylinder und durch die Luftföcher hindurch gegen die Feder gerichtet war. Er mag die Feder auf ungefähr 90° erhitzt haben. Die mit der heißen Feder erhaltenen Ergebnisse sind in Zahlentafel 7 enthalten.

Auch hier zeigt sich der Federmafsstab konstant (für die letzte Belastungsstufe kann man darüber im Zweifel sein); für 5 kg Belastungsunterschied berechnen sich 7,70 mm mittlerer Schreibstiftweg. Der Querschnitt des Kolbens wird bei heißem Indikator infolge der Wärmeausdehnung etwas größer sein als bei kaltem, der Unterschied beträgt 3,7 %₁₀₀. Daher be-

Zahlentafel 7.

Belastung am Bügel kg	Schreibstiftweg in mm. von der Nulllinie aus gemessen					Schreibstift- weg für 5 kg Belastungs- unterschied
	1	2	3	4	im mittel aus 1 bis 4	
5	7,5	7,7	7,75	7,6	7,64	7,64
10	15,8	15,35	15,5	15,4	15,39	7,75
15	23,0	23,0	23,2	23,2	23,10	7,71
20	30,8	30,5	30,9	30,8	30,82	7,72
25	38,3	38,5	38,6	38,5	38,62	7,80
30	45,8	46,2	46,6	46,1	46,18	7,58

trägt bei heißer Feder der Federmafsstab $\frac{7,70 \cdot 1,602 \cdot 1,0037}{5} = 2,48$ mm Schreibstiftweg = 1 kg/qcm. Durch die Erwärmung hat sich somit der Federmafsstab um $\frac{2,48 - 2,41}{2,41} 100 = 2,8$ vH seines ursprünglichen Wertes vergrößert. Bei einer andern Feder änderte sich für den gleichen Temperaturunterschied der Mafsstab um 4 vH.

Es kommt daher bei genauen Indizierungen sehr auf die Temperatur der Feder an. Am Gasmotor verwende ich deshalb stets gekühlte Indikatorhähne. Die Feder-temperatur entfernt sich dabei höchstens um 10 bis 15° von der Zimmertemperatur, selbst wenn man 15 bis 20 Diagramme unmittelbar nach einander auf einem Blatt entnimmt. Der Unterschied im Mafsstab gegenüber dem kalten Indikator bleibt somit innerhalb der Fehlergrenzen der Aichung. An Dampfmaschinen können naturgemäß gekühlte Hähne nicht verwendet werden; trotzdem bleibt aber das geschilderte Aichverfahren benutzbar, da es ungemein rasch und in dem Maschinenraume selbst mit dem noch heißen Indikator unmittelbar nach der Indizierung ausgeführt werden kann.

Aufgrund meiner Versuche kann ich wohl annehmen, dass man bei einem in gutem Zustande befindlichen Indikator auf die im Vorstehenden erläuterte Weise den Federmafsstab unabhängig von der etwa während der Bewegung auftretenden Reibung genauer als auf 1 vH angeben kann. Wenn man weiter voraussetzt, dass die Feder auch bei rascher Aufeinanderfolge von ganz verschiedenen Pressungen während der Indizierung denselben Mafsstab beibehält, der nach dem obigen Schwingungsverfahren erhalten wurde, und dass ferner während der Indizierung die Pressungen unter dem Kolben des Indikators denjenigen im Motorencylinder genau gleich sind, so kann man doch aus dem Indikatorgramm noch nicht ohne weitere Untersuchungen den in jedem Augenblick im Motorencylinder herrschenden Druck angeben. Denn die Anzeigen des Indikators werden noch beeinflusst durch die Trägheit seiner bewegten Teile und durch die Reibungswiderstände, die während der Bewegung auftreten. Prof. A. Fliegner hat in einer verdienstvollen Arbeit über die dynamische Theorie des Indikators¹⁾ den Unterschied zwischen dem wirklich unter dem Indikator kolben herrschenden und dem vom Indikator angezeigten »indizierten« Drucke berechnet.

Es bedeute

- m die auf den Indikator kolben reduzierte Masse aller mit dem Kolben sich bewegenden Indikatortheile,
- x (in m) den augenblicklichen Kolbenweg, von der Ruhelage des Kolbens aus gemessen,
- f die wirksame Kolbenfläche in qcm,
- s den auf den Kolbenweg bezogenen Mafsstab der Feder (in m), d. h. den Kolbenweg für 1 kg/qcm Druckunterschied,
- q das Uebersetzungsverhältnis zwischen Kolbenweg und Schreibstiftweg, sodass q s der oben ermittelte Federmafsstab bezogen auf den Schreibstiftweg ist, die Kraft, die an dem Kolben angebracht werden muss, um alle seiner Bewegung entgegenwirkenden Reibungswiderstände zu ersetzen,
- p in kg/qcm den Ueberdruck, der unter dem Indikator kolben (und nach unserer Annahme im Motoren-

¹⁾ Vergl. auch das in Rosenkranz, Der Indikator, 8. Aufl., Berlin 1901, S. 115 beschriebene Verfahren von Prof. Schröter.

²⁾ Schweizerische Bauzeitung XVIII Nr. 5, 6 und 8.

cylinder) herrscht und der durch die Indizierung bestimmt werden soll.

Dann lautet für den Indikatorkolben die Differentialgleichung der Bewegung

$$m \frac{d^2 x}{dt^2} = p f - f \frac{x}{s} - R.$$

Da die Reibung stets der Bewegung entgegen gerichtet ist, so ist R positiv, wenn $\frac{dx}{dt}$ positiv, und negativ, wenn $\frac{dx}{dt}$ negativ ist. Der Wert $\frac{x}{s}$ soll $= p_i$ gesetzt werden; es ist dies der indizierte Ueberdruck, der sich ergibt, wenn man die augenblickliche Diagrammhöhe (von der atmosphärischen Nulllinie aus gemessen) durch den Federmaßstab dividirt. Er wird in der Praxis gewöhnlich auch als der im Motorencylinder herrschende Druck angesehen, ist aber nach Obigem von ihm verschieden.

Die Größe R als Maß für die Reibungswiderstände kann im allgemeinsten Falle aus einem konstanten Gliede, aus einem Gliede, das eine Funktion des Kolbenweges x , und aus einem solchen, das eine Funktion der Kolbengeschwindigkeit $\frac{dx}{dt}$ ist, bestehen.

Die Differentialgleichung der Bewegung des Indikatorkolbens kann nun zu zwei Arten von Untersuchungen dienen. Für die erste Art nimmt man den im Motorencylinder herrschenden Druck in Funktion der Zeit als gegeben an und stellt die Frage, welche Kolbenwege x oder, was dasselbe ist, welche Schreibstiftwege qx hierbei der Indikator beschreibt, welchen indizierten Druck $p_i = \frac{x}{s}$ er somit anzeigt. Bei der

Lösung dieser Frage erhält man die Theorie der Federschwingungen des Indikators, ihre Abhängigkeit von dem Federmaßstab und von den Reibungswiderständen. Der sehr verwickelte, aber periodische Zusammenhang zwischen dem Druck p und der Zeit t in unseren Wärmekraftmaschinen lässt sich nur durch eine Fouriersche Reihe mit sehr vielen Gliedern analytisch darstellen. Um dann aus unserer Differentialgleichung die Werte von x für jeden Augenblick zu erhalten, muss diese Gleichung integriert werden, nachdem für p die Fouriersche Reihe eingesetzt ist. Man hat es daher mit nicht ganz leichten und recht umständlichen Rechnungen zu thun, die aber bei dieser allgemeinen Theorie nicht wohl umgangen werden können. Fliegner hat unter der Annahme, dass die Reibungsgröße R proportional der Kolbengeschwindigkeit $\frac{dx}{dt}$ ist, diese Rechnung durchgeführt.

Die zweite Art der Untersuchung ergibt sich aus der schon oben gestellten Aufgabe, aus einem vorhandenen Indikatordiagramm den wirklich unter dem Indikatorkolben herrschenden Druck zu finden. Die Wege x des Indikatorkolbens bzw. die Schreibstiftwege qx sind hierbei in der Regel durch das Diagramm in Funktion der Wege des Motorenkolbens gegeben. Wenn man aber annimmt, dass die Winkelgeschwindigkeit der Kurbelwelle konstant ist, was sich für die folgenden Betrachtungen als hinreichend genau erweist, so kann man die auf die Wege des Motorenkolbens bezogenen Diagramme leicht auf Zeitdiagramme umzeichnen. Bei Gasmaschinen wird man für die Umzeichnung des Endes der Kompressionslinie, der Explosionslinie und des Anfanges der Expansionslinie, auf die es vor allem ankommt, am besten die (um 90° verschobenen) Kolbenwegdiagramme¹⁾ benutzen. Aufgrund des Zeitdiagrammes kann dann x in Form einer Fourierschen Reihe angegeben werden. Da der gesuchte Druck p aus der Gleichung

$$p = p_i + \frac{m}{f} \frac{d^2 x}{dt^2} + R$$

zu berechnen ist, so bilde man durch zweimalige Ableitung der Fourierschen Reihe die Werte von $\frac{dx}{dt}$ und $\frac{d^2 x}{dt^2}$ und setze

¹⁾ Vergl. Z. 1895 R. 986; es lassen sich auch Indikatoren herstellen, die auf die Entnahme von Zeitdiagrammen eigens eingerichtet sind, doch ist ihre Konstruktion und Handhabung umständlich.

Fig. 12 a.

— Kurve der p ,
--- Kurve der (p)

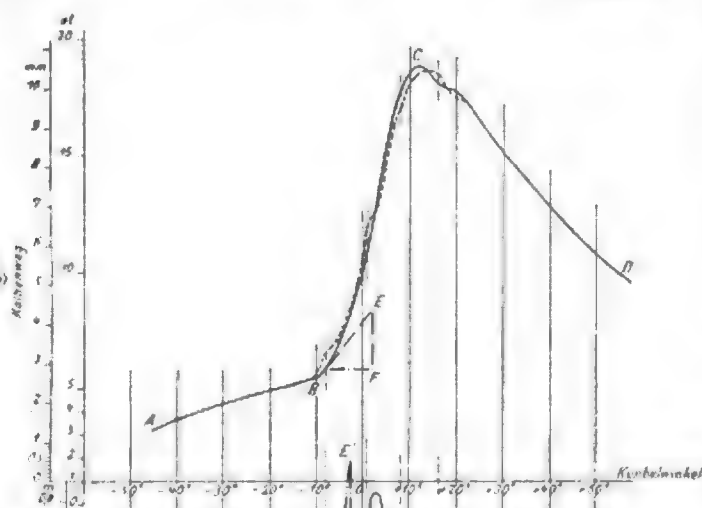


Fig. 12 b.

Kurve der Kolben-
geschwindigkeiten
 $\left(\frac{dx}{dt}\right)$

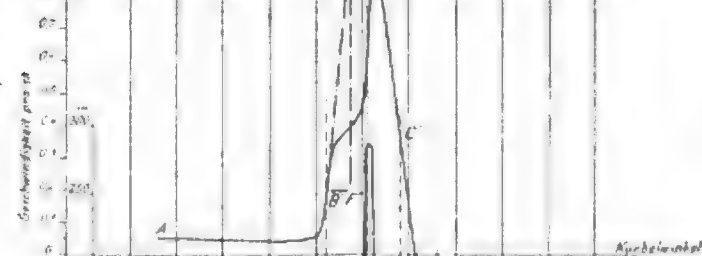


Fig. 12 c.

Kurve der Kolben-
beschleunigungen
 $\left(\frac{d^2 x}{dt^2}\right)$

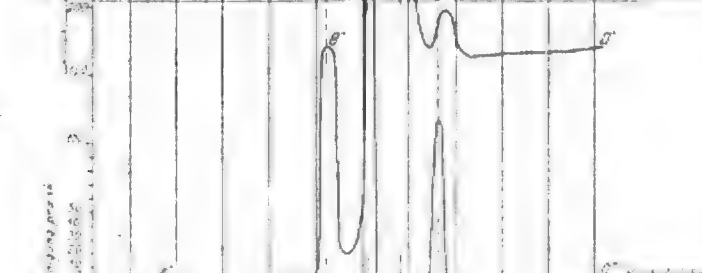
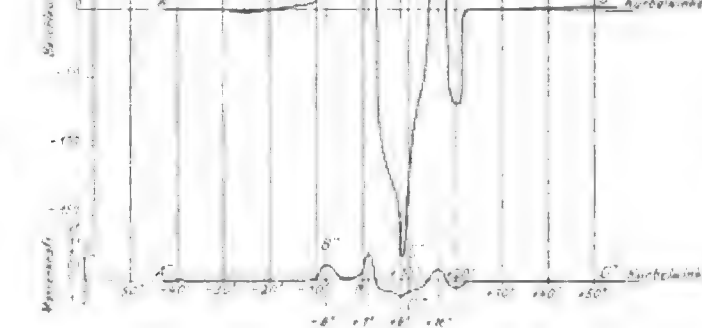


Fig. 12 d.

Kurve der
 $(p) - p_i = \frac{m}{f} \frac{d^2 x}{dt^2}$



sie zur Ermittlung von p in diese Gleichung ein, vorausgesetzt, dass die Abhängigkeit der ReibungsgröÙe R von x und $\frac{dx}{dt}$ bekannt ist. Die Aufsuchung der Fourierschen Reihe ist aber wiederum sehr zeitraubend und für die Praxis nicht anwendbar. Da jedoch in dem Zeitdiagramm die Werte von x graphisch gegeben sind, so liegt es nahe, auch die Ableitungen $\frac{dx}{dt}$ und $\frac{d^2x}{dt^2}$ auf graphischem Wege zu bilden, was in der einfachsten Weise geschehen kann. Am besten wird man den Einfluss der Massenwirkung und denjenigen der Reibungswiderstände getrennt untersuchen. Sehen wir daher zunächst von der Reibung ab, so ist der von der Massenwirkung herrührende Druckunterschied

$$(p) - p_i = \frac{m}{f} \frac{d^2x}{dt^2},$$

wobei (p) den hinsichtlich der Massenwirkung berichtigten Ueberdruck bedeutet.

Um ihn zunächst für das Ende der Kompressionslinie, die Verbrennungslinie und den Beginn der Expansionslinie zu ermitteln, dienen die Fig. 12a bis 12d. In Fig. 12a ist nach einem am Gasmotor abgenommenen »verschobenen« Kolbendiagramm das Zeitdiagramm $ABCD$ aufgezichnet, wobei als Abszissen statt der Zeit die der Zeit proportionalen Winkelstellungen der Kurbel angegeben sind, während die dem Drucke p_i proportionalen Wege x des Indikatorkolbens in irgend einem Maßstabe als Ordinaten aufgetragen sind. Dabei ist der Kurbelwinkel, der der inneren Totpunktstellung des Motorkolbens entspricht, mit 0 bezeichnet, die Kurbelwinkel vor der inneren Totpunktstellung mit negativem Vorzeichen ($-30^\circ, -20^\circ, -10^\circ$) und diejenigen nach dieser Stellung mit positivem Vorzeichen versehen ($+10^\circ, +20^\circ$ usw.). Für einen beliebigen Punkt der x -Kurve $ABCD$, z. B. für den Punkt B , lässt sich nun die augenblickliche Geschwindigkeit $\frac{dx}{dt}$ des Indikatorkolbens dadurch bestimmen, dass man in dem Punkte eine Tangente BE an der x -Kurve zieht; es ist $\frac{dx}{dt} = \frac{EF}{BF}$, wobei EF (\parallel der Ordinatenachse) in m (entsprechend dem Maßstabe, in dem die x -Werte aufgetragen sind) und BF (\parallel der Abszissenachse) in sk (entsprechend dem Maßstabe, in dem die Abszissen des Zeitdiagrammes bzw. die Kurbelwinkel aufgetragen sind) auszudrücken ist. Diese Bestimmung wird für eine Reihe von Punkten ausgeführt, und die so erhaltenen Werte von $\frac{dx}{dt}$ werden in Fig. 12b, ebenfalls in Funktion der Zeit bzw. der Kurbelwinkel, aufgetragen und durch die Kurve $A'B'C'D'$, d. i. die $\frac{dx}{dt}$ -Kurve, verbunden. Hat der Punkt B die gleiche Zeitabszisse wie der Punkt B , so kann die Beschleunigung $\frac{d^2x}{dt^2}$ des Indikatorkolbens für den Punkt B dadurch bestimmt werden, dass man an die Kurve $A'B'C'D'$ im Punkte B' die Tangente $B'E'$ legt; es ist $\frac{d^2x}{dt^2} = \frac{B'E'}{B'F'}$. Die aufeinander folgenden Werte der $\frac{d^2x}{dt^2}$ werden in Fig. 12c durch die Kurve $A''B''C''D''$ in Funktion der Zeit dargestellt. In Fig. 12d erhält man schließlich dadurch, dass man die aus der vorhergehenden Kurve abgegriffenen Werte von $\frac{d^2x}{dt^2}$ mit dem Faktor $\frac{m}{f}$ multipliziert und ebenfalls in Funktion der Zeit aufträgt, die Kurve $A'''B'''C'''D'''$, und diese gibt nun für jeden Augenblick und für jede Stellung der Kurbel die (positive oder negativ) GröÙe an, um die sich der Druck (p) von dem indizierten Druck p_i infolge der Massenwirkung unterscheidet.

Nach dem geschilderten Verfahren hat mein Assistent, Hr. Ing. G. Cattaneo, auf meine Veranlassung eine Anzahl von Diagrammen für einen Crosby-Indikator und für einen Indikator von Schöffler & Budenberg, großes Modell, untersucht.

Es ergab sich:

	für den Crosby-Indikator	für den Indikator Schöffler & Budenberg großes Modell
auf den Kolben bezogene Masse der mit dem Kolben bewegten Teile	$m = 0,00437 \text{ kg}$	$0,00670 \text{ kg}$
Uebersetzungsverhältnis zwischen Schreibstift und Kolben	$q = 6$	4
Federmaßstab, bezogen auf den Schreibstiftweg, für 1 kg/qcm	$1,455 \text{ mm}$	$2,37 \text{ mm}$
Federmaßstab, bezogen auf den Kolbenweg	$s = 0,00243 \text{ m}$	$0,00592 \text{ m}$

Bei einem Versuche, bei dem gleichzeitig mit beiden Indikatoren Diagramme abgenommen wurden, war die Brenne mit 55 kg belastet, die Kurbelwelle des Motors machte $60 \cdot 10$ 200 Uml./min, 10° Kurbelwinkel entsprechen also $200 \cdot 360$

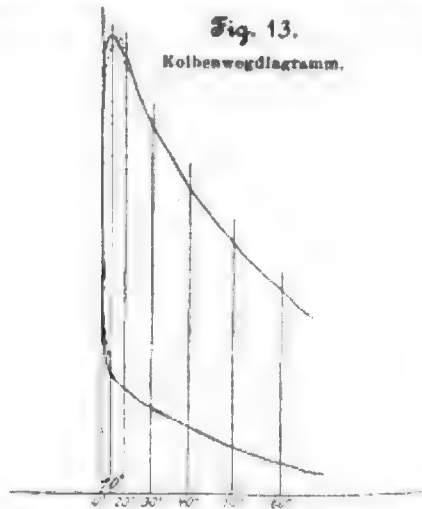
$= \frac{1}{120} \text{ sk Zeit}$. Der Motor leistete daher 11 PS , also 10 vH mehr als die Nennarbeit. Dieser Versuch lieferte die Kurven der Fig. 12a bis d. Wie Fig. 12c ergibt, trat der größte Wert der Kolbenbeschleunigung $\frac{d^2x}{dt^2}$ bei dem Kurbelwinkel $+1^\circ$ auf. Für den Crosby-Indikator war an dieser Stelle $\left(\frac{d^2x}{dt^2}\right)_{\text{max}} = +119 \text{ m/sk}^2$. Der Unterschied zwischen dem Druck (p) und dem indizierten Druck p_i infolge der Massenwirkung betrug daher hier $\frac{119 \cdot 0,00637}{1,602} = +0,47 \text{ kg/qcm}$. Für den

Indikator von Schöffler & Budenberg war $\left(\frac{d^2x}{dt^2}\right)_{\text{max}} = +220 \text{ m/sk}^2$ und somit $(p) - p_i = \frac{220 \cdot 0,00592}{1,602} = +1,12 \text{ kg/qcm}$. Diese GröÙen-

werte treten also auf, während die Verbrennungslinie in raschem Anstieg begriffen ist. Weitere ausgezeichnete Werte von $(p) - p_i$ ergaben sich bei dem vorliegenden Versuche für die Kurbelwinkel $-8^\circ, +8^\circ, +16^\circ$ und $+20^\circ$, und zwar im Betrage von $+0,28, -0,22, +0,19$ und $-0,12 \text{ kg/qcm}$ für den Crosby-Indikator und von $+0,38, -0,71, +0,46$ und $-0,27 \text{ kg/qcm}$ für den Indikator von Schöffler & Budenberg. Für die Kurbelwinkel -8° und $+16^\circ$ sind also die Werte positiv, für die Kurbelwinkel $+8^\circ$ und $+20^\circ$ sind sie dagegen negativ; um ihren Betrag muss im letzteren Fall der indizierte Druck vermindert werden, um (p) zu erhalten. Indem man die positiven Ordinaten der Kurve $A''B''C''D''$ zu den Ordinaten der Kurven $ABCD$ addiert, die negativen Ordinaten davon abzieht, erhält man schließlich das hinsichtlich der Massenwirkungen berichtigte Zeitdiagramm des Indikators, d. h. die Kurve der (p) . In Fig. 12a ist dies für den Indikator von Schöffler & Budenberg ausgeführt; die berichtigte Indikatorlinie (Kurve der (p)) ist, soweit sie sich überhaupt von der gegebenen Diagrammkurve (Kurve der p_i) unterscheidet, gestrichelt eingetragen. Auch bei 10 PS , 9 PS , und 8 PS Belastung des Gasmotors wurde diese Untersuchung ausgeführt. Es zeigte sich, dass die Unterschiede $(p) - p_i$ um so kleiner sind, je geringer die Belastung der Maschine ist, und je weniger heftig infolgedessen die Verbrennung vor sich geht.

Wenn man aber die Unterschiede $(p) - p_i$ während der Kompression und während der Expansion aufsucht, so findet sich, dass sie hier für die untersuchten Maschinen bei allen Belastungen so klein sind, dass man sie in der Zeichnung überhaupt nicht angeben kann. Unsere Untersuchung liefert daher das folgende Ergebnis: Innerhalb der Linie der sichtbaren Verbrennung spielen die Massenwirkungen des Kolbens und des Schreibgestänges hinsichtlich der Druckanzeige eine große Rolle. Der Druck kann hierdurch im Indikator diagramm um die Werte, die je nach der Geschwindigkeit der Drucksteigerung und den Verhältnissen des verwendeten Indikators sogar 1 kg/qcm wesentlich übersteigen, falsch angegeben werden. Soll daher die Verbrennungslinie einer weitergehenden Betrachtung unterworfen werden, so ist sie zuerst hinsichtlich der Massenwirkungen zu berichtigen;

ebenso kann der größte während der Verbrennung entstehende Druck aus dem Indikatorgramm nicht unmittelbar, sondern erst aufgrund der Berichtigung abgelesen werden. Bei Gasmotoren, bei denen die Zündung rechtzeitig stattfindet, wird aber die Verbrennungslinie ausschließlich in der Nähe des inneren Totpunktes beschrieben; sie stellt sich daher im normalen Diagramm nahezu als Senkrechte dar. Ihre Berichtigung kann sich somit nur darauf erstrecken, dass man den höchsten Punkt, den sie erreicht, etwas anders legt. Das Zeitdiagramm der Fig. 12a ist in Fig. 13 in ein normales Diagramm (Kolbenwegdiagramm) umgezeichnet, wobei wieder die Berichtigungslinie gestrichelt eingetragen ist. Diese fällt



ganz mit der ursprünglichen Diagrammlinie zusammen, ausgenommen in der Nähe des toten Punktes. Für die Bestimmung der indizierten Arbeit sowie der Druckverhältnisse während der Kompression und während der Expansion sind daher Berichtigungen nicht auszuführen; dafür kann man (so lange man von der Reibung absieht) die Kompressions- und Expansionslinie genau so nehmen, wie sie sich im normalen Diagramme aufschreibt. Stärkere Massenwirkungen könnten nur noch während der Vorausströmung auftreten, da hier der Druck sehr rasch abnimmt. Für kalorimetrische Untersuchungen und für die Bestimmung der indizierten Arbeit würde aber die Berichtigung dieser Drucklinie keine Rolle spielen; dagegen könnte dies hinsichtlich einer andern Frage der Fall sein.

Bei vielen Gasmotoren, und so auch bei demjenigen des Göttinger Instituts, haben die Diagramme, die mit einer sehr schwachen Feder aufgenommen werden, die Gestalt der Fig. 14. Wie man sieht, wird während des Auspuffhubes der Druck zweimal kleiner als der atmosphärische. Man

Fig. 14.
Diagramm mit schwacher Feder.



kann dies leicht durch Schwingungen der Gassäule im Auspuffrohr erklären; immerhin ist es aber auch denkbar, dass Schwingungen der Indikatorfedern daran schuld sind. Um diese Frage zu entscheiden, ließ ich für die Auspufflinie die Werte der $(p) - p_0$ aufsuchen und hiernach diese Linie berichtigen. Die Gestalt der Linie wird dadurch nur wenig geändert, und insbesondere bleibt das zweimalige Auftreten eines Druckes unter dem atmosphärischen bestehen. Es ist dadurch erwiesen, dass dieser Minderdruck wirklich vorhanden und nicht bloß ein scheinbarer ist, indem er im Indikatorgramm durch Federschwingungen entsteht.

Natürgemäß gelten die vorstehenden Untersuchungen zunächst nur für die bei den obigen Versuchen maßgebenden Verhältnisse, bei denen die Umlaufzahl des Motors 200 Uml./min betrug. Sinngemäß sind sie für andere Maschinen und Indikatoren durchzuführen. Man wird aber wohl aussprechen dürfen, dass unter ähnlichen Verhältnissen bei Maschinen bis zu 200 Uml./min die Kompressions- und die Expansionslinie hinsichtlich der Massenwirkung nicht zu berichtigen sind, und dass somit hier bei geringer Streuung der Diagramme die Angabe der indizierten Arbeit durch Massenwirkungen des Indikators kaum beeinflusst wird. Berücksichtigte man den Ungleichförmigkeitsgrad einer Maschine bei der Aufzeichnung des Zeitdiagrammes mit, so könnte dies die obigen Ergebnisse für die Kompressions- und Expansionslinie nicht ändern, weshalb oben die Annahme, dass die Kurbeldrehung der Zeit proportional erfolge, als hinreichend genau bezeichnet worden ist. Hat man es mit sehr stark gestreuten Diagrammen zu thun, so fallen die Stellen, wo Berichtigungen hinsichtlich der Massenwirkung anzubringen sind, nicht mehr in den Totpunkt oder seine Nähe. Allein die Drucksteigerung wird bei solchen gestreuten Diagrammen häufig so langsam erfolgen, dass trotzdem die Berichtigungen innerhalb der Grenzen der Versuchsteiler bleiben und daher unterlassen werden können. Für die Berichtigung der Explosionslinie muss man übrigens bei dem graphischen Verfahren sehr sorgfältig vorgehen, um einigermaßen genaue Werte zu erhalten. Eine Untersuchung der Dampfmaschinen-diagramme auf Massenwirkung¹⁾ ist nach dem Gesagten leicht durchzuführen.

Aus den berichtigten Pressungen (p) ließe sich auch unter Berücksichtigung der Reibungswiderstände der wirklich unter dem Indikator kolben herrschende Druck p nach der Formel $p = (p) + \frac{R}{f}$ ausrechnen, wenn die Abhängigkeit der Reibungsgröße R vom Kolbenweg x und der Kolbengeschwindigkeit $\frac{dx}{dt}$, welche Größen in Fig. 12a und 12b gegeben sind, bekannt wäre. Leider ist man darüber aufgrund der vorliegenden Versuche noch im Unklaren. Zuerst fragt es sich, ob R ein Glied enthält, das konstant, d. h. von der Kolbenbewegung unabhängig, oder das mit dem Kolbenweg x veränderlich ist. Bei den Aichversuchen mit allmählicher Belastung und Entlastung hat man ohne Zweifel mit einem solchen Gliede zu rechnen. Auch der Umstand, dass man, wenigstens für manche Federn, bei den Schwingungsversuchen für dieselbe Belastung nicht immer die gleichen Werte der Schreibstiftwege erhält, dass also offenbar die Schwingungen infolge der Einwirkung der Reibung bei verschiedenen Stellungen des Kolbens zur Ruhe kommen, ließe auf das Vorhandensein eines solchen Gliedes schließen. Andererseits könnten aber diese Ungleichheiten auch daher rühren, dass die Achse des Indikators während der Aichung doch nicht ganz senkrecht stand, und dass daher durch die Gewichtbelastung seitliche Pressungen und mit ihnen erhöhte Reibung und sogar Klemmung auftraten. Im höchsten Falle verursachen bei den obigen Versuchen für den Indikator von Schöffler & Budenberg diese Reibungswiderstände Abweichungen von $1\frac{1}{2}$ vH; beim Indikator von Crosby sind sie in der Regel infolge der doppelt gewundenen Feder und des Kugelgelenkes noch geringer. Dafür, dass das konstante oder mit x veränderliche Glied gar nicht oder nur in verschwindender Größe vorhanden ist, spricht der Umstand, dass der Indikator während der Indizierung am Gasmotor durch den im Cylinder herrschenden Druck viel gleichmäßiger belastet ist als durch die Gewichte bei der Aichung, und dass er dabei Erschütterungen ausgesetzt ist, die solche Reibungswiderstände aufzuheben trachten. Ferner aber müssten im Diagramm wagerechte Linien entstehen, wenn langsame Druckänderungen im Innern des Motors auftreten würden, während solche wagerechte Linien bei Gasmotorendiagrammen selten beobachtet werden. Die Ausprägung kleiner Druckschwankungen ist aber wohl vereinbar mit der An-

¹⁾ Vergl. die Arbeit von G. Duchesne: Indicateur-révélateur, in der Revue de mécanique VII Nr. 2, die ich nach Niederschrift der vorliegenden Untersuchungen kennen lernte.

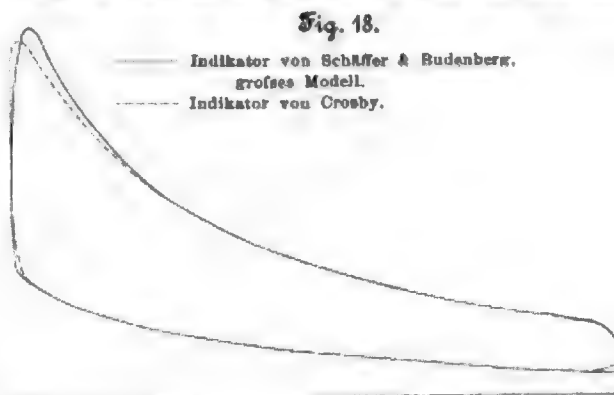
ger Zuverlässigkeit bestimmen lässt. Um die mittlere Fläche eines Diagrammbündels festzustellen, wende ich das folgende Verfahren an: Es wird die Linie df gezogen, Fig. 17, und es werden nach einander ohne eine Zwischenablesung alle über dieser Linie liegenden Flächen def mit dem Planimeter umfahren. Dividirt man den Unterschied aus End- und Anfangsablesung des Planimeters durch die Anzahl der Diagramme, so erhält man den Mittelwert der Fläche def . Die Flächen $fgcd$ sind in der Regel nur in der Lage der Expansionslinie verschieden. Man macht aber meistens einen geringen Fehler, wenn man annimmt, dass die einzelnen Expansionslinien zwischen der äußersten und der innersten Linie fg gleichmäßig verteilt sind. Daher umfährt man die Flächen $dfgc$ etwa zweimal so, dass man auf der äußersten Linie fg führt, und hierauf zweimal so, dass man auf der innersten Linie fg bleibt, ohne während der 4 Umfahrungen eine Zwischenablesung zu



machen. Der Unterschied der Anfang- und Endablesung, durch 4 dividirt, giebt den Mittelwert für die Fläche $cdfg$. Durch Addition des letzteren zu dem Mittelwert der Fläche def erhält man den gesuchten Mittelwert der positiven indizierten Fläche $cdefg$. Aus den Flächengrößen für die einzelnen Diagrammbündel wird dann der Mittelwert für den ganzen Versuch gebildet und hieraus unter Berücksichtigung des Federmaßstabes die positive indizierte Mittelspannung p_{i+} berechnet.

Der Mittelwert für den ganzen Versuch wurde aber auch noch in einer andern Weise gebildet: Es wurde aus allen Diagrammbündeln eines Versuches (durch Ausmessen von je 13 Ordinaten für die Kompressionslinie und ebenso für die Expansionslinie) ein Mitteldiagramm auf dem Wege der Zeichnung hergestellt. Dieser zeitraubenden und große Sorgfalt erfordernden Arbeit hat sich Hr. Meyenberg in dankenswerter Weise unterzogen. Das erhaltene Mitteldiagramm wurde sorgfältig planimetriert, und hieraus konnte dann ein zweiter Wert von p_{i+} bestimmt werden, der, falls die beiden Verfahren keinerlei Ungenauigkeiten im Gefolge hätten, mit dem durch Planimetrieren der einzelnen Diagrammbündel erhaltenen Werte übereinstimmen müsste. Im ganzen wurde auf diese beiden Arten der Mittelwert von p_{i+} für 126 Versuche bestimmt. Bei 77 Versuchen oder 61 vH sämtlicher Versuche ergab dabei das eine Verfahren Werte, die um 0 bis 1 vH ihres Betrages von den entsprechenden Werten des andern Verfahrens abwichen; bei 22 Versuchen oder 17 vH sämtlicher Versuche lagen diese Abweichungen zwischen 1 und 1½ vH; bei 15 Versuchen oder 12 vH sämtlicher Versuche lagen sie zwischen 1½ und 2 vH; bei 12 Versuchen oder 10 vH sämtlicher Versuche lagen schließlich die Abweichungen zwischen 2 und 2,5 vH. Die größte überhaupt auftretende Abweichung betrug 2,5 vH. Naturgemäß waren die Abweichungen klein bei Versuchen, bei denen nur geringe Streuungen im Diagrammbündel vorkamen, größer dagegen bei den Versuchen mit großer Streuung (wie in Fig. 17). Bildet man für jeden Versuch aus den beiden Verfahren den Mittelwert, so weichen von diesen Mittelwerten bei 90 vH aller Versuche die Werte der beiden Verfahren um weniger als um 1 vH ab. Die größte Abweichung davon beträgt 1,4 vH. Man hat hinsichtlich der Ermittlung der indizierten Arbeit bei Gasmotoren häufig die Streuungen gefürchtet, in der Meinung, dadurch seien einigermaßen genaue Angaben der mittleren indizierten Fläche unmöglich. Aufgrund dieser Vergleiche wird man aber aussprechen dürfen, dass sich durch Planimetrieren der Diagrammbündel in der oben angegebenen Weise auch bei gestreuten Diagrammen die mittlere indizierte Fläche ohne zu große Fehler ermitteln lässt.

Es wurden aber bei einer größeren Anzahl der Hauptversuche die Diagrammbündel gleichzeitig mit zwei Indikatoren, die an dem oben beschriebenen Doppelhahn saßen, abgenommen. Daher dürfte es zur Beurteilung des Indikators sehr lehrreich sein, zu wissen, wie sich in jedem Falle das durch Aufzeichnen erhaltene Mitteldiagramm des einen Indikators zu demjenigen des andern verhält. Bei 20 Versuchen wurde gleichzeitig mit einem Indikator von Schäffer & Budenberg, großes Modell, und mit einem Crosby-Indikator gearbeitet. Für jeden Versuch wurden die von beiden Indikatoren erhaltenen Mitteldiagramme über einander gezeichnet. Für die Mehrzahl der so erhaltenen Diagrammpaare ist das in Fig. 18 abgebildete Diagrammpaar von Versuch 10 bezeichnend. Die von den beiden Indikatoren aufgeschriebenen Kompressionslinien fallen bis etwa zum letzten Zehntel des Hubes genau zusammen. Im letzten Zehntel weichen sie ein wenig von einander ab (öfter herrscht auch hier volle Ueber-



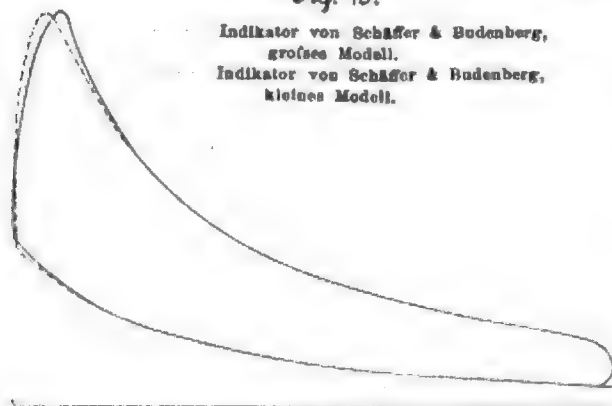
einstimmung). Die Expansionslinien fallen von $\frac{2}{10}$ Hub bis zum Ende des Hubes fast immer genau zusammen. Während der sichtbaren Verbrennung und bei Beginn der Expansionslinie findet dagegen eine Uebereinstimmung in der Regel nicht statt. Der Indikator von Schäffer & Budenberg eilt hier vielmehr dem andern nach. Dass während der sichtbaren Verbrennung der Gang der beiden Indikatoren nicht ganz übereinstimmt, ist nach den obigen Betrachtungen über die Massenwirkungen zu erwarten; immerhin lassen sich aber so große Abweichungen, wie sie hier z. B. bei Versuch 10 vorliegen, aus der Massenwirkung nicht erklären, und vor allem findet dadurch die Abweichung während des ersten Teiles der Expansion keine Erklärung. Man könnte daran denken, dass die Pressungen unter den beiden Indikatoren, d. h. in den beiden Zweigen des Doppelhahnes, vielleicht nicht gleich waren; allein es zeigte sich kein Unterschied, wenn man die Indikatoren auf ihren Sitzen vertauschte. Ferner war bei den bisherigen Betrachtungen das Vor- oder Nachteilen der Indikatortrummel, die ja auch Massenwirkungen aufweist, unberücksichtigt geblieben. Leicht ließe sich das scheinbare Nachteilen im Diagramm des großen Indikators dadurch erklären, dass etwa die Trummel des Crosby-Indikators infolge zu schwacher Anspannung der Trommelfeder nachleilt. Allein dann müssten Änderungen in der Anspannung der Trommelfeder auch eine Änderung der gegenseitigen Lage der beiden Diagramme hervorrufen; d. h. spannte man die Trommelfeder des einen Indikators schwach, diejenige des andern stark, so müsste das Diagramm des letzteren nachleiten, und würde hierauf umgekehrt beim ersten stark, beim zweiten schwach gespannt, so müsste das Diagramm des ersten nachleiten. Bei einer Reihe sorgfältiger Versuche, die bei oftmals geänderter Anspannung der Federn angestellt wurden, war aber überhaupt keine Änderung in der gegenseitigen Lage der Diagramme bemerkbar, sodass also die obige Erklärung von der Hand zu weisen ist. Man muss daher annehmen, dass in den oberen Lagen die Reibungswiderstände beim großen Indikator wesentlich größer waren als beim Crosby-Indikator, und dass sie das Nachleiten des großen Indikators hervorriefen. Daneben könnten auch Durchbiegungen des Schreibhebels, mangelhafte Geradführung des Schreibstiftes usw. mit zur Erklärung beitragen. Aber auch diese Ueberlegungen würden ergeben, dass es bei einem Indikator weniger auf

kleine Massen, als vielmehr auf die sorgfältigste, Reibung, toten Gang, Verbiegungen usw. nach Möglichkeit ausschließende Ausführung ankommt.

Bei weiteren 16 Versuchen wurden die Diagramme gleichzeitig mit einem Indikator von Schäffer & Budenberg, großes Modell, und mit einem Indikator der gleichen Firma, kleines Modell, abgenommen. Für das Verhalten der Mehrzahl der Diagrammpaare bezeichnend sind hier die auf einander gelegten Mitteldiagramme des Versuches 58, Fig. 19. Sie zeigen, dass auch hier die Kompressionslinien beider Indikatoren bis

Fig. 19.

Indikator von Schäffer & Budenberg,
großes Modell.
Indikator von Schäffer & Budenberg,
kleines Modell.



gegen Ende des Hubes bis auf Versuchsfehler mit einander übereinstimmen, und dass ebenso in den Expansionslinien etwa von $\frac{2}{10}$ des Hubes ab Übereinstimmung herrscht. Während der sichtbaren Verbrennung und während des ersten Teiles der Expansion eilt aber wieder der große Indikator dem kleinen nach. Die von dem kleinen Indikator aufgezeichneten Diagramme scheinen daher denjenigen des Crosby-Indikators zu entsprechen¹⁾.

¹⁾ Die vorliegenden Untersuchungen können nicht als abgeschlossen gelten. Außere Umstände hinderten mich jedoch daran, sie weiterzuführen.

Schließlich ist noch ein Vergleich der Mittelwerte der positiven indizierten Mittelspannung p_{i+} , wie sie von beiden Indikatoren gleichzeitig ermittelt wurden, von größtem Interesse. Unter den 20 Versuchen, bei denen der große Indikator von Schäffer & Budenberg und der Crosby-Indikator gleichzeitig arbeiteten, waren es drei Versuche, bei denen einer von beiden Indikatoren, wie deutlich zu erkennen war, fehlerhafte Diagramme aufschrieb. Bei den Versuchen 15 und 16 nämlich zeigte der große Indikator in ausgeprägter Weise, wie oben anlässlich der Fig. 16 besprochen, toten Gang, da sich offenbar die Ueberwurfmutter, die die Kolbenstange mit dem Verbindungshebel s vereinigt, selbstständig gelöst hatte. Bei Versuch 22b dagegen wies der Crosby-Indikator toten Gang auf. Hier weichen daher die Angaben von p_{i+} des einen Indikators von denjenigen des andern um 6,4, 3,9 und 3,4 vH ihres Wertes ab. Schaltet man diese Versuche aus, so bleiben noch 17 Versuche übrig. Bei 7 Versuchen gab der eine Indikator Werte von p_{i+} an, die sich um 0 bis 1 vH ihres Betrages von denjenigen des andern Indikators unterschieden; bei 5 Versuchen lagen die Abweichungen zwischen 1 und $\frac{1}{2}$ vH, bei dreien zwischen $1\frac{1}{2}$ und $2\frac{1}{2}$ vH und ebenso bei dreien zwischen $2\frac{1}{2}$ und 3 vH.

Auch von den 16 Versuchen, bei denen gleichzeitig ein Indikator von Schäffer & Budenberg, großes Modell, und ein solcher, kleines Modell, arbeiteten, mussten zwei Versuche für den Vergleich ausgeschaltet werden, da hier ein Indikator deutlich toten Gang aufwies. Von den 14 Versuchen ergab die Hälfte in der Bestimmung von p_{i+} durch die beiden Indikatoren Abweichungen zwischen 0 und 1 vH, fünf zwischen 1 und 2 vH, und bei dreien lagen die Abweichungen über 2 vH. Die größte Abweichung betrug 2,6 vH.

Bildet man aus den Angaben beider Indikatoren je einen Mittelwert für p_{i+} , so würden die größten Abweichungen von diesen gemeinschaftlichen Mittelwerten für jeden Indikator 1,5 vH bzw. 1,3 vH des Mittelwertes betragen (unter Ausschaltung der offenbar fehlerhaften Diagramme mit totem Gang, die man aber bei einiger Sorgfalt im Indizieren wohl vermeiden kann). Ganz zuverlässig lässt sich also auch bei großer Sorgfalt die indizierte Arbeit einer Gasmaschine nicht bestimmen; wenn man in vielen Fällen einen Genauigkeitsgrad von 1 vH erreichen wird, so muss man doch in andern Fällen mit Fehlern von 2 bis 3 vH rechnen.

Die Weltausstellung in Paris 1900.

Hebemaschinen.

Von Kammerer, Charlottenburg.

(Fortsetzung von S. 1292)

VII. Steigbänder.

Der Einbau von Gallerien in Ausstellungshallen zur Vergrößerung der Grundfläche wird immer ein Aushülfsmittel von zweifelhaftem Wert sein, wenigstens bei Gegenständen größerer Abmessungen. Gallerien verdunkeln stets die Haupträume und werden nie in gleichem Umfang besucht wie ebenerdige Räume. In Paris war man infolge der begrenzten Größe des Ausstellungsfeldes gezwungen, sehr viele und sehr breite Gallerien einzubauen; namentlich ist dies in größtem Maße dort geschehen, wo es am wenigsten zulässig war, nämlich im Mittelbau der Dampfmaschinenhalle, sodass die Räume im Erdgeschoss sehr entwertet wurden. Man war sich von vornherein darüber klar, dass wenigstens umfassende Verkehrsmittel für den Besuch der Gallerien geschaffen werden mussten. Treppen konnten hierfür nur in begrenztem Umfange infrage kommen, da sie die ohnehin ermüdeten Besucher zu sehr anstrengen; Aufzüge hingegen waren für die geringe Hubhöhe von 8 m zu wenig leistungsfähig im Verhältnis zu ihren Anlage- und Unterhaltungskosten. Als sehr erwünschtes Aushülfsmittel erschienen dagegen die Steigbänder, welche damals bereits in einigen Warenhäusern in Paris und New York zur Einführung gekommen waren.

Die Ausstellungsleitung hatte daher einen Wettbewerb für Lieferung solcher Steigbänder ausgeschrieben. Dieser Wettbewerb war auf französische Werke beschränkt. Die Steigbänder sollten als Ausstellungsgegenstände betrachtet werden, sollten demgemäß an der Preisverteilung der internationalen Jury teilnehmen und Eigentum der Aussteller bleiben. Letztere waren hingegen berechtigt, eine Gebühr von 10 Centimes für jeden Fahrgast zu erheben. Die technischen Bedingungen des Wettbewerbes lauteten:

nutzbare Breite des Steigbandes	0,5 m
höchste Belastung	2 Gäste pro m
zulässige Geschwindigkeit	0,5 bis 0,6 m/sk
Hubhöhe	8 m
Steigung	1:3.

Aus diesen Abmessungen ergibt sich:

Bahnlänge	$8 \cdot 3 = 24$ m
höchste Last	$24 \cdot 2 \cdot 75 = 3500$ kg
höchster ideeller Verbrauch	$3500 \cdot \frac{0,6}{3} \cdot \frac{1}{75} = 10$ PS.

Im normalen Betrieb wird man mit 1 Gast pro m rechnen müssen, was einer Stundenleistung von $1 \cdot 0,6 \cdot 3600 = 2160$ PS.

2000 Gästen und einem ideellen Verbrauch von 5 PS entsprechen würde.

Hinsichtlich der Konstruktion war verlangt, dass das als Fahrbahn dienende endlose Band zwischen vollen und glatten Seitenwänden mit festen Randbohlen laufen sollte. Als Geländer musste ein endloser Wulst von gleicher Geschwindigkeit wie die Fahrbahn verwendet werden, der weich und sauber blieb und nur seine obere Hälfte frei lief. Der Betrieb sollte durch Elektromotoren erfolgen, und zwar geräuschlos. Motor und Triebwerk sowie alle geschmierten

- 2 Steigbänder Bauart Cance von Maseran & Sabrou (vorm. Olry & Granddemange); bereits in Betrieb im Warenhaus La Samaritaine,
- 5 Steigbänder Bauart Leblanc von Leblanc in Paris,
- 5 „ „ „ „ Reno von Cail; bereits in Betrieb in New Yorker Warenhäusern.

Der Grundgedanke dieser Steigbänder — Verwendung der für Getreidetransport längst bekannten Förderbänder als Personentransportmittel — erscheint sehr einfach; der flüchtige Beobachter wird daher leicht zu der Annahme verführt,

Fig. 127 und 128.

Steigband, Bauart Hallé.

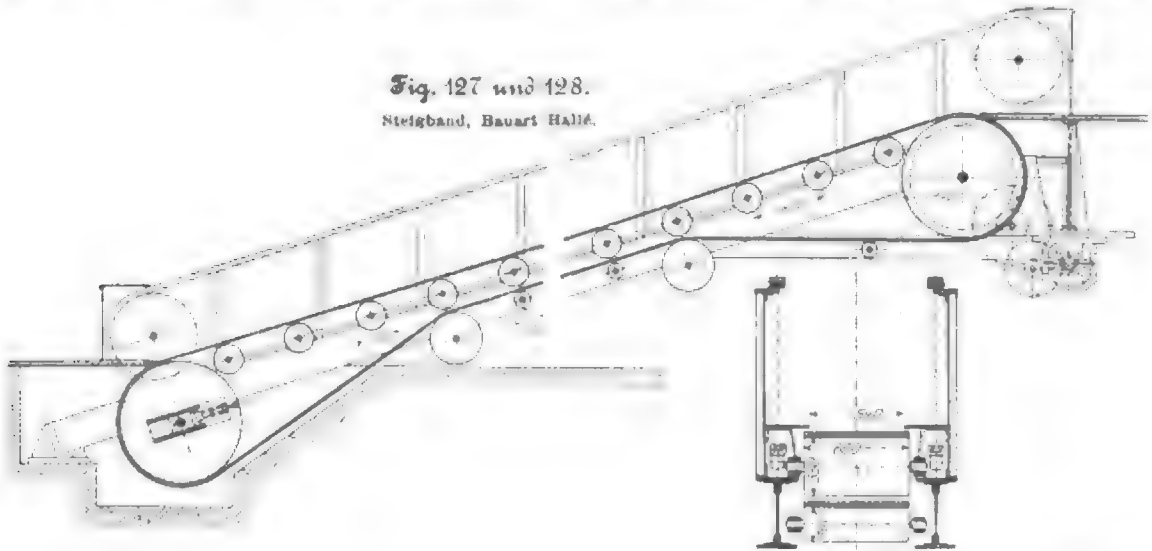
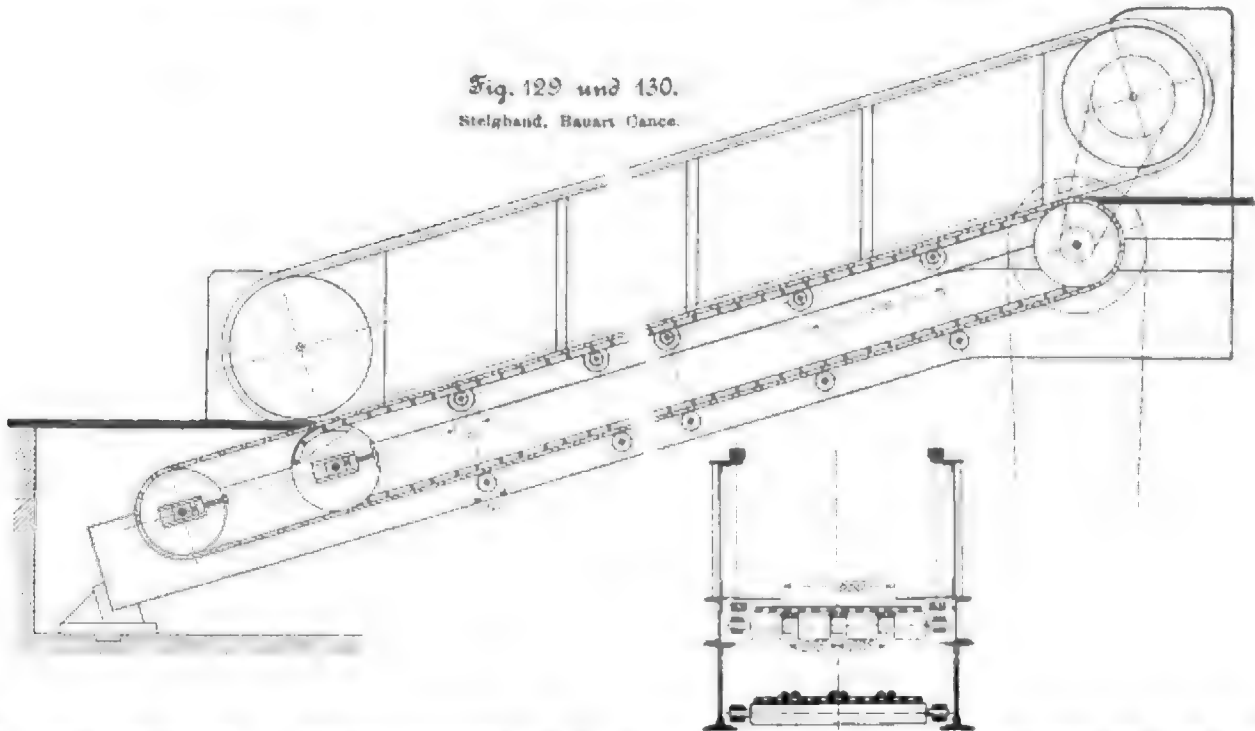


Fig. 129 und 130.

Steigband, Bauart Cance.



Teile sollten außerhalb des Bereiches der Fahrgäste liegen, dem Monteur aber gut zugänglich sein. Der Rücklauf sollte durch ein geräuschloses Gesperre verhindert sein. Alle vorspringenden Teile, alle Spalten und dergleichen mussten sorgfältig vermieden werden, um Festhaken von Damenkleidern zu verhüten.

Das Ergebnis dieses Wettbewerbes war die Aufstellung von 29 Steigbändern. Davon sind ausgeführt:

- 17 Steigbänder Bauart Hallé von Piat in Paris; bereits in Betrieb im Warenhaus Louvre,

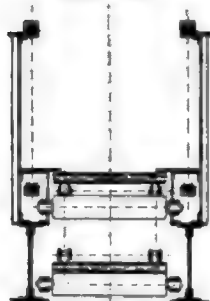
die konstruktive Durchführung dieses Gedankens bietet keine sonderlichen Schwierigkeiten. Dem ist aber keineswegs so.

Während bei Förderung von körnigem Material eine gleichmäßig verteilte Last entsteht, ergibt der Personentransport Einzelasten in sehr ungleichmäßiger Verteilung. Ist daher in ersterem Fall ein schmiegsames Gummiband von 10 bis 15 mm Dicke vollständig ausreichend, so muss in letzterem Falle entweder ein sehr steifes Band mit entsprechend großem Trommeldurchmesser gewählt werden, oder es muss für eine künstliche Versteifung des Bandes ge-

sorgt werden, welche wiederum den Uebergang über die Trommeln nicht erschwert, oder es müssen die Stützrollen sehr nahe an einander gerückt werden. Eine weitere Schwierigkeit liegt darin, dass die zahlreichen Stützrollen und die etwa verwendeten Kettengelenke über die ganze Fahrbahn verteilt sind, und zwar in schräg aufsteigender Linie, sodass die Zugfähigkeit zu ihnen weit schlechter ist als bei den wagerechten und völlig freiliegenden Getreidetransportbändern. Die fortdauernd gute Schmierung ohne Ueberwachung und ohne Belästigung der Fahrgäste durch tropfendes Öl bereitet ebenfalls beträchtliche konstruktive Schwierigkeiten.

Fig. 131.

Stiefband Bauart Leblanc;
Querschnitt.

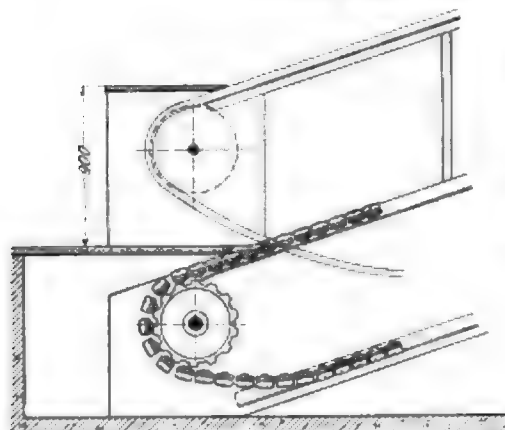


Um eine gute Uebersicht über die Einzelheiten der verschiedenen Ausführungen zu gewinnen, ist in der folgenden Besprechung eine Gliederung nach den wesentlichen Maschinenteilen durchgeführt.

Band und Trommeln. In einfachster Ausführung erscheint das Band bei Bauart Hallé, Fig. 127 und 128, das im Warenhaus »Grands Magasins du Louvre« seit einigen Jahren in

Fig. 132 und 133.

Stiefband, Bauart Reno.



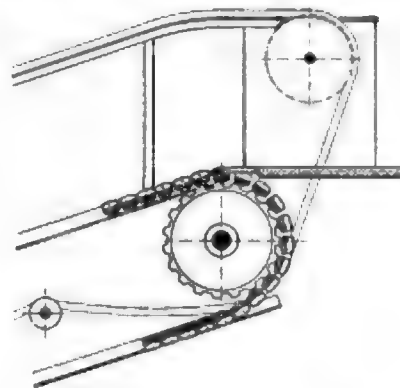
Betrieb ist: es besteht aus hochkant gestellten Lederstreifen von 24 mm Breite, die zu einem Bande von 600 mm Breite zusammengeklüft sind. Benutzt wird hiervon eine Breite von 540 mm, die Ränder sind durch feste Bohlen abgedeckt. Die Stiefheit dieses Bandes erfordert Trommeln von sehr großem Durchmesser, 1400 mm, gegenüber den Bauarten mit gelenkigen Bändern, die durchschnittlich mit 500 mm Trommeldurchmesser ausgeführt sind. Die Kraft wird von der Trommel auf das Band bei der Bauart Hallé naturgemäß nur durch Reibung übertragen.

Bei der Bauart Cance, Fig. 129 und 130, wird ebenfalls Leder verwendet, aber in Form von Gliederriemen. Die Quersteifigkeit wird hierbei durch die Stahlbolzen der Glieder erreicht, welche den Gliederriemen in ganzer Breite durchdringen. Die Längsteifigkeit dagegen fehlt dem Riemen an sich, muss daher ersetzt werden durch 3 Gallsche Ketten mit sehr langen Gliedern (133 mm), welche das Band an der Unterseite stützen und gleichzeitig die Kraft von der gesahnten Trommel mit 500 mm Dmr. auf das Band übertragen. Das Band ist 1000 mm breit und an den Seiten abgedeckt, sodass eine Breite von 650 mm frei bleibt.

Gallsche Ketten erscheinen als tragendes Element auch bei der Bauart Jules Leblanc, Fig. 131. Die beiden Ketten sind durch Walzenstäbe mit Holzbelag verbunden, auf welchen eine Linoleumdecke ruht. Die Quersteifigkeit wird durch die genannten Stäbe gewährt, die Längsteifigkeit

ist sehr gering; die Stützrollen müssen sehr dicht an einander gerückt werden. Die Trommeln sind durch je ein Paar Kettenräder ersetzt, welche die Kraft von der Achse auf die Gallschen Ketten übertragen.

Im Gegensatz zu den bisher genannten Ausführungen werden bei der amerikanischen Bauart Reno, Fig. 132 und 133, die in New Yorker Warenhäusern mehrfach in Betrieb ist, nicht festliegende, sondern wandernde Stützrollen verwendet. Das Band besteht aus Holzstäben von 100 mm Breite, 30 mm Stärke und 600 mm Länge, die an ihren Enden Stützrollen von 60 mm Dmr. tragen. Diese bestehen aus Hartgummi, um trotz ihrer 200 Umdrehungen geräuschlosen Lauf zu sichern. Als Laufbahn für die Rollen dienen polierte Winkelseisen. Längs- und Quersteifigkeit dieser Bahn sind vorzüglich; erstere wird durch die in 100 mm Entfernung liegenden Stützrollen, letztere durch die starren Holzstäbe gewonnen. Das Band ist bis auf 500 mm Breite abgedeckt. Die Kraft wird durch eine unterhalb Bandmitte liegende Gliederkette übertragen, die hier jedoch nicht das Band zu stützen hat, sondern vielmehr von dem Bande getragen wird. Die Trommeln werden durch die gebogenen Schienen der Stützrollen ersetzt; es ist daher nur ein einziges Kettenrad von 660 mm Dmr. für den Antrieb der Zugkette erforderlich. Ein weiterer Gegensatz zu den andern Konstruktionen findet sich in dem Belag der Holzstäbe, der



nicht aus einer zusammenhängenden Decke, sondern aus einzelnen Gummiklötzen besteht. In die Lücken zwischen diesen Klötzen greifen am oberen und unteren Bandende die Zähne eines Metallkammes ein, sodass jeder Spalt zwischen Band und Boden beseitigt ist. Diese Konstruktion erscheint etwas bedenklich für Damenkleider; Versuche ergaben aber, dass ein lose aufgelegtes Tuch anstandslos über die Zähne des Kammes hinweg glitt.

Stützrollen. Bei der Bauart Hallé werden Stützrollen von 350 mm Dmr. in 650 mm Abstand für das belastete Bandtrum und Rollen von 100 mm Dmr. in gleichem Abstand für das leere Trum verwendet. Die Stützrollen sind ebenso wie die Endtrommeln glatt cylindrisch gestaltet.

Die bedeutend kleineren Stützrollen der Bauart Cance von 150 mm und 120 mm Dmr. liegen in größerem Abstand (800 mm) und tragen bei dem belasteten Trum drei eingedrehte glatte Rillen für Auflagerung der Gallschen Ketten.

Bauart Reno benutzt, wie erwähnt, eine große Zahl wandernder Stützrollen von 60 mm Dmr. in 100 mm Abstand.

Die Spannvorrichtung muss verhindern, dass sich das vollbelastete Band zwischen den Stützrollen zu sehr durchbiegt, darf aber andererseits bei wenig belastetem Band nicht allzu große Reibungswiderstände verursachen; sie muss daher etwas nachgiebig sein.

Bei Bauart Hallé genügen zwei Spannschrauben mit Pufferfedern für die in Gleitlagern angeordnete untere Trommel, um dem Bande stets genügende Spannung zu geben.

Bei der Bauart Cance werden zwei Spannvorrichtungen verwendet, eine für den Gliederriemen und eine für die Stützketten. Es sind demgemäß zwei untere Trommeln angeordnet, von denen die äußere glatt cylindrische den Gliederriemen aufnimmt, während die innere gerillte die Stützketten trägt. Beide Trommeln liegen in Gleitlagern mit Spannschrauben.

Bei Bauart Leblanc wird das untere Kettenradpaar durch Pufferfedern gespannt, ähnlich wie bei Hallé.

Ohne Spannvorrichtung arbeitet das Steigband von Reno, da Durchbiegungen bei ihm ohnehin ausgeschlossen sind. Die Länge wird einfach durch Herausnehmen von Gliedern eingestellt.

Geländer. Der bewegliche Geländerstreifen ist bei Bauart Hallé als endloses geschlitztes Gummirohr hergestellt, das den nach oben gewendeten Fuß eines hochstegigen T-Eisens umfaßt und auf ihm gleitet. Der Gummistrang ist mit Plüsch überzogen.

Bei Bauart Cance finden sich Geländerstreifen aus 100 mm

langen Holzgliedern, besetzt mit einem biegsamen Bande und in einer Walzeisenrinne gelagert.

Leblanc hingegen benutzt als Geländerstreifen Gallsche Ketten, die in Rinnen laufen und mit kleinen Holzstücken ohne Ueberzug besetzt sind.

Bauart Reno endlich zeigt als Geländerstreifen Ketten aus schmiedbarem Guss, die sich in hölzernen Rinnen bewegen und von einem Π -förmigen mit Plüsch bezogenen Gummistrang überdeckt sind.

Am unteren Ende kommt der Geländerstreifen bei allen Ausführungen einfach aus einem Schlitz in einer wagerechten Ebene heraus. Am oberen Ende bewegt sich bei Bauart

Fig. 134 und 135.

Steigband der Otis Elevator Co.

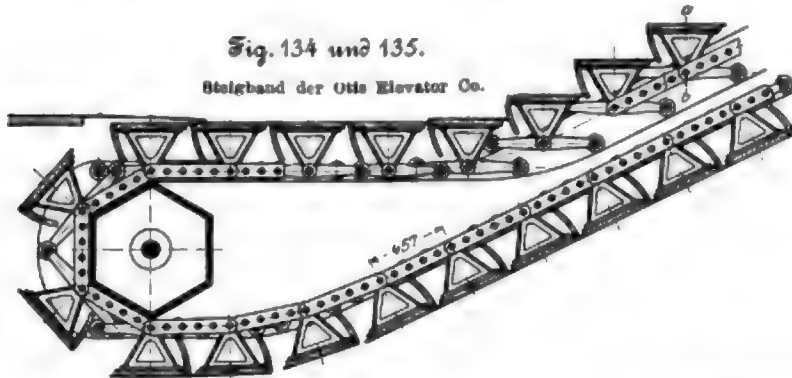
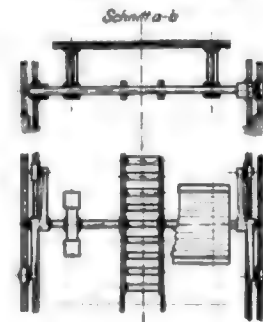
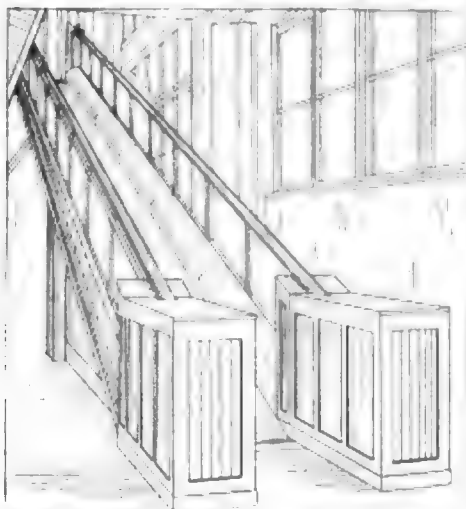
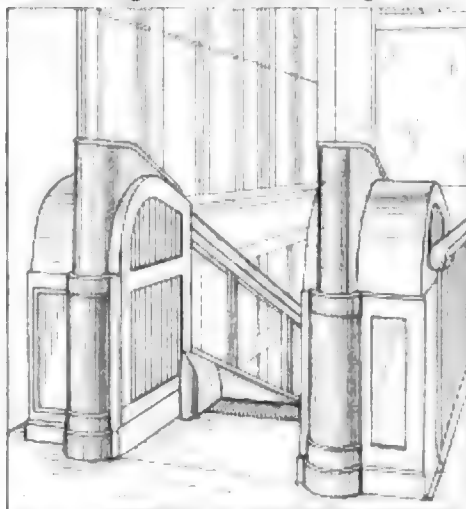


Fig. 136 und 137.

Steigband von Unruh & Liebig.



Reno der Geländerstrang erst ein wenig nach abwärts und verschwindet dann in dem Schlitz einer wagerechten Ebene. Bei Hallé und Cance dagegen verschwindet der Strang zwischen zwei aufrecht stehenden glatten Metallwänden, deren wulstiger Rand als feststehendes Geländer dient.

Antrieb. Die einzige konstruktive Unbequemlichkeit, welche die Anordnung des der gleichmäßigen Geschwindigkeit wegen sonst einfachen Antriebes bietet, ist in der großen Uebersetzung zu finden, die zwischen Elektromotorwelle und Trommel eingebaut werden muss. Am größten wird die Uebersetzung bei der Bauart Hallé — $\frac{8}{1200} = \frac{1}{150}$ —, da diese den größten Trommeldurchmesser erfordert. Diese Uebersetzung ist mit drei Stirnräderpaaren bewältigt.

Bei Bauart Cance ist eine Uebersetzung $\frac{19}{900} = \frac{1}{45}$ ausgeführt, und zwar mittels Riemens, Stirnradpaars und Gliederkette. Letztere bezweckt die Aufstellung des Motors in gut zugänglicher Lage.

Leblanc verwendet Schneckenantrieb, um geräuschlosen Gang zu sichern.

Der Antrieb der Scheibe, welche den Geländerstreifen fasst, erfolgt bei allen Ausführungen mittels eines Räder- oder Kettentriebes von der oberen Trommel aus.

Gerüst. Die Unterstützung der Fahrbahn wird stets aus zwei Längsträgern gebildet, die meist als volle Blechträger, bei Reno als Gitterträger ausgeführt sind. Die Seitenschwellen zur Deckung der Bandränder sind meist aus glattem Blech, die Seitenwände aus Glasplatten, die Endstücke aus glatten Metallwänden hergestellt, sodass nirgendwo Vorsprünge oder Spalten entstehen, was für die Betriebssicherheit mit Rücksicht auf die für jeden Maschinenbetrieb höchst unzweckmäßigen Frauenkleider sehr wesentlich ist. Holzkonstruktionen sind der geringen Abmessungen wegen, die sie hier haben müssen, zu feuergefährlich; Metallkonstruktionen sind daher durchweg bevorzugt, auch bei solchen Gerüstteilen, bei denen Festigkeitsrücksichten nicht dazu Veranlassung geben.

Zieht man vom maschinentechnischen Standpunkt aus einen Vergleich zwischen den vier in der Ausstellung vertretenen Bauarten, so erscheint als weitaus einfachste die von Hallé, da sie nur ein einfaches Band ohne Kette verwendet; freilich weist sie auch die geringste Quer- und Längsteifigkeit des Bandes auf. Den Gegenpol hierzu bildet die Bauart Reno, die nur eine Holzstabbrette ohne Band benutzt und vollkommene Steifigkeit der Fahrbahn sowohl längs wie

quer besitzt, aber ihrer vielen Stützrollen wegen mit den meisten beweglichen Teilen belastet ist. In der Mitte zwischen diesen Gegensätzen liegen die Konstruktionen Cane und Leblanc, die aus einer Zusammenstellung von Band und Kette bestehen und ausreichende Quersteifigkeit aufweisen, während die Längsteifigkeit weniger vollkommen ist. Hinsichtlich der Anzahl der beweglichen Teile — Stützrollen und Gelenke — halten sie ebenfalls die Mitte zwischen Hallé und Reno.

sind auf zwei Gussstücken gelagert, die starr mit einer Treppenstufe verschraubt sind. Wenn nun die Schienen so geführt sind, dass die Achsen dieser vier Rollen stets in einer gemeinschaftlichen wagerechten Ebene bleiben, so muss die Oberfläche der Treppenstufen natürlich auch immer eine wagerechte Ebene bilden. Man hat es ferner durch geeignete Biegung der Schienen in der Hand, zunächst eine wagerechte Landungsstrecke aus den Stufenflächen zu bilden,

dann ein allmähliches Aufsteigen der Stufen zu bewirken, damit der Fuß seine Stellung berichtigen kann, und nun in gleichförmigem Aufstieg die Aufwärtsbewegung auszuführen. Am oberen Ende geht die schräge Bewegung wieder allmählich in eine wagerechte über, sodass auch hier eine sichere Landungsstrecke entsteht.

Der Antrieb ist in der Weise ausgeführt, dass je zwei Stufen durch zwei Laschen von 450 mm Teilung gelenkig verbunden sind, in die 6 Bolzen von 38 mm Dmr. in 76 mm Teilung so eingesetzt sind, dass eine fortlaufende Sprossenstange entsteht. Sie wird von einem Getriebe in der Nähe des oberen Endes ergriffen. An den Enden des Steigbandes läuft die Laschenkette über je eine sechskantige Trommel, wie sie bei Elmerbaggern vorkommen. Die beweglichen Göländerstränge sind in gleicher Weise wie bei den Steigbländern gestaltet.

Die Ausführung ist sowohl hinsichtlich Materials als hinsichtlich Genauigkeit ausgezeichnet. Die Schienen bestehen aus Hartholz mit Gummilunterlage, die Wanderrollen aus Rohhaut mit eisernen Flanschen, mit Bronzebüchsen und mit Grafit schmierung. Die Stufen sind

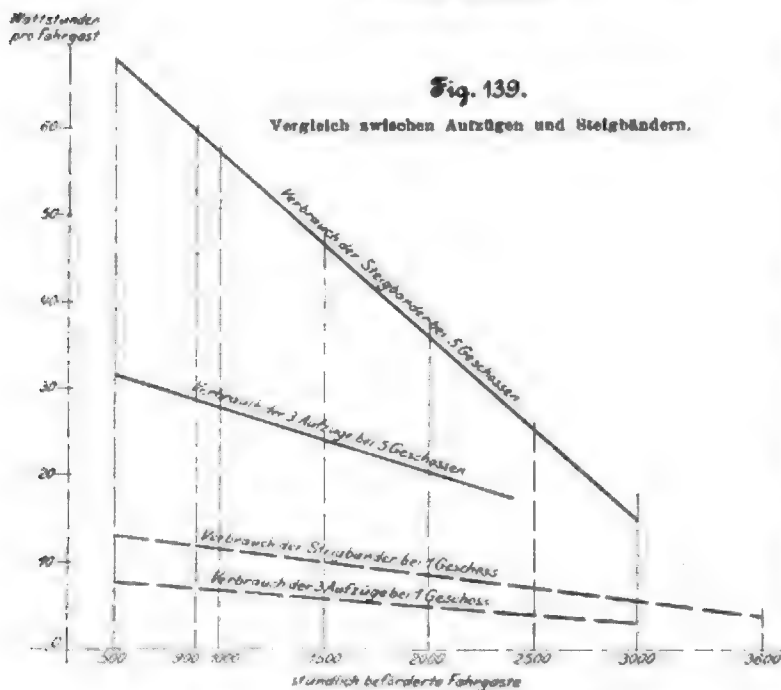
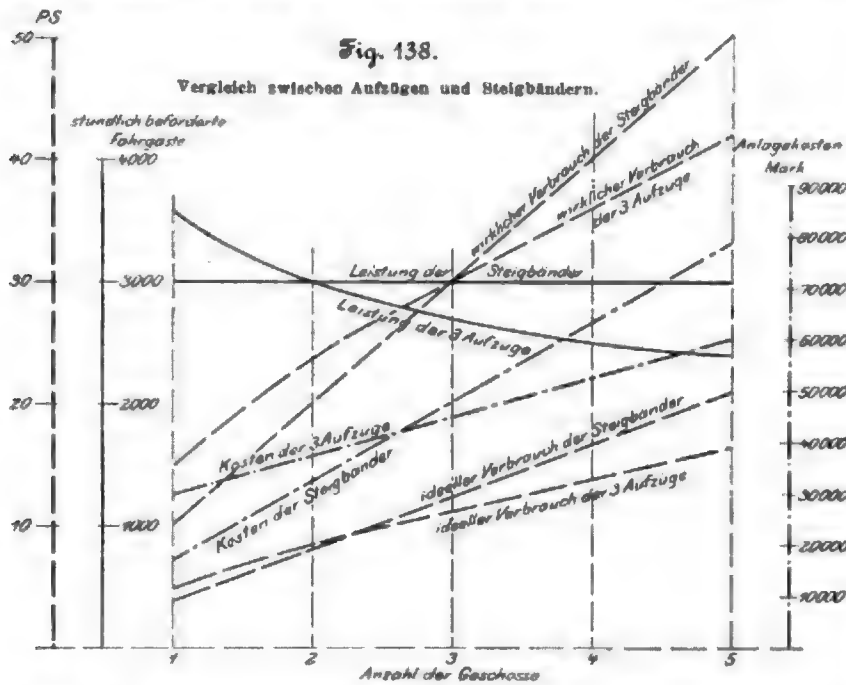
aus vierkantig geschnittenem Eichenholz mit Eisengerippe hergestellt. Die Teilung der Laschenkette soll auf $\frac{1}{10}$ mm genau sein, der Spielraum zwischen den Stufen und den Glasplatten des Göländers soll 1 mm betragen. Solche Genauigkeit dürfte zur Erzielung ruhigen Ganges der zahlreichen beweglichen Teile auch notwendig sein.

Die Steigung ist mit 1:2 ausgeführt, gegenüber 1:3 bei den glatten Steigbländern; eine Raumsparnis ist hierdurch aber doch nicht erzielt, da die wagerechten Landungsstrecken die Ersparnis wieder aufheben. Ob die bedeutend verwickeltere und kostspieligere Konstruktion gegenüber den wesentlich einfacheren und gleich leistungsfähigen glatten Bändern Aussicht auf Einführung in die Praxis hat, darf füglich bezweifelt werden.

An diesen Bericht über die in der Ausstellung vertretenen Ausführungen darf wohl die Bemerkung gefügt werden, dass im Warenhaus Wertheim in Berlin ein von der Maschinenfabrik Unruh & Liebig in Leipzig ausgeführtes Steigband seit mehreren Monaten in Betrieb ist. Die Ausführung stimmt in ihren Einzelheiten mit der Bauart Hallé überein. Fig. 136 und 137 geben ein klares Bild davon.

Es liegt nun die Frage sehr nahe, für welche Betriebe Steigbänder den Vorzug vor Aufzügen verdienen. Dass Steigbänder nur für lebhaften Verkehr geeignet sind — wie er in Warenhäusern zu finden ist —, liegt auf der Hand. Namentlich werden Bänder da vorzuziehen sein, wo es sich nur um ein Geschoss handelt, wie in der Ausstellung. Einen sicheren Aufschluss über die wirtschaftlichen Grenzen giebt indessen nur ein vollständig durchgeführter Vergleich zwischen Aufzug und Steigband.

Für diesen Vergleich sollen folgende Grundlagen gewählt werden:



Außerhalb des für französische Aussteller veranstalteten Wettbewerbs war in der amerikanischen Abteilung der Textilgruppe von der Otis Elevator Company ein Steigband eigentümlicher Konstruktion ausgestellt, Fig. 134 und 135. Während alle andern Ausführungen ein glatt durchlaufendes Band verwenden, bilden hier bewegliche Treppenstufen die Fahrbahn. Ermöglicht ist dies durch Anwendung von vier Schienen, auf denen Wanderrollen laufen. Je vier Rollen

Drei neben einander liegende Aufzüge sollen für je 10 Fahrgäste pro Aufzug, also für je 300 kg Tragkraft gebaut sein. Die durch Ein- und Aussteigen unten und oben entstehende Pause soll jedesmal 10 sk betragen. Die Hubgeschwindigkeit soll 0,75 m/sk bei Aufzügen für eine Geschosshöhe, 1,25 m/sk für drei Geschosse und 1,75 m/sk für fünf Geschosse bei Durchfahrt ohne Anhalten betragen, entsprechend guten modernen Ausführungen. Die Geschosshöhe soll zu 5 m angenommen werden. Aus diesen Grundlagen ergeben sich dann ohne weiteres die Werte für Leistungsfähigkeit, Stromverbrauch und Anlagekosten der Aufzüge. Mit dieser Ausführung ist eine Steigbandanlage zu vergleichen, die für gleiche Geschosshöhen eingerichtet ist und mit 0,6 m Bandbreite und 0,6 m/sk Geschwindigkeit arbeitet.

Kosten pro Fahrgast
in Pfennigen

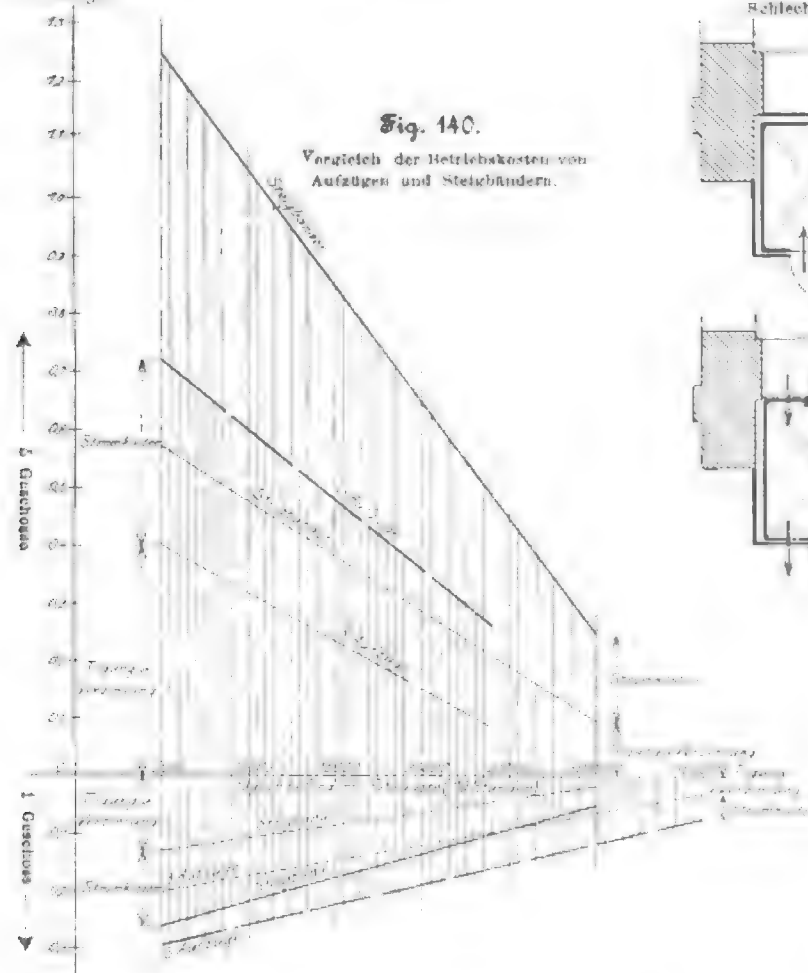


Fig. 140.

Vergleich der Betriebskosten von
Aufzügen und Steigbändern.

Die so erhaltenen Werte sind in den Diagrammen Fig. 138 und 139 zusammengestellt.

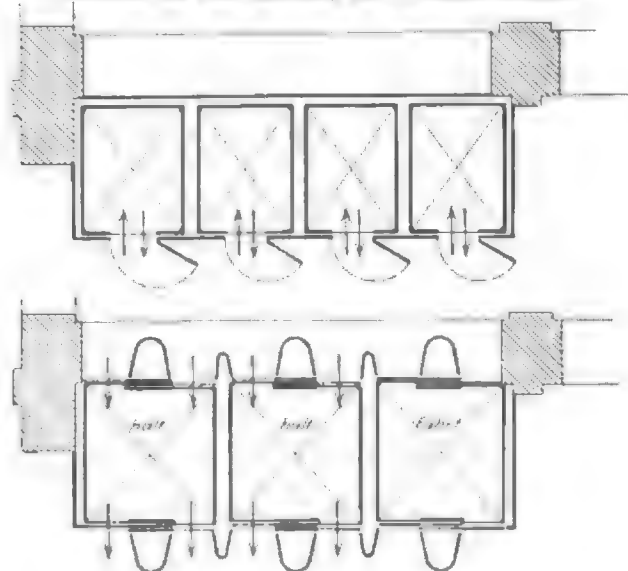
Fig. 138 stellt zunächst den Einfluss der Geschoszahl unter Voraussetzung vollen Betriebes dar; zu der Geschoszahl als Abszisse sind jedesmal als Ordinate aufgetragen: die gesamte Leistungsfähigkeit, der gesamte Stromverbrauch und die Anlagekosten aller Aufzüge und Steigbänder. Die Leistungsfähigkeit der Bänder ist naturgemäß unabhängig von der Geschoszahl; die Leistungsfähigkeit der Aufzüge sinkt selbstverständlich mit zunehmender Geschoszahl. Der Stromverbrauch ist bei Steigbändern derselbe wie bei Aufzügen, wenn drei Geschosse bedient werden. Bei weniger als drei Geschossen sind Steigbänder, bei mehr als drei Geschossen sind Aufzüge günstiger. Die Anlagekosten stellen sich ebenfalls bei dreigeschossigen Anlagen gleich hoch für Bänder und Aufzüge; darunter sind wieder Steigbänder, darüber Aufzüge vorteilhafter. Dabei ist jedoch immer voller Betrieb

vorausgesetzt. Schließlich ist noch von Interesse der Wirkungsgrad, d. h. das Verhältnis des nutzbaren Energieverbrauches, gemessen in gehobenen Fahrgästen, zu dem wirklichen Energieverbrauch, gemessen an der Elektromotorwelle. Dieser Wirkungsgrad ist sowohl für Steigbänder wie für Aufzüge stets = 0,4.

In Fig. 139 ist der Einfluss der Belastung auf den Stromverbrauch pro Gast zur Anschauung gebracht; zu der Zahl der Fahrgäste für eine Stunde ist als Ordinate aufgetragen der Stromverbrauch für den einzelnen Gast, und zwar einmal für ein fünfgeschossiges und dann für ein eingeschossiges Gebäude. Es zeigt sich, dass in beiden Fällen bei starkem Betrieb Aufzüge und Steigbänder gleichen Stromverbrauch pro Gast haben; bei schwachem Betrieb sind dagegen Auf-

Fig. 141 und 142.

Schlechte und gute Anordnung von Warenhaus-Aufzügen.



züge um so günstiger, je größer die Geschoszahl ist.

Fig. 140 endlich giebt einen Ueberblick über die gesamten Betriebskosten, die sich aus dem Betrag für Tilgung und Verzinsung und aus dem Betrag für Stromverbrauch zusammensetzen. Für Bedienung würde ein gleicher Zuschlag für beide Anlagen zu rechnen sein, da Steigbänder erfahrungsgemäß doch auch einer steten Aufsicht bedürfen, um Unfälle bei denjenigen weiblichen Fahrgästen zu verhüten, die sich an das neue Verkehrsmittel noch nicht gewöhnt haben. Als Grundlagen für den Vergleich sind angenommen: 10 vH für Besitzkosten, 10stündiger Tagesbetrieb bei 300 Betriebsstagen und 0,20 M pro KW-st. Für eine fünfgeschossige Anlage sind die Förderkosten

bei Steigbändern unter allen Umständen höher als bei Aufzügen, namentlich bei schwachem Betriebe; bei eingeschossiger Anlage dagegen sind Steigbänder stets günstiger, auch bei verhältnismäßig schwachem Betriebe. Selbstverständlich werden die Förderkosten von örtlichen Verhältnissen stark beeinflusst, die sich einem allgemeinen Vergleich entziehen. Die nach oben aufgetragenen Ordinaten gelten für eine fünfgeschossige, die nach unten aufgetragenen für eine eingeschossige Anlage.

Aus dieser Gegenüberstellung geht hervor, dass für Hoch- und Untergrundbahnhöfe Steigbänder jedenfalls geeigneter sind als Aufzüge, weil dort starker Betrieb während wenigstens 6 Tagesstunden eintritt; für Warenhäuser dagegen wird sich eine aus Steigbändern für die unteren Geschosse und aus Aufzügen für die oberen Geschosse gemischte Anlage empfehlen, wobei die Steigbänder nur zu gewissen Tages- und Jahreszeiten in Betrieb gehalten werden.

Bei diesem Vergleich muss darauf hingewiesen werden,

dass die bisher übliche Gestaltung der Aufzüge zwar dem Gasthausbetrieb, aber keineswegs dem Warenhausbetrieb angepasst ist. Trotzdem in den letzten Jahren umfangreiche Aufzuganlagen für Warenhäuser ausgeführt worden sind, hat man es ganz verstimmt, die aus dem Bahnhofsbetrieb längst bekannten Grundsätze für Massenverkehr auf Warenhausaufzüge anzuwenden. Diese Grundsätze sind:

- 1) Trennung von Eingang und Ausgang,
- 2) Unterteilung der Zugänge,
- 3) Vermeidung der raumsperrenden Klappthüren.

Von alledem hat man bisher nichts zur Anwendung gebracht; man hat sich begnügt, die üblichen Hotelaufzüge mit

nur einer einzigen Thür, und zwar einer Klappthür, in mehreren Exemplaren neben einander zu stellen, Fig. 141. Die Folgen davon sind: Stauung der ein- und aussteigenden Gäste, Ueberfüllung infolge der Unmöglichkeit, die Klappthür rechtzeitig zu schließen, Belästigung der Fahrgäste durch das unvermeidliche Gedränge und bedeutende Herabsetzung der Leistungsfähigkeit. Fig. 142 zeigt klar, dass diese Uebelstände mit geringen Mitteln zu beseitigen wären, wobei die Leistungsfähigkeit der Aufzüge gegenüber den bisher ausgeführten schablonenmäßigen Aufzuganlagen wesentlich gesteigert werden könnte.

(Fortsetzung folgt.)

Mehrspindlige Werkzeugmaschine mit drehbarem Aufspanntisch von Bopp & Reuther in Mannheim¹⁾.

Auf S. 1753, Jahrgang 1900 dieser Zeitschrift beschrieb ich eine liegende, von Demoor in Brüssel gebaute Bohrmaschine, bei welcher gegenüber der einzigen Arbeitsspindel ein um seine lotrechte Achse drehbarer Aufspannkopf angebracht ist. Man bezweckt damit Zeitersparnis, indem ein bearbeitetes Werkstück weggenommen und ein in Arbeit zu nehmendes aufgespannt werden kann, während ein drittes Werkstück bearbeitet wird.

Ich habe inzwischen die in der Überschrift genannte Maschine kennen gelernt, die sich vor der Demoorsche durch das Vorhandensein mehrerer Arbeitsspindeln auszeichnet, sodass die Werkstücke, ohne umgespannt zu werden, nach einander verschiedenen Werkzeugen dargeboten werden können.

Fig. 1 und 2 zeigen als Beispiel eine Ausführungsform einer solchen Maschine im Auf- und Grundriss. Es ist angenommen, dass eine Reibahle ein Loch zu glätten und ein Gewindebohrer in dieses Loch Gewinde zu schneiden hat. Die beiden liegenden Arbeitsspindeln befinden sich einander gegenüber, und zwischen ihnen ist der Aufspannkopf *k* angebracht. Dieser ist im Querschnitt etwa quadratisch und enthält an jeder seiner vier Seiten schraubstockartige Einspannvorrichtungen für die Werkstücke *u*. Er lässt sich auf der wagerechten, in lotrechter Richtung einstellbaren Platte *a* drehen und nach jeder 90° betragenden Drehung gegenüber *a* feststellen. Die beiden Spindelstöcke *b* und *c* sind mittels Schrauben, die von den Spindeln aus angetrieben werden, längs des Maschinenbettes zu verschieben. Diese Verschiebungen werden in beiden Richtungen selbstthätig begrenzt. Vor dem Spindelstock *b* liegt eine mit Stellringen versehene Steuerstange *d*, welche den Antrieb der betreffenden Schraube an den Hubenden umsteuert, und zwar so, dass das Verschieben gegen das Werkstück langsam, das Zurückziehen des Werkzeuges rasch erfolgt. Die vor dem Spindelstock *c* belegene Steuerstange *e* kehrt selbstthätig die Drehrichtung der zugehörigen Arbeitsspindel um. Es wirkt nämlich *e* auf einen Umfaller, der unter Vermittlung eines Winkelradpaares die röhrenartige stehende Welle *f* dreht. Diese Welle bewirkt die Umsteuerung am Deckenvorgelege. Sowohl jene, wie auch diese Umsteuerung kann mittels der Hand ausgeführt werden; die betreffenden Handhaben dienen auch zum Stillstellen der den Spindelstock *b* verschiebenden Schraube und der in *c* gelagerten Arbeitsspindel. In der Regel hat der Arbeiter nur die Werkstücke auszuwechseln und den Aufspannkopf um 90° zu drehen. Da hierfür nur eine Seite des Aufspannkopfes frei zu sein braucht, so lässt sich ein drittes Werkzeug ohne weiteres hinzufügen, wie in Fig. 2 durch

gestrichelte Linien angedeutet ist. Auch lässt sich, wenn man dem Aufspannkopf mehr als 4 Seiten giebt, eine größere Zahl von Werkzeugen anbringen.

Man erkennt, dass diese Reuthersche Maschine in einer Hinsicht das Umgekehrte der Drehbank mit Stahlwechsel ist,

Fig. 1.

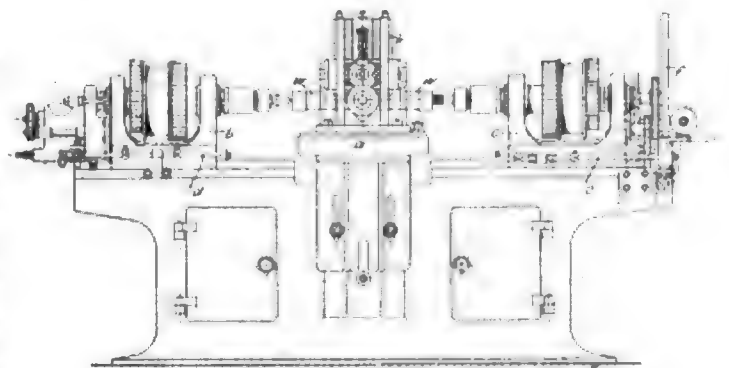
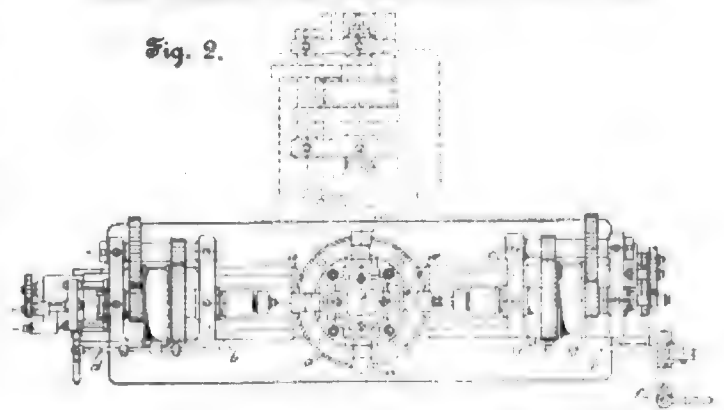


Fig. 2.



aber die wesentliche Neuerung enthält, dass gleichzeitig mehrere Werkzeuge arbeiten. Sie hat Vorgängerinnen, z. B. in zusammengelegten Bohrmaschinen mit lotrechten Spindeln¹⁾, erweitert aber die Verwendung des diesen Maschinen zugrunde liegenden Gedankens und dürfte für die Bearbeitung größerer Mengen mancher Werkstücke von erheblichem Vorteil sein.

Hermann Fischer.

¹⁾ D. R. P. Nr. 115315 von C. Reuther.

¹⁾ Vergl. The Iron Age, 21. März 1895 S. 587 m. Schaubild. Herm. Fischer, Werkzeugm. Bd. 1, S. 385.

Sitzungsberichte der Bezirksvereine.

Eingegangen 16. März 1901.

Aachener Bezirksverein.

Sitzung vom 6. Februar 1901.

Vorsitzender: Hr. Lynen, Spitzer H. Savelsberg.
Schriftführer: Hr. Treutler.

Anwesend 48 Mitglieder.

Die Versammlung genehmigt, dass der Vorsitzende dem langjährigen Mitgliede Hr. Arbenz zu seinem 70. Geburtstage die Glückwünsche des Vereines ausspricht.

Nachdem alsdann geschäftliche Angelegenheiten erledigt sind, spricht Hr. Sichel über die Unfallversicherung, ihre Erfolge und ihre Neugestaltung nach dem Gesetz vom 30. Juni 1900.

Darauf spricht Hr. Brauser über die Genehmigungspflicht für Ueberhitzeranlagen.

Die allgemeinen polizeilichen Bestimmungen über die Anlage von Dampfkesseln vom 5. August 1890 finden nach § 22 keine Anwendung auf Ueberhitzer. In der Praxis hat sich deshalb bisher die Auffassung geltend gemacht, dass für die Anlage von Ueberhitzern überhaupt keine Genehmigungspflicht besteht. Dass im Aachener Bezirk infolgedessen häufig Gefahren für das Leben der Kesselwärter oder für die Umgebung entstanden seien, kann nicht behauptet werden. Der ersten Auffassung tritt aber ein Erlass des Hrn. Ministers für Handel und Gewerbe vom 12. März 1900 entgegen, worin es heisst: »Der nachträgliche Einbau eines Dampfüberhitzers in eine genehmigte Dampfkesselanlage ist vielmehr, je nach der Beschaffenheit des Ueberhitzers, als eine wesentliche Veränderung der Bauart oder der Betriebsstätte des Kessels anzusehen und bedarf nach § 25 der Gewerbeordnung der Genehmigung durch die zuständige Behörde.«

Es können nun hauptsächlich folgende Fälle eintreten:

- 1) Der Ueberhitzer wird bei einer Neuanlage zugleich mit dem Dampfkessel aufgestellt;
- 2) der Ueberhitzer wird in eine bereits genehmigte Anlage eingebaut;
- 3) ein Ueberhitzer wird gesondert von einer Kesselanlage aufgestellt und durch eigene Feuerung geheizt.

Im ersten Falle ist der Hersteller des Kessels in der Regel zugleich auch der Erbauer des Ueberhitzers. In wenigen Fällen wird der Ueberhitzer von andern Firmen geliefert. Der Ueberhitzer wird zugleich mit dem Kessel genehmigt und ebenso geprüft. Im zweiten Falle wird die gemeinschaftliche Prüfung des Ueberhitzers und der Kesselanlage nur dann stattfinden, wenn die Genehmigung des Kessels aufgrund des § 8 der Anweisung betreffend die Genehmigung und Untersuchung der Dampfkessel vom 8. März 1900 wiederholt werden muss. Andernfalls genügt es, einen Nachtrag zur bestehenden Genehmigung des Kessels bezüglich des Ueberhitzers zu beantragen. Dann kann sich die Prüfung auf den Ueberhitzer beschränken und besteht in der Regel in einer Prüfung mittels Wasserdrukkes. Im dritten Falle, wenn also der Ueberhitzer gesondert von einer Kesselanlage aufgestellt wird, ist weder eine Prüfung, noch eine Genehmigung erforderlich. Es wird aber in der Regel eine Prüfung mittels Wasserdrukkes für zweckmäßig gehalten und auch ausgeführt. Jedenfalls aber ist dies der seltenste Fall, weil ein Ueberhitzer im allgemeinen einer bestehenden Kesselanlage zur Ergänzung dienen soll.

Wie es sich nun bei engrohrigen Siederrohrkesseln trotz des § 1 der allgemeinen polizeilichen Bestimmungen als das Zweckmäßigste herausgestellt hat, werden auch bei Ueberhitzern nur nahtlose Rohre oder Rippenrohre aus widerstandsfähigem Guss verwandt, wobei namentlich die Rücksicht auf die höheren Temperaturen maßgebend zu sein scheint. Der § 2 der allgemeinen polizeilichen Bestimmungen findet in der Regel keine Berücksichtigung. Rohre aus Stahlguss sind sehr zu empfehlen, namentlich wenn sie, wie bei Schwirerischen Ueberhitzern, mit inneren und äußeren Rippen versehen sind.

Gewöhnliches Gusseisen hält der Redner auch für die Dampfrohrleitung nicht für verwendungsfähig, viel weniger zur Herstellung der eigentlichen Ueberhitzerrohre. Hierbei sollten die Vorschriften der vom Verein deutscher Ingenieure aufgestellten Normen für hohen Druck¹⁾ überall beachtet werden. Nur mit der dazu vorgeschlagenen Art der Prüfung mittels Wasserdrukkes unter Anwendung des Hammers ist der Vortragsende nicht vollständig einverstanden.

Was die Armaturteile am Ueberhitzer anbetrifft, so genügt außer den Dampfabsperrenten ein Sicherheitsventil, ebenso ein Ablassventil am tiefsten Punkte, damit man vor dem Anheizen das kondensierte Wasser ablassen kann, was sich als

sehr nützlich erwiesen hat. Anstelle des Sicherheitsventiles ist in einigen Fällen ein einfaches selbstthätiges Rückschlagventil eingeschaltet, das bei Eintritt einer höheren Spannung, oder wenn der Ueberhitzer abgesperrt ist, eine höhere Spannung als im Kessel nicht zulässt. Ist es möglich, den Ueberhitzer vom Kessel und von den Heizgasen abzusperren, dann sind natürlich auch Zugklappen zu empfehlen, die beim Ausschalten des Ueberhitzers geschlossen werden müssen.

Was den Nutzen der Ueberhitzer anbetrifft, so ist es unbestritten, dass sie bei solchen Anlagen, die angestrengt betrieben werden müssen, wo also die Geschwindigkeit der Heizgase groß ist, vorteilhaft wirken. Bei Anlagen, wo die Heizgase Zeit genug haben, ihre Wärme an den Kessel abzugeben, wird der Vorteil der Ueberhitzer fraglicher, und es kann nur von Fall zu Fall beurteilt werden, ob und welchen Nutzen sie haben.

In der Erörterung bemerkt Hr. Kintzle, dass es unrichtig sei, Gusseisen schlechthin zu verwerfen. Die am weitesten verbreitete Art von Ueberhitzern ist gerade aus Gusseisen gebaut, und der Aachener Hütten-Aktion-Verein hat alle seine Kessel mit diesen Ueberhitzern ausgestattet. Es ist also wichtig, gerade die Erfahrungen festzustellen, die mit Gusseisen gemacht worden sind, und da ist zu bemerken, dass, als im Jahre 1897 die erste Ueberhitzeranlage an zwei Kesseln probeweise eingeführt werden sollte, abgesehen von den Angaben der bauenden Firma bei den Besitzern derartiger Anlagen eingehende Erkundigungen eingelegt wurden. Uebereinstimmend waren die Erfahrungen so günstig, dass man jedes Bedenken fallen lassen musste. Seither sind noch weitere 54 Kessel mit gusseisernen Ueberhitzern versehen worden, und die guten Erfahrungen haben sich durchaus bestätigt. In der ganzen Zeit ist nur einmal ein Bruch entstanden, und zwar ein Querriß durch den ganzen Querschnitt des Rohres, ein Beweis, dass Gusseisen schlechthin nicht zu verwerfen sein kann. An Ueberhitzern mit eigener Feuerung ist viermal ein Riß entstanden, und zwar jedesmal in der Längsrichtung der Rohre. Niemals aber ist hierbei irgend eine explosionsartige Erscheinung aufgetreten. Es ist zu bemerken, dass die sämtlichen Kessel Zweiflammrohr-Kessel sind, und dass die Ueberhitzer unmittelbar hinter den Flammrohren liegen. Von Flammen werden sie wohl niemals getroffen. Dass also Gusseisen für Ueberhitzer bei Kesseln ohne Bedenken Verwendung finden kann, ist zweifellos; ob für Ueberhitzer mit eigener Feuerung, mag zweifelhaft bleiben.

Wichtig ist, dass das Gusseisen der Rohre von besonderer Güte ist; trotzdem aber bleibt es Gusseisen. Desgleichen ist zu betonen, dass die Rohre durch Rippen inwendig und auswendig wesentlich verstärkt sind.

Der Redner regt an, dass sich die Aufsichtsbeamten der Regierung mit den Kessel-Ueberwachungsvereinen zusammenhelfen, um an erster Stelle die Erfahrungen, die bis heute mit Ueberhitzern gemacht worden sind, sowie alle tatsächlichen Ergebnisse zu sammeln. Aufgrund dieser Untersuchungen lassen sich dann gemeinschaftlich mit der Praxis Normen feststellen, die der ganzen Technik förderlich sein werden.

Eingegangen 26. März 1901.

Berliner Bezirksverein.

Sitzung vom 6. Februar 1901.

Vorsitzender: Hr. Krause. Schriftführer: Hr. Kammerer.
Anwesend rd. 350 Mitglieder und Gäste.

Der Vorsitzende teilt mit, dass zwei Mitgliedern hohe Auszeichnungen zuteil geworden seien. Hrn. Riedler durch die Berufung zum Mitgliede des Herrenhauses¹⁾, Hrn. Müller-Breslau durch seine Wahl zum Mitgliede der Akademie der Wissenschaften²⁾. Er erbittet den Auftrag, den Genannten die Glückwünsche des Bezirksvereines auszusprechen, und seine Absicht findet die lebhafteste Zustimmung der Versammlung.

Darauf spricht Hr. Prof. Dr. van't Hoff (Gast) über Zinn, Gips und Stahl vom physikalisch-chemischen Standpunkte.

In der sich anschließenden Erörterung macht Hr. Frank darauf aufmerksam, dass die Untersuchungen van't Hoff's Aufschluss über die Entstehung der Salzlager gegeben und deren technische Verwertung ermöglicht haben. Auf dem Gebiet der Metalllegierungen sei zwar früher eine große Zahl von Einzelerfahrungen bekannt gewesen, aber die Kenntnis des Gesetzes, das diese verknüpft, habe gefehlt. Die Forschungen van't Hoff's seien der Kompass auf diesem bisher führerlosen Gebiet geworden.

¹⁾ S. Z. 1901 S. 142.²⁾ S. Z. 1901 S. 215.³⁾ S. Z. 1900 S. 1481.

Darauf fragt Hr. Marggraff, ob das beim Biegen von englischem Stangenstahl hörbare Knistern mit einer Veränderung des Gefüges in Verbindung stehe. Hr. Heyn antwortet, dass bei jeder Kaltbearbeitung von Metallen, also auch beim Biegen von Zinn, die großen Krystalle teils gestreckt, teils zerrissen werden. Knistern wird dann auftreten, wenn die Krystalle Neigung haben, zertrümmert zu werden.

Eingegangen 15. März 1901.

Frankisch-Oberpfälzischer Bezirksverein.

Sitzung vom 8. November 1900.

Vorsitzender: Hr. Weber. Schriftführer: Hr. Stich.
Anwesend 60 Mitglieder.

Nachdem eine Reihe geschäftlicher Angelegenheiten erledigt ist, spricht Hr. Q. Classen (Gast) über Gesteinsbohrmaschinen. In der sich anschließenden Erörterung teilt Hr. Rittershaus mit, dass er auf der Weltausstellung zu Paris weder unter den Luftbohrmaschinen, noch unter den elektrisch betriebenen etwas wesentlich Neues gefunden habe. Verschiedene der ausgestellten Maschinen entsprachen nicht den Bedingungen, die an solche Maschinen gestellt werden müssen. Auf eine Anfrage über die Leistungsfähigkeit der elektrischen Gesteinsbohrmaschinen gegenüber den mit Pressluft betriebenen erklärt Hr. Classen, dass nach den in einem dreijährigen Betriebe gemachten Erfahrungen die Leistungsfähigkeit einer elektrischen Maschine ungefähr dreimal so groß angenommen werden könne wie die einer Luftbohrmaschine von gleichem Kraftbedarf. Hr. Bissinger macht unter Hinweis auf die Erfahrungen, die beim Bau der Gotthard-Bahn mit Stofsmaschinen gemacht worden seien, darauf aufmerksam, dass die Drehmaschinen diesen gegenüber auch den Vorzug einer gesicherten Geradführung besäßen. Bei wechselnder Härte des Gesteins werden die von Stofsmaschinen hergestellten Löcher leicht krumm, sodass sich der Meißel schließlich festsetzt, und es haben sich hieraus namentlich bei dem Bau des Pfaffen-sprung-Tunnels solche Schwierigkeiten ergeben, dass man gezwungen war, zur Verwendung der Brandtschen mit Druckwasser betriebenen Drehbohrmaschine überzugehen. Die vorzüglichen Erfahrungen, die mit dieser Maschine gemacht wurden, gaben dann Veranlassung, sie auch beim Bau des Ariberg-Tunnels zu verwenden, wo sie sich in gleich guter Weise bewährt hat. Diese den Drehbohrern eigenen Vorzüge kommen natürlich auch den im Vortrage behandelten elektrischen Drehbohrmaschinen neben ihren sonstigen Vorzügen zu.

Auf eine Frage, ob beim Tunnelbau mehrere Bohrmaschinen gleichzeitig in Betrieb gesetzt werden können, oder ob es für jede Maschine eines besonderen Motors bedürfe, antwortet Hr. Classen, dass in der Regel mit 4 Maschinen gearbeitet werde, von denen je zwei an einer Spannstütze angeordnet sind; jede Maschine bedürfe aber eines besonderen Motors. Hinsichtlich des bei Gesteinsbohrmaschinen zulässigen Ungleichförmigkeitsgrades erklärt der Vortragende, dass die Gleichförmigkeit unwesentlich sei, und auf eine weitere Anfrage, ob man beim Bohren von ungleichmäßigem Gestein mit der Schuckert'schen Drehbohrmaschine die mögliche Bohrtiefe ganz ausnützen könne, ohne ein Verlaufen des Bohrers befürchten zu müssen, oder ob der Bohrer besonders geführt werde, bemerkt er, dass durch eine Führung des Verlaufs verhindert werde; die ungleichmäßige Härte des Gesteines könne aus dem Grunde nicht nachteilig wirken, weil ein hydraulischer Vorschub vorgesehen sei und die Unterschiede in der Härte des Gesteines durch die Elastizität der Pressflüssigkeit ausgeglichen würden.

Sitzung vom 22. November 1900.

Vorsitzender: Hr. Weber. Schriftführer: Hr. Utzinger.
Anwesend 43 Mitglieder und 2 Gäste.

Der Vorsitzende gedenkt des durch den Tod jäh aus seinem Wirkungskreise gerissenen Oberingenieurs des Bayerischen Gewerbemuseums Hrn. Schlenk. Die Anwesenden erheben sich von ihren Sitzen, um das Andenken des Verstorbenen zu ehren.

Darauf spricht Hr. W. A. Th. Müller (Gast) über das neue elektrische Dreirad der Elektrizitäts-Aktiengesellschaft vorm. Schuckert & Co.

Der Vortragende hebt hervor, dass für kurze Strecken und häufigen Betrieb leichte Wagen mit kleinen Batterien, denen natürlich eine gewisse Reserve nicht fehlen darf, die besten Ergebnisse liefern, selbst wenn der Stromverbrauch für das Tonnenkilometer höher ausfällt als bei schwereren Fahrzeugen; denn für die Betriebskosten ist der Stromverbrauch pro Wagenkilometer, nicht pro Tonnenkilometer ausschlaggebend. Große Wagen sollten nur für lange Strecken und

entsprechend wenige Fahrten gebaut werden. Man kann daher mit einer Wagenart nicht allen Ansprüchen gerecht werden; für jeden Sonderfall lässt sich vielmehr eine beste Wagengröße finden.

Das Dreirad der Firma Schuckert ist von einer Postdirektion probeweise für den Briefkastendienst bestimmt und hat dabei eine Strecke von 6 bis 7 km bei jeder Fahrt zurückzulegen. Die Versuche sollten feststellen, ob dieses Fahrzeug mit den jetzt in Betrieb befindlichen Tretreißern in Wettbewerb treten könne. Es galt also, ein Fahrzeug zu schaffen, das geringe Betriebs- mit niedrigen Unterhaltungskosten vereinigt. Dies konnte nur durch ein möglichst leichtes Fahrzeug erreicht werden. Das Wagengestell ist daher so konstruiert, dass möglichst nur Zug- und Druckbeanspruchung unter Vermiedung von Biegung vorkommt. Als Konstruktionsstoff dienen Stahlrohre von 0,5 bis 1,5 mm Wandstärke. Die Batterie ist möglichst tief zwischen den Hinterrädern angeordnet, damit die Standfestigkeit des Fahrzeuges gesichert ist, was dadurch ermöglicht wird, dass keine durchgehende Hinterachse vorhanden ist. Die Verwendung nur eines Lenkrades erspart die verwickelte Lenkvorrichtung der vierräderigen Wagen, wodurch Anschaffungskosten und Gewicht vermindert werden; auch kann man mit einem Dreirad die denkbar größte Lenkbarkeit erreichen. Es ist möglich, um ein nahezu feststehendes Hinterrad herumzufahren, d. h. der Krümmungsradius der kleinsten möglichen Kurve beträgt nur einige Zentimeter. In der Praxis hat sich gezeigt, dass die beim Durchfahren von Rinnen und Vertiefungen im Straßenpflaster auftretenden heftigen Stöße in lotrechter Richtung vom Wagengestell sehr elastisch aufgenommen werden. Das Gewicht des betriebsfähigen Fahrzeuges ist 382 kg. Als Nutzlast können 160 bis 200 kg befördert werden. Die Fahrgeschwindigkeit beträgt 16 km/st. Die Batterie besteht aus 24 Tudor Zellen der Akkumulatorenfabrik A.-G. in Berlin, von 18 Amp.-st Kapazität. Die mittlere Entladespannung ist 45 V. Zum Antrieb dient ein Schuckert'scher Hauptstrommotor AB 101 von 800 Uml./min und 1 PS, der in der Ebene nur mit 0,1 PS beansprucht wird. Der Fahrschalter hat 5 Stufen für Vorwärtsfahrt, 1 Halt-, 2 Brems- und 2 Rückwärtsstellungen. Der Stromverbrauch des beladenen Wagens beträgt 65 Watt-st pro km, woraus sich die Stromkosten zu 1,6 Pfg pro km bei einem schätzungsweise angenommenen Güterverhältnis der Batterie von 0,65 ergeben.

Eine im Fragekasten befindliche Frage, ob der Motor am Dreirad bei Thalfahrt zum Laden der Batterie verwendet werden könne, beantwortet der Vortragende dahin, dass dieser Forderung nur mit einem Nebenschlussmotor entsprochen werden könnte. Es dürfte sich jedoch nicht empfehlen, den geringen Energiegewinn zu willigen, da für solche Fahrzeuge außerordentlich zweckmäßigen Hauptstrommotor gegen einen Nebenschlussmotor auszuwechseln.

Sitzung vom 13. Dezember 1900.

Vorsitzender: Hr. Kieppel. Schriftführer: Hr. Stich.
Anwesend 55 Mitglieder.

Der Vorsitzende widmet dem jüngst verstorbenen Mitgliede Hrn. Goeschen einen kurzen Nachruf. Die Anwesenden ehren das Andenken des Toten durch Erheben von den Sitzen.

Nach Erledigung geschäftlicher Dinge spricht Hr. Knoke über Werkzeugmaschinen auf der Weltausstellung zu Paris¹⁾.

In der sich anschließenden Erörterung macht Hr. Wagner darauf aufmerksam, dass verschiedene deutsche Firmen schon seit längerer Zeit Schleifmaschinen zum Anschleifen von Büchsen u. dergl. herstellen, die ebenso wie die im Vortrage behandelte Maschine von Schmaltz²⁾ mit Planetenbewegung versehen sind. Eine solche Maschine ist in den 60er Jahren in den Nürnberger Zentralwerkstätten zur Aufstellung gelangt; auch in älteren Katalogen von S. Oppenheim & Co. in Hainholz sind schon solche Schleifmaschinen aufgeführt, die sich von den Schmaltz'schen Maschinen nur dadurch unterscheiden, dass die Spindel wagerecht statt lotrecht angeordnet ist.

Hr. Geiger bestätigt die Angaben des Hrn. Wagner und bemerkt, dass er in Paris eine ähnliche Maschine von der Firma Demor³⁾ in Brüssel gesehen habe. Ebenso sei die vom Vortragenden hervorgehobene seitliche Führung der Drehbankschlitten nicht neu, da seines Wissens die Dresdener Bohrmaschinenfabrik seit einigen Jahren Drehbänke baue,

¹⁾ Vergl. Z. 1900 S. 861 u. f.

²⁾ Z. 1901 S. 545.

³⁾ Z. 1900 S. 1753.

deren Schlitzen in der angegebenen Weise geführt seien. Die Erörterung beschäftigt sich des weiteren mit der Kirchner'schen Hobelmaschine¹⁾.

Eine dem Fragekasten entnommene Anfrage nach Fräsmaschinen, vermittels deren kleinere Zahnräder mit Innenverzahnung gefräst werden können, beantwortet Hr. Kapp dahin, dass die Räderfräsmaschinen von Brown & Sharp sich nach Anbringung einer geeigneten Hilfsvorrichtung auch zum Fräsen von innen verzahnten Rädern sehr gut verwenden lassen.

Eine weitere Frage lautet: Gelten die Honorarnormen des Vereines deutscher Ingenieure (bestigl. Beratungen, Gutachten, Anfertigung einzelner Zeichnungen usw.) auch für Arbeiten, die ein Ingenieur neben seiner Hauptberufstätigkeit als sogen. Nebenarbeiten ausgeführt hat? Dazu erwähnt Hr. Sieber, dass eine ausserhalb der regelmäßigen Beschäftigung eines Ingenieurs liegende Thätigkeit bzw. eine Mehrleistung besonders bezahlt werden müsse, und dass nach seiner Meinung in solchen Fällen die Honorarnormen platzgreifen. Hr. Müller berichtet über Erfahrungen, die er bei der vertragsmässig gestatteten Ausübung einer Nebenbeschäftigung gesammelt habe. Bei einem sich dabei ergebenden Streit über die Vergütung seien von einigen Gerichten die Normen als angemessen erachtet worden, doch sei die Sache noch nicht endgültig entschieden. Hr. Stich macht darauf aufmerksam, dass die Normen des Vereines deutscher Ingenieure nicht als Gebührensätze im Sinne des Gesetzes von den Gerichten anerkannt sind²⁾. Es stehe vielmehr in jedem Falle dem Gerichte frei, unter Zuziehung von Sachverständigen zu bestimmen, welcher Betrag angemessen sei, und zwar gelte dies auch hinsichtlich der von selbständigen Ingenieuren berechneten Gebühren. Bei dieser Sachlage verstehe es sich von selbst, dass bei Bemessung der Vergütung für die von einem angestellten Ingenieur ausgeübte Nebenbeschäftigung oder geleistete Mehrarbeit nicht ohne weiteres die Honorarnormen als bindend anzusehen sind. In Streitfällen werde vielmehr das angerufene Gericht den Betrag wahrscheinlich auch unter Berücksichtigung anderer Umstände, namentlich des Gehaltes des Betreffenden, bestimmen.

Sitzung vom 10. Januar 1901.

Vorsitzender: Hr. Wagner. Schriftführer: Hr. Stich.
Anwesend 33 Mitglieder.

Der frühere Vorsitzende, Hr. Weber, verliest den von dem Schriftführer verfassten Bericht über die Vereinsthätigkeit im abgelaufenen Jahre³⁾.

Darauf spricht Hr. Utzinger über Lichtstudien auf der Weltausstellung in Paris. Er bemerkt zunächst, dass Licht und Lampen auf einer Ausstellung zu studieren nicht leicht sei, da die Beleuchtungskörper für solche Zwecke meist aussergewöhnliche Ausführungen erhalten, das Licht aber in solcher Fülle aufgewendet wird, dass praktische Schlüsse nur schwer zu ziehen sind. Was die Bogenlampen betrifft, so war für den Fachmann nicht viel Neues zu sehen; wohl aber bot die Ausstellung Gelegenheit, aus der Litteratur bekannte Konstruktionen einmal in ihrer Ausführung zu Gesicht zu bekommen, und da hat der aufmerksame Beobachter ja manchmal sehen können, wie man es machen und nicht machen soll.

Nach kurzem Vergleiche der verschiedenen Lampen kommt der Vortragende auf die vorggeführten Neuerungen zu sprechen. Er erwähnt unter den Dauerbrandlampen die Jandus-Lampen, die in Einzelchaltung bei 220 V vorggeführt worden waren. Die hohe Spannung verursachte aber eine so stark violette Lichtausstrahlung, dass die Beleuchtung einen ungünstigen Eindruck machte. Von der Bremer-Lampe erläutert der Vortragende nur den Grundgedanken, kann aber praktische Ergebnisse nicht mittheilen, da der betreffende Ausstellungsraum während seiner Besuchszeit leer stand. Auf die Nernst-Lampe übergehend, bedauert er, dass ausser der glänzenden Ausstellung im Ehrensaale keine praktische Anwendung dieser Lampe vorggeführt wurde. Es wurde hier nur an zwei Lampen, einer mit äusserer Zündung und einer mit innerer elektrischer Vorwärmung, das Ein- und Ausschalten gezeigt. Die vorggeführten beiden Ausführungen scheinen in allen den Fällen, wo es sich darum handelt, oft rasch und auf kurze Zeit Licht zu haben, noch nicht geeignet, die gewöhnliche elektrische Glühlampe zu ersetzen. In den Fällen aber, wo die einmal eingeschaltete Lampe länger brennen soll, kann die grössere Sparsamkeit der Nernst-Lampe vorteilhaft ausgenutzt werden.

Auffällig findet der Vortragende die geringe Anwendung

der Holophanglocken für Bogenlampen, deren Vorteile vor einigen Jahren gerade von französischer Seite besonders hervorgehoben wurden. Es scheint, dass der bei vielen Versuchen in Deutschland empfundene Nachteil des leichten Verschmutzens der unebenen Oberflächen dieser Gläser neben dem hohen Preis einer weiteren Einführung hindernd in den Weg getreten ist. Bei der aussergewöhnlich reichhaltigen Ausstellung von Körpern für elektrische und Gasbeleuchtung in der Esplanade des Invalides hat jedoch das dioptrische Glas eine ausgedehnte Verwendung gefunden. Bei den Luxusleuchtern hat sich das elektrische Glühlicht gegenüber den Lichten mit offen brennender Flamme in bezug auf Feuer-sicherheit und Anpassungsvermögen glänzend bewährt. Ausführungen wie das »Palais lumineux«, das vollständig aus gläsernen Doppelwänden bestand, zwischen denen Glühlampen angebracht waren, sodass der ganze Bau von den Dachverzierungen bis zu den Geländersprossen und Treppenstufen selbstleuchtend schien, sowie die »Salle des Illusions«, wo tausende von Glühlampen die gewölbte Decke mit ihren Verzerrungen, die Säulen mit ihren Kapitellen, die ebenfalls aus farbigem Glase hergestellt waren, zum Leuchten brachten, sind nur mit geschlossenen elektrischen Glühlampen möglich.

Dem Acetylenlicht war ebenfalls Gelegenheit gegeben, sich sowohl in den Räumen der Esplanade in Gebrauchs- und Prunkleuchtern, wie längs den Ufern der oberen Seine in Strassenlaternen zu zeigen.

Im weiteren bespricht der Vortragende ein neues Gaslicht, das die Bezeichnung »Goldenes Kugellicht« führt. Diese Bezeichnung soll die gelbe Farbe im Gegensatz zu der grünlichen Gasglühlichtfarbe andeuten und ausserdem besagen, dass das Licht nach allen Seiten gleiche Leuchtkraft besitzt. Die letztere Eigenschaft ist dem Leuchtkörper durchaus nicht eigen, da er als nach oben kegelförmig verlaufender Glühstrumpf die grösste Leuchtkraft naturgemäss oberhalb der Wagerichten hat. Die Lichtverteilung ist durch eine der Schuckert'schen Wechselstromlampe sehr ähnlich ausgebildete Anordnung begünstigt; aber trotzdem ist die Leuchtkraft unter der Lampe nur etwa dreimal geringer als unter 45°.

Der Vortragende bedauert, dass die Ausstellung, die mit Ausnahme der Maschinenhalle, der Wirtschaften und der Parkanlagen bei Eintritt der Dunkelheit geschlossen wurde, wenig Gelegenheit bot, praktische Beleuchtungsanlagen vorzuführen. Ueber die wenigen Anlagen ist nichts Besonderes zu sagen; vielmehr erinnerte der teilweise schlechte Betrieb an die noch verhältnissmässig unvollkommenen Einrichtungen auf der elektrischen Ausstellung im Jahre 1882 in München. Eine selbst von Ausländern anerkannte Ausnahme bildete dagegen die Lichtanlage des Spatenbrunnens, die mit Schuckert'schen Einrichtungen ausgestattet war.

Wesentlich grösseren Wert scheinen die Pariser auf die dekorative Beleuchtung gelegt zu haben, und thatsächlich stand neben dem bereits erwähnten Palais lumineux und der Salle des Illusions sowie dem Haupteingange die Beleuchtung des Elektrizitätsgebäudes⁴⁾ bisher unerreicht da.

Zu den Lichtvorführungen zählt der Vortragende auch die Vorstellungen des Kinetographen im grossen Festsaal, unter denen die Wiedergabe der farbigen Photographien hervorzuheben ist. Diese Bilder, deren Herstellung sich bekanntlich auf den Young-Helmholtz'schen Dreifarbengrundsatz stützt, sind zum erstenmale von Gebr. Lumière in Lyon angefertigt und als Lichtbilder vorggeführt worden.

Weiter bespricht der Vortragende unter anderem das »Palais de l'optique«. Von den hier vorgzeigten Sehenswürdigkeiten erwähnt er nur ein tierisches Licht, wobei leuchtende Bakterien die Lichtträger sind, und das Riesenfernrohr, das ein Objektiv von 60 m Brennweite und 1,35 m Dmr. hat.

Zum Schlusse bespricht er die Strassenbeleuchtung der Stadt Paris und bemerkt, dass er aufgrund seiner photometrischen Helligkeitsbestimmungen gefunden habe, dass sowohl die Gas- als auch die elektrische Beleuchtung im allgemeinen derjenigen mancher kleineren deutschen Städte, so auch Nürnbergs, nachstehe.

In der sich anschliessenden Erörterung weist Hr. Bissinger darauf hin, dass die Verwendung der Elektrizität auf der Ausstellung in bezug auf den Umfang keineswegs den hochgepannten Erwartungen entsprach, die man nach den vorher gemachten Mittheilungen hegen durfte. Auffällig sei es gewesen, dass grosse Teile der Ausstellung, insbesondere das Marsfeld, fast durchweg mit Gasglühlicht beleuchtet waren, das nur eine mässige Helligkeit erzeugte. Die verhältnissmässig beschränkte Anwendung der elektrischen Beleuchtung kam auch darin sichtbar zum Ausdruck, dass stets ein Teil der grossen, von deutschen und ausländischen Firmen ausgestellt-

¹⁾ Z. 1900 S. 943.

²⁾ Verh. Z. 1901 S. 1076.

³⁾ Verh. Z. 1901 S. 735.

⁴⁾ S. Z. 1900 S. 901.

ten Dynamomaschinen sowie der zu ihrem Antrieb dienenden Dampfmaschinen außer Betrieb stand. Bezüglich der Pariser Straßenbeleuchtung bestätigt der Redner die Ausführungen des Hrn. Utzinger. Die Hauptstraßen erscheinen wohl sehr hell, doch muss dies hauptsächlich auf das aus Geschäften und Läden auf die Straße geworfene Licht zurückgeführt werden. In den Seitenstraßen ist es im allgemeinen ziemlich dunkel.

Hr. Utzinger macht auf die eigenartige Beleuchtung der Umriss des Eiffel-Turmes aufmerksam, die dessen Formen auch bei Nacht habe klar hervortreten lassen. Dieser wegen der Verkürzung durch die Perspektive zunächst überraschende Eindruck war auf entsprechende Bemessung der Lampenabstände zurückzuführen. Während nämlich die Lampen am Fuße des Turmes 0,75 m bis 1 m von einander entfernt waren, standen sie an den oberen Teilen weiter aus einander, an der Spitze z. B. in Abständen von rd. 2 m.

Hr. Ziem hat beobachtet, dass die Installation der elektrischen Beleuchtung auf der Ausstellung, die Aufhängevorrichtungen und Zuleitungen vielfach mangelhaft waren.

Hr. Rieppel bemerkt, dass er als Preisrichter längere Zeit in Paris gewohnt habe und vielfach mit den offiziellen Kreisen in Berührung gekommen sei. Aufgrund der hierbei gemachten Erfahrungen erkennt er das Entgegenkommen an, das die französischen Preisrichter und die sonstigen amtlich an der Ausstellung beteiligten Kreise den Ausländern und namentlich auch den Deutschen gegenüber bekundet haben. In gleichem Maße, wie die Franzosen bemüht gewesen sind, sich über die deutschen Industrieverhältnisse zu unterrichten, haben sie auch den Deutschen darin beigegeben, sich mit den einschlägigen französischen Verhältnissen vertraut zu machen.

Auch bezüglich der Preisverteilung giebt der Redner die Versicherung, dass wenigstens in den Abteilungen, in die er Einblick hatte, das zur Bestimmung der Preise angewendete Verfahren durchaus geordnet und gerecht gewesen sei. Alle Gegenstände wurden sorgfältig geprüft und der jeweils zuzuerkennende Preis durch Abstimmung ermittelt. Stets ist das Bestreben hervorgetreten, Ungerechtigkeiten auszugleichen, und es muss auch hier dem Wohlwollen und Entgegenkommen der französischen Mitglieder des Preisgerichtes, die zum meist hervorragende Persönlichkeiten gewesen sind, alle Anerkennung gezollt werden. Die Thätigkeit des Preisgerichtes hat allerdings sehr viel Zeit in Anspruch genommen.

Bezüglich der Eisenkonstruktionen müsse zugegeben werden, dass sie in architektonischer Hinsicht zumeist außerordentlich schön und wirksam gewesen sind. Ob sie allerdings in statischer Hinsicht gleich gut durchgebildet waren, kann, wenigstens in mehreren Fällen, zweifelhaft erscheinen. In der Klasse »Ingenieurwesen« sei neben der französischen namentlich die deutsche Abteilung hervorragend gewesen, während einige andere Länder, wie England und Amerika, hinter den Erwartungen zumteil zurückgeblieben seien. Sehr gut war hier Russland vertreten.

Auf eine dem Fragekasten entnommene Frage über den zum Betriebe der Stufenbahn erforderlichen Kraftbedarf bemerkt Hr. Rieppel, dass seines Wissens der Betrieb rd. 500 bis 600 PS erfordert habe. Hr. Hofmann ergänzt diese Angaben dahin, dass 172 Elektromotoren, jeder mit durchschnittlich 3 PS beansprucht, verwendet waren. Es wurde ermittelt, dass die Stufenbahn unbelastet rd. 220 KW und mit 14 bis 15000 Personen belastet rd. 330 KW erforderte, wobei die Geschwindigkeit der oberen Plattform 7 kmst betrug¹⁾.

Sitzung vom 24. Januar 1901.

Vorsitzender: Hr. Wagner. Schriftführer: Hr. Stich.
Anwesend 85 Mitglieder.

Hr. Weber verliest den Entwurf eines Glückwunschscheins, das der Mittelfränkische Architekten- und Ingenieurverein in Gemeinschaft mit dem Fränkisch-Oberpfälzischen Bezirksverein deutscher Ingenieure an Se. kgl. Hoheit den Prinzen Ludwig von Bayern anlässlich der Verteilung des Ehren-Doktors der technischen Wissenschaften durch die Technische Hochschule in München zu richten beabsichtigt. Die Versammlung beschließt, das Schreiben abzusenden und den Techniker-Verein als die Älteste Vereinigung von Maschinen-Ingenieuren in Nürnberg zur Teilnahme an der Kundgebung aufzufordern.

Nachdem darauf geschäftliche Angelegenheiten erledigt sind, spricht Hr. Richter über rotierende Dampfmaschinen und Dampfturbinen.

In den meisten Fabrikbetrieben, auf den Schiffen und vor allen Dingen bei der Erzeugung der elektrischen Energie wird nur drehende Bewegung verlangt, und unwillkürlich

muss jedem die Frage kommen, warum man den Dampf nicht von vornherein auf einen sich drehenden Körper wirken lässt. Eine technische Lösung der Frage der rotierenden Dampfmaschine ist schon in den 50er Jahren versucht worden, während die Anfänge auf das 16. und 17. Jahrhundert zurückgehen; doch sind wesentliche Erfolge erst in den letzten Jahren nachzuweisen. Unter rotierenden Dampfmaschinen versteht man einmal solche, in denen der Dampf unmittelbar auf einen sich drehenden Kolben drückt und ihn vorwärts treibt, und zweitens solche Krafsterzeuger, in denen der Dampf nach Art der Turbine ausgenutzt wird. Auf die erste Bauart geht der Redner nur kurz ein, da er nicht glaubt, dass sie in einiger Größe Anwendung finden könne, wenn auch derartige Dampfmaschinen von 10 bis 20 PS in Betrieb gewesen sein sollen.

Die Dampfturbine entspricht im wesentlichen der Wasserturbine. Man unterscheidet auch hier radiale und achsiale Turbinen, je nachdem der Dampf winkelrecht oder parallel zur Welle durch die Schaufeln tritt; ferner Druck- oder Aktionsturbinen und Ueberdruck- oder Reaktionsturbinen; doch sind die Unterschiede beim Dampf nicht so einfach wie beim Wasser. Der Grund dafür liegt in der Expansion des Dampfes. Ob man tatsächlich beim Dampf von einem Ueberdruck sprechen kann, dürfte zweifelhaft sein. Beide Ausführungsarten haben in den letzten Jahren viel von sich reden gemacht. Die reine Aktionsturbine ist bekannt als die Laval-Turbine, während die Parsons-Turbine als Reaktionsturbine betrachtet wird.

Der Vortragende geht auf das Wesen dieser beiden Turbinen näher ein und berichtet auch über Dampfverbrauchsversuche, die damit angestellt worden sind²⁾.

Der Dampfverbrauch könnte tatsächlich bei der Dampfturbine geringer sein als bei der gewöhnlichen Dampfmaschine: es giebt hier keinen schädlichen Raum, die schädliche Wechselwirkung der Temperaturen des ein- und des austretenden Dampfes, Undichtheit der Steuerteile und dergl. fallen fort. Wäre kein Spaltverlust vorhanden, so müsste der Dampfverbrauch den theoretisch möglichen nahezu erreichen, abgesehen von der unvermeidlichen Wärmestrahlung; die Expansion des Dampfes kann vollständig nach der Adiabate verlaufen. Der Dampfverbrauch kann jedoch nicht wesentlich geringer als der der Dampfmaschine werden, da der Wirkungsgrad bei den besten Kolbenmaschinen schon nahezu 80 vH erreicht hat.

Der Uebelstand der großen Umlaufzahl ist in dem geringen spezifischen Gewicht des Kraftträgers begründet. Man hat sich deshalb bemüht, das spezifische Gewicht zu vergrößern. Die Laval selbst versuchte es dadurch, dass er die Dampfspannung wesentlich erhöhte, und ging bei kleinen Ausführungen bis auf 200 at. Die Umlaufzahl der Turbine kann dabei nur dann vermindert werden, wenn der Dampf nicht bis zu seiner untersten Spannungsgrenze ausgenutzt wird, sondern mit wesentlich höherer Endspannung arbeitet. Ein anderer hat versucht, den Wasserdämpfen Quecksilberdämpfe zuzusetzen. Das hat sich aber nicht bewährt, weil es unmöglich war, die Quecksilberdämpfe nachher wieder auszuscheiden. Schließlich haben viele andere den Schaufeln besondere Formen gegeben, durch die sie hoffen, eine Verringerung der Umlaufzahl zu erreichen.

In der sich anschließenden Erörterung spricht Hr. Klnbach Zweifel daran aus, dass die Dampfturbine sich in der Praxis ein großes Feld erringen werde, da die hervorgehobenen Vorteile, wie geringe Raumbeanspruchung und mäßiger Preis, nach seiner Ansicht durch die Nachteile, insbesondere auch durch die voraussichtlich rasche Abnutzung der sich drehenden Teile, aufgehoben werden. Dann werde sich der Dampfverbrauch wesentlich ungünstiger gestalten, sodass sich auch nach dieser Hinsicht der Kolbenmaschine gegenüber, die namentlich bei Verwendung überhitzten Dampfes schon sehr günstige Ergebnisse liefert, kein erheblicher Vorteil herausstellen werde. Allerdings sei nicht zu verkennen, dass sich die Dampfturbine für manche Zwecke infolge ihrer eigentümlichen Bauart sehr eigne, und die deutsche Marine gehe mit dem Gedanken um, sie auf Schiffen zu verwenden.

Hr. Richter stimmt darin bei, dass der geringe Dampfverbrauch der Parsons-Dampfturbine sich dauernd nicht aufrecht erhalten lassen werde. Der Dampf werde vielmehr im Laufe der Zeit die Schaufeln angreifen, wodurch die Spaltweite vergrößert und der Dampfverbrauch unbedingt gesteigert werde.

Hr. Marx sr., der die in dem Elberfelder Elektrizitätswerk aufgestellten Dampfturbinen zu besichtigen Gelegenheit hatte, pflichtet den beiden Vorrednern bei. Er hält den mechanischen

¹⁾ Z. 1900 S. 934.

²⁾ Verh. Z. 1889 S. 607, 1895 S. 1189, 1897 S. 123 und 375, 1898 S. 31, 1900 S. 829 u. f., 1901 S. 825.

sehen Wirkungsgrad für sehr gering, und es dürften sich namentlich die Reibungsverhältnisse wesentlich ungünstiger gestalten als bei Kolbenmaschinen. Auch die Regulierungstrage scheint ihm noch nicht genügend geklärt. Nach den ihm zur Verfügung stehenden Mitteilungen solle sich bei der Verwendung von Dampfturbinen zum Betriebe von Elektrizitätswerken insbesondere die Parallelschaltung sehr schwierig gestalten.

Auf eine Anfrage bemerkt Hr. Richter, dass ihm von Explosionen bei Parsons-Turbinen noch nichts bekannt geworden sei, doch habe er von zwei Fällen der Explosion von de Laval-Turbinen gehört.

Hr. Wallem macht darauf aufmerksam, dass selbst bei einem etwas größeren Dampfverbrauch der Betrieb von Lichtanlagen mit Dampfturbinen sich wegen der geringeren Anschaffungskosten unter Umständen günstiger gestalten könne als der Betrieb mit Kolbenmaschinen; es steht daher nach seiner Ansicht der Dampfturbine als Betriebskraft für elektrische Lichtanlagen eine große Zukunft bevor, vorausgesetzt, dass die jetzt vorhandenen Schwierigkeiten bei der Regulierung beseitigt werden und dass die Instandhaltung nicht zu teuer wird. Der Redner hat dabei große Lichtanlagen im Auge, denen während kurzer Zeit, am Abend, eine große Leistung zugemutet werden muss. In solchen Fällen wird ungeachtet eines größeren Kohlenverbrauches die Dampfturbine doch günstiger arbeiten als die Kolbenmaschine, da die Gesamtkosten für Verzinsung, Abschreibung und Kohlenverbrauch geringer ausfallen.

Hr. Sieber ist der Ansicht, dass der Einfluss der Anschaffungskosten auf das Ertragnis elektrischer Kraftwerke wohl überschätzt werde. In einem Beispiel, das er anführt, übersteigen die Kosten der Kohlen und des Oeles die Abschreibungen um ein Mehrfaches.

Darauf entgegnet Hr. Wallem, dass er Lichtanlagen im Auge habe, bei denen die Verhältnisse wesentlich anders liegen als bei Straßenbahn-Kraftwerken, die der Vorredner vermutlich seiner Ausführung zugrunde gelegt habe.

Alsdann berichtet Hr. Sichelstiel über eine in einer Fabrik zur Herstellung von Aluminium-Brokat, d. i. durch Stampfen hergestelltes Metallpulver, vorgekommene Selbstentzündung, die zur Zerstörung des Gebäudes Veranlassung gegeben hat. Nach seiner Ansicht ist der Unfall darauf zurückzuführen, dass sich durch die Vermengung des Aluminiumpulvers mit reduzierenden Metalloxyden, als welches der an den Eisenteilen der Maschinen sich bildende Rost in Betracht komme, ein explosibles Gemisch gebildet habe, das durch Reibungselektrizität zur Entzündung gebracht worden sei.

Sitzung vom 14. Februar 1901.

Vorsitzender: Hr. Weber. Schriftführer: Hr. Stich.
Anwesend 40 Mitglieder und 2 Gäste.

Der Vorsitzende vorliest ein Schreiben des Hofmarschallamtes des Prinzen Ludwig von Bayern, worin der Dank für die dargebrachten Glückwünsche ausgesprochen wird.

Darauf spricht Hr. W. A. Th. Müller (Gast) über Motorwagenkonstruktionen in Theorie und Praxis.

Die Motorwagen werden im Gegensatz zu andern Fahrzeugen dadurch gekennzeichnet, dass sie den Triebkraftzeuger selbst tragen und unmittelbare Lenkbarkeit besitzen müssen. Aus der ersten Anforderung folgt ein größeres Gewicht, als es bei den durch Zugtiere fortbewegten Fahrzeugen die Regel ist. Da aber die Größe der Triebkraft vom Waugengewicht abhängig ist, so ergibt sich die Notwendigkeit, eine möglichst leichte Bauart des Wagens anzustreben. Der zweiten Anforderung der unmittelbaren Lenkbarkeit entsprechen die verschiedenen Lenkvorrichtungen¹⁾.

An Einzelheiten bespricht der Redner insbesondere die Bedeutung der Federung und der elastischen Radreifen, sowie die verschiedenen in Gebrauch befindlichen Kraftübertragungseinrichtungen. Ein für den Motorwagenbau sehr wichtiger Ge-

sichtspunkt ist die richtige Gewichtverteilung, die in Hinsicht auf die Adhäsion, den Kraftverbrauch und die Lenkfähigkeit von wesentlicher Bedeutung erscheint. Im Anschluss daran ist auch der Einfluss zu beachten, den das Schleudern des Wagens bei hoher Fahrgeschwindigkeit auf die Lenkfähigkeit ausübt. Für die Zuverlässigkeit und Gebrauchsfähigkeit von Motorwagen ausschlaggebend sind die Räder, die den doppelten Zweck haben, den Wagen zu tragen und zu treiben; sie werden nach ihrer mannigfaltigen Bauart vom Redner durchgesprochen. Ueber den Einfluss des Raddurchmessers auf den Kraftverbrauch wird eine Rechnung angestellt.

Als Kraftquellen kommen nach dem heutigen Stande der Technik vorwiegend Benzinmotoren und Elektromotoren in Betracht. Von geringerer Bedeutung sind die mit Dampf betriebenen Motorwagen, obgleich damit ganz gute Ergebnisse erzielt werden, während die Versuche, flüssige Luft zum Betriebe von Motorfahrzeugen zu verwenden, bis jetzt keine praktisch verwendbaren Ergebnisse gezeigt haben und wohl auch in Zukunft nicht haben werden. Schließlich werden noch die bekanntesten Arten von Motorfahrzeugen in Bildern vorgeführt und ihre Konstruktionseigentümlichkeiten erläutert.

Eingegangen 21. März 1901.

Verein für Eisenbahnkunde.

Sitzung vom 12. März 1901.

Hr. Bissinger spricht über Stromzuführereinrichtungen für elektrische Straßenbahnen, insbesondere diejenigen mit Oberflächenkontakten.

Er giebt einen Ueberblick über die bisher in Anwendung gekommenen Stromzuführereinrichtungen. Die oberirdische Leitung ist zwar am einfachsten, doch lassen sich dabei Störungen des Verkehrs nicht vermeiden. Durch herabfallende Drähte können Menschen und Tiere verletzt werden, und der Fernsprechbetrieb leidet unter dem Geräusch in den Drähten. Die unterirdische Zuführung hat diese Fehler nicht; sie erfordert aber einen Zuführkanal im Straßenkörper, wobei die dort vorhandenen Rohrleitungen geschont werden müssen, und wird dadurch teurer als eine Oberleitung. Dazu tritt ferner die Notwendigkeit, den Kanal gut zu entwässern, um Störungen durch Schnee, Regen usw. zu verhüten. Die den beiden Ausführungen anhaftenden Nachteile sucht man durch das sogen. Oberflächen-system zu vermeiden, bei dem Kontaktkörper, die mit der Stromleitung in Verbindung stehen, in den Straßendamm eingefügt werden. Der Strom wird durch die Kontaktkörper dem Straßenbahnwagen nur zugeführt, wenn dieser mit seiner Schleifvorrichtung die Kontakte berührt. Der Vortragende bespricht die Ausführungen solcher Art, denen zwar die vorgenannten Nachteile nicht anhaften, die aber weit weniger einfach als jene beiden Stromzuführungen sind, auch größere Kosten verursachen und dazu nötigen, mit großen Stromverlusten zu rechnen. Diese Nachteile sollen durch eine Konstruktion der Firma Schuckert & Co. in Nürnberg wesentlich herabgemindert werden. Der Vortragende beschreibt diese Ausführung und kommt zu dem Schluss, dass der Stromverbrauch nicht höher sei als bei der Oberleitung, und dass sie allen billigen Anforderungen genüge; Fußgänger, Pferde usw. können nicht zu Schaden kommen, da die Kontaktkörper nach dem Darüberfahren des Fahrzeuges sofort wieder stromlos werden.

Darauf spricht Hr. Oberstleutnant Gerding über afrikanische Bahnen, insbesondere über die noch im Bau begriffene britische Uganda-Bahn. Diese geht von Mombassa aus und endigt am Viktorianyanza-See. Sie hat zwei Höhenzüge von 2300 und 2500 m über dem Meere zu überwinden und ist etwa 1000 km lang. Gegenwärtig ist der Bau auf der Sohle des ostafrikanischen Grabens angelangt, rd. 700 km von Mombassa entfernt. Angesichts der Geländeschwierigkeiten sind die Baukosten sehr hoch. Eine solche Höhe dürften aber die in Deutsch-Ostafrika geplanten Eisenbahnen nicht erreichen, da ein so ungünstiges Gelände nicht in Betracht kommt.

¹⁾ Vergl. Z. 1900 S. 214.

Bücherschau.

Traité pratique des machines marines motrices, des machines auxiliaires, des machines à pétrole et à gaz. Von J. B. Girard. 2 Bände mit 1512 S. 8°. Paris 1901, Béranger. Preis 30 frs.

Der Verfasser, ein ehemaliger Ingenieur der französischen Kriegsmarine, behandelt in seinem Werke zum größten Teile die Maschinenanlagen und ihren Betrieb auf französischen Kriegsschiffen. Bei der Darstellung der zum Teil sehr beachtens-

werten Konstruktionen, die neben den allgemeinen Abhandlungen den größten Raum des Buches einnehmen, ist jede Kritik vermieden.

Im ersten Bande werden nach einer einleitenden Theorie der Dampfmaschine, im besonderen der Schiffsmaschine, die Konstruktionen der Einzelteile der Hauptmaschine, die Anordnung der verschiedenen Schiebersteuerungen, die Anlage der Wellenleitung und die Konstruktion der Sternbüchsen und

Wellenlager behandelt. Hierauf folgt eine Darstellung des Baues von Kondensatoren sowie von Luft- und Speisepumpen und eine Besprechung der üblichen Ventil- und Hahnkonstruktionen und der Anordnung von Schmiervorrichtungen.

Der nächste Abschnitt schildert die Zusammensetzung der Maschinen und Kessel in der Werkstatt und an Bord. Etwas unvermittelt wird hierauf plötzlich wieder zur Theorie, und zwar auf die Theorie der Fortbewegungsmittel, der Schaufelräder und Propeller, übergegangen. Gleichfalls in geringem Zusammenhange mit dem Vorigen folgt dann eine Abhandlung über Dampferzeugung im allgemeinen, die Anwendung von gesättigtem und überhitztem Dampf, eine Theorie der Schiebersteuerungen und eine Abhandlung über die Bestimmung der Maschinenarbeit und die hierzu verwendeten Messgeräte.

Der Anfang des zweiten Bandes nimmt besonders auf die Praxis Rücksicht. Der Verfasser schildert hierin den Betrieb und die Unterhaltung von Maschinen und Kesseln und giebt anhand wirklicher Vorkommnisse Mittel zur Beseitigung von Maschinenavarien auf See an. Nachdem noch in einem kurzen Kapitel das Verhältnis der Maschinenarbeit zur Geschwindigkeit des Schiffes erläutert ist, wird auf die Hilfsmaschinen übergegangen. Elektrische und hydraulische Maschinen zur Bedienung der Geschütze, Dampfsteuervorrichtungen, Ankerwinden, Spills, Dynamobetriebsmaschinen und ihre Anordnung auf französischen Kriegsschiffen werden nach einander besprochen. Hierunter fällt auch eine Beschreibung der Luftkompressoren zum Laden von Torpedos mit Druckluft, in deren Bau die Franzosen besonders hervorragend sind. Wiederum ganz unvermittelt wird zu einer Abhandlung über die Verwendung von Öl zur Schmierung von Maschinenteilen und als Brennstoff für Schiffskessel übergegangen. Die Zugehörigkeit der nun folgenden Abhandlung über Petroleum- und Gasmotoren zum Gebiet des Schiffsmaschinenbaues erscheint zum mindesten zweifelhaft, zumal bis auf eine Ausnahme nur Motoren für ortsfeste Anlagen besprochen werden und im übrigen die Verwendung von Explosionsmotoren für Schiffszwecke sich doch nur auf ein sehr kleines Gebiet beschränkt. Auch das nächste Kapitel: Taucherapparate, wird wenig Interesse bei Schiffsmaschinenbauern finden. Dagegen bietet der letzte Abschnitt eine Fülle interessanter Stoffe über ausgeführte Maschinenanlagen von neueren französischen Panzerschiffen, Kreuzern und Torpedobooten. Die vielen hier beigelegten Tafeln werden besonders auch den deutschen Lesern sehr willkommen sein.

Im großen und ganzen gewährt das Werk einen erschöpfenden Einblick in den Bau der Schiffsmaschinen und Hilfsmaschinen der französischen Flotte. Die beigegebenen Textfiguren und Tafeln sind Konstruktionszeichnungen entnommen und klar dargestellt; hingegen kann die Zusammenstellung der einzelnen Kapitel nicht als besonders glücklich bezeichnet werden.

Berlin.

W. Kaemmerer.

Bei der Redaktion eingegangene Bücher.

Elementare Experimental-Physik für höhere Lehranstalten. Fünfter Teil. Magnetismus und Galvanismus. Von Dr. Johannes Russner. Hannover 1901, Gebr. Jänecke. 178 S. 8° mit 291 Fig. Preis 3,50 M.

(Mit diesem Bande schließt das Werk, das die neuesten Fortschritte auf allen Gebieten der Physik berücksichtigt und in klarer, knapper Ausdrucksweise die Erscheinungen und Gesetze zum Ausdruck bringt.)

Die Maschinenelemente. Ein Hilfsbuch für technische Lehranstalten sowie zum Selbststudium geeignet. Von M. Schneider. I. Bd., 1. Lieferung: Schraubenverbindungen. Braunschweig 1901, Friedrich Vieweg & Sohn. 8 S. 4° mit 8 Taf. und 9 Fig. Preis 2 M.

(Das Heft enthält die zum Konstruieren nötigen Formeln ohne Herleitung, sodass zum richtigen Verständnis die Erklärung durch den Lehrer notwendig ist — und das hat der Verfasser wohl in erster Linie im Auge gehabt —, oder die notwendigen Vorkenntnisse anderweitig erworben sein müssen. Die dann folgenden durchgerechneten Beispiele mit reichlichen und anschaulichen Konstruktionszeichnungen, die den Hauptteil des Heftes bilden, werden ebenso dem Lehrer wie dem strebsamen Schüler erwünscht sein.)

Wegweiser für Acetylen-Techniker und -Installateure. Von Desiderius Bernat und Karl Scheel. Halle a/S. 1901, Carl Marhold. 228 S. kl. 8° mit 66 Fig.

(Das Buch ist ein erster Versuch, für den ausübenden Ingenieur alle für Entwurf und Betrieb von Acetylenanlagen wichtigen Erfahrungswerte zu sammeln.)

Tabelle zur Bestimmung der Gasausbeute aus Calciumkarbid. Von Dr. O. Frölich. Halle a/S. 1901, Carl Marhold. Preis 1,50 M.

(Die Tabelle giebt den vom Luftdruck p_0 , der Spannung des gesättigten Wasserdampfes s und der Temperatur t nach der Formel $f = 1,3834 \frac{p_0 - s}{273 + t}$ abhängigen Wert f , mit dem multipliziert die beobachtete feuchte Gasmenge V_1 , die auf 760 mm und 15° C bezogene Gasmenge V ergibt, aus welcher die Gasausbeute nach der Formel $A = \frac{V}{G}$ folgt, wenn G das Gewicht des untersuchten Karbides ist.)

Entwerfen und Berechnen von Heizungs- und Lüftungsanlagen. Von Otto Wiesprecht. 2. Aufl. Halle a/S. 1901, Carl Marhold. 105 S. 8° mit mehreren Figuren und 1 Taf. Preis 2 M.

Encyclopädie der mathematischen Wissenschaften mit Einschluss ihrer Anwendungen. Bd. I, Heft 6: Arithmetik und Algebra. Von W. Fr. Meyer. Leipzig 1901, B. G. Teubner. 272 S. 8° mit mehreren Figuren.

Handbuch der Architektur. 2. Aufl., 3. Teil, 2. Bd., Heft 3a. Die Balkendecken mit besonderer Berücksichtigung der neueren feuersicheren Deckenkonstruktionen, namentlich der Beton-Eisen-Konstruktionen (Verbundkörper), ihrer Gestaltung und Berechnung. Von G. Barkhausen. Stuttgart 1901, Arnold Bergsträsser. 268 S. mit 499 Fig. und 1 Taf. Preis brosch. 15 M.

Zeitschriftenschau.¹⁾

(* bedeutet Abbildung im Text.)

Bergbau.

Electric percussion rock drills. (Eng. News 29. Aug. 01 S. 130/31*) Darstellung elektrischer Gesteinbohrer von Durkee, Gardner und von der Hercules Electric Drill Co.

Ein neuer selbstthätiger Schachtverschluss. Von Padour und Sperling. (Oesterr. Z. Berg- u. Hüttenw. 31. Aug. 01 S. 467/68 mit 1 Taf.) Jede der beiden Förderabteilungen des Schachtes wird durch zwei aus Winkelisen hergestellte Thüren abgesperrt, welche, an Rollen hängend, auf Laufseilen durch Seile ohne Ende verschoben werden.

Neu Elektrische Grubenlampen. Von Walker. (Z. f. Elektrot. Wien 8. Sept. 01 S. 434/37*) Lampen mit Akkumulatoren von Swan, Plükin, Niblett, Headland, Rossmann. Ergebnisse der Untersuchungen von Evans und Turquand an Sussmann-Lampen. Lampen mit Primärelementen von Maquay, Schauschlef und Walker. Betriebsergebnisse.

¹⁾ Die Zeitschriftenschau wird, nach den Stichwörtern in Vierteljahrsheften zusammengefasst und geordnet, gesondert herausgegeben, und zwar zum Preise von 3 M. pro Jahrgang für Mitglieder, von 10 M. pro Jahrgang für Nichtmitglieder.

Chemische Industrie.

Séparation des gaz par force centrifuge. Turbine Hignette. Von Hardolle. (Rev. ind. 31. Aug. 01 S. 341/42*) Darstellung einer eigenartigen Schleudertrommel zum Trennen des Ammoniakwassers vom Teer in Gaswerken. Beschreibung der Wirkungsweise. Die gleiche Konstruktion findet Anwendung in Molke- und Zuckerfabriken usw.

Dampfkessel und Kesselanlagen.

Trockencylinder. Von Geiger. Forts. (Z. bayr. Dampf.-Rev.-V. Aug. 01 S. 90/92*) Trockencylinder für Färbereien, Bleichereien, Kaltendruckerien usw. Forts. folgt.

Dampfkraftanlagen.

Superheated steam. Von Lenka. (Engng. 6. Sept. 01 S. 342/43) Bericht vor dem Internationalen Ingenieurkongress in Glasgow über Erfahrungen und Versuchsergebnisse, die in Dampfkraftanlagen mit überhitztem Dampf gewonnen wurden. Verhalten der Maschinen und Maschinenteile bei Verwendung überhitzten Dampfes. Ersparnisse bei derartigen Anlagen.

Wigwags water-tube boiler. (Engng. 6. Sept. 01 S. 325*) Der Kessel besteht aus zwei Bündeln schräg liegender Wasserrohre, die dachartig über dem Kessel angeordnet sind, und zwei längs- und einem querliegenden Oberkessel. Der Kessel hat insgesamt 93 qm Heiz- und 2,4 qm Rostfläche.

The Verett four-cylinder engine. (Iron Age 29. Aug. 01 S. 132*) Bei der von der Verett Engine Co. in Little Rock, Ark., gebauten vierzylinderigen Dampfmaschine sind 2 Hochdruck- und 2 Niederdruckzylinder radial um eine gemeinsame Achse angeordnet, die die Dampfzuleitungs- und Steuerungskanäle enthält.

Bremversuche an Lokomotiven. (Z. bayr. Dampfkr. Rev. V. Aug. 01 S. 88-96*) Beschreibung der Bremsvorrichtungen. Verfahren beim Bremsen. Mitteilung von Versuchsergebnissen an einer 12-pferdigen eingleisigen Auspufflokomotive, an einer 80-pferdigen Verbund-Auspufflokomotive und an einer 40-pferdigen Verbund-Kondensationslokomotive.

Expériences sur une machine à vapeur de MM. Weyher et Richemond. Von Hirsch. (Rev. Méc. Aug. 01 S. 133-141*) Eingehender Bericht über Versuche, durch welche die Leistungsfähigkeit und Wirtschaftlichkeit einer liegenden eingleisigen Dampfmaschine von 500 PS festgestellt worden sollte. Konstruktion der Maschine. Schilderung der Versuchsverfahren und -einrichtungen. Forts. folgt.

Trials of steam turbines for driving dynamos. Von Parsons und Stoney. (Engng. 6. Sept. 01 S. 339-340) Vortrag vor dem Internationalen Ingenieurkongress in Glasgow über zahlreiche Versuche an Dampfmaschinen. Wiedergabe der Ergebnisse in Tabellen.

Ueber die Wasserverhältnisse der elektrischen Station Fontanka Nr. 104. Von Knapp. (Prot. Petersb. Polyt. Ver. 01 Heft 2 S. 37-45*) Einrichtung der Wasserversorgung und der Oelabscheidung aus dem Speisewasser des genannten Krafthauses. Betrieb bei normalem Wasserstand und bei Hochwasser. Meinungsaustausch.

Eisenbahnwesen.

A long electric railway in Massachusetts. Von Adams. (El. World 31. Aug. 01 S. 326-27*) Lageplan und Angaben über Oberbau, Stromzuführung, Kraftwerk und Uniformstationen der elektrischen Bahn zwischen Great Harrington und Chestnut. Die 93 km lange Bahn erhält eigenen Bahnkörper und wird eingleisig mit Ausweichstellen ausgeführt.

Electricity as a motive power on railways. Von Carus-Wilson. (Engng. 6. Sept. 01 S. 334-35*) Vortrag vor dem Internationalen Ingenieurkongress in Glasgow, in dem die Wirtschaftlichkeit von Dampf- und elektrischem Betriebe verglichen wird.

Vergleich einer elektrischen Lokomotive mit einer Dampflokomotive. Von Böhm-Raffay. Schluss. (Z. f. Elektr. Wien 8. Sept. 01 S. 430-34) Unterhaltungskosten der Lokomotive: Kessel, Dampfmaschine, Wagen, Ausrüstung, Kosten der Bedienung, Rückgewinnung der elektrischen Energie, Vorteile der elektrischen Zugförderung vom Standpunkte des Verkehrs, Erhöhung der Zuggeschwindigkeit, Betrieb der Elektrizitätswerke, Schlussfolgerungen.

Rendement des locomotives. Von Nadai. (Rev. gén. Chem. de Fer Sept. 01 S. 211-17*) Ableitung einer allgemeinen Formel zur Bestimmung der Leistung einer Lokomotive, Anwendung der Formel auf Zweifachlokomotiven mit einem und mit 4 Flachschiebern sowie auf Verbundlokomotiven mit einem und mit 4 Flachschiebern.

A new coal locomotive. (Engineer 6. Sept. 01 S. 252*) mit 1 Taf. Dampfkuppelte Güterzuglokomotive mit innenliegenden Cylindern von 508 mm Dmr. und 680 mm Hub. Das Betriebsgewicht beträgt rd. 34 t.

Narrow-gauge side-tank locomotive for the Egyptian Delta Railway. (Engng. 6. Sept. 01 S. 325*) Dampfkuppelte Lokomotive mit zweifachstem vorderem Drehgestell für 750 mm Spurweite mit 23,0 qm Heiz- und 0,16 qm Rostfläche, 230 mm Cyl.-Dmr. und 356 mm Kolbenhub. Die Lokomotive kann 1,3 t Wasser und 0,6 t Kohlen mitführen.

Appareils répéteurs sur la machine des signaux optiques. Von Ménard. Schluss. (Rev. Ind. 31. Aug. 01 S. 342*) Kurze Angaben über die Vorrichtungen von Laffay und Vilpion.

Gleiskontakte mit elektromagnetischer Auslösung. Von Fink. (Zentralbl. Bauw. 7. Sept. 01 S. 148-149*) Darstellung des Schleifendurchführungskontaktes von Jodel, Beschreibung der Wirkungsweise.

Eisenhüttenwesen.

Ueber die Zusätze beim Bessemeriren. Von Leffler. (Oesterr. Z. Berg- u. Hüttenw. 31. Aug. 01 S. 471-72*) Einfluss des Zusatzens von Manganstein, Eisenabfällen, Hammerschlag und Kieselstein.

The new Port Cram Furnace. Iron Age 29. Aug. 01 S. 171 Der neue Hochofen ist 20,4 m hoch, der Durchmesser der Rost beträgt 9,4 m, der des taucheltes 4,3 m. Zum Hochofen gehören 4 Robertsoche Windföhrer von 30,4 m Höhe und 6,7 m Dmr., 76 Gasstöufen und eine Uehlingsche Bohren-Gießmaschine.

Eisenkonstruktionen, Brücken.

Bestes Themaschen die Kirschen eines guten Brückenmaterials? (Baumaterialien, 01 Heft 10-17 S. 236-40*) Wiedergabe der Ausführungen von v. Porons in den Verhandlungen des Oesterreichischen Ingenieur- und Architekten-Vereins über die ge-

nannte Frage. S. n. Zeitschriftenschau v. 30. Dez. 99: »Debatte zu dem Bericht des Hrn. k. k. Hofrates J. Brück usw.«, sowie Zeitschriftenschau v. 3. Febr., 3. März, 21. April, 22. u. 29. Sept. 1900.

Elektrotechnik.

Statistik der Elektrizitätswerke in Deutschland nach dem Stande vom 1. April 1901. (Elektr. Z. 5. Sept. 01 S. 713-16 u. 729-32) Die Angaben über die einzelnen Werke sind in einer umfangreichen Tabelle zusammengefasst. Erläuterungen und Schlussfolgerungen.

Elements of design particularly pertaining to long distance transmission. Von Perrine. (Trans. Am. Inst. El. Eng. Jun/Juli 01 S. 501-09*) Vergleich zwischen kurzen und langen Kraftübertragungen, Gestaltung des erzielten Ohmschen Gesetzes für lange Leitungen, Regelung der Spannung und Stromstärke, Formen von Stromkurven und ihr Einfluss auf die Fernübertragung.

Performance of an artificial forty-mile transmission line. Von Aldrich und Redfield. (Trans. Am. Inst. El. Eng. Jun/Juli 01 S. 451-78*) Die Versuche wurden im Laboratorium der Universität von Illinois an einer 40 km langen Leitung ausgeführt. Anordnung der Versuchsgegenstände, Stromart, Spannung, Periodenzahl, Selbstinduktion und ihre elektromotorische Gegenkraft, Ohmscher Widerstand, Elektrostatische Kapazität und ihre elektromotorische Gegenkraft, Ergebnisse der Versuche.

Der neue Edison-Akkumulator und seine Bedeutung für die Motorwagenindustrie. Von Neuburger. Schluss. (Motorwagen 31. Aug. 01 S. 204-09*) Die Untersuchungen des Verfassers führen zu dem Ergebnis, dass der Edison-Akkumulator bei gleicher Leistung ebenso schwer wie der Bleiakumulator wird, dass er aber den doppelten Raum beansprucht.

Erd- und Wasserbau.

Travaux d'assainissement et d'emballissement de la ville de Vienne (Autriche). Von Philippe. (Génie civ. 7. Sept. 01 S. 297-303* mit 1 Taf.) Anlage eines Binnenhafens bei Nussdorf. Konstruktion der Kaimauern. Beschreibung des Stauwehres bei Nussdorf. Bau der Sammelkanäle für die Zuleitung des Donauwassers in den Hafenkanal. Regulierung des Wien-Flusses.

Irrigation in the Nile valley, and its future. Von Willcocks. (Engng. 6. Sept. 01 S. 336-38*) Bericht vor dem Internationalen Ingenieurkongress in Glasgow über die ausgeführten Arbeiten, insbesondere Darstellung der erbauten Dämme und Kanäle. Schilderung der bereits erlebten Vorteile und des heutigen Standes der von der Herleitung abhängigen landwirtschaftlichen Betriebe. Ueberblick über die noch anzustrebenden Unternehmungen.

Description of Coos Bay, Oregon and the improvement of its entrance by the Government. (Proc. Am. Soc. Civ. Eng. Aug. 01 S. 579-601*) Meinungsaustausch zu dem in Zeitschriftenschau v. 18. Mai 01 erwähnten Aufsatz.

The proposed tunnel between Scotland and Ireland. Von Barton. (Engng. 6. Sept. 01 S. 335) Vortrag vor dem Internationalen Ingenieurkongress in Glasgow. Wahl der Lage des Tunnels. Beschreibung der auszuführenden Strecke. Geologische Verhältnisse. Wasserverhältnisse. Lüftung. Kostenveranschlag.

Explosionsmotoren und andere Wärme- und Kältemaschinen.

Bemerkungen über Zweitaktmaschinen. Von Conrad. (Motorwagen 31. Aug. 01 S. 209-11*) Darstellung und kritische Besprechung eines Zweitaktmotors der Union Elektricitäts-Gesellschaft mit entlastetem Kolbenschieber, der unter Überdruck zuerst reines Loft und hierauf das Gasgemisch einströmen lässt.

Betrachtungen über die Gas- und Erdölmaschinen der Weltausstellung Paris. Schluss. (Dingler 7. Sept. 01 S. 563-72*) Oelmotoren mit niedriger Kompression; Petroleummotoren mit Verdampfern vor und hinter dem Einströmventil, Oelmotoren mit hoher Kompression; Binkl-Motor, Diesel-Motor.

Mitteilungen über den thermischen Motor, System Diesel. Von Diesel. (Z. österr. Ing.- u. Arch.-Ver. 6. Sept. 01 S. 589-93*) Beschreibung des Diesel-Motors in der Ausführung der Maschinenfabrik Augsburg. Wirkungsweise, Diagramme, Regelung des Motors, Verhalten im Betriebe, Brennstoffverbrauch. Die im Motor verwendbaren Brennstoffe. Schluss folgt.

Feuerungsanlagen.

Die Bedienung von Feuerungen und der Schutz der Arbeiter. Forts. (Dingler 7. Sept. 01 S. 572-75*) Beschreibung der Rostfläche mittels eines Wagens. Beschickung mittels Förderschnecke. Forts. folgt.

Gasindustrie.

Verfahren zur ununterbrochenen Erzeugung eines Gemisches von gleichmäßig zusammengesetztem Gas. Von Besenfelder. (Journ. Gas- u. Wass. 7. Sept. 01 S. 664-69) Ein ununterbrochener Strom kohlenstoffhaltigen Materials wird selbsttätig durch einen Retortensystem von zehrender Länge mit entsprechender Schnelligkeit hindurchgeführt. Das hierin entgaste Material wird selbsttätig auf eine Anzahl Wassergaszeuger verteilt, aus denen die beiden Gase als gleichmäßig zusammengesetztes Gemisch hervorgehen. Beschreibung der Betriebseinrichtungen.

Gesundheitsingenieurwesen.

Flow in the sewers of the North Metropolitan sewerage system of Massachusetts. (Proc. Am. Soc. Civ. Eng. Aug. 01 S. 684/86) Meinungsaustausch zu dem in Zeitschriftenschau vom 16. Juni 01 erwähnten Aufsatz.

Gießerei.

The »Economie« cupola. (Engng. 6. Sept. 01 S. 324*) Beschreibung und Angaben über Versuche an dem von John Barret in Crosshills gebauten Gießofen, der sich durch vorteilhaft gestaltete, einstellbare Windformen auszeichnet. In $2\frac{1}{2}$ st wurden 1560 kg Gussseisen gewonnen, für 1000 kg wurden rd. 100 kg Koks aufgewendet.

Hebesenke.

A novel hoisting plant. (Eng. Rec. 24. Aug. 01 S. 185*) Beim Bau eines neuen Gebäudes in Chicago werden beim Ausheben der Fundamentgruben für die Säulen 10 Krane benutzt, die in 2 parallelen Reihen aufgestellt sind und von einem einzigen Seile der Bauwinde gemeinsam betrieben werden.

Porte-bloc, système Fidler. Von Lestang. (Rev. ind. 7. Sept. 01 S. 355*) Darstellung eines eigenartigen Hebels, der zum Ausheben von Stein- oder Betonblöcken in den Kranhaken eingehängt wird.

Heckbau.

The horticultural, forestry and graphic arts buildings of the Pan-American Exposition. (Eng. Rec. 24. Aug. 01 S. 182/83*) Schnitt durch das Gartenbaugeschäude und Einzelheiten der Holzkonstruktion; Dachbinder und Einzelheiten des Forstgebäudes auf der Ausstellung in Buffalo.

Mechanical installation in the modern office building. Von Darraach. (Proc. Am. Soc. Civ. Eng. Aug. 01 S. 550/55) Allgemeine Erörterungen über die Heiz-, Lüft-, Beleuchtungs- und Wasserversorgungsanlagen sowie über die Feuerschutzvorrichtungen in großen Gebäuden.

The Thirteenth Regiment armory, Scranton, Pa. (Eng. Rec. 24. Aug. 01 S. 179/81*) Eingehende Beschreibung des Baues und der Heiz- und Lüftvorrichtungen der Kaserne des genannten Regiments. An das eigentliche Kasernengebäude schließt sich ein großer überdachter Exerzierplatz an. Einzelheiten der Fachwerkbinder von 47,5 m Spannweite.

Holzbearbeitung.

Schweizerische Werkzeugmaschinen an der Weltausstellung in Paris 1900. Schluss. (Schweiz. Bauz. 7. Sept. 01 S. 103/05*) Bandagen verschiedener Konstruktion.

Kälteindustrie.

Revision und Instandsetzung von Schwefelsäure-Kompressionsmaschinen. Von Helmel. (Ele. u. Kälte-Ind. 20. Aug. 01 S. 25/27* u. 5. Sept. 01 S. 33/35) Ratschläge für die Untersuchung der beweglichen und festen Teile des Kompressors. Aufnehmen des Kondensators. Anlage einer Uebergangsleitung zum Absaugen des Kondensators. Reinigung der Rohrschlangen. Nachschleifen der Absperrventile. Zusammensetzen und Austrocknen des Kondensators. Druckprobe der Rohrschlangen. Entlüften des Verdampfers.

Materialkunde.

Rationelle Durchführung der Materialprüfung. Von Rejth. Forts. (Baumaterialienk. 01 Heft 16/17 S. 262/55*) 8. Zeitschriftenschau v. 8. Aug. 01. Forts. folgt.

Entwurf zu Vorschriften für Lieferung von Eisen und Stahl, aufgestellt vom Verein deutscher Eisenhüttenleute. Schluss. (Baumaterialienk. 01 Heft 16/17 S. 262/64) Kesselbleche. Stabseisen: Nietseisen, Hufstabseisen. Stabformguss. Gussseisen: Säulen, Röhren.

Ueber den Einfluss von Zeit und Temperatur auf die mechanischen Eigenschaften der Metalle und auf die Materialprüfung. Von Le Chatelier. Forts. (Baumaterialienk. 01 Heft 16/17 S. 247/48) Das Verhalten von gegossenem Kupfer und von Rotguss bei den Versuchen. Forts. folgt.

Ueber die Puzzolanmörtel der Seebauten. Von Michaëlis. (Baumaterialienk. 01 Heft 16/17 S. 261/62) Meinungsaufserung zu den Mitteilungen von Hebußat auf dem Kongress für die Prüfungsmethoden der Baumaterialien in Paris 1900.

Mechanik.

Kinematische Theorie des Fachwerkbogens mit eingespannten Kämpfern. Von Ramisch. (Z. österr. Ing.-u. Arch.-Ver. 6. Sept. 01 S. 595/98*) Untersuchung des dreifach statisch unbestimmten Systems nach dem bekannten Verfahren des Verfassers.

Messgeräte und -verfahren.

Prüfung von Indikatorfedern. Von Eberle. Schluss. (Z. bayr. Dampfkr.-Rev. v. Aug. 01 S. 94/96*) Prüfung der Federn im kalten und warmen Zustande. Maßstab der Federn.

Synchronism and frequency indication. Von Lincoln. (Trans. Am. Inst. El. Eng. Juni u. Juli 01 S. 485/50*) Beschreibung und theoretische Erörterung eines neuen Synchronismus-Anzeigers und eines Frequenz-Messers. Beide Messgeräte sind im Kraftwerke der Niagara Falls Power Company im Betriebe.

Power factor indicators. Von Brown. (Trans. Am. Inst. El. Eng. Juni u. Juli 01 S. 475/500*) Erläuterung der verschiedenen Verfahren zur Bestimmung des Leistungsfaktors. Das Verhalten des Synchronmotors. Der Phasenanzeiger von Tuma. Induktions-Phasenanzeiger. Elektrolytische Phasenanzeiger. Messgeräte zur Bestimmung des Leistungsfaktors von Pulay, Morland, Claude, Rayleigh, nach dem Dynamometerprinzip, von Arno, Breitfeld, Ferraris. Die wattlosen Wattmesser. Verhalten der Leistungsfaktormesser. Elektro-Dynamometer von Siemens. Der Weston-Wattmesser. Induktionsmesser. Verwendung der Geräte.

Instruction for installing weirs, measuring flumes and water registers. Von Johnston. (Eng. News 29. Aug. 01 S. 131/34*) Anordnung einer Vorrichtung zum Messen der Wassergeschwindigkeit in einem Cipolletti-Wehr. Konstruktion und Betrieb verschiedener amerikanischer Strommessvorrichtungen.

Ingreys automatic coal-weighing and recording machine. (Engng. 6. Sept. 01 S. 324*) Die Vorrichtung dient zum Wägen und Aufzeichnen der Kohlenmengen, die einer Kesselfeuerung zugeführt werden. Unter den Kohlenbunkern liegt eine oben und unten mit verschließbaren Öffnungen versehene Büchse, die um ihre wagerechte Achse drehbar ist und die Kohlen wieder in einen Kasten abgibt, der mit einer Wage und einer Vorrichtung zum selbstthätigen Aufzeichnen verbunden ist. Aus dem Kasten gelangen die Kohlen nach dem Wagen auf den Rost. Die Bewegungen der Vorrichtung werden von einer vor den Kesseln entlang laufenden Welle selbstthätig oder durch Kettenzug abgeleitet.

Metalbearbeitung.

Machinery at the Pan-American Exposition. VI. (Iron Age 29. Aug. 01 S. 11/12*) Schaubild einer kombinierten Revolverdrehbank und zweier wagerechter Planscheibendrehbänke der Bullard Machine Tool Co.

Drehbank mit zwei Stufenscheiben. (Z. Werkzeugm. 5. Sept. 01 S. 534*) Durch die Anordnung einer zweiten Stufenscheibe und einer näher beschriebenen kurbeltriebsartigen Vorrichtung wird bei jedem Hube die Drehbankspindel und damit das Werkstück um einen Teil einer ganzen Umdrehung gedreht.

Heavy drilling and tapping machine. (Am. Mach. 7. Sept. 01 S. 916*) Schaubild und kurze Beschreibung einer von Gould & Eberhardt in Newark, N. J., gebauten Säulenbohrmaschine mit einer Bohr- und einer Gewindeschneidspindel.

Expériences sur le travail des machines-outils. Von Godron. Forts. (Bull. d'Encour. 31. Aug. 01 S. 215/50*) Eingehende Versuche über das Schneiden von Blech mit kreisförmigen Scherblättern.

Die forging. VII. Von Horner. (Engng. 6. Sept. 01 S. 305/07*) Pressen von gelochten Schmiedestücken, Hämmern, Laschen, Handgriffen, Schwinghebeln, Haken usw.

Motorwagen und Fahrräder.

Four-ton steam motor wagon. (Engng. 6. Sept. 01 S. 324*) Der von der Yorkshire Steam Motor Company gebaute Dampf Lastwagen wiegt rd. 3000 kg und kann mit 8,9 und 4 km/st Geschwindigkeit fahren. Der liegende Heizröhrenkessel ist vorn vor dem Sitz des Wagenführers angeordnet. Die beiden Cylinder der Verbunddampfmaschine liegen unter dem Rahmen und treiben die Hinterräder durch ein doppeltes Zahnradvorgelege.

Carburateurs récents. Von Lavergne. Forts. (Rev. ind. 7. Sept. 01 S. 356*) Vergaser von J. de Boine & V^{te} Levassor. Vergaser mit Einlassventil von Crossley & Hulley. Forts. folgt.

Les bicyclettes. Von Bourlet. (Génie civ. 7. Sept. 01 S. 303/05*) Konstruktion der Freilaufäder. Forts. folgt.

Papierindustrie.

Der Holländer. Von Hausener. Forts. (Dingler 7. Sept. 01 S. 576/80) Zusammenfassende Besprechung der Anordnung und des Betriebes der Holländer. Schluss folgt.

Physik.

Contribution à l'étude du fonctionnement économique des machines à vapeur à détente successive. Von Lelong. (Ann. Mines 01 Heft 5 S. 453/529*) Thermodynamische Untersuchungen über die Dampfmaschine mit mehrstufiger Expansion unter ausgeglichener Benutzung des Entropiediagrammes: Berechnung des Wirkungsgrades. Verluste in der Maschine. Anwendungen der Theorie auf zahlreiche Diagramme anageführter Maschinen.

Pumpen und Gebläse.

Lamont's feed pumps. (Engng. 6. Sept. 01 S. 325*) Darstellung der für die Doppelschrauben-Yacht »Margarita« gebauten stehenden Dampfmaschinen, von denen die eine Ausführungsart je 2 Dampf- und Pumpencylinder, die andere einen Dampf- und 2 Pumpencylinder hat.

The Norwich hydraulic compressed air plant. (Eng. Rec. 24. Aug. 01 S. 169/70*) Kurze Beschreibung der hydraulischen Druckluftanlage, insbesondere des Staudammes und des Absturzhohes. Die Anlage arbeitet mit einer mittleren Druckhöhe von 5,7 m und 19,3 cm³/sk Wassermenge. Die erzeugte Druckluft hat rd. 6 at Spannung.

Hydraulic intensifiers. Von Flanagan. (Am. Mach. 7. Sept. 01 S. 939/41*) Leichtverständliche Erläuterung der Wirkungsweise von Wasserdruküberseuerungen.

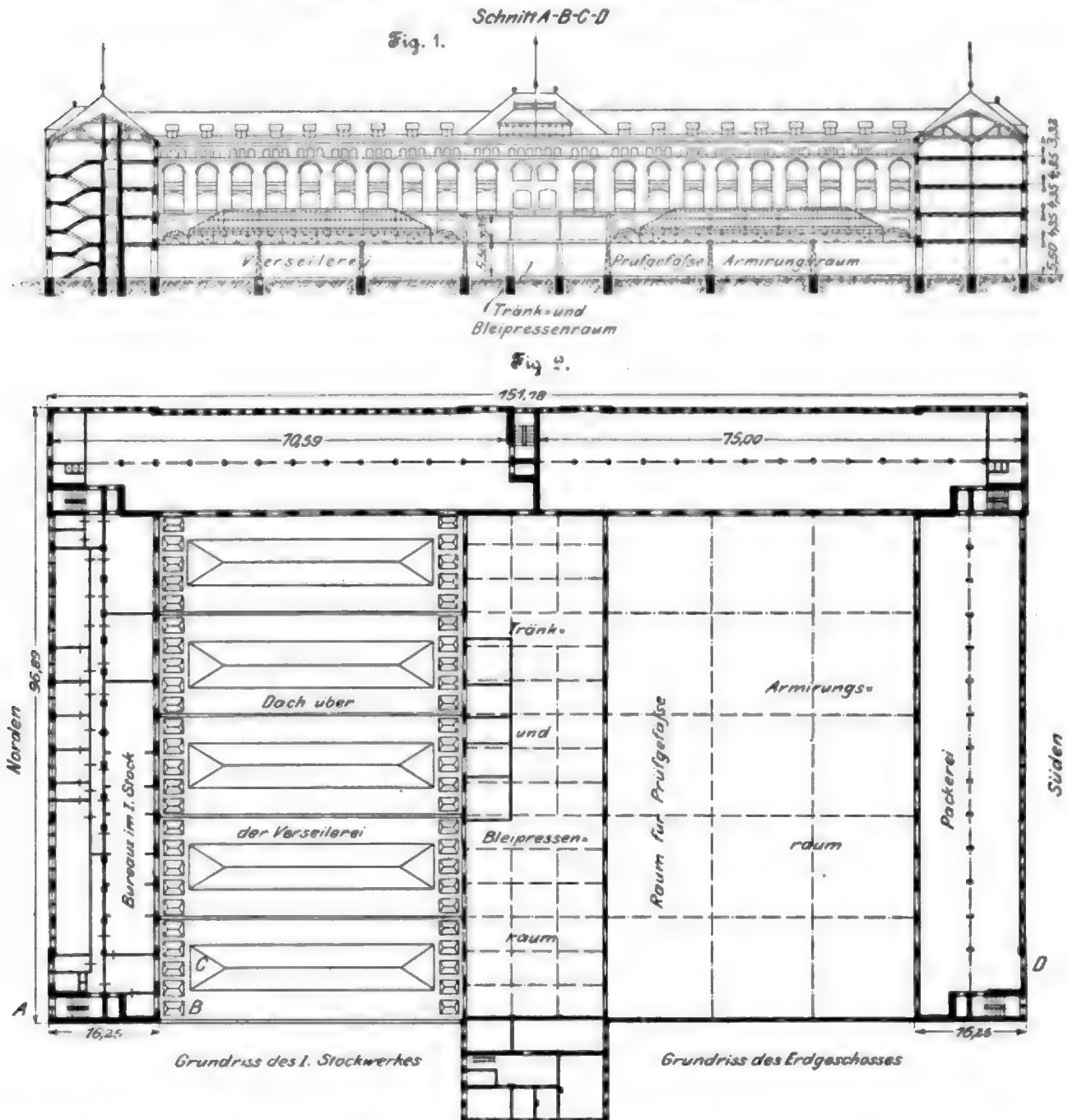


die Verseilerei schließt sich der Tränk- und Bleipressenraum, der sich im mittleren Teil der Halle befindet. Hier werden die mit Jute umwickelten Kabel in Vakuumtrockenschränken zunächst von jeder Feuchtigkeit befreit und darauf in großen Kesseln mit isolierender Masse getränkt. Aus dem Kessel und aus der geschmolzenen Isolirmasse steigt das Kabel in die Bleipresse und wird hier mit einem nahtlosen Bleimantel umpresst. Außerdem sind auch Kaltbleipressen vorhanden, die den Bleimantel unter entsprechend gesteigertem Druck aus

ein Bad von Kalkmilch gezogen ist, wird es auf große Holztrommeln gewickelt und ist am südlichen Ende der Halle fertig zum Versand.

Bei den umspinnen und umklöppelten Drähten kommen als Isolirstoffe Seide und Baumwolle zur Verwendung. In dieser Abteilung des Werkes werden isolierte Drähte sowohl für den Bau von Apparaten und Maschinen wie auch zu Leitungen für Installationen hergestellt. Neben den Klöppelmaschinen fallen hier besonders die Litzenmaschinen ins Auge, auf

Fig. 1 und 2. Das Kabelwerk von Siemens & Halske A.-G. am Nonnenbaum.



einem starren Bleicylinder pressen. Nachdem das Kabel den Mantel erhalten hat, wird im Prüftraume seine Leistungsfähigkeit und Isolation gemessen. Insbesondere wird dabei festgestellt, ob der Bleimantel durchaus dicht ist. Ist die Fehlerlosigkeit des Kabels erwiesen, so erhält es im südlichen Teile der Halle, dem Armierungsraume, die Armatur, die entweder aus Eisendrähnen oder aus Eisenband besteht. Die Armatur wird weiterhin mehrfach mit Faserstoff umspinnen und mit Isolirmasse getränkt. Nachdem das Kabel schließlich durch

denen die Seele der biegsamen Leitungen aus feinstem Kupferdraht gesponnen wird.

Die Guttapercha- und Gummikabel werden in der Weise angefertigt, dass zunächst die Guttapercha in gebelzten Knetmaschinen durch kräftiges Kneten in bildsamen Zustand gebracht wird. Die erweichte Guttapercha gelangt dann in eine Presse, die mit der erwähnten Bleipresse große Ähnlichkeit hat und sie unter Verwendung geeigneter Mundstücke in nahtlosem Mantel um den Draht presst. Wegen

des hohen Preises der Guttapercha finden auch andere Gummiharze, insbesondere Kautschuk, Anwendung in der Kabelfabrikation. Bei den Kautschukbändern wird noch das Vulkanisieren nötig. Zu diesem Zweck wird das Kautschuk zunächst mit Schwefel oder mit schwefelhaltigen Stoffen zusammen geknetet, die später bei Erwärmung eine chemische Verbindung mit ihm eingehen. Die Kautschukbänder werden entweder ebenso wie die Guttaperchakabel hergestellt, oder die Drähte werden in besonderen Maschinen zwischen zwei Kautschukbändern gelegt, die darauf zu einem Mantel zusammengewalzt werden. Außerdem werden besonders Installationsdrähte mit Kautschukband in derselben Weise wie mit Seide umspinnen.

Bei den Telephonkabeln hat sich als Isolirstoff mit geringer Dielektrizitätskonstante trockenes Papier als besonders geeignet erwiesen. Dementsprechend werden die einzelnen Telephondrähte mit Papierband umwickelt, das zu Scheiben aufgerollt in die Spinnmaschine gebracht wird. Nachdem die einzelnen Drähte die Papierisolation erhalten haben, werden sie auf Verspinnmaschinen zu vieladrigen Kabeln zusammengeponnen. Danach erhalten die Kabel einen Schutz gegen Feuchtigkeit, indem in der bereits früher beschriebenen Weise ein Bleimantel herumgepreßt wird, und schließlich werden sie durch eine mehr oder minder schwere Armierung geschützt.

Was die Wohlfahrteinrichtungen betrifft, so sind für die Arbeiter von den Werkstätten getrennte Wasch- und Ankleideräume geschaffen. Diese sind in der Weise eingerichtet, dass je vier Leute zusammen einen gemeinschaftlichen Kleiderschrank haben. Außerdem verdient der Arbeiter-Speiseraum Erwähnung, der bei 16 m Breite und 80 m Länge Sitzgelegenheit für etwa 1200 Menschen bietet und eine Dampfküche hat.

Auf den österreichischen Staatsbahnen ist aufgrund von vergleichenden Versuchen, die im Jahre 1882 angestellt worden waren, die einfache Saugbremse von Hardy in Gebrauch. Die Steigerung der Fahrgeschwindigkeit führte zu der Erkenntnis, dass diese Bremsen an der Grenze ihrer Leistungsfähigkeit angelangt ist, und man musste darauf bedacht sein, eine schnellwirkende Bremse einzuführen. Zu diesem Zweck hat man im März d. J. vergleichende Versuche mit selbstthätigen Bremsen auf der Arlberg-Strecke zwischen Langen und Bindenz, deren Steigungen bis zu 3,14 vH und deren Krümmungshalbmesser bis zu 250 m betragen, vorgenommen. Für diese Prüfungen stellte man drei Züge ein, die je aus einer $\frac{1}{4}$ -gekuppelten Lokomotive, einem dreiaxigen Tender und 30 zweiaxigen Wagen bestanden, und es wurde der eine der Züge mit der Einkammerbremse von Schleifer ausgerüstet, der zweite mit der mit Schnellventilen versehenen Saugbremse der Vacuum Brake Co., der dritte mit einer Westinghouse-Bremse, und zwar für drei verschiedene Bremsarten. Es konnte nämlich sowohl die gewöhnliche Westinghouse-Schnellbremse angewendet werden, als auch eine auf der Gotthard-Bahn in Anwendung befindliche Vereinigung der einfach wirkenden Luftdruckbremse mit der schnellwirkenden, und schließlich eine auf der nach Flume führenden Strecke der ungarischen Staatsbahn benutzte Anordnung, bei der die Bremswirkung bei den Wagen unverändert ist, während sie an den Rädern der Lokomotive und des Tenders verändert werden kann. Von dieser letzten Art des Bremsens musste jedoch schon bei den Vorprüfungen abgesehen werden, da die Lokomotivräder zu stark erhitzt wurden.

Die Versuchsergebnisse lassen sich folgendermaßen kurz zusammenfassen:

Bei anhaltendem und starkem Gefälle sowie bei häufigen und scharfen Krümmungen lässt sich die Fahrgeschwindigkeit durch die selbstthätige Saugbremse vorzüglich regeln. Mit den selbstthätigen Luftdruckbremsen lässt sich dieses Ziel nicht in gleich guter Weise erreichen. Ferner wurden beim Bremsen mit der selbstthätigen Saugbremse keine stoßartigen Längeschwankungen des Wagens fühlbar. In den beiden aufgezählten Punkten kam die Westinghouse-Doppelbremse der Gotthardbahn der Saugbremse am nächsten.

Die selbstthätige Saugbremse zeichnet sich durch die Einfachheit der Bedienung und die Zuverlässigkeit der Wirkung vor den andern aus. Am nächsten steht ihr in der Einfachheit der Bedienung ebenfalls die Bremse der Gotthardbahn. Die selbstthätige Saugbremse hat sich hinsichtlich der Bremswege und Bremszeiten sowie hinsichtlich des stoßfreien Anhaltens als besonders günstig erwiesen.

Der Bericht¹⁾ des österreichischen Eisenbahnministeriums über die vorgenommenen Versuche kommt zu dem Schluss,

dass die selbstthätigen Luftdruckbremsen für die Verhältnisse, wie sie die Versuchsstrecke aufweist, nicht geeignet sind.

Die alljährliche Statistik der Elektrotechnischen Zeitschrift über die Elektrizitätswerke in Deutschland¹⁾ berichtet über einen Zuwachs von 116 Werken seit dem vorigen Jahre, sodass am 1. April 768 Elektrizitätswerke im Deutschen Reiche vorhanden waren. Hierzu ist indessen zu bemerken, dass in einigen Städten mehrere Werke vorhanden sind, die in der Statistik nur je einmal in Rechnung gestellt sind. Von den noch im Bau begriffenen 90 Werken sollten bis zum 1. September noch 25 in Betrieb kommen, sodass gegenwärtig fast 800 Elektrizitätswerke in Deutschland im Betriebe sein dürften. Einige Elektrizitätswerke versorgen eine größere Anzahl von Ortschaften, in einem Falle sogar 66, mit Strom, und die Anzahl von Ortschaften, denen elektrischer Strom zur Verfügung steht, lässt sich auf mindestens 1200 beziffern.

Von den Werken arbeiten 81,8 vH ausschließlich mit Gleichstrom, während ihre Maschinenkraft 43,8, ihre Gesamtleistung 49 vH der entsprechenden Gesamtzahlen ausmacht. Die Leistung der mit Drehstrom-Gleichstrom und mit Wechselstrom-Gleichstrom betriebenen Werke ist außerordentlich gestiegen, während ihre Anzahl nur unerheblich zugenommen hat. Es giebt nämlich gegenwärtig 43 Elektrizitätswerke der ersten Art mit 96985 KW Maschinenleistung und 102511 KW Gesamtleistung. Die Zahl der Wechselstrom-Gleichstrom-Werke hat sich von 6 auf 10, ihre Maschinenleistung von 1599 auf 6874 KW gehoben. Auch die Anzahl und Leistung der reinen Wechselstrom- oder Drehstromwerke ist nur unbedeutend gestiegen. Die Zahl der letzteren ist von 39 auf 45, die der Ein- oder Zweiphasenstrom-Werke von 42 auf 44 gewachsen. In zwei Werken, die zusammen eine Gesamtleistung von 950 KW besitzen, werden monozyklische Dynamos verwendet.

Fast in allen Gleichstromwerken werden Akkumulatoren benutzt; nur 24 oder 3,8 vH sind ohne sie. Die Gesamtleistung der Akkumulatoren in diesen Werken beträgt 26,8 vH der Gesamtleistung. Die Gesamtleistung der in elektrischen Krafthäusern überhaupt aufgestellten Akkumulatoren macht 17,7 vH der Gesamtleistung aller Werke aus.

Was die Betriebskraft betrifft, so giebt die folgende Zusammenstellung einen Ueberblick.

Betriebskraft	Anzahl der Werke	Gesamtleistung der Maschinen KW
Dampf	463	283950,5
Wasser	73	13354,1
Gas	22	3106,3
Elektrizität (von einem andern Werk)	4	253
Wind	1	220
Wasser und Dampf	170	35969,4
Wasser und Gas	5	304,3
Dampf und Gas	1	285
Wasser und Benzin	5	190,7
Wasser, Dampf und Gas	1	64,8
Elektrizität und Dampf	2	190
Elektrizität und Wasser	2	150
nicht angegeben	2	—
	768	290038

Nach ihrer Leistungsfähigkeit gehören 42,4 vH aller Werke zu denen, die unter 100 KW Gesamtleistung haben. Unter den übrigen Werken verfügen 311 über eine Gesamtleistung von 101 bis 500, 50 von 501 bis 1000, 30 von 1001 bis 2000, 28 von 2001 bis 2500 und 10 über mehr als 5000 KW. Bei 13 Werken sind über die Leistungsfähigkeit keine Angaben gemacht. Demnach sind 38 Werke im Betriebe, die mehr als 2000 KW Gesamtleistung aufweisen, und diese leisten zusammen 192055 KW.

Die Arbeiten an der Jungfraubahn²⁾ sind so weit vorgeritten, dass man im nächsten Sommer den Verkehr bis zur Station Grindelwaldblick aufnehmen gedenkt. Ende August d. J. hat man einen Seitenstollen durch die Eigerwand in einer Höhe von 2950 m über dem Meere geschlagen; ein zweiter Seitenstollen zum Fortschaffen der Ausbruchmassen des Haupttunnels ist noch zu bauen. (Zeitschrift des Vereines deutscher Eisenbahnverwaltungen 4. Sept. 1901)

¹⁾ Organ für die Fortschritte des Eisenbahnwesens 1901 Nr. 7 und 8 S. 149.

²⁾ Elektrotechnische Zeitschrift 5. Sept. 1901 S. 718.

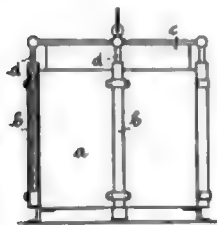
³⁾ Vergl. Z. 1897 S. 1467; 1898 S. 963.

Die französische Manöverflotte hat in Toulon Bekohlversuche angestellt. Dabei betrug das günstigste Ergebnis, das von dem Schiff »Gaulois« erzielt wurde, 450 t in 3 st; dann folgt »St. Louis« mit 500 t in 3 st, »Masséna« mit 450 t in 3 st und »Jauréguiberry«, »Bouvot« und »Charles Martel« mit 500 t in 4 st. Weit günstiger ist ein Versuch ausgefallen, der kürzlich mit dem Linienschiff »Kaiser Wilhelm II« in Kiel angestellt wurde. In der ersten Stunde wurden 340 t, im Durchschnitt 370 t/st übernommen. (Schiffbau 8. Sept. 1901)

Die Marine der Vereinigten Staaten besitzt 18 Kohlendampfer, die zurzeit mit Bekohlrichtungen¹⁾ ausgerüstet werden. Es wird beabsichtigt, im Ausland befindliche amerikanische Kriegsschiffe auf diese Weise mit amerikanischer Kohle zu versorgen. (Schiffbau 8. Sept. 1901)

¹⁾ Vergl. Z. 1900 S. 456.

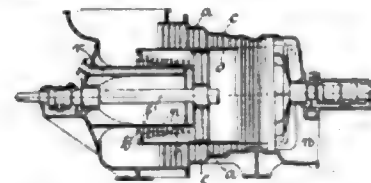
Patentbericht.



Kl. 4. Nr. 122357. Gasbehälterführung. M. Kugler, Budapest. An der Glocke c sind Stangen d befestigt, die in Röhren b am Gasbehälter a geführt werden. Der Raum zwischen d und b ist mit Öl gefüllt.

Kl. 13. Nr. 121659. Wasserstandglas. H. Reckhorn, Bielefeld a/Bh. Das Glas ist an einem oder beiden Enden trichterförmig gestaltet, damit es nicht durch durchgepresste Teile des Gummidichtungsringes verstopft werden kann.

Kl. 14. Nr. 119675. Schiffsdampfturbine. Ch. A. Parsons, Newcastle-on-Tyne (Heaton Works, Northumberland, Engl.). Ein Außengehäuse c und ein Innengehäuse p ragen zur Beschränkung der Längenausdehnung teleskopartig in einander hinein, und zwischen beiden dreht sich die auf der Welle f befestigte Trommel a. Die Zwischenräume a und b enthalten die bekannte (nicht gezeichnete) Parsonssche Schaufelung für vielschneidige Dampfausdehnung, und zwar



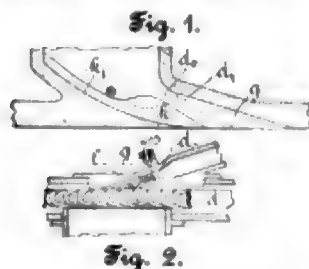
a für Vorwärtsfahrt und Dampfsaß von a her, b für Rückwärtsfahrt und Dampfsaß von r her.

Schnitt 9-9 Schnitt 5-6



Kl. 14. Nr. 119618. Dampfturbine. J. Burgum, Rio de Janeiro (Brasilien). Das Gehäuse g trägt an Ringen r, die nach innen gerichtet sind, in regelmäßigen Wechsel Leiterschneckenlabyrinthe l für Linkslauf und l₁ für Rechtslauf, sodass je nach der Richtung p oder p₁, in der man den Dampf einströmen lässt, entweder nur die von l oder nur die von l₁ geleiteten Strahlen treibend auf die zwischen Außenringen s der Trommel t liegenden Laufradschaufeln u wirken. In einer Abänderung sind für mehrstufige Dampfausdehnung mehrere solcher Gehäuse und Trommeln gleichschalig ineinander angeordnet.

Kl. 14. Nr. 119706 (Zusatz zu Nr. 104468, Z. 1899 S. 1340). Regelung für mehrstufige Dampfturbinen. Ch. G. Curtis, New York. Die Düsen g für sämtliche Laufräder d der einzelnen Dampfausdehnungsstufen können gleichzeitig



a, der von der durch Wände l in Zellen geteilten Düse g eine beliebige Zellenzahl abschließt.

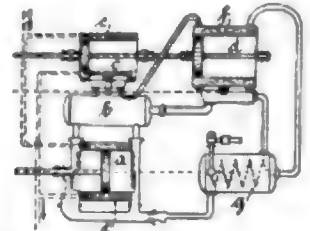
Kl. 17. Nr. 119949. Kühlung und Verflüssigung von Gasen. G. Metz, Berlin. Vom Verdichter a wird die gesamte Gas- oder Luft-

In Frankreich scheint die Acetylenbeleuchtung für kleinere Ortschaften an Ausdehnung zu gewinnen. Die Compagnie urbaine d'éclairage par le gaz acétylène hat an 9 Orten, deren Einwohnerzahl zwischen 1870 und 2000 liegt, Acetylenbeleuchtung eingerichtet. Außer diesen Ortschaften hat auch die Stadt Orveilan (Aube) mit 2600 Einwohnern Acetylenbeleuchtung für Straßen und Häuser. (Nachrichten für Handel und Industrie 3. Sept. 1901)

Der Minister der öffentlichen Arbeiten hat das folgende, vom 26. August d.J. datierte Schreiben an die Technischen Prüfungskämter in Berlin, Hannover und Aachen gerichtet: »Das kgl. Technische Prüfungsamt veranlasse ich, den Maschinenbau-Besitzern, die sich zur Vorprüfung und ersten Hauptprüfung für das Maschinenbaufach melden, bei der Zulassung zur Prüfung zu eröffnen, dass ihnen mit Rücksicht auf die eingetretene erhebliche Ueberfüllung in der maschinentechnischen Laufbahn eine sichere Aussicht auf demnächstige Zulassung zur Ausbildung als Regierungsbauführer im Staatseisenbahndienste nicht gemacht werden könne.«

menge (beispielsweise auf 5 oder 10 at) verdichtet und in den Aufnehmer b gedrückt; vom Verdichter c wird dann ein geringer Teil weiter (auf 25 oder 100 at) verdichtet.

Beide Verdichtungen erfolgen lediglich unter Wasserkühlung e möglichst isothermisch. Der niedrig gespannte Teil aus b dehnt sich arbeitsteilend und die zum Betriebe von c und c dienende Kraftmaschine unterstützend in einer Kraftmaschine d aus; der höher gespannte Teil aus c wird in einem d umgebenen Mantel f geleitet und dort von ersterem stark abgekühlt und teilweise verflüssigt. Diese Abkühlung wird im Nachkühler g von den Auspuffgasen aus d fortgesetzt. Nachdem der verflüssigte Teil abgeschieden ist, wird der luftförmig gebliebene in bekannter Weise nach a in den Kreislauf zurückgeleitet.

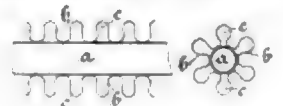


Kl. 17. Nr. 119676. Randschieber für Schwefelgaskondensator. L. Engelmann, Charlottenburg. Der die Saugleitung d steuernde Randschieber f hat in seinem Gehäuse einen Kühlmantel g, um die Schwefelgaskondensator d auf den Behältern zur Selbstschmierung niederzuschlagen.



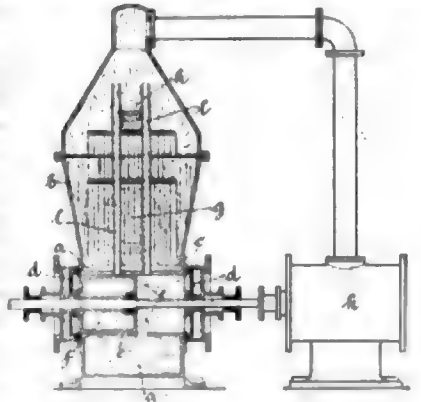
Kl. 15. Nr. 121236. Dampfkesselreinigung mittels Druckwassers. P. Hohnrath, Krefeld. In dem Dampfraum des Kessels sind Spritzrohre mit einem in der Kesselwand abgedichteten Zugangsstutzen angebracht, durch die bei abgeschlossenem Kessel nach der Entleerung Druckwasser gegen Flammrohr- und Kesselwand gespritzt werden kann.

Kl. 17. Nr. 119346. Wärmeaustauschvorrichtung. F. O. Blake, London. Zur Erhöhung der Wärmeabstrahlung werden die Rohre a statt der Rippen usw. mit Kupferdrahtgewebe b, c umgeben, das in der Längsrichtung oder im Querschnitt gewellt und mit der Außenwand von a metallisch verbunden (verlötet) ist.



Kl. 17. Nr. 119345. Mischkondensator. Balcke & Co., Bochum i/W. Zwei Pumpen c, k dienen zur getrennten Abführung von Wasser und Luft;

die Wasserpumpe c ist nur mit Druckventilen d versehen, während die Saugventile durch Öffnungen e ersetzt sind, die vom Kolben f beim Hubwechsel frei gelegt werden und das Wasser mit Gefälle aus dem unteren Räume a des Kondensators b in den Cylinder leiten. Der Dampf tritt bei g, das Kühlwasser bei k in b ein; i, l sind Entlüftungsröhre.

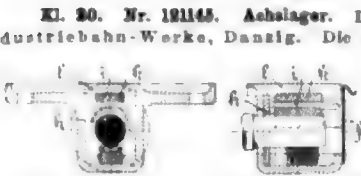


Kl. 19. Nr. 121972. Schienenstossverbindung. F. Hochmann und Ch. Christodoro, St. Paul (Minnesa), und E. Baasen, Milwaukee. Das Verbindungsstück *g* ist mit dem einen Schienenende *a* fest verbunden, während

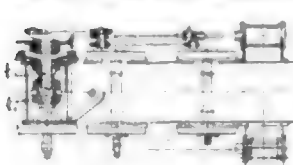
es in dem andern Ende *b* in lotrechter und wagerechter Richtung geringe Beweglichkeit hat.



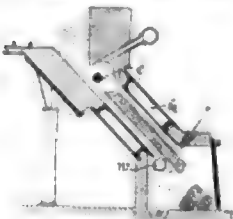
Kl. 19. Nr. 122076. Eisenbahnschiene. W. Glaufs, Halensee-Berlin, und J. Hinzpeter, Strehlen. An den Fuß der Schiene ist eine Leiste *a* angewalzt, die an den Auflagerstellen unterbrochen ist und die Schiene am Wandern verhindert.



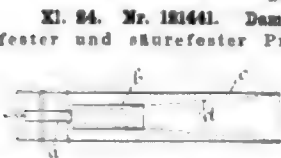
Kl. 20. Nr. 121145. Achslager. Deutsche Feld- und Industrie-Werke, Danzig. Die bewegliche Lagerschale *A* wird durch den Lagerstuhl *i* gehalten, der durch eine elastische Zwischenlage *k* gegen den oberen Teil des Lagergehäuses *l* abgedrückt ist. Das Gehäuse *l* ist nach hinten durch einen Filzring, nach vorn durch einen Schieber oder Deckel *f* abgeschlossen.



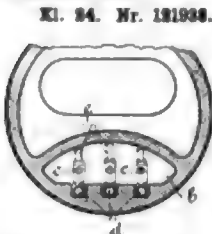
Kl. 20. Nr. 120942. Verstellbare Treibachse. Ch. Hagans, Erfurt. Die Treibachsenhäften *t, t'* sind in seitlich verschiebbaren Auflagerlagern gelagert und die Kuppelstangen mit kugelförmigen Lagern an ihre Zapfen angeschlossen. *t* und *t'* sind durch ein Kreuzgelenk unter sich und mit der Hohlachse verbunden, wobei letztere den Ring der Kreuzgelenkkupplung bildet.



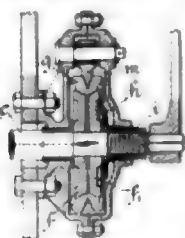
Kl. 21. Nr. 121225. Elektrischer Ofen. W. Borchers, Aachen. Der Ofen hat unter den Elektroden *e* einen längeren gekühlten Schacht *k*, in welchem sich die untersten Teile der Beschickung sowohl abkühlen, dass sie sich beim Herausbringen aus dem Ofen nicht mehr oxydieren und unmittelbar wieder aufgeben werden können. Eine Hemmwalze regelt das Vorrücken des Schmelzgutes.



Kl. 24. Nr. 121441. Dampfstrahlvorrichtung. Fabrik feuerfester und säurefester Produkte A.-G., Vallendar a.Rh. Bei der zur Förderung sehr heißer Luft bis 1800° dienenden Dampfstrahlvorrichtung sind die prismatischen oder zylindrischen Saugdüsen *a, b, c* derart zueinander angeordnet, dass ihre Austrittsmündungen sämtlich Querschnitte eines gemeinsamen ideellen Kegels *d* bilden, dessen Spitze in der Dampfduse liegt.

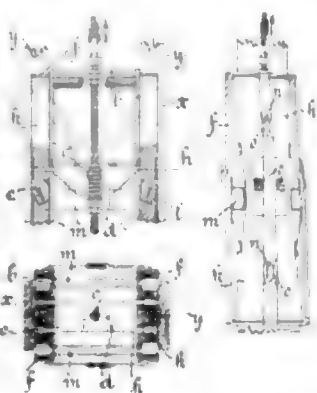


Kl. 24. Nr. 121936. Wasserstoffverbrennung. J. F. Zaruba, Hamburg. Die mit der Verbrennung von Wasserstoff verbundenen Knallgasexplosionen werden durch Einblasen von Wasserdampf verhindert, wodurch auch die schädliche Wirkung der Wasserstoff-Stichflammen aufgehoben und die Wärme auf einen größeren Raum verteilt werden soll. Zu dem Zwecke werden kugelhautenförmige, feuerfeste Hohlräume *b* angeordnet und durch Leitungen *d* Wasserstoff und Sauerstoff an den Seiten und Wasserdampf in der Mitte getrennt eingeführt. Durch Verteilköpfe *e* und Rohre *f* werden die Gase in den Feuerraum geblasen.

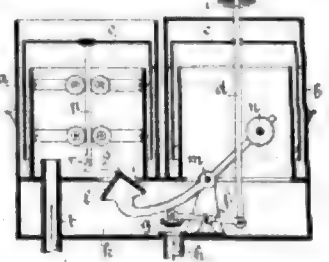


Kl. 35. Nr. 119969. Sperrradbremse für Hebezeuge. Fried. Krupp, Essen. Zwei auf der Antriebswelle *c* und drehbare, gegen einander verschiebbare Reibscheiben *f, f'* tragen einen Bremsring *g*, der beim Drehen in der Hubrichtung unter der (Reibungs-)Sperrklinke *m* fortgeführt, beim Loslassen durch *n* festgehalten wird und die Last in der Schwebe hält, wobei die Reibung zwischen *f, f'* und *g* durch Federn *A* und die Druckschraube *t* so geregelt werden kann, dass eine kleine Kraft zum Niederfahren der Last genügt.

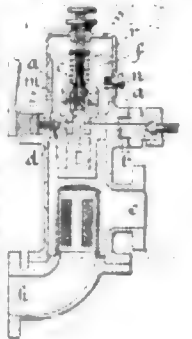
Kl. 35. Nr. 119381. Fangvorrichtung. E. Brucksch, Niederschönbrunn bei Görlitz. Der gegen den Fahrstuhl *bm* verschiebbare Fangrahmen *fk* wird bei regelrechtem Betriebe durch die Enden *A* einer Blattfeder *d* gehalten; bei Seilbruch aber werden die Enden *A* durch die Feder *c* zurückgezogen, und Greifer *e* werden durch Federn *l* in die Schachtwand *x* gedrückt, worauf der weiter fallende Fahrstuhl *bm* die kelförmigen Fanghölzer *k* an die Leitbäume *y* drückt. Beim Wiederaufheben drücken Anschläge *a, o* die Fanghölzer *k* auseinander.



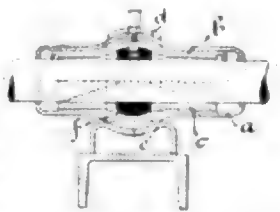
Kl. 46. Nr. 119949. Gasdruckregler. S. Mühlenthal und M. Löwenthal, Berlin. Die Gehäuse *a, b* zweier Schwimmerventile *o, c* sind durch eine Kammer *k* verbunden, in der ein zweiarmliger entlasteter Ventiltübel *im* beim plötzlichen Niedergange der Glocke *o* durch das Gestänge *pro* bewegt wird. Dadurch wird das Ventil *i* geöffnet, und es strömt Gas nicht nur aus der bei *i* belasteten Glocke *c*, sondern auch unmittelbar durch das von *c* durch *d, f* allmählich geöffnete Ventil *g* nach *o, t*, sodass *c* nur geringe Bewegungen ausführt und Rückstöße in die Gasleitung *A* vermieden werden.



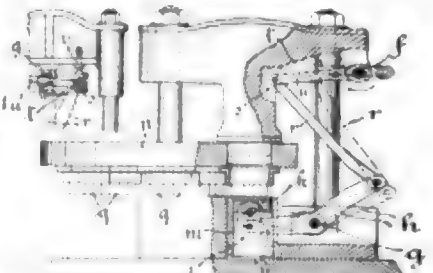
Kl. 46. Nr. 119378. Petroleumsaugheber. H. Lepape, Paris. Zwei mit ihren Spindeln mittels Schlitzes *a* und Stiftes *s* gegeneinander verschiebbare, durch eine Feder *m* auseinander gehaltene Ventile *c, d* werden durch die Feder *r* und die unter Saugwirkung des bei *e* angeschlossenen Arbeitszylinders stehende Kappe *s* so bewegt, dass zunächst von *b* her Petroleum durch *d* in den Raum *a* strömt. Dieses wird beim Saughube nach Abschluss von *d* und Eröffnen von *c* durch den an *c* angeschlossenen Tauchkolben *f* aus *a* verdrängt und durch den Ringschlitze *om f* in die von *A* her angesaugte warme Luft gespritzt, wodurch sich die Petroleumzuführung nach der Leistung der Maschine selbsttätig regelt.



Kl. 47. Nr. 119971. Sellierlager. W. Tamer, Wien. Das zweiteilige Lagergehäuse *a* und der gleichfalls zweiteilige Lagerkörper *d, e* sind aus Blech durch Pressung hergestellt, wodurch die Anordnung auswechselbarer Lagerschalen *b, c* aus Wälzmetall und eines gleichzeitig die Schmierung besorgenden Stellsinges *f* ermöglicht und das Verspritzen des Schmiermittels verhindert wird.



Kl. 55. Nr. 119969 und 119970 (Zusätze zu Nr. 114607, Z. 1901 S. 646). Schubkurvenpresse. Dr. Bernhardt Sohn, G. E. Dragert, Eilenburg. Die wie beim Hauptpatent durch ein Schubkurvengetriebe *fast* angetriebene Schubstange *r* wirkt nicht unmittelbar auf den Pressstempel, sondern auf einen bei *g* gelagerten zweiarmligen Hebel *A*, der durch Rollen *t* und Schieber *km* die in der drehbaren Scheibe *p* paarweise hängenden Pressstempel *q* von unten nach oben bewegt. Nach Nr. 119970 (Nebenfigur) kann die als Schleife *t* angeführte Schubkurve durch eine Schraube *v* um ihr Lager *g* ein- und festgestellt werden, wodurch man den Hub der Schubstange *r* und des Pressstempels regeln kann.



ZEITSCHRIFT DES VEREINES DEUTSCHER INGENIEURE.

Nr. 39.

Sonnabend, den 28. September 1901.

Band XXXV.

Inhalt:

<p>Der Schnellbahnwagen von Siemens & Halske A.-G., Berlin. Von W. Reichel (hierzu Tafel XXV) 1269</p> <p>Schnelldrehtahl 1377</p> <p>Die Weltausstellung in Paris 1900: Turbinenbau. Von E. Reichel (Fortsetzung) 1386</p> <p>Bergischer B.-V.: Wärmeschutz. — Schwefelplatten von J. Laßfite 1393</p> <p>Berliner B.-V. 1393</p> <p>Zeitschriftenschau 1398</p>	<p>Rundschau: Der internationale Ingenieurkongress in Glasgow. — Der VIII. allgemeine deutsche Bergmann tag. — Hamburger Hafenanlagen. — Verschiedenes 1396</p> <p>Patentbericht: Nr. 120598, 120417, 120030, 120546, 120284, 120050, 122039, 123789, 121320, 120224, 119877, 120547, 119031, 119828, 121321, 119246, 119923, 120456, 120862, 119924, 119826, 120218, 120503 1403</p> <p>Zuschriften an die Redaktion: Die Maschinen zur Papierfabri- kation 1404</p>
---	---

(hierzu Tafel XXV)

Der Schnellbahnwagen von Siemens & Halske A.-G., Berlin.

Von Walter Reichel.

(hierzu Tafel XXV)

Wie bereits vor kurzem in dieser Zeitschrift¹⁾ erwähnt worden ist, hatte die Studiengesellschaft für elektrische Schnellbahnen die zur Anstellung von Fahrversuchen auf der Mittellandbahn erforderlichen Arbeiten in der Weise zu vollenden beschlossen, dass der mechanische Teil der beiden zu erbauenden Wagen der Firma van der Zypen & Charlier in Auftrag gegeben wurde, während die elektrische Ausrüstung von der Allgemeinen Elektrizitäts-Gesellschaft und von Siemens & Halske A.-G. geliefert werden sollte. Mit der Stromlieferung wurde die A. E.-G. beauftragt, während Siemens & Halske A.-G. die Fahrleitungsanlage herzustellen hatten. Als Ausführungsform für die letztere brachten Siemens & Halske A.-G. das in Lichterfelde auf einer Versuchsbahn angewandte System der Seitenleitungen in Vorschlag, als Stromart hochgespannten Drehstrom von 10000 V, der unmittelbar aus den Fahrleitungen dem Fahrzeuge zugeführt und auf ihm zur Weiterverwendung durch Transformatoren umgeformt wird, wie das ebenfalls auf dem Lichterfelder Versuchsfahrzeug geschehen war. Hierüber ist bereits im Vorjahre in der Elektrotechnischen Zeitschrift²⁾ eingehend berichtet worden, sodass nicht weiter darauf eingegangen zu werden braucht.

Andere Vorversuche sowie die verschiedenen Entwürfe von Siemens & Halske A.-G. für das neue Fahrzeug, welche die Studiengesellschaft zur Auftragserteilung veranlassten, mögen hier übergangen werden; es soll vielmehr unmittelbar zur Beschreibung des ausgeführten Wagens mit seinen Einzelheiten geschritten werden, zumal die Bedingungen dieselben sind wie bei dem Fahrzeug der A. E.-G. Nur über einen Versuch, der zur Ermittlung oder vielmehr Beurteilung des voraussichtlichen Kraftbedarfs führen sollte und der ganz besonderes Interesse bietet, möge vorher berichtet werden.

I. Der Kraftbedarf.

Nach den im Eisenbahnbetrieb gesammelten Erfahrungen war von vornherein anzunehmen, dass der Luftwiderstand, den das Fahrzeug beim Anfahren und in voller Fahrt zu überwinden hat, den Hauptteil des gesamten Bewegungswiderstandes ausmachen wird; es musste daher versucht werden, über die Grösse des Luftwiderstandes Unterlagen zu gewinnen. Die bislang gebräuchlichen Formeln für den Bewegungswiderstand ergeben bei der verlangten Fahr-

geschwindigkeit von 200 km/st augenscheinlich zu hohe Werte. So z. B. liefert die Formel von Grove und Clark: $W_0 = 2,25 + 0,001 v^2$, worin v die Geschwindigkeit in km/st bedeutet, den Widerstand $W_0 = 42,25$ kg pro t Wagengewicht, wo aus sich bei einem Wagengewicht von 96 t eine normale Leistung von rd. 3000 PS ergeben würde.

Die Richtigkeit dieser Formel ist aber nur für Fahr- geschwindigkeiten bis 100 km/st und für ganze Züge nach- gewiesen, und sie giebt immer den gesamten Zugwiderstand an, während es hier für das einzelne Fahrzeug wohl zutreffender ist, den Luftwiderstand und den Reibungswiderstand von einander zu trennen. Der letztere besteht aus dem Wider- stande der gleitenden und der rollenden Reibung und dem Widerstande, der durch die Schienenstöße und die Durch- biegung der Schienen hervorgerufen wird. Er wird gewöhn- lich zu 2,5 kg/t angenommen und lässt sich annähernd rech- nerisch bestimmen. Für den vorliegenden Fall ist er zu 4,5 kg/t angenommen worden. Dann ist die für die Ueber- windung dieses Widerstandes erforderliche Zugkraft am Lauf- radumfang gleich rd. 450 kg.

Versucht man nun den Luftwiderstand der Stirnfläche des Fahrzeuges zu bestimmen, die zu rd. 10 qm in der Normal- projektion angenommen werden soll, und benutzt man dazu die bekannten Formeln zur Berechnung des Luftwiderstandes³⁾, so erhält man ebenfalls ausserordentlich hohe Werte (vergl. Fig. 2, Schaulinie I). An der Richtigkeit der Formel ist nicht zu zweifeln; nur dürfte die darin enthaltene Konstante bei einem langgestreckten Körper wohl niedriger sein, als an- gegeben. Es bleibt somit nur die Möglichkeit, diese Konstante durch konstruktive Mittel zu verkleinern. Hierfür kommt eine Abschrägung der Stirnfläche in Betracht.

Um über die Einwirkung einer Abschrägung einen An- halt zu haben, stellte man einen Versuch an, der allerdings auf unbedingte wissenschaftliche Genauigkeit keinen Anspruch machen, sondern nur über die ungefähre Grösse des Luft- druckes und die Einwirkung einer besonderen Form der Stirnfläche Aufschluss geben sollte, sodass man mit möglichst einfachen Mitteln arbeiten durfte. Dabei kam nur ein Versuch mit umlaufenden Flügeln in Betracht, da sich auf andere Weise eine Geschwindigkeit von etwa 55 m/sk nicht erzielen liess. Allerdings war zu erwarten, dass die so er- haltenen Werte wegen der Schleuderwirkung und wegen der Vernachlässigung der durch Seitenwind hervorgerufenen Rei- bung etwas zu niedrig sein würden. Doch lässt sich, wenn

¹⁾ Z. 1901 S. 1261.

²⁾ Elektrotechnische Zeitschrift 1900 Nr. 28.

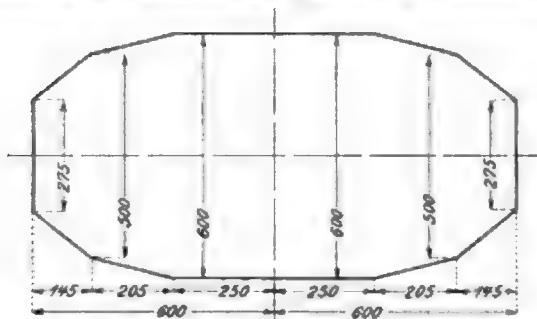
³⁾ Taschenbuch der Maße, 16. Aufl., I. Teil Abschn. VII S. 299



Flügel ein gewebtes Tuch angenagelt wurde, das gut sichtbar und dessen Flattern gut hörbar war. Das Tuch war nach Ablauf einer halben Stunde vollständig zerfetzt und nur noch in einem geringen Rest vorhanden. Die kleinen Fetzen hatten sich auf der rauhen Oberfläche des zweiten Flügels niedergeschlagen und kennzeichneten die Strömung der Luft, die von einer Druckmittellinie strahlenförmig nach den Kanten der vorderen Fläche lief.

Fig. 3.

Bestimmung des Luftwiderstandes. Grundriss des Versuchskörpers.



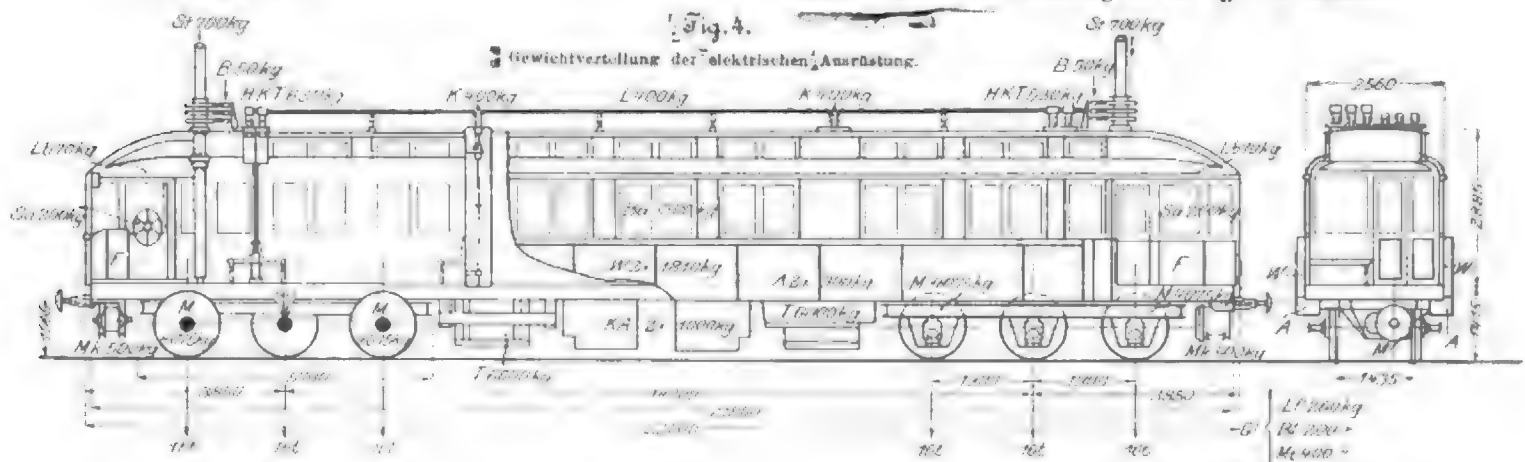
Aus der Schaulinie VII, Fig. 2, geht hervor, dass mit einem Winddruck von 90 kg/qm zu rechnen sein dürfte. Er kann aber in Wirklichkeit größer werden, da einmal eine geradlinige Bewegung anstelle der umlaufenden höhere Werte geben wird, da ferner die Fläche größer ist, also vielleicht auch der Druckkoeffizient, und endlich noch die Seitenreibung der Luft an dem langen Fahrzeug in Betracht kommt, die nicht festzustellen war. Diesen Umständen ist dadurch Rechnung getragen, dass das Dach des Wagens nicht in üblicher Weise verläuft wie bei den Versuchskörpern, sondern nach vorn und hinten haubenartig stark heruntergezogen ist, und dass die Stirnfläche des Wagens mit 10 qm in Rechnung gestellt ist. Daraus ergibt sich die zur Überwindung des Winddruckes erforderliche Zugkraft zu 900 kg bei 55 m/sk Geschwindigkeit. Die Gesamtleistung des Wagens, am Lauf- radumfang gemessen, ist dann gleich 950 oder rd. 1000 PS.

II. Der Wagen, Tafel XXV.

1) Die Gewichtverteilung.

Nachdem auf diese Weise die erforderliche Leistung ermittelt und da das Höchstgewicht des Wagens in den Bedingungen¹⁾ festgelegt war, so blieb für den Entwurf nur noch die

¹⁾ Z. 1901 S. 1262.



St Stromabnehmer
B Bortenträger
HKT Hochspannungsschalter
HKT kleiner Transformator
Trog
K Kabelschlitz mit Sicherung
L Leitung am Dach, Isolatoren usw.

La Luftbehälter
Sa Schaltervorrichtungen
M Motorkompressor
M Motor
T Transformator mit Aufhängung
Ba Beleuchtungsakkumulatoren
W Widerstände

KA Kasten mit Mittelspannungsausschalter und Sicherungen
A Anlasser
F Führerstand
G gleichmäßige Verteilung
L Luftleitung
Ba Beleuchtungseinrichtung (außer Akkumulat.)
M Mittelspannungseinrichtung

Frage nach der Beanspruchung der elektrischen Ausrüstung und nach der für sie zulässigen Betriebsdauer offen. Es ließ sich nun nicht von vornherein übersehen, bei welcher Beanspruchung die verlangte Leistung erreicht wird. Jedoch erschien es angesichts der Höhe der Leistung und unter Berücksichtigung bisher ausgeführter elektrischer Ausrüstungen empfehlenswert, diese so schwer zu machen, wie es im Rahmen des Gesamtgewichtes des Wagens möglich war. Später kann festgestellt werden, welche Beanspruchung der Motoren und Apparate eintritt, ob sie als zulässig angesehen werden kann, und welche Betriebsdauer sie erlaubt.

Die Gewichte wurden folgendermaßen veranschlagt:

mechanischer Teil

Wagenkasten, Eisenuntergestell und Tragkonstruktion, Holz, Glas, Sitze, Handbremse mit Gestänge, Luftdruckbremse mit Leitungen und Behälter, Fußboden und Dachblech	20700 kg
Drehgestelle einschließlich Radsätze, Bremsgestänge, Hüftluftbehälter und Bremszylinder	27300 „
zusammen	48000 kg

elektrischer Teil

Motoren ohne Achsen und Räder, jedoch einschl. Aufhängung	16300 „
Widerstände einschl. Anlasser	5100 „
Schaltvorrichtungen einschl. Luftdruckantrieb, elektrische Verteilungsleitungen, Sicherungen, Schutzkasten, Schaltgriffe und Einrichtung an den Führerständen	4750 „
große Transformatoren einschl. Aufhängung	12300 „
Luftpumpen einschl. Aufhängung	1000 „
kleine Transformatoren für die Luftpumpen	650 „
Stromabnehmer einschl. Lagerung und Antrieb	1300 „
Beleuchtung einschl. Batterie	500 „
zusammen	41900 kg
Zuschlag für Sicherheit	600 „
zusammen	42500 kg

Personen

50 Personen einschl. Führer und Schaffner je 50 kg	4000 „
insgesamt	24500 kg

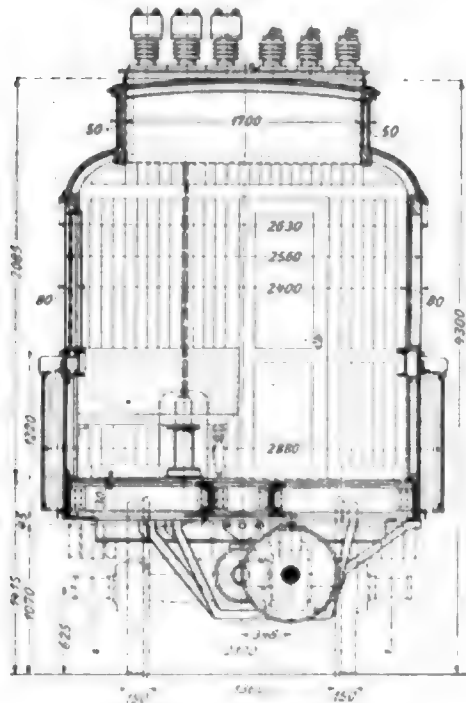
Bei der Aufstellung der Gewichte ist besondere Rücksicht darauf genommen worden, die Gewichte der elektrischen Ausrüstung über den Wagenkasten möglichst günstig und derart zu verteilen, dass der Kastenträger so leicht wie möglich werden konnte. Die Art der Verteilung ist aus Fig. 4 zu entnehmen.

2) Das Wagengestell.

Der Wagenkasten bietet für rd. 50 Reisende Platz, die auf Quersitzen in einen mittleren und 2 daranstoßende Räume zu verteilen sind; s. Tafel XXV. Auf den mittleren Raum von 7300 mm Länge kommen 18 Sitzplätze, während die anstoßenden Abteile rd. 4000 mm lang sind und je 12 Plätze enthalten. Es folgen dann Vorräume zum Einsteigen von

Fig. 5.

Querschnitt des Wagenkastens.



1750 mm Länge mit je 3 Sitzplätzen, und endlich befinden sich an den beiden Stirnseiten des Wagens die Führerstände von etwa 1600 mm Länge. Der Wagen enthält somit 48 Sitzplätze und ist 22 m lang.

Der Wagenkasten ist auf Längsträgern aufgebaut, deren Gurtungen aus J- und Flacheisen bestehen und durch kräftige von Unterkante Fenster bis Unterkante Kasten reichende Blechträger verbunden sind; s. Fig. 5. Im übrigen ist das Untergerüst des Wagenkastens in der üblichen Weise mit Quer- und Längsversteifungen versehen, deren Unterbringung aber zum Teil von dem günstigen Einbau der elektrischen Ausrüstungsteile abhängig war. An den Stirnswellen sind die für die Normalien der Preussischen Staatsbahnen vorgeschriebenen Zug- und Stoßvorrichtungen angeordnet (vergl. Tafel XXV).

Die innere Ausstattung der Abteile und des gesamten Wagenkastens ist die eines Wagens der Preussischen Staatsbahnen. Der ganze Wagen ähnelt in seiner äußeren Erscheinung einem D-Zug-Wagen; nur ist er an den Stirnflächen mit Abschrägungen versehen, die annähernd parabolisch verlaufen, und die Dachenden sind haubenartig nach abwärts gebogen. Der Drehgestellrahmen ist gegen die Achsbüchsen in doppelter Weise abgefedert. Die aus gängigen Profilleisen hergestellten Drehgestellrahmen, Fig. 6 bis 8, stützen sich zunächst auf Spiralfedern, die durch Schrauben eingestellt werden können, und von diesen wird die Last auf lange Blattfedern übertragen, die auf den Achsbüchsen aufliegen. Von den drei Achsen kann die mittlere zum Tragen eines Motors nicht benutzt werden, da der Raum über ihr für den Tragrahmen des Drehzapfens und die Bremsenrichtung frei bleiben muss; um gleichmäßige Belastung aller Achsen zu erzielen, mussten deshalb die Federn für die Laufachsen stärker sein als für die Motorachsen.

Zum Bremsen dient eine Westinghouse-Bremse, und zwar werden alle Räder doppelseitig gefasst, wobei der Bremsdruck 160 vH des Wagengewichtes beträgt. In die Drehgestelle sind je zwei Bremszylinder von 264 mm Dmr. eingebaut. Jedes Drehgestell ist für sich als Fahrzeug aufgefasst und hat dementsprechend zwei Hilfs-Luftbehälter. Auf das Bremsgestänge der Westinghouse-Bremse kann außerdem noch eine Spindelbremse einwirken, mittels deren von jedem Führerstand aus eines der beiden Drehgestelle gebremst werden

Fig. 6 bis 8. Drehgestell mit Westinghouse- und Spindelbremse.

Fig. 6.

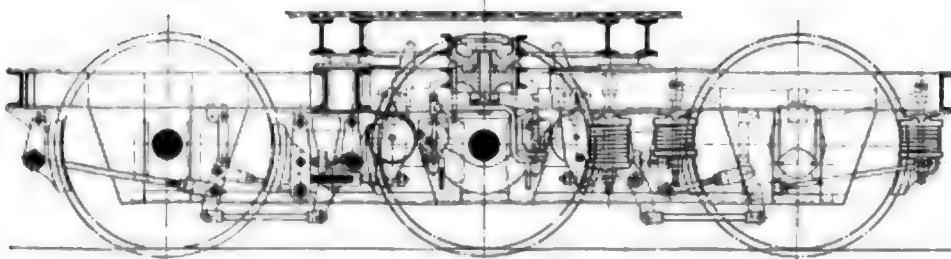


Fig. 8.

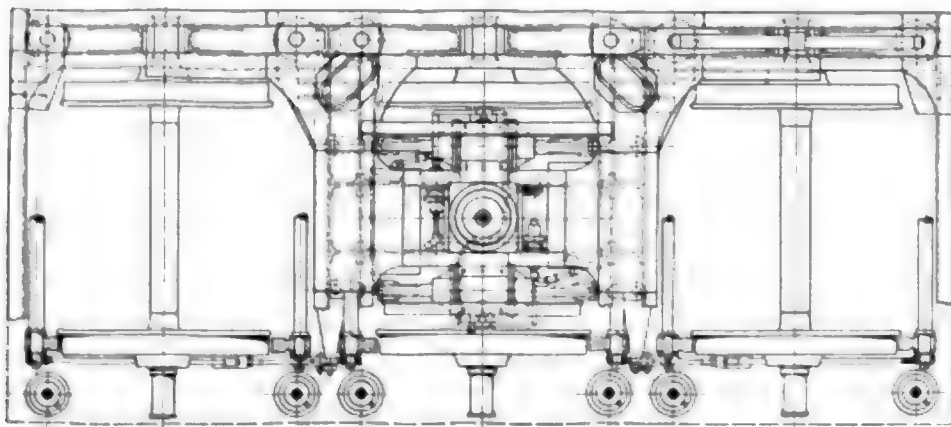
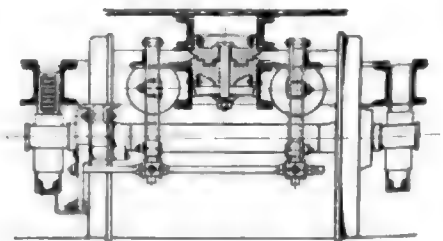


Fig. 7.



kann. Die Laufräder haben 1250 mm äußeren Durchmesser.

3) Die elektrische Ausrüstung.

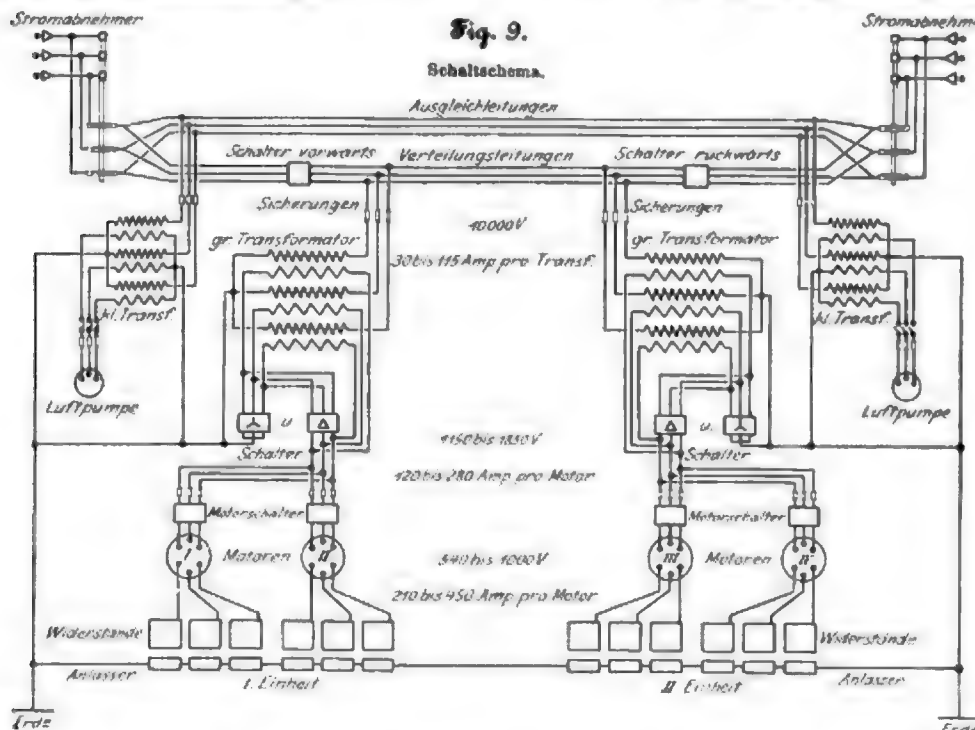
a) Allgemeines.

Für die Verteilung der elektrischen Ausrüstung waren folgende Gesichtspunkte maßgebend:

In erster Linie ist vollkommene Sicherheit der Fahrgäste und der Bedienungsmannschaft gegen Hochspannungsgefahr anzustreben. Das wird erreicht, wenn sämtliche Vorrichtungen und Leitungen unter dem Wagenfußboden oder unter dem Dache, welche beide durch geerdete Bleche geschützt sind, angeordnet und nicht unmittelbar von der Hand des Führers, sondern mithilfe einer besonderen Kraftquelle in

Thätigkeit gesetzt werden. Damit ist gleichzeitig eine bequeme Bedienung verbunden, die den Führer nicht körperlich anstrengt. Die Verwendung von Druckluft als Kraftträger lag nahe, da sie für die Bremsen bereits vorhanden war; die Behälter für Kraft und für Bremsung mussten aber getrennt werden. Ferner musste bei der Verteilung für größte Uebersichtlichkeit, Leichtigkeit des Ein- und Ausbaus, sowie dafür gesorgt werden, dass beim Schadhafwerden eines Teiles der elektrischen Ausrüstung der übrige Teil betriebsfähig bleibt. Die Anordnung war auch so zu treffen, dass die Last nicht zusammengedrängt, sondern gleichmäßig verteilt wird, womit wiederum leichte Abführung der durch verschiedenartige Kraftverluste erzeugten Wärme verbunden ist. Diese Erwägungen führten von vornherein zur Teilung der elektrischen Ausrüstung in zwei Einheiten, deren jede enthält:

- 2 Motoren mit 2 Satz Widerständen und 2 Anlassern, 2 Einschaltern, 2 Sicherungen,
- einen großen Transformator mit Dreieck- und Sternschalter, sekundärem sowie primärem Hochspannungseinschalter und Hochspannungssicherung,
- eine Luftpumpe mit kleinem Transformator und Sicherung und einen Luftbehälter,
- einen Stromabnehmer,
- einen Führerstand mit Luftdruckantrieb für die Apparate und mit Messeinrichtungen.



Hierauf wurde das Schema Fig. 9 entworfen.

Trotz der Wahl der Laufraddurchmesser mit 1250 mm sind die Umlaufzahlen der Laufräder noch so groß, dass es zweckmäßig erschien, die Motoren unmittelbar auf den Achsen zu lagern. Jedes Drehgestell hat zwei, der ganze Wagen also 4 Motoren, sodass jeder den vierten Teil der Gesamtleistung von 1000 PS zu übernehmen hat. Nach einer überschlägigen Berechnung müssen die Motoren beim Anfahren, damit der Anfahrweg nicht zu lang wird, das dreifache, also 3000 PS leisten. Die Steigerung der Leistung wird gewöhnlich ohne weiteres durch stärkere Belastung der Motoren erzielt; falls aber ein Motor schadhaf wird, ist die Spannung im Primärkreis der Motoren zu erhöhen. Die Spannung wiederum war so zu wählen, dass nicht zu hohe Stromstärken entstehen, damit nicht die Apparate zum Einschalten der Motoren zu große Kontaktflächen erhalten. Die primäre Spannung der Motoren ist deshalb für die volle Fahrt zu 1150 V und für das Anfahren zu 1850 V angenommen, und die Motoren werden beim Anlassen durch Widerstände geregelt, die in ihre sekundären

Stromkreise eingeschaltet sind; s. Schaltschema, Fig. 9. Der sekundäre Stromkreis hat bei Stillstand und beim Anfahren eine Spannung von rd. 650 V. Die veränderliche Spannung von 1150 bis 1850 V wird durch Dreieck- und Sternschaltung der Sekundärwicklung der Transformatoren erreicht. Für jeden der beiden Transformatoren sind deshalb ein Dreieckschalter und ein Sternschalter vorhanden.

Die Verbindungsleitungen zwischen dem Hochspannungsleiter und dem Transformator sind der besseren Uebersicht halber als blanke Drähte auf Hochspannungsisolatoren verlegt, und zwar ein Teil wagerecht auf dem Dache, der andere durch das Innere des Wagens hindurch in zwei eisernen 500 mm breiten, gleichzeitig zur Lüftung benutzbaren Kabelschlitzen von schornsteinartiger Gestalt.

Die Kabelschlitze, die an den Abschlusswänden des Mittelraumes liegen, enthalten am oberen Ende die Hochspannungssicherungen; s. Tafel XXV. Ueber den Abschlusswänden der Abteile mit den Quersitzen ist je ein eiserner Trog angeordnet, in dem ein kleiner Transformator für den Luftpumpenmotor und ein Hochspannungsschalter untergebracht sind. Diese Schalter sind gleichzeitig Fahrtrichtungsschalter; deshalb ist immer nur einer von beiden eingeschaltet und muss die gesamte Energie zum Fortbewegen des Wagens durchlassen.

Die Stromabnehmer sollen möglichst funkenfrei laufen und weit von einander entfernt sein. Da die Fahrleitungen seitlich neben dem Gleise und lotrecht über einander angeordnet sind, so schwingen die Stromabnehmerbügel um eine senkrechte Achse. Die senkrechten Ständer sind in der Nähe der Drehgestellzapfen in den Führerständen eingebaut, damit die seitlichen Ausschläge der Kontaktbügel nicht groß werden.

b) Die Motoren.

Wie oben auseinandergesetzt, hat jeder Motor während der vollen Fahrt bei normalen Betriebsverhältnissen 250 PS und beim Anfahren das dreifache zu leisten. Dabei ist er in den zwischen den Rädern verbleibenden Raum einzubauen und muss genügenden Abstand von den festen Teilen des Bahnkörpers und von dem federnden Teil des Wagens haben. Letztere Bedingung ist die wichtigere, denn sie legt von vornherein die größte räumliche Ausdehnung des Motors fest, wodurch sein Gewicht und damit auch

seine höchste Leistung bestimmt ist. Diese ist so ungewöhnlich groß, dass man bei Vergleichen mit ausgeführten Motoren und Dynamos auf höhere Gewichte kam, als sie bei der räumlichen Ausdehnung möglich waren. Denn geschlossene Bahnmotoren leisten erfahrungsgemäß bei einer Temperatursteigerung von 75° bei etwa 12 m Umfangsgeschwindigkeit für je 100 kg Gewicht 1,7 PS auf längere Zeit, bei 36 m Umfangsgeschwindigkeit also etwa 5 PS. Dies ergibt bei 250 PS etwa 5000 kg Motorgewicht, in der Voraussetzung, dass das Verhältnis zwischen dem räumlichen Inhalt und der äußeren Abkühlfläche dasselbe ist wie bei den kleineren Motoren, welche die Grundlagen für die erwähnten Zahlen abgegeben haben, und bei denen die gesamte im abgeschlossenen Raum erzeugte Wärme durch die Oberfläche abgeht.

Ein anderer Vergleich mit ganz offenen, nicht eingekapselten Gleichstromerzeugern ergab ebenfalls ein ziemlich großes Gewicht. Es erzeugen nämlich vollständig offene, der abkühlenden Luft gut zugängliche Gleichstromdynamos ähnlicher Leistung und Größe wie die vorliegenden Motoren bei





und unterstützt den Führer. Beim Ausschalten entweicht die Luft aus dem großen Cylinder, der kleine arbeitet allein und bringt ohne Hilfe des Führers den Anlasser in seine Ausgangsstellung zurück. Die Kraftübertragung des großen Cylinders ist

einstellbar und so zu bemessen, dass der Führer beim Einschalten auf jeder beliebigen Kontaktstellung stehen bleiben kann; er hat also das Anlassen des Motors und das Regeln der Geschwindigkeit vollständig in der Gewalt. (Schluss folgt.)

Schnelldrehtahl.

Bericht des vom Berliner Bezirksverein deutscher Ingenieure gebildeten Ausschusses.

Die Drehversuche der Bethlehem Steel Company mit Taylor-White-Stahl auf der Weltausstellung in Paris 1900 haben das grösste Aufsehen in der gesamten technischen Welt erregt¹⁾. Aller Orten trat der Wunsch hervor, die Leistungen dieses neuen Werkzeugstahles zu prüfen und auch mit andern Stahlsorten höhere Arbeitsgeschwindigkeiten und Leistungen anzustreben.

Eine Reihe der grössten Tiegelstahl-Werke des europäischen Festlandes hatte sich ebenfalls schon seit langem die Aufgabe gestellt, die Leistungsfähigkeit ihrer Werkzeugstähle zu erhöhen. Diese Firmen haben bei Anstrengung ihres Zieles zwei grundsätzlich verschiedene Richtungen verfolgt:

1) Herstellung fertiger Drehmesser nach einem von dem Fabrikanten geheim gehaltenen Verfahren, die ihre hohe Leistungsfähigkeit durch eine eigentümliche Zubereitung erlangen;

2) bedeutende Verbesserung der sogenannten Selbsthärter-Stähle, welche an der Luft gehärtet werden.

In beiden Richtungen sind Stähle geschaffen, die in einzelnen Werkstätten, in denen sie vorgeführt wurden, durch ihre erhöhten Leistungen Aufsehen erregt haben. Es war nun zu untersuchen, welche Mehrleistungen damit gegenüber den bisher allgemein verwendeten Werkzeugstählen zu erzielen sind, d. h. es war die Frage auch vom wirtschaftlichen Standpunkt aus zu beleuchten.

Um diese Frage zu studieren, beauftragte der Berliner Bezirksverein deutscher Ingenieure einige seiner Mitglieder mit der Bildung eines Ausschusses, der sich unter Zuziehung der verantwortlichen Werkstättenleiter einiger der grössten Maschinenbauanstalten Berlins aus folgenden Mitgliedern zusammensetzte:

Böhmländer, Betriebsingenieur bei Siemens & Halske A.-G.,
Dorn, Direktor bei A. Borsig,
Frentzel, Ingenieur der Deutschen Niles-Werkzeugmaschinenfabrik,
Hess, Direktor der Deutschen Niles-Werkzeugmaschinenfabrik,
Lasche, Chefingenieur der Allgemeinen Elektrizitäts-Gesellschaft,
Leyde, Ingenieur,
Plagemann, Ingenieur der Kgl. Geschützgießerei Spandau,
Rasch, Direktor der Maschinenfabrik für Mühlenbau vorm. C. G. W. Kapler A.-G.,
Schack, Oberingenieur der Berliner Maschinenbau-A.-G. vorm. L. Schwartzkopf,
Westphal, Civilingenieur,
Wolff, Betriebsingenieur der Allgemeinen Elektrizitäts-Gesellschaft.

Durch diese Herren waren folgende Werkstätten vertreten:

Allgemeine Elektrizitäts-Gesellschaft, Berlin,
Berliner Maschinenbau-A.-G. vorm. L. Schwartzkopf, Berlin,
A. Borsig, Tegel-Berlin,
Deutsche Niles-Werkzeugmaschinenfabrik, Ober-Schöneweide bei Berlin,
Kgl. Geschützgießerei, Spandau,
Maschinenfabrik für Mühlenbau vorm. C. G. W. Kapler A.-G., Berlin,
Siemens & Halske A.-G., Berlin.

¹⁾ Vergl. Z. 1901 S. 462.

1) Vorbereitende Arbeiten.

Nach dem Zusammentritt des Ausschusses war es dessen erste Aufgabe, die vorzunehmenden Arbeiten festzulegen und ein allgemeines Programm für ihre Durchführung aufzustellen. Es war hierbei zu überlegen, ob es ratsamer sei, die Versuche ohne oder mit Hinzuziehung der Stahlfirmen vorzunehmen. Im ersteren Falle fiel den Werkstättenleitern allein die volle Verantwortung zu, die Stahlmarken und deren Formen auszuwählen und sie unter Zuhilfenahme der vorliegenden Gebrauchsanweisungen bestmöglich zu benutzen. Im zweiten Falle war es den Stahllieferern möglich, helfend einzugreifen, für die einzelnen Bearbeitungen ihre passendsten Marken und Formen anzugeben und durch ihre eigenen Erfahrungen die der Werkstätten zu ergänzen. Mit Rücksicht darauf, dass die Behandlung der neu geschaffenen Stähle bei ihrer Anwendung den Werkstätten nur erst wenig bekannt sein konnte, und ferner, dass die Aufgabe des Ausschusses nicht darin bestehen konnte, die Grenzen der Leistungsfähigkeit der einzelnen Marken thunlichst zu erweitern, sondern vielmehr sie zu prüfen, wurde beschlossen, einige Stahlwerke zur gemeinsamen Durchführung der Arbeiten einzuladen.

Die Prüfung der einzelnen Stähle sollte derart vorgenommen werden, dass die in den Werkstätten von Ausschussmitgliedern vorliegenden Werkstücke, welche für Schnelldrehtarbeit geeignet erschienen, mit den Stählen bearbeitet wurden, wobei die von den Stahllieferern im einzelnen Falle anzugebenden höchstzulässigen Schnittgeschwindigkeiten, Vorschübe und Spantiefen nach Möglichkeit angewandt werden sollten. Zur Verwertung der beiderseitigen Erfahrungen war erforderlich, die Stahllieferer zu den jeweils vorzunehmenden Bearbeitungen heranzuziehen.

Obgleich für die Durchführung der Arbeiten sieben Werkstätten ersten Ranges zur Verfügung waren, bestand doch die Ansicht, dass bei normalem Werkstattbetriebe die äußerste Grenze der Leistungsfähigkeit der Stähle und des Stahlmaterials nicht einwandfrei festgestellt werden könne, sei es, dass am Werkstück nicht genügendes Material abzunehmen wäre, sei es, dass die Werkzeugmaschine zu schwach, oder dass mit ihr nicht die für den Stahl zulässige Schnittgeschwindigkeit zu erreichen wäre. Es zeigte sich die Notwendigkeit, eine Versuchsreihe anzuschließen, bei welcher diese täglichen Nebenerscheinungen ausgeschlossen blieben, und wo auch alle im Wettbewerb stehenden Stähle das gleiche Material, die gleichen Werkstücke zu bearbeiten hatten.

Die Deutsche Niles-Werkzeugmaschinenfabrik fand sich bereit, für diese Versuche eine ihrer normalen grösseren Drehbänke zur Verfügung zu stellen, an welche die A. E.-G. einen entsprechend kräftigen Drehstrommotor für Einzelantrieb anbaute.

Durch die Arbeiten in den Niles-Werken sollte unter Berücksichtigung der Lebensdauer der einzelnen Schneiden festgestellt werden:

I) welche Oberfläche in der Zeiteinheit bei gegebener Spantiefe, beliebiger Schnittgeschwindigkeit und beliebigem Vorschub abgedreht werden kann, und

II) welches Gewicht an Spänen unter Verwendung grösster Spantiefen und ohne Festlegung einer der genannten Grössen heruntergedreht werden kann. Als Versuchsstücke wurden für die Bearbeitung Walzen aus Gusseisen (Grauguss), Stahlguss und geschmiedetem oder gewalztem Siemens-Martin-Stahl in verschiedener Festigkeit in Aussicht genommen.

Der Ausschuss hielt es mit Rücksicht auf das an sich schon recht umfassende Programm für ausgeschlossen, auch noch systematische Versuchsreihen mit verschiedenen Anstellwinkeln und Schneidenformen bei verschiedenen Geschwindigkeiten, Vorschüben und Spantiefen anzubahnen; er beschränkte sich darauf, die von den einzelnen Stahlfabrikanten für die betreffenden Verhältnisse als günstigsten angenommenen Werte für die Arbeiten maßgebend sein zu lassen, und es wurden diese Werte angewendet. Der leitende Gedanke dabei war, dass der Stahlfabrikant selbst das größte Interesse haben müsse, mit seinen Stählen die höchste Leistungsfähigkeit zu erreichen, und dass es seine Aufgabe sei, die Abnehmer anzulernen und die Überlegenheit der neuen Stahlmarken zu beweisen. Der Ausschuss konnte bei den an sich recht langwierigen Versuchsreihen ausschließlich nur die Interessen der Werkstätten, des Abnehmers, wahrnehmen. Es wäre eine ganz andere Aufgabe, durch mehr theoretische Versuchsreihen die Gebrauchsanweisung der Stahlfabrikanten zu kritisieren und die Leistungsfähigkeit der einzelnen Stähle auch auf diese Weise vielleicht noch etwas zu steigern.

Die Definition »Schnelldrehstahl« fand ihren Ausdruck darin, dass das Arbeiten der einzelnen Schneide bei den Versuchsreihen in den Niles-Werken nur bis zur Dauer von 2 Stunden fortgesetzt wurde, mit der Begründung, dass »Schnelldrehen« gleichbedeutend sei mit »viel Späne in kurzer Zeit«, und dass es im Werkstättenbetrieb zumeist wohl auch zulässig sei, nach 2 Stunden ununterbrochener Arbeit einen neuen Stahl einzuspannen.

2) Versuchsarbeiten.

Der Ausschuss trat mit diesem Programm an solche Stahlfirmen heran, welche bis dahin mit Ergebnissen über Schnelldrehstähle bereits an die Öffentlichkeit getreten waren; die folgenden Firmen sagten ihre Teilnahme an den Versuchen zu:

Bergische Stahl-Industrie G. m. b. H., Gusstahlfabrik, Remscheid; Gebr. Bühler & Co. A.-G., Wien-Berlin; Poldi-Hütte, Tiegelgussstahlfabrik, Wien-Berlin. Von diesen drei Firmen wurden die Arbeiten mit vollem Eifer aufgenommen und gemeinsam bis zum Schluss mit größter Aufopferung von Zeit und Mühe durchgeführt.

Zu den einzelnen Arbeiten in den Werkstätten (A) sei zusammenfassend Folgendes erwähnt:

Es wurden hauptsächlich Dreharbeiten vorgenommen, aber auch einige wenige Hobelarbeiten wurden bereits durchgeführt. In der Werkstatt der Maschinenfabrik für Mühlenbau vorm. C. G. W. Kapler A.-G. wurden ausschließlich Hartgusswalzen mit Spezialstählen geriffelt. Ferner sind in den Werkstätten von allen Mitgliedern vielversprechende Versuchsarbeiten zur Herstellung von Fräsern aus den später genannten Stahlsorten aufgenommen worden.

Die Werkstücke gestatteten meist die Abnahme eines kräftigen Spanes, waren aber infolge der Vielseitigkeit der Fabrikate der beteiligten Firmen verschiedenartig gestaltet. Ein Teil der Stücke ist im nachstehenden Verzeichnis enthalten.

Werkstück	Material
Kolbenringe	hartes Guss Eisen
Bohrspindel von 206 mm Dmr.	Guss Eisen
Druckringe, Induktorklingen, Riemenscheiben	"
runde Gleitbahnen von Dampfmaschinen	"
Pumpenkolben	"
Lokomotiv- und andere Dampfcylinder	"
Kommutatorbüchsen	"
Schwungrad mit Schlitten von 1722 mm Dmr.	"
Hülsen	"
Polgehäuse mit abgesetzten Arbeitsflächen	Stahlguß
8 polige Schenkelnabe	"
Dynamogehäuse mit Arbeitsflächen von verschiedenen Abmessungen	weicher Stahlguß
Zahnender verschiedenen Durchmessers	Stahlguß
vorgezogene Wellen	Siemens-Martin-Stahl
Kurbelwellen	"
Gesteinbohrer	Gussstahl
Hüftwalzen	Hartguß

Die einzelnen Stähle konnten in den Werkstätten nicht immer zur vollen Geltung kommen; vielmehr war die Grenze der Leistungsfähigkeit sehr oft durch die Form des Werkstückes oder durch die Werkzeugmaschine gegeben. (In vielen der Protokolle sind bezügliche Bemerkungen angefügt.)

Die zweite Versuchsreihe in den Niles-Werken (B) erstreckte sich nur auf Dreharbeiten, und zwar wurde, wie oben gesagt, angestrebt, in der Zeiteinheit möglichst viel Späne und eine möglichst große abgedrehte Oberfläche zu erhalten. Bei den Versuchen auf Spanmenge wurde den Stahllieferern die Wahl von Schnittgeschwindigkeit, Vorschub und Spantiefe überlassen; für die Versuche auf Oberfläche wurde eine Spantiefe von $\frac{1}{16}$ " = rd. 4,8 mm vorgeschrieben.

Die nachstehend verzeichneten Werkstücke wurden zur Bearbeitung beschafft.

Welle aus	Länge mm	Dmr. bezw. Seiten- länge mm	Festig- keit kg/qmm	Deh- nung vH	Figur
Guss Eisen	3000	500	—	—	1
Stahlguß	3000	500	42—50	26	2
geschmiedetem Siemens- Martin-Stahl	1750	400	40,6	25,5	3
	1750	400	63,5	18	
	1750	400	77,5	13,5	3
Vierkantwelle aus Siemens- Martin-Stahl	1500	300	63,5	18	

Die Ergebnisse dieser Versuchsreihen sollten zeigen, welche Leistungen von den Werkstätten anzustreben und welche Ergebnisse mit dem Stahlmaterial heute erreichbar sind. Die Ergebnisse fielen auch naturgemäß für einige Materialien weit besser aus als diejenigen der Werkstätten. Hier war die Grenze der Leistungsfähigkeit durch den Stahl selbst gegeben und nicht durch Werkstück oder Werkzeugmaschine eingeengt. Leider brachten die gemeinsame Durchführung der Versuche, der angestrebte Vergleich der konkurrierenden Stahlmarken sowie auch die geringe Anzahl Werkstücke gewisse andere Beschränkungen mit sich. Bei jedem Schnitt wurde sofort mit den jeweils höchsten Schnittgeschwindigkeiten, Vorschüben und Spantiefen angesetzt, um günstige Ergebnisse zu erzielen. Eine allmähliche Steigerung war nicht möglich; auch konnte der verschiedenen Härte des Materials, den porösen Stellen und der auch sonst oft recht ungünstigen Beschaffenheit der Kruste nicht genügend nachgegeben werden; bessere Stellen des Materials hätten wiederum schneller bearbeitet werden können. Andererseits war wieder nicht genug Kruste vorhanden, um die höchste Leistung und Lebensfähigkeit der Stähle hierauf endgültig festzustellen. Die Kruste jeder Welle musste in drei gleichen Teilen den Firmen zur Bearbeitung überwiesen werden. Dabei kam es vor, dass beim Angriff des zur Verfügung stehenden Teiles einmal zu wenig Span genommen und so die Leistungsfähigkeit nicht ausgenutzt wurde, andererseits wurde bei dem Bestreben, die Höchstleistung des Stahles zu finden, ein zu kräftiger Span angesetzt und dadurch die Lebensdauer der Schneide verkürzt. So sind auch die Ergebnisse der Niles-Versuche durchaus nicht vollkommen; immerhin war aber hier den Stahlfirmen eine erste günstige Gelegenheit geboten, die verschiedensten Materialien zu bearbeiten und hieran selbst noch weiter zu lernen und die Verwendung der Stähle weiter zu vervollkommen.

Die auf S. 1380 folgende Zahlentafel lässt die Bestandteile der einzelnen bei den Versuchen in den Niles-Werken benutzten Wellen erkennen.

Die geprüften Stahlsorten waren den Herstellungsverfahren ihrer Schnellen nach:

- an der Luft gehärtet — naturhart — oder nach bekanntem Verfahren in Wasser leicht abgeschreckt,
- nach einem geheimen Verfahren gehärtet.

Die geheim gehärteten Stähle wurden von den Stahlfirmen fertig und geprüft bezogen. Sie lassen sich wie alle anderen Stähle wieder nachschleifen; sobald jedoch der ge-

Fig. 1a.¹⁾

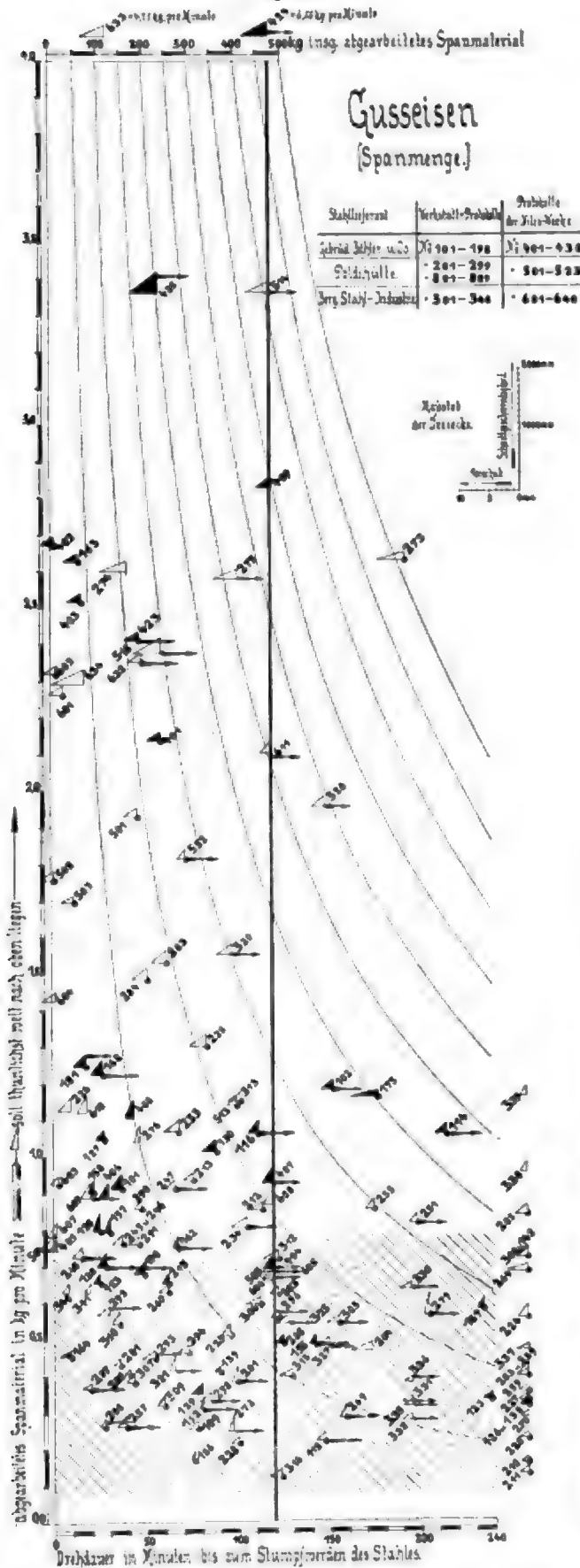
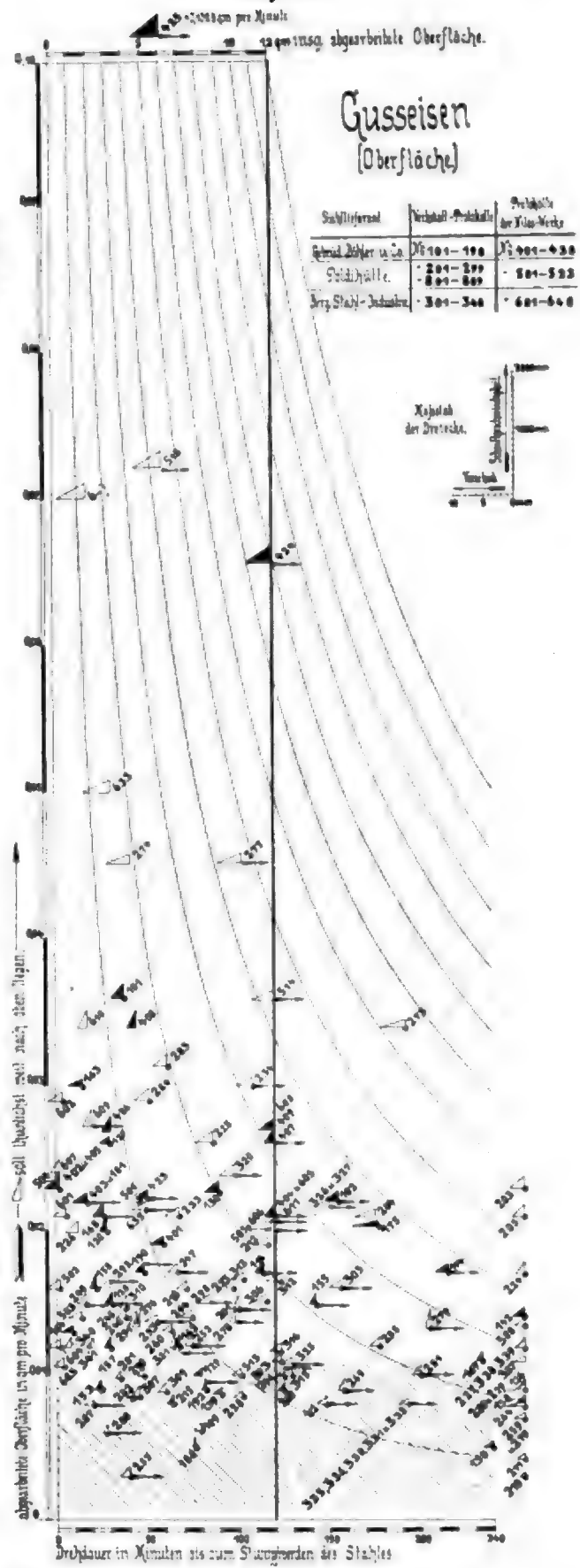
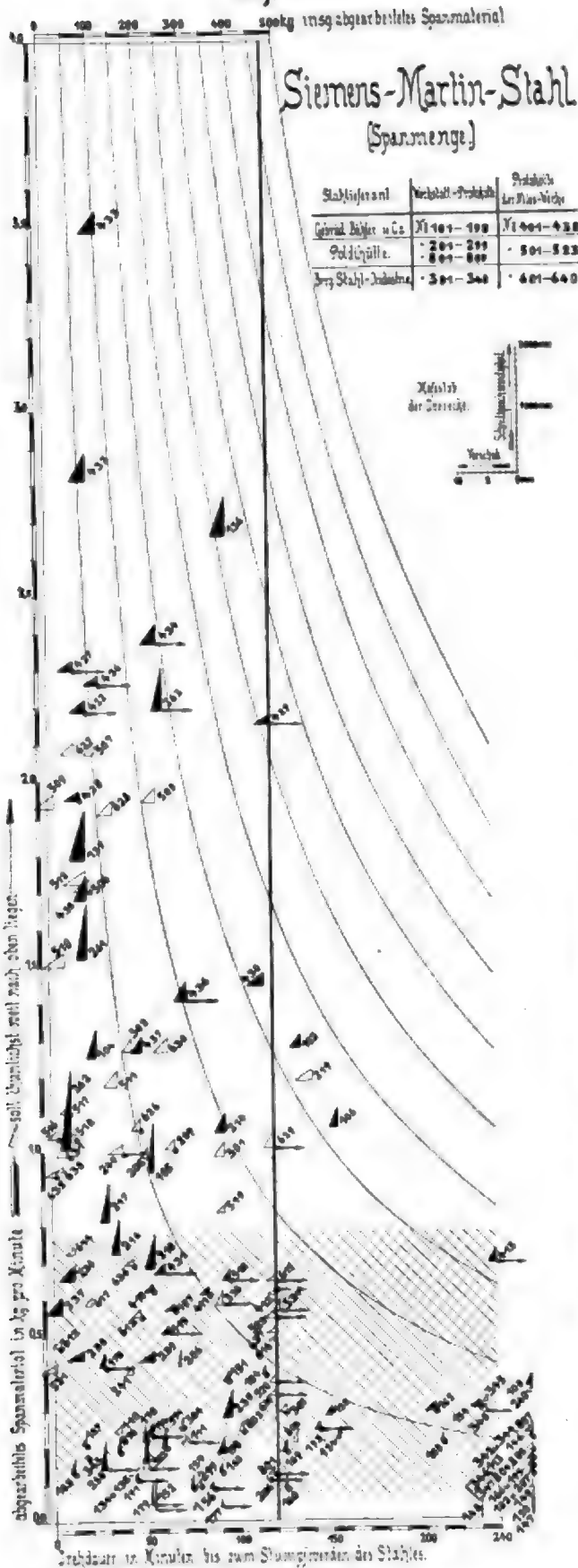


Fig. 1b.¹⁾



¹⁾ Wagerechter Pfeil bedeutet: „Stahl noch unverändert“ (s. S. 1385 u. f.).

Fig. 3 a.)



1990

1991

1992

1993

1994

1995

1996

1997

1998

1999

2000

2001

2002

2003

2004

2005

2006

2007

2008

2009

2010

2011

2012

2013

2014

2015

2016

2017

2018

2019

2020

2021

2022

2023

2024

2025

2026

2027

2028

	Siemens-Martin-Stahl	Stahlguss	Gusseisen	
Schleifgeschwindigkeit in mm pro Sekunde	3.1 3.2 3.3 3.4 3.5	3.1 3.2 3.3 3.4 3.5	3.1 3.2 3.3 3.4 3.5	3.1 3.2 3.3 3.4 3.5
Spannweite in mm	3.1 3.2 3.3 3.4 3.5	3.1 3.2 3.3 3.4 3.5	3.1 3.2 3.3 3.4 3.5	3.1 3.2 3.3 3.4 3.5
Verschub in mm	3.1 3.2 3.3 3.4 3.5	3.1 3.2 3.3 3.4 3.5	3.1 3.2 3.3 3.4 3.5	3.1 3.2 3.3 3.4 3.5
Abgeschliffene Spinnweite in mm pro Minute	3.1 3.2 3.3 3.4 3.5	3.1 3.2 3.3 3.4 3.5	3.1 3.2 3.3 3.4 3.5	3.1 3.2 3.3 3.4 3.5
Abgeschliffene Spinnweite in mm pro Minute	3.1 3.2 3.3 3.4 3.5	3.1 3.2 3.3 3.4 3.5	3.1 3.2 3.3 3.4 3.5	3.1 3.2 3.3 3.4 3.5
Abgeschliffene Spinnweite in mm pro Minute	3.1 3.2 3.3 3.4 3.5	3.1 3.2 3.3 3.4 3.5	3.1 3.2 3.3 3.4 3.5	3.1 3.2 3.3 3.4 3.5
Abgeschliffene Spinnweite in mm pro Minute	3.1 3.2 3.3 3.4 3.5	3.1 3.2 3.3 3.4 3.5	3.1 3.2 3.3 3.4 3.5	3.1 3.2 3.3 3.4 3.5
Abgeschliffene Spinnweite in mm pro Minute	3.1 3.2 3.3 3.4 3.5	3.1 3.2 3.3 3.4 3.5	3.1 3.2 3.3 3.4 3.5	3.1 3.2 3.3 3.4 3.5
Abgeschliffene Spinnweite in mm pro Minute	3.1 3.2 3.3 3.4 3.5	3.1 3.2 3.3 3.4 3.5	3.1 3.2 3.3 3.4 3.5	3.1 3.2 3.3 3.4 3.5

Zahlenfeld 4a.

Stahlindustrie ebenfalls kein Geheimnis; es seien Legierungen von Eisen mit Kohle, Mangan, Wolfram, Chrom, Titan usw. Die Höhe dieser Zusätze bedinge die Widerstandsfähigkeit der Stähle; je höher sie seien, desto schwieriger sei der Stahl zu verarbeiten. Die Bergische Stahlindustrie hat es demgemäß für richtig gehalten, die Legierungen so zu wählen, dass es dem Verbraucher noch möglich ist, die Verarbeitung des Stahles nach genauer Anweisung selbst vorzunehmen. Sie hat aus diesem Grunde und mit Rücksicht darauf, dass die Leistungsfähigkeit bester naturharter Stähle bereits so hoch liegt wie diejenige der gegenwärtig allgemein benutzten Werkzeugmaschinen, von der Herstellung zubereiteter Stähle bisher abgesehen und für die Versuche nur ihren Lufthärter, Marke L, zur Verfügung gestellt.

Die Poldi-Hütte hat nur wenige Arbeiten mit ihrem Schnelldreher ausgeführt. Sie erklärte, dass sie ihre zubereiteten Messer, Marke Schnelldreher, erst dann ihren Abnehmern empfehlen werde, wenn sie die Leistungen ihres Selbsthärter, Marke Diamant, sehr wesentlich übertreffen würden. Eine Markware für derartige höhere Leistungen mit der für den Abnehmer unbedingt notwendigen Gleich-

mäßigkeit herzustellen, sei heute noch nicht genügend gesichert. Andererseits hat die Poldi-Hütte bei einigen wenigen Versuchen in den Werkstätten der Ausschussmitglieder gezeigt, dass sie wohl in der Lage ist, Schnelldreher zu liefern, welche ganz hervorragende Leistungen aufweisen. Dies waren jedoch Einzelmesser, die als Markware heute noch nicht bezeichnet werden können.

Gebr. Böhler dagegen haben sich bereits seit vier Jahren mit der Herstellung von Rapidstahl befasst und sind infolgedessen in der Fabrikation soweit vorgeschritten, dass sich bei Herstellung des Stahles nicht mehr als 3 VII Ausschuss ergeben sollen. Sie versicherten, dass der benutzte Rapidstahl ihrer heutigen Markware entspreche, und dass diese gleichmäßig sei und nicht nur einige zufällig hervorragend gute Stähle aufweise. Der Ausschuss hielt es mit Rücksicht auf die vielfach bestehenden Vorurteile für geboten, gerade diesen Rapidstahl auf Gleichmäßigkeit des Fabrikates zu prüfen. In den einzelnen Werkstätten wurde denn auch von den Mitgliedern eine genügende Anzahl Stähle benutzt und festgestellt, dass hierbei nicht mehr Ausschuss zu verzeichnen war als bei jeder andern bisher bekannten Stahlsorte.

Schweißgeschwindigkeit in mm pro Minute		Festigkeit = 77,5 kg		Festigkeit = 69,3 kg		Festigkeit = 60 kg		Schweißgeschwindigkeit in mm pro Minute	
Bergische Stahl-Industrie	Arbeits- Spann							Bergische Stahl-Industrie	Arbeits- Spann
Böhler	Arbeits- Spann							Böhler	Arbeits- Spann
Silen-Bornes	Arbeits- Spann							Silen-Bornes	Arbeits- Spann
Böhler	Arbeits- Spann							Böhler	Arbeits- Spann
Rapid	Arbeits- Spann							Rapid	Arbeits- Spann
Poldi	Arbeits- Spann							Poldi	Arbeits- Spann
Diamant 000	Arbeits- Spann							Diamant 000	Arbeits- Spann
Poldi	Arbeits- Spann							Poldi	Arbeits- Spann
Schnelldrücker	Arbeits- Spann							Schnelldrücker	Arbeits- Spann
Spannweite in mm		Festigkeit = 77,5 kg		Festigkeit = 69,3 kg		Festigkeit = 60 kg		Spannweite in mm	
Bergische Stahl-Industrie	Arbeits- Spann							Bergische Stahl-Industrie	Arbeits- Spann
Böhler	Arbeits- Spann							Böhler	Arbeits- Spann
Silen-Bornes	Arbeits- Spann							Silen-Bornes	Arbeits- Spann
Böhler	Arbeits- Spann							Böhler	Arbeits- Spann
Rapid	Arbeits- Spann							Rapid	Arbeits- Spann
Poldi	Arbeits- Spann							Poldi	Arbeits- Spann
Diamant 000	Arbeits- Spann							Diamant 000	Arbeits- Spann
Poldi	Arbeits- Spann							Poldi	Arbeits- Spann
Schnelldrücker	Arbeits- Spann							Schnelldrücker	Arbeits- Spann
Verschleiß in mm		Festigkeit = 77,5 kg		Festigkeit = 69,3 kg		Festigkeit = 60 kg		Verschleiß in mm	
Bergische Stahl-Industrie	Arbeits- Spann							Bergische Stahl-Industrie	Arbeits- Spann
Böhler	Arbeits- Spann							Böhler	Arbeits- Spann
Silen-Bornes	Arbeits- Spann							Silen-Bornes	Arbeits- Spann
Böhler	Arbeits- Spann							Böhler	Arbeits- Spann
Rapid	Arbeits- Spann							Rapid	Arbeits- Spann
Poldi	Arbeits- Spann							Poldi	Arbeits- Spann
Diamant 000	Arbeits- Spann							Diamant 000	Arbeits- Spann
Poldi	Arbeits- Spann							Poldi	Arbeits- Spann
Schnelldrücker	Arbeits- Spann							Schnelldrücker	Arbeits- Spann
Abgewandene Spinnmaterial in kg pro Minute		Festigkeit = 77,5 kg		Festigkeit = 69,3 kg		Festigkeit = 60 kg		Abgewandene Spinnmaterial in kg pro Minute	
Bergische Stahl-Industrie	Arbeits- Spann							Bergische Stahl-Industrie	Arbeits- Spann
Böhler	Arbeits- Spann							Böhler	Arbeits- Spann
Silen-Bornes	Arbeits- Spann							Silen-Bornes	Arbeits- Spann
Böhler	Arbeits- Spann							Böhler	Arbeits- Spann
Rapid	Arbeits- Spann							Rapid	Arbeits- Spann
Poldi	Arbeits- Spann							Poldi	Arbeits- Spann
Diamant 000	Arbeits- Spann							Diamant 000	Arbeits- Spann
Poldi	Arbeits- Spann							Poldi	Arbeits- Spann
Schnelldrücker	Arbeits- Spann							Schnelldrücker	Arbeits- Spann
Abgewandene Oberfläche in cm ² pro Minute		Festigkeit = 77,5 kg		Festigkeit = 69,3 kg		Festigkeit = 60 kg		Abgewandene Oberfläche in cm ² pro Minute	
Bergische Stahl-Industrie	Arbeits- Spann							Bergische Stahl-Industrie	Arbeits- Spann
Böhler	Arbeits- Spann							Böhler	Arbeits- Spann
Silen-Bornes	Arbeits- Spann							Silen-Bornes	Arbeits- Spann
Böhler	Arbeits- Spann							Böhler	Arbeits- Spann
Rapid	Arbeits- Spann							Rapid	Arbeits- Spann
Poldi	Arbeits- Spann							Poldi	Arbeits- Spann
Diamant 000	Arbeits- Spann							Diamant 000	Arbeits- Spann
Poldi	Arbeits- Spann							Poldi	Arbeits- Spann
Schnelldrücker	Arbeits- Spann							Schnelldrücker	Arbeits- Spann
Zersäure in Minuten		Festigkeit = 77,5 kg		Festigkeit = 69,3 kg		Festigkeit = 60 kg		Zersäure in Minuten	
Bergische Stahl-Industrie	Arbeits- Spann							Bergische Stahl-Industrie	Arbeits- Spann
Böhler	Arbeits- Spann							Böhler	Arbeits- Spann
Silen-Bornes	Arbeits- Spann							Silen-Bornes	Arbeits- Spann
Böhler	Arbeits- Spann							Böhler	Arbeits- Spann
Rapid	Arbeits- Spann							Rapid	Arbeits- Spann
Poldi	Arbeits- Spann							Poldi	Arbeits- Spann
Diamant 000	Arbeits- Spann							Diamant 000	Arbeits- Spann
Poldi	Arbeits- Spann							Poldi	Arbeits- Spann
Schnelldrücker	Arbeits- Spann							Schnelldrücker	Arbeits- Spann

Die wirklichen Lagen der einzelnen Ergebnisse in bezug auf den Maßstab sind durch die eingesetzten wagerechten Striche gegeben, während die zugehörigen Nummern in Uebereinstimmung mit der Anzahl der Striche, von oben oder unten anfangend, zu lesen sind¹⁾.

Die Durchschnittsergebnisse des Riffelns von gedrehten und geschliffenen Hartgusswalzen mittels Spezialstähle sind in der folgenden Zahlentafel vergleichsweise zusammengestellt. Für die Versuche wurden nur Walzen gleichen Ursprunges verwendet, deren Abmessungen stets dieselben waren. Die Versuche wurden mit der bisher bestbewährten Schnittgeschwindigkeit von 7,5 mm/sk ausgeführt. Die Härtung der Spezialstähle blieb den Stahlwerken überlassen.

Durchschnittsergebnisse der Riffelversuche.

Firma	Stahlmarke	Schnittgeschwindigkeit in mm/sk	insgesamt abgearbeitetes Spanmaterial in kg	insgesamt abgearbeitete Oberfläche in qm	Arbeitsdauer bis zum Stampfwerden des Stahles in min
Bergische Stahlindustrie	Riffelstahl	7,5	0,146	0,187	309,06
Gehr. Höpfer & Co.	Spezial	7,5	0,192	0,179	357,89
Feldhütte	sehr hart 0 x	7,5	0,097	0,087	184,78

Schlusswort.

Der Ausschuss trat am 15. Februar 1901 zusammen und konnte am 12. Juli 1901 seine Schlusssitzung abhalten. Insgesamt wurden von ihm über 800 Versuche bzw. Bearbeitungen mit rd. 260 verschiedenen Stählen ausgeführt.

Die mitgeteilten Ergebnisse konnten selbstverständlich nicht erschöpfend gestaltet werden. Sie sollen jedoch weitere Kreise zum Vergleich mit den in der eigenen Werkstatt erzielten Leistungen anregen und dazu auffordern, den Leistungen der Werkzeuge und des Werkzeugstahles an sich eine erhöhte Aufmerksamkeit zu widmen. Immer noch mehr muss der Werkstattingenieur erkennen, welche Mittel ihm zur Verfügung gestellt werden können, um die Leistungsfähigkeit seiner Werkstätten zu erhöhen.

Der Kraftverbrauch nimmt etwa entsprechend der erhöhten Leistungsfähigkeit der einzelnen Werkzeugmaschine

¹⁾ Zahlentafel 4a ist eine Wiederholung von 4 ohne Protokollnummern und soll den Ueberblick über jene erleichtern.

zu, d. h. es ergibt sich zwar ein Mehrkraftverbrauch pro Zeiteinheit, aber durchaus nicht ein irgendwie nennenswerter Mehrkraftverbrauch pro kg abgedrehte Späne.

Der Preis der Stähle ist hier ganz unberücksichtigt geblieben, wie auch seitens der Werkstättenleiter hierauf nur wenig Wert gelegt werden darf. Einerseits betragen die Kosten der Drehstähle nur einen ganz geringen Prozentsatz des Gesamtbetriebkapitals einer Werkstatt, und andererseits bedeutet die Fertigstellung eines großen, schweren Werkstückes in kürzerer Zeit als bisher einen weit größeren Gewinn, als die Mehrkosten der dabei infrage kommenden Drehstähle auch nur annähernd ausmachen können. Ebenso wie man bestrebt ist, durch teure Aufspannvorrichtungen die Zeit für das Aufspannen eines Werkstückes auf die Bank und das Ausrichten nach Möglichkeit abzukürzen, so sollte man auch durch Anschaffung der besten, wenn auch teuersten Stähle die Zeit der Bearbeitung thunlichst einzuschränken suchen.

Natürlich setzt die Benutzung dieser Stähle kräftige Werkzeugmaschinen und einen Antrieb derselben voraus, welcher die notwendige Schnittgeschwindigkeit bzw. Umdrehungszahl der Arbeitspindel zu erreichen gestattet. Doch ist auch in älteren Werkstätten mit sehr langsam laufenden Transmissionen immerhin die Möglichkeit hierzu dadurch gegeben, dass man die geeigneten Bänke mit getrenntem, kräftigem Antrieb ausstattet, sie einzeln antreibt.

Für große Gebiete, insbesondere der Schmiedestahlindustrie, ist die Einführung der Geheimhärter zur Entlastung der Hammerwerke unbedingt geboten, auch für viele Arbeiten, bei denen die sonstigen Bedingungen derart starke Späne zu machen gestatten, dass die Temperatur der Drehstähle hoch ansteigt. Dies ist das unbestrittene Feld für solche Stähle, welche weit höheren Reibungstemperaturen widerstehen als die Naturhärter.

Im allgemeinen Maschinenbau muss es der einzelnen Werkstatt überlassen bleiben, wie weit sich die Benutzung dieser Stähle auf die Durchschnittsarbeiten erstrecken kann. Manche dieser Gebiete werden den Geheimhärtern, wie auch die Arbeiten des Ausschusses zeigen, durch die heutigen vorzüglichen Leistungen naturharter Stähle streitig gemacht.

Ueber die Ausnutzung der Werkzeugmaschinen, über die Organisation der Werkstätten ist mehrfach in der Literatur berichtet worden; die vorstehende gemeinsame Arbeit einer großen Zahl leitender Ingenieure sei ein weiterer Beitrag zu diesen technisch-wirtschaftlichen Fragen.

Der Werkzeugstahl-Ausschuss des Berliner Bezirksvereines.

Der Vorsitzende: O. Lasche.

Die Weltausstellung in Paris 1900.

Turbinenbau.

Von Professor E. Beitel, Charlottenburg.

(Fortsetzung von Z. 1900 S. 1359)¹⁾

Nicht ausgestellt, aber in den Rahmen der Besprechung passend, ist eine in der letzten Zeit von Ganz & Comp. ausgeführte und dieser Firma patentierte Turbinenkonstruktion, die für das Elektrizitätswerk der Stadt Innsbruck geliefert worden ist und ihrer Eigenartigkeit wegen hier wiedergegeben werden soll.

Nordöstlich von Innsbruck ergießt sich, aus steilem Felsenthal kommend, der Mühlauer Bach in den Inn. Seit dem Jahre 1889 besitzt Innsbruck ein von Ganz & Comp. eingerichtetes elektrisches Kraftwerk, für das der Mühlauer Bach die Betriebskraft liefert. Zu diesem Zwecke war in den Bach rd. 817 m über dem Meere ein Wehr eingebaut, und von dort wurde das Wasser dem Turbinenhaus in einer Rohrleitung zugeführt. Es waren zuerst 3 Partialturbinen: 2 in Betrieb, 1 in Reserve, von je 150 PS bei einem Brutto-Ge-

fälle von 123 m aufgestellt. Später kamen noch 2 größere Partialturbinen von je 300 PS hinzu. Alle waren mit den Dynamomaschinen unmittelbar gekuppelt. Die höher gestellten Anforderungen haben eine Vergrößerung des Kraftwerkes notwendig gemacht, die eigenartig gelöst ist. Nahe den Quellen des Mühlauer Baches (vergl. Fig. 63 und 64) wurden in Höhe von ungefähr 1067 m über dem Meere in dem Felsen außergewöhnlich ergiebige und vorzügliche Quellen gefunden, die rd. 0,35 cbm/sk Wasser führen und zur Trinkwasserversorgung Innsbrucks überreichlich genügen. Der bedeutende Ueberschuss an Wasser wurde bisher aus dem Trinkwasserstellen dem Mühlauer Bach zugeführt und bildete dort einen Teil des Aufschlagwassers für die Turbinen des Kraftwerkes. Bei dessen Vergrößerung wurde es für zweckmäßiger erachtet, den Wasserüberschuss unmittelbar zu verwenden, zumal die Turbinen dann völlig reines Wasser erhielten und ein Gefälle von rd. 357 m zur Verfügung stand, somit eine bedeutende Vergrößerung der Betriebskraft gewonnen werden konnte.

¹⁾ Wegen längerer schwerer Erkrankung des Verfassers verspätet und unter Mitwirkung seines Assistenten Hrn. Dipl.-Ing. E. Heidebrock fortgesetzt.

Von dem Trinkwasserstollen wurde eine neue Rohrleitung von 500 mm l. W. bis zum Kraftwerk geführt und daselbst zwei neue Turbinen von je 1250 PS angeschlossen, wovon eine in Reserve steht. Die drei 150pferdigen Partialturbinen wurden entfernt.

Von den aus Stahlblech von 6 bis 15 mm Wandstärke und in Längen von 3,7 bis 3,8 m hergestellten Rohrkrümmern, Fig. 65 bis 67, sind 3 bis 7 Stück zu einem Rohr zusammengeklebt und mit Flanschen aus Stahlguss versehen. Auch die Krümmer und Formstücke bestehen aus Stahlguss. Als

Die mit wagerechter Achse für eine größte Wassermenge von 0,35 cbm/sk bei einem Gefälle von 345 m konstruierten Partialturbinen sind von innen beaufschlagt, haben 1600 mm inneren Laufraddurchmesser, machen 420 Uml./min und sind mit den Dynamomaschinen durch Scheibenkupplungen verbunden, Fig. 68 bis 71.

Um bei dem hohen Druck in der langen Rohrleitung während des Regulirens gefährliche Stöße zu vermeiden, ist die ganze Leitvorrichtung schwenkbar gemacht. Das Wasserzuleitungsrohr gabelt sich knapp vor der Turbine in 2 Stränge,

Fig. 63 und 64. Ganz & Comp., Budapest:

Elektrizitätswerk Innsbruck:

Höhen- und Lageplan der Rohrleitung.

Maßstab 1 : 8000

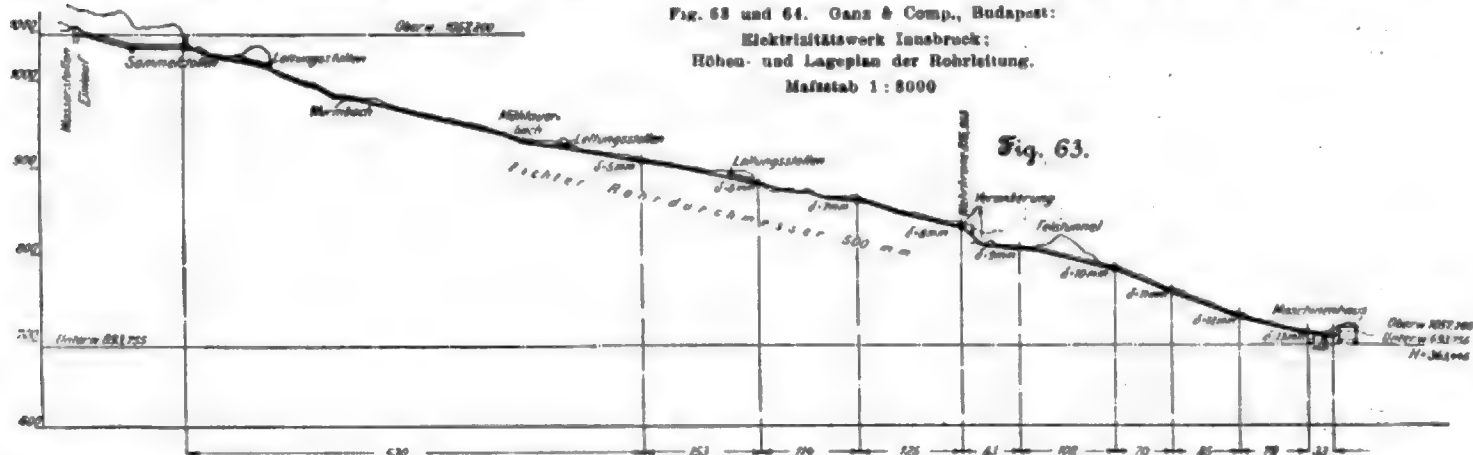


Fig. 63.

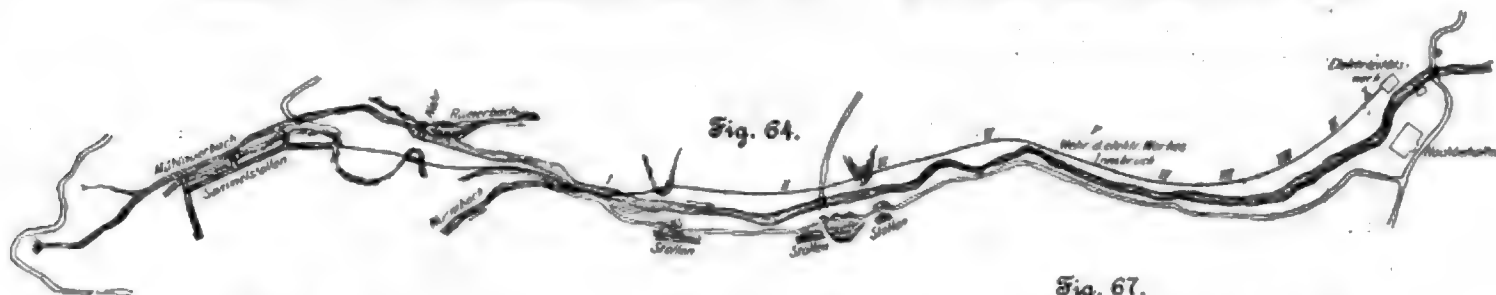


Fig. 64.

Fig. 65.

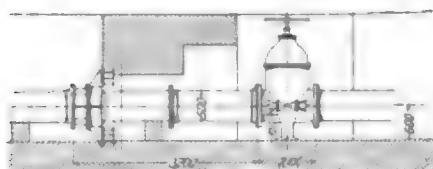


Fig. 63 bis 67.

Ganz & Comp., Budapest:
Elektrizitätswerk Innsbruck: Rohr-
leitung.

Maßstab 1 : 120

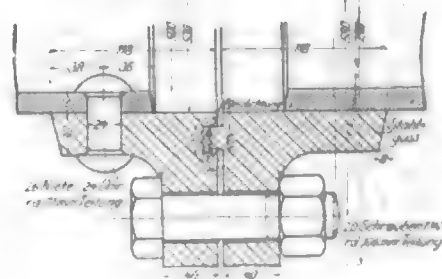


Fig. 67.

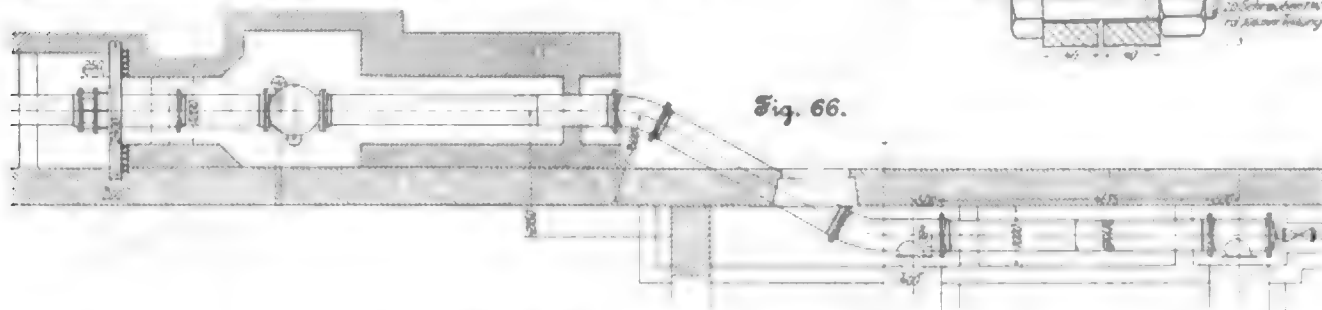


Fig. 66.

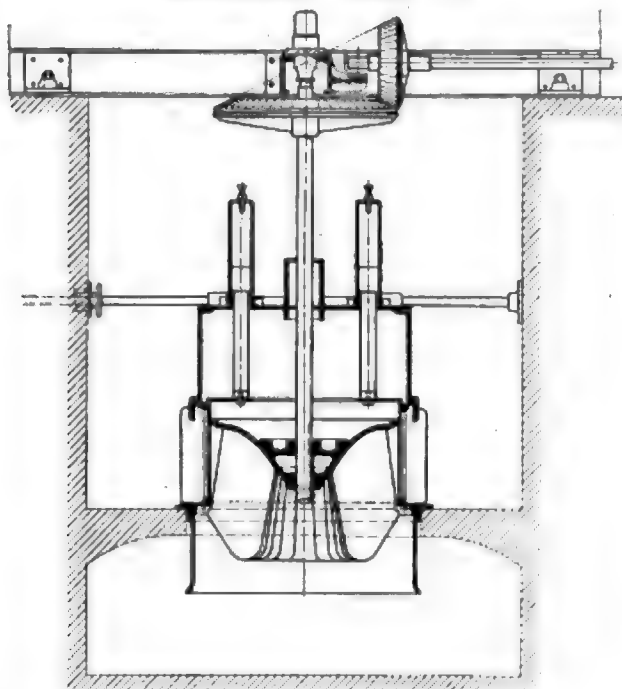
Packung sind in Nuten liegende Bleiringe verwendet, Fig. 67. Ausgleichstücke wegen Wärmeausdehnungen sind nicht eingehant, da die Temperatur des Wassers das ganze Jahr hindurch sehr gleichmäßig ist. Die Lieferung und Verlegung der Rohrleitung, die sich bei dem Mangel an jedem Verkehrsmittel und mit Rücksicht auf Lawinen in dem steilen Felsenthal sehr schwierig gestaltete, ist im Auftrage von Ganz & Comp. von der Firma Brand & Lhuillier in Brünn ausgeführt worden.

die in Krümmer endigen, welche zu Stopfbüchsen ausgebildet sind und eine gemeinsame Achse A haben. In diese Stopfbüchsen ist die Leitvorrichtung um A drehbar eingehängt. Der die Laufradachse umgreifende Hebel H , an welchem die Kolbenstange des Servomotors M mit kurzer Lenkstange ansetzt, dient zur Verstellung der Leitvorrichtung. Durch die Tätigkeit des hydraulisch wirkenden Servomotors wird während des Regülierens somit nicht die zufließende Wassermenge beeinflusst, sondern das nicht be-

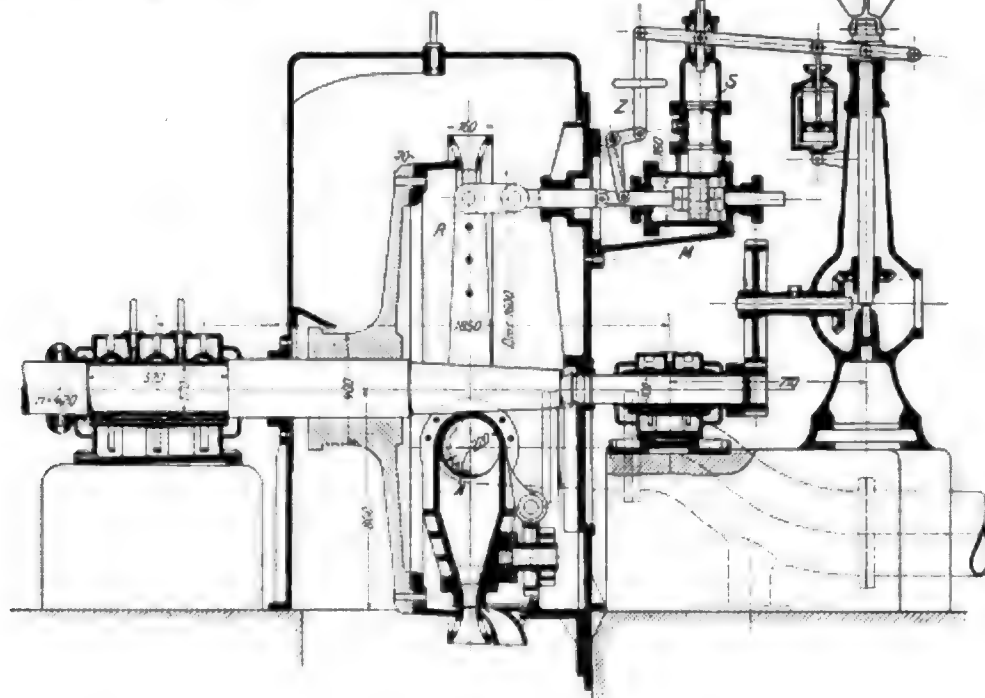


Fig. 72.

A. G. vorm. J. J. Rieter & Co., Winterthur:
Hercules-Turbine. Maßstab 1:40.



Innenbruck; Turbine. Maßstab 1:25.



14 Blechschaufeln und laufen mit 156 Uml./min. Die 16 drehbaren Leitschaufeln beider Kränze werden gleichzeitig durch einen Präzisions-Regulator Rieterscher Bauart verstellt. Der Regulirring wird von einer seitlichen Welle aus durch Stangen bewegt, die an doppelarmigen, mittels Lenker geführten Hebeln angreifen. Diese Anordnung soll gegenüber der sonst gebräuchlichen Anordnung schräger Schlitze im Regulirring die mit der Regulirbewegung ver-

bundenen Reibungsverluste vermindern. Die Turbine ist im übrigen in bekannter Weise in die Wand der offenen Wasserkammer eingelassen und giebt ihre Arbeit, wie aus der Gesamtanordnung, Fig. 78 und 79, hervorgeht, an eine Dynamomaschine ab. Eine einfache Francis-Turbine ähnlicher Bauart von 20 PS liefert die Kraft für die gleichzeitig vorhandenen mechanischen Betriebe.

Das Hauptstück der Ausstellung der Firma Rieter bildet eine der für die Société des Usines hydro-électriques de Montbovon in Romont (Schweiz) konstruierten Turbinen. Diese Gesellschaft erweiterte im Jahre 1900 ihr an der Sarine gelegenes Krafthaus durch 8 Turbinen mit einer Gesamtleistung von 5600 PS, welche sich aus 4 Turbinen zu je 1100 PS, 2 Turbinen zu je 500 PS, alle mit den Dynamos unmittelbar gekuppelt, und endlich 2 Erregerturbinen von je 100 PS (vergl. Fig. 80 und 81) zusammensetzte.

Auf der Ausstellung befand sich, zugleich mit dem Modell der Einmauerung in anschaulicher Weise vorgeführt, eine der größeren Generatorturbinen, die als innen beaufschlagte Radialturbine mit senkrechter Welle und Spaltschieber-Regulierung ausgeführt ist und bei 64 m Gefälle normal mit 300 Uml./min läuft. Die Einzelheiten der Anordnung gehen aus Fig. 82 bis 84 hervor. Die Laufräder von 1100 mm Dmr. haben Rückschaufeln, sodass die Turbine als Grenzmaschine arbeitet. Der untere Teil der Nabe, die unmittelbar auf die senkrechte Welle des Drehstromgenerators aufgekittet ist, führt sich gegenüber dem auf das Saugrohr gestützten oberen Leitradkrümmer in einer Dichtungsbüchse und wirkt

somit als Entlastungskolben für die beträchtlichen Gewichte der elektrischen Maschinen; die Entlastung soll nach den Angaben der Firma nahezu vollständig sein. Die noch verbleibende Belastung wird von einem zwischen Turbine und Generator eingebauten Ringepurlager von 460 mm äußerem Durchmesser und 75 mm Breite aufgenommen, dessen Oelfüllung durch einen aus dem Druckrohr entnommenen Wasserstrom beständig gekühlt wird. Ebenfalls auf die eingemauerten Tragringe des Dynamogebläses stützt sich das sehr kräftig gehaltene untere Halslager, welchem ein ähnliches oberhalb der Dynamo entspricht.

Die zur Regulierung dienenden Cylinderschieber werden selbstthätig mittels hydraulischen Servomotors bewegt, der mit dem vorhandenen natürlichen Druck von 6,4 at arbeitet. Den Zusammenhang der Regulirvorrichtungen zeigen Fig. 83 und 84.

Unmittelbar auf dem oberen Ende der Generatorwelle ist der das Steuerventil des Servomotors betätigende Schwungkugel-

regulator angebracht; er kann somit nicht versagen, wie es bei gesonderter Aufstellung durch Abfallen des Transmissionsriemens oder dergl. vorkommen kann. Das zum Betriebe der Regulierung dienende Druckwasser wird dem Einlaufrohr unmittelbar vor der Turbine entnommen und durchströmt zunächst das Filter F, das aus drei getrennten Gehäusen derart zusammengesetzt ist, dass jedes einzelne behufs Reinigung während des Betriebes ohne weiteres ausgeschaltet

werden kann. Von dort geht die Leitung einerseits mit einer Abzweigung zu dem als Durchflussventil ausgebildeten Steuer-ventil *S*, anderseits zu dem Servomotor *M*, dessen Differentialkolben mittels Hebelwerkes 2 Wellen verdreht, welche durch

Stopfbüchsen in das Gehäuse geführt sind und die Bewegung des Spaltschiebers bewirken. Die Rückführung *Z* ist in der üblichen Weise mit dem Steuerventil verbunden; von ihr aus werden zugleich die Stellvorrichtungen für die Umlaufzahl zur

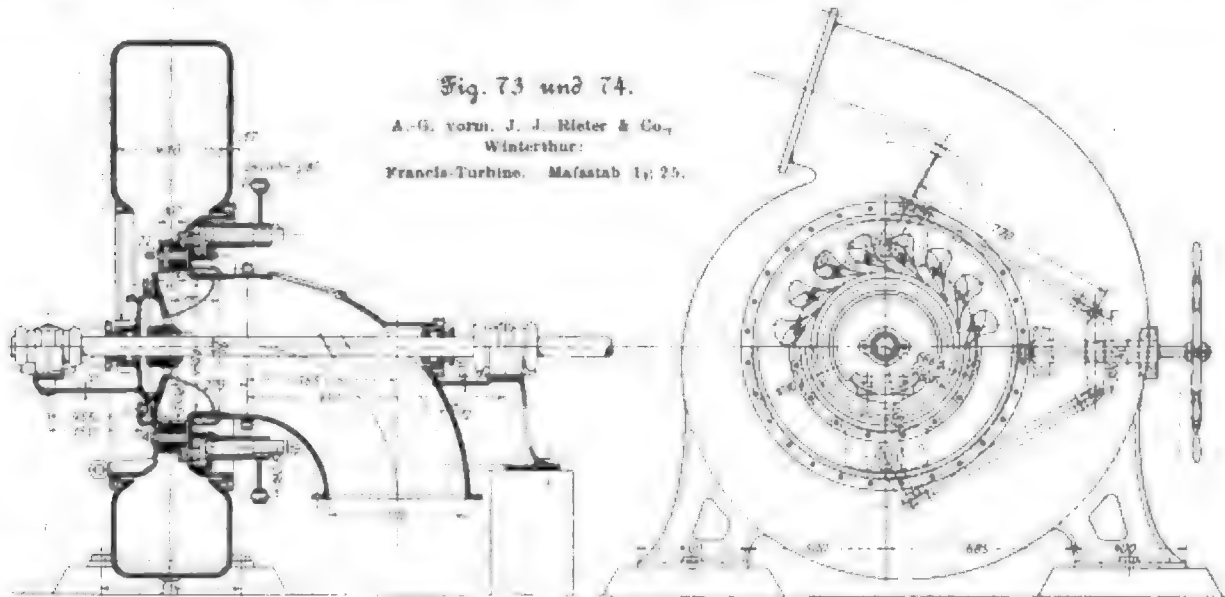
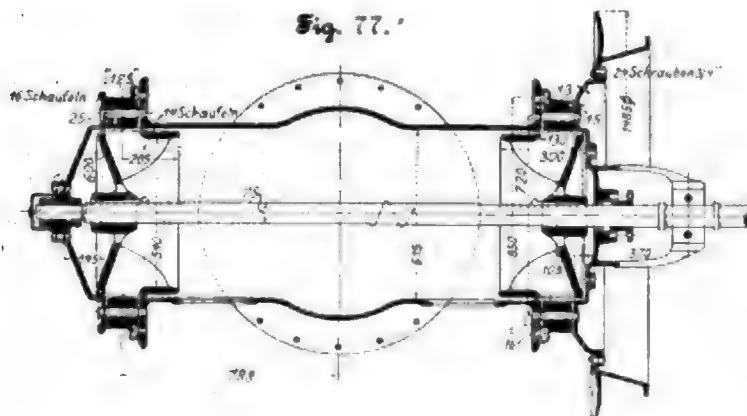
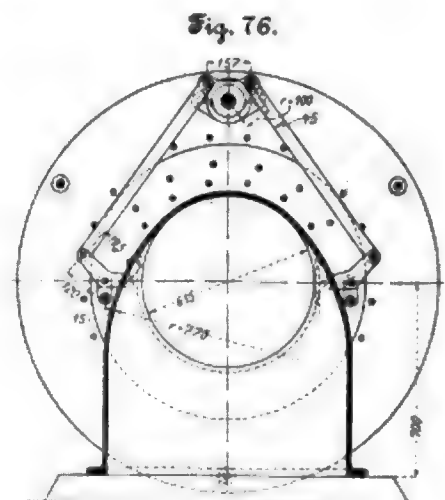
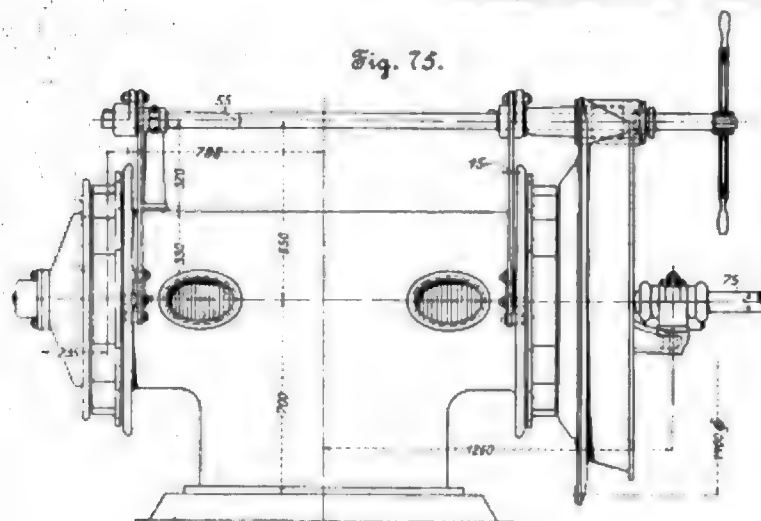


Fig. 75 bis 77. A.-G. vorm. J. J. Rieter & Co., Winterthur:
Swillings-Francis-Turbine. Maßstab 1:25.



Parallelschaltung der Maschinen bethätigt.

Gleichzeitig mit dem Eintritt der Regulierung wird nun, um das Auftreten der störenden Druckschwankungen in der Zufussleitung zu verhindern, mittels genau einstellbarer Hebelübersetzung selbstthätig ein Druckregler in Bewegung gesetzt, der in das Einlaufrohr vor der Turbine eingeschaltet ist. Er besteht im wesentlichen aus einem Katarakt mit Gewichtbelastung und einem Drehschieber *O*, Fig. 84; letzterer öffnet sich im Augenblick jeder Leitradverengung und lässt das überschüssig werdende Wasser aus dem Einlaufrohr in den Ablaufkanal entweichen; hernach schließt er sich wieder selbstthätig durch Hebelgewicht. Der Drehschieber kann auch von Hand als Was-

Fig. 78 und 79.

A.-G. vorm. J. J. Rieter & Co., Winterthur:

Turbinenanlage des Krafthauses Glatfelden.

Maßstab 1:125.

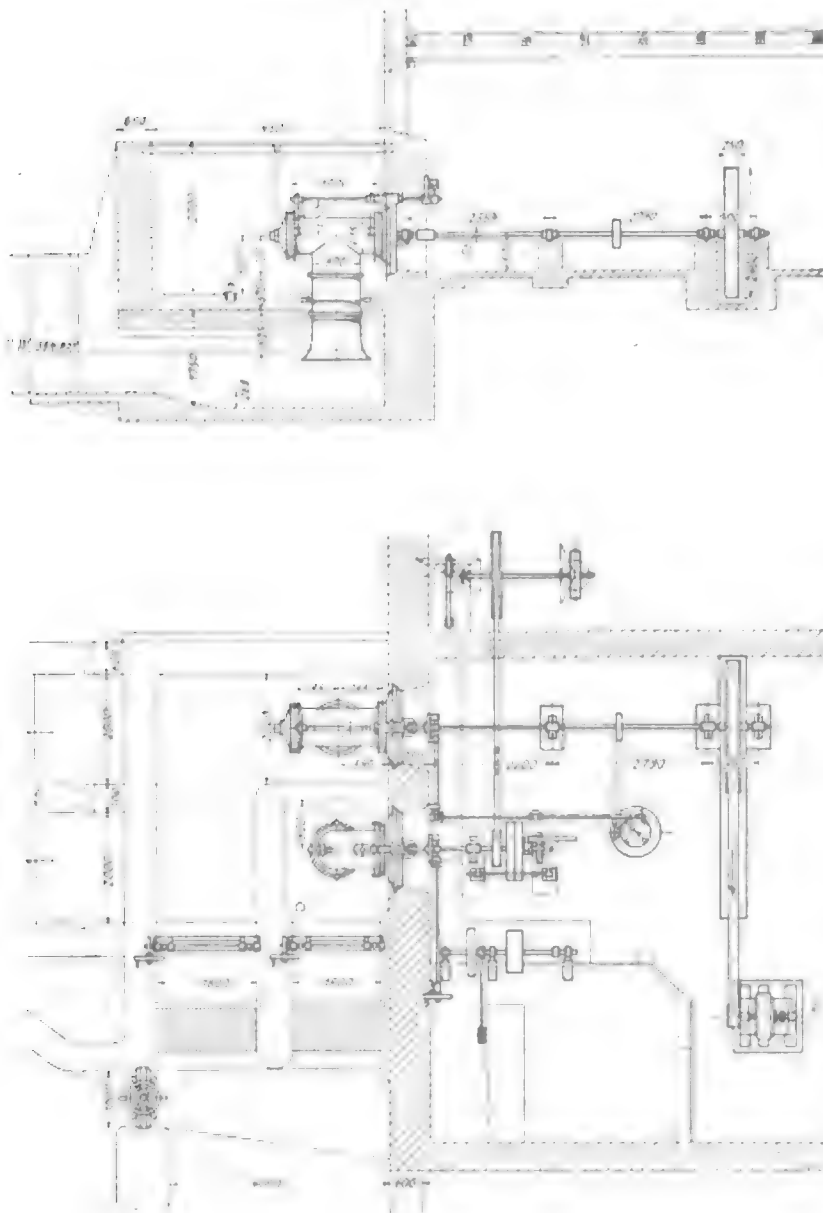


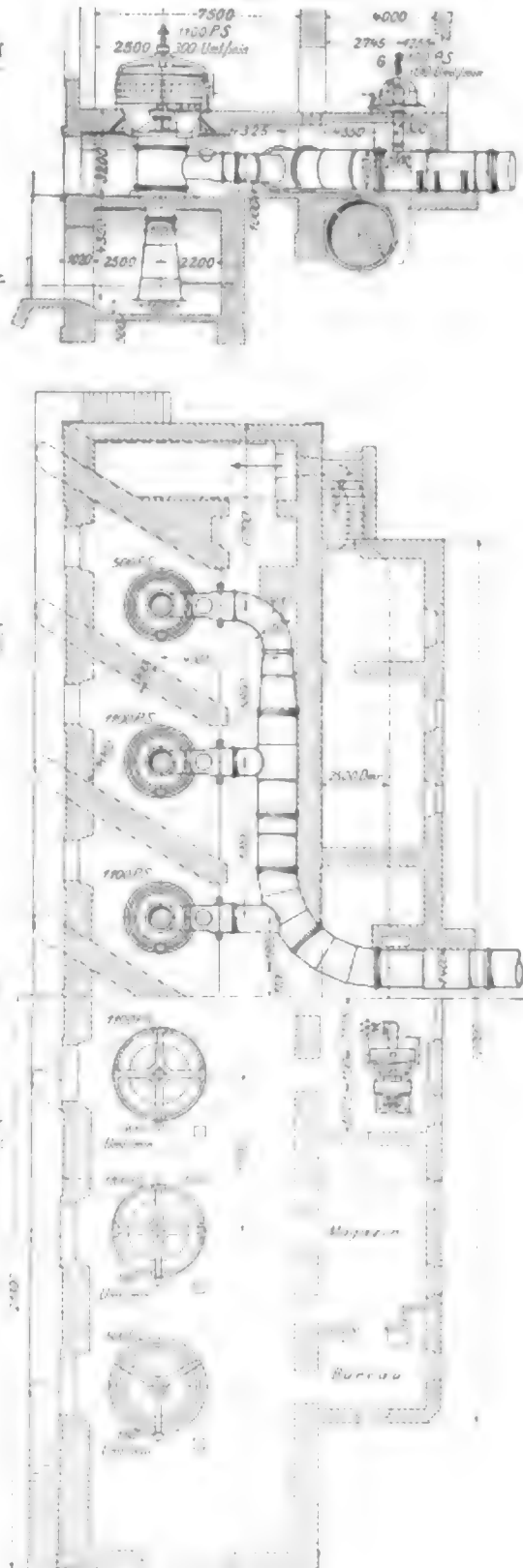
Fig. 80 und 81.

A.-G. vorm. J. J. Rieter & Co., Winterthur:

Turbinenanlage der

Société des Usines hydro-électriques de Monthelon.

Maßstab 1:250.



serablass benutzt werden, ohne dass dadurch seine selbstthätige Wirkungsweise beeinflusst würde.

Eine durch Schneckengetriebe bewegliche Drosselklappe gestattet endlich, jeden Turbineneinlauf gänzlich abzusperren; die dazu gehörigen Regulirständer sind im Maschinensaal neben den Generatoren aufgestellt.

Von ähnlicher Anordnung wie die hier beschriebene Turbine sind die beiden Turbinen von je 500 PS mit 1600 mm innerem Laufraddurchmesser und 150 Umi. min. die als Aktionsturbinen mit voller Beaufschlagung konstruiert sind und ebenfalls im Saugrohr stehen. Der Wasserstand in den Saugrohren wird bei ihnen durch Luftregulierung unter den Radkränzen gehalten.

Zum Betriebe der Erregermaschinen dienen 2 Partialur-



binen mit wagerechter Achse, die jede bei 550 Uml./min und einem Laufraddurchmesser von 540 mm 100 PS leisten; ihr Abwasser strömt in einen besonderen Kanal. Die Verteilung der Maschineneinheiten ist im übrigen, wie aus dem Grund-

riss, Fig. 81, hervorgeht, in 2 symmetrischen Gruppen durchgeführt, deren jede von einem besonderen Zuführungsrohr gespeist wird.

(Fortsetzung folgt.)

Sitzungsberichte der Bezirksvereine.

Eingegangen 11. April 1901.

Bergischer Bezirksverein.

Sitzung vom 31. Oktober 1900.

Vorsitzender: Hr. Elbert. Schriftführer: Hr. A. Daumas.
Anwesend 33 Mitglieder und 3 Gäste.

Nach Erledigung geschäftlicher Angelegenheiten spricht Hr. Schübler über Wärmeschutz. Einwände gegen eine Isolierung der Dampfrohre sind wohl nur dann stichhaltig, wenn eine Leitung nur zeitweilig angebracht ist. In solchem Falle ist durch Rechnung festzustellen, ob sich eine der üblichen Isolierungen bezahlt macht, oder ob man sich mit einer billigeren, weniger wirksamen Isolierung begnügen muss oder besser die Rohre unbedeckt lässt. Als Anhalt dafür kann dienen, dass sich bei Tag- und Nachtbetrieb ohne Sonntagspause eine gute Isolierung bei einer Rohrleitung von 80 mm Dmr. in 3 Monaten bezahlt macht. Dabei ist ein Kohlenpreis von 10 \mathcal{M} pro t angenommen.

Der Redner bespricht eine Anzahl Isolirarten und Isolirstoffe, sowie Ergebnisse bei ausgeführten Leitungen. Daraus ergibt sich, dass nicht nur die Dampfwärme, sondern auch die örtlichen Verhältnisse und die Verwendungsart des Dampfes zu berücksichtigen sind, um für einen gegebenen Fall die passendste Isolierung zu wählen. Die vorgezeigten Torfschalen, aus sorgfältig ausgetrocknetem Torfmoos geschnitten, isolieren ganz vorzüglich und haben ein spezifisches Gewicht von nur 0,09, während z. B. Korkschalen 0,3 spezifisches Gewicht haben. Leider sind die Torfschalen auf Dampfrohren zu feuergefährlich; zu andern Isolierzwecken, z. B. um Wasser in Rohren gegen Einfrieren zu schützen, finden sie seit vielen Jahren mit gutem Erfolg Verwendung. Ebenso benutzt man Torfsteine zur Herstellung von Eiskümen.

Darauf spricht Hr. Thomas über die technische Gewinnung und Verwendung des Ozons¹⁾

Zum Schluss berichtet Hr. Maring über Verbesserungen im Eisenbahnsicherungswesen.

Sitzung vom 28. November 1900.

Vorsitzender: Hr. Halfmann. Schriftführer: Hr. A. Daumas.
Anwesend 39 Mitglieder und 7 Gäste.

Hr. Holzmüller spricht über Ebbe und Flut in technischer, mechanischer und kosmischer Hinsicht.

Sitzung vom 12. Dezember 1900.

Vorsitzender: Hr. Halfmann. Schriftführer: Hr. Daumas.
Anwesend 21 Mitglieder.

Der Vorsitzende teilt das Ableben des Hrn. Edelbruck mit, dessen Andenken durch Erheben von den Sitzen geehrt wird. Alsdann werden die Wahlen zum Vorstandsrat und zum Vorstand des Bezirksvereines vollzogen.

Darauf spricht Hr. Thomas über die Rohrpostanlage der Batcheller Pneumatic Tube Co. auf der Weltausstellung zu Paris²⁾.

Ferner bespricht derselbe Redner die Schweißplatten von J. Laffitte, Paris³⁾. Um die Temperatur längere Zeit auf der zum Schweißen günstigsten Höhe zu halten, sowie um die Oxyde an den Schweißstellen zu entfernen, bediente

man sich bisher der hauptsächlich aus Borax bestehenden Schweißpulver. Dass man nicht immer gute Ergebnisse damit erzielt, liegt vor allem an der Schwierigkeit, sie in gleichmäßiger Schicht auf die Schweißstellen zu bringen. Diesem Uebelstand wird bei den Schweißplatten von J. Laffitte, deren Anwendung auf der Weltausstellung zu Paris vorgeführt wurde, dadurch begegnet, dass das Boraxgemisch durch ein Gewebe aus feinem Eisendraht zusammengehalten wird. Rillen, welche die ganzen Platten in quadratische Felder zerlegen, ermöglichen es, Stücke von beliebiger, für den gerade vorliegenden Zweck geeigneter Form abzutrennen. Die geschweißten Stücke lassen die Schweißnaht kaum oder garnicht mehr erkennen. In der Hitze und nach dem Erkalten ausgeführte Biegungs-, Drehungs-, Stauchungs- und Bruchversuche ergaben eine vorzügliche Haltbarkeit der Schweißung, deren gelungene Ausführung auch durch die Aetzversuche mit Säuren bestätigt wurde. Besonders beweisend sind die Zerfallsversuche, die im Kriegshafen von Cherbourg und im Arsenal zu Toulon angestellt wurden. Danach lässt sich weiches Eisen ebenso gut ohne wie mit Schweißplatten schweißen, aber im letzteren Falle genügt beginnende Weißglut, während im ersteren helle Weißglut nötig ist. Bei Anwendung der Platten sind also eher Gefügeveränderungen zu vermeiden. Die Schweißung halbweicher Metalle gelang mit Platten gut, ohne diese ist sie nur unvollkommen. Hartes Metall schweißt sich gut mit Platten, schlecht ohne sie.

Die Ersparnis an Arbeitslohn und Brennstoff bei Anwendung der Platten soll etwa 33 vH betragen. Die Platten sind daher auch bei weichem Eisen empfehlenswert. Sehr gute Dienste werden sie aber immer beim Schweißen von Stahl auf Stahl und von Stahl auf Eisen, letzteres namentlich bei Werkzeugen, leisten.

Eingegangen 3. April 1901.

Berliner Bezirksverein.

Sitzung vom 6. März 1901.

Vorsitzender: Hr. Krause. Schriftführer: Hr. Kammerer.
Anwesend rd. 350 Mitglieder und Gäste.

Hr. Riedler spricht über ein hydraulisches Hochdruck-Press- und -Prägeverfahren, System Huber. Der Vortrag ist an besonderer Stelle veröffentlicht⁴⁾.

In der anschließenden Erörterung bemerkt auf eine Anfrage Hr. Huber, dass die gepressten Gegenstände sowohl vorher wie nachher polirt werden können. Hr. Westphal fragt an, ob sich der Tauchkolben bei dem hohen Druck nicht deformirt, ob die im Wasser enthaltene Luft nicht Störungen verursacht, und wie das Eindringen des Wassers in das Innere von Marmor verhindert wird. Hr. Huber antwortet, dass der Tauchkolben aus einem besonderen Stahl hergestellt wird, dass die im Wasser enthaltene Luft bei 7000 at auf ein verschwindend kleines Volumen zusammengepresst wird, und dass der Marmor ohne weiteres durch eine Kittschicht gegen Eindringen des Wassers geschützt werden kann. Die Erscheinung von Poren an der Oberfläche allseitig gepresster Körper erklärt Hr. Martens in der Weise, dass die Ursache in Hohlräumen im Innern der Körper zu suchen sei, die von eingeschlossenen Gasen herrühren; spröde Körper können hierbei zerstört werden, während sich bei bildsamen Poren bilden.

⁴⁾ Z. 1901 S. 584 u. f.

Zeitschriftenschau.¹⁾

(*) bedeutet Abbildung im Text.)

Beleuchtung.

Zur Kenntnis der Osmiumlampe. (Journ. Gasb. Wasserv. 14. Sept. 01 S. 688/89) Bericht über die Herstellung und die Eigenschaften der Lampe anhand einer Schweizer Patentschrift.

Development of the Nernst lamp in America. Von Wurts. (Trans. Am. Inst. El. Eng. Juni/Juli 01 S. 511/56*) Beschreibung der Untersuchungen über die Vorgänge in der Nernst-Lampe und Darstellung der verschiedenen verbesserten Formen der Lampe und ihrer

¹⁾ Die Zeitschriftenschau wird, nach den Stichwörtern in Vierteljahrsheften zusammengefasst und geordnet, gesondert herausgegeben, und zwar zum Preise von 8 \mathcal{M} pro Jahrgang für Mitglieder, von 10 \mathcal{M} pro Jahrgang für Nichtmitglieder.

Hilfsvorrichtungen. Verhalten des Glühkörpers. Beruhigungswiderstand. Erhitzer. Der selbstthätige Ausschalter für den Erhitzerstromkreis. Ausführung der Lampen für verschiedene Leuchtstärken und Schaltungen. Wirkungsgrad. Bisherige Verwendung von Nernst-Lampen. Ausbesserungen und Instandhaltung.

Bergbau.

Die Schachtanlage Rhein-Elbe III der Geisenkirchener Bergwerks-Aktien-Gesellschaft. (Glückauf 7. Sept. 01 S. 788/94* mit 4 Taf.) Seilschalbeugerüst, Hauptfördermaschine, Nebenfördermaschine, hydraulische Wasserhaltung, Kompressoren, elektrisches Kraftwerk, Dampfzabel, Werkstattegebläse.

Die neue Schachtanlage Scharnhorst in Brackel bei Dortmund. Von Schulte. (Glückauf 7. Sept. 01 S. 794/802 mit

11 Taf.) Kraftwerk, Lichtverteilung, Kompressor, Zentralkondensation, Beobacht- und Tagesförderung, Sieberel und Wäsche, Koksöfen, Ventilator, unterirdische Wasserversorgung, Kasse.

Leistungen und Kosten beim Schachtarbeiten im Ruhrbezirk. Von Hoffmann. (Glückauf 7. Sept. 01 S. 775/87) Zusammenstellung der Leistungen und Kosten beim Abtaufen auf gewöhnliche Weise, beim Schachtbohren nach dem Eind-Chaudron-Verfahren und bei der Senkarbeit.

Brennstoffe.

Das Nassen der Kohle. (Mitt. Prax. Dampfk. Dampfm. 11. Sept. 01 S. 664/65) Der Verfasser erörtert kurz die Frage, wann das Befeuern der Kohle zweckmäßig ist und wann nicht.

Chemische Industrie.

Das Karbidwerk Elms. (Schweiz. Bauz. 14. Sept. 01 S. 111/13) Eingehende Beschreibung der Gräben, insbesondere der Wasserverhältnisse. Das Längenprofil der Rohrleitung. Forts. folgt.

Dampfkraftanlagen.

Ueber Verstellung der Flammröhre. Von Abel. (Mitt. Prax. Dampfk. Dampfm. 11. Sept. 01 S. 667/68) Der Verfasser erläutert an einem Unfall, dass man die Verstellungsröhre bei Flammröhren unmittelbar zu beiden Seiten der Rundnähle anordnen soll, da letztere sonst beim Erglänzen der Feuerplatten überanspruchert werden.

Eisenbahnen.

Sudan government military railways. Von Macaulay. (Krieg. 13. Sept. 01 S. 885/86) Allgemeine Beschreibung der Kartum- und der Kerma-Bahn. Angaben über Oberbau, Brücken, Steigungen, Kurven, Haltestellen, Werkstätten und Betriebsmittel.

Australian railways. Von Kernot. (Engin. 13. Sept. 01 S. 386) Angaben über die Entfernungen zwischen den Verkehrsmittelpunkten und über die Verteilung der Bevölkerung in Australien. Besprechung von Einzelheiten des Eisenbahnwesens.

Elektrische Schnellbahnen. II. Von Reichel. Forts. (Elektrot. Z. 12. Sept. 01 S. 745/49) Motoren, Mittelspannungsschalter und -sicherungen. Forts. folgt.

Die Dampfheizung der Eisenbahnwagen. Von Spitzer. (Organ 01 Heft 9 S. 182/86) Mängel der bisherigen Heizvorrichtungen und Vorschläge zu ihrer Beseitigung. Anordnung einer doppelten Dampfheizung an den Wagen. Kuppelung der Dampfheizröhren. Regelung der Heizung. Lüftung der Wagen.

Die Einrichtungen zur Sicherung des Eisenbahn-Zugverkehrs auf der Weltausstellung Paris 1900. Von Rank. (Z. österr. Ing.- u. Arch.-Ver. 13. Sept. 01 S. 601/99) Blocksystem Lartigue, Tesse und Prudhomme; Blocksystem Tyer; Blocksystem der Paris-Lyon-Mittelmeerbahn; Blocksystem Sarroste und Loppé; mechanisches Blocksystem der Französischen Ostbahn. Schluss folgt.

Die neue Lokomotiv-Ausheuerungs-Werkstätte in Oppum. Von Memmert. Schluss. (Organ 01 Heft 9 S. 179/82 mit 2 Taf.) Einrichtung der Kraftübertragungsanlage.

Eisenhüttenwesen.

Die neuen Werke der Alabama-Stahl- und Schiffbau-Gesellschaft. Von Lümann jr. (Stahl u. Eisen 15. Sept. 01 S. 973/75) Zusammenstellung des verarbeiteten Roh Eisens. Martinofenanlage mit klappbaren Öfen, Gaskeneratoren, Kugellabstreifer, Blockwalzwerk, Schmelz- und Knüppelwalzwerk.

Hochofen amerikanischer Konstruktion auf dem Hüttenwerk zu Mariupol. Von Bruggenot. Schluss. (Stahl u. Eisen 15. Sept. 01 S. 984/91) Anordnung der Gießschleife, des Gießaufzuges, des Gasfanges, der Winderhitzer, der Gießmaschinen und der Transporteinrichtungen.

Sur les fours Martin. Von Angles d'Aurillac. (Bull. Soc. Ind. min. 01 Heft 3 S. 599/626) Allgemeines über die Konstruktion von Martinöfen und über die in deutschen Betrieben daran vorgenommenen Verbesserungen.

Eisenkonstruktionen, Brücken.

Beitrag zu der Lehre von den Einflusslinien. Von Ramlach. (Zentralbl. Bauz. 14. Sept. 01 S. 459) Eigenartige Ermittlung der Einflusslinie für einen Gurtstab eines Cremonaschen Fachwerkes mit einem festen und einem beweglichen Lager.

American bridges in Mexico. (Eng. Rec. 31. Aug. 01 S. 196/97) Kurze Beschreibung mehrerer, teils mit Gelenkholzen versehener, teils vernieteter Trapezträgerbrücken für die Vera Cruz und Pacific-Eisenbahn. Einzelheiten der Haupt- und Querträger, der Windverbreitung und der oberen Gerüstpfähle.

Elektrotechnik.

Die Ökonomie der Wechselstromzentralen und die neueren Transformatorschneider. Von Weyde. (Z. f. Elektrot. Wien 15. Sept. 01 S. 141/43) Erörterungen über die Verluste von Wechselstromanlagen bei Verwendung von Einzeltransformatoren und Gruppen-Transformatoren. Tabellarische Übersicht über die Wirtschaftlichkeit von 12 Wechselstromwerken. Durchrechnung von Beispielen für die Wirtschaftlichkeit bei Einzel- und Gruppenanordnung der Transformatoren. Berechnung der Wirtschaftlichkeit für den Fall, dass die jeweilige unbelasteten Transformatoren abgeschaltet werden. Forts. folgt.

Electric power supply on the Tyne. I. (Engineer 13. Sept. 01 S. 278/79) Beschreibung des Elektrizitätswerkes in Neptune Bank bei Wallsend. In drei Drehstromdynamos von 100, 100 und 150 KW wird Strom von 240 V erzeugt, der für Beleuchtungs- und Kraftzwecke verwendet wird. Zur Erregung dient eine 50 KW-Gleichstromdynamo.

Reconstruction of a water and electric lighting station at Warren, O. (Eng. News 5. Sept. 01 S. 146/47) Die Kraft zum Betriebe des Elektrizitätswerkes liefern 2 liegende einzylindrige Dampfmaschinen von 650 und 250 PS und eine liegende Turbine, welche mittels Riemen 3 Drehstromerzeuger antreiben. Kurze Angaben über den Bau des Stauwerkes für die Wasserversorgung.

The "Hull" electric motor. (Engin. 13. Sept. 01 S. 365) Darstellung eines zweipoligen Kapselmotors mit lotrechter Welle, die oben in einem Kugel-Ringspurmotor gelagert und oben und unten in einem Halslager geführt ist. Der Motor dient zum Antrieb einer Kreiselpumpe.

Geschwindigkeitsregulierung elektrischer Motoren. (Mitt. Prax. Dampfk. Dampfm. 11. Sept. 01 S. 663/64) Regelung der Nebenschlussmotoren durch Einschalten von Widerstand in den Ankerstromkreis, in den Magnetstromkreis und in beide Stromkreise.

The control of high-potential systems of large power. Von Rice. (El. World 7. Sept. 01 S. 374/78) Darstellung von Hochspannungsschaltern mit elektrischer und Druckluft-Betätigung sowie mit Öl- und Druckluft-Funkentöschern.

Ueber die Vorgänge im elektrischen Lichtbogen. Von Ayrton. (Z. f. Elektrot. Wien 15. Sept. 01 S. 447/48) Wiedergabe eines Vortrages vor der Royal Institution in London, in dem die Verfasserin der Ansicht entgegentritt, dass die Erscheinungen im elektrischen Lichtbogen durch das Auftreten einer elektromotorischen Gegenkraft bedingt sind. Sie sind vielmehr die Veränderungen im Querschnitt des Lichtbogens und in seinem spezifischen Widerstande zuzuschreiben.

Erd- und Wasserbau.

Irrigation in the Nile valley and its future. Von Willcocks. (Engineer 13. Sept. 01 S. 282/83) Schilderung der örtlichen Verhältnisse im Nildelta. Allgemeines über den Bau des Stauwerkes bei Assuan. Zweck der Regulierung und Baukosten.

Brücken Gründung auf kleinem Untergrund mit Zement-Einpressung. (Deutsche Bauz. 14. Sept. 01 S. 455/58) Kurze Beschreibung der schwierigen Gründungsarbeiten für eine massive Straßenbrücke über die Donau bei Ebingen.

Difficult sewer reconstruction. Von Souder. (Eng. Rec. 31. Aug. 01 S. 198) Der zu erneuernde Einstelgeschacht lag an einer Straßenkreuzung, wo schlechter Untergrund vorhanden war und viele Gas- und Wasserleitungen, Kabel- und Abwasserkanäle zusammenstießen. Kurze Beschreibung des schwierigen Baus.

Explosionsmotoren und andere Wärmekraftmaschinen.

Mitteilungen über den thermischen Motor, System Diesel. Von Diesel. Schluss. (Z. österr. Ing.- u. Arch.-Ver. 13. Sept. 01 S. 609/14) Vergleich der Betriebskosten zwischen Dampfmaschine, Kraftgasanlage und Diesel-Motor für österreichische, englische und russische Verhältnisse. Vergleich der Betriebs- bzw. Stromkosten zwischen Diesel-Motor und elektrischer Anlage für 3000 Betriebsstunden im Jahre.

Feuerungsanlagen.

Vergleich zwischen künstlichem und natürlichem Luftzuge. (Mitt. Prax. Dampfk. Dampfm. 11. Sept. 01 S. 668) Mitteilung der Ergebnisse zweier vergleichender Verdampfungsversuche bei Anwendung von Rohrohrkessel und Unterwind-Rohr- und Saarrückkessel und natürlichem Zuge andererseits.

Die Bedienung von Feuerungen und der Schutz der Arbeiter. Forts. (Dingler 14. Sept. 01 S. 586/89) Beförderung des Brennstoffes in die Feuerung mittels Kette. Schrägstromfeuerungen mit teilweise fest angebrachten, teilweise bewegten Roststäben. Schluss folgt.

The Meldrum-Breeze furnace. (Engineer 13. Sept. 01 S. 272) Der Aschfall ist durch gemauerte Zwischenwände in 3 Teile geteilt. Durch Dampfstrahlgebläse wird jedem Teil Zugluft unter dem Rost zugeführt.

Gießerei.

Molding rap in the beds. Von Buchanan. (Am. Mach. 14. Sept. 01 S. 972) Ausführliche Beschreibung des Einformens eines gekrümmten Drehbankbettes.

Hebzeuge.

50-ton wrecking crane. Southern Ry. (Eng. News 5. Sept. 01 S. 167) Der Kran ist dreifar auf einem mit 2 Dreigestellen versehenen Plattformwagen angeordnet. Zum Antrieb des Windwerkes dient eine liegende Zweifeld-Dampfmaschine von 229 mm Cyl.-Dmr. und 395 mm Hub.

A large block. (Eng. Rec. 31. Aug. 01 S. 200) Zeichnungen einer großen Hebenzugmaschine mit 5 Seilrollen.

Heizung und Lüftung.

Dampf-Zentralheizung mittels Kachelheizkörpers. (Gesundheitsz. 15. Sept. 01 S. 273/74) Anstelle der gewöhnlichen Heiz-

körper sollen Kachelheizkörper verwendet werden, die von der Firma Pfyffer & Co. in Zürich gebaut werden.

Zum Luftmischverfahren für Niederdruckdampf-Heizkörper. Von Haller. (Gesundheitsing. 15. Sept. 01 S. 272/73) Erwiderung des Verfassers auf die in Zeitschriftenschau v. 10. Aug. 01 erwähnte Meinungäußerung von Steiner.

Hochbau.

Ueber Deckenbauten. (Dingler 14. Sept. 01 S. 581/86*) Darstellung verschiedener auf der Berliner Ausstellung für Feuerschutzwesen geeigneter Deckenkonstruktionen.

The Chicago National Bank Building. (Eng. Rec. 31. Aug. 01 S. 204/07*) Beschreibung des 4stöckigen Bankhauses von 27,5 x 55,9 qm Grundfläche in feuerfester Bauausführung. Einzelheiten der Säulengrundamente, der Oberlichte, der Anordnung der Regenrinnen.

Lager- und Ladevorrichtungen.

Die Kinschienenbahn von A. Lehmann. (Zentralbl. Bauw. 14. Sept. 01 S. 450/51*) Darstellung der für Feld-, Industrie- und Militärszwecke benutzten Wagen. Einzelheiten der Radlagerung.

Die Verwendung des Pressbleches im großen. Von Haedicke. (Stahl u. Eisen 15. Sept. 01 S. 975/77*) Darstellung von Grubenwagen der Firma Graham, Morton & Co., deren Wagenkasten aus einem gefalteten und geküffelten Stahlblech hergestellt sind. Ähnliche Wagen der Firma Arnold Lupton.

Amerikanische Eisenbütten und deren Hilfsmittel. Von Langbeinrich. (Stahl u. Eisen 15. Sept. 01 S. 953/65*) Vergleich der wirtschaftlichen Verhältnisse in Deutschland und den Vereinigten Staaten. Erzzufuhr, Erzschiffe und -häfen. Erzverladeeinrichtungen: Eingehende Beschreibung der Wirkungsweise der Brownschen Verladevorrichtungen; Hulet-Auslader. Forts. folgt.

Maschinenteile.

The effects of the angle of obliquity in fixing the interference limits of involute teeth. Von Bruce. (Am. Mach. 14. Sept. 01 S. 963/66*) Untersuchung des Einflusses, den der Winkel zwischen der Erzeugenden der Evolvente und der Zentrale der beiden Teilkreise auf die Form der Zahnkurve und den Eingriff der Räder hat. Geometrisch richtige, aber nicht ausführbare Profile. Bestimmung der geringsten zulässigen Zahnzahl bei gegebener Übersetzung.

Laufscheite der Leder-Treibriemen. (Mitt. Prax. Dampfkr. Dampfsm. 11. Sept. 01 S. 667*) Versuche haben ergeben, dass die Adhäsion des auf der Fleischseite laufenden Riemens wesentlich größer ist als die des auf der Narbenscheite laufenden.

A new stop valve. (Am. Mach. 14. Sept. 01 S. 972/73*) Darstellung eines eigenartigen dreiteiligen Absperrventiles, bei dem die Ablenkung des Flüssigkeitsstromes auf ein sehr geringes Maß zurückgeführt ist.

Materialkunde.

L'aluminium en électricité. Von Charpentier-Pagé. (Bull. Soc. Ind. min. 01 Heft 3 S. 670/78) Verwendung von Aluminium für Leitungsdrähte. Tabellarische Zusammenstellung der Ergebnisse von Zugversuchen an Aluminiumdrähten.

Meßgeräte.

Heizwertbestimmung des Leuchtgases. Von Pfeiffer. (Journ. Gasb.-Wasserv. 14. Sept. 01 S. 684/88*) Eingehende Beschreibung von Versuchen, durch welche die Zuverlässigkeit des Junkersschen Kalorimeters festgestellt worden sollte.

Metallbearbeitung.

Machinery at the Pan-American Exposition. VII. (Iron Age 15. Sept. 01 S. 10/14*) Dreh- und Bohrbank mit Revolverkopf und selbstspannendem Futter von der Potter & Johnston Machine Co. in Pawtucket; allgemeine Feilmaschine derselben Firma. »Buffalo«-Tandem-Gasmaschine der Alberger Company in Buffalo.

Die Werkzeugmaschinen zur Herstellung und Reparatur von Eisenbahn-Betriebsmitteln auf der Pariser Weltausstellung 1900. Von Unger. (Glaser 15. Sept. 01 S. 109/14*) Metallbearbeitungsmaschinen: Leitspindeldrehbänke der Hendey Machine Co. in Torrington Conn. und der Maschinenfabrik Oerlikon; Revolverdrehbänke der Société alsacienne de constructions mécaniques in Belfort, der Leipziger Werkzeugmaschinenfabrik vorm. v. Pittler und der Gisholt Machine Co. in Madison Wis.

The three bearing lathe. Von Cleaves. (Am. Mach. 14. Sept. 01 S. 970/71*) Darstellung und Beschreibung der Wirkungsweise einer kleinen Uhrmacherdrehbank.

Heavy horizontal turning and boring machine. (Engng. 13. Sept. 01 S. 374*) Schaubild und Angaben über ein großes wasserrechtiges Planscheibenwerk für 10 m äußersten Drehdurchmesser von John Hetherington & Sons.

Workoughalter für Drehbänke. (Z. Werkzeugm. 15. Sept. 01 S. 546*) Auf dem Kreuzschlitten der Drehbank ist eine um eine wagerechte Achse drehbare Scheibe angeordnet, die ein Loch für die abzuführende Welle hat. Auf der Scheibe sind auf kleinen radial verschiebbaren Schlitten 4 Abdrühstähle angebracht.

A new tube expander. (Eng. News 5. Sept. 01 S. 168*) Der obere Teil des Dornes ruht in einem Gehäuse, das zusammen mit dem Dorn durch eine Ratsche bewegt wird. Um den Dorn vorzuschieben, wird eine Überwurfmutter angezogen.

A combination die for shallow rectangular shells. Von Doran. (Am. Mach. 14. Sept. 01 S. 967/70*) Eingehende Darstellung der Stempel und Matrizen zur Herstellung rechteckiger Blechkasten.

Elektrischer Antrieb von Schmiegelschleifmaschinen. Von Hahn. (Z. Werkzeugm. 15. Sept. 01 S. 546/49) Besprechung der Vorteile des elektrischen Antriebes für Schmiegelschleifbänke. Ratschläge für die Anordnung und Bemessung des Antriebes.

The Taylor-White process of treating tool steel and its influence on the mechanic arts. (Journ. Franklin Inst. Sept. 01 S. 161/78) Schilderung des genannten Verfahrens mit besonderer Berücksichtigung seiner Anwendung in den Werken der Link-Belt Engineering Co. in Nicetown, Philadelphia.

Metallhüttenwesen.

Exploitation des placers au moyen de dragues à or. Von Levat. (Bull. Soc. Ind. min. 01 Heft 3 S. 693/748* mit 3 Taf.) Geschichtliches über die Anwendung der Goldbagger. Beschreibung verschiedener Bauarten von Goldbaggern; Konstruktion der Einzelteile; Betrieb von Goldbaggern.

Nouveaux procédés de traitement des minerais d'or par cyanuration. Von Pelatan. (Bull. Soc. Ind. min. 01 Heft 3 S. 679/92) Schilderung eines vom Verfasser erdachten Verfahrens, bei dem die Golderze mit einer Mischung von Pottasche, Cyanür, Seesalz und einer leicht oxydierbaren Verbindung behandelt werden.

Papierindustrie.

Der Holländer. Von Hausfener. Schluss. (Dingler 14. Sept. 01 S. 589/94*) Kraftverbrauch des Holländers.

Pumpen und Gebläse.

The wheel-pump for lifting sewage and storm water. (Eng. News 5. Sept. 01 S. 151*) Darstellung eines Schöpfrades mit geraden Schaufeln, das durch Zahnkranz und Zahnrad angetrieben wird.

A central compressed air power plant for quarry work near Lakeside, O. (Eng. News 5. Sept. 01 S. 164/65*) Zum Antriebe der Kompressor Kolben dienen 2 liegende einzylindrige Corliss-Dampfmaschinen, die zugleich durch Riemenübersetzung eine Transmissionswelle bewegen. Von letzterer werden verschiedene Steinbrecher und Kollergänge angetrieben. Die Druckluft wird in einem Behälter aufgespeichert, von wo aus sie für den Betrieb der Maschinen in den umliegenden Steinbrüchen abgegeben wird.

Pearno's compound single-acting ram pump. (Engng. 13. Sept. 01 S. 365*) Die zweizylindrige stehende Pumpe wird von einer Zwillings-Verbundmaschine angetrieben. Je ein Hoch- und ein Niederdruckzylinder der Dampfmaschine sind vereinigt und nehmen einen Tauchkolben auf, der unten zu einem Differentialkolben ausgestaltet ist. Der Hochdruckzylinder ist demnach einschwirkend, während auf den Niederdruckkolben eine Differentialwirkung ausgeübt wird. Wiedergabe der eigenartigen Dampfdiagramme.

Compound blowing engine at the Askam Iron Works. (Engng. 13. Sept. 01 S. 365* mit 1 Taf.) Der stehende Kompressor erzeugt bei 50 Uml./min einen Überdruck von 1,4 at. Die beiden Kompressorzylinder haben 2150 mm Dmr. und sind über den Dampfzylinder, die 1065 und 1570 mm Dmr. haben, angeordnet. Der gemeinschaftliche Kolbenhub beträgt 1570 mm Dmr. Das 45 t schwere Schwungrad liegt zwischen den beiden Zylinderpaaren.

Schiff- und Seewesen.

Contract trial of the United States seagoing battleship »Illinois«. Von Pickrell. (Journ. Am. Soc. Nav. Eng. Aug. 01 S. 559/85*) Linienschiff von 114 m äußerster Länge, 22 m Breite über das Hauptspant, 7 m Tiefgang und 11625 t Wasserverdrängung. Beschreibung der Bewaffnung, der Konstruktion des Schiffskörpers, der Maschinenanlage und Wiedergabe der Ergebnisse von Probefahrten.

Neuere Frachtdampfer. (Glaser 15. Sept. 01 S. 121/23*) Die dargestellte Dampferbauart hat drei durchgehende Decks, von denen das oberste als leichtes Schutzdeck ausgeführt ist. Die Raumstützen sind durch 2 längslaufende, aus L-Eisen und Platten zusammengebaute Träger ersetzt, die in der Mitte durch 2 aus Platten zusammengesetzte Säulen gestützt werden. Die Schrauben arbeiten in einem nach unten zu offenen Brunnen; das Ruder ist ausbalanciert.

Straßenbahnen.

Elektrische Westinghouse-Bremse in Verbindung mit elektrischer Wagenheizung. (Elektrot. Z. 12. Sept. 01 S. 754*) Beschreibung der in Zeitschriftenschau v. 7. Sept. 01 erwähnten Bremse, die gleichzeitig mit Widerständen verbunden werden kann. Die Widerstände werden im Winter zum Heizen der Wagen verwendet.

Wasserversorgung.

Ueber Wasserreinigung durch kombinierte Grob- und Feinfilter. Von Peter. (Journ. Gasb.-Wasserv. 14. Sept. 01 S. 681/84*)

Allgemeines über die Biologie des zu reinigenden Wassers. Reinigen von rohem Süß-Seewasser durch Sandfilter in Zürich. Anordnung und Konstruktion von Vorfiltern. Schluss folgt.

Die Dimensionierung der Wasserleitung für Haus- und Badebedarf. Von Brauns. (Gesundheitsing. 15. Sept. 01 S. 269/72) Ableitung praktischer Verfahren zur Berechnung der Durchmesser von Rohrleitungen, die von Kalt- und Warmwasserbehältern zu den Entnahmestellen führen.

Werkstätten und Fabriken.

The manufacture of marine engines. Von Thomson. (Enging. 13. Sept. 01 S. 379/81) Präzisionslehre. Präzisionswerkzeugmaschinen. Anordnung der Werkzeugmaschinen. Beschaffenheit der Werkstätten. Normalkonstruktionen.

Electrical power supply. Von Robertson. (Enging. 13. Sept. 01 S. 384) Elektrische Kraftübertragung für Schiffswerften und Schiffsmaschinenfabriken.

Rundschau.

Der Internationale Ingenieurkongress in Glasgow.

Anlässlich der internationalen Ausstellung, welche bis Ende Oktober d. J. in Glasgow stattfindet¹⁾, hatten technische Vereinigungen Englands und Schottlands, im ganzen 28, Einladungen zur Beteiligung an einem Internationalen Ingenieurkongress ergehen lassen. Diesen Einladungen ist vonseiten des Auslandes in beträchtlichem Umfange entsprochen worden, obwohl auf der Tagesordnung keinerlei Gegenstände verzeichnet waren, die internationale Vereinbarungen betroffen hätten, wie es sonst bei andern internationalen Fachkongressen der Fall zu sein pflegt.

Infolge dieses Umstandes fanden denn auch, abgesehen von der Eröffnungssitzung, keine allgemeinen Tagungen statt, sondern die Arbeit des Kongresses spielte sich in den Sektions-sitzungen ab, für welche folgende Einteilung maßgebend war:

- Sektion I: Eisenbahnwesen,
- II: Wasserstraßen und Wasserbauwesen,
- III: Maschinenbauwesen,
- IV: Schiffbau und Schiffsmaschinenbau,
- V: Stahl und Eisen,
- VI: Bergbau,
- VII: Stadtbauwesen,
- VIII: Gasfach,
- IX: Elektrotechnik.

Als Einleitung zum Kongress fand vor der eigentlichen Eröffnung am Abend des 2. September in den prächtig geschmückten Räumen der St. Andrews Halls ein vom Ortsausschuss zu Ehren des Londoner Ausschusses, der auswärtigen Vertreter und der Ehrenmitglieder veranstaltetes Bankett statt, welches bei glänzendem Verlauf die erwünschte Gelegenheit gab, persönliche Beziehungen anzuknüpfen und in Erwiderung der Trinksprüche den englischen und schottischen Vereinen den Dank für die liebenswürdige Einladung auszusprechen; namens des Vereines deutscher Ingenieure unterzog sich dieser Aufgabe Hr. Oskar von Miller.

Die Zeit der folgenden Tage war so eingeteilt, dass am 3., 4. und 5. September von 10 bis 1 Uhr Sektions-sitzungen mit Verhandlungen über die gehaltenen Vorträge, von 1 bis 6 Uhr Besichtigungen von industriellen Anlagen der verschiedensten Art sowie Vergnügungsfahrten in die Umgebung Glasgows angesetzt waren. Der Schlusstag, der 6. September, war ausschließlich solchen Fahrten gewidmet, welche einen ganzen englischen Tag, d. h. die Zeit von 10 bis 6 Uhr, in Anspruch nahmen. Ein feierlicher Schlussakt war nicht vorgesehen.

Es ist selbstverständlich, dass die Ausstellung sowie die Gelegenheit, die berühmten englischen und schottischen Industriestätten eingehend kennen zu lernen, dem Kongress eine Menge Besucher zuführte; außerdem hielt auch noch das Iron and Steel Institute seine Jahresversammlung im Rahmen des Kongresses ab. Die Teilnehmerliste enthielt denn auch die stattliche Zahl von 2130 Personen, darunter 500 Damen.

An auswärtigen Vertretern waren laut dieser Liste 164 zu verzeichnen, darunter

aus den Ver. Staaten	26
» Frankreich	25
» Belgien	24
» Italien	11
» Deutschland	14
» Oesterreich-Ungarn	13
» Holland	10

Aus Deutschland waren als Vertreter angemeldet:

des Vereines deutscher Ingenieure:

Ingenieur Rudolf Diesel, München,
O. Lasche, Obergeringenieur der A. E.-G. Berlin,
Civilingenieur Oskar von Miller, München,
Prof. M. Schröter, München;

der Schiffbautechnischen Gesellschaft:

Geb. Marinebaurat Rudloff, Berlin,
Zimmermann, Direktor des Vulcan, Bredow b/Strötting;

¹⁾ s. Z. 1901 S. 1270.

des Vereines der Gas- und Wasserfachmänner:

Dr. Leybold, Direktor der Gasanstalt Hamburg,

ferner als Ehrenmitglieder die Herren:

R. Broja, Geh. Bergrat, Berlin,
Prof. O. Flamm, Charlottenburg, Technische Hochschule,
Generalsekretär Gisbert Kapp, Charlottenburg,
Geh. Admiralitätsrat G. Langner, Berlin,
Geh. Baurat E. Rathenau, Generaldirektor der A. E.-G.,
Berlin,
Ministerialdirektor A. Schultz, Berlin,
Prof. Dr. H. Wedding, Berlin.

(Die offizielle Liste war mangelhaft; es sind daher Irrtümer in dieser Aufzählung nicht ausgeschlossen.)

Die große Beteiligung des Auslandes beweist das außerordentliche Interesse, welches der englischen Industrie allseits entgegengebracht wird. Sie zeigt aber außerdem, wie wünschenswert es auch für deutsche Verhältnisse wäre, aus Anlass von Kongressen Einladungen an technische Vereine des Auslandes und an hervorragende auswärtige Fachgenossen als Ehrenmitglieder usw. zu versenden, denn es wird hierdurch eine viel größere Wahrscheinlichkeit geboten, dass bedeutende Vertreter des Auslandes an solchen Veranstaltungen teilnehmen, wodurch die Pflege alter und die Anknüpfung neuer wertvoller Beziehungen wesentlich gefördert werden. Auch in Glasgow bestand für den größten Teil der Kongresseilnehmer das wertvolle Ergebnis in den durch die persönliche Berührung mit hervorragenden Fachgenossen gewonnenen Anregungen.

Vorsitzender des Kongresses war der Präsident der Institution of Civil-Engineers, Hr. Mansergh, der in seiner das Wesen des Ingenieurberufes behandelnden Eröffnungsrede an verschiedenen Stellen durchblicken ließ, dass man in England die führende Stellung in der Industrie als bedenklich erschüttert zu erkennen beginnt. Er sprach sich aufs schärfste dahin aus, dass mehr noch als die jetzt allgemein verlangte bessere Ausbildung der Ingenieure die vollste Freiheit für den angeborenen Unternehmungsgeist anzustreben sei. Zum Beleg verwies er auf die übeln Folgen, welche für die Entwicklung der englischen Elektrotechnik aus den einengenden gesetzlichen Vorschriften entstanden seien, sodass die Engländer voraussichtlich noch eine zeitlang gezwungen sein würden, die Einrichtungen großer elektrischer Anlagen vom Ausland zu beziehen.

Diese maßgebende Ansicht des Kongress-Präsidenten wurde allerdings bestätigt durch die Besichtigung der elektrischen Maschinen und Einrichtungen auf der Ausstellung, noch mehr aber durch den Besuch der elektrischen Kraftanlagen in Glasgow.

Die neueste große Anlage dieser Art in Glasgow, mit 3 Maschinen zu je 3000 PS, dient für die Straßenbahn und erzeugt, wie aus früheren Beschreibungen bekannt, Drehstrom, welcher in Unterstationen in Gleichstrom umgewandelt und von da aus an die einzelnen Straßenbahnlinien verteilt wird.

Diese außerordentlich reich ausgestattete, mit vorzüglichen Hülfeinrichtungen, namentlich in bezug auf die Dampfkessel, versehene Anlage macht im allgemeinen einen guten Eindruck. Den Deutschen ungewohnt ist nur der bis an die äußerste Grenze eingeengte Raum zwischen den Maschinen. Ungünstig erscheint aber neben Einzelheiten der Dampfmaschinen vor allem die außerordentlich große Zahl der Mess-, Schalt- und Reguliergeräte, durch deren Verwendung, so geistreich durchdacht und vorzüglich ausgeführt sie im einzelnen auch sein mögen, die Anlage nicht nur unnötig verteuert, sondern auch die Übersicht für einfache Maschinisten erschwert wird, sodass besonders verständige, geschulte und entsprechend hoch bezahlte Leute zur Bedienung erforderlich sind. Dazu kommt noch, dass bei dem unvermeidlichen Versagen einer oder der andern Vorrichtung viel leichter empfindliche Störungen entstehen können, als wenn die zur Reserve und vermeintlichen Sicherheit eingeführten unständlichen Einrichtungen garnicht vorhanden wären.

Der Uebelstand übertriebener Anzahl und unübersichtlicher Anordnung der Schaltvorrichtungen ist in noch viel höherem Maße bei den Lichtanlagen in Glasgow zu beobachten. Bei diesen war auch recht erstaunlich die außerordentliche Verschiedenartigkeit der Bauart, der Größe und der Ausführung der in einer und derselben Anlage aufgestellten Dampf- und Dynamomaschinen, die Anordnung übertrieben schwerer Schwungräder bei Gleichstromdynamos, die von Dreicylindermaschinen angetrieben werden, die Anwendung von Verbundwicklungen an Dynamomaschinen, die selbstverständlich nicht in Verwendung kommen, die Anordnung der Leitungsnetze, bei welchen zwecks Einhaltung einer gleichmäßigen Spannung sogar noch die Speisung bestimmter einzelner Feeder durch besondere Maschinen vorgesehen ist, u. dergl. mehr.

Bei Besichtigung dieser Anlage wurde es begreiflich, dass deutsche, schweizerische und auch österreichische Firmen zurzeit zahlreiche große Dynamomaschinen nach England liefern. Es wäre jedoch nicht nur im deutschen, sondern auch im englischen Interesse gelegen, wenn sich englische Städte und Beleuchtungsgesellschaften nicht allein die besseren ausländischen Maschinen beschaffen, sondern als Beispiele nach dem seit Jahren erprobten deutschen Erfahrungen ganze Zentralstationen von den Kesseln bis zu den Hausanschlüssen bauen ließen.

Die Vorträge, wie überhaupt die sämtlichen Versammlungen des Kongresses, fanden in den ausgedehnten Räumlichkeiten der herrlich gelegenen und durch die Großartigkeit ihrer Architektur mit Recht berühmten Universität von Glasgow statt; die Hochschule hat durch die außerordentliche Freigebigkeit hervorragender Gönner ein großes maschinen-technisches Laboratorium erhalten, welches den Namen James Watts trägt und von dem Ehrenpräsidenten des Kongresses, dem hochverdienenden Lord Kelvin, in begeisterter, an geschichtlichen Erinnerungen reicher Rede feierlich eingeweiht wurde. Es ist selbstverständlich unmöglich, hier auf Einzelheiten einzugehen, die in dem demnächst erscheinenden, sämtlichen Abhandlungen und die mühseligen Verhandlungen enthaltenden gedruckten Bericht des Sekretärs des Kongresses nachgelesen werden mögen. Im allgemeinen waren die Vorträge keineswegs epochemachend. Mit Befriedigung darf indessen hervorgehoben werden, dass die von deutschen Rednern (natürlich in englischer Sprache) gehaltenen Vorträge sich durch Gründlichkeit und Gediegenheit der Bearbeitung auszeichneten. Von allgemeiner Bedeutung war der von der zahlreichen Versammlung mit großem Interesse angehörte Vortrag eines der Vertreter unseres Vereines, Hrn. Lasche, der im Auftrag der A. E. G. und gestützt auf die eingehenden Versuche dieser Gesellschaft mit Motorwagen über elektrische Fernbahnen sprach¹⁾. Er erklärte den Motorwagen in allen Einzelheiten: die Anordnung des Führerstandes, die Regulierung und die Aufhängung des Motors, und beschrieb die gründlichen und mit Aufwendung bedeutender Mittel durchgeführten Versuche.

Es blieb nicht unerwähnt, dass sich neben der Allgemeinen Elektrizitäts-Gesellschaft auch die Firma Siemens & Halske A. G. auf gleichem Gebiet namhafte Verdienste erworben hat²⁾. Wenn auch hervorgehoben wurde, dass mit dem Bau des raschlaufenden Motorwagens nur ein Teil der Fernbahnfrage gelöst sei, und dass noch die Hauptfragen: die Ausführung der Gleise, die Einzelheiten der Weichen, Signale, die technische und wirtschaftliche Organisation des elektrischen Fernbahnbetriebes usw. zu lösen seien, so war doch die Versammlung von der weitgehenden Bedeutung des bereits Geleisteten überzeugt. Sie zollte Hrn. Lasche und der Allgemeinen Elektrizitäts-Gesellschaft, insbesondere auch ihrem Generaldirektor, Hrn. Geh. Baurat Rathenau, und mit diesen der ganzen deutschen Elektrotechnik ganz aufergewöhnliche Anerkennung für die Gründlichkeit, mit welcher derartige Versuche in Deutschland durchgeführt, und für die Energie, mit der in Deutschland neue Gedanken verfolgt werden.

Aufmerksame Besucher hatten dabei den Eindruck, dass die Durchdringung von theoretischem Wissen und praktischem Können, welche Deutschlands Industrie in so erstaunlich kurzer Entwicklungszeit heute als ebenbürtig neben die irgend einer Nation gestellt hat, nunmehr auch in England von den führenden Geistern lebhaft gewünscht wird. Sir W. Proce und Prof. Silvanus Thompson machten nach Beendigung des Vortrages ihren Landsleuten geradezu Vorwürfe, dass sie nicht mit gleicher Gründlichkeit und gleichem Schaffenseifer wie in Deutschland zu Werke gehen.

In der mündlichen Verhandlung über den Vortrag gab Hr. Geh. Baurat Rathenau, der in dem staatlichen Besitz der Bahnen in Deutschland ein Hindernis für die Einführung

neuer elektrischer Fernbahnen erblickt, der Hoffnung Ausdruck, dass ebenso wie die erste Dampfbahn auch die erste elektrische Fernbahn in England unter der Mitwirkung der deutschen Industrie zur Ausführung kommen möchte, eine Hoffnung, deren Erfüllung vielleicht nicht so sehr wahrscheinlich, aber auch nicht so sehr erwünscht ist.

Gerade in Deutschland, dem Geburtslande der elektrischen Bahnen, wo gegenwärtig die Verkehrseinrichtungen den früheren bedeutenden Vorsprung Englands eingeholt, ja vielleicht sogar überholt haben, erscheint es nicht ausgeschlossen, dass auch die erste elektrische Fernbahn in Betrieb gesetzt wird, umso mehr als sich verschiedene englische Redner mit bemerkenswerter Offenheit und Schärfe nicht nur anlässlich der Eröffnungsfeier, sondern auch in den Sektionen über die Rückständigkeit der englischen Regierung in technischen Dingen äußerten und betonten, wie vorteilhaft sich hiervon die Verhältnisse, besonders in Deutschland, unterscheiden, woselbst die Industrie die mächtige Unterstützung des Kaisers und der Regierung genieße.

Außer den elektrischen Fernbahnen erregte der Vortrag über die Parsonsschen Dampfturbinen wohl das meiste Interesse der Maschineningenieure. Den Lesern dieser Zeitschrift sind die Versuche von Lindley-Frankfurt, Schröter-München und Weber-Zürich, über welche im Kongress Mitteilung gemacht wurde, bekannt³⁾. Das Ergebnis derselben, das von dem Oberingenieur Stoney der Firma Parsons mitgeteilt und von Professor Schröter noch weiter besprochen wurde, erregte allgemeines und berechtigtes Interesse. Scheint doch, dass die von der englischen Firma in so überraschendem Maße vervollkommnete Dampfturbine durch ihre Einfachheit, den geringen Raumbedarf, die Materialersparnis usw. in der Elektrotechnik, vor allem aber im Schiffbau, einer bedeutenden Verbreitung entgegensteht, zu welcher Ueberzeugung namentlich auch die Fahrt auf dem neuesten Turbinendampfer »King Edward« drängte.

Die Besichtigung dieses von der Firma Denny Brothers in Dumbarton erbauten, auf das prächtigste ausgestatteten Schiffes war von allergrößtem Interesse⁴⁾.

Das für 2000 Personen berechnete Schiff wird durch 3 Schraubenwellen bewegt, von denen die mittlere in der Längsachse des Schiffes gelegene eine Schraube von 4' (1219 mm) Dmr., die beiden seitlichen je zwei Schrauben von 3' (914 mm) Dmr. tragen. Die Schrauben werden durch eine aus Hochdruck- und doppelter Niederdruckturbine bestehende Parsonsturbine mit 10 at Kesselspannung angetrieben, von welchen erstere auf der mittleren Schraubenwelle, letztere je auf den seitlichen Schraubenwellen sitzen; zusammen entwickeln sie eine Leistung von rd. 3000 PSi. Im Innern der beiden Niederdruckturbinen sitzt auf den betreffenden Schraubenwellen je eine kleinere Turbine für Rückwärtsfahrt, und die ganze Handlung beim Uebergang von »Vorwärts« auf »Rückwärts« besteht darin, das Dampftrittventil zur Hochdruckturbine zu schließen, zwei Einlassventile zu den Rückwärtsturbinen zu öffnen, wenn rückwärts gefahren werden soll, oder ein Einlassventil zu den beiden Niederdruckturbinen zu öffnen, wenn wieder vorwärts gefahren wird. Letztere sind während dieser Zeit des Umstellens durch selbstthätige Rückschlagventile von der Hochdruckturbine getrennt. Die gesamte Reisegesellschaft, darunter natürlich alle für die Dampfturbine sich interessierenden Kongressteilnehmer, war einstimmig in der Anerkennung der vorzüglichen hier vorgeführten Leistung englischen Unternehmungsgeistes und spendete dem anwesenden Erbauer der Turbine Hrn. Parsons und seinen Ingenieuren rückhaltlos die wohlverdiente Anerkennung und Bewunderung. Das Schiff ist täglich in regelmäßigem Dienst auf dem Clyde zwischen Fairlie und Campbeltown, und es besteht Aussicht, dass in absehbarer Zeit ein Ozeandampfer mit Turbinenbetrieb zur Ausführung kommt.

Die Werkstätten der Erbauer des Schiffes zeigten, dass gerade diese Firma weder Kosten noch Mühe scheut, um durch eingehende Studien und Versuche die Fabrikation zu verbessern. Unter anderm ist sie im Besitz einer vorzüglich ausgebildeten Einrichtung, um den Schiffswiderstand und die Leistung von Schiffschrauben durch Schleppversuche zu ermitteln, welche in einem 60,96 m langen und 3,66 m breiten eisernen Kanal von 3,05 m Tiefe mit auf das sorgfältigste aus Paraffin hergestellten Schiffsmodellen von 3,66 m Länge und im Verhältnis dazu stehenden Schraubenmodellen ausgeführt werden. Bei der Besichtigung wurde die ganze Handlung eingehend vorgeführt.

Im übrigen zeigten die Besichtigungen, von denen eine überaus große Zahl auf dem Festplan stand, allerdings, dass die Zeit gekommen zu sein scheint, wo der englische Fach-

¹⁾ Der Vortrag ist unter dem Titel: Der Schnellbahnwagen der Allgemeinen Elektrizitäts-Gesellschaft, Berlin, in dieser Zeitschrift 1901 S. 1261 und 1305 veröffentlicht.

²⁾ Vergl. S. 1369.

³⁾ S. Z. 1900 S. 829 u. f.

⁴⁾ Vergl. Z. 1901 S. 1006.

genosse bei Besichtigungen in Deutschland mindestens ebenso viel lernen kann wie der Deutsche in England. Es ist sehr zu bedauern, dass so wenige deutsche Fabrikbesitzer oder Direktoren diese ausgezeichnete Gelegenheit, sich durch eigene Anschauung ein Bild von der englischen Industrie zu verschaffen, benutzt haben. Sie hätten sich überzeugt, dass die Ueberlegenheit der englischen Industrie, sofern sie noch besteht, ihren Grund nicht so sehr in der höheren technisch-fachlichen Leistung, sondern in erster Linie in geschäftlich-wirtschaftlichen Ursachen hat. So ist z. B., abgesehen von einer gewissen Rückständigkeit in der Elektrotechnik, auf dem Gebiete der Dampfmaschine die Ueberhitzung in England noch im allerersten Anfangszustand; die Groß-Gasmaschine hat auf dem Festland ihre Entwicklung durchgemacht, obwohl in England der erste mit Hochofengas betriebene Gasmotor arbeitet, und solcher Beispiele ließen sich auf andern Gebieten noch manche aufzählen.

In vorteilhaftester Weise machten sich bei diesen Besichtigungen die ganz vorzüglichsten englischen Verkehrsverhältnisse bemerkbar, ohne die es nicht möglich gewesen wäre, die Fülle des Gebotenen in so kurzer Zeit zu bewältigen.

Neben dem Eisenbahn- und Schiffsverkehr sei an dieser Stelle auch auf eine beachtenswerte Einrichtung im elektrischen Straßenbahnverkehr hingewiesen, die zur Nachahmung auch in deutschen Städten wärmstens empfohlen werden kann. Die elektrischen Wagen sind fast ausnahmslos mit Decksitzen ausgestattet, ohne dass sich trotz des massenhaften Gebrauchs

dieser Einrichtung irgend ein Unglücksfall ereignet. Selbstverständlich sind die Oberleitungen etwas höher gelegt als bei uns in Deutschland, was indessen dem Straßenbilde nur zugute kommt. Die Verkehrserleichterung ist eine gewaltige, da die so überaus unpraktischen Anhängewagen, die zudem am häufigsten Ursache zu Zusammenstößen und sonstigen Unfällen bieten, in Wegfall kommen.

Es würde zu weit führen, der Festveranstaltungen zu gedenken, welche die Stadt Glasgow in Gestalt eines Empfanges in dem wundervollen, innen ganz mit Marmor verkleideten Rathause sowie eines Ballfestes in St. Andrews Hall gab. Sie entsprachen nach Anordnung und Verlauf der großartigen Gastlichkeit, in der sich bei solchen Gelegenheiten Englands Reichtum offenbart.

Wenn auch der Kongress in Glasgow, wie bereits bemerkt, kein Ergebnis von internationaler Bedeutung erzielt hat, so darf man ihn doch, dank der sorgfältigen Vorbereitung und umsichtigen Leitung, als eine durchaus gelungene Veranstaltung bezeichnen, welche in dem persönlichen Gedankenaustausch manche Frucht tragen wird, die den Fachgenossen früher oder später zugute kommt. Schon die bloße Tatsache, dass ein internationaler Ingenieurkongress von so riesiger Besucherzahl zustande gekommen ist, muss als ein höchst erfreuliches Zeichen dafür betrachtet werden, dass die Ingenieure aller Länder sich in ihrer Beteiligung an moderner Kulturarbeit eins fühlen.

Der VIII. allgemeine deutsche Bergmannstag.

Vom 12. bis 14. Sept. d. J. tagte gemäß dem vor 3 Jahren auf dem VII. deutschen Bergmannstage in Halle gefassten Beschluss der VIII. allgemeine deutsche Bergmannstag in Dortmund. Die Zahl der Teilnehmer betrug über 600. Als Ehren-gast wohnte u. a. der preussische Minister für Handel und Gewerbe, Hr. Möller, den Veranstaltungen bei. Die Leitung lag in den Händen des Hrn. Berghauptmanns Täglichebeck, Dortmund.

Der erste Tag war hauptsächlich den Vorträgen gewidmet, über die im Folgenden in Kürze berichtet sei.

Hr. Markscheider Wachholder sprach über die neueren Steinkohlensaufschlüsse im Ruhrbezirk. Wie der Redner ausführte, hat die schon längere Zeit allgemein verbreitete Annahme, dass die verschiedenen Steinkohlensablagerungen in England, Südfrankreich, Belgien, bei Aachen, in Westfalen und in der Provinz Hannover in geologischem Zusammenhange stehen und einer einheitlichen Ablagerung des Karbons angehören, durch die in den letzten Jahren ausgeführten Bohrungen wesentlich an Wahrscheinlichkeit gewonnen. Für einen engeren Teil dieses Gebietes insbesondere könne dieser Zusammenhang aufgrund der Ergebnisse von über 200 neueren Tiefbohrungen nachgewiesen werden, die von der Internationalen Bohrergesellschaft in Straßburg i. F. in sorgfältigster Weise ausgeführt sind. Anhand einer von Osnabrück bis Charleroi reichenden geologischen Skizze ging der Redner näher auf die Bohrversuche ein und zeigte, wie sich die Kohlenablagerungen in den verschiedenen Bezirken, insbesondere im Ruhrkohlenbezirk, verhalten. Was Reichtum und Güte der neu erschlossenen Steinkohlenvorkommen betrifft, so eröffnet sich dem rheinisch-westfälischen Bergbau eine sichere Aussicht auf eine lange, hoffnungsreiche Zukunft.

Hr. Geh. Bergrat Prietze-Saarbrücken verbreitete sich über die neueren Aufschlüsse im Saarrevier. Nach einem allgemeinen Ueberblick über die Lagerungsverhältnisse des Beckens besprach er die umfangreichen, von großen Erfolgen gekrönten Feldesuntersuchungen, die im letzten Jahrzehnt ausgeführt sind, und an denen hauptsächlich der preussische Bergfiskus, außerdem der bayerische Fiskus und Private beteiligt sind.

Hr. Berginspektor Wislott-Zabrze sprach über die neueren Aufschlüsse in Oberschlesien. Das Gebiet, das heute hinsichtlich der Größe seiner Förderung zwischen dem Saar- und dem Ruhrbezirk steht, nimmt in bezug auf die Nachhaltigkeit seiner Kohlenvorräte die erste Stelle ein. Das ganze Kohlenbecken ist etwa 5500 qkm groß, von denen auf Preußen 3600 qkm entfallen. Auf diesen preussischen Beckenanteil beschränkte der Redner seine Ausführungen. Er gab ein übersichtliches Bild über die seit dem Jahre 1889 hauptsächlich durch bergfiskalische Bohrungen gewonnenen Aufschlüsse, durch welche die Kenntnis der Kohlenablagerungen Oberschlesiens außerordentlich erweitert und ein sehr großer Kohlenreichtum nachgewiesen ist; von Gaebler wird der Kohlenvorrat bis 1000 m Teufe auf 62,8 Milliarden t berechnet, von denen bis jetzt etwas über eine halbe Milliarde abgebaut ist. Als Hauptaufgabe des nach Süden vorrückenden ober-

schlesischen Bergbaues bezeichnete der Redner das Vordringen in große Teufen, um die unermesslichen Bodenschätze zu heben.

Den rein bergmännischen Vorträgen folgten eine Reihe Vorträge, die auch für den Ingenieur von besonderem Interesse waren.

Hr. Ingenieur Götze-Bochum sprach über die

Anwendung elektrischer Triebkräfte im Bergbau.

Der Redner beschränkte sich darauf, aus der Fülle des Stoffes die Leistungen und Bestrebungen auf dem Gebiete der elektrischen Wasserhaltung, der elektrischen Förderung und der Zentralisation des Kraftbetriebes herauszugreifen, die für den Bergbau Zeit- und Tagesfragen bilden. Als kennzeichnend für die technische Seite der neuzeitlichen Entwicklung stellt er das übermächtige Vordringen des Drehstromes und Hand in Hand damit die dadurch ermöglichte Steigerung der Spannungen auf 2000 bis 3000 V hin. Die Tatsache, dass mit solchen Spannungen anstandslos gearbeitet werde, sei ein Beweis für die hohe Vervollkommenung der Maschinen, Schalteinrichtungen und Kabel. Dass im übrigen die Furcht vor der Gefährlichkeit der Elektrizität übertrieben sei, lehre die Tatsache, dass nach Feststellung des Oberbergamtes Dortmund in diesem Bezirke von 1889 bis 1901 nur 3 Unglücksfälle, 2 davon mit tödlichem Ausgange, durch die Wirkungen des elektrischen Stromes verursacht seien.

Der Redner ging dann auf das zurzeit umfangreichste Gebiet elektrischer Kraftübertragung im Bergbau, die elektrische Wasserhaltung, ein. Für den Fortschritt auf diesem Gebiete ist bezeichnend, dass sich, während vor 4 Jahren noch keine einzige elektrische Hauptwasserhaltung in Betrieb gewesen ist, heute nicht weniger als 25 solche Wasserhaltungen mit 16000 PS für rd. 110 cbm/min im Betrieb oder im Bau befinden. Beim Vergleich der elektrischen Wasserhaltung mit der Dampf- und insbesondere der hydraulischen Wasserhaltung erachtete der Redner als Maßstab für die Wirtschaftlichkeit des Betriebes nicht den Gesamtwirkungsgrad der Anlage, sondern ausschließlich den spezifischen Dampfverbrauch, bezogen auf die Leistung in gehobenem Wasser, als anwendbar. Es ist dies dadurch begründet, dass die Dampfmaschine der hydraulischen Wasserhaltung wegen ihres langsamen Ganges und ihres kurzen Hubes der normalen, mit Rücksicht auf geringsten Dampfverbrauch entworfenen Dampfmaschine der elektrischen Wasserhaltung nicht gleichwertig ist. Als ein in dieser Beziehung lehrreiches Beispiel führte der Vortragende an, dass für eine neu zu erbauende hydraulische Wasserhaltung für 7 cbm/min ein Wirkungsgrad von 65 vH und 8,4 kg Dampfverbrauch pro PS-st. für eine elektrische Wasserhaltung gleicher Leistung bei gleichem Dampfdruck 55 vH Wirkungsgrad und 6,9 kg Dampfverbrauch gewährleistet seien, woraus sich für 1 PS-st. gemessen in gehobenem Wasser, ein Dampfverbrauch der elektrischen von 11,9 kg, der hydraulischen von 13,5 kg ergibt. Auch bei Dampfwaterhaltungen, deren normaler Dampfverbrauch, gemessen in gehobenem Wasser, bei 9,5 bis 10 kg PS-st. liege, könne es Fälle geben, insbesondere bei sehr großen Teufen und großen Arbeitspausen, wo ihr

Dampfverbrauch höher als der der elektrischen Wasserhaltung sei, wenn sie auch unter normalen Verhältnissen immer am billigsten arbeiten würden.

Der Redner ging dann näher auf die Konstruktion der elektrischen Wasserhaltungen ein, bezüglich deren auf den in dieser Zeitschrift veröffentlichten Bericht verwiesen werden kann¹⁾, und wendete sich schließlich gegen die sogenannten Expresspumpen mit übertrieben hohen Umlaufzahlen, für die in normalen Fällen durchaus kein Bedürfnis vorliege, während die Schwierigkeiten und Kosten der Instandhaltung und Bedienung wesentlich vergrößert würden.

Von besonderem Interesse erscheint die Verwendung der für die Kupplung mit Elektromotoren besonders geeigneten Zentrifugalpumpen für Wasserhaltungszwecke, eine Aufgabe, welche Gebrüder Sulzer, Winterthur, bearbeiten und deren Hauptschwierigkeit, die Erreichung einer hinreichenden Förderhöhe, sie soweit überwunden haben, dass sie Pumpen bis zu 150 m Druckhöhe bauen. Der Redner erwähnte eine Pumpe dieser Art, die auf der Zeche Konstantin der Große bei Bochum seit 1898 als Zubringerpumpe arbeitet und 1,5 cbm/min auf 106 m Förderhöhe hebt, sowie eine Wasserhaltung auf einer spanischen Grube für 4,5 cbm/min, die aus 3 je 130 m übereinander angeordneten Hochdruck-Zentrifugalpumpen besteht²⁾. Der Wirkungsgrad einer einzelnen Pumpe ist 0,65 bis 0,75. Der Wirkungsgrad einer Anlage für größere Teufen liegt, wenn mehrere Drucksätze angewandt werden müssen, entsprechend niedriger, und die Anlage verliert außerdem an Einfachheit.

Zur elektrischen Förderung übergehend, wies der Redner darauf hin, dass die Elektrizität bei Streckenförderungen, Haspeln und Schachtförderungen mit geringeren Leistungen und Geschwindigkeiten schon seit geraumer Zeit in Anwendung stehe, und dass so die Erfahrungen für den Bau großer Schachtfördermaschinen, der unsere großen Elektrizitätsgesellschaften zurzeit auf lebhafteste beschäftigt, gewonnen seien. Bei der elektrischen Hauptfördermaschine spielt die Wirtschaftlichkeit ihres Betriebes die erste Rolle, da sie wegen ihrer etwa 2- bis 3mal höheren Anlagekosten nur durch diese mit der Dampffördermaschine in Wettbewerb treten kann. Dass überhaupt der elektrische Antrieb trotz der notwendigen mehrfachen Energieumsetzung dem unmittelbaren Dampfbetrieb gegenüber infrage kommt³⁾, liegt an dem sehr hohen Dampfverbrauch der Dampffördermaschine, der sich, verursacht durch die schwankende und aussetzende Belastung der Maschine, bei Zwillingsmaschinen auf 40 bis 50 kg, bei Verbundmaschinen auf 26 bis 30 kg/PS-st beläuft. Bei den elektrischen Fördermaschinen sollen dagegen die Belastungsschwankungen durch eine zugeschaltete Pufferbatterie ausgeglichen und so der Dampfverbrauch der Antriebsmaschine herabgedrückt werden. Es ist hoch anzuerkennen, dass die Gelsenkirchener Bergwerksgesellschaft der elektrischen Hauptfördermaschine die Möglichkeit praktischer Betätigung gewährt hat, indem sie der Friedrich Wilhelmshütte und Siemens & Halske A.-G. den Bau einer solchen Maschine für ihren Schacht Zollern II übertragen hat. Die Nutzlast beträgt 4200 kg, die höchste Geschwindigkeit 20 m/sk und die normale Leistung 1400 PS; der Dampfverbrauch ist mit 15 kg/PS-st gewährleistet. Das Seil, das 55 mm stark ist, läuft auf einer Treibscheibe von 6 m Dmr., welche unmittelbar durch 2 Gleichstrommotoren angetrieben wird, deren Umlaufzahl sich demnach auf 63 i. d. Min. stellt.

Um mit der Umlaufzahl der Elektromotoren noch höher gehen zu können, verwenden Schuckert & Co. für eine allerdings wesentlich schwächere für die Gewerkschaft Friedrich Franz in Lübbchen (Mecklenburg) bestimmte Fördermaschine, die 1400 kg Nutzlast mit 15 m/sk heben soll, Treibscheiben mit Flachseilen und erreichen dadurch etwa 3 m Dmr. und eine Umlaufzahl von etwa 100 i. d. Min. Da die Flachseile, wie die Statistik lehrt, den Rundseilen an Haltbarkeit nachstehen, schlägt Ingenieur Schlüter, Düsseldorf, anstatt eines starken Rundseiles ein zweirümliges schwächeres Rundseil vor, das, um die ungleiche Streckung der beiden Trümer auszugleichen, über eine Rolle am Förderkorb zu führen wäre.

Der Redner ging dann näher auf die Wirkungsweise der mit Gleichstrom betriebenen und mit Pufferbatterie ausgerüsteten elektrischen Fördermaschine ein. Während der Beschleunigungs- und der Verzögerungsperiode, die den größten Teil des Förderzuges ausmachen, steigt der Spannungsbedarf der Fördermaschine von null bis zu einem größten Wert und sinkt wieder auf null herab. Die Primärdynamo erzeugt aber unveränderliche Spannung, und der Ueberschuss an Spannung muss vernichtet werden. Die Reihenparallelschaltung der Motoren ist ein Mittel, ihren Spannungsbedarf in 2 Stufen

von der halben Größe der Maschinenspannung zu teilen; weiterhin muss aber die überschüssige Spannung entweder unwirtschaftlich durch Vorschaltwiderstände vernichtet werden, oder man muss auf andere Anordnungen sinnen. Siemens & Halske A.-G. werden die Zellen der Pufferbatterie entsprechend einschalten, während die Union-Elektrizitäts-Gesellschaft eine besondere Zusatzmaschine anordnet, die zu Beginn des Hubes eine der Netzspannung entgegengesetzte Spannung gleicher Größe, am Ende der Beschleunigungsperiode eine zusätzliche Spannung von der Größe der Netzspannung erzeugt, wodurch den Motoren der Fördermaschine ein ihrem Bedarf entsprechende, von null bis zu einem Höchstwert ansteigende Spannung zugeführt wird⁴⁾. Der von der Allgemeinen Elektrizitäts-Gesellschaft verschiedentlich bei kleineren Fördermaschinen eingeschlagene Weg, die Spannung der Primärdynamo selbst von null bis zum Höchstwert zu steigern, gehört nicht blos her, da dadurch wieder eine entsprechend schwankende Belastung der Primärmaschine bedingt ist, die ja eben ihrer Unwirtschaftlichkeit wegen vermieden werden soll.

Der Vortragende streifte dann die Frage der Verwendung von Drehstrom für Fördermaschinen. Für kleinere Fördermaschinen verschiedentlich angewendet, ist der Drehstrom für Hauptfördermaschinen wegen der Unmöglichkeit, eine Pufferbatterie anzuordnen, minder brauchbar. Zum Ersatz dafür können Schwungräder für die Aufspeicherung der Energie dienen. Die Frage, wie so gewaltige Mengen elektrischer Energie mit den Anlassvorrichtungen zu beherrschen seien, erscheint durch den Flüssigkeitsanlasser der Allgemeinen Elektrizitäts-Gesellschaft mit feststehenden Elektrodenblechen, veränderlichem Flüssigkeitspiegel und fließendem Wasser gelöst⁵⁾.

Zum Schlusse seiner Ausführungen beschäftigte sich der Vortragende mit der Zentralisation des Kraftbetriebes. Verringerung der Energieleitungsverluste, Ersatz kleiner unwirtschaftlicher Dampfmaschinen und größere Einfachheit der Bedienung seien ihre Vorzüge. Als Stromart komme Drehstrom infrage wegen der Vorzüge der Drehstrommotoren und der bequemen Umformung seiner Spannung, die den jeweiligen Zwecken anzupassen sei. Größere Zentralen dieser Art in Westfalen sind angelegt auf Ver. Rosenblumendelle (Siemens & Halske A.-G.), Langenbrahm (Elektrizitäts-A.-G. vorm. W. Lahmeyer & Co.) und auf Germania und Adolf v. Hansemann (beide von der Union Elektrizitäts Gesellschaft). Noch größere Anlagen befinden sich in Schlesien, z. B. auf der Friedrich Wilhelms-Grube der Friedenshütte und auf dem Kaiser Wilhelm-Sebach der Giesche-Grube. Das Bedeutendste auf diesem Gebiete wird eine in Ausführung begriffene Anlage von Schuckert & Co. für die Preussengrube in Oberschlesien sein, die mit 8 Maschineneinheiten von je 700 PS ausgerüstet wird.

Als wirtschaftliche Kraftquelle für elektrische Zentralen kommen, wie der Redner zum Schluss bemerkte, die Abgase der Koksöfen infrage, die vorteilhafter anstatt unter Dampfkesseln unmittelbar in Gasmotoren zu verbrennen seien. Eine Batterie von 50 Öfen habe etwa 520 cbm Gasüberschuss, mit denen etwa 650 PS zu erzeugen seien. Für den ganzen Ruhrbezirk könne man auf den Gewinn von 100000 PS auf diesem Wege rechnen. In Westfalen seien bisher jedoch nur einige kleinere Motoren aufgestellt, während für die Julenhütte in Oberschlesien eine Anlage von 1200 PS Gesamtleistung im Bau begriffen sei.

Hr. Bergassessor Mellin-Essen sprach über die Verwendung von Schrämmaschinen in den Ver. Staaten.

Die Bemerkungen des Redners stützten sich auf die Beobachtungen, die er auf einer soeben beendeten, gemeinsam mit Hrn. Bergassessor Schulz-Briesen im Auftrage des Bergbauischen Vereines im Oberbergamtsbezirk Dortmund ausgeführten Studienreise durch Nordamerika gemacht hat. Im ersten Teile seines Vortrages schilderte er die amerikanischen, von den unsrigen sehr abweichenden Verhältnisse und besprach die Konstruktion und Arbeitsweise der hauptsächlich gebrauchten Schrämmaschinen, um im zweiten Teil die Nutzanwendung auf unsere heimischen Verhältnisse zu ziehen.

Für die Zunahme der Verwendung von Schrämmaschinen in Nordamerika sind folgende Zahlen bezeichnend: Während 1891 im ganzen 545 Maschinen arbeiteten, stieg ihre Zahl im Jahre 1900 auf 3125, im Jahre 1901 auf 3907. Der Anteil der mit Maschinen gewonnenen bituminösen Kohle nahm noch mehr zu, sodass er 1899 bereits 23 vH, 1900 fast 25 vH der Gesamtförderung betrug. Am meisten werden Schrämmaschinen in Pennsylvania gebraucht, wo über 1300 Maschinen arbeiten. Die Ueberlegenheit der Maschinenarbeit über die Handarbeit in den amerikanischen Kohlengruben wird insbesondere durch die sonst nicht erklärbare stetige Zunahme der jährlichen Förderleistung pro Kopf der Belegschaft erwiesen, die

¹⁾ Z. 1901 S. 923.

²⁾ Ueber diese Wasserhaltung werden wir demnächst ausführlich berichten. Die Red.

³⁾ Vergl. Z. 1901 S. 774.

⁴⁾ Näheres hierüber ist am Schlusse des Berichtes mitgeteilt.

⁵⁾ a. Z. 1901 S. 1304.

sich 1890 auf 443 t, 1898 auf 490 t, 1899 auf 552 t und 1900 auf 537 t belief.

Sämtliche für die Kohलगewinnung mittels Maschine inbetracht kommenden Kohlenfelder weisen inbezug auf ihre natürlichen Verhältnisse in folgenden wesentlichen Punkten Übereinstimmung auf: Die Flöze sind größtenteils flach gelagert; vereinzelt kommen Stellen mit Einfallen von 6 bis 8° vor, während Einfallwinkel von 12 bis 15° sehr selten sind. Die Flözmächtigkeit liegt etwa zwischen 1,2 und 1,8 m; dabei ist die Kohle ziemlich weich. Grubengas entwickelt sich gar nicht oder nur in sehr geringem Maße, sodass fast überall mit offenen Lampen gearbeitet wird und die Verwendung von Elektrizität vor Ort keine Bedenken hat. Zu den günstigen Bedingungen der Flöze treten günstige Verhältnisse des Nebengesteines hinzu. Die Sohle ist fest und eben, das Dach ebenfalls in den meisten Fällen sehr gut, sodass die Zimmerung schwach sein und weit hinter dem Ortstofs zurückbleiben kann.

Das fast überall angewendete Abbaufahrten ist das sogenannte „room and pillar“-System. Das Feld wird durch ein Hauptstreckenpaar gerade durchfahren und durch rechtwinklig dazu verlaufende Nebestrecken in Streifen von 80 bis 100 m Breite zerlegt, die dann mit parallel nebeneinander gesetzten Oertern — „rooms“ —, zwischen denen Pfeiler — „pillars“ — stehen bleiben, durchörtert werden. Die Breite der rooms liegt zwischen 5 und 12 m. Strebbau, obwohl verschiedentlich seitens der Werkleiter als vorteilhaft erachtet, ist sehr wenig vorhanden, sodass die in England am meisten gebrauchten sogenannten „long wall“-Maschinen (Strebmaschinen) in Amerika nur in verschwindender Anzahl (22 Stück) vorhanden sind.

Was die Schrämmaschinen selbst betrifft, so sind der Bauart nach hauptsächlich mit Meißeln ausgerüstete stoßende und mit Schneidketten ausgerüstete schneidende Maschinen zu unterscheiden¹⁾.

Von stoßenden Maschinen kommen die Ingersoll-Sergeant-, die Harrison- und die Sullivan-Maschine inbetracht. Diese Maschinen werden durch Druckluft betrieben; zur Steuerung dient ein Muschelschieber, der aber nicht unmittelbar durch einen Kolben, sondern durch eine Hilfsvorrichtung bewegt wird, um die Stärke des Meißelschlags von der Schlaggeschwindigkeit unabhängig zu machen. Das Gewicht dieser stoßenden Maschinen liegt zwischen 300 und 400 kg, die erreichbare Tiefe des Schrammes ist etwa 1,5 m, die Länge der Maschine etwa 2 m. Die Handhabung ist bei allen gleich. Die Maschine steht auf einem schrägen Holzbrett, damit der Rückstofs aufgenommen wird, und wird von dem Maschinenführer mittels Handhaben gehalten; nachdem die Breite der Unterlage abgeschrägt ist, wird die Maschine um eine Breite seitlich versetzt. In ihren Leistungen sollen die genannten Maschinen gleichwertig sein. Eine stoßende Maschine für elektrischen Antrieb wird neuerdings von der Morgan-Gardner Electric Co. gebaut; sie soll jedoch den mit Druckluft betriebenen unterlegen sein.

Von den Schneidkettenmaschinen sind hauptsächlich die Ausführungen der Jeffrey Mfg. Co. und der Morgan-Gardner Co., Chicago, in Gebrauch; außerdem kommen die Maschinen der Link Belt Machinery Co., Chicago, vor. Die Schneidkette, eine endlos mit Meißeln besetzte Gliederkette, läuft um einen Rahmen, der in einem zweiten Rahmen geführt und rechtwinklig zum Ortstofs in die Kohle hineingetrieben wird. Nachdem der Schram bis zur vollen Tiefe ausgearbeitet ist, wird der Kettenrahmen zurückgezogen und die Maschine um ihre eigene Breite seitlich versetzt. Der Antrieb ist grundsätzlich elektrisch, und zwar werden, um an Gewicht zu sparen, nicht eingekapselte, der besseren Abkühlung wegen höher zu beanspruchende Motoren verwendet. Zum Verfahren der Maschinen von einem Ort zum andern werden ziemlich allgemein Wagen verwendet, deren Räder durch den Motor der Schrämmaschine angetrieben werden. Die Abmessungen der Schneidkettenmaschinen sind bedeutend, ebenso ist ihr Gewicht beträchtlich — zwischen 1750 und 2000 kg —, und sie erfordern einen von Zimmerung freien Raum von über 3 m vor dem Stofs.

Gewissermaßen den Übergang zu den längs des Stofses arbeitenden long wall- oder Strebmaschinen bildet die Schneidkettenmaschine der Sullivan Machinery Co.²⁾, deren Kettenrahmen erst bis zur größten Schrammtiefe in die Kohle hineingetrieben wird, worauf er, nachdem der Führungsrahmen entfernt ist, mittels einer Kette den Stofs entlang gezogen wird, dabei nur den dritten Teil zimmerungsfreien Raumes der gewöhnlichen Schneidkettenmaschinen erfordernd.

Als eigentliche „long wall“-Maschine kommt hauptsächlich die von der Jeffrey Mfg. Co., Columbus, für elektrischen und Pressluftantrieb gebaute Schrämmaschine inbetracht,

die sich in ihrer Bauart und ihren Abmessungen den in England und auch verschiedentlich in Westfalen gebrauchten Gardforth-Maschinen¹⁾ im wesentlichen anschließt, jedoch — worauf von der Erbauerin großer Wert gelegt wird — eine Vorrichtung besitzt, um die Schrämradebene etwas kippen zu können, damit sich das Schrämmrad bei Unebenheiten der Sohle nicht festklemmt. Außerdem erscheint die von der Link Belt Machinery Co. gebaute, mit Schneidkette arbeitende long wall-Maschine erwähnenswert; diese Schrämmaschine gleitet ohne Gestänge längs des Stofses auf der Sohle entlang und schneidet einen Schram von 1,2 m Tiefe ein. Ihr Gewicht beträgt 1750 kg bei 2,2 m Länge und 0,5 m Höhe.

Die Leistungen, die mit den verschiedenen Maschinen erzielt werden, schwanken außerordentlich, sodass es schwer ist, zuverlässige Mittelwerte anzugeben. Als geringste Leistung für Stofsmaschinen, für deren Bedienung ein Maschinenführer und ein Helfer nötig sind, ist nach Erfahrungen auf einer unter ungünstigen Verhältnissen arbeitenden Grube anzunehmen, dass in 10stündiger Schicht 20 bis 25 m bis 1,7 m Tiefe unter-schrämt werden; bei günstigeren Bedingungen steigt die Leistung wesentlich. Die Schneidkettenmaschinen weisen bedeutend höhere Zahlen auf. Ein Schram von 1,5 m Tiefe und 1,4 m Breite wird in durchschnittlich 4 min hergestellt; das Zurückziehen des Kettenrahmens dauert 1 min, das seitliche Verschieben und Neuansetzen der Maschine 3 min. Für die Bedienung sind ebenfalls 2 Mann notwendig. Was die long wall-Maschine angeht, so wurde bei einer Maschine der Link Belt Machinery Co. im Betriebe eine stündliche Leistung von rd. 24 m bei 1,3 m Schrammtiefe beobachtet.

Hinsichtlich der Kosten der Schrämmaschinenarbeit sei bemerkt, dass die Schichtlöhne für den Maschinenführer ziemlich gleichmäßig 3 \$, für den Helfer 2,10 \$ betrugen. Ueber die Nutzeffekte der Maschinen sowie das Kostenverhältnis der Handarbeit zur Maschinenarbeit war jedoch nichts Zuverlässiges zu erfahren.

Nach dieser Schilderung der amerikanischen Verhältnisse verglich der Redner mit ihnen die deutschen, insbesondere die westfälischen Verhältnisse und betonte, dass diese, was Lagerstätten und Abbau betrifft, den amerikanischen Verhältnissen gegenüber wesentlich ungünstiger für die Verwendung von Schrämmaschinen liegen. Ein erheblicher Teil der Flöze scheitert wegen zu großen Einfallens und zu geringer Mächtigkeit für die Schrämmaschinenarbeit aus. Von den verschiedenen Schrämmaschinenkonstruktionen erscheinen die nur winkelrecht zum Ortstofs arbeitenden Schneidkettenmaschinen für deutsche Verhältnisse wegen ihrer Schwere und ihrer einen großen zimmerungsfreien Raum vor dem Ortstofs erfordernden Abmessungen ausgeschlossen; der Schlagwettergefahr wegen könnte man sie obendrein nur mit eingekapselten Motoren betreiben, wodurch ihr Gewicht noch gesteigert würde. Die long wall-Maschinen erscheinen dagegen für uns als Abbaumaschinen geeignet; bei den Stofsmaschinen ist zu erwägen, ob die Flözmächtigkeit gestattet, einen so großen Teil der Kohle zu Kleinkohle zu zerschlagen. Trotz alledem hält der Redner eine nutzbringende Verwendung der Schrämmaschine in vielen Fällen für möglich, insbesondere wo es sich um rasches Auffahren handelt.

Anschließend an diese Ausführungen sprach Hr. Berg-assessor Schulz-Briesen seine Ansichten über die allgemeinere Einführung der Schrämmaschinen in Deutschland aus. Mit dem Vordröner hält er die Schneidkettenmaschine für ausgeschlossen, erachtet aber die long wall-Maschine bis zu 20° bis 25° Einfallen für anwendbar. Wenn eine Reihe von Bedingungen zusammenfielen: nicht zu steiles Einfallen, eine größere Mächtigkeit des Flözes als 75 cm, eine mittelgroße Festigkeit der Kohle, wenn ferner nicht zu befürchten sei, dass die Sohle quillt und der eingeschnittene Schram sich infolgedessen zusetzt, so lasse die Maschinenarbeit gute Ergebnisse erwarten, insbesondere auch eine Verminderung der Schiefearbeit, und es sei Aufgabe des deutschen Bergmannes, auf dem bereits mit Erfolg beschrittenen Wege rüstig weiterzuschreiten.

Hr. Bergwerksdirektor Meyer-Herne sprach über die Beseitigung der Versager bei elektrischer Zündung. Er stellte unter Bezugnahme auf englische Verhältnisse fest, mit welchem Anteil die elektrische Zündung als Unfallursache im Bergwerkbetriebe beteiligt sei, und widersprach der häufig aufgestellten Behauptung, dass die elektrische Zündung an sich gefahrlos und zuverlässig sei. Sehr unangenehm seien die Versager, die teils durch die ungleichmäßige Ausführung der Zünder, teils durch teilweise Ablenkung des elektrischen Stromes infolge zufälliger Nebenschlüsse bedingt seien. Um diese Versager, die wiederholt sowohl in England wie in Westfalen Unfälle verursacht haben, zu beseitigen, führte der Vortragende auf Zeche Shamrock Zünder ein, die einen verhältnismäßig geringen Widerstand haben und mithin nur ge-

¹⁾ Vergl. hierzu auch Z. 1901 S. 777.

²⁾ Die Union Elektrizitäts-Gesellschaft, Berlin, hat, wie bemerkt werden mag, den Vertrieb und die elektrische Ausrüstung der Sullivan-Maschine übernommen.

¹⁾ Z. 1901 S. 777.

ringer Spannungen bei entsprechend höheren Stromstärken bedürfen. Um die brauchbaren Zünder von den unbrauchbaren von vornherein zu sondern, werden sie auf ihre Leitfähigkeit mittels Galvanometers geprüft. Bei dem kleinen Eigenwiderstand der Zünder beeinträchtigen die zufälligen Nebenschlüsse die Zündung nicht, sodass von der Verwendung isolierter Drähte, deren Isolation im Betrieb sehr leidet und deren Hülle das Auffinden von Bruchstellen erschwert, abgesehen werden kann und blanko Drähte benutzt werden. Als Zündmaschine wird eine Batterie von Trockenelementen — Heilfuss-Elemente von Siemens & Halske A.-G. von 1,5 V Spannung — benutzt, die in einem kleinen Holzkästchen vereinigt sind. Für Einzelzündung genügt eine geringe Zahl solcher Elemente, für Massenzündung werden Batterien von 36 Elementen mit einer Spannung von rd. 50 V verwendet. Um den Stromschluss herzustellen, muss in den Batteriekasten ein Kontaktschlüssel hineingesteckt werden, den der Schleifmeister an einem besonderen Riemen trägt, sodass zufällige Zündungen ausgeschlossen sind. Die Erfahrungen, die der Vortragende mit den beschriebenen Zündeinrichtungen gemacht hat, sind sehr gut; denn unter den 259 000 in dieser Weise bisher bewirkten Zündungen hat sich kein Versager befunden. Um die Unempfindlichkeit seines Zündverfahrens gegen Nebenschlüsse, wie sie in Gruben auftreten können, nachzuweisen, hatte der Redner eine Versuchsanordnung herstellen lassen, bei der die blanken Leitungsdrahte auf eine lange Strecke nebeneinander im Wasser lagen, ohne dass die Zündungen versagten.

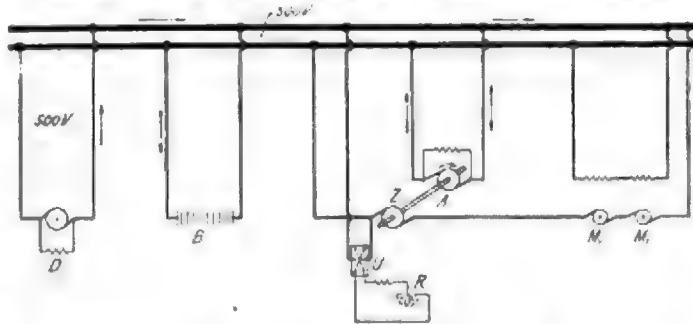
Die weiter angekündigten Vorträge: Die neuesten Fortschritte im Schachtabteufen¹⁾ von Riemer, Oberingenieur der Firma Haniel & Lueg in Düsseldorf; Das Abteufen des Schachtes Ronnenberg nach dem Poetschschens Gefrierverfahren von Bergwerksdirektor Hilbeck; und schließlich: Ueber den Goldbergbau und seine wirtschaftliche Bedeutung für Deutschland von Bergassessor Knochenhauer, mussten wegen Zeitmangels von der Tagesordnung abgesetzt werden, werden aber, ebenso wie die oben wiedergegebenen Vorträge, ausführlich in der Zeitschrift »Glückauf« veröffentlicht werden.

Der Vortrag des Hrn. Riemer lag im übrigen schon im Druck als Sonderschrift vor; er enthält sehr beachtenswerte, durch viele Zeichnungen erläuterte Mitteilungen über das Abteufen einer Reihe von Schächten nach dem Senkschachtverfahren und nach dem Schachtbohrverfahren von Kind & Chaudron, denen sich Ausführungen über das Abbohren und Kuvelliren in großen Teufen anschließen.

Es lag noch eine zweite, von Gerdau, Oberingenieur von Haniel & Lueg, verfasste Druckschrift: Ueber neuere Wasserhaltungen für Bergwerke, vor, die außerordentlich reich mit Tafeln ausgestattet war. Der Verfasser bespricht anhand von Ausführungen der Firma Haniel & Lueg die Dampf-, hydraulischen und elektrischen Wasserhaltungen und kennzeichnet ihre Eignung für den jeweiligen Fall; zum Schluss weist er auf die Möglichkeit und die Vorteile der Anordnung einer unterirdischen, mit Koksöfengasen betriebenen Gaskraftmaschine zum unmittelbaren Antrieb einer Wasserhaltungspumpe hin. Von den in den Tafeln dargestellten Wasserhaltungen ist eine für die Harpener Bergbau-A.-G. bestimmte Dampf-Wasserhaltung für 25 cbm/min auf 500 m Höhe hervorgehoben. Die Dreifach-Expansionsmaschine hat 950, 1600 und 2×1650 mm Cyl.-Dmr., 1700 mm Hub und leistet bei 60 Uml./min 3500 PS; die Doppelpumpen haben Tauchkolben von 285 mm Dmr. Die Wasserhaltung wird auf der Düsseldorfer Ausstellung zu sehen sein. Weiterhin ist eine ausführlich dargestellte, für die Zeche Hamburg und Franziska bestimmte elektrische Wasserhaltungsanlage zu erwähnen, die aus 3 primären Maschineneinheiten von je 760 PS; sowie 2 Pumpen für je 5 cbm/min aus 382 m Teufe und 1 Pumpe für 3,5 cbm/min aus 507 m Teufe besteht. Die Umlaufzahl der unmittelbar gekuppelten Pumpen beträgt 80 i. d. Min., der Hub 800 mm.

Zum Schluss dieses Berichtes seien über die von der Union Elektrizitäts-Gesellschaft, Berlin, anlässlich des Bergmannstages im Lindenhof veranstaltete Ausstellung hergmännischer Maschinen und Einrichtungen einige Mitteilungen gemacht. Außer einer langen Reihe von Zeichnungen angeführter Anlagen für Bergwerkszwecke waren eine Anzahl Gesteinsbohrmaschinen, und zwar sowohl Solenoid-Stoßbohrmaschinen wie Drehbohrmaschinen für Gleich- und Drehstrom, sowie Grubensignaleinrichtungen ausgestellt. Ganz besondere Beachtung beanspruchte jedoch die ausgestellte Versuchsanordnung des von der Union Elektrizitäts-Gesellschaft für elektrische Hauptfördermaschinen ausgearbeiteten Systems, das bereits in dem oben wiedergegebenen Vortrage von Götte erwähnt ist, und das im Folgenden eingehender besprochen sei. Die Figur zeigt das Schaltungschema des elek-

trischen Teiles. D ist die Primärdynamo, die beispielsweise Gleichstrom von 500 V erzeugt, B die parallel zur Dynamo D geschaltete Pufferbatterie, M_1 und M_2 sind die in Reihe geschalteten Antriebmotoren der Fördermaschine. Diese Motoren liegen nun nicht unmittelbar am Netz, sondern in ihren Stromkreis ist die Zusatzmaschine Z eingeschaltet, die ihrerseits mit dem unmittelbar an die Netzschiene gelegten Antriebmotor A mechanisch gekuppelt ist. Das Magnetfeld der Zusatzmaschine Z lässt sich mittels des Nebenschluss-Regulirwiderstandes R von null bis zu einem Höchstwert regeln; außerdem lässt sich die Feldrichtung mittels des Umschalters U umkehren. In der Bethätigung dieses Nebenschluss-Regulir-

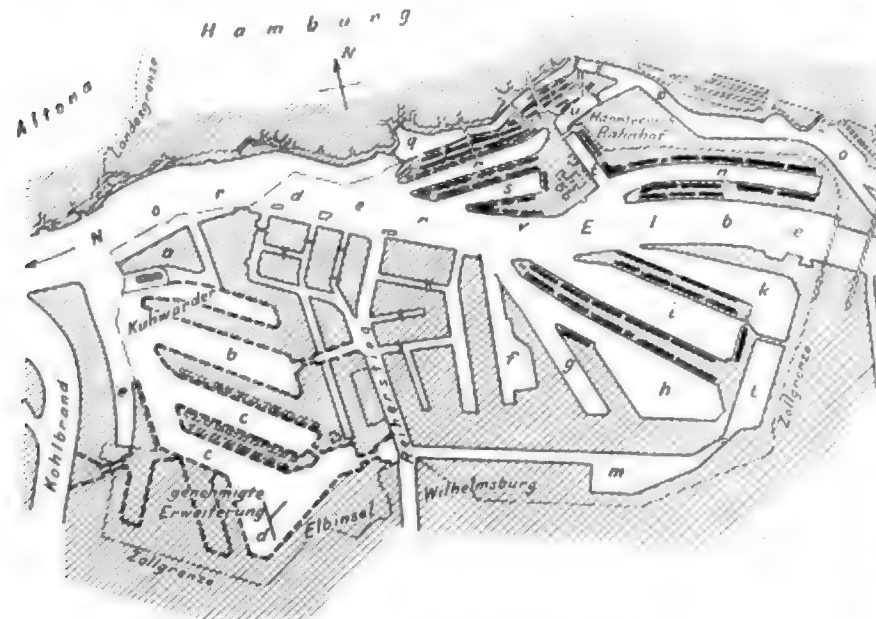


widerstandes R und des Umschalters U beruht die Steuerung der Fördermaschine. Der aus dem treibenden Motor A und der Zusatzmaschine Z bestehende Maschinensatz läuft beständig. Während der Förderpausen ist das Magnetfeld der Zusatzmaschine Z so stark und in dem Sinne erregt, dass Z eine der Netzspannung gleiche, aber entgegengesetzte Spannung erzeugt und die Fördermaschinen-Elektromotoren M_1 und M_2 keine Spannung erhalten. Soll angehoben werden, so wird das Feld der Zusatzmaschine allmählich geschwächt. In demselben Verhältnis sinkt, da ihre Umlaufzahl durch die Kupplung mit dem Motor A unverändert gehalten wird, die von ihr erzeugte Gegenspannung; die Motoren der Fördermaschinen erhalten den Ueberschuss der Netzspannung über die Gegenspannung und setzen sich mit zunehmender Geschwindigkeit in Bewegung. Ist das Feld der Maschine Z bis auf null geschwächt, so erhalten M_1 und M_2 die ganze Netzspannung von 500 V. Nun wird die Feldrichtung umgekehrt und die Feldstärke allmählich wieder gesteigert; jetzt erzeugt aber Z keine Gegenspannung mehr, sondern eine zusätzliche Spannung, und die Motoren der Fördermaschine erhalten die Summe von Netzspannung plus Zusatzspannung. Erreicht die Feldstärke wieder ihren Höchstwert, so beträgt die Zusatzspannung 500 V, und die Motoren M_1 und M_2 erhalten $500 + 500 = 1000$ V und damit die höchste Geschwindigkeit. In entsprechender Weise umgekehrt verlaufen die Vorgänge während der Verzögerungsperiode. Jeder Hebelstellung des Nebenschluss-Regulirwiderstandes R entspricht also eine bestimmte Fördergeschwindigkeit, und es ist zu sehen, dass mit jeder beliebigen Geschwindigkeit, wie dies bei Seilfahrt und Revisionsfahrten nötig ist, ohne Energievergeudung gefahren werden kann. Die hier geschilderte Wirkungsweise wurde durch die Versuchsanordnung in vortrefflicher Weise veranschaulicht. Auf der Schalttafel befanden sich die Schalter, Strom- und Spannungsmesser, der Anlasser für den dauernd umlaufenden Maschinensatz und der zur Steuerung dienende Nebenschluss-Regulirwiderstand. Die Umlaufzahl des Fördermaschinenmotors konnte an einem Tachometer abgelesen werden. Bemerkenswert war, wie kleine Schläge der Fördermaschine gegeben werden konnten.

Will man das gekennzeichnete System für elektrische Hauptfördermaschinen würdigen, so ist einmal hervorzuheben, dass die Geschwindigkeit ohne Kraftvergeudung beherrscht wird; zweitens ist es sehr vorteilhaft, dass nicht, um die Fördermaschine zu steuern, der mehrere tausend Ampère starke Betriebsstrom, sondern nur der verhältnismäßig schwache Erregerstrom der Zusatzmaschine zu schalten ist. Was die Anlagekosten dieser Zusatzmaschine betrifft, deren Leistung gleich der der beiden Fördermotoren ist, so können sie sehr herabgedrückt werden, da die Zusatzmaschine mit sehr hoher Geschwindigkeit laufen kann, sodass sie durch die Verminderung der Kosten der Anlassvorrichtungen etwa ausgeglichen werden. Die Unterhaltungskosten dagegen würden denen für einen mit so hohen Stromstärken betriebenen Anlasser gegenüber verschwinden. Sehr wichtig erscheint schließlich, dass durch die Anordnung der Zusatzmaschine vermieden wird, die Pufferbatterie zur Geschwindigkeitsregelung heranziehen zu müssen, dass diese vielmehr dauernd für ihren eigentlichen Zweck, den Energieausgleich, in Wirksamkeit bleibt.

¹⁾ Vergl. Z. 1896 S. 1461.

Die mächtige Entwicklung des Hamburger Hafenverkehrs, die aus der zeichnerischen Darstellung, Z. 1900 S. 1416 Fig. 1, zu ersehen ist, hält noch fortwährend an und macht von Jahr zu Jahr Erweiterungsarbeiten notwendig, ohne dass vorläufig an einen Stillstand im Ausbau des Hafens zu denken ist. Vor allem sind die Ansprüche der Hamburg-Amerika-Linie gewachsen, deren bisherige Liegeplätze am Petersen-Kai, am Baakenhafen, am rechten Elbufer und am O'Swald-Kai einmal infolge der örtlichen Trennung mancherlei Schwierigkeiten bereiten, dann aber auch dem gesteigerten Raumbedürfnis der Gesellschaft nicht mehr genügen. Hauptsächlich der Wunsch, den Anforderungen dieser Gesellschaft zu entsprechen, hat dazu geführt, einen Plan für umfassende Hafenneuanlagen aufzustellen, der in den Jahren 1897 und 1898 bereits zur Ausführung genehmigt, jedoch während der Ausführung erheblich erweitert worden ist. Die Neuanlagen¹⁾ sollen am Kuhwärder hinter der Schiffswerft von Blohm & Voss hergestellt werden, s. die Figur. Sie zweigen von der Norderelbe Altona gegenüber nach Südosten ab, sodass die Einfahrt zu ihnen zwischen der Einmündung des von der Süderelbe kommenden Köhlbrandes und dem vor einigen Jahren in Betrieb genommenen großen Schwimmdock von Blohm & Voss liegt. Hier sollen vier für den Seeschiffverkehr bestimmte Häfen angelegt werden, an deren letzten sich ein Flussschiffhafen anschließen wird. Sämtliche Häfen werden innerhalb des Freihafenbezirkes liegen; die eigentümliche Form des Flussschiffhafens wird durch die Lage der Landesgrenze bedingt.



- a Schiffswerft Blohm & Voss
- b Seeschiffhafen (in Ausführung begriffen)
- c an die Hamburg-Amerika-Linie verpachteter Hafen (in Ausführung begriffen)
- d Flussschiffhafen
- e Schuttenhafen
- f Petroleumhafen
- g Indiahafen
- h Haasenhafen
- i Segelschiffhafen

- k Moldauhafen
- l Saalehafen
- m Sprechenhafen
- n Baakenhafen
- o Billhafen
- p Oberhafen
- q Binnenhafen
- r Sandthorhafen
- s Grabbrookhafen
- t Madsburger Hafen
- u Brookthorhafen
- v Strandhafen

Der erste, nördlichste Hafen soll erst in späterer Zeit ausgebaut werden, die übrigen dagegen sind in Ausführung begriffen. Die gemeinsame Einfahrt zu den Häfen wird 240 m breit, die Häfen selbst sind an der Einfahrt etwa 200 m, am Ende etwa 240 m breit und im Mittel 1000 m lang. Der zweite Seeschiffhafen erhält nicht in ganzer Länge feste Ufermauern, sondern nur Pfeiler von 6 m Breite in Abständen von 25 m, die mit Befestigungspollern und Streichpfählen ausgerüstet sind, sodass die Schiffe anlegen können. In der Mitte des Hafens wird eine Reihe Pfähle, sogenannte Dückdalben, geschlagen, an denen zu beiden Seiten Schiffe vertaut werden können. Hier sollen hauptsächlich solche Seeschiffe anlegen, die Massengüter wie Salpeter, Getreide usw. bringen, also nicht auf die Ufer, sondern unmittelbar in die oberelbischen Fahrzeuge überladen. Der Hafen bietet Raum für 35 Seeschiffe von 100 m mittlerer Länge.

Der dritte, an die Hamburg-Amerika-Linie verpachtete Hafen erhält allseitig feste Ufermauern und in der Mitte eine 700 m lange Reihe Dückdalben; der vierte, ebenfalls an die genannte Gesellschaft verpachtete Hafen nur an der Nordseite feste Mauern. An der Nordseite des dritten Hafens werden 3 Löschschuppen von je 327,5 m Länge und 53,6 m Breite, an der Südseite 2 Ladeschuppen von je 400 m Länge und 61,4 m Breite, am vierten Hafen 2 Schuppen von je 336,7 m Länge und 61,1 m Breite errichtet. Östlich von den beiden letzten Schuppen soll das Ufer auf 170 m Länge unbebaut bleiben, damit einige Schiffe frei laden können. Daran anschließend ist ein Kohlenumladepunkt mit Einzelkränen und 3 Kohlenstauraumrichtungen vorgesehen. Jeder Doppelschuppen erhält 14 bis 18 Krane von je 3 t und einen oder zwei von je 10 t Tragfähigkeit, die von einem besonderen Kraftwerke aus mittels elektrischen Stromes betrieben werden sollen. Zu beiden Seiten der Schuppen liegen Zufuhrstraßen und Lösch-, Lade- und Kohlengleise. Alle Schuppen werden in der Mitte durch eine Brandmauer geteilt; die Abmessungen sind so reichlich, dass die halbe Vorderwand und die Hälfte der Lagerfläche für einen großen Frachtdampfer ausreicht. Entgegen dem ursprünglichen Plane werden die Schuppen einstöckig ausgeführt, und zwar deshalb, weil die gelächten Güter meist wieder in Flussschiffe übergehen und das Laden aus zweistöckigen Schuppen zu viel Zeit in Anspruch nehmen würde.

Der Flussschiffhafen soll als Abgrenzung gegen den Seeschiffhafen in 80 m Entfernung von der festen Ufermauer eine 700 m lange Reihe Dückdalben erhalten, die für Schiffe der Hamburg-Amerika-Linie bestimmt sind. Am Ostende des letzten Seeschiffhafens und des Flusshafens sind Wasserverbindungen mit den östlich gelegenen Kanälen mit Absperrschleusen vorgesehen; auf diese Weise sind Zugänge zu den Häfen für die Schuten geschaffen und die vordere Einfahrt allein den Seeschiffen vorbehalten. Die Absperrschleusen werden 18 m breit und 120 m lang. Sie sind erforderlich, um zu verhindern, dass die Häfen durch die Strömung verlanden; der Wasserstand in den Kanälen und in dem Hafen ist zwar gleich, aber die Sohlen liegen verschieden tief.

Die jetzt der Hamburg-Amerika-Linie zur Verfügung stehenden Hafentelle gewähren 2245 m Uferlänge mit 69 600 qm Schuppenlagerfläche; die neuen Anlagen werden ihr 2900 m Uferlänge, 137 700 qm Schuppenlagerfläche und 1400 m Dückdalbenlänge bieten. Die im Vorstehenden aufgeführten Neuanlagen erfordern einen Kostenaufwand von 31 689 500 M. Die Hamburg-Amerika-Linie erhält davon eine Gesamtfläche von 254 280 qm gegen eine jährliche Pacht von 1 300 000 M, auf 25 Jahre von dem Zeitpunkte der betriebsfertigen Uebergabe an gerechnet. Außer der Pachtsumme hat die Gesellschaft noch die Unterhaltungskosten für sämtliche von ihr in Pacht genommenen Anlagen zu tragen, während der Staat nur für die Aufrechterhaltung der Wassertiefe von 8 m unter Niedrigwasser sorgt.

Die Association des industriels de France contre les accidents du travail hat einen Preis von 1000 frs für eine Vorrichtung ausgeschrieben, welche die Arbeiter in Gießereien gegen Verbrennungen an Füßen und Unterschenkeln schützen soll. Gefordert wird, dass die Vorrichtung sich jedem Schuhwerk anpassen lässt und dass sie leicht und nicht hinderlich sei; sie soll ferner schnell anzubringen und billig sein. Eine Beschreibung nebst 2 Paaren der Schutzvorrichtung ist bis zum 31. Dezember d. J. an den Vorsitzenden des genannten Vereines, Paris, Rue de Lutèce 3, einzusenden.

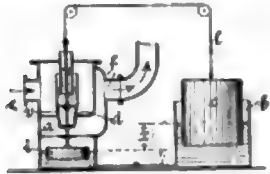
¹⁾ Deutsche Bauzeitung 7. September 1901 S. 448.

Vom 16. bis zum 24. November wird zu Paris auf Veranlassung des Ackerbauministers eine Ausstellung von Spiritusmotoren stattfinden, mit der Versuche verbunden werden sollen. Es werden feststehende und Schiffsmotoren, Lokomo-

bilen und Motorfahrzeuge, aber nur solche französischer Herkunft, zugelassen. Eine weitere Gruppe wird Beleuchtungsgegenstände, eine dritte Heizvorrichtungen enthalten.

Patentbericht.

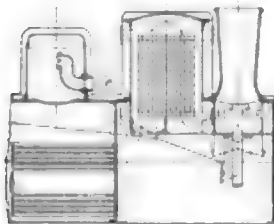
Kl. 4. Nr. 120399. Gasdruckregler. Dampfessel- und Gasometerfabrik vorm. A. Wilke & Co., Braunschweig. Das Gas



strömt von *e* nach *f* durch die Öffnung *d*, deren Größe mittels des Kegels *e* von dem Schwimmer *i* eingestellt wird. *i* steht durch Kette *l* in Verbindung mit dem Verdränger *c* in dem Gefäß *b*, das durch Rohr *r* mit *a* zusammenhängt. Die Abmessungen der einzelnen Teile können so gewählt werden, dass der durch den Abstand *a* bedingte Gasdruck bei sich änderndem Gasverbrauch unverändertlich bleibt oder sich mit ihm ändert.



Kl. 13. Nr. 120417. Kessel mit liegenden Heizrohren. G. Lentz, Düsseldorf. Die Heizrohre *r* sind mit seitlicher Krümmung eingebaut, um einen Kreislauf des Wassers in der Querrichtung des Kessels herbeizuführen.



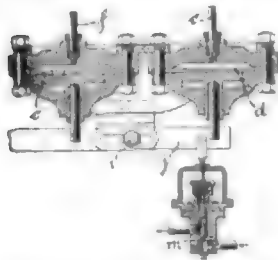
Kl. 13. Nr. 120020. Ueberhitzer für Lokomotiven. E. König, Aschersleben. Die Ueberhitzerschlangen sind in einem besonderen, auf der Rauchkammer der Lokomotive oder Lokomobile vor dem Schornstein befindlichen Räume angeordnet, durch welchen die Feuer gases strömen, wobei die Schlangen bei vollständiger Ausnutzung der Feuer gases von Flugasche frei bleiben.

Kl. 17. Nr. 120046. Klareiszerzeugung. H. Kaufmann, Brunn. Die Gefrierzellen *a* werden durch ein Ketten-

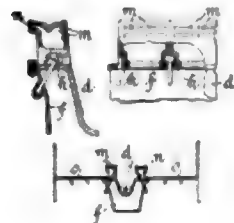


getriebe *e* und Mitnehmer *f* oder dergl. auf schrägen Schienen *b* abwärts bewegt, sodass sie allmählich tiefer in die durch eine Schraube in der Endwand *c* des Gefäßes *a* in Umlauf erhaltene Salzlösung eintauchen, wobei das Wasser von unten her schichtenweise gefriert und die im Wasser enthaltene Luft Zeit zum Entweichen hat.

Kl. 17. Nr. 120234. Regelung des Ueberströmventiles bei Verdichtungs-Kaltdampfmaschinen. A. T. Marshall, Brockton (Mass., V. S. A.). Das Ventil *m* zur Regelung des Ueberströmens der Ammoniak- oder Schwefelsäuredämpfe vom Kondensator zum Verdampfer wird beeinflusst von zwei biegsamen Platten *c, d*, von denen *c* von *f* her durch den Druck einer in der Salzlösung des Verdampfers liegenden Menge wasserfreien Ammoniaks, *d* von *e* her durch den Verdampfungsdruck belastet ist, während die Unterseiten von *c* und *d* unter dem Druck der Außenluft stehen. Zur Einstellung der günstigsten Wirkung von *m* kann der Drehpunkt *i* des Verbindungshebels *f* verschoben werden; Federn und Stopfbüchsen sind vermieden.

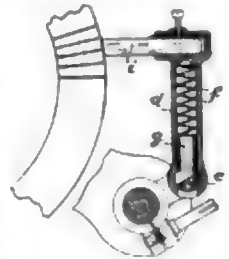


Kl. 24. Nr. 120050. Beschiebvorrichtung. The Underfeed Stoker Co., London. Um das Gehäuse der den Brennstoff von unten nach oben fördernden Schnecke ist eine die Verbrennungsluft von außen aufnehmende Luftkammer *f* angeordnet, deren obere seitliche Räume Luft sowohl aus den Öffnungen *m* in den zwischenliegenden Brennstoffraum *d* als auch aus den Öffnungen *n* in den nach beiden Seiten sich erstreckenden Herd *e* austreten lassen. Diese seitlichen Räume sind zu abnehmbaren Dösenkasten ausgebildet und in Aussparungen der oberen Begrenzungsplatte



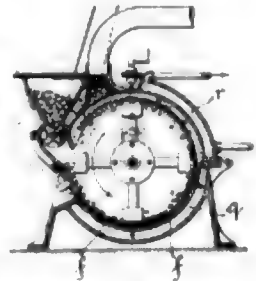
l der Luftkammer eingesetzt und durch Schraubenbolzen gehalten.

Kl. 21. Nr. 120020. Bürstenhalter. Ch. Gelts, Nürnberg. In dem rohrförmigen, die Bürste *f* tragenden Arm *d* wird ein Bolzen *g* durch die Feder *f* gegen die schiefe Ebene des Auslegers *e* gedrückt, sodass die Bürste mit gleichbleibender Kraft an den Stromsammelr angelegt wird.

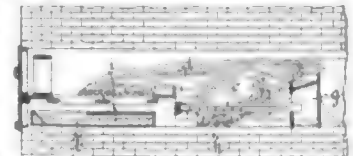


Kl. 21. Nr. 120789. Glühkörper für Bogenlampen. A. Koch, Schöneberg. Die Glühkörper werden aus Calciumoxyd und einer Mischung von Oxyden der Metalle aus den Reihen des Zinks, Magnesiums, Aluminiums oder Chroms mit seltenen Erden in üblicher Weise hergestellt und in den Lichtbogen einer Bogenlampe gebracht.

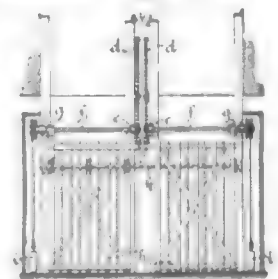
Kl. 24. Nr. 121320. Brennstoffverkleinerung und -zufuhr. The Williams Patent Crocker and Pulveriser Co., St. Louis (V. S. A.). Um die aus einzelnen Stangen *f* bestehenden Reibflächen sind Holzräume *g, r* angeordnet, damit sich die Öffnungen zwischen den Stangen nicht durch feuchten Brennstoff verschleusen, und um den Brennstoff zusammen mit der nach Bedarf eingeführten Luft in dem Verkleinerungsraum vorzuwärmen.



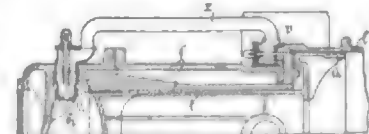
Kl. 24. Nr. 120224. Rauchverbrennungseinrichtung. H. Untiedt, Schweinfurt. Ein Teil des im Behälter *b* entwickelten Wasserdampfes, gemischt mit einer regelbaren Menge Luft, wird durch das die Feuerbrücke *k* durchsetzende, mit Austrittsöffnungen versehene Rohr *e* in eine Rauchverbrennungskammer *k* geleitet, während ein anderer Teil des Wasserdampfes durch die Rostspalten der Feuerung zugeführt wird. Die Verteilung und das Mischungsverhältnis zwischen Luft und Wasserdampf werden durch eine am Behälter *b* verschiebbare und drehbare Klappe *i* geregelt. Rohr *e* kann auch noch in eine zweite Kammer *g* geführt werden, um den Feuer gasen hinter der Rauchverbrennungskammer nochmals ein Luftdampfgemisch zuzuführen.

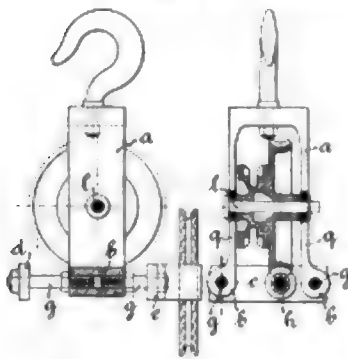


Kl. 35. Nr. 119677. Fördersehachtverschluss. A. Lamprecht, Bleischatzley-Grube. Zwei nebeneinander liegende Fördersehächte werden durch Schiebethüren *k* verschlossen, die mit Rollen vor und hinter einer Schiene *k* hängen und von der Förderschale durch Anschläge *c*, Zahnstangengetriebe *d, e* und Schraubengetriebe *fg* einzeln geöffnet, dann durch Gegengewichte *i* geschlossen werden. Die Steigung von *f, g* ist so gewählt, dass, wenn der Arbeiter durch Zusammenbinden beider Thüren einen Schacht stets offen halten wollte, die gleichzeitige Bewegung beider Thüren unmöglich wäre.



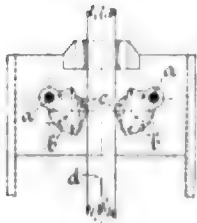
Kl. 46. Nr. 120547. Gasmachine mit Luftverdichter. W. J. Crossley, Openshaw bei Manchester, und J. Atkinson, Marple (Engl.). Bei Gasmachines *ft*, die unmittelbar einen Verdichter oder eine Gebläsmaschine *l* zu treiben, wird die am Ende des Förderhubes von *u* im toten Räume von *l* enthaltene Druckluft dazu benutzt, die Abgase aus der Verbrennungskammer *k* anzutreiben. Am Ende des Verdichtungshubes von *l* öffnet *u* das Ventil *v*, und die Druckluft strömt in das Rohr *z*, kann aber das Ventil *v* nicht öffnen. Am Ende des Auspuffhubes wird wieder *v* und durch den Druck auch *v*, geöffnet.



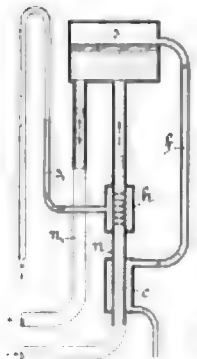
Kl. 35. Nr. 119031. Flaschenzuggehäuse. R. Wesselmann, Berlin.

Zur Massenerzeugung aus gewalztem oder gegossenem Baustoff ohne Nacharbeit und Nietung wird das Gehäuse als Bügel *a* mit unteren Verstärkungen *b, b* gebaut, an denen volle oder hohle Stangen *g, g* mit Querstücken *d, e* befestigt werden, um den Rahmen für die Lagerung der Schneckenwelle *A* zu bilden. Die Verstärkungen *b, b* werden mit Lappen *q, q* an ein aus U-Eisen geschnittenes Stück *a* geschweißt, wobei man an der Lagerstelle der Schneckenradwelle *f* eine

Wandverstärkung anbringen kann. Der Rahmen *g, d, e* ist (durch Verschraubung) abnehmbar am Bügel *a* befestigt.



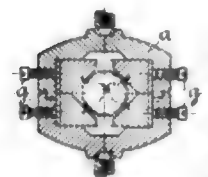
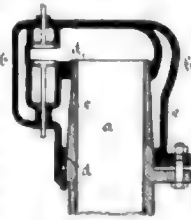
Kl. 36. Nr. 119023. Fangvorrichtung. H. Eigemann, Dortmund. In den Fanghebeln *b*, deren Wellen *a* bei Seilbruch durch Federn gedreht werden, sind Rollen *c* drehbar gelagert, die durch die Schwere des Fahrstuhls allmählich so tief in die Leitbäume *d* gedrückt werden, dass die Hebel mit ihren unteren gezahnten Enden eingreifen.



Kl. 36. Nr. 121221. Warmwasserheizung. A. Borch Reck, Kopenhagen. Das von *n* durch den Separator *s* nach *a* fließende Wasser wird von dem durch *e* zugeleiteten Dampf in *h* erwärmt. Der sich dabei in *a* auscheidende Dampf wird durch *f* nach *c* geleitet, wo er kondensiert und das Rücklaufwasser erwärmt.

Kl. 46. Nr. 119246.

Cylinderdeckelsbefeuchtung. E. Heirman, Mont-sur-Marchienne (Belgien). Das Cylinderende *a* ist kegelförmig abgedreht und der Deckel *b* bei *d, d*, entsprechend gehöhrt, wodurch ein dichter Abschluss für den Kühlwasserraum *e* gewonnen wird.



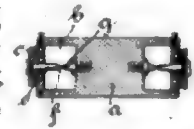
Kl. 47. Nr. 119928. Einstellbares Lager. J. Pedersen, Kopenhagen. Die in Kammer des Lagergehäuses *a* verschiebbare Schalenstele *c* sind mit ebenen oder nach außen gewölbten Anlageflächen versehen und durch Schrauben *g* oder dergl. verstellbar, um das Lager bei geringer Reibung für Wellen verschiedenen Durchmessers verwenden und diese in verschiedenen Richtungen einstellen zu können.

Kl. 46. Nr. 120455. Cylinderkühlrippen. Ph. Bourdiaux, Paris.

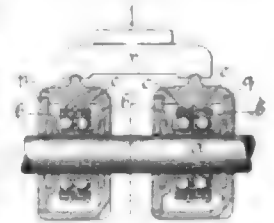
In eine aufsen in den Cylinder *a* geschaltene Schraubennut *c* wird eine Anzahl ringförmiger Metallschellen *b* geschraubt, nachdem man sie bei *d* (Innenflur) geschlitzt und die Lappen *e, f* um Ganghöhe auseinander gebogen hat. Dadurch wird die innige Berührung zwischen *a* und *b* auch bei ungleicher Ausdehnung erhalten.

**Kl. 47. Nr. 120368. Spitzzapfenlagerung.** A. Pallavicini und L. O. Schmidt, Berlin.

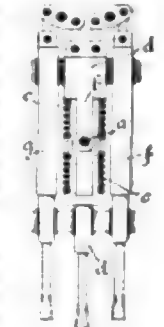
Die Spitzzapfen *g* der Walze *a* (für Stromabnehmer usw.) sind in geschlossenen Hohlräumen *b* angeordnet, durch deren Deckel *c* die Stiele *e* der Pfannen *f* hineinragen. Die Hohlräume *b* sind zur Aufnahme eines brügeligen Schmiermittels bestimmt.

**Kl. 47. Nr. 119924 (Zusatz zu Nr. 114716, Z. 1901 S. 612).**

Kugellager. Deutsche Waffen- und Munitionsfabriken, Berlin. Je zwei der mit getrennten Gehäusen *p, q* auf der Welle *a* sitzenden Kugellager werden zur Druckausgleichung von einem wagenbalkenartig, nötigenfalls doppelt (auf jeder Lagerseite) angeordneten Querstege *r* gefasst. Der Druck der beiden Laufringe *b, b* jedes Lagers wird durch die Gehäuse *p, q* selbst ausgeglichen, indem diese mit Widerlagerleisten *c, c* auf *b, b* wirken und wegen ihres Spielraumes auf der Welle eine kleine Kippbewegung ausführen können.

**Kl. 57. Nr. 119286. Stoffwerkzeugmaschine.**

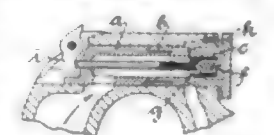
Siemens & Halske A.-G., Berlin. Der von der Kurbelschleife *a* mittels Schlittens *b* und Zwischenfedern *c* angetriebene Stoffkolben *d* ist mit einem zweiten Kolben *f* oder *r* mit zwei Kolben *f, g* zwangsläufig so verbunden, dass *d* und *f, g* sich entgegengesetzt bewegen. Die Masse von *d* ist gleich der Masse von *f, g*, sodass die Massenrückwirkung aufgehoben ist und bei jedem Stoß etwa die Summe aller Massen zur Wirkung kommt.

**Kl. 57. Nr. 120219. Schraubenschlüssel.**

O. Schach, Altenburg, S.-A. Der zur Befestigung der beweglichen Backe *a* auf dem Schlüsselenschaft *b* dienende Keil *c* sitzt an einem auf *b* verschleißbaren Ringe *d*, der beim Einschleiben und Ausziehen von *c* als Handhabe dient.

**Kl. 57. Nr. 120503. Einlasschieber für Druckluftwerkzeuge.** H. J. Kimman, Chicago.

Der Cylinder des Kolbenschiebers *c* besteht aus zwei miteinander verschraubten Teilen *a, b*, von denen der vordere *b* durch Drehen des Kopfes *k* zur Verkleinerung oder Vergrößerung des größten Durchlassquerschnittes ein- oder ausgeschraubt werden kann, ohne die Lage des einseitigen Teiles *a* und den Hub des Drückers *j* zu ändern. Ein Druckluftdurchlass *g* entlastet den Kolbenschieber und unterstützt die Feder *f*.

**Zuschriften an die Redaktion.**

(Ohne Verantwortlichkeit der Redaktion.)

Die Maschinen zur Papierfabrikation.

Geehrte Redaktion!

Zu dem in Z. 1901 S. 511 veröffentlichten Aufsatz gestatte ich mir Folgendes zu bemerken. Die Cylinderanzahl der Füllnerschen Maschine ist wohl zweimal voneinander abweichend, aber nicht in Übereinstimmung mit der Zeichnung angegeben; es muss heißen:

1 Auführrockencylinder von	625 mm Dmr.
20 Papiertrockencylinder von	1250 „ „
3 Filstrockencylinder von	1250 „ „
4	900 „ „

Die winkelförmige Ausbildung der Schwinghebel für die Nasspressen, Fig. 21 bis 23, ist durchaus nicht neu, sondern die gleiche Konstruktion von der Amerikanischen Firma The Moore & White Co. in Philadelphia schon früher (wie beiliegendes Blatt aus dem Jahre 1897 zeigt) ausgeführt worden. Dagegen ist meines Wissens das gleichmäßige Abwechseln von unteren und oberen Cylindern zuerst von den englischen Firmen Donkin und Bertram angewandt; denn von beiden Firmen sind derartig in den 70er Jahren ausgeführte Maschinen noch heute in Betrieb; ob Donkin die oberen Cylinder damals schon

mit Filzen umgeben hat, weiß ich nicht, aber bei Bertram war es der Fall.

Hochachtungsvoll

Troitzkaja, 29. Aug. 1901.

C. Doering.

Geehrte Redaktion!

Von hieraus kann ich nicht sagen, wo das Versehen in der Zahl der Cylinder bei der Füllnerschen Maschine liegt, da ich hier den Text meines Berichtes nicht zur Hand habe. Mir waren die Winkelformen an den Schwinghebeln der Nasspressen bei Füllner neu; dem beigefügten Blatt nach hat eine ähnliche Ausführung früher schon stattgefunden. Hinsichtlich des gleichmäßigen Abwechselns von unteren und oberen Trockencylindern gestehe ich offen, dass ich nicht bestimmt weiß, ob diese Anordnung in England oder Nordamerika zuerst auftauchte, ein Umstand, der für den Bericht ziemlich unerheblich ist.

Hochachtungsvoll

Noordwijk, Holland, 6. Sept. 1901.

Pfarr.

ZEITSCHRIFT DES VEREINES DEUTSCHER INGENIEURE.

Nr. 40.

Sonnabend, den 5. Oktober 1901.

Band XXXV.

Inhalt:

Der Dortmund-Ems-Kanal. Die elektrisch betriebenen Sparschleusen bei Münster und Gleesen. Von Rudolph (Schluss)	1405
Der Schnellbahnwagen von Siemens & Halske A.-G., Berlin. Von W. Reichel (hierzu Tafel XXV) (Fortsetzung)	1414
Festigkeit von Schichtenkolben. Von G. Schwarz	1419
Die Berechnung der Spannungen in den Prosten einfacher Fachwerkbalken. Von A. Ostefeld	1420
Beitrag zur Beurteilung von Kugellagern. Von R. Striebeck	1421
Köln H.-V.: Neuere Wasserhaltungen der Maschinenbau-Anstalt Humboldt, insbesondere solche mit elektrischem Antrieb	1423
Lenne-B.-V.: Die Herstellung der Sprengstoffe und ihre Bedeutung für die verschiedenen Zweige der Technik	1424
Ostpreussischer B.-V.: Neubau der Gasanstalt zu Königsberg i./Pr.	1425
Höberschau: Die Schiffsmaschine. Von C. Busley. — Marine boiler management and construction. Von C. E. Stromeyer. — Bei der Redaktion eingegangene Bücher	1426
Zeitschriftenschau	1428

Rundschau: Verwendung von Gusseisen zu Dampfüberhitzern. Sicherheitsvorrichtungen für Dampfüberhitzer. — Die 8. Hauptversammlung des Vereines Deutscher Revisions-Ingenieure. — Frachtenbeförderung durch Motorwagen. — Schwimmkran für den Hafen von Santos. — Vorträge vor dem Ingenieurkongress in Glasgow. — Der Simplon-Tunnel. — Die Dampfkeeselerplosionen im Deutschen Reich im Jahre 1900. — Verschiedenes	1430
Patentbericht: 121407, 120110, 119897, 123413, 120548, 119488, 120571, 120248, 120191, 120455, 120366, 120356, 120352, 120007, 121049, 120460, 120217, 120864, 120363, 122673, 120170, 120414, 120355, 119258, 120335, 120211, 120212, 121426, 120128	1436
Angelegenheiten des Vereines: Versammlung des Vorstandes am 4. September 1901 in Berlin — Ueberfüllung der technischen Hochschulen und Zulassung der Ausländer	1439

Der Dortmund-Ems-Kanal.

Die elektrisch betriebenen Sparschleusen bei Münster und Gleesen.

Von Bauinspektor Rudolph, Stettin-Bredow.

(Schluss von S. 1017)

Das elektrische Kraftwerk, das aus einer Turbine mit Dynamomaschine und einer Akkumulatorenbatterie nebst den erforderlichen Schalt- und Messgeräten besteht, ist in dem auf dem linken Flügel des Unterhauptes errichteten Maschinenhause (vergl. Fig. 6, 10 und 11) untergebracht.

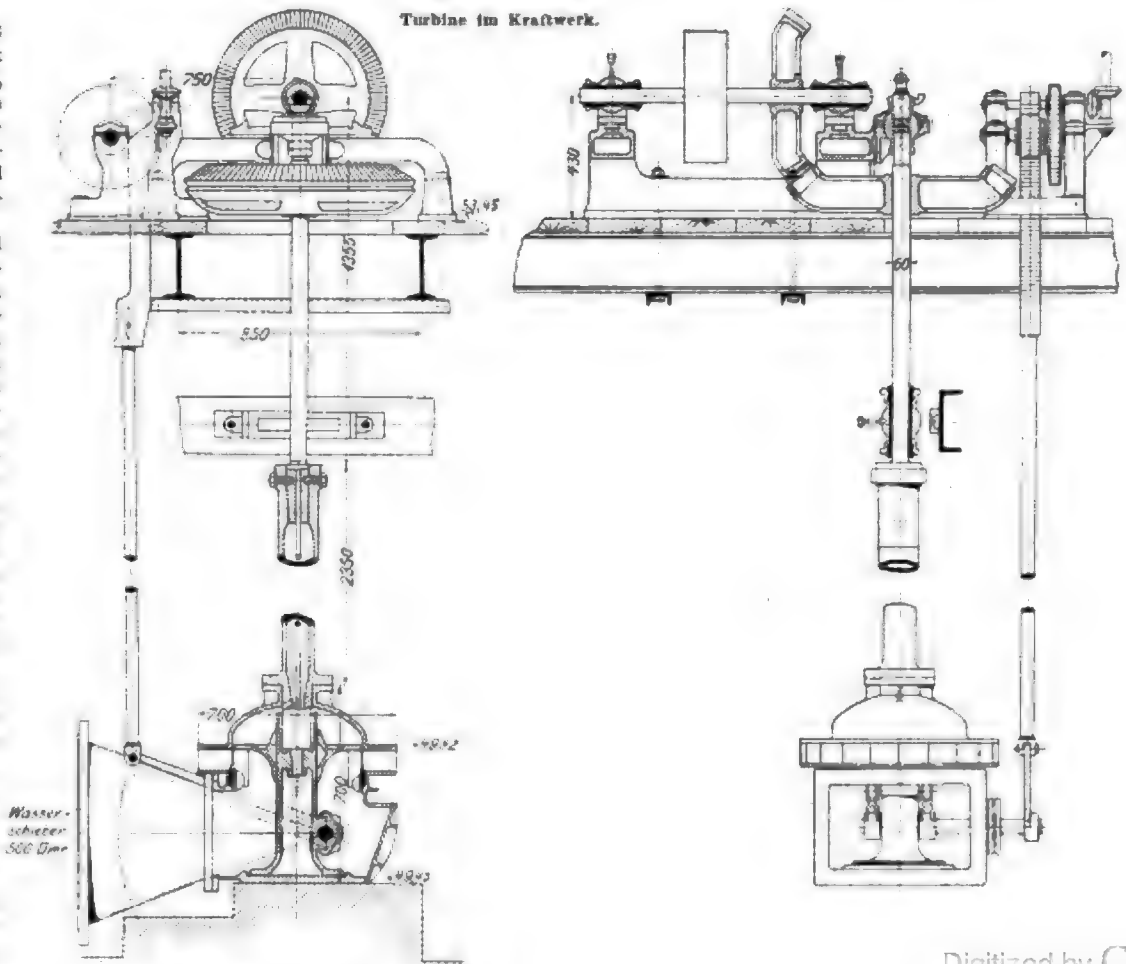
Die Turbine, Fig. 33 und 34, vom Eisenwerk (vorm. Nagel & Kaemp), Hamburg, gebaut, ist in ganz gleicher Ausführung für beide Sparschleusen geliefert und deshalb für die zweckmäßige Ausnutzung eines zwischen 6,7 und 4,4 m schwankenden Gefälles eingerichtet, und zwar in solchen Abmessungen, dass sie beim niedrigsten Gefälle von 4,4 m und 246 Uml./min 11,2 PS. zu leisten vermag. Sie ist eine Radial-Vollturbine mit beweglichem innerem Leitrade und einem äußeren Laufrade von 700 mm Dmr. Das Laufrad ist mit Rückenschaufeln versehen, sodass die Turbine auch im Unterwasser mit derselben Nutzleistung arbeitet.

Die Turbine stützt sich auf einem 230 mm hohen Mauerklötz, dessen Oberkante auf + 49,45 liegt. Das Aufschlagwasser wird ihr aus der oberen Kanalhaltung durch eine gusseiserne Muffenrohrleitung (vergl. Fig. 6, 8 und 10) von 750 mm l. W. zugeführt. Die ins Unter-

wasser der Schleuse mündende Abflussleitung aus Zementrohr hat 900 mm l. W. Vor der Turbine befindet sich ein Absperrschieber, der von dem mit dem Fußboden auf + 57,18 liegenden Maschinenraum aus mittels einer an einem Schwung-

Fig. 33 und 34.

Turbine im Kraftwerk.



rade sitzenden Handkurbel bewegt wird. Die Zuleitung wie die Ableitung kann am Ende durch eine Schütztafel abgeschlossen werden. Die Turbinenwelle ist bis über die auf + 53,45 liegende Zwischendecke geführt, auf der ein Zahnradvorgelege aufgestellt ist. Von dem Vorgelege aus wird mittels eines Riemens die Dynamomaschine mit Nebenschlusswicklung angetrieben, welche bei 110 bis 150 V Spannung 7 KW leistet. Es mag hier gleich erwähnt werden, dass sich

Zwischenboden befindliches Vorgelege wirkt; s. Fig. 34. Ein Schwungrad-Regulator sollte nur für den Fall ausgeführt werden, dass sich das Bedürfnis dafür im Betriebe herausstellen würde. Da die Regelung bei dem gleichmäßigen Widerstande der Dynamomaschine leicht ausführbar ist, konnte er indes entbehrt werden.

Im Maschinenraume befinden sich außer der Dynamomaschine und den beiden bereits erwähnten Handrädern für

Fig. 35.

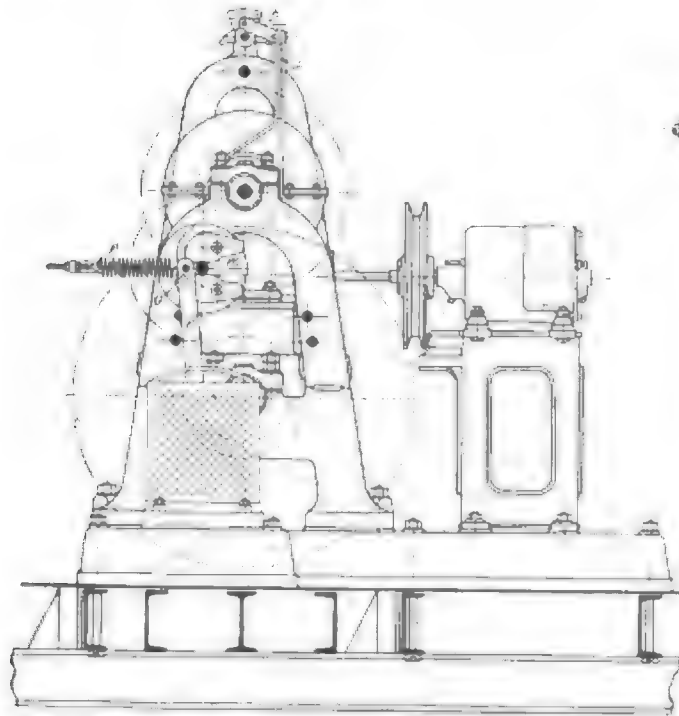


Fig. 36.

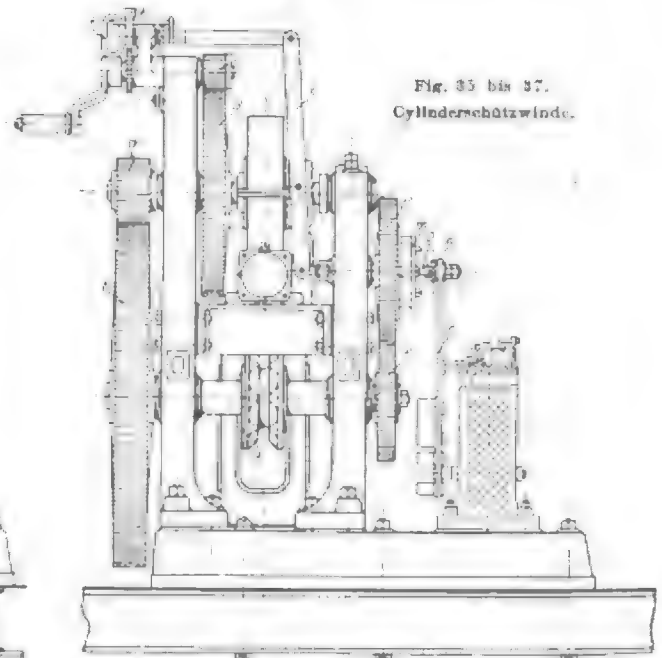
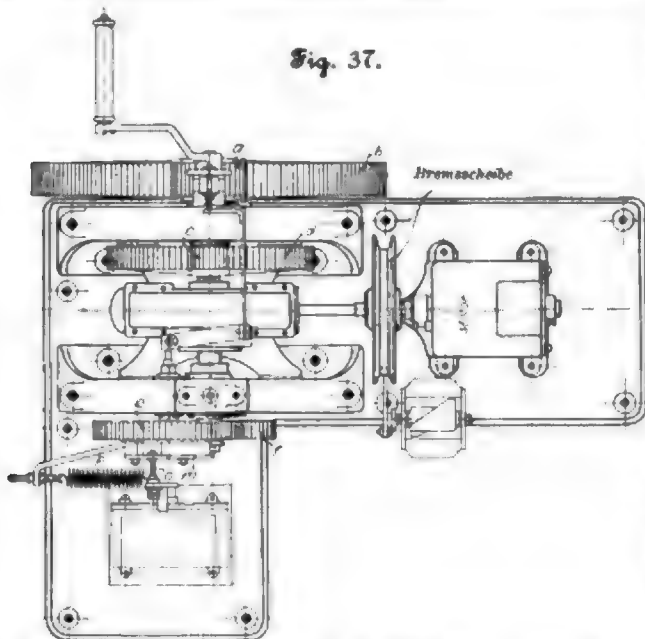
Fig. 35 bis 37.
Cylinderschützwinde.

Fig. 37.



der zunächst gelieferte Lederriemen in der feuchten Luft als ungeeignet erwiesen hat. Er wurde deshalb durch einen endlos gewebten Kameelhaar-Treibriemen ersetzt, der sich sehr gut bewährt hat.

Die Turbine wird vom Maschinenraum mittels eines wagerecht liegenden Handrades reguliert, das auf ein auf dem

die Regelung der Turbine noch das Schaltbrett, der in Form eines Pultes ausgeführte Schalttisch für die Steuerung der Motoren und ein Luftdruckpegel von Seibt-Puefs. Ueber dem Schalttisch ist an der Wand ein Strommesser angebracht, an dem die Wirkung der jeweilig angelassenen Motoren beobachtet werden kann. Der gesamte Stromverbrauch wird durch einen Wattstundenzähler gemessen. Die gesteuerten Teile und die Wasserstände in den einzelnen Haltungen und Becken sind nicht alle vom Steuerstande im Maschinenhause aus sichtbar. Die letzteren werden vom Luftdruckpegel angezeigt, sodass man daraus ersehen kann, wann man nach erfolgter Ausspiegelung mit dem Schleusenbetriebe fortzufahren hat.

Die Schleuse liegt in der Nähe der Stadt Münster. Auf das Aussehen des in Sandstein ausgeführten Maschinenhauses ist deshalb Wert gelegt. Im oberen Geschoss ist die entsprechend der Betriebsspannung von 110 V aus 60 Elementen bestehende Akkumulatorenbatterie untergebracht; sie ist von der Akkumulatorenfabrik A.-G. Hagen i/W. geliefert, und zwar nach Type ES 12 mit einer Kapazität von 198 Amp-st bei einem größten Entladestrom von 198 Amp und einstündiger Entladung. Die Möglichkeit einer Vergrößerung ist dadurch vorgesehen, dass die Platten in Glaskasten der Type ES 16 eingesetzt sind.

Durch Störungen an den elektrischen Anlagen darf der Schleusenbetrieb nicht unterbrochen werden. Es war deshalb den ausführenden Firmen vorgeschrieben worden, dass die Spille, Thore, Rollschützen und Cylinderventile auch von Hand bewegbar sein müssen, und es war besonderer Wert darauf gelegt worden, dass die Einrichtung des Handbetriebes keine erhebliche Zeit beansprucht. Folgende Bedingungen waren ferner gestellt worden: Die Zeitdauer für die

Bewegung der Cylinderventile soll ungefähr 10 sk, keineswegs mehr als 14 sk, die der Rollschützen etwa 40 sk, jedenfalls weniger als 50 sk, und die der Schleusenthore 30 sk, keinesfalls jedoch mehr als 38 sk betragen. Die Bewegung der Thore, Schützen und Ventile muss am Ende ihres Weges selbstthätig derart abgestellt werden, dass der gute Schluss dieser Teile gesichert ist. Falsche Stellung der Steuerungen und damit Beschädigung der Motoren und übr-

Flügel des Oberhauptes machen, um das Oberthor zu schließen, da die über das Thor führende Laufbrücke bei geöffnetem Thor nicht begehbar ist.

Wenn auch der Kraftbedarf der Thore, Rollschützen und Cylinderventile sehr verschieden ist, so sind die zur Bewegung dieser Teile dienenden Windwerke doch soweit als möglich übereinstimmend hergestellt. Dadurch wurde die Anfertigung vereinfacht, sodass trotz des etwas größeren Material-

Fig. 38 und 39. Schnecke und Schneckenrad der Cylinderschützwinde.

Fig. 38.

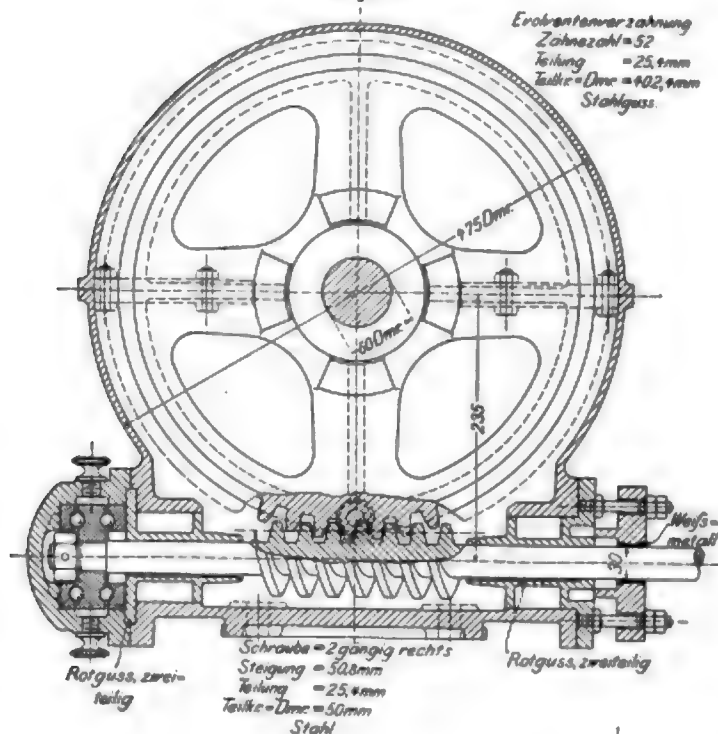


Fig. 39.

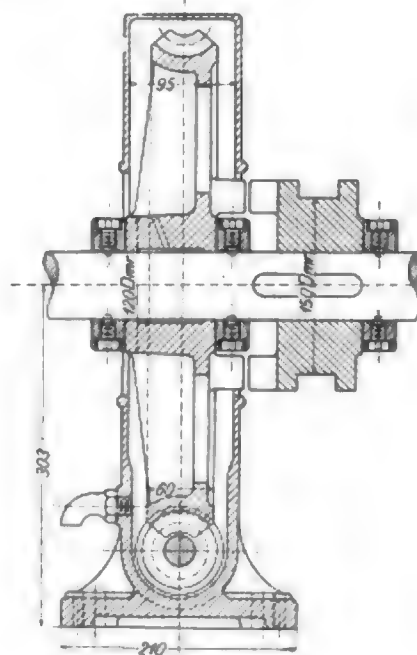
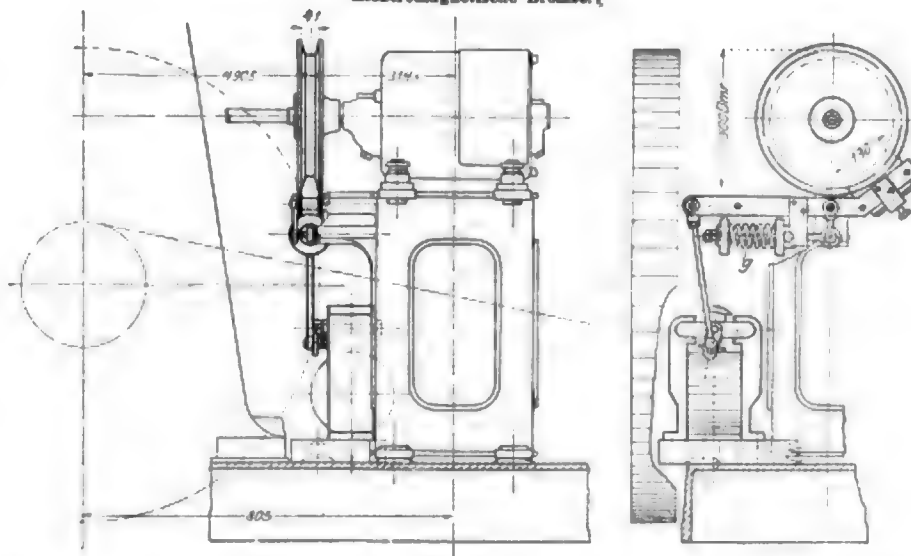


Fig. 40 und 41.

Elektromagnetische Bremse.



gen Teile muss ausgeschlossen sein, es darf, z. B. der Motor eines Thorflügels nicht auf 'Öffnen' gestellt werden können, wenn der Thorflügel schon vollständig geöffnet ist. Die Steuerung der Thorflügel, Schützen und Ventile ist derart einzurichten, dass stets je zwei zusammengehörige Motoren, die jedoch auf verschiedenen Seiten der Schleuse liegen, zusammen in Betrieb gesetzt und ausgeschaltet werden. Diese Motoren müssen sowohl vom Maschinenraum aus als auch an Ort und Stelle gesteuert werden können.

Diese letzte Bedingung war nicht leicht zu erfüllen, war indessen zur Vermeidung erheblicher Zeitverluste durch die Eigenart des Schleusenbetriebes bedingt. Wenn der die Motoren steuernde Schleusenwärter sich z. B. aus besonderen Gründen gerade auf dem linken Flügel des Oberhauptes befindet, nachdem ein Fahrzeug von der oberen Haltung in die Schleuse eingefahren ist, so müsste er, falls die Steuerungen auf der rechten Schleusen Seite liegen, erst den weiten Weg über das untere Thor nach dem rechten

verbrauches die Gesamtkosten geringer ausfielen, und es wurde die Zahl der Ersatzstücke verhältnismäßig gering.

Fig. 35 bis 37 stellen eine Cylinderschützwinde dar. Sie ist, wie schon früher erwähnt, auf einem eisernen Gerüst aufgestellt. Der 1,5 pferdige Nebenschlussmotor treibt



Die Figuren 43 bis 46 zeigen die Rollschützwinde, die mit der vorgeschriebenen Cylinderventilwinde nahezu übereinstimmt. Entsprechend dem größeren Gewicht und dem höheren Bewegungswiderstande hängt die Rollschütze an einer Gallschen Gelenkkette. Der Hub beträgt 2350 mm. Das Kettenrad

und die zugehörige Welle sowie die Uebersetzung der Steueräder *e, f* sind dementsprechend ausgebildet worden. Die Winde ist soweit in das Schleusenmanerwerk eingelassen, wie dies mit dem Oberwasserstande vereinbar ist, damit der Ueberblick über die Schleuse möglichst wenig behindert wird.

Fig. 44.

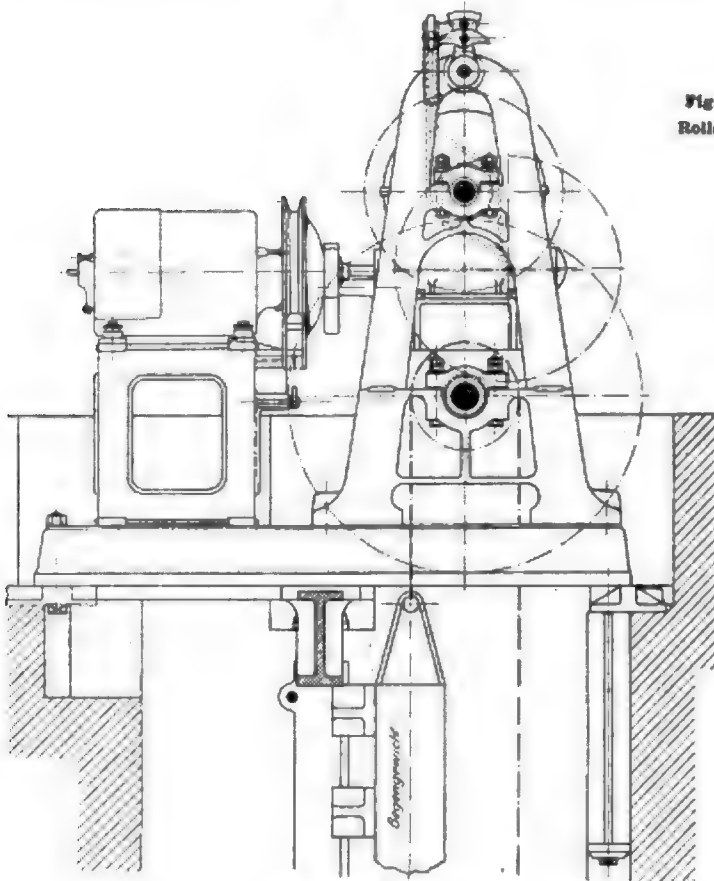


Fig. 46.

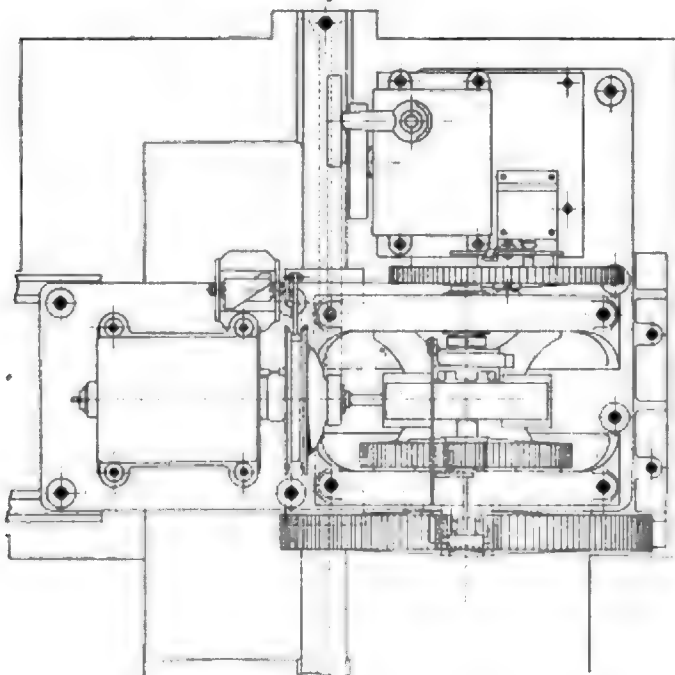
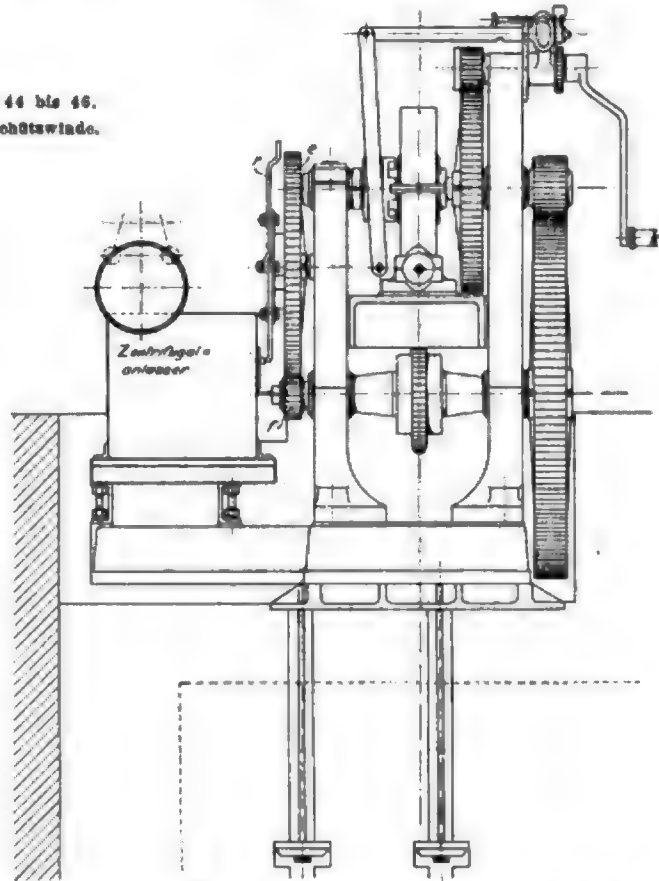


Fig. 44 bis 46.
Rollschützwinde.

Fig. 45.



Im Bedarfsfalle kann die ganze Winde auf ihren gusseisernen Grundschienen soweit bei Seite geschoben werden, dass der Schützenschacht frei wird und die Schütze herausgehoben werden kann.

Der Motor leistet 3,5 PS. Im Betriebe stellte es sich als wünschenswert heraus, die Schütze in jeder Stellung anhalten, umsteuern und wieder anlassen zu können. Die oben beschriebene Steuerung mit Wendeanlasser war deshalb nicht mehr brauchbar und wurde durch die dargestellte Steuerung mit Zentrifugalanlasser ersetzt. Die selbstthätige Umsteuerung am Ende des Hubes wird durch den mit dem Steuerrade *e* verbundenen Hebel *r* bewirkt. Dadurch wird verhindert, dass der Motor am Ende des Hubes noch weiter läuft oder falsch angelassen werden kann.

Es ist wichtig, dass der Wärter jederzeit sehen kann, in welcher Stellung sich die Rollschützen befinden. Das wird durch einen Teufenzeiger erreicht. Durch ein auf der Kettenradachse sitzendes Zahnrad wird mittels zweier Triebketten der auf dem schmiedeeisernen Schutzkasten der Winde angebrachte Zeiger entsprechend der Rollschütze bewegt.

Fig. 47 bis 49 zeigen die Thorwinde. Auch bei dieser ist die Steuerung mit Wendeanlasser in derselben Weise wie bei der Rollschützenwinde durch eine Steuerung mit Zentrifugalanlasser ersetzt worden. Das Thor wird durch eine mit einem Kreuzkopf zwischen *L*-Eisen geführte Zahnstange und zwei Schubstangen bewegt. Der Weg des Kreuzkopfes beträgt 1800 mm. Der Angriff der Schubstangen am Thore ist durch eine Pufforfeder elastisch gemacht, sodass der Motor am Ende der Bewegung auch noch selbstthätig abgestellt werden kann, wenn die Thorflügel sich etwas klemmen und



ben die gleiche Schaltung. Der Stromverbrauch ist nach einer längeren Betriebszeit in Ermangelung von selbstschreibenden Messgeräten durch gleichmäßiges Ablesen ermittelt und in den Figuren 52 und 53 sowie in den beiden Zahlentafeln auf S. 1412 angegeben.

Im Mittel erfordert also jede Schleusung $\frac{195 + 187}{2} = 191$ Watt-st. Dazu kommt der Mehrverbrauch für absetzendes Öffnen der Rollschützen, sowie für Spillbetrieb und Beleuchtung, der, wie mit dem Zähler gefunden ist, pro Schleusung 278 Watt-st. ergibt.

Beträgt der Wirkungsgrad der Batterie 0,75, der der Dynamo 0,84, der der Turbine im Mittel 0,75, so ist der Gesamtwirkungsgrad von dem durch die Turbine fließenden Wasser bis zu den Sammelschienen der Schalttafel

$$0,75 \cdot 0,84 \cdot 0,75 = 0,41.$$

Für 1 Watt-st. = 367 mkg sind daher an arbeitendem Wasser nötig

$$\frac{367}{0,41} = 781 \text{ mkg,}$$

das sind bei 6 m Gefälle

$$\frac{781}{6} = 130 \text{ kg} = 0,130 \text{ cbm.}$$

Pro Schleusung sind also erforderlich $278 \cdot 0,130 = 36 \text{ cbm.}$

Der Inhalt der Schleusenammer zwischen den Wasserspiegeln der oberen und der unteren Haltung beträgt rd. 4500 cbm. Zu jeder Schleusung wird etwas mehr als die Hälfte = rd. 2500 cbm verbraucht. Demgemäß sind für die maschinellen Bewegungsvorrichtungen 1,44 vH des zur Schleusung selbst verbrauchten Wassers nötig.

Eine Gesamtansicht der Schleuse bei Münster giebt Fig. 54. Diese beiden im Zuge des Dortmund-Ems-Kanales liegen-

Fig. 50. Schaltschema des Kraftwerkes.

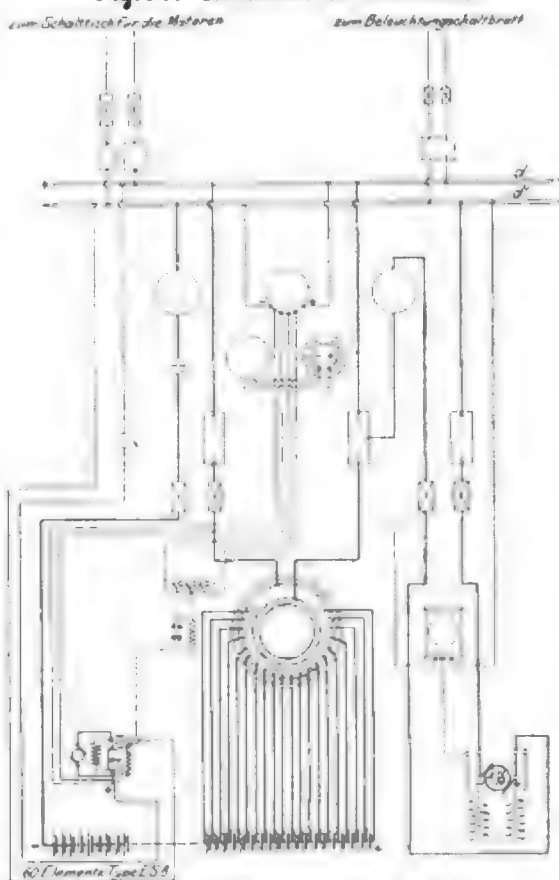
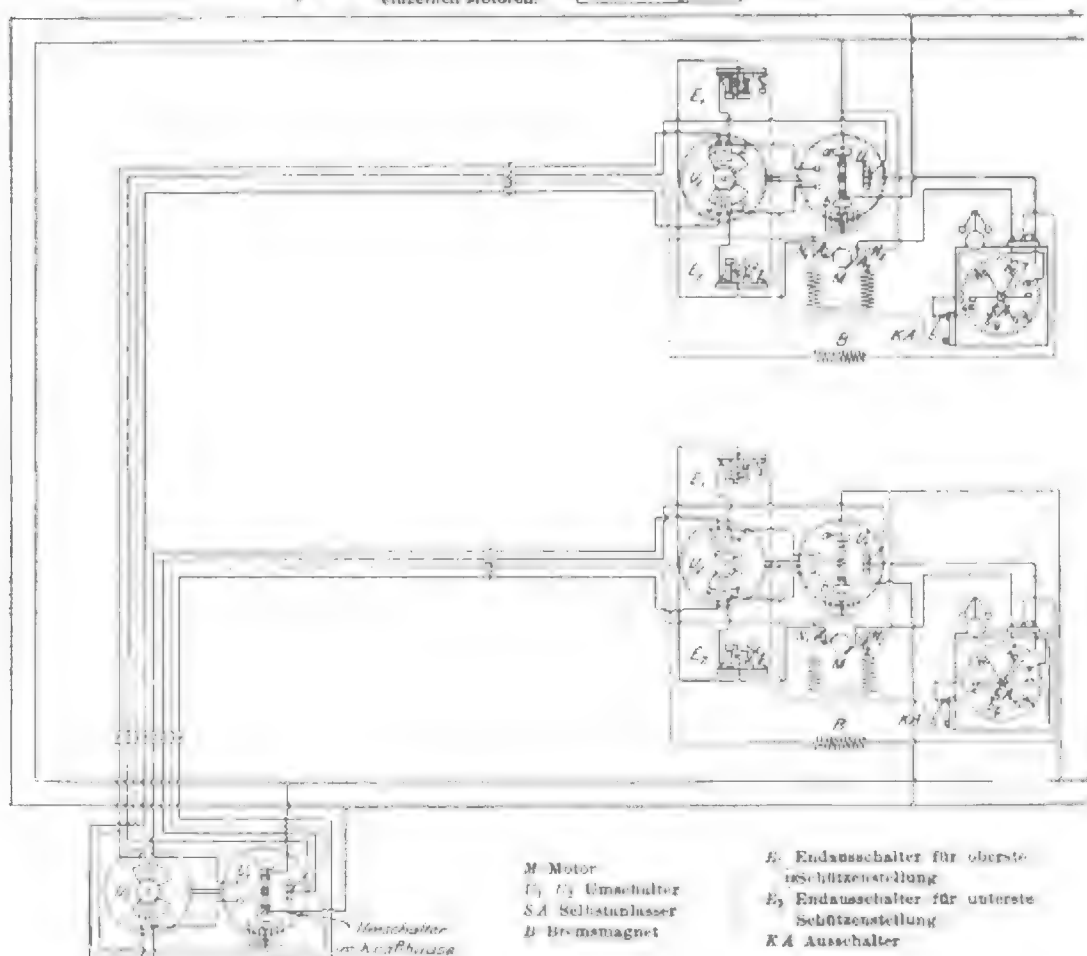


Fig. 51. Schaltschema für die einzelnen Motoren.



Arbeitsverbrauch der Bewegungseinrichtungen der Schleuse bei Münster i/W.

Art der Schleusung	Art der Bewegung	beobachtet		hieraus berechnet
		mittlerer Stromverbrauch Amp	mittlere Dauer der Bewegung sek	
zu Thal Kammer auf Oberwasser, oberes Thor offen	Schließen des oberen Thores	45	33	1485
	Öffnen des oberen Sparbeckenventils	21,5	5	129
	Schließen des oberen Sparbeckenventils	27	6	162
	Öffnen des unteren Sparbeckenventils	31	6,5	201
	Schließen des unteren Sparbeckenventils	27,5	9,5	260
	Öffnen des unteren Rollschützen	22,5	39	860
	Schließen des unteren Rollschützen	47,5	39	1850
	Öffnen des unteren Thores	43	33	1419
	zus.		173	6566

Art der Schleusung	Art der Bewegung	beobachtet		hieraus berechnet
		mittlerer Stromverbrauch Amp	mittlere Dauer der Bewegung sek	
zu Berg Kammer auf Unterwasser, unteres Thor offen	Schließen des unteren Thores	46	33	1518
	Öffnen des unteren Sparbeckenventils	31	6,5	201
	Schließen des unteren Sparbeckenventils	27,5	9,5	260
	Öffnen des oberen Sparbeckenventils	21,5	6	129
	Schließen des oberen Sparbeckenventils	27,0	6	162
	Öffnen des oberen Rollschützen	35	34	1190
	Schließen des oberen Rollschützen	36,5	34	1240
	Öffnen des oberen Thores	43	33	1419
	zus.		162	6119

¹⁾ Bei 110 V ist 1 Amp sk = $\frac{110 \cdot 1}{3600} = 0,0306$ Watt-st.

den Schleusen sind die ersten, die vollkommen elektrisch betrieben werden. Die elektrische Betriebseinrichtung der Seeschleuse bei Ymuiden¹⁾ war zur Zeit der Eröffnung dieser Schleusen erst zumteil betriebsfähig. Die beiden ausführenden Firmen: Eisenwerk (vorm. Nagel & Kaemp) (Ober-

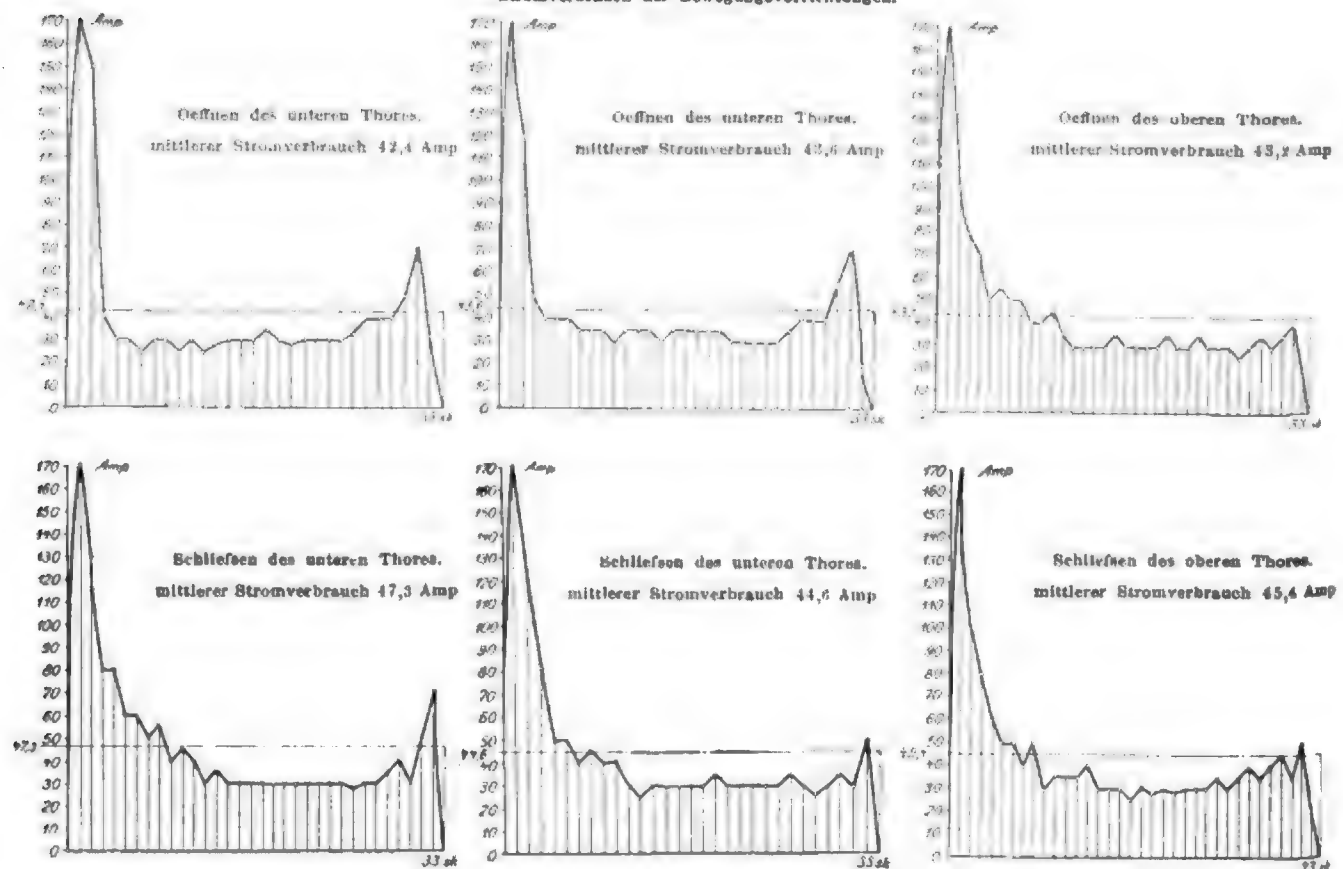
ingenieur Saluberlich) in Hamburg-Uhlenhorst, und Siemens & Halske A.-G. (Oberingenieur Langner) in Berlin, haben durch vorzügliche Arbeit und gute Durchbildung der Einzelheiten den Erfolg der Anlagen gesichert, sodass sie durchaus befriedigend arbeiteten und als vollkommen gelungen bezeichnet werden können.

Elektrisch betriebene Schleusen gliedern sich den in absehbarer Zeit auf lebhafter befahrenen Kanälen einzurichten den elektrischen Schleppanlagen an und sind deshalb an solchen Kanälen hydraulisch betriebenen Schleusen unbedingt vorzuziehen.

¹⁾ s. Z. 1898 S. 1077.

Fig. 52.

Stromverbrauch der Bewegungsvorrichtungen.



Zum Schluss möge hier noch ein Teil der Rede wiedergegeben werden, die der Wasserbauinspektor Baurat Schulte in Münster (Westfalen) bei den Verhandlungen der 2. Abteilung des internationalen Schiffahrtskongresses in Paris 1900 gehalten hat (vergl. »Compte rendu des travaux du congrès« S. 232):

»Bei der Speisung der Kanäle hat man bekanntlich für den Ersatz des Schleusungswassers und den Verlust durch Versickerung und Verdunstung zu sorgen.

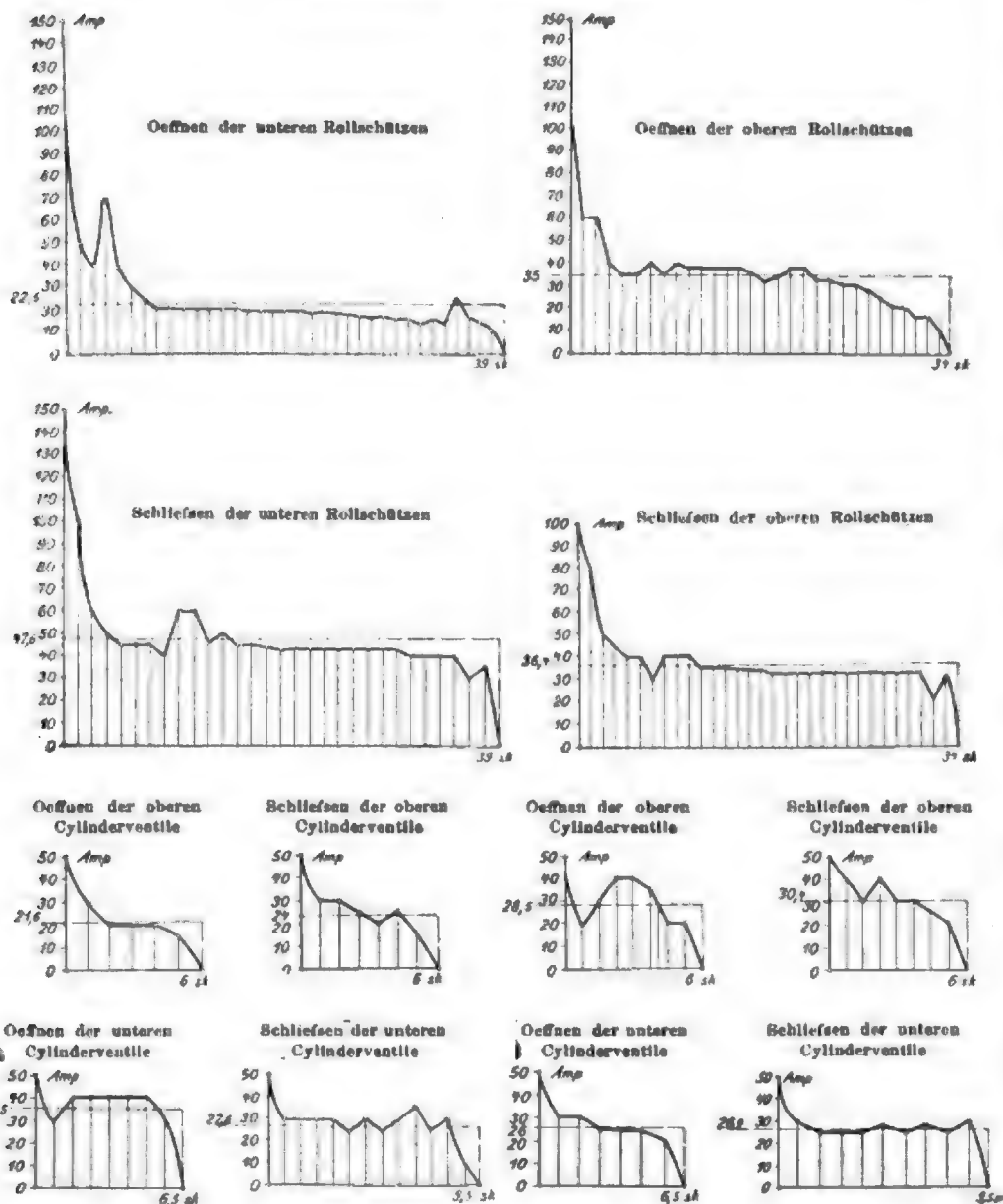
Fläche eine Wassermenge von 12 cbm, die bei 0,5 Pfg pro cbm einen Kostenaufwand von 6 Pfg erfordern. Nun wird aber infolge der Zufälligkeiten, welche durch die notwendige Wasserregulierung, durch das ungleiche Anfahren, durch den wechselnden Wasserstand usw. oder durch die nicht genaue Keilstellung verursacht werden, ein im Mittel um etwa 9 cbm größeres Wasserquantum erforderlich, sodass im ganzen rd. 21 cbm notwendig sind, was einem Kostenaufwand von 11 Pfg entsprechen würde. Der wesentlichste Vorteil der Hebewerke besteht zweifellos in der kurzen Zeit, welche für die Erzielung der Höhe von einer Haltung zur andern notwendig ist. Für einen freifahrenden Dampfer ist z. B. die Auffahrt in 5 Minuten zu erreichen. Das ist natürlich mit einer Schleuse nicht möglich; es ist demnach das Hebewerk leistungsfähiger als jede andere Schleusenform.

Ich habe sehr oft Gelegenheit, Ingenieuren aus aller Herren Länder das Hebewerk zu zeigen, und habe stets gefunden, dass sie die größte Bewunderung für dieses außerordentliche Werk an den Taggelegt haben. Immer habe ich aber auch Veranlassung genommen, die Herren darauf hinzuweisen, dass bei der Wasserbauinspektion noch zwei andere Bauwerke existieren, welche das Interesse der Ingenieure in gleicher Weise in Anspruch zu nehmen geeignet sind; es sind die Sparschleusen in Münster und Gleesen. Diese Sparschleusen überwinden 6,2 und 6 m Gefälle. Die Schleusungsdauer beträgt dort für einen Dampfer 8¹/₂ Minuten, die Differenz gegenüber dem Hebewerk ist also sehr gering. Wenn wir damit rechnen, dass die Einfahrt der Schiffe immer noch die größte Zeit in An-

spruch nimmt, so finden wir, dass die doppelte Hubhöhe in nur wenig größerer Zeit wie bei einem Hebewerk überwunden werden könnte. Die Sparschleusen werden elektrisch betrieben, und nur durch die Anwendung des elektrischen Betriebes ist eben die Kürze der Schleusungsdauer zu erreichen gewesen. Die Umläufe der Sparschleusen sind durch Rollschützen abgeschlossen, die Verbindung der Sparbecken mit der Kammer wird durch Cylinderschützen herge-

Fig. 53.

Stromverbrauch der Bewegungsvorrichtungen.



Zur Verminderung des Schleusungswassers hat man in neuerer Zeit Bauwerke eingerichtet, bei denen der Wasserverbrauch möglichst gering ist: die Hebewerke und schiefen Ebenen. Die Hebewerke brauchen so wenig Speisungswasser, dass man es weiter nicht in Anrechnung zu bringen braucht. Das Hebewerk bei Henrichenburg wird beim Aufstieg mit 2,50 m, beim Abstieg mit 2,55 m Wasser gefüllt, sodass eine Hebung 0,05 m erfordert. Diese Höhe repräsentiert bei 600 qm

sprach nimmt, so finden wir, dass die doppelte Hubhöhe in nur wenig größerer Zeit wie bei einem Hebewerk überwunden werden könnte. Die Sparschleusen werden elektrisch betrieben, und nur durch die Anwendung des elektrischen Betriebes ist eben die Kürze der Schleusungsdauer zu erreichen gewesen. Die Umläufe der Sparschleusen sind durch Rollschützen abgeschlossen, die Verbindung der Sparbecken mit der Kammer wird durch Cylinderschützen herge-





spannungswicklung sind an Erde gelegt und die unverketteten weitergeführt, während die Niederspannungsenden sämtlich zu den Dreieck- und Sternschaltern abgeführt sind, wie aus dem Schema, Fig. 9 S. 1373, ersichtlich.

Die Wicklung und das wirksame Eisen werden durch Stirnplatten aus Stahlguss, in denen auch die Joche eingebaut sind, zusammengehalten. Vier kräftige Stahlbolzen ziehen die Stirnplatten fest gegen einander zusammen, welche

eine rechteckige Öffnung, durch welche die Hochspannungseleitungen nach dem Kabelkanal übertreten; s. Tafel XXV. Diese Stelle ist durch einen Gummiring abgedichtet. Die Hochspannungseleitungen führen dann im Kabelkanal zunächst zu drei Hartgummi-Isolatoren, an denen sie an die Fortsetzung der Leitungen angeklemt sind. Diese Stelle ist vom Wageninnern aus durch eine Verschlussstür zugänglich gemacht. Der untere Teil des Schutzkastens trägt gleichzeitig die Anschluss-

Fig. 18 bis 21. Transformator.

Fig. 18.

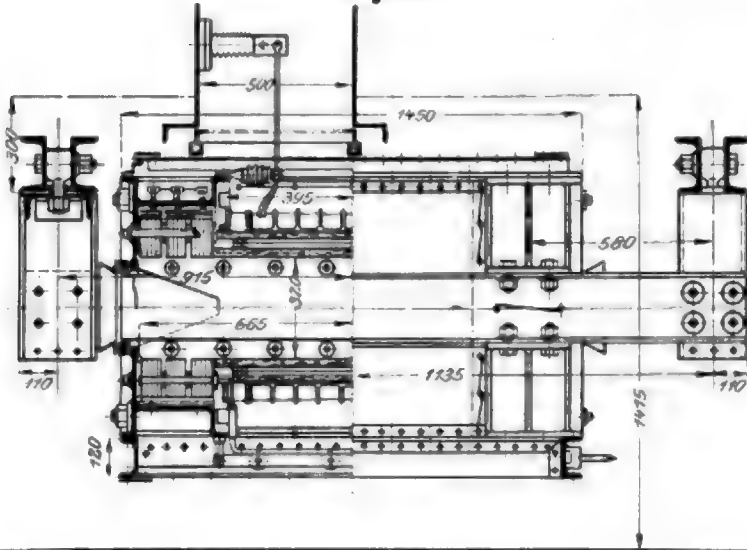


Fig. 19.

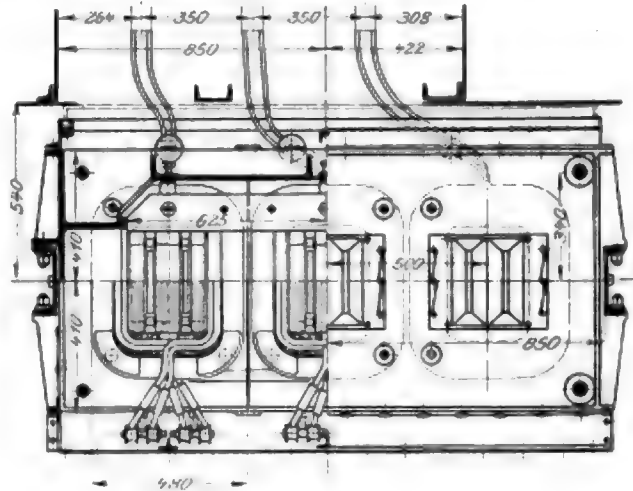


Fig. 20.

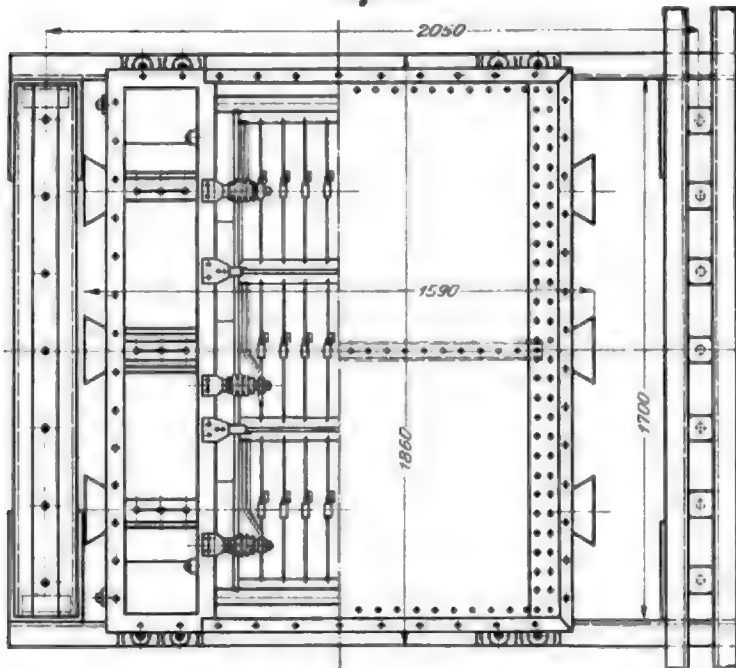
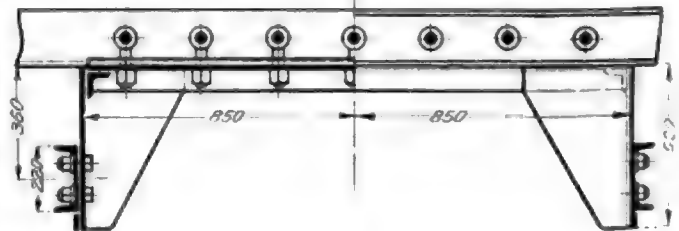


Fig. 21.



leitungen für die Niederspannung. Alle Teile des Schutzkastens haben genügend großen Abstand von der Hochspannungswicklung. Der Transformator ist am Wagenkasten an zwei besonders kräftigen Querträgern mit 4 starken Eckwinkelelementen derartig aufgehängt, dass er, nachdem wenige Schrauben gelöst sind, vom Wagenkasten als Ganzes abgenommen werden kann.

f) Die Hochspannungs-Sicherungen und -Ausschalter.

Die drei nicht verketteten Wicklungsenden des großen Transformators werden im Kabelschlitz auf Hartgummistützen zu den Hauptsicherungen emporgeführt, die ebenso wie die für Mittelspannung als Röhrensicherungen gebaut sind. Daran schließen sich auf dem Dache eigentümlich geformte Isolatoren, wie sie auch bei den Hochspannungsschaltern und -sicherungen für den kleinen Luftpumpen-Transformator verwendet sind. Dieser Durchführungsisolator ist ein zylinderförmiger, metallischer, mit Hartgummi umpresster Hohlkörper von kreisrundem Querschnitt, der am Umfang zur Vergrößerung der Oberfläche mit großen Riffeln besetzt ist.

Der Hochspannungsschalter ist ebenso wie die Mittelspannungsschalter nach Art der Röhrenausschalter gebaut und hat doppelte Unterbrechung in jedem der 3 Zweige. Er unterscheidet sich aber vom Mittelspannungsausschalter dadurch, dass die Kontakte nicht im Kreise, sondern je 3 in einer Linie angeordnet sind. Der Ausschalter liegt halb über, halb unter dem Dach. Die drei nebeneinander angeordneten

außerdem noch durch 2 kräftige \square -Eisen verbunden sind, die an den Enden weit überstehen und gleichzeitig zum Aufhängen des ganzen Transformators benutzt werden. Die oben erwähnten Kühlkanäle sind mit Schutzkasten ausgekleidet und bis in die Stirnplatten fortgesetzt. Dort sind dann trichterförmige Erweiterungen der Kanäle angeordnet, damit die kühlende Luft besser aufgefangen wird, Fig. 18. An den Stirnplatten sind Arbeitsleisten zum Anschrauben von Schutzkastenblechen angebracht. Im oberen Schutzblech befindet sich





Die beschriebene Einrichtung giebt dem Führer die Möglichkeit, alle Handgriffe, die zur Ingangsetzung und Abstellung des Wagens erforderlich sind, vom Führerstande

aus ohne weiteres vorzunehmen, ohne ihn verlassen oder vor dem Betreten einen Teil der Handgriffe ausführen zu müssen.
(Schluss folgt.)

Festigkeit von Scheibenkolben.

Ueber die Beanspruchung von Scheibenkolben, insbesondere von Dampfkolben, finden sich in den Handbüchern über Maschinenelemente nur ganz spärliche Angaben. Ausser einigen empirischen Regeln, die aber meistens noch aus einer Zeit stammen, in welcher mit vergleichsweise niedrigen Dampfdrücken gearbeitet wurde, bieten sich dem Konstrukteur nur wenige Anhaltspunkte. Hohlgegossene und mit Innenrippen versehene Kolben, deren Höhe und Wandstärken aus Herstellungsrücksichten meistens schon so bemessen werden müssen, dass sie den einwirkenden Kräften gegenüber stark genug ausfallen, kommen hierbei weniger infrage. Handelt es sich dagegen um gusseiserne offene Kolben und solche, die infolge der Konstruktion ihrer Liderungsringe mit nur einem Boden hergestellt sind, so kann die Materialbeanspruchung der Scheibe um die Stangennuss trotz der auscheinend grossen Wandstärke leicht die Bruchgrenze überschreiten. Ein Bruch diametral durch die Nuss, wie ihn die Berechnung der ebenen Platte voraussetzt, kommt bei Kolben, wie in Fig. 1 skizziert, kaum vor; sie brechen vielmehr, wie ich in mehreren Fällen beobachten konnte, alle um die Nabe herum ab, während diese selbst unversehrt auf der Stange stecken bleibt.

Eine Berechnung, welcher dieses Verhalten zugrunde liegt, bringt Otto C. Reymann in Z. 1896 S. 120 u. f. Wie ich aber bei deren Benutzung finde, sind die aus den Ringspannungen des äusseren Bordes sich ergebenden Dehnungen bei Bestimmung des versteifenden Einflusses dieses Bordes auf die Scheibe unberücksichtigt geblieben, wodurch sich die Biegungsspannungen in der Scheibe am Anschluss an die Nuss zu klein ergeben.

Werden dieselben Bezeichnungen wie dort gewählt, und setzt man für die Spannung s_N im Bordrande die bekannte Beziehung

$$s_N = \epsilon E,$$

so wird mit der in Fig. 2a, b und c gemachten Annahme

$$\epsilon = \frac{\alpha h}{2} \frac{1}{R}, \text{ also } s_N = \frac{\alpha h}{2R} E,$$

und damit das Moment M_0 im Bord

$$M_0 = W_s \cdot s_N \sin \frac{\omega}{2} \propto W_s \cdot s_N \omega = \frac{b h^2}{6} s_N \omega$$

$$M_0 = \frac{\alpha h}{2R} E \omega \frac{b h^2}{6} = \frac{\alpha E b h^2}{12R} \omega = \frac{\alpha E}{R} J_N \omega,$$

woraus der Winkel

$$\alpha = \frac{M_0 R}{E J_N \omega}$$

folgt.

Ist die Scheibe nun so gestaltet, dass ihr Trägheitsmoment

$$J_N = (R-x)^2 \frac{\omega d^3}{12}$$

in allen Querschnitten gleich gross ist, so ergibt sich mit Benutzung der Gleichung der elastischen Linie

$$M = J_N E \frac{d^2 y}{dx^2} = -p \omega \left(\frac{R x^2}{2} - \frac{x^3}{6} \right) + M_0 \quad (1)$$

durch einmalige Integration

$$J_N E \frac{dy}{dx} = -\frac{p \omega}{6} \left(R x^3 - \frac{x^4}{4} \right) + M_0 x + C.$$

Die Konstante C ist dadurch bestimmt, dass für

$$x = R - r_n = L \text{ die Tangente } \frac{dy}{dx} = 0 \text{ wird, also}$$

$$C = \frac{p \omega}{6} \left(R L^3 - \frac{L^4}{4} \right) - M_0 L$$

und daraus

$$J_N E \frac{dy}{dx} = \frac{p \omega}{6} \left[R (L^3 - x^3) - \frac{L^4 - x^4}{4} \right] - M_0 (L - x).$$

Für $x=0$ ist

$$\frac{dy}{dx} = \alpha = \frac{M_0 R}{E J_N \omega},$$

somit

$$M_0 = \frac{p \omega}{6} \left(R L^3 - \frac{L^4}{4} \right) \frac{J_N}{R J_N \omega + L J_N},$$

oder, wenn man für J_N seinen Wert

$$J_N = \frac{r_n \omega d^3}{12}$$

einsetzt:

$$M_0 = \frac{p \omega}{6} \left(R L^3 - \frac{L^4}{4} \right) \frac{J_N}{R \frac{r_n d^3}{12} + L J_N}$$

Fig. 2a.

Fig. 2b.

Fig. 2c.

Fig. 2d.

In dem von Reymann durchgerechneten Beispiel ist $R - r_n = L = 22,5 - 7,5 = 15$ cm; $d_n = 4$ cm; $\frac{r_n d_n^3}{12} = 40$ cm⁴; $h = 9$ cm; $b = 2$ cm; $J_N = \frac{2 \cdot 9^3}{12} = 121,5$ cm⁴.

Mit diesen Werten wird

$$M_0 = \frac{10 \omega}{6} \left(22,5 \cdot 15^3 - \frac{15^4}{4} \right) \frac{121,5}{22,5 \cdot 40 + 15 \cdot 121,5} = 4707 \omega$$

und das biegende Moment in der Scheibe am Anschluss an die Nabe

$$M = 10 \omega \left(\frac{22,5 \cdot 15^3}{2} - \frac{15^3}{6} \right) - 4707 \omega = 14980 \omega.$$

Die grösste Biegungsspannung s_N an dieser Stelle ist demnach

$$s_N = \frac{14980}{40} = 749 \text{ kg,}$$

¹⁾ Z. 1896 S. 121.

das sind $749 - 638 = 116$ kg mehr, als bei Vernachlässigung der Dehnungen im Bord gefunden wurde.

Die größte Biegungsspannung s_B im Bord beträgt

$$s_B = \frac{4707}{121,5} = 174 \text{ kg},$$

also $260 - 174 = 86$ kg weniger als dort.

Wird der Bord einseitig auf die Scheibe aufgesetzt, Fig. 2d, so ist sein Trägheitsmoment bei gleichbleibenden Abmessungen annähernd viermal größer als vorhin. Das Moment M_0 wird dann

$$M_0 = \frac{10 \omega}{6} \left(\frac{22,5 \cdot 15^3}{4} - \frac{15^4}{4} \right) 486 = 6250 \omega,$$

hiernach

$$M = 10 \omega \left(\frac{22,5 \cdot 15^3}{2} - \frac{15^4}{6} \right) = 6250 \omega - 13428 \omega$$

und die Spannungen

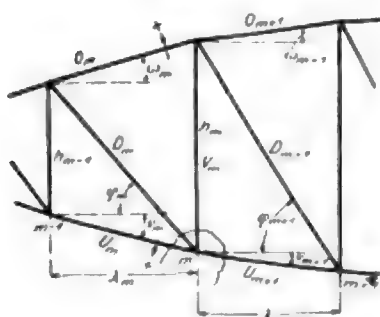
$$s_A = \frac{13428}{40} = 671 \text{ kg}; \quad s_B = \frac{6250}{486} = 116 \text{ kg}.$$

Die Berechnung der Spannungen in den Pfosten einfacher Fachwerkbalken.

Von A. Ostenfeld, Professor an der Technischen Hochschule Kopenhagen.

Soviel mir bekannt, ist bisher keine einheitliche Formel zur Berechnung dieser Spannungen angegeben worden, keine Formel, die immer angewendet werden kann, wie auch die Richtung der angrenzenden Schrägstäbe — rechts oder links steigend — sein mag, und wo auch die Lasten — oben oder unten — angreifen mögen. Eine solche Formel lässt sich in-

Fig. 1.



dessen sehr wohl aufstellen und wird zudem sehr einfach. Um zu ihr zu gelangen, schneiden wir einen der Knotenpunkte (m in Fig. 1), von dem der Pfosten ausgeht, vom System los und projizieren die im Knotenpunkte angreifenden Kräfte auf eine Lotrechte. Mit den Bezeichnungen der Figur 1 erhalten wir, indem die Kräfte

nach unten positiv gezählt werden:

— $V_m - D_m \sin q_m - U_m \sin r_m + U_{m+1} \sin r_{m+1} + P_m = 0$ (1), wobei P_m die lotrechte Projektion der im Knotenpunkte etwa angreifenden äußeren Kraft bedeutet. Hierin ist

$$-U_m \sin r_m + U_{m+1} \sin r_{m+1} = \frac{M_{m-1}^0}{h_{m-1}} \operatorname{tg} r_m + \frac{M_m^0}{h_m} \operatorname{tg} r_{m+1} \\ = \left(\frac{M_m^0}{h_m} - \frac{M_{m-1}^0}{h_{m-1}} \right) \operatorname{tg} r_m - \frac{M_m^0}{h_m} (\operatorname{tg} r_m - \operatorname{tg} r_{m+1}),$$

wenn M_m^0 , M_{m-1}^0 die Angriffsmomente für die oberen Endpunkte der Pfosten m , $m-1$ bezeichnen.

Die wagerechte Projektion der Schrägenspannung D_m ist bekanntlich

$$D_m \cos q_m = \frac{M_m^0}{h_m} - \frac{M_{m-1}^0}{h_{m-1}},$$

und wenn wir hierfür die kürzere Bezeichnung $[D]_m^{m-1}$ einführen, also

$$[D]_m^{m-1} = D_m \cos q_m \quad (2),$$

so ergibt sich, indem

$$D_m \sin q_m = [D]_m^{m-1} \operatorname{tg} q_m \text{ ist,}$$

$$V_m = [D]_m^{m-1} (\operatorname{tg} q_m - \operatorname{tg} r_m) - \frac{M_m^0}{h_m} (\operatorname{tg} r_m - \operatorname{tg} r_{m+1}) + P_m \quad (3).$$

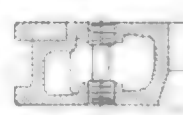
Die Dehnung der Nuss ist bei Ermittlung der Momente auch hier nicht in Rechnung gezogen worden, da ihre Größe im Vergleich zur Dehnung des Bordes vernachlässigt werden darf.

Die Beanspruchung an der Nuss ist, Gusseisen vorausgesetzt, in den obigen Beispielen unzulässig hoch; man wird in solchen Fällen zum Hohlgußkolben greifen, welchem mit fast demselben Materialaufwand eine mehrfach größere Festigkeit erteilt werden kann. Hierbei tritt der versteifende Einfluss des Bordes den Böden gegenüber fast ganz zurück. Mit Rücksicht auf die Gussspannungen erscheint es zweckmäßig, die Zahl der Rippen, deren Beanspruchung durch die Kolbenkraft Reymann ebenfalls untersucht, möglichst zu beschränken und dafür die einzelnen Felder der Böden durch eingezogene Anker aus zähem Schmiedeeisen, welche zugleich die Kernlöcher verschließen, gegen einander abzusteißen, wie in Fig. 3 skizziert. Dadurch kann man an Gewicht sparen und erhält bei einigem Abstände der beiden Böden von einander überaus widerstandsfähige Kolbenkörper.

Cannstatt, im September 1900.

G. Schwarz.

Fig. 3.



Man kann nun leicht diesem Ausdruck eine solche Form geben, dass er von der Richtung der Schrägen unabhängig wird. Erstens bemerkt man, dass $\operatorname{tg} q_m - \operatorname{tg} r_m = \frac{h_m}{l_m}$

(s. Fig. 1). Zweitens stelle man sich vor, dass von dem betrachteten Knotenpunkte gar keine Schrägen ausgehen, sondern die Schrägen der beiden angrenzenden Fächer nach dem oberen Endpunkte von V_m gerichtet seien; die Stäbe seien also wie beim Knotenpunkte m in Fig. 2 geordnet. In diesem Falle bestimmt sich die Pfostenspannung V_m aus

$$-V_m - U_m \sin r_m + U_{m+1} \sin r_{m+1} + P_m = 0 \\ V_m = -\frac{M_m^0}{h_m} (\operatorname{tg} r_m - \operatorname{tg} r_{m+1}) + P_m \quad (4).$$

Führt man für diesen speziellen Wert die Bezeichnung $[V]_{m,0}$ ein, so ergibt sich aus (3):

$$V_m = -[D]_m^{m-1} \frac{h_m}{l_m} + [V]_{m,0} \quad (5),$$

und diese Gleichung ist in der That allgemein gültig, unabhängig von der Richtung der Schrägen. Um das auch in der Schreibweise zum Ausdruck zu bringen, setzen wir

$$V_m = -[D]_{mp}^{hp} \frac{h_p}{l_{mp}} + [V]_{m,0} \quad (6).$$

Hierin bedeutet:

- m die Ordnungsziffer desjenigen Knotenpunktes (oberen oder unteren Endpunktes des betrachteten Pfostens), für welchen die Formel (6) angeschrieben wird,
- p die Ordnungsziffer des andern Endpunktes der von m ausgehenden Schräge D_{mp} ,
- $[D]_{mp}$ die wagerechte Projektion der Spannung der von m ausgehenden Schräge,
- h_p die Trägerhöhe in p ,
- l_{mp} die Fachweite m bis p .

Für $[V]_{m,0}$ hat man die folgenden Werte (Bezeichnungen wie in Fig. 1):

$$m \text{ im Obergurt gelegen: } [V]_{m,0} = -\frac{M_m^0}{h_m} (\operatorname{tg} r_m - \operatorname{tg} r_{m+1}) + P_m \\ m \text{ im Untergurt: } [V]_{m,0} = -\frac{M_m^0}{h_m} (\operatorname{tg} r_m - \operatorname{tg} r_{m+1}) + P_m \quad (6a).$$

Davon, dass die Formel, wie behauptet, allgemein gültig ist, kann man sich durch eine neue Herleitung für jede der verschiedenen möglichen Formen von Knotenpunkten, Fig. 2, überzeugen, oder schneller durch Aufzeichnen der Kräftepolygone für diese Knotenpunkte; aus letzteren kann man die Formel beinahe unmittelbar herauslesen, nur sind die Vorzeichen wohl zu beachten.

Die Formel ist sehr bequem. Die Größen $[D]$ sind im voraus für die Spannungsermittlung der Schrägen berechnet, und dasselbe gilt von den in $[V_m]_{n=0}$ vorkommenden $\frac{M}{h}$. Gewöhnlich, wenn die größten Spannungen für bewegliche Belastung gesucht werden, muss man die Formel für die unbelasteten Knotenpunkte anwenden, und dann ist $P_m = 0$; falls zudem die im Knotenpunkte zusammenstoßenden Gurtstäbe in einer Geraden liegen, wird $[V_m]_{n=0} = 0$. Für Knotenpunkte wie m und k in Fig. 2 fällt das erste Glied in (6) fort; gehen dagegen von m zwei Schrägen aus, so muss man selbstverständlich zwei Glieder wie das erste in (6) anschreiben. Für Parallelträger ist $[V_m]_{n=0} = 0$, und (6) geht, wenn für einen unbelasteten Knotenpunkt angeschrieben,

Glied gleich null setzt und gleichzeitig dem letzten Gliede seinen größten Wert beilegt (ohne sich darum zu bekümmern, dass diese beiden Werte gewöhnlich nicht gleichzeitig auftreten können), so erhält man eine obere Grenze für $\max. V_m$, also

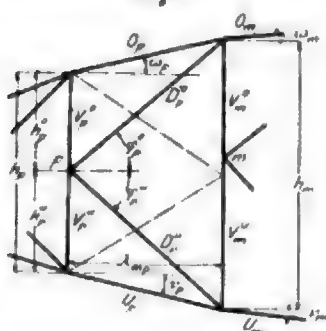
$$\max. V_m < \max. [V_m]_{n=0} \quad (7).$$

Hiernach kann man den Grenzwert von $\max. V_m$ entweder zeichnerisch ermitteln, indem man die Kräfte dreiecke für die Endpunkte der Pfosten (von der größten oder kleinsten Spannung eines der Gurtstäbe ausgehend) aufzeichnet, nachdem die davon ausgehenden Schrägen weggelassen sind, oder man kann, falls man eine Berechnung vorzieht, (7) durch Einführung der Ausdrücke (6a) weiter entwickeln. Man beachte hierbei die in Fig. 1 angegebenen Vorzeichen-Definitionen für die Winkel ω und r , woraus folgt, dass $(\operatorname{tg} \omega_m - \operatorname{tg} \omega_{m+1})$ positiv oder negativ ist, je nachdem der Obergurt nach unten oder oben, und ebenso $(\operatorname{tg} r_m - \operatorname{tg} r_{m+1})$, je nachdem der Untergurt nach oben oder unten konkav ist. Also ergibt sich:

	Fahrbahn oben	Fahrbahn unten
Obergurt nach unten konkav: $\max. V_m <$	$\max. M_m (\operatorname{tg} \omega_m - \operatorname{tg} \omega_{m+1}) - \min. P_m$	$\max. M_m (\operatorname{tg} \omega_m - \operatorname{tg} \omega_{m+1})$
„ „ „ „ „ „ $V_m <$	$\min. M_m (\operatorname{tg} \omega_m - \operatorname{tg} \omega_{m+1}) - \min. P_m$	$\min. M_m (\operatorname{tg} \omega_m - \operatorname{tg} \omega_{m+1})$
Untergurt „ „ „ „ $V_m <$	$\min. M_m (\operatorname{tg} r_m - \operatorname{tg} r_{m+1})$	$\min. M_m (\operatorname{tg} r_m - \operatorname{tg} r_{m+1}) + \max. P_m$
„ „ „ „ „ „ $V_m <$	$\max. M_m (\operatorname{tg} r_m - \operatorname{tg} r_{m+1})$	$\max. M_m (\operatorname{tg} r_m - \operatorname{tg} r_{m+1}) + \max. P_m$

über in $V_m = -[D_{mp}] \frac{h_p}{\lambda_{mp}} = -D_m \sin q_m$. Sind die Gurtungen nach Parabeln geformt, so wird $(\operatorname{tg} \omega_m - \operatorname{tg} \omega_{m+1})$ bzw. $(\operatorname{tg} r_m - \operatorname{tg} r_{m+1})$ unveränderlich; alle die bekannten Formeln für die Pfosten Spannungen der gewöhnlichen Parabelträger können daher fast unmittelbar hingeschrieben werden.

Fig. 3.



Bei Fachwerken mit Gegenschrägen lässt sich mittels der Formel sofort eine obere Grenze für die größte Zugspannung der Pfosten ($\max. V_m$) angeben, die fast immer ohne weitere Untersuchungen in der Praxis benutzt werden kann. Die Schrägen werden ja hier immer gezogen, weshalb das erste Glied in (6) immer negativ ist. Wenn man daher dieses erste

Für einen gegebenen Träger erhält man hierdurch zwei Grenzwerte, von denen man den kleinsten wählt. Für einen Parallelträger ergibt sich $\max. V_m < -\min. P_m$ (Knotenlast der ständigen Belastung) oder $\max. V_m < 0$, je nachdem die Lasten oben oder unten angreifen.

Die entwickelte Formel (6) gilt übrigens auch, wie man sich leicht überzeugt, für das sogen. K-Gitter, wenn man nur im ersten Gliede h' bzw. h'' , Fig. 3, statt der ganzen Trägerhöhe h einführt. Bei Bestimmung der Spannung $[V_m]_{n=0}$ denkt man sich die voll gezogenen Schrägen in Fig. 3 durch die punktierten ersetzt. Die Gleichungen lauten demnach:

$$\begin{aligned} V_m^+ &= -[D_{mp}] \frac{h_p^+}{\lambda_{mp}^+} + [V_m^+]_{n=0} = -[D_{mp}] \frac{h_p^+}{\lambda_{mp}^+} + \frac{M_m^+}{h_m} \Delta (\operatorname{tg} \omega) - P_m \\ V_m^- &= -[D_{mp}] \frac{h_p^-}{\lambda_{mp}^-} + [V_m^-]_{n=0} = -[D_{mp}] \frac{h_p^-}{\lambda_{mp}^-} + \frac{M_m^-}{h_m} \Delta (\operatorname{tg} r) + P_m \end{aligned} \quad (8),$$

worin $\Delta (\operatorname{tg} \omega)$ bzw. $\Delta (\operatorname{tg} r)$ die Differenz der Tangenten der beiden Winkel ω oder r zu den beiden Seiten des m ten Pfostens bezeichnet. Für die wagerechten Projektionen der Schrägenspannungen gelten die gewöhnlichen Formeln.

Beitrag zur Beurteilung von Kugellagern.

Der Bericht über die Sitzung des Niederrheinischen Bezirksvereins vom 4. Februar 1901 in Nr. 33 dieser Zeitschrift enthält auf S. 1172 und 1173 Mitteilungen über Versuche mit einem Kugel-Spurlager, die vor 7 bis 8 Jahren von der Firma Haniel & Lueg in Düsseldorf-Grafenberg angestellt worden sind. Das Lager verhielt sich schlecht, denn die Kugeln und Spurplatten wurden rasch zerstört, und die Reibungsarbeit des Kugel-Spurlagers war nur beim Anlaufen kleiner als die eines ebenen Gleitlagers.

Als Beitrag zu der Frage: Welche Erfahrungen sind mit Kugellagern für schwere Belastungen gemacht worden? erscheint die Veröffentlichung nur dann berechtigt, wenn die Ursache des schlechten Verhaltens klargestellt oder wenn wenigstens die vollständigen Unterlagen zur Beurteilung dargeboten werden. Aber weder das eine noch das andere ist gesche-

hen. Es sei mir deshalb gestattet, die Mitteilungen anhand der Zeichnung des Lagers, Fig. 1, zu ergänzen, die mir die Firma Haniel & Lueg zu diesem Zweck bereitwilligst überlassen hat.

1) In meinem Bericht über Kugellager für beliebige Belastungen¹⁾ habe ich auch die Bewegungsvorgänge behandelt. Die Kugel dreht sich gegenüber der Platte B, Fig. 2, um die augenblickliche Achse MB_1 . Bezeichnet ω die Winkelgeschwindigkeit dieser Drehbewegung, dann ist $\omega \cos \beta$ die Winkelgeschwindigkeit, mit der die Kugel auf den Flächen B_1 und B_2 rollt, und $\omega \sin \beta$ die Winkelgeschwindigkeit der bohrenden Bewegung um die zu den Spurflächen B_1 und B_2 senkrechten Achsen.

Entsprechend lässt sich die Bewegung der Kugel gegenüber der Spurplatte A, welche um die augenblickliche Achse

¹⁾ Z. 1901 S. 73 u. f.

MA_1 erfolgt, in die rollende Bewegung mit der Winkelgeschwindigkeit $\omega \cdot \cos \alpha$ und die bohrende Bewegung mit der Winkelgeschwindigkeit $\omega \cdot \sin \alpha$ zerlegen.

Mit der bohrenden Bewegung tritt gleitende Reibung (Spurzapfenreibung) auf und diese verursacht bei größerer Geschwindigkeit und Belastung im Laufe der Zeit mit Sicherheit eine Beschädigung der Spurplatten und der Kugeln. Deshalb muss verlangt werden, dass die radialen Winkelgeschwindigkeiten $\omega \cdot \sin \beta$ und $\omega \cdot \sin \alpha$ gleich null oder wenigstens sehr klein sind, was zutrifft, wenn die augenblicklichen Drehachsen MB_1 bzw. MA_1 die Kugeloberfläche berühren oder unter einem sehr kleinen Winkel schneiden.

Fig. 1.

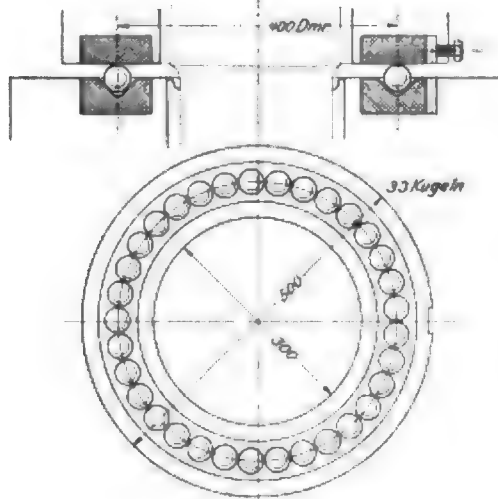


Fig. 2.

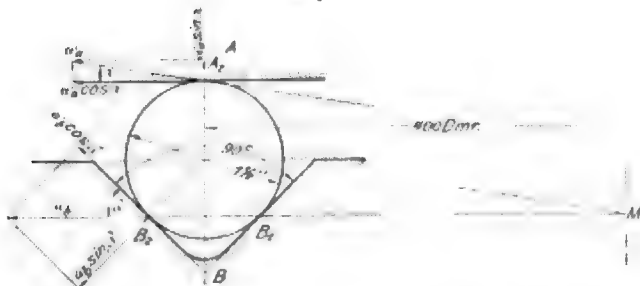


Fig. 2 zeigt, dass bei dem Versuchslager der Firma Haniel & Lueg die Winkelgeschwindigkeit der bohrenden Bewegung an dem Ring mit Winkelnut sehr beträchtlich, nämlich ebenso groß wie die Winkelgeschwindigkeit der rollenden Bewegung war. Auch das Gleiten der Kugeln an der ebenen Platte dürfte noch zu stark gewesen sein.

Die bohrende Bewegung trug auch zur Reibung so viel bei, dass der Kraftverbrauch des Kugellagers ebenso groß war wie der des ebenen Gleitlagers.

2) Die Kugeln waren überlastet.

Eine gute Stahlkugel, die an einer gehärteten ebenen oder kegelförmigen Spurplatte aus geeignetem Stahl läuft, darf nur mit $3d^2 \text{ kg}$ (d = Kugeldurchmesser in Achtelzoll engl.) belastet werden, wenn die Bewegung nicht ganz gleitfrei ist. Für die $1\frac{1}{2}$ zölligen Kugeln des Versuchslagers ergibt sich somit die zulässige Belastung zu $3 \cdot 12^2 = 432 \text{ kg}$. Die Belastung einer Kugel beim Versuch dagegen berechnet sich, selbst unter der Annahme, dass alle Kugeln gleichmäßig trugen, zu 712 kg . Die Überlastung würde allerdings die Zerstörung der Spurplatten und Kugeln nicht veranlassen haben, wenn die bohrende Reibung nicht zu groß gewesen wäre.

3) Die Kugeln mussten unter beträchtlicher Pressung und verhältnismäßig geschwind aneinander gleiten.

Unterscheiden sich die Durchmesser der Kugeln auch nur um tausendstel Millimeter, so ändern sich bei der Bewegung doch die Abstände der Mittelpunkte, und es tritt Berührung ein. Sind wie beim Versuchslager sämtliche Kugeln auf größere Wegstrecken belastet, so treten starke Drücke an diesen Berührungsflächen auf, und die Reibung bedingt bei der verhältnismäßig großen Gleitgeschwindigkeit wesentlich erhöhten Arbeitsverbrauch und raschen Verschleiß der Kugeln.

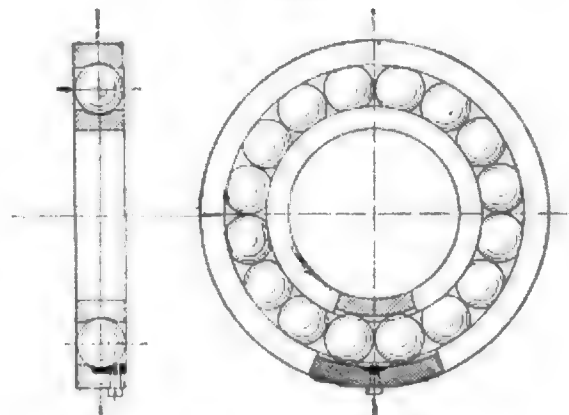
Das schlechte Verhalten des geprüften Lagers wurde demnach durch die gleitende Reibung zwischen aufeinander folgenden Kugeln und zwischen den Kugeln und Spurplatten verursacht. Die Kugeln sollen aber rollen, möglichst ohne zu gleiten. Das ist die wichtige und einzige Sonderregel für den Konstrukteur von Kugellagern. Dass die Kugeln und Spurringe nicht überlastet werden dürfen, dass bei der Formgebung der Spurringe auf Material und Herstellung, besonders auf das Härten, Rücksicht zu nehmen ist, gehört zu den allgemein gültigen Regeln und ist deshalb für den Ingenieur selbstverständlich.

Das geprüfte Lager ist somit im Entwurf verfehlt. Lehrsreich sind die Versuche, aber zur Beurteilung richtiger Kugellager liefern sie keinen Beitrag. Diese haben eine Reihe wertvoller Eigenschaften, die andern Lagern nicht in gleichem Maße zukommen, und auf die ich an anderer Stelle hingewiesen habe. Wo sich diese Vorteile nicht einstellen, da ist entweder Gleiten der Kugeln, Überlastung, unzulängliches Material oder unrichtiges Härten die Ursache.

Ueber diese Erfahrungen verfügte der Konstrukteur des Versuchslagers vor 8 Jahren noch nicht. Man konnte deshalb billigerweise von ihm eine bessere Konstruktion nicht erwarten. Es ist mir auch nicht bekannt, dass allen Anforderungen entsprechende Kugel-Spurlager schon auf den Markt gekommen sind; wohl aber lassen im Gang befindliche Versuche eine Lösung der Aufgabe erwarten.

Bei Kugel-Traglagern ist die Aufgabe durch die Konstruktion Fig. 3 (D. R.-P. Nr. 110908) gut gelöst. Die Kugeln rollen ohne bohrende Bewegung auf den Spurringen. Sie stehen nur während der halben Umrundung der Welle unter Druck, und es erfolgt das Aufrücken von der unbelasteten auf

Fig. 3.



die belastete Seite des Lagers immer mit einem kleinen Spielraum zwischen den Kugeln. Deshalb gleiten sie auf der belasteten Seite nicht aneinander. Selbstverständlich ist dieser Spielraum zwischen den Kugeln beim Entwerfen vorzusehen. Da Gleiten so gut wie nicht stattfindet, entsteht auch keine Abnutzung, und die Reibung ist kleiner als bei jedem andern Lager. Diese Eigenschaften haben zu den Erfolgen dieser Kugel-Traglager wesentlich beigetragen.

Traglager, deren Kugeln in winkelförmigen Nuten laufen, werden sich ebenso wenig wie das besprochene Kugel-Spurlager bewähren.

Grunewald bei Berlin.

R. Stribeck.

Sitzungsberichte der Bezirksvereine.

Eingegangen 22. März 1901.

Kölnischer Bezirksverein.

Sitzung vom 13. Februar 1901.

Vorsitzender: Hr. Eulenberg. Schriftführer: Hr. Mathée.

Anwesend 79 Mitglieder und 18 Gäste.

Nach Erledigung der geschäftlichen Angelegenheiten spricht Hr. Spier über neuere Wasserhaltungen der Maschinenbau-Anstalt Humboldt, insbesondere solche mit elektrischem Antrieb.

Der Redner bespricht zuerst anhand von Konstruktionszeichnungen eine im Bau befindliche unterirdische Wasserhaltung mit Dampftrieb, die von der Maschinenbau-Anstalt Humboldt für eine französische Grube geliefert wird und bei 60 Uml./min 5 cbm/min aus 100 m Tiefe heben soll.

Der Antrieb erfolgt durch eine Verbundmaschine von 450 und 700 mm Cyl.-Dmr. und 750 mm Hub. Da bei diesen Maschinen größte Einfachheit eine Hauptbedingung ist, wählt man allgemein Schiebersteuerungen. Am Hochdruckcylinder ist Ridersteuerung angenommen, die von einem Regulator beeinflusst wird. Der Niederdruckcylinder hat feste Expansion. Bei der langen Dampfleitung ist natürlich besonderer Wert auf guten Schutz gegen Wärmeausstrahlung zu legen. Man muss daher neben der äußerst sorgfältig auszuführenden Umhüllung vornehmlich darauf achten, dass der Rohrdurchmesser nicht größer als nötig genommen wird. In der Leitung selbst muss eine gleichmäßige Geschwindigkeit herrschen; zu dem Zwecke wird ein großer Dampfsammler unten aufgestellt, der ähnlich wirkt wie ein Windkessel bei Pumpen. Hinter jedem Dampfzylinder liegt eine doppelwirkende Tauchkolbenpumpe von 196 mm Dmr. und 750 mm Hub. Hinter den Pumpen ist an einer Seite die Kondensationsluftpumpe aufgestellt, die ihr Wasser wieder in den Sumpf ausgießt, wo es sich mit dem kalten Wasser mischt.

Bei größeren Teufen wird die erforderliche Dampfmenge und daher auch die Erwärmung des Wassers im Sumpf größer, sodass sich beim Ansaugen durch die Hauptpumpen Schwierigkeiten ergeben. Um diese zu vermeiden, benutzt man die Luftpumpe zugleich als Zubringpumpe. Man führt sie größer aus, als für den Bedarf der Kondensation erforderlich ist, und lässt sie das ganze zu hebende Wasser ansaugen. An ihren Ausguss schließt sich dann ein Rohr, das zum Saugwindkessel führt. Diese Anordnung ist für eine Wasserhaltung gewählt, die für eine Eisensteingrube bei Brachbach an der Sieg im Bau ist und 1 cbm/min auf 310 m heben soll.

Kommt man in Teufen von 500 m und mehr, was ja bei dem jetzigen Stande des Bergbaues im Ruhrbezirk¹⁾ durchaus nicht mehr zu den Ausnahmen gehört, so wird die Verwendung des Dampfes in der Grube äußerst unbequem. Die einzuführende Dampfmenge wird im Verhältnis zur gehobenen Wassermenge immer größer. Dadurch wird das Wasser wärmer und der Gang der Pumpe infolge von Dampfbildung immer unruhiger, die Packungen der Stopfbüchsen sind schwieriger imstande zu halten, vor allem aber setzt sich in der Pumpe und namentlich in der Steigleitung Kesselstein ab, der je nach der Beschaffenheit des Wassers in kürzerer oder längerer Zeit die Querschnitte derart verengt, dass der Widerstand erheblich vermehrt wird und entweder die Maschine versagt oder Brüche eintreten. Dazu kommt, dass nach einem mehrstündigen Stillstande das Wasser im Sumpf durch den Zulauf des aus der Dampfleitung abgeführten Kondensationswassers so stark erwärmt wird, dass die Pumpen schwer zum Anlaufen zu bringen sind. Auch die trotz bester Umhüllung stattfindende Wärmeausstrahlung im Schacht und in der Maschinenkammer ist ein großer Uebelstand.

Man muss sich daher bei großen Teufen nach einer andern Kraftübertragung umsehen und hat da nur die Wahl zwischen der hydraulischen und der elektrischen, da Druckluftbetrieb wegen der hohen Betriebskosten nicht in Betracht kommt.

Bei den hydraulischen Anlagen wird übertage von der Dampfmaschine eine Presspumpe betrieben, welche einen Druck von rd. 250 at erzeugt. Das Druckwasser wird durch den Schacht nach unten geleitet und, nachdem es seine Arbeit geleistet hat, durch eine Rückleitung wieder nach oben gebracht, um von der Presspumpe wieder angesaugt zu werden. Da völlig reines Wasser nötig ist, dem meist ein Schmiermittel zugesetzt wird, ist dieser Kreislauf erforderlich. Die Pumpmaschinen übertage arbeiten in ähnlicher Weise wie Duplexpumpen, haben also keinen Kurbeltrieb²⁾.

Bei der elektrischen Kraftübertragung wird die übertage erzeugte Energie durch ein Kabel dem untenstehenden Motor

zugeleitet, der die Pumpenwelle antreibt. Für größere Anlagen kommt heute nur die Verwendung von Drehstrom in Betracht, der am besten hohe Spannung und die Leitung auf große Entfernungen gestattet. Was nun zunächst die Frage der Betriebssicherheit anlangt, so sind bei hydraulischem Antrieb im Schachte außer der Steigleitung eine Leitung für das Druckwasser und eine Rückleitung unterzubringen. Dass die aus einzelnen Rohren zusammengesetzte Druckleitung, in der oben eine Pressung von 250 at, unten also etwa bei 500 m Tiefe eine solche von 300 at herrscht, zu Bedenken Anlass giebt, ist wohl nicht zu leugnen. Ein Kabel dagegen ist, selbst wenn es, wie das bei großen Teufen nötig sein wird, aus zwei oder drei Stücken zusammengesetzt wird, als ein Ganzes zu betrachten, da die Verbindungsstellen keiner Beanspruchung unterworfen sind. Dass Dynamos und Motoren zu den betriebssicheren Maschinen gehören, braucht wohl nicht weiter erörtert zu werden. Wenn man bei Verwendung von Drehstrom für jeden Motor eine besondere Primärmaschine nimmt, so fallen die Anlagenvorrichtungen für den Motor vollständig fort. Die Anlage übertage läuft mit der Primäranlage an. Der Motor wird dann mit Kurzschlussanker ausgeführt und hat reibende Teile nur in den Lagern der Welle. Ist der Motor an ein Netz angeschlossen, so kann er erst durchziehen, wenn er seine Umlaufzahl erreicht hat, und muss zu dem Ende mit Schleifringen versehen sein. Sobald aber die Umlaufzahl erreicht ist, werden die Bürsten abgehoben, sodass also hier der Verschleiß gering ist.

Betrachtet man diesem einfachen Betriebe gegenüber die hydraulischen Motoren mit ihrer großen Zahl von Stopfbüchsen und sonstigen Dichtungstellen an der Steuerung, sieht man die Schwierigkeiten in Betracht, die Ventile der Presspumpen bei so hohem Druck dauernd dicht zu halten, so wird man leicht erkennen, auf welcher Seite die größere Wahrscheinlichkeit eines dauernd guten Betriebes liegt.

Allerdings ist nicht zu verkennen, dass theoretisch der Wirkungsgrad hydraulischer Anlagen höher ist, da vor allem bei der Sekundäranlage die Anordnung ohne umlaufende Teile die schädlichen Widerstände auf die Stopfbüchsenreibung beschränkt. Ob das aber dauernd der Fall ist, mag bezweifelt werden. Zur Steuerung des hydraulischen Motors dienen glatte Stahlkolben, die sich in Stabilisatoren bewegen. Dass geringe Undichtheiten dem Druckwasser den unmittelbaren Übertritt in die Rückleitung gestatten und bei der hohen Pressung große Verluste bedingen, ist klar, ebenso geringe Undichtheiten in den Stopfbüchsen. Bei den elektrischen Maschinen aber liegt kein Grund vor, weshalb der Wirkungsgrad im Betriebe abnehmen sollte. Störungen an den Pumpen sind in der bequemsten Weise an den Messgeräten abzulesen und können beseitigt werden.

Dass zum Antrieb der Primärdynamo eine Maschine mit größerer Kolbengeschwindigkeit genommen werden kann als für die Presspumpe, und dass daher auch der Dampfverbrauch geringer wird, sei auch noch erwähnt.

Im allgemeinen ist anzunehmen, dass der Dampfverbrauch bei der elektrischen Kraftübertragung sicher nicht größer sein wird als bei Dampftrieb übertage, da die Kondensation in der Rohrleitung wegfällt und durch Anwendung überhitzten Dampfes, hoher Spannungen, großer Kolbengeschwindigkeiten und besserer Steuerung eine bessere Ausnutzung der Dampfergie zu erzielen ist. Wenn die Pumpen nicht dauernd betrieben werden, sondern nur während eines Teiles des Tages, so verschiebt sich das Verhältnis zu ungunsten des Dampfverbrauches, da in der langen Rohrleitung auch während des Stillstandes Kondensationsverluste eintreten. Nehmen wir den Dampfverbrauch bei unterirdischen Maschinen unter sehr günstigen Verhältnissen etwa mit 5 bis 9 kg/PSst und den Leitungsverlust bei größeren Teufen und ununterbrochenem Betriebe mindestens zu 1,5 kg an, so ergibt das 9,5 bis 10 kg. Bei elektrischem Antriebe erhalten wir mindestens 65 vH Wirkungsgrad; dem entsprechen daher 6 bis 6,5 kg Dampfverbrauch der Antriebsmaschine.

Der Redner erörtert nunmehr die Schwierigkeiten, die sich aus der Verbindung des Elektromotors mit der Pumpe ergeben. Zunächst wählte man zur Übersetzung Zwischenglieder³⁾, was bei kleineren Anlagen auch zu Bedenken weniger Anlass giebt. Bei großen Leistungen aber ist der Antrieb mittels Zahnräder nicht mehr angebracht. Daraus ergab sich die Konstruktion schnelllaufender Pumpen, von denen der Redner die Expresspumpe von Riedler²⁾ näher erörtert.

Die Maschinenbau-Anstalt Humboldt, welche das Ausführ-

¹⁾ Vergl. Z. 1901 S. 928.

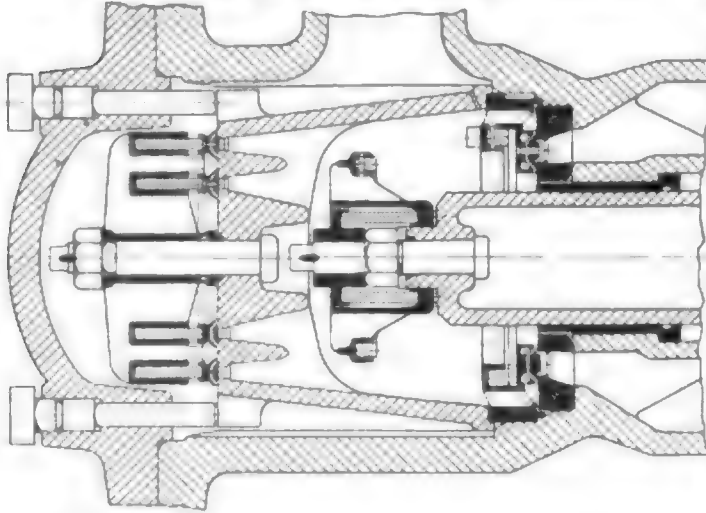
²⁾ a. Z. 1900 S. 1712.

³⁾ a. Z. 1898 S. 1341.

²⁾ Z. 1901 S. 928.

rungsrecht für die Expresspumpe erworben hat, hat augenblicklich 8 solcher Pumpen im Bau.

Die nebenstehende Figur stellt eine Form dar, wie sie ähnlich bei zwei für den Schacht Schleswig des Hörder Vereines bestimmten Expresspumpen¹⁾ zur Ausführung gekommen ist. Das Druckventil liegt hier in der Achse des Saugventils. Die erheblichen Vorteile dieser Konstruktion bestehen in der vorzüglichen Wasserführung innerhalb der Pumpe, in der Verminderung der Saughöhe, die ja bis zum höchsten Punkte des eigentlichen Pumpenraumes zu rechnen ist, sowie in dem Umstande, dass nur in dem kegelförmigen Druckventilsitz wechselnder Druck herrscht. Der Pumpenkörper mit seinen Durchdringungen, welche die Festigkeit so sehr beeinträchtigen und eine zuverlässige Berechnung der auftretenden Spannungen unmöglich machen, steht unter gleichmäßigem Druck. Etwa in die Pumpe gelangende Luft wird durch eine kleine Bohrung am höchsten Punkte des Arbeitsraumes



abgeführt, soweit sie überhaupt bei der großen Umlaufzahl nicht vom Wasser mitgerissen wird. Thatsächlich haben sich denn auch diese Konstruktionen gut bewährt.

Der Redner hebt als weiteren Vorzug der Expresspumpe den geringen Raumbedarf hervor und bespricht eine Anlage mit Dampftrieb für eine Erzgrube des Siegerlandes (s. oben), die dem »Humboldt« gerade aus diesem Grunde in Auftrag gegeben ist. Die Anlage besteht aus zwei Maschinen, deren jede bei 200 Uml./min 1 cbm Wasser auf 310 m hebt. Die stehende Antriebsmaschine hat 290 und 400 mm Cyl.-Dmr und 320 mm Hub, die einkurbelige Pumpe 185 mm Dmr. und 200 mm Hub. Auch hier saugt die Luftpumpe das ganze Wasser an und hebt es der Pumpe zu. Die Ventile sind in der zuletzt beschriebenen Weise angeordnet.

Eingegangen 1. April 1901.

Betriebsverein an der Lenne.

Sitzung vom 7. März 1901.

Vorsitzender: Hr. Hase.

Anwesend 21 Mitglieder und 29 Gäste.

Hr. kgl. Gewerbeinspektor Clausen (Gast) spricht über die Herstellung der Sprengstoffe und ihre Bedeutung für die verschiedenen Zweige der Technik.

Wenn ein Körper verbrannt werden soll, so muss er zunächst auf eine bestimmte Temperatur, die Entflammungstemperatur, gebracht werden, damit er sich mit dem Sauerstoff, der ihm durch einen zweiten Körper, den Sauerstoffträger, zugeführt wird, zu einem neuen Körper chemisch verbinden kann. Diese Verbindung geht unter Licht-, Wärme- und Gasentwicklung vor sich. Die Schnelligkeit, mit der sie stattfindet, ist abhängig von dem Fortschreiten der Entflammungstemperatur im Brennstoff und von der Zuführung des Sauerstoffes. Wenn jedes Brennstoffteilchen von der zu seiner Verbrennung erforderlichen Sauerstoffmenge umlagert wird, so ist das Fortschreiten der Verbrennung nur noch von dem Fortschreiten der Entflammungstemperatur abhängig, deren Verbreitung durch Zusatzkörper beschleunigt oder verzögert werden kann. Bei einer derartigen Anordnung der Teilchen würde man nicht mehr von einem Verbrennen, sondern schon von einem

Verpuffen oder gar von einer Explosion sprechen, und ein solcher Körper wäre also schon ein Sprengstoff.

Der Sauerstoff kann durch eine mechanische Mischung, wie beim Schwarzpulver, oder durch chemische Bindung zugeführt werden. Im ersteren Falle dienen als Sauerstoffträger die Nitrate des Kaliums, Natriums, Baryums, Ammoniums, sowie das Kaliumchlorat. Als Brennstoff wird fast ausschließlich die Holzkohle verwendet, als Zusatzkörper dienen Schwefel, Kollodin u. a. m. Das Schwarzpulver wird meistens in der Weise dargestellt, dass Kalisalpeter, Schwefel und Kohle fein zerkleinert, in einem bestimmten Verhältnis (für das deutsche Kriegspulver 74:10:16) gemischt und in Kollergängen, Pressen und Körnmaschinen weiter verarbeitet werden. Die verschiedenen Korngrößen werden in Sieb- und Entstaubungsvorrichtungen geschieden und das Pulver in besonderen Räumen getrocknet. Um das Pulver haltbar zu machen, wird es noch in trommelartigen Gefäßen polirt. Die Entzündungstemperatur beträgt etwa 300° C.

Bei einer ganzen Anzahl von organischen Stoffen lässt sich ein Atom Wasserstoff durch eine gleichwertige Nitrogruppe NO₂ ersetzen. Man nennt diesen Vorgang Nitrieren und benutzt dazu starke Salpetersäure. Wird z. B. Benzol C₆H₆ nitriert, also mit Salpetersäure zusammengebracht, so tritt an die Stelle eines Wasserstoffatoms ein Atom NO₂, und es entsteht Mononitrobenzol C₆H₅(NO₂). Einen Körper, bei dem nur ein Wasserstoffatom durch eine Nitrogruppe ersetzt ist, nennt man Mononitrokörper, wenn zwei Gruppen eingeschoben sind, Dinitrokörper, bei dreien Trinitrokörper usw. Die beiden ersteren Körper enthalten noch nicht so viel Sauerstoff, dass sie zur Explosion gebracht werden können; sie sind daher selbst noch keine Sprengstoffe wie das Trinitrobenzol, haben aber technisch eine ganz außerordentlich große Bedeutung, weil sie zur Herstellung des Anilins für Farbstoffe dienen. Das Mononitrobenzol oder Mirbanöl verwendet man ferner zur Herstellung der Mandelsäure. In der Sprengstofftechnik finden das Mono- und das Dinitrobenzol viel Verwendung zur Herstellung von Sicherheitsprengstoffen, das sind Sprengstoffe, deren Bestandteile keine Explosionskörper sind und die mit einer so niedrigen Temperatur verbrennen, dass sie Schlagwetter nicht entzünden. Dazu gehören Roburit, Securit, Bellit usw.

Wenn die Karbolsäure oder das Phenol nitriert wird, so entsteht Trinitrophenol oder Pikrinsäure, die seit 1886 zur Herstellung von rauchlosem Pulver, Melinit, verwendet wird. Besonders heftige Wirkungen hat die gepresste oder geschmolzene Pikrinsäure. Sie bildet als Lyddit die Füllmasse der englischen Sprenggeschosse im Burenkriege. Sechs verschiedene Nitrokörper sind beim Nitrieren der Baumwolle (Zellulose) möglich. Die fünf ersten Gruppen sind keine eigentlichen Sprengstoffe; man fasst sie unter dem Namen Kollodiumwolle zusammen. Dagegen ist die Hexanitrozellulose, die Schießbaumwolle, ein wichtiger Sprengstoff. Sehr wichtig für die Sprengstofftechnik ist das Glycerin, das beim Nitrieren das Trinitroglycerin giebt. Das Nitrieren und das weitere Verarbeiten des Nitroglycerins muss sehr sorgfältig ausgeführt werden, da dieser Körper eine große Neigung zum Explodieren zeigt. Man lässt ihn deshalb durch andere Stoffe, z. B. Kieselsäure, aufsaugen, und er bildet dann das Gubrdynamit. Nitroglycerin und Kollodiumwolle zusammen gemischt bilden die Sprenggelatine, die mit Zumschpulver das Gelatinedynamit giebt.

Nr.	Marke der Werkstofffabrik	Messgröße	Schlag- festigkeit in kg/cm ²	Sprengkraft in kg/cm ²	Verbrauch in kg/cm ²	Länge der abgedruckten Maße	Gewicht der abgedruckten Maße	Spannweite in mm	Arbeitsdauer bis zum Stempelforden in min	Arbeitsdruck in kg/cm ²
1	R	H	1,00	13,5	0,5	16,5	12,0	0,2	60	
2	T	H	1,00	13,5	0,5	16,5	23,0	0,2	95	
3	T	H	1,125 (0,65)	6,5	0,72	16,5	45,0	0,2	165	
4	T	H	1,050	12,5	0,55	16,5	51,5	0,205	252	
5	T	H	5,130	6,5	0,783	16,5	33,5	0,202	163	
6	T	H	4,011	9,0	0,783	16,5	65,25	0,280	263	
7	T	H	4,592	13,5	0,55	16,5	23,0	0,205	95	
8	T	H	4,067 (0,65)	12,0	0,783	16,5	286,75	0,328	975	
9	T	H	4,00	12,5	0,5	16,5	11,5	0,205	262	
10	T	H	4,00	15,0	0,5	17,25	159,0	0,381	413	
11	T	H	4,00	13,5	0,55	66,00	377,75	0,203	1633	

Bemerkung. B-Meißelform nach Böhrer.

R-Meißelform der Hagener Gußstahlwerke.

T-Märke »Rapid« von Gebr. Böhrer.

T-Märke »Triumph« der Hagener Gußstahlwerke.

¹⁾ A. Z. 1901 S. 924.

Darauf spricht Hr. Scheld über Versuche mit verschiedenen neuen Werkzeugstahlsorten¹⁾. Der Redner giebt eine Zusammenstellung der Veröffentlichungen über die Werkzeugstähle der Bethlehem Steel Co., von Gebr. Böhler & Co. und der Maschinenfabrik Andritz²⁾. Er berichtet des weiteren über Versuche mit einem Werkzeugstahl der Hagener Gussstahlwerke, Marke »Triumph«, die auf dem Hagener Gussstahlwerk angestellt sind, und bei denen zum Vergleich Böhlerscher Rapid-Stahl herangezogen wurde. Bei der ersten Versuchsreihe Nr. 1 bis 4 war die Schneide nach den Vorschriften der Firma Böhler angeschliffen und eingespant; doch arbeitete der Stahl ungünstig, da die Schneide nicht frei war, sondern der Rücken des Meißels am Arbeitstück rieb. Als vorteilhafter erwies sich eine nach Angabe des Vortragenden hergestellte Stahlschneide. Die Versuche sind in der Uebersicht auf S. 1424 zusammengestellt.

Eingegangen 20. März 1901.

Ostpreussischer Bezirksverein.

Sitzung vom 5. Februar 1901.

Vorsitzender: Hr. Bieske. Schriftführer: Hr. Lorenz.

Hr. Kobbort macht Mitteilungen über den Neubau der Gasanstalt zu Königsberg i/Pr.

Bei der Festlegung des Lageplanes für die Gasanstalt war zunächst eine möglichst tiefe Lage gegenüber dem Versorgungsgebiet anzustreben, um schädliche Druckabnahmen zu vermeiden und die Rohrquerschnitte klein halten zu können. Außerdem musste darauf Rücksicht genommen werden, dass die Kohle auf dem billigsten Wege zugeführt und die Nebenerzeugnisse der Gasanstalt ebenso abgeführt werden könnten. Für Königsberg muss die Kohle zum größten Teile auf dem Wasserwege bezogen werden, während die Materialien für die Installation und die Nebenerzeugnisse durch die Bahn befördert werden.

Durch glückliche Maßnahmen des Magistrates wurde ein Gelände gefunden, welches in seltenem Maße alle Bedingungen erfüllt; es liegt rd. 0,4 km vom Holländer Baumthor entfernt am Holsteiner Treideldamm zwischen Wasser und Eisenbahn.

Die Lage zum Festungsgelände, das den Platz im Osten begrenzt, verursachte die größten Schwierigkeiten. Nach langwierigen Verhandlungen wurden jedoch auch diese zur Zufriedenheit gelöst. Es ergab sich die Bedingung für den Bau, dass 300 m von der Glaciscrete keine massiven Gebäude aufgeführt werden durften und dass 3 Schussstraßen von 20 m Breite zwischen den Gebäuden verbleiben mussten.

Durch diese Einschränkungen war der Bebauungsplan ziemlich festgelegt. Trotzdem wurde vom Magistrat ein Preis Ausschreiben veranstaltet, das zur Preiserteilung an 3 Entwürfe führte. Diese 3 Entwürfe wurden jedoch nicht als baufertig erkannt und der bereits früher vom Magistrat aufgestellte Plan der Ausführung zugrunde gelegt.

Das Gelände ist rd. 20 ha groß. Hiervon können infolge der Einschränkungen der Fortifikation nur rd. 12 ha benutzt werden, von denen 2 ha auf den Lagerplatz für Koks entfallen, sodass eine zu bebauende Fläche von 10 ha verbleibt. Diese Fläche entspricht nur rd. der Hälfte des Ueblichen, da man im allgemeinen für 1 cbm Tageserzeugung 2 qm Fläche rechnet. Mithilfe der heutigen Apparatechnik und günstiger Ausnutzung des Geländes wurde auch diese Schwierigkeit überwunden.

Königsberg hat einen Jahresverbrauch von 50 cbm Gas pro Kopf der Bevölkerung, was einen Jahresverbrauch von 94 Mill. cbm ergibt. Berlin hat einen Jahresverbrauch von 70 cbm pro Kopf der Bevölkerung; Halle, Genf und Magdeburg 65 bis 70 cbm.

In Königsberg liegen die Verhältnisse derartig, dass die Altstadt nur 30 bis 35 cbm Verbrauch aufzuweisen hat, während die Neustadt, in der bereits bei dem Bau der Häuser Rücksicht auf Gaskocherrichtungen genommen ist, rd. 85 cbm verbraucht. Für die neue Anlage wurde ein Verbrauch von 100 cbm pro Kopf zugrunde gelegt. Das ergibt eine Gesamterzeugung von 20 Mill. cbm pro Jahr, oder rd. 100 000 cbm Tageserzeugung.

Der Gasverbrauch nahm in Königsberg bis 1895 jährlich um etwa 2 bis 3 vH zu; seit 1896 beträgt aber die Zunahme über 10 vH. Es erscheint somit die Annahme, dass in der nächsten Zeit 100 000 cbm pro Tag erreicht werden, gerechtfertigt. Die Anstalt wird mit 45 bis 50 000 cbm Tageserzeugung in Betrieb genommen, während die jetzige Anstalt zu-

sammen mit der Wassergasanstalt nur rd. 40 000 cbm hervorbringt.

Bei der Untersuchung der Geländeverhältnisse ergab sich, dass die Anstalt ohne große Einschränkung den doppelten Umfang erhalten könnte. Es wurde daher dem Entwurf eine Tageserzeugung von 200 000 cbm zugrunde gelegt. Die Baulichkeiten werden zunächst für 100 000 cbm ausgeführt.

Die Kohle wird zu Schiff herangebracht. In Königsberg gestatten die Witterungsverhältnisse das Heranschaffen nur an etwa 150 Tagen im Jahre. Es müssen daher ausgedehnte Kohlenplätze angelegt werden, die möglichst nahe an das Wasser zu rücken sind; sie werden zwischen die Schussgassen gelegt und mit Wellblechdächern überdeckt.

Auf die Kohlenplätze folgen die Ofenhäuser; es sind deren 8 zu je 25 000 cbm Tageserzeugung vorgesehen, welche zu beiden Seiten der Bahn angeordnet sind.

Die Schiffe werden mittels Greifer entleert. Diese entladen die Kohle auf große Bühnen, von denen sie über eine Wage auf eine Seilbahn gelangt. Letztere befördert sie nach den Lagerplätzen oder unmittelbar in die Ofenhäuser. Von den Lagerplätzen wird die Kohle ebenfalls durch Greifer in die Fahrzeuge der Seilbahn geladen. Der Greifer bewegt sich auf einem in der Längsachse des Schuppens fahrbaren Brückenträger rechtwinklig zu dieser Längsachse. Die Dachbleche der Schuppen werden mechanisch abgehoben.

Die Kohle erwärmt sich beim Lagern leicht, namentlich, wenn sie feucht ankommt. Zur Ueberwachung der Temperatur sind verschließbare Schächte in den Lagern angebracht, in denen man die Temperatur misst. Durch die Erwärmung wird der Wert der Kohle verringert; infolgedessen muss man jederzeit in der Lage sein, die Kohle von einer Stelle, die bedenkliche Erwärmung zeigt, entnehmen zu können. Das ist durch die beschriebene Einrichtung möglich.

Die Ofenhäuser erhalten geneigte Retorten, in welche die Kohle aus siloartigen Vorrichtungen eingeschüttet wird. Das Herausziehen ist sehr einfach, da die Koks von selbst herausfallen, wenn die Steigung der Retorte gleich dem Reibungswinkel und die Retortenlänge nicht zu groß gewählt wird. Von Laden durch Maschinen ist abgesehen worden, da beim Versagen der Maschine leicht ein ganzes Ofenhaus lahmgelegt wird, indem alsdann für den Handbetrieb die geübte Bedienung fehlt.

Jeder Ofen hat 9 Retorten von 3,57 m Länge, deren jede rd. 250 kg Kohlen fasst. Vor den Oefen befindet sich in etwa 5 m Höhe eine Arbeitsbühne, während eine zweite Bühne in 2,5 m Höhe hinter ihnen angeordnet ist; über letzterer liegt eine dritte Arbeitsbühne, auf der die Kohlenbehälter stehen.

In einem Hause sind 12 Oefen in 2 Batterien zu je 6 Oefen angeordnet.

Die Seilbahn tritt in einer Höhe von rd. 14 m an der Giebelseite in das Ofenhaus. Die Kohlen fallen durch Trichter auf das untere Band einer Kratzerförderung, das in einer Rinne läuft, die über den Kohlenkasten durch Schieber verschließbar ist.

Die Bahn kann in 10 Stunden die Kohlenmenge für 24 Stunden fördern.

Im Falle des Versagens der Bahn sind an den Giebelenden Aufzüge angebracht, mittels deren Schmalspurwagen, die mit Pferden herangeschaft werden können, gehoben werden. Mit diesem Hilfsbetriebe kann der 24stündige Bedarf in 20 Stunden herangeschaft werden.

Jeder Kohlenkasten enthält 3 Messkammern, und jede Messkammer hat einen oberen Schieber, durch den die Kammer geladen wird, nachdem der untere Schieber geschlossen ist. Zum Entladen der Kammer öffnet man den unteren Schieber und schließt den oberen. Die Schieber werden gemeinschaftlich bewegt. Die Füllung der Messkammer entspricht einer Retortenfüllung. Durch fahrbare Mulden werden die Kohlen aus den Messkammern nach den Retorten befördert.

Die aus der geöffneten Retorte herausrutschenden Koks werden über ein schräges Blech in eine Rinne befördert, in welcher ständig ein Wasserstrom fließt. Hier werden die Koks durch eine Kettenförderung in kleinen Mengen fortbewegt und dabei durch den Wasserstrom abgekühlt. Schließlich fallen sie in einen großen Bottich, wo sie vollständig abgekühlt werden. Von hier werden sie mittels Elevators nach dem Lagerplatz befördert. Versagt der Rinnenbetrieb, so gelangen die Koks auf einer Rutschbahn in Schmalspurwagen.

Zum Be- und Entladen der Oefen sind 3 Mann erforderlich: ein Mann bedient die Lademaße und besorgt gleichzeitig das Schließen der oberen Retortenköpfe; die andern beiden überwachen das Abrutschen der Koks. Von den

¹⁾ Vergl. hierzu Z. 1901 S. 1377.

²⁾ Z. 1901 S. 462.

6 Öfen einer Batterie dient einer zur Reserve, sodass immer 5 Öfen im Betriebe sind. Die drei Mann haben alle 5 Öfen zu bedienen.

Das Dach der Ofenhäuser hat 10,8 m Spannweite. An eine Stirnwand lehnt sich ein Anbau mit pultförmigem Glasdach von etwa 2,2 m Tiefe. Der Raum vor dem Ofen beträgt 4 m, die Ofenlänge 3 m und die Breite der oberen Arbeitsbühne 6 m. Die Wände sind in Eisen- und Monierkonstruktion ausgeführt. Während in England und in Gasanstalten an Plätzen mit günstigen Witterungsverhältnissen die Batterien im allgemeinen nicht überdeckt sind, ist hier ein Dach über den Öfen vorgesehen. Für gute Lüftung ist Sorge getragen.

Das Gas gelangt aus den Retorten durch das Steigrohr in die Vorlage. Nach der Ausscheidung des Teers wird es in einem gemeinschaftlichen Rohre weitergeführt.

Zur Heizung der Öfen dient Gasfeuerung mit Regeneration. Die Luftzufuhr zum Generator und zur Verbrennung der Generatorgase kann durch kleine Schleber geregelt werden. Ebenso ist die Führung der Feuergase durch sinnreich angeordnete Scheidewände und Schleber derartig zu regeln, dass die Retorten überall sehr gleichmäßig erwärmt werden. Die Verbrennungsluft wird im Gegenstrom durch die Abgase vorgewärmt; sie streicht durch Kanäle, die neben den Kanälen der Abgase liegen. Die Sekundärluft wird bis 400° C vorgewärmt. Die Feuergase haben im allgemeinen eine Temperatur von etwa 1200 bis 1300° C.

An die Ofenhäuser schließen sich die Reinigungshäuser an. Zunächst wird das Gas gekühlt, wozu eine leicht regulierbare Wasserkühlung in Verbindung mit Luftkühlung zur Verfügung steht. Mittels dreiflügliger Exhaustoren wird das Gas in die nasse Reinigung gedrückt, in der neben kräftiger Ammoniakwäsche auch Naphthalin und Cyan ausgeschieden werden. Es steht sogar zu hoffen, dass das Gas mit den vorhandenen Einrichtungen von Schwefelkohlenstoff befreit werden wird.

Die Ausscheidung des Naphthalins ist namentlich deshalb notwendig, damit sich die Gasleitungen nicht verstopfen. Durch die Kälte verdichtet sich der Wasserdampf und hüllt dann auch das im Gas enthaltene Naphthalin zurück. Der Schwefelkohlenstoff erzeugt bei der Verbrennung schweflige Säure, die namentlich den Atmungsorganen und den Pflanzen gefährlich wird.

Nach der nassen Reinigung gelangt das Gas durch die trockene Reinigung und die Stationsgasmesser in die Behälter.

Die trockene Reinigung ist dreigeschossig gebaut. Auf ebener Erde liegen die Rohrleitungen, darüber der Arbeitsraum an den Kasten und im dritten Geschoss der Regenerationsraum.

Die ganz aus Eisen aufgeführten Gasbehälter sollen 50 vH des Tagesbedarfes decken. Es werden 2 Gasbehälter ausge-

führt, jeder mit einem Inhalt von 50000 cbm. Die Behälter werden dreiteilig telekopiert.

Zur Ausföhrung gelangt zunächst bei einem Behälter die Glocke, bei dem zweiten Behälter die Glocke und ein Teleskopstück. Der Wasserbehälter ist ein Ringbehälter von rd. 1,7 m Breite. Der innere cylindrische Raum ist durch eine dichte Decke abgedeckt, auf der rd. 30 cm Wasser stehen. Mit Rücksicht auf die Bodenverhältnisse und die eigenartigen Beanspruchungen der Konstruktion sind die Spalten des Behälterbodens je mit einem Gelenk ausgerüstet. Das Führungsgestell ist für sich gegründet, doch ist durch eigenartige Eisenkonstruktionen dafür gesorgt, dass die Fundamente des Führungsgestelles und des Ringbehälters ein festes Ganzes bilden. Die Führungen erhalten Tangentialrollen. Die Aus- und Eingangsrohre sind doppelwandig, und ihre äußere Wand steht mit dem Wasserraum in Verbindung. Der Hohlraum unter dem Behälter dient als Lager.

Die Behälter werden später in der Weise vergrößert werden, dass die Teleskoprohre um die Glocke herumgebaut werden. Die Dichtungsschalen sind an den Glocken bereits angebracht.

Aus den Behältern strömt das Gas durch Druckregler in die Stadt.

Der Anschluss an das vorhandene Rohrnetz erfolgt zunächst durch 2 Rohrleitungen von 750 mm Dmr. Eine derselben versorgt die Zuführungen zur Stadt südlich vom Pregel und mit der andern zusammen eine 800 mm weite Leitung, von welcher alle nach Norden führenden Zuleitungen der Oberstadt abzweigen. Durch diese Anordnung kann der Verbrauch des jetzigen Versorgungsgebietes auf reichlich das Doppelte gesteigert werden. Wenn dann eine weitere Steigerung durch Ausdehnung der Stadt über die jetzigen Wälle hinaus nötig wird, aber auch der Verbrauch in der Stadt noch wachsen wird, dann wird die Versorgung durch eine Ringleitung geschehen, die sowohl nach innen als nach außen Gas abgibt. So ist ein Umbau des alten Rohrnetzes vermieden.

Die Kraft wird der neuen Gasanstalt im allgemeinen durch Elektromotoren geliefert werden. Es soll ein Krafthaus für Licht, Kraft und Bahostrom eingerichtet werden, das durch Wassermotoren betrieben wird.

Der Wasserturm ist rd. 25 m hoch und ganz in Eisen ausgeführt; sein Behälter hat 300 cbm Inhalt. Darunter wird ein zweiter Behälter für Trinkwasser von rd. 50 cbm Inhalt angebracht. Unter diesem steht ein Teerbehälter. Die Pumpen sind im Wasserturm untergebracht, der schloßförmig im Unterbau noch Tiefbehälter für Teer und Kanalisation einschließt, welche letztere in 2 Systemen getrennt ausgeführt wird.

An den Lieferungen sind folgende Firmen beteiligt:

Ofenhäuser und Öfen, Gasbehälter: Aug. Klönne, Dortmund;

Kondensation und nasse Reinigung, Uhren und Regleranlage: Berlin-Anhaltische Maschinenbau-A.-G.;

trockene Reinigung: Kölnische Maschinenbau-A.-G.

Bücherschau.

Die Schiffsmaschine, ihre Bauart, Wirkungsweise und Bedienung. Ein Hand- und Nachschlagebuch für Ingenieure, Offiziere der Kriegs- und Handelsmarine, Maschinisten, Studierenden technischer Hochschulen, Reeder und alle an der Dampfschiffahrt Beteiligten. Mit einem Atlas in Stein gestochener Tafeln. Bearbeitet von Carl Busley. Dritte vollständig umgearbeitete und bedeutend vermehrte Auflage. Erster Band. 831 S. gr. 8° und 63 Tafeln in gr. Folio. Kiel, Lipsius & Fischer. Preis 40 M.

Auf das Erscheinen einer dritten vollständig umgearbeiteten Auflage dieses Werkes ist bereits in einer kurzen Anzeige (Z. 1891 S. 949) hingewiesen. Damals musste eine ausführlichere Besprechung vorbehalten werden; da nun aber der erste Band vollständig vorliegt, so erscheint es möglich, auf den reichen Inhalt desselben etwas näher einzugehen.

Der erste Teil handelt von der allgemeinen Theorie der Schiffsmaschine, und zwar in folgender Anordnung:

I. Abschnitt. Die Hauptsätze der mechanischen Wärmetheorie.

II. Abschnitt. Der Wasserdampf. Die hier in § 12 gegebene Betrachtung über die Bestimmung des Feuchtigkeitsgehaltes des Dampfes müsste wohl durch weitere Erörterungen des Gegenstandes ergänzt werden. Das empfohlene chemische Verfahren zur Bestimmung des Wassergehaltes hat unseres Wissens keine zuverlässigen Ergebnisse geliefert.

III. Abschnitt. Die Vorgänge in den Dampfcylindern. Bei der Besprechung des Einflusses der Cylinderwandungen und des Wertes der Dampfmäntel wird ein sehr reichhaltiges Beobachtungsmaterial vorgeführt. Aus der Untersuchung desselben kommt der Verfasser zu dem Ergebnis, dass der Dampfmantel für die heutige schnelllaufende mehrstufige Expansionsmaschine nicht mehr die Bedeutung hat wie früher für die Einfach-Expansionsmaschine, und dass, wenn der Dampfmantel eine dampfparende Wirkung äußern soll, in erster Reihe der Niederdruckcylinder mit einem solchen zu versehen ist.

Eine eingehende Behandlung erfährt auch die kalorimetrische und indikatorische Untersuchung der Schiffsmaschinen.

IV. Abschnitt. Die Heizstoffe. In diesem Abschnitte werden zuerst die Arten und Eigenschaften der Heizstoffe, ihre Verbrennung und die Wärmeverluste der verbrennenden Heizstoffe besprochen. Höchst bemerkenswert erscheint hierbei das, was der Verfasser bezüglich der Tüchtigkeit und der Ausbildung der Heizer anführt. Den Schluss bilden die Eigenschaften guter Schiffskesselkochen, die Unterbringung und Ueberwachung der Heizstoffe an Bord und die Verwendung flüssiger Heizstoffe. Ueber die auf deutschen Schiffen versuchte Maunfeuerer sind keine Angaben gemacht.

V. Abschnitt. Die Feststellung der Leistung und Wirtschaftlichkeit der Schiffsmaschine. Der Abschnitt enthält zu-

nächst Erörterungen über die Druckverluste in den Dampfleitungen, über Drosselung, Füllungsgrade und die Völligkeitsgrade der Diagramme. Von besonderem Interesse sind hier die Erörterungen über das Verhältnis der effektiven zu der indizierten Arbeit der Maschine.

Die Unrichtigkeit des bekannten Froudeschen Ansatzes $PS_i = 0.387 PS_e$ wird auch hier hervorgehoben (wir hatten dies bereits in Z. 1891 S. 572 nachgewiesen), aber mit der Zergliederung der Einzelarbeiten, wie solche hier (S. 283) durchgeführt wird, können wir uns auch nicht ganz einverstanden erklären; denn der gänzliche Ausschluss von Zusatzreibung erscheint doch wohl zu weit gehend, und außerdem fehlt die Verdichtungsarbeit der Schraube, welche mindestens ebenso groß ist wie ihre Reibungsarbeit. Dass sich dann noch ein Arbeitsverlust infolge des negativen Druckes der Schraube ergeben sollte, scheint nicht möglich zu sein.

Bei der Berechnung der Dampfverluste nach Hrabak würde zu beachten sein, dass die hier gegebenen Formeln von letzterem später abgeändert sind.

VI. Abschnitt. Die Ermittlung der Maschinenstärke beim Entwurf eines Dampfers. Dieser Abschnitt enthält zunächst eine eingehende Untersuchung über den Widerstand der Schiffe und giebt eine sehr vollständige Übersicht über die verschiedenen Rechnungsarten, welche angewendet sind, um den Widerstand und die Maschinenleistung eines Schiffes zu ermitteln. In der Middendorfschen Formel (Nr. 186, S. 350) muss es heißen: $+kSe^2$, ein Druckfehler, der auch im Verzeichnis derselben wiederkehrt. Die vom Berichterstatter herrührende Tabelle der Gesamtwirkungsgrade (S. 355) ist später unter Rücksichtnahme auf größere Geschwindigkeiten verbessert. Mit der Bezeichnung »Berechnung der Maschinenkraft nach der Stromlinientheorie« (S. 366) können wir uns nicht einverstanden erklären, da es im mathematischen Sinne eine Anwendung der Stromlinientheorie auf die Ermittlung des Schiffswiderstandes bislang nicht giebt. Die mehrfach erwähnte Berechnung nach Kirk, welche nur Reibungswiderstand voraussetzt, giebt bei verhältnismäßig langen, aber sehr schnellen Dampfern Fehler bis 30 vH und bei sehr kurzen und völligen Schiffen gar bis zu 100 vH. In der Formel Nr. 202 (S. 371) ist ein unangenehmer Druckfehler enthalten, indem es darin statt $\frac{1}{2} B^2$ heißen muss $\frac{1}{2} B^3$. Bei der Bestimmung des Widerstandes nach Modellversuchen (S. 384) bildet die Uebertragung des Modellwiderstandes auf das wirkliche Schiff jedenfalls den schwachen Punkt; es lässt sich dies wenigstens aus den Angaben schließen, welche bislang über die Ergebnisse von Schleppversuchen in die Öffentlichkeit gedrungen sind. Nach Froude sollte der Gesamtwirkungsgrad η eines Schraubendampfers höchstens 0,35 betragen. Nach Angabe auf S. 278 und 408 wäre für größere und neuere Dampfer $\eta = 0,45$ bis 0,50 und bei großen außerordentlich scharfen Schnelldampfern $\eta = 0,53$ bis 0,55. Nun ergibt aber die kleine Dampfbarke »Elbee« nach den Modellversuchen (Z. 1894 S. 4) schon $\eta = 0,54$, für das große Panzerschiff »Lepanto« (Transactions Inst. Nav. Arch. 1889) ergibt sich bei

$$\begin{array}{ll} U = 7,3 \text{ Knoten} & \eta = 0,53 \\ U = 13,4 & \eta = 0,48 \end{array}$$

und für ein paar kleine Kreuzer nach derselben Quelle (Jahrgang 1888) gar η bis 0,62. Alle diese Werte (die sich leicht noch vermehren ließen) weichen so erheblich von einander ab, dass die Unterschiede nicht durch die Nebenwiderstände der Maschinen erklärt werden können und mindestens den Gedanken sehr nahe legen, dass die bis jetzt angewendeten einfachen Uebertragungsverfahren zwischen Modell- und Schiffswiderstand den letzteren nicht immer richtig angeben.

VII. Abschnitt. Wahl des Maschinensystems.

VIII. Abschnitt. Die Berechnung der Cylinderabmessungen von Schiffsmaschinen. Hier ist zu bemerken, dass in dem Diagramm Taf. 15 Fig. 1 (S. 486) die Länge AL gleich der Länge des Hochdruckdiagramms sein muss. In der Formel Nr. 247 (S. 510) muss es heißen $+\frac{1}{2} \frac{a_1}{p_1}$. Bei den Tabellen (z. B. S. 549) über die Cylinderverhältnisse und Füllungsgrade in den Cylindern einer Dreifach-Expansionsmaschine wäre wohl besonders zu beachten, dass bei Festlegung dieser Werte für Schiffsmaschinen stets auf die Eigen-

tümlichkeiten der in Betracht kommenden Steuerungen Rücksicht zu nehmen ist.

Der zweite Teil handelt von den Schiffskesseln.

IX. Abschnitt. Die Schiffskesseltypen. Von besonderem Interesse, auch für weitere Kreise, ist hier die Besprechung der Wasserrohrkessel, die auf Schiffen Verwendung gefunden haben. Aus den ausführlichen Darlegungen des Verfassers ist ersichtlich, dass die Vorzüge, welche den Wasserrohrkesseln gewöhnlich nachgerühmt werden, nur in bescheidenem Maße wirklich vorhanden sind, viele derartige Konstruktionen aber, wie dies auch die Vorkommnisse der letzten Zeit gezeigt haben, sehr bedenkliche Eigenschaften aufweisen. Nur die Schnelligkeit des Dampfaufmachens ist bei einigen Wasserrohrkesseln sehr groß.

X. Abschnitt. Die Festigkeit der Schiffskessel.

XI. Abschnitt. Die Feuerungsanlagen der Schiffskessel.

XII. Abschnitt. Die Ausrüstung der Schiffskessel. Besonders hervorzuheben ist hier die Erörterung der Umstände, welche zur Beseitigung der Ueberhitzung des Dampfes im heutigen Schiffsmaschinenbetriebe geführt haben.

XIII. Abschnitt. Der Einbau der Schiffskessel.

Aus dieser Besprechung möge jeder Fachmann die Reichhaltigkeit des vorliegenden Bandes entnehmen. Alle Abschnitte sind wie in den früheren Auflagen mit großer Sorgfalt und Vollständigkeit bearbeitet, und überall kommt eine reiche Erfahrung bei der Behandlung des Stoffes zum Ausdruck. Einer besonderen Empfehlung bedarf das nach Inhalt und Ausstattung hervorragende Werk von Busley nicht mehr. Bildet auch der vorliegende Band bis zu einem gewissen Grade schon ein abgeschlossenes Ganze, so möchten wir doch der Hoffnung Ausdruck geben, auch die Neubearbeitung der andern Bände bald folgen zu sehen. W. Riehu.

Marine boiler management and construction. Von C. E. Stromeyer. London 1901, Longmans, Green & Co. 404 S. 8°.

Das in zweiter Auflage erscheinende Werk bringt in übersichtlicher Zusammenstellung alle für den Schiffskesselkonstrukteur und für die mit dem Betriebe von Kesselanlagen betrauten Personen wichtigen Einzelheiten.

Nach einer einleitenden Abhandlung über den wirtschaftlichen Betrieb von Kesseln und nach Ratschlägen zur Vermeidung der häufiger vorkommenden Kesselunfälle werden die allgemeinen Eigenschaften von Dampf und Wasser erörtert. Hierauf werden die Ursachen der Korrosion der Kesselbleche und die Mittel zu ihrer Verhinderung besprochen, der Verbrennungsvorgang vom theoretischen und praktischen Standpunkte beleuchtet und des näheren auf die Theorie des Wärmedurchganges durch Heizflächen eingegangen. Die nächsten Kapitel behandeln eingehend die Beschaffenheit des Baustoffes, seine Elastizitäts- und Festigkeitseigenschaften, die Prüfverfahren für die Baustoffe und die fertigen Kessel, die Berechnung der Kesselteile und die Konstruktion der Kessel im allgemeinen. Den Schluss bildet eine Zusammenstellung der Kesselbauvorschriften des englischen Lloyds und des Board of Trade.

Auf die neueren Bauarten von Schiffskesseln, vor allem auf die Wasserrohrkessel, ist in dem Werke nicht näher eingegangen, weil, wie der Verfasser in seinem Vorwort zu verstehen giebt, die Wasserrohrkesselfrage noch zu wenig geklärt sei und sich kaum von unparteiischem Standpunkt behandeln lasse. Auch einzelne Kesselkonstruktionen werden nicht näher beschrieben, sondern hierfür wird an vielen Stellen des Werkes auf die einschlägige Fachliteratur des In- und Auslandes hingewiesen.

Bei der Redaktion eingegangene Bücher.

Jahrbuch für Deutschlands Seeinteressen. III. Jahrgang 1901. Von Nauticus. Berlin 1901, E. S. Mittler, & Sohn. 445 S. 8°. Preis 3,80 M.

(Der neue Jahrgang bringt wie seine Vorgänger Aufsätze, welche die politische und historische Seite in der Entwicklung der Kriegs- und Handelsmarine beleuchten. Hieran schließen sich Abhandlungen wirtschaftlichen und technischen Inhaltes, sowie statistische Angaben aus dem Gebiete des Seewesens und der Schifffahrt. Ein besonderer Artikel ist der in den letzten Jahren mächtig hervortretenden Entwicklung der deutschen Handelsflotte gewidmet.)

Die Eisen- und Stahlwerke, Maschinenfabriken, Metallgießereien und verwandte Gewerbe des nieder-rheinisch-westfälischen Industriebezirks und der angrenzenden Gebiete. Von Heinrich Lemberg. 2. Auflage. Dortmund 1901, C. L. Krüger. 170 Seiten mit 1 Tafel. Preis 4,00 M.

(Diesmal sind in dem Buche nicht allein die Firmen aus dem nieder-rheinisch-westfälischen Bezirk aufgrund von Fragebogen bearbeitet, sondern auch die angrenzenden industriellen Gebiete, wie Sauerland, Kölner und Siegener Bezirk, eingeschlossen.)

Repertorium der technischen Journal-Litteratur. Jahrgang 1900. Berlin 1901, Carl Heymanns Verlag. Preis 24,00 M.

Mathematisches Vokabularium, II. Hälfte. Deutsch-Französisch. Enthaltend die Kunstaussprüche aus der reinen

und angewandten Mathematik.¹⁾ Von Felix Müller. Leipzig 1901, B. G. Teubner. 180 S. 8°.

Zur Umrechnung des aus Calciumkarbid entwickelten Rohacetylens auf die für Handelsware geltenden Normalen. Von Dr. Richard Hammer schmidt. Halle a/S. 1901, Carl Marhold. 15 S. 8° mit 2 Tab. Preis 0,40 M.

Dradtlose Telegraphie durch Wasser und Luft. Von Dr. Ferd. Braun. Leipzig 1901, Veit & Co. 68 S. 8° mit 34 Fig. Preis 2 M.

Encyclopädie der mathematischen Wissenschaften mit Einschluss ihrer Anwendungen. Band I Hft 6. Arithmetik und Algebra. Von W. Fr. Meyer. Leipzig 1901, B. G. Teubner. 272 S. 8° mit mehreren Figuren.

Zeitschriftenschau.¹⁾

(* bedeutet Abbildung im Text.)

Beleuchtung.

Prüfung von Glühkörpern. (Journ. Gasb. Wasserv. 21. Sept. 01 S. 697/99*) Abbrennen, Formen und Härten der Glühkörper. Beschaffenheit der Brenner. Einstellen der Düsen. Photometrische Prüfung der Glühkörper. Dauerprüfung.

Bergbau.

The gold mines of Siberia. Von Purlington. (Eng. Magaz. Sept. 01 S. 891/903*) Geographische Lage und geologische Verhältnisse der sibirischen Goldfelder. Gewinnungs- und Aufbereitungsverfahren. Vergleich mit den amerikanischen und australischen Goldgewinnungsanlagen.

Dampfkraftanlagen.

The steam plant in the Atlantic Mutual Building. New York. (Eng. Rec. 7. Sept. 01 S. 219/23*) Ausführliche Beschreibung der Kessel-, Dampfmaschinen-, Pump- und elektrischen Beleuchtungsanlage in einem großen 18stöckigen Gebäude. Pläne der Dampf- und elektrischen Leitungen.

Die Dampfkesselexplosionen im Deutschen Reich während des Jahres 1900. (Mitt. Prax. Dampfk. Dampf. 18. Sept. 01 S. 681/85) Beschreibung der Explosionen und Angaben der Ursachen.

Some shop engine indicator diagrams. Von King. (Am. Mach. 21. Sept. 01 S. 993/94*) Wiedergabe der Diagramme einer 150pferdigen Verbund Corliss-Maschine, bei der sich der Niederdruckzylinder an der Gesamtlösung nur mit ungefähr $\frac{1}{2}$ beteiligte. Nach Einbau eines Kondensators und Verbesserung der Steuerung stieg die Leistung um rd. 50 PS, auch wurde die Verteilung der Arbeit auf Hoch- und Niederdruckzylinder befriedigend.

Eisenbahnen.

Elektrische Schnellbahnen. II. Von Reichel. Forts. (Elektrot. Z. 19. Sept. 01 S. 776/81*) Transformator Hochspannungsisolierung. Hochspannungsausschalter. Stromabnehmer. Einrichtung zur Erzeugung und Verteilung der Druckluft. Föhrenstand.

The induction motor for electric railways. I. (El. World 14. Sept. 01 S. 427/29) Auszug aus einem Vortrag von Armstrong, der die Eigenschaften des Induktionsmotors vom Standpunkte des Bahntechniklers aus untersucht. Gleichmäßige Geschwindigkeit. Drehmoment. Luftstrom und Erregerstrom. Betriebsspannung. Spannungsänderung. Transformatorstationen. Bedienung. Umformerstationen. Anordnung von Güter- und Schnellzügen.

Die Wagen der Pariser Stadtbahn, nebst einigen allgemeinen Bemerkungen. Von Schimpff. (Deutsche Bauz. 21. Sept. 01 S. 467/70*) Kurze Beschreibung der Motor- und Antriebswagen und kritische Besprechung der im Betrieb gesammelten Erfahrungen.

Zur Frage der Schienenüberhöhung. Von Blum. (Zentralbl. Bauv. 21. Sept. 01 S. 462/63*) Der Verfasser warnt davor, die Schienenüberhöhung zu gering zu wählen, und vergleicht verschiedene Erfahrungsformeln für die Überhöhung mit der theoretischen Formel.

Die Einrichtungen zur Sicherung des Eisenbahn-Zugverkehrs auf der Weltausstellung Paris 1900. Von Rank. Schluss. (Z. Osterr. Ing.- u. Arch. Ver. 20. Sept. 01 S. 617/23*) Mechanisches Blocksystem der Französischen Westbahn. Blocksysteme von Cardan, von Chassin und von Siemens & Halske. Selbsttätige Blockeinrichtungen: Blocksysteme Westinghouse, Hall, KHA&K.

Eisenkonstruktionen, Brücken.

Zur Berechnung von Gitterbalkenträgern mit gekrümmten Gurtungen. Von Müller-Breslau. (Zentralbl. Bauv. 18. Sept.

¹⁾ Die Zeitschriftenschau wird, nach den Stichwörtern in Vierteljahrbesten zusammengefasst und geordnet, gesondert herausgegeben, und zwar zum Preise von 3 M. pro Jahrgang für Mitglieder, von 10 M. pro Jahrgang für Nichtmitglieder.

01 S. 455/56*) Das in Zeitschriftenschau vom 24. März 1900 erwähnte Berechnungsverfahren von Cauer wird verworfen, da es nur für Träger mit parallelen Gurtungen passt. Es werden alsdann mehrere richtige Berechnungsverfahren mitgeteilt, wobei insbesondere auf die neuen ministeriellen Bestimmungen Rücksicht genommen wird.

Four track two-truss swing bridge; Chicago & Western Indiana R. R. (Eng. News 12. Sept. 01 S. 171/73*) mit 1 Taf.) Die eiserne Gitterträgerbrücke ist 102 m lang und 17 m breit. Die später einzubauende Bewegungsvorrichtung soll durch Druckluft betrieben werden. Einzelheiten der Eisenkonstruktion.

Highway bridge design and construction. (Eng. Rec. 7. Sept. 01 S. 217/19) Kurze Betrachtungen über neuere Viadukte. Mitteilung der von der American Bridge Company aufgestellten Normen für den Bau von Thalbrücken, enthaltend Bestimmungen über die zulässige Beanspruchung, Berechnung und Ausführung.

Elektrotechnik.

Die Ökonomie der Wechselstromzentralen und die neueren Transformatoranschalter. Von Weyde Schluss. (Z. f. Elektrot. Wien 22. Sept. 01 S. 453/60*) Beschreibung und Kritik der Schaltungen und Verfahren zum Abschalten unbelasteter Transformatoren. Verfahren von H. Müller, der Electric Selector and Signal Company, von Walton und von Schlatter.

La traction électrique sur la ligne des Invalides à Versailles. Usine génératrice des Moulinsaux. Von Drouin. (Géol. civ. 14. Sept. 01 S. 313/18*) mit 1 Taf.) Das Kraftwerk enthält 27 Wasserkessel von je 235 qm Heizfläche, 2 liegende vierzylinderige Dreifachexpansions-Dampfmaschinen und 6 liegende Corliss-Verbundmaschinen. Von jeder Dampfmaschine wird ein 58 poliger 800 KW-Drehstromerzeuger mit 80 Uml./min angetrieben.

Extension of the Noqualmie Falls plant. (El. World 14. Sept. 01 S. 429/30) Bericht über den Ausbau des in Zeitschriftenschau v. 7. Juli 1900 und 19. Jan. 01 erwähnten Werkes von 8000 auf 20000 PS.

Mechanical and electrical features of the Pan-American Exposition. Von Aldrich. (Eng. Magaz. Sept. 01 S. 839/62*) Kurze Angaben über die elektrische Kraftversorgungsanlage der Ausstellung, über einen elektrischen Ofen zur Herstellung von Calciumkarbid, über mehrere neue Hochspannungsschalter, einen Frequenzumformer, Nernst-Lampen, Gaskraftanlagen, elektrische Antriebe, Schwachstromapparate, Dampfmaschinen, Pumpen, Eisenbahnen und Lokomotiven.

Normalen zur Prüfung von elektrischen Maschinen und Transformatoren. (Elektrot. Z. 19. Sept. 01 S. 798/800) Beilichtiger Abdruck der in Zeitschriftenschau v. 29. Juni u. 6. Juli 01 erwähnten Normalen, die vom Verband deutscher Elektrotechniker probeweise auf ein Jahr angenommen worden sind.

400-Kilowatt generator. (Engineer 20. Sept. 01 S. 309*) Schaubild einer von der English Electric Manufacturing Co. in Preston gebauten Dynamo. Darstellung von Versuchsergebnissen in Diagrammen.

Resultate von Messungen an verschiedenen Typen elektrischer Umformer. (Elektrot. Z. 19. Sept. 01 S. 790/92*) Wiedergabe und Erläuterung der Versuchsergebnisse und Diagramme eines 350 KW- und eines 230 KW-Motorgenerators der Maschinenfabrik Oerlikon.

Erd- und Wasserbau.

The construction of the Benton cut on the Great Northern Railway Montana. Von Herrold. (Eng. News 12. Sept. 01 S. 173*) Kurzer Bericht über einige zum Teil sehr schwierige Erdarbeiten bei der Anlage des Oberbaues für die genannte Bahn.

Explosionsmotoren und andere Wärmekraftmaschinen.

Cooling cylinders of internal combustion engines. Von Hale-Shaw. (Engineer 20. Sept. 01 S. 427*) Abhandlung über das

Kühlen der Cylinder von schnelllaufenden Wärmekraft- oder Explosionsmotoren und sein Einfluss auf die Kraftentwicklung.

Feuerungsanlagen.

Die Bedienung der Feuerungen und der Schutz der Arbeiter. Schluss. (Dingler 21. Sept. 01 S. 599/606*) Kreis oder ringförmige, sich drehende Roste. Schlackenbruchvorrichtung. Feuersäuger. Schutz der Arbeiter gegen die von den Feuerthüren ausgehende Wärme.

Gasindustrie.

Gasogène à combustion renversée, système Faugé. Von Deschamps. (Génie civ. 14. Sept. 01 S. 323/24*) Darstellung eines Holdestillirapparates zur Erzeugung von Kraftgas, das zum Betrieb von Explosionsmotoren benutzt wird. Betriebsergebnisse. Zusammensetzung und Heizkraft des aus Holz von verschiedenem Zustande gewonnenen Gases.

Neuere Acetylenentwickler und Zubehör. Forts. (Dingler 21. Sept. 01 S. 608/11*) Acetylenentwickler von Stauffert, Frye Bailey und Clapham und Yvonand. Verfahren von Schlor für Wiedergewinnung des Wassers und des Kalks bei der Erzeugung von Acetylen. Acetylenentwickler der Oesterr. Karbid und Karbon-A.-G. Gurovits & Co. von Andersen und von Barrusky. Forts. folgt.

Die Wassergasanlage der Stadt Pforzheim. (Journ. Gas- u. Wasserv. 21. Sept. 01 S. 706/07 mit 1 Taf.) Lageplan und Beschreibung des Gaswerkes, das nach dem Dellwik-Fleischer-Verfahren arbeitet und für eine tägliche Leistung von 12000 cbm eingerichtet ist.

The Loomis water gas and producer-gas process. (Eng. News 12. Sept. 01 S. 170/71*) Beschreibung der Wassergasbereitung in den Anlagen der Winchester Repeating Co. in New Haven, Conn. Das Gas wird für Beleuchtungs-, Heiz- und Kraftzwecke verwendet.

Heizung und Lüftung.

Heating and ventilating the Glasgow Art Galleries. (Engineer 20. Sept. 01 S. 312/13*) Die Außenluft wird durch ein elektrisch betriebenes Gebläse angesaugt, durch Dampfheizkörper erwärmt und mittels eines zweiten Gebläses in Luftkanäle gedrückt, die zu den verschiedenen Räumen führen.

Ventilation and heating Friendship School, Pittsburg. (Eng. Rec. 7. Sept. 01 S. 226/29*) Das Gebäude hat ein Erdgeschoss und zwei Obergeschosse. Die Luft tritt in einen rd 10 m hohen, architektonisch reich geschmückten Kamin ein, wird in einer Kammer gewaschen, mittels eines Ventilators durch ein Heisschlangenbündel in gemauerte Kanäle gedrückt und durch einen Saugventilator abgesogen.

Hochbau.

Test of a vault-light slab. (Eng. Rec. 7. Sept. 01 S. 230*) Bericht über Belastungsversuche mit einer ebenen Zement-Eisen-Decke Ransomescher Bauart.

Materialkunde.

Testing machine at Glasgow University. Von Wickstead. (Engng. 20. Sept. 01 S. 406/07*) Darstellung der von Joshua Buckton & Co. gebauten 100 t-Prüfmaschine mit veränderlichem Akkumulatordruck.

Metallmikroskopie und Mechanik. Von Osmond und Cartaud. (Baumaterialienk. 01 Heft 18 S. 282/91 mit 11 Taf.) Allgemeine Betrachtungen über die durch die Metallographie vermittelten neueren Anschauungen über die Struktur der Körper und den Zusammenhang der Metallographie mit den andern Zweigen der Naturwissenschaft: Flüssigkeiten, Uebergang vom flüssigen in den festen Zustand, feste amorphe Körper, feste kristallische Körper.

The correct treatment of steel. Von Eidsdals. (Engng. 20. Sept. 01 S. 426*) Allgemeines über Materialprüfung. Einfluss der Zusammensetzung und Behandlung des Stahles auf seine Eigenschaften. Forts. folgt.

Mechanik.

Kinematische Untersuchung eines kreisförmigen Bogenträgers mit Kämpfergelenken, letztere verbunden durch eine Stange. Von Ramisch. (Dingler 21. Sept. 01 S. 597/99*) Der untersuchte Bogenträger ruht auf einem festen und einem beweglichen Auflager. Die Querschnitte sowie das Material des Trägers sind an allen Stellen gleich.

Metallbearbeitung.

Engineering at the Glasgow Exhibition. Von Kerr. (Eng. Magaz. Sept. 01 S. 317/39*) Allgemeiner Ueberblick über die in Glasgow ausgestellten Werkzeugmaschinen, elektrischen Antriebe und Ausrüstungen elektrischer Kraftwerke, Dampfmaschinen, Schiffs-Hilfsmaschinen, Schmiede und Gusserzeugnisse.

Limeuse automatique à levier, système Jacquot & Tardieu. Von Chevillard. (Rev. ind. 14. Sept. 01 S. 362/64*) Beschreibung und zeichnerische Erläuterung einer Feilmaschinenartigen Vorrichtung, die entweder in einen Schraubstock gespannt oder auf einem ebenen Tisch befestigt wird.

A screw cutting attachment for catching the lead. (Am. Mach. 21. Sept. 01 S. 996/97*) Darstellung und kurze Beschreibung

einer am Werkzeugschlitzen der Drehbank anzubringenden einstellbaren Vorrichtung zum selbstthätigen Öffnen und Schließen der Schlossmutter beim Gewindeschneiden auf bestimmte Länge.

Vertical boring machine. (Am. Mach. 21. Sept. 01 S. 996*) Schaubild einer von der Hoefer Manufacturing Company in Freeport, Ill., gebauten senkrechten Bohrmaschine zum Ausbohren von Cylindern u. dergl.

The "Western" universal radial drill. (Am. Mach. 21. Sept. 01 S. 986/87*) Schaubild einer großen Kranbohrmaschine mit elektrischem Antrieb. Der Ausleger ist senkrecht verschiebbar und kann um eine wagerechte Achse gedreht werden. Die Geschwindigkeitsänderung wird nicht durch Stufenscheiben, sondern durch eine Reeves'sche Vorrichtung erreicht.

Complete index table for the universal milling machine. Von Schmitz. (Am. Mach. 21. Sept. 01 S. 997/99*) Im Anschluss an die vielen Aufsätze über die Teilvorrichtung der Universalfräsmaschine wird für die Brown & Sharpe'sche Maschine eine Tabelle mitgeteilt, die für die Zahnzahlen von 2 bis 360 alle erforderlichen Angaben enthält.

Light lathe work in the milling machine. Von Warman und Cochran. (Am. Mach. 21. Sept. 01 S. 983*) An einem Schaubild wird gezeigt, wie die Universalfräsmaschine bequem zum Abdrehen sehr kleiner Riesenrollen mit entsprechend geringer Nebenbohrung benutzt werden kann. Auf der Drehbank wollte die Arbeit nicht gelingen.

Machine à fraiser horizontale à mouvements rapides automatiques, construite par la Société des Usines Bouhey à Paris. (Portef. écon. Mach. Sept. 01 S. 129/31 mit 2 Taf.) Darstellung der Säulenfräsmaschine, deren wagerechte Frässpindel lotrecht um 1820 mm, deren um eine lotrechte Achse drehbarer Tisch um 1500 mm in der Längsrichtung und um ebensoviel in der Querrichtung verstellt werden kann.

Improved disk grinders. (Am. Mach. 21. Sept. 01 S. 991*) Darstellung einer doppelten Schleifmaschine in zwei Ausführungsarten mit Riemenantrieb und mit unmittelbarem elektrischem Antrieb. Einzelheiten der Spindellagerung und des Vorschubmechanismus.

Grinder for facing disks. (Am. Mach. 21. Sept. 01 S. 994/95*) Zwei Schaubilder einer von der Universal Machine Company gebauten Schleifmaschine zum Schleifen ebener Scheiben.

A quarter circling tool — a rounding punch and die — a turnover jig. Von Cleaves. (Am. Mach. 21. Sept. 01 S. 987/89*) Darstellung einer Fräsvorrichtung zum Abrunden scharfer Ecken plattenförmiger Körper. Stempel und Matrize zum Stanzen der runden Enden von Augenstäben. Schablone zum Ausdrehen geteilter Naben, Kupplungen u. dergl.

An expansion punch. Von Woodworth. (Am. Mach. 21. Sept. 01 S. 992/93*) Der Stempel besteht aus einer größeren Anzahl gleicher, einen hohlen Umformungskörper bildender Stücke, die durch zwei umgelegte Schraubenfedern zusammengehalten werden. Durch Hereindrücken eines kegelförmigen Stiftes in die Hohlung wird der Stempel am unteren Ende auseinander getrieben. Er dient zur Herstellung profilierter Ringe an cylindrischen Halsen.

A job of piercing, blanking and forming sheet metal. Von Doran. (Am. Mach. 21. Sept. 01 S. 988/89*) Ausführliche Darstellung der Stempel und Matrizen zur Herstellung von länglichen Blechhüllen mit durchlochten Mantel und erweiterten Enden.

Ueber das Bleistößen mit komprimiertem Sauerstoff resp. Wasserstoff. Von Michaelis. (Z. f. Elektrot. Wien 22. Sept. 01 S. 460/61*) Darstellung von Brennerkonstruktionen für Lötfeuer mit Gasbetrieb.

Motorwagen und Fahrräder.

Der Wettbewerb für Motorlastwagen zu Liverpool vom 3. bis 7. Juni 01. (Motorwagen 15. Sept. 01 S. 215/20*) Bericht über den in Zeitschriftenchau v. 15. u. 22. Juni 01 erwähnten Wettbewerb. Anforderungen an die Wagen. Einteilung der Wagen. Grundsätze für die Beurteilung der Wagen. Darstellung der beteiligten Wagen: Benzinmotor-Lastwagen der Milnes Co. Forts. folgt.

Moteurs et combinateurs électriques pour voitures automobiles. Von Rouzet. (Portef. écon. Mach. Sept. 01 S. 131/37*) Anforderungen an Kraftwagenmotoren. Erregung der Motoren. Geschwindigkeitsregelung. Veränderung der Betriebsspannung. Veränderung des Widerstandes des Motorstromkreises. Veränderung der Feldstärke. Parallelschalten und Gegenschalten der Erregerspulen. Veränderung der Zahl der wirksamen Ankerdrähte. Forts. folgt.

Les bicyclettes. Von Bourlet. Forts. (Génie civ. 14. Sept. 01 S. 318/21*) Bremsen. Forts. folgt.

Schiffs- und Seewesen.

U. S. torpedo boats "Barley", "Barney" and "Biddle". Von Wetherben. (Journ. Am. Soc. Nav. Eng. Aug. 01 S. 651/60* mit 2 Taf.) Hochseetorpedoboote von 48 m Länge, 5 m Breite, 168 t Wasserverdrängung und 1,5 m Tiefgang. Eingehende Beschreibung des Schiffkörpers, der Maschinenanlage und Bericht über die Probefahrten.

Contract trials of the torpedo boats "Shubrick" and "Thornton". Von Webster. (Journ. Am. Soc. Nav. Eng. Aug. 01 S. 586/606 mit 5 Taf.) Beschreibung zweier Doppelschrauben Torpedoboote von 54 m Länge, 5,2 m Breite, 1,6 m Tiefgang und 215 t Wasserverdrängung. Bei den Probefahrten, deren Ergebnisse mitgeteilt sind, wurde eine durchschnittliche Geschwindigkeit von 26 Knoten erreicht.

The steamboat equipment of warships. Von Carnt. (Engng. 20. Sept. 01 S. 431/32) Ausrüstung der Kriegsschiffe mit Dampfboillen. Entwicklung der Boile in bezug auf Schnelligkeit und Aufnahmevermögen. Verhältnis zwischen Besatzung der Kriegsschiffe und Anzahl und Größe der Boillen.

Recent improvements in the lighting and buoying of the coasts of France. Von de Rochemont. (Engng. 20. Sept. 01 S. 419/32*) Vortrag vor dem Internationalen Ingenieurkongress in Glasgow. Anwachsen der Leuchtkraft von Leuchttürmen. Verwendung von elektrischem Licht. Gas- und Petroleumglühlicht. Feste Feuer. Leuchtschiffe. Verwendung von Beton und Zement-Eisen-Konstruktionen für Leuchttürme.

Straßenbahnen.

Sicherheitsvorschriften für elektrische Bahnanlagen. (Elektrot. Z. 19. Sept. 01 S. 796/98) Abdruck der vom Verbands deutscher Elektrotechniker probeweise auf ein Jahr angenommenen Vorschriften. Die Vorschriften befassen sich mit folgenden Einzelheiten: Zentralen und Kraftwerke; Leitungsanlagen; Fahrzeuge; Be-

zeichnungen; Stromerzeuger; Motoren und Transformatoren; Schalttafeln; Leitungen; Apparate; Steuerapparate, Sicherungen, Ausschalter, Widerstände, Lampen und Zubehör.

Wasserversorgung.

Plumbing in the Lying-in Hospital, New York. (Engng. Rec. 7. Sept. 01 S. 280/32*) Beschreibung der Wasserleitungsanlage in dem genannten Krankenhaus. Einzelheiten der Filteranlage, der Rohrleitungen, Hähne, Waschtische und Ablaufrohre.

Ueber Wassereinigung durch kombinierte Grob- und Feinfilter. Von Peter. Schluss. (Journ. Gasb.-Wasserv. 21. Sept. 01 S. 701/06) Wirkung der Vorfilter. Meinungsaustausch.

Mechanical filters at the Glasgow Exhibition. (Engng. 20. Sept. 01 S. 404/05*) Darstellung der von Mather & Platt ausgestellten Verbund- und einfachwirkenden Filter und Erläuterung ihrer Wirkungsweise.

Werkstätten und Fabriken.

Power required to drive a marine engine work. Von Crighton und Riddell. (Engng. 20. Sept. 01 S. 422/24*) Bericht über Verbesserungen an einer Schiffsmaschinenbauanstalt in technischer und wirtschaftlicher Beziehung.

The Whitehead Torpedo Works at Fiume. (Engng. 20. Sept. 01 S. 398/401* mit 1 Taf.) Geschichte des Torpedos und der Whitehead-Werke. Darstellung von Torpedos und Erläuterung ihrer Wirkungsweise. Darstellung der Werke.

Rundschau.

Verwendung von Gusseisen zu Dampfüberhitzern. Sicherheitsvorrichtungen für Dampfüberhitzer.

Im Anschluss an den in Z. 1901 H. 29 S. 1044 veröffentlichten Schriftwechsel zwischen dem kgl. preussischen Ministerium für Handel und Gewerbe und dem Verein deutscher Ingenieure über die in der Ueberschrift genannten Fragen bringen wir den folgenden Erlass desselben Ministeriums an die Regierungspräsidenten zur Kenntnis unserer Leser. Der Erlass lautet:

»Die vom Verein deutscher Ingenieure bearbeiteten Normen für Dampfleitungsrohre und die darin empfohlene Beschränkung der Verwendung des Gusseisens bei höheren Dampfspannungen legten eine Prüfung der Frage nahe, ob diese Beschränkungen auch auf gusseiserne Dampfüberhitzer anzuwenden seien. Da eine diesbezügliche Anfrage von einer Seite an mich ergangen ist, so habe ich den Verein deutscher Ingenieure und den Zentralverband der preussischen Dampfkessel-Ueberwachungsvereine ersucht, sich über die Erfahrungen mit gusseisernen Dampfüberhitzern, namentlich bei hohen Dampfspannungen, und über diejenigen Sicherheitsmaßnahmen, welche bei der Anlage und dem Betriebe von Dampfüberhitzern im allgemeinen zur thunlichsten Vermeidung von Gefahren für erforderlich gehalten werden, gutachtlich zu äußern.

Das Ergebnis der von beiden Verbänden angestellten Erhebungen und mündlich gepflogenen Beratungen lässt sich dahin zusammenfassen, dass Unfälle aus Anlass der Verwendung gusseiserner Ueberhitzer bisher kaum bekannt geworden sind, sodass nach den gegenwärtigen Erfahrungen keine Veranlassung vorliegt, die Verwendung des Gusseisens zu Dampfüberhitzern einzuschränken oder zu verbieten. Allerdings wird dabei vorausgesetzt, dass das Gusseisen von besonders geeigneter Beschaffenheit, vor allem sehr zäh und feuerbeständig sei. Der Verein deutscher Ingenieure hat sich in dankenswerter Weise erboten, durch Versuche zu ermitteln, ob sich die zu verlangenden Eigenschaften des Gusseisens etwa in bestimmten Anforderungen an die Festigkeit oder den Kohlenstoffgehalt und anderes zahlenmäßig ausdrücken lassen. Ueber das Ergebnis dieser Arbeiten behalte ich mir weitere Mitteilungen vor.

Auch über die Sicherheitsvorrichtungen an Ueberhitzern im allgemeinen, also nicht nur der gusseisernen, hat der in den Vereinen herbeigeführte Meinungsaustausch nur insoweit zu einem abschließenden Ergebnis geführt, als Uebereinstimmung darüber herrscht, dass jeder Ueberhitzer mit einem Sicherheitsventil versehen werden muss, und es geboten ist, sowohl die Dampfleitung vor ihrem Eintritt in den Ueberhitzer wie den Ueberhitzer so einzurichten, dass sie von Wasser befreit werden können, gegebenenfalls, sofern die Entwässerung nicht von einem Punkt aus erfolgen kann, durch Ausblasen. Das Erfordernis der Anbringung eines Manometers auf dem Ueberhitzer hat der Verein deutscher Ingenieure verneint. Die Frage, ob jeder Ueberhitzer von der Dampfleitung absperrbar sein muss, kann in einfacher Form nicht beantwortet werden, da die Bauart der Ueberhitzer zu mannig-

fach ist und jenachdem die Anforderungen hinsichtlich der Absperrbarkeit verschieden sein können. Diese Frage bedarf ebenso wie die weiteren Fragen, ob Wechselklappen oder ähnliche Vorrichtungen im sicherheitspolizeilichen Interesse liegen oder mehr wirtschaftlicher Art sind, und ob die Dampfüberhitzer vor der Einwirkung von direkten Stichflammen zu bewahren sind, weiterer Klärung. Sie müssen daher späterer Regelung vorbehalten bleiben. Nach Abschluss der vom Verein deutscher Ingenieure anzustellenden weiteren Erhebungen werde ich in Erwägung ziehen, ob einheitliche Vorschriften für Ueberhitzer zweckmäßig oder erforderlich sind.

Bis dahin wollen Sie die Gewerbeaufsichtsbeamten anweisen, von Fall zu Fall nach Maßgabe der Bauart und Betriebsweise des anzulegenden Ueberhitzers zu prüfen, ob außer den oben erörterten, allgemein für erforderlich gehaltenen Sicherheitsvorrichtungen noch weitere Anordnungen zu treffen sein möchten. Da die Ueberhitzer meist von Mauerwerk eingeschlossen zu sein pflegen, im allgemeinen auch bei etwaigem Aufreißen ihrer Wandungen große Energiemengen nicht frei werden, so sind unnötige Erschwerungen, die der Verwendung dieser für die Oekonomie des Dampfbetriebes wichtigen Einrichtungen hinderlich werden könnten, zu vermeiden. Die erforderlichen Anordnungen sind, soweit Ueberhitzer nicht mit der Dampfkesselanlage oder nachträglich nach Maßgabe des § 8 der Kesselanweisung vom 9. März 1900 zu genehmigen sind, namentlich bei besonders geheizten Ueberhitzeranlagen aufgrund des § 130 der Gewerbeordnung vorzuschreiben.

Im Auftrage
Neuhaus.

Die 8. Hauptversammlung des Vereines Deutscher Revisionsingenieure, welche in den Tagen vom 2. bis 4. September d. J. in Hamburg abgehalten wurde, war sowohl von Vereinsmitgliedern als auch von Gästen zahlreich besucht. Von letzteren nennen wir Hrn. Geheimen Regierungsrat K. Hartmann als Vertreter des Reichs Versicherungsamtes, Hrn. Baurat Peters Berlin, Direktor des Vereines deutscher Ingenieure, Hrn. Gewerbe- und Lessor-Altona, die Herren Gewerbeinspektoren Wilkens und Bahr von Hamburg und Hrn. Hafeninspektor Siegmund-Hamburg.

Dem vom Vorsitzenden des Vereines, Hrn. Ingenieur Specht-Berlin, erstatteten, den Zeitraum vom 1. September 1900 bis 30. Juni 1901 umfassenden Bericht des Vorstandes ist zu entnehmen, dass der Verein am letztgenannten Tage 70 Mitglieder zählte, zu denen bis zum 31. August d. J. noch 6 neue Mitglieder kamen.

Von den am 30. Juni d. J. vorhandenen 70 Mitgliedern waren 44 technische Aufsichtsbeamten, durch welche 25 verschiedene Berufsgenossenschaften, d. i. etwa 40 vH aller gewerblichen Berufsgenossenschaften, vertreten sind. Außerdem gehören dem Vereine 9 Kesselrevisions-Ingenieure, 2 staatliche

Gewerbe-Aufsichtsbeamten und 10 Geschäftsführer von Berufsgenossenschaften an.

Das Vereinsleben wird, außer durch die alljährlichen Hauptversammlungen, noch besonders durch zwei Gruppen, die Berliner und die westliche Gruppe, reger erhalten. Erstere veranstaltet in den Wintermonaten regelmäßige Zusammenkünfte, wogegen sich die westliche Gruppe jährlich nur einmal vereinigt.

In der Berichtszeit wurde der Verein von einigen Berufsgenossenschafts-Vorständen mehrfach zur Beurteilung neuer Schutzvorrichtungen und Schutzeinrichtungen veranlaßt. Zu nennen sind neue Schutzvorrichtungen für Straßentrassenwerke, durch welche das Überfahrenwerden von Personen verhindert werden soll; ferner der Sicherheitsaufzug von Kurtzig, der Signallapparat für Aufzüge von Korn-München, die Sicherheits-Andrehkurbeln für Explosionsmotoren von Struck-Berlin und von der Deutscher Gasmotorenfabrik, die Transmissionsleiter mit Wellenschutz von Gebr. Crotagino-Schweidnitz, und endlich die Dynamit-Aufbauvorrichtung der Thermophor-Aktiengesellschaft, Berlin. Durch diese Beurteilungen werden einerseits die Einführung praktischer Neuerungen die Wege geebnet, andererseits übertriebene Anpreisungen solcher Neuerungen auf ihren wirklichen Wert zurückgeführt.

Es ist ferner aus dem Vorstandsbericht hervorzuheben, dass der Verein seit 1. Juli d. J. eine eigene Zeitschrift unter dem Titel „Gewerblich-technischer Ratgeber“¹⁾ erscheinen lässt, die sich nicht allein mit der Unfallverhütung im engeren Sinne beschäftigt, sondern auch die Gewerbehygiene und Arbeiterwohlfahrt sowie die Genehmigung, Feuersicherheit und Einrichtung gewerblicher Anlagen in den Kreis ihrer Besprechungen ziehen will.

Endlich ist dem Berichte der Redaktionskommission zu entnehmen, dass demnächst eine besondere von Vereinsmitgliedern bearbeitete Abhandlung: „Die Unfallgefahren des Dampfkesselbetriebs“, erscheinen wird.

Der auf der Tagesordnung stehende Vortrag des Hrn. Dr. Kath (von Siemens & Halske A.-G.) über die Sicherung des Menschen in elektrischen Anlagen erläuterte zunächst die Unterschiede zwischen Gleichstrom und Wechselstrom und verbreitete sich dann über die Einwirkung beider auf den menschlichen Körper. Indem die Nervensubstanz, und namentlich der sogen. nervus vagus, sich als der hauptsächlichste Stromleiter darstellt, äußert sich die Wirkung des elektrischen Stromes in Lähmung der Herzthätigkeit und der Atmungsorgane, zu der sich in den meisten Fällen noch ein Aderkrampf gesellt. Im allgemeinen wirkt eine Stromstärke von etwa $\frac{1}{10}$ Amp schon tödlich. Eine Spannung von 100 V bei Wechsel- und 200 V bei Gleichstrom ist noch ungefährlich, doch hängt die Stärke der Einwirkung des Stromes auf den menschlichen Körper wesentlich von der persönlichen Veranlagung und der Beschaffenheit der Umgebung ab. So sind z. B. Alkoholiker und Personen, welche sich in Räumen aufhalten, die durch salzhaltige Laugen verunreinigt sind, viel empfindlicher für den elektrischen Strom als andere. Es ergibt sich die Notwendigkeit, dass alle Teile einer elektrischen Anlage, welche bei der Bedienung berührt werden müssen, gut zu isolieren sind, während die andern Teile vor Berührung geschützt sein müssen. Einige Winke über die Art und Weise, in welcher an elektrischen Leitungen Verunglückte von der Leitung zu befreien und weiter zu behandeln sind, bildeten den Schluss des Vortrages.

Anschließend hieran besprach Hr. Gewerbeinspektor a. D. C. Deiters-Lübeck einen Unfall in einer durch einen Elektromotor betriebenen gewerblichen Anlage, der einerseits durch mangelhafte Ausführung der Anlage, andererseits infolge ungenügender Schutzvorrichtungen herbeigeführt worden war.

Hr. Braune-Köln besprach darauf die Eigenschaften und die Fabrikation der Pikrinsäure mit Hinblick auf das bekannte Unglück in Griesheim, welches hiernach nicht durch Fehler der Betriebsleitung, sondern durch ein Zusammentreffen mehrerer ungünstiger Umstände herbeigeführt worden ist. Hr. Geh. Reg.-Rat Hartmann, der die Unglücksstelle unmittelbar nach der Katastrophe betreten hat, bemerkt hierzu, dass es doch mindestens bedenklich sei, große Mengen feuergefährlicher Stoffe in nächster Nähe einer nicht ungefährlichen Fabrikation aufzubewahren.

Besonders beachtenswert erschien ein von Hrn. S. Neumann-Stuttgart konstruiertes und vorgeführtes unfallsicheres Drehherz, das die Form einer runden, am Umfang glatten Scheibe hat und geeignet ist, diejenigen Unfälle zu verhüten, welche so häufig durch die jetzt gebräuchlichen Dreh-

herze herbeigeführt werden. Eine Transmissionsleiter mit besonderem Schutz der Welle von Gebr. Crotagino-Schweidnitz wurde als für gewisse Fälle wohl brauchbar erkannt, jedoch wurde auch betont, dass die Handhabung dieser Leiter wegen des größeren Gewichtes am oberen Ende etwas schwierig sein wird. Ebenso wurde eine von Hrn. Nottebohm-Saarbrücken vorgeseigte Schutzvorrichtung für Abriethobelmaschinen als nur für ganz bestimmte Arbeiten geeignet beurteilt.

Die Vorführung eines aus Schwamm hergestellten Respirators von Koch-Saarbrücken und eines Geschwindigkeitsreglers für Elektromotoren an Straßenbahnen von Grimme, Natalis & Co.-Braunschweig bildete den Schluss der technischen Mitteilungen. Die Besichtigung der Waggonfabrik der Hamburger Straßenbahngesellschaft in Falkenried, der Pianofortefabrik von Steinway & Sons, des Elektrizitätswerkes in der Carolinenstraße und der Werft von Blohm & Voss sowie eine Hafenrundfahrt füllten die Nachmittage der beiden Sitzungstage und den Vormittag des dritten Tages aus. Die nächstjährige Hauptversammlung soll in Elberfeld abgehalten und damit ein Besuch der Düsseldorfer Industrie-Ausstellung verbunden werden.

Auf die Bedeutung der Frachtenbeförderung durch Motorwagen hat kürzlich der preussische Minister der öffentlichen Arbeiten unter Hinweis auf die englischen Leistungen nach dieser Richtung hin aufmerksam gemacht. In einem neueren Werkchen des Postoffizials Dr. G. Schaetzel (München) wird sogar der Vorschlag gemacht, einen öffentlichen Motorpostverkehr für Personen und Güter von staatswegen einzurichten und den etwa zu bauenden Kleinbahnen regelmäßig vorbegeben zu lassen, weil sich dann mit Sicherheit der Zeitpunkt angeben lässt, wann der Bau einer Eisenbahn erforderlich wird.

Es ist hier nicht der Ort, des näheren darauf einzugehen, warum sich in Deutschland der Motor-Frachtverkehr trotz tüchtiger Leistungen der Fahrzeugfabriken noch nicht in wünschenswertem Maße hat einführen können. Nur auf einen Umstand mag hingewiesen werden, dass ist das Fehlen von öffentlichen Versuchen mit Wagen verschiedener Bauart; es dürfte daher von Wert sein, über die Anfang Juni bei Liverpool²⁾ durch den dortigen Verein „Self-propelled Traffic Association“ unter Leitung des Direktors Shrapnell Smith gemachten Versuche zu berichten, wobei die in Engineering³⁾ gegebenen Ausführungen als Grundlage dienen mögen.

Da derartige Versuche sehr kostspielig sind, so war es erforderlich, dass eine große Anzahl von Bürgern Liverpools sowie die Mitglieder des Vereines Opfer an Geld und Zeit brachten. Waren die früheren Versuche hauptsächlich dazu bestimmt, die Anteilnahme der beteiligten Kreise zu wecken und die allgemeinen Grundlagen des Motorwagenverkehrs klarzulegen, so sollten die gegenwärtigen unter gegebenen Bedingungen die Leistungsfähigkeit der verschiedenen Motorwagen nach Richtung der Tragfähigkeit, Geschwindigkeit, des Bedarfs an Brennstoff, der Bremsfähigkeit, der Unterhaltung usw. darthun.

Von den Wagen, wegen deren Einzelheiten auf die Quelle verwiesen sein soll, wurde die größere Zahl durch Dampf betrieben, wenige durch Petroleum und Spiritus. Die Wagen waren fast durchgängig so gebaut, dass über dem vorderen Drehachsel (Lenkachse) der Motor angebracht war, während auf einer damit verbundenen und auf der Hinterachse angeordneten Plattform die Nutzlast ruhte. In einem Falle war der Wagenkasten als Trichter ausgeführt, der, um die Hinterachse drehbar, als Schüttwagen diente. Die Steuerung war in verschiedenartiger Weise ausgeführt, sodass mehrere Geschwindigkeitsstufen erreicht werden konnten. Die Bewegung wurde durch Zahnräder oder Kette auf die Räder übertragen, die zumeist in schwerer Form nach Art der Geschützräder in Holz mit seitlichen Scheiben ausgeführt waren. Leichte, nach Art der Zweiräder gebaute Achsen haben sich nicht bewährt. Zur Feuerung der aus Einzel- oder Schlangenrohren gebildeten Kessel für überhitzten oder trockenen Dampf waren Koks vorgesehen, um die Raucherentwicklung zu vermeiden. Im übrigen wiesen die Maschinen eine Anzahl gut durchgearbeiteter Konstruktionen für die einzelnen Bewegungsübertragungen auf. Gutes Material, unter anderm viel Stahlguss, musste schon aus dem Grunde angewendet werden, weil die zuständige Verkehrsbehörde das Eigengewicht der Fahrzeuge bisher auf 3 t beschränkt hatte; für die

¹⁾ s. Z. 1901 S. 1181.

²⁾ s. Z. 1901 S. 751.

³⁾ 31. Mai 1901 S. 699 u. f.

Versuche jedoch durfte dieser Wert erhöht werden. Es wurden daher verschiedene Klassen von Fahrzeugen nach ihrer Tragfähigkeit gebildet:

- A: 1,5 t geringste Nutzlast bei 2 t höchster Eigenlast und 4 qm Plattform
 B: 5 „ „ 3 „ „ 6,75 „ „
 C: 6 „ „ „ beliebiger „ 8,5 „ „
 D: 4 „ „ „ „ „ beliebiger „

Die Geschwindigkeit sollte etwa 8 km/st, bei Klasse A aber 12,5 km/st betragen.

Die Versuche selbst fanden an den Tagen vom 3. bis 7. Juni statt und begannen am ersten Tage mit dem Ersteigen und Hinabfahren steiler Straßenzüge von verschiedenartigem Pflaster und mit Wendungen. Auf den Steigungen 1:9 bis 1:17 musste auf ein gegebenes Zeichen angehalten und die Brems-

rundet sind, Aufschluss geben. Während einige Wagen infolge von Brüchen einzelner Teile zurückbleiben mussten, gerieten 2 vom Wege ab, konnten aber mit den übrigen die Fahrt vollenden. Die Petroleummotoren konnten zwar auf der Ebene ihren leichten Fahrzeugen eine etwas raschere Gangart erteilen, als die schwerfälligeren Dampfmaschinen, indessen sollte man ihnen eine noch größere Geschwindigkeit, selbst bei starkerer Abnutzung, zumuten, weil die Fortschritte im Bau solcher Fahrzeuge sehr schnell sind und die durch große Leistung rasch ausgenutzten Wagen durch neue verbesserte ersetzt werden können.

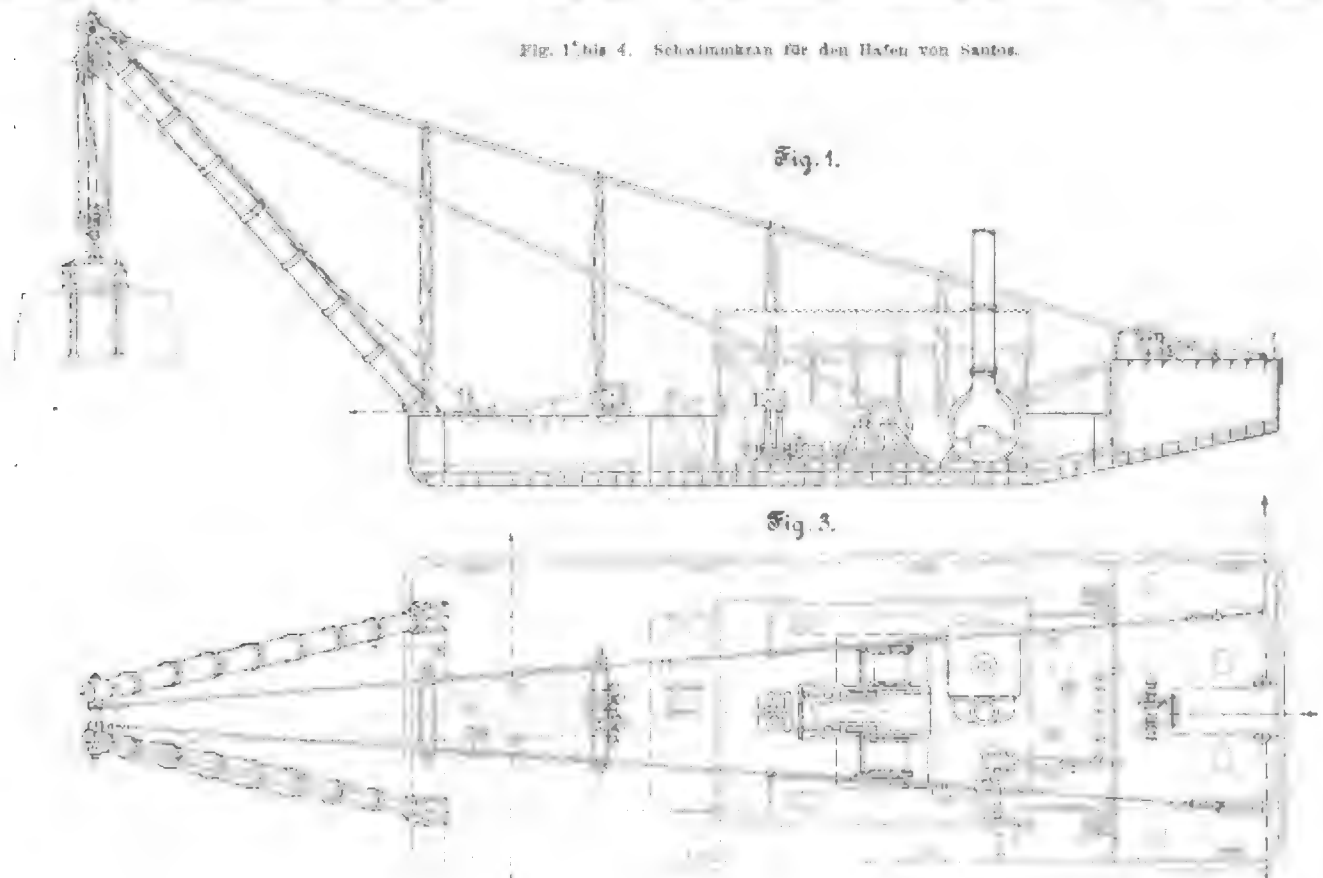
Die Versuche wurden durch je 2 Begleiter auf jedem Wagen überwacht, indem Wegstrecke, Zeit, Wasser- und Brennstoffverbrauch sowie sonstige Vorgänge aufgeschrieben wurden. Hiernach ergab sich folgende Zahlentafel.

Bezeichnung	Namen der Fahrkanonen	Brenn- stoff	Leerfahrt					Fahrt mit Ladung am 3. Juni					Fahrt nach Manchester 4. Juni Länge 68 km					Rückfahrt nach Liverpool 5. Juni: Länge 69 km					
			Geschwin- digkeit		Brennweg bei 1:9 Steigung	Vorgeschaltete Geschwindigkeit beim Ersteigen des Berges	Ladungsgewicht	Geschwin- digkeit		Brennweg bei 1:9 Steigung	Vorgeschaltete Geschwindigkeit beim Ersteigen des Berges	Brennstoffver- brauch			Lade- gewicht	Fahr- zeit	Brennstoffver- brauch			Lade- gewicht	Fahr- zeit		
			auf- wärts	ab- wärts				auf- wärts	ab- wärts			Koks	Pe- trol.	Wasser			Koks	Sp- rit	Wasser				
			km/st	km/st	m	km/st	kg	km/st	km/st	m	km/st	kg	kg	litre	litre	kg	min	kg	litre	litre	kg	min	
A 1	G. F. Milnes Co. desgl.	Petroleum	6	6,5	5	10,7	1,5	5,2	6,8	0,5	4,5	10	10	—	1,5	5	26	—	24	—	1,5	6	35
A 2	—	—	6,8	8,5	15,5	12,3	1,5	4,2	6,5	7,9	9,1	19,5	19,5	—	1,5	5	8	—	17	—	1,5	5	47
B 1	Laurashire Steam Motor Co.	Dampf	4,1	5,7	5,8	8,5	5	4,8	5,9	4,7	5,5	200	—	1135	4,5	6	3	220	—	1260	4	7	14
C 1	The Thornycroft Steam-Wagen Co. Ltd. desgl.	—	5,6	1,3	2,5	5,9	7	4,7	5,1	4,1	5,5	120	—	2190	5,5	6	7	500	—	1900	6	6	58
D 1	—	—	5	5,1	4,5	6,5	4	5,3	5,5	2,5	5,5	1007	—	1020	3,5	6	3	220	—	1535	3,5	7	46
D 2	T. Coulthard & Co.	—	4,8	5,5	2	5,7	5	1,9	1,3	1,5	6,5	580	—	1930	4,5	7	4	7	—	7	4,5	7	43
D 3	Mann's Patent	—	6,5	5,1	3,3	1,4	5	4,8	4,8	4,2	3,2	270	—	1530	1,5	8	5	2	—	2	4,5	11	10
D 4	Steam Cart and Wagon Co. Ltd.	—	5,5	5,0	1,0	7,7	5	4,5	6,3	4,1	8,8	225	—	1210	4,5	6	20	2	—	2	4,5	5	39
D 5	Simpson & Bibby	—	4,4	6,2	7,5	5,5	—	3,2	4,9	2,7	5,7	beschädigt			—	—	—	—	—	—	—	—	—

strecke aufgezeichnet werden. Die Fahrten wurden sowohl mit leerem wie mit beladenem Wagen gemacht, wobei sich herausstellte, dass die beladenen Wagen wegen der größeren Adhäsion bei der Bergfahrt weniger Schwierigkeiten boten. An den folgenden Tagen wurden Fahrten nach Manchester und Blackburn unternommen, über deren Einzelheiten die beigelegte Zahlen-afel, deren Zahlen in metrische Masse umgerechnet und abge-

Wie daraus hervorgeht, sind die Leistungen beachtens-wert; besonders ist die Geschwindigkeit der schweren Dampf-fahrzeuge auf so große Entfernungen von 70 km bei 4 bis 5 t Ladung sehr erheblich, nämlich 10 bis 12 km/st für die raschesten Fahrten, während die Durchschnittsgeschwindig-keit auch nicht sehr hinter diesen Zahlen zurückbleibt. Die leichten Petroleumwagen konnten, wie bereits erwähn-

Fig. 1 bis 4. Schwinnkran für den Hafen von Santos.



zumteil eine etwas grössere Geschwindigkeit, bis 12,5 km/st, erreichen, standen aber hinsichtlich des Ladegewichtes erheblich zurück.

Es wurden noch Vergleiche mit den von Pferden gezogenen schweren Lastwagen in den Liverpool Docks angestellt, die sehr zugunsten der Motorwagen ausfielen. Jene haben bei 2 t Eigengewicht eine Höchstladung von 10 t, durchschnittlich nur 7 t, erfordern 3 Pferde und beanspruchen viel Raum, sodass selbst abgesehen von der geringeren Dauerleistung der Pferde den Motorwagen in den Docks der Vorzug gegeben werden dürfte.

Das Urteil der Prelerichter ist zwar noch nicht veröffentlicht, da die Einzelbeobachtungen noch genau gesichtet werden müssen und auch noch eine eingehende Äußere und innere

Fahrt nach Blackburn über Preston 6. Juni. Länge 66 km						Rückfahrt nach Liverpool 7. Juni. Länge 72 km						Eigengewicht der Fahrzeuge
Brennstoffver- brauch			Lade- gewicht	Fahr- zeit		Brennstoffver- brauch			Lade- gewicht	Fahr- zeit		
Koks	Spi- ritus	Wasser				Koks	Spi- ritus	Wasser				
kg	ltr	ltr				kg	ltr	ltr				
—	35	Kühl- wasser	1,5	7	49	—	25	Kühl- wasser	1,375	6	26	3
—	27,2		1,5	5	54	—	18,1		1,5	6	8	2
260	—	1288	4	7	3	220	—	1308	4,425	7	8	3
350	—	2415	6	7	43	350	—	2065	5,15	7	6	6,4
265	—	1570	4	7	5	265	—	1810	5,35	6	45	8,8
		Federbruch	—	—	—	310	—	2076	3,212	7	30	5,7
275	—	1890	4	9	28	288	—	1880	—	9	8	4,9
250	—	1820	4,5	6	13	310	—	1520	4,285	6	16	4,0

Untersuchung der Fahrzeuge und Motoren vorgenommen werden muss. Es sind jedoch schon für die bisherigen Leistungen einigen der Teilnehmer goldene Denkmünzen bewilligt worden.

In Deutschland ist der motorische schwere Lastenverkehr noch sehr zurückgeblieben; ob dies im Zusammenhange mit

Wageschwierigkeiten oder mit der seltenen Anwendung der Dampfkraft steht — hier werden meist Benzinmotoren verwendet — mag dahingestellt sein. Jedenfalls sollte die deutsche Industrie, welche im Augenblicke mehr als je neuer Wirkungskreise bedarf, diesem wichtigen Verkehrsgebiete große Aufmerksamkeit schenken und, wie sie dies bisher öfters bewiesen, vom Auslande nicht nur zu lernen, sondern auch mit wissenschaftlicher Gründlichkeit zu verbessern verstehen.

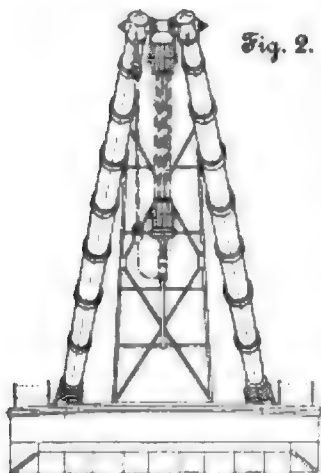


Fig. 2.

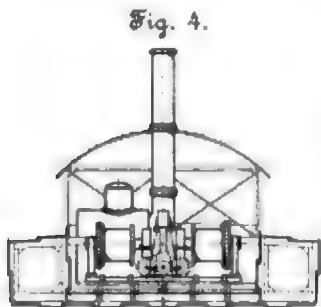


Fig. 4.

Fig. 1 bis 4 stellen einen von der holländischen Firma Koninklijke Nederlandsche Grofmederij für den Hafen von Santos gelieferten Schwimmkran dar, dessen Hebekraft 80 t beträgt. Der Schiffskörper ist 30,5 m lang, 10,7 m breit und 2,21 m tief. Der Scherenbock ragt 10,75 m über den Schiffsrund hinaus und ist 15,24 m hoch. Zum Betriebe dient eine stehende Zwillingsmaschine von 305 mm Cyl.-Dmr. und 381 mm Hub, die mit einem Anfangsdruck von 8,5 at arbeitet. Die Dampfmaschine treibt mittels Schneckengetriebe und

Zahnradervorgelege 2 Windetrommeln von 1092 mm Dmr. und 1092 mm Länge zwischen den Flanschen. Die Auslegerpfosten sind aus weichen Flusseisenplatten zusammengelötet und haben in der Mitte einen Durchmesser von 813 mm. Der für den Wasserballast bestimmte Tank hat einen Fassungsraum von 130 t und ist in 4 Abteilungen geteilt, die einzeln oder gleichzeitig von einer im Maschinenraum untergebrachten Pumpe gefüllt werden können).

Im Nachfolgenden sollen im Anschluss an den Bericht in der vorigen Nummer dieser Zeitschrift einige Vorträge vor dem Ingenieurkongress in Glasgow auszugslich wiedergegeben werden, die von allgemeinem Interesse erscheinen.

Abteilung I. Eisenbahnwesen.

Der geplante Tunnel zwischen Schottland und Irland. Von James Barton.

Der Tunnel soll an einer Stelle erbaut werden, wo die schottische und die irische Küste auf eine Entfernung von 34 bis 40 km zusammentreten, und zwar würde er fast in gerader Linie zwischen Carlisle und Belfast liegen. Die Tunnelstrecke beginnt am Bahnhof von Stranraer und endet in Belfast. Die Gesamtlänge soll 82,7 km betragen, wovon 55,5 km im Tunnel, und zwar 40 km unterhalb des Meeresbodens gelegen sind. Die obere Kante des Tunnels soll 45,7 m unter der Meeresfläche liegen, und der Tunnel soll zweigleisig ausgebaut werden. Als Bauzeit sind 10 Jahre für den eigentlichen Tunnelbau und 11 bis 12 Jahre für die Vollendung der ganzen Strecke angenommen. Der Tunnel soll in rd. einer halben Stunde durchfahren werden, während für die gesamte Strecke von Stranraer nach Belfast eine Stunde Fahrzeit veranschlagt ist. Zum Lüften beabsichtigt man an jedem Ende einen Ventilator aufzustellen. Die Kosten des Unternehmens werden auf 10 000 000 £ berechnet.

Australische Eisenbahnen. Von Professor W. C. Kernot.

Man hat bald nach dem Jahre 1850 in Sydney und Melbourne begonnen, Eisenbahnen zu bauen. In Melbourne führte man die Spurweite 1,5 m ein, in Sydney ging man, nachdem man ursprünglich dieselbe Spurweite angenommen hatte, bald zu der normalen Spurweite von 1,433 m über. Einige Zeit später nahm Queensland die Spurweite von 1,068 m an, und ihm folgten Tasmanien und Westaustralien. Infolgedessen herrscht eine arge Verwirrung.

In Australien bestehen zurzeit rd. 20 000 km Staatsbahnen und ungefähr 1600 km Privatbahnen. Die Steigungen der Eisenbahnen sind zumteil sehr stark. Die Westlinie von Neu-Süd-Wales steigt auf einer Strecke von 48 km um 1 km, auf einer Länge von 3,2 km kommt eine Steigung von 1:30 vor. Die Nordinlinie von Victoria steigt auf einer Länge von 67,5 km um 0,57 km. Die Linie von Adelaide nach Brisbane erreicht eine Höhe von 1363 m. Auch starke Krümmungen finden sich auf den australischen Eisenbahnen; in Neu-Süd-Wales und Südaustralien giebt es Krümmungshalbmesser bis zu 300 m, und auf Strecken von 1,068 m Spurweite sind Halbmesser von 100 m üblich.

Ursprünglich hatte man Doppelkopschienen eingeführt, hat sie aber jetzt durch Vignoles-Schienen ersetzt. Besonders in den östlichen Kolonien sind viele Brücken aus Holz gebaut, doch kommen auch bemerkenswerte Eisenkonstruktionen vor. Tunnel sind nicht zahlreich. Was die Lokomotiven betrifft, so legt man mehr Wert auf große Zugkraft als auf Geschwindigkeit.

Abteilung II. Wasserstraßen und Wasserbau.

Der Fluss Clyde und der Hafen von Glasgow. Von N. N. Alston.

Die Arbeiten zur Verbesserung der Wasserstrasse an der Clydemündung lassen sich bis zum Jahre 1773 verfolgen, und die allmählichen Fortschritte ergeben sich aus den Thatsachen, dass die Wassertiefe im Jahre 1770 zwischen Glasgow und Dumbuck-Fort bei Hochwasser 2,134 m betrug, im Jahre 1809 zwischen Glasgow und Dumbarton-Castle 2,734 m, 1825 zwischen Glasgow und Port Glasgow 3,902 m und 1840 auf derselben Strecke 5,18 m. Im Jahre 1842 sind Dampfbagger eingeführt worden. Das Baggergut wurde anfänglich an Land gebracht, seit 1862 jedoch mithilfe besonderer Leichterschiffe in die See geschüttet. Zurzeit sind 5 Eimerbagger, ein schwimmender Greifbagger und 2 Taucherglocken in Thätigkeit. Von 1844 bis zum Jahre 1900 sind im ganzen 43 000 000 cbm aus dem Fluss und den Docks gebaggert worden, und der Flussboden zwischen Glasgow und Dumbuck-Fort ist seit 1755 um

¹⁾ Engineering 9. August 1901 S. 182.

8,25 m gesenkt worden. Die Baggerungen werden jetzt bis zu einer Tiefe von 8,25 m unter mittlerem Niedrigwasserstand fortgeführt, was einer Tiefe von 10,00 m bei Hochwasser entspricht. Dabei ist die Fahrrinne 38,6 bis 150 m breit. Der größte zulässige Tiefgang der Schiffe betrug im Jahre 1891 nur 4,11 m, im Jahre 1900 dagegen 8,08 m.

Der Hafen von Glasgow erstreckt sich auf 4 km zwischen der Albert-Brücke und der Mündung des Kelvin-Flusses; die Docks liegen auf beiden Seiten des Flusses. Die erste Hafenanlage in Glasgow ist im Jahre 1662 erbaut worden; um das Jahr 1792 betrug ihre Länge 240 m. Das erste Dock wurde im Jahre 1867 erbaut, zwei weitere 1870 und 1883. Ein neues Dock befindet sich zu Clydebank, 9,25 km unterhalb Glasgow, im Bau. Der Hafen und die drei Docks haben zusammen eine Wasseroberfläche von 830 000 qm. Außerdem sind noch drei Trockendocks vorhanden, von denen das größte 268 m lang und am Eingang 25,1 m breit ist. Der Hafen ist mit Lagerhäusern reichlich ausgestattet, die zum größten Teil einstöckig sind. Zahlreiche Krane, deren Tragfähigkeit bis zu 130 t beträgt, sind über den Hafen verteilt.

Abteilung III. Maschinenbauwesen.

Die Einführung der metrischen Maße und Gewichte in englischen Werkstätten. Von Arthur Greenwood.

Der Redner tritt für die Einführung des Metersystems in England ein und wünscht, dass das Parlament es gesetzlich vorschreibe, allerdings mit einer reichlich bemessenen Uebergangszeit, deren Länge der Vortragende auf etwa 20 Jahre festgesetzt haben will. Zum Schluss seines Vortrages führt er Beispiele aus seiner eigenen Praxis an, um zu zeigen, dass die metrischen und die englischen Maße ohne Nachteil gleichzeitig in Werkstätten benutzt werden können.

Abteilung IV. Schiffbau und Schiffmaschinenbau.

Schwimmdocks. Von T. G. Bowles.

Der Vortragende schildert, wie das ursprüngliche hölzerne Schwimmdock im Laufe der Zeit durch eisernerne und stählerne Konstruktionen ersetzt ist. Am gebräuchlichsten sind die Schwimmhebedocks, die an beiden Seiten offen sind und durch Vollpumpen der einzelnen Abteilungen versenkt werden. Wenn das zu dockende Schiff eingefahren und abgestützt ist, werden die Abteilungen wieder leergepumpt, wodurch sich das Dock hebt. Von der britischen Regierung ist kürzlich ein großes Schwimmdock für den Hafen von Bermuda in Auftrag gegeben, das bei 186 m Länge Schiffe von 15 500 t Wasserverdrängung und 10 m Tiefgang aufnehmen kann. Der Baupreis des Docks beträgt rd. 4 Millionen £. Ein noch größeres Schwimmdock, das Schiffe von 18 000 t Wasserverdrängung aufnehmen soll, wird für den Hafen von New Orleans gebaut.

Der Vortragende erörtert ferner die verschiedenen Vorteile des Schwimmdocks gegenüber dem festen Trockendock, die sich in der Hauptsache dahin zusammenfassen lassen, dass ein Schwimmdock billiger im Bau und Betrieb ist, dass es für jeden Hafen und für jedes Gewässer geeignet ist, und dass der Vorgang des Dockens schneller bewerkstelligt wird als beim Trockendock.

Abteilung V. Stahl und Eisen.

Die Fachausdrücke der Metallographie.

Ein Ausschuss des Iron and Steel Institute hat die in der Metallographie gebräuchlichen Ausdrücke in deutscher, englischer und französischer Sprache zusammengestellt und legt sie den Fachleuten zur etwaigen Berichtigung und Ergänzung vor.

Der Einfluss von Kupfer in Stahldraht. Von J. E. Stead und F. H. Wigham.

Die Verfasser haben eine Reihe von Versuchen in der Weise vorgenommen, dass sie von einer bestimmten Stahlsorte einen Teil mit Kupfer legierten und Parallelversuche anstellten. Der Kupfergehalt betrug 0,10 und 2 vH. Die Versuche haben gezeigt, dass Kupfer in den angegebenen Mengen im allgemeinen die Beschaffenheit des Stahles verschlechtert, ganz besonders bei hohem Kohlegehalt. Der einzige Vorzug, den kupferhaltiger Stahldraht besitzt, ist der, dass er weniger leicht zerfressen wird als gewöhnlicher Draht.

Von der Gesamtlänge des Simpson-Tunnels¹⁾ von 19 729 m ist fast die Hälfte fertiggestellt, und die Arbeiten haben, wie man aus dem vierteljährlichen Bericht der Baugesellschaft entnehmen kann, trotz der Störungen durch Arbeiterausstände

und Wasserandrang rüstige Fortschritte gemacht. Der letzte Vierteljahresbericht — es ist der elfte — giebt den Stand vom 30. Juni d. J. wieder. Danach waren auf der Nordseite im Tunnel 1283, außerhalb 585 Arbeiter beschäftigt; auf der Südseite im Innern 1031, außen 507, im ganzen also 3396 Mann. In derselben Schicht waren im Mittel auf der Nordseite 520, auf der Südseite 410 Arbeiter beschäftigt.

Der Fortschritt in dem Vierteljahr, auf das sich der Bericht erstreckt, betrug auf der Nordseite im Richtstollen des Haupttunnels 502 m, im Parallelstollen 483 m und im Firststollen 459 m; auf der Südseite waren die entsprechenden Zahlen 367, 346 und 342 m. Der Gesamtaushub war für die angegebene Zeit auf der Nordseite 22 668 cbm, auf der Südseite 16 284 cbm. Die nachstehende Zahlentafel giebt eine Uebersicht über den Stand der Arbeiten Ende März und Ende Juni d. J.

Stand der Arbeiten Ende	Nordseite		Südseite		Insgesamt	
	März 1901	Juni 1901	März 1901	Juni 1901	März 1901	Juni 1901
Sohlenstollen im Haupttunnel m	4698	5195	2610	3977	8308	9172
Parallelstollen . . .	4396	5079	3688	3979	8229	9058
Firststollen	3960	4419	2800	3142	6760	7561
fortiger Abbau . . .	8874	4391	2763	8114	6637	7505
Gesamtaushub . . . cbm	190110	212778	138671	154955	328781	367733
Verkleidung, Länge m	2546	4194	2475	3812	6021	7006
Verkleidungsmauerwerk cbm	35737	42637	24972	28727	60709	71364

An jeder der 4 Arbeitsstellen waren 3 Bohrmaschinen aufgestellt, die auf der Nordseite 82,5 und 89,5, auf der Südseite je 79,5 Arbeitstage aufzuweisen hatten.

Die Messungen der Gesteintemperatur haben auf der Nordseite als höchste Temperatur in einer Entfernung von 5000 m vom Eingang 32°, auf der Südseite in einer Entfernung von 3400 m 29,5° ergeben. Ueber die allmähliche Zunahme der Temperatur, gemessen in den Nebentunneln, giebt die folgende Uebersicht Aufschluss.

Abstand vom Stolleneingang m	Nordseite			Südseite		
	Temperatur			Temperatur		
	Datum der Messungen	des Gesteins °C	der Luft °C	Datum der Messungen	des Gesteins °C	der Luft °C
10	—	—	—	3. April	12,8	14,3
	—	—	—	5. Mai	14,4	17,9
	—	—	—	20. Juni	16,7	18,5
500	25. April	10,8	13,0	12. April	12,6	7,6
	27. Mai	13,0	15,0	22. Mai	12,7	11,5
	29. Juni	13,4	16,5	20. Juni	14,8	13,5
1000	13. April	13,7	12,0	12. April	15,0	10,5
	27. Mai	14,0	14,0	22. Mai	16,0	13,0
	29. Juni	14,8	16,0	20. Juni	17,8	16,0
2000	13. April	17,6	15,5	12. April	19,8	15,5
	27. Mai	17,4	17,0	22. Mai	21,2	17,0
	29. Juni	17,8	17,5	20. Juni	21,9	20,0
3000	13. April	22,0	18,5	12. April	23,4	18,2
	27. Mai	20,8	19,0	22. Mai	23,5	20,0
	29. Juni	21,0	19,5	20. Juni	24,6	23,0
4000	13. April	25,2	22,5	—	—	—
	27. Mai	24,4	23,0	—	—	—
	29. Juni	24,2	22,5	—	—	—

Der Wasserandrang auf der Nordseite war gering. Auch auf der Südseite war das Gestein bis zu km 3,820 fast vollständig trocken. Dann zeigten sich schwache Quellen, und bei km 3,821 trat eine besonders starke Quelle mit einer Ergiebigkeit von 160 ltr/sk auf; auch später wurden andere Quellen aufgeschlossen. Auffällig ist, dass die Quellen hinsichtlich ihrer Wassertemperatur, die zwischen 25,7 und 30,3° schwankte, sehr verschieden waren. Zur Lüftung wurden auf der Nordseite im Durchschnitt täglich 1647 850 cbm Luft in den Tunnel eingeführt, auf der Südseite 2779 200 cbm¹⁾.

¹⁾ Z. 1895 S. 1335.

¹⁾ Schweizerische Bauzeitung 24. August 1901 S. 83.

Die Dampfkesselexplosionen im Deutschen Reiche im Jahre 1900¹⁾.

1) Liegender Zweiflammrohrkessel von 6980 mm Länge, 1725 mm Dmr., 11 mm Wandstärke und 12,5 cbm Gesamthalt; erbaut 1888 von H. Giesau & Co. in Neustadt-Magdeburg für den Grubenbetrieb der Frau von Plötz in Döllingen, Kreis Liebenwerda. Zeit der Explosion 20. Januar morgens 4^{1/2} Uhr.

Nur die Wasserhaltung (Pulsometer) war im Betrieb; der Wärter hatte den Kessel eben verlassen, um eine Störung am Pulsometer zu beseitigen. Die Feuerthüren und der Rauchschieber waren soweit als thunlich geöffnet. Der Kessel wurde durch die Explosion vollständig zerstört; er zerfiel im wesentlichen in 7 Teile, von denen die beiden hinteren Schüsse des linken Flammrohres bis 150 m weit fortgeschleudert wurden. Die vordere Stirnwand mit 2^{1/2} Schuss des linken und 4^{1/2} Schuss des rechten Flammrohres und der untere Teil des ersten Mantelschusses blieben in der Nähe der Explosionsstätte liegen. Die Wandstärke der Flammrohre war in der Nähe der Bruchstellen durch Anfrassen von innen auf 2 bis 3 mm vermindert. Der erste Mantelschuss zeigte dieselbe Erscheinung in der Wasserstandebene, die auch die Risslinie bildete. In den übrigen Blechstücken war die Wandstärke in der Wasserstandebene auf 5 mm vermindert, jedoch folgten die Bruchlinien hier teils den Nähten, teils setzten sie sich quer durch die Bleche. Die Ausrüstungsgegenstände befanden sich unter den Trümmern; Mängel daran, welche im ursächlichen Zusammenhang mit der Explosion hätten stehen können, wurden nicht ermittelt. Kesselhaus und Kesselmauerwerk wurden vollständig zerstört; Trümmer flogen mehrere hundert Meter weit und beschädigten die Dächer von Nachbargebäuden. Die Ursache der Explosion war Verrosten von innen, hauptsächlich in der Ebene des Wasserstandes im vordersten Schuss des Kesselmantels und im oberen Teile der Flammrohre, hervorgerufen durch saures Speisewasser. Bei der letzten inneren Revision am 28. September 1897 waren Einfressungen in der Höhe des Wasserstandes und besonders im vordersten Blechschuss festgestellt worden, die zwar noch kein Bedenken über die Sicherheit des Kessels erregt, wohl aber strenges Augenmerk hierauf zur Pflicht gemacht hatten. Verletzt wurde niemand.

2) Stehender Feuerbüchsenkessel von 2440 mm Länge und 800 mm Dmr. mit Sieder von 1670 mm Länge und 685 mm Dmr., von 0,67 cbm Gesamthalt, erbaut 1888 von Christiansen & Meyer in Harburg a/E. für die Badeanstalt von C. Clausen in Albersdorf, Kreis Süderdithmarschen. Zeit der Explosion 24. Februar gegen 11 Uhr vormittags.

Der Kessel war um 9 Uhr angeheizt. Normaler Betrieb; Spannung angeblich rd. 2 at. Der Wärter war im Begriff, in den Kesselraum einzutreten, um den kurz vorher angestellten Injektor abzustellen, als die Explosion erfolgte, wobei der obere Quersieder der Länge nach aufriß; die Öffnung klappte auf 200 bis 300 mm. In der Risslinie hatte das Blech auf eine größere Länge weniger als 1 mm Wandstärke. Der Blechschornstein flog etwa 2 m weit, der Kessel wurde etwas zur Seite gedrückt und fand sich in geneigter Stellung. Das Mantelblech war im Fuß des Kessels etwas gefaltet. Die Ursache der Explosion war örtliche Blechschwächung. Verletzt wurde niemand.

3) Liegender Einflammrohrkessel von 10250 mm Länge, 3000 mm Dmr., 15 mm Wandstärke und 25 cbm Gesamthalt, erbaut 1881 von Wuth & Diederich in Halle a/S. für die Schwefelsäurefabrik von Engelcke & Krause in Trotha, Saalkreis. Zeit der Explosion 5. März kurz vor 13 Uhr mittags.

Der Kessel war gleichzeitig mit den nebenliegenden am Vormittag angeheizt, jedoch brannte das Feuer im Gegensatz zum Nachbarkessel nur schwach. Wasser soll angeblich genügend im Kessel gewesen sein. Durch die Explosion wurde das rechte Flammrohr in der Ueberlassung des 1. und 2. Bundes in der Rundnaht fast im ganzen Umfange durchgerissen. Beide Schüsse zeigten außerdem die bekannten Einbeulungen, deren eine einen 4 cm breiten Anriss hatte; 1^{1/2} mm tiefe Vertiefungen auf dem Rücken der beiden Flammrohrschüsse ließen auf Abschieferungen schließen. Die Bruchstellen durch die Nieten hindurch waren dunkel, die Risse im ganzen Blech rein metallisch. Das Ablassventil zeigte sich dicht und war geschlossen, sodass eine Teilentleerung des Kessels hierdurch nicht hatte stattfinden können. Die hintere Schautür nebst dem umfassenden Mauerwerk wurde herausgedrückt. Vorn wurden Rost und Rostträger herausgeschleudert, die einen

vor dem Feuer stehenden Arbeiter rücklings trafen und niederwarfen. Die Ursache der Explosion war Wassermangel. Wahrscheinlich hatte der Kessel bereits infolge früheren wiederholten Wassermangels Anbrüche und Einbeulungen erlitten, sodass das Feuer vom Anheizen ab nicht recht zur Entwicklung kam und das Kesselblech bereits bei sehr geringem Druck riss. Eine Person wurde getötet.

4) Liegender Walzenkessel von 5280 mm Länge, 1116 mm Dmr. und 9 mm Wandstärke mit Sieder von 4580 mm Länge, 868 mm Dmr. und 7 mm Wandstärke, von 7,18 cbm Gesamthalt, erbaut 1875 von der Chemnitzer Maschinenbau-Gesellschaft vorm. A. Münnich & Co. in Chemnitz; 1879 in Betrieb gesetzt auf Flur Hohenstein-Ernstthal, Amtshauptmannschaft Glauchau, im Erzbergwerk der Gewerkschaft Lampertus. Zeit der Explosion 23. Juni nachmittags zwischen 2 Uhr 30 Min. und 2 Uhr 45 Min.

Der Dampfdruck betrug unmittelbar vor der Explosion 3,5 at; der Wasserstand war genügend. Der Wärter befand sich im Maschinenraume und wollte die Fördermaschine zum Heben der gefüllten Fördertonne in Gang setzen, als er ein dumpfes Poltern im Kesselhause vernahm, ähnlich dem Geräusch, welches das gestürzte Erz veranlaßt. Bei der Explosion riss das Blech der mittleren Trommel des Sieders unten über der Auflagerung der Länge nach auf 600 mm auf, und es wurde ein trapezförmiges Blechstück aufgebogen, dessen freies Ende 500 mm von der Bruchstelle abstand. Das Manometer war abgerissen, aber unbeschädigt; sonst waren die Ausrüstungsgegenstände in Ordnung. Ein Teil des Kesselmauerwerkes wurde nach vorn und seitlich geschleudert. Der Kessel lag tief in der Erde, sodass den rechts nach unten strömenden Wassermassen ein erheblicher Erddruck gegen das Kesselmauerwerk widerstand. Einige Mauersteine des Kesselhauses wurden nach außen geschleudert. Die Ursache der Explosion war örtliche Blechschwächung durch Verrosten von außen. Verletzt wurde niemand.

5) Liegender Walzenkessel von 7850 mm Länge, 1400 mm Dmr. und 10 mm Wandstärke mit Sieder von 6550 mm Länge, 900 mm Dmr. und 9 mm Wandstärke, von 16 cbm Gesamthalt, erbaut 1873 von Kyll & Nienhaus in Köln für die Aktien-Gesellschaft für chemische Industrie in Schalke, Kreis Gelsenkirchen. Zeit der Explosion 16. September abends 9 Uhr 10 Min.

Drei Stunden vor der Explosion hatte der Wärter den Kessel übernommen, in dieser Zeit aber nicht gespeist, weil das Wasserstandglas zu ²/₃ gefüllt blieb. Die Probröhne wurden nicht angestellt. Der Kessel arbeitete mit zwei gleichen Nachbarkesseln zusammen. Druck 5 at. Bei der Explosion riss die Feuerplatte, welche 1875 eingesetzt war und vor dem Jahre 1885 einen Flecken erhalten hatte, der Länge nach auf und klappte weit nach beiden Seiten. Der vordere Kesselteil flog durch das Dach und fiel 4 m seitlich in das Kesselhaus zurück. Der hintere Teil schob sich 2 bis 3 m zurück und richtete sein offenes Ende steil nach oben. Oertliche Blechschwächungen wurden in den Bruchstellen nicht wahrgenommen, wohl aber deutliche Spuren des Erglühens. Die Gummidichtung im unteren Wasserstandkopfe war unter der Öffnung des Glases soweit zusammengequollen, dass nur eine schwer erkennbare Öffnung übrig blieb. Derselbe Vorgang hatte die obere Öffnung auf 4 mm verengt. Das Kesselmauerwerk wurde über dem Fundament vollständig zerstört; dergl. Giebelmauer und Dach des Kesselhauses. Das Mauerwerk der drei Nachbarkessel wurde beschädigt und der über der Kesselbatterie liegende Dampfsammler abgerissen. Steine flogen bis 100 m weit und beschädigten benachbarte Dächer und Gebäude. Die Ursache der Explosion war Wassermangel im Oberkessel infolge Verknüpfung des wahren Wasserstandes; der falsche Wasserstand im Glase infolge Verschlusses der unteren Glasöffnung durch die Gummidichtung und Schlamm war mangels sorgfältiger Prüfung der einzelnen Hähne und der Probriventile vom Wärter nicht bemerkt worden. Eine Person wurde leicht verletzt.

6) Lokomobilkessel mit rückkehrenden Heizrohren von 2075 mm Länge, 790 mm Dmr. und 6,5 mm Wandstärke mit Flammrohr von 1700 mm Länge, 430 mm Dmr. und 7 mm Wandstärke, Gesamthalt 1,97 cbm, erbaut 1884 von Julius Söding & v. d. Hayde in Hörde i/W.; in Betrieb gesetzt in der Lohedrescherei von Herrn Lohmann in Westkirchen, Kreis Warendorf, 1897. Zeit der Explosion 27. September nachmittags 6 Uhr.

Um 5^{1/4} Uhr war eine Betriebspause. Das Wasser stand 1,5 cm über N.-W. Die Dampfspannung betrug 4 bis 5 at. Der Kessel leckte etwas am hinteren Boden; man nahm an, dass dies von einer Undichtigkeit des Ablasshahnes herrührte. Bei der Explosion riss der hintere Boden in der Umböschung ab und wurde rd. 8 m weit fortgeschleudert. In der Risslinie war das Blech auf 0,6 m des Umfanges nahezu gänzlich von

¹⁾ Nach den im 3. Vierteljahrshefte zur Statistik des Deutschen Reiches, Jahrgang 1901, veröffentlichten Mitteilungen; nicht berücksichtigt sind hierbei die Explosionen von Dampfkesseln, die sich in der Benutzung der Militärverwaltung oder der Verwaltung der Kriegsmarine befinden, sowie von Lokomotiven.

innen verrostet; weitere 0,5 m des Umfangs waren im Blech unganzz (gedoppelt). Der innere Teil dieser Doppelung war durchgerostet, der äußere war 2 mm dick. Auch der Rest der Kreppe zeigte unganzzes Blech. Das Flammrohr hatte einen Bruch von 1 m Länge und 16 mm Tiefe. Bei der letzten Revision im August war das Fehlen der Kontaktbülsen am Sicherheitsventil gerügt; sie wurden alsbald aufgebracht, hatten aber nicht die richtigen Längen; es ist zu vermuten, dass zeitweise ein höherer Druck als zulässig geherrscht hat. Am benachbarten Wohnhause des Besitzers wurde das Dach ziemlich stark beschädigt; ein Teil der Dachsteine wurde abgehoben und die Dachlatten zerbrochen. Die Ursache der Explosion war örtliche Blechschwächung durch Verrosten von innen, dessen Ursache nicht genau festgestellt werden konnte. Inbetracht kommen hierbei das Alter der Lokomobile und der Umstand, dass sie nur in der Dreschzeit gebraucht wurde. Auch dürfte die Wartung nicht immer genügend sorgfältig gewesen sein. Verletzt wurde niemand.

7) Beweglicher liegender Kessel mit Feuerbüchse und vorgehenden Heizrohren von 825 mm Dmr., Wandstärke in den Rohrwänden 15 mm, in der Feuerbüchse 12 mm, Gesamthinhalt 1,268 cbm; erbaut 1865 von Clayton, Shuttleworth & Co. in Lincoln; 1900 in Betrieb gesetzt im Baugeschäft von Theodor Ohl in Limburg a/L., Unterlahnkreis. Zeit der Explosion 1. November nachmittags kurz vor 1 Uhr.

Die Feuerbüchse war durch drei Längsanker, die Rohrwände durch vier Anker, die Seitenwände der Feuerbüchse durch Stöbholzen versteift. Unmittelbar vor der Explosion war genügend Wasser vorhanden. Druck 3,5 at; das Sicherheitsventil bilies ab. Feuerbüchsemantel und Stirnwand rissen in 3 Stücken ab und flogen nach rechts 30 bis 50 m weit, der Kesselkörper 10 m nach rückwärts. Die Bruchstellen zeigten sehniges Gefüge, waren aber schalenförmig zerrissen. Handpumpe, Wasserstandanzeiger, Manometer und vorderes Sicherheitsventil waren fortgeschleudert und vollständig zerstört. Das hintere Sicherheitsventil befand sich im brauchbaren Zustande. Die Ursache der Explosion war zu hohe Dampfspannung. Der amtliche Bericht des Oberingenieurs des Mittelrheinischen Dampfkessel-Überwachungsvereines in Coblenz bezeichnet als mutmaßliche Ursache mangelhafte Beschaffenheit der Feuerbüchsemantelbleche. Hierbei ist zu beachten, dass der Kessel bereits 1865 erbaut, also vermutlich jahrelang im Betrieb gewesen war; ferner wird ausdrücklich bemerkt, dass das Sicherheitsventil gegen 1 Uhr, also gegen Ende der Betriebspause, abblies. Erfahrungsgemäß sind auch Ueberlastungen des Ventiles nicht selten. Da das Manometer zerstört war, konnte es auf seine Richtigkeit nicht mehr geprüft werden. Eine Person wurde leicht verletzt.

8) Liegender engrohriger Siederrohrkessel mit 9 Reihen zu 10 Rohren von 3560 mm Länge und 127 mm Dmr., Wandstärke in der unteren Reihe 6 mm, in der oberen 4,5 mm; über dem Röhrenkessel lagen zwei Walzenkessel von 4300 mm Länge, 785 mm Dmr. und 8,3 cbm Gesamthinhalt; erbaut 1887 von Walther & Co. in Kalk bei Köln, in Betrieb gesetzt 1900 in der Thonwarenfabrik von Lamberty, Servais & Co. in Pfalz, Landkreis Trier. Zeit der Explosion 2. November abends gegen 6 Uhr.

Der Betrieb war normal; kurz vor der Explosion waren beide Feuer beschickt, Druck 7,5 bis 8 at, Wasserstand 120 mm über N.-W. Das dritte Rohr rechts in der zweit untersten Reihe war auf 560 mm Länge in der Schweissnaht aufgerissen, verbogen und aus dem hinteren Kopfe herausgezogen. Ein Rohr der untersten Reihe war gekrümmt und ebenfalls herausgerissen. In diesem Rohr befanden sich zahlreiche grubenförmige Vertiefungen; die Bruchstelle war zackig, das Gefüge grob; hinter der Bruchstelle befand sich ein Riss von 120 mm Länge, der in eine grubenförmige, die Wand durchdringende Vertiefung auslief. Drei Reinigungsthüren wurden hoch gehoben und fielen sumteil in das Kesselhaus. Die Ursache der Explosion war schlechtes Material bei vorhandener örtlicher Schwächung. Eine Person wurde leicht verletzt.

9) Liegender Zweiflammrohrkessel von 9600 mm Länge, 3100 mm Dmr., 13 mm Wandstärke und 26,4 cbm Gesamthinhalt. Erbaut war der Kessel 1877 von A. Großpietsch in Stassfurt; in Betrieb gesetzt in der chemischen Fabrik »Concordia« in

Leopoldshall, Landkreis Bernburg, im Jahre 1891; Zeit der Explosion 8. November 8 Uhr 55 Min. vormittags.

Der Dampfdruck hatte angeblich kurz vor der Explosion 3,5 at betragen; das Speiseventil war geöffnet, es wurde aber nicht gespeist; wann zuletzt gespeist war, vermochte der Heizer nicht anzugeben. Der Kessel wurde in Stücke zerrissen, die bis 75 m weit weggeschleudert wurden. In den Bruchstellen wurde das Material in seiner ursprünglichen Stärke festgestellt. Die Ausrüstungsgegenstände waren zumteil abgerissen und fortgeschleudert. Mängel, welche in ursächlichem Zusammenhang mit der Explosion hätten stehen können, wurden nicht aufgefunden. Das Mauerwerk des Kessels und des Nachbarkessels war vollständig zerstört, ebenso die der Feuerung zunächst liegende Längsseite des Kesselhauses aus Fachwerk. Das Dach eines Nachbargebäudes war teilweise zerstört, desgl. ein Elevator und eine Wand; ein anderes Dach war durchgeschlagen und eine angefangene Mauer umgeworfen. Ursache der Explosion war Wassermangel; auch ließ das Blech (Schweißisen) stellenweise körniges Gefüge erkennen. 3 Personen wurden getötet, 1 Person schwer und 9 Personen leicht verletzt. (Schluss folgt.)

Die Vorversuche mit den elektrisch betriebenen Schnellbahnwagen¹⁾ auf der Strecke Berlin-Zossen hatten den Zweck, die mechanischen Einrichtungen der Wagen auf ihre Betriebssicherheit zu prüfen. Zu dem Ende ließ man die Wagen von einer Schnelllokomotive ziehen und steigerte die Geschwindigkeit allmählich bis zu 90 km/st. Die Schnellbahnwagen sollen dabei ruhig gelaufen sein und keinerlei Mängel gezeigt haben.

Der bei seiner Abnahmeprobefahrt untergegangene englische Torpedobootzerstörer »Cobra« war mit Dampfturbinen, Bauart Parsons, ausgerüstet. Das Schiff hatte eine Wasserverdrängung von 325 t und sollte 38 Knoten laufen; die Maschinenleistung sollte 10000 PS betragen. Soweit bis jetzt ermittelt, ist das Schiff bei dem starken Seegang gebrochen, weil es nicht stark genug gebaut war. Das Schwesterschiff der »Cobra«, »Viper«, ist am 3. August dadurch verunglückt, dass es auf einem Riff scheiterte.

Der Wettbewerb um den Anthony Pollock-Preis für Vorrichtungen zum Verhüten von Schiffszusammenstößen und zur Rettung an Bord befindlicher Personen, über den wir seinerzeit²⁾ berichtet haben, ist ohne Ergebnis verlaufen. Das Preisgericht erkannte zwar die Bemühungen der Erfinder, die Sicherheit zur See zu erhöhen, lobend an, erklärte jedoch, dass von keinem der eingereichten Gegenstände das gesteckte Ziel erreicht sei.

Im Jahre 1903 findet in Dresden eine deutsche Städte-Ausstellung statt, die ein Bild des Städtewesens und der Gemeindeverwaltung bieten soll. Es werden auch Einrichtungen und Gegenstände zugelassen, die für den Bedarf größerer Gemeinden von deutschen Gewerbetreibenden hergestellt werden, also wohl so ziemlich alles, was die Industrie hervorbringt.

Zu Anfang vorigen Jahres wurde von der Regierung von Neusüdwalles ein Wettbewerb zur Überbrückung der 630 m breiten Hafeneinfahrt zwischen Sydney und Nord-Sydney ausgeschrieben. Daran beteiligte sich auch eine deutsche Firma, die Vereinigte Maschinenfabrik Augsburg und Maschinenbaugesellschaft Nürnberg A.-G., Werk Nürnberg, welche für einen ihrer Entwürfe mit dem zweiten Preise ausgezeichnet wurde³⁾. Da die Regierung von Neusüdwalles sich nicht entschließen konnte, einen der eingereichten Entwürfe zur Ausführung bringen zu lassen, anscheinend, weil sie keiner deutschen Firma den Auftrag erteilen wollte, hat sie beschlossen, zu einer erneuten Ausschreibung unter veränderten Bedingungen zu schreiten. Die Bedingungen sind von dem Agent-General for New South Wales, Westminster-chambres, Victoria-street, London S.W., zu beziehen.

¹⁾ Z. 1901 S. 1261 und 1369.

²⁾ Z. 1901 S. 828.

³⁾ a. Z. 1901 S. 247.

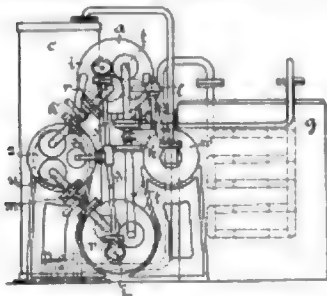
Patentbericht.

Kl. 47. Nr. 121407. Verbindungsschelle. E. Blahm, Berlin. Die Schelle zum Verbinden von Schläuchen mit Rohren, von Kabeln und andern Leitungen aus welchem Stoff besteht aus einem offenen gewellten oder federnden Innenringe b und einem glatten Außenringe a, der durch eine Spannschraube d f zusammengezogen wird.

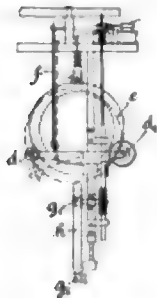


Kl. 47. Nr. 120110 (Zusatz zu Nr. 105952, Z. 1900 S. 291). Herstellung von Treibriemen. F. Beck, Charlottenburg. Die in Schichten übereinander gelegten, nur aus gummierten Längsstreifen bestehenden Streifen werden zu Riemen mit zwei Enden (statt zu endlosen Klemmen) verarbeitet; im übrigen bleibt das Herstellungsverfahren des Hauptpatentes unverändert.

Kl. 17. Nr. 119997. Aufzugs-Kältemaschine. H. Lyon, Glasgow, und J. B. Talbot-Croabin, Scotstoun House (Grafsch. Renfrew, Schottland). Die Auswechslung der erschöpften Lösung des Verdampfers *v* gegen die angereicherte Lösung des Aufzuges *a* ohne Anwendung einer Druckpumpe usw. ist dadurch ermöglicht, dass *a* genügend hoch über *v* angeordnet und ein Zwischenbehälter *s* angebracht ist. Wenn der Druck in *v* erheblich zu sinken beginnt, öffnet man die Hähne *k* und *i*, der Druck in *a* und *s* gleicht sich durch *s*, *a* aus, und die starke Ammoniaklösung fließt aus *a* durch *r* nach *z*. Nun sperrt man *a* durch Schließen von *k*, *i* vollständig ab und öffnet *k*, worauf der in *v* noch vorhandene Überdruck die erschöpfte Lösung durch *i* nach *a* treibt.



Endlich schließt man *k* und öffnet *i* und *m*; die reiche Lösung fließt durch *u* nach *v*, während sich durch *s*, *a* der Druck ausgleicht. Die Leitung des wasserfreien Ammoniaks aus *v* durch den Wasserabscheider *w* in den Kondensator *c* und aus diesem durch den Gefrierer *g* in den Aufzuger *a* geschieht auf bekannte Weise.



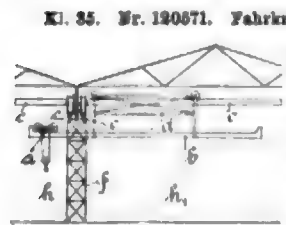
Kl. 21. Nr. 124413. Bogenlampe. R. Lorenz, Zürich. Die Kohlen *e*, *a* sind beide ringförmig und werden von je drei Rollen gehalten; *f*, *d*, *b* für die obere und *g*, *h*, *c* für die untere Kohle, von denen *f* und *g* federnd gelagert sind und die Kohlen gegeneinander pressen. Ein durch Uhrwerk oder eine andere Kraft in Bewegung gesetztes Schaltwerk dreht die Kohlen langsam, sodass sie gleichmäßig abbrennen.



Kl. 21. Nr. 120448. Kollektor. F. Kaeferle, Hannover. Der aus Stegen *i* und dazwischen liegenden Isolirplatten bestehende Kollektor wird von zwei Scheiben *b* und *c* getragen, von denen *b* fest auf der Achse *a* sitzt, während *c* auf ihr verschieblich ist und durch die Mutter *m* gegen den Kollektor gepresst werden kann. Zwischen Kollektor und Achse *a* befindet sich ein Luftraum, sodass sich der Kollektor bei Temperaturschwankungen frei ausdehnen kann.



Kl. 24. Nr. 119480. Treppenrostföhrung. (Zusatz zu Nr. 116961, Z. 1901, S. 411). E. Völcker, Bernburg. In dem Kasten *a* des Hauptpatentes ist ein zweiter Kasten *b* angeordnet, um die von Kohlen ausstrahlende Hitze aufzunehmen und von den Wandungen des Kastens *a* abzuhalten.



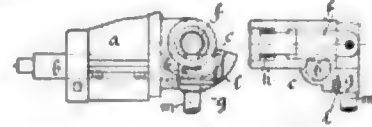
Kl. 35. Nr. 120571. Fahrkran. O. Briede, Hennrich bei Düsseldorf. Die Laufkatze *a* läuft nicht unmittelbar auf dem Träger *c*, sondern auf einer mittels Gerüsts *d* auf *c* fahrbaren, nach beiden Seiten ausladenden Laufbahn *b*, sodass man Lasten nicht nur in der von *c* auf Schienen *e* befahrenen Halle *A*, sondern auch zwischen den Pfeilern *f* hindurch in die Halle *A*, sowie aus *A* durch *A* hindurch in die weiter rechts gelegene Halle oder umgekehrt befördern kann.



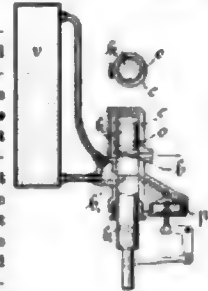
Kl. 35. Nr. 120248. Druckluft-Hebvorrichtung. Pedrick & Ayer Co., Philadelphia (V. S. A.). Die Druckluftleitung *a* steht mit dem unteren Ende des Cylinders *i* in beständiger Verbindung, während das Verbindungsrohr *b* beider Cylinderenden mit einem Dreifachhahn *c* versehen ist. Lässt man die Luft über dem Kolben *k* durch das Ausfuhrrohr *e* entweichen, so wird die Last gehoben; leitet man die Luft von der Unterseite von *k* durch *c* zur Oberseite, so sinkt die Last. Um die Last in bestimmter Höhenlage zu erhalten, klemmt man den Ring *s* auf der Kolbenstange *s* fest, sodass er beim Sinken der Last mittels Hebels *v* das Ventil *k* des Hohlansfuhrrohres *e* öffnet, worauf die Last wieder so weit gehoben wird, dass *k* sich schließt.

Kl. 38. Nr. 120191. Reistockspindel. J. H. Welfa, London.

Zum schnellen Aus- und Einspannen der Werkstücke ist die mit Körnerspitze versehene Reistockspindel *b* an der Hinterseite bei *b* verzahnt, und im Reistocke *a* ist ein Zahnrad *f* gelagert. Durch Niederdrücken des Handhebels *m* hebt man die Riffelung an der Oberseite der Hülse *g* aus der Bogenriffelung *i* an *a*, dreht *f* linksrum, dann wieder rechtsrum und lässt *m* los, worauf unter Einwirkung der Feder *k* die Riffelungen zur Sicherung wieder ineinander greifen.

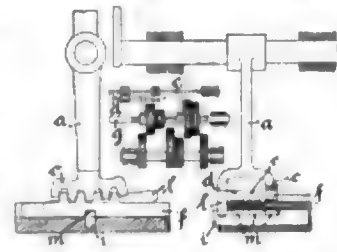


Kl. 40. Nr. 120445. Petroleum-Einspritzverrichtung. J. E. Thornton, Altrincham, und J. P. Lea, Manchester (Engl.). Beim Abwärtsheben des Spritzkolbens *k* wird der obere Raum des Cylinders *c*, sobald die Öffnung *e* freigelegt ist, mit Luft gefüllt; gleichzeitig treibt die Plattenpumpe *p* das vorher durch die Bohrung *b* (oder durch eine Nebenleitung mit Rückschlagventil) angesaugte Petroleum in die Kolbenbohrung *b* und die darin befindliche Luft in den Vorratbehälter *v*. Beim Aufwärtshube von *k* wird die Luft in *c* stark verdichtet und spritzt dann das Petroleum aus *b* in den Vergaser.



Kl. 47. Nr. 120366. Verriegelung für Zahnradwechselgetriebe. J. Maemcke, Berlin. Durch Verschiebung und nachfolgende

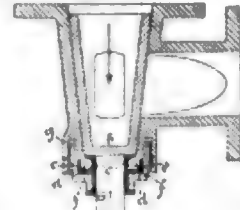
Drehung des Handhebels *a* kann jedes der Räderpaare auf der Vorgelegewelle *g* (Nebenfigur) mittels gesahnter Stangen *d*, *e*, ... und Zahnbogens *c* unabhängig von dem andern verschoben werden. Dabei werden die ausgerückten Räder verriegelt, indem *a* bei seiner Verschiebung mittels Bogenstückes *i* einen Riegel *i* mitnimmt, dessen Ausschnitt nur die Verschiebung der jeweiligen mit *c* in Eingriff stehenden Stange (*f*) gestattet, während die übrigen (*m*, *n*) gesperrt sind. Die Ausschnitte *m* in den Stangen *d*, *e*, *f* gestatten die Verschiebung von *a* nur in der Mittellage, wenn alle Vorgelegerräder ausgerückt sind.



Kl. 47. Nr. 120256. Treibkette. The Piano Manufacturing Company, Chicago. Die rechteckigen auswechselbaren Glieder mit Haken *b* an einem und Bolzen *d* am andern Ende haben Seitenteile *e* mit einer nach außen gerichteten bauchigen Oberfläche *A*, wodurch die Enden *a* der Haken von Spannrollen *c* und Führungsplatten *f* des Kettengetriebes fern gehalten werden, um die Abnutzung der Haken und den sonst eintretenden schlingernden Gang der Kette zu vermeiden.

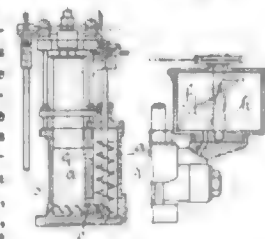


Kl. 47. Nr. 120539. Druckleitungs-hahn. G. A. Schöche, Dresden-N. An dem in der Druckrichtung liegenden Ende des Hahnkegels *b* ist ein Kugellager *c* angebracht, das mittels Ueberwurfschraube *f* oder dergl. so eingestellt werden kann, dass die durch das Druckmittel verursachte Reibung von *b* im Gehäuse *g* auf das für die Dichtung erforderliche Mindestmaß beschränkt wird.

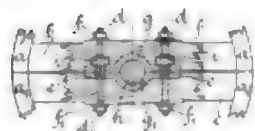


Kl. 47. Nr. 120007 und Zusatz Nr. 121049. Schmierverrichtung. Maschinen- und Armaturenfabrik vorm. C. L. Strube, A.-G., Magdeburg-Buckau. Bei Schmierverrichtungen beliebiger Bauart (Schmierpressen, -pumpen usw.), Fig. 1, wird das Schmiermittel, damit beigemischte schwere Bestandteile (Grafit) sich nicht unten absetzen können, durch eine oder mehrere

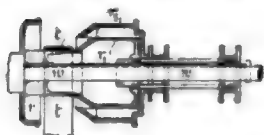
Fig. 1. Fig. 2.



Röhrschrauben *a*, *a*, so angetrieben, dass es durch Öffnungen *a*, *a* in der Scheidewand der Behälterabteilungen *a*, *a* einen Kreislauf beschreibt. Bei Nr. 121049, Fig. 2, ist die Scheidewand fortgelassen, und ein oder mehrere Röhrhügel *f* sind so gestaltet, dass sie einen Umlauf des Oeles mit seiner Beimischung innerhalb des einen ungetheilten Oelraumes *A* erzeugen.

Kl. 47. Nr. 120400. Holzriemenscheibe. A. Peter, Manderkingen.

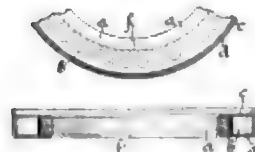
Die Stöge (Speichen) *b, c* der Riemenscheibenhälften *a, a* sind innen mit Metallbleislagen *g, g* zum Umfassen der Welle *h* versehen, und diese werden durch eine Verschraubung *e* so zusammengehalten, dass man nach Lösung der Verschraubung *d* oder *d* *f* die Hälfte *b* *a* oder *c* *a* abnehmen kann, ohne dass gleichzeitig die andere Hälfte von der Welle abgelöst wird.

Kl. 47. Nr. 120217. Riemenscheibenwechselgetriebe. Wwe. E. Le-

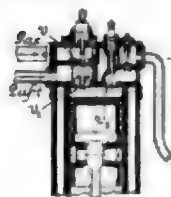
vassor, Paris. Ueber einer mit der Welle *w* fest verbundenen Riemenscheibe *r* sind eine oder mehrere Hohl-scheiben *r*, *r*, ... verschieblich, die nach *r* hin kegelförmig abfallen, sodass man den Treibriemen *t* unter allmählichem Uebergange zu größerer Geschwindigkeit auf die folgende Scheibe bringen kann, ohne ihn aus seiner Ebene zu bewegen.



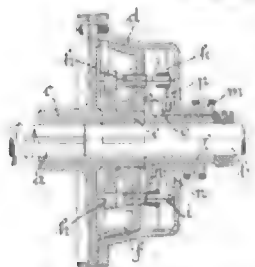
Kl. 47. Nr. 120364. Verbindung geflochtener Treibriemenschnüre. A. W. Kanies, Würzen i/S. Geflochtene Schnüre *a* werden durch einen Faden *b* zu Treibringen verbunden, indem man diesen Faden, der dünner als die Flechtstränge *c* ist, so durch eine oder mehrere Flechtmaschinen führt, dass er nach dem Zusammensetzen nicht über die Lauffläche des Gurttes hinausragt, also der Abnutzung nicht unterworfen ist.

Kl. 47. Nr. 120393. Spannring. G. Silvestri, Wien.

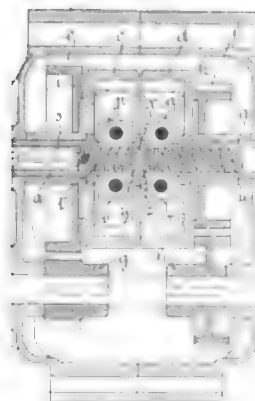
Die bekannten Mechwartschen Ringe, die zur Kraftübertragung (als Hohlreibräder) oder zur Lagerentlastung freischwebend um zwei oder mehr Reibräder oder Wellen gespannt werden, sind hier zusammengesetzt aus einem von der Stelle *f* aus schraubenförmig gewundenen Ringen *a* und einem diesen umspannenden gewellten Ringen *b* zur Verstärkung des radialen Druckes. Eine Buchse *c* *d* sichert den Zusammenhalt.



Kl. 46. Nr. 122673. Gasmaschine und Luftverdichter. Berlin-Anhaltische Maschinenbau-A.G., Dessau. Die Maschine arbeitet im Sechstakte in der Weise, dass die ersten 4 Hölle die Wirkung einer Viertaktmaschine ergeben, beim fünften Hubzylinder durch *v* reine Luft eingesaugt wird (das Gasventil *v* bleibt geschlossen), die der Kolben beim sechsten Hube durch das gesteuerte Ventil *v* und ein Rückschlagventil in den Verdichtungsraum drückt.



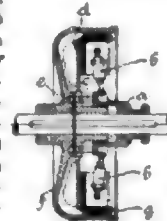
Kl. 47. Nr. 120170. Reibkupplung. P. Sydow, Nürnberg. Auf den Vierkantstücken *i* der im getriebenen Teile *b* gelagerten Schrauben *h* sind Sternräder *k* verschieblich, die in eine Ringart *w* der undrehbaren Muffe *m* greifen. Schiebt man *k* mittels *n* in den Bereich der Anschläge *p* das treibenden Teiles *a* *d*, so werden die Reibkegel *f*, *d* zusammengeschraubt; schiebt man *k* in den Bereich der Anschläge *o* des ruhenden Teiles *l*, so wird die Kupplung ausgerückt.



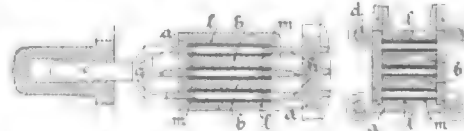
Kl. 47. Nr. 120414. Reibkupplung. Graf A. de Dion und G. Bouton, Puteaux (Seine). Zur Einkerbung eines der Vorgelege *eg*, *fa* wird die Stange *a* mit Links- und Rechtsgewinde *t, u* in der Treibwelle *a* nach einer oder der andern Seite verschoben und dreht dadurch wie eine Zahnstange die Räder *o, p* und *q, r*, deren Achsen als Links- und Rechtsschrauben die Bremsbacken *i* oder *k* an den Hohlzylinder *c* oder *d* drücken. Nach Abnutzung von *i, k* wird die Stange *a* in *a* gedreht, und zwar jedesmal um 180°, damit die Teilung bei *z* und bei *y, s* nicht verändert werde und den Eingriff störe; hierdurch werden die Schraubenpfähle von *o, p, q, r* alle um dasselbe Maß nachgestellt.

Kl. 47. Nr. 120255. Zylinder-Reibkupplung. P. Steudtner,

M.-Gladbach. Die Bremsbacken *g* werden durch einstellbare Federn in den zweifelligen Hebeln *b* auf einem längeren Wege der Einklinkerung *a* an die Hohlzylinderfläche der getriebenen Scheibe *f* gedrückt, sodass man, nachdem *f* nahezu die Geschwindigkeit der treibenden Scheibe *d* angenommen hat, die an *a* befestigten, in *d* geführten Mitnehmerstifte *e* in Bogenruten *e* aufschieben und dadurch ohne Lösung des Reibungsengriffs einen Mitnehmerengriff herbeiführen kann. Beim Ausrücken von *c* bleibt der Reibungsengriff von *g* zunächst noch erhalten.



Kl. 46. Nr. 112256. Presse. L. Haeulin, Dunkerque (Nord-Frankr.). Der Presskasten *a* ist durch Zwischenwände *b* in schmale rechteckige Räume geteilt, in denen das Pressgut (ölhaltige Früchte)

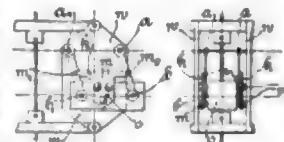


zwischen plattenförmigen Stempeln *g* des Kolbens *e* und *h* des Querschnittes *d* (oder eines zweiten, entgegengesetzt bewegten Presskolbens) zusammengepresst wird, sodass der Saft einen möglichst kurzen Weg zu den Siebplatten *m* und Ablauftrichter *l* hat.

Kl. 40. Nr. 120336 (Zusatz zu Nr. 115306, Z. 1901 S. 720).

Flickkraftpendel. W. Lynen,

Aschen. Auf jeder Seite der Schwungmasse *s* sind in den Mitten *m*, *m* der dünnen Hingestangen *a*, *b*, *a*, *b* Führungsbleche *k* für Rollkugeln *n* aufgehängt, die einerseits die ebenen Seiten von *s*, andererseits je eine Wand *w* berühren und bei jeder Beschleunigung oder Verzögerung der Spindel-drehung die Massenkräfte auf *s* übertragen, um Arme und Gelenke zu entlasten. Da *k* halb so schnell ausschlägt wie *s*, so rollen die Kugeln, ohne zu gleiten.



Kl. 40. Nr. 120211. Regelung für Wechselstrom erzeugende Dampfmaschinen. Ch. J. Young, Philadelphia (Penns., V. S. A.). Wenn zwei oder mehr auf dasselbe Leitungsnetz arbeitende Wechselstrommaschinen aus dem Takte kommen, so wird die vordellende Maschine von den andern verzögert, die nachhollende beschleunigt, während die Flickkraftregler der zugehörigen Dampfmaschinen jener Verzögerung und dieser Beschleunigung entgegenwirken. Diesen Uebelstand abzustellen, erhält jede Dampfmaschine noch einen leicht gebauten Trägheitsregler, der umgekehrt wie der Flickkraftregler wirkt und die Wechselstrommaschinen in ihrem Bestreben, in Gleichtakt zu kommen, unterstützt.

Kl. 40. Nr. 120212. Geschwindigkeitsregler. J. C. Blevney, Newark (Essex, New Jersey, V. S. A.). Der Kreuzkopf *s* der Dampf- (oder Druckluft-)maschine bewegt in der Nähe der Hubenden die Stange *y* eines Vorsteuerhebels, dessen Umstellung die Umsteuerung des Ventilehebels herbeiführt. Der an *s* befestigte Zylinder *z* wird auf *y* und dem an *y* befestigten Kolben *k* verschoben, bis die durch die Öffnung *o* und das stellbare Drosselventil *v* entweichende Luft so stark verdichtet ist, dass ihr Druck auf *k* zur Umstellung hinreicht. Je schneller die Maschine läuft, desto früher wird dieser Druck erreicht, desto kleiner wird also die Füllung, und desto eher tritt Voreröffnung (Gegendampf) ein.



Kl. 41. Nr. 121496. Entnahmeverrichtung für körnige Stoffe. A. Weiße, Zürich, und L. Giroud, Olten (Schweiz). Unter dem Behälter-schachte *a* ist in geringem Abstände an Federn *d* ein Tisch *b* aufgehängt, der so groß ist, dass das Gut mit seinem natürlichen Böschungswinkel auf ihm ruht und ihn völlig bedeckt. Wird nun der Tisch durch eine Rüttelvorrichtung *k* (*a* *a* gerüttelt, so fällt das Gut über die Kanten herab. Die abfließende Menge ist außer von der Bodenöffnung von der Rüttelgeschwindigkeit und dem Abstand des Tisches von der Bodenöffnung abhängig.



Kl. 43. Nr. 120129. Regelung von Pelton- und anderen Strahlrädern. Brlegle, Hansen & Co., Ootha. Ein Regler dreht die Rechts- und Linksschrauben und stellt dadurch zwei Schleier *s*, *s* mit ihren Messerschneiden *m*, *m* so ein, dass sie bei zu schnellem Gange in den aus der Düse *d* fließenden Strahl rücken und das überschüssige Wasser vom Rade ablenken.



Angelegenheiten des Vereines.

Versammlung des Vorstandes des Vereines deutscher Ingenieure

am 4. September 1901 in Berlin.

Vom Vorstande sind anwesend:

- Hr. Veith, Vorsitzender Stellvertreter
- v. Borries, Kurator
- Nimax, Beigeordneter,

ferner

- Peters, Vereinsdirektor
- D. Meyer, Redakteur der Vereinszeitschrift.

Hr. v. Lossow ist durch Erkrankung verhindert, teilzunehmen.

Hr. Lemmer hat telegraphisch gemeldet, dass er erst gegen Mittag eintreffen werde.

Hr. Veith übernimmt den Vorsitz und beauftragt Hrn. Meyer mit der Schriftführung.

Eine Uebersicht der seit der vorigen Versammlung des Vorstandes durch Rundschreiben behandelten Angelegenheiten wird vorgelegt.

Dankschreiben des Hrn. Prof. Pützer.

Es wird ein Dankschreiben des Hrn. Pützer für den ihm zu seinem 70. Geburtstag ausgesprochenen Glückwunsch des Vorstandes verlesen.

Technolexikon.

Der Vorstand nimmt den Bericht über den Fortgang der Arbeiten entgegen und genehmigt die Anstellung einiger Mitarbeiter.

Vorschläge des Hrn. C. Hoppe-Berlin

- a) zur Frage der Gasrohrgewinde
- b) zu Normalmaßen für Stabeisen.

Hr. C. Hoppe schlägt vor, dass der Verein deutscher Ingenieure sich um die Aufstellung eines einheitlichen Gasrohrgewindes bemühen möchte. Im Hinblick auf die bereits stattgehabten Verhandlungen hierüber, die durch einen gleichen Antrag des Thüringer Bezirksvereines veranlasst waren, aber zu dem Ergebnis geführt haben, dass ein Bedürfnis nach einer solchen Vereinbarung nicht genügend vorhanden sei, lehnt der Vorstand es ab, der Anregung Folge zu geben.

Auch das Bedürfnis, Normalmaße für Stabeisen (Rund-, Vierkant- und Flacheisen) zu schaffen, erkennt der Vorstand nicht an, und beschließt, auch diese Anregung ablehnend zu beantworten.

(An der Beratung der folgenden Gegenstände nimmt Hr. Lemmer teil.)

Versendung und Ueberweisung der Vereinszeitschrift.

Vom Reichspostamt ist auf die Eingabe des Vereines der Bescheid ergangen, dass vom 1. September d. J. ab der Verein ermächtigt sein soll, für seine Mitglieder die Ueberweisungen der Zeitschrift zu beantragen.

Der bereits früher vom Vorstand gefasste Beschluss, dass die Ueberweisungsgebühr vom Gesamtverein bezahlt werden soll, wird vom Vorstande dahin erläutert, dass diese Zahlung nur im Falle eines wirklichen Wohnungswechsels dem Gesamtverein zur Last fallen soll, nicht aber, wenn ein Mitglied auf kürzere Zeit, z. B. für die Dauer eines Urlaubes, einer Badekur, eines längeren Ausfluges u. dergl., seinen Wohnort verlässt, um später wieder dahin zurückzukehren. In diesen Fällen soll es Sache des Mitgliedes sein, die Ueberweisung selbst zu besorgen und die Gebühr dafür zu bezahlen. Der Vereinsdirektor wird beauftragt, hierüber Mitteilung in der Vereinszeitschrift zu machen.

Wiederholt sind Fälle vorgekommen, dass Mitglieder weder von dem Wechsel ihres Wohnortes der Geschäftstelle Mitteilung gemacht noch die Ueberweisung der Zeitschrift bei der Post besorgt haben. Da die Postanstalten nicht ver-

pflichtet sind, die bei ihnen eingegangenen Zeitschriftenhefte, wenn sie mangels eines Empfängers unbestellbar bleiben, aufzubewahren oder zurückzuschicken, so geben in solchen Fällen zahlreiche Zeitschriftenhefte verloren.

Der Vorstand beschließt, dass in solchen Fällen, die von den Mitgliedern selbst verschuldet sind, der Verein nicht verpflichtet sei, Ersatz für verloren gegangene Hefte zu leisten, und beauftragt den Vereinsdirektor, auch hierüber in der Vereinszeitschrift Mitteilung zu machen.

Neue Auflage des Statuts.

Das Statut ist durch die Beschlüsse der 41. Hauptversammlung geändert worden; auch ist die Herstellung neuer Abdrücke erforderlich. Gemäß § 29 des Statuts ordnet der Vorstand an, dass jedem Mitglied ein Abdruck des abgeänderten Statuts kostenfrei zugesandt werde, und zwar unter Kreuzband.

Luftfahrzeug des Grafen v. Zeppelin.

Graf v. Zeppelin hat sich mittels Schreibens vom 22. März 1901 an den Vorstand des Vereines deutscher Ingenieure gewendet und ihn unter Hinweis auf die von ihm ausgeführten Aufstiege und Luftfahrten ersucht, den Ausschuss des Vereines deutscher Ingenieure, der sich im Jahre 1896 mit den Entwürfen des Grafen v. Zeppelin beschäftigt und dem Vorstand darüber berichtet hat, behufs Ergänzung und — gebotenfalls — Berichtigung der damals gefundenen Ergebnisse wiederum zu berufen. Der Vorstand hat zu dem Zweck eine Sitzung des Ausschusses am 9. Juni d. J. in Kiel veranstaltet, an der seitens des Vorstandes die Herren Lemmer, v. Borries und v. Lossow teilgenommen haben. Ueber diese Sitzung ist ein Bericht erstattet, zu dem einzelne Teilnehmer nachträglich Ergänzungen und Aenderungen vorgeschlagen haben.

Hr. Lemmer ist der Meinung, dass in dem Bericht die Meinung des Ausschusses nicht deutlich genug zum Ausdruck gelangt sei, um daraufhin dem Grafen v. Zeppelin den gewünschten Bescheid zu geben. Der Vorstand beschließt deshalb, den Ausschuss zu einem Schlussgutachten aufzufordern und dieses dem Grafen v. Zeppelin zur Verfügung zu stellen.

Metrisches S. I.-Gewinde.

Die eingegangenen Äußerungen a) einer Kommission des Vereines deutscher Maschinenfabrikanten, b) des Vereines deutscher Werkzeugmaschinenfabriken, werden vorgelegt; beide empfehlen, die Einführung des S. I.-Gewindes bei Behörden, Eisenbahnen usw. zu befürworten.

Es wird beschlossen, abzuwarten, welche Stellung die Hauptversammlung des Vereines deutscher Maschinenfabrikanten zu dem Gutachten seiner Kommission nehmen wird.

Vorträge in Bezirksvereinen.

Um den Wünschen der Bezirksvereine nach Möglichkeit zu entsprechen, genehmigt der Vorstand, dass Redaktionsbeamte des Vereines, die dazu bereit sind, in den Bezirksvereinen Vorträge halten und dass ihnen der dazu erforderliche Urlaub vom Vereinsdirektor bewilligt wird. Kosten für Reisen usw. sollen jedoch dem Verein daraus nicht entstehen. Die Beamten sollen von Fall zu Fall die Genehmigung des Vereinsdirektors einholen.

Vorrätige Hefte der Vereinszeitschrift.

Die Räume im Hause Charlottenstr. 43 reichen nicht mehr aus, um die Vorräte an Heften der Vereinszeitschrift aufzubewahren, und auch die beiden andern Häuser des Vereines bieten dazu keinen Raum, da sie vollständig vermietet sind. Die Verlagsbuchhandlung von Julius Springer hat diese Vorräte bisher aufbewahrt, ohne dazu verpflichtet zu sein; aber auch sie leidet an Raummangel. Unter diesen Umständen genehmigt der Vorstand, dass im Hause, in welchem sich die

für die Vereinszeitschrift thätige Buchdruckerel und auch die Buchbinderwerkstatt befinden, ein größerer Raum zur Aufnahme dieser Vorräte gemietet und durch hölzerne Gerüste zurechtgemacht werden soll. Er bewilligt die dafür erforderlichen Kosten (jährliche Miete 300 M.; einmalige Einrichtungskosten 200 M.). Die Bestände sind zu versichern.

Mitgliederstand.

Der Vereinsdirektor macht einige Mitteilungen über die Zahl der Mitglieder, woraus sich ergibt, dass die Zahl der Neueingetretenen in diesem Jahre erheblich geringer ist als im vorigen, dagegen die Zahl der Beitragsrückständigen höher als im vorigen Jahre. Aus beidem lasse sich erkennen, dass die Ungunst der Zeiten auch am Verein deutscher Ingenieure nicht spurlos vorübergehe.

Gebührenordnung für Architekten und Ingenieure.

Ein Schriftwechsel mit dem Verbands deutscher Architekten- und Ingenieur-Vereine über die Anrechte, welche die an der Aufstellung dieser Gebührenordnung beteiligten Vereine daran haben, hat zu der gegenseitigen Anerkennung geführt, dass es jedem dieser Vereine freisteht, die Gebührenordnung nach seinem Belieben zu veröffentlichen, in Vorkreuz zu bringen, in buchhändlerischen Verlag zu geben usw.

Ueberfüllung der technischen Hochschulen und Zulassung der Ausländer.

Angesichts der neuerdings in der Tagespresse wieder lebhaft besprochenen Frage der Zulassung der Ausländer zu unsern technischen Hochschulen und im Anschluss an seine früheren Kundgebungen (s. Z. 1898 S. 1069) hat der Vorstand des Vereines deutscher Ingenieure an die Senate der deutschen technischen Hochschule und an diejenigen deutschen Staatsregierungen, denen technische Hochschulen unterstehen, die folgende Eingabe gerichtet.

Berlin N.W., den 9. August 1901.

betrifft: Ueberfüllung der technischen Hochschulen
und Zulassung der Ausländer.

Bereits im Jahre 1898 erlaubten wir uns, zur Frage der Ueberfüllung der deutschen technischen Hochschulen unsere Ansichten in der anliegenden Denkschrift zum Ausdruck zu bringen, welche wir einem Hohen ^{Senat} Ministerium mit unserm Schreiben vom 30. Juli 1898 überreicht haben.

Inzwischen ist von neuem die auch in unserer Denkschrift behandelte Zulassung der Ausländer zu unsern technischen Hochschulen Gegenstand eifriger Erörterungen gewesen, und zwar sind es besonders die einheimischen Studierenden, von denen das Verlangen ausgeht, diese Zulassung eingeschränkt zu sehen, weil sie sich in ihrem Studium infolge der Ueberfüllung durch Ausländer behindert und geschädigt fühlen. Aber auch die Zeitungen haben sich lebhaft mit dieser Angelegenheit beschäftigt und außer der Ueberfüllung auch andere Nachteile hervorgehoben, welche der deutschen Industrie aus der Zulassung der ausländischen Studierenden erwachsen.

Wir sind der Meinung, dass die am Schlusse unserer Denkschrift vom Jahre 1898 zusammengefassten Vorschläge auch heute noch ebenso zutreffend wie ausreichend sind, um den immer wieder beklagten Uebelständen abzuhelfen. Ganz besonderen Nachdruck glauben wir angesichts der von den Studierenden vorgebrachten Beschwerden auf die Vorschläge 2a und b legen zu sollen, in denen wir empfohlen haben, die Aufnahmebedingungen zu verschärfen und die Erfüllung der Aufnahmebedingungen von Ausländern mindestens in demselben Maße zu fordern wie von den Inländern.

In welcher Weise die Aufnahmebedingungen verschärft werden sollen, darüber haben wir uns einem Hohen ^{Senat} Ministerium gegenüber in unserer Eingabe vom 20. Januar 1897 ausgesprochen. Wir halten es für dringend notwendig, dass die damals von uns aufgestellten Forderungen einheitlich für alle deutschen technischen Hochschulen in die Aufnahmebedingungen aufgenommen werden. Es würde das nicht nur für die deutsche Technik in Wissenschaft und Praxis höchst wert-

Bericht

des Hrn. Regierungs- und Baurates Rohr-Straßburg über die diesjährige Wanderversammlung des Vereines schweizerischer Architekten und Ingenieure.

Der Vorstand nimmt Kenntnis von dem Bericht über die Versammlung, an der Hr. Rohr auf Wunsch des Vorstandes als Vertreter des Vereines deutscher Ingenieure teilgenommen hat.

Wiederaufnahme

der Thätigkeit des Patentausschusses.

Hr. Fehlert empfiehlt, die Thätigkeit des Patentausschusses wieder aufzunehmen, der vor mehreren Jahren vom Verein deutscher Ingenieure eingesetzt worden ist, um eine Reihe von Fragen der Patentgesetzgebung und der Handhabung des Patentgesetzes zu beraten. Die Arbeiten des Ausschusses sind unterbrochen worden, zumeist weil der Deutsche Verein zum Schutze des gewerblichen Eigentums dieselben Fragen in Beratung genommen und auf seinen beiden Kongressen in Frankfurt und Köln behandelt hat, zumeist durch Erkrankung des Hrn. Fehlert. Der Vorstand hat nichts dagegen einzuwenden, dass dem Antrage des Hrn. Fehlert entsprochen werde, wenn der Ausschuss seinen Wunsch teilt.

(Schluss der Versammlung gegen 5 Uhr.)

voll sein, sondern auch der Ueberfüllung durch Ausländer sehr wirksam entgegneten, wenn — wie von Rechts wegen doch wohl selbstverständlich — die Ausländer hinsichtlich der Aufnahmebedingungen nicht gelinder behandelt werden als die einheimischen Studierenden.

Ganz besonders wirksam würde die am Schlusse von Ziffer 2a unserer Denkschrift von 1898 ausgesprochene Forderung sein, gemäß welcher als Aufnahmebedingung für die ordentlichen Studierenden des Maschineningenieurwesens einschließlich Elektrotechnik und Schiffbau eine mindestens einjährige praktische Werkstattd Ausbildung vor dem Studium, wie von uns wiederholt und nachdrücklich empfohlen, einheitlich an allen deutschen technischen Hochschulen eingeführt werden sollte.

Dem früher gegen die Forderung der einjährigen Werkstattdthätigkeit erhobenen Einwand, dass es zur Ableistung derselben in den Fabriken an ausreichender Gelegenheit fehle, ist der Boden durch das Vorgehen von zehn großen technischen Verbänden vollständig entzogen worden. Diese Verbände sind zusammengetreten, um den jungen Leuten, welche an technischen Hochschulen Maschineningenieurwesen einschließlich Elektrotechnik und Schiffbau oder Hüttenwesen studieren wollen, geeignete Gelegenheit zur Werkstattd Ausbildung zu verschaffen; sie haben Bestimmungen über die praktische Ausbildung aufgestellt und aufgrund dieser Bestimmungen von einer sehr großen Zahl deutscher Maschinenfabriken, Schiffswerften, Hüttenwerke usw. Zusagen für die Aufnahme der jungen Leute erteilt.

Wenn es gelänge, für die ordentlichen Studierenden der obengenannten Fächer eine mindestens einjährige, für die außerordentlichen Studierenden eine mindestens dreijährige praktische Thätigkeit vor dem Studium an allen deutschen technischen Hochschulen zur Aufnahmebedingung zu machen, so wäre das nicht nur eine für das Studium sehr förderliche Maßregel, sondern es würden damit auch zahlreiche Ausländer, die ihrer Vorbildung wegen sich nicht zum Studium bei uns eignen, fern gehalten werden. In der That ist z. B. die Technische Hochschule Stuttgart, welche die Forderung einer mindestens einjährigen Werkstattdthätigkeit nicht bloß als Vorbedingung für die Diplomprüfung, sondern auch für die Immatrikulation gegenüber diesen Studierenden schon seit einer Reihe von Jahren handhabt, vor der Ausländerflut bewahrt geblieben.

Der Verein deutscher Ingenieure.

Lemmer, v. Barries,
Vorstandender, Kurator.
Th. Peters,
Direktor.

ZEITSCHRIFT DES VEREINES DEUTSCHER INGENIEURE.

Nr. 41.

Sonnabend, den 12. Oktober 1901.

Band XXXV.

Inhalt:

Die Weltausstellung in Paris 1900: Pumpen. Von M. F. Gutermuth	1441	Westfälischer B.-V.: Signale und Sicherungsanlagen im Eisenbahnbetriebe	1468
Die Internationale Ausstellung in Glasgow 1901: Streifzüge durch das Gebiet des Schiff- und Schiffmaschinenbaues (Schluss)	1449	Zeitschriftenschau	1469
Der Schnellbahnwagen von Siemens & Halske A.-G., Berlin. Von W. Reichel (hierzu Tafel XXV) (Schluss)	1457	Randschau: Hydraulisch betriebene Kohlenkippen der Taif Vale-Eisenbahn. — Die Dampfkesselexplosionen im Deutschen Reich im Jahre 1900 (Schluss). — Verschiedenes	1471
Die landwirtschaftlichen Maschinen und Geräte auf der 14. Wanderausstellung der deutschen Landwirtschafts-Gesellschaft in Posen. Von H. Grandke (Schluss)	1463	Patentbericht: Nr. 119760, 120407, 119344, 120911, 120247, 120280, 120192, 120103, 122674, 120041, 121090, 122600, 120351, 120137, 120040, 120490, 121153, 120292, 120039, 122602, 120044	1474
Thüringer B.-V.	1468	Zuschriften an die Redaktion: Fortschritte im Baue von Flachreglern	1476

Die Weltausstellung in Paris 1900.

Pumpen.

Von Professor M. F. Gutermuth, Darmstadt.

Auf dem Gebiete des Pumpenbaues wurde die Aufmerksamkeit des Fachmannes wesentlich nur durch die meist ausländischen Sonderkonstruktionen beansprucht, wie solche in den Worthington-Pumpen, den Pumpen für Schnellbetrieb und den Zentrifugalpumpen für hohe Pressungen geboten waren.

An der Beschickung der Ausstellung mit den erstgenannten unmittelbar wirkenden Pumpen hatte sich nicht nur das amerikanische Stammhaus beteiligt, sondern vornehmlich die französische Schwestergesellschaft für Worthington-Pumpen, der die gesamte Wasserversorgung für die Ausstellung einschließlich der Wasserbeschaffung für die Kraftmaschinenanlage und das Wasserschloss übertragen war.

In der ungarischen Abteilung war außerdem noch eine große stehende Dreifachexpansions-Dampfpumpe von der Aktiengesellschaft für Worthington-Pumpen und der Maschinenfabrik Stefan Röck in Budapest aufgestellt.

In anbetracht der zunehmenden Bedeutung, welche die Pumpen ohne Kurbeltrieb auch bei uns für besondere Zwecke und für kleinere Anlagen gewinnen, erscheint es gerechtfertigt, diese Pumpmaschinenanlagen kurz zu kennzeichnen.

Das Wasserwerk der Ausstellung, das am linken Seine-Ufer in der Nähe der Jena-Brücke von der Worthington-Pumpengesellschaft errichtet war, umfasste 4 liegende Zwillingspumpen mit Ausgleichwerk für je 30 cbm/min Wasserförderung auf ungefähr 20 m Förderhöhe.

Die hinter einander liegenden Cylinder der Dreifachexpansions-Dampfmachine hatten 305, 508 und 864 mm Bohrung bei 610 mm Kolbenhub; der Durchmesser der Pumpenkolben betrug 660 mm. Die verlangte Pumpenleistung wurde bei 37,5 vierfachen Hüben erreicht, während die Hubzahl nach Angabe auf 40 bis 44 i. d. Min. gesteigert werden konnte.

Die nachfolgende Zahlentafel enthält die Ergebnisse einiger an den Ausstellungsmaschinen vorgenommenen Dampfverbrauchs- und Leistungsversuche.

Für die Bedürfnisse der Ausstellung war auch die Pumpmaschinenanlage des Eiffelturmes mit Worthington-Pumpen neu ausgerüstet und erweitert. 17 Pumpen verschiedener Größe dienen für den Betrieb der hydraulischen Aufzüge und zur Hebung von Nutz- und Trinkwasser auf die einzelnen Stockwerke des Turmes. Darunter befinden sich 5 Dreifach- und 4 Zweifachexpansions-Dampfpumpen.

Die größte Druckhöhe der Presspumpen für den Aufzugsbetrieb beträgt 50 at, wobei die Pumpen des Edoux-Aufzuges zwischen dem zweiten und dem dritten Stockwerk mit 10 at Saugspannung arbeiten.

Gegenüber der in Fachkreisen wohlbekannten und in zahlreichen Veröffentlichungen beschriebenen¹⁾ Bauart und Wirkungsweise der Worthington-Pumpen boten die vorgenannten beiden Anlagen ebenso wenig Neues, wie die zahlreichen in der amerikanischen Abteilung der Ausstellung vom Stammhause aufgestellten, nicht in Betrieb befindlichen Pumpen.

Besondere Beachtung durfte dagegen die in der ungarischen Abteilung von der Aktiengesellschaft für Worthington-Pumpen in Budapest und der Maschinenfabrik Stefan Röck daselbst ausgestellte und für die Neustifter Pumpstation der Budapester Wasserwerke bestimmte große stehende Dreifachexpansions-Pumpmaschine beanspruchen.

Diese Ausstellungsmachine entspricht der neuesten Entwicklungsstufe der Worthington-Triplexpumpen und möge daher im Nachfolgenden kurz beschrieben werden.

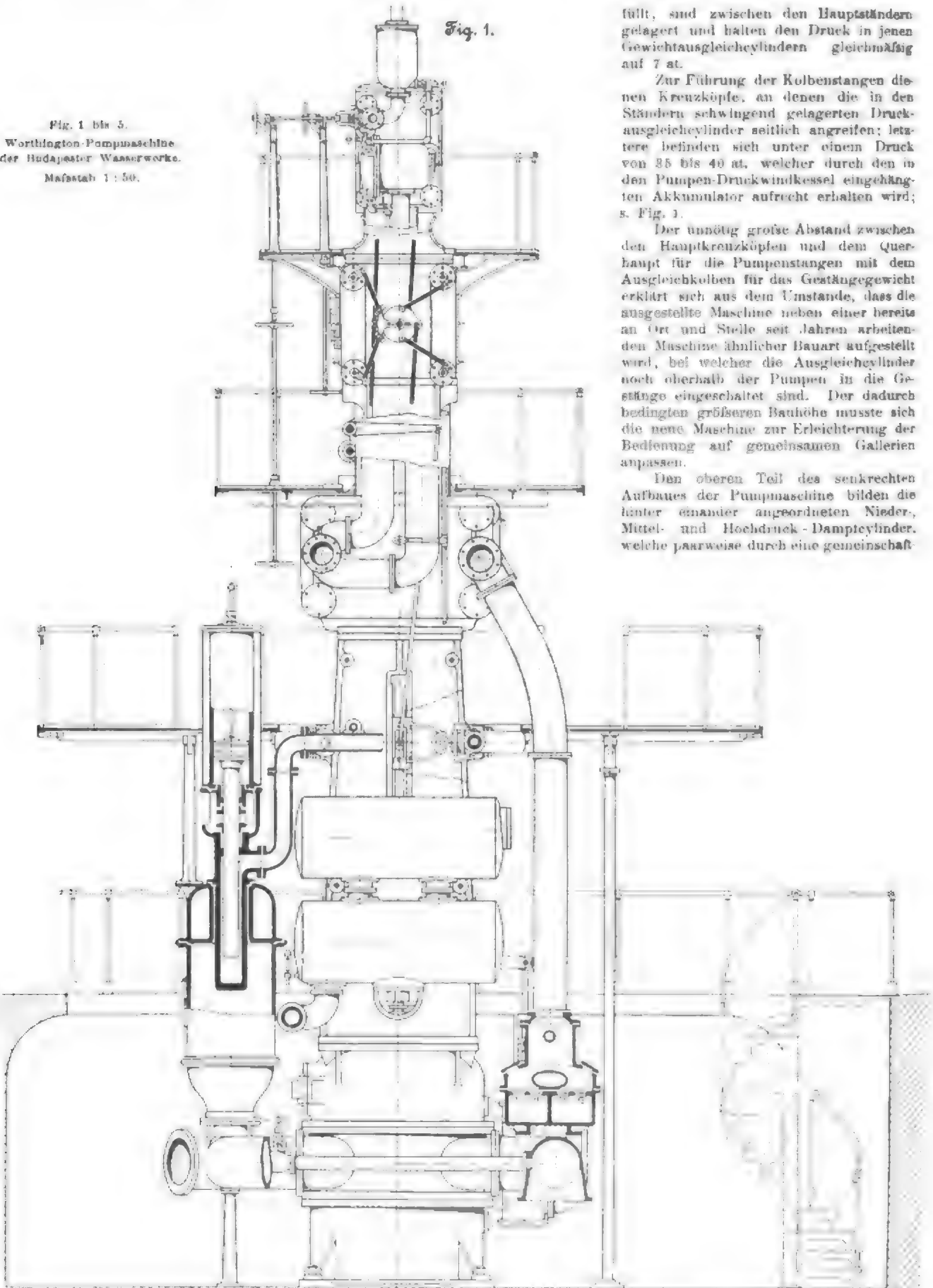
Die ganze Maschine baut sich, wie Fig. 1 bis 4 zeigen, auf den stehenden Pumpenkörpern auf, in deren Oberteile die Cylinder zur hydraulischen Angleichung der Gestängengewichte eingehängt sind. Zwei liegende genietete Windkessel, von einem besonderen Dampfkompessor zeitweilig nachge-

¹⁾ Z. 1885 S. 400; 1888 S. 137, 736; 1889 S. 54; 1890 S. 539, 827; 1895 S. 607; 1896 S. 1218. S. auch Albrecht v. Jhering, Amerikanische Wasserhebemaschinen, Berlin 1894, Leonh. Simon.

Versuch	Dampf- überdruck	Über- hitzung	Wasser- druck	Vakuum im Konden- sator	Zahl der Doppel- höhe jeder Pumpe i. d. Min.	Pumpen- leistung	stündl. Mantel- wasser	stündl. Speise- wasser- verbrauch	stündl. Dampfverbrauch pro Pumpenpferd aus- schliesslich Mantel- wasser	ein- schliesslich Mantel- wasser	Bemerkung
Nr.	at	°C	at	cm		PS	kg	kg	kg	kg	
1	10,4	32	2,07	70	36,6	144	120	1078	6,6	7,45	Das Mantelwasser wird durch eine besondere Kondensatpumpe in den Kessel zurückgedrückt.
2	10,4	32	2,05	70	39	151	110	1022	6,05	6,8	
3	10,23	32	2,1	71	41,86	164	114	1220	6,8	7,45	

Fig. 1 bis 5.
Worthington-Pumpmaschine
der Budapest Wasserwerke.
Maßstab 1:50.

Fig. 1.



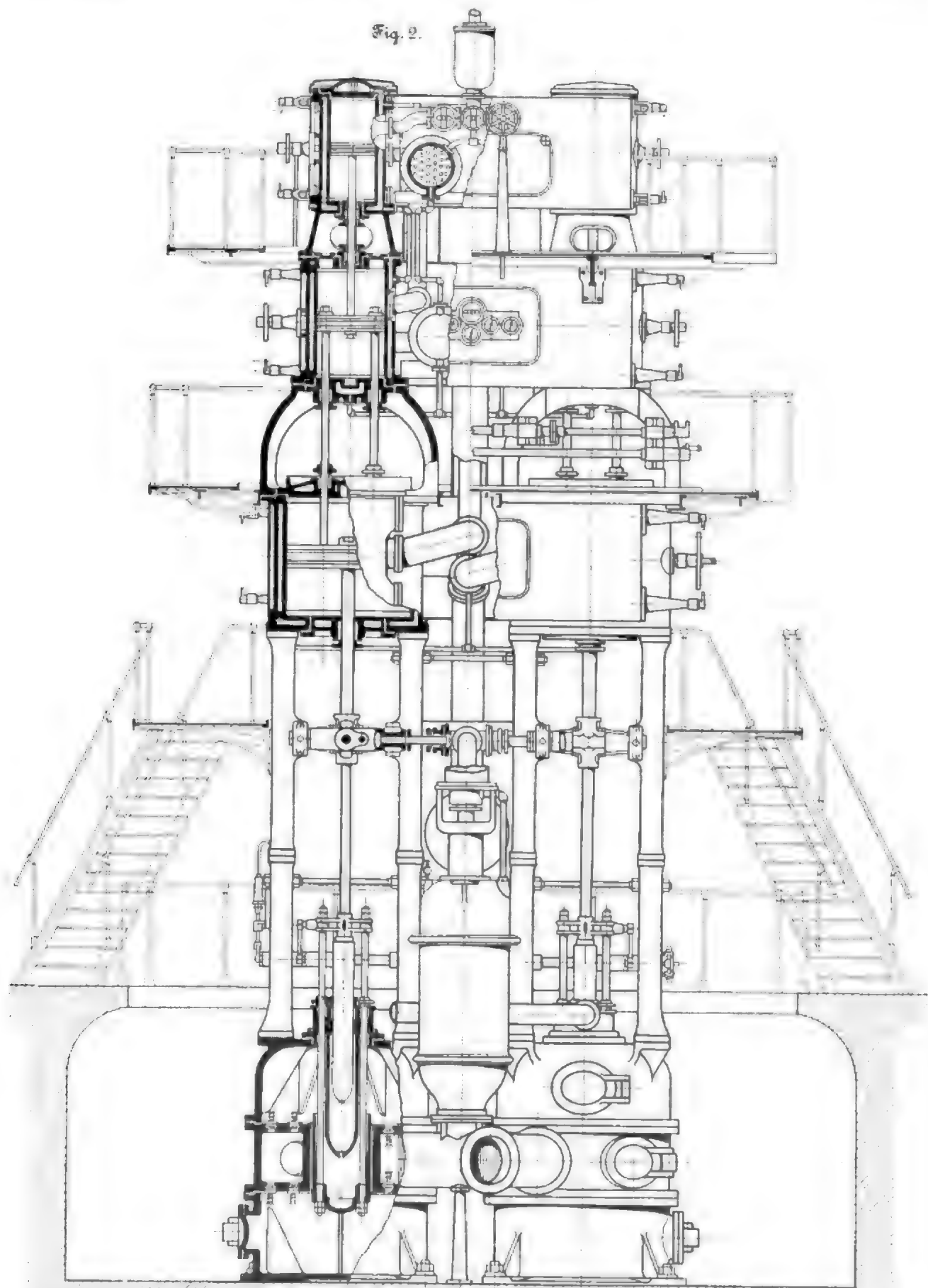
füllt, sind zwischen den Hauptständern gelagert und halten den Druck in jenen Gewichtsausgleichscylindern gleichmäßig auf 7 at.

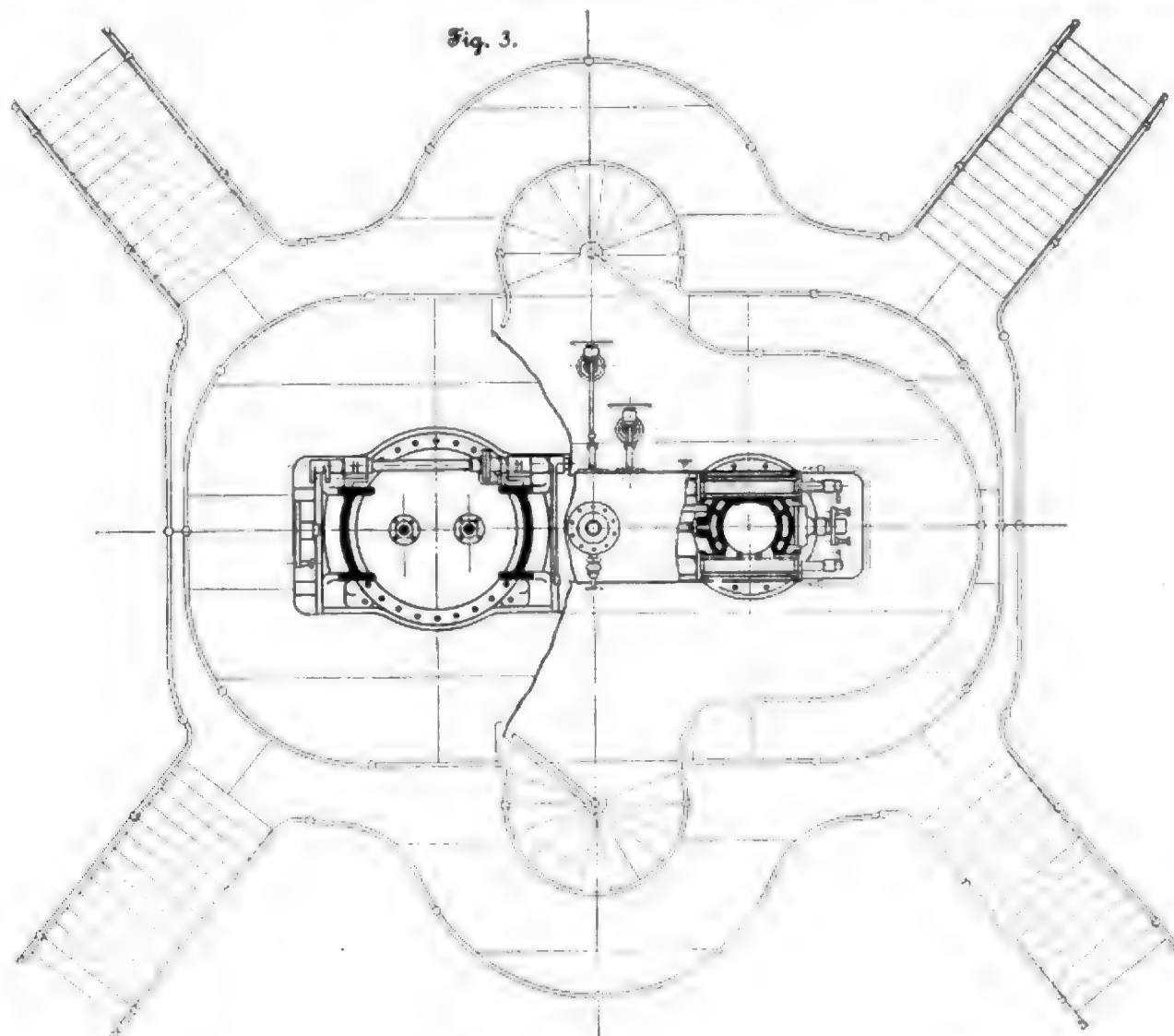
Zur Führung der Kolbenstangen dienen Kreuzköpfe, an denen die in den Ständern schwingend gelagerten Druckausgleichscylinder seitlich angreifen; letztere befinden sich unter einem Druck von 35 bis 40 at, welcher durch den in den Pumpen-Druckwindkessel eingehängten Akkumulator aufrecht erhalten wird; s. Fig. 2.

Der unnötig große Abstand zwischen den Hauptkreuzköpfen und dem Querschnitt für die Pumpenstangen mit dem Ausgleichkolben für das Gestängegewicht erklärt sich aus dem Umstande, dass die aufgestellte Maschine neben einer bereits an Ort und Stelle seit Jahren arbeitenden Maschine ähnlicher Bauart aufgestellt wird, bei welcher die Ausgleichcylinder noch oberhalb der Pumpen in die Gestänge eingeschaltet sind. Der dadurch bedingten größeren Bauhöhe musste sich die neue Maschine zur Erleichterung der Bedienung auf gemeinsamen Gallerien anpassen.

Den oberen Teil des senkrechten Aufbaues der Pumpmaschine bilden die hinter einander angeordneten Nieder-, Mittel- und Hochdruck-Dampfcylinder, welche paarweise durch eine gemeinschaft-

Fig. 2.

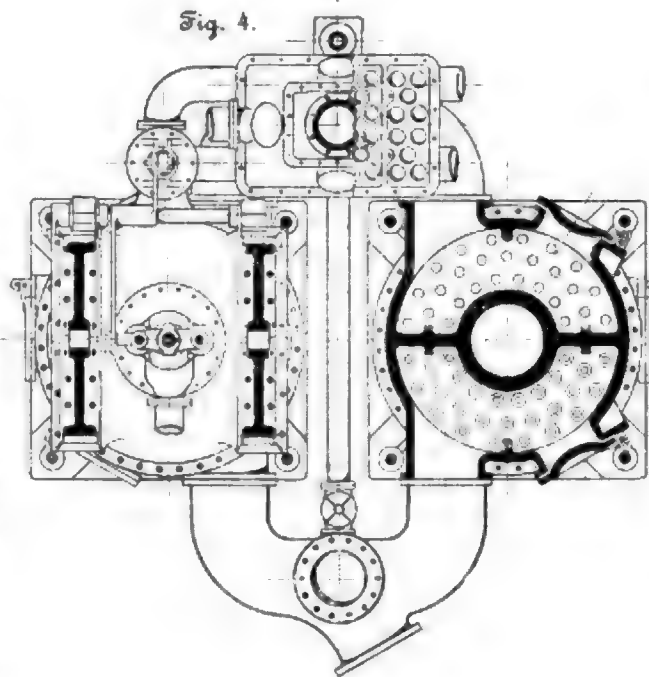




liche Blechverschalung in einem Kasten vereinigt sind, in dessen Innerem die querliegenden Aufnehmer sowie Heizleitungen, Dampf- und Auspuffrohre untergebracht sind.

Die in den Figuren dargestellten Gallerien und Treppen sind der Örtlichkeit in der Ausstellung angepasst; in Wirklichkeit finden die Treppen nur teilweise Verwendung, und zwar im Anschluss an die bereits in Betrieb befindliche Nachbarmaschine des Wasserwerkes. Die Gallerien werden dagegen nach unten um eine vierte Bühne vermehrt, da die Pumpen nicht mehr in einem besonderen Schacht, sondern frei auf der Maschinenhaussohle stehen werden.

Die Hauptabmessungen der Maschine sind:



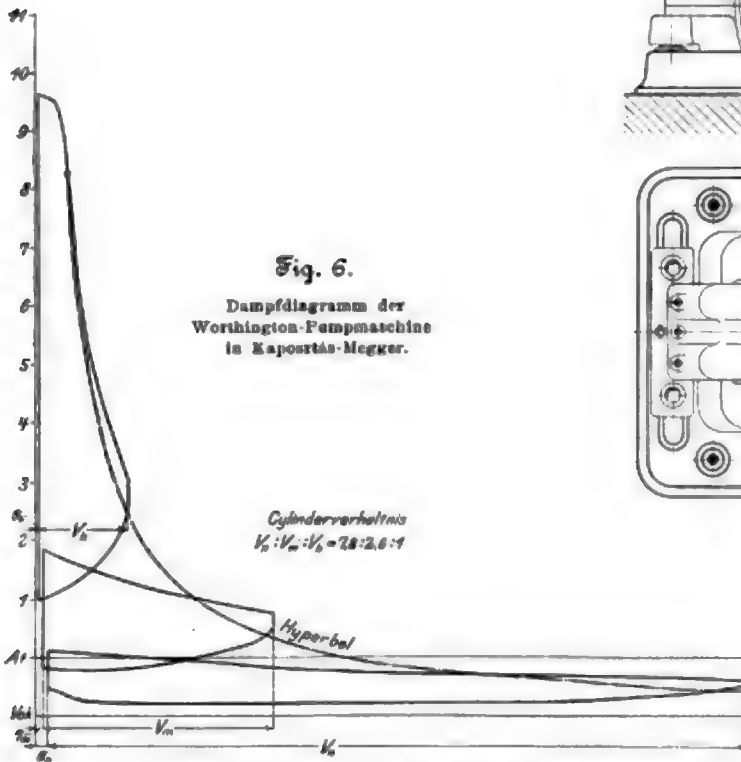
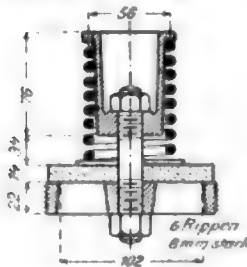
Dmr. der beiden Hochdruckeylinder	457 mm
Dmr. der beiden Mitteldruckeylinder	686 "
Dmr. der beiden Niederdruckeylinder	1270 "
Dmr. der beiden Pumpenkolben	572 "
Dmr. der beiden Gewichtsausgleichkolben	230 "
Dmr. des Akkumulator-Luftkolbens	380 "
Dmr. des Akkumulator-Wasserkolbens	165 "
Dmr. der vier Druckausgleichkolben	165 "
Dmr. der 4 Pumpenkolbenstangen	104 "
Dmr. der geteilten Pumpenkolbenstangen	73 "

Dmr. der beiden Niederdruck-Dampfkolbenstangen	126 mm
» » vier Kolbenstangen zwischen Niederdruck- und Mitteldruckcylinder	76 »
» » beiden Hochdruckkolbenstangen	76 »
größter Maschinenhub beim Anstoßen der Kolben	965 »
thatsächlicher Maschinenhub im Betriebe	940 bis 950 »
Dmr. der beiden Luftpumpenkolben	380 »
Verhältnis des Luftpumpenhubes zum Maschinenhub	0,432

Die Maschine macht im Betriebe minutlich 22 bis 26 vierfache Hübe. Dabei ergibt sich eine Tagesleistung (in 23 st) von 27000 cbm auf 73 m Förderhöhe, entsprechend 300 PS, in gehobenem Wasser gemessen. Die Betriebsdampfspannung beträgt 11,0 at.

Fig. 5.

Ventil der Worthington-Pumpe.



Als Eigentümlichkeit der Pumpenkonstruktion wird ihre geringe Bauhöhe und die dadurch begünstigte hohe Saugfähigkeit, sowie große Einfachheit geltend gemacht.

Jede Pumpe besteht aus drei Gusskörpern, und zwar einem Untersatz, einer Haube und einem Mittelstück; das letztere, durch eine Scheidewand geteilt, enthält Saug- und Druckkammer, Kolbenführung und sämtliche Ventile.

Jede Pumpenseite hat 27 Saug- und ebenso viele Druckventile von 102 mm Dmr. und 20 mm Hub, Fig. 5. Die bronzenen Sitze sind konisch eingeschraubt, und eine lange Bronze-

feder belastet die aus steifem Gummi hergestellten Ventilplatten. Bei der verhältnismäßig geringen Hubzahl setzen sich die Ventile unhörbar auf. Gleiche Ventile sind bereits 7 Jahre bei bestehenden Pumpmaschinen des Budapester Wasserwerkes in Betrieb, ohne erneuert worden zu sein. Der gusseiserne Pumpenkolben läuft ohne besondere Abdichtung in dem langen Weißgussfutter des Pumpenmittelteiles.

Weite Mannlöcher machen die Ventile bequem zugänglich, und kräftige Rippen versteifen die Pumpenkörper zur Aufnahme der Gewichte der darauf ruhenden Ständer und Dampfcylinder.

Die Hauben der Pumpenkörper werden durch je ein kleines, am höchsten Punkte angebrachtes Rückschlagventil bei jedem Druckhube entlüftet.

An die Mittelstücke der Pumpen setzen sich die Saug- und Druckverbindungsstutzen an, beide

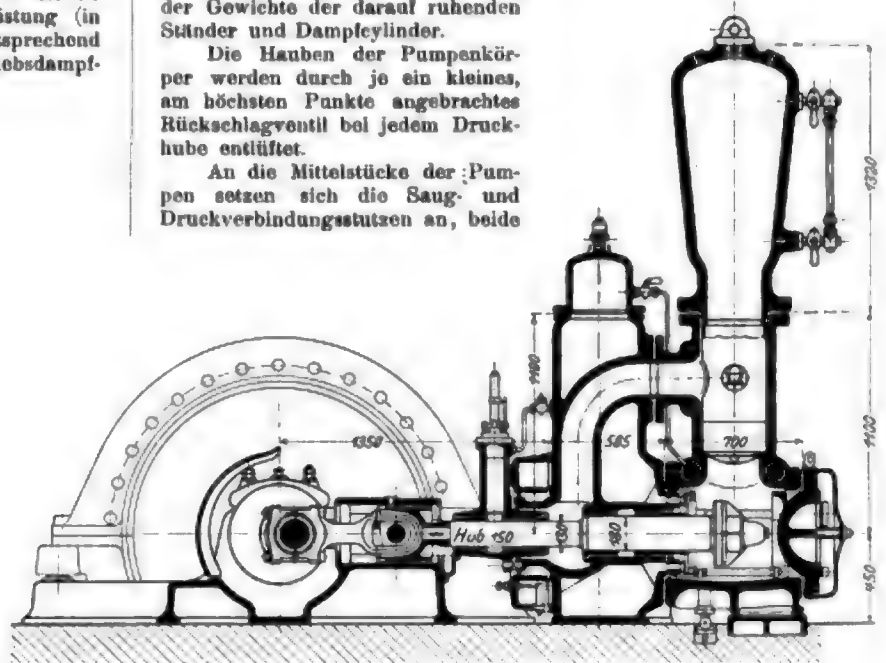
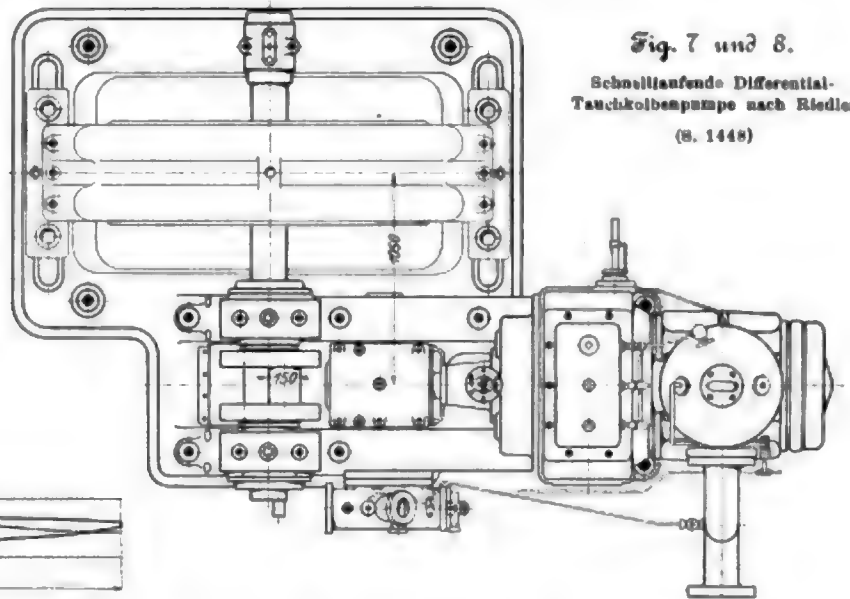


Fig. 7 und 8.

Schnellaufende Differential-Tauchkolbenpumpe nach Riedler.
(B. 1448)



durch eine 100 mm weite Umlaufleitung verbunden. Ein Saugwindkessel fehlt vollständig, und der Druckwindkessel hat nur geringen Inhalt. Die in letzterem sich ausscheidende Luft soll hauptsächlich zum Betrieb des darüberstehenden Akkumulators des Druckausgleichwerkes dienen.

Beim Gestänge, das durchweg aus Gusstahl hergestellt ist, wechseln bei jeder Verbindung mit einem Kolben oder Kreuzkopf Doppelstangen mit einfachen ab; es werden dadurch kurze Einzeltängen und leichter Ausbau erzielt, Kolbenkeile und ungünstige Verstärkungen vermieden.

Fig. 9 bis 11. Schnelllaufende Pumps von Ehrhardt & Schmeier. (S. 1446)

Fig. 9.

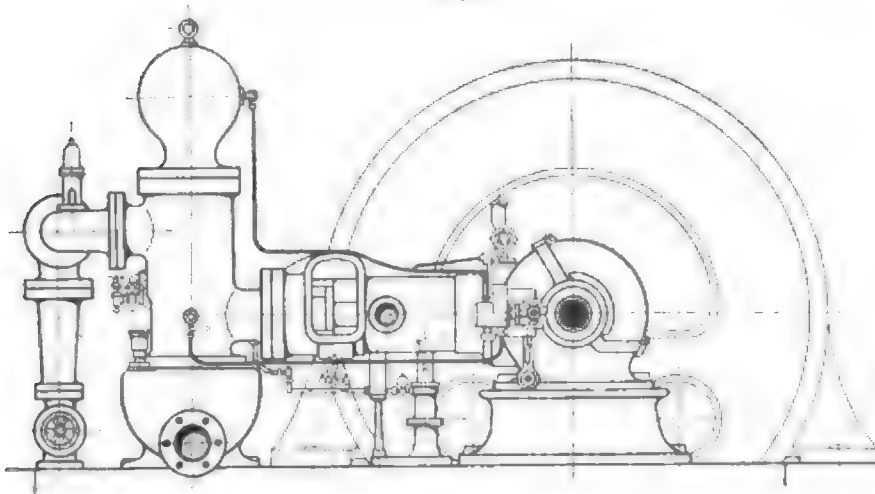


Fig. 10.

Anschluss der Dynamomachine

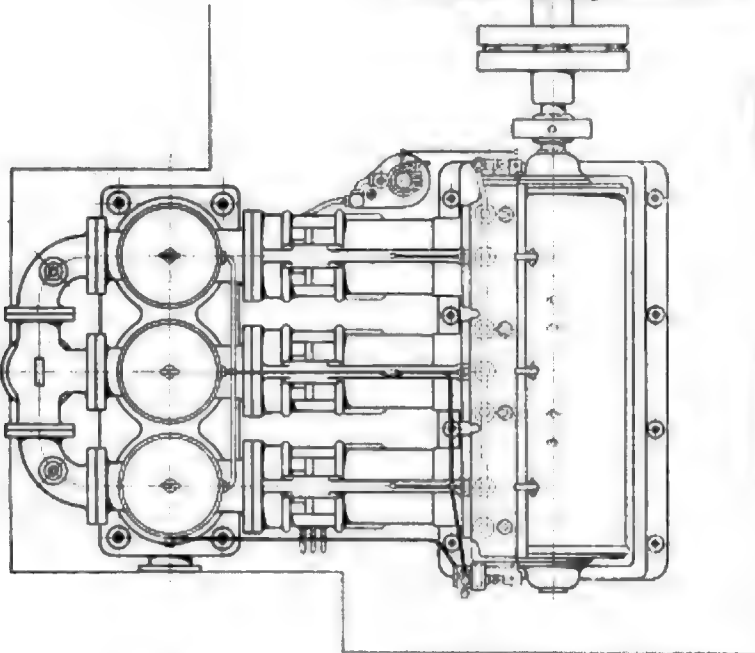
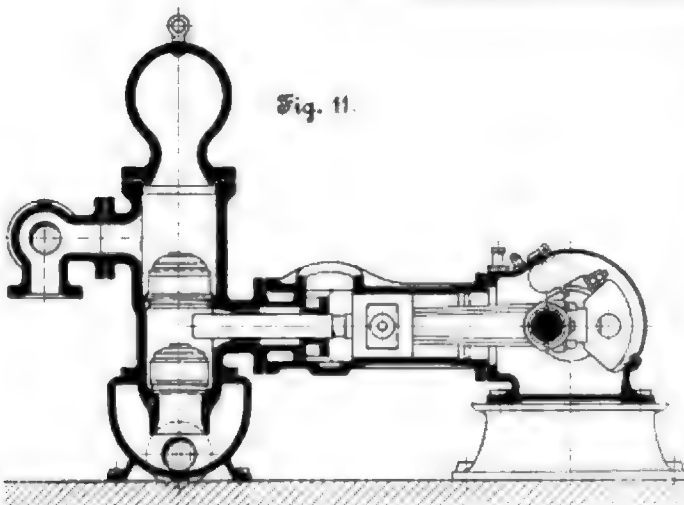


Fig. 11.



Die aus einem Stück gegossenen Dampfkolben sind mit je zwei leicht einzusetzenden und zu spannenden Ringlädungen, welche in anobacht der geringen Kolbengeschwindigkeit und der Hubpausen besonders hohen Anforderungen auf Dichtheit zu entsprechen haben, versehen. Die Lädungen bestehen aus je 5 bis 8 guaseisernen, genau in einander gepassten und von aussen eingelegten Segmenten, die gegen die Cylindergleitfläche durch eine in die Ringnut eingelegte Stahlband-Wellenfeder angespannt werden.

Besondere Sorgfalt ist auf die Durchbildung und Ausführung des Druckausgleichwerkes verwendet, das bei unmittelbar wirkenden Pumpen an die Stelle des für Pumpen mit Kurbeltrieb erforderlichen Schwungrades tritt.

Letzterer Maschinenbauart gegenüber wird betont, dass das Druckausgleichwerk die Maschinenmassen nicht vermehrt, und dass die Gleichförmigkeit seiner Wirkung unabhängig von der Kolbengeschwindigkeit und der Hubzahl ist.

Ausgleich- und Akkumulator-Wassercylinder sind aus Stahlguss, der Tauchkolben aus Hartguss, sorgfältig geschliffen und polirt, auf das genaueste eingepasst und in den Stopfbüchsen mit Duvalschen Metallpackungen abgedichtet.

Der Treibkolben des Akkumulators steht unter der durch ein federbelastetes Ausblaseventil veränderbaren Luftspannung des Pumpenwindkessels, wodurch der Wasserdruck in dem hydraulischen System so geregelt werden kann, wie es der Expansionsgrad in dem Dampfcylinder verlangt.

Die Abhängigkeit des Akkumulatordruckes von der Windkesselspannung hat ausserdem noch eine selbstthätige Regulierung des Pumpenbetriebes zur Folge, darin bestehend, dass beispielsweise bei einem Bruch der Druckrohrleitung oder beim Abreissen der Wassersäulen dem durch die erhöhte Maschinengeschwindigkeit vergrößerten Trägheitsmoment der Gestängemassen durch eine geringere Druckwirkung der Ausgleichcylinder begegnet wird und der Maschinenhub sich verkürzt. Das Gestänge führt in

solchen Fällen rasche, aber kurze Schwingungen um seine Mittelstellung aus.

Die besonders dicht herzustellenden Luftkolben haben dieselbe Lädung wie die Dampfkolben. Alle Windkessel werden durch den vom Pumpenriebwerk aus bethätigten Luftkompressor nachgefüllt.

Sämtliche mit Rundschiebern gesteuerte Dampfcylinder haben angegossene Dampfjähnel und werden auch in Deckeln und Böden mit Kesseldampf geheizt. Der in den obersten Dampfcylinder eingeführte Heizdampf durchströmt nach einander die darunter befindlichen Cylinder, während die Entwässerung gemeinschaftlich am untersten Dampfcylinder durch eine an der Luftpumpenwelle hängende Kondensatpumpe erfolgt. Diese kräftige Heizung der zahlreichen Dampfcylinder hat sich infolge der geringen Hubzahl bei Betrieb mit gestügtem Dampf aus wirtschaftlichen Gründen als unerlässlich erwiesen und erleichtert naturgemäss auch das Anlassen.

Bei Anwendung überhitzten Dampfes wird auch bei dieser Pumpenbauart nicht nur eine wesentliche Verminde-

Von der Ausstellungs-Pumpmaschine werden insofern noch günstigere Ergebnisse erwartet, als sie an Mittel- und Niederdruckzylinder mit Expansionschiebern versehen ist, während die angeführten Versuchsmaschinen ohne solche arbeiten, wie auch aus den entsprechenden Dampfdiagrammen, Fig. 6, zu ersehen ist.

Im Gegensatz zu der umfangreichen Vorführung langsam gehender unmittelbar wirkender Pumpen stand die geringe Zahl ausgestellter Pumpmaschinen mit Kurbeltrieb und Schwungrad, unter denen nur jene wenigen deutschen Konstruktionen hervorgehoben zu werden verdienen, welche durch Anwendung hoher Umlaufzahlen eine unmittelbare Kupplung mit Elektromotoren ermöglichen.

Saugventil. Die wichtigsten Abmessungen der Pumpe, welche bei 290 Uml./min 1,1 cbm Wasser auf 260 m zu heben vermag, geben Fig. 7 und 8.

Die Ehrhardtsche raschlaufende Pumpe, Fig. 9 bis 11, für ungefähr gleiche Umlaufzahl und für dieselbe Druckhöhe hat 3 einfach wirkende, von einer gekrüppften Welle mit unter 120° versetzten Kurbeln angetriebene Tauchkolben. Im Gegensatz zur Riedler-Pumpe sind die Ventile für Saug- und Druckseite als normale, selbstthätig arbeitende Hartgummi-Ringventile ausgebildet.

Der Kurbeltrieb ist durch eine Blechverschalung des Gussrahmens derart eingekapselt, dass er vor äußeren Einflüssen geschützt ist, und dass kein Schmieröl herausgeschleudert werden kann. Von der Kurbelachse wird noch eine Oelumlaufrumpe, eine Luftpumpe für die Druckwindkessel und eine Schmierpumpe für die Kolbenstopfbüchsen angetrieben.

Die Pumpe ist außerdem mit allen für störungsfreie Betriebsführung und sicheren Gang erforderlichen Armaturen, wie Sicherheitsventilen, Umföhrhähnen, Manometern u. dergl. ausgestattet.

Eine von der Firma Ganz & Co. in Budapest ausgestellte Pumpmaschine für elektrischen Antrieb, Fig. 12 und 13, zeigt Räderübersetzung, um die niedrige Umlaufzahl der ganz normal konstruirten eincylindrigen Pumpe aufrecht zu erhalten.

Die Betriebswierigkeiten, welche bei Pumpen mit hoher Umlaufzahl die Ventile bereiten, haben Gebr. Sulzer seit längerer Zeit veranlasst, auch Kreiselpumpen, die sich für hohe Pressungen eignen, zu bauen, und es war eine solche für 60 ltrisk Wasserförderung und 100 m Druckhöhe für elektrischen Antrieb ausgestellt.

Bei diesen Hochdruck-Kreiselpumpen sind mehrere Laufräder neben einander auf gemeinschaftlicher Welle angeordnet und

zur Erhöhung des Nutzeffektes mit Leiträdern umgeben.

Die Flüssigkeit wird im ersten Laufrade auf die der Umlaufzahl entsprechende Pressung gebracht, tritt dann in das zweite Laufrad ein und verläßt dessen Leitrad mit der doppelten Pressung; vom zweiten Rade geht sie in gleicher Weise durch die folgenden Lauf- und Leiträder, sodass die Endpressung oder Gesamtförderhöhe das n -fache der Förderhöhe des einfachen Laufrades wird, wenn n die Zahl der Laufräder bedeutet.

Die Ausführungsform einer Kreiselpumpe mit einfachem Laufrade zeigen Fig. 14 und 15. Das symmetrisch gebaute Laufrad ist auf die Welle gekleift, und konzentrisch zu diesem ist das Leitrad im Deckel befestigt. Sowohl im Deckel wie im Gehäuse befinden sich konzentrische Saugräume f ,

Fig. 14 und 15.

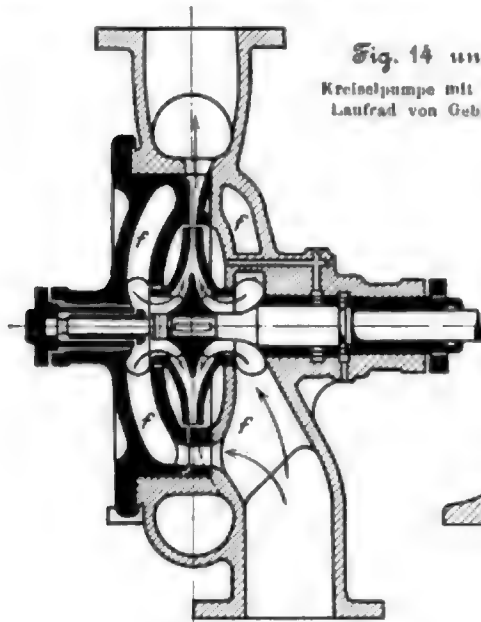
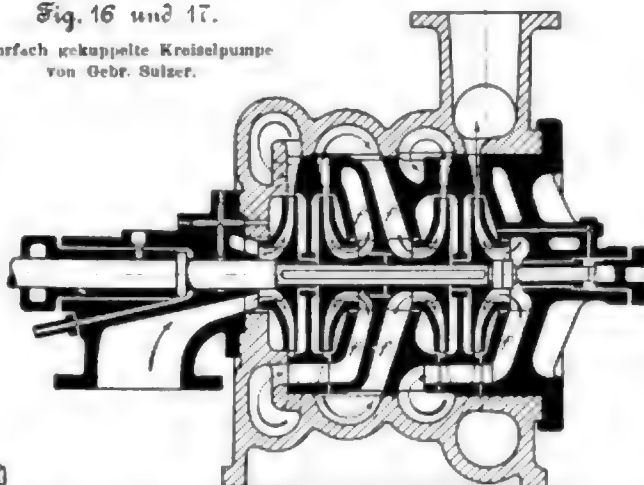
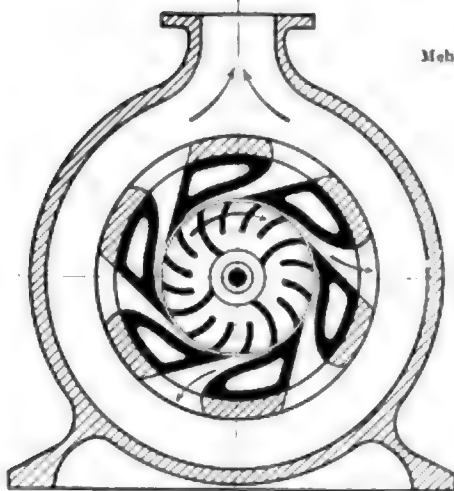
Kreiselpumpe mit einfachem
Laufrad von Gebr. Sulzer.

Fig. 16 und 17.

Mehrfach gekuppelte Kreiselpumpe
von Gebr. Sulzer.

Hierher gehören eine Riedler-Expresspumpe und eine raschlaufende Pumpe der Maschinenfabrik Ehrhardt & Schmor, welche von Drehstrommotoren der Allgemeinen Elektrizitäts-Gesellschaft in Berlin bzw. der Elektrizitäts-A.-G. vorm. W. Lahmeyer & Co. in Frankfurt a.M. angetrieben wurden.

Angesichts der zahlreichen Veröffentlichungen über die Riedler-Expresspumpen¹⁾ kann von einer Beschreibung der ausgestellten eincylindrigen Differential Tauchkolbenpumpe abgesehen werden.

Die Eigenart der Konstruktion besteht bekanntlich in dem wagerecht arbeitenden, vom Tauchkolben gesteuerten

¹⁾ Verh. Z. 1900 S. 28; 1901 S. 45, 1424.



schine. Der Dampf wird durch Kolbenschieber verteilt, die zu je zweien an einem Querstück befestigt sind, das durch Schieberstange, Kulisse und Exzenter bewegt wird. Diese Anordnung vereinfacht das Steuergestänge bedeutend

trotz der hohen Umlaufzahl die Kurbelwellenlager ohne Wasserkühlung laufen zu lassen, hat man die in Fig. 24 dargestellte Zentrifugal-Schmiervorrichtung angeordnet. Die Luftpumpe, die mit einem Einsatz aus Bronze versehen ist,

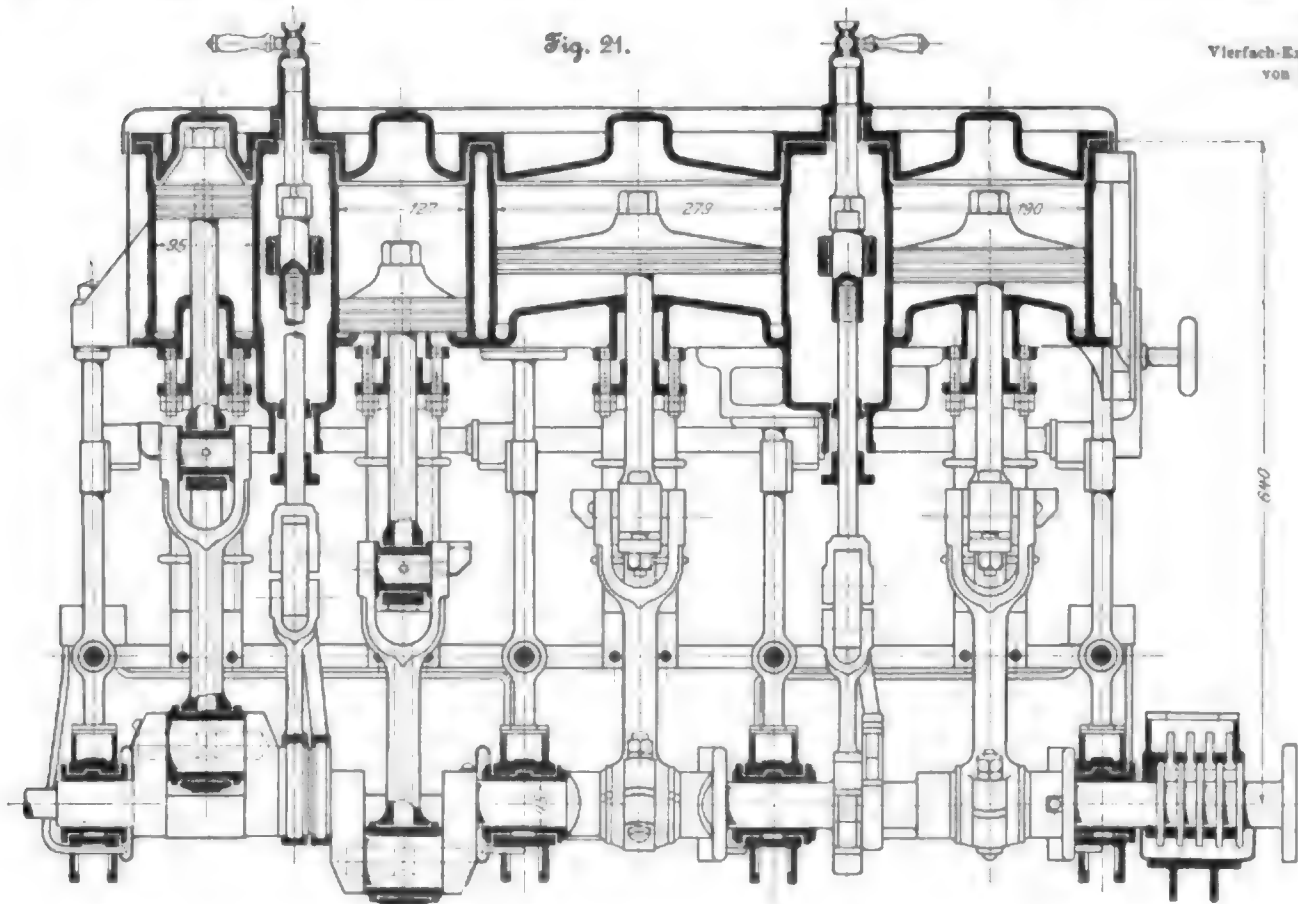


Fig. 21.

Fig. 21

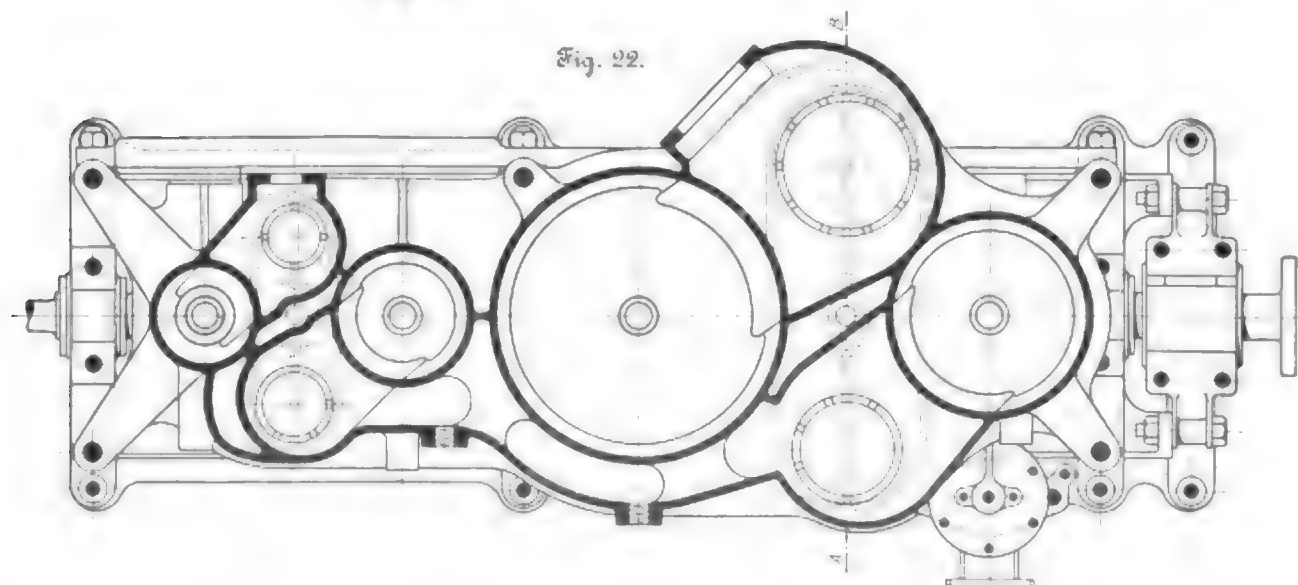
Vierfach-Expansion
von Simpson,

Fig. 22.

und macht nur einen Aufnehmer nötig. Von je zwei Kolbenschiebern steuert der eine mit der Außenkante, der andere mit der Innenkante; die Gewichte der Schieber sind ausgeglichen, sodass ein fast stoßfreier Gang der Maschine erzielt wird. Die Kurbelwelle ist aus Nickelstahl hergestellt und läuft in Lagern, die mit Weißmetall ausgegossen sind. Um

wird unmittelbar von dem Kreuzkopf des zweiten Mitteldruck-cylinders angetrieben. Das Gesamtgewicht der Maschine einschließlich der Luftpumpe beträgt 350 kg.

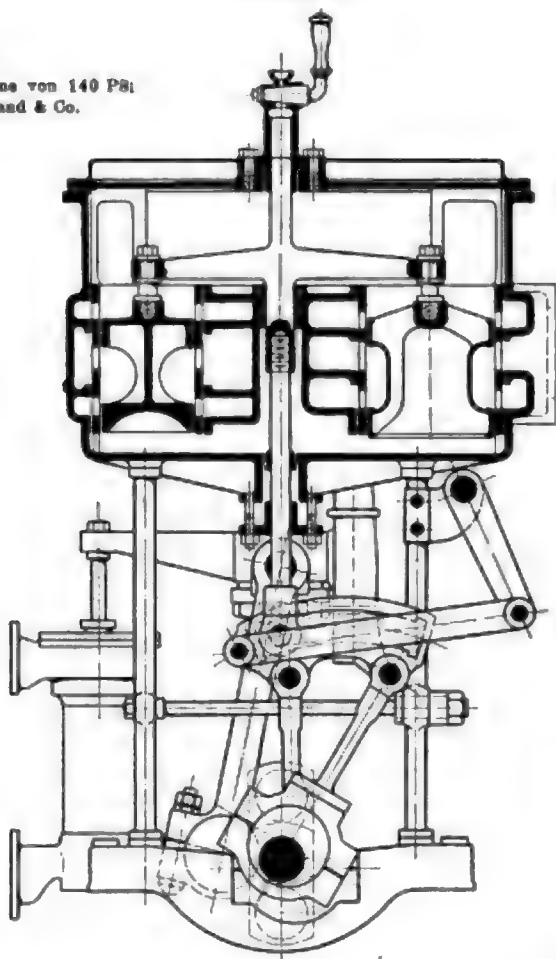
Den Dampf für diese Maschine liefert der in Fig. 25 und 26 dargestellte Wasserrohrkessel, Bauart Thornycroft-Strickland. Um den hohen Arbeitsdruck von 27 at zu er-

Fig. 23.

Schnitt A-B

bis 24.

maschine von 140 PS;
Strickland & Co.



zeugen, ist am hinteren Ende der Feuerung ein Gebläse eingebaut, welches die Luft in der durch Pfeile bezeichneten Richtung durch den Rost treibt. Zum Antrieb des Gebläses dient eine stehende ein cylindrige Dampfmaschine von 44 mm Cyl.-Dmr. Der erzeugte Wind hat eine Pressung von 50 bis 75 mm Wasserstule. In Fig. 25 ist A der Dampfraum, B der Wasserraum; die Rohrbündel C liegen in je zwei Reihen zu beiden Seiten der Feuerung, die Bündel D in der Mitte, und die Rohre E stellen die Verbindung des Sammlers mit dem Wasserraum auf der vordern Seite her und ermöglichen einen guten Wasserumlauf. Zum Niederschlagen des Dampfes für diese Anlage dient ein Oberflächenkondensator aus einem gezogenen Kupferrohr von D-förmigem Querschnitt. Seine beiden Enden sind mit Deckeln aus Bronze versehen und das Ganze ausenbords unter dem Boden des Schiffes angebracht, wobei das Außenwasser unmittelbar als Kühlmittel benutzt wird. Diese Anordnung und die eigenartige Konstruktion von Maschine und Kessel zeugen von dem gelungenen Bemühen, die ganze Anlage möglichst einfach und dabei doch dauerhaft zu gestalten.

Eine andere von derselben Firma ausgetestete Maschine zum Betriebe von kleinen Dampfern zeigt Fig. 27. Es ist dies eine zweikurbelige Vierfach-Expansionsmaschine von 28 PS,

Fig. 24.

Zentrifugal-Behlervorrichtung.

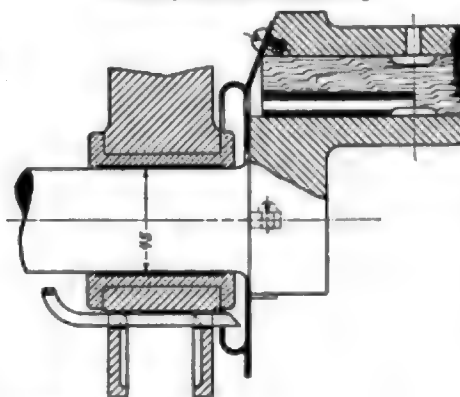
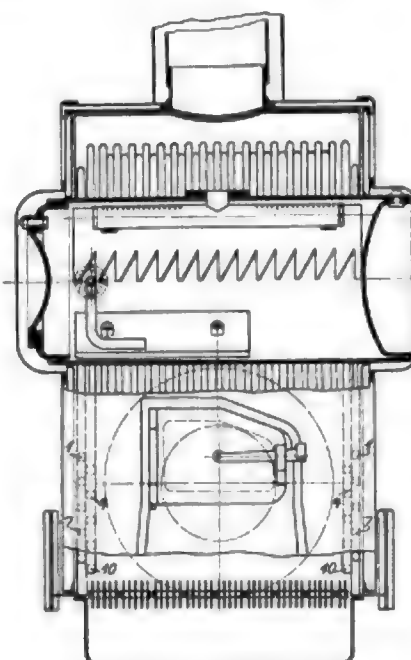
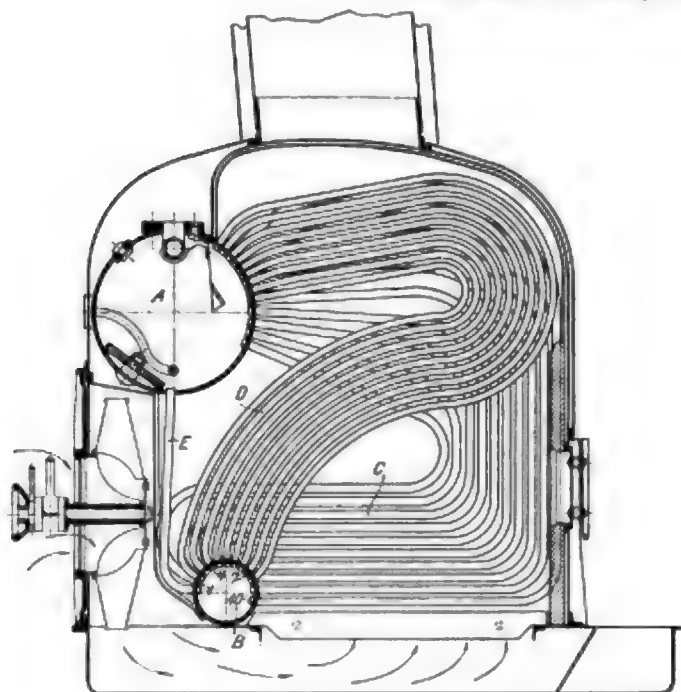


Fig. 25 und 26.

Wasserrohrkessel von Thornycroft-Strickland.





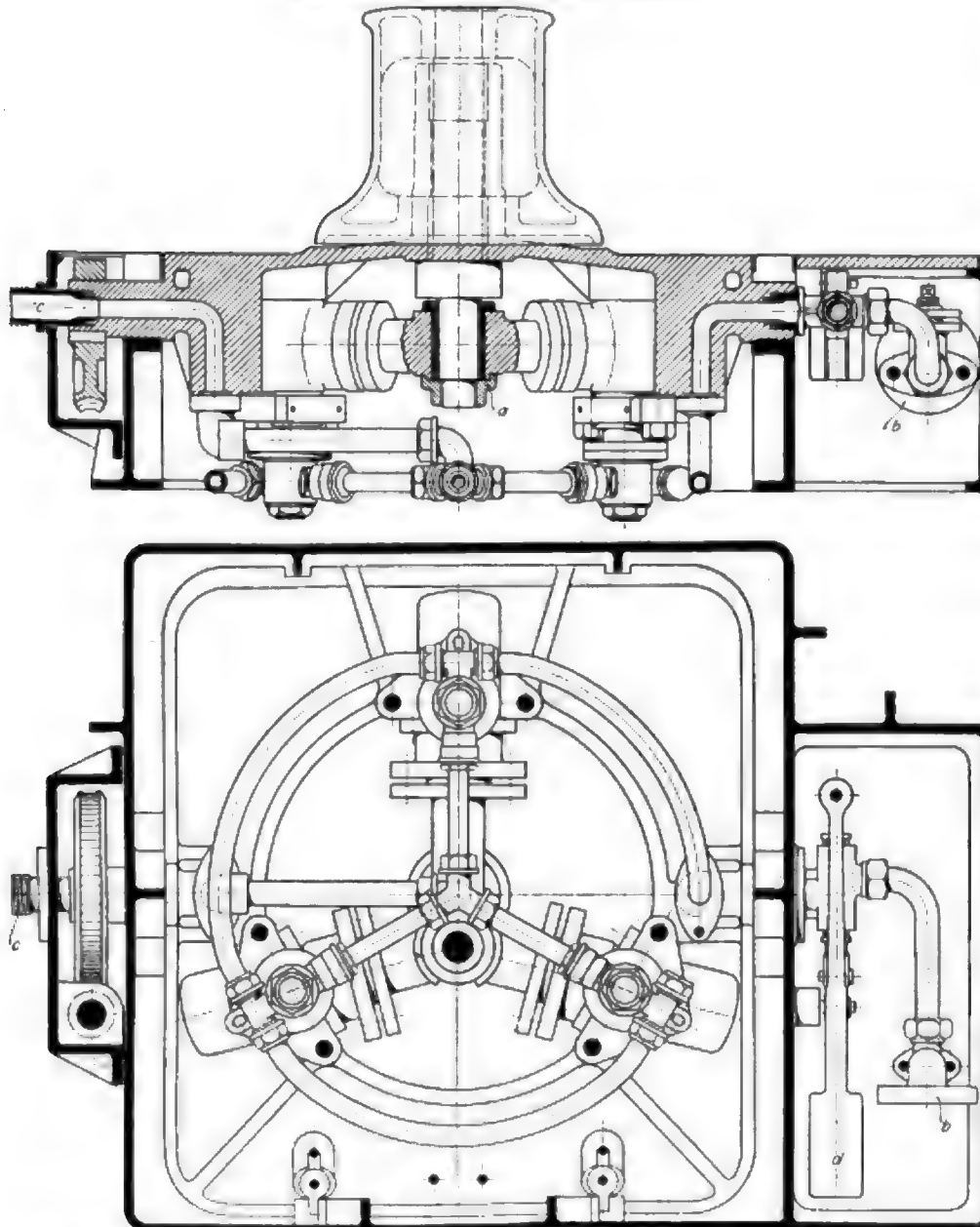


sigkeitsheber für Wasserballast und zum Löschen der Ladung von Petroleumdampfern benutzt. Ihre Abmessungen sind:

Dmr. der Dampfzylinder	229 mm
» » Wassercylinder	229 »
Hub	254 »
Durchmesser der Saugleitung	152 »
» » Druckleitung	140 »
Leistung bei Wasser	140 cbm/st
» » Petroleum	88 »

Fig. 34 und 35.

Hydraulisches Spill von Glenfield & Kennedy.



Sowohl Dampf- wie Wassercylinder sind aus Gusseisen hergestellt; letztere sind mit einem bronzernen Einsatz versehen. Das Material für die Kolbenstangen ist das gleiche wie bei der letztgenannten Pumpe. Die Ventile, welche Klappen aus Vulkanfaser haben, sind durch seitlich angebrachte Handlöcher leicht zugänglich. Die Anordnung der Steuerung für die Flachschieber ist aus der Figur ersichtlich.

Ein weiteres Erzeugnis der Firma Clarke, Chapman & Co. ist die in Fig. 32 dargestellte Dampf-Ankerwinde, die liegende

Dampfzylinder von 197 mm Dmr. und 305 mm Hub hat. Die Welle, auf der die Kettennüsse sitzen, wird durch doppelte Stirnräderübersetzung angetrieben. Soll die zweite Vorgelegewelle mit den Spillköpfen nur allein benutzt werden, so werden die beiden seitlich befindlichen kleinen Zahnräder durch Handrad und Spindeltrieb ausgekuppelt. Für die Kettenwelle sind starke Bandbremsen angeordnet, die durch Handspindeln auf der Rückseite der Winde angesogen werden. Spindeln und Bandbremsen stehen mit Federn unterhalb der

Grundplatte in Verbindung. Diese Federn sollen den Zug der Ankerkette aufnehmen, wenn das Schiff vor dem Anker reitet, und die Winde selbst entlasten. Wie die meisten Ankerwinden ist auch diese für Handbetrieb eingerichtet.

Das Verholspill derselben Firma, Fig. 33, wird von einer liegenden Zwillingsdampfmaschine von 197 mm Cyl.-Dmr. bei 305 mm Hub mit Kegel- und Stirnrädergetriebe bewegt. Die Form des Spillkopfes ist so beschaffen, dass sich das Tau immer unten anlegen muss, wodurch die Biegungsbeanspruchung der Spindel vermindert wird. Wenn das Spill mit Handspaken bewegt werden soll, wird der Spillkopf durch Auslösen eines Pflockes von der Spindel losgekuppelt.

Von den Erzeugnissen der Firma auf elektrotechnischem Gebiete sind eine Dampfmaschine für Schiffbeleuchtung, mehrere Scheinwerfer und eine elektrisch betriebene Ladewinde ausgestellt. Letztere ist mit einer Windentrommel und vier Spillköpfen versehen, die zusammen oder zu je zweien arbeiten können. Zum Betriebe der Winde dient ein mit ihr gekuppelter Gleichstrommotor. Die Hubkraft der Winde beträgt 3 t bei 18 m/min Geschwindigkeit der Trommel.

Glenfield & Kennedy, Kilmarnock, zeigen neben andern Erzeugnissen ihrer Firma das in den Figuren 34 und 35 dargestellte hydraulische Spill, das, auf Hafenmauern usw. befestigt, zum Verholen von Schiffen von Land aus bestimmt ist. Das Spill besteht aus einer feststehenden gusseisernen Grundplatte, in der mit 2 Drehzapfen eine zweite Platte gelagert ist, die den Spillkopf trägt. Um bei Ausbesserungen leicht Zugang zu dem Getriebe zu haben, wird die obere Platte mittels des in Fig. 34 links befindlichen Schneckenradsegmentes und der Schnecke um die Zapfen soweit gedreht, bis das Getriebe freiliegt. Die Kolbenstangen der drei beweglich angeordneten Druckwassercylinder greifen unmittelbar an der Spillkurbelwelle an, und zwar umfassen die Pleuelköpfe nur $\frac{1}{2}$ des Umfanges des Kurbelzapfens; die

Fig. 36 bis 38. Dampfzuehervorrichtung von Alley & Mac Lellan.

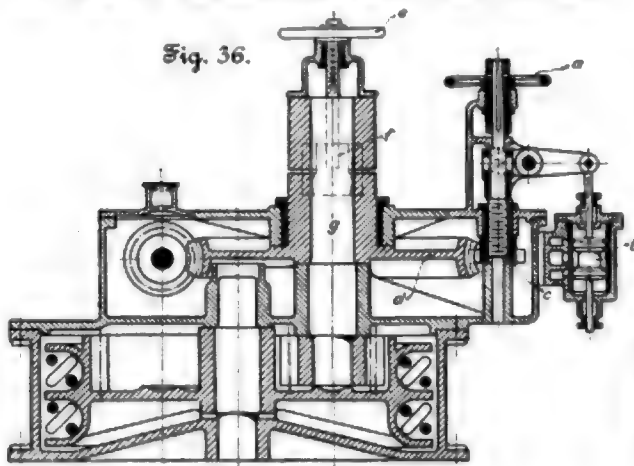


Fig. 36.

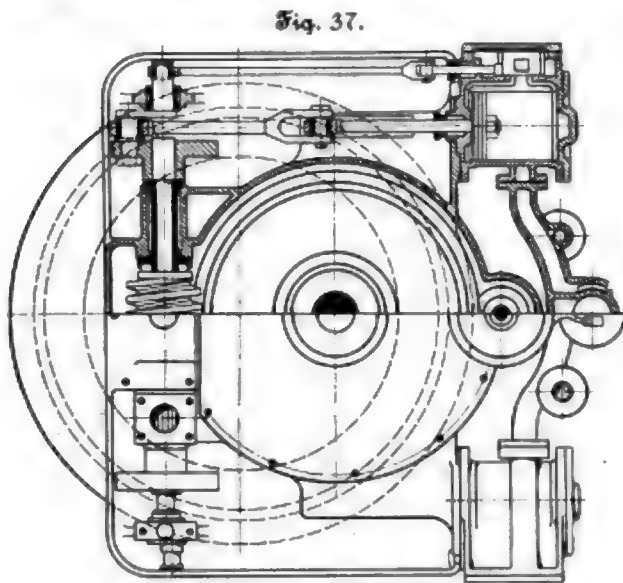


Fig. 37.

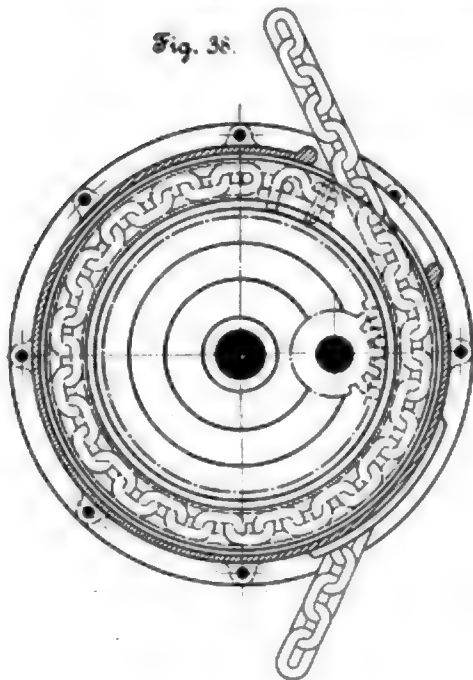


Fig. 38.

Lager werden unten durch die Ringmutter *a* zusammengehalten. Diese Anordnung genügt, da die Kolbenstangen nur Druck, aber keinen Zug ausüben. Der Cylinderdurchmesser beträgt 101 mm, der Hub 203 mm. Das Druckwasser tritt durch das Ventil *b* ein, geht durch den rechten Drehsapfen in die Cylinder und tritt durch den zweiten Drehsapfen und durch die Auslassöffnung *c* in die Ableitung. Durch den Tritthebel *d* wird das Absperrventil bethätigt.

Fig. 39 und 40.

Oberflächenkondensator der Wheeler Condenser & Engineering Co.

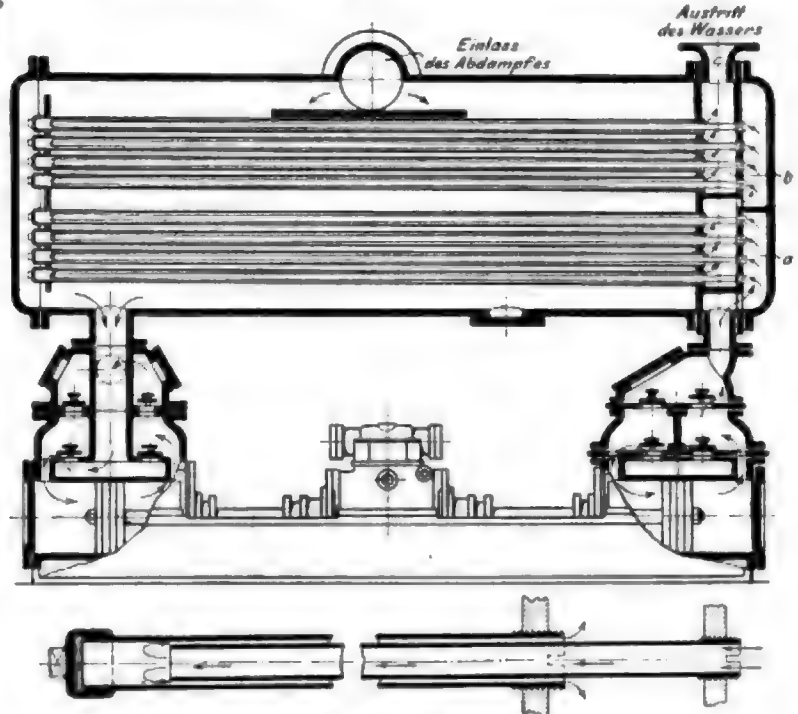
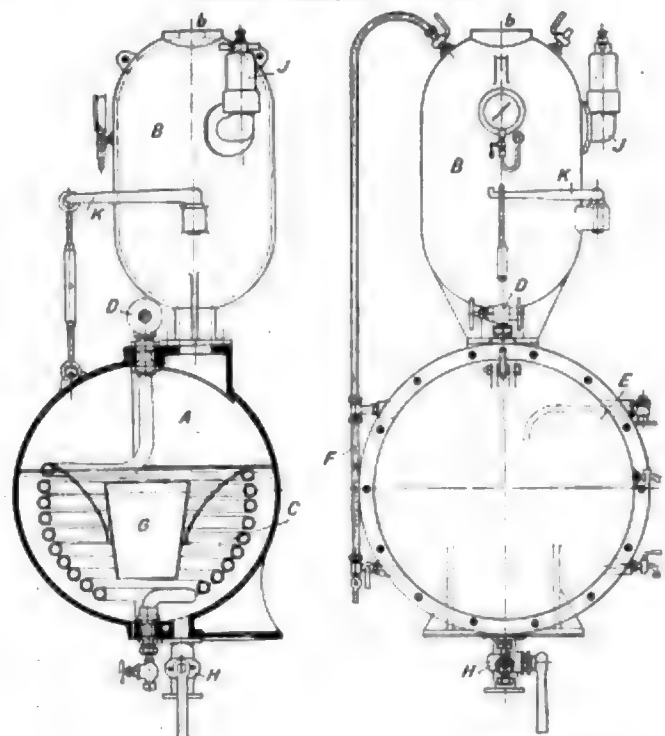


Fig. 41 und 42.

Seewasserverdampfer von Davis.



Von Schiffhülfsmaschinen ist die von Alley & Mac Lellan, Sentinel Works, Polmadie, Glasgow, ausgestellte Dampfsteueranlage, Fig. 36 bis 38, bemerkenswert. Die beiden wagerecht gelagerten Dampfzylinder haben 203 mm Dmr. bei 203 mm Hub. Der Dampfdruck beträgt 6 at. Um das Ruder nach Backbord oder Steuerbord zu legen, wird das Handrad *a* nach rechts oder links gedreht und hierdurch der Hülfschieber *b* verschoben, der seinerseits die Dampfverteilung im Schieberkasten regelt. Die drehbar gelagerte Büchse *c* ist unten mit einem Zahnrad versehen, das in das Schneckenrad *d* eingreift. Sobald nun die Bewegung des Ruders ausgeführt wird und sich hierbei Rad *d* dreht, wird auch die Büchse *c* mitgedreht, welche die Steuerspindel heraufschraubt, den Schieber *b* wieder in die Mittelstellung

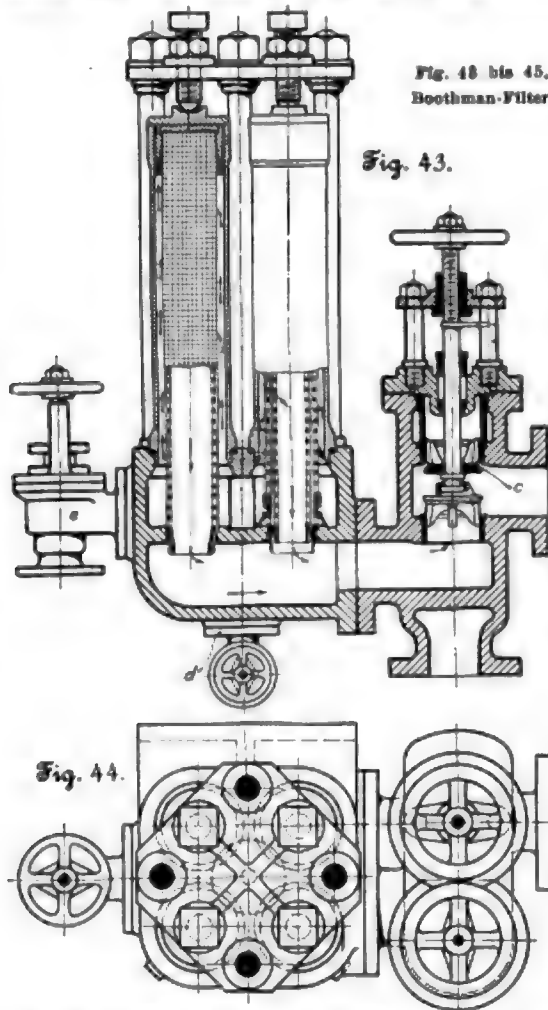


Fig. 43 bis 45.
Boothman-Filter.

Fig. 43.

Fig. 45.

Fig. 44.

und die Maschine zum Halten bringt. Dadurch wird eine Ueberschreitung der gewünschten Steuerstellung vermieden. Schnecke und Schneckenrad sowie das Rad an der Büchse *c* laufen in einem geschlossenen, mit Oel gefüllten Gehäuse. Um das Dampfsteuer auszuschalten, wenn das Ruder von Hand bewegt werden soll, wird durch Heraufschrauben des Handrades *e* die Zahnkupplung *f* gelöst, sodass die Spindel *g* lose läuft.

Fig. 39 und 40 stellen einen Oberflächenkondensator der Wheeler Condenser & Engineering Co., London, dar. In die eigentlichen Kühlrohre sind Rohre von geringerem Durchmesser eingefügt, die in eine Wand der Wasserkammer eingeschraubt sind. Die äußeren Kühlrohre sind auch nur einseitig eingeschraubt und ruhen auf der andern Seite in einer Stützplatte, sodass sie sich frei ausdehnen können. Die Anordnung der Rohre ist genauer aus Fig. 40 ersichtlich. Zum Reinigen der Rohre ist links ein mit einem angesetzten Vierkant versehenes Verschlussstück aufgeschraubt; das über-

stehende Gewinde auf dem andern Ende der Rohre enthält einen Einschnitt, vermittle dessen die Rohre herausgeschraubt werden können.

Am Fusse ist in der Mitte des Kondensators ein liegender Dampfzylinder angebracht, der rechts einen Wasserkolben und links einen Luftpumpenkolben in entsprechend angeordneten Cylindern treibt. Das Wasser wird durch die Ventile in die Kammer *a*, von hier in die kleinen und weiter durch die großen Rohre in die Kammer *b* und durch die Oeffnung *c* nach außen gedrückt. Die Rohre sind nahtlos aus Messing hergestellt und innen und außen verzinkt.

Verdampfer, Speisewasserreiniger und Vorwärmer für Schiffskessel sind in den verschiedensten Ausführungen auf der Ausstellung vertreten. Fig. 41 und 42 stellen einen Seewasser-Verdampfer von Davie in Glasgow dar, der aus zwei gusseisernen Behältern *A* und *B* besteht. Im unteren Behälter befindet sich eine kupferne, halbkugelförmig aufgewundene Heizschlange *C*, die durch das Ventil *D* vom Kessel Dampf erhält. Von *E* aus tritt das Seewasser ein und füllt den unteren Behälter, bis die oberste Windung der Heizschlange erreicht ist, was an dem Wasserstandsglas *F* erkennbar ist. *G* ist eine Vorrichtung, durch welche guter Wasserumlauf erzielt werden soll. Der aus dem Seewasser sich entwickelnde Dampf füllt den Behälter *B* und wird durch *b* in den Kondensator oder in eine Vorrichtung geführt, in der er mit dem Speisewasser gemischt und niedergeschlagen wird. Das so erhaltene salzfreie Wasser wird durch die Speisepumpen in den Kessel befördert. Von Zeit zu Zeit wird der Hahn *H* geöffnet, um das sich auf dem Boden des Behälters *A* sammelnde Salz abzulassen. Der Verdampfer ist für einen Dampfdruck von rd. 2 at berechnet. Bei höherem Druck öffnet sich das Sicherheitsventil *J*. Um die Heizschlange leicht von den Unreinigkeiten, die sich aus dem Seewasser an ihr ansetzen, befreien zu können, hat man den Behälter *A* mit einem halbkugelförmigen Deckel versehen, der an einem Arm *K* hängt und sich so leicht bewegen lässt. Die Heizschlange ist in ihren Führungen oben und unten drehbar, sodass sie von allen Seiten gereinigt werden kann.

Von den vielen ausgestellten Speisewasserreinigern sei das Boothman-Filter, Fig. 43 bis 45, erwähnt, das in neuerer Zeit vielfach Anwendung auf Seeschiffen findet. Das Wasser strömt durch *a* ein und fließt durch das Ventil *b* und weiter durch den Filterstoff, der um vier durchlochte Messingrohre gewickelt ist. Das so gereinigte Wasser gelangt durch das Ventil *c* in den Kessel. Wenn der Druck in der Speiseleitung steigt und größer als der auf die Unterseite des Ventiles *c* wirkende Kesseldruck wird, drückt das Speisewasser unmittelbar das Ventil *c* herunter und geht ungereinigt in den Kessel. Durch diese selbstthätige Anordnung soll vermieden werden, dass die Speiseleitung und auch das Filter durch zu hohen Druck beschädigt wird. Mittels der Handräder kann die Zuströmung des zu reinigenden Wassers nach Belieben geregelt werden. Um das Filter nach längerem Betrieb zu reinigen, sind noch zwei Ventile angebracht; nachdem die Ventile *b* und *c* geschlossen sind, wird durch *d* Dampf eingelassen, der die Filterkörper durchströmt und den Schmutz durch Ventil *e* ins Freie führt.

Hiermit ist das Bemerkenswerteste aus dem Gebiet des Schiff- und Schiffmaschinenbaues soweit zusammengestellt, wie es sich während eines kurzen Besuches der Ausstellung ermöglichen ließ. Der überwiegende Teil der nicht behandelten Gegenstände, besonders was Hülfsmaschinen und Vorrichtungen für Schiffsbedarf anbetrifft, besteht aus Ausführungen älterer Bauart, bei deren Ausstellung die Firmen nur den Zweck im Auge gehabt zu haben scheinen, auch »mit dabei« sein zu wollen.



eine besondere Leitung führt von ihnen zum Nullpunkt des Drehstromsystems, und schließlich sind sie in Abständen von je 1 km mit der Erde verbunden.

Die Speiseleitungen zwischen Marienfelde und dem Elektrizitätswerk Ober-Schöneweide der Allgemeinen Elektrizitäts-Gesellschaft, nämlich 3 Hochspannungsleitungen und eine Nullleitung, sind teilweise als blanke Leitungen auf Porzellanisolatoren an Holzmasten befestigt, teilweise als Kabel

hindurchgeführt ist. Von da zweigt auch die Fahrleitung nach dem in der Nähe gelegenen Wagenschuppen ab.

IV. Prüfung der Einzelheiten des Baues und Schluss- ergebnisse.

1) Motoren.

An den fertig gewickelten Motoren war zuerst die Isolation zu prüfen, indem der Primärwicklung des Motors eine Spannung von 4000 V gegen den Motorkörper zugeführt wurde. Nach dem guten Ausfall dieser Probe liefen die Motoren 2 Stunden lang leer bei 1850 V bis 2000 V.

Schwieriger gestaltete sich die Prüfung der Kraftübertragung der Motoren, da bei der hohen Leistung die Umlaufzahl sehr hoch ist. Mit dem gewöhnlichen mechanischen Bremsaum konnten nur unter heftigen Schwankungen der Bremse etwa 100 PS dauernd abgebremst werden, während man bei Anzugversuchen die Bremsleistung auf 260 PS steigern konnte. Auf elektrischem Wege ließen sich größere Kraftmengen aufnehmen, wenn man den Motor durch Riemen oder Seile mit einem Stromerzeuger kuppelte und die Leistung des letzteren durch Widerstände in Wärme umsetzte; doch traf man auch hierbei auf Schwierigkeiten wegen der großen Umlaufzahl der Motoren und wegen der ungünstigen Belastung der Lager durch die starken Seitenzüge. Am besten eignet sich das Kappsche Verfahren, nach welchem 2 Motoren mit verschiedenen großen Riemenscheiben gegeneinander geschaltet werden: die eine Maschine übersynchron als Stromerzeuger, die andere unter-synchron als Motor laufend. Die Riemenscheiben mussten zur Verminderung der Seitenzüge möglichst groß und deshalb wegen der hohen Umlaufgeschwindigkeit aus Stahlguss hergestellt werden. Bei den Versuchen gelang es, mit Riemen Leistungen bis zu 200 PS abzubremesen. Dem Ausschuss der Studiengesellschaft wurde am 21. Juni eine Versuchsanordnung vorgeführt, wobei ein Motor mit dieser Belastung auf eine Dynamomaschine arbeitete und mehrmals angelassen wurde. Zu diesem Zweck waren die für die Schnellbahn bestimmten

Geräte (Hochspannungsausschalter, Transformator, Mittelspannungsausschalter, Motor mit Widerständen und Anlassen) auf dem Prüffelde aufgestellt und in der richtigen Anordnung betriebsmäßig in Tätigkeit gesetzt. Der Strom für diese Versuche wurde einer 600 KW-Drehstrommaschine von 13000 V unmittelbar erzeugter Spannung entnommen. Bei den Bremsversuchen erwies sich die Lagerschmierung der Motoren als

Fig. 28.

Schaublinien des Schnellbahnmotors cDM 39/32 für 1150 V.

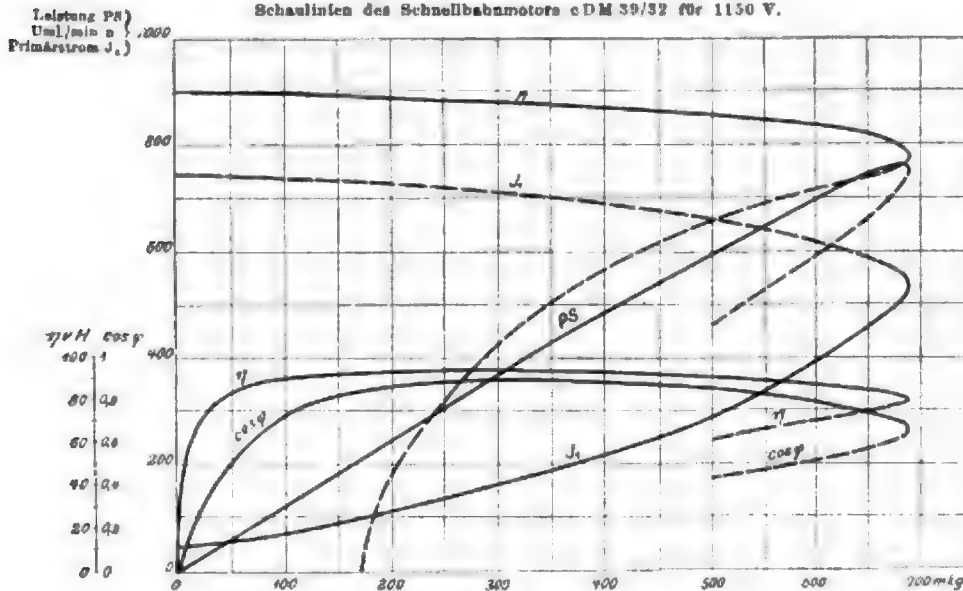
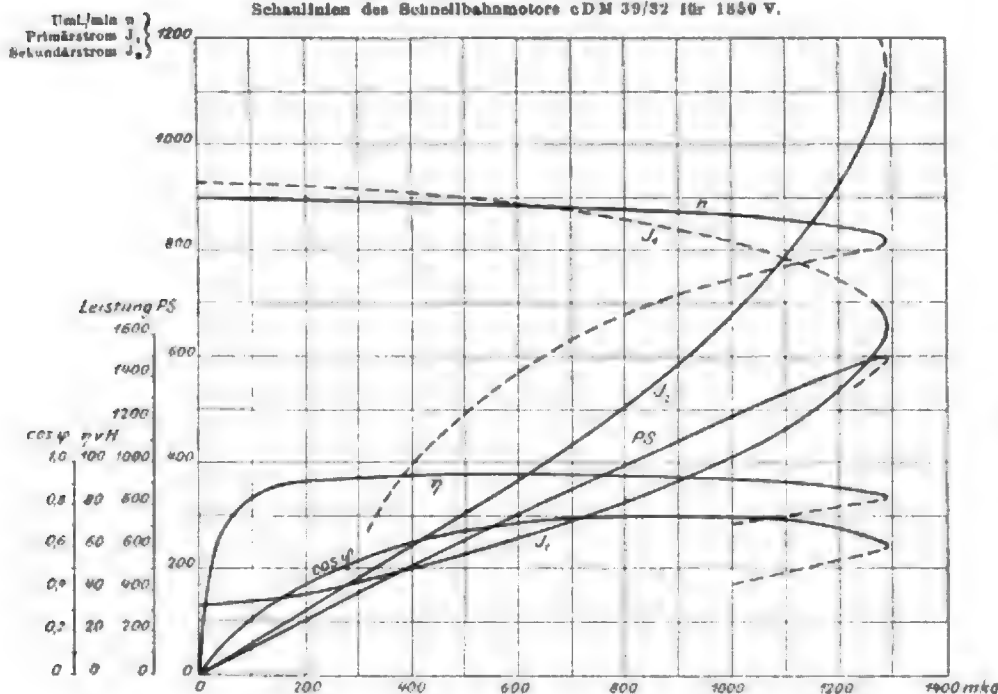


Fig. 29.

Schaublinien des Schnellbahnmotors cDM 39/32 für 1850 V.



verlegt. Die letzteren haben 70 qmm Querschnitt, die Luftleitungen 50 qmm. Unter den blanken Leitungen sind, wo nötig, Schutznetze angebracht. Zur Verbindung der Speiseleitung mit der Fahrleitung dienen eine austarbare Sicherung der Allgemeinen Elektrizitäts-Gesellschaft und ein Freileitungsausschalter von Siemens & Halske A.-G. am Bahnübergang bei Marienfelde, unter welchem die Speiseleitung als Kabel

gut, und es ergab sich auch für Leerlauf und Magnetsir-
strom, Betriebsstrom, $\cos \varphi$ und Wirkungsgrad gute Ueberein-
stimmung mit den Anfangswerten der rechnerisch ermittelten
Schaulinien, Fig. 28 für 1150 V und Fig. 29 für 1850 V, sowie
mit den anschaulicheren Grund-
lagen dazu, den Kreisdiagram-
men Fig. 30 für 1150 V und
Fig. 31 für 1850 V; bei diesen
wurde der berechnete Kurz-
schlussstrom sehr niedrig ange-
nommen, ebenso, um sicher zu
gehen, $\cos \varphi$ und der Wirkungs-
grad. Letztere könnten höher
gehalten werden, doch würde ein
diesem Falle weniger Wert auf
Verbrauch an Kupfer und Zahn-
eisen als vielmehr auf gute Iso-
lation gelegt.

Bei Verwendung von 4 Mo-
toren ist für die Versuche eine
große Reserve vorhanden, da für
96 t Wagengewicht schon 3 Mo-
toren sicher ausreichen und so-
gar noch 2 Motoren genügen wür-
den, wie aus den in die Dia-
gramme eingezeichneten Werten
ersichtlich ist. Die eigenarti-
ge für 4 Motoren vollstän-
dig symmetrische Anord-
nung des ganzen Wagens,
s. Fig. 4 S. 1371 und Tafel XXV,
erlaubt außerdem, falls
sich ein Wagengewicht von
90 t leer für den bestehen-
den Oberbau als zu hoch er-
weisen sollte, eine Ermäßi-
gung von 90 auf 74 t, indem
bei Verwendung von nur 2
Motoren auch nur 1 Trans-
formator, 2 Satz Widerstände,
2 Anlasser und ein Satz
Mittelspannungsgeräte nö-
tig sind. Es wären dann die
genannten Vorrichtungen
auf der einen Hälfte des
Wagens, die Motoren auf
der andern Hälfte unterzu-
bringen, um eine ungefähr
gleiche Verteilung der
Achsenlast zu erhalten,
die für die 4 leeren Achsen
etwa 11,5 t, für die Motor-
achsen etwa 13,5 t betragen
würden. Die beiden Motoren
werden zwar etwas mehr belas-
tet, geben aber noch genügend
Drehmoment ab.

Die Verhältnisse für das An-
fahren mit verschiedenen Zahlen
und Schaltungen bei Vollge-
wicht und bei nur 74 t Wagen-

gewicht sind in der folgenden Zahlentafel zusammengestellt;
aufgrund des Teiles a) der Tafel sind dann für den normalen
Fall die Beziehungen zwischen Zeit, Weg usw. in Fig. 32,

Fig. 30.

Kreisdiagramm des Schnellbahnmotors bei 1150 V.

Maßstäbe:

Primärstrom 1 mm = 0,093 Amp
Sekundärstrom 1 " = 1,311 " "
Drehmoment 1 " = 1,44 mkg

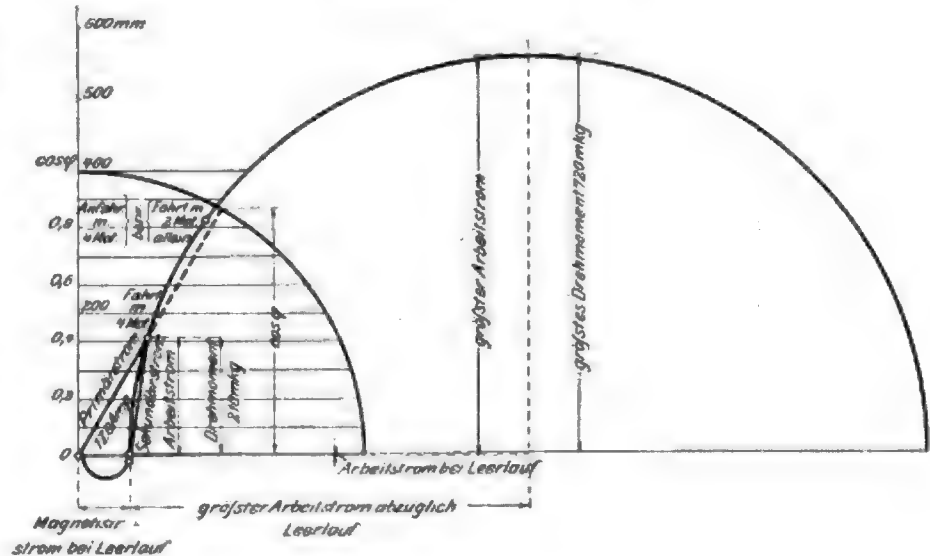
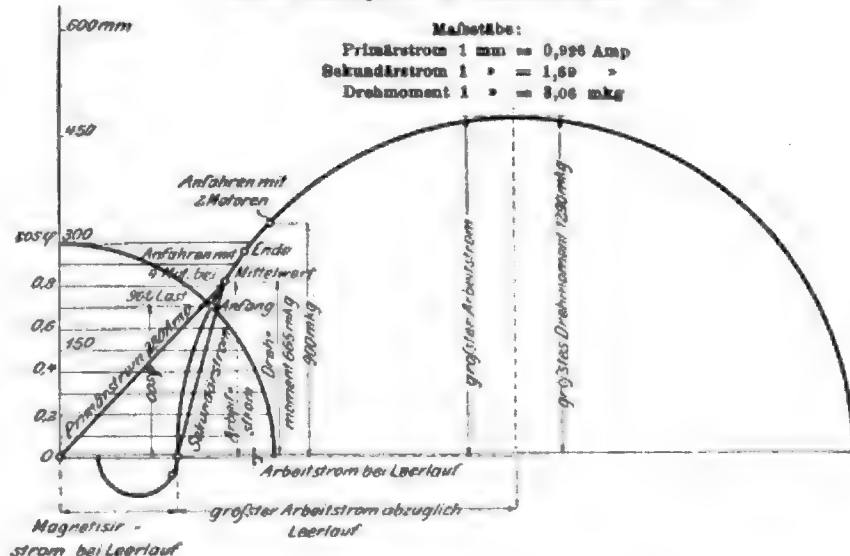


Fig. 31.

Ideales Kreisdiagramm des Schnellbahnmotors bei 1850 V.

Maßstäbe:

Primärstrom 1 mm = 0,998 Amp
Sekundärstrom 1 " = 1,69 " "
Drehmoment 1 " = 3,06 mkg



Anfahren bei verschiedenen Zahlen und Schaltungen der Motoren.

a) für 90 t Wagengewicht

Zahl der Motoren	Schal- tung	Gesamtkraft der Motoren P			Drehmoment eines Motors			Sekundärstrom			Beschleu- nigung $\frac{P}{G}$ $\frac{m}{sek^2}$	Anfahr- zeit $t = \frac{37}{P}$ sek	Anfahr- weg $s = 28,5 t$ m
		Beginn	Ende	Mittel	Beginn	Ende	Mittel	Beginn	Ende	Mittel			
		kg	kg	kg	mkg	mkg	mkg	Amp	Amp	Amp			
4	△	3810	5040	4250	600	709	655	365	490	400	0,382	150	4260
4	△	2000	3200	2480	310	500	390	300	530	400	0,214	270	7700
3	△	2700	3800	3140	560	790	645	340	500	390	0,260	220	6250
3	△	1500	2700	1940	315	560	405	290	550	390	0,138	410	11800
2	△	1540	2730	2000	490	850	625	300	540	385	0,140	405	11400

b) für 74 t Wagengewicht

2	△	1540	2730	2000	490	850	625	300	540	385	0,184	310	9100
---	---	------	------	------	-----	-----	-----	-----	-----	-----	-------	-----	------

die Fahrlinie in Fig. 33 entworfen. Der Gang für den Entwurf der Anfahrlinie ist folgender: Von der Zugkraft der Motoren wird ein Theil zur Ueberwindung des Zugwiderstandes auf der Fahrbahn und des Luftwiderstandes verwendet, der Rest dient zur Beschleunigung des Wagens. Aus dieser Beschleunigung p , daraus die Anfahrzeit dt durch die Gleichung $p = \frac{dv}{dt}$

oder $t = \int \frac{dv}{p}$ für die jeweilige Endgeschwindigkeit v , und damit der bis zur Erreichung dieser Geschwindigkeit zurückgelegte Weg $s = \int v dt$. Wegen der Einfachheit und leichteren Uebersicht ist nun die Beschleunigungskraft als unveränderlich angenommen, indem die vom Motor ausübende Zugkraft entsprechend dem wachsenden Zug- und Luftwider-

stand gesteigert wird. Es ist dann einfach $t = \frac{v}{p}$ und $s = \frac{v^2}{2}$. Bei dem nun angenommenen Idealfall ist die Anfangszugkraft der 4 Motoren 3840 kg und die gleichbleibende Beschleunigungskraft 3670 kg; es beträgt dann die Beschleunigung für 96 t Wagengewicht $p = \frac{3670}{9600} = 0,382 \text{ m/sk}^2$, die bis zur Erreichung der höchsten Geschwindigkeit von 57 m/sk vergangene Anfahrzeit $t = \frac{57}{0,382} = 150 \text{ sk}$ und damit der Anfahrweg $s = \frac{1}{2} \cdot 57 \cdot 150 = 4260 \text{ m}$.

In derselben Weise wie die Linien für Anfahren und Beschleunigung sind auch die Linien für Bremsen und Verzögerung aufgestellt: Fig. 34 für mechanische Bremsung und Fig. 35 für elektrische Bremsung.

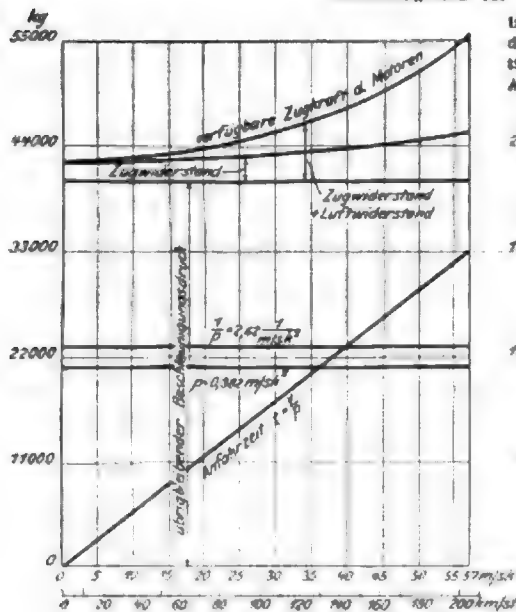
Bei der Bremsung wird die Bremskraft durch den allmählich abnehmenden Zug- und Luftwiderstand unterstützt. Wird nun, wie bei dem Entwurf der Bremslinien angenommen, die Bremskraft entsprechend dem abnehmenden Widerstand gesteigert, sodass der wirkliche Verzögerungsdruck unverändert bleibt, so ergibt sich eine gleichmäßige Verzögerung p und damit $t = \frac{v}{p}$ als gerade Linie und $s = \frac{v^2}{2}$.

Fig. 34 für mechanische Bremsung zeigt auch die Größe des Druckes auf die Bremsklötze, welcher abgesehen von der Veränderlichkeit der erforderlichen Bremskraft auch noch abhängig ist von der Veränderlichkeit der Reibungskoeffizienten, wie sie Wichert für die gleitende Reibung zwischen Stahlguss-Bremsklötzen und Stahlradreifen angegeben hat.

Die bei dem Entwurf der Bremslinien angenommene ideale Verzögerung von $1,1 \text{ m/sk}^2$ wird wohl wegen der an den Bremsklötzen auftretenden Wärmeentwicklung in Wirklichkeit ermäßigt oder durch die elektrische Bremsung unterstützt werden müssen. Sie sollte aber so angenommen werden, um ein Bild von dem möglichst günstigen Falle der Bremsung zu bekommen, und weil Verzögerungen von $1,1 \text{ m/sk}^2$ auch in der Wirklichkeit oft vorkommen. Bei der elektrischen Bremsung, Fig. 35, wird der Primärwicklung des Motors Gleichstrom von 28 V Spannung zugeführt, sodass entsprechend ihrem Widerstand von 0,19 Ohm ein Strom von 140 Amp hindurchfließt. Hierdurch wird in der Sekundärwicklung Drehstrom von 770 V Spannung erzeugt, welcher in den Widerständen vernichtet wird. Der Motor arbeitet also als Stromerzeuger und bremst so den Wagen. Natürlich ist die Wirkung nicht dieselbe wie bei der mechanischen Bremse, da nur 4 Achsen gebremst werden. Das Motordrehmoment wird bei sinkender Um-

Fig. 32.

Anfahrtdiagramm für 4 Motoren.



Bei diesen Kurven ist die Drehbeschleunigung für die Laufräder und die Rotoren nicht berücksichtigt. Bei Berücksichtigung derselben wird der Anfahrweg um rd. 220 m größer und die Anfahrzeit um rd. 7 sk größer.

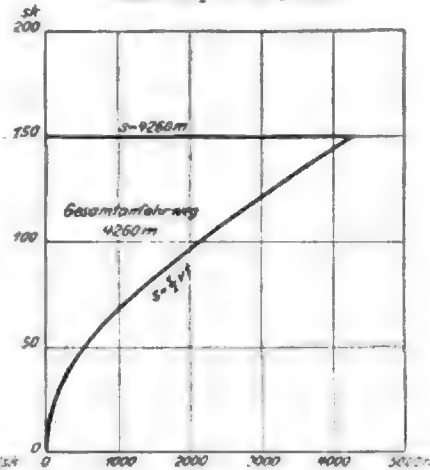
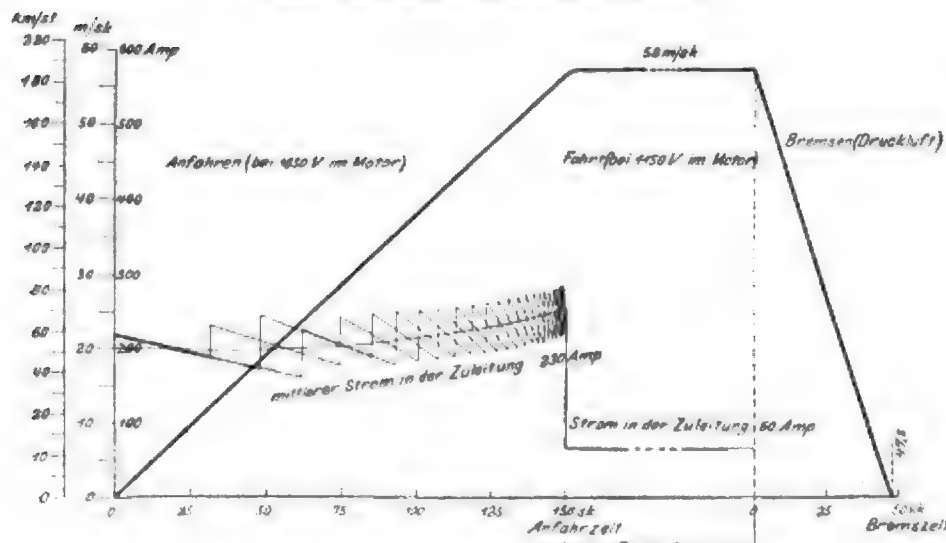


Fig. 33.

Fahrlinie für wagerechte Strecken mit 4 Motoren.



laufzahl durch Ausschalten von Widerständen aus dem sekundären Teil gesteigert; ist aller Widerstand ausgeschaltet, so fällt das Drehmoment der Motoren schnell ab, und die elektrische Bremsung muss durch die mechanische Bremsung unterstützt werden, was bei der in den Schaulinien unveränderlich angenommenen Verzögerungskraft schon vorausgesetzt ist; im übrigen ist der Entwurf der Linien für elektrische Bremsung derselbe wie für mechanische Bremsung.

2) Anlasser und Widerstände.

Die Widerstände wurden in der Weise untersucht, dass durch die Bleche eines der Kästen Strom geschickt wurde, wobei zuerst ohne und später mit Kühlung durch einen Luftstrom von 3 bis 4 m/s Geschwindigkeit gearbeitet wurde. Die Versuche wurden mit verschiedenen Stromstärken fortgesetzt, bis ein Dauerzustand der Erwärmung eintrat, bzw. bis bei höheren Stromstärken die dunkle Rotglut der Streifen einsetzte.

Fig. 36 veranschaulicht das Ergebnis der Untersuchung: Die Bleche hielten ohne Kühlung, ohne glühend zu werden, dauernd eine Stromstärke von etwa 300 Amp aus, welche also noch der Stromstärke während der Fahrt mit Widerstand (210 Amp) entspricht. Eine Stromstärke von 400 Amp, wie sie beim Anfahren 2,5 Minuten lang auftritt, können die Bleche ohne Kühlung noch 4 Minuten vor Beginn der Rotglut aufnehmen. Die jalouseartige Anordnung der Lüftschlitze in den Schutzblechen der Widerstände an den Längsseiten des Wagens, Fig. 14 S. 1376, giebt aber noch heftige Kühlung, sodass die Bleche der Beanspruchung beim Betriebe sicher gewachsen sein werden.

An den Anlassern wurde untersucht, ob beim Anschalten einer Energie von etwa 20 PS bei jeder Stufe eine schädliche Funkenbildung zwischen dem Schleifstück und den 3 zugehörigen Kontaktbürsten auftritt; es zeigten sich nach 150 maligem Aus- und Einschalten bei einer Stromstärke von 500 Amp (Wechselstrom von 50 Perioden) und 40 V an den abgerundeten Ablaufflächen der Schleifstücke kleine Brandstellen, durch die aber weder das Auflaufen noch das Abgleiten der Bürstenklötze gehindert wurde, während die Auflageflächen völlig unversehrt und kalt blieben.

Nach dem Einbau in den Wagen wurde auch der mechanische Antrieb und die Einstellbarkeit der einzelnen Stufen mittels der Sperrung auf ihre Genauigkeit geprüft.

3) Mittelspannungsschalter und Sicherungen.

Die Ausschalter wurden durch Induktionspulen belastet, indem bei zuerst mäßiger, dann wachsender Stromstärke (bis 30 Amp) die Spannung nach und nach bis 6000 V gesteigert wurde. Außerdem wurden die Hoch- und Mittelspannungsausschalter zusammen mit den Motoren bei gewöhnlicher Spannung mit noch größeren Energiemengen geprüft, bis die Schmelzstromstärke der Mittelspannungssicherungen (550 Amp) erreicht wurde, wobei die Ausschalter standlos arbeiteten und auch die Sicherungen gut löschten.

Die Schalter wurden betriebsgemäß mit Luftdruck betätigt und so neben der elektrischen Wirkungsweise auch der mechanische Antrieb und die Dichte der Kolben und Cylinder geprüft. Letztere wurden noch besonders mit Wasserdampf bis 20 at abgedrückt.

4) Transformatoren.

Sowohl die kleinen wie die großen Transformatoren bestanden außer der eben erwähnten Probe im Zusammenhang mit den Schaltgeräten auch noch eine Prüfung auf Isolationsfähigkeit bei 20000 V eine Stunde lang.

5) Hochspannungssicherungen und Isolatoren.

Der mit Rücksicht auf größere mechanische Festigkeit

Fig. 34.

Bremsdiagramm für mechanische Bremsung.

Bei diesen Kurven ist die Drehverzögerung für die Laufräder und die Rotoren nicht berücksichtigt. Bei Berücksichtigung derselben wird der Bremsweg um rd. 50 m größer und die Bremszeit um etwa 3 sek länger.

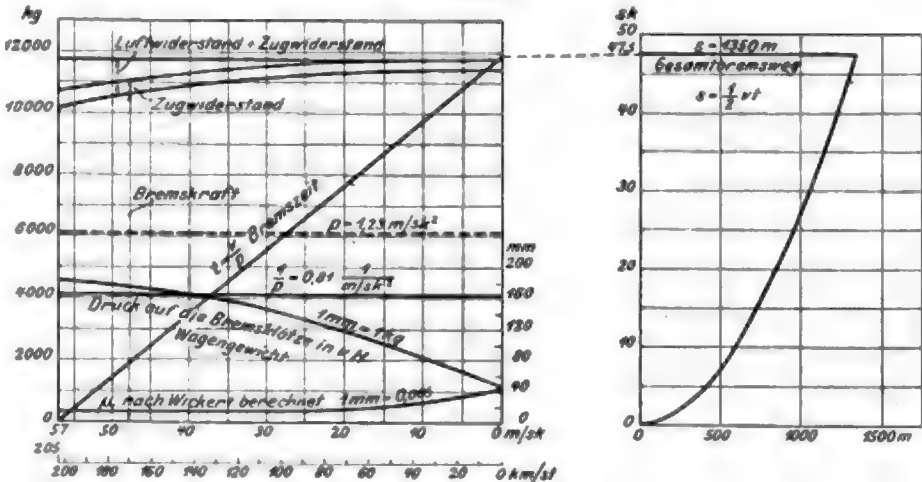
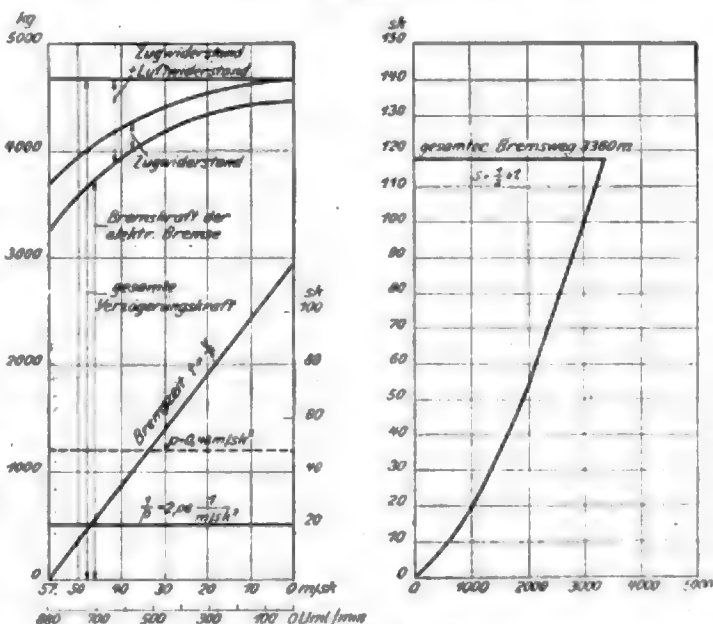


Fig. 35.

Bremsdiagramm für elektrische Bremsung.

Bei diesen Kurven ist die Drehverzögerung nicht berücksichtigt. Bei Berücksichtigung derselben wird der Bremsweg um rd. 180 m größer und die Bremszeit um 6 sek länger.



für die Isolatoren gewählte Hartgummi wurde auf sein Verhalten bei hohen Spannungen und auf geeignete Formgebung untersucht. Erst wurden glatte und dann mit 20 mm tief eingedrehten keilförmigen Rillen versehene Probestäbe von 65 mm Dmr. und 400 mm Länge unter einer Brause von gewöhnlichem Leitungswasser durch Wechselstrom von steigender Spannung (bis zu 30000 V) bei 50 Perioden geprüft.



8) Einrichtungen zur Erzeugung und Verteilung der Druckluft.

Besondere Sorgfalt wurde auf die Prüfung der Druckluftanlage verwendet. Die Antriebszylinder der Schalter und Anlasser sowie die Anschluss-Gummischläuche wurden mit Presswasser von 20 at, die Hühne mit 13 at auf Dichtigkeit geprüft. Die Wagenluftleitungen wurden bei 8 at Luftdruck mit Seifenwasser untersucht. Die Leistungsfähigkeit der Luftpumpe stimmte bei den vorgenommenen Versuchen mit der Berechnung gut überein.

Nach Einbau der gesamten elektrischen Ausrüstung in den Wagen wurden die Leitungen und Geräte unter 15000 V Spannung gesetzt und durch Leerlauf der Motoren

in den Drehgestellen die Richtigkeit der Leitungsführungen festgestellt.

Als der vollständige Zusammenbau beendet war, wurde am 16. September das Gewicht ermittelt, und zwar für den gesamten fertig zusammengebauten Wagen zu rd. 89000 kg. Das entspricht also den angestellten Berechnungen fast genau und ist gleichzeitig ein gutes Zeugnis für deren Richtigkeit.

Wenn wir zum Schlusse auf die bisherigen Ergebnisse des Baues zurückblicken, so dürfen wir mit Recht hoffen, dass die Fahrten günstig verlaufen werden. Das Schlussbild, Fig. 37, zeigt den Wagen, wie er gerade im Begriffe steht, eine Fahrt anzutreten. Wünschen wir, dass über diesen Versuchsfahrten ein guter Stern walte!

Die landwirtschaftlichen Maschinen und Geräte auf der 14. Wanderausstellung der deutschen Landwirtschafts-Gesellschaft in Posen.

Von H. Grundke, Berlin.

(Schluss von S. 1108)

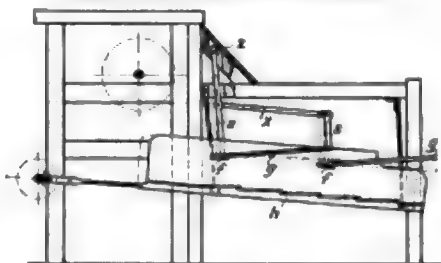
Geräte und Maschinen zur Bearbeitung landwirtschaftlicher Erzeugnisse nach der Ernte.

Bei der Schlagleisten-Dreschmaschine von R. Peters in Kulm ist der untere Teil des Dreschkorbes symmetrisch und umdrehbar eingerichtet, damit man die untere Seite, nachdem sie abgenutzt ist, durch die obere ersetzen kann, wodurch die Dauer der Benutzung verlängert, Ausbesserungen auf geeignete Zeit hinausgeschoben und unreiner Drusch vermieden werden kann.

Die Breitdreschmaschine »Victoria« von C. F. Richter in Brandenburg hat ein hin- und hergeschütteltes Holzsieb *h* mit Seitenwänden, Fig. 100, in denen zwei Flacheisenschienen *f*

Fig. 100.

Breitdreschmaschine von C. F. Richter.



gelagert sind, welche flache Holzgabeln *g* tragen. Auf den Flacheisenschienen sitzt je ein Hebel *s*; diese Hebel sind durch einen Lenker *x* verbunden, und der vordere ist nach oben verlängert und greift dort mit einem Schlitze um einen Zapfen *z*. Beim Schütteln des Siebes *h* schwingen infolgedessen die Gabeln *g* auf und ab und trennen dadurch die losen Körner vom Stroh. Da unter den Schienen bis zum Sieb noch ein genügender Zwischenraum bleibt, können die Körner und der Abfall nicht wieder mit dem auf den Gabeln befindlichen Stroh vermengt werden. (G.-M. 128066.)

Auch die Dreschmaschine von W. Studti & Co. in Elbing, Fig. 101, hat über dem Schüttelsieb *b* einen Gabelschüttler *a*. Da aber hier der Zapfen *p* für den Hebel *s* der Schüttlerwelle *e* durch eine Schraube *b* vor- oder zurückzustellen ist, kann die Neigung der gezahnten Gabeln *a* verändert werden. Dadurch ist ein einfaches Mittel gegeben, das Stroh verschieden lange zu schütteln (D. R.-P. angem.). Die Maschine ist außerdem mit einer selbstthätigen Regelvorrichtung für die Windstärke des Gebläses versehen, die aus einer durch eine einstellbare Feder belasteten Drosselklappe besteht. (D. R.-P. angem.)

Von Rud. Golze in Frankfurt a/O. war eine Glattstrohdreschmaschine, Fig. 102, ausgestellt, bei der eine Stiften-trommel mit einem drehbaren Dreschkorb *d* zusammenarbeitet. Der Korb besteht aus einer in Zapfen gelagerten Trommel, die mit nahe neben einander liegenden hohen, gerippten Ringen besetzt ist. Dadurch soll die schädliche Reibung beim

Fig. 101.

Dreschmaschine von W. Studti & Co.

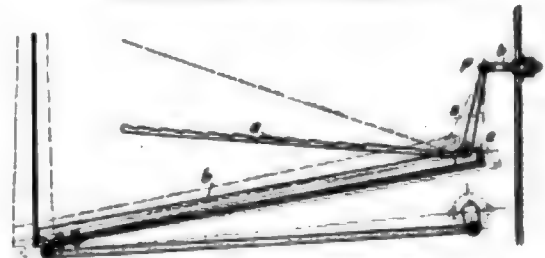
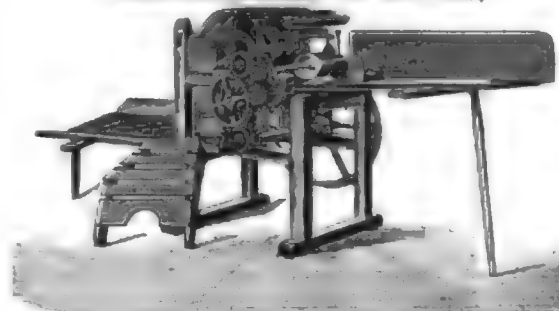


Fig. 102.

Glattstrohdreschmaschine von Rud. Golze.



Dreschen verringert werden; denn wenn sie zu groß wird, dreht sich der Dreschkorb mit herum. Zugleich wird auch das Wickeln des Getreides besser verhütet und das Stroh bleibt glatt. Schließlich wechseln die Arbeitsflächen fortwährend. Die Maschine hat kein Schüttelwerk. (G.-M. 105886.)

Eine einfache Selbsteinlegevorrichtung hat die von P. Seler in Krossen ausgestellte Flöthersche Dampfdreschmaschine. Am Ende des schrägen und verstellbaren Einlegetiisches *d*, Fig. 103, dreht sich eine Speisewalze *c* mit gekrümmten Zähnen und fördert das Getreide vom Tisch zur Dreschtrommel *a*. Ueber der Walze befindet sich die ein-





Geräte und Maschinen zur Milchverwertung.

Zum Befördern der Milch ohne Stoß dient die in Fig. 113 dargestellte Milch- und Rahmpumpe von Fr. Maager in Breslau. In dem Gehäuse *g* läuft eine Schnecke, bei der alle Ecken und Kanten möglichst vermieden sind. (G.-M. 113389.)

Um die Fördermengen bei Milchpumpen auch während des Ganges verringern zu können, hat Ed. Ahlborn in Hildesheim den Antrieb, wie in Fig. 114 dargestellt, einge-

raum ist also drehbar und wird von der Milch umspült. Der Milcheintritt befindet sich am oberen Mantel, der Austritt am äußeren Deckel; der Dampf tritt durch das Rohr *d* ein. (D. R.-P. angem.)

Die Hochdruck-Pasteurisirvorrichtung, Fig. 116, der Vereinigten Sterilisatorwerke Kleemann & Co. in Berlin zeichnet sich dadurch aus, dass nach Lösen der Verbindungsschrauben *v* der Heizcylinder *h* und die an die Welle *w* angeschraubte Rührglocke *g* abgenommen werden können,

Fig. 113.

Milch- und Rahmpumpe von Fr. Maager.

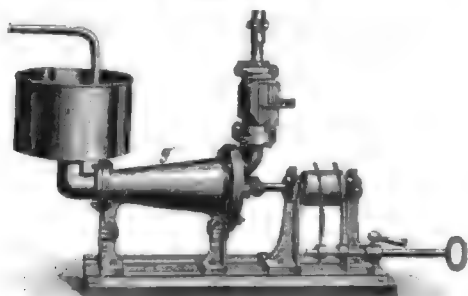


Fig. 114.

Milchpumpe von Ed. Ahlborn.

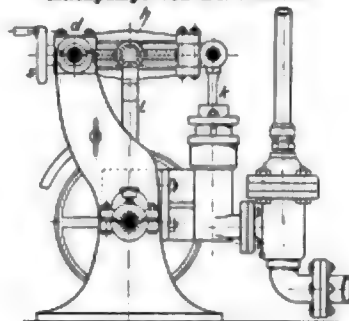


Fig. 115.

Regenerativ-Milcherhitzer von Ed. Ahlborn.

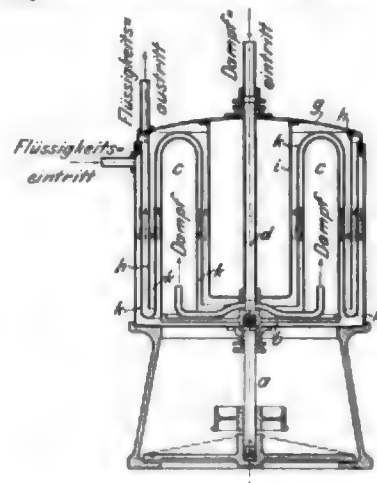


Fig. 116.

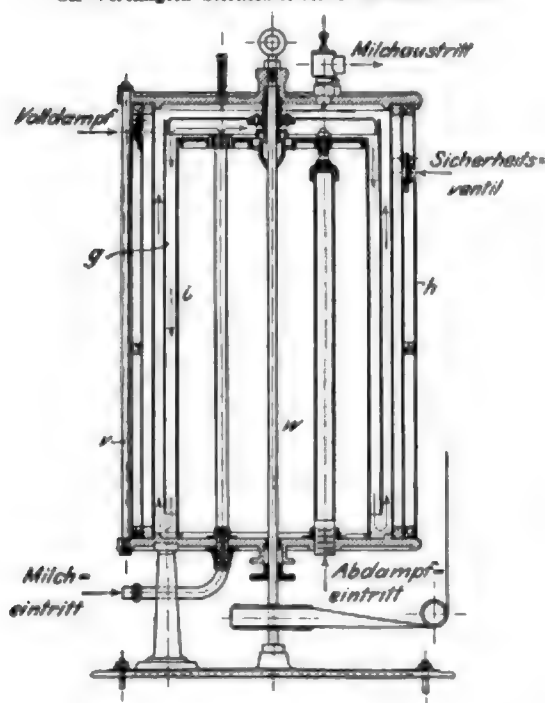
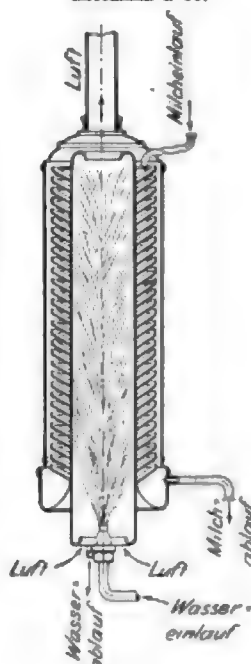
Hochdruck-Pasteurisirvorrichtung
der Vereinigten Sterilisatorwerke Kleemann & Co.

Fig. 117.

Kühl- und Erhitzvorrichtung
für Milch der Vereinigten
Sterilisatorwerke
Kleemann & Co.

sodass nur der Verdränger *i* auf dem Gestell bleibt und alle mit Milch in Berührung kommenden Flächen durchlüftet und bequem gereinigt werden können. Der Lauf der Flüssigkeit ist durch die Pfeile angedeutet. An Frischdampf kann durch die gleichzeitige Benutzung von Abdampf zum Heizen des Verdrängers viel gespart werden. Diese Vorrichtung kann mit einem ganz ähnlich eingerichteten Regenerativhitzer zusammen arbeiten, in den die in jener erhitzte Milch an der Stelle eingeleitet wird, wo dort der Frischdampf eintritt. Hier müssen dann die beiden Mäntel von *h* zum Reinigen auseinandernehmbar sein.

Von derselben Firma stammt die in Fig. 117 dargestellte Kühl- und Erhitzvorrichtung für Milch, die die größtmögliche Ausnutzung der Wärmeaufnahme-fähigkeit des Kühlwassers bezweckt. Sie besteht aus einzelnen gestanzten Tellern, die in einander gesteckt sind und dadurch ein mit äußeren Rippen versehenes Rohr bilden. Die Milch wird auf den obersten Teller geleitet und fällt von Teller zu Teller abwärts. Unten spritzt aus einer Düse das Kühlwasser unter Druck aus, sammelt sich an der inneren Rohrwandung und rieselt langsam an ihr herab. Unterstützt wird die dabei entstehende Wärmeentziehung durch den Luftstrom, der von unten nach oben mitgerissen wird. Zum Erhitzen wird statt des Kühlwassers Dampf oder heißes Wasser verwendet.

Die von Gebr. Lesser in Posen ausgestellte Sternschleuder von F. Ludloff & Söhne in Charlottenburg hat jetzt die in Fig. 118 dargestellte Lagerung. Die Trommelle *w* läuft mit kegelförmigen Ansätzen oben und unten auf Kugeln; der untere Stahlkegel *k* kann nachgestellt werden. Andererseits sind die Kugeln in einer Büchse *b* gelagert, die oben und unten durch Gummiringe elastisch im Gestell

richtet. Der Lenker *l* wirkt auf die Mutter einer Schraube, die in einer um *d* drehbaren Kullise gelagert ist. An letzterer greift die Kolbenstange *k* der Pumpe an. Wird die Schraube mittels des Handrades *s* gedreht, so verschiebt sich die Mutter, sodass sich bei gleichbleibendem Hub des Lenkers *l* der Kolbenhub ändert.

Bei dem neuen Regenerativ-Milcherhitzer derselben Firma, Fig. 115, wird die Wärmeausstrahlung dadurch verhindert, dass die eintretende Milch die äußere Schicht bildet. Auf der Welle *a* sitzt der Teller *b* mit dem Dampfraum *c*. Am Deckel *g* sind der Verdränger *i* und der Cylindermantel *h* befestigt. Die sickzackförmigen Flüssigkeitswege, die anhand der Pfeile zu verfolgen sind, werden durch die um Mantel *h* und Dampfraum *c* gebogene Wand *k* erhalten. Der Dampf-

befestigt ist. Die Welle trägt oben mittels eines kegelförmigen Zapfens die Trommel, die als Einsatz einen vollen Blechkegel *e* und einen gewellten und mit Löchern versehenen Blechkranz *z* besitzt. Der Rahm wird durch ein Schälrohr abgeschält. Der Antrieb ist aus der Figur erkennbar.

Bei der Handmilchschleuder »Kantitz«, Modell 1900, der Lüneburger Ferd. Schulz & Co. wird sowohl der Rahm als auch die Magermilch durch verstellbare Schälrohre nach oben zu abgeleitet.

Von Gebr. Ohlhaver in Hamburg war die Hand-Milchschleuder »Fram« von der Fram-Separatoren-Fabrik in Hannover ausgestellt. Fig. 119 stellt einen Querschnitt der ganzen Maschine dar. Die Spannung der baumwollenen Antriebschnur wird durch das Gewicht *g* und die auf dem Wagen *w* sitzende Leitrolle gleichmäßig erhalten. Die Trommel *t*, die einen Einsatz *e* von kegelförmigen Tellern aus Aluminium enthält, ist auf eine Hülse *k* gesteckt, die unter Einschaltung einer Kugel *k* auf dem durch Gummischeiben *m* und *n* elastisch befestigten Stahlstift *s* ruht.

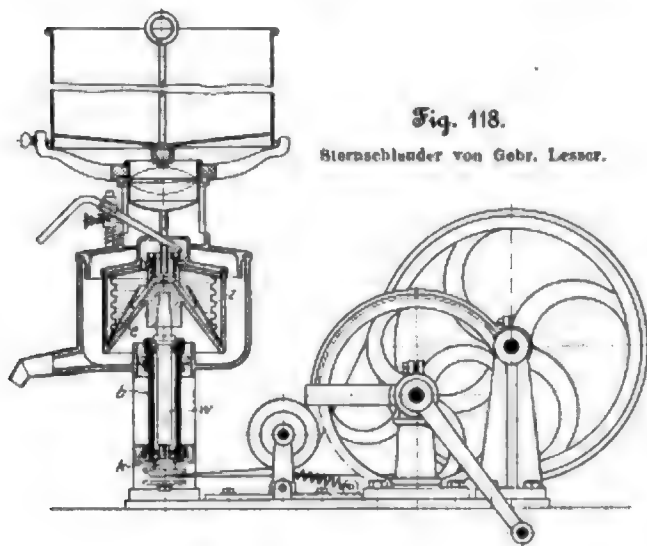


Fig. 118.

Sternschleuder von Gebr. Lessor.

Zuflussrohr *z* bis auf den Boden der Trommel geleitet. Der Einsatz besteht aus dem zylindrischen Blechmantel *e* mit dicht an einander sitzenden prismatischen Erhöhungen, die an der Spitze eine Öffnung haben. Am Zuflussrohr sitzen radiale senkrechte Mitnehmerscheiben.

Die Kyffhäuserhütte vorm. Paul Reufs in Artern hatte eine neue Handschleuder »Kosmos« ausgestellt, deren Lagerung und Einrichtung der Trommel dem bekannten Planet-Separator derselben Fabrik entspricht, Fig. 121. Sie unterscheidet sich durch die Lagerung des

Fig. 119.

Hand-Milchschleuder der Fram-Separatoren-Fabrik.

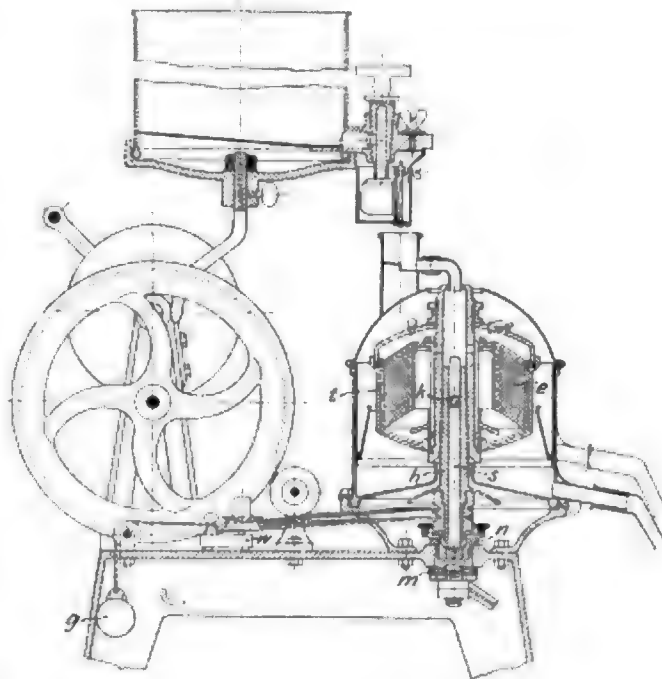


Fig. 120.

Hand-Milchschleuder von Burmeister & Wain.

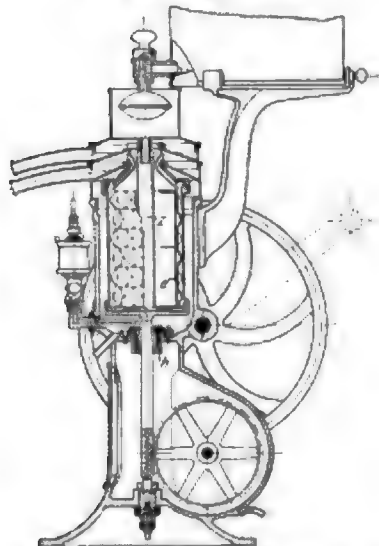


Fig. 121.

Hand-Milchschleuder der Kyffhäuserhütte vorm. Paul Reufs.

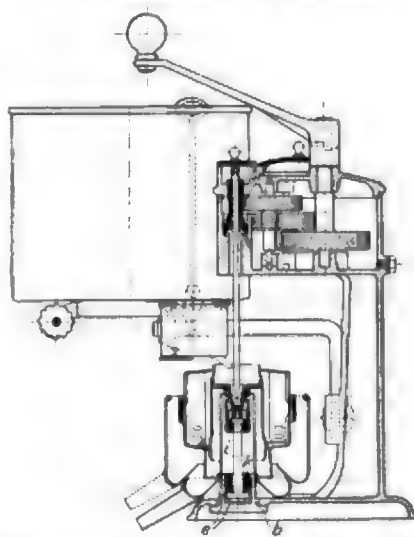
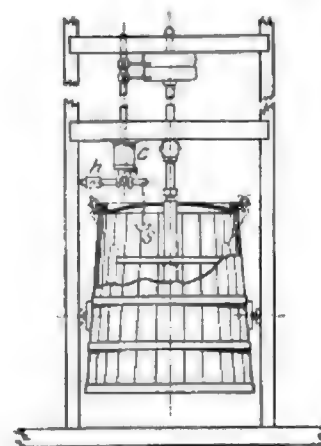


Fig. 122.

Abbuttergerät der Elbinger Maschinenfabrik F. Könnick vorm. H. Hotop.



Von Ed. Ahlborn in Hildesheim wird jetzt eine neue Hand-Milchschleuder »Perfekt«, Fig. 120, von Burmeister & Wain in Kopenhagen vertrieben. Sie besitzt Zahn- und Schneckenradantrieb; das Halslager *h* ist durch Federn statt durch Gummi elastisch gemacht. Die Milch wird durch das

Spurstiftes *i*, der in dem schalenförmigen von unten einzusetzenden Teil *b* zwischen zwei Gummischeiben *e* durch Muttern *k* elastisch festgehalten wird. Die Kurbel wird in wagerechter Ebene gedreht. Die einzelnen Teller der Planet-separatoren sind jetzt mit einander beweglich verbunden, so-

dass der Einsatz ein Ganzes bildet und zum Zweck der bequemerer Reinigung aus einander geklappt werden kann. (D. R.-P. angem.)

Die Elbinger Maschinenfabrik F. Komnick vorm. H. Hotop führte ein Abbuttergerät, Fig. 122, vor, das den Zweck hat, die Buttermaschine zur richtigen Zeit abzustellen, um eine die Butter minderwertig machende Ueberbutterung zu verhüten und die Ueberwachung der Maschine während des Butterns unnötig zu machen. In dem Cylinder *c* bewegt sich ein Kolben, dessen Kolbenstange mit dem Riemenausrücker in Verbindung steht. Auf dem Küken des

in die Wasserleitung eingeschalteten Hahnes an der unteren Seite des Cylinders *c* sitzt ein doppelarmiger Hebel *h*, an welchem eine unten mit Oeffnungen versehene trichterförmige Schale *s*, die in das Butterfass hineinreicht, ausbalanciert hängt. Das Schlägerwerk im Innern des Fasses peitscht den Rahm so stark, dass er bis in die Schale *s* geschleudert wird, aber unten abläuft, so lange er noch flüssig ist. Sobald jedoch die Butterbildung beginnt, bleiben die Butterkügelchen in der Schale haften und beschweren sie, bis der sich senkende Arm des Hebels das Küken dreht, worauf das Wasser eintritt und den Kolben mit dem Ausrücker verschiebt. (D. R.-P. 97776.)

Sitzungsberichte der Bezirksvereine.

Eingegangen 10. April 1901.

Thüringer Bezirksverein.

Sitzung vom 11. Dezember 1900.

Vorsitzender: Hr. Bernigau. Schriftführer: Hr. Ritzler.

Anwesend 23 Mitglieder und 1 Gast.

Hr. Kitzing spricht über Heizwertbestimmungen. Er knüpft an einen früheren Vortrag¹⁾ an, in dem er ausgeführt hatte, dass die Verbandsformel für Heizwertbestimmungen ungeeignet sei. Als einen Beweis dafür führt er Untersuchungen an, die von der Zuckerfabrik Strehlen veranlasst worden sind. Dieselbe Sorte Steinkohle war der chemisch-technischen Versuchsanstalt in Berlin und einem Handelschemiker zur Untersuchung übergeben worden. Die Berliner Anstalt arbeitete mit der kalorimetrischen Bombe, der Handelschemiker nach der Elementaranalyse und der Verbandsformel; in Berlin wurde die Kohle lufttrocken untersucht und der Heizwert mit 7099 WE angegeben, der Handelschemiker dagegen gab den Heizwert der Rohkohle, so wie sie auf dem Hofe liegt, mit 6032 WE an. Im Hinblick auf die Irrtümer, die durch die verschiedenen Untersuchungsverfahren entstehen können, fordert der Redner die Einführung einheitlicher Untersuchungsverfahren für Brennstoffe nach Art der bundesrätlichen Vorschriften für die Untersuchung des Weines und hält den Verein deutscher Ingenieure für die geeignete Stelle, um die Angelegenheit in die Hand zu nehmen und durch Einsetzen eines Ausschusses zu einem baldigen Erfolge zu bringen.

Hierauf macht Hr. Stein anhand photographischer Aufnahmen Mitteilungen über einen Unfall an einer Dampfmaschine, die durch Durchgehen und Bersten des Schwungrades zerstört wurde, nachdem sie 3 Jahre ohne Anstand im Betrieb gewesen war, ferner über die Zerstörung eines Schornsteines in Werschen, der nach seiner Fertigstellung zusammengestürzt ist, trotzdem die Größenverhältnisse und die Beschaffenheit des Baustoffes einwandfrei waren, und endlich über ein Eisenbahnunglück bei Demmin, wo eine in Ausbesserung befindliche Eisenbahnbrücke unter der Last eines darüberfahrenden Zuges zusammenbrach.

Sitzung vom 15. Januar 1901.

Vorsitzender: Hr. Schreyer. Schriftführer: Hr. Ritzler.

Anwesend 18 Mitglieder und 3 Gäste.

Nach Erledigung geschäftlicher Angelegenheiten spricht Hr. Gutwasser über den Taylor-White-Stahl auf der Weltausstellung zu Paris²⁾.

Hr. Schreyer berichtet über das Beleuchtungswesen auf der Weltausstellung, sowie über die Verhandlungen auf dem internationalen Gaskongress, auf dem der Wunsch nach einem einheitlichen Gaskewinde laut geworden ist; er fordert den Bezirksverein auf, seine Bestrebungen in dieser Angelegenheit weiter zu verfolgen.

Alsdann bespricht Hr. August eine Abhandlung von Schaar über die Verbesserung des Schienenstosses³⁾. Der Verfasser macht verschiedene Vorschläge zur Verbindung der Enden von Vignoles-Schienen, die bisher nur im Steg verlascht wurden, und erwartet wesentliche Vorteile von einer Verbindung, die ausserdem den Fuß umfasst oder ihn an der Stofstelle auflagert. Dass nach Einführung einer derartigen Laschenverbindung die kupfernen Leitungsbügel elektrischer Bahnen vollkommen entbehrt werden könnten, bezweifelt der Redner.

¹⁾ Z. 1900 S. 645, 1620.

²⁾ Z. 1901 S. 462.

³⁾ Z. 1901 S. 312.

Eingegangen 6. April 1901.

Westfälischer Bezirksverein.

Sitzung vom 14. März 1901.

Vorsitzender: Hr. Beukenberg. Schriftführer: Hr. Bode.

Anwesend 30 Mitglieder und 6 Gäste.

Nach Erledigung geschäftlicher Angelegenheiten spricht Hr. Bode über Signale und Sicherungsanlagen im Eisenbahnbetriebe.

Die Eigentümlichkeit des Eisenbahnbetriebes besteht darin, dass der Zug dem Gleiswege willenlos folgen muss. Die einzige Möglichkeit, einen Zug einer ihm drohenden Gefahr entgegen zu lassen, besteht deshalb darin, ihn vor dem Gefahrpunkt zum Halten zu bringen, bis die Gefahr beseitigt, d. h. die Strecke frei ist. Hierdurch ist die Notwendigkeit gegeben, in die Ferne wirkende Signale anzuwenden, und zwar müssen diese Signale so beschaffen sein, dass sie über den Zustand der Bahn Auskunft geben; sie müssen also zwei Bilder zeigen, je nachdem die von einem Zuge zu befahrende Strecke frei ist oder nicht. Hierfür werden Flügelsignale benutzt, die durch wagerechte Stellung der Flügel halt gebieten, während durch schräg nach oben gerichtete Stellung angezeigt wird, dass der Zug in die vorliegende Strecke einlaufen darf. An die Stelle der Flügelsignale treten des Nachts Lichtsignale.

Es sind Decksignale und Warnsignale zu unterscheiden. Die ersteren decken den Einlauf in die Stationen, die Abzweigungen auf freier Strecke, Drehbrücken und dergl., und sind in der Regel an die Gefahrpunkte selbst gestellt. Ihnen sind vielfach vorgeschobene Warnsignale oder Vorsignale beigegeben, die dem aufahrenden Zuge die Stellung der Decksignale auch bei mangelnder Uebersichtlichkeit oder bei undurchsichtiger Luft rechtzeitig kenntlich machen.

Schon früh erkannte man, dass es, um den Zugverkehr regelmäßig und mit Sicherheit abzuwickeln, notwendig sei, die gesamte Strecke in kleinere Abschnitte zu teilen und vor jedem ein Signal aufzustellen. Auf Strecken mit geringem Verkehr werden die einzelnen Bahnabschnitte einfach durch die Stationen gebildet. Die Züge dürfen einander deshalb nur in Stationsabstand folgen. Die hierbei erforderlichen Mitteilungen werden von Station zu Station durch Morseapparate gegeben. Wird der Verkehr dichter, oder ist stellenweise der Abstand zwischen den einzelnen Stationen zu groß, so schaltet man Zwischenstationen, sogen. Blockstationen, ein. Das sind im allgemeinen weiter nichts als mit einer Telegrapheneinrichtung und einem Flügelsignalmast ausgerüstete Wärterbuden. Eine Gefahrquelle bei dieser Anordnung liegt darin, dass die richtige Befolgung der Vorschriften und damit die Sicherheit der Züge allein von der Gewissenhaftigkeit eines Menschen abhängt. Um den dadurch entstehenden Gefahren vorzubeugen, legt man die einzelnen Signale unter selbstthätigen elektrischen Blockverschluss, d. h. man richtet unter Anwendung des elektrischen Stromes eine Abhängigkeit zwischen den Stellvorrichtungen der einzelnen Streckensignale in der Weise ein, dass das eine Strecke deckende Signal erst dann für einen Zug auf freie Fahrt gezogen werden kann, wenn ein vorherfahrender Zug das nächste Decksignal vollständig überschritten hat.

Die Sicherheit der Züge ist innerhalb der Bahnhöfe beinahe noch mehr gefährdet als auf der freien Strecke, denn in den Bahnhöfen bedeutet jede zu durchfahrende Weiche einen Gefahrpunkt. Der Möglichkeit, dass eine zu durchfahrende Weiche falsch liegt, beugt man dadurch vor, dass man die Weichenstellvorrichtungen aller zu einem Bezirk gehörenden Weichen in ein besonderes Haus legt, das auch die Stellvorrichtungen der den betreffenden Weichenbezirk deckenden Signale aufnimmt. In dem Stellwerke hat man

die Möglichkeit, Abhängigkeit zwischen Weichen und Signalen in der Weise herzustellen, dass ein bestimmtes Signal stets erst dann auf Fahrt gezogen werden kann, wenn alle Weichen, die in der zu diesem Signale gehörenden Fahrtrasse liegen, richtig gestellt sind, und umgekehrt, dass keine Weiche umgelegt werden kann, so lange das zugehörige Decksignal freie Fahrt zeigt. Diese Abhängigkeit vom Signal besteht nicht nur für die von dem erwarteten Zuge zu befahrenden Weichen, sondern auch für die sogen. feindlichen, in den Nebengleisen liegenden Weichen, die stets so festgelegt werden, dass aus den Nebengleisen kein Fahrzeug in das vom Zuge zu durchfahrende Gleis gelangen kann, so lange das Fahrsignal steht. Endlich stellt man noch Abhängigkeit zwischen den verschiedenen Signalen in der Weise her, dass es unmöglich gemacht wird, Signale, deren zugehörige Zugfahrtrassen sich innerhalb des Bahnhofes kreuzen, sich also gegenseitig gefährden, gleichzeitig auf freie Fahrt zu ziehen. Auf sehr ausgedehnten Bahnhöfen ist es oft nicht mehr möglich und auch nicht mehr zweckmäßig, alle Weichen von

einem Stellwerk aus bedienen zu lassen. Man muss vielmehr mehrere Stellwerkbezirke bilden. Da dann aber oft der Fall eintreten wird, dass ein ein- oder durchfahrender Zug hintereinander mehrere solcher Bezirke durchfährt, muss man wieder Abhängigkeit zwischen den einzelnen Bezirken schaffen. Man geht dabei von dem Grundsatz aus, dass möglichst die Fahrtrassen in den vorliegenden Bezirken richtig festgelegt sein müssen, wenn vom letzten, d. h. dem vom Zuge zuerst erreichten Bezirk Einfahrt gegeben wird.

Es ist natürlich für den verantwortlichen Stationsbeamten sehr wichtig, dass er sicher ist, dass seine Anordnungen richtig ausgeführt werden, dass also alle Weichen und Signale richtig gestellt werden. Das einfachste Mittel, dies zu kontrollieren, bietet die Elektrizität: man verwendet Mechanismen ganz ähnlicher Bauart wie bei der Streckenblockierung, um die Signalhebel und die Fahrtrassenhebel in einem Stellwerk unter Blockverschluss zu legen, und bringt dann wieder die Blockvorrichtungen der verschiedenen Stellwerke zueinander in die erforderliche Abhängigkeit.

Zeitschriftenschau.¹⁾

(*) bedeutet Abbildung im Text.)

Beleuchtung.

Elements of Illumination. XXXI. Von Bell. (El. World 21. Sept. 01 S. 463/64*) Normalkerzen und Lichtmessung.

Bergbau.

Remplacement du chevalement du puits Mony, de la mine de Montvieu. Von Lévêque. (Compt. rend. Soc. Ind. min. Aug. 01 S. 224/27 mit 1 Taf.) Beschreibung der Auswechslung des Seilscheibengerüsts des genannten Schachtes. Da das durch den Seilacht erschlossene Fels nur noch kurze Zeit abbaufähig sein wird, wurde wieder ein hölzernes Gerüst aufgestellt. Kurze Angaben über den Bauvorgang.

An American rock drill. (Engineer 27. Sept. 01 S. 349*) Schaubilder einer mit Dampf oder Druckluft zu betrieblenden Bohrmaschine, die in zwei Größen hergestellt wird. Hauptabmessungen der beiden Modelle.

Chemische Industrie.

Das Karbidwerk Plüms. II. Forts. (Schweiz. Bauz. 28. Sept. 01 S. 131/33*) Ausführung der Rohrleitung. Forts. folgt.

Streuung der Stromlinien in Elektrolyten. Von Pfannhauser. (Z. f. Elektroch. 26. Sept. 01 S. 895/97) Bericht über Beobachtungen an Hähnen mit verschiedenen Elektrolyten und theoretische Erläuterungen über die verschiedenen Stromdichten an einzelnen Stellen des Bades und der Elektroden.

Dampfkraftanlagen.

A regenerative accumulator. Von Ratou. (Engng. 27. Sept. 01 S. 466*) Darstellung einer Vorrichtung, welche die Verwendung des Abdampfes von Maschinen mit absteigendem Betriebe, z. B. von Förder- oder Walzenzugmaschinen, in Dampf umformen ermöglichen soll.

Die Dampfkesselexplosionen im Deutschen Reich während des Jahres 1900. Forts. (Mit. Prax. Dampfs. Dampf. 25. Sept. 01 S. 698/703*) S. Zeitschriftenschau v. 5. Okt. 01.

Eisenbahnwesen.

The meridional rift on the Uganda Railway. (Engng. 27. Sept. 01 S. 442/43*) mit 1 Taf.) Bericht über die Höhenverhältnisse einer Strecke der Ugandabahn mit starkem Gefälle und über die für den Bau des Bahnkörpers erforderlichen Arbeiten.

The induction motor for electric railways. II. Schluss. (El. World 21. Sept. 01 S. 464/67*) Auszug aus einem Vortrag von Berg, der anhand eines für Gleichstrom- und Drehstrombetrieb durchgerechneten Beispiels zu Ergebnissen kommt, die den mit Hochspannungsübertragung und rotierenden Umformern arbeitenden Betrieb dem reinen Drehstrombetrieb gegenüber als überlegen erscheinen lassen.

Über die wirtschaftlich vorteilhafteste Belastung der Halzfläche bei Lokomotiven. Von Wittfeld. (Zentralbl. Bauw. 25. Sept. 01 S. 466/67) Ergänzung zu dem in Zeitschriftenschau v. 12. Mai 1900 erwähnten Aufsatz: Über wirtschaftlich vorteilhafteste Lokomotiven desselben Verfassers.

Compound locomotives in South America. Von Gould. (Engng. 27. Sept. 01 S. 463/64*) Schematische Darstellung und Angabe der Abmessungen, Gewichte usw. der in Südamerika verwendeten Verbundlokomotiven.

Drummond's spark arrester, South-Western Railway. (Engineer 27. Sept. 01 S. 336/37*) Darstellung einer eigenartigen Funkenfangvorrichtung, die sich vorzüglich bewähren soll. Mitteilung

¹⁾ Die Zeitschriftenschau wird, nach den Stichwörtern in Vierteljahrsheften zusammengestellt und gecorrigiert, gesondert herausgegeben, und zwar zum Preise von 3 M. pro Jahrgang für Mitglieder, von 10 M. pro Jahrgang für Nichtmitglieder.

der Ergebnisse von Versuchsfahrten mit Güter- und Personenzuglokomotiven, die mit der Vorrichtung ausgerüstet waren.

Eisenhüttenwesen.

Efficiency test of a continuous rod mill. (Iron Age 12. Sept. 01 S. 8/10*) Das kontinuierliche Walzwerk Morganscher Konstruktion bestand aus 14 Gerüsten, von denen 6 zum Vorwalzen, 8 zum Fertigwalzen dienten. Ausführliche Wiedergabe der umfangreichen Leistungsversuche.

Eisenkonstruktionen, Brücken.

Calculating the stresses in hinged arched ribs. Von Leach. (Engineer 27. Sept. 01 S. 323/25*) Die Spannungen in einem Dreiecksbogen mit gekreuzten Schrägen werden nach der Spaltmethode bestimmt.

The Pennsylvania Railroad train-shed at Camden. (Eng. Rec. 14. Sept. 01 S. 242/44*) Ausführliche Beschreibung der Eisenkonstruktionen geräumter Bahnhofshallen. Systemskizzen für die einzelnen Fachwerkträger. Einzelheiten der Dach- und Stützenkonstruktionen.

Elektrotechnik.

Plant of Big Fork, Montana, electric power and light company. Von Ransom. (El. World 21. Sept. 01 S. 467*) Wasserkraftanlage, in der durch ein notables Gefälle von rd. 30 m zwei mit Lombard-Regulatoren ausgerüstete 300 pferdige Leffel-Turbinen mit 544 Uml./min getrieben werden. Die Turbinen sind mit je einem 225 KW-Zweiphasenstromerzeuger von 480 V und 60 Per./sek gekuppelt. Der Zweiphasenstrom wird durch Transformatoren mit Scott-Schaltung in Drehstrom umgewandelt und unter 12000 V Spannung nach dem 30 km entfernten Ort Kalispel geleitet.

Neuer Umformer von Leblanc. Von Feldmann. (Elektrot. 2. 26. Sept. 01 S. 806/11*) Der Umformer besteht aus einem ruhenden Transformator von besonderer eingehend erläuteter Anordnung, einem ruhenden Kollektor, dessen Lamellen mit den sekundären Spulen des Transformators verbunden sind, und einem kleinen Synchronmotor zur Bewegung der Stromabnehmer Bürsten innerhalb des Kollektors. An die Stelle der Bürstenverschleibung tritt eine Verdrehung des Bürstenmotorfeldes mittels eines Handrades. Alle Teile der zur Aenderung der Stromart und Spannung dienenden Vorrichtung sind in einem gemeinsamen Gehäuse untergebracht. Ausführliche Behandlung der Theorie des Umformers.

Ein Verfahren zur Steigerung der Kapazität der Akkumulatoren. Von Helm. (Elektrot. 2. 26. Sept. 01 S. 811/15*) Der Verfasser erreichte bei seinen Versuchen eine Kapazitätsteigerung von 2,6 bis 3,0 vH für 1° Temperaturerhöhung. Der Wirkungsgrad der Elektrizitätsmengen wurde erheblich verschlechtert, was aber durch die erhöhte Spannung bei der Entladung zum größten Teil wieder ausgeglichen wurde. Erfahrungen über das Verhalten der Akkumulatoren bei Erwärmung im dauernden Betriebe sind noch nicht gemacht worden.

Die elektrisch betätigte Wehr- und Schleusenanlage in Poses-sur-gaine. (Z. f. Elektroch. Wien 29. Sept. 01 S. 471/74*) Gekürzte Uebersetzung des in Zeitschriftenschau v. 7. Sept. 01 erwähnten Aufsatzes von Bret: Installations électriques de Barrage de Poses.

Elektrische Messungen an städtischen Rohrnetzen. Von Lubberger. (Journ. Gas- u. Wasserv. 28. Sept. 01 S. 723/26*) Darstellung der Versuchsanordnung und Beschreibung der Versuchsdurchführung. Mitteilungen über Beobachtungen bei den Versuchen und Winke für die Ausführung derartiger Versuche.

Erd- und Wasserbau.

Die Oppa-Regulierung in Jägerndorf. Von Kohut. (Z. österr. Ing.- u. Arch.-Ver. 27. Sept. 01 S. 640/42*) Die im Ausseht

genommenen Arbeiten sollen durch die Herstellung ausreichender Flussquerschnitte und Durchflussöffnungen der Brücken sowie durch Schaffung einer besseren Vorflut die schädlichen Überschwemmungen in Jägerdorf verhindern. Eingehende Schilderung der auszuführenden Arbeiten.

Bilbao river and harbour. Von de Churrua. (Engg. 27. Sept. 01 S. 460/63*) Allgemeine geographische Verhältnisse. Begründung der Notwendigkeit der Schaffung einer neuen Hafenanlage. Unterlagen für den Entwurf und die Ausführung der Arbeiten. Ausführlicher Bericht über den Entwurf für den äußeren Hafen und über die anzuwendenden Arbeitsverfahren.

Feuerungsanlagen.

Foyer fumivore, système Rossell. Von Lestang. (Rev. ind. 21. Sept. 01 S. 375*) Die Vorrichtung ist dazu bestimmt, nach jedem Aufwerfen von Brennstoff heiße Luft über den Rost zu führen, um den sich bildenden Rauch zu verbrennen. Darstellung der Konstruktion.

Gasindustrie.

Séparation mécanique des gaz par force centrifuge. Von Hardolle. Forts. (Rev. ind. 14. Sept. 01 S. 368/69) Theorie der Zentrifugen. Tabelle der Dichtigkeit verschiedener Gase.

Gesundheitsingenieurwesen.

Sewage disposal by intermittent filtration at the Montgomery Co. infirmary, near Dayton, O. Von Flynn. (Eng. News 12. Sept. 01 S. 179/80*) Kurze Angaben über eine Abwasserkläranlage für eine kleine Ansiedlung von rd. 400 Menschen. Die täglich zu reinigende Menge beträgt rd. 46 cbin.

The garbage reduction plant at Boston, Mass. (Eng. Rec. 14. Sept. 01 S. 251/53*) Die ausführlich beschriebene Müllverbrennungsanlage zeichnet sich dadurch aus, dass mit ihr eine Anlage zur Gewinnung von Ammoniak aus dem Müll verbunden ist.

Gießerei.

Iron foundries and foundry practice in the United States. I. (Engineer 27. Sept. 01 S. 521/22*) Eingehende Darstellung der großen neuen Gießerei der General Electric Company in Schenectady.

Machine cast foundry pig iron. Von Colby. (Iron Age 12. Sept. 01 S. 47*) Ausführliche Wiedergabe eines Vortrages vor der Philadelphia Foundrymen's Association, von dem ein Auszug bereits in Zeitschriftenschau v. 27. Juli 01 erwähnt wurde.

Hebzeuge.

Electrically controlled hydraulic elevators. I. Von Baxter. (Am. Mach. 28. Sept. 01 S. 1031/32*) Beschreibung eines von der Otis Elevator Company gebauten Wasserdrukkaufzuges, dessen Steuerriehler durch Elektromagnete von verschiedenen Stellen aus betätigt werden kann. Den Erregerstrom der Magnete liefert eine elektrische Lichtleitung. Forts. folgt.

Monte-charge électrique à la glacierie de Montluçon. Von Bonnel. (Compt. rend. Soc. ind. min. Aug. 01 S. 232/24 mit 1 Taf.) Kurze Beschreibung eines elektrisch betriebenen Aufzuges für 3 Stockwerke. Einzelheiten der Handbremse und der Schaltung.

Heizung und Lüftung.

Ventilating and heating St. Mark's Church, Baltimore. (Eng. Rec. 14. Sept. 01 S. 255/56*) Die Kirche, mit der eine Sonntagschule verbunden ist, wird durch heiße Luft erwärmt, die durch Bläser in die Verteilkanäle gedrückt wird. Die Kanäle endigen in viele Öffnungen, die unter den Sitzreihen angeordnet sind. Die verbrauchte Luft wird durch Sauger fortgeschafft.

Holzbearbeitung.

Firewood machinery. (Engg. 27. Sept. 01 S. 443*) Schaubild und Angaben über eine von M. Glover & Co. in Holbeck lane, Leeds, gebaute Holzspaltmaschine für Zündholzfabrikation.

Kälteindustrie.

Kühlverfahren mit Gewinnung äußerer Arbeit. Von Mewes. Schluss. (Z. Kälte-Ind. Sept. 01 S. 160/66*) Beschreibung der Verfahren von Osenbrück, Windhausen, Beck, Riegelmann, Sedlacek, Wolf, Piquet & Co.

Ueber die Gefahr der Flanschendichtungen in Luftkühlapparaten und Verdampfern. Von Stefefeld. (Z. Kälte-Ind. Sept. 01 S. 161/62) Kurze Beschreibung eines Unfalles an einer Ammoniakkühlanlage, aus dem die Erfahrung abgeleitet wird, dass innenliegende Flanschendichtungen unter allen Umständen zu vermeiden sind.

Lager- und Ladevorrichtungen.

Les magasins à blé en Russie. Von Espitalier. (Génie civ. 21. Sept. 01 S. 336/37* mit 1 Taf.) Darstellung der Getreidespeicher in Nikolajeff und Windau nebst Förderanlagen, Eisenbahn- und Hafenanlagen.

Landwirtschaftliche Maschinen.

Canadian agricultural machinery. Von Harwood. (Engg. 27. Sept. 01 S. 445/47*) Darstellung der von mehreren kanadischen Fabriken in Glasgow ausgestellten landwirtschaftlichen Maschinen und Geräte und Erläuterungen über ihre Verwendung. Pflüge; Eggen; Säemaschinen; Mähmaschinen; Heuwender; Rechen; Ladevorrichtungen; Kornbinder. Forts. folgt.

Maschinenteile.

Commande alternatives par une seule courroie, de deux machines tournant inversement, système Debatte. (Rev. ind. 14. Sept. 01 S. 365*) Kurze Darstellung eines selbsttätigen Riemenwendergetriebes mit einem einzigen Riemen.

Courroie différentielle, système Scholtz. (Rev. ind. 14. Sept. 01 S. 365/66*) Bei halbgekreuzten Riemen bilden sich an den Ablaufstellen Stauungen. Um diese zu vermeiden, ist der Riemen mit vielen Löchern versehen, die an der einen Kante größer sind als an der andern.

Materialkunde.

Essai des métaux par choc sur barreaux entaillés. Méthode de M. Charpy. Von Dutreux. (Génie civ. 28. Sept. 01 S. 351/54*) Bericht über die von Charpy ausgeführten Versuche mittels des schon in Zeitschriftenschau v. 1. und 8. Juni 01 unter »Étude expérimentale sur le pillage des barrettes entaillées« und »Note sur quelques expériences de flexion par choc usw.« erwähnten Verfahrens. Darstellung der Versuchseinrichtungen.

Observations critiques sur l'essai des métaux par la méthode de M. Charpy. Von Pourcel. (Génie civ. 28. Sept. 01 S. 354/55) Meinungäußerung zu dem vorstehend erwähnten Aufsatz.

Ueber den Einfluss des Aluminiums auf den Kohlenstoff im Gusseisen. Nach Melland und Waldron. (Oesterr. Z. Berg- u. Hüttenw. 14. Sept. 01 S. 493/94) Die von den Verfassern angestellten Versuche bezweckten, den zum Auscheiden der größtmöglichen Grafitmenge in einem möglichst reinen weißen Roheisen erforderlichen Aluminiumausatz zu bestimmen, sowie den Einfluss festzustellen, den beim Gießen ein langsames oder rasches Erkalten auf die Kohlenstoffnatur im Eisen bei verschiedenem Aluminiumausatz ausübt.

Testing hydraulic cements. I. Von Marshall, Leach und Cosby. (Eng. Rec. 14. Sept. 01 S. 248/51) Schleißproben, Bestimmung des spezifischen Gewichtes, Untersuchung der Bindfähigkeit, Raumbeständigkeitsprobe, Festigkeitsversuche, beschleunigte Proben. Die zur Wertbestimmung einer Zementsorte erforderlichen Proben. Behandlung des Zementes bei den Versuchen. Forts. folgt.

Mechanik.

Zur Theorie der Knickfestigkeit. Von Schneider. (Z. österr. Ing.- u. Arch.-Ver. 27. Sept. 01 S. 633/38*) Ausführliche mathematische Abhandlung über die elastische Knicklinie. Schluss folgt.

Metalbearbeitung.

Ausländische Metallbearbeitungsmaschinen. (I. Werkzeuge.) 25. Sept. 01 S. 365/67*) Schraubenschneidmaschine von J. H. Paterson in Ingersoll, Canada. Schleifmaschine der Waterbury Farrel Foundry & Machine Co. in Waterbury, Conn. Quadratschneiderei von V. E. Edwards in Worcester, Mass. Zweispindlige Bohrmaschine von Hawthorn & Co. in Leith. Drehbank mit durch Druckförmigkeit bewegtem Bettchlitzen von C. M. Conradson in Madison. Maschine zum Biegen von Metallstücken usw. von F. A. Plat in Paris. Federhammer von Fétis-Duffie & Co. in Lüttich. Nutenbohrmaschine von F. Herzog in Bogorodsk, Rußland. Wasserdruk-Nietmaschine von 70 t Druckkraft von R. D. Woods in Philadelphia. Mehrspindlige Bohrmaschine von C. H. Bausch in Holyoke, Mass.

The Pan-American Exposition. II. (Am. Mach. 28. Sept. 01 S. 1023/25*) Selbsttätige Chucking-Drehbank und Werkzeugschleifmaschine der Cleveland Machine Screw Company. Revolverdrehbank und Werkzeugschleifmaschine der Gisholt Machine Company.

The Newton milling and drilling equipment for steel trucks. (Iron Age 12. Sept. 01 S. 22*) Schaubilder dreier Spezial-Werkzeugmaschinen der Newton Machine Tool Works in Philadelphia für die Herstellung von eisernen Wagenguntergestellen. Doppelte 14spindlige Bohrmaschine, zwispindlige und einspindlige Planfräsmaschine.

Machinery at the Pan-American Exposition. VIII. (Iron Age 12. Sept. 01 S. 138*) Ausführliche Beschreibung des neuen Modells der Fräsmaschine mit senkrechter Spindel von Brown & Sharpe.

The Lea universal grinder. (Iron Age 12. Sept. 01 S. 12/13*) Kurze Beschreibung einer elektrisch betriebenen Schleifmaschine, die vorzugsweise zum Schleifen von Fräsern, Reibahlen u. dergl. benutzt wird. Zahlreiche Schaubilder erläutern die Handhabung der Maschine bei verschiedenen Arbeiten.

The power press in agricultural machine work. Von Dornau. (Am. Mach. 28. Sept. 01 S. 1026/27*) Darstellung eines Stempels und der zugehörigen Matrize zum Stanzen kettenförmiger Gegenstände für landwirtschaftliche Maschinen.

Enameling. IV. (Engineer 27. Sept. 01 S. 323*) Das Ein- und Zusammenschmelzen der Enamellmasse und die dazu benutzten Öfen und Tiegel.

Herstellung krummer Flächen auf Stöpsel- und Hobelmaschinen. Von Stier. (Z. Werkzeugm. 25. Sept. 01 S. 562/64*) Bei der Herstellung cylindrischer Körper mit unregelmäßigem Querschnitt auf Hobel- und Stöpselmaschinen findet ähnlich wie bei der Kopfrührmaschine eine Schablone Verwendung. Bei der Hobelmaschine beeinflusst die Schablone die Bewegung des Werkzeugstabes, bei der Stöpselmaschine die Bewegung des das Werkstück tragenden Kreuzschlittens.

Motorwagen und Fahrräder.

Les bicyclettes. Von Bourlet. Forts. (Génie civ. 21. Sept. 01 S. 338/40* u. 28. Sept. S. 349/51*) Freilaufträger mit selbstthätiger Bremse. Preisausschreiben des Touring Club für Bremsen. Leitsätze für die Untersuchung und Beurteilung von Bremsen. Fahrräder mit verschiedenen Uebersetzen. Forts. folgt.

Physik.

The efflux of steam. Von Rateau. (Engineer 27. Sept. 01 S. 414*) Darstellung einer Versuchsanordnung und Bericht über Ergebnisse von Untersuchungen über die Verhältnisse beim Ausströmen des Dampfes aus Röhren oder Kanälen.

Schiffe- und Seewesen.

Engines of the S. S. „Fieswick“. (Engineer 27. Sept. 01 S. 443/44*) Die von Mc Kie & Baxter gebaute stehende Verbundmaschine

hat 535 und 1195 mm Cyl.-Dmr. und 840 mm Kolbenhub. Sie erteilt bei der Probefahrt dem mit 770 t beladenen Schiffe v. 54,5 m Länge, 8,5 m Breite und 4,35 m Tiefe 11½ Knoten Geschwindigkeit. Die Maschine ist mit einer eingehender dargestellten Dampfmaschine- und -Rücklaufvorrichtung von Baxter ausgerüstet.

Textilindustrie.

Bleaching plant at the Glasgow Exhibition. (Engineer 27. Sept. 01 S. 441*) Ausführliche Darstellung einer von Mather & Platt ausgestellten vollständigen Bleichanlage.

Wasserversorgung.

Die Wasserwerke und die Kanalisation der Stadt Hannover. Von Bock. (Journ. Gasb.-Wasserv. 28. Sept. 01 S. 717/23*) Das städtische Trinkwasserwerk: Wassergewinnung, Sammelrohranlage, Beschaffenheit des Wassers, Maschinenanlage, Hochbehälter, Verteilungsrohrnetz, Wassermesser, Leistung des Werkes. Erweiterung des Werkes. Das städtische Flusswasserwerk: Gebäude, Turbinenanlage, Pumpen, Kostenanschlag. Die städtische Kanalisation: Ausdehnung des Kanalnetzes, Beschaffenheit der Abwässer, Ausführung der Kanäle und Rohrleitungen, Kläranlage.

Werkstätten und Fabriken.

Workshop methods. Von Weir und Richmond. (Engineer 27. Sept. 01 S. 339) Prämienvorstellung. Vereinfachung der einzelnen Werkstattvorstände zum Austausch von Erfahrungen, Besprechung von Betriebsverbesserungen. Kartensystem zur Aufzeichnung des Arbeitsganges an den herzustellenden Maschinen.

Rundschau.

In Penarth sind am 26. Juli d. J. 4 hydraulisch betriebene Kohlenkippen dem Betriebe übergeben worden, die dem Umladeverkehr der Taft Vale-Eisenbahn dienen sollen. Diese in Fig. 1 und 2 dargestellten Kippen sind nicht wie die früher in dieser Zeitschrift beschriebenen¹⁾ mit feststehendem Gerüst ausgeführt, sondern laufen auf Schienen. Dabei ist es nicht nötig, die Schiffe zu verholen, die Ufermauern werden daher besser ausgenutzt als bei einer feststehenden Kippe. Für den Bau war maßgebend, dass in 30 sk ein Wagen von 10 t Ladefähigkeit 13,7 m gehoben, gekippt und in die Schüttrinne entleert, der leere Wagen zurückgekippt, herabgelassen und abgerollt werden muss. Sämtliche Bewegungen werden von einem oben im Gerüst angebrachten Führerhause aus gesteuert.

Die Fahrbühne, die in Fig. 1 in ihrer untersten Lage, in Fig. 2 in hochgezogener Stellung wiedergegeben ist, hat A-förmige Seitenwände a, die in der Spitze durch einen Querträger b verbunden sind; dieser hängt mittels der Stangen c an einem zweiten Querträger, der in den im Gerüst eingebauten und darüber hinausragenden Führungen d gleitet, und an welchem 4 Presswasserkolben angreifen. Auf jeder Seite sind 2 Tauchkolben verschiedenen Durchmessers angeordnet; der kleinere dient lediglich dazu, das Gewicht der Fahrbühne auszugleichen und steht ständig unter Druck. Die Cylinderräder und zugehörigen Kolben haben je 13,7 m Hub. Innerhalb der Fahrbühne ist in gleicher Weise wie bei den Kohlenkippen von Armstrong²⁾ und Nagel & Kaemp³⁾ die Kippbühne eingebaut und an der Wasserseite in Bolzen kippbar gelagert. In Fig. 2 ist die Kippbühne in gekipptem Zustande eingezeichnet. Die beiden an der Kippbühne befestigten Enden des Seilzuges zum Kippen sind durch Leitrollen zu dem seitlich im Gerüst eingebauten Presswassercylinder f und um dessen Flaschenzugrollen geführt. Die letzte Schleife ist mittels besonderer Leitrollen zur Fahrbühne und über eine daran befestigte lose Rolle geleitet; auf diese Weise läuft beim Auf- und Niedergang der Fahrbühne der Seilzug der Kippbühne leer mit.

Der Hub der Kippbühne wird durch einen an der Fahrbühne angebrachten Querträger g, begrenzt. Zur Hubbegrenzung der Fahrbühne dient eine Kette ohne Ende, die über Rollen oben und unten am Gerüst geführt ist; die obere Rolle treibt eine Welle und mittels Kegelradübersetzung eine in dem Führerhaus angebrachte senkrechte Schraube. Eine auf dieser laufende Mutter stellt mit einem verschleißlichen Knaggen die Presswasserzuführung selbstthätig ab. Soll ein Schiff beladen werden, so wird nach dem Einstellen der Schüttrinne der erste Wagen gehoben, und wenn die richtige Höhe der Fahrbühne erreicht ist, der Knaggen eingestellt; bei den späteren Hieben wirkt dann die selbstthätige Hubbegrenzung. Der Führer ist so in der Lage, sein ganzes Augenmerk der Kippvorrichtung und ihrer Bedienung

zuzuwenden, sodass sie Augenblicklich in Thätigkeit gesetzt wird, wenn die Fahrbühne anhält; auf diese Weise wird Zeit erspart. Um das Senken der Fahrbühne herbeizuführen, genügt es, die Ausflussventile zur Rückleitung zu öffnen.

Die Schüttrinne ist an einem wagerechten Träger gelenkig aufgehängt, der sich in senkrechten Führungen bewegt und mithilfe der Fahrbühne gehoben wird, indem an dieser zwei Riegel vorgeschoben werden, die den Träger fassen und mitnehmen. Zum Festhalten der Schüttrinne in ihrer Stellung sind von beiden Enden des Schüttrinnenträgers starke Ketten über Rollen oben am Gerüst zur andern Seite des Gerüsts geführt, wo sie festgeklammert sind. Die Spitze der Schüttrinne wird in ihrer Höhenlage mithilfe eines Seilzuges g verstellt, der an ein hydraulisch betriebenes Windwerk mit kräftigen Bremsen angeschlossen ist. Sie kann auch seitlich, und zwar nach jeder Seite um 1,5 m, verstellt werden. Zu diesem Zweck ist ein besonderes Verlängerungsstück h an die Schüttrinne angehängt, sodass Kohlenverluste vermieden werden, wenn die Schüttrinne während des Betriebes seitlich ausgeschwenkt wird.

Jede Kippe hat 2 Hülfskrane, die dazu dienen, Schüttrinkel zum Schonen der Kohle in dem leeren Schiffsraum aufzuwerfen; der eine Kran hat 4 t, der andere 8 t Tragfähigkeit; sie dienen außerdem dazu, kleinere Mengen von Kohlen auszuladen, wie es beim Beladen der Bunker mitunter nötig ist. Die Presswassercylinder k und l, für die Seilzüge der Krane sind im unteren Teil des Gerüsts angeordnet.

Sämtliche Bewegungen werden von einem im oberen Teile des Gerüsts angebrachten Führerhause aus gesteuert; für die Bedienung der dort untergebrachten Steuerhähne genügt ein Führer.

Um die Kippen auf dem Längs der Ufermauer verlegten Gleis fortbewegen zu können, ist vor dem Gleis ein Seil ohne Ende entlang geführt, das durch eine hydraulische Winde angetrieben wird und an jeder Kippe durch eine Klemmvorrichtung läuft. Für die Presswasserzu- und -rückleitungen ist zwischen den Laufschienen ein Kanal ausgehoben. Das Presswasser wird durch eine doppelte Leitung von 216 mm Dmr. von dem ungefähr 400 m entfernt gelegenen Pumpwerk zugeleitet; das verbrauchte Wasser fließt durch eine Leitung von 325 mm Dmr. in einen Sammelbrunnen zurück, aus dem es durch Kreiselpumpen in Sammelbehälter gehoben wird. Zwei Akkumulatoren, einer am Maschinenhause, der zweite am Ende der Presswasserzuleitungen, dienen zum Druckausgleich. Von den Hauptleitungen führen zu den Kohlenkippen Rohrleitungen mit Gelenken, die eine Verschiebung der Kippen um 4,5 m gestatten. Unter Zurechnung der Beweglichkeit der Schüttrinne kann jede Kippe somit eine 7,5 m lange Uferstrecke bedienen, ohne dass eine Rohrverbindung gelöst zu werden braucht.

Die Kippen sind von Fielding & Platt in Gloucester nach Plänen des Obergeringieurs der Taft Vale-Eisenbahn, T. Hurry Riches, erbaut worden. Das zugehörige Pumpwerk hat drei Verbund-Tandemaschinen von Tannet, Walker & Co. in Leeds, die 6,5 cbm/min Presswasser von 50 at liefern.

¹⁾ Z. 1891 S. 1047; 1901 S. 793, 1011 und 1078.

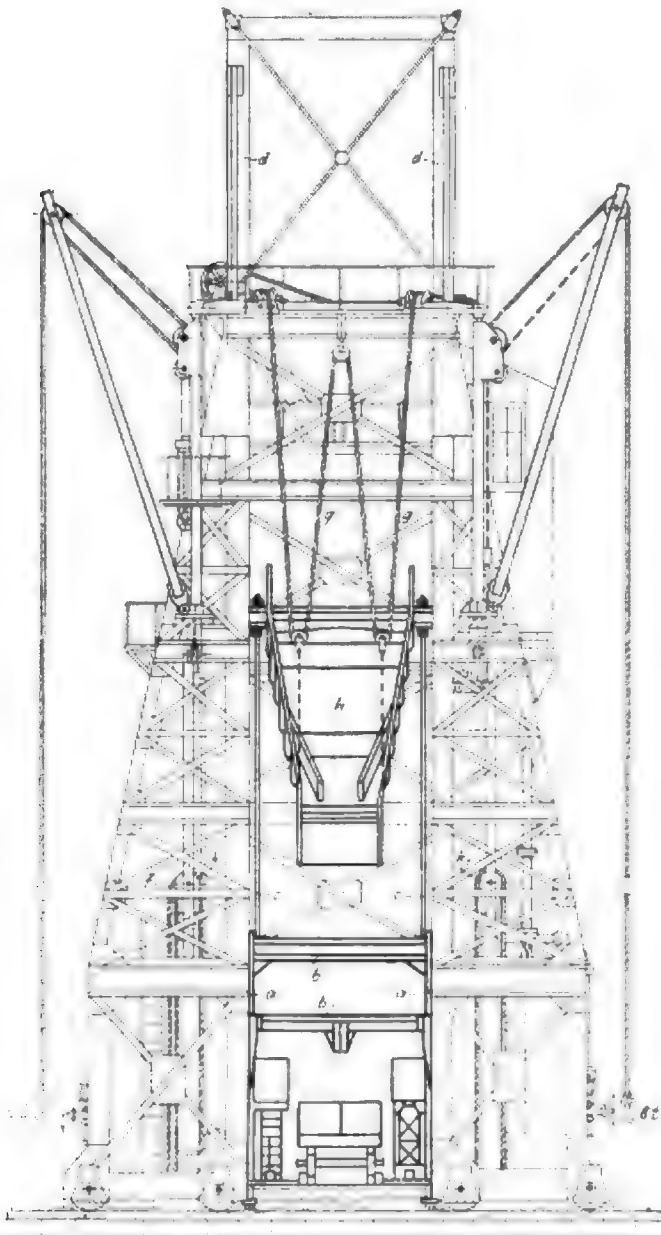
²⁾ Z. 1894 S. 1017.

³⁾ Z. 1901 S. 798.

Ueber die Wirkungsweise der Kippen liegen folgende Mitteilungen vor: Am 23. Mai 1901 kam die »Gatesgarth« um 8 Uhr 10 Min. ins Dock. Zunächst wurden mit einer Kippe die Bunker gefüllt, um 9 Uhr 15 wurde mit dem Einnehmen der Ladung mit allen 4 Kippen begonnen, um 11 Uhr 50 war das Laden mit 2333 t beendigt, und das Schiff verließ noch bei derselben Flut den Hafen. Am 26. Juli 1901 kam die »Bangarth« um 11 Uhr 45 in das Dock, legte vor den Kippen an und nahm mit einer Kippe 50 t Koble in die Bunker, was

Fig. 1.

Fahrbühne unten.



8 min erforderte. Um 11 Uhr 55 waren die Schüttrinnen sämtlicher 4 Kippen gerichtet, und es wurde ununterbrochen bis 1 Uhr 55 geladen, zu welcher Zeit die gesamte Beladung mit 2154,7 t beendet war und das Schiff ausfahren konnte.

Die Dampfkesselexplosionen im Deutschen Reich im Jahre 1900.

(Schluss von S. 1436)

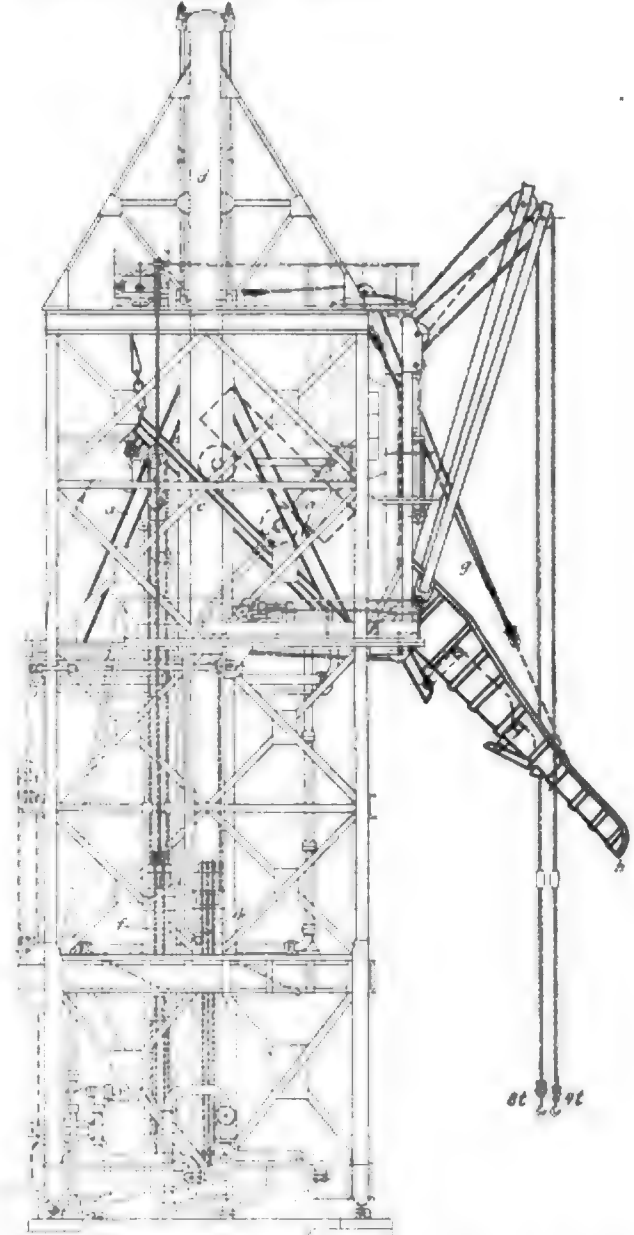
10) Feststehender Feuerbüchsenkessel mit rückkehrenden Heizrohren; Wandstärke 14,5 mm, in der Feuerbüchse vorn 12 mm, hinten 10 mm, in den Heizrohren 3 mm, Gesamthalt 8,21 cbm; erbaut 1885 von Främb & Freudenberg in Schweidnitz für die Dampf Mahlmühle von V. Schönfeld, Kreuzburger

Stadtmühle in Kreuzburg. Zeit der Explosion 19. November 5^{1/2} Uhr morgens.

Morgens 5 Uhr war der Kessel mit dem Nachbarkessel zusammen angeheizt. Es wurde zu niedriger Wasserstand, aber angeblich noch etwas Wasser im Glase bemerkt; dennoch wurde weiter geheizt, um mit Kesselspannung speisen zu können; Druck 3,5 at. Infolge der Explosion war die kegelförmige Feuerbüchse an der Decke im zweiten Schuss 300 bis 325 mm tief eingebaut. Im tiefsten Punkte war die Beule quer zur

Fig. 2.

Fahrbühne oben, Kippbühne hochgezogen.



Achse gerissen und eine Öffnung von 520×160 mm entstanden. Das untere Rohr des Wasserstandglases war zu drei Vierteln mit Schlamm gefüllt, sonst in Ordnung und nicht zerstört. Ursache der Explosion ist Wassermangel und fahrlässige Wartung. Wodurch der Wassermangel entstanden, war nicht mehr mit Bestimmtheit zu ermitteln. Am Sonntag morgen waren vor Anstellung des Betriebes angeblich beide Kessel voll gespeist worden; am Montag beim Anheizen soll das Wasser beim zweiten Kessel in halber Glashöhe, bei dem explodierten kaum noch unten zu sehen gewesen sein. Verletzt wurde niemand.

11) Liegender Zweiflamrohrkessel, verbunden mit darüber liegendem Heizröhrenkessel ohne Feuerbüchse. Der Unterkessel war 6115 mm lang und hatte 1900 mm Dmr. und

15 mm Wandstärke. Der Gesamteinhalt betrug 16,34 cbm, davon 8,32 cbm im Unterkessel. Erbaut war der Kessel 1889 von Jacques Piedboeuf in Aachen für die Filzfabrik von Ferdinand Fischer in Pegau, Amtshauptmannschaft Borna. Zeit der Explosion 20. November abends 10³⁰ Uhr.

Um 7 Uhr abends zersprang das rechte Wasserstandglas des Unterkessels; die Hähne wurden abgestellt und der Kessel mit dem linken Glase allein weiter betrieben. Dieses zeigte sich immer voll Wasser. Der Wärter legte gegen 10³⁰ Uhr im rechten Flammrohr Kohle auf und verließ dann das Kesselhaus, um Kohlen herbeizuschaffen. Durch die Explosion wurde das rechte Flammrohr auf 3,3 m Länge durchgedrückt und riss auf eine Erstreckung von 14 Nieten in seiner oberen Verbindung mit der hinteren Stirnwand ab. Die Öffnung klappte bis zu 300 mm. Der Versteifungsring behielt seine Rundung, nur rissen oben vier Schrauben. Auch das linke Flammrohr zeigte Anfänge des Durchdrückens. Streifen, die bis 110 mm unter dem Flammrohrscheitel lagen, machten den Wasserstand vor der Explosion erkennbar. Der 88 mm weite Dampfkanal des Wasserstandes war völlig, der ebenso weite Wasserkanal zum Teil mit zähem Schlamm angefüllt. Der obere Hahn des linken Glases war nahezu verstopft, der untere war durch Schlamm beträchtlich verengt. Dasselbe war bei dem rechten, abgesperrt gewesenen Glase der Fall. Die hintere Stirnwand des unteren Kesselmauerwerkes war zerstört und fortgeschleudert. Das gegenüberliegende, durch einen Eisenträger abgefangene Mauerwerk des Kesselhauses war im unteren Teile zerstört und in den Nachbarräum geschleudert. Die Ursache der Explosion war Wassermangel. Infolge Verstopfung des oberen Zuganges zum Glase war das Wasser von unten in das Glas getrieben worden, in dem sich der bisher im oberen Teile des Glases befindliche Dampf kondensiert hatte und der leere Raum in Ermangelung des Gegendruckes mit Wasser gefüllt worden war. Der Wärter täuschte sich über den wirklichen Wasserstand im Kessel; daher unterblieb das rechtzeitige Speisen und auch die Untersuchung des Glases. Der Kessel war unter denselben Wasserverhältnissen länger als ein Jahrzehnt betrieben worden; die plötzliche vermehrte Ansammlung von Schlamm wird auf ein seit 3 Wochen angewandtes, viel Soda und pflanzliche Stoffe enthaltendes Antikesselsteinmittel zurückgeführt, welches starkes Schäumen veranlasste und bewirkte, dass sich der Schlamm an der breiten Versteifungsplatte der vorderen Stirnwand ansammelte. Von hier gelangte der Schlamm in den unmittelbar darüber liegenden Dampfzuleitungskanal des Wasserstandszeigers. Verletzt wurde niemand.

12) Beweglicher liegender engrohriger Siederrohrkessel; im Dampfhammer 636 mm Länge, 300 mm Dmr.; 35 Rohre von 76 mm innerem Dmr., 875 mm Länge; 0,303 cbm Gesamteinhalt. 1892 vom Eisenwerk Gaggenau A.-G. erbaut und 1899 in Betrieb gesetzt in der Bauunternehmung von Sager & Wörner in Aschaffenburg, Baustelle Stettenhofen bei Gersthofen, Bezirksamt Augsburg. Zeit der Explosion 3. Dezember gegen 2 Uhr nachmittags.

Der Kessel sollte an dieser Stelle erst in Betrieb kommen. Etwa 1 Uhr 45 Min. will der Wärter 4,5 at beobachtet haben; er begab sich dann zur Kreislpumpe; bei der Rückkehr blies der Kessel bei einer Spannung von 12 at stark ab; der Zeiger des Manometers schnellte noch weiter vorwärts, worauf die Explosion erfolgte. Der hintere Boden samt den Rohren wurde 16 m nördlich, der Vorderboden mit einem Teil der Maschine 9 bis 10 m südlich geschleudert. Der gusseiserne Wasserkastenrahmen wurde in viele Stücke zersprengt. Die Bruchstellen waren gesund. Das offene, mit Hebelgewicht belastete Sicherheitsventil wurde beschädigt. Hebel und Gewicht waren verschwunden, am Gehäuse die Lappen des Gelenkes abgeschlagen. Die Führungsgabel des Hebels klappte oben auseinander. Auch bei dem geschlossenen Ventil klappte die Führungsgabel, und das Belastungsgewicht fehlte. Die das Kesselhaus bildende Bretterbude wurde förmlich weggeblasen. Ursache der Explosion war zu hohe Dampfspannung, wahrscheinlich infolge Überlastung oder Verkeilung der Sicherheitsventile, möglicherweise in Verbindung mit einem vorhanden gewesenem, aber nicht mehr feststellbarem Schaden am Wasserkastenrahmen oder an den Schrauben des Wasserkastens. Die vorletzte äußere Revision am 20. März 1900 hatte dem Kesselrevisor zu der Bemerkung Veranlassung gegeben: »Das Überlasten des Sicherheitsventiles ist künftig zu unterlassen.« Leicht verletzt wurden 3 Personen.

13) Beweglicher Feuerbüchsenkessel mit vorgehenden Heizrohren von 2200 mm Länge, 720 mm Dmr., 6 bis 7 mm Wandstärke, in der Rohrwand 12 mm, und 0,629 cbm Gesamteinhalt; 1870 von der Blumenthalchen Maschinenfabrik in Darmstadt erbaut; in Betrieb gesetzt Ende Oktober 1900 im

Rambetrieb von D. Suhrborg & Co. in Duisburg-Hochfeld. Zeit der Explosion 10. Dezember 5 Uhr nachmittags.

Die Ramme arbeitete zur Zeit der Explosion nicht; die Arbeiter waren damit beschäftigt, die Ramme zu versetzen. Der Wärter soll den Kessel gespeist haben. Bei der Explosion wurde der vordere Teil des Mantels 10 m weit, der hintere Teil mit der Feuerbüchse 7 m seitwärts geschleudert. Am Mannloch befanden sich, dicht neben den Stellen, wo die Bügel gesessen haben, kleinere vom Rande ausgehende Anbrüche von ungefähr 20 bis 30 mm Länge. Die Ausrüstungsgegenstände waren zum Teil abgerissen und fortgeschleudert, die Wasserstandszeiger in Ordnung, d. h. offen und gangbar. Eine Überlastung des Sicherheitsventiles konnte nicht festgestellt werden. Die Ursache der Explosion war örtliche Blechschwächung. Die Undichtigkeit des unten sitzenden Mannloches wurde durch übermäßiges Anziehen der Deckelschrauben zu beheben versucht. Dadurch entstanden in der nicht verstärkten Umgebung des Mannloches Einbrüche. Vermutlich versuchte der Maschinist auch den zu hohen Betriebsdruck durch Speisen mit kaltem Wasser herabzusetzen. Die Prüfung des Bleches ergab geringe Festigkeit und ungenügende Dehnung, bei den Biegeproben erwies es sich als kaltbrüchig. 3 Personen wurden getötet, darunter der Maschinist, 2 leicht verletzt.

Nach der Art der Kessel explodierten: 3 liegende Einflammrohrkessel, 2 liegende Zweiflammrohrkessel, 2 Walzenkessel mit Sieder, 1 stehender Feuerbüchsenkessel mit Siederrohren, 3 liegende Feuerbüchsenkessel mit vor- oder rückgehenden Heizrohren, 2 liegende engrohrige Siederrohrkessel.

Im ganzen verunglückten 24 Personen: 6 wurden sofort getötet oder starben binnen 48 Stunden nach dem Eintritt der Explosion, 1 Person wurde schwer, 17 Personen wurden leicht verwundet.

Die mutmaßlichen Ursachen der Dampfkesselexplosionen waren also: Wassermangel, meist auch nachlässige Wartung (Nr. 3, 5, 9, 10, 11); örtliche Blechschwächung (Nr. 1, 2, 4, 6, 13); zu hohe Dampfspannung (Nr. 7, 12); schlechtes Material (Nr. 8).

Außer den im Vorstehenden aufgeführten Dampfkesselexplosionen wurden dem Kaiserlichen Statistischen Amt vier weitere Unfälle an Dampfkesseln gemeldet, die aber wegen der Geringfügigkeit der Wirkungen nicht als Explosionen im Sinne der Statistik aufgefasst werden konnten¹⁾.

In einem auf der diesjährigen Hauptversammlung des Verbandes Deutscher Elektrotechniker gehaltenen Vortrag berichtete C. Helm, Hannover, über Versuche über den Einfluss der Wärme auf die Kapazität von Akkumulatoren. Er hat Batterien der Akkumulatorenfabrik A.-G. in Berlin und Hagen bis 45° erwärmt und gefunden, dass sich die Kapazität um 2,0 bis 3,0 vH für je 1° Temperaturerhöhung vermehrt. Ob sich dieses Ergebnis praktisch verwerten lässt, dürfte vorläufig zweifelhaft sein; das hängt — abgesehen von den Kosten der Erwärmung — davon ab, ob die Akkumulatorplatten durch eine derartige Behandlung Schaden erleiden. (Elektrotechnische Zeitschrift 26. Sept. 1901)

Nachdem Poulsen mit einem Telegraphen²⁾ Töne auf elektromagnetischem Wege aufgezeichnet hat und Nernst und v. Lieben³⁾ dieselbe Aufgabe durch ein elektrochemisches Verfahren gelöst haben, ist es Ernst Ruhmer gelungen, durch die Photographie dasselbe zu erreichen. Wie Ruhmer auf der Versammlung deutscher Naturforscher und Ärzte in Hamburg ausführte, hat er ein Photographophon konstruiert, mittels dessen die Lichtschwankungen einer tönenden Bogenflamme auf einem photographischen Filmbande abgebildet werden. Nachdem die Aufnahme entwickelt ist, wird das Band vor einem Scheinwerfer vorbeigeführt, dessen Strahlen eine mit einer elektrischen Stromquelle verbundene Selenzelle treffen. In der Selenzelle werden dadurch elektrische Schwingungen erzeugt, die ein eingeschalteter Fernsprecher wieder in Schallschwingungen umsetzt. (Umschau 28. September 1901)

Die Verwaltung der kgl. Dänischen Staatsbahnen hat der Firma Henschel & Sohn in Cassel einen Auftrag auf fünf ^{2/3}-gekuppelte Güterzuglokomotiven mit Tendern, Fig. 1, und fünf ^{2/3}-gekuppelte Tenderlokomotiven, Fig. 2, erteilt. Die wich-

¹⁾ Nach den Bestimmungen des Bundesrates vom 21. Januar 1897 liegt eine Dampfkesselexplosion vor, wenn die Wandung eines Kessels durch den Dampfkesselbetrieb eine Trennung in solchem Umfange erleidet, dass durch Ausströmen von Dampf ein plötzlicher Ausgleich der Spannungen innerhalb und außerhalb des Kessels stattfindet.

²⁾ Z. 1900 S. 841.

³⁾ Z. 1901 S. 575.

ligsten Angaben über diese Lokomotiven sind im Folgenden zusammengestellt.

Güterzuglokomotive.

Cylinderdurchmesser	430 mm
Kolbenhub	610 "
Treibraddurchmesser	1384 "
Dampfdruck	12 at
Heizfläche der Feuerbüchse	8,95 qm
» » Siederohre	97,80 "
gesamte Heizfläche	106,75 "
Rostfläche	1,79 "
Dienstgewicht	45 t
Adhäsionsgewicht	37 "

Fig. 1.

$\frac{2}{3}$ -gekuppelte Güterzuglokomotive mit Tender.

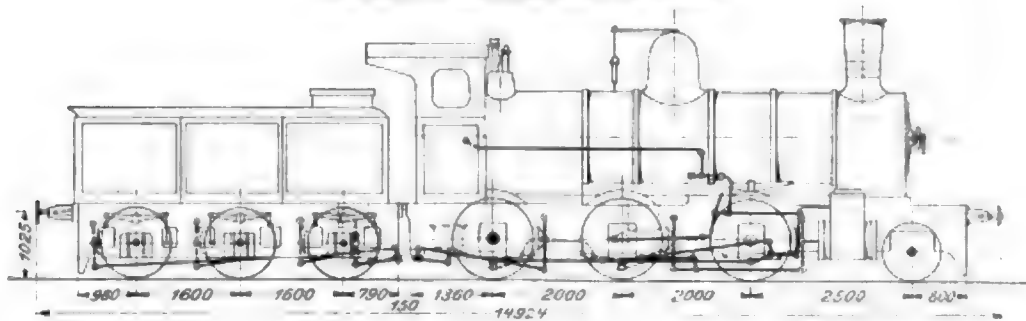
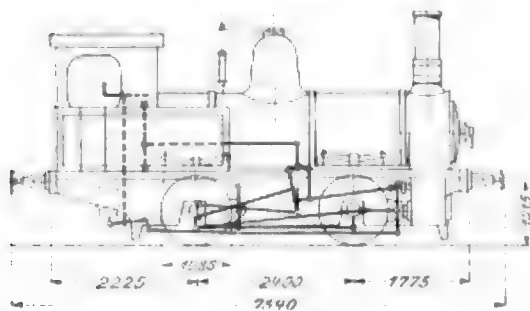


Fig. 2.

$\frac{2}{3}$ -gekuppelte Tenderlokomotive.



Tender.

Inhalt des Wasserkastens	10,6 cbm
Kohlenvorrat	3,5 "
Raddurchmesser	1100 mm
Dienstgewicht	27,4 t

Tenderlokomotive.

Cylinderdurchmesser	330 mm
Kolbenhub	508 "
Treibraddurchmesser	1086 "
Dampfdruck	10 at
Heizfläche der Feuerbüchse	3,87 qm
» » Siederohre	42,85 "
gesamte Heizfläche	46,72 "
Rostfläche	0,79 "
Dienstgewicht	23,8 t

Die Güterzuglokomotiven erhalten aufsenliegendes Triebwerk und ein vorderes einachsiges Drehgestell nach Bau-Busse. Sie werden ebenso wie die zugehörigen Tender mit Vakuumbremse, Bauart Hardy, ausgerüstet. Die Tenderlokomotiven werden mit Spindel- und Dampfbremse versehen.

Von der Technischen Hochschule in Dresden sind uns Mitteilungen zugegangen, nach denen sie eine neue Prüfungsordnung für Diplomingenieure erlassen hat, die am 1. Oktober d. J. in Kraft getreten ist. Wir entnehmen den Prüfungsbestimmungen das Folgende.

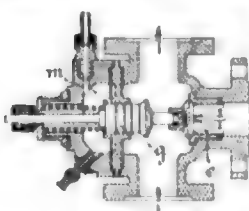
Regierungsbauführer und solche, die die erste Hauptprüfung für den höheren Staatsdienst im Baufach bestanden haben, können den Grad eines Diplomingenieurs erlangen, wenn sie ihre Prüfungsarbeiten durch eine Diplomarbeit ergänzen. Regierungsbaumeister können ihre Arbeiten der zweiten Hauptprüfung als Diplomarbeit einreichen. Im Falle der Annahme erhalten sie ohne weiteres den Grad eines Diplomingenieurs.

Prüfungen werden für Architekten, Bau-, Vermessungs-, Maschinen- und Elektroingenieure, für Chemiker und Fabrikanten abgehalten. Die Prüfungen bestehen aus einer Vor- und einer Hauptprüfung. Letztere zerfällt in die Bearbeitung einer Diplomaufgabe, die die fachliche Begabung des Bewerbers und den Grad erweisen soll, bis zu dem er sein Fach beherrscht, und in eine mündliche Prüfung. Bedingung für die Zulassung zu den Prüfungen ist u. a. die Beibringung des Reifezeugnisses eines deutschen Gymnasiums oder Realgymnasiums oder einer deutschen neunstufigen Oberrealschule oder der Gewerbeschule zu Chemnitz oder einer bayerischen Industrieschule. Ausnahmen sind nur soweit zulässig, als die Gleichwertigkeit der Vorbildung durch ausländische Zeugnisse nach dem Urteil des Kultusministeriums als gesichert erscheint. Ferner wird für die Vorprüfung der Nachweis eines zweijährigen Studiums an einer deutschen technischen Hochschule gefordert und für die Hauptprüfung der Nachweis eines im ganzen mindestens dreijährigen Studiums an einer deutschen technischen Hochschule, wovon ein Jahr an der Technischen Hochschule Dresden zurückgelegt sein muss. Die an einer deutschen Universität, Bergakademie oder andern fachlichen Hochschule verbrachte Studienzeit kann bis zur Dauer von zwei Jahren angerechnet werden. Soweit die Anrechnung einer Studienzeit an außerdeutschen Hochschulen in Frage kommt, ist die Entscheidung des Ministeriums einzuholen. Als weitere Bedingung für die Zulassung zur Vorprüfung wird von Studirenden des Maschinen-, Elektro- und Fabrikantenfaches der Nachweis einer einjährigen praktischen Thätigkeit gefordert.

Denjenigen Studirenden, die zur Zeit des Inkrafttretens der Prüfungsordnung bereits immatrikuliert sind, ist gestattet, die Diplomprüfung noch nach den bisherigen Bestimmungen abzulegen, mit der Maßgabe, dass diese Prüfung bis zum 1. Oktober 1906 völlig beendet sein muss. Ausländer haben die doppelten Prüfungsgebühren zu zahlen.

Patentbericht.

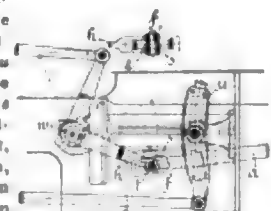
Kl. 13. Nr. 119760. Rückführung des Dampfes aus dem Ueberhitzer. M. Marquardt, Radebeul, und E. Höffner, Dresden-A.



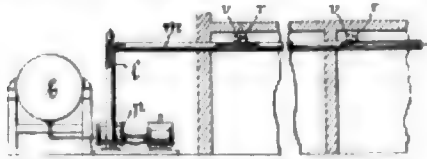
Zur Rückführung des Dampfes aus dem Ueberhitzer in den Kessel bei abgestellter Maschine wird durch den vor und hinter dem Dampfabsperrentil entstehenden Druckunterschied ein Ventil *e* geöffnet. Dieses nach dem Dampfraum des Kessels zurückführende Ventil steht mit einem Kolben *g* in Verbindung, dessen abgekehrte Seite *m* unter dem Druck der Dampfleitung hinter dem Absperrentil steht, sodass beim Abstellen der Maschine der andersseits dem Drucke

des Dampfes vor dem Absperrentil ausgesetzte Kolben selbstthätig verschoben wird und dadurch *e* öffnet.

Kl. 14. Nr. 120407. Schieberstangenführung. M. Kuhn, Cassel. Die Schieberstange *a* wird mit dem Stellhebel *b*, der sie in der Steuerschleife *c* verstell, ohne Hängestange in der Weise verbunden, dass sie mit einer Schleife *s* auf einem Führungsstück *t* gleitet, welches mit einem Bolzen *f* in *h* gelagert ist, sodass man die Verbindung lösen kann, ohne den Hebel *b* zweiteilig auszuführen und ohne ihn von der Welle *w* abheben zu müssen.



Kl. 17. Nr. 119444. Kühlung durch flüssige Gase. E. C. Hargrave, Bay-City (Mich., V. S. A.). Flüssiges Gas, insbesondere flüssige Luft wird aus dem Behälter *b* durch eine Pumpe *p* oder durch Gefälle in eine Leitung *l* gedrückt, aus der man geringe Mengen in

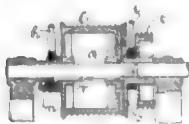


bestimmten Abständen entgegen fließt, um durch deren Vergasung so viel Kälte zu erzeugen, dass der in der Leitung bleibende Teil ohne Ueberdruck im flüssigen Zustande erhalten wird. Die Leitung *l* ist mit einem Wärmeschutzmantel *m* und mit Ausströmventilen *v* versehen, aus denen ein Teil der vergasenden Luft durch Rohre *r* in den Ringraum zwischen *l* und *m* geleitet wird, um eine zu starke Erwärmung in *l* zu verhindern.



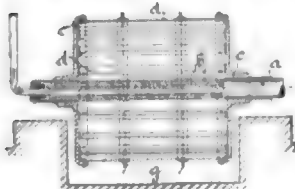
Kl. 20. Nr. 120411. Stromabnehmerrolle. Phoenix, Elektrotechnische Fabrik, Berlin. Auf der Achse *a* läuft die hohle Büchse *d* und auf dieser die Rolle *c*, die mit einer Schmierfritte *f* zur Aufnahme festen Schmierstoffes versehen ist. *d* ist siebartig von trichterförmigen Löchern *g* durchsetzt, in die gleichfalls fester Schmierstoff gepresst wird, der beim Lauf durch die Erwärmung geschmolzen wird.

Kl. 35. Nr. 120247. Steuerung für Aufzugwinden. Burekhardt & Ziesler, Chemnitz. Ein Anschlag *a*, der in eine Radialnut der Lastseiltrommel *l* und in eine Schneckenut der Hubbegrenzungsscheibe *s* greift, nimmt an den Hubgrenzen des Fahrstuhls die Steuerscheibe *t* mit und stellt den Fahrstuhl still. Dasselbe geschieht bei Seilbruch, wobei die Hebel *b*, *c* (vergl. Nr. 14000, Z. 1901 S. 539) herabfallen und mittels Schraubennut im Nabenstücke *n* den

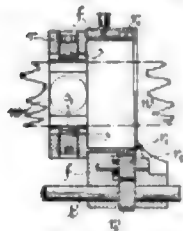


Riegel *r* in die Kupplungszähne *z* schieben. Zur Erhöhung der Betriebssicherheit und zur Raumersparnis sind die Teile *t*, *s*, *k* zu einem starren Ganzen vereinigt, das mit der Scheibe *s* in eine Ausparung von *l* hindragt.

Kl. 36. Nr. 120330. Achse für Entrindungstrommel. F. Kück, Altkloster bei Huxtehude (Kr. Stade). Die in der Grube *g* unter Wasser arbeitende, aus Böden *e* und Winkelseisen *d* gebildete Entrindungstrommel hat eine hohle, mit zahlreichen Löchern *b* versehene Achse *a*, durch die nach Ablassen des unreinen Wassers aus *g* reines Druckwasser eingespritzt wird, um die Hölzer namentlich an den sich büstenartig aufrau-

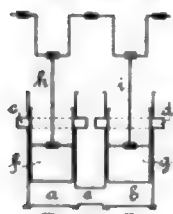


henden Stirnenden zu reinigen.



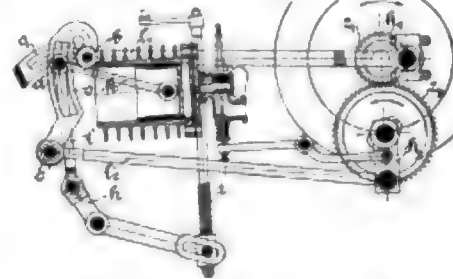
Kl. 38. Nr. 120192. Einspannvorrichtung für Drehbänke. J. H. Weiss, Eltham (Kent, England). Das zweiteilige Spannfutter *f* welches mittels Gelenkes leicht auf- und zugeklappt werden kann, bildet das Lager für den Spannring *r*, der mit Druckschrauben *s*, *s* das Werkstück *w* hält und mit seiner Außenverzahnung *v* in das Getriebe *v*, *v* der Welle *t* eingreift, die in dem verschiebblichen Drehbanktische gelagert ist. Der Docken am andern Ende des Werkstückes ist ebenso eingerichtet.

Kl. 40. Nr. 120103. Zweitaktmaschine. G. Klingenberg, Charlottenburg. Zwei nebeneinander liegende Arbeitcylinder *a*, *b* welche durch einen Kanal *s* ständig verbunden sind, enthalten zwei gleichlaufende Kolben *f*, *g*, die entweder durch Pleuelstangen *k*, *l* an zwei gleichgerichtete Kurbeln oder durch einen gemeinsamen Pleuelkopf an eine Kurbel angeschlossen sind und nach Freilegung der Oeffnungen *c*, *d* die Abgase auf dem Wege *c* *a* *e* *b* *d* ausblasen, sodass einfaches Triebwerk, einfache Selbststeuerung und leichte Zugänglichkeit (von *m*, *n* her) miteinander verbunden sind.



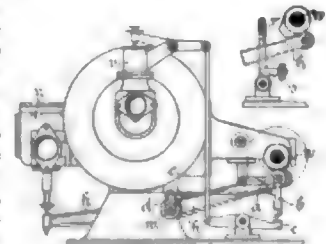
Kl. 46. Nr. 122674. Gas- oder Petroleummaschine. J. Broellier und E. Marius, Uccle bei Brüssel. Zur Erzielung einer veränderlichen Rang- und Verdichtungsstufen bei unveränderlichem Arbeits- und

Auspuffhube ist der Angriffspunkt *a* der Kolbenstange *k* (mittels Gestänges *h*), von Hand oder vom Regler) in einer Schleife *s* einstellbar, deren Enden *b*, *c* bei den ersten beiden Huben in entgegengesetzter, bei den letzten beiden in derselben Richtung so bewegt werden, dass Saughub gleich Verdichtungs- und Arbeitshub gleich Auspuffhub ist. Dies geschieht durch zwei Kurbelgetriebe *k*, *h* und *k*, *h*, die



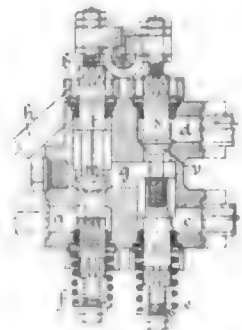
durch Zahnräder *s*, *s* verbunden sind, bei denen sich $k_1 : k_2 = s_1 : s_2 = 1 : 2$ verhält und k_2 beim ersten Umlauf von k_1 den rechtsseitigen, beim zweiten den linksseitigen Halbkreis beschreibt. Das obere Schleifenende *b* wird in einer festen Schleife *e* geführt, und beide Schleifen *s*, *s* sind so gekrümmt, dass der Verdichtungsraum zum Saugraume stets dasselbe Verhältnis hat, der Verdichtungsgrad also bei allen Füllungen unveränderlich bleibt.

Kl. 46. Nr. 120041. Steuerung für Petroleummaschinen. Fa. A. Saurer, Arbon (Schweiz). Das Lufteinlassventil *v* und die (nicht sichtbare) Petroleumpumpe werden von zwei Nockenscheiben der Steuer-

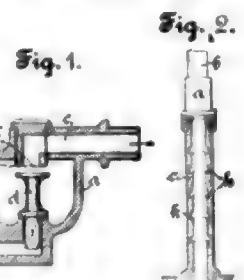


welle *w* durch zwei gleichgebauete (hintereinander liegende) Gestänge *a*, *b*, *c* nur dann bewegt, wenn das Auslassventil *v* geschlossen ist. Wenn eine dritte Nockenscheibe auf *w* mittels Hebels *h* das Ventil *v* geöffnet hat, so sind von der Welle *w* durch *d*, *c* die Glieder *b* so weit nach rechts bewegt, dass sie die Hebel *s* nicht treffen. Wenn also (Nebenfigur) die Reglerstange *s* bei zu schnellem Gange die Stütze *r* nach links bewegt und dadurch den Hebel *h* fängt, so werden Lufteinlassventil und Petroleumpumpe gleichseitig ausgeschaltet.

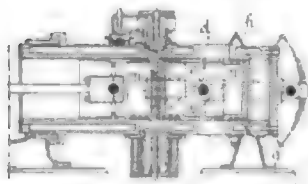
Kl. 47. Nr. 121090. Druckwasserversorger. R. Colson, Ansin (Frankr.). Die im Verteilgehäuse *g* nebeneinander liegenden Ventile *v*, *w*, von denen *v* von *d* her Druckwasser durch *c* in den Cylinder (einer Presse, eines Hebesauges usw.), *w* das Abwasser von *c* durch *a* ins Freie lässt, werden, da die Teller *v*, *w* etwas größer als die Spindeln *s*, *t* sind, durch den in *d*, *c* herrschenden Ueberdruck geschlossen, und die Daumenscheibe *b* des Umsteuerhebels *h* ist so eingerichtet, dass das eine Ventil stets geschlossen wird, bevor das andere geöffnet werden kann. Die Federn *e*, *f* sichern den Abschluss bei Entwasserung der Vorrichtung.



Kl. 47. Nr. 122609 und Zusatz Nr. 122601. Dampfsehmierverrichtung. Bächsische Armaturenfabrik A.-G. vorm. W. Michalk, Deuben bei Dresden. Zur Schmierung mit einem Gemisch aus Oel und Wasser wird das Wasser nicht schon in der Sehmierpumpe (oder Presse usw.), sondern in der Leitung *b*, *c* zugemischt, indem ein Gefälle *a*, Fig. 1, eingeschaltet wird, worin sich der von *c* her eintretende Dampf niederschlägt. Das von *b* her unter Druck zugeführte Oel hebt das Ventil *d* und mischt sich mit dem Niederschlagwasser in *a*; beim Saughube aber und bei Dampfentstellung (Leerlauf) setzt sich *d* auf die Oeffnung *f*, und das Gemisch fließt langsam durch die Rille *g* nach *c*. Nach Fig. 2 (Zusatz) enthält *a* kein Niederschlagwasser, sondern nur ein Rückschlag-



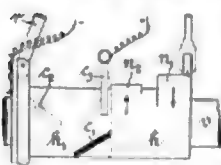
ventil, und die innige Mischung (Verkohlung) des Oeles mit dem Wasser findet hinter *a* in der erweiterten Leitung *c* statt, die entweder sehr lang oder mit Wasserfangsäcken *k* versehen ist.

Kl. 46. Nr. 120351. Bronzkraftmaschine. N. A. Guillaume,

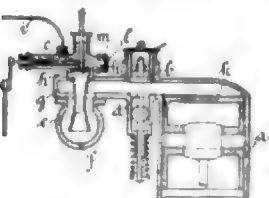
Paris. Zur Erzielung eines regelmäßigen und geräuschlosen Ganges sind die Pleuellfedern *a*, die den Pleuellkolben *d* zur vollständigen Erneuerung des Pleuellpolsters mittels der Bohrung *g* in seine innere Lage zurückbringen, an dessen in Schlitzenöffnungen *i* des Cylinders geführte Zapfen *e* durch Verbindungsstücke *e* angeschlossen, von denen jedes mit der Pleuellstange eines Pleuellpuffers *p* verbunden ist, um den Stoß von *e* an das linke Ende von *i* abzufangen.

Kl. 46. Nr. 120137. Viertaktmaschine. J. Williams Jr., Pitts-

burg (Penns., V. S. A.). Vier in einer Achse hintereinander liegende Cylinder *b, c, d, e*, deren Pleuell *g, h, i, j* starr mit einander verbunden sind und auf eine in der Mitte liegende Pleuellwelle *a* wirken, arbeiten einfachwirkend im Viertakte, z. B. in der Reihenfolge *e, c, d, b*, sodass auf jede halbe Umdrehung eine Kraftwirkung kommt.

Kl. 46. Nr. 120040. Umsteuerung. R. Ritter von Pailer,

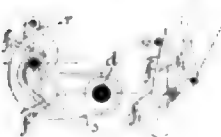
Nürnberg. Die auf der Pleuellwelle *e* verschiebbare Pleuell *a* mit Nocken *n₁, n₂* für Vorwärts- und Rückwärtsgang ist mit einer Verlängerung *k* versehen, die zwei in entgegengesetzter Richtung schräge Kontakte *c, c₁* trägt, welche eine Kontaktfeder *c₂* je nach dem Maße der Verschiebung früher oder später berühren, um durch den Umsteuerhebel *r* gleichzeitig nach Belieben Früh- oder Spätstellung einstellen zu können.

Kl. 46. Nr. 120490. Bestimmung des Zündzeitpunktes. L. Laurent und E. Clerget, Dijon (Frankreich).

Der Pleuell *k* saugt durch das Ventil *h* reine Luft in den Cylinder *a* (*d* ist Auspuffventil) und von *h* her durch das Regelventil *g* und das Glührohr *e* Petroleum in den Vergaser *f*; beim Verdichtungsstöße mischt sich die Luft mit dem Petroleumdampf in *f*, und das Gemisch entzündet sich an den heißen Wänden von *e* und *f*. Um nun den Zündzeitpunkt zu bestimmen, wird dem Petroleum im Mischventil *g* von *h* her eine bei *m* durch die Klappe *i* regelbare Luftmenge beigegeben, deren Menge bis zu einem bestimmten Maße die Zündfähigkeit erhöht.

Kl. 47. Nr. 121163. Ein- und Ausdrückvorrichtung für Kupplungen. R. Fiedler, Berlin.

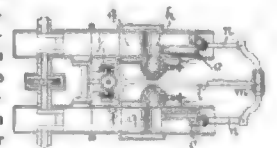
Fig. 1. Fig. 2.



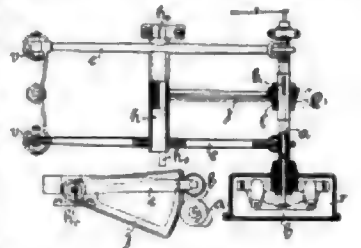
Zum Verschieben des Pleuellringes *r* dienen zwei Schubflächen *f, f₁* mit verschiedener Steigung; die Fläche *f* mit starker Steigung verschiebt den beweglichen Pleuellring schnell bis zur Berührung der Pleuellflächen, worauf *f₁* mit schwacher Steigung, also größerer Kraftübersetzung das Andrücken besorgt. Die Flächen *f, f₁* können an einer bei *d* drehbar gelagerten Schiene *e*, Fig. 1, an einer oder mehreren Pleuellstangen oder an einem geradlinig verschiebbaren Keil *k*, Fig. 2, angebracht werden.

Kl. 46. Nr. 120192. Regelung für Viertaktmaschinen. M. F.

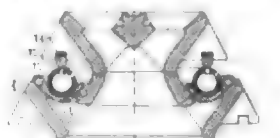
Marmonier, Lyon (Frankr.). Während der Pleuellkolben *q* den Saug- und den Verdichtungsstöße ausführt, wird bei kleinem Pleuellbedarf der Pleuellkolben *e* von einem Pleuellgetriebe *f* beim Saugstöße etwas nach links, beim Verdichtungsstöße wieder nach rechts bewegt, wodurch er die Pleuellladung verkleinert; bei großem Pleuellbedarf aber wird das Pleuellstück *j* in der Pleuellfuge *f* über deren Drehpunkt hinaus verschoben, sodass sich *e* in umgekehrtem Sinne bewegt und die Pleuellladung vergrößert. Während des Pleuell- und des Auspuffstöße steht dann *e* in solcher Lage still, dass die Größe der Pleuellkammer *k* in geradem Verhältnis zur Größe der angesaugten Pleuellladung steht und das Pleuellverhältnis ebenso wenig wie das Pleuellmischungsverhältnis geändert wird. Gegenstand des Patentes ist noch ein diese Bewegungen erzeugendes Pleuellgetriebe, sowie für Petroleummaschinen ein die Pleuellmenge nach der Größe der Pleuellansaugung regelndes Pleuellgetriebe für die Petroleumpumpe.

**Kl. 46. Nr. 120039. Ventilabregulierung.** E. Mathieu, Neuilly (Seine).

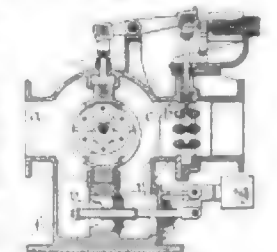
Bei zu schnellem Gange wird der Pleuell *k* vom Pleuell *r* mittels Stange *b*, Pleuell *b₁* und Pleuell *l* so auf der Pleuellwelle *e* verschoben, dass der Pleuellbogen *f* vermöge seines Gewichtes sinkt und die Pleuellhebelwelle *a* um ihre Pleuellachsen Zapfen *h₁* dreht. Dadurch wird *h* gehoben, und die Pleuellhebel *e* halten die Pleuellventile *v* weniger lange offen. Bei umgekehrter Verschiebung von *k* wird *f* durch Pleuellhebel *h* und *j* wieder gehoben und *h* gesenkt.

**Kl. 47. Nr. 123602. Stagesringventil.** M. Thesing, Darm-

stadt. Zur gleichmäßigen Belastung und Führung der Ventilringteile *t* dient je ein endloser Gummischlauch *g*, der in einer halbrunden Rille von *t* liegt, sich gegen einen Ring *r* stützt und durch auswechselbare Zwischenlagen *w* passend gespannt werden kann, während zur Führung Zapfen *r₁* dienen, die in *g* eingreifen.

**Kl. 47. Nr. 120044. Doppelventil.** G. Westinghouse, Pitts-

burg. Um den gegenseitigen Pleuelldruck in den Räumen *a, b* eines Pleuellwerkes *c* oder dergl. zu begrenzen, werden diese Räume durch zwei Pleuellventile *v, v₁* verbunden, von denen *v₁* als Sitz für *v* dient, und für beide Pleuellventile wird die Feder- und Pleuellbelastung *f, g* so angeordnet, dass beim Öffnen von *v* (nach links) nur die Pleuellbelastung *f* beim Öffnen von *v, v₁* (nach rechts) nur *g* zur Geltung kommt, sodass die Begrenzungen der Pleuelldrücke (*b* über *a* oder *a* über *b*) unabhängig voneinander geregelt werden können.



Zuschriften an die Redaktion.

(Ohne Verantwortlichkeit der Redaktion.)

Fortschritte im Bau von Flachreglern.

Geehrte Redaktion!

Der in der Zeitschrift vom 13. Juli d. J. erschienene Aufsatz »Fortschritte im Bau von Flachreglern« enthält in Fig. 9 S. 984 eine Vorrichtung zur Veränderung der Umlaufzahl, welche, abgesehen von Unwesentlichem, zuerst von mir in meinem D-Gebrauchsmuster vom Juni 1894 und im österreichischen Privilegium vom September 1894 vorgeschlagen wurde. Der Patentspruch lautete: »An Achsenreglern die Vorrichtung zur Veränderung der Tourenzahl während des Ganges durch Anordnung eines mit dem Achsenregler rotirenden, an das Pleuell angeschlossenen Winkelhebels, der von außen Zug oder Druck empfängt.«

In Fig. 9 ist die Zahl der Winkelhebel verdoppelt.

Auch die wagerechte in der Achse liegende Pleuellfeder hatte ich damals vorgeschlagen. Ich lege eine Abbildung

meiner damals versandten Prospektzeichnungen bei, welche auch entlastete Pleuellhebelpunkte aufweisen.

Hochachtungsvoll

Berlin-Schöneberg, 3. September 1901.

B. Stein.

Geehrte Redaktion!

Die Firma Skodawerke in Pilsen, welcher ich von Ihrer gefl. Mitteilung betreffend die Zuschrift des Hrn. B. Stein Kenntnis gab, teilt mir mit, dass sie die in Fig. 9 dargestellte Vorrichtung zur Verstellung der Umlaufzahl ohne jede Kenntnis der Steinschen Konstruktion, also ganz unabhängig, ausgearbeitet habe, und dass ihr bis heute von der Steinschen Konstruktion nichts bekannt gewesen sei.

Hochachtungsvoll

Schmargendorf bei Berlin, 27. September 1901.

Ferd. Strnad.

Änderungen.

Aachener Bezirksverein.

Boest, Professor, Aachen, Loobergstr. 72.

Bayerischer Bezirksverein.

Hans G. M. Beck, Ingenieur, Obermarchthal, Württemberg.
H. Mittermayr, Ingenieur, St. Petersburg, Poljostrowo-Quai 15.
F. Schaefer, Oberingenieur der Berliner Elektrizitätswerke, Berlin N.W., Lovetowstr. 23.
Phil. Tafel, Oberingenieur der Mühlenbauanstalt vorm. Gebr. Seck-Dresden, München, Hessestr. 9.

Bergischer Bezirksverein.

Alb. Wolfhard, Ingenieur, Barmen, Königsstr. 85.

Berliner Bezirksverein.

Walther Beckemühl, Ingenieur, Nürnberg, Hochstr. 26.
E. Brinkmann, Ingenieur, Stoglitz, Siemensstr. 27.
Walter Caspari, dipl. Ingenieur, Berlin W., Matthäikirchstr. 4.
Karl Dietrichs, Ingenieur der Deutschen Kraftgas-Ges. m. b. H., Charlottenburg, Friedbergstr. 23. P/S.
Th. Friedrichs, Ingenieur, Berlin N., Putzbusch Str. 14.
Otto Grimmer, Ingenieur, Charlottenburg, Spreestr. 25.
Jac. Grinner, dipl. Ingenieur, Charlottenburg, Schillerstr. 74.
F. H. Haase, Ingenieur und Patentanwalt, Berlin S.W., Waterloo-Ufer 10.
Christ. Hammel, Ingenieur, Berlin S.W., Askanischer Platz 3.
Bernh. Hake, Ingenieur, Wilmsdorf bei Berlin, Bruchsalstr. 6.
Rob. Harpner, Oberingenieur, Wien, Neustiftgasse 94.
Otto Heurich, Ingenieur bei Siemens & Halske A.-G., Berlin S.W., Mittenwalder Str. 43.
Friedr. Hotopf, Betriebsingenieur der Berliner elektrischen Straßenbahnen, Pankow, Betriebsbahnhof.
Paul Janson, Oberingenieur, Berlin N., Müllerstr. 133a.
Oarl Kahle, Ingenieur, Berlin N.O., Petersburger Str. 60.
Max Kolopka, Ingenieur, Berlin W., Uhlandstr. 170.
Emil Krause, Regierungs-Bauführer, Schöneberg, Tempelhofer Str. 21.
Carl Leichsenring, Betriebsingenieur bei Siemens & Halske A. G., Kabelwerk, Charlottenburg, Pestalozzistr. 11.
Martin Leiser, Ingenieur bei A. Moritz, Tegel bei Berlin, Schöneburger Str. 6.
Franz Lilling, Ingenieur, Assistent der städtischen Gas- und Wasserwerke, Goch.
Gust. Linde, Regierungs-Baumeister a. D., Oberingenieur des städtischen Maschinen-Betriebsamtes, Magdeburg.
Adolf Lucke, Ingenieur, Tempin, Baruther Str. 51.
Erich Matting, Ingenieur, Charlottenburg, Goethestr. 71.
Bruno Meyer, Ingenieur bei Jul. Pletsch, Berlin O., Andreasstr. 72/73.
Kurt Meyer, Ingenieur, Charlottenburg, Schillerstr. 13.
Max Meyer, Reg.-Baumeister, Schöneberg bei Berlin, Ebernstr. 70.
Friedr. Müller, kgl. Regierungs-Baumeister, Breslau, Eisenbahnwerkstätten-Inspektion 4.
W. Müller, Civilingenieur, Berlin S.O., Köpenicker Str. 4.
G. Oesten, Civilingenieur, StadtOberingenieur a. D., Berlin S.W., Wilhelmstr. 186.
Alb. Ohnstein, Ingenieur, Bismarckstr. bei Berlin, Goethestr. 2.
Otto Orlin, Marine-Stabsingenieur a. D., Berlin N., Brunnenstr. 107a.
A. Paul, Direktor bei M. Förster, Berlin W., Uhlandstr. 158.
Herm. Peter, Ingenieur, Berlin N., Kesselstr. 15.
Otto Peter, Ingenieur, Berlin S., Annenstr. 13.
Pippow, Regierungs-Baumeister, Damsig, Viktoriast. 78.
S. Rase, Ingenieur, Charlottenburg, Gutenbergstr. 3.
Otto Reinfeld, Ingenieur der Vereinigten Maschinenfabrik Augsburg und Maschinenbau-Gesellschaft Nürnberg A.-G., Nürnberg, Allersberger Str. 13.
Paul Reutener, Regierungs-Bauführer, Berlin N.W., Leningstr. 6.
Friedr. Romberg, Professor an der techn. Hochschule, Charlottenburg, Holtzendorferstr. 6. W.
F. Rudolph, Ingenieur der Ver. Maschinenfabrik Augsburg und Maschinenbauges. Nürnberg A.-G., London E. C., 49 Cannonstr.
Theod. Schinckel, Ingenieur, Bremen, Auf Rembertikirchhof 15.
M. Schmelfer, Ingenieur, Friedenau bei Berlin, Hedwigstr. 2.
Rud. Schmidt, Ingenieur, Charlottenburg, Herderstr. 14.
Wolfg. Schrader, Oberingenieur bei Carl Flohr, Berlin N., Schulsen-dorfer Str. 26.
Dr. Georg Schwirkus, Geh. Regierungsrat, Berlin W., Marburger Str. 5.

Fritz Strohbach, Ingenieur der Allg. Elektr.-Ges., Berlin N., Pfing-str. 16.
Georg Sudau, Ingenieur, Betriebschef der Allg. Elektr.-Ges., Pankow bei Berlin, Schönholzer Str. 7.
Wilh. Thomas, Ingenieur der Allgemeinen Karbid-Acetylen-Gesell-schaft m. b. H., Berlin N.W., Unter den Linden 62.
Aug. Tachirpe, Ingenieur, Apolda, Tetschgasse 7.
Max Wille, kaiserl. Regierungsrat, Mitglied des kaiserl. Patentamtes, Halensee, Georg Wilhelmstr. 19.
Eduin Winckler, Direktor der Deutschen Industrie-Ges. m. b. H., Berlin W., Zietenstr. 18.
Georg Wisliceny, Ingenieur, Berlin S.W., Möckernstr. 93.
Ant. Wittrock, Ingenieur, Köln a/Rh., Rolandstr. 4.

Bochumer Bezirksverein.

Ernst Hilger, Betriebsingenieur der Fährndeller Hütte, Bochum.
Arnold Koops, Oberingenieur, Erkelenz, Rheinland, Bahnstr. 27.
Paul Schumann, Ingenieur der Gewerkschaft Orange, Beimke bei Gelsenkirchen. P/S.

Braunschweiger Bezirksverein.

Hans Bittinger, Ingenieur, Kiel, Harnstr. 9.

Bremer Bezirksverein.

C. Kampmann, Ingenieur, Wietzen a/Bahr, Kaiserstr. 40.
P. Nicolaisen, Ingenieur, Berlin S.W., Bergmannstr. 101.
F. Niepe, Ingenieur, Betriebsleiter der Bremer Linoleumwerke, Delmen-borst.
Friedr. Schwiers, Ingenieur, Bremen, Dorenthorstelweg 53. CH.

Breslauer Bezirksverein.

E. Bogatsch, Regierungs-Baumeister, Oppeln O/S.
Dr. Herm. Maurach, Oberingenieur, Berlin S., Lindenstr. 16.

Chemnitzter Bezirksverein.

Max Krause, Ingenieur, Chemnitz, Logenstr. 27.
Alfred Leinweber, Direktor der Th. Wiedes Maschinenfabrik A.-G., Chemnitz-Hilbersdorf, Roonstr. 50d. O/S.

Dresdener Bezirksverein.

Heinr. Aumann, Oberingenieur am städtischen Elektrizitätswerk, Halberstadt.
Ernst Fündelisen, Ingenieur des Sächs. Dampf.-Rev.-Ver., Zittau i/S.
Th. Glauch, Oberingenieur, Götting, Blumenstr. 44.
J. Mayr, Ingenieur, Regensburg, F. 71.
Paul A. F. Schulse, Inhaber der Fabrik für Feuerungs- und Hei-zungsanlagen, Dresden-Löbtau.

Eisass-Lothringischer Bezirksverein.

Joh. Anwand, Ingenieur, techn. und Patentbureau "Metropol", Zü-richt, Werdmühlengasse 17.
Jul. Gönssburger, dipl. Ingenieur, M.-Gladbach, Bettrather Str. 1.
Jeppe Juhl, Direktor der Elektrizitätswerke, Mülhausen i/R., Strang-weg 30.
Alfr. Weber-Sahlit, Ingenieur, Lehrer am Technikum, Biel, Schweiz.

Frankisch-Oberpfälzischer Bezirksverein.

Oscar André, Ingenieur, Weiz, Morangasse 33.
Wilh. Knörr, Ingenieur der EL.-Akt.-Ges. vorm. Schuckert & Co., Nürnberg.
Otto Maas, Ingenieur, Frankenthal, Elisabethstr. 2.
Dr. phil. Ludw. Prandtl, Professor an der technischen Hochschule, Hannover.
Heinr. Wintrath jun., Ingenieur, Saarbrücken, Gutenbergstr. 52.

Frankfurter Bezirksverein.

Friedr. von Hummel-Edler von Hassenfels, Ingenieur, Wien III, Hegergasse 2.
Max Liepe, Ingenieur, Frankfurt a/M., Merianstr. 53.
Otto Weiland, Ingenieur, Mannheim, Keplerstr. 16a.

Hamburger Bezirksverein.

Johs. A. F. Engel, Kaufmann, Hamburg, Wandbecker Chaussee 191.
C. Neupert, Ingenieur, Altona, Kleine Gärtnerstr. 84.
C. A. Zirn, Direktor der Schiffswerfte und Maschinenfabrik vorm. Janssen & Schmölinsky A.-G., Hamburg-Steinwärder.

Hannoverscher Bezirksverein.

Wilh. Becker, Ingenieur, Wetzlar.

ZEITSCHRIFT DES VEREINES DEUTSCHER INGENIEURE.

Nr. 42.

Sonnabend, den 19. Oktober 1901.

Band XXXV.

Inhalt:

Weitere Versuche über die Abhängigkeit der Zugfestigkeit und Bruchdehnung der Bronze von der Temperatur. Von O. Bach (hierzu Textblatt 13)	1477	Frankfurter B.-V.: Neuerungen auf dem Gebiete der Werkzeugmaschinen-technik	1503
Die Weltausstellung in Paris 1900: Hebmäschinen. Von Kammerer (Fortsetzung)	1487	Hannoverscher B.-V.: Neuerungen auf dem Gebiete des Gasmotorenbaues. — Das Fernheizwerk der Stadt Dresden	1503
Elektrische Solenoid-Stoßbohrer für hartes Gestein. Von E. Menbach	1492	Pommerscher B.-V.: Die Berechnung der Schiffschraube	1504
Joann Leurechon (1591 bis 1870). Von Th. Hack	1498	Zeitschriftenschau	1503
Zapfenreibung, Zapfenkraft und Koeffizient der Zapfenreibung. Von Camerer	1501	Rendschau: 150 t.-Drehkran der Howaldtwerke. — Elektrische Kraftverteilungsanlage des Hochofenwerkes Jallenhütte. — Sirocco-Ventilator. — Verschiedenes	1507
Dresdner B.-V.	1503	Patentbericht: Nr. 123517, 121153, 120207, 120308, 120583, 122666, 120008, 121382, 121434, 121087, 121311, 122685, 120803, 121271, 121258	1511

(hierzu Textblatt 13)

Weitere Versuche über die Abhängigkeit der Zugfestigkeit und Bruchdehnung der Bronze von der Temperatur.

Von O. Bach.

(hierzu Textblatt 13)

In einer früheren, durch diese Zeitschrift 1900 S. 1745 u. f. veröffentlichten Arbeit¹⁾ habe ich über die Abhängigkeit der Festigkeitseigenschaften Bericht erstattet, welche Bronze, die von der kaiserlichen Werft in Kiel in der Zusammensetzung von rd.

91,4 Kupfer, 5,5 Zinn, 2,8 Zink usw.

geliefert worden war, in bezug auf die Temperatur zeigt. Im Nachstehenden soll über die Ergebnisse berichtet werden, welche bei der Untersuchung einer von der Firma Schäffer & Budenberg in Magdeburg-Buckau gelieferten Bronze von anderer Zusammensetzung erlangt wurden²⁾.

Nach Angabe waren sämtliche Stäbe dieser Bronze aus

87 Kupfer, 8,1 $\frac{1}{2}$ Zinn und 4,3 Zink

zusammengesetzt.

Bronze dieser Zusammensetzung und Herkunft war bereits früher bei gewöhnlicher Zimmertemperatur von rd. 20° C Versuchen unterworfen worden und hatte folgende, in der Zusammenstellung I niedergelegte Ergebnisse geliefert.

Zusammenstellung I.

Bezeichnung	Durchmesser d cm	Querschnitt $\frac{\pi}{4} d^2$ qcm	Länge des cylindrischen Teils vom Durchmesser d mm	Bruchbelastung		Bruch- dehnung auf 200 mm vH	Quer- schnitts- vermin- derung vH	Bemerkungen
				P kg	$P: \frac{\pi}{4} d^2$ kg/qcm			
Sch B 6a	2,00	3,14	220	7360	2344	12,8	14,3	Bruch erfolgt zwischen den Teilstriichen 3 und 4
„ 7a	2,00	3,14	220	7770	2475	15,3	16,2	„ „ „ „ „ 7 „ 8
„ 8a	2,00	3,14	220	7530	2395	12,7	18,8	„ „ „ „ „ 9 „ 10
„ 9a	2,00	3,14	220	7840	2497	20,3	20,7	„ „ „ „ „ 1 „ 5
„ 10a	2,00	3,14	220	7670	2443	14,8	17,2	„ „ „ „ „ 6 „ 9
Durchschnitt				2431	15,2	17,4		

Die Bestimmung der Querschnittsverminderung ist wegen der Unregelmäßigkeiten, die der Bruchquerschnitt infolge

¹⁾ S. auch die vom Vereine deutscher Ingenieure herausgegebenen Mitteilungen über Forschungsarbeiten auf dem Gebiete des Ingenieurwesens, insbesondere aus den Laboratorien der technischen Hochschulen, Heft 1 (1901) S. 32 u. f.

²⁾ Diese Versuche bilden eine Fortsetzung der früheren Versuche; auch ihre Kosten wurden vom Vereine deutscher Ingenieure bestritten.

der eigenartigen Formänderungen der Stäbe annimmt, mit einer gewissen Unsicherheit behaftet. Diese Bemerkung gilt auch für die späteren Zusammenstellungen, welche Angaben über die Querschnittsverminderung enthalten, sofern die Oberfläche der Stäbe erhebliche Formänderungen zeigt.

Zur Prüfung, in welchem Grade die Zusammensetzung: 87 Kupfer, 8,1 Zinn und 4,3 Zink, wie sie beabsichtigt war, mit der tatsächlichen übereinstimmt, wurde auch hier die chemische Untersuchung verschiedener Stäbe veranlasst, über deren Ergebnisse später noch eingehender berichtet werden soll; erwähnt sei zunächst nur, dass 12 Analysen vorliegen, die

an Kupfer einen Gehalt von 85,90 bis 87,00
„ Zinn „ „ „ 8,70 „ 9,75
„ Zink „ „ „ 3,44 „ 4,30

usw. ergaben.

Beobachtet bei den Versuchen, welche in gleicher Weise wie die früheren durchgeführt wurden, waren die Herren Haberer und Menzel.

A) Untersuchung der Stäbe 1 bis 4 bei gewöhnlicher Temperatur.

Stab 1.

Durchmesser im mittleren cylindrischen Teil . . .	2,01 cm
Querschnitt im mittleren cylindrischen Teil $\frac{\pi}{4} \cdot 2,01^2 =$	3,17 qcm
Messlänge	15,0 cm.

Zur Feststellung des elastischen Verhaltens wurde der Stab verschiedenen Belastungen ausgesetzt; dabei wurden diese jeweils — nach zwei Minuten — so oft gewechselt, bis sich die gesamten, die bleibenden und die federnden Dehnungen nicht mehr änderten.

1. Prüfung.

Temperatur 21,4° C bis 21,5° C.

Belastungsstufe in kg		Verlängerung auf 15 cm in $\frac{1}{1000}$ cm			Unter- schied der Feder- ungen
gesamte	kg/qcm	gesamte	bleibende	federnde	
500 u. 1000	157,7 u. 315,5	2,51	0,00	2,51	2,51
500 + 1500	157,7 + 473,2	5,05	0,03	5,02	2,51
500 + 2000	157,7 + 630,9	7,58	0,29	7,29	2,57
500 + 2500	157,7 + 788,6	11,32	1,10	10,22	2,64

Fig. 1a.

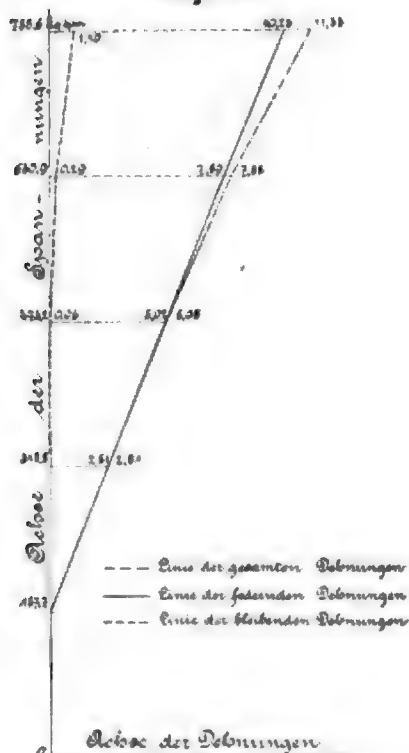


Fig. 1c.

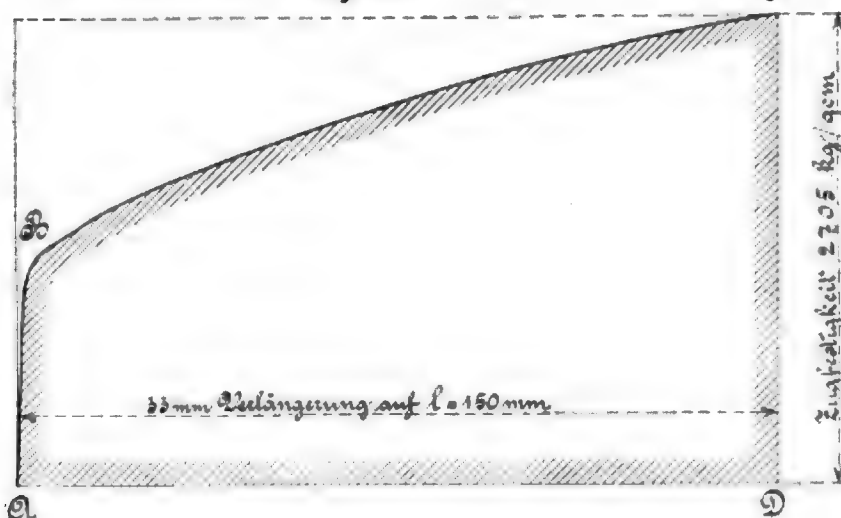
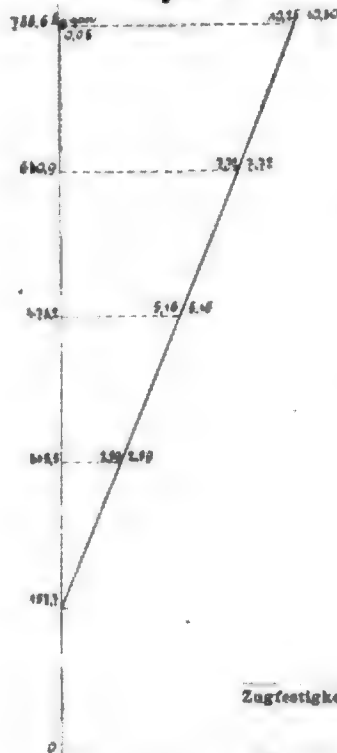


Fig. 1b.



2. Prüfung.

Temperatur 22,3° C bis 22,6° C.

Belastungsstufe in kg		Verlängerung auf 15 cm in $\frac{1}{1000}$ cm			Unter- schied der Feder- ungen
gesamte	kg/qcm	gesamte	bleibende	federnde	
500 u. 1000	157,7 u. 315,5	2,59	0,00	2,59	2,59
500 + 1500	157,7 + 473,2	5,16	0,00	5,16	2,57
500 + 2000	157,7 + 630,9	7,72	0,00	7,72	2,56
500 + 2500	157,7 + 788,6	10,30	0,05	10,25	2,53

In Fig. 1a sind die Linienzüge der Dehnungen, welche die erste Prüfung geliefert hat, eingetragen; den gesamten Dehnungen entspricht der Linienzug ———, den bleibenden Dehnungen der ——— Linienzug und den federnden Dehnungen der Linienzug

Fig. 1b giebt die gleiche Darstellung für die zweite Prüfung.

Mit der bei der zweiten Prüfung erlangten durchschnittlichen Federung $2,59 + 2,57 + 2,56 + 2,53 = 2,56$ findet sich der Dehnungskoeffizient

$$\frac{2,56}{1000 \cdot 15 \cdot 157,7} = \frac{1}{924000}$$

Die Fortsetzung der Zugprobe liefert den Linienzug Fig. 1c. Es beträgt

die Zugfestigkeit 2705 kg/qcm
die Bruchdehnung auf 200 mm Länge (nach dem Bruch gemessen) 22,0 vH
die Querschnittsverminderung 26,8 %
das Arbeitsvermögen, d. h. die mechanische Arbeit, welche das Zerreißen des Stabes bis zum Eintritt der größten Belastung erfordert, entsprechend der Fläche $ABCD$, auf das Kubikcentimeter ursprüngliche Stabmasse 4,69 kgm/ccm

Arbeitsvermögen

$$\frac{\text{Zugfestigkeit} \times \text{Bruchdehnung für das Centimeter Messlänge in } m}{2705 \cdot 0,0022} = \frac{4,69}{2705 \cdot 0,0022} = 0,79.$$

Der Bruch erfolgt, wenn die Strecke von 200 mm in 20 Teile (0 bis 20) eingestellt wird, nach dem Teilstrich 7.

Fig. 1d, Textblatt 13, giebt das photographische Bild des zerrissenen Stabes wieder; deutlich zeigt die Oberfläche die eigenartige Formänderung, welche der ursprünglich kreiszylindrisch gedrehte und deshalb vollständig glatte Stab infolge der zum Bruch führenden Belastung erfahren hat.

Stab 2.

Durchmesser im mittleren cylindrischen Teil 2,01 cm
Querschnitt im mittleren cylindrischen Teil $\frac{\pi}{4} \cdot 2,01^2 = 3,17$ qcm
Messlänge 15,0 cm

Die Untersuchung wurde genau in derselben Weise durchgeführt, wie bei Stab 1 angegeben.

1. Prüfung.

Temperatur 19,5° C bis 20,0° C.

Belastungsstufe in kg		Verlängerung auf 15 cm in $\frac{1}{1000}$ cm			Unter- schied der Feder- ungen
gesamte	kg/qcm	gesamte	bleibende	federnde	
500 u. 1000	157,7 u. 315,5	2,46	0,10	2,36	2,36
500 u. 1500	157,7 u. 473,2	5,09	0,25	4,84	2,48
500 u. 2000	157,7 u. 630,9	8,12	0,01	7,51	2,67
500 u. 2500	157,7 u. 788,6	11,55	1,18	10,07	2,50

2. Prüfung.

Temperatur 22,2° C bis 22,9° C.

Belastungsstufe in kg		Verlängerung auf 15 cm in $\frac{1}{1000}$ cm			Unter- schied der Feder- ungen
gesamte	kg/qcm	gesamte	bleibende	federnde	
500 u. 1000	157,7 u. 315,5	2,52	0,00	2,52	2,52
500 u. 1500	157,7 u. 473,2	5,04	0,00	5,04	2,52
500 u. 2000	157,7 u. 630,9	7,59	0,01	7,58	2,54
500 u. 2500	157,7 u. 788,6	10,15	0,00	10,00	2,51

In Fig. 2a sind die Linienzüge der Dehnungen, welche die erste Prüfung geliefert hat, eingetragen: den gesamten Dehnungen entspricht der Linienzug ———, den bleibenden Dehnungen der ———-Linienzug und den federnden Dehnungen der Linienzug ———.

Fig. 2b giebt die gleiche Darstellung für die zweite Prüfung.

Mit der aus der zweiten Prüfung folgenden durchschnittlichen Federung $\frac{2,52 + 2,52 + 2,54 + 2,51}{4} = 2,53$ findet sich der

$$\text{Dehnungskoeffizient} = \frac{2,53}{1000 \cdot 15 \cdot 157,7} = \frac{1}{935000}$$

Die Fortsetzung der Zugprobe liefert den Linienzug Fig. 2c. Es beträgt

die Zugfestigkeit 2432 kg/qcm
die Bruchdehnung auf 200 mm Länge (nach dem Bruch gemessen) 15,6 vH
die Querschnittsverminderung 21,1 %
das Arbeitsvermögen, entsprechend der Fläche ABCD, auf das Kubikcentimeter ursprüngliche Stabmasse 3,07 kgm/cem

Arbeitsvermögen

$$\text{Zugfestigkeit} \times \text{Bruchdehnung für das Centimeter Messlänge in m} = 0,81$$

Der Bruch erfolgt nahe dem Teilstrich 7.

Fig. 2d, Textblatt 13, giebt das photographische Bild des zerrissenen Stabes wieder.

Stab 3.

Durchmesser im mittleren cylindrischen Teil . . . 2,01 cm
Querschnitt im mittleren cylindrischen Teil $\frac{\pi}{4} \cdot 2,01^2 = 3,17$ qcm
Messlänge 15,0 cm

Die Untersuchung wurde genau in derselben Weise durchgeführt, wie bei Stab 1 angegeben.

1. Prüfung.

Temperatur 20,8° C.

Belastungsstufe in kg		Verlängerung auf 15 cm in $\frac{1}{1000}$ cm			Unter- schied der Feder- ungen
gesamte	kg/qcm	gesamte	bleibende	federnde	
500 u. 1000	157,7 u. 315,5	2,59	0,02	2,57	2,57
500 u. 1500	157,7 u. 473,2	5,38	0,17	5,21	2,64
500 u. 2000	157,7 u. 630,9	8,54	0,53	8,01	2,60
500 u. 2500	157,7 u. 788,6	12,73	1,91	10,82	2,81

2. Prüfung.

Temperatur 20,0° C.

Belastungsstufe in kg		Verlängerung auf 15 cm in $\frac{1}{1000}$ cm			Unter- schied der Feder- ungen
gesamte	kg/qcm	gesamte	bleibende	federnde	
500 u. 1000	157,7 u. 315,5	2,71	0,00	2,71	2,71
500 u. 1500	157,7 u. 473,2	5,42	0,00	5,42	2,71
500 u. 2000	157,7 u. 630,9	8,12	0,00	8,12	2,70
500 u. 2500	157,7 u. 788,6	10,86	0,03	10,83	2,71

Fig. 2a.

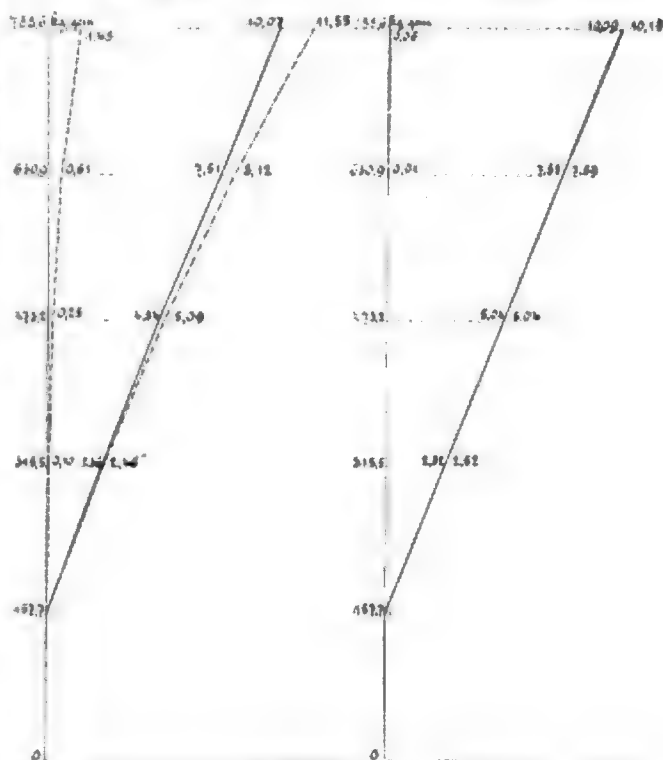


Fig. 2b.

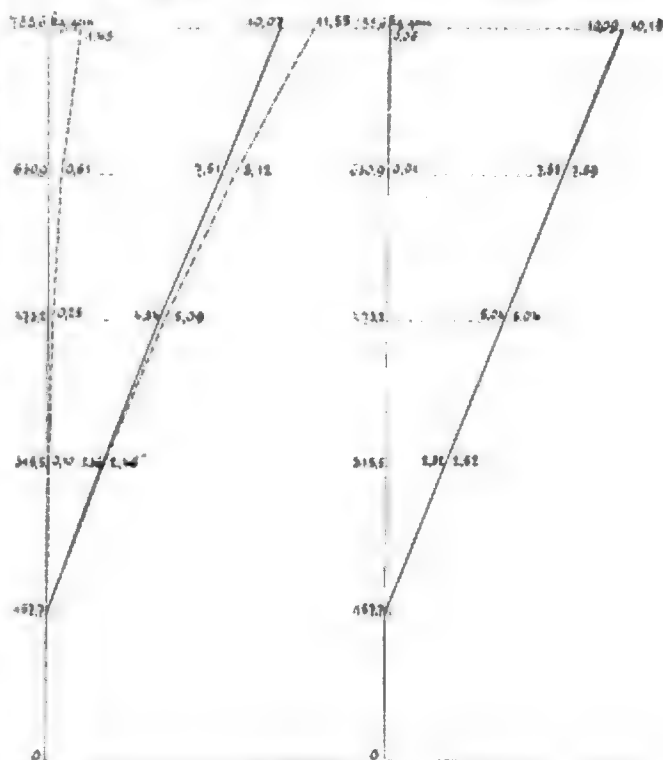
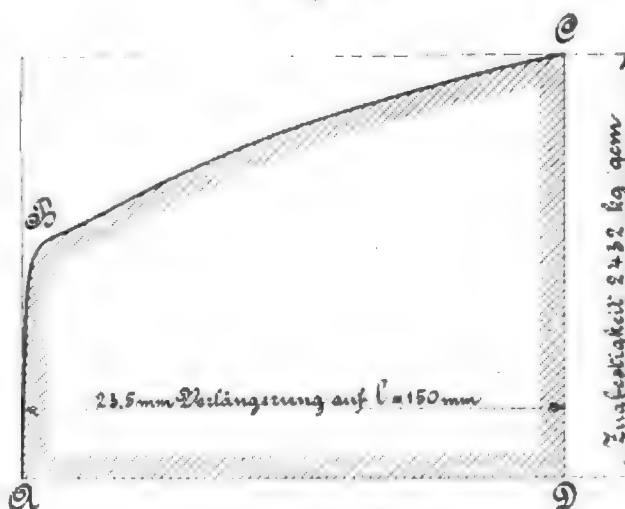


Fig. 2c.



Dieser Stab zeigt ausgeprägt die schon früher bei Bronze festgestellte Thatsache¹⁾, dass, während bei der ersten Prüfung die Dehnungen erheblich rascher wachsen als die Spannungen, bei der zweiten Prüfung, d. i. nach vorhergegangener Belastung, Proportionalität zwischen Dehnungen und Spannungen besteht.

In Fig. 3a sind die Linienzüge der Dehnungen, welche

Mit der aus der zweiten Prüfung folgenden durchschnittlichen Federung $\frac{2,71 + 2,71 + 2,70 + 2,71}{4} = 2,71$ findet sich der

Dehnungskoeffizient $\frac{2,71}{1000 \cdot 15 \cdot 157,7} = \frac{1}{872900}$

Die Fortsetzung der Zugprobe liefert den Linienzug Fig. 3c. Es beträgt

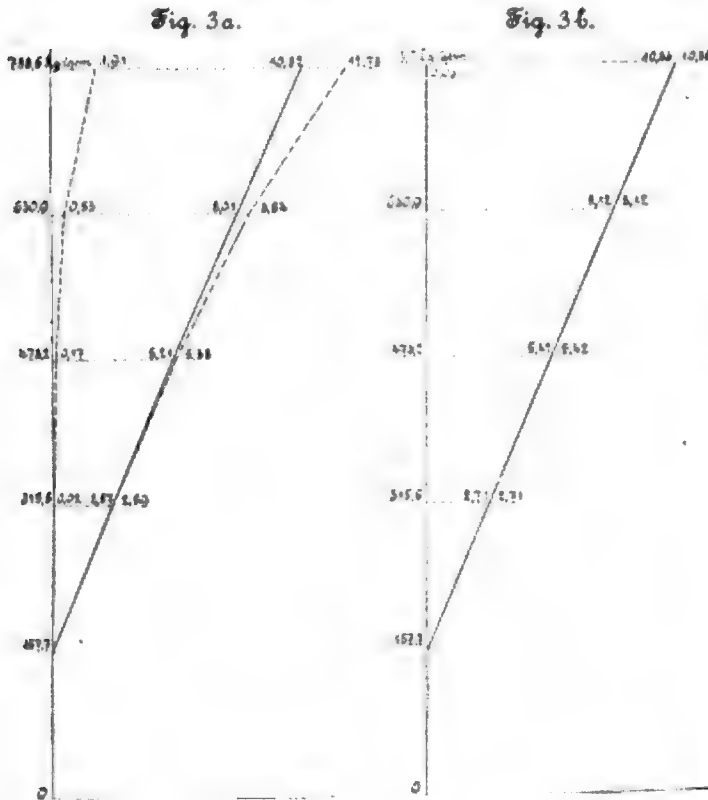
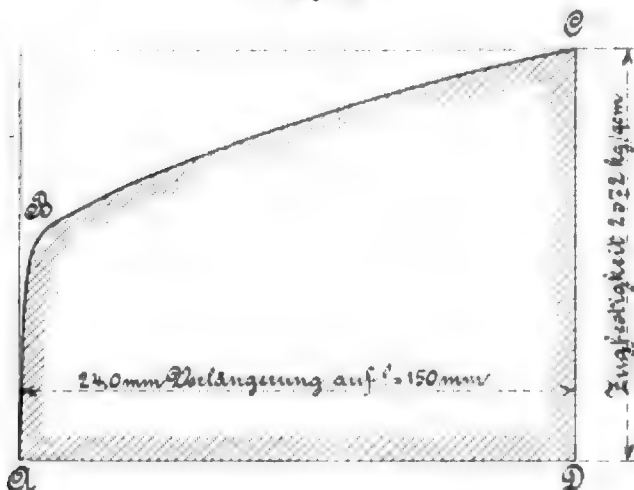


Fig. 3c.



die erste Prüfung geliefert hat, eingetragen: den gesamten Dehnungen entspricht der Linienzug ———, den bleibenden Dehnungen der ——— Linienzug und den federnden Dehnungen der Linienzug ———.

Fig. 3b giebt die gleiche Darstellung für die zweite Prüfung.

¹⁾ C. Bach, Elastizität und Festigkeit 1898, S. 50.

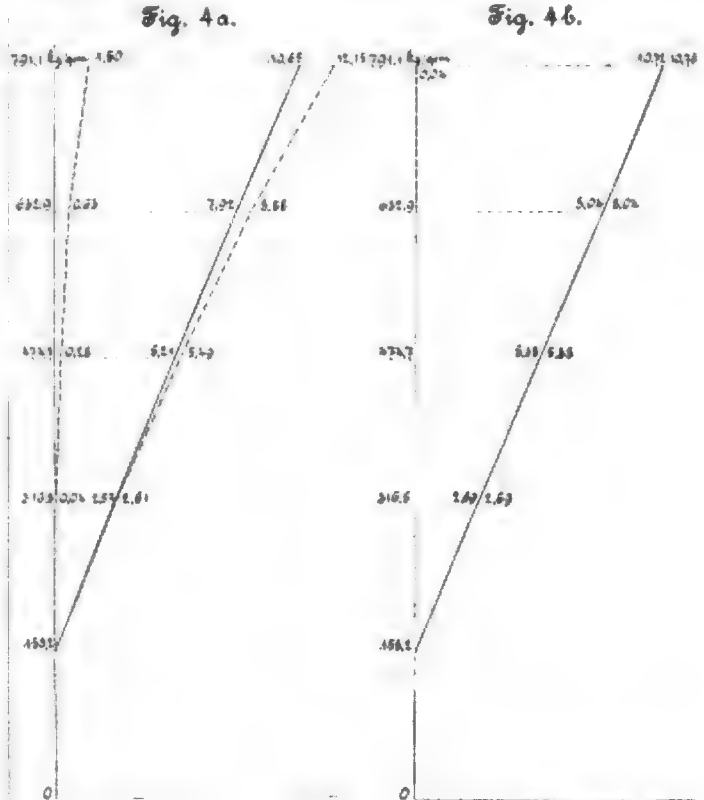
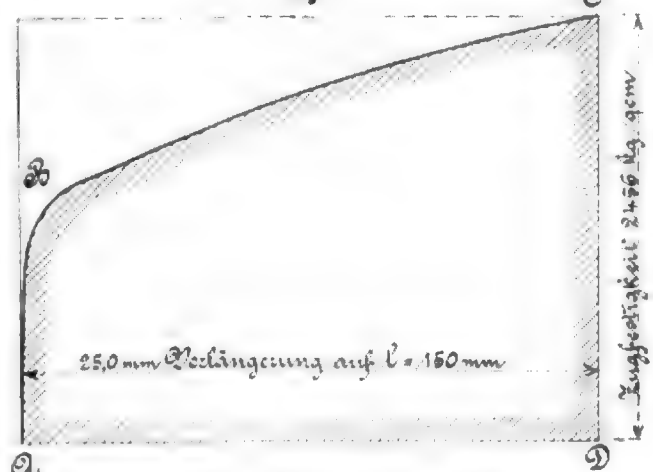


Fig. 4c.



die Zugfestigkeit	2372 kg./qcm
die Bruchdehnung auf 200 mm Länge (nach dem Bruch gemessen)	15,9 vH ± 1
die Querschnittsverminderung	21,1 %
das Arbeitsvermögen, entsprechend der Fläche ABCD, auf das Kubikcentimeter ursprüngliche Stabmasse	3,05 kgm./ccm
Arbeitsvermögen	= 0,81

Zugfestigkeit \times Bruchdehnung für das Centimeter Messlänge in mm

Der Bruch erfolgt zwischen den Teilstrichen 5 und 6. Fig. 3d, Textblatt 13, zeigt das Bild des zerrissenen Stabes.

Stab 4.

Durchmesser im mittleren zylindrischen Teil . . . 2,005 cm
Querschnitt im mittleren zylindrischen Teil $\frac{\pi}{4} \cdot 2,005^2 = 3,14 \text{ qcm}$
Messlänge 15,0 cm

Die Untersuchungen wurden genau in derselben Weise durchgeführt, wie bei Stab 1 angegeben.

1. Prüfung.

Temperatur 20,30° C bis 21,00° C.

Belastungsstufe in kg		Verlängerung auf 15 cm in $\frac{1}{1000}$ cm			Unter- schied der Fede- rungen
gesamte	kg/qcm	gesamte	bleibende	federnde	
500 u. 1000	158,2 u. 316,5	2,61	0,04	2,57	2,57
500 u. 1500	158,2 u. 474,7	5,42	0,28	5,21	2,84
500 u. 2000	158,2 u. 632,9	8,55	0,63	7,92	2,71
500 u. 2500	158,2 u. 791,1	12,15	1,00	10,65	2,13

2. Prüfung.

Temperatur 20,60° C bis 20,80° C.

Belastungsstufe in kg		Verlängerung auf 15 cm in $\frac{1}{1000}$ cm			Unter- schied der Fede- rungen
gesamte	kg/qcm	gesamte	bleibende	federnde	
500 u. 1000	158,2 u. 316,5	2,69	0,00	2,69	2,69
500 u. 1500	158,2 u. 474,7	5,38	0,00	5,38	2,69
500 u. 2000	158,2 u. 632,9	8,04	0,00	8,04	2,66
500 u. 2500	158,2 u. 791,1	10,70	0,04	10,72	2,68

In Fig. 4a sind die Linienzüge der Dehnungen, welche die erste Prüfung geliefert hat, eingetragen: den gesamten Dehnungen entspricht der Linienzug ———, den bleibenden Dehnungen der ——— Linienzug und den federnden Dehnungen der Linienzug ———.

Fig. 4b giebt die gleiche Darstellung für die zweite Prüfung.

Mit der aus der zweiten Prüfung folgenden durchschnittlichen Federung $2,69 + 2,69 + 2,66 + 2,68 = 2,68$ findet sich

$$\text{der Dehnungskoeffizient} = \frac{2,68}{1000 \cdot 15 \cdot 158,2} = \frac{1}{553400}$$

Die Fortsetzung der Zugprobe liefert den Linienzug Fig. 4c. Es beträgt

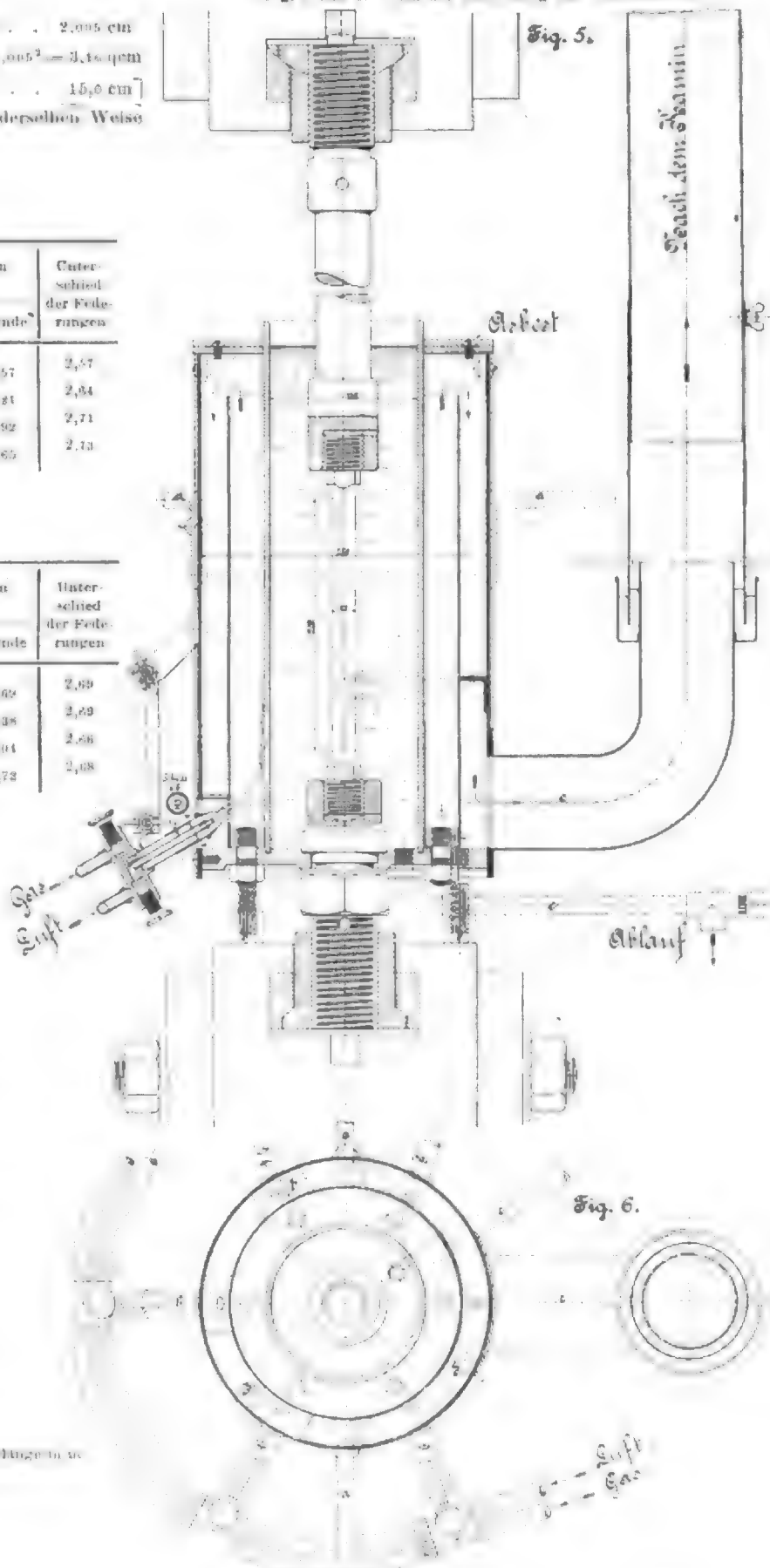
die Zugfestigkeit 2450 kg/qcm
die Bruchdehnung auf 200 mm Länge (nach dem Bruch gemessen) 16,0 vH
die Querschnittsverminderung 16,1 v
das Arbeitsvermögen, entsprechend der Fläche ABCD 3,98 kgm/qcm
Arbeitsvermögen

Zugfestigkeit, Bruchdehnung für das Quadratmesslinge in m = 0,83.

Der Bruch erfolgt zwischen den Teilstrichen 8 und 1.

Fig. 4d, Textblatt 13, zeigt das photographische Bild des zerrissenen Stabes.

Fig. 5 und 6. Ofen zur Erwärmung der Versuchstäbe.



Zusammenstellung II.

Hiernach ergibt sich im Durchschnitt für die 4 Stäbe:
Dehnungskoeffizient

$$\left(\frac{1}{924000} + \frac{1}{935000} + \frac{1}{872900} + \frac{1}{885400} \right) : 4 = \infty \frac{1}{904000}$$

Zugfestigkeit $\frac{2705 + 2432 + 2372 + 2456}{4} = 2491 \text{ kg/qcm}$

Bruchdehnung, nach dem Bruch gemessen,
 $\frac{22,0 + 15,4 + 15,9 + 16,0}{4} = 17,4 \text{ vH}$

Querschnittsverminderung
 $\frac{26,8 + 21,1 + 21,1 + 16,1}{4} = 21,3 \text{ „}$

Arbeitsvermögen $\frac{4,09 + 3,07 + 3,05 + 3,28}{4} = 3,35 \text{ kgm/qcm}$

Arbeitsvermögen $\frac{1}{4} = 0,81$

Zugfestigkeit \times Bruchdehnung für das Centimeter Messlänge in m

Stab 1 überragt sowohl hinsichtlich der Zugfestigkeit, als auch hinsichtlich der Bruchdehnung, der Querschnittsverminderung und des Arbeitsvermögens die übrigen drei Stäbe ganz erheblich. Dieser Umstand veranlasste, dass von Stab 1 und von Stab 3 die chemische Zusammensetzung bestimmt wurde. (Vergl. S. 1486.)

Die Bronze der kaiserlichen Werft in Kiel hatte ergeben:

Dehnungskoeffizient 967000
Zugfestigkeit 2395 kg/qcm
Bruchdehnung 36,3 vH
Querschnittsverminderung 52,1 „
Arbeitsvermögen 6,90 kgm/qcm

also einen kleineren Dehnungskoeffizienten, eine etwas kleinere Zugfestigkeit, eine weit größere Bruchdehnung und Querschnittsverminderung und ein viel bedeutenderes Arbeitsvermögen.

B) Untersuchung der Stäbe 5 bis 8 und 43 bis 47 bei 100° C.

Die Stäbe befanden sich je während der Untersuchung in einem Bade von Palmöl, dessen Temperatur auf eine

¹⁾ So fand sich z. B. für die Untersuchung von Bronzestäben, welche von Firmen, die sich viel mit der Herstellung von Bronzegegenständen für den Maschinenbau beschäftigen, eingeliefert worden

solche Höhe gebracht wurde, dass angenommen werden durfte, der Stab werde zur maßgebenden Zeit die Temperatur von 100° C besitzen. Ueber die graphischen Darstellungen, welche in dieser Hinsicht einen Einblick ermöglichen, d. h. über die Temperaturlinien ist die eingangs erwähnte Veröffentlichung Fig. 6a, 13a, 14a und 15a zu vergleichen. Durch Umrühren der Flüssigkeit wurde erreicht, dass sich die Temperaturen oben und unten im Bade nur ganz unbedeutend von einander unterschieden.

Ausgesprochenen Wünschen nachkommend, füge ich in den Figuren 5 und 6 die Zeichnungen des zur Erwärmung der Stäbe benutzten Ofens, wie er in die stehende Prüfungs-maschine eingebaut ist, bei. Der Ofen wurde unter Verwendung vorhandener Rohrstücke entworfen und ausgeführt. Er unterscheidet sich in verschiedenen Punkten von dem Ofen, welcher von der mechanisch-technischen Versuchsanstalt in Charlottenburg benutzt wird, wie ein Vergleich der betreffenden Veröffentlichungen dieser Anstalt (Mitteilungen aus den kgl. technischen Versuchsanstalten zu Berlin, 1890 S. 166; 1893 S. 294 und S. 297; 1895 S. 31; 1896 S. 177) erkennen lässt.

Diese Versuchsergebnisse, s. Zusammenstellung III, bleiben hinsichtlich der Zugfestigkeit und zumteil auch in bezug auf die Bruchdehnung weit hinter den Zahlen zurück, welche die Zusammenstellungen I und II zeigen. Da nach den vorliegenden Erfahrungen bei tatsächlich dem gleichen Material eine bedeutende Abnahme der Zugfestigkeit für 100° C nicht zu erwarten steht und da andererseits bei Bronze vielfach zu beobachten ist, dass ein und dasselbe Material, dem man die gleiche Zusammensetzung zu geben glaubt, in bezug auf seine Festigkeitseigenschaften ganz erhebliche Abweichungen zeigt¹⁾, so wurden weitere Stäbe der Untersuchung bei 100° C unterworfen, mit dem in der Zusammenstellung IV niedergelegten Ergebnis.

Ueber das Aussehen der zerrissenen Stäbe 43, 44, 45, 46 und 47 geben die photographischen Bilder Fig. 43d, 44d, 45d, 46d und 47d, Textblatt 13, Auskunft.

Die Zugfestigkeit der Stäbe der Zusammenstellung IV weicht in der That ganz erheblich von derjenigen der Stäbe der Zusammenstellung III ab; sie entspricht den Werten, welche nach den Zusammenstellungen I und II zu erwarten waren, weit eher.

waren und in bezug auf welches Material den Firmen auch bekannt war, dass die Untersuchung einen Anhalt über die Gleichmäßigkeit ihrer Bronze geben sollte, Folgendes:

1) Bronzestäbe von der Firma A.

Das Material sollte nach Angabe der Firma die gleiche Zusammensetzung haben wie dasjenige, für welches oben die Zusammenstellung I gilt.

Bezeichnung	Durchmesser d cm	Querschnitt $\frac{\pi}{4} d^2$ qcm	Länge des cylindrischen Teils vom Durchmesser d mm	Bruchbelastung		Bruch- dehnung auf 200 mm vH	Querschnitts- vermin- derung vH	Bemerkungen
				P	P: $\frac{\pi}{4} d^2$			
				kg	kg/qcm			
1	2,01	3,17	220	6000	1893	—	—	Bruch erfolgt außerhalb der Messlänge
2	2,01	3,17	220	7250	2293	11,7	19,9	„ „ nahe dem Teilstrich 7
3	2,00	3,14	220	6480	2064	12,2	17,2	„ „ zwischen den Teilstrichen 5 u. 6
4	2,00	3,14	220	6340	2019	—	—	„ „ außerhalb der Messlänge
5	2,00	3,14	220	6500	2102	12,8	17,1	„ „ zwischen den Teilstrichen 4 u. 5
Durchschnitt				—	2074	12,2	17,1	

2) Bronzestäbe von der Firma A.

Ganz wie unter Ziffer 1.

Bezeichnung	Durchmesser d cm	Querschnitt $\frac{\pi}{4} d^2$ qcm	Länge des cylindrischen Teils vom Durchmesser d mm	Bruchbelastung		Bruch- dehnung auf 200 mm vH	Querschnitts- vermin- derung vH	Bemerkungen
				P	P: $\frac{\pi}{4} d^2$			
				kg	kg/qcm			
6	2,00	3,14	220	6460	2057	8,9	10,5	Bruch erfolgt zwischen den Teilstrichen 4 u. 5
7	2,00	3,14	220	5930	1889	6,7	9,6	„ „ „ „ „ 9 u. 10
8	2,00	3,14	220	6880	2191	11,5	10,5	„ „ „ „ „ 4 u. 5
9	2,00	3,14	220	5740	1828	6,4	9,6	„ „ „ „ „ 4 u. 5
10	2,00	3,14	220	6180	1968	8,1	9,6	„ „ „ „ „ 7 u. 8
Durchschnitt				—	1987	8,3	10,6	

Zusammenstellung III.

100° C.

Bezeichnung	Durchmesser d cm	Querschnitt $\frac{\pi}{4} d^2$ qcm	Länge des cylindrischen Teils vom Durchmesser d mm	Bruchbelastung		Bruch- dehnung auf 200 mm vH	Quer- schnitts- vermin- derung vH	Bemerkungen
				P kg	$P: \frac{\pi}{4} d^2$ kg/qcm			
Sch B 5	2,60	3,14	220	5820	1854	11,6	18,4	Bruch erfolgt nahe dem Teilstrich 10
» 6	2,90	3,14	220	5990	1879	11,5	12,4	» » zwischen den Teilstriichen 7 und 8
» 7	2,005	3,16	220	6810	2155	14,9	17,7	» » » » » 8 » 4
» 8	2,006	3,16	220	6870	2174	16,8	19,3	» » nahe dem Teilstrich 6
» 43	2,90	3,14	220	6710	2137	13,1	16,2	» » zwischen den Teilstriichen 7 und 8
Durchschnitt				2040	18,4	15,8		

Zusammenstellung IV.

100° C.

Bezeichnung	Durchmesser d cm	Querschnitt $\frac{\pi}{4} d^2$ qcm	Länge des cylindrischen Teils vom Durchmesser d mm	Bruchbelastung		Bruch- dehnung auf 200 mm vH	Quer- schnitts- vermin- derung vH	Bemerkungen
				P kg	$P: \frac{\pi}{4} d^2$ kg/qcm			
Sch B 44	2,005	3,16	220	7580	2399	17,5	17,7	Bruch erfolgt nahe dem Teilstrich 1
» 45	2,006	3,16	220	8880	2686	23,5	22,2	» » zwischen den Teilstriichen 1 und 2
» 46	2,005	3,16	220	7840	2461	20,0	21,2	» » » » » 2 » 3
» 47	2,90	3,14	220	7510	2392	19,2	18,8	» » » » » 8 » 9
Durchschnitt				2477	20,1	20,0		

5) Bronzestäbe von der Firma B.

Ganz wie unter Ziffer 1.

Bezeichnung	Durchmesser d cm	Querschnitt $\frac{\pi}{4} d^2$ qcm	Länge des cylindrischen Teils vom Durchmesser d mm	Bruchbelastung		Bruch- dehnung auf 200 mm vH	Quer- schnitts- vermin- derung vH	Bemerkungen
				P kg	$P: \frac{\pi}{4} d^2$ kg/qcm			
1	2,01	3,17	220	7110	2243	16,0	19,9	Bruch erfolgt zwischen den Teilstriichen 5 u. 9
2	2,01	3,17	220	5780	1823	7,9	17,0	» » nahe dem Teilstrich 7
3	2,01	3,17	220	7900	2492	23,8	21,5	» » » » » 4
4	2,00	3,14	220	7140	2274	16,6	17,2	» » zwischen den Teilstriichen 6 u. 7
5	2,00	3,14	220	6970	2220	15,6	19,1	» » » » » 7 » 8
Durchschnitt				2210	16,0	18,9		

4) Bronzestäbe von der Firma C.

Zusammensetzung nach Angabe der Firma: 91 Kupfer, 5 Zinn, 4 Zink.

Bezeichnung	Durchmesser d cm	Querschnitt $\frac{\pi}{4} d^2$ qcm	Länge des cylindrischen Teils vom Durchmesser d mm	Bruchbelastung		Bruch- dehnung auf 200 mm vH	Quer- schnitts- vermin- derung vH	Bemerkungen
				P kg	$P: \frac{\pi}{4} d^2$ kg/qcm			
1	2,90	3,14	220	7475	2381	26,6	36,3	Bruch erfolgt zwischen den Teilstriichen 5 u. 6
2	2,90	3,14	220	8420	2682	47,0	58,6	» » » » » 5 » 8
3	2,90	3,14	220	7950	2533	37,0	42,7	» » » » » 6 » 1
4	2,90	3,14	220	7810	2487	36,0	52,2	» » » » » 4 » 5
5	2,90	3,14	220	7980	2541	—	—	» » außerhalb der Messlänge
Durchschnitt				2525	36,7	47,4		

5) Bronzestäbe von der Firma D.

Zusammensetzung nach Angabe der Firma wie unter Ziffer 4

Bezeichnung	Durchmesser d cm	Querschnitt $\frac{\pi}{4} d^2$ qcm	Länge des cylindrischen Teils vom Durchmesser d mm	Bruchbelastung		Bruch- dehnung auf 200 mm vH	Quer- schnitts- vermin- derung vH	Bemerkungen
				P kg	$P: \frac{\pi}{4} d^2$ kg/qcm			
1	1,99	3,11	212	6220	2900	18,5	37,3	Bruch erfolgt zwischen den Teilstriichen 7 u. 8
2	2,00	3,14	212	5525	1760	13,2	25,2	» » nahe dem Teilstrich 10
3	2,00	3,14	212	6480	2064	20,4	28,7	» » » » » 10
4	1,99	3,11	212	5850	1875	21,4	26,0	» » zwischen den Teilstriichen 5 u. 6
5	2,00	3,14	212	6400	2038	16,3	22,9	» » » » » 7 » 8
Durchschnitt				1947	18,0	27,5		

Solche Unregelmäßigkeiten, wie sie z. B. unter Ziffer 5 für Stäbe, bei denselben Guss hergestellt, auftreten: Zugfestigkeiten von 1823 und 2492 kg/qcm, Bruchdehnungen von 7,9 und 28,9 vH, ohne dass die

Bruchflächen im erstenen Falle Fehlstellen — im gewöhnlichen Sinne — zeigen, erfordern zu ihrer Aufklärung mikroskopische Untersuchung und chemische Analyse des Materials an verschiedenen Stellen der Bruchflächen gemäß den Ergebnissen der mikroskopischen Untersuchung.

C) Untersuchung der Stäbe 9 bis 12 und 39 bis 42 bei 200° C.

Die Stäbe befanden sich, wie unter B angegeben, in einem Bade von Palmin, dessen Temperatur auf solche Höhe gebracht wurde, dass anzunehmen war, der Stab werde zur maßgebenden Zeit die Temperatur von 200° C besitzen.

Die Versuchsergebnisse sind in der Zusammenstellung V niedergelegt.

Die Unregelmäßigkeiten, welche diese Zahlen unter sich zeigen, ihre absolute Größe, sowie die unter »Bemerkungen« angeführte Fehlerhaftigkeit der Bruchflächen veranlassen die Prüfung weiterer Stäbe, über deren Ergebnis Zusammenstellung VI Auskunft giebt.

Das Aussehen der zerrissenen Stäbe 39, 40, 41 und 42 zeigen die photographischen Bilder Fig. 39d, 40d, 41d und 42d, Textblatt 13.

D) Untersuchung der Stäbe 13 bis 16 bei 250° C.

Die Stäbe befanden sich, wie unter B angegeben, in einem Bade von Palmin, dessen Temperatur auf solche Höhe

gebracht wurde, dass anzunehmen war, der Stab werde zur maßgebenden Zeit die Temperatur von 250° C besitzen.

Die Versuchsergebnisse sind in der Zusammenstellung VII niedergelegt.

Ueber das Aussehen der zerrissenen Stäbe geben die photographischen Bilder Fig. 13d, 14d, 15d und 16d, Textblatt 13, Auskunft.

E) Untersuchung der Stäbe 17 bis 20 bei 300° C.

Die Stäbe befanden sich je während der Untersuchung in einem Bade, welches ungefähr zu gleichen Teilen aus Kali- und Natronsalpeter bestand. Durch Umrühren des Gemisches wurde erreicht, dass sich die Temperaturen oben und unten im Bade nur ganz unbedeutend von einander unterschieden (vergl. das unter B Bemerkte).

Die Versuchsergebnisse sind in der Zusammenstellung VIII niedergelegt.

Zusammenstellung V.
200° C.

Bezeichnung	Durchmesser d cm	Querschnitt $\frac{\pi}{4} d^2$ qcm	Länge des cylindrischen Teils vom Durchmesser d mm	Bruchbelastung		Bruch- dehnung auf 200 mm vH	Quer- schnitts- vermin- derung vH	Bemerkungen
				P kg	$P: \frac{\pi}{4} d^2$ kg/qcm			
Stab B 9	2,00	3,14	220	6120	1949	8,1	11,5	Bruch erfolgt zwischen den Teilstrichen 8 und 9
» 10	2,005	3,16	220	7880	2335	14,0	15,9	» » nahe dem Teilstrich 9
» 11	2,00	3,14	220	7020	2236	20,2	23,2	» » » » 2
» 12	2,00	3,14	220	5900	1879	12,5	18,4	» » zwischen den Teilstrichen 9 und 10
» 40	2,00	3,14	220	6080	1936	10,7	13,4	» » » » 4 » 5
Stab 13 und 40 zeigen Fehlstellen in der Bruchfläche								
Durchschnitt				2067		13,1	15,5	

Zusammenstellung VI.
200° C.

Bezeichnung	Durchmesser d cm	Querschnitt $\frac{\pi}{4} d^2$ qcm	Länge des cylindrischen Teils vom Durchmesser d mm	Bruchbelastung		Bruch- dehnung auf 200 mm vH	Quer- schnitts- vermin- derung vH	Bemerkungen
				P kg	$P: \frac{\pi}{4} d^2$ kg/qcm			
Stab B 39	2,00	3,14	220	7240	2305	15,0	15,3	Bruch erfolgt nahe dem Teilstrich 5
» 41	2,005	3,15	220	7780	2452	21,0	22,1	» » zwischen den Teilstrichen 4 und 5
» 42	2,00	3,14	220	7460	2376	17,7	18,8	» » » » 4 und 5
Durchschnitt				2381		17,9	19,1	

Zusammenstellung VII.
250° C.

Bezeichnung	Durchmesser d cm	Querschnitt $\frac{\pi}{4} d^2$ qcm	Länge des cylindrischen Teils vom Durchmesser d mm	Bruchbelastung		Bruch- dehnung auf 200 mm vH	Quer- schnitts- vermin- derung vH	Bemerkungen
				P kg	$P: \frac{\pi}{4} d^2$ kg/qcm			
Stab B 13	2,005	3,18	220	6650	2104	11,9	14,9	Bruch erfolgt zwischen den Teilstrichen 4 und 5
» 14	2,005	3,16	220	6720	2127	12,2	14,9	» » nahe dem Teilstrich 10
» 15	1,995	3,12	220	6020	1923	12,0	13,1	» » zwischen den Teilstrichen 1 und 2
» 16	2,00	3,14	220	6180	1968	12,3	13,4	» » nahe dem Teilstrich 7
Durchschnitt				2051		12,1	14,1	

Zusammenstellung VIII.
300° C.

Bezeichnung	Durchmesser d cm	Querschnitt $\frac{\pi}{4} d^2$ qcm	Länge des cylindrischen Teils vom Durchmesser d mm	Bruchbelastung		Bruch- dehnung auf 200 mm vH	Quer- schnitts- vermin- derung vH	Bemerkungen
				P kg	$P: \frac{\pi}{4} d^2$ kg/qcm			
Stab B 17	2,00	3,14	220	4950	1576	7,4	8,8	Bruch erfolgt nahe dem Teilstrich 7
» 18	2,00	3,14	220	5110	1627	9,0	13,4	» » zwischen den Teilstrichen 2 und 3
» 19	2,00	3,14	220	5040	1603	5,1	6,7	» » nahe dem Teilstrich 10
» 20	2,005	3,16	220	5150	1630	5,6	6,3	» » zwischen den Teilstrichen 4 und 5
Durchschnitt				1610		6,8	8,8	

Ueber das Aussehen der zerrissenen Stäbe geben die photographischen Bilder Fig. 17d, 18d, 19d und 20d, Textblatt 13, Auskunft. Die Oberfläche zeigt weit weniger Formänderungen als bei den vorhergegangenen Versuchen.

Stab 18d läßt auch unterhalb des Bruchquerschnittes Querrisse erkennen. Diese Rissigkeit wurde bei der früher untersuchten Bronze für 300° C allgemein beobachtet.

F) Untersuchung der Stäbe 21 bis 24 und 38 bei 350° C.

Das Wärmebad war das gleiche, wie unter E bezeichnet.

Die Versuchsergebnisse sind in Zusammenstellung IX enthalten.

Das Aussehen der zerrissenen Stäbe geben die photographischen Bilder Fig. 21d, 22d, 23d, 24d und 38d, Textblatt 13, wieder. Die Oberfläche ist glatt, entsprechend der geringen Bruchdehnung und Querschnittsverminderung.

G) Untersuchung der Stäbe 25 bis 28 und 37 bei 400° C.

Das Wärmebad war das gleiche, wie unter E bezeichnet.

Die Versuchsergebnisse sind in Zusammenstellung X enthalten.

Ueber das Aussehen der zerrissenen Stäbe geben die photographischen Bilder Fig. 25d, 26d, 27d, 28d und 37d, Textblatt 13, Auskunft. Hier gilt das zur Zusammenstellung IX in bezug auf die Oberfläche Bemerkte in noch erhöhtem Maße.

H) Untersuchung der Stäbe 29 bis 32 bei 450° C.

Das Wärmebad war das gleiche, wie unter E bezeichnet. Die Versuchsergebnisse sind in Zusammenstellung XI enthalten.

Ueber das Aussehen der zerrissenen Stäbe geben die photographischen Bilder Fig. 29d, 30d, 31d und 32d, Textblatt 13, Auskunft. Querschnittsverminderung wurde nicht mehr festgestellt, die Bruchdehnung ist auf 0,5 vH gesunken, die Oberfläche der Stäbe läßt keine Formänderung mehr erkennen.

J) Untersuchung der Stäbe 33 bis 36 bei 500° C.

Das Wärmebad war das gleiche, wie unter E bezeichnet. Die Versuchsergebnisse sind in Zusammenstellung XII enthalten.

Zusammenstellung IX.
350° C.

Bezeichnung	Durchmesser d cm	Querschnitt $\frac{\pi}{4} d^2$ qcm	Länge des cylindrischen Teils vom Durchmesser d mm	Bruchbelastung		Bruch- dehnung auf 200 mm vH	Quer- schnitts- vermin- derung vH	Bemerkungen
				P kg	$P: \frac{\pi}{4} d^2$ kg/qcm			
Stab 21	2,00	3,14	220	3720	1185	—	—	Bruch erfolgt außerhalb der Messlänge
» 22	2,00	3,14	220	3910	1245	2,8	1,8	» » nahe dem Teilstrich 3
» 23	2,00	3,14	220	3510	1118	2,1	1,9	» » » » » 5
» 24	2,00	3,14	220	3460	1102	1,6	1,0	» » » » » 2
» 38	1,91	2,87	220	3270	1139	1,4	1,0	» » zwischen den Teilstriichen 7 und 8
Durchschnitt					1158	2,0	1,5	

Zusammenstellung X.
400° C.

Bezeichnung	Durchmesser d cm	Querschnitt $\frac{\pi}{4} d^2$ qcm	Länge des cylindrischen Teils vom Durchmesser d mm	Bruchbelastung		Bruch- dehnung auf 200 mm vH	Quer- schnitts- vermin- derung vH	Bemerkungen
				P kg	$P: \frac{\pi}{4} d^2$ kg/qcm			
Stab 25	2,00	3,14	220	3130	1003	0,9	0,6	Bruch erfolgt nahe dem Teilstrich 4
» 26	2,00	3,14	220	3300	1051	1,1	0,6	» » » » » 2
» 27	2,00	3,14	220	3800	1210	—	—	» » außerhalb der Messlänge
» 28	2,00	3,14	220	3850	1226	2,5	1,9	» » nahe dem Teilstrich 10
» 37	2,005	3,16	220	3390	1073	—	—	» » außerhalb der Messlänge
Durchschnitt					1113	1,5	1,0	

Zusammenstellung XI.
450° C.

Bezeichnung	Durchmesser d cm	Querschnitt $\frac{\pi}{4} d^2$ qcm	Länge des cylindrischen Teils vom Durchmesser d mm	Bruchbelastung		Bruch- dehnung auf 200 mm vH	Quer- schnitts- vermin- derung vH	Bemerkungen
				P kg	$P: \frac{\pi}{4} d^2$ kg/qcm			
Stab 29	2,005	3,16	220	2800	886	—	—	Bruch erfolgt außerhalb der Messlänge
» 30	2,00	3,14	220	2610	831	0,5	0	» » nahe dem Teilstrich 6
» 31	2,00	3,14	220	2650	844	0,5	0	» » zwischen den Teilstriichen 7 u. 8
» 32	2,00	3,14	220	2390	761	0,4	0	» » » » » 5 u. 6
Durchschnitt					831	0,5	0	

Zusammenstellung XII.
500° C.

Bezeichnung	Durchmesser d cm	Querschnitt $\frac{\pi}{4} d^2$ qcm	Länge des cylindrischen Teils vom Durchmesser d mm	Bruchbelastung		Bruch- dehnung auf 200 mm vH	Quer- schnitts- vermin- derung vH	Bemerkungen
				P kg	$P: \frac{\pi}{4} d^2$ kg/qcm			
Stab 33	2,00	3,14	220	2320	739	0,3	0	Bruch erfolgt nahe dem Teilstrich 1
» 34	2,00	3,14	220	2350	748	0,3	0	» » zwischen den Teilstriichen 4 u. 5
» 35	2,00	3,14	220	2150	678	—	—	» » außerhalb der Messlänge
» 36	2,00	3,14	220	1910	608	0,25	0	» » nahe dem Teilstrich 4
Durchschnitt					693	0,3	0	

Ueber das Aussehen der Stäbe geben die photographischen Bilder Fig. 33d, 34d, 35d und 36d, Textblatt 13, Auskunft. Vergleiche das zur Zusammenstellung XI Gesagte.

In Fig. 7 sind zu den Temperaturen als wagerechten Abszissen die zugehörigen Durchschnittswerte der Zugfestigkeiten als senkrechte Ordinaten aufgetragen, unter Zugrundelegung der Durchschnittswerte der Zusammenstellungen II, IV, VI, VII, VIII, IX, X, XI und XII.

Die Durchschnittswerte der Zusammenstellungen III und V sind als Punkte zu den Abszissen 100° bzw. 200° eingetragen.

In Fig. 8 sind zu den gleichen Abszissen die Bruchdehnungen nach den Zusammenstellungen II, IV, VI, VII, VIII, IX, X, XI und XII als Ordinaten aufgetragen.

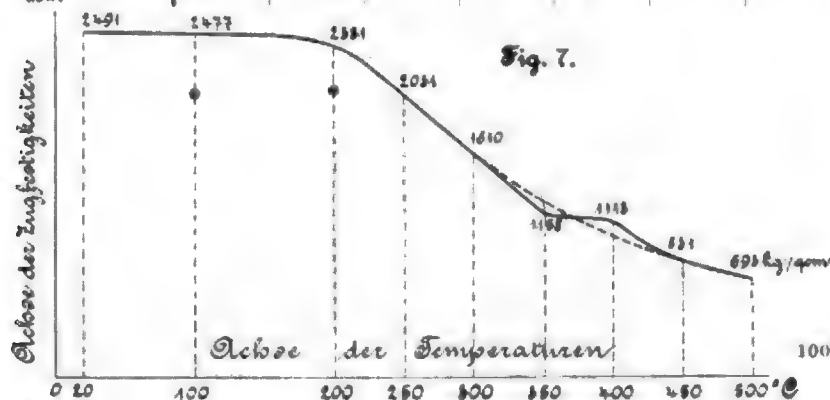
Die Durchschnittswerte der Zusammenstellungen III und V sind als Punkte eingezeichnet.

- l) Späne von dem einen Ende des Stabes 27 (Zusammenstellung X)
k) Späne von dem andern Ende des Stabes 27 (" X)
l) Späne von dem Stab 47 (" IV)
m) " " " " " 47 (" IV)

Die Späne l) und m) waren vorher möglichst gleichmäßig durch einander gemischt worden; der untersuchende Chemiker wusste nicht, dass ihm unter l) und m) das gleiche Material übergeben wurde. Diese Untersuchung wurde veranlasst, um ein Urteil darüber zu gewinnen, auf welchen Grad der Uebereinstimmung bei den Untersuchungsergebnissen überhaupt gerechnet werden durfte.

Die Ergebnisse, welche die chemische Analyse, ausgeführt von den Herren Dr. Hundeshagen und Dr. Philip, lieferte, sind im Folgenden zusammengestellt.

	a	b	c	d	e	f	g	h	i	k	l	m
Kupfer	86,67	86,50	86,45	86,35	86,56	86,35	86,68	86,30	85,90	85,93	86,93	87,00
Zinn	8,88	8,78	8,92	8,99	8,90	8,85	8,97	9,10	9,71	9,75	8,95	8,97
Zink	3,95	4,30	4,20	4,05	4,25	3,95	3,93	4,03	3,95	3,95	3,75	3,64
Blei	0,496	0,38	0,39	0,58	0,51	0,35	0,44	0,48	0,39	0,36	0,355	0,37
Eisen	0,036	0,05	0,05	0,09	0,08	0,08	0,05	0,07	0,06	0,05	0,055	0,05
Phosphor	0,040	0,025	0,040	0,016	0,018	0,025	0,015	0,021	0,037	0,036	0,020	0,025
Arsen	Spuren	Spuren	Spuren	Spuren	Spuren	Spuren	Spuren	Spuren	Spuren	Spuren	Spuren	Spuren
Antimon	"	"	"	"	"	"	"	"	"	"	"	"
Schwefel	"	"	"	"	"	"	"	"	"	"	"	"



Zusammenfassung.

Die untersuchte Bronze, welche bei gewöhnlicher Temperatur nach der Zusammenstellung II

eine Zugfestigkeit K , von . 2491 kg/qcm
» Bruchdehnung φ von . 17,4 vH
» Querschnittsverminderung ψ von 21,5 »

besitzt, zeigt für diese Größen bei den Temperaturen

100° 200° 250° 300° 350° 400° 450° 500° C

nach den Zusammenstellungen

	IV	VI	VII	VIII	IX	X	XI	XII
die K , =	2477	2381	2031	1610	1158	1113	831	693 kg/qcm
Wer- φ =	20,1	17,9	12,1	6,8	2,0	1,5	0,5	0,3 vH
te ψ =	20,0	19,1	14,1	8,6	1,5	1,0	0	0 »

Werden die Werte bei gewöhnlicher Temperatur mit 1 bezeichnet, so ergeben sich folgende Verhältniszahlen:

Zugfestigkeiten

bei rd. 20°	100°	200°	250°	300°	350°	400°	450°	500° C
2491	2477	2381	2031	1610	1158	1113	831	693
1	0,99	0,96	0,82	0,65	0,46	0,45	0,33	0,28,

d. h. die Zugfestigkeit ist bei 100° C rund die gleiche wie bei gewöhnlicher Temperatur, bei 200° hat sie um 4 vH, bei 250° um 18 vH, bei 300° um 35 vH, bei 350° um 54 vH, bei 400° um 55 vH, bei 450° um 67 vH und bei 500° um 72 vH abgenommen.

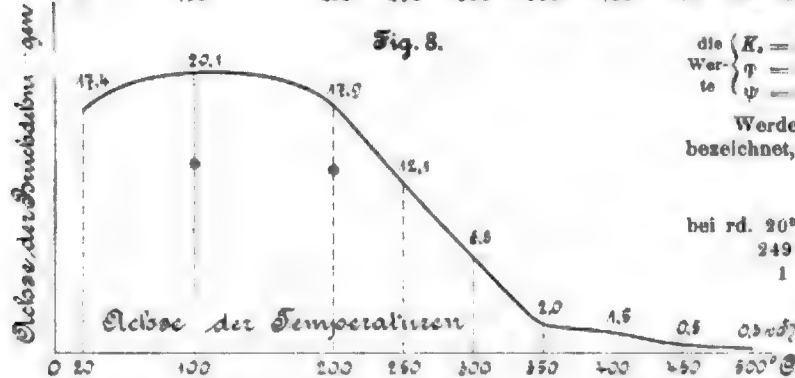
Bei der früher untersuchten Bronze der kaiserlichen Wert in Kiel ergaben sich folgende Zahlen:

20°	100°	200°	300°	400°	500° C
2395	2424	2245	1358	635	442
1	1,01	0,94	0,57	0,26	0,18.

Bruchdehnungen

bei rd. 20°	100°	200°	250°	300°	350°	400°	450°	500° C
17,4	20,1	17,9	12,1	6,8	2,0	1,5	0,5	0,3
1	1,16	1,03	0,70	0,39	0,11	0,09	0,03	0,02.

Die starke Zunahme der Bruchdehnung bei 100° C wie auch die höhere Zahl bei 200° C wird auf Rechnung von Un-



K) Chemische Untersuchung der Bronze.

Es wurden untersucht:

- a) ein Durchschnitt aus den Spänen, welche von allen Stäben gewonnen wurden
b) Späne vom Stab 1 (Zusammenstellung II)
c) " " " " " 3 (" II)
d) " " " " " 22 (" IX)
e) " " " " " 25 (" X)
f) " " " " " 28 (" X)
g) Späne von dem einen Ende des Stabes 26 (" X)
h) Späne von dem andern Ende des Stabes 26 (" X)

regelmäßigkeiten im Material zu setzen sein, die — wie bereits erwähnt — bei Bronze häufig in die Erscheinung treten.

Bei der erwähnten Bronze der kaiserlichen Werft in Kiel ergaben sich die Zahlen:

20°	100°	200°	300°	400°	500° C
36,3	35,4	34,7	11,5	0	0
1	0,96	0,94	0,32	0	0

Querschnittsverminderungen.

bei rd. 20°	100°	200°	250°	300°	350°	400°	450°	500° C
21,5	20,0	19,1	14,1	8,8	1,5	1,0	0	0
1	0,94	0,90	0,66	0,41	0,07	0,05	0	0

Die Bronze der kaiserlichen Werft lieferte die Zahlen:

20°	100°	200°	300°	400°	500° C
52,1	47,4	46,2	16,2	0	0
1	0,91	0,93	0,31	0	0

Der Vergleich der beiden Kurven, Fig. 7 und 8, mit denjenigen, welche für die Bronze der kaiserlichen Werft erhalten wurden, zeigt Uebereinstimmung hinsichtlich des Abfalles der Kurve der Zugfestigkeiten wie auch der Bruchdehnungen nach Ueberschreiten der Temperatur von 200° C. Nur geht hier der Abfall weniger rasch vor sich als dort. Namentlich tritt dies bei der Bruchdehnung hervor, welche — wie zu beachten ist — bei gewöhnlicher Temperatur für die früher untersuchte Bronze rund doppelt so groß war als wie bei der Bronze, über die hier berichtet worden ist.

Inbezug auf die Verwendung dieser Bronze zu Ventilgehäusen, Rohrstücken usw. in Leitungen für überhitzten Dampf wird im wesentlichen die gleiche Schlussfolgerung wie früher zu machen sein. Auch dieses Material, das sonst als eine gute Bronze angesehen werden muss, ist von der Verwendung in Rohrleitungen für stark überhitzten Dampf auszuschließen und in solchen für mäßig überhitzten Dampf nicht empfehlenswert.

Stuttgart, den 15. April 1901.

Die Weltausstellung in Paris 1900.

Hebemaschinen.

Von Kammerer, Charlottenburg.

(Fortsetzung von S. 1355)

VIII. Hochbahnkrane.

Der Drehkran ist für Kaibetrieb die weitaus leistungsfähigste Maschine, so lange die Querbewegung den Betrag von 15 bis 20 m nicht überschreitet, d. h. so lange man mit einer Ausladung von 11 bis 15 m auskommt. Innerhalb dieser Grenze sind die Abmessungen der Drehscheibe und des Auslegers mäßig. Infolgedessen die Reibungs- und Massenwiderstände des Drehwerkes gering im Verhältnis zu den Widerständen des Hubwerkes. Die Masse des Triebwerkes und der Motoren befindet sich sehr nahe an der Drehachse, verursacht also beim Schwenken nur geringen Massenwiderstand. Eine Horizontalgeschwindigkeit von 3 m/sk bietet daher keine Schwierigkeit. Dazu bietet der Drehkran den Vorteil, sperrigen Gegenständen, wie z. B. Baumstämmen, ein so freies Profil zu geben wie keine andere Hebemaschine.

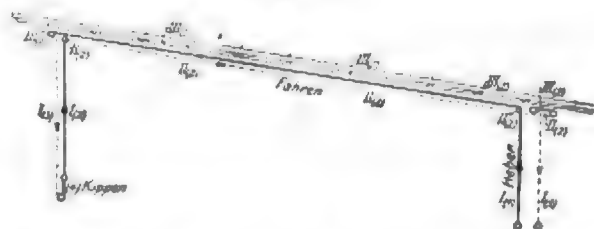
Die stets wachsenden Abmessungen der Frachtdampfer führen, da der Tiefgang der bestehenden Hafenanlagen wegen nicht gesteigert werden kann, zu stets größerer Breite. Es dürfte daher die Zeit nicht fern sein, in der eine Querbewegung von 25 bis 30 m verlangt wird. Hierfür wären Drehkrane von 20 bis 22 m Ausladung erforderlich, die unverhältnismäßig schwere Ausleger und Drehscheiben und daher unvorteilhaft große Widerstände des Drehwerkes bedingen würden. Es rückt dann die Frage nahe, ob die Verwendung von Laufkatzenkränen für den allgemeinen Kaibetrieb vorteilhaft wird. Bekanntlich sind derartige Krane in den letzten Jahren für ganz spezielle Betriebe — Umladung von Kohlen, Erz und dergleichen — und für große Querbewegung (20 bis 100 m) nach den Konstruktionen von Hunt und Brown in Deutschland mehrfach ausgeführt worden. Diese Sonder-Hebemaschinen, die Prof. Ernst mit dem treffenden Namen »Hochbahnkrane« bezeichnet, sind aus Amerika herübergekommen aus dem gleichen Grunde wie die Sonder-Werkzeugmaschinen: in den großen Betrieben jenseit des Wassers entstand eher das Bedürfnis nach Sondermaschinen als bei uns, wo es erst in allerletzter Zeit gegenüber dem Bedürfnis der früheren kleinen Betriebe nach Universalmaschinen zum Durchbruch gekommen ist.

Solche Sonder-Hebemaschinen sind die von der Temperley-Transporter Company¹⁾ in London ausgeführten Konstruktionen. Sie waren in der Ausstellung vertreten durch

ein gangbares Modell auf dem Marsfeld und durch eine normale Ausführung in Vincennes.

Die wesentlichste Einzelheit der Temperley-Krane ist die Laufkatze. Außer der Seilleitrolle besitzt sie ein Riegelwerk zum Festhaken der losen Rolle und ihrer Last an der Katze und ein zweites Riegelwerk zum Feststellen der Katze an der Laufbahn.¹⁾ Sobald das eine dieser beiden Riegelwerke gelöst wird, stellt sich selbsttätig das andere fest. Die ursprüngliche Einzelkonstruktion dieser Riegelwerke (in Werkzeichnung dargestellt in Ernst, Hebezeuge, 3. Auflage) hat

Fig. 143.



in den letzten Jahren eine völlige Umarbeitung erfahren, insofern als die früher angewendeten Kurvenscheiben durch einfache Kniehebel ersetzt sind. Die Wirkungsweise lässt sich anhand der schematischen Skizze, Fig. 143, und der Konstruktionsdarstellungen, Fig. 144 bis 149, am besten durch Verfolgung eines vollständigen Kranspiels darstellen.

Heben der Last wasserseitig. Stellung I, Fig. 144.

Die Katze ist durch den Riegel *r* an der Bahn festgeriegelt, denn der Kniehebel *abc* ist über die Strecklage durchgedrückt und wird außerdem noch durch das bei *d* angreifende Gewicht der Sperrhaken *ss* in dieser Lage gesichert. Eine Aenderung tritt erst ein, wenn der hochgehende Haken an die Katze anschlägt.

Fahren der Last landwärts. Stellung II, Fig. 145.

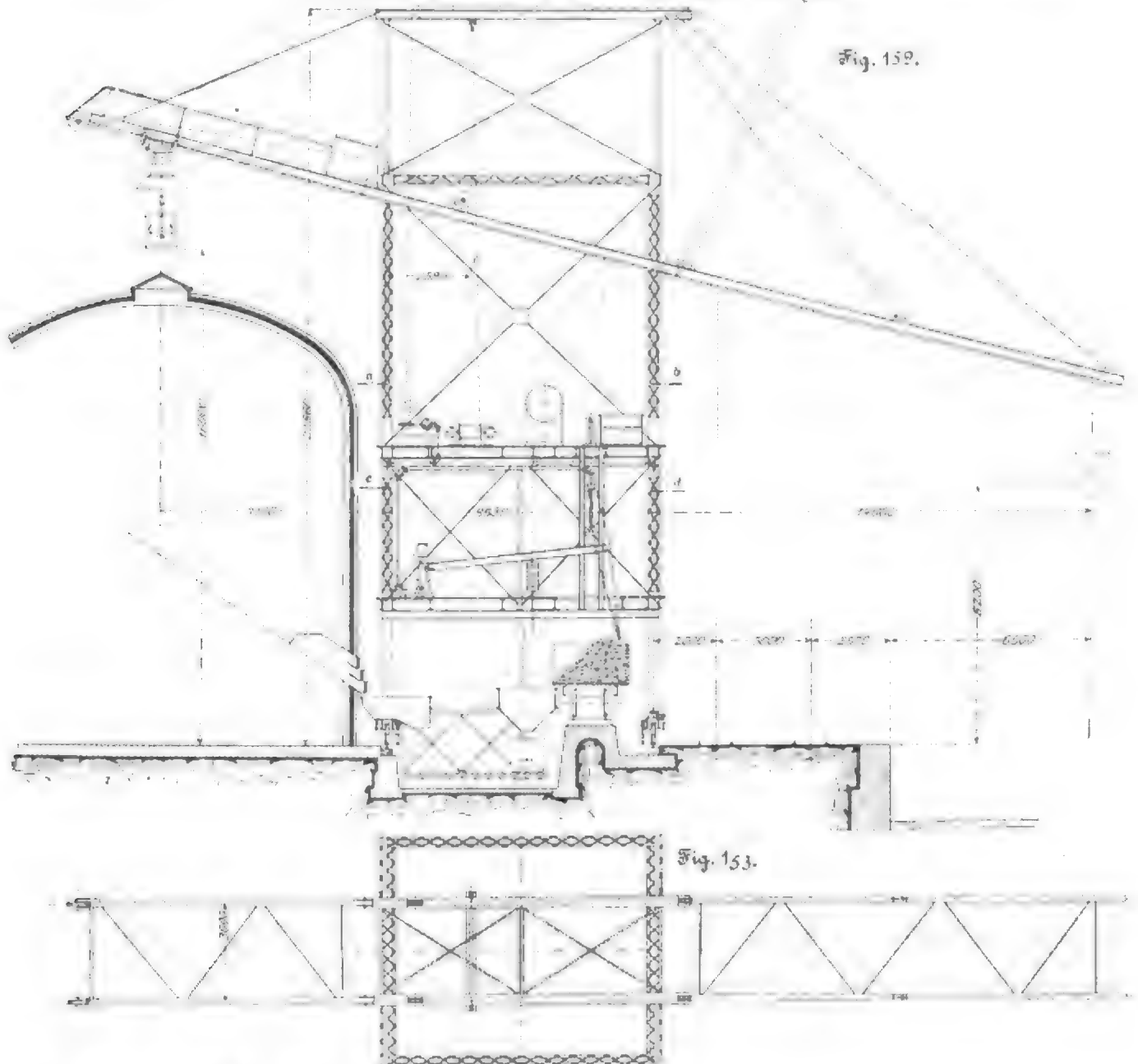
Die Achse der losen Rolle trifft mit ihren Naben gegen die Sperrhaken *ss*, drückt sie und das Gelenk *d* hoch, knickt den Kniehebel *abc* ein und entriegelt die Katze von der Bahn; gleichzeitig wird der Kniehebel *cbd* über die Strecklage

¹⁾ Die Einführung des Temperley-Transporters in Deutschland hat, wie uns mitgeteilt ist, die Firma Arthur Koppel, Berlin, übernommen.

¹⁾ a. Z. 1900 S. 75.



Fig. 152 bis 155. Hochbahnkran der Temperley Transporter Co. in Sfax.



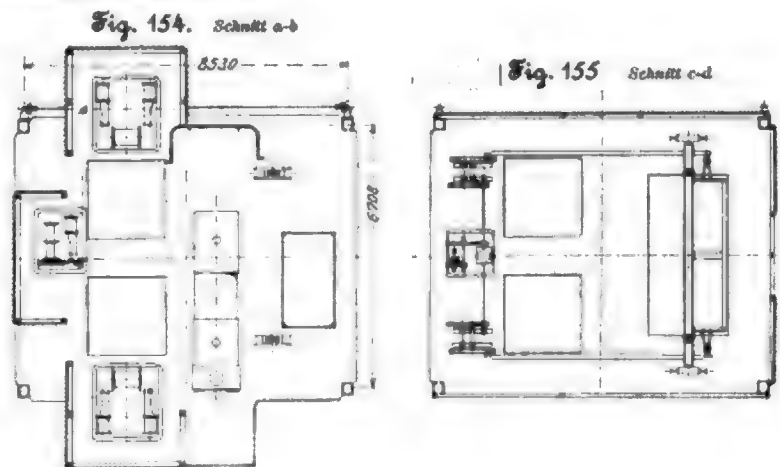
läuft; hierbei hakt sich die Klinko *k* im ersten Bahneinschnitt fest und bringt infolgedessen den Katzenriegel *r* zum Einschnappen, sodass die Katze wieder an der Bahn festgeriegelt ist; s. Stellung I, Fig. 141. Das Einschnappen des Katzenriegels *r* knickt den Kniehebel *cbd* ein und drückt den Kniehebel *abc* über die Strecklage durch: ersteres giebt die lose Rolle frei, letzteres sichert die Verriegelung der Katze.

**Heben des Hakens landseitig.
Stellung I, Fig. 144.**

Das Seil wird hier wieder eingeholt, die Stellung der Katze ist dabei genau dieselbe wie beim vorangegangenen Senken der Last.

Fahren des Hakens wasserwärts.
Stellung II, Fig. 145.

Sobald die lose Rolle dicht an die Katze gekommen ist und dadurch sich selbst an die Katze fest-



gehakt und gleichzeitig die Katze von der Bahn entriegelt hat, steuert der Führer die Winde nach rückwärts um, giebt also Seil aus. Die entriegelte Katze läuft auf der Bahn abwärts dem Wasser zu.

Senken des Hakens wasserseitig.

Erst Stellung III, Fig. 146, dann Stellung I, Fig. 144.

Sobald die Winde nach vorwärts umgesteuert, also wieder Seil eingeholt wird, schlägt die landwärts gerichtete Klinke *k* wasserwärts um: Stellung III. Wenn nun wieder nach rückwärts gefahren wird, hakt die Klinke *k* im nächsten Bahneinschnitt fest, bringt den Katzenriegel *r* zum Einschnappen und verwandelt wieder Stellung III in Stellung I. Die Katze sitzt wieder an der Bahn fest, der leere Haken geht nach abwärts, um beladen ein neues Spiel zu beginnen.

Hinsichtlich der konstruktiven Ausführung der Laufkatze ist zu bemerken, dass sie nahezu ganz in Walzeisen hergestellt ist, um dem gewaltsamen Kalbetrieb auf die Dauer Widerstand zu bieten. Ein wesentlicher Teil der Katze ist der glockenförmige, nach unten offene Behälter aus gebogenem starken Blech, in den die lose Rolle hineinfährt; die Ausschnitte darin nehmen die vorstehenden Naben der losen Rolle auf, die sich in den Sperrhaken *ss* festhaken, welche außen an der Glocke sitzen. Die Glocke sitzt nicht wie bei früheren Ausführungen fest, sondern gelenkig an der

Fig. 156.

Ausweichende Seilstütze
zum Hochbahnkran von Temperley.



Katze, um bei pendelnder Last das Einfahren der losen Rolle zu sichern. Diese Aufhängung erfordert allseits gelenkige Verbindung zwischen den Sperrhaken *ss* und dem Gelenkpunkt *d*, Fig. 146. Die Laufrollen der Katze sind schief gestellt, um geometrisch richtiges Abwälzen auf den schiefen Flanschen des I-Trägers zu erzielen, der als Laufbahn dient. Die Seilrollen und die sich mit 400 Uml./min drehenden Laufrollen sind mit Grafit-schmierung ausgerüstet.

Die ersten Ausführungen Temperleys arbeiteten mit 2 Seilen, erforderten daher eine besondere Winde mit 2 Trommeln. Um jede gewöhnliche Schiffswinde behufs Verwendung des Transporters zum Bekohlen von Kriegsschiffen in See benutzen zu können, entwarf Temperley die geschilderte einseitige Anordnung. Die Verwendung gewöhnlicher Schiffswinden ist hierbei allerdings nur soweit zulässig, als man sich mit der geringen Geschwindigkeit begnügt, die sie hergeben. Für leistungsfähige Anlagen mit 1,5 m/sk Hubgeschwindigkeit — entsprechend 3 m/sk Seilgeschwindigkeit — und 3 bis 5 m/sk Fahrgeschwindigkeit sind natürlich besonders konstruierte Winden erforderlich. Eine solche Dampfwinde der Temperley Transporter Company für 1 t Zugkraft und eine Höchstgeschwindigkeit von 5 m/sk ist in Fig. 150 dargestellt. Die mit eingedrehten Rillen ausgerüstete Seiltrommel von 380 mm Dmr. ist unmittelbar auf die mit höchstens 250 Umdrehungen laufende Kurbelwelle aufgekittet. Die Zwillingmaschine arbeitet mit Cylindern von 250 mm Bohrung und 250 mm Hub. Bei 6 at Ueberdruck zieht die Maschine noch 1000 kg mit 2,5 m/sk; bei 1150 kg versagt die Maschine, damit Ueberlastung der Laufbahn ver-

hütet wird. Besonders große Kurbelscheiben wirken als Schwungrad und nehmen gleichzeitig Handbremsen auf. Der leere Rücklauf kann durch etwas Rückwärtsdampf vermittels einer Wechelschieber-Umsteuerung unterstützt werden. Da sehr genaue Steuerung ein unbedingtes Erfordernis für Vermeidung von Stößen und für gute Leistungsfähigkeit der Anlage ist, so muss das Einlassventil sehr leicht gangbar sein; das Ventil wird daher nicht durch eine Spindel, sondern durch eine Welle bethätigt, die nur mit Bund gedichtet ist, sodass die Stopfbüchsenreibung vermieden ist. Ein zylindrischer ausgekerbter Fortsatz am Ventilteller öffnet den Einstromquerschnitt allmählich. Die Steuerung erfordert insofern Ueberlegung und Gewandtheit, als der Führer keine rückläufigen Bewegungen machen darf, sondern stetig das Seil einholen und ausgeben muss, damit nicht die Katze an falscher Stelle der Laufbahn festgeriegelt wird.

Der losen Rolle hat Temperley noch eine besondere Einrichtung zur selbstthätigen Entleerung von Kippkübeln in beliebiger Höhe gegeben, Fig. 151. Es werden hierzu die bekannten drehbaren Kübel verwendet, die in einem Bügel so aufgehängt sind, dass der Schwerpunkt des leeren Kübels unter dem Drehpunkt, der Schwerpunkt des vollen Kübels dagegen über dem Drehpunkt liegt. Im vollen Zustande wird der Kübel durch einen Schnepfer *q*, Fig. 145a, aufrecht gehalten; sobald der Schnepfer ausgehoben wird, kippt der Kübel um, entleert sich und kehrt selbstthätig in die aufrechte Lage zurück, wobei der Schnepfer wieder einfällt, sodass der Anfangszustand hergestellt ist. Es handelt sich also lediglich darum, eine Vorkehrung zu treffen, um den Schnepfer in beliebiger Höhenstellung des Kübels auszulösen.

Zunächst ist der Schnepfer *q* mit einer Falle *f*, Fig. 145a, durch eine Kette verbunden. In dem Lastzustand liegt ein Auslöser *a*, der in normalem Zustand nicht aus dem Profil des Hakens heraustritt, die Falle *f* daher auch nicht beeinflusst. Sobald aber der Auslöser *a* gehoben wird, tritt er in eine Lücke des Bügels, hebt die Falle *f* und damit den Schnepfer *p*.

Der Auslöser *a* wird durch ein an die lose Rolle angebautes Hemmwerk bethätigt, dessen Wirkung sich wieder anhand der schematischen Skizze Fig. 143, der Konstruktionsdarstellungen Fig. 144, 145, 147 und 148 und des Schaubildes Fig. 151 verfolgen lässt.

Heben der Last wasserseitig. Stellung 1, Fig. 144.

Der um den Punkt *g* drehbare Balancier *h* ruht mit dem linken Arm auf dem Anschlag *i*; der auf ihm gelagerte Winkelhebel *l* mit Klinke *m* ruht auf dem Anschlag *g*; die zum Auslöser *a* führende Hüllkette ist lose, die Klinke *m* außer Eingriff mit dem gezahnten Rande der losen Rolle.

Fahren der Last landwärts. Stellung 2, Fig. 145.

Bei dem Einfahren der losen Rolle in die Glocke der Laufkatze drückt der Sperrhaken *s* die Zunge *s* auf die Seite und letztere senkt den rechten Arm des Balanciers *h* nach unten, sodass der linke Arm in die Höhe steigt und die Klinke *m* in den Bereich des gezahnten Randes der losen Rolle bringt. Der Auslöser *a* wird hierbei nicht angehoben. Bei dem nun erfolgenden Fahren der Katze landwärts steht die lose Rolle still, die Klinke *m* wird daher vorläufig nicht beeinflusst.

Senken der Last landseitig. Stellung 3, Fig. 147.

Sobald das Seil rückwärts zu laufen beginnt, die lose Rolle sich also entgegengesetzt dem Uhrzeiger zu drehen anfängt, ergreift der gezahnte Rand die Klinke *m* und schlägt sie von links nach rechts um. Alle übrigen Teile behalten zunächst unverändert ihre Stellung bei.

Kippen des Kübels. Stellung 4, Fig. 148.

In dem Augenblick, wo das Senken beendet ist und das Wiederheben beginnt, dreht sich die lose Rolle im Sinne des Uhrzeigers und bringt den Winkelhebel *l* zum Umschlagen. Der linke Arm des Balanciers kann nicht nach unten aus-

weichen, denn der rechte Arm ist durch den über die Strecklage durchgedrückten Kniehebel *nop* festgesetzt. Das Umschlagen des Winkelhebels *l* verursacht Heben des Auslösers *a*, also Kippen des Kübels.

Heben des Hakens landseitig. Stellung 2, Fig. 145.

Die weitere Drehung der losen Rolle im Sinne des Uhrzeigers veranlasst Umschlagen der Klinken *m* nach links, Zurückfallen des Winkelhebels *l* auf den Anschlag *g*, Senken des Auslösers *a* und Wiedereinschnappen des leeren Kübels in den Schnepfer *q*.

Fahren des Hakens wasserwärts. Stellung 2, Fig. 145.

Die lose Rolle steht hierbei still, das Hemmwerk behält daher seine Stellung bei.

Senken des Hakens wasserseitig. Stellung 1, Fig. 144.

Bei dem Anprall der Laufkatze am unteren Bahnende und gleichzeitiger Freigabe der losen Rolle von den Sperrhaken *s* fliegt der untere Arm der Zunge *z* nach rechts, löst den Kniehebel *nop* aus der Strecklage, senkt den linken Arm des Balanziers und bringt dadurch das ganze Hemmwerk außer Reich des gezahnten Randes. Dadurch ist die Stellung 1 wieder hergestellt, ein neues Spiel kann beginnen.

Die Verwendung des Temperley-Transporters für eine Anlage zum Verladen von Phosphat, ausgeführt in Sfax bei Tunis für die Compagnie des Phosphates et du Chemin de Fer de Gafsa, ist in Fig. 152 bis 156 dargestellt. Die Anlage ist dazu bestimmt, das täglich in zwei Eisenbahnzügen zu je 20 Wagen mit 18 t Inhalt eintreffende Phosphat entweder unmittelbar in das Schiff oder erst in einen Schuppen und von hier aus in das Schiff zu verladen.

Für die Leistungsfähigkeit der Anlage waren folgende Bedingungen gestellt: Es musste jedesmal ein Kübel mit 1,75 t Phosphat 15 m hoch landseitig gehoben, 20 m weit wasserwärts gefahren und 10 m tief wasserseitig gesenkt werden. Bei dieser Arbeitsweise sollte unter Berücksichtigung der beim Verholen entstehenden Pausen eine Tagesleistung von 3000 t erreicht werden. Zu diesem Zweck wurden vier Laufbahnen aufgestellt, von denen je zwei auf einem fahrbaren Turm montiert sind. Bei 1,5 m/sk Hubgeschwindigkeit und 3 m/sk Fahrgeschwindigkeit wird in 1 Minute ein vollständiges Spiel ausgeführt. Für jede Laufbahn ergibt sich hieraus eine Stundenleistung von $60 \times 1,7 = 105$ t; die ganze Anlage fördert also stündlich $4 \times 105 = 420$ t,

Fig. 157.

Energieverbrauch eines Temperley-Kranes.

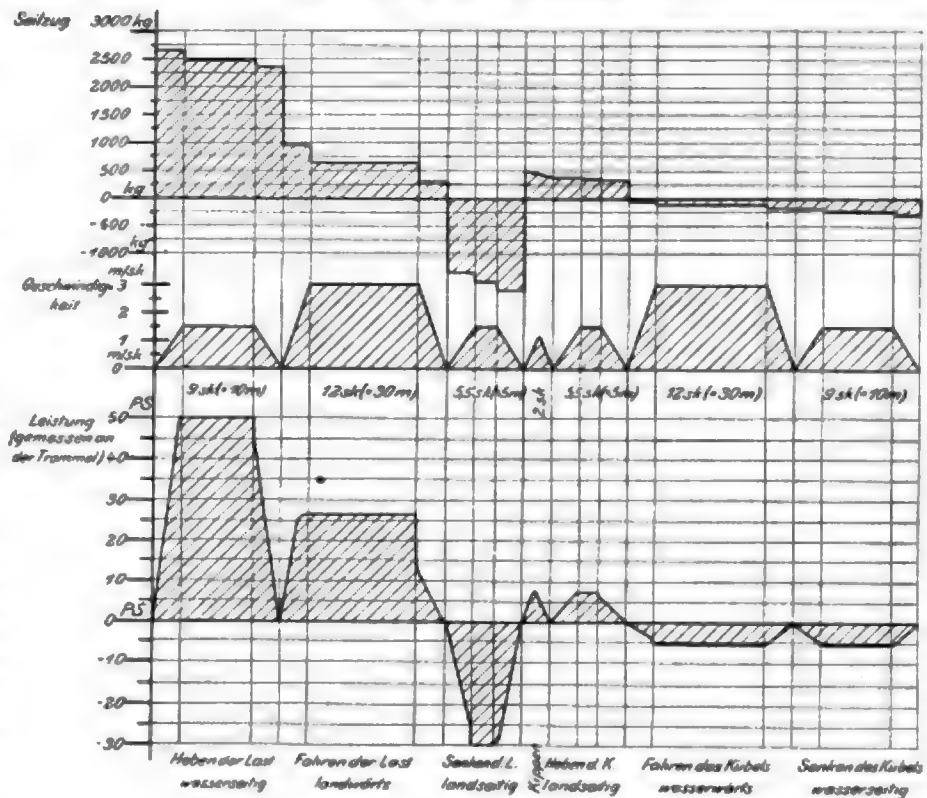
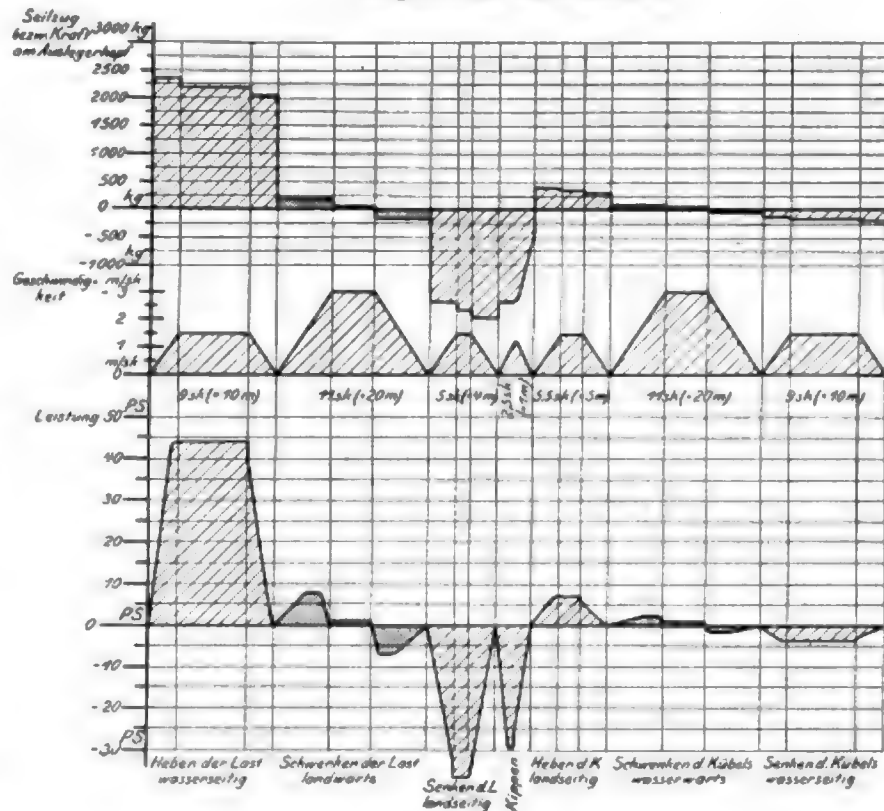


Fig. 158.

Energieverbrauch eines Drehkranes.



würde demnach in 7 Stunden die geforderte Tagesleistung von 3000 t erzielen, wenn keine Pausen eintreten.

Das Kalprofil trägt zunächst zwei Eisenbahngleise, die zusammen eine Breite von 7,5 m erfordern; dann folgt das 8,5 m breite Gleis für den fahrbaren Turm, und hieran schließt sich ein Schuppen von 20 m Breite, 80 m Länge und 15000 t Inhalt, der in armiertem Zement ausgeführt ist. Die Laufbahn ladet 6,5 m über Vorderkante der Kaimauer aus und rückt auf der andern Seite bis Mitte Schuppen, so dass eine Gesamtlänge der Bahn von 30 m — im Grundriss gemessen — entsteht. Da die Bedingung gestellt war, dass ein 7,5 m breiter Streifen innerhalb der Vorderkante der Kaimauer frei von feststehenden Aufbauten bleibe, so kann der vordere Teil der Laufbahn, welcher an Drahtseilankern aufgehängt ist, durch eine Dampfwinde aufgeklappt werden.

Besondere Schwierigkeiten für die Beladung der Kübel ergaben sich daraus, dass einmal die vorhandenen Wagen nicht Stürnschütten waren, also nicht in der üblichen Weise gekippt werden konnten, vielmehr durch die Seitenthürme ausgeschaufelt werden mussten; erschwerend war weiter die Bedingung, dass nicht mehr als 1,4 m unter Schlenenoberkante ausgeschachtet werden durfte. Diese Einschränkungen führten zu folgender Lösung: Die Wagen wurden auf eine Rampe von rd. 1 m Höhe hinaufgefahren und mit einer Maschinenschaufel ausgerüstet. Das obere Ende der Schaufel ist senkrecht geführt und kann mittels zweier Schraubensplindeln von einer Dampfmaschine gehoben und gesenkt werden; in wagerechtem Sinne wird die Schaufel von zwei Schubstangen bewegt, die von derselben Dampfmaschine angetrieben werden. Das auf diese Weise aus dem Wagen herausgeschaufelte Phosphat fällt in einen Trichter und aus diesem in den untergeschobenen Kübel. Ist letzterer gefüllt, so wird er auf einen Rollenboden seitwärts geschoben und an den Lasthaken gehängt.

Das Turmgerüst ist aus senkrechten Gitterträgern mit Schrägverspannungen und pyramidenförmigem Aufsatz aufgebaut, ruht auf 12 starr gelagerten Laufrädern und trägt die beiden Laufbahnen aus 300 mm hohen I-Eisen unter Zuhilfenahme von Drahtseilankern. Zur Erzielung der Seitentrigkeit sind die beiden Laufbahnen unter sich durch Schrägen verbunden.

Das gesamte Triebwerk wird durch einen im zweiten Stockwerk des Turmes aufgestellten Lokomobilkessel mit Energie versorgt. In diesem Stockwerk stehen noch die beiden schnellgehenden Dampfwinden zur Bewegung der Laufkatzen und eine langsam gehende Dampfwinde, welche das Aufklappen der Ausleger besorgt und außerdem das Laufwerk des Turmes mittels wagerechter und senkrechter Wellen mit eingeschalteten Kegelrädern betreibt. Eine zweite Wellenleitung führt von dieser Dampfwinde zu zwei Spill-

köpfen mit senkrechter Achse an den unteren Enden des Gerüsts, die zum Verholen der Eisenbahnwagen dienen. Im ersten Stockwerk des Turmes ist eine vierte Dampfmaschine aufgestellt, die nur die Bethätigung der Maschinenschaufel übernimmt, deren Eigengewicht durch ein Gegengewicht ausgeglichen ist.

Fig. 156 zeigt eine ausweichende Stütze für das Lastseil, die in der Mitte der Laufbahn eingebaut ist. Diese Stütze muss die Katze mit 3 m/sk Geschwindigkeit hindurchfahren lassen, muss daher mit möglichst wenig beweglichen Massen ausgeführt sein, um den Stoß beim Öffnen zu verringern. Die Katze trägt eine spitzwinklige Kurvenschiene aus Flacheisen, welche die Seilstütze öffnet.

In Fig. 157 ist die für den Betrieb des Temperley-Transporters erforderliche Kraft und Energie für ein vollständiges Spiel dargestellt. Infolge der starken Steigung der Laufbahn — 1:4 —, die zur Erzielung selbstthätigen Rücklaufes unerlässlich ist, ist die zum Fahren der Katze erforderliche Energie reichlich halb so groß wie die zur Hebung nötige Energie, sodass die 50pferdige Winde ziemlich gut ausgenutzt wird.

In Fig. 158 ist Kraft- und Energiebedarf für einen Drehkran gleicher Zugkraft mit 15 m Ausladung, entsprechend 20 m Horizontalbewegung, aufgetragen. Bei einem solchen ergibt sich noch ein sehr geringer Energiebedarf für das Schwenken der Last; der gesamte Arbeitsbedarf eines Spieles stellt sich auf rd. 27000 m/kg für den Drehkran, gemessen am Haken, und auf rd. 43000 m/kg für eine 20 m weit fördernde Laufkatze, am Trommelumfang gemessen. Es ist also bei einer Horizontalbewegung von nicht mehr als 20 m ein Drehkran wirtschaftlicher und für allgemeinen Kaibetrieb des großen freien Profils wegen günstiger als eine Förderanlage mit Laufkatze. Anders gestalten sich die Verhältnisse, wenn die Horizontalbewegung über 20 m hinauswächst; die Widerstände des Drehkranes wachsen dann beträchtlich, während die Widerstände der Laufkatze nur wenig zunehmen.

Die Konstruktion von Temperley ist ebenso wie diejenige von Hunt und Brown bisher nur für Umladung von Erz, Kohle u. dergl. verwendet worden, nicht für allgemeinen Kaibetrieb. Sie wäre insofern hierfür geeignet, als sie sowohl für Löschen wie für Laden verwendbar ist. Dagegen ist das freie Profil der bisher verwendeten Gerüstkonstruktionen zu klein; eine Anpassung in dieser Richtung ließe sich durch Gerüstarrordnungen besonderer Art erreichen. Ferner wäre die Zentralisation der Energieerzeugung durch Einführung elektrischen Betriebes notwendig; auch dies würde keine Schwierigkeiten bieten. Weniger leicht ist die Forderung zu befriedigen, dass Maschinen für Kaibetrieb von Kaimarbeitern und nicht von Maschinisten bedient werden, da sie sehr einfache Steuerung und sehr wenig Wartung voraussetzen.

(Fortsetzung folgt.)

Elektrische Solenoid-Stoßbohrer für hartes Gestein.

Von Ernst Heubach.

Nachdem die Elektrizität für den Bergbau eine unentbehrliche Betriebskraft geworden ist, hat sich in den letzten Jahren das Interesse in hohem Maße auch auf den elektrischen Streckenvortrieb gelenkt. Verschiedentlich sind die mit elektrischen Gesteinbohrern erzielten Betriebsergebnisse neuerdings der Öffentlichkeit übergeben worden, und in fast allen diesen Veröffentlichungen ist der Solenoidbohrer, wohl der verbreitetste elektrische Stoßbohrer, erwähnt worden. Da nun über Konstruktion und Wirkungsweise der Solenoid-Stoßbohrer in ihrer heutigen Ausführung noch so gut wie gar nichts bekannt gegeben ist, so will ich diese Maschinen hier etwas eingehender behandeln; vorerst jedoch möchte ich einiges über den Streckenvortrieb im allgemeinen vorausschicken.

Gewöhnlich erfolgt der Vortrieb eines Stollens in hartem Gestein in der Weise, dass in der vorzutreibenden Richtung Minen- oder Sprenglöcher gebohrt und mit Sprengstoff gela-

den werden, durch dessen Entzündung das Gestein zertrümmert und zum Einbruch gebracht wird; die eingefallenen Gesteintrümmer werden nach der Sprengung abgeräumt und der Vorgang, der »Angriff«, wiederholt. Selbstverständlich werden derartige Sprengungen nicht nur untertage, sondern auch in offenen Brüchen, beispielsweise zur Gewinnung von Werk- und Pflastersteinen, vorgenommen.

Man sucht natürlich dafür Sorge zu tragen, dass die Zeit eines Angriffs nach Möglichkeit abgekürzt wird. Von den infrage stehenden Arbeiten nimmt das Bohren der Sprenglöcher die meiste Zeit in Anspruch; ihr Besetzen und Abschießen erfordert dagegen nur sehr wenig Zeit. Die Abräumarbeiten lassen sich nur durch Vermehrung der Arbeiter beschleunigen, was in den meisten Fällen unmöglich ist, da der erforderliche Raum nicht zur Verfügung steht; es bleibt also nur übrig, die Zeit zum Bohren der Sprenglöcher zu verringern, und so musste man darauf bedacht sein,

an die Stelle der Handbohrung die Maschinenbohrung treten zu lassen.

Das Bohren von Hand erfolgt bei härterem Gestein je nach dessen Beschaffenheit auf zweierlei Art. Bei dem einen Verfahren wird eine mit meißelartiger Schneide versehene Bohrstange an das Gestein gehalten und mit einem mittelschweren Hammer darauf geschlagen, worauf der Bohrer, um ein rundes Loch zu erzielen, etwas zurückgezogen und ein wenig um die Längsachse gedreht wird. Zu dieser Arbeit sind meistens 2 Arbeiter, nämlich einer zum Drehen und Halten des Bohrers, der andere zum Zuschlagen erforderlich. Bei dem zweiten Verfahren der Handbohrung verrichtet ein Mann die Arbeit in der Weise, dass er den Bohrer nach Art eines Speeres gegen das Gestein stößt und beim Zurückziehen etwas dreht. Die erzielte Bohrlochtiefe ist natürlich bei diesem Verfahren geringer, und deswegen findet es seltener und nur bei weniger hartem Gestein Anwendung.

Bei der maschinellen Stoßbohrung, gleichgültig ob durch Druckluft, Presswasser oder elektrisch, ist dieses letztere Verfahren der Handbohrung nachgeahmt, und zwar in der Weise, dass ein Kolben, an welchem der Bohrer befestigt ist, diesen rasch und kräftig gegen das Gestein stößt und sich beim Rückwärtgehen mit dem Bohrer in der Längsachse dreht, d. h. den Bohrer »umsetzt«. Doch ist dieses Verfahren der maschinellen Bohrung in hartem Gestein nicht das allein gebrauchliche; es können vielmehr auch Drehbohrer mit harter Bohrkronen verwendet werden, welche unter hohem Druck an das Gestein gedrückt werden und es so zerkleinern. Der Bohrer ist innen hohl und nimmt den ausgebohrten zylindrischen Bohrstengel auf. Für diese Bauart ist die hydraulische Drehbohrmaschine von Brandt kennzeichnend. In Nr. 48 der Zeitschrift »Glückauf« 1900 ist ferner eine elektrische Diamant-Drehbohrmaschine mit hydraulischem Bohrerandruck beschrieben. Betriebsergebnisse sind dort jedoch nicht mitgeteilt; erwähnt sei nur, dass zum Betriebe derartiger Gesteinbohrer außer einer elektrischen Anlage noch eine Kompressoranlage für das Druckwasser und folglich auch elektrische und Druckwasserleitungen erforderlich sind. Einer späteren Arbeit mag es vorbehalten sein, auf Drehbohrer näher einzugehen.

Von sämtlichen Stoßbohrmaschinen haben außer dem Solenoidbohrer bis heute nur noch zwei Arten Bedeutung erlangt; es sind dies die Druckluft- und die Kurbel-Stoßbohrmaschine. Bei jener wird in einem Zylinder durch Druckluft ein Kolben in hin- und hergehende Bewegung versetzt, der den Bohrstahl gegen das Gestein stößt; diese besteht aus einem mittels biegsamer Welle durch einen Elektromotor angetriebenen Federhammer¹⁾. Bei später anzustellenden Vergleichen werde ich daher nur auf diese beiden Systeme beziehen.

Der erste Versuch, mittels Elektrizität ohne Zwischenschaltung mechanischer Triebwerke eine hin- und hergehende Bewegung zu erzielen, wurde von Werner von Siemens gemacht, der 1879 eine Anordnung erfand, bei der durch geeignete Schaltung dreier Solenoiden ein in diesen gelagerter Eisenkern bewegt wurde, ohne dass es erforderlich war, die Stromkreise der einzelnen Spulen zu unterbrechen. Die Wirkungsweise der Maschine war dadurch gekennzeichnet, dass die mittlere der drei hinter einander angeordneten Spulen dauernd mit Gleichstrom erregt, die beiden äußeren Spulen mit Wechselstrom gespeist wurden. Auf diese Weise trat eine Verstärkung des magnetischen Feldes bald auf der einen, bald auf der andern Seite der Spulenordnung auf, wodurch der Eisenkern abwechselnd vorwärts und rückwärts gezogen wurde, entsprechend dem Maximum des Magnetismus. Der Erfinder konnte jedoch mit dieser Anordnung die gewünschte Wirkung nicht erzielen und verließ infolgedessen nicht nur diesen Weg, sondern merkwürdigerweise das ganze Solenoidprinzip; die Gründe dafür waren folgende:

- 1) Zum Betrieb der Maschine waren zwei Stromarten und somit 2 Dynamos erforderlich;
- 2) da die Schlagzahl eines Solenoidbohrers gleich der Periodenzahl des Wechselstromes ist und praktisch nicht über

400 in der Minute gesteigert werden kann, musste die Wechselstrommaschine zur Erzielung der geringen Periodenzahl sehr langsam laufen, was erhebliche konstruktive Schwierigkeiten bot und die Maschine im Vergleich zur Leistung sehr schwer und teuer machte;

3) für den Betrieb einer einzigen Bohrmaschine waren 6 Leitungen erforderlich;

4) der Energieverbrauch war sehr groß, da das magnetische Feld bei jeder Periode nur auf einer Seite wirksam ist, während das auf der andern Seite erzeugte Wechselfeld durch das Gleichstromfeld kompensiert wird. Außerdem geht auch durch die Windungen der unwirksamen Spule Strom, was einen unmittelbaren Energieverlust bedeutet;

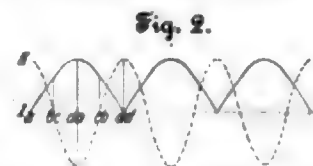
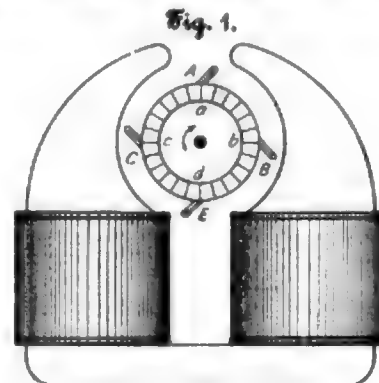
5) die Erwärmung der Maschine im Betriebe ist sehr beträchtlich, sofern man die Maschinen nicht mit Abmessungen ausführt, die sie praktisch unverwendbar machen;

6) zur Zeit, als die ersten Siemens-Solenoidmaschinen gebaut wurden, machte die Isolierung der Spule Schwierigkeiten, die jetzt als überwunden angesehen werden können.

Glücklicherweise fand jedoch das Solenoidprinzip Anhänger, die es sich zur Aufgabe machten, die genannten Mängel nach Möglichkeit zu beseitigen. Daher war bei Gelegenheit der Elektrotechnischen Ausstellung zu Frankfurt a/M. bereits 1891 ein Solenoid-Gesteinbohrer in Thätigkeit zu sehen, der Anspruch darauf machen konnte, dem Bergmann als praktisches Werkzeug zu dienen. Diese Maschine war nach den Patenten von Depoeles von der Thomson Houston International Electric Company ausgeführt. Die mit ihr damals bei Granit erzielten Bohrergebnisse sind in »Elektrizität« (offizielle Zeitung der Internationalen Elektrotechnischen Ausstellung) Nr. 22 mit 40 cm für 10 min und 44 mm Lochdurchmesser angegeben.

Grundsätzlich unterscheidet sich der von Depoelesche Stoßbohrer von der ursprünglichen Siemensschen Anordnung nur dadurch, dass an die Stelle des die mittlere Spule speisenden Gleichstromes pulsirender Gleichstrom getreten ist. Durch diese Aenderung war die Verminderung der Stromzuführungsleitungen von 6 auf 3 ermöglicht; auch gelangte nur eine Primärmaschine zur Anwendung. Depoele verwandte zur Stromlieferung für alle drei Spulen des Stoßbohrers eine Gleichstrommaschine von 1600 Uml./min, die infolge der sinnreichen Anordnung der Kollektorbürsten außer Gleichstrom pulsirenden Gleichstrom und Wechselstrom von der bereits erwähnten niedrigen Periodenzahl trotz hoher Umlaufzahl der Dynamo abzugeben imstande war.

Diese Spezialdynamo war dadurch gekennzeichnet, dass der Strom zur Speisung der Stoßbohrer durch 3 Bürsten, von denen eine feststehend, die beiden andern umlaufend angeordnet waren, abgenommen wurde. In Fig. 1 ist diese Anordnung schematisch dargestellt; B und C stellen die umlaufenden Bürsten, A die feststehende Bürste der zweipoligen Dynamo dar. Wie bereits erwähnt, macht der Anker 1600 Umläufe; die Bürsten B und C bewegen sich in derselben Drehrichtung wie der Anker, aber mit 400 Uml./min. Wird nun zwischen A und B Strom abgenommen, so ist dies pulsirender Gleichstrom, dessen Spannung am geringsten wird, sobald sich die Bürste B an derselben Stelle wie A, nämlich bei a befindet; mit der Wanderung des Bürstenpaares B C wächst die Spannung des pulsirenden Stromes bis zum größten Wert bei der

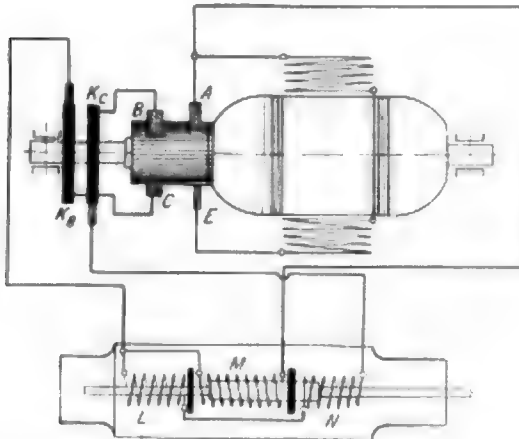


¹⁾ Elektr. Ziechr. 1895 H-ft 34; Nachrichten von Siemens & Halske 1900 Nr. 31 bis 34 (Beilage zur Elektr. Ziechr.).

Bürstenstellung d , um bis a wieder auf null herabzusinken. Dieser Vorgang ist in Fig. 2 durch Kurve I gekennzeichnet, welche die Spannungswerte für die einzelnen Punkte a , b , d und c darstellt; es finden also bei den angegebenen Anker- und Bürstenumdrehungen 400 Impulse in der Minute statt. Der Wechselstrom wird von den Bürsten B und C abgenommen. Im Augenblick, wo sich die Bürsten in a und d befinden, ergibt sich für die Gleichstromspannung zwischen Bürste A und B der kleinste Wert, wohingegen die Wechselstromspannung ihr Maximum erreicht hat und wieder bis null sinkt, wenn die rotierenden Bürsten bis zu den Punkten b und c gelangen, also wenn die Kurve des pulsirenden Stromes den Halbwert ergibt. Die größten Werte der beiden Kurven sind gleich, und das Gleichstrom-Maximum entspricht dem negativen Größtwert des Wechselstromes, der Gleichstrom-Nullwert dem positiven Größtwert des Wechselstromes. Die Periodenzahl des Wechselstromes ist folglich gleich der Anzahl der Gleichstromimpulse, also 400 in der Minute.

Außer den 3 erwähnten Bürsten ist an der Dynamo noch eine weitere feststehende Bürste, E in Fig. 1, angeordnet, die lediglich dazu dient, in Verbindung mit der Bürste A Gleichstrom zur Erregung der Magnetschenkel abzuziehen. Die rotierenden Bürsten sind mit 2 Schleifringen K_A und K_C , Fig. 3, leitend verbunden, durch die der Strom den Fernleitungen zugeführt wird. Die Bürsten werden bei der van Depoeleschen

Fig. 3.



Anordnung entweder durch ein Vorgelege unmittelbar von der Ankerwelle oder durch einen besonderen Motor angetrieben; das letztere Verfahren hat den Vorzug, dass die Periodenzahl und somit die Hubzahl des Stoßbohrers während des Betriebes geändert werden kann. Im allgemeinen empfiehlt sich jedoch die Aenderung der Hubzahl durch die Dynamo nicht, weil davon stets alle im Betriebe befindlichen Bohrer beeinflusst werden; eine Veränderung der Hubzahlen aber ist nur beim Uebergang von einem zum andern Gestein erforderlich, der nie bei sämtlichen Bohrern gleichzeitig eintreten wird.

Die drei Spulen des Stoßbohrers sind in der in Fig. 3 dargestellten Weise mit der Spezialdynamo verbunden; die in der Mitte liegende Spule M wird mit pulsirendem Gleichstrom gespeist; zu beiden Seiten sind die hintereinander geschalteten Wechselstromspulen L und N angeordnet. Die beiden Wechselstromspulen sind in entgegengesetztem Sinne gewickelt, ihre Magnetisirkurven sind also um 180° verschoben. Der Kraftlinienverlauf im Bohrer während der einzelnen Bürstenstellungen ist in den Figuren 4, 5 und 6 wiedergegeben. Wenn sich die beiden Wechselstrom-Magnetisirkurven schneiden, wird ein Feld lediglich durch die mittlere (Gleichstrom-) Spule erzeugt, und der Eisenkern stellt sich in die Mitte des Spulensystems. In Fig. 5 fällt die Richtung der Kraftlinien der linken Spule mit der der mittleren zusammen; die magnetisirenden Kräfte dieser beiden Spulen addiren sich also, während, da sich der Eisenkern sofort ins stärkere Feld bewegt, durch die rechte Spule nur ein äußerst schwaches

Gegenfeld erzeugt wird. Beim Abfallen der Stromstärke überwiegt die magnetisirende Kraft der Gleichstromspule, der Eisenkern bewegt sich also wieder in die Mittelstellung, Fig. 4, um dann bei entgegengesetzter Wechselstromrichtung, wie in Fig. 6 angegeben, nach der rechten Spule zu wandern; dasselbe Spiel wiederholt sich, und der Kern folgt in umgekehrter Hubrichtung.

Wir haben bereits gesehen, dass ein Gleichstromimpuls einer vollen Periode des Wechselstromes entspricht; da aber die Magnetisirkurven der beiden Wechselstromspulen gegeneinander um 180° verschoben sind, so fällt ihr größter Wert für die eine Spule mit der stärksten Magnetisierung der mit pulsirendem Gleichstrom gespeisten Spule zusammen, während sich das Minimum der letzteren mit der stärksten Magnetisierung der anderen Wechselstromspule deckt. Die Summen der magnetisirenden Kräfte sind daher verschieden, wenn sich der Eisenkern von seiner Mittellage in die eine oder andere Wechselstromspule bewegt, d. h. beim Depoeleschen Stoßbohrer ist die Schlagkraft in der einen Richtung größer als in der entgegengesetzten. Im allgemeinen wurde bei dieser Maschine die größere Kraft zum Vorstoßen des Bohrers verwendet, da ja eigentliche Arbeit nur beim

Fig. 4 bis 6. Kraftlinienverlauf im Stoßbohrer.

Aufschlagen des Bohrstahles gegen das Gestein zu leisten ist. Diese Anschauung ist theoretisch richtig, in der Praxis jedoch nur da gültig, wo man es mit einem durchaus homogenen Gestein zu thun hat. Weil dieser Fall indes fast niemals eintritt, sondern dem Rücksug durch Festklemmen der Bohrer, wie wir später sehen werden, große Hindernisse in den Weg gelegt werden, so konnte dem damaligen Stoßbohrer der Vorwurf gemacht werden, dass die Rückzugkraft für den praktischen Betrieb zu gering sei.

Diese Ansicht ist durchaus berechtigt, und bei den heute gebräuchlichen Solenoidbohrern ist dieser Fehler beseitigt.

Van Depoele erkannte selbst sehr bald, dass zum Zurückziehen des Bohrers unter Umständen eine erheblich größere Kraft erforderlich ist als zu einem wirksamen Vorstoß; deshalb sah er die in Fig. 7 dargestellte Umschaltung vor, welche ermöglicht, das eine Ende der Magnetisirkurve nach Belieben mit der einen oder andern Verbindungsleitung der rotierenden Bürsten zu verbinden und so die vorwiegende Zugkraft nach rückwärts oder vorwärts wirken zu lassen. Auf den ersten Blick scheint es, als ob durch diese Anordnung das Ideal eines elektrischen Gesteinbohrers geboten sei; den guten Eigenschaften wirken jedoch andere nachtheilige Umstände entgegen. Abgesehen davon, dass die unwirksame Wechselstromspule, der wirksamen als Ohmscher Widerstand vorgeschaltet, sowohl beim Vorwärts- wie beim Rückwärtsgang des Kolbens unwirksame Arbeit in Wärme umsetzt, fällt in erster Linie der Umstand schwer in Gewicht, dass es infolge der Verwendung von 3 Spulen unmöglich ist, zwischen den einzelnen Spulen Eisenmassen, die zu einer besseren Ueberleitung der Kraftlinien nach dem Kolben erforderlich sind, anzuordnen. Um überhaupt eine Hubbewegung zu erzielen, kann nur an den Endflächen der äußeren Spulen magnetisches Eisen angebracht werden, und die Kraftlinien müssen, wie wir besonders in Fig. 4 sehen, zwischen den 3 Spulen einen

Fig. 4.

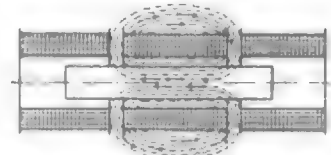


Fig. 5.

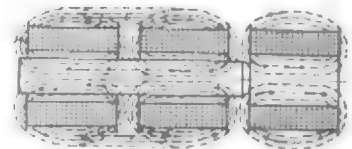
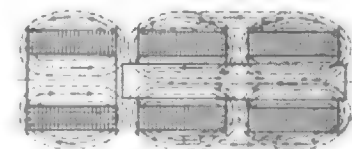


Fig. 6.





arbeiten, dass sie den harten, durch die Eigenart des Bergbaues bedingten Betriebsbedingungen in jeder Weise genügeleisten.

Die durch die Anwendung von 3 Solenoiden bedingte Länge der Maschine von 1320 mm war für Gesteinbohrer etwas unbequem; um sie zu verringern und die schon erwähnten Mängel des Dreispulensystems zu beseitigen, versuchte schon Depoele, einen Stoßbohrer mit nur 2 Solenoiden zu bauen, dessen Prinzip in Fig. 10 dargestellt ist. Der Eisenkern *E* bewegt sich innerhalb der Spulenpaare *A* und *B*, deren äußere Wicklungsenden mit den beiden feststehenden Bürsten *L* und *M* verbunden sind, während dem mittleren Spulenanschluss Strom über

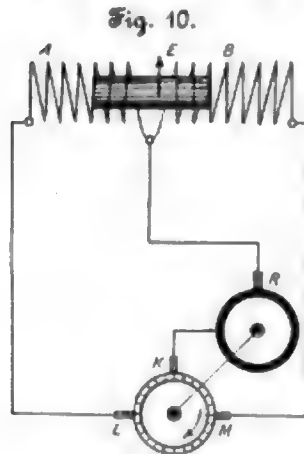


Fig. 10.

den Schleifring *B* von der rotierenden Bürste *K* zugeführt wird. Auf diese Weise fällt die Stromstärke der Spule *A*, wenn die der Spule *B* steigt, und umgekehrt, und der Kolben folgt mit der Hubbewegung synchron den Umdrehungen der rotierenden Bürste *K*. In der gezeichneten Stellung sind die magnetisierenden Kräfte der beiden Spulen gleich, und der Eisenkern stellt sich in die Mitte des Systems; befindet sich jedoch *K* bei *M*, so ist nur Spule *B* unter Strom, und der Eisenkern wird in diese gezogen; das gleiche gilt für die Spule *A*, wenn *K* bei *L* angelangt ist.

Diese Anordnung genügt jedoch infolge der im Verhältnis zum Energieaufwand geringen Schlagwirkung den Anforderungen nicht und musste einer andern, zuerst von Marvin angegebenen das Feld räumen.

Bei der von Marvin getroffenen Anordnung¹⁾, die etwa ebenso alt wie die Depoelesche ist, wurde vor allem der Siemenssche Gedanke, nämlich die Spulen des Stoßbohrers mit Strom zu speisen, dessen Leitungswege keine Unterbrechung erfahren, verlassen. Zum Speisen der beiden Spulen verwendet Marvin, ebenso wie Depoele, Wechselstrom von niedriger Periodenzahl, welcher den beiden Spulen jedoch abwechselnd zugeführt wird. Die bereits beschriebene Spezialdynamo kann auch zum Betrieb dieser Solenoid-Stoßbohrer Verwendung finden, wenn die Bürstenanordnung am Kollektor unverändert bleibt, die rotierenden Bürsten *B* und *C* jedoch mit den Schleifringen gemäß Fig. 11 verbunden werden.

Da zum Betriebe des Bohrers nur Wechselstrom erforderlich ist, sind die feststehenden Bürsten *A* und *E* nur zur Selbsterregung der Dynamo angebracht. Während der eine der Schleifringe, die sich zusammen mit den umlaufenden Bürsten drehen, wie früher mit einer der letzteren leitend verbunden ist, ist der andere geteilte Ring nur mit einer Hälfte an die Bürste *B* angeschlossen. Die Bürsten *O* und *P* dieses Ringes sind so gestellt, dass sie vom stromführenden zu dem nicht stromführenden Teil des Ringes dann übergehen, wenn sich die umlaufenden Bürsten *B* und *C* in der Lage befinden, wo der Wechselstrom auf null gesunken ist; die Leitung wird also nur dann unterbrochen, wenn sie stromlos ist, wodurch Funkenbildung vermieden wird. Die Wirkungsweise dieses Zweispulenbohrers ist nun ohne weiteres verständlich: über den Ring *KC* wird der Mitte des Spulensystems und durch die Bürsten *O* und *P* den äußeren Wicklungsenden in der Weise Strom zugeführt, dass bei je einer halben Umdrehung der rotierenden Bürsten entweder die eine oder die andere der Spulenhälften *V* und *H* erregt und der Eisenkern bei jeder halben Periode entweder vor- oder rückwärts bewegt wird. Die Schlagzahl des Marvin-Bohrers entspricht also ebenfalls der Periodenzahl des Wechselstromes des Generators; die Schlagkraft ist, da der positive und der negative Größtwerth des Wechselstromes einander gleich sind, nach beiden Seiten gleich stark.

Die Union E.-G. hat sich die Ausbildung der beiden be-

schriebenen Arten von Solenoid-Stoßbohrern zur besonderen Aufgabe gemacht. Dabei hat der Marvinsche Stoßbohrer entschieden den Sieg davon getragen; denn diese Maschine ist bei gleicher Leistung um mehr als die Hälfte leichter als die Depoelesche, sie hat einen größeren Hub, ist kürzer, von kleinerem Durchmesser und kann trotz der geringeren Abmessungen einen kräftigen Schlag ausüben. Bergverwalter Drolz, der die Bedeutung der Marvinschen Maschine zuerst erkannte, hat bei der mechanischen Ausbildung dieses Stoßbohrers nach den Bedürfnissen des Betriebes seine weitgehenden Erfahrungen auf diesem Gebiete zur Verfügung gestellt.

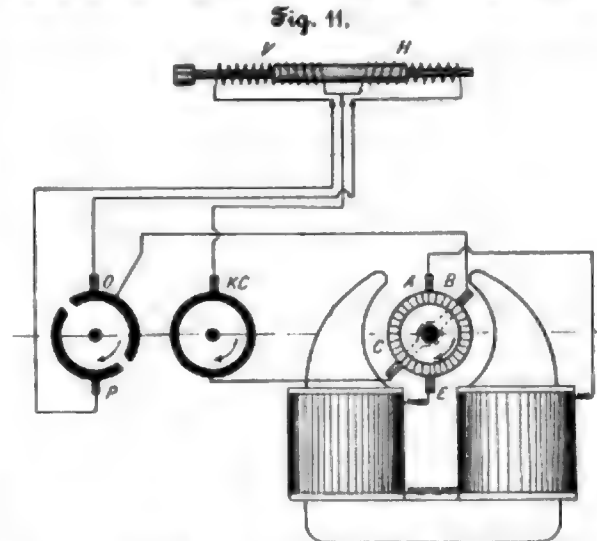


Fig. 11.

Die Wicklung des Dreispulenbohrers von van Depoele bestand aus umsponnenem Kupferdraht; da die vollständige Einkapselung der Spulen und die beschränkten Raum- und Gewichtverhältnisse eine hohe Beanspruchung der Drähte im Verhältnis zum Querschnitt notwendig machten und dies eine starke Erwärmung zur Folge hatte, so konnte die Isolation auf die Dauer nicht widerstehen, und bei den ersten Anlagen verkohlte die Baumwolle mit der Zeit, wodurch die Spulen

(nach den Berichten von Mariahutta allerdings erst nach geraumer Zeit²⁾) unbrauchbar wurden. Bei der neuen Ausführungsform wurde als Isolierstoff für die Bohrmaschinen ausschließlich Glimmer, der ja allen hier vorkommenden Temperaturen widersteht, verwendet.

Einen Schnitt durch die mit Glimmer isolierte Bohrspule zeigt Fig. 12.

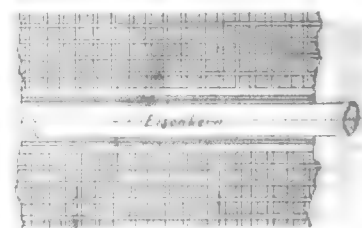
Zwischen die einzelnen aus blankem Kupferdraht von 2×2 mm bestehenden Windungen sind Glimmersegmente von 0,15 mm Stärke eingeschoben, während die verschiedenen Lagen über einander durch 0,3 mm starke Bandwicklungen aus Glimmer isoliert sind. Die Lebensdauer einer solchen Bohrspule ist als unbegrenzt angegeben³⁾, da eine Fehlstelle an den Spulen infolge von Isolationsfehlern nicht zu verzeichnen war.

In Grubenbetrieben muss gerade diesem letzten Umstande besonders Rechnung getragen werden, da bei andern Bohrmaschinenarten die Reparaturkosten die sonstigen Betriebskosten bei weitem überwiegen und zu äußerst ungünstigen wirtschaftlichen Endergebnissen führen können.

Fig. 13 zeigt einen Längsschnitt der Marvin-Maschine nach der Ausführung der Union E.-G. Diese Bohrmaschine

Fig. 12.

Bohrspule mit Glimmerisolation.



¹⁾ 2 Spulen haben 4014 Bohrlöcher von rd. 4000 m Gesamt-Bohrlochlänge überdauert.

²⁾ Vgl. Österreichische Zeitschrift für Berg- und Hüttenwesen, XLIV. Jahrgang 1896.

¹⁾ D. R.-P. Nr. 51825.



Joann Leurechon (1591 bis 1670).

Von Professor Th. Beck, Privatdozent in Darmstadt¹⁾.

Reuleaux sagt in seiner Beschreibung des »Kapselräderwerkes« auf S. 393 seiner »Kinematik«: »Hiernach liefert also die vorliegende Einrichtung eine in manchen Fällen recht brauchbare Wasserpumpe. — Als solche ist die Maschine schon beträchtlich alt. Weisbach nennt sie die Bramahsche Rotationspumpe, welche von Leclerc verbessert sei; andere nennen sie die Leclercsche Pumpe. Hiernach würde ihre Erfindung auf das Ende des vorigen Jahrhunderts zurückzuführen sein. Aber schon 1724 wird die Pumpe von Leupold (Theatrum mach. hydraul. Tom. I S. 123) als alt beschrieben und »Machina Pappenheimiana« betitelt, und zwar unter folgender Ueberschrift: »Eine Kapselkunst mit zwei gehenden Rädern, von D. Becher Machina Pappenheimiana genannt.« Nun ist das Bechersche Werk (Trifolium Becherianum) in der ersten Hälfte des 17. Jahrhunderts erschienen; außerdem aber beschreiben Kircher, Schott, Leurechon und nach diesem Schwenter in seinen »mathematischen Erquickstunden« vom Jahre 1636 S. 485, dieselbe mit der Aenderung, dass die beiden Pumpenräder vier statt sechs Zähne haben, ohne Anführung des Namens Pappenheim. Hiernach ist die Maschine heute (1875) schon 230 Jahre alt; sie war zur Zeit des 30jährigen Krieges schon bekannt und scheint nach allem eine deutsche Erfindung. Ob ihr Erfinder Pappenheim geholfen, oder ob sie nur nach irgend einem Pappenheimer benannt worden, bleibt noch besonders festzustellen; ohne Frage kann man sie die Pappenheimsche Pumpe auch ferner nennen. . . .«

Danach könnte man glauben, D. Becher habe das Kapselräderwerk zuerst beschrieben und der Name »Machina Pappenheimiana« käme schon in der ersten Beschreibung desselben vor. Die Werke Dr. Joh. Joach. Bechers, der von 1636 bis 1682 lebte, sind aber nicht in der ersten, sondern in der zweiten Hälfte des 17. Jahrhunderts erschienen. Die Stelle, worin er das Kapselräderwerk beschreibt, findet sich auch nicht im »Trifolium Becherianum Hollandicum«, sondern im Anhang zu seiner Streitschrift: »Närrische Weisheit und weise Narrheit«, der überschrieben ist: »Dr. Bechers kurzer doch gründlicher Bericht von Wasserwerken und Wasser-künsten«, wo § 16 lautet:

»Noch ist eine Manier, das Wasser zu heben durch gezähnte Räder, die ineinander schließen und ein Diaphragma machen, wodurch das Wasser gepresst, hinauf muss. Dies wird genannt ein Wasserschloss oder Machina Pappenheimiana, sie will sehr fleißig gemacht sein, giebt viel Wasser, aber nicht hoch. . . .«

Dies ist Bechers ganze Beschreibung vom Kapselräderwerke, eine Abbildung ist nicht dabei, und das Werk »Närrische Weisheit und weise Narrheit« erschien erst 1680 zu Frankfurt a/M. Die beiden Jesuiten Athanasius Kircher und Caspar Schott schrieben ihre Werke über Physik und Mechanik um die Mitte des 17. Jahrhunderts. Des letzteren »Mechanica hydraulico-pneumatica« erschien 1657 in Würzburg, Schwenters »mathematische Erquickstunden« als Fortsetzung von Georg Philipp Harstörffers »Deliciae mathematicae et physicae« 1636 in Nürnberg.

Daniel Schwenter wurde am 31. Januar 1585 in Nürnberg geboren; er legte schon in seinem elften Lebensjahre einen guten Grund zum Studium der morgenländischen Sprachen, neben welchen er später auf der Universität Altdorf Mathematik studierte. Von 1608 ab hielt er daselbst Vorlesungen über hebräische, von 1624 ab auch solche über chaldäische Sprache, und von 1628 ab las er auch über Mathematik. Der Ruhm seines mathematischen Wissens wurde so groß, dass Fürsten und andere Standespersonen sich darin Rats bei ihm erholten; insbesondere stand er bei dem gelehrten Herzog August von Braunschweig-Lüneburg sehr in Gnaden. Er starb aber schon 1636, in dem Jahre, in dem sein genanntes Werk erschien.

¹⁾ Vergl. das vom Verein deutscher Ingenieure herausgegebene Werk »Beiträge zur Geschichte des Maschinenbaues« desselben Verfassers (a. Z. 1899 S. 1370).

In der Vorrede zu diesem sagt er, ein Mathematiker in Paris, dessen Namen ihm unbekannt sei, habe vor wenigen Jahren ein Büchlein in den Druck gegeben, das er »Recréations mathématiques« genannt habe. Dieses sei ihm unlangst von einem Freunde aus Paris zugeschickt worden und habe ihn so interessirt, dass er es mithilfe eines der französischen Sprache mächtigen Bekannten ins Deutsche übersetzt und mit vielen von ihm seit seiner Jugend gesammelten ähnlichen Aufgaben und Fragen vermehrt habe.

Nun findet sich in Caspar Schotts »Mechanica hydraulico-pneumatica«, Pars II Classis I Mach. XVII, folgende Einleitung zur Beschreibung des Kapselräderwerkes:

»Der Autor der »Recreationes mathematicae«, die vor mehreren Jahren in französischer Sprache geschrieben wurden — es ist dies P. Joannes Leurechon von der Gesellschaft Jesu — und nach diesem Daniel Schwenter in seinen »Recreationes mathematicae«, pars 13 quest. 8 und Caspar Ens in seinem »Thaumaturgus mathematicus«, Probl. 93 num. 7, erwähnen eine hydraulische Maschine, welche, wie Kircher, ein Augenzeuge, der sie in Mainz sah, mich versicherte, dass aus einem darunter befindlichen Gefäße oder Brunnen angesogene Wasser mit solcher Gewalt in die Höhe warf, dass sie nach der Wirkung, die sie hervorbringt, »Wasserschleuder (Hydracontisterium)« genannt werden kann.«

Der hier als Verfasser der »Recreationes mathematicae« genannte Joann Leurechon war nach Zedlers Universallexikon 1591 zu Bar-le-Duc geboren, trat gegen den Willen seiner Eltern in den Jesuitenorden, lehrte Philosophie, Mathematik und Theologie, wurde Rektor des Jesuitenkollegs in seiner Vaterstadt sowie Beichtvater des Herzogs von Lothringen und starb 1670. Von seinem Werkchen, dessen Titel in Zedlers Lexikon lateinisch mit »Hilaria mathematica« angegeben ist, wird gesagt, es sei 1624 zu Pont-à-Mousson erschienen.

Eine Ausgabe von diesem Jahre ist uns nicht zu Gesicht gekommen, doch fanden wir in der Münchener Hofbibliothek eine, die betitelt ist: »Recreation mathématique, composée de plusieurs problèmes plaisants et facétieux. Pont-à-Mousson par Jean Applier Hanzelot, imprimeur et graveur de son Altesse et de l'Université 1626«. Es ist eine kleine Sammlung unterhaltender Rechenaufgaben, Kartenkünste, Taschenspiellereien, chemischer und physikalischer Aufgaben, worunter sich auch einige Beschreibungen von Mechanismen und Maschinen finden. Der Name des Verfassers ist auf dem Titelblatte nicht angegeben, die Widmung ist unterschrieben: »H. van Eten«, welcher Name, wahrscheinlich auf das Zeugnis Caspar Schotts hin, als Pseudonym des Paters Leurechon betrachtet wird.

In der kgl. öffentlichen Bibliothek in Stuttgart befindet sich eine vermehrte vierte Auflage, deren Herausgeber nur durch die Buchstaben: D. H. P. E. M. auf dem Titel angedeutet ist, und welche 1627 zu Paris erschien. Ihr Inhalt stimmt mit dem der Ausgabe von 1626 überein, doch sind die einzelnen Paragraphen mit Anmerkungen des Herausgebers versehen.

Das von Caspar Schott erwähnte Schriftchen »Thaumaturgus mathematicus« von Gasparo Ens, welches die Darmstädter Hofbibliothek besitzt, ist eine lateinische Uebersetzung des Werkchens von Leurechon, die 1636 in Köln erschien.

Auch findet sich in der Darmstädter Hofbibliothek eine abermals vermehrte Ausgabe mit dem Titel: »Examen du livre des Recréations mathématiques par Claude Mydorge. Rouen 1639.« Sie besteht aus drei Teilen, wovon der erste mit Leurechons Werkchen übereinstimmt. In 21. Problem des dritten Teiles ist eine Hebelade beschrieben. Ein Anhang enthält eine Zusammenstellung der in der Ausgabe von 1627 zerstreuten Anmerkungen.

Ein Abdruck dieser Ausgabe unter dem Titel: »Recreationes mathematicae etc.«, Lyon 1680, findet sich ebenfalls in der genannten Stuttgarter Bibliothek.

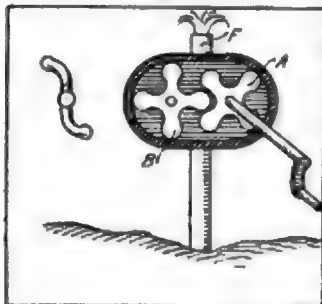
Aus alledem geht hervor, dass Leurechons Schriftchen

seinerzeit soviel Beifall fand, dass es vielfach zu buchhändlerischen Spekulationen benutzt wurde. Da Schwenters deutsche Bearbeitung von 1636 bereits die Abbildung und Beschreibung einer Hebelade enthält, wie wir sie in der Ausgabe von Leurechons Schrift aus dem Jahre 1639 fanden, und Schwenter dabei angibt, dass er sie dem französischen Verfasser entnommen habe, so muss zwischen 1627 und 1636 noch eine Ausgabe von dessen Schrift erschienen sein, die diese Beschreibung bereits enthielt, uns aber nicht zu Gesicht gekommen ist.

Das 88. Problem Leurechons ist überschrieben: »Von Wasserkünsten, hydraulischen Maschinen und andern Experimenten mit Wasser und Ähnlichen Flüssigkeiten«, und zerfällt in mehrere Abschnitte. Der sechste handelt von der Archimedischen Wasserschraube, und der siebente ist überschrieben: »Von einer andern schönen Wasserkunst« und lautet:

»Ich unterlasse es, von der Erfindung des Heron, des Ctesibius und Ähnlichen zu reden, die viele andere abgehandelt haben, und begnüge mich, eine neuere und recht löbliche vorzuführen. Es ist dies eine Maschine, Fig. 1, die verzahnte Räder A und B hat, welche man so in ein ovales Gehäuse einschließt, dass die Zähne des einen in die des andern greifen,

Fig. 1.



und so genau, dass weder Luft noch Wasser in dem ovalen Gefäße hindurchgehen kann, weder in der Mitte, noch an den Seiten, denn die Räder schließen so eng an alle Wände des Gehäuses an, dass kein Zwischenraum bleibt. An jedem Rade ist eine Achse, so dass man sie von außen mit einer Kurbel umehren kann. Indem die Kurbel das Rad A auf der einen Seite umeht, bewirkt sie, dass sich das andere in entgegengesetzter Richtung dreht, und durch diese Bewegung wird das Wasser von den Zahnflächen der Räder zu beiden Seiten mitgenommen, sodass bei fortgesetzter Drehung der Räder das Wasser gezwungen wird, durch die Röhre F emporzusteigen und auszufließen. Und um es nach einer beliebigen Seite hin zu treiben, bringt man auf dem Rohre F zwei andere bewegliche Röhre an, die so ineinander gefügt sind, wie es die Figur (links oben) besser zeigt als Worte.

Dies ist die älteste Beschreibung von einem Kapselräderwerke, die 10 bis 12 Jahre lang nur in französischen Werken erschien, bis im Jahre 1636 Daniel Schwenter eine deutsche Übersetzung davon mit genauer Kopie von Leurechons schlechter Abbildung lieferte. 31 bis 33 Jahre später als Leurechon beschrieb Caspar Schott diese Maschine und erwähnte, dass Kircher eine solche in Mainz gesehen habe; da aber erst 54 bis 56 Jahre nach dem Erscheinen jener ersten Beschreibung Becher sagt, man nenne sie »Machina Pappenheimiana«, so scheint uns dies von nicht viel größerer Bedeutung zu sein, als dass man sie heute Bramahsche oder Lecleresche Pumpe nennt. Nach allem dürfte das Kapselräderwerk eher für eine französische als für eine deutsche Erfindung zu halten sein.

Aus Leurechons Schrift erscheinen uns außerdem folgende Stellen erwähnenswert:

»Problem 65: Ein Instrument zu machen, das uns in den Stand setzt, weit und deutlich zu hören, wie das Fernrohr Galileis uns in den Stand setzt, weit und sehr groß zu sehen.«

»Glaube nicht, dass die Mathematik, welche für das Gesicht so schöne Hilfsmittel geliefert hat, dem Gehöre den Dienst versage. Man weiß wohl, dass man sich mit »sarcabanes« oder etwas langen Röhren ziemlich weithin und klar vernehmen machen kann. Die Erfahrung lehrt uns auch, dass es in gewissen Oertlichkeiten, wo die Bogen der Gewölbe eine Höhlung bilden, vorkommt, dass eine Person, die in einer Ecke ganz leise spricht, von denen deutlich verstanden wird, die in der andern Ecke sind, während Personen, die sich zwischen beiden befinden, nichts hören. . . . Man sagt, dass ein Fürst in Italien einen schönen Saal habe, worin er leicht und deutlich alle Gespräche hören könne, welche diejenigen führen, die in einem benachbarten Garten herumspazieren,

und zwar vermittle gewisse Vasen und Röhren, die den Garten mit dem Saale verbinden. Vitruv selbst, der Fürst der Architekten, erwähnt Gefäße und Röhren, die Stimmen der Schauspieler im Theater zu verstärken. Man braucht nicht mehr zu sagen, um zu zeigen, aus welchen Grundsätzen die neue Erfindung der »sarcabanes« oder Stimmtrichter hervorgegangen ist, deren sich einige hohe Herren in unserer Zeit bedienen. Sie sind von Silber oder Kupfer oder einem andern klingenden Metalle in Form eines eigentlichen Trichters gemacht. Man richtet das weite Ende nach der Seite desjenigen hin, welcher spricht, des Predigers, Lehrers, oder eines andern, um den Ton der Stimme zusammenzufassen und zu bewirken, dass er durch die an das Ohr gehaltene Röhre mehr vereinigt wird und weniger Gefahr läuft, zerstreut oder gebrochen zu werden, und folglich verstärkt wird.«

Die letzten Sätze lassen keinen Zweifel darüber aufkommen, dass hier Hörrohre und nicht Sprachrohre gemeint sind; wenn es auch bei überall gleichweiten Röhren dieser Art, wie man sie in Gebäuden angebracht findet, immer zweifelhaft ist, ob man sie als Hörrohre oder als Sprachrohre betrachten soll. In der zweiten Hälfte des 17. Jahrhunderts entstand Streit darüber, ob Athanasius Kircher oder Morland das Sprachrohr erfunden habe, und diejenigen, welche diese Erfindung Morland zuerkannten, ließen Kircher wohl als Erfinder des Hörrohres gelten. Da er aber 1602, oder nach anderen 1601, geboren wurde, war er zur Zeit, als Leurechon das Hörrohr als eine bereits bekannte und im Gebrauch befindliche Sache beschrieb, erst 22 bis 25 Jahre alt, und seine Werke: »Musurgia universalis« und »Phonurgia nova de prodigiis sonorum effectibus et sermocinatione per machinas sono animatas« erschienen erst 1650 und 1673, weshalb es nicht sehr glaubhaft erscheint, dass Kircher der Erfinder des Hörrohres sei.

Das 67. Problem Leurechons, welches überschrieben ist: »Von einer sehr seltsamen Lampe, die nicht verlöscht, wenn man sie in der Tasche trägt, oder auf der Erde herumrollt«, ist auf eine Stelle in dem 1550 erschienenen Werke »De Subtilitate« des Cardanus zurückzuführen, worin im XVII. Buche unter dem Titel »Sedes mira« gesagt wird:

»Auf ähnliche Weise ist erfunden worden, dass der Sitz eines Kaisers so angeordnet wurde, dass, in welche Lage er während des Fahrens auch gebracht werden mochte, dieser doch immer unbeweglich und bequem saß. Dies beruht auf der Anwendung von Ringen. Denn es werden drei Reife von Stahl mit drehbaren Zapfen versehen, nach oben und unten, vorn und hinten, rechts und links. Da es weiter keine Lage geben kann, so muss notwendigerweise die Person im Reiselwagen, wie dieser auch bewegt werden mag, immer in Ruhe bleiben. Es hat dies einige Ähnlichkeit mit den Laternen, von denen diese Einrichtung abgeleitet ist, denn obschon offen, verschütten sie, umgewendet, kein Öl.«

Dies ist, soweit wir es ermitteln konnten, die einzige Stelle in den Werken des Cardanus, woraus die Ansicht entstehen konnte, er sei der Erfinder der Kreuzgelenkkupplung, die Reuleaux mit Vorliebe die »Cardanische Kupplung« nennt (S. 430 seiner »Kinematik«). Aber Cardanus spricht hier von dem um drei senkrecht auf einander stehenden Achsen drehbaren Wagensitze als von einer alten, und von der ebenso aufgehängten Laterne als von einer noch älteren, nicht von ihm herrührenden Erfindung. Uebrigens ist zwischen der hier beschriebenen Aufhängung eines Wagensitzes oder einer Laterne und einer Kreuzgelenkkupplung ein solcher Unterschied, dass beide nicht als eine und dieselbe Sache zu betrachten sind. Ein Reiselwagen, ähnlich dem von Cardanus beschriebenen, findet sich in Brancas Werken »Le Machines«, Taf. 23, abgebildet, und diese Art der Aufhängung ist beispielsweise auch von Besson bei seinem Log (Blatt 57) angewendet; die Kreuzgelenkkupplung aber findet man hundert Jahre nach dem Erscheinen von des Cardanus Werk »De Subtilitate« noch nicht in Büchern beschrieben. An die letzten Sätze der daraus zitierten Stelle anknüpfend, beschreibt Leurechon die betreffende Laterne wie folgt:

»Das Gefäße, worin das Öl und der Docht ist, muss zwei Zapfen haben, Fig. 2, die in einen Reif eingreifen; dieser muss wieder zwei Zapfen haben, die in einen zweiten Reif von Kupfer oder einem andern festen Material eingreifen, und endlich muss dieser zweite Reif wieder zwei Zapfen haben, die in irgend einen andern Körper eingreifen, der die ganze Lampe

umschließt, und zwar in der Weise, dass die sechs Zapfen in sechs verschiedenen Richtungen stehen, nämlich nach oben und unten, vorn und hinten, rechts und links. Mithilfe dieser sechs Zapfen und der beweglichen Ringe wird die Lampe durch die Lage ihres Schwerpunktes immer richtig gestellt, wenn man sie dreht oder umzuwerfen versucht, was für diejenigen ergötlich und wunderbar ist, welche die Ursache davon nicht kennen.

Auch bei seinem 71. Problem knüpft Leurechon an eine Stelle aus dem ersten Buche des Cardanschen Werkes »De Subtilitate« an, welche lautet:

»Nach diesem Grundsatz (vom horror vacui) ist eine wunderbare Lampe konstruiert, Fig. 3, turmförmig und überall verschlossen, nur mit dem Loche *D* versehen, durch welches das Oel eingegossen wird, bis sie ganz gefüllt ist. Sie wird ganz aus Zinn verfertigt, und wenn sie umgekehrt ist, wie hier dargestellt, kann das Oel nicht durch das Loch *D* ausfließen, denn wenn es ausflösse, würde das, was in *C* ist, aus

Fig. 2.

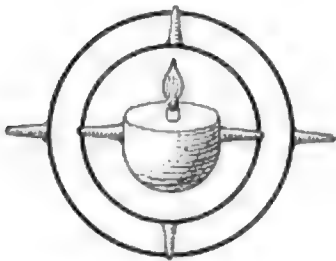
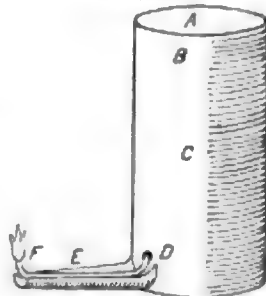


Fig. 3.

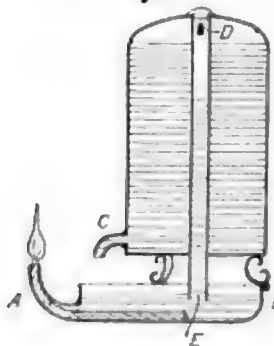


Gründen der Schwere und der Leere nach *D* fließen, was in *B* ist nach *C*, und was in *A* ist nach *B*. Daher müsste bei *A* ein leerer Raum bleiben. Damit aber in *A* kein leerer Raum entsteht, bleibt das Oel daselbst, sowie auch in *B* und *C*, und fließt daher nicht aus. Aber wie kann dann, wenn bei angestündetem Dochte das Oel bei *F* verzehrt wird, solches aus *D* und durch den Kanal herausfließen, da es doch scheint, dass wieder nur aufgrund eines Vakuums das nötige Oel hindurchkommen kann? Entweder wird es durch die Kraft der Wärme herausgezogen, oder es steigt aus eigenem Antriebe herab. Was den Satz vom Vakuum anlangt, so scheint er nichts damit zu thun zu haben, denn der Versuch lehrt, dass die Lampe brennt und dabei allmählich leer wird, aus eigenem Antriebe aber das Oel nicht herabsinkt. Die Ursache ist daher, dass das Feuer das Oel durch Erwärmung dünner macht. Das dünner werdende Oel dehnt sich aus und tritt durch das Loch *D* heraus. Der leichteste Teil desselben steigt aber nach der höchsten Stelle der Lampe hinauf, die wir mit *A* bezeichnet haben. Da dieser aber mit viel Luft (Dampf?) beladen ist, füllt er diesen Raum mit Luft an, und dieser nimmt so allmählich zu, während das Oel ausfließt. Deshalb ist es auch nötig, fleißig darauf zu achten, dass der Kanal *DEF* nicht kürzer ist als recht, und dass der Docht nicht größer, weil in beiden Fällen das Oel durch die große Hitze schneller ausgedehnt wird, sodass es überfließt.

An diese Stelle des Cardanus anschließend, sagt nun Leurechon:

»Die Lampe, welche ich hier vorlege, Fig. 4, ist viel sinnreicher. Ihr Hauptteil ist ein Gefäß *CD*, das nahe dem Boden ein Loch hat mit einer kleinen Röhre *C*, sowie eine andere größere Röhre, welche durch das Gefäß geht und ganz nahe bei dem Deckel desselben eine Öffnung *D* sowie unter dem Gefäße, dicht über dem Boden der Schale *AB*, dadurch eine Öffnung *E* hat, dass sie den Boden der Schale nicht berührt. Wenn das Gefäß so vorbereitet ist, füllt es mit Oel, und indem Ihr die Öffnung bei *C* öffnet, verschließt die bei *E*, oder setzt sie vielmehr in das Oel in der Schale *AB*, damit keine Luft durch sie eintreten kann. Alsdann wird wegen des horror vacui kein Oel durch die Öffnung *C* ausfließen können. Wenn aber das in *AB* enthaltene Oel durch den bren-

Fig. 4.



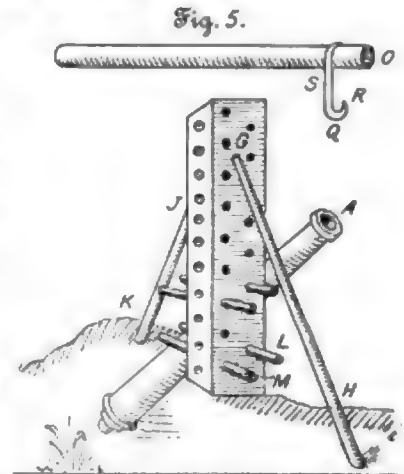
nenden Docht nach und nach verzehrt wird, wird die Öffnung *E* dadurch frei, und da dann die Luft durch die Röhre *ED* eintreten kann, wird das Oel durch *C* in die Schale *AB* ausfließen, und indem es sie wieder füllt, verschließt es das Loch *E* allmählich wieder. Wenn dies geschehen ist, hört das Oel auf zu fließen, und so wird, je nachdem sich die Schale entleert oder füllt, das Oel anfangen oder aufhören zu fließen. . . .

Die hier beschriebene Lampe ist komplizierter als nötig. Läge bei der von Cardanus beschriebenen Lampe die Öffnung *D* nahe genug am Boden des Kanals *E*, und wären dessen Seitenwände so hoch, dass das in ihn fließende Oel bis über die Öffnung *D* steigen könnte, so würde der Ausfluss alsdann ebenfalls aufhören, und wenn das Oel in dem Kanal soweit verzehrt wäre, dass der obere Teil der Öffnung *D* frei würde und dadurch Luft in das Gefäß dringen könnte, wieder beginnen. Auf diese Weise wird der beabsichtigte Zweck auf so einfache Weise erreicht, dass wir glauben möchten, die Lampe, welche Cardanus nach im Gebrauche gewesen Mustern beschrieben, habe so gewirkt und nicht nach seiner Theorie.

Was die Beschreibung einer Hebelade in Schwenters »Mathematischen Erquickstunden« betrifft, so ist sie so schlecht übersetzt, dass Schwenter selbst eingesteht, er könne sie nicht verstehen. Wir entnehmen sie daher der im Jahre 1639 erschienenen Ausgabe von Leurechons Schrift, welche betitelt ist: »Examen du Livre des Recréations mathématiques«, worin Problem XXI des zweiten Teiles also lautet:

»Ein Hebezeug ohne Ende zu machen, dessen Kraft so groß ist, dass ein einziger Mann damit eine Kanone auf ihre Lafette bringen, oder ein beliebiges Gewicht heben kann.«

»Man muss zwei starke Dielen aufrecht stellen, wie Ihr es hier in der Figur (Fig. 5) seht, die auf gleiche Art durchlocht sind. Es seien *CD* und *EF* diese beiden Dielen und *LM* zwei eiserne Bolzen, welche quer durch die Löcher gehen. *GH* und *KJ* sind zwei Streben. *AB* ist die Kanone, *OP* ein Hebel, *R* und *S* zwei Kerben, *Q* ein Haken oder ein Seil, woran man die Last oder die Kanonen hängt. Da im übrigen die Handhabung so leicht ist, dass ein Schulknabe darin



nicht fehlgehen kann, so würde ich, wenn ich mehr davon reden wollte, glauben, Minerva belehren zu wollen und den ausgezeichneten Mathematikern dieses Jahrhunderts Unrecht zu thun, welche beim Anblicke der Abbildung schon die Handhabung verstehen.

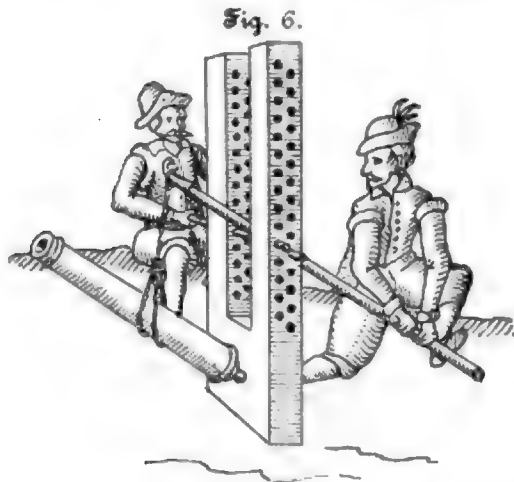
Selbst wenn Schwenter das Französische besser verstanden hätte, als seine Übersetzung es verrät, würde er sich wohl keinen Begriff von einer Hebelade nach dieser fehlerhaften Abbildung und unvollständigen Beschreibung haben machen können, deren letzter Satz, wie es scheint, nur dazu dienen sollte, die Unwissenheit des Verfassers zu bemängeln.

Weit besser ist die Älteste Beschreibung und Abbildung von einer Hebelade in dem Werke: »Recueil de plusieurs machines militaires et feux artificiels de la diligence de Franc. Thyboure, maistre chirurgien, et de Jean Applier, dit Hanzelet, calcographe. Pont-à-Mousson 1620«, welches die Königliche Bibliothek in Berlin besitzt. Aus dem Titel geht hervor, dass die Abbildungen der ersten Auflagen von Leurechons Werkchen von demselben Kupferstecher und Drucker, Jean Applier, herrühren wie die in diesem Werke, worin Livre III Kap. X lautet:

»Andere Maschinen zum Heben einer Kanone oder einer schweren Last.«

»Seit kurzer Zeit haben wir eine Maschine gesehen, vermittle welcher durch zwei oder drei Mann eine wunderbar

schwere Last gehoben werden kann. Wir haben eine Abbildung davon an dieser Stelle eingerückt, Fig. 6, um den Leser damit bekannt zu machen. Sie besteht aus einem Stücke Holz von acht, zehn oder zwölf Fuß Höhe, $1\frac{1}{2}$ bis 2' Breite und $\frac{3}{4}$ Dicke, alles im Verhältnis zur Höhe des Teiles. In



der Mitte desselben ist ein Ausschnitt, beinahe so lang, wie der Teil selbst, um einen langen Hebel hindurch zu stecken. Quer durch sind mehrere Löcher gebohrt, von einer Seite der übrig bleibenden Schenkel zur andern, um zwei eiserne Bolzen hindurch zu stecken, die dem genannten Hebel zur Unterstützung dienen. Wenn man sich dessen bedienen will, muss man eine lange, starke eiserne Kette haben, um die Last, die man heben will, ein- oder zweimal umschlingen zu können, und daran muss ein guter eiserner Ring sein, um den Haken am Ende des Hebels aufzunehmen. Ist alles vorbereitet, so stellt man die Maschine nahe an die Last, und indem man den Hebel auf einen der Bolzen legt, fasst man mit seinem Ende den genannten Ring und drückt das andere Ende des Hebels nieder. Je länger dieser ist, desto besser. So wird eine sehr große Last leicht von ein oder zwei Mann gehoben. Aber man muss immer einen von diesen Bolzen in eines der genannten Löcher stecken, je nachdem der Hebel die Last hebt. Dem entsprechend müssen die Löcher in den Pfosten an verschiedenen Stellen angebracht sein, um die Last leicht heben zu können.

Aus dem Umstande, dass der Herausgeber von »Examen du Livre des Recréations Mathématiques« eine so schlechte Abbildung und Beschreibung liefern und Schwenter sich keine Vorstellung von einer Hebelade machen konnte, geht hervor, dass diese Maschine damals noch wenig bekannt war. Aus der Beschreibung und Abbildung Thybours aber dürfte zu schließen sein, dass auch die Hebelade eine französische Erfindung ist.

Zapfenreibung, Zapfenkraft und Koeffizient der Zapfenreibung.

Von Dr. Camerer Gotha.

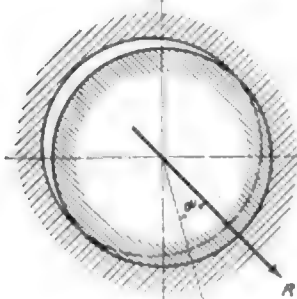
Die folgende Untersuchung schlägt den umgekehrten der gebräuchlichen Wege ein, um die Reibungsverhältnisse an Zapfen zu studieren. Sie geht von der bekannten Annahme über die elementare Druckverteilung aus und leitet aus dieser rückwärts die Größe und Richtung des Zapfendruckes sowie die Reibungseigenschaften ab.

I. Teil.

Die Untersuchung beschäftigt sich zunächst mit dem eingelaufenen cylindrischen Zapfen und legt folgende Annahme zugrunde:

1) Der Zapfen sei während eines Beharrungszustandes völlig gleichmäßig eingelaufen. Abnutzung sei nur an der Lagerschale, nicht am Zapfen bemerkbar.

Fig. 1.



2) Die normale Pressung sei jeweils der abgenutzten Schicht proportional.

3) Die Reibung sei an jeder Stelle der spezifischen Pressung proportional. (Diese Annahme schließt reichliche Schmierung aus.)

In Fig. 1 sei R die beliebig angenommene Richtung, in der sich der Zapfen eingelaufen habe.

Dann folgt aus vorstehender Annahme 2:

a) Die größte spezifische Normalpressung liegt in R .

Sie sei mit p bezeichnet.

b) In beliebiger Richtung α gegen R herrscht die Normalpressung $p = p \cos \alpha$, d. h. auf dem Elementarstreifen von der Breite $d\alpha \frac{d}{2}$ und der Länge l eine Normalpressung

$$dp = p \cos \alpha d\alpha \frac{d}{2} l.$$

Aus der Annahme 3 folgt die Reibung des Elementarstreifens zu

$$ds = \mu dp,$$

wobei μ den unveränderlichen Normal-Reibungskoeffizienten darstellt. Daraus: $ds = \mu p \cos \alpha d\alpha \frac{d}{2} l$.

Es möge nun gebildet werden:

I. Die Resultierende R der Normalpressungen.

Aus Gründen der Symmetrie folgt ihre Lage in der angenommenen Einlaufrichtung R . Ihre Größe ist gleich der Summe der in diese Richtung fallenden Komponenten der Normalpressungen.

Eine solche Komponente von dp ist

$$dp \cos \alpha = p \cos^2 \alpha d\alpha \frac{d}{2} l.$$

Die Resultierende ist

$$R = p \frac{d}{2} l \int_{-\frac{\pi}{2}}^{+\frac{\pi}{2}} \cos^2 \alpha d\alpha = p \frac{d}{2} l \left[\frac{1}{4} \sin 2\alpha + \frac{\alpha}{2} \right]_{-\frac{\pi}{2}}^{+\frac{\pi}{2}}$$

$$R = \frac{\pi}{4} p l d.$$

Fig. 2.

II. Die Resultierende S der Reibungskräfte, Fig. 2.

Die Reibungskräfte werden nach der Zapfenmitte verlegt. Dort fällt ihre Resultierende aus Gründen der Symmetrie in eine Normale zu R , d. h. nach S , und ist gleich der Summe der in die Richtung von S fallenden Komponenten der Einzelkräfte. Es ist dann der vorigen Ableitung entsprechend

$$S = \int_{-\frac{\pi}{2}}^{+\frac{\pi}{2}} \mu dp \cos \alpha = \mu p \frac{d}{2} l \int_{-\frac{\pi}{2}}^{+\frac{\pi}{2}} \cos^2 \alpha d\alpha$$

$$S = \mu \frac{\pi}{4} p l d,$$

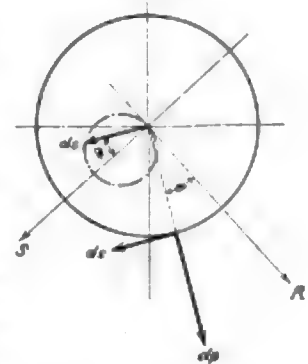
wonach auch

$$S = \mu R.$$

III. Das Moment der Zapfenreibung.

Durch die Verschiebung der Reibungskräfte nach der Zapfenmitte ergeben sich Kräftepaare

$$dM = ds \frac{d}{2} = \mu dp \frac{d}{2}.$$



Ihre Summe ist

$$M = \int_{-\frac{\pi}{2}}^{+\frac{\pi}{2}} \mu \, dp \, \frac{d}{2} = \mu \, p \, \frac{d}{4} \int_{-\frac{\pi}{2}}^{+\frac{\pi}{2}} \cos \alpha \, d\alpha = \mu \, p \, \frac{d}{4} l \left(\sin \alpha \right)_{-\frac{\pi}{2}}^{+\frac{\pi}{2}}$$

$$M = \mu \, p \, \frac{d}{2} l,$$

und da

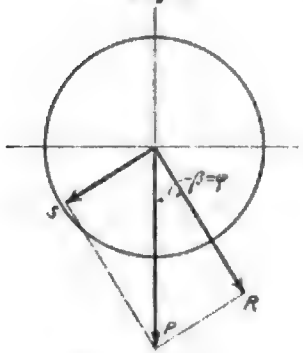
$$p \, l \, d = \frac{4}{\pi} R,$$

so ist

$$M = \frac{4}{\pi} \mu \, \frac{d}{2} R = \frac{4}{\pi} \frac{d}{2} S,$$

woraus auch die wahre Lage von S im Abstand $\frac{4}{\pi} \frac{d}{2}$ von Zapfenmitte folgt.

Fig. 3.



IV. Die Zapfenkraft P als Resultierende der Kräfte R und S , Fig. 3.

Da S auf R senkrecht steht, ist

$$P = \frac{R}{\cos \beta}.$$

Aus gleichem Grunde kann auch geschrieben werden:

$$P = \sqrt{R^2 + S^2},$$

und da $S = \mu R$,

$$P = R \sqrt{1 + \mu^2}.$$

Drückt man den Normal-Reibungskoeffizienten μ durch den Reibungswinkel φ aus, indem $\mu = \tan \varphi$, so wird

$$P = \frac{R}{\cos \varphi}.$$

Durch Vergleich mit der Beziehung $P = \frac{R}{\cos \beta}$ folgt daraus $\beta = \varphi$. Das heißt:

Die Richtung, in der der Zapfen einläuft, ist um den Reibungswinkel von der Richtung der Zapfenkraft verschieden.

V. Die größte Pressung als Funktion der Zapfenkraft.

Aus II und III folgt unmittelbar:

$$p = \frac{4}{\pi} \cos \varphi \frac{P}{l \, d}.$$

VI. Der Zapfenreibungskreis.

Die Vereinigung des Reibungsmomentes M mit der Zapfenkraft P bedingt eine Verschiebung der letzteren um den Radius ϱ des Zapfenreibungskreises; d. h.

$$\varrho = \frac{M}{P} = \frac{\frac{4}{\pi} \mu \, \frac{d}{2} R}{R} = \frac{4}{\pi} \mu \cos \varphi \frac{d}{2}$$

$$\varrho = \frac{4}{\pi} \sin \varphi \frac{d}{2}.$$

VII. Der Koeffizient der Zapfenreibung.

Definiert man den Koeffizienten der Zapfenreibung nach der Gleichung

$$M = P \mu_z \frac{d}{2},$$

so folgt daraus:

$$\mu_z = \frac{M}{P \frac{d}{2}} = \frac{\frac{4}{\pi} \mu \, \frac{d}{2} R}{R \frac{d}{2}} = \frac{4}{\pi} \mu \cos \varphi$$

$$\mu_z = \frac{4}{\pi} \sin \varphi.$$

II. Teil.

Nun sollen die entsprechenden Beziehungen aufgestellt werden für den Fall, dass die Lagerschale den Zapfen nicht auf 180° , sondern nur auf dem Winkel 2α , Fig. 4, umfasst, dabei aber symmetrisch zur Eintauchrichtung R eingestellt sein möge. Dann wird nach genau entsprechenden Aufstellungen

I) die Resultierende der Normalpressungen

$$R = p \, \frac{d}{2} l \int_{-\alpha}^{+\alpha} \cos^2 \alpha \, d\alpha$$

$$= p \, \frac{d}{2} l \left(\frac{1}{2} \sin 2\alpha + \alpha \right);$$

II) die Resultierende der Reibungskräfte

$$S = \mu \, p \, \frac{d}{2} l \left(\frac{1}{2} \sin 2\alpha + \alpha \right);$$

also ist auch hier $S = \mu R$;

III) das Moment der Zapfenreibung

$$M = \mu \, p \, \frac{d^3}{4} l \int_{-\alpha}^{+\alpha} \cos \alpha \, d\alpha$$

$$= \mu \, p \, \frac{d^3}{2} l \sin \alpha;$$

IV) die Zapfenkraft

$$P = \sqrt{R^2 + S^2} = R \sqrt{1 + \mu^2} = \frac{R}{\cos \varphi};$$

da auch hier $P = \frac{R}{\cos \beta}$, so folgt gleichfalls $\beta = \varphi$;

durch Einsetzen des Wertes von R wird

V) die größte Pressung

$$p = \frac{2 \cos \varphi}{\frac{1}{2} \sin 2\alpha + \alpha} \frac{P}{l \, d};$$

VI) der Radius des Zapfenreibungskreises

$$\varrho = \frac{M}{P} = \frac{2 \sin \alpha}{\frac{1}{2} \sin 2\alpha + \alpha} \sin \varphi \frac{d}{2};$$

VII) der Koeffizient der Zapfenreibung

$$\mu_z = \frac{2 \sin \alpha}{\frac{1}{2} \sin 2\alpha + \alpha} \sin \varphi.$$

Geht man nun, soweit es praktisch denkbar ist, zur Grenze über und macht $\alpha = 0$, so folgt als

III. Teil.

Der cylindrische Zapfen im erweiterten Lager, Fig. 5.

Hier sind zunächst nach I und II R und S unbestimmt; es bleibt aber jedenfalls bestehen, dass $S = \mu R$; auch folgt aus IV, dass $R = P \cos \varphi$, d. h. der Zapfen läuft soweit im Lager hinauf, bis die Berührungsnormale R mit der Zapfenkraft P den Reibungswinkel φ einschließt.

Das ist also genau wie früher: die Größen R , S und p sind dieselben geblieben. Dagegen wird die größte Pressung p sehr groß, während sich der Ausdruck $\frac{2 \sin \alpha}{\frac{1}{2} \sin 2\alpha + \alpha}$ für $\alpha = 0$ der Einheit nähert, sodass die Werte

Fig. 4.

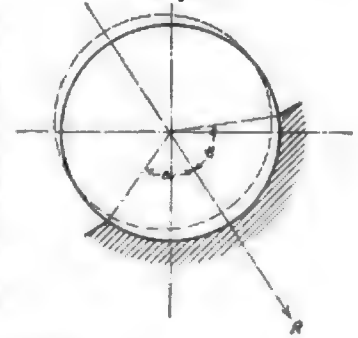
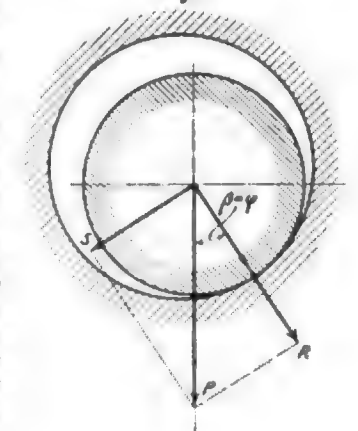


Fig. 5.



$$\varphi = \sin \varphi \frac{d}{2}$$

$$M = P \sin \varphi \frac{d}{2} = S \frac{d}{2}$$

$$\mu_2 = \sin \varphi$$

werden, also je um den Faktor $\frac{\pi}{4}$ kleiner erscheinen als im Falle des auf 180° umschlossenen Zapfens.

Die wahre Lage der Reibungskraft S rückt aus $\frac{4}{\pi} \frac{d}{2}$ nach $\frac{d}{2}$ von der Zapfenmitte, d. h. in den Zapfenumfang hinein.

Es sei noch darauf hingewiesen, dass die Richtigkeit der aufgestellten Beziehungen für den zuletzt behandelten Fall ($\alpha = 0$) sich auch unmittelbar aus Fig. 5 darlegen lässt, wenn man bedenkt, dass hier die Komponente R einfach mit ihrem Normal-Reibungskoeffizienten μ zur Wirksamkeit kommt.

Sitzungsberichte der Bezirksvereine.

Eingegangen 11. April 1901.

Dresdner Bezirksverein.

Sitzung vom 14. März 1901.

Vorsitzender: Hr. Scheit. Schriftführer: Hr. Schiemann.
Anwesend 50 Mitglieder und 1 Gast.

Nach Erledigung geschäftlicher Angelegenheiten spricht Hr. Kluge über die Lokomotiven auf der Weltausstellung in Paris¹⁾.

Eingegangen 14. April 1901.

Frankfurter Bezirksverein.

Sitzung vom 20. März 1901.

Vorsitzender: Hr. Baumann. Schriftführer: Hr. Rissmann.
Anwesend 24 Mitglieder und 2 Gäste.

Nach Erledigung geschäftlicher Angelegenheiten spricht Hr. Petit über Neuerungen auf dem Gebiete der Werkzeugmaschinen-technik.

Die neuere Werkzeugmaschinen-technik baut sich auf der Massenfabrication auf, und diese setzt die Beschränkung auf ein scharf begrenztes Gebiet voraus. Nur nachdem man ein bestimmtes Arbeitsfeld gewählt hat, kann man eine Fabrik zweckentsprechend einrichten. Von dem Zweck hängt die Anordnung der verschiedenen Werkstätten und die Einrichtung der Transportmittel ab. Jede Abteilung einer Fabrik muss suchen, der andern die Arbeit zu erleichtern; der Konstrukteur muss also darauf achten, dass die Maschine leicht zu bearbeitende Formen erhält, er muss festgelegte Normen für Bohrungen, Gewinde usw. innehalten, auf Lager befindliche Teile, wie Handräder, Hebel, möglichst verwenden usw. Die Gleiserei muss durch Liefern eines tadellosen, immer gleich harten, von der Sandkruste befreiten Gusses die Bearbeitung erleichtern, und die Werkmeister müssen auf ganz genaue Innehaltung der vorgeschriebenen Maße achten, damit beim Montieren keine Schwierigkeiten entstehen.

Die bei der Massenfabrication durchaus notwendige Genauigkeit, die eine Austauschbarkeit der Maschinenteile sichert, lässt sich unter Berücksichtigung der Forderung, dass die Herstellungskosten geringer als bei den früheren Verfahren sein müssen, durch Einführung von Sondermaschinen und Sonderwerkzeugen, von Bohr-, Fräs- und Spannvorrichtungen und durch geeignete Messverfahren erreichen.

Der Redner führt eine Reihe von Beispielen an: Durch Fräsen eines Drehbankbettes mit Prismenführung lässt sich gegenüber dem Hobeln eine Zeitersparnis von mehr als 60 vH erreichen. Die Herstellung eines Zahn- oder eines Handrades auf einer Rundfräsmaschine nimmt kaum die Hälfte der Zeit in Anspruch, die ein Dreher braucht, und ein gewöhnlicher Arbeiter kann 4 solcher Maschinen gleichzeitig bedienen. In den Werkstätten von Ludwig Loewe & Co. A.-G. bedienen ein Arbeiter und ein Lehrling 6 Maschinen, während für jede Drehbank ein gelernter Dreher gebraucht wird. Der Vortragende geht alsdann auf die verschiedenen Bohrwerkzeuge, Senker, gewöhnliche und nachstellbare Reibahlen ein und macht auf die Verbesserung der Reibahlen durch ungleiche Teilung aufmerksam. Durch solche Reibahlen kann man ein genau rundes Loch erzielen, während die mit andern Reibahlen geriebenen Löcher häufig so viel Ecken aufweisen, als die betreffende Reibahle Schneidkanten besitzt.

Um ein Beispiel zu geben, wie weit die Arbeitsteilung in den Werkstätten von Ludwig Loewe & Co. durchgeführt ist, erläutert der Redner den Fabricationsgang, den eine Spindel durchmacht. Dabei sind folgende Arbeitsvorgänge zu verzeichnen: Abstechen des Stahles im Magazin auf einer Abstechmaschine, Zentrieren der Spindel auf der Zentriersmaschine, Festlegen der Abstufungen und Ausschuppen der Teile der Spindel, die später hart sein müssen, Zementieren, Festlegen der äußeren rohen Spindelform durch Ausschuppen, Härten (die weich bleibenden Teile erhalten Leinwandpackung), Bohren auf der Spindelbohrmaschine, Anbringen sauberer Körnerversenkungen auf der Spindel, Schleifen auf genaues Maß,

Aufschneiden der Gewinde, Einfräsen der Keilnuten, Eindrehen des Kegels.

Der Redner geht dann zur Besprechung von Werkzeugen, Walzenfräsen, hinterdrehten Fassonfräsen usw. über. Die Anwendung hinterdrehter Fräser ist für alle Fassonfräsarbeiten von größter Wichtigkeit, weil nur durch diese Fräser ein dauernd gleichmäßiges Fabrikat erzielt werden kann. Daneben wird der Werkzeugverbrauch auf das geringste Maß beschränkt, denn hinterdrehte Fräser lassen sich ohne Profilveränderung nachschleifen, und zwar so lange, wie die Stärke der einzelnen Zähne es überhaupt zulässt.

Der bei der Massenfabrication erforderliche Genauigkeitsgrad kann jedoch durch die erwähnten Maschinen und Vorrichtungen allein nicht erreicht werden; vielmehr muss der Arbeiter auch mit vorzüglichen Lehren ausgestattet sein. Dabei ist der erste Grundsatz, dem Arbeiter möglichst einfache unverstellbare Lehren in die Hand zu geben, damit er sein Augenmerk ausschließlich auf die Arbeit richten kann, nicht aber genötigt ist, auf die sorgfältige Einstellung der Lehre zu achten. Neuerungen auf dem Gebiete der Lehren sind: kugelig abgestumpfte Endmaße, Messscheiben, Arbeitsendmaße, Rachenlehren und Toleranzlehren. In den Werkstätten von Ludwig Loewe & Co. ist folgende Einrichtung eingeführt: Für die Bohrungen wird ein bestimmter Durchmesser angenommen, und die Wellen erhalten, je nachdem, ob sie in der Bohrung laufen oder festsitzen sollen, einen kleineren oder größeren Durchmesser. Dementsprechend ist ein Kalibrdorn für die Bohrung und je eine Rachenlehre für laufende und feste Zapfen vorhanden. Selbstverständlich muss unbedingt gefordert werden, dass man die vorgeschriebenen Maße genau innehält. Prüfer müssen jeden einzelnen Teil untersuchen und mit ihrem Stempel versehen; erst dann darf der betreffende Teil in die Montagehalle wandern; dadurch ist das zeitraubende Nacharbeiten beim Montieren ausgeschlossen.

Zur Ergänzung des Vortrages fand eine Vorführung von Neuheiten des Werkzeugmaschinenbaues in den Ausstellungsräumen der Firma Ludwig Loewe & Co. A.-G. statt.

Eingegangen 6. April 1901.

Hannoverscher Bezirksverein.

Sitzung vom 15. Februar 1901.

Vorsitzender: Hr. Schliemann. Schriftführer: Hr. Ast.
Anwesend 52 Mitglieder und Gäste.

Hr. Joh. Körting spricht über Neuerungen auf dem Gebiete des Gasmotorenbaues. Beim Bau großer Gasmaschinen kann man zurzeit vier Gruppen unterscheiden. Die erste umfasst eincylindrige Viertaktmaschinen mit großem Durchmesser und großem Hub, wie sie die Maschinenfabrik Coquerill in Seraing auf der Weltausstellung in Paris vorführte. Der ausgestellte Motor¹⁾ hatte einen Cylinderdurchmesser von 1300 mm und einen Hub von 1400 mm und leistete bei 93 Uml./min rd. 575 PS. Das Gesamtgewicht beträgt einschließlich Schwungrad 127 000 kg, der Ungleichförmigkeitsgrad 1:20. Auch die Maschinenfabrik Nürnberg baut eincylindrige Maschinen von 750 PS. Die Gasmotorenfabrik Deutz und andere Fabriken stellen die großen Maschinen mit mehreren Cylindern aus; z. B. hat ein 600pferdiger Motor 4 Cylinder von 660 mm Dmr. und 850 mm Hub bei 150 Uml./min. Die Oechelhäusersche Maschine²⁾, die Vertreterin der dritten Gruppe, arbeitet im Zweitakt. Sie hat in einem gemeinsamen Cylinder zwei Kolben, die entgegengesetzte Bewegungsrichtung haben und auf die dreifach gekröpfte gemeinsame Kurbelwelle arbeiten. Zur Bildung des Gemisches sind Hilfszylinder angeordnet.

Da insbesondere bei den Viertaktmotoren die Massen sehr groß sind und die Kühlung und namentlich die Schmierung der großen Cylinder Schwierigkeiten bietet, haben Gebr. Körting beim Bau eines großen Gasmotors einen auf diesem Gebiete neuen Weg beschritten, indem sie eine Maschine

¹⁾ a. Z. 1900 S. 1709 u. f.

²⁾ a. Z. 1901 S. 111.

³⁾ a. Z. 1901 S. 1517.

schufen, die als doppeltwirkende Zweitaktmaschine arbeitet, deren Wirkungsweise also ganz ähnlich der einer doppeltwirkenden Dampfmaschine ist, indem bei jedem Hin- und Hergang des Kolbens eine Kraftäußerung stattfindet. Das Ansaugen und Komprimieren des Gas- und Luftgemisches besorgen zwei neben dem Hauptcylinder gelagerte kleine Cylinder, die einen besonderen Antrieb von der Kurbelwelle aus erhalten und durch Rundschieber und Kulissen gesteuert werden. Der Auspuff ist in der Mitte des Cylinders in Ringform angeordnet, und das verbrannte Gemisch wird, ähnlich wie bei der Oechelhäuserschen Maschine, kurz vor Eintritt des neuen Gas- und Luftgemisches durch einen Luftstrom herausgeblasen. Die Maschine entspricht auch in ihrem Aeußeren fast vollständig einer Dampfmaschine¹⁾.

Die Verwendung größerer Gasmaschinen kommt in erster Linie für die Hochofenwerke in Betracht. Die ursprüngliche Befürchtung, dass eine genügende Reinigung der Hochofengase für den Motorenbetrieb nicht möglich sei, hat sich nicht bestätigt. Bei einer 100 pferdigen Köttingchen Gasmaschine für Hochofengas, das durch Kühler und Winderhitzer von den größten Verunreinigungen befreit und dann durch Koks-erubber und Sägespanvorrichtungen vollständig gereinigt wird, wurde erst nach $\frac{1}{2}$ Jahr der Kolben herausgezogen, um etwaige Schmutzanlässe zu beseitigen. Das Hochofengas hat einen Heizwert von 1000 WE. Der Redner macht ferner Mitteilungen über neuere Betriebe mit Kraftgas und über das in England erfundene Mond-Gas, zu dessen Herstellung jede beliebige Kohle verwendet werden kann, und das außerordentlich billig sein soll. Man gewinnt dabei als wertvolles Nebenprodukt Ammoniumsulfat.

Sitzung vom 22. Februar 1901.

Vorsitzender: Hr. Schröter. Schriftführer: Hr. Uhde.
Anwesend 57 Mitglieder und Gäste.

Hr. Rieth spricht über neuere Wasserhebemaschinen von Gebr. Sulzer, die auf der Weltausstellung zu Paris ausgestellt waren²⁾. Es sind dies mehrstufige Kreiselpumpen mit besonderen Leiträdern, die zur ruhigen, stoßfreien Wasserführung dienen und einen hohen Wirkungsgrad ergeben. Die Einfachheit der Konstruktion und die fast unbeschränkte Verwendungsfähigkeit der Kreiselpumpen für die verschiedensten und vor allen Dingen für verunreinigte Flüssigkeiten wird allerdings durch die Anwendung der Leiträder nicht gefördert. Zum Ueberwinden größerer Druckhöhen haben Gebr. Sulzer mehrere, in diesem Falle 4, Pumpen, von denen jede ihre besondere Leiteinrichtung besitzt, so hintereinander geschaltet, dass das Druckrohr der ersten Pumpe das Saugrohr der zweiten ist und so fort. Die auf diese Weise überwundene Druckhöhe soll bis 150 m betragen.

Darauf spricht Hr. Dunsing über die Rufs- und Rauchbildung bei Wasserrohrkesseln, die bei diesen Kesseln stärker ist als bei andern. Er erklärt dies damit, dass die Rohre die Flamme vielfach töten und abkühlend wirken, daher die Verbrennung verhindern und Rufs bilden. Bei Flammrohrkesseln bleibt die Flamme in sich länger geschlossen, und daher ist die Verbrennung vollständiger.

Hierauf berichtet Hr. Schröter über das seit einiger Zeit teilweise in Betrieb genommene Fernheizwerk der Stadt Dresden, das das größte und in seiner Art einzig dastehende in Deutschland ist. In den großen Städten Amerikas: New York, Chicago, Syracuse, sind schon vor einer Reihe von Jahren Dampfanlagen mit Hauptleitungen bis zu 4000 m Länge und einer Dampflieferung von 20000 bis 70000 kg i. d. Stunde ausgeführt worden. Für Kraft und Heizung werden an einzelne Gebäude bis 800 PS oder rd. 10000 kg Dampf i. d. Stunde abgegeben. In Deutschland sind größere Dampfleitungen nur in Hamburg zum Betriebe von 75 Kranen und in Schalke bekannt geworden.

In Dresden werden durch eine Dampfleitung von rd. 1500 m Länge 18 große öffentliche Gebäude geheizt, darunter die Kunstanstalten mit kostbaren Sammlungen, das Opernhaus, die Hofkirche. Die Anlage gestaltet sich besonders dadurch wirtschaftlich, dass das Elektrizitätswerk damit verbunden ist, sodass die Kesselanlage gut ausgenutzt wird. Ferner konnten in dem begehbaren Hauptkanal auch die elektrischen Leitungen als blanke Drähte verlegt werden, also weit billiger und zugänglicher als im Erdboden. Der Hauptvorteil liegt aber wohl darin, dass die sonst zahlreichen Feuerstellen in den Gebäuden und die dadurch hervorgerufene Feuersgefahr vermieden sind.

Hr. H. Fischer teilt im Anschluss hieran mit, dass in Aachen und Köln ähnliche, aber kleinere Anlagen bestehen, die Blöcke von Privatgrundstücken mit Licht und Heizung versehen.

¹⁾ a. Z. 1901 S. 116.

²⁾ Vergl. Z. 1901 S. 1448.

Sitzung vom 8. März 1901.

Vorsitzender: Hr. Schliemann. Schriftführer: Hr. Uhde.
Anwesend 63 Mitglieder und Gäste.

Hr. Reinh. Müller spricht über Rauchbelästigung und ihre Bekämpfung bei Dampfkesselfeuerungen. Die Klagen über Rauchbelästigung sind schon alt, und auch die Anfänge ihrer Bekämpfung liegen weit zurück. In Preußen wurde schon 1853 eine ministerielle Verfügung erlassen, wonach die Unternehmer verpflichtet wurden, durch zweckmäßige Einrichtung von Feuerungsanlagen und durch Verwendung geeigneten Brennstoffes auf eine möglichst vollständige Verbrennung des Rauches hinzuwirken. Später nahmen sich der Architekten- und Ingenieur-Verein, der Verein deutscher Ingenieure und der Zentralverband der preussischen Dampfkessel-Überwachungs-Vereine der Sache an. Im Jahre 1892 trat auf Veranlassung des Handelsministers ein Ausschuss zusammen, um die Richtung anzugeben, wie in der Rauchbelästigungsfrage vorgehen sei. Es wurde ein engerer Ausschuss für Berlin eingesetzt, der die verbreitetsten Feuerungen bezüglich ihrer Rauchentwicklung und der Ausnutzung des Brennstoffes zu untersuchen hatte. Die angestellten Versuche¹⁾ hatten ein gutes Ergebnis, sodass der Ausschuss zu dem Urteil gelangte, dass eine genügende Zahl von Einrichtungen zur Rauchverhütung besteht, und dass die Aufsichtsbehörden gegen übermäßiges Rauchen der Schornsteine einschreiten sollten. Auf Wunsch des Ministers wurden die Arbeiten fortgesetzt, um Staubfeuerungen zu prüfen und um eine Unterscheidung zwischen dickem, langandauerndem und schwachem Rauch festzusetzen. Es ist aber nicht gelungen, hierfür eine bestimmte Grenze festzustellen.

Der Vortragende erwähnt ferner die vom Vereine deutscher Ingenieure ausgesetzten Preisausschreiben über Dampfkesselfeuerungen und Feuerungen von Haushaltungen und Kleinbetrieb²⁾ und bespricht die im Hannoverschen Bezirk vorhandenen Rauchverhütungsvorrichtungen.

Sitzung vom 15. März 1901.

Vorsitzender: Hr. Schliemann. Schriftführer: Hr. Gail.
Anwesend 43 Mitglieder und Gäste.

Hr. Barkhausen spricht über Modelle für den Unterricht im Eisenbau. Der Redner gibt zunächst einen Rückblick auf das frühere Lehrverfahren und vergleicht damit die heutigen Bestrebungen, deren Ziel die Benützung eines sachgemäße eingerichteten Laboratoriums ist. Die Abteilung für Bauingenieurwesen der technischen Hochschule zu Hannover behilft sich, da sie kein Bauingenieur-Laboratorium erlangen konnte, einstweilen mit Lehrmodellen, die Entwürfe von Studierenden veranschaulichen und in vorzüglicher Ausführung durch Samlungsdieners in der Hochschule angefertigt werden.

Der Vortragende schildert anhand der Modelle zunächst einfache Brückenkonstruktionen mit steif miteinander verbundenen Quer- und Längsträgern, bespricht die Ausbildung der Hauptknotenpunkte und die Nachteile der steifen Verbindung und führt Modelle von beweglichen Verbindungen zwischen Längs- und Querträgern vor. Bei der Besprechung der Auflager wird das Modell eines neuen vereinfachten Rollenlagers mit nur einer Rolle erklärt. Schließlich schildert der Redner die Anordnung der Hallenbinderlagers des Bahnhofes Friedrichstraße in Berlin und die zweckmäßige Ausführung des Lagers einer großen Bogenbrücke, bei dem der Gelenkbolzen mit gleitender Reibung durch Wälzgelenke mit rollender Reibung ersetzt ist.

Eingegangen 13. April 1901.

Pommerscher Bezirksverein.

Sitzung vom 12. März 1901.

Vorsitzender: Hr. Unruh. Schriftführer: Hr. Hamann.
Anwesend 35 Mitglieder und 4 Gäste.

Nach Erledigung geschäftlicher Dinge spricht Hr. Bauer über die Berechnung der Schiffschraube. Er erörtert die Zerlegung der Kräfte, die auf ein Flächenelement der Schraubendruckfläche einwirken, und stellt die Gleichungen für die zur Drehung eines Elementes aufzuwendende Arbeit sowie für die erzielte nützliche Schubarbeit auf. Hieraus leitet er die Gleichung für den Wirkungsgrad ab. Darauf entwickelt er dieselben Gleichungen für die ganze Schraube nach Taylor und schließt ein Beispiel für die Ermittlung des Wirkungsgrades der Schraube eines Schnelldampfers an. Der Wirkungsgrad ist abhängig vom Slip, von der Flügelform und vom Verhältnis des Durchmessers zur Steigung. Vergleicht man die auf rein theoretischem Wege erhaltenen Formeln

¹⁾ Z. 1895 N. 184 u. f., 1898 S. 1372.

²⁾ Z. 1896 S. 492, 530.

mit denen von Seaton, Rieth und Fliege, so findet man in diesen dieselben Größen in denselben Verhältnissen vor, mit dem Unterschiede jedoch, dass bei Taylor der tatsächliche Slip, bei den Formeln der Praxis der scheinbare Slip eingesetzt

ist. Der Vortragende spricht sodann über den tatsächlichen und den scheinbaren Slip, den negativen Slip und den Vorstrom. Den Schluss des Vortrages bildet ein Beispiel für die Berechnung der Schiffschraube nach Taylor.

Zeitschriftenschau.¹⁾

(* bedeutet Abbildung im Text.)

Beleuchtung.

Ueber das Prinzip der »Lucas-Lampe«. Von Luz. (Journ. Gasb.-Wasserv. 5. Okt. 01 S. 739/41*) Grundgedanke und Ausführung der Pressgasbrenner von Denayrouse, Greyson de Schodt und Baudespt. Beschreibung des Lucas-Brenners, der auf dem Grundgedanken beruht, die hohen Auströmggeschwindigkeiten des Gas-Luft-Gemisches durch verstärkten Schornsteinzug herbeizuführen. Durch den Brenner wird das Gas mit der Luft im Verhältnis 1:8 gemischt, wodurch der Nutzeffekt zwar etwas verringert, die beim Mischverhältnis 1:6 entstehende Knallgasflamme aber verlängert und der Antrieb verstärkt wird. Meinungsaustausch.

Ueber einen stiblosen Brenner. Von Silbermann. (Journ. Gasb.-Wasserv. 5. Okt. 01 S. 741/42*) Der Brenner hat in seinem oberen Teile einen mit der Spitze nach unten stehenden Kegel, der zwischen sich und der zylindrischen Brennröhre einen ringförmigen Spalt frei lässt, durch welchen das Gas-Luft-Gemisch ausströmt, eine kurze zylindrische Flamme bildend. Gasverbrauch und Leuchtstärke des Brenners.

Chemische Industrie.

Das Karbidwerk Flims. III. (Schweiz. Bauz. 5. Okt. 01 S. 146/49*) Sicherheitsvorrichtungen gegen Wasserstoff in der Rohrleitung: Federakkumulator; Ausgleichleitung; selbstthätiger Rohrabschluss. Unterwasser-Behälter und -Kanal. Maschinenhaus und Turbinenanlage. Schluss folgt.

Dampfkräse und Koechnrichtungen.

The principles and design of modern drying plant. (Engineer 4. Okt. 01 S. 860/61*) Allgemeines über die Verwendung von Trockeneinrichtungen. Ausnutzung des Dampfes für die Abgabe von Trockenwärme. Leitlinie für die Wahl der Temperatur.

Dampfkräftenanlagen.

The design of factory chimneys. Von Schumann. (Eng. Rec. 21. Sept. 01 S. 371/73*) Gestalt und Bemessung der Schornsteinröhre. Untersuchung der Standfestigkeit. Vorgang beim Entwurf eines neuen Schornsteines.

Ueber die Wahl des Dampfkesselsystems. (Mitt. Prax. Dampfkr. Dampfkr. 2. Okt. 01 S. 716/17) Allgemeine Betrachtungen über die Wirtschaftlichkeit verschiedener Kesselbauarten.

Der nasse Dampf und die Dampfkesselkonstruktion. Von Vierow. (Mitt. Prax. Dampfkr. Dampfkr. 2. Okt. 01 S. 731/32) Entstehung des nassen Dampfes und Beseitigung von Mitteln, durch die das Mitreißen von Wasser in die Maschine verhütet werden soll. Forts. folgt.

Der Einfluss des Kesselsteines auf den Wirkungsgrad der Dampfkessel. (Z. bayr. Dampfkr.-Rev. V. Sept. 01 S. 100/02) Hinweis auf die früheren Untersuchungen auf diesem Gebiete. Wiedergabe und kritische Besprechung der in Zeitschriftenschau v. 3. Aug. 01 erwähnten Arbeit von Bryan »The effect of scale on boiler efficiency and capacity«.

Die Dampfkesselexplosionen im Deutschen Reich während des Jahres 1900. Schluss. (Mitt. Prax. Dampfkr. Dampfkr. 2. Okt. 01 S. 715/16) S. Zeitschriftenschau v. 5. Okt. 01.

Zur Theorie der de Lavalischen Dampfturbine. Von Fliege. (Schweiz. Bauz. 5. Okt. 01 S. 151/53) Kritische Erläuterung der Arbeit von Schütz: »Die Ausnutzung des Dampfes in den Laval-Turbinen«, wobei der Verfasser aus der Anordnung und den Ergebnissen der Versuche günstige Schlussfolgerungen für seine eigene Theorie zieht.

Verdampfungsversuche an einem Dampfkessel mit rauchverhütender Feuerung von Schütz-Knaudt. (Z. bayr. Dampfkr.-Rev. V. Sept. 01 S. 102/04*) Darstellung der Konstruktion und Wiedergabe der Versuchsergebnisse.

Eisenbahwesen.

Dampflokomotiven für 200 km/h Geschwindigkeit. Von Sansin. (Glaser 1. Okt. 01 S. 129/30) Der Verfasser schlägt einige Verbesserungen für die in Zeitschriftenschau v. 4. Mai 01 unter »Bedingungen für die Bauart von Dampflokomotiven für 200 km Geschwindigkeit« erwähnte Lokomotivbauart vor.

The latest North-Eastern six-coupled express engines. Von Rous-Marten. (Engineer 4. Okt. 01 S. 845 mit 1 Taf.) Die 3/4-gekuppelten Lokomotiven mit vorderem zwelachsigen Drehgestell haben 508 mm Cyl.-Dmr., 660 mm Kolbenhub, rd. 2000 mm Treibrad-Dmr., 164,5 qm Heizfläche und wiegen 67 t.

¹⁾ Die Zeitschriftenschau wird, nach den Stichwörtern in Viereljahrsheften zusammengefasst und geordnet, gesondert herausgegeben, und zwar zum Preise von 8 M. pro Jahrgang für Mitglieder, von 10 M. pro Jahrgang für Nichtmitglieder.

Thirty-ton wagon, Caledonian Railway. (Engineer 4. Okt. 01 S. 854*) Der Laderaum des Plattformwagens ist 10650 mm lang, 2435 mm breit und 1800 mm tief. Erörterungen über die Verwendung derartiger Eisenbahnwagen.

Appareils répéteurs sur la machine des signaux optiques. Von Ménard. Forts. (Rev. ind. 28. Sept. 01 S. 884/85*) Elektromagnetische Vorrichtung von Netter und Quoyroul.

Eisenhüttenwesen.

Amerikanische Eisenhütten und deren Hilfsmittel. Von Langhelfrich. Forts. (Stahl u. Eisen 1. Okt. 01 S. 1035/49*) Drehgestellwagen mit zentralen Zug- und Stoßvorrichtungen. Vorräume für Erz, Koks und Kalkstein. Hochofenanlagen der Illinois Steel Company, der Maryland Steel Company, der Edgar Thomson Works, in Duquesne, der Lorain Steel Company und der National Steel Company in Youngstown. Forts. folgt.

Thomas- oder Martin-Flussstein? Von Grassmann. (Stahl u. Eisen 1. Okt. 01 S. 1021/24) Der Verfasser stellt die Selbstkosten für den Thomas-Prozess, den Daelen-Pascolka-, den Talbot- und den Bertrand-Thiel-Prozess sowie für das Martin-Schrottschmelzverfahren zusammen. Es ergibt sich daraus, dass alle Frischprozesse dem Thomas-Prozess unterlegen sind, abgesehen vom Schrottschmelzverfahren.

Zur Konstitution der Hochofenschlacken. Von Blum. (Stahl u. Eisen 1. Okt. 01 S. 1024/30) Kritik der Verfahren von Mirsek und von Platz zur Berechnung des Hochofenschmelzers aufgrund der Erfahrungen im Hochofenbetriebe zu Boch a. d. Alzette. Es handelt sich dabei im wesentlichen um die Frage, welche Rolle der Thonerde in der Hochofenschlacke zukommt.

Betriebsergebnisse eines kontinuierlichen Drahtwalzwerkes. (Stahl u. Eisen 1. Okt. 01 S. 1039/84*) Deutsche Bearbeitung des in Zeitschriftenschau v. 12. Okt. 01 erwähnten Aufsatzes: »Efficiency test of a continuous rod mill«.

Eisenkonstruktionen, Brücken.

Zeichnerische Berechnung der Zimmermannschen Kuppel. Von Föppl. (Zentralbl. Bauv. 5. Okt. 01 S. 497/88*) Kurze Anleitung zur zeichnerischen Untersuchung des in Zeitschriftenschau v. 11. April 01 u. f. unter »Das Raumfachwerk der Kuppel des Reichstagshauses« erwähnten Fachwerkes.

The Redhouse Bridge, Newcastle-on-Tyne. (Engng. 4. Okt. 01 S. 484* mit 1 Taf.) Eisernen Fachwerkträgerbrücke mit zwei Öffnungen von je 76 m und zwei Öffnungen von je 52 m Spannweite. Darstellung von Konstruktionseinzelheiten.

Erection of the New East River Bridge approaches. (Eng. Rec. 21. Sept. 01 S. 366/69*) Eingehende Darstellung der Montagekrane, die bei der Aufstellung der eisernen Rampen der neuen East River-Brücke benutzt werden. Beschreibung des Bauvorganges.

Plate-girder draw-bridge details. (Eng. Rec. 21. Sept. 01 S. 381*) Zeichnung der Rollenlagerung des drehbaren Ueberbaues für eine Brücke der Chicago, Milwaukee & St. Paul-Eisenbahn.

The protection of ferric structures from corrosion. Von Wood. (Eng. News 26. Sept. 01 S. 318/15) Mit Eisenoxyd versetzte Anstrichfarben. Anstrich von gekochtem Öl. Asphaltanstrich. Leinölanstrich. Anstreichen der Eisenträger kurz nach der Herstellung im Walzwerk.

Elektrotechnik.

Usine électrique de Malakoff (Seine). Von Dantin. (Géol. elv. 5. Okt. 01 S. 361/65* mit 1 Taf.) Das Kraftwerk dient zur Versorgung einiger Vorort-Straßenbahnlinien bei Paris mit Gleichstrom von 550 V Spannung. Es umfasst 6 Babcock & Wilcox-Kessel von je 204 qm Heiz- und 4,10 qm Rostfläche für 12 at Dampfdruck, einen Green-Vorwärmer von 400 qm Heizfläche und 2 Dampfdynamos von 800 PS. Die legenden Allis-Verbundmaschinen haben Reynolds-Corliss-Steuerung, 508 und 1016 mm Cyl.-Dmr., 1290 mm Kolbenhub und ein Schwungrad von 6100 mm Dmr. Sie treiben mit 95 Uml./min je einen 500 KW-Gleichstromerzeuger mit gemischter Erregerwicklung.

Battersea central electric power station. (Engineer 4. Okt. 01 S. 849/50*) Das Werk versorgt ein Dreileiternetz mit Gleichstrom von 460 V Spannung zwischen den Außenleitern. Es enthält 4 Wasserröhrenkessel für 14 at, eine 400 KW-, zwei 192 KW-Dampfdynamos, zwei 46 KW-Ausgleichsdynamos und zwei 140 zellige Akkumulatorenbatterien von je 1000 Amp-st. Kapazität.

Electric machinery at the Glasgow Exhibition. (Engineer 4. Okt. 01 S. 851/53*) Darstellung eines vierpoligen 200 KW-Gleichstromerzeugers mit gemischter Erregerwicklung für 550 V Spannung. Der Anker hat 890 mm Dmr. und einen 360 mm langen Blechkörper, der Luftraum beträgt 19 mm. Darstellung des von Lahmeyer ausgestellten Drehstrom-Gleichstrom-Motor-Generators von 65 KW Leistung bei 620 V Spannung und 600 Uml./min.

Graphische und experimentelle Bestimmung des Spannungsabfalles in Transformatoren. Von Bragstad. (Elektrot. Z. 8. Okt. 01 S. 821/24*) Zeichnerische Darstellung des Spannungsverlustes mithilfe besonderer Vereinfachungen, durch die der Transformator auf einen Stromkreis mit dem resultierenden Gesamt Widerstand und der resultierenden rückwirkenden elektromotorischen Kraft des Transformators zurückgeführt wird. Beschreibung einer Messanordnung, die gestattet, den Spannungsunterschied bei Belastung mit beliebiger Phasenverschiebung unmittelbar zu messen.

Apparatanlage in der Zentrale und Umformerstation „Pierre de Plan“ des Elektrizitätswerkes der Stadt Lausanne. Von Tauber. (Elektrot. Z. 8. Okt. 01 S. 825/28*) Hoch- und Niederspannungsgeräte sowie die für Gleichstrom sind völlig voneinander getrennt in den Räumen unter einer Gallerie untergebracht, von der aus sie durch besondere Schaltkästen betätigt werden. Allgemeine Anordnung. Darstellung der Schaltkasken für die verschiedenen Zwecke und der auf ihnen angebrachten Messgeräte. Hochspannungsschalter und -sicherungen. Verteilung der einzelnen Geräte und Ausrüstung der Geräteräume.

Spannungserhöhungen in elektrischen Leitungsanlagen. Von Hörnecke. (Z. f. Elektrot. Wien 6. Okt. 01 S. 478/82*) Fachbericht über die durch Resonanzwirkungen oder bei Freileitungen auch durch atmosphärische Elektrizität hervorgerufenen Spannungserhöhungen in Wechselstromnetzen. Ursachen und Wesen der Resonanz. Beispiele für ihr Auftreten. Verfahren zur Bestimmung der größten auftretenden Spannungen. Schutzvorrichtung gegen Resonanzwirkungen. Ladung der Freileitungen durch atmosphärische Elektrizität. Schluss folgt.

Interessante elektrostatische Entladungserscheinungen an einer Hochspannungsleitung. (Dingler 28. Sept. 01 S. 618/19*) Die geschilderten Entladungen fanden an der unter 40000 V Spannung stehenden, von Utah ausgehenden Fernleitung der Telluride Power Transmission Company statt. Sie entstanden infolge der in der Nähe des Salzees auftretenden Salzdünste, richteten aber außer dem Abschmelzen der Sicherungen im Krafthaus keinen Schaden an.

Erde- und Wasserbau.

Ueber neuere Flussregulierungsmethoden. Von Pollak. (Z. österr. Ing.- u. Arch.-Ver. 4. Okt. 01 S. 654/58*) Eingehende Besprechung der Arbeiten von Girardon und Timonoff über Flussregulierung. Schluss folgt.

The new subway in New York City. Von Prelini. (Engng. 4. Okt. 01 S. 477/80*) Die zum größten Teile unterirdisch geführte Straße ist 9,3 km lang und erstreckt sich von Park Place bis Bailey Avenue. Von dieser Hauptlinie zweigt sich bei der 104. Straße eine zweite Linie bis zum Bronx-Park ab. Die aus Zementbetonkonstruktion hergestellten Tunnel haben rechteckigen, halbkreisförmigen und kreisförmigen Querschnitt, je nachdem 4, 2 und 1 Gleis durchgeführt werden. Im März 1901 ist mit den Arbeiten begonnen worden. Die ganze Anlage soll in 4 1/2 Jahren fertiggestellt werden. Forts. folgt.

Watertight caisson foundations for the New York Stock Exchange. (Eng. News 26. Sept. 01 S. 222/24*) Die Senkkästen sind aus Holz hergestellt und mit Beton gefüllt. Zum Setzen der je rd. 15000 kg wiegenden Kasten waren besondere Vorrichtungen nötig, die eingehend beschrieben sind.

Stability of small dams. Von Gregory. (Eng. Rec. 21. Sept. 01 S. 269/70*) Rechnerische Untersuchung der Standfestigkeit von Staumauern mit trapezförmigem und dreieckigem Querschnitt.

Repairing a leaking cofferdam and pile driving methods at the Leech Lake storage reservoir, Minn. Von Weeks. (Eng. News 19. Sept. 01 S. 187/89*) Durch Gefrieren des zwischen die Spundwände geschütteten Sandes entstanden Risse im Fangdamm, die mit Schotter und Sandsäcken wieder gedichtet wurden. Beschreibung einer zum Bau des Fangdammes benutzten Ramme.

The Butler steam shovel cableway at the Missionfield coal mine, Illinois. (Eng. News 19. Sept. 01 S. 205*) Beschreibung eines Landbaggers, der bei Erschließung von Kohlendäusen mittels Tagbau Verwendung findet.

Explosionsmotoren und andere Wärmekraftmaschinen.

Machinery at the Pan-American Exposition. IX. (Iron Age 19. Sept. 01 S. 1/2*) Zweizylinderige Viertakt-Gasmaschine von Struthers, Wells & Co. in Warren, Pa. Einzelheiten der Zündvorrichtung, der Pleuelstange, des Regulators und der Steuerung.

Der Spiritusmotor. Von Neuberg. (Motorwagen 30. Sept. 01 S. 237/32*) Beschreibung von Versuchen an einem ortsfesten Spiritusmotor von 4 PS in dem Laboratorium der Technischen Hochschule zu Berlin und Folgerungen aus den Ergebnissen.

Magnéto d'allumage pour moteurs à explosion, système Holtzer-Cabot. Von Lestang. (Rev. Ind. 28. Sept. 01 S. 385*) Darstellung eines magnet-elektrischen Induktionszünders für Explosionsmotoren. Schaltungsakzise.

Gasindustrie.

Ueber Retortenöfen. Von Rother. (Journ. Gasb.-Wasserv. 5. Okt. 01 S. 738/39) Bericht über die für kleinere Gewerbe geeigneten Öfen. Unterschiede zwischen den einzelnen Bauarten. Leitsätze für die Wahl der Öfen. Betriebsvorschriften.

Gesundheitsingenieurwesen.

The management of septic tanks and bacterial contact beds. Von Fowler. (Eng. News 19. Sept. 01 S. 198/95*) Schilderung der Vorgänge beim Reinigen von Abwässern in Faulräumen. Klärung der Abwässer auf Steindütern. Ratschläge für den zweckmäßigen Betrieb von bakteriologischen Reinigungsanlagen.

Gießerei.

Iron foundries and foundry practice in the United States. II. (Engineer 4. Okt. 01 S. 348/49*) Kernmacherei und Trockeneinrichtungen. Sandmischmaschinen, Fördereinrichtungen. Heizung und Lüftung. Wohlfahrtsanrichtung. Werkstätte. Motoren.

Hebezeuge.

Electrically controlled hydraulic elevators. II. Von Baxter. (Am. Mach. 5. Okt. 01 S. 1055/57*) Druckwasseraufzug mit elektrisch betätigter Hilfssteuerung. Den Magnetstrom liefern galvanische Elemente.

30-ton folding gantry crane for the Chesapeake & Ohio Ry. wharves, Newport News, Va. (Eng. News 19. Sept. 01 S. 208*) Elektrisch betriebener Portalkran mit einem aufklappbaren Ausleger von 15,5 m Länge.

Heizung und Lüftung.

Fernwasserheizung. Von Tichelmann. (Gesundh. Ing. 30. Sept. 01 S. 292/97*) Allgemeine Erörterungen über die zweckmäßige Anlage von Fernheizungen mittels warmen Wassers.

Versuche über Fensterischenheizung. Von v. Eschmarch. (Gesundh. Ing. 30. Sept. 01 S. 285/89*) Durch die näher beschriebenen Versuche wurde festgestellt, dass die Anordnung von Wasserheizkörpern in Fensterischen sehr zweckmäßig ist.

Ventilation and heating in the Merchants' Loan & Trust Building, Chicago. (Eng. Rec. 21. Sept. 01 S. 279/80*) Eingehende Beschreibung der Dampfheiz- und Lüftanlage in dem 12stöckigen Gebäude.

Hochbau.

Ueber Betonbau und Bauunfälle. (Zentralbl. Bauv. 2. Okt. 01 S. 478/80) Auserzungen von Aird zu dem in Zeitschriftenschan vom 17. Aug. 01 erwähnten Aufsatz von Schmidt „über Betonmauerwerke“ und Erwiderung von Schmidt.

Ueber gemauerte Träger. Von Moormann. (Zentralbl. Bauv. 28. Sept. 01 S. 474/75*) Bericht über einen Belastungsversuch an einem gemauerten Träger und Folgerungen hieraus.

Holzbearbeitung.

Bewährte Konstruktionen von Werkzeugmaschinen. (Z. Werkzeugm. 5. Okt. 01 S. 5/6*) Zeichnungen und Beschreibung eines Vollgatters mit Spaltvorrichtung.

Kälteindustrie.

Revision und Instandhaltung von Kältemaschinen-Anlagen. Von Hins. (Ele. u. Kälte-Ind. 5. Okt. 01 S. 49/50*) Reinigung des Kondensators und des Vorkühlers. Forts. folgt.

Berechnung einer Ammoniak-Kompressions-Kältemaschine. Von Schmidt. (Ele. u. Kälte-Ind. 5. Okt. 01 S. 50/53) Gang der Rechnung für eine Ammoniak-Kompressions-Kältemaschine von 80000 WE/St Nuteleistung.

Lager- und Ladevorrichtungen.

The new 3100000 bushel steel grain elevator for the Great Northern Ry., at West Superior, Wis. (Eng. News 26. Sept. 01 S. 210/12*) mit 1 Taf.) Der Getreidesilo ist 111 m lang, 88 m breit und 75 m hoch und enthält 505 Zellen. Die zum Bewegen des Getreides dienenden Vorrichtungen werden von 41 Drehstrommotoren angetrieben. Angaben über die Gründungsarbeiten. Beschreibung der Eisenkonstruktion des Gebäudes und der Maschineneinrichtung.

Coal tipples and cantilever bridge over Tygart's Valley River, near Fairmont, W. Va. (Eng. News 19. Sept. 01 S. 192/93*) Um die Kohlen von der Grube nach der jenseits des Flusses gelegenen Eisenbahnstation zu befördern, ist der Fluss durch eine Auslegerbrücke überspannt. Auf der Brücke läuft eine Kottenbahn, deren Wagen mittels einer Kippe in die Eisenbahnwagen entleert werden.

Landwirtschaftliche Betriebe.

Canadian agricultural machinery. Von Harwood. Schluss. (Engng. 4. Okt. 01 S. 497/98*) Verwendung von Kugellagern bei landwirtschaftlichen Maschinen. Garbensetzmaschinen.

Materialkunde.

The Moore testing apparatus. (Iron Age 26. Sept. 01 S. 13*) Darstellung einer kleinen Federwaage zur Vornahme von Zug- und Biegeversuchen an Drähten.

The correct treatment of steel. Von Ridsdale. Forts. (Engng. 4. Okt. 01 S. 498/500*) Erörterung der Zweckmäßigkeit der Stahluntersuchungen. Einfluss der Temperatur auf die Beschaffenheit des Stahles. Forts. folgt.

Testing hydraulic cements. II. Von Marshall, Leach und Cosby. (Eng. Rec. 21. Sept. 01 S. 274/77) Einstellung der Ver-

suche. Gewichtprobe. Kiezzement und Sandzement. Schlackenzement. Puzolanzement. Lieferbedingungen für die verschiedenen Zement-sorten.

Mechanik.

Zur Theorie der Knickfestigkeit. Von Schneider. (Z. österr. Ing. u. Arch.-Ver. 4. Okt. 01 S. 649/53*) Theorie der unelastischen Knickung.

Messgeräte und -verfahren.

Continuous weighing machine. (Engng. 4. Okt. 01 S. 483*) Darstellung zweier von Denison & Sons in Leeds gebauter selbstthätiger Wagen.

Metalbearbeitung.

The Pan-American Exposition. III. (Am. Mach. 5. Okt. 01 S. 1049/52*) Ausstellung der Warner & Swasey Company: Revolverdrehbank mit wagerechter Planscheibe, Langfräsmaschine. Ausstellung der Holland Machine Tool Company: Neuerungen an Drehbänken mit wagerechter Planscheibe. Ausstellung von Brown & Sharpe: Langfräsmaschine mit senkrechter Spindel.

Einrichtung von Drehbänken zum Bearbeiten gewölbter Flächen. (Z. Werkzeugm. 5. Okt. 01 S. 6/7*) Beim Bearbeiten hohler oder erhabener Kugelflächen auf der Planscheibe der Drehbank wird zweckmäßig eine Gelenkstange zur Führung des Kreuzschlittens benutzt, deren Länge gleich dem Radius der zu erzeugenden Kugelfläche ist.

Double boring and turning mill. (Engineer 4. Okt. 01 S. 360*) Die Bohrbank mit 2 Tischen und 2 Spindeln kann zum Bearbeiten von Werkstücken bis zu 360 mm Dmr. und 180 mm Höhe verwendet werden. Darstellung vieler Einzelheiten anhand von Zeichnungen.

Das Fallen der Arbeitsspindeln. (Z. Werkzeugm. 5. Okt. 01 S. 9*) Das im Laufe der Zeit zwischen dem feststehenden oberen und dem sich drehenden unteren Teil der Spindel von älteren Bohrmaschinen eintretende Spiel bewirkt, dass die Bohrer sehr häufig abbrechen, sobald die Bohrer Spitze unten aus dem zu durchbohrenden Körper heraustritt. Der Verfasser beschreibt eine diesen Uebelstand vermeidende Vorrichtung, die sich vorzüglich bewährt haben soll.

Hängende Schleifmaschine. (Z. Werkzeugm. 5. Okt. 01 S. 4*) Schaubild einer vom Kölner Schmirgelwerk W. Schmidt nach Art einer Fendelsäge gebauten Schleifmaschine.

Die for making a sheet metal ferrule. Von Doran. (Am. Mach. 5. Okt. 01 S. 1047/49*) Darstellung der Stempel und Matrizen zur Anfertigung aus Blech gehogener Hülsen mit durchlochten Mantel.

Die forging. VIII. Von Horner. (Engng. 4. Okt. 01 S. 469/70*) Pressen von Werkstücken in den Eisenbahnwerkstätten der Great Western Railway in Swindon.

Antrieb von Scheren, Pressen usw. mittels Compoundmotoren. Von Brzóska. (Z. Werkzeugm. 5. Okt. 01 S. 3/4) Der Verfasser empfiehlt zum Antriebe von Werkzeugmaschinen der genannten Art Elektromotoren mit gemischter Wicklung für einen Abfall der Umlaufzahl von rd. 25 vH.

Riemenumleger für Stufenscheiben. (Z. Werkzeugm. 5. Okt. 01 S. 2/3*) Beschreibung eines bequemen und einfachen Riemenumlegers der Aktiebolaget Verktygmaskiner in Stockholm.

Metallhüttenwesen.

Fortschritte im Metallhüttenwesen. Von Bahlsen. (Stahl u. Eisen 1. Okt. 01 S. 1052/54) Fachbericht anhand anderer Veröffentlichungen. Fortschritte in der Kupfererzeugung. Forts. folgt.

Motorwagen und Fahrräder.

Der Wettbewerb für Motorlastwagen zu Liverpool vom 3. bis 7. Juni 1901. Forts. (Motorwagen 30. Sept. 01 S. 231/36*) Dampfmotorwagen der Lancashire Motor Company und der Thornycroft Steam Wagon Company. Motorwagen von C. & A. Musker mit Oel- und Koksfeuerung. Forts. folgt.

Les bicyclettes. Von Bourlet. Schluss. (Génie civ. 5. Okt. 01 S. 365/67*) Fahrräder mit veränderlicher Uebersetzung. Veränderliche Uebersetzung mittels Hebel von Johansson.

Pumpen und Gebläse.

The Boreas air compressor. (Engng. 4. Okt. 01 S. 489*) Zweistufiger Kompressor mit Zwischenkühler und Zylinderkühlung, gebaut von Lacy, Hulbert & Co., London.

Schiffs- und Seewesen.

Lighting the Scottish and Isle of Man coasts. Von Stevenson. (Engng. 4. Okt. 01 S. 496) Kurze Angaben über die Arten der verwendeten Licht- und Schallsignale.

Straßenbahnen.

Dangers from trolley wires and their prevention. Von Jamieson. (Engng. 4. Okt. 01 S. 500/02*) Schutzvorrichtungen gegen das Auffallen von Telephondrähten auf Straßenbahn-Oberleitungen. Erörterung der Ursachen, durch welche das Reissen der Oberleitungsdrähte veranlasst wird, und Vorschläge zu ihrer Verhinderung. Unschädlichmachung des Stromes bei einem gerissenen Leitungsdraht. Unterirdische Verlegung der Telephon- und Telegraphendrähte.

Wasserkraftanlagen.

Regelung aufsenachtlicher Radialturbinen mit Sauggefälle. Von Möller. (Dingler 28. Sept. 01 S. 619/24*) Darstellung und kritische Erläuterung der einzelnen Vorrichtungen. Ringschütze für Fourneyron-Turbinen. Kronenregulierung von Nagel & Kaemp. Regulierungen mittels drehbarer Leitschaufeln für Francis-Turbinen. Ausführung von Zedel und Finkische Drehschaufel von J. M. Volth. Gitterschieber von C. Brockmann in Osnabrück. Druckwasser-Stellwerk für Turbinenregler von Samuel Gjers in Arhona. Regelung mittels Drehklappen an je zwei Schaufeln. Regelung von Jean Béché in Hückeswagen mit verstellbaren Leitschaufeln. Regelung der Phoenix-Turbine. Abschätzung des Wassers innerhalb des Laufraumes von Hugo Luther und von Linnenbrügge in Hannover. Schluss folgt.

Wasserversorgung.

Die Konstruktion offener Wasserbehälter aus Eisenblech. Von Braufs. (Z. Kältelnd. Sept. 01 S. 167/70*) Eingehende Angaben über die Bemessung und Herstellung offener Behälter aus Blechen bis 5 mm Stärke: eckige Behälter ohne und mit Verstärkungen, runde Behälter.

Rundschau.

Die schnelle Erstarkung des deutschen Schiffbaues, der sich insbesondere auch dem Bau sehr großer und schneller Dampfer zugewandt und auf diesem Gebiet unübertroffene Leistungen erzielt hat, bedingte eine entsprechende Vervollkommnung der Ausrüstung unserer Werften und hatte beispielsweise zur Folge, dass heute die größten und leistungsfähigsten Krane der Welt auf deutschen Werften und in deutschen Häfen aufgestellt oder in Aufstellung begriffen sind. Wir haben wiederholt Gelegenheit genommen, auf diese Riesenkrane einzugehen; es sei hier nur an den 150 t-Drehkran in Bremerhaven¹⁾, der seit dem Herbst 1899 im Betriebe ist, und an den 150 t-Drehkran der Germania-Werft²⁾ in Kiel, der 1902 in Betrieb gesetzt worden soll, erinnert. Alle diese Krane übertrifft aber an Größe der zurzeit für die Howaldtswerke³⁾, Kiel, im Bau begriffene 150 t-Drehkran, Fig. 1 bis 5, der Ende dieses Jahres im Betrieb stehen wird. Nach seiner Tragfähigkeit und seinen gewaltigen Abmessungen ist er als **größter Kran der Welt** zu bezeichnen. In seinem Aufbau gleicht der Kran, der von der Benrather Maschinenfabrik A.-G. ausgeführt wird, dem von der gleichen Firma gebauten Bremerhavener Kran und dem nach demselben Grundgedanken entworfenen Krane der Germania-Werft, hat aber bei gleicher Tragfähigkeit wesentlich größere Abmessungen. So beträgt seine Höhe von der Kante der Ufermauer bis zur Fahr-

bahn der Laufkatze 47,15 m gegenüber 35 m bei dem Krane in Bremerhaven und 36 m bei dem Krane für die Germania-Werft, und die Länge des Lastarmes der Kransäule 44,8 m gegenüber 25 m bzw. 38 m. Kennzeichnend für den Aufbau ist die drehbare T-förmige, im labilen Gleichgewicht befindliche Kransäule, die sich innerhalb eines mit dem Unterbau verankerten Stützgerüsts auf einem Rollenspurlager und in einem oberen Rollenhalslager dreht. Bei dieser Bauart ist gegenüber den in sich stabilen Kranen die Möglichkeit gegeben, durch das Stützgerüst des Kranes an der drehbaren Kransäule vorbei Eisenbahngleise hindurchzuführen und so mit diesen möglichst nahe an die Uferkante heranzugehen. Diese Möglichkeit ist bei dem Bremerhavener Kran nicht ausgenutzt, wohl aber bei den beiden andern. Bei dem Krane für die Germania-Werft ist mit Rücksicht hierauf das Stützgerüst als dreiseitige Pyramide ausgebildet, während die Benrather Maschinenfabrik bei dem Krane für die Howaldtswerke an dem für die Herstellung bequemen viereckigen Grundriss festgehalten und die freie Durchfahrt durch das Stützgerüst durch entsprechende Stellung der Streben in den durchfabrenen Feldern gewonnen hat.

Die Triebwerke des Kranes werden, worauf besonders hingewiesen sei, nicht durch Gleichstrommotoren wie beim Bremerhavener Kran, sondern durch Drehstrommotoren betätigt. Gedreht wird der Kran durch ein am Kranfuß angreifendes Drehwerk, im Gegensatz zu dem Kran für die Germania-Werft, wo das Drehwerk an der oberen Rollenbahn angreift. Hierzu sei bemerkt, dass die Benrather Maschinenfabrik die Anordnung des Triebwerkes am Kranfuß vorzieht,

¹⁾ Z. 1899 S. 1481.

²⁾ Z. 1900 S. 420.

³⁾ Vergl. den Plan der Howaldtswerke, Z. 1901 S. 1260.

weil in dem Rollenspurlager weitaus das größte Reibungsmoment auftritt. Ein besonderes Interesse beansprucht die Konstruktion des Hubwerkes und des Katzenfahrwerkes. Um nämlich die Laufkatze zu entlasten und die Stromzuführung einfacher zu gestalten, ist das Triebwerk getrennt vom Laufwagen ruhend auf dem andern Arme der Kranskule, zugleich als Gegengewicht dienend, angeordnet. Zum Heben wird ein Stahlseil von 60 mm Dmr. benutzt, das in 8 Strängen um einen Flaschenzug geschlungen ist, an dem die Last hängt. Das Seil wird auf 2 Spilltrommeln aufgewickelt und das ablaufende Ende von einem Flaschenzug aufgenommen, der innerhalb der Kranskule auf- und niedergeht. Die beiden Spilltrommeln werden gemeinsam durch je ein Schneckengetriebe und ein Stirnrädervorgelege von einem 70 pferdigen Motor angetrieben, sodass jedes Schneckengetriebe die verhältnismäßig sehr hohe Leistung von 35 PS zu übertragen hat. Das Zugseil für das Fahren der Laufkatze ist 3stründig und hat 48 mm Dmr.; es wickelt sich auf einer Trommel auf, die ebenfalls von dem Motor, der die Spilltrommeln treibt, mittels Schneckengetriebes und Rädervorgeleges gedreht wird. Zwischen dem Getriebe für das Fahrwerk und den beiden Getrieben für das Hubwerk ist eine Reibkupplung eingeschaltet. Sie ist ausgerückt, wenn gehoben, eingedrückt, wenn gefahren wird. Im letzteren Falle drehen sich also alle 3 Trommeln, und die Verhältnisse sind so gewählt, dass sich das Hubseil entsprechend der Fahrbewegung der Laufkatze auf den Spilltrommeln aufwickelt, während die Last in derselben Höhe schweben bleibt. Um die Lastgeschwindigkeit der Größe der Last einigermaßen anpassen zu können, ist vor die Schneckengetriebe ein doppeltes Rädervorgelege eingeschaltet, durch das die Uebersetzung im Verhältnis 1:2 geändert werden kann. Für kleine Lasten ist im übrigen auf der Laufkatze selbst ein Hilfswindwerk von 15 t Tragfähigkeit angeordnet, dessen Motor und Triebwerk des geringen Gewichtes wegen auf der Laufkatze selbst eingebaut werden konnten. Ueber die Arbeitsgeschwindigkeiten des Kranes geben folgende Zahlen Auskunft.

	Last	Geschwindigkeit
Heben	150 t	1,0 m/min
	75 "	2,0 "
	15 "	9,5 "
Katzenfahren	150 "	8,0 "
	75 "	16,0 "
Drehen	1 Umdrehung in 10 min	

Die Tragfähigkeit des Kranes ist durch folgende Zahlen gekennzeichnet:

Ansladung	Tragfähigkeit	Hub
20,0 m	150 t	45,0 m
41,0 "	75 "	45,0 "
42,2 "	15 "	46,8 "

Das Eigengewicht des Kranes beträgt 450 t ohne Ballast.

Die Bauzeit des Kranes ist als sehr kurz zu bezeichnen, da die Bestellung nebst den erforderlichen Unterlagen im Februar dieses Jahres gegeben wurde und der Kran zu Ende des Jahres im Betrieb sein soll.

Die Eisenkonstruktion wird, wie bemerkt werden mag, von der Gutehoffnungshütte, Sterkrade, die elektrische Ausrüstung von der Union Elektrizitäts-Gesellschaft, Berlin, geliefert.

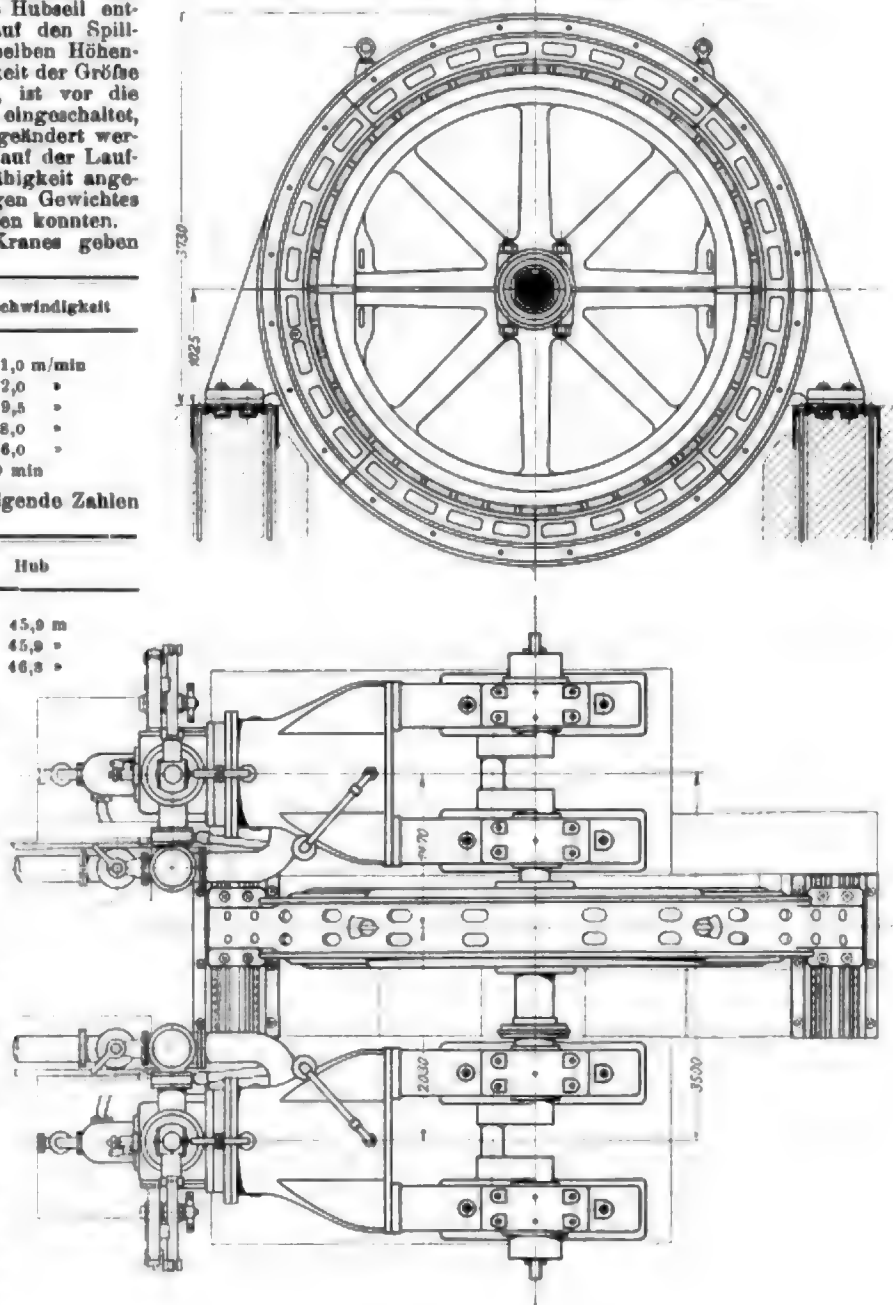
Die Ausnutzung der Hochofengase zum Betriebe von Gasmotoren hat in verhältnismäßig kurzer Zeit große Ausdehnung gewonnen. Die unmittelbare Verbrennung der Koks-ofenabgase, die an Heizkraft dem Leuchtgas nicht allzusehr nachstehen, im Gasmotor ist zwar wesentlich älteren Ursprunges, aber doch weniger verbreitet, während die Heizung von Dampfkesseln mit Koks-ofengasen sehr häufig ist, obwohl sie vom wirtschaftlichen Standpunkte weit unvorteilhafter erscheint. Der Bau solcher Koks-ofengasmotoren wird hauptsächlich von Gebr. Körting, Hannover, gepflegt. Vor mehr als 10 Jahren bereits wurden von dieser Firma zwei 12 pferdige Gasmaschinen für die Zeche Altenwald bei Saarbrücken geliefert, die zum Betrieb einer Wasserhaltung dienen sollten.

Diesen folgte später eine Anzahl größerer Motoren für den Ruhrkohlenbezirk. Von besonderem Wert erscheint bei dem immer schärfer betonten Streben nach Zusammenfassung der Krafterzeugung die Verwendung von Koks-ofengasmotoren zum Antrieb von Dynamos. Als älteres Beispiel hierfür sei die schon eine Reihe von Jahren im Betrieb befindliche elektrische Kraftanlage auf der Kokerel der Oberschlesischen Kokswerke in Gleiwitz erwähnt, die mit zwei 60 pferdigen Körtingschen Motoren ausgerüstet ist.

Die neueste und bei weitem größte Anlage dieser Art ist die noch im Bau befindliche elektrische Kraftverteilungsanlage des Hochofenwerkes Julienhütte, Bobrek i/Schl., die einschließlich des elektrischen Teiles ebenfalls von Gebr. Körting ausgeführt wird. Das Kraftwerk soll Drehstrom von 600 V Spannung für den Antrieb der Hilfs- und Arbeitsmaschinen des Hochofenwerkes erzeugen und so als Ersatz für die bisherige Anordnung dienen, bei der die Koks-ofengase unter Dampfkesseln verbrannt und durch den erzeugten Dampf eine Reihe kleinerer Dampfmaschinen betrieben wurden. Die Primäranlage umfasst 4 Gasdynamos zu je 300 PS, 1 Dreh-

Fig. 1 und 2.

Gasdynamo von 300 PS des Hochofenwerkes Julienhütte.



strom-Gleichstrom-Umformer von 50 PS und 1 Gasdynamo von 50 PS für Gleichstrom zur Erregung der Drehstromdynamos. Fig. 1 und 2 zeigen die 300pferdigen Gasdynamo. Die Gasmotoren sind als Zwillingsmaschinen gebaut. Zwischen den Kurbellagern befindet sich die Dynamo, die als Schwungrad-dynamo ausgeführt ist, d. h. in das Schenkelkreuz ist eine so große Schwungradmasse gelegt, dass ein besonderes Schwungrad entbehrlich ist. Die minutliche Umlaufzahl beträgt 140. In der Konstruktion unterscheiden sich die Motoren nicht von denen für Leuchtgas. Hervorzuheben ist, dass man in dem Körtingschen Mischventil ein Mittel hat, die Wirkungsweise der jeweiligen Zusammensetzung der Gase leicht anzupassen, indem man die Luft- und Gasschlitz in das richtige Verhältnis setzt. Geringe Schwankungen in der Zusammensetzung der Gase ändern an der guten Leistung der Motoren nichts, doch muss betont werden, dass es bei der großen Verschiedenheit der Koksofengase von wesentlichem Vorteil ist, die Maschine erst nach Einbau auf die richtige Mischung einzustellen. Das Maschinenhaus ist von vornherein so groß vorgesehen, dass zwei weitere Maschineneinheiten aufgestellt werden können; außerdem kann das Gebäude noch erheblich erweitert werden.

Fig. 1.

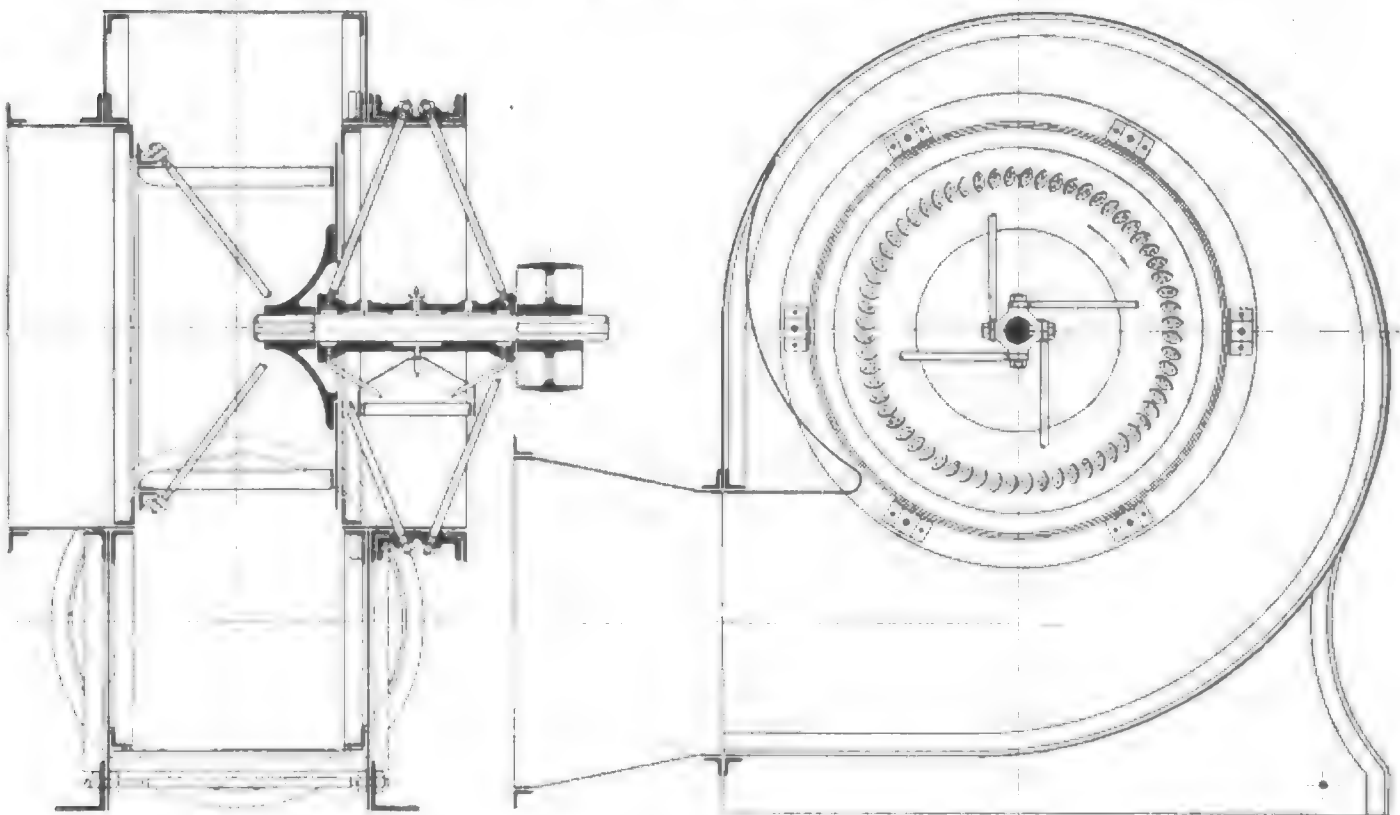
1 zu je 10 PS zum Antrieb einer Gießmaschine,
1 » » 10 » » » von Seilbahnen,
1 » » 15 » » » der Stampfmaschinen auf den
6 » » 2 » » » Koksauströfmaschinen,
2 » » 10 » » Bestimmung noch nicht feststehend.
1 » » 20 » » »

Die Betriebsspannung der Motoren beträgt 570 V. Die Verteilungen auf der Hütte sind — mit Ausnahme der Innenleitungen — fast durchweg blanke Leitungen.

Von der Firma White, Child & Beney in London wird ein Ventilator vertrieben, der sich durch verschiedene Eigenheiten auszeichnet. Die Schaufeln des Sirocco-Ventilators, wie er genannt wird, Fig. 1 und 2, sind in radialer Richtung gemessen sehr schmal, in axialer Richtung dagegen verhältnismäßig lang. Bei der dargestellten Ausführung, die 64 Schaufeln enthält, beträgt die Breite der Schaufel $\frac{1}{16}$, ihre Länge $\frac{1}{2}$ des Raddurchmessers. Durch die Gestaltung der Schaufeln hat man es in der Hand, der Ein- und Ausströmung

Fig. 2.

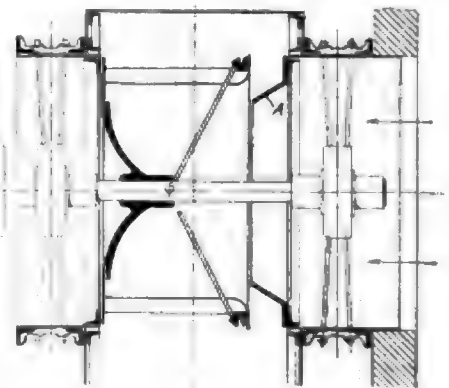
Fig. 1 bis 4. Sirocco-Ventilator.



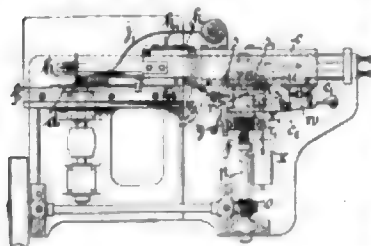
Die Sekundäranlage umfasst 31 Drehstrommotoren von Körting mit zusammen 1365 PS Leistung und 17 Motoren anderer Firmen mit zusammen 241 PS, sodass insgesamt 48 Motoren mit 1606 PS angeschlossen werden. Die Motoren verteilen sich auf die verschiedenen Betriebszweige wie folgt:

4 zu je 50 PS	zum Antrieb der Kondensationen der Koks-	
2 » » 80 »	anstalten,	
1 » » 60 »	(1 davon zur Aushilfe) zum Antrieb der	
1 » » 50 »	Schlackenbrecherei.	
7 » » 40 »	zum Antrieb der Kohlenmühlen,	
8 » » 30 »	Zinkhütte,	
1 » » 25 »	Gichtaufzüge,	
1 » » 20 »	Koksauströfmaschinen,	
1 » » 15 »	Werkstatt,	
2 » » 7,5 »	Zindersiederei,	
	einer Seilbahn,	
	eines Schlacken- und eines Erz-	
	aufzuges,	
	der Lichtmaschinen,	

Fig. 4.



A in Bretchen; dann wird der durch ein Zahnstangengetriebe *s* hin- und herbewegte Schlitten *e* selbstthätig stillgestellt. Nach jedem Schritte bewegt das Gewicht *w* mittels Schnurzug *a* den Schlitten



leer nach rechts, bis sein Anschlag *a* den Hebel *w* so weit dreht, dass er von der Sperrklinke *y* gefangen wird und die Feder *f* den Mitnehmer *r* in die Zähne *a* von *s* einrückt, worauf das Getriebe *s* den Schlitten nach links bewegt. Sobald das abgeschaltene Bretchen durch die Feder *f* herausgedrückt ist, wird *y* durch den Anschlag *a* ausgelöst, und ein bei *a* an *w* angreifender Gewichtshebel *x* rückt die Mitnehmerkupplung *r* aus. Die Feder *f* stellt den Block *a* nach, bis sie nach Aufarbeitung mittels Hebels *k* den Anschlag *a* verschiebt, der mittels Hebels *s* den Mitnehmer *r* an seinem Flansche *r* sperrt und verhindert, dass er wieder eingerückt wird.

Kl. 47. Nr. 120306 und Zusatz Nr. 120343. Reibräder-Wechselgetriebe. F. Pitzler, Birkesdorf bei Düren. Das Reibrad *a* hat einen aus elastischem Stoffe (Gummi, Leder usw.) bestehenden, innen cylindrischen, außen kegelförmigen Mantel *n* und eine auf der Welle *c* undrehbare, aber verschlebbare Druckscheibe *m*, die den Mantel bei *o* an das Kegelrad *b* drückt, sodass durch die Verschiebung von *m* in *n* das Übersetzungsverhältnis geändert wird. Zur Erleichterung des Verschiebens mittels Getriebes *s* *r* *g* ist *n* innen glatt oder mit Schmierung versehen, und zur besseren Kraftübertragung kann *n* außen geraut oder mit mehreren nebeneinander

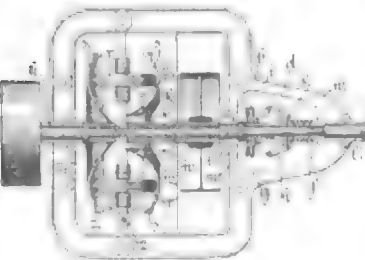


liegenden keilförmigen Rinnen oder Vorsprüngen versehen werden. Nach Nr. 120583 ist der kegelförmige Mantel *n* nicht an den Seitenscheiben *u* befestigt, sondern zwischen vergrößerten Scheiben *u* oder zwischen Flanschen der Reibscheibe *b* lose geführt.

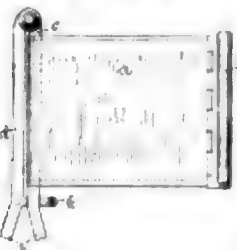


Kl. 46. Nr. 122666. Gasdruckregler. J. Pintsch, Berlin. Bei *b* ist der (Halb-)Wasser-Gaserzeuger, bei *d* die Gasmaschine angeschlossen. Um auch bei wechselndem Widerstande des Gaserzeugers gleichmäßigen Druck zu erhalten, wird die Schwimmerglocke *c* mit zwei verschiedenen großen Schwimmern *d*, *e* versehen, von denen *d* stets unter Wasser ist und den für regelmäßigen Betrieb erforderlichen Auftrieb liefert, während *e* bei größerem Widerstande untertaucht und die Saugwirkung verstärkt. Zur Regelung der Saugwirkung wird durch Drehung der Schraube *m* die Feder *i* stärker gespannt und zugleich die Feder *k* gelöst oder umgekehrt.

Kl. 47. Nr. 120008. Wechselgetriebe. Consolidated Machine Specialty Co., Boston (Suffolk, Massach., V. S. A.). Die treibende Welle *w* und die getriebene *w*₁ sind unabhängig von einander gelagert, und zwar *w* in den inneren Lagern *k*, *l* und *w*₁ in den äußeren *k*₁, *l*₁, während zwischen dem Bunde *b* an *w* und der Hülse *h* auf *w*₁ ein Stützlager *i* (Kugellager) angeordnet ist. Schiebt man mittels Gabelhebels *g* die Einrückmuffe *w* auf *h* nach rechts, so drücken die Dammhebel *d* mittels Scheibe *e* die Feder *f* zusammen, und dadurch wird *w*₁ nach rechts, *w* mittels *h*, *i* nach links verschoben. Somit werden die auf *w* und *w*₁ be-

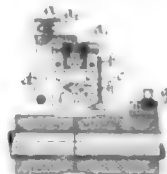


festigten hohlringförmigen Scheiben *s*, *s*₁ an die Reibräder *r*, *r*₁ gedrückt, die je nach ihrer durch Zahnbohrgetriebe *s*₂, *s*₃ bestimmten Stellung die Drehung von *w* auf *w*₁ mit gleicher oder veränderter Geschwindigkeit in umgekehrter Richtung übertragen.



Kl. 47. Nr. 121302. Schlauchverband. C. Eilers jr., Königsbutter. Die Binde *a* wird um die schadhafte Stelle des Schlauches gelegt, der Haken *g* an dem Schenkel *d* der Zange *c* befestigt und diese durch die Griffe *i* und die Sperrung *k* geschlossen.

Kl. 47. Nr. 121484. Reibkupplung. Th. & A. Frederking, Leipzig-Lindenau. Zum Andocken der Reibringe *a*₁, *a*₂ an den Kupplungsell *e* sind im Kupplungsstelle *b* zwei Hebel *c*, *d* gelagert, von denen *c* federt, *d* aber starr ist und einen Winkelhebel *f* trägt, der beim Einrücken mittels Muffe *g* zuerst *c* mit *a*₁ an *a* drückt und dann, auf *c* sich stützend, auch *d* mit *a*₂ bewegt, sodass die Nachgiebigkeit von *c* auch auf *d* wirkt und die Elterückung stofsfrei macht. Beim Ausrücken stützt sich *d* mit einer Verlängerung auf den Ansatz *k*, um *a*₁ und *a*₂ gleich weit von *a* entfernt zu halten.



Kl. 47. Nr. 121087. Holzriemenscheibe. B. Paris, Oberkölitz bei Königssee i. Th. Die hölzernen Armhälften *c*, *e* werden durch klappenartig übergreifende Metallstücke *k* gegeneinander gedrückt, bis die Kanten von *k* die Welle berühren und schon bei mäßigen Anziehen der Schrauben *h* ein so großer Flächendruck entsteht, dass sie sich bei etwaiger Bewegung in die Welle einfrassen.



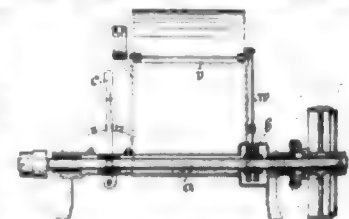
Kl. 47. Nr. 121311. Schlauch- und Rohrverbindung. H. Koch und J. Ph. Bartsch, Nieder-Ingelheim. Der Teil *a*₁ wird soweit in die Weichgummihülse *c* geschoben, dass der Innenwulst *e* in die Hohlkehle *f* trifft; dann wird der Ring *e* auf diese Stelle geschoben, wobei die Kautschukklappe *f* *f*₁ auf dem Anlaufe von *a*₁ noch eine zweite Dichtung bildet.



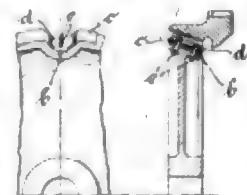
Kl. 47. Nr. 122665. Gewebter Treibriemen. G. Ebell, Neuruppin. Für halbgeschränkten Riementrieb bestimmte Treibriemen werden so gestaltet, dass sie auf der ganzen Länge gleichmäßig gekrümmt sind und das Längenverhältnis der Kanten *a* und *b* dem Verhältnis der zu durchlaufenden Wege gleich ist. Hergestellt wird der Riemen in der Weise, dass man die Kettenfäden beim Aufbringen gleichmäßig zunehmend von *b* nach *a* hin stärker spannt und dann die Seilnuten in ob- oder umgekehrter Weise einwebt.



Kl. 47. Nr. 120803. Sicherheitsvorrichtung für Trögverschlüsse. H. Schön, Stuttgart. Nach dem Einrücken des Antriebes durch Verschiebung der Triebwelle *a* mittels Handhebels *c* bei geschlossenem Deckel *e* steht ein an *e* befestigter Zapfen *w* dem hohen Ende eines mit *a* verbundenen Schiebers *b* gegenüber, sodass *v* nicht geöffnet werden kann. Nach dem Ausrücken kann *w* in eine Nut von *b* eintreten, also *e* geöffnet werden, wodurch *a* gesperert wird. Die Patentschrift zeigt mehrere Ausführungsformen.



Kl. 47. Nr. 121271. Reibrad. J. Pohlitz, A.-G., Köln-Zollstock. Um den Lederbelag *c* so zu befestigen, dass die Befestigungsmittel vor Abnutzung und die Lederlagen vor dem Zerreißen geschützt sind, werden die Enden der Lederstreifen in Vertiefungen *b* des Kranzes eingelegt und dort durch Druckplatten *d* und Schrauben *e* festgehalten.



Kl. 48. Nr. 121353. Selbstthätige Presse. P. Spengler, Merseburg. Auf dem Pressstische *a* wird ein Rahmen *b* hin- und herbewegt, der einen Füllkasten *c*, einen Presskell *d* und dazwischen einen Ausstoßraum *e* enthält. Bei der Rechtsbewegung wird die Pressform *h* aus *c* gefällt, beim linken Hubwechsel, wenn *d* unter dem Holm *y* steht, wird das Pressgut von dem Kolben *k* gepresst und während des folgenden Rechtsabwärtens in den Raum *e* ausgestoßen. Dabei trennen elastische Anschläge *f* die einzelnen Pressstücke und führen sie ohne Beschädigung, Zusammenbacken usw. auf das Förderband *g*.



ZEITSCHRIFT DES VEREINES DEUTSCHER INGENIEURE.

Nr. 43.

Sonnabend, den 26. Oktober 1901.

Band XXXV.

Inhalt:

Elektrisch betriebener Laufkran für eine Stahlwerk-Gießhalle. Von A. Kolben	1513
Die Weltausstellung in Paris 1900: Schifffahrt und Küstenbeleuchtung. Von A. Rudolph (Fortsetzung)	1520
Elektrische Solenoid-Stoßbohrer für hartes Gestein. Von E. Heubach (Schluss)	1526
Sollen Dynamos als Schwungräder dienen? Von A. Rothert	1531
Bayerischer B.-V.: Feier des 25-jährigen Stiftungsfestes am 4. und 5. Mai 1901	1534
Hamburger B.-V.	1535
Kölner B.-V.	1535
Ostpreussischer B.-V.: Die Vorgänge beim Ansaugen der Pumpen, besonders der schnellgehenden Pumpen	1535

Bücherschau: Die Maschinen-Elemente. Von C. Bach. — Schweizerische Bergbahnen. — Bei der Redaktion eingegangene Bücher	1539
Zeitschriftenschau	1541
Rundschau: Dampffähre für den Nordseekanal. — Kondensatorleftpumpe. — Entlastete Ausgleichstopfbüchse für Dampfleitungen. — Das Goldschmidt'sche Schweißverfahren. — Verschiedenes	1544
Patentbericht: Nr. 122374, 122356, 122814, 122916, 120978, 122974, 122918, 120702, 120891, 122977, 122999, 122914, 122712, 120919, 120803, 122955, 120895, 120463, 120550, 121381, 120892, 120879, 120857, 122507, 120910, 122306, 122558, 120074	1548

Elektrisch betriebener Laufkran für eine Stahlwerk-Gießhalle.

Von Ingenieur Alfred Kolben, Prag-Vysocan.

Wohl kaum in einem zweiten Betriebe werden Laufkrane in so ausgedehntem Maße in Anspruch genommen wie in Stahlwerken. Wer Gelegenheit hatte, die Gießhalle eines großen Stahlwerkes in voller Thätigkeit zu sehen, wer die in Rauch und Dampf gehüllten Laufkrane mit vollen Gusspfannen oder glühenden Ingots beladen bei der Arbeit beobachtet hat, der wird gestehen, dass sie Anforderungen zu genügen haben, welche die an Werkstätten- oder Lagerkrane gestellten weitaus übertreffen. Es wird dabei auch sofort klar, dass der Betrieb nur durch elektrisch betriebene Krane mit 3 Motoren zu führen ist.

Der nachstehend beschriebene Kran ist von der Elektrizitäts-A.-G. vorm. Kolben & Co., Prag-Vysocan, für die Stahlwerk-Gießhalle der Prager Eisenindustrie-Gesellschaft »Adalberthütte« in Kladno in Böhmen gebaut. In dieser Halle sind 3 elektrische Laufkrane mit ähnlich hohen Geschwindigkeiten seit mehr als einem Jahre in vollem Betriebe und haben sich den Anforderungen durchaus gewachsen gezeigt.

Der Kran weist folgende Verhältnisse auf:

Tragkraft	10 t
Spannweite	11 m
Geschwindigkeit für den Lastbetrieb	
bei 6 bis 10 t	12,4 m/min
„ 3 t	25 „
Geschwindigkeit der Katzenfahrt	45 „
„ Kranfahrt	90 „

Zum Betriebe dient Drehstrom von 500 V verketteter Spannung und 25 Per. sek. Da zumeist Lasten verschiedener Größe in außerordentlich rascher Folge gehandhabt werden, wobei die halbe Last mit doppelter Geschwindigkeit bewegt wird, so bot die Anwendung von Drehstrommotoren insofern bedeutenden Vorteil, als die gleichbleibende Geschwindigkeit eines solchen Motors bei einmal eingestellter höchster Geschwindigkeitsstufe dem Kranführer ermöglicht, die Geschwindigkeit, welche die Last erhalten soll, von vornherein richtig abzuschätzen und danach seine Brems- und Schalteinrichtungen zu handhaben. Wenn man in Betracht zieht, dass auf zwei dicht nebeneinanderliegenden Kranbahnen von rd. 40 m Länge je zwei derartige Krane gleichzeitig verkehren und einander dabei nicht nur nicht hindern, sondern unterstützen sollen, so wird man die Richtigkeit dieser Anordnung anerkennen.

Eine sich stetig mit der Last ändernde Geschwindigkeit, wie dies bei Motoren mit Reibenschaltung der Fall ist, wäre

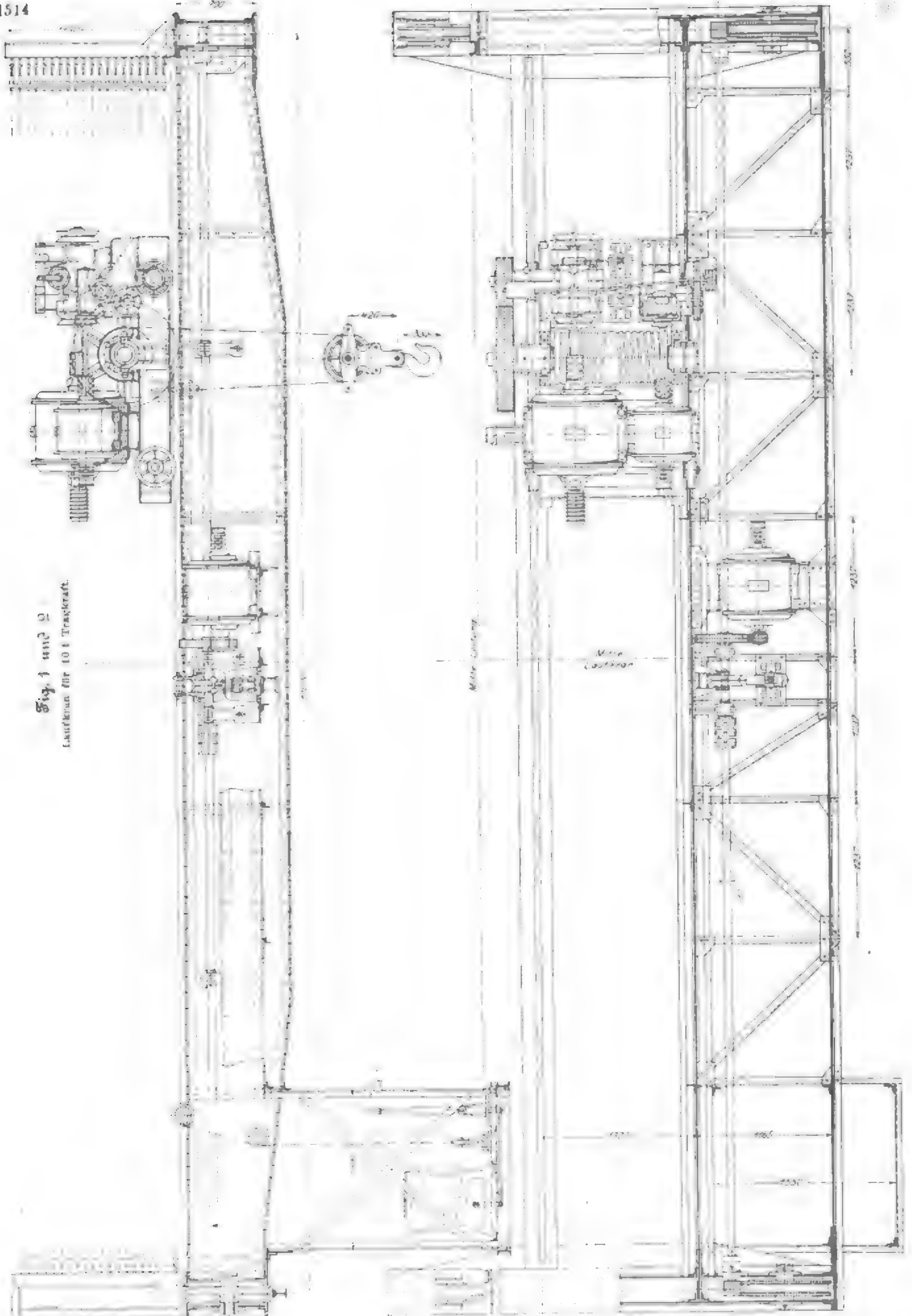
nutzlos, ja störend, da durch die von vornherein gewählten hohen Geschwindigkeiten die verfügbare Zeit ohnehin ausgenutzt wird.

Nicht unerwähnt bleibe noch, dass sich der einfache Schleifringanker eines Drehstrommotors gegen das häufig wiederholte Umkehren ganz gleichgültig verhält, was von einem Gleichstromanker mit Kollektor nicht, oder wenigstens nicht in dem Maße, behauptet werden kann, selbst für den Fall, dass man eine elektromagnetische Bremse vorsieht, die den Anker zunächst in Ruhe bringt und ihn dann erst umzuschalten gestattet; denn bei dem überaus häufigen Umschalten würden sich die Massen- und Remanenzwirkungen des hin- und herschwingenden Magneten störend bemerkbar machen.

Die Laufbühne.

Die Laufbühne besteht aus 2 Blechbalken von I-förmigem Querschnitt, deren Abmessungen den Figuren 1 und 2 zu entnehmen sind. Um die seitliche Steifigkeit zu erhöhen, ist auf der Seite der Bedienungslaufbühne noch ein dritter Hülfssträger vorgesehen worden, auf dessen Mitte der Motor für die Kranfahrt aufgestellt ist, und der gegen die Hauptträger durch fachwerkartig angeordnete Winkelseisen kräftig versteift ist. Da der Motor die Längswelle durch ein Zahnradgetriebe antreibt, so tritt ein Zahndruck auf, der den Laufbühnensträger seitlich ausbiegen würde. Diese Ausbiegung wird durch die Versteifung vermieden, und gleichzeitig wird dem Ecken der Bühne infolge ungleicher Belastung der 4 Laufräder möglichst vorgebeugt. Die Stegbleche des Hülfssträgers sowie der Hauptträger sind in einem Stück und fast über die ganze Spannweite in gleicher Höhe ausgeführt; sie verjüngen sich nur gegen das Auflager hin. Diese Ausführung empfiehlt sich besonders bei rasch laufenden Gießereikranen, da die Konstruktion auch in senkrechter Richtung an Steifigkeit gewinnt.

Mit Rücksicht auf das Hallenprofil, und um eine möglichst tiefe Lage des Schwerpunktes zu erzielen, sind die Laufbühnensträger nicht über, sondern in gleicher Höhe mit dem Radkasten gelagert. Zur Herstellung einer festen Verbindung mit dem Radkasten sind die Stegbleche der Hauptträger bis an die äußeren Wände des Radkastens durchgeführt und hier mit kräftigen Laschen und Eckseisen angeschlossen. Der Radkasten besteht aus einem 700 mm hohen Kastenträger mit geschlossenen Stirnwänden. Dabei konnte der erwähnte Hülfssträger als Abschluss der einen Stirnwand des Radkastens gut verwendet werden. Die Laufräder der



dem Ecken begegnet, das sich insbesondere bei rasch laufenden Kranen mit einseitig angeordnetem Antrieb um so störender fühlbar macht, je weiter die belastete Laufkatze vom Motor entfernt ist.

Die Anordnung des Motors und des Getriebes ist aus Fig. 3 bis 6 ersichtlich. Da auf einer kurzen Fahrbahn zwei Krane arbeiten und die Kranbrücke nach Abschalten des Motors unter voller Geschwindigkeit vermöge der Massenbeschleunigung noch rd. 10 m zurücklegen würde, so ist eine elektromagnetische Bremse vorgesehen, die von der E.-A.-G. vorm. Kolben & Co. schon mehreremale für Drehstromkrane angewendet worden ist.

In der Mitte der Welle, unmittelbar neben dem großen Zahnrad mit 71 Zähnen, ist eine Bremscheibe mit keilförmigen Nuten angebracht. Der Keilnutenwinkel beträgt 90° . Das stählerne Bremsband ist mit einem gegliederten Holzfutter ausgekleidet, in der Mitte durch ein Gelenk, das gleichzeitig bequem nachzustellen gestattet, in zwei Hälften geteilt und durch besondere Schrauben abgestützt.

Diese Anordnung eignet sich vorzüglich für stark benutzte Hebezeuge. Sie gestattet eine reichliche Ausdehnung des Bremsbandes, da vermöge des gegliederten Holzfutters und der Teilung des Bandes selbst bei 3 bis 4 mm starken Bremsbändern ein gutes Anschmiegen gewährleistet ist. Die Enden des Bremsbandes sind in einen Winkelhebel für Vor- und Rückwärtsgang eingehängt. Der Bremsmagnet, Fig. 7, ist als Wechselstrom-Solenoid ausgebildet, dessen U-förmige Kerne aus 0,3 mm dickem isoliertem Eisenblech aufgebaut sind. Der Anker ist mittels zweier an der oberen Pressplatte in Führungen laufender Bronzebolzen aufgehängt und mit einem unterhalb des Magneten angeordneten Hubdämpfer verbunden. Die Induktionsverhältnisse sind so gewählt, dass der Magnet bei 400 V und tiefster Ankerlage eine Zugkraft von 30 kg bei einem Hub von 50 mm auszuüben imstande ist.

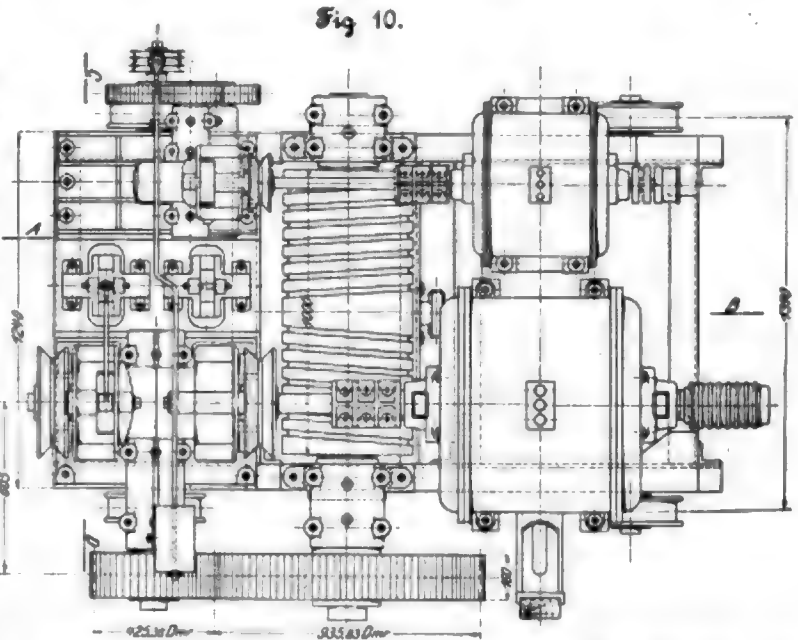
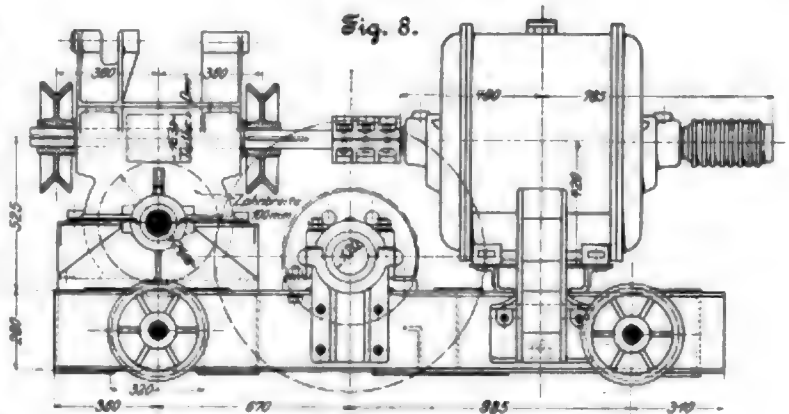
Die Erregerwicklung ist parallel einer Statorphase des Motors angeschlossen, sodass beim Einschalten des letzteren die Bremse durch Anheben des Ankers gelüftet wird. Für die Induktionsverhältnisse des Magneten war ferner der Umstand maßgebend, dass der remanente Magnetismus bei angehobenem Anker keine Verzögerung der Bremswirkung hervorruft und der Anker sofort herabfällt, sobald der Strom abgeschaltet ist.

Die Laufkatze.

Es ist für rasch arbeitende Laufkatzen von großer Wichtigkeit, dass sowohl der Schwerpunkt der Eigenkonstruktion als auch die von der Nutzlast herrührenden Auflagedrucke der Trommel eine möglichst tiefe Lage haben.

Aus Fig. 8 bis 13 ist zu sehen, dass die Katze gedrungen und einfach aufgebaut ist, obwohl verhältnismäßig große Motoren zur Verwendung gelangt sind. Der Hubmotor leistet bei 360 Uml./min 42 PS, der Querschiebmotor 10 PS bei 720 Uml./min. Die Laufräder sind durch das Eigengewicht und durch die Nutzlast fast gleich belastet. Die Übersetzungen sind derart verteilt, dass die Lasttrommel tief liegt, um störenden Einflüssen von Kippmomenten, die sich wohl bei langsam arbeitenden Kranen nicht sehr bemerkbar machen, hier aber durchaus nicht zu vernachlässigen waren, zu begegnen.

Von Wichtigkeit ist auch die Art der Kettenaufhängung der Last. Um auf kleine Trommeldurchmesser zu kommen und außerdem mehrfache Sicherheit gegen Kettenbrüche zu erreichen, hängt man die Last meist an mehreren Seil- oder Kettenstrümmern auf. Da die oft meterhoch aus den Gusspfannen emporschlagenden Flammen ein Stahlseil mit Hanfseile beschädigen würden, sind hier kalibrierte Ketten genommen. Um den schiefen Kettenzügen, die bei



der außerordentlich raschen Handhabung regelmäßig auftreten, Rechnung zu tragen, ist die Kette derart aufgehängt, dass alle 4 Kettenstrümmen auch beim schiefen Anheben der Last gleichmäßig belastet werden. Dies ist dadurch erreicht, dass die Ketten einerseits auf der Trommel symmetrisch zur Mittelachse in rechten und linken Schraubengängen aufgewunden werden, andererseits aber auf eine in der Katze schneidenartig gelagerte feste Rolle auflaufen, welche die Spannungen der einzelnen Kettenstrümmen selbsttätig ausgleicht; s. Fig. 9. Hierdurch sind die störenden Einflüsse unsymmetrischer Belastungen, die besonders auf die Spurkranzreibung Einfluss üben, vermindert, und ferner ist die Kette gegen Überlastung und gegen das äußerst gefährliche ruckweise Geraderichten schlaffgewordener Kettenglieder — die häufige Ursache von Kettenbrüchen — genügend gesichert.

Das Traggerüst der Katze besteht aus einem Rahmen von Profilträgern. Die Übersetzungen für den Hub gehen aus folgenden Angaben hervor:

360 oder 720 Uml./min des Motors,
Schnecke: 3-gängig, 44,4 mm Teilung, aus gehärtetem Stahl,
Schneckenrad: 30 Zähne aus Phosphorbronze,
kleines Zahnrad auf der Schneckenradwelle: 30 Zähne, Teilung 44,5 mm, Breite 160 mm,
großes Zahnrad auf der Trommelwelle: 66 Zähne,
Trommeldurchmesser 476 mm,
Übersetzung durch die Kettenrollen 1:2.

tung vollführt, wodurch die Verwendung derselben Kontakte für beide Drehrichtungen der Motoren ermöglicht wird.

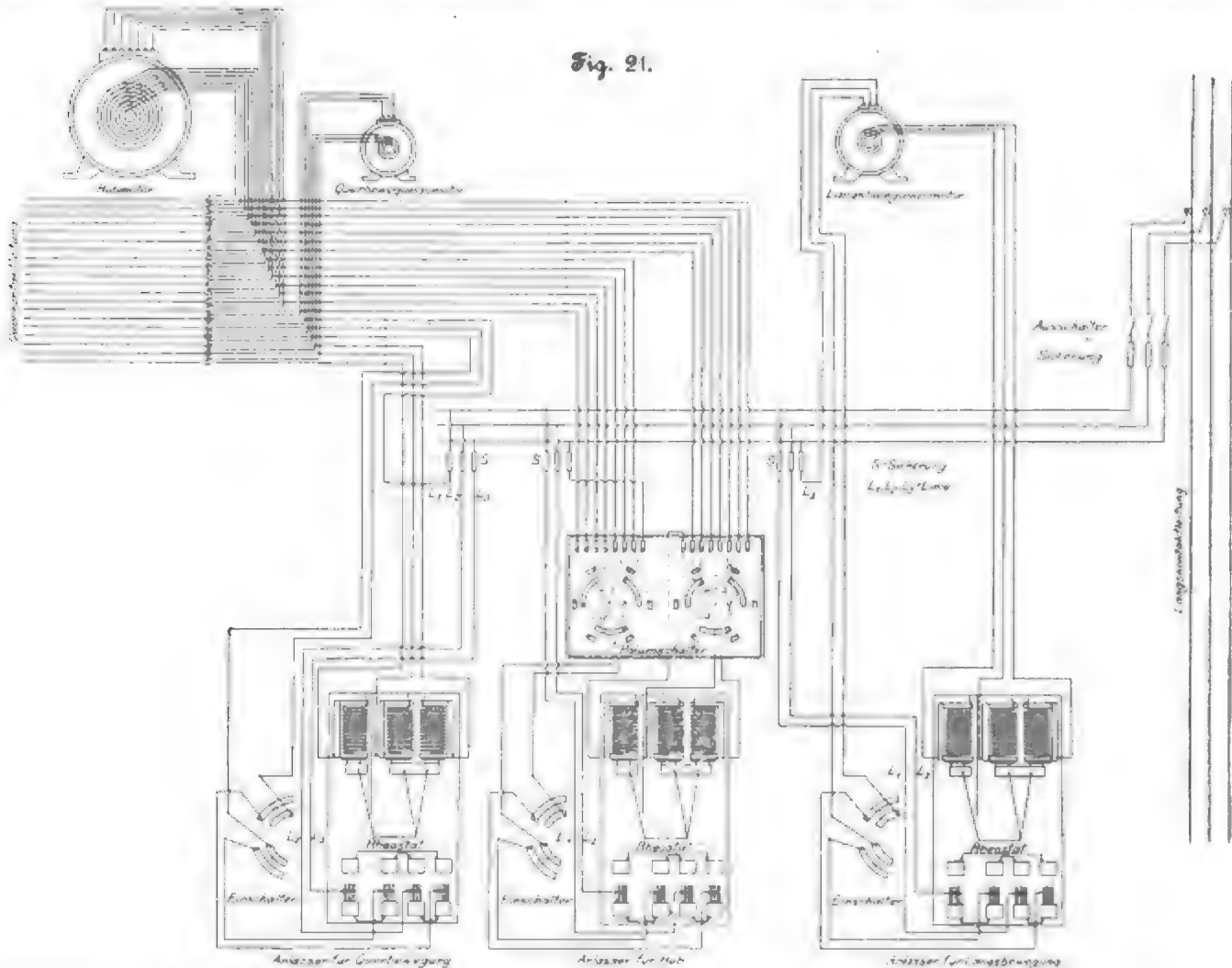
Der Umschalter für den Stator ist ebenso wie die Widerstände im Innern eines gusseisernen Gehäuses untergebracht; er wird jedoch niemals unter Strom ein- und ausgeschaltet. Für letzteren Zweck ist mit dem Umschalter auf der gleichen Welle an der äußeren Kastenwand eine besondere Einschaltvorrichtung mit Funkenziehern aus Kohle verbunden, die nach Bedarf ausgewechselt werden können.

Der Kranführer kann den erwähnten Hebel in den unteren Grenzen der Geschwindigkeitsregelung — bei größerem Vor-

kontakt, Fig. 19, abgenommen, für den auf einem der Radkasten eine Konsole angeklippt ist. Den Laufkatzenmotoren wird der Strom durch einen 20poligen Rollenkontakt, Fig. 20, zugeführt, der von einer Gusskonsole getragen wird. Die Gleitrollen sind an einarmigen Hebeln federnd gelagert, vermögen also dem Durchhang des Arbeitsdrahtes zu folgen.

Das Schaltschema ist in Fig. 21 dargestellt.

Zum Schlusse sei es mir gestattet, auf die guten Betriebserfolge hinzuweisen, die das Eisenwerk Kladno bei der hohen Betriebsspannung von 500 V zu verzeichnen hat; sie sind der musterhaften Ausführung der Leitungsanlage, deren sich der



schaltwiderstand im Rotor — mittels ganz kurzer Handbewegungen außerordentlich rasch elastisch vor- und rückwärts schnellen lassen und hierdurch trotz der hohen Geschwindigkeit auch noch feine Abstufungen erreichen. Diese Eigenschaft ist besonders in Montagewerkstätten, Eisengießereien (zum Anheben der Formen) usw. sehr wertvoll.

Die Anordnung der Vorrichtungen im Führerstand ist aus Fig. 14 bis 17 ersichtlich. Fig. 18 zeigt eine Ansicht des Umkehranlassers, bei dem auf guten Ausblick und bequemen Stand des Führers Rücksicht genommen ist. Die Anlasser im Rücken, hat dieser nur 3 aufrecht stehende Handhebel vor sich; die Notbremse für den Hubmotor kann er mit dem linken Fuße in Tätigkeit setzen.

Der Strom wird durch einen 3poligen federnden Rollen-

dortige Betriebsleiter, Ingenieur C. Macháček, angenommen hat, zu verdanken. Abgesehen davon, dass die Leitungen mit peinlichster Sorgfalt auf Hochspannungsisolatoren verlegt sind, sind für die gemeinsamen Zuleitungen zur Gießhalle Streckenausschalter angebracht, welche gestatten, die ganze Halle augenblicklich stromlos zu machen; ferner ist in einem der breiten gut zugänglichen Pfeiler ein verschließbarer Verteilungskasten mit 2 Türen untergebracht, der auf einer Seite die Patronensicherungen für die Leitungen längs der Kranbahnen, auf der andern die Ausschalter für diese Leitungen in sehr übersichtlicher Weise aufnimmt. Den Schlüssel zum Kasten besitzen die Kranführer, die von diesen Sicherheitsvorkehrungen ausgiebigen Gebrauch machen.

dem Widerstande und der Dauer des Strumpfes eine Grenze findet; doch ist ein Wasserdruck von 1,5 m als am zweckmäßigsten gefunden worden. Für die Leuchtstärke ist es ferner noch vorteilhaft, ein möglichst kohlenstoffreiches Gas zu verwenden.

Die spezifische Leuchtstärke des Auer-Lichtes aus Fettgas, das unter einem Wasserdruck von 1,5 m Höhe steht, ist etwa 3mal so groß wie die einer sechsdochtigen Lampe. Bei der Verwendung solchen Lichtes ist es daher möglich, die Leuchtstärke eines Leuchtfeuers I. Ordnung, das bisher mit Petroleum gespeist wurde, zu verdreifachen, wobei die Unterhaltungskosten etwa auf die Hälfte hinuntergehen.

Fig. 56 und 57.

Brenner für Petroleumglühlicht.

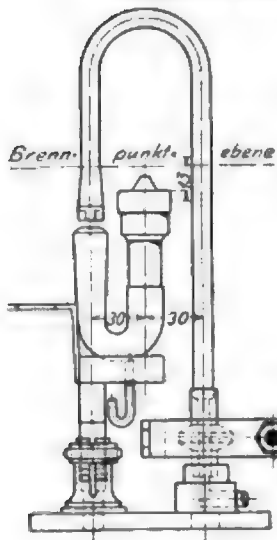


Fig. 58.

Petroleumglühlicht der französischen Leuchtfeuerverwaltung.

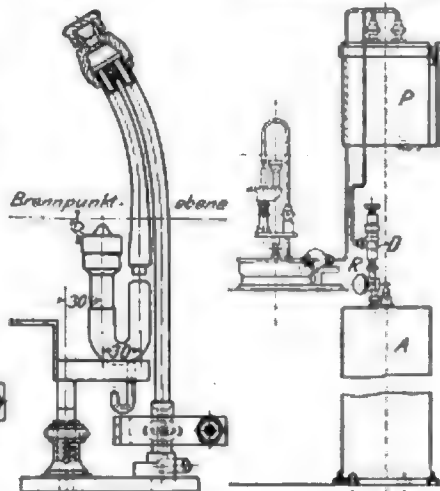
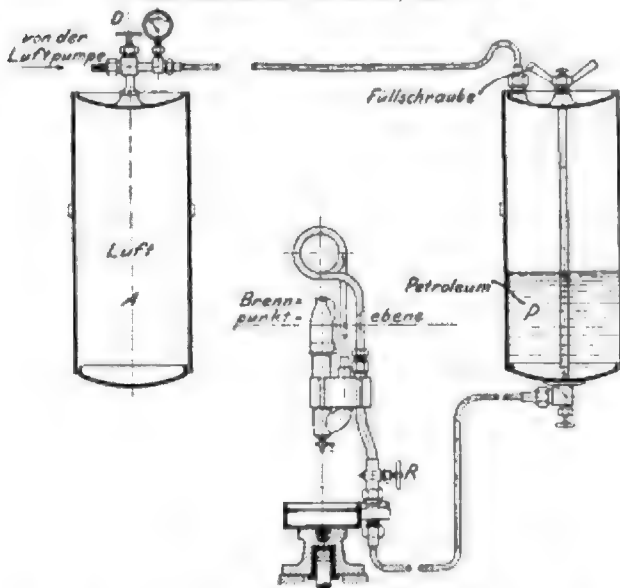


Fig. 59.

Petroleumglühlicht von Sautter, Harlé & Co.



Die Herstellung des Fettgases erfolgt in einer Anstalt nahe am Leuchtturm. Die Erfahrung hat gezeigt, dass die Ueberwachung der Fettgasanstalt und des Leuchtturmes viel weniger Sorgfalt erfordert als bei einem gewöhnlichen Petroleum-Leuchtfeuer. Die Wärter brauchen nicht unausgesetzt beim Fettgasglühlicht zu wachen, da ihnen jede Verlangsamung der Umdrehungsgeschwindigkeiten durch ein Glockenzeichen angezeigt werden kann und die Flamme einer beständigen Beobachtung nicht bedarf.

Petroleumglühlicht. Die Notwendigkeit einer Fettgasanstalt für die beschriebene Art der Befuerung beschränkte deren Verwendung auf eine geringere Zahl der wichtigeren Feuer. Die französische Leuchtfeuerverwaltung hat deshalb eine Glühlichtlampe für Petroleum entworfen und ausgeführt, die sich gut bewährt hat, Fig. 56 bis 59. Diese Lampe ist auf der gleichen Grundlage hergestellt wie die im Handel käufliche Petroleumglühlichtlampe, welche darauf beruht, dass das Petroleum verdampft und dann in einem Bunsen-Brenner verbrannt wird.

Wenn die Optik es gestattet, giebt man dem Verdampfer die Form Fig. 56, wobei er den Glühstrumpf in Bügelform umgiebt. Ist nur eine einseitige Verdunkung durch den Verdampfer zulässig, so wählt man die Form Fig. 57 oder 59. Fig. 58 stellt die von der französischen Leuchtfeuerverwaltung angegebene Gesamtanordnung dar, während Fig. 59 der Ausführung der Firma Sautter, Harlé & Co. in Paris entspricht.

Das Petroleumglühlicht erfordert einen Petroleumbehälter P, Fig. 58 und 59, der mit einem Windkessel A in Verbindung steht, in welchem man einen Druck von etwa 6 kg/qcm herstellt. In der Verbindungsleitung zwischen P und A befinden sich ein Manometer und ein Druckregler D. Der Petroleumzufluss wird durch das Ventil R geregelt. Die spezifische Leuchtstärke des Petroleumglühlichtes ist etwas größer als die des Gasglühlichtes. Der Petroleumverbrauch beträgt etwa 0,5 g/HK. Die jährlichen Kosten eines Petroleumglühlichtbrenners sind nicht größer als die einer gewöhnlichen Lampe mit 3 Dochten. Daraus ergibt sich die Ueberlegenheit des Petroleumglühlichtes, das auch eine größere Betriebssicherheit gewährt und verhältnismäßig leicht zu bedienen ist. Durch Verstopfen der feinen Ausströmdüse durch mitgerissene Teerteilchen kann der Betrieb gestört werden; die Düse muss dann gereinigt werden, und das Feuer muss deshalb ständig unter Aufsicht stehen, erfordert somit 2 Wärter. Trotzdem ist der Vorteil dieser Beleuchtung so erheblich, dass schon eine ganze Reihe französischer Feuer damit versehen worden ist. Auch die beiden großen Feuer Fig. 51 und 52 auf S. 699 sind für Petroleumglühlicht eingerichtet.

Fig. 60.

Reservelampe mit 3 Dochten.

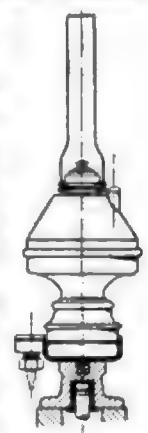


Fig. 60 zeigt eine Reserve-Petroleumlampe zu der Vorrichtung Fig. 59 für den Fall, dass das Petroleumglühlicht versagen sollte.

Die Firma Julius Pintsch in Berlin, die auf einzelnen Gebieten der Leuchtfeuertechnik einen Weltruf genießt, fertigt gleichfalls Petroleumglühlichtfeuer an, bei denen der Vergaser im Strumpf liegt, und die sich gut bewährt haben.

Die Petroleumglühlichtvorrichtungen sind ohne weiteres auch für Spiritus brauchbar, bei dessen Verwendung die Gefahr des Verstopfens der Düse wesentlich geringer ist. Da der Spiritus ein heimisches Erzeugnis ist, so wird in Deutschland das Spiritusglühlicht für Leuchtfeuerzwecke unbedingt vorzuziehen sein.

Das Acetylen gas verspricht vielleicht einen weiteren Fortschritt, wenn es gelingt, dieses kohlenstoffreiche Gas als Glühlicht zu verwerten. Bis jetzt haben die damit von der französischen Verwaltung angestellten Versuche noch kein entscheidendes Ergebnis gehabt. Die freie Acetylenflamme hat keine nennenswert größere spezifische Leuchtstärke als das Gasglühlicht.

Elektrisches Licht. Das stärkste Licht giebt das elektrische Bogenlicht. Dabei ist das Licht aus Gleichstrom dem aus Wechselstrom weit überlegen; das Erlöschen und Wiedererglühen beim Wechselstrom lässt darüber keinen Zweifel bestehen. Leider eignet sich bis jetzt der Gleichstrom nicht auch ebensogut für die Befuerung der Leuchttürme, weil die Lichtstrahlen infolge der Kraterbildung an den Kohlen mehr in deren Richtung liegen. Um die Lichtstrahlen vollständig sammeln zu können, müsste man deshalb die Kohlenpitze gegen die Linse richten. Wenn demnach auch der Wechselstrom weniger Licht giebt, so ist er doch vorzuziehen, weil er senkrechte Lampen mit symmetrischer Lichtverteilung gestattet.

b) Die Abmessungen der Linse.

Für eine bestimmte Brennweite und bei einer gegebenen Lichtquelle ist die Leuchtkraft eines Leuchtfuers von dem Querschnitt der Linse, winkelrecht zu dem Lichtstrahlenbündel gemessen, abhängig. Hieraus erkennt man sofort die bei den Blitzfeuern erreichten Vorteile; denn durch den Bourselleschen Grundgedanken für die Ausbildung dieser Feuer ist es möglich geworden, die Anzahl der Linsen zu verringern und ihren Querschnitt zu vergrößern.

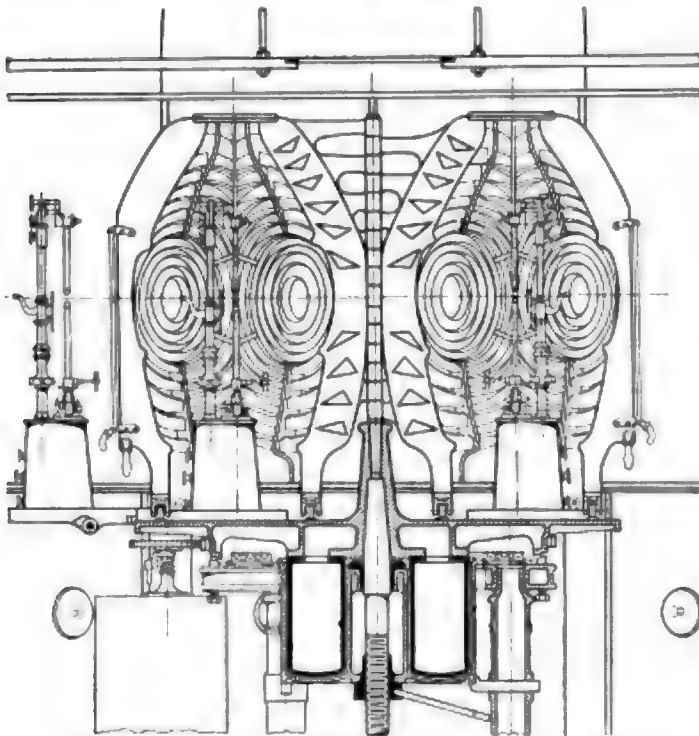
Einige Zahlen mögen den Fortschritt deutlich machen. Die Feuer I. Ordnung mit Blinken in gleichen Abständen nach dem alten System hatten bei sechsadächtigen Lampen 103500 Kerzen. Das entsprechende Blitzfeuer giebt 287200 Kerzen, also fast dreimal so viel bei gleichem Ölverbrauch. Bei den Feuern II. Ordnung sind die entsprechenden Zahlen 56800 und 158500, bei denen VI. Ordnung 1590 und 5650.

c) Der Wirkungsgrad der optischen Vorrichtungen.

Dieser dritte die Leuchtkraft beeinflussende Wert ist der Gegenstand vieler Arbeiten in den letzten Jahren gewesen; denn eine gute Konstruktion der Gläser und der ein-

Fig. 61.

Doppelfeuer für Eckmühl.



zelnen Teile der optischen Vorrichtung ist von außerordentlicher Wichtigkeit. Die Fresnelschen katadioptrischen Ringe haben einen guten optischen Wirkungsgrad wegen ihrer theoretisch schwachen Abweichung in der Form und ihrer schwachen Lichtstreuung; aber sie sind viel schwerer genau zu gießen als die dioptrischen Ringe, und ihre Prüfung ist äußerst mühsam. Sie wird in der Weise ausgeführt, dass man eine sehr kleine Lichtquelle in die Vorrichtung setzt und die Lichtstrahlen verfolgt. Durch die Beobachtung der einzelnen Lichtbündel, die von der kleinen Lichtquelle kommen und durch jedes einzelne Element gebrochen werden, kann man nicht nur jeden kleinen Fehler der Form erkennen, sondern ihn auch messen, indem man den Lichtstrahl mit einem solchen vergleicht, wie er theoretisch bei einer tadellosen Form sein müsste.

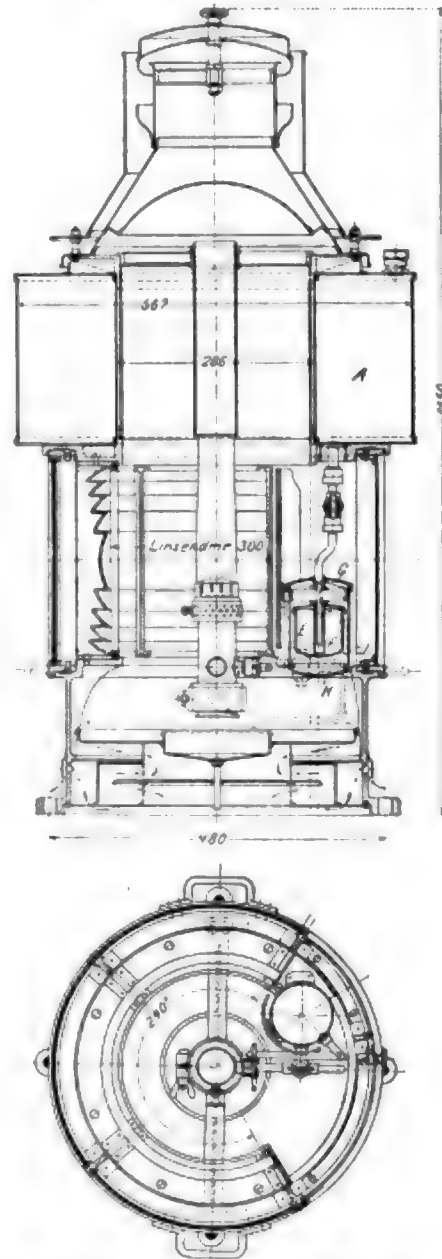
Die Schärfe des Schliffes ist bei den elektrischen Feuern viel wichtiger als bei den Petroleumfeuern. Die Kleinheit der Lichtquelle giebt bei den französischen Leuchtfuern ein Lichtbündel mit einem Winkel von nur etwa 1° . Nimmt man an, dass die Fehler im Schliff so groß sind, dass sie

diese Divergenz verdoppeln, so kommt man auf 2° , d. h. der Querschnitt des Lichtbündels würde viermal so groß und seine Stärke viermal so klein werden. Thatsächlich beträgt bei dem Doppelfeuer für Eckmühl¹⁾, Fig. 61, die Erhöhung der Divergenz durch fehlerhafte Schliffe noch nicht $\frac{1}{2}^\circ$.

Bei den Leuchtfuern mit Petroleum, die 7, 8, 10, ja selbst 12° Divergenz haben, ist derselbe Fehler im Schliff ohne großen Einfluss auf den Winkel des Lichtbündels und

Fig. 62 und 63.

Dauerlampe von Julius Pintsch.



auf die Lichtstärke. Um den großen Fortschritt durch die genaue Herstellung der Optik für das elektrische Licht zu zeigen, mag hier erwähnt werden, dass die älteren Vorrichtungen bei elektrischen Leuchtfuern im mittel nur eine Stärke von 4500 Kerzen pro qm hatten, während bei Eckmühl bei gleich großer Lichtquelle 9000 Kerzen erreicht sind und die Gesamtlichtstärke über 30 Mill. Kerzen beträgt, die einer Sichtweite von 55 Seemeilen bei mittlerer Witterung und bis zu 133 Seemeilen bei klarem Wetter entspricht, also weit größer

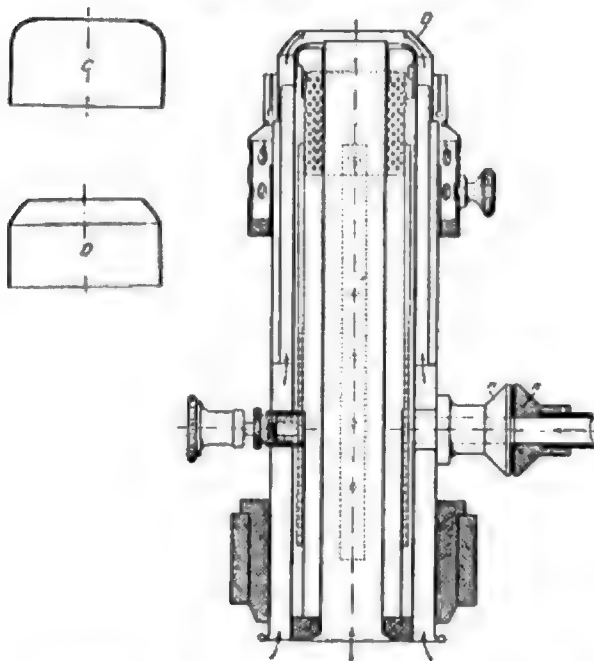
¹⁾ Vergl. Z. 1901 S 696.

ist als die geographische Sichtweite. Die aufgewendete elektrische Energie entspricht 7,5 PS, die Brennweite der Vorrichtung beträgt 0,3 m. Zur Beurteilung der vorzüglichen französischen Leistungen mag noch erwähnt werden, dass die Leuchtkraft des Leuchtturmes von St. Catherine auf der Insel Wight, eines der besten an der englischen Küste, mit einem Leuchtfener II. Ordnung mit 0,70 m Brennweite nur auf 6000000 HK geschätzt wird, während der Verbrauch an elektrischer Energie 23 PS beträgt.

Dauerlampen. Eine Lampe von wesentlicher Bedeutung, namentlich für kleinere Feuer, ist von dem schon oben genannten und um die Ausbildung der Blitzfeuer hoch verdienten Generalinspektor Bourdelles erfunden und erprobt worden. Die eindochtige Lampe wird mit Petroleum gespeist und kann längere Zeit, d. h. bis über einen Monat, ohne Aufsicht brennen. Dieses bedeutsame Ergebnis wird dadurch erzielt, dass man auf dem oberen Teil des Dochtes, welcher etwa dreimal stärker als bei gewöhnlichen Lampen ist, durch Ankrustung einen gleichmäßigen Niederschlag von verkohltem Teer erzeugt. Bei einem der-

Fig. 64.

Brenner für die Dauerlampe von Pintsch.



art hergerichteten Dochtes verdampft das Öl außerhalb des Teiles, an dem sich die bei der Verbrennung entstehende Kohle abzulagern pflegt. Die Flamme kann unter diesen Bedingungen sehr lange brennen, weil die Kohlenablagerung von geringem Einfluss ist. Der Ölverbrauch einer solchen Lampe beträgt etwa 40 g/st. Da bei nur einmaliger Bedienung im Monat auch die übrigen Kosten sehr gering werden, so ist es mithilfe dieser Dauerlampen angängig geworden, auch kleinere, abseits liegende Feuer zu unterhalten, deren Betriebskosten bei ständiger Bedienung zu bedeutend sein würden.

In neuerer Zeit hat auch die Firma Julius Pintsch in Berlin die Anfertigung solcher Lampen aufgenommen. Fig. 62 und 63 stellen eine von Pintsch gebaute Bourdellensche Dauerlampe, verbunden mit einer Fresnel-Linse in Laternenform, dar, die ohne besonderes Häuschen auf einen Pfahl oder eine Bake gesetzt werden kann und für einen Monat Brennzeit eingerichtet ist.

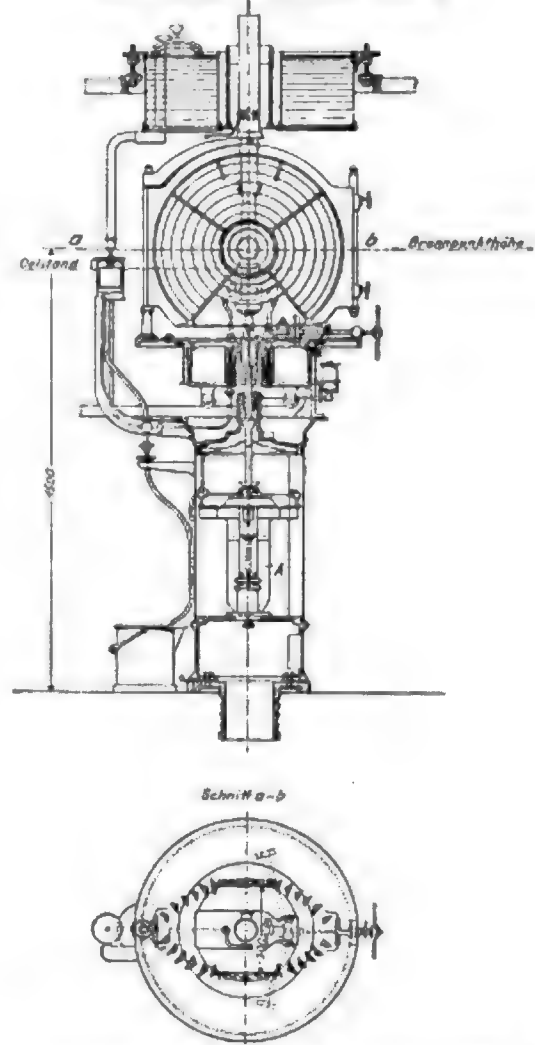
Der Brenner, Fig. 64, ist ohne Scheibe und gestattet die Anwendung eines Dochtes, der dreimal so stark wie die gewöhnlich bei Leuchtfenern verwandten ist. Der Docht bewegt sich in einem ringförmigen Rohr, in dessen oberem Teil er durch einen mittels Bajonnetverschlusses zusammengehaltenen Klemmring festgehalten wird. Die äußere Luft-

zuführung wird durch einen Gitterschieber geregelt. Der Brenner kann durch 2 Ringe abgedeckt werden, von denen der erste C zum Ankrusten, der andere D zum Betriebe dient.

Der Zuflussregler ist ein wesentlicher Bestandteil der Lampe; er ist zwischen dem Speisebehälter und dem Brenner eingebaut und besteht aus einem cylindrischen Schwimmer E, Fig. 65, in dessen Mitte sich ein mit Quecksilber gefüllter Cylinder F befindet. In diesen taucht das Rohr G ein, welches das Öl aus dem Behälter A zuführt. Das Schwimmgefäß H ist mit dem Brenner durch ein Rohrsystem verbunden und außerdem mit einem Ueberlauf-

Fig. 65 und 66.

Dauer-Blitzfeuer von Barbier & Bénard.



rohr J versehen. Sinkt das Öl im Schwimmgefäß H, so sinkt auch der Schwimmer E und lässt etwas Petroleum durch das Rohr G in das Schwimmgefäß treten. Der Stand der Flüssigkeit in H bleibt daher stets nahezu gleich, wodurch eine regelmäßige Verbrennung gesichert ist. Das Ankrusten des Dochtes erfordert äußerster Sorgfalt und dauert 48 Stunden.

Dauer-Blitzfeuer. Der oben (S. 696) beschriebene Quecksilberschwimmer ist wegen des geringen Widerstandes, den er der Drehung entgegensetzt, auch bei den genannten Dauerlampen zur Erzeugung von Verdunklungen oder Blinken benutzt worden. Die Vorrichtung wird durch galvanische Elemente in Bewegung gesetzt, die man des geringen Kraftbedarfes wegen nur in längeren Zeitabschnitten zu erneuern braucht. Der elektrische Strom, Fig. 65 und 66, wirkt auf einen Grammeschen Ring zwischen zwei permanenten Magnet-

Wenn nach den vorstehenden Ausführungen die französische Beleuchtungstechnik nicht nur Deutschland, sondern auch allen andern Ländern noch weit überlegen ist, so dürfen wir doch hoffen, dass sich unsere Leistungen auf diesem Ge-

biete bald so steigern werden, dass sie mit zu den besten gerechnet werden können. Den deutschen hier inbetracht kommenden Firmen wird von den zuständigen Behörden alle mögliche Förderung zuteil.
(Schluss folgt.)

Elektrische Solenoid-Stoßbohrer für hartes Gestein.

Von Ernst Heubach.

(Schluss von S. 1497)

Die Kurven Fig. 16 zeigen die Abhängigkeit des Hubes von Spannung und Stromstärke sowie vom Arbeitsfaktor an einem Union-Bohrer für 110 V. Dieser Zusammenhang ist leicht erklärlich, wenn man sich vergegenwärtigt, dass sich die Selbstinduktion mit dem Hube ändern muss, da bei wechselndem Hube die Eisenmassen der Spulenordnung entsprechend verschoben werden. Halten wir nun beispielsweise den Kolben so fest, dass der Eisenkern in der vorderen Spule stehen bleibt — dieser Fall tritt stets beim Festkleben des Bohrers in Gestein ein —, so fällt die Selbstinduktion der hinteren Spule, was einen höheren Stromverbrauch, der bis auf das Doppelte des normalen anwachsen kann, zur Folge hat. Es wird daher, da bei richtig gewählten Eisenverhältnissen die Zugkraft von den Ampère-Windungen abhängig ist, die Rückzugskraft erheblich steigen. Hierdurch ist also der Beweis erbracht, dass die Rückzugskraft des Zweispulen-Stoßbohrers beim Festkleben des Bohrers auf nahezu das Doppelte der normalen wachsen kann, d. h. die Energieaufnahme und die Leistung passen sich, wie dies ja den meisten elektrischen Maschinen eigen ist, durchaus den jeweiligen Verhältnissen an.

Ein ähnlicher Vorgang ist auch aus Kurve III in Fig. 17, welche an einem Versuchsbohrer für 220 V Betriebsspannung aufgenommen wurde, ersichtlich. Zu Beginn der Hubarbeit war trotz der geringeren Betriebsspannung (160 V) die Stromstärke beträchtlich höher als bei 180 V; es war nämlich während der ersten Ableseungen die Kolbenmasse noch nicht in voller Bewegung, und der Eisenkern ragte noch nicht tief genug in die hintere Spule hinein, was auf die Selbstinduktion und den Stromverbrauch den bereits gekennzeichneten Einfluss hatte. Eine wesentliche Erhöhung der Rückzugkraft kann beim Festkleben des Stahles auch durch Verschieben der Spulen auf den Gleitschienen hervorgerufen werden, da auf diese Weise die Luftwege der Kraftlinien verkürzt werden können. Die Praxis hat die obigen Angaben denn auch bestätigt, da (abgesehen von ganz schwierigen Verhältnissen, wo die Bohrstähle brachen oder sich verbogen) diese Solenoidbohrer jedes Gestein, selbst wenn es zerklüftet war, glatt und ohne Hemmnis gebohrt haben.

Der magnetische Zug sowohl vor- wie rückwärts beträgt beim Bohren von hartem Gestein im Mittel rd. 190 kg; beim Anschlagen presst der Kolben die Pufferfeder um 12 mm zusammen, was einem Druck von 135 kg, der für den Vorstoß noch außerdem nutzbar gemacht wird, entspricht. Demgemäß ist auch die Leistung der Maschine entsprechend hoch, nämlich in hartem Granit im Durchschnitt 80 mm Lochtiefe in 1 Minute bei rd. 40 mm Bohrlochdurchmesser. Selbstverständlich hängt die erzielte Bohrleistung sehr von der Art, dem Gefüge und der Schichtung des Gebirges ab, sodass sich normale Werte für die Leistung von vornherein schwer festlegen lassen, zumal die Bohrleistung auch stark von der Geschicklichkeit des Arbeiters beeinflusst wird. Im allgemeinen lehrt die Erfahrung, dass man bei der Union-Stoßbohrmaschine annehmen kann, sie leiste das 4- bis 5fache eines Häuers.

Die nach den Angaben von Depoele gebauten Generatoren mit rotierenden Bürsten zur Erzeugung eines Wechselstromes von etwa 400 Per/min., entsprechend der Schlagzahl des Bohrstabes, gaben zu manchen Betriebsstörungen Veranlassung. Dem ist bei den jetzt gebauten Generatoren zum Betrieb von Solenoid Bohrmaschinen durch eine neue, durch Patent geschützte Wicklungsanordnung mit zwei Kollektoren begegnet.

Zur Erzeugung von Wechselstrom geringer Frequenz werden die Ankerwindungen einer Gleichstrommaschine mit einem besonderen Stromwender verbunden, und zwar derartig verschoben, dass die neutralen Punkte des Stromwenders sich nicht immer unter den Bürsten befinden, sondern mit einer Geschwindigkeit umlaufen, die von der Art der Verbindung

Fig. 16.

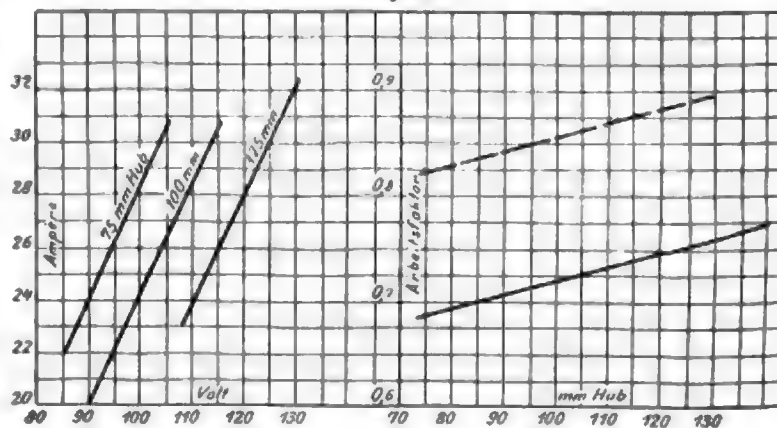
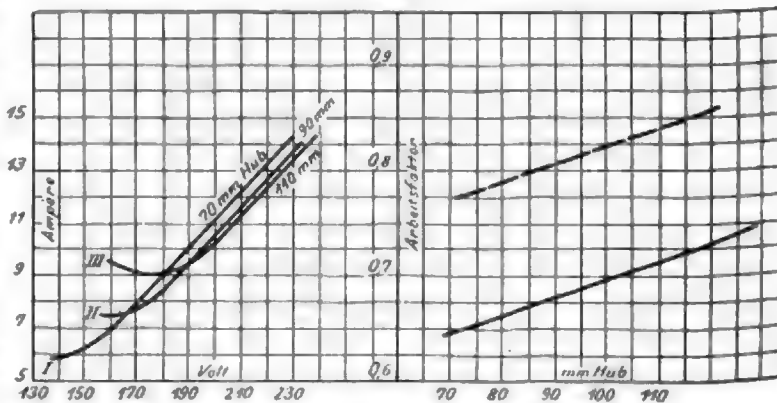


Fig. 17.

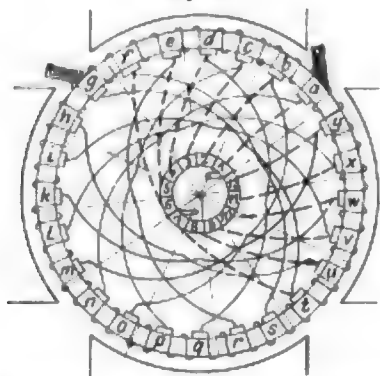


abhängig ist.

In Fig. 18 ist als erstes Beispiel eine vierpolige Maschine dargestellt, die einen Wechselstrom erzeugt, dessen Periodenzahl gleich der Umlaufzahl des Ankers ist, während, wenn man zwei bzw. vier Punkte der Wicklung in der üblichen Weise mit Schleifringen verbände, die Periodenzahl gleich der doppelten Umlaufzahl sein würde. Der Anker ist als gewöhnlicher Ring gezeichnet und mit Kreuzverbie-

dungen versehen. Auf dem Stromwender liegen zwei Bürsten, welche 180° von einander abstecken. Die Verringerung der Schwingungszahl wird folgendermaßen erreicht: Während der Stromwendersteg 2 an die Stelle des Steges 1 tritt, gelangt die zugehörige Windung b in die Lage von y ; zu dieser Zeit ist a dagegen schon in z . Tritt der Steg 3 unter die Bürste, so kommt a inzwischen nach v , und die Spule c , die dann in x steht, erhält Verbindung mit dem Stromabnehmer. Es ist also in derselben Zeit, wo die Windung von a bis z gewandert ist, der Stromwender und damit auch derjenige Punkt der Wicklung, von dem der Strom mittels desselben abgenommen wird, nur über den halben Weg geführt worden. Der neutrale

Fig. 18.



Punkt war bei dem Vorgange zu Anfang mit dem Steg 1 verbunden, bei der zweiten betrachteten Stellung lag er auf Steg 3 und bei der dritten auf 5. Er wird regelmäßig so weiter nach 7, 9 und 11 wandern, während die Bürste in gleicher Zeit 1, 2, 3 usw. berührt. Der besseren Uebersicht halber sind die gleichen Zeiten entsprechenden Stellungen von Bürste und neutralem Punkt wie folgt zusammengestellt:

Bürste . . .	1, 2, 3, 4, 5, 6, 7, 8, 9, 10, 11, 12, 1, 2 usw.
neutraler Punkt {	1, 3, 5, 7, 9, 11, 1, 3, 5, 7, 9, 11, 1, 3 »

Man sieht, dass während einer vollständigen Umdrehung des Stromwenders, d. h. während die Bürste der Reihe nach mit allen Stegen in Berührung gekommen ist, der neutrale Punkt zwei Umdrehungen um den Stromwender ausgeführt hat und infolgedessen erst bei Beginn der dritten Umdrehung mit der feststehenden Bürste wieder in Berührung kommt. Es beginnt also tatsächlich eine neue Periode immer erst nach Vollendung einer vollständigen Umdrehung des Ankers.

Die Arbeitsweise der Maschinen ist demnach folgende: In einem bestimmten Augenblick befinden sich die neutralen Punkte unter den Bürsten, und es wird infolgedessen das Maximum der Spannung abgenommen; dreht sich der Anker weiter, so arbeitet der eine Teil der Ankerwicklung gegen den andern, sodass nur noch der Unterschied der elektromotorischen Kräfte an den Bürsten abgenommen werden kann, bis schließlich der Punkt erreicht ist, wo kein Spannungsunterschied zwischen den Bürsten besteht. Bei noch weiterer Drehung des Ankers entsteht wieder allmählich eine Potentialdifferenz zwischen den Bürsten, und zwar von entgegengesetzter Polarität wie vorher. Dieser Spannungsunterschied steigt, bis er seinen größten Wert erreicht, wenn wieder die neutralen Punkte des Stromwenders unter die Bürsten kommen usw., sodass tatsächlich Wechselstrom vom Stromwender abgenommen werden kann.

In Fig. 19 ist eine sechspolige Maschine für Entnahme von Wechselstrom mit einer Periodenzahl gleich der doppelten Anzahl der Umdrehungen dargestellt; Fig. 20 zeigt dieselbe Maschine für einen Wechselstrom, dessen Periodenzahl gleich der einfachen Anzahl der Umdrehungen ist.

Man sieht ohne weiteres, dass nur die Art und Weise, wie die Verbindungen zwischen Anker und Stromwender hergestellt werden, für die Erreichung dieser Ergebnisse wesentlich ist, sodass im übrigen jede beliebige Wicklungsart, bei welcher die Verbindung mit einem Stromwender überhaupt

möglich ist, und jede beliebige Art von Dynamomaschinen Verwendung finden kann.

Die beschriebene Erfindung ist nicht auf die Erzeugung von einphasigem Wechselstrom beschränkt, sondern kann auch für mehrphasigen Wechselstrom Verwendung finden oder als ein Mittel zur Umformung von Wechselströmen einer gewissen Perioden- und Phasenzahl in solche von anderer Perioden- und Phasenzahl benutzt werden.

Es ist klar, dass diese Dynamo in vielen Fällen, wo elektrische Energie bereits zur Verfügung steht, als rotirender Umformer zum Betrieb der Stoßbohrer dienen kann, sodass dann ein besonderer Antriebmotor nicht mehr erforderlich ist.

Fig. 19.

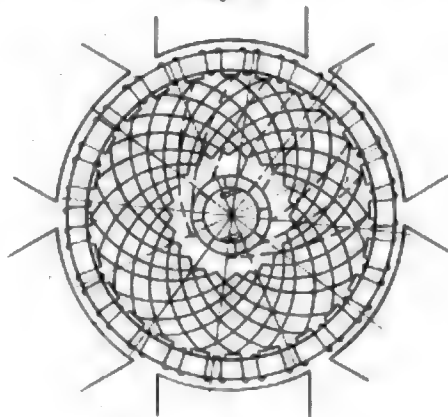
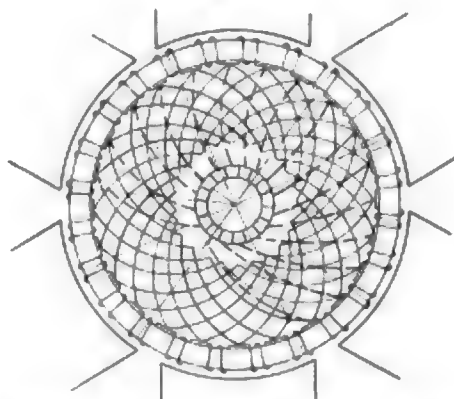


Fig. 20.



Eine vierpolige Maschine dieser Bauart für 400 Per./min und 400 Uml./min ist in Fig. 21 abgebildet. Sie ist mit 3 Kollektoren ausgerüstet; von dem dem Anker zunächst liegenden wird Gleichstrom zur Selbsterregung und zu Beleuchtungs- oder Kraftübertragungszwecken abgenommen, die Wechselstromentnahme findet am mittleren vom Kollektor statt, während der äußerste, aus einem Vollring und einem geteilten Ring bestehend, lediglich die Umschaltung des Stromes auf die eine oder andere Hälfte der Bohrspule bewirkt. Das Schema Fig. 22 zeigt die Verbindungen zwischen den Stoßbohrern und der Dynamo. Eigentümlich an letzterer ist noch die Art der Compoundierung, die durch Wechselstrom erfolgt. Die Compoundwicklungen je zweier gleichnamiger Pole sind in Reihe geschaltet und in je einen vom Kollektor 3 abgezweigten Stromkreis gelegt. Da dieser jedoch nur während der Dauer einer halben Periode von Strom durchflossen wird, so ist die Stromrichtung in jedem zusammengehörigen Spulenpaar stets die gleiche, die Maschine wird also während der Dauer der einen halben Umdrehung durch das eine, während der andern halben Umdrehung durch das andere Spulenpaar compoundiert.

Ein wesentlicher Vorteil dieser Spezialdynamos, die 4- und 6polig in Leistungen bis 125 KW bereits ausgeführt sind, ist, dass neben Wechselstrom zum Betrieb der Stoßbohrer

kauft. In dem großen Energieverbrauch und in dem Umstande, dass sich Druckluft auf größere Entfernungen nur mit erheblichen Schwierigkeiten übertragen lässt, liegen die hauptsächlichsten Nachteile des Pressluftbohrers gegenüber allen elektrischen; auch die einfachere und schnellere Verlegung der Kabel gegenüber Rohrleitungen ist in Betracht zu ziehen. Zweckdienlich ist bei Druckluftbohrern die Möglichkeit, die

In der untenstehenden Zahlentafel: Betriebsergebnisse der Gesteinbohrung zu Grängesberg, sind Leistungen von Luftdruckbohrern und Union-Stoßbohrern vergleichsweise zusammengestellt. Da jedoch die Angaben von zwei getrennten Arbeitstellen stammen, so ist es leicht möglich, dass auf der einen oder andern günstigeres Gestein oder ungünstigere Betriebsverhältnisse die Ergebnisse beeinflussen haben mögen; es ist eben schwer, Betriebsergebnisse aus der Praxis zu erhalten, die völlig gleichen Verhältnissen entsprechen.

Zu dieser Zusammenstellung ist zu bemerken, dass sich die primär abgegebene Energie bei den Luftdruckmaschinen gegenüber den elektrischen ungefähr wie 12 zu 4 PS stellt; das bei der Bohrung infrage kommende Gestein ist Erz (Magnetit und Roteisenstein bzw. Haematit) und als Nebengestein Granulit und schwedischer Granit. Bei den Union-Stoßbohrern betrug die Länge des Endbohrers 3300 mm, also die Lochtiefe rd. 3000 mm; der Durchmesser des Bohrloches betrug zu Anfang der Bohrung 50 mm, am Ende derselben 28 mm. Ein annähernder Vergleich zwischen den beiden infrage kommenden Maschinen kann, da nach der Zusammenstellung nur verhältnismäßig wenige Bohrungen im Monat vorgenommen wurden, natürlich lediglich aus der Anzahl der Bohrörter und der Bohrtiefe in einer Stunde ganzer Bohrzeit gezogen werden. (Unter ganzer Bohrzeit ist die Zeit des eigentlichen Bohrens einschließlich Aufstellens der Maschinen mit Zubehör und Auswechselns der Bohrstähle zu verstehen.)

Bohrzeit ist die Zeit des eigentlichen Bohrens einschließlich Aufstellens der Maschinen mit Zubehör und Auswechselns der Bohrstähle zu verstehen.)

Betriebsergebnisse
der Gesteinbohrung zu Grängesberg (Schweden).

	Union-Stoßbohrer auf »Storbotten«				Luftbohrmaschinen auf Schacht »Mueller«			
	Bohrtiefe		Bohrtiefe		Bohrtiefe		Bohrtiefe	
	im ganzen	in einer stündigen Schicht	in einer Stunde ganzer Bohrzeit	Anzahl der Bohrörter	im ganzen	in einer stündigen Schicht	in einer Stunde ganzer Bohrzeit	Anzahl der Bohrörter
1899								
Januar	—	—	—	—	127,8	6,24	0,780	93
Februar	166,4	6,4	0,8	63	150,8	7,54	0,943	99
März	192,1	7,11	0,889	76	35,7	5,82	0,74	31
April	314,0	6,825	0,854	116	—	—	—	—
Mai	158,0	7,03	0,879	58	—	—	—	—
Juni	—	—	—	—	129,3	6,465	0,809	115
Juli	—	—	—	—	125,3	6,285	0,783	100
August	175,9	6,84	0,83	60	155,9	6,34	0,78	155
September	119,5	6,29	0,760	44	119,4	5,28	0,748	81
Oktober	61,6	6,83	0,854	27	296,8	5,992	0,749	200
November	203,9	7,79	0,974	87	139,5	5,81	0,714	120
Dezember	121,2	6,76	0,849	47	13,3	4,433	0,554	100
Summe bzw. Durchschnitt	1514,6	6,850	0,856	578	1293,3	6,078	0,759	1094

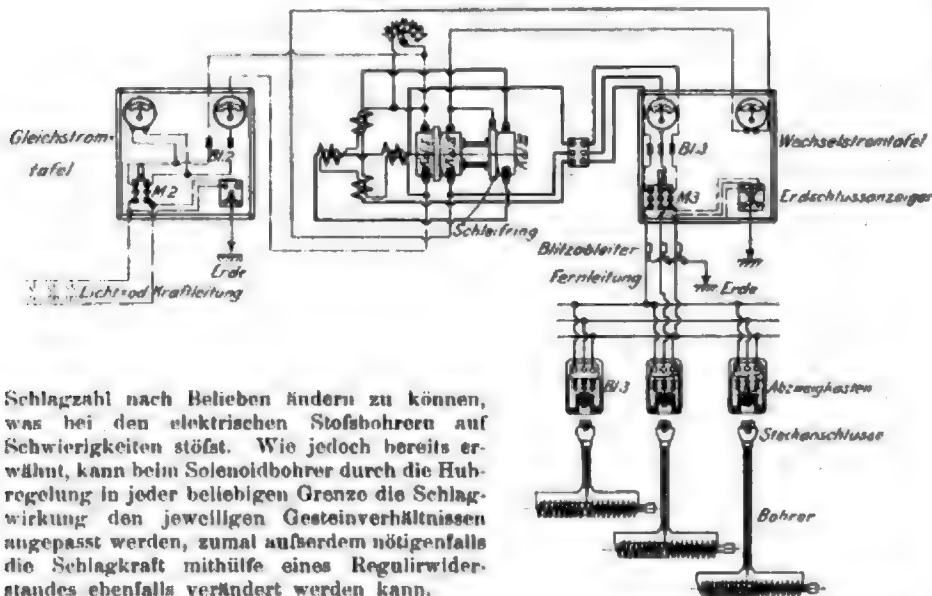
Im Anschluss hieran seien die Betriebsergebnisse des Streckenvortriebes in Bindt, welche allerdings schon aus dem Jahre 1895 stammen, hierneben zusammengestellt.

Neuerdings liegen aus Bindt Berichte vor, welche aufgrund eines 5jährigen Betriebes zusammengestellt sind; ihnen sei Folgendes entnommen:

»Reparatur- und Betriebskosten betragen von 1895 bis einschließlich 1899, also aus einem 5jährigen Durchschnitt

Fig. 22.

Sehaltungsschema einer Stoßbohranlage.



Schlagzahl nach Belieben ändern zu können, was bei den elektrischen Stoßbohrern auf Schwierigkeiten stößt. Wie jedoch bereits erwähnt, kann beim Solenoidbohrer durch die Hühregelung in jeder beliebigen Grenze die Schlagwirkung den jeweiligen Gesteinverhältnissen angepasst werden, zumal außerdem nötigenfalls die Schlagkraft mithilfe eines Regulirwiderstandes ebenfalls verändert werden kann.

Jahre 1895.

Bohrerzahl	im ganzen	pro m	Unterhaltungskosten der Maschinen		Gesamtkosten	Kosten für 1 m Streckenvortrieb	Bohrkosten für 1 m Bohrloch	Anmerkung
			im ganzen	pro m				
					M.	M.	Pfg.	
9,12	0,27	55,81	1,50	1469,19	41,50	91,31		Die erfahrungsmäßig bekannten Vorkosten pro m Strecke betragen für das Jahr 1895 im Mittel 57,35 M.
6,43	0,15	69,70	1,48	1852,25	39,24	80,75		
25,84	0,51	74,82	1,51	2086,89	42,06	98,45		
11,49	0,27	56,28	1,43	1564,95	37,71	101,01		
17,41	0,31	73,10	1,31	1958,17	34,30	86,19		
11,42	0,34	66,10	1,20	1720,00	50,88	91,00		
15,03	0,43	78,32	2,24	2077,00	59,69	97,02		
24,75	0,44	106,05	1,96	2719,84	59,18	89,90		
18,56	0,34	85,13	1,68	2309,55	44,23	102,20		
17,34	0,97	102,46	1,73	2544,37	43,13	80,10		
20,33	0,25	829,29	4,25	3366,30	41,56	95,60		
17,07	0,28	116,16	1,67	3038,85	43,50	93,25		
205,89	0,377	1218,19	1,98	26897,11	43,98	92,24		

berechnet, pro Bohrmaschine und Jahr 130 fl 12 kr österreichischer Währung.

Die Maschinen stehen Tag und Nacht im Betriebe, und obiger Erhaltungsbetrag bezieht sich auch auf die vor Ort zur Auswechselung nötigen Reservemaschinen.

In den ersten 2 Betriebsjahren betrugen diese Kosten 199 fl 60 kr pro Maschine und Jahr; in den letzten 3 Betriebsjahren sind sie auf 83 fl 79 kr herabgegangen.

In obigen Kosten sind die Wärlerlöhne in der Bohr- und Primärstation nicht inbegriffen. Diese betragen pro Bohrmaschine und Jahr für eine Bohranlage von 5 gleichzeitig arbeitenden Maschinen bei Tag- und Nachtbetrieb 16 fl 40 kr.

Die von der Dampfmaschine abgegebene Energie, also der primäre Energieverbrauch einschließlich der Verluste in den Leitungen der Dynamomaschine usw., beträgt

bei Anlagen von 2 bis 4 Bohrern pro Bohrmaschine 4,5 PS

» » » 6 » » » 3,5 bis 4 PS

» größeren Anlagen genügen 3 bis 3,5 PS.*

Mit ebenfalls großem Erfolge arbeiten die Union-Stoßbohrer beim Bau des Jungfraubahntunnels; nachdem die Bauleitung Vergleichsversuche mit andern Systemen angestellt hatte, hat sie sich für die Union-Bohrer entschlossen, sodass heute einzig und allein solche arbeiten. Die folgenden Angaben sind einem Berichte der Bauleitung dieses Unternehmens entnommen:

»Der Stollenquerschnitt beträgt 8 qm, das zu bohrende Gestein besteht aus Jurakalk mit harten Zwischenlagerungen von Kalkspat und geringen Mengen Schwefelkies, stellenweise Spalten mit Wassersickerung und Kalkschlamm; der durchschnittlich in 24 Stunden erzielte Vortrieb beträgt 3,5 m mit 4 arbeitenden Bohrmaschinen, welche zu je zweien an einer lotrechten Spannstäule zur Verwendung kommen. Der Tunnel, also auch der Richtstollen, hat durchweg eine Steigung von 25 vH, was den Transport der Spannstäulen, Maschinen usw. ganz erheblich erschwert. Unsere Arbeiter sind durchweg Italiener, mit den lohnenswerten Eigenschaften der Ausdauer und des Fleißes, wohlgerichtet bei scharfer Ueberwachung, aber andererseits für alle Arbeiten, die eine bescheidene Intelligenz oder auch nur die geringste Ueberlegung notwendig machen, nur mit großer Mühe für diese Zwecke anzulernen. Dazu kommt noch der fortwährende Wechsel des Arbeiterpersonals. — In 10 Minuten reiner Bohrzeit (Zeit des Bohrens einschließlich Auswechsels der Bohrstähle) wird eine Lochtiefe von 220 mm bei 47 mm Lochdurchmesser erreicht, was einer Lochtiefe von 140 mm bei gleichem Durchmesser pro 10 Minuten ganzer Bohrzeit entspricht. Reparaturen kommen an den Bohrmaschinen selten vor, und vorkommendenfalls sind es nur kleine Beschädigungen an den Kontaktschraubchen¹⁾, die dann durch neue ersetzt werden; wir können daher unser Urteil über den Union-Stoßbohrer dahin zusammenfassen, dass die Konstruktion von Maschinen und Nebenapparaten bis in alle Einzelheiten praktisch ist, die Handhabung von größt denkbare Einfachheit und die Reparaturbedürftigkeit sehr gering im Verhältnis zu derjenigen anderer Systeme.«

Der Stollen für die Urftalsperre bei Gmünd wird ebenfalls mit Union-Stoßbohrmaschinen vorgetrieben, und zwar hat das Stollenprofil einen Flächeninhalt von rd. 8 qm. Der Stollen wird von 2 Seiten mit je 2 gleichzeitig arbeitenden Gesteinbohrmaschinen getrieben. In den nebenstehenden Tabellen sind die Betriebsergebnisse, welche sich kurze Zeit nach Beginn der maschinellen Bohrung herausgestellt haben, zumteil zusammengefasst.

Von der Kurbel-Stoßbohrmaschine unterscheidet sich der Union-Stoßbohrer vor allem dadurch, dass er ein zusammenhängendes Ganzes bildet, wohingegen jene aus einem Motor, einer biegsamen Welle und dem eigentlichen Stoßbohrer besteht, an welchem noch ein Schwungrad sitzt, das bei der Aufserbetriebsetzung ebenfalls abgenommen werden muss. Die Aufstellung des Kurbelstoßbohrers ist daher schwieriger und zeitraubender, zumal bei Bohrungen in einiger Höhe

¹⁾ Dieser Uebelstand, der die Folge der Ausschaltung an der Maschine war, ist durch Verwendung der jetzt eingeführten Fuseschalter gänzlich beseitigt.

	Anzahl der Löcher	durchschnittliche Tiefe der Löcher	Durchschnittszeit der Abbohrung	Anzahl der Bohrmaschinen	Verbrauch an Sprengstoff	Zahl der Schotterungen	Durchschnittszeit der einzelnen Schotterungen	Anzahl der beladenen Wagen	Fortschritt in 24 Stunden	Anzahl der beschäftigten Arbeiter
1900	m	st	kg	st	m	st	m	m		
am 22/11	33	1,40	3	2	25	3	4	56	3,50	15
» 23/11	31	1,40	3 1/2	2	27	3	3 1/2	50	3,40	15
» 24/11	36	1,30	3 1/4	2	30	3	3	52	3,50	15
» 26/11	36	1,30	3 1/4	2	3	4	48	3,50	15	
» 27/11	44	1,20	3	2	4	3	60	3,80	15	
» 28/11	36	1,20	3 1/2	2	3	3 1/4	52	3,60	15	
» 29/11	35	1,20	3 1/2	2	3	3 1/4	52	3,50	15	
» 30/11	18	1,20	3	2	4	4	56	3,70	15	
» 1/12	18	1,20	3	2	4	4	58	3,80	16	

Tag	Arbeiter	Stunden	Fortschritt	Tag	Arbeiter	Stunden	Fortschritt
Oktober				27	24	258	3,40
24	15	157 1/2		28	24	258	3,50
25	15	157 1/2		29	24	258	3,50
26	14	147		30	23	242	3,50
29	15	162	2,50	Dezember			
30	15	162	2,60	1	23	242 1/2	3,50
31	15	162	2,40	2	23	242	3,50
November				3	23	221	3,50
1	15	162	2,50	5	23	221	3,50
2	15	162	2,40	6	12	115	1,00
3	15	162	3,00	8	23	131 1/2	3,50
5	15	162	3,50	9	18	97 1/2	3,00
6	15	162	3,50	10	22	131 1/2	3,50
12	20	214		11	22	131 1/2	3,50
13	20	214		12	22	131 1/2	3,50
14	20	211	3,50	13	22	131 1/2	3,50
15	20	211	3,50	14	23	131 1/2	3,50
16	20	211	3,30	15	23	131 1/2	3,40
17	20	211	3,00	16	22	131 1/2	3,50
18	13	78		17	24	8 Schichten	1,20
19	20	209	3,50	18	13	8	
20	20	209	3,50	19	5	34 Stunden	
22	20	209	3,50	20	22	17 Schichten	3,40
23	20	209	3,50	21	21	17	3,40
24	20	209	3,40	22	21	17	3,20
25	24	253	3,50	23	23	18	3,00
26	20	209	3,60	29	23	18	3,20

über der Sohle der Motor in vielen Fällen auf Unterlagen erhöht aufgestellt werden muss. Das Gewicht der Gesamtmaschine, abgesehen von dem Aufstellgerüst, setzt sich zusammen aus Motorkasten = 108 kg, Maschine = 108 kg, Schwungrad = 21 kg und biegsamer Welle = 35 kg, beträgt also 272 kg gegenüber 109 kg des Union-Stoßbohrers einschließlich Bohrkolbens.

Die Kurbel-Stoßbohrmaschine zeichnet sich gegenüber allen übrigen Stoßbohrern vorteilhaft durch ihren geringen Energieverbrauch, nämlich 1 KW (gegenüber 2,5 KW beim Union-Bohrer), aus. Dafür jedoch machen sich bei den Betriebskosten die unverhältnismäßig vielen Repara-

turen¹⁾, deren Mehrkosten die durch den geringen Energieverbrauch erzielten Ersparnisse weit überschreiten, merklich fühlbar. Aus diesem Grunde ist auch beim Kurbel-Stoßbohrsystem, obgleich sich diese Stoßbohrer nicht erwärmen, eine volle Reserve, ebenso wie bei allen übrigen Maschinenarten, erforderlich. Im allgemeinen bedingt ja die Eigenart des bergmännischen Betriebes an und für sich für jede arbeitende Stoßbohrmaschine eine Reservemaschine, um einen ungestörten Betrieb aufrecht erhalten zu können.

Die rückwärtige Bohrstahleinführung und die Möglichkeit, die Kurbel-Stoßbohrmaschine an jede vorhandene Gleich- oder Drehstromleitung anschließen zu können, müssen ebenfalls als Vorzug gegenüber dem Union-Bohrer, bei welchem eine Spezialdynamo erforderlich ist, anerkannt werden; jedoch muss im Interesse des guten Arbeitens der Kurbel-Stoßbohrmaschine eine möglichst gleichmäßige Spannung am Arbeitsort und bei Drehstrom konstante Periodenzahl zur Bedingung gemacht werden, da die Leistung und die Haltbarkeit besonders von diesen Umständen außerordentlich beeinflusst werden. Des-

¹⁾ Vergl. Zeitschrift für das Berg-, Hütten- und Salinenwesen Band XLVIII Heft 3.

halb soll bei derartigen Stoßbohranlagen die Spannungsschwankung höchstens ± 5 vH betragen. Im allgemeinen wird man jedoch in bergmännischen Betrieben nur von Leitungsnetzen und Dynamos, welche ausschließlich für Beleuchtungszwecke dienen, derartig gleichmäßige Spannungen erhalten können; es macht sich infolgedessen bei Kurbel-Stoßbohrmaschinen in Betrieben, wo merkliche Belastungsschwankungen auftreten, entweder ebenfalls die Aufstellung einer besonderen Dynamo, oder wenigstens die Anwendung kostspieliger selbstthätiger Regulirvorrichtungen nötig. Auf den Solenoidbohrer sind Spannungsschwankungen bis ± 20 vH bezüglich der Haltbarkeit ohne jeden, und bezüglich der Leistung nur von geringem Einfluss.

Ich glaube, mit diesen Ausführungen die beim Bergmann vielfach vertretene Anschauung, dass elektrische Stoßbohrer im allgemeinen außerordentlich vielen Reparaturen unterworfen seien, widerlegt zu haben, da gerade in dem Solenoid-Stoßbohrer ein Werkzeug gefunden ist, welches in dieser Hinsicht alle andern Bauarten übertrifft und infolge seiner Handlichkeit und seines gegenüber Luftdruck- und hydraulischen Stoßbohrern geringen Energieverbrauches stets mit Vorteil Verwendung finden wird.

Sollen Dynamos als Schwungräder dienen?

Von Alexander Rothert.

Von der Verwendung von Dynamomaschinen als Schwungräder der zugehörigen, unmittelbar mit ihnen gekuppelten Antriebmaschinen ist in dieser Zeitschrift mehrfach die Rede gewesen. Ausführlich haben diesen Gegenstand Collischonn¹⁾ und zuletzt Lasche²⁾ behandelt. Beide stimmen darin überein, dass es vorteilhaft ist, die Dynamomaschine so zu bauen, dass sie als Schwungrad benutzt werden kann. Die Frage, die den Titel des Aufsatzes bildet, berührt sowohl den Konstrukteur und den Fabrikanten, der die Dynamomaschine zu liefern hat, als auch den Abnehmer, und da es meist dem letzteren zuliebe oder auf seinen Wunsch geschieht, dass der Dynamofabrikant seine Maschine als Schwungrad-dynamo ausführt, und der Abnehmer meist Maschinen- oder Civilingenieur ist, so glaube ich, dass eine kritische Untersuchung dieser Angelegenheit in dieser Zeitschrift eher ihren Zweck erfüllt als in einem ausschließlich der Elektrotechnik gewidmeten Fachblatte.

Schwungraddynamos werden schon ziemlich lange hergestellt, wenn auch nur vereinzelt. Die erste grössere Maschine dieser Art ist wohl die 500 PS-Gleichstromdynamo, die 1831 von der Compagnie Internationale d'Electricité, Lüttich, in der Hersteller Waffenfabrik aufgestellt wurde³⁾. Erst in neuerer Zeit, seit etwa 1896, trifft man häufiger Schwungraddynamos auch für Gleichstrom. In vielen Fällen verlangt es der Besteller, oder er giebt derjenigen Firma den Vorzug, welche bereit ist, die erforderliche Schwungradmasse in die Dynamo zu verlegen. Thatsächlich werden, wohl hauptsächlich aus dem genannten Grunde, immer mehr Schwungradmaschinen gebaut, und von allen grossen Dreh- und Wechselstromgeneratoren, die in Paris ausgestellt waren, hatte nur eine ein besonderes Schwungrad.

In Deutschland namentlich hat man vielfach auch Gleichstrommaschinen in dieser Bauart ausgeführt, und es sehen sich zuweilen selbst grösste Firmen genötigt, gegen bessere Ueberzeugung solche Maschinen zu bauen, um die Konkurrenzkampf bestehen zu können.

Als die zugunsten der Schwungradmaschinen ins Feld geführten Vorteile werden meist genannt: geringerer Platzbedarf, kürzere Welle, etwa auch Wegfall eines oder mehrerer Lager, Einfachheit der Anordnung, gefälligeres Aussehen; mancher denkt vielleicht noch an die Luftreibung, die ge-

ringer wird, wenn statt einer Dynamo nobst Schwungrad nur die Dynamo allein infrage kommt.

Beyor wir nun daran gehen, die genannten Vorteile auf ihren wahren Wert zu untersuchen und die Schattenseiten zu beleuchten, müssen wir das anscheinend recht einfache Problem ins einzelne verfolgen und die verschiedenen Fälle auseinanderhalten; die Verhältnisse sind nämlich sehr verschieden, je nach Art der Antriebmaschine, und ebenso abhängig von der Stromart, Anordnung und Verwendungsart der Dynamomaschine.

Antriebsmaschine. Ich will hier nur von Dampfmaschinen reden, da die für diese gefundenen Ergebnisse sich leicht sinngemäss auf andere Motoren übertragen lassen.

Wir müssen unterscheiden zwischen Tandemmaschinen, die das ungünstigste Tangentialdruckdiagramm bieten, und Maschinen mit 3 Kurbeln unter 120°, die die günstigsten sind, als den beiden Grenzfällen. Dazwischen giebt es verschiedene Anordnungen, die dem einen oder dem andern der Grenzfälle näher liegen. Die Dreikurbelmaschine braucht naturgemäss unter sonst gleichen Umständen nur einen Bruchteil desjenigen Schwungradgewichtes, welches eine entsprechende Tandemmaschine erfordert¹⁾. Einen grossen Einfluss hat auch die Umlaufzahl der Dampfmaschine, denn die Schwungradmassen werden um so kleiner, je grösser die Umlaufzahl wird. Infolgedessen liegen die Verhältnisse z. B. ganz anders für eine schnellaufende Dreikurbelmaschine als für eine langsamlaufende Tandemmaschine. Während im ersteren Falle vielleicht das Gewicht des umlaufenden Teiles der Dynamo vollkommen genügt, müssten im zweiten Falle ganz ungewöhnliche Gewichte oder aber ein ganz unnatürlich grosser Durchmesser der Dynamo in Anwendung kommen.

Wir müssen weiter unterscheiden zwischen Gleichstrom, Wechselstrom niedriger und solemch hoher Periodenzahl. Wie wir ausführlicher sehen werden, sind die Verhältnisse je nach der Stromart vollkommen verschieden, indem Gleichstrommaschinen im allgemeinen mit geringen Umfangsgeschwindigkeiten arbeiten, Wechselstromgeneratoren dagegen je nach ihrer Periodenzahl mit zumteil sehr beträchtlichen Geschwindigkeiten laufen müssen.

Als dritter wichtiger Gesichtspunkt kommt noch der Ungleichförmigkeitsgrad der Antriebsmaschine in Betracht, der je nach der Stromart verschieden ist und auch davon abhängt, ob die von ihr getriebene Dynamomaschine allein arbeitet, oder mit andern zusammen in Parallelschaltung.

¹⁾ Z. 1900 S. 211.

²⁾ Z. 1901 S. 973 u. f.

³⁾ Hiernach trifft die Vermutung Collischonnas, die erste derartige Maschine sei 1896 von der E. A. G. vorm. W. Lahmeyer & Co. für Dortmund erbaut worden (S. Z. 1900 S. 211), nicht zu.

¹⁾ s. hierüber Lasche, Z. 1901 S. 1017.

In diesem letzteren Falle muss bei Verwendung von Wechselstrom hoher Periodenzahl der Ungleichförmigkeitsgrad äußerst gering sein ($\frac{1}{100}$ bis $\frac{1}{300}$), während er bei Gleichstrom und einzeln arbeitenden Generatoren ganz bedeutend größer werden kann; in Abhängigkeit hiervon ändert sich im umgekehrten Verhältnis das erforderliche Gewicht.

Bei Wechselstromgeneratoren kommt auch noch die Anordnung des (hier immer als umlaufend vorausgesetzten) Magnetsystems in Frage. Es giebt nämlich eine allerdings nicht häufig und namentlich von der Firma Brown, Boveri & Co. benutzte Anordnung der Magnetpole am inneren Umfang des Schwungrades, außerhalb des stillstehenden Ankers, welche das Hauptgewicht nach außen verlegt und dadurch eine günstigere Ausnutzung desselben ermöglicht.

Nachdem wir oben bereits über die verschiedenen Bedingungen gesprochen haben, denen Dynamos verschiedener Stromart genügen müssen, wollen wir nun die natürlichen Verhältnisse dieser Maschinen näher untersuchen, um beurteilen zu können, wie weit sich die Maschinen der betreffenden Stromart für Schwungradzwecke eignen, und welche Änderungen dazu an ihnen vorzunehmen sind.

Wechselstromgeneratoren (einschließlich Zwei- und Dreiphasenstrom). Aus theoretischen Gründen sollte eigentlich, um immer gleiche Streuverhältnisse usw. zu haben, die Umfangsgeschwindigkeit bei gegebener Wechselzahl (Wechselzahl = $2 \times$ Periodenzahl) unveränderlich sein. Die Maschinen verschiedener Umlaufzahl würden sich dann nur durch die Anzahl der Pole unterscheiden, während der verschiedenen Leistung durch Änderung der Eisenbreite des Ankers Rechnung getragen würde. Man führt jedoch meist diesen Grundsatz in der Praxis nicht durch, da Maschinen großer Leistung leicht zu breit, solche für geringere Leistungen zu schmal ausfallen; beides wäre gleich unzweckmäßig sowohl aus konstruktiven wie aus wirtschaftlichen Gründen. Man giebt infolgedessen, um günstigere Verhältnisse zwischen Breite und Durchmesser zu erhalten, den Maschinen großer Leistung größere Umfangsgeschwindigkeit, während geringeren Leistungen auch kleinere Geschwindigkeiten entsprechen. Wir wollen nun sehen, wie sich eine Wechselstrommaschine ändert, wenn ihr Durchmesser und damit die Umfangsgeschwindigkeit anders gewählt wird. Je größer der Durchmesser bei gegebener Leistung, desto schmaler der Anker. Die Maschine muss steifer gebaut werden, d. h. die rein konstruktiven Teile nehmen an Gewicht zu. Gleichzeitig ist die Maschine schwerer zu bearbeiten, zu versenden; sie erfordert größere und kostspieligere Werkzeugmaschinen, Transportmittel usw. Aus allen diesen rein mechanischen Gründen sollte der Durchmesser möglichst klein gemacht werden. Demgegenüber empfiehlt es sich wieder mit Rücksicht auf die elektrischen Eigenschaften der Maschine, den Durchmesser nicht zu klein zu machen; kurz, es ergibt sich, wenn man alle in Betracht kommenden Umstände berücksichtigt, ein gewisser günstiger Durchmesser mit der zugehörigen Breite. Ein zu kleiner Durchmesser mit übermäßiger Breite ist ebenso ungünstig wie ein zu großer Durchmesser bei zu kleiner Breite, und zwar sprechen hier sowohl konstruktive, d. h. wirtschaftliche, wie auch elektromagnetische Rücksichten mit. Der erwähnte günstigste Durchmesser ist aber nur in ziemlich weiten Grenzen bestimmt, innerhalb deren jeder Konstrukteur seinen persönlichen Neigungen folgen kann.

Wechsel- und Drehstromgeneratoren werden in Europa meist mit einer Wechselzahl von rd. 100 in der Sekunde (50 Perioden) gebaut, und es schwankt hierbei die Umfangsgeschwindigkeit von direkt gekuppelten Generatoren verschiedener Firmen in den Grenzen von rd. 15 bis 30 m/sk. Eine vollständige Reihe von Drehstromdynamos für unmittelbare Kupplung mit Dampfmaschinen, die ich im Jahre 1898 entworfen habe und deren Leistungen von 100 KW bei 150 Uml./min bis 2000 KW bei 66 Uml./min reichen, weist als geringste Umfangsgeschwindigkeit bei der kleinsten Maschine 18 m/sk auf; die Geschwindigkeit steigt allmählich mit der Leistung der Dynamos und beträgt für die größte 28,5 m. Diese Zahlen dürften, da sich die betreffenden Maschinen infolge äußerst sorgfältiger Durcharbeitung durch sehr geringe Abmessungen auszeichnen, als untere Grenzwerte zu betrachten sein. Die Maschinen der meisten Firmen haben nicht un-

wesentlich größere Geschwindigkeiten. Das allgemeine Bestreben geht jedoch dahin, die Abmessungen und damit die Herstellungskosten möglichst zu beschränken, sodass diese verhältnismäßig geringen Werte wohl als die natürlichen gelten können.

Für besondere Zwecke, wie Betrieb von Straßenbahnen mittels rotirender Umformer (Konverter), für langsamlaufende, unmittelbar angetriebene Wasserhaltungen und ähnliche Fälle, wird eine geringere Wechselzahl, um 50 in der Sekunde herum (25 Perioden), benutzt. Hier liegen die Verhältnisse im allgemeinen genau so wie oben, mit dem Unterschiede jedoch, dass die natürliche Umfangsgeschwindigkeit nur rd. $\frac{2}{3}$ der oben angegebenen erreicht. Diese Maschinen erhalten also unter gewöhnlichen Verhältnissen entsprechend der geringeren Polzahl einen wesentlich geringeren Durchmesser und größere Breite, sie nähern sich in dieser Hinsicht bereits den Gleichstrommaschinen.

Große Gleichstromdynamos werden von verschiedenen Firmen noch sehr verschieden gebaut, obgleich sich allmählich gewisse Normalkonstruktionen auszubilden beginnen. Ganz große Gleichstromdynamos finden heute fast nur in Straßenbahnbetrieben Verwendung, da größere Kraftverteilungen meist mit Drehstrom ausgeführt werden. Infolgedessen werden die Gleichstromdynamos meist so gebaut, dass sie den Anforderungen des Straßenbahndienstes genügen können, und dies erklärt uns das sichtbare Bestreben nach Einheitlichkeit. Während manche Firmen noch Maschinen mit etwa 50 Polwechseln bauen, bürgern sich solche mit geringerer Polzahl immer mehr ein. Tatsächlich ist eine Wechselzahl von 15 bis 25 die günstigste und eine Umfangsgeschwindigkeit von nur rd. 8 bis 12 m dementsprechend die natürliche. Wir sehen, diese Zahlen weichen von den für Schwungräder üblichen sehr ab, und infolgedessen müssen Gleichstromdynamos, wenn sie Schwungraddienste leisten sollen, mit sehr viel größeren Durchmessern gebaut werden als gewöhnlich. In diesem Falle erhöht sich die Polzahl ganz bedeutend, und wir erhalten eine schmale Maschine mit sehr vielen Polen, wobei die Gestalt dieser letzteren zudem auch noch ungünstig, tangential langgestreckt wird. Während die Gewichte der elektromagnetischen Teile, wie Kupfer, Eisenbleche und Stahlpole, im allgemeinen mit einer Vergrößerung der Polzahl nicht oder nur wenig zunehmen, wirkt doch eine wesentliche Vergrößerung des Durchmessers über eine gewisse Grenze hinaus in dieser Hinsicht recht ungünstig, ganz abgesehen von den rein konstruktiven Teilen, die natürlich bedeutend an Gewicht zunehmen. Zu alledem kommt noch hinzu, dass sich solche Maschinen für Spannungen von 500 V schlecht bauen lassen, da sich zwischen zwei Bürsten zu wenig Lamellen auf dem Kollektor befinden, und dieser infolgedessen zu Anständen Veranlassung giebt. Etwas günstiger gestalten sich dagegen die Verhältnisse für große Niederspannungsmaschinen mit einer Spannung von 110 V und darunter; denn hier empfiehlt es sich ohnehin, die Maschine mit einer größeren Polzahl auszuführen. Solche Maschinen sind aber Ausnahmen; es sind Sondertypen für elektrochemische und ähnliche Zwecke.

Nachdem wir den Stoff einigermaßen geordnet und die Hauptgesichtspunkte für den Bau der Wechselstrom- und Gleichstrommaschinen besprochen haben, können wir nunmehr auf die Hauptfrage näher eingehen und untersuchen: 1) Wann es zweckmäßig ist, 2) wann es noch zulässig und 3) wann es nicht am Platze ist, die Dynamo als Schwungrad für die zugehörige Antriebsmaschine auszubilden.

1) Wann ist es zweckmäßig?

Die natürlichste Lösung der Frage tritt dann ein, wenn die regelrecht gebaute Dynamomaschine ein Schwungmoment hat, welches mindestens dem für die Dampfmaschine erforderlichen gleichkommt. Dabei sei vorausgesetzt, dass die Dynamo ohne Rücksicht auf Schwungmasse gebaut ist und keine unnützen Gewichte enthält. Dieser Fall kann eintreten und tritt ein bei sehr großen Wechselstrom- und Drehstrommaschinen mit rd. 50 Per./sk, wenn die Dampfmaschine mit Kurbeln unter 90° oder 120° ausgedrückt ist. Bei Tandemmaschinen dürfte dieser Fall wohl selten vorkommen, und zwar eher bei einer Einphasen-Wechselstrommaschine als bei

Drehstromgeneratoren, da letztere, gleiche Leistung vorausgesetzt, leichter und kleiner werden.

Eine zweite natürliche Lösung ergibt sich, wenn die Umfangsgeschwindigkeit der ohne Rücksicht auf Schwungradzwecke konstruierten Dynamo mit derjenigen zufällig ganz oder sehr nahezu übereinstimmt, die der Dampfmaschinenkonstrukteur seinem Schwungrade normalerweise giebt. In diesem Falle ist es zweckmäßig, das Gewicht des Schwungrades von vornherein in die Dynamo hineinzuverlegen, da eine Vereinfachung zustande kommt, die keinerlei Nachteile im Gefolge hat. Dieser Fall dürfte bei großen Wechsel- und Drehstromgeneratoren (rd. 1000 PS) häufig vorkommen, auch bei Tandemmaschinen nicht selten sein, während er bei Gleichstrommaschinen wohl ausgeschlossen ist.

In beiden Fällen ergeben sich tatsächlich bedeutende Vorteile, und zwar, so weit als möglich, alle eingangs genannten. Eine Trennung von Schwungrad und Dynamo wäre unter solchen Umständen widersinnig. Es giebt aber noch eine Möglichkeit, welche die Vereinigung von Schwungrad und Dynamo in ein organisches Ganzes vorteilhaft erscheinen lässt, ohne jedoch alle genannten Vorteile zu bieten, von denen ein Teil durch gewisse Nachteile aufgehoben wird. Ich habe dabei diejenigen Fälle im Auge, wo zwar das Schwungmoment der Dynamomaschine ungenügend ist und die Umfangsgeschwindigkeit ebenfalls, wo jedoch das erforderliche Zusatzschwungrad verhältnismäßig leicht ausfallen und ein als Ersatz dafür in die Dynamo zu verlegendes zusätzliches Gewicht nicht sehr in die Wagschale fallen würde, wo also die Dynamomaschine in ihren elektrischen Abmessungen noch normal bleiben kann. Man muss dann mit dem Nachteil rechnen, dass das Gewicht der Maschine größer wird als mit besonderem Schwungrade, und dass infolgedessen die Lagerreibung etwas zunimmt. Dieser Nachteil wird aber aufgehoben durch die Vorteile einer geringeren Luftreibung und einer kürzeren Welle, sodass also der Wirkungsgrad gleich bleibt. Dazu kommt dann noch der Vorteil der Platzersparnis und der einfacheren Anordnung.

Dieser Fall kann vorkommen, wo kein sehr großes Schwunggewicht erforderlich ist, vornehmlich wiederum bei Wechselstrommaschinen, auch solchen von geringer Periodenzahl; er ist aber auch möglich bei großen Niederspannungsgleichstrommaschinen, namentlich wenn sie von Dreikurbeldampfmaschinen angetrieben werden und kein sehr kleiner Ungleichförmigkeitsgrad verlangt wird.

Ueberhaupt kann man sagen, dass es überall da unbedingt vorteilhaft ist, die Dynamo mit dem Schwungrade zu verknüpfen, wo der Wirkungsgrad darunter nicht zu leiden hat und wo regelrecht gebaute Dynamomaschinen dabei Verwendung finden können.

2) Wann ist es noch zulässig?

Als Kennzeichen hierfür würde ich die Bedingung zugrunde legen, dass der Wirkungsgrad und der Herstellungspreis sich nicht ungünstiger stellen als bei Anordnung mit getrenntem Schwungrad. Wenn also die Dynamo mit nicht gar zu ungünstigen Abmessungen gebaut werden kann und das von der Welle zu tragende Gewicht nicht übermäßig groß ausfällt, die Welle jedoch kürzer wird und dementsprechend gleich stark bleibt, dann kann die Zunahme an Lagerreibung durch Abnahme der Luftreibung ausgeglichen werden, und den Mehrkosten der Dynamo stehen die Platzersparnis und der Wegfall eines besonderen Schwungrades gegenüber.

Dieser Fall wird bei den Wechselstromgeneratoren, wie sie heute meist gebaut werden, schon recht häufig zutreffen; zuweilen vielleicht auch bei Gleichstrommaschinen, wenn sie von Dreikurbelmaschinen angetrieben werden.

3) Wann ist es unzweckmäßig?

Wir könnten sagen: in allen Fällen außer den oben erwähnten; es lohnt sich jedoch, der Sache mehr auf den Grund zu gehen. Ein Beispiel möge uns hier vergönnen sein. Es brauche eine größere Tandemmaschine ein recht schweres Schwungrad, das regelrecht vielleicht mit 30 m Umfangsgeschwindigkeit laufen würde. Die entsprechende Gleichstromdynamo mag etwa 10 oder 11 m Umfangsgeschwindigkeit haben. Wie soll man nun so verschiedene Elemente zusammenbauen? Die Gleichstrommaschine mit 30 m Umfangsge-

schwindigkeit zu bauen, ist ganz unmöglich; das Schwunggewicht in den mit 10 m laufenden Anker zu verlegen, ebenso unmöglich. Wählt man den goldenen Mittelweg und baut die Dynamo mit 20 m Umfangsgeschwindigkeit, so wird das in den Anker zu verlegende tote Gewicht mehr als das doppelte des Schwungrades betragen, also sehr bedeutend sein. Gleichzeitig erhält aber dann die Dynamo ganz unnatürliche Abmessungen, sie wird, da man sie nicht genügend schmal machen kann, viel zu groß und ganz wesentlich teurer als die gewöhnliche Bauart, und zwar ganz abgesehen von dem toten Gewichte an Gusseisen, welches größer ist als dasjenige des gewöhnlichen Schwungrades. Es ist klar, dass außerdem die Belastung der Lager etwa verdoppelt und der Wirkungsgrad der Dampfmaschine ungünstig beeinflusst wird infolge der erhöhten Lagerreibung und der ungünstigen Abmessungen der Dynamo.

Dieses Beispiel soll uns zeigen, dass es überall, wo die natürlichen Umfangsgeschwindigkeiten der Dynamo und des Schwungrades nicht von ungefähr gleicher Größenordnung sind, durchaus unzweckmäßig ist, die beiden ungleichartigen Elemente verschmelzen zu wollen. Es kann dies nur geschehen auf Kosten des Herstellungspreises und des Wirkungsgrades. Nur in Ausnahmefällen, wo etwa durchaus kein Platz für ein besonderes Schwungrad vorhanden ist, sollte man unter solchen Umständen dann Schwungrad und Dynamo vereinigen und die erwähnten Uebelstände mit in den Kauf nehmen.

Bisher behandelten wir die Vor- und Nachteile der Schwungraddynamos nur vom Standpunkte des Abnehmers, ohne uns darüber aufzuhalten, wie sich der Fabrikant der Dynamo dabei stellt. Wir wollen jetzt die Sache auch vom Standpunkte des Fabrikanten näher betrachten. Für ihn sind die Schwungraddynamos durchaus keine angenehmen Maschinen, sie sind meist, für Gleichstrom wohl immer, von der gewöhnlichen Konstruktion grundverschieden, sodass fast für jeden einzelnen Fall neu konstruiert werden muss; neue Zeichnungen, neue Modelle müssen angefertigt werden, was jedenfalls als unwirtschaftlich zu bezeichnen ist.

Infolgedessen werden nicht nur diese von der Regel abweichenden Maschinen teurer, sondern es gestaltet sich die ganze Fabrikation auch der normalen Maschinen teurer. Bei richtiger Kalkulation ließe sich dies ja vermeiden, die Schwungradmaschinen würden sich aber dann im Preise noch wesentlich ungünstiger stellen und würden wohl kaum gebaut werden, ausgenommen die Fälle unter 1). Eine solche ins einzelne gehende Kalkulation ist aber schwer durchführbar und nur in wenigen Fabriken üblich.

Der Bau besonderer Maschinen für Schwungradzwecke hat aber noch alle die Nachteile, welche der Fabrikation von Fall zu Fall eigentümlich sind, wie lange Lieferzeiten, Mangel an Ersatzteilen und weniger gut durchgebildete Konstruktion.

Wir sehen somit, dass in dieser Frage der Lieferer und der Abnehmer im Grunde genommen technisch und wirtschaftlich dieselben Interessen haben. Was für den einen vorteilhaft ist, ist es auch für den andern.

Mir will es scheinen, als sei der wichtigste Grund der Beliebtheit, deren sich die Schwungraddynamos erfreuen, vielleicht uneliegendermaßen die Rücksicht auf gefälliges Aussehen. Man weiß zudem, dass sich die Elektrotechnik jedem an sie gestellten Verlangen gerne anpasst, und übersieht leicht, dass man dabei nicht unwesentliche Nachteile stillschweigend mitnimmt. Nun ist es zwar entschieden anzuerkennen, wenn der Ingenieur im Gegensatz zu früherer Praxis auf das gefällige Aussehen der technischen Erzeugnisse Wert legt; aber Schönheitsrücksichten dürfen in der Technik immer erst an letzter Stelle in Betracht kommen, nachdem alle andern technischen und wirtschaftlichen Gesichtspunkte berücksichtigt sind. Es muss auch hier der Grundsatz gelten: erst gut, dann billig und zuletzt schön.

Im Anschluss an den vorstehenden Aufsatz, und nachdem ich die Grundlagen für den Bau unmittelbar gekuppelter großer Dynamos, soweit sie hier in Betracht kommen, besprochen habe, sei es mir vergönnt, zu dem sehr beachtenswerten Aufsatz des Hrn. Lasche einige Bemerkungen zu machen.

Hr. Lasche tritt mit sehr viel Geschick an die Lösung

der Aufgabe heran, Drehstromdynamos mit sehr großen Durchmessern, wie sie für Schwungradmaschinen erforderlich sind, zu bauen. Er geht von der Ansicht aus, dass, um einem allgemeinen Bedürfnis zu genügen, die großen Drehstromdynamos nach Möglichkeit als Schwungradmaschinen gebaut werden sollen. Wiederholt streift er die Anordnung eines besonderen Schwungrades neben der Dynamo, bezw. den Anbau der gewöhnlichen Dynamo an ein größeres Schwungrad, und stellt ebenfalls als wünschenswert hin, dass die Dynamomaschinen normal, d. h. in Massenfabrication, hergestellt werden, geht aber im übrigen nicht weiter darauf ein, wie weit es vorteilhaft ist, Schwungradmaschinen zu verwenden. Die von Hrn. Lasche beschriebenen Konstruktionen sind in vieler Hinsicht sehr bemerkenswert; insbesondere wird die Spannwerkmaschine die Aufmerksamkeit der Fachleute in hohem Maße erregen. Für Dynamos mit Durchmessern von 10 bis 12 m erhält man auf diese Weise eine recht einfache und namentlich leichte und billige Konstruktion, die besonders für die Ausfuhr vielleicht sehr wesentliche Vorteile bietet, wenn auch ihre Aufstellung am Verwendungsorte unter Umständen Schwierigkeiten bereiten dürfte. Inbezug auf den Preis dürfte sich diese Bauart sehr konkurrenzfähig gestalten, und es ist wohl möglich, dass sich die an die Spannwerkmaschine geknüpften Erwartungen voll auf bestätigen werden, sofern es sich um Maschinen mit sehr großen Durchmessern handelt. Aus den Ausführungen des Hrn. Lasche kann man aber leicht den Eindruck gewinnen, dass sie ganz allgemein für Drehstromdynamos gelten sollen, und dass der Bau von Maschinen mit so großen Durchmessern, welche die Verwendung der bisher bekannten Konstruktionsverfahren zum mindesten sehr erschweren, einfach eine Notwendigkeit ist, die allgemein fühlbar wird.

Ich habe in meinem Aufsatz darzuthun versucht, dass es nur dann vorteilhaft ist, Schwungradmaschinen zu verwenden, wenn die Dynamo mindestens annähernd mit Geschwindigkeiten arbeitet, die der wirtschaftlich günstigsten Umfangsgeschwindigkeit des Schwungrades gleichkommen. Diese Fälle sind aber keineswegs so allgemein, und meistens, wenigstens bei ökonomisch und rational entworfenen Drehstromdynamos, wird die Umfangsgeschwindigkeit des Induktorkranzes mehr oder weniger weit dahinter zurückbleiben. So haben die beiden wirtschaftlich günstigsten Generatoren der Weltausstellung in Paris, derjenige von Schneider & Co. in Creusot mit 1400 KW bei 72 Uml./min und der vom Verfasser für die Compagnie Internationale d'Electricité in Lüttich entworfene mit 1000 KW und 83 Uml./min, nur rd. 24 m Umfangsgeschwindigkeit. Erst für ganz große Leistungen bei nicht zu kleinen Umlaufzahlen ergeben sich für Schwungradzwecke genügende Umfangsgeschwindigkeiten von etwa 30 m. Dementsprechend werden denn auch die Durchmesser der Maschinen nicht leicht so groß, wie Hr. Lasche angiebt. Man kommt selbst bis etwa 4000 oder 5000 KW und etwa 65 bis 70 Uml./min mit höchstens 9 oder 10 m äußerem Durchmesser aus. Da nun eine solche Maschine für einige Stunden bedeutend überlastet werden kann, so entsprechen 5000 KW je nach der Phasenverschiebung etwa einer Dampfmaschine von 8000 bis 10000 PS größter Leistung, also wohl den größten in absehbarer Zeit zu bauenden Leistungen.

Solche Maschinen würden am besten nach der Armtypen zu bauen sein (Fig. 18 im Aufsatz des Hrn. Lasche). Diese

Bauart erlaubt, jedes unnütze Gewicht im Ankergehäuse zu vermeiden, und letzteres ist doch vollkommen steif, sodass Durchbiegungen des Ankers unmöglich werden. Solche Anker können sowohl wagrecht als auch senkrecht auf der Drehbank bearbeitet werden (ich meine die Teile des Gehäuses, da der Blechkörper überhaupt nicht abgedreht werden soll), ganz unabhängig davon, wie sie nachher stehen. Diese mehr und mehr in Aufnahme kommende Konstruktion, die von C. E. L. Brown herrührt, ist entschieden die denkbar festeste und zugleich wohl die leichteste von allen, mit Ausnahme der durch Zugstangen versteiften Ankerkonstruktionen.

Hr. Lasche hat als abschreckendes Beispiel des großen für Gehäusemaschinen erforderlichen Gewichtes an reinem Konstruktionsmaterial die Westinghouse-Maschine gewählt, und mit Recht. Diese Maschine, die bei 5000 KW und 25 Perioden mit 75 Uml./min arbeitet, ist für ihre Leistung viel zu groß bemessen. Sie hat eine Umfangsgeschwindigkeit von 38,5 m und einen äußeren Durchmesser von etwa 11,5 m, und da das Gehäuse ohne Arme ausgeführt ist, muss die Maschine natürlich ungeheuer schwer werden. Sie ist in ihren elektrischen Abmessungen etwa $2\frac{1}{2}$ mal so groß wie nötig. In der That würde eine Bohrung von höchstens 7 m bei einer Ankerbreite von 50 cm genügen, während der Anker in Wirklichkeit einen inneren Durchmesser von 9,8 m und eine Breite von 58 cm aufweist. Bei richtiger Bemessung könnte die Maschine, mit Armen ausgestattet, einen äußeren Durchmesser von weniger als 8 m und eine Umfangsgeschwindigkeit von etwa 27,5 m haben und würde dann vielleicht um die Hälfte weniger kosten und vielleicht nur ein Drittel des jetzigen Konstruktionsgewichtes erfordern. Wenn aber die Westinghouse-Maschine von einer entsprechenden Spannwerkmaschine so vorteilhaft absticht, so ist dies hauptsächlich dadurch zu erklären, dass man hier sonderbarerweise eine so große Maschine als reine Gehäusekonstruktion ohne Arme hat ausführen wollen, was durchaus unzweckmäßig ist. Also noch einmal kurz zusammengefasst: Spannwerkmaschinen sind vielleicht am Platze, wo unverhältnismäßig große Durchmesser nicht umgangen werden können und wo es auf Zoll- und Transportersparnis ankommt. Große Durchmesser sollen möglichst vermieden und reine Gehäusemaschinen ohne Arme nur für kleinere Maschinen bis vielleicht 3 oder 4 m Dmr. verwendet werden.

Die A. E.-G. hat die Fabrikation von Drehstrom-Dynamomaschinen als Spannwerkkonstruktion bereits mit einem Durchmesser von 3 m anfangend eingerichtet.

Die Erwägung, bei welchen Leistungen es bereits richtig sei, die Dynamomaschine als »Schwungrad«-Dynamo auszubilden, ist offen gelassen, und es werden für jede der vielen üblich gewordenen Umlaufzahlen und für die verschiedenen Leistungen Dynamomaschinen bezw. Induktorkranz von 3 verschiedenen Umfangsgeschwindigkeiten zur jeweiligen Auswahl gebaut. Gerade diese vom Markt geforderte außerordentlich hohe Zahl verschiedener Modelle war der Beweggrund, das Spannwerkssystem einzuführen. Abgesehen von den von Hrn. Rothert genannten Vorzügen: Gewicht, Transport, Ausfuhr, Preis, Liefertermin, ist aber gerade die Durchführung einer geordneten Massenfabrication trotz der nahezu unbeschränkten Anzahl der Modelle der Hauptvorteil der Spannwerkpatente.

O. Lasche.

Sitzungsberichte der Bezirksvereine.

Eingegangen 21. August 1901.

Bayerischer Bezirksverein.

Feier des 25jährigen Stiftungsfestes des Bayerischen Bezirksvereines am 4. und 5. Mai 1901.

Zur Feier des 25jährigen Stiftungsfestes fand in den Prinzessallen des Kaffee-Lautpold zu München am 4. Mai abends 8 Uhr ein Festessen statt, an dem 60 Mitglieder und Gäste teilnahmen. Der Saal war durch die Büsten des deutschen Kaisers und des Prinzregenten sowie mit Zierpflanzen reich geschmückt; auf der Rückwand leuchteten in farbigen Glühlampen der Vereinszirkel und die Jahreszahlen 1876 und 1901.

Der Vorsitzende Hr. v. Lossow eröffnet die Reihe der Trinksprüche, indem er zunächst der Entwicklung des Bayerischen Bezirksvereines gedenkt. Es war am 4. Mai 1876, als 23 Ingenieure unter dem Vorsitz des Hrn. G. Kraufs in München den Verein gründeten. In steter Entwicklung ist die Zahl der Mit-

glieder auf fast 400 gestiegen, von denen allerdings nur ein Teil in München wohnt. Dass der Verein bereits in seinen Anfängen kräftig gedieh, wird dadurch bezeugt, dass er zwei Jahre nach seiner Gründung die Hauptversammlung des Gesamtvereines zu sich nach München einladen konnte.

Nach einer kurzen Schilderung des augenblicklichen Vereinslebens und der neueren Veranstaltungen, unter denen insbesondere die in Gemeinschaft mit Hrn. C. Busley unternommene Marineausstellung im Glaspalast zu München zu erwähnen ist, giebt der Redner kund, dass der Bayerische Bezirksverein anlässlich seines 25jährigen Geburtstages seinen Mitbegründer Hrn. C. Linde zum Ehrenmitgliede ernannt habe¹⁾.

¹⁾ Die künstlerisch ausgestattete Ehrenmitgliedsurkunde war Hrn. Linde schon am Tage vorher durch die Herren v. Lossow, Hausenblas und Finckh in seiner Villa in Prinz Ludwigs-Höhe überreicht worden.

Alsdann gedenkt er des Gesamtvereines, des starken Stammes, dessen Aeste und Zweige über ganz Deutschland und weit über dessen Grenzen ragen. Dieser bedeutendste technische Verein vertrete wie kein anderer die vaterländische Industrie, deren beispiellose Entwicklung zum grossen Teil auf die Arbeit seiner Mitglieder zurückzuführen sei, und er sei deshalb wohl berufen, bei mancher wichtigen Frage mitzusprechen und ein Urteil abzugeben. In der Reihe der Bezirksvereine war der Bayerische der 25te; er war der erste spezifisch süddeutsche Bezirksverein, Stuttgart und Karlsruhe folgten erst später nach. Die Worte des Redners klingen in ein Hoch auf den Verein deutscher Ingenieure aus.

Der Vorsitzende der Gruppe Augsburg, Hr. Hausenblas, feiert nunmehr die Gründer des Bezirksvereines. War auch ihre Zahl gering, so hatten ihre Namen doch damals schon, als sie sich zu einem Bayerischen Bezirksverein zusammenschlossen, einen guten Klang. Darum fand auch der Ruf zum Anschluss an diesen Verein freudigen Widerhall in den Kreisen der Fachgenossen.

Zu dem Stolz auf jene Männer geselle sich die Freude, dass viele von ihnen auch heute noch dem Bezirksverein angehören, manche noch in voller Schaffenskraft, alle aber als leuchtende Vorbilder für das gemeinsame Streben, nach Kräften beizutragen zum Wohl der gesamten vaterländischen Industrie.

Denjenigen Mitbegründern des Bezirksvereines, die aus dem Leben geschieden sind, widmet der Redner ein dankbares, ehrenvolles Gedonken, denen aber, die ein gütiges Geschick uns erhalten hat, bringt er tief empfundene Verehrung zum Ausdruck und den Wunsch, dass es ihnen noch lange beschieden sein möge, zu sehen, wie der Same, den sie in warmer Begeisterung ausgestreut haben, immer herrlichere Früchte zeitigt.

Hierauf begrüsst Hr. Schröter das neu ernannte Ehrenmitglied. Durch die Wahl zum Ehrenmitglied sollen nicht nur besondere Verdienste des Gewählten um den Bezirksverein anerkannt werden, sondern es sollen dadurch solche Männer ausgezeichnet werden, welche die höchste Stufe der Gattung »deutscher Ingenieur« darstellen. Erwägt man die verschiedenen Richtungen der Bethätigung geistiger Kraft im Ingenieurstand, so kann man als solche bezeichnen die wissenschaftlich-theoretische, die praktisch-konstruktive und die organisatorisch-leitende. Ist es schon Ruhmestitel genug, wenn nach einer dieser Richtungen Ausgezeichnetes von einem Manne geleistet wird, so darf man mit vollem Recht als Vertreter der Gattung einen Mann bezeichnen, der so umfassend veranlagt ist, dass er auf allen drei Gebieten eine hervorragende, von Erfolg gekrönte Thätigkeit entfaltet, der in voller Beherrschung der Wissenschaft die Ergebnisse der Theorie in Maschinen verkörpert hat, deren ausgezeichnete konstruktive Durchführung ihnen den Erfolg von Anfang an sicherte, der aber auch als umsichtiger, thatkräftiger Organisator eine große Gesellschaft zur höchsten, auf gediegenen Leistungen beruhenden Blüte bringt. Und wenn über diesen Eigenschaften des Geistes noch solche des Charakters stehen, welche das Wort des Dichters zur Wahrheit machen: »Edel sei der Mensch, hilfreich und gut«, dann kann sich der Verein zu einem solchen Ehrenmitglied Glück wünschen; er hat sich durch die Wahl selbst geehrt.

Hr. v. Linde dankt mit folgenden Worten: »Gestatten Sie mir einige Worte, um den lebhaften Empfindungen des Dankes Ausdruck zu geben, welche in mir erweckt sind durch die Ehre, die Sie mir erwiesen haben, und durch die fast überschwänglich freundlichen Worte, die an mich gerichtet worden sind. Ich darf diesen Dank vielleicht dahin ausdehnen, dass ich gleichzeitig im Namen der übrigen alten Herren spreche, mit denen ich vor 25 Jahren bei der Gründung unseres Bezirksvereines vereinigt war. Diesen Jubilaren haben Sie eine Ehrung erweisen wollen durch die Ernennung eines Ehrenmitgliedes. Ich darf und ich will nicht prüfen, ob ich es verdient habe, als deren Vertreter gewählt zu werden, ich möchte Ihnen einfach und warm aussprechen, wie es mich mit Freude und Stolz erfüllt, von den mich umgebenden Fachgenossen den Ausdruck eines solchen Wohlwollens und einer solchen Anerkennung für das annehmen zu dürfen, was die Gunst der Verhältnisse mich hat erreichen lassen. Um so mehr Anlass habe ich zu solcher Freude, als das Band unserer Fachgenossenschaft, der Genossenschaft der deutschen Ingenieure, heute mit einer stolzen Devise geschmückt ist. In dem lebendigen Strom der Kulturentwicklung des abgelaufenen Jahrhunderts sind die Banner unserer Zukunft mächtig entfaltet worden, und weithin sichtbar flattern sie in den führenden Reihen. Meine verehrten Freunde! Zu dem frohen Bewusstsein, dass die Anerkennung, welche sich der deutsche Ingenieur in den letzten Jahrzehnten erkauft

hat, auf wirklichen Leistungen beruht, gesellt sich naturgemäss der heisse Wunsch, dass es immer so bleiben möge, dass je und je die innere Tüchtigkeit der deutschen Ingenieure der Aussen Anerkennung, welche ihnen zuteil wird, mindestens um einen Schritt voraus sei. In diesem Sinne bitte ich Sie, mit mir die Gläser zu leeren auf die Ehre, die Tüchtigkeit, die Zukunft unseres Standes! Der deutsche Ingenieur, er lebe hoch!«

Hr. Flückh verliest nunmehr die zahlreich eingelaufenen Telegramme und Glückwunschschriften. Hr. v. Hoyer gedenkt des geistigen Urhebers der Gründung des Bezirksvereines, des damaligen Professors der Technischen Hochschule München, Hrn. Ludwig, an den ein Begrüssungstelegramm gesandt wird. Hr. Wagner überbringt die freundschaftlichen Grüsse des Fränkisch-Oberpfälzischen Bezirksvereines, Hr. Savelsberg die Glückwünsche des Aachener Bezirksvereines, Hr. Schmuck die des Elektrotechnischen Vereines München. Hr. Kraufs gedenkt des heutigen Vorsitzenden und spricht den Wunsch und die Hoffnung aus, dass dieser, so wie heute er selbst, nach abermals 25 Jahren mit derselben Befriedigung auf den Bezirksverein blicken möge. Schliesslich feiert Freiherr v. Bechtolsheim die Herren Kraufs, Listmann und Lorenz als die drei Nestoren im Verein, und Hr. Lorenz spricht dem Vorsitzenden des Festausschusses, Hrn. Hippe, den Dank des Vereines aus.

Nach Tisch gaben einige Mitglieder musikalische Auführungen ersten und heiteren Inhalts zum besten.

Am darauffolgenden Sonntag machten die Mitglieder mit ihren Damen einen Ausflug nach dem Starnberger See, der bei herrlichem Wetter in gelungener Weise verlief und abends in Tutzing mit einem Tänzchen endigte.

Eingegangen 16. April 1901.

Hamburger Bezirksverein.

Sitzung vom 12. März 1901.

Vorsitzender: Hr. Prohmann. Schriftführer: Hr. Lesser.
Anwesend 37 Mitglieder und 2 Gäste.

Hr. Prohmann spricht über eine Schrift des Rates Dr. Hampke über Fortbildungs- und Fachschulwesen, wobei er besonders Hamburger Verhältnisse berücksichtigt und im Gegensatz zu dem Verfasser hervorhebt, dass nicht 30 bis 40 vH der gewerblichen Lehrlinge, sondern etwa 60 vH Fortbildungsschulen besuchen.

Darauf berichtet Hr. Hübel über den Jahresbericht der kgl. technischen Versuchsanstalt in Berlin).

Eingegangen 12. April 1901.

Kölner Bezirksverein.

Sitzung vom 13. März 1901.

Vorsitzender: Hr. Eulenberg. Schriftführer: Hr. Mathéo.
Anwesend rd. 100 Mitglieder und Gäste.

Nach Erledigung geschäftlicher Angelegenheiten spricht Hr. Aumund über Anlage und Wirtschaftlichkeit moderner Transportvorrichtungen.

Ostpreussischer Bezirksverein.

Sitzung vom 19. März 1901.

Vorsitzender: Hr. Bieske. Schriftführer: Hr. Lorenz.
Anwesend 21 Mitglieder und 3 Gäste.

Nach Erledigung geschäftlicher Angelegenheiten spricht Hr. Hagens über

die Vorgänge beim Ansaugen der Pumpen, besonders der schnellgehenden Pumpen.

Während bei Pumpen die hin- und hergehenden Massen des Kolbens und des Gestänges sowie die Beschleunigungsdrücke der Wassermassen in der Druckperiode lediglich den Druck im Gestänge beeinflussen und durch die Antriebskraft überwunden werden, können in der Saugperiode Unterspannungen, hervorgerufen durch die Saughöhe und den Einfluss der bewegten Wassermassen, eintreten, die zu Unregelmässigkeiten beim Ansaugen und schliesslich zum Versagen der Pumpe führen. Zur Überwindung dieser Pressungen kann nicht eine beliebig zu steigende mechanische Antriebskraft verwendet werden, sondern es steht nur die beschränkte Spannung von 1 at zur Verfügung.

Bezeichnet man mit

F die Kolbenfläche in qm ,

αF den Querschnitt des Saugrohrs,

l den Kolbenhub,

βl die Länge des Saugrohrs bis zum Saugwindkessel, dessen Rauminhalt im Verhältnis zum Cylinderinhalt als sehr groß angenommen wird,

n die Anzahl der Umläufe der Kurbelwelle,

v_m die mittlere Kolbengeschwindigkeit,

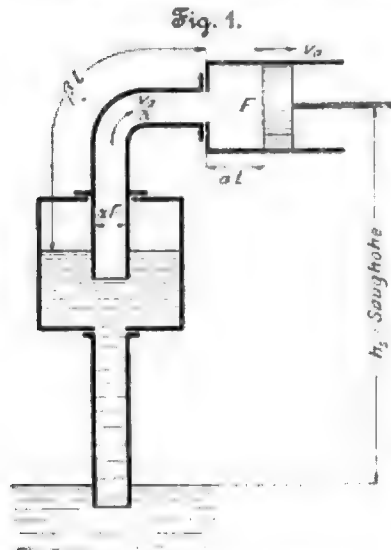


Fig. 1.

so ist in einer Kolbenstellung al , Fig. 1, die Kolbengeschwindigkeit (unter Annahme unendlich langer Pleuelstange)

$$v_a = v_m \pi \sqrt{a^2 - a^2};$$

die Geschwindigkeit des Wassers im Saugrohr ist zu derselben

$$\text{Zeit } \frac{v_a}{a}$$

Außer der durch die Saughöhe h_s hinter dem Kolben hervorgerufenen Unterspannung

$$q = \frac{\lambda}{10} \text{ kg/qcm}$$

treten weitere Spannungen auf, hervorgerufen durch die Beschleunigung des dem Kolben folgenden Wassers.

Denkt man sich das Saugventil als nicht vorhanden, betrachtet also den Vorgang beim Ansaugen, wie er in Fig. 1 dargestellt ist, so kann man die Saugwiderstände in Teile zerlegen, und zwar herrührend von

1) der Beschleunigung der während des ganzen Kolbenhubs unveränderlichen Wassermenge im Saugrohr,

2) der Beschleunigung des in das Saugrohr nach Maßgabe des Kolbenfortschritts eintretenden Wassers von der Geschwindigkeit 0 im Saugwindkessel auf die jeweilig vorhandene Geschwindigkeit $\frac{v_a}{a}$,

3) von dem Widerstand bei der plötzlichen Querschnittsänderung beim Anschluss des Saugrohrs an den Cylinder und

4) von der Beschleunigung der allmählich anwachsenden Wassermenge im Cylinder.

Sind q_1 bis q_4 die aus 1) bis 4) entstehenden Unterspannungen hinter dem Kolben in kg/qcm , so berechnen sich diese wie folgt:

1) In der Kolbenstellung al hat die im Saugrohr befindliche Wassermenge $\beta l \alpha F$ beim die Geschwindigkeit $\frac{v_a}{a}$.

Während der Kolben den Weg $l da$ zurücklegt, verändert sich die Geschwindigkeit um $d\left(\frac{v_a}{a}\right)$, und es ist

$$\frac{1000 \beta l \alpha F v_a d v_a}{g a a} = 10000 F l da q_1,$$

$$v_a d v_a = \frac{v_a^2 \pi^2}{2} (1 - 2a) da,$$

woraus, wenn wie in allen folgenden Rechnungen π^2 und $g = 10$ gesetzt werden,

$$q_1 = \frac{v_m^2}{20 a} (1 - 2a) \quad (1).$$

2) Während der Kolben den Weg $l da$ beschreibt, tritt in das Saugrohr das Wassergewicht $1000 F l da$ kg ein, das in derselben Zeit von der Ruhe im Windkessel auf die Geschwindigkeit $\frac{v_a}{a}$ gebracht werden muss. Es ist

$$\frac{1000 F l da}{2 g} \left(\frac{v_a}{a}\right)^2 = 10000 F l da q_2,$$

$$q_2 = \frac{v_m^2}{20 a^2} (a - a^2) \quad (2).$$

3) Nach dem Taschenbuch der Hütte ist der Druckverlust bei plötzlicher Querschnittsänderung

$$\lambda = \left(\frac{F}{\alpha F} - 1\right)^2 \frac{v_m^2}{2 g}$$

oder

$$q_3 = \frac{\lambda}{10} = \left(\frac{1}{a} - 1\right)^2 \frac{v_m^2}{20 g} \text{ kg/qcm},$$

$$q_3 = \frac{v_m^2}{20} \left(\frac{1}{a} - 1\right)^2 (a - a^2) \quad (3).$$

4) Das Wasser im Cylinder ändert nicht nur seine Geschwindigkeit, sondern auch sein Gewicht. Bei dem Kolbenweg al ist dieses Gewicht $1000 F l a$ kg , und es ist

$$\frac{1000 F l a}{g} \frac{v_a d v_a}{a} = 10000 F l da q_4,$$

$$q_4 = \frac{v_m^2}{20} (a - 2a^2) \quad (4).$$

Die Summe dieser Spannungen ist

$$\Sigma q = \frac{v_m^2}{20} \left[\frac{\beta}{a} (1 - 2a) + \left(\frac{2}{a} - \frac{2}{a}\right) (a - a^2) + (2a - 3a^2) \right] \quad (5).$$

Soll die Pumpe (ohne Berücksichtigung des Ventilwiderstandes) so ansaugen, dass der Cylinder stets mit Wasser gefüllt ist, dass also die Wasserküle nicht abreißt, so muss sein

$$q_0 + (q_1 + q_2 + q_3 + q_4) \leq 1,0.$$

Für den Hubbeginn, also $a = 0$, fallen die Glieder q_2 , q_3 und q_4 aus, und es ist die Anfangsbeschleunigungsspannung

$$q_0 = \frac{v_m^2}{20} \frac{\beta}{a} \quad (6).$$

Am Ende des Hubes für $a = 1$ wird

$$q = - \frac{v_m^2}{20} \left(\frac{\beta}{a} - 1\right) \quad (7).$$

Der Höchstwert von $q_1 + q_2 + q_3 + q_4$ tritt ein für

$$\frac{d(q_1 + q_2 + q_3 + q_4)}{da} = 0$$

und wird dann, wenn man

$$\frac{2}{a^2} - \frac{2}{a} = C$$

setzt,

$$a = \frac{C + 2 - 2 \sqrt{C^2 + 4}}{6 - 2C}.$$

Im allgemeinen wird a negativ, d. h. der Scheitel der Kurve liegt vor dem Hubbeginn, der Höchstwert kommt daher nicht in Betracht, und die größte Spannung liegt (in der Regel)

bei Hubanfang und beträgt $q_0 = \frac{v_m^2}{20} \frac{\beta}{a}$; q_0 ist also vom Quadrat der mittleren Kolbengeschwindigkeit abhängig, nicht aber unmittelbar vom Hub oder der Umlaufzahl, ferner von der relativen Saugrohrlänge und vom Querschnitt des Saugrohrs.

Die Formel gilt nur für $a \leq 1$, da andernfalls q_3 anders berechnet werden muss.

Für den Fall, dass das Saugrohr vom Querschnitt F_{a1} im Windkessel auf F_a am Cylinder übergeht, ändert sich q_1 wie folgt:

$$dq_1 = \frac{1}{20} \frac{v_m^2 (1 - 2a)}{a^2} \frac{da}{a} = \frac{1}{20} \frac{v_m^2}{a^3} (1 - 2a) da,$$

$$q_1 = \frac{v_m^2}{20} (1 - 2a) \frac{\beta}{a_1 - a} \ln \frac{a_1}{a} \quad (8);$$

für den günstigsten Fall $a = 1$ wird dann bei $a = 0$

$$q_1 = \frac{v_m^2}{20} \frac{\beta}{a_1 - 1} \ln a_1.$$

Es wird für $a_1 =$

$$\ln a_1 \quad 2 \quad 3 \quad 4 \quad 5$$

$$a_1 - 1 \quad 0,69 \quad 0,55 \quad 0,46 \quad 0,40.$$

Für andere Uebergangsformen von a_1 auf a ergeben sich ähnliche Formeln.

Geometrisch ähnlich gebaute Pumpen vertragen daher die gleiche Kolbengeschwindigkeit, weite und kurze Saugrohre

(die Rohrlänge gemessen bis in den groß gedachten Saugwindkessel) gestatten große Kolbengeschwindigkeiten. Pumpen mit großer Saughöhe müssen verhältnismäßig langsam gehen.

Die vorstehend entwickelten Formeln sollen auf einige Beispiele angewendet werden, und zwar auf eine Saugpumpe älterer Bauart, eine Wasserwerkpumpe, Bauart Riedler, mit gesteuerten Ventilen und die Expresspumpen von Riedler.

1) Pumpe älterer Bauart.

Hub der Pumpe	l = 0,45 m
Umlaufzahl	30 Uml./min
mittlere Kolbengeschwindigkeit	0,45 m/sk
Saugrohrquerschnitt = 0,3 des Kolbenquerschnittes, also	$\alpha = 0,3$
Länge des Saugrohrs 5,4 m, also	$\beta = 12$
Saughöhe 5 m, also	$q_2 = 0,5$
Windkessel nicht vorhanden	

$$q_0 = \frac{0,45^2 \cdot 12}{20 \cdot 0,3} = 0,4$$

$$q_0 + q_2 = 0,5 + 0,4 = 0,9.$$

Die Pumpe wird also nicht voll ansaugen, da der Ventilwiderstand mehr als 0,1 kg/qcm betragen wird. (Für die geringere Kolbengeschwindigkeit $v = 0,3$ m wird $q_2 + q_0 = 0,63$, und es wird dann sicheres Ansaugen erwartet werden können.)

Die Summe der Beschleunigungsspannungen Σq hat für $v = 0,45$ folgende Werte

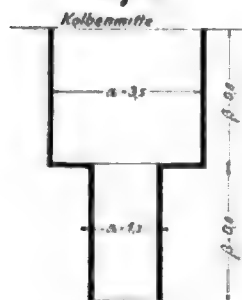
für $\alpha = 0$	0,1	0,3	0,5	0,7	1,00
$\Sigma q = +0,4000$	$+0,3331$	$+0,1665$	$+0,0064$	$-0,1625$	$-0,2000$

sie weicht also nur wenig von einer Geraden ab, weil die Beschleunigung der Massen im Saugrohr alle übrigen Faktoren überwiegt.

2) Pumpe des Wasserwerkes Barmen (aus Riedlers Schnellbetrieb Abt. II S. 26).

Kolbendurchmesser	282 mm
Hub	1100 "
Umlaufzahl höchstens	60 Uml./min
Kolbengeschwindigkeit	2,200 m/sk.

Fig. 2.



Bei dieser liegenden Pumpe, welche die bei Wasserwerkspumpen übliche Anordnung hat, ist für jedes Saugrohr ein besonderer kleiner Windkessel außer einem gemeinsamen größeren Saugwindkessel angeordnet.

Das Saugventil liegt tief unter dem Kolben, der Raum zwischen Saug- und Druckventil hat einen Durchmesser von 530 mm, der Querschnitt ist also $3\frac{1}{2}$ mal so groß wie die Kolbenfläche; der eigentliche Saugrohrquerschnitt ist 1,5 mal so groß wie die Kolbenfläche.

Saugrohr und Ventilraum lassen sich, wie in Fig. 2 skizziert, darstellen,

und es wird

$$q_0 = \frac{2,2^2}{20} \left(\frac{0,8}{3,5} + \frac{0,8}{1,5} \right) = 0,205.$$

Die Saughöhe betrug 5,5 m, also $q_2 = 0,250$,

$$q_0 + q_2 = 0,455.$$

In Wirklichkeit wird q_0 noch größer ausfallen, da der Windkessel sehr klein ist und in dem weiten Raum zwischen Saug- und Druckventil eine gleichmäßige Wasserströmung nicht eintreten wird. Da der Ventilwiderstand bei allen Rechnungen bisher nicht berücksichtigt ist, erklärt es sich, dass sich Schwierigkeiten beim Ansaugen ergaben und die Saughöhe durch nachträgliche Anlage eines besonderen Schöpfwerkes auf 2,5 m herabgesetzt werden musste.

3) Die Expresspumpen.

Versuchspumpe für Leopoldshall (Schnellbetrieb Abt. VI S. 20).

Kolbendurchmesser	110 mm
Hub	200 "
Umlaufzahl	200 bis 300 Uml./min
Kolbengeschwindigkeit	1,33 bis 2,33 m/sk.

Soweit sich der Abbildung entnehmen lässt, dürfte das Saugrohr beim Windkessel einen Querschnitt gleich dem dreifachen Kolbenquerschnitt haben, also $\alpha_1 = 3\alpha$, während der freie Querschnitt des Ventilsizes $\alpha = 1,2$ entsprechen wird. Der Uebergang von α_1 auf α ist nicht regelmäßig. Das Verhältnis des Kolbenhubes zur Saugrohrlänge einschließlich der Weglänge um das Ventil herum bis zur Kolbenmitte ist auf 2,0 zu schätzen, und es wird sich — etwas zu günstig gerechnet — ergeben:

$$q_0 = \frac{v_a^2}{20} \frac{2,0}{3,0-1,2} \ln \frac{3,0}{1,2} = 0,051 v_a^2.$$

Für $\alpha = 200$ 300 350
ist $v_a = 1,33$ 2,00 2,33
 $q_0 = 0,09$ 0,204 0,257.

Nach den angestellten Versuchen saugte die Pumpe noch gut bei $\alpha = 200$ auf 3,5 m

$$\alpha = 300 \Rightarrow 2,0 \text{ m,}$$

wobei $q_0 + q_2 = 0,44$ bzw. 0,404 wäre.

Die Grenze des sicheren Saugens schien überschritten für

$$\alpha = 200, \text{ Saughöhe} = 4,5 \text{ m, } q_0 + q_2 = 0,540,$$

$$\alpha = 300, \text{ } \Rightarrow 4,0 \text{ m, } q_0 + q_2 = 0,504.$$

Wenn auch angenommen werden kann, dass q_0 bei dieser Pumpe höher ist als berechnet, so muss doch die Spannung zur Beschleunigung der Ventilmasse recht bedeutend sein.

Für die in Abt. VIII S. 4 bis 12 beschriebene Expresspumpe für den Hohenthalschacht ist $d = 360$, $l = 300$, $\alpha = 200$, $v = 2,0$, $\alpha_1 = 2$, $\alpha = 1$, $\beta = 2$, und es wird $q_0 = \frac{4}{20 \cdot 2-1} \ln 2 = 0,276$.

Bis jetzt war der Ventilwiderstand nicht inbetracht gezogen, vielmehr war angenommen, das Ventil sei garnicht vorhanden oder aber schon bei Beginn des Hubes so weit geöffnet, dass das Wasser den vollen Saugrohrquerschnitt beim Durchfließen findet. Dies muss besonders hervorgehoben werden, da nur unter dieser Voraussetzung die entwickelten Formeln Gültigkeit haben. Es wird aber vielfach von einer »theoretisch erforderlichen« Ventileröffnung gesprochen, die so zu bestimmen ist, dass die Erhebung nur soweit erforderlich ist, dass im freien Ventilquerschnitt eine unveränderliche Wassergeschwindigkeit entsteht. Da im Cylinder sowohl wie im Saugrohr wechselnde Geschwindigkeiten herrschen, so hat es selbstverständlich keinen Sinn, beim Durchgang durch das Ventil eine andere Geschwindigkeit erzwingen zu wollen. Die Beschleunigungsspannung würde dann ganz anders ausfallen.

Ist αF der veränderliche Querschnitt beim Ventil, so muss, damit eine unveränderliche Durchströmungsgeschwindigkeit $C = \gamma v_a$ entsteht,

$$\alpha = \frac{v_a}{\gamma v_a}$$

sein.

Ist $\beta_1 l$ die Länge des Ventildurchganges, so ist

$$q_1 = \frac{v_a^2}{20} \frac{\beta_1}{\alpha} (1-2\alpha), \quad v_a = v_a \sqrt{1-\alpha^2},$$

$$q_1 = \frac{v_a^2}{20} \frac{\beta_1 \gamma}{\pi} \frac{1-2\alpha}{\sqrt{1-\alpha^2}} \quad (9).$$

Es ist für

$$\alpha = 0 \quad 0,1 \quad 0,2 \quad 0,3 \quad 0,4 \quad 0,5 \quad 0,6 \text{ usw.}$$

$$\frac{1-2\alpha}{\sqrt{1-\alpha^2}} = 2,67 \quad 1,50 \quad 0,90 \quad 0,46 \quad 0 \quad -0,4 \quad \dots$$

Die Anfangsspannung ist ∞ ; ein derart gesteuertes Ventil (oder ein Schleber) würde also zunächst bewirken, dass die Wassersäule abreißt, würde aber auch beim weiteren Fortschreiten des Kolbens erhebliche Widerstände erzeugen.

Bei der freien Ventileröffnung sind die Vorgänge folgende: Falls die Wassersäule nicht abreißt, bleiben die Beschleunigungsarbeiten für die Wassersäule im Saugrohr und im Cylinder sowie für das zutretende Wasser dieselben, wie oben entwickelt; q_1 , q_2 und q_3 behalten also ihre Werte. Für q_3 , den Verlust beim Uebergang aus dem Saugrohr in den Cylinderquerschnitt, muss für die Zeit der Ventilerhebung ein anderer Wert gesucht werden, der die Drosselung durch das noch nicht völlig geöffnete Ventil angibt.

Da es sich nur um allgemeine Betrachtungen handelt, soll hierfür der im Taschenbuch der Hütte 14. Aufl. S. 194 gegebene Ausdruck (vergl. Fig. 3) unter Vernachlässigung der Kontraktion und unter der Annahme $F_2 = F$, also für $\alpha = 1$, gewählt werden. Ist s die ganze Erhebung des Ventiles, s_1 die Erhebung bei der Kolbenstellung α , so wird

$$q_3 = \frac{v_a^2}{20 g} \left(\frac{1}{s_1} - 1 \right)^2 = \frac{v_a^2}{20} \left(\frac{s}{s_1} - 1 \right)^2 (\alpha - \alpha^2) \quad (10).$$

Zu diesen Widerständen kommt nun noch die Arbeit zur Beschleunigung der Ventilmasse. Ist p das Gewicht des Ventiles pro qm des Rohrquerschnittes, so ist das ganze Gewicht $10000 \cdot F \cdot p$ kg.

Nach der Zeit t und bei der Kolbenstellung a sei die Geschwindigkeit v , der zurückgelegte Weg — die Erhebung — a' ; dann ist

$$\begin{aligned} p \cdot a' \cdot v \cdot dt &= q_s \cdot da \quad \text{und} \quad v \cdot dt = da', \\ q_s &= \frac{p \cdot a'}{10} \cdot \frac{dv}{da} \quad \dots \dots \dots (11). \end{aligned}$$

Für die Dauer des Ventilhubes ist die Gesamtspannung hinter dem Kolben

$$\begin{aligned} E &= q_s + q_1 + q_2 + q_3 + q_4 + q_5, \\ E &= q_s + \frac{v^2}{20} \left[\frac{\beta^2}{a} (1-2a) + \frac{1}{a^2} (a-a^2) + \left(\frac{\beta}{a} - 1 \right)^2 (a-a^2) \right. \\ &\quad \left. + (1-2a^2) \right] + \frac{p \cdot a'}{10} \cdot \frac{dv}{da} \quad \dots \dots \dots (12). \end{aligned}$$

Die Möglichkeit, E zu berechnen, hängt davon ab, ob Bedingungen für den Zusammenhang zwischen v und a' , a' und a zu finden sind. Dies dürfte kaum möglich sein, und man wird sich mit willkürlichen Annahmen behelfen müssen, um Einblick in die wahrscheinlichen Vorgänge während des Ventilhubes zu gewinnen.

Die einfachste Annahme ist

$$a' = a, \quad v_a = v.$$

Dann wird

$$\begin{aligned} q_s &= \frac{v^2}{20} \left(\frac{\beta^2}{a} - 1 \right)^2 (a-a^2), \\ q_5 &= \frac{v^2}{2} \cdot p \cdot (1-2a) \end{aligned}$$

und

$$\begin{aligned} E &= q_s + \frac{v^2}{20} \left[\left(\frac{\beta^2}{a} + 10 \cdot p \cdot a \right) (1-2a) + \frac{1}{a^2} (a-a^2) \right. \\ &\quad \left. + \left(\frac{\beta}{a} - 1 \right)^2 (a-a^2) + (a-2a^2) \right]. \end{aligned}$$

Fig. 3.

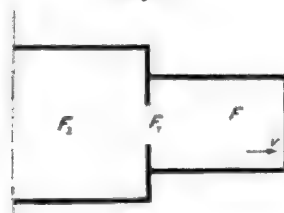
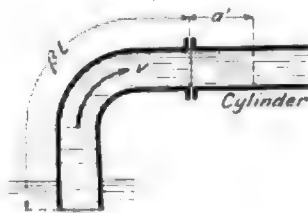


Fig. 4.



woraus für $\beta = 2$, $a = 1$, $p = 0,025$, $s = 0,1$ (kurzhubige Pumpen):

$$E = q + \frac{v^2}{20} \left[2,25 - 2,5a - 3a^2 + \left(\frac{0,1}{a} - 1 \right)^2 (a-a^2) \right].$$

Für $a = 0$ wird das letzte Glied in der Klammer $\frac{0}{0}$, also unbestimmt; die Berechnung einiger Punkte zwischen 0 und $a = 0,1$ (Ende des Ventilhubes) lässt schließen, dass $\frac{0}{0}$ sehr groß, wahrscheinlich ∞ ist.

Für $a = 0,001 \quad 0,01 \quad 0,05 \quad 0,1$
wird

$$E - q_s = 0,602 v_a^2 \quad 0,152 v_a^2 \quad 0,108 v_a^2 \quad 0,099 v_a^2.$$

Nach Beendigung des Hubes bei $a = 0,1$ wird nach der früheren Formel $E - q_s = 0,088 v_a^2$.

Da E nicht größer als 1 werden kann, würde selbst bei mäßiger Saughöhe die Wassersäule abreißen und die Vorgänge eine ganz andere Gestalt annehmen. Theoretisch kann das Saugen überhaupt erst beginnen, wenn der Kolben einen wenn auch kleinen Teil seines Weges zurückgelegt hat. Jedenfalls werden Störungen beim Ansaugen während des Ventilhubes bei kurzhubigen Pumpen mit hoher Umlaufzahl wesentlich stärker auftreten als bei Pumpen mit langem Hub und bei gleicher Kolbengeschwindigkeit mit entsprechend geringerer Umlaufzahl.

Es ist aber zu untersuchen, ob das Abreißen der Wassersäule und der verspätete Beginn des Ansaugens überhaupt ein Nachteil ist, oder ob ihm begegnet werden kann.

Zu diesem Zwecke wollen wir eine Wassersäule betrachten, die plötzlich mit einem luftleeren Raum in Verbindung gesetzt wird und nun unter Nachsaugen aus dem Windkessel in diesen strömt.

Der Einfachheit halber soll der Querschnitt der Wassersäule (des Saugrohrs) unveränderlich und gleich dem Querschnitt des Raumes (Cylinder) angenommen werden, in den das Wasser nachströmt, Fig. 4. Verengungen durch das Ventil bleiben unberücksichtigt. Es ist also $a = 1$ zu setzen.

In der Zeit t nach dem plötzlichen Öffnen nach dem luftleeren Raum zu hat die Wassersäule in diesem den Weg a' zurückgelegt¹⁾ und die Geschwindigkeit v erreicht. Das Gewicht der in Bewegung befindlichen Wassersäule ist $1000 (a' + \beta l) F$ kg.

Die auf die Wassermasse wirkende Kraft ist

$$10000 F (1 - q_s),$$

wenn q_s die Saughöhe darstellt. Die Wassersäule ist um de zu beschleunigen, die im Zeitelement dt zutretende Wassermenge $1000 F \cdot da'$ ist von 0 auf die Geschwindigkeit v zu bringen, und es besteht die Gleichung

$$\begin{aligned} (a' + \beta l) \frac{v \cdot dv}{g} + \frac{v^2}{2g} da' &= 10 (1 - q_s) da', \\ \frac{2}{200 (1 - q_s) - v^2} da' &= \frac{da'}{a' + \beta l}. \end{aligned}$$

Die Integration zwischen $v = 0$ und $v = v$ und $a' = 0$ bis a' ergibt

$$\frac{200 (1 - q_s)}{200 (1 - q_s) - v^2} = \frac{a' + \beta l}{\beta l} \quad \dots \dots \dots (13).$$

Ferner ist

$$v \cdot dt = da' \quad \dots \dots \dots (14).$$

Gl. (13) ergibt für $a' = \infty$

$$v_{\max} = \sqrt{200 (1 - q_s)},$$

also für $10 (1 - q_s) = h$

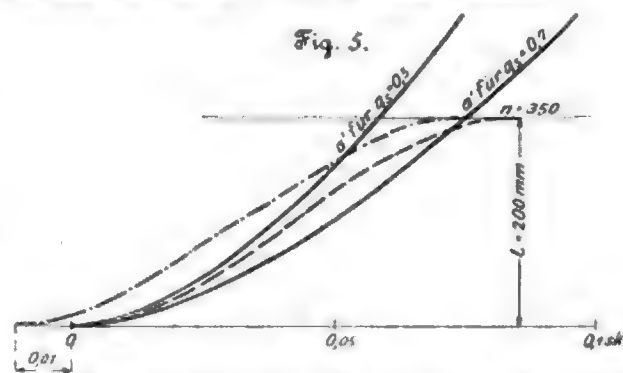
$$v_{\max} = \sqrt{2gh},$$

wie erwartet werden musste.

Um die Geschwindigkeit der nachdrängenden Wassersäule mit der eines vorausseilenden Kolbens in anschauliche Beziehung zu bringen, muss der zurückgelegte Weg der Säule und des Kolbens a' bezw. al , bezogen auf die Zeit, also $a' = f(t)$ und $al = f(t)$ ermittelt werden.

Für die Wassersäule wird dies analytisch nicht leicht möglich sein, und man wird daher zunächst v als Funktion von a berechnen und hieraus $a' = f(t)$ graphisch ermitteln.

Fig. 5.



Es sei für eine Expresspumpe $l = 0,2$ m, $n = 350$, $v = 2,33$ m, $a = 1$, $\beta = 2$, Fig. 5; dann gilt

a	$q_s = 0,5$		$q_s = 0,7$	
	v	t	v	t
m	m	sk	m	sk
0	0	0	0	0
0,005	1,12	0,0067	0,86	0,0088
0,010	1,56	0,0104	1,21	0,0136
0,015	1,88	0,0132	1,47	0,0170
0,020	2,18	0,0157	1,69	0,0200
0,025	2,47	0,0178	1,87	0,0225
0,030	2,74	0,0204	2,05	0,0254
0,035	3,00	0,0233	2,24	0,0299
0,040	3,25	0,0260	2,45	0,0332
0,045	3,50	0,0287	2,67	0,0374
0,050	3,75	0,0314	2,90	0,0420

In Fig. 6 sind die aus Formel 13 berechneten Werte von v , bezogen auf den Weg a' , für $q_s = 0,5$ und $0,7$ dargestellt, während Fig. 5 die hieraus abgeleiteten Wege a' , bezogen auf die seit Beginn des Ansaugens verfllossene Zeit t , darstellt.

¹⁾ Es muss hier mit absoluten Längen gerechnet werden, a' ist also der Weg in Metern.

schreitende Erfahrung die empirische Wissenschaft für die Anwendung wertlos sein würde, bei Bach das denkbar größte Vertrauen faßt. Als besonders lehrreiches Beispiel für eine geschickte, sachgemäße Handhabung der einfachsten Rechnung durch den Verfasser seien die bei einzelnen Maschinenteilen (z. B. Kreuzköpfen, Stopfbüchsen, Flanschrohren) vorkommenden Befestigungsschrauben erwähnt, auf deren richtige Querschnittbemessung die größte Sorgfalt verwendet wird.

Durch zahlreiche Konstruktionsbeispiele, bei denen sich der Verfasser auf tatsächlich Brauchbares beschränkt, erzieht er den Konstrukteur zu selbständiger Kritik und Arbeit; Veraltetes und Mangelhaftes wird nur insoweit berücksichtigt, als es zur Förderung des Verständnisses geeignet erscheint; insbesondere finden sich auch fehlerhafte Anordnungen, die zu Betriebsunfällen geführt haben, ausführlich besprochen. Die Klarheit und Eindeutigkeit des kritischen Urteiles, das als leitender Faden das ganze Buch durchzieht, giebt den dargestellten Konstruktionen erst den vollen Wert. Mit Freude verfolgt man bei Bach die Ergebnisse der lebendigen Wechselwirkung zwischen fachwissenschaftlicher Forschung und praktischer Anwendung. Um zu zeigen, mit welcher Aufmerksamkeit der Verfasser die steten Fortschritte des Maschinenbaues beobachtet, und wie er mit bestem Erfolge bestrebt ist, das Gute davon für sein Werk nutzbar zu machen, seien in Folgendem kurz die wichtigsten Neuheiten angegeben, die die vorliegende achte Auflage gebracht hat.

Im ersten Abschnitte (Elastizität und Festigkeit) sind die wichtigen Versuche des Verfassers über die Elastizitätskoeffizienten von hochwertigem Gußeisen und von Hartguss sowie über die Festigkeit von Bronzen bei verschiedenen Temperaturen eingehend berücksichtigt. Der Begriff des Arbeitsvermögens der Baustoffe findet eingehende Erklärung und zeichnerische Darstellung; zum erstenmale sind Zahlenwerte für das Arbeitsvermögen in die Festigkeitstabellen aufgenommen.

Im zweiten Abschnitte (Hilfsmittel zur Verbindung von Maschinenteilen) begegnen wir Versuchen des Verfassers über die Druckverteilung auf die einzelnen Gänge von Schraube und Mutter.

Der dritte Abschnitt (Räder usw.) bringt eine neue bildliche Darstellung des Gleitens der Zahnflanken bei Zahnradern und im Anschlusse daran Mitteilungen über eine zweckmäßige Abänderung der Zahnform durch kleinere Kopfhöhe und größere Fußhöhe; ferner neue Angaben über Winkelräder (von Gruson) und Rohbausträder. Eine eingehende Behandlung erfährt das Grisson-Getriebe, das für große Übersetzungen (bis zu 50) verwendbar ist und aus doppeltem einhäuligem Daumenrade und doppeltem Triebstockrade besteht. Zu erwähnen ist noch eine vom Verfasser versuchte Verwendung doppelter Paare von Kegeltrommeln für einen Regulatorantrieb, der starke Abänderungen des Übersetzungsverhältnisses gestatten soll.

Im vierten Abschnitte (Lager, Kupplungen usw.) sind hauptsächlich die grundlegenden Arbeiten von Stribeck über Kugellager neu hinzugekommen; im Anschlusse daran Konstruktionen von Achskugellagern für Gleis- und Straßenfahrzeuge.

Zum fünften Abschnitte (Selle, Kolben und Stopfbüchsen) sind zu nennen: die Anordnung eines Kettenhakens mit Kugellagerung, eine stützende Cylinderstopfbüchse der Märkischen Maschinenbauanstalt, sowie — entsprechend der zunehmenden Anwendung überhitzten Dampfes — mehrere Metallstopfbüchsen-Dichtungen für Betriebsdampf von 260 und 300°.

Der sechste Abschnitt (Kurbelgetriebe) bringt mehrere vorzügliche Darstellungen ausgeführter Kreuzköpfe (mit Mäßen) sowie eines Pleuelkopfes mit Stellkeil.

Im letzten Abschnitte (Cylinder, Rohre) endlich finden wir außer einer ausführlichen Besprechung der Flanschverbindungen von Cylindern und Rohren, der Mannesmannschen Rohrverbindung für hohe Flüssigkeitsdrücke und einem Ringventil von G. Kuhn (5 Ventile aus einem Ganzen) als besonders wichtige Erweiterung die neuen, vom Vereine deutscher Ingenieure festgesetzten Normalen zu Rohrleitungen für Dampf von hoher Spannung.

Die Anzahl der dem Werke in Band II beigegebenen Konstruktionstabellen hat sich von 54 auf 57 vermehrt; die

neuen Tafeln enthalten die Darstellung der Rohrnormalen sowie ein Dampfmaschinen-Corliss-Gestell. Ein Nachweis der Textstellen in Band I, die sich auf die Tafeln in Band II beziehen, ist auf Anregung aus Kreisen der Benutzer diesmal hinzugefügt. Die Textfiguren des, wie bisher, würdig und schön ausgestatteten Werkes haben eine sehr beträchtliche Vermehrung (auf 639) erfahren; die neu hinzugekommenen Figuren sind vorzüglich hergestellt und jedenfalls gegenüber den für den Gebrauch des Buches nicht sonderlich bequemen Tafeln als Fortschritt dankbar zu begrüßen. Abgesehen von größeren Konstruktionen dürfte es sich wohl empfehlen, die Tafeln allmählich ganz durch Textfiguren zu ersetzen.

Im Vorworte richtet Bach aus Anlaß der vor zwanzig Jahren erfolgten ersten Ausgabe seines Werkes einige beherzigenswerte Worte an die jüngeren Fachgenossen. Indem er auf die Anerkennung und das Ansehen hinweist, deren sich der Ingenieurstand in den letzten Jahrzehnten in steigendem Maße erfreut, ermahnt er alle, für den weiteren Fortschritt des Faches besorgt zu sein, insbesondere aber eine bisher sehr vernachlässigte Seite des Entwicklungsganges zu pflegen, nämlich die Fähigkeit der richtigen Beurteilung und Behandlung der Arbeiter, deren berufener Führer und Leiter bei den Werken des Friedens der Ingenieur ist. Diese Fähigkeit muss sowohl durch fachliche als durch sittliche Tüchtigkeit erworben werden; der Ingenieur soll dem Arbeiter in jeder Hinsicht ein Vorbild sein.

Wenn diese Ermahnungen Bachs befolgt werden, so wird der Ingenieurstand die hohen Aufgaben und Ziele zu fördern befähigt sein, die unser Kaiser gelegentlich der Danksagung der technischen Hochschulen für die Verleihung des Promotionsrechtes klar und fest vorgezeichnet hat. La.

Schweizerische Bergbahnen. Verlag des Polygraphischen Institute A.-G. in Zürich. Groß Quart; 328 Seiten mit 330 Abbildungen. Preis 8 M.

Als dritte und vierte Lieferung eines unter dem gemeinsamen Titel: »Die industrielle und kommerzielle Schweiz beim Eintritt in das 20. Jahrhundert« vom Polygraphischen Institut in Zürich herausgegebenen Sammelwerkes berichtet das reich ausgestattete und mit einer großen Zahl vorzüglicher Abbildungen versehene Prachtwerk über 23 schweizerische Bergbahnen, indem es deren Entstehung schildert, in Bildern von teilweise großer Schönheit die ausgeführten Anlagen darstellt und — was insbesondere die Besprechung an dieser Stelle rechtfertigt — auch auf die technischen Einzelheiten ausführlich eingeht. Die Bergbahnen der Schweiz bieten, seit Riggenbach in den Jahren 1869 bis 1871 die erste Rigi-Bahn baute, ein ebenso anziehendes wie großartiges Bild der Ingenieurthätigkeit. Außer den Zahnradbahnen, die besonders Riggenbach, Roman Abt, Locher und Strup ihre Ausbildung verdanken, sind auch mancherlei andere Bauarten und Kraftübertragungsmittel in Anwendung gekommen: neben 20 Adhäsions-, gemischten und reinen Zahnradbahnen mit einer gesamten Betriebslänge von 263 km, deren Baukosten sich auf 36 Mill. M. belaufen, weist die im Vorwort des Werkes gegebene Uebersicht 25 Drahtseilbahnen von 22 km Gesamtlänge und etwa 9 Mill. M. Baukosten auf. Als Triebkräfte dienen Dampf, elektrischer Strom und Wasser in mannigfacher Anordnung.

Das Werk wird dem Laien nicht minder wertvoll sein als dem Ingenieur, dem Erbauer von Eisenbahnen nicht minder als dem Verkehrsmann, und wer nur immer das schöne Bergland der Schweiz aus eigener Anschauung kennen gelernt hat, dessen Glanzpunkte mühelos erreichen zu lassen die Aufgabe der in diesem Werk geschilderten Bahnanlagen ist, wird sich mithilfe der ausgezeichneten Abbildungen und des anregend geschriebenen Textes gern in jene Tage des Genusses zurückversetzen.

Bei der Redaktion eingegangene Bücher.

Purification of the Washington Water Supply. An Inquiry held by Direction of the United States Senate Committee on the District of Columbia. Von Charles Moore. Washington 1901. Government Printing Office.

Die Maschinenelemente. Von M. Schneider. 2. Lieferung: Nieten und Keile. Braunschweig 1901. Friedrich Vieweg & Sohn. 17 S. 4° mit 34 Textfiguren und 9 Tafeln. Preis 2,25 M.

(Die Lieferung schließt sich der ersten (s. Z. 1901 S. 1861) gleichwertig an. Auf S. 9 muss der Kopf der Tabelle nicht heißen »Normalpreise für Bleche«, sondern »normale Maße der Kesselbleche gültig für den Grundpreis«. Zu dieser Tabelle wäre eine Erläuterung notwendig, ohne die für das Selbststudium nichts mit ihr anzufangen ist.)

Encyclopädie der mathematischen Wissenschaften mit Einschluss ihrer Anwendungen. Band IV 1: Mechanik. Von F. Klein. Heft 1: Die Prinzipien der rationalen Mechanik. Von A. Voss. Leipzig 1901. B. G. Teubner. 121 S. 8°. Preis: 4,80 M.

(Allgemeine Übersicht über die verschiedenen Grundlagen, auf denen man ein Lehrgebäude der Mechanik aufzubauen versucht hat)

Die Eis- und Kälteerzeugungsmaschinen. Ihr Bau und ihre Verwendung in der Praxis. Ein Kompendium der gesamten Kälteindustrie. Von Richard Stetefeld. Stuttgart 1901. Max Waag. 488 Seiten 8° mit 340 Figuren und 8 Tafeln. Preis 20,00 M.

L'Électricité à l'Exposition de 1900. Von E. Hospitalier und J. A. Montpellier. 5. Heft: Canalisation et Appareillage. Paris 1901. Ch. Dunod. 67 S. 4° mit 101 Figuren. (Preis des ganzen 15 Hefte umfassenden Werkes 50 frs.)

Der Hammer-Fennelsche Tachymeter-Theodolit und die Tachymeterkipppregel zur unmittelbaren Lattenablesung von Horizontal-Distanz und Höhenunterschied. Von Dr. E. Hammer. Stuttgart 1901. Konrad Wittwer. 59 Seiten mit 16 Figuren und 3 Tafeln. Preis 2,80 M.

Zeitschriftenschau.¹⁾

(* bedeutet Abbildung im Text.)

Beleuchtung.

Ueber einen neuen Laternendruckregler. Von Pflücker. (Journ. Gasb.-Wasserv. 12. Okt. 01 S. 749/51*) Mitteilung von gemäßigten Betriebserfahrungen mit dem Druckregler von Hauffe in Radebeul.

Die Entwicklung der Nernst-Lampe in Amerika. (Elektrot. Z. 10. Okt. 01 S. 855/57*) Ausszug aus der in Zeitschriftenschau v. 28. Sept. 01 unter »Development of the Nernst lamp in America« erwähnten Abhandlung von Wurts.

The Cooper-Hewitt vapor lamp. (El. World 28. Sept. 01 S. 502/09*) Die Lampe besteht der Hauptsache nach aus einer langen, luftdicht verschlossenen und nahezu luftleeren Röhre, die im Innern oben und unten je eine Elektrode hat. In die Röhre ist eine leicht flüchtige Quecksilberverbindung gebracht, die beim Inbetriebsetzen durch eine Bunsen-Flamme oder selbstthätig durch eine mittels Hochspannung erzeugte Funkenstrecke verdampft wird. Im verdampften Zustande lässt die Verbindung alledann einen Strom von gewöhnlicher Netzspannung durch und kommt unter seiner Wirkung zum Leuchten. Eingehende Erläuterung der Theorie und Darstellung mehrerer Ausführungen mit Zündvorrichtungen.

Brauerei.

Transmission oder Elektromotor? (Z. bayr. Dampfk.-Rev. V. Sept. 01 S. 104/05*) Die größere Wirtschaftlichkeit des elektrischen Antriebes wird für Mälzereien und Brauereien festgestellt.

Chemische Industrie.

Das Karbidwerk Flums. IV. Schluss. (Schweiz. Bauz. 12. Okt. 01 S. 155/58*) Von den Turbinen werden drei 550 KW-Drehstromerzeuger von 5000 V Spannung angetrieben. Die verkettete Spannung wird in dem 1,8 km entfernten Karbidwerk auf 300 V erniedrigt. Mit dieser Spannung werden die Motoren betrieben, während die Beleuchtung an die Phasenspannung von 115 V angeschlossen ist. Eingehende Darstellung der Kraftübertragungsanlage und der Karbidfabrik.

Ueber die Hydratation des Calciumsulfates. Von Rohland. (Baumaterialienk. 01 Heft 19 S. 301/05*) Gemeinsame Eigenschaften der Hydratationsreaktionen. Versuche mittels der Vicatens Vorrichtung über die Hinzusetzung und über Mittel zur Beschleunigung der Hydratation. Versuche mit Chlornatrium, Kaliumbichromat, Aluminiumchlorid und Kaliumsulfat. Versuche mit verzögernden Mitteln, mit Eisenchlorid und zwei Substanzen A und B genannten Stoffen. Forts. folgt.

Dampfkräftenanlagen.

Der nasse Dampf und die Dampfkesselkonstruktion. Von Vlerow. Schluss. (Mitt. Prax. Dampfk. Dampfm. 9. Okt. 01 S. 733/36) Erzeugung und Verwendung von überhitztem Dampf.

Einiges über Flammrohrkessel. (Z. bayr. Dampfk.-Rev. V. Sept. 01 S. 107/08) Erläuterungen über Vor- und Nachteile der Flammrohrkessel anhand der Jahresberichte des Dampfkesselrevisors der kgl. preussischen Saar-Kohlengruben.

Eisenbahnen.

Elektrische Schnellbahnen. III. Von Reichel. Schluss. (Elektrot. Z. 10. Okt. 01 S. 841/47*) Einzelheiten der Leitungsanlage, Fahrleitung und Speiseleitungen. Prüfung der Einzelheiten des Baues und Schlussergebnisse: Motoren; Anlasser und Widerstände; Mittelspannungsschalter und Sicherungen; Transformatoren; Hochspannungssicherungen und Isolatoren; Hochspannungsschalter; Stromabnehmer. Vorrichtungen zur Erzeugung und Verteilung der Druckluft.

¹⁾ Die Zeitschriftenschau wird, nach den Stichwörtern in Vierteljahrsheften zusammengefasst und geordnet, gesondert herausgegeben, und zwar zum Preise von 3 M. pro Jahrgang für Mitglieder, von 10 M. pro Jahrgang für Nichtmitglieder.

Elektrische Bahnen in Italien. (Z. f. Elektrot. Wien 13. Okt. 01 S. 494/95*) Angaben über die 73 km lange Bahn von Mailand nach Porto Ceresio. Die Bahn hat ein Drehstromkraftwerk von 18000 V Spannung; der Strom wird durch rotierende Umformer in Gleichstrom von 650 V umgewandelt. Angaben über die 59 km lange Bahn von Neapel nach Aversa, die ebenfalls mit Drehstrom-Gleichstrom-Übertragung betrieben wird.

Interurbane elektrische Bahnen in Ohio. (Z. f. Elektrot. Wien 13. Okt. 01 S. 495/96) Bericht über das Kraftwerk, die Unterstationen, die Hochspannungsfernleitung, den Oberbau und das rollende Gut der 30 km langen eingleisigen Bahn von Toledo nach Monroe.

Light railways in Egypt. Von Peacock. (Proc. Inst. Civ. Eng. 01 Teil 3 S. 256/67* mit 1 Taf.) Lageplan und Uebersicht der in das Hauptbahnnetz in Egypten eingeschalteten Kleinbahnen von 749 mm Spurweite. Kurze Beschreibung des rollenden Gutes und der Bahnhöfe.

Die Nilgiri Mountain railway. Von Weightman. (Proc. Inst. Civ. Eng. 01 Teil 3 S. 1/43 mit 1 Taf.) Die 26 km lange Bahn verbindet Mettapolitum, eine Endstation der Madras-Bahn im südlichen Vorderindien, mit Oondoor im Nilgiri-Hochlande. Der größte Teil der Strecke ist als Zahnradbahn mit 1 m Spurweite ausgeführt. Die durchschnittliche Steigung beträgt 1:12. Einzelheiten des Oberbaues und des rollenden Gutes. Meinungsaustausch.

Note sur les trois équilibrés des locomotives série 3000 des Chemins de Fer de l'Est. (Rev. Méc. 30. Sept. 01 S. 300/10*) Kurze Abhandlung über die mehrjährigen Betriebsfahrplanen mit entlasteten Schiebern an den Lokomotiven der französischen Ostbahn.

Rolling stock construction in Italy. (Engng. 11. Okt. 01 S. 315/17*) Beschreibung eines Salonwagens und eines Güterwagens mit je 3 Drehgestellen, gebaut von der Officine Meccanica in Mailand. Either-side wagon brake. (Engineer 11. Okt. 01 S. 387*) Darstellung einer Hebel-Backenbremse für Eisenbahn-Güterwagen, die mittels gemeinschaftlich wirkender, zu beiden Seiten des Wagens in Handhöhe angebrachter Hebel betätigt wird.

Points and crossings laid with the curves tangential to the switches. Von Preston und Barnard. (Proc. Inst. Civ. Eng. 01 Teil 3 S. 245/55*) Entwicklung von Gleisplanen mit besonderer Berücksichtigung von Uebergangskurven an Weichen.

Neue Nebenvorrichtungen zur Zugsicherung auf Eisenbahnen. (Dingler 12. Okt. 01 S. 646/50*) Selbstthätiges Knallsignal von Cousin, Rochatte und Soubrier. Selbstthätige Signal- oder Bremsenauflösung von Dr. Steiner, C. Boltshauser und Graber. Haltemers neuer Schienenstromschleifer.

Modern practice in railway signalling. Von Timmis. (Engng. 11. Okt. 01 S. 531/54*) Durch Druckluft betätigte Signale. Neuere elektrische Signalvorrichtungen.

Automatic lock for switch points. (Eng. News 3. Okt. 01 S. 246*) Durch die dargestellte Vorrichtung wird die Weichenzunge bei geöffneten und geschlossener Weiche mittels einer selbstthätigen Klinke festgestellt.

Some recent block signal apparatus. (El. World 28. Sept. 01 S. 500/02*) Erläuterung der Konstruktion älterer Flügelsignale mit elektrisch betätigtem Druckluftantrieb. Flügelsignale mit rein elektrischem Antrieb. Flügelsignal von Coleman, das von einem Elektromotor von 6 V Spannung und 4 Amp Stromstärke betätigt wird. Der Elektromotor entnimmt seinen Strom einer kleinen Primärbatterie, die in dem Apparatgehäuse untergebracht ist.

Eisenhüttenwesen.

Unfall an einer Walsensogdampfmaschine. Von Marx. (Z. bayr. Dampfk.-Rev. V. Sept. 01 S. 106/07*) Beschreibung von

Konstruktionseinheiten der zum Betriebe einer Feinstrecke dienenden einylindrigen Ventilmaschine von 600 mm Cyl.-Dmr. und 1000 mm Kolbenhub. Der nicht aufgeklärte Unfall bestand in einem Bruch der Verbindung zwischen Flügelstange und Kurbel und daraus entstehender Zerstörung einzelner Maschinenteile.

Eisenkonstruktionen, Brücken.

Besteht Thomasen die Eigenschaften eines guten Brückenmaterials? Forts. (Baumaterialienk. 01 Heft 19 S. 298/301^o) Einfluss der Ungleichmäßigkeit des Flussessens auf den Bestand der Brückenkonstruktion. Untersuchung von Schienen. Rotbrüchigkeit. Schluss folgt.

The aesthetic treatment of bridge structures. Von Husband. (Proc. Inst. Civ. Eng. 01 Teil 3 S. 139/244^o mit 2 Taf.) Vorschläge für geschmackvolle und praktische Ausführungen von Brücken aus Mauerwerk, Eisen und Zement-Eisen-Konstruktion. Als Beispiele werden eine Reihe ausgeführter Anlagen besprochen. Meinungsaustausch.

The bridges over the Orissa rivers on the east coast extension of the Bengal-Nagpur Railway. Von Beckett. (Proc. Inst. Civ. Eng. 01 Teil 3 S. 268/31^o mit 1 Taf.) Bericht über den Bau von 8 eisernen Parallelträgerbrücken. Gründung der gemauerten Brückenpfeiler. Beschreibung der Montagearbeiten. Kostangaben.

Brücke über die Leine bei Grasdorf (Betonbrücke mit 3 Granitgelenken) im Zuge der Zufahrtstraße zum Grundwasserwerk Grasdorf der Stadt Hannover. Von Bock und Dolzalek. Forts. (Z. Arch. u. Ing.-Wes. 01 Heft 3 S. 313/37^o) Vergebung der Arbeiten. Bauvorgang. Forts. folgt.

Remodelling steel roof trusses. (Eng. Rec. 28. Sept. 01 S. 305^o) Darstellung eines eisernen Dachstuhls für ein stilles Satteldach. Der alte Dachstuhl, an dessen Stelle der beschriebene eingebaut worden ist, versperrte den ganzen Bodenraum.

Elektrotechnik.

Spannungserhöhungen in elektrischen Leitungsanlagen. Von Börnecke. Schluss. (Z. f. Elektrot. Wien 13. Okt. 01 S. 489/94^o) Darstellung von Schutzvorrichtungen. Schalenblitzableiter, Rollenblitzableiter, Blitzableiter von Buheek, Hörnerblitzableiter, Schutz-Induktionspulen.

Elements of design particularly pertaining to long-distance transmission. (El. World 28. Sept. 01 S. 502/03) Auszug aus einem Vortrag von Perrine. Untere Grenzen der noch lohnend übertragbaren Leistung bei gegebenen Entfernungen. Die Spannung und ihre Regelung. Einfluss der Selbstinduktion und der elektrostatischen Kapazität auf die Regelung und die Wellenform des Stromes. Verhalten der Maschinen und Transformatoren. Versuche von Merhson in den Telluride-Werken. Isolation und Anordnung der Trägermasten.

Das Elektrizitätswerk der Stadt Karlsruhe. Von Wilmawer. (Elektrot. Z. 10. Okt. 01 S. 847/53^o) Das Werk hat 6 Steinmüller-Kessel von je 200 qm Heizfläche für 9,5 at Betriebsdruck und 3 Dampfmaschinen, jede bestehend aus einer 600pferdigen liegenden Tandemverbundmaschine von 91 Uml./min und einem 400 KW-Drehstromerzeuger von 4000 V Spannung und 50 Per./sek. Eingehende Darstellung der Gebäude, der Schaltanlage und der Stromverteilung.

Gold mining electrical plant at Dahlonega, Georgia. (El. World 28. Sept. 01 S. 498/500^o) Die Anlage vereinigt durch einen 3,3 km langen Kanal 3 Bergströme in einem Hochwasserstich, wodurch ein Gefälle von rd. 80 m geschaffen ist. Im Krafthaus steht eine 800pferdige Victor-Turbine, die einen 300 KW-Zweiphasenstromerzeuger von 440 V Spannung mit 514 Uml./min antreibt. Die Spannung wird durch 2 Transformatoren auf 12000 V erhöht und der Strom, in Drehstrom umgeschaltet, auf 21 km Entfernung nach einer Erz-Aufbereitungsanlage und einem Wasserwerk geleitet.

Water powers of the Springfield, Mass., United Electric Light Company. Von Adams. (El. World 28. Sept. 01 S. 495/98^o) Zur Versorgung von Springfield sind am Chicopee Fluss zwei Werke errichtet, von denen das Ältere bei Indian Orchard ein Gefälle von 11 m in drei 950pferdigen Turbinen mit wagerechter Welle ausnutzt. Von den Turbinen werden drei 360 KW-Zweiphasenstromerzeuger von 6000 V Phasenspannung und 8 Bogenlampendynamos für je 120 und 75 Lampen angetrieben. Das neuere Werk in Bircham Bend umfasst 4 Turbinen für 4,3 m Gefälle von 300 PS und 130 Uml./min. Je zwei dieser Turbinen haben eine gemeinschaftliche wagerechte Welle, mit der sie einen 400 KW-Zweiphasenstromerzeuger antreiben. Darstellung der Erd- und Wasserbauten, der Gebäude und Betriebsergebnisse der Werke, die von ihrem Versorgungsgebiet rd. 7,2 km entfernt sind.

Electric machinery at the Glasgow Exhibition. (Engineer 11. Okt. 01 S. 372/73^o) Darstellung des von Schuchert ausgestellten 400 KW Gleichstrommotors zum Antrieb einer Expresspumpe »Schleifmühle« von Ehrhardt & Schner mit dazugehörigem Anlassschalter. Gesteinbohrer mit Drehstrommotor-Antrieb.

Ueber elektromotorische Antriebe. Von Kraunhals. (Prot. Petersb. Polyt. Ver. 01 Heft 3 S. 68/85^o) Allgemeine Gesichtspunkte bei der Anlage von elektrischen Kraftwerken. Wahl der Spannung und des Stromes. Beispiele für die Anwendung von Elektromotoren in verschiedenen industriellen Gebieten. Meinungsaustausch.

Ueber ein neues System der Entnahme von Gleichstrom aus Wechselstromnetzen. Von Koch. (Elektrot. Z. 10. Okt. 01 S. 853/54^o) Der Wechselstrom wird mittels eines synchronen Stromwenders in pulsierenden Gleichstrom verwandelt. Um diesen zum Laden von Akkumulatoren benutzen zu können, wird er während der Zeiten, in denen die Spannungskurve unter der Batteriespannung liegt, abgeschaltet und nur der über der Batteriespannung liegende Teil der Spannungskurve ausgenutzt. Beschreibung der Vorrichtung und ihrer Wirkungsweise anhand einer schematischen Darstellung. Angaben über eine ausgeführte und im Betriebe befindliche Vorrichtung.

Electric switches and fuses for currents of very high voltage. (Eng. News. 3. Okt. 01 S. 242/45^o) Auszügliche Wiedergabe einiger gelegentlich einer Versammlung der Pacific Coast Electric Transmission Association gehaltenen Vorträge und anschließender Meinungsaustausch.

High-tension pole line construction of the Standard Electric Co., California. Von Poole. (Eng. News 3. Okt. 01 S. 245/47^o) Befestigung der Leitungsmasten in der Erde. Seitliches Abstützen der Masten. Anbringen der Isolatoren. Verschiedene Abbildungen von Isolatoren. Kabelkupplungen.

Erd- und Wasserbau.

Ueber neuere Flussregulierungsmethoden. Von Pollak. Schluss. (Z. Osterr. Ing.- u. Arch.-Ver. 11. Okt. 01 S. 671/75^o) S. Zeitschriftenschau v. 19. Okt. 01.

Description of Coos Bay, Oregon, and the improvement of its entrance by the Government. (Proc. Am. Soc. Civ. Eng. Sept. 01 S. 907/08) Meinungsaustausch zu dem in Zeitschriftenschau v. 18. Mai 01 erwähnten Aufsatz.

Well-sinking on the Koyakhal Bridge, Bengal-Nagpur Railway. Von Eves. (Proc. Inst. Civ. Eng. 01 Teil 3 S. 292/97) Der Flussboden bestand aus feinem Sand und aus weichem Kalkstein. Die sehr schwierigen Arbeiten beim Gründen der Pfeiler sind kurz beschrieben.

The subaqueous tunnel siphons of the Massachusetts Pipe Line Gas Co., Boston, Mass. Von Cummings. (Eng. News 3. Okt. 01 S. 227/30^o) Die Gasleitungen sind an drei Stellen durch einen Fluss geführt. Je ein Tunnel wurde aus Eisenblech, aus Holz und aus Thonröhren ausgeführt. Beschreibung der Bauarbeiten.

The new subway in New York City. Von Prellini. Forts. (Engng. 11. Okt. 01 S. 507/10 mit 1 Taf.) Verlegung der Abwasserkanäle. Forts. folgt.

The Walworth Street sewer tunnel, Cleveland. (Eng. Rec. 28. Sept. 01 S. 294/95^o) Kurze Beschreibung des in Mauerwerk und Beton ausgeführten Abwasserkanals mit kreisförmigem Querschnitt. Darstellung des Bauvorganges, insbesondere der Holzauszimierung.

Gasindustrie.

Beseitigung von Naphthalinverstopfungen. (Journ. Gasb.-Wasserv. 12. Okt. 01 S. 756/59) Vorschläge verschiedener Fachleute zur Entfernung des Naphthalins aus den Leitungen.

Einführung von Luft in das Rohgas. (Journ. Gasb.-Wasserv. 12. Okt. 01 S. 758/59) Wiedergabe von Betriebserfahrungen verschiedener Fachleute.

Gesundheitsingenieurwesen.

Sewage disposal at a leper asylum. (Engineer 11. Okt. 01 S. 371/72^o) Bericht über die Abwasseranlagen des Matunga Leprosy-Helms in Bombay. Konstruktion des alten und des neuen Klärbeckens und Betriebsergebnisse.

Gießerei.

Iron foundries and foundry practice in the United States. III. (Engineer 11. Okt. 01 S. 874/76^o) Darstellung der Gießereien der Walker & Pratt Company in Watertown und der Sargent Company. Lageplan des gesamten Werkes. Gießereigebäude. Krane und Förderwagen. Gussputzerei. Modelltischlerei. Gesundheitseinrichtungen.

Molding a special casting. (Am. Mach. 12. Okt. 01 S. 1075/76^o) Beschreibung des Einformens eines trichterartigen Gefäßes mit Ansatzrohr.

Maschinenteile.

Ueber Momentausdrückungen an Dampfmaschinen und Transmissionen. (Mitt. Prax. Dampfkr. Dampftr. 9. Okt. 01 S. 738/40^o) Darstellung verschiedener Vorrichtungen zum Abperren des Dampfes der Betriebsmaschine von einer Stelle der Werkstatt aus.

Table of the strength of stunted gear teeth. Von Adamson. (Am. Mach. 12. Okt. 01 S. 1078^o) Im Anschluss an die in Zeitschriftenschau vom 27. Juli 01 unter »Table for the strength usw.« erwähnte Zahnrädertabelle wird eine bei der Firma Joseph Adamson & Co. in Hyde, England, in Benutzung befindliche Tabelle ähnlicher Art mitgeteilt.

Materialkunde.

Rationelle Durchführung der Materialprüfung. Von Rejto. Forts. (Baumaterialienk. 01 Heft 19 S. 296/97^o) Roessner-Eisenorten. Forts. folgt.

Some suggestions as to specifications for steel rails. Von Kenney. (Eng. News 3. Okt. 01 S. 226/27*) Zusammensetzung des Materials. Walsen der Schienen. Einfluss der Temperatur. Anrichten der Schienen. Prüfverfahren.

Die magnetischen Eigenschaften von Flusseisenblechen. (Dingler 12. Okt. 01 S. 652/56) Einfluss des Glühens und des Härrens auf die magnetischen Größen, insbesondere auf die Hystereseverluste.

Das Gefüge des Eisens nach neueren Anschauungen. Von Jäptner von Johnston. (Sitzgeber. Ver. Beförd. Gewerbh. 3. Juni 01 S. 194/210 mit 8 Taf.) Die chemische Konstitution, die Lösungstheorie und die Metallographie des Eisens.

Ueber Versuchsergebnisse bei Erprobung von Beton- und Beton-Eisen-Konstruktionen. Von Spitzer. (Z. österr. Ing.- u. Arch.-Ver. 11. Okt. 01 S. 665/71* mit 1 Taf.) Mitteilung der Ergebnisse zahlreicher von verschiedenen Forschern angestellter Versuche, die die Ansichten des Verfassers über das Verhalten des Betons bei Zug- und Biegebeanspruchungen sowie über den Einfluss der Eisen-einlagen bestätigen.

Magnallium. Von Diegel. (Verhdlg. Ver. Beförd. Gewerbh. 01 Heft 6/7 S. 277/88 mit 2 Taf.) Festigkeitseigenschaften einiger Aluminium-Magnesium-Legierungen. Einige technologische Eigenschaften des Magnalliums. Beständigkeit des Magnalliums im Seewasser.

Ueber einige Mörtelmischungen und Berichterstattung über den VII. Zement-Kongress. Von v. Loesch. (Proc. Petersb. Polyt. Ver. 01 Heft 4 S. 91/106*) Güte des bei Mörtelmischungen verwendeten Zementes. Prüfverfahren für Zement. Beschaffenheit des Bauesandes. Zusammenstellung von Prüfungs-ergebnissen verschiedener Mörtelmischungen. Kurze Beschreibung einer amerikanischen Zementfabrik. Meinungsaustausch.

Résistance des matériaux hydrauliques à la mer. Von Camerman. (Ann. Assoc. Ing. de Gand Juli, August, Sept. 01 S. 147/91) Im Anschluss an die Arbeiten von Michaëlis u. a. bespricht der Verfasser das Verhalten von Zement und Mörtelmischungen im Seewasser.

Studie über die Konstitution des Portland-Zementes. Von Meyer. Forts. (Baumaterialienk. 01 Heft 19 S. 293/95) Besprechung verschiedener Theorien, u. a. derer von Zulkowki, Hart, Wormser, Spanjer, Michaëlis und Robland. Hydratischer Zement. Forts. folgt.

Mathematik.

Sur la construction des machines algébriques. Von Torres. (Rev. Méc. 30. Sept. 01 S. 289/85*) Ausführliche Beschreibung und Theorie von Rechenmaschinen, die auf den Grundsätzen der Logarithmenrechnung beruhen. Forts. folgt.

Mechanik.

Kinematische Untersuchung einer zwischen zwei mit einander gelenkartig befestigten Backen befindlichen dünnen Blattfeder. Von Ramisch. (Dingler 12. Okt. 01 S. 645/46*)

Experiments at Detroit, Mich., on the effect of curvature upon the flow of water in pipes. (Proc. Am. Soc. Civ. Eng. Sept. 01 S. 867/903*) Meinungsaustausch zu dem in Zeitschriftenschan v. 15. Juni 01 erwähnten Aufsatz.

Messgeräte und -verfahren.

The Pitot tube: its formula. Von White. (Journ. Ass. Eng. Soc. Aug. 01 S. 35/79*) Umfangreicher Aufsatz über das bekannte Gerät zur Bestimmung der Wassergeschwindigkeit und seine Theorie. Versuche zur Prüfung der Theorie.

Current meter and weir discharge comparisons. Von Murphy. (Proc. Am. Soc. Civ. Eng. Sept. 01 S. 798/806*) Bericht über Versuche mit verschiedenen Wassermessern im Laboratorium der Cornell-Universität, durch welche die Genauigkeit der Messgeräte und -verfahren festgestellt werden sollte.

Metalbearbeitung.

The tooling of machines. Von Ashford. (Engng. 11. Okt. 01 S. 505/07*) Beschreibung der Arbeitsvorgänge und der Werkzeuganordnung bei den von Herbert Coventry, in Glasgow ausgestellten Werkzeugmaschinen. Forts. folgt.

Machine à tourner les boutons de manivelle; système Johann Moll. Von Desroix. (Rev. ind. 5. Okt. 01 S. 395/96* mit 1 Taf.) Konstruktionszeichnungen einer Maschine zum Abdrehen der Kurbelzapfen schwerer geköpfter Wellen. Die Welle wird in mehreren Höfen auf der Maschine festgespannt. Der Stahlträger dreht sich in dem den Kurbelzapfen umgebenden künnetartigen Schlitzen. Beschreibung der Antrieb- und Schaltvorrichtungen.

Grinder for bolt cutter chasers. (Am. Mach. 12. Okt. 01 S. 1071*) Darstellung einer Spezial-Einspannvorrichtung zum Nachschleifen von Gewindeschneidbacken. Die Vorrichtung wird von der Modern Tool Co. in Erie, Pa., gebaut.

An engraving machine. (Am. Mach. 12. Okt. 01 S. 1069/70*) Schaubild und Beschreibung einer kleinen von der George Gorton Machine Co. in Racine, Wis., gebauten Gravirmaschine. Darstellung der Einstellvorrichtung und der storchschnabellähnlichen Schreibvorrichtung.

Pumpen und Gebläse.

Pompe de mines triplex, à simple effet, à commande par cable, construite par MM. J. Evans & Sons. Von Mariner. (Rev. ind. 5. Okt. 01 S. 393/94*) Schaubild und kurze Beschreibung einer Wasserhaltungspumpe für große Tiefen. Einzelheiten des Seilscheibenschwungrads.

A high duty air compressor driven by the largest Pelton wheel in the world. (Am. Mach. 12. Okt. 01 S. 1072/73*) Das große Peltonrad hat 11 m Dmr. und entwickelt mit zwei auf derselben Welle zu beiden Seiten angeordneten Rädern von 4 m Dmr. 1100 PS bei 80 Uml./min. Der zweistufige Kompressor drückt die Luft auf 6,3 at zusammen. Diagramme des Kompressors.

Schiffe- und Seewesen.

The Russian 25-knot cruiser »Novik«. (Engineer 11. Okt. 01 S. 877*) Der Dreischrauben-Kreuzer ist 110 m lang, 12 m breit und geht 5,8 m tief bei 3000 t Wasserverdrängung. Die drei Maschinen entwickeln 17000 PS; und erteilen dem Schiffe eine Geschwindigkeit von 25 Knoten. Kritische Besprechung der Konstruktion und Ausrüstung des Schiffes.

The reconstruction of the Turkish battleship »Mesoudies«. (Engng. 11. Okt. 01 S. 529/30*) Durch den auf der Werft von Ansaldo in Genua ausgeführten Umbau ist das frühere Einschraubenschiff in ein Zweischraubenschiff verwandelt. Die neuen Maschinen leisten zusammen 11000 PS. Der Dampf wird in Nielauss-Kesseln erzeugt. Infolge der Neubewaffnung ist auch das Deck zweckmäßiger umgebaut.

Straßenbahnen.

Die elektrische Hoch- und Untergrundbahn in Berlin von Siemens & Halske. Von Etselen. (Deutsche Bauz. 12. Okt. 01 S. 505/08*) Vorgeschichte. Linienführung und Krümmungsverhältnisse, Höhenlage und Steigungen. Forts. folgt.

Textilindustrie.

Ventilation an Krempeln. Von Bofshard. (Leipa. Monatschr. Textilind. 30. Sept. 01 S. 646/47*) Der Verfasser erörtert die Vorteile der unmittelbaren Staubabsaugung an den einzelnen Krempeln und beschreibt dann eine solche Einrichtung in der Spinnerei und Weberei Arien bei Singen.

Wasserkraftanlagen.

Regelung aufsen-schlächtiger Radialturbinen mit Sauggefälle. Von Müller. Schluss. (Dingler 12. Okt. 01 S. 656/59*) Anordnung und Wirkungsweise des Saugrohrs.

Wasserversorgung.

The water works of Guantanamo, Cuba. Von Roekenbach. (Proc. Am. Soc. Civ. Eng. Sept. 01 S. 807/16*) Das Wasser des Guano-Flusses wird in einem Stauwehr gesammelt und durch eine Röhrenleitung zu einem Klarbehälter geführt, aus dem es für den Verbrauch entnommen wird. Die tägliche Leistung der Anlage beträgt rd. 16800 cbm.

The Lawrence, Mass., city filter. A history of its installation and maintenance. (Proc. Am. Soc. Civ. Eng. Sept. 01 S. 837/65) Meinungsaustausch zu dem in Zeitschriftenschan v. 18. Mai 01 erwähnten Aufsatz.

Zementindustrie.

The rotatory process of cement manufacture. Von Stanger und Blount. (Proc. Inst. Civ. Eng. 01 Teil 3 S. 44/186*) Schilderung des älteren Zementherstellungsverfahrens mittels fester Öfen. Vorteile und eingehende Beschreibung des Drehofenverfahrens. Meinungsaustausch.

Ziegelei.

The principles and design of modern drying plant. II. (Engineer 11. Okt. 01 S. 386/87) Verwendung von Trockenanlagen in der Ziegelei- und Thonindustrie. Ermittlung der zu verdampfenden Feuchtigkeitsmenge und der aufzuwendenden Leistung.

Die im Jahre 1899 erreichte Erzeugung an Roheisen und Flusseisen ist im Jahre 1900 zwar übertroffen worden, aber nur um eine verhältnismäßig kleine Menge. Die Roheisengewinnung in den Jahren 1900 und 1899 verteilte sich auf die einzelnen Länder folgendermaßen:

Ver. Staaten von	1899		1900		Unterschied zwischen 1900 und dem Vorjahr
	t	vH der gesamten Erzeugung	t	vH der gesamten Erzeugung	
Nordamerika	13838634	34,2	14099870	34,4	+ 261236
Großbritannien	9454204	23,4	9052107	22,1	- 402097
Deutschland	8029305	19,8	8351742	20,4	+ 322437
die drei Haupterzeuger zusammen	31322143	77,4	31503719	76,9	+ 181576
Oesterr.-Ungarn	1393000	3,3	1350000	3,3	+ 27000
Belgien	1024576	2,5	1018507	2,5	- 6069
Kanada	95582	0,2	87647	0,2	- 7935
Frankreich	2578400	6,4	2699424	6,6	+ 121024
Italien	19218	0,1	18750	0,1	- 468
Russland	2670937	6,6	2850000	6,9	+ 179063
Spanien	299765	0,7	294118	0,7	- 5647
Schweden	497727	1,2	520600	1,3	+ 22873
andere Länder	650000	1,6	625000	1,5	- 25000
die kleineren Erzeuger zusammen	9159203	22,6	9464046	23,1	+ 304841
im ganzen	40451348	100,0	40967765	100,0	+ 456417

Die Mehrerzeugung gegenüber dem Vorjahre betrug in den Vereinigten Staaten 1,9 vH, Großbritannien dagegen hatte einen Rückgang um 4,3 vH zu verzeichnen; Deutschland zeigt mit einer Zunahme um 4 vH gegen 1899 und einer nur um 700365 t hinter der britischen zurückbleibenden Gesamterzeugung die günstigste Entwicklung. Die Gesamterzeugung der drei Hauptländer wuchs um 0,6 vH, ihr Anteil an der Weltausbeute ging um 0,6 vH zurück. Die Vereinigten Staaten allein lieferten mehr als ein Drittel des auf der ganzen Welt hergestellten Roheisens. Bei den kleineren Roheisenerzeugern sind wesentliche Vermehrungen nur in Russland mit 6,7 vH und in Frankreich mit 4,7 vH eingetreten. Der Anteil der kleineren Erzeuger an der Gesamtmenge stand um 11,1 vH hinter dem der Vereinigten Staaten zurück und war 1 vH größer als der britische, 3,7 vH als der deutsche.

Schätzungsweise beläuft sich die im Jahre 1900 zur Roheisengewinnung verwendete Menge von Rohstoffen auf 92 Mill. t Eisenerz, 50 Mill. t Kohle und 30 Mill. t Kalkstein oder andere Flussmittel, zusammen also auf 172 Mill. t.

Die Flusseisenerzeugung der Welt hat sich im Jahre 1900 ebenfalls nur wenig vermehrt, war aber größer als je zuvor. Ueber 70 vH des erzeugten Roheisens sind zu Flusseisen und Flusstahl verarbeitet worden. Die Tätigkeit der Industrien der einzelnen Länder in dieser Beziehung lässt sich aus folgen-

der Zusammenstellung ersehen, welche die Fabrikation von Ingots und nicht fertig bearbeitetem Flusseisen umfasst:

Ver. Staaten von	1899		1900		Unterschied zwischen 1900 und dem Vorjahr
	t	vH der gesamten Erzeugung	t	vH der gesamten Erzeugung	
Nordamerika	10736806	39,7	10382069	37,9	- 354737
Großbritannien	4933010	18,2	4979471	18,2	+ 46461
Deutschland	6290434	23,8	4645869	24,3	+ 355435
die drei Haupterzeuger zusammen	21960250	81,2	22008409	80,4	+ 47159
Oesterr.-Ungarn	660000	2,4	675000	2,5	+ 15000
Belgien	731249	2,7	654827	2,4	- 76422
Frankreich	1599182	5,7	1624048	5,9	+ 94866
Italien	60250	0,2	58000	0,2	- 2250
Russland	1321328	4,9	1500000	5,6	+ 178672
Spanien	117650	0,4	150634	0,5	+ 32984
Schweden	273480	1,0	291900	1,1	+ 19420
andere Länder	400000	1,5	400000	1,5	+ 0
die kleineren Erzeuger zusammen	5082139	18,8	5354409	19,6	+ 262270
im ganzen	27052389	100,0	27361818	100,0	+ 309429

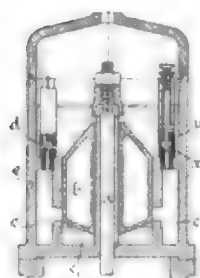
Die Erzeugung der drei Hauptstaaten zeigt einen Zuwachs von nur 0,3 vH, während die Flusseisenerzeugung in Amerika gesunken ist, namentlich in der zweiten Jahreshälfte, und zwar um 3,3 vH der vorjährigen Menge. Deutschlands Flusseisenerzeugung stieg um 5,7 vH, diejenige Großbritanniens nur um 0,9 vH. Deutschland stellte trotz seiner geringeren Eisenerzeugung 1666398 t Flusseisen mehr her als Großbritannien.

Was die Gewinnungsverfahren betrifft, so ist in den Vereinigten Staaten das Bessemer-Verfahren am meisten in Anwendung; dort wurden 65,4 vH der Gesamtmenge durch Bessemer gewonnen, während nur 33 vH Siemens-Martin-Eisen und 1,3 vH Tiegel- und Spezialstahl hergestellt wurden. In Deutschland macht Bessemer-Eisen nur einen kleinen Teil der Gesamtmenge aus, die Hauptmenge wird dagegen durch das Thomas-Verfahren oder das basische Herdverfahren hervorgerufen. In Großbritannien endlich ist das Siemens-Martin-Verfahren am gebräuchlichsten; damit wurden 64,6 vH der ganzen Erzeugung hergestellt, während 35,4 vH dem Bessemer-Verfahren zufallen.

In den flusseisenerzeugenden Staaten von geringerer Bedeutung wurde 1900 im ganzen 5,3 vH mehr als 1899 hervorgebracht. Wesentliche Zunahmen waren zu verzeichnen für Russland mit 13,6 vH und für Frankreich mit 6,3 vH, indessen Belgiens Flusseisenindustrie einen Ausfall um 10,5 vH hatte, und in andern Staaten die Abweichungen gegen das Vorjahr nicht erheblich waren. (The Engineering and Mining Journal 7. September 1901.)

Patentbericht.

Kl. 14. Nr. 128376. Ventilpuffer. C. Fier, Berlin. Der mit



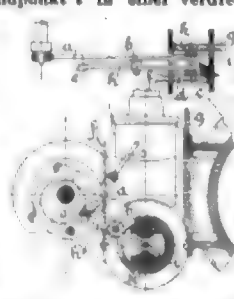
ex angeordnet oder im Mantel von b eine Öl nach c einschleudende Vertiefung angebracht wird.

Kl. 17. Nr. 128566. Flüssigkeitskühler. Ch. Strobel, Waterbury (Conn., V. S. A.). Zwischen gleichachsigen, durch Boden a und Spannschraube kl geschlossenen Cylindern a, b sind Schließwände c eingebaut, die mit Ausnahme der durchgehenden Wand c abwechselnd oben und unten Durchlässe d bilden. Der so entstandene Kanal e wird von der zu kühlenden Flüssigkeit vom Einlass f bis zum Auslass g durchströmt, während die Innen- und die Außenwand beiderseits oder von fließendem Kühlwasser bestrichen werden.

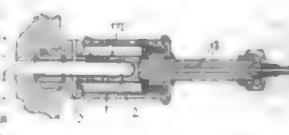


Kl. 14. Nr. 128614. Ventilsteuerung. W. Roscher, Göttingen.

Die Exzentertange a wird mit ihrem Endpunkt i in einer verdrehbaren Gleitbahn k geführt und trägt bei b einen zweiarmligen Hebel h, dessen Endpunkt e in einer zweiten, gleichachsigen mit k verdrehbaren Gleitbahn d (obere Figur) geführt wird, und dessen Endpunkt e die Ventilsteuerstange s bewegt. Liegen d und k parallel zu einander, so bewegen sich a und h wie ein Stück (Nullstellung). Werden aber die Stangen f, g (vom Regler) gehoben oder gesenkt und dadurch d und k entgegen gesetzt gedreht, so wird die Füllung für die eine oder die andere Umlaufrichtung vergrößert, und die Ventilöffnung beginnt stets in demselben Zeitpunkt, wenn c und i im Kreuzungspunkte der Gleitbahnen zusammenfallen.

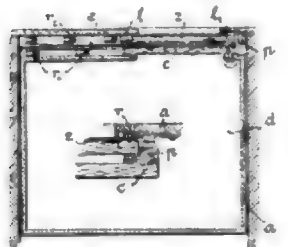
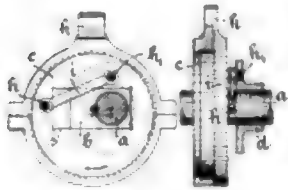


Kl. 40. Nr. 128616. Glührohrzündung. A. Baron Codelli, Schlöss Thurn bei Laibach, und E. v. Stadler, Laibach. Im Ringraum r zwischen dem Zündrohr s und dem Mantelrohr m befindet sich Platinschwamm oder dergl., der das von g her zugeführte brennbare Gasgemenge entzündet, worauf die Verbrennungsgase durch s entweichen. Je stärker der Druck des durch g zugeführten Gemenges ist, desto weiter erstreckt sich die Glühstelle in r und an s nach Huks,

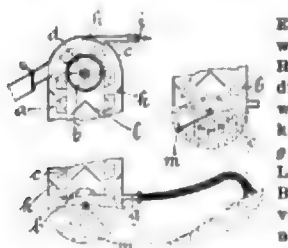


und desto früher wird sie vom säubaren Teile der verdichteten Ladung erreicht.

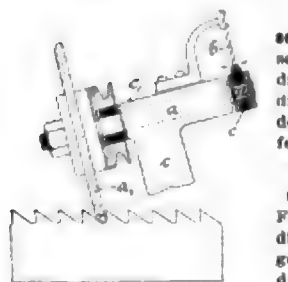
Kl. 14. Nr. 120973. Dampfeinlassregelung. H. Lentz, Brünn, und W. Volt, Magdeburg. Der auf der Steuerwelle *a* befestigte Gleitklotz *b*, auf dem das Steuerexzenter *c* mit seiner Schleife *s* vom Achsenregler verschoben wird, ist so gerichtet, dass die Exzenterstange *k* im Augenblicke des größten Rückdruckes (bei der Ventilöffnung) ganz oder nahezu rechtwinklig zu *b* steht, um die Rückwirkung auf den Regler aufzuheben. Die Reglermuffe *d* ist mit *c* durch eine Stange *f* und Zapfen *h*, *h*₁ oder durch eine rechtwinklig zu *s* stehende Schleife in *c* und einen von *d* mittels Zapfens bewegten Gleitklotz verbunden.



Thüren die Pfosten *p* auf Löcher *t*, *t*₁ in *e* treffen.



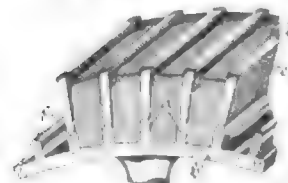
Kl. 36. Nr. 123916. Becherwerk. E. Amme, Braunschweig. Das Becherwerk *abcd* arbeitet zuerst mit offenem Hohl *e* (Nebenfigur) wie gewöhnlich, bis die Körner von der Seite herangeholt werden müssen. Dann wird die Fächerklappe *m* geschlossen und das Saugwerk *g* in Tätigkeit gesetzt, sodass der Luftstrom das Fördergut im Fusse des Becherwerkes abwirft. Abscheider *k*, *l*, *h* verhindern das Mitreißen der Körner nach *t*, wohin nur Staub usw. entführt wird.



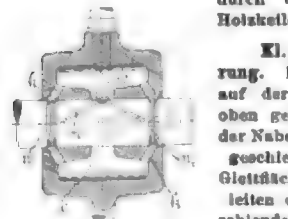
Kl. 39. Nr. 120702. Sägeschleifschleife. G. Ott, Ulm a/D. Um Beschädigungen durch zu harten Schleifdruck der Scheibe *a*₁ zu verhüten, ist die Welle *a* im Arme *b* mittels Blattfeder *b* und Ringes *c* nach beiden Seiten federnd verschiebbar gelagert.

tungen ausübt.

Kl. 47. Nr. 120981. Herstellung stabförmiger Bantelle. O. Stetner, Frankenberg i/S. Der zur Ausfüllung dienende Holzkörper ist durch zwei schräge Schnitte so in drei Keilkörper geteilt, dass er auf das umgebende Metallrohr Drücke nach drei verschiedenen Richtungen ausübt.

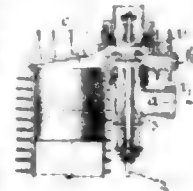


Kl. 47. Nr. 123977. Herstellung des Holzbelages von Riemen Scheiben. K. Thomann, Halle a/S. Die Rippen der Holzklotze *d* für die Wulste *a* oder Wulstköpfe *c* des Scheibenkranzes *b* werden nicht eingefräst, sondern eingepresst, um durch nachträgliche Ausdehnung des Holzes einen festeren Halt zu erzielen. Zur Herstellung kann eine Vorrichtung dienen, die nach Art der Verkorkmaschinen die Klötze *d* einreibt und durch Wulste im Innern die Rippen erzeugt. Holzklotze *e* füllen die Zwischenräume aus.



Kl. 47. Nr. 123990. Kreislauf-Stiftschmier. R. Kablitz, Riga-Sassenhof. Ein auf der ruhenden Welle *w* befestigter, nach oben gerichteter Stift *s* fängt das im Ölraum der Nabe einer Leitrolle oder dergl. nach außen geschleuderte Öl auf und leitet es auf die Gleitflächen. Schmier- und Sammelruten *n*, *n*₁ leiten es in Kanäle *k*, die es nach *e* zurückschleudern.

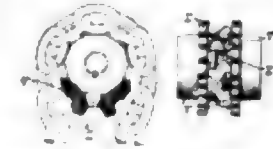
Kl. 46. Nr. 122914. Viertaktmaschine. J. de Boisse und Wro. E. Levasseur, Paris. Die Verdichtungskammer *k* wird während des Saughubes vom Zylinder *c* abgesperrt, um das Vermischen der Ladung mit den Abgasen zu vermeiden. Abgesperrt wird *k* durch ein Doppelventil *v*, *v*₁, das beim Saughube oben mit dem Teller *v*, beim Verdichtungs- und beim Arbeitshube unten mit *v*₁ abschließt, beim Auspuffhube aber eine Mittellage einnimmt, um die Abgase durch *a* zu entlassen. Gesteuert wird *v*, *v*₁ durch eine dreistufige Daumenschleife mittels zweiteiliger, unter Federwirkung stehender Spindel *s*, *s*₁.



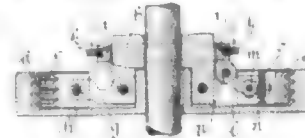
Kl. 47. Nr. 122712. Stopfbüchsen-Packring. R. E. Mc Guen und Ph. J. Gormley, Lexington. Der kegelförmige Teil *s* jedes Ringstückes wird von dem zylindrischen Teile *r* des nächstfolgenden überlappt, sodass die Fugen *t*, *u* versetzt sind.



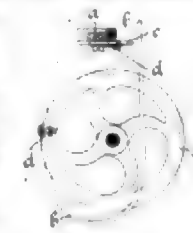
Kl. 47. Nr. 120919. Kettenrad. P. L. Crowe, Duluth (Minnesota, V. S. A.). Angenähert pyramidenförmige Zähne *z* der einen Radseite stehen den Zwischenräumen *r* der andern Seite gegenüber, sodass alle Kettenglieder in schräger Lage über das Rad laufen und gleichzeitig von innen und (durch die Nachbarzähne) von außen angetrieben werden.



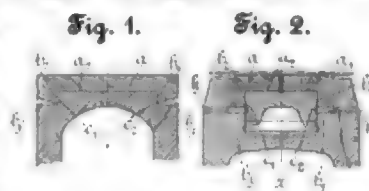
Kl. 47. Nr. 120905. Reibkupplung. Nürnberger Motorfahrzeugfabrik „Union“, Nürnberg. Die Bremsbacken *e* erhalten durch feste Gabeln *g* des einzurückenden Teiles *b* und durch Bolzen *h* radiale Führung und werden durch Blattfedern *o*, deren Mitten durch Gelenkteile *m*, *m* an das Einrückgestänge *ikt* angeschlossen sind, gegen die Reibfläche *d* gedrückt, wodurch das Ecken der Gelenkbolzen *m* und der Bremsbacken *e* vermieden wird. Beim Einrücken legen sich die Stangen *l* mit ihren inneren Enden auf den Kupplungsteil *b*, wodurch die Gelenke *p* entlastet werden.



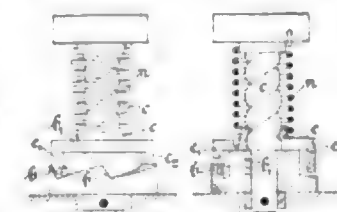
Kl. 47. Nr. 122955. Riemenanflieger. H. Mundlos & Co., Magdeburg-Neustadt. Der an der Scheibe *a* befestigte Auflieger *c* (Nebenfigur) kann durch eine Feder *d* in zwei Lagen festgehalten werden. Man klappt ihn an der Auflaufstelle über den (runden oder breiten) Riemen *b* und dreht die Scheibe *a*, bis sie mitgenommen wird, worauf *c* an der Ablaufstelle von *b* selbsttätig zurückgeklappt wird.



Kl. 47. Nr. 120935. Dampfkolben-Dichtungsring. The Schmidt Steam Power Patent Co. London. Der aufgeschnittene Liederungerring *a* mit einem nach innen U-förmigen Querschnitte wird beim Rechtschube mit seiner Innenfläche *b*₂ dichtend an die Kolbenfläche *c* gedrückt, während *b*₁ an *c*₂ nicht dichtet, sodass der in die Fuge *a*₂ gedrungene Dampf auspuffen kann und nur der auf die passend breit gestaltete Fläche *b*₂ wirkende Dampf den Ring dichtend an die Zylinderfläche drückt; beim Linkschube wirkt nur die Fläche *b*₁, Fig. 1. Nach Fig. 2 ist der Ring in der Ebene *x* in zwei Teile *a*₁, *a*₂ geteilt, und der Kolbenkörper ist bei *k* durchbohrt, um den Dampf sicher auf die Druckflächen *b*₂, *b*₂ zu leiten.



Kl. 47. Nr. 120463. Sprungwerk. Siemens & Halske A.-G., Berlin. Beim Rechtsdrehen der Schraubenspindel *c* wird das Sperrstück *e* aufwärts geschraubt und gleitet mit seinen Nasen *e*₁, *e*₂ an Sperrflächen *b* des ruhenden Stückes *b*₁, die sich mit den Windungen von *c* ungefähr rechtwinklig kreuzen, indem *c* eine Rechtschraube von 45 bis 60°, *b* eine Linkschraube von 45 bis 80° bildet, wodurch große Anschlagflächen und geringe Reibung und Abnutzung erreicht werden. Wenn *e*₁, *e*₂ von *b* abgleitet, wirft die Feder *s* das Sperrstück *e* um 90° rechts herum.



Kl. 35. Nr. 120650. Seilentlastung für Windwerke. M. Ihle, London. Das Seil *s*, Fig. 1, zum Ab- und Aufwinden der Last *l* (Bogenlampe usw.) wird durch Sperrhaken *h* entlastet, die zum Herablassen folgendermaßen ausgebildet werden. Die auf dem Rohrstelle *g* des Gehäuses durch Stift *t* und Nut *n* gerade geführte Büchse *b* dreht beim Anheben die in *g* gelagerte Büchse *b* durch Schraubennut *n* und Stift *t* um 90°; beim Senken mittels Feder *f* wird *b* wieder um 90° zurückgedreht. Dadurch wird mittels Schaltwerkes *b* durch *h* die ovale Scheibe *p* jedesmal um 90° rechtsum gedreht und dann durch *h* festgehalten, sodass die Haken *h* nach der ersten Auf- und Abbewegung von *b* ausgelöst und nach der zweiten durch Federn *f* wieder eingerückt werden. Die Patentschrift stellt noch zwei ähnliche Entlastungsvorrichtungen dar. Die zugehörige Win-

Fig. 1.

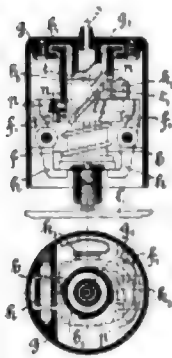
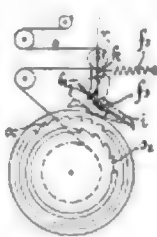
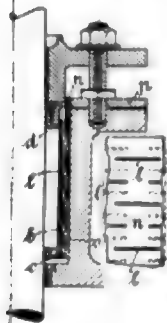


Fig. 2.



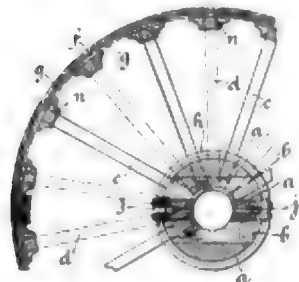
de, Fig. 2, hat zwei entgegengesetzt gerichtete Sperrräder *s*, *s* und zwei durch Federn *f*, *f* belastete Sperrklinken *k*, *k*, von denen *k* eine Seilführungsrolle *r* trägt. Beim Auf- und Abwinden hält *f* beide Klinken eingerückt; beim Uebertreiben der Last *l* rückt die Spannung von *s* die Klinken *k* in *s*, bei übermäßigem Herabwinden oder beim Loslassen nach dem Ablassen der Last *l* durch die Haken *h* rückt *f* mittels Anschlag *k* die Klinken *k* in *s* ein, sodass der Arbeiter das Seil *s* weder zu stark spannen noch bis zum Schlafwerden entlasten kann.



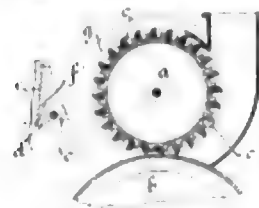
Kl. 47. Nr. 121381. Bewegliche Stopfbüchse.

C. Endruweit, Berlin. Ein nachgiebiges dampfdichtes schwach kegelförmiges Rohr, gebildet aus gleichachsiger oder schraubenförmig übereinander gewickelten, mit versetzten Durchbrechungen *l* versehenen Blechen *n* und einem undurchbrochenen papierdünnen Blechmantel *o*, ist (durch Lötung oder dergl.) oben mit dem Flanschringe *p*, unten mit einer frei schwebenden Stopfbüchse *bcd* dampfdicht und fest verbunden. Dieses Rohr kann auch oben mit der Stopfbüchse *bcd* und unten mit dem Cylinderdeckel verbunden werden, wobei die Blechlage *o* innen anzuordnen ist.

Kl. 47. Nr. 120692. Zweitellige Riemenscheibe. A. Theys-



kens, Brüssel. Die Nabenhälften sind aus mehreren gekreuzt verleimten Holzteilen *a b c* ... hergestellt. Die aus runden Holzstäben bestehenden Speichen *c d* ... sind, um zahlreiche Stützpunkte für den aus einer oder mehreren gebogenen Holzlagen *g f g* ... gebildeten Kranz zu schaffen, in zwei oder mehr Ebenen angeordnet, in der Nabe dübelartig verbolzt und in den Querleisten *n* des Kranzes verkeilt. Verbunden werden die Nabenhälften durch zweitellige Rundisenringe *h*, die in halbrunden Ringnuten liegen und durch rechts- und linksgängige Muttern *j* zusammengezogen werden.



Kl. 58. Nr. 120679. Walzenpresse.

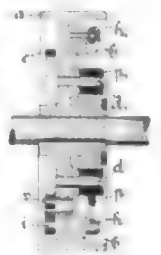
R. Boek, Magdeburg-Neustadt. Am Umfange der Presswalze *a* sind halbrunde Drehschieber *e* gelagert, die durch Arme *d*, Federn *s* und Anschlagstifte *f* offengehalten werden, beim Auftreffen ihrer Kante auf die Walze *b* aber mit den Flanschen *g* geschlossene Zellen bilden, welche sich verkleinern und die im Pressgute enthaltene Flüssigkeit durch den durchlochten Mantel von *b* entfernen.

Kl. 47. Nr. 120657. Seilschloss. L. J. Molassenet, Cherbourg



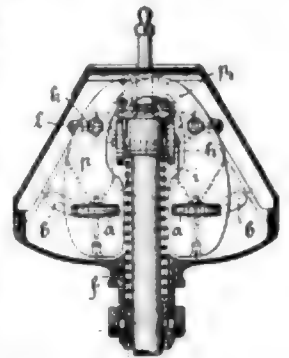
(Frankreich). Das zum Einbringen des Seiles mit einem Schlitz *s* versehene Gehäuse *a* nimmt zwei Kette *b, c* mit halbrunden, glatten Auskühlungen auf, von denen der Anzugkeil *b* geringere, der Lösekeil *c* größere Steigung hat. Durch Daumen *n* eines die Zugöse *v* tragenden Zwischengliedes *r* wird in gestreckter Lage das Lösen von *c* verhindert.

Kl. 60. Nr. 122507 (Zusatz zu Nr. 113610, Z. 1901 S. 504, vergl. Nr. 118859, Z. 1901 S. 1116). Achsenregler. H. Lents, Brunn, und W. Volt, Magdeburg. Wie beim Hauptpatent ist die Schneckenfeder *s* bei *a* an das auf der Welle befestigte Gehäuse *a* und bei *v* an den Träghaltering *b* angeschlossen; dagegen sind die Pendel *p, p* bei *d, d* an *a* gelagert und greifen (durch kurze Lenkstangen *h, h*, oder dergl. an *b* an (statt umgekehrt), wodurch erreicht wird, dass die Drehmomente der Träghalterkräfte beider Pendel in demselben Sinne wie das Drehmoment des Träghalteringes wirken, also die Summe statt des Unterschiedes zur Geltung kommt.



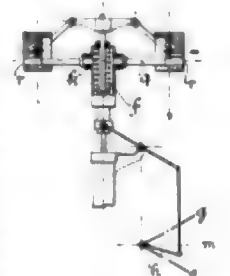
Kl. 60. Nr. 120910 (Zusatz zu Nr. 112380, Z. 1901 S. 143). Pendelregler. O. Wendel, Potsdam. Die

Übertragung der Spindeltriebkraft auf die Hülse durch Rollen *h* und Führungen *i* sowie von der Hülse auf die Pendel *p* durch Führungen *b* und Rollen *a* wird auch bei Pendelreglern bekannter Bauart angewandt, bei denen die Belastungsgewichte ganz oder teilweise durch Federn *f* ersetzt sind. Um die Übertragung von *b* auf *a* zu sichern, sind die Pendel *p* an einem Kreuzgelenke *k* aufgehängt, sodass sie um *k* schwingend der Fliehkraft, und um *i* schwingend der Spindelbeschleunigung folgen können; die seitliche Ausbiegung der Pendelarme *p* veranlasst das beständige Anliegen von *a* an *b*.



Kl. 60. Nr. 122506. Leistungsregler. W. Lynen, Aachen. Um bei Reglern für Maschinen, deren Belastung sich wenig ändert

(Pumpen, Gebläse) und deren Geschwindigkeit sich dem Bedarfe anpassen soll, das Durchgehen bei Gestängebruch usw. zu verhindern, wird die Verbindung der Schwungradpendel mit dem den Kraftaufwuchs beherrschenden Teile *h*, der nur zwischen größtem Kraftanfluss *g* und mittlerem *n* spielen darf, bei Unterschreitung des letzteren aufgehoben und dadurch eine selbständige Kraft ausgelöst, die *h* auf Nullstellung *o* stellt. Dies geschieht hier in der Weise, dass die an der Hülse *k* befestigte Stange *q* aus der Bohrung *r* des Pendelgewichtes heraustritt und die Hülse *k* von der Feder *f* aufwärts geschnellt wird.



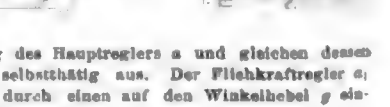
Kl. 58. Nr. 122558. Kniehebelpresse. E. Langner, Zwickau i/S. Der Handhebel *d* ist bei *c* mit dem Lenker *b* und der das Kniehebelpendel *e* antreibenden Zugstange *a* gelenkig verbunden und umfasst mit einer Schleife *s* den festen Bolzen *v*, sodass sich sein Arm *c* zur Vergrößerung des Pressdruckes selbstthätig verkürzt.



Kl. 60. Nr. 120074. Ausgleichregler. P. E. Dasey, F. Dasey und A. Gregoire, Charnes (Frankr.). Aufser dem Hauptregler *a*, Fig. 1, der durch unmittelbare Übertragung *q, g, r, r* (Fig. 2) wirkt, ist noch ein empfindlicherer Nebenregler *a*, mit mittelbarer Übertragung vorhanden, der von der Maschine durch *c, b, c*, besonders angetrieben wird und mittels Gestanges *e* und ein Reibwendegetriebe *a f c* in dem einen oder dem andern Sinne einrückt. Die die Reibrollen *c, c* tragenden, durch Zahnräder *d, d*, verbundenen Wellen *b, b* drehen dann mittels Rädergetriebe *f, f* die Schraubenmutterhülse *g* auf der Spindel *r*, verlängern oder verkürzen dadurch das Gestänge *q r r*, unterstützen so die unmittelbare Wirkung des Hauptreglers *a* und gleichen dessen Umlaufzahl mit der von *a* selbstthätig aus. Der Fliehkraftregler *a* wird bei Dynamomaschinen durch einen auf den Winkelhebel *g* einwirkenden elektrischen Regler ersetzt.

Fig. 1.

Fig. 2.



ZEITSCHRIFT DES VEREINES DEUTSCHER INGENIEURE.

Nr. 44.

Sonnabend, den 2. November 1901.

Band XXXV.

Inhalt:

Wasserhaltung der Compañia Minera y Metalúrgica del Horcajo mit elektrisch betriebenen Hochdruck-Zentrifugalpumpen von Gebrüder Sulzer. Von F. Heerwagen	1549
Neuere elektrisch betriebene Hebesäuge, ausgeführt von der Benrather Maschinenfabrik A.-G. in Benrath (hierzu Tafel XXVI)	1559
Die Weltausstellung in Paris 1900: Turbinenbau. Von E. Reibel (Fortsetzung)	1562
Eine Stelle an manchen Maschinenteilen, deren Beanspruchung aufgrund der üblichen Berechnung stark unterschätzt wird. Von C. Bach	1567
Beobachtungen an Explosionsmotoren. Von A. Weber-Sahlil	1571
Bergischer B.-V.: Die verschiedenen Arten der Farbenphotographie. — Die Herstellungsarten schmiedeeiserner geschweißter und nahtloser Rohre	1572
Braunschweiger B.-V.	1574

Schleswig-Holsteinischer B.-V.: Bau der neuen Trockendocks für die kaiserliche Werft Kiel	1575
Bücherschau: Bau und Betrieb elektrischer Bahnen. Von M. Schiemann. — Bei der Redaktion eingewangene Bücher	1576
Zeitschriftenschau	1576
Rundschau: Die III. Wanderversammlung des Internationalen Verbandes für die Materialprüfungen der Technik in Budapest. — Bull.-Motor der Anglian Engineering Co. — Verschiedenes. — Fragekasten	1579
Patentbericht: Nr. 122798, 120814, 122948, 120416, 121464, 122594, 120869, 122628, 122179, 120592, 122765, 122415, 122793, 122917, 122927, 122481, 122711, 122824, 122878, 120894, 120892, 120920, 122735, 120977, 120806, 120802, 120944	1581
Zuschriften an die Redaktion: Rothende Dampfmaschinen und Dampfturbinen	1583

(hierzu Tafel XXVI)

Wasserhaltung der Compañia Minera y Metalúrgica del Horcajo mit elektrisch betriebenen Hochdruck-Zentrifugalpumpen von Gebrüder Sulzer.

Von Dr. F. Heerwagen, Ingenieur in Horcajo, Spanien.

Geschichtliche Vorbemerkungen.

Die Grube Horcajo in der Provinz Ciudad Real liegt inmitten eines einsamen Gebirges, 5 Stunden von der nächsten Eisenbahnstation entfernt und durch drei hohe Bergketten von ihr getrennt. Die Entdeckung eines reichen Ganges von silberhaltigem Bleiglanz gab um das Jahr 1855 Anlass zum Beginn des Bergbaues, und es bildete sich eine Ansiedelung, welche zurzeit etwa 5000 Einwohner zählt, die allesamt, unmittelbar oder mittelbar, vom Ertrage der Grube leben.

Die Grube hat mehrfach kritische Zeiten zu überstehen gehabt, welche ihre Fortdauer infrage stellten, und stets war das Wasser die Ursache davon. Der Abbau ging in die Tiefe, damit vermehrt sich die Zuflüsse, und die Wasserhaltungsmaschinen genügten nicht mehr. Entweder konnten sie die größeren Mengen nicht bewältigen, oder sie genügten nicht zur Aufschließung größerer Tiefen, und somit fehlte es entweder an der Regelmäßigkeit im Abbaue sonst zugänglicher Felder oder an der Möglichkeit, neue Felder in größerer Tiefe rechtzeitig angreifen zu können, wenn die oberen Sohlen erschöpft waren.

Die erste größere Wasserhaltungsanlage der Grube war eine Cornwall-Pumpmaschine mit Holzgestänge und ein-fachwirkenden Drucksätzen von 2 m Hub und 260 mm Tauchkolbendurchmesser. Diese Cornwall-Maschine erhielt noch in neuerer Zeit einen neuen größeren Dampfzylinder und wurde wieder in Betrieb genommen, weil sich die Zuflüsse der Grube damals nicht anders bewältigen ließen. Schließlich hob sie mit 7 Drucksätzen und mit einem Hubsatze das Wasser aus 365 m Teufe und machte bei größter Betrieb-sicherheit noch rd. 11000 Hübe täglich. Erst im Jahre 1897 konnte diese Maschine, deren Kohlenverbrauch zu außer-ordentlicher Höhe angewachsen war, außer Dienst gestellt werden, und im folgenden Jahre wurde sie ausgebaut.

Die nächste Maschine, welche zur Aufstellung gelangte, hatte liegenden Dampfzylinder und Schwungrad, und die Be-wegung wurde mittels Kunstkreuzes auf das Gestänge über-tragen, welches wieder einfachwirkende Drucksätze be-hältigte. Diese Maschine bewährte sich garnicht, was zumteil an groben Montagefehlern gelegen haben mag.

Um jene Zeit wurde die Grube, deren Betrieb unhaltbar geworden war, von der jetzigen Besitzerin, einer französischen Gesellschaft, angekauft. Diese bestellte eine große Ge-stängemaschine mit Rotationsbewegung, zweifacher Expansion, Balancier, Zwillinggestänge und Rittinger-Sätzen von 1500 mm Hub und 560/400 mm Kolbendurchmesser in

den Pumpen. Die Maschine, hier kurz »La Rotativa« ge-nannt, wurde im Jahre 1886 in Betrieb genommen. Für die damaligen Verhältnisse der Grube war sie überreichlich stark; denn sie war für 12 Uml./min und für 340 m Teufe be-rechnet, während sie zunächst nur aus rd. 240 m Teufe bei bloß 7 bis 8 Umläufen und mit Pausen im Betriebe hob. Nur 3 Rittinger-Sätze waren eingebaut; zum weiteren Ab-taufen des Schachtes diente eine Hubpumpe von 500 mm l. W. und 2000 mm Hub, deren Kolben durch eine Schwin-gel vom Hauptgestänge der Maschine angetrieben wurde.

Horcajo erlebte einige gute Jahre, zumal höhere Silber-preise mit den verbesserten technischen Verhältnissen zu-sammenfielen.

Dann begannen die Gestängebrüche an der Rotativa und damit neue Schwierigkeiten, welche um so größer waren, als es an ausreichender Reserve für die Wasser-haltung fehlte. Die Betriebsstörungen erreichten ihren Höhe-punkt im Jahre 1895 mit 27 Brüchen am Gestänge, zu einer Zeit, als die Maschine mit 4 Rittinger-Sätzen das Wasser aus 305 m Teufe hob und einige Monate lang mit 10 bis 10½ Umläufen betrieben wurde. Sonst betrug die größte Ge-schwindigkeit 9½ Umläufe, und später, seit auch der fünfte Pumpensatz aufgestellt war, nur 6½. Dennoch erfolgten immer zahlreiche Gestängebrüche.

Inzwischen hatte die Compañia del Horcajo den Erbauern der Rotativa 2 unterirdische Dampfmaschinen in Auftrag gegeben, welche je 2500 ltr/min liefern sollten. Eine dieser Pumpen wurde 1891 in der 14. Sohle, ungefähr 270 m tief, aufgestellt. Sie hatte hauptsächlich nur bei Betriebsstörungen der Rotativa zu arbeiten, gab aber von vornherein zu so häufigen und großen Reparaturen Veranlassung, dass von der Aufstellung der zweiten Maschine, welche in der 15. Sohle (rd. 295 m) erfolgen sollte, Abstand genommen wurde.

Durch diesen Misserfolg waren leider die unterirdischen Dampfmaschinen bei den damals maßgebenden Persönlichkeiten Horcajos in Verruf gebracht, und nach langen Verhandlungen entschied man sich für Presswasserpumpen und eine hydrau-lische Wasserhaltung. Diese Anlage wurde im Jahre 1895 aufgestellt und in Betrieb gesetzt, doch leider ohne dass die Schachtpumpe die auf sie gesetzten Hoffnungen erfüllte.

Im Einvernehmen mit dem Konstrukteur und Lieferer dieser Pumpe, in dessen Auftrage ich zur Aufstellung der-selben zuerst nach Horcajo gekommen war, trat ich in den unmittelbaren Dienst der Grube über und nahm eine Aende-rung der Steuerung und der Ventile sowie sonstige Verbesse-rungen an der Pumpmaschine vor. Dann wurde sie in dem

inzwischen weiter abgeteuften Schachte von neuem in größerer Tiefe wieder aufgestellt. Die Anlage wurde 1897 in Gebrauch genommen und erwies sich nun als betriebsfähig. Nach einigen Monaten stellten sich aber Rohrbrüche in der Presswasserleitung ein, welche häufige Betriebsstörungen und Reparaturen verursachten. Die Maschine blieb im Dienst, weil unentbehrlich, aber ein verhältnismäßig guter Betrieb wurde erst dann wieder erzielt, als ich nach einem neuen Fehlschlage mit stärkeren Stahlrohren sonst gleicher Herstellung wie die zuerst verwendeten zu patentgeschweißten schmiedeisernen Rohren zurückgriff und die ganzen Presswasserleitungen erneuerte. Es ist sehr anzuerkennen, dass die Erzeugnisse der Düsseldorfer Röhren- und Eisenwalzwerke vorm. Poensgen und der Firma L. P. Piedboeuf & Co., Düsseldorf, den Anforderungen des Betriebes dann gut entsprochen haben.

Diese Leitungen waren bei jedem Hubwechsel der Maschine erheblichen Schlägen ausgesetzt, die sich nur durch einen vollkommenen Umbau der Maschine hätten beseitigen lassen. Die Maschine, welche eine Höhe von 45 m im Schacht einnahm, setzte ungeheure hin- und hergehende Massen und lebendige Kräfte ins Spiel, und bei ihrer Konstruktion hatte man leider die entstehenden Verzögerungs- und Beschleunigungskräfte garnicht berücksichtigt. Ein solcher Umbau war unausführbar, weil die Maschine trotz aller Reparaturen das wichtigste Glied der Wasserhaltung geworden war, dessen Fehlen in der Umbauzeit sofort den Grubenbetrieb lahm gelegt hätte. Zudem hätte der Umbau doch keinen dauernden Nutzen gebracht, weil es unmöglich gewesen wäre, mit einer so großen Maschine rasch und sicher von Sohle zu Sohle in die Tiefe zu gehen, wie das die Abbauverhältnisse der Grube Horcajo gebieterisch verlangen.

Der Verwaltungsrat der Gesellschaft beschloss daher schon im Januar 1898 die Anschaffung neuer Pumpen für die Grube.

Aufgabe der Wasserhaltung.

Für die Wahl des Systems sollte weniger die äußerste Sparsamkeit im Dampf- und Kohlenverbrauch infrage kommen als die Betriebsicherheit und die Möglichkeit, rasch und leicht mit dem Angriffspunkte der Wasserhaltung in die Tiefe zu gehen.

Die Entfernung von einer Abbausohle zur nächsten war auf 27,5 m festgesetzt, und man rechnete darauf, nach je 1½ Jahren um eine Sohle tiefer gehen zu müssen. Der niedrige Preis des wertvollsten Erzeugnisses, des Silbers, führt naturgemäß zu beschleunigtem Abbau und damit zu rascher Erschöpfung solcher Gruben, weil nur so die allgemeinen Unkosten des Betriebes gedeckt werden können.

Die neue Wasserhaltung sollte ihre Arbeit auf der 19. Sohle (390 m Teufe) beginnen, wo ein größter Wasserzufluss von 5900 cbm täglich zu erwarten war, und sie sollte imstande sein, späterhin 6900 cbm aus 500 m Teufe (23. Sohle) zu heben. Der Pumpenbetrieb sollte stets möglichst gleichmäßig und ohne Unterbrechung geführt werden; auf größere Sumpfstrecken in jeder Sohle war nicht zu rechnen, weil deren Herstellung zu zeitraubend und zu kostspielig ist.

Dampfpumpen konnten nicht verwendet werden. Die Herstellung der großen unterirdischen Maschinenräume und Fundamente sowie die Montage hätten in jeder Sohle von neuem nicht nur viel zu große Kosten verursacht, es hätte vor allen Dingen überhaupt nicht der Abbauplan aufrecht erhalten werden können, wonach in 1½ Jahren immer wieder der Gang in einer neuen Sohle angefahren werden sollte, was jedesmal erst nach Einbau der Pumpen geschehen kann. Ferner hätte man, abgesehen von allen übrigen Nachteilen, welche der Gebrauch des Dampfes in der Grube mit sich bringt, die größten Schwierigkeiten mit der Lüftung der Pumpenkammern gehabt. Die Kammern haben in jeder neuen Sohle längere Zeit nur mit einem einzigen Schachte Verbindung, bis eben jedesmal unter dem Schutze der Pumpe der Gang angefahren und mit dem nächsten Schachte verbunden ist, oder bis im Gange eine Verbindung mit der nächsten Sohle hergestellt ist.

Die Compañía del Horcajo forderte demnach mehrere hervorragende Firmen in Frankreich, Belgien und Deutschland zu Angeboten auf eine große Gestängemaschine auf, welche einfachwirkende Pumpen mit langem Hub erhalten sollte, angetrieben mittels Balanciers von einer Verbundma-

schine ohne Rotation. Beim Einlaufen der Angebote zeigte es sich aber, dass die Fabriken so lange Lieferfristen forderten, wie sie unannehmbar waren, wenn nicht der ganze Grubenbetrieb ins Stocken geraten sollte.

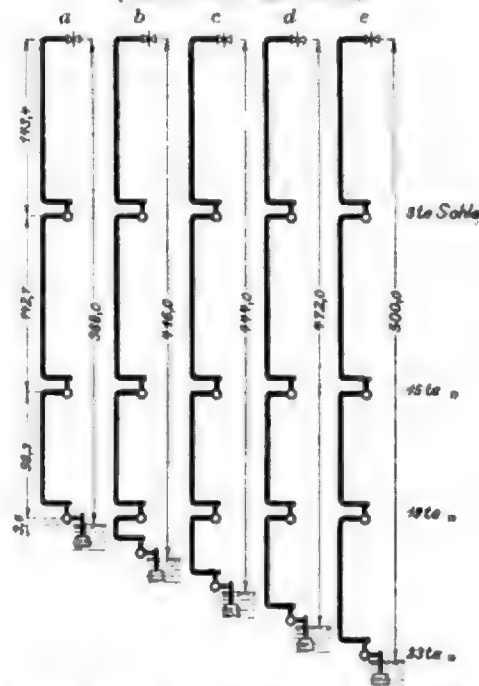
Entwurf der Firma Gebrüder Sulzer, Winterthur und Ludwigshafen a/Rh.

Inzwischen traten Vorschläge ganz anderer Art an uns heran. Die für den Betrieb der erwähnten hydraulischen Maschine kürzlich neu aufgestellte oberirdische Anlage, bestehend aus Dampfkesseln, Verbund-Ventil-Dampfmaschinen und Druckwasser-Pressumpfen, war von Gebrüder Sulzer geliefert worden. Jetzt schlug diese Firma vor, die vorhandenen Dampfmaschinen zur Erzeugung elektrischer Energie zu benutzen und für die Wasserhaltung die neuen Sulzerschen Hochdruck-Zentrifugalpumpen, unmittelbar mit Elektromotoren gekuppelt, zu verwenden.

Diese Vorschläge ließen einen solchen Zeitgewinn für Lieferung und Aufstellung der Neuanlage erwarten, dass ich mit weiteren Verhandlungen und mit einem Besuche in Winterthur beauftragt wurde, um aus eigener Anschauung über die Zweckmäßigkeit der vorgeschlagenen Maschinen für den Betrieb der Grube Horcajo zu berichten. So entstand ein Entwurf, der nicht nur den Vorteil rascher Ausführbarkeit und geringerer Anlagekosten hatte, weil die vorhandenen Dampfmaschinen benutzt werden konnten, sondern man erhielt auch durch die Verwendung der Kreiselpumpen und Elektromotoren

Fig. 1.

Schema der Wasserhaltung.



in der Grube kleine Pumpenkammern, denkbar einfachste Montage, und das ganze System ließ sich in der vorzüglichsten Weise den Verhältnissen anpassen. Uebrigens war auf einen geringeren Kohlenverbrauch zu rechnen, als ihn die geplante Gestängemaschine erfordert hätte.

Nur wegen der Neuheit der Sache und wegen des daraus entspringenden Wagnisses machten sich Bedenken geltend; dennoch erfolgte Ende Juli 1898 auf meinen Bericht die Bestellung der Anlage, welche nun mit vollem Erfolge seit dem Beginne vorigen Jahres in regelmäßigem Betriebe steht.

Schema der Wasserhaltung.

Fig. 1 gibt eine Vorstellung von der Verteilung der Pumpstellen im Schacht. Die Tiefen unter a sind diejenigen, welche sich bei der Ausführung thatsächlich ergeben haben. Für 388 m Teufe kommen 3 vierfache Kreiselpumpen zur Verwendung, welche in Kammern neben dem Schachte aufgestellt und mittels geschlossener Rohrleitung zu einem einzigen Satz verbunden sind. Die letzte Pumpe saugt das

Wasser aus dem Saughals an und drückt es der nächsten zu, welche es weiter befördert usw. Die oberen Pumpen erhalten das Wasser noch unter Druck, damit ihre Füllung jederzeit gesichert und damit der Eintritt von Luft ganz ausgeschlossen sei. Im übrigen kann die Höhenlage der Kammern nach Belieben gewählt werden, so lange man sie nicht gar zu tief legt, was übermäßig hohen Druck im Innern des Pumpenkörpers zur Folge haben würde. Um die Herstellung zu erleichtern, haben wir die erste und die zweite Kammer in die Höhe alter Abbaushöhlen gelegt, wo ein Teil der nötigen Hohlräume schon durch die alten Querschläge gegeben war.

Die 3 Pumpen arbeiten vollkommen übereinstimmend, da sie mit gleicher Umlaufzahl betrieben werden, und da die gleiche Wassermenge alle Pumpen durchströmt. Abgesehen von den geringfügigen Widerständen der Leitungsröhre überwindet demnach jede der drei Pumpen einen Druck von $\frac{388}{3} = 129,3$ m Wassersäule; die zweite Pumpe erhält das Wasser mit 27,4 m Druck und gibt es mit 156,8 m Druck in die Förderleitung weiter; die erste erhält es mit 14,1 m Druck und fördert es mit 143,4 m zutage.

tende Pumpen; im übrigen wiederholt sich derselbe Bauvorgang.

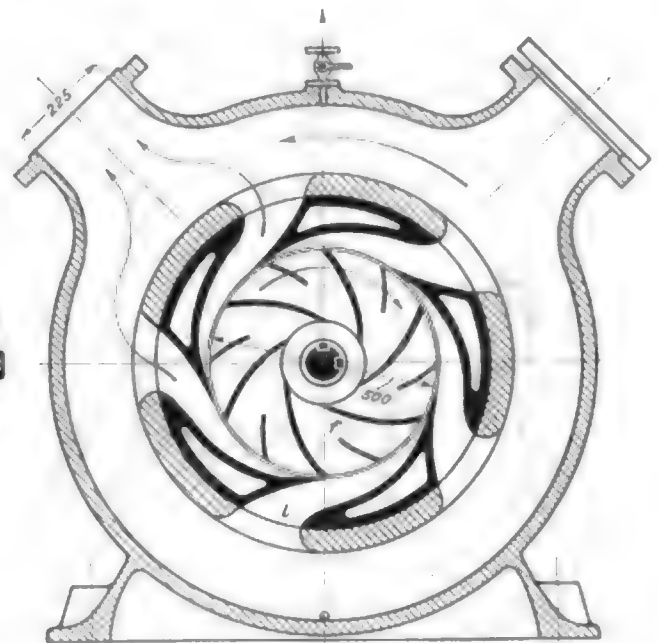
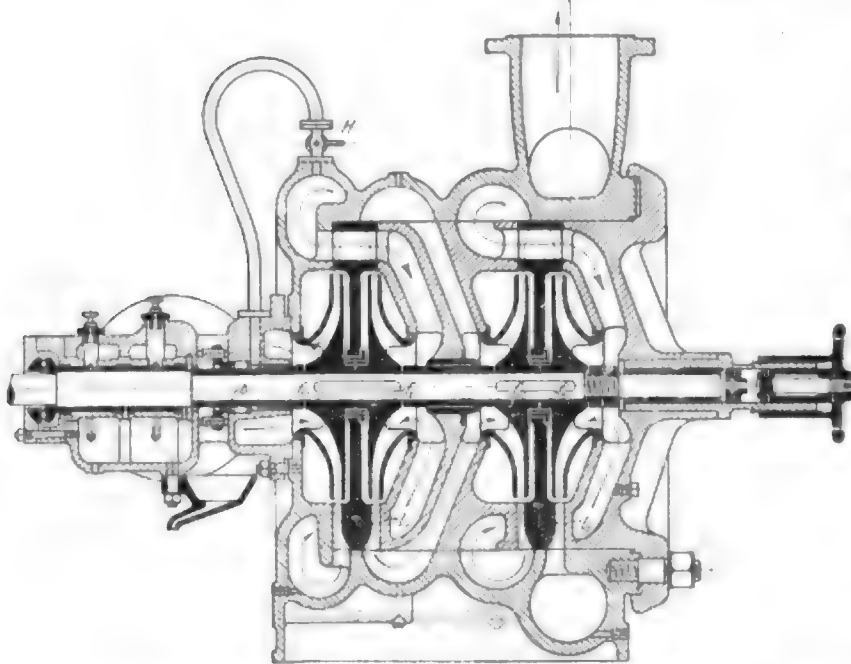
Der große Vorteil einer solchen Wasserhaltung für unseren Betrieb liegt darin, dass jede Pumpstation ohne Störung des bestehenden Betriebes fertig montiert und erprobt werden kann, und dass dann schließlich zum Anschluss der geländerten Rohrleitungen ein ganz kurzer Stillstand genügt, worauf sofort der erweiterte Betrieb beginnen kann.

Die Pumpen.

Fig. 2 und 3 zeigen die Pumpen in Schnitten¹⁾. Auf der aus Nickelstahl hergestellten Welle sitzen 4 Flügelräder f_1 bis f_4 von 500 mm Dmr., welche paarweise zu den Seiten zweier Scheiben l_1 und l_2 angeordnet sind. Die Scheiben sitzen fest im Pumpengehäuse; sie tragen an beiden Seiten Leitschaufeln, welche dem Wasserstrom allmählich seine Geschwindigkeit nehmen und die lebendige Kraft in Druck verwandeln. Auf den Leitschaufeln beruht der hohe Nutzeffekt dieser Pumpen und auch die große Förderhöhe, welche mit ihnen leicht erzielt wird. Die Pumpen unserer Anlage liefern beispielsweise 4,8 cbm/min auf 130 m bei 890 Uml./min, und bei Versuchen, die in Winterthur mit einer unserer Pumpen angestellt wur-

Fig. 2 und 3.

Hochdruck-Kreiselpumpe von Gebr. Sulzer.



Beim Tiefergehen der Grube wird im Querschlag zur nächsten (20.) Sohle zunächst eine vierte Pumpe mit Motor aufgestellt; doch erhält diese nur ein Flügelrad statt vier. Die Förderleitung dieser Pumpe wird dann an die Saugöffnung der dritten Pumpe angeschlossen, und die neue, aus vier Pumpen bestehende Zusammenstellung hebt nun alles Wasser von der tiefen Sohle aus, wo binnen kurzem sowieso der ganze Wasserzufluss der Grube stattfindet, Fig. 1 b. Der Schacht wird inzwischen weiter abgeteuft, wozu besondere kleine Abteufpumpen dienen, und es wird für die 21. Sohle eine neue Kammer hergestellt. Eine vollständige Pumpe nebst Motor ist als Reserve vorhanden, um im Falle unvorhergesehener Reparaturbedürftigkeit jede der im Dienst stehenden Maschinen auszuwechseln zu können. Diese Pumpe wird in der neuen Kammer aufgestellt; sie erhält zwei Flügelräder, und ihre Förderleitung wird unmittelbar an die der vorhergehenden Pumpe angeschlossen. Letztere wird gleichzeitig ausgeschaltet, dann abgebaut und steht wieder als Reserve zur Verfügung; s. Fig. 1 c. In den nächsten Sohlen wiederholt sich derselbe Vorgang, bis endlich in 500 m Tiefe die vierte Pumpe endgültig aufgestellt wird, Fig. 1 e. Geht man dann noch weiter, so braucht man 5 gleichzeitig arbei-

den, wurde ein Nutzeffekt von 76 vH erreicht. Zwischen den Leitradern befindet sich ein besonderes Gussstück mit Kanälen für die Wasserführung, und dem gleichen Zwecke sind auch das Gehäuse und der Deckel dienstbar gemacht. Der Saughals ist als T-Stück ausgebildet, sodass die Leitung nach Belieben rechts oder links angeschlossen werden kann, wie es die jeweilige Lage der Pumpenkammer verlangt. Die andere Seite wird mittels Blindflansches verschlossen, s. auch Fig. 6. Die eingezeichneten Pfeile lassen den Lauf des Wasserstromes im Innern der Pumpe erkennen. Die Welle durchsetzt den Saughals in einer Stopfbüchse, die mit weicher Baumwollpackung gedichtet wird; dann tritt sie in ein Lager mit Ringschmierung. Die zweite Lagerbüchse befindet sich im Deckel der Pumpe; eine Schmierpresse führt ihr Stauffer-Fett zu. Beim Gange der Pumpe entsteht eine axiale Kraftwirkung auf Welle und Flügelräder; der Druck ist vom Deckel zum Saughals hin gerichtet und wird durch ein Kugellager aufgenommen. Der Hahn H und das anschließende Rohr, das den ersten Druckraum der Pumpe mit dem Saughals verbindet, gelangen nur bei der jeweils tiefsten Pumpe, welche

¹⁾ Vergl. Z. 1901 R. 1418.

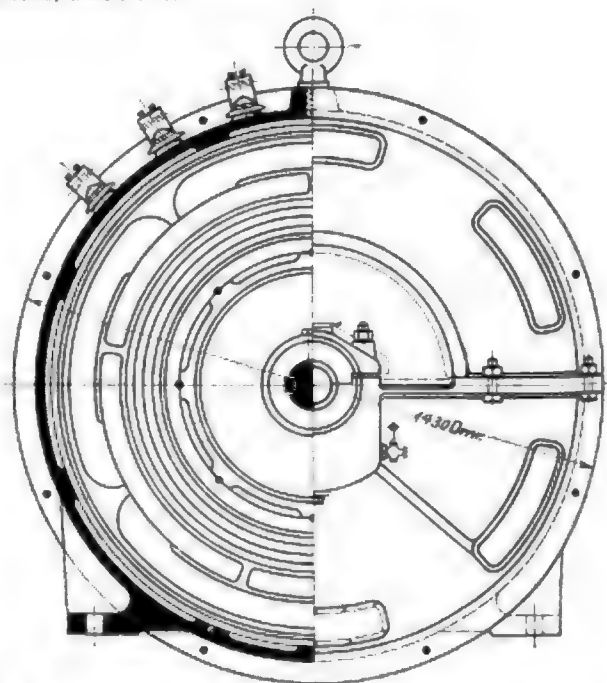
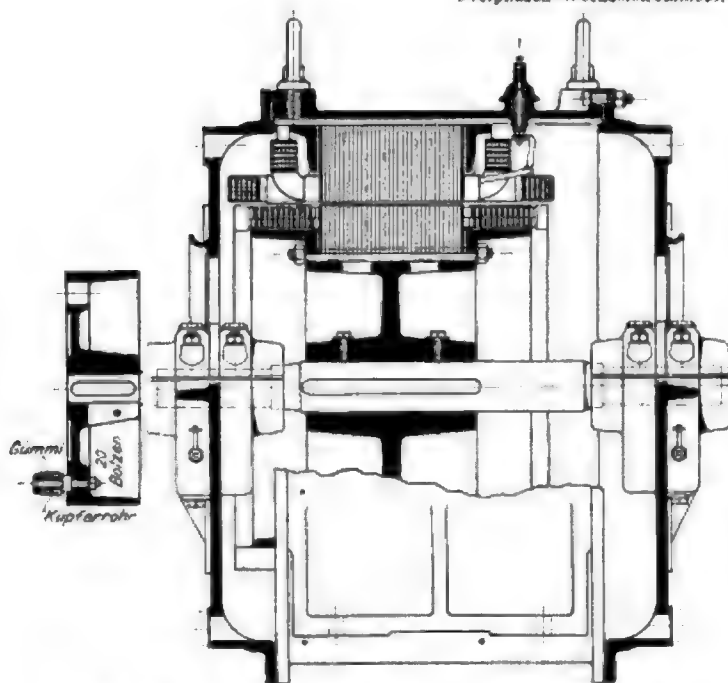
saugend arbeitet, zur Verwendung. Mittels dieses Rohres wird ein Kanal, der gleich hinter der Stopfbüchsenpackung die Welle umgibt, unter Druck gesetzt, sodass keine Luft durch die Stopfbüchse angesaugt werden kann.

Der letzte Druckraum zunächst dem Deckel hat 2 Hälse (s. auch Fig. 3, 6 und 13), von denen jedesmal der am bequemsten gelegene zum Anschlusse der Druckleitung dient. Die senkrechte Mittelebene der Pumpe kann auf diese Weise stets für Flaschenzug und Laufkatze frei bleiben, sodass man vorkommendenfalls beim Herausziehen der inneren Pumpenteile ganz unbehindert ist. Der zweite und der vierte Druckraum der Pumpe tragen überdies Entlüftungshähne, welche auch zum Anbringen von Manometern verwendet werden können.

Alle inneren Teile der Pumpe können mit einemmale aus dem Gehäuse herausgezogen werden, sobald nur der Deckel und die Kupplungsscheibe entfernt sind. Dazu sind 3 lange Abdrückschrauben vorhanden, welche das Pumpengehäuse und die Rippen des ersten Druckraumes durchsetzen und gegen das Leitrad l drücken können. Sobald die Welle mit allen festen und beweglichen Teilen zur Hälfte herausgedrückt ist, wird eine Ringschraube in den Zwischendeckel geschraubt, und Flaschenzug und Laufkatze treten in Thätigkeit.

Fig. 4 und 5.

Drehphasen-Wechselstrommotor von Brown, Boveri & Co.



Es hat sich als vorteilhaft erwiesen, jede Pumpe alle 2 bis 3 Monate einmal auseinanderzunehmen, um alle Räder zu reinigen, und um sie frisch einzufetten. Eine solche vollständige Reinigung bedingt für sich allein einen Stillstand der Anlage von 4 bis 5 Stunden, gelegentlich geht es auch rascher. Bei diesen Reinigungen wird jedesmal die Büchse b , Fig. 2, durch eine neue ersetzt; denn die Stopfbüchsenpackung bringt bei der hohen Geschwindigkeit und dem schlammigen Wasser eine beträchtliche Abnutzung zustande. Die Ersatzbüchsen können an Ort und Stelle aus Bronze angefertigt werden, und die Abnutzung nach 2 bis 3 Monaten lässt eine Auswechslung ratsam erscheinen, wenn auch nötigenfalls dieselbe Büchse gewiss noch einmal so lange laufen könnte. Man bedenke, dass die Welle fast 900 Uml./min macht, und dass im Durchschnitt die Summe der Stillstände im Monat nur etwa 24 Stunden beträgt. Auch die Kugellager müssen von Zeit zu Zeit ersetzt werden; ihre Auswechslung lässt sich rasch und leicht bewerkstelligen¹⁾.

¹⁾ Die vorliegende Beschreibung wurde im November vorigen Jahres verfasst; seither beträgt die durchschnittliche Gesamtzeit der Stillstände weniger als 20 Stunden im Monat, und Auswechslungen von Kugellagern kommen kaum mehr vor.

Die Flügelräder und die Leiträder der Pumpen halten sich tadellos gut, obschon das Wasser sehr schlammig ist und namentlich viel feine Quarzsplitter mit sich führt. In dieser Beziehung sind unsere Erwartungen weit übertroffen worden. Um die Lauf- und Leiträder vor Zerstörung zu bewahren, kommt es augenscheinlich nur darauf an, den Eintritt größerer Stücke Holz oder Stein durch zweckmäßig angebrachte Siebe zu verhindern, wie das auch geschehen ist.

Die Elektromotoren.

Der elektrische Teil der Anlage ist von der Firma Brown, Boveri & Co.¹⁾ ausgeführt. Die Motoren für die Pumpen sind 6polige Drehstrommotoren mit 850 bis 900 Uml./min, eine ungewöhnlich hohe Geschwindigkeit für so starke Motoren. Nach Angabe der Firma ist bei einer Spannung von 1000 V und einer Leistung von 250 PS der Nutzeffekt $\eta = 0,94$, der Leistungsfaktor $\cos \varphi = 0,88$, bei 150 PS $\eta = 0,92$, $\cos \varphi = 0,80$. Die Schlüpfung des Ankers gegenüber dem Drehfelde ist außerordentlich gering; sorgfältige Bestimmungen, die ich ausgeführt habe, ergaben nur 0,7 vH bei 150 PS Motorenleistung.

Fig. 4 und 5 lassen die wesentlichen Einzelheiten der Konstruktion der Motoren erkennen. Jede der 9 Statorspulen ent-

hält 42 Windungen, je 7 Drähte sind in einem Loch untergebracht. Die 3 Spulen jedes Zweiges sind hintereinander geschaltet und die Spulen in Dreieckschaltung verbunden. Der Rotor hat 180 Löcher, jedes Loch führt 2 Stäbe aus Flachkupfer, und an den Stirnseiten ist je ein Stab der oberen mit einem der unteren Schicht so verbunden, dass je 6 Stäbe hintereinander geschaltet und in sich zurücklaufend kurz geschlossen sind. 60 derartige Stromkreise umspannen demnach den ganzen Anker.

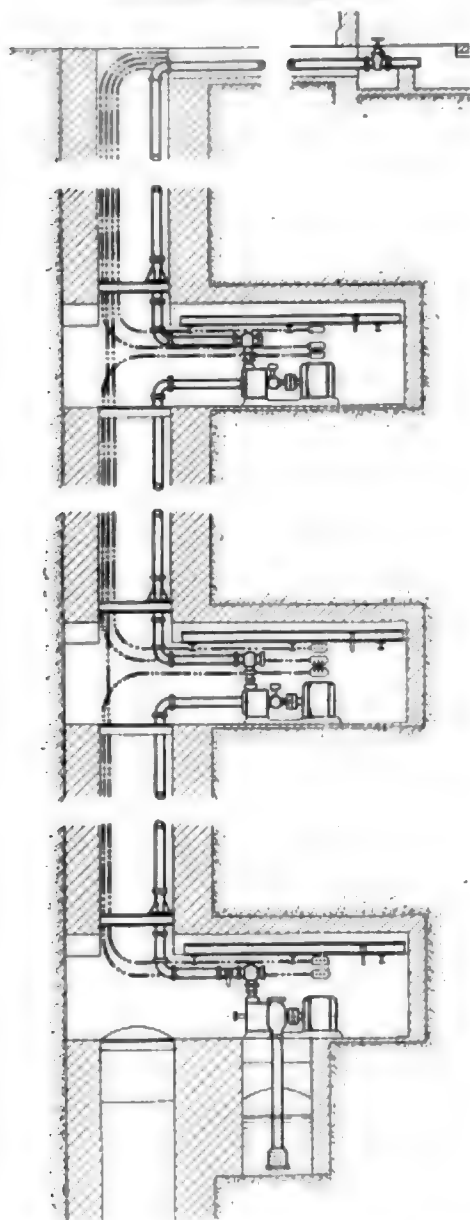
Die Anwendung von Motoren mit Kurzschlussanker wurde auf meinen besonderen Wunsch hin versucht und hat sich durchaus bewährt. Eine Kreiselpumpe hat eben die günstige Eigenschaft, dass das Drehmoment, welches sie verzehrt, im Anfange der Bewegung gleich null ist, und dass es zunächst nur sehr langsam wächst. Die Motoren brauchen zum Anlaufen eine Stromstärke von etwas über 200 Amp, der Kraftbedarf am Generator ist aber gering, weil $\cos \varphi$ einen kleinen Wert hat. Nur in einem kurzen Augenblick, bevor der Motor die volle Umlaufzahl erreicht, ist sein Kraft-

¹⁾ Jetzt Aktiengesellschaft Brown, Boveri & Cie., Baden (Schweiz) und Mannheim.

geholten Motor waren die Wicklungen und das ganze Innere derart mit Staub und Lampenruß aus der Grubenluft angefüllt, dass eine regelmäßige wiederkehrende Reinigung unerlässlich erscheint. In einem andern Motor gerieten sogar während des Betriebes Staub und Ruß in Brand. Die Entzündung geschah dadurch, dass die Flamme einer offenen Lampe beim Nachsehen des Lagers von der Lüftung des Motors angesaugt wurde. Der Motor wurde dann nach telefonischer Verständigung mit dem Pumpenwärter abgestellt und der Brand durch Zudecken der Lüftöffnungen erstickt. Seitdem wird jeder Motor alle 2 bis 3 Monate einmal an Ort und Stelle soweit gereinigt, als es ohne Herausheben des

Fig. 10.

Förderleitung und Leitungskabel.



Ankers möglich ist. Das geschieht gleichzeitig mit den schon erwähnten Reinigungen der Pumpen. Der Motor, welcher in Brand geriet, war 3¹/₂ Stunden nach dem Vorfall gereinigt und wieder im Betriebe — ein weiterer Beleg für die Widerstandsfähigkeit solcher Maschinen.

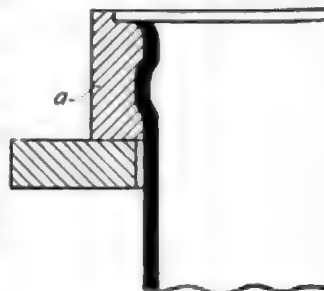
Aus Fig. 10 ist ersichtlich, wie die aus der größeren Tiefe heraufgeführte Förderleitung in die Kammer abbiegt, und wie sie zum Saughalse der Pumpe geführt wird. Die

Förderleitung von 300 mm I. W. besteht aus patentgeschweißten schmiedeeisernen Rohren der Düsseldorfer Röhrenwalzwerke (vormals Poensgen). Der Saughals der Pumpe hat nur 250 mm I. W., ein gusseisernes Uebergangstück vermittelt die Verbindung mit der Leitung. Dieses Uebergangstück trägt ein Sicherheitsventil mit Gewichtbelastung. Dadurch wird das Auftreten eines zu hohen Druckes in den Pumpen unmöglich gemacht, was beim Stillstande der Anlage der Fall sein könnte, sobald einmal die Rückschlagklappen der Förderleitung nicht dicht halten sollten.

Auf dem Druckhalse der Pumpe sitzt zunächst ein Krümmer von 45°, dann folgt ein Uebergangstück zur Erweiterung der Leitung und darauf ein Rückschlagventil. Die Rückschlagventile haben die Form von T-Stücken; der Sitz besteht aus Bronze, die Klappe ist mit Leder gelidert. Letztere kann durch den mit Blinddeckel geschlossenen Hals des T-Stückes herausgeholt und ausgewechselt werden, doch ist bis jetzt noch an keiner Stelle eine Auswechslung nötig geworden. Das T-Stück ist mit besonderen Stützen versehen, durch welche die Förderleitung gegebenenfalls entleert werden kann. Die absperrbaren Rohre, welche hierzu dienen, sind in Fig. 12 sichtbar.

Die Förderleitung ist abweichend von dem sonst Üblichen angeordnet. Der Eingang in die Pumpenkammern sollte völlig frei bleiben, um gegebenenfalls ohne Unterbrechung des Betriebes eine ganze Reservepumpe oder einen Reservemotor zur Auswechslung in die Kammer bringen zu können. Daher befindet sich der gusseiserne Sitz der Förderleitung oberhalb der Pumpenkammer im Schachte, und die Anschlussrohre sind nur aufgehängt, s. Fig. 10. Die Herstellung der Passrohre ist nun auch ganz außerordentlich einfach, weil es sich nur um gerade Rohre handelt. Man denke sich den Sitz der Förderleitung und die Rohrstränge im Schacht fertig eingebaut, dann die Pumpe nebst Krümmer, Uebergangstück und Rückschlagventil an ihren Platz gebracht. Das Uebergangstück hat einen losen, drehbaren Flansch, das Rückschlagventil kann also ohne weiteres in seine Richtung gebracht werden. Man misst mithilfe von Nivellirlatte und Lot die geraden Abstände von den Flanschen des Sitzstückes und des Rückschlagventiles bis zum Schnittpunkte der wagerechten und der senkrechten Rohrmittle, zieht die Baulänge des Krümmers ab und erhält die richtigen Rohrmasse. Jedes Probieren und jedes Biegen der starken Rohre ist vermieden, die Rohre können ohne weiteres eingesetzt werden, sowie sie aus der Werkstatt kommen.

Fig. 11 Flansch der Passrohre für die Druckleitung.



In der Saugleitung fehlt der drehbare Teil an der Pumpe; dennoch verwenden wir auch dort nur gerade Rohre und gleichen kleine Richtungsfehler durch keilförmige Dichtungsringe aus Blei und Zinn aus. Bei dem geringen Drucke in den Saugrohren ist ein solches Verfahren ganz unbedenklich.

In der Druckleitung werden die Flansche der Anschlussrohre von der Pumpe bis zum Sitz der Förderleitung durch den inneren Druck voll auf Abreißen beansprucht. Dieser Druck betrug in Kammer II in den ersten 9 Monaten des Betriebes fast 18 at. Die Fabrik liefert die Rohre in festen Längen von 5500 mm mit aufgeschweißten und abgedrehten Bunden und mit drehbaren Flanschringen. Die Passrohre fertigen wir nach Fig. 11 an. Aus kräftigem Flachblech wird ein Ring *a* geschmiedet und innen nach Zeichnung ausgedreht. Das Rohr wird mit einigen Millimetern überschüssiger Länge abgestochen, von außen mit der Feile gereinigt, und der erwähnte Ring wird warm aufgezogen. Dann wird das Rohr in den Ring hinein gehämmert und schließlich durch Abdrehen der Vorderfläche auf genaues Maß gebracht, wobei zugleich Vorsprung oder Nut für die Dichtung hergestellt wird. Diese Verbindung zeichnet sich durch größte Zuverlässigkeit aus und ist leicht herzustellen.

schlusskasten am abwärts gerichteten Kabelende wird vor dem Einhängen übertage angebracht. An den Wänden der Pumpenkammern sind Rohrhaken eingeschlagen, auf welche das Kabel gelegt wird. Ist es bei der Kammer angelangt, so wird es unter vorsichtigem Nachlassen der Winde sofort hineingezogen, der Endkasten auf seinem Platze festgeschraubt und das Kabel verlegt, wobei besondere Sorgfalt auf gute Ausbildung und Befestigung der Krümmungen verwendet wird, die zum Uebergange aus der Kammer in den Schacht notwendig werden. Dann fährt man von unten nach oben aufsteigend mit der Befestigung des Kabels an seinen Trägern fort. An allen Befestigungsstellen wird das Kabel mit einem Streifen Bleiblech umwickelt. Das ganze Einhängen und Befestigen beispielsweise der nach Kammer II geführten Kabel dauerte nach diesem Verfahren je 8 Stunden.

Vom Schacht zum Maschinensaal hin sind Kabel und Förderrohre in Kanälen geführt, vergl. Fig. 18.

Die oberirdischen Anlagen.

Diese betrachten wir erst an zweiter Stelle, weil das Wesentlichste der neuen Wasserhaltung in den untertage befindlichen Teilen liegt. Auch konnte die oberirdische Anlage in Horcajo nicht als ein Ganzes neu entworfen und erbaut werden, vielmehr ist sie das Ergebnis eines Umbaus, der vielen einschränkenden Bedingungen unterlag.

Als Kraftquelle für den neuen elektrischen Betrieb sollten zunächst dieselben Kessel und dieselben Dampfmaschinen dienen, welche das Presswasser für die ältere hydraulische Wasserhaltung lieferten. Der Betrieb dieser Maschinen durfte durch die Montage der elektrischen Anlage nicht unterbrochen werden. Fig. 17 giebt ein Bild des Maschinensaales zu jener Zeit. Die durchgehenden Kolbenstangen der Dampfmaschinen waren mit den Kolben der Presspumpen gekuppelt, die zum Teil noch auf dem Bilde sichtbar sind. An den Dampfmaschinen selbst ist nichts geändert worden; sie erhielten nur neue breitere Schwungräder. Entsprechend dem Presspumpenbetriebe, für welchen sie gebaut wurden, betrug die normale Geschwindigkeit der Maschinen 65 Uml./min, doch ließen die verschiebbaren Laufgewichte an den Regulatoren alle Geschwindigkeiten von 60 bis zu 90 Umläufen zu. In der That sind die Presspumpen öfter mit 80 und 85 Umdrehungen gelaufen, wenn ausnahmsweise eine Dampfmaschine außer Betrieb war, so auch beispielsweise während der Schwungrad-Auswechselungen.

Einen Gesamtplan der Anlage, wie sie jetzt dem elektrischen Betriebe dient, giebt Fig. 18.

Das alte Presspumpenhaus von 23,4 × 16,2 m Innen-Grundfläche wurde zunächst auf der Schwungradseite der älteren Dampfmaschinen durch einen Anbau um 5,8 m verlängert, um Raum für die Generatoren und für die Schalttafel zu bekommen. Das Dach ist mit 2 eisernen Trägern unterfangen worden, die an den Verlaschungsstellen von Säulen getragen werden, s. auch Fig. 17. Zur Herstellung der Säulen dienten geplattete Stahlrohre der hydraulischen Pumpmaschine; daher die Doppelsäulen, um mit dem gegebenen Material die nötige Tragfähigkeit zu erzielen.

Die älteren Dampfmaschinen sind Ventilmaschinen von Gebrüder Sulzer in Winterthur; ihre Hauptabmessungen sind: Dmr. des Hochdruckzylinders 425 mm, des Niederdruckzylinders 650 mm, Hub 1000 mm; Kurbeln unter 90°; Antrieb der Luftpumpe vom Kurbelzapfen der Niederdruckseite aus. Alle Leitungen sowie die Kondensatoren befinden sich unter Flur. Die Steuerung ist die bekannte; sie ist in Fig. 17 sichtbar. Die Füllung am Hochdruckzylinder wird durch den Regulator verstellt, der Niederdruckzylinder hat feste Füllung. Der Dampfdruck an den Maschinen beträgt 7,5 at. Die mittlere Betriebsgeschwindigkeit beträgt jetzt 84 Uml./min; jede Maschine indiziert dann bei 20 vH Füllung im Hochdruckzylinder 240 PS, bei 40 vH Füllung 330 PS. Die als Riemenscheiben ausgebildeten Schwungräder haben 4800 mm Dmr. und 750 mm Breite.

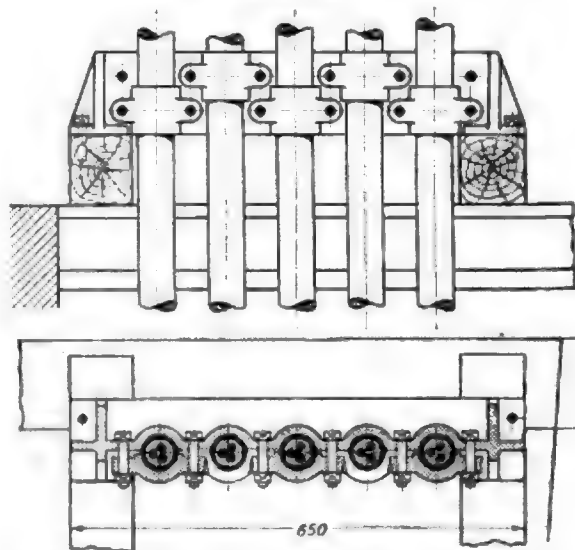
Die Generatoren für Riemenbetrieb A, B und C, Fig. 18, sind 20polige Maschinen von Brown, Boveri & Co. in Baden mit auf die Achse aufgetheiltem Erreger, s. Fig. 19. Sie sind für 270 Uml./min gebaut und liefern Dreiphasenstrom von 1000 V verketteter Spannung. Die Statorspulen sind in

Sternschaltung verbunden; jede Spulenseite ist in 2 Löchern untergebracht. Nach Angabe der Fabrik beträgt der Wirkungsgrad dieser Generatoren einschließlic Erregung, Lüftung und Lagerreibung bei Belastung auf induktive Widerstände mit $\cos \varphi = 0,8$ und bei 300 PS Aufnahme 93 vH, bei Belastung mit 150 PS 90 vH. Der Stator kann auf der Grundplatte seitlich verschoben werden. Die Riemenscheibe hat 1480 mm Dmr. und 750 mm Breite. Wegen des beschränkten Raumes ist unter dem schlaffen Trum des Riemens ein Schutzdach angebracht, und das ziehende Trum ist mit übereinandergreifenden Bodenplatten abgedeckt. Auf diese Weise konnte der Raum zwischen den Generatoren und den Dampfmaschinen für den Durchgang frei bleiben, s. Fig. 19.

Die Riemen sind von C. Otto Gehrckens in Hamburg geliefert. Es sind einfache Lederr Riemen bester Qualität von 730 mm Breite, bestimmt für eine Uebertragung von 270 PS bei 31 m Geschwindigkeit, d. i. für eine Nutspannung von über 13 kg pro cm Riemenbreite. Wenn sie auch im regelmäßigen Betriebe nur selten mehr als 11 kg zu leisten haben, so sind sie doch unter besonderen Verhältnissen, wie sie der Parallelbetrieb von Wechselstrommaschinen mit sich bringt, gewiss schon öfter selbst über das vorgezeichnete Höchstmaß hinaus beansprucht worden. Die Riemen sind ganz geölt und laufen vorzüglich gerade und ruhig.

Fig. 14 und 15.

Kabelträger.



Mit diesen 3 Generatoren wurde der Betrieb der neuen Wasserhaltung am 3. Januar 1900 endgültig aufgenommen und dann sogleich mit der Beseitigung der Presspumpen und mit der Vereinigung des alten Maschinensaales mit einem inzwischen hergestellten zweiten Anbau begonnen, der zur Aufnahme neuer Dampfmaschinen und Generatoren bestimmt ist.

Die Arbeitsleistung der Wasserhaltung wächst von Jahr zu Jahr wegen der zunehmenden Tiefe der Grube; auch nimmt die Wassermenge langsam zu. Ferner soll demnächst in größerem Umfange in den Werkstätten, Aufbereitungsanstalten usw. elektrische Beleuchtung und Kraftübertragung angewendet werden. Auch soll in der Kraftanlage immer ein Maschinensatz in Reserve stehen, sodass für die Instandhaltung und Reinigung der Maschinen stets bestens gesorgt werden kann, was sonst bei dem ununterbrochenen Betriebe zu Störungen Anlass geben würde. Seit Juli 1900 ist die erste der neuen Schwungradmaschinen D, E und F, s. Fig. 18, im Betriebe.

Der Generator hat ein Polrad mit 48 Polen, die Magnetbewicklung besteht aus blankem Flachkupfer. Die feststehende Armatur ist viertellig ausgeführt und behufs genauer Zentrierung auf ihren Unterlagen verstellbar. Ebenso wie bei den Generatoren A, B und C ist auch hier jede

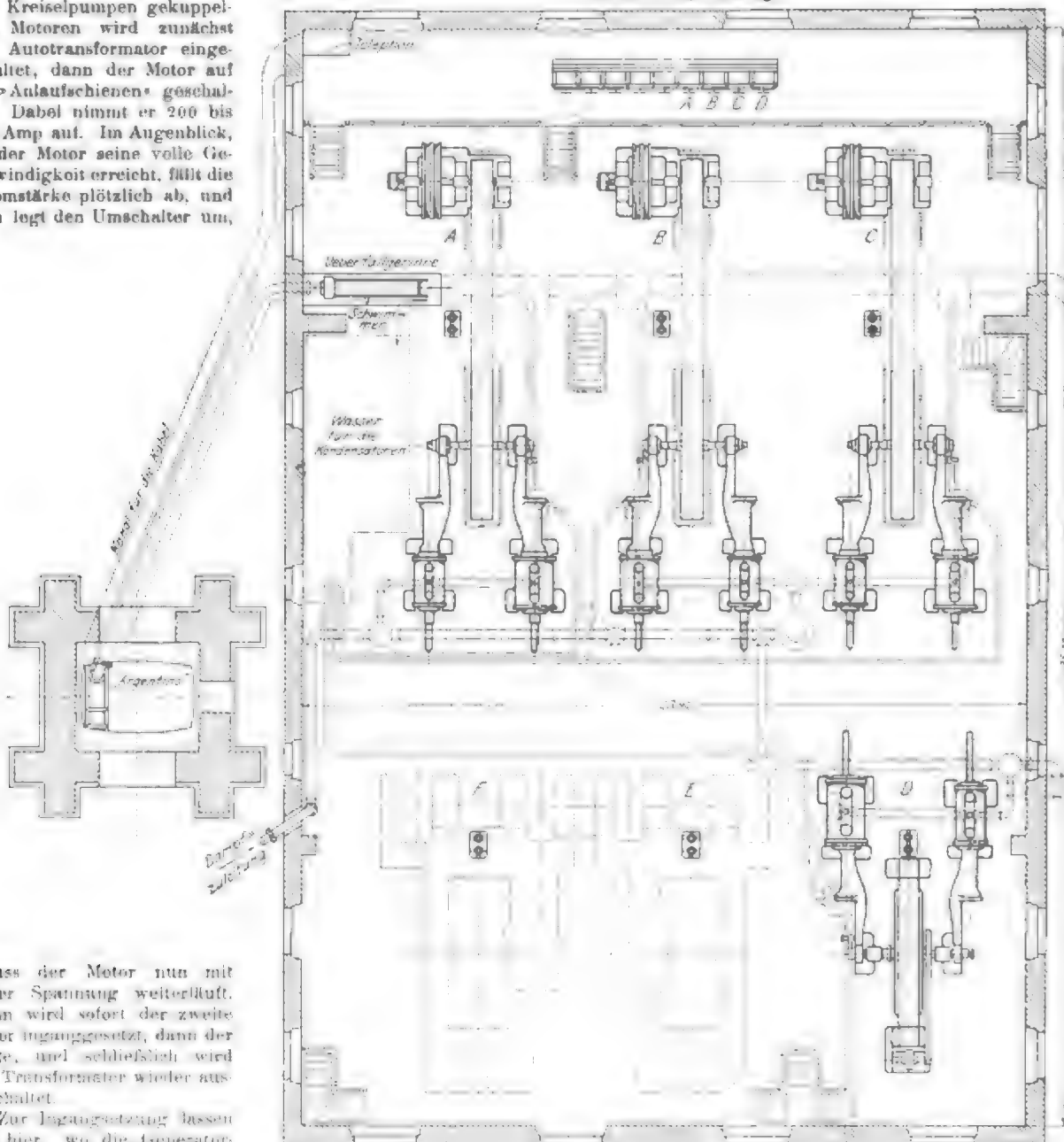
Das Mittelfeld enthält einen Spannungsmesser und einen Strommesser für den Gesamtstrom mit weithin sichtbarem Zeiger und ferner einen Ausschalter für den Autotransformator, der zum Anlassen der Motoren dient. Der Autotransformator selbst steht in einer Nische unter der Bühne. Seine sekundären Klemmen geben 400 V Spannung; die Leitung von ihnen führt zu einer zweiten Gruppe von Sammelschienen, welche die Motorfelder durchzieht. Letztere haben Umschalter statt gewöhnlicher Ausschalter erhalten.

Beim Anlassen der mit den Kreiselpumpen gekoppelten Motoren wird zunächst der Autotransformator eingeschaltet, dann der Motor auf die »Anlaufschienen« geschaltet. Dabei nimmt er 200 bis 240 Amp auf. Im Augenblick, da der Motor seine volle Geschwindigkeit erreicht, fällt die Stromstärke plötzlich ab, und man legt den Umschalter um,

fließen beginnt. Eine Drosselklappe an der untersten Pumpe und ein Regullrschieber am Ausguss im Maschinensaal geben aber nur wenig Wasser frei, damit eine Überlastung des Generators vermieden wird. Sogleich wird dann ein zweiter und ein dritter Generator parallel geschaltet, Drosselklappe und Regullrschieber geöffnet, und die volle Förderung ist im Gange.

Die Regulirfähigkeit der Wassermengen spielt eine große

Fig. 18.
Maschinenanlage über Tage.



sodass der Motor nun mit voller Spannung weiterläuft. Dann wird sofort der zweite Motor inangegesen, dann der dritte, und schließlich wird der Transformator wieder ausgeschaltet.

Zur Inangegesehung lassen wir hier, wo die Generatoreinheit viel schwächer ist als der aus den drei hydraulisch gekoppelten Motoren bestehende Hauptverbraucher, die Dampfmaschine etwas langsamer als normal laufen. Dann können die Kreiselpumpen den Gegendruck der Förderschule noch nicht überwinden, ihre Flügel verbrauchen demnach nur die geringfügige Leerlaufarbeit von ungefähr 35 PS für die Pumpe. Erst wenn alle Motoren mit voller Geschwindigkeit und mit voller Spannung laufen, wird mit dem Regulator der Dampfmaschine die Geschwindigkeit gesteigert, bis das Wasser zu

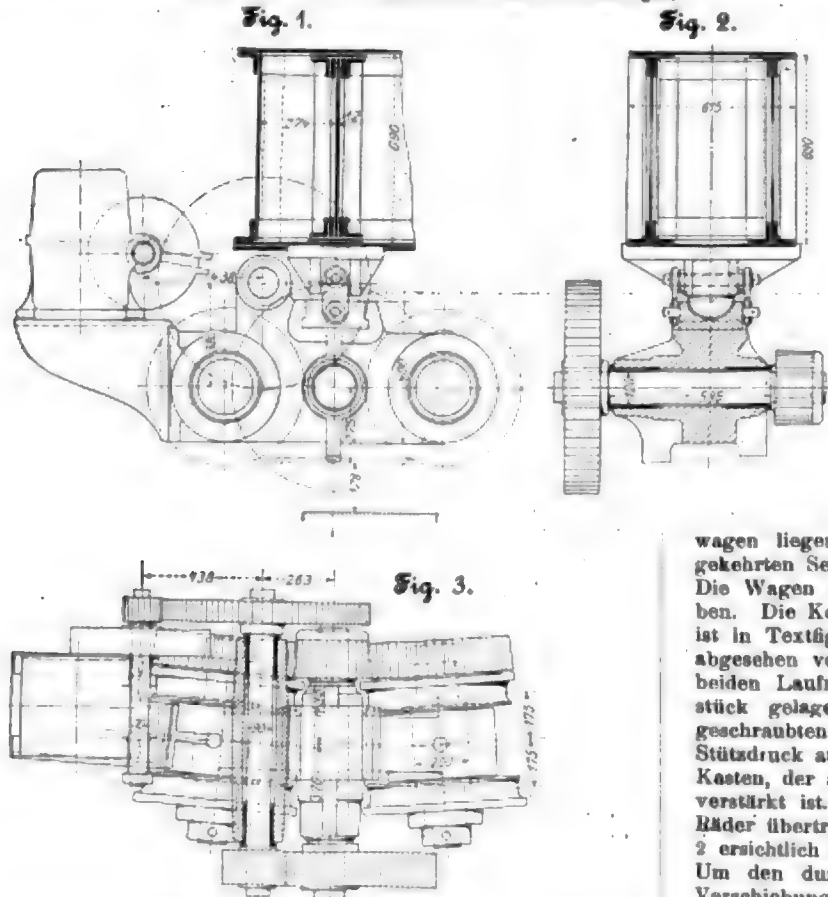
Rolle im Betriebe, weil keine großen Behälter in der Grube angelegt werden können, sodass man stets den augenblicklichen Zuflüssen folgen muss, die ihrerseits vom Gange der Abtiefpumpen beeinflusst werden. Die höchste bis jetzt von der Anlage für einige Stunden verlangte Leistung betrug 5 cbm/min, die mittlere Tagesleistung seit der Inbetriebnahme bewegte sich zwischen 5200 und 5600 cbm. Von 3500 ltr/min aufwärts wird die Leistung durch Verstellen der

as
ch
ig
e-
is-
as
er
e-
ch
n-
uf
in
m
e-
ch
is
as
n-
se
h-
r-
s-
n-
ig
es
ir
ch
to
ie
le
m
e-
af-
uf
r-
ar
ie
e-
ie
ir
es
r-
to
m
ie

di-
er
if-
rt
on
de
m
m.
m-
or-
en
t-
m
t,
m
r-
m
nt
r-

heit stimmt mit der berechneten überein, während bei dem 150 t-Kran das Fundament auch auf Zug beansprucht wird und die Stabilitätsrechnung wegen der durch den schlechten Untergrund bedingten unbestimmten Lage der Kippkante des Fundamentes an Unsicherheit leidet. Den für das Drehen der Krane notwendigen Kraftaufwand betreffend, ist es selbstverständlich, dass der in sich stabile Drehturm bei dem großen Durchmesser der Laufbahn erheblich mehr Kraft gebraucht als die Säule des 150 t-Kranes, doch fällt dieser Umstand nicht ins Gewicht. Ausgeschlossen ist die Verwendung des Drehturmes aber dann, wenn das Bedürfnis vorliegt, mit den Eisenbahngleisen nahe an die Kaikante heranzugehen, während es bei dem Aufbau des Bremerhavener Kranes möglich ist, durch das Stützgerüst hindurch an der drehbaren Kransäule vorbei Gleise durchzuführen, wie dies bei 2 andern Kranen dieser Bauart, die für die Germania-Werft in Kiel¹⁾

Fig. 1 bis 3. Elektrischer Antrieb für die Laufwagen.



und die Howaldtwerke in Kiel²⁾, bestimmt sind, geschieht. Die Laufkatzen beider Krane weisen ebenfalls bemerkenswerte grundsätzliche Verschiedenheiten auf. Die geringere Hubhöhe des 100 t-Kranes und der geringere Durchmesser des verwendeten Drahtseiles ermöglichen, dieses vollkommen auf den Windetrommeln aufzuwickeln, während die Trommeln bei dem größeren Kran als Spilltrommeln ausgebildet werden mussten. Die Laufkatze des 100 t-Kranes ist ferner mit einem besonderen Hülfswindwerk von 7,5 t Tragfähigkeit ausgerüstet, während die Übersetzung des Hauptwindwerkes nur zwei Stufen hat. Diese wesentlich von einander abweichende Bauart der beiden ähnlichen Zwecken unter ähnlichen Verhältnissen dienenden Krane bietet den Anlass, auch auf die in Tafel XXVI dargestellte Konstruktion des 100 t-Kranes näher einzugehen.

Der wagerechte Ausleger, der starr mit dem Drehturm

verbunden ist, hat einen längeren Lastarm und einen kürzeren Gegengewichtarm. Die beiden parallelen Fachwerkträger des letzteren sind durch Windverband gegen einander verspannt, während der Lastarm nur durch das kräftige Fachwerk der sich zu seinen beiden Seiten hinziehenden Bedienungsbühnen versteift ist. Das Gegengewicht beträgt 100 t. Der Berechnung lag wieder die Erwägung zugrunde, dass die auftretenden größten links und rechts drehenden Momente annähernd gleiche Werte erhielten. Außerdem war zu prüfen, ob die Standsicherheit des Kranes gesichert ist, auch wenn die Laufkatze sich nicht auf dem Ausleger befindet. Der Drehturm hat 6 Stützen: 4 stärkere Laststützen und 2 schwächere Windstützen. Die unter sich durch Quer- und Schrägverbindungen versteiften Stützen ruhen je auf einem kräftigen Querträger, der den Druck weiter auf 2 vierrädrige Laufwagen überträgt. Diese Wagen, im ganzen 12 an der Zahl, rollen auf einer zweischienigen Fahrbahn von 350 mm Spurweite und 11 m mittleren Dmr. Für die Berechnung der durch die Stützen auf die Wagen ausgeübten Drücke wurde angenommen, dass bei zentrischer Belastung des Drehturmes jede Stütze einen ihrem Querschnitt entsprechenden Anteil des lotrechten Druckes überträgt, in welchem Falle alle Stützen eine gleichmäßige elastische Zusammendrückung erleiden. Zur Aufnahme der Seitenkräfte, die vor allem durch den Winddruck hervorgerufen werden, dient ein Königzapfen, der im Unterbau gelagert ist. Um die Flächenpressung im Unterbau auf die zulässige Grösse herabzumindern, sind auf den Königzapfen an den Auflagerstellen eiserne, in Rippenhohlguß ausgeführte Mäntel aufgesetzt.

Von den 12 Wagen, auf denen der Kran läuft, werden drei unabhängig von einander durch je einen Elektromotor von 12 PS angetrieben. Für eine volle Umdrehung des Kranes werden dabei je nach der Belastung 6 bis 8 min gebraucht. Zwei dieser Treibwagen liegen unter den Laststützen auf der der Last zugekehrten Seite, der dritte auf der entgegengesetzten Seite. Die Wagen unter den Windstützen werden nicht angetrieben. Die Konstruktion eines solchen elektrischen Antriebes ist in Textfig. 1 bis 3 dargestellt; die anderen Wagen sind abgesehen vom Antrieb in gleicher Weise ausgeführt. Die beiden Laufrollenpaare sind in einem gemeinsamen Gussstück gelagert, während der Elektromotor auf einer angeschraubten Konsole steht. Der Querträger, der den Stützdruck auf das Wagenpaar überträgt, ist ein geschlossener Kasten, der an den Auflagerstellen durch Querverbindungen verstärkt ist. Damit der Druck gleichmäßig auf alle vier Räder übertragen wird, ruht der Träger, wie aus Fig. 1 und 2 ersichtlich ist, mittels eines Kugelgelenkes auf dem Wagen. Um den durch Temperaturänderungen bedingten radialen Verschiebungen des Eisengerüsts gerecht zu werden, sind die Lagerpfannen als in radialer Richtung bewegliche Gleitschuhe ausgebildet.

Die Laufräder werden von der Motorachse aus durch eine vierstufige Stirnräderübersetzung angetrieben. Die Welle des ersten mit dem Motor zusammengebauten Vorgeleges läuft mit 187 Uml./min. Von hier wird die Bewegung mit einer Gesamtübersetzung von rd. 1:72 auf die Laufräder übertragen, und zwar sind beide Lauftradachsen Treibachsen. Die mittlere Geschwindigkeit der Laufwagen berechnet sich zu 4,37 m, sodass für eine Umdrehung des Kranes rd. 8 min gebraucht werden.

Die Laufkatze ist in Textfig. 4 bis 7 dargestellt. Das Hauptwindwerk für 100 t Last mit den Antriebsmotoren M_1 und M_2 ist auf der linken Seite, die durch einen besonderen Motor M_3 angetriebene Hülfswinde von 7,5 t Tragfähigkeit auf der rechten Seite angeordnet. Das Zugmittel für das Hauptwindwerk ist ein Stahldrahtseil von 48 mm Dmr. und 90 t Bruchlast. Durch Einschaltung eines siebenrolligen Flaschenzuges sind 8 tragende Seilstrümmen gewonnen. Jedes Seilende ist über eine Trommel von 1280 mm Dmr. von Seilmitte zu

1) Z. 1900 S. 430.

2) Z. 1901 S. 1508.

Seilmitte mit eingedrehten Nuten geführt. Beide Trommeln haben gleiches Gewinde, drehen sich aber entgegengesetzt, sodass sich die Seile gegenläufig bewegen und die Last unter der Mitte der Trommel verbleibt. Die Beanspruchung des Seiles durch die Last, das Eigengewicht des Seiles und der Flasche, die Flaschenzugreibung und die Biegung über den Trommeln berechnet sich zu 18 t, sodass sich eine fünf-fache Bruchsicherheit ergibt. Die beiden Elektromotoren leisten bei 710 Uml./min. je 20 PS und treiben die Trommeln

thätige mechanische Bremsen, Textfig. 7, der früher¹⁾ beschriebenen Konstruktion.

Die Hilfswinde arbeitet mit einer wesentlich höheren Hubgeschwindigkeit. Das Zugmittel ist ein Drahtseil von 25 m Dmr. und 25 t Bruchlast. Die Trommel ist mit einem Links- und einem Rechtsgewinde versehen, auf denen sich die beiden Seilenden mit gegenläufiger Bewegung aufwickeln, sodass auch hier die Last immer unter der Mitte der Trommeln bleibt. Ein Elektromotor, der 26 PS bei 550 Uml./min leistet,

Fig. 4. Laufkatze.

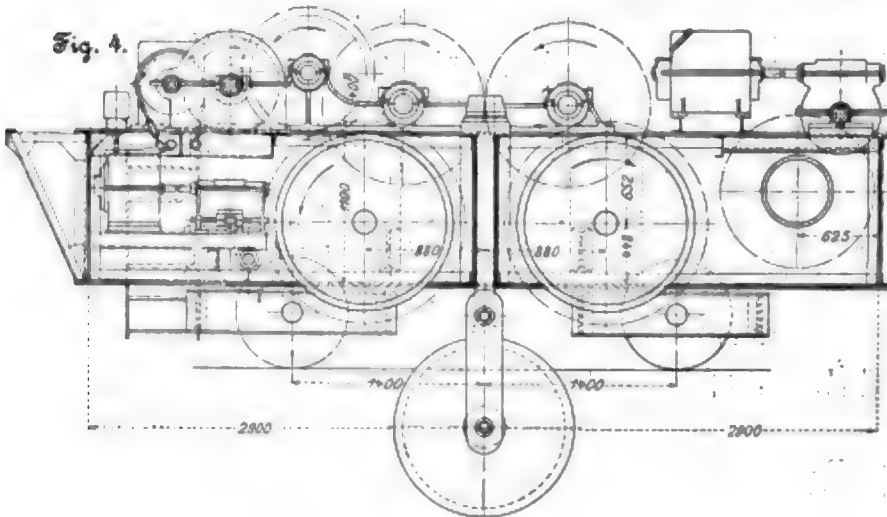
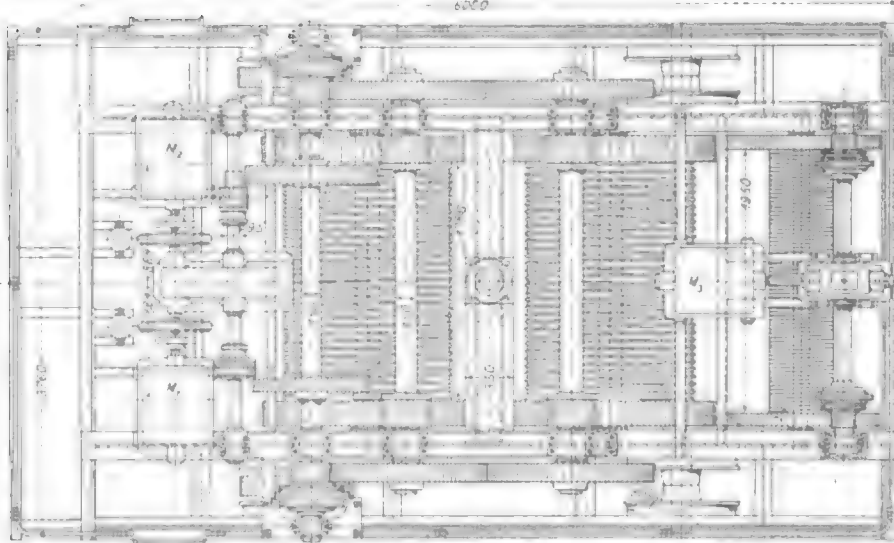


Fig. 5.



mittels einer vierstufigen Stirnräderübersetzung an. Das zweite Vorgelege ist mit zwei auswechselbaren Übersetzungen ausgerüstet, sodass die Gesamtübersetzung im Verhältnis von rd. 1:2 verändert werden kann, um kleinere Lasten mit entsprechend gesteigerter Geschwindigkeit zu heben. Die genauen Werte für die Übersetzung ergeben sich für

- 1) die größte Last von 100 t zu $\frac{1 \cdot 1 \cdot 1 \cdot 1}{5 \cdot 5 \cdot 5 \cdot 5} = \frac{1}{625}$
- 2) eine Last > 50 > > $\frac{1 \cdot 1 \cdot 1 \cdot 1}{5 \cdot 2 \cdot 5 \cdot 5} = \frac{1}{375}$

Die Trommeln machen dementsprechend rd. 1 bzw. 2 Uml./min, und die Geschwindigkeit der Last ermittelt sich unter Berücksichtigung der Flaschenzugübersetzung zu rd. 1 bzw. 2 m/min.

Die Bremsen sind doppelt ausgeführt. Auf der Ankerwelle der Motoren sitzen zwei selbstthätige elektromagnetische Bremsen und auf einer der Vorgelegewellen zwei selbst-

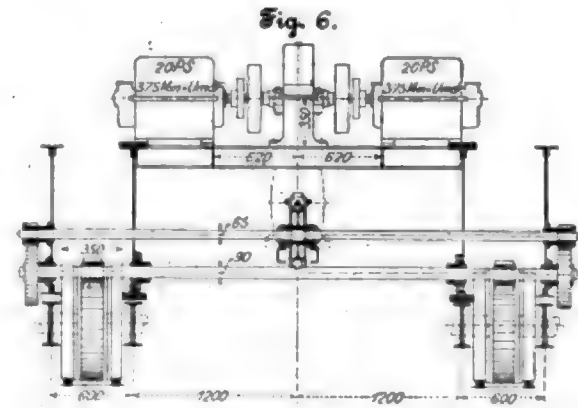
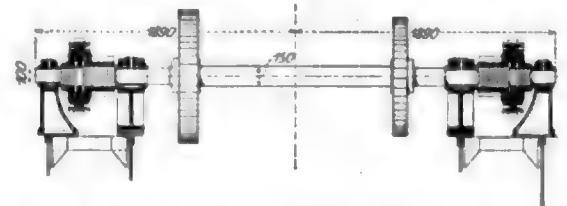


Fig. 7.



treibt die Trommel mittels eines Schneckengetriebes und eines Rädervorgeleges mit einer Gesamtübersetzung von $\frac{1}{12} \cdot \frac{1}{7.2} = \frac{1}{86}$ an. Die Lastgeschwindigkeit der Hilfswinde ermittelt sich demgemäß zu etwa 10 m/min.

Wegen der auftretenden hohen Drücke ist auch bei diesem Kran die Last der Laufkatze auf vier Räderpaare verteilt, von denen die beiden auf der linken Seite befindlichen angetrieben werden. Der Antriebsmotor leistet 12 PS und überträgt seine Drehung durch eine dreistufige Übersetzung mit dem Gesamtverhältnis 1:250 auf die Laufräder von 800 mm Dmr. Die Geschwindigkeit der Laufkatze beläuft sich dabei auf 8 bis 10 m/min.

Sämtliche Elektromotoren werden durch Steuerschalter gesteuert, die in dem am Drehturm mit dem Ausblick auf die Last angeordneten Führerhäuschen aufgestellt sind. Die Steuerschalter für das Krandrehen und das Katzenfahren sind durch eine Universalsteuerung mit einander vereinigt.

Ueber den Materialaufwand geben folgende Zahlen Aufschluss:

Gewicht der Kransäule	53 t
Leitern und Führerhaus	12 „
Gegengewichtarm	23 „
Lastarm	53 „
Unterwagen	37 „
Laufkatze	30 „
zusammen	208 t

Das Gegengewicht beträgt 100 t, sodass sich der gesamte lotrechte Druck einschließlich der größten Last auf 408 t beläuft.

Die elektrische Ausrüstung des Kranes stammt von der Union Elektrizitäts-Gesellschaft in Berlin.

Die Weltausstellung in Paris 1900.

Turbinenbau.

Von Professor E. Reichel, Charlottenburg.

(Fortsetzung von S. 1552)

**A.-G. der Maschinenfabrik von Theod. Bell & Co.,
Kriens bei Luzern.**

Die A.-G. der Maschinenfabrik von Theodor Bell & Co. hatte aus ihren alle Zweige des modernen Turbinenbaues umfassenden Erzeugnissen eine reiche Auswahl zusammengestellt, die durch ihre geschlossene und übersichtliche Anordnung einen vorzüglichen Eindruck machte.

Den Schwerpunkt des Turbinenbaues hat auch diese Firma auf die Entwicklung der Francis Bauart gelegt, nachdem sie diese seit einigen Jahren anstelle der bisher mit Vorliebe gebauten Achsialturbinen übernommen hatte. Auf der Ausstellung führte sie 3 solche Anlagen als Beispiele vor: 2 doppelkränzige Francis-Turbinen mit wagerechter Achse, die eine in offener, die andere in geschlossener Wasserkammer, und eine große dreikränzige Elagenturbine mit senkrechter Welle.

Die ersterwähnte Turbine ist in Fig. 85 und 86 dargestellt; sie soll bei 8,5 m Gefälle, einem Wasserverbrauch von 3,5 cbm/sk und 240 Uml./min 300 PS liefern. Die beiden Laufradkränze von je 300 mm Dmr. sind symmetrisch an beiden Seiten in einem kesselartigen Gehäuse angeordnet, das in die seitliche Wand der Wasserkammer eingelassen ist und sich unten auf ein in Beton gemauertes Saugrohr stützt. Das Bemerkenswerte an der Turbine ist die Regulierung mittels des der Firma patentierten Kranzes drehbarer Leitschaufeln, den sie neuerdings an allen Radialturbinen zur Anwendung bringt. Die Leitschaufel besteht aus einem festen, mit den seitlichen Kränzen zusammenhängenden Teil und einer beweglichen Zunge, die sich in geöffneter Stellung ganz in die feste Hälfte einschmiegt. An beiden Seiten führt sie sich, um einen Bolzen drehbar, mit 2 cylindrischen flachen Scheiben in ausgefrästen Löchern der festen Kränze, und zwar so, dass

Fig. 85 und 86.

A.-G. der Maschinenfabrik von Th. Bell & Co., Kriens bei Luzern:
Francis-Turbine; 240 Uml./min. Maßstab 1:25.

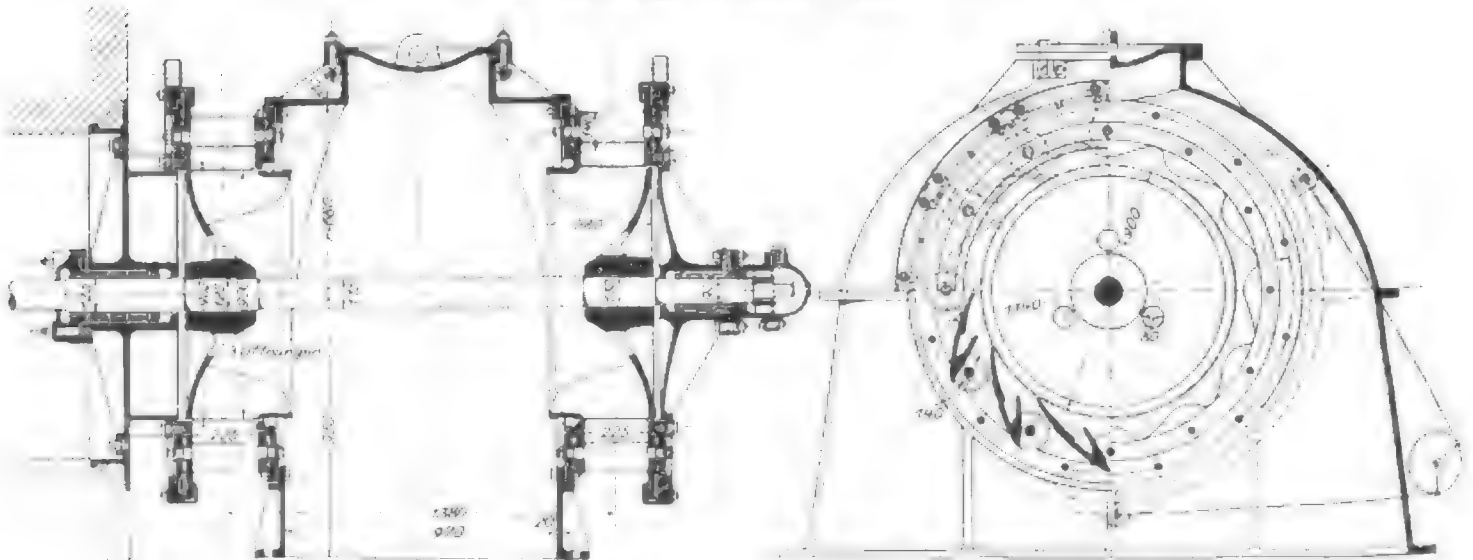
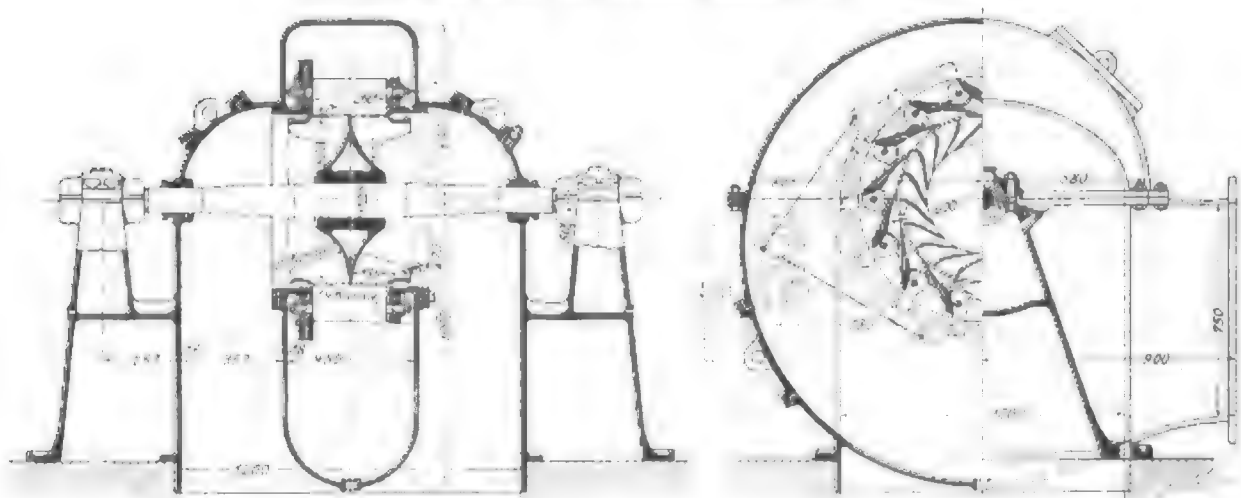


Fig. 87 und 88.

A.-G. der Maschinenfabrik von Th. Bell & Co., Kriens bei Luzern:
Francis-Turbine; 400 Uml./min. Maßstab 1:25.



lauf öffnet; durch den entgegenwirkenden Federdruck wird aber alsbald wieder eine entgegengesetzte Bewegung herbeigeführt, indem der Flüssigkeitsdruck sich ausgleicht, und der Freilauf wird allmählich, ohne dass störende Druckschwankungen in der Leitung entstehen könnten, wieder geschlossen. Das unbenutzte Entweichen des Wassers durch den Freilauf ist demnach bei dieser Anordnung nach Möglichkeit beschränkt. Zur genauen Einstellung des gesamten Getriebes dienen an verschiedenen Stellen eingeschaltete Nachstellvorrichtungen mit genauen Einteilungen, sodass stets sicheres Arbeiten zu erwarten ist. Nach den Angaben der Firma hat sich dieser ihr übrigens patentierte Geschwindigkeits- und Druckregler bereits derart bewährt, dass sich bei vollständiger plötzlicher Entlastung einer Turbine von mehreren hundert Pferdestärken bei 400 m Gefälle die Umlaufzahl nicht mehr als um 3 vH, der Druck in der 2 km langen Leitung um kaum 10 vH veränderte.

Außer den besprochenen Turbinenanlagen hatte die

Firma noch drei verschiedene Regulatoren einzeln ausgestellt: einen Klinkenregulator, einen ganz neuen hydro-mechanischen sowie einen rein hydraulischen Regulator, der auch für die Beznauer Anlage Verwendung gefunden hat. Er ist in Fig. 103 bis 105 dargestellt und entspricht in seiner Zusammensetzung dem in der Einleitung gegebenen Schema. Der Servomotor *M* wirkt mit einem Differentialkolben auf die Regulirwelle *R*; im übrigen unterscheidet sich seine Wirkungsweise nicht von den bereits besprochenen Systemen.

Eine Reihe Laufradkränze für die Hochdruckmotoren, mit den Schaufeln in einem Stück gegossen, lieferte durch ihre überaus saubere Ausführung den Beweis einer geradezu als vollendet zu bezeichnenden Gusstechnik. Dieselbe war auch an allen übrigen Ausstellungsgegenständen zu beobachten und bildete im Verein mit der peinlich genauen und gefälligen Ausführung aller Einzelheiten ein Zeugnis für die hervorragende Leistungsfähigkeit der Firma.

(Fortsetzung folgt.)

Eine Stelle an manchen Maschinenteilen, deren Beanspruchung aufgrund der üblichen Berechnung stark unterschätzt wird.

Von C. Bach.

Die Berechnung der größten Inanspruchnahme, welche bei dem in Fig. 1 dargestellten Körper infolge des Einwirkens der Kraft *P* eintritt, pflegt — je nach der Auffassung über den Verlauf der Bruchfläche — in zweierlei Weise zu erfolgen.

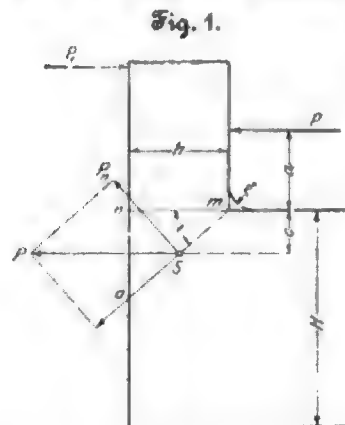


Fig. 1.

A) Man nimmt *mn* als Bruchquerschnitt an, auf welcher Grundlage mit

Θ als Trägheitsmoment,
 e » Faserabstand
für die Biegungsspannung σ_b die Gleichung

$$Pa = \sigma_b \frac{\Theta}{e}$$

sich ergibt. Die Wirkung von *P* als Schubkraft wird hierbei außer Betracht gelassen, was für ausreichend große Werte von *a* im Vergleich zu *h* zulässig erscheint¹⁾.

B) Der Verlauf der Bruchlinie wird geneigt angenommen, etwa in der Richtung *mo*, den Winkel α mit der Richtung von *P* einschließend. Bezeichnet

f die Größe des Bruchquerschnittes *mo*,
S die Schwerpunktlage desselben,
 Θ das Trägheitsmoment,
 e den Faserabstand,

so ergibt sich zunächst die Zugspannung σ_z , welche die Kraft $P_z = P \sin \alpha$ für den Querschnitt liefert, aus

$$P \sin \alpha = \sigma_z f$$

und die Biegungsspannung σ_b aus

$$P(a + c) = \sigma_b \frac{\Theta}{e}$$

Die Gesamtanstrengung beträgt alsdann

$$\sigma_z + \sigma_b = \frac{P \sin \alpha}{f} + \frac{P(a + c)}{\frac{\Theta}{e}} \quad (1).$$

Bei Gussstählen wird hierbei noch der Umstand zu berücksichtigen sein, dass im allgemeinen 1 kg Zugspannung nicht gleichwertig ist 1 kg Biegungsspannung, berechnet in

der üblichen Weise¹⁾. Damit findet sich, falls k_z die zulässige Zug- und k_b die zulässige Biegungsanstrengung ist,

$$\beta_0 \frac{P \sin \alpha}{f} + \frac{P(a + c)}{\frac{\Theta}{e}} \leq k_b, \text{ worin } \beta_0 = \frac{k_z}{k_b} \quad (2).$$

Für α ist derjenige Winkel zu wählen, für welchen die Gesamtbeanspruchung zum Größtwerth wird. Mit α wächst einerseits die Zugkraft $P \sin \alpha$ und der Anteil c des Hebelarmes, andererseits f und $\frac{\Theta}{e}$.

Hinsichtlich der Zulässigkeit der Vernachlässigung der Schubkraft $P \cos \alpha$ gilt das unter A Bemerkte in noch verstärktem Maße.

Ist *H* nicht ausreichend groß gegenüber *h*, so erfolgt der Bruch im wagerechten Teil des Körpers, also in einem Querschnitt von der Höhe *H*.

Dass das Vorgehen mit *mo* als Bruchquerschnitt im allgemeinen richtiger ist als die Annahme wagerechten Verlaufes der Bruchlinie nach *mn*, liegt auf der Hand. Trotzdem ist mir die Beurteilung der tatsächlichen Inanspruchnahme derart, dass $\sigma_z + \sigma_b$ aus Gl. (1) bzw. (2) ermittelt und dieser Wert hinsichtlich seiner Zulässigkeit mit den üblichen für zulässig erachteten Materialanstrengungen verglichen wird, immer unbefriedigend erschienen. Schon das praktische, durch die Erfahrung und Beobachtung für die wirkliche Beanspruchung geschulte und geschärfte Gefühl wird durch die scharfe Ecke bei *m* stützig und regt zu Zweifeln an. Ersetzt man die scharfe Ecke durch Ausrundung, etwa wie in Fig. 1 gestrichelt angegeben ist, so erhält man einen an der Innenseite gekrümmten stabförmigen Körper, woraus auf eine größere Beanspruchung zu schließen sein würde²⁾, als sie die Rechnung nach Gl. 1 (2), welche einen geraden stabförmigen Körper voraussetzt, liefert. Ueber das Mehr an Beanspruchung kann jedoch mit Sicherheit nichts bemerkt werden; höchstens eine willkürliche Schätzung wäre möglich.

Ein Unfall, mit dem ich mich Mitte vorigen Jahres zu beschäftigen hatte, und den ich zur Klarstellung bei der großen Bedeutung der Sache im Folgenden glaube kurz berühren zu sollen, veranlasste mich nun, auf dem Wege des Versuches das Maß festzustellen, um welches unter bestimmten Verhältnissen die Widerstandsfähigkeit geringer ist, als sie nach der bisher üblichen Rechnung [Gl. 1 (2)] zu erwarten steht.

Infolge Eintritts von Wasser in den Niederdruckzylinder einer großen Dreizylindermaschine brachen — abgesehen

¹⁾ Vergl. C. Bach, Elastizität und Festigkeit, § 45 Ziff. 1 (3. Aufl. S. 354), oder Maschinenelemente, S. 25 (7. und 8. Aufl.).

²⁾ Vergl. C. Bach, Elastizität und Festigkeit, 3. Aufl., § 56 und 56, oder auch Maschinenelemente, S. 30 (7. und 8. Aufl.).

¹⁾ Vergl. C. Bach, Elastizität und Festigkeit, § 52.

von anderem — nacheinander die beiden Kurbellager: zuerst dasjenige der Niederdruckseite und hierauf auch dasjenige der Hochdruckseite. Der Vorgang war hierbei der folgende. Durch einen Fehler in der Bedienung waren verhältnismäßig große Mengen Wasser aus dem oben angeordneten Kondensator in den Niederdruckcylinder eingedrungen, deren Entweichung durch die Sicherheitsventile, wie sie gewöhnlich bemessen werden, nicht erfolgen konnte. Der Kolben stieß auf das zwischen ihm und dem Cylinderboden vorhandene Wasser; die lebendige Kraft der bewegten Massen, insbesondere des Schwungrads, suchte die Weiterbewegung des Kolbens zu erzwingen; dabei pflanzte sich die rückwirkende Kraft vom Kolben unter Herbeiführung verschiedener Deformationen durch Kolbenstange, Kreuzkopf, Schubstange und Kurbel nach

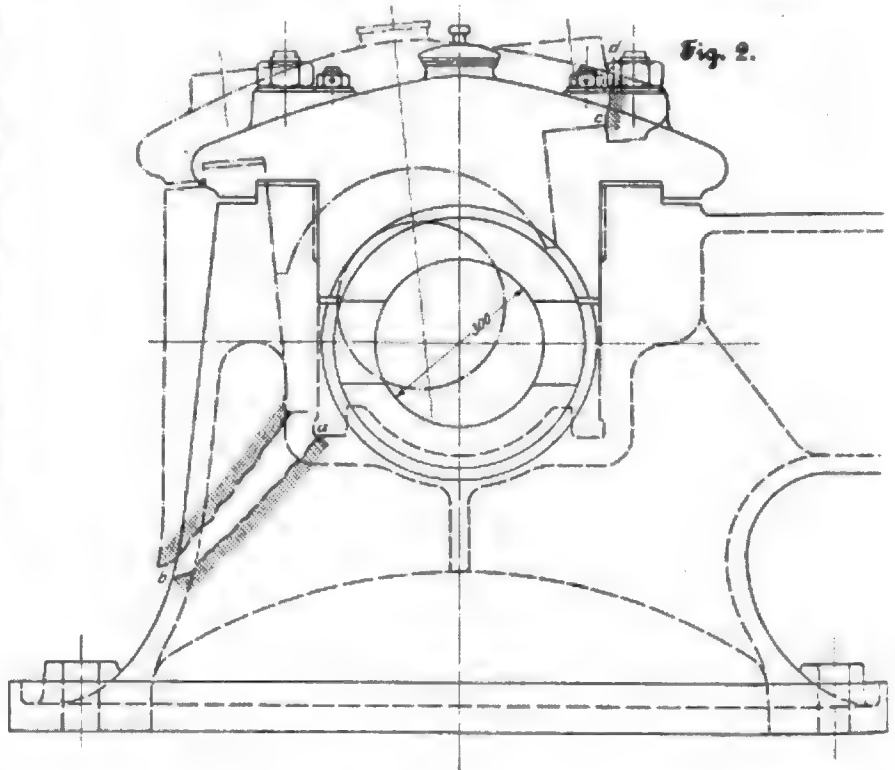


Fig. 2.

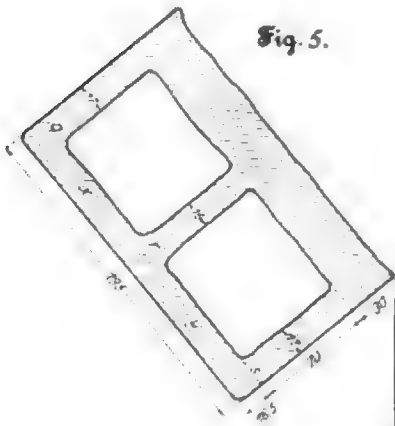


Fig. 5.

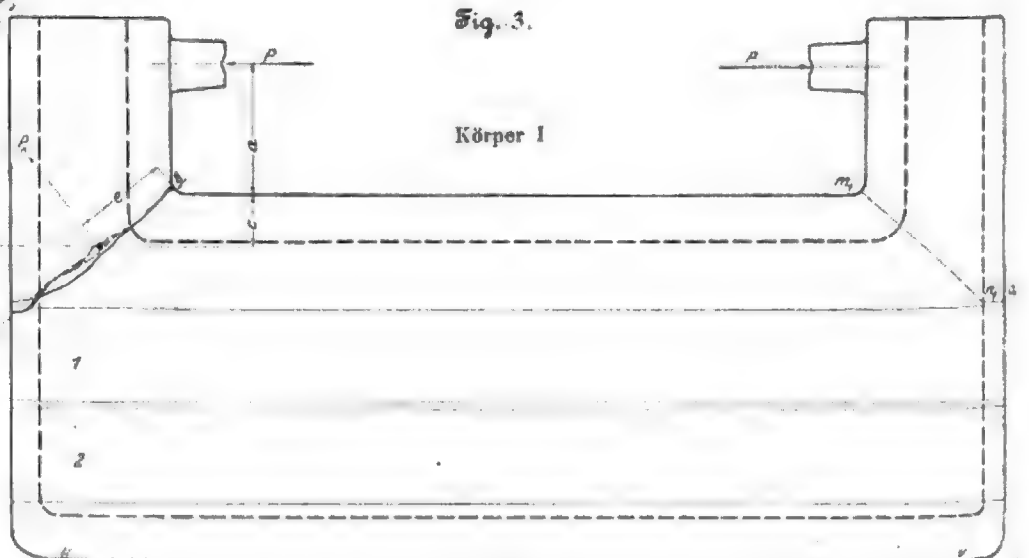


Fig. 3.

Körper I

aussen fort, der Lagerkörper auf der Niederdruckseite brach, die Schwungradwelle flug an, sich auf der Niederdruckseite nach aussen zu verschieben, und führte dadurch auch den Bruch des Lagers auf der Hochdruckseite herbei. Fig. 2 zeigt das Lager der Niederdruckseite mit strichpunktirt eingetragener Sachlage nach dem Bruch. Die Bruchlinie des Lagerkörpers verläuft nach *ab* unter ungefähr 45° , diejenige des übergreifenden Lagerdeckels nach *cd*. Sämtliche Bruchflächen erwiesen sich als gesund und reichlich stärker, als die Werkstattzeichnungen verlangten. Die Berechnung der Widerstandsfähigkeit nach Gl. 1 (2) ergab bei Außerachtlassung der unterstützenden Wirksamkeit des übergreifenden Deckels, dass in dem Niederdruckcylinder ein Ueberdruck von reichlich 26 at auf den Kolben



Fig. 4.

hätte wirken müssen, ehe bei 2000 kg/qcm Biegezugfestigkeit des Materials, diese also gering angenommen, ein Bruch zu erwarten gewesen wäre¹⁾. Dazu kam dann noch die Wirksamkeit des Deckels, welche darauf hinausläuft, dass der Kraft P in Fig. 1 eine Kraft P_1 entgegenwirkt²⁾. Hiernach konnte die Widerstandsfähigkeit beim Bruch rd. 10mal so groß angenommen werden wie die Anstrengung, welche unter normalen Betriebsverhältnissen bei voller Beanspruchung der Maschine in Aussicht zu nehmen war. Nach dem Stand unserer Erkenntnisse war somit der Maschinenfabrik der Vorwurf, das Lager sei zu schwach ausgeführt, und sie aus diesem Grund an dem Unfall Schuld, nicht zu machen. Dass der Cylinderboden nicht abgedrückt wurde, hatte darin seinen Grund, dass ein Druck von rd. 40 at notwendig gewesen wäre, um die Schrauben im Kern auf 2500 kg/qcm zu beanspruchen. Der doppelwandige Boden selbst war so stark, dass sein Bruch bei dieser Pressung noch nicht zu erwarten stand.

Wie bemerkt, veranlasste mich dieser Unfall, zu prüfen: Welche Widerstandsfähigkeit besitzt ein Körper von der Form Fig. 3, dessen Querschnitt, soweit es sich um die Bruchfläche handelt, in seinen Verhältnissen ungefähr demjenigen des Lagerkörpers entspricht³⁾.

- 1) in Wirklichkeit, ermittelt durch Bruchversuch,
- 2) nach der üblichen Berechnung?

Zu dem Zweck ließ ich nach Fig. 3 und 4 zwei Körper aus gutem, zähem Maschinenguss anfertigen, hergestellt bei demselben Guss, und sie in der Prüfungsmaschine der aus Fig. 3 ersichtlichen Beanspruchung unterwerfen. Damit sie im zu erwartenden Bruchquerschnitt gesund ausfielen, wurde die Einförmigkeit von der Gießerei so vorgenommen, dass die Wandung u v sich oben befand.

Körper I, Fig. 3 bis 5.

Der Körper brach auf der einen Seite in der aus Fig. 3 ersichtlichen Weise (die drei Bruchlinien geben den mittleren Verlauf der Bruchfläche in den beiden äußeren Wandungen — bei q und s , Fig. 5 — und in der Mittelrippe — bei r , Fig. 5 — an) unter der Belastung $P = 21250$ kg bei $a = 74$ mm. Neigung der mittleren Bruchlinie zu Anfang auf reichlich zwei Drittel rd. 45° , gegen das Ende weniger, zuletzt die äußere Wandfläche nahezu senkrecht schneidend. In der Mitte zwischen den seitlichen Wandungen und der Mittelrippe, d. i. bei x und y , Fig. 5, ist die ganze Bruchfläche in der äußeren Wand fast genau senkrecht zu dieser, sodass mit ziemlicher Annäherung der Verlauf der Bruchlinie so angenommen werden darf, wie in Fig. 3 auf der rechten Seite durch m_1, n_1, o_1 dargestellt ist⁴⁾. Die Bruchfläche, welche gesund erschien, zeigte unter dem mittleren Bruchwinkel (s. die punktierte Gerade) die aus Fig. 5 ersichtlichen mittleren Abmessungen, bestimmt nach Maßgabe der auf der rechten Seite gestrichelten Linie m_1, n_1, o_1 .

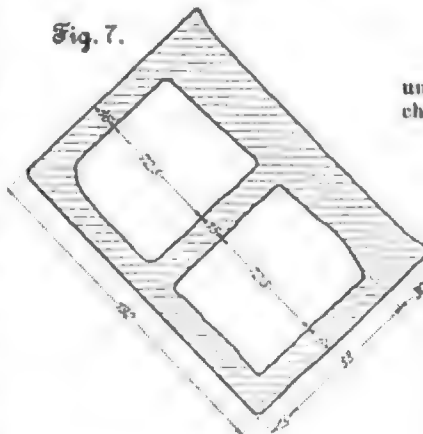
¹⁾ Für 2400 kg Biegezugfestigkeit, welche bei gutem Maschinenguss häufig angetroffen wird, würde sich ein Überdruck von mehr als 31 at rechnungsmäßig ergeben.

²⁾ Dass diese Wirksamkeit nur dann von Bedeutung sein kann, wenn der übergreifende Rand des Deckels gut anliegt, oder, was noch besser ist, wenn er sich von vornherein mit einer gewissen Pressung gegen den von ihm zu stützenden Teil legt, ist ohne weiteres zu erkennen.

³⁾ Von den beiden Seitenrippen, welche der Lagerkörper, Fig. 2, benutzte, wurde hierbei abgesehen.

⁴⁾ Dieser Verlauf, welcher dem entspricht, was von vornherein zu erwarten ist, erklärt sich, wenn man berücksichtigt, dass der Bruch durch Abreißen in der Keke beginnt und zuletzt an die äußere Wandung gelangt, die in der Mitte bei x und y ohne Zusammenhang mit der inneren Wandung durch Seitenwandungen und Mittelrippe ist und deshalb ungefähr senkrecht bröchen wird.

Fig. 7.



Hieraus berechnet sich die Fläche

$$f = 19,5 \cdot 11,65 + 7 \cdot 14,5 = 227,175 + 101,5 = 328,675 \text{ qcm,}$$

der Schwerpunktabstand

$$e = \frac{19,5 \cdot 11,65 \cdot 5,825 + 7 \cdot 14,5 (8,0 + 3,5)}{328,675} = 5,28 \text{ cm,}$$

das Trägheitsmoment

$$\Theta = \frac{1}{12} 19,5 \cdot 11,65^3 + 227,175 (5,825 - 5,28)^2 - \left[\frac{1}{12} 14,5 \cdot 7,0^3 + 101,5 (6,5 - 5,28)^2 \right]$$

und nach Abrundung von $5,825 - 5,28$ auf $0,55$ cm

$$= 6,5 - 5,28 = 1,22$$

$$\Theta = 2072,$$

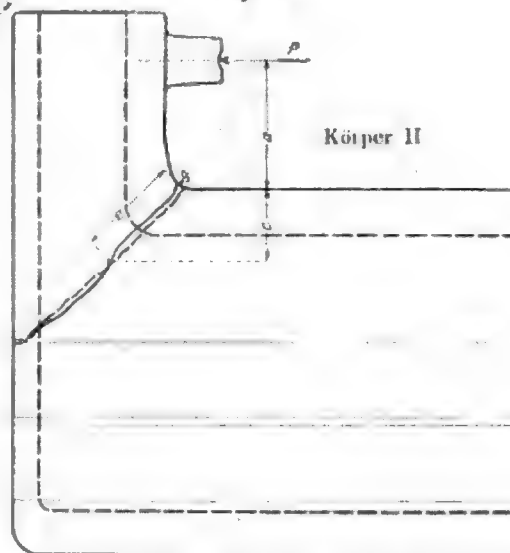
schließlich bei Abrundung von e auf $5,3$ cm

$$\frac{\Theta}{e} = \frac{2072}{5,3} = 391.$$

Die Zerlegung von P senkrecht zur Bruchfläche und parallel dazu liefert für die erstere Seitenkraft, welche oben mit $P \sin \alpha$ in die Rechnung eingeführt ist,

$$P_1 = 13200 \text{ kg.}$$

Fig. 6.



Durch Abmessen nach Eintragung des Schwerpunktes wird erhalten

$$e = 3,13 \text{ cm.}$$

Hiermit berechnet sich

$$\sigma = \frac{13200}{125,7} = 105 \text{ kg/qcm}$$

$$\sigma_s = \frac{21250 (7,4 + 3,13)}{391} = 572 \text{ kg/qcm.}$$

Aus den unverletzten Wandungen des Versuchskörpers wurden herausgearbeitet:

- 2 Flachstäbe aus der einen Seitenwand, in Fig. 3 mit 1 und 2 bezeichnet,
- 2 Flachstäbe aus der unteren Wand, in Fig. 4 mit 3 und 4 bezeichnet,
- 2 Rundstäbe aus der oberen Wand, in Fig. 4 mit a und b bezeichnet,

1 Rundstab aus einem der beiden durch Biegeversuch mit dem Flachstab 3 erhaltenen Bruchstücke, der mit c bezeichnet sei.

Die Flachstäbe behielten an den breiten Seitenflächen die Gusshaut. Der Biegeprobe unterworfen, lieferten sie

bei einer Auflagerentfernung von 50 cm die in nachstehender Zusammenstellung enthaltenen Biegezugfestigkeiten.

Stab	Bruchquerschnitt		Bruchbelastung P kg	Biegezugfestigkeit $K_b = \frac{P \cdot 50}{4 \cdot \frac{1}{6} b A^2}$ kg/qcm	Bruchaussehen
	A cm	b cm			
1	1,79	5,28	540	2393	gesund
2	1,78	5,28	465	2302	"
3	2,56	4,83	990	2346	"
4	2,40	4,44	910	2330	"
Durchschnitt 2343					

Hiernach erweist sich das Material als recht gleichmäßig. Die Rundstäbe, vollständig gedreht, ergaben die aus Folgendem ersichtlichen Zugfestigkeiten.

Stab	Durchmesser cm	Bruchbelastung kg	Zugfestigkeit kg/qcm	K_z	Bruchaussehen
a	2,00	3560	1184		gesund
b	2,00	3580	1140		"
c	2,00	3850	1226		"
Durchschnitt 1167					

Somit besteht für das Gusseisen des Körpers I das Verhältnis der Festigkeiten

$$K_b : K_z = 2343 : 1167 = 2,01 : 1^1),$$

wobei die Biegezugfestigkeit an Stäben mit vollem Rechteckquerschnitt in der gewöhnlichen Weise ermittelt wurde. Für den Querschnitt des Versuchskörpers, bei dem das Material von der Nullachse nach außen verlegt ist, würde dieses Verhältnis etwa nur 0,80 hiervon, also

$$1,79 : 1$$

betragen²⁾.

• Unter Anwendung dieses Wertes geben die oben ermittelten Größen σ_z und σ_b die Gesamtanstrengung in Biegezugspannung ausgedrückt

$$105 \cdot 1,79 + 572 = 760 \text{ kg/qcm}$$

beim Bruch des Versuchskörpers, gegenüber

$$K_b = 2343 \text{ kg/qcm}$$

Biegezugfestigkeit des Materials.

Körper II, Fig. 6 und 7.

Der Körper brach auf der einen Seite in der aus Fig. 6 ersichtlichen Weise unter der Belastung $P = 21160 \text{ kg}$ bei $a = 7,35 \text{ cm}$. Verlauf und Neigung der mittleren Bruchlinie ähnlich wie bei Körper I³⁾. Die Bruchfläche, welche im wesentlichen gesund aussah, besaß die in Fig. 7 eingetragenen mittleren Abmessungen.

Hieraus berechnet sich

die Fläche

$$f = 19,2 \cdot 13,9 - 8,8 \cdot 14,5 = 255,36 - 127,6 = 127,8 \text{ qcm},$$

der Schwerpunktabstand

$$e = 5,9 \text{ cm},$$

das Trägheitsmoment

$$I = 2796,$$

das Widerstandsmoment

$$\frac{I}{e} = \frac{2796}{5,9} = 474.$$

Ferner ergibt sich

$$P_z = 15020 \text{ kg},$$

$$e = 3,9 \text{ cm}.$$

¹⁾ Diese Verhältniszahl ist erheblich größer, als man sie sonst für Gusseisen zu erhalten pflegt.

²⁾ Vergl. C. Bach, Elastizität und Festigkeit, 1. 22. 2. Aufl. (1. 77, 3. Aufl. 11), oder Maschinenelemente, (1. 137 (2. und 3. Aufl.).

³⁾ Der Verlauf der Bruchlinie in Fig. 2, Fig. 3 und Fig. 4 zeigt deutlich, dass die eingangs unter A) bezeichnete Annahme, die Bruchfläche falle ungefähr mit m n zusammen, der Wirklichkeit nicht entspricht.

Hieraus folgt

$$\sigma_z = \frac{15020}{127,8} = 117,5 \text{ kg/qcm},$$

$$\sigma_b = \frac{21160 (7,35 + 3,9)}{474} = 502,3 \text{ kg/qcm}.$$

Die in ganz gleicher Weise wie bei dem Körper I aus den Waudungen des Körpers II herausgearbeiteten Flach- und Rundstäbe lieferten die aus den folgenden Zusammenstellungen ersichtlichen Werte.

Biegezugstäbe.

Stab	Bruchquerschnitt		Bruchbelastung P kg	Biegezugfestigkeit $K_b = \frac{P \cdot 50}{4 \cdot \frac{1}{6} b A^2}$ kg/qcm	Bruchaussehen
	A cm	b cm			
1	1,50	4,34	370	2528	gesund
2	1,62	4,34	360	2371	"
3	2,55	4,82	1040	2488	"
4	2,53	4,70	1010	2471	{unbedeutende Fehlstelle auf der Druckseite}
Durchschnitt 2465					

Zugstäbe.

Stab	Durchmesser cm	Bruchbelastung kg	Zugfestigkeit K_z kg/qcm	Bruchaussehen
a	2,015	4090	1282	gesund
b	2,00	4050	1290	"
c	2,00	3660	1166	kleine Fehlstelle
Durchschnitt 1246				

Somit besteht für das Gusseisen des Körpers II das Verhältnis der Festigkeiten

$$K_b : K_z = 2465 : 1246 = 1,98 : 1.$$

Für den Querschnitt des Versuchskörpers würde dieses Verhältnis etwa nur 0,80 hiervon, also

$$1,74 : 1$$

betragen.

Unter Anwendung dieses Wertes geben die oben ermittelten Größen σ_z und σ_b die Gesamtanstrengung, in Biegezugspannung ausgedrückt,

$$117,5 \cdot 1,74 + 502,3 = 700 \text{ kg/qcm}$$

beim Bruch des Versuchskörpers, gegenüber

$$K_b = 2465 \text{ kg/qcm}$$

Biegezugfestigkeit des Materials.

Wir erhalten für beide Versuchskörper unmittelbar durch den Versuch im Durchschnitt die Biegezugfestigkeit des Materials

$$\frac{2843 + 2465}{2} = 2654 \text{ kg/qcm}.$$

Da nun der Bruch des Körpers bei Belastungen eingetreten ist, welche nach der bezeichneten Berechnung im Durchschnitt höchstens

$$\frac{760 + 709}{2} = 735 \text{ kg/qcm}$$

Biegebeanspruchung liefern, so erkennen wir, dass diese übliche Berechnungsweise im vorliegenden Falle zu einer überaus bedeutenden Unterschätzung der Beanspruchung führt. Die Erklärung hierfür ist darin zu suchen, dass wir es hier an der Innenkante mit einem sehr stark gekrümmten Körper zu thun haben (Krümmungshalbmesser bei I 8 mm, bei II 9 mm) und deshalb — wie die Versuche nachweisen — eine weit größere — rund dreimal so große — Beanspruchung erhalten, als wie die benutzten Gleichungen, welche für

gerade stabförmige Körper gelten, angeben¹⁾. Das Mehr an Beanspruchung wird abnehmen mit Zunahme des Krümmungshalbmessers r , Fig. 1, an der Innenkante.

¹⁾ Eine schärfere Beleuchtung der Irrtümlichkeit der Ansicht, ein gekrümmter, stabförmiger Körper sei hinsichtlich Beanspruchung durch ein biegendes Moment und durch eine Normalkraft so zu behandeln, als ob seine Querschnitte einem geraden Stabe angehörten, und der möglichen Folgen eines solchen Vorgehens für die ausführende Technik lässt sich kaum denken, (vergl. Z. 1909 S. 261 u. f.; S. 403 und 404, sowie C. Bach, Elastizität und Festigkeit, 3. Aufl. (1898) S. 470 u. f.).

Aufgrund des vorliegenden Versuchsmaterials wird es sich, wenn man im Interesse der Einfachheit die Rechnung nach Maßgabe der Gl. (2) anwendet, also auf die Krümmung an der Innenseite nicht eingeht, in Fällen, die denen der Versuchskörper und ihrer Beanspruchung ähneln, empfehlen, für die zulässige Anstrengung etwa nur ein Drittel derjenigen Werte zu nehmen, welche man zulässt, falls es sich um die Biegungs- und Zugbeanspruchung eines tatsächlich geraden stabförmigen Körpers handelt.

Bei größeren Werten des Krümmungshalbmessers r wird man über ein Drittel hinausgehen dürfen, und zwar umso mehr, je größer r ist.

Stuttgart, den 3. Juli 1901.

Beobachtungen an Explosionsmotoren.

Von A. Weber-Sahli, Lehrer am Technikum Biel.

Die zeichnerische Darstellung von Versuchen, von der besonders in der Elektrotechnik vielfach und vorteilhaft Gebrauch gemacht wird, lässt sich in manchen Fällen auch in der Maschinentechnik benutzen und ist besser als jedes andere Mittel geeignet, gewisse Erscheinungen so recht in die Augen springend zu erläutern.

Beispielsweise möchte ich im Folgenden auf ein Beobachtungsverfahren aufmerksam machen, das sich zur raschen Beurteilung von Explosionsmotoren, die mittels Aussetzer regulieren, sehr gut eignet. Leider lässt sich das gleiche einfache Verfahren nicht auf Motoren anwenden, deren Geschwindigkeit durch veränderliche Füllungen geregelt wird.

Die effektive Leistung eines Motors ist durch Zugkraft und Geschwindigkeit bestimmt, beide gemessen am Umfang der Riemenscheibe, oder, da eine Bandbremse gewöhnlich auf das Schwungrad aufgesetzt wird, gemessen am Umfang des letzteren. Sie ist gegeben durch den Ausdruck

$$A_e = C P n,$$

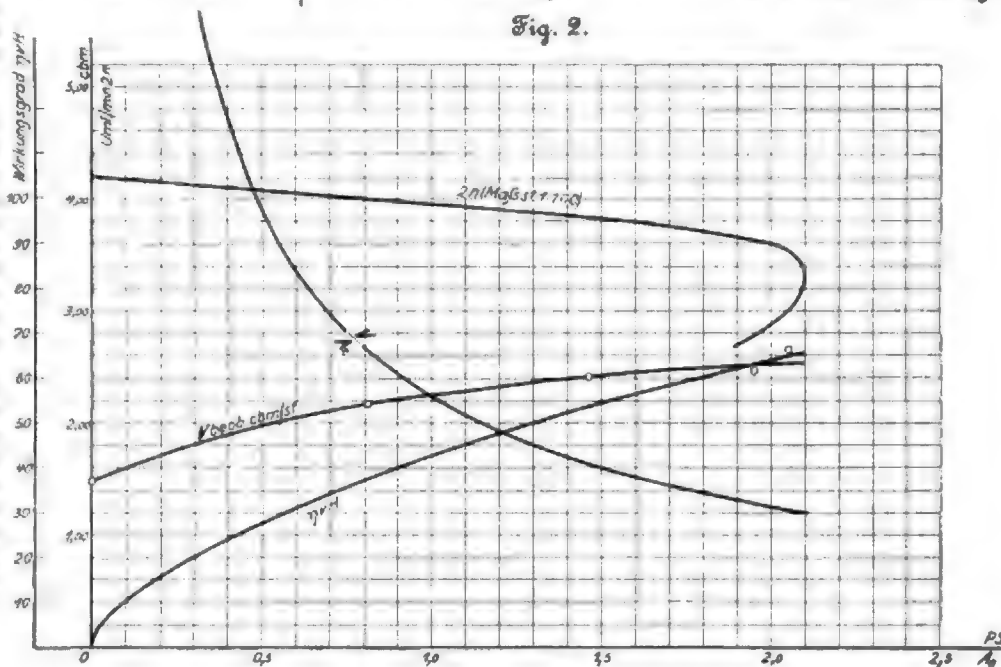
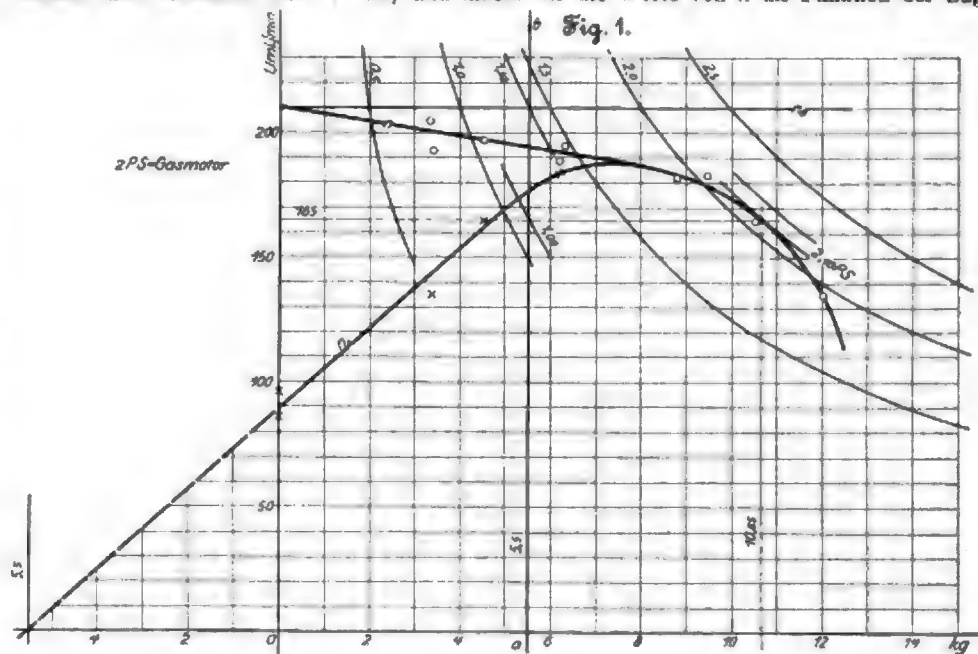
wobei C eine Konstante, P die Zugkraft in kg und n bei Viertaktmotoren die halbe Umlaufzahl in 1 Minute bezeichnet. (Wir führen die halbe Umlaufzahl in Übereinstimmung mit der Explosionszahl ein; bei Zweitaktmotoren würde man bei entsprechender Wahl der Konstanten die volle Umlaufzahl einsetzen.)

Tragen wir P als Abszissen (kg) und n als Ordinaten in ein rechtwinkliges Koordinatennetz, Fig. 1, ein, so stellt die von den Achsen eingeschlossene Ebene den Ort aller Leistungen dar, und gleiche Leistungen in PS müssen auf Hyperbeln liegen, deren Verlauf durch die Konstante

$$C = \frac{9 D \pi}{60 \cdot 75}$$

(D = Dmr. des Schwungrades + Banddicke) bestimmt ist, und zu denen die Achsen die Asymptoten bilden.

Bei der Belastung eines Motors vom Leerlauf bis zur vollen Leistung nimmt die Umlaufzahl ständig von n_0 aus ab, und indem wir die Werte von n als Funktion der Zug-



kräfte (Bremslast) in das Netz eintragen, erhalten wir eine Kurve, die zunächst geradlinig verläuft und dann mehr oder weniger rasch gegen die Abszissenachse umbiegt. Die Schnittpunkte der Kurve $n = f(P)$ mit den Leistungshyperbeln bestimmen durch ihre Koordinaten sofort Umdrehungszahl und Bremsgewicht, d. h. die beiden veränderlichen Faktoren der betreffenden Leistung, und wir finden eine sehr wichtige Grösse, die grösste Leistung, im Berührungspunkt der n -Kurve und der Hyperbel, welche dieser grössten Leistung entspricht.

Auf diese Weise sind wir viel sicherer imstande, die grösste Leistung zu bestimmen, als wenn wir die Umlaufzahl in Funktion der effektiven Leistung auftragen würden; denn es gelingt in den meisten Fällen, noch Punkte jenseits des Berührungspunktes zu beobachten, durch welche die n -Kurve in ihrem wichtigsten Teile genau festgelegt wird.

Die Kurve der Explosionszahlen (Ansauer) n_1 beginnt über dem Nullpunkt der Koordinaten und steigt zunächst geradlinig an, um sich dann in den meisten Fällen rasch umzubiegen und an die n -Kurve anzulegen, nach welcher Belastung keine Aussetzer mehr erfolgen. Das Verhältnis der zum gleichen P gehörigen Ordinaten n_1 stellt die relative Zahl

der Explosionen dar, von welchen uns besonders der Wert bei Leerlauf interessieren mag, da er oft schon eine Beurteilung der Eigenverluste des Motors zulässt.

Verlängern wir die Gerade n_1 hinter die Ordinatenachse, so schneidet sie auf dem negativen Teil der Abszissenachse ein Bremsgewicht ab, welches offenbar mit der Umlaufzahl des Leerlaufes die Leerlaufarbeit A_0 bestimmt (indizierte Arbeit bei Leerlauf); denn führten wir dem Motor bei derselben Umlaufzahl eine gleiche Leistung zu, so würde er seine Explosionen vollständig aussetzen. Wenn wir nun dieses Leerlaufbremsgewicht auf die positive Seite herübernehmen und in seinem Endpunkt die Ordinate ab errichten, so schneidet sich diese mit der durch n_0 gezogenen Wagerechten in einem Punkt, welcher auf der die Leerlaufarbeit bestimmenden Hyperbel liegt. Da wir annehmen können, dass die Eigenverluste der Umlaufzahl proportional sind, so finden wir sie leicht durch Rechnung für beliebige Umlaufzahlen bei Belastung, oder zeichnerisch, indem wir diesen Umlaufzahlen entsprechende Wagerechte bis zu ab ziehen, deren Schnittpunkte jedesmal auf einer die gesuchte Arbeit bestimmenden Hyperbel liegen. Auf diese Weise können wir für jede beliebige Belastung des Motors den Wert des Wirkungsgrades bestimmen:

$$\eta = \frac{A_e}{A_e + A_0}$$

(wobei A_e die effektive Leistung und A_0 die auf die betreffende Umlaufzahl bezogene Eigenarbeit bezeichnet) und ohne schwierige Indikatorversuche und mit für die Praxis genügender Genauigkeit die Kurve des Wirkungsgrades berechnen.

Das Verfahren ist um so vorteilhafter, als es nur wenige Versuchswerte verlangt und unter diesen hauptsächlich die Leerlaufbeobachtungen, die immer bequem und mit grosser Genauigkeit gemacht werden können. Ausserdem erstreckt sich in den weitaus meisten Fällen der geradlinige Teil der Kurven n und n_1 viel weiter, als dies in den beigelegten Diagrammen stattfindet, die einem Motor entsprechen, der weder in konstruktiver noch in wirtschaftlicher Hinsicht als mustergültig hingestellt werden kann. Aus diesem Grunde ist dann auch die Neigung der beiden Geraden und damit

die Leerlaufarbeit viel genauer festzulegen. Bei gut ausgeführten Motoren gelingt es leicht, mit 3 oder 4 Belastungsproben alle für die Beurteilung des Motors wichtigen Grössen zu bestimmen.

Die in Fig. 1 und 2 dargestellten Kurven sind nach folgenden Beobachtungen konstruiert worden.

1. Bremsversuch.

	n	n_1	$2n$	P kg	A_e PS
1	216	96	432	0	0
2	193	133	386	3,4	0,785
3	197	165	394	4,6	1,059
4	189	184	378	6,2	1,400
5	182	182	364	8,5	1,915
6	165	165	330	10,5	2,070

2. Bremsversuch.

	n	n_1	$2n$	P kg	A_e PS	Gasverbrauch	
						V cm ³ /s	V cm ³ /h
1	205	86	410	0	0	1,47	∞
2	126	136	272	12	1,95	2,45	1,86
3	183	183	366	9,4	2,05	2,65	1,29
4	195	183	390	6,3	1,47	2,40	1,64
5	205	144	410	5,3	0,91	2,16	2,70

Der Durchmesser des Schwungrades mit Berichtigung für das Bremsband betrug 355 mm und die Konstante

$$C = 0,001194.$$

Die angegebenen Zahlen sind Mittelwerte aus einer Reihe von je 5 Beobachtungen. Die Bestimmung der Umlaufzahl war schwierig, da der veraltete und in dem betreffenden Falle unvorteilhaft gebaute Pendelregulator einen sehr unruhigen Gang des Motors zuließ.

Aus dem Diagramm Fig. 1 geht hervor, dass die grösste Leistung des Motors 2,10 PS bei 330 Uml./min beträgt; dabei fällt die Umlaufzahl von 420 bei Leerlauf um 21,5 vH. Die Zahl der Ansauer bei Leerlauf beträgt 43 vH (bei gut gebauten Motoren etwa 20 bis 25 vH). Das Bremsgewicht bei Leerlauf (Eigenreibung) ergibt sich zu 5,5 kg, was einer Leerlaufarbeit von 1,38 PS gleichkommt (1,08 PS bei grösster Leistung).

In Fig. 2 ist noch einmal die Kurve der Umlaufzahl $2n$ herübergenommen, wobei aber die auf dem linksseitigen Massstabe abgelesenen Werte mit 100 zu multiplizieren sind. Die Kurve des Wirkungsgrades ist, wie weiter oben angegeben, berechnet; sie steigt, von 0 bei Leerlauf ausgehend, langsam an und erreicht bei der grössten Leistung des Motors 66 vH. Beobachtet ist die Kurve des stündlichen gesamten Gasverbrauches und daraus der Verbrauch pro PS-st V für veränderliche Leistungen berechnet. Alle diese für die Beurteilung des Motors wichtigen Kurven sind in bezug auf die effektive Leistung A_e PS angegeben.

Wenn auch neuere Motoren zumteil weitaus bessere Ergebnisse zeigen, so ist doch aus diesem Beispiel leicht ersichtlich, wie rasch bei Explosionsmotoren der Betrieb bei abnehmender Belastung unwirtschaftlich wird, und wie wichtig es ist, sie immer mit voller Belastung, d. h. mit grösstmöglichem Wirkungsgrade, arbeiten zu lassen.

Sitzungsberichte der Bezirksvereine.

Eingegangen 17. April 1901.

Bergischer Bezirksverein.

Sitzung vom 23. Januar 1901.

Vorsitzender: Hr. Lohse. Schriftführer: Hr. Ebel.

Anwesend 24 Mitglieder.

Nachdem einige geschäftliche Angelegenheiten erledigt sind, wird über die Vorlagen des Hauptvereines betr. Werkstättenausbildung von Studirenden¹⁾ und betr. den Entwurf eines Gesetzes über das Verlagsrecht²⁾ verhandelt.

¹⁾ Z. 1900 S. 1147.

²⁾ Z. 1900 S. 1669.

Darauf spricht Hr. Sondermann über die verschiedenen Arten der Farbenphotographie.

Die Bestrebungen, Photographien in natürlichen Farben herzustellen, sind schon alt. Die ersten Versuche von Becquerel fußen auf einer Entdeckung Peemans vom Jahre 1810, dass Silberchlorür, von farbigem Lichte bestrahlt, sich diesem ähnlich färbt. Anfangs der neunziger Jahre erhielt Kopp schöne farbige Bilder, die aber noch nicht haltbar waren. Erst Lippmann in Paris stellte 1891, gestützt auf die von Zenker in Berlin schon 1868 aufgestellte Theorie, fixierbare farbige Photographien des Sonnenspektrums her. Zenker hatte nachgewiesen, dass das Zustandekommen der Farben in dem Silberchlorür auf das Auftreten stehender

Lichtwellen zurückzuführen sei. Lippmann sorgte nun dafür, dass sich in einer Brom- oder Jodsilberemulsion einer lichtempfindlichen Platte stehende Wellen bilden können. Eine chemische Einwirkung auf das Brom- oder Jodsilber findet dann nur an den Wellenbüchen der Lichtschwingungen statt; dort bildet sich bei der Entwicklung metallisches Silber, während an den Knotenpunkten eine solche Einwirkung unterbleibt. Der Abstand der Silberabscheidungen entspricht demnach der halben Wellenlänge. Da nun aber jeder Farbe eine bestimmte Wellenlänge zukommt, so muss auch der Abstand der Silberabscheidungen an den verschiedenen Stellen der Platte genau den Farben des Lichtes entsprechen, das auf diese Stelle gefallen ist. Durch Fixiren werden die Silberabscheidungen dauerhaft gemacht. Fällt nun gewöhnliches zusammen- gesetztes weißes Licht auf die fertige Platte, so wird von den einzelnen Stellen immer Licht von der Farbe reflektirt, dessen Wellenlänge mit der jeweiligen Lage der Silberschicht übereinstimmt, während das Licht anderer Wellenlänge vernichtet wird. Unser Auge erhält also infolgedessen genau dieselben Lichtarten, welche die Silberabscheidungen hervorgerufen haben, d. h. eine farbige Abbildung des Gegenstandes. Das Lippmannsche Verfahren ist von Gebr. Lumière, Valenté, Neuhaus u. a. ausgebildet, bietet aber so viele Schwierigkeiten, dass eine weitere Verbreitung vorderhand ausgeschlossen ist.

Ein anderer Weg zur Herstellung von Farbenphotographien geht davon aus, dass alle Färbungen der Körper, die wir sehen, Mischfarben sind, die aus drei Grundfarben zusammengesetzt werden können. Sorgt man nun durch drei farbige Lichtfilter dafür, dass auf jede der drei zugehörigen lichtempfindlichen Platten nur Licht von der jeweiligen Grundfarbe fällt, so erhält man drei negative Bilder des Gegenstandes, von denen jedes das Vorkommen der betreffenden Farbe in allen ihren Abstufungen, und zwar schwarz, zeigt. Von den so gewonnenen Negativen werden in den Komplementärfarben der Farbenfilter Positive abgedruckt, die, aufeinandergelegt, ein farbiges Bild ergeben müssen. Dieser zuerst von Ducos du Hauron aufgestellte Grundsatz konnte aber erst fruchtbar werden, nachdem Vogel durch Zufall entdeckt hatte, dass Bromsilber nicht nur von dem von ihm selbst absorbirten Lichte, sondern auch durch das von beigemischten Farbstoffen aufgenommene chemisch beeinflusst wird; denn erst hiernach war es möglich, den Grundfarben anhaften- den Helligkeitswert auf den Negativen wiederzugeben. Auf diesen Grundlagen entstanden der jetzt vielfach angewandte Dreifarbendruck und verschiedene Arten der Farbenphotographie, wie die Fettesche u. a. mehr.

Einen etwas andern Weg schlug Ives ein, der von den auf die beschriebene Weise erzeugten Negativen drei schwarze Positive nahm, welche er in einer besonderen Vorrichtung unter Zuhilfenahme von farbigen durchsichtigen Platten und Spiegeln so für das Auge zur Deckung brachte, dass der Eindruck eines farbigen Bildes entstand. Bei diesem Verfahren ist jedoch erforderlich, dass die zu den einzelnen Positiven gehörigen farbigen Platten von derselben Farbe sind wie die Aufnahmefilter. Dies gilt auch dann, wenn man vermittle eines Bildwerfers mit vorgelegten farbigen Gläsern die drei Bilder auf einem Schirm zur Deckung bringt, oder wenn man wie Jolly die Aufnahme durch einen dreifarbigten Linienraster macht und das Positiv durch einen ebensolchen Raster betrachtet.

In jüngster Zeit hat die Firma Heseke & Co. in Berlin Einrichtungen englischen Ursprunges auf den Markt gebracht, die es auch dem Liebhaber ermöglichen, farbige Bilder herzustellen. Es ist zunächst eine sehr praktische Einrichtung für die Aufnahme geschaffen, bestehend in einem Filterschlitten mit angesetzten Kassetten, der leicht an jeder Kamera angebracht werden kann. Auch die Herstellung des in den Komplementärfarben gefärbten Positivfilms ist durch die Verwendung von käuflichen Farbenbändern sehr erleichtert. Diese Filme, aufeinander gelegt und erforderlichenfalls durch Kanadabalsam verbunden, ergeben dann sehr schöne farbige Diapositive.

Der Redner zeigt ein derartiges Diapositiv vor, sowie einen Dreifarbendruck, auf dem die Kombinationsfarben angegeben sind. Man ist hierin schon sehr weit gediehen; jedoch verhindern die hohen Kosten noch eine allgemeine Verbreitung dieser Kunst. So z. B. hat man bis jetzt, da die Aufnahme immer längere Zeit beansprucht, nur von unbewegten Gegenständen, von Landschaften, Gewächshäusern, Edelsteinen, silbernen Kannen usw., naturgetreue Bilder hergestellt, die so prächtig wirken, dass eine Vervollkommenung in dieser Richtung ausgeschlossen erscheint.

Sitzung vom 13. Februar 1901.

Vorsitzender: Hr. Lohse. Schriftführer: Hr. Ebel.

Nach Erledigung geschäftlicher Dinge spricht Hr. Hase (Gast) über antarktische Forschungen und den Plan der deutschen Südpolar-Expedition 1901. Der Vortragende giebt einen Ueberblick über die Forschungsreisen in der Südpolarregion und beschreibt das Schiff »Gauß« der deutschen Südpolarexpedition¹⁾.

Sitzung vom 13. März 1901.

Vorsitzender: Hr. Hoffmann. Schriftführer: Hr. Ebel.
Anwesend 19 Mitglieder und 3 Gäste.

Der Bezirksverein hat anlässlich der Einweihung der Schwebebahn der Wittve Eugen Langens ein Album übersandt. Der Vorsitzende bringt ein Dankschreiben dafür zur Kenntnis der Versammlung. Dann werden geschäftliche Dinge erledigt.

Darauf spricht Hr. Wirthwein über die Herstellungsarten schmiedeeiserner geschweißter und nahtloser Rohre nach einem Aufsatz von Diegel, der in den Verhandlungen des Vereines zur Beförderung des Gewerbefleißes, Dezember 1900, veröffentlicht ist.

Geschweißte Rohre mit längslaufender Schweißnaht werden entweder mit übereinander greifenden oder mit stumpf gegen- einander stoßenden Rändern hergestellt. Erstere werden zum Schweißen auf einem Kaliberwalzwerk über den Dorn gewalzt, letztere auf der Schleppzangenziehbank gezogen. Den Nachteil der längslaufenden Schweißnaht hat man durch Anwendung einer schraubenförmigen Naht zu umgehen versucht. Das Verfahren scheint aber keine große Verwendung gefunden zu haben, da man derartigen Rohren nur noch selten begegnet. Das Schmittsche Verfahren zur Herstellung sogenannter Compoundrohre vermindert ebenfalls den Nachteil der längslaufenden Schweißnaht und stellt hinsichtlich der Güte ein den nahtlosen Rohren fast gleichstehendes Erzeugnis dar. Zwei oder auch mehrere Rohre werden auf der Ziehbank übereinander gezogen und mit versetzten Schweißnähten geschweißt. Nach demselben Verfahren lassen sich auch Rohre mit Innen- oder Außenrippen, geraden oder schraubenförmigen Innenstegen herstellen.

Die Herstellung schmiedeeiserner Rohre von größerem Durchmesser in beliebigen Längen bietet heute keine Schwierigkeiten mehr. Von besonderer Bedeutung ist das Verfahren zur Herstellung gewellter Feuerrohre. Das Walzwerk dazu besteht aus einer festen und einer beweglichen Walze und zwei seitlichen Führungswalzen. Das in heller Rotglut befindliche glatte Rohrstück wird über die feste Walze geschoben und erhält seine Profilierung allmählich bei vielen Umdrehungen der Walze durch Andrücken der beweglichen Walze gegen die feste.

Von den Verfahren zur Herstellung nahtloser Rohre hat das Verfahren von Mannesmann²⁾ das größte Aufsehen erregt. Die daran geknüpften Hoffnungen haben sich nur zum Teil verwirklicht. Für nahtlose schmiedeeiserne Rohre wird es nur noch zum Vorblocken, d. h. zum Herstellen des Hohlkörpers, verwendet, während die Rohre nach dem sogenannten Pilgerschritt- Walzverfahren fertiggewalzt werden. Für kupferne Rohre hat sich das Mannesmann-Verfahren aber recht gut bewährt. Es wird hierzu in ausgedehntem Maße von C. Heckmann in Duisburg benutzt. Nächst dem Mannesmann-Verfahren hat das Ehrhardt'sche Verfahren³⁾ zur Herstellung nahtloser Rohre die weiteste Verbreitung gefunden. Das Verfahren des Stahlwerkes Sandviken in Schweden (Larsons Patent) ist dem Ehrhardt'schen ähnlich. Die Matrize ist hier sternförmig ausgebildet, während der eingesetzte Block rund ist. Das Loch geschieht unter dem Dampfhammer. Die Hohlkörper werden durch Walzen über den Dorn auf einem gewöhnlichen Kaliberwalzwerk fertig bearbeitet, dessen Walzen mit einer größeren Anzahl Kaliber versehen sind, von denen das folgende immer etwas kleiner als das vorhergehende ist.

Rohre mit zwei einandergogen überstehenden Rippen werden in der Weise hergestellt, dass ein aus Flusseisen gegossener Hohlblock, nachdem der Hohlraum mit einem isolierenden Stoff ausgefüllt ist, auf der gewöhnlichen Walzenstraße zu Streifen ausgewalzt, darauf an einem Ende etwas aufgeweitet und über den Dorn gezogen wird. Der Vorteil dieses Verfahrens besteht in der Möglichkeit, Rohre in Längen bis zu 20 m herzustellen, während man die Rippen als zumteil

¹⁾ Z. 1900 S. 1266.

²⁾ Z. 1890 S. 621.

³⁾ Z. 1900 S. 191.

stige Beigabe mit in den Kauf nehmen muss. Andererseits erhöhen diese Rippen das Widerstandsmoment der Rohre in ihrer Richtung um rd. 30 vH, das Gewicht dagegen nur um rd. 8 vH, sodass sie sich zu Rohrleitungen mit großer freitragender Länge, zu Lichtmasten usw. gut eignen.

Eingegangen 20. April 1901.

Braunschweiger Bezirksverein.

Sitzung vom 14. Januar 1901.

Vorsitzender: Hr. Hasenbalg. Schriftführer: Hr. Krull.

Anwesend 17 Mitglieder und 11 Gäste.

Nachdem der Vorsitzende über die Thätigkeit des Bezirksvereines im Jahre 1900¹⁾ berichtet hat, spricht Hr. Lüdcke über die Werkzeugmaschinen auf der Weltausstellung in Paris²⁾. Die Ausstellung wies keine hervorragenden neuen Konstruktionen auf dem Gebiete der Werkzeugmaschinenbau auf, dagegen lehrt ein Vergleich mit der Ausstellung in Chicago, dass die Leistungsfähigkeit der Werkzeuge und Maschinen in den letzten Jahren bedeutende Fortschritte gemacht hat. Der Redner geht auf die Einzelheiten, die eine erhöhte Leistungsfähigkeit bedingen, ein: Vergrößerung der Arbeit- und Schaltgeschwindigkeit, Verringerung der Arbeitspausen und Ausdehnung des Selbstganges. Eine Erhöhung der Arbeitgeschwindigkeit schien nicht mehr möglich, bis es in jüngster Zeit gelungen ist, durch Zusätze von Wolfram und Titan widerstandsfähigere Werkzeugstähle³⁾ herzustellen. Durch zweckmäßige Aufspannvorrichtungen hat man wesentliche Zeitersparnisse erzielt; besonders eigenartig ist in dieser Beziehung die Heranziehung des Elektromagnetismus zum Festhalten von beweglichen Werkzeugmaschinen auf den Arbeitstücken. Schneller Stahlwechsel, wie ihn eine große Anzahl sinnerreicher Ausführungen von Revolverköpfen zeigte, dient gleichfalls zur Verminderung der Arbeitspausen.

Sitzung vom 28. Januar 1901.

Vorsitzender: Hr. Hasenbalg. Schriftführer: Hr. Krull.

Anwesend 13 Mitglieder und 12 Gäste.

Hr. Mayer spricht über Dampfmaschinen-Indizirungen. Regelmäßige Indizirungen von Dampfmaschinen sind von höchster Wichtigkeit, weil sie in einfachster Weise über etwa vorhandene Fehler, Undichtheiten an Kolben und Schiebern, falsche Einstellung der Steuerung usw. Aufschluss geben. Anhand einer großen Anzahl ungewöhnlicher Diagramme von verschiedenen Dampfmaschinen zeigt der Vortragende, auf welche Mängel die Diagramme hinweisen, und wie einfach in vielen Fällen die Beseitigung ist, durch die große Dampf- und Kohlenersparnisse erzielt werden können.

Sitzung vom 11. Februar 1901.

Vorsitzender: Hr. Hasenbalg. Schriftführer: Hr. Krull.

Anwesend 23 Mitglieder und 13 Gäste.

Hr. Schüttler spricht über große Gasmaschinen. Der Redner gibt eine geschichtliche Entwicklung der Gasmaschine und vergleicht anhand einer Tabelle den früher und den jetzt erzielten Wirkungsgrad. Er geht dann auf die Herstellung und Zusammenstellung des Siemens-, des Wasser- und des Dowson-Gases über. Aus Versuchsergebnissen an ausgeführten Kraftgasanlagen folgt, dass eine Gaskraftanlage unter 100 PS günstiger arbeitet als eine Dampfkraftanlage. In Hochofenwerken wird die Dampfmaschine mehr und mehr durch die Gasmaschine verdrängt, weil letztere eine weit bessere Ausnutzung der Gichtgase gewährt. Schwierigkeiten, die man anfangs auf diesem Gebiete befürchtete, sind heute überwunden. Inbezug auf die Ausführung großer Gasmaschinen stehen verschiedene deutsche Werke in erster Linie. Zuletzt geht der Redner noch auf die Mond-Gasanlagen ein, welche auch die Ausnutzung minderwertiger Kohle für Kraftgasanlagen gestatten.

Sitzung vom 25. Februar 1901.

Vorsitzender: Hr. Hasenbalg. Schriftführer: Hr. Krull.

Anwesend 49 Mitglieder und 18 Gäste.

Hr. Lüdcke spricht über eine neue Riemenscheibe. Die Riemenscheibe wird zweiteilig, oder für größere Durchmesser viertellig, aus schmiedeeisernen Rohrstücken durch Pressen hergestellt. Im Vergleich zu gußeisernen Scheiben

ist das Gewicht außerordentlich gering, während die Preise ungefähr dieselben sind.

Alsdann spricht Hr. Pauckert über Hochspannungsversuche und über die sprechende Bogenlampe. Er führt zunächst einige Versuche mit Wechselstrom von 30000 V und 100 Per./sk vor, sowie einen Blitzableiter von Siemens & Halske, in den statt des Blitzes der hochgespannte Wechselstrom eingeleitet wird.

Die tönende Bogenlampe, die darauf gezeigt wird, beruht auf der Erscheinung, dass durch Stromschwankungen in der Leitung einer Bogenlampe die glühende Gaszule zwischen den Kohlen Volumenänderungen erleidet und durch ihre Schwingungen Töne erzeugt. Setzt man nun die Hauptleitung der Induktionswirkung einer andern Leitung aus, in die ein Mikrophon eingeschaltet ist, so werden alle vor dem Mikrophon erzeugten Töne mit größter Deutlichkeit wiedergegeben. Bei den Versuchen war besonders die Reinheit der Töne bemerkenswert.

Sitzung vom 4. März 1901.

Vorsitzender: Hr. Hasenbalg. Schriftführer: Hr. Krull.

Anwesend 28 Mitglieder und 4 Gäste.

Hr. Lüdcke spricht über Press- und Hammer-schmieden. Die Dampfhammer, die in den 30er Jahren zuerst auftauchten, bedeuteten gegenüber den alten Schwanz-hämmern einen gewaltigen Fortschritt. Hauptvorteile des Dampfhammers sind seine Steuerfähigkeit und die Möglichkeit, ihn in beliebigen Abmessungen herzustellen. Indessen hat der Dampfhammer auch große Nachteile. Sein Wirkungs-grad ist schlecht, der Dampfverbrauch und die Reparaturkosten sind hoch, die Umgebung wird durch den Schlag stark erschüttert. Infolge der sehr kurzen Berührungsdauer wird ferner nur ein kleiner Teil des Arbeitstückes von dem Schläge beeinflusst. Einen ruhigen Druck ergibt demgegenüber die Schmiedepresse. Diese hat u. a. den Vorzug, dass sie viel weniger Raum einnimmt als der Dampfhammer; ihre Leistungsfähigkeit ist außerordentlich groß.

Zum Schluss werden geschäftliche Angelegenheiten verhandelt.

Sitzung vom 25. März 1901.

Vorsitzender: Hr. Hasenbalg. Schriftführer: Hr. Schmidt.

Anwesend 22 Mitglieder und 14 Gäste.

Hr. v. Hanffstengel spricht über Lade- und Transportvorrichtungen für Kohle¹⁾. Er teilt dieselben in 3 Gruppen ein: 1) Transportmittel für ununterbrochene Förderung, 2) Einzeltransport für kleine und 3) Einzeltransport für große Massen. Für ununterbrochene Förderung nur in waagrechter Richtung ist das Transportband wegen seines ruhigen Ganges, seiner großen Leistungsfähigkeit und seiner geringen Bedienung zu empfehlen. Kratzer und Schnecke haben den Nachteil, dass gleitende Reibung entsteht, die große Abnutzung und hohen Kraftverbrauch zur Folge hat; jedoch ist die Schnecke für geringe Entfernungen sehr zweckmäßig. Für senkrechten Transport kommen vor allem Becherwerke in Betracht, bei denen die Becher mit der Förderkette fest verbunden sind, während für schrägen Transport die Becher gelenkig aufgehängt werden.

Zur Einzelförderung mittels Kasten dienen Krane. Ein Nachteil der Selbstgreifer gegenüber den gewöhnlichen Fördergefäßen ist das große Eigengewicht, das der Nutzlast etwa gleichkommt. Zum Heben bediente man sich früher ausschließlich der Dreh- und Portalkrane, heute kommen mehr und mehr die leistungsfähigeren Hochbahnkrane auf. Sie erlauben große Hub- und Fahrgeschwindigkeiten, sodass bei geschickter Bedienung 60 Hübe in der Stunde möglich sind. Der Redner bespricht verschiedene Ausführungsformen dieser Krane, namentlich die der Hunt-Gesellschaft. Sodann geht er auf neuere Beschickvorrichtungen für Hochöfen näher ein und erörtert die Einzelförderung von großen Massen.

Nach dem Vortrage wird über den Antrag des Pfalz-Saarbrücker Bezirksvereines betr. Berichte in der Vereinszeitschrift aus dem Gebiete der Unfallverhütung²⁾ verhandelt.

Sitzung vom 22. April 1901.

Vorsitzender: Hr. Hasenbalg. Schriftführer: Hr. Schmidt.

Anwesend 364 Mitglieder und Gäste.

Unter den Gästen befinden sich die Prinzen von Schaumburg-Lippe sowie Hr. Wirklicher Geheimrat Hartwig aus dem Herzöglichen Staatsministerium.

¹⁾ Z. 1901 S. 754.

²⁾ Vergl. Z. 1900 S. 865 u. f.

³⁾ Z. 1901 S. 462.

¹⁾ Vergl. Z. 1899 S. 85 u. f., S. 1245 u. f.

²⁾ Z. 1901 S. 1224.

Hr. Dr. Rellstab (Gast) spricht über den Telephonographen und andere Neuheiten der Telephonie. Der Vortrag ist seinem Inhalte nach bereits in Z. 1901 S. 549 u. f. veröffentlicht.

Eingegangen 23. April 1901.

Schleswig-Holsteinischer Bezirksverein.

Sitzung vom 16. März 1901.

Vorsitzender: Hr. Veltb. Schriftführer: Hr. E. Schmidt.
Anwesend 30 Mitglieder und 6 Gäste.

Hr. Grube spricht über den Bau der neuen Trockendocks für die kaiserliche Werft Kiel¹⁾.

Der Bau zweier Trockendocks wurde wegen der Vermehrung der Flotte und wegen der Unzulänglichkeit der alten Docks für die neuen großen Schiffe notwendig. Für die Wahl des Ortes war erstens die Nähe der Schiffbau- und Maschinenbauwerkstätten entscheidend, zweitens die Forderung, dass die Dockeinfahrt unmittelbar am freien Hafenwasser liegen sollte. Der Baugrund an der gewählten Stelle ist verhältnismäßig günstig.

Die Anlage besteht aus zwei nebeneinander liegenden Docks von gleicher Gestalt und einem gemeinsamen, zwischen ihnen liegenden Pumpenschachte. Jedes Dock hat eine große innere Kammer und eine kleine Vorkammer; zwischen beiden liegt der innere Anschlag, vor der Vorkammer der äußere Anschlag. Die Docks sind imstande, 170 m lange, 25 m breite und 9,5 m tiefe Schiffe aufzunehmen. In der großen inneren Kammer allein können Schiffe bis zu 135 m Länge gedockt werden. Das kastenförmige Verschlussbott wird am inneren Anschlag als Schließbott, am äußeren als Schwimmbott

gebraucht. Als Neuheit ist hervorzuheben, dass der Anschlag dieselbe Weise wie die Dockkammer hat. Ferner ist die Möglichkeit vorgesehen, die Docks später ohne dauernde Betriebsstörung zu verlängern; es ist nämlich das Längsmauerwerk über die Quermauer hinaus fortgeführt, sodass die Verlängerung angebaut werden kann und die Quermauer erst ganz zuletzt abgebrochen zu werden braucht. Die Docksohle ist ganz glatt gehalten, sodass, nachdem die Stapelklütze und Kimm-schlitzen entfernt sind, ein besonders tiefgehendes Schiff noch aufgenommen werden kann.

Mit Kraft und Licht werden die Docks durch ein elektrisches Kraftwerk versorgt, das auf der Werft neben den alten Docks errichtet wird. Im Pumpenschacht werden 3 unmittelbar mit einem Drehstrommotor gekuppelte Kreiselpumpen aufgestellt werden; zwei davon sollen imstande sein, ein Dock in 4 Stunden zu leeren. Zwei Leerpumpen, eine Vakuumpumpe, die Windwerke für die Pumpenauflaufschieber und ein Schaltbrett gehören zur weiteren Einrichtung des Pumpwerkes. Die Einläufe liegen in den mittleren Seitenmauern und sind so angeordnet, dass die Wassermassen stets hinter dem gedockten Schiff eintreten.

Die Lage der Baustelle, zur Hälfte im Wasser, bedingte die Gründung mittels einer Taucherglocke. Diese ist 42,0 m lang, 14,0 m breit und 5,0 m hoch und hängt an 20 Hängestangen an einem auf zwei Tragschiffen aufgebauten eisernen Gerüst. Aus der Arbeitskammer führen 7 Schachtröhre über den Wasserspiegel, auf denen eine Materialschleuse, eine Betonschleuse und zwei Personenschleusen aufgebaut sind.

In der sich anschließenden Erörterung giebt der Vortragende auf eine Frage nach der Stabilität der Dockthore an, dass sie an der Unterkante Ballast tragen und Schwimmkammern von 20 cm haben. Hr. Teckel ist der Ansicht, dass die Stabilität wohl auch beim Aufschwimmen der Thore vorhanden sei, weil die Schwimmkammern sehr hoch liegen und man schon aus der Zeichnung schließen könne, dass der Verdrängungsschwerpunkt über dem Systemschwerpunkt liege.

Darauf werden geschäftliche Angelegenheiten verhandelt.

¹⁾ Vergl. Z. 1901 S. 1258.

Bücherschau.

Bau und Betrieb elektrischer Bahnen. Von Max Schiemann. I. Band: Straßenbahnen. 3. Aufl. Leipzig, O. Leiner. 678 S. 8° mit 521 Fig., 1 Taf. und 3 Taf. Diagramme. Preis 12,00 M. II. Band: Haupt-, Neben- und Industriebahnen. 293 S. 8° mit 189 Fig. und 30 Tabellen. Preis 18 M.

Die Aufgabe, die sich der Verfasser mit diesem Werke gestellt hat, ist in einer Beziehung recht undankbar; er selbst hat dies im Vorwort zu seiner zweiten Auflage durch den Hinweis auf den Ausspruch Goethes: »So eine Arbeit wird eigentlich nicht fertig, man muss sie für fertig erklären, wenn man nach Zeit und Umständen das Möglichste daran gethan hat«, treffend gekennzeichnet. Wenn der Verfasser von der vorliegenden Auflage indes sagt, dass das Werk nun fast fertig sei, so können wir dem nicht völlig zustimmen. Trotzdem die elektrischen Straßenbahnen nichts Neues mehr sind, so sind doch die Erfahrungen auf diesem Gebiet in einzelnen Teilen noch so wenig abgeschlossen, dass sich die Anschauungen zwischen der Beendigung des Manuskriptes und der Herausgabe des Buches erheblich ändern können. Dem Verfasser kann allerdings hieraus kein Vorwurf gemacht werden; er kann nur, nachdem sich die Anschauungen geklärt haben, Richtigstellungen in einer späteren Auflage bringen. Insbesondere sei hier an die Parsons-Turbine erinnert, die überhaupt nicht erwähnt wird. Sie hat inzwischen in verschiedenen englischen Straßenbahn-Kraftwerken Verwendung gefunden und sich bewährt. Sodann haben sich die Ansichten über den reinen Akkumulatorenbetrieb und den gemischten Betrieb — Oberleitung und Akkumulatorenbetrieb — mit dem Winter 1899 vollständig zu deren Ungunsten verändert. Ein großer Teil des Platzes, der dieser Betriebsart in dem Buche eingeräumt ist, kann in Zukunft für neue wichtige Ergänzungen ausgenutzt werden.

Die Anordnung des ersten Bandes ist fast dieselbe wie die der früheren Auflagen¹⁾ geblieben. Jedoch sind alle Abschnitte sehr erheblich erweitert worden, sodass die Seitenzahl sich fast um 300 vermehrt hat.

Im zweiten Abschnitt: Erzeugung des elektrischen Stro-

mes, sind die Ausführungen des Verfassers über die Wahl der Dampfmaschinen recht bemerkenswert. Er verwirft Dreifachexpansionsmaschinen, weil ihre Regulirvorrichtungen der oft vom Leerlauf bis zur Vollbelastung plötzlich ansteigenden Beanspruchung nicht zu folgen vermögen. Deshalb empfiehlt er Verbundmaschinen, verhält sich aber gegenüber dem amerikanischen Bestreben, sogar für größte Leistungen ein-cylindrige Maschinen zu benutzen, vorläufig noch ablehnend. Bei dem Absatz »Kupplungen« fehlt die jetzt bei hohen Gefällen vielfach übliche Anordnung von teilweise beaufschlagten Radialturbinen mit wagerechter Welle, die unmittelbar mit dem Stromerzeuger gekuppelt werden. Der auf S. 42 gebrauchte Ausdruck »rotirende Transformatoren« ist auch schon früher nur für Gleichstrom-Motorgeneratoren üblich gewesen. Die entsprechenden Wechselstrom-Gleichstrommaschinen sollten, um Irrtümer zu vermeiden, nur noch als »rotirende Umformer« bzw. Motorgeneratoren bezeichnet werden. Bei der Abhandlung über Pufferbatterien finden wir leider nur kurze Hinweise auf die Berechnungsverfahren von Schröder und Brandt. Bei der Wichtigkeit dieses Gebietes für Straßenbahnen wäre die Ausarbeitung und Wiedergabe eines guten Berechnungsverfahrens sehr erwünscht.

In dem dritten Abschnitt: Stromfortleitung, ist besonders das Kapitel »Oberbau« sorgfältig und reich ergänzt worden. Wir finden eine ausführliche Beschreibung der Entwicklung der Straßenbahnschiene und eine reichhaltige Übersicht über Schienenverbindungen. Ebenso sind die Verfahren zur Herstellung stofsloser Gleise, besonders das Falksche Umgießverfahren, eingehend dargestellt. Auch das Goldschmidt'sche Schweißverfahren ist berücksichtigt. Sodann weist der Verfasser rechnerisch nach, dass die Beanspruchung der Schienen durch den Temperaturunterschied der Jahreszeiten in zulässigen Grenzen bleibt. Bei dem Kapitel »Schienenverbindungen« fehlen leider immer noch Angaben über den Gesamtwiderstand der verbundenen Schienenartefak. Auch die Ausführungen des Verfassers über die Abnutzung der Fahrdrähte und über Schutzmaßregeln gegen ihr Zerreißen werden in der nächsten Auflage aufgrund der letzten trüben Erfahrungen zu ergänzen sein. Ebenso ist bei beiden Arten der unterirdischen Stromzuführung und, wie schon oben erwähnt, bei

¹⁾ s. Z. 1898 S. 785.

Akkumulatorenbetrieb eine strengere Kritik am Platze. Sonst ist der Abschnitt über Stromfortleitung für den Straßenbahningenieur in allen Einzelheiten maßgebend.

Dasselbe kann man von den Abschnitten »Stromverbrauch« und »Betriebsführung« sagen. Eine Ergänzung wäre hier insofern erwünscht, als der Berechnung der Motoren und dem Kapitel über Wagenschaltungen und Fahrschalter ein größerer Platz und mehr Inhalt eingeräumt werden könnte. Bei den Anweisungen für Schaffner und Wagenführer ist das Achtgeben auf außergewöhnliche Geräusche noch stärker zu betonen. Es kommt vor, dass Bremsen unregelmäßig arbeiten oder dass die Schutzkasten für das Zahnradgetriebe aufklappen. Durch Beachtung der hierbei auftretenden Geräusche und sofortiges Abstellen des Uebelstandes können schwere Schädigungen vermieden werden. Ebenso ist dies bei den Stößen der Fall, die eine Folge des Schlawfens der Untergestellfedern sind. Oft werden Wagen mit solchen Federn noch zu lange im Betriebe gelassen, was neben der Belästigung der Fahrgäste durch die heftigen Erschütterungen auch eine vorzeitige Zerstörung der Wagenkasten hervorruft.

Der zweite Band beschäftigt sich im Gegensatz zum ersten Bande, der das abgegrenzte Gebiet der Straßenbahnen behandelt, mit den Bahnen, die teils besondere, teils noch in der Zukunft liegende Gebiete des Eisenbahnbaus und -betriebes umfassen. Der Verfasser hat hier in vielen Fällen nur kurze Auszüge aus der Fachliteratur bringen können. Er hat den Stoff in folgende Abschnitte eingeteilt: Wechsel-

strombahnen, Steilbahnen, Tiefbahnen, Hochbahnen, Stufenbahnen, Adhäsions-Elektrolokomotiven, Großseisenbahnen, Stromzuführungen für Vollbahnen, Betriebsmittel-Beleuchtung, Industriebahnen und Statistik elektrischer Bahnen. Darunter finden wir alles, was bisher Anspruch auf Bedeutung erheben konnte, erläutert oder wenigstens der Hauptsache nach gekennzeichnet. Aber noch viel mehr als im Straßenbahnwesen haben auf diesem jungen Gebiete die Ereignisse das Buch überholt, sodass es in manchen Teilen nur noch geschichtliches Interesse bietet. Andere eingehend dargestellte Anlagen haben jedoch ihre Vorträge in technischer und wirtschaftlicher Hinsicht bewiesen, sodass dieses wertvolle Sammelwerk für die vielen Ingenieure, die mit Entwürfen größerer und besonderen Zwecken dienender elektrischer Bahnen beschäftigt sind, ein unentbehrliches Hilfsmittel sein wird. Es ist nur zu wünschen, dass auch der zweite Band in seiner zeitgemäßen ergänzten Gestalt bald vorliegen möge.

Bei der Redaktion eingegangene Bücher.

Kalender für Maschineningenieure 1902. 2 Teile. I. Teil: Taschenbuch. II. Teil: Für den Konstruktionstisch. 28. Jahrgang. Von W. H. Uhland. Stuttgart, Arnold Bergsträsser. Preis geb. 3 M.

Encyclopédie Scientifique des Aide-Mémoire. Analyse des Matières grasses. Von M. H. Halphen. Paris, Gauthier-Villars, Masson & Cie. 176 S. 8° mit 5 Figuren. Preis 3 fr.

Zeitschriftenschau.¹⁾

(*) bedeutet Abbildung im Text.)

Beleuchtung.

Die Scott-Snell-Lampe. Von Ahrens. (Journ. Gasb.-Wasserv. 19. Okt. 01 S. 779/80*) Die Lampe brennt Pressgas, dessen Überdruck durch die Wirkung der Hitze des Brenners in der Laterne selbst erzeugt wird. Das Gas wird unter gewöhnlichem Druck aus der allgemeinen Gasleitung zugeführt.

Dampfkraftanlagen.

Triple-expansion engines, South Shields. (Engineer 18. Okt. 01 S. 898/100*) Die stehende Maschine von 1000 PS, und 125 Uml./min hat 495, 775 und 1020 mm Cyl.-Dmr., 610 mm Hub und durch Flachregler beeinflusste Schlebersteuerung. Darstellung des Flachreglers und Wiedergabe der Ergebnisse von Leistungsversuchen.

Eisenbahnenwesen.

Note sur la construction de la ligne de Toul à Pont-Saint-Vincent. Von Descubes. Schluss. (Rev. gén. Chem. de Fer Okt. 01 S. 279/306* mit 6 Taf.) Schilderung der Brückenbauten. Eisenbahnübergänge. Konstruktion der Bahnhofgebäude. Kostenaussammensetzung.

Bemerkungen über die Lokomotiven auf der Weltausstellung in Paris 1900. Von Lorenz. (Organ 01 Heft 10 S. 199/203) Besprechung der Mittel, durch welche die höheren Leistungen der Schnellzuglokomotiven erreicht werden: Verstärkung der Kessel; Anwendung von Verbundmaschinen. Schluss folgt.

Machine de grande banlieue à deux bogies de la Compagnie du Chemin de Fer du Nord. Von Bousquet. (Rev. gén. Chem. de Fer Okt. 01 S. 307/12 mit 3 Taf.) Die $\frac{3}{4}$ -gekuppelte Tenderlokomotive mit aufsteigenden Cylindern von 430 mm Dmr. bei 600 mm Hub hat 32 t Betriebsgewicht.

Versuchsfahrten mit neueren Schnellzuglokomotiven. Von v. Borries. (Organ 01 Heft 10 S. 208/10 mit 1 Taf.) Die Versuchsfahrten dienen zum Vergleich der Leistungen einer $\frac{3}{4}$ -gekuppelten viercylindrigen Verbundlokomotive der Hannoverschen Maschinenbau-A. G. und einer dieser ähnlichen Hilfsdampflokomotive von A. Borsig mit denen der älteren $\frac{3}{4}$ -gekuppelten Verbund Schnellzuglokomotive. Die beiden erstgenannten Lokomotiven waren 1900 in Paris ausgestellt. Die viercylindrige Lokomotive hatte die günstigsten Ergebnisse.

Wagons of high capacity for British railways. (Engng. 18. Okt. 01 S. 549/50*) Schaubilder zweier von der Darlington Wagon and Engineering Co. gebauter eiserne Güterwagen mit je 2 zweischeligen Drehgestellen. Der eine hat senkrechte Wände, bei dem andern sind Vorder- und Hinterwand schräg und der Boden trichterförmig.

¹⁾ Die Zeitschriftenschau wird, nach den Stichwörtern in Vierteljahrsheften zusammengefasst und geordnet, gesondert herausgegeben, und zwar zum Preise von 3 M. pro Jahrgang für Mitglieder, von 10 M. pro Jahrgang für Nichtmitglieder.

Verriegung fahrender Eisenbahnzüge. (Glaser 15. Okt. 01 S. 162/63) Der Wagenbalken einer gewöhnlichen Waggonwage ist mit einer das Gewicht selbstthätig anzeigenden Rohwage verbunden. Der Zug fährt über die Wage, und die einzelnen Wagen werden nacheinander gewogen, ohne losgekuppelt zu werden.

Ueber neuere Anordnungen an Drahtzugschranken. Von Schubert. (Organ 01 Heft 10 S. 205/08*) Die Einrichtung soll dazu dienen, Vorläufen und Schrankenöffnen von einander unabhängig zu machen.

Gerätewagen und Gerätebeiwagen für Aufräumungsarbeiten. Von Richter. (Organ 01 Heft 10 S. 203/05*) Elmer der dargestellten Wagen soll bei Eisenbahnunfällen zur Ausbesserung des Materialschadens dienen, der zweite führt Verbandzeug und Geräte zur Behandlung verletzter Personen mit.

Eisenhüttenwesen.

Amerikanische Eisenhütten und deren Hilfsmittel. Von Langheinh. Forts. (Stahl u. Eisen 15. Okt. 01 S. 1097/1112*) Stielchloßverschlußmaschinen. Rohseisenmacher. Stahlwerk der Maryland Steel Company in Sparrows Point. Messmerel der American Iron and Steelworks in Pittsburg, der Illinois Steel Co. in Süd-Chicago, der Edgar Thomson Works in Braddock, der Carnegie Steel Co. in Homestead. Forts. folgt.

Die Anthrazithochöfen in Südrussland. Von Simmersbach. (Stahl u. Eisen 15. Okt. 01 S. 1090/94*) Chemische Zusammensetzung von Anthraziten verschiedener Herkunft. Zusammenstellung der Hauptabmessungen von südrussischen und amerikanischen Anthrazithochöfen. Mitteilung von Erfahrungen beim Anthrazithochofsbetriebe.

Neue elektrische Antriebe bei Trio-, Blech- und Universalwalzwerken. Von Schwarze. (Stahl u. Eisen 15. Okt. 01 S. 1081/90*) Elektrischer Antrieb eines Hebetisches mit Stillsetzung durch Ausrücken einer Reibkupplung; dergl. mit Stillsetzung durch Riemenanrückung. Duo-Felblechwalzwerk mit elektrisch angetriebenem Hebetisch. Trio-Grüblechwalzwerk mit elektrisch angetriebenem Hebetischen und elektrischer Hebung und Senkung der Mittelwalze. Elektrische Hebetische mit selbstthätiger Ausrückung.

Eisenkonstruktionen, Brücken.

The physical condition and safety under present loads of the New York and Brooklyn bridge. (Eng. News 10. Okt. 01 S. 250/62*) Eingehender, von den Behörden veranlasseter Bericht darüber, ob der kürzlich stattgefundene Bruch der Hängestangen durch Überlastung entstanden ist und ob die mit der Aufsicht über die Brücke betrauten Personen Schuld an dem Unfall tragen.

Straßenbrücke aus Beton über die Donau bei Ehingen (Württemberg). Von Braun. (Zentralbl. Bauw. 19. Okt. 01 S. 506/07*) Die insgesamt 78,4 m lange Brücke besteht aus drei Öffnungen von 21, 20 und 21 m Spannweite. An jeder Seite der 5,5 m breiten Fahrbahn ist ein rd. 1 m breiter Fußweg angeordnet. Einzelheiten der Gründungsarbeiten. Schluss folgt.

The Redhough bridge. (Engng. 18. Okt. 01 S. 550* mit 1 Taf.) Weitere Einzelheiten der in Zeitschriftenschan v. 19. Okt. 01 erwähnten Brücke.

Elektrotechnik.

Elektrizitätswerk Niederbrunn I/E. Von Winawer. (Z. f. Elektrot. Wien 20. Okt. 01 S. 501/02*) Das Werk umfasst zwei Wasserröhren-Dampfessel von zusammen 160 qm Heizfläche und 9 at Überdruck, eine 90 KW-Dampfdynamo für Gleichstrom von 440 bis 500 V Spannung und eine 273zellige Akkumulatorenbatterie von 204 Ampst Kapazität. Der Strom wird durch ein Dreileiternetz von 220 V Spannung zwischen Mittel- und Außenleiter verteilt.

The plant of the Lehigh Power Company at Raubsville, Pa. (Eng. Rec. 5. Okt. 01 S. 817/18*) Die Anlage der genannten Gesellschaft liefert Drehstrom für Licht und Kraft an die Werke der Alpha Portland Cement Co. Es ist ein Drehstromerzeuger von 375 KW und ein solcher von 750 KW aufgestellt, die von je einer wasserrechten McCormick-Doppelturbine mit Saugrohr angetrieben werden. Kurze Angaben über die sonstigen Einrichtungen.

Transports électriques d'énergie de la Compagnie de San Ildefonso, à Mexico. Von Pinson. (Génie civ. 12. Okt. 01 S. 377/83*) Die Gesellschaft verwertet die Wasserkräfte der Fildase Monte-Alto und Tlanepantla, von denen der erstere drei nutzbare Gefälle von 150, 120 und 60 m, der letztere ebenfalls drei von 170, 90 und 60 m hat. Für jedes Gefälle ist ein besonderes Kraftwerk errichtet. In den Werken wird hochgespannter Drehstrom erzeugt und nach der Stadt Mexiko geleitet. Schilderung der Erd- und Wasserbauten. Darstellung der Kraftwerke nebst Maschinen und Geräten, der Fernleitung und des Verteilnetzes.

The influence of polyphase apparatus on the design of railway power-stations. I. Von Woodbridge. (El. World 5. Okt. 01 S. 582/86*) Grundsätze für die Anlage und für die Bemessung der Leistung von Unterstationen. Ausrüstung der Unterstationen mit Uniformern, Transformatoren und deren Zubehör. Schaltbretter. Anordnung der Maschinen und Geräte. Gebäude, Gründung und Fachwerk. Anordnung der Leitungen. Platz für spätere Vergrößerungen. Unterstationen mit ölgekühlten Transformatoren.

Ein neues elektrisches Beleuchtungssystem. Von Lowy. (Z. f. Elektrot. Wien 20. Okt. 01 S. 503/05*) Die beschriebene Beleuchtung ist vorzugsweise für Straßenbeleuchtungen bestimmt, deren Leitungsnetz von dem der übrigen Stromabnehmer getrennt ist und bei denen ein Teil der Lampen nicht die ganze Nacht brennen soll. Die Lampen werden bei voller Beleuchtung mit Gleichstrom, bei halber mit Wechselstrom gespeist. Jeder der abschalenden Lampen ist eine Drosselspule vorgeschaltet, die wohl den Gleichstrom, aber nicht den Wechselstrom durchgehen lässt. Berechnung der Drosselspulen.

Anwendung der Grassmannschen linearen Ausdehnungslehre auf die analytische und graphische Behandlung von Wechselstromerscheinungen. Von Punga. (Z. f. Elektrot. Wien 20. Okt. 01 S. 505/08*) Der Verfasser fasst die Grassmannschen Lehren in einer für den Elektrotechniker geeigneten Form zusammen und zeigt an einzelnen Beispielen ihre Anwendung auf die Behandlung von Wechselstromerscheinungen.

Moderne kommutierende Dynamomaschinen. Von Hohart. (Elektrot. Z. 17. Okt. 01 S. 869/71*) Der Verfasser betont, dass bei der Konstruktion von Dynamomaschinen Spannung und Stromstärke mehr zu berücksichtigen seien und die Leistung nicht allein als Hauptgrundlage betrachtet werden dürfe. Durchführung des Entwurfes für eine Reihe von Dynamomaschinen verschiedener Spannung, Leistung und Umlauffrequenz. Ausführung des Kommutators.

The inductor alternator. I. Von Reitmman. (El. World 5. Okt. 01 S. 548/49*) Erläuterung der Anordnung von Feld- und Ankerkörper, Feldspule und Ankerwicklung der auch unter dem Namen Gleichpolmaschinen bekannten Wechselstromerzeugers. Verlauf des magnetischen Feldes und Entstehung der elektromotorischen Kraft.

Electric machinery at the Glasgow exhibition. (Engineer 18. Okt. 01 S. 397/98*) Darstellung der von Schuckert ausgestellten elektrischen Gruben-, Fabrik-, Berg- und Akkumulatorenlokomotiven, Blitzableiter und des 1150 KW-Gleichstromerzeugers.

La fabrication des câbles électriques. (Génie civ. 12. Okt. 01 S. 888/90*) Fachbericht über die neueren Verfahren, Maschinen und sonstigen Hilfsmittel zur Herstellung von Leitungskabeln. Verzinnen der Leiter. Verstellen der Drähte. Herstellung der Isolation. Altes und neues Verfahren zur Bekleidung der Kabel mit Gummi. Herstellung der Bandwicklung und der äußeren Gummilagen. Vulkanisieren. Anbringen der äußeren Jute- oder Baumwollbespannung. Das Tränken der fertig gewickelten Kabel. Blei- und Drahtschutz. Einfachere Jute- und Papierkabel.

Automobile storage batteries. (El. World 5. Okt. 01 S. 388/45*) Umfangreicher Fachbericht über Konstruktion und Verhalten von Akkumulatoren, die sich zur Ausrüstung von Kraftwagen eignen. Akkumulatoren von Sperry, Clare, Pernet und Gould. Chlorid- und -Exide-Akkumulatoren. Akkumulatoren von Willard, Porter, Reuter und Osburn.

Erd- und Wasserbau.

The new subway in New York City. Von Prelint. Forts. (Engng. 18. Okt. 01 S. 547*) Die Schleife unter dem City Hall Park und ihr Bau. Forts. folgt.

Explosionsmotoren und andere Wärmekraftmaschinen.

Kraftgas. Von Meyer. (Glaser 18. Okt. 01 S. 149/54*) Allgemeines über die Verwertung des Gases in Explosionsmotoren. Physikalische und chemische Vorgänge bei den verschiedenen Gaserzeugungsverfahren. Wirtschaftlichkeit im Betriebe von Motoren mit Leuchtgas. Erzeugung von Kraftgas in der Gasmotorenfabrik Deuts. Forts. folgt.

Ueber Wasser- und Elektrizitätswerke mit Gasbetrieb. Von Körtling. (Journ. Gasb. Wasserv. 19. Okt. 01 S. 774/77*) Allgemeines über die Entwicklung des Gasmotors. Kurze Angaben über den Betrieb der Wasserwerke in Verden, Sagan und Hameln mittels Gasmotoren. Forts. folgt.

Headach's heavy-oil motor at the Glasgow Exhibition, constructed by Messrs. D. Stewart & Co., Ltd., London-road Iron Works, Glasgow. (Engng. 18. Okt. 01 S. 548/49*) Darstellung und kurze Angaben über einen zweizylinderigen Kraftwagenmotor der End-zu-End-Bauart. Der Motor arbeitet im Viertakt und mit Paraffinöl. Bemerkenswert ist die Konstruktion des Verdampfers.

Gasindustrie.

Le gaz à l'eau carburé. Von Laverrière. (Génie civ. 12. Okt. 01 S. 885/88* u. 19. Okt. S. 899/901*) Geschichtliche Entwicklung der Wassergasindustrie. Kurze Darstellung der einzelnen Verfahren und Vorrichtungen. Alte Gaserzeuger von Gogemhre, Ibbetson und Tessié du Motay. Durchschnittliche Zusammensetzung des Wassergases. Gaserzeuger von Strache, Dellwik-Fleischer und Humphrey. Kostenvergleich zwischen Wassergas und Leuchtgas. Vor- und Nachteile.

Gesundheitsingenieurwesen.

The 14th Ave. sewer and 60th St. sewer tunnel work, Brooklyn, N. Y. (Eng. News 10. Okt. 01 S. 272*) Schilderung des Baues mehrerer gemauelter Abwasserkanäle und Darstellung der Konstruktion von Einsteigegleichen und Tunnelabstützungen.

The Decarie garbage crematory at Minneapolis. (Eng. Rec. 5. Okt. 01 S. 518/19*) Die Müllverbrennungsöfen der Stadt Minneapolis sind nach Art von Wasserröhrenesseln angeordnet. Der eingebrachte Müll wird zunächst getrocknet und dann auf einem großen Rost verbrannt. Die flüchtigen Bestandteile werden in einer unter dem Rost liegenden Pfanne verdampft. Jeder der beiden Öfen ist für eine tägliche Verbrennung von 50 t Müll bestimmt.

Gießerei.

Iron foundries and foundry practice in the United States. IV. (Engineer 18. Okt. 01 S. 401/04*) Die Gießereien der McCormick Harvesting Machine Co. in Chicago und der Milwaukee Harvester Co.

Heizung und Lüftung.

Zum Luftumwälzungsverfahren. Von Voigt. (Gesundhstng. 15. Okt. 01 S. 305) Ausführungen zu dem in Zeitschriftenschan v. 10. Aug. 01 u. f. erwähnten Aufsätzen.

Ueber den Dampfkreislauf. Von Schröter. (Gesundhstng. 15. Okt. 01 S. 306/08*) Ergänzung zu dem in Zeitschriftenschan v. 10. Aug. 01 erwähnten Aufsatz.

Heizung und Lüftung in Krankenhäusern. Von Kelling. (Gesundhstng. 15. Okt. 01 S. 309/11) Ratsschläge für die Verwendung der verschiedenen Heiz- und Lüftvorrichtungen je nach der Art des Krankenhauses und je nach der Lage der Räume.

Ventilations- und Entstaubungsanlagen für technische Betriebe. Von Hecknagel. (Gesundhstng. 15. Okt. 01 S. 311/14) Verfahren zur Bestimmung des Staubgehaltes in Fabriken. Anordnung der Staubabsaugvorrichtungen und Bemessung der Absaugöffnungen. Geschwindigkeit der Luftströme. Reinigen und Vorwärmen der Luft.

The mechanical plant of the Cornell Medical College, New York. (Engng. Rec. 5. Okt. 01 S. 319/24*) Beschreibung der Heiz- und Lüftvorrichtungen, der Kessel-, Dampfmaschinen- und elektrischen Beleuchtungsanlage, der Kühlanlage und der Wasserversorgung des genannten Instituts.

Kälteindustrie.

Revision und Instandsetzung von Kohlensäure-Kältemaschinenanlagen. Von Hinz. Forts. (Kälte- u. Kälte-Ind. 20. Okt. 01 S. 57/59) Anstrich der Kälteanlagen. Wiederaufbau des Kondensators und Vorkühlers. Auseinandernehmen des Verdampfers. Einsetzen des Kolbens und der Ventile. Forts. folgt.

Lager- und Ladevorrichtungen.

Die selbstthätige Kohlenförderung auf dem Elektrizitätswerk in Leeds (England). Von Frahm. (Stahl u. Eisen 15. Okt. 01 S. 1095/96*) Deutsche Bearbeitung des in Zeitschriftenschan v. 21. Juli 1900 unter »Automatic coal-handling plant at Leeds« erwähnten Aufsatzes.

Maschinenteile.

Ueber Momentauswirkungen an Dampfmaschinen und Transmissionen. Forts. (Mitt. Prax. Dampf. Dampf. 16. Okt. 01 S. 757/58*) S. Zeitschriftenschau v. 26. Okt. 01. Schluss folgt.

Materialkunde.

The strength of drop-forged crane hooks. Von Goodman. (Engng. 18. Okt. 01 S. 537/39*) Bericht über Festigkeitsversuche an einem vollständigen Satz geschmiedeter Kranhaken der Firma J. H. Williams & Co. in Brooklyn. Tabellarische und zeichnerische Zusammenstellung der Ergebnisse.

Messgeräte und -verfahren.

Eine neue Form des Thiermannsche Kompensators. Von Heyck. (Elektrot. Z. 17. Okt. 01 S. 871/74*) Erläuterung der Grundsätze, auf denen der alte Thiermannsche Apparat zur Messung von Spannung, Strom und Widerstand beruht. Ausführung des verbesserten Gerätes als Kompensator und als Wheatstonesche Brücke.

An improved apparatus for arc-light photometry. (El. World 5. Okt. 01 S. 549/51*) Darstellung einer Lichtmessvorrichtung für Bogenlampen, bei der das Verschieben des Photometerschirmes und das Senken oder Heben der Bogenlampen zum Einstellen der verschiedenen Beleuchtungswinkel durch eine Spiegelvorrichtung ersetzt wird. Durch Drehen eines am Umfange mit 24 verschiedenen geneigten Spiegeln versehenen Sternrades ist es ermöglicht, jeden beliebigen Beleuchtungswinkel einzustellen.

Crane weighing machine; Glasgow Exhibition, constructed by Messrs. W. & T. Avery, Ltd., Birmingham. (Engng. 18. Okt. 01 S. 561*) Schaubild einer einfachen, in dem Kranhaken einhängenden Waage.

Tourenzähler. (Z. Werkzeugm. 15. Okt. 01 S. 26*) Darstellung eines von der Firma Carl Mehr in Esslingen hergestellten Umdrehungszählers mit Ein- und Ausrückvorrichtung für die Zählseibe.

Metallbearbeitung.

Die Werkzeugmaschinen zur Herstellung und Reparatur von Eisenbahn-Betriebsmitteln auf der Pariser Weltausstellung 1900. Von Unger. Forts. (Glaser 15. Okt. 01 S. 164/69*) Drehbänke der Maschinenfabrik Oerlikon. Dreh- und Bohrwerk von Oerlikon und von der Niles Tool Works Co. Bohrmaschinen der Société Alsacienne de constructions mécaniques in Helfort und von Quint in Hartford. Forts. folgt.

The tooling of machines. Von Ashford. Forts. (Engng. 18. Okt. 01 S. 539/42*) S. Zeitschriftenschau v. 26. Okt. 01.

Large work by the Westinghouse Machine Company. (Am. Mach. 19. Okt. 01 S. 1099/98*) Beschreibung der in den Werkstätten der Westinghouse Electric & Manufacturing Co. getroffenen Einrichtungen zur Herstellung von stehenden Corliss-Dampfmaschinen größter Abmessungen. Zahlreiche Schaubilder erläutern die einzelnen Bearbeitungsvorgänge.

Hobbing worm wheels in a lathe. (Am. Mach. 19. Okt. 01 S. 1107/08*) Darstellung einer Vorrichtung zum Bearbeiten von Schneckenrädern auf der Drehbank. Das Schneckenrad wird um einen senkrechten Dorn drehbar auf dem Unterteil des Werkzeugschlittens befestigt. Eine mit eingesetzten Fräsknaben versehene Schnecke wird zwischen die Kammerspitzen von Spindelstock und Reitstock gespannt.

Stahlhalter für Drehbankschlitten. (Z. Werkzeugm. 15. Okt. 01 S. 20/21*) Darstellung eines Stahlhalters, der seitlich geneigt werden kann, eines Stahlhalters zum sicheren Festhalten langer Ausbohrstäbe, eines besonders kräftigen Stahlhalters.

A multiple-spindle drilling and tapping attachment and work fixture, for the turret lathe. Von Doran. (Am. Mach. 19. Okt. 01 S. 1099/1101*) Darstellung des vollständigen Bearbeitungsranges an einem kreisförmigen Gussstück, das ein großes mittleres Loch und 6 am Umfang verteilte kleinere, mit Gewinde zu versehenen Löcher enthält. Die zur vorteilhaften Bearbeitung notwendigen Hilfseinrichtungen sind durch Zeichnungen erläutert.

A boring and facing jig. Von Woodworth. (Am. Mach. 19. Okt. 01 S. 1104/05*) Darstellung der Bohrschablone zum Bearbeiten eines sternartigen Gussstückes mit 6 radialen Bohrungen.

Making bicycle wrenches. Von Nier. (Am. Mach. 19. Okt. 01 S. 1102/04*) Eingehende Darstellung der einzelnen Arbeitvorgänge bei der Herstellung verstellbarer Schraubenschlüssel aus zusammengebohrtem Stahlblech von 2,5 mm Stärke.

Hebelhammer mit Riemenfraktionsantrieb. (Glaser 15. Okt. 01 S. 163*) Der von Koch & Co. in Remscheid Vieringhausen gebaute Hammer ist für Fußbetrieb eingerichtet und kann mitnächst 100 kräftige oder 200 leichte Schläge abgeben.

Motorwagen und Fahrräder.

Electric automobiles in the Sandwich Islands. (El. World 5. Okt. 01 S. 551/52*) Schaubilder und Angaben über eine Akkumulatoren-Ladestelle für Kraftwagen und über den Betrieb der Ladestelle.

Pumpen und Gebläse.

Vertical steam pumping engines. (Engineer 18. Okt. 01 S. 411*) Die beiden von Hayward Tyler & Co. gebauten stehenden Verbundmaschinen haben 254 und 445 mm Cyl.-Dmr., 356 mm Hub und treiben gemeinschaftlich oder einzeln die Pumpen, deren Kolben durch ein zwischen den Dampfmaschinen angeordnetes Balanciergetriebe bewegt werden.

Hydraulische Luftkompressoren. (Mitt. Prax. Dampf. Dampf. 16. Okt. 01 S. 758/59*) Konstruktion und Arbeitsverfahren des Taylor-Kompressors.

Schiffe- und Seewesen.

Motorboote. (Schweiz. Baus. 19. Okt. 01 S. 167/68*) Beschreibung der von F. Treichler & Co. in Bendlikon bei Zürich gebauten Yacht »Kondwimar«. Das Schiff ist 18,5 m über Deck lang, 3 m breit und hat bei 1,1 m Tiefgang 10 t Wasserverdrängung. Zum Antrieb dient ein vierzylinderiger Benzinmotor von 20 PS. Schluss folgt.

Liquid fuel at sea. (Engineer 18. Okt. 01 S. 414*) Der Tankdampfer »Trokan« ist mit Feuerungen für flüssigen und festen Brennstoff, Bauart Flannery-Boyd, ausgerüstet. Anordnung der Ölbehälter, Kessel und Feuerungen. Konstruktion der Brenner.

Improved rapid group-flashing lights. Von Brebner. (Engng. 18. Okt. 01 S. 564/65*) Kurze Übersicht über die Entwicklung des Leuchtfeuerwesens. Darstellung einer vom Verfasser entworfenen Konstruktion für ein Leuchtfeuer und Erörterung ihrer Vorteile.

Seil- und Kettenbahnen.

Die Drahtseilbahn des Rigi Viertels in Zürich. Von Schleich. (Schweiz. Baus. 19. Okt. 01 S. 169/70*) Die elektrisch betriebene Bahn hat 1 m Spurweite. Die Länge der Strecke beträgt 297 m, die Steigung 19,9 bis 33 vH. Konstruktion des Unter- und Oberbaues. Schluss folgt.

Straßenbahnen.

Die elektrische Hoch- und Untergrundbahn in Berlin von Siemens & Halske. Von Eiselen. Forts. (Deutsche Baus. 19. Okt. 01 S. 517/22* mit 1 Taf.) Betriebsart, Spurweite, Normalprofil des freien Raumes. Die Untergrundstrecken: Ausgestaltung. Forts. folgt.

Der neue elektrische Betrieb der New Yorker Stadtbahn. Von Hruschka. (Elektrot. Z. 17. Okt. 01 S. 868/68*) Anlage der Straßen und Verkehr in New York. Allgemeine Grundsätze für die Stromerzeugung und -verteilung. Das Kraftwerk: Lage; Gebäude; Kessel; Feuerung und Schornsteine; Vorrichtungen für künstlichen Zug; Vorwärmer; Kesselpeisung; Kohlenbehälter; Dampfleitungen; Maschinenhalle; die Dampfmaschinen; Kondensationsanlage; Erregermaschinen; Aachenabfuhr; Lauftrac. Forts. folgt.

Les tramways parisiens en 1900. Von Jean. (Génie civ. 19. Okt. 01 S. 403/06) Zusammenstellung der Streckenlängen, der Betriebemittel und der wirtschaftlichen Verhältnisse der mit Druckluft, Elektrizität oder Dampf betriebenen Straßenbahnen.

Tramway électrique de Malakoff-les-Halles. (Génie civ. 19. Okt. 01 S. 383/85* mit 1 Taf.) Die Strecke ist 7 km lang, von denen 6 km mittels Akkumulatoren und 1 km mittels Oberleitung betrieben wird. Die eingehend dargestellten zweistöckigen Wagen enthalten insgesamt 60 Plätze und sind mit zwei 35pferdigen Hauptstrommotoren und mit zwei Fahrschaltern mit Reihenparallelschaltung ausgerüstet. Die Batterie umfasst 210 Zellen und hat 45 Amp-4 Kapazität.

Wasserversorgung.

Belfast water supply. (Engineer 18. Okt. 01 S. 410/11*) Die Stadt, deren täglicher Wasserbedarf auf 59000 cbm geschätzt wird, bezieht das Wasser aus den 56 km entfernt liegenden Anlagen an den Flüssen Annalong und Kilcul. Angaben über die Wassergewinnung, die Hochbehälter und die Wasserleitung.

Continuous water softening. (Engineer 18. Okt. 01 S. 415*) Darstellung und kritische Besprechung der Schleuderrührer von Desrumaux und Biffel.

Plumbing in the Connecticut Mutual Life Building, Hartford. (Eng. Rec. 5. Okt. 01 S. 527/28*) Kurze Beschreibung der Wasserleitungsanlage in dem alten und dem neuen Geschäftshaus der Mutual Life Insurance Co.

Zementindustrie.

The new plant of the Alpha Portland Cement Company at Alpha, N. J. (Eng. Rec. 5. Okt. 01 S. 515/16*) Eingehende Beschreibung der neuen Werke genannter Gesellschaft. Das Hauptgebäude enthält 2 Dampfmaschinen, die zum Antriebe der Steinbrecher, der Kugel- und Rohrmühlen sowie der Drehretorten dienen. Einzelheiten der Transportvorrichtungen.

Rundschau.

Die III. Wanderversammlung des Internationalen Verbandes für die Materialprüfungen der Technik in Budapest.

In der Zeit vom 9. bis 14. September dieses Jahres hatten sich die Mitglieder des Internationalen Verbandes für die Materialprüfungen der Technik in der Hauptstadt Ungarns zusammengefunden, um in gemeinschaftlichen Sitzungen die Berichte über die seit dem Stockholmer Kongress in den einzelnen Ausschüssen weitergeführten und neubegonnenen Arbeiten entgegenzunehmen und über den Fortgang der Arbeiten des Kongresses Beschluss zu fassen. Die Versammlungen waren recht zahlreich besucht; es hatten sich im ganzen in Budapest 424 Mitglieder, teilweise in Begleitung ihrer Damen, eingefunden. Diese Zahl verteilt sich in folgender Weise auf die einzelnen Länder:

Ungarn	175
Deutschland	72
Oesterreich	44
Frankreich	38
Russland	27
Italien	12
Schweiz	10
Dänemark	9
Holland	8
Belgien	5
Norwegen	5
Schweden	5
England	4
Vereinigte Staaten	4
Spanien	3
Rumänien	1
Serbien	1
Türkei	1

Die ungarischen Verbandsmitglieder, insbesondere die der Stadt Budapest angehörigen, hatten das denkbar Möglichste gethan, um den Kongressteilnehmern die in Budapest verlebten Tage zu unvergesslichen zu gestalten und ihnen Gelegenheit zu geben, in der sitzungsfreien Zeit sich von der Entwicklung der Stadt und ihrem geistigen Leben und Streben ein Bild zu machen.

Der Kongress wurde am 9. September durch den Verbandspräsidenten Hofrat Prof. v. Tetmajer-Wien eröffnet, worauf die Verbandsmitglieder durch die Vertreter der ungarischen Regierung und der Technischen Hochschule begrüßt wurden, welche letztere die Räume zu den Sitzungen bereitgestellt hatte. Ferner wurden am ersten Sitzungstage die Arbeiten einzelner Ausschüsse dem Verbandspräsidenten vorgelegt. An den folgenden Sitzungstagen war die Einteilung so getroffen, dass zuerst die Gruppe A (Metalle) tagte und darauf die Gruppe B (Bausteine und deren Bindemittel) von dem großen Sitzungssaal Besitz ergriff. Zunächst seien die Verhandlungen der Gruppe A besprochen.

Nach Erledigung der rein geschäftlichen Angelegenheiten wurden Vorträge von Mesnager, v. Jüptner, Wahlberg gehalten.

Der erste der Vortragenden, Prof. Mesnager-Paris, besprach die Verfahren, die auf optischem Wege Formveränderungen von durchsichtigen Körpern unter dem Einfluss äußerer Kräfte zu verfolgen gestatten. Freiherr v. Jüptner erörterte in seinem Vortrag: »die Kohlenstoffformen im Eisen«, zunächst die bekannten Anschauungen über Karbidkohle, Härtekohle, Teuperkohle, Grafit, und ging dann zu den Bestrebungen des Amerikaners E. D. Campbell über, aus der Konstitution der bei der Zersetzung von Eisenkohlenstofflegierungen entstehenden Kohlenwasserstoffe Schlüsse auf die Konstitution des zersetzten Materials zu ziehen. Der Vortragende schloss sich den Ansichten Campbells voll an und versuchte sie auf von ihm selbst angestellte Versuche über die Färbkraft der einzelnen Kohlenstoffarten zu stützen.

Der von A. Wahlberg-Stockholm angekündigte Vortrag: a) »Über Schlagproben von Brinell an eingekerbten Stäben bei gewöhnlicher und bei abnorm niedriger Temperatur«, b) »Über die Anwendbarkeit der Brinellschen Kugelprobe zur Feststellung von Festigkeitseigenschaften des Eisens und Stahles«, beanspruchte erhöhtes Interesse. Leider war dem Vortragenden die Zeit zu kurz bemessen, um seinen Bericht erstatten zu können, was um so lebhafter bedauert werden muss, als der Vortrag nicht im Druck vorlag. Da hierdurch der Inhalt des Vortrages fast gänzlich verloren gegangen wäre, beschloss die Versammlung die nachträgliche Drucklegung der Arbeit.

Ueberhaupt war es als ein Mangel anzusehen, dass die Tagesordnung mit Vorträgen überlastet war, sodass den ein-

zelnen Rednern kaum 10 Minuten zur Erledigung ihrer Vorträge übrig blieb, wodurch also ihre Auseinandersetzungen zur Hauptsache nur in einem Hinweis auf die zumteil vorliegenden Abdrücke bestehen konnten.

Die Verhandlungen des dritten Sitzungstages bewegten sich ausschließlich um die Frage der Einführung der Schlagbiegeproben an eingekerbten Stäben in die Abnahmebedingungen. Es waren namentlich die französischen Mitglieder des Verbandes, welche hierfür warm eintraten. In mehreren Vorträgen wurde geltend gemacht, dass die üblichen Prüfverfahren (Zerreißprobe, Druckprobe, Biegeprobe, Abschreckbiegeprobe usw.) nicht ausreichen, um die Eigenschaften eines Materials, insbesondere des Flusseisens, genügend festzulegen. Es können Fälle vorkommen, dass ein Material, welches diese üblichen Prüfverfahren gut bestanden hat, doch hinterher bei der Verwendung zu Schäden Veranlassung giebt. Es wird deswegen empfohlen, die Schlagprobe an eingekerbten Stäben zu den üblichen Prüfverfahren hinzuzunehmen, weil sie eine bessere Klassifikation der Flusseisenmaterialien zulasse und namentlich über die Brüchigkeit der Materialien Aufschluss gebe. Den Bestrebungen der französischen Mitglieder auf dem vorliegenden Gebiet lässt sich eine gewisse Berechtigung nicht aberkennen. Dass unsere bisher üblichen Prüfverfahren Lücken lassen, ist unleugbar. Es handelt sich lediglich um die Frage, ob die empfohlenen Schlagbiegeproben an eingekerbten Stäben Aussicht bieten, diese Lücke auszufüllen, was wohl nicht ohne weiteres bestritten werden kann. Freilich wäre dann noch die große Schwierigkeit zu überwinden, Normen für die Ausführung der Probe festzustellen, die es ermöglichen, dass verschiedene Beobachter in allen Fällen zu Ergebnissen gelangen, welche untereinander verglichen werden können. Vorläufig sind von verschiedenen Seiten die mannigfaltigsten Vorschriften für die Vornahme der Probe empfohlen worden, und es ist nicht mit Sicherheit darauf zu rechnen, dass die nach den einzelnen Verfahren gewonnenen Ergebnisse irgendwie untereinander vergleichbar wären; ja es ist sogar noch zweifelhaft, ob selbst bei Zugrundelegung einer und derselben Ausführungsart nicht doch noch Unterschiede in den Beobachtungswerten auftreten können, die zu Unzuverlässigkeiten führen. Es ist mithin noch ein eingehendes Studium der einschlägigen Verhältnisse erforderlich, bevor man der Frage näher tritt, ob die vorgeschlagene Probe zur Abnahmebedingung gestempelt werden soll oder nicht. Mit Rücksicht hierauf sprach der Kongress den Wunsch aus, »dass neben den zahlreichen gewöhnlich vorgeschriebenen Versuchen zur Orientierung soviel wie möglich auch Schlagproben an eingekerbten Stäben, ferner Scherversuche, Kugeldruckproben vorgenommen werden, um die Kenntnis der Beziehungen zwischen den verschiedenen Prüfverfahren zu fördern und die Zahlenwerte festzulegen, welche die Eigenschaften der Metalle darzustellen geeignet sind.«

Auf der Tagesordnung des 4. Sitzungstages stand zunächst der Vortrag von Osmond und Cartaud: »Metallmikroskopie und Mechanik«. Es war dies eine höchst interessante Studie, die durch viele Lichtbilder illustriert wurde. Der Inhalt des Vortrages erstreckte sich auf den inneren Aufbau von Flüssigkeiten und festen amorphen oder kristallisierten Körpern, soweit er bedingt wird durch Konvektionsströme (Zellenbildung), Kristallisation, äußere Kräfte. Der Vortrag ist gesondert in »Baumaterialienkunde« VI. Jahrgang Heft 18 abgedruckt.

In dem darauffolgenden Vortrag von Professor E. Heyn-Charlottenburg: »Kleinere Mitteilungen aus dem metallurgisch-metallographischen Laboratorium der kgl. Mechanisch-Technischen Versuchsanstalt, Charlottenburg«, wurde ein kurzer Ueberblick über die neueren Arbeiten der genannten Anstalt auf dem Gebiete der Metallurgie und Metallmikroskopie gegeben. Es gelangte zunächst der Einfluss von Wasserstoff auf Eisen zur Besprechung, der sich darin äußert, dass Eisen, welches in wasserstoffhaltiger Atmosphäre geglüht und nachher abgeschreckt wird, eine wesentlich größere Sprödigkeit annimmt, als wenn das Glühen unter Ausschluss von Wasserstoff erfolgt (vergl. »Stahl und Eisen« 1900 Nr. 16 und 1901 Nr. 17). Die Erscheinung kann bei der üblichen Abschreckbiegeprobe eine ausschlaggebende Rolle spielen, wenn das Glühen der Probe in mit Leuchtgas geheizter Muffel unter ungünstigen Verhältnissen erfolgt. Auch auf den nachteiligen Einfluss des Wasserstoffs auf rotglühendes Kupfer wurde hingewiesen (vergl. diese Zeitschr. 1900 Heft 14 und 16: Die Umwandlung des Kleingefüges usw.). Des weiteren wurde eingegangen auf die gegenseitigen Beziehungen zwischen Kupfer und Sauerstoff, wie sie in der Versuchsanstalt auf mikroskopischem Wege und durch Beobachtung der Erstarrungsvorgänge ermittelt wurden, ferner auf die Einflüsse der Menge des Kupferoxyduls, insbesondere aber der Anordnung

dieses Körpers auf die Festigkeitseigenschaften des Kupfers (vergl. Mitteilungen der kgl. Technischen Versuchsanstalten Berlin 1900, S. 315, E. Heyn: Kupfer und Sauerstoff). Zum Schluss wurden noch Beispiele angeführt, welche die Möglichkeit darthun sollen, an Eisen und Kupfer, welche bei gewöhnlicher Temperatur bleibende Formveränderung erlitten haben, den Grad der durchgemachten Formveränderung messend zu verfolgen, und außerdem wurde der Zusammenhang der so ermittelten Maße mit dem beim Zerreißenversuch erhaltenen Verhältnis »Streckgrenze zu Bruchgrenze« dargelegt.

Als dann berichtete Geh. Bergrat Prof. Dr. Wedding über den Stand der Angelegenheiten des internationalen siderochemischen Laboratoriums, dessen Sitz nach Zürich verlegt werden soll, wo es in den Räumen des unter Professor Lunge stehenden chemischen Instituts des eidgenössischen Polytechnikums untergebracht werden soll. Das Laboratorium soll in Betrieb genommen werden, sobald die Summe von 18000 frs bewilligt ist.

Der fünfte Sitzungstag brachte einen Vortrag von Dr. Hoör über »die Verwandtschaft der elektrischen, magnetischen und mechanischen Polarisationserscheinungen und die aus diesen ableitbaren Materialprüfungsmethoden«. Der Vortragende wies darauf hin, dass die magnetischen und elektrischen Eigenschaften der Materialien mit Vorteil zur Kennzeichnung des Zustandes, in dem sie sich befinden, herangezogen werden können. Dem Antrag des Vortragenden, der Vorstand möge dieser Frage seine Aufmerksamkeit zuwenden und einen Ausschuss damit betrauen, das bereits veröffentlichte einschlägige Material zu sammeln, wurde beigestimmt.

Eine größere Arbeit von Professor v. Tetmajer über »die Gesetze der Knickungs- und der zusammengesetzten Druckfestigkeit der technisch wichtigsten Baustoffe« kam nicht zur Verlesung, wurde aber als Sonderabdruck im ganzen sowohl wie im Auszug vorgelegt.

In den Sitzungen der Gruppe B (Bausteine und deren Bindemittel), welche vom Oberingenieur E. Vermehren-Hamburg geleitet wurden, gelangten zahlreiche Vorträge zur Vorlage, die sich in ihrer Mehrheit mit der Prüfung der Zemente und anderer hydraulischer Bindemittel beschäftigten und nur zum kleinsten Teil auch andere Baustoffe berücksichtigten. Aus der großen Zahl der Vorträge, auf deren Inhalt im einzelnen an dieser Stelle einzugehen unmöglich ist, seien nur die folgenden genannt:

- Max Gary-Charlottenburg: Ueber den gegenwärtigen Stand der Zementprüfung in Deutschland;
- M. Mercier-Paris: Studien über Biegungsversuche;
- H. Le Chatelier-Paris: Beschleunigte Versuche über Volumenbeständigkeit und chemische Zersetzung der Zemente im Meerwasser;
- B. Blount-London: Volumenbeständigkeit der Zemente;
- C. Zieliński und J. Zhuk-Budapest: Vergleichende Versuchsmethoden für Romanzemente;
- A. Foss-Kopenhagen: Bestimmung von Festigkeitskoeffizienten für Portlandzemente behufs Berechnung von Bruchstärken der Ausführungen nach der Methode von Feret;
- R. Feret-Budapest: Adhäsion der Mörtel und des Betons;
- E. Maynard: Verhalten des Zementes im Meerwasser;
- Deval: Ueber die Einwirkung von Kalksulfaten auf Zemente und die Zusammensetzung der Sulfoaluminat des hydraulischen Kalkes;
- E. Leduc-Paris: Zersetzung hydraulischer Bindemittel;
- G. Baire-Amsterdam: Dichte der Zerreißenversuchsstäbe aus Zement;
- L. von Tetmajer-Wien: Einfluss einiger anorganischer Salze auf hydraulische Bindemittel;
- Belolubsky-St. Petersburg: Wahl des Normalsandes und Hydromodulus der Zemente;
- A. Cajo: Zerstörung des Ziegelmauerwerkes und Einwirkung von alkalischen Sulfaten;
- M. Considère-Paris: Armirte Betonkonstruktionen;
- Dr. F. Schaffarszik-Budapest: Bausteine und Steinbrüche Ungarns.

An die Vorträge schloss sich nur zum Teil eine Erörterung; da die Druckschriften erst unmittelbar vor Beginn der Verhandlungen in die Hände der Kongressteilnehmer gelangten, war ein eingehendes Studium der Vorträge nicht möglich und deshalb auch eine lebhaft Besprechung der gekauften Meinungen nicht zu erwarten. Nur diejenigen Anträge, die von den Verfassern selbst aufgrund ihrer Vorträge gestellt wurden, gelangten zur Besprechung und Abstimmung.

So hatte Ingenieur Gary-Charlottenburg im Anschluss an seinen Vortrag eine Reihe von Anträgen gestellt, die sich auf die Verbesserung und die Vereinheitlichung der Prüfungsmethoden für Portlandzement erstreckten, und die dem Vor-

stande zum Teil zur unmittelbaren Erledigung, zum Teil behufs Ueberweisung an geeignete Ausschüsse übergeben wurden.

Lebhafte Meinungsaustausch rief ein von Direktor F. Schott-Heidelberg gestellter Antrag auf Annahme einer Begriffserklärung für Portlandzement hervor, der sich gegen die Zumischung von Hochofenschlacke zum Portlandzement und den Verkauf dieses Erzeugnisses als Portlandzement richtete. Die Gruppe B hatte durch einen besonderen kleinen Ausschuss den Antrag Schott beraten und den Wortlaut der von Schott gewünschten Begriffserklärung in deutscher und französischer Sprache festlegen lassen. Ueber diesen Wortlaut wurde in der Vollversammlung lebhaft gestritten. Insbesondere wünschten einige Mitglieder, dass in der Form des Beschlusses nur ein vom Kongress ausgesprochener Wunsch zum Ausdruck kommen solle. Aufgrund eines Antrages von Prof. Kirsch-Wien gelangte sodann der Antrag in folgender Form zur Annahme: »Portlandzement ist eine feststehende Bezeichnung für ein hydraulisches Bindemittel, welches durch Brennen einer natürlichen oder künstlichen Mischung von Kalk mit Thon oder andern Materialien, welche Silikate enthalten, bis zur Sinterung und nachheriges Mahlen bis zur Mehlfeinheit gewonnen ist. Weder andere hydraulische Bindemittel noch Mischungen von Portlandzement mit andern Stoffen fasst der Kongress als Portlandzement auf.«

Aus den Berichten der Obmänner der Ausschüsse für die Gruppe B ist hervorzuheben, dass der Obmann der Kommission 11, Kommerzienrat Herfeldt-Andernach, über die Thätigkeit dieser Kommission berichtete, welche die Vereinheitlichung der Prüfung der Puzzolane bearbeitet. Ein Teil der Kommissionsmitglieder hat die Ausführung von Versuchen, insbesondere mit italienischer Puzzolane, in Aussicht genommen. Für die Abnahme und Prüfung von Trass soll es einstweilen bei den Vorschlägen des Deutschen Verbandes für die Materialprüfungen der Technik sein Bewenden haben.

Die zahlreichen auf den Nachmittag verlegten Veranstaltungen boten viel des Angenehmen und Belehrenden, so vor allen Dingen die Besichtigung des Verkehrsmuseums, der Donaubrücken, des städtischen Wasserwerkes, der Werke von Ganz & Co. usw. Von Interesse war auch ein in der Urania von Professor Illés de Edwi gehaltener Vortrag über »Ungarns Eisenindustrie«, welcher den Besuchern in Wort und Bild einen Ueberblick über die Erzeugung des Eisens in Ungarn bot, und einige Ausflüge in keramische und Zementwarenfabriken.

Das im Hotel Royal am 14. September abgehaltene Festmahl bildete den würdigen Schluss des Kongresses, der mit einem Empfang in den Vereinsräumen des Ungarischen Ingenieur- und Architektenvereines gesellig eingeleitet war.

Die Geselligkeit hielt auch noch etwa 150 Teilnehmer am Kongresse zu einer Donaufahrt zusammen, die bei herrlichem Wetter unternommen wurde. Der Besuch galt von der uralten Feste Peterwardein aus zunächst dem Zementwerk Becsán, wo aus großartigen Vorkommen von thonigem Mergel Portland- und Romanzement erzeugt wird und wo die Gesellschaft von einem der Besitzer des Werkes, Hrn. Orenstein, festlich bewirtet wurde. Von da ging es die Donau abwärts zum Eisernen Thor und der türkischen Insel Ada-Kaleh, sodann nach dem weltberühmten Hirkulesbad mit seinen heißen Quellen und zu dem Eisenwerk Resicza, wo Direktor und Beamte miteinander wetteiferten, den Gästen die zahl- und umfangreichen Werkstätten zu zeigen und zu erklären und wo ein Festbankett die Reise abschloss.

Der Schnelzug, den während dreier Tage die ungarische Staatsbahnenverwaltung für den Ausflug zur Verfügung gestellt hatte, führte die Reisegesellschaft nach Budapest zurück.

Lehrreiche Stunden, unvergessliche Tage hat die Liebenswürdigkeit der ungarischen Fachgenossen allen Teilnehmern am Kongresse bereitet. Der Dank, der ihnen dafür und besonders auch dem Organisationsausschuss gespendet wurde, war wohl verdient.

Der nächste Kongress soll 1903 in St. Petersburg stattfinden.

Die Anglian Engineering Co. in Stowmarket, Suffolk, hat gekapselte Elektromotoren ausgeführt, die mehrere recht bemerkenswerte Einzelheiten aufweisen. Diese sogen. Ball-Motoren, die für Leistungen von 1/2 bis 15 PS gebaut werden, haben stehende oder liegende Ankerwelle. Fig. 1 und 2 stellen eine stehende Ausführung dar, die zum unmittelbaren Antrieb einer Kreiselpumpe bestimmt ist. Die Ankerwelle ist unten mit der Kuppelung für die Pumpenwelle versehen. Oben wird sie von einem Kugellager, Fig. 3, getragen. Das obere Wellenende ist mit Gewinde und mit einer Keilnut versehen, sodass ein senkrecht verstellbarer genuteter Lagersring aufgeschraubt werden kann. Der Ring wird durch zwei Muttern und einen Feder-

keil in seiner Lage gehalten und stützt sich auf einen Ringzapfen, der auf den Kugeln läuft. Der kegelige Lagerring sitzt in einer auch zum Aufnehmen des Schmiermittels bestimmten Büchse, die in den als Halslager ausgebildeten oberen Gehäusedeckel eingesetzt ist. Unter dem Halslager ist auf die Welle eine nach unten dicht abgeschlossene Hülse aufgeschraubt, welche die Schalen des Halslagers aufsen mit Spiel umfaßt und oben mit einem Spritzring, Fig. 4, versehen ist. Das durch Spur- und Halslager gedrungene Öl steigt in der Hülse empor, wird von dem Spritzring in eine ringförmige Rille des unteren Gehäusedeckels abgeschleudert und gelangt von hier aus durch eine Röhre in das unter dem Anker angeordnete, ebenso wie das obere auffallend lange Halslager, dessen äußerer Gusskörper auf dem Sockel des Motors sitzend gleichzeitig als Tragstück für das Magnetgehäuse dient. Das Öl wird hier ebenso wie oben durch eine die Lagerschalen aufsen umfassende auf die Welle geschraubte Hülse abgefangen und wie beim oberen Halslager in eine ringförmige Sammelrille geschleudert. Außerdem hat die Welle noch über dem unteren Lagerzapfen einen Spritzring. Durch diese sorgfältige Führung des Schmiermittels ist oben der Kommutator und unten die Ankerwicklung vor Auftropfen und Eindringen von Öl sehr gut bewahrt.

Die Bleche des Trommelankers sitzen unmittelbar auf der Welle und werden durch zwei Radsterne zusammengepreßt, von denen sich der obere gegen eine Wellenschulter stützt, während der untere durch eine Schraubenmutter nach oben gedrückt wird. Der Kommutator setzt sich ebenfalls auf eine Schulter der Welle auf und wird durch die über ihm aufgeschraubte Oelfanghülse nach unten gepreßt. Diese Konstruktion hat den Nachteil, dass Ankerkörper und Kommutator keine zusammenhängende Einheit bilden. Der Zusammenbau mit der Welle wird dadurch schwieriger, und Ausbesserungen, bei denen Ankerkörper und Kommutator von der Welle entfernt werden müssen, machen es nötig, sämtliche Kommutatorverbindungen zu trennen und nachher wieder durch einen erfahrenen Wickler zu verlöten. Sehr eigenartig ist das aus Stahlguss bestehende Magnetgehäuse geformt. Die Joche bilden einen Kasten mit weiten Bohrungen, in welche die hohlen Pole eingesetzt werden. Die Pole können daher leicht einzeln abgeschraubt werden. In der Mitte der Polhörner ist ein senkrechter Luftschlitz angeordnet, Fig. 2, der für die Kühlung des Ankers zwar sehr vorteilhaft ist, dem Motor aber die oft wichtigere Eigenschaft eines wasser- und staubdichten Abschlusses nimmt. Nach oben hin läuft das Magnetgehäuse in einen Cylinder aus, dessen Inneres, durch zwei große Öffnungen leicht zugänglich, die Stromabnehmer trägt. Die Öffnungen sind im Betriebe durch Blechthüren verschlossen.

Die Zugänglichkeit des Kommutators wie auch des Ringspurlagers ist sehr vollkommen. Ebenso lässt sich der ganze Anker mit den beiden Gehäusedeckeln leicht herausnehmen.

Die französische Regierung hat einen Ausschuss eingesetzt, der Normen für Beton-Eisen-Bauten (armierten Beton) aufstellen soll.

Fragekasten.

Welche Erfahrungen hat man mit der u. a. von Scholl: »Führer des Maschinisten«, empfohlenen Verwendung von direkt austretendem Dampf als Feuerlöschmittel gemacht?

Fig. 1 und 2.

Hull-Motor der Anglian Eng. Co.

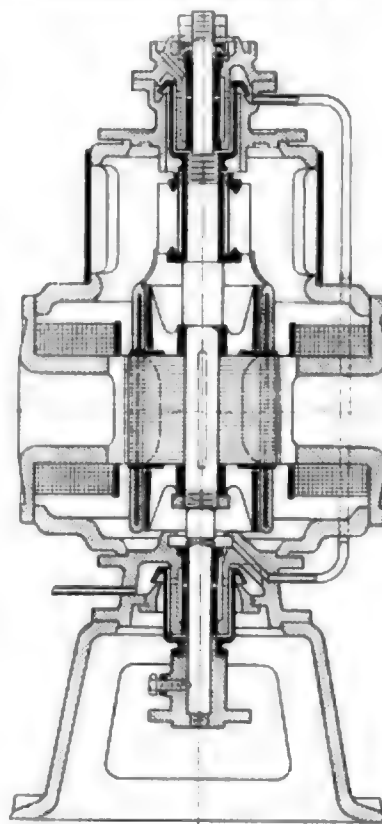


Fig. 3.

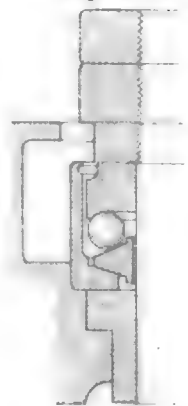
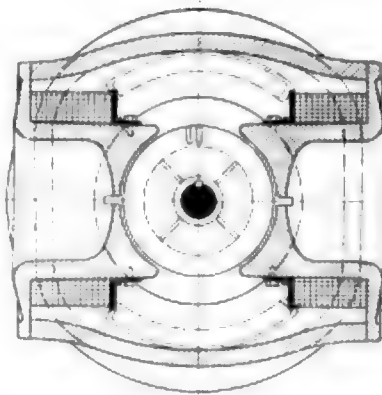
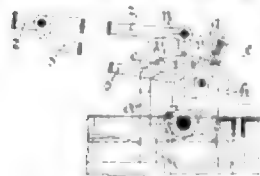


Fig. 4.



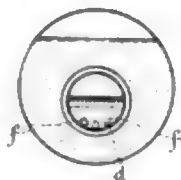
Patentbericht.

Kl. 14. Nr. 122798. Umsteuervorrichtung. Henschel & Sohn, Kassel. Zur Umsteuerung von Verbundmaschinen (Verbundlokomotiven) in der Weise, dass die Füllung des Hochdruckzylinders bis null vermindert werden kann, der Niederdruckzylinder aber beständig mit kräftiger Füllung arbeitet, ist der Steuerhebel *a* des Hochdruckzylinders unmittelbar, der Hebel *b* des Niederdruckzylinders aber durch die mit einer Schleife versehenen Nebentange *s* mit der Steuerstange *v* verbunden. Zieht man *a* aus seiner äußersten Rechtsstellung (größte Füllung) bis in die Mitte (Nullfüllung), so bleibt *b*, durch die Klinke *g* gesperrt, in der Rechtsstellung stehen, bis *g* durch die Rolle *n* an *a* und den Hebel *v* ausgelöst wird, worauf beim Weiterziehen behufs Umsteuerung beide Hebel infolge ihrer verschiedenen Längen gleichzeitig in der äußersten Linkstellung ankommen und *g* in *e* einschnappt; dann kann man *a* durch Zurückziehen von *v* in eine beliebige Zwischenlage bringen. Beim abermaligen Umsteuern wirken *v* und *e* ebenso.



beim abermaligen Umsteuern wirken *v* und *e* ebenso.

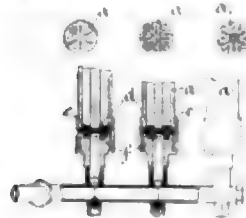
Kl. 34. Nr. 120914. Heisvorrichtung. B. Oertel, Gera (Rens). Durch Düsen der inneren Rohre *d* wird gepresste Luft gegen konzentrische Düsen der äußeren Rohre *f* geblasen und dadurch das in den Zwischenräumen eingeführte Wasser verstäubt und in den Brennstoff getrieben.



Kl. 17. Nr. 122949. Aufsaugkältemaschine. H. Geppert, Karlsruhe. Im Gefrierer *a* und im Aufsauger *f*, teilweise auch in der Rohrsehlange des Kondensators *e*, ist außer der Verdampfer- und der Aufsaugfülligkeit und ihren Dämpfen noch ein anderes Gas (atm. Luft) von solcher Dichte enthalten (für Ammoniak 8 bis 12 at, für Schwefeläther 1 at), dass die Spannung in *a* und *f* gesteigert und der Spannung in *e* und dem Kocher *i* annähernd gleichgemacht wird. Dadurch wird ohne Drosselventile, Pumpen usw. ein selbstthätiger Umlauf erzeugt, indem die Kälteflüssigkeit als Dampf von *i* durch *w* nach *e* und als Flüssigkeit nach *a* und *f* fließt.

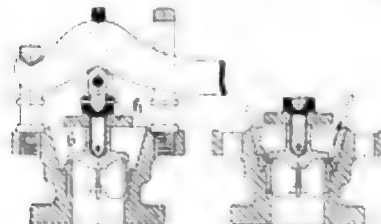


sigkeit durch p nach a strömt, während die entgaste Aufsaugflüssigkeit mit natürlichem Gefälle durch das gekühlte Rohr m nach f gelangt, wo sie die in a sich abscheidenden und das fremde Gas durchdringenden (diffundierenden) Dämpfe aufsaugt und mit ihnen durch k nach i zurückkehrt. Die Rohre A enthalten Salzwasser, i Kühlwasser.



Kl. 13. Nr. 120416. Dampfkessel. K. de Porto-Riche, Paris. Der Kessel besteht aus einzelnen rohrförmigen Verdampferkörpern a , denen das Wasser durch einen Einspritzer f d getrennt voneinander zugeführt wird.

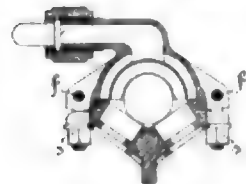
Kl. 13. Nr. 121464. Sicherheitsventil. Maschinen- und Armaturenfabriken vorm. C. Louis Strube A. G., Magdeburg-Buckau. Bei Sicherheitsventilen, über deren Ventilkugel sich eine Platte A befindet, ist das Gehäuse b mit allmählicher Querschnittserweiterung nach oben hergestellt, sodass auf die Platte nur die Spannung, welche durch die Expansion des Dampfes in b vorhanden ist, nicht aber die lebendige Kraft des Dampfes wirkt, wodurch ein genauer Schluss



des Ventiles beim Erreichen des erlaubten Druckes gewährleistet werden soll.

Kl. 13. Nr. 122554. Schutzvorrichtung für Wasserstandzeiger.

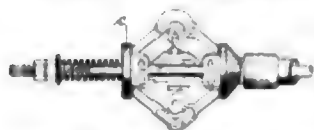
H. Kärner und Th. Brös, Lübeck. Die Vorrichtung besteht aus einem zweitheiligen, mit Schaugläsern versehenen und das Standglas allseitig umschließenden Gehäuse, bei dem die mit schräg abgesetzten Teilflächen versehenen Gehäusehälften durch um Holz f drehbare Schrauben s so verbunden werden, dass beim Ansehen am Wasserstandzeiger dampfdicht befestigt wird.



Kl. 13. Nr. 120069. Speisewasservorwärmer. H. Kröger, Altenburg S. A. Die Rohrplatten werden durch einen in einer Nut liegenden Gummiring m beim Zusammenschrauben der Flansche o gleichseitig abgedichtet.



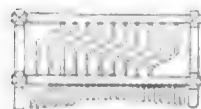
Kl. 13. Nr. 122629. Siederohrreiniger. O. Gehre, Hamburg-St. Pauli. Bei dem Siederohrreiniger mit an Kniegelenken angeordneten, durch Federn gegen die Innenfläche des Rohres gedrückten Schneidrollen sitzt der Lagerkopf e für die eine Hälfte der Glieder der Kniegelenke an einer Stange, welche in einen den Lagerkopf der andern Glieder tragenden, mit



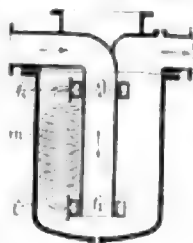
Handgriff versehenen Rohre achsial einstellbar ruht.

Kl. 13. Nr. 122179. Wasserrohrkessel.

Meyer, Köln. Die stehenden rahmenförmigen und auswechselbaren Glieder, welche den Feuer- und den Feuerzug umschließen, sind mehrfach gebogen, damit durch ihre ungleiche Ausdehnung bei der Erwärmung der Kessel nicht undicht wird.



Kl. 13. Nr. 120599. Speisewasservorwärmer. H. Schmidt, Hamburg-Uhlenhorst. Das Speisewasser wird in Schlauchrohren m vorgewärmt, die leicht lösbar an Öffnungen k und i von ringförmigen Hohlräumen g und A angeschlossen sind, sodass jedes Rohr ohne Störung der andern ausgewechselt werden kann.

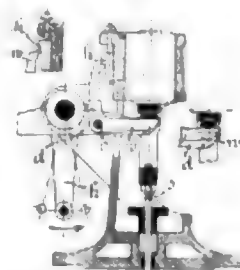


Kl. 17. Nr. 122765. Gradirwerk. H. Schaffstädt, Gießen.

Die Drehung des Gradirwerkes geschieht nicht durch den Luftstrom, sondern durch ein Schaufelrad b , das von dem zu kühlenden Wasser durch einen Kranz von Düsen a beaufschlagt wird, also gleichzeitig als Ventiler wirkt und die schrägen Tropfarme c so dreht, dass eine Gegenströmung der Luft gegen das Wasser hervorgebracht wird.



Kl. 14. Nr. 122615. Auslassventilsteuern. Dinglerische Maschinenfabrik A. G., Zweibrücken (Pfalz). Zur Verzögerung des Auspuffabchlusses und Verringerung der Verdichtung ist in dem von einer Steuerseilseife bewegten Ventillhebel A, d bei o ein Winkelhebel w gelagert, der durch einen am Gestelle senkrecht verschiebbaren Klotz k beeinflusst wird. Beim Heben der Ventilschraube s wird der Klotz k mitgehoben (Nebenspur links), bis er, von w freigegeben, zurückfällt. Beim Senken wird der Hebel w von der von der Stufe an k gehalten und bleibt hinter d zurück (Nebenspur rechts), bis er von der Stufe abgeleitet und das Auslassventil sich schließt. Dieser Zeitpunkt kann durch Verstellung von k geregelt werden.

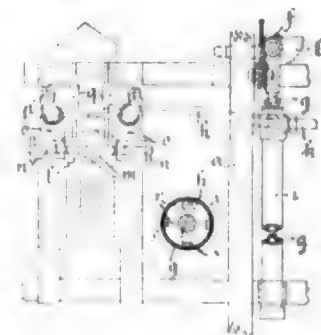


Kl. 21. Nr. 122705. Stromabnehmer. E. Balaut, Genf. Als Bürste dient ein Quecksilbertropfen g , der in einer Röhre a rollt, deren Boden o aus leitendem, nicht amalgamierendem Metall besteht, während die Wandung b ein Ring aus Isolierstoff ist. In diesem Ring sind die als Stromabnehmerstange dienenden, mit den Ankerwindungen s verbundenen Schrauben d eingeschraubt, die bei der Drehung nacheinander mit a durch g elektrisch verbunden werden.

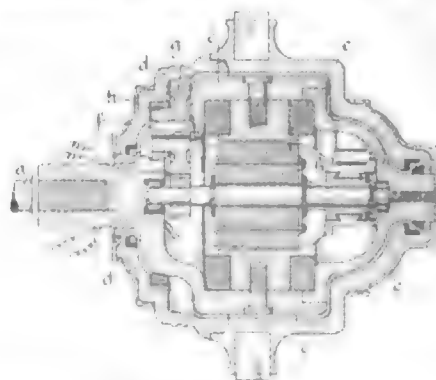


Kl. 35. Nr. 122917. Fangvorrichtung. R. Henry, Lüttich.

Beim Seilbruche bringt die Feder f den an der Kolbenstange g gelagerten Daumen b mit dem Holzbaume a in Eingriff, der am Fahrstuhle befestigte und samt den Röhren k mit Flüssigkeit gefüllte Cylinder i gleitet mit seinen Stegen s (Innenfigur) auf dem Kolben A herab, und da die Stege s nach oben stärker werden und die Durchtrittsöffnungen r verengen und zuletzt ganz verschließen, so wird durch k auf die gegenläufigen Kolben m, n des Bremszylinders l ein stetig wachsender Druck ausgeübt, der mittels der Kolbenstangen s und der Hebel o p die Bremsbacken g an die (nicht gezeichneten) Leitschienen drückt.



Kl. 63. No. 122327. Motorrad. F. J. Newman und J. Ledwinka, Chicago. Die feststehende Warenachse a ist zu einem den Anker b aufnehmenden Magnetgehäuse c ausgebildet, über welchem sich

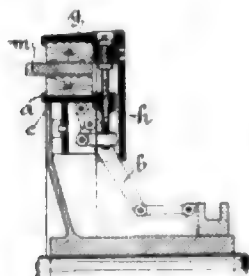


die Radnabe d, e dreht und das mit einem Lagerzapfen f für das die Bewegung des Ankers auf die Radnabe übermittelnde Vorgelege g, h ausgerüstet ist.

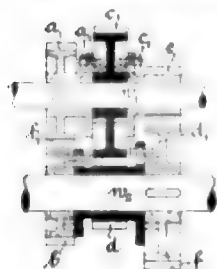
Kl. 47. Nr. 122431. Absperrschieber. J. Powell, Cincinnati (V. S. A.).

Mit dem durch die Welle w von außen bewegbaren Hebel A sind durch Glieder g zwei Scheiben s verbunden, die nach ihrer Herabbewegung in Nuten n durch Keilwirkung auf ihre Sitze gedrückt werden, indem Keilhäfen f an A auf Vorsprünge v an s wirken. Bei einer Ausführung mit nur einer Scheibe s stützen sich die Keilhäfen auf den Rand der gegenüberliegenden Rohröffnung.

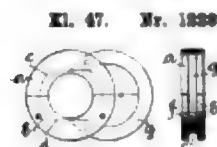




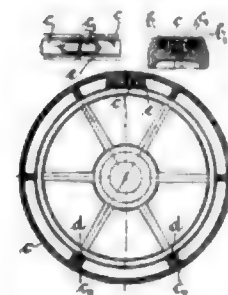
Kl. 47. Nr. 128711. Zylinderreibkupplung. Zacharias & Steinert, Magdeburg - Neustadt. Beim Einrücken mittels Gestänges legt sich zunächst die innere Backe *a* an den Reibcylinder *m*, und nachdem dadurch für *b* ein fester Stützpunkt geschaffen worden ist, wird die äußere Backe *g* an *m* gezogen. Beim Ausrücken wird zuerst *g* von *m* bis zum Anschläge *b* abgehoben, dann *a* bis zum Anschläge *c* abgezogen, wobei der Abstand beider Backen von *m* etwa gleich ist.



Kl. 47. Nr. 128824. Zahnradwechselgetriebe. S. und F. Ruppert, Chemnitz. In den drei Räderpaaren *ab*, *cd*, *ef* sitzen die Räder *a*, *f* auf ihren Wellen *w*₁, *w*₂ fest; die übrigen sitzen lose, können aber bei *a*₁, *b*₁, *c*₁, *d*₁ mit ihren Nachbarrädern gekuppelt werden. Die Kupplungen *a*₁ und *d*₁, *b*₁ und *d*₁, *a*₁ und *c*₁, *b*₁ und *c*₁ geben der Reihe nach die Uebersetzungen *c*:*d*, *a*:*b*, *c*:*f* und *a*:*b* × *d*:*c* × *e*:*f* oder, wenn *c*:*d* = 2:1, *a*:*b* = 1:1, *e*:*f* = 1:2 ist, 2:1, 1:1, 1:2 und 1:4, wie bei einem vierstufen Stufen-schaltgetriebe.]



Kl. 47. Nr. 128978. Befestigung zweiteiliger Stellringe, Naben u. dergl. H. Fausel, Stuttgart. Die Hälften *a*, *b* sind am Rande mit Nuten *c* und Abflachungen *d* versehen, über die ein offener Schleifring *g* geschoben, um 90° gedreht und durch Stifte oder Schrauben *f* gehalten wird; auch kann ein Ergänzungstück für *g* eingesetzt und angeschraubt werden.)



Kl. 47. Nr. 128994. Kolben mit Lide-ringsringen. W. Schmidt, Wilhelmshöhe bei Cassel. Außer den bekannten selbstspannenden Federringen *b*, *c* werden noch ein oder zwei ebenfalls aufgeschnittene Federringe *e* angeordnet, deren Federung nach außen durch einen um Ansatz *c* gelegten Ring *e* begrenzt ist, um übermäßigen Druck und Abnutzung zu verhüten. Bei liegenden Cylindern wird der Ring *e* durch Ansatz *c* und Kelle *d* gleichzeitig als Tragstütze des Kolbenkörpers angebildet.

Kl. 47. Nr. 128993. Treibriemen. C. O. Gehrke, Hamburg. Der bekannte Gehrke'sche Treibriemen (abgelaufenes Patent Nr. 24882, W. 1883 S. 467, und Zusatz Nr. 32314, Z. 1885 S. 786) wird in der Weise verbessert, dass die treppenförmig übereinander liegenden Längsstreifen und somit auch die seitlichen Stufen sämtlich oder teilweise ungleich breit sind. Legt man den Riemen so auf, dass *a* die (längere) Außenkante, *b* die (kürzere) Innenkante wird, so wird sowohl die Dötenbildung und die sichelförmige Krümmung bei Halbkreisriemen unterbunden, als auch das Einreißen der Kanten verhindert.

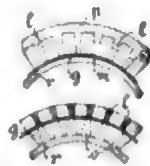


Kl. 47. Nr. 129020. Stopfbüchsenpackring. A. W. France, Philadelphia. Die durch eine Ringfeder *f* zusammengehaltenen Ringteile *b*, *c*, *d* lassen radiale Löcher *i* frei, indem ihre Fugen *k* in Ebenen liegen, die in einem gewissen Abstände an der Kolbenstange *e* vorbeigehen, sodass der selbstthätigen Nachstellung kein Hindernis entgegensteht.

Kl. 47. Nr. 128735. Rohrverbindung. H. W. Skowronek, Glau-chau 1/8. Zur luftdichten Verbindung von Röhren *a* (Blei) mit Innenleitern *b* (Kupfer) wird an den Enden der Mantel *a* entfernt und auf *b* und *a* ein Lötmetall *l* aufgebracht; dann werden die Enden in entsprechend gestaltete Muffen *c*, *d* gesteckt und mit diesen durch Erhitzung zu einem Stücke verlötet. Die Verbindung von *c* mit *d* geschieht in bekannter Weise.



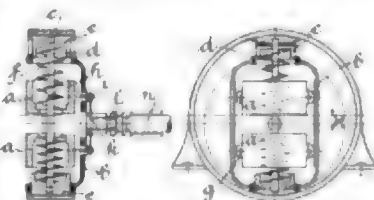
Kl. 47. Nr. 128977. Herstellung von Wärmeschutzhüllen. Vereinigte Norddeutsche und Dessauer Kleiselguhr-Ges. Rheinhold & Co., Hannover. Auf ein Gewebe *g* oder (Asbest-)Pappe trägt man ein- oder beidseitig Schutzmasse auf, versteht diese mit parallelen oder sich kreuzenden Furchen, befestigt das Ganze auf dem zu schützenden Rohre *r* oder dergl. und füllt die sich bildenden Lücken *l* mit Schutzmasse aus. Eine glättende Schicht *p* kann hinzugefügt werden. Nicht angefüllte Lufträume *m* bezw. *e* erhöhen die Wirkung.



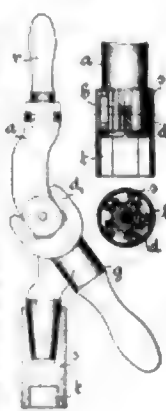
Kl. 47. Nr. 128906. Seilverbinder. F. Merkelbach, Wiesbaden. Die Hälfte *a* hat einen mit Zähnen *d* und einer Hohlkehle *e* versehenen Zapfen *c*, die Hälfte *b* eine Bohrung und zwei Querschrauben *f*, die in *e* eingreifen, sowie einen federbelasteten Stift *g*, der in *d* eingreift und die Zurückdrehung des durch Drehung gespannten Seiles hindert.



Kl. 60. Nr. 128903. Achsenregler. W. Jahns, Offenbach a/M. Die durch eine Stange *d* verbundenen Widerlager *a* der Belastungsfedern *f* sind als Gleitstühle ausgebildet und werden in einem ruhenden, zur Welle *s* nach oben hin exzentrischen Ringe *c* geführt, sodass die Spannung der Federn swangläufig stetig geändert wird. Die Exzentrizität *s* ist so bemessen, dass in der senkrechten Lage der Schwungkörper *a* die Spannung der unteren Feder um 2 G größer als die der oberen ist. Das Gewicht *G* des oberen Körpers wird also durch den Ueberschuss der Fliehkraft über die Spannung, das des unteren Körpers durch den Ueberschuss der Spannung über die Fliehkraft getragen, wodurch der Druck der Gewichte auf die Zapfen *h*, *k*, *l* gänzlich vermieden und die Empfindlichkeit wesentlich erhöht wird. In der wagerechten Lage werden die Gewichte durch Rollen *g* vom Rahmen *b* getragen.



Kl. 67. Nr. 128944. Werkzeug zum Drehen von Muttern usw. H. D. Williams, Stamford, und H. G. Hoadley, Waterbury (V. S. A.). Eine gekrümmte Welle *a* mit Handgriff *r* und auswechselbarer Hülse *s* wird mit dem Mantel *t* auf die (schlecht zugängliche) Mutter gesetzt und durch senkrecht auf- und Abbewegen des Griffes *g* in Schwingungen versetzt, wobei der schräge Drehzapfen *d*, von *g* in einer Kegelfläche schwingt. Die Schwingungen von *a* werden durch wiederholtes Abnehmen und Aufsätzen oder durch ein laufendes Gesperr *b* *d* (Nebenfigur) in eine fortlaufende Drehung verwandelt.



Zuschriften an die Redaktion.

(Ohne Verantwortlichkeit der Redaktion.)

Rotirende Dampfmaschinen und Dampfturbinen.

Geehrte Redaktion!

Aus Nr. 38 Ihrer geschätzten Zeitschrift entnehmen wir den Bericht über die Sitzung vom 24. Januar 1901 des Fränkisch-Oberpfälzischen Bezirksvereines, in welcher auch die Eigenschaften der Dampfturbine, namentlich der Parsons-Turbine, in Diskussion gezogen worden sind. Da wir seit mehr als Jahresfrist die Fabrikation dieser letzteren Maschinengattung aufgenommen haben, so wären wir Ihnen dankbar, wenn Sie von den nachstehenden Berichtigungen der in der betreffenden Diskussion geäußerten Ansichten in Ihrer geschätzten Zeitschrift Notiz nehmen wollten:

Der Vorteil einer Parsonschen Turbodynamogruppe liegt nicht sowohl in erster Linie in deren im allgemeinen allerdings geringeren Anschaffungskosten, als vielmehr in einer Reihe weiterer Vorteile. Zunächst werden auch die Kosten der Gebäude durch den geringeren Raumbedarf dieser Maschinen und die viel einfachere Gründung derselben wesentlich verringert. Außerdem stellt sich der Dampfverbrauch der Turbinen in den meisten Fällen nicht unbedeutend günstiger als derjenige gewöhnlicher Dampfmaschinen. In Bezug auf diesen Umstand verweisen wir nur auf folgende Daten: Die Versuche in Elberfeld haben ergeben, dass bei einer Dampfüberhitzung um 40° bei einer Belastung mit 1000 KW der

Dampfverbrauch 8,76 kg pro Stunde und pro KW betragen hat. Bei einer guten Dreifach-Expansionsmaschine, welche unter den gleichen Verhältnissen arbeitet, beträgt derselbe 9,36 kg. Für die neuen Maschinengruppen für die Anlagen Frankfurt a/M. und Mailand von je 2600 bis 3000 KW Leistung haben wir bei 12,5 at Admissionsüberdruck und einer Dampfüberhitzung von rd. 100° einen größten Dampfverbrauch von 7,3 kg pro KW-st garantiert, und dieser wird in Wirklichkeit aller Voraussetzung nach noch unterschritten werden. Endlich haben wir in der allerjüngsten Zeit an einer kleinen Maschine von nur 100 KW bei einem Admissionsüberdruck von 12 at und ohne Ueberhitzung einen Dampfverbrauch von 11,5 kg pro KW-st festgestellt. Wir glauben, dass diese Daten surgenüge beweisen, dass die Parsons-Turbinen in bezug auf ihren Dampfverbrauch auch mit den besten Dampfmaschinen erfolgreich konkurrieren können. Dabei kommt in Betracht, dass die Parsons-Turbinen erfahrungsgemäß, und zwar aufgrund langjähriger in England gemachter Erfahrungen, so viel wie gar keine Abnutzung durch den Betrieb erleiden und dass daher auch ihr Dampfverbrauch ein mit der Zeit vollständig konstanter bleibt. Ein einziges Beispiel möge hier genügen: Die Woolwich District Electric Light Co. Ltd. in Woolwich (England) hat im Monat Juni d. J. zwei ihrer 100 KW-Parsons-Turbinen geöffnet, nachdem sie einem vierjährigen Tag- und Nachtdienst für Straßenbahnbetrieb unterworfen gewesen waren. Das Resultat dieser Untersuchung ist in folgendem, an die Firma C. A. Parsons & Co. gerichteten Schreiben niedergelegt, welches wir in möglichst genauer Uebersetzung hier wiedergeben:

Geehrte Herren!

»Es wird Sie interessieren, zu hören, dass wir vor einigen Tagen zwei Ihrer 100 KW-Turbinen öffnen ließen, und dass das Ergebnis unserer Untersuchung nach dem vierjährigen ununterbrochenen Betriebs äußerst zufriedenstellend war. Die Schaufeln (sowohl die feststehenden wie die beweglichen) zeigten in keiner Weise Anzeichen der Abnutzung; ein anderer äußerst erwähnenswerter Umstand war der, dass wir an den Hauptlagern keinerlei Abnutzung entdecken konnten.«

! Wir empfehlen uns Ihnen usw.«

Für die Benutzung von überhitztem Dampf eignen sich die Turbinen aus dem Grunde besser, weil die Turbine in ihrem Innern im Gegensatz zu einer Dampfmaschine keinerlei Schmierung bedarf. In diesem Umstande liegt ja für die gewöhnlichen Dampfmaschinen die außerordentliche Schwierigkeit für Benutzung überhitzten Dampfes. Bei den Turbinen kommt dies vollständig in Wegfall. Eine weitere Folge dieser Tatsache ist der Umstand, dass das Kondensat der Turbinen vollkommen ölfrei bleibt und daher ohne weiteres als Kesselspeisewasser wieder benutzt werden kann.

Endlich weisen wir noch darauf hin, dass die Regulierung der Turbinen nicht nur keine mangelhafte, sondern im Gegenteil eine ganz vorzügliche ist, wie sie mit keiner Dampfmaschine erreicht werden kann. Bei der bereits erwähnten kleinen Maschine von 100 KW wurde z. B. der Versuch, die ganze Belastung plötzlich ein- und auszuschalten, vielfach wiederholt, ohne dass es möglich war, an der Turbine und ihrer Geschwindigkeit die Tatsache und den Augenblick des Aus- und Einschaltens überhaupt zu konstatieren. Die Maschine ist also erst recht ganz unempfindlich gegen kleinere Belastungsschwankungen, wie sie der praktische Betrieb ergibt.

Hochachtungsvoll

Baden, Schweiz, 7. Oktober 1901.

A.-G. Brown, Boveri & Cie.

Geehrte Redaktion!

Die Anschaffungskosten einer Parsonsschen Turbodynamogruppe mögen im allgemeinen geringer sein, als die einer gleichgroßen Kolben-Dampfmaschinen-Gruppe; auch wird sich der geringere Raumbedarf solcher Maschinen an Kosten für Gebäude und Gründung günstiger übertragen als bei den letzteren.

Diese Vorteile, wenn sie wirklich bestehen, dürften aber alles zusammenfassen, was zugunsten der Turbomaschine der Dampfmaschine gegenüber gestellt werden kann.

Dem für die Elberfelder Turbomaschine geltend gemachten Dampfverbrauch von 8,76 kg pro KW-st bei einer Dampfüberhitzung um 40° und bei einer Belastung von 1000 KW kann der an dem IV. Machinensatz der Danziger Zentrale konstatierte Dampfverbrauch von 9,1 kg pro KW-st gegentübergestellt werden, welcher eine Dreifachexpansions-Dampfmaschine mit 650 KW Leistung und Verwendung gesättigten

Dampfes betrifft; bei entsprechender Ueberhitzung des Dampfes darf hier eine Minderung von 0,34 kg, entsprechend 3,7 vH, sicher erwartet werden. Den weiter geltend gemachten Angaben über die für Frankfurt a/M. und Mailand bestimmten Turbomaschinen von je 2600 bis 3000 KW bezüglich des hierfür garantierten Dampfverbrauches von 7,3 kg pro KW-st, entsprechend einem Dampfverbrauch von 4,3 kg bei einer Kolbendampfmaschine, stehen die an den Sulzer-Maschinen in der Luisenstraße in Berlin erhobenen Resultate mit 4,3 kg Dampfverbrauch für 3500 PS Leistung gegenüber. Es kann also billigerweise ein Vorsprung der Parsons-Turbine gegen die Dampfmaschine in bezug auf Dampfverbrauch kaum geltend gemacht werden. Was die Abnutzungsfrage anbelangt, so kann es sich bei dem vollkommenen Zustand der heutigen Großdampfmaschine doch wohl nur um sogenannte natürliche Abnutzung handeln, und diese wird da wie dort in Rücksicht zu ziehen sein. Ob aber Havarien ernsterer Natur auch bei der Turbomaschine vorkommen können und wie sich solche äußern, wird erst die Erfahrung lehren müssen.

In der Benutzung überhitzten Dampfes für die Dampfmaschine kann heute eine Schwierigkeit kaum mehr geltend gemacht werden wollen, und so darf auch in diesem Punkt Gleichberechtigung der Dampfmaschine mit der Turbomaschine beansprucht werden, wenn auch zugegeben werden muss, dass letztere gegen die Verwendung überhitzten Dampfes weniger empfindlich ist.

Die Regulierungsfrage darf für die heutige Dampfmaschine als gelöst betrachtet werden. Ob dies in gleicher Weise bei der Turbomaschine der Fall ist, scheint nach den Mitteilungen über die kleine Maschine von 100 KW nicht so ohne weiteres angenommen werden zu dürfen, da es nicht ohne weiteres erklärlich ist, wie der Beharrungszustand auch während der geschilderten Belastungsänderungen ein dauernder sein kann.

Vorstehende Ausführungen sollen nicht etwa bezwecken, den entgegengehaltenen Äußerungen der Firma Brown, Boveri & Cie. A.-G. irgendwie Abbruch zu thun; sie mögen aber zur Rettung der Stellung der heute ohnehin schwer bedrängten Dampfmaschine beitragen, welche Stellung diese voraussichtlich noch lange behaupten wird. Andererseits wird sich die mit so großen Opfern entstandene Turbomaschine für die ihr zukommenden Verwendungsfälle ihren Platz sichern und friedlich neben ihrer erprobten Kollegin — der Dampfmaschine — ihren Dienst thun.

Hochachtungsvoll

Nürnberg, 15. Oktober 1901.

Georg Marx sr.

Geehrte Redaktion!

Nach den für einige bestimmte, der Praxis entnommene Fälle in zwischen angestellten Vergleichen stellen sich die tatsächlichen Kosten von Turbodynamos mindestens gleich denen guter Dampfmaschinen (stehende Dreifachexpansions-Dampfmaschinen angenommen), sodass dieser von uns seinerzeit erwähnte Vorzug der billigeren Beschaffung von Turbodynamos nicht vorhanden ist.

Hinsichtlich der Raumersparnis ergibt sich, dass die Turbodynamos sich zwar etwas länger, aber wesentlich schmaler als direkt gekuppelte Dampfmaschinen bauen, sodass durch die Wahl von Dampfmaschinen Raum gewonnen wird. Dagegen können wir nicht zustimmen, dass die Fundamente von Turbodynamos einfacher und wesentlich billiger hergestellt werden können als die der mit stehenden Kolbenmaschinen verbundenen Dynamos; denn auch erstere müssen bis auf guten, tragfähigen Baugrund geführt werden und die erforderlichen Aussparungen usw. erhalten.

Es lässt sich nicht erweisen, dass der Dampfverbrauch der Turbodynamos geringer ist als jener der Dampfmaschinen; denn ein Dampfverbrauch von 8,76 kg für eine 1000 KW-Maschine lässt sich unter den angegebenen Verhältnissen auch bei Kolbendampfmaschinen erreichen.

Der Umstand ist jedoch nicht unberücksichtigt zu lassen, dass sich bei letzteren der Dampfverbrauch bei kleinerer Belastung bis etwa $\frac{1}{2}$ der normalen nicht wesentlich über den der normalen Leistung entsprechenden erhöht, während derselbe bei Turbodynamos mit sinkender Belastung ganz bedeutend wächst. Da nun bei vielen Betrieben die Leistung des einzelnen Machinensatzes nur selten bis zur größten gesteigert wird, vielmehr die Maschinen, um unvorhergesehenen Fällen zu entgehen, in der Regel mit etwas kleinerer Belastung betrieben werden (ganz abgesehen von der Veränderlichkeit der Belastung, welche die Betriebe selbst mit sich bringen), so dürfte der oben erwähnte Umstand ein nicht zu unterschätzender Vorzug der Kolbendampfmaschine sein.

Nürnberg, 21. Oktober 1901.

J. H. Kinbach. H. Richter. H. Wallem.

ZEITSCHRIFT DES VEREINES DEUTSCHER INGENIEURE.

Nr. 45.

Sonnabend, den 9. November 1901.

Band XXXV.

Inhalt:

Die Weltausstellung in Paris 1900: Hebemaschinen. Von Kammerer (Fortsetzung)	1585
Mond-Gas. Von R. Schöttler	1593
Aufgaben und Fortschritte des deutschen Werkzeugmaschinenbaues. Von F. Ruppert	1597
Zur Konstruktion der Laufräder der Radialturbinen. Von M. Baasch	1603
Berliner B.-V.: Versuchsbrunnenanlagen	1606
Hamburger B.-V.	1609
Obereschlesischer B.-V.: Das Wesen des amerikanischen Schnelldrehstahls und des Taylor-White-Verfahrens und die Ergebnisse mit deutschen Schnelldrehstählen	1609

Ruhr-B.-V.	1610
Bücherechau: Rechentafel, System Proell. — Bei der Redaktion eingegangene Bücher. — Uebersicht neu erschienener Bücher	1610
Zeitschriftenschan	1613
Rundschau: Die neuen Werke der Sharon Steel Company. — Der Untergang des englischen Torpedobootzerstörers „Cobra“. — Motorlastwagen. — Elektrisches Kraftwerk in Zell i/W. — Siebenmast-Gaffelschoner. — Verschiedenes	1615
Patentbericht: Nr. 119941, 128407, 130335, 132460, 130815, 132062, 132398, 132323, 132915, 132109, 132832, 130711, 130646	1619
Angelegenheiten des Vereines: Abrechnung über die 49. Hauptversammlung in Kiel 1901	1620

Die Weltausstellung in Paris 1900.

Hebemaschinen.

Von Kammerer, Charlottenburg.

(Fortsetzung von S. 1492)

IX. Aufzüge.

Die Gebäude der Ausstellung boten mit sehr wenig Ausnahmen kein Feld für Aufzüge, da sie größtenteils nur zweigeschossig ausgeführt waren. Dementsprechend war auf dem Gebiete gewöhnlicher Personenaufzüge verhältnismäßig wenig zu sehen. Einige Pariser Werke hatten die den dortigen Verhältnissen entgegenkommenden Konstruktionen von Aufzügen für Druckluftbetrieb mit zwischengeschalteter hydraulischer Uebersetzung ausgestellt; dazu kamen einige vereinzelte Aufzüge mit elektrischem Betrieb, die gegenüber dem Bekannten grundsätzlich Neues nicht boten.

Der elektrisch betriebene Personenaufzug hat in den letzten fünf Jahren seine typische Erscheinung kaum geändert: Nebenschlussmotor mit eingängiger Schnecke und mehrseitige Aufhängung der Fahrzelle mit einem an die Trommel gehängten Gegengewicht, welches Zellengewicht und halbe Nutzlast ausgleicht, bilden das Wesentliche der Bauart, die heute von fast allen Maschinenfabriken angenommen ist. Neuerungen beschränken sich meist auf Unwesentliches. Selbst solche Einzelheiten, die ihrer Natur nach vielgestaltige Ausbildung zulassen — wie beispielsweise die Fangvorrichtung —, zeigen in allen Ausführungen denselben Grundgedanken: ein Reibungsgesperre, welches sowohl durch ungleiche Seilreeckung wie durch einen Fliehkraftregler zum Eingriff gebracht und durch die sinkende Fahrzelle selbst vollends festgezogen wird.

Ob sich diese Anordnung in allen ihren grundsätzlichen Einzelheiten noch längere Zeit behaupten wird, kann bezweifelt werden. Es lässt sich beispielsweise die Frage aufwerfen, ob es wirtschaftlich zweckmäßig ist, einen um ein Drittel stärkeren und um ein Viertel kostspieligeren Motor und Anlasser nur aus dem einen Grunde einzubauen, um eine eingängige statt einer zweigängigen Schnecke anwenden zu können. Nimmt man an, dass der Motor eines gewöhnlichen Personenaufzuges von 500 kg Zugkraft und 1 m/sk Hubgeschwindigkeit in höchster Stellung der Fahrzelle stromlos wird, wobei gleichzeitig die Stoppbremse versagen möge, und setzt man voraus, dass die Nutzlast zur Hälfte durch Gegengewicht ausgeglichen ist, so steht nach Abzug der Reibungswiderstände eine Beschleunigungsarbeit von $200 \text{ kg} \times 15 \text{ m}$ zur Verfügung, wenn der Hub 15 m beträgt. Die zu beschleunigenden Massen setzen sich zusammen aus Nutzlast, Fahrzelle, Gegengewicht, Motoranker und Bremscheibe. Für die angegebenen Abmessungen würde entsprechen:

dem Anker eine auf die Zelle reduzierte Masse von 600 Masseneinheiten der Bremscheibe eine auf die Zelle reduzierte

Masse von 750 „
der Zelle, dem Gegengewicht und der Nutzlast . 150 „

1500 Masseneinheiten

oder ein auf die Zelle reduziertes Gewicht von $1500 \text{ g} = \text{rd. } 15000 \text{ kg}$. Die sinkende Fahrzelle trüfe daher in ihrer tiefsten Stellung mit einer Endgeschwindigkeit ein, die einer freien Fallhöhe

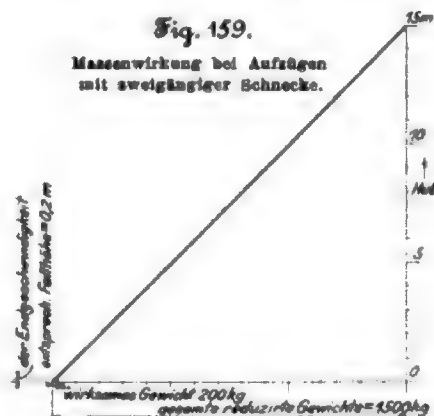
$$A = \frac{200 \text{ kg} \times 15 \text{ m}}{15000 \text{ kg}} = 0,1 \text{ m}$$

entsprechen würde. Das Verhältnis des wirksamen Gewichtes zu dem gesamten auf die Zelle reduzierten Gewicht, im vorliegenden Falle

$$\frac{G_w}{G_r} = \frac{2000 \text{ kg}}{15000 \text{ kg}} = \frac{1}{7,5}$$

Fig. 159.

Massenwirkung bei Aufzügen mit zweigängiger Schnecke.



sinkt bei Aufzügen von größerer Zugkraft bis auf $\frac{1}{100}$ und darunter, sodass der gewählte Fall als ein besonders ungünstiger anzusehen ist. Der Einfluss von Hubhöhe und Gewichtverhältnis auf die der Endgeschwindigkeit entsprechende freie Fallhöhe ist aus Fig. 159 ohne weiteres ersichtlich. Sorgt man nun dafür, dass die untere Hubbegrenzung des Aufzuges als einfacher Reibungspuffer ausgebildet ist, so kann die verhält-

nismäßig kleine lebendige Arbeit mit geringem Stoß aufgenommen werden. Man wird also kaum behaupten können, dass die zweigängige Schnecke eine zu geringe Betriebsicherheit bietet; da sie eine geringere Abnutzung erleidet als die eingängige Schnecke, so ist sie sogar als betriebsicherer anzusehen, wenn man sich auf den Standpunkt stellt, dass ein Getriebe mit längerer Lebensdauer sicherer ist als ein sich rasch abnutzendes.

Ueber die Verwendbarkeit der bisher üblichen Fangvorrichtungen für die wohl wesentlich höheren Geschwindigkeiten, die für zukünftige Ausführungen verlangt werden dürften, lässt sich ein Urteil durch folgende Ueberlegung gewinnen. Eine mit 1,0 m/sk abwärts fahrende Zelle eines gewöhnlichen Personenaufzuges von 500 kg Zugkraft und 500 kg Eigengewicht stellt nach Loslösung von der Seiltrommel eine lebendige Arbeit von mindestens $\frac{500 + 500}{2} \cdot \frac{1^2}{2} = 50 \text{ mkg}$ vor.

Die bisherigen Fangvorrichtungen suchen möglichst rasch eine starre Kupplung der Zelle mit den Führungsschienen herzustellen; die lebendige Arbeit wird daher auf einem sehr kurzen Bremswege in Reibungsarbeit umgesetzt, sodass jedenfalls ein sehr hoher Bremswiderstand entsteht. Mit Abnahme des Bremsweges steigt der Bremswiderstand sehr rasch, wie aus Fig. 160 sofort ersichtlich ist: Gelingt es, einen Brems-

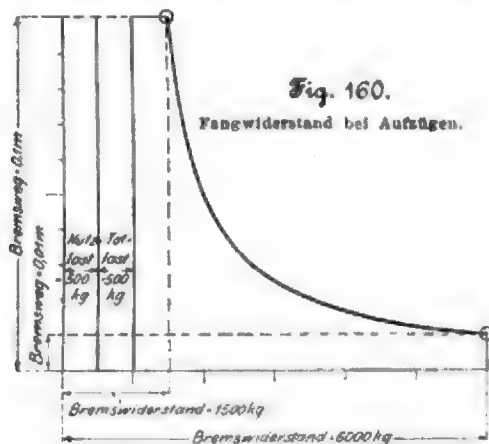


Fig. 160.

Fangwiderstand bei Aufzügen.

weg von 100 mm zu erzielen, so würde der Bremswiderstand $\frac{50}{0,1} + 1000 = 1500 \text{ kg}$ betragen; würde durch einen ungünstigen Umstand, z. B. gequollene Schienen, der Bremsweg auf 10 mm vermindert, so stiege der Bremswiderstand auf $\frac{50}{0,01} + 1000 = 6000 \text{ kg}$, also auf das 12fache der Nutzlast oder das 6fache der Gesamtlast.

Die Unmöglichkeit, die Größe des Bremsweges voraus zu berechnen und sicher zu stellen, bringt eine sehr große Unsicherheit in der Bemessung aller Teile der Fangvorrichtung mit sich; es können weit größere Beanspruchungen darin auftreten, als man vermutet. Diese Unsicherheit hat bei den bisher üblichen geringen Geschwindigkeiten der Personenaufzüge zu Schwierigkeiten noch nicht geführt, wird dies aber bei zukünftigen höheren Geschwindigkeiten wohl ebenso sicher thun, wie sie es bei Fördermaschinen von jeher gethan hat, deren Fangvorrichtungen auf demselben unrichtigen Grundsatz beruhen wie diejenigen der Aufzüge. Bei einer Fördermaschine beispielsweise für 5000 kg Nutzlast, 3000 kg Totlast und nur 10 m/sk Höchstgeschwindigkeit wäre eine lebendige Arbeit von $\frac{5000 + 3000}{2} \cdot \frac{10^2}{2} = 40000 \text{ mkg}$ aufzunehmen;

bei einem Bremswege von 1000 mm würde also bereits ein Widerstand von $\frac{40000}{1,0} + 8000 = 48000 \text{ kg}$ entstehen, der sämtliche Teile des Gerippes auf das 6fache der Betriebslast beanspruchte. Wenn man sich demgegenüber nun auch bemüht hat, die Messer der Fangvorrichtung so zu gestalten, dass sie auf eine begrenzte Tiefe in die Spurlatten eindringen, so stellt diese Maßnahme doch nur einen Nothbehelf zur Begrenzung des Bremswiderstandes vor; eine Vorausberech-

nung des Bremsweges ist dabei immer noch nicht möglich, und eine wirkliche Gewähr für die Einhaltung eines Bremsweges von bestimmter Länge wird durch die vorhandenen Konstruktionen noch immer nicht geboten. Man darf sich daher nicht wundern, wenn der Bergmann die üblichen Fangvorrichtungen mit dem allergrößten Misstrauen betrachtet.

Wenn man schon die Fangvorrichtung als Gesperre ausführt, so müsste wenigstens durch die Einzelkonstruktion die Einhaltung eines Bremsweges von bestimmter Größe gesichert sein; eine Ausführung dieser Art findet sich im Nachfolgenden dargestellt.

Genau genommen ist die Ausführung der Fangvorrichtung als Gesperre überhaupt unrichtig; sie müsste vielmehr als selbstthätige Bremse ausgebildet sein, wie sie grundsätzlich bei allen Schnellsüßen angewendet wird. Bei letzteren wird zum Zweck des Anhaltens eine aufgespeicherte Arbeit freigegeben; die freigegebene Arbeit wird dazu benutzt, um die Bremsbacken mit einer ganz bestimmten, genau berechenbaren Kraft an die Laufräder anzupressen, sodass ein übermäßiges plötzliches Anwachsen des Bremswiderstandes von vornherein unmöglich ist.

Grundsätzlich neue Konstruktionsgedanken für Einzelheiten von Aufzügen fanden sich in der Ausstellung nur bei den neuen Aufzügen des Eiffelturmes, die im Nachfolgenden dargestellt sind. Die Zeichnungen zu dieser Darstellung sind entworfen nach einem von Eiffel verfassten Werk »La tour de trois cents mètres«. Die Durchsicht dieses Werkes ruft in dem Leser den Wunsch wach, es möchte jede hervorragende Ingenieurarbeit eine Veröffentlichung in so monumentaler Form finden, wie es hinsichtlich des Eiffelturmes in dem genannten bibliographischen Prunkwerk geschehen ist.

Die ursprüngliche Aufzugsausrüstung des Eiffelturmes, wie sie bei der Ausstellung im Jahre 1889 im Betriebe war, ist seinerzeit durch die Veröffentlichung von Prof. Gutermuth¹⁾ bekannt geworden. Sie bestand aus folgenden Maschinen, Fig. 161:

Im Ost- und im Westpfeiler war je ein Aufzug, Bauart Roux, Combaluzier & Lepape, im Betrieb, die vom Erdgeschoss bis zum I. Stockwerk führen. Diese Aufzüge besaßen zwar große Zugkraft — 90 Fahrgäste —, aber nur geringe Geschwindigkeit — 1,1 m/sk —; sie konnten daher nur 10 Fahrten in der Stunde ausführen entsprechend einer

Stundenleistung = $2 \cdot 90 \cdot 10 = 1800$ Gäste.

Entworfen waren die Aufzüge zwar für 100 Gäste und 12 Fahrten, entsprechend einer Stundenleistung von 2400 Gästen; sie haben thatsächlich aber weder die verlangte Zugkraft noch die geforderte Geschwindigkeit erreicht. Die Gelenkketten dieser Aufzüge mit den zahlreichen Schmierstellen erscheinen als eine sehr wartungsbedürftige und für größere Geschwindigkeiten überhaupt nicht geeignete Konstruktion. Die Aufzüge wurden mittels Hochbehälters mit 18 at Pressung betrieben und erreichten einen Wirkungsgrad von nur $\eta = 0,35$.

In den Nord- und den Südpfeilern war je ein Aufzug, Bauart Otis, eingebaut, die vom Erdgeschoss bis in das zweite Stockwerk führen. Es hatte sich durch Versuche herausgestellt, dass sich der leistungsfähigste Betrieb dann ergab, wenn der eine dieser Aufzüge ohne Anhalten unmittelbar bis zum II. Stockwerk fuhr, während der andere nur vom I. Stockwerk bis zum II. Stockwerk fuhr. Die Zugkraft dieser Aufzüge war gering — die thatsächliche Zugkraft entsprach 42 Fahrgästen —, die erreichte Geschwindigkeit war ebenfalls gering — 1,17 m/sk. Der O-II-Aufzug konnte daher nur 9 Fahrten, der I-II-Aufzug nur 12 Fahrten stündlich ausführen, entsprechend einer

Stundenleistung von $1 \cdot 42 \cdot 9 = \text{rd. } 380$ Gästen
bzw. von $1 \cdot 42 \cdot 12 = \text{rd. } 500$ „
zus. 880 Gästen.

Vertraglich verlangt war eine Zugkraft entsprechend 50 Fahrgästen und 10 bzw. 14 Fahrten stündlich; diesen Bedingungen hätte entsprochen eine

Stundenleistung von $1 \cdot 50 \cdot 10 = 500$ Gästen
bzw. von $1 \cdot 50 \cdot 14 = 700$ „
1200 Gästen.

¹⁾ Z. 1890 S. 334.

Es sind also auch die Otis-Aufzüge ganz bedeutend hinter den vertragmäßig verlangten Leistungen zurückgeblieben. Auch diese Aufzüge wurden vermittels Hochbehälters mit 18 at Pressung betrieben. Infolge der kleinen Durchflussquerschnitte, der kleineren Seilrollen und der großen Totlasten — die Fahrzelle hatte ein Eigengewicht von 10800 kg für 42 Gäste, während die Aufzüge im Ost- und Westpfeiler nur 6400 kg Zellengewicht für 90 Gäste besaßen — erzielten auch diese Aufzüge einen Wirkungsgrad von nicht mehr als $\eta = 0,81$.

Vom II. Stockwerk in das III. Geschoss führte ein Aufzug, Bauart Edoux, der über eine Zugkraft entsprechend 65 Fahrgästen verfügte. Dieser Aufzug sollte vertragsgemäß 12 Fahrten stündlich ausführen, brachte es aber tatsächlich nur zu 7 Fahrten, sodass anstelle der geplanten Stundenleistung von $65 \cdot 12 = 780$ Gästen eine tatsächliche Stundenleistung von $65 \cdot 7 = 455$ Gästen trat. Die beiden unmittelbar wirkenden Tauchkolben von 80 m Hub beförderten die eine Fahrzelle bis auf halbe Höhe, während gleichzeitig die als Gegengewicht dienende zweite Fahrzelle vom III. Geschoss bis auf halbe Höhe herabsank; die Fahrgäste mussten nun umsteigen und wurden mit der steigenden Gegengewichtszelle bei gleichzeitig sinkenden Tauchkolben völlig in das III. Stockwerk befördert. Die mittels Hochbehälters erzeugte Pressung nahm während des Hubes von 18 at auf $18 - 8 = 10$ at ab, wobei Ausgleichung durch die Gegengewichtszelle erzielt wurde. Infolge der unmittelbaren Wirkung erreichte dieser Aufzug einen Wirkungsgrad von $\eta = 0,74$.

Die von den fünf Aufzügen tatsächlich geleistete stündliche Arbeit ist aufgetragen in dem Diagramm Fig. 162, welches für die einzelnen Maschinen die Hubhöhe als Ordinate und die stündlich gehobene Last als Abszisse darstellt.

Das dieser Hubarbeit entsprechende Einkommen ergibt sich aus dem Tarif, der für die Beförderung bis zum I. Stockwerk 2 frs, für die Beförderung nach dem II. einen Zuschlag von 1 frs und für die Fahrt in das III. Geschoss einen weiteren Zuschlag von 2 frs verlangte. Es ergibt sich demnach bei voller Ausnutzung der Aufzüge ein stündlicher Ertrag von (Fig. 163):

III. Stockwerk:	455 Gäste $\times (2+1+2)$ frs = 2275 frs
II. „	$(500+380-455) \times (2+1) = 1275$ „
I. „	$(900+300-500) \times 2 = 2600$ „
	2180 Gäste 6150 frs

Bei zehnstündigem Vollbetrieb ergibt sich daraus eine Tageseinnahme von $10 \cdot 6150 = 61500$ frs; tatsächlich wurde als höchste Tageseinnahme der Betrag von 60756 frs am 9. September 1889 erreicht. Die höchste Besucherzahl ist noch etwas größer, weil neben den Aufzügen die Treppen bis zum I. Stockwerk benutzt wurden: am Pfingstmontag 1889 besuchten 23202 Gäste den Turm.

Da schon bei der Ausstellung im Jahre 1889, wie aus den eben mitgeteilten Zahlen hervorgeht, die Aufzugesanlage voll angestrengt war, musste man für die Ausstellung 1900 auf eine Steigerung der Leistungsfähigkeit bedacht sein.

In erster Linie musste die Förderung in das II. Stockwerk gesteigert werden, da dieses 1889 weitaus den größten Durchschnittsbesuch erhielt: 10000 Gäste täglich gegen 5000 im Erdgeschoss und ebenfalls 5000 im III. Stock. Man entschloss sich daher, die Förderung in das II. Geschoss auf 1200 Gäste stündlich statt 425 wie bisher einzurichten. Die Leistung des Aufzuges für das III. Stockwerk sollte von 455 auf 800 Gäste stündlich gebracht werden. Für das I. Geschoss war eine Steigerung der Aufzugleistung nicht nötig, da sich herausgestellt hatte, dass die Treppenanlage in großem Umfang benutzt wird.

Die genannte Steigerung der Förderung wurde durch folgende Maßnahmen verwirklicht: Zunächst entschloss man sich, die beiden Aufzüge von Roux, Combautier & Lepape im Ost- und Westpfeiler vollständig zu beseitigen und durch neue zu ersetzen, die bis in das II. Stockwerk fahren können und bei gleicher Zugkraft — 100 Gäste — doppelt so große Geschwindigkeit — 2,3 m/sk — haben. Bei 10 Fahrten stündlich ergeben die beiden neuen Aufzüge eine

Stundenleistung von $2 \cdot 100 \cdot 10 = 2000$ Gästen.

Der Otis-Aufzug im Südpfeiler wurde ebenfalls beseitigt und durch eine breite Treppenanlage bis zum I. Stockwerk ersetzt. Der Otis-Aufzug im Nordpfeiler wurde umgebaut in der Weise, dass er eine neue Fahrzelle für 80 Gäste erhielt, die jedoch nur bis zum I. Geschoss fährt, entsprechend bei 14 Fahrten einer

Stundenleistung von $1 \cdot 20 \cdot 14 = 1120$ Gästen.

Der Edoux-Aufzug erhielt nur eine neue Rohrleitung zur Erzielung größerer Geschwindigkeit, sodass 10 Fahrten möglich sind, entsprechend einer

Stundenleistung von $1 \cdot 80 \cdot 10 = 800$ Gästen.

Diesem Umbau, Fig. 164, entspricht die in Fig. 165 dargestellte stündliche Hubleistung

Der stündliche Ertrag ergibt sich bei unverändertem Tarif zu (Fig. 166):

III. Stockwerk:	800 Gäste $\times (2+1+2)$ frs = 4000 frs
II. „	$(2000-800) \times (2+1) = 3600$ „
I. „	$1120 \times 2 = 2240$ „
	3120 Gäste 9840 frs

Entwurf und Ausführung der beiden neuen Aufzüge für den Ost- und den Westpfeiler wurden der Compagnie de Fives-Lille übergeben. Diese Aufzüge sollten bis in das zweite Stockwerk fahren — entsprechend einer Hubhöhe von rd. 120 m — und sollten 100 Fahrgäste mit einer Geschwindigkeit von 2,3 m/sk befördern. Diese Leistung entspricht einer ideellen Energie von $\frac{7000 \text{ kg} \times 2,3 \text{ m/sk}}{75} = 215 \text{ PS}$

für den Aufzug, während die beiden früher vorhandenen Aufzüge von Roux, Combautier & Lepape nur je 92 ideelle Pferdestärken, die beiden Otis-Aufzüge und der Edoux-Aufzug nur je 46 ideelle Pferdestärken leisteten. Es mag von vornherein bemerkt werden, dass die neuen Fives-Lille-Aufzüge die verlangte hohe Leistungsfähigkeit voll erreicht haben, während alle andern Aufzüge — wie bereits erwähnt — weit hinter der vertragmäßigen Leistung zurückgeblieben waren.

Die grundsätzliche Anordnung, welche die Compagnie de Fives-Lille für die neuen Aufzüge gewählt hat, ist völlig verschieden von der Anordnung der alten Aufzüge.

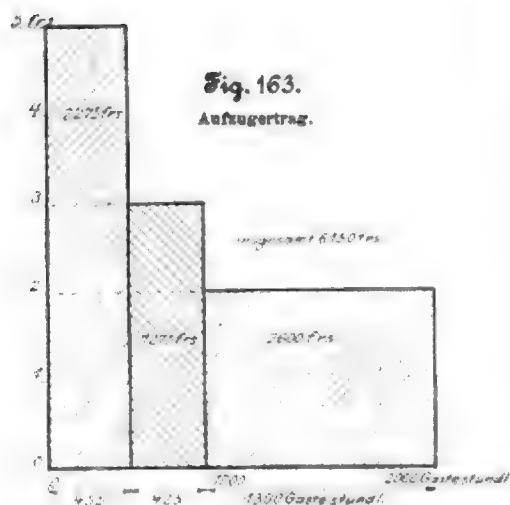
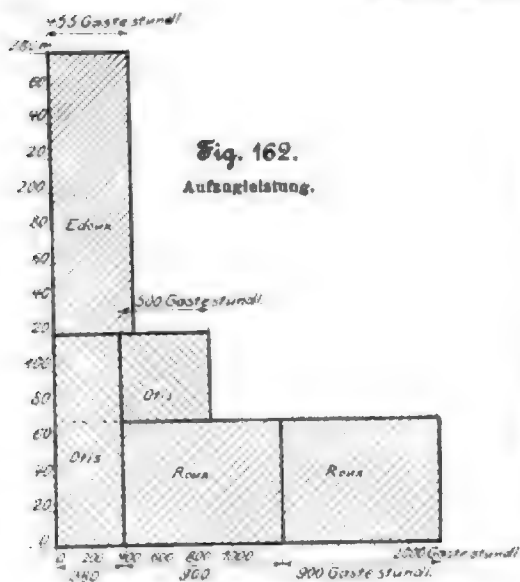
Während sämtliche alten Aufzüge mit niedrigem Druck — 12 at — arbeiteten, der durch offene Behälter in 120 m Höhe mit entsprechend langen Rohrleitungen erzeugt wurde, wurden die Fives-Lille-Aufzüge mit Hochdruck — 50 at — ausgeführt, unter Verwendung von Gewichtakkumulatoren mit ganz kurzen Rohrleitungen. Diese Wahl bot den großen Vorteil kleiner Querschnitte für Tauchkolben, Rohrleitung und Steuerung und ermöglichte gedrängte Anordnung der ganzen Maschinenanlage. Die weiteren hieraus erwachsenden Vorteile waren: besserer Wirkungsgrad und kleinere bewegte Massen sowie bessere Steuerfähigkeit.

Eine weitere grundsätzliche Verschiedenheit gegenüber den alten Aufzügen ist durch Vermeidung aller im Turm laufenden Gegengewichte herbeigeführt. Wenn die Gegengewichte mit ihren Führungen, Seilen und Seilrollen schon bei senkrechten Aufzügen eine recht lästige Zugabe bedenten, so war dies umso mehr bei den vorliegenden Aufzügen mit geneigter und gekrümmter Bahn der Fall. Die Gegengewichte sind bei den Fives-Lille-Aufzügen durch Niederdruckakkumulatoren ersetzt, in welche beim Senken das aus den Treibzylindern auströmende Wasser durch das Eigengewicht der Fahrzelle gepresst wird. Dem Eigengewicht von 9500 kg, der Nutzlast von 7000 kg und der Hubpression von 50 at entspricht unter Berücksichtigung der Bahneigung und der Seilgewichte eine Senkpression von 18 at für die Niederdruckakkumulatoren. Der Hub der letzteren ist zu 5,5 m ausgeführt, die hydraulische Übersetzung zwischen Fahrzelle und Gegengewicht beträgt also

$$\frac{5,5}{129} = \text{rd. } \frac{1}{24}$$

Das Gegengewicht wird daher 24 mal so groß, als wenn es unmittelbar an der Fahrzelle hänge, aber der Massenwiderstand wird auf $\frac{1}{24}$ vermindert. Während des Hebens wird

Fig. 161 bis 163. Aufzuganlage des Eiffelturms im Jahre 1889.

**Erdgeschoss bis I. Stock.****Ost- und Westpfeiler.****2 Aufzüge, Bauart Roux, Combalsier & Lepape.****1 Treibzylinder von 1050 mm Dmr. und 5,05 m Hub****Rohrleitung von 250 mm Dmr.****2 endlose Gelenkketten von 1 m Teilung, 45 mm Dmr.****Nutzlast = 90 Gäste = 6300 kg****Zellengewicht = 9400 kg****Hubgeschwindigkeit = 1,1 m/sk****Nutzenergie = 92 PS****Wirkungsgrad = 0,33 bei Vollbelastung****Wasserpressung = 18 at****Erdgeschoss bis II. Stock.****Nord- und Südpfeiler.****2 Aufzüge, Bauart Otis.****1 Treibzylinder von 965 mm Dmr. und 10,80 m Hub****Rohrleitung von 250 mm Dmr.****4 Drahtseile zum Treibzylinder von 23 mm Dmr.****2 Drahtseile zum Gegengewicht von 29 mm Dmr.****Nutzlast = 42 Gäste = 2940 kg****Zellengewicht = 11.840 kg****Hubgeschwindigkeit = 1,1 m/sk****Fig. 161.**

Maßstab 1:2000.

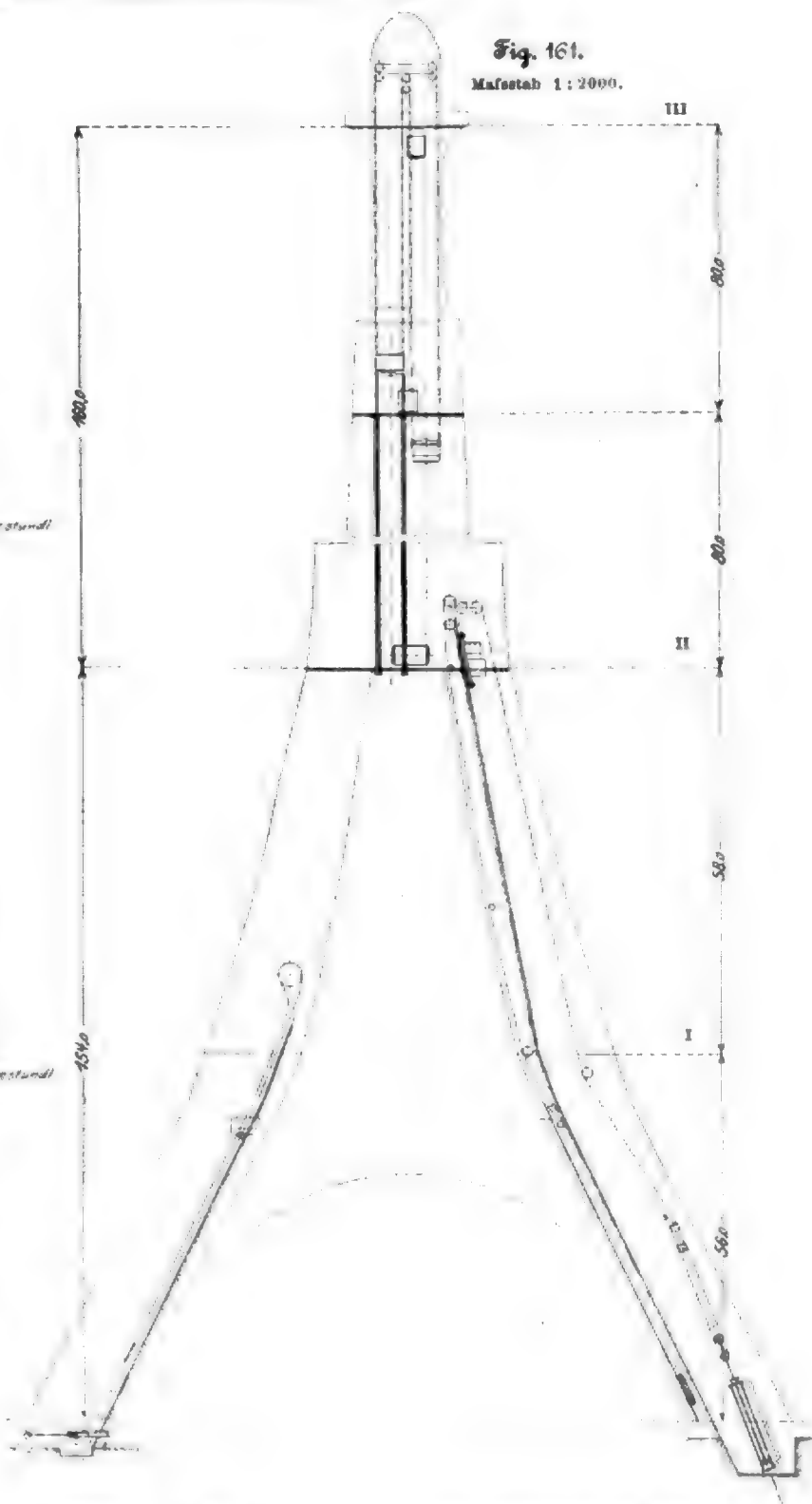
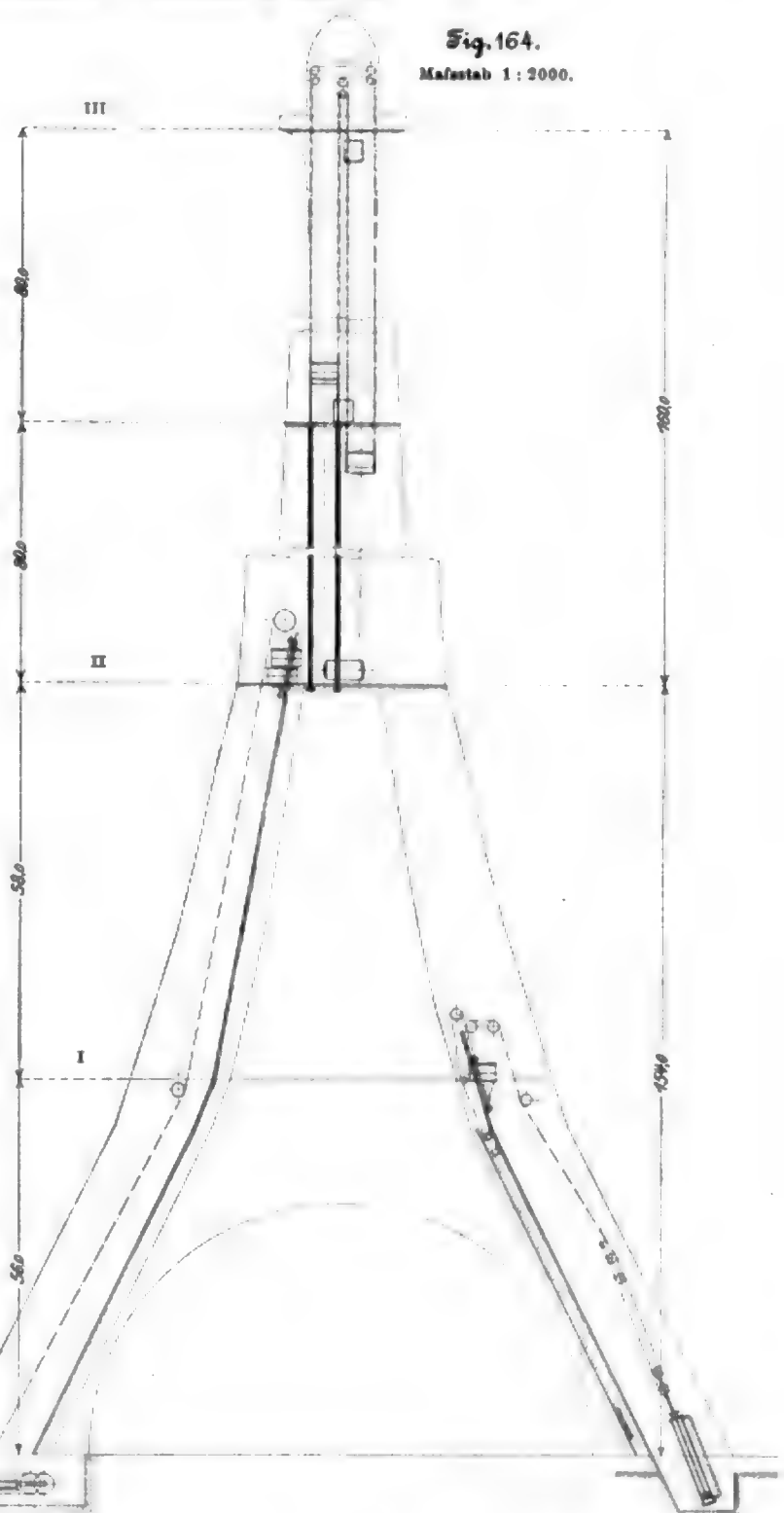
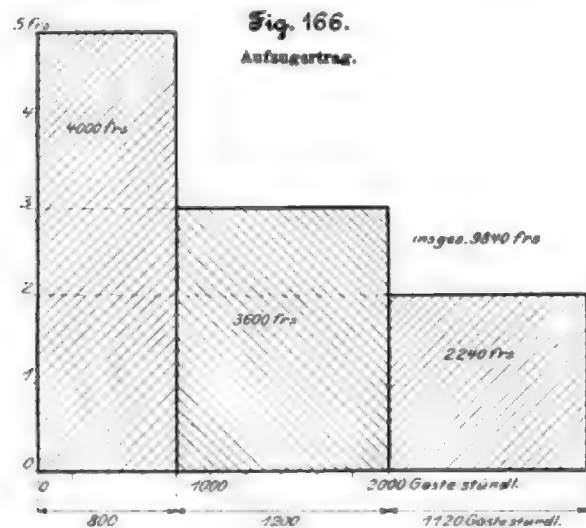
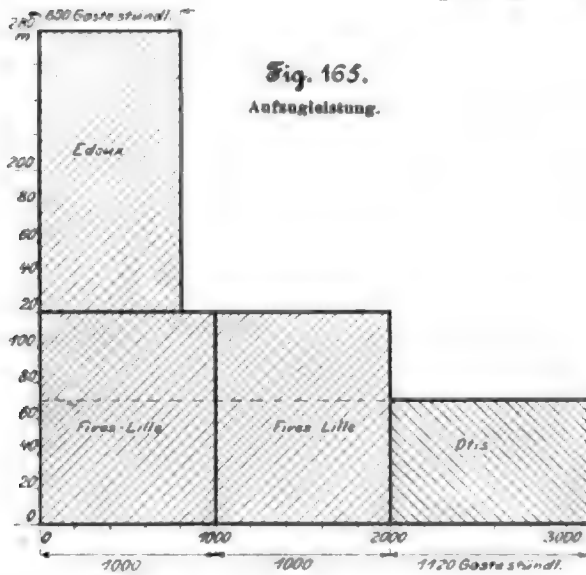
**Nutzenergie = 46 PS****Wirkungsgrad = 0,37 bei Vollbelastung****Wasserpressung = 18 at****II. bis III. Stock.****1 Aufzug, Bauart Edoux.****2 Treibzylinder von 520 mm Dmr. und 80,2 m Hub****Rohrleitung von 200 mm Dmr.****4 Bandselle von 200 x 32 mm****Nutzlast = 65 Gäste = 4550 kg****Zellengewicht = 6300 kg****Hubgeschwindigkeit = 0,77 m/sk****Nutzenergie = 47 PS****Wirkungsgrad = 0,74 bei Vollbelastung****Wasserpressung = 16 bis 8 at**

Fig. 164 bis 166. Aufzuganlage des Eiffelturmes im Jahre 1900



Erdgeschoss bis II. Stock.
Ost- und Westpfeiler.
2 Aufzüge, Bauart Fives-Lille.
2 Treibzylinder von 403 mm Dmr. und 16,076 m Hub
Rohrleitung von 200 mm Dmr.
6 Drahtseile von 28 mm Dmr.
Nutzlast = 100 Gäste = 7000 kg
Zellengewicht = 9500 kg
Hubgeschwindigkeit = 2,8 m/sk
Nutzenergie = 215 PS
Wirkungsgrad = 0,63
Wasserpressung = 50 - 18 = 32 at

Erdgeschoss bis I. Stock.
Nordpfeiler.

1 Aufzug, Bauart Otis.
1 Treibzylinder von 965 mm Dmr. und 9,78 m Hub
Rohrleitung von 250 mm Dmr.
4 Drahtseile zum Treibzylinder von 28 mm Dmr.
2 Drahtseile zum Gegengewicht von 29 mm Dmr.
Nutzlast = 80 Gäste = 5600 kg
Zellengewicht = 9500 kg
Hubgeschwindigkeit = 1,14 m/sk

Nutzenergie = 85 PS
Wirkungsgrad = 0,37 bei Vollbelastung
Wasserpressung = 18 at

II. Stock bis III. Stock.

1 Aufzug, Bauart Otis.

2 Treibzylinder von 820 mm Dmr. und 80,2 m Hub

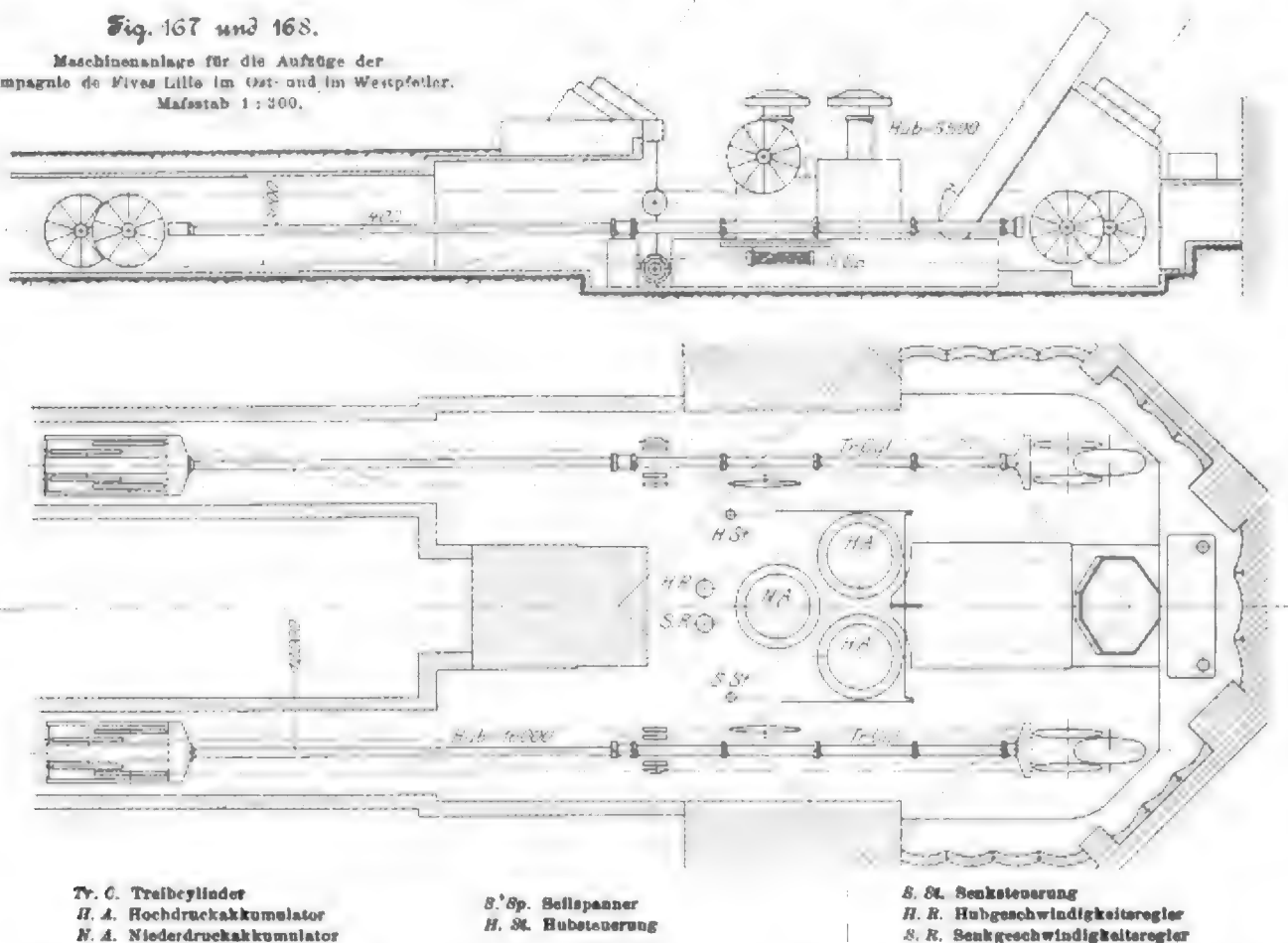
Rohrleitung verstärkt auf 250 mm Dmr.
4 Bandschleife von 300 x 32 mm
Nutzlast = 80 Gäste = 5600 kg
Zellengewicht = 10900 kg
Hubgeschwindigkeit = 1,0 m/sk
Nutzenergie = 75 PS
Wirkungsgrad = 0,74 bei 4550 kg Last
Wasserpressung = 16 bis 8 at

von der Fahrzelle eine Energie von rd. 500 PS verbraucht; beim Senken wird von der Fahrzelle eine Energie von rd. 200 PS erzeugt.

Abweichend von den alten Aufzügen hat die Compagnie de Fives-Lille zwei gesonderte Treibzylinder für jede Fahrzelle ausgeführt, von denen jeder mit drei Seilen an der Fahrzelle angreift. Insgesamt sind 6 Seile vorhanden, von denen jedes für sich allein die Zelle mit dreifacher Sicherheit zu tragen vermag. Da für gleichmäßige Belastung aller Seile durch besondere hydraulische Seilspanner gesorgt ist, so ist eine $6 \times 3 = 18$ fache Sicherheit vorhanden. Diese Teilung der Maschine in zwei Hälften erhöht naturgemäß die Betriebssicherheit, indem sie die Folgen eines Rohrbruches minder gefährlich macht. Zur Sicherung der gleichzeitigen Bewegung beider Treibkolben ist eine besondere hydraulische Kupplung in die Rohrleitung zwischen Cylinder und Akkumulatoren eingeschaltet.

Fig. 167 und 168.

Maschinenanlage für die Aufzüge der
Compagnie de Fives-Lille im Ost- und im Westpfeiler.
Maßstab 1:300.



Eine weitere Neuerung gegenüber den alten Aufzügen ist darin zu finden, dass die Regelung der Geschwindigkeit nicht völlig in die Hand des Führers gegeben ist, sondern größtenteils selbstthätig erfolgt; zu Anfang und Ende des Hubes wird die Geschwindigkeit selbstthätig verringert, während des Hubes wird die Geschwindigkeit selbstthätig unverändert gehalten, gleichviel wie große Belastung und Bahneigung sind. Alle Steuer- und Regelteile sind zur Erzielung größerer Sicherheit völlig getrennt für Heben und Senken ausgeführt. Die Maschinenanlage ist in Fig. 167 und 168 dargestellt.

Die Fahrzelle der Fives-Lille-Aufzüge zeigt einen grundsätzlich neuen Gedanken in der Ausbildung der Fangvorrichtung, die den hydraulischen Geschützbremsen nachgebildet ist.

Zur Erleichterung der Uebersicht sollen die Hauptteile der Aufzüge getrennt besprochen werden.

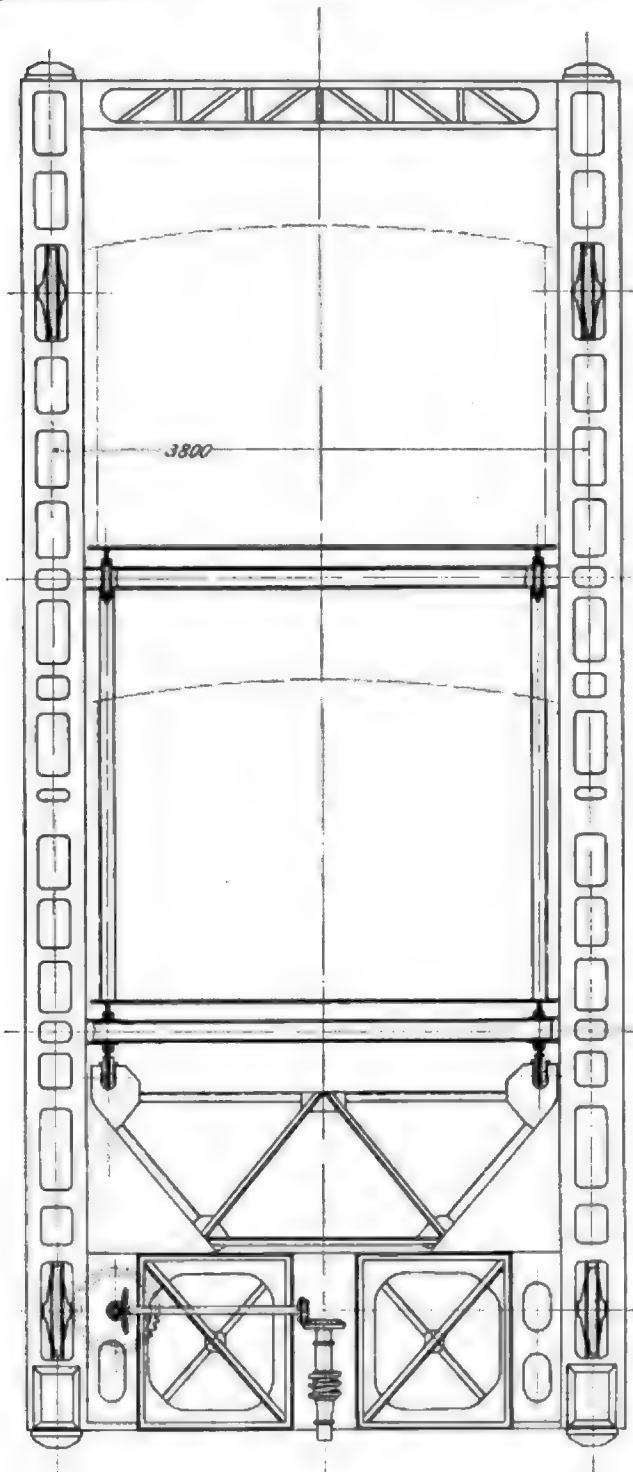
1) Fahrzelle.

Die Fahrbahn der Zelle folgt der Achse des Pfeilers und ist demgemäß im unteren Teile stärker geneigt — 54 Grad — als im mittleren Teile — 68 Grad — und im oberen Teile — 77 Grad. Bei den alten Aufzügen war der Boden der Fahrzelle so gestellt, dass er im mittleren Teile wagerecht lag, unten und oben aber um rd. 20° nach der einen bezw. andern Seite geneigt war. Diese Pendelung während der Fahrt ruft in den Fahrgästen das Gefühl der Unsicherheit wach; die Fives-Lille-Aufzüge haben daher ein Aufricht-Triebwerk erhalten, welches dieses Pendeln des Zellenbodens auf einen sehr geringfügigen Betrag vermindert. Zu diesem Zweck ist die Fahrzelle als ein aus Gitterträgern gefügter Rahmen mit zwei Querbolzen ausgebildet, Fig. 169 und 170; auf diesen Querbolzen lagern drehbar die beiden Behälter, von denen jeder 50 Fahrgäste aufnehmen kann. Neben den Laufschiene ist eine Zahnstange gelagert, in die ein am Zellenrahmen an-

gebrachtes Getriebe greift. Die Drehung des letzteren wird durch Schneckentrieb und Zugstangen auf die beiden drehbaren Behälter so übertragen, dass sich die Pendelung des Zellenrahmens mit der Drehung der Behälter ausgleicht. Da die Drehung gleichförmig, die Pendelung aber, dem Knick der Bahn folgend, ungleichförmig ist, so bleiben die Boden der Behälter nicht ganz wagerecht, aber sie neigen sich doch nur sehr wenig. Der Druck auf die Zahnstange ist infolge der starken Uebersetzung nur sehr gering = 35 kg.

Die Laufschiene haben Ω -förmige Gestalt und sind mit ihren Flanschen auf \perp -Eisen aufgeschraubt; die Schenkel der letzteren sind so ausgeklüftet, dass vier Sperrzahnstangen entstehen, in welche die Fangklinken eingreifen. Auf die Laufschiene stützt sich der Zellenrahmen mit vier Laufrädern von 650 mm Dmr. aus Stahlhohlguß. Zur Sicherung gegen Kippen bei Eingriff der Fangklinken dienen Sicherheitsbolzen, welche mit Spiel um die \perp -Eisen greifen.

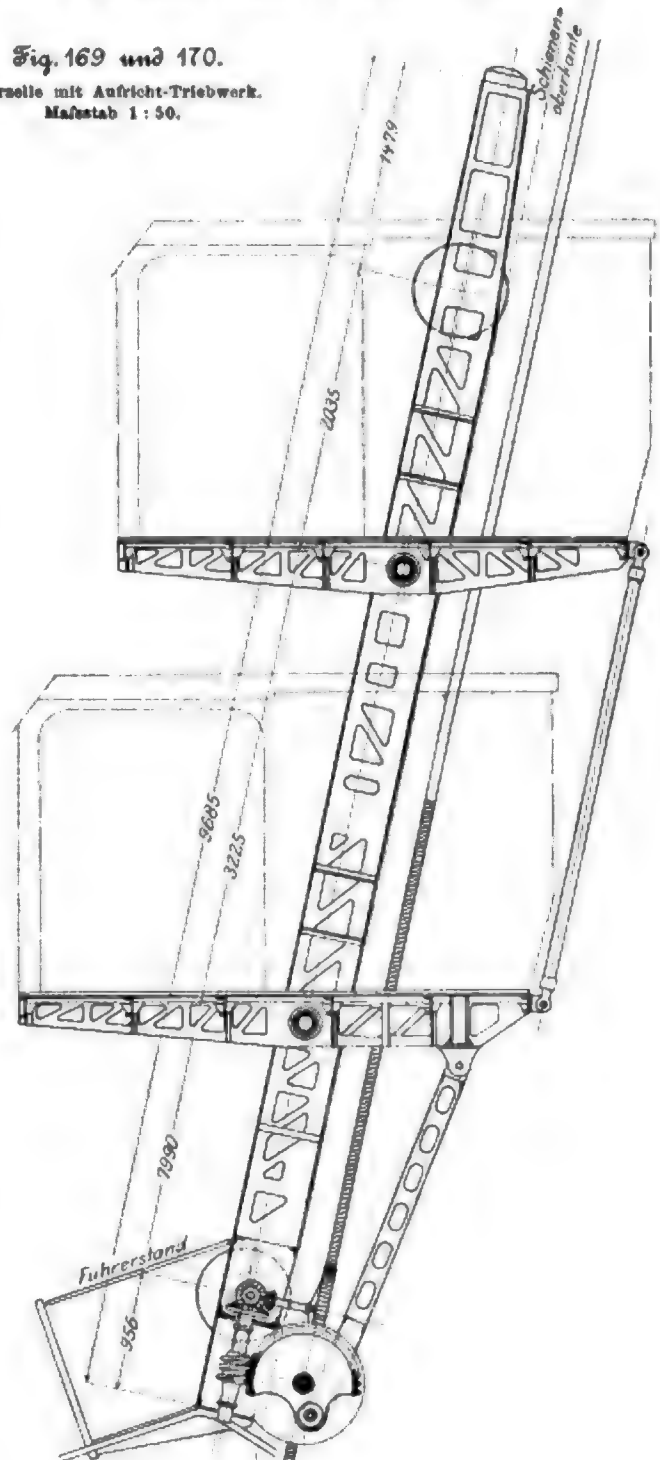
Besondere Sorgfalt ist auf möglichste Verminderung des Zellengewichtes gerichtet gewesen. Der Zellenrahmen ist aus Gitterträgern hergestellt, die Boden der Zellen bestehen aus Stahlträgern mit Bohlenbelag, die Wände aus senkrechten Aluminium-C-Trägern mit Belag aus Aluminiumblech von 1,5 mm Stärke. Die Tragbolzen der Zellen, die Achsen der Laufräder, die Wellen des Aufricht-Triebwerkes und der Fangvorrichtung und selbst der Wulst des Steuer-Handrades sind aus Rohren hergestellt. Trotz dieser Sorgfalt übersteigt das Eigengewicht — 9500 kg — beträchtlich die Nutzlast — 7000 kg; immerhin ist das Verhältnis aber bedeutend günstiger als bei den Fahrzellen der alten Otis-Aufzüge, die ein Eigengewicht von nahezu 11000 kg bei nur 3000 kg Nutzlast besaßen.

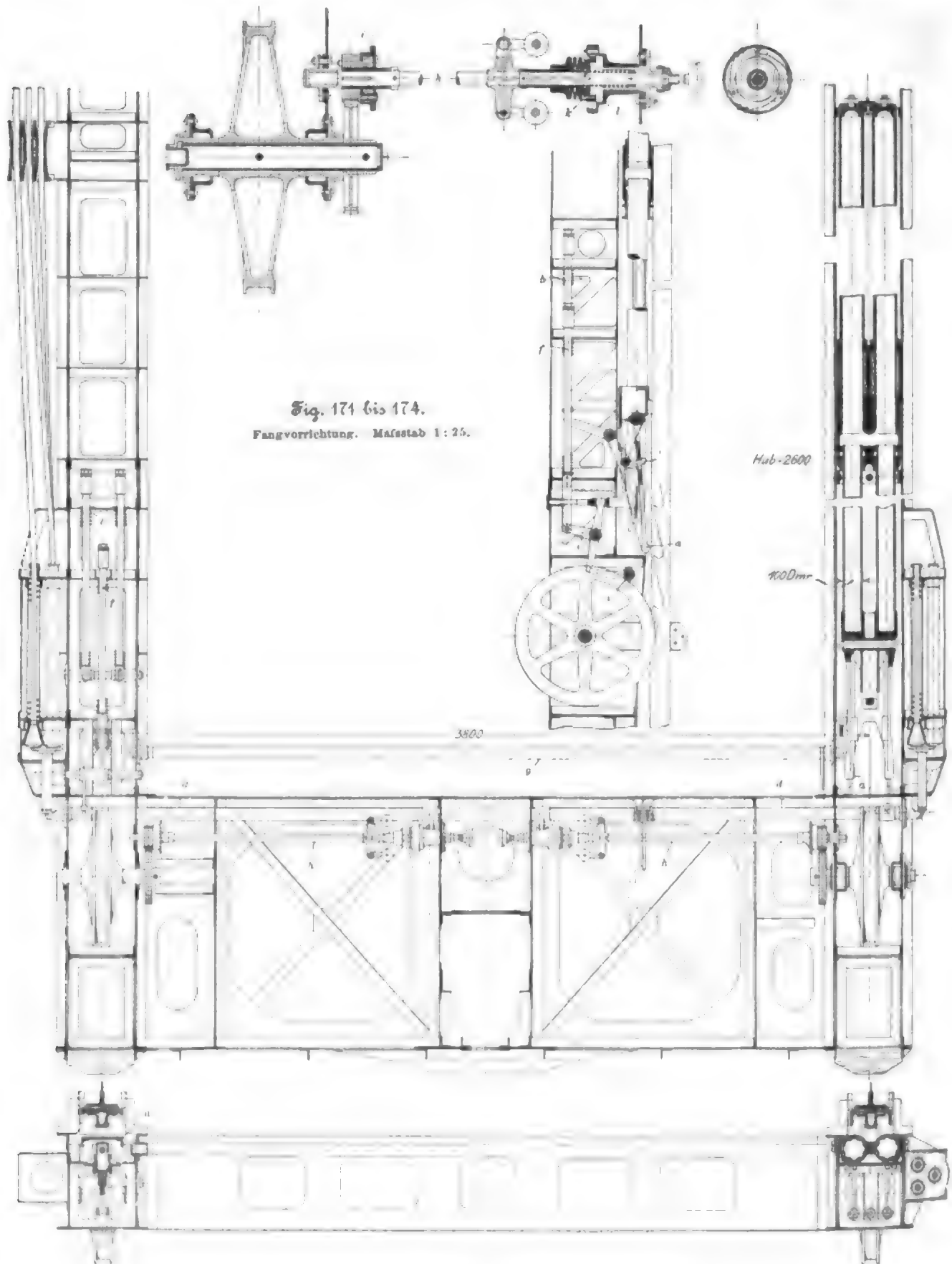


Die Fangvorrichtung, Fig. 171 bis 174, besteht im wesentlichen aus zwei gabelförmigen Fangklinken *a*, die sich an beiden Seiten des Zellenrahmens befinden und in die als Sperrzahnstangen ausgebildeten Schenkel der U-Eisen der Laufbahn eingreifen, wenn sie der Wirkung von vier langen Schraubenfedern *b* überlassen werden. Im normalen Zustande sind indessen die Fangklinken durch zwei Sperrhaken *c* am Eingreifen in die Zahnstangen gehindert. Die Fangklinken sind nun nicht starr am Zellenrahmen gelagert, sondern jede Fangklinke ist an dem Kopf zweier Kolben gelagert, die in Cylinder mit Glycerinfüllung eintauchen. Sobald die beiden Fangklinken ausgelöst sind, werden sie von den vier Spiralfedern in die Zahnstangen geschleudert, und die vier Tauchkolben werden durch die sinkende Fahrzelle in ihre Cylinder gedrückt. Die

Fig. 169 und 170.

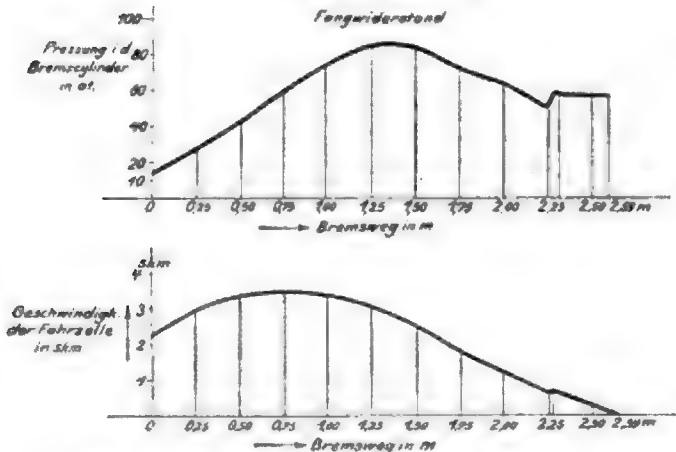
Fahrzelle mit Aufricht-Triebwerk.
Maßstab 1:50.





Glyzerinfüllung entweicht durch Nuten, welche in die Cylinderwände eingeschnitten sind, und zwar so, dass die Nutentiefe nach dem Cylinderboden zu stetig abnimmt. Die Pressung im Cylinder wächst daher umso mehr, je tiefer die Kolben eintauchen; die sinkende Fahrzelle wird somit auf einem Bremswege von ganz bestimmter Länge gleich dem Kolbenhub von 2,6 m und nach einem ganz bestimmten Gesetz verzögert, das in dem Schaubilde, Fig. 175 und 176, dargestellt ist. Die Pressung im Cylinder wächst hierbei auf 90 at, das entweichende Glycerin strömt in einen Behälter am oberen Ende

Fig. 175 und 176.



der Fahrzelle. Es ist ohne weiteres klar, dass diese gesetzmäßige hydraulische Bremsung ein weit sanfteres Fangen ermöglicht als Reibungs- oder Formänderungsgesperre und demzufolge eine weit größere Sicherheit für die Fahrgäste bietet als die üblichen Fangvorrichtungen.

Es mag nun vielleicht der Einwand gemacht werden, dass die Wirkung der Fangklinken von Federn abhängig und daher unsicher sei; ganz abgesehen aber von der geringen Beanspruchung, welche die vier sehr langen Federn bei der hier vorliegenden geschickten Anordnung auszuhalten haben, könnte die Auslösung der Fangklinken natürlich ebenso gut durch einen Seilbalancier ausgeführt werden, wie bei den üblichen Doppelseil-Fangvorrichtungen. Damit nicht etwa die eine Fangklinke später einfällt als die andere, ist mittels einer besonderen Welle *g* eine Kupplung der beiden Klinken hergestellt.

Die Auslösung der Fangvorrichtung erfolgt bei Seilbruch

und bei Geschwindigkeitsüberschreitung und kann außerdem durch den Führer bewirkt werden.

Auslösung bei Seilbruch. Die sechs Drahtseile münden in kegelig ausgebohrten Köpfen, die sich in normalem Zustande mit sechs Rohren auf den Zellenrahmen stützen. Jedes Rohr trägt im Innern eine lange Schraubenfeder, die bei Bruch eines Seiles den kegelförmigen Kopf von dem Stützrohr abhebt. Der vorschnellende Seilkopf trifft auf einen Teller, und dieser drückt dann auf einen Hebel, der auf eine quer durch den Zellenrahmen gehende Auslöswelle beiderseits aufgekellt ist. Infolge der Drehung der Auslöswelle *d* verliert ein beiderseits auf kurzem Bolzen gelagerter dreiarmliger Hebel *e* seine Stützung und wird der Wirkung einer auf ihm lastenden langen Feder *f* preisgegeben, die ihn herumschnellt und dadurch den Sperrhaken der Fangklinke auf beiden Seiten des Zellenrahmens auslöst. Die Wirkung ist also eine dreifach indirekte: Bruch eines Seiles giebt zunächst die betreffende Seilfeder frei, diese löst die beiden Federn des dreiarmligen Hebels aus, und diese wieder geben die vier Federn der Fangklinken frei. Das Bestreben des Konstrukteurs ging offenbar dahin, den Auslöswiderstand möglichst klein zu gestalten; ob sich dieses Ziel aber nicht mit wesentlich einfacheren Mitteln hätte erreichen lassen, mag dahingestellt bleiben.

Auslösung bei Geschwindigkeitsüberschreitung. Von den unteren beiden Laufrädern wird mittels Stirnräder je eine wagerechte Welle *h* angetrieben, auf denen je ein Fliehkraftregler sitzt. Von diesen beiden Wellen läuft aber immer nur eine, da bei Auffahrt nur die rechte Welle durch Rechtsgesperre *i*, bei Niedertfahrt nur die linke Welle durch Linksgesperre mitgenommen wird. Der Drehsinn der Fliehkraftregler ist also stets derselbe, einerlei ob die Zelle aufwärts oder abwärts fährt. Die Muffen der Fliehkraftregler tragen Sperrräder *k*, die bei normaler Geschwindigkeit außerhalb der Ebene der zugehörigen Sperrklinken stehen, welche in zwei auf hohlen Zapfen lose drehbaren Hülsen *l* gelagert sind und durch Gleitstein und Gabelhebel in zwangsläufiger Verbindung mit der Auslöswelle *h* stehen. Sobald die normale Geschwindigkeit überschritten wird, verschiebt der Fliehkraftregler sein Sperrrad, bringt es in den Bereich der Sperrklinken und verdreht nun die zugehörige lose Hülse und damit die Auslöswelle. Damit sich das Gesperre nicht festfährt, ist das Sperrrad nicht starr, sondern durch eine Reibkupplung mit Federanpressung mit der Muffe des Fliehkraftreglers verbunden.

Auslösung durch den Führer. Ein Handhebel *m* neben dem Führerstande, welcher auf einen Daumen der Auslöswelle wirken kann, ermöglicht dem Führer, die Fangvorrichtung jederzeit auszulösen und zu versuchen.

(Schluss folgt.)

Mond-Gas.

Von R. Schöttler in Braunschweig.

Der Betrieb größerer Gasmaschinen mit Heizgasen hat sich in vielen Fällen als sehr vorteilhaft erwiesen und ist deshalb in letzter Zeit mehr und mehr in Aufnahme gekommen. Insbesondere wird zurzeit angestrengt daran gearbeitet, die Gasmaschine den Hüttenwerken dienstbar zu machen, da man die großen Mengen von Gichtgas, welche die Hochöfen liefern, in Gasmaschinen viel günstiger ausnützt als unter Dampfkesseln. Die bedeutenden, in jüngster Zeit in dieser Richtung erzielten Erfolge sind in dieser Zeitschrift¹⁾ mehrfach besprochen.

Aber auch in der Bereitung von Heizgasen, welche in erster Linie zum Maschinenbetriebe bestimmt und für ihn geeignet sind, treten neue und vielversprechende Verfahren auf.

Größere Verbreitung hat bisher nur das Dowson-Gas erlangt, das aus verhältnismäßig teureren mageren Brennstoffen,

Anthrazit und Koks, hergestellt wird¹⁾. Dagegen ist man in der Verwertung billiger, bituminöser Kohlen zu diesem Zwecke bisher weniger erfolgreich gewesen. Ueber ein neues, vielversprechendes Verfahren, bei welchem billige Kleinkohle benutzt wird, hat Humphrey 1897 in der Institution of Civil Engineers und von neuem vor einigen Monaten in der Society of Mechanical Engineers berichtet.

Dr. Ludwig Mond hat sich seit 1870 lebhaft bemüht, ein Verfahren zur Vergasung billiger bituminöser Kleinkohle zu ersinnen.

Seit etwa 1893 ist eine große Anlage in der chemischen Fabrik von Brunner, Mond & Co., Winnington Works, in Northwick, Cheshire, England, in erfolgreichem Betriebe, der letzten einige weitere Anlagen gefolgt sind, so u. a. für die Gas-

¹⁾ Böcking, Z. 1887 S. 1007; Schmidt, Z. 1887 S. 1149; Pfeifer, Z. 1890 S. 1274; Ebbs, Z. 1891 S. 907; Schröter, Z. 1891 S. 1275; de Boischevalier, Z. 1894 S. 1319; Körting, Z. 1895 S. 1049; E. Meyer, Z. 1895 S. 1523, 1537, Z. 1896 S. 154, 350, 1239, 1304, 1331; Schöttler, Z. 1896 S. 421.

¹⁾ Lörmann, Z. 1898 S. 329; E. Meyer, Z. 1899 S. 448, 483, 569; Körting, Z. 1899 S. 554; Münzel, Z. 1900 S. 401; E. Meyer, Z. 1900 S. 329, 401; Wagner, Z. 1900 S. 1517, 1568.

maschinenfabriken von Crossley Brothers in Openshaw bei Manchester und die Premier Gas Engine Works in Sandiacre bei Nottingham.

Die Schwierigkeit, ein dem Dowson-Gase entsprechendes

Heizgas aus bituminöser Kleinkohle zu gewinnen, besteht in der gar zu leicht eintretenden Verstopfung der Gaserzeuger und in der Abscheidung von Teer. Mond überwindet sie dadurch, dass er die entstehenden Teerdämpfe im Ofen selbst

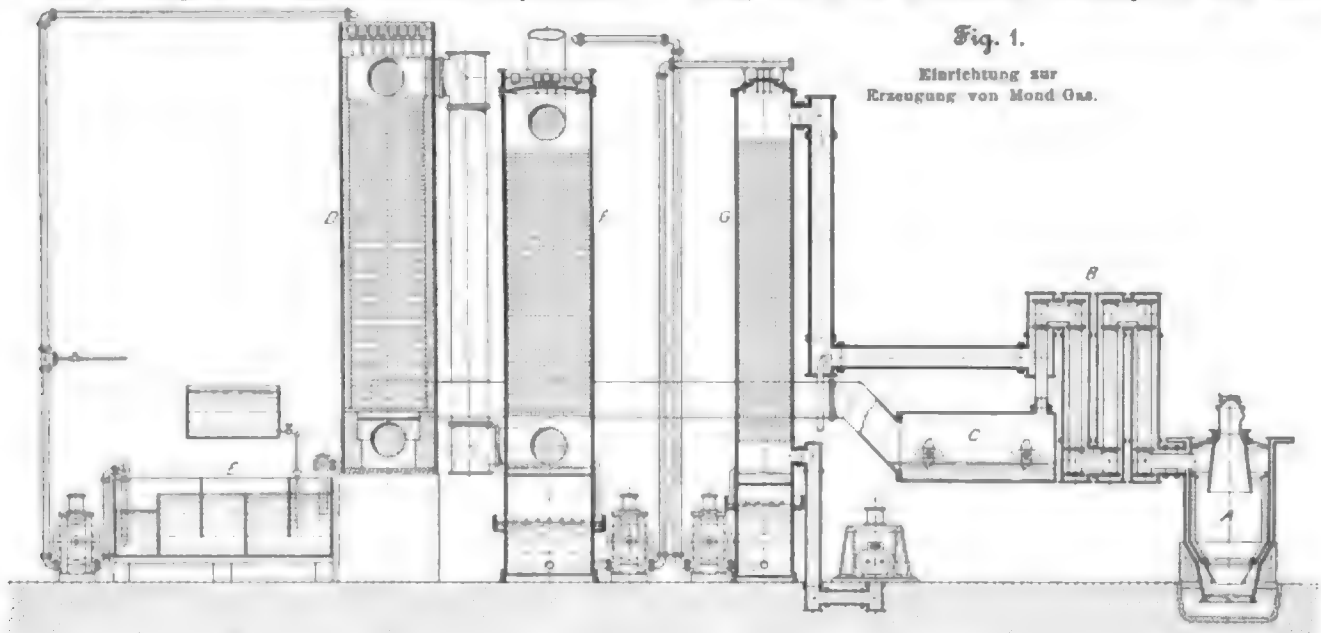
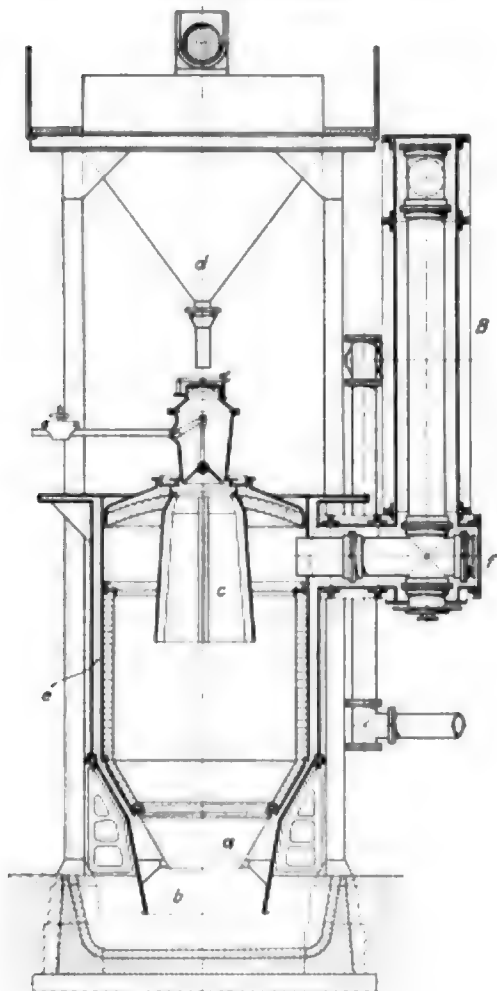


Fig. 1.

Einrichtung zur
Erzeugung von Mond Gas.

Fig. 2. Gaserzeuger.



fast vollständig verbrennt und die Vergasung bei sehr niedriger Temperatur vor sich gehen lässt, die er durch Einführen großer Dampfmengen oder dadurch erreicht, dass er neben weniger reichlichem Dampf einen Teil der Abgase der Gasmaschinen in den Ofen bläst. Die dabei zu befürchtenden großen Wärmeverluste vermeidet er durch sinnreichen Wärmeaustausch in umfangreichen Vorrichtungen, und die Kosten drückt er herunter, indem er das aus dem Stickstoffe des Brennstoffes sich entwickelnde Ammoniak als Sulfat gewinnt.

Es geht schon aus diesen Bemerkungen hervor, dass das neue Verfahren für kleineren Kraftbedarf kaum anwendbar, sondern nur in großen Anlagen vorteilhaft durchführbar sein wird. Humphrey meint, dass die Ammoniakgewinnung nur empfehlenswert sein würde, wenn wenigstens 20 t Kohle täglich verarbeitet würden. Es dürfte sich also, da bekanntlich Dowson-Gasanlagen gegenüber der Dampfkraft gerade für mittelgroßen Betrieb, von 20 bis 100 PS, besonders gut bestehen, weniger um einen Wettbewerb mit diesen, sondern mehr um eine Erweiterung des Verwendunggebietes der Heizgase handeln.

Die Gerippsskizze, Fig. 1, stellt die gesamte Einrichtung zur Erzeugung des Mond-Gases mit Ammoniakgewinnung dar, Fig. 2 den Gaserzeuger *A* in vergrößertem Maßstabe.

Der letztere, ein mit Schamottsteinen ausgesetzter Schachtofen mit korbartigem Roste *a*, der bis unter den Spiegel des Wasserbeckens *b* herabsinkt, wird bis über den unteren Rand der Glocke *c* mit Brennstoff gefüllt erhalten. Der Brennstoff wird von dem Rumpfe *d* aus in großen Mengen zugeführt; die Beschickung beträgt 400 bis 500 kg für einen Erzeuger, der 20 bis 24 t Kleinkohle in 24 st verarbeitet. Die Asche, welche hier natürlich viel mehr ausmacht als bei der Bereitung von Dowson-Gas, fällt, ohne dass mechanische Hilfe nötig wäre, in das Wasserbecken und wird aus diesem mit der Schaufel entfernt, sodass der Betrieb ein ununterbrochener ist. Luft und Dampf strömen durch den den Ofen umgebenden Ringraum *e* unter den Rost, nehmen die strahlende Wärme des Ofens auf und werden so vorgewärmt. Da, wie schon früher bemerkt, große Dampfmengen angewendet werden, in Winnington etwa das $2\frac{1}{2}$ -fache des Brennstoffgewichtes, so bleibt die Temperatur im Ofen ziemlich niedrig; deshalb backt der niedersinkende Brennstoff nicht zusammen, sondern Luft und Dampf durchströmen ruhig und gleichmäßig die Kohlenstule. Da die Glocke *c* den frischen Brennstoff enthält, so

wird dieser schon innerhalb dieses Raumes destilliert; die entwickelten, stark teerhaltigen Gase sind gezwungen, durch die heiße Zone des Ofens zu ziehen, der Teer verbrennt und das entwickelte Gas entweicht bei f nahezu teerfrei, selbstverständlich mit großem Ueberschuss an Wasserdampf. Das Gas durchstreicht nun zuerst die inneren Rohre des Gegenstromkühlers B , durch dessen äußere Rohre Dampf und Luft geblasen werden, sodass ein kräftiger Wärmeaustausch stattfindet und das Gas einigermaßen abgekühlt in den Wäscher C tritt. In den Rohren des Gegenstromkühlers hinterlässt das Gas natürlich etwas Teer, doch so wenig, dass die Reinigung keinerlei Schwierigkeiten macht. Es ist niemals nötig, die Rohre auszubrennen, da sich nur trockener Staub absetzt, der nach Abnahme der unteren Rohrdeckel leicht entfernt werden kann. Das Gas wird nun im Wäscher innig mit Wasser gemengt, welches von zwei Schlägerwellen, die den Spiegel furchen, zerstäubt wird. Die Temperatur des Gases wird durch die dabei stattfindende Verdampfung auf etwa 90° herabgebracht. Das Gemisch von Gas und Dampf gelangt nun in den Säureturn D ; das ist ein mit Blei verkleideter, mit Ziegelsteinen ausgelegter Schacht, der mit einer Lösung von schwefelsaurem Ammoniak, die überschüssige Schwefelsäure enthält, verlästet wird; selbstverständlich tritt das Gas von unten, die Lösung von oben ein. In diesem Schachte scheidet sich das Ammoniak ab, die Lösung reichert sich an. Sie wird, unten angekommen, wieder aufgezogen, aber man hält sie immer auf gleicher Dichte, indem man eine entsprechende Menge abzieht und frische Schwefelsäure zusetzt. Aus dem Lösungsbehälter E wird das schwefelsaure Ammoniak nach Eindampfern gefördert, unterwegs neutralisiert und dann in Kristallen abgeschieden. Es dient bekanntlich als Düngemittel. Da ein wenig Teer immer noch mitgeht, so ist das Erzeugnis nicht ganz weiß, sondern etwas grau gefärbt.

Aus dem Säureturne gelangt das Gas in einen zweiten Schacht, der gleichfalls mit Ziegeln ausgelegt ist, den Kühlturm F . Hier strömt ihm Kühlwasser entgegen; es wird also hier der Dampfüberschuss niedergeschlagen und das Gas abgekühlt. Seine Temperatur vermindert sich, es verlässt also zwar vollständig gesättigt, aber doch nur wenig Wasser mit sich führend diesen Turm und wird nun der Stelle seiner Verwendung zugeführt, nachdem es noch durch Filter, welche mit Sägespänen gefüllt sind, geleitet worden ist. Der Inhalt dieser Filter wird höchstens einmal monatlich erneuert.

Das warme Rieselwasser sammelt sich unten im Kühlturme und wird auf einen dritten, den Lufturm G , gepumpt. In diesem strömt ihm die von einem Gebläse gelieferte Betriebsluft entgegen. Sie erwärmt sich und sättigt sich mit Dampf. Das kalte Wasser wird unten gesammelt und auf den Kühlturm zurückgepumpt, die vorgewärmte und gesättigte Gebläseluft aber durchströmt die Gegenstromvorrichtung B , nachdem ihr vorher noch der nötige Dampfüberschuss zugesetzt ist.

Bei der Inbetriebsetzung eines Gaserzeugers muss während zweier bis dreier Tage angeheizt werden. Man beginnt mit Holzabfällen und Koks und fügt allmählich Kleinkohle zu. Das Gas lässt man bei schwachem Blasen so lange entweichen, bis es 30 vH brennbare Bestandteile enthält. Ein so in Betrieb gekommener Erzeuger geht ein ganzes Jahr ununterbrochen. Will man ihn, wenn man weniger Gas gebraucht, zeitweilig außer Betrieb setzen, so füllt man ihn reichlich hoch mit Brennstoff, vermindert das Blasen, bis sich das erste Rohr des Gegenströmers mit Wasser abschließt, und lässt das Gas unmittelbar entweichen. Ein so still gesetzter Erzeuger hält das Feuer zwei Wochen lang und kann alabald wieder in Thätigkeit treten.

Die Versuche, welche Humphrey 1895 in großem Umfange in Winnington anstellte, ergaben in runden Zahlen die Verhältnisse des Arbeitsvorganges wie folgt:

Bezogen auf 1 t Brennstoff werden 3000 kg Luft in den Lufturm geblasen, welche hier 1000 kg Dampf aufnehmen und sich auf 70° erwärmen. Diesem Gemische werden unterwegs noch 1500 kg Dampf zugesetzt, sodass also 5500 kg mit 85° in den Gegenströmer treten, den sie mit 250° verlassen. Im Gaserzeuger vermehrt sich die Menge auf 6600 kg, bestehend aus 4500 kg Gas und 2000 kg Dampf; die Temperatur steigt auf 450°. Im Gegenströmer verringert

sich diese auf 260°, im Wäscher auf 90°, während hier noch 750 kg Dampf entstehen, sodass 7250 kg Gemisch, bestehend aus 4500 kg Gas und 2750 kg Dampf, in den Säureturn übertreten. Der Dampfgehalt beträgt also jetzt 38 vH, das Gemisch ist demnach längst nicht gesättigt, da es dazu 64 vH Dampf enthalten müsste¹⁾. Das ist wichtig, weil sich sonst im Säureturne Wasser ausscheiden und die Lösung verdünnen würde, was vermieden werden muss. Im Säureturne sinkt die Temperatur um etwa 10°, also auf 80°, im Kühlturme weiter auf 65°, während 1500 kg Dampf niedergeschlagen werden. Der Kühlturm liefert also 5750 kg nasses Gas, welches etwa 1250 kg, also 22 vH Dampfgehalt zeigt. Das entspricht fast genau dem Sättigungszustande, der 20 vH verlangen würde.

Das Kühlwasser tritt mit 50° in den Kühlturm und verlässt ihn mit 80°, um im Lufturme wieder auf 50° gebracht und mit dieser Temperatur zurückgepumpt zu werden. Die Lösung im Ammoniakturne wird nur wenig erwärmt, sie hat etwa 80°.

Die bei den Versuchen verwendete Kohle hatte in Gewichtsteilen folgende Zusammensetzung:

Kohlenstoff	67,9 vH
Stickstoff	1,3 "
Schwefel	1,5 "
Wasserstoff und Sauerstoff ²⁾	14,7 "
hygroskopisches Wasser	7,3 "
Asche	7,5 "

Der Heizwert war 7225 WE/kg.

Das entstandene, trockene Gas bestand in Raumteilen aus:

Sumpfgas	2,5 vH
Wasserstoff	28,4 "
Kohlenoxyd	10,2 "
Kohlensäure	16,3 "
Stickstoff	44,6 "
es wog bei 1 at und 0°	1,015 kg/cbm
und hatte den Heizwert	1320 WE/cbm.

Humphrey giebt leider immer die oberen Heizwerte an, in denen also die Kondensationswärme des entstandenen Wasserdampfes enthalten ist. Der Unterschied ist, für Dowson-Gas etwa 5 vH, hier viel größer, weil das Gas nicht trocken, sondern fast gesättigt ist. Aus der Analyse berechnet sich der untere Heizwert zu 1165 WE, der obere zu 1313 WE/cbm für trockenes Gas. Nimmt man an, die Messung sei bei 15° erfolgt, so erhöht sich diese Zahl wegen des Dampfgehaltes des Gases nur um 7 WE; es kommen dann genau die oben angegebenen 1320 heraus.

1 kg Kohle lieferte 4,43 cbm Gas; es war also das Verhältnis zwischen dem Heizwerte des Brennstoffes und dem des daraus gewonnenen Gases

$$\frac{4,43 \cdot 1320}{7225} = 0,81.$$

Legt man den unteren Heizwert 1165 zugrunde, so ändert sich diese Zahl in 0,715. Allerdings müsste man auch statt 7225 entsprechend weniger ansetzen; doch kann man das der ungenügenden Kohlenanalyse wegen nicht. Schätzt man ihn nur 3 vH kleiner, so würde 0,737 zu setzen sein.

Dies kann aber nicht als Wirkungsgrad der Anlage betrachtet werden; denn um das Gas zu erzeugen, ist noch Dampf zuzuführen und Arbeit zu leisten. Auf 1000 kg entfielen während des Versuches 1560 kg Dampf und 33,6 PS_{ist}. In Winnington entstandene der Dampf dem Auspuffe vorhandener Dampfmaschinen und kam für die Kostenfrage nicht weiter in Betracht. Im allgemeinen aber muss man ihn berück-

¹⁾ Bei 90° beträgt die Dampfspannung 525 mm; da die Gesamtspannung 760 mm sein dürfte, so bleiben 235 mm Gasspannung. Bei 1 kg qcm und 0° wiegt 1 cbm Mond-Gas fast genau 1 kg, also bei 235 mm und 90° nur 0,241 kg, während das spezifische Gewicht des Dampfes 0,124 kg ist. Also ergibt sich der Dampfgehalt zu 424

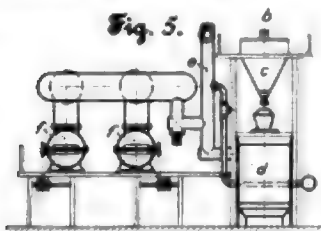
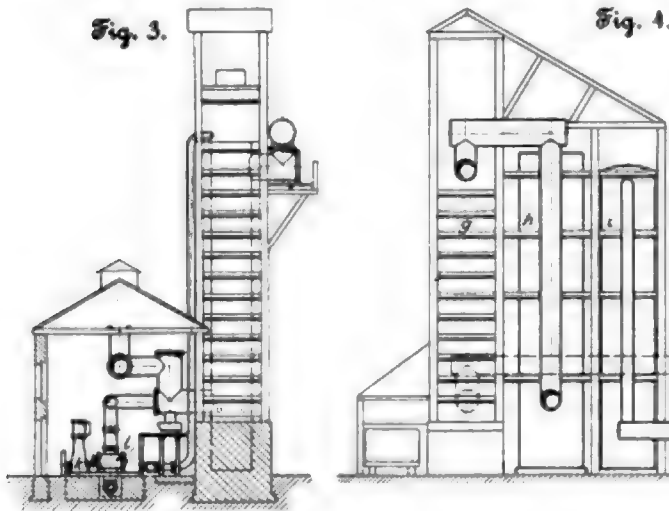
$$424 + 241 = 0,81.$$

²⁾ Die Analyse ist in anderer als der bei uns üblichen Form gegeben; der Posten ist wörtlich als "volatile matter (exclusive of carbon), driven off at a temperature over 100°, by difference", bezeichnet.

sichtigen, wenn man den Wirkungsgrad der Anlage bestimmen will. Nimmt man an, dass mit dem doch recht geringwertigen Brennstoffe eine siebenfache Verdampfung erzielt wird und dass die Pumpen usw. durch Gasmaschinen betrieben werden, welche 2,5 cbm Mond-Gas pro PS-st gebrauchen, also ihrerseits den Erzeuger mit etwa 0,6 kg Brennstoff pro PS-st belasten, so hat man zur Erzeugung von 4,48 kg Gas nicht 1 kg, sondern $1,66 : 7 + 0,084 \cdot 0,6$ kg mehr, also im ganzen 1,74 kg aufzuwenden. Der Wirkungsgrad ist also

$$\frac{4,48 \cdot 1320}{1,74 \cdot 7225} = 0,66$$

oder, bei Annahme der unteren Heizwerte 1165 bzw. 6870, nur 0,61.



- a Kohlenförderung
- b Förderschnecke
- c Kohlenröhre
- d Gaserzeuger
- e Gegenströmer
- f Wäscher
- g Säuresturm
- h Kühlturm
- i Luftturm
- k Dampfmaschinen
- l Gebläse

Demgegenüber werden bei der von Eugen Meyer untersuchten Dowson-Gasanlage in Basel aus 1 kg Koks von 7200 WE/kg oberem Heizwert, der sich vom unteren nur sehr wenig unterscheiden wird, 4,74 cbm Gas vom unteren Heizwert 1200 WE/kg erzeugt. Berücksichtigt man, dass hier auf 1 kg vergaste Koks noch 0,11 kg zum Betriebe des Dampfkessels entfielen, so ergibt sich der Wirkungsgrad als

$$\frac{4,74 \cdot 1200}{1,11 \cdot 7200} = 0,71.$$

Bei der schlechten Beschaffenheit der zur Herstellung des Mond-Gases benutzten Kohle muss das Ergebnis als höchst befriedigend bezeichnet werden.

Außer dem Gase gewinnt man in Winnington noch 44 kg Sulfat von 1 Tonne Brennstoff. Da das Sulfat 24 bis 25 vH Ammoniak enthält, so entfallen auf die Tonne Brennstoff ungefähr 10 kg NH_3 . Diese erhält man natürlich nicht ganz umsonst, aber doch sehr billig, da der Fabrikation keinerlei Rohstoffkosten zur Last fallen; höchstens könnte man statt ihrer die Betriebskosten des Säureturmes in Rechnung stellen.

Den Wasserbedarf der Anlage kann man folgendermaßen finden: Auf 1 t Kohle kommen 1500 kg Zusatzdampf, im Wäscher verdampfen 750 kg. Da im Kühlturme das Wasser mit 50° ein- und mit 80° austritt, da 4500 kg Gas und 2750 kg Dampf von 80 bis 65° abgekühlt und 1500 kg Dampf bei 65° niedergeschlagen werden, so ist die ausgetauschte Wärmemenge

$$4500 \cdot 0,82 \cdot 15 + 2750 \cdot 0,45 \cdot 15 + 1500 \cdot 561 = 886000 \text{ WE,}$$

demnach die erforderliche Kühlwassermenge

$$886 : 30 = \text{rd. } 30 \text{ cbm.}$$

Im Heizturme stehen also 31,5 cbm Wasser von 80° zur Verfügung, und davon verdampfen 1000 kg, während 3000 kg Luft von 30 bis 70° erwärmt werden. Dazu sind

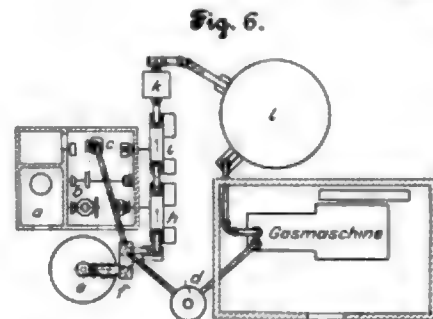
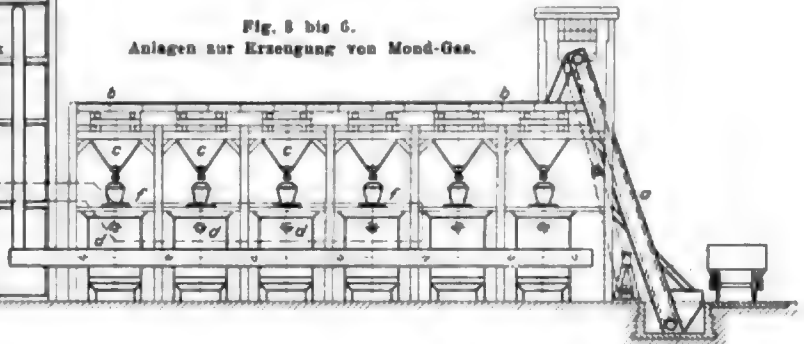
$$3000 \cdot 0,37 \cdot 40 + 1000 \cdot 551 = 583000 \text{ WE}$$

nötig, durch deren Abgabe die 30,5 cbm Wasser sich um $583 : 30,5 = 19°$ abkühlen. Es sind also 0,5 cbm Wasser stündlich für Verluste und ein Temperaturunterschied von 11° für Strahlung usw. verfügbar. Ein Wasserzusatz wird somit nicht erforderlich sein und der Wasserbedarf sich demnach auf 2,25 cbm beschränken.

Da es sich bei Mond-Gas nur um große Anlagen handelt, so kann man, wenn man den Gasmaschinenbetrieb mit dem durch Dampfmaschinen vergleicht, hier auf sehr geringen Dampfverbrauch rechnen. Nimmt man also wieder, dem geringwertigen Brennstoff entsprechend, 7fache Verdampfung, aber nur 6 kg Dampfverbrauch pro PS-st an, so erhält man von 1 t Brennstoffaufwand

$$\frac{1000 \cdot 7}{6} = 1160 \text{ PS-st.}$$

Fig. 5 bis 6.
Anlagen zur Erzeugung von Mond-Gas.



- a Dampfkessel
- b Dampfmaschine
- c Gebläse
- d Auspufftopf der Gasmaschine
- e Gaserzeuger
- f Gegenströmer
- h Wäscher
- i Kühlturm
- k Sägespändefilter
- l Gasbehälter

Rechnet man dagegen sehr hoch auf 2,5 cbm Gasverbrauch und 4 cbm Gaserzeugung aus 1 kg Brennstoff, so liefert die Tonne

$$\frac{1000 \cdot 4}{2,5} = 1600 \text{ PS-st.}$$

Man kann also bei der Verwendung von Mond-Gas statt Dampf bestimmt auf 30 vH Brennstoffersparnis rechnen, wenn man dieselbe Kleinkohle verwendet; es bleibt in jedem Einzelfalle nur festzustellen, inwieweit das Ergebnis durch Verzinsung, Erhaltung und Bedienung der beiden Anlagen abgeändert wird.

Die sehr große Anlage in Winnington — sie erzeugt mehr als 850000 cbm Gas täglich, welche zum größeren Teile für chemische Prozesse, zum kleineren Teile zur Heizung von Dampfkesseln und zum Betrieb von Gasmaschinen verbraucht werden — hat sich sehr gut bewährt und nie unter Schwierigkeiten gelitten.

In seinem zweiten Vortrage im verflossenen Jahre hat Humphrey etwas abweichende Zahlen mitgeteilt, welche daher rühren, dass die verwendete Kohle schlechter war als früher.

Sie enthält in Gewichtsteilen:

Kohlenstoff	62,1 vH
Feuchtigkeit	8,6 "
Asche	10,4 "
Rest	18,9 "
und hatte trocken den Heizwert	6786 WE/kg.

Das trockene Gas bestand in Raunteilen aus:

Sumpfgas	2 vH
Wasserstoff	29 "
Kohlenoxyd	11 "
Kohlensäure	16 "
Stickstoff	42 "
wog bei 1 kg/qcm und 0°	0,987 kg/cbm
und hatte den Heizwert	1370 WE/cbm.

1 kg feuchte Kohle lieferte 3,82 cbm Gas, es war also das Verhältnis zwischen dem Heizwerte des Gases und dem der Kohle

$$\frac{3,82 \cdot 1370}{0,914 \cdot 6786} = 84,5 \text{ vH,}$$

d. h. sogar noch etwas besser als früher.

Die Beschickung des Gaserzeugers, bezogen auf 1 kg feuchte Kohle, bestand aus:

0,914 kg trockener Kohle,
0,086 " Feuchtigkeit,
0,840 " Dampf vom Turme,
1,334 " frischem Dampf,
2,826 " Luft.

Das Ergebnis war, wie schon gesagt, 3,82 cbm trockenes Gas und 0,01 kg Ammoniak. Von der gesamten Wassermenge, 2260 kg, wurden 0,884 kg, also 23,6 vH, zersetzt, der Rest ging also als Dampf durch und wurde größtenteils im Kühlturme niedergeschlagen.

In Fig. 3 bis 5 gebe ich (nach Engineering) einige, allerdings ziemlich mangelhafte Ansichten einer großen Anlage, in Fig. 6 den Grundriss einer kleinen Anlage für 250 PS ohne Ammoniakgewinnung, bei der ein Teil der Abgase der Gasmaschine, wie oben erwähnt, in den Gaserzeuger geblasen wird. Einer Beschreibung bedürfen diese Bilder wohl nicht.

Bei so großen Anlagen, wie die in Winnington ist, sind Gasbehälter überflüssig, bei kleineren wird man sie besser einschalten; doch ist die Gaserzeugung immerhin regelmäßig genug, um die Behälter klein halten zu dürfen, wie ja durch die Dowson-Gasanlagen bekannt ist.

Bei der Besprechung des letzteren Vortrages gab Rollason einige Zahlen über die Anlage in Sandiacro.

Diese ist für 1000 PS_i entworfen; ihr fehlt die Einrichtung zur Ammoniakgewinnung. Sie kann deshalb, wie oben bereits gesagt, den Zusatzdampf zumteil durch die Abgase der Gasmaschinen ersetzen und verbraucht in der That neben dem aus dem Heisturme stammenden Dampfe nur noch den Abdampf einer 8-pferdigen Maschine, welche zum Betriebe des Gebläses, der Pumpen und der Schlägerwellen im Wäscher dient. Rollason stellte Untersuchungen für volle und Drittelbelastung an und fand, dass die Zusammensetzung des Gases in beiden Fällen fast dieselbe war, nämlich:

	volle Belastung	Drittelbelastung
CH ₄	2,2	2,4
H	24,0	21,6
CO	16,0	16,4
CO ₂	12,4	12,4
N	45,4	47,3
Heizwert	1295	1260 WE/cbm

Ebenso war die Ausbeute von der Stärke des Betriebes unabhängig; Rollason erhielt 4,43 cbm Gas bei voller Belastung, 4,34 cbm bei Drittelbelastung aus 1 kg Kohle.

Der Betrieb war hier kein ununterbrochener, sondern nur 10stündiger Tagesbetrieb; während der 14stündigen Pause mussten 100 kg Kohlen aufgefüllt werden. Dem stündlichen Verbrauch von 286 kg bzw. 136 kg im Gaserzeuger müssen also wegen der Arbeitspause 100 : 14 = 7 kg zugeschlagen werden. Ferner gebrauchte der Dampfkessel stündlich 29 kg Kohlen. Demnach ist zur Erzeugung der obigen Gasmenge nicht 1 kg, sondern es sind $1 + \frac{26}{286} = 1,09$ bzw.

$1 + \frac{36}{186} = 1,195$ kg zu rechnen. Da der Heizwert der Kohlen mit 6770 WE/kg ermittelt wurde, so ergibt sich der Wirkungsgrad

$$\frac{4,43 \cdot 1295}{1,126 \cdot 6770} = 0,75 \text{ bzw. } \frac{4,34 \cdot 1260}{1,265 \cdot 6770} = 0,65.$$

Diese Feststellungen dürften die in Winnington gefundenen Ergebnisse in wünschenswerter Weise ergänzen, weil ein so großer Betrieb wie hier doch seltener vorkommen wird.

Ueber die Verwendung des Mond-Gases zum Maschinenbetrieb werde ich in einem andern Aufsätze berichten.

Aufgaben und Fortschritte des deutschen Werkzeugmaschinenbaues.

Von Friedrich Ruppert, Oberingenieur in Chemnitz.

(Vorgetragen im Chemnitzer Bezirksverein deutscher Ingenieure.)

*M. H., die schriftliche Arbeit, welche vor mir liegt, war ursprünglich für den Zweck eines Vortrages in unserm Verein bestimmt; sie ist aber nach und nach über den Rahmen eines solchen hinausgewachsen und zu einer umfangreichen Zusammenstellung langjähriger Berufserfahrungen geworden. Die große Fülle des Stoffes verbietet, Einzelheiten mehr als andeutungsweise zu besprechen; dagegen sollen die Grundzüge und Hauptrichtungen möglichst erschöpfend behandelt werden.

Es böte wenig Interesse, über Aufgaben und Fortschritte des Werkzeugmaschinenbaues zu sprechen, wenn dieser sich in ununterbrochen gleichmäßiger Folge entwickelt hätte. Denn in solchem Falle bliebe nicht viel mehr als eine Aufzählung von Geschehenem übrig, und das Kommende würde nur als etwas sich selbstverständlich aus dem Bestehenden Entwickelndes erscheinen. Da aber der Fortschritt wesentlich von der technischen Schöpferkraft einzelner der Zeit voraneilender Geister und auch sehr oft von den für die Bethätigung dieser Schöpferkraft vorhandenen günstigen Bedingungen abhängt, unter deren Einfluss sich neue Bedarfsgebiete entwickeln, die vorher völlig unbekannt waren, so ist es auch in unserm Falle natürlich, dass der Fortschritt zumeist sprunghaft und für

die Allgemeinheit unerwartet kommt, oft nach längeren Zwischenräumen der Ruhe, oft in drängender Hast.

Der deutsche Werkzeugmaschinenbau hat in den letzten Jahren infolge eines gewaltigen, durch die Entwicklung der Elektrotechnik, des Schiffbaues, des Eisenbahnwesens, der Fahrradindustrie veranlassten Neubedarfes zugleich mit dem Eindringen neuer Erscheinungen des amerikanischen Werkzeugmaschinenbaues auf den deutschen Markt eine bisher ohne Beispiel dastehende Sturm- und Drangperiode durchzumachen gehabt. Daher dürfte mein Thema wohl zeitgemäß sein und seine Erörterung von manchem willkommen geheißen werden.

Die bestehenden Verhältnisse und die Vorbedingungen für den Fortschritt in Deutschland.

So erfreulich der letzte Zeitabschnitt erhöhten geistigen und materiellen Schaffens in den deutschen Werkzeugmaschinenfabriken gewesen ist, so giebt doch die Tatsache zu denken, dass sich zu Beginn desselben nicht der deutsche, sondern ein fremdländischer, nämlich der amerikanische Werkzeugmaschinenbau zeitweilig an die Spitze des Fortschrittes gestellt hatte, und es lohnt sich, der Ursache dieser

Erscheinung nachzuspüren; umsomehr, als der deutsche Werkzeugmaschinenbau kein Jüngling mehr, sondern bereits über ein halbes Jahrhundert alt ist, also das Schwabenalter, in dem die Leute klug zu werden pflegen, längst überschritten hat. Man hätte somit erwarten können, dass er und nicht eine jüngere ausländische Industrie sich in die erste Reihe des Fortschrittes stellen und dauernd darin erhalten würde. Dass dies nicht geschah, steht in einem scharfen Gegensatz zu der in Deutschland so wohlgefällig gepflegten Ansicht von einer ohne weiteres aus der Entwicklung des deutschen technischen Schulwesens sich ergebenden Ueberlegenheit deutscher Technik und Techniker über Technik und Techniker außerdeutscher Länder.

In angesehenen amerikanischen technischen Zeitschriften wird kühler über die Ergebnisse unserer vorwiegend durch die Schule geleisteten technischen Erziehung geurteilt. Man sagt uns da ins Gesicht: Eure vielgerühmte technische Schulerziehung leistet, insonderheit auf dem Gebiete des praktischen Maschinenbaues, nicht das, was ihr davon erwartet. In der That muss, sobald man die nationale Empfindlichkeit in diesem uns heilig und unantastbar gewordenen Punkte der Schulerziehung beiseite lässt, zugestanden werden — wie es auch bereits unsere besten wissenschaftlich-technischen Größen, und nicht zum wenigsten auch der Verein deutscher Ingenieure, unablässig mahnend thun —, dass die beste Schulerziehung des Ingenieurs minderwertig ist, wenn ihr nicht eine ebenbürtige praktische Ausbildung zur Seite steht, gleichviel ob sie lehrmäßige oder durch spätere eigene langjährige geschäftsmäßige Ausübung erlangt ist.

Es liegen nun freilich die Verhältnisse in Deutschland so, dass dem werdenden Ingenieur infolge des langen Studienganges und der Beanspruchung durch die vaterländische Waffenübung ein längerer Zeitaufwand für eine einigermaßen gründliche Werkstattpraxis heralich erschwert ist. Wir leiden infolgedessen in Deutschland tatsächlich unter dem Mangel an tüchtigen Betriebsingenieuren. Wir überlassen die Leitung unserer Werkstätten immer noch zu sehr den aus der Arbeiterschaft hervorgegangenen Meistern. Die natürliche Folge ist oftmals ein zu langes Weiterführen altgewohnter Arbeitsweisen und die Schwerfälligkeit, neue Arbeitsweisen in die Werkstätten einzuführen; denn der Meister, der die Sache stets so und niemals anders gemacht hat, sieht meist nicht ein, warum nun auf einmal nicht mehr gut sein soll, was er bisher für richtig gehalten hat.

Die Amerikaner gehen in ihrem absprechenden Urteil über diese deutschen Verhältnisse, denen wir in anderer Richtung ja unendlich viel zu danken haben, zumteil so weit, über den bis in die zwanziger Jahre des deutschen Jünglings hineinragenden Schuldrill das Urteil abzugeben, dass die jungen Leute infolge der ihnen jahrelang mit dem Anschein der Unfehlbarkeit von Professoren vorgetragenen Bücherei das eigene Denken viel zu sehr vernachlässigten, sodass sie in ihren besten Jahren, nachdem sie endlich die Schule verlassen haben und in das praktische Geschäftsleben eingetreten sind, ratlos in das von ihrem auf der Schule gepflegten Ideal vielfach abweichende Gesicht der Praxis schauten; dort müssten sie Dreiviertel des mühsam Gelernten als in der Praxis unbrauchbares Wissen durch ein bisher unbekanntes anderes Dreiviertel ersetzen, wogegen der junge Amerikaner aufgrund der geringen Belastung seines Hirns mit Dingen, die in Büchern viel, aber in der Praxis wenig vorkommen z. B. höhere Mathematik usw., in demselben Alter wie sein deutscher Fachgenosse längst zum schneidigen practical man und selbständig am Fortschritt arbeitenden Werkstättenmeister emporgestiegen sei. Nicht lange dauere es dann, so wollten die jungen Deutschen heiraten und säßen dann fest auf einer Stelle, ohne vorher anderes gesehen und kennen gelernt und dann ihr technisches Urteil geschärft zu haben.

So sagen die Amerikaner in ihren angesehensten technischen Zeitschriften¹⁾. Sie beweisen damit allerdings Unkenntnis des Grundzuges unseres technischen Schulwesens, der mindestens an den guten Schulen gepflegt wird, und welcher darin besteht, die jungen Leute gerade zum selbständigen Denken zu erziehen. Aber in dem Punkte eines durchschnittlichen

Mangels an gründlicher Praxis bei einer großen Zahl deutscher Ingenieure haben sie vollständig recht. Das kann nicht oft und laut genug dem heranwachsenden Geschlecht von Technikern zugerafen werden.

Aus diesen für eine lehrmäßige Pflege der Praxis ungünstigen deutschen Verhältnissen heraus, denen anerkanntermaßen auf andern Gebieten der Technik der Vorzug höherer Wissenschaftlichkeit gegenübersteht, ergibt sich für den einzelnen deutschen Ingenieur des praktischen Maschinenbaues die Pflicht, die man eine nationale technische Pflicht nennen kann, trotz aller Hindernisse ein praktischer „self made man“ zu werden und sich durch unentwegtes, lebenslang dauerndes ernstes Streben selbst eine innige Vereinigung von Wissenschaft und Praxis so zu eigen zu machen, dass aus ihr heraus eigene technische Schöpfungen erwachsen können.

Dass dieses ernste Streben trotz der geschilderten Hindernisse in der That erfolgreich besteht, dafür hat die Weltausstellung in Paris einen vollgültigen Beweis erbracht. Sie hat gezeigt, dass der amerikanische Werkzeugmaschinenbau seit der Ausstellung in Chicago nicht in demselben Maße fortgeschritten ist wie der deutsche. Wir haben den Vorsprung, den eine zeitlang Amerika gewonnen hatte, im Durchschnitt eingeholt.

Amerika konnte in Paris nichts anderes zeigen, als was in den Schaufenstern der Händler zu sehen ist. Deutschland dagegen führte verschiedene Neuheiten vor, sodass die amerikanischen technischen Zeitschriften, um Berichtstoff zu haben, gezwungen waren, deutsche Neuheiten in Wort und Bild zu bringen. Ebenso ist von einer Ueberlegenheit der amerikanischen Ausführungsweise nichts übriggeblieben.

Nachdem die Hochflut des Bedarfes, welche noch vor kurzem unerschöpflich schien, ein schnelles Ende genommen hat, gilt jetzt die Mahnung an die deutschen Fabriken: Wenn auch die Erzeugung eingeschränkt werden muss, der Kopf der Erzeugung, das technische Bureau, darf nicht ruhen, und die in solchen Zeiten gewöhnlich hervorgekehrte Sparsamkeit darf sich nicht darauf erstrecken, die technische Geistesarbeit sowie die auf neue verbesserte Erzeugnisse vorbereitende Thätigkeit lahmzulegen und die Anfertigung neuer Modelle zu hindern. Sonst könnten wir bald wieder wie in den vergangenen Jahren eine Ueberflutung des deutschen Marktes durch ausländische Erzeugnisse erleben. Das für alle Zukunft unmöglich zu machen, ist Pflicht aller Beteiligten.

Beschränkung auf ein enger begrenztes Gebiet.

Wenn das Nachstehende zeigen wird, wie vielgestaltig und lehrreich das innere Wesen einer Werkzeugmaschine ist, und welcher Summe von Kenntnissen, Erfahrungen und geistiger Arbeit es bedarf, um nur eine einzige Werkzeugmaschine konstruktiv selbständig zu schaffen, so liegt darin mittelbar eine Aufforderung an unsere jüngeren Techniker und unsere technischen Schulen, neben den fast übermäßig gepflegten Gebieten der Kraftmaschinen und der Hebenmaschinen auch dem großen und vielgestaltigen Gebiete der sogenannten Arbeitsmaschinen, von denen die Werkzeugmaschinen ein kleiner Teil sind, vermehrte und ernste Aufmerksamkeit zuzuwenden.

Inbezug auf den heutigen Werkzeugmaschinenbau darf man wohl sagen, dass es nur wenige Zweige der Technik giebt, in denen eine solche Mannigfaltigkeit der Arten zutage tritt. Diese fast unerschöpfliche Vielseitigkeit hat längst dahin geführt, dass die — noch vor 50 Jahren gefeierte — That eines Johann Zimmermann, sich so zu spezialisiren, dass er in seiner Fabrik nichts anderes als Werkzeugmaschinen baute, ein überwundener Standpunkt ist. Und doch ist dieser Standpunkt in Deutschland noch lange nicht genug überholt. Unsere deutschen Werkzeugmaschinenfabriken bauen durchschnittlich jede immer noch zu vielerlei Arten von Werkzeugmaschinen.

Eine natürliche Folge davon ist, dass die einzelne Maschine innerhalb der Jahreserzeugung seltener wiederkehrt, und deshalb begegnet man öfter als Entschuldigung für unterlassene Verbesserungen der Ausrede, die das Kennzeichen einer verfehlten und veralteten Erzeugungsweise ist: Es lohnt sich nicht, neue Zeichnungen und Modelle anzufertigen.

¹⁾ Vergl. Z. 1898 S. 320.

Man darf heute wohl das wirtschaftliche Gesetz aufstellen: Das aus dem Gesamtgebiet des Werkzeugmaschinenbaues von einer Fabrik für ihre Tätigkeit erwählte Teilgebiet muss im Einklang mit der Größe der Fabrik stehen; jeder Aufwand an Kraft, Zeit und Kapital für eine über dieses Gebiet hinausgehende Mannigfaltigkeit ist ein wirtschaftlicher Fehler und bringt Verlust.

Diesem neuzeitlichen Standpunkt der Fabrikation im Werkzeugmaschinenbau entsprechend ist auch der Werkzeugmaschineningenieur zu einer Beschränkung des Gebietes seiner Tätigkeit gezwungen, um innerhalb des Teiles vom Ganzen seine Kenntnisse und Leistungen auf die Höhe der Zeit zu bringen und darauf zu erhalten. Gesuche von Konstrukteuren »mit gründlicher Kenntnis des Werkzeugmaschinenbaues«, wie sie noch hier und da veröffentlicht worden, sind daher nicht mehr zeitgemäß; sie bewelsen das geringe Verständnis für die neuzeitlichen Anforderungen.

Alles dies zusammengefasst ergibt: Eine weise Beschränkung des Gebietes ist bei der Betätigung der materiellen und der geistigen Kräfte eine der besten Waffen im Fortschrittskampf.

Auch bei der vorliegenden Arbeit hat die große Ausdehnung des Gebietes des Werkzeugmaschinenbaues notwendigerweise eine Beschränkung zur Folge. Das Gesamtgebiet des Werkzeugmaschinenbaues teilt sich in zwei große Hauptgruppen: Maschinen für spanbildende Bearbeitung und Maschinen für spanlose Bearbeitung (Schlagen, Ziehen, Drücken, Biegen, Pressen, Formen usw.). Ich beschränke meinen Stoff im Folgenden auf das mir geläufige Fach der Maschinen für spanbildende Bearbeitung. Es liegt aber in der Natur der Sache, dass vieles von dem zu Sagenden auch für die zweite Gruppe Gültigkeit hat.

Das Erfinden neuer Arten als höchste fortschrittliche Leistung.

Das Endziel für den Konstrukteur einer Werkzeugmaschine ist, eine Maschine zu schaffen, welche höchste Leistungsfähigkeit in bezug auf Umfang und Güte der in der Zeiteinheit auf ihr bearbeiteten Flächen besitzt. Am vollkommensten wird das gegenüber dem Bestehenden durch die Schaffung einer neuen Art erreicht werden, der eine erhöhte Leistungsfähigkeit innewohnt.

Die Schaffung neuer Arten ist demgemäß als die höchste fortschrittliche Leistung des Konstrukteurs zu betrachten. Sie gelingt naturgemäß nur selten, weit seltener als die Verbesserung einer vorhandenen Art. Dass sie dennoch möglich ist, dafür einige Beispiele aus den letzten Jahren:

- 1) die Revolverdrehbank und
- 2) die Horizontaldrehbank als neue Arten gegenüber der üblichen Drehbank;
- 3) die Gisholt-Drehbank, eine neue Art Revolverdrehbank wesentlich für Gussteile;
- 4) die Bilgram-Hobelmaschine, eine neue Art Hobelmaschine für Kegelhäder;
- 5) die Follow-Hobelmaschine, eine neue Art Hobelmaschine für Stienräder.

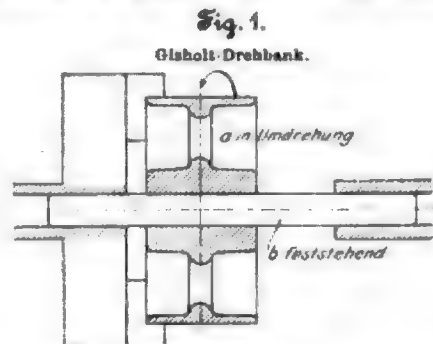
Alle diese neuen Schöpfungen enthalten einen Grundgedanken, einen Kern, um den sich das übrige, ihm dienend und von ihm abhängig, gruppiert. Dieser Kern ist

1) bei der Revolverdrehbank die gleichzeitige Arbeitsbereitschaft mehrerer Werkzeuge im Gegensatz zur bisherigen Einzelbereitschaft; außerdem als fernere Neuheit die Begrenzung der Arbeitsbewegung dieser Werkzeuge durch bestimmte, den zu erzeugenden Durchmesser und Längen entsprechend einstellbare feste Punkte, die an der gewöhnlichen Drehbank nicht vorhanden sind, sodass das Messen der vom Werkzeug auszuführenden Bewegungen nicht mehr Sache des Arbeiters, sondern in die Maschine verlegt ist.

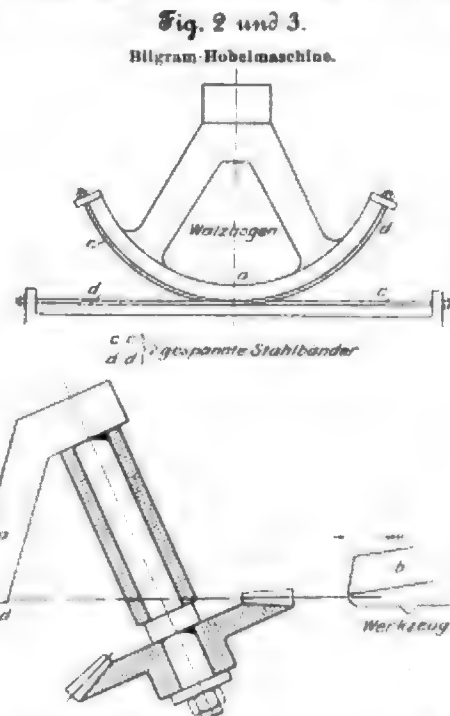
2) Der Horizontaldrehbank liegt der Gedanke zugrunde, die Planscheibe durch wagerechte Anordnung tragfähiger zu machen als bei der üblichen Drehbank und hierdurch zugleich das Aufspannen und Einrichten des Arbeitgegenstandes zu erleichtern. Auch während der Bearbeitung ist die unmittelbare Unterstützung des Arbeitstückes von unten zweckmäßiger

als die schwebende Aufhängung an der üblichen senkrechten Planscheibe.

3) Bei der Gisholt-Drehbank, Fig. 1, liegt, abgesehen von der Arbeitsbereitschaft mehrerer Werkzeuge wie bei der Revolverdrehbank, der neue konstruktive Gedanke darin, dass sich das Arbeitstück *a* um einen feststehenden Drehdorn *b* dreht, entgegen dem üblichen Umlauf mit dem Drehdorn, wobei



es von den Klauen der Planscheibe festgehalten wird, und in der Benutzung von Formmessern für das Fertigdrehen. Dem steht bei der Dreherei auf dem Dorn die übliche mangelhafte Festhaltung durch Spannring und Mitnehmer, oder die minderwertige Festhaltung des Arbeitgegenstandes zwischen Spitzen, sowie schließlich das Fertigdrehen mittels Handstabes gegenüber. Diese drei Fortschritte: Arbeitsbereitschaft mehrerer Werkzeuge, die verbesserte Festhaltung des Arbeitgegenstandes und die Anwendung von Formstäben, ergeben die wesentlich höhere Leistungsfähigkeit der Gisholt-Drehbänke gegenüber gewöhnlichen Drehbänken. Da aber die Vorbereitungen für den Beginn der Arbeit infolge der Einstellung



mehrerer Werkzeuge in genaue Arbeitslage und der Maßnahmen zur Begrenzung ihres Arbeitsweges wesentlich mehr Zeit erfordern als die einfache Werkzeugeinspannung bei einer gewöhnlichen Drehbank, so beginnt der Nutzen erst, nachdem eine Anzahl gleicher Teile mit der Gisholt-Bank hergestellt ist und noch weitere gleiche Teile für die Bearbeitung zur Verfügung stehen. Dasselbe gilt für die übliche Revolverbank.

4) Die Bilgram-Maschine zum Hobeln kegelförmiger Zahnräder erzeugt die Evolventen-Zahnform durch unmittelbare Abwicklung eines Wälzkreises und durch ein für alle

Teilungen und alle Zähnezahlen gleichbleibendes geradflankiges Werkzeug, statt der bislang gebräuchlichen Erzeugung durch gleichgeformten Fräser oder durch ein an einer Zahnform-Schablone geführtes Hobelwerkzeug (Fig. 2 und 3).

5) Bei der Stirnhobelmachine von Fellow ist der Kernpunkt die neue Erzeugung der Zahnform durch ein Werkzeug in Zahnradform mit Hobelbewegung, geeignet für unbeschränkte Zähnezahlen gleicher Teilung, im Gegensatz zu dem kreisenden Fräser für beschränkte Zähnezahlen.

Die Ausgestaltung der Erfindung zur neuzeitlichen Konstruktion.

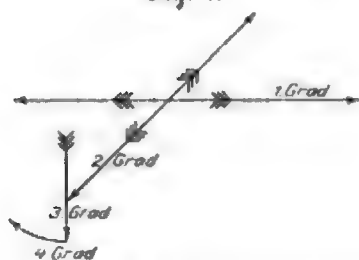
Wenn der Erfindungsgedanke, wie ich ihn in einigen Beispielen gekennzeichnet habe, gegeben ist, beginnt die Thätigkeit des Konstruierens. Zunächst ist die Anordnung der Maschine festzulegen, wofür in erster Linie der Erfindungsgedanke maßgebend ist. Während dieser aber frei vom Zwange der Regel entstehen konnte, unterliegt seine Ausgestaltung bis zur vollendeten Konstruktion einer Summe von Beobachtungs- und Erfahrungsvorschriften, deren Beherrschung erst den selbständig arbeitenden Konstrukteur ausmacht.

Zunächst gelten für die allgemeine Anordnung der Maschine drei Grundsätze, die von erfahrenen Konstrukteuren stets befolgt werden. Ihre Wortfassung dürfte indes nicht allzu bekannt sein.

1) Die Starrheit bewegter Teile steht im umgekehrten Verhältnis zum Grade der Bewegung.

Was den letzteren betrifft, so nenne ich eine Bewegung ersten Grades die einfache Bewegung eines Maschinenteiles an einem festen Teil;
 „ „ zweiten „ die Bewegung eines Maschinenteiles an einem bewegten Teil ersten Grades;
 „ „ dritten „ die Bewegung eines Maschinenteiles an einem bewegten Teil zweiten Grades;
 „ „ vierten „ die Bewegung eines Maschinenteiles an einem bewegten Teil dritten Grades.

Fig. 4.



Ein einfaches Beispiel der letzten Bewegungsart verdeutlicht dies ohne viele Worte (Fig. 4).

Auf dem festen Bett einer Querhobelmachine gleitet deren Stößelschlitten 1. Grad
 im bewegten Stößelschlitten gleitet der Stößel 2. „
 am bewegten Stößel im bewegten Stößelschlitten gleitet der Werkzeugschlittenschieber 3. „
 im bewegten Schlittenschieber am bewegten Stößel im bewegten Schlitten bewegt sich die Zahnklappe 4. „

Der nächste Grundsatz lautet:

2) Ein höherer Grad als der 4. Grad der Bewegung bedeutet den Beginn eines Fehlers in der allgemeinen Anordnung einer Werkzeugmaschine.

Der dritte besonders wichtige Grundsatz lautet:

3) Das vorzüglichste Mittel zur Herabminderung des Grades der Bewegung, mithin zur Erhöhung der Starrheit innerhalb der Maschine, ist die Aufsuchung der besten unter den gegebenen Verhältnissen möglichen Verteilung der Bewegungen zwischen Werkzeug und Arbeitstück.

Davon hängt in den meisten Fällen der praktische Erfolg einer Werkzeugmaschinenkonstruktion ab. So lange es eine noch bessere Lösung dieser Aufgabe als die bisher bekannte giebt, ist der Höhepunkt des Fortschrittes nicht erreicht.

Begründung: Die theoretische Aufgabe der Werkzeugmaschine ist die Erzeugung einer geometrischen Fläche (das Wort geometrisch in weitem Sinne als nach festen Regeln erzeugend aufgefasst).

die praktische Aufgabe die möglichst vollständige Annäherung der wirklich erzeugten Fläche an die theoretische. Man ist sich nun längst darüber klar, dass es unmöglich ist, in- und aneinanderlaufende Flächen zum völlig dichten Schluss zu bringen. Undichtigkeit ist aber gleichbedeutend mit Nachgiebigkeit eines oder beider beteiligter Körper, und diese Nachgiebigkeit bedingt wiederum die Abweichung der erzeugten Bewegung von der theoretischen. Es ist ohne weiteres klar, dass die Größe der schädlichen Abweichungen im Verhältnis zu dem Grade der Bewegung wachsen muss. Daraus folgt die Richtigkeit unserer Behauptung, dass die Verteilung der Bewegungen, gleichbedeutend mit Vermeidung hoher Bewegungsgrade, unter Umständen über den ganzen praktischen Erfolg einer Werkzeugmaschinenart entscheidet.

Die Verteilung der Bewegungen zwischen Arbeitstück und Werkzeug ist ferner grundlegend für die allgemeine Anordnung der Werkzeugmaschine; zunächst setzt sie vor allem die Kenntnis aller in einer Maschine notwendigen Bewegungen voraus.

Es giebt nun fünf Arten von Bewegungen in den Werkzeugmaschinen:

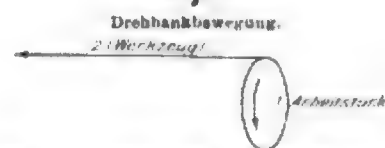
- 1) die Arbeit- oder Schnittbewegungen kurz Schnitt;
- 2) die Vorschub- oder Schaltbewegungen „ Vorschub;
- 3) die Größenanpassungs- oder Einstellbewegungen „ Einstellung;
- 4) die spangebenden oder Anstellbewegungen „ Anstellung;
- 5) die Werkzeug schonenden oder Abhubbewegungen beim Rücklauf „ Abhub.

Manche dieser Bewegungen können unter Umständen die einfache Fortsetzung einer andern sein.

Beispiel: Die Einstellung des Bohrers in einer Bohrmaschine bis in die Nähe der Bohrstelle und der Vorschub während des Bohrens sind eine fortgesetzte Bewegung der Bohrspindel in der Achsenrichtung.

Von den oben genannten fünf Bewegungsarten stehen die ersten beiden, der Schnitt und der Vorschub, stets in

Fig. 5.



einem inneren Zusammenhange. Der Zusammenhang ist derselbe wie bei der Bewegung eines Punktes, wenn er eine geometrische Fläche erzeugt.

Die Drehbank z. B. erzeugt eine Cylinderfläche, indem an der äußersten Spitze der Werkzeugschneide eine Drehbewegung und dazu eine rechtwinklig geradlinige Bewegung stattfindet (Fig. 5). Entsprechend dem Grundsatz von der Verteilung der Bewegungen kommen diese beiden die Fläche erzeugenden Bewegungen nicht einem Maschinenteil zu, sondern sie sind verteilt, und zwar auf die den Arbeitsgegenstand bewegend Spindel oder Planscheibe und den das Werkzeug tragenden Schlitten. Eine ebenso gute Verteilung zeigt die Bewegung zur Einstellung der Größe. Der Länge des Cylinders folgt der verschiebbare Reitstock, dem Durchmesser des zu bearbeitenden Cylinders folgt die rechtwinklig zur Erzeugungsbewegung liegende Querbewegung des Schlittens. Beim Plan-drehen tauschen die Erzeugungsbewegung und die Einstellbewegung ihre Rollen. Stets ist also eine vorzügliche Verteilung vorhanden.

Die Hobelmaschine dagegen ist die Maschine zur Herstellung einer Ebene. Die Erzeugung erfolgt nach einem der möglichen Vorgänge für diesen Zweck, und zwar dadurch, dass sich an dem Aufsteigen Punkte der Werkzeugschneide zwei geradlinige Bewegungen abspielen, nämlich eine Längs- und eine Querbewegung. Von diesen beiden Bewegungen wird nach dem Gesetz der Verteilung eine vom Tisch, die andere vom Werkzeugschlitten der Maschine ausgeführt (Fig. 6). Letzterem liegt zugleich die Anstell- und

Fig. 6.

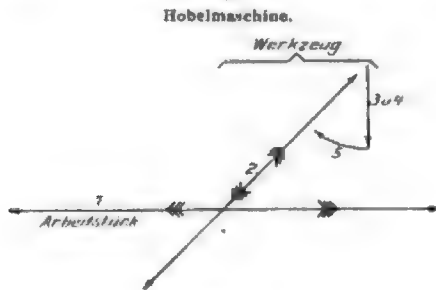
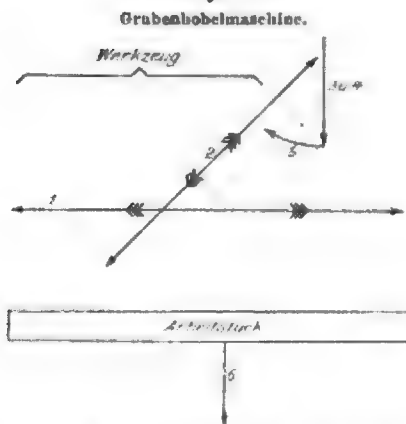


Fig. 7.



Abhubbewegung ob. Zwar giebt es auch Hobelmaschinen, sogenannte Grubenhobelmaschinen (Fig. 7), bei denen das Werkzeug alle Bewegungen ausführt; jedoch hat diese Gattung nie eine einigermaßen bemerkenswerte Einführung gefunden. Und doch haben diese Maschinen den großen Vorzug, dass sie nur die einfache Länge des Arbeitstückes im Werkstättenraume beanspruchen, während die üblichen Hobelmaschinen die doppelte Länge brauchen. Die Erklärung liegt in der ungünstigen Verteilung der Bewegungen; denn dem Werkzeug liegen fünf Bewegungen: die Schnitt-, Vorschub-, Einstell-, Anstell- und Abhubbewegung, ob. Dazu kommt, dass dem Tisch eine Bewegung zugemutet wird, die HöhenEinstellung, die sich schwer mit seinen übrigen Eigenschaften großer Länge, Breite und großen Gewichtes vereint, und die bei der üblichen Hobelmaschine vollständig in Wegfall kommt. Die bessere Verteilung der Bewegungen bei der üblichen Hobelmaschine ergibt somit auch eine Ersparung in der Anzahl der Bewegungen.

Daraus ist als Regel zu entnehmen, dass die bei großen Arbeitstücken durch die Raumersparnis bedingte Stilllegung des Arbeitstückes nur dann den praktischen Erfolg nicht gefährdet, wenn sie nicht durch eine Steigerung des Bewegungsgrades über den zulässigen vierten hinaus und nicht durch eine Vermehrung der Anzahl der Bewegungen erkauft werden muss.

Es giebt schöne Beispiele von immer mehr in Aufnahme kommenden Werkzeugmaschinen mit stillliegendem Arbeitstück, die das Gesagte voll bestätigen; z. B. die Horizontalbohrmaschine mit ruhender Aufspannplatte und wagerecht und senkrecht bewegter Spindel für größere Arbeitstücke (Fig. 8). Trotz der Stilllegung des Arbeitstückes geht die Bewegung des Werkzeuges bei diesen Maschinen nicht über den dritten

bezw. vierten Grad hinaus: eine schraubenförmige Bohrbewegung (bezw. eine kreisende und zugleich fortschreitende Bewegung) an einer senkrechten Bewegung des Bohrschlittens, und diese wieder an einer wagerechten Bewegung des Bohrständers.

Als zweites Beispiel finden wir auch an der Blechkanten-Hobelmaschine das Arbeitstück zum Zwecke der Raumersparnis stillgelegt und im Werkzeug eine Bewegung vierten Grades: den wagerechten Schnitt, den senkrechten Vorschub, die Anstellung und den Abhub des Werkzeuges im Halter (Fig. 9).

Fig. 8.

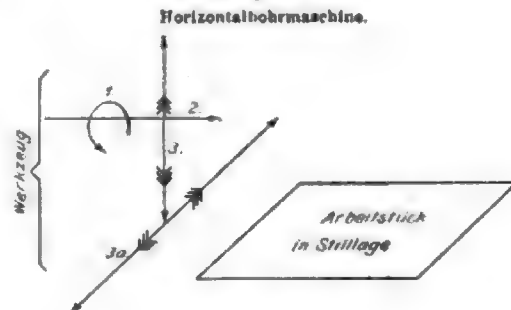
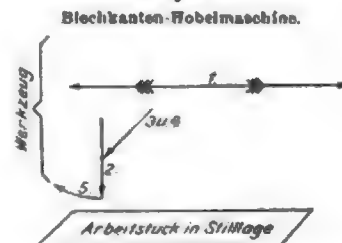
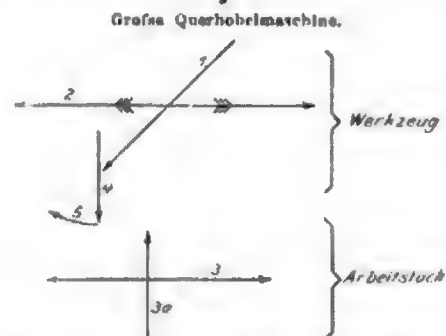


Fig. 9.



Ein drittes Beispiel, welches die Richtigkeit unserer Forderung möglichst guter Verteilung der Bewegung vorzüglich bestätigt, bietet die neuere Gestaltung der Querhobelmaschine. Während früher das Arbeitstück, nachdem der Tisch eingestellt war, in der Regel stilllag, unterscheidet die Neuzeit Querhobelmaschinen für große und für kleinere Arbeitstücke, insofern nur noch an denjenigen Maschinen, wo Raumersparnis oder bequemere Unterstützung langer Arbeitstücke infrage kommt, das Arbeitstück stillliegt, also auch die größere Häufung der Bewegungen im Werkzeug üblich ist (Fig. 10). Bei den kleineren neueren Querhobelmaschinen hat

Fig. 10.

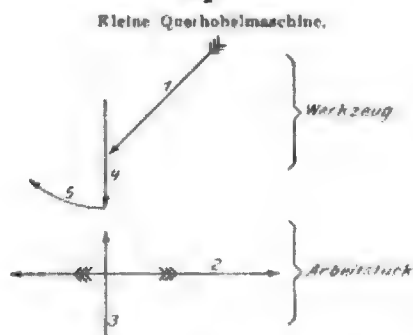


man dagegen die Vorschubbewegung dem Werkzeug abgenommen und in den Tisch verlegt, sodass jetzt 3 Bewegungen auf das Werkzeug und 2, nämlich wagerechter Vorschub und senkrechte Einstellung, auf den Tisch kommen (Fig. 11). Die bessere Verteilung der Bewegungen hat also den Sieg über die frühere Konstruktion mit der größeren Häufung der Bewegungen auf einen Maschinenteil davongetragen.

So ließen sich viele Beispiele für die Richtigkeit des Grundsatzes von der Verteilung der Bewegungen anführen.

Es sei nur noch eines aus der allerneuesten Zeit: die Verteilung der Bewegungen an der Stirnradstosfmaschine von Fellow, Fig. 12, erwähnt. Das Werkzeug, der zahnradähnliche Stosfzahn, macht eine kreisende Bewegung an einem senkrecht bewegten Werkzeugschlitten, und dieser seine Einstellbewegung, die zugleich die Anstellbewegung ist, an einem

Fig. 11.

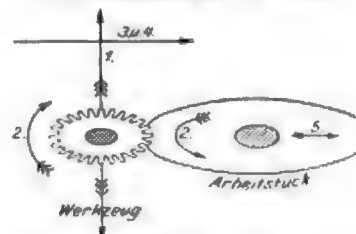


wagerechten Prisma. Somit hat das Werkzeug eine Bewegung dritten Grades. Das zu fräsende Rad erhält eine kreisende Bewegung durch Wechselräder, die in Zusammenhang mit der kreisenden Bewegung des Werkzeuges steht, und außerdem macht es vor Beginn jedes Rücklaufes des Werkzeuges eine wenige Millimeter betragende Abhubbewegung. Somit entfällt auf das Arbeitsstück eine Bewegung zweiten Grades; eine bessere Verteilung der Bewegungen ist also nicht denkbar. Die Verlegung des Abhubes in das

Arbeitsstück ist ein neuer und, wie wir sehen, vorzüglicher Erfindungsgedanke. Es ist sogar anzunehmen, dass hierdurch erst der praktische Erfolg der ganzen Maschine erreicht wird; denn das fräserartige kreisende und stoßende Werkzeug würde aller Voraussicht nach noch eine Bewegung nicht vertragen und durch eine solche die notwendige Starrheit derart einbüßen, dass dieses ganze Verfahren zur Erzeugung von Zähnen praktisch untauglich würde.

Fig. 12.

Stirnradstosfmaschine von Fellow.



Ich verlasse diesen Abschnitt nicht, ohne darauf hinzuweisen, dass die Kenntnis des Konstruktionsgrundsatzes von der möglichst guten Verteilung der Bewegungen und des damit zusammenhängenden Grundsatzes der Herabminderung des Bewegungsgrades nicht nur einen unmittelbaren Nutzen gewährt, sondern auch den mittelbaren Vorteil herbeiführt, dass der Konstrukteur, sobald er sich zur Anwendung höherer Bewegungsgrade gezwungen sieht, zu vermehrter Sorgfalt in der Gestaltung der Führungen der bewegten Maschinenteile veranlasst wird. (Fortsetzung folgt.)

Zur Konstruktion der Laufräder der Radialturbinen.

Von N. Baaschhaus, Assistent an der Technischen Hochschule zu Berlin.

Die Radialturbinen, besonders die als Francis- und als Herkules-Turbinen bezeichneten Gattungen, gewinnen in neuerer Zeit immer mehr Ausbreitung und erfreuen sich einer wachsenden Beachtung. Dabei sind sie einer gründlichen Umgestaltung und einer klärenden Kritik unterworfen worden und zu einer Reihe vorzüglicher Konstruktionen ausgebildet, deren hoher Wert durch die abgenommenen Bremsversuche erwiesen ist. Ueber einen Konstruktionsteil jedoch ist sehr wenig in die Öffentlichkeit gedrungen, und doch bildet gerade er den wichtigsten Bestandteil der Turbine: nämlich die Schaufeln des Laufrades. Es sei im Nachstehenden der Versuch gemacht, etwas zur Konstruktion dieser Schaufeln beizutragen.

Bei den bisher allgemein bekannten Konstruktionen wird die Austrittskante als in einer Niveaufläche (Fläche gleicher Geschwindigkeit) liegend angesehen, und man hat als Konstruktionsbedingung, dass diese Geschwindigkeit gleich der im Saugrohr herrschenden sein und winkelrecht zur Austrittskante stehen soll. Die Auffassung, dass dies im allgemeinen keine zutreffende Annahme sei, sondern dass an jeder Stelle der Austrittskante eine andere Wassergeschwindigkeit herrsche, besteht seit einigen Jahren im Bureau des Hrn. Professors Reichel und ist in mehreren Konstruktionen angewendet. Hiernach sind maßgebend für den Winkel der Evolute an der Austrittskante an der in betracht gezogenen Stelle die Wassergeschwindigkeit und die Umfangsgeschwindigkeit, welche im allgemeinen beide wechseln. Die Umfangsgeschwindigkeit ist an jeder Stelle bekannt, da die Umfangsgeschwindigkeit am Eintritt bekannt ist. Richtung und Grösse der Wassergeschwindigkeit werden den Wasserwegen und den Niveauflächen entnommen. Die folgenden Ausführungen sollen unter den vielen möglichen ein Verfahren angeben, wie man ohne Schwierigkeit diese Wasserwege und Niveauflächen an jedem beliebigen Ort innerhalb der Turbine genügend genau festlegen und damit Schaufeln beliebiger Form konstruieren kann.

Wir betrachten zunächst die Francis-Turbine. Hier tritt das Wasser radial in das Laufrad ein und hat auf der ganzen Breite die unveränderliche Geschwindigkeit

$$C = \frac{Q}{\pi D B \sin \alpha},$$

wobei

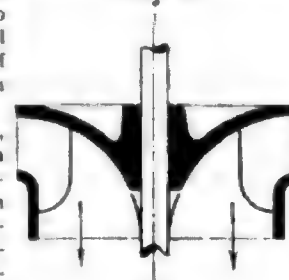
Q = Wassermenge,
 D = Durchmesser des Laufrades,
 B = Breite des Laufrades,
 α = Austrittswinkel aus dem Laufrade.

Mithin ist diese Fläche eine Niveaufläche. Die Richtung des Wassers wird dann allmählich abgelenkt, und es tritt achsial aus dem Saugrohr aus. Die Grösse dieser Richtungsänderung ist bekannt; ihre Projektion (Zurückklappung in die Radialebene) beträgt 90°. Wenn man sich nun vergegenwärtigt, dass sich das Saugrohr von der Stelle an, wo die innere Begrenzung parallel zur äußeren ist, in bezug auf Niveauflächen verhält wie ein einfaches cylindrisches Rohr, Fig. 1 und 2, wo diese Flächen, abgesehen von der Reibung an den Außenwänden, Ebenen senkrecht zur Achse sind, so hat man hiernach bei jeder Francis-Turbine eine zweite leicht zu ermittelnde Niveaufläche, die zum Auf-

Fig. 1.



Fig. 2.



suchen der Wasserwege und der Niveauflächen an jedem Ort zwischen Eintritt und Austritt des Wassers herangezogen werden kann.

Durch die Wahl der inneren und der äußeren Begrenzung sind für die bei o und u , Fig. 3, eintretenden Wasserteilchen die Projektionen ihrer Wasserwege (Zurückklappen in die Zeichenebene) bereits gegeben, da angenommen werden muss, dass das Wasser bei Turbinen dieser Gattung (Überdruckturbinen) das Laufrad ganz ausfüllt. Wenn man die innere Begrenzung als Viertelkreisbogen wählt, der die Welle oder bei Anordnung mit Tragkreuz die Nabe des Tragkreuzes

Fig. 3.

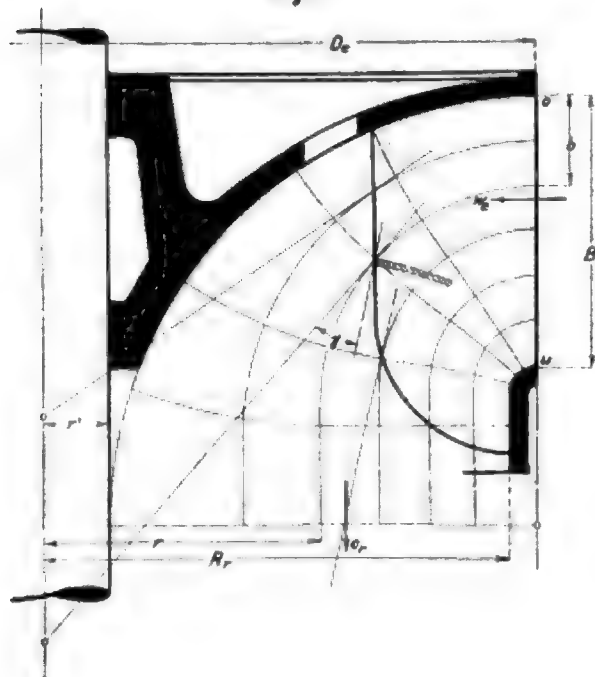
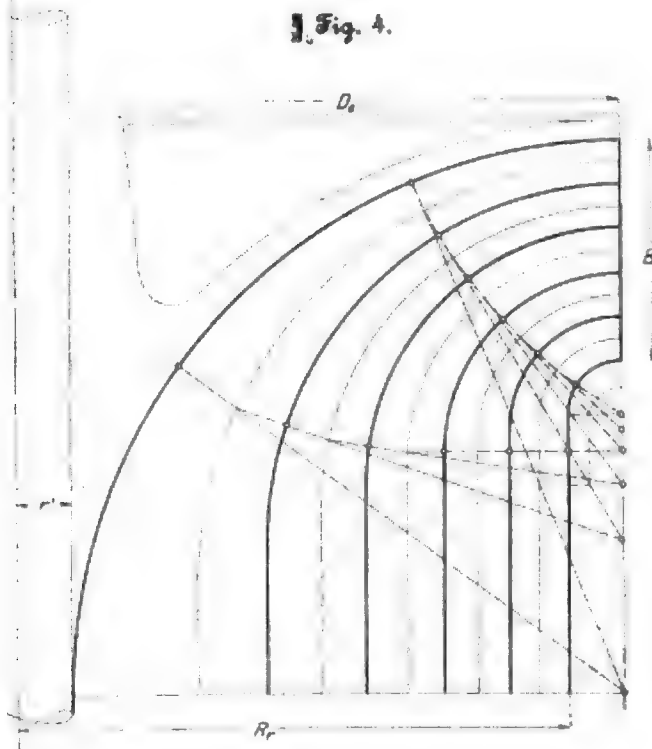


Fig. 4.



berührt, und die äußere Begrenzung als Viertelkreisbogen, der das Saugrohr berührt, so liegt es nahe, anzunehmen, dass auch die zwischen o und u eintretenden Wasserteilchen einen ähnlichen Verlauf wie die bei o und u eintretenden Teilchen nehmen werden, und dass somit die Projektionen ihrer Wege (Zurückklappen in die Zeichenebene) denjenigen der bei u und u eintretenden Teilchen ähnlich sein, also auch aus Kombinationen von Viertelkreisen und geraden Linien bestehen werden. Wie später nachgewiesen wird, trifft dies streng genommen nicht zu. Da aber die Fehler gering sind, da ferner hierdurch ein einfaches Verfahren ermöglicht wird,

Fig. 5.

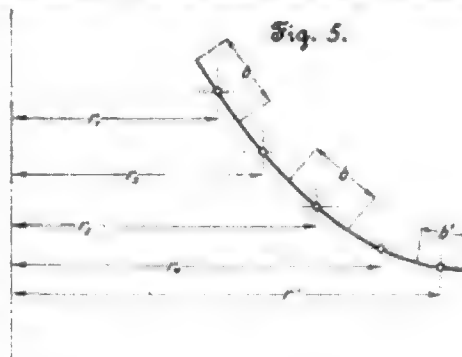
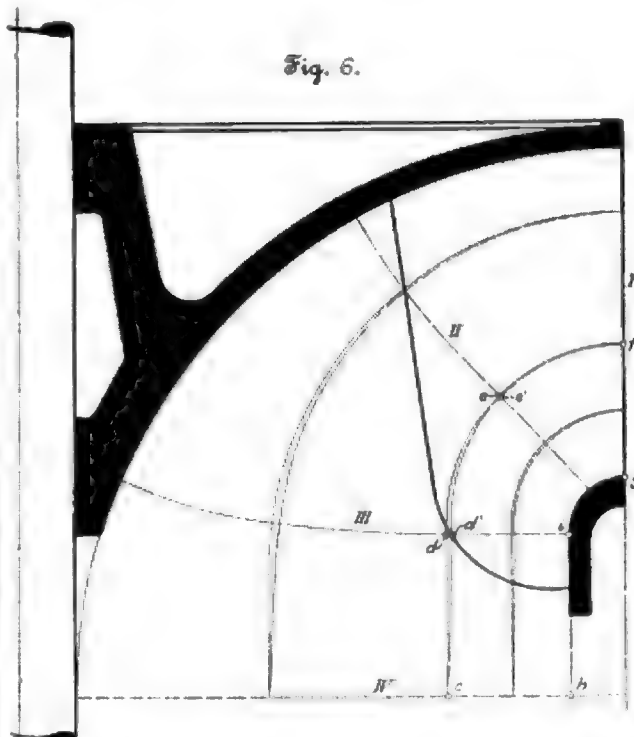


Fig. 6.



und da die zur Aufzeichnung des Schaufelklotzes erforderliche Zeit etwas verringert werden dürfte, so erscheint jene Annahme zulässig. Wenn man trotzdem eine Berichtigung vornehmen will, so ist sie nicht schwer zu machen, wie später näher beschrieben werden soll.

Zum Aufzeichnen der Wasserwege denke man sich die Turbine in mehrere kleine Teilturbinen zerlegt. Zu diesem Zweck zerlege man die eine der beiden vorhandenen Niveauflächen in eine Anzahl Teile, suche auf der andern diejenigen Teile auf, welche dieselben Wassermengen schlucken, und verbinde die so gefundenen zusammengehörigen Punkte miteinander durch Viertelkreisbogen und gerade Linien nach Art der äußeren Begrenzung. Es besteht dann mit den Zeichnungen der Figur 3 folgende Beziehung:

$$\begin{aligned} (\pi r^2 - \pi r'^2) c_r &= \pi D_o b w_s \\ (\pi R^2 - \pi r'^2) c_r &= \pi D_o B w_s \end{aligned}$$

wenn w die Relativgeschwindigkeit des Wassers beim Eintritt in das Laufrad bedeutet; d. h. die Wassermenge der Teilturbine im Saugrohr verhält sich zur Gesamtwassermenge im Saugrohr, wie sich die Wassermenge der Teilturbine am Eintritt zur Gesamtwassermenge am Eintritt verhält. Nach vorgenommener Kürzung erhält die Gleichung folgende Gestalt:

$$\frac{r^3 - r'^3}{R^3 - r'^3} = \frac{b}{B} \quad \text{oder} \quad \frac{r^3 - r'^3}{B} = \frac{R^3 - r'^3}{B} = \text{konst.}$$

Hieraus berechnet man die verschiedenen Werte von r für ein veränderliches b , oder, was dasselbe ist, man teilt die Kreisringfläche in ebenso viel gleiche Teile wie die

Fig. 7.

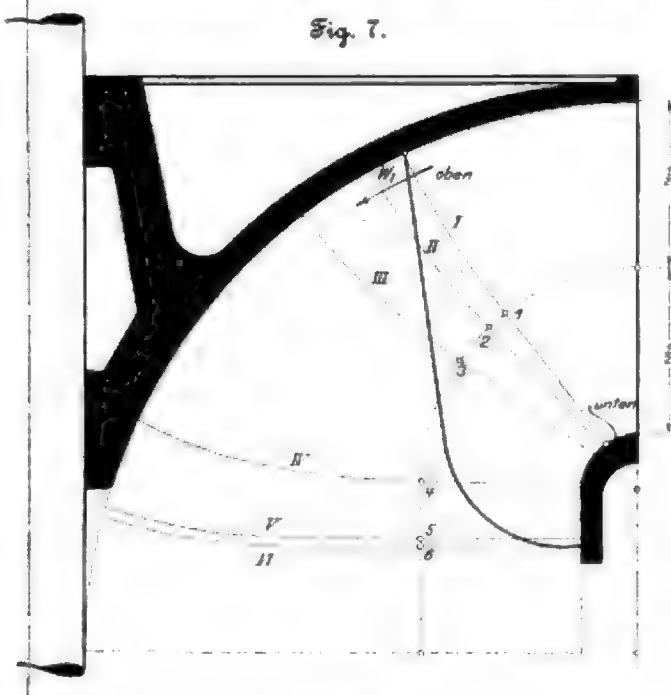


Fig. 8.



Breite B . Man zeichne ferner doppelt so viele Wasserwege, als man später auf der Austrittskante der Schaufel Evolventen zur Festlegung des Schaufelklotzes verzeichnen will. Aus diesen Wasserwegen werden die zwischen der Eintritt- und der Austritt-Niveaulfläche liegenden Niveaulflächen ermittelt. Sie stehen senkrecht zu den Wasserwegen, und es muss deshalb eine Kurve senkrecht zu einer Schar von Kreisen gezeichnet werden. Das wird so gemacht, Fig. 4, dass in einem Punkte eines Hauptwasserweges eine Senkrechte errichtet und zum Schnitt mit den beiden benachbarten Hüllwasserwegen gebracht wird. Durch die so erhaltenen Schnittpunkte werden Senkrechte zum benachbarten Hauptwasserweg gezogen und verlängert, bis sie den benachbarten Hüllwasserweg schneiden usw. Die Verbindung der Schnittpunkte der Hauptwasserwege durch eine stetige Kurve liefert die Niveaulfläche, deren Größe zweckmäßig folgendermaßen gemessen wird. Man teile die Niveaulinie in gleich große Stücke von bequem zu messender Länge b , Fig. 5; im allgemeinen wird dabei ein Rest b' übrig bleiben. Diese Stücke können als gerade Linien angesehen werden, deren Schwerpunkte auf der Mitte liegen. Werden die Entfernungen dieser Schwerpunkte von der Turbinenachse zu $r_1 \dots r_n, r'$ gemessen, so beträgt die Größe der Niveaulfläche

$$F = 2\pi (r_1 + \dots + r_n) b + 2\pi r' b'.$$

Diese Niveaulflächen werden durch die Schnittpunkte der beliebig gewählten Austrittskante mit den Hauptwasserwegen gelegt und ihre Größen gemessen. Aus der Wassermenge Q und den verschiedenen Niveaulflächen F erhält man nach der Beziehung $W = \frac{Q}{F}$ die Wassergeschwindigkeitskomponente W , welche für jede Niveaulfläche, also auch für jeden Punkt der Austrittskante, eine andere ist. Die Richtung der Geschwindigkeitskomponente ist senkrecht zur Niveaulfläche und tangential an der betreffenden Stelle des Wasserweges.

Wie schon angedeutet, ist diese Darstellung der Wasserwege streng genommen nicht genau richtig, wie eine einfache Überlegung zeigt. Die Niveaulflächen III und IV, Fig. 6, sind im allgemeinen von verschiedener Größe. Infolgedessen sind die ihnen zugehörigen Geschwindigkeiten

Fig. 9.

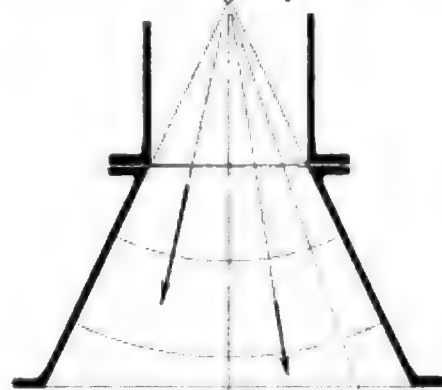


Fig. 10.



ebenfalls verschieden groß. In der Teilturbine $fghe$ sind die Begrenzungsstücke dc und ih parallel. Die Ringfläche di ist somit gleich der Ringfläche ch . Da die durchgeflossene Teilwassermenge aber unveränderlich ist, müssten deshalb die Geschwindigkeiten gleich groß sein, was sie in Wirklichkeit nicht sein können, da wie gesagt die Niveaulflächen III und IV im allgemeinen eine und dieselbe Größe nicht haben werden. Es zeigt sich dies, wenn man die Wassermenge und die Niveaulflächen aufzeichnet.

Man könnte nun die Wasserwege berichtigen, indem man sich auf den Niveaulflächen Teile ausrechnet, welche dieselben Wassermengen schlucken wie die auf Niveaulfläche I und IV verzeichneten Teilturbinen. Die so erhaltenen Punkte der Niveaulflächen müssten miteinander durch eine stetige Kurve verbunden werden, die den richtigen Wasserweg ergäbe. In Fig. 6 wäre der berichtigte Wasserweg die punktierte Kurve $cd'ef$. Dadurch würde allerdings auch die Niveaulfläche verschoben; das würde jedoch die Größe der Niveaulflächen und die Richtung der Wasserwege sehr wenig beeinträchtigen. Die Kurve $cd'ef$ weicht von $cd'ef$ so wenig ab, dass die durch Beibehalten der ersteren Kurve entstandenen Fehler sehr gering sind und im Vergleich mit den durch das Aufzeichnen spitzer Schnitte entstandenen Fehlern

und mit den vom Modellschreiner so wie so begangenen Ungenauigkeiten nicht in Betracht kommen dürften. Demgegenüber ist eine große Stetigkeit im Uebergang von einem Wasserweg auf die andern zweifellos vorhanden.

Eine zweite Ungenauigkeit liegt in der Bezeichnung Niveaufläche. Diese trifft eigentlich nur zu beim Eintritt und im Saugrohr, zwischen beiden nicht mehr, da hier die durch die Krümmung der Bahn hervorgerufene Fliehkraft mit inbetracht kommt, und zwar so, dass die ermittelten Normalflächen keine Niveauflächen mehr sind. Die Berücksichtigung des Einflusses der Fliehkraft sowie der Reibung an den Wänden und an den Schaufeln führt aber zu sehr großen Schwierigkeiten und ist bei dieser Konstruktion unterlassen.

Die vorhin ermittelten Wasserwege werden nun dazu benutzt, die Richtung der Wassergeschwindigkeiten zu ermitteln, auf welche dann die bekannten Evoluten am Austritt konstruiert werden, und die Niveaulinien geben die Größen der radialen Wassergeschwindigkeitskomponenten, die mit der jeweiligen Umfangsgeschwindigkeit zusammen zur Festlegung des Winkels des Austrittsdiagrammes dienen. Bisher wurden aber die Wassergeschwindigkeiten ohne Berücksichtigung der durch die Schaufeln hervorgerufenen Verengung ermittelt.

Ehe die Wassergeschwindigkeiten zur Konstruktion der Schaufel herangezogen werden dürfen, müssen sie deshalb erst berichtigt werden. In Fig. 7 ist Niveaufläche I ganz durch die Schaufeln verengt, Fläche VI dagegen ganz frei. Alle dazwischenliegenden Niveauflächen sind teilweise verengt. Diese Verengung vollzieht sich aber nicht gleichmäßig auf einer und derselben Niveaufläche. Sie schwankt vielmehr mit den überall verschiedenen Winkeln. Um dem einigermaßen Rechnung zu tragen, kann man folgendermaßen verfahren. Bei der Niveaufläche I ist das Verengungsverhältnis oben ein anderes als unten. Das erstere beträgt

Q. — $\sin y$;

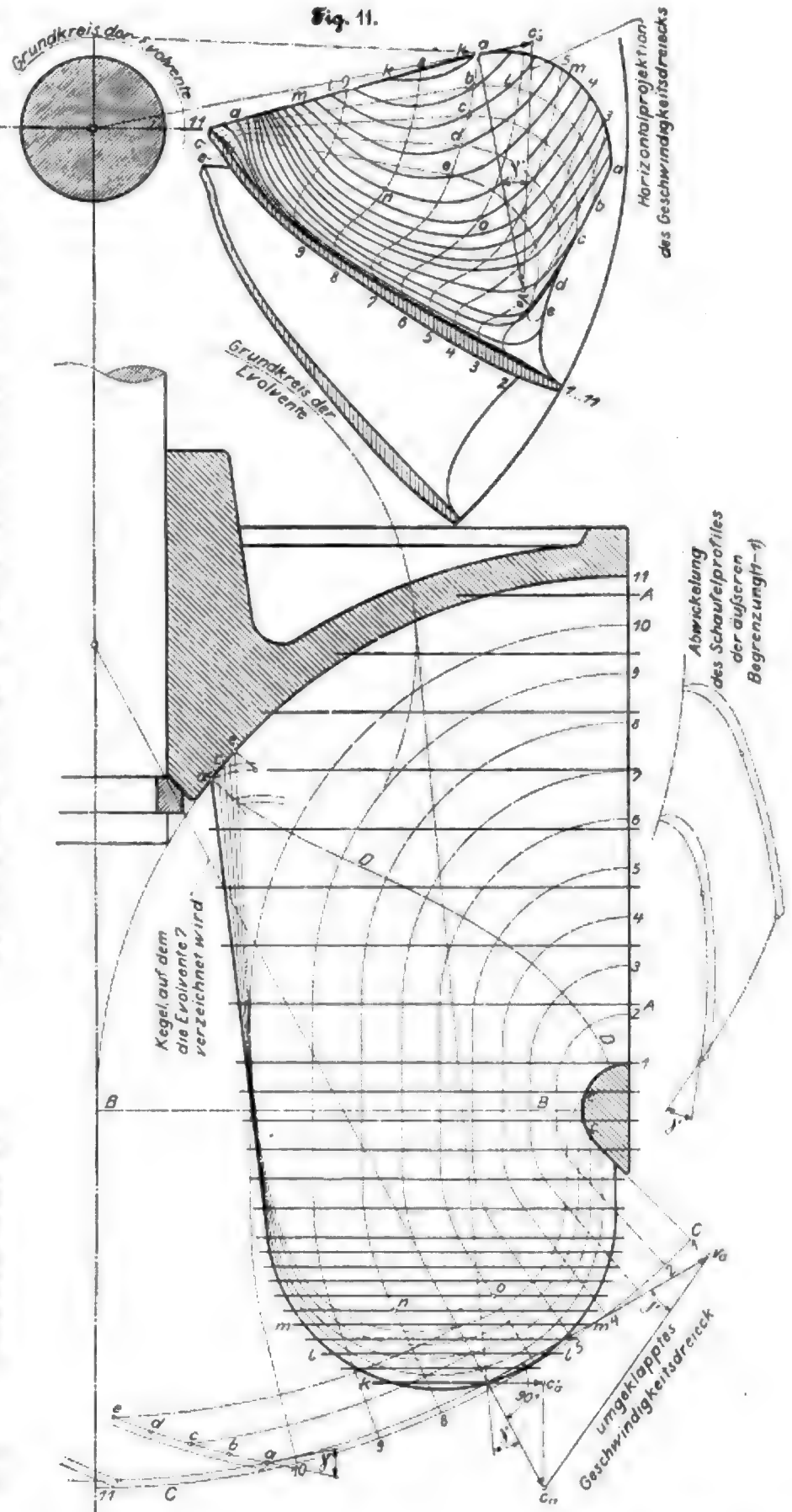
das letztere

q. —

w_0 = Teilung am Eintrittsdurchmesser, s = Schaufelstärke und γ = Austrittswinkel des Wassers. Zur Berechnung von q_0 muss erst γ_0 ermittelt werden, was angenähert geschieht durch $\tan \gamma_0 = \frac{w_0}{v_0}$ (v_0 = Umfangsgeschwindigkeit). Da w_0 ohne Berücksichtigung der Verengung durch die Schaufeln ermittelt ist, so kann man sich sagen, dass dieser Wert durch eine solche Berücksichtigung oben etwas größer werden muss, und zwar um rd. 10 bis 13 vH. Man berechne deshalb γ_0 aus der Gleichung

$$\operatorname{tg} \gamma = 1,1 \frac{W_2}{E_0} \quad \sin 1,13 \frac{W_2}{E_0}$$

Eine Kontrolle für die Richtigkeit hat man dadurch, dass mit diesem Winkel γ das Verengungsverhältnis q ausgerechnet wird, das in



$$W_1'' = \frac{Q}{q \cdot F_1} = 1,1 W_1 \text{ bis } 0,13 W_1$$

eingesetzt, diese Gleichung befriedigen muss.

Um das mittlere Verengungsverhältnis zu finden, setze man $q_m = \frac{q_0 + q_n}{2}$; es ergibt sich dann die berichtigte Geschwindigkeit der Niveaufläche I zu $W_1' = \frac{Q}{q_m F_1}$.

Die andern Niveauflächen werden ebenfalls durch die Schaufeln verengt, jedoch nicht in so starkem Maße wie Fläche I. Diese Verengung kann in folgender Weise berücksichtigt werden. Der mittlere Wasserweg der Turbine sei aufgezeichnet, Fig. 7. Er schneidet die verschiedenen Niveauflächen in den Punkten I bis 6. Die krummlinige Strecke 16 wird abgewickelt und als Abszisse mit den zugehörigen Wassergeschwindigkeiten als Ordinaten aufgetragen, Fig. 8. Die Geschwindigkeit in der Niveaufläche I W_1' wird aber vergrößert, weil die Niveaufläche durch die Schaufeln im Verhältnis q_m verengt wird. Die berichtigte Geschwindigkeit W_1' wird vom oberen Endpunkte von W_1' nach unten abgetragen und der untere Endpunkt von W_1' mit dem unteren Endpunkt von W_1' durch eine Gerade verbunden. Die hierdurch verlängerten Ordinaten sind dann ungefähr die berichtigten Geschwindigkeiten.

Mit diesen Geschwindigkeiten wird der Schaufelklotz nach den von Speidel und Wagenbach gemachten Angaben¹⁾ aufgezeichnet.

In ähnlicher Weise wie bei den Francis-Turbinen lassen sich auch bei Turbinen anderer Bauart, z. B. bei den sogenannten Herkules-Turbinen, die Wasserwege mit den zugehörigen Niveauflächen auffinden. Zu diesem Zweck geht man zunächst von einem kegelförmigen Rohr aus, Fig. 9. In diesem sind die Wasserwege Gerade durch die Spitze des von den Seitenwänden gebildeten Kegels, und die Niveauflächen sind Kugelflächen um diesen Mittelpunkt. Hiermit hat man wiederum Richtung und Größe der radialen Komponenten der Wassergeschwindigkeiten, welche zur Konstruktion des Austrittsdiagrammes und der Evolventen dienen.

Ein Gefäß der Gestalt Fig. 10 kann als aus vielen Kegeln bestehend betrachtet werden, indem die Krümmung zerlegt gedacht wird in viele kleine gerade Strecken, welche verlängert die jeweilige Kegelspitze ergeben. Die Wasserwege sind dann nicht mehr gerade Linien, sondern Kurven, die durch Verbinden zusammengehöriger Punkte auf den verschiedenen Niveauflächen entstanden sind. Auf diesen Kurven sind die Evolventen am Austritt zu verzeichnen. Diese werden, wie von Speidel und Wagenbach für die Francis-Tur-

bine angegeben, in den Grundriss übertragen, worauf die zur Herstellung des Schaufelklotzes erforderlichen Horizontalschnitte gelegt werden.

Während bei der Francis-Turbine die Ausgangs-Niveauflächen ein Cylinder und eine Kreisringfläche sind, tritt bei der Herkules-Turbine als dritte Niveaufläche die Kugelzone hinzu, C. Fig. 11. Ebenso wie die andern muss auch diese in eine Anzahl gleicher Teile geteilt werden, was sich sehr leicht ausführen lässt. Die Gleichung der Oberfläche einer Kugelzone ist $2\pi R h$, wo R den Kugelhalbmesser und h die Höhe der Zone bezeichnet. Den n ten Teil dieser Zone schneiden parallele Ebenen in der Entfernung $\frac{h}{n}$ voneinander ab, weshalb man bloß die Höhe h , Fig. 10, in n Teile zu teilen braucht, um sofort die gewünschte Anzahl gleicher Teile der Kugelfläche zu erhalten.

In Fig. 11 ist das Verfahren auf das Laufrad einer Herkules-Turbine angewandt. Der guten Wasserführung und der einfachen Konstruktion wegen ist die äußere Begrenzung (1—1) aus einem Kreis und einer geraden Linie bestehend gewählt. Die Eintrittsfläche AA , die wagerechte Kreisfläche BB und die Kugelfläche am Austritt CC sind in je 20 gleiche Teile geteilt und die zusammengehörigen Punkte, wie früher angegeben, miteinander verbunden worden, wodurch die Hauptwasserwege (1 bis 11) entstehen. Nun ist die Schaufelaustrittskante im Grund- und Aufriss nach Gutdünken eingezeichnet, und es sind die Niveauflächen aufgesucht, die durch die Schnittpunkte der Austrittskante mit den 11 Hauptwasserwegen gelegt werden können. Diese Niveauflächen bestehen aus mehreren Kugelflächen, z. B. CC , einer Kreisfläche BB und einer der Niveauflächen bei Francis-Turbinen ähnlichen Umdrehungsfläche DD . Aus dem Inhalt jeder dieser Flächen sind die Wassergeschwindigkeitskomponenten $W = \frac{Q}{F}$ er-

mittelt, welche mit den jeweiligen Umfangsgeschwindigkeiten zusammengestellt werden müssen, um die Austrittswinkel γ zu ergeben (s. umgeklapptes Geschwindigkeitsdreieck und Horizontalprojektion desselben). Mit den verschiedenen Winkeln γ sind die Schaufelenden als Evolventen konstruiert, die in vier gleiche Stücke ($ab = bc = cd = de$) geteilt sind. Diese Teilpunkte, welche für jede Evolvente ermittelt werden müssen, sind in den Grund- und Aufriss projiziert und mit einander durch stetige Kurven ($aa, bb, \dots ee$) verbunden. Darauf wird im Aufriss eine Reihe von Horizontalschnitten gelegt, welche eine Folge von Schnittpunkten mit den eben genannten Kurven ($aa, bb, \dots ee$) und den Wasserwegen (1 bis 11) liefern (z. B. n und o); diese Schnittpunkte sind in den Grundriss projiziert, und durch Verbinden derselben entstehen im Grundriss jene Schnittpunkte (kk, ll, mm usw.), welche zur Herstellung der Schaufel dienen.

¹⁾ Vergl. Z. 1899 S. 581; s. a. S. 768, 940.

Sitzungsberichte der Bezirksvereine.

Eingegangen 29. April 1901.

Berliner Bezirksverein.

Sitzung vom 3. April 1901.

Vorsitzender: Hr. Krause. Schriftführer: Hr. Kammerer.
Anwesend rd. 200 Mitglieder und Gäste.

Der Vorsitzende teilt das Ableben der Herren Hofmann und Hein mit. Die Anwesenden ehren das Andenken der Verstorbenen durch Erheben von den Sitzen.

Darauf verliest Hr. Herzberg die Rede des Hrn. Riedler im preussischen Herrenhause nach dem Stenogramm.

Alsdann spricht Hr. Prinz über

Versuchsbrunnenanlagen.

Die Wasserversorgungstechnik kennt, wie der Redner anführt, zwei Arten von Bezugsquellen:

1) Oberflächenwasser, das in Bächen und Flüssen oder Teichen und Seen, d. h. in Wasserläufen oder Wasseransammlungen, offen zutage liegt, und

2) unterirdisches Wasser, das man im allgemeinen als Grundwasser bezeichnet. Unter den Begriff Grundwasser fallen auch sämtliche Quellläufe; denn eine Quelle ist nichts anderes, als natürlich zutage tretendes Grundwasser.

Namentlich in der jüngsten Zeit gewinnt das Grundwasser, sofern es sich um städtische Wasserversorgung handelt, immer mehr Wichtigkeit. Dass dagegen das Oberflächen-

wasser mehr und mehr verdrängt wird, beweisen nicht allein die statistischen Zahlen der Wasserwerkbetriebe Deutschlands, sondern vor allem das Bestreben einer ganzen Reihe städtischer Verwaltungen, die Flusswasserversorgung zugunsten der Grundwasserzufuhr aufzugeben. Ein naheliegendes Beispiel bietet die Absicht der Stadt Berlin, die bestehenden beiden großen Werke am Tegeler und Müggel-See in Grundwasserwerke umzuwandeln. Auch die Städte Hamburg, Breslau, Magdeburg, Braunschweig und Posen sind im Begriff, zur Grundwasserversorgung überzugehen.

Der Grund dafür liegt in erster Linie auf dem Gebiet der Gesundheitspflege. Die fortschreitende Erkenntnis auf diesem Gebiete, eine ganze Reihe von verheerenden Seuchen sowie die Tatsache, dass mit fortschreitender Entwicklung der Industrie nicht allein die Bevölkerung der einzelnen Industriegebiete und damit das Wasserbedürfnis, sondern auch die Verunreinigung der offenen Wasserläufe wächst, haben vor allem die Aufmerksamkeit auf die unterirdischen Wasserzüge gelenkt, die durch eine überlagernde Deckschicht gegen Verunreinigungen von außen hinreichend geschützt sind. Die Benutzung unterirdischer Wasserzüge für Kulturzwecke ist so alt wie die menschliche Kultur selbst, denn Brunnenanlagen, die durch Grundwasser gespeist werden, zählen zu den ältesten Bauwerken, die Menschengest und Menschenhand geschaffen haben.

Wenn nun ein Brunnen in stande ist, ein Haus oder Ge-

hört mit Grundwasser hinreichend zu versorgen, so muss es doch auch möglich sein, durch ein Vielfaches von Brunnen auch ein Vielfaches von Häusern zu bewässern, also ganze Ortschaften und schließlich auch Städte von bedeutendem Umfang. Mit wachsender Grundwassermenge wachsen allerdings auch die Schwierigkeiten, die mit dem Auffinden, dem Nachweis und dem Erschließen des Grundwassers zusammenhängen, und es ist deshalb in den meisten Fällen Grundwasserfragen nur mithilfe umfangreicher, planmäßiger Vorarbeiten beizukommen. Aus der Notwendigkeit derartiger auf wissenschaftlicher Grundlage sich aufbauender Vorarbeiten ist auch die Tatsache abzuleiten, dass sich das Brunnenbauhandwerk nach und nach zu einem Zweige der Ingenieurwissenschaften ausgebildet hat.

Die Gewinnung von Grundwasser aus dem Untergrunde vollzieht sich im allgemeinen nach denselben Grundsätzen wie die Entnahme von Oberflächenwasser aus den oberirdischen Wasserläufen. Der Hauptunterschied liegt nur darin, dass bei der Entnahme von Oberflächenwasser in den meisten Fällen das Wasser unvermittelt durch Gerinne, Kanäle, Schöpfwerke usw. abgeleitet wird, während bei der Gewinnung von Grundwasser noch besondere Fassungen, Brunnen, Stollen, Sicker galleries usw. als Bindeglied zwischen Entnahmestort und Ableitung oder Hebevorrichtung eingeschaltet werden.

Bei beiden Arten wird die Hauptfrage stets die bleiben: Ist die zu gewinnende Wassermenge dem Bedarf fortwährend gewachsen oder nicht? Daraus folgt, dass zur dauernden Wassorentnahme, gleichgültig, ob wir es mit Oberflächen- oder Grundwasser zu tun haben, nur laufende, sich stets erneuernde und ergänzende Ergiebigkeiten geeignet sind, also Wasserläufe, Wasserströme, kurz: in Bewegung befindliches Wasser.

Bei Oberflächenwasser hält man es für selbstverständlich, dass Schöpfwerke und sonstige Entnahmeverrichtungen nur dann einen dauernden Wert haben, wenn sie durch einen Wasserlauf gespeist werden, dessen Wassermenge mindestens stets gleich der Entnahme ist. Dasselbe gilt aber auch bei Grundwasser.

Sämtliche hydraulischen Erscheinungen, die unsere oberirdischen Wasserläufe aufweisen, kommen auch den Grundwasserzügen zu. Auch beim Grundwasser lassen sich Wasserläufe und Flüsse nachweisen; auch das Grundwasser erzeugt unterirdische Teiche und Seen, die mit der Zeit erschöpflich sind, und unterirdische Wasserfälle, Stromschnellen und Wirbel sind dem Grundwasser ebenso eigen wie den oberirdischen Wasserläufen. Der Unterschied ist allerdings der, dass sich die Grundwassererscheinungen der unmittelbaren Beobachtung entziehen, und dass in ihrer Form die verhältnismäßig hohen Widerstände, die der Untergrund der Bewegung des Wassers entgegensetzt, zum Ausdruck kommen.

Während bei oberirdischem Wasser die Beantwortung der Frage, ob man es mit fließendem Wasser zu tun hat, höchst einfach ist, bedarf es zumeist beim Aufsuchen von geeignetem Grundwasser umfangreicher, planmäßiger Untersuchungen, die, obwohl mitunter zeitraubend und kostspielig, doch unvermeidlich sind, wenn die zu errichtende Wassergewinnungsanlage auf sicherer Grundlage stehen soll.

Wenn ein Grundwasserstrom der Ortslage, Richtung und räumlichen Ausdehnung nach festgelegt ist, so tritt zunächst die Frage auf, wie sich am einfachsten und zuverlässigsten die Menge, die ein Grundwasserstrom führt, bestimmen lässt. Die bei Oberflächenwasser durchführbaren Geschwindigkeitsmessungen mithilfe von Schwimmern, der Pitotischen Röhre, des Woltmannschen Flügels und ähnlicher Vorrichtungen lassen sich bei unterirdischen Strömen nicht verwenden. Sämtlichen unmittelbaren Messungen der Grundwassergeschwindigkeit liegt der Gedanke zugrunde, dem Grundwasser Stoffe beizumengen, die leicht löslich, ihrer Menge nach auch leicht bestimmbar sind. Dazu empfehlen sich vor allem stark färbende Farbstoffe und Kochsalz. Schon in den 70er Jahren hat man versucht, bei der Untersuchung der Donauquellen die Richtung und die Geschwindigkeit der unterirdischen Zuflüsse mithilfe von Stoffen wie Eosin festzustellen. Die Ermittlung von Grundwassergeschwindigkeiten mittels Kochsalzes ist von Thiem eingeführt worden. Denkt man sich in eine ruhende Grundwassermenge mittels eines Rohrbrunnens einen Salzkern eingeführt, so vermindert sich sein Salzgehalt nur infolge von Diffusion in die Umgebung; der Höchstwert des Salzgehaltes ist stets an den Aufgabestort gebunden. Wird nun dieser Salzkern durch die Geschwindigkeit des Grundwassers in Bewegung gesetzt, so ist zugleich die Geschwindigkeit, mit der er sich fortbewegt, die des Grundwassers. Hat man einen Grundwasserstrom nach seiner Richtung festgelegt, so ist klar, dass der Salzkern von dem Ausgange-

punkte *A*, allerdings mit stets abnehmendem Salzgehalt, nach einem Punkt *B* gelangen muss. Werden im Punkte *B* in kurzen Zwischenräumen Wasserproben entnommen, so wird man mit der Zeit im Punkte *B* das Auftreten eines Höchstwertes des Salzgehaltes wahrnehmen, und dieser Wert zeigt den Durchgang des Salzkernes durch den Punkt *B* an. Man kennt die Zeit, die der Salzkern zum Zurücklegen des Weges von *A* nach *B* gebraucht hat, und die Länge des Weges *AB*. Daraus ist man imstande, die Geschwindigkeit des Grundwassers auf dem Wege *AB* zu ermitteln.

Dieses Verfahren ist einfach und theoretisch richtig. Aber die Praxis hat gezeigt, dass es durchaus unzuverlässig ist, und derartige Versuche sind um so gefährlicher, als sie in den meisten Fällen zu große Geschwindigkeiten ergeben, also auf eine Grundwassermenge schließen lassen, die in Wirklichkeit garnicht vorhanden ist. Die Stadt Prag hat im Jahre 1889 anlässlich der Vorarbeiten für eine Grundwasserversorgung Salzversuche anstellen lassen, die Grundwassergeschwindigkeiten von 7,0, 7,63, 9,04 und 9,75 m/st ergaben, also Geschwindigkeiten von 168 bis 234 m pro Tag. Diese Zahlen sind ganz ungeheuro zu nennen, da im allgemeinen natürliche Grundwassergeschwindigkeiten von 3 bis 5 m pro Tag bereits zu den hohen zu rechnen sind. Sie entsprechen auch ganz bestimmt der Wirklichkeit nicht. Das fehlerhafte Versuchsergebnis lässt sich nach Ansicht des Vortragenden damit erklären, dass entweder der Salzkern seitlich am Bohrloch vorbeigegangen ist, oder aber (und das ist das Wahrscheinlichere) der Beobachter hat gar nicht den Höchstwert des Salzgehaltes abgewartet und die Beobachtungen vorzeitig abgebrochen. Es lässt sich nämlich zumeist nicht ein einzelner Höchstwert, sondern eine ganze Reihe davon feststellen, und es bleibt dann die Frage offen, welches der richtige ist, da oft die Unterschiede zwischen den einzelnen Höchstwerten verschwindend klein sind.

Die Ursache solcher Erscheinungen liegt in erster Linie im ungleichmäßigen Aufbau des Untergrundes. Wie wechselnd die Schichtung und die Durchlässigkeit des Untergrundes ist, sieht man sehr oft in Kiesgruben. Dort findet man zwischen feinen Sanden grobe durchlässige Adern, in denen sich das Grundwasser mit einer viel größeren als der durchschnittlichen Geschwindigkeit bewegt, und solche Gänge und Adern mit größerer Durchlässigkeit sind zusammen mit Interferenzerscheinungen die Klippe, an der bisher sämtliche Salzversuche gescheitert sind.

Es gibt noch ein anderes Mittel zum unmittelbaren Messen von Grundwassergeschwindigkeiten: das sind natürlich oder künstlich hervorgerufene Grundwasserwellen. Ebenso nämlich wie oberirdische Wasserläufe Wellen aufweisen, zeigt das Grundwasser Wellenerscheinungen, die sich mit einer bestimmbaren Geschwindigkeit weiterbewegen.

Hat man eine Reihe von Beobachtungsstellen, in denen die Bewegungen des Grundwasserspiegels fortlaufend beobachtet werden, so kann man leicht das Auftreten einer solchen Welle und ihren Durchgang durch die einzelnen Beobachtungspunkte feststellen. Die Entfernung zweier Durchgangstellen im Zusammenhange mit der Zeit, in welcher der Durchgang der Welle stattfindet, gestattet, die Grundwassergeschwindigkeit zu berechnen.

Aber auch diese zweite Art der unmittelbaren Geschwindigkeitsbestimmung ist im allgemeinen mit Vorsicht zu gebrauchen, wenn man nicht groben Irrtümern unterliegen will. Die Zuverlässigkeit der Wellenmessungen hängt in erster Linie davon ab, ob der Untergrund allenthalben durchlässig ist oder nicht. In all den Fällen, wo der durchlässige Untergrund durch undurchlässige Einlagerungen unterbrochen wird, tritt, sobald die undurchlässige Schicht unter den Grundwasserspiegel reicht, ein hydraulischer Zustandswechsel beim Grundwasserspiegel insofern ein, als derartige Einlagerungen den freien Grundwasserspiegel in einen gespannten oder artesischen überführen. Die Welle aber bewegt sich nur dort mit der natürlichen Grundwassergeschwindigkeit fort, wo sie sich frei bewegen kann, wo also der Untergrund durchlässig ist. Auch in diesem Falle ist das Beobachtungsergebnis zumeist erheblich günstiger, als der Wirklichkeit entspricht, und infolgedessen liegt auch hier die Gefahr einer Überschätzung der wirklich vorhandenen Grundwassermengen vor. Dabei ist erschwierend, dass der freie Grundwasserspiegel nicht nur durch eine undurchlässige Einlagerung in einen artesischen übergeführt wird, sondern dass es dazu bereits kommen kann, wenn die Einlagerung aus feinen, mehr oder weniger lehmartigen Sanden besteht.

Aus diesen Betrachtungen geht hervor, dass unmittelbare Messungen äußerst schwierig und zumeist praktisch garnicht durchführbar sind. Die Unsicherheit, die Fehlerquellen und Schwierigkeiten werden daher in den meisten Fällen den vor-

artesische Eigenschaften. Für Grundwasser mit freiem Spiegel stellt eine Parabel das Ergiebigkeitsgesetz dar. Bemerkenswert ist bei der Forster Anlage, dass der wasserführende Untergrund eine eigentliche undurchlässige Deckschicht überhaupt nicht aufweist. Der deckende Untergrund besteht nur aus feinen, lehmhaltigen Sanden. Es folgt daraus, dass die im petrographischen Sinne ziemlich scharf gezogene Grenze zwischen durchlässigen und undurchlässigen Schichten, wie Lehm, Thon, Mergel und losen Trümmern, hydraulisch genommen ungültig ist, und dass Formationen, die petrographisch als durchlässig gelten, im hydraulischen Sinne undurchlässig wirken können.

Besondere Beachtung verdienen die Ergebnisse einer bakteriologischen Untersuchung, die der Vortragende während der Bewirtschaftung einer Versuchsanlage bei Stendal durchgeführt hat. Als Nährboden für die sich entwickelnden Keimkulturen wurde zum Teil Gelatine, zum Teil Agar verwendet, und die Platten wurden auf dem Untersuchungsfelde selbst unmittelbar, nachdem das Wasser entnommen war, gegossen. Das Diagramm der Entwicklungsfähigen Keime lehrt, dass sowohl dem Beginn des Pumpversuches als auch den einzelnen Betriebsunterbrechungen eine das durchschnittliche Maß weit übersteigende Keimzahl zukommt. Diese Beobachtung berechtigt demnach zu der Behauptung, dass das bakteriologische Verhalten des Förderwassers von Versuchsbrunnen auch von dem jeweiligen Betriebszustand der Anlage abhängig ist. Es ist also unzulässig, die hygienische Güte des Grundwassers ohne Kenntnis des bei der Probeentnahme herrschenden Betriebszustandes zu bewerten, und das Urteil des Hygienikers hat nur dann einen absoluten Wert, wenn er die jeweiligen Betriebsverhältnisse einer Anlage kennt und berücksichtigt.

Aus dem Bisherigen geht hervor, dass der Betrieb einer Versuchsbrunnenanlage umständlich, zeitraubend und kostspielig ist. Menn auch oft Bohrmeister teils aus Unkenntnis, teils unter dem Drucke ungerechtfertigter Anforderungen in jeder Ortslage alle möglichen Wassermengen gewährleisten, wenn es sogar bis vor kurzem einen Wassergraben gab, der mittels Wünschelrute die Hydrologie praktisch ausübte, so ist doch von allen Unterlagen für den Bau eines Wasserwerkes das einwandfreie Ergebnis eines Versuchsbrunnens die sicherste Grundlage; ist doch die wirklich vorhandene Grundwassermenge die Grundlage, auf die sich jede Wasserwerkanlage aufbaut und mit der sie steht und fällt. Und da es sich in vielen Fällen um hohe Anlagekosten handelt, so sind die Ausgaben für einen Pumpversuch wohl berechtigt. Der Versuchsbrunnen sollte daher in den meisten Fällen das letzte Glied einer Grundwasserforschung darstellen.

In der Besprechung des Vortrages stellt Hr. Herzberg fest, dass die bakteriologische Untersuchung von Grundwasser aus Tiefen von 10 m und darüber wertlos ist, da es an sich niemals pathogene Keime enthält, sondern solche nur durch Eindringen von der Oberfläche her erhalten kann. Die von dem Vortragenden erwähnte Thatsache, dass die Diffundierung des Salzes im Grundwasser sehr gering sei, ist bei Anlage der Wasserversorgung der Nordsee-Inseln von ihm ebenfalls gefunden worden. Hr. Giebelert teilt mit, dass verschiedene Städte in letzter Zeit gezwungen worden sind, ihre Grundwasserversorgung durch Oberflächenwasser zu ergänzen, so Gotha, Paris, New York, Valparaiso. Hr. Anklam macht ebenfalls darauf aufmerksam, dass Grundwasserversorgung nicht überall möglich sei. In Hamburg sind Grundbohrungen ausgeführt worden, die Ergebnisse sind indessen aussichtslos. Hinsichtlich der Ergiebigkeit artesischer Brunnen verweist Hr. Herzberg auf den Brunnen der Stadt Mönch, der 37 m Druckhöhe besitzt und die ganze Stadt versorgt. Hr. Dinse ist der Ansicht, dass die Stadt Berlin den Müggelsee seinerzeit hätte ankaufen müssen, um seine Verunreinigung durch die chemischen Fabriken in Erkner und Neu-Rahnsdorf zu verhüten. Die Bohrungen in Tegel hätten zwar vorläufig günstige Ergebnisse gehabt; er bezweifelt aber, ob der Erfolg dauernd bleiben wird. Hr. Herzberg spricht die Überzeugung aus, dass die Grundwasserversorgung sowohl bei dem Müggelwerk wie bei dem Tegeler Werk dauernden Erfolg bringen werde. Hr. Brand stellt fest, dass der Vortragende völlig im Recht sei, wenn er die Grundwasserversorgung für grundsätzlich richtig halte; denn eine zufällige Verunreinigung sei bei Oberflächenwasser immer möglich. Andererseits bieten die Enteignung des Grundwassers und die Beseitigung des Schwefelwasserstoffgehaltes keine Schwierigkeiten mehr. Hr. Herzberg macht darauf aufmerksam, dass Eisen und Schwefelwasserstoff sich zwar in der Regel gemeinsam vorfinden, dass aber keineswegs das eine durch das andere bedingt ist. Hr. Anklam teilt mit, dass die Tegeler Versuchsbrunnen dauernde Ergiebigkeit gezeigt hätten. Hr. Prinz bemerkt, dass man heut-

zutage Oberflächenwasser nur dort verwendet, wo man eben kein Grundwasser haben kann. Grundwasserversorgung sei übrigens nicht nur aus gesundheitstechnischen, sondern auch aus wirtschaftlichen Gründen zu bevorzugen, denn es erspare die beträchtlichen Filterkosten. Von allen Strömen der norddeutschen Tiefebene werde nur der Rhein durch Schmelzwasser gespeist, alle andern durch Grundwasser. Aufgabe der modernen Hydrologie sei es, das Grundwasser auf dem Wege vom Ursprung bis zur Einmündung in den Fluss aufzusuchen.

Eingegangen 3. Mai 1901.

Hamburger Bezirksverein.

Sitzung vom 26. März 1901.

Vorsitzender: Hr. Hartmann. Schriftführer: Hr. Lesser.

Anwesend 20 Mitglieder und 1 Gast.

Hr. Hübel spricht über Wärmediagramme.

Eingegangen 37. April 1901.

Oberschlesischer Bezirksverein.

Ausflug nach der Bismarck-Hütte am 2. März 1901.

Die Zahl der Teilnehmer belief sich auf rd. 190 Mitglieder und Gäste, die von Hrn. Fröhlich empfangen wurden. Sie besichtigten die neuen Walzwerke, die Grobblech-, Universal- und Grobeisenstrecke und wohnten dann einer praktischen Vorführung des Bismarck-Patentstahles in der Walzendreherei der Bismarck-Hütte bei. Nach der Besichtigung vereinigte man sich im Gasthaus der Bismarck-Hütte zur

Sitzung

Vorsitzender: Hr. Boltz. Schriftführer: Hr. Schürmann.

Hr. Thalner spricht über das Wesen des amerikanischen Schnelldrehstahles und des Taylor-White-Verfahrens und über die Ergebnisse mit deutschen Schnelldrehstählen¹⁾.

Die Anregung, die Taylor durch die Einführung des Bethlehem-Stahles gegeben hat, betrifft in viel höherem Grade den Maschinenkonstrukteur und Werkstättenleiter als den Hüttenmann. Indem Taylor die höchsten Arbeitsleistungen der Werkzeugmaschinen herbeizuführen sucht, steigert er die Leistungsfähigkeit der Werkstätten, und es steht außer Frage, dass Werkstätten mit Werkzeugmaschinen, die eine wesentliche Steigerung der Arbeitsleistung gestatten, zu Zeiten dringender Nachfrage allen andern überlegen sind, auch dann, wenn sie hierdurch keinen unmittelbaren höheren Geldgewinn zu erzielen vermögen, sondern lediglich einen Gewinn an Zeit. Taylors Verfahren hat neue Anschauungen bezüglich des Werkstättenbetriebes eingeleitet und wird sich besonders im Werkzeugmaschinenbau mit der Zeit geltend machen.

Die Frage, ob die angewendeten Mittel mit den erzielbaren Erfolgen in Übereinstimmung stehen, kann nur durch die Praxis entschieden werden. Der Redner vertritt den Standpunkt, dass eine Durchführung des Taylorschen Arbeitsganges bis zum Äußersten den Werkstätten große Opfer auferlegen würde, dass diese aber durchaus nicht im angemessenen Verhältnis zum Erfolge stehen dürften. Wenn man jedoch nicht sofort die äußerste Grenze des Möglichen ins Auge fasst, so wird man, den Mittelweg gehend, einen unzweifelhaften Erfolg zu verzeichnen haben. Der Mittelweg soll darauf hinauslaufen, die Leistung der Werkzeugmaschinen in dem Maße zu heben, wie es mit den vorhandenen Maschinen ohne große Kosten möglich ist, und die hierbei gewonnenen Erfahrungen bei Neuanschaffungen zu verwerten. Der deutsche Werkzeugmaschinenbau wird die von Amerika ausgegangene Anregung willig aufnehmen. Man sollte aber nicht sofort die obere Grenze der Leistungsfähigkeit des Stahles auszunutzen suchen; auch die mittleren Leistungen ergeben augenfällige Vorteile vor jedem andern Werkzeugstahl.

Bei Entscheidung der Frage, wie weit man gehen soll, ist zu beachten, dass Schnelldrehstahl, sei es nun Bethlehem-Stahl oder Bismarck-Patentstahl, immer dann hohe Arbeitsleistungen gestattet, wenn man damit einen Span von solchem Querschnitt abnimmt, dass der Span nicht abgeschnitten, sondern abgespaltert wird. Ob man dies bei kleinem Spanquerschnitt durch die größere Schnittgeschwindigkeit oder bei großem Spanquerschnitt mit kleiner Schnittgeschwindigkeit erreicht, ist für das Werkzeug gleich, nicht aber für Antriebskraft und Beanspruchung der Maschine. Wenn man einen Arbeitsvorteil durch geringe Beanspruchung der Maschine erzielen will, so wird man der Anwendung

¹⁾ Vergl. Z. 1901 S. 462, 1377.

größerer Schnittgeschwindigkeit bei kleinerem Querschnitt des Spanes den Vorzug geben, und ein Vorteil wird auch dann zu erzielen sein, wenn man nicht sofort zu den höchsten Geschwindigkeiten übergeht, sondern diese an der unteren Grenze wählt. Die untere Grenze hat den Vorzug, dass der Stahl eine größere Gebrauchsdauer hat. Man wird alsdann zwar nicht eine um 340 vH gesteigerte Arbeitsleistung erzielen, wie dies in einer Ankündigung der Bethlehem Steel Co. gesagt war, aber man wird die Leistung um 25 bis selbst 100 vH vermehren.

Wenn man einwendet, dass die Gebrauchsdauer der Werkzeugmaschinen darunter leiden wird, so lässt sich dagegen anführen, dass es vorzuziehen ist, den an einer Maschine in 10 Jahren erzielbaren Gewinn in 5 Jahren zu erhalten; der Wert der Maschine kann dann auch in 5 Jahren abgeschrieben werden. Uebrigens weist man noch gar nicht, ob wirklich bei zweckmäßiger Aenderung der hoch beanspruchten Einzelteile die Gebrauchsdauer der Maschinen wesentlich vermindert werden wird.

Die höchsten Arbeitsleistungen mit gewöhnlichem Werkzeugstahl sind bei demselben Stoffe erheblich kleiner als die mit Bismarck-Patentstahl erreichbaren. Dort, wo die Leistungsfähigkeit beider Stahlgattungen gleich ist, wird die Gebrauchsdauer des Patentstahles größer sein, wenn er richtig angewendet, also zur abspaltenden, nicht aber schneidenden Wirkung gebracht wird. Man muss deshalb bei Versuchen mit Patentstahl für einen genügend großen Vorschub sorgen und, um die Maschinen hierdurch nicht zu hoch zu beanspruchen, auf eine größere Schnitttiefe Verzicht leisten.

Um die Anwendung des Patentstahles zu erleichtern, hat die Bismarck-Hütte eine Tabelle nebst Gebrauchsanweisung entworfen. Bei der Neuheit der Sache sind aber die Angaben nur als annähernd richtig zu betrachten. Die ausübende Werkstättenpraxis allein wird zutreffende Werte zu schaffen vermögen. Aufgestellt ist die Tabelle mit Rücksicht auf das zuvor Gesagte: es sind größere Schnittgeschwindigkeiten der höheren Beanspruchung der Maschinen vorgezogen.

Es ist nicht anzunehmen, dass der Patentstahl alle andern Stahlsorten zu verdrängen berufen ist. Vielmehr wird man alle feineren Arbeiten, die mit Patentstahl nicht verrichtet werden können, weil es sich, wie z. B. beim Abnehmen dünner Schleifpläne, um eine besonders dauernde Schneidwirkung des Werkzeuges handelt, mit gutem Werkzeugstahl ausführen.

Der Patentstahl besteht seiner chemischen Zusammensetzung nach aus Eisen, Kohlenstoff, Wolfram oder Molybdän,

Chrom, letztere Metalle in größeren Mengen, Mangan, Silicium und den andern schädlichen Bestandteilen in geringeren Mengen. Gegossen und geschmiedet wird der Stahl wie anderer Werkzeugstahl, doch ist die Behandlung des fertigen Werkzeuges eine andere. Die Werkzeuge bedürfen einer bestimmten Beständigkeit der Gefügebeschaffenheit bei Einwirkung der Erwärmung während der Arbeit und bestimmter Festigkeitseigenschaften. Es bleibt zwar keine Gefüge und Festigkeitszustände an Stahl und Eisen, die bei gleichzeitiger Einwirkung der Erwärmung und des mechanischen Angriffes völlig beständig wären. Aber durch die dauernde Einwirkung der Wärme werden Gefügezustände geschaffen, deren Veränderung nicht mehr leicht möglich ist. Diese Erscheinung wird bei der Herstellung des Schneldrehstahles nutzbar gemacht.

Der englische Patentanspruch entschleierte das Geheimnisvolle des Taylor-White-Verfahrens nicht völlig; ihm ist jedoch zu entnehmen, dass der Stahl bis zum Schmelzen erwärmt wird, wodurch seine Widerstandsfähigkeit gegen die Erwärmung bei der Arbeit erhöht werden soll. Die Behandlung des Schneldrehstahles ist gar nicht schwierig und jedenfalls leichter als das Härten von Werkzeugen, wenn höchste Härte und Zähigkeit erzielt werden sollen. Die Gewaltamkeit des Vorganges lässt zwar leicht Härtrisse entstehen; doch ist es den Bemühungen der Bismarck-Hütte gelungen, den Stahl, ohne dass seine guten Eigenschaften vermindert werden, so zu behandeln, dass Härtrisse nahezu ganz vorgebeugt wird.

Eingegangen 27. April 1901.

Besirksverein an der niederen Ruhr.

Sitzung vom 5. Februar 1901.

Vorsitzender: Hr. Liebig. Schriftführer: Hr. Weidler.

Anwesend 74 Mitglieder und Gäste.

Nach Erledigung des geschäftlichen Teiles spricht Hr. Othegraven aus eigener Anschauung über das Luftschiff des Grafen Zeppelin¹⁾. Er schließt mit dem Wunsche, dass sich eine neue Gesellschaft finden möge, welche die nötigen Mittel aufbringt, um die mit dem Luftschiff gemachten Erfahrungen weiter zu verwerten.

¹⁾ Vergl. Z. 1901 S. 1071.

Bücherschau.

Rechentafel, System Proell. Herausgegeben von Dr. R. Proells Ingenieurbureau, Dresden. Im Buchhandel zu beziehen durch die Verlagsbuchhandlung von Julius Springer, Berlin N. Preis 2,00 M.

Die Proellsche Rechentafel stellt einen geistvollen Versuch dar, den gewöhnlichen logarithmischen Rechenschieber nach zwei Richtungen hin zu verbessern: hinsichtlich der Genauigkeit und hinsichtlich des Preises. Während bei dem am meisten benutzten Rechenschieber die Länge der größten Skala 25 cm beträgt, ist hier der logarithmische Maßstab 120 cm lang; die Genauigkeit ist also im Verhältnis 24:5 gewachsen. Die Strecke von 120 cm ist in 10 Abschnitte geteilt und die Teilstrecken sind untereinander auf ein Papptäfelchen gedruckt. Das Spiegelbild davon befindet sich auf einem durchsichtigen Zelluloidplättchen, sodass, wenn beide Tafeln zum Decken gebracht werden, zwei reziproke Werte aufeinander fallen. Beim Multiplizieren sucht man den einen Faktor auf der Untertafel, den andern auf der Obertafel und legt diese beiden aufeinander; dann zeigt einer von vier auf der Untertafel vermerkten Punkten das Ergebnis auf der Obertafel an. Das Dividieren ist entsprechend auszuführen. Beim Wurzelziehen wird die obere Tafel nicht gebraucht; man verbindet durch Anlegen einer Geraden den Radikand mit einem der Punkte, die auf der Untertafel festgelegt sind, und liest das Ergebnis auf dem Schnittpunkt der Geraden mit einer der Zeilen ab. Für Quadratwurzeln kommen dabei 4 Punkte, für dritte Wurzeln 9 inbetracht. Die Wahl richtet sich nach bestimmten Regeln.

Die Rechentafel, deren Handhabung zunächst sehr einfach erscheint, hat einige Mängel. Beim Multiplizieren und Dividieren muss man erst die beiden Punkte der Ober-

und der Untertafel aufeinander bringen und dann die Tafeln so drehen, dass ihre Linien parallel liegen bzw. einander decken; während beim Rechenschieber die parallele Lage ohne weiteres stets gewahrt bleibt. Diese kleine Schwierigkeit bei der Rechentafel lässt sich jedoch durch Übung überwinden. Weit mehr fällt unsers Erachtens ein anderer Nachteil gegenüber dem Rechenschieber ins Gewicht. Bei wiederholter Multiplikation und Division benutzt man bei diesem den Läufer, auf der Proellschen Tafel soll man nach der Gebrauchsanweisung durch eine Nadel-, Bleistift- oder Zirkelspitze die Ergebnisse auf der Obertafel vermerken, ohne sie abzulesen. Wir sind der Ansicht, dass hierdurch die Zelluloidplatte bald unbrauchbar wird.

Zu diesem rein äußeren Mangel gesellt sich beim Wurzelziehen der Uebelstand, dass die Rechentafel versagt, wenn Wurzel und Radikand auf derselben Zeile liegen, z. B. bei $\sqrt[3]{120}$ oder $\sqrt[3]{1200}$. Dann — wird als Hilfsmittel angegeben — soll man bei der ersten Aufgabe $\sqrt[3]{12}$ ziehen und mit $\sqrt[3]{10}$ multiplizieren, bei der zweiten $\sqrt[3]{8 \cdot 1200}$ ziehen und mit $\sqrt[3]{0,5}$ multiplizieren. Das halten wir für zu umständlich.

Nach dem Gesagten empfiehlt sich die Benutzung der Rechentafel nicht so allgemein wie die des Rechenschiebers; immerhin wird sie unter besondern Umständen recht wohl mit Vorteil zu verwenden sein. Kommt ihr doch neben den erwähnten Vorzügen: größere Genauigkeit und billigerer Preis, noch zugute, dass sie bequem in einem Taschenkalender mitgeführt werden kann.

P. Müller, Dipl.-Ing.

Bei der Redaktion eingegangene Bücher.

Drittes Jahressupplement (1900 bis 1901) zu Meyers Konversations-Lexikon, fünfte Auflage. Mit 750 Abbildungen, Karten und Plänen im Text und auf 67 Tafeln. Verlag des Bibliographischen Instituts in Leipzig und Wien. Preis 10 *M*.

(In der raschen Aufeinanderfolge neuer Ausgaben eines Konversations-Lexikons liegt die Gefahr, dass die Besitzer einer kaum gekauften Auflage alsbald vor der Entwertung ihres Eigentums stehen: es veraltet und verwirrt sich schon nach kurzer Zeit die Auskunft gerade über die neuesten und darum wichtigsten Fragen oder Ereignisse. Diesem Nachteil ist durch die Einrichtung von Jahressupplementen begegnet, in denen jeder Artikel weitergeführt wird, wenn die Zeitereignisse eine solche Fortsetzung nötig machen. Das soeben erschienene dritte Jahressupplement bringt unter andern eine klare Darlegung der chinesischen Wirren, unterstützt durch eine Karte der Provinzen Tschili und Schantung und eine solche des Palbo-Unterlaufes, die Fortsetzung der Darstellung des südafrikanischen Kriege, Artikel über die Kohlentenerung, Frauenstudium, Motorwagen, Stadtbahnen, Ausstellungen, moderne Bildhauerkunst, usw.)

Taschenbuch für Heizungsmonteurs. 2. Auflage. Von Bruno Schramm. München und Berlin 1901. R. Oldenbourg. 113 S. mit 99 Fig. Preis 2,50 *M*.

(Die verschiedenen Heizarten sind in ihren hauptsächlichsten Teilen beschrieben und die für den Monteur wichtigsten Anhaltspunkte ausführlicher behandelt.)

Die Geschichte des Eisens in technischer und kulturgeschichtlicher Beziehung. Fünfte Abteilung. Das XIX. Jahrhundert. Dritte Lieferung. Von Dr. Ludwig Beck. Braunschweig 1901. Friedrich Vieweg & Sohn. 175 S. 3^o mit mehreren Figuren. Preis 5,00 *M*.

(Je weiter das Werk seinem Schlusse entgegengeht, umso mehr tritt der Wert als Lehrbuch gegenüber dem rein geschichtlichen hervor.

Die Abschnitte über das Gefüge des Eisens, die Form der Hochöfen, die Ausnutzung der Hochofengase sind auch für den Ingenieur, der sich um den geschichtlichen Werdegang nicht kümmert, von hohem Wert.)

Springende Logarithmen. Abgekürzte fünfstellige Logarithmentafel mit zunehmenden Grundzahlstufen. Zum Gebrauch für technische Rechnungen. Von Ernst A. Brauer. Karlsruhe i/B. 1901. G. Braunsche Hofbuchdruckerei. Preis 0,90 *M*.

(Die Logarithmen der Zahlen von 1000 bis 9999 sind auf 4 Blättern vereinigt, sodass, wer viel mit Logarithmen zu arbeiten hat und die für das Aufsuchen der fehlenden Zwischenzahlen einfachen Regeln merkt, durch Benützung der springenden Logarithmen viel Zeit sparen und der Gelegenheit, sich beim Abgreifen zu irren, entgehen wird.)

Zinn, Gips und Stahl vom physikalisch-chemischen Standpunkt. Vortrag, gehalten im Verein deutscher Ingenieure zu Berlin. Von Dr. J. H. van 't Hoff. München und Berlin 1901, R. Oldenbourg. 35 S. 8^o mit 10 Fig. und einer Figurentafel. Preis 2,00 *M*.

Report of Board of Engineer Officers on Testing hydraulic Cements with Specifications for the several Classes used by the Engineer Department. Washington 1901, Government printing Office.

Kalender für Heizungs-, Lüftungs- und Badetechniker. 1902, 7. Jahrgang. Von J. H. Klinger. Halle a/S. Carl Marhold. 272 S. Preis 4,00 *M*.

Kalender für Betriebsleitung und praktischen Maschinenbau. 1902, X. Jahrgang. 2 Teile. Von Hugo Güldner. Dresden, Gerhard Kübmann. Preis 3,00 *M* in Leinwandband, 5,00 *M* in Brieftaschen-Lederband.

Übersicht neu erschienener Bücher,

zusammengestellt von der Verlagsbuchhandlung von Julius Springer, Berlin N., Monbijowplatz 8.

- Abwässerung.** Hennell, T. Hydraulic and other tables for purposes of sewerage and water supply. 2nd edit. London 1901. Spon. Preis 5 sh.
- Schmick. Das getrennte Entwässerungssystem in seiner Anwendung für mittlere und kleinere Städte, und der gegenwärtige Stand der Abwasserreinigung. Vortrag. Leipzig 1901. F. Leineweber. Preis 0,70 *M*.
- Bergbau und Hüttenwesen.** Abraham, Fel. Methodische Wertbeurteilung der Witwatersrand-Goldbergbau-Unternehmungen. Berlin 1901. Bött & Pickardt. Preis 10 *M*.
- Jitinsky, Jarosl. Katochismus der Grubenwetterführung mit besonderer Berücksichtigung der Schlagwettergruben. 8. Aufl. Mähr.-Osterr. 1901. R. Papanaschek. Preis 12 *M*.
- Lebreton, J. Aide-mémoire de l'exploitation des mines. Paris 1901. Bernard. Preis 10 fr.
- Mitteilungen über den Niederrhein-Westfäl. Steinkohlen-Bergbau. Festschrift. Herausgegeben vom Verein für die bergbauischen Interessen im Oberbergamtsbezirk Dortmund zu Essen (Ruhr). Berlin 1901. Springer. Preis 15 *M*.
- Roggenkämper, E. Unterrichtsbücher zum Studium des Bergwerksbetriebes und der darauf bezüglichen gesetzlichen und polizeilichen Vorschriften. Leipzig 1901. E. Bredt in Komm. Preis 2 *M*.
- Villain, Georges. Le fer, la houille et la métallurgie à la fin du XIX^e siècle. Paris 1901. Colln. Preis 8 fr. 50 c.
- Brauerel.** Windisch, Wilh. Anleitung zur Untersuchung des Malzes auf Extraktgehalt sowie auf seine Ausbeute in der Praxis, nebst Tabellen zur Ermittlung des Extraktgehaltes. 3. Aufl. Berlin 1901. P. Parey. Preis 3,50 *M*.
- Brennstoffe.** Leccoq, Em. Le contrôle chimique des combustibles et de la combustion. Gand 1901. Vanderpoorten.
- Chemische Industrie.** Auscher, E. S., et Ch. Quillard. Les industries céramiques (terre cuite, briques, tuiles, faïences, grès et porcelaines). Paris 1901. J. B. Baillière. Preis 5 fr.
- Betrieb, der moderne, in der gesamten Gerberel, Leder- und Schuhfabrikation und seine Bezugsquellen. Jena 1901. H. Jakob. Preis 0,50 *M*.
- Franche, Charles. Manuel pratique du fabricant de vinaigre. Paris 1901. Tignol. Preis 4 fr. 50 c.
- Hassack, E. Der Kautschuck und seine Industrie. Wien 1901. Braumüller. Preis 1,50 *M*.
- Jettmar, J. Praxis und Theorie der Leder-Erzeugung. Ein Leit-faden für Loh-, Weiß-, Samisch- und Glacé-Gerber. Berlin 1901. Springer. Preis 10 *M*.
- Koller, Thdr. Die Technik der Kosmetik. Wien 1901. A. Hartleben. Preis 5 *M*.
- Klary, C. La photographie d'art à l'Exposition universelle de 1900. Paris 1901. Gauthier Villars. Preis 6 fr. 50 c.

- Larbalétrier, A. Le sel, les salines et les marais salants. Paris 1901. Masson. Preis 2 fr. 50 c.
- Leccoq, Em. Les corps gras industriels et leur application au graissage. Gand 1901. Vanderpoorten.
- Lichtenberg, C. Die indirekte Farbenphotographie in der Hand des Amateurs. Stolp 1901. H. Hildebrandt. Preis 1,50 *M*.
- Looser, Carl. Handbücher der keramischen Industrie für Studierende und Praktiker. 1. Teil: Die Rohmaterialien der keramischen Industrie. Halle 1901. L. Hofstetter, Verlag. Preis 4,50 *M*.
- Lunge, Georg. Zur Geschichte der Entstehung und Entwicklung der chemischen Industrien in der Schweiz. Zürich 1901. Institut Orell Füssli. Preis 1 *M*.
- Malepeyre, F. Nouveau manuel complet de la fabrication des colles. Nouv. éd. par H. Bertran. Paris 1901. Molo. Preis 8 fr.
- Namias, R. Manuale teorico-pratico di chimica fotografica. 2^a edit. Modena 1901. Preis 6 *M*.
- Neuburger, H., et H. Noalhat. Technology of petroleum: oil fields of the world; history, geography and geology etc. London 1901. Scott Greenwood & Co. Preis 21 sh.
- Pizzighelli, G. Anleitung zur Photographie. 11. Aufl. Halle 1901. W. Knapp. Preis 4 *M*.
- Poulenc, C. Les nouveautés chimiques pour 1901. (Nouveaux appareils de laboratoires, méthodes nouvelles de recherches appliquées à la science et à l'industrie.) Paris 1901. Baillière & fils.
- Schamberger, J. W. Die keramische Praxis. Populäre Anleitung zur Erzeugung keramischer Produkte aller Art. Wien 1901. Hartleben. Preis 4 *M*.
- Smith, J. C. Manufacture of paint. London 1901. Scott, Greenwood & Co. Preis 7 sh. 6 d.
- Stoermer, M. Fehler bei der Thonwaren Fabrikation und deren Abhilfe, mit besonderer Berücksichtigung der Untersuchungsmethoden. Freiberg 1901. Cras & Geisler. Preis 6 *M*.
- Wender, N. Die Kohlensäure-Industrie. Eine Darstellung der Entwicklung und des gegenwärtigen Standes derselben. (Sonderdruck.) Berlin 1901. M. Brandt & Co. Preis 2 *M*.
- Dampfkraftanlagen.** Haage, Cl. Verhaltensregeln mit Erläuterungen für Dampfkessel-Heizer und Dampfmaschinen-Wärter. 5. Aufl. Chemnitz 1901. Leipzig, O. Grackauer. Preis 1,25 *M*.
- Jamieson, A. Text-book on steam and steam engines. 13th edit. London 1901. Griffin. Preis 8 sh. 6 d.
- Schubert, Herm. Theorie des Schilichschen Massenausgleichs bei mehrkurbeligen Dampfmaschinen. Leipzig 1901. G. J. Götchen. Preis 12 *M*.
- Sinigaglia. Les chaudières à vapeur; essais des matériaux;

- calculs de résistance; épreuves hydrauliques et inspection. Paris 1901. V^e Dunod. Preis 5 fr.
- Druckerei.** Hölzl, Arth. Frhr. von. Beiträge zur Technik der Karten-
erzeugung. IV: Die Aluminium-Druckplatte. Wien 1901. G. D.
Baedeker. Preis 0,40 M.
- Irmsch, Linus. Wörterbuch der Buchdrucker und Schriftsetzer.
Braunschweig 1901. G. Westermann in Komm. Preis 1 M.
- Steinbach & Straube. Der moderne Merkantillithograph. Dres-
den 1901. Gewerbe-Ruchh. Preis 14 M.
- Depont, H., et L. F. Canet. Les machines à écrire. (Historique,
avantages, descriptions et traité complet de dactylographie, ou art
d'écrire à la machine.) Paris 1901. Edition de la Plume et du
globe de France, 18, rue Oberkampf. Preis 5 fr.
- Eisenbahnwesen.** Rottner, M. Die Beleuchtung von Eisenbahn-Personen-
wagen mit besonderer Berücksichtigung der Elektrizität. Berlin
1901. Springer. Preis 3 M.
- Haasch, George T. Modern electric railway motors. A dis-
cussion of current practice in electric railway motor construction,
maintenance, and repair. London 1901. Whitaker. Preis 10 sh.
- Hennings. Die neuen Linien der Röhlichen Bahn. Zürich 1901.
E. Rascher. Preis 0,50 M.
- Narrazin, O., und H. Oberbeck. Taschenbuch zum Abstecken
von Kreisbögen mit und ohne Übergangskurven für Eisenbahnen,
Straßen und Kanäle. 12. Aufl. Berlin 1901. Springer. Preis 3 M.
- Schoeller, A.; et A. Fleury. Chemins de fer. Exploitation
technique. Paris 1901. Gauthier-Villars.
- Eisenhüttenwesen.** Gages, L. Elaboration des métaux dérivés du fer.
I. Foyers métallurgiques. II. Réactions métallurgiques. Paris 1901.
Gauthier-Villars. Preis 5 fr.
- Hartley, W. N., and H. Ramage. Investigation of spectra of
flames resulting from operations in open-hearth and basic Bessemer
processes. London 1901. Dulau. Preis 1 sh.
- Eisenkonstruktionen, Brücken.** Adams, Henry. Designing iron work.
2nd Series. Part II. London 1901. 60, Queen Victoria Street.
- Landsberg, Th. Der Wettbewerb um den Entwurf einer festen
Straßenbrücke über den Neckar bei Mannheim. Berlin 1901. Ernst
& Sohn. Preis 2 M.
- Elektrotechnik.** Arndt, O. Elektrische Kraftübertragung und Kraftver-
teilung. 3. Ausgabe. Berlin 1901. Springer. Preis 4 M.
- Arrhenius, Svante. Lehrbuch der Elektrochemie. Leipzig 1901.
Quandt & Handel. Preis 8 M.
- Bottone, S. R. How to manage the dynamo. 3rd ed. London
1901. Whitaker. Preis 1 sh.
- Boulangier, J., et G. Ferré. La télégraphie sans fil et les ondes
électriques. 2^e éd. Paris 1901. Berger-Levrault. Preis 2 fr. 50 c.
- Bradwell, J. P. Dynamo-Maschinen, ihre Berechnung und Kon-
struktion, durch praktische Beispiele erläutert. Potsdam 1901.
Stein. Preis 1,50 M.
- Brusch, Wilh. Leitfaden der Elektrizität im Bergbau. Leipzig
1901. H. G. Teubner. Preis 5 M.
- Cadat, E. Manuel pratique de l'électricien. Guide pour le montage et
l'entretien des installations électriques. 4^e éd. Paris 1901. Béranger.
- Crocker, Francis H. Electric lighting. Vol. 2. London 1901.
Spon. Preis 12 sh. 6 d.
- Dubois, Ernest. Les moteurs électriques dans les industries à
domestie. Gand 1901. Siffert. Preis 75 c.
- Electrical designs; comprising instructions for constructing small mo-
tors, testing instruments and other apparatus. London 1901. Whit-
taker. Preis 10 sh.
- Elektrotechniker, der praktische. Eine Anleitung für die Apparat-
sammlung zum Studium der angewandten Elektrizität und der Elektro-
technik. 2. Aufl. Leipzig 1901. Leipz. Lehrmittel-Anstalt. Pr. 1,50 M.
- Fleming, J. A. A hand-book for the electrical laboratory and
testing room. Vol. I. London 1901. Electrician Printing and Pub-
lishing Co. Preis 12 sh. 6 d.
- Fornari, Ugo. Il telefono descrizione elementare di una posta
telefonica con cenno intorno alla teoria ed alla storia del telefono.
Milano 1901. Preis 4 M.
- Geipel, W., and H. Kilgour. Pocket book of electrical enginee-
ring formulae. Enlarged ed. London 1901. »Electrician« Office.
Preis 7 sh. 6 d.
- Gillon, G. Croquis de machines électriques. Atlas du cours,
donné à l'Université catholique de Louvain. Louvain 1901. Cyst-
pruyt. Preis 12 fr. 50 c.
- Graf, H. G. Errongenschaften auf dem Gebiete der Elektrizität.
Neuwid 1901. Heuser. Preis 2 M.
- Handbuch der Elektrotechnik: 9. Bd. F. Niethammer u. E. Schulz.
Elektromotoren und elektrische Arbeitsübertragung. Leipzig 1901.
S. Hirzel. Preis 18 M.
- Herbert, T. E. Telephone system of the British Post Office.
Rev. ed. London 1901. Whitaker. Preis 3 sh. 6 d.
- Hirschfeld, E. Handbuch der Schaltungsschemata für elektrische
Starkstromanlagen. Berlin 1901. Marcus. Preis 20 M.
- Hopkinson, J. Original papers. Vol. 1: Technical (with memoir);
Vol. 2: Scientific. London 1901. Clay. Preis 10 sh. 6 d.
- Hoppe, F. Wie stellt man Kostenanschläge und Betriebskosten-
Berechnungen für elektrische Licht- und Kraftanlagen auf? Leipzig
1901. Wartig. Preis 3 M.
- Hoppe, F. Berechnungen von Betriebskosten und Rentabilitäten
für elektrische Beleuchtungs- und Kraftübertragungs-Anlagen. Leipzig
1901. Wartig. Preis 3 M.
- Kistner, Alfred. Schaltungsarten und Betriebsvorschriften elek-
trischer Licht- und Kraftanlagen unter Verwendung von Akkumula-
toren. Berlin 1901. Springer. Preis 4 M.
- Klassen, L. Die Entwicklung der Elektrotechnik zu ihrer gegenwärtigen
Ausgestaltung. Wien 1901. Splehagen & Schorich. Preis 1,60 M.
- Lindner, Max. Der Blitzschutz. Praktische Anleitung zur Pro-
jektion, Herstellung und Prüfung von Gebäude-Blitzableitern jeder
Art auf Grund der neueren Anschauungen über das Wesen der Blitz-
entladungen. Leipzig 1901. O. Lehner. Preis 4 M.
- Lorenz, R. Elektrotechnisches Praktikum. Göttingen 1901. Van-
denhoeck & Ruprecht. Preis 6 M.
- Marchand, J. Physique industrielle. Louvain 1901. Cystpruyt.
Preis 4 fr. 50 c.

Zeitschriftenschan.¹⁾

(* bedeutet Abbildung im Text)

Beleuchtung.

Elements of illumination. XXVII. Von Bell. (El. World
19. Okt. 01 S. 641/43*) Lichtmessung.

Bergbau.

Notizen, gesammelt auf einer im Sommer 1899 ausge-
führten Studienreise durch Frankreich. Von Jünger. (Z.
Berg. Hütten Sal.-Wes. 01. Heft 3 S. 447/70* mit 6 Taf.) Schachtan-
lagen und Abteufverfahren in den französischen Kohlenbergwerken,
Fördereinrichtungen, Wasserhaltung und Wetterführung, Gruben-
beleuchtung.

Anwendungen der Elektrizität im Bergbau. Von Götze.
(Glückauf 19. Okt. 01 S. 905/07*) Wiedergabe des auf dem VIII. all-
gemeinen deutschen Bergmannstage in Dortmund gehaltenen Vortrages,
in welchem die Verwendung der Elektrizität bei Wasserhaltungs- und
Förderanlagen und die Einrichtung von Kraftwerken für Bergwerksbe-
trieb besprochen wird.

Der Abschluss des zur Förderung dienenden Wetter-
schachtes auf Zeche Neumühl bei Oberhausen. (Glückauf
5. Okt. 01 S. 865/68*) Beschreibung und kritische Besprechung des
Schachtverschlusses Patent Bentrop in der Ausführung auf Zeche Neu-
mühl.

Maschinelles Schrämen auf einer schottischen Stein-
kohlengrube. Von Mentzel. (Glückauf 26. Okt. 01 S. 929/30 mit

1 Taf.) Beschreibung der Einrichtung der Vernon-Grube bei Glasgow,
in welcher die Kohlen mittels einer mit Druckluft betriebenen, von
Gillot in Barnsley gebauten Schrämmaschine aufgeboren werden.

Die Wasserhaltung beim Abteufen des Schöllerschach-
tes in Libuschin bei Kladno. Von Kadanka. (Oesterr. Z.
Berg- u. Hüttenw. 26. Okt. 01 S. 561/64*) Schilderung der Arbeits-
weise und Darstellung der Konstruktion und Anordnung des Bohrloch-
rohres, der Heber und der Schutzvorrichtungen gegen Beschädigung
der Rohre beim Sprengen.

Dampfkräftenanlagen.

Ueber rauchfreie Verbrennung. Von Hilliger. (Mitt. Prax.
Dampfkr. Dampfsm. 23. Okt. 01 S. 772/74) Erörterung der Hauptur-
sachen der Rauchbelästigung. Zweckmäßige Rostbeschickung. An-
ordnung des Rostes. Ratschläge zur Erzeugung rauchschwacher Ver-
brennung bei verschiedenen Kesselbauarten.

The working economy of the steam boiler. Von Hague.
(Eng. Mgaz. Okt. 01 S. 91/100) Bewertung eines Kessels vom Stand-
punkte des Fabrikanten und des Abnehmers. Grundsätze für die Her-
stellung bester Dampfkessel.

Modern boiler problems. Von Meyer. (Eng. Rec. 12. Okt.
01 S. 342/43) Allgemeine Betrachtungen über das Verhältnis von Heiz-
fläche zu Rostfläche, den Wasserrundlauf, die Verdampfung, die Be-
messung der Rostfläche u. dgl.

The purification of feed water. Von Stromeyer. (Engng.
25. Okt. 01 S. 995/98*) Bericht an die Manchester Steam Users Asso-
ciation über Kesselstein und Kesselblech-Anfressungen, Betriebskosten
für Kessel ohne Speisewasserreinigung, Grundsätze für die Wasser-

reinigung. Darstellung der Wasserreiniger von Porter-Clark, Stanhope, Tyacke, Wollaston, Brunn-Lowener, Reibert und Archbluth-Deeley.

Verdampfungs- und Indikatorversuch, ausgeführt auf Schacht I der Bergwerksgesellschaft Dahlbusch zu Gelsenkirchen vom Dampfessel-Überwachungsverein der Zechen im Oberbergamtsbezirk Dortmund, Essen-Ruhr. (Glückauf 5. Okt. 01 S. 870/72) Die Anlage besteht aus vier Flammrohr Kesseln von je 100 qm Heizfläche und 3,3 qm Rostfläche und zwei Zwillingsmaschinen. Zusammenstellung der Versuchswerte.

The power plant of the Colonial Hotel, Nassau, Bahama Islands. (Eng. Rec. 12. Okt. 01 S. 340/41*) Kurze Angaben über die Dampfessel, Dampfmaschinen, die Kühlenanlage und die Aufzüge im dem genannten Hotel. Einzelheiten der Einrichtungen zur Müllverbrennung und der Rohrleitungen.

Eisenbahnwesen.

The rapid-transit problem in London. Von Sprague. (Eng. Magaz. Okt. 01 S. 3/23* mit 3 Taf.) Eingehende Erörterung der Verkehrsverhältnisse Londons. Grundsätze für die Errichtung und Organisation neuer Verkehrslinien mit elektrischem Betriebe. Hinweis auf amerikanische und französische elektrische Stadtbahnen.

Express locomotive, Eastern of France Railway. (Engng. 25. Okt. 01 S. 578/81* mit 1 Taf.) Die $\frac{2}{3}$ -gekuppelte Lokomotive mit vorderem zwelachsigen Drehgestell hat 207,5 qm Gesamtheizfläche, 3,6 qm Rostfläche, 16 at Betriebsdruck, eine Verbundmaschine von 350 und 550 mm Cyl.-Dmr. bei 640 mm Hub und 38 t Betriebsgewicht.

Ueber Verbütung der Drahtbrüche und zwangsläufige Signalperren. Von Nipkow. (Zentralbl. Bauv. 23. Okt. 01 S. 514/15*) Beschreibung eines neuen vom Verfasser erfundenen Drahtzug-Weichenhebel.

Eisenhüttenwesen.

Ueber das Koksofensystem F. J. Collin. Von Gasser. (Glückauf 26. Okt. 01 S. 932/33) Gas und Luft werden den Ofen durch getrennte Kanäle zugeführt und mischen sich erst an den Verbrennungsteilen, die gleichmäßig unter den ankreuzten Wandkanälen verteilt sind. Die Verbrennungsluft wird aus Erwärmungskammern im warmen Zustande zugeführt.

The development of the by-product coking industry. Von Irwin. (Eng. Magaz. Okt. 01 S. 41/59*) Entwicklung der Koks-ofenindustrie, insbesondere der Smet-Solvay- und der Otto-Hoffmann-Ofen in den verschiedenen Ländern. Beschreibung größerer Koks-ofenanlagen auf amerikanischen Hüttenwerken. Angaben über Maschinen zur Bedienung der Koksöfen.

The Cabot-Patterson hot blast stove. (Iron Age 10. Okt. 01 S. 3/4*) Die neue Winderhitzerkonstruktion zeichnet sich dadurch aus, dass der sich absetzende Gasaustausch bequem ausgeblasen werden kann. Nahtlos gewaltige Kesselschüsse. Von Escher. (Schweiz. Bauz. 26. Okt. 01 S. 181/83) Schilderung des Walzverfahrens nach dem Patent Ehrhardt auf dem Press- und Walzwerk Reisholz-Düsseldorf.

Eisenkonstruktionen, Brücken.

Straßenbrücke aus Beton über die Donau bei Ehingen (Württemberg). Schluss. (Zentralbl. Bauv. 26. Okt. 01 S. 521/23*) Herstellung der Brücke.

Neuere Bauweisen und Bauwerke in Beton und Eisen nach dem Stande bei der Pariser Weltausstellung 1900. Von v. Emperger. Forts. (Z. österr. Ing.- u. Arch.-Ver. 25. Okt. 01 S. 713/19*) Uferschutz in Betonisen von Möller. Bürgersteig-überdeckungen in Beton mit Streckmetalleinlage. Uferschutz mit einem Rost aus Betonisen von Pittel & Krausewetter. Spundpfähle aus Beton mit Eisenarmierungen von Hennebique. Werte für die zulässige Beanspruchung von Betonisen. Säulenkonstruktionen, Stützmauern. Forts. folgt.

Girders in the Colonial Building, Boston. (Eng. Rec. 12. Okt. 01 S. 347/43*) Zeichnungen der Kragträger für die Gallerien im dem Theatersaal des Gebäudes.

Elektrotechnik.

The influence of polyphase apparatus on the design of railway power stations. II. u. III. Von Woodbridge. Schluss. (El. World 12. Okt. 01 S. 592/94* u. 19. Okt. S. 638/41*) Darstellung einer Unterstation mit zwei sechsphasigen Umformern von 500 KW Leistung und mit luftgekühlten Transformatoren für 26000 V Primärspannung. Mauerdurchführungen für hohe Spannungen. Anordnung der Kessel, Maschinen, Behälteranlagen usw. in Krafthäusern. Werke mit Transformatoren zum Erhöhen der Spannung.

The Bay Counties, California, power transmission system, Colgate plant. (El. World 12. Okt. 01 S. 583/86*) Eingehendere Darstellung der in Zeitschriftenschau v. 23. März 01 erwähnten Wasserkraftanlage von 15000 PS Leistung.

Application de la méthode graphique pour l'étude des courants alternatifs à quelques cas spéciaux de résonance. Rupture de l'isolant des câbles armés. Von Harnapp. (Rev. univ. Mines Sept. 01 S. 306/53 mit 2 Taf.) Theoretische Klärung der Resonanzerscheinungen im Betriebe von Wechselstrommaschinen. Ursachen von plötzlichen Spannungsänderungen und Isolationsdurchschlägen in Wechselstromnetzen.

A London joint central station. (El. World 19. Okt. 01 S. 631/35*) Das Elektrizitätswerk der Kensington- und Notting Hill-Gesellschaft versorgt ein Dreileiternetz mit Drehstrom von 220 V zwischen den Außenleitern. Das Netz wird durch Transformatorstationen von 5250 V Primärspannung gespeist. Das Maschinenhaus enthält 4 Babcock & Wilcox-Kessel von je 340 qm Heizfläche für 14 at Überdruck, eine 330 KW- und vier 550 KW-Dampfmaschinen, die je aus einer Drilling-Dreifachverbundmaschine von Willans und einer Gleichpol-Drehstromdynamo von Oerlikon bestehen.

The standardization of electrical apparatus. Von Broderick. (Eng. Magaz. Okt. 01 S. 24/30) Eingehende Besprechung der Gesichtspunkte, die die Aufstellung von Normen für elektrische Maschinen und Apparate wünschenswert erscheinen lassen.

Beitrag zur graphischen Behandlung der Nebenschlussmaschine. Von Bernard. (Elektrot. Z. 24. Okt. 01 S. 892*) Zeichnerische Darstellung der Gesamtcharakteristik der Nebenschlussmaschine aus der inneren Charakteristik.

Anwendung der Grassmannschen linearen Ausdehnungslehre auf die analytische und graphische Behandlung von Wechselstromerscheinungen. Von Punga. Schluss. (Z. f. Elektrot. Wien 27. Okt. 01 S. 516/30*) S. Zeitschriftenschau v. 2. Nov. 01.

The inductor alternator. II. u. III. Von Heilmann. Schluss. (El. World 12. Okt. 01 S. 594/95* u. 19. Okt. 01 S. 936/38*) Darstellung des mechanischen Aufbaues an dem Beispiel einer Gleichpol-dynamo mit selbständiger Wicklung auf jeder Ankerhälfte und Liefer bis zwischen die Polhöfner reichender Erregerpole. Elektrische und magnetische Eigenschaften der Bauart. Darstellung und Angaben über Charakteristiken usw. von Gleichpolmaschinen der Stanley Electric Mfg. Co. in Pittsburg.

Erd- und Wasserbau.

The new subway in New York City. Von Prellini. Forts. (Engng. 25. Okt. 01 S. 576/77*) Die Strecke von der Chambers Straße bis zur Great Jones-Straße. Verschaltung und Abstimmung der Schachtwände. Auskleidung des Tunnels, Betonarbeiten. St. Bahn der W. F. Brothers Co. zur Förderung der Erdmassen und des Baumaterials. Forts. folgt.

Explosionsmotoren und andere Wärmekraftmaschinen.

Ueber Wasser- und Elektrizitätswerke mit Gasbetrieb. Von Kötting. Forts. (Journ. Gasb.-Wasserv. 26. Okt. 01 S. 798/801*) Betrieb der Wasserwerke von Jena, Göttingen, Alzey und Klotzsche-Königswald. Forts. folgt.

Gas-engine research. Second report to the Gas-engines Research Committee. Von Burstall. (Engng. 25. Okt. 01 S. 592/95*) Die Untersuchungen, deren Ausführung und Ergebnisse geschildert werden, beziehen sich auf die Zündvorrichtungen, die Auspuffgase, die Drücke im Zylinder und die Zusammensetzung des Gasgemisches während der einzelnen Arbeitstufen, die Temperaturen und die Heizwerte verschiedener Gasarten.

Gas-engine research. (Engng. 25. Okt. 01 S. 567/68*) Meinungsaustausch zu dem vorstehend erwähnten Bericht.

Gasindustrie.

Neuere Gasverbranchen und Gaszuflussregler. (Journ. Gasb.-Wasserv. 26. Okt. 01 S. 803/06*) Darstellung verschiedener Konstruktionen von Reglervorrichtungen. Gaszuflussregler zum Regeln von Hand. Selbsttätige Zuflussregler. Reglerdosen.

Vergrößerung der Kohlendestillationsanlage der Zeche Mathias Stinnes in Carnap. Von Hertelsmann. (Z. Berg.-Hütten-Sal.-Wes. 01 Heft 3 S. 481/85) Kurze Beschreibung des neuen Kohlenschmelzwerkes, der Generatoröfen, der Kondensationsanlage, der Ammoniak- und der Benzolfabrik.

Mazzas Zentrifugal-Separator. Von Ernst. (Oesterr. Z. Berg.- u. Hüttenw. 26. Okt. 01 S. 564/65*) Die Schleudervorrichtung dient zum Trennen eines Gasgemisches und ist mit Erfolg zum Ausschleiden von Sauerstoff aus der Luft verwendet worden. Der man sodann in Feuerungen für Dampfmaschinen verbrannte. Ebenso konnte man dem Leuchtgas Wasserstoff und Schwefelwasserstoff, der Luft Kohlensäure entziehen. Versuchs- und Betriebsergebnisse.

Gesundheitsingenieurwesen.

The Vancouver, B. C., septic tanks. (Eng. Rec. 12. Okt. 01 S. 339*) Skizzen eines in Beton ausgeführten Faulraumes zur bakteriologischen Behandlung der Abwässer von 3 kleinen Gemeinden.

Gießerei.

Opportunities for bettering the work of the foundry. Von Longmuir. (Eng. Magaz. Okt. 01 S. 60/68) Ratschläge für die Einrichtung einer modernen Gießerei und die Organisation des Gießereibetriebes.

Iron foundries and foundry practice in the United States. V. (Engineer 25. Okt. 01 S. 421/28*) Martin-Stahlgießerei

der Shickle Harrison and Howard Iron Company. Gießereien der Westinghouse Air Brake Company und der Niles Tool Works Company.

The development of the pig casting machine. Von Fay. (Iron Age 10. Okt. 01 S. 13/16 u. 17. Okt. S. 6/12) Gießmaschinen mit in senkrechter Ebene bewegtem Rade. Gießmaschinen mit waagrechttem Rade: Maschine von Blair, von Burden. Schlackenabkühlmaschinen verschiedener Bauart. Gießmaschine von Davies, von Heland, von Ramsay, von Collins. Gießmaschinen mit endloser Kette: Maschine von Campbell, Blair, Durfee und Egleston, Hawdon, Gehling, Holmboe. Neuere Verbesserungen.

Heizung und Lüftung.

Ventilation and heating in the Denver shops of the Colorado Road. (Eng. Rec. 12. Okt. 01 S. 343/44) Die Anlagen der Colorado & Southern Railway in Denver bestehen aus 2 Gebäuden, die eine Maschinen- und Zusammenbauwerkstatt und eine Wagenbau- und Holzbearbeitungswerkstatt enthalten. Jedes Gebäude ist mit Warmluftheizung nach der bekannten Ausführung der Stertevant Co. ausgestattet.

Maschinenteile.

Ueber Momentüberdeckungen an Dampfmaschinen und Transmissionen. Schluss. (Mitt. Prax. Dampf. Dampf. 23. Okt. 01 S. 774/76) Bremsvorrichtungen verschiedener Konstruktion für Dampfmaschinen und Elektromotoren.

Some reasons for increasing the obliquity of involute teeth. Von Bruce. (Am. Mach. 26. Okt. 01 S. 1140/44) Eingehende Untersuchung über den Einfluss, den eine Verkleinerung des Winkels zwischen der Erzeugenden der Evolventenflanke und dem Teilkreis halbmesser eines Zahnrades auf die Festigkeit des Zahnes, die Reibung und die Abnutzung ausübt.

Berechnung der Warmwasser-, Wasser- und Gasleitungen. Von Mewes. (Dingler 26. Okt. 01 S. 1116/90) Zusammenstellung von Formeln über den Rohr widerstand. Berechnung der Leitungen für Warmwasserheizungen nach Ritschel. Berechnungsverfahren des Verfassers. Schluss folgt.

Materialkunde.

Machine verticale à essayer les métaux de 25t. (Rev. ind. 26. Okt. 01 S. 424/26) Zeichnungen und kurze Beschreibung einer Wasserdrukprüfmaschine für Zugversuche an Metallen von Chauvin. Darstellung der Vorrichtung zum Aufzeichnen der Arbeitsdiagramme.

The industrial applications of nickel steel. Von Guillaume. (Eng. Magaz. Okt. 01 S. 79/90) Entwicklung der Nickelstahlfabrikation. Festigkeitseigenschaften. Nickelstahllegierungen. Magnetisches Verhalten des Nickelstahles. Veränderlichkeit des Ausdehnungskoeffizienten mit der Temperatur.

Mechanik.

The strength of flat plates. Von Guy. (Am. Mach. 26. Okt. 01 S. 1134/38) Im Anschluss an den in Zeitschriftenschau v. 24. Aug. 01 erwähnten Aufsatz von Barrett »Thickness of plates encastrés« stellt der Verfasser den Barrettschen Formeln die von Grashof gegenüber und gibt eine tabellarische Zusammenstellung der Formeln für kreisförmige, quadratische, rechteckige und zylindrische Platten.

Messgeräte und -verfahren.

Ueber die Bestimmung des Ungleichförmigkeitsgrades von Kraftmaschinen. Von Franke. (Elektrot. Z. 24. Okt. 01 S. 887/92) Einflüsse der Ungleichförmigkeit der Drehbewegung von Kraftmaschinen auf das Verhalten der Dynamomaschinen. Erforderliche Werte für den Ungleichförmigkeitsgrad von Kraftmaschinen. Grundsätze für die Geräte zur Bestimmung des Ungleichförmigkeitsgrades. Konstruktion und Wirkungsweise der Geräte und Verfahren von Radinger, Göpel, Alebele, Görges, Schäffer & Hudenberg. Vorrichtung nach den Grundsätzen des Hefner-Alteneckschen Rismendynamometers. Vorrichtungen des Verfassers. Vorrichtungen mit Galvanometer oder Braunscher Nöhre. Geräte nach den Grundsätzen der Joubertschen Scheibe. Bedeutung des Ungleichförmigkeitsgrades für Gleichstrom- und Wechselstrommaschinen.

Ueber Aräometer mit willkürlicher Einteilung. Von Rauter. (Dingler 26. Okt. 01 S. 677/84) Umfangreiche mathematisch-physikalische Abhandlung über Aräometerstellungen, insbesondere über die Baumésche Skala.

Metallbearbeitung.

Die forging. IX. Von Horner. (Engng. 25. Okt. 01 S. 568/70) Herstellung gepresster und geschmiedeter Gegenstände in der Eisenbahnwagen- und Fahrzeugfabrik in Swindon.

Tube forming dies. II. Von Dougherty. (Am. Mach. 26. Okt. 01 S. 1132/33) Das Biegen von Rohrstücken ohne Benutzung eines Dornes.

Tools for automobile tire valves. Von Woodworth. (Am. Mach. 26. Okt. 01 S. 1138/39) Eingehende Darstellung der Stempel,

Matrizen und Drehwerkzeuge zum Aufertigen von Ventilen für die Luftreifen der Kraftwagen aus Messingseiben.

Metallhüttenwesen.

The copper mines of Ashio, Japan. Von Adams. (Eng. Magaz. Okt. 01 S. 69/78) Entwicklung der Kupferindustrie in Japan im allgemeinen. Geographische Lage und örtliche Verhältnisse der Kupferminen in Ashio. Kurze Angaben über die Betriebsanrichtungen und Gewinnungsverfahren.

Motorwagen und Fahrräder.

Der Wettbewerb für Motorlastwagen zu Liverpool vom 3. bis 7. Juni 1901. Forts. (Motorwagen 15. Okt. 01 S. 244/47) Dampfswagen der Firma Coulthard & Co. Forts. folgt.

Moteurs et combineurs électriques pour voitures automobiles. Von Rosset. Forts. (Portef. écon. Mach. Okt. 01 S. 152/58) Darstellung von Schaltungschemas für verschiedene Bauarten von Motorwagen. Forts. folgt.

Physik.

A note on loaded conductor. Von Pupin. (El. World 12. Okt. 01 S. 587/88) Mathematische Abhandlung über das Verhalten geladener Konduktoren verschiedener Form.

Pumpen und Gebläse.

Ueber die zulässige Saughöhe bei Pumpen, welche aus der Luftleere saugen. (Dingler 26. Okt. 01 S. 681/86) Treibende und widerstehende Kräfte bei der Förderung von Flüssigkeiten durch Pumpen. Einfluss der großen Sauglänge, der Umdrehungszahl und der Saugrohrabmessungen auf das Zuflussgefälle. Berücksichtigung der endlichen Länge der Treibstange.

Doppeltwirkende Bohrlochpumpe der Fürther Tiefbohr- und Pumpenbauanstalt. Von Tecklenburg. (Glückauf 5. Okt. 01 S. 869) Beim Niedergange des Kolbens fließt das Wasser durch die hohle Kolbenstange in die Druckleitung. Erörterung der Vorteile der Pumpe.

Electrically-driven pumps; Glasgow Exhibition. (Engng. 25. Okt. 01 S. 591) Zeichnungen der Gesamtanlage. Die von Glenfield in Kilmarnock konstruierte Pumpe hat drei Zylinder von 45 mm Dmr. und 150 mm Kolbenhub. Der zwelpolige Gleichstrommotor leistet 15 PS und treibt die Pumpe mittels eines Winkelsahnradvorgeleges. Angaben über den Druckwasserakkumulator.

Ueber Gebläsemaschinen. Von Braune. (Oesterr. Z. Berg- u. Hüttenw. 26. Okt. 01 S. 565/67) Angaben über die geschichtliche Entwicklung der Gebläse, insbesondere der Ventilkonstruktionen. Stumpff-Riedersche Ventile und Ventilregulierung.

Schiffe und Seewesen.

Protected twin-screw torpedo-boats »Sirocco« and »Mistral«. (Engng. 25. Okt. 01 S. 577) Die von Augustin Normand & Co. in Havre für die französische Marine gelieferten Boote erreichten bei den Probefahrten etwas über 28 Knoten Geschwindigkeit bei ungefährr 178 t Wasserverdrängung.

Floating dock for Karthoum. (Engineer 25. Okt. 01 S. 455) Das Dock kann Schiffe von 45 m Länge, 14 m Breite und 1 m Tiefgang aufnehmen. Der Boden besteht aus einem Schwimmkasten, der in 8 wasserdichte Abteilungen eingeteilt ist. Zum Betriebe der Pumpen usw. wird Elektrizität verwendet. Ermittlung der Abmessungen des Dockes.

Seil- und Kettenbahnen.

Die Drahtseilbahn des Rigiviertels in Zürich. Von Schleich. Schluss. (Schweiz. Bauz. 26. Okt. 01 S. 179/81) Bau der Ueberführungsbrücken. Betriebsanrichtungen. Konstruktion der Wagen.

Straßenbahnen.

Die elektrische Hoch- und Untergrundbahn in Berlin von Siemens & Halske. Von Eiselen. Forts. (Deutsche Bauz. 26. Okt. 01 S. 529/33) Ausführung der Untergrundbahn. Forts. folgt.

Der neue elektrische Betrieb der New Yorker Stadtbahn. Von Hruschka. Forts. (Elektrot. Z. 24. Okt. 01 S. 883/87) Die Unterstationen. Schaltanlagen des Speise- und Verteilnetzes. Schluss folgt.

Ueber den Umbau der Budapester Pferdebahn auf elektrischen Betrieb. Von Spängler. (Z. Oesterr. Ing.- u. Arch.-Ver. 18. Okt. 01 S. 685/93 u. 25. Okt. S. 705/15 mit 3 Taf.) Verkehrsverhältnisse. Oberbau für die oberirdischen Strecken. Oberbau und Leitungsanlage für unterirdische Stromzuführung. Stromabnehmer für die unterirdischen Strecken. Oberirdische Stromzuführung. Wagen. Wagenhupen und Werkstätten. Telephonnetz. Kraftwerke in der Kalfygasse und der Damjanichgasse. Speiseleitungen.

Wasserkraftanlagen.

Governing water wheels under abnormal conditions. Von Holman. (El. World 19. Okt. 01 S. 643) Betriebsbeobachtungen über das Verhalten der Turbinen bei plötzlichen Belastungsänderungen.

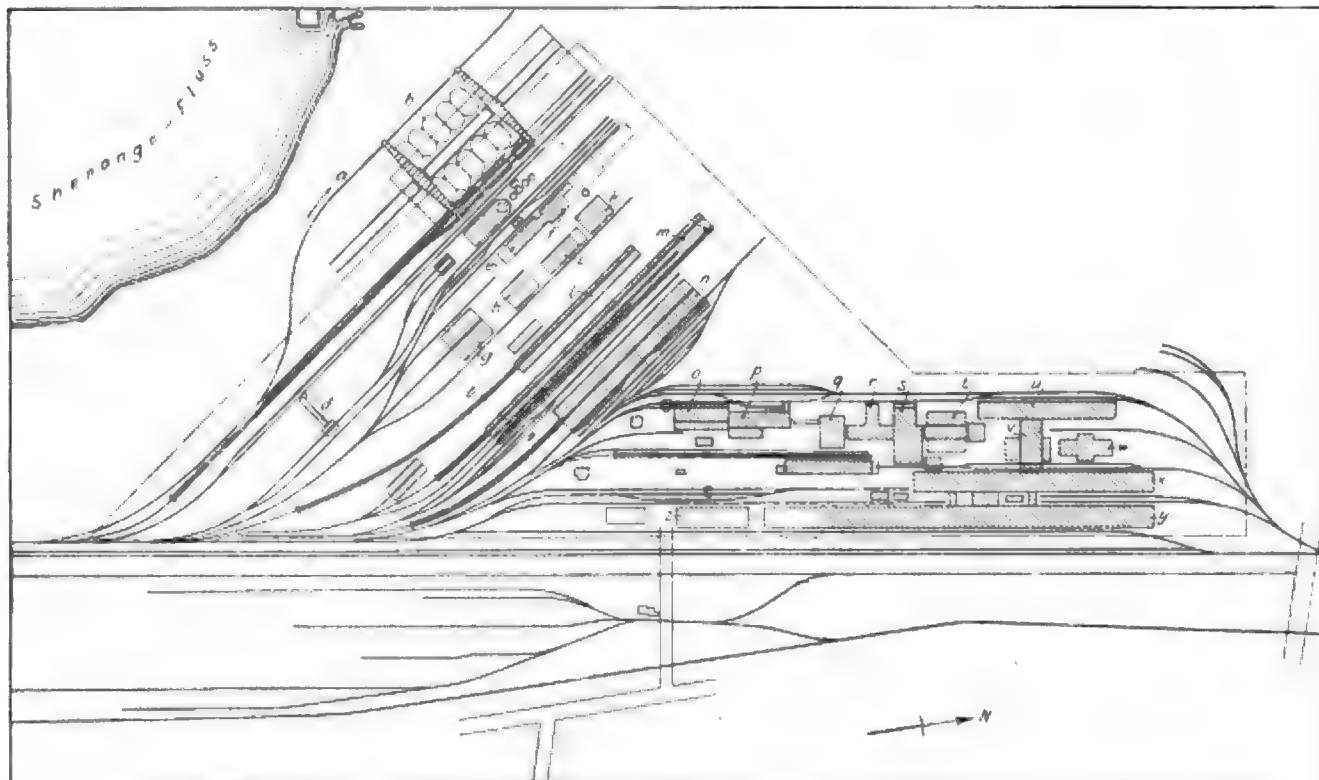
Rundschau.

Die neuen Werke der Sharon Steel Company¹⁾ in Sharon, Pa., Fig. 1 und 2, liegen an dem kleinen Flusse Shenango, der indes zur Anfuhr der Rohstoffe nicht benutzt werden kann und nur zur Versorgung des Fabrikgrundstückes mit Wasser dient. Sie umfassen eine Hochofenanlage, eine Martin-Ofenanlage, ein Blockwalzwerk, ein Knüttelwalzwerk, ein Drahtwalzwerk, eine Drahtzieherei und eine Drahtstiftfabrik; geplant sind ein Universalwalzwerk und eine Fabrik für geschweißte Rohre. Unmittelbar an das Grundstück der Sharon Steel Co. grenzen die Werke der befreundeten Sharon Tin

Die für den Hochofen erforderlichen Rohstoffe: Erze, Kohlen und Kalkstein, gelangen auf Gleis *a* zu den Brown-schen Verladeeinrichtungen *b*, die in Fig. 3 genauer dargestellt sind. Das aufzustapelnde Erz wird von dem Kran-eimer der einen Brücke in Behälter aus Eichenholz gefüllt, von wo es durch Schüttrinnen in Kübel gefördert wird, die zu je 4 auf Transportwagen ruhen. Diese Wagen werden dann am hölzernen Behältergerüst entlang an die gewünschte Stelle gefahren, wo die Kübel vom Kranhaken der zweiten Brücke aufgenommen und an beliebiger Stelle ausgeschüttet werden.

Fig. 1 und 2.

Anlage der Sharon Steel Co.



- | | | | | |
|----------------------------------|-------------------------|--------------------------------|--------------------|----------------------|
| a Zufuhrgleis | f Gebläsemaschinen | i Gasegeneratoren | q Warmöfen | w Ausglühherd |
| b Verladeanlage für Erz und Koks | g mechanische Werkstatt | m Rohstofflager für Martinöfen | r Knüttelwalzwerk | x Drahtzieherei |
| c Hochofenanlage | h Schmiede | n Martinöfen | s Warmbetten | y Drahtstiftfabrik |
| d Roh-eisen-Gießmaschine | i Krafthaus | o Warmöfen | t, u Drahtwalzwerk | z Schachtelwerkstatt |
| e Kesselhaus | k Tischlerwerkstatt | p Blockwalzwerk | v Drahtheize | |

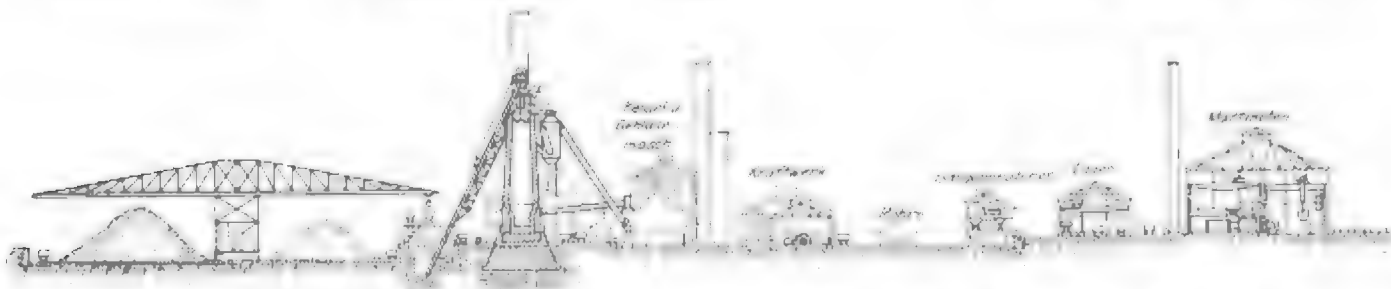


Plate Co., in denen die Halbfabrikate der Sharon Steel Co. zu Feinblechen ausgewalzt werden.

Alle Rohstoffe werden auf den Gleisen der Erie- und Pennsylvania-Eisenbahn, die die Grundstücke der beiden genannten Gesellschaften trennt, angefahren. Ein weitverzweigtes Gleisnetz dient zum schnellen und sachgemäßen Transport der Rohstoffe, der Zwischen- und der Fertigerzeugnisse auf dem Fabrikgrundstück selbst.

Zum Aufnehmen der Erze vom Lager dient ein Greifseimer von 3,5 t Inhalt, Fig. 3 links, der entweder in die Behälter entleert wird oder, wenn der zu füllende Behälter nicht im unmittelbaren Bereich des Kranträgers liegt, in Wagen, die über den Behältern auf Gleisen laufen; auf diese Weise soll das öftere Hin- und Herfahren des ganzen Krangerüsts vermieden werden.

Die Koks werden größtenteils unmittelbar in die Behälter entladen; nur ein kleiner Teil wird in derselben Weise wie das Erz aufgestapelt.

¹⁾ The Iron Age 4. Juli 1901 S. 1.

Zum Füllen des Wagens der Hochofenbeschickvorrichtung mit Erzen und Kalkstein dienen fahrbare Fördergefäße, die durch eigenartige elektrisch betriebene Hängewagen geschoben oder gezogen werden; als Laufschienen dienen die Flansche von I-Trägern, die an dem Behältergerüst befestigt sind. Jedes Gefäß faßt 2,1 cbm, ist mit einer Fairbankschen

Wage von 5 t Tragfähigkeit versehen und wird mit dem elektrischen Verschubwagen durch eine selbstthätige Kupplung verbunden. Der Führerstand des Wagens ist so angeordnet, dass man bequem von ebener Erde aus einsteigen und alle erforderlichen Bewegungen durch Handgriffe einleiten kann, ohne den Platz zu verlassen.

Fig. 3. Brownsche Verladevorrichtung.

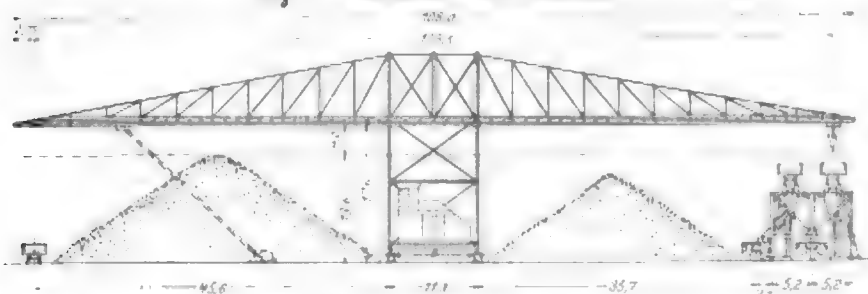
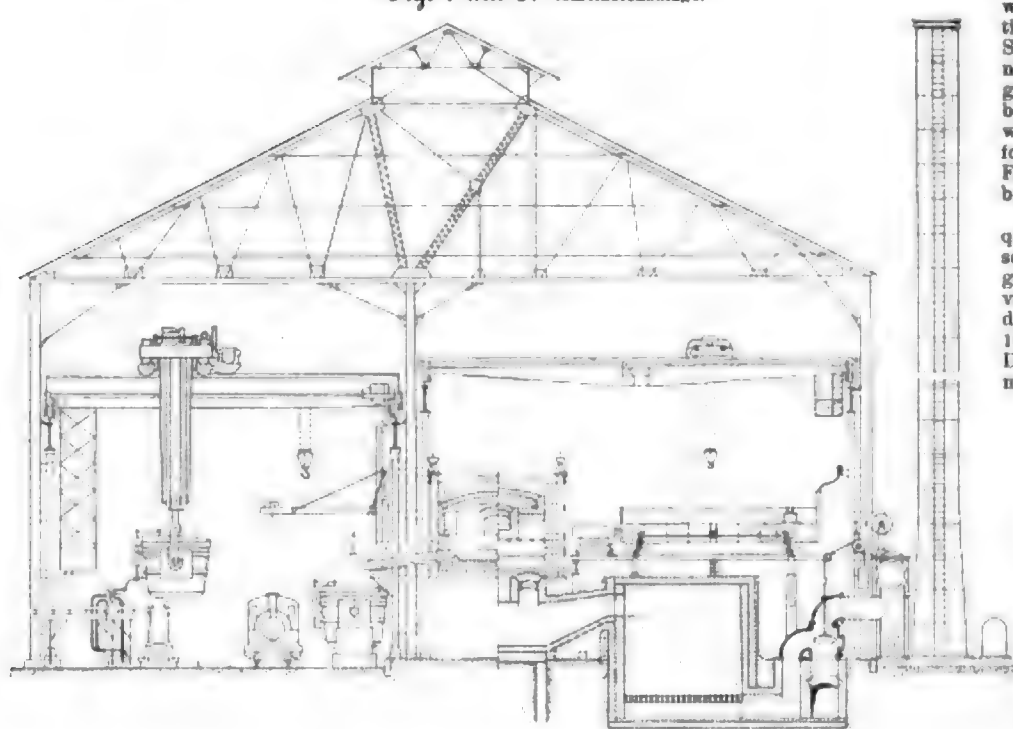


Fig. 4 und 5. Martinofenanlage.



Die Koks werden unmittelbar aus den Behältern in die Wagen der Hochofenbeschickvorrichtung gefüllt, die von der Otis Elevator Company gebaut ist und aus einem die Bahn für die Förderwagen tragenden an den Hochofen angelehnten Fachwerkträger besteht. Es sind zwei Förderwagen angeordnet, von denen immer der eine gefüllt wird, während der andere an der Giecht in Ruhe verharrt. Die Winde für die Hochofenbeschickung steht auf der von den Behältern abgewandten Seite des Hochofens. Der Giechtglockenaufzug ist so angeordnet, dass die Beschickung möglichst gleichmäßig verteilt wird.

Jeder Abstieg des Hochofens liefert rd. 120 t Roheisen, die in Gießpfannenwagen durch Lokomotiven nach der Martinanlage oder bei Betriebsstörungen und Sonntags, wo die Martinanlage überhaupt nicht in Betrieb ist, zu einer Roheisengießmaschine von Heyl & Patterson gebracht werden. Die Hochofenschlacke wird gekörnt und in diesem Zustande fortgeschafft oder zum Auffüllen des das Fabrikgrundstück umgebenden Geländes benutzt.

Das Gebläsemaschinenhaus von 27 × 17 qm Grundfläche enthält 9 Wasserrohrkessel für je 500 PS, die mit Hochofengas geheizt werden, welches in einer Leitung von 1,5 m Dmr. zugeführt wird. Die beiden Verbund-Gebläsemaschinen haben 1070 mm und 2030 mm Dampfzylinder-Dmr., 2135 mm Windzylinder-Dmr., 1595 mm Hub, und die Leistung der Maschinen

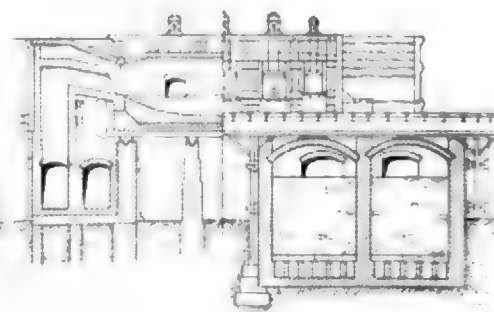
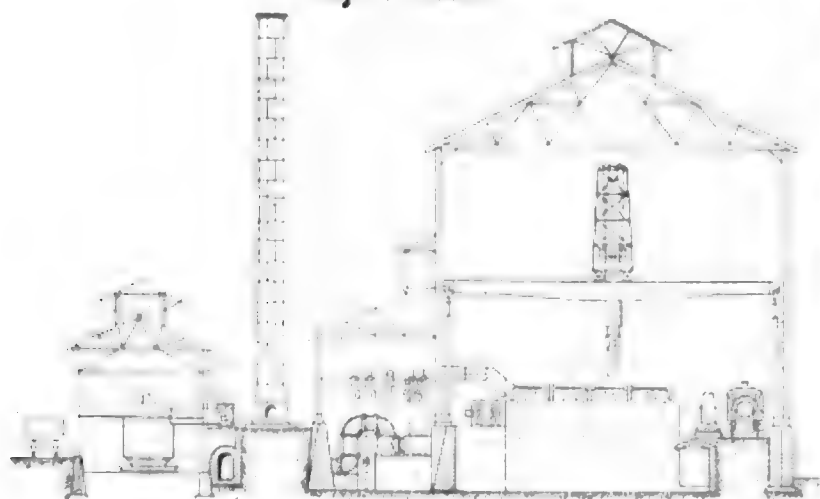


Fig. 6. Tieflöfen.



beträgt 650 cbm/min Wind von 1,75 at Pressung bei 42 bis 47 Uml. min.

Das elektrische Kraftwerk von 15 × 52 qm Grundfläche enthält vier 600 pferdige Dampfmaschinen, die mit 2 Gleichstromdynamos von Siemens & Halske und 2 solchen von Westinghouse gekuppelt sind. Die Dampfmaschinen sind mit denen des Gebläsemaschinenhauses an eine gemeinschaftliche Zentralkondensation angeschlossen. Mit dem Kraftwerk ist eine Reparaturwerkstatt verbunden.

Die Martinofenanlage, Fig. 4 und 5, umfasst acht 50 t-Oefen für basische Zustellung, die in einem Gebäude von 184 × 37,5 qm Grundfläche untergebracht sind und auf einer eisernen von gusseisernen Säulen gestützten Trägerdecke ruhen, wodurch nicht nur eine größere Zugänglichkeit erreicht, sondern auch die Anlage vertiefter Gießgruben vermieden wird. Die Beschickplattform ist ebenfalls erhöht angeordnet und mit einer Wellman-Seaver-Beschickvorrichtung¹⁾ der niedrigen Bauart ausgerüstet, zu deren Bedienung ein Laufkran von 4 t Tragfähigkeit vorgesehen ist. Auf der Abstichseite läuft ein schwerer Morgan-

¹⁾ Z. 1900 S. 791.

scher Gießkran von 75 t Tragkraft, der die Gießpfanne von 50 t Fassungsvermögen handhabt.

Das Generatorenhaus enthält große Kohlenbunker, aus denen durch Becherwerke die Kohle in die über den Genera-

toren befindlichen Behälter gebracht wird. Die Generatoren, von welchen je 4 zu einem Martinofen gehören, werden ebenfalls selbsttätig gefüllt.

Bemerkenswert ist, dass auch das Rohstofflager für die

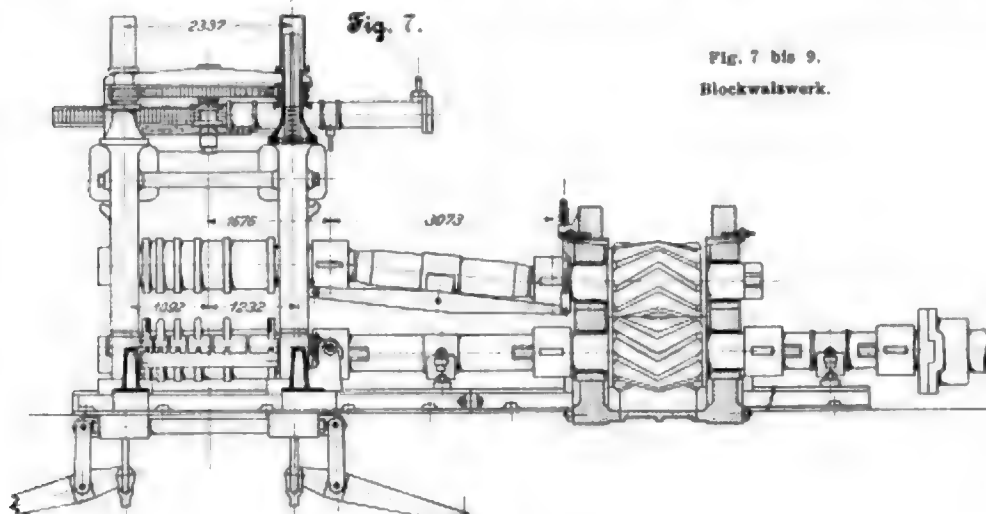


Fig. 7.

Fig. 7 bis 9.
Blockwalzwerk.

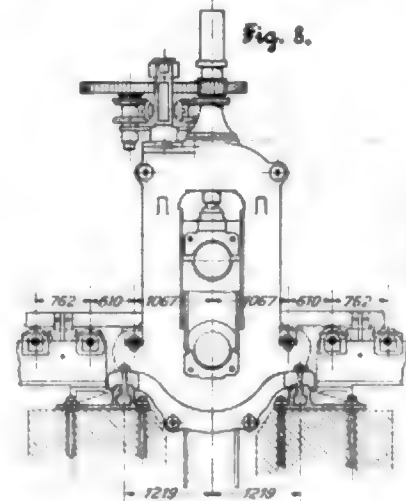


Fig. 8.

Fig. 9.

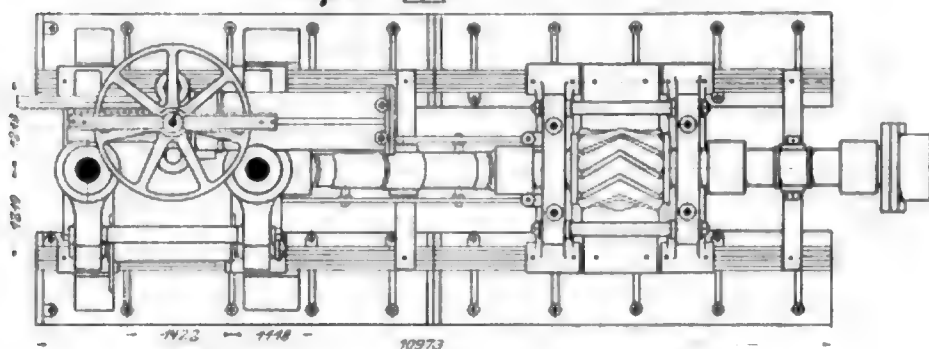


Fig. 10 bis 12.
Blockantvorrichtung.

Fig. 10.

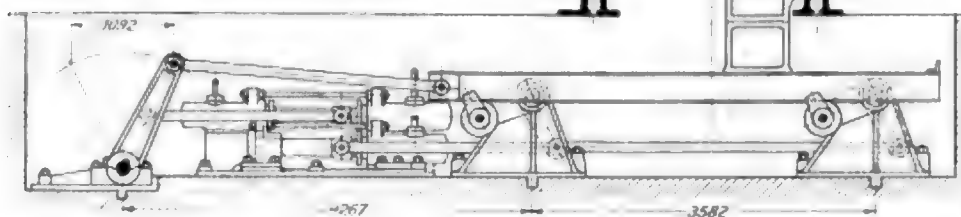
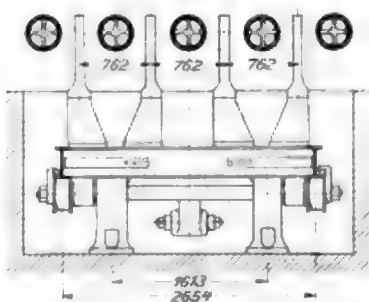


Fig. 12.

Martinanlage überdacht ist; das Lagergebäude liegt zwischen dem Generatorenhaus und dem Ofenhaus und hat $305 \times 18,3$ qm Grundfläche. Es hat zwei Zufuhr- und zwei Abfuhrgleise und ist mit zwei schweren Scheren und den Zerkleinerungsmaschinen für Kalkstein u. dergl. ausgerüstet.

Zwischen Generatoren- und Gebläsemaschinenhaus liegen neben dem Kraftwerk die mechanische Werkstatt und die Schmiede. Erstere bedeckt eine Grundfläche von 35×44 qm und ist mit einem elektrischen 20 t-Laufkran und modernen Werkzeugmaschinen ausgerüstet, während die letztere 23×58 qm Grundfläche hat. Außerdem liegt auf der andern Seite des Kraftwerkes eine mit den besten Holzbearbeitungsmaschinen versehene Tisch-

Fig. 11.



lerwerkstatt.

Wenn die Ingots aus dem Ofenhaus kommen (jeder Ofenabstich liefert 12 bis 18 Ingots), werden sie zunächst nach der Altkenschen Abstreifvorrichtung gebracht, dann gewogen und durch einen Morganschen Ingotkran zu den Tiefofen gebracht, Fig. 6. Davon sind im ganzen 3 vorhanden, die je 4 Durchweichungsgruben für je 6 Ingots enthalten und durch 4 in einem Nebengebäude aufgestellte Gasgeneratoren geheizt werden. Derselbe Kran bringt die genügend erwärmten In-

gots auf einen Klipper, von dem sie auf den Zufuhrrollgang zum Blockwalzwerk gekippt werden.

Das Blockwalzwerk, Fig. 7 bis 9, wird von einer Kehr-Verbundmaschine mit 1165 mm und 1524 mm Cyl.-Dmr. und 1524 mm Hub angetrieben und verarbeitet Blöcke mit quadratischem Querschnitt von 810 mm Seite. Die Walzen machen 70 Uml./min, haben 965 mm Dmr. und werden mittels Zahnstange und Ritzels durch einen Wasserdruckzylinder angestellt, der für einen Druck von 35 at berechnet ist. Die Rolllänge sind vom Ingoklipper bis zur Blockschere gemessen 84 m lang. Jeder der beiden Arbeiterrollgänge (Rollen-Dmr. 355 mm, Entfernung von Mitte zu Mitte 710 mm) wird von einer umsteuerbaren Dampfmaschine mit 305 mm Cyl.-Dmr. und 305 mm Hub bei 103 Uml./min angetrieben. Der Zufuhrrollgang vom Ingoklipper bis zum Arbeiterrollgang vor der Walze wird durch einen Elektromotor von 50 PS bei 550 Uml./min angetrieben, der Scherenrollgang vom Arbeiterrollgang hinter der Walze bis zur Blockschere von einem 35 pferdigen und einem 25 pferdigen Elektromotor. Abmessungen und Umlaufzahl des Zufuhr- und des Scherenrollganges gleichen denen des Arbeiterrollganges. Die Blockkantvorrichtung, Fig. 10 bis 12, wird durch 3 Wasserdruckzylinder bethätigt, die mit Wasser von 35 at Spannung arbeiten.

Nachdem der Block durch die erforderliche Anzahl von Kalibern gegangen ist, wird er in der Blockschere zerschnitten und von einem hochliegenden Rollgang zu den Fertigwalzen gebracht. Hier gelangen die vorgewalzten Blöcke zunächst in zwei Morgansche Wärmöfen mit ununterbrochenem Betrieb, von denen sie entweder zum Platinen- oder zu einem Knüppelwalzwerk gehen.

Das Knüppelwalzwerk ist von der Morgan Construction Co. gebaut und verarbeitet vorgewalzten Blöcke von 90×190 mm Querschnitt und 2,1 m Länge im Gewichte von rd. 300 kg. Das Walzwerk besteht aus 6 hintereinander aufgestellten Walzgerüsten; die Walzen der drei ersten Gerüste haben 405 mm Dmr., die der drei letzten 330 mm Dmr. Zum Antrieb der Walzen dient eine Verbundmaschine mit 724 und 1422 mm Cyl.-Dmr. und 1575 mm Hub. Die fertig-gewalzten Knüppel mit quadratischem Querschnitt von 44 mm Seite und rd. 9 m Länge werden von Schleppern auf die Warmbetten gebracht, von wo sie entweder als Marktware in Eisenbahnwagen verladen werden oder zu den beiden Drahtwalzwerken gehen. Diese, ebenfalls von der Morgan Construction Co. geliefert, haben hintereinanderliegende Gerüste und werden von je einer Verbundmaschine mit 525 mm und 1525 mm Cyl.-Dmr. und 1525 mm Hub durch Seile angetrieben. Die Vorstrecke besteht aus 6 Walzgerüsten mit 255 mm-Walzen, die Fertigstraße aus 8 Gerüsten mit ebensolchen Walzen. Zwischen Vor- und Fertigstraße ist eine Schere zum Abschneiden der unganzen Enden angeordnet. Die auf Haspel gewundenen Drahtbündel fallen auf ein Band, das sie zur Drahtbeize befördert, von wo sie nach abermaligem Ausglühen entweder als Handelsware in Eisenbahnwagen verladen oder zur Drahtzieherei gebracht werden.

Die Drahtzieherei von 238×21 qm Grundfläche hat Raum für 150 Ziehbenke, die von einer Verbundmaschine mit 559 mm Hub und 559 mm und 1016 mm Cyl.-Dmr. durch Seile angetrieben werden. Die Drahtstiftfabrik ist in einem Gebäude von 384×21 qm Grundfläche untergebracht. Dort sind 250 Drahtstiftmaschinen aufgestellt, während Platz für weitere 150 Maschinen vorgesehen ist. Die treibende Kraft liefert auch hier eine Verbundmaschine mit 559 mm Hub und 559 mm und 1016 mm Cyl.-Dmr. Die Schachteln zum Versand der Drahtstifte werden in einer eigenen Werkstatt von 73×21 qm Grundfläche hergestellt, durch ein Förderband zum Packraum geschafft, gefüllt, gewogen und verschlossen und dann in das Versandgebäude gebracht, wo sie auf Eisenbahnwagen geladen werden.

Der Dampf für das Block-, Knüppel- und Drahtwalzwerk sowie für die Drahtzieherei und die Drahtstiftfabrik wird in einem besonderen Kesselhaus von 15 m Breite und 23 m Länge in Wasserrohrkesseln erzeugt, die für 16500 PS Leistung bestimmt sind. Das Kesselhaus ist mit Kohlenbehältern und einer elektrisch betriebenen Kohlenfördivorrichtung ausgerüstet. Der gesamte Wasserbedarf des Werkes wird, wie schon erwähnt, dem Shenango Fluss entnommen und mit natürlichem Gefälle einem Klärbecken zugeführt, von wo das gereinigte Wasser durch Worthington-Pumpen in zwei Standrohre von 30,5 m Höhe und 6,1 m Dmr. bzw. 21,3 m Höhe und 4,6 m Dmr. gepumpt wird. Von dort wird das Wasser über das ganze Werk verteilt. Zum Schutze gegen Feuersgefahr ist eine große Anzahl von Hydranten vorgesehen. Auch ist eine vollständige Entwässerungsanlage eingerichtet, die die Abwasser in einem Kanal von 1,5 m Dmr. dem Shenango zuführt.

Ueber den Untergang des englischen Torpedobootzerstörers »Cobra« haben wir vor kurzem¹⁾ berichtet und dabei die Vermutung ausgesprochen, dass das Schiff zu schwach gebaut gewesen sei. Das Kriegsgericht, welches sich mit dem Vorfall beschäftigt hat, hat dies bestätigt und es für ausgeschlossen erklärt, dass das Schiff auf Grund geraten oder sonst auf ein Hindernis gestossen sei, wie von verschiedenen Seiten anfänglich behauptet worden war. Der Gerichtshof hat ferner festgestellt, dass die »Cobra« schwächer gebaut war als andere Torpedobootzerstörer, und hat sein Bedauern darüber ausgesprochen, dass das Schiff in die königliche Flotte aufgenommen war.

Die »Cobra« war von der Firma Armstrong, Witworth & Co. gebaut und mit Parsonsschen Dampfturbinen ausgestattet worden. Sie sollte vorzugsweise zu Versuchszwecken dienen und war deswegen länger und mit stärkeren Maschinen ausgestattet als die übrigen Schiffe ihrer Klasse. Der Schiffskörper war 68 m lang, 6,35 m breit und 4,11 m tief. Die Maschinen stellten sich um 30 t schwerer, als man anfänglich angenommen hatte; sie wogen zusammen 183 t. Die Wasserverdrängung bei voller Ladung betrug 490 t, wovon 106,5 t auf den Kohlenvorrat entfielen. Das Schiff war jedoch auf seiner letzten Fahrt nicht voll beladen; seine Wasserverdrängung bei der Abfahrt wird vielmehr zu 468 t angegeben. Um einen Vergleich mit den ähnlichen Torpedobootzerstörern der englischen Flotte »Swordfish« und »Spitfire« zu ermöglichen, sei erwähnt, dass die Länge dieser Schiffe 61 m und das Gewicht ihrer Maschinen 110 t beträgt. Den Rechnungen nach sollten die Maschinen der »Cobra« um 60 vH mehr leisten als die des »Swordfish«.

Nach den vor dem Kriegsgericht gemachten Angaben war die Beplattung der »Cobra« ursprünglich ebenso stark wie bei »Swordfish«. Die »Cobra« war jedoch 0,305 m tiefer, sodass die Festigkeit des Schiffskörpers als Träger in der Längsrichtung grösser war, und zwar, wie man berechnet hat, um 17 vH. Die Beamten der englischen Admiralität waren trotzdem der Ansicht, dass die Beplattung verstärkt werden müsse. Infolgedessen war noch eine grössere Menge Eisen in die Schiffshaut eingebaut worden, aber zum grössten Teil im Deck.

Die Zeitschrift »Engineering«²⁾ knüpft an den Untergang der »Cobra« einige Betrachtungen, die bemerkenswert sind. Sie führt zunächst den Fall des amerikanischen Torpedobootzerstörers »Seal« an, der im April d.J. in schweren Seegang geriet³⁾. Er erlitt derartige Schäden, dass er sofort außer Dienst gestellt werden musste, und der offizielle Bericht stellte fest, dass derartige Torpedobootzerstörer nicht geeignet seien, in so schwerem Wetter auf hoher See zu bleiben, bei dem selbst grössere Schiffe Schutz suchen müssten. Ein andrer ähnlicher Unfall ist vor kurzem dem englischen Schiff »Crane« zugefallen. Das Deck wurde derartig eingebault, dass das Schiff sofort ausgebaut werden musste. Ähnlich erging es auch dem Torpedobootzerstörer »Vulture«.

Aus diesen Vorkommnissen zieht »Engineering« den Schluss, dass zum wenigsten einige Torpedobootzerstörer zu schwach gebaut seien, wenngleich die Ansicht von Parsons nicht zuträfe, der vor dem Kriegsgericht geäußert hatte, dass die »Cobra« nur ein »Schönwetter-Schiff« gewesen sei. Vielmehr sei an der Forderung festzuhalten, dass auch diese Schiffsklasse instande sein müsse, in schlechtem Wetter auf hoher See zu bleiben. Es liege auch kein Grund vor, dass sich dies nicht mit richtig entworfenen und gut ausgeführten Schiffen erreichen lasse, und es sei zu fordern, dass sämtliche Torpedobootzerstörer der englischen Flotte einer sorgfältigen Nachprüfung hinsichtlich ihrer Festigkeit unterworfen würden.

Es war vor dem Kriegsgericht angegeben worden, dass die Beanspruchung der Schiffshaut des verunglückten Schiffes 1400 kg/qcm nicht hätte übersteigen können. Dieser Berechnung aber liegt unserer Quelle zufolge die übliche Annahme zugrunde, dass sich das Fahrzeug entweder auf dem Kamm einer Welle oder in einem Wellenthal befindet. Die Frage nach der Beanspruchung in der Längsrichtung jedoch liegt nicht so einfach, wie es aufgrund dieser Annahme erscheint. Die dynamischen Wirkungen des Rollens und Stampfens können nicht sicher berechnet werden. Im Falle der »Cobra« kommt noch hinzu, dass man gewöhnliches Flusseisen von 4350 bis 4650 kg/qcm Zugfestigkeit verwendet hatte, und nicht Material von höherer Festigkeit, wie dies bei andern Schiffen benutzt worden ist.

Schliesslich erinnert »Engineering« daran, dass es that-

¹⁾ Z. 1901 S. 1436.

²⁾ 18. Oktober 1901 S. 553.

³⁾ Z. 1901 S. 933.

schlich Torpedoboote gebe, die selbst den schwersten Beanspruchungen Stand gehalten hätten. Als ein Beispiel dafür wird das schwedische Torpedoboot »Hugin« angeführt, das auf einer Felszacke festliegt, und zwar derartig, dass die eine Hälfte des Schiffes ununterstützt blieb. Trotzdem hat das Boot keinen Schaden erlitten. Auch haben zahlreiche Torpedoboote weite Fahrten nach allen Teilen der Welt unternommen und sind oft von schwerem Wetter betroffen worden, ohne dadurch beschädigt zu werden. Als Beispiel werden Torpedobootzerstörer angeführt, die von der Firma Yarrow für Japan gebaut worden sind, und wir möchten die von Schichau für China gelieferten »Torpedoboote« nennen, die trotz schwerer Stürme auf der Uebertour bereits 3 Tage nach ihrer Ankunft in China ihre Probefahrten antreten konnten.

M. Bret hat in den »Annales des Ponts et Chaussées« bemerkenswerte Betrachtungen über Motorlastwagen veröffentlicht, ausgehend von dem Gedanken, ob sich nicht angesichts der hohen Kohlenpreise wenigstens an den Transportkosten innerhalb der Stadt Paris durch Verwendung von Motorwagen Ersparnisse erzielen ließen. Er giebt eine Aufstellung der Betriebskosten für Benzin-, Dampf-, Druckluft- und elektrischen Betrieb anhand von Angaben über ausgeführte Wagen und kommt zu folgendem Schluss: Unter den gegenwärtigen (Pariser) Verhältnissen können Motorlastwagen kaum mit Gespannwagen in Wettbewerb treten, da für kleine Lasten Pferdebetrieb billiger ist. Motorischer Antrieb wird erst bei Lasten von mindestens 2,5 t vorteilhafter, und zwar in erster Linie bei Dampfzügen. Elektrizität kann in einzelnen Fällen, wenn der Herstellungspreis gering ist, mit Nutzen angewandt werden. Der Entwicklung der Benzinlastwagen steht der hohe Preis des Benzins im Wege; sonst würden diese Wagen auch für Lasten unter 2,5 t dank ihrem geringen Kaufpreise und kleineren Eigengewicht in Betracht kommen. Am teuersten würde sich Druckluft stellen. Kurzum: Motorlastwagen sind unter den gegenwärtigen Verhältnissen dort am Platze, wo die Schnelligkeit ausschlaggebend ist, sonst nur für den Transport schwerer Lasten, für die mehrere Pferde erforderlich wären; denn bei Gespannwagen nimmt der Wirkungsgrad mit der Anzahl der Zugtiere ab. Bei einem Betrieb mit großen Pausen kommt dem Motorwagen, besonders dem Benzinwagen, zugute, dass er während der Ruhezeit keine Betriebskosten verursacht.

Die Helios-Elektrizitäts-Gesellschaft in Köln-Ehrenfeld hat für die Stadt Zell i/W. ein elektrisches Kraftwerk errichtet, das die Wasserkraft des vom Feldberg kommenden Wiese-Flusses ausnützt. Die Bauten sind wegen der 4 km langen unterirdischen Wasserführung bemerkenswert. Der Oberwasserkanal besteht nämlich aus 14 einzelnen Stollen, die durch gemauerte überwölbte Kanäle verbunden sind und dem Kraftwerk 2200 ltr sk bei einem Gefälle von 38,5 m zuführen. Die Turbinenanlage von J. M. Voith in Heidenheim a/B. enthält 2 Spiralturbinen, die mit Sauggefälle arbeiten, und deren höchste Leistung bei einer Wasserzufuhr von 2200 ltr sk 860 PS beträgt. Die Achsen der Turbinen liegen wagerecht und tragen die Anker der Dynamomaschinen, die für 300 Uml./min berechnet sind. Zur Ergänzung der Wasserkraft in wasserarmen Zeiten und zur Aushilfe im Falle einer Betriebsstörung der Turbinen sind 2 Dampfmaschinen aufgestellt, von denen die eine 400 PS, die andere 125 PS leistet. Die erstere ist mit einer Wechselstromdynamo, die letztere mit einer besonderen für die Beleuchtung bestimmten Dynamo gekuppelt. Der Dampf von 8,5 at Betriebesdruck wird in 2 Röhrenkesseln von Simonis & Lanz erzeugt, von denen ein jeder 234,1 qm Heizfläche hat. Die mit den Turbinen und mit der größeren Dampfmaschine gekuppelten Dynamos sind Zweiphasen-Wechselstrommaschinen von je 320 KW, während die kleinere Lichtmaschine 100 KW leistet. Von dem Kraftwerk zur 5 km ent-

fernten Stadt Zell führen 6 Hochspannungsleitungen von 16 mm Querschnitt für 6000 V; davon sind zwei für einphasigen Wechselstrom bestimmt, mit dem die Stadt beleuchtet wird, die vier andern dienen zur Kraftübertragung für die angeschlossenen zweiphasigen Wechselstrommotoren. Für die Beleuchtung sind in Zell 2 Transformatoranlagen errichtet, welche die Spannung auf 150 V verringern.]

Auf der Werft des bekannten Yachtkonstrukteurs Crow-ninshield in Boston, Nordamerika, ist ein durch seine Größe bemerkenswerter Siebenmast-Gaffelschoner gebaut worden. Das aus Stahl hergestellte Schiff enthält drei durchlaufende Decks, ist über Deck 120,5 m lang und 15 m breit und verdrängt 10000 t; die Seitenhöhe beträgt 10,4 m. Dieselben großen Gaffelschoner haben seit einer Reihe von Jahren in Amerika viel Anklang gefunden, da die Segelvorrichtung nur wenig Bedienungsmannschaft erfordert, die Schiffe sehr schnell segeln, insbesondere beim Winde, und der Betrieb infolgedessen sehr wirtschaftlich ist. Die Fläche der Segel, die sich aus Vorsegeln, Gaffelsegeln, Gaffeltoppsegeln und Stagsegeln zusammensetzt, beträgt im vorliegenden Falle 3680 qm. Die Untermasten sind hohl, aus Stahlplatten hergestellt und haben einen gleichmäßigen Durchmesser von 813 mm und 41 m Höhe. Die aus Oregon-Holz bestehenden Stengen haben unten 457 mm, oben 254 mm Dmr.; ihre Höhe beträgt 17,6 m, mit Ausnahme der Großstenge, die bei 508 mm größtem Durchmesser 19,5 m hoch ist. Die Bäume und Gaffeln sind ebenfalls aus Holz hergestellt. Zum Verholen des Schiffes im Hafen ist eine kleine Hilfsdampfmaschine vorgesehen; außerdem sind verschiedene Dampfwinden, Dampfpumpen usw. vorhanden. Der Dampf von 7 at Spannung wird von zwei stehenden Feuerrohrkesseln geliefert. (Scientific American 19. Oktober 1901)

Auf der Chicago und Northwest-Bahn haben während der letzten 6 Monate Versuche mit Acetylenbeleuchtung für Lokomotiven stattgefunden, die außerordentlich zufriedenstellende Ergebnisse gehabt haben sollen. (Engineer 26. Oktober 1901)

Für die österreichischen Staatsbahnen werden zurzeit neue Schnellzuglokomotiven gebaut, die eine besonders große Leistung entwickeln sollen. Es sind viercylindrige Verbundmaschinen, deren Kolben sämtlich auf eine Achse arbeiten. Der Kessel erhält 3,6 qm Rost- und 222 qm Heizfläche. Wegen der Größe des Kessels war es notwendig, außer dem vorderen zweiaxigen Drehgestell unter der Feuerbüchse eine besondere radial einstellbare Laufachse anzuordnen. (Zeitung der Vereines deutscher Eisenbahnverwaltungen 26. Oktober 1901)

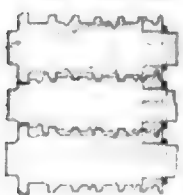
Die Arbeiten am Simplon-Tunnel haben auf der Südseite durch bedeutenden Wasserandrang eine unliebsame Störung erfahren. Am 7. Oktober wurden 540 ltr/sk gemessen, am 21. rd. 680 ltr/sk, und bislang konnte noch keine Abnahme des Druckes, unter dem das Wasser ausströmt, festgestellt werden. Die Wärme des Wassers, die anfangs 17 bis 18° betrug, ist auf 16,5° gesunken. (Schweizerische Bauzeitung 26. Oktober 1901)

Berichtigung.

Wir werden darauf aufmerksam gemacht, dass die in Z. 1901 S. 1545 nach Am. Mach. beschriebene entlastete Ausgleichstopfbüchse amerikanischer Bauart völlig mit dem D. R.-P. 57756 vom Jahre 1890 übereinstimmt, das von der Firma A. L. G. Dehne in Halle a/S. häufig ausgeführt ist. Der Inhaber des bezeichneten Patentes hat später eine vollständig entlastete Ausgleichvorrichtung, D. R.-P. 106249 bezw. 115986 (Z. 1900 S. 358 und 1901 S. 786), konstruiert, bei der nur eine Hauptstopfbüchse der hohen Temperatur des Dampfes ausgesetzt ist und bei der man es bei größeren Rohrabmessungen in der Hand hat, die Stopfbüchsenreihen gänzlich oder sumteil aufzuheben. Diese neue Konstruktion wird überall da mit Vorteil verwendet werden können, wo der Raum beschränkt ist.

Patentbericht.

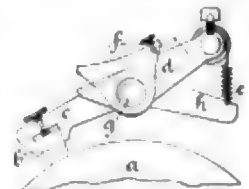
Kl. 7. Nr. 119941. Walzwerk für Schienenlinsen. Continuous



Durchgang der zweiten Reihe und umgekehrt je eine zusammengehörige Walzenstrecke bildet, deren jede Verwendung finden kann.

Kl. 21. Nr. 123407. Bürstenlagerung. R. Rougé und G. Fa-

gel, Alexandrien. Um bei umlaufenden Bürsten den Anpressungsdruck bei mittlerer Umlaufzahl möglichst unverändert zu halten, ist mit der um g drehbaren, nur sumteil ausgewuchteten Bürste c eine Zusatzmasse d durch Feder e verbunden, deren Fliehkraft größer als die von c ist, sodass b mit zunehmender Umlaufgeschwindigkeit mehr und mehr an a gedrückt wird. Wird die mittlere Geschwindigkeit überschritten, so legt sich d an den Anschlag f , sodass der Anpressungsdruck nicht weiter steigt



ZEITSCHRIFT DES VEREINES DEUTSCHER INGENIEURE.

Nr. 48

Sonnabend, den 16. November 1901.

Band XXXV.

Inhalt:

Die Weltausstellung in Paris 1900: Hebemaschinen. Von Kammerer (Schluss).	1631	Bleigener B.-V.	1647
Die Weltausstellung in Paris 1900: Turbinenbau. Von E. Reichel (Fortsetzung).	1631	Bleierschau: Mitteilungen über den Niederrheinisch-Westfälischen Steinkohlenbergbau. — Bei der Redaktion eingegangene Bücher. — Übersicht neu erschienener Bücher	1647
Neuere Hobel- und Stofmaschinen der Berliner Werkzeugmaschinenfabrik A.-G. vormalig L. Seetzer. Von P. Janson	1636	Zeitschriftenschau	1649
Die Arbeitsleistung schnelllaufender Riemens und die vorteilhafteste Riemengeschwindigkeit. Von H. Abbes	1638	Rundschau: Versuche über den Ausfluss von Dampf aus Mündungen. — Rauchverhütungsvorrichtung von Schulz-Kaandt. — Leistungen von Schnellzug-Lokomotiven. — Verschiedenes	1652
Beitrag zur Berechnung der Gasmaschine. Von R. Barkow	1640	Patentbericht: Nr. 122494, 122007, 119317, 120454, 123107, 123104, 123667, 122583, 123102, 123009, 122188, 123103, 123524, 120235, 122383, 123225, 123804, 122254, 122186, 122305, 122382, 122430, 122017, 122385, 122016, 122380, 122015, 122180, 122186, 122782, 122077	1654
Aachener B.-V.: Die Expresspumpe »Schleifmühle«.	1642		
Hannoverscher B.-V.	1646		
Mittelrheinischer B.-V.: Die Geschichte der Thermometrie	1646		
Mittelthüringer B.-V.: Arbeiter-Wohlfahrtsanstalten in deutschen Fabriken	1646		

Die Weltausstellung in Paris 1900.

Hebemaschinen.

Von Kammerer, Charlottenburg.

(Schluss von S. 1593)

2) Drahtseile.

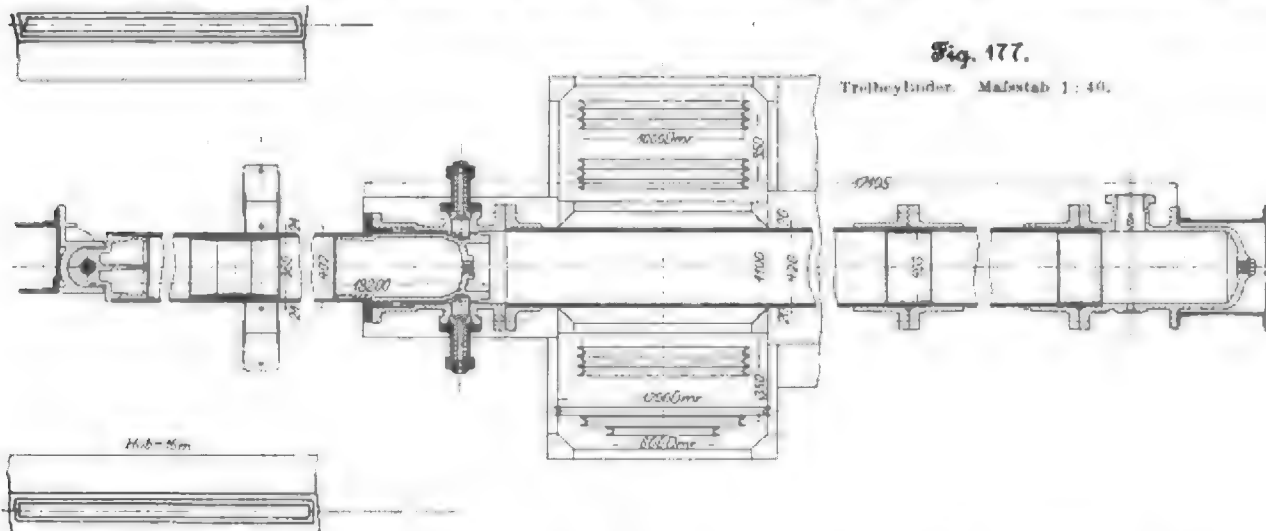
Jedes der sechs Drahtseile ist aus 216 Drähten von 1,3 mm Stärke hergestellt und hat einen Außendurchmesser von 27,6 mm. Die Bruchfestigkeit der Stahldrähte beträgt 15700 kg/qcm, die Zugbeanspruchung im normalen Betrieb 870 kg/qcm, so dass 18fache Sicherheit vorhanden ist. Das Seil wiegt 2,1 kg/m. Ausgeführt sind die Seile von der Société des Ardoisières d'Angers.

Die Seile werden sehr geschont dadurch, dass sie über Seilrollen von sehr grossem Durchmesser geleitet werden. Die Seilrollen des Flaschenzuges sind mit 3000 mm, die Leit-

auf der Achse frei drehbar ist; die dritte Rolle endlich ist frei drehbar auf die vorkragende Rotgussbüchse der Mittelrolle gesetzt. Der grosse Durchmesser der Seilscheiben führte zu schmiedeeisernen Armen. Besondere Sorgfalt ist auf die Schmierung verwendet.

3) Treibeylinder.

Von den beiden Treibeylindern, welche gemeinschaftlich die Fahrzelle heben, nimmt jeder drei Drahtseile auf, die an einer Längsseite des Zellenrahmens angreifen. Die Rollenzug-Übersetzung ist eine achtfache, entsprechend einem Kolben-



rollen im Turm mit 4000 mm Dmr. ausgeführt, während beispielsweise die Seile der Otis-Aufzüge bei nicht viel kleinerer Belastung über Rollen von nur 1500 mm Dmr. laufen müssen. Von den sechs Seilen laufen je drei dicht neben einander; es mussten daher je drei Seilrollen so angeordnet werden, dass ihre Kränze einander unmittelbar berühren, während anderseits die Scheibe eine breite Nabe für gesicherten Lauf haben musste. Diese Aufgabe ist in der Weise gelöst, dass die eine äußere Seilrolle mit ihrer Nabe fest auf der Achse sitzt, während die mittlere Seilrolle mit einer Rotgussbüchse

hub von 16,5 m und einem Kolbendurchmesser von 402 mm Die Cylinder sind wagerecht gelegt und im Fusse des Turmpfeilers so angeordnet, dass die Seile stets in derselben senkrechten Ebene bleiben. Der freie Raum zwischen den Cylindern ist für die Aufstellung der Hoch- und Niederdruck-Akkumulatoren ausgenutzt, s. Fig. 168, S. 1590.

Cylinder und Tauchkolben, Fig. 177, sind aus je drei Stahlrohren mit Zwischenstücken und Endstücken aus Stahlguss zusammengesetzt. Der Kolben ist am inneren Ende offen, also mit Druckwasser gefüllt; die Knickebeanspru-

by Google

menge den Gesamtdruck auf die drei Kolben und damit auch auf die drei Sello gleichmäßig verteilt.

Der Kolbenkupppler, Fig. 184 bis 186, beruht auf folgendem Grundsatz. Das von der Steuerung kommende Druckwasser gelangt durch ein Gabelrohr in die beiden Treibcylinder. In dieses Gabelrohr sind quer zum Wasserlauf zwei starr mit einander verbundene Kolbenschieber eingefügt, die bei Mittelstellung des Kolbenpaares die Zuleitungen der beiden Treibcylinder gleichweit offen halten. Die Außenflächen der Kolben sind einmal durch schwache Federn belastet, welche die Mittelstellung zu erhalten suchen, und außerdem durch das in den Druckräumen der Seilspanner eingeschlossene Wasser. Sobald ein Kolben voreilen will, wird der Druck im Seilspanner des andern Cylinders kleiner; infolgedessen verschiebt sich das Kolbenpaar, drosselt den Zufluss zu dem voreilenden Kolben und erweitert den Zufluss zu dem zurückbleibenden Kolben, sodass die Gleichstellung der Kolben wieder hergestellt wird.

4) Akkumulatoren.

Jeder Aufzug ist mit zwei Hochdruck-Akkumulatoren von je 700 mm Dmr. und 5,5 m Hub und mit einem Niederdruck-Akkumulator von 1100 mm Dmr. ausgerüstet. Das Arbeitsvermögen der beiden Hochdruckbehälter eines Aufzuges beträgt etwas mehr als 2 Mill. mkg. Im regelrechten Betrieb dauert die Entleerung derselben eine Minute, entsprechend einer Energie von 500 PS. Fände — etwa bei Rohrbruch — die Entleerung in 10 sk statt, so würde eine Energie von rd. 3000 PS entfesselt werden. Der Einbau von guten Rohrbruch-Sicherheitsventilen war daher unerlässlich.

Cylinder und Kolben der Akkumulatoren, Fig. 187 bis 190, sind in Gussseisen ausgeführt; die Cylinder sind freistehend aufgestellt, ohne Außenführung der Kolben¹⁾. Die Belastung — 166 t auf jedem Hochdruckkessel, 139 t auf dem Niederdruckkessel — ist durch Pfastersteine und Sand in Blechtrommeln erzielt. Absperrventile ermöglichen die Ausschaltung der Akkumulatoren. In der oberen Endstellung öffnet der Kolben durch Kettenzug ein Sicherheitsventil, dann fängt sich die Gewichtstrommel an einem Wulst des Cylinders. In der unteren Endstellung drosselt der Kolben zunächst den Zulaufquerschnitt, dann setzt sich die Gewichtstrommel auf einen Holzkranz. Der Niederdruck-Akkumulator öffnet bei tiefster Kolbenstellung selbstthätig ein Füllventil,

mit die Hauptpumpe ihre Arbeit unter normalem Gegendruck beginnen kann.

5) Steuerung.

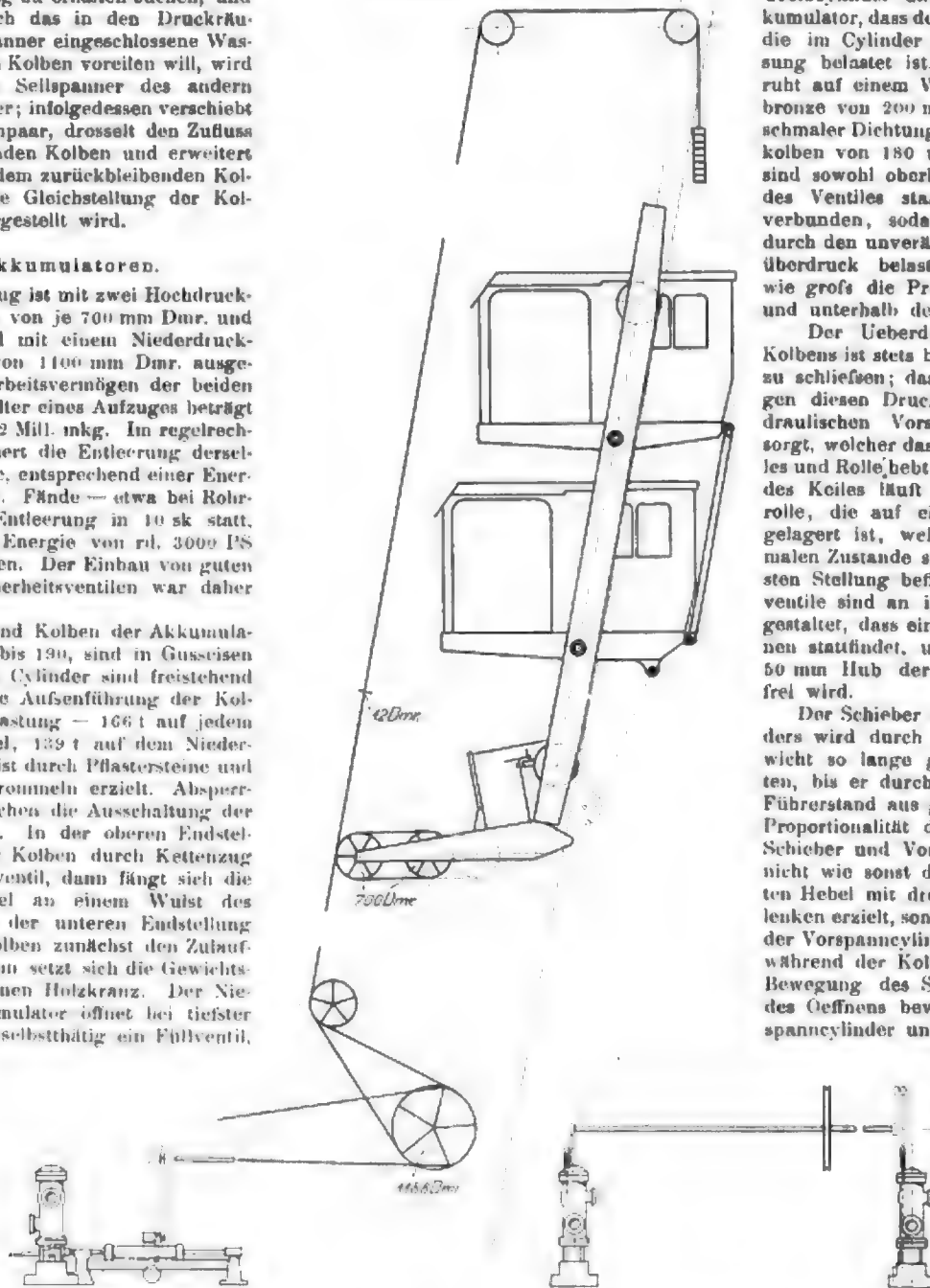
Die Steuerung jedes Aufzuges wird durch ein Ventil für Heben und ein besonderes Ventil für Senken ausgeführt. Das Hebeventil, Fig. 191 bis 194, ist in die Rohrleitung zwischen Hochdruck-Akkumulatoren und Treibcylinder so eingebaut, dass die Akkumulatorpression über dem Ventilteller steht; das Senkventil liegt so zwischen Treibcylinder und Niederdruck-Akkumulator, dass der Ventilteller durch die im Cylinder herrschende Pressung belastet ist. Der Ventilteller ruht auf einem Ventilsitz von Hartbronze von 200 mm Durchgang mit schmaler Dichtungsleiste. Ausgleichkolben von 180 und 206 mm Dmr. sind sowohl oberhalb wie unterhalb des Ventiles starr mit demselben verbunden, sodass das Ventil nur durch den unveränderlichen Kolbenüberdruck belastet ist, gleichviel wie groß die Pressungen oberhalb und unterhalb des Ventiles sind.

Der Ueberdruck des unteren Kolbens ist stets bestrebt, das Ventil zu schließen; das Öffnen wird gegen diesen Druck durch einen hydraulischen Vorspanncylinder besorgt, welcher das Ventil mittels Keiles und Rolle hebt. Die untere Fläche des Keiles läuft auf einer Gegenrolle, die auf einem Tauchkolben gelagert ist, welcher sich im normalen Zustande stets in seiner höchsten Stellung befindet. Die Steuerventile sind an ihrer Unterseite so gestaltet, dass ein allmähliches Öffnen stattfindet, und dass erst nach 50 mm Hub der volle Querschnitt frei wird.

Der Schieber des Vorspanncylinders wird durch ein Belastungsgewicht so lange geschlossen gehalten, bis er durch ein Drahtseil vom Führerstand aus geöffnet wird. Die Proportionalität der Bewegung von Schieber und Vorspannkolben wird nicht wie sonst durch den bekannten Hebel mit drei beweglichen Gelenken erzielt, sondern dadurch, dass der Vorspanncylinder beweglich ist, während der Kolben feststeht. Bei Bewegung des Schiebers im Sinne des Öffnens bewegt sich der Vorspanncylinder und damit der Schieber

Fig. 195 und 196.

Steuerung. Maßstab 1:100.



welches Druckwasser aus dem Hochdruck-Akkumulator zuführt.

Vor Inbetriebsetzung der Aufzüge wird der Niederdruck-Akkumulator durch eine besondere Füllpumpe gefüllt, da-

¹⁾ Die Kolben führen sich daher nur im Grundriss und in einer 1,5 m tiefer liegenden Arbeitsleiste des Cylinders.

berspiegel in gleichem Sinne so weit, bis der Schieber wieder geschlossen ist; der Cylinder bewegt sich also proportional mit dem Schieber. Das Steuerseil — ein Drahtseil von 12 mm Stärke — wird vom Führerstande der Fahrzelle aus in der Weise bethätigt, Fig. 195 und 196, dass die Drehung eines Handrades aus der Mittelstellung heraus nach rechts oder links zwei

Zahnstangen gegeneinander verschiebt, Fig. 197 bis 200, und durch Seilrollen am Kopf der Zahnstangen den einen Seilstrang verkürzt, den andern verlängert; diese Längenänderung der Seilstränge veranlaßt die Drehung der Steuerseilscheibe, die ihrerseits auf die Schieber der Vorspanncylinder durch geschlitzte Schubstangen so übertragen wird, dass entweder nur die Hebesteuerung oder nur die Senksteuerung bewegt wird.

Zum Nachsehen und zur Einstellung können die Steuer-ventile auch vermittels Schraubenspindeln vom Maschinenhaus aus betätigt werden.

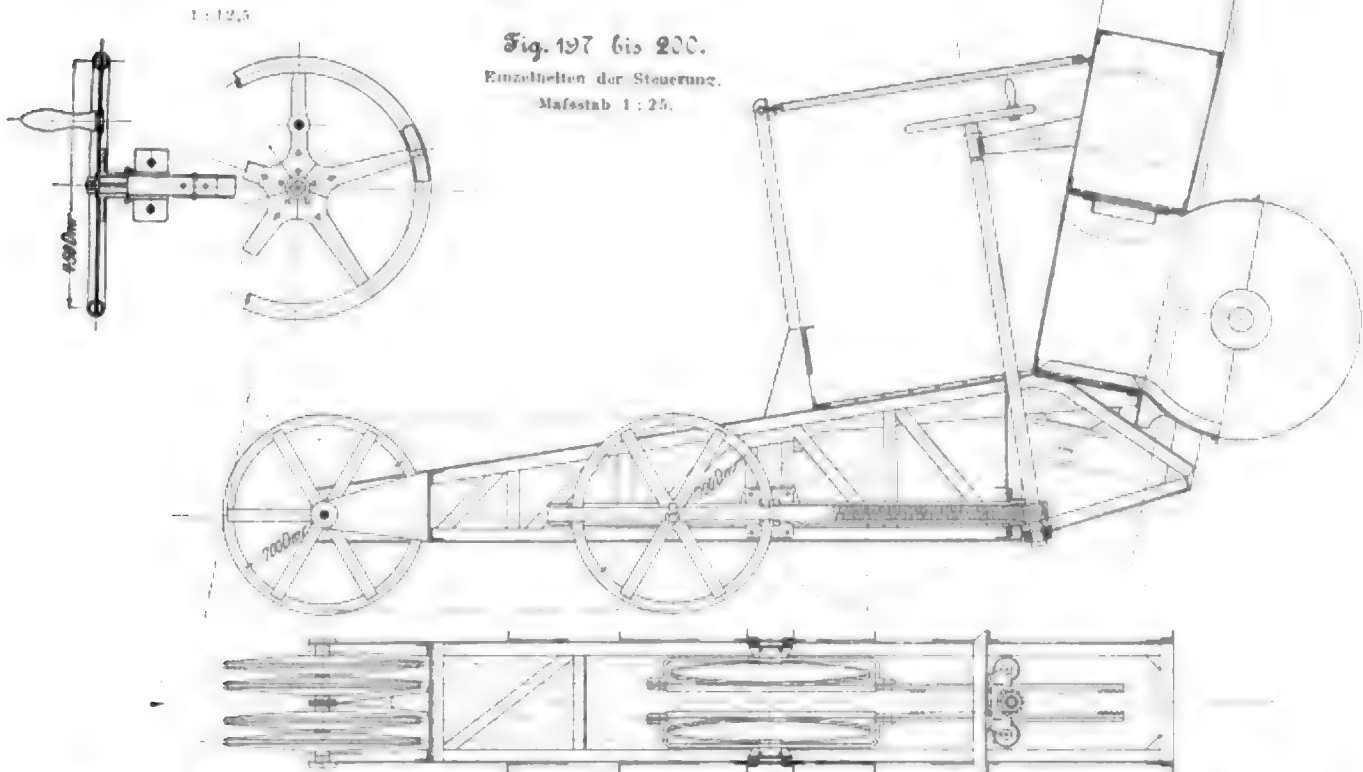
6) Regelung der Geschwindigkeit.

Bei den älteren Aufzügen des Eiffelturmes ist die Regelung der Geschwindigkeit völlig in die Hand des Führers gegeben; versäumt der Führer die Regelung, so ändert sich die Geschwindigkeit in ziemlich weiten Grenzen, weil nicht nur die Belastung der Zelle sich ändert, sondern weil auch der Wechsel der Bahneigung und die Veränderlichkeit der Seilgewichte den Gesamtwiderstand weitgehend beeinflussen. Als eine wesentliche Erhöhung der Betriebssicherheit ist daher die bei den Fives-Lille-Aufzügen eingebaute selbstthätige Regelung der Geschwindigkeit zu bezeichnen.

lastung der Zelle, 28 at bei leerer Fahrzelle. Im Aufsenraum des Hebereglers herrscht die Hochdruckpressung von 50 at, im Aufsenraum des Senkreglers die Niederdruckpressung von 18 at.

Der Durchflussquerschnitt kann nun auf zweierlei Weise verändert werden: durch axiale Verschiebung der Kolbenschieber und durch Drehung der Kolben. Ersteres wird bewirkt, um den Durchflussquerschnitt dem jeweiligen Widerstand anzupassen; letzteres wird herbeigeführt, um die Geschwindigkeit in Nähe der Haltestellen zu vermindern.

Von dem Innenraume des Gehäuses führt eine Bohrung zu einem kleinen Regelkolben, der durch eine Feder aus Belleville-Platten belastet ist. Die Zusammenpressung dieser Feder wird also proportional mit der Treibcylinderpressung, folglich auch proportional mit dem auf dem Treibkolben lastenden Widerstande wachsen. Der kleine Regelkolben betätigt den Wechselschieber eines Vorspanncylinders, der über dem Gehäuse angeordnet ist. Der Kolben dieses Vorspanncylinders ist unmittelbar mit dem Kolbenschieber gekuppelt: Füllung des Vorspanncylinders mit Druckwasser bewegt den Vorspannkolben und damit den Kolbenschieber nach abwärts; Füllung des Vorspanncylinders mit Abwasser veranlaßt den



Wie bereits zu Anfang erwähnt, ist die Regelung eine doppelte: erstens abhängig vom Hub behufs Verminderung der Geschwindigkeit vor und hinter den Haltestellen, und zweitens abhängig von der Größe des Gesamtwiderstandes behufs Erzielung unveränderter Geschwindigkeit für jeden vorkommenden Widerstand.

Als Regelorgan bei Aufahrt dient ein Kolbenschieber, der zwischen Hebesteuerung und Treibcylinder eingebaut ist, als Regelorgan bei Niederfahrt arbeitet ein zweiter zwischen Treibcylinder und Senksteuerung eingefügter Kolbenschieber.

Diese Regelschieber, Fig. 201 bis 205, sind als siebförmig durchlochte Rotgusskolbenschieber ausgebildet, welche sich ohne Dichtung — da sie nur zu drosseln haben — in eingeschlossenen Rotgussbüchsen bewegen. Hebe- und Senkschiebergehäuse sind auf gemeinschaftlicher Grundplatte aufgebaut. Der Innenraum der Kolben steht mit dem Treibcylinder in Verbindung, der ringförmige Außenraum mit der Hebe- bzw. Senksteuerung. Es herrscht also im Innenraum stets dieselbe Pressung wie im Treibcylinder, die stets dem äußeren Widerstand der Treibkolben proportional ist: 46 at bei voller Be-

lastung der Zelle, 28 at bei leerer Fahrzelle. Im Aufsenraum des Hebereglers herrscht die Hochdruckpressung von 50 at, im Aufsenraum des Senkreglers die Niederdruckpressung von 18 at. Der Durchflussquerschnitt kann nun auf zweierlei Weise verändert werden: durch axiale Verschiebung der Kolbenschieber und durch Drehung der Kolben. Ersteres wird bewirkt, um den Durchflussquerschnitt dem jeweiligen Widerstand anzupassen; letzteres wird herbeigeführt, um die Geschwindigkeit in Nähe der Haltestellen zu vermindern. Von dem Innenraume des Gehäuses führt eine Bohrung zu einem kleinen Regelkolben, der durch eine Feder aus Belleville-Platten belastet ist. Die Zusammenpressung dieser Feder wird also proportional mit der Treibcylinderpressung, folglich auch proportional mit dem auf dem Treibkolben lastenden Widerstande wachsen. Der kleine Regelkolben betätigt den Wechselschieber eines Vorspanncylinders, der über dem Gehäuse angeordnet ist. Der Kolben dieses Vorspanncylinders ist unmittelbar mit dem Kolbenschieber gekuppelt: Füllung des Vorspanncylinders mit Druckwasser bewegt den Vorspannkolben und damit den Kolbenschieber nach abwärts; Füllung des Vorspanncylinders mit Abwasser veranlaßt den

Kolbenschieber, hoch zu steigen, da seine dicke Kolbenstange durch die Treibcylinderpressung von unten belastet ist. Regelkolben, Wechselschieber und Vorspannkolben sind durch einen Hebel ohne festen Drehpunkt — einen »schwimmenden« Hebel, wie der Amerikaner sagt — in bekannter Weise so verbunden, dass der Vorspannkolben sich genau proportional mit dem Regelkolben bewegt. Die Löcher im Kolbenschieber sind nun so gebohrt, dass bei abnehmender Last, also bei sinkender Treibcylinderpressung, entsprechend abwärtsgehendem Kolbenschieber, der Durchflussquerschnitt verkleinert wird, um einer gefährlichen Erhöhung der Fahrzellengeschwindigkeit vorzubeugen. Die Löcher im Kolben müssen naturgemäß so verteilt sein, dass sich der Durchflussquerschnitt nicht proportional mit der Belastung, sondern nach Fig. 206 ändert, da der Spannungsverlust bekanntlich proportional mit dem Quadrat der Durchflussgeschwindigkeit wächst.

Zur Verminderung der Fahrgeschwindigkeit, also des Durchflussquerschnittes, in Nähe der Haltestellen sind zwischen den Reglergehäusen zwei große Daumenscheiben gelagert, welche von den Seilrollen der Treibcylinder mittels Wellen

Fig. 201.

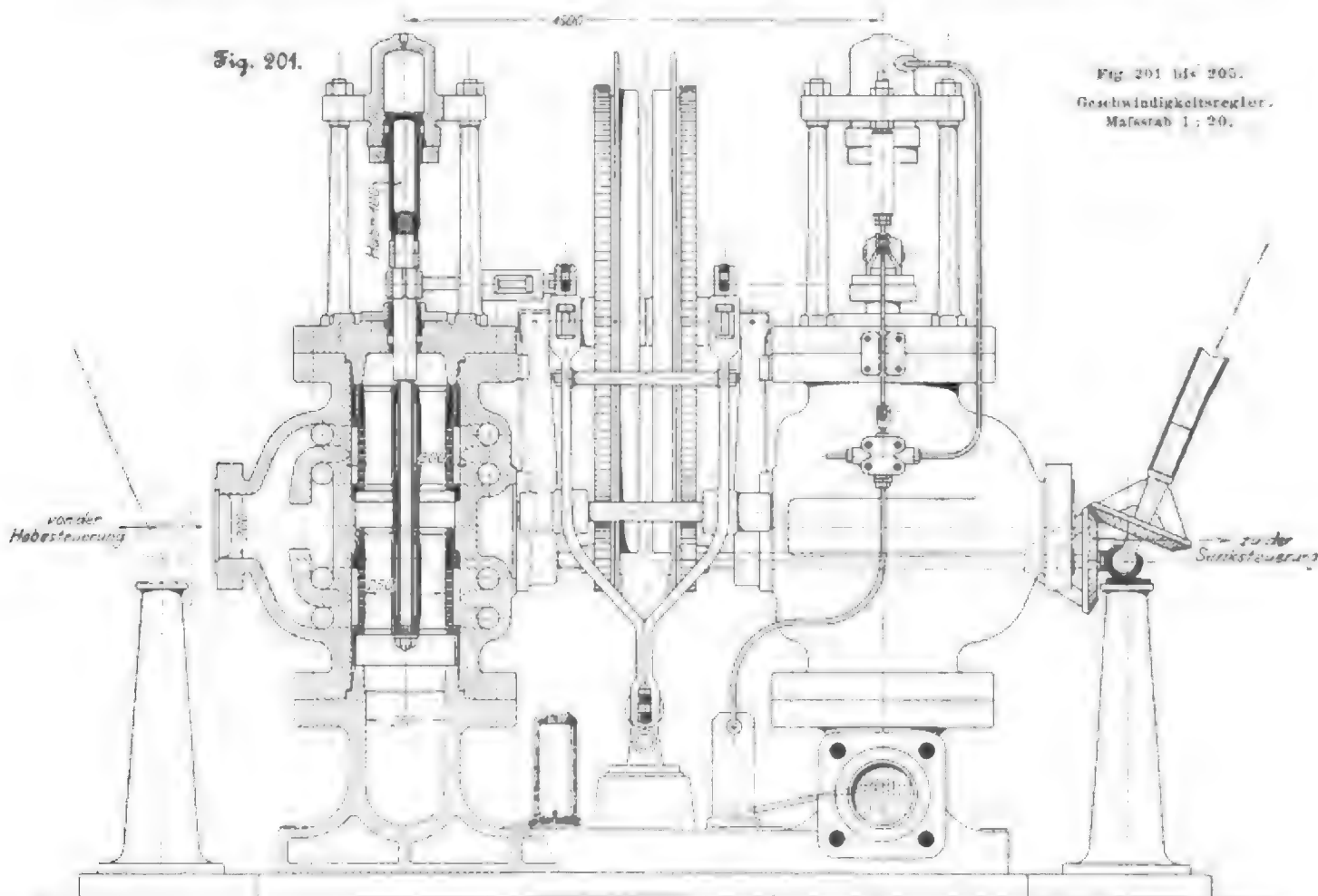
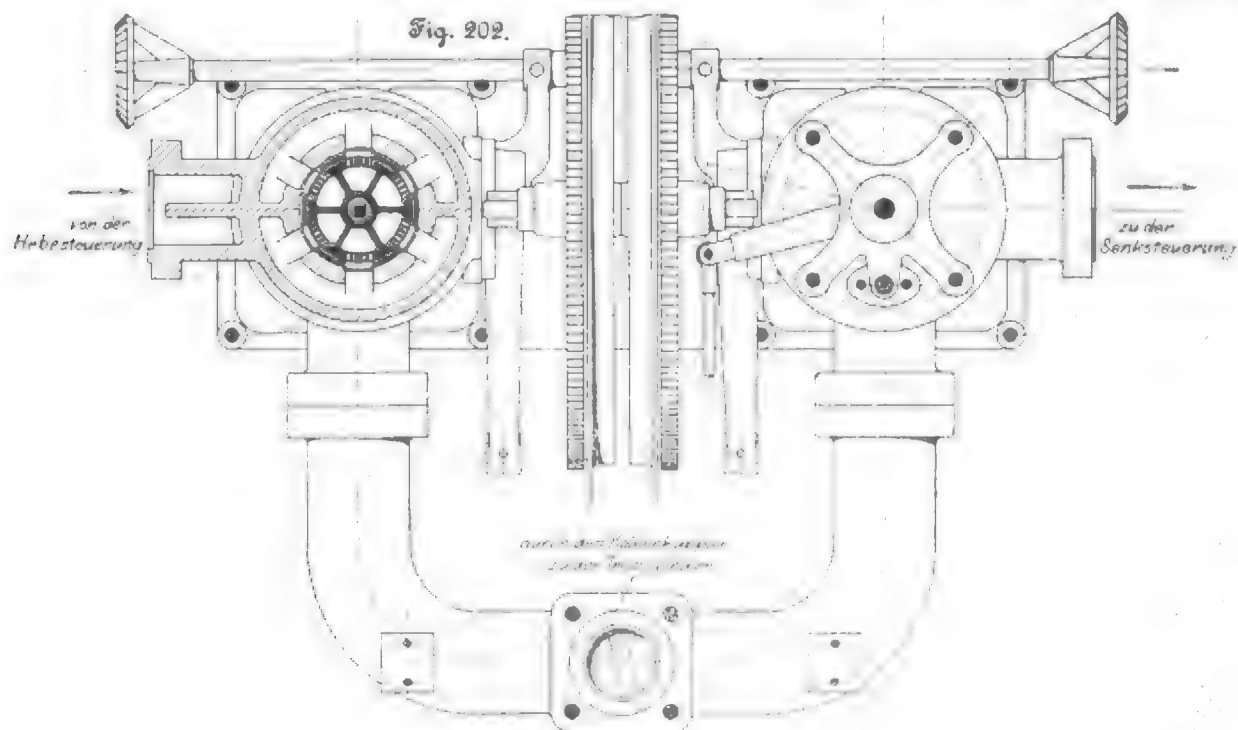
Fig. 201 bis 203.
Geschwindigkeitsregler.
Maßstab 1 : 20.

Fig. 203.

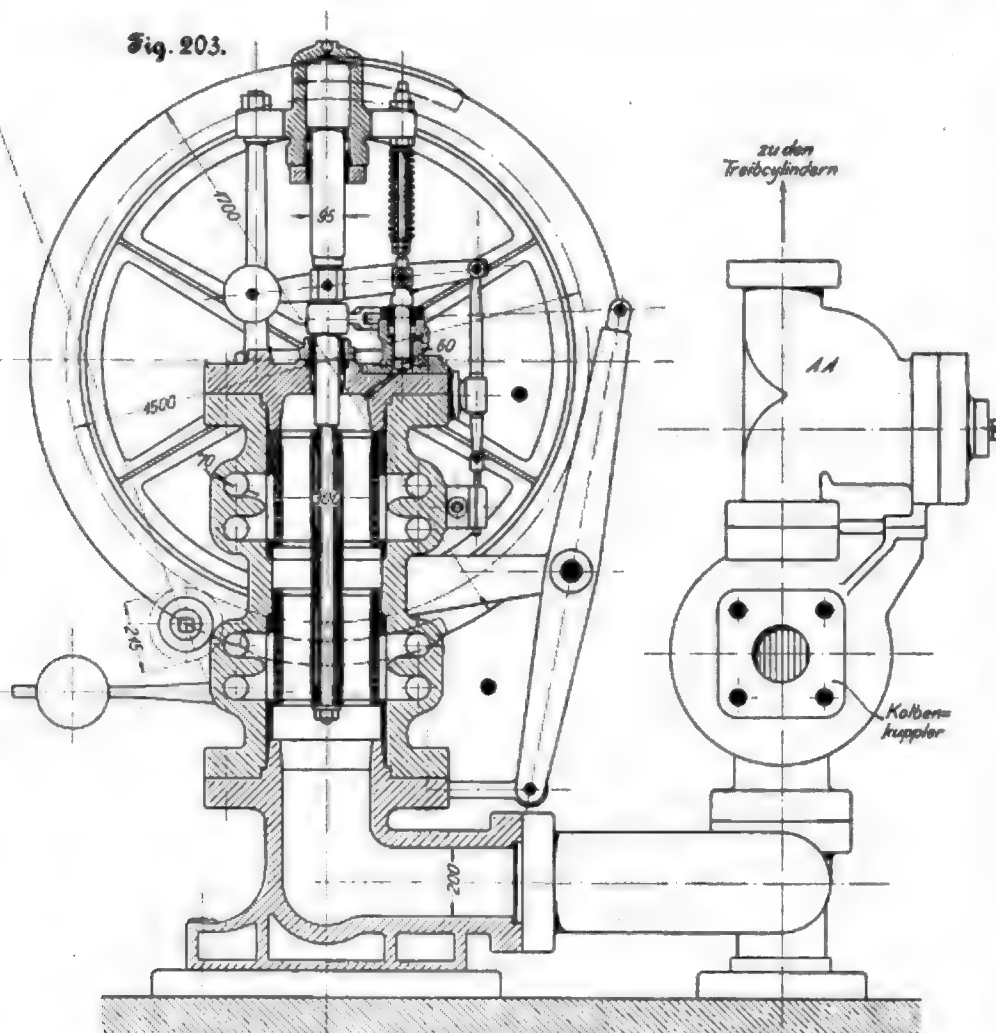
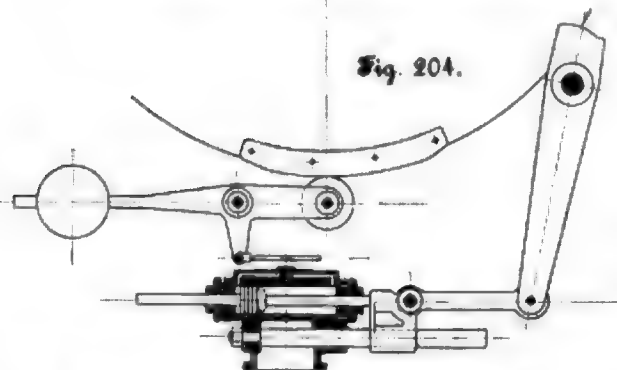


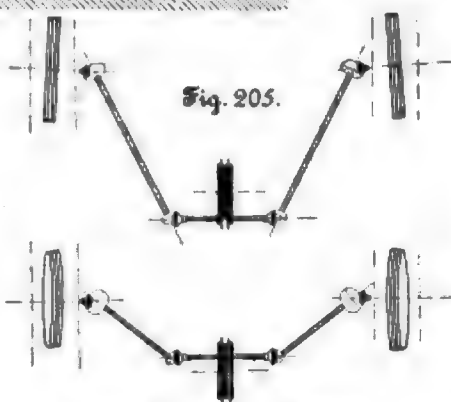
Fig. 204.



und Kegelsräder angetrieben werden. Auf diesen Scheiben sitzen Nasen, welche auf einen gewichtbelasteten Rollenhebel wirken, und zwar so, dass das Hebelgewicht gehoben bleibt, solange die Fahrzelle sich 5 m vor oder hinter einer Haltestelle befindet. Der Gewichthebel bewegt den Wechselschieber eines Vorspanncylinders, der in der Mitte zwischen den beiden Reglergehäusen angeordnet ist. Der Kolben des Vorspanncylinders betätigt einen Gabelhebel, der mittels Schubstangen gleichzeitig beide Kolbenschieber so verdreht, dass der Durchflussquerschnitt auf $\frac{1}{2}$ des achsial eingestellten vermindert wird, so lange die Fahrzelle sich 5 m vor oder hinter einer Haltestelle befindet. Die selbstthätige Verkleinerung der Fahrgeschwindigkeit bei Anlauf und Endlauf erhöht naturgemäß die Betriebssicherheit wesentlich und erleichtert dem Führer die Handhabung der Steuerung.

zu den
Treibzylindern

Fig. 205.



Antrieb des Geschwindigkeitsreglers

die oben genannten beiden Rohrstränge zu dem Kolbenkupppler, von dort durch ein Rohr von 200 mm Dmr. zum Senkgeschwindigkeitsregler und von da zur Senkstenerung und schließlich in den Niederdruck-Akkumulator. Von letzterem führt ein Rohr von 150 mm Dmr. zu den Pumpen, wobei ein Rohrbruchventil, ein Absperrventil und ein Rückschlag-(Absperr-)ventil eingefügt sind. Es ist also dafür gesorgt, dass sowohl die drei Akkumulatoren wie die beiden Treibzylinder und die Pumpen einzeln für sich abgeschaltet werden können, ohne dass die übrigen Teile entwässert zu werden brauchen. Zahlreiche Hilfsleitungen dienen zur Speisung der Vorspanncylinder mit filtrirtem Wasser, zur Entwässerung verschiedener Teile und zur Verbindung der Sicherheitseinrichtungen. Die Rohrstränge von 200 mm Dmr. sind aus Gusseisen, diejenigen von 150 mm Dmr. aus Stahl ausgeführt.

Die Einfügung der Vorspanncylinder ist als eine Notwendigkeit kaum zu bezeichnen; derselbe neue Gedanke der Geschwindigkeitsregelung hätte sich wohl auch mit unmittelbarer Einwirkung und entsprechender Vereinfachung durchführen lassen. Das für die Vorspanncylinder erforderliche Druckwasser geht durch Filter, die als gusseiserne, mit gewaschenen Schwämmen gefüllte Töpfe ausgeführt und zwischen den beiden Reglergehäusen aufgestellt sind.

7) Rohrschaltung.

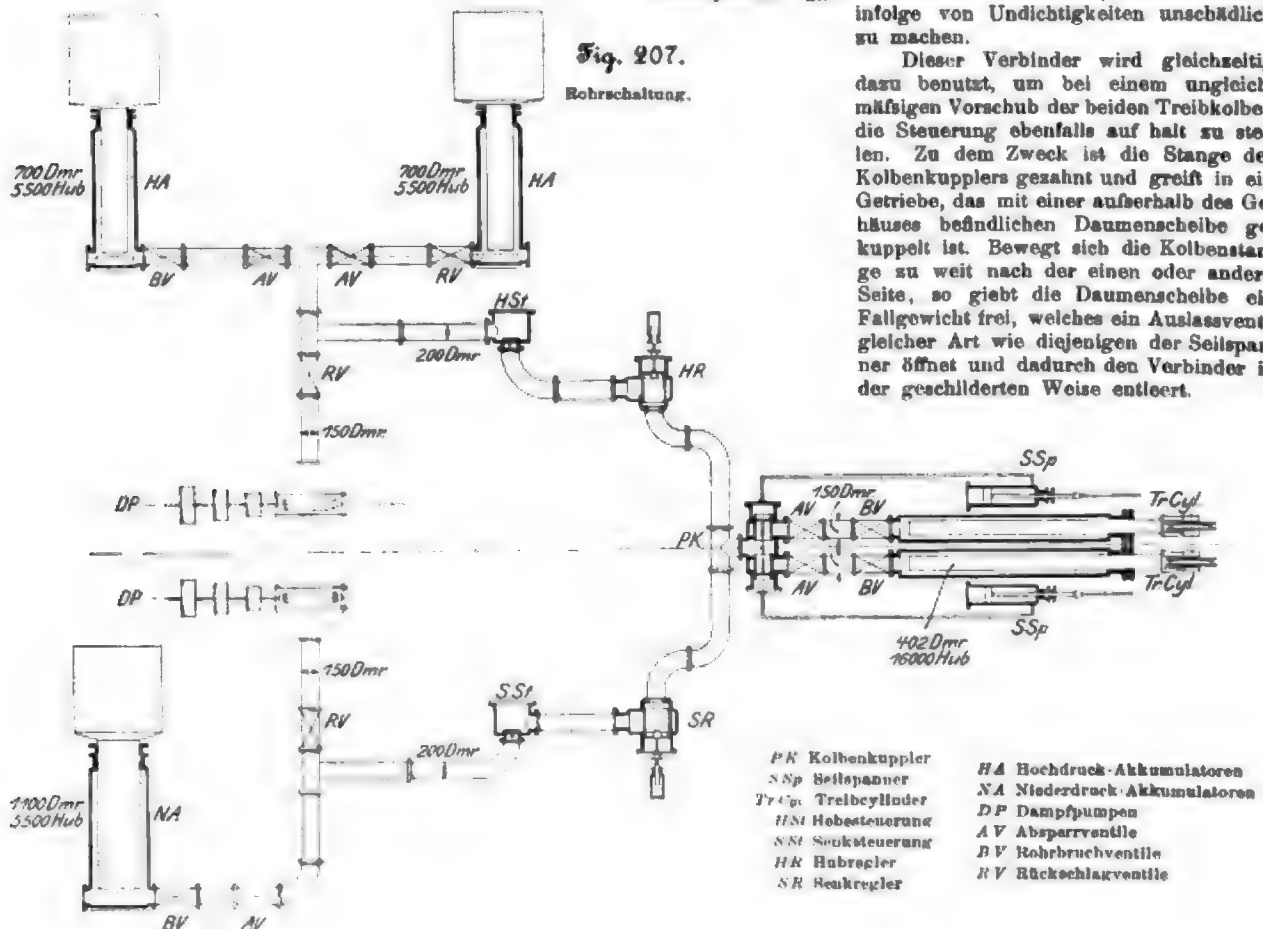
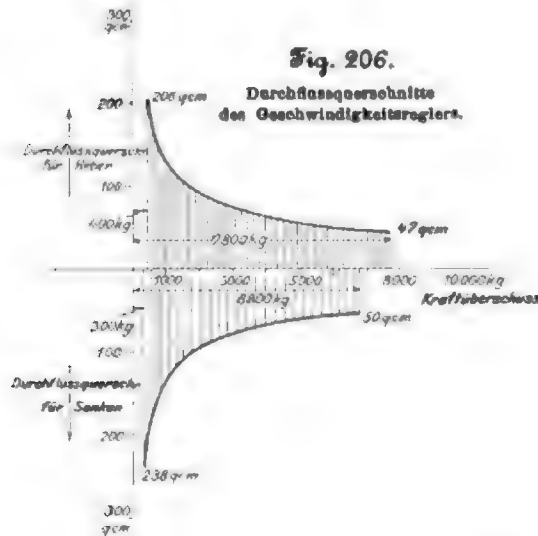
Der Wasserkreislauf in den Hauptleitungen ist aus Fig. 207 ersichtlich. Von den Pumpen — zwei Dreifachexpansions-Worthington Pumpen, aufgestellt in dem im Südpfeiler untergebrachten gemeinsamen Pumpen- und Kesselhause — führt das Druckrohr von 150 mm Dmr. zu den beiden Hochdruck-Akkumulatoren; das Druckwasser strömt hierbei durch ein doppelseitiges Rückschlagventil, welches gleichzeitig als Absperrventil benutzt werden kann. Das aus den beiden Hochdruck-Akkumulatoren zur Hebesteuern fließende Druckwasser strömt durch je ein Rohrbruchventil von 200 mm Dmr. und durch je ein Absperrventil von 200 mm Dmr. an jedem Akkumulator. Von der Hebesteuern

führt ein Rohr von ebenfalls 200 mm Dmr. zu dem Hebegeschwindigkeitsregler. Unmittelbar an letzteren ist der Kolbenkupppler angeschlossen, und von diesem führen zwei Rohrstränge von je 150 mm Dmr. zu den beiden Treibzylindern, in welche je ein Absperrventil und je ein Rohrbruchventil eingefügt ist. Das aus den Treibzylindern kommende Abwasser geht durch

s) Sicherheitseinrichtungen.

Die Sicherheit, welche durch die Wahl der Anordnung erreicht ist, wurde bereits besprochen; dahin sind zu rechnen: die Vermeidung von Gegengewichten im Turm, die Anordnung von 6 Seilen mit genauer Lastverteilung, die selbstthätige Geschwindigkeitsregelung und die hydraulische Fangvorrichtung.

Dazu kommen Sicherungen gegen die Unfälle, welche durch Rohrbrüche oder Seilbrüche herbeigeführt werden können. Zu diesem Zweck ist jeder der drei Akkumulatoren



und jeder der beiden Treibcylinder mit einem Rohrbruchventil ausgerüstet, welches dem Druckwasser freien Ein- und Austritt gestattet, so lange Pressung im Rohrstrang herrscht, aber sofortigen Schluss herbeiführt, wenn die Pressung infolge eines Rohrbruches verschwindet. Zur Abfangung des hierbei entstehenden Wasserstoßes ist an jedem Rohrbruchventil ein Sicherheitsventil angeordnet; letzteres wird bei höchster Akkumulatorstellung bzw. bei äußerster Stellung des Treibkolbens selbstthätig durch einen Kettenzug geöffnet und kann gleichzeitig als Auslassventil von hand bedient werden.

Ein Seilbruch oder eine Seildehnung würde sich sofort durch eine Verschiebung des entsprechenden Kolbens der hydraulischen Seilspanner bemerkbar machen; die Verschiebung öffnet ein Auslassventil, welches das Druckwasser aus dem Gegenrollencylinder der Steuerung ausströmen lässt und dadurch die Steuerung auf halt stellt. Diese selbstthätige Abstellung bildet gleichzeitig einen Schutz gegen Hängesell.

Die Einzelausführung dieser Vorrichtung ist aus Fig. 208 ersichtlich. Die Gegenrollencylinder der Steuerung sind an ein Gefäß, den Verbinder, angeschlossen, welches von b her Druckwasser aus dem Hochdruckakkumulator erhält. Andererseits ist an den Verbinder das Auslassventil a angeschlossen, welches im normalen Betrieb durch eine Feder geschlossen gehalten wird. Sobald der Kolben eines Seilspanners in seine Endstellung geht, löst er ein Fallgewicht aus, welches das Auslassventil öffnet. Infolgedessen vermindert sich die Pressung unter dem im Verbinder beweglichen Kolben, letzterer bewegt sich daher unter dem Einfluss des oberhalb einströmenden Druckwassers nach abwärts, schließt das unter ihm befindliche Ventil und sperrt dadurch den Druckwasserzufluss vom Verbinder ab. Nunmehr strömt das im Gegenrollencylinder der Steuerung eingeschlossene Wasser durch das Auslassventil aus und stellt dadurch die Steuerung auf halt. Die Einschalung des Verbinders zwischen Gegenrollencylinder und Auslassventil bewirkt, Wasserverluste infolge von Undichtigkeiten unschädlich zu machen.

Dieser Verbinder wird gleichzeitig dazu benutzt, um bei einem ungleichmäßigen Vorschub der beiden Treibkolben die Steuerung ebenfalls auf halt zu stellen. Zu dem Zweck ist die Stange des Kolbenkupplers gezahnt und greift in ein Getriebe, das mit einer außerhalb des Gehäuses befindlichen Daumenscheibe gekuppelt ist. Bewegt sich die Kolbenstange zu weit nach der einen oder andern Seite, so gibt die Daumenscheibe ein Fallgewicht frei, welches ein Auslassventil gleicher Art wie diejenigen der Seilspanner öffnet und dadurch den Verbinder in der geschilderten Weise entleert.

Schließlich kann der Verbinder auch vonhand mittels eines kleinen daran befindlichen Ventiles entleert werden, sodass der im Maschinenhause befindliche Wärter sofort imstande ist, die Fahrzelle stillzuhalten, wenn er irgend eine Störung bemerken sollte.

Betriebstörungen würden sich sofort an der Manometertafel bemerkbar machen, an welcher auch ein Stockwerkzeiger und der genannte Verbinder angeordnet sind, sowie ein Telefon, welches den Wärter im Maschinenhause mit dem Führer in der Fahrzelle verbindet. Die Manometer zeigen

Fig. 208.

Selbstthätige Abstellung
bei Seilbruch.

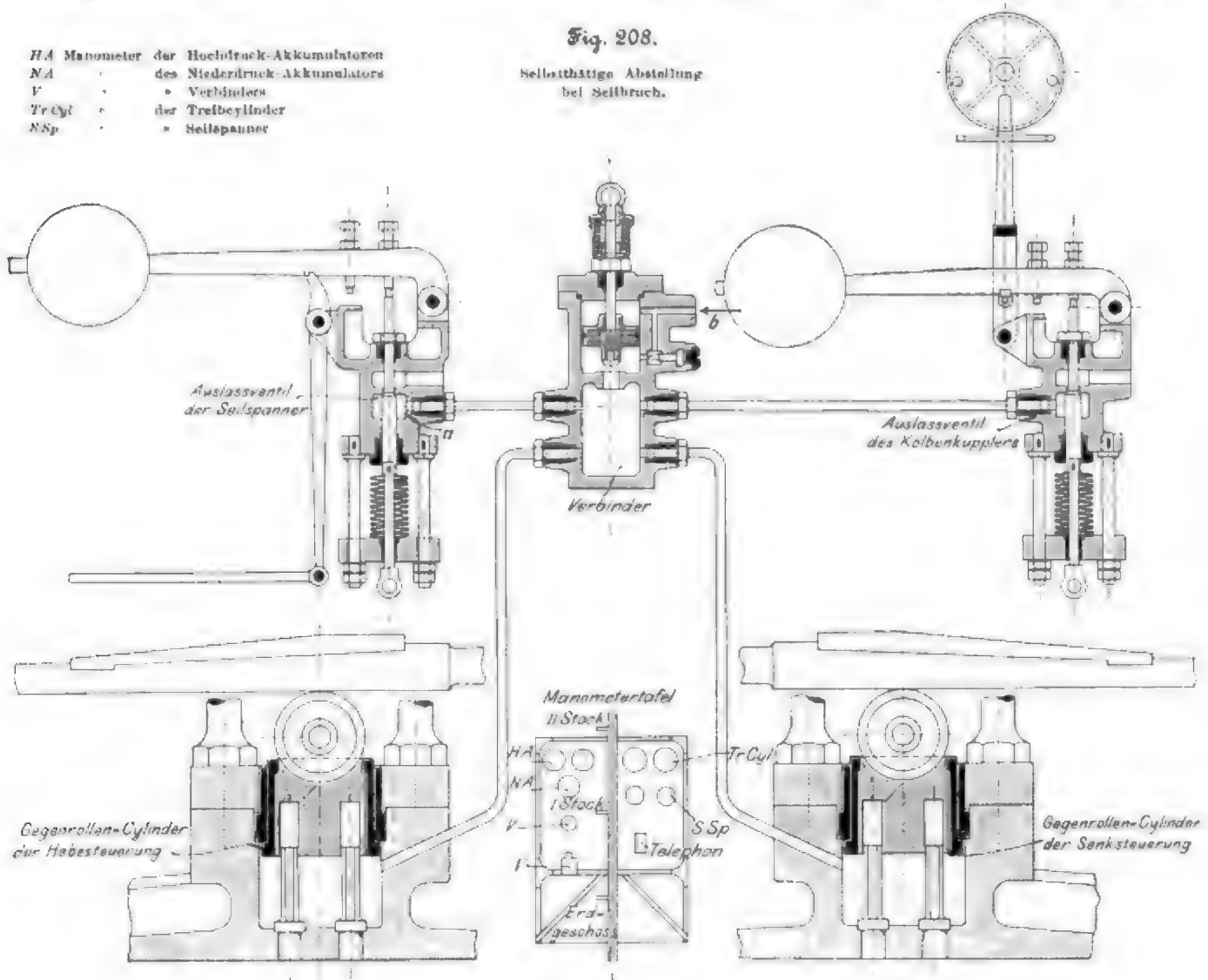
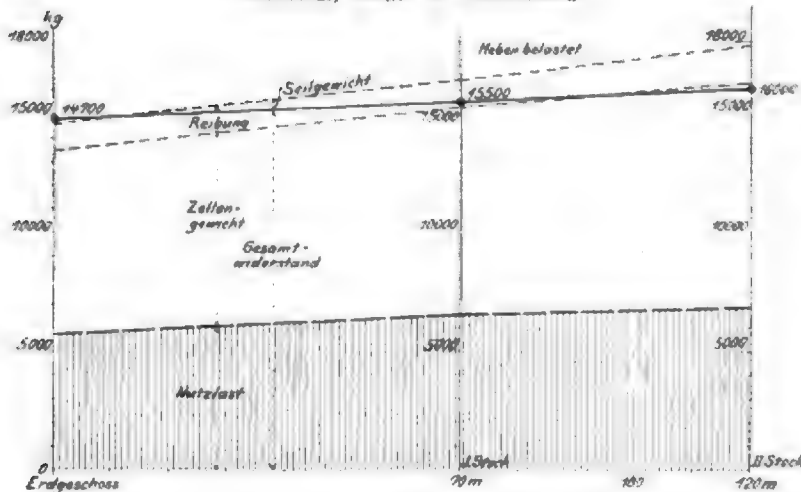


Fig. 209.

Widerstände, bezogen auf Vollbelastung.



die Pressungen in den drei Akkumulatoren, in den beiden Treibcylindern, in den beiden Seilspannern und im Verbinder. Durch diese Einrichtungen ist eine fortwährende Ueberwachung des Betriebes ermöglicht.

3) Betrieb.

Der außerordentlich schwankende Wert des Gesamtwiderstandes, der sich aus dem Wechsel der Belastung, der Bahneigung und der Veränderlichkeit des Seilgewichtes ergibt, ist aus der Darstellung der Widerstände, Fig. 209, deutlich erkennbar. Der Reibungswiderstand hingegen, der sich aus Stopfbüchsenreibung, Seilrollenreibung, Laufrollenreibung und aus der Reibung des Aufrecht-Triebwerkes der Fahrzelle zusammensetzt, ist von nur geringem Einfluss auf den Gesamtwiderstand, da die Vermeidung von Gegengewichten auf schiefer Bahn, die außerordentlich großen Durchmesser der Seilrollen und die Wahl hoher Pressung — 50 at — die Gesamtreibung sehr vermindern. Gegenüber den Otis-Aufzügen

mit ihren vielen kleinen Seilrollen, ihrem großen Gegengewicht und ihrer geringen Wasserpressung von 18 at wird daher ein nahezu doppelt so hoher Wirkungsgrad erzielt: 0,68 gegen 0,37.

Aus dem verfügbaren Ueberdruck und aus den bewegten Massen ergeben sich die Geschwindigkeitskurven, die in Fig. 210 dargestellt sind. Man ersieht daraus den Einfluss der selbstthätigen Regelung, den Einfluss der selbstthätigen Geschwindigkeitsverminderung und den regelmäßigen Verlauf des Betriebes, der durch diese Einrichtungen gewährleistet ist.

Ein Vergleich der Widerstände bei leerer und bei vollbelasteter Zelle ist in Fig. 211 durchgeführt, und zwar bezogen auf den Anhub aus dem Erdgeschoss. Zu berücksichtigen ist hierbei, dass die zur Ueberwindung des Eigengewichtes der Zelle erforderliche Hubarbeit bei dem darauf

folgenden Senken im Niederdruck-Akkumulator wieder gewonnen wird.

Die aus der selbstthätigen Geschwindigkeitsregelung sich ergebende Leistungskurve des Motors ist in Fig. 212 dargestellt. Die vollgezogene Linie entspricht den vorkommenden Belastungen, die gestrichelte Linie derjenigen Belastung, bei welcher Gleichgewicht eintreten, d. h. die Treibkolben stehen bleiben würden.

10) Gewichte und Anlagekosten.

1 Fahrzelle	9500 kg
6 Lastseile und 1 Steuerseil	8080 "
Seilscheiben mit Lagern	13770 "
Führungsschienen und Zahnstangen	20300 "
2 Treibcylinder	93330 "
3 Akkumulatoren	213080 "
Steuerung, Regler und Armaturen	39080 "
Rohrleitung	26520 "
	438750 kg

Für den maschinentechnischen Teil der beiden Aufzüge zusammen ergab sich sonach ein Gesamtgewicht von 877500 kg, das von der Cie. de Fives-Lille für den Gesamtpreis von 630000 frs geliefert worden ist.

Fig. 210.

Geschwindigkeit-kurven.

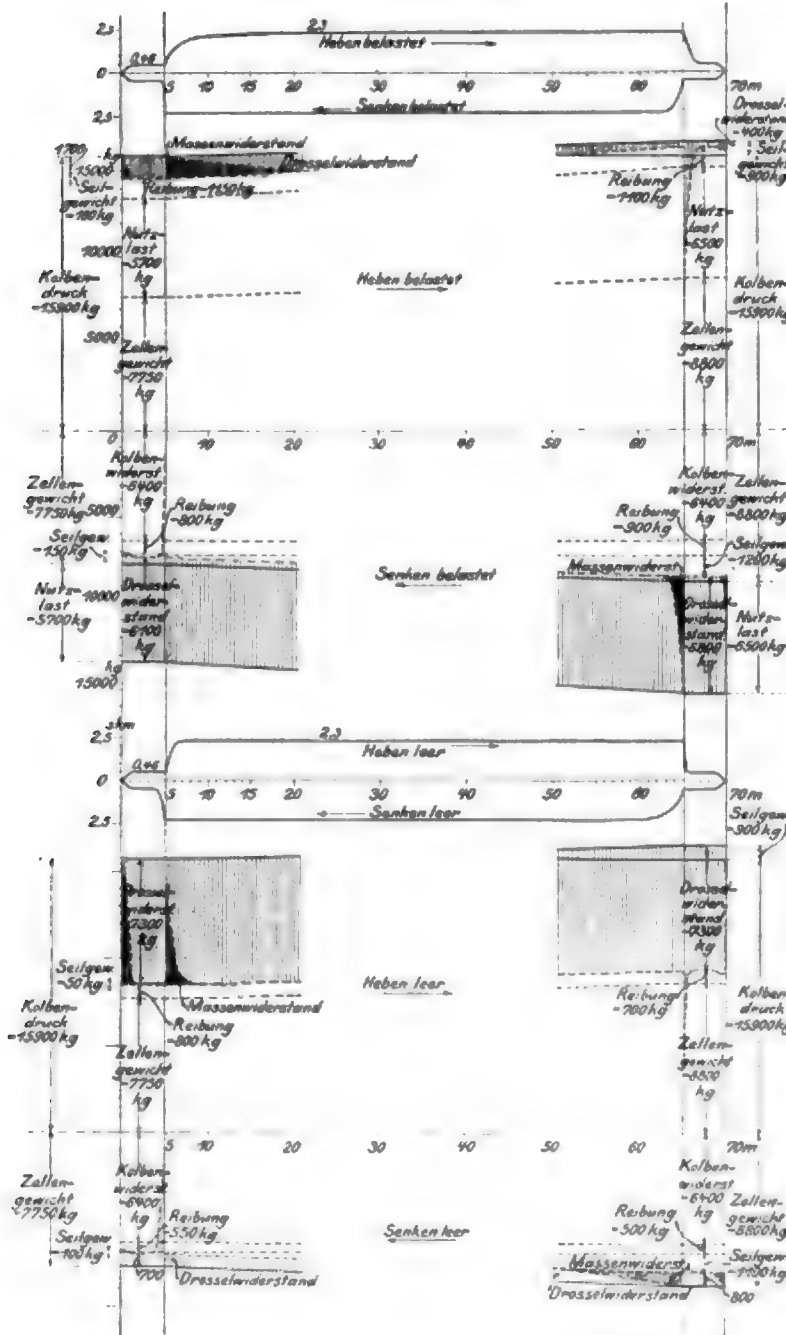


Fig. 211.

Vergleich der Widerstände für leere und belastete Zelle, bezogen auf das 1. Stockwerk.

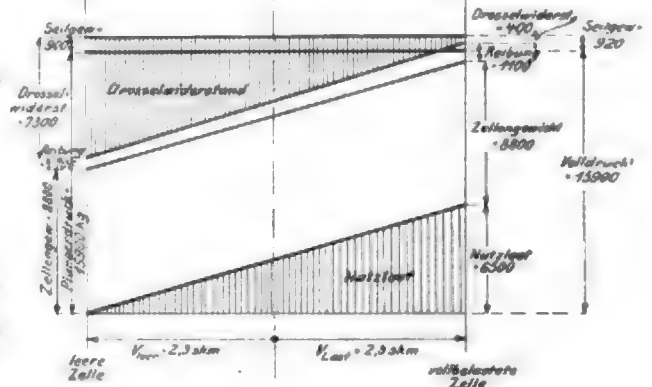
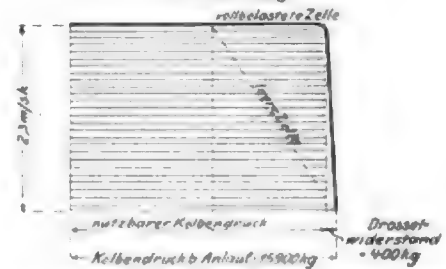


Fig. 212.

Motorleistung.



Dazu kamen, ausgeführt von der Eiffelturm-Gesellschaft auf eigene Rechnung:

Pumpenanlage	78290 frs
Führungslagerung und Aluminiumzellen insgesamt 97 t	67700 "
Akkumulatorenbelastung (Steine und Sand) insgesamt 700 t	50000 "
Fundamente	150000 "
Montage	75000 "
	420990 frs

Die gesamten Anlagekosten für die beiden neuen Aufzüge betragen sonach $630000 + 420990 =$ rd. 1051000 frs.

Die Konstruktion hatte 18 Monate in Anspruch genommen.

Schlussbemerkung.

Die Gesamtheit der ausgestellten Maschinen ist, von einigen besonderen Ausführungen abgesehen — Laufkran der Shaw Electric Crane Co., Hochbahnkran der Temperley Transporter Co., Eiffelturm-Aufzüge der Cie. de Fives-Lille — keineswegs als eine Vertretung der neueren schnellgehenden Hebmäschinen anzusehen; trotzdem aber lässt ein Rückblick die bedeutende Steigerung der Geschwindigkeiten gegenüber den Ausführungen der Zeit vor dem letztvergangenen Jahrzehnt erkennen. Die Hubgeschwindigkeit von Kalkranen ist von rd. 0,5 m/sk auf rd. 1,5 m/sk gewachsen, die Hubgeschwindigkeit von Personenaufzügen von höchstens 1,0 m/sk bis zu 2,0 m/sk in Europa und bis zu 4,0 m/sk in den Vereinigten Staaten; die Fahrgeschwindigkeit der Laufkrane ist von 0,5 m/sk auf 2,0 m/sk, der Laufkatzen von 0,5 m/sk auf 3 m/sk gestiegen; Fördermaschinen haben es in Europa bis zu 15 m/sk, in amerikanischen Schächten von mehr als 1000 m Tiefe bereits bis zu 20 m/sk Hubgeschwindigkeit gebracht.

Diese Geschwindigkeitsteigerung auf ganzer Linie führt, wie aus den vorstehenden Entwicklungen ersichtlich ist, zu beträchtlichen Massenwirkungen und Massenwiderständen, die von weitestgehendem Einfluss auf die Ausbildung der Krangerüste und der Krautriebwerke sind. Es wäre bei-

spielsweise ganz verkehrt, einen raschgehenden Laufkranträger nach denselben Grundsätzen zu entwerfen wie eine feststehende Brücke. Während bei letzterer die statischen Kräfte und die Festigkeitsbedingungen in erster Linie maßgebend für die Bauart sind, führen die dynamischen wagerechten Kräfte und die Einflüsse der Formänderungen auf das Triebwerk zu ganz anderer Gestaltung des Trägers. Die Sicherheit und Genauigkeit des Maschinenbetriebes ist entscheidend für die Konstruktion, nicht die Ersparnis an Walzisen. Ebenso führt einseitige Hervorhebung des Wirkungsgrades von Triebwerken im Beharrungszustande zu unzweckmäßigen Konstruktionen: die Vorgänge in der Anlauf- und Endlaufperiode beeinflussen die Belastungen von Triebwerken und Motoren häufig in weit höherem Grade als die Nutz- und Reibungswiderstände der Beharrungsperiode.

Die ausführende Praxis, die ja nichts anderes als ein auf tausendfältiger Erfahrung beruhendes überlegendes Können ist, hat die geschilderten Einflüsse längst erkannt und berücksichtigt; in der Litteratur aber werden Berechnungen von Hebmäschinen immer noch lediglich auf statische Kräftewirkungen gegründet, unter Aufserachtlassung aller dynamischen Wirkungen. Ein Wandel hierin wäre mit Rücksicht auf die Ausbildung angehende Ingenieure lebhaft zu wünschen.

Die Weltausstellung in Paris 1900.

Turbinenbau.

Von Professor E. Reichel, Charlottenburg.

(Fortsetzung von S. 1595)

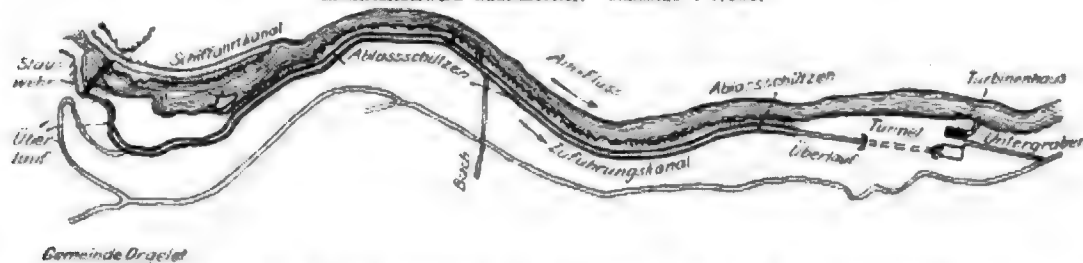
Piccard, Pictet & Co. (vorm. Faesch & Piccard), Genf.

Nach den hervorragenden Leistungen der Firma, die im Laufe der Zeit bekannt geworden sind, konnte man auch in Paris eine gute Vertretung erwarten. Die Ausstellung war mit wenigen, aber bemerkenswerten Gegenständen besetzt, die sich konstruktiv durch besondere Eigenart auszeichneten. Die Firma hat dem Bau von Radialturbinen schon frühzeitig besondere Beachtung geschenkt und größere Ausführungen dieser Art vorgenommen zu einer Zeit, als in der Schweiz die axialen Turbinen noch vorherrschend waren. Sie ist sowohl in der Verwendung des Baustoffes wie in der Anordnung der Turbinen stets unabhängig vorgegangen und dadurch zu ganz eigenartigen, aber darum nicht minder wertvollen und voll-

fünfkörnigen, von aussen beaufschlagte Radialturbinen mit Spaltschieberregulierung ausführt, soll bei 17,5 m Gefälle und 250 Uml./min 700 PS leisten; sie war neben 3 gleichen Einheiten für das von der Union électrique in Saut-Mortier, Dep. Jura, Südfrankreich, erbaute Kraftwerk bestimmt. Diese sehr beachtungswürdige Anlage¹⁾ bezweckt, die Wasserkraft des Ain-Flusses auszunutzen, der mit reißendem Lauf in engen Windungen die Felsen des Jura durchströmt; der Fluss liefert zwar ein leicht zu gewinnendes Gefälle, führt aber, wie alle Gebirgsbäche starken Schwankungen unterworfen, in den Zeiten niedrigen Wasserstandes nur eine Wassermenge von 4 cbm/sk. An der für das Krafthaus in Aussicht genommenen Stelle bei Saut-Mortier in der Gemeinde Cernon wäre deshalb nur eine

Fig. 106.

Elektrizitätswerk Saut-Mortier. Maßstab 1:1250.



kommenen Ausführungen gelangt. Es sei hier nochmals an die 5000pferdigen Niagara-Turbinen erinnert¹⁾, welche die ersten Einheiten von solcher Größe darstellten, und an denen wertvolle Erfahrungen für weitere ähnliche Ausführungen gesammelt werden konnten.

Von den drei ausgestellten Turbinen vertrat nur eine die Bauart der radialen Überdruckturbinen; eine andere war als teilweise beaufschlagte Freistrahlturbine nach der Schwammkrug-Bauart ausgebildet, die dritte ein Hochdruckmotor mit Löffelrad. Außerdem war eine Reihe der bekannten Klinkenregulatoren vorhanden, mit denen auch alle ausgestellten Turbinen ausgerüstet waren.

Die ersterwähnte Turbine, mit wagerechter Achse als

Leistung von 600 PS zu gewinnen gewesen, welche die erforderlichen kostspieligen Wasserbauten nicht gerechtfertigt hätte. Indessen war die unternehmende Gesellschaft in der Lage, ein außerordentlich günstig gelegenes natürliches Sammelbecken als Ausgleich heranzuziehen: den See von Chalsin, der rd. 45 km flussaufwärts von dem Bett des Ain nur durch eine 1300 m breite Alluvialschicht getrennt wird und mit seiner Sohle 32 m über dem Flussbett liegt. Dieses Seebecken von 263 ha Oberfläche und 34 m Tiefe liefert, wenn sein Spiegel in Zeiten des Wassermangels um 10 m gesenkt wird, eine Reserve von 20 Mill. cbm, die dauernd eine Wassermenge von 16 cbm/sk für die Turbinenanlage bei 17 m Gefälle sicherstellt. Somit war mit einer Gesamt-

¹⁾ Vergl. Z. 1898 S. 835.

²⁾ Genie civil 1901 Heft 15.

leistung von rd. 3000 PS in gewöhnlichen Zeiten, mindestens aber mit 2500 PS bei Wassermangel zu rechnen. Der See ist zu dem Zwecke durch einen unterirdischen, mit Schütze regulierten Kanal mit dem Flusslauf in Verbindung gesetzt, um je nach Bedarf dessen Wasserführung zu ergänzen.

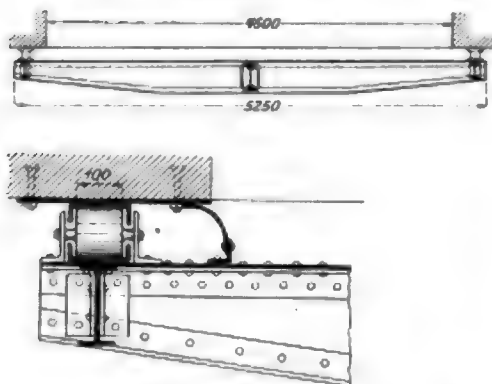
Die Wasserentnahme oberhalb des Turbinenhauses und die Zuleitung dorthin führten wegen der steilen, felsigen Ufer und des gewundenen Flusslaufes zu sehr bemerkenswerten Wasserbauten. Fig. 106 zeigt den Verlauf des teils offen, teils unterirdisch geführten Obergrabens, in den

für das mittlere Gefälle berechnet sind; der fünfte mit etwas engerer Schaufelteilung und größerem Winkel soll vorwiegend bei Hochwasser und kleinerem Gefälle arbeiten. Die Ausströmung geht nach beiden Seiten in zwei gesonderte Saugrohre, die durch Aussparungen in der Laufradnabe und ein besonderes Umföhrungsrohr miteinander in Verbindung stehen, sodass keine störenden Druckunterschiede bei unsymmetrischer Beaufschlagung in ihnen entstehen können.

Die Regulierung mittels des von einer Seite zwischen Lauf- und Leitrad geföhrten Spaltschiebers bedingt eine peinlich

Fig. 107 und 108.

Rollschütze.

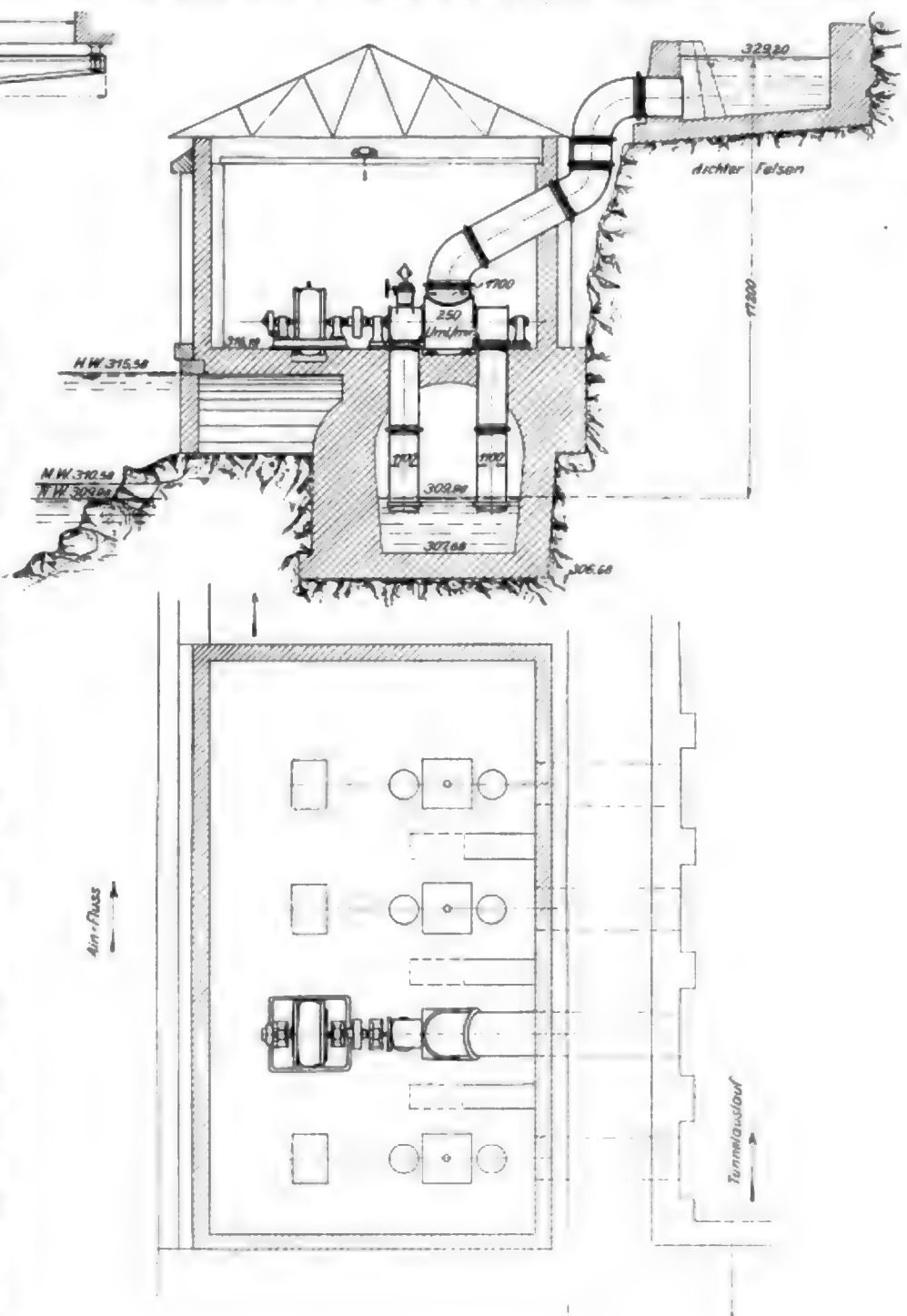


an verschiedenen Stellen zur Regulierung und Entfernung überschüssigen Aufschlagwassers Ueberläufe und Ablassschützen eingebaut sind. Seine Absperrung am oberen Ende erfolgt durch Rollschützen von der Anordnung, wie sie Fig. 107 und 108 zeigen; zur Abdichtung der Schütze dient ein gebogenes 3 mm starkes Blech, das von dem Wasserdruck gegen das Mauerwerk gepresst wird. Für die Holzstöberei ist durch einen das Stauwehr umgehenden Kanal Sorge getragen, der stellenweise halbtunnelartig in die Uferfelsen eingesprengt werden musste. Auch der Bau des Turbinenhauses, dessen Anordnung aus Fig. 109 und 110 hervorgeht, begegnete infolge des sehr beschränkten Raumes, sowie wegen der häufig und plötzlich steigenden Wasserstände erheblichen Schwierigkeiten; die Turbinen sind aus letzterem Grunde sehr hoch im Saugrohr aufgestellt.

Entsprechend der hier geschilderten Eigenart des Wasserlaufes musste die Konstruktion der Turbine stark veränderlichen Beaufschlagungen Rechnung tragen, sodass bei kleiner werdendem Gefälle die regelrechte Leistung durch Vergrößerung der Wassermenge innegehalten werden konnte. Dies ist in der aus Fig. 111 bis 113 ersichtlichen Weise geschehen. Das von außen beaufschlagte Laufrad von 1050 mm Dmr. zeigt fünf, mit den Schaufeln und untereinander in einem Stück gegossene, mit einer Nabe verschraubte Kränze, von denen vier, mit gleicher Schaufelung versehen und symmetrisch zur Nabe angeordnet,

Fig. 109 und 110.

Picard, Piolet & Co., genf: Elektrizitätswerk Saut-Mortier, Turbinenhaus. Maßstab 1:250.



genaue Herstellung; der Schieber besteht aus Stahlblech, ist geschwelft und innen wie außen abgedreht. Mit einem gusseisernen Versteifungsringe verschraubt, führt er sich in dem rechtsseitigen Teil des Gehäuses an Leisten, die ihn gleichzeitig gegen Verdrehung sichern; zwei seitlich in Stopfbüchsen aus dem Gehäuse geführte Spindeln mit flachgängigem Gewinde, die durch Kegelhülsen und Schraubenmutter von dem mechanischen Servomotor der Regulierung angetrieben werden, verschieben ihn. Die beiden Saugrohre sind symmetrisch zu dem schmiedeisernen Einlassgehäuse, aber — wegen des Spaltschiebers — unsymmetrisch zum Laufrade angeordnet; im rechtsseitigen greift der ununterbrochenen Wasserführung wegen ein fester cylindrischer Blechmantel bis in den Regulierschieber hinein. Eigenartig ist die Führung der langen Welle auf der linken Seite durch die lange zweiteilige, am einen Ende im Gehäusedeckel, am andern in einem besonderen Armkreuz gestützte Büchse.

Die Turbinen, von denen Fig. 113 ein Bild giebt, sind unmittelbar mit Dynamos der Maschinenfabrik Oerlikon gekuppelt, welche mehrphasigen Wechselstrom von 7500 V liefern. Dieser wird in einem Umkreise von 20 km zu Licht- und Kraftzwecken abgegeben.

Die ausgestellte 1000-pferdige Freistrahlturbine mit wagerechter Achse und Teilbeaufschlagung, Fig. 114 bis 116, war für die Walliser Industriegesellschaft in Vernayaz im Rhonethal bestimmt und soll den Wasserlauf ausnützen, der die jedem Besucher des Rhonethales bekannten Pissevache-Fälle bildet. Damit diese erhalten bleiben, ist die Turbinenanlage unmittelbar über den rd. 60 m hohen Fällen in einem in die Felsen getriebenen Tunnel untergebracht. Das Wasser wird den Turbinen von oben mittels genieteter Stahlrohrleitung zugeführt, die sich dem Gelände, einer wilden, zerrissenen Felschlucht, so gut wie möglich anpasst; dies wurde außer durch Krümmer durch keilförmige, zwischen die Flän-

Fig. 111 to 113.

Piccard, Pletot & Co, Genf:

Elektrizitätswerk Saut-Mortier, Überdruckturbine. Maßstab 1 : 40.

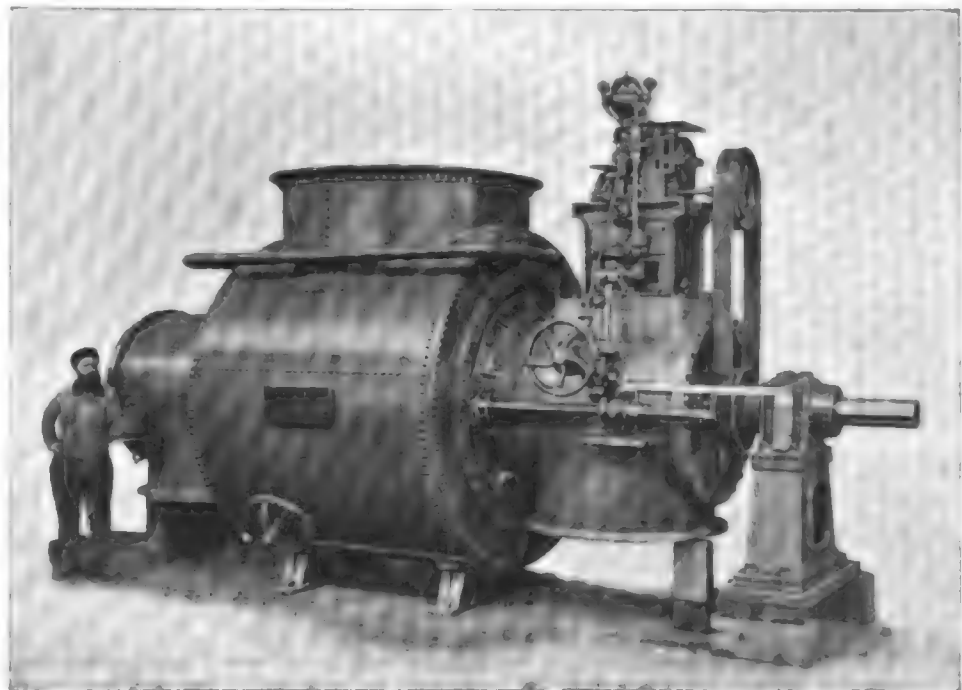
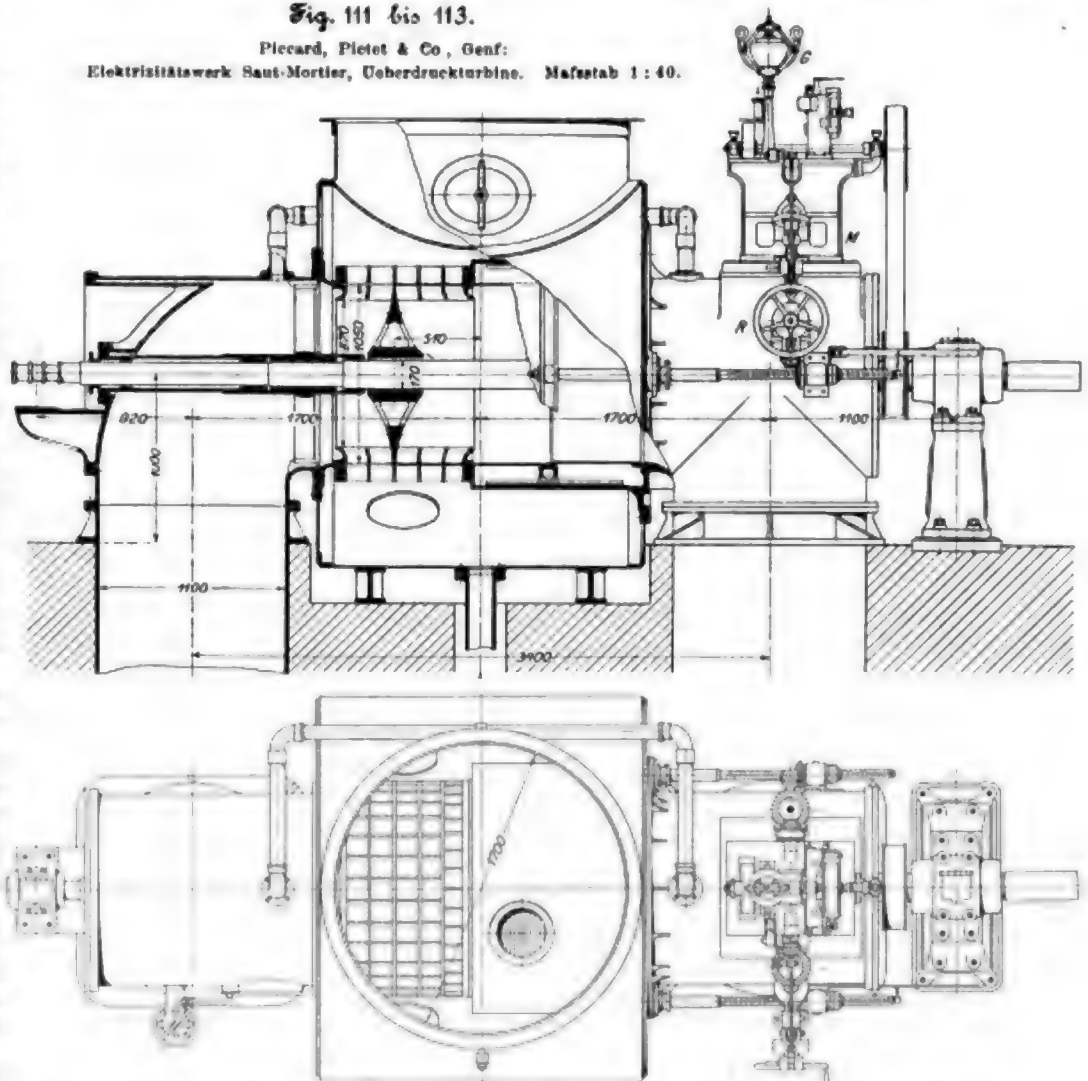


Fig. 114.

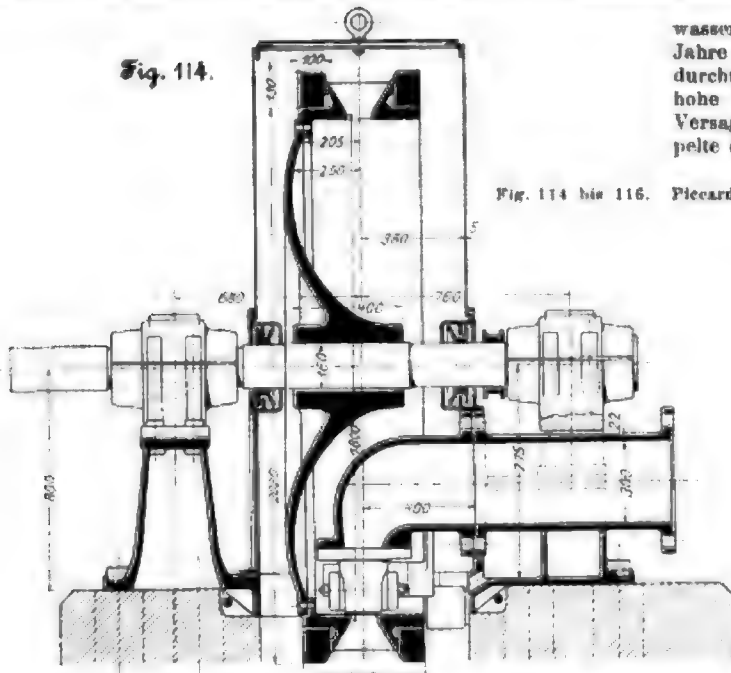


Fig. 116.

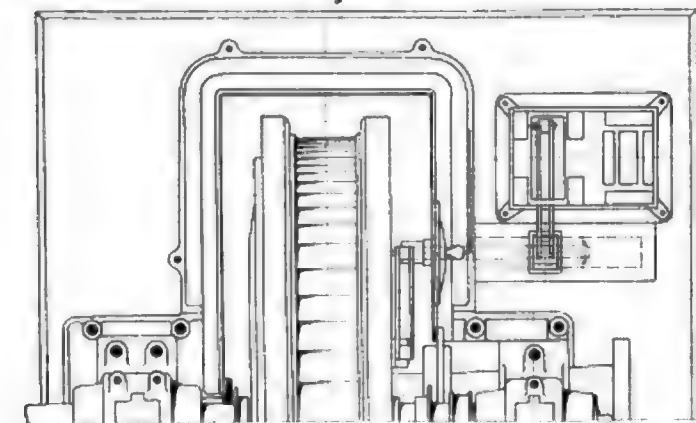
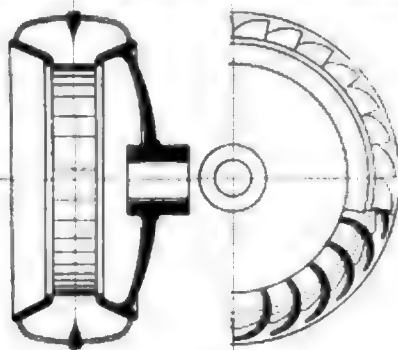


Fig. 117 und 118.

Piccard, Pictet & Co., Genf: Laufrad einer Löffelturbine.



sche der einzelnen Rohre gelegte und durch die Verbindungsschrauben zugleich festgehaltene Stahlringe erreicht.

Von den 6 geplanten Turbinen war zur Zeit der Ausstellung bereits eine mit einer Dynamo gekuppelte im Gange und lieferte den elektrischen Strom an eine in Rhodethal gelegene Karbidfabrik.

Den Turbinen steht ein Gefälle von 500 m zur Verfügung, sodass sie bei einer Leistung von 900 bis 1000 PS und bei 500 Uml./min zusammen bis zu 1,2 cbm/sk Aufschlag-

wasser nötig haben, eine Menge, die wohl nur kurze Zeit im Jahre vorhanden sein dürfte. Bei einem äußeren Laufraddurchmesser von 2150 mm ergibt sich die außergewöhnlich hohe Umfangsgeschwindigkeit von 56 m/sk, die sich bei Versagen der Regulierung im Leerlauf auf nahezu das Doppelte erhöhen könnte. Den dadurch hervorgerufenen Massen-

Fig. 114 bis 116. Piccard, Pictet & Co., Genf: Freistrahlturbine. Maßstab 1:25.

Fig. 115.

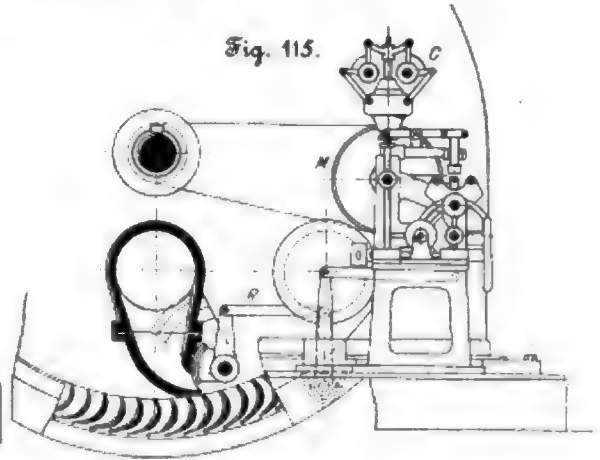
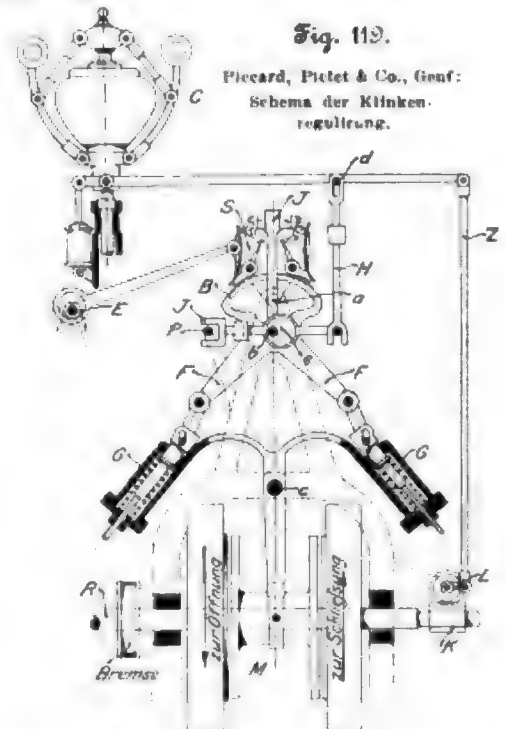


Fig. 119.

Piccard, Pictet & Co., Genf:
Schema der Klinken-
regulierung.

kräften würde das gegossene Laufrad nicht mehr standhalten; es sind deshalb 2 kräftige, von der Dillinger Hütte gewalzte gussstählerne Ringe von 100×130 mm Querschnitt warm daraufgezogen, die gleichzeitig auch die Schwungmasse für die Regulierung abgeben sollen. Sieht man von der durch die Streckung beim Aufziehen hervorgerufenen Spannung ab, so würden diese Ringe allein durch ihre eigene Fliehkraft bei 112 m/sk Umfangsgeschwindigkeit eine Beanspruchung von nahezu 1000 kg/qcm erfahren, was bei dem gewählten Material und den angenommenen ungünstigsten Umständen als zulässig anzusehen ist. Der Laufradkranz ist mit den Schaufeln in einem Stück gegossen und seitlich mit der Armscheibe verschraubt. Das Wasser strömt durch ein unter dem einen Lager liegendes Rohr aus Stahlguss von der Seite her aus nur einer Zelle, deren Weite durch einen vor ihrer Mündung schwingenden zylindrischen Schieber geregelt wird;

dieser Schieber wird durch ein Hebelwerk von dem seitlich aufgestellten Regulator bethätigt. Um bei dem hohen Wasserdruk von 50 at Wasserverluste durch Undichtheiten möglichst zu vermeiden, ist für eine peinlich genaue Führung des Schiebers gegenüber der Leitvorrichtung in entsprechend ausgedrehten Flächen Sorge getragen. Die Drehachse des Schiebers ist so gelegt, dass das Moment der Resultierenden des auf ihm lastenden Druckes inbezug auf die Achse möglichst gleich null ist, das Regulirstänge also im wesentlichen nur die auftretenden Reibungswiderstände zu überwinden hat.

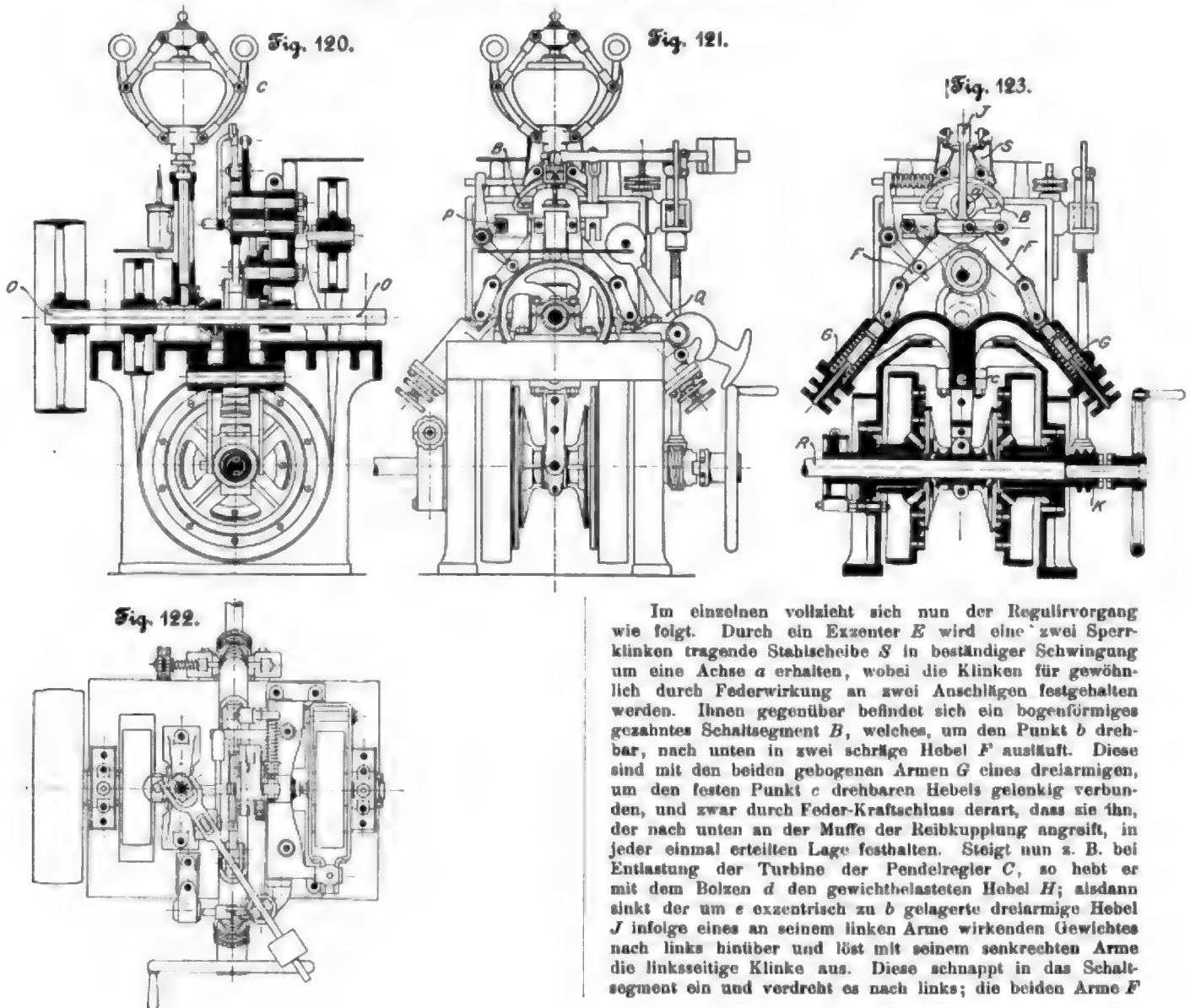
Mit dem Bau von Löffelturbinen für hohe Gefälle beschäftigt sich die Firma ebenfalls bereits längere Zeit. Fig. 117 und 118 geben eine Skizze von dem Laufrade des ausgestellten Hochdruckmotors. Es fällt auf durch die weitgehende Verbreiterung am äußeren Kranze sowie die jedenfalls zur Versteifung der Schaufeln dienende mittlere Rippe. Auch hier ist das Laufrad mit den Schaufeln aus einem Stück gegossen und weist, wie in den übrigen Fällen, besonders sauberen Guss und tadellose Herstellung auf.

Der in einer Reihe von Beispielen ausgestellte Klinkenregulator, mit dem die besprochenen Turbinen ausgerüstet waren, fand sich in seiner grundlegenden Anordnung bereits 1896 auf der Schweizerischen Landesausstellung in Genf, vor¹⁾, hat aber inzwischen durch einige Verbesserungen eine wesentlich erweiterte Anwendbarkeit gefunden. Er

möge hier als interessantes Beispiel seiner Gattung, der bislang noch nicht besprochenen Regulatoren mit mechanischem Servomotor, eingehender beschrieben werden; vergl. Fig. 119 bis 123. Seine Wirkungsweise erhält am besten aus der schematischen Fig. 119. Ein Pendelregler *C* bethätigt einen Klinkenmechanismus *S*, der in den Grundzügen der Steuerung der hydraulischen Servomotoren entspricht. Der Klinkenmechanismus schaltet eine Reibkupplung mit zwei in entgegengesetztem Sinne ununterbrochen laufenden Riemenscheiben — dem mechanischen Servomotor *M* — zusammen und bewirkt dadurch die Drehung der Regulirwelle *R* im einen oder andern Sinne. Die Rückführung *Z* bringt den Regulator und den Klinkenmechanismus nach erfolgter Regulierung in ihre Mittellagen zurück. An der von Genf her bekannten Ausführung, welche im übrigen in den kennzeichnenden Merkmalen des Klinkenmechanismus der jetzigen gleich, fehlte das Riemengetriebe; vielmehr stand das Klinkensegment unmittelbar mit der Regulirvorrichtung der Turbine in Verbindung. Dabei war es aber schwer möglich, den immer größer werdenden Kräften, welche die eigentlichen Regulierungen zu ihrer Bedienung erfordern, zu genügen und Stöße ohne schädliche Rückwirkung auf den Regulator anzunehmen; durch Einschaltung des mechanischen Servomotors in Gestalt des Riemen-Kebrgetriebes ist dieser Nachteil beseitigt.

¹⁾ Z. 1896 S. 1278 mit Taf. XIX.

Fig. 120 bis 123. Piccard, Pictel & Co., Genf: Klinkenregulator.



Im einzelnen vollzieht sich nun der Regulirvorgang wie folgt. Durch ein Exzenter *E* wird eine zwei Sperrklinken tragende Stahlscheibe *S* in beständiger Schwingung um eine Achse *a* erhalten, wobei die Klinken für gewöhnlich durch Federwirkung an zwei Anschnitten festgehalten werden. Innen gegenüber befindet sich ein bogenförmiges gezahntes Schaltsegment *B*, welches, um den Punkt *b* drehbar, nach unten in zwei schräge Hebel *F* ausläuft. Diese sind mit den beiden gebogenen Armen *G* eines dreiarmligen, um den festen Punkt *c* drehbaren Hebels gelenkig verbunden, und zwar durch Feder-Kraftschluss derart, dass sie ihn, der nach unten an der Muffe der Reibkupplung angreift, in jeder einmal erteilten Lage festhalten. Steigt nun z. B. bei Entlastung der Turbine der Pendelregler *C*, so hebt er mit dem Bolzen *d* den gewichtbelasteten Hebel *H*; alsdann sinkt der um *e* exzentrisch zu *b* gelagerte dreiarmlige Hebel *J* infolge eines an seinem linken Arme wirkenden Gewichtes nach links hinüber und löst mit seinem senkrechten Arme die linksseitige Klinken aus. Diese schnappt in das Schaltsegment ein und vordreht es nach links; die beiden Arme *F*

nehmen *G* mit nach links hinüber, indem sie den Federn Spiel geben, und die Reibkupplung kommt mit der rechtsseitigen, die Schließung bewirkenden Riemenscheibe in Eingriff. Gleichzeitig wird aber durch den Schneckentrieb *K* und eine kleine Kurbel *L* der Hebel *Z* nach unten gezogen, *H* sinkt durch sein Gewicht mit und drückt *J* wieder nach rechts hinüber; dabei kommt die rechtsseitige Klinke zum Einfallen und schaltet das Segment und die Kupplungsmuffe in die Mittellage zurück, wodurch nun auch wieder *Z* in seinen Ruhepunkt gelangt. Entsprechend vollzieht sich der Vorgang bei einer Regulierung im entgegengesetzten Sinne, nur dass hierbei bereits die zu *b* exzentrische Lagerung des Hebels *J* die Einleitung der Rückföhrbewegung beschleunigen soll. Gegen zu weit gehende Bewegungen ist *J* durch einen festen Anschlag *P* gesichert. Das Pendel *C*, die Stahlscheibe *S* und der geschränkte Riementrieb erhalten ihre Bewegung von der Hauptantriebswelle *O* aus (*E* ist auf *O* aufgekeilt); um die nach Ausrücken der Reibscheiben noch

vorhandene lebendige Kraft der Regulirwelle *R* zu zerstören, ist daran eine selbstthätig in Kraft tretende Bremse angebracht. Statt des selbstthätigen Betriebes des ganzen Regulators kann endlich auch durch einen Gewichthebel *Q* ein Handantrieb eingebracht werden. Einstellvorrichtungen sind überall angebracht.

Die Konstruktion muss als ein Muster sinnreicher und gedrängter Anordnung angesehen werden; alle ihre Teile sind auf einen denkbar geringen Raum zusammengebracht und dabei doch leicht zugänglich. Indessen kann man sich gegenüber der verwickelten Gesamtanordnung und der Menge bewegter, der Abnutzung unterworfenen Teile des Gedankens nicht erwehren, dass der Vorzug größerer Einfachheit jedenfalls für die hydraulischen Regulatoren spricht, und dass wohl vor allem die tadellose und peinlich genaue Ausführung, die man bei allen Konstruktionen der Firma Piccard, Pictet & Co. gewohnt ist, die mit diesem Regulator erzielten guten Erfolge veranlasst hat.

(Fortsetzung folgt.)

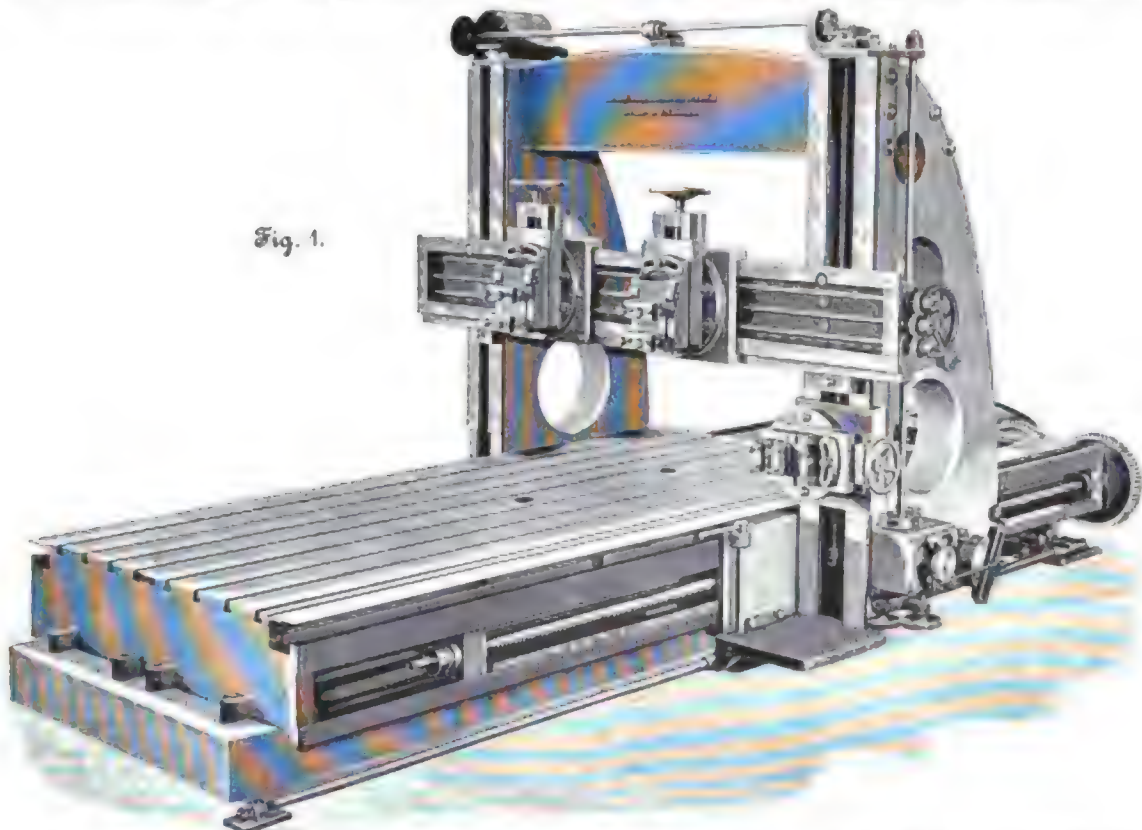
Neuere Hobel- und Stofsmaschinen der Berliner Werkzeugmaschinenfabrik A.-G. vormals L. Sentker.

Von Obergeringieur P. Janson.

Trotz eines nicht unerheblichen Wettbewerbes vonseiten der Fräsmaschinen, deren allgemeine Einführung als Universalwerkzeug einst nur eine Frage der Zeit erschien¹⁾, haben die Hobel- und Stofsmaschinen von ihrem großen Anwendungs-

In Fig. 1 bis 3 ist eine Hobelmaschine mit doppeltem Ständer dargestellt, bei welcher der Aufspanntisch mit dem Arbeitstück feststeht, während die Ständer mit den Werkzeugschlitten hin- und herbewegt werden. Die Maschine hat ein

Fig. 1.



gebiet nicht nur nichts eingebüßt, sondern sind in den letzten Jahren sogar vielfach weiter ausgebildet und verbessert worden. Einige beachtenswerte Neuerungen weisen die nachstehend beschriebenen, von der Berliner Werkzeugmaschinenfabrik A.-G. vorm. L. Sentker ausgeführten Konstruktionen auf.

¹⁾ Woldemar von Knabbe: Fräser und deren Rolle bei dem derzeitigen Stande des Maschinenbaues. Charkow 1892. (Vorrede.)

senkrecht verstellbares Querbett mit 2 Schlitten, einen Seitenschlitten am rechten Ständer und ist für Arbeitstücke bis zu 2,5 m Breite, 2 m Höhe und 5 m Länge eingerichtet. Sie ist im Jahre 1896 für die Berliner Maschinenbau-A.-G. vorm. L. Schwartzkopf erbaut worden und hat sich so gut bewährt, dass die ausführende Firma gegenwärtig für ihren eigenen Betrieb eine ebensolche Maschine, jedoch für eine Hobellänge von 15 m fertigstellt. Die beiden Ständer werden

Fig. 2.

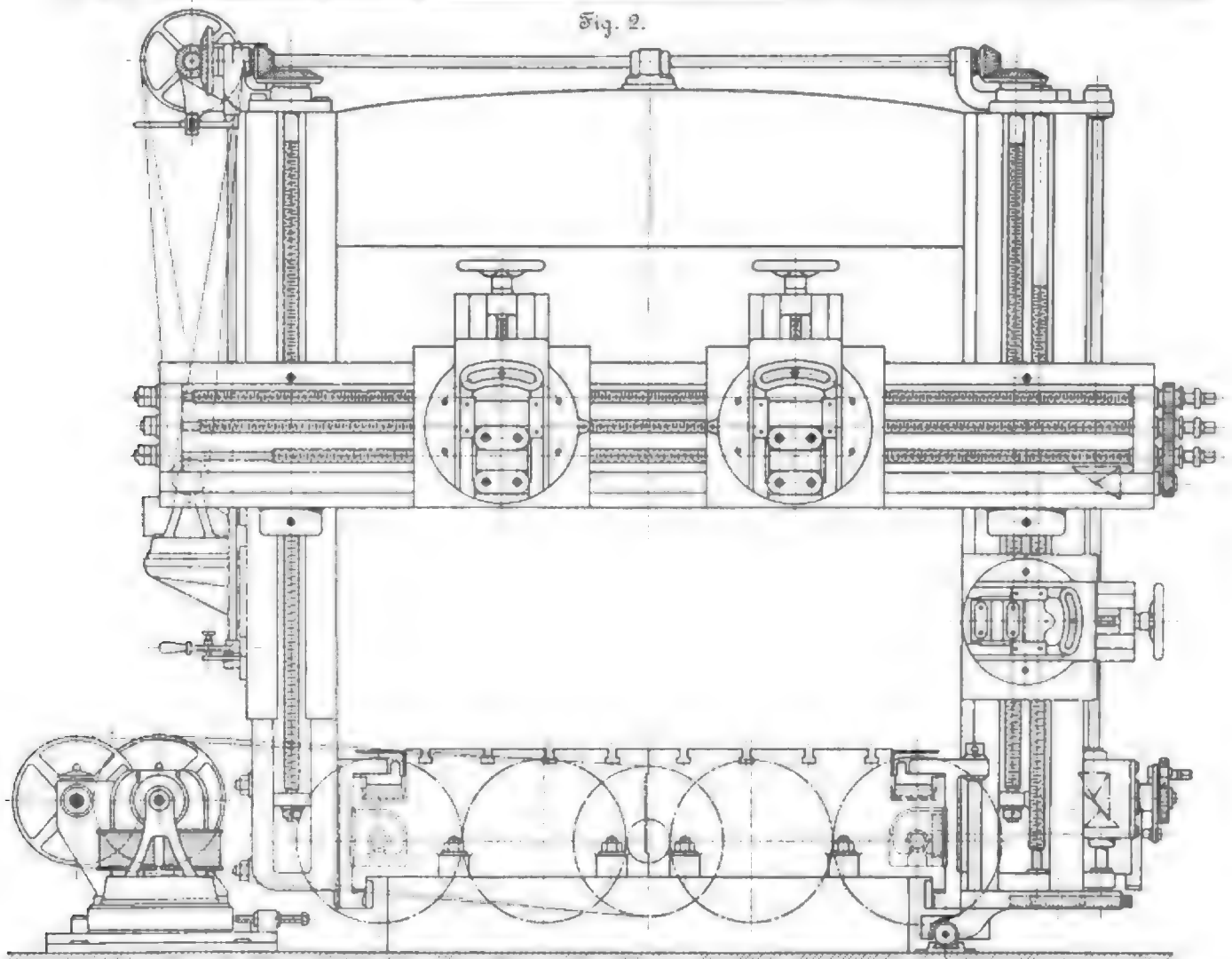
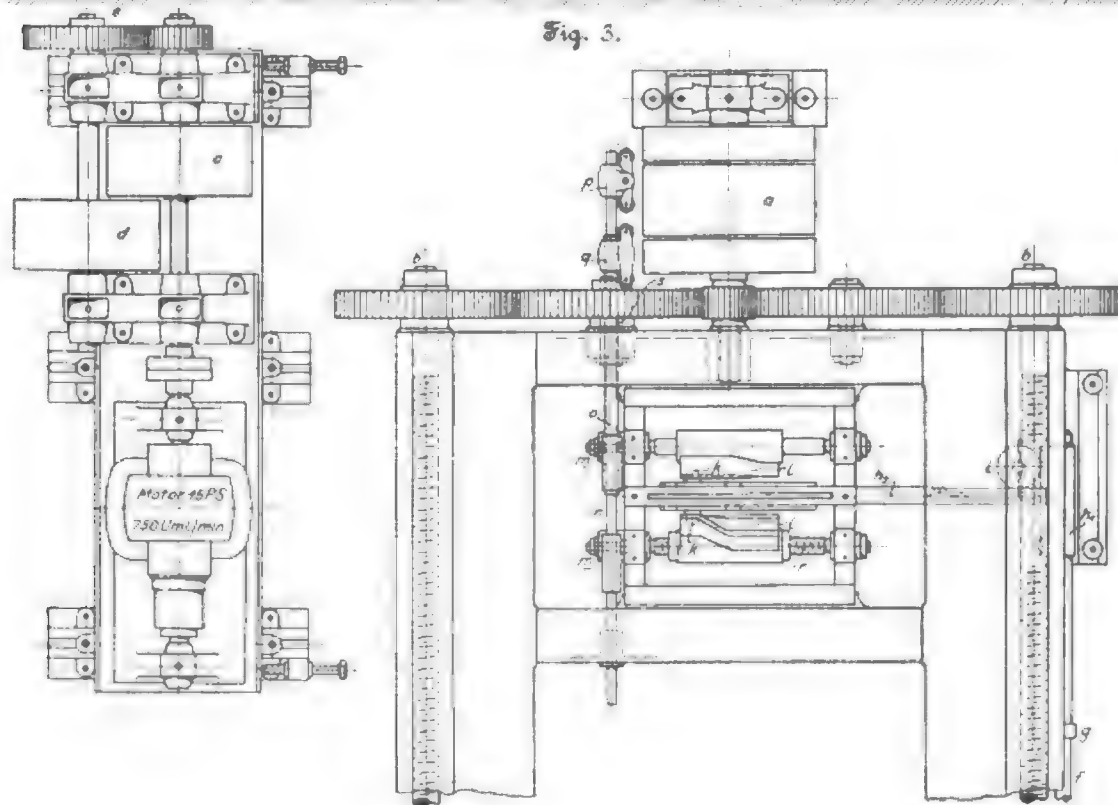


Fig. 3.



durch einen Elektromotor von rd. 15 PS mittels Riemenscheiben-Wendegeriebes, Radvorgeleges und zweier Schraubenspindeln von hoher Steigung bewegt. Ein zweiter Motor von rd. 3 PS befindet sich am linken Ständer und dient zur Höhenverstellung des Querbettes.

Maschinen dieser Bauart unterscheiden sich wesentlich von den bekannteren Grubenhobelmaschinen. Bei letzteren ist die Anwendung von Seitenschlitten nicht möglich, und die Höhenverstellung des Querbettes, wenn überhaupt vorhanden, verhältnismäßig gering. Größere Höhenunterschiede der Arbeitstücke müssen demnach durch das weit umständlichere Vorstellen des

hier aus mehreren Teilen bestehenden Aufspanntisches aus-
geglichen werden. Die Ausmauerung der Grube und die für
die Befestigung der Tische erforderlichen Seitenplatten machen
überdies die Grubenhobelmaschine zu einem sehr kostspieligen
Werkzeug.

Der Vergleich einer Hobelmaschine gewöhnlicher Bau-
art, bei welcher das Arbeitsstück hin- und herbewegt
wird, mit der zu beschreibenden ergibt Folgendes: Eine ge-
wöhnliche Hobelmaschine für Stücke bis 2,5 m Breite, 3 m
Höhe und 15 m Länge würde etwa 80 t wiegen und einen
Raum von rd. 30 m Länge beanspruchen. Der zugehörige
Tisch wiegt allein rd. 30 t. Rechnet man nun noch ein Ar-
beitsstück von 20 t hinzu, wie es nicht selten vorkommt, so
beträgt das hin- und herzubewegende Gewicht 50 t.

Im Gegensatz hierzu beansprucht eine Hobelmaschine
mit beweglichen Ständern von denselben Abmessungen einen
Raum von nur etwa 18 m Länge. Das Gewicht der hin-
und herzubewegenden Teile ist unveränderlich und beträgt
nur etwa 10 t, das Gesamtgewicht der Maschine nur etwa
60 t. Demgemäß kann diese Maschine bei demselben Kraft-
aufwande eine erheblich schnellere Rücklaufgeschwindigkeit
des Stabes haben als eine Hobelmaschine mit beweglichem
Tisch, während beim Vorlauf der Kraftüberschuss einer grö-
ßeren Schnittleistung zugute kommt; sie eignet sich gleich
vorzüglich für leichtere wie auch für die schwersten Arbeit-
stücke, wobei es ausgeschlossen ist, dass sich der hohe, in
seiner ganzen Länge auf dem Grundrahmen ruhende Tisch
durchbiegt.

Bemerkenswert sind die folgenden Einzelheiten:

Wie aus Fig. 2 ersichtlich, bewegen sich die Ständer
mittels angeschraubter Führungsplatten an rechteckigen, zu
beiden Seiten des Tisches angeordneten Laufbahnen, die
zum Schutze gegen herabfallende Späne durch kräftige
Winkelisen abgedeckt sind und durch Öelwalzen selbst-
tätig geschmiert werden. Ebenfalls geschützt liegen die
beiden Antriebspindeln in Vertiefungen der Seitenflächen
des Tisches, und es wird durch die sehr gedrängte Anord-
nung der Ständerführungen die Zugänglichkeit zum Arbeit-
stück sehr erhöht. Da die Führungsplatten bei ihrer geringen
Höhe wenig geeignet sind, seitliche Schwankungen der Stän-
der zu verhindern, sind diese oben durch ein äußerst kräftiges
Querstück miteinander verbunden. Hierdurch ist mit
wesentlicher Unterstützung durch das Querbett ein starres
Balkensystem geschaffen, welches in sich steif genug ist, um

seitlichen Kräften widerstehen zu können. Es wurde auch bei
höchster Stellung des Querbettes, einer Spanbreite von 20 mm
und einem Vorschub von 1,5 mm bei der ausgeführten Maschine
ein sehr ruhiger Gang festgestellt. Ueberhaupt sind die
Ständerführungen an den unteren Kanten des Tisches nur
angebracht, um bei außergewöhnlichen Beanspruchungen
Schaden auf jeden Fall zu verhüten; denn selbst bei starkem
Span bleiben die Ständer, Schlitten usw. durch ihr Eigen-
gewicht noch kraftschlüssig mit den Laufbahnen verbunden.

Die Anordnung des Antriebes ist aus dem Grundriss,
Fig. 3, erkennbar. Die zwischen zwei losen Scheiben be-
findliche feste Scheibe *a* setzt durch symmetrische Stirnräder-
übertragung die beiden Antriebspindeln *b* für die Stän-
der gleichmäßig in Bewegung. Teils um den gekreuzten
Riemen zu vermeiden, welcher bei der hohen Geschwindig-
keit zu schnell verschleifen würde, teils um die Schnittge-
schwindigkeit des Stabes verändern zu können, ist der Motor
mit einem besonderen Vorgelege ausgerüstet. Die als
Schwungrad dienende volle Riemenscheibe *c* ist mit der Mo-
torwelle unmittelbar gekuppelt und dient, sobald der zugehörige
offene Antriebsriemen auf die feste Scheibe *a* geschoben ist,
zum Hervorbringen der Rücklaufbewegung der beiden Stän-
der. Andererseits wird die Riemenscheibe *d* durch ein Räder-
vorgelege *e* von der Motorwelle aus angetrieben, läuft also
in entgegengesetztem Sinne wie letztere und bewegt da-
her durch einen ebenfalls offenen Riemen die Stän-
der vorwärts. Die Rücklaufgeschwindigkeit beträgt etwa
220 mm/sk, während die Vorlaufgeschwindigkeit durch Aus-
wechseln der Räder *e* von etwa 50 bis 150 mm/sk beliebig
geändert werden kann, je nachdem man hartes oder weiches
Material zu bearbeiten hat. Die beiden Antriebsriemen werden
mithilfe der Umsteuerstange *f* verschoben, welche durch den
rechten Ständer mittels einstellbarer Anschläge *g* in Richtung
ihrer Achse vor- und zurückbewegt wird. Durch Zahnstange
h, Zahnrad *i*, Zahnstange *k*, Kegelrollen *l*, Kurven *m* und
Zahnsegmente *n* überträgt sich die Bewegung der Umsteuer-
stange *f* auf die Stange *n* und auf das sie umgebende Rohr
o, welche Teile die Riemengabeln *p* und *q* tragen. Die eine
Kurve *l* ist auf ihrer Welle *r* zum Verstellen eingerichtet, so-
dass die Bewegung der beiden Riemengabeln in einstell-
baren Zeiträumen hintereinander erfolgen kann. Um Kröp-
fungen zu vermeiden, sind die Stange *n* und das Rohr *o*
unmittelbar durch den Zwischenradbolzen *s* hindurchgeführt.

(Fortsetzung folgt.)

Die Arbeitsleistung schnelllaufender Riemen und die vorteilhafteste Riemengeschwindigkeit.

Von Dr. Heinr. Abbes.

C. Otto Gehrckens hat in dieser Zeitschrift wieder-
holt von ihm angestellte Versuche veröffentlicht¹⁾, deren über-
raschende, für die Kraftübertragung äußerst wertvolle Ergeb-
nisse hier einer kurzen Besprechung unterzogen werden sollen.

Für günstige Verhältnisse: Uebertragung nicht über 5 : 1,
Wellenabstand für schmale Riemen annähernd 5 m, für brei-
tere 10 m und darüber, sind nach Gehrckens' Versuchen für
1 cm Riemenbreite bei verschiedenen Scheibendurchmessern
und Geschwindigkeiten für einfache Lederriemen die in der
folgenden Zahlentafel angegebenen Belastungen in kg als
größte Beanspruchungen zulässig.

Scheibendurchmesser mm	Geschwindigkeit in m/sk					
	3	5	10	15	20	25
100	2	2,5	3	3	3,5	3,5
200	3	4	5	5,5	6,0	6,5
500	5	7	8	9	10	11
1000	6	8,5	10	11	12	13
2000	7	10	12	13	14	15

¹⁾ v. Z. 1895 S. 15; 1900 S. 1509.

Die Bedeutung dieser Versuchswerte und ihre Beziehun-
gen zueinander treten deutlicher hervor und es ist für die
Besprechung günstiger, wenn man die Werte in der durch
die Riemen bei der betreffenden Geschwindigkeit geleiste-
ten Arbeit ausdrückt. Ich gebe daher nachstehend dieselben
Werte für einfache Riemen wieder, umgerechnet in Arbeit,
ausgedrückt durch PS nach der Formel

$$1 \text{ PS} = \frac{P}{75}$$

wobei ich, um Bruchteile zu vermeiden, anstelle der Riemen-
breite von 1 cm eine solche von 10 cm zugrunde gelegt habe.

Es überträgt also nach vorstehender Zahlentafel ein ein-
facher Riemen von 100 mm Breite bei verschiedenen Scheiben-
durchmessern und Riemengeschwindigkeiten die nachstehen-
den Arbeitswerte in PS:

Scheibendurchmesser mm	Geschwindigkeit in m/sk					
	3	5	10	15	20	25
100	0,8	1,7	4,0	6,0	9,3	11,7
200	1,3	2,7	6,7	11,0	16,0	21,7
500	2,0	4,7	10,7	18,0	26,7	36,7
1000	2,4	5,7	13,3	22,0	32,0	43,3
2000	2,8	6,7	16,0	26,0	37,3	50,0

Vergleicht man zunächst die verschiedenen Werte je einer Reihe miteinander, so entdeckt man sofort eine höchst merkwürdige Erscheinung.

Die Arbeitsleistungen des Riemens auf einer Scheibe wachsen nicht im einfachen Verhältnis mit der zunehmenden Geschwindigkeit, sondern scheinbar weit über den der betreffenden Geschwindigkeit zukommenden Wert hinaus.

Bei Uebergang der Geschwindigkeit von 5 auf 20 m wächst die Leistung des Riemens nicht auf das 4fache, sondern auf einer Scheibe von

100 mm Dmr. von 1,7 PS auf 9,3 PS, also das 5,5fache
200 " " " 2,7 " " 16,0 " " " 5,7 "
500 " " " 4,7 " " 26,7 " " " 5,5 "
1000 " " " 5,7 " " 32,0 " " " 5,6 "
2000 " " " 6,7 " " 27,3 " " " 5,6 "

Durchschnittlich wächst demnach die Arbeitsleistung eines Riemens bei Vervielfachung der Geschwindigkeit von 5 auf 20 m anscheinend um 40 vH über den Wert hinaus, der der erhöhten Geschwindigkeit theoretisch zukommen würde, wenn man die Leistung bei 5 m als die normale zugrunde legte. Daraus geht also hervor, dass der Riemen bei der geringen Geschwindigkeit mit grossen Arbeitsverlusten arbeitet, die durch zunehmende Geschwindigkeit herauszuholen sind.

Dieselbe Erscheinung zeigt sich, natürlich in schwächerem Grade, beim Uebergange von 10 auf 20 m, 20 auf 25 m, wonach also auch die letzteren schon selten angewendeten Geschwindigkeiten noch als verlustbringend bezeichnet werden müssen.

In den obigen Beispielen ist angenommen, dass die Erhöhung der Riementgeschwindigkeit durch Vermehrung der Umlaufzahl bei gleichem Durchmesser der Scheibe herbeigeführt wurde. So steigt also die Leistung des Riemens auf das 5,5fache, wenn die Umlaufzahl einer Scheibe von 500 m so erhöht wird, dass die Riementgeschwindigkeit von 5 auf 20 m wächst. Wird diese selbe Erhöhung der Riementgeschwindigkeit dagegen durch Vergrößerung des Scheibendurchmessers hervorgebracht, indem man anstelle der 500 mm-Scheibe eine solche von 2000 mm Dmr. anbringt, so wächst die Leistung des Riemens von 4,7 PS auf 37,3 PS, d. h. um das 8fache, statt auf das 4fache, wie man zunächst annehmen sollte. Es tritt hier derselbe Vorzug des schnelllaufenden Riemens in die Erscheinung, nur in noch viel stärkerem Masse als bei gleichbleibenden Scheiben.

Diese wenigen Beispiele genügen, um die außerordentlichen und überraschenden Mehrleistungen schnelllaufender Riemen gegenüber langsam laufenden hervortreten zu lassen.

Man beachte, dass die bemerkenswerten Schlussfolgerungen nicht aus theoretischen Überlegungen abgeleitet sind, sondern aus den nüchternen und bewährten Zahlen der Gehrckenschen Versuche.

Wenn auch längst bekannt war, dass schnelle Riemen unverhältnismässig mehr leisten als langsam laufende, so hat doch Gehrckens das grosse Verdienst, diese Mehrleistung zahlenmässig nachgewiesen zu haben, sodass man heute bei Anlage von Transmissionen damit rechnen kann.

Wie kommen nun jene grossen Mehrleistungen der schnellen Riemen zustande, oder besser gesagt: was verursacht die grossen Arbeitsverluste bei kleineren Scheiben und langsam laufenden Riemen?

Zunächst entsteht durch die Biegung des Riemens auf beiden Scheiben ein nicht zu unterschätzender Arbeitsverlust. Wenn auch die Biegung eines ungespannten Riemens geringe Arbeit erfordert, so bedingt jedenfalls die Biegung eines stark gespannten Riemens eine erhebliche Arbeit, die sich bei jedem Umgange wiederholt, und es ist klar, dass diese Arbeitsverluste mit wachsendem Scheibendurchmesser abnehmen müssen. Lassen wir jedoch die Scheibendurchmesser bestehen und die Umlaufzahl der Scheiben zunehmen, so muss jedenfalls der Arbeitsverlust durch Riemenbiegung mindestens im Verhältnis der zunehmenden Umdrehungen wachsen, denn so vielmal mehr wird diese Biegearbeit verrichtet. Gehrckens' Tabelle zeigt nun aber bei zunehmenden Umdrehungen kein Wachsen der Verluste, sondern im Gegenteil ein Abnehmen. Bei wachsender Umlaufzahl werden also die

wachsenden Arbeitsverluste durch Riemenbiegung durch Arbeitsgewinne aus anderweitig günstigen Ursachen nicht nur ausgeglichen, sondern übertroffen.

In zweiter Linie kommen Gleitverluste infrage, die allerdings bei einer nur einigermaßen richtigen Anlage als dauernde Erscheinung nicht vorkommen werden, der Vollständigkeit halber hier jedoch behandelt werden müssen.

Für diese gelten zumeist dieselben Betrachtungen wie für Biegungsverluste. Mit zunehmendem Scheibendurchmesser nehmen sie ohne Zweifel ab, mit zunehmender Umlaufzahl der Scheiben müssten sie jedoch wachsen; denn einerseits ist anzunehmen, dass sich der Riemen umso weniger fest auf die Scheibe legen wird, je kürzere Zeit er darauf verweilt, dann aber würde die Fliehkraft möglicherweise den Riemen abheben und so das Voreilen oder Zurückbleiben der Scheibe noch begünstigen. Ferner würden ohne Zweifel alle Riemen heisslaufen, wenn so erhebliche Arbeit, wie sie die Gehrckensche Zahlentafel zeigt, durch Reibung verloren, also in Wärme verwandelt würde. Kurz und gut, mit wachsender Umlaufzahl bei gleichbleibenden Scheiben werden auch etwa vorhandene Arbeitsverluste durch Gleiten der Riemen durch Arbeitsgewinne aus anderweitigen günstigen Ursachen nicht nur ausgeglichen, sondern mitsamt den Verlusten durch Riemenbiegung vollständig überdeckt.

Ein weiterer Arbeitsverlust, auf den Gehrckens besonders aufmerksam macht, entsteht beim Fortschreiten der Spannung auf den Scheiben. Während auf der getriebenen Scheibe die Spannung zunimmt und das Leder sich entsprechend dehnt, nimmt sie auf der treibenden ab, und das Leder zieht sich entsprechend zusammen. In beiden Fällen macht der Riemen eine kleine relative Bewegung zur Scheibenoberfläche, welcher Bewegung die Scheibe entgegenarbeitet. Diese mechanische Arbeit müsste demnach als Wärme zum Vorschein kommen und würde, wenn sie die erheblichen Arbeitsverluste der Zahlentafel darstellte, unzweifelhaft alle langsam laufenden Riemen zum Heisslaufen bringen. Mit zunehmender Umlaufzahl bei gleichbleibenden Scheiben muss dieser Verlust allerdings abnehmen, und zwar auf beiden Scheiben, weil die Dehnung des Leders von den Scheibenflächen hinweg zu den Ablaufstellen des Riemens wandert, wie bereits Gehrckens bemerkt. Bei grösseren Scheiben und gleicher Riementgeschwindigkeit müsste er dagegen zunehmen, und in letzterem Falle widerspricht dies wieder den Werten der Zahlentafel.

Der vierte Arbeitsverlust, den ich den Verlust durch innere Arbeit des Riemens nennen will, entsteht durch die ungleiche Ausdehnung der Riemenfasern während des Ueberganges des Riemens über die Scheiben, wobei die äusseren Fasern stärker gespannt werden als die der Scheibe zunächst liegenden. Es müssen also Verschiebungen der Riemenfasern gegeneinander entstehen, für deren Arbeit jedoch dasselbe gilt wie für die Arbeitsverluste durch Riemenbiegung. Mit zunehmender Geschwindigkeit müssen sie wachsen, nicht abnehmen.

Wir stehen also vor der Erkenntnis: wachsende Riementgeschwindigkeit bringt so ausserordentlich günstige Verhältnisse mit sich, dass die oben genannten Arbeitsverluste, die grösstenteils mit der Geschwindigkeit wachsen, ausgeglichen und darüber hinaus noch erhebliche Vorteile herausgeholt werden. Worin diese günstigen Verhältnisse bestehen, soll jetzt untersucht werden.

Die nützliche Riemen Spannung wird durch die Reibung des Riemens am umspannten Umfang der treibenden Scheibe hervorgebracht. Man wird nun ohne weiteres zugeben, ob die Scheibe schnell läuft, ob sie langsam läuft, der umspannte Umfang bleibt wesentlich derselbe. Der Reibungskoeffizient bleibt derselbe; man möchte eher annehmen, er werde bei der grösseren Geschwindigkeit geringer, in Folge der Fliehkraft, und weil der Riemen weniger Zeit hat, sich fest anzulegen, wie schon oben bemerkt; keinesfalls bewirkt die schnellere Gangart der Scheibe ohne weiteres ein festeres Anhaften des Riemens, das eine um 20 bis 40 vH stärkere Spannung erzeugen könnte.

Wir kommen also zu der Ueberzeugung, dass die Spannung, die eine treibende Scheibe im Riemen erzeugt, von

geringen Schwankungen abgesehen, die gleiche ist, mag der Riemen schnell oder langsam, mit 5 oder 25 m Geschwindigkeit laufen. Die Ursache der Mehrleistung schnelllaufender Riemen kann demnach nur in der Verteilung der Spannung auf das ziehende und das schiebende Trum gesucht werden.

Die Spannung entsteht auf der treibenden Scheibe und pflanzt sich entgegengesetzt zur Drehrichtung mit einer von der Elastizität des Riemens abhängigen Geschwindigkeit bis zur Ablaufstelle von der getriebenen Scheibe fort. Fände der Riemen hier keinen Reibungswiderstand, so würde die Spannung mit derselben Geschwindigkeit ins geschobene Trum weitergehen und sich auf beide Riemenstränge gleichmäßig verteilen, die jetzt entgegengesetzt auf die zu treibende Scheibe einwirken würden; letztere würde also stehen bleiben, wie groß auch die Spannung immer wäre, welche die Treiberscheibe hervorbringt.

Der Reibungswiderstand der getriebenen Scheibe verlangsamt jedoch die Fortpflanzungsgeschwindigkeit der Spannung im Riemen längs der Strecke, welche der Riemen umspannt.

Die Spannung dehnt die elastischen Riemenfasern. Im freien Riemen findet die Dehnung keinen äußeren Widerstand, beim festaufliegenden Riemen ist sie mit einer relativen Verschiebung zur Auflagefläche verbunden. Dieser Verschiebung wirkt die Reibung entgegen, sie kann nur langsam vor sich gehen, und entsprechend langsam schreitet die Spannung auf der getriebenen Scheibe vor: sie kriecht gewissermaßen langsam ins geschobene Trum hinüber, und inzwischen setzt sich die Scheibe infolge des zunächst einseitig auftretenden Zuges in Bewegung.

Nun ist ohne weiteres klar: Wenn die Geschwindigkeit des Umfanges der getriebenen Scheibe gleich ist der Fortpflanzungsgeschwindigkeit der Spannung auf der Scheibe, so kann nichts von der Spannung in das geschobene Trum gelangen. Es geht der Spannung wie dem Elchhörnchen im Rollenkäfig: es klettert und klettert und kommt doch nicht in die Höhe, diweil der Käfig sich mit derselben Geschwindigkeit nach unten dreht, wie das Tierchen hinaufklettert. Dies wäre eine ideale Kraftübertragung durch Riemen. Das ziehende Trum hat

die ganze Nutzspannung, das geschobene nur die Spannung durch sein Eigengewicht. Steigerung der Umlaufzahl würde ferner nur eine Mehrleistung im Verhältnis der Zunahme der Geschwindigkeit hervorbringen.

Es erhält hiernach ohne weiteres: je geringer die Riemen geschwindigkeit, ein um so größerer Teil der Nutzspannung gelangt in das geschobene Trum; daher sind große Riemen geschwindigkeiten vorteilhafter als kleine. Andersseits, je größer der Scheibendurchmesser, je länger der Weg, den die Spannung auf der getriebenen Scheibe zurückzulegen hat, desto weniger Spannung kommt auch bei derselben Umlaufzahl ins geschobene Trum; daher sind große Scheiben vorteilhafter als kleine. Bei großen Scheiben kommen zwei Vorteile zusammen: der längere Weg und die größere Riemen geschwindigkeit, und so erklärt sich die oben erwähnte außerordentliche Mehrleistung der Riemen auf großen Scheiben gegenüber der Leistung auf kleinen Scheiben.

Ferner: je elastischer der Riemen, desto geringer ist die Fortpflanzungsgeschwindigkeit der Spannung, um so günstiger die Leistung.

Ein Riemen, der mit großer Spannung aufgelegt wird, ist bereits zum Teil gedehnt, hat also einen Teil seiner Elastizität schon eingebüßt und überträgt schlechter als ein schlaff aufgelegter.

Der Grund, weshalb langsam laufende Riemen gegenüber schnelllaufenden so unvorteilhaft arbeiten, liegt in dem ungünstigen Verhältnis der Riemen geschwindigkeit zur Fortpflanzungsgeschwindigkeit der Spannung auf der getriebenen Scheibe, infolgedessen immer ein Teil der Nutzspannung in das geschobene Trum gelangt, der geradezu schädlich wirkt. Wird die Riemen geschwindigkeit gleich der Fortpflanzungsgeschwindigkeit der Riemen spannung auf der getriebenen Scheibe, so gelangt keine schädliche Spannung ins geschobene Trum. Diese Geschwindigkeit ist theoretisch die vorteilhafteste Riemen geschwindigkeit; sie lässt sich durch Versuche für verschiedene Riemen und verschiedenes Scheibenmaterial leicht ermitteln, da von hier ab die Leistung der Riemen genau im Verhältnis der wachsenden Geschwindigkeiten zunehmen muss.

Beitrag zur Berechnung der Gasmaschine.

Die Gasmaschine ist jetzt auf eine Entwicklungsstufe getreten, auf der sie beginnt, der Hauptkraftmaschine des 19. Jahrhunderts, der Dampfmaschine, gefährlich zu werden. Wie bei der Dampfmaschine, so hat sich auch bei der Gasmaschine für die Neukonstruktion ein auf rein praktischer Grundlage beruhendes Berechnungsverfahren herausgebildet, das sich bei der Dampfmaschine auf die bekannten Eigenschaften des Indikatorgrammes stützt, welches man vorauskonstruieren kann und das dann den mittleren Druck giebt, der für die Berechnung der Hauptabmessungen bei geforderten Eigenschaften der Maschine maßgebend ist. So weit nun auch die theoretische Behandlung der Gasmaschine gediehen ist, die namentlich in Deutschland ihre Meister hat, so selten hat man sich mit der Vorausberechnung der Gasmaschine bei gegebener Betriebsart und geforderten Leistungen beschäftigt. Wenn man es that, so geschah es mehr, um anhand ausgeführter Maschinen theoretische Folgerungen wahrscheinlich zu machen, als um der Praxis einen Anhalt zu geben. In Folgenden soll der Versuch gemacht werden, aus den gegebenen Betriebsbedingungen und den geforderten Eigenschaften der Maschine ihre Hauptabmessungen vorauszuberechnen.

Wir verstehen dabei unter Betriebsbedingungen:

- 1) den Heizwert des verwendeten Gases,
- 2) die chemischen Eigenschaften des Gases, vornehmlich die zur Verbrennung nötige Luftmenge,
- 3) die physikalischen Eigenschaften des Gemisches, besonders seine Zündbarkeit bei verschiedenen Drücken.

Die geforderten Eigenschaften der Maschine sind:

- 1) die Leistung,
- 2) die Umlaufzahl.

Es muss im voraus bemerkt werden, dass das hierunter einzuschlagende Verfahren keinen Anspruch erheben kann, völlig wissenschaftlich und einwandfrei zu sein; es soll aber die bei wissenschaftlichen Untersuchungen gewonnenen Grundlagen benutzen können und auch benutzen.

Zuerst soll die Viertaktmaschine betrachtet werden, die ja heute noch meistens verwendet wird. Bekanntlich besteht das Arbeitsverfahren dieser Maschinen aus folgenden Perioden:

- 1) Ansaugen der Ladung,
- 2) Kompression,
- 3) Explosion und Expansion,
- 4) Ausblasen der verbrannten Gase.

Die erste und die letzte Periode sind nicht wissenschaftlich zugänglich¹⁾, haben auch für die Arbeitsleistung des Motors im ganzen wenig Bedeutung, da die für das Ansaugen und das Herausheben des arbeitenden Mittels aufgewendete indizierte Arbeit im Verhältnis zur gesamten in einem Kreisprozess geleisteten Arbeit sehr gering ist.

Wir können daher in den folgenden Berechnungen diese beiden Perioden zunächst beiseite lassen und betrachten nur die Expansionsperiode als Arbeit verrichtende und die Kompressionsperiode als Arbeit verbrauchende Periode.

Bezeichnet man mit p_m den während eines Arbeitsvorganges wirksamen mittleren Kolbendruck, mit z die Zahl der minutlich eintretenden Explosionen, mit f den Kolbenquerschnitt und mit l den Hub der Maschine, so ist die indizierte Leistung

$$N_i = z p_m \frac{f l}{60 \cdot 75} \text{ PS}$$

¹⁾ Vergl. Slaby, Beiträge zur Theorie der Gasmaschine.

und die effektive Leistung

$$N_e = \eta N_i,$$

wenn η der mechanische Wirkungsgrad ist.

Ist die Zahl n der minutlichen Umdrehungen gegeben, und n_1 die Zahl der minutlich ausfallenden Ladungen bei Aussetzer-Regelung, die für den Gewerbetrieb heute noch die Regel ist, so ist der Wert $\frac{2n_1}{n}$ das sogenannte Aussetzer-Verhältnis und die Zahl der minutlichen Zünder:

$$z = \frac{n}{2} - n_1 = \frac{n}{2} \left(1 - \frac{2n_1}{n}\right).$$

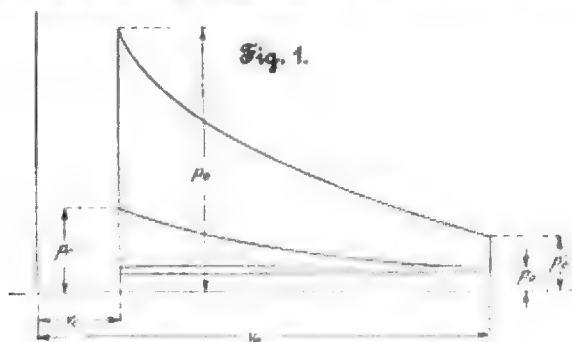
Damit folgt dann die Maschinenleistung

$$N_i = p_m \frac{f l}{60 \cdot 75} \frac{n}{2} \left(1 - \frac{2n_1}{n}\right)$$

und daraus die Hauptabmessung, nämlich der Cylinderinhalt:

$$f l = \frac{60 \cdot 75}{p_m} N_i \frac{2}{n} \left(1 - \frac{2n_1}{n}\right).$$

Gegeben sind hierbei N_i (bzw. N_e) und n sowie $\frac{2n_1}{n}$, und es kommt nun für die Bestimmung von $f l$ noch p_m in Betracht, das aus den Betriebsbedingungen ebenso abzuleiten ist, wie z. B. der mittlere Druck in der Dampfmaschine aus Dampfdruck, Füllungsgrad und Auspuff oder Kondensation. Zu diesem Zwecke werde ein Vorgang angenommen, welcher dem Diagramm, Fig. 1, entspricht.



Der mittlere Druck p_m besteht aus zwei Teilen, p_m' und p_m'' , von denen der erste der während des Arbeitspieles: Kompression = Expansion, gewonnenen Arbeit, der zweite aber der zum Herbeischaffen und Ausblasen der Gase erforderlichen Arbeit entspricht. Der zweite Teil ist theoretisch nicht zugänglich, man ist also für p_m'' ganz auf Versuchswerte angewiesen. p_m' dagegen kann auf folgende Weise ermittelt werden:

Für die Expansionslinie gelte die Beziehung

$$p \cdot v^k = p' \cdot v'^k = \text{konst.}$$

und für die Kompressionslinie

$$p_0 \cdot v_0^k = p' \cdot v'^k = \text{konst.},$$

worin schließlich noch $k = k_1$ gesetzt werde, in der Annahme, dass Kompression und Expansion unter annähernd gleichen Bedingungen adiabatisch vor sich gehen. Dies ist zwar nicht der Fall, aber man kann für den vorliegenden Zweck die Annahme gelten lassen. Es ist dann auch

$$p_0 \cdot v_0^k = p' \cdot v'^k \quad (1)$$

und

$$p \cdot v^k = p' \cdot v'^k \quad (2).$$

Für einen Punkt (pv) der Expansionskurve gilt also:

$$p \cdot v^k = p' \cdot v'^k \text{ oder } p = p' \cdot v'^k \cdot v^{-k},$$

oder daraus als Arbeit der Expansion:

$$L_{i_2} = \int_{v_0}^{v_2} p \, dv = p' \cdot v'^k \int_{v_0}^{v_2} \frac{dv}{v^{k+1}},$$

was nach Ausmittlung des Integrals

$$L_{i_2} = p' \cdot v'^k \frac{1}{k-1} \left(\frac{v_0^{k-1}}{v'^{k-1}} - \frac{v_2^{k-1}}{v'^{k-1}} \right)$$

gibt.

Desgleichen ist für einen Punkt (pv) der Kompressionskurve

$$p_0 \cdot v_0^k = p' \cdot v'^k \text{ oder } p = p_0 \cdot v_0^k \cdot v'^{-k}.$$

Die Arbeit der Kompression ist somit

$$L_{i_1} = \int_{v_2}^{v_0} p \, dv = p_0 \cdot v_0^k \int_{v_2}^{v_0} \frac{dv}{v^{k+1}} = -p_0 \cdot v_0^k \frac{1}{k-1} \left(\frac{v_2^{k-1}}{v_0^{k-1}} - \frac{v_0^{k-1}}{v_2^{k-1}} \right)$$

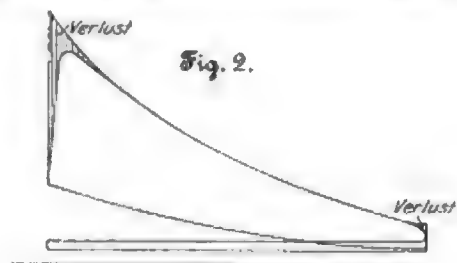
und damit die indizierte Arbeit des Arbeitspieles:

$$L_i = L_{i_2} + L_{i_1} = \frac{1}{k-1} \frac{v_0^{k-1} - v_2^{k-1}}{v_0^{k-1} v'^{k-1}} (p' \cdot v'^k - p_0 \cdot v_0^k).$$

Der mittlere positive indizierte Druck ist hiernach

$$p_m' = \frac{L_i}{v_2 - v_0} = \frac{1}{k-1} \frac{1}{(v_2 - v_0)} (p' \cdot v'^k - p_0 \cdot v_0^k) \frac{v_0^{k-1} - v_2^{k-1}}{v_0^{k-1} v'^{k-1}}.$$

Wird jetzt mit η_i der Völligkeitsgrad des Diagrammes bezeichnet, der die unvermeidlichen Abrundungen durch Vor-



zündung, Vorausströmung usw. berücksichtigt, vergl. Fig. 2, und ist der Quotient

$$\frac{v_2}{v_0} = \epsilon$$

das Expansions- bzw. Kompressionsverhältnis, so lässt sich die obige Beziehung schreiben:

$$p_m' = \eta_i \frac{1}{k-1} \left(1 - \left[\frac{1}{\epsilon}\right]^k\right) \frac{1}{\epsilon - 1} (p' - p_0 \epsilon^k). \quad (3).$$

Man sieht, dass es nunmehr nur noch nötig ist, den Explosionsdruck p' zu bestimmen.

Berechnung des Explosionsdruckes p' .

Für die Zustandsänderung permanenter oder annähernd permanenter Gase gilt bei Wärmezufuhr die Beziehung

$$dQ = \frac{A}{k-1} (v \, dp + \frac{c_p}{c_v} p \, dv).$$

Da wir im vorliegenden Falle annähernd adiabatische Zustandsänderung annehmen dürfen, mithin $\frac{c_p}{c_v} = k$ setzen können, so lautet diese Gleichung auch:

$$dQ = A \left(\frac{d(pv)}{k-1} + p \, dv \right) \quad (4).$$

Bei der Zündung des auf die Spannung p komprimierten Gemenges sei die Wärmemenge Q' zugeführt, welche ein Bruchteil der gesamten zur Verfügung stehenden Wärmemenge Q ist, sodass die Beziehung gilt:

$$Q' = \eta_e Q \quad (5).$$

η_e werde der Gütegrad der Explosion genannt. Er hängt von der Art der Gemischbildung¹⁾, der Kühlung, der Kolbengeschwindigkeit und dem Beginn der Zündung ab und ist für die Berechnung aus Versuchen an gleichartig gebauten und unter ähnlichen Bedingungen arbeitenden Maschinen mit genügender Genauigkeit feststellbar. Da in unserm Falle

¹⁾ Vergl. Pétriano, Z. 1897 S. 170 u. f.

augenblickliche Drucksteigerung angenommen wird, so ist bei Totpunktzündung $dv = 0$; also folgt aus Gl. (4) und (5):

$$Q' = \eta_s Q = \frac{A}{k-1} \int_{p_0}^{p_1} d(pv) = \frac{A}{k-1} (p_1 v_1 - p_0 v_0).$$

Mit Rücksicht auf die in Gl. (1) gegebene Beziehung ergibt sich hieraus

$$p_0 = \eta_s \frac{k-1}{A} Q + p_0 v_0 \quad (6).$$

Der Anfangsdruck der Kompression p_0 ist in den meisten Fällen nahezu gleich dem atmosphärischen Druck.

Setzt man den eben gefundenen Wert von p_0 in Gl. (3) ein, so folgt:

$$p_m' = \eta_s \eta_t \left(1 - \left[\frac{1}{\epsilon}\right]^{k-1}\right) \frac{1}{\epsilon-1} \frac{Q}{v_0} \frac{1}{A} \quad (7).$$

Beim Saughube werden jetzt $(v_0 - v_1)$ cbm Gemisch unter annähernd atmosphärischem Druck angesaugt. Die Temperaturverhältnisse brauchen nicht in Rücksicht gezogen zu werden, da sie sich genügend deutlich in dem Mischungskoeffizienten α ausdrücken.

Es sei α das Verhältnis $\frac{\text{Luft} + \text{Rückstände}}{\text{Gas}}$ bei der Temperatur des Gesamtgemisches am Ende des Saughubes. Hat nun 1 cbm den Heizwert H WE, so haben

$$(1 + \alpha) \text{ cbm} \propto H \text{ WE},$$

also

$$(v_0 - v_1) \text{ cbm} \propto \frac{H}{1 + \alpha} (v_0 - v_1) = Q \text{ WE}.$$

Daraus folgt aber, wenn für Q der Wert in Gl. (7) eingetragen wird,

$$p_m' = \eta_s \eta_t \left(1 - \left[\frac{1}{\epsilon}\right]^{k-1}\right) \frac{H}{1 + \alpha} \frac{1}{A}.$$

Der wirksame Gegendruck p_m'' ist von den Abmessungen der Ventile und Leitungen abhängig und sollte 0,1 bis 0,2 kg/qcm nicht übersteigen. Der mittlere Arbeitsdruck ist dann

$$p_m = p_m' - p_m'' = \eta_s \eta_t \left(1 - \left[\frac{1}{\epsilon}\right]^{k-1}\right) \frac{H}{1 + \alpha} \frac{1}{A} - p_m'';$$

oder wenn man, wie das auch bei Dampfmaschinen entsprechend gemacht wird,

$$\frac{1}{A} \eta_s \left(1 - \left[\frac{1}{\epsilon}\right]^{k-1}\right) = K$$

setzt, so ist

$$p_m = \eta_t K \frac{H}{1 + \alpha} - p_m''.$$

Es bleibt nunmehr noch übrig, einiges über die Wahl der Größen η_s , ϵ , k und α sowie η_t zu bemerken.

A ist das Wärmeäquivalent der Arbeitseinheit und gleich $\frac{1}{424}$.

Der Gütegrad der Explosion ist zu großen Änderungen unterworfen, um ihn einigermaßen genau angeben zu können. Bei gut konstruierten und einregulierten Maschinen wird er etwa 0,4 bis 0,6, zuweilen bis 0,7 sein. η_t kann gleich 0,6

bis 0,8 (0,85) gesetzt werden. k ist etwa = 1,40, bei ärmerem Gas etwas kleiner, bis 1,35 herab.

k und η_s stehen notwendigerweise in einer gewissen Beziehung zu einander, und zwar so, dass bei abnehmendem η_s der Wert von k zunimmt. Bestimmt angebar ist diese Beziehung aber nicht, da nicht genügendes Versuchsmaterial vorliegt.

In naher Beziehung zu einander stehen auch ϵ und α , sodass bei wachsendem α auch ϵ wachsen kann. Die Größe von ϵ hängt außer von andern Einflüssen wesentlich von der Zündbarkeit des Gemisches ab und ist von verschiedenen Gasmaschinenkonstruktoren sehr verschieden gewählt. Man wird ϵ so groß machen, wie es möglich ist, ohne dass Vorzündungen und damit Stöße zu befürchten wären. Der Wert von α ist abhängig von der Zusammensetzung des Gases und von seinem Heizwert. Man wird natürlich immer mit einem gewissen Luftüberschuss zu rechnen haben, um bei der feinen Verteilung des brennbaren Gases in der Luft und den Rückständen eine sichere vollständige Verbrennung gewährleisten zu können. Es ist indessen klar, dass man mit dem Wert von α nicht zu hoch gehen darf, da unter sonst gleichen Umständen der Verlust durch von den Abgasen fortgeführte Wärme proportional mit $(1 + \alpha)$ wächst. Allerdings hat man ja bei großem α weniger Kühlwasser und Schmieröl nötig. Man hat also diese Umstände in Betracht zu ziehen und danach α zu wählen. Anhand des vorhin Gesagten ist es damit möglich, den mittleren Arbeitsdruck in einer Viertaktmaschine zu bestimmen und daraus deren Hauptabmessungen zu ermitteln. Bei der Berechnung des mittleren Druckes bedient man sich zweckmäßig einer Tabelle für die maßgebenden Größen.

Die Grundgleichung für die Berechnung der Hauptabmessungen war

$$fl = \frac{60 \cdot 75}{p_m} N_t \left(\frac{1}{2} \left(1 - \frac{2n_1}{n} \right) \right).$$

Man rechnet natürlich fl für die mittlere Leistung der Maschine aus. Bei Aussetzermaschinen wird dann die größte Leistung etwa 25 vH höher gewählt. Daraus folgt, dass $(2n_1)_{\max}$ etwa gleich $0,2n$ sein muss.

Bei den ohne Aussetzer arbeitenden sogenannten Präzisionsmaschinen ist ja stets $n_1 = 0$ und p_m dafür veränderlich. Man hat sich hierbei also, wenn eine steigerungsfähige Maschine verlangt wird, für die mittlere Leistung mit einer weniger guten Wärmeausnutzung zufrieden zu geben¹⁾. Ist $p_{m\max}$ der der größten Leistung entsprechende Mitteldruck und p_m der Mitteldruck der Normalleistung, so ist zu setzen:

$$p_m = 0,8 p_{m\max}$$

und $p_{m\max}$ für die günstigsten Verhältnisse bei voller Füllung zu ermitteln.

Die Zylinderverhältnisse sind dann natürlich mit dem kleineren Mitteldruck zu bestimmen. Damit ist die Aufgabe für die Viertaktmaschine erledigt.

Aschersleben.

Rudolf Barkow, Ingenieur.

¹⁾ Vergl. hierzu E. Meyer, Z. 1897 S. 15; Köhler, Z. 1895 S. 206.

Sitzungsberichte der Bezirksvereine.

Eingegangen 1. Mai 1901.

Aachener Bezirksverein.

Sitzung vom 3. April 1901.

Vorsitzender: Hr. Savelsberg. Schriftführer: Hr. Holz.
Anwesend 61 Mitglieder und 2 Gäste.

Hr. Arbenz spricht seinen Dank für die Glückwünsche aus, die ihm zu seinem 70. Geburtstag namens des Vereines übermittelt worden sind.

Nachdem darauf geschäftliche Angelegenheiten verhandelt sind, spricht Hr. Ehrhardt (Gast) über die Expresspumpe • Schleifmühle¹⁾.

Schon im Jahre 1872 hatten einige Mitglieder der Königl. Bergwerksdirektion in Saarbrücken die Bedeutung raschlaufender unterirdischer Pumpen für den Bergbau erkannt.

Man bezog einige recht unvollkommene Dampfpumpen aus England, die nur einen Dampfcylinder mit einem Schieber, bei $\frac{2}{3}$ Füllung und sogen. Halbkondensation, hatten. Die Geschwindigkeit von 40 bis 50 Uml./min wurde mittels Drosselung geregelt. Diese Maschinen brauchten natürlich sehr viel Dampf. Im Jahre 1877 baute die Maschinenfabrik Ehrhardt & Schner eine unterirdische Wasserhaltungsmaschine mit richtiger Expansionssteuerung und vollkommener Kondensation, die bis zu 60 Uml./min machte; die Geschwindigkeit wurde durch Drosseln mittels des Absperrventiles geregelt. Auch diese Maschine führte dem Schacht noch viel zu viel Wärme zu; zudem war sie sehr schwerfällig und beanspruchte viel Raum.

Der Redner suchte deshalb wirklich rasch laufende Verbundmaschinen mit selbsttätig durch einen Regulator veränderlicher Expansion und vollkommener Kondensation einzuführen und fand durch verschiedene Direktoren der fiskal.

¹⁾ Vergl. Z. 1901 S. 1448.

schen Saargruben bereitwillige Unterstützung. So entstand 1878 eine Maschine, die bei 125 Uml./min 400 ltr Wasser auf 300 m Höhe förderte. Obwohl diese Maschine einige Unvollkommenheiten hatte, wurde doch durch sie die Richtigkeit und Durchführbarkeit des Grundgedankens unzweifelhaft erwiesen. Der Dampfverbrauch betrug die Hälfte des früheren, und die hohe Umlaufzahl gab keinerlei Veranlassung zu Misständen. Die Pumpe war zwar noch nicht nach allen Regeln für einen Schnellläufer entworfen, die Ventile waren aber im wesentlichen schon richtig; es waren Ringventile mit Federbelastung, die nach der Wassergeschwindigkeit in den Ventildurchgängen bemessen war. Diese unterirdische Wasserhaltung lief viele Jahre zur vollen Zufriedenheit. Trotzdem fanden diese raschlaufenden Maschinen in weiteren Kreisen keinen Anklang. Es wurde behauptet, dass eine langsamlaufende Maschine viel betriebssicherer sei und sich weniger abnutze. Die Anwendung des Regulators bei Pumpmaschinen fand man inehrlich.

Erst im Jahre 1888 hatten Ehrhardt & Schmer wieder Gelegenheit, für eine geneigte Strecke im Braunkohlenbergbau eine fahrbare Dampfpumpe zu bauen, die mit 125 Uml./min 1,0 cbm Wasser auf 20 bis 30 m Höhe förderte. Diese Pumpe war schon so richtig als Schnellläufer konstruiert, dass sie, auch vom heutigen Standpunkte des technischen Wissens aus betrachtet, nicht besser gemacht werden könnte. Sie lief tatsächlich im Betrieb anstandslos mit 150 Uml./min.

Als später Pumpen für unmittelbaren Antrieb durch Elektromotoren mit 200 bis 300 Uml./min verlangt wurden, wurde die gleiche Pumpe zu eingehenden Versuchen in den Werkstätten der Firma benutzt. Durch Ändern des Kolbendurchmessers, d. h. der pro Hub geförderten Wassermenge, wurde nach und nach die Umlaufzahl bis 320 gesteigert, und dadurch war man imstande, die Beziehungen zwischen Wassermenge und Ventilerhebung sowie zwischen Umlaufzahl und Saughöhe zu erforschen. Aufgrund dieser Beobachtungen wurde die schnelllaufende Pumpe für die Weltausstellung in Paris gebaut. Diese bereits in Z. 1901 S. 1448 mit Figuren beschriebene Pumpe ist darauf berechnet, dass sie, einmal angelassen, mindestens 6 Stunden ohne Wartung und Beaufsichtigung laufen kann. Es ist vermieden worden, übermäßige Wassergeschwindigkeiten anzuwenden, weil jedes Uebermaß in dieser Hinsicht einestells vergrößerte Widerstände innerhalb der Pumpe und andernteils geringere Dauer der Ventile im Gefolge haben muss.

Die Drillingsanordnung mit ihrer nahezu gleichmäßigen Wasserförderung hat unzweifelhaft große Vorzüge. Sie hat aber auch den Nachteil, dass die mittlere Pumpe nicht so bequem zugänglich ist und die Achse in vier Lagern läuft. Wollte man den Elektromotor unmittelbar ankuppeln, so käme man auf mindestens fünf Lager, die genau in einer geometrischen Achse liegen müssten. Da das isolierte Lager des Elektromotors mit den vier Lagern der Pumpenachse nicht in starre Verbindung gebracht werden kann, ist die geometrische Achse schwer einzuhalten, besonders bei unterirdischer Aufstellung. Hier ist man genötigt, den selbsttündigen, in zwei Lagern laufenden Elektromotor durch eine nachgiebige Kuppelung mit der Pumpenachse zu verbinden. Diese Anordnung hat wohl auch ihre Vorzüge, ist aber teuer und nimmt viel Raum in Anspruch.

Aus diesem Grunde haben Ehrhardt & Schmer eine Expresspumpe «Schleifmühle» konstruiert, bei der die Pumpenachse den Elektromotor trägt und nur in zwei Lagern läuft.

Diese Pumpe ist eine Doppel-Tauchkolbenpumpe mit Umföhrgestänge und Bajonettgestell. Die Kurbelachse ist einestells in dem Bajonettgestell der Pumpe, andernteils in einem besonderen Lager mit Ringschmierung gelagert. Dazwischen sitzt der Elektromotor. Das Bajonettgestell enthält in einem Stück das Achslager, die gebohrte Kreuzkopfföhrung und die Lageraugen für das Umföhrgestänge.

Die Pumpe ist mittels eines Flansches am Stopfbüchsenrohr zentrisch mit dem Endflansch des Gestelles verschraubt. Der Kreuzkopf hat Zapfen aus hartem Stahl und große Gleitschuhe aus Gusseisen. Er steht in fester Verbindung mit dem Umföhrgestänge der Pumpenkolben, das in vier Lageraugen mit Bronzebüchsen geführt ist.

Die Kolben sind einfache cylindrische Hohlzylinderkörper und leicht auswechselbar. Sie laufen in Stopfbüchsen mit Schmierung in den Grundbüchsen, die bequem zugänglich und leicht in gutem Stande zu halten sind. Die Ventile sind mehrfache Ringventile ganz aus Bronze mit Bronzesitzen und Dichtungsringen, die in der Regel aus Hartgummi bestehen. Saug- und Druckventile sitzen in einem gemeinsamen Ventilkasten, in den auch der Kolben eintaucht. Auf diese Weise werden kürzester Wasserweg, ruhigster Gang und größte Saughöhe bei einer verhältnismäßig großen Umlaufzahl der Pumpe erzielt. Die Ventilkasten sitzen auf einem Saugwindkessel, der zu-

gleich als Grundrahmen dient. Ueber jedem Druckventil erhebt sich eine Windhaube.

Außer den gewöhnlichen Pumpenarmaturen, wie Schnarchventile zur Erneuerung der Luft in den Druckwindkesseln, Wasserstandsgeber an den Druckwindkesseln, Sicherheitsventil und Manometer, ist die Pumpe noch mit einer Umföhrerichtung versehen, welche erlaubt, die Pumpe ohne Druckwiderstand anlaufen zu lassen und den Druck mit der Umlaufzahl allmählich bis zur vollen Leistung zu steigern.

Die Pumpe kann ohne weiteres als Zwillingspumpe ausgebildet werden. Ihre Achse trägt alsdann auf jedem Ende eine Kurbel, liegt nur in den beiden Lagern der Bajonettgestelle und trägt in der Mitte den Elektromotor. Zu Zeiten starker Wasseraufüsse arbeiten die beiden Hälften zusammen, während man bei schwachen Zufüssen die eine Hälfte abkuppeln und nur mit der andern Pumpe arbeiten kann. Die elektrische Kraftübertragung hat dabei den Vorzug, dass die Leistung ohne nennenswerte Einbuße an Nutzeffekt auf die Hälfte vermindert werden kann. Derartige Zwillingspumpen nehmen einen geringen Raum in Anspruch und haben in sich selber eine gewisse Reserve.

Hinsichtlich der Ventile kann man sagen: Eines schickt sich nicht für alle. Trotzdem sie stets nach denselben Grundsätzen berechnet und gebaut werden, trotzdem man eine Bauart in ganz bestimmten Abstufungen beizubehalten sucht, müssen sie doch häufig den gegebenen Verhältnissen angepasst werden. Gerade die Ventilkonstruktion verlangt am meisten Erfahrung. Das Grubenwasser macht manche Ausführungen unbrauchbar, die sich im Laboratorium vorzüglich bewährt haben mögen.

Sehr häufig wird außeracht gelassen, dass unter sonst ganz gleichen Verhältnissen die Saughöhe mit wachsender Umlaufzahl abnimmt. Diese Abnahme wird dadurch bedingt, dass die bei jedem Hub zu beschleunigende Wassersäule zwischen Saugwindkessel und Kolben bei doppelter Umlaufzahl auch den doppelten Beschleunigungsdruck verlangt.

Der Zusammenhang zwischen Saughöhe und Umlaufzahl als Folge der Massenbeschleunigung lässt sich in eine sehr einfache Beziehung bringen. Bei einem Stangenverhältnis des Kurbelmechanismus von 1:6 ist die Beschleunigungskraft am Hubende

$$P = 1,2 \frac{v^2}{r} \quad (1)$$

wenn m = zu beschleunigende Masse

r = Kurbelhalbmesser in m

v = Kurbelgeschwindigkeit in m/sk.

Ist ferner

f = Kolbenquerschnitt in qcm

F = Durchgangsquerschnitt der zu beschleunigenden Wassersäule in qcm

l = Länge dieser Wassersäule in m

h = Länge einer Wassersäule in m vom Querschnitt F , die zur Beschleunigung der Wassermenge zwischen Saugwindkessel und Kolben erforderlich ist,

so folgt aus Gl. (1):

$$h = \frac{1,2}{9,81} \frac{v^2}{r} \frac{f}{F} \quad (2)$$

Führt man nun die minutliche Liefermenge einer Doppelpumpe mit

$$Q = \frac{4frn}{10000} \text{ cbm} \quad (3)$$

ein, unter n die Umlaufzahl i. d. Min. verstanden, so ergibt sich

$$h = 3,354 Q n^2 \quad (4)$$

Gl. (4) bleibt, richtig angewandt, wenn die verschiedenen Durchgangsquerschnitte richtig bemessen und das Ventiltellergewicht in eine gleichwertige Wassersäule umgewandelt wird, zuverlässig die Druckwassersäule an, die nötig ist, damit die Saugwassersäule nicht abreißt. Die Höhe dieser zur Beschleunigung nötigen Wassersäule wächst im Verhältnis zur Umlaufzahl und zur Länge der zu beschleunigenden Wassersäule, steht aber im umgekehrten Verhältnis zum Durchgangsquerschnitt. Bei gleicher Wasserlieferung, gleicher Länge der zu beschleunigenden Wassersäule und gleichem Durchgangsquerschnitt wird die doppelte Umlaufzahl die doppelte Beschleunigungshöhe verlangen.

Soll bei gleicher Lieferung und bei gleicher Länge l für die doppelte Umlaufzahl die gleiche Beschleunigungshöhe bleiben, so muss der Durchgangsquerschnitt, also auch der des Saugventiles, doppelt so groß genommen werden. Es ist also ein großer Irrtum, anzunehmen, dass man durch Verdopp-

lung der Umlaufzahl kleinere Pumpen erhält. Behält man den Kolbendurchmesser bei, so bekommt man für die doppelte Umlaufzahl allerdings nur den halben Hub, also ein kürzeres Kurbelgetriebe. Wollte man aber gegenüber der einfachen Umlaufzahl an Saughöhe nichts einbüßen, so müssten alle Durchgänge zwischen Saugwindkessel und Kolben, also auch die Durchgänge des Saugventiles, auf die doppelte Größe gebracht und Ventile und Ventilkasten entsprechend vergrößert werden. Diese Vergrößerung hat nun ihre praktischen Grenzen schon deshalb, weil bei gleichbleibendem Ventilhub der doppelte Durchgangsquerschnitt auch den doppelten Ventulumfang und somit die doppelten Verluste durch Undichtheit ergeben würde. Man hat also nur die Wahl zwischen raschem Pumpengang mit verminderter Saughöhe oder voller Saughöhe mit geringer Umlaufzahl.

Man kann zwar tatsächlich größere Saughöhen erzielen, als nach der vorstehenden Betrachtung möglich wäre. Wenn nämlich die Wassersäule bei Beginn des Hubes abreißt, so ist nicht ausgeschlossen, dass der auf diese Weise hinter dem Kolben entstandene leere Raum während der zweiten Hälfte des Hubes wieder aufgefüllt wird. Ein sicheres Arbeiten der Pumpe und richtiger Ventiltgang ist aber nur dann zu erwarten, wenn die Wassersäule nicht abreißt. Wie bei allen technischen und wirtschaftlichen Dingen muss auch hier die richtige Mitte gesucht und jede Uebertreibung vermieden werden.

Alle Mittel, um trotz hoher Umlaufzahl auf große Saughöhe zu kommen, wie das wagerecht angeordnete Saugventil nach Riedler-Stumpf und der in die Höhe geschobene Saugwindkessel, helfen nur sehr wenig. Für den Gewinn von einigen Prozenten an Saughöhe müssen so viele Verwicklungen und Betriebsunsicherheiten in den Kauf genommen werden, dass es viel zweckmäßiger ist, zugunsten der Betriebsicherheit und der Einfachheit der Unterhaltung auf den kleinen Gewinn an Saughöhe zu verzichten.

Anfänglich hat man auch bei raschlaufenden Pumpen die Stöße in den Gelenken des Kurbelgetriebes beim Hubwechsel gefürchtet. Bei den Proben mit den Versuchspumpen stellte sich aber heraus, dass es Mittel und Wege giebt, die besondere Einrichtungen zum Verhüten des Druckwechsels entbehrlich machen.

Hierzu gehören in erster Linie große Abmessungen, geringe spezifische Drücke in den Gelenken und genaue Arbeit, Dinge, die den Wert und die Betriebsicherheit einer Pumpe ohnehin erhöhen. Die Firma Ehrhardt & Schmer hat deshalb auf solche besondere Einrichtungen, obwohl sie ein Patent darauf besitzt, ganz verzichtet und gründet den Wert ihrer Pumpen nur auf die in allen Teilen richtig bemessene und genau durchgeführte Konstruktion, sowie durch die große Einfachheit und die sich daraus ergebende große Betriebsicherheit.

Genau dieselben Beziehungen wie für die Beschleunigung der Wassersäule zwischen Saugwindkessel und Kolben gelten auch für die Wassersäule zwischen Kolben und Druckwindkessel; diejenigen Drücke, die zur Beschleunigung der Druckwassersäule nötig sind, werden also unter sonst gleichen Verhältnissen bei den Pumpen mit doppelter Umlaufzahl zweimal so groß. Wenn die Druckwassersäule lang ist, kann keine Pumpe mit Kurbeltrieb ohne Druckwindkessel arbeiten, und dieser muss um so wirksamer sein und um so näher bei den Druckventilen und dem Kolben sitzen, je rascher die Pumpe läuft.

Von ganz besonderer Wichtigkeit ist es deshalb bei raschlaufenden Pumpen mit elektrischem Antrieb, dass gleich beim Anlassen der Pumpe eine genügende Menge Luft im Druckwindkessel vorhanden ist. Zu diesem Zwecke sowohl als auch wegen des allmählichen Anlaufens des Elektromotors und der allmählichen Beschleunigung der langen Wassersäule in der Steigleitung sind besondere Einrichtungen ganz unentbehrlich. Zurzeit hilft es der Redner aber nicht für möglich, solche Einrichtungen zu treffen, die für alle Fälle passen. Was für Pumpen von 200 bis 500 PS recht zweckmäßig ist, wird zu verwickelt und zu teuer für kleine Leistungen. Derartige Einrichtungen sind nach Ansicht des Vortragenden von großer Wichtigkeit, und es müssten in dieser Hinsicht noch mehr Versuche und Erfahrungen gemacht werden als mit den Pumpen selber.

Zum Schluss seines Vortrages stellt der Redner Vergleiche zwischen der Pumpe von Ehrhardt & Schmer mit zwei anderen schnelllaufenden Pumpen, der von Bergmans und der von Riedler-Stumpf, an. Mit der Bergmans-Pumpe habe die Expresspumpe „Schleifmühle“ die natürliche und zweckmäßige Anordnung des Saugwindkessels, der übereinander sitzenden Ringventile mit senkrechter Spindel sowie die Stellung des

Druckwindkessels gemeinsam. Statt des einfachen Tauchkolbens der Pumpe von Ehrhardt & Schmer mit einer einfachen Stopfbüchse habe die Bergmans-Pumpe Tauchkolben von verwickelter Form mit 3 Stopfbüchsen. Sie habe ferner über dem gewöhnlichen Druckventil noch ein zweites Druckventil und eine patentierte Vorrichtung, um die Pumpe ruhiger gehen zu lassen. Das mache aber die Unterhaltung der Pumpen umständlich und erschwere die Zugänglichkeit des Saugventiles und des unteren Druckventiles.

Die Riedlersche Expresspumpe habe einen sehr künstlichen Saugwindkessel, der vom Tauchkolben und dessen Stopfbüchse durchsetzt wird und hoch über diese Teile hinausragt. Wenn durch dieses Hochsetzen des Saugwindkessels eine größere Saughöhe erzielt werden sollte, so sei dies ein Trugschluss. In Wahrheit setze sich die Saughöhe lediglich zusammen aus dem Oberflächenunterschied von Saugwasserspiegel und Druckventil, aus den Ventilwiderständen, aus der zur Beschleunigung der Wassersäule zwischen Wasserspiegel im Saugwindkessel und Kolben nötigen Druckhöhe und aus den Widerständen der Saugleitung. Im Zusammenhang mit dem hochliegenden Saugwindkessel habe man den Widerstand des Saugventiles dadurch zu vermindern und die zu beschleunigende Wassersäulenlänge zu verkürzen gesucht, dass man das Saugventil als ein den Kolben um schließendes Ringventil ohne jede Belastung und mit wagerechter Achse ausbildete. Abgesehen davon, dass ein wagerecht angeordnetes Ventil niemals, und besonders nicht in Grubenwasser, von Dauer sein könne, stelle die Puffereinrichtung für den Ventilschluss eine weitere Verwicklung dar, die bei senkrechter Anordnung und richtiger Durchbildung des Saugventiles überflüssig sei. Der Redner kommt zu dem Urteil, dass die Expresspumpe „Schleifmühle“ beiden Pumpenarten gegenüber den Vorzug größerer Einfachheit, einfacherer Unterhaltung und deshalb größerer Betriebsicherheit habe, und dass sie hinsichtlich des ruhigen Ganges keiner der beiden nachstehe.

In der sich dem Vortrage anschließenden Erörterung widerlegt Hr. Lehmann (Gast) die Behauptung, dass die senkrechte Anordnung des Saugventiles der Riedler-Expresspumpe eine Künstelei und betriebsunsicher sei und Störungen veranlasse, durch die praktische Erfahrung. Eine große Anzahl dieser Ventile sei längere Zeit in Betrieb, und die Anordnung des Ventiles habe nicht die geringste Störung verursacht. Das Ventil sei lose geführt, und sein Schluss könne niemals durch Ecken verhindert werden. Die Ventile der Riedler-Expresspumpen auf dem Hohenthal-Schacht der Mansfeldschen Gewerkschaft, bei denen die Dichtungsfächen aus Holz hergestellt sind, weisen eine Lebensdauer von 4 bis 4½ Monaten auf. Die Pumpen sind dauernd Tag und Nacht in Betrieb und heben bei regelrechtem Betrieb je 12,5 bis 13 cbm/min Wasser von recht schlechter Beschaffenheit.

Der Redner hat vor kurzem ein Saugventil von Pumpen auf Grube Aumetz Friede, die mit 18 at Druck arbeiten, gesehen, das nach dreimonatigem Tag- und Nachtbetrieb ausgebaut worden war. Das Ventil besteht ebenfalls aus Holz und war noch so gut erhalten, dass es noch gut einige Monate weiter hätte benutzt werden können. Man zog aber vor, ein neues Ventil, das bei der Hand war, einzubauen und die drei oder vier schadhaften Stellen des herausgenommenen Ventiles auszubessern, um es später weiter zu benutzen. Ein Einschlagen oder Breitschlagen der Holz-Dichtungsfächen ist noch an keinem der zahlreich ausgeführten Ventile zu bemerken gewesen, was beweist, dass das Ventil sanft und ohne Schlag auf seinen Sitz kommt. Da die Dichtungsfächen senkrecht sind, bleiben Sand und Steinchen nicht darauf liegen. Diese Ventile haben sich auch gut in Wasser mit hohem Salzgehalt bewährt, das große Mengen Sand, Asche und Schlamm mitführte.

Das Ventil leistet dem einströmenden Wasser den geringsten Widerstand und bleibt bis kurz vor Ende des Saughubes ganz offen, wodurch dem Wasser die beste Gelegenheit geboten wird, den Pumpenraum voll anzufüllen. Das einströmende Wasser hat keine Feder- oder andere Belastung des Ventiles zu überwinden, da selbst das Eigengewicht des Ventiltringes nicht schließend einwirkt. Kurz vor dem Hubende des Kolbens, wenn die Kolbengeschwindigkeit sehr gering geworden ist, wird das Ventil vom Kolbenkopf mitgenommen und am Ende des Hubes sanft auf den Sitz gebracht.

Die zur Beschleunigung der Wassersäule erforderliche Saughöhe ist bei der Riedler-Expresspumpe sehr gering, da die Entfernung zwischen Wasserspiegel und Kolben auf ein möglichst kleines Maß gebracht ist. Die bei jedem Hube zu beschleunigende Wassermenge ist gegenüber andern Pumpenkonstruktionen sehr klein. Dazu kommt nun noch der Vorzug, dass zum Öffnen des Saugventiles eine erheblich geringere Kraft nötig ist als bei den Konstruktionen mit einem

sich senkrecht hebenden Ventil. Bei diesem muss die Belastung sowohl durch das Eigengewicht wie auch durch eine Feder überwunden werden. Dass namentlich die letztere bei hoher Umlaufzahl ziemlich groß sein muss, hat die Praxis schon bewiesen. Durch die Anordnung sind auch äußerst kurze und bequeme Wasserwege geschaffen, wie sie sich bei einer Konstruktion mit Saugventil mit senkrechter Achse nicht erreichen lässt.

Aus alledem schließt der Redner, dass bei der Riedler-Expresspumpe alle Bedingungen erfüllt sind, um die auf eine Herabsetzung der wirklichen Saughöhe binwirkenden Verhältnisse möglichst günstig zu gestalten. Es sei daher auch mit Sicherheit darauf zu rechnen, dass die Riedler-Expresspumpen von allen schnellaufenden Pumpen die größte Saughöhe zulassen.

Eine gute Konstruktion einer schnellaufenden Pumpe erfordert auch möglichst geringe hin- und hergehende Massen wegen der großen Beschleunigungsdrücke im Triebwerk. Bei den Expresspumpen »Schleifmühle«, die doppeltwirkend und mit 2 Tauchkolben und Umföhrstangen ausgeföhrte sind, ist nach Ansicht des Redners das Gewicht der Pleuelstange, des Kreuzkopfes mit Quershauf, der Umföhrstangen und der zwei Kolben bedeutend grööser als das Gewicht der hin- und hergehenden Teile einer gleichgroöen Riedler-Expresspumpe, die gewöhnlich mit einfachwirkendem Tauchkolben gebaut wird.

Bei elektrisch angetriebenen Wasserhaltungen ist ein Gesamtwirkungsgrad von 60 bis 63 vH zu erreichen. Hierbei stellt sich der spezifische Dampfverbrauch, in gehobenem Wasser gerechnet, nicht ungünstiger als bei einer unmittelbar mit Dampf betriebenen unterirdischen Maschine, wenn 24stündiger Betrieb angenommen wird, da die Kondensationsverluste in der langen Dampfleitung wegfallen. Wird die Wasserhaltung wenige Stunden täglich betrieben, so verschieben sich die Verhältnisse erheblich zugunsten des elektrischen Betriebes, da bei Dampfbetrieb während des Stillstandes die Dampfzuleitung im Schachte unter Dampf stehen bleibt, also die Kondensationsverluste fortdauern.

Die große Bequemlichkeit und Wirtschaftlichkeit des elektrischen Stromes föhrt schon an sich zu seiner immer weiteren Ausbreitung auf den Gruben. Für die Wasserhaltung kommt aber noch weiter in Betracht, dass es bei grööseren Teufen wegen der großen Betriebschwierigkeiten unmöglich ist, Dampf zu verwenden. Man kann die Grenze der Dampfzuleitung bei rd. 500 m Teufe annehmen.

Auch ist es besonders für Gruben mit schwierigen Gebirgsverhältnissen äußerst wertvoll, dass der Raumbedarf einer elektrisch angetriebenen Pumpe sehr viel geringer ist als bei einer mit Dampf betriebenen. Bei der Riedler-Expresspumpe wird infolge des kurzen Hubes und der gedrängten Bauart aller Teile der Raumbedarf auf ein kleinstes Maß beschränkt.

Hr. Ehrhardt entgegnet auf diese Ausführungen, dass das nicht belastete Ventil mit wagerechter Achse nach Riedler-Stumpf zwar eine Verminderung des Saugwiderstandes zulasse, dass diese aber unbedeutend sei. Die Wassermasse beim Durchgang durch das Ventil sowie die Masse des Ventillinges selber müssen beschleunigt werden, gleichviel, ob das Ventil wagerecht oder senkrecht liegt. Die Federbelastung des Ventiles mit senkrechter Achse kann man so bemessen, dass sie genau der Durchgangsgeschwindigkeit des Wassers entspricht, d. h. dass sie dem Auftrieb des strömenden Wassers gerade das Gleichgewicht hält. Wenn das Ventil geschlossen ist, dann ist die Federbelastung gleich null. Ein besonderer Widerstand durch diese Belastung ist demnach nicht vorhanden.

Nimmt man an, dass beide Ventiltypen in den Sitzen gleiche Durchgangsgrößen haben, so unterscheiden sie sich nur insofern, als das Ventil mit wagerechter Achse sich so weit hebt, dass dieser ganze Durchgang frei wird, während man dem Ringventil mit senkrechter Achse im Durchschnitt nur 70 vH dieses Hubes giebt. Die Wassergeschwindigkeiten an dieser Durchgangsstelle müssen sich also auch verhalten wie 70 zu 100. Da die hier in Betracht kommende Wassersäulenhöhe nur sehr klein ist, wird man als Vergleichsmaß für die Widerstände eben diese Durchgangsgeschwindigkeit annehmen können. Man rechnet im Durchschnitt für diesen Widerstand rd. 1 m Wassersäule. Nach einer Tabelle in Stöhlens Ingenieurkalender entspricht dieser Druckwassersäule eine Wassergeschwindigkeit von rd. 4,5 m/s. Rechnet man, dass beim Pufferventil mit wagerechter Achse nur 70 vH, also rd. 3,15 m/s Wassergeschwindigkeit nötig sind, so entspricht diese Geschwindigkeit einer Druckwassersäule von rd. 0,42 m, sodass also 0,51 m Saughöhe unter sonst gleichen Umständen durch das nicht belastete Pufferventil gewonnen werden. Vergrößert man aber den Umfang des federbelasteten Ventiles mit senkrechter Achse im Verhältnis von 100:70, so bleibt der Saugwiderstand in beiden Fällen derselbe. Wegen des geringen Unterschiedes wird man aber in den seltensten Fällen zu

einer besonderen Vergrößerung des Ventillumfanges schreiten.

Noch weniger angebracht scheint es dem Redner, dieses Gewinnes an Saughöhe wegen die zweifellos geringere Dauer und die geringere Zuverlässigkeit des Ventiles mit wagerechter Achse sowie die verwickelte Bauart mit dem Puffer in den Kauf zu nehmen. Wenn man sich vorstelle, wie dieser Puffer im Wasser hin- und hergeht und dem durch das Saugventil einströmenden Wasser gerade entgegenläuft, so könne man sich des Eindruckes kaum erwehren, dass er einestells besondere Widerstände schafft und andererseits zu Unregelmäßigkeiten und Unsicherheiten des Pumpenganges Veranlassung giebt.

Was die Haltbarkeit der Holzventile mit wagerechter Achse betrifft, so waren Ventile mit Holzbelag früher bei Grubenpumpen in Anwendung; man hat sie aber längst verlassen und wendet heute haltbarere Konstruktionen an. Der Redner teilt mit, dass die Riedler-Pumpe auf der Weltausstellung zu Paris sehr viele Betriebsstörungen hatte, dass nicht nur die Luftpumpe, sondern gerade die Saugventile mehrmals auseinander genommen wurden, und dass dazu jedesmal recht viel Zeit nötig war. Die Pumpe »Schleifmühle« dagegen lief ohne jede Betriebsstörung und verließ die Ausstellung, ohne jemals geöffnet worden zu sein.

Bezüglich des kleinen Raumes, den die Riedler-Expresspumpen beanspruchen sollen, glaubt der Redner den Nachweis geföhrt zu haben, dass die Ventilkasten usw. nicht kleiner, sondern eher grööser werden müssen als bei langsamlaufenden Pumpen. Nur die Kolben und das Kurbelgetriebe werden kürzer. Die dadurch erzielte Raumersparnis sei aber durchaus nicht von der Bedeutung, wie man vielfach anzunehmen scheint.

Eine bemerkenswerte Wasserhaltungsanlage, die den Einfluss grööserer Umlaufzahl recht anschaulich macht, hat die Firma des Redners der Mansfelder Gewerkschaft geliefert. Die erste Maschine war eine Zwillingmaschine mit Tandem-Verbundmaschine und Pumpen auf jeder Seite. Die Dampfkolben haben 750 bzw. 1150 mm Dmr., die Pumpenkolben 238 mm; der gemeinsame Hub beträgt 1300 mm. Mit 56 Uml./min schafft jede Maschinenhälfte 12000 ltr/min auf 365 m Widerstandshöhe. Es wurde dann eine Aushölfmaschine verlangt, welche dasselbe wie eine Hälfte dieses Zwillings leisten, jedoch möglichst wenig Raum beanspruchen sollte. Ehrhardt & Sehmmer konstruierten eine Maschine mit genau denselben Dampfkolben- und Tauchkolbendurchmessern, mit denselben Kreuzköpfen, den gleichen Steuerteilen, denselben Tauchkolbenstopfbüchsen, denselben Pumpenkasten und Ventilen, überhaupt die genau gleiche Maschine, jedoch mit nur 700 mm Hub anstelle von 1300 mm. Diese kurzhubige Maschine leistet mit 104 Uml./min genau dasselbe wie die langhubige mit 56 Uml./min. Die Maschinenkammer der langhubigen Maschine hat 27,5 m Länge, die des Schnellläufers nur 19,5 m, streng nach dem Hubverhältnis kämen aber nur 15 m Länge heraus. Ganz ähnlich wie mit diesem Längenverhältnis steht es mit den Gewichten der Maschine, wobei noch das Mindergewicht des Schwungrades sehr wesentlich mitwirkt. Der Herstellungspreis für den Schnellläufer ist beinahe derselbe wie für die langhubige Maschine. Bei einem Versuch mit der grööseren Maschine wurde für das indizierte Pumpenpferd ein Verbrauch von 8,5 kg Dampf bzw. 1,1 kg Kohle festgestellt, wobei alle Verluste eingerechnet sind. Der Verlust durch Kondensation in der Dampfzuleitung betrug bei diesem Versuch rd. 8,5 vH des Bruttodampfverbrauches.

Einen wesentlich schlechteren wirtschaftlichen Wirkungsgrad als diese unmittelbar angetriebenen Dampfzuleitungen geben solche, bei denen die mehrfach gekrüpfte Achse einer stehenden Verbunddampfmaschine mit einer ebenfalls mehrfach gekrüpfen Pumpenachse gekuppelt ist. Der mechanische Wirkungsgrad der Dampfmaschine beträgt hier rd. 88 vH der indizierten Dampfarbeit; davon machen die Pumpen mit Kurbeltrieb wieder 84 vH nutzbar, sodass die indizierte Pumpenarbeit derartiger Maschinen nur rd. 74 vH der indizierten Dampfarbeit beträgt, gegenüber 88 vH bei der unmittelbar getriebenen Dampfzuleitung. Eine solche Anlage ist auch wesentlich teurer. Im Raumbedarf werden beide Maschinenarten ungefähr gleich stehen.

Noch ungünstiger hinsichtlich der Wirtschaftlichkeit des Betriebes sind die unterirdischen Pumpen mit elektrischem Antrieb durch Dampfmaschinen übertage mit Dynamomaschine. Betrachtet man hier den günstigsten Fall, wo die Dynamomaschine unmittelbar auf der Achse der Betriebsdampfmaschine und der Elektromotor unmittelbar auf der Pumpenachse sitzt, so giebt die Dampfmaschine von der indizierten Dampfleistung 88 vH ab; davon giebt die Dynamo ab 93 vH, die Leitung usw. zum Elektromotor 97 vH, der Elektromotor 92 vH, die Pumpe in gutem Zustand 84 vH, sodass rd. 81,5 vH als indizierte Pumpenleistung übrig bleiben. Durchschnittlich wird dieser Prozentsatz sogar mit 60 vH richtig bemessen

werden. Bei Anlagen mit Riemenübertragung geht er auf 50 bis 55 vH zurück. Aber selbst den 61,5 vH gegenüber ist die unmittelbare unterirdische Dampfwaterhaltung mit 8,5 bis 10 vH Verlust in der Dampfzuleitung noch in wesentlichem Vorteil; denn man kann für sie unter Einrechnung des vorgenannten Verlustes immerhin mit rd. $0,5 - 0,64 = \text{rd. } 75 \text{ vH}$ der indizierten Dampfleistung als indizierte Pumpenleistung rechnen.

Um dies auszugleichen, dürfte der Netto-Dampfverbrauch der oberirdischen Dampfmaschine nur 85 vH von dem der unterirdischen Pumpmaschine betragen. Es beziehen sich diese Betrachtungen natürlich nur auf größere Anlagen mit mäßigen Betriebspausen.

Selbst bei der vollkommensten Dampfmaschine übertrage wird man bei elektrischer Uebertragung niemals mit 1,1 kg Kohle 1 PSI leisten, wie es bei den erwähnten Wasserhaltungen der Mansfelder Gewerkschaft der Fall war. Dazu kommt noch, dass die elektrische Uebertragung im Durchschnitt die doppelte Kapitalanlage und mehr Bedienung als die unmittelbare Dampfwaterhaltung verlangt.

Trotzdem giebt es Verhältnisse, wo die elektrische Uebertragung so große Vorteile bietet, dass man gern diesen ganzen Mehraufwand mit in den Kauf nimmt. Wenn die Dampfzuleitung durch den Schacht große Unzuträglichkeiten im Gefolge hat, wenn die unterirdischen Räume und die Sumpfwasser ohnehin schon sehr warm sind, wird man jede Wärmezufuhr durch den Schacht und in die unterirdischen Räume zu vermeiden suchen. Auch in solchen Fällen, wo der Betrieb sehr wechselnd ist, wenn z. B. die Wasserhaltung während der Hälfte des Jahres täglich nur 5 bis 6 Stunden mit der Hälfte ihrer Normalleistung laufen kann, wird die elektrische Uebertragung am Platz sein. Da hier die Dampfzuleitung stets unter Druck bleiben muss, steigen die Kondensationsverluste leicht auf die 6- bis 8fache Höhe der früher angeführten, sodass der Verbrauch der Rohrleitung ebenso groß oder noch größer wird als der Netto-Dampfverbrauch der Maschine. Mit allgemeinen Grundsätzen kommt man im wirtschaftlichen Leben nicht aus; jeder einzelne Fall muss eben geprüft, und es muss gesucht werden, welcher Weg der richtige ist.

Eingegangen 4. Mai 1901.

Hannoverscher Bezirksverein.

Sitzung vom 29. März 1901.

Vorsitzender: Hr. Schliemann. Schriftführer: Hr. Ast.
Anwesend 32 Mitglieder und Gäste.

Hr. Klein spricht über wichtige, beim Bau schnelllaufender Kolbenpumpen inbetracht zu ziehende Gesichtspunkte. Früher hat die Ansicht, wonach Wasser größere Geschwindigkeiten nicht zulässt, vom Bau schnelllaufender Pumpen abgehalten. Thatsächlich ist aber eine Schwierigkeit in dieser Hinsicht nicht vorhanden; dagegen ist das Wasser gegen Geschwindigkeitsänderungen sehr empfindlich, die am stärksten beim Hubwechsel des Kolbens auftreten. Diesen Geschwindigkeitsänderungen, die sich auf die Wasserbewegung in der Saug- und Druckleitung übertragen, ist durch geeignete Maßnahmen entgegenzuwirken. Das geschieht

- 1) durch Einschalten großer Windkessel möglichst nahe am Kolben, namentlich in die Saugleitung, und insbesondere bei großer Saughöhe und langer Saugleitung,
- 2) durch Erweitern der Verbindungsleitungen zwischen Windkessel und Pumpe,
- 3) durch zweckmäßige Ventilkonstruktion, wobei darauf zu achten ist, dass das Schließen des Ventiles in der Mitte des Kolbenhubes beginnt.

Hierauf kommen geschäftliche Dinge zur Verhandlung.

Sitzung vom 12. April 1901.

Vorsitzender: Hr. Schliemann. Schriftführer: Hr. Gail.
Anwesend rd. 250 Mitglieder und Gäste.

Hr. Zopke (Gast) spricht über den Telephonographen und andere Neuerungen in der Telephonie.

Eingegangen 2. Mai 1901.

Mittelrheinischer Bezirksverein.

Sitzung vom 6. Januar 1901.

Vorsitzender: Hr. Nimax. Schriftführer: Hr. Müller.
Anwesend 13 Mitglieder und 1 Gast.

Die Versammlung beschäftigt sich mit geschäftlichen Angelegenheiten, insbesondere dem Kassenbericht über das vergangene und dem Voranschlag für das neue Jahr.

Sitzung vom 2. Februar 1901.

Vorsitzender: Hr. Nimax. Schriftführer: Hr. Müller.
Anwesend 14 Mitglieder.

Nach Erledigung der Eingänge spricht Hr. Fey, über Wasserleitungen und Ausnutzung der Wasserkräfte. Er bespricht die verschiedenen Arten der Quellen, die Anlage von Brunnen und von größeren Wasserleitungen. Nach Mitteilungen über den Nutzen und die Anlage von Thalsperren, besonders der für Heddesdorf vorgesehenen, geht der Vortragende näher auf die Kanalisation der Mosel ein und macht Angaben über die Größe und den Ausbau der hierbei zu gewinnenden Wasserkräfte.

Sitzung vom 3. März 1901.

Vorsitzender: Hr. Helmrich. Schriftführer: Hr. Müller.
Anwesend 18 Mitglieder.

Hr. Prof. Dr. Goebel (Gast) spricht über die Geschichte der Thermometrie. Das Thermometer hat in seiner Entwicklung mehr Wandlungen durchgemacht, als man meist annimmt, und ist auch heute noch in ständiger Vervollkommenung begriffen. Das erste Thermometer wurde nicht, wie meist behauptet wird, von Drebber, sondern von Galilei, und zwar um das Jahr 1597 hergestellt. Es litt an dem großen Mangel, dass die Wirkung des Luftdruckes auf die Flüssigkeitssäule nicht ausgeschlossen war, und dass seine Angaben deshalb höchst unzuverlässig waren. Durch Abschließen der Flüssigkeitssäule beseitigte Ferdinand II. von Toskana diesen Fehler. Die nach seinen Angaben gebauten Florentiner Thermometer fanden weite Verbreitung. Da sie aber ganz willkürlich geteilt waren, zeigte jedes davon andere Angaben, worüber sich noch im Jahre 1730 Réaumur lebhaft beklagte. Es ist das große Verdienst Fahrenheit's, zuerst feste Punkte angewandt und dadurch übereinstimmende Angaben erzielt zu haben. Der Philosoph Wolf in Halle, dem Fahrenheit im Jahre 1714 zwei solcher übereinstimmender Thermometer vorlegte, war hierüber äußerst erstaunt und suchte die Ursache dieser ungewöhnlichen Erscheinung darin, dass Fahrenheit eine besondere Art Alkohol angewandt habe. Fahrenheit hat auch bereits das Quecksilber als Flüssigkeit zu benutzen begonnen.

Jetzt ist bei der Weiterentwicklung des Thermometers das Bestreben darauf gerichtet, seine Genauigkeit zu vergrößern (Anwendung von Jenaer Glas von Schott) und es auch für höhere Temperaturen brauchbar zu machen. Indem man das Quecksilber in dem Glasgefäß unter Druck setzt, kann man seine Anwendbarkeit bis auf 500°, selbst 575°, steigern.

Für außerordentliche Temperaturen nach oben und unten kommt das Luftthermometer zur Anwendung; es findet nach oben da eine Grenze, wo ein gegen die Hitze genügend widerstandsfähiger Stoff für die Umhüllung nicht mehr zu finden ist, während nach unten bei Benutzung von Wasserstoff und schließlich Helium als Füllung der absolute Nullpunkt nahezu erreicht werden kann. Zur weiteren Annäherung an den absoluten Nullpunkt kann man sich schließlich noch der Elektrizität bedienen, indem man ihren mit der Temperatur abnehmenden Leitungswiderstand als Maßstab benützt.

Eingegangen 2. Mai 1901.

Mittelthüringer Bezirksverein.

Sitzung vom 2. April 1901.

Vorsitzender: Hr. Rohrbach. Schriftführer: Hr. Bürger.
Anwesend 14 Mitglieder und 11 Gäste.

Hr. Richard Meier, Jena, spricht über Arbeiter-Wohlfahrtsanrichtungen in deutschen Fabriken.

Die Bestrebungen, Arbeiterwohnungen zu beschaffen, sind in Deutschland von dem preussischen Bergfiskus unter der Regierung Friedrichs des Großen ausgegangen, indem den Arbeitern der fiskalischen Berg- und Hüttenwerke Bauvorschlüsse und Bauprämien gewährt wurden. Die betreffenden Verordnungen sind zurzeit noch in Kraft, und die Behörde ist mit den gemachten Erfahrungen durchaus zufrieden. In den 60er Jahren des verfloßenen Jahrhunderts hat eine Reihe von Fabriken Arbeiterwohnungen zu errichten begonnen, z. B. Krupp in Essen, der Bochumer Verein für Bergbau und Gussstahlfabrikation usw. Die Krupp'sche Gussstahlfabrik in Essen besitzt heute etwa 4900 Wohnungen, in denen über 25000 Menschen wohnen. Von den Bauvereinen, die an verschiedenen Fabriken bestehen, führt der Redner als Beispiel den Spar- und Bauverein Schuckert'scher Arbeiter in Nürnberg an, der bereits weit über 200 Wohnungen besitzt. An der Hand von Grundrissplänen werden die hauptsächlich angewendeten Häuserarten beschrieben.

Alsdann geht der Vortragende zur Besprechung der Pen-

sionskassen über. Es lassen sich dabei zwei Hauptarten unterscheiden: solche mit und ohne Beitragspflicht der Arbeiter. Die Leistungen der einzelnen Kassen sind sehr verschieden. Ueberall sind sie höher, als der Staat sie zu übernehmen in der Lage ist. Der Pensionsanspruch beginnt in der Regel nach fünfjähriger ununterbrochener Dienstzeit und steigt teilweise bis zu recht namhaften Beträgen. Die Pensionskasse der Firma Krupp in Essen zahlte an ihre alten Arbeiter z. B. im Jahre 1895 602881,72 M., im Jahre 1897 776529,77 M. Insgesamt wurden 1895 bis 1897 4460432,15 M. an die Arbeiter ausbezahlt. Im Jahre 1897 belief sich der Vermögenstand der Arbeiterpensionskasse auf 6829122,88 M. Solche Pensionskassen besitzen auch die Badische Anilin- und Sodafabrik und die Elektrizitäts-Aktiengesellschaft vormals Schuckert & Co.

Der Sinn einer Gewinnbeteiligung, auf die der Redner sodann eingeht, ist der, das Arbeitseinkommen in zwei Teile zu zerlegen: einen fest bestehenden und einen von der jeweiligen Geschäftslage abhängigen. Für die Beamten giebt es solche Gewinnbeteiligung schon seit langer Zeit, für die Arbeiter aber in Deutschland erst seit zwei Jahrzehnten. Es lässt sich eine Reihe von Gründen für und wider diese Lohnart anführen. In Deutschland haben etwa 30 Fabriken Gewinnbeteiligung. Die Erfahrungen damit können als günstig bezeichnet werden. Unter diesen Fabriken befinden sich Betriebe mit großer Arbeiterzahl, wie die E.-A.-G. vorm. Schuckert & Co. in Nürnberg, die optische Werkstätte von Carl Zeiss in Jena, die Hallesche Maschinenfabrik und Eisengießerei in Halle usw. Seitens der Firma Carl Zeiss, die seit 1896 die Gewinnbeteiligung eingeführt hat, wurden auf diese Weise an die Arbeiter ausbezahlt 1896 63000 M. und 1900 138000 M. Die letztere Zahl entspricht 10 vH der gezahlten Arbeitslöhne. Grundbedingung für einen Erfolg der Gewinnbeteiligung ist, dass dem Arbeiter ein den gewöhnlichen Geschäftsverhältnissen entsprechender Lohn fest gewährt wird, unter den auch bei schlechterem Geschäftsgange nicht gegangen werden darf. Der Ueberschuss günstiger Zeiten kann dann in Form der Gewinnbeteiligung den Arbeitern zugeführt werden, ohne dass erst erbitterte Lohnkämpfe nötig sind, um einen Mehrverdienst zu erzwingen.

Zum Schluss behandelt der Redner die Einrichtung der Arbeiterausschüsse. Diese verdanken ihre Entstehung der Vorschrift der Gewerbeordnung, dass vor Erlass einer Arbeitsordnung den großjährigen Arbeitern Gelegenheit gegeben werden muss, sich über deren Inhalt zu äußern. Teilweise sind diese Ausschüsse als ständige Einrichtung bestehen geblieben und bilden ein wertvolles Band zwischen Arbeitgeber und Arbeitnehmer. Sie haben meistens nicht nur die Befolgung der Arbeitsordnung zu überwachen, sondern ihnen untersteht auch das Verhalten der Arbeiter innerhalb wie außerhalb der Fabrik. Als Schiedsgericht bei Strei-

tigkeiten unter den Arbeitern wird der Ausschuss ebenfalls vielfach angerufen. Wahlberechtigt sind nur großjährige Arbeiter, die mindestens 1 Jahr in der Fabrik thätig waren, wählbar nur solche, die 5 Jahre lang ununterbrochen beschäftigt gewesen sind. Die Geschäftsleitung hat überall die Tagesordnung zu genehmigen sowie die Beschlüsse auszuführen. Hierin liegt der Schwerpunkt der ganzen Einrichtung; denn es ist mit großen Schwierigkeiten verknüpft, den passenden Mittelweg zwischen den beiderseitigen Ansprüchen zu finden.

In dem sich anschließenden Meinungsansatz wird eine Anfrage dahin beantwortet, dass bei der von der preussischen Eisenbahnverwaltung übernommenen Hessischen Ludwigsbahn die Angestellten nicht mehr am Gewinn beteiligt sind.

Alsdann gelangt eine Reihe geschäftlicher Angelegenheiten, insbesondere Vorlagen des Hauptvereines, zur Beratung.

Auf eine Anfrage berichtet Hr. Runge über die von den einzelnen Regierungen erlassenen Sicherheitsvorschriften für Acetylenanlagen, die sich aber nur auf die Beschaffenheit der Baulichkeiten beziehen, in denen Acetylen-gaserzeuger aufgestellt werden dürfen. Diese Vorschriften sind nach Ansicht des Redners zur Verhütung von Unglücksfällen nicht ausreichend. Als Ursache der meisten Explosionen giebt er die mangelhafte Beschaffenheit der Ausführung und des Materials der oft nur von Klempnern hergestellten Vorrichtungen und Anlagen an, die ohne Sachkenntnis und ohne Rücksicht auf die eintretenden Spannungen und Gefahren gebaut sind. Es ist deshalb nach Ansicht des Redners Pflicht des Staates, eine schärfere Aufsicht auszuüben und den Bau derartiger Vorrichtungen und Anlagen nur kundigen Maschinenfabriken zu gestatten. Ferner müsse der Staat dafür Sorge tragen, dass die Abnahmeprüfungen von technisch gebildeten Männern und nicht, wie bisher bei den Anlagen üblich, von sachunkundigen Polizeibeamten vorgenommen werden.

Eingegangen 24. April 1901.

Siegener Bezirksverein.

Sitzung vom 3. April 1901.

Vorsitzender: Hr. Grauhan. Schriftführer: Hr. Wolff.
Anwesend 19 Mitglieder und 12 Gäste.

Hr. Freyer spricht über Fortschritte in der Flugschiffahrt, mit besonderer Berücksichtigung der Versuche des Grafen Zeppelin).

*) Z. 1901 S. 1173.

Bücherschau.

Mitteilungen über den Niederrheinisch-Westfälischen Steinkohlenbergbau. Festschrift zum allgemeinen deutschen Bergmannstag in Dortmund, den 11. bis 14. September 1901. Den Teilnehmern gewidmet vom Verein für die bergbaulichen Interessen im Oberbergamtsbezirk Dortmund zu Essen a/Ruhr. Berlin 1901, Julius Springer. 338 S. gr. 8° mit 17 Taf., 50 Fig. und vielen Tabellen.

Die vorliegende Festschrift gehört nicht zu den Büchern, die nur als Erinnerungsgabe zu betrachten sind und die man nach stichtigem Durchblättern achtlos beiseite legt. Die Herausgeber haben vielmehr in ernster Auffassung ihrer Aufgabe eine umfassende Darstellung der Steinkohlengewinnung im Ruhrbezirk gegeben, die für den Bergmann in technischer und wirtschaftlicher Hinsicht wertvoll ist, sodass das Werk auch vielfach als Quellen- und Nachschlagewerk benutzt werden dürfte.

Das Buch beginnt mit einer Abhandlung über die Steinkohlenablagung des Ruhrkohlenbeckens von Bergassessor Hundt. Dann folgt eine Uebersicht über die Verfahren des Schachtabteufens von Bergassessor Köhne, in welcher die geschichtliche Entwicklung kurz behandelt und eine Reihe von neueren Ausführungen, Anwendungen des Kind-Chaudron'schen Abbohrverfahrens, der Tomson'schen Wasserzieheinrichtung usw. besprochen wird. Besonders ausführlich ist die Abteufung der Schächte »Hugo« und »Stekrades« der Gute-

hoffnungshütte dargestellt. In ähnlicher Weise berichtet Bergassessor Hundt über den Abbau und über die Wetterführung, Bergassessor Köhne über die Förderung und die Wasserhaltung. In den zuletzt erwähnten Abschnitten sind die Zusammenstellungen der verschiedenen im Ruhrbezirk üblichen Verfahren, Angaben über Konstruktionsteile, wie Förderkörbe, Seilscheiben, Scheibengerüste, Sella, Tabellen über die verschiedenen Antriebe der Fördermaschinen und über ihre Anschaffungs-, Aufstellungs- und Betriebskosten u. dergl. auch für den Ingenieur recht beachtenswert.

Es folgt weiter eine Abhandlung von Bergwerksdirektor G. A. Meyer über Feuerschutz, Feuerbekämpfung und Rettungswesen auf den Gruben und eine solche über Aufbereitung nach Mitteilungen der Maschinenbauanstalt Humboldt in Kalk bei Köln. Die weiteren Abschnitte sind mehr wirtschaftlicher und statistischer Art; sie behandeln Erzeugung und Absatz, die geschäftliche Lage des Steinkohlenbergbaues, Arbeiterverhältnisse, Arbeiterwohnungen auf den Zechen des Ruhrrevieres (mit zahlreichen Skizzen). Den Schluss des Werkes bildet eine Abhandlung über die Eisenhüttenindustrie im Oberbergamtsbezirk Dortmund und ihre Versorgung mit Eisenerzen von Bergassessor Dr. Tübben. In großen Zügen wird ein Ueberblick über die geschichtliche Entwicklung und die gegenwärtige Bedeutung der Eisenindustrie des genannten Bezirkes gegeben. Die von dem Verfasser gesammelten statistischen Angaben verleihen diesem Abschnitt besonderen Wert.

Bei der Redaktion eingegangene Bücher.

Otto Hübners geographisch-statistische Tabellen aller Länder der Erde. 50. Jubiläums-Ausgabe 1901. Von Dr. Fr. von Juraschek. Frankfurt a/M. 1901, Heinrich Keller. 97 S. mit einer graphischen Beilage: Die Volkszunahme im 19. Jahrhundert. Preis 1,50 M.

(Name, Regierungsform, Staatsoberhaupt, Flächeninhalt, Bevölkerung, Volkdichtigkeit, Ein- und Auswanderung, Nationalitäten, Religionsbekenntnisse, Staatseinnahmen, -ausgaben und -schulden, Staatspapiergeld, Banknotenumlauf, stehendes Heer, Kriegsflotte, Handelsflotte, Ein- und Ausfuhr, Haupterzeugnisse, Münzen und deren Wert in Reichsmark, Gewichte, Längen- und Flächenmaße, Hohlmaße für Wein und Getreide, Länge der Eisenbahn- und Telegraphenlinien, Einwohnerzahl der Hauptstädte und der wichtigsten Orte aller Staaten der Erde, Vergleiche über die Volksbewegung und Volksbildung in sämtlichen Staaten Europas, die Elementarschulen, Boden- und Industrieerzeugnisse, Haustiere, auf 1000 Einwohner verwendete Briefe, Zeitungen, Telegramme usw., endlich auch für die Großstädte Europas und insbesondere des Deutschen Reiches Vergleiche ihrer wichtigsten Verhältnisse.)

Vierstellige logarithmische und trigonometrische Tafeln nebst mathematischen und naturwissenschaftlichen Hilfstafeln. Für höhere Schulen und Privatgebrauch. Von Dr. E. Greve. Glogau 1901, Carl Flemming. 178 S. Preis 2,50 M.

(Die sehr deutlichen, übersichtlich angeordneten Zahlen und das handliche Format der Tafeln werden den Gebrauch wesentlich erleichtern.)

Die wahre Gestalt der Spannungskurve. Experimentelle Untersuchungen über die Spannungsverhältnisse der Pulvergase in Geschützrohren. Von Alois Indra. Wien 1901. R. v. Waldheim. 310 S. 8° mit 5 Figurentafeln. Preis 10,00 M.

Übersicht neu erschienener Bücher,

zusammengestellt von der Verlagsbuchhandlung von Julius Springer, Berlin N., Monbijouplatz 1.

Elektrotechnik. Minet, A. Galvanoplastie et galvanoplastie. Paris 1901. Masson & Co. Preis 2 fr. 50 c.

— Mulder, A. J. Beginselen der electriciteit voor de praktijk, voor zelfstudie ten dienste van electricien-monteurs etc. 2^e druk. Amsterdam 1901. Stemler. Preis 2 M.

— Munro and Jamieson's pocket book of electrical rules and tables. 15th ed. London 1901. Griffin. Preis 3 sh. 6 d.

— Norrie, H. B. Induction coils; how to make, use and repair them. 3rd ed. London 1901. Spon. Preis 12 sh. 6 d.

— Pflard, E. La télégraphie sans fil à travers les ages. Paris 1901. V^{ie} Dunod. Preis 1 fr. 50 c.

— Reithoffer, M. Der Drehstrom. Wien 1901. Braumüller. Preis 1 M.

— Sheldon, S. and E. Mason. Dynamo electric machinery: its construction, design and operation. London 1901. Lockwood. Preis 16 sh. 6 d.

— Slaby, A. Die neuesten Fortschritte auf dem Gebiete der Funkentelegraphie. Vortrag. (Sonderabdruck aus der Ztschr. d. Vereines dtch. Ing.) Berlin 1901. Springer. Preis 0,80 M.

— Steinmetz, C. P. Theoretical elements of electrical engineering. London 1901. Whitaker. Preis 12 sh. 6 d.

— Thompson, Silvanus P. Die dynamoelektrischen Maschinen. 6. Aufl. Halle 1901. W. Knapp. Preis 24 M.

— Wittebolle, L. Bibliothèque de l'ouvrier electricien. T. I: La dynamo. Paris 1901. Fritsch.

Erd- und Wasserbau. Beantwortung der im Allerhöchsten Erlasse vom 28. II. 1892 gestellten Frage B: »Welche Maßregeln können angewendet werden, um für die Zukunft der Hochwassergefahr und den Überschwemmungsschäden soweit wie möglich vorzubeugen?« Durch Beschluss des Ausschusses zur Untersuchung der Wasserverhältnisse in den der Überschwemmungsgefahr besonders ausgesetzten Flussgebieten vom 15. III. 1901 festgestellt. Berlin 1901. D. Reimer. Preis 1,50 M.

— Cotton, F. O. A letter and two other papers on the water of the great rivers of India. London 1901. Rivingtons. Preis 1 sh.

— Dufourmy, Alexis. Nantes, port industriel. Bruxelles 1901. J. Gomme. Preis 3 fr. 50 c.

— Houven van Oordt, H. C. van der, en G. Vissering. De economische betekenis van de afsluiting en drooglegging der Zuiderzee. 2. uitg. Leiden 1901. Brill. Preis 1 fl. 50 c.

— Lippmann, E. Petit traité de sondages. Études et recherches souterraines par sondages à de faibles profondeurs. 2^e éd. Paris 1901. Tignot.

— Prelini, Charles. Tunneling. London 1901. Crosby Lockwood. Preis 16 sh.

Explosionsmotoren und andere Wärmekraftmaschinen. Berichte über die Weltausstellung in Paris 1900. Herausgegeben von dem k. k. öster-

Leitraden zum Berechnen der Wechselläder beim Gewindeschneiden an der Leitspindel-Drehbank für rheinl., engl. und Metermaß und für das metrische Normalgewinde nebst 57 Tabellen. 8. Auflage. Von Rudolf Dahl. Berlin 1901, Carl Patsky. 111 S. Preis 1,50 M.

(Die neue Auflage wurde deshalb nötig, weil in den letzten Jahren in der Technik und der Feinmechanik das metrische Gewinde zur Einführung gekommen ist, für das der Verfasser nunmehr 12 neue Tabellen berechnet hat, die den praktischen Wert des Buches erhöhen werden.)

Lehrbuch der Mauerwerks-Konstruktionen. Von Ludwig Debo. Hannover 1901, Gebrüder Jänecke. 384 S. 8° mit 508 Fig. Preis 9,00 M.

(Steine und Mörtel — allgemeine Regeln für die Ausführung des Mauerwerkes — Mauern aus künstlichen Steinen — Mauern aus natürlichen Steinen, Quaderwerk — Mauern aus Beton, Mörtelmaße und aus Erde — Festigkeit des Mauerwerkes — Ueberdeckung der Öffnungen — Erddruck der Futtermauern — Fundamentmauern — Grundmauern und Wände der Gebäude — Gewölbe — Einfriedigungsmauern)

Kleyers Encyclopädie der gesamten mathematischen, technischen und exakten Naturwissenschaften. Lehrbuch der projektivischen (neueren) Geometrie. (Synthetische Geometrie, Geometrie der Lage.) II. Teil. Harmonische Gebilde. Entstehung der Kegelschnitte. Sätze von Pascal und Brianchon. Nebst einer Sammlung gelöster und ungelöster Aufgaben, mit den Ergebnissen der ungelösten Aufgaben. Für das Selbststudium und zum Gebrauche an Lehranstalten. Von Dr. J. Sachs. Stuttgart 1901, Julius Maier. 220 S. 8° mit vielen Figuren. Preis 6 M.

reichlichen General-Commissariate. 5. Bd.: Dampfessel, Dampfmaschinen, Explosions-Kraftmaschinen, Turbinen. Wien 1901. Gerold's Sohn. Preis 2 M.

— Marchis, L. Leçons sur les moteurs à gaz et à pétrole. Paris 1901. Gauthier-Villars.

Feuerungsanlagen. Clausen, E. Die statische Berechnung der Fabrik-schornsteine. 2. Aufl. Lüneburg 1901. Köhlig. Preis 3 M.

— Entwurf und statische Berechnung des gemauerten Schornsteinschafes. Vordruck II für Winddruck, der oben und unten gleich stark ist. 2. Aufl. Hannover 1901. Helwing. Preis 0,15 M.

Gasbereitung. Bernát, Desider, und Karl Scheel. Wegweiser für Acetylen-Techniker und Installateure. Halle 1901. C. Marhold. Preis 3 M.

— Frölich, O. Tabelle zur Bestimmung der Gasausschüttung aus Calciumcarbid. Halle 1901. Marhold. Preis 1,50 M.

— Kuhn, C. Ein Beitrag zur Geschichte der Acetylen-Industrie, nebst Anhang der k. k. Allerhöchsten Verordnung, die Herstellung, Aufbewahrung und Verwendung von Acetylen und die Lagerung von Karbid betr., vom 26. VI. 1901. München 1901. E. Oldenbourg. Preis 0,50 M.

— Vogel, J. H. Acetylenzentralen. Gemeinverständliche Darstellung des zeitigen Standes der Beleuchtung ganzer Ortschaften mit Acetylen. Halle 1901. C. Marhold. Preis 4 M.

Gesundheitsingenieurwesen. Fazio, Eugenio. Principi d'igiene avanti applicazione nei vari rami dell'ingegneria. Lezioni fatte alla scuola di applicazione degli ingegneri di Napoli. Napoli 1901. Preis 7 M.

Heizung und Lüftung. Wieprecht, Otto. Entwerfen und Berechnen von Heizungs- und Lüftungsanlagen. 2. Aufl. Halle 1901. C. Marhold. Preis 2 M.

Hochbau. Bouteau, C. Nouveau manuel complet de la construction des escaliers en bois. Nouv. éd. Paris 1901. Mulo. Preis 5 fr.

— Prandau, A. de, et E. Pontsen. Procédés généraux de construction. Travaux d'arts. T. I: Eléments des ouvrages. Paris 1901. Hérissey.

— Vierendeel, A. Cours de stabilité des constructions. T. IV: Charpente articulée. Paris 1901. V^{ie} Dunod. Preis 3 fr. 75 c.

Holzbearbeitung. Demessy, P. Le séchage rapide des bois et l'inflammabilité des bois. Paris 1901. Doin.

Ingenieurwesen. Ingenieur-Kalender. Herausgegeben von Th. Beckert und A. Pohlhausen. 1902. Vierundzwanzigster Jahrg. 2 Teile. Berlin 1901. Springer. Preis 3 M.

Kältemaschinen. Leask, A. E. Refrigerating machinery; its principles and management. Rev. edit. London 1901. Stimpkin. Preis 5 sh.

Luftschifffahrt. Koch, G. Das Flug-Schiff, das schnellste Wasserfahrzeug zur Vermittelung des Uebergangs von der Wasser- zur Luftschifffahrt. München 1901. Lukaschik. Preis 1 M.

- Luft- und Wasserkraftmaschinen.** Präsil, F. Die Turbinen und deren Regulatoren auf der Weltausstellung in Paris. (Sonderdruck.) Zürich 1901. Rascher. Preis 2 M.
- Maschinenelemente.** Schneider, M. Die Maschinen-Elemente. 1. Bd. 1. Schraubenverbindungen. Braunschweig 1901. F. Vieweg & Sohn. Preis 2 M.
- Materialkunde.** Boero, J. Fabrication et emploi des chaux hydrauliques et des ciments. Paris 1901. Béranger.
- Canavazzi, S. Siderocemento: formule di resistenza e di elasticità. Bologna 1901. Preis 8 M.
- Communications présentées devant le Congrès international des méthodes d'essai des matériaux de construction, tenu à Paris du 9. au 16. juillet 1900. Paris 1901. V^{te} Dunod. Preis 25 fr.
- Faurie, G. Déformations permanentes et rupture des métaux. Paris 1901. V^{te} Dunod. Preis 2 fr.
- Hamisch, A., und H. Schmid. Oesterreichs Steinbrüche. Verzeichnis der Steinbrüche, welche Quader, Stufen, Pflastersteine, Schiefer- und Mühlesteine oder Dachplatten liefern. Wien 1901. Grasser & Co. Preis 20 M.
- Hlavacek, W. Tabellen über Dimensionsberechnungen von Stab- und Materialeisen. Wien 1901. Seitzlinski. Preis 1,40 M.
- Koechlin, R. Formeln und Tabellen zum Gebrauche bei der Berechnung von Konstruktionsteilen auf Zug, Druck (Knicken) und Biegen. Zürich 1901. Rascher. Preis 4,80 M.
- Zulkowski, Karl. Zur Erhaltungstheorie der hydraulischen Bindemittel. Berlin 1901. R. Gaertner. Preis 2 M.

- Mathematik.** Gillespie, W. M. Treatise on surveying, comprising theory and practice. 2 vols. London 1901. Hirschfeld. Preis 10 sh. 6 d.
- Laussedat, A. Recherches sur les instruments, les méthodes et le dessin topographiques. Paris 1901. Gauthier-Villars. Preis 10 fr.
- Megede, A. sur. Wie fertigt man technische Zeichnungen? 5. Aufl. Berlin 1901. Polytechnische Buchhandlung. A. Seydel. Preis 1,60 M.
- Vogt, H. Éléments de mathématiques supérieures à l'usage des physiciens, chimistes et ingénieurs. Paris 1901. Nony. Preis 10 fr.
- Mechanik.** Gérardin, A. Cours de mécanique expérimentale. 6^e édit. Paris 1901. Belin frères.
- Keck, W. Fragen über die wichtigsten Gegenstände aus dem Gebiete der Mechanik. 4. Aufl. Hannover 1901. Halving. Preis 0,50 M.
- Mitteilungen über Forschungsarbeiten auf dem Gebiete des Ingenieurwesens, insbesondere aus den Laboratorien der technischen Hochschulen, herausgegeben vom Vereine deutscher Ingenieure. 2. Heft. Berlin 1901. Springer. Preis 1 M.
- Müller-Breslau, H. F. B. Die graphische Statik der Baukonstruktionen. 3. Aufl. Leipzig 1901. Baumgärtner. Preis 18 M.
- Rééal, J. Stabilité des constructions. Paris 1901. Béranger.
- Weissbach, J. Lehrbuch der Ingenieur- und Maschinen-Mechanik. 3. Teil: Die Mechanik der Zwischen- und Arbeitsmaschinen. 2. Aufl. Braunschweig 1901. Vieweg & Sohn. Preis 9,50 M.
- Zimmermann, F. Ueber Haufwerkwerke. Neue Formen und Berechnungsweise für Kuppeln und sonstige Dachbauten. Berlin 1901. Ernst & Sohn. Preis 8 M.

Zeitschriftenschau.¹⁾

(^{*} bedeutet Abbildung im Text.)

Beleuchtung.

Zur Theorie des Gasglühlichtes. Von Drossbach. (Journ. Gasb.-Wasserv. 2. Nov. 01 S. 819/30) Besprechung der Nerzischen und Buntischen Theorie. Spektrographische Feststellung der relativen Lichtstrahlung.

Ueber Acetylanglühlicht und Karburierung des Acetylene. Von Caro. (Journ. Gasb.-Wasserv. 2. Nov. 01 S. 824/27^{*}) Allgemeines über die Verwendung von Acetylen für Glühlichtbeleuchtung. Kritische Besprechung verschiedener Brennerkonstruktionen. Messungen an Acetylen-Glühlichtbrennern. Schluss folgt.

Brennstoffe.

Manufacture of briquettes from wood waste. Von von Heidenstam. (Engineer 1. Nov. 01 S. 465/66^{*}) Sägespäne und Abfälle von Holzschnideimühlen werden erst getrocknet, dann verkohlt und hierauf in Formen gepresst. Beschreibung der hierbei angewendeten Einrichtungen und Angaben über den Brennwert der Briquets.

Emploi des résidus de naphthe dans les usines sidérurgiques de Russie. Von Abraham. (Génie civ. 2. Nov. 01 S. 9/11^{*}) Allgemeines über die russische Petroleumindustrie. Zusammensetzung und Eigenschaften des Masuts. Brenner und Heizvorrichtungen für Kessel. Verwendung der Naphtha im Eisenhüttenwesen. Verbrennung der Naphtha im flüssigen und gasförmigen Zustande. Verbrennung im pulverförmigen Zustande. Vergasung der Naphtha und Gasverteilung.

Dampfmaschinen.

Das Kesselspeisewasser. Von Vogt. (Mitt. Prax. Dampf. Dampf. 30. Okt. 01 S. 790/91) Der Verfasser berichtet über seine Erfahrungen über das Kesselspeisewasser in Bierbrauereien, die Speisewasserreinigung und den Ölgehalt des Speisewassers.

Untersuchung des Nutzeffektes der Flammrohrschelben. Patent Thomassen & Krop. Amsterdam. D. R.-P. Nr. 97721. Von Nolte. (Mitt. Prax. Dampf. Dampf. 30. Okt. 01 S. 786/87^{*}) Bei einem amtlichen Versuche ergab sich eine Kohlenersparnis von 15,9 vH nach Einbau der Flammrohrschelben.

Pumping engines at Hampton. (Engineer 1. Nov. 01 S. 453/54^{*} mit 1 Taf.) Darstellung von Konstruktionseinheiten der stehenden Dreifachexpansions-Dampfpumpen. Ergebnisse von Versuchen, bei welchen eine Maschine rd. 570 PS leistete.

Eisenbahnwesen.

The Uganda Railway, Kikuyu inclines. (Engineer 1. Nov. 01 S. 460/61^{*}) Auf einigen Strecken der Uganda-Bahn sind bedeutende Steigungen zu überwinden, die, weil ihre Ebnung vorerhand noch nicht wirtschaftlich erschien, mittels Seilzuges betrieben werden. Darstellung der Fördereinrichtungen.

La traction électrique sur la ligne des Invalides à Versailles. Canalisations et sous-stations. — Voie électrique et locomoteurs. Von Drouin. (Génie civ. 26. Okt. 01

S. 418/19^{*} mit 1 Taf.) Abmessungen und Verlegung der 5000 V-Speiseleitungen. Verbindungsmuffen. Die Unterstationen Champs-de-Mars, Meudon und Viroflay. Transformatoren und Umformer. Regulierung und Schaltanlagen. Verlegung der Gleichstrom-Speiseleitungen. Elektrische Ausrüstung der Strecke. Beschaffenheit und Verlegung der dritten Leitungsschiene. Walchen und Kreuzungen. Stromabnehmer. Die elektrischen Zuglokomotiven. Motorwagen für Einselfahrt. Zusammengesetzte Züge.

The Chicago and Joliet electric railway. (Eng. News 24. Okt. 01 S. 814/15) Die zum größten Teile zweigleisig ausgebaute Eisenbahn ist 50 km lang. Das rollende Gut besteht aus Wagen, die je von 4 Gleichstrommotoren von je 40 PS angetrieben werden. Strom von 600 V wird oberirdisch zugeführt.

Electric railway apparatus. Von Berg. (Trans. Am. Inst. El. Eng. Aug./Sept. 01 S. 643/70^{*}) Besprechung der Eigenschaften der für Vollbahnen in Betracht kommenden elektrischen Maschinen. Gleich- und Wechselstromerzeuger. Gleichstrom-Wechselstrom-Umformer. Rotierende Wechselstrom-Gleichstrom-Umformer. Synchroner Motor-generator. Wechselstrommotoren für Eisenbahnzwecke. Leistung des Kraftwerkes, maschinelle Einrichtung, Leitungen usw., Berechnung für Gleichstrommotoren und Wechselstrommotoren.

Traction électrique à unités multiples, système Sprague. (Génie civ. 26. Okt. 01 S. 419/21^{*}) Anordnung und Schaltung der Motoren. Fahrplan. Widerstände. Stromverteilung im Zuge. Steuerung mit konstanter Füllung im Niederdruckzylinder bei veränderlicher Füllung im Hochdruckzylinder für Verbundlokomotiven. Von Kuhn. (Glaser 1. Nov. 01 S. 177/79 mit 1 Taf.) Die Steuerung, deren Einzelheiten in den Figuren dargestellt ist, arbeitet bei Vorwärts- und bei Rückwärtsfahren genau gleich, wodurch die Nachteile der Verbundlokomotiven beim Rückwärtsfahren aufgehoben werden. Als weiterer Vorteil wird erhebliche Ersparnis an Brennstoff oder bei gleichem Brennstoffverbrauch eine gesteigerte Leistung der Lokomotive angeführt.

Oil burning systems for locomotives. (Eng. News 24. Okt. 01 S. 812/13^{*}) Beschreibung einer Anordnung von Best zur Verbrennung flüssigen Brennstoffes und Bericht über Versuche hiermit auf amerikanischen Lokomotiven.

Mitteilungen über Fortschritte auf einigen Gebieten im Eisenbahnwesen. Von Diesel. (Glaser 1. Nov. 01 S. 169/76^{*}) Entwicklungsgang der modernen Personenzüge. Kuppelung für die Wagen der Berliner Stadtbahn. Beschaffenheit der Bahnsteige. Tragfähigkeit der Güterwagen. Verschiedene Schienenstabsverbindungen.

25-ton bogie coal wagon at the Glasgow Exhibition, constructed by Messrs. R. Y. Pickering and Co., Limited. Wisbaw. (Engug. 1. Nov. 01 S. 637^{*}) Skizzen und kurze Beschreibung eines eisernen Güterwagens mit 2 zweilagigen Drehgestellen.

The Brighton Railway suburban widening. (Engineer 1. Nov. 01 S. 460) Kurze Schilderung der Arbeiten, die beim Verbreitern der Strecke auf 4 Gleise erforderlich sind.

Eisenkonstruktionen, Brücken.

Beitrag zur Untersuchung der Spannungen in einem Fachwerk. Von Hamisch. (Dingler 2. Nov. 01 S. 697/98^{*}) Kinetische Untersuchung eines Fachwerkes aus zwei starren Schalen

¹⁾ Die Zeitschriftenschau wird, nach den Stichwörtern in Vierteljahresten zusammengefasst und geordnet, gesondert herausgegeben, und zwar zum Preise von 3 M. pro Jahrgang für Mitglieder, von 10 M. pro Jahrgang für Nichtmitglieder.

die durch ein Gelenk und außerdem durch beliebig viele Stäbe miteinander verbunden sind.

The Northport bridge. (Eng. Rec. 19. Okt. 01 S. 567/68*) Die Brücke ist aus Holz und Eisen erbaut und hat 3 Überbauten von 76 m und 8 solche von 46 m Spannweite. Einzelheiten der Hauptträger.

The Tremont church roof, New York. (Eng. Rec. 19. Okt. 01 S. 569/70*) Zeichnungen und kurze Beschreibung des Dachbinders im Hauptschiff der genannten Kirche.

Ueber Betonisenkonstruktionen. Von Kappaport. (Schweiz. Bauz. 2. Nov. 01 S. 198/201*) Der Verfasser untersucht, ob es möglich ist, einen Betonisenbalken herzustellen, bei dem die Eisenteile nur Zug, der Beton nur Druck oder nur sehr geringfügige Zugspannungen auszuhalten hat. Ferner wird erörtert, ob die üblichen Bauweisen diesen Bedingungen entsprechen und ob als Verbesserungsmaßnahme.

Elektrotechnik.

The electric transmission of power from Niagara Falls. Von Stillwell. (Trans. Am. Inst. El. Eng. Aug./Sept. 01 S. 541/527* mit 3 Taf.) Geschichtliches über die Ausnutzung der Wasserkraft des Niagara-Falles. Die Aufgaben für die Errichtung einer neuen Anlage. Grundzüge des genehmigten Entwurfes. Anordnung und Konstruktion der ersten drei Drehstromerzeuger: Feldring, Pole und Feldwicklung; Träger des Feldringes; Welle; Verfahren zum Ausgleichen des sich drehenden Feldkörpers; Anker. Gestalt der Spannungscurve. Das Verhalten der ersten drei Dynamomaschinen bei Versuchen und im Betriebe. Die Drehstromerzeuger 4 bis 10: elektrische und mechanische Ausführung; Verhalten bei Versuchen und im Betriebe; Erwärmung; Isolationswiderstand; Beschädigung der Ankerwicklung infolge Kurzschlusses. Vergleich der beiden Bauarten. Erregermaschinen. Schalt- und Messgeräte. Stromfortleitung und -verteilung; Verteilung am Orte. Kabelverläufe. Uebertragung durch Dreileiterkabel unter 10000 V Spannung und dazugehörige Unterstationen. Uebertragung nach Buffalo, Tonawanda und Lockport. Ausführung der Fernleitung in Kanälen. Die neue Luftleitung. Elektrische Ausrüstung des Umformerwerkes. Angaben über die Ausrüstung des zweiten Kraftwerkes.

Walla Walla, Wash., electrical transmission plant. (El. World 26. Okt. 01 S. 675/76*) Das Wasser wird dem Werk durch eine 1700 m lange Holzröhrenleitung mit 25 m Gefälle zugeführt und läuft durch ein 5,8 m langes Unterwasser-Saugrohr ab. Das Werk enthält eine 450-pferdige McCormick-Turbine von 450 Uml./min, die mit einem monosyklischen Wechselstromerzeuger von 300 KW Leistung, 6600 V Spannung und 60 Per./sek unmittelbar gekuppelt ist. Mit der Maschinenwelle ist zur Aushilfe eine 400-pferdige rotierende Dampfmaschine von Thomas & Brumagin gekuppelt. Angaben über die Stromfortleitung und -verteilung.

The steam plant of the Fall Mountain Electric Light and Power Company. (Eng. Rec. 19. Okt. 01 S. 366*) Das Krafthaus enthält zwei stehende Kessel für eine Leistung von je 200 PS mit künstlichem Zug; ferner eine Tandem-Verbund-Dampfmaschine von 425 PS bei 225 Uml./min, die eine Wechselstrommaschine von 22 KW, einen Straßenbahngenerator von 75 KW und eine Brush-Bogenlichtmaschine für 120 Lampen treibt.

The electrical equipment of Messrs. Palmer's shipbuilding works. (Engng. 1. Nov. 01 S. 607/09*) Mitteilungen über das elektrische Kraftwerk und die elektrischen Antriebe für Krane, Kreiselpumpen, Spills, Werkzeugmaschinen, Transmissionen in den Werken der Palmer Shipbuilding and Iron Company in Jarrow-on-Tyne.

Zur Berechnung mehrphasiger Generatoren. Von Pichelmayer. (Elektrot. Z. 31. Okt. 01 S. 908/09*) Abhandlung über die Bestimmung der Streuung und der mittleren magnetomotorischen Kraft des Ankers anhand von Versuchsergebnissen.

Parallelbetrieb in Wechselstromsystemen. Von Meyer. (Elektrot. Z. 31. Okt. 01 S. 905/08*) Gründe der Notwendigkeit des Parallelbetriebes von Wechselstrommaschinen. Zeitliche Geschwindigkeitsänderung infolge Änderung der Belastung. Tätigkeit des Regulators. Praktisches Beispiel. Periodische Schwankungen während einer Umdrehung ihre Grenzen und Ausgleichströme. Winkelgeschwindigkeit der Kurbeln von ein- und mehrzylinderigen Treibmaschinen. Bestimmung des Durchmessers und Gewichtes der Schwungräder. Praktisches Beispiel. Vorrichtung zum Messen der Winkelgeschwindigkeit von Schwungrädern. Einfluss der Frequenz auf den Parallelbetrieb.

Erd- und Wasserbau.

Ueber einige Grundsätze, welche beim Entwerfen von Baggermaschinen zu beachten sind. Von Brennecke. (Deutsche Bauz. 2. Nov. 01 S. 545/47*) Der Verfasser empfiehlt, die Kimerketten nach dem Vorbilde der hölländischen Bagger mit Durchhang auch des oberen stehenden Trums anzuordnen, ferner zur Kraftübertragung Riemen anstelle von Zahnradern zu benutzen. Weitere Vorschläge des Verfassers beziehen sich auf die Ausbildung der Lager der Elmerkettenrollen und auf die Konstruktion von Pumpenbaggern. Schluss folgt.

Neuer Taucheracht der Elbstrom-Bauverwaltung. (Z. Bauw. 01 Heft 10/12 S. 567/72 mit 1 Taf.) Die Taucherglocke ist seitlich an einem 30 m langen und 7,50 m breiten eisernen Schiff-

körper angebracht. Zum Heben und Senken dient eine 50-pferdige stehende Verbundmaschine. Beschreibung der Maschinenanlage und Schilderung des Betriebes.

Der Bau des Dortmund-Ems-Kanals. Forts. (Z. Bauw. 31 Heft 10/12 S. 573/608* mit 6 Taf.) Die Wehre: Allgemeines; Nadelwehre; Schützenwehr bei Herbrum. Brückenkanäle: Emsbrücken- und Lippebrückenkanal; Chausseeführung bei Olfen. Durchlässe, Düker, Ein- und Auslässe. Forts. folgt.

Methods of construction of the New Cambridge Bridge substructure Boston, Mass. Von Thompson. (Eng. News 17. Okt. 01 S. 282/84*) Schilderung des Verfahrens beim Einrammen der Pfähle und beim Bau der Spundwände. Mischen und Setzen des Betons für die Gründung der Brückenpfeiler.

Die Bauarbeiten am Simplontunnel. Von Pestalozzi. (Schweiz. Bauz. 2. Nov. 01 S. 191/94*) Allgemeine Angaben über die Lage des Simplontunnels und die Bauverfahren. Beschreibung der Wasserkraftanlage auf der Nordseite des Tunnels. Forts. folgt.

The Perivar dam and irrigation works, southern India. (Eng. News 24. Nov. 01 S. 298/303*) Die zur Bewässerung des Madura-Besirkes dienenden Anlagen bestehen in der Hauptsache aus einem 53 m langen Damm durch den Perivar-Fluss und einem Tunnel von 1780 m Länge, durch den das Wasser in die Kanäle geleitet wird, welche das Bewässerungsnetz bilden. Eingehende Schilderung der Bauarbeiten.

Explosionsmotoren und andere Wärmekraftmaschinen.

Kraftgas. Von Meyer. Forts. (Glaser 1. Nov. 01 S. 180/84*) Einrichtungen und Betriebsverfahren verschiedener Generatortypen. Forts. folgt.

Ueber Wasser- und Elektrizitätswerke mit Gasbetrieb. Von Kötting. Forts. (Journ. Gasb.-Wasserv. 2. Nov. 01 S. 830/28*) Wasserwerk des Zoologischen Gartens in Hannover. Städtische Entwässerungsanlagen mit Gasmotorenbetrieb. Schluss folgt.

Gas-engine research. Von Burstell. Forts. (Engng. 1. Nov. 01 678/31*) Versuche über die Temperaturverhältnisse im Gasmaschinenzylinder. Die Ergebnisse sind in zahlreichen Tabellen zusammengestellt. Forts. folgt.

Gasindustrie.

Neuere Acetylenentwickler und Zubehör. Forts. (Dingler 2. Nov. 01 S. 704/07*) Karbid-einlassventil von Widmann, Acetylenentwickler von Margulies, Sicherheitsventil für Acetylenentwickler von Helffer & Fliege, Karbidventil von Gogel und Löffler, Gruben-sicherheitslampe von Jobow, Einlassventil für gekörntes Karbid von Widmann, Acetylenentwickler von Schreiber, Kippbarer Karbidbehälter von Brenner-Sonn, Acetylenentwickler von Fendert, Vorrichtung zum Aufhalten der Karbidbehälter von Baule. Forts. folgt.

Usine à gaz Riché et à acétylène de la Compagnie des Chemins de fer Paris-Lyon-Méditerranée. Von Guérin. (Génie civ. 26. Okt. 01 S. 421/23*) Zusammenstellung des zur Zubeleuchtung verwendeten Gases. Beschreibung der beiden Gaszerlegungsanlagen. Darstellung der Mischeinrichtungen und des Acetylen-gaserzeugers.

Gesundheitsingenieurwesen.

The septic tank system at Glencoe, Ill. (Eng. Rec. 19. Okt. 01 S. 368/69*) Die Abwasseranlage ist für eine größte tägliche Leistung von 95 cfm bestimmt. Darstellung der Faulräume und der Filterbetten.

The new sewage disposal plant at Madison, Wis. Von Turneaure. (Eng. Rec. 19. Okt. 01 S. 372/74) Beschreibung der Vorarbeiten und Entwürfe, des Baues und der Einrichtung der vor kurzem in Betrieb genommenen Abwasseranlage, in der die Abwässer nach dem biologischen Verfahren behandelt werden.

Gießerei.

Iron foundries and foundry practice in the United States. VI. (Engineer 1. Nov. 01 S. 446/47) Allgemeine Betrachtungen über die Zusammensetzung des Eisens in Gießereien.

Heizung und Lüftung.

Zum Köttingschen Luftumwälzungsverfahren. Von Ginsberg. (Gesundtsing. 31. Okt. 01 S. 371) Beitrag zu der in Zeitschriftenchau v. 10. Aug. und 28. Sept. 01 erwähnten Frage.

Hot water heating in a Chicago residence. (Eng. Rec. 19. Okt. 01 S. 374/75*) Das Gebäude hat ein Erdgeschoss und 3 Obergeschosse und besitzt eine ausgedehnte Lüftanlage mit warmer Luft und eine Warmwasserheizung mit offener Gefälleleitung.

Holzbearbeitung.

Nouveaux chapeaux de sûreté pour acies circulaires. Von Mamy. (Génie civ. 2. Nov. 01 S. 5:9*) Darstellung der Schutzvorrichtungen von Lavar, Brillard, Bouteleup und Le Rozier.

Maschinenteile.

Neue Stopfbüchsenpackung. (Mitt. Prax. Dampf. Dampf. 30. Okt. 01 S. 791/92*) Die Stopfbüchsenpackung von Edwin Wild

besteht aus zwei Masseringen und einem dazwischen gelegten doppelkegelförmigen Metallring. Sie soll sich gut bewähren.

Steam engine governor. (Engineer 1. Nov. 01 S. 461*) Kugelregulator mit umgekehrter Aufhängung der Gewichte und unmittelbar eingebauter Oelbremse, verfertigt von C. Whitehead in Bury.

Berechnung der Warmwassers-, Wasser- und Gasleitungen. Von Mewes. Schluss. (Dingler 2. Nov. 01 S. 698/702) Die Gesetze der Wasserbewegung in Warmwasserheizungen. Berechnung eines Zahlenbeispiels. Bemerkungen über die Berechnung von Gasleitungen.

Materialkunde.

Rationelle Durchführung der Materialprüfung. Von Reiff. Forts. (Baumaterialienk. 01 Heft 20 S. 312/13*) S. Zeitschriftenschau v. 28. Okt. 01. Forts. folgt.

Besitzt Thomasseisen die Eigenschaften eines guten Brückenmaterials? Schluss. (Baumaterialienk. 01 Heft 20 S. 314/16*) Anbrüche des Stahles. Schlussfolgerungen, die auf Verwerfung des Thomasseisens als Brückenbaustoff hinauslaufen.

The correct treatment of steel. Von Ridsdale. Forts. (Engng. 1. Nov. 01 S. 633/34*) Das Auswalzen der Stahlguss- Behandlung der Schienen. Behandlung des Stahles beim Schmieden. Forts. folgt.

Studie über die Konstitution des Portlandzementes. Von Meyer. Forts. (Baumaterialienk. 01 Heft 20 S. 309/11) Das Verhalten des Zementes im Wasser. Forts. folgt.

Ueber die Frage nach der Konstitution des Portlandzementes. Von Rohland. (Baumaterialienk. 01 Heft 20 S. 317/19) Rückführung auf die Erwiderung von Rebuffat. S. Zeitschriftenschau v. 29. Juni und 20. Juli 01.

Prüfung und Eigenschaften von Baukörpern aus Kork. Von Gary. (Mitt. techn. Versuchsanst. 01 Heft 2 S. 45/58*) Es wurden Korksteine auf Druck- und Biegefestigkeit, auf Zusammendrückbarkeit, auf ihr elastisches Verhalten, auf Wasseraufnahmevermögen, auf Feuersicherheit und auf ihr Verhalten in der Wärme geprüft. Die Versuchswerte sind in Tabellen zusammengestellt.

Versuche mit Bausteinen und Mörtelstufen für den geplanten Bau des Stauweihers im Schmalwassergrund bei Gotha. Von Borchartz. (Mitt. techn. Versuchsanst. 01 Heft 2 S. 59/66*) Der Zweck der Prüfungen, die eingehend beschrieben sind, war die Auswahl geeigneten Bausteines und die Gewinnung von geeigneten Mörtelstufen, um daraus möglichst billige und doch genügend feste und wasserdichte Mörtelmischungen herzustellen.

Lötversuche mit der sogenannten Gussseisen-Lötpasta »Ferrofix«. Von Rudoloff. (Mitt. techn. Versuchsanst. 01 Heft 2 S. 86/90*) Die Ergebnisse der Untersuchungen werden dahin zusammengefasst, dass es bei sorgfältiger Ausführung möglich ist, nach dem Verfahren Lösungen an Gussseisen herzustellen, die praktisch die gleiche Festigkeit haben wie das volle Material.

Wasserzeichenpapiere. Von Herzberg. (Mitt. techn. Versuchsanst. 01 Heft 2 S. 90/105*) Tabellarische Zusammenstellungen der Ergebnisse von Untersuchungen an Papieren verschiedener Fabriken.

Mechanik.

Erddruck. Von Francke. (Z. Bauw. 01 Heft 10/12 S. 639/48*) Ableitung der allgemeinen Abhängigkeit des kleinsten Wanddruckes von seiner Richtung. Berechnung des Erddruckes für die lotrechte Stützwand mit wagerechter und mit beliebig geböckelter Hinterfüllung und mit vorwärts geneigter Rückwand.

Tafeln zur Berechnung des Erddruckes. (Zentralbl. Bauw. 30. Okt. 01 S. 525/26*) Der Verfasser entwickelt die Ansicht, dass die ältere Rebhauische Erddrucktheorie auch heute noch beim Entwerfen brauchbar und empfehlenswert sei und gibt Tafeln, die die betreffenden Rechnungen sehr erleichtern.

Ueber eine bemerkenswerte Gattung von Bogenlinien, ihre Anwendung für hintermannte Brückengewölbe und ihre Bedeutung in der Hydrostatik. Von Gnuschke. (Z. Bauw. 01 Heft 10/12 S. 573/608*) Gleichung und Eigenschaften der Bogenlinien. Uebersichtliches Aufzeichnen der Linien und genauere Berechnung. Bestimmung der wagerechten Kräfte, welche ein Widerlager zu leisten hat, und Bedeutung der unteren Bogenlinie für einen gewissen Fall der Hydrostatik. Endgültige Bestimmung der Bogenliniengleichungen durch elliptische Integrale und deren Modul k.

Messgeräte und -verfahren.

Ein neues Instrument für Messung hoher Temperaturen. (Gesundheitsg. 31. Okt. 01 S. 321/22*) Darstellung des Grundgedankens und der Arbeitsweise eines Wärmemessers für Temperaturen bis zum Schmelzpunkt des Platins. Die Temperatur wird durch Messung der Luftleere in zwei benachbarten verbundenen Kammern bestimmt, deren Inhalt durch eine Dampfblase abgeraucht wird und die durch einen Luftstrom, der von dem zu messenden Körper erwärmt wird, erhitzt werden.

An improved apparatus for arc-light photometry. Von Matthews. (Trans. Am. Inst. El. Eng. Aug. Sept. 01 S. 671/83*) Ausführliche Wiedergabe der in Zeitschriftenschau v. 2. Nov. 01 erwähnten Abhandlung.

Metallbearbeitung.

Kraftverbrauch und Schnittgeschwindigkeit von Arbeitsstäben. Von Kick. (Z. Werkzeugm. 25. Okt. 01 S. 37/38) Die Erörterungen des Verfassers, die sich besonders auf die Versuche von Hausner und Sellengren stützen, führen zu dem Satze, dass man den Kraftverbrauch einer Drehbank in der Zeiteinheit unter Voraussetzung gleichen Stahles, gleichen Vorschubes, gleicher Schnitttiefe und gleicher Materialbeschaffenheit des Werkstückes proportional der Schnittgeschwindigkeit annehmen kann.

The tooling of machines. Von Ashford. Schluss. (Engng. 1. Nov. 01 S. 602/04*) S. Zeitschriftenschau v. 26. Okt. 01.

Revolverkopf für Drehbänke. (Z. Werkzeugm. 25. Okt. 01 S. 38/39*) Der einfache Revolverkopf besteht aus zwei aufeinander ruhenden cylindrischen Teilen, die durch einen mittleren Bolzen verbunden sind. Der untere Kopf dieses Bolzens kann in der Nut des Schlitzen verstellt werden.

The Bath universal work holder. (Am. Mach. 2. Nov. 01 S. 1162*) Beschreibung einer von der American Watch Tool Company zu Waltham, Mass., gebauten allseitig verstellbaren Einspannvorrichtung für Bohrmaschinen.

Cutting square threaded screws. Von de Leeuw. (Am. Mach. 3. Nov. 01 S. 1160/62*) Der Verfasser erörtert eingehend die unregelmäßigen Formen, die beim Schneiden von Gewinde mit einem rechteckigen Stahl entstehen.

Prüfung von Schleifsteinen. Von Kirsch. (Z. Werkzeugm. 25. Okt. 01 S. 29/41) Allgemeines über das Schleifen zweier Körper aneinander. Die für die Beurteilung eines Schleifsteines wichtigen Größen: Schleifkraft, Abnutzung des Steines und Beschaffenheit der Schleiffläche. Aufzählung der vom Verfasser geprüften Schleifsteinarten. Schluss folgt.

Pneumatic tools. Von Talte. (Engng. 1. Nov. 01 S. 614/15*) Verwendung von Druckluft Nietmaschinen in Kesselschmieden, Eisenkonstruktionswerkstätten und im Schiffbau. Druckluft-Bohrmaschine, Druckluft-Hebezeuge.

Pumpen und Gebläse.

Vertical compound air-compressor at the Glasgow Exhibition, constructed by Messrs. Duncan Stewart and Co., Limited, Glasgow. (Engng. 1. Nov. 01 S. 610*) Der Kompressor hat Dampfzylinder von 805 und 610 mm Dmr. und Luftzylinder von 830 und 559 mm Dmr.; der gemeinsame Hub beträgt 305 mm. Bei einem Dampfdruck von 8,4 at und bei 100 Uml./min saugt der Kompressor 11,3 cbm/min an und drückt sie auf 7 at zusammen.

Schiffe- und Seewesen.

H. M. armoured cruiser »King Alfred«, constructed by Messrs. Vickers, Sons, and Maxim, Limited, Harrow-in-Furness. (Engng. 1. Nov. 01 S. 611/12* mit 1 Taf.) Das vor kurzem vom Stapel gelaufene Schiff hat 152 m Länge, 21,6 m Breite und in Kriegsausrüstung 14 100 t Wasserverdrängung bei 7,9 m Tiefgang. Angaben und Schaubilder vom Stapellauf.

Straßenbahnen.

Elektrische Straßenbahnen. (Z. f. Elektrot. Wien 3. Nov. 01 S. 528/52) Auszug aus einem Vortrag von More Jun. vor dem Internationalen Ingenieurkongress in Glasgow. Oberbau. Einrichtung der Kraftwerke; Kessel; selbstthätige Beschickungsvorrichtungen; Rohrleitungen; Spisepumpen; Dampfmaschinen; Dampf- und Kohlenverbrauch; Dynamomaschinen. Ausrüstung der Strecke; Schienenverbinder; Leitungsmaste; Fahrdraht; Spisekabel; Anschluss, Schalter, Sicherungen usw. Wagen. Straßenbahnmotoren. Bremsen.

Notes on modern electric railway practice. Von Armstrong. (Trans. Am. Inst. El. Eng. Aug./Sept. 01 S. 629/41) Besprechung der zeitgemässen Fragen auf dem Gebiete des Baues und Betriebes von Straßenbahnen und der Kraftwerke. Betrieb mit Gleichstrom und Pufferbatterien. Uebertragung der Energie mittels Wechselstromes. Vergleich beider Betriebsarten. Vergleich zwischen Gleichstrom-Hauptstrommotor und Induktionsmotor sowie des Betriebes mit rotierenden Umformern und Transformatoren. Elektrischer Betrieb für Güterzüge.

Der neue Betrieb der New Yorker Stadtbahn. Von Hruschka. Schluss. (Elektrot. Z. 31. Okt. 01 S. 901/05*) Apparate und Messgeräte; Schaltungen. Die Stromableitung mittels dritter Schienen.

Wasserversorgung.

Die Wasserversorgung einiger Nordseebäder. Von Herzberg. (Journ. Gasb.-Wasserv. 2. Nov. 01 S. 815/19*) Geologische Verhältnisse der Nordseebäder. Vorarbeiten bei der Grundwasserversorgungsanlage der Insel Norderney. Ergebnisse der Bohrungen und Folgerungen hieraus. Wasserversorgungsanlage auf Borkum. Schluss folgt.

Werkstätten und Fabriken.

The works and some of the product of Alfred Herbert, Ltd., of Coventry, England. I. (Am. Mach. 2. Nov. 01 S. 1155/59*) Grundriss der Werkzeugmaschinenfabrik, zahlreiche Schaubilder der Werkzeugabteilung, der Werkstatt für selbstthätige Revolverdrehbänke, der allgemeinen Dreherei, der Bohrmaschinenabteilung. Forts. folgt.

Rundschau.

Auf dem Internationalen Ingenieurkongress zu Glasgow hielt der durch seine zahlreichen Arbeiten über Ventilatoren, Dampf- und Wasserturbinen bekannte französische Ingenieur Rateau einen Vortrag über **Versuche betreffend den Ausfluss von Dampf aus Mündungen**¹⁾.

Die zu den Versuchen dienende Vorrichtung ist in Fig. 1 dargestellt. *A* bedeutet einen Strahlkondensator, dem durch das Rohr *B* Dampf, durch das Rohr *C* Kühlwasser zuströmt. Das Kondensat fließt durch das Rohr *D* nach dem Gefäß *E*, aus dem das niedergeschlagene Wasser durch die Mündung *F*, die Luft durch die Öffnung *G* entweicht. Die Düse, an der die Durchflusserscheinungen des Dampfes studiert werden sollen, ist bei *H* zwischen die Flansche des zweiten Dampfrohres *B* von 120 mm Dmr. und des engen Rohres *J* von 50 mm Dmr. geklemmt. Der Dampf tritt vom Kessel durch das Rohr *K* ein und durchströmt den Wasserabscheider *L*, ehe er in das Rohr *J* und zur Düse gelangt. Durch den Hahn *M* kann der Druck *P* vor der Düse geregelt werden. Durch die Kurbel *N* und den an ihr befestigten Dorn wird ebenso der Druck *p* hinter der Düse eingestellt.

Der Druck *P* kann durch die beiden Metallmanometer *a* und *b*, der Druck *p* durch das Metallmanometer *c* oder das Quecksilbermanometer *d* gemessen werden.

Zum Messen der Temperatur des Kühlwassers und des Kondensates dienen die Thermometer *e* und *f*. Die Menge des bei *F* austretenden Wassers wird durch das mit einem geeichten Wasserstandglas *g* versehene Messgefäß *O* bestimmt. Weitere Manometer und Thermometer sind an den aus der Figur ersichtlichen Stellen angeordnet.

Die Beobachtungen wurden mit größter Genauigkeit gemacht; jeder einzelne Versuch dauerte nur 1 bis 2 Minuten. Dadurch war es möglich, mehr als 140 Beobachtungen unter den verschiedensten Bedingungen zu machen. Bei den Versuchen wechselte der Dampfdruck von 0,10 bis 12 kg/qcm. Es wurden eine Mündung in dünner Wand sowie 3 kegelige Düsen untersucht, die an den engsten Stellen 10,19, 15,19 und 24,20 mm Dmr. hatten.

Die Ergebnisse der Versuche mit den 3 Düsen sind in Fig. 2 zusammengestellt, soweit der Austrittsdruck *p* kleiner als 0,55 vom Eintrittsdruck *P* war. Als Abszisse ist dieser Eintrittsdruck *P* in kg/qcm in logarithmischer Teilung aufgetragen, als Ordinate das Verhältnis $\frac{J}{\sqrt{p}}$, wobei *J* die durch 1 qcm des Mündungsquerschnittes geströmte Dampfmenge in g/sk bedeutet.

Die Gerade *AB* entspricht der theoretischen Formel und den Regnaultschen Versuchszahlen, die strichpunktirte Linie *CD* der Grasshof'schen Formel

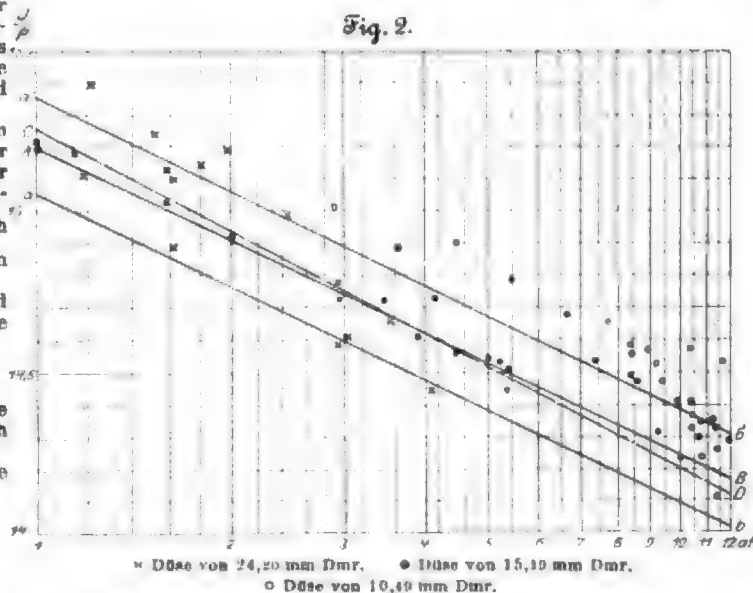
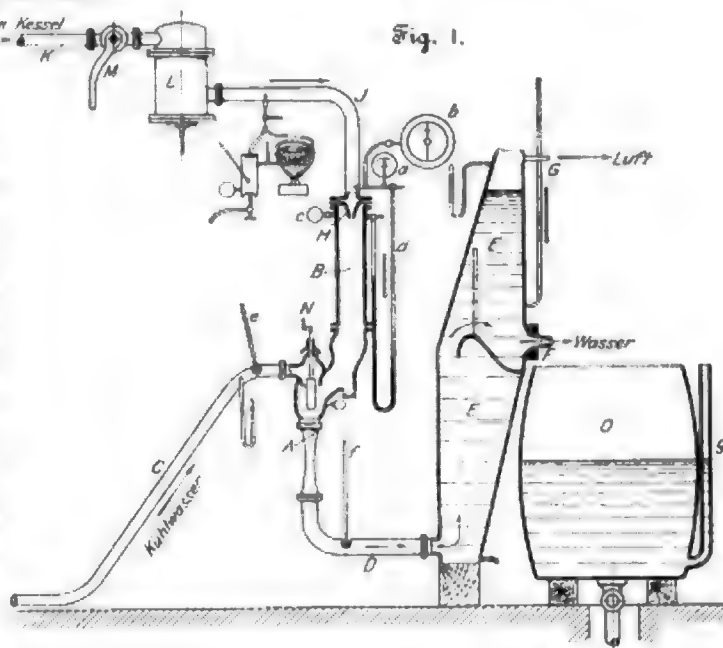
$$J = 15,26 P^{0,95}$$

Die zu *AB* parallelen Geraden *ab* und *a'b'* geben Werte an, die um 1 vH nach oben und nach unten von den durch *AB* dargestellten abweichen.

Die Beobachtungen von Rateau sollen sehr gut durch die folgende empirische Formel zusammengefasst werden:

$$J = P(15,26 - 0,96 \log P)$$

Im Kesselhause des Kraftwerkes der Karlsruher Straßeneisenbahn befinden sich 4 von Ewald Berninghaus in Duisburg für 10 at Ueberdruck gebaute Einflamrohrkessel mit Wellrohr, deren Heizfläche je 74 qm beträgt; zur besseren Ausnutzung der Heizgase ist neben der Kesselanlage noch ein Greenscher Economiser eingebaut. Hinter dem im Flammrohr liegenden Planroste befindet sich eine der Firma Schulz-Knaudt in Essen patentirte Rauchverhütungsvorrichtung, Fig. 3 und 4: eine cylindrisch ausgemauerte Verbrennungskammer, in deren hinteren Teil von oben durch ein den Kessel durchdringendes 250 mm weites eisernes Rohr Sekundärluft zugeführt werden kann. Diese Zuführung von oben bietet zwei Hauptvorteile. Einmal muss sich die kältere und deshalb schon durch ihr Gewicht nach abwärts drückende Sekundärluft mit den leichteren heißen Heizgasen mischen, und zweitens wird sich die Austrittsöffnung der Sekundärluft weniger durch festgebrannte Flugasche verstopfen als bei einer tieferen Lage. Auch wird die Sekundärluft, wenn auch in geringem Maße, vorgewärmt, da das Zuführrohr durch den Dampfraum geführt ist. Als Mangel erscheint die Möglichkeit, dass die Verbindungen des Luftrohres mit dem Flammrohr



und dem Kesselmantel undicht werden und zu Wärmeverlusten, Anrostungen und Betriebsstörungen führen können.

Das Zuführrohr trägt oben eine Regulirklappe, die mittels Kette oder Draht und Rollen mit einem einstellbaren Katarakt verbunden ist; der letztere steht mit der Feuerthür in Verbindung, öffnet die Klappe selbstthätig, sobald die Feuerthür geschlossen wird, und lässt sie je nach Einstellung des Kataraktes mehr oder weniger schnell sinken.

Es sind nun im Karlsruher Kraftwerk von der Badischen Gesellschaft zur Ueberwachung von Dampfkesseln im Februar d. J. Versuche angestellt worden, wobei ein Kessel außer Betrieb war, während die übrigen drei ihre Verbrennungsgase in den gemeinsamen Schornstein sandten, was hinsichtlich der Rauchbeobachtungen zu beachten ist. Die übrigen Versuchsbeobachtungen wurden nur an einem Betriebskessel angestellt.

Die Firma Schulz-Knaudt hatte gewährleistet, dass mit jedem Kessel bei einer Ausnutzung von 70 vH des theoretischen Heizwertes der Kohle 1650 kg/st Dampf von 600 WE Erzeugungswärme beschafft werden können, wenn ein Schornsteinzug von mindestens 17 mm Wassersäule zur Verfügung steht und als Brennstoff eine gute Fettkohle von mindestens 7500 WE Heizwert verwendet wird.

¹⁾ Engineering 27. September 1901 S. 344.

Zwischen Hannover und Stendal sind von der preussischen Eisenbahnverwaltung Versuche angestellt worden, um die Leistungen einer Anzahl von Schnellzug-Lokomotiven miteinander zu vergleichen¹⁾. Zu den Versuchen waren die $\frac{3}{4}$ -gekuppelte Viercylinderlokomotive der Hannoverschen Maschinenbau-Aktiengesellschaft, (Nr. 11), die sich auf der Weltausstellung in Paris befanden hatte, eine Heißdampflokomotive von Borsig (Nr. 86), die der in Paris ausgestellten sehr ähnlich war, und eine ältere $\frac{3}{4}$ -gekuppelte Schnellzug-Verbundlokomotive mit 2 Cylindern (Nr. 38) herangezogen. Die Hauptabmessungen der drei Lokomotiven sind folgende:

Nr.	Bauart	Dienstgewicht t	Rostfläche qm	Heißfläche qm	Dampfspannung at
11	Viercylinder-Verbund	53,0	2,3	118	14
86	Heißdampf-Zwillings	53,3	2,3	106 + 28	12
38	Zweicylinder-Verbund	47,6	2,3	126	12

Die Fahrten wurden mit D-Zügen angestellt, die aus 7 bis 9 vierachsigen und einem dreiachsigen Wagen bestanden. Im Folgenden sind die Durchschnittsergebnisse von je 10 einwandfrei verlaufenen Fahrten für jede Lokomotive zusammengestellt.

Nummer der Lokomotive	11	86	38	
durchschnittl. Geschwindigkeit V	km/st	89,4	88,6	87,3
" Gewicht von Lokomotive und Tender G_1	t	87	81	76
" " des Wagenzuges G_2	"	287,4	267,1	252,5
" Zugkraft für Lokomotive und Tender Z_1	kg	1168,6	1071,4	987,3
durchschnittl. Zugkraft für den Wagenzug Z_2	"	1464,1	1412,7	1316,5
" Leistung: $(Z_1 + Z_2) V$	PS	878,9	808,9	734,5
" Nutzleistung: $Z_2 V$	"	490,8	464,0	424,4
Verdampfung: Wasser pro kg Kohle	kg	7,37	6,44	7,78
Leistung pro kg Kohle	PS	0,95	0,87	0,86
Nutzleistung pro kg Kohle	"	0,53	0,50	0,48
" " t Lokomotivgewicht (ohne Tender)	"	9,20	8,87	8,91

Dabei sind die dauernden Leistungen aus den Fahrgeschwindigkeiten zwischen Groß-Möhringen und Block 191 vor Lehrte ermittelt, da auf dieser Strecke die Lokomotiven ununterbrochen zu arbeiten hatten. Ferner ist zu bemerken, dass bei der Berechnung der Leistungen die Formeln von Barbier zugrunde gelegt sind, und zwar ist für den Widerstand des

Zuges $Z_2 = 1,6 + 0,3 \frac{V}{1000}$, für den der Lokomotive und des Tenders $Z_1 = 3,8 + 0,3 \frac{V}{1000}$ angenommen²⁾.

Im übrigen wird in dem vorliegenden Bericht hervorgehoben, dass die Viercylinderlokomotive außerordentlich ruhig und sanft läuft. Auch die Steuerung arbeitet sehr leicht, da die Kolbenschieber der Hochdruckzylinder und die Flachschieber der Niederdruckzylinder zum größten Teil entlastet sind. Die Leistungsfähigkeit dieser Lokomotive kann im Durchschnitt aus den 5 besten Fahrten auf 925 PS geschätzt werden und wird, nachdem kleine Änderungen ausgeführt sind, wahrscheinlich noch steigen.

Die Heißdampflokomotive hat ebenfalls eine bedeutende Leistungsfähigkeit gezeigt, die im Beharrungszustande im Durchschnitt aus den 5 besten Fahrten auf 900 PS geschätzt werden kann. Bemerkenswert ist eine Fahrt mit einem Zuge

aus 6 D-Wagen von rd. 160 t Gewicht. Der Zug fuhr auf wagerechter Strecke mit einer Geschwindigkeit von 111 km/st, und die rechnermäßige Leistung betrug dabei rd. 1100 PS. Die Gangart der Lokomotive ist etwa dieselbe wie bei der Verbund-Schnellzuglokomotive Nr. 38. Das Triebwerk arbeitet namentlich bei geringen Geschwindigkeiten nicht stoßförmig. Der Gang ist wegen der kurzen Tragfedern hart. Im übrigen folgt die Lokomotive dem Gleise sehr gut und zeigt keine störenden Bewegungen. Ihre Leistungsfähigkeit hängt stark von der Ueberhitzung des Dampfes ab, die zwischen 230 und 360° lag. Gute Leistungen erfordern mindestens 280° Ueberhitzung.

Die Verbundlokomotive Nr. 38 stammt aus dem Jahre 1893. Sie hat ein selbstthätiges Anfahrventil, das dem Durchgang des Dampfes wesentlich weniger Widerstand bietet als die später eingeführten Wechselventile. Ihre Leistung im Beharrungszustande beträgt im Durchschnitt aus den 5 besten Fahrten etwa 820 PS. Die neueren Lokomotiven dieser Gattung, die mit Wechselventilen ausgestattet sind, erreichen diese Leistung nicht.

Die Vorarbeiten zur Trockenlegung der Zuiderssee, die bereits seit einer Reihe von Jahren im Gange sind¹⁾, sind so weit gediehen, dass die niederländische Regierung den Kammern einen Gesetzentwurf vorgelegt hat, nach welchem der See gegen die Nordsee abgedämmt und zwei große Polder von 21700 und 31250 ha Fläche angelegt werden sollen; der Damm soll rd. 40 km lang werden. Zum Absenken des Wasserspiegels sollen 4 Pumpenanlagen von zusammen 4330 PS errichtet werden. Die Gesamtkosten werden auf rd. 160 Mill. \mathcal{A} , die Bauzeit auf 18 Jahre geschätzt.

Nach den Angaben des Germanischen Lloyds sind im Jahre 1900 in den einzelnen Staaten an Kauffahrtschiffen (Dampfer über 100 Brutto Reg.-Tons, Segler über 100 Netto-Reg.-Tons) gebaut worden:

Land	Segler		Dampfer		zusammen	
	Zahl	Tonnengehalt	Zahl	Tonnengehalt	Zahl	Tonnengehalt
England (mit Kolonien)	37	12103	661	1459372	698	1471475
Amerika	104	105371	93	192560	197	297931
Oesterreich-Ungarn	—	—	12	14945	12	14945
Dänemark	11	1831	9	16163	20	17994
Frankreich	52	70224	18	81094	65	101318
Deutschland	20	8671	70	203179	90	211850
Holland-Belgien	25	8505	25	31288	50	39793
Italien	24	7233	13	47149	37	54382
Japan	—	—	14	13335	14	13335
Norwegen	1	369	35	28949	36	29318
Russland	35	6149	2	250	37	6399
Schweden	5	729	17	5417	22	6176
andere Länder	5	1511	2	2608	7	4122
Summe	319	222599	966	2046332	1285	2268931

Die Gebäude der neuen Technischen Hochschule zu Danzig sind so weit gefördert, dass die Eröffnung der Lehranstalt im Wintersemester 1904 in sichere Aussicht gestellt wird. Die Anlage besteht aus einem Mittelbau und 4 Nebengebäuden, von denen je eines das chemische, das elektrotechnische und das Maschinenbaulaboratorium aufnehmen soll, während das vierte als Wohnhaus dienen wird.

¹⁾ Organ für die Fortschritte des Eisenbahnwesens, Heft 10 S. 208.

²⁾ s. Z. 1898 S. 1191/92.

¹⁾ Z. 1895 S. 1089.

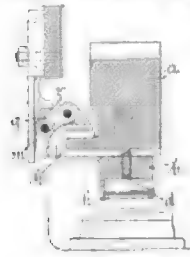
Patentbericht.

Kl. 13. Nr. 128494. Wasserrohrkessel. H. Janetschek, Wien. Die zwischen zwei Reihen stehender Rammelrohre angeordneten liegenden Reihen w sind zur Erzielung einer kräftig wirkenden Heißgasablenkung kreuzweise übereinandergelegt.

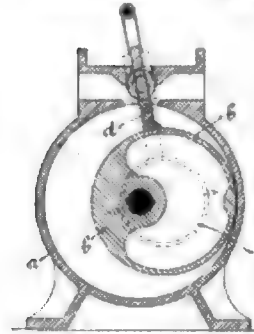
Kl. 17. Nr. 128007. Cylindervorkühlung bei Kaltluftmaschinen. F. W. Tannert-Walker, Hunslet (York, England), und D. Mc. Gill, Petone (Wellington, Neuseeland). Das zusammengepresste und

abgekühlte Gas tritt durch Rohr r und Ventil v in den Ausdehnungszylinder c und durch Kolbenventile v_1 und Rohr r_1 in den zu kühlenden Raum. Aus letzterem wird es durch das Rohr r_2 dem Mantelraum m_1 zugeführt, während der Mantelraum m mit r in Verbindung steht, um die durch die Leitung erzeugten Kälteverluste zu verringern. Der Mantel kann unter Fortfall der Scheidewand s auch einteilig hergestellt und nur an r oder an r_2 angeschlossen werden.

Kl. 7. Nr. 119217. Walzwerk mit mehreren Kalibern. L. Katona, Resicza (Ungarn). Für jeden Kaliber ist ein besonderes Walzenlager angeordnet, welches von den Walzenpaaren der übrigen Kaliber unabhängig durch einen Motor oder von einer Transmission angetrieben wird. Auf diese Weise ist es möglich, stets nur das jeweilig arbeitende Kaliber anzutreiben, alle übrigen Kaliber jedoch auszuschalten.

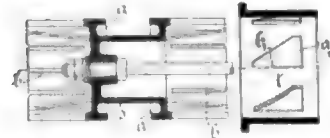


Kl. 7. Nr. 120434. Auswerfvorrichtung für Pressen. L. Schüller, Göppingen. In dem hohlen Ziehstempel *b* ist ein Aufwerfkolben *d* angeordnet, der beim Hochgehen des Ziehstempels durch den Riegel *k* mit schräger Endfläche abwärts bewegt wird und den Blechkörper *a* aus *d* drückt. *k* wird durch einen an dem Ziehstempelhalter *a* schwingenden Hebel *m* verschoben, dessen Rolle *r* beim Hochgehen des Halters *a* gegen den Anlauf *g* trifft.

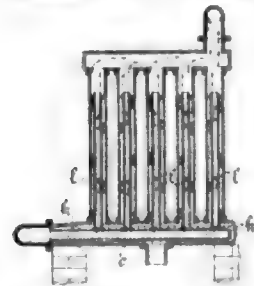


Kl. 14. Nr. 122107. Kapselwerk. H. R. Leichsenring, Schönebeck. Der Absperrschieber *d* wird zur Erzielung zuverlässiger Flächendichtung auf dem im Gehäuse *a* exzentrisch umlaufenden Kolben *b* durch aufliegende Exzenter *f* oder Kurbelsapfen, die mit *b* gleichachsig sind, so geführt, dass der Fuß von *d* stets rechtwinklig auf dem Umfange von *b* steht.

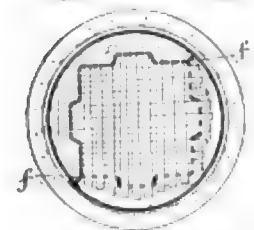
Kl. 14. Nr. 122104. Einschiebersteuerung. G. Marzahn und E. Jansen, Stettin. Der Kolbenschieber *a* erhält in der Grundbohrung *i* durch bekannte Getriebe von zwei einzeln einstellbaren Exzentern aus sowohl eine hin- und hergehende als eine schwingende Bewegung in der Weise, dass die Kanten *a, a₁* die Einstromung und den Abschluss des Frischdampfes, die hierzu rechtwinkligen Kanten *b, b₁* die Ausströmung und den Abschluss des Abdampfes bestimmen; es können also Voreinstromung und Füllung einerseits sowie Vorausströmung und Verdichtung andererseits (durch den Regler bzw. vonhand) beliebig geändert werden, ohne einander gegenseitig zu beeinflussen. Die Kanten *a, a₁* und *b, b₁* können auch ihre Rollen vertauschen, und der Schieber kann auch als Flachschieber ausgeführt werden.



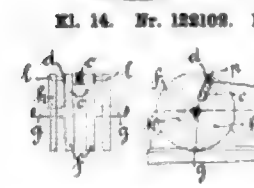
Kl. 13. Nr. 123067. Speisewasservorwärmer. W. H. Vernon, Wakefield (Engl.). Das kalte Speisewasser fließt durch in die unteren Kasten *c* eingesetzte, von heißem Wasser umflossene innere Röhre *k* und verteilt sich von dort in mehrere ebenfalls von heißem Wasser umflossene lotrechte Röhre *l* von kleinem Durchmesser, damit ein Niederschlagen des in den Rauchgasen enthaltenen Wasserdampfes vermieden wird.



Kl. 13. Nr. 123643. Stehender Kessel. Ch. Caillaud, Poltiera (Frankreich). Der Wasserraum des mit stehender Feuerbüchse versehenen stehenden Kessels ist durch an zwei gegenüberliegenden Ecken der Feuerbüchse angeschlossene Scheidewände *f* in zwei Abteilungen derart geteilt, dass das Wasser aus der einen Abteilung nur durch die Niederrohre in die andere Abteilung gelangen kann.



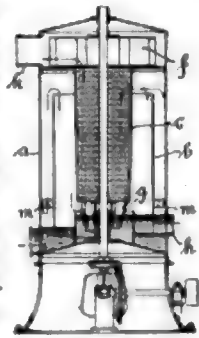
Kl. 14. Nr. 122103. Kurbelgetriebe für Dampfmaschinen. E. de Rooster, Brüssel. Der Zapfen *p* der Pleuelstange *c* wird mittels Gleitstückes *d* und Schleife *e* der Scheibe *f* so geführt, dass er nur in dem Bogen der günstigsten Hebelwirkung dem Kurbelkranz der Welle *g* folgt, dazwischen aber auf Bogen *h* läuft, die den Radius *c* haben. Die Führungen werden zweckmäßig in zwei ruhenden Scheiben *l* angebracht.



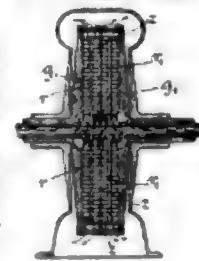
Kl. 17. Nr. 122009 (Zusatz zu Nr. 115503, Z. 1901 S. 676). Luftausdehnungsmaschine. Th. und W. L. Cole, London. Um den Ausdehnungszylinder herum werden Rippen angeordnet, die in den schraubenförmigen Luftzufuhrgang des Hauptpatents hineinragen

und dessen Wirkung (Entwässerung, um Reif zu verhüten) verstärken. Einzelne dieser Rippen können auch als vollständige Scheidewände bis zum Zylindermantel reichen, um den Luftstrom in verschiedene Wege zu verzweigen.

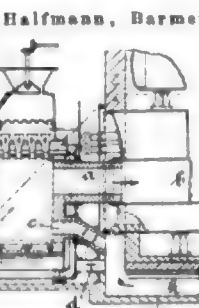
Kl. 17. Nr. 123133. Flüssigkeitskühler. Gebr. Pfeiffer, Kaiserslautern. Die bei *A* eingeleitete Flüssigkeit (benutztes Kühlwasser usw.) wird durch das rotierende Schöpfrad *g* emporgeschraubt, von dem mitlaufenden durchlochten und nach oben kegelförmig erweiterten Mantel *c* als Sprühregen an die Wände *b, a* geschleudert und von einem durch den Lüfter *f* erzeugten, von *m, m* nach *k* gehenden Luftstrom durchgezogen.



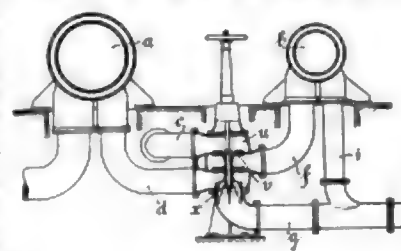
Kl. 14. Nr. 122108. Dampfturbine. J. P. Brady, Chicago. Ein Gehäuse *g, g₁* und ein oder mehrere Schaufelräder *r, r₁* drehen sich in entgegengesetzter Richtung und treiben durch die einander gegenüber liegenden Räder eines Dreikegelschiffgetriebes das Zwischenrad in demselben Sinne an. Zur Erzielung einer symmetrischen Kraftwirkung des durch die beiden Hohlwellen für *g, g₁* und *r, r₁* zugeleiteten Dampfes sind die Räder *r, r₁* und die erforderlichen, mit *g, g₁* fest verbundenen Zwischenwände *z* beiderseits mit Schaufeln besetzt.



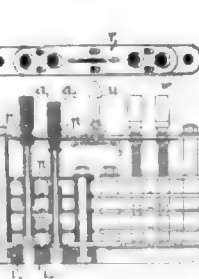
Kl. 24. Nr. 122624. Vorfeuerung. P. Halfmann, Barmen. Die Vorfeuerung steht einerseits durch Kanäle *a* mit den Flammrohren *b*, andererseits durch über und unter dem Rost mündende Züge *c, d* mit einem als Wärmespeicher dienenden Abzugskanal *k* in Verbindung. Dieser Kanal, dessen Verbindung mit der freien Luft und dem Fuchs durch hinten am Kessel befindliche Ventile hergestellt werden kann, ist an den Verbindungsstellen mit der Feuerung mit Absperrzylindern versehen, die sämtlich vom Heizerstande aus durch eine Stangen- und Hebelverbindung zusammen oder gesondert bewegt werden können.



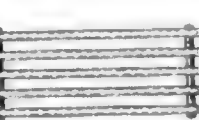
Kl. 27. Nr. 120235. Umschaltvorrichtung für Verbundkompressoren. Pokorny & Wittekind, Frankfurt a/M.-Bockenheilm. In dem Ventilgehäuse *a* sind auf einer gemeinsamen Ventilstange zwei Ventile *v* und *x* angeordnet. In der unteren Endstellung ist das Druckrohr *d* des Niederdruckkompressors *a* mit dem Saugrohr *f* des Hochdruckzylinders *b* verbunden, und der Kompressor arbeitet zweistufig. In der oberen Endstellung der Ventile ist *a* durch *d* mit der Leitung *g* unmittelbar verbunden, während *b* durch die Röhre *e, f* mit der Außenluft und durch Rohr *i* mit der Leitung *g* in Verbindung steht; der Kompressor arbeitet dann einstufig als Zwillingskompressor.

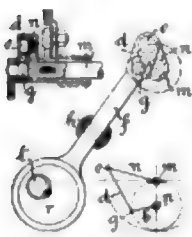


Kl. 35. Nr. 123233. Stromschluss-Verblockung. Berlin-Anhaltische Maschinenbau-A.-G., Berlin. Die Druckknöpfe *a₁, a₂* ... der zur Verbindung von *b₁* mit *b₂* und von *b₂* mit *h* oder *i* ... dienenden Schleifkontakte *s* sind mit doppelkegelförmigen Stahlbüchsen *p* versehen, die nach dem Niederdrücken durch einen gemeinsamen Schieber *r* festgehalten (vergl. *a₂*) und beim Niederdrücken eines andern Druckknopfes ausgelöst werden. Durch einen Hebel *w* kann man jeden Knopf auflösen, ohne einen andern niederzudrücken.



Kl. 36. Nr. 123235. Heizkörper. F. Kaeferle, Hannover. Der Heizkörper wird aus gegossenen flachen Schalen hergestellt, die so aufeinander gelegt und vernietet werden, dass ein Hohlkörper mit geringem Innenraum entsteht.





Kl. 46. Nr. 122904. Steuerung für Viertaktmaschinen. E. Loire, Les Andelys (Frankreich). Das bekannte Kurbelviereck (Nebenfigur rechts), bei dem $pg = pm$ und $ge = me$ ist und die Welle m halb soviel Umdrehungen wie p macht, ist in der Weise abgeändert, dass Welle p und Kurbel b durch ein Eisengetriebe tr/a ersetzt sind, dessen Stangenpunkt g eine kreisähnliche, den Kreis der Kurbel a innen berührende Kurve beschreibt, während der Lenker d der Kurbel a gleich ist. Die Hauptwelle t treibt also die Steuerwelle m mit halber Geschwindigkeit.

Kl. 47. Nr. 122954. Seilverbinder. L. Riemann, St. Petersburg. Der möglichst kurz gebaute, mit dem bekannten Zahn-



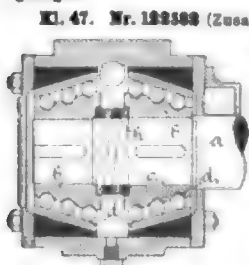
sepperre qg zum Nachspannen durch Verdrehen versehene Verbinder hat rechts am Verbindungsbolzen i einen halbkugelförmigen Kopf k , der in einer entsprechenden Pfanne liegt und darin durch Stifte j und Spielraum bietende Aussparungen k an der Drehung um die Längsachse verhindert wird, während die Drehung um jede beliebige Quersachse gestattet bleibt.



Kl. 46. Nr. 123186. Elektrische Zündvorrichtung. W. Hasso, Köln-Lindenthal. Die für zweicylindrige Viertaktmaschinen bestimmte Zündvorrichtung besteht aus einem Kontakttraher k mit gerader Zähnezahl, das von dem umlaufenden Kontaktarme i bei jedem Umlauf um einen Zahn weitergeschaltet wird, und bei dem auf je zwei isolierte Zähne zwei nicht isolierte folgen.

Kl. 46. Nr. 123305. Elektrischer Zünder. Standard Automatic Gas Engine Company, Oil City (V. S. A.). Ein mit dem umlaufenden Steuerhahne d durch die Spindel f verbundener Kontakt g , Fig. 1, ergreift bei jeder Umdrehung den federnd schwingenden Kontakt k und erzeugt bei dessen Abgleiten den Zündfunken. Der drehbare Kontakt g kann durch Verdrehen und Festklemmen der auf f nach außen führenden Hülse k zur Bestimmung des Zündzeitpunktes eingestellt werden. Der schwingende Kontakt k , Fig. 2, wird durch Federn e , die von

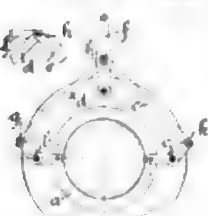
Festpunkten p aus schräg zu Armen a der Welle i führen, in die Mittellage zurückgeschwenkt und gleichseitig abdichtend an seinen Sitz s gesogen.



Kl. 47. Nr. 123393 (Zusatz zu Nr. 109707, Z. 1900 S. 1073). Kugellager für wagerechte Wellen. E. Theissen, Baden-Baden. Die Kugel b , die mit den Kugelflächen sind ebenso eingerichtet wie beim Hauptpatent für senkrechte Wellen; der zur Sicherung der Laufbahnen c , d jeder Kugelhälfte erforderliche Längsdruck aber wird hier durch Federn k oder durch Druckschrauben ersetzt. Patent ist auch die Verwendung von zwei entgegengesetzt gerichteten Kugelpaaren mit gemeinsamer Druckfeder k .



Kl. 47. Nr. 123450. Kolbenführung. H. Böhle und P. Behnke, Berlin. Um bei Kolbenmaschinen ohne Kreuzkopfführung den Kolben d im Zylinder a undrehbar zu führen und die unteren Kolben- und Zylinderflächen zu entlasten, werden in Bohrungen, die teils in a , teils in d eingreifen, auswechselbare Bolzen b (Innenfigur) angebracht und durch Vorreiber c gehalten.



Kl. 47. Nr. 123017. Drehvorrichtung für Ringe mit Umfangsführung. R. Honold, Lambrecht (Pfalz). Zur Erzeugung eines reinen Kräftepaars ohne eine die Umfangsreibung vergrößernde Einzelkraft werden die zu den Winkelhebeln b , c führenden Koppelstangen d , e durch einen Drehbolzen k unmittelbar verbunden, wodurch ein kinematisch unbestimmtes Gestänge $bdhkc$ entsteht, in dessen Punkt k durch einen Schlitzebel f oder eine Zugstange l (Nebenfigur) eine zu b c genau oder annähernd parallele Kraft eingeleitet wird, sodass sich eine senkrechte Komponente in k nicht bilden und auf den Ring a nicht fortpflanzen kann.

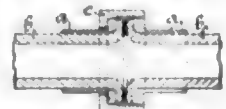
Kl. 47. Nr. 123365. Riemenstrolche. F. Philips, Philadelphia. Die von der Mittelrippe a_1 des Blechkranses a zur eisernen Nabe c führenden Speichen sind aus dünnen und breiten, mit herangepressten Rippen e , versehenen Blechstreifen e gebaut, von denen je vier mit ihren äußeren Enden nahezu an derselben Stelle von a_1 zusammenstoßen und die Kanten einer rechteckigen Pyramide bilden. Platten f (Nebenfigur), die in flache Ausschnitte a_2 von a_1 greifen, dienen zum Zusammenlösen der äußeren Speichenenden.



Kl. 47. Nr. 123016. Kettenhalter. K. E. Grünwald, Schneidemühl. Auf dem Schafte i ist zwischen Anschlüssen m und c eine Schlaufe d verschiebbar, die auf das in eine Aussparung t über den Stift b gelegte Kettenglied k geschoben und durch einen federnd gelagerten Stift a gesichert wird.



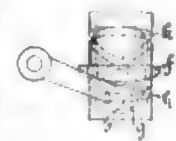
Kl. 47. Nr. 123330. Rohrverbindung. D. Hurst, London. Auf die (Blei-) Rohrenden b , d werden Muffen a , c mit Ueberwurfmutter e geschoben, die Ränder von b , d werden umgebördelt und dann durch Aufschrauben von c auf a zusammengedrückt. An die Stelle von a , b kann das einteilige Flanschende eines (harten) Rohres treten.



Kl. 47. Nr. 123015. Schraubensicherung. K. L. Gocht, Chemnitz. Die undrehbare Unterlegscheibe hat eine kreisförmige Aussparung a mit zwei oder mehr Einführöffnungen b , die Mutter aber hat drei oder mehr Nasen c , gegen die sich ein durch b eingetriebener Sicherungsbolzen d stützt.



Kl. 46. Nr. 123185. Kurvenansteuerung für Viertaktmaschinen. J. Chronik, Berlin. Parallel zu einem Teile der bekannten Kurvennut k , die bei jedem zweiten Umlauf ein Ventil öffnet, ist ein Daumen f angebracht, der während der Öffnung des Ventils auf die Hebelrolle g wirkt und die Nut samt dem darin laufenden Schiffschen s vom Drucke entlastet.



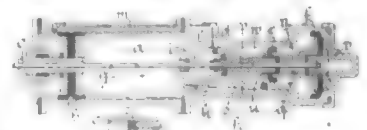
Kl. 60. Nr. 123136. Achsenregler. G. Boner, Legnano (Italien). Zur genauen Einstellung der Umlaufzahl während des Ganges ist das Schwungrad als Gefäß g ausgebildet und durch zwei biegsame Röhren r , r_1 , die zuerst parallel zum Gewichthebel A , dann zur Achse und in der Achse als ineinander steckende Röhre weitergeführt sind, mit einem Flüssigkeitsbehälter und einer Luftpumpe verbunden. Lässt man durch r mehr Flüssigkeit durch die Fliehkraft nach g saugen, so fällt (bei unveränderter Federbelastung) die Umlaufzahl, drückt man durch r_1 Luft ein und Flüssigkeit heraus, so steigt sie.



Kl. 60. Nr. 123738. Strahlrad. C. Gauahl & Co., Feldkirch (Vorarlberg), und J. Sigg, Frantanz bei Feldkirch. Die (Pelton-)Schaufeln werden an ihren äußeren Enden durch Ringe r , r verbunden, die das Rad verstärken und so gestaltet sind, dass sie die Verteilung des Abwassers nach allen Richtungen verhindern und die schädlichen Luftschleuderwirkungen der Schaufeln verringern. Ablenkumfelle m lenken die in der Achsenrichtung austretenden Strahlen senkrecht nach unten.



Kl. 60. Nr. 123077. Steuerung für Druckwassermaschinen. R. Pfaff, Zürich. Das Druckwasser wird bei a und i zugeleitet, das Abwasser bei b abgeführt. Auf dem letzten Teile des Linkshubes hat die hohle, eine Pumpe treibende Kolbenstange c durch einen Anschlag s (Nebenfigur) den Vorsteuerschieber g mitgenommen, der Raum rechts von dem dreistufigen Steuerkolben def ist auf dem Wege von a mit dem Auslaufe k verbunden worden, und der Druck auf d hat den Steuerkolben nach rechts bewegt. Druckwasser strömt jetzt durch f , k ins linke Ende des Arbeitcylinders a , das rechte Ende ist durch s mit k verbunden, und der Arbeitskolben b bewegt sich nach rechts. Wird dann g von c nach rechts geschoben, so strömt Druckwasser von a durch q , u , v , drückt auf f und schiebt def nach links. Dann strömt Druckwasser von a durch s ins rechte Ende von a , das linke Ende ist durch m , i mit k verbunden, und b wird nach links getrieben.



ZEITSCHRIFT DES VEREINES DEUTSCHER INGENIEURE.

Nr. 47.

Sonnabend, den 23. November 1901.

Band XXXV.

Inhalt:

Die internationale Ausstellung in Glasgow (Fortsetzung) . . .	1657	teils. — Bei der Redaktion eingegangene Bücher. — Ueber-	
Die Weltausstellung in Paris 1900: Die Lokomotiven. Von		sieht neu erschienener Bücher	1646
E. Brückmann (Fortsetzung)	1669	Zeitschriftenschan	1669
Aufgaben und Fortschritte des deutschen Werkzeugmaschinen-		Mundschau: Die Hochsektorpedoboote »Shubrick« und »Thornton«.	
baues. Von F. Ruppert (Fortsetzung)	1669	— Windmotor an Bord des »Gauß«. — Arbeiten am Sim-	
Die Weltausstellung in Paris 1900: Spinnereimaschinen. Von		plon-Tunnel. — Schwungrad-dynamo. — Verschiebung einer	
G. Rohm (Fortsetzung)	1674	Putzmauer. — Versuche der Studiengesellschaft für elek-	
Dampfverbrauchsversuche mit de Laval'schen Dampfturbinen. Von		trische Schnellbahnen. — Verschiedenes	1688
A. Schmidt	1678	Patentbericht: Nr. 122745, 121569, 123524, 122011, 123790,	
Lenne-B.-V.: Künstliche organische Farbstoffe	1680	123869, 121786, 119653, 119862, 121646, 121829, 122258,	
Niederrheinischer B.-V.: Die Ausstellung in Düsseldorf 1902	1680	121572, 121485, 123479, 124187	1691
Börsenschan: Kinetik. Von F. W. Geddes. — Die Elektrizität.		Angelegenheiten des Vereines: Gewerblich-technische Reichs-	
Ihre Eigenschaften, Wirkungen und Gesetze. Von A. Ger-		behörde. — Mitteilungen über Forschungsarbeiten. — Vor-	
		stände der Bezirksvereine (Nachtrag)	1692

Die internationale Ausstellung in Glasgow.

(Fortsetzung von S. 1273)

Die Gebäude.

Die Bauten sind mit Ausnahme der Kunsthalle nur für die Zwecke der Ausstellung erbaut. In erster Linie sind das Industriegebäude, die Maschinenhalle und die Musikhalle bemerkenswert, welche größtenteils in Eisenkonstruktion errichtet sind. Ursprünglich war geplant worden, alle Teile in Eisen auszuführen; da jedoch während des Baues die Eisenpreise stiegen und die Eisenwerke wegen starker Beschäftigung zu lange Lieferfristen verlangten, so wurde, wo irgend möglich, Holz verwendet. Auf diese Weise ist eine Reihe von Holz-Eisen-Konstruktionen entstanden, von denen im Folgenden einige Beispiele gegeben werden sollen.

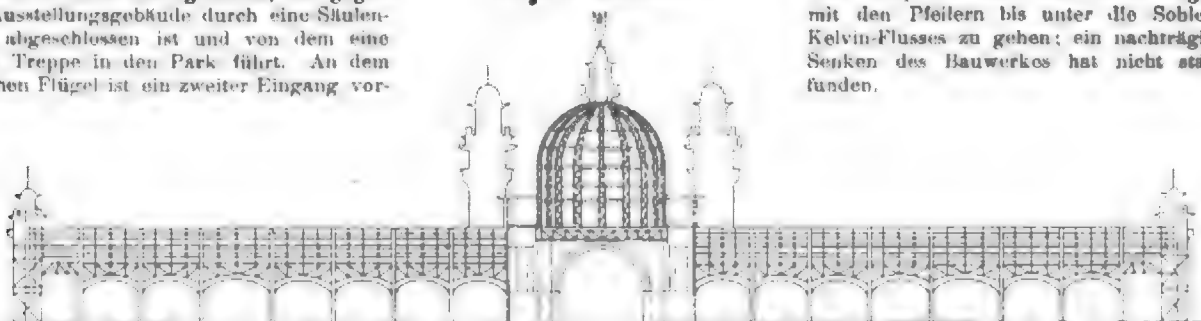
Das in Fig. 6 und 7 dargestellte Industriegebäude ist 214 m lang und fast 100 m tief. Der Mittelbau, der an der Straßenseite den Haupteingang enthält, ist von einer Kuppel gekrönt. Auf der Rückseite ist ein freier Hof gelassen, der gegen das Ausstellungsgebäude durch eine Säulenhalle abgeschlossen ist und von dem eine breite Treppe in den Park führt. An dem östlichen Flügel ist ein zweiter Eingang vor-

in Holzbau. In 17,6 m Höhe läuft eine Gallerie um die Kuppel, von der aus man einen guten Überblick über die gesamte Ausstellung hatte. In zweien der Ständer sind Treppen, in einem dritten ein elektrisch betriebener Aufzug eingebaut. Unmittelbar unter der Gallerie ruhen auf den Unterbauten vier hölzerne Parallel-Fachwerkträger, die mit in den Ecken eingesetzten ebenfalls hölzernen Zwickeln ein Achteck bilden, welches das aus 16 Spanten zusammengesetzte Eisengerippe der Kuppel stützt. Auf die Kuppel setzt sich eine Laterne, die eine das Licht verkörpernde Bildsäule von 16 t Gewicht trägt.

Die Gründung der Ständer bot besondere Schwierigkeiten, da an einigen Stellen der Fels bis unmittelbar an die Erdoberfläche trat, an andern dagegen Moorboden vorhanden war, in welchem selbst bei 12 m Tiefe kein fester Boden erreicht wurde. Wo dies der Fall war, hat man sich damit begnügt, mit den Pfeilern bis unter die Sohle des Kelvin-Flusses zu gehen; ein nachträgliches Senken des Bauwerkes hat nicht stattgefunden.

Fig. 6 und 7. Industriegebäude.

Fig. 6. Längsschnitt.



gesehen, während sich an den westlichen Flügel die Wandelhalle zum Maschinengebäude anschließt.

Die beiden Seiten des Gebäudes sind fünfschiffig. Das 29,76 m breite Mittelschiff wird durch Dreigelenkbogen in Eisenschiffwerk überspannt, die an den Füßen und im Scheitel Stahlbolzengelenke haben. Die Seitenhallen mit Spannweiten von 15,9 bis 17,7 m sind durch Fachwerk-Parallelträger in Holz überdacht. Die Hauptbinder des Mittelschiffes stehen in Abständen von etwa 12 m; zwischen ihnen sind Fachwerkträger als Pfetten eingespannt, auf denen Hüllbinder liegen. Der mittlere Teil des Daches ist auf 11,4 m Breite mit Glas abgedeckt. Zwischen die hölzernen Binder der Seitenschiffe sind von 3,5 zu 3,5 m Abstand hölzerne Querräger gespannt, welche in der Mitte mit Glas abgedeckte Laternen mit Lüftöffnungen tragen.

Die in Eisenschiffwerk hergestellte Kuppel hat einen inneren Durchmesser von 21,94 m; sie ruht auf 4 Ständern

Fig. 7. Querschnitt.



Das Innere der Hallen ist mit Gipsdielen, denen durch Holz- und Drahtnetzeinlagen die nötige Festigkeit gegeben ist, verkleidet und verputzt. In gleicher Weise sind die architektonisch reich ausgestatteten Außenwände hergestellt worden. Trotz des feuchten Klimas hat sich der Putzbewurf sehr gut gehalten.

Die 152,4 m lange Maschinenhalle, Fig. 6 und 9, hat ein Mittelschiff von 18 m Breite und zu beiden Seiten je zwei

Seitenschiffe. Das Mittelschiff wird durch einen Fachwerkbogen überspannt, der sich auf Doppelsäulen aufsetzt, an denen nach beiden Seiten auskragende Gallerien angebracht sind. Die Hauptbinder stehen in Abständen von 12,6 m und sind in ähnlicher Weise wie die Träger des Industriegebäudes durch dazwischen gespannte Pfetten, auf denen Hilfsbinder ruhen, verbunden. Die Seitenschiffe, die zuerst ebenfalls Dächer in Eisenkonstruktion erhalten sollten, sind aus den früher erwähnten Gründen mit Holzdächern eingedeckt, doch hat man für die Stützen Eisenkonstruktion beibehalten. Auch bei der Maschinenhalle bot die Gründung mancherlei Schwierigkeiten, da der morastige Boden an verschiedenen Stellen dazu zwang, mit dem Grundmauerwerk sehr tief unter die Erdoberfläche zu gehen.

Die im Ausstellungspark gelegene Musikhalle ist ein Rundbau in Eisenfachwerk von 43,6 m Dmr. Die 18,9 m hohe Kuppel hat ein Gerippe von 24 radialen Spanten, die unter sich durch Querträger und Spannstrangen verbunden sind. Sie setzen sich auf einen durch eine doppelte Säulenreihe gebildeten Rundbau auf; zwischen den Säulen sind in verschiedener Höhe Querstreifen eingespannt, die eine Gallerie und den treppenförmig

Fig. 8 und 9. Maschinenhalle.

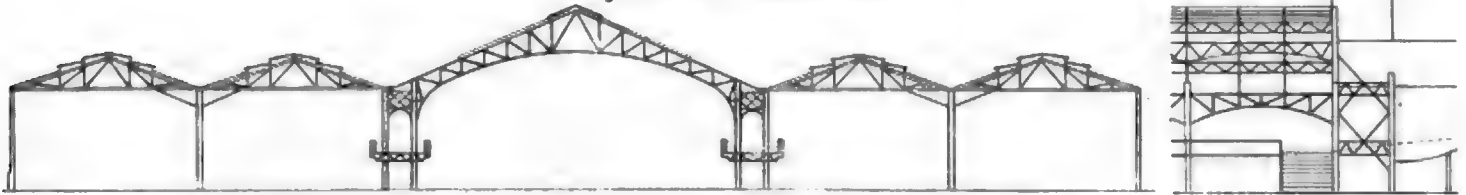


Fig. 10 und 11

Schiffkessel von Babcock & Wilcox.

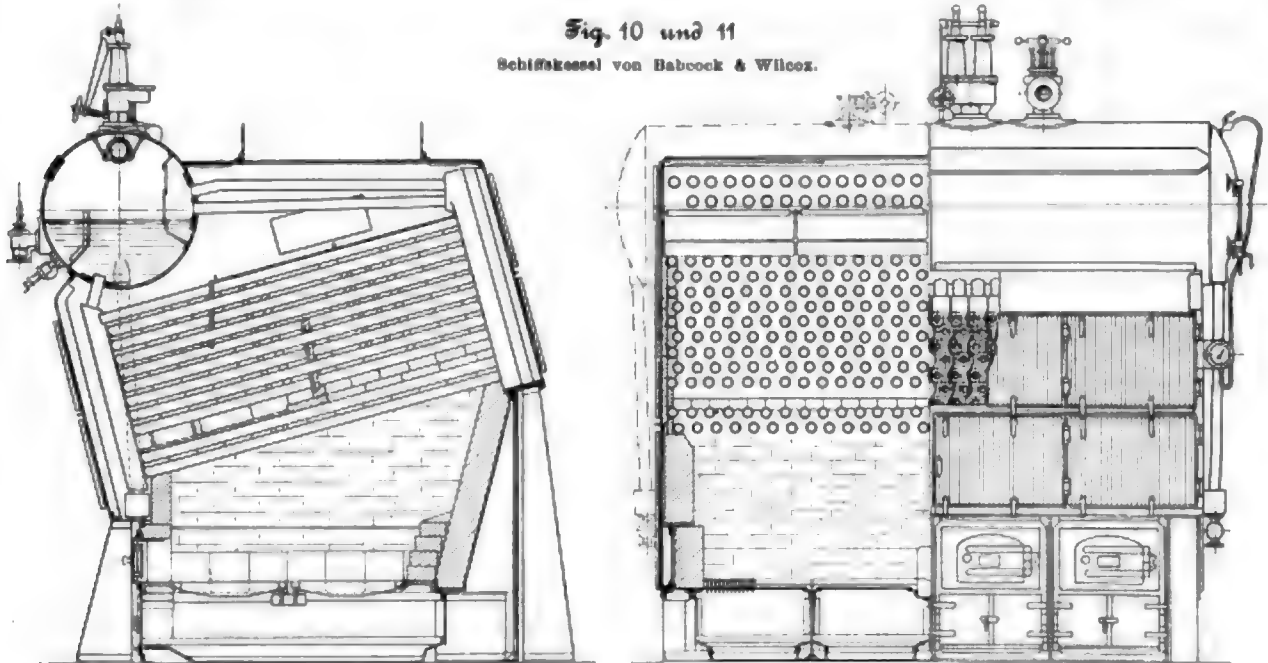
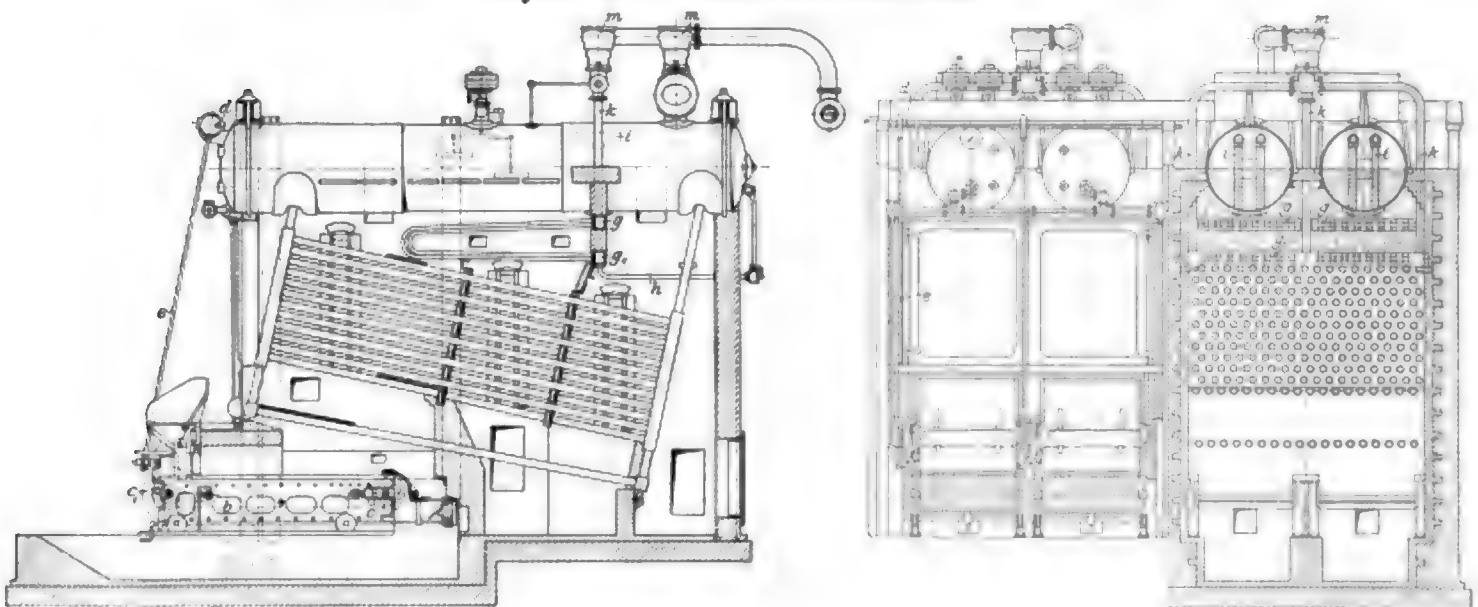


Fig. 12 und 13. Landkessel von Babcock & Wilcox.



aufsteigenden Fußboden tragen. Die Halle bietet Raum für 5000 Zuhörer, während auf der Bühne gleichzeitig 500 Personen Platz finden; sie wird demnach an Größe in England nur noch von der Albert-Halle in Kensington übertroffen.

Die Eisenbauten der Industrie- und der Maschinenhalle sind von der Arrol Bridge and Roof Co. in Glasgow, diejenigen der Musikhalle von Alex. Findlay & Co. in Motherwell, die gesamten Holzbauten von Wm. Shaw & Son in Glasgow ausgeführt.

Die Dampfkessel.

Wie bereits früher erwähnt, ist das Kraftwerk in die südwestliche Ecke der Maschinenhalle verlegt. Die Verteilung der Kessel und Maschinen in diesem Raume ist aus Fig. 4 auf S. 1272 und den dort gegebenen Zahlentafeln zu ersuchen.

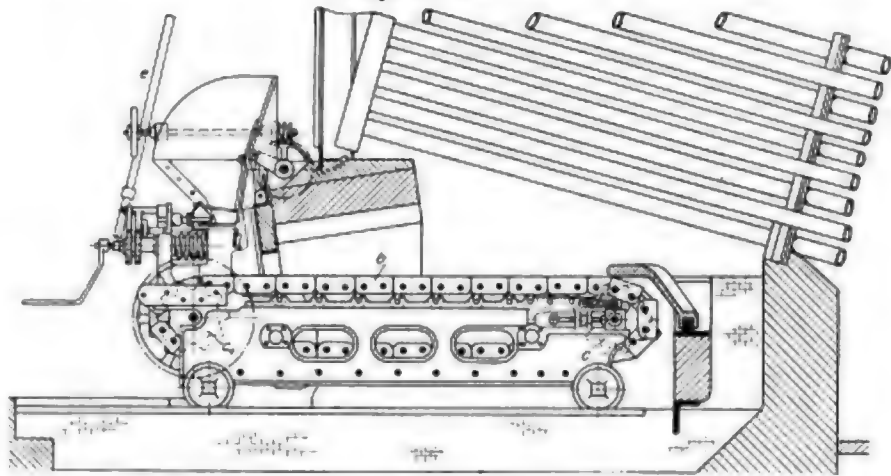
Der Fußboden des Kesselhauses liegt etwa 2,5 m tiefer als derjenige der Maschinenhalle, in dessen Höhe an der Wand entlang eine Gallerie geführt ist. Es sind hier 4 Firmen mit 5 verschiedenen Kesselbauarten vertreten.

In erster Linie wird die Aufmerksamkeit auf die beiden Kessel von Babcock & Wilcox gelenkt, die für gleiche Leistungen bestimmt und daher zu einem Vergleich geeignet sind. Der Schiffskessel ist in Fig. 10 und 11, der Landkessel in Fig. 12 und 13 dargestellt. Gegen frühere Ausführungen¹⁾ weist der Schiffskessel die Abänderung auf, dass die Rohre von hinten nach vorn anstatt von vorn nach hinten geneigt sind. Diese Abänderung ist getroffen, um den Raum zwischen Rost und Rohrbündel zu vergrößern und so eine vollkommenere Verbrennung zu erzielen. Die früher üblichen Seitenwände aus dicht übereinander liegenden Rohren sind weggefallen; dafür ist beiderseits an der äußersten Rohrreihe entlang eine Abschlusswand aus Formsteinen aufgeführt. Die Anordnung eines quer zu den Wasserrohren liegenden Sammelrohres war bereits früher mit Rücksicht auf die Schiffschwankungen gewählt. Die hintere Wasserkammer ist durch zwei Rohrreihen mit dem Sammler verbunden. Selbst bei starken Schwankungen dürften kaum alle Oeffnungen beider Reihen zugleich von Wasser bedeckt und so der Dampftritt zu dem Sammelrohr völlig abgeschnitten werden.

Der Landkessel, Fig. 12 und 13²⁾, ist bemerkenswert durch seine als Kettenrost ausgeführte Feuerung, Fig. 14, und durch den in

den Holzraum eingebauten Ueberhitzer. Der Rost besteht aus kurzen gusseisernen Gliedern δ , die nach Art einer Gallschen Kette zusammengesetzt sind; diese Kette geht, in kurzen Zwischenräumen von Walzen unterstützt, über zwei Kettenräder c und c_1 , von denen das vordere von

Fig. 14. Kettenrost.

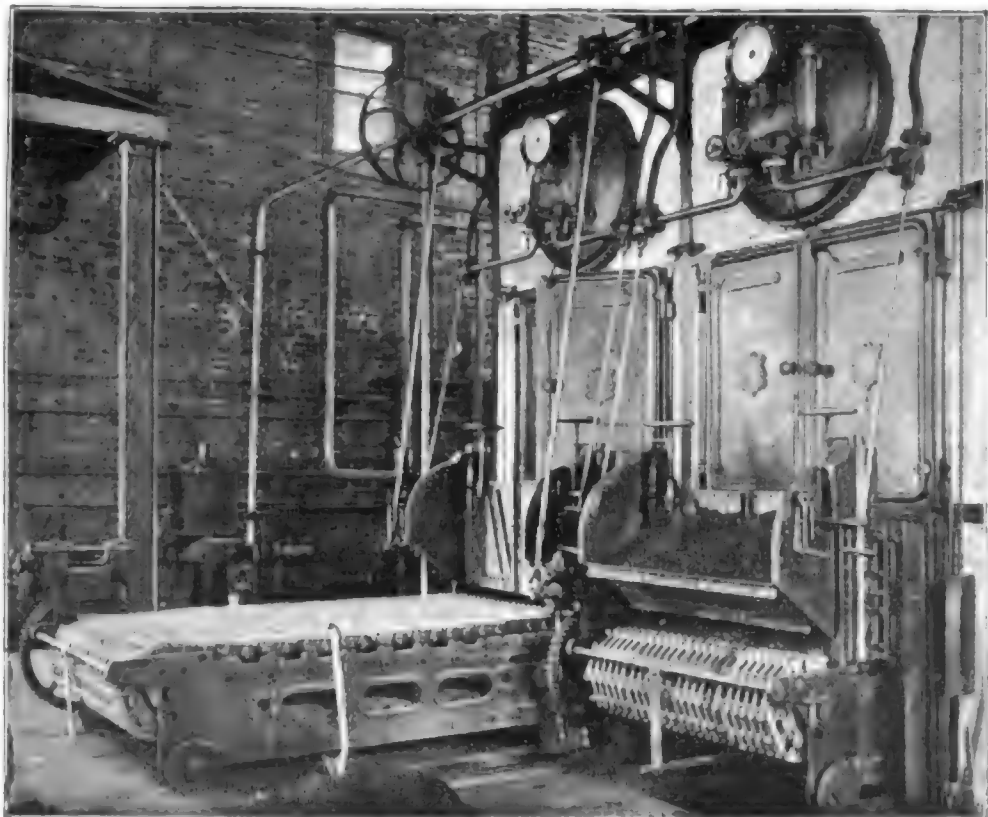


einer an den Oberkesseln gelagerten Welle mittels Gestänges e angetrieben wird. Um den Kettenrost zu reinigen oder auszubessern, kann man ihn, da die Seitenrahmen auf Rollen laufen, vollständig aus dem Kessel herausziehen, wie Fig. 15 zeigt. Die Kohle fällt aus einem vor dem Kessel angebrachten Trichter ununterbrochen auf den Rost.

Der Ueberhitzer ist in dem Raum zwischen den Wasserrohren und den beiden Oberkesseln eingebaut und besteht

Fig. 15.

Babcock & Wilcox-Kessel mit Kettenrost.



¹⁾ Vergl. Z. 1896 S. 1146.

²⁾ Vergl. hierzu Z. 1899 S. 672; 1898 S. 1350.

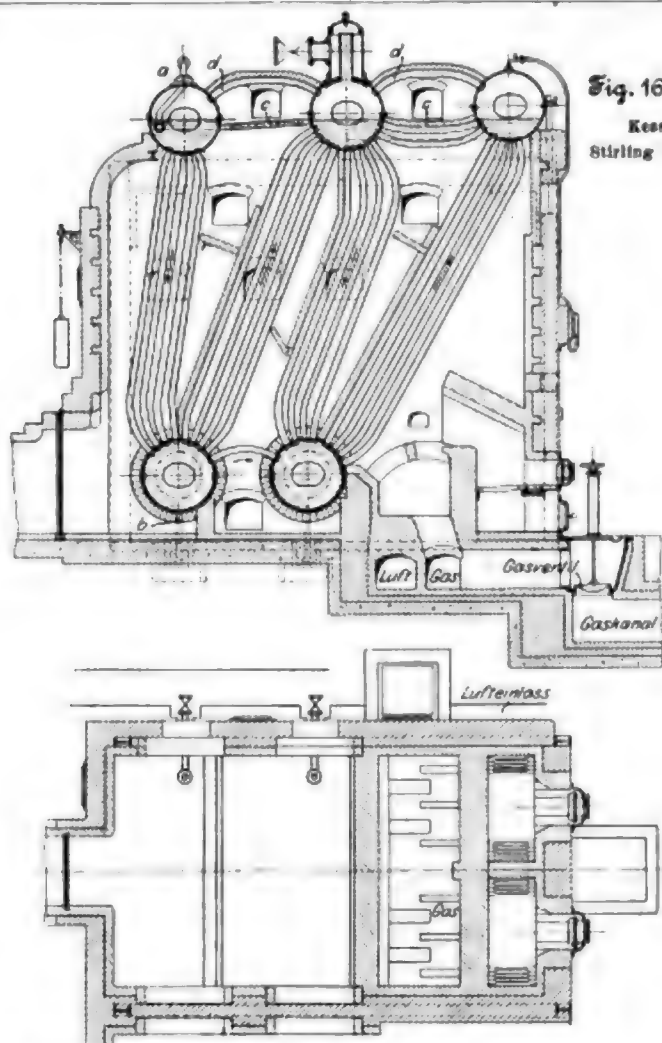
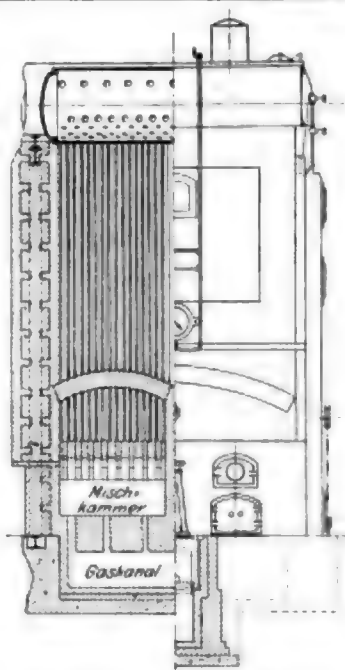


Fig. 16 bis 18.

Kessel der
Stirling Boiler Co.

und in der englischen Kriegsmarine sind etwa 20 Kessel in Betrieb.

Von den übrigen Kesseln ist noch derjenige der Stirling Boiler Co. bemerkenswert, der in doppelter Ausführung vertreten ist. Der aus Amerika stammende, neuerdings auch in England eingeführte Kessel mit krummen Rohren ist gegen die früheren Ausführungen¹⁾ in der Weise abgeändert, dass zwei Unterkessel vorhanden sind, Fig. 16 bis 18. Die Heizgase werden durch Mauerbrücken

¹⁾ Vergl. Z. 1894 B. 321.

Fig. 19.

Kessel der Stirling Boiler Co.

aus einer Reihe von C-förmig gebogenen Rohren, deren Enden in Kasten g und g_1 von quadratischem Querschnitt einmünden. Die Ueberhitzung soll 40 bis 60° C betragen. Da die Feuergase bereits eine große Heizfläche berührt haben, ehe sie den Ueberhitzer erreichen, so ist anzunehmen, dass größere Temperaturschwankungen hier nicht mehr vorkommen. Um den Ueberhitzer beim Anheizen außer Betrieb zu setzen, ist der Kasten g_1 durch die Rohrleitung h mit dem Wasser-raum des Oberkessels verbunden; der Ueberhitzer kann somit durch Öffnen des in die Leitung h eingeschalteten Hahnes unter Wasser gesetzt werden und vergrößert dann während des Anheizens die wasserberührte Heizfläche des Kessels. Wenn der Ueberhitzer in Thätigkeit ist, wird der Dampf dem Dampfraum der Oberkessel durch je zwei Rohre i entnommen und den beiden oberen Kasten g zugeführt. Von dem unteren Kasten g_1 führen drei Rohre k zu dem Dampf-absperrventil m .

Die Hauptabmessungen der beiden Kessel sind in der folgenden Zahlentafel zusammengestellt.

		Landkessel	Schiffskessel
Heizfläche	qm	476	271
Rostfläche	"	6,06	6,00
Wasserrohre, Zahl		18 × 13	28 × 11
• Dmr.	mm	101	81
• Länge	"	5480	2900
Oberkessel, Zahl		2	1
• Dmr.	"	1220	1220
• Länge	"	7180	4880

Der Schiffskessel findet neuerdings mehr Beachtung, besonders in der Handelsmarine. Die Allan-Linie hat eine Reihe ihrer Schiffe mit Kesseln dieser Bauart ausgestattet,



Fig. 20 bis 24. Rohrreiner der Stirling Boller Co.

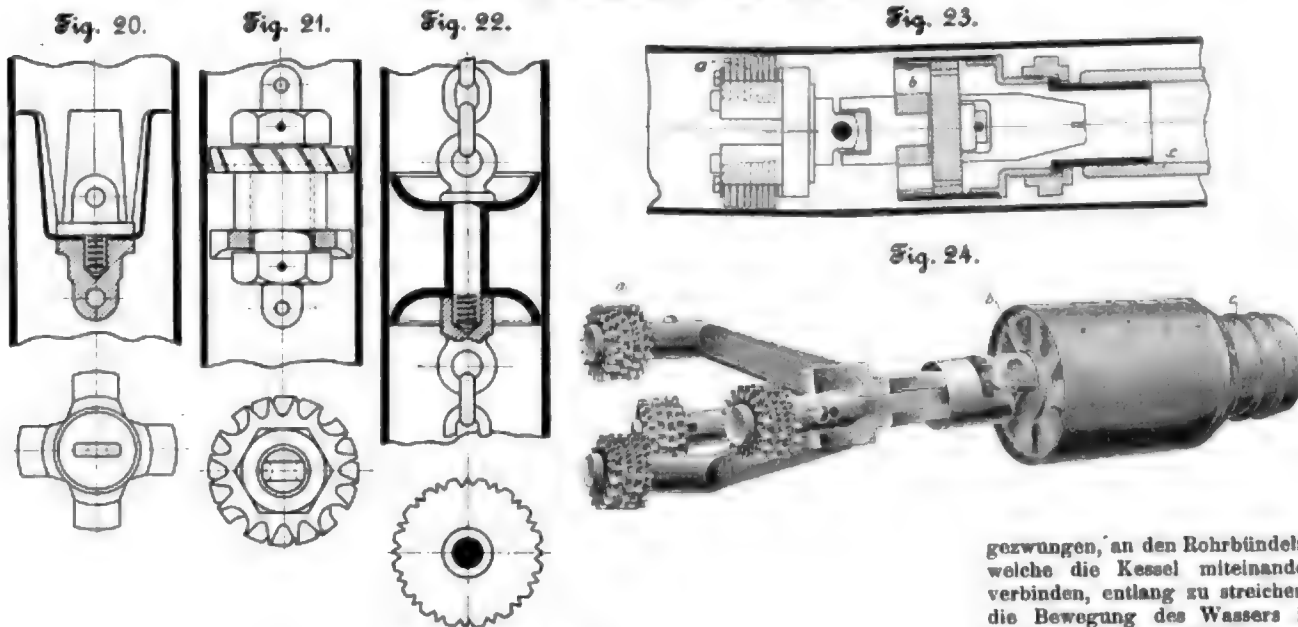


Fig. 25 und 26.

Gasreiner von W. F. Mason.

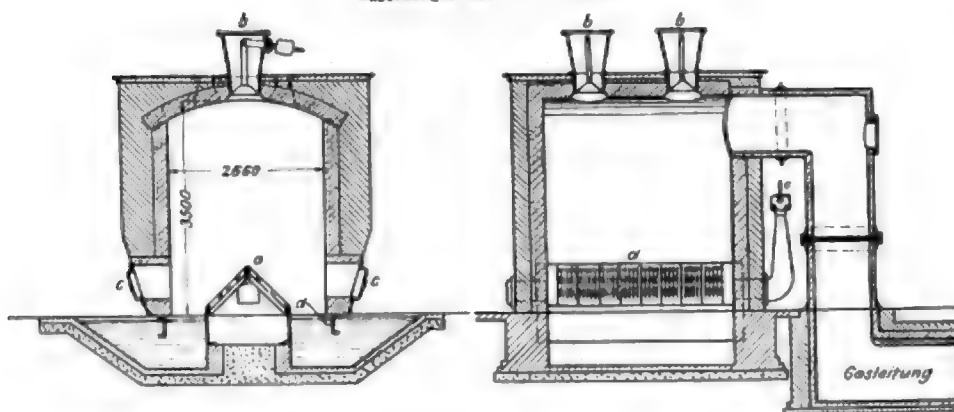
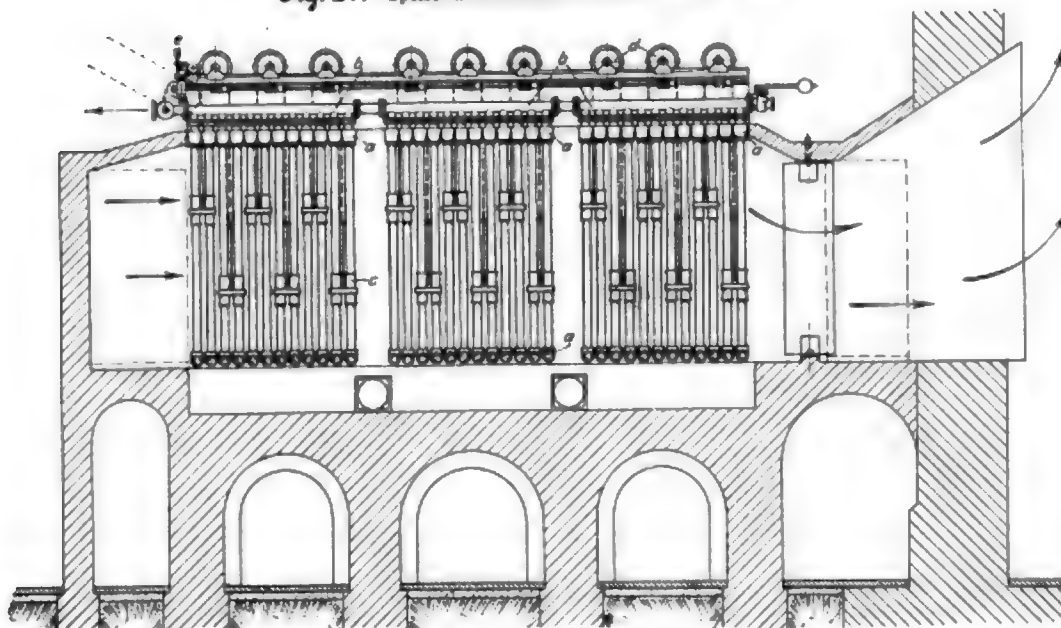


Fig. 27. Speisewasservorwärmer von E. Green & Son.



gezwungen, an den Rohrbündeln, welche die Kessel miteinander verbinden, entlang zu streichen; die Bewegung des Wassers in den Rohren ist durch Pfeile angedeutet. Die Oberkessel sind verschieden hoch gelagert, sodass der Wasserspiegel an verschiedenen Stellen steht. Gespeist wird bei *a*; das Wasser sinkt dann durch das hintere Rohrbündel in den hinteren Unterkessel und erwärmt sich dabei genügend, um alle schlammigen Bestandteile in diesem Kessel abzusetzen. Je nach dem Gehalt des Wassers an Unreinigkeiten wird der Schlamm durch ein bei *b* angebrachtes Ventil von Zeit zu Zeit abgelassen. Die Hauptwasserbewegung soll in den beiden Rohrbündeln erfolgen, die die beiden vorderen Oberkessel und den vorderen Unterkessel verbinden; in den hinteren beiden Rohrbündeln soll sich das Wasser nur langsam bewegen, sodass dieser Teil des Kessels gewissermaßen als Speisewasservorwärmer für den vorderen Teil wirkt. Gegenüber der früheren Anordnung mit nur einem Unterkessel sollen die Rohre jetzt erheblich reiner bleiben und daher weniger Ausbesserung bedingen. Zwischen den drei Oberkesseln sind Decken *c* eingelegt; doch sind die Steine nicht eingemauert, sondern nur lose aufgelegt, sodass die Feuernase hindurchtreten können; auf diese Weise sollen sie auch auf den in den Rohren *d* befindlichen Dampf einwirken und ihn trocknen. Um die Rohre schnell auszuwechseln zu können, hat man mitten in den Bündeln eine Reihe Rohre weg gelassen, Fig. 19, sodass die

hinteren Rohre losgenommen und nach vorn durchgereicht werden können. Um eines der hinteren Rohre herauszubringen, ist nach einem Bericht von Tidd eine halbe Stunde erforderlich; ein neues Rohr kann alsdann in 12 Minuten eingesetzt werden.

Während der eine der beiden Kessel mit einer Kesselheizung mit mechanischer Beschickvorrichtung, Bauart Vickers, ausgerüstet ist, hat der zweite eine Gasfeuerung, deren Anordnung aus Fig. 16 bis 18 ersichtlich ist. Das Gas und die Verbrennungsluft treten aus zwei nebeneinander quer zur Kesselheizung laufenden Kanälen durch Schlitz in der Decke aus, mischen sich in einer durch ein Gewölbe überdeckten Kammer und gelangen durch Brennerschlitz in diesem Gewölbe in den Verbrennungsraum, von wo sie denselben Weg wie die Feuergase einer gewöhnlichen Feuerung verfolgen. Außer der Gasfeuerung ist noch eine Hilfsfeuerung für feste Brennstoffe vorgesehen, sodass mit beiden gemeinsam gearbeitet werden kann. Die Hauptabmessungen des Kessels sind:

Heizfläche	3,01 qm
Rostfläche	5,1 "
Ober- und Unterkessel, Zahl	5
" " " Länge	3260 mm
" " " Dmr.	914 "
Wasserrohre, Zahl	256
" " " Dmr.	82,6 "
" " " Abstand voneinander	178 "

Da die stark gebogene Form der Rohre das Reinigen erschwert, hat die Stirling Boiler Co. eine Anzahl von Reinigungsgeräten erdacht, die in Fig. 20 bis 24 dargestellt sind. Für besonders harte Kesselsteinablagerungen, wie schwefelsaurer Kalk usw., wird das in Fig. 23 und 24 dargestellte Gerät benutzt, das aus 4 Kratzrollen *a* besteht, die durch eine Turbine *b* in Umdrehung versetzt werden. Die Turbine wird durch Presswasser betrieben, das mittels der Schlauchleitung *c* von den Speisepumpen geliefert wird. Die Fliehkraft treibt die Arme mit den Kratzrollen nach außen und drückt sie gegen die Rohrwandung. Die Turbine ist gelenkig an den Schlauch angeschlossen, sodass sie sich ungehindert durch die Rohrkrümmungen bewegen kann.

Das Gas für die Feuerung des einen Kessels liefert ein hinter dem Kesselhaus aufgestellter Gaserzeuger von W. F. Mason in Longsight, der nach einer Erfindung von Duff gebaut ist. Der in Fig. 25 und 26 dargestellte Generator hat 2,66 m Dmr. und 3,8 m Höhe und vermag 0,75 t/st Kohle zu vergasen. Unter den dachförmigen Rost *a* wird die Luft durch ein Dampfstrahlgebläse *e* gedrückt; von den geneigten Flächen des Rostes rutscht die Asche in die darunter befindliche Wassergrube, aus der sie seitlich abgezogen wird. Die Form des Rostes sichert eine gleichmäßige Verteilung der Luft über den ganzen Querschnitt, sodass das Feuer nicht nur an einzelnen Stellen durchbrennt; gleichzeitig werden starke Ansammlungen von Schlacke verhindert. Der Gaserzeuger ist ununterbrochen im Betriebe; die Kohle wird ihm durch zwei im Deckel angebrachte und durch Kegel abgeschlossene Beschicköffnungen *b* zugeführt. Zum Reinigen sind im unteren Teile des Ofens zwei Ausziehhöffnungen *c* vorgesehen. Um den Austritt der Pressluft am unteren Rande zu verhindern, sind zwei C-Eisen *d* an das Mauerwerk ange-

setzt, die in das Wasser tauchen und einen dichten Abschluss sichern.

Es erübrigt noch, mit einigen Worten auf die Speisewasservorwärmer einzugehen, deren zwei aufgestellt waren, einer für die vier Flammrohrkessel und einer für den Kessel von Davey, Paxman & Co.; beide sind von E. Green & Son in Manchester gebaut. Sie bestehen aus mehreren Gruppen glatter Wasserrohre, Fig. 27, deren einzelne Reihen oben und unten durch Kasten *a* verbunden sind. Die oberen Kasten stehen wiederum durch einen quer dazu angeordneten Kasten *b* in Verbindung. Die Rohre haben 116 mm Dmr. und 2,75 m Länge. Sie werden in die Kasten mit Wasserdruck eingepresst, wobei in den kegeligen Dichtungsfugen Metall auf Metall dichtet, Fig. 28. Damit sich kein Rufs auf den Rohren ansammelt, ist um jedes ein Rufschratzer *c* von der in Fig. 29 dargestellten Form gelegt. Die Kratzer je zweier nebeneinander stehender Rohrreihen ruhen auf Kratzhaltern, Fig. 30, die fortwährend auf- und niederbewegt werden. Zu diesem Zweck hängen je zwei Kratzhalter an Ketten, die über Kettenräder *d*, Fig. 27, laufen, welche von einer gemeinsamen Welle mittels Riementriebes oder durch eine besondere Betriebsmaschine in Drehung gesetzt werden. Eine Umsteuervorrichtung *e*, Fig. 27, kehrt die Bewegung um, sobald die Kratzer ihre höchste oder tiefste Lage erreicht haben.

In einer Ecke des Kesselhauses ist ein Aschenaufzug

Fig. 28.
Dichtung der Rohre
im Speisewasservorwärmer.

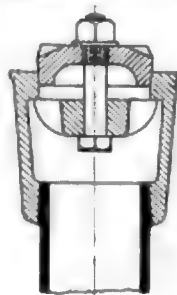


Fig. 29.
Rufschratzer.

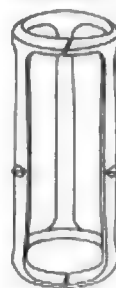
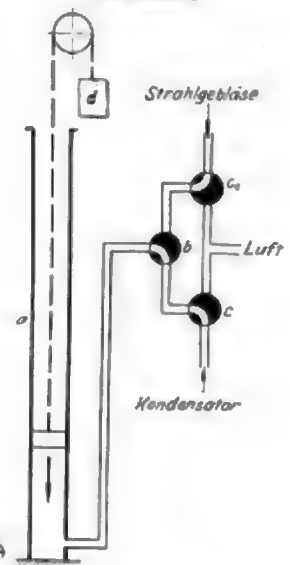


Fig. 30.
Kratzhalter.



Fig. 31.
Aschenaufzug.



in Thätigkeit, der mit Luftdruck arbeitet; *a* die schematische Darstellung, Fig. 31. In einem Cylinder *a* bewegt sich ein Kolben, an den der Seilzug des Aufzuges angeschlossen ist. Der Raum unter dem Kolben wird durch den Hahn *c* entweder mit dem Unterdruckraume eines Kondensators verbunden, sodass der auf die Oberseite wirkende Luftdruck den Kolben niederdrückt, oder mit der Außenluft, worauf das Gewicht des Aschenkastens *d* den Kolben in die Höhe zieht. Ist der Kondensator außer Betrieb, so wird der erforderliche Unterdruck mittels eines Strahlgebläses erzeugt und der Aufzug nach Umstellung des Hahnes *b* durch den Hahn *c* gesteuert. Der Aufzug ist von T. A. Crompton & Co. in London gebaut.

(Fortsetzung folgt.)

Die Weltausstellung in Paris 1900.

Die Lokomotiven.

Von E. Brückmann, dipl. Ingenieur, Chemnitz.

(Fortsetzung von S. 1332)

Die Anwendung von Ueberhitzern bei Lokomotiven¹⁾.

Während die Anwendung von Ueberhitzern bei ortsfesten Dampfkessel- und Dampfmaschinenanlagen schon ziemlich verbreitet ist, sodass bereits zahlreiche Ueberhitzerbauarten für derartige Zwecke gesetzlich geschützt sind, ist man zur Benutzung überhitzten Dampfes bei Lokomotiven erst vor kaum 3 Jahren geschritten, und zwar war es die Verwaltung der preussischen Staatsbahnen, die in dieser Richtung bahnbrechend vorgegangen und welche meines Wissens auch die einzige Bahnverwaltung geblieben ist, die bislang auf diesem Gebiete eingehende Versuche vornehmen liess. Sie besitzt zurzeit mehrere Ueberhitzer-Lokomotiven, die in den Jahren 1898, 1899 und 1900 von Henschel & Sohn in Cassel, vom Vulcan in Stettin und von A. Borsig in Berlin geliefert und den kgl. Eisenbahn-Direktionen Cassel, Hannover und Berlin zu Versuchszwecken überwiesen worden sind; der Bauart nach sind es $\frac{3}{4}$ -gekuppelte Zwillings-Eilzug- und Vorort-Tenderlokomotiven.

Soweit ich Näheres erfahren konnte, handelt es sich bei den bisher in Betrieb genommenen Lokomotiven um 2 Ueberhitzerbauarten, von denen die neuere diejenige ist, welche in die von A. Borsig in Paris ausgestellte $\frac{3}{4}$ -gekuppelte Eilzuglokomotive der kgl. Eisenbahndirektion Berlin eingebaut ist, während die ältere, in Fig. 34 dargestellte nur zweimal, und zwar an den vom Vulcan gebauten Eilzug-

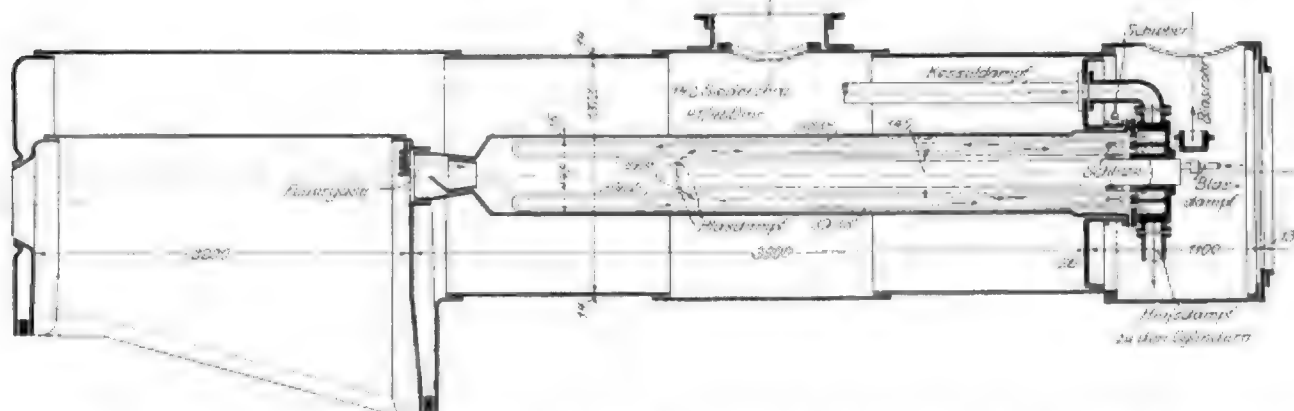
den Regulator eingelassene Kesseldampf strömt in die Verteilkammer und von dort zweimal durch die langen U-förmig gebogenen Ueberhitzerrohre, worauf er in die Cylinder übertritt, während die Feuer gases, durch Blasdampf aus der Feuerbüchse in das weite Rohr eingesogen, durch das kegelig endende mittlere Rohr von 146 mm Dmr. gegen die Ueberhitzerrohre geleitet werden und endlich durch Schlitzze, die durch einen Ringschieber regelbar sind, in die Rauchkammer austreten.

Die Hauptabmessungen des Kessels sind folgende:

Rostfläche	2,9 qm
Feuerbüchsenfläche	9,0 "
Rohrheizfläche	
142 Siederohre	71,38 qm
1 Heizrohr	5,89 "
	76,65 qm
Gesamtheizfläche	85,68 "
Ueberhitzerfläche	18,00 "
Siederohre, Zahl	142
» Durchmesser	41/46 mm
» freie Länge	3900 "
Heizrohrdurchmesser	445/475 mm
Ueberhitzerrohre, Durchmesser	30/35 bzw. 30/38 mm
» Anzahl	24

Fig. 34.

Ueberhitzer des Vulcan in Stettin.



lokomotiven, zur Ausführung gelangt ist. Die zuletzt erwähnten Maschinen sind sonst gewöhnliche $\frac{3}{4}$ -gekuppelte Zwillings-Eilzuglokomotiven mit auf 500 mm erhöhtem Cylinderdurchmesser. Der Ueberhitzer ist zentrisch in den Langkessel eingebaut und besteht aus einem an der Feuerbüchsen- eingezogenen geschweißten Rohre von 445/475 mm Dmr., dessen in die Rauchkammer hineinragender Teil am Umfange mit Schlitzzen versehen und am Ende durch eine Rohrwand mit Verteilkammer verschlossen ist. Der durch

¹⁾ Während dieses Heft zum Druck gegeben wird, sind durch Vorträge des Hrn. Geh. Baurats und Eisenbahn-Direktors R. Garbe, Berlin, die Ergebnisse seiner Versuchsfahrten mit Heissdampflokomotiven, insbesondere auch mit der hier beschriebenen von A. Borsig, bekannt geworden; danach sind in Wirklichkeit die Leistungen noch erheblich günstiger, als hier auf dem Wege der Rechnung ermittelt. Wir werden in kürzester Frist über die Versuche Garbes und die damit in Zusammenhang stehende Weiterentwicklung des Heissdampflokomotivbaues ausführlich berichten.

Die Redaktion.

Diese Bauart scheint sich nicht bewährt zu haben. Die Gründe konnte ich noch nicht erfahren; vermutlich ist die Heizfläche der Maschine zu sehr vermindert worden und der Widerstand der Feuer gases beim Durchströmen des Heizrohres zu groß, um die Leistung der normalen Eilzuglokomotiven mit 118,92 qm Heizfläche zu erreichen; auch dürften namentlich die in den Feuer gases liegenden Rohrverbindungen und der Ringschieber Anlass zu Unzulänglichkeiten gegeben haben. Schwierigkeiten entstanden anfangs auch dadurch, dass viele Schmieröle der höheren Dampftemperatur nicht standhielten, und dass die normalen Stopfbüchsenpackungen versagten.

Was die neuere Ueberhitzerbauart anbetrifft, so wird sie bei der Beschreibung der Borsig'schen Ausstellungslokomotive eingehend behandelt werden. An dieser Stelle seien nur noch einige allgemeine theoretische und praktische Betrachtungen über Ueberhitzer angefügt und vor allem der Nutzen, den die Dampfüberhitzer bringen kann, erläutert.

Der Vorteil der Ueberhitzung berechnet sich

1) aus dem Nachverdampfen des aus dem Kessel überhitzten Wassers

2) aus der Volumenvergrößerung des dem Kessel entnommenen und des aus dem mitgerissenen Wasser gebildeten Dampfes, bezw. aus der dieser Volumenvergrößerung entsprechenden größeren Leistung, welche durch verhältnismäßig geringeren Wärmeaufwand erreicht wird, und

3) aus der Verringerung der Niederschläge an den Cylinderwandungen, weil überhitzter Dampf weit weniger zum Niederschlagen neigt als Nassdampf.

Da eine ideale Kesselanlage vollkommen trockenen Dampf erzeugt, über den Punkt 3 mir aber kein zuverlässiges Zahlenmaterial zur Verfügung steht, so sei hier hauptsächlich auf den zweiten Punkt eingegangen. Um den entstehenden Vorteil dieser Art in einen allgemeinen mathematischen Ausdruck zu bringen, bezeichne

- v das Anfangsvolumen von 1 kg Heißdampf gleich dem spezifischen Volumen des Nassdampfes,
- V das Endvolumen von 1 kg Heißdampf,
- t die Anfangstemperatur des Heißdampfes gleich der Temperatur des Nassdampfes,
- T die Endtemperatur des Heißdampfes,
- α den Ausdehnungskoeffizienten für Gase gleich $\frac{1}{273}$,
- w die Wärmeeinheiten des Nassdampfes, welche aus den Fliegnerschen Tabellen zu entnehmen sind,
- W die Wärmeeinheiten des Heißdampfes;

dann ist, da die spezifische Wärme des Wasserdampfes genau genug zu 0,475 angenommen werden kann,

$$W = w + 0,475 (T - t) \quad (1);$$

ferner nach dem Gay-Lussacschen Gesetze, dass sich bei gleichen Drücken die Volumen wie die absoluten Temperaturen verhalten,

$$V = v \left(\frac{\alpha + T}{\alpha + t} \right) \quad (2).$$

Enthält das Dampfvolumen V die Wärmemengen W , so entspricht einer Wärmeeinheit des Nassdampfvolumen $\frac{v}{w}$ und ebenso das Heißdampfvolumen $\frac{V}{W}$, der Volumengewinn durch Ueberhitzung bei gleichem Wärmeaufwande ist also gleich $\frac{V}{W} - \frac{v}{w}$; in vH des Nassdampfes ist demnach der Volumen- oder Leistungsgewinn

$$L = 100 \frac{\left(\frac{V}{W} - \frac{v}{w} \right)}{\frac{v}{w}} = 100 \left(\frac{V w}{W v} - 1 \right).$$

Setzt man die Werte für W aus Gl. (1) und für V aus Gl. (2) ein, so wird

$$L = 100 \left(\frac{(\alpha + T) w}{(\alpha + t) (w + 0,475 (T - t))} - 1 \right) \quad (3).$$

Soll z. B. Dampf von 12 at Ueberdruck, für welchen nach Fliegner $w = 664,6$ und $t = 190,6^\circ \text{C}$ ist, auf 320° überhitzt werden, so wird der Gewinn an Leistung

$$L = 100 \left(\frac{(273 + 320) 664,6}{(273 + 190,6) [664,6 + 0,475 (320 - 190,6)]} - 1 \right)$$

oder $L = 17,08 \text{ vH}$.

Mehr noch als der nach dieser Gleichung berechnete theoretische Gewinn an Leistung interessiert uns die Ersparnis in vH an der anfänglich für den Nassdampf aufgewendeten Wärmemenge, welche sich aufgrund folgender Betrachtungen berechnen lässt.

Um 1 cbm Nassdampf zu erzeugen, ist eine Wärmemenge $\frac{w}{v}$ erforderlich, um 1 cbm Heißdampf zu erzeugen, eine Wärmemenge $\frac{W}{V}$. Der Unterschied $\frac{w}{v} - \frac{W}{V}$ ist daher die absolute Wärmeersparnis bei 1 cbm Dampf, und

$$E = \frac{100 \left(\frac{w}{v} - \frac{W}{V} \right)}{\frac{w}{v}} = 100 \left(1 - \frac{W v}{V w} \right)$$

ist die Ersparnis in vH der Nassdampfwärme. Setzt man wieder die Werte aus Gl. (1) und (2) ein, so erhält man die Formel

$$E = 100 \left(1 - \frac{(\alpha + t) (w + 0,475 (T - t))}{w (\alpha + T)} \right) \quad (4).$$

Aus dem vorstehenden Beispiel ergibt sich eine Ersparnis in vH der Nassdampfwärme von

$$E = 100 \left(1 - \frac{(273 + 190,6) [664,6 + 0,475 (320 - 190,6)]}{664,6 (273 + 320)} \right)$$

$$E = 14,6 \text{ vH}.$$

Wie man sieht, ist diese Ersparnis geringer als der ersterwähnte Gewinn.

Um ein übersichtliches Bild darüber zu geben, inwieweit die Größe der prozentualen Ersparnisse durch die Höhe der Ueberhitzung und des Dampfdruckes beeinflusst wird, ist die nachstehende kleine Zahlentafel berechnet worden.

Ueberhitzung °C	Ueberdruck in at			
	8	10	12	14
	E = Ersparnis in vH			
$T = 200$	3,7	2,4	1,8	0,4
240	8,6	7,3	6,3	5,5
280	12,9	11,5	10,3	9,0
320	16,6	15,5	14,6	13,7
360	19,8	18,8	18,0	17,1
hierbei ist $\begin{cases} t^\circ \text{C} \\ w \text{ WE} \end{cases}$	174,4 659,7	189,0 662,3	190,6 664,6	197,3 666,7

Aus dieser Zusammenstellung ist ersichtlich, dass die Ersparnisse bei 8 bis 14 at Ueberdruck und Ueberhitzung auf 200 bis 360°C zwischen 0 und 20 vH schwanken. Da sich bei ortsfesten Ueberhitzeranlagen gezeigt hat, dass Ueberhitzungen bis auf rd. 360°C zuverlässig durchführbar sind, und da die in Deutschland üblichen Lokomotivkesselüberdrücke 12 bis 14 at betragen, so würden sich bei uns höchstens Ersparnisse von rd. 18 vH erzielen lassen. Weil hierfür aber die Voraussetzung besteht, dass der Kesseldampf trocken ist, welche Voraussetzung bei Lokomotivkesseln wohl nie eintreffen wird, so kann diese theoretische Höchstersparnis im Betriebe nicht erreicht werden, es sei denn, dass die aus den verringerten Niederschlägen erzielten Ersparnisse bedeutend überwiegen.

Die oben ermittelten, in den Zahlentafeln zusammengestellten Ersparniswerte werden deswegen mit den in der Praxis festgestellten nie übereinstimmen; denn es wirkt hier eine ganze Reihe von Nebeneinflüssen und -umständen ein, deren wichtigste die schon erwähnte Ueber sättigung oder der Wassergehalt des Dampfes und deren Folgen sind.

Der Wassergehalt des Dampfes ist bei Lokomotivkesseln leider sehr schwer nachzuweisen: man weiß nur, dass der Dampf unsomehr Wasser aus dem Kessel mitreißt,

- 1) je mehr der Kessel angestrengt wird,
- 2) je geringer die Dampfspannung ist,
- 3) je kleiner die Wasseroberfläche im Verhältnis zur Heizfläche ist und
- 4) je höher der Wasserspiegel über der Feuerbüchdecke liegt,

und dass der Wassergehalt des Dampfes bei Lokomotivkesseln bis auf 20 vH steigen kann.

Will man die wirklichen Ersparnisse durch Ueberhitzung im praktischen Betriebe durch Versuche feststellen, so ist es nicht richtig, den Minderverbrauch an Speisewasser, also an Dampfgewicht, festzustellen, weil 1 kg Heißdampf mehr Wärme enthält als 1 kg Nassdampf, nämlich im Verhältnis

$W = w + 0,475 (T - 0)$, sondern es darf nur der Kohlenverbrauch in Vergleich gezogen werden.

Im übrigen hängt natürlich sehr viel, wenn nicht das meiste, von der Bauart des Ueberhitzers und seiner Anordnung gegenüber dem Kessel ab.

Die Ueberhitzer sollen von den Feuergasen des Kessels selbst geheizt werden. Besonders geheizte Ueberhitzer dürften bei Lokomotiven kaum zur Verwendung kommen. Am sparsamsten arbeitet natürlich ein Ueberhitzer, wenn er bloß von den Abgasen geheizt würde, denn dann würde ein Teil der verloren gehenden Schornsteinwärme für den Ueberhitzer gewonnen werden, man hätte also die erforderliche Wärmemenge kostenfrei.

Diese letztere beträgt für jedes Kilogramm Dampf $0,475 (T - t)$ WE, oder für unser Beispiel $W = 0,475 (320 - 190,5) = 61,465$. Für $129,4^\circ$ Ueberhitzung müssten demnach für jedes Kilogramm Dampf $61,5$ WE verwendet, oder auf gesättigten Dampf bezogen $\frac{61,465 \cdot 100}{664,5} = 9,25$ vH mehr Wärme aus den Abgasen gezogen werden.

Nach den bisherigen Erfahrungen steht es aber unzweifelhaft fest, dass die gewöhnliche Rauchkammertemperatur zu niedrig ist, als dass sich ein lohnender Ueberhitzungsgrad durch einen bloß durch Abgase erwärmten Ueberhitzer erreichen ließe.

Die Heizgase für die Ueberhitzer sind daher unbedingt schon früher abzuzweigen. Bei ortsfesten Kesselanlagen wird der Ueberhitzer aus diesem Grunde immer in den ersten oder zweiten Zug eingebaut; bei Lokomotiven kann diese Bedingung auf einfachem Wege kaum anders erreicht werden, als dass ein Teil der Feuerbüchseheizgase unmittelbar zum Ueberhitzer hingeleitet wird.

Da nun weiter jeder Ueberhitzer im kleinsten Raume die größtmögliche Heizfläche darbieten, ferner gegen Wärmeverluste, Ausstrahlung, Zutritt von kalter Luft usw. ganz besonders geschützt werden muss, und endlich die Feuergase, um sie vor Abkühlung zu schützen, auf dem kürzesten Wege zum Ueberhitzer zu leiten sind, so ergibt sich als sozusagen einzige Ueberhitzeranordnung bei Lokomotiven diejenige, bei welcher der Ueberhitzer in der warmen Rauchkammer angeordnet wird und ihm Feuerbüchseheizgase durch ein weites Rohr unmittelbar zugeführt werden.

Diese Ueberhitzerbauart ist denn auch an der von A. Borsig in Paris ausgestellt gewesenen Lokomotive zur Anwendung gekommen.

Was die Einzelkonstruktion anlangt, so sind für Lokomotiven mit Rücksicht auf Raum und Gewicht Ueberhitzer aus schmiedeisenen Rohren am zweckmäßigsten, welche im übrigen möglichst wenige unter Druck stehende Krümmer, Kappen und Flanschverbindungen aufweisen und deren Rohre möglichst senkrecht hängend anzuordnen sind, um Aschenansatz zu verhindern.

Nicht unerwähnt möge schließlich bleiben, dass auch die Dampfmaschine einige Konstruktionsänderungen erleiden muss, wenn man sie mit überhitztem Dampfe betreiben will.

Wenn der Dampf mit 170° C Temperatur in den Lokomotivcylinder eintritt und ihn infolge der Cylinderbauart nahezu an derselben Stelle mit rd. 120° Wärme verläßt, so ist es klar, dass das Cylindergasstück in seinen einzelnen Teilen ganz bedeutenden Temperatur- und Spannungsunterschieden unterworfen wird, deren Folge eine ungleiche Ausdehnung, ein Werfen und Verziehen sein muss. Es ist daher beim Entwurfe der Cylinder ganz besonders darauf zu achten, dass keine Stoffanhäufungen an einzelnen Stellen stattfinden. Weiter hat sich gezeigt, dass sich Flachschieber sehr ungleich ausdehnen und schwer dicht halten, sodass es rätlich ist, nur Kolbenschieber zu verwenden, bei denen das Material viel gleichmäßiger, also bedeutend besser verteilt ist. Beim Entwurf der Kolbenschieber ist aber unbedingt darauf zu achten, dass die Rippen zwischen der Schieberstangenbo und dem Umfangkörper des Kolbenschiebers nicht an den

Arbeitsflächen des Schiebers angreifen, sondern an der am Umfange zurückgesetzten Mittelfläche, s. Fig. 42. Die Schieberkasten selbst sind so zu entwerfen, dass sie sich möglichst zwanglos ausdehnen können. Ebenso sind die Schieberrostbüchsen, welche sich stark ausdehnen, nicht zu fest einzusetzen und am besten in Absätzen mit Asbest abzudichten.

Ganz besondere Aufmerksamkeit ist den Stopfbüchsen zuzuwenden, deren Grundringe nicht zu dicht sein dürfen und deren eigentliche Dichtungsflächen möglichst nach außen an das Stopfbüchsenende zu verlegen sind. Auch die Kolben- und Schieberdichtungsringe sind möglichst einfach und leicht gehend und mit wenig Spannung einzusetzen.

Andererseits ist es leicht verständlich, dass bei einer solchen, unter überhitztem Dampfe dicht gehenden Maschine, wenn der Ueberhitzer ausgeschaltet wird, alle erwähnten Dichtungsstellen blasen. Beides lässt sich eben nicht vereinen.

5) $\frac{3}{4}$ -gekuppelte Zwillings-Eilzuglokomotive mit Ueberhitzer (Bauart Schmidt) und mit 3achsigen Tender, Bahn-Nr. 74 der kgl. Eisenbahn-Direktion Berlin der preussischen Staatsbahnen, erbaut von A. Borsig in Berlin, Fabr.-Nr. 4800, Fig. 35 bis 44¹⁾.

Diese Lokomotive entspricht bis auf zwei Punkte der normalen Zwillings-Eilzuglokomotive der preussischen Staatsbahnen, die als bekannt vorausgesetzt werden darf. Fig. 35 bis 37 geben daher auch nur generelle Skizzen nebst einer photographischen Aufsicht der Lokomotive wieder, während Fig. 38 bis 44 die von den Normalen abweichenden Teile, nämlich den Ueberhitzer und die Dampfzylinder mit den Kolbenschiebern, darstellen.

a) Kessel. Der Kessel weist als Neuheit eine vollständig vom Gewöhnlichen abweichende Siederohreinteilung auf. Während die Normallokomotive 217 Siederohre von $41/46$ mm Dmr. mit 109 qm Heizfläche enthält, sind bei der ausgestellten Lokomotive nur 192 Rohre von $41/46$ mm Dmr. und ein Rohr von $247/267$ mm Dmr. mit zusammen $99,5$ qm Heizfläche vorgesehen, wobei das weite Rohr außer als Heizfläche namentlich zur unmittelbaren Zuführung der Feuergase zu dem in die Rauchkammer eingebauten Ueberhitzer dient. Bemerkenswert ist noch, dass die beiden Bündel der engen Siederohre nach der Rauchkammer hin im wagerechten Sinne um 75 mm auseinander gezogen sind. Eine weitere Abweichung vom Normalen weist die Rauchkammer auf, deren Durchmesser, um den Ueberhitzer unterbringen zu können, auf 1700 mm erhöht werden musste.

Was nun den Ueberhitzer selbst anbetrifft, so ist seine Bauart aus Fig. 38 bis 41 klar ersichtlich. Der Kesseldampf strömt vom Regulator in eine rechte oben auf dem Rauchkammernmantel sitzende Kammer A aus Stahlguss, welche durch eine Zwischenwand in 2 Teile zerlegt ist, von hier durch ein aus 29 Rohren von $30/38$ mm Dmr. bestehendes Rohrbündel BB, zur linken Kammer D, in dieser zum Rohrbündel C, weiter nach C hinüber, alsdann durch das Kreuzrohr E und die Rohre F in die Schieberkasten der Cylinder, und nach Verwendung durch die Rohre G und das gusseiserne Kreuzrohr H in das Blaserohr J.

Auf dem Wege von der Kammer A nach der Kammer B und zurück durchströmt der Dampf die schmiedeisenen Ueberhitzerrohre B, B₁, C₁ und C, deren Form und Anordnung aus Fig. 41 ersichtlich ist, hierbei die Rauchkammer in verschiedener Richtung durchquerend.

Die Heizgase strömen, s. Fig. 39 und 41, unten zwischen die Ueberhitzerrohre ein und seitlich am Rauchkammernmantel nach oben, wobei sich die Ueberhitzer-Heizgase aber nicht mit den Rauchkammer-Abgasen mischen können, da die Ueberhitzerrohre durch 6 mm starke Blechwände gegen die mittlere Rauchkammer abgeschlossen sind. Erst oben erfolgt der Uebertritt in die Rauchkammer, und zwar durch die vom Führerstände aus regelbaren 4 Klappen K.

Bemerkenswert ist der Zusammenbau der Ueberhitzer-

¹⁾ Lokomotiven Nr. 3 und 4 (s. Tabelle 2. 1901 S. 1226) werden in der nächsten Fortsetzung beschrieben werden.

Fig. 35 bis 37. Zwillings-Eilzuglokomotive von A. Borsig.

Fig. 35

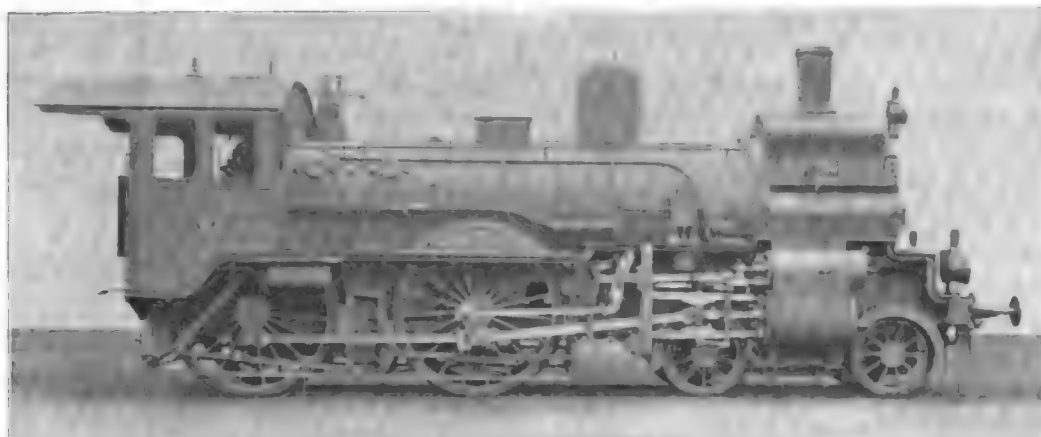
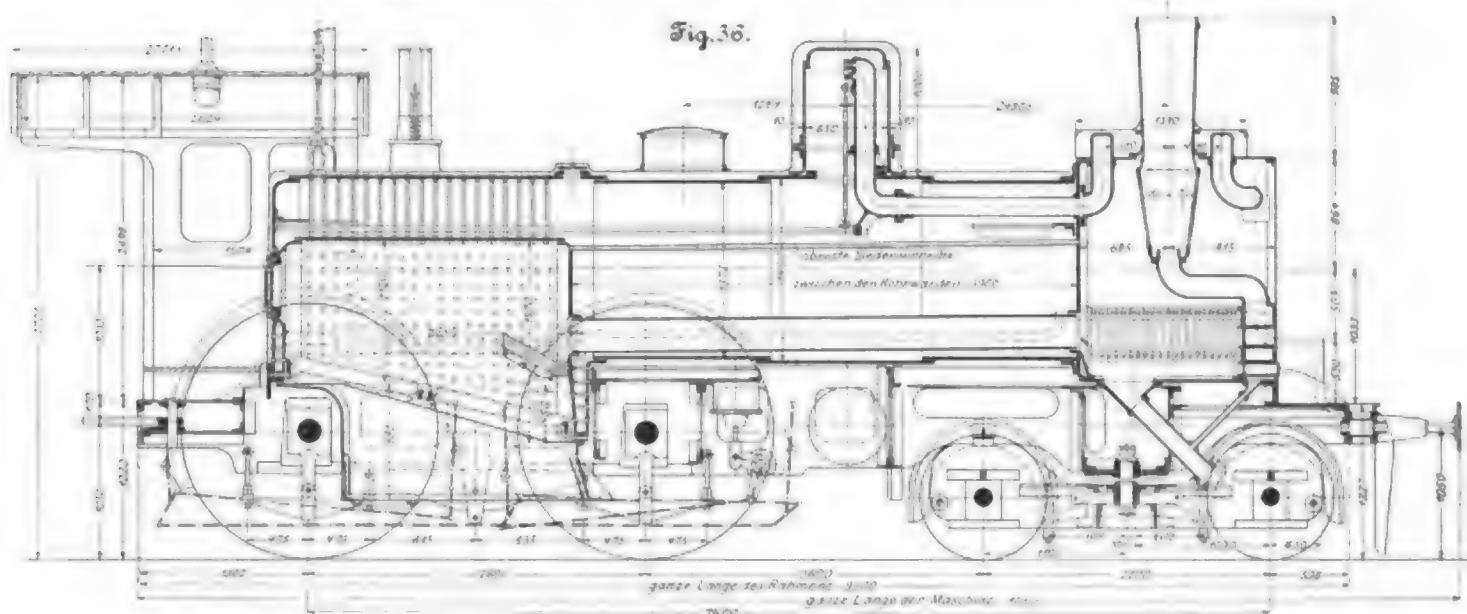


Fig. 36.



vorrichtung, die auf der oberen Hälfte des Rauchkammermantels in einem Ganzen fest montirt ist und nach Lösung der Rohrverbindungsflansche nach oben herausgehoben werden kann. Die Ueberhitzerrohre sind in die Kammern *A*, und *D* wie Siederohre eingewalzt.

Der Ueberhitzungsgrad wird nur mittels der 4 Klappen *K* geregelt; werden diese ganz geschlossen, so strömen gar keine Feuergase in die Ueberhitzerkammern ein, wodurch der Ueberhitzer auf dem einfachsten Wege außer Betrieb gestellt wird. Anderseits steigt der Ueberhitzungsgrad auch mit der Blasrohrwirkung.

Um die Ueberhitzerrohre reinigen zu können, sind die Scheidewände umklappbar und herausnehmbar, während im vorderen Gussstücke *H* 2 Reinigungsöffnungen *L* und *L*₁, ferner im Boden ein großes Aschenabfallrohr vorgesehen ist.

Um ferner die Ueberhitzerrohre kühlen und Zinder löschen zu können, sind rechts und links 2 Spritzrohre *M* und *M*₁ angeordnet.

Schließlich sei noch bemerkt, dass der Ueberhitzer sich äußerlich, s. Fig. 35, nur durch einen kleinen Aufbau rund um die Esse bemerkbar macht, der aber durchaus nicht als unschön bezeichnet werden kann.

Die Hauptabmessungen und Heizflächen des Kessels sind im Vergleiche mit der normalen Eilzuglokomotive folgende:

Fig. 37

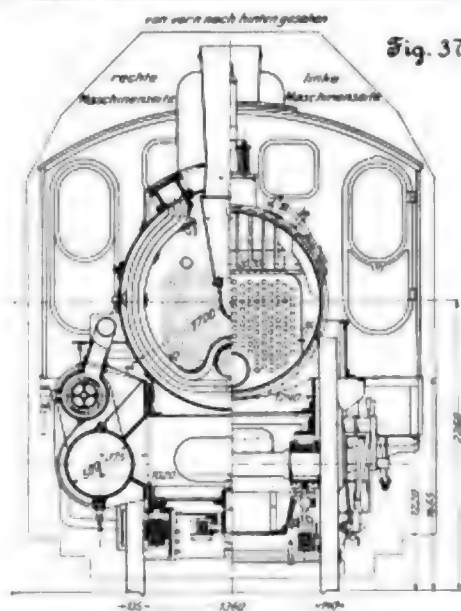


Fig. 38 bis 41.
Überhitzer.

Fig. 38.

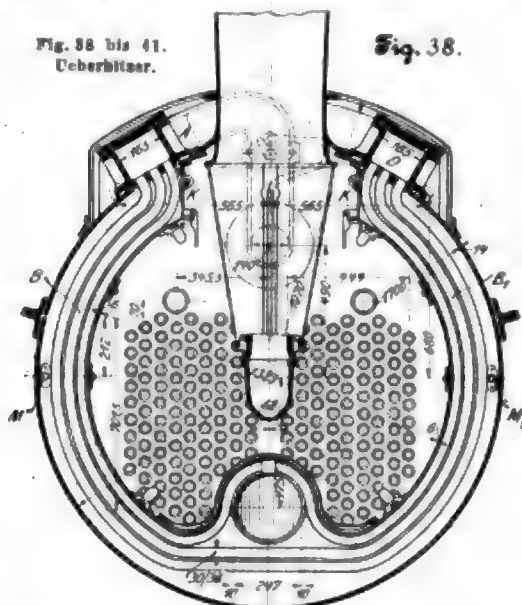


Fig. 39.

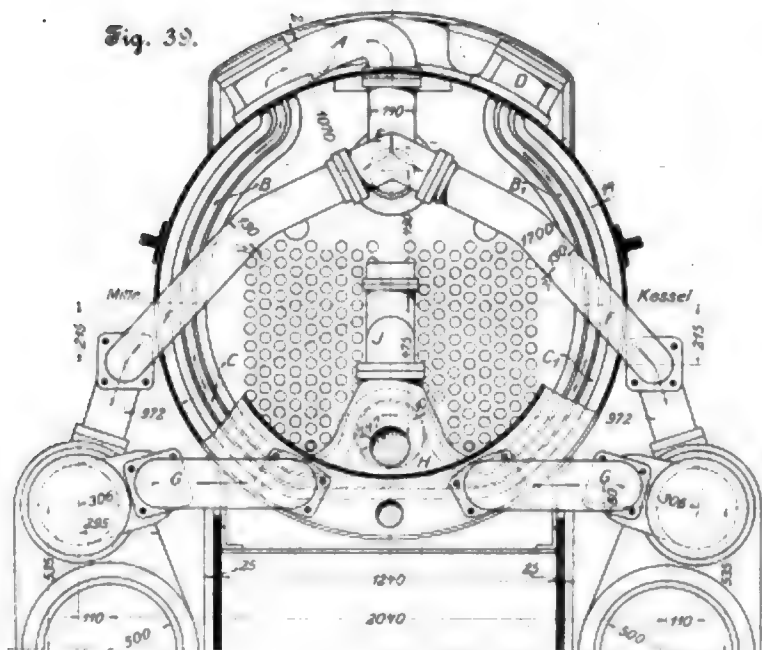
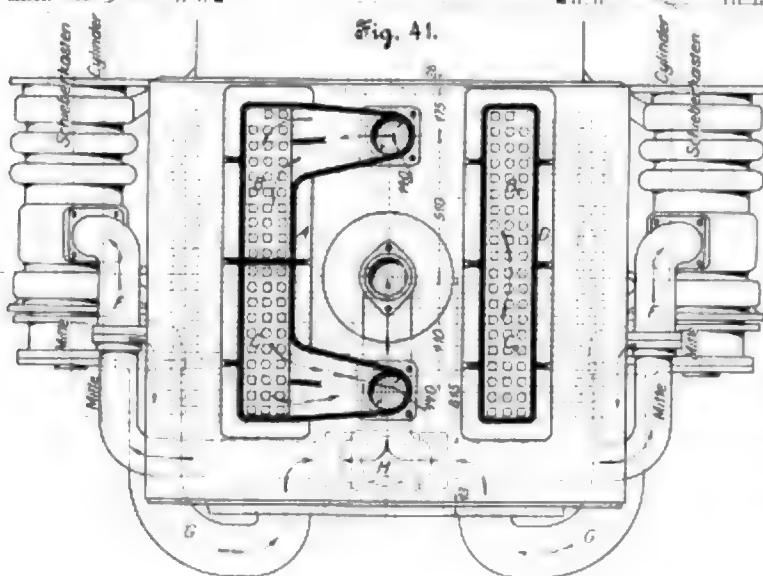


Fig. 41.

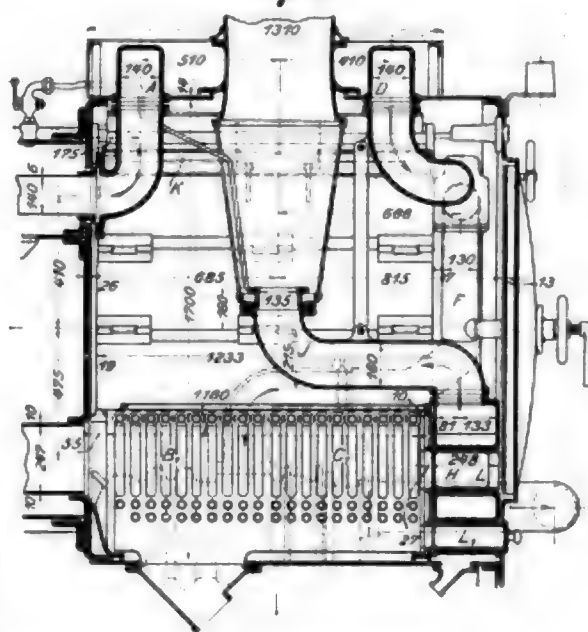


		normale	Überhitzer-
		Elsinglokomotive	
Kesselüberdruck	at	12	12
Rostfläche	qm	2,27	2,27
Fenerbüchsefläche	"	9,00	9,00
Rohrheizfläche	"	109,00	99,50
Gesamtheizfläche	"	118,00	108,50
Überhitzerheizfläche	"	—	28,42
Rostfläche : Gesamtheizfläche		1:52	1:47,8
Fenerbüchsefläche : Gesamtheizfläche		1:13,1	1:12,05

b) Rahmen. Der Rahmen weist nichts Bemerkenswerthes auf.

c) Maschine. Gegen die Normalmaschine sind die Cylinderdurchmesser auf 500 mm erhöht und die Schieber als Kolbenschieber ausgeführt, s. Fig. 42 bis 44. Die Schieberroste sind von außen eingepreast. Die Einströmung findet von innen, d. h. von der Mitte aus statt, die Auströmung an den Enden, wobei der Austrittsdampf durch den Kolbenschieber hindurch nach vorn strömt. Die Bauart der Dich-

Fig. 40.



tungsringe sowohl der Kolbenschieber als auch der besonders entworfenen Kolben ist aus Fig. 42 ersichtlich. Das Gewicht der Kolben wird durch den mittleren Ring übertragen, während die normalen seitlichen Ringe die eigentliche Abdichtung besorgen. Diese Kolbenkonstruktion wurde besonders deshalb gewählt, um die Kolbenstangen behufs Vermeidung von Stopfbüchsen vorn nicht durchführen zu müssen. Die Cylinder haben daher nur hintere Kolbenstangen-Stopfbüchsen Schmidt'scher Bauart mit nach hinten verlegten Dichtungsringen.

Cylinder und Kolbenschieber werden mit hochsiedendem Mineralöl geschmiert, das durch eine links im Führerhaus angeordnete Presspumpe zwangsweise zugeführt wird.

Die Steuerung ist die Heusingersche; sie wie das Treibwerk weisen keine besonderen Eigentümlichkeiten auf.

d) Ausrüstung und

e) Tender entsprechen den Normalien der preussischen Staatsbahnen.

Die Hauptabmessungen und gewichte der Lokomotive und des Tenders sind:

Lokomotive:

Cylinderdurchmesser	500	mm
Kolbenhub	600	"
Lauftraddurchmesser	1000	"
Treibtraddurchmesser	1080	"
Kesselüberdruck	12	at
Rostfläche	2,27	qm
Feuerbüchseisfläche	9,00	"
Rohrheizfläche (innere)	99,60	"
Gesamtheizfläche	108,6	"
fester Radstand	2600	mm
Gesamtradstand	7400	"
Leergewicht	51330	kg
Achsdruck des Drehgestelles	24100	"
" der Treibachse	16400	"
" der Kuppelachse	16000	"
Adhäsionsgewicht	32400	"
Dienstgewicht	56500	"

Tender:

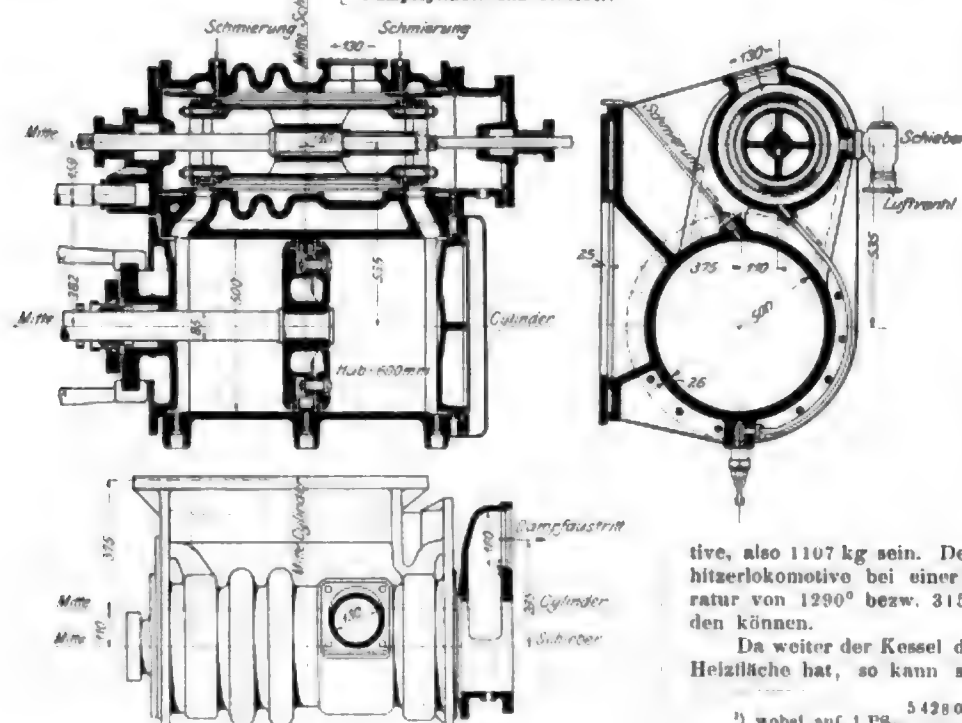
Raddurchmesser	1000	mm
Gesamtradstand	3300	"
Wasservorrat	12000	kg
Kohlenvorrat	5000	"
Leergewicht	15800	"
Dienstgewicht	32800	"

Lokomotive und Tender:

Gesamtradstand	13325	mm
ganze Länge über die Puffer	16150	"
Gesamtdienstgewicht	89300	kg
Zugkraft ($Z = 0,65 \frac{a^2 l p}{D}$)	5910	"

Fig. 42 bis 44.

Dampfzylinder und Schieber.



f) Leistungen.

Da die Versuche mit den Ueberhitzerlokomotiven zurzeit noch in vollem Gange sind und die bisherigen Ergebnisse mir leider noch nicht zugebote stehen, so bin ich zu meinem größten Bedauern nicht in der Lage, darüber zu berichten.

Da jedoch andererseits diese Frage von größtem Interesse ist, Eisenbahntechniker ihr aber bisher nur ausnahms-

weise Aufmerksamkeit geschenkt haben, so sei wenigstens versucht, ein Bild von den mutmaßlichen Ergebnissen zu gewinnen, das allerdings mit Vorsicht aufzunehmen ist; handelt es sich doch bei den nachfolgenden Betrachtungen um eine ganze Reihe von Annahmen, über welche man verschiedene denken kann.

Ausgegangen sei von der Leistungsfähigkeit der normalen Verbund-Eilzuglokomotive der preussischen Staatsbahnen. Nach der »Eisenbahntechnik der Gegenwart« Band I S. 51 usw. hat diese Lokomotive 118,93 qm Gesamtheizfläche und leistet bei 4 Umdrehungen der Treibachsen pro sk oder bei 90 km/st Fahrgeschwindigkeit:

$$7 \cdot 118,93 = 832,44 \text{ PS.}$$

Dabei werden nach den Versuchen von Lochner (Organ 1894 S. 108 bis 118) 10,3 · 832,44 = 8575 km/st Wasser und 1,33 · 832,44 = 1107,3 kg/st Kohlen verbraucht, wobei auf 1 qm Rostfläche 487 kg/st Kohle verbrannt werden. Der Rauchkammer-Unterdruck beträgt hierbei rd. 75 bis 100 mm Wassersäule, die mittlere Rauchkammer-Temperatur 315° C.

Unter der Annahme, dass bei der oben erwähnten Kesselleistung $7\frac{1}{2}$ vH Wasser mit dem Dampfe mitgerissen werden, wären vom Kessel 8000 kg Dampf von 12 at Ueberdruck zu erzeugen und 575 kg Wasser auf eine Temperatur von 190,6° C zu bringen, wozu $8000 \cdot 664,6 + 575 \cdot 193,4 = 5428005 \text{ WE}^1)$ nötig sind. Da sich nun die Verbrennungstemperatur unmittelbar über dem Roste zu

$$T_0 = \frac{\eta H}{c(1+L)} = \frac{0,9 \cdot 7990}{0,244(1+21,6)} = 1290^\circ \text{ C}$$

und die gesamte an den Kessel abgegebene Wärmemenge zu

$$W = \eta_1 c(1+L)B(T_0 - T_2) = 0,9 \cdot 2,44 \cdot (1+21,6) \cdot 1107 \cdot (1290 - 315) = 5358900 \text{ WE}^2)$$

bestimmt, welcher Wert genügend genau mit dem oben erwähnten, auf gützlich übereinstimmt, so kann angenommen werden, dass die oben angegebene Leistungsfähigkeit der normalen Verbundlokomotive tatsächlich zutrifft.

Wenden wir uns nun der Ueberhitzerlokomotive zu, so ist festzustellen, dass sie mit Einrechnung des großen Heizrohres 108,6 qm, d. h. gegenüber 118,93 qm fast 10 vH weniger Gesamtheizfläche als die normale Verbund-Eilzuglokomotive hat. Da ihre Rostfläche aber die gleiche von 2,27 qm und ihr freier Rohrquerschnitt mit 0,3014 qm gegenüber 0,2891 qm größer ist, so muss die pro Stunde auf dem Roste verbrannte Kohlenmenge mindestens die gleiche wie bei der Normallokomotive, also 1107 kg sein. Demnach müssen auch bei der Ueberhitzerlokomotive bei einer Rost- bzw. Rauchkammertemperatur von 1290° bzw. 315° C 5428000 WE abgegeben werden können.

Da weiter der Kessel der Ueberhitzerlokomotive 108,6 qm Heizfläche hat, so kann seine Verdampfungsfähigkeit (Nor-

¹⁾ wobei auf 1 PS. $\frac{5428005}{832,44} = 6520 \text{ WE}$ kommen.

²⁾ wobei $\eta = 0,9$ der Koeffizient der Verbrennung, H die Heizkraft des Brennstoffes (hier Steinkohle) in WE, $c = 2,44$ die spezifische Wärme der Verbrennungsgase, $L = u \cdot l_0$ die praktisch zur Verbrennung erforderliche Luftmenge in kg, wobei $u = 2$ und l_0 für Steinkohle = 10,3, $\eta_1 = 0,9$ der Koeffizient der Wärmeverluste, B die Brennstoffmenge in kg/st, T_0 die Temperatur der Gase unmittelbar über dem Roste und T_2 die Temperatur der Abgase in der Rauchkammer.

mallokomotive $\frac{8000}{118 \cdot 92} = 67,2 \text{ kg/qm}$ zu $108,5 \cdot 67,2 = 7290 \text{ kg}$ Nassdampf angenommen werden, zu deren Erzeugung bei 12 at Ueberdruck $7290 \cdot 664,6 = 4845600 \text{ WE}$ erforderlich sind, d. h. $5428000 - 4845600 = 582400 \text{ WE}$ weniger, als überhaupt abgegeben werden können; letztere Wärmemenge ist daher zu andern Zwecken, also zur Ueberhitzung, verfügbar.

Zur Ueberhitzung von 7290 kg Nassdampf von $190,6^\circ \text{ C}$ auf rd. 320° sind aber $7290 \cdot 0,475 (320 - 190,6) = 447395 \text{ WE}$ nötig, sodass die noch bleibenden $582400 - 447395 = 135005 \text{ WE}$ zur Verdampfung von rd. 4 vH mitgerissenem Wasser verwandt werden können.

Hiernach bleibt nur noch die Heizfläche des Ueberhitzers zu bestimmen, welcher eine Wärmemenge von 582400 WE/st abzugeben imstande ist. Betrachtet man den Ueberhitzer als einen Gegenstromapparat, weil der Dampf von oben nach unten zu den Cylindern hinströmt, die Feuer-gase aber von unten nach oben zu der Esse hin, so berechnet sich seine Heizfläche zu

$$F = \frac{W}{k} \frac{\ln \frac{T_1 - T}{T_2 - T}}{T_1 - T_2 + (T - T_2)} = \frac{582400}{18} \frac{\ln \left(\frac{1000 - 320}{320 - 190,6} \right)}{100 - 320 + (320 - 190,6)}$$

oder $F = 38,7 \text{ qm}$, wenn

W die stündlich von den Gasen abzugebende Wärmemenge in WE,

k den Wärmedurchgangskoeffizienten = 18 für schmied-eiserne Ueberhitzerrohre,

T_1 die Anfangstemperatur der Heizgase, welche in diesem Falle am Austritt des großen Heizrohres zu 1000° C angenommen sei,

T_2 die Endtemperatur der Heizgase, hier gleich der Rauchkammertemperatur,

T die Endtemperatur des zu überhitzenden Dampfes und

t dessen Anfangstemperatur

bedeutet.

Zur Ausführung gekommen ist eine Heizfläche von $38,6 \text{ qm}$, sodass es wohl möglich zu sein scheint, rd. 320° Ueberhitzung zu erreichen¹⁾.

Fassen wir diese Ergebnisse zusammen, so erzeugt mit der gleichen auf dem Roste verbrannten Kohlenmenge von 1107 kg/st der Kessel der normalen Verbundlokomotive 8575 kg Nassdampf von $190,6^\circ \text{ C}$ mit rd. $7\frac{1}{2} \text{ vH}$ Wassergehalt, der Kessel der Ueberhitzerlokomotive aber 7580 kg Heißdampf von 320° C (wobei 4 vH mitgerissenes Wasser nachverdampft worden sind). Dieser Dampf wird im ersten

¹⁾ Nach Glasers Annalen vom 1. Aug. 1900 S. 63 konnten an der Ausstellungslokomotive auch bei häufigerem Anhalten leicht 280 bis 300° C , bei länger andauernder Fahrt aber 320° C Ueberhitzung erreicht werden.

Falle in einer Verbund-, im zweiten in einer Zwillingsmaschine nutzbar gemacht. Die Verbundmaschine verbraucht nach den Versuchen von Lochner $10,3 \text{ kg}$ Nassdampf pro PS-st, leistet also $\frac{8575}{10,3} = 832,44 \text{ PS}$, wobei pro PS-st

$$\frac{5428005}{832,44} = 6520 \text{ WE nötig sind. Die von Lochner zu den Versuchen benutzte Zwillings-Eilzuglokomotive hatte } 430 \text{ mm Cyl.-Dmr. und verbrauchte pro PS-st } 12,6 \text{ kg Nassdampf und bei auf } 460 \text{ mm vergrößertem Cylinderdurchmesser } 4,6 \text{ vH weniger. Da der Cylinderdurchmesser der Ueberhitzerlokomotive sogar auf } 500 \text{ mm erhöht worden ist, so muss der Dampfverbrauch wenigstens um } 9 \text{ vH vermindert sein, er wird daher nur } 11,46 \text{ kg betragen.}$$

Da nun weiter aufgrund aller Versuche und Erfahrungen an ortfesten Heißdampfmaschinen ziemlich sicher festgestellt ist, dass 1 vH Dampfersparnis bei Dreifach-Expansionsmaschinen auf 10° Ueberhitzung

- Verbundmaschinen „ 8° „ und
- Eineylindermaschinen „ 6 bis 7° „

erreicht wird, so wird der mutmaßliche Dampfverbrauch der Ausstellungslokomotive pro PS-st

$$11,46 \left(1 - \frac{320 - 190,6}{6,5} \cdot \frac{1}{100} \right) = 9,17 \text{ kg}$$

betragen, wobei $\frac{7580}{9,17} = 826 \text{ PS}$ geleistet würden, d. h. die

Zwillings-Ueberhitzerlokomotive leistet dasselbe bei gleichem Kohlenverbrauch, aber bei rd. 13 vH geringerem Wasserverbrauch, wie die normale Verbund-Eilzuglokomotive (bei 90 km/st Fahrgeschwindigkeit).

Wäre die Ueberhitzerlokomotive eine Verbundlokomotive, so würde der Dampfverbrauch pro PS-st

$$10,3 \left(1 - \frac{320 - 190,6}{8} \cdot \frac{1}{100} \right) = 8,63 \text{ kg}$$

betragen, wobei bei demselben Kohlenverbrauch $\frac{7580}{8,63} = 878 \text{ PS}$

geleistet werden könnten und wobei auf 1 PS 6180 WE kämen; d. h. in diesem Falle würde bei gleichem Kohlenverbrauche $5\frac{1}{2} \text{ vH}$ mehr geleistet, 13 vH weniger Wasser verbraucht und die Wärme um $5\frac{1}{2} \text{ vH}$ besser ausgenutzt werden. Hierbei ist jedoch keine Rücksicht auf die durch die verringerten Niederschläge zu erzielenden Ersparnisse genommen, die sehr bedeutend sein können.

Dieses mutmaßliche Ergebnis ist so vielversprechend, dass man es wohl verstehen kann, wenn die preussischen Staatsbahnen soeben 6 Eilzug- und 13 Güterzuglokomotiven mit Ueberhitzern in Auftrag gegeben haben.

Erwähnt werde noch an dieser Stelle, dass sich um Einführung der Ueberhitzerlokomotive der Ingenieur W. Schmidt in Achersleben und der Eisenbahndirektor Geh. Baurat Garbe in Berlin besonders verdient gemacht haben. Die Ausstellungsjury erkannte auch jedem derselben eine silberne Denkmünze zu.

(Fortsetzung folgt.)

Aufgaben und Fortschritte des deutschen Werkzeugmaschinenbaues.

Von Friedrich Rupert, Oberingenieur in Chemnitz.

(Vorgetragen im Chemnitzser Bezirksverein deutscher Ingenieure.)

(Fortsetzung von S. 1602)

Konstruktive Aufgaben und Fortschritte innerhalb der gegebenen Art.

Auch hier ist die Hauptaufgabe Erzielung höchster Leistungsfähigkeit der Maschine, womöglich einer höheren, als sie die bisher bestehenden Maschinen gleicher Art besitzen.

Da die mechanische Leistung der Maschine in der Spanabnahme besteht, so ist eine Erhöhung der Leistung in zwei Richtungen möglich: in der Verstärkung des Spanes, die zugleich eine Verringerung der zur endgültigen Bearbeitung nötigen Anzahl von Spanabnahmen ergibt, und in der Vermehrung der Spanabnahme in der Zeiteinheit.

Diesen Aufgaben dient zunächst die

Vervollkommenung der Maschinenantriebe.

Die Widerstände, welche der Antrieb zu überwinden bestimmt ist, setzen sich bei der spanbildenden Werkzeugmaschine aus dem Widerstand gegen das Abheben des Spanes und aus den Reibungswiderständen aller in der Maschine vorhandenen Bewegungen zusammen.

Versuche, die absoluten Größen dieser Widerstände zahlenmäßig zu bestimmen, sodass sie als Grundlage zuverlässiger Stärkenberechnungen dienen können, sind bislang erfolglos gewesen. Einen Ausblick auf künftige glücklichere Lösung gewähren die Kraftmessungen an Maschinen mit elektrischem Einzelantrieb.

Berechnungsformeln aufgrund der bisherigen Versuche beruhen auf so vielen und unsicheren Annahmen, dass es für den geübten Konstrukteur weit einfacher und zuverlässiger ist, die Annahme unmittelbar in die Größe und Stärke des betreffenden Maschinenteiles zu verlegen. Nur wo nach Annahme des die Leistung der Maschine bestimmenden Antriebes, also z. B. nach Annahme der Breite und Geschwindigkeit des Antriebsriemens, hiervon abhängige Teile, wie Räderübersetzungen usw., infrage kommen, kann die Rechnung in ihr Recht treten. Tüchtige Praxis und dadurch anerzogenes praktisches Gefühl sind also bis jetzt die zuverlässigsten Führer des Werkzeugmaschinenkonstruktors.

Die Vervollkommenheit der Antriebe äußert sich in verschiedener Form, zunächst als Verstärkung der Antriebe. Ihr dient die Vergrößerung der Durchmesser der Antriebsriemenscheiben, wo angingig auch die Vermehrung ihrer Umlaufzahl. Daneben geht zuweilen die Verbreiterung der Scheiben her. Das Mittel der erhöhten Riemenengeschwindigkeit wird oft in solchem Grade angewandt, dass trotz der sich ergebenden Verstärkung des Antriebes die Antriebsriemen schmaler werden. Der Vorzug dieses Mittels ist offenkundig, denn es verringert zugleich die seitliche Anpressung der angetriebenen Welle an die Lagerwandungen, da die absolute Größe der Riemenspannung im Verhältnis zur Riemenbreite abnimmt. Das augenfälligste Beispiel in dieser Hinsicht bietet die Hobelmaschine. An ihr sind die Antriebsriemen wesentlich schmaler geworden, dagegen die Geschwindigkeit der Riemen bedeutend größer. Die vermehrte Riemeneschwindigkeit unterstützt zugleich die vollkommene Ausführung des Wechsels der Bewegungsrichtung. Die älteren Hobelmaschinen begnügten sich mit einer Riemeneschwindigkeit gleich der 20- bis 30fachen Tischgeschwindigkeit, bei neueren Hobelmaschinen arbeitet der Riemen mit 40- bis 50facher Tischgeschwindigkeit; und dabei ist auch die letztere im Laufe der Zeit noch gestiegen.

Dies kann als ein Beispiel der auf die Leistung wesentlichen Einfluss ausübenden, äußerlich wenig wahrnehmbaren inneren Wandlung vieler Werkzeugmaschinen gelten. Zugleich liegt darin eine Mahnung an die Käufer von Werkzeugmaschinen, eine Maschine nicht nur flüchtig nach dem kräftigen Aussehen und dem billigen Preise zu beurteilen.

Der Riemenantrieb durch Stufenscheibe.

An die Stelle der einfachen Riemenscheibe muss im Werkzeugmaschinenbau eine Stufenantriebscheibe in allen den Fällen treten, wo es sich um kreisende Schnittbewegungen mit wechselndem Durchmesser des Werkstückes oder um Kurbelantriebe mit wechselndem Hub für geradlinige Bewegungen handelt. Die Stufenscheibe hat hierbei kaum oder garnicht den Zweck, verschiedene Geschwindigkeiten herzustellen, sondern ihre einzelnen Stufen sollen nur bei sich änderndem Durchmesser des Werkstückes oder der Treibkurbel die Arbeitsgeschwindigkeit gleichbleibend erhalten.

Eine Betrachtung darüber, wie die Stufenscheibe diesen Zweck erfüllt, ist von Nutzen.

Nimmt man an, dass eine bestimmte Schnittgeschwindigkeit zur Abhebung von Spänen eines bestimmten Stoffes die vorteilhafteste ist, so müsste man an die Stufenscheibe die theoretische Anforderung stellen, dass sie für alle möglichen Werkstückdurchmesser und für alle Kurbelwege imstande sei, diese günstigste Schnittgeschwindigkeit herzustellen. Da sie aber nur 3, 4, 5, im höchsten Falle 6 Stufen hat, so ist klar, dass nur in 3, 4, 5, 6 Fällen die günstigste Arbeitsgeschwindigkeit wirklich erreicht wird. In allen andern Fällen liegt die erzielte Arbeitsgeschwindigkeit mehr oder weniger unterhalb der vorteilhaftesten. Da ferner die durch eine Stufenscheibe von der üblichen gleichmäßigen Abstufung erzielte Geschwindigkeitszunahme nicht stetig ist, sondern wächst, so macht sich das Fehlen der Zwischengeschwindigkeiten in steigendem Maße mit der wachsenden Umlaufzahl der getriebenen Scheibe fühlbar.

Das Diagramm Fig. 13 zeigt die Abweichungen von der angenommenen vorteilhaftesten Geschwindigkeit $\cdot 100$ bei der im Werkzeugmaschinenbau viel gebräuchlichen 4fachen Stufenscheibe mit 2 : 1 Durchmesser Verhältnis. In der Werk-

statt kann sich die Sache noch ungünstiger gestalten. Denn der Werkzeugmaschinenkonstrukteur legt zwar dem Arbeiter durch die Anbringung einer Stufenscheibe die Pflicht auf, den Riemen rechtzeitig umzulegen; ob aber der Mann, sei es durch eigenen Trieb, durch Aufsicht oder durch den Zwang des Akkordes, diese Pflicht auch wirklich erfüllt, dafür besteht keine Gewähr. Offenbar ist dies kein Idealzustand. Ältere erfahrene Konstrukteure haben deshalb häufig ihre gute Meinung von der Stufenscheibe wesentlich herabgesetzt.

Die Unvollkommenheit der Stufenscheibe hat veranlasst, dass der Kurbelantrieb für Werkzeugmaschinen mit hin- und hergehender Arbeitsbewegung immer mehr verschwindet und

Fig. 13.

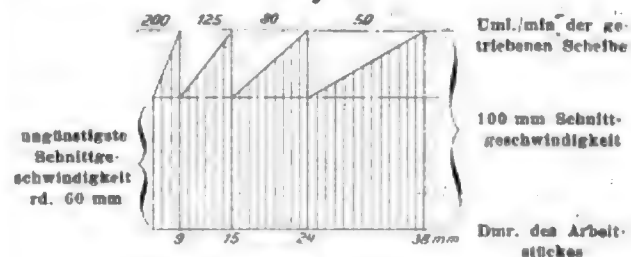
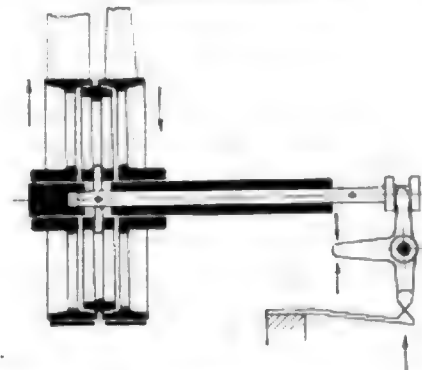


Fig. 14.

Querhobelmaschinenantrieb.



sich nur noch auf kleinere Hübe beschränkt. Dafür tritt für hin- und herbewegte Teile der Zahnstangenantrieb allgemeiner auf, nachdem es gelungen ist, sanfte und dabei scharf begrenzte Umkehr durch augenblicklich wirkende Reibung oder durch verbesserte Riemensteuerung mithilfe der schon erwähnten vergrößerten Riemeneschwindigkeit zu erzielen.

Fig. 14 zeigt den neuzeitlichen Querhobelmaschinenantrieb mit sehr einfacher Reibkupplung und eben so einfachem selbstthätigem Wechsel der Kupplung.

Ein anderes Beispiel für den Ersatz der Stufenscheibe bietet die immer mehr in Aufnahme gekommene Abstechmaschine zum Zerteilen von rundem Walzeisen anstelle des früheren kalten oder warmen Abhauens. Durch das altbekannte Mittel des flachen Reibtellers mit wanderndem Trieb ist bei ihr eine mit dem Eindringen des Stahles nach der Achse der zu durchstechenden Stange zu selbstthätig wachsende Umlaufzahl, also eine gleichbleibende Schnittgeschwindigkeit erzielt. Der natürliche Fehler des Reibtellers: die theoretisch auf einen Punkt beschränkte Haftfläche zwischen Teller und Trieb, muss durch hohe Umlaufzahl möglichst unschädlich gemacht werden. Eine allgemeinere Anwendung dieses Mittels zur Erzielung gleichbleibender Schnittgeschwindigkeiten verbietet sich aus diesem Grunde und wegen der großen Reibungsverluste in den Lagern der stark seitwärts angepressten Achsen. Der flache Reibteller wird dagegen, weil er umgekehrt auch eine stetige Reihe verschiedener Geschwindigkeiten ergiebt, in steigendem Maße zur Erzeugung von Vorschüben an Werkzeugmaschinen benutzt.

Für die Antriebe der Maschinen bleibt immerhin die Stufenscheibe in vielen Fällen das einzige Mittel, und es gilt, dieses Mittel nach Möglichkeit zu verbessern. Das geschieht

zunächst durch Vergrößerung der Stufendurchmesser und der Stufenbreiten. So zeigen z. B. gute Drehbänke im Verhältnis zu ihrer Spitzenhöhe jetzt vergrößerte Durchmesser und Breiten der Spindelstock-Stufenscheibe. Diesen Größenverhältnissen trägt eine neue Form des Spindelstockes und eine gegen früher oft wesentlich größere Länge Rechnung. Die Figuren 15a und 15b stellen die alte und die neue Form einander gegenüber. Selbst wenn die übrigen Abmessungen einer Drehbank dieselben bleiben, wird schon allein durch diese Verstärkung des Antriebes der Vorteil erreicht, dass die Dreh-

Fig. 15a.

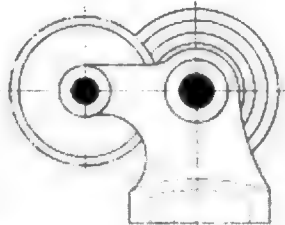
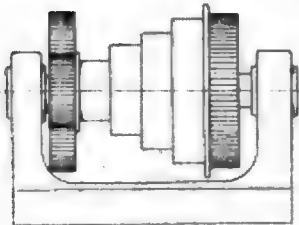
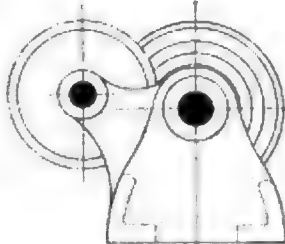
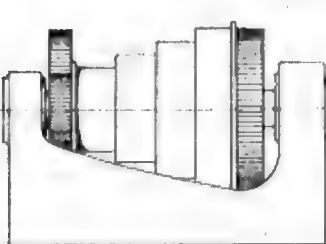


Fig. 15b.



bank fähig ist, ihre Spitzenhöhe vollständiger auszunutzen, d. h. auch bei den größeren Durchmessern noch eine vorteilhafte Bearbeitung mit angemessener Spanstärke zu gestatten. Kurz gesagt: die Grenze der vorteilhaften Bearbeitung ist erweitert.

Dasselbe gilt von Querhobel- und Stofmaschinen mit Kurbelhub. Während bei den älteren Maschinen dieser Gattungen die Schnittleistungen für das Höchstmass des Hubes wesentlich sanken, ist es jetzt möglich, bis in die Nähe des größten Hubes stärkere Späne abzuheben.

Noch einer Leistungsverminderung durch einen technischen Fehler der Stufenscheibe, nämlich durch die wechselnde Größe der Anlagefläche des Riemens, ist zu gedenken. Nur bei den Mittelstufen sind die Anlageflächen des Riemens auf der treibenden und der getriebenen Scheibe gleich oder annähernd gleich groß. Bei den äußersten Riemenebenen, also einmal in dem Falle, wo gerade die größte Umlaufzahl herzustellen ist, das anderemal, wo gerade die höchste Leistung erzielt werden soll, ist die Haftfläche der Scheiben ungleich, also die übertragbare Leistung im Verhältnis der Verminderung geringer.

Der Fortschritt bei den Stufenscheiben äußert sich daher auch in einer Verminderung des Unterschiedes der Durchmesser von größter und kleinster Stufe. Da aber hiermit eine Beschränkung der Grenzwerte der durch das Stufenscheibenpaar zu erzielenden Umlaufzahlen eintritt, so ist dieser Fortschritt nur möglich in Verbindung mit der allmählich steigenden Verwendung besonderer Werkzeugmaschinen für besondere Arbeiten. Die Fälle werden immer seltener, dass man z. B. auf einer Drehbank alle möglichen Dreharbeiten an Guss-, Schmiedeeisen- und Stahlteilen und dabei Schrupp-, Schlecht- und Schmirgelarbeit an diesen verschiedenen Materialien verrichtet, und es ist klar, dass, wo durch das Material und die Arbeitsweise an sich schon eine große Verschiedenheit der Umdrehungen erforderlich wird, die Stufenscheibe nicht instande ist, auch noch einen den wechselnden Durchmessern der Arbeitstücke entsprechenden Ausgleich der Geschwindigkeit in der Nähe ihrer vorteilhaftesten Größe herbeizuführen. So kann durch Mannigfaltigkeit in der Benutzung einer Werkzeugmaschine die ungünstigste

Arbeitsleistung in der Zeiteinheit entstehen, weil es der Technik bisher an einem Mittel fehlt, eine genügend große Mannigfaltigkeit der Umlaufzahlen zu erzeugen.

Dies leitet über zu den

Fortschritten in der Vermehrung der verfügbaren Arbeitsgeschwindigkeiten.

Die früher für Antriebe häufig angewandte dreifache Stufenscheibe ist verschwunden, die 4- und die 5-fache Stufenscheibe sind die Regel geworden. Gleichzeitig hat das altbekannte Mittel zur Verdopplung der Anzahl der verfügbaren Geschwindigkeiten: das ein- und ausrückbare Rädervorgelege, die allgemeinste Anwendung gefunden. Selbst sehr kleine Maschinen, bei denen man früher mit Stufenscheibe ohne Rädervorgelege auszukommen meinte, zeigen jetzt auch ein solches. So z. B. würde heute eine Vertikalbohrmaschine ohne Rädervorgelege schon bei einer Bohrgrenze von etwa 30 mm größtem Lochdurchmesser nicht mehr auf der Höhe der Zeit stehen.

Das ein- und ausrückbare Rädervorgelege als Zusatz zur Stufenscheibe kann sowohl die Grenzwerte der Geschwindigkeit erweitern als auch die Geschwindigkeitsunterschiede bei gleichbleibenden Grenzwerten vermindern. Die folgende Zusammenstellung zeigt beispielsweise an der 3-, 4- und 5-fachen vielgeräucherlichen 2:1-Stufenscheibe (größte Stufe doppelt so groß wie die kleinste) die Abnahme des Geschwindigkeitsunterschiedes vom Faktor 1,4 (rd) bei der 4-fachen auf 1,4 bei der 5-fachen und auf 1,3 bei der 6-fachen Stufenscheibe. Zugleich ist die Verminderung des größten absoluten Geschwindigkeitsunterschiedes von 75 auf 60 und 50 ersichtlich, 100 Umdr. der Treibscheibe vorausgesetzt.

die 2:1- Stufen- scheibe mit 100 Umdr.	gibt Umd./min.				demnach	
	ohne Rädervorgelege		mit Rädervorgelege		kleinster	größter
					Unterschied der Umlaufzahl von einer Stufe zur nächsten	
4-fach	200	133 80 50	30 18 11 7		4	75
5 >	200	140 100 70 50	35 25 17 12 8,5		3,5	60
6 >	200	150 115 87 65 50	38 29 22 16 12 9		3	50

Dieser durch die Vermehrung der Stufenzahl gewonnene Vorteil der Vermehrung der Arbeitsgeschwindigkeiten muss leider durch die Notwendigkeit häufigerer Riemenumlegung erkauft werden. Man ist bemüht, auch diesen Uebelstand zu beseitigen. Ein einfaches, mehr und mehr angewandtes Mittel ist die Ausstattung der Deckenvorgelege der Maschinen mit mehreren Geschwindigkeiten. Während dieses Mittel früher ausschließlich zur Erhöhung der Grenzwerte der Umlaufzahlen diente, findet es jetzt vielfach eine neue Verwendung. Es stellt dem Arbeiter durch einfache Riemen-einrückung mehrere Arbeitsgeschwindigkeiten zur Verfügung, ohne dass der Riemen umgelegt zu werden braucht. Dadurch wird die Bedeutung der Stufenscheibe völlig verändert. Während nun das Deckenvorgelege den schnellen und häufigen Wechsel der Geschwindigkeiten besorgt, übernimmt die Stufenscheibe an der Maschine die nur zeitweilig nötig werdende Einstellung der durch das Deckenvorgelege zur Verfügung gestellten Geschwindigkeiten auf einen höheren oder niedrigeren Grad.

Das ist wieder ein Beispiel der zuvor besprochenen Verteilung der Bewegungen und eine wiederholte Bestätigung ihres technischen Nutzens. Die nötige Zahl von Bewegungen ist jetzt nicht mehr allein von der Stufenscheibe zu bewältigen, sondern zwischen Deckenvorgelege und Stufenscheibe verteilt, sodass das Deckenvorgelege aus der großen Reihe aller für die betreffende Maschine vorhandenen Umlaufzahlen schnell und bequem eine kleine Teilreihe solcher Geschwindigkeiten erzeugt, die zur Bearbeitung eines und desselben Werkstückes ausreichen, während die Stufenscheibe und die Riemenumlegung erst dann in Gebrauch treten, wenn ein Werkstück anderer Größe in Arbeit genommen wird.

Die kleine schnell herstellbare Reihe der durch das Deckenvorgelege erzeugten Geschwindigkeiten kann durch

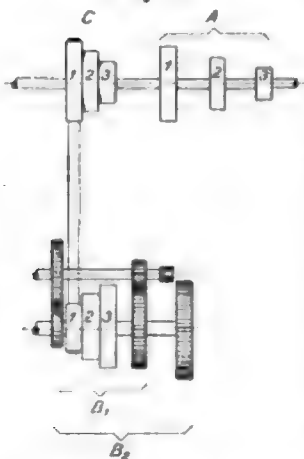
das ein- und ausrückbare Radvorgelege verdoppelt werden, dessen Ein- und Ausrückung man schnell vollziehbar und bequem gestalten muss. Hat das Deckenvorgelege drei Geschwindigkeiten, so stehen dann dem Arbeiter 6 Arbeitsgeschwindigkeiten ohne die lästige, auch mit Gefahren verbundene Riemenumlegung stets zur Verfügung. Ist eine Anzahl gleicher Arbeitstücke hintereinander zu bearbeiten, so entfällt somit auf längere Zeit die Notwendigkeit, den Riemen umzulegen, gänzlich.

Drei Arbeitsbeispiele sollen die Sache noch besser verdeutlichen.

1) Es seien eine Anzahl Teile mittleren Durchmessers auf einer so ausgestatteten Drehbank zu drehen. Der Riemen der Stufenscheibe wird auf Mittelgang gelegt. Dadurch sind die sechs durch das Deckenvorgelege augenblicklich verfügbaren Umlaufzahlen im Durchschnitt auf Mittelgeschwindigkeit eingestellt und reichen zur Ausführung aller an den Arbeitstücken dieser Größe nötigen Dreh- und Schleifarbeiten bis zur völligen Fertigstellung aus.

Nun soll eine Reihe größerer Werkstücke bearbeitet werden. Jetzt wird der Riemen der Stufenscheibe auf Langsamgang umgelegt, und damit ist die ganze Reihe der sechs schnell herstellbaren Geschwindigkeiten entsprechend herabgesetzt, so dass die Drehbank nun zur völligen Fertigstellung der größeren Werkstücke passt. Kommen jetzt Werkstücke mit durchschnittlich kleinen Durchmessern an die Reihe, so wird die sechsfache Geschwindigkeitsreihe durch Riemenumlegung hinaufgesetzt.

Fig. 16.



Von dieser Einrichtung machen z. B. die in der Neuzeit mehr und mehr in Aufnahme kommenden Revolverdrehbänke den ausgiebigsten Gebrauch. Die anfänglich nur für kleine Massenarbeiten in Benutzung gewesene Revolverdrehbank hat sich nach und nach auch der Mittel- und Grobendreherei bemächtigt. Für Gussarbeiten ist die nach ihrem Erbauer genannte Giholt-Revolverdrehbank bereits eine unentbehrliche Maschine geworden.

Die auf einer solchen Bank dem Arbeiter zur Verfügung stehende Geschwindigkeitsreihe ist beachtenswert, da sie

deutlich den großen Fortschritt gegenüber der kleinen Zahl und der beschränkten Möglichkeit der Abstufung der Geschwindigkeiten auf den gewöhnlichen Drehbänken zeigt.

Es sind vorhanden, Fig. 16:

$A_{1,2,3} = 3$ Geschwindigkeiten des Deckenvorgeleges,

$B_{1,2} = 2$ verschiedene Räderübersetzungen,

$C_{1,2,3} =$ dreifaches Stufenscheibenpaar.

Riemenlage C_1	200	300	400	Umdr. ohne Radvorgelege	
(Schnellgang)	20	30	40	mit	B_1
ergibt	9	13,5	18	"	B_2

mithin Reihe der ohne Riemenumlegung verfügbaren Geschwindigkeiten:

	9	13,5	18	20	30	40	200	300	400.	
Riemenlage C_2	100	150	200				Umdr.	ohne Radvorgelege		
(Mittelgang)	10	15	20				mit	"	"	B_1
ergibt	4,5	6,75	9				"	"	"	B_2

mithin Reihe der ohne Riemenumlegung verfügbaren Geschwindigkeiten:

	4,5	6,75	9	10	15	20	100	150	200.	
Riemenlage C_2	50	75	100							Umdr. ohne Radvorgelege
(Langsamgang)	5	7,5	10							mit
ergibt	2,25	3,3	4,5							"
										"
										"

B_1

B_2

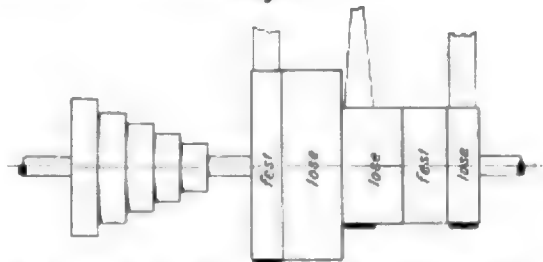
mithin Reihe der ohne Riemenumlegung verfügbaren Geschwindigkeiten:

2,25 3,3 4,5 5 7,5 10 50 75 100,

letztere ausreichend zur vollständigen Bearbeitung für Gegenstände bis etwa 400 mm Dmr.

Solchen Fortschritten der Spezialdrehbänke gegenüber darf auch die übliche Drehbank für allgemeine Arbeiten nicht gleichgültig bleiben, sondern muss in den Grenzen der Möglichkeit davon Nutzen ziehen. So zeigte die auf der Weltausstellung in Paris zum erstenmal an die Öffentlichkeit gebrachte und seitdem gut eingeführte Drehbank »Courier« der Werkzeugmaschinenfabrik Union vorm. Diehl in Chemnitz¹⁾, wie durch Hinzufügung einer einzigen Riemenscheibe zu dem üblichen Deckenvorgelege (Fig. 17) 2 verschiedene Arbeitsgeschwindigkeiten außer dem zum Gewindeschneiden dienenden schnellen Rücklauf erzielbar sind.

Fig. 17.



Nicht allein bei Maschinen mit Stufenscheibenbetrieb, sondern auch bei solchen, für deren Betrieb die einfache Riemenscheibe genügt und bisher üblich war, findet sich in der Neuzeit der Fortschritt, dass mehrere Arbeitsgeschwindigkeiten angewendet werden. So werden jetzt Hobel- und Querhobelmaschinen mit 2 oder auch 3 verschiedenen, schnell herstellbaren Schnittgeschwindigkeiten gebaut, welche die vorteilhaftesten Geschwindigkeiten für verschiedene Baustoffe hergeben und auch Geschwindigkeitsunterschiede für Schrupp- oder Schleifarbeiten ermöglichen, alles zum Zweck der Erhöhung der Leistung.

Bemerkenswert, wenn auch nicht von größerem Erfolg begleitet, sind die Versuche, mittels des Deckenvorgeleges eine ununterbrochene Geschwindigkeitsreihe herzustellen. Dahin gehören die Deckenvorgelege mit 2 konischen Riementrommeln, zwischen denen ein kurzer geschlossener Riemen gepresst läuft, Fig. 18. Nachteile sind die Beschränkung der theoretischen Reibfläche auf eine Linie von der Länge der Riemenbreite und die durch den Anpressungsdruck wesentlich gesteigerte Achsenreibung in den Lagern. Durch einen trapezförmigen Riemen, Fig. 19, der in der Furche eines Wirtelpaares läuft und bei Auseinanderrückung oder Zusammenschiebung der Wirtelseiten verschieden große Übersetzung erzeugt, wird eine zusammenhängende Reihe von

Fig. 18.

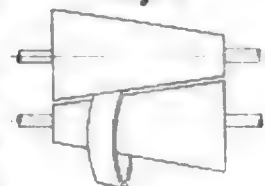


Fig. 19.

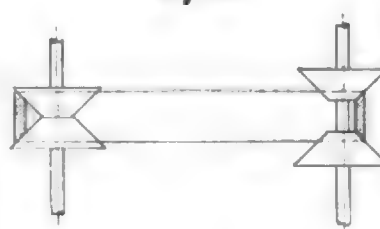
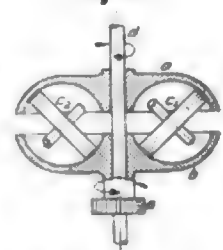


Fig. 20.



Geschwindigkeiten ebenfalls, aber nur mit teuren und der Abnutzung ausgesetzten Mitteln erreicht.

Eine der neuesten Vorrichtungen zur Erzielung zu- und abnehmender Umlaufzahlen zeigt Fig. 20. Auf der Treibachse d ist die Hohlschüssel a befestigt, in ihr laufen die Reibrollen c_1 und c_2 , die andererseits in der gleichen Hohlschüssel b laufen, mit welcher das die Geschwindigkeit übertragende Getriebe e verbunden ist. Die Ebenen der Reibrollen c_1 und c_2 können durch Zahnsegmente um etwa 90°

¹⁾ Z. 1900 S. 1051.

gedreht werden, und zwar gleichzeitig. Stehen sie parallel zur Achse d , so laufen a und b gleich schnell um. Je nachdem sie nach außen oder nach innen geneigt werden, läuft b schneller oder langsamer als a . Es ist ohne weiteres ersichtlich, dass diese Treibvorrichtung in bezug auf Reibungsverluste nicht günstiger arbeitet als die bisher bekannten, dem gleichen Zweck dienenden Vorrichtungen. Die tote Reibungsarbeit ist am geringsten bei Erzeugung der gleichen Umlaufzahl; sie wächst, je mehr die beiden Umlaufzahlen sich von einander entfernen.

Alle drei Fälle kennzeichnen sich als Fortschrittsversuche, aber noch nicht als endgültige Fortschritte.

Der elektrische Einzelantrieb.

Mit dem Augenblick, wo ein neues Antriebelement, der elektrische Einzelantrieb, im Werkzeugmaschinenbau auftrat, begannen die Bestrebungen, das Deckenvorgelege gänzlich zu umgehen, um der elektrisch betriebenen Werkzeugmaschine einen in die Augen fallenden Vorzug dadurch zu verschaffen, dass ihre Aufstellung in der Werkstatt, unbeeinträchtigt von Lage und Richtung örtlicher Zwischentriebe, ausschließlich durch die Anforderungen des Arbeitszweckes bedingt ist.

Das Eindringen des Motors in beinahe das gesamte Arbeitsfeld des Werkzeugmaschinenkonstruktors, während früher nur Betriebe außergewöhnlich großer oder vereinzelt stehender Werkzeugmaschinen (Scheren, Durchstöße usw.) infrage kamen, führte in den letzten Jahren zu vielfachen neuen Konstruktionen. Im allgemeinen ordnet man den Motor und den das Deckenvorgelege ersetzenden Zwischentrieb nicht mehr als Anhängsel, sondern als Bestandteil der Gesamtkonstruktion an. Einen wesentlichen Anstoß, solchen Bauarten erhöhte Aufmerksamkeit zuzuwenden, bot die Weltausstellung in Paris. Der Besucher konnte versucht sein, aus der Werkzeugmaschinenabteilung einen vollständigen Sieg des elektrischen Einzelantriebes über den Transmissions- und Gruppenantrieb zu folgern. Aber dieser Sieg war nur ein scheinbarer, ein künstlich mit Anstrengung aller Kräfte zugunsten der Elektrotechnik herbeigeführt. Wäre nicht der Transmissionsantrieb durch das Verbot, irgend welche Gebäudeteile als Tragpunkte zu benutzen, behindert worden, so wäre das Bild ein wesentlich anderes gewesen. Die Weltausstellung hat indes dadurch, dass den Freunden und Gönnern des elektrischen Antriebes jede nur mögliche Gelegenheit und Unterstützung geboten war, die nützliche Wirkung gehabt, alles Erreichbare zu zeigen. Neben dieser großartigen praktischen Vorführung elektrischer Einzelantriebe in Paris ist den Lesern dieser Zeitschrift auch wohl alles, was irgend zugunsten des elektrischen Einzelantriebes gesagt werden kann, von einem der eifrigsten Verfechter desselben, O. Lasche, in bequemer Zusammenstellung dargeboten worden¹⁾. Diese eindrucksvolle, auf vielfachen Vorarbeiten im Zeichensaal und in der Werkstatt beruhende Abhandlung kennzeichnet den Standpunkt der Elektrotechniker in der Frage des Einzelantriebes von Werkzeugmaschinen. Der Titel »Elektrischer Einzelantrieb und seine Wirtschaftlichkeit« ist zu umfassend; denn der Beweis der Wirtschaftlichkeit elektrischer Einzelantriebe gegenüber Transmissionsantrieben wird nicht allgemein für alle möglichen, bisher durch Transmission betriebenen Arbeitsmaschinen, sondern ausschließlich für Werkzeugmaschinen zu führen versucht. Er gelingt auch für diese nur durch Zuhilfenahme der gerade bei Werkzeugmaschinen vorkommenden größeren Arbeitspausen, die durch die Vorbereitungsarbeiten (Aufspannen, Richten, Wenden usw.) bedingt sind. Der Prozentsatz dieser toten Zeit ist mit 40 vH angenommen, ein Ansatz, der hier nicht angezweifelt werden soll, aber doch wohl als der höchste zulässige erscheint.

Der Benutzer der Werkzeugmaschinen steht der Frage des elektrischen Einzelantriebes in der Mehrzahl der Fälle kühler gegenüber als der Elektrotechniker, und zwar schon um eines Hauptpunktes willen. In der genannten Abhandlung ist angegeben, dass der elektrische Gleichstrom weniger für den Einzelantrieb geeignet sei als der Drehstrom. Demgemäß sind alle Kostenberechnungen unter Zugrundelegung von Drehstrom gemacht. Nun trifft aber die Voraussetzung, dass Drehstrom vorhanden ist, mindestens für die große Zahl der mittleren und kleineren Maschinenfabriken nicht zu; denn der Gleichstrom hat

Vorzüge für die Lichterzeugung, die seine Wahl hierfür rechtfertigen. Zwei verschiedene Stromarten in einer Fabrikanlage zu erzeugen und zu verteilen, bedeutet aber eine abschreckende Verteuerung der Anlage. Eine dankbare Aufgabe für die Elektrotechniker wäre es daher, den Zwiespalt in den Vorzügen der verschiedenen Stromarten nach Möglichkeit zu beseitigen.

Anders ist der Standpunkt des Werkzeugmaschinenfabrikanten zum elektrischen Einzelantrieb.

Der Werkzeugmaschinenfabrikant ist selten in der Lage, auf den Entschluss des Bestellers einer Werkzeugmaschine, ob Transmissions- oder Einzeltrieb, Einfluss auszuüben. Die Bestimmung des Bestellers hierüber liegt zumeist unabhängig vor, ebenso über Stromart und Stromstärke, und schließlich sogar auch sehr oft die Vorschrift der Bezugsquelle des Motors. Dadurch wird in der Mehrzahl der Fälle eine fabrikmäßige Erzeugung der Werkzeugmaschinen mit elektrischem Antrieb unmöglich gemacht und der wenig wirtschaftliche Einzelbau zur Notwendigkeit. Solche Vorschriften der Besteller werden als Eingriffe in die technische und kaufmännische Willensfreiheit des Werkzeugmaschinenfabrikanten empfunden. Die daraus hervorgehende Erschwerung der fabrikmäßigen Herstellung der Werkzeugmaschinen wird um so fühlbarer, je gewissenhafter die bereits erwähnte Konstruktionsforderung einheitlicher Angliederung des Motors an die Werkzeugmaschine genommen wird. Diese Forderung bedeutet in vielen Fällen eine grundlegende Neukonstruktion und Neumodellierung von Hauptteilen der Maschine und Maschinengattung, sodass sich die Notwendigkeit von zweierlei Modellen (eines für Transmissionsantrieb, eines für Einzeltrieb) für gewisse Hauptteile der Werkzeugmaschinen ergibt.

Dass es in den meisten Fällen nicht damit abgethan ist, einfach an die Stelle des Deckenvorgeleges eine Räderübersetzung mit Gegenstufenscheibe zu setzen, wissen die Werkzeugmaschinenkonstruktoren am besten. Deshalb kann der Werkzeugmaschinenfabrikant auch nicht der Ansicht zustimmen, dass die Einrichtung einer Werkzeugmaschine für Einzelantrieb, abgesehen von den Motorkosten, kaum mehr kostet als das in Wegfall kommende Deckenvorgelege. Wo sich eine Mannigfaltigkeit der Geschwindigkeiten des Deckenvorgeleges als Fortschritt eingebürgert hat, ist deren Ersatz beim Einzelantrieb zumeist eine recht schwierige und bisher kaum glücklich gelöste Konstruktionsaufgabe. Beispiele davon waren auf der Weltausstellung in Paris in gutem und schlechtem Sinne genug zu sehen.

Einige Richtungen des Fortschrittes in der Anordnung der elektrischen Einzelantriebe haben bereits gesicherte Bahn gewonnen. Zur Herabminderung der hohen Umlaufzahl des Motors auf die Arbeits-Umlaufzahl der Werkzeugmaschine wird der Schneckentrieb verlassen, an dessen Stelle zunehmende Anwendung des Stirnrädertriebes tritt. Die Fortschritte der Elektrotechnik und der Räderherzeugung reichen einander dabei die Hand. Die Umlaufzahl der Motoren strebt der Verminderung zu, die Herstellung von schnell und dabei ruhig laufenden Rädern ist bereits gelungen. Einigermassen überraschend ist die Tatsache, dass die Erzeugung vollendet ruhig laufender Zahnräder am besten der Räderbobbelsmaschine für Kegelräder, und zwar in der Konstruktion von Bilgram, die in Deutschland von J. E. Roinecker gebaut wird, gelingt. Keine andere Zahnerzeugungswiese, weder für Stirn- noch für Kegelräder, auch nicht die mittels Fräasers, ist imstande, die Feinheiten praktischer Berichtigung der üblichen theoretischen Teilkreisdurchmesser und der Ausgleichung der Zahnstärken im Zusammenhang mit dem wachsenden Übersetzungsverhältnis eines Räderpaares so zutreffend zum Ausdruck zu bringen wie diese Maschine. Eine lohnende, für die Erzeugung tadelloser laufender Stirnräder des elektrischen Einzeltriebes geradezu vorgeschriebene Aufgabe des Werkzeugmaschinenbaues wäre die Übertragung dieser Zahnerzeugungswiese auf die Stirnräder. Es sei hier noch der Tatsache gedacht, dass die Fabriken elektrischer Motoren neuerdings Konstruktionen von Motoren auf den Markt bringen, die ein Stirnräder-vorgelege am Motorgehäuse enthalten. Durch die hiermit schon am Elektromotor gebotene verminderte Umlaufzahl wird die Anbringung des elektrischen Einzelantriebes an den Werkzeugmaschinen in manchen Fällen erleichtert.

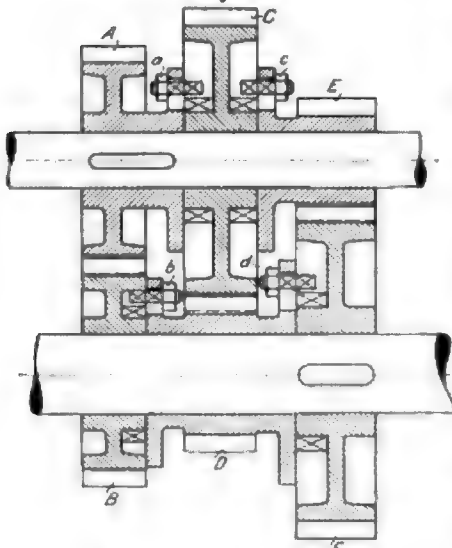
Eine andere Fortschrittsrichtung ist die, dass das Zwischenglied eines Riementriebes in Gestalt von Stufenschei-

¹⁾ Z. 1900 S. 1189 u. f.

ben- oder Stufenwirtheltrieb mehr und mehr als lästig, die gedrungene Anordnung des Einzelantriebes an der Maschine störend empfunden wird. Daraus entsteht mit ziemlicher Deutlichkeit die Zukunftsforderung: riementloser elektrischer Einzelantrieb. Die Fälle mehren sich bereits jetzt, wo solche Antriebe vom Besteller verlangt werden. Die Berechtigung dieser Anforderung kommt am klarsten mit wachsender Größe und Leistung der elektrisch betriebenen Werkzeugmaschinen zum Ausdruck. Denn im Elektromotor des Einzelantriebes ist ein Kräftezeugungsmittel gegeben, dessen Leistungsgrenzen sich ohne Schwierigkeit beliebig erweitern lassen. Ebenso ist im Rädertrieb der bewegten Teile der Werkzeugmaschinen ein Mittel vorhanden, jede wünschenswerte Größe der Uebertragung mit Leichtigkeit herzustellen. Aber das Zwischenglied vom Motor zum Rädertrieb: der mit der notwendigen Eigenschaft des Geschwindigkeitswechsels ausgestattete Stufenscheibentrieb mit Riemenübertragung, besitzt nicht die Eigenschaft gleich bequemer Steigerung seiner Uebertragungsfähigkeit. Demnach wird es künftig nötig sein, den Stufenscheiben-Riementrieb durch ein anderes Mittel zu ersetzen, das die gleiche Steigerung der Leistung wie Motor und Zahnräder bequem zulässt. Ein solches Mittel ist das Stirnrädergetriebe, das vom Patentamt die Bezeichnung Zahnräder-Wechselgetriebe¹⁾ erhalten hat. Durch dieses Getriebe ist der Stufenscheiben-Riementrieb für

¹⁾ D. R.-P. Nr. 122824 von Siegfried und Friedrich Ruppert in Chemnitz mit folgendem Wortlaut:

Fig. 2f.



»Die Stirnräderpaare AB , CD , EF (Fig. 2f) von gleichem Achsenabstand, aber mit irgend einem oder mehreren Unterschieden in den Zahnzahlen, sitzen nebeneinander auf zwei parallelen Achsen.

Ein aufsenliegendes Rad auf der einen Achse bildet in dieser Räderreihe das treibende, das entgegengesetzte aufsenliegende Rad der andern Achse das getriebene Rad.

Jedes Rad jeder Achse kann mit seinem Nachbarrade gekuppelt werden. Die Kupplung kann auf beliebige Weise, z. B. wie gezeichnet, einfach durch eine verschiebbare Mutterschraube, deren Kopf in der einen Stellung irgend einen Vorsprung im Nachbarrade erfasst und in der andern löscht,

oder durch Einsteckbolzen, oder durch Einlegklino oder durch lösbare Reihung erfolgen.

Auf diese Weise sind vier Kupplungen vorhanden, mittels deren eine Reihe verschiedenartiger Zusammenkopplungen der sechs Räder erfolgen kann. Von dieser Reihe ergeben vier bestimmte Kopplungsarten verschiedene Uebersetzungen:

Nimmt man z. B. an, A sei das treibende und F das getriebene Rad, so ergeben die beiden Kopplungen b und d die Uebersetzung $A:F$,

alle, selbst die stärksten Triebe, gleichviel ob vom Einzelmotor oder von der Transmission aus, bequem und vorteilhaft ersetzbar. Weil es dabei die Eigenschaft schnellen Wechsels der Geschwindigkeiten hat und sich leicht an Stellen der Maschinen anbringen lässt, die dem Arbeitsstande näher liegen als die Stufenscheibentriebe, so ist es auch ein wertvoller Fortschritt für solche Werkzeugmaschinen, die auf bequeme, weil oft vorkommende, Wechselbarkeit der Umlaufzahlen angewiesen sind, z. B. die Bohrmaschinen.

Da der Antrieb dieses Rädervorgeleges von einer frei fliegenden einfachen Riemenscheibe aus erfolgen kann, so sind die Abmessungen der letzteren viel weniger eingeschränkt als die der Stufenscheiben. Auch ist diese Riemenscheibe im Falle des elektrischen Einzelantriebes ohne weiteres durch ein Stirnrad zu ersetzen. Jede mit diesem Räder-Wechselgetriebe ausgestattete Werkzeugmaschine ist daher ohne nennenswerte Umänderung sowohl für Transmissions- als auch für elektrischen Einzelantrieb verwendbar. Dadurch entfällt für den Werkzeugmaschinenfabrikanten die Notwendigkeit zweier verschiedener Konstruktionen und Modelle und für den Besteller die Sorge späterer kostspieliger Umbauten, wenn er dazu schreiten sollte, den Einzelantrieb wegen seiner fortschreitenden Vervollkommenung einzuführen. Diese wird aber kaum ausbleiben, wenn Elektrotechniker und Werkzeugmaschinenkonstrukteure fortgesetzt Hand in Hand arbeiten.

(Fortsetzung folgt)

die beiden Kupplungen a und d die Uebersetzung $C:D$, die beiden Kupplungen a und c die Uebersetzung $E:F$ und die beiden Kupplungen b und c die Uebersetzung

$$A:B \times C:D \times E:F.$$

Durch geeignete Wahl der Zahnzahlenverhältnisse der drei Räderpaare, z. B. für $A:B 1:1$, für $C:D 2:1$ und für $E:F 1:3$ erhält man mittels der vorgenannten vier Kopplungsarten die Uebersetzungsverhältnisse:

$$1:1, 2:1, 1:2 \text{ und } (1:2 \times 1:2) = 1:4$$

oder in Reihenfolge gebracht $2:1, 1:1, 1:2, 1:4$.

Eine solche Reihenfolge entspricht der Reihenfolge des Geschwindigkeitswechsels mittels Riemenumlegung auf einem vierstufigen Stufenscheibenpaar. Somit ist diese neue wechselbare Räderübertragung ein guter Ersatz für vierstufige Stufenscheiben und die umständliche, auch mit Gefahren verbundene Riemenumlegung auf denselben. Die Räderpaarreihe könnte noch weiter vermehrt werden, doch büßt dann die Sache die Eigenschaft der Einfachheit ein und bildet nur eine Wiederholung des Erfindungsgedankens.

Das vorstehende Patent liefert zufällig den Beweis dafür, dass die Fortschritte im deutschen Werkzeugmaschinenbau den amerikanischen Fortschritten jetzt unmittelbar, nicht mehr wie früher erst nach mehreren Jahren, folgen. »American Machine« bringt nämlich in seiner Nummer vom 9. Nov. d. J. als eine der ersten Neuheiten der Panamerikanischen Ausstellung in Buffalo ein Räderwechselgetriebe, welches ebenso wie das vorstehende aus den Beobachtungen der Unvollkommenheiten der Stufenscheibe hervorgegangen ist. Es ist somit gleichzeitig in Amerika und in Deutschland eine neue Richtung des Fortschrittes im Werkzeugmaschinenbau eingeschlagen worden, und es steht zu erwarten, dass sich die Erfinder in Zukunft hier wie dort eifrig mit der Vervollkommenung der Antriebe der Maschinen beschäftigen werden.

Die amerikanische Zeitschrift kündigt diese vom Verfasser bereits zur Zeit seines Vortrages im Chemnitzer Bezirksverein (zu Anfang dieses Jahres) ausgesprochene Ansicht in folgende fast gleichlautende Worte:

It is quite possible, that this arrangement may turn out to be the first step in a widespread abandonment of cone pulley. Not the least of its advantages is the fact that when driven electrically it adapts itself to constant speed motors.

Die Weltausstellung in Paris 1900.

Spinnerelmaschinen.

Von Direktor G. Rohn in Chemnitz.

(Fortsetzung von S. 1238)

Gegenüber der großen Zahl der Baumwoll-Vorbereitungsmaschinen muss die verschwindende Anzahl (2) ausgestellter Schafwoll-Vorbereitungsmaschinen auffallen, wo doch auch in der Wollspinnerei die gründliche Reinigung, Mischung, Auflockerung usw. des Fasergutes vor seiner Vorlage auf die Krempeln eine Hauptsache für die Erzielung guten Gespinnstes ist. Die Wichtigkeit der gründlichen Vorbereitung der Wolle scheint von den vortretenden außerdeutschen Firmen weniger gewürdigt zu werden.

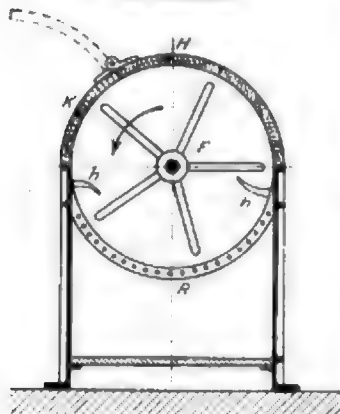
Der schon beschriebene¹⁾ Hubertsche Entfilzer (Defenteuse) der Société Vervitaise ist hauptsächlich für Kammwollen bestimmt, um stark verwachsene Teile des Wollpelzes bei möglichster Schonung der Faserlänge aufzulösen, und erlaubt, manche Wollsorten für die Kammerei ausnutzbar zu machen, die bis jetzt der Streichgarnspinnerei zufielen.

¹⁾ Z. 1898 S. 1382 m. Abb.

Der Spiral-Reifs- und -Klopfwolf von Alexandre, vom Aussteller *cloup-batteur* genannt, weist gegen die bekannte deutsche Ausführung¹⁾ einige Unterschiede auf. Die Zahnleisten an dem Flügel sind gerade, die Haube *H*, Fig. 51, über dem Flügel *F* ist zur Reinigung nicht im ganzen aufklappbar, sondern nur zu einem Teil *K*, und im Klopfteil sind gekrümmte Stifte *h* angebracht, welche die Wollflocken besser zerteilen sollen. Aus dem Raume unter dem Rost *R* saugt ein kleiner Windflügel den Staub ab.

Fig. 51.

Spiral-Reifs- und -Klopfwolf
von Alexandre.



die trockene, also die Zerstörung der holzigen Stengelrinde durch chemische Mittel und die Entfernung der Rinde durch Schabevorrichtungen. Diese beiden Arten waren in Paris je durch einen Aussteller vertreten.

Die für die Ausführung der nassen Faseraufschliessung dienende Einrichtung von C. L. Bachelerie wird von der Société française de Décortication in Paris (Rue de Caumartin) ausgeführt und gründet sich auf die Wirkung von Kohlensture unter Druck auf die holzigen Bestandteile und den die Fasern verbindenden Pflanzengummi, die dabei einer Zersetzung unterliegen, sodass das nachherige Walzen oder Stampfen der Stengel genügt, um die Fasern frei zu bekommen. Die Einrichtung ist bereits ausführlich beschrieben²⁾, worauf verwiesen wird.

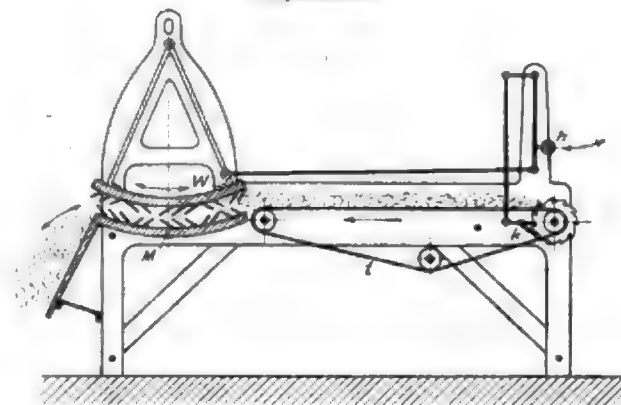
Die Brech- und Schabemaschinen für Ramie von Lacôte & Marcou frères in Paris, auf denen auch Flachs- und andere Bastfaserstengel bearbeitet werden können, sind durch die deutschen Patentschriften³⁾ bekannt. Bemerkt sei, dass die Stengel zuerst durch die Walzen gequetscht, dann in einer Mulde durch einen dreikantigen Körper abgeschabt und schließlich zwischen Stabtrommeln geschlagen werden, wobei die vorher abgetrennten Teile abgeschlagen werden. Eine etwa 1 qm Platz zu ihrer Aufstellung beanspruchende Maschine liefert bei einem Kraftbedarf von 0,76 PS etwa 400 kg Ramiefaser (bei Bearbeitung von gerösteten Flachsstengeln 500 kg Faser) in 10 Arbeitstunden.

Zu den Faservorbereitungsmaschinen sind auch die wie auf früheren Pariser Ausstellungen wieder vorgeführten Zupfmaschinen von E. Rabier in Paris und Prat & Blanc in Grenoble zu rechnen. Wenn sie in Frankreich auch nur zur Auflösung von Fasergut für Polsterzwecke Anwendung finden, so sind solche Maschinen doch auch vielfach in Siebenbürgen, Rumänien, Russland usw., wo die Schafwollspinnerei noch als Hausindustrie besteht, in Gebrauch, wo sie zum Auflockern der Wolle vor ihrer Verspinnung auf dem Handspinnrocken

dienen. Zur Verdeutlichung des in den Maschinen benutzten Arbeitsvorganges, der leicht auch eine anderweitige Ausnutzung finden kann, ist in Fig. 52 eine solche Maschine im Durchschnitt veranschaulicht. Das auf einem endlosen Tuch *t* ausgebreitete Fasergut wird einer festen Mulde *M* zugeführt, in welcher eine passende Wiege *W* schwingt. Mulde und Wiege sind mit abwechselnd in mehreren Reihen gegenseinander gerichteten schrägen Zähnen versehen, sodass das zwischen beide gelangende Fasergut beim Hin- und Herschwingen durch die entgegenarbeitenden Zähne zerzupft wird. Bei jeder Schwingung nach hinten (Linksschwingung) wird vom

Fig. 52.

Zupfmachine.



Zuführtuch *t* eine Menge frisches Fasergut zwischen die Zähne gezogen, und auf der andern Seite wird dann gelöstes Fasergut ausgeworfen. Die Wiege *W* wird von dem Handgriff *h* aus bewegt und dabei durch eine Hebelverbindung mit der Klinke *k* die Fortrückwalze des Zuführtuches *t* gesteuert. Eine Maschine von 0,7 m Arbeitsbreite und 0,6 m Muldenlänge soll stündlich bis 50 kg Fasergut auflockern vermögen.

Die Verwertung der Abfälle hat für die Spinnerei aller Faserarten Bedeutung erlangt, und die Auflösung der Fäden und Gewebeabschnitte zur Wiederrerspinnung der darin enthaltenen Fasern ist für die Billigkeit von Garnen mit entscheidend. Jede Spinnerei wird deshalb ihrem Maschinenbestande solche Maschinen zur Verwertung der eigenen und gekauften Abfälle einverleiben, und jeder Spinner folglich auch der Konstruktion dieser Maschinen Beachtung schenken. Die Abfälle in den Spinnereien sind zweierlei Art: lose Fasern, wie Flug, Auswurf, Zapfenbewicklungen und dergl., und harte Fadenstücke, die namentlich im Kehrriech der Fabriksäle durcheinander gemischt vorkommen. Es gilt nun, diese beiden Arten Abfälle wieder zu trennen; denn während die der ersten Art zur Vermischung mit dem Rohfasergut sofort geeignet sind, müssen die harten Fäden auf Reifsmaschinen erst aufgelöst werden. Zu dieser Trennung dienen die Fadenklaubler, die darauf beruhen, dass sich beim Bearbeiten der Abfallmischung durch schnell umlaufende Flügelwellen die Fäden um diese schlingen, während die losen Fasern ausgeworfen werden. Die Ausstellung zeigte den in Europa von Brooks & Doxey gebauten Fadenklaubler der Kitson Machine Co. in Lowell Mass. Von diesem aus Schaubildern schon bekannten Fadenklaubler¹⁾ glebt Fig. 53 einen Durchschnitt, der gleichzeitig den ebenfalls von Amerika eingeführten Blaisdell-Speiser²⁾ veranschaulicht.

In einem gusseisernen Gehäuse, dessen obere Hälfte *H* aufklappbar ist, sind 2 in gleicher Richtung umlaufende Wellen gelagert, deren Flügel *f*₁ und *f*₂ zwischen einander hindurchgehen. In der Mitte über diesen Wellen läuft mit

¹⁾ Wollengewerbe 1890 S. 1241 m. Abb.

²⁾ Vergl. den Bericht über die betreffenden Maschinen auf der Weltausstellung in Paris 1889, Z. 1890 S. 1174 m. Abb.

³⁾ Vergl. den Bericht hierüber in Oesterreichs Wollen- und Leinenindustrie 1891 S. 127.

⁴⁾ Textile Manufacturer 1899 S. 190 m. Abb. und Uhlands techn. Rundschau, Ausgabe V (Textilindustrie) 1899 S. 34 m. Abb.

⁵⁾ D. R.-P. Nr. 76605 und Nr. 114673.

¹⁾ Textile Manufacturer 1890 S. 451 m. Abb.; Leipziger Monatschrift für Textilindustrie 1890 S. 8 m. Abb.

²⁾ Textile Manufacturer 1897 S. 214; Textile Recorder 1898 Bd. XV S. 372 m. Abb.; Leipziger Monatschrift für Textilindustrie 1898 S. 5 m. Abb. In Deutschland bauen Fadenklaubler in von der vorstehenden abweichender Konstruktion Oscar Schimmel & Co. A.-G. in Chemnitz.

entgegengesetzter Drehrichtung eine dritte Welle f_3 , die durch die Flügelzwischenräume greifende Stifte trägt. Die durch die Öffnung a in das Gehäuse gestopften Kehrrichtabfälle werden von den Flügeln und Stiften durchgearbeitet, und da die Flügel in Schraubenwindungen auf den Wellen sitzen, werden die Abfälle dabei die Wellen entlang befördert, wobei sich die Fäden um die Wellen schlingen und die losen Faserbündel am Ende des Gehäuses durch auf der zweiten Welle sitzende Schaufelflügel s in einen Kanal A ausgeworfen werden. Am Ende des Kanals lagert eine die Luft durchlassende Siebtrommel S mit einer Druckwalze D , durch welche die losen Abfälle nach außen befördert werden.

Fig. 53.

Fadenklauber von Brooks & Doxey.

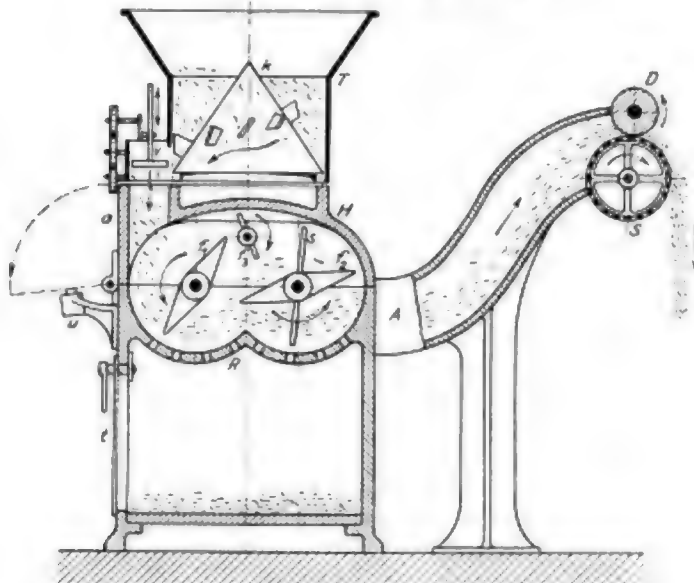
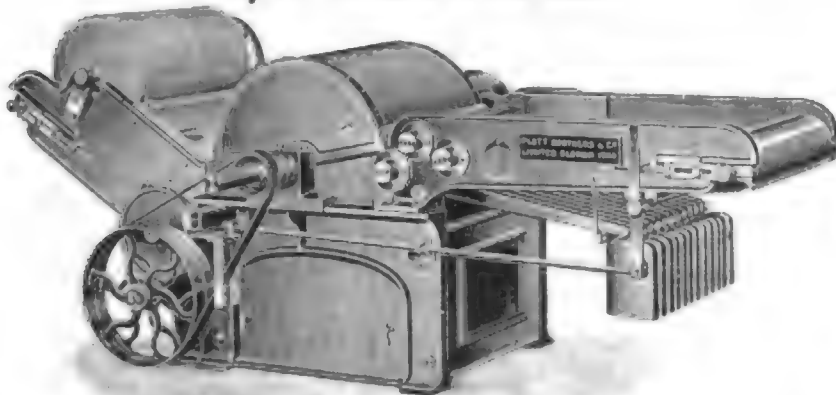


Fig. 54. Fadenreißer von Platt Brothers.



Unter den Flügelwellen ist das Gehäuse durchlocht, und durch den so geschaffenen Rost fällt der Schmutz, der durch eine seitliche Thür t zeitweise entfernt wird. Wenn sich nach einiger Zeit die Wellen stärker mit Fäden umwickeln, muss die weitere Zuführung von Abfall unterbrochen und das Gehäuse aufgeklappt werden, wobei es in offener Stellung von der Stütze u gehalten wird. Die umgewickelten Fäden können nun mithilfe von Messern von den Wellen abgeschnitten und vonhand entfernt werden.

Um nun die Bedienung des Fadenklaubers von der Speisung zu entlasten und dadurch zu ermöglichen, dass ein Arbeiter 2 Maschinen in der Weise bedienen kann, dass er bei einer Maschine die Fäden abschneidet, während die andere arbeitet, sind die Fadenklauber mit dem erwähnten

selbstthätigen Speiser versehen. Die Kehrrichtabfälle werden in einen Trichter T geworfen, in welchem sich der mit Flügeln in einer Schraubenwindung besetzte Kegel k langsam dreht. Dadurch werden die Abfälle nach dem Einfüllloch a zu befördert, in das sie durch auf- und abwärts bewegte Stempel v eingedrückt werden. Zum Öffnen des Gehäuses muss natürlich die ganze Vorrichtung, nachdem der Antrieb abgestellt ist, von dem Gehäuse abgeschoben und dann wieder in die Arbeitstellung gebracht werden. Das ist ein Uebelstand, und man kommt jedenfalls besser weg, wenn man den Fadenklauber, wie dies bei der Schimmelschen Ausführung der Fall ist, mit einer Mulden- oder Cylinderzuführung versieht und dann davor ein Zuführlattentuch anbringt, das mit einem der bekannten Speiser mit Nadeltuch versehen wird.

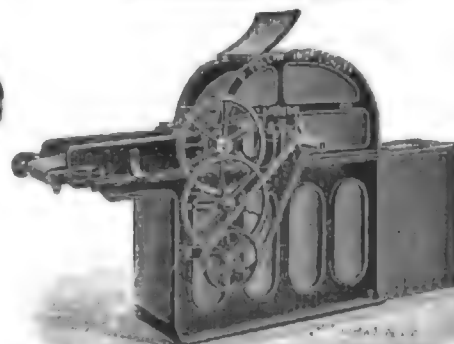
Bemerkt sei noch, dass die Flügelwellen bis 1400 Uml./min machen, und dass die Maschine ungefähr alle 5 bis 10 Minuten (je nach dem Gehalt des Abfalles an Fäden) zu öffnen ist.

Zum Auflösen der Fäden werden Reißmaschinen mit Stifftrommeln benutzt. Für losere Fäden, wie z. B. Vorgespinn, genügt die Aufarbeitung mit nur einer solchen Trommel. Den entsprechenden einfachen Fadenreißer von Platt Brothers zeigt Fig. 54. Die Maschine hat sogen. Klaviermuldenzuführung und ein schräg aufsteigendes Abföhrlattentuch mit Siebtrommel. Die zweite ausgestellte derartige Maschine von Brooks & Doxey gleicht im äußeren Ansehen ganz dem Kohlöffelschen Fadenreißer¹⁾. Die Zuführung hat 12 Klaviermuldenhebel je mit einem Gewicht von 6 kg am Ende, sodass jeder Hebel einen Druck von 50 kg an der Speisewalze ergibt, also ein gutes Festhalten der Fäden gegen den Angriff des Stifftambours sichert. Die Einstellung der Hebel, also der Mulde gegen die Speisewalze wird durch eine exzentrisch gelagerte Stützwelle unter den Hebelgewichten bewirkt.

Eine Reißmaschine für Fäden u. dergl. von P. Follin, Le Goffs Nachfolger in Lisieux, die schon 1889 in Paris zu sehen war²⁾, veranschaulicht Fig. 55, um damit die französische Bauart dieser in Deutschland zahlreich gebauten Maschinen zu zeigen. Die Maschine hat ein Leder-speisetuch, mit Gummi belegte Speisecylinder, eine Reiß-trommel von 700 mm Dmr. und 500 mm Breite mit aufge-

Fig. 55.

Reißmaschine von P. Follin.



schraubten Stiftblättern in Messing, welche nach unten arbeitet, und eine Eisenblechhaube mit Sicherheitschloss. Die Trommel macht 900 Uml./min, und die Maschine liefert bei einem Kraftverbrauch von 4 PS in 10 s etwa 300 kg Fasergut.

Auch die Kammgarnspinnerei sucht in neuerer Zeit ihre Abfälle wieder aufzulösen und zur Wiederverspinnung geeignet zu machen. Eine Maschine zur Auflösung von Kammgarnfäden, bei welcher das aufgelöste Fasergut in Bandform erhalten wird, sodass es auf den sogen. Melangeusen oder Strecken sofort beigemischt oder für sich wiederversponnen, also auch nochmals gekämmt werden kann, zeigt

¹⁾ Z. 1897 S. 679, Fig. 34.²⁾ Z. 1899 S. 1003.

Fig. 56 im Schaubild, Fig. 57 in einem Durchschnitt. Diese Martinsche Maschine ist ein sogen. doppelter Garnett¹⁾, bei welchem nur der große Durchmesser der Abnehmer auffällt. Die erste Trommel hat 2 Vorwalzen und 12 kleine Sägezahnwalzen mit 1 Läuferwalze mit Gegenwalze, also 14 arbeitende Walzen, die zweite Trommel 1 Uebertragwalze, 11 Arbeitswalzen und Läufer mit Gegenwalze, wie vorher, alles mit feinerem Sägezahnbeschlagn als bei der ersten Trommel. Von der Maschine ist die zweite Hälfte mit Handklinkenhebel und Zahnstangentriebswelle abfahrbar, vergl. Fig. 56. Der doppelt (nebeneinander) angebrachte Bandpulapparat (der in

die Kletten aus der Wolle zu lösen und dann durch Abschläger an Walzen zu entfernen¹⁾). Wenn man dabei auch einen Verlust an Wollfasern hat, da eine vollkommene Freilegung der Kletten kaum möglich ist und mit den Kletten dann stets daran festgeschlungene Wollfasern abgeschlagen werden, so ist doch der Faserverlust nicht so empfindlich in bezug auf das Ergebnis des Kämmens und die Güte des Gespinnstes wie das Sitzenbleiben von Klettenteilen in der Wolle, da diese Teilchen schwerer als die ganze Klette aus der Wolle zu entfernen sind. Dieser Erfahrung gegenüber ist es auffallend, dass Fulgence Morelle in Roubaix an der aus-

Fig. 56 und 57.

Maschine zur Auflösung von Kammgarafäden von Martin.

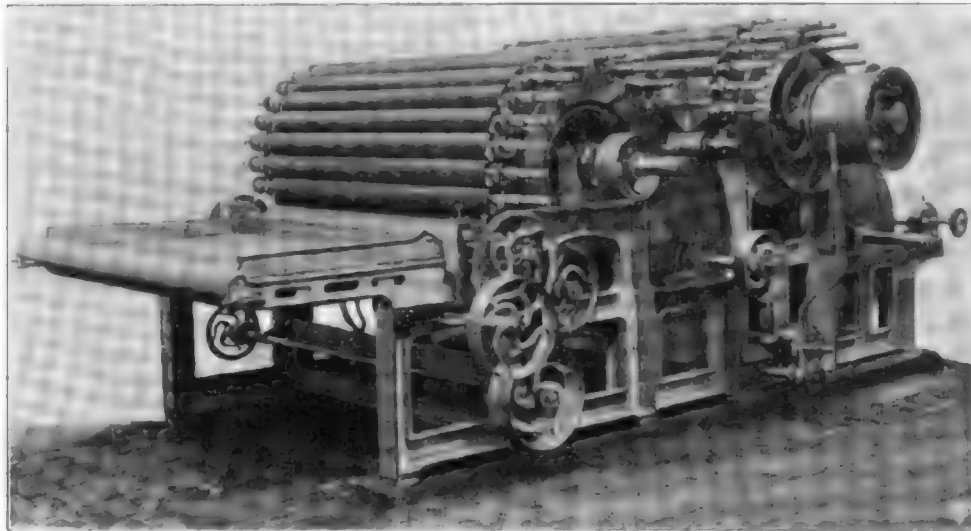


Fig. 56 weggelassen ist) zeigt die übliche Einrichtung mit doppelten Trichtern und Abzugwalzen. In die Gestellöffnungen sind herausnehmbare Füllungen von Holz eingesetzt. Der Abfahr-Handhebel arbeitet mit Doppelklinge, es ist also für das Wiederanfahren ein zweites Klinkenrad vorgesehen. Die Trommellager haben Ringschmierung, wie solche neuerdings von den deutschen Krepelbauern bei den Trommellagern²⁾ angewendet wird. Die Maschine ist eine wesentliche Verbesserung gegen ihren Vorgänger³⁾ von derselben Firma.

Die vollkommene Entfernung der Kletten aus den Kammwollen, jener störenden Beimengung von Futterresten in den überseeischen Wollen, beschäftigt auch heute noch die Erfinder in der Kammgarntspinnerei. Heute scheint aber die Richtung, die 1889 in Paris hervortrat und welche die Kletten zu zerstückeln oder zu zerbröckeln sucht³⁾, mehr aufgegeben zu sein, und man sucht wieder mehr, wie früher,

gestellten Kammgarntkrepel wieder seine Vorrichtung zum Zerdrücken der Kletten angebracht hat. Diese Vorrichtung wurde als neu angesehen, ist dies aber nur insofern, als die früher als besondere Maschine vor die Krepel gesetzte

Vorrichtung³⁾ jetzt zwischen dem Zuführtisch und der Krepelvorwalze eingebaut ist. Hinter den mit Kratzern beschlagenen Zuführeylindern sind 3 Paar Druckwalzen mit Kautschukbezug angeordnet, welche die Wollflocken zerziehen, sodass sie in dünner Schicht durch ein Paar glatter Stahlwalzen hindurchgehen, die dicht aneinander gestellt sind, sich aber trotzdem nicht berühren, sondern für den unbeschädigten Durchgang der feinen Wollfaser Platz lassen, die stärkere Klette aber zerbröckeln. Es wird angegeben, dass die Klette sich beim Waschen der Wolle vollsaugt, also aufschwillt, und dass sie kurz darauf beim Entkletten durch die Druckwalzen infolge des raschen Auspressens unter der Mitwirkung der in ihr sitzenden feinen Samenkörner gewissermaßen explosiv in kleine Stückchen zersplittert wird.

(Fortsetzung folgt.)

¹⁾ Z. 1900 S. 182 m. Abb.

²⁾ Z. 1890 S. 1003.

³⁾ Bericht über die Textilmaschinen der Weltausstellung in Paris 1889 vom Berichterstatler, Z. 1890 S. 652 u. f. m. Abb.

¹⁾ Sind doch für solche Einrichtungen in den letzten 3 Jahren über ein Dutzend deutsche Patente erteilt worden.

²⁾ Wie an vorstehend angegebener Stelle, S. 651 m. Abb., beschrieben.

Dampfverbrauchsversuche mit de Lavalschen Dampfturbinen.

Trotz der großen Aufmerksamkeit, die man der Dampfturbine von de Laval in den Berichten über die Weltausstellung in Chicago erwies, und trotz günstiger Urteile, die man in der Litteratur vorfindet, hat sich diese Maschine, ganz besonders in Deutschland, nur sehr wenig einführen können. Es ist das bei den verschiedenen wesentlichen Vorzügen, die gerade diese Turbine besitzt, sehr zu verwundern. Ein Grund dafür liegt darin, dass man selbst in Ingenieurkreisen mit ihr sehr wenig bekannt ist und sie deshalb sehr häufig einfach als Dampfresser abthut, oder ihr wegen ihrer hohen Umlaufzahlen wenigstens fortwährende Ausbesserungsbedürftigkeit zuschreibt. Ich möchte mir daher erlauben, aus dem laufenden Betriebe heraus einen Bericht über diese Dampfturbine zu geben.

Als es sich vor etwa 2 Jahren bei der A.-G. der Manufakturen von L. Grohmann in Lodz darum handelte, die Hauptdampfmaschine wegen Ueberlastung von dem Antriebe der Dynamomaschinen zu befreien, da war die erste Frage die, welche Antriebsmotoren für die fast noch neuen Dynamomaschinen zu wählen wären. Um die teure Umänderung der elektrischen Anlage zu vermeiden und den Betrieb nicht zu zerstückeln, war es erforderlich, den Maschinensaal als Standort der neuen Motoren beizubehalten. Es war indessen dafür nur ein ziemlich knapper Platz zu beiden Seiten der Triebseile zwischen den Kurbeln einer liegenden Dreicylindermaschine und den Pfeilern der Haupttriebseile verfügbar. Der darunter befindliche Keller war schon teilweise durch die Kondensationseinrichtung und die Rohrleitung eingenommen und durch die schweren Fundamente der Dampfmaschine sowie durch Lagerpfeiler beschränkt. Die Aufstellung von Kolbendampfmaschinen hätte tonere Fundamente erfordert, und der Keller wäre durch die Kondensationsanlage vollständig angefüllt worden. Da trat die Aktiesocietet de Laval's Ängturbin in Stockholm mit dem Entwurfe eines Antriebes der beiden Dynamos durch zwei 100pferdige Dampfturbinen auf, wodurch alle Platzschwierigkeiten glatt beseitigt wurden; der teure Unterbau fiel fort, denn die Turbinen erforderten nur einen 1 Stein hohen Sockel, der auf dem Fußboden des Maschinensaaes sofort aufgemauert werden konnte, und die Kondensation mit Körtingschen Strahlkondensatoren und einer Kreiselpumpe brauchte nur einen geringen Teil des Keller-raumes.

Eine weitere Frage, die zu beantworten war, war die nach der Wirtschaftlichkeit des Dampfturbinenbetriebes. Die Anschaffungs- und Aufstellungskosten waren geringer als für Kolbendampfmaschinen gleicher Leistung. Die Gesellschaft verbürgte sich für einen höchsten Verbrauch von 9,1 kg gesättigtem Dampfe von 11 at bei 64 cm Vakuum für 1 PS.-st ohne und von 10,8 kg mit Kondensatorpumpe. Als Zeugnis für die Dauerhaftigkeit wurde angeführt, dass im benachbarten Pabianice eine 100pferdige Dampfturbine bei der A.-G. der Pabianicer Baumwollmanufakturen von Krusche & Ender seit 2 1/2 Jahren Tag und Nacht arbeite, ohne Ausbesserungen zu erfordern.

So wurde zunächst eine Dampfturbine von 100 PS mit einer Turbopumpe von 10 PS, die für die Kondensation einer zweiten 100pferdigen Turbine ausreichte, aufgestellt. Nachdem diese Anlage einige Zeit gearbeitet hatte, wurde der Dampfverbrauch mit Einschluss der Kondensatorpumpe zu 9,1 kg von 11 at bei 66 cm Vakuum bestimmt. Daraufhin wurde die zweite Turbine aufgestellt, und nachdem die gesamte Anlage während des vergangenen Winterhalbjahres gearbeitet hatte, wurde sie Mitte April dem weiter unten mitgetheilten Leistungs- und Dampfverbrauchsversuche unterworfen.

Die Anordnung ist also folgende: Die beiden Dampfturbinen sind zu beiden Seiten der Treibseile aufgestellt, und jede treibt von ihren beiden Riemenscheiben aus mit 2 Balata-Riemen auf die doppelt breite Scheibe einer Dynamomaschine, die wie gewöhnlich auf Gleitschienen ruht. Von dem gemeinsamen im Keller liegenden Dampfrohre von 150 mm Dmr. führen die beiden Zuleitungsrohre von 90 mm Dmr. zu den Dampfeinlassventilen. Die Auspuffrohre von 200 mm Dmr. gehen nach den beiden im Keller an einer Seitenwand ange-

brachten Körtingschen Strahlkondensatoren Nr. 18, die von einem gemeinsamen Druckrohre der ebenfalls im Keller aufgestellten Kreiselpumpe gespeist werden, welche unmittelbar mit einer 10pferdigen Dampfturbine gekuppelt ist. Diese Turbine arbeitet mit einem Strahlkondensator Nr. 6. Das gesamte Kondensationswasser wird in die Fabriktische zurückgeführt.

Da für die Herstellung der Blechlösung — nach dem Dr. Kellnerschen Verfahren durch Elektrolyse von Chlornatriumlösung — und zum Betriebe einiger Elektromotoren und der Notheleuchtung noch weitere Energie nötig war, so wurde noch eine 60pferdige Turbodynamo aufgestellt. Bei diesen Maschinen sitzen auf den beiden Wellen, die bei den Turbinenmotoren die Riemenscheiben tragen, die Anker einer Zwillingsdynamo, die sich innerhalb eines rechteckigen Magnetgehäuses mit 2 oberen und 2 unteren Polschuhen drehen. Durch diese Anordnung wird die ganze Maschine auf den kleinsten Raum beschränkt, und sie lässt sich infolge ihrer Leichtigkeit und des Wegfalles irgend welcher Zugkräfte an den verschiedensten Orten leicht aufstellen, ohne Fundamente und Ankerschrauben zu erfordern. Die Turbodynamo arbeitet mit einem Strahlkondensator Nr. 13, die kleine Turbopumpe mit Auspuff. Auch diese Turbodynamo hatte den ganzen Winter über, gewöhnlich auch noch nachts, gearbeitet und wurde ebenfalls auf Leistung und Dampfverbrauch geprüft.

Abgesehen von der geringen Raumbeanspruchung, die noch ganz besonders bei der Verbindung von Dampfturbine mit Dynamo, Kreiselpumpe und Ventilator zur Geltung kommt, von dem geringen Gewichte und der Bequemlichkeit und Billigkeit der Aufstellung haben die Dampfturbinen von de Laval den Kolbenmaschinen gegenüber den großen Vorteil außerordentlicher Einfachheit und Uebersichtlichkeit. Die ganze Maschine ist niedrig und auf eine sehr kleine Grundfläche beschränkt, sodass alle Teile mit einem Blick überschauen werden können. Anders Dampfturbinen gegenüber hat die de Lavalsche nur ein Laufrad, was für die Einfachheit und Dauerhaftigkeit wesentlich ist. Weiter sind nur zwei, bei Turbinen über 30 PS drei dicht nebeneinander liegende Wellen vorhanden, deren Lager mit Ring- oder Trofischmierung versehen sind und nur wenig Wartung erfordern. Die vielfach gefürchteten, zur Verminderung der Geschwindigkeit dienenden zwei oder drei in einem Gehäuse laufenden Zahnräder sind so genau und aus so gutem Material gearbeitet, dass auch bei Maschinen, die jahrelang im Betriebe waren, keine wesentliche Abnutzung zu bemerken ist. Ausser am Steuerhebel für das Drosselventil sind keine Gelenke vorhanden, und Stopfbüchsen fehlen gänzlich. Die einzige Abdichtung der Laufradwelle besteht in einem Roßgusslager, das sich mit einer eingeschliffenen Kugelfläche gegen die gleiche Fläche eines Dichtungsringes legt und tadellos wirkt.

Alle diese Vorteile machen die Beaufsichtigung und Wartung der Dampfturbine sehr leicht. Zur Inbetriebsetzung lässt man die Turbopumpe durch Öffnen des Dampfeinlassventiles an und öffnet die Ventile für die Druckwasserleitung der Strahlkondensatoren, sobald der Wasserdampf etwa 1,5 at erreicht hat. Darauf werden die Turbinen angelassen, und nachdem die Dynamomaschinen belastet sind, wird die „Düsen-spannung“ eingestellt, d. h. man schließt bei der höchsten Belastung, die für die Maschine gefordert wird, die Dampfeinlassdüsen so weit, dass der Dampfdruck vor der Einströmung in die Düsen etwa 1 bis 2 at niedriger ist als vor dem Drosselventil. Bei länger dauernder schwacher Belastung werden eine oder mehrere Düsen vollständig geschlossen. Da die Leerlaufarbeit der Dampfturbine gering ist, so sinkt — ebenfalls ein Vorteil — der Wirkungsgrad bei schwächerer Belastung nicht bedeutend.

Die weitere Regulierung der Maschine besorgt der kleine, einfache und sehr empfindliche Fiehkraftregler, indem er durch einen verschiebbaren Stift einen Hebel und damit ein Drosselventil für den Dampfeintritt beeinflusst, dadurch also auch die Düsen-spannung einstellt, und bei starker Entlastung die Umlaufgeschwindigkeit des Laufrades dadurch dämpft, dass er durch ein Ventil Luft nach der Unterdruckseite des Laufrades treten lässt. Die Gleichmäßigkeit des elektrischen Lichtes der Turbodynamo und der von Dampfturbinen getriebenen Dynamos zeugt für die hohe Gleichförmigkeit des Ganges der Turbinen. In einem von der A. B. de Laval's

Ängturbin auf der Weltausstellung in Paris ausgelegten Schriftchen waren Tachogramme von verschiedenen Motoren verzeichnet, aus denen die Ueberlegenheit der Dampfturbinen selbst über vorzügliche Kolbendampfmaschinen, was den Gleichförmigkeitsgrad anbetrifft, ersichtlich war. Man kann auch die Turbinen auf einmal vollständig entlasten, ohne befürchten zu müssen, dass sie durchgehen. So wurde z. B. in der Fabrik von Krusche & Ender bei einem Versuche mit einer 300pferdigen Dampfturbine die Belastung von 308 PS. plötzlich abgenommen; dabei stieg, mit dem Tachometer gemessen, die Umlaufzahl von 750 auf 780, d. h. um 4 vH, während der Unterdruck von 70 auf 61,5 cm fiel und die Düsenanspannung vom Regulator von 13,5 auf 6 at vermindert wurde.

Die Dampfverbrauchsversuche wurden in Gegenwart folgender Herren vorgenommen, welche die Beobachtungen machten und die Versuchsberichte unterzeichneten:

- O. Olsson, Oberingenieur der A. B. de Laval's Ängturbin, Stockholm,
V. Blomquist, Ingenieur bei A. Frankenfeldt & Co., St. Petersburg,
C. Grohmann und Dr. A. Grohmann, Direktoren der beteiligten Fabrik,
A. Moser, Ingenieur bei Carl Scheibler, Lodz,
J. Hanson, technischer Leiter der Ges. für Dampfkessel-Heizungsanlagen, Berlin,
J. Procnor, Betriebsingenieur bei Krusche & Ender, Pabianice (nur bei den Turbinenmotoren),
A. Schmidt, damals Betriebsingenieur der beteiligten Fabrik.

Die Leistung der beiden 100pferdigen Dampfturbinen wurde mit Bremsen festgestellt, die vorher genau ins Gleichgewicht gebracht waren, und die während des Versuches mit Wasser gekühlt wurden. Die Leistung der Turbodynomo, die auf ein Netz von Lampen geschaltet war, wurde durch Messung der Klemmenspannung mit einem Präzisions-Spannungsmesser von Hartmann & Braun und der Stromstärke mit einem Betriebs-Strommesser festgestellt. Der Dampf kam aus zwei Galloway-Kesseln von je 80 qm Heizfläche und wurde in 2 Horingschen Dampfüberhitzern von je 25 qm Heizfläche überhitzt. Da er durch einen großen Dampfsammler ging, der sonst noch zum Betriebe einer 750pferdigen Dampfmaschine dient, und da die

Zahlentafel 1.

	Dampfturbine I	Dampfturbine II	Turbopumpe 10 PS	Turbodynomo	Turbopumpe 3 PS
1. Dampfspannung im Kessel	at	12,4		12,7	
2. Dampftemperatur am Ueberhitzer	°C	283		240	
3. Dampfspannung vor dem Drosselventil	at	12,1		12,5	
4. Dampftemperatur vor dem Drosselventil	°C	206,5	209,4	192	—
5. Düsenanspannung	at	11,0	10,5	10,3	10,4
6. absoluter Druck im Kondensator	"	0,15	0,17	0,24	0,15
7. absoluter Druck im Maschinenraum (Luftdruck)	"		1,02		1,02
8. Anzahl der geöffneten Düsen		4	5	1	4
9. kleinster Durchmesser der Düsenöffnungen	mm	7,1	6,3	5,0	5,3
10. berechn. Dampfverbrauch	kg/st	960	912	112	508
11. Länge der Bremsarme (Klemmenspannung)	mm	1513	1022	—	—
12. Belastung beider Bremsarme (Stromstärke)	V	56,5	74,0	—	134,5
13. mittlere Umlaufzahl 1. d. Min.	Amp	—	—	294	—
14. effektive Leistung	PS (KW)	1071	1082	1934	1535
15. Dauer des Versuches	min	127,6	114,3	—	29,54
16. Dampfverbrauch im ganzen	kg	265	—	—	174
17. Dampfverbrauch für 1 st.	"	8714	—	—	1679
18. Dampfverbrauch für 1 PS-st. (1 KW-st.)	"	1973	—	—	379
19. desgl. nach Abzug der für die Kondensatorpumpe berechneten Dampfmenge	"	8,16	—	—	14,64
	"	7,09	—	—	13,30

Flansche noch nicht isolirt waren, so sank die Dampftemperatur ziemlich bedeutend. Bei den Versuche mit der Turbodynomo wurden nur ein Kessel und ein Ueberhitzer benutzt; in diesem Falle ging die ganze Ueberhitzung verloren. Die Temperatur des Dampfes wurde mit Quecksilberthermometern gemessen; die Manometer wurden nach dem Versuche mit einem Kontrollmanometer nachgeprüft und berichtigt. Die Angaben bezeichnen den Ueberdruck in kg/qcm. Die Luftleere im Kondensator wurde durch Messung einer in einem Glasrohre angesaugten Quecksilbersäule bestimmt und daraus der absolute Druck in kg/qcm berechnet. Alle Ablesungen wurden viertelstündlich gemacht. Bei den 100pferdigen Maschinen wurde das Mittel aus 17 Ablesungen, bei der Turbodynomo aus 12 Ablesungen genommen. Die Speisepumpe erhielt den Dampf von einem besonderen Kessel.

Die Ergebnisse sind in Zahlentafel I niedergelegt.

Nimmt man den Nutzeffekt der Turbodynomo zu 90 vH an, sodass 0,682 KW = 1 PS. sind, so ergibt sich als Leistung 59,73 PS. und der Dampfverbrauch von Turbodynomo + Turbopumpe zu 9,69 kg für 1 PS.-st. Zieht man auch hier den für die Kondensatorpumpe berechneten Dampfverbrauch ab, so erhält man als Dampfverbrauch der Turbodynomo allein 8,31 kg für 1 PS.-st.

Die Berechnung der Dampfmenge, die durch die geöffneten Düsen hindurchströmen konnte, wurde aufgrund der von der A. B. de Laval's Ängturbin herrührenden Zahlentafel 2 ausgeführt. Mit Rücksicht auf die geringe Ueber-

Zahlentafel 2.

Dampfdruck kg/qcm	stündlich austretende Dampfmenge in kg/qcm	
	trockener Dampf	Dampf mit 30 vH Feuchtigkeit ($\phi_0 = 0,7$)
3	2,0	2,40
4	2,60	3,06
5	3,080	3,46
6	3,56	4,34
7	4,09	4,82
8	4,58	5,40
9	5,08	5,98
10	5,57	6,56
11	6,06	7,14

hitzung beim ersten Versuche wurden auch da die Werte für trockenen Dampf eingesetzt. Wenn auch die Messungsfehler, die diesen Versuchen anhaften, keine bestimmten Folgerungen gestatten, so möchte ich doch auf eine Uebereinstimmung hinweisen: Bei dem ersten Versuche, wo mit etwas Ueberhitzung gearbeitet wurde, ist der gefundene Wert etwas geringer als der berechnete; bei dem zweiten Versuche, wo der Dampf wohl etwas Feuchtigkeit enthielt, übersteigt der gefundene Wert den berechneten. Wie weit die Ueberhitzung bei dem Betriebe von Dampfturbinen noch Vorteil bringt, muss noch genauer festgestellt werden. Ohne auf diese Frage näher einzugehen, will ich zum Schlusse das Ergebnis eines Versuches angeben, das mir von Hrn. Procnor, dem Ingenieur von Krusche & Ender, freundlich zur Verfügung gestellt ist.

Datum des Versuches	3. Febr. 1900
Zeitdauer	6 st
Dampfdruck vor dem Drosselventile	14,6 at
Dampftemperatur	260° C
Düsenanspannung	13,66 at
Vakuum	65,6 cm
gebremste Leistung	100,02 PS
Dampfverbrauch ohne Kondensatorpumpe für 1 PS.-st.	6,43 kg
Dampfverbrauch mit Kondensatorpumpe für 1 PS.-st.	6,08 "

Hieraus ersieht man, dass durch Erhöhung des Druckes und der Temperatur des Dampfes der Dampfverbrauch noch wesentlich vermindert wird. Jedenfalls zeigen die Versuchsergebnisse, dass die Dampfturbinen von de Laval recht günstig arbeiten und deshalb sowie wegen ihrer übrigen, oben kurz geschilderten Vorzüge in allen Fällen Beachtung verdienen, wo Dampfmaschinen bis zu 300 PS infrage kommen.

Wüstewaltersdorf i. Schl.

A. Schmidt, Dipl.-Ing.

Sitzungsberichte der Bezirksvereine.

Eingegangen 6. Mai 1901.

Bezirksverein an der Lenne.

Sitzung vom 3. April 1901.

Vorsitzender: Hr. Hase.

Anwesend 14 Mitglieder und 13 Gäste.

Hr. Dr. L. Lucas spricht über künstliche organische Farbstoffe.

Der Steinkohlenteer besteht aus einem Gemisch farblos oder schwach gelblich gefärbter Verbindungen und sieht nur durch Vermischung mit Ruß schwarz aus. Man trennt die Verbindungen hauptsächlich durch Destillation nach ihren Siedepunkten und erhält so wasserhelle Flüssigkeiten, wie Benzol, Toluol, Xylol, in Wasser lösliche Kristalle, wie Phenol, und in Wasser unlösliche Kristalle, wie Naphthalin und Anthracen.

Hieraus gewinnt man durch Behandeln mit Schwefelsäure Sulfosäuren, die durch Schmelzen mit Alkalien Phenole durch Behandeln mit Salpetersäure und nachherige Reduktion mit Salzsäure und Eisenspänen Amine geben usw.

Beim Färben mit Teerfarben bleibt nicht bloß der Farbstoff auf der Oberfläche der Faser haften; es spielt sich vielmehr ein chemischer Vorgang ab. Das ersieht man daraus, dass in vielen Fällen, in denen die freie Farbsäure oder Farbbase ungefärbt oder wenigstens anders gefärbt ist als ihre Salze, die damit behandelten Gespinnstfasern die Farbe der Salze annehmen.

Farbgebende Gruppen sind z. B.:

Die Nitrogruppe, deren Farbstoffe durch Behandeln der oben genannten Zwischenerzeugnisse mit Salpetersäure entstehen und Seide und Wolle gelb färben;

die Azogruppe, deren Farbstoffe durch Behandeln von Aminen mit salpetrigsaurem Natron in saurer Lösung und Eingießen der so entstandenen Verbindung in eine alkalische Lösung von Phenolen oder Amidosulfosäuren entstehen. Sie färben Seide und Wolle, und wenn sie die Benzidindgruppe enthalten, auch Baumwolle gelb, orange, rot, violett, schwarz. Die Azofarben haben eine außerordentliche Mannigfaltigkeit und Verbreitung;

die Amidotriphenylmethangruppe in den sogen. Anilinfarben: Malachitgrün, Fuchsin, Methylviolett, Anilinblau usw.; die Carboxytriphenylmethangruppe in den mit prachtvoller Fluoreszenz färbenden Phthalen- und Rhodaminen;

die Chinongruppe, deren Hauptvertreter, das Alizarin, auch in der Natur vorkommt und schon den Griechen und Römern bekannt war. Das Alizarin ist gelb und färbt nur mit Metalloxyden getränkte Stoffe, und zwar die verschiedenen Oxyde verschieden, z. B. Aluminiumoxyd rosenrot, Chromoxyd bläulichviolett, Eisenoxyd braunschwarz. Die verschiedenen Färbungen kann man zu gleicher Zeit aus demselben Bade färben, wobei die Alizarinlösung ungefärbt ist.

Das Alizarin findet sich in der Wurzel des Krapps, der in Kleinasien, Griechenland und dem Kaukasus wild wächst, in Europa im 16. Jahrhundert in Schlesien und Holland, im 18. namentlich in Frankreich gebaut wurde. Die Gesamtmenge des jährlich erzeugten Krapps wurde vor 1868 auf 70000 t geschätzt. In diesem Jahre entdeckten Gräbe und Liebermann, dass sich das Alizarin aus dem im Steinkohlenteer vorkommenden Anthracen ableiten lasse, und stellten es im Anfang des folgenden Jahres künstlich her. Die gewaltigen Umwälzungen, welche diese Entdeckung hervorrief, und die zu $\frac{2}{10}$ Deutschland zugute kamen, zeigt folgende Zahlentafel.

Jahr	Deutschland				Frankreich	
	Erzeugung 10 prozentiger Paste in t	Preis pro kg in M.	Ausfuhr in t	Wert in M.	Krappbau im Dep. Vaucluse und den angrenzenden Gebieten in t	Ausfuhr in M.
1869	1	—	—	—	26800	24875000
1871	—	13 bis 14	—	—	26000	16535000
1873	1000	—	—	—	—	—
1874	—	7,20	—	—	21000	9780000
1876	—	—	—	—	7000	3695000
1878	9000	—	—	—	500	—
1880	—	3,20	5900	—	—	—
1891	13000	0,80	8168	12906000	—	—
1897	—	0,92	9320	16874000	—	—

In den siebziger Jahren fiel der Preis des Krapps von 56 bis 64 auf 12 bis 16 M./kg; infolgedessen lohnte der Krappbau nicht mehr und hörte fast ganz auf.

Eine ähnliche Umwälzung scheint sich heute auch bei dem ältesten Farbstoffe, dem Indigo, vorzubereiten. Der Indigo wird seit Jahrtausenden in Indien aus verschiedenen Arten der Pflanzenfamilie Indigofera gewonnen. Wenn man die Pflanzen vergären lässt, entsteht eine farblose Lösung von Indigoweiß, aus der durch den Sauerstoff der Luft der Indigo als blaue flockige Masse gefällt wird. Auch in Deutschland wurde seit dem 9. und namentlich im 16. und 17. Jahrhundert Indigo aus dem Waid gewonnen, wovon mehr als 300 Dörfer in Thüringen lebten. Trotz der denkbar schärfsten Schutzmaßnahmen wurde die Waidkultur durch den eingeführten indischen Indigo vernichtet, dessen jährliche Erzeugung Ende der 80er Jahre des vorigen Jahrhunderts auf 8250000 kg im Werte von 80000000 M. geschätzt wurde.

Im Jahre 1880 gelang Baeyer die künstliche Herstellung des Indigos, doch war das Erzeugnis zu teuer, um einen durchgreifenden Wettbewerb mit dem natürlichen Indigo zu ermöglichen, trotzdem die Färbungen mit dem künstlichen Indigo, weil dieser reiner war, die mit natürlichem an Schönheit weit übertrafen. Nach fast 20jähriger mühevoller und außerordentlich kostspieliger Arbeit ist es jedoch der Badischen Anilin- und Sodafabrik gelungen, ein Verfahren auszuarbeiten, das von dem billigen Naphthalin ausgehend die Herstellungskosten so herabsetzt, dass ein Wettbewerb mit dem natürlichen Indigo möglich geworden ist. Im Jahre 1897 wurde die Fabrikation in einem Umfange aufgenommen, welcher der natürlichen Gewinnung auf 100000 ha bebauten Landes entspricht. So wird wahrscheinlich dem Indigobau dasselbe Schicksal bereitet wie in den siebziger Jahren dem Krappbau. Vielleicht kann dies für Indien vorübergehend eine schwere Notlage herbeiführen; wahrscheinlich aber wird es Veranlassung werden, die unaufhörlich in Indien wütenden Hungersnöte zu beseitigen, weil es die ungeheuren, dem Indigobau dienenden Länderstrecken für den Getreidebau freimachen wird.

Dies ist kein Zukunftstraum, wie die statistischen Zahlen des Jahres 1898 beweisen. Vor etwa 10 Jahren brauchten Deutschland und Oesterreich-Ungarn etwa den vierten Teil der gesamten Indigoerzeugung im Werte von 20000000 M. 1898 betrug in Deutschland die

Einfuhr 1036000 kg im Werte von 8390000 M., die
Ausfuhr 918000 „ „ „ 7574000 „

Die größten deutschen Farbenfabriken, die Badische Anilin- und Sodafabrik in Ludwigshafen, die Farbenfabriken vorm. Bayer & Co. in Elberfeld und Leverkusen, und die Höchster Farwerke vorm. Meister, Lucius & Brüning in Höchst beschäftigen je 4000 bis 6000 Arbeiter, 150 Chemiker und 400 bis 600 Ingenieure und kaufmännische Beamte. Im ganzen sind in der Farbenindustrie in Deutschland etwa 20000 Arbeiter und mehrere tausend Beamte thätig.

Eingegangen 2. November 1901.

Niederrheinischer Bezirksverein.

Besichtigung des Geländes der Ausstellung in Düsseldorf am 28. September 1901.

Etwa 200 Damen und Herren hatten sich im oberen Saale der Restauration des Kunstpalastes eingefunden.

Hier hielt zunächst Hr. E. Dücker einen Vortrag über die Ausstellung in Düsseldorf 1902.

Im Sommer des Jahres 1898 brachte Hr. Geheimrat H. Lueg in der Nordwestlichen Gruppe des Vereines deutscher Eisen- und Stahl-Industrieller sowie im Verein deutscher Eisenhüttenleute die Frage zur Erörterung, ob im Jahre 1902 in Düsseldorf eine Gewerbeausstellung für Rheinland und Westfalen und benachbarte Bezirke, verbunden mit einer deutschen nationalen Kunstausstellung, zu veranstalten sei. Die Frage wurde nach gründlicher Erwägung bejaht und die Ausstellung zum Beschluss erhoben. Maßgebend für diesen Beschluss waren folgende Thatsachen:

Seit der letzten Ausstellung in Düsseldorf 1880 hatte die Bevölkerung der Provinzen Rheinland und Westfalen eine Steigerung von 5710000 auf 7807422 Einwohner aufzuweisen, die sich jetzt wohl auf rd. 9000000 vermehrt haben dürften. In dem gleichen Zeitraume haben sich auf allen Produktionsgebieten so große Neuerungen und Fortschritte vollzogen, dass deren Vorführung gerade seitens der industriell und gewerblich so hoch entwickelten Provinzen Rheinland und Westfalen als ein dringendes Bedürfnis bezeichnet werden muss. Dazu kam die Thatsache, dass auf der Weltausstellung in Paris 1900 der deutschen wie auch der sonstigen ausländischen Großindustrie nicht genügend Raum zur Verfügung stand,

Aus diesem Grunde sind auch die deutsche Bergwerks- und die Großeisen- und Stahlindustrie jener Ausstellung ferngeblieben.

Bekanntlich sind Rheinland und Westfalen die industri- und gewerbereichsten Provinzen Deutschlands. Kein beachtenswerter Industriezweig fehlt hier, und es gilt, in einer besonderen Ausstellung zu zeigen, dass nicht Furcht vor einer Niederlage die Industrie von Paris und von andern Ausstellungen ferngehalten hat. Auf der Ausstellung in Düsseldorf 1902 können und wollen Rheinland und Westfalen zeigen, dass ihre Industrie und ihr Gewerbe auf dem Weltmarkte wettbewerbsfähig sind und auf manchen Gebieten größere und bessere Leistungen aufzuweisen haben als die anderer Völker.

Die Ausstellung kam also zustande, und die Stadt Düsseldorf stellte nach dem Beschluss ihrer Stadtverordnetenversammlung vom 13. Dezember 1898 das an der Goltzheimer Insel gelegene Gelände, welches durch eine Erhöhung und eine Verschiebung des Rheinuferes mit einem Kostenaufwande von 4 Mill. M. vergrößert war, der Ausstellungsleitung zur Verfügung.

Im Wettbewerb um den Entwurf für die Ausstellung wurde dem Architekten Thielen in Hamburg der erste Preis zuerkannt und ihm zugleich die Leitung und Ueberwachung der Bauten übertragen. Nach dem leider zu früh erfolgten Tode Thielen's übernahmen die Professoren Schill und Kleesattel diese Arbeiten ehrenamtlich. Trotz vieler Umgestaltungen ist jedoch der preisgekrönte Entwurf im allgemeinen beibehalten worden und in glücklichster Weise zur Vollendung gebracht.

Das Ausstellungs-gelände wird einerseits vom Rheinstrom und von der Rampe der im Jahre 1899 errichteten festen Rheinbrücke begrenzt, anderseits von dem reizvollsten Teile der Stadt, dem Hofgarten.

Das Gesamt-gelände umfasst rd. 530000 qm mit rd. 180000 qm bebauter Fläche für Ausstellungszwecke. Zum Vergleiche dienen nachstehend einige Größen über Ausstellungen der letzten Jahrzehnte.

	Jahr	Gesamtfläche	bebaute Fläche
Weltausstellung Paris	1867	690 000 qm	149 000 qm
„ „ Wien	1873	1160 000 „	190 000 „
„ „ Paris	1878	840 000 „	404 000 „
Ausstellung Düsseldorf	1880	174 000 „	32 000 „
Weltausstellung Paris	1889	960 000 „	605 000 „
Ausstellung Berlin	1896	1100 000 „	74 934 „
„ „ Nürnberg	1896	204 000 „	44 600 „
„ „ Leipzig	1897	400 000 „	60 000 „
Weltausstellung Paris	1900	2227 946 „	650 000 „
Ausstellung Düsseldorf	1902	580 000 „	180 000 „

Der Vortragende berichtet kurz über die Organisation und die Einteilung in verschiedene Gruppen sowie über die Größe des von diesen beanspruchten Raumes. Er hebt hervor, dass das Eisen- und Hüttenwesen, welches auf der Ausstellung 1880

nur rd. 3800 qm Ausstellungsfläche belegt hatte, diesmal mit rd. 18 500 qm vertreten sein werde.

Alle bedeutenden Werke haben sich mit großem Kostenaufwande bemüht, ihre Erzeugnisse zumeist in eigenen Bauten zur Schau zu bringen, allen voran die Firma Fried. Krupp, welche ihre Erzeugnisse in einem Gebäude von 4180 qm Grundfläche (Fig. 1) ausstellt; u. a. ein 30,5 cm-Küsten-geschütz, eine 28 cm-Haubitze, 24 cm-Turmlafetten, verschiedene Schiffgeschütze von 21, 19 und 15 cm sowie an 30 Feldgeschütze, alle in kriegsfertigem Zustande mit den zugehörigen Geschosskörpern; ferner eine Sammlung Panzerplatten, einen Gefechtsmast mit elektrischem Scheinwerfer usw.

Die Rheinische Metallwaren- und Maschinenfabrik in Düsseldorf führt in ihrem Gebäude von 1880 qm Grundfläche geschweißte Spiralrohre bis zu 22 m Länge und 620 mm Dmr., Kriegsmaterial, Erzeugnisse mittels hydraulischer Presswerkzeuge und ihre sonstigen hervorragenden Erzeugnisse vor.

Im Kuppelbau des Hörder Bergwerks- und Hüttenvereines, Fig. 2, von 1000 qm Grundfläche werden Walzträger von 20 m Länge und 500 mm Höhe, Eisenbahnschienen, Schmiedestücke, Radreifen, Radsätze, Kesselböden, Bleche und anderes ausgestellt.

Die Gutehoffnungshütte in Oberhausen zeigt in ihren

Hallen, Fig. 3, von 3035 qm Fläche außer ihren Gruben-, Hütten- und Walzwerkerzeugnissen eine Reihe größter Maschinen, u. a. eine Fördermaschine, eine Expansionspumpe mit elektrischem Antrieb und in Verbindung mit der Gasmotorenfabrik Deutz eine mit Hochofen-Gasmotoren betriebene Gebläsemaschine von rd. 1000 PS. Zum Betriebe dieser Gasmotoren und noch weiterer, die die Gasmotorenfabrik Deutz ausstellt, dient eine Generator-gasanlage.

Der Bochumer Verein für Gusstahlfabrikation wird in seinem Gebäude, Fig. 4, von 2450 qm Fläche Erzeugnisse der Stahlindustrie, wie Schienen, Schwellen, Radsätze, und u. a. auch Stahlguss-

glocken ausstellen.

In der großen Industriehalle nimmt in Gruppe 2, Eisen- und Hüttenwesen, die Aktiengesellschaft Phönix in Laar bei Ruhrort mit 800 qm Bodenfläche die erste Stelle ein; sie wird Gruben-, Hütten- und Walzwerkerzeugnisse, vornehmlich Rillenschienen für Straßenbahnen, Bleche, Radreifen und Radsätze vorführen. Der Aachener Hütten-Aktienverein Rote Erde und die Rheinischen Stahlwerke in Ruhrort schließen sich an.

Es verdient erwähnt zu werden, dass das Osnabrücker Stahlwerk in einem besonderen Hause ein Gleismuseum zur Ausstellung bringen wird. Auch der Stahlguss wird durch verschiedene hervorragende Firmen des Bezirkes in würdiger Weise vertreten werden. Die Industrie gewalzter Rohre, welche bekanntlich im Rheinlande, und zwar gerade in Düsseldorf, entstanden ist, wird durch die Düsseldorf Röhren- und Eisenwalzwerke, J. P. Piedboeuf, die Düsseldorf Röhrenindustrie, die Deutsch-Oesterreichischen Mannesmannröhrenwerke und die Duisburger Eisen- und Stahlwerke vorgeführt werden. Endlich werden noch die Erzeugnisse der Fein- und Grob-

Fig. 1.

Gusstahlfabrik Fried. Krupp.



blechwalzwerke, der Schienen-, Träger-, Fasson-, Stabeisen- und Drahtwalzwerke gezeigt werden.

Die Kleineisenindustrie, die in Gruppe 3 zur Ausstellung gelangen wird, wird 3700 qm einnehmen.

Alle für die Herstellung der genannten Erzeugnisse dienenden Maschinen und Werkzeuge, deren Anfertigung in hervorragendem Maße in Rheinland und Westfalen betrieben wird, werden in großer Reichhaltigkeit und vorwiegend im Betriebe vorgeführt werden; so ein vollständiges Universalwalzwerk mit Dampfmaschinenantrieb, ferner ein Grubenschienenwalzwerk mit Vor- und Fertigstrecke und mit Kraftgasmotorenantrieb, eine Anordnung, welche hier zum erstenmal zur Ausstellung kommt; sodann ein Triowalzwerkgerüst, ein

Drahtwalzwerkgerüst, verschiedene Walzenzugmaschinen bis zu 1200 PS.

Dampfhammer werden von 4 Firmen gezeigt werden. Große hydraulische Presswerke stellen gleichfalls mehrere bekannte Firmen aus.

Mit den Hütten- und Walzwerken entwickelte sich naturgemäß auch die Maschinenfabrikation und insbesondere der Werkzeugmaschinenbau. Vertreten sind die Werkzeugmaschinen durch rd. 30 Firmen mit zusammen etwa 4000 qm belegter Fläche von den kleinsten Präzisionsmaschinen zur Herstellung von Messwerkzeugen bis zu den größten Drehbänken und Hobelmaschinen zur Bearbeitung von Panzerplatten und -türmen.

Der Dampfmaschinenbau Rheinlands und Westfalens wird in ganz besonders würdiger Weise durch 30 Firmen mit Maschinen von zusammen rd. 30 000 PS vorgeführt werden, darunter eine Maschine von 3600 PS. Zum Betriebe dieser Maschinen dienen 3 getrennte Dampfkesselanlagen, deren größte sich bei der Maschinenhalle befindet (s. weiter unten). Die zweite Dampfanlage mit 6 Kesseln von 1000 qm Heizfläche bei 12 at Ueberdruck hat einen Schornstein von 50 m Höhe und 2 m lichter Weite an der Mündung. Beide Anlagen sind für Steinkohlenfeuerung und zumteil mit selbstthätiger Kohlenbeschickung eingerichtet. Die dritte Anlage umfaßt 3 Kessel mit 300 qm Heizfläche und 8 at Ueberdruck für Braunkohlenfeuerung. Der zugehörige Schornstein hat bei 43 m Höhe 1,5 m lichte Weite oben. Zur Beschickung der Kessel ist eine Hunte'sche Fördereinrichtung vorgesehen.

Der Verein für die bergbaulichen Interessen im Oberbergamtsbezirk Dortmund beabsichtigt, abgesehen von Räumen, in denen die Lagerungs- und wirtschaftlichen Verhältnisse zur Darstellung kommen sollen, in einer Maschinenhalle Bergwerksmaschinen im Betriebe zu zeigen, und zwar: eine moderne Schachanlage übertage, bestehend in einer Fördermaschine von rd. 800 PS mit zugehörigem schmiedeeisernem Fördergerüst;

eine liegende Wasserhaltungsmaschine für die gewaltige

Leistung von 25 cbm/min bei einer Förderhöhe von 500 m, entsprechend 3600 PS;

einen großen Luftkompressor und einen elektrisch angetriebenen Ventilator, die nach Schluss der Ausstellung auf einer Kohlenzeche in Betrieb kommen werden;

verschiedene Kompressoren zum Betriebe von Gesteinbohrmaschinen, Schrämmaschinen sowie alle sonstigen Hilfsmaschinen der neueren Bergwerktechnik.

Auch eine Fördermaschine mit elektrischem Antriebe von rd. 1200 KW Leistung wird zur Vorführung gelangen.

Der Vortragende beschreibt nunmehr anhand der Pläne die einzelnen Ausstellungsbauten.

Der größte Bau ist die Hauptindustriehalle, welche eine Bodenfläche von 29415 qm beansprucht; an sie reihen sich noch die Erweiterungshallen 1 und 3 mit je 34000 qm Grundfläche an. Diese Gebäude sind reine Nützlichkeitsbauten, und man darf an ihr Aeußeres keinen großen Maßstab anlegen. Weiter sind zu erwähnen: die Maschinenhalle mit 14532 qm Bodenfläche, Fig. 5, die mächtigen Hallen des Bochumer Vereines, der Gusstahlfabrik Fried. Krupp, der Gutehoffnungshütte, des Vereines für die bergbaulichen Interessen, des Hörder Bergwerks- und Hüttenvereins usw. insgesamt werden 93 Einzelbauten für Ausstellungszwecke errichtet. Die meisten größeren Ausstellungsgebäude bestehen aus Eisen, während die Industrie-

hallen aus Holz mit schmiedeeisernen Verstärkungen erbaut sind.

Den Gebäuden für Ausstellungszwecke reihen sich die Gebäude für Verkehrs- und Verwaltungszwecke mit einem Flächeninhalt von rd. 10000 qm an. Hierzu kommen noch die Gebäude zu Restaurations- und Vergnügungszwecken, deren die Ausstellung selbst zwei errichtet hat: das Hauptbierrestau-

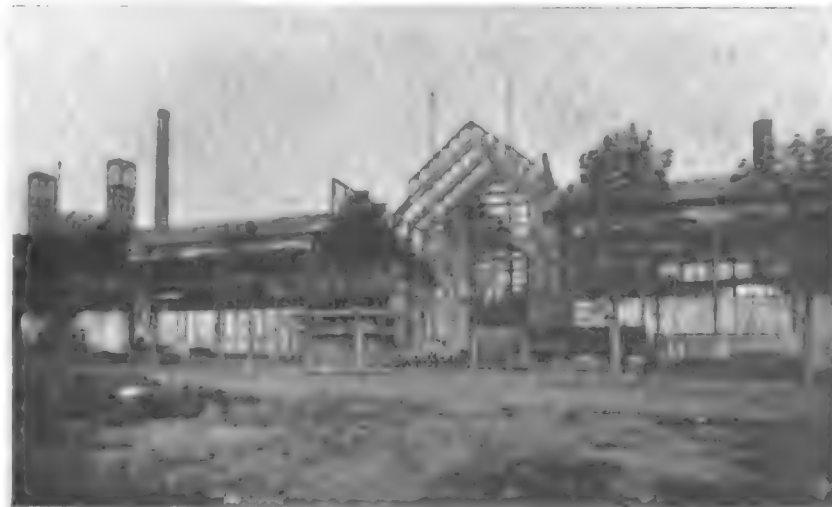
Fig. 2.

Hörder Bergwerks- und Hüttenverein.



Fig. 3.

Gutehoffnungshütte.



rant, zugleich Fest- und Konzerthalle, mit 2800 qm Flächeninhalt und das Hauptweinrestaurant mit 1900 qm Grundfläche.

Ein Monumentalbau in Eisen und Stein ist der Kunstpalaß mit einer Grundfläche von rd. 8000 qm.

Der Vortragende erläutert darauf die Maschinenhalle und ihre Einrichtungen. Hier sind zwei Dampfkraftanlagen vorhanden, eine zur elektrischen Licht- und Kraftherzeugung, die andere zum unmittelbaren Betriebe von Maschinen.

Für die erstere sind 15 Kessel mit zusammen etwa 3300 qm Heizfläche vorhanden, die an zwei Schornsteine von 58 m Höhe

und 2,51 m l. W. angeschlossen sind. Die meisten Kessel haben Ueberhitzung, sodass sichere Gewähr zum mindesten für trocknen Dampf geboten wird. Das Speisewasser wird gereinigt und den Kesseln durch eine Zentral-Speisevorrichtung, die aus drei Dampfpumpen besteht, mittels Ringleitung zugeführt. Ueber den Kesseln sind drei Dampfsammler angeordnet, aus denen der Dampf von 12 at Spannung mittels je zweier Leitungen nach den Hauptverteilungsleitungen in der Maschinenhalle gelangt, wo 26 Dampfmotoren mit rd. 12000 PS zur Stromerzeugung aufgestellt sind. Sämtliche Maschinen sind an die beiden Zentral-Oberflächenkondensatoren angeschlossen, von denen jede Rückkühlung besitzt und imstande ist, 35000 kg/st Dampf niederzuschlagen, sodass jede Anlage für sich den normalen Betrieb übernehmen kann.

Besondere Auspuffleitungen sind nicht vorhanden; dagegen sind die zum Kondensator führenden Leitungen mit zwei Auspuff-Sicherheitsventilen versehen. Die zweite Dampfanlage, die für den Betrieb der in der Nähe befindlichen Walzenzugmaschinen, Dampfhämmer und Kompressoren bestimmt ist, wird im Gegensatz zu der ersten mit Braunkohlen gefeuert; sie enthält drei Dampfkessel von je 100 qm Heizfläche, die Dampf von 8 at Spannung erzeugen. Der Schornstein ist 50 m hoch und oben 1,5 m weit; um die lästige Flugasche zu vermeiden, ist er mit einer Fangvorrichtung dafür versehen. Alle Maschinen arbeiten hier mit Auspuff, da eine Kondensationsanlage bei dem täglich nur wenige Stunden währenden Betrieb zu teuer wäre. Der Auspuffdampf wird an der äußeren Wand der Maschinenhalle hochgeführt.

Für die Wasserversorgung der gesamten Ausstellung ist ein Pumpenhaus am Rheine vorgesehen, in dem vier Kreiselpumpen von 30, 20, 16 und 10 cbm/min Leistung aufgestellt sind.

Die Elektromotoren zum Antriebe dieser Pumpen haben veränderliche Umlaufzahlen, um der mit dem Rheinwasserstande wechselnden Saughöhe Rechnung zu tragen.

Ferner werden am Rheine zwei Hochdruck-Kreiselpumpen mit elektromotorischem Antrieb für die Speisung von 16 kleinen Springbrunnen aufgestellt.

Es bestehen in der Ausstellung zwei Anlagen zur elektrischen Kraft- und Lichterzeugung: die bereits erwähnte in der großen Maschinenhalle und eine zweite im Gebäude der Gasmotorenfabrik Deutz.

Fig. 4.

Bochumer Verein für Gußstahlfabrikation.



Fig. 5.

Maschinenhalle.



Die Station in der Maschinenhalle umfasst 26 Dampfmotoren mit 27 Dynamos von einer Gesamtleistung von rd. 7800 KW oder 12000 PS. Hiervon leisten 21 Gleichstromdynamos 3055 KW, 5 Drehstromdynamos 4450 KW und eine Wechselstromdynamo 300 KW; außerdem betreibt eine 1000 pferdige Drehstromdynamo eine elektrische Wasserhaltung von Haniel & Lueg. Die Kraftanlage in dem Gebäude der Gasmotorenfabrik Deutz umfasst zwei Gleichstromdynamos von zusammen 300 PS nebst zugehöriger Generatoranlage. An Strom wird in der Ausstellung verteilt:

- 1) Wechselstrom von 10000 V, welcher ausschließlich der Illuminations-Beleuchtung dient,
 - 2) Drehstrom von 5000 V,
 - 3) Drehstrom von 2000 V,
 - 4) Gleichstrom von 2×220 V,
 - 5) Gleichstrom von 2×115 V,
 - 6) Gleichstrom von 220 V (ohne Mittelleiter),
- welche sämtlich sowohl zur Licht-, als auch zur Kraftlieferung dienen.

Die einzelnen Elektrizitätsfirmen haben eigene Schaltanlagen, von denen unterirdische Kabel nach dem in der Nordwestecke der Maschinenhalle gelegenen Hauptverteilungsschaltbrett führen, an welches die Hauptverteilungsleitungen angeschlossen sind. Diese sind als unterirdische Kabel ver-

legt und haben eine Länge von insgesamt 17 km; sie führen zu Verteilungspunkten und Transformatorstationen auf dem Ausstellungsgelände, von wo aus die einzelnen Licht- und Kraftverbraucher den Strom erhalten.

Nach den bis jetzt vorliegenden Anmeldungen sind an das Kraftwerk der Ausstellung rd. 40000 Glühlampen, 1000 Bogenlampen und 340 Motoren mit zusammen rd. 4000 PS angeschlossen, also insgesamt rd. 6000 KW, was einer Leistung von etwa 9000 PS entsprechen würde. Da jedoch für die In-

dustriehallen, welche abends geschlossen werden, keine Beleuchtung vorgesehen ist, so fallen Kraft- und Lichtverbrauch nicht zusammen, und es ergibt sich eine größte Belastung von etwa 3600 KW, sodass also das Kraftwerk nur mit 45 vH belastet ist und auch in elektrischer Beziehung eine reichliche Reserve vorhanden ist.

In der Maschinenhalle laufen bei den einzelnen Ausstellern 125 Motoren mit zusammen rd. 1000 PS Leistung, außerdem noch 11 Laufkrane mit 31 Motoren von zusammen rd. 400 PS, insgesamt also etwa 1400 PS. Die Hauptleitungen sind auch hier unterirdisch verlegte Kabel, während die Anschlussleitungen meistens als isolierte Drähte an Rollen oder Isolatoren verlegt sind. Die Transformatorstationen befinden sich an der südlichen Seite der Maschinenhalle.

Als ein Hauptzugmittel für die Ausstellung ist eine große Springbrunnenanlage mit den neuesten Wasser- und Beleuchtungseffekten vorgesehen. In einem oberen Becken steigt in der Mitte ein Springbrunnen 20 m hoch, daneben 2 kleinere

Springbrunnen 12 m hoch, alle mit vierfach wechselnden Wasserriguren und mit fünffachem Farbenwechsel. Das Wasser des oberen Beckens ergießt sich durch 18 wasserspeiende Löwenköpfe in ein $1\frac{1}{2}$ m tiefer liegendes Becken von 120 m Länge und 65 m Breite. Auch das herabfallende Wasser wird mit fünffach während des Betriebes wechselnden Farben beleuchtet. Das untere Becken enthält 13 kleinere Springbrunnen von 6 m Höhe.

An den Vortrag schloss sich unter Führung des Vortragenden ein Rundgang durch das Ausstellungsgelände.

Darnach vereinigten sich die Teilnehmer zu einem Trunk in der Restauration des Kunstpalastes. Hierbei ergriff namens des Vorstandes Hr. Birsteijn das Wort, um der Ausstellungsleitung für die Erlaubnis zur Besichtigung und Hrn. Dücker für seinen erschöpfenden Vortrag zu danken. Der Redner hob insbesondere die großen Verdienste Hrn. Dückers hervor, der diesem großen Unternehmen seine ganze Arbeitskraft ehrenamtlich zur Verfügung stelle.

Bücherschau.

Kinetik. Beiträge zu einer einheitlichen mechanischen Grundanschauung. Von Fr. Wilh. Gedicus. Wiesbaden 1901, J. F. Bergmann. 124 S. 8°. Preis geb. 2,40 M.

In Z. 1901 S. 493 ist eine kleine Schrift »Kraft und Energie« besprochen worden, in welcher der ungenannte Verfasser auf einige ihm aufgefallene Eigenheiten des mechanischen Arbeitsbegriffes hinwies, die er in einem folgenden Heft — dem vorliegenden Buche — aufklären wollte. Die hier gegebene Aufklärung muss indes als vollständig verfehlt bezeichnet werden. Durfte man nach den Andeutungen im ersten Heft vielleicht eine Erörterung des Arbeitsbegriffes erhoffen, in der Art, wie Mach in seiner berühmten »Mechanik« die Begriffe Masse, Gewicht, Kraft und die grundlegenden Prinzipien bespricht, so findet man demgegenüber in den vorliegenden Blättern einen lustig spekulativen Betrachtungen über eine kinetische Krafttheorie. Kennzeichnend ist, dass der Verfasser auf S. 2 eine Erörterung über die »Masse« für nicht erforderlich erachtet, da seine Theorie von den verschiedenen Auffassungen des Massebegriffes nicht wesentlich berührt werde. Die Geschwindigkeit $\frac{ds}{dt}$ wird auf S. 3 als »Verhältniszahl, welche die Aenderung einer Masseneinheit für die Zeiteinheit angiebt«, eingeführt. Furchtbar aber sind geradezu die Erörterungen auf S. 6 bis 11 über den »wahren« und »totalen« »Bewegungsinhalt« eines Systems, auf S. 12 und 13 über den »Reaktionsmittelpunkt« und auf S. 13 und 14 über die verschiedenen Erhaltungssätze. Dabei ist der Verfasser bescheiden genug, von dem bisherigen Lehrgebäude der Mechanik zu behaupten, es sei »durch mangelnde Präzisierung der Begriffe und Verquickung mit ganz unklaren Ideen viel gefehlt worden« (S. 6).

Es lohnt sich nicht, irgend weiter auf den Inhalt des Heftes einzugehen.

Berlin.

F. Preufs, Dipl.-Ing.

Die Elektrizität. Ihre Eigenschaften, Wirkungen und Gesetze. Von A. Gerteis, Ingenieur. Halle a/S. 1901, C. O. Lehmann. 245 S. 8° mit 57 Fig. und 1 Taf. Preis geb. 6 M.

Das vorliegende Buch bildet den 1. Band eines auf 3 Teile berechneten Werkes: »Wissen und Leistungen der modernen Starkstrom-Elektrotechnik mit Ausschluss der elektrischen Bahnen«, und führt in klarer Weise in die modernen Grundanschauungen über Elektrizität und Magnetismus ein, wie sie vor allem durch das den gleichen Gegenstand behandelnde Buch von Oliver Lodge bekannt geworden sind.

Der Stoff ist in 4 Abschnitte geteilt, die nacheinander das Wesen der fließenden Elektrizität und die Stromarten, das Ohmsche Gesetz und die elektrischen Einheiten, die Wirbelbewegung und ihre Gesetze, das elektromagnetische Feld und die bewegenden Kräfte in Wirbelfeldern, die Induktion und die Gesetze des Wechselstromes behandeln.

Seiner ganzen Anlage und Schreibweise nach eignet sich das Buch für solche, die die experimentellen Tatsachen der Elektrizitätslehre und des Magnetismus bereits kennen und nun nach einem Buche suchen, das die Tatsachen unter

einheitlichem Gesichtspunkte betrachtet und durch ein straffes logisches Band verknüpft, mit einem Worte: ein System der Elektrizitätslehre bringt.

Ein populäres Lehrbuch, dass möglichst schnell in das Verständnis der wichtigsten Anwendungen der Elektrizitätslehre einführt, darf demnach im vorliegenden Buch nicht gesucht werden.

Berlin.

F. Preufs, Dipl.-Ing.

Bei der Redaktion eingegangene Bücher.

Der Kampf um Arbeit. Von Dr. Claus Buschmann. Stuttgart 1901, Verlag Heimdall (Rud. Blaedel). 70 S. 8°. Preis 1,00 M.

(Kapital und Arbeit im modernen Industriestaat. — Die sozialreformatorischen Bestrebungen in Deutschland. — Die Vorbedingung des sozialen Friedens. — Die Vorsehung gegen Arbeitslosigkeit. — Ein neuer Vorschlag zur Lösung des Problems.)

Praxis der Gleichungen. Von Dr. C. Runge, Professor an der Technischen Hochschule zu Hannover. Leipzig 1901, G. J. Göschen'sche Verlagshandlung. 196 S. 8° mit 8 Fig. Preis geb. 5,20 M.

(Das 14. Bändchen der bekannten Sammlung Schubert mathematischer Kompendien beschäftigt sich mit der praktischen Auflösung von Gleichungen niederen und höheren Grades mit einer und mehreren Unbekannten, wobei insbesondere auf praktische Rechenavorteile und auf die erforderliche und ausreichende Genauigkeit der Rechnung aufmerksam gemacht wird. Für den Techniker dürften vor allem die Abschnitte über die angenäherte Lösung von Gleichungen höherer Grade sowie auch über die zeichnerische Behandlung von Gleichungen von Wert sein, während andere Kapitel naturgemäß nur ein mathematisches Interesse bieten.)

Wahrscheinlichkeits- und Ausgleichungsrechnung. Von Dr. Norbert Herz. Leipzig 1901, G. J. Göschen'sche Verlagshandlung. 361 S. 8° mit 1 Tafel. Preis geb. 8 M.

(Der 19. Band derselben Sammlung bringt ein ausführliches Lehrbuch der Wahrscheinlichkeitsrechnung. Auf eine äußerst klare Auseinandersetzung der Grundlehren dieser Rechnung sowie der allgemeinen Lehrrätze über die Wahrscheinlichkeit von Ereignissen folgen Anwendungen auf Glücksspiele, auf versicherungstechnische Rechnungen, auf die Wahrscheinlichkeit von Zeugenaussagen, Urteilsprüchen u. dergl., sowie schließlich ein umfangreicher Abschnitt über die Theorie und Ausgleichung der Beobachtungsfehler. Aus diesem letzteren, besonders für den Geodäten und Bauingenieur wichtigen Kapitel interessiert vor allem die kritische Besprechung des Gaußschen Axioms vom arithmetischen Mittel, sowie der von Hagen und Laplace ihren bezüglichen Lehrrätzen der Wahrscheinlichkeitsrechnung zugrunde gelegten Annahmen. Dem Buche sind eine Sterblichkeitstabelle und eine Tafel der Werte des Wahrscheinlichkeitsintegrals beigegeben.)

Leitfaden der Elektrizität im Bergbau. Von Dr. phil. Wilhelm Brüsch, Oberlehrer. Leipzig 1901, B. G. Teubner. 298 S. 8° mit 411 Fig.

(Das Buch ist aus Vorträgen hervorgegangen, die der Verfasser im Laufe des vorigen Jahres vor den Beamten staatlicher und privater Bergwerksverwaltungen gehalten hat, und hat die Absicht, in leicht verständlicher Weise in die Elektrizitätslehre und deren Anwendungen im Berg- und Hüttenwesen einzuführen. Dieser Zweck wird durch eine

einfache klare Schreibweise und durch die Beigabe vieler Figuren und erläuternder Diagramme erreicht. Die den Anwendungen gewidmeten Kapitel befassen sich mit dem elektrischen Grubenbeleuchtungswesen, mit den elektromotorischen Antrieben von Grubenbahnen, Wasserhaltungen, Ventilatoren, Fördermaschinen, mit den Gesteinsbohrmaschinen, den Schrägmaschinen, den schnelllaufenden Pumpen, der Minenstündung und der Grubenbeleuchtung. Von dem übrigen Inhalt sind besonders die Kapitel

über die Regulierung der Dynamomaschinen und Elektromotoren als recht gelungen hervorzuheben.)

Flüssige Luft. Kurze Beschreibung der Herstellung der flüssigen Luft unter Hinweisung auf die Fortschritte der letzten Jahre. Von Dr. R. A. Hehl. Halle a/S. 1901, G. Schwetschkescher Verlag. 39 S. 8°. Preis 0,80 M.

Übersicht neu erschienener Bücher,

sammengestellt von der Verlagsbuchhandlung von Julius Springer, Berlin N., Monbijowplatz 8.

Metallbearbeitung. Buchner, O. Die Metallfärbung und deren Ausführung mit besonderer Berücksichtigung der chemischen Metallfärbung. 3. Aufl. Berlin 1901. Krayn. Preis 6 M.

— Dahl, Rud. Leitfadens zum Berechnen der Wechselräder beim Gewinde schneiden an der Leitspindel Drehbank für rheinländisches, englisches und Meter-Maße und für das metrische Normalgewinde (deutsche Ingenieur- und Feinmechaniker-Gewinde). 8. Aufl. Berlin 1901. C. Pataky. Preis 1,50 M.

— Haseluck, Paul N. Lathe-work. A practical treatise on the tools, appliances, and processes employed in the art of turning. 17th ed. London 1901. Crosby, Lockwood & Son. Preis 5 sh.

— Hoch, Jul. Der praktische Schlosser. Leipzig 1901. J. J. Arnd. Preis 18 M.

Metallhüttenwesen. Davies, D. C. A treatise on metalliferous minerals and mining. 6th ed. by E. Henry Davies. London 1901. Crosby, Lockwood & Son. Preis 12 sh. 6 d.

— Schnabel, C. Handbuch der Metallhüttenkunde. 1. Bd.: Kupfer, Blei, Silber, Gold. 2. Aufl. Berlin 1901. Springer. Preis 28 M.

Motorwagen und Fahrräder. Baudry de Saunier, L. Praktische Ratschläge für Automobilisten. Wien 1901. A. Hartleben. Preis 8 M.

— Behrend, B. A. The induction motor. London 1901. Whitacker. Preis 7 sh. 6 d.

— Forestier, G. Essai d'une étude didactique des conditions d'établissement d'une voiture à traction mécanique sur routes. Paris 1901. Béranger. Preis 7 fr. 50 c.

— Schaetzel, G. Motor-Poten. Technik und Leistungsfähigkeit der heutigen Selbstfahrersysteme und deren Verwendbarkeit im öffentlichen Verkehr. München 1901. Oldenbourg. Preis 2 M.

— Sencier, G., et A. Delasalle. Les automobiles électriques. Paris 1901. V^e Dunod. Preis 15 fr.

Papierindustrie. Cross, C. F., and E. J. Bevan. Researches in cellulose, 1895—1900. London 1901. Longmans. Preis 6 sh.

Physik. Addyman, Frank T. Practical X ray work. London 1901. Scott, Greenwood & Co. Preis 10 sh. 6 d.

— Boulanger, J. Notions d'électricité (courants et aimants, courant continu, magnétisme, électromagnétisme, induction). Nancy 1901. Berger-Levrault & Co.

— Busquet, R. Traité d'électricité industrielle. Paris 1901. J. B. Baillière. Preis 5 fr.

— Caye, Georges, et A. Saillard. Traité pratique de mécanique et d'électricité industrielles. Paris 1901. Berger-Levrault. Preis 12 fr.

— Graf, H. G. Errungenschaften auf dem Gebiete der Elektrizität. Neuwied 1901. Henner's Verlag. Preis 2 M.

— Holborn, L., und F. Kuribawa. Ueber ein optisches Pyrometer. (Sonderdruck.) Berlin 1901. G. Reimer. Preis 0,50 M.

— Love, A. E. H. The integration of the equations of propagation of electric waves. London 1901. Dolau. Preis 2 sh.

— Niehammer, F. Magnetismus. Stuttgart 1901. Enke. Preis 2,40 M.

— Pellat, H. Cours d'électricité. T. I: Electrostatique; Lois d'Ohm; Thermo-électricité. Paris 1901. Gauthier-Villars. Preis 10 fr.

Pumpen und Gebläse. Haeder, H. Pumpen und Kompressoren. Praktisches Handbuch für Entwurf, Konstruktion und Verbesserung von Pumpmaschinen. Düsseldorf 1901. Schwann. Preis 10 M.

Schiff- und Seewesen. Adler, E. Der Pharos von Alexandria. Berlin 1901. Ernst & Sohn. Preis 12 M.

— Armstrong, G. E. Torpedos and torpedo vessels. 2nd ed. London 1901. George Bell & Sons. Preis 5 sh.

— Breusing, Arth. Nautische Helfstafeln. 6. Aufl. Leipzig 1901. M. Heinsius Nachfolger. Preis 6,75 M.

— Gaget, Maurice. La navigation sous-marine. (Généralités et historique; théorie du sous-marin; bateaux sous-marins modernes; la guerre maritime.) Paris 1901. Béranger. Preis 10 fr.

— Paasch, H. »Vom Kiel zum Flaggenknopf.« Illustriertes Marine-Wörterbuch in Englisch, Französisch und Deutsch. 3. Aufl. Hamburg 1901. Eckardt & Messtorff. Preis 24 M.

— Segel-Handbuch für die Ostsee. Herausgegeben vom Reichs-Marine-Amt. 2. Abt. Das Kattogat und die Zugänge zur Ostsee. 3. Aufl. Berlin 1901. D. Reimer in Komm. Preis 3,50 M.

— Stromeyer, C. E. Marine boiler management and construction, being a treatise on boiler troubles and repairs, etc. 2nd ed. London 1901. Longmans, Green & Co. Preis 12 sh.

— Submarine Navigation: Past and Present. A scientific quarterly. By Alan H. Burgoyne. London 1901. Howard Wilford Bell. Preis 2 sh. 6 d.

— Walton, Thomas. Steel ships: their construction and maintenance. London 1901. Charles Griffin & Co. Preis 18 sh.

Straßenbahnen. Duncan's manual of tramways, omnibuses, and electric railways of the United Kingdom and the Foreign and Colonial Companies that are registered in England. London 1901. T. J. Whiting & Sons. Preis 5 sh.

— Kohlrausch, W. Oberleitung oder Akkumulatorenbetrieb der Straßenbahn im Innern der Stadt Hannover? Hannover 1901. Helwing. Preis 0,50 M.

Straßenbau. Roux, O. Routes et chemins vicinaux. Paris 1901. V^e Dunod. Preis 12 fr.

Textilindustrie. Ausdrücke, Technische, im Wirkereibetriebe für Handels- und Fabrikationsgeschäfte in Wirkerei und Sticker- und Strickmaschinenbau usw. 2. Aufl. Apolda 1901. R. Mörner. Preis 1,50 M.

— Dobson, Sir B. Humidity in cotton spinning. 2nd ed. London 1901. Heywood. Preis 3 sh. 6 d.

— Holme, J. O. Handbook to cotton spinning. 2nd ed. London 1901. Heywood. Preis 3 sh.

— Reutlinger's, Jul., Taschenbuch für Seller. 2. Aufl. Offenbach 1901. Frankfurt a/M. A. Detloff. Preis 2,80 M.

Wasserversorgung. Briz, J. Ueber Schnellfilter. Unter Berücksichtigung der Patent-Schnellfilter der allgemeinen Städtereinigungsgesellschaft Wiesbaden. Leipzig 1901. F. Leineweber. Preis 0,70 M.

— Erlwein, Q. Trinkwasserreinigung durch Ozon nach dem System von Siemens & Halske. Leipzig 1901. F. Leineweber. Preis 1 M.

— Hazelhurst, J. N. Towers and tanks for water works. New York 1901. John Wiley & Sons. Preis 2,50 \$.

— Hennell, Thomas. Hydraulic and other tables for purposes of sewerage and water supply. 2nd ed. London 1901. E. & F. N. Spon. Preis 5 sh.

— König, F. Anlage und Ausführung von Wasserleitungen und Wasserwerken zur Wasserversorgung von Städten, Ortschaften, Anstalten und Privatgebäuden. 3. Aufl. Leipzig 1901. O. Wigand. Preis 12 M.

Werkstätten und Fabriken. Haeder, H. Kalkulieren von Maschinen und Maschinenteilen. Düsseldorf 1901. Schwann. Preis 4 M.

Ziegelei. Adressbuch der Ziegeleien, Chamottfabriken und Thongruben, sowie der Fabriken und Handlungen von Maschinen, Geräten und Bedarfartikeln für die Thonindustrie. Leipzig 1901. Eisenhardt & Schulze. Preis 7,50 M.

— Fairie, J. Notes on pottery, clays; distribution, properties, uses and analyses of ball clays, china clays, and china stone. London 1901. Scott, Greenwood & Co. Preis 3 sh. 6 d.

Zucker- und Stärkeindustrie. Schallehn, C. Art. Karte der Zuckerfabriken und Raffinerien in Italien. Magdeburg 1901. Verlagsanstalt für Zuckerindustrie. Preis 2 M.

— Taccanti, A. L'industria dello zucchero. III. Milano 1901. Hoepli. Preis 3 L. 50 c.

Zeitschriftenschau.¹⁾

(* bedeutet Abbildung im Text.)

Brennstoffe.

Peat fuel in Scandinavia. Von Bache. (Proc. Inst. Civ. Eng. 01 Teil 4 S. 329/41) Zusammenfassender Bericht über die Torfgewinnungs- und Torfverarbeitungsverfahren.

Chemische Industrie.

Les industries chimiques à l'Exposition de 1900 et leurs progrès depuis l'Exposition de 1889. Von Guillet. (Géol. civ. 9. Nov. 01 S. 21/24*) Licht- und Seifenfabrikation, Filtrationsmaschinen von Fournier, Formmaschinen für Lichte. Uebersicht über die im Jahre 1900 ausgestellten Gegenstände. Forts. folgt.

Dampfkraftanlagen.

La surchauffe de la vapeur. Von Abraham. (Ann. Mines 01 Heft 7 S. 59/89*) Allgemeines über die Verwendung von überhitztem Dampf. Konstruktion und Anordnung der Ueberhitzer. Konstruktion von Maschinen für überhitzten Dampf und Ergebnisse aus ihrem Betriebe anhand deutscher Fachberichte.

Feuerrohr-Dampfkessel mit Oelfeuerung (System Ordel). (Schweiz. Bauz. 9. Nov. 01 S. 211/12*) An den Feuerthüren sind Injektordüsen befestigt, durch die Öl unter Dampfdruck in die Feuerung gespritzt wird.

Générateur de vapeur à tubes d'eau et de fumée, système Sulzer. (Rev. Ind. 2. Nov. 01 S. 434/36*) Darstellung und kurze Beschreibung eines neuen Heiz- und Wasserrohrkessels von Gebroder Sulzer. Die Heiz- und Wasserrohrbündel sind geneigt gelagert und durch 4 in den Ecken eines Quadrates angeordnete Wasserkammern verbunden.

Eisenbahnen.

Elektrischer Betrieb auf den schweizerischen Hauptbahnen. Von Thormann. (Schweiz. Bauz. 9. Nov. 01 S. 209/11) Allgemeine Erörterungen über die Vorbedingungen, wie sie auf den schweizerischen Bahnen für die Einführung des elektrischen Betriebes gegeben sind. Besprechung der verschiedenen elektrischen Betriebsverfahren für Vollbahnen. Forts. folgt.

Train resistance formulas. Von Crawford. (Eng. News 31. Okt. 01 S. 325/27*) Zusammenstellung und kritische Besprechung verschiedener in Amerika, England und Frankreich angewandeter Formeln zur Ermittlung des Zugwiderstandes.

Étude sur les locomotives américaines. Von Oudet. (Rev. Méc. 31. Okt. 01 S. 380/419*) Preise der amerikanischen Lokomotiven und allgemeines über die Baustoffe. Einzelheiten des Konstruktionsskizzenbuches; das Untergestell. Forts. folgt.

American passenger locomotives. Von Leigh. (Proc. Inst. Civ. Eng. 01 Teil 4 S. 207/15 mit 1 Taf.) Allgemeines über die Konstruktionseigenheiten und Angaben über die Abmessungen einiger amerikanischer Lokomotiven.

Eisenhüttenwesen.

Amerikanische Eisenhütten und deren Hilfsmittel. Von Langheirich. Forts. (Stahl u. Eisen 1. Nov. 01 S. 1168/84* mit 1 Taf.) Bessemer-Anlage der Carnegie Steel Co. in Duquesne, der Lorain Steel Co. in Lorain, der National Steel Co. in Youngstown, Martinofenanlage der Firma McKintosh, Hemphill & Co. in Pittsburg, der Carnegie Steel Co. in Homestead, der American Iron & Steel Co. in Pittsburg und der Illinois Steel Co. in 84d-Chicago. Walzwerkanlage der Carnegie Steel Co. in Homestead und der Edgar Thomson Works. Forts. folgt.

Eisenkonstruktionen, Brücken.

A graphical method for the solution of stresses in the continuous girder, as applied to drawbridges. Von Barton. (Proc. Am. Soc. Civ. Eng. Okt. 01 S. 924/40*) Berechnung von durchgehenden Trägern nach dem Verfahren von Müller-Breslau.

The Redheugh bridge. (Engng. 8. Nov. 01 S. 644/46* mit 1 Taf.) Einzelheiten der Pfeiler, der Zufahrtrampen und der Fahrbahn der in Zeitschriftenschau v. 19. Okt. und 2. Nov. 01 erwähnten Brücke.

Bridges in the Pan-American Exposition grounds. (Eng. Rec. 26. Okt. 01 S. 294*) Darstellung einer kleinen in Holz ausgeführten Bogenbrücke von rd. 10 m Spannweite.

Melan arch park bridges at Washington, D. C. Von Douglas. (Eng. News 31. Okt. 01 S. 323/25 mit 1 Taf.) Beschreibung der Arbeiten beim Bau zweier Zement-Eisen-Brücken von 7,3 und 24,3 m Spannweite.

Some examples of concrete and expanded metal in municipal structures. (Eng. Rec. 26. Okt. 01 S. 328/29*) Darstellung eines Wasserleitungs- und eines Abwasserkanals aus Beton mit Streckmetalleinlage.

¹⁾ Die Zeitschriftenschau wird, nach den Stichwörtern in Vierteljahrsheften zusammengefasst und geordnet, gesondert herausgegeben, und zwar zum Preise von 3 M. pro Jahrgang für Mitglieder, von 10 M. pro Jahrgang für Nichtmitglieder.

Elektrotechnik.

Das Gesetz der magnetischen Induktion. Von Müllendorff. (Elektrot. Z. 7. Nov. 01 S. 925/28) Der Verfasser entwickelt ein neues Verfahren, um die magnetische Induktion rein analytisch zu bestimmen.

Schnellbahnmotoren mit Phasenkompensierung. Von Heyland. (Elektrot. Z. 7. Nov. 01 S. 924/25) Es wird vorgeschlagen, die asynchronen Bahnmotoren, die mit Ueberlastung anlaufen sollen, bei Ueberlastung für eine Phasenverschiebung von $\cos \varphi = 0,9$ zu konstruieren, für normalen Lauf dagegen die Phasenverschiebung auf $\cos \varphi = 1$ auszugleichen.

Erd- und Wasserbau.

Description of Coos Bay, Oregon, and the improvement of its entrance by the Government. (Proc. Am. Soc. Civ. Eng. Okt. 01 S. 943/57) Meinungsaustausch zu dem in Zeitschriftenschau v. 18. Mai 01 erwähnten Aufsatz.

Bank revetment on the lower Mississippi River. Von Le Vasseur. (Eng. News 31. Okt. 01 S. 322/23*) Eingehende Beschreibung der Verfahren zur Uferbefestigung, Konstruktion und Anordnung der Faschinen.

Troggleisen auf geneigten Fahrbahnen mit besonderer Rücksichtnahme auf die Erhaltung eines ruhigen Wasserspiegels. Von Gröger. (Z. österr. Ing.- u. Arch.-Ver. 1. Nov. 01 S. 735/26* mit 1 Taf. u. 8. Nov. S. 745/56*) Bewegung von Troggleisen auf Fahrbahnen. Beziehungen zwischen der Gestalt der Fahrbahn und der Bewegung. Bewegung von Troggleisen auf Fahrbahnen mit Übergangsgefallen unter Berücksichtigung der Bewegungswiderstände. Konstruktion elastischer Schiffschienen.

Die Bauarbeiten am Simplontunnel. II. Von Pestalozzi. (Schweiz. Bauz. 9. Nov. 01 S. 205/08*) S. Zeitschriftenschau v. 16. Nov. 01. Forts. folgt.

The location and construction of railway tunnels with particulars of some recent work. Von Rogers. (Proc. Inst. Civ. Eng. 01 Teil 4 S. 191/201) Kostenanschläge für Tunnelausführungen. Festlegen der Tunnelachsen. Bohrverfahren. Schilderung der in den verschiedenen Ländern üblichen Tunnelbauverfahren.

The new subway in New York City. Von Prelini. Forts. (Engng. 8. Nov. 01 S. 637) Die Ausführung des dritten Streckenabschnittes von der Great Jones-Straße bis zur 33. Straße. Forts. folgt.

Explosionsmotoren und andere Wärme- und Kraftmaschinen.

Représentation graphique du cycle des moteurs à pétrole. Von Nerdenz. (Rev. Méc. 31. Okt. 01 S. 432/34*) Entwicklung eines dem Zeunerschen Schieberdiagramm ähnlichen Diagrammes für den Viertakt der Gas- und Petroleummaschinen.

Gas-engine research. Second report to the gas-engine research committee. Von Burstall. Schluss. (Engng. 8. Nov. 01 S. 663/67*) Wiedergabe weiterer Versuchsergebnisse in Tabellen und Schaulinien.

Gas-engine Research. (Engng. 8. Nov. 01 S. 637/40*) Schluss des Meinungsaustausches zu dem vorstehenden Bericht von Burstall.

The Nash gas-engine. (Eng. News 31. Okt. 01 S. 327/28*) Die Motoren werden von der National Meter Co. in New York gebaut. Sie arbeiten im Viertakt; die Zündung ist elektrisch.

Der Spiritus-Motor. Von Aitmann. (Motorwagen 31. Okt. 01 S. 262/63) Meinungsaufserung zu dem in Zeitschriftenschau v. 19. Okt. 01 erwähnten Aufsatz von Neuberg.

Gasindustrie.

Modern practice in the manufacture and distribution of gas. Von Jones. (Proc. Inst. Civ. Eng. 01 Teil 4 S. 43/120 mit 1 Taf.) Allgemeine Erörterungen über wirtschaftliche Gaserzeugungsverfahren. Anreicherung des Gases zwecks Erhöhung der Leuchtstärke. Gasreinigung. Anordnung von Gasbehältern. Gasleitungen. Meinungsaustausch.

The Acme gas for fuel, light and power purposes. (Iron Age 24. Okt. 01 S. 11/12*) Das Acme-Gas wird aus Petroleum zu einem sehr billigen Preise hergestellt und findet vielfache industrielle Verwendung. Beschreibung einer derartigen Gasanlage.

Neuere Acetylenentwickler und Zubehör. Forts. (Dingler 9. Nov. 01 S. 719/22*) Sammelbehälter für Acetylen aus Seiffert; Acetylenentwickler von Knappich, von van Praag & Harker, von Fröhlich, von Plintz, von Hansen und Krätting; Deckelverriegelung für Acetylenentwickler von Brenner-Senn. Vorrichtung zur Umsteuerung des Wasserzulaufes von Fischer. Forts. folgt.

The Cockerill apparatus for cleaning blast furnace gas. (Engineer 8. Nov. 01 S. 487*) Das Gas wird durch ein Kreisradgähse angesaugt, in dessen Gehäuse es sich mit Wasser mischt. Die Verunreinigungen des Gases werden hierdurch niedergeschlagen.

Verwendung der Hochofengase in Gasmaschinen. Von Lürmann. (Stahl u. Eisen 1. Nov. 01 S. 1154/55) Zusammenstellung der spezifischen Gewichte, der zur Verbrennung erforderlichen Luft-

mengen, der Heizwerte, der Verbrennungstemperatur usw. für die Hoch-ofengase verschiedener Hüttenwerke.

Gerundheitsingenieurwesen.

The sewerage and sewage disposal of Burton-upon-Trent. Von Smith. (Proc. Inst. Civ. Eng. 01 Teil 4 S. 262/78*) Die Abwässer werden, nachdem sie mit einer Kalklösung durchsiedet sind, auf Rieselfelder gepumpt. Beschreibung des Pumpwerkes und der neu angelegten Abwässerkanäle. Bericht über Reinigungsversuche auf Kohlenfiltern.

Gießerei.

Iron foundries and foundry practice in the United States. VII. (Engineer 8. Nov. 01 S. 478/74) Arbeit des Chemikers in der Eisengießerei. Vorschriften amerikanischer Gießereien über die Beschaffenheit des Roheisens.

Patternmaking. Von Richardson. (Am. Mach. 9. Nov. 01 S. 1189/91*) Kurze Beschreibung der Herstellung von kreisringförmigen Holzmodellen mithilfe der Kreissäge.

Hebesenke.

20-ton locomotive steam crane, constructed by Messrs. John H. Wilson & Co., Limited Engineers, Liverpool. (Engng. 8. Nov. 01 S. 681*) Schaubild und Angabe der Abmessungen, zulässigen Belastungen usw. des fahrbaren Drehkranes mit lotrecht beweglichem Ausleger.

Mise en place d'une bigue de 120 tonnes dans le port de Havre. Von Dantin. (Génie civ. 9. Nov. 01 S. 17/31* mit 1 Taf.) Allgemeines über die Hebesenke im Hafen von Havre. Darstellung des mittels Druckwassers betriebenen Scherenkranes. Konstruktion der Beine. Anordnung der Hub- und Senkvorrichtungen. Aufstellung des Krans.

Heizung und Lüftung.

Gusseiserne Kessel für Warmwasser- und Niederdruckdampfheizung. Von Schiele. (Gesundheitsing. 31. Okt. 01 S. 325/27) In der Abhandlung über die zweckmäßige Konstruktion und die Vorteile von gusseisernen Kesseln werden die Forderungen nach gleichmäßiger Ausdehnbarkeit des Kessels im Betriebe und nach Vorsichtsmaßregeln bei der Abkühlung nach dem Guss betont. Beispiel für die Leistungsfähigkeit derartiger Kessel. Unterteilung größerer Kessel. Vorteile hinsichtlich der Größe, der Oberfläche und der Widerstandsfähigkeit gegen Rosten. Leitlinie für die Konstruktion von Einzelteilen und die Gesamtanordnung. Leistung und Wirtschaftlichkeit.

Fernstellklappen und Fernthermometer. Von Schultze. (Gesundheitsing. 31. Okt. 01 S. 327/29) Beschreibung der Konstruktion und Wirkungsweise einer elektrisch betriebenen Fernstellklappe mit elektrischem Rückmeldeapparat von Mönich, der den Stand der Klappe in jedem Augenblick erkennen lässt. Beschreibung eines Signalthermometers mit veränderlicher höchster und niedrigster Meldetemperatur.

Hochbau.

Die Hilfsmittel zum Schutze des Eisens gegen Feuergefahr auf der Internationalen Ausstellung für Feuerschutz zu Berlin 1901. Von Gary. (Stahl u. Eisen 1. Nov. 01 S. 1163/67*) Überblick über die ausgestellt gewesenen Umhüllungsstoffe und feuer-sicheren Decken in Zement-Eisen-Konstruktion.

The East Orange town hall roof. (Eng. Rec. 26. Okt. 01 S. 403/04*) Skizzen und Beschreibung der Dachanordnung des genannten Gebäudes in Holz-Eisen-Konstruktion.

Holzbearbeitung.

Bewährte Konstruktionen von Werkzeugmaschinen. (Z. Werkzeugm. 5. Nov. 01 S. 56/57*) Zeichnungen und kurze Angaben über eine Bestofkreissäge.

Kälteindustrie.

Die Eisfabrik der Approvisionierungs-Gewerbe in Wien. Von Hermann. (Z. Österr. Ing.- u. Arch.-Ver. 8. Nov. 01 S. 756/59* mit 1 Taf.) Allgemeines über die Fabrikanlage. Maschinelle Einrichtung. Gebäude. Anlagekosten. Betriebsverhältnisse.

Versuche an Kühlmaschinen verschiedener Systeme im praktischen Betriebe. Von Lorenz. (Z. Kälte-Ind. Okt. 01 S. 181/85*) Untersuchung der Dampf- und Kühlmaschinenanlage auf dem städtischen Schlachthof zu Mainz.

Revision und Instandsetzung von Kohlensäure-Kältemaschinen-Anlagen. Von Hins. Schluss. (Eis- u. Kälte-Ind. 5. Nov. 01 S. 68/69) Auffüllen und Wiedereingangssetzen der Maschine.

Die Fabrikation der flüssigen Kohlensäure. Von Schmaltz. (Eis- u. Kälte-Ind. 5. Nov. 01 S. 65/68*) Herstellung der Kohlensäure aus Karbonaten, kohlensaurer Magnesia, mittels Schwefel- oder Salzsäure. Forts. folgt.

Maschinenteile.

An arrangement of shafting for a machine shop. (Am. Mach. 9. Nov. 01 S. 1188/89*) Anordnung der Transmissionen und Vorgelege zum Antrieb kleiner Drehbänke in einer kürzlich in Schweden von der Firma Geo. Richards in Brüssel errichteten Werkstatt.

Embrayages à spirale, système Lindsay. Von Morin. (Génie civ. 9. Nov. 01 S. 35/36*) Darstellung der Konstruktion und Wirkungsweise der auf dem Grundgedanken der Selbstbremsen beruhenden elastischen Kupplung.

Materialkunde.

De l'emploi de l'acier au nickel dans les constructions navales. Von Brocard. (Ann. Mines 01 Heft 7 S. 34/40) Allgemeine Erörterungen über die Vorteile, welche die Anwendung von Nickelstahl bietet. Eigenschaften des gewöhnlichen Kohlenstoffstahles. Zusammensetzung und Festigkeit des Nickelstahles. Betrachtungen über den hohen Preis des Nickelstahles und über die Schwierigkeiten bei seiner Herstellung.

Mathematik.

Sur la construction des machines algébriques. Von Torres. Schluss. (Rev. Méc. 31. Okt. 01 S. 420/31*) Aufbau einer

$$Ax^6 + Bx^5 + Cx^4 + Dx^3 + Ex^2$$

Maschine zur Konstruktion des Ausdrucks

$$Fz^4 + Gz^3 + Hz^2$$

Maschine zur Konstruktion einer Gleichung zweiten Grades mit komplexen Koeffizienten. Vertauschung der Wurzeln auf mechanischem Wege.

Mechanik.

Berechnung der hölzernen Säulen auf Knickfestigkeit. Von v. Thullie. (Z. Österr. Ing.- u. Arch.-Ver. 8. Nov. 01 S. 761/62*) Wiedergabe von Diagrammen, die die Berechnung hölzerner Säulen nach der Knickformel Tetmajers sehr erleichtern.

Note on the deflection of a beam with overhanging ends. Von Moore. (Proc. Inst. Civ. Eng. 01 Teil 4 S. 328/28*) Bestimmung der Durchbiegung eines Balkens, der durch gleichmäßig verteilte Lasten und durch Lasten, welche in einem Punkte aufliegen, beansprucht wird.

A comparison of the flow of water in a river with that in a small scale model of the river. Von Hearson. (Proc. Inst. Civ. Eng. 01 Teil 4 S. 216/22) Der Verfasser weist nach, in welchen Verhältnissen die in Versuchsbehältern gefundenen Werte über Wasserwiderstand zu denen der Wirklichkeit stehen.

Experiments at Detroit, Mich., on the effect of curvature upon the flow of water in pipes. (Proc. Am. Soc. Civ. Eng. Okt. 01 S. 958/66) Meinungsaustausch zu dem in Zeitschriftenschau v. 15. Juni 01 erwähnten Aufsatz.

Messgeräte und -verfahren.

Gallendar's portable indicator for platinum thermometer. (Engng. 8. Nov. 01 S. 644*) Darstellung, Schaltschema und Gebrauchsanweisung einer tragbaren Wheatstoneschen Brücke für das in Zeitschriftenschau v. 10. Juni 99 erwähnte Wärmemessgerät.

Metallbearbeitung.

The Fostick & Holloway drilling machine. (Iron Age 24. Okt. 01 S. 1/4*) Schaubild und eingehende Beschreibung der wesentlichsten Einzelheiten einer von der Fostick & Holloway Maschine Tool Co. in Cincinnati gebauten Kranbohrmaschine.

Slotting machine at the Glasgow Exhibition. (Engng. 8. Nov. 01 S. 643*) Die von Sharp, Stewart & Co., Glasgow, angeordnete lotrechte Stoffmaschine hat rd. 400 mm Hub und 1000 mm Tischdurchmesser. Sie zeichnet sich durch Verstellbarkeit des Tisches gegen die wagerechte Ebene aus, sodass kegelige Maschinenteile genutt werden können.

Prüfung von Schleifsteinen. Von Kirsch. Schluss. (Z. Werkzeugm. 5. Nov. 01 S. 53/54) Die Ergebnisse der Versuche werden in 5 Leitsätze zusammengefasst.

The Pan-American Exhibition. IV. (Am. Mach. 9. Nov. 01 S. 1177/79*) Ausstellung der Bickford Drill & Tool Company.

Making molds in telephone receiver works. Von Woodworth. (Am. Mach. 9. Nov. 01 S. 1187/88*) Schilderung der Werkzeuge und Verfahren zur Herstellung von Gussformen zum Pressen von Schallfrichtern für Telephone.

Geschwindigkeitsmesser. (Z. Werkzeugm. 5. Nov. 01 S. 57/58*) Das von Bopp & Reuther in Mannheim hergestellte Gerät dient zum Feststellen der Umfangsgeschwindigkeit abzdrehender Gegenstände.

Metallhüttenwesen.

Fortschritte im Metallhüttenwesen. Von Bahlsen. Forts. (Stahl u. Eisen 1. Nov. 01 S. 1184/86) Fortschritte in der Nickel- und Zinkherzeugung. Schluss folgt.

Motorwagen und Fahrräder.

Der Wettbewerb für Motorlastwagen zu Liverpool vom 8. bis 7. Juni 1901. Forts. (Motorwagen 31. Okt. 01 S. 260/61*) Der Dampflastwagen Benart Mann. Forts. folgt.

Alcohol motor car trials in France. (Engineer 8. Nov. 01 S. 475/76*) Bericht über eine Wettfahrt von der Porte Maillot nach Achères und allgemeine Erörterungen über die dabei verwendeten Spiritusmotorwagen.

Die hydraulische Kraftübertragung und W. v. Pittlers Motorwagen. Von Conrad. (Motorwagen 31. Okt. 01 S. 255/60) Kritische Untersuchung des Kraftwagens, in dessen Vorderwagen eine

mittels Benzinmotors getriebene Presspumpe steht, deren Druckwasser zwei mit den Hinterrädern unmittelbar gekuppelte Druckwassermotoren antreibt.

Physik.

Die Spannung des Wasserdampfes und die Dampfspannungsformeln. Von Mewes. (Dingler 9. Nov. 01 S. 717/19) Kurzer Bericht über die bisherigen Versuche über das Spannungs-gesetz des Wasserdampfes und über die hierfür aufgestellten Formeln.

Zum zweiten Hauptsatz der mechanischen Wärmetheorie. Von Donizot. (Z. Kalte-Ind. Okt. 01 S. 192/95*) Es wird nachgewiesen, dass der integrierende Faktor des Differentialausdruckes, welcher sich für die Wärmemenge bei einer unendlich kleinen Zustandsänderung aus dem ersten Hauptsatz ergibt, mit dem Wirkungsgrad eines unendlich kleinen Carnotschen Kreisprozesses in naher Beziehung steht. Schluss folgt.

Pumpen und Gebläse.

Compound duplex feed pumps at the Glasgow Exhibition. (Engng. 8. Nov. 01 S. 643*) Die von S. H. Carruthers & Co. in Glasgow für die Dampfkessel der Ausstellung gelieferten Pumpen haben stehende Bauart. Die beiden Hochdruckzylinder sind in Tandemform über den Niederdruckzylindern angeordnet. Die Maschine hat 127 und 230 mm Dampfcyl.-Dmr., 137 mm Pumpencyl.-Dmr., 254 mm Kolbenhub und leistet bei mäßiger Hubzahl 450 ltr./min.

A new steam vacuum pump with positive valve motion. (Eng. News 31. Okt. 01 S. 334*) Die von der Emerson Pump Co. in Washington gebaute Pumpe zeichnet sich durch eigenartige Steuerung des Dampfeinlassventiles aus.

Schiffe und Seewesen.

Les marines de guerre modernes. Von Chassaloup-Laubat. Forts. (Bull. d'Enceur. Okt. 01 S. 484/506*) Linfenschiffe, Panzerkreuzer und geschützte Kreuzer der italienischen Kriegsmarine. Forts. folgt.

Straßenbahnen.

Die Berechnung der Motorleistung im Bahnbetrieb. Von Müller. (Elektrot. Z. 7. Nov. 01 S. 921/24) Eingehende theoretische Untersuchung über die Frage, inwiefern irgend ein gegebener Motor für einen ebenfalls bekannten Bahnbetrieb geeignet ist.

Bericht über die Anwendung der schraubenlosen Schienenstosserverbindung (Schlensenschuh) System »Schelling & Hofmann« bei der elektrischen Straßenbahn Linie-Urfahr. Von Koetensky. (Z. f. Elektrot. Wien 10. Nov. 01 S. 543/45*) An-

gaben über die Ausrüstung der Strecke mit der bereits in Zeitschriften-schau v. 16. März 01 erwähnten Schienenstosserverbindung. Ausführung der Versuche und Wiedergabe der sehr günstigen Versuchs- und Betriebsergebnisse.

Wasserversorgung.

Wasserversorgung von Moskau. (Gesundheitsg. 31. Okt. 01 S. 322/24) Angaben über die alten Wasserwerke bei Mitishi vom Jahre 1779 für 3785 ehm, vom Jahre 1858 und vom Jahre 1890/92 mit 3 liegenden Dreifach-Expansionsmaschinen, gekuppelt mit Riedler-Pumpen, für 18920 ehm tägliche Leistung. Entwurf für die neue Wasserversorgungsanlage, bei der das Grundwasserwerk in Mitishi für 43000 ehm tägliche Leistung ausgebaut und ein Flusswasserwerk von 172000 ehm Leistung errichtet werden soll.

The Burrator works for the water supply of Plymouth. Von Sandeman. (Proc. Inst. Civ. Eng. 01 Teil 4 S. 2/42*) mit 1 Taf.) Das Wasser wird einem nördlich von der Stadt angelegten Staubecken von rd. 3 Millionen ehm Fassungsvermögen entnommen und durch eine Rohrleitung von 635 mm Dmr. den Hochbehältern der Stadt zugeleitet. Schilderung der Arbeiten bei der Anlage des Staubeckens. Einzelheiten der Entnahmeventile und der Leitung. Meinungsaustausch.

Water supply on the Yilgarn Railway, Western Australia. Von Shields. (Proc. Inst. Civ. Eng. 01 Teil 4 S. 242/57) Da das Land stellenweise wasserarm ist, wird das Wasser an drei wasser-reicheren Punkten durch Drainage gesammelt, in Staubehältern geleitet und von hier an die Haltestellen der Strecke abgegeben.

Mitteilungen über den jetzigen Stand der Konstruktion von Armaturen für Wasserleitungen. Von Reuther. (Gesundheitsg. 31. Okt. 01 S. 329/32*) Darstellung und Erläuterung der Konstruktion von Absperrschiebern und Wasserpfosten. Schluss folgt.

Werkstätten und Fabriken.

The works and some of the product of Alfred Herbert, Ltd., of Coventry, England. II. (Am. Mach. 9. Nov. 01 S. 1179/84*) Schaubilder der Schleifmaschinen, der Hobelmaschinen- und der Fräsmaschinenabteilung, der Zusammenbauwerkstatt, der Abteilung für die Herstellung von Spindelstöcken, der Werkstatt zur Prüfung der fertigen Maschinen.

Zucker- und Stärkeindustrie.

A sugar-cane triple-crushing plant. Von Jordan. (Engng. 8. Nov. 01 S. 646*) Beschreibung einer von D. Stewart & Co., Glasgow, für die Egyptian Sugar and Land Company errichteten Anlage und Schilderung des Betriebsabganges.

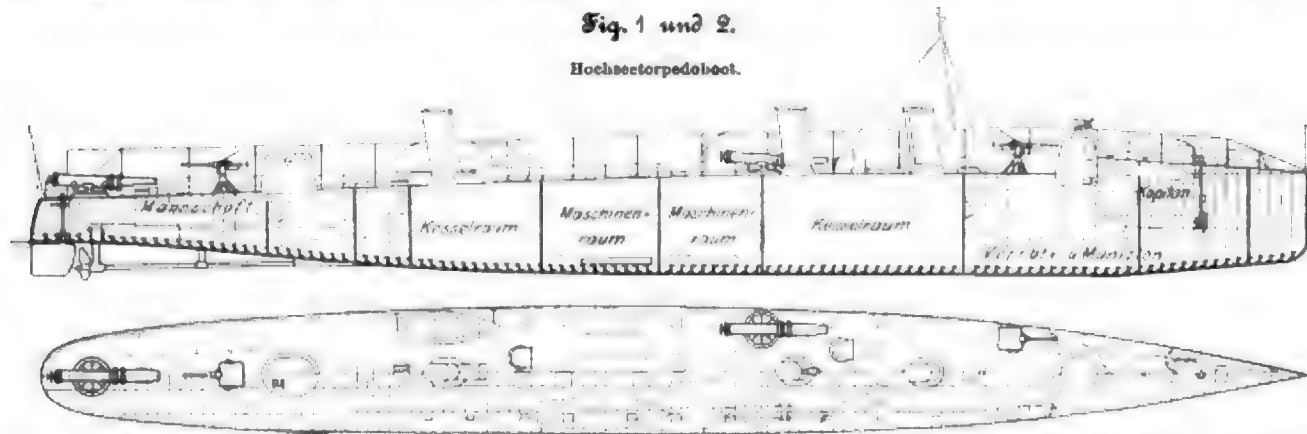
Rundschau.

Die unlängst für die Marine der Vereinigten Staaten von Nordamerika fertiggestellten Hochseetorpedoboote »Shubrick« und »Thornton« haben ihre Probefahrten mit gutem Erfolge abgelegt. Die beiden Schiffe, von denen Fig. 1 und 2 einen Längsschnitt und eine Deckansicht darstellen, sind auf der Werft der William R. Trigg Co. in Richmond, Va.,

fachexpansionsmaschinen, die hintereinander in zwei getrennten Räumen aufgestellt sind, und zwar die vordere Maschine an der Steuerbordseite, die hintere an der Backbordseite. Der Dampf wird in 3 Thornycroft-Kesseln erzeugt, von denen zwei in einem Raume vor dem vorderen Maschinenschott, der dritte hinter dem hinteren Maschinenschott angeordnet ist. Im vor-

Fig. 1 und 2.

Hochseetorpedoboot.



nach denselben Plänen gebaut¹⁾. Der Schiffskörper enthält 10 wasserdichte Abteilungen und hat bei 53,5 m äußerster Länge eine Breite von 6,3 m über Hauptapant. Er ist gänzlich aus Flußeisen hergestellt und enthält 115 Spanten, die 467 mm Abstand voneinander haben. Bei kriegsmäßiger Belastung beträgt die Wasserverdrängung des Schiffes 215 t und der Tiefgang 1,65 m. Zum Antriebe dienen 2 viercylindrige Drei-

deren Teile des Schiffes befinden sich Kammern für den Kapitän und die Offiziere, Räume für Munition, Torpedos und Vorräte, sowie eine Abteilung zur Aufnahme von Wasserballast. Die Bunker, in denen 80 t Kohle untergebracht werden können, sind zu beiden Seiten der Maschinen- und Kesselräume angeordnet. Mannschaftsräume und Kitchens befinden sich im Hinterteil des Schiffes; ebendasselbst ist auch eine Abteilung für Wasserballast vorgesehen. Die Lage des Torpedomagazins vorn dicht unter Deck erscheint nicht sehr zweckmäßig, da dieser Teil besonders feindlichem Geschützfeuer ausgesetzt

¹⁾ Journal of the American Society of Naval Engineers August 1910 S. 586.

ist und schon die Explosion eines ungeladenen, nur mit Druckluft gefüllten Torpedos großes Unheil anrichten könnte. Die Bewaffnung des Bootes besteht aus 3 leichten Maxim-Geschützen und 3 Torpedo-Ueberwasser-Lanziröhren, für die 5 Torpedos mitgeführt werden.

Die vier Cylinder der Hauptmaschine von 356, 558 und 2×640 mm Dmr. bei 457 mm Hub ruhen auf geschmiedeten Stahlsäulen, die durch Streben aus Gussstahl versteift sind. Kolbenstangen, Pleuelstangen, Kreuzköpfe, Kurbel- und Schraubenwellen sind aus geschmiedetem Nickelstahl hergestellt. Die dreiflügeligen Schrauben bestehen aus versinterter Manganbronze und haben 1727 mm Dmr. und 2740 mm Steigung. Die Kessel arbeiten mit 17 at Druck und haben je 3 einseitige Feuerungen; die Rostfläche jedes Kessels beträgt 4,1 qm, die Heizfläche 226 qm. Zur Erzeugung von künstlichem Zug sind 3 Gebläsemaschinen aufgestellt, die durch gesondert angetriebene Dampfmaschinen bewegt werden.

In den Lieferbedingungen war für die Probefahrt eine Geschwindigkeit von 26 Knoten vorgeschrieben, die jedoch besonders bei »Thornton« überschritten wurde, wie Fig. 3 erkennen lässt.

In unserm Bericht über das Schiff der deutschen Südpolar-Expedition »Gauß«¹⁾ war mitgeteilt worden, dass sich an Bord ein Windmotor zum Antrieb einer Dynamomaschine befindet. Als Ergänzung dazu ist in Fig. 4 und 5 dieses Windrad dargestellt, das die Firma Theodor Reuter & Schuman in Kiel erbaut hat. Wie man erkennt,

¹⁾ Z. 1900 S. 1256.

Fig. 3.

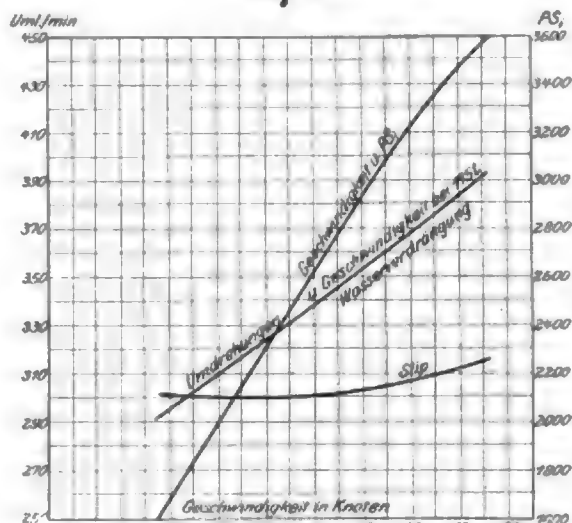
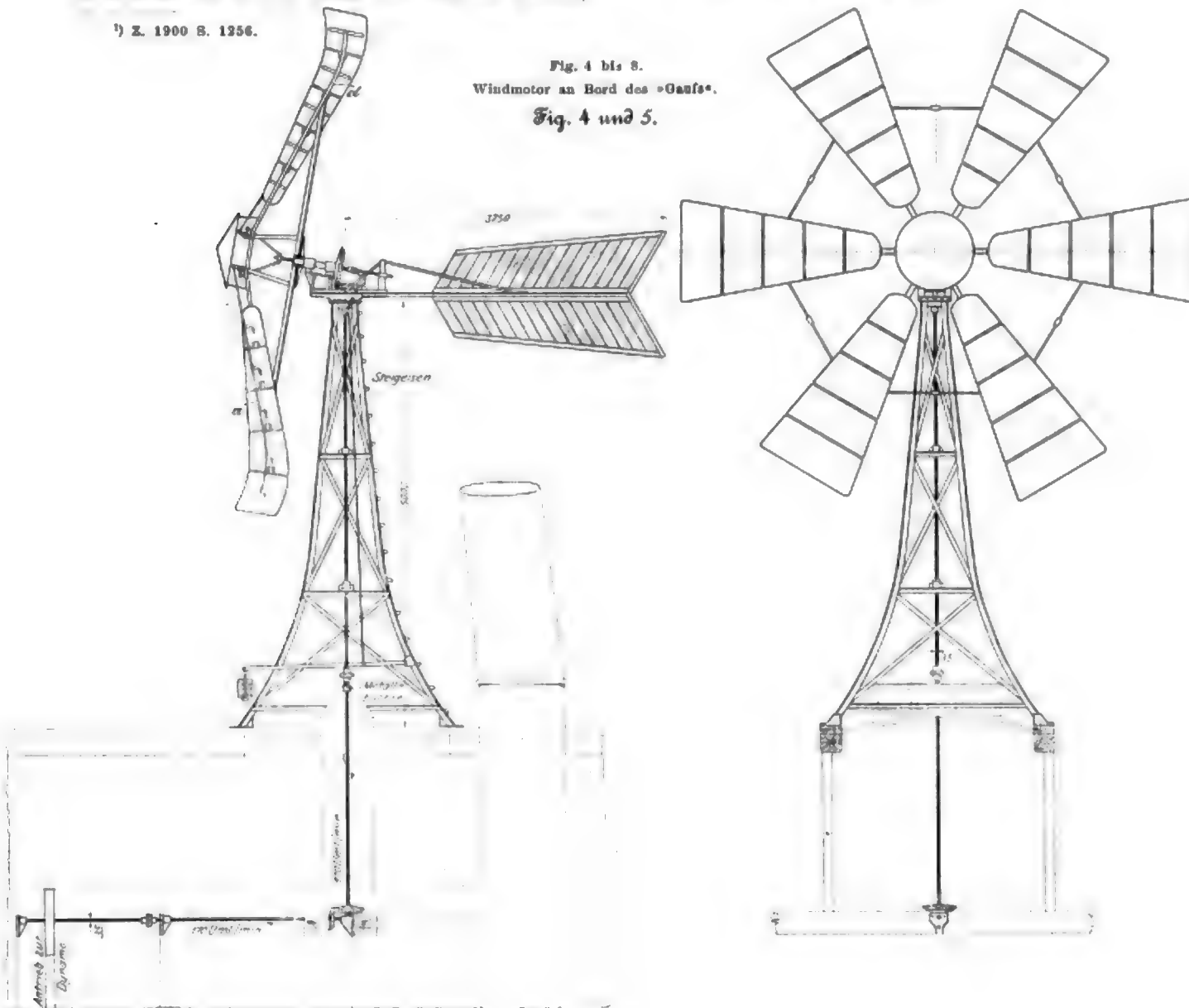


Fig. 4 bis 8.
Windmotor an Bord des »Gauß«.

Fig. 4 und 5.



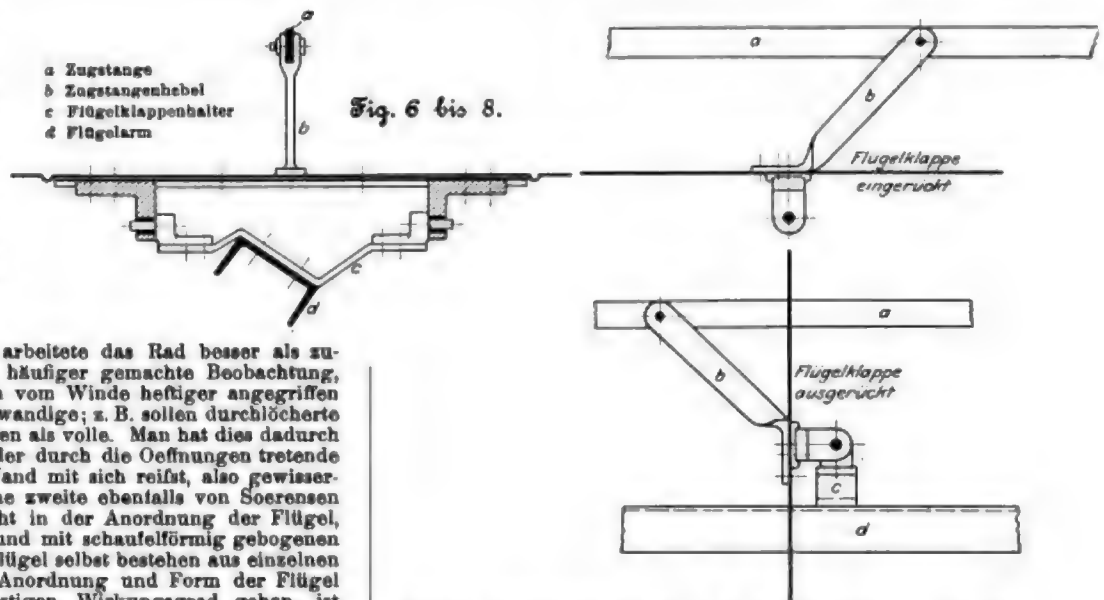
sind die Konstrukteure dieses Windrades von dem Grundgedanken der amerikanischen Räder, die einen vollen Kranz haben, abgewichen und zur Form der holländischen Windmühlen mit einzelnen Flügeln zurückgekehrt. Diesem Vorgehen liegen Erfahrungen und Versuche des dänischen Mühlenbauers Soerensen zugrunde. Diesem wurden nämlich aus einem 10flügeligen Rade durch einen Sturm 4 Flügel ausgebrochen, und wider Erwarten arbeitete das Rad besser als zuvor. Es ist übrigens eine häufiger gemachte Beobachtung, dass durchbrochene Flächen vom Winde heftiger angegriffen werden als gleich große vollwandige; z. B. sollen durchlöchernte Segel sich günstiger verhalten als volle. Man hat dies dadurch zu erklären versucht, dass der durch die Öffnungen tretende Wind die Luft hinter der Wand mit sich reißt, also gewissermaßen saugend wirkt. Eine zweite ebenfalls von Soerensen herrührende Eigenart besteht in der Anordnung der Flügel, die in einen Kegel gestellt und mit schaufelförmig gebogenen Enden versehen sind. Die Flügel selbst bestehen aus einzelnen gewölbten Klappen. Dass Anordnung und Form der Flügel einen ganz besonders günstigen Wirkungsgrad geben, ist durch Versuche des dänischen Professors la Cour nachgewiesen.

Die Geschwindigkeit des Windrades wird selbstthätig geregelt; beim Uberschreiten der zulässigen Umlaufzahl richten sich nämlich die einzelnen Klappen, aus denen sich die Flügel zusammensetzen, infolge der Fliehkraft auf, und zwar entgegen der Wirkung eines Gewichtes, das durch Vermittlung von Hebeln und Zugstangen an den Klappen angreift. Die Befestigung der Klappen und ihre Verbindung mit der Zugstange sind in Fig. 6 bis 8 besonders dargestellt. Die Einstellung des Rades in den Wind wird mithilfe einer Windfahne erzielt.

Das für den »Gauß« gebaute Rad hat einen Flügeldurchmesser von 5,5 m und soll bei einer Windgeschwindigkeit von 7 m/sk 1½ PS leisten. Seine Aufstellung zwischen dem Schornstein und dem hinteren Mast sowie seine Verbindung mit den Dynamomaschinen lassen sich aus Fig. 4 und 5 ersehen. Zwar ist zum Betrieb der Dynamo eine Dampfmaschine vorhanden; man hat jedoch, um Kohle zu sparen, ähnlich wie auf dem Nansenschen Schiff »Frame, außerdem ein Windrad für wünschenswert gehalten. Während der Fahrt ist das Rad zerlegt und an Deck verstant. Es soll erst aufgestellt werden, wenn das Schiff im Elbe liegt. Für alle empfindlichen Teile sind Ersatzstücke vorhanden, und die dem Frost ausgesetzten Zahnräder sind aus Bronze hergestellt.

Unsere Mitteilungen über den Wasserandrang auf der Südseite des Simplontunnels¹⁾ ergänzen wir nachstehend durch einige Ausführungen, die auf Angaben der Baugesellschaft für den Simplontunnel beruhen.

Ende September wurde auf der Südseite im Stollen I mit den Bohrmaschinen eine Wasserspalte angebohrt; aus dem 70 mm weiten Bohrloch floss das Wasser unter außerordentlich hohem Druck, der auf 40 at geschätzt wurde, hervor und verursachte ein weithin hörbares Geräusch. Infolgedessen mussten die Arbeiten im

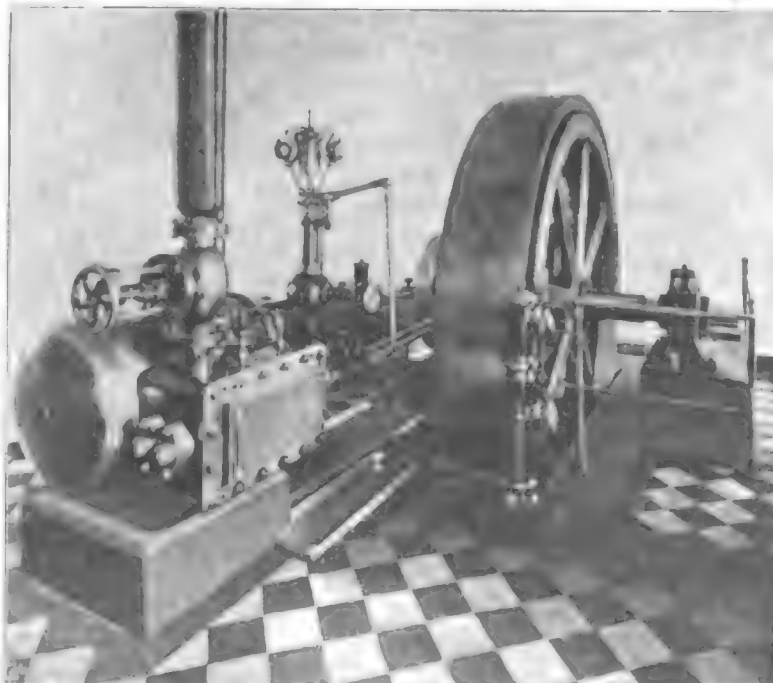


Stollen I aufgegeben werden. Die Wassermenge, die aus dem Bohrloch fließt, dürfte rd. 200 ltr/sk betragen.

Wenige Tage, nachdem die Arbeit im Stollen I eingestellt war, wurde auch in dem Parallelstollen II, der in gleicher Höhe wie jener, aber 17 m weit davon entfernt, vorgetrieben wird, Wasser unter hohem Druck angeschlagen, jedoch auf mehrere Punkte verteilt, sodass man zwar die Maschinenbohrung aufgeben musste, dagegen den Vortrieb mit Handbohrung aufrecht erhalten konnte.

Das Wasser wird jetzt vom Stollen I zum Stollen II hinübergeleitet und fließt durch den letzteren ins Freie, sodass die Ausweitungs- und Mauerarbeiten im Stollen I in gewohnter Weise fortbetrieben werden. Da außerdem bei dem weiteren Vordringen im Stollen II keine neuen Wasseradern mehr durchfahren wurden, so konnte man am 25. Oktober im Stollen II die Maschinenbohrung, wenn auch in vermindertem Umfange wieder aufnehmen. Der Wasserzufluss hat sich seither nicht vermindert und bedeutet für die Unternehmung eine erhebliche, aber immerhin nur vorübergehende Störung der Vortriebsarbeiten.

Fig. 9. Schwungradynamo der Helios E.-A.-G.



Anknüpfend an eine Bemerkung von A. Rothert in Z. 1901 S. 1531 geben wir in Fig. 9 die Ansicht einer Schwungradynamo, welche von der Helios E.-A.-G. in Köln-Ehrenfeld gebaut und schon im Februar 1887 an die Gesellschaft Elektra in Amsterdam geliefert worden ist.

An dieser Stelle sei noch bemerkt, dass der »Helios« bereits im Jahre 1885 langsamlaufende Dynamos baute, deren Geschwindigkeit bis auf diejenige der normalen Dampfmaschinentypen herunterging. Eine derartige Gleichstrommaschine leistete 100 PS bei 85 Uml./min.

Die erste Strecke der im Bau befindlichen New Yorker Stadtbahn, die in einem offenen Einschnitt geführt ist, war zweigleisig angelegt worden; als aber der Bau bereits seit rd. einem Jahre fertig war, stellte sich das Bedürfnis heraus, drei Gleise zu ver-

¹⁾ Z. 1901 S. 1619.

legen. Um den nötigen Raum zu gewinnen, hat man die Futtermauer um 1,478 m seitlich verschoben. Die Mauer bestand aus Beton und war mit Ziegeln verblendet; die Gesamtlänge betrug rd. 60 m, die Höhe wechselte zwischen 1,22 und 3,98 m, die Wandstärke betrug am Kopfe 0,914 m, am Fuße an der dicksten Stelle 2,488 m. Mithin dem ebenfalls aus Beton bestehenden Bahnkörper bildete die Futtermauer ein Ganzes. Zunächst wurde dieser Zusammenhang aufgehoben, indem man ein Stück des Bahnkörpers entfernte; gleichzeitig wurde auf der Außenseite der Futtermauer der Erdboden ausgehoben und an dem neuen Standort der Mauer eine Fundamentschicht aus Beton hergestellt. Dann bohrte man unterhalb der Mauer in Abständen von 0,91 bis 1,52 m Löcher in den Boden und schob Balken und darüber Gleitplatten aus Flusseisen hinein. Unter die ersten Balken legte man Querhölzer, die Keilen als Auflager dienten, mittels deren die Wand ein wenig angehoben wurde. Als die neue Betonschicht hinreichend abgehoben hatte, brachte man zwischen Bahnkörper und Mauerfuß wagerechte Schraubenwinden in Abständen von 0,91 m bis 1,52 m an, ließ diese nach bestimmten Signalen regelmäßig drehen, und in wenigen Stunden war die Verschiebung beendet. Dabei sind weder Risse oder Brüche aufgetreten, noch sind größere Abweichungen von der Geraden vorgekommen. (The Engineering Record 28. Oktober 1901)

Die Studiengesellschaft für elektrische Schnellbahnen teilt uns über die Versuche mit den Schnellbahnwagen der Allgemeinen Elektrizitäts-Gesellschaft¹⁾ und von Siemens & Halske A.-G.²⁾ Folgendes mit:

Bei dem großen Interesse, das dem Unternehmen der Studiengesellschaft allseitig entgegengebracht wird, erscheint es angezeigt, einige kurze Notizen über den Gang und die bisherigen Ergebnisse der Versuche bekannt zu geben und hierdurch die vielfach in öffentlichen Blättern gebrachten Mitteilungen zu ergänzen.

Anfang September wurde mit den Versuchen auf der kgl. Militär-Eisenbahn begonnen. Diese Versuche mit den beiden Schnellbahnwagen fanden zunächst unter Vorsepann einer Lokomotive statt, um die Wagen einzufahren und in ihren einzelnen Teilen regulieren zu können. Nach Beendigung der Vorversuche wurde mit den elektrischen Fahrten begonnen. Die Geschwindigkeit, welche im Beginn 60 km/st betrug, wurde nach und nach auf 100, 120, 140 km gesteigert und erreichte den Höchstwert mit 160 km/st bei einer Spannung des elektrischen Stromes in der Speiseleitung von mehr

¹⁾ Z. 1901 S. 1261 u. f.

²⁾ Z. 1901 S. 1869 u. f.

als 10000 V. Auf europäischen Eisenbahnen ist mit mehr als 130 km Geschwindigkeit bisher nicht gefahren worden, und die größte auf amerikanischen Bahnen erreichte Geschwindigkeit soll angeblich 140 km/st betragen haben.

Die Versuche sind sämtlich günstig verlaufen und haben zu wichtigen Beobachtungen über die Schnelligkeit des Anfahrens und des Bremsens bei größter Geschwindigkeit, über die Sichtbarkeit der Signale, über den Kraftverbrauch, den Luftwiderstand usw. Gelegenheit gegeben. Die elektrischen Leitungen, die Einrichtungen zur Stromabnahme, die elektrischen Apparate sowie die Wagen selbst haben sich vorzüglich bewährt, sodass in dieser Beziehung die Anwendung von noch größeren Geschwindigkeiten unbedenklich erscheint. Dagegen wird der übrigens gute und normale Oberbau der Militär-Eisenbahn nach den gemachten Beobachtungen für eine stärkere Inanspruchnahme nicht für genügend widerstandsfähig erachtet. Bevor die Versuche weitergeführt werden können, ist deshalb im Interesse der Sicherheit eine Verstärkung des Gleises und eine Verbesserung der Bettung auf der Versuchsstrecke erforderlich. Ueber den Umfang und die Ausführung dieser Arbeiten werden zurzeit Erhebungen angestellt.

Die Morgan Electric Machine Company in Chicago hat für mehrere Bergwerke in den Vereinigten Staaten Grubenbahnen mit einer Zahnstange geliefert, die gleichzeitig zur Zuführung des elektrischen Stromes dient. Die Zahnstange ist in hölzerne Längsschwellen derart eingebettet, dass sie einer Berührung schwer zugänglich ist, und liegt in der Nähe der einen Laufschiene, sodass der Raum zwischen den Schienen für Zugtiere freibleibt. (The Iron Age 31. Oktober 1901)

Die Technische Hochschule zu Karlsruhe hat die Herren Geh. Oberbaurat Dr. Zimmermann, Berlin, Geh. Hofrat Prof. Hart, Karlsruhe, Chemiker Hasenclever, Stolberg, und Chemiker Schaffler, Aumee, zu Doktoren ehrenhalber promoviert.

Die Technische Hochschule zu Hannover hat den Geheimen Rat Köpcke in Dresden anlässlich seines 70. Geburtstages zum Dr.-Ing. ehrenhalber ernannt.

Berichtigungen.

Z. 1901 S. 1601 in Fig. 9 lies statt α u. δ nur α .

Z. 1901 S. 401 Z. 13 v. u. lies $t_0 = -30^\circ$ statt $t_0 = 50^\circ$.

Patentbericht.

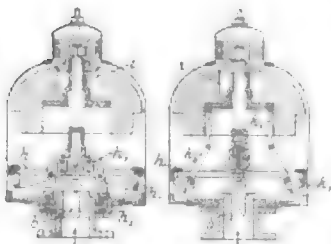
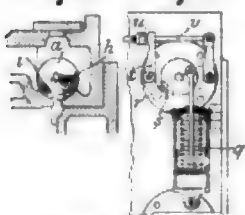


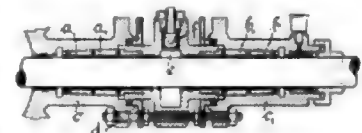
Fig. 2. Fig. 1.



Kl. 20. Nr. 123594. Schienenverbindungstüpfel. Siemens & Halske A.-G., Berlin. In die mit einem Längsschlitz b versehene Klemmbüchse a wird der Verbindungsdraht c eingesteckt und der Raum zwischen beiden mit Weichmetall ausgefüllt. Der Verbindungsdraht wird dadurch vor dem Locker- und Feuchtwerden geschützt.

Kl. 13. Nr. 123745. Mischventil. C. Georgi, Unterschleißheim bei Scheibenberg. Zwischen Ventilkugel und Belastungsgewicht i ist ein doppeltes Hebelsystem eingeschaltet, wobei i durch das erste Hebelsystem k_1, k_2 auf einen Ring h wirkt, durch den das mit ihm verbundene zweite Hebelsystem k_3, k_4 den Gewichtsdruck mittels eines einstellbaren Bolzens auf das Ventil b überträgt.

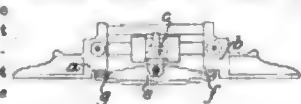
Kl. 17. Nr. 123911. Stopfbüchse für Gasverdichter. E. Ahlborn, Hildesheim. Zwei entgegengesetzt gerichtete, in der Längsrichtung geschlitzte Dichtungskegel a, b mit Weichmetallfütterung c, d werden beim Anziehen der Schrauben e in die Büchsen c, d und an die Kolbenstange gedrückt. Zwischen ihnen ist eine mit Rückschlagventil f versehene Kammer e angeordnet, die in bekannter Weise an die Saugleitung des Verdichters angeschlossen ist.

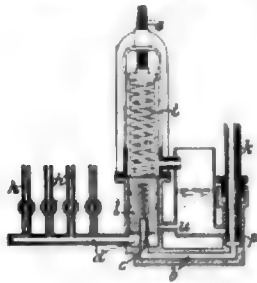
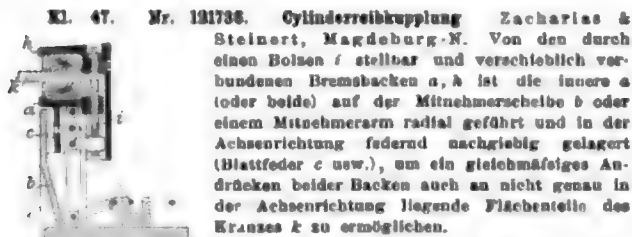
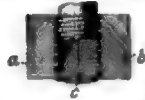


Kl. 21. Nr. 123790. Regenlampe. A. Voelker, Eberfeld. Die eine Elektrode besteht aus zwei durch Federdruck gegeneinander gepressten Kohlen a, b , die andere aus einer schräg oder rechtwinklig dazu stehenden Kohle c , die durch irgend eine Schaltvorrichtung getrieben, den Lichtbogen bildet und den Abbrand regelt. Diese Anordnung ermöglicht eine bessere Ausnutzung des Lichtkegels als früher.



Kl. 20. Nr. 123669. Streckenunterbrecher. M. Albrecht und O. Nikolai, Gleiwitz O/S. Das Stromschlüssstück e hängt so an dem Isolierkörper c , dass es die Endstücke a und b der Leitung nicht berührt. Kommt die Stromabnehmerrolle nach f , so wird f an b gepresst und stromführend. Hat die Rolle e verlassen, nachdem in g derselbe Vorgang stattgefunden hat, so wird der Strom gleichzeitig in ag und bf geöffnet, und die Öffnungsfunkeln verbleiben.



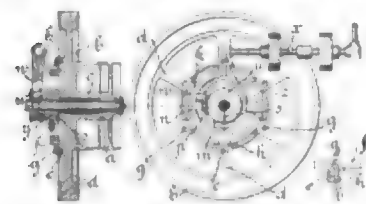
Öelförderung den Rücklauf ω öffnet.

Kl. 47. Nr. 121738. Zylinderreißkupplung. Zacharias & Steinert, Magdeburg-N. Von den durch einen Bolzen f stellbar und verschieblich verbundenen Bremsbacken a, b ist die innere a (oder beide) auf der Mitnehmerseibe b oder einem Mitnehmerarm radial geführt und in der Achsenrichtung federnd nachgiebig gelagert (Blattfeder c usw.), um ein gleichmäßiges Andrücken beider Backen auch an nicht genau in der Achsenrichtung liegende Flächenstellen des Kranses k zu ermöglichen.

Kl. 49. Nr. 119640 und 119882. Schaltgetriebe für Arbeitsmaschinen. Hugo John, in Firma J. A. John, Erfurt. Zeichnung und Beschreibung s. Z. 1901 S. 852.

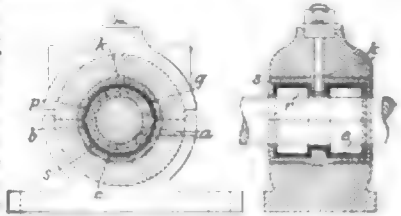
Kl. 47. Nr. 121640. Schmierpumpe. Schaffer & Budenberg, Magdeburg-Buckau. In dem durch das Druckventil c vom Pumpenraume b getrennten, mit den einzelnen regelbaren Schmierleitungen A verbundenen Druckraume d ist ein bei e einstellbarer Druckregler lt angeordnet, der den Druck auch während des Saughubes der Pumpe pk aufrecht erhält und bei zu reichlicher Oelförderung den Rücklauf ω öffnet.

Kl. 47. Nr. 121839. Schraubengewinde. M. Lachman und W. C. Fischer, London. Die Gewindgänge sind im Querschnitt trapezförmig gestaltet und haben außen die größte Breite, sodass die Spindel c auch längsgeteilte Mutttern a, b zusammenhalten kann.

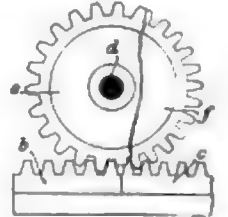


Kl. 47. Nr. 122263. Reißkupplung. Vereinigte Kammerrische Werke, A.-G., Berlin. Wenn man (mittels Welle s , Gabel w und Hülse u) die Teile des schräg durchgeschnittenen Stiffes y s zusammenschiebt, so wird der Arm p nach außen geschoben, der Klotz n gekippt und der bei a aufgeschnittene, mittels Armes s und Nabe m an der Welle a befestigte Bremsring k an den Mitnehmer f des andern Kupplungsteiles b gedrückt. Der Ring f ist genügend elastisch, um sich der bei der Spreizung unrunder werdenden Form von k anpassen zu können, und an dem Armen b ist er durch Anschläge h und Lappen e (Nebenfigur) verschieblich befestigt, um auch bei nicht genau zusammenfallenden Achsen die Kupplung zu ermöglichen. Die Löcher für die Schrauben g sind so weit, dass diese Schrauben zur Kraftübertragung nicht beansprucht werden.

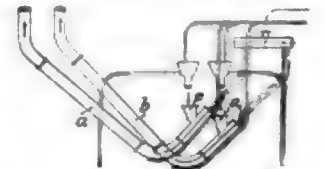
Kl. 47. Nr. 121578. Rollenlager. G. Deharde, Essen a/Ruhr, und Dr. A. Viator, Wiesbaden. Zur gleichmäßigen Übertragung des Druckes von den Lagerschalen auf die Rollen sind die Schalen s im Lagerkörper in Kugelflächen k (oder Zylinderflächen) beweglich und von den Rollen a durch eine (bei Achslagern) oder zwei dünnwandige, etwas federnde Schalen e getrennt, die mit Rillen r für die Rollenbänder b versehen sind und den Druck von zwei Vorsprüngen p, q an s aufnehmen.



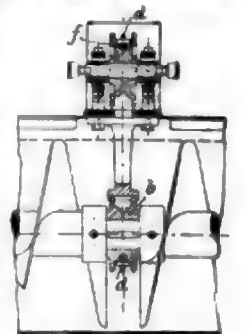
Kl. 47. Nr. 121485. Zahntangenge triebe. Victoria Werke, A.-G., Nürnberg. Zwei auf derselben Welle d befestigte Zahnräder e, f mit gleichen Teilkreisen, aber verschiedener Zähnezahl, greifen in zwei mitteln ander verbundenen, entsprechend geteilte Zahnstangen b, c , wodurch sich fehlerhafte Stellen der Verzahnung gegenseitig ausgleichen.



Kl. 81. Nr. 123479. Getreidefördereinrichtung. L. Leclerc, Paris, und A. Ribaudou, Le Perreux. Die Vorrichtung besteht aus zwei in das Getreide eintauchenden Rohren, a und b , deren Einlauffrichter e, c von innen durch eine Gummimembran verschlossen werden, wenn Pressluft zum Fortschaffen des Getreides aus a oder b hindurchgetrieben wird. Wird die Pressluft in dem einen Rohr abgestellt, so glebt die zugehörige Membran den Einlauffrichter frei, und das Rohr füllt sich mit Getreide, das währenddessen aus dem andern Rohr durch Pressluft herausgedrückt wird.



Kl. 81. Nr. 124127. Stützvorrichtung für Förderschneckenwellen. Maschinenfabrik Geislingen, Geislingen (Württ.). Die Förderschnecke hängt mittels des Schneckenrades b und der endlosen Kette d an dem über dem Schneckenwege angeordneten Kettenrade f . Infolge dieser Aufhängung der Schneckenwelle fallen innerhalb der Schneckenlager, die eine Beschmutzung des Fördergutes veranlassen, weg, anderseits werden die Schneckenwindungen nur auf eine kurze Strecke unterbrochen.



Angelegenheiten des Vereines.

Gewerblich-technische Reichsbehörde.

Von dem Ausschuss, der sich auf Veranlassung des Bundes der Industriellen in Berlin für das Studium der Errichtung einer gewerblich-technischen Reichsbehörde gebildet hat, ist unterm 20. Oktober d. J. ein Rundschreiben nebst einer Denkschrift versandt worden, welche die oben bezeichnete Angelegenheit betreffen. In dem Rundschreiben ist gesagt, dass die Denkschrift infolge eines Beschlusses des Ausschusses versandt worden sei, und in der Denkschrift ist der Unterzeichnete als Vertreter des Vereines deutscher Ingenieure im Ausschusse bezeichnet. Das hat, wie mir von mehreren Seiten mitgeteilt worden ist, zu der Auffassung geführt, als habe ich die Denkschrift gutgeheißen. Das ist aber nicht der Fall; ich habe vielmehr dem Verfasser der Denkschrift und Referenten des Ausschusses mündlich und schriftlich zu erkennen gegeben, dass ich die von ihm entworfene Denkschrift nicht geeignet finde, der Öffentlichkeit übergeben zu werden. Der Umstand, dass trotzdem die Denkschrift in weite Kreise, auch innerhalb des Vereines deutscher Ingenieure, versandt worden ist, veranlasst mich zu dieser Mitteilung, die sich, wie ich noch besonders hervorhebe, nicht gegen die geplante Reichsbehörde, sondern gegen die Aussendung der Denkschrift wendet.

Th. Peters.

Von den Mitteilungen über Forschungsarbeiten ist das dritte Heft jetzt erschienen; es enthält:

E. Meyer: Untersuchungen am Gasmotor.

Martens: Zugversuche mit eingekerbten Probekörpern.

Werkzeugstahl-Ausschuss des Berliner Bezirksvereines: Schnelldrehstahl.

Der Preis jedes Heftes im Buchhandel ist 1 M. Bestellungen, denen der Betrag beizufügen ist, sind an die Verlagsbuchhandlung von Julius Springer, Berlin N., Monbijouplatz 3, zu richten. Lieferung gegen Rechnung, Nachnahme usw. findet nicht statt.

Vorausbestellungen auf längere Zeit können in der Weise geschehen, dass ein Betrag für mehrere Hefte eingesandt wird, bis zu dessen Erschöpfung die Hefte in der Reihenfolge ihres Erscheinens geliefert werden.

Lehrer, Studierende und Schüler der technischen Hoch- und Mittelschulen können jedes Heft für 50 Pfg. beziehen, wenn die Bestellung direkt an die Geschäftsstelle des Vereines deutscher Ingenieure, Berlin N.W., Charlottenstr. 43, erfolgt.

Vorstände der Bezirksvereine.

(Nachtrag zu S. 144 u. ff.)

Braunschweiger Bezirksverein.

Anstelle des Hrn. W. Kroll ist Hr. H. Storrer zum Schriftführer gewählt.

ZEITSCHRIFT DES VEREINES DEUTSCHER INGENIEURE.

Nr. 48.

Sonnabend, den 30. November 1901.

Band XXXV.

Inhalt:

Die Weltausstellung in Paris 1900: Explosionsmotoren. Von Fr. Freytag (Schluss)	1693	Dritte Hauptversammlung der Schiffbautechnischen Gesellschaft am 18. und 19. November in Charlottenburg	1718
Kugellager. Erfahrungen aus dem Betriebe und Beiträge zur Theorie. Von F. Heerwagen	1701	Bücherschau: Rechenschaft, System Proell. — Bei der Redaktion eingegangene Bücher	1720
Die Weltausstellung in Paris 1900: Die landwirtschaftlichen Maschinen und Geräte. Von H. Grundke	1706	Zeitschriftenschau	1721
Neuere Steuerungen für Dampfmaschinen. Von H. Dubbel	1713	Bundschau: Eine neue Schienenstoffsverbindung. — Zahnradbahn im südlichen Vorderindien. — Der Königsberger Seekanal. — Verschiedenes	1723
Breslauer B.-V.: Kalksandsteinfabrikation	1715	Patentbericht: Nr. 122586, 121548, 121719, 122719, 123953, 120699, 128561, 123851, 121471, 118525, 121498, 119234, 121071, 121738, 121737, 121863, 123562, 123126, 123155, 121636, 121638, 123511, 120244, 121606, 121786, 121832, 119748, 120645, 123337, 120129, 121519, 121520, 122355, 121756, 122246	1726
Dresdner B.-V.: Versuche an einer de Laval-Dampfturbine, insbesondere bei Anwendung hoher Dampfüberhitzung	1716		
Frankfurter B.-V.	1717		
Niederrheinischer B.-V.	1717		
Pommerscher B.-V.	1718		

Die Weltausstellung in Paris 1900.

Explosionsmotoren.

Von Fr. Freytag, Chemnitz.

(Schluss von S. 1666)

Von englischen Firmen, welche bemerkenswerte ortfeste Explosionsmotoren vorführten, sind ferner Ribey & Co. Ltd. in Lincoln und Alf. Dougill & Co. Ltd. in Leeds namhaft zu machen.

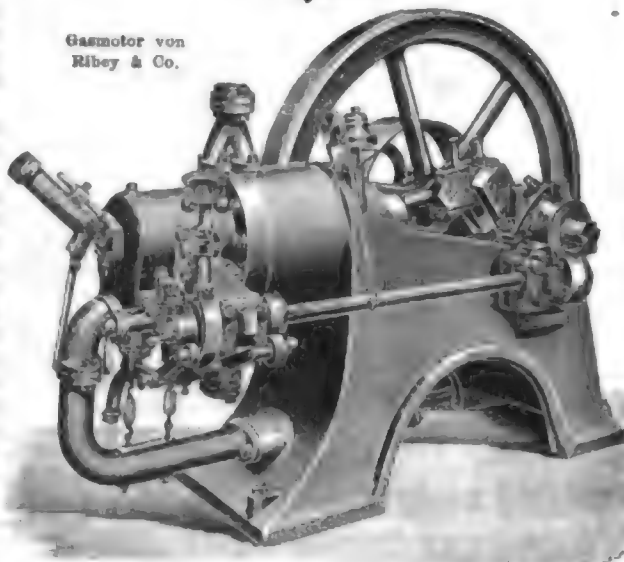
Die erstgenannte Firma hatte drei liegende Gasmotoren der aus Fig. 202 bis 205 auf S. 1694 ersichtlichen neueren Bauart ausgestellt. Sämtliche Ventile sind an dem von einem Kühlmantel umgebenen zweckmäßig geformten Zylinderkopf angeordnet; sie werden von Nockenscheiben auf der Steuerwelle in der aus Fig. 204 erkennbaren Weise mittels Rollenhebel gesteuert, von denen derjenige für das Gasventil einen vom Stellzeug des Regulators betätigten Stößler trägt, der bei anwachsender Geschwindigkeit des Motors mit dem Druckstück der Gasventilspindel nicht mehr zusammenstößt, sodass beim Saughube des Kolbens nur Luft in den Zylinder eintreten kann. Die Luft wird einem im Sockel des Motors untergebrachten Ansaugtopf entnommen. Zur Zündung der verdichteten Ladung dient ein mittels Bunsen-Brenners auf Rotglut erhitztes Glührohr, dessen verschiebbare Holzflamme eine beliebige Einstellung der Glühzone ermöglicht. Fig. 206, welche eine äußere Ansicht der von der Firma gebauten kleineren Gasmotoren für Leistungen von 1,25 bis 8 PS wiedergibt, lässt dies deutlicher erkennen. Bei diesen Motoren wird durch das Stellzeug des Regulators eine auf das Gasventil wirkende Rolle derart auf ihrem Zapfen verschoben, dass sie bei anwachsender Geschwindigkeit von der zugehörigen Nockenscheibe nicht mehr getroffen wird. Infolgedessen fallen auch hier die Zündungen aus, sobald der Motor eine festgesetzte Umlaufzahl überschreitet.

Alf. Dougill & Co. Ltd. in Leeds (Yorkshire) führten einen liegenden Gasmotor von 254 mm Cyl.-Dmr. und 457 mm

Hub vor, der mit 170 Uml./min eine Nennleistung von 9 PS, unter der Bremse eine Höchstleistung von 18 PS entwickeln soll. Die äußere Ansicht des Motors zeigt Fig. 207, während Fig. 208 die Anordnung der von Nockenscheiben auf der Steuerwelle bewegten Ventile *L*, *K* und *J* für Gas, Luft und Verbrennungsrückstände erkennen lässt. Das in einem am Zylinderkopf befestigten besonderen Gehäuse untergebrachte Gasventil *L* wird von einem Pendelregler betätigt. Nachdem sich Luft und Gas in der Kammer *M* des Zylinderkopfes

Fig. 206.

Gasmotor von
Ribey & Co.



gemischt haben, tritt die so gebildete Ladung in die Verbrennungskammer *N*. Hier wird sie verdichtet und, sobald im geeigneten Augenblicke durch ein zwischengeschaltetes Zündventil eine Verbindung der Kammer *N* mit einem darüberliegenden Glührohr hergestellt ist, entzündet. Die Verbrennungsgase entweichen durch das Ventil *J*. Dieses öffnet sich bereits vor Beendigung des Arbeitshubes des Kolbens und kehrt erst auf seinen Sitz zurück, nachdem der Kolben den nächstfolgenden Saughub schon begonnen hat. Fig. 209 zeigt die Arbeitsweise des Motors. Beim Saughube des Kolbens wird das Luftventil in der Kurbelstellung *A*, das Gasventil in der Stellung *B* geöffnet, während der Abschluss dieser Ventile in den Kurbelstellungen *D* und *C* erfolgt. Während des Verdichtungshubes bleiben sämtliche Ventile geschlossen. Hat die Kurbel ihre Totpunktlage bei *E* erreicht, so beginnt der Kolben seinen Arbeitshub, nachdem sich die Ladung entzündet hat. Bevor er den Hub zurückgelegt hat, öffnet sich das Auspuffventil — in der Kurbellage *F* — und bleibt geöffnet, bis die Kurbel nach *G* gelangt ist. Luft- und Auspuffventil sind hiernach auf einem dem Kurbelwinkel *A O G* entsprechenden Wege gleichzeitig geöffnet. Infolgedessen werden etwa im Zylinder zurückbleibende Abgase durch die bei Beginn der Saugperiode eintre-

Fig. 202.

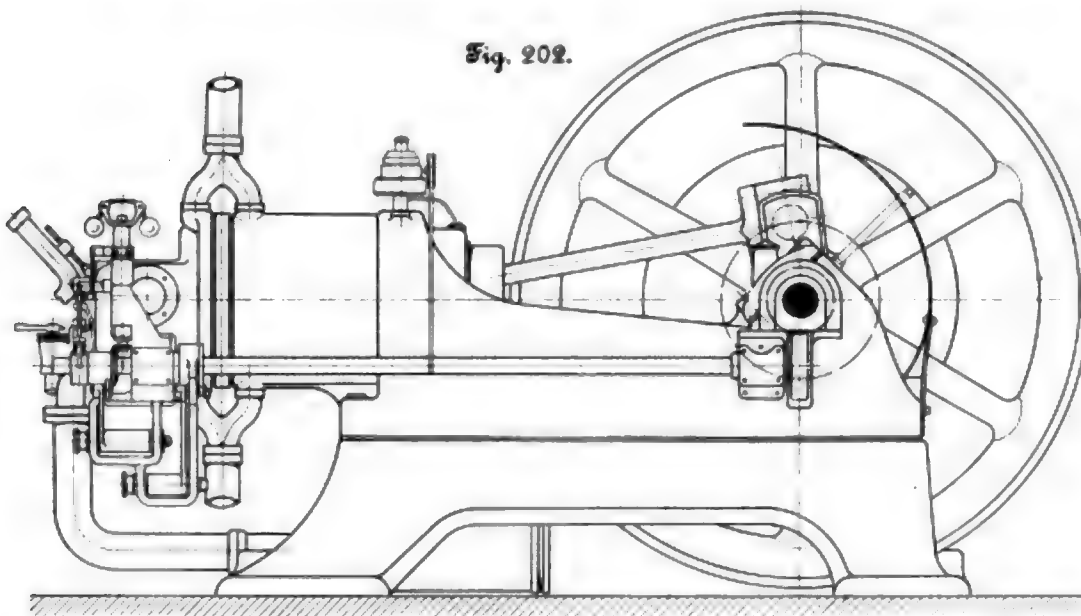


Fig. 202 bis 203.

Gasmotor von Ribey & Co.

Fig. 204.

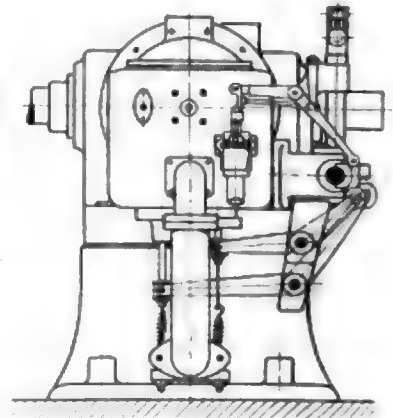


Fig. 203.

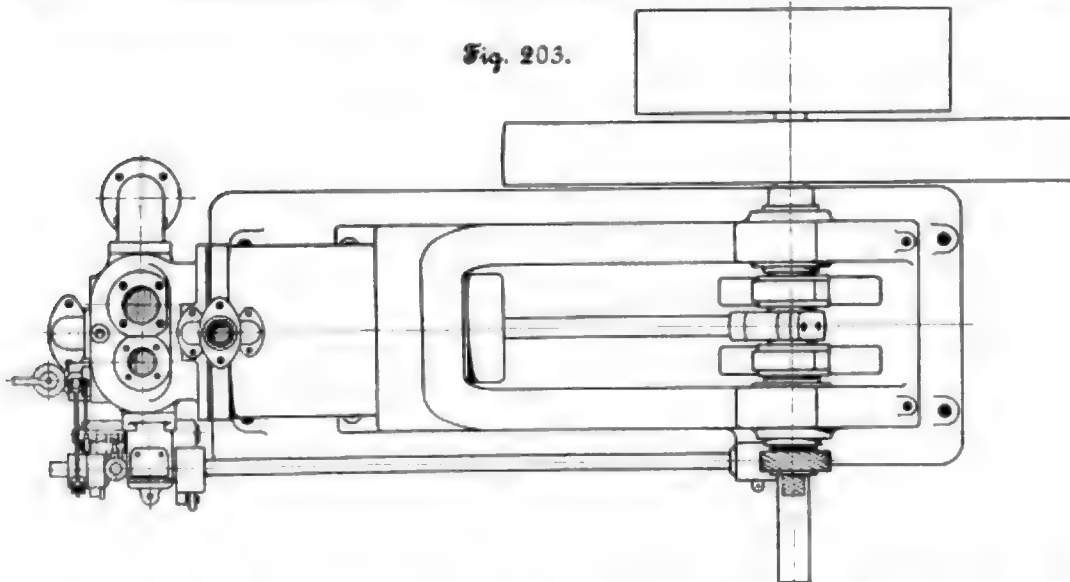
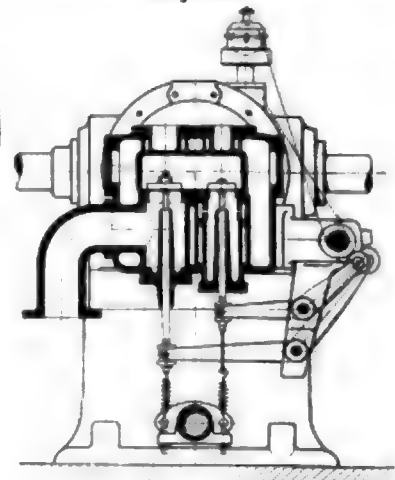


Fig. 205.



tende kalte Luft ausgeblasen und ferner die heißen Wandungen der Verbrennungskammer soweit abgekühlt, dass Vorzündungen nicht eintreten können. Verbrennungskammer und Arbeitszylinder sind überdies von einem äußeren Kühlmantel *H*, Fig. 208, umgeben. Die Antriebsräder der Steuerwelle liegen innerhalb des Maschinenbettes.

Der Motor ist, wie alle Motoren dieser Bauart von 1,5 PS. an aufwärts, mit zwei Schwungrädern ausgerüstet. Die Motoren werden in der gleichen Ausführung bis zu einer Nennleistung von 40 PS gebaut.

Die von derselben Firma ausgestellten beiden Petroleummotoren für Bremsleistungen von 2,5 und 0,75 PS unterscheiden sich nur durch die Anordnung eines am Zylinderkopf sitzenden Verdampfers von den besprochenen Gasmotoren. Der kleinere Motor von 0,75 PS. ist mit einer am Arbeitszylinder befestigten Pumpe für 1,5 cbm/st Wasser auf 25 m Höhe vereinigt.

Nachstehend soll noch über einige von französischen Firmen ausgestellte ortsfeste Explosionsmotoren berichtet werden.

A. Fritscher, & Houdry in Provins (Seine-et-Marne) zeigten kleinere Gas- und Petroleummotoren in liegender und stehender Ausführung. Die liegenden Motoren arbeiten mit einer wegen ihrer Einfachheit bemerkenswerten Drosselregulierung des in seiner Zusammensetzung stets gleichblei-

benden Gemischstromes. Fig. 210 zeigt die äußere Ansicht des ausgestellten liegenden Gasmotors, der für Bremsleistungen von 0,75 bis 10 PS gebaut wird. Ein am hinteren Ende der Steuerwelle sitzender Nocken wirkt auf den Rollenhebel des Auspuffventils. Die Spindel *A*, Fig. 211, des durch Kegelräder angetriebenen Pendelreglers trägt einen Daumen *B*, der mittels des an einem Ringe *C* der Reglermuffe gelenkig aufgehängten Keiles *D* und Anschlages *I* beim Saughube des Kolbens die Spindel *X* des Mischventiles *G* derart verschiebt, dass dieses mitsamt dem Gasventil *E* der augenblicklichen Belastung des Motors entsprechend eingestellt wird. Hierbei tritt Luft durch die Öffnung *H*, Gas — nach Öffnen des mit Zeiger und Teilscheibe versehenen Hahnes *M* — durch die Öffnung *F* in den Mischraum *J*, und die hier gebildete Ladung, nachdem sie den Raum *Y* durchströmt hat, durch das infolge der Ansaugdepression geöffnete Einlassventil *Z* in den Zylinder. Die Ventile *G* und *E* werden durch Federn *K* und *L* auf ihre Sitze zurückgeführt. Da das Verhältnis der Einstromquerschnitte für Luft und Gas unabhängig von der jeweiligen Stellung des Regulators ist, bleibt die Zusammensetzung des Ladungsgemisches für alle Belastungen dieselbe.

Die liegenden Petroleummotoren zeigen dieselbe Bauart; sie werden für Bremsleistungen von 1 bis 12 PS in den Handel gebracht.

Einen stehenden Gasmotor für Bremsleistungen von 0,75 bis 5,5 PS zeigt Fig. 212. Der Motor arbeitet ohne besondere Steuerwelle, womit auch die zu ihrem Betreiben erforderlichen Zahnräder in Wegfall kommen. Der Viertakt entsteht, wie Fig. 213 erkennen lässt, durch einen festliegenden Finger *R*, der, in die Acht-Kurve einer Nockenscheibe *B* greifend, dieser eine hin- und hergehende Bewegung auf der Kurbelwelle *A* erteilt. Hierbei wird infolge Zusammen-

Fig. 207 bis 209. Gasmotor von Alf. Dougill & Co.

Fig. 207.

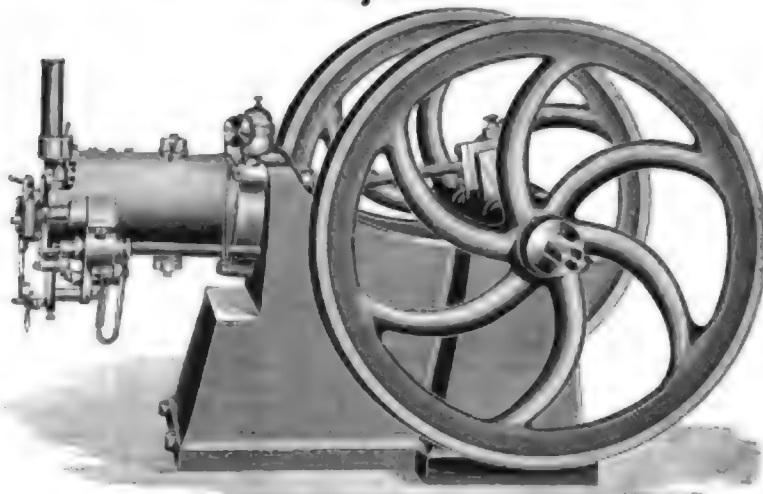


Fig. 208.

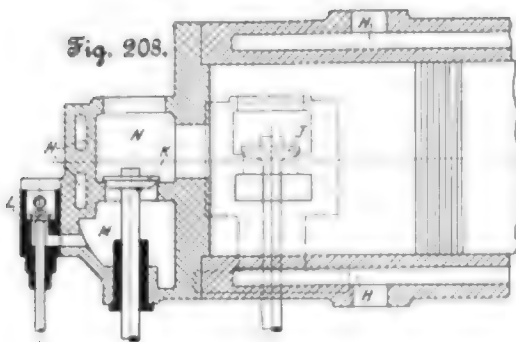


Fig. 209.

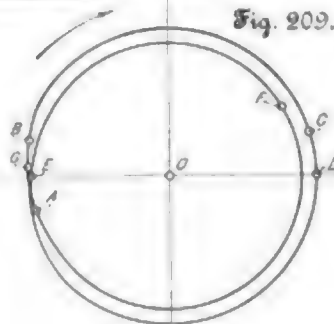


Fig. 210 und 211.

Liegender Gasmotor von A. Fritscher & Houdry.

Fig. 210.

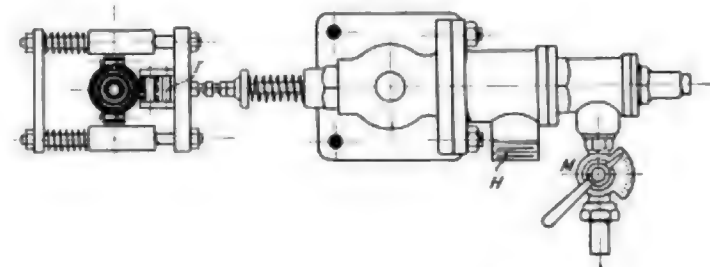
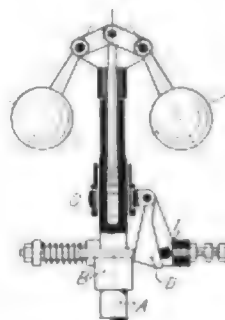
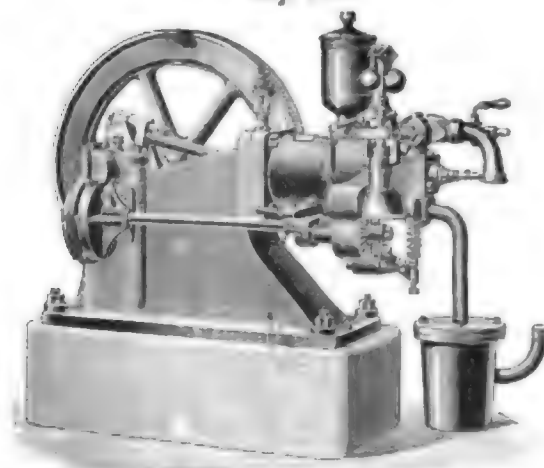


Fig. 211.

treffens eines der beiden Nocken der Scheibe *B* mit einem Anschlag *M* die Ladung entzündet, wohingegen der andere Nocken im geeigneten Augenblick gegen die Rolle eines Führungsstückes *J* trifft und dieses mitsamt dem drehbar daran befestigten Stößer *D* anhebt, dadurch die Spindel *X* des Auspuffventiles bethätigend. Der Stößer wird durch eine Feder *E* in senkrechter Lage gehalten. Durch die mittels Stellachraube *Z* veränderbare Wirkung des auf der Kurbelwelle befestigten Kugelregulators wird ein Gleitstück *C* verschoben, über welches ein um den Zapfen *O* des Halters *F* drehbarer Hebel *L* greift, an dessen oberem Ende eine Feder *H* der Fliehkraft der Regulatorkugeln das Gleichgewicht hält. Die an *L* befestigte Klinke *S* legt sich bei wachsender Geschwindigkeit des Motors unter den Stößer *D* und hält damit das Auspuffventil geöffnet, sodass neue Ladungen nicht mehr angesaugt werden können.

Stehende Petroleummotoren werden in derselben Ausführung für Bremsleistungen von 1 bis 6 PS gebaut.

Die Compagnie des moteurs Niel in Paris hatte eine große Anzahl von Gas- und Petroleummotoren liegender und stehender Anordnung für Leistungen von 1 bis 60 PS geliefert, die zumeist in der Maschinenhalle des Marfeldes im übrigen auf dem ganzen Ausstellungsgebiet zerstreut anzutreffen waren.

Die liegenden einfachwirkenden Viertakt-Gasmotoren mit einem bzw. zwei Cylindern stimmen in ihrer Bauart und Wirkungsweise mit den von der Compagnie «Duplex» pour la fabrication des moteurs à gaz et à pétrole in Paris ausgestellten derartigen Motoren im wesentlichen überein¹⁾. Die letztgenannte Firma ist Lizenzträgerin der der Compagnie des moteurs Niel geschützten auf Gasmotoren bezüglichen Erfindungen für alle Staaten mit Ausnahme von Frankreich und seinen Kolonien selbst.

Die kleineren Gas- und Petroleummotoren liegender Anordnung mit Ventil- oder mit Hahnsteuerung²⁾ bieten

¹⁾ vergl. Z. 1901 S. 325.

²⁾ s. Schöttler, Die Gasmaschine, 3. Aufl. S. 63.

In konstruktiver Hinsicht nichts Bemerkenswertes; sie lassen auch in der Ausführung zu wünschen übrig. Wegen ihres ziegelroten Anstriches machten diese Motoren schon von vornherein keinen vorteilhaften Eindruck.

Die von derselben Firma ausgestellten stehenden Petroleummotoren, Fig. 214 und 215, zeigen eine gedrängte Anordnung der Einzelteile. Der Kolben *G* des auf dem Ständer *A* befestigten Cylinders *B* arbeitet in der gewöhnlichen Weise mittels Lenkstange *F* auf die Kurbelwelle *C*. Diese trägt ein Schwungrad *D* mit an den Armen befestigter Riemenscheibe *E*; sie er-

teilt der in einem besonderen Lager *J* geführten Steuerwelle *K* mittels der Stirnräder *H I* eine derartige Drehbewegung, dass die auf ihr sitzende Daumenscheibe *L* mit der Rolle *P* des auf die Spindel *N* des Auspuffventiles wirkenden Hebels *M* im geeigneten Augenblicke zusammentrifft. Zur Geschwindigkeitsregelung dient ein in dem Gehäuse *V* untergebrachter Flachregler, Fig. 216, aus einem um den Zapfen *a* drehbaren Schwunggewicht *b* und einer stellbaren Schraubenfeder *c* bestehend, die der Fliehkraft des Schwunggewichtes das Gleichgewicht hält. Bei wachsender Geschwindigkeit des Motors tritt die Schneide des mit dem Regulator verbundenen Hebels *X* unter die des Hebels *M*; infolgedessen bleibt das Auspuffventil so lange geöffnet, bis die normale Geschwindigkeit wieder erreicht ist. Gleichzeitig wird auch, wie aus den Abbildungen leicht erkennbar, die Petroleumszufuhr mittels der Pumpe *Z* (in Fig. 217 im Schnitt dargestellt) nach dem von einem Isolirmantel *S* umgebenen Verdampfer *R* unterbrochen. Beim Saughube des Kolbens treten Luft und Petroleum gleichzeitig durch die Ventile *U* und *T*, Fig. 218, in den Cylinder. Das Luftventil *U* ist mit dem Auspuffventil *W* in einem gemeinsamen Gehäuse *Q* untergebracht. Der Verdampfer wird vor dem Ingangsetzen des Motors durch eine auf das Plättchen *s*, Fig. 215, gestellte Lampe erhitzt. Diese in Fig. 219 dargestellte Lampe ist eine Aeolipille, die zunächst selbst durch Alkohol in der Schale *d* erwärmt wird. Das Petroleum wird der Lampe durch Druckluft mittels der Handpumpe *e* zugeführt. Nachdem der Verdampfer bis auf Dunkelrotglut erhitzt und der Motor in Gang gebracht ist, wird die Lampe entfernt, und es werden die Oeff-

Fig. 212 und 213.

Stehender Gasmotor von A. Fritscher & Houdry.

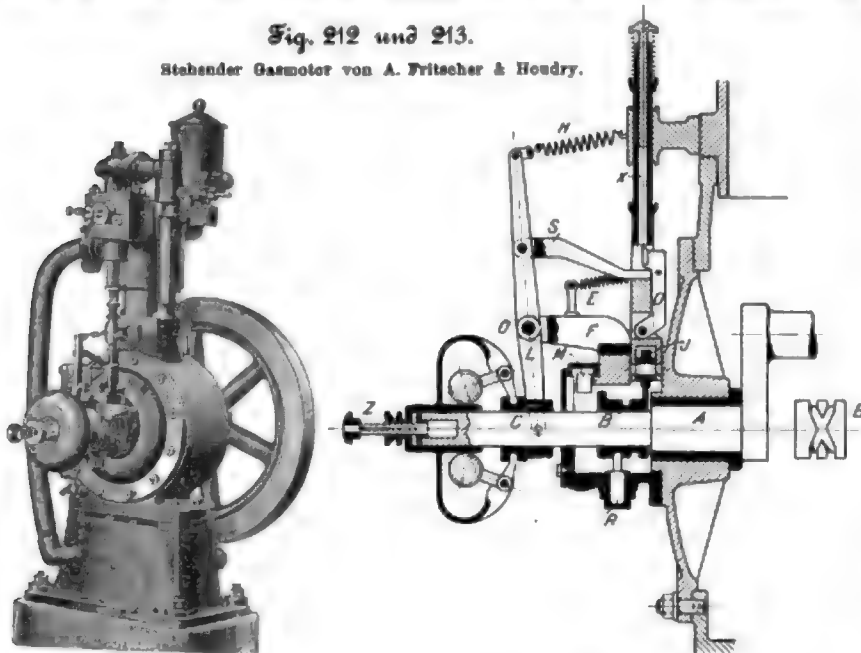
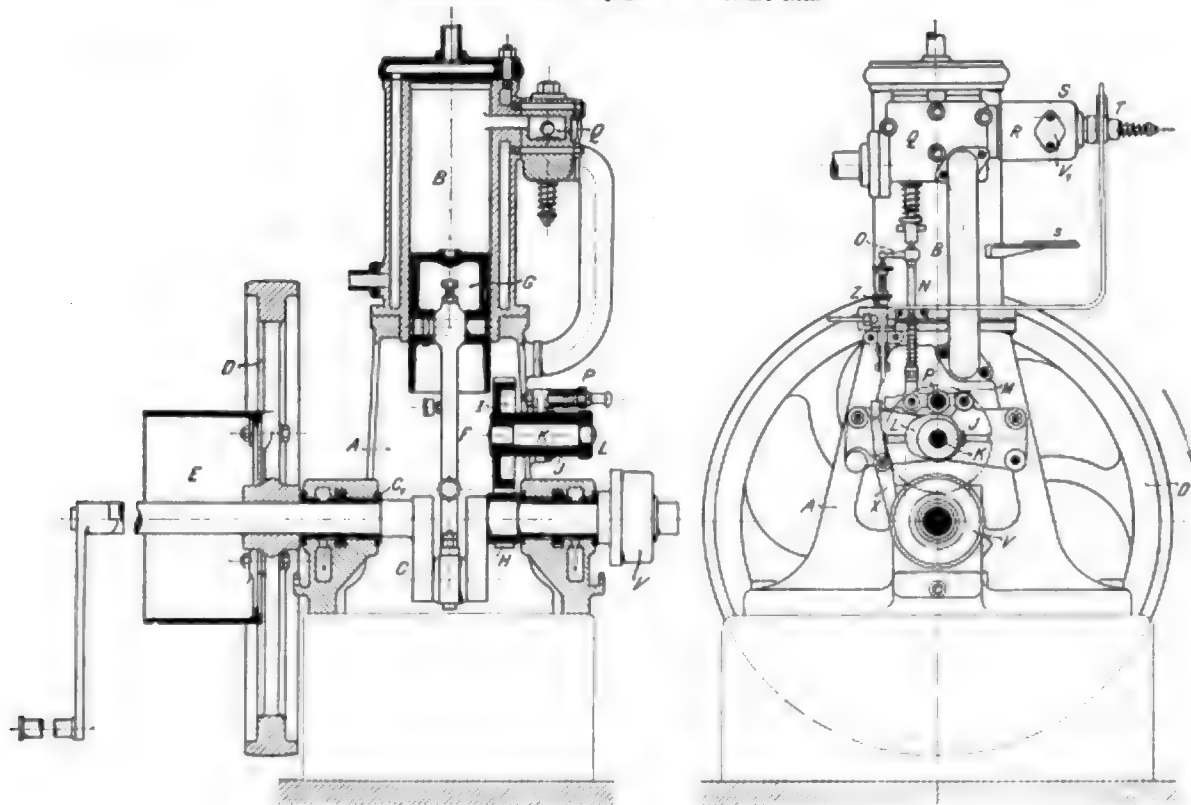


Fig. 214 und 215.

Petroleummotor der Compagnie des moteurs Niel.



nungen, welche vor dem Anheizen des Verdampfers frei gelegt waren, durch Deckel V_1 , Fig. 216, wieder geschlossen. Der Motor arbeitet dann mit Selbstzündung. Die Menge des dem Verdampfer zugeführten Petroleums lässt sich durch Veränderung des Hubes der Petroleumpumpe mittels einer über das äußere Ende der zugehörigen Kolbenstange greifenden Schraubenmutter regeln.

Die von H. Brulé & Cie. in Paris ausgestellten stehen-

Fig. 216 bis 219.

Einzelheiten des Motors der Compagnie des moteurs Niel.

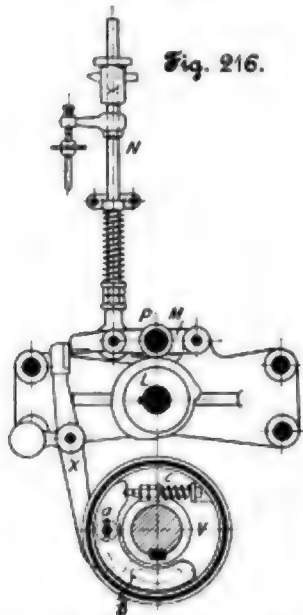


Fig. 216.

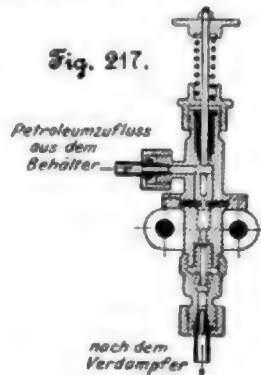


Fig. 217.

nach dem Verdampfer

Fig. 218.

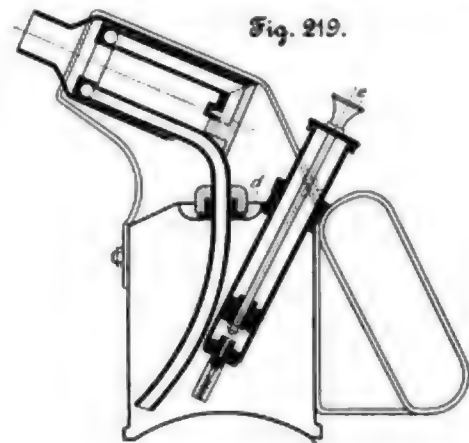
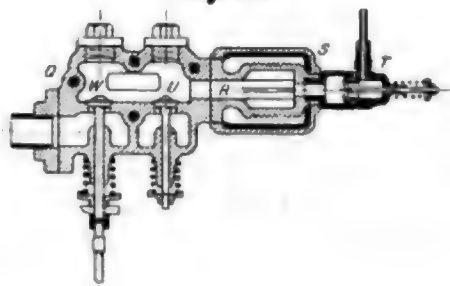


Fig. 219.

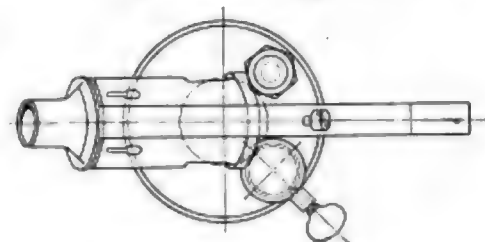


Fig. 220.

Gasmotor von Brouhot & Co.

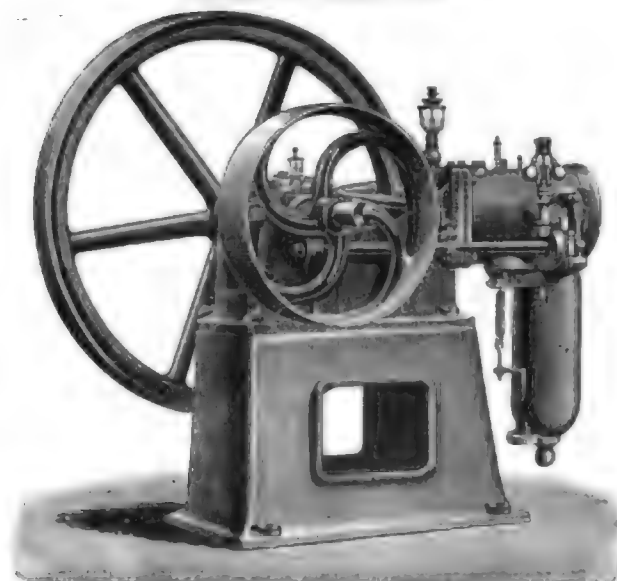
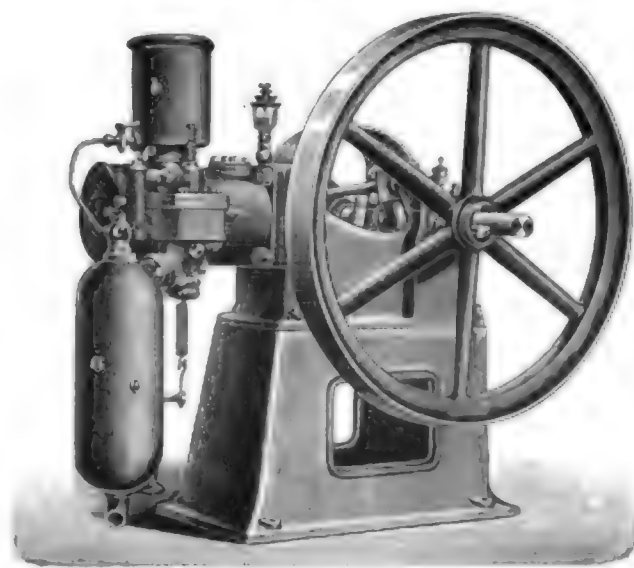


Fig. 221.

Benzinmotor von Brouhot & Co.



den Explosionsmotoren — zwei Gasmotoren von 3 bzw. 0,5 PS und ein Petroleummotor von 3 PS — mit Flammzündung und Achsenregler, der auf das Auslassventil wirkt, entsprechen den von Gebr. Körting gebauten derartigen Motoren.

Die Firma Brouhot & Cie. in Vierzon (Cher) hatte auf dem Marfelde und in Vincennes eine Anzahl kleinerer Gas-, Benzin- und Petroleummotoren in stehender und liegender

Anordnung für Leistungen von 0,5 bis 4 PS, einen liegenden Petroleummotor von 10 und eine Petroleumlokomobile von 4 PS, ferner einen liegenden Zwillingsgasmotor von 30 PS ausgestellt.

Fig. 220 zeigt die Bauart des liegenden Gasmotors für Leistungen von 0,5 bis 25 PS. Diese Motoren sind mit einem die Spannung und die Menge des zuströmenden Betriebsmittels regelnden patentierten Einlasshahn und mit einem Misch-

bahn für die in den Cylinder tretende Ladung versehen. Der Pendelregulator wirkt auf das Auslassventil; er gestattet, Geschwindigkeitsänderungen des Motors auch während des Ganges vorzunehmen. Die Zündung erfolgt durch einen elektrischen Funken.

Die Benzinmotoren, Fig. 221, unterscheiden sich von den eben besprochenen Gasmotoren nur durch den zur Bildung des Betriebsmittels erforderlichen Gaserzeuger. Er be-

steht aus einem bis auf eine gewisse Höhe mit Benzin angefüllten Gefäße *a*, in dem sich die durchstreichende Luft mit Kohlenwasserstoffen sättigt, aus einem mehrere Liter Benzin fassenden Behälter *b* und aus einer dazwischenliegenden kleinen Vorrichtung *c*, die, um ein Gemisch von stets gleichbleibender Beschaffenheit zu erhalten, den Benzinzutritt aus dem Behälter *b* in das Gefäß *a* je nach der Menge des in *a* verbrauchten Benzins regelt.

Der in Fig. 222 dargestellte kleine Motor für Leistungen von 0,5 bis 4 PS (Type Léger) kann mit Gas oder Petroleum betrieben werden. Sockel, Maschinenbett und Arbeitszylinder bilden ein einziges Gussstück. Die behufs Wasserküh-

Fig. 222.

Gas- oder Petroleummotor (Léger) von Brouhot & Co.

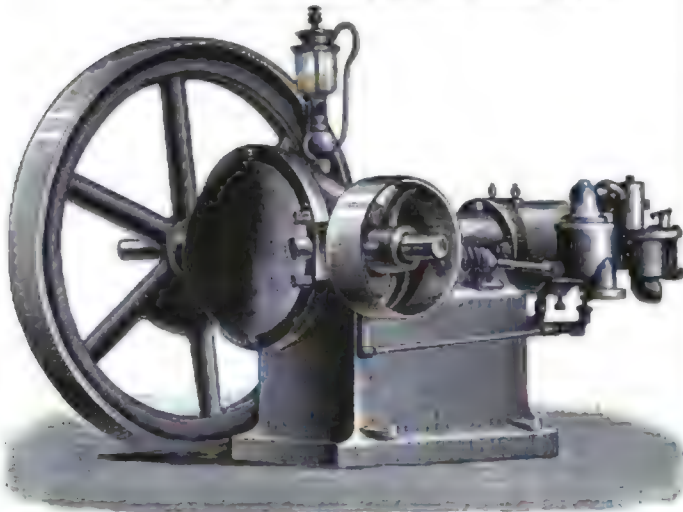
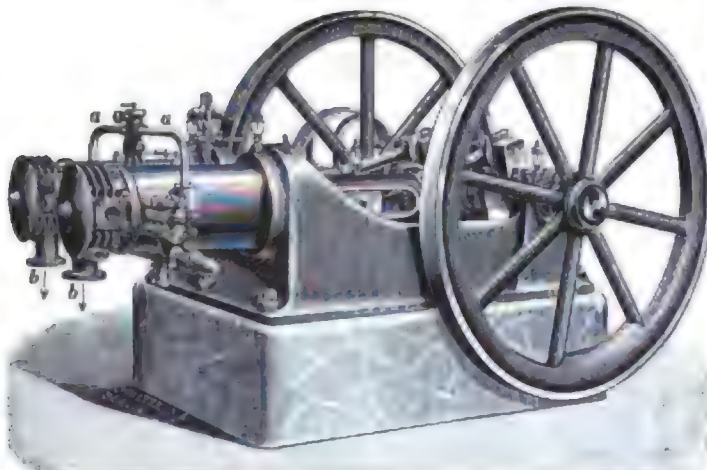


Fig. 223.

Gasmotor von Henri Rouart & Co.



a Gasantrieb b Auspuff c Luftventil

lung über den Zylinder gezogene Haube ist an dessen vorderem Ende befestigt. Kurbel und Pleuellstange bewegen sich in einem vollständig geschlossenen Gehäuse, das, um leichte Zugänglichkeit der aus Phosphorbronze gefertigten nachstellbaren Lagerschalen der Pleuellstange und des Pleuellzapfens zu ermöglichen, mit einem vorderen abnehmbaren Deckel versehen ist. Zur Ölverteilung dient ein einziges Schmiergefäß mit sichtbarer Tropfenbildung. Die aus Stahl hergestellten Ventile lassen sich ohne Erneuerung irgendwelcher Dichtungen bequem nachschleifen und ersetzen. Die Zündung ist elektrisch. Um den Motor leicht in Gang zu bringen, kann die Funkenbildung mittels besonderer Vorrichtung verzögert

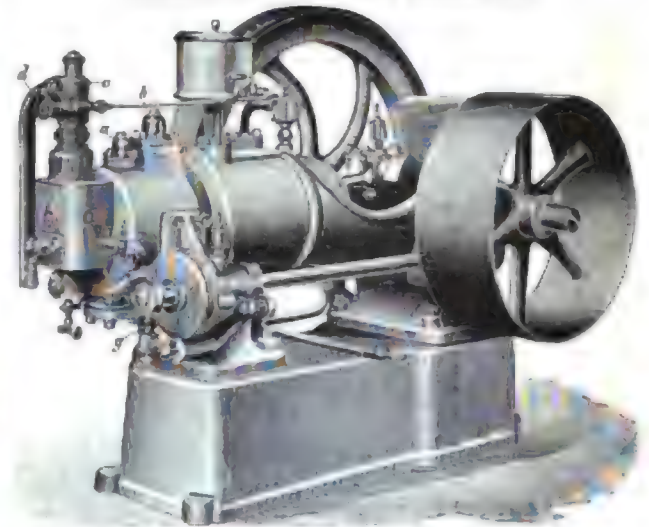
werden. Der als Flachregler ausgebildete, in das zum Antreiben der Pleuellstange dienende große Pleuellrad eingebaute Regulator bethätigt auch hier das Auslassventil. Je nach der mittels Handhebels bewirkten Spannung einer Schraubenfeder lässt sich die Geschwindigkeit des Motors verändern.

Die Firma Henri Rouart & Co. (früher Rouart Frères & Co.) in Paris hatte mehrere liegende Gasmotoren, Bauart Lenoir, darunter den in Fig. 223 abgebildeten Zwillingsmotor von 25 PS, zur Ausstellung gebracht. Er unterscheidet sich von den bisherigen Ausführungen dieser Motoren (Z. 1890 S. 99 und Z. 1893 S. 1509) dadurch, dass die Auslassventile nicht mehr inmitten der behufs Luftkühlung mit konzentrischen Außenrippen versehenen Verbrennungskammer, sondern seitlich daran angeordnet sind. Die zwischen den beiden Zylindern liegende gemeinsame Pleuellstange bethätigt das Auslass- und unter Mitwirkung des Regulators auch das Gasventil jeder Maschinenseite. Die Luftventile sind selbstthätig und werden durch Federwirkung geschlossen. Luft und Gas werden vor dem Eintreten in den Zylinder in einer besonderen Mischkammer *g* gemischt. Die Zündung erfolgt auf elektrischem Wege mittels eines kleinen Ruhmkorffschen Induktors und eines Delaurierschen Elementes. Bei den Motoren ohne Pleuellkopf wird die Zündung durch ein Glührohr bewirkt.

Die schwedische Firma J. & C. G. Bolinder A.-G. in Stockholm hatte zwei liegende Petroleummotoren von je 6 PS, einen davon auf einem Wagengestell befestigt, in Vincennes ausgestellt.

Fig. 224.

Petroleummotor von J. & C. G. Bolinder A.-G.



a Einlassventil
b Luftventil
c Zerstäuberventil
d Abperrventil
e Vergaser
f Zündventil
g Auspuffventil

Fig. 224 zeigt die Bauart dieser für Leistungen von 2 bis 20 PS, mit 300 bis 180 Uml./min in den Handel gebrachten Motoren.

Einlass- und Luftventil sind am oberen, das Auspuffventil am unteren Teile des Zylinderkopfes angebracht; letzteres wird durch eine Nockenscheibe der Pleuellstange unter Mitwirkung eines auf derselben Welle sitzenden Flachreglers bethätigt, während sich die beiden andern, von Schutzhauben bedeckten Ventile beim Saughube des Pleuellkopfes selbstthätig öffnen. Ein gesteuertes Zündventil bringt die verdichtete Ladung im geeigneten Augenblicke mit einem Glührohr aus Porzellan in Verbindung, welches in dem Halter, Fig. 225, derart befestigt ist, dass es bei etwaigem Zerspringen sofort ausgewechselt werden kann.

Der auf der Pleuellstange sitzende Flachregler, Fig. 226, wirkt mittels einer Spannvorrichtung auf den Rollenhebel des Auspuffventiles und hält dieses bei Ueberschreitung der für

den Motor festgesetzten Umlaufzahl geöffnet, sodass keine neuen Ladungen angesaugt werden können. Durch Spannen einer Feder lässt sich die Geschwindigkeit des Motors während des Ganges verändern.

Das Betriebsmittel gelangt aus einem auf dem Cylinder befestigten Gefäß, in dem es durch einen den Zulauf vom Hauptbehälter regelnden Schwimmer auf unverändertem Spiegel gehalten wird, mittels Rohrleitung und je nach der Stellung eines in diese eingeschalteten, mit Teilscheibe und Zeiger versehenen Absperrventiles in größerer oder kleinerer

Fig. 225.

Gliedrohrfassung.

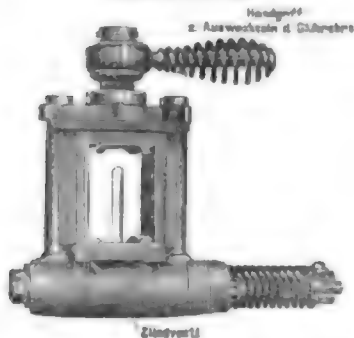
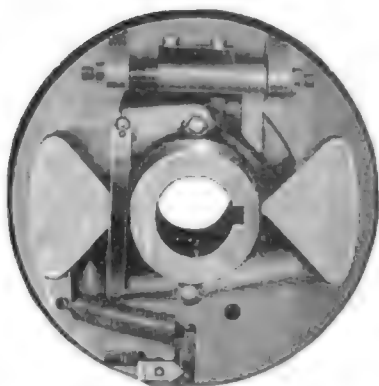


Fig. 226.

Flachregler.



Menge nach dem Zerstäuberventil und von hier, durch die eingesaugte Luft mitgerissen, in den Vergaser. Die zur Bildung der Ladung erforderliche Luft wird durch einen Kanal am vorderen Cylinderende, der in eine den Cylindermantel umgebende ringförmige Kammer ausmündet, eingesaugt. Infolgedessen werden die bei etwaiger Undichtheit der Kolbenringe in den vorderen Theil des Cylinders tretenden Verbrennungsgase in den Motor zurückgesaugt und lästige Gerüche im Maschinenraume vermieden. Die Luftmenge lässt sich je nach der Spannung der Feder des Luftventiles regeln. Das Zerstäuberventil ist durch Kegel und Differentialverschraubung mit dem durch eine Lampe in Rotglut erhaltenen Vergaser verbunden.

Um in Füllen, wo nur wenig Wasser zur Verfügung steht, dennoch den Arbeitcylinder hinreichend kühlen zu können, empfiehlt die Aktiengesellschaft Bolinder die Verwendung des aus Fig. 227 ersichtlichen Gradirwerkes. Dieses wird außerhalb des Maschinenschuppens derart aufgestellt, dass der Wind frei durch seine herabhängenden Schnüre spielen kann. Eine Umlaufpumpe, Fig. 228, entnimmt das Kühlwasser dem Behälter des Gradirwerkes und drückt es durch den Cylindermantel.

Einen Petroleummotor der besprochenen Bauart von 12 PS, der vom schwedischen Staate für die Nebelhorn-

anlage des Leuchtfeuers Vinga bei Göttenburg zum Betreiben zweier Luftkompressoren in Auftrag gegeben ist, zeigt Fig. 229.

Der Motor ist mit einer Vorrichtung zum selbstthätigen Ingangsetzen mittels Druckluft, mit einer Reibkupplung und einem dritten Lager — Aufsenslager — versehen. Die Abbildung zeigt ferner den mit zwei Probriventilen, einem Absperrventil und einer Handpumpe ausgerüsteten Petroleumbehälter *a* zur Speisung und Regelung der Heizflamme für den Vergaser, der sich in gleicher Ausführung bei allen von der Firma erbauten Petroleummotoren vorfindet.

Fig. 227.

Gradirwerk.

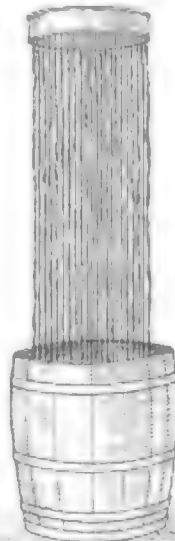
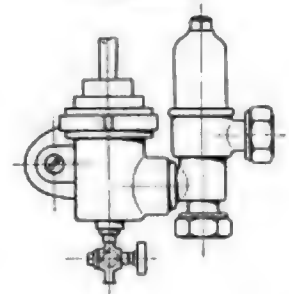


Fig. 228.

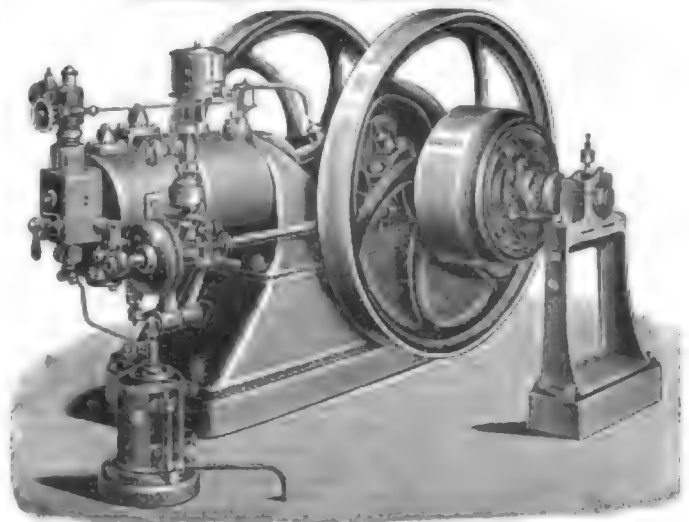
Umlaufpumpe.



Gasgeneratoren ohne zugehörige Motoren waren von M. Taylor & Cie. in Paris, der Société anonyme des moteurs thermiques Gardie in Nantes und L. Guénot in Paris ausgestellt. Sie lassen ebenso wie die schon beschriebenen zur Kraftgas-erzeugung bestimmten Generatoren der Firmen Compagnie «Duplex» pour la fabrication des moteurs à gaz et à pétrole in Paris, Société anonyme d'exploitation des brevets Letombe in Lille, Tangyes Limited in Birmingham, Compagnie du gaz Riché in Paris u. a. das Bestreben erkennen, den Brennstoffverbrauch der mit Kraftgas gespeisten Gasmaschinen immer mehr herabzumindern.

Fig. 229.

Petroleummotor für das Leuchtfeuer-Vinga.

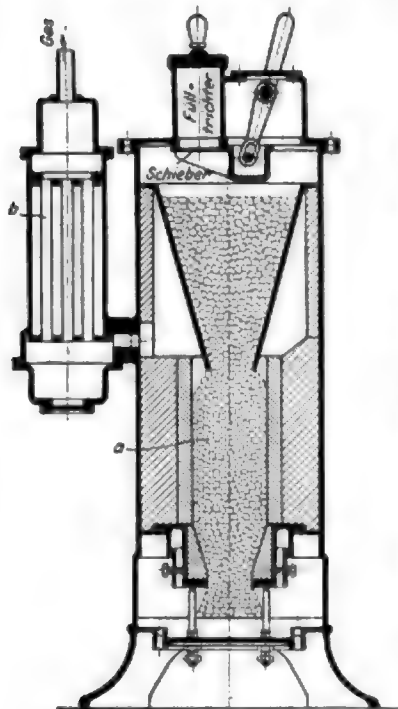
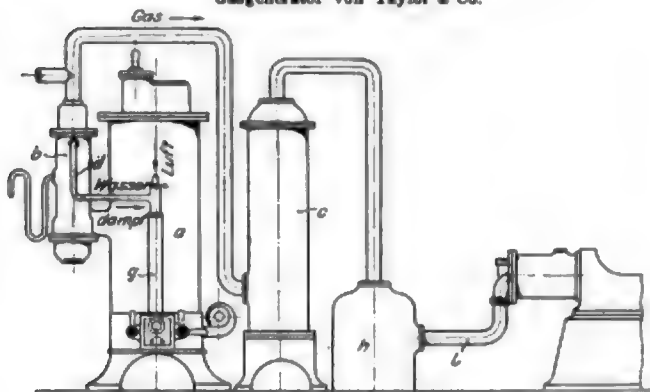


Die von Taylor & Cie. ausgestellten Gasgeneratoren arbeiten ohne besonderen Dampfkessel und Gebläse. Fig. 230 und 231 zeigen eine vollständige Anlage mit dem eigentlichen Generator *a*, einem zur Erzeugung des Wasserdampfes dienenden Verdampfer *b* und einem mit Koks gefüllten Regenapparat *c*. Aus diesem strömt das gereinigte Gas

zunächst in einen Behälter *h* und von hier beim Saughube des Arbeitskolbens durch die Leitung *l* in den Cylinder. Die Bauart des von einem Blechmantel umgebenen Ofens *a* mit anschließendem Verdampfer *b* lässt Fig. 231 erkennen. Letzterer, aus einem von Wasser umspülten Röhrenbündel bestehend, durch welches die heißen Generatorgase streichen, steht durch die Leitung *d*, Fig. 230, mit einem unter der Feuerplatte des Ofens ausmündenden Rohr *g* in Verbindung, auf dessen Obertheil ein Hahn für die beim Saughube des

Fig. 230 und 231.

Gasgenerator von Taylor & Co.



Arbeitskolbens mitsamt dem Wasserdampf in die Brennstoffsküle des Ofens tretende Luft geschraubt ist. Da auch in die Leitung *d* ein stellbarer Hahn eingeschaltet ist, lässt sich das Verhältnis der dem Gaserzeuger zugeführten Luft- und Dampfmenge je nach der von dem Motor geforderten Kraftleistung regeln.

Ein am Gaserzeuger angebrachter vonhand betriebener Ventilator dient zur Anfachung des Feuers beim Anheizen des Ofens.

Diese Generatoren werden vorzugsweise für kleinere Motoren von 8 bis 50 PS geliefert. Der Verbrauch an Brennstoff (englischer Anthrazit) eines zum Speisen eines Ottoschen Viertaktmotors von 17 PS, dienenden derartigen Generators soll bei angestellten Versuchen weniger als 500 g für 1 PS_{st} betragen haben.

Der von der Société anonyme des moteurs thermiques Gardie ausgestellte Gasgenerator unterscheidet sich von dem eben besprochenen dadurch, dass er Gas von hoher Spannung — etwa 6 kg/qcm — liefert. Er besteht, wie

Fig. 232 erkennen lässt, aus einem durch Winkelisenringe zusammengehaltenen zweiteiligen Mantel aus Eisenblech, der derart mit feuerfesten Steinen *A* ausgefüllt ist, dass der Ofenschacht *F* eine cylindrische, im unteren Teile eiförmige Gestalt erhält. Zur Beschickung dient kleinkörnige Magerkohle, die zunächst in die mittels Bügels *T* verschließbare Büchse *E* geschüttet wird und dann durch den geöffneten Hahn *R* und Trichter *C* in den Schacht herabfällt. Die aus Asche und Schlacken bestehenden Verbrennungsrückstände fallen in eine mittels Stopfens verschlossene Rinne,

aus der sie nach Wegnahme des Stopfens entfernt werden. Die Druckluft tritt, nachdem das Ventil *V* geöffnet ist, durch die Leitung *B* unter den Fenerraum des Ofens und reißt hierbei das aus der Düse *X* strömende Wasser, welches in dem Rohr *J* aus dem unter Druck stehenden eisernen Be-

Fig. 232.

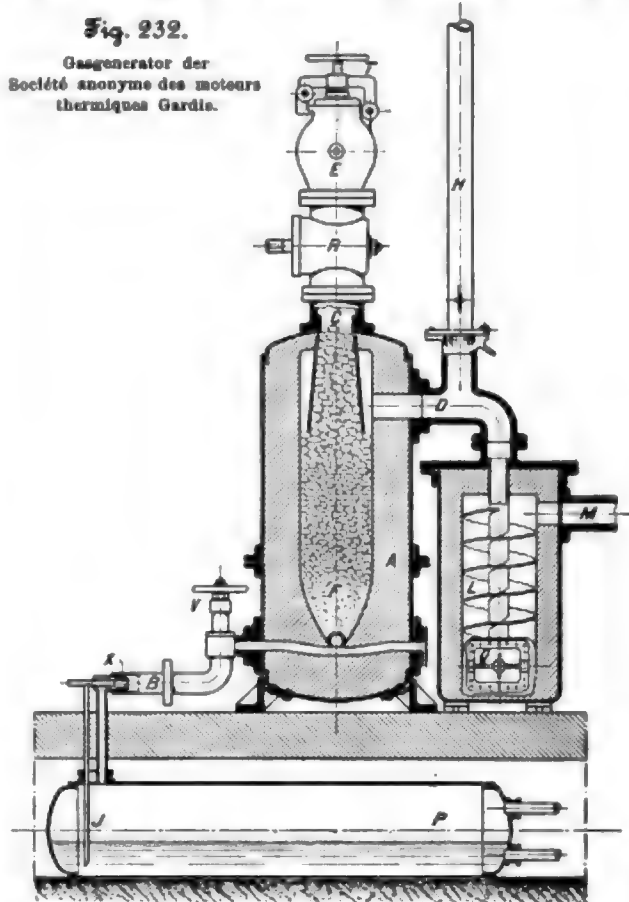
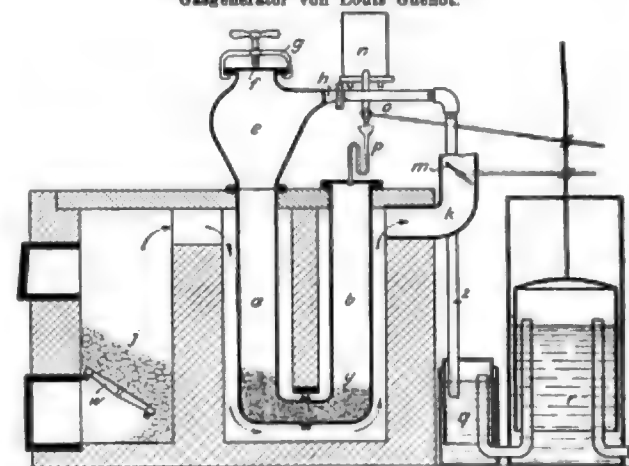
Gasgenerator der
Société anonyme des moteurs
thermiques Gardie.

Fig. 233.

Gasgenerator von Louis Guénot.



hälter *P* emporsteigt, mit sich fort. Dieses schon vorgewärmte Wasser verdampft, bevor es in den Generator eintritt. Die mit Wasserdampf gesättigte Luft durchströmt nun die rotglühende Brennstoffsküle und tritt, in Gas umgewandelt, welches durch Berührung mit den glühenden Wandungen des mit frischem Brennstoff gefüllten Trichters *C* noch überhitzt wird, mit einer Temperatur von etwa 800° C bei *D* aus dem Ofen. Von hier gelangt das Gas in einen mit verschließbarer Oeffnung *Q* versehenen einfachen Reiniger *L* und aus

diesem durch die Leitung *M* nach der Verbrauchsstelle oder in einen Behälter. Der während der Gaserzeugung durch eine Drosselklappe oder dergl. abgestellte Schornstein *H* gestattet das Anzünden des in den Gasmotor gebrachten Brennstoffes, nachdem zuvor durch Stellung des Ventiles *V* die zuströmende Luft auf einen entsprechend niedrigen Druck gebracht worden ist.

Wennschon die in dem Gardie-Generator erzeugten Gase wegen ihrer hohen Temperatur weder toerhaltige Stoffe noch ammoniakalische Wasser enthalten und deshalb keine besondere Reinigung erfordern, bevor sie zu motorischen Zwecken Verwendung finden, dürften sie sich wegen ihrer hohen Spannung doch kaum zum unmittelbaren Betriebe von Explosionsmotoren der heutigen Bauart eignen.

Der Generator von Louis Guénot, Fig. 233, besteht wie der Generator Riché (Z. 1901 S. 331) aus zwei durch Flanschverschraubung miteinander verbundenen, durch den Fülltrichter *e* mit Holzstücken angefüllten Retorten *a* und *b*, die in senkrechten Schächten aufgestellt sind, und aus einem

gemauerten Ofen mit Feuerraum *f*, auf dessen Rost *w* ein lebhaftes Feuer unterhalten wird. Der Fülltrichter ist durch einen Deckel *f*, über den ein kräftiger Bügel *g* greift, fest verschlossen. Die Heizgase treten in Richtung der Pfeile in die Schächte und, nachdem sie die Retorte *a* von oben nach unten, *b* von unten nach oben umspült haben, durch den mit einer Drosselklappe *m* versehenen Schornstein *k* ins Freie. Es findet aber im Generator Guénot keine trockene Destillation des Holzes statt, da Wasser aus dem Behälter *n* durch den geöffneten Hahn *o* und den Heber *p* in die Retorten eingeführt wird und hier verdampft. Die so gebildeten Gase — im mittel aus 26 vH Kohlensäure, 12 vH Kohlenoxyd und 63 vH Wasserstoff bestehend — treten durch eine bei *h* anschließende Rohrleitung *s* in den Wascher *q* und von dort in den Gasbehälter *r*.

Wegen seines hohen Wasserstoffgehaltes und demnach geringen Gewichtes eignet sich das Gas weit mehr für Beleuchtungswecke, zum Füllen von Luftballons u. dergl., als zum Betriebe von Motoren.

Kugellager.

Erfahrungen aus dem Betriebe und Beiträge zur Theorie.

Von Dr. F. Heerwagen, Ingenieur der Grube Horcajo, Spanien.

In Heft 3 und 4 des laufenden Jahrganges dieser Zeitschrift hat Professor Stribeck seine hochinteressanten und wertvollen Untersuchungen über die Zusammendrückbarkeit von Stahlkugeln sowie seine Messungen über die Reibungskoeffizienten in Kugellagern nebst Beobachtungen über das Verhalten von Kugellagern im Probetriebe unter künstlicher Belastung veröffentlicht. Durch diese Arbeit ist zuerst der experimentelle Nachweis dafür geliefert, dass die von Hertz herrührende allgemeine Theorie der Vorgänge an den Berührungstellen zusammengepresster harter Körper richtig ist, und dass man die Ergebnisse jener Theorie für die praktischen Zwecke der Konstruktion verwenden darf. Ferner bieten nun auch die von Prof. Stribeck angestellten Elastizitätsmessungen einerseits, die Betriebsversuche andererseits den zahlenmäßigen Beobachtungsstoff dar, welcher einer richtigen Bemessung der Belastungsgrenzen vom Konstrukteur zugrunde gelegt werden kann.

Unter diesen Umständen dürfen wohl auch einige weitere Ergebnisse, die ich im Laufe des vorigen Jahres aus der Hertzschen Theorie abzuleiten Veranlassung hatte, zur Beachtung rechnen.

Den Anlass zu meinen Arbeiten boten die auf Kugeln laufenden Spurlager der drei Hochdruck-Kreiselpumpen der Wasserhaltung System Sulzer auf der Grube Horcajo, deren Betrieb mir unterstellt war¹⁾. Diese Pumpen wurden am 3. Januar 1900 endgültig in Dienst gestellt, sind Tag und Nacht praktisch ununterbrochen²⁾ im Betriebe, die Wellen machen 880 bis 890 Uml./min, und sie übertragen auf das Spurlager einen Druck von rd. 1000 kg.

Zunächst freut es mich nun, vom Standpunkte des Betriebsingenieurs aus die Schlusssätze Prof. Stribecks bestätigen zu können. Als die Anlage hier geplant wurde, betrachtete ich die Kugellager als den bei weitem am wenigsten sicheren Teil darin. Und in der That kamen in den ersten Monaten des Betriebes mehrfache Brüche oder starke Beschädigungen der Kugellager vor, wenn sie auch glücklicherweise keine großen Betriebsstörungen zur Folge hatten, weil sich die beschädigten Teile rasch durch neue ersetzen lassen, die stets in Reserve gehalten werden. Der erste größere Fortschritt wurde dadurch erzielt, dass die Hohlkehlen der Spurlplatten, in denen die Kugeln laufen, einen so feinkörnigen Schliff erhielten, wie nur immer möglich. Das deckt sich mit den Angaben von Stribeck. Ein weiterer Fortschritt

wurde dann in der Fabrik von Gebrüder Sulzer in Winterthur beim Härten der Platten und bei ihrer Prüfung auf Abwesenheit von Härterissen gemacht. Dazu kam schließlich noch die fast zufällige Entdeckung der schädlichen Wirkung einer ganz geringfügigen Einzelheit in der ersten Lageranordnung, welche ohne weiteres geändert werden konnte, und nunmehr vergeht Monat auf Monat in regelmäßigem ununterbrochenem Betriebe, ohne dass auch nur ein einziger Bruch vorkäme.

Ebenso wie Stribeck aufgrund seiner Versuche zu einer besseren Meinung über die Kugellager gekommen ist, so haben auch hier die Erfahrungen des Betriebes die Anschauungen geändert, beim Schreiber dieser Zeilen ebenso wie beim mittleren und niederen Betriebspersonal. Es zeigt sich im Gegenteil, dass ein Kugellager ein äußerst widerstandsfähiges Organ ist, dass niemals Fehler oder Störungen im Betriebe vorgekommen sind, die aus mangelnder Sorgfalt beim Zusammensetzen hervorgegangen wären. Die Pumpenkammern in der Grube können nicht so sauber und trocken gehalten werden wie ein oberirdischer Maschinensaal, und es ist ein eigenes Ding, empfindliche Maschinenteile an solchen Orte einer nur mangelhaft geschulten Bedienungsmannschaft in die Hände geben zu müssen. Aber die Kugellager haben sich immer als einwandfrei erwiesen, während die gewöhnlichen Traglager der Pumpen- und Motorwellen im vergangenen Jahre nicht völlig von Störungen frei geblieben sind, die ihre Ursache nur in Wartungsfehlern hatten.

Aber ebenso wie die Betriebsergebnisse der Anlage Horcajo Stribecks günstiges Urteil über gute Kugellager bestätigen, so bestätigen sie auch den Schlusssatz, dass nämlich nur wenige Fabriken imstande sein werden, wirklich gute Lager herzustellen. Im vorigen Sommer und Herbst erhielt ich von Gebrüder Sulzer eine ganze Zahl von verschiedenen gekennzeichneten Spurlplattenpaaren zur Erprobung im Betriebe, mit der Bitte, über das Ergebnis zu berichten. Ich musste dann eine Art Spurlplatten als ganz minderwertig bezeichnen, während alle andern befriedigend waren, zumteil sogar vorzüglich. Darauf kam die überraschende Antwort, dass die »minderwertigen« Spurlplatten das Erzeugnis einer angesehenen Spezialfabrik seien; alle andern Platten waren in den eigenen Werkstätten der Firma in Winterthur hergestellt und nur nach Material und Härteverfahren verschieden.

Den Ausgangspunkt meiner theoretischen Arbeiten bildete die praktisch wichtige Frage nach der Lastverteilung auf die einzelnen Kugeln des Spurlagers unserer Pumpen, welche sich unter dem Einfluss kleinster Ungenauigkeiten in der

¹⁾ Z. 1901 S. 1549.

²⁾ Die Summe der für Reinigungen der Maschinen usw. erforderlichen Stillstände bleibt unter 24 Stunden im Monat.

Ausführung einsteilen würde. Dazu muss man vor allen Dingen die Annäherung von Kugel und Platte kennen, die durch einen gegebenen Druck erzeugt wird. Um zu den weiterhin gegebenen Formeln und Tabellen zu gelangen, welche für den praktischen Konstrukteur Wert haben, muss ich eine kurze Inhaltsangabe der diesen Gegenstand behandelnden Arbeit von Hertz¹⁾ vorausschicken und diejenigen seiner allgemeinen Formeln wiedergeben, welche uns zum Ausgangspunkte dienen werden.

Hertz untersucht die Formänderungen zweier vollkommen elastischer Körper mit beliebig gekrümmten Oberflächen, die mit einer gewissen Kraft zusammengepresst werden. Die Lösung ist genau für den Fall, dass man die Aufmerksamkeit auf denjenigen Teil der Körper beschränken darf, welcher dem Berührungspunkte sehr nahe liegt.

Im Augenblick der Berührung beider Körper, noch ohne Kraftwirkung, seien die Oberflächen der Körper in der Nähe des Berührungspunktes durch Gleichungen zweiten Grades gegeben. Die gemeinsame Normale werde als z -Achse gewählt; in der Berührungsebene liegen dann die x - und die y -Achse, und zwar werden die Richtungen dieser Achsen so gewählt, dass der Abstand gegenüberliegender Punkte der beiden Oberflächen, der gleich e sei, auf die einfache Form kommt:

$$e = Ax^2 + By^2 \quad \dots \quad (1).$$

Die Kurven gleichen Abstandes sind demnach ähnliche Ellipsen, mit dem Berührungspunkt als Mittelpunkt.

Werden die Körper mit einer Kraft p zusammengepresst, so berühren sie sich in einer gewissen endlichen Fläche, der Druckfläche.

Die durch den Druck veranlasste Annäherung der vom Berührungspunkt entfernt liegenden, nicht deformierten Teile beider Körper sei gleich a .

Hertz findet, dass die Druckfläche eine Ellipse ist, deren Achsen mit jenen der Ellipsen $e = \text{konst.}$ zusammenfallen; aber sie ist länglicher. Die Halbachsen dieser Ellipse seien a und b . Der Elastizitätsmodul sei wie gewöhnlich mit E bezeichnet, das Verhältnis der Querverkürzung zur Längsausdehnung mit μ . Zur Vereinfachung wird dann noch gesetzt:

$$\frac{4}{E} (1 + \mu) (1 - \mu) = \theta \quad \dots \quad (2),$$

und Hertz findet den Normaldruck in irgend einem Punkte der Druckfläche zu

$$Z = \frac{3p}{2\pi ab} \sqrt{1 - \frac{x^2}{a^2} - \frac{y^2}{b^2}} \quad \dots \quad (3).$$

Dieser Druck ist für den anfänglichen Berührungspunkt, also den Mittelpunkt der Ellipse ($x = 0$; $y = 0$), am größten, an den Rändern der Ellipse ($1 - \frac{x^2}{a^2} - \frac{y^2}{b^2} = 0$) gleich null.

Es seien nun ferner die Krümmungen der beiden Oberflächen im Berührungspunkte gegeben, und zwar seien die Hauptkrümmungen (reziproken Hauptkrümmungsradien) der ersten Fläche ϱ_{11} und ϱ_{12} , der zweiten Fläche ϱ_{21} und ϱ_{22} . Die ϱ sind positiv zu rechnen, wenn die Krümmungsmittelpunkte im Innern der Körper liegen. Ferner sei ω der Winkel, den die Ebene von ϱ_{11} mit derjenigen von ϱ_{21} bildet. Dann ist

$$2(A+B) = \varrho_{11} + \varrho_{12} + \varrho_{21} + \varrho_{22} \quad \dots \quad (4)$$

$$= -\sqrt{(\varrho_{11} - \varrho_{12})^2 + 2(\varrho_{11} - \varrho_{12})(\varrho_{21} - \varrho_{22}) \cos 2\omega + (\varrho_{21} - \varrho_{22})^2} \quad (5).$$

Diese Formeln gestatten also, aus den Krümmungsverhältnissen die Größen A und B (vergl. Gl. (1)) zu berechnen.

Nun führt Hertz als neue wichtige Hilfsgröße einen Winkel τ ein, der durch die Gleichung bestimmt ist:

$$\cos \tau = \frac{A - B}{A + B} \quad \dots \quad (6).$$

Vom Werte von τ sind die Halbmesser der elliptischen Druckflächen abhängig, und zwar in folgender Weise. Hertz

zeigt, dass die fraglichen Halbmesser sich ganz allgemein als Produkte zweier Faktoren darstellen, deren einer in ganz einfacher Form den Druck, die elastischen Konstanten der Körper und ihre Krümmungsradien enthält. Der andere Faktor hat die Eigenschaft, eine reine Funktion des Hülfswinkels τ zu sein. Der zur Halbachse a gehörige Faktor wird mit μ bezeichnet, der zum Halbmesser b gehörige mit ν . Die Faktoren μ und ν können mithilfe der Legendreschen Tabellen der elliptischen Funktionen aus gewissen von Hertz gegebenen Gleichungen berechnet werden. Hertz selber hat diese Rechnungen für einige Werte von τ durchgeführt, und er gibt folgende Tabelle:

$\tau =$	90°	80°	70°	60°	50°	40°	30°	20°	10°	0°
$\mu =$	1,000	1,128	1,284	1,486	1,754	2,130	2,731	3,778	6,612	∞
$\nu =$	1,000	0,893	0,802	0,717	0,641	0,567	0,493	0,408	0,319	0

Bestehen die beiden Körper aus gleichem Stoff, so lauten die Hertschen Formeln für die Halbmesser der Druckellipsen

$$a = \mu \sqrt{\frac{3p\theta}{4(\varrho_{11} + \varrho_{12} + \varrho_{21} + \varrho_{22})}} \quad \dots \quad (7)$$

$$b = \nu \sqrt{\frac{3p\theta}{4(\varrho_{11} + \varrho_{12} + \varrho_{21} + \varrho_{22})}} \quad \dots \quad (8).$$

Für den Betrag der Annäherung der beiden gepressten Körper gilt

$$a = \frac{3p\theta}{4\pi a} \int_0^\infty \frac{ds}{\sqrt{(1 + \frac{s^2}{\mu^2})(1 + s^2)}} \quad \dots \quad (9).$$

Nun handelt es sich also darum, aus diesen allgemeinen Gleichungen diejenigen besonderen und daher einfacheren Beziehungen abzuleiten, welche auf Kugellager anwendbar sind. Ist der Kugeldurchmesser d , so wird vor allen Dingen stets $\varrho_{11} = \varrho_{12} = \frac{2}{d}$, und es wird infolge der gleichförmigen Krümmung der Kugel nach allen Seiten in Formel (5) $\cos 2\omega = 1$. Also ist nun

$$\cos \tau = \frac{\sqrt{(\varrho_{21} - \varrho_{22})^2}}{d + \varrho_{21} + \varrho_{22}} \quad \dots \quad (10).$$

Meine weiteren Rechnungen beziehen sich nun auf den Fall, dass eine der Hauptkrümmungen des zweiten Körpers gleich null ist, wie solches beim Kugel-Spurlager wohl immer der Fall ist; s. Fig. 1 und 2. Auf Traglager, wie die von Striebeck untersuchten, sind die berechneten Formeln in den Fällen unmittelbar anwendbar, wo die Kugeln auf Cylinder- oder Kegelflächen laufen, Fig. 3.

Weisen dagegen die Spurplatten oder Tragringe im Berührungspunkte der Kugel eine doppelte Krümmung auf, so bieten die nachfolgenden Formeln und Tabellen immer noch angenähert richtige Werte, während die Ermittlung genauer Zahlen noch einen kleinen Mehraufwand von Rechnung für jeden Fall erfordern würde.

Ich rechne den Krümmungsradius der Platte positiv, wenn er in der Richtung nach der Kugel hin liegt. Dann wird

$$\cos \tau = \frac{d}{4r-d} \quad \dots \quad (11).$$

Fig. 4 giebt die äußerst einfache geometrisch anschauliche Bedeutung dieses Winkels wieder. So lange die Kugel in einer gekrümmten Hohlkehle oder auf der Innenseite einer Kegelfläche läuft, ist r positiv, und τ liegt zwischen 0 und 90°. Läuft die Kugel auf einer Ebene, so ist $r = 90^\circ$. Dann sind die Koeffizienten $\mu = \nu = 1$, die Druckellipse wird ein Kreis. Läuft die Kugel auf einem Aufsenkegel, so rechne ich nach Gl. (11) und Fig. 4 den Winkel τ über 90° hinaus, statt den Zeichenwechsel an anderer Stelle eintreten zu lassen, wie Hertz es thut. a bedeutet dann immer denjenigen Halbmesser der Druckellipse, welcher in der Richtung der Krümmung der Platte liegt.

¹⁾ Hrn. Prof. F. Kohlbrausch, Präsident der Physikal. Techn. Hochschule in Charlottenburg, bin ich für Vermittlung der Kenntnis der angeführten Arbeit zu Dank verpflichtet.

Ferner ist es zweckmäßig, anstelle des von Hertz gebrauchten Zeichens θ ein anderes einzuführen, und ich setze

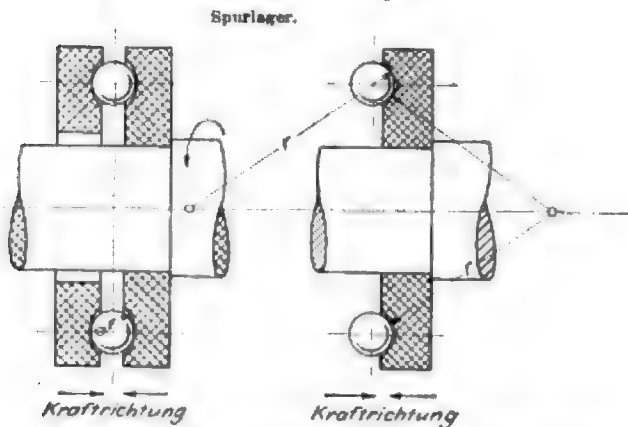
$$\theta = \frac{16}{3H} \quad (12).$$

Dann ist nämlich für solche Stoffe, deren Querverkürzung sich zur Längsausdehnung verhält wie 1:3,

$$H = \frac{3}{2} E.$$

Fig. 1.

Fig. 2.



Ueherdies folgt aus Stribecks Versuchen unmittelbar, ohne jede Hypothese über das erwähnte Verhältnis,

$$H = 31800 \text{ kg/qmm} \quad (13)$$

für die von ihm untersuchten Kugeln und Platten.

Nun erhält man zunächst für Kugel und ebene Platte folgende Formeln, welche alle Zusammenstellungen der inrede stehenden Größen enthalten:

$$\frac{a}{2} = \sqrt[3]{\frac{p}{H} \frac{1}{d}} \quad (14)$$

$$a \approx b = \sqrt[3]{\frac{p}{H} \frac{1}{d}} \quad (15)$$

$$k = \frac{p}{\pi a^2} = \frac{1}{\pi} \sqrt[3]{\frac{H}{p} \frac{1}{d^3}} \quad (16)$$

Mit k bezeichne ich also die mittlere Pressung (spezifischen Druck) auf der gedrückten Kugeloberfläche, k ist ein Maß für die Beanspruchung des Materials.

$$p = H \sqrt[3]{\frac{a}{2} \frac{1}{d}} \quad (17)$$

$$a \approx \sqrt[3]{\frac{p}{H} \frac{1}{d}} \quad (18)$$

$$k = \frac{H}{\pi} \sqrt[3]{\frac{1}{2} \frac{1}{d}} \quad (19)$$

$$k = \frac{H a}{\pi d} \quad (20)$$

$$p = H \frac{a}{2} \quad (21)$$

$$p = (k\pi)^2 \left(\frac{d}{H}\right)^2 \quad (22)$$

Ich wiederhole in Worten nur das bekannte und von Stribeck besonders geprüfte Gesetz, dass für eine zulässige Pressung k die von einer Kugel getragene Last im Verhältnis zum Quadrat ihres Durchmessers wächst (Gl. (22)); ferner, dass bei gegebener Kugel und Platte die Pressungen nur mit der dritten Wurzel aus dem ganzen übertragenen Drucke wachsen (Gl. (16)).

Dann möchte ich aber besonders auf die anschauliche geometrische Deutung einiger Gleichungen aufmerksam machen, welche durch den Umstand ermöglicht wird, dass der Halbmesser der Druckfläche dem Kugeldurchmesser gegenüber nur klein sein darf und ja auch infolge der begrenzten Widerstandsfähigkeit des Materials nur klein sein

kann. Der Leser wird keinen Anstoß daran nehmen, dass die Figuren, um sichtbare Linien und Winkel zu bekommen, mit übertrieben grossen Druckflächen gezeichnet sind.

Aus Gl. (20) und Fig. 5 folgt zunächst, dass das Verhältnis der Pressung zum hier maßgebenden Elastizitätskoeffizienten H gleich ist dem Verhältnis des Zentriwinkels, unter dem a vom Kugelmittelpunkte aus erscheint, zu 2π oder 360° . Welches auch der Kugeldurchmesser sei, dieser Zentriwinkel ist also stets ein Maß der Pressung.

Fig. 3.

Traglager.

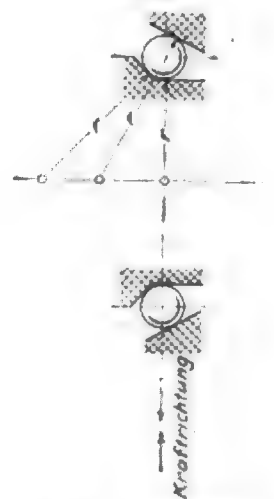


Fig. 4.



Aus Gl. (18) und Fig. 6 folgt, dass $\frac{a}{2}$, also die vom Drucke erzeugte Annäherung des getroffenen Oberflächenpunktes an den Kugelmittelpunkt, gleich der Höhe der Kalotte ist, die auf der (noch undeformierten) Kugel von der Druckfläche mit ihrem Halbmesser a abgegrenzt wird. Im Anschluss hieran gewährt Fig. 7 eine Vorstellung von den

Fig. 5.

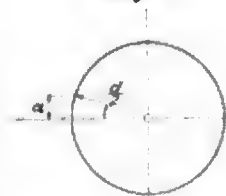


Fig. 6.

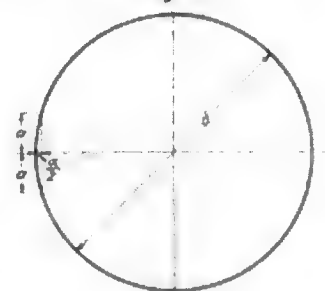
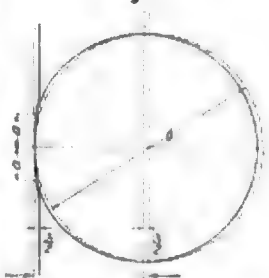


Fig. 7.



Formänderungen, welche die Oberflächen von Kugel und Platte unter dem Einflusse des Druckes erleiden. Die gestrichelten Linien geben die Oberflächen im Zustande der Berührung an, ohne Druck. Dann ist der Berührungsmittelpunkt unbeweglich gedacht, und die durch den Druck in Lage und Form geänderten Flächen sind ausgezogen gezeichnet. Die miteinander in Berührung stehende Druckfläche beider Körper wird eine Kalotte nach dem Radius d ; um diese Kalotte herum liegt dann noch eine Zone mit merklich veränderter Oberfläche, und in einer gewissen Entfernung von der Mitte verschwindet die Formänderung so weit, dass alle übrigen Teile keinen wirklichen Beitrag mehr zur gesamten Formänderungsarbeit liefern.

Auch die Größe des Druckes ist der Figur 7 zu entnehmen: es ist das Rechteck $\frac{a}{2}$, multipliziert mit H ; also

eine in qmm auszumessende Fläche mal den in Gl. (13) in kg/qmm angegebenen Koeffizienten.

Nachdem wir so die Verhältnisse beim Zusammendrücken von Kugel und ebener Platte näher betrachtet haben, kehren wir zu unserer allgemeineren Aufgabe zurück, die durch Gl. (11) und Fig. 1 bis 4 gekennzeichnet ist.

Wir haben dann nur noch zu beachten, dass das Integral in Gl. (9) durch die Substitution $\varepsilon = \operatorname{tg} \varphi$ und durch Einführung einer weiteren Hilfsgröße

$$\cos \varepsilon = \frac{r}{\mu} \quad (23)$$

die Form annimmt:

$$\int_0^{\infty} \frac{d\varepsilon}{\sqrt{(1 + \frac{r^2}{\mu^2} \varepsilon^2)(1 + \varepsilon^2)}} = \int_0^{\frac{\pi}{2}} \frac{d\varphi}{\sqrt{1 - \sin^2 \varphi \sin^2 \varepsilon}} = K_0 \quad (24)$$

Tabelle der Koeffizienten zu den Gl. (25) bis (34).

τ	$\frac{d}{2r}$	A_r	B_r	$\left(\frac{1}{P_0}\right)^2$	K_r	$\frac{1}{A_p}$	A_s	B_s	P_s	K_s	$\frac{1}{A_n}$	$\frac{1}{P_n}$	$\left(\frac{1}{K_p}\right)^2$
30°	0,998	3,362	0,907	0,590	0,490	0,297	4,378	0,790	2,207	0,036	0,228	0,453	8,499
35	0,991	2,926	0,847	0,635	0,528	0,342	3,672	0,812	1,976	0,063	0,272	0,506	6,786
40	0,968	2,582	0,885	0,677	0,565	0,387	3,129	0,833	1,797	0,087	0,319	0,556	5,640
45	0,928	2,302	0,929	0,715	0,602	0,434	2,792	0,854	1,653	0,112	0,367	0,605	4,588
50	0,783	2,070	0,968	0,751	0,639	0,483	2,388	0,873	1,535	0,137	0,419	0,651	3,835
55	0,729	1,873	0,989	0,786	0,677	0,534	2,112	0,890	1,435	0,164	0,473	0,697	3,221
60	0,667	1,701	0,921	0,819	0,716	0,588	1,880	0,907	1,349	0,191	0,527	0,741	2,721
65	0,594	1,550	0,854	0,850	0,768	0,645	1,681	0,926	1,275	0,220	0,585	0,784	2,316
70	0,510	1,416	0,885	0,881	0,798	0,706	1,509	0,942	1,209	0,250	0,663	0,827	1,967
75	0,411	1,298	0,913	0,911	0,844	0,771	1,359	0,957	1,149	0,284	0,736	0,870	1,668
80	0,298	1,190	0,942	0,941	0,892	0,840	1,228	0,971	1,095	0,320	0,815	0,913	1,406
85	0,160	1,091	0,971	0,971	0,944	0,907	1,107	0,985	1,045	0,358	0,903	0,957	1,188
90	0,000	1,000	1,000	1,000	1,000	1,000	1,000	1,000	1,000	1,000	1,000	1,000	1,000
95	-0,191	0,916	1,029	1,029	1,061	1,092	0,903	1,015	0,958	1,048	1,108	1,064	0,827
100	-0,420	0,838	1,059	1,058	1,127	1,193	0,815	1,029	0,919	1,096	1,228	1,088	0,698

Das ist also ein vollständiges elliptisches Integral, und die Zahlenwerte von K_0 zum Argument ε können den vorhandenen Tabellen entnommen werden.

Ich bringe nun alle Formeln für den allgemeinen Fall auf ganz dieselbe äußere Form wie die vorhin besprochenen Gleichungen (14) bis (22), nur dass ein Zahlenfaktor hinzutritt, der allein vom Winkel τ (Gl. (11) und Fig. 4) abhängt, und welcher durchweg für $\tau = 90^\circ$ gleich 1 wird.

Die Formeln lauten:

$$\tau = \left(\frac{1}{P_0}\right)^2 \sqrt{\frac{P^3}{H^3} d} \quad (25)$$

$$a = A_r \sqrt{\frac{P}{H}} d \quad (26)$$

$$b = B_r \sqrt{\frac{P}{H}} d \quad (27)$$

$$k = \frac{P}{\pi a b} = K_r \frac{1}{\pi} \sqrt{\frac{P}{H^3} d^3} \quad (28)$$

Ferner braucht man zu Rechnungen über die Lastverteilung auf ungenaue Kugeln, ungenau zentrierte Spurplatten, wie auf eigentlich zu jeder genauen Berechnung der Lastverteilung auf die Kugeln eines Traglagers noch folgende Beziehungen:

$$p = P_s H \sqrt{\frac{a}{d}} \quad (29)$$

$$a = A_s \sqrt{\frac{a}{d}} \quad (30)$$

$$b = B_s \sqrt{\frac{a}{d}} \quad (31)$$

$$k = K_s \frac{H}{\pi} \sqrt{\frac{a}{d}} \quad (32)$$

Von Interesse ist noch:

$$k = \frac{K_r H a}{A_r \pi d} = \frac{K_r H b}{B_r \pi d} \quad (33)$$

$$p = \frac{1}{K_p} (k \pi)^2 \left(\frac{d}{H}\right)^3 \quad (34)$$

Für die Koeffizienten der Formeln (25) bis (34) habe ich Tabellen berechnet, ausgehend von den auf S. 1702 wiedergegebenen, von Hertz herrührenden Werten von μ und r . Die Tabelle schreitet, um ihre Benutzung und die Interpolation zu erleichtern, von 5 zu 5° nach τ fort, und für die Koeffizienten A_r , P_s und K_r sind auch die reziproken Werte aufgeführt, weil sie eine leichtere Interpolation gestatten. τ ist zuerst nach Gl. (11) zu berechnen.

Um die Sache der Anschauung näher zu bringen, giebt Fig. 5 eine zeichnerische Darstellung dieser Zahlenwerte, und zwar sind die Kurven unter Ausscheidung des Hilfswinkels τ unmittelbar über den Abszissen $\frac{d}{2r}$ aufgetragen, d. h. über dem Verhältnis der Spurplattenkrümmung zur Kugelkrümmung. Uebrigens ist eine Teilung für die wichtigsten Werte des dem Konstrukteur geläufigeren Verhältnisses $\frac{r}{d}$ unter der Abszissenachse angebracht, und neben den Kurven ist die Bedeutung der gebrauchten Zeichen nebst den Formeln selbst vermerkt.

Diese Kurventafel lässt nun leicht erkennen, in welchem Maße die Druckellipse bei stärkerer Krümmung der Spurplatte länglicher wird, und wie sich gleichzeitig die Druckfläche und damit die Pressung k ändert.

Läuft die Kugel in einer Hohlkehle $\frac{r}{d} = \frac{1}{2}$, wie bei einigen von Stribocks Versuchen, und wie ich sie auch selber andern Rechnungen zugrunde gelegt hatte, so ist $\frac{d}{2r} = 0,75$,

¹⁾ Der Vollständigkeit halber seien auch die Formeln für die Berechnung der neu eingeführten Koeffizienten mitgeteilt:

$$\left(\frac{1}{P_0}\right)^2 = \frac{2x_1^3}{\mu \pi} \sqrt{\frac{1}{1 + \cos \tau}} \quad P_s = \sqrt{\left(\frac{\mu \pi}{2x_1}\right)^2 \sqrt{1 + \cos \tau}}$$

$$A_r = \mu \sqrt{1 + \cos \tau} \quad A_s = \mu \sqrt{1 + \cos \tau} \sqrt{\frac{\mu \pi}{2x_1}}$$

$$B_r = r \sqrt{1 + \cos \tau} \quad B_s = r \sqrt{1 + \cos \tau} \sqrt{\frac{\mu \pi}{2x_1}}$$

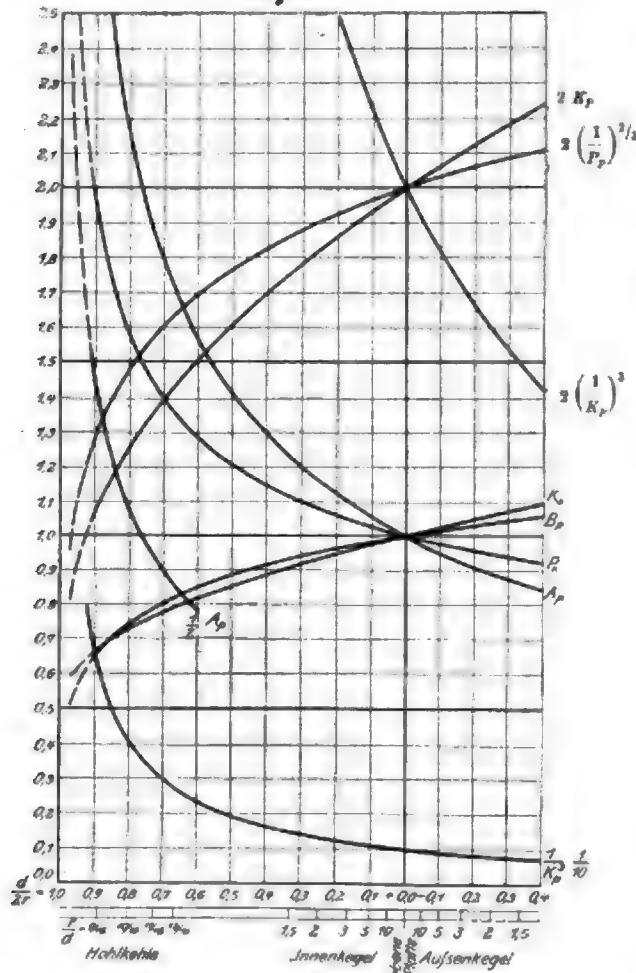
$$K_r = \frac{1}{\mu r \sqrt{1 + \cos \tau}} \quad K_s = \frac{1}{\mu r} \sqrt{\frac{\mu \pi}{2x_1} \sqrt{1 + \cos \tau}}$$

$$\left(\frac{1}{K_p}\right)^2 = \mu^2 r^2 (1 + \cos \tau)^2$$

und $A_p = 1,044$, $B_p = 0,777$, das Achsenverhältnis der Druckellipse $b : a$ also gleich $0,777 : 1,044 = 1 : 2,5$. Ferner ist bei gleicher Last die Annäherung α nur $\left(\frac{1}{K_p}\right)^{\frac{1}{3}} = 0,773$ von derjenigen, welche Kugel und Ebene erleiden würden, und die Pressung ist auf $K_p = 0,663$ gesunken. Die Last, welche die Kugel bei gleicher Pressung k zwischen denselben Hohlkehlen tragen kann, ist $\left(\frac{1}{K_p}\right)^3 = 3,44$ mal größer als zwischen ebenen Platten.

Ferner ist beispielsweise für die Innenkegel von Striebeck's Lager, Fig. 23 S. 123, $\frac{d}{2r} = 0,181$, demnach $A_p = 1,08$, $B_p = 0,97$ und $K_p = 0,944$; für die Außenkegel desselben

Fig. 8.



Lagers giebt die Kurventafel zur Abszisse $\frac{d}{2r} = 0,181$ die Werte $A_p = 0,808$, $B_p = 1,034$ und $K_p = 1,076$. Die Pressung auf den innern Ring ist demnach im Verhältnis $\frac{1,076}{0,808} = 1,33$, d. i. um 33% größer als auf den äußeren Ring, und man kann leicht weiter berechnen, wie viel höhere Last dieselben Kugeln zu tragen imstande wären, wenn sie mit nur einem Stützpunkt auf jeder Seite im Grunde von Hohlkehlen laufen würden, statt jederseits 2 Stützpunkte auf Kegelflächen zu benutzen.

Diese letzten Zahlen, welche sich auf Kegelflächen beziehen, gestatten gleichzeitig den Schluss, dass die für ein Traglager mit Hohlkehlen (Striebeck, Fig. 21, 22 und 24) geltenden genauen Zahlen um einen ähnlichen Betrag von einigen Prozenten von den Werten meiner Kurventafel, Fig. 8, abweichen werden, wie die Zahlen für die geraden Kegelflächen von 1 abweichen.

Es liegt auf der Hand, dass eine Theorie der Kugellager, die auf praktischen Wert Anspruch machen will, neben den reinen Druckverhältnissen ebenso sehr die Bewegungs- und Reibungsverhältnisse in den Kreis ihrer Betrachtung ziehen muss. Striebeck hat auch diesen Punkt bereits behandelt, und so kann ich zunächst darauf verzichten, aus meinen verstreuten Rechnungen und Notizen über Betriebserfahrungen auch hierüber etwas beizubringen.

Ich möchte aber besonders darauf aufmerksam machen, dass die aufgrund der Hertz'schen Theorie von mir berechneten Formeln zur Bestimmung der vom reinen Druck abhängigen Belastungsgrenze möglichst reibungsfrei konstruierter Lager wohl zutreffend zu sein scheinen, da Striebeck's Versuche eine ähnlich höhere Belastungsfähigkeit von Kugeln in Hohlkehlen erkennen lassen, wie sie die Theorie erwarten lässt.

Nur auf eine Lücke in der Theorie möchte ich noch aufmerksam machen. Es ist von vornherein nicht als sicher anzunehmen, dass der reine, nach Hertz berechnete senkrecht wirkende Druck auf der kleinen Berührungsfläche von Kugel und Spurplatte an und für sich das zerstörende Element im Betriebe bildet. Hertz hat gezeigt, dass sich in den Oberflächenschichten der Körper, um die Druckstelle herum, Zonen mit tangential gerichteten Zugspannungen ausbilden. Die Vermutung liegt dann nahe, dass es vielmehr auf die Kenntnis dieser Zugspannungen ankommen könnte, dass diese es sind, welche in erster Linie das Gefüge lockern und eine überlastete Kugel oder Platte zum Aussplittern bringen. Die allgemeinen Grundlagen zur Berechnung dieser Zugspannungen sind zwar auch von Hertz gegeben, doch ist es mir bei den bisherigen Versuchen noch nicht gelungen, die Gleichungen soweit zu vereinfachen und umzuformen, dass eine zahlenmäßige Rechnung ohne allzugroße Weitläufigkeit Aussicht auf Erfolg geboten hätte.

Ich vermag nicht zu übersehen, ob sich beim Übergange der Druckfläche aus einem Kreise in eine Ellipse die größte Zugspannung proportional der Pressung k ändert, oder langsamer. Immerhin möchte ich schon jetzt, aufgrund einer andern, nicht mathematisch-analytischen, sondern auf geometrischer Veranschaulichung fußenden Betrachtungsweise, es für sicher halten, dass der größte zulässige Druck für die Zusammenstellung Kugel- $\frac{1}{2}$ Hohlkehle mindestens 2,13mal größer ist als für Kugel-ebene Platte, wenn nicht doch das volle Verhältnis $\frac{1}{K_p} = 3,44$ auch für den Fall gilt, dass die größte Zugspannung, nicht der größte Druck, den ausschlaggebenden Grenzwert der Beanspruchungsfähigkeit des Materials erreicht.

Die weitere Untersuchung dieser Frage nach der theoretischen Seite und die Nachprüfung des Ergebnisses durch geeignete Versuche dürfte ein dankbares Thema für mathematisch veranlagte Bewerber um den »Dr. ing.« sein, deren Zeit noch nicht durch die täglichen Anforderungen des Berufes anderweitig in Anspruch genommen ist.

Mineras del Horcajo, 2. Februar 1901.

- r Krümmungsradius der Spurplatte, + in der Richtung zur Kugel
- d Kugeldurchmesser
- p Normaldruck zwischen Kugel und Platte
- α Annäherung von Kugel und Platte
- a Halbmesser der Berührungsellipse in der Krümmungsrichtung der Spurplatte
- b zweiter Halbmesser
- $H = 81800$ kg/qmm für Stahl nach Striebeck's Versuchen (Z. 1901 S. 77)
- k mittlerer spezifischer Druck in der Berührungsfläche

$$\alpha = \left(\frac{1}{K_p}\right)^{\frac{1}{3}} \sqrt[3]{\frac{p^2}{H^2}}$$

$$a = A_p \sqrt[3]{\frac{p}{H}}$$

$$b = B_p \sqrt[3]{\frac{p}{H}}$$

$$k = K_p \frac{1}{\pi} \sqrt[3]{\frac{H^2}{p}}$$

$$p = P_p \pi \sqrt[3]{\left(\frac{\alpha}{\gamma}\right)^3}$$

$$a = A_p \sqrt[3]{\frac{\alpha}{\gamma}}$$

$$b = B_p \sqrt[3]{\frac{\alpha}{\gamma}}$$

$$k = K_p \frac{H}{\pi} \sqrt[3]{\frac{2}{\alpha}}$$

$$p = \left(\frac{1}{K_p}\right)^3 k^3 \pi^3 H^3$$

Die Weltausstellung in Paris 1900.

Die landwirtschaftlichen Maschinen und Geräte.

Von H. Grundke, Berlin.

Die meisten landwirtschaftlichen Maschinen und Geräte waren auf bevorzugtem Platze in der Nähe des großen Festsaales im Hauptausstellungsgebäude auf dem Marsfelde untergebracht. Besonders beanspruchte dort die französische Ausstellung, die im Verhältnis zu den Vorführungen der übrigen Länder einen unverhältnismäßig großen Umfang hatte, die Aufmerksamkeit der Besucher. Allerdings waren auch die Maschinen der wichtigeren Industrieländer, wie Deutschlands, Englands und zumteil auch der Vereinigten Staaten Nordamerikas, in zusammenhängendem Raume nebeneinander untergebracht, aber die Menge des hier Dargebotenen verschwand fast gegen die Ausstellung Frankreichs. Bei den meisten fremden Ländern kam noch hinzu, dass die Maschinen mit den in größtem Umfange vorhandenen Erzeugnissen der Landwirtschaft und mit Hilfsmitteln für den landwirtschaftlichen Betrieb zusammen aufgestellt waren, sodass die Maschinen oft schwer herauszufinden waren. Daneben waren auch landwirtschaftliche Maschinen, wie es in den übrigen Ausstellungsgruppen als störend und hinderlich bemerkt worden ist, an andern, oft sehr weit auseinander liegenden Stellen des riesigen Ausstellungsplatzes vorgeführt; so hatten besonders die Vereinigten Staaten von Nordamerika in der Nähe des Schweizer Dorfes ein besonderes Ausstellungsgebäude errichtet, und viele Maschinen waren sogar auf die ausgedehnten Gefilde des Parks von Vincennes verbannt, wohin das eben genannte Land, auch Kanada, Italien u. a., ihre Erzeugnisse teilweise hatten senden müssen. Ebenso mussten die Gebäude der einzelnen Staaten an der Völkerstraße an der Seine und in der umfangreichen Kolonialausstellung am Trocadero berücksichtigt werden.

Der Grad der Beteiligung bot keinen richtigen Maßstab für einen Vergleich des Baues landwirtschaftlicher Maschinen in den einzelnen Ländern. Was zunächst das Studium der französischen Maschinen anlangt, so war die Uebersicht durch die allzu zahlreiche Vorführung sowohl bedeutender wie mittelmäßiger Erzeugnisse einigermaßen behindert. Auch wurde dieses Studium noch dadurch erschwert, dass die Aussteller mit nur wenigen Ausnahmen in Auskünften über Einzelheiten sehr zurückhaltend waren, sobald sie erkannt hatten, dass die Auskünfte nicht zum Zweck eines Verkaufes, sondern für einen Bericht gewünscht wurden. Ob das seinen Grund in einer geringeren Geschäftserfahrung oder in der Besorgnis vor dem deutschen Wettbewerb hatte, konnte nicht mit Sicherheit festgestellt werden; jedenfalls war bei Vertretern anderer wichtigerer Länder, insbesondere Englands, Amerikas und Ungarns, ein wesentlich größeres Entgegenkommen zu bemerken. Deutschland, welches sich nur mit 14 Ausstellern beteiligt hatte, war, ähnlich wie die übrigen Länder, außer vielleicht Nordamerika, im Raum derart beschränkt, dass viele Fabrikanten von der Beteiligung überhaupt Abstand genommen hatten. Die Anwesenden mussten sich auf ihre, in sehr ungünstiger und zu enger Anordnung aufgestellten Haupterzeugnisse beschränken, die meistens in den Berichten über die Weltausstellungen der deutschen Landwirtschafts-Gesellschaft schon früher beschrieben worden sind. Im übrigen sind Neuerungen an deutschen Maschinen hier nur zum Zwecke eines Vergleiches mit andern oder zur besonderen Kennzeichnung der Entwicklung erwähnt, da sich bei deutschen Ausstellungen später doch Gelegenheit bieten wird, sie kennen zu lernen.

Bei den französischen Maschinen konnte man die Beobachtung machen, dass die Maschinengattungen sich oft nur in Einzelheiten voneinander unterscheiden. Man kann verfolgen, wie bestimmte Konstruktionen teils französischen Ursprunges, wie z. B. die Kehrpfüge, die Weinbaugeräte, Göpelwindepfüge, einzelne Säe- und Dreschmaschinen, teils ausländischen Ursprunges dauernd die Entwicklung beeinflusst haben, besonders dann, wenn diese Entwicklung Wege eingeschlagen hat, welche augenscheinlich die landwirtschaftlichen Betriebsverhältnisse weniger berücksichtigen als die Eigen-

tümlichkeiten des französischen Volkscharakters. Dadurch erscheint es erklärlich, dass der elegante, aber im Gebrauch zu Leichtfertigkeiten verführende französische Kehrpfug, die bequeme, aber etwas gefährliche Verbindung der Antriebsmaschine mit der Dreschmaschine und andere auffallende französische Besonderheiten so häufig vorkommen, und dass wichtige Fortschritte anderer Länder, besonders diejenigen zur Vereinfachung in der Handhabung, wie z. B. die Stellvorrichtungen an Räderpfügen mittels nur eines Hebels, wie sie in Deutschland und verschiedenen andern Ländern seit der Ventzkischen Erfindung bestimmend für den neueren Pflugbau geworden sind, fast spurlos vorübergegangen sind.

Von der französischen Regierung war eine sehr bemerkenswerte Sammlung alter landwirtschaftlicher Geräte und Maschinen in mehreren Gebäuden, Nachbildungen alter Bauerngehöfte und Landschlössern, systematisch untergebracht; man konnte daran besonders den Uebergang von den vollständig hölzernen Bodenbearbeitungsgeräten zur Verwendung des Eisens zuerst als Beschlag nur für die Pflugschle, dann auch für das Schar und für andere der Abnutzung besonders ausgesetzte Teile — Räder und Gestell —, beobachten. Diese geschichtliche Ausstellung ließe die Berechtigung der Annahme des oben erwähnten Entwicklungsganges erkennen; denn sie zeigte, obwohl sie nur Geräte enthielt, die vor vielen Menschenaltern gebraucht wurden, oft überraschende Ähnlichkeiten mit Konstruktionen der jetzigen französischen Ausstellung. So hatten z. B. M. Letroteur in Viry-Noureuil und Meixmoron de Dombasle in Nancy noch Pflüge mit Holzstreichbrettern ausgestellt, die noch jetzt nach Spanien, Elsass-Lothringen und dem südlichen Frankreich vielfach verkauft werden, und P. Plisson in Dourdan hatte neue Pflüge mit ganz steilen Pflughäumen ausgestellt, die sich vorn gegen den hoch hinaufgezogenen Bock der Vorderkarre stützen und durch die Verbindung mit der letzteren unmittelbar auf Zerknicken beansprucht werden. Ueberhaupt ist noch jetzt im allgemeinen die Verwendung von Holz für das Grindel, die Sterzen, für die Vorderkarre, ja für die Griessäule sehr verbreitet. Diese geschichtliche Ausstellung bot andererseits für Vorführungen anderer Länder mit weniger entwickelter Maschinenindustrie wenig abgeänderte Muster, z. B. für die Pflüge Italiens oder für eine Dreschmaschine in der russischen Abteilung (E. Liphart & Co.), deren lose hängende kurze Stahlflügel gegen einen Korb arbeiteten, wobei nur das Holz der alten Maschine durch sehr viel Eisen ersetzt war.

In den Nachbarländern Frankreichs, besonders in Belgien und der Schweiz, zeigten sich ähnliche Verhältnisse, so weit die ausgestellten Maschinen zu schließen erlaubten. Auf allgemeine Bemerkungen über den nordamerikanischen und den englischen landwirtschaftlichen Maschinenbau kann ich hier verzichten, weil die Erzeugnisse dieser Länder auch auf unsern deutschen landwirtschaftlichen Ausstellungen bekannte Gäste sind; nur möchte ich darauf hinweisen, dass zur Erwerbung und Erhaltung des französischen Marktes auch hier manche Zugeständnisse gemacht werden, die sicher mehr durch die Wünsche der dortigen Abnehmer bedingt sind, als dass sie den Geist der fremden Konstrukteure erkennen ließen; demnach unterscheiden sich die Geräte oft wesentlich von den charakteristischen Geräten des Ursprungslandes und nähern sich mehr dem oft eigentümlichen Aufseßern der französischen Erzeugnisse. Die Beteiligung der übrigen Länder war wohl zu schwach, als dass Bemerkungen allgemeiner Natur angängig erscheinen könnten.

In anbetracht der zuvor erwähnten erschwerenden Umstände kann der vorliegende Bericht durchaus keinen Anspruch auf Vollständigkeit machen, sondern er kann nur die hauptsächlichsten Wahrnehmungen des Berichterstatters wiedergeben versuchen.

Geräte zur Bodenbearbeitung.

Es ist leicht verständlich, dass eine der Hauptquellen des Reichtums Frankreichs, der Weinbau, durch maschinelle Hilfsmittel möglichst ergiebig gehalten wird; daher sind die Geräte, welche irgendwie mit dem Bau, der Pflege, der Ernte und dem Kelteren des Weines und auch des Obstes zusammenhängen, mit großer Liebe ausgebildet und die hier auftretenden Bedürfnisse ausgiebig berücksichtigt. Da der Raum zwischen den Weinstöcken, in dem gearbeitet werden muss, sehr schmal und dazu das Gelände bergig ist, so wird für eine möglichst gute Führung gesorgt, der Regulator nach verschiedenen Richtungen ausgebildet und das Gerät möglichst schmal gemacht. Unter den Pflügen, besonders den Kehrpfügen, werden sehr häufig die sogen. Brabanter Pflüge verwendet, d. h. solche, deren vorderes Grindelende an der Vorderkarre drehbar befestigt ist. Es wird bei ihnen Bedacht darauf genommen, dass die verschiedensten, auch selten vorkommenden Verrichtungen mittels besonderer, oft vorstehender Hebel meist während der Arbeit ausgeführt werden können, sodass die Geräte, namentlich auch mit Rücksicht auf ihre oft zarte und geübte Ausführung, den Eindruck erwecken, als ob sie für eine geschicktere und überhaupt anders geartete Arbeiterklasse bestimmt seien. Wenigstens dürften sie nur mit Sorge den Händen der Landarbeiter unserer nördlichen und östlichen Provinzen anvertraut werden, nicht allein weil sie der roheren Behandlung kaum auf die Dauer widerstehen würden, sondern auch weil die verschiedenen Hebel und Stellvorrichtungen die Arbeiter wahrscheinlich verführen würden, sie nicht nach der Absicht des Konstrukteurs, sondern auf die ihnen selbst bequeme Art zu benutzen. In Deutschland werden deshalb auch alle dem Arbeiter frei zugänglichen und von ihm willkürlich benutzbaren Stellvorrichtungen möglichst vermieden oder doch irgendwie vor mutwilliger Benutzung gesichert. Aber auch nachahmenswerte kleine Ausstattungseinzelheiten sind vorhanden; so werden sehr häufig Peitschenhalter und Leinenführungen in bequemer Weise an den Geräten angebracht.

Die englischen Pflüge machen sich schon durch ihre äußere Erscheinung kenntlich, besonders durch die meist sehr langen, stark gewundenen Streichbretter, die ebenso wie Sebar und Brust aus Kokillenguss hergestellt werden, wodurch sie eine sehr glatte und dauerhafte Arbeitsfläche erhalten und infolge der rauen und weichen Unterlage gegen Stöße ziemlich unempfindlich sind. Die Arbeitsteile sind je nach ihrer erfahrungsmäßigen Abnutzung, besonders also die Scharspitze, meist aus verschiedenen Stücken bequem auswechselbar zusammengesetzt. Bei Schwingpflügen ist ein kurzes, stark nach oben gebogenes Grindel mit sehr langen Sterzen beliebt, um den Pflug besser in der Gewalt zu haben; auch wird hier großer Wert auf die Ausbildung des Regulators gelegt. Bei Räderpflügen wird, wie es auch die Amerikaner thun, der Zughaken von hinten durch einen langen Hebel stellbar gemacht.

Die Sterzen der amerikanischen Pflüge, einschliesslich der kanadischen, gehen oft vom Pflugkörper aus und sind mit dem Grindel durch besondere Stangen verbunden, die z. B. bei den Pflügen der Verity Plow Co. in Brantford (Kanada) durch Muttern mit Rechts- und Linksgewinde nachstellbar sind. Dort sind besonders die Fahrpfüge ausgebildet. Diese und die Räderpfüge haben die vollkommensten Einzelstellvorrichtungen für die Räder, die Zugvorrichtung und auch das Gestell, oft unter Einschaltung von Federn, welche die Gewichte ausgleichen und die Benutzung der Stellvorrichtungen erleichtern sollen. Die Kehrpfüge werden meist mit einem einzigen doppelten Körper und unter dem Grindel liegender Kehrachse ausgestattet. Vorschär und Kolter werden entweder selbstthätig durch Anschläge beim Kehren umgelegt, oder durch einen Hebel von hand in die beiden Endstellungen gebracht.

Außer einer dänischen Ausführung fand man nur noch in der ungarischen Abteilung eine Räderstellvorrichtung mit einem Hebel, und zwar von Kühne in Moson, welche vermutlich aus Deutschland übernommen worden ist. Dieser Fabrikant hat sich überhaupt um die Verbreitung der wichtigen deutschen Fortschritte in Ungarn und um ihre Anpassung an die dortigen Verhältnisse sehr verdient gemacht.

Außer den Franzosen verwenden auch die Dänen, Russen und Italiener sehr viel Holz, letztere reifes Nussbaumholz, beim Pflugbau.

Pflüge.

Wenn ich jetzt zu Einzelkonstruktionen übergehe, möchte ich zunächst mit einigen Worten auf die schon kurz erwähnten Melzmoronschen hölzernen Streichbretter zurückkommen, weil es Beachtung verdient, die Umstände näher kennen zu lernen, denen sie ihre lange Lebensdauer verdanken. Die genannte Fabrik verwendet diese Streichbretter schon seit dem Jahre 1824. Es wird Buchenholz dazu benutzt, das vorher ein Jahr lang getrocknet worden ist, und davon ein volles aufreies Stück sorgfältig ausgewählt, welches so groß ist, dass seine rechteckigen Seitenflächen das herzustellende Streichbrett gerade umschließen. Auf diese Seitenflächen werden die Umgrenzungslinien des Streichbrettes aufgetragen und dann die gewundenen Flächen desselben von Hand nach Schablonen ausgearbeitet. Die Herstellung soll billiger als die der eisernen Streichbretter sein, und zwar sollen 2 hölzerne Streichbretter so viel kosten wie eines von Stahl; außerdem sind sie leichter, also der Pflug bequemer zu handhaben; in den Arbeitspausen halten sie sich besser und bleiben immer glatt, weil sie nicht rosten, wie Stahl; schließlich ist in klebrigem Boden der Reibungswiderstand geringer.

Als Beispiel der neueren amerikanischen Zugvorrichtungen für Schwingpflüge ist in Fig. 1 die der Verity Plow Co. in Brantford (Kanada) dargestellt. Die wagerechte mit Löchern zum seitlichen Einstellen versehene Schiene *a* wird gleich-

Fig. 1.

Zugvorrichtung der Verity Plow Co.

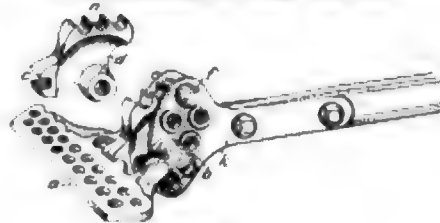
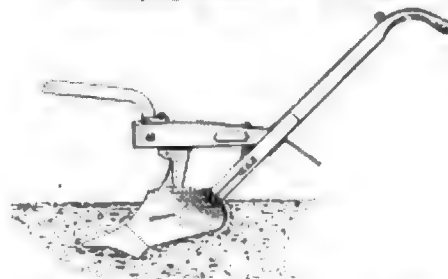


Fig. 2.

Weinbergpflug „Oliver“ von Th. Piltner.



zeitig mit dem Stellstück *d* durch denselben Bolzen *b* in dem mit verschiedenen Stelllöchern ausgestatteten Grindelkopf *k* befestigt, wobei die Höhe der in die Nut *c* des Stückes *d* sich einlegenden Schiene *a* durch eine der verschiedenen Nuten *n* für den zweiten Bolzen *f* bestimmt wird.

Eine äußerst gedrungene und kurze Form eines Weinbergpfluges zeigt der in Fig. 2 dargestellte Pflug „Oliver“ von Th. Piltner in Paris. Er ist für Gabeldeichselanspannung konstruiert und nur mit einer Handhabe versehen. Der Pflug wendet nach links, wird jedoch auch rechtswendend hergestellt. Auch kann er mit zwei seitwärts drehbaren Sterzen versehen werden.

Damit das Pferd die Weinstöcke nicht verletzt, wird das Grindel der Weinbergpflüge von Amiot & Bariat in Breales etwa in der Mitte bei *m*, Fig. 3, geteilt, sodass der vordere Teil *g* in einem Winkel zu der Weinstockreihe *w* gestellt werden kann; ebenso können die Sterzen um *n* seitwärts gedreht und festgestellt werden, damit der Pflüger beim Führen des Pfluges nicht die Reben berührt. Damit das Gerät und

ebenso auch das Pferd gerade laufen kann, muss das Vorderrad *v* in die Zugrichtung eingestellt und die Regulatorstange *r* auf dem Stellbügel *b* noch weiter nach auswärts gerichtet werden. Die punktierten Linien zeigen die mittlere Stellung der einzelnen Teile. An diesen Pflug können auch Wechsel-

Fig. 3.

Weinbergspflug von
Amiot & Barlat

teile zum Häufeln, Hacken und Kartoffelgraben angesetzt werden. Bei andern Weinbergspflügen, wie z. B. bei denen von P. Viaud & Cie. in Barbézieux und von Plissonier in Lyon, ist der Pflugkörper derart nach der Landseite versetzt, dass das Grindel etwa über der Mitte der Furchenbreite steht, und zwar kann der Pflugkörper entweder, wie in Fig. 3, die Erde von den Weinstöcken wegschaffen oder sie dagegen häufeln.

Der Pflug Fig. 4 von J. & F. Howard in Bedford (England) soll besonders zum Umpflügen von Stoppelfeldern und Wiesen dienen und liefert dabei eine Furchenbreite von 300 mm. Soll der Pflug zum Unterbringen von Saat benutzt werden, so stellt sich diese Breite als zu groß heraus. Es sind deshalb hinter dem Streichbrett zwei schräg gestellte Messer *a* und *b* angeordnet, welche die Breite in drei gleiche Streifen zerlegen. Die Vorderräder können hier an einem am Grindel befestigten Vierkantstabe mittels Kloben seitlich und in der Höhe ver-

stellt werden. Gerade in der Anordnung der Vorderräder war eine große Mannigfaltigkeit zu sehen. Der einfache Pflug Fig. 5 von A. Bajac in Liencourt, bei dem die Zugstange *s* hinten angreift und vorn einfach an der nach der Seite abgekröpften

Fig. 4.

Pflug von J. & F. Howard.

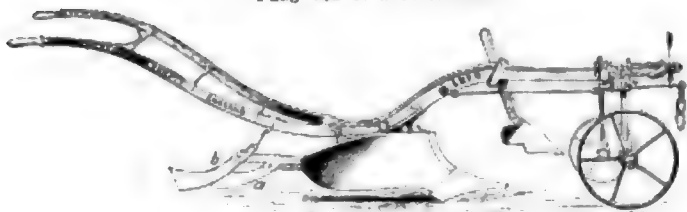
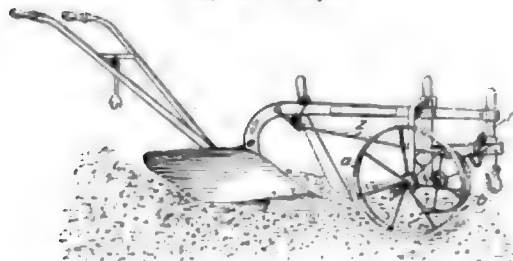


Fig. 5.

Pflug von A. Bajac.



Regulatorstange *r* eingehängt wird, hat folgenden Zusammenbau. Der oben seitwärts abgebogene Stiel des Furchenrades *a* umfasst den senkrechten Stiel des Landrades *b*, der durch einen Schlitz des Grindels tritt und dort festgestellt wird. Hierdurch können die Räder jedes für sich in der Höhe ver-

stellt werden, während die seitliche Entfernung durch Verschieben der Naben auf den Achzapfen geregelt werden kann. Bei den Schwingpflügen von Amiot & Barlat in Bresles ist in dem Schlitz des Grindels ein besonderer kurzer Stiel mit einer wagerechten Hülse *c*, Fig. 6, einstellbar, durch welche die wagerechte Abkröpfung des Furchenradstiels hin-

durchgreift; an letzterem wird dabei gleichzeitig der Landradstiel mittels Klobens befestigt. Hier ist sowohl die senkrechte, als auch die wagerechte Einstellung in weiteren Grenzen bequem möglich.

Aber nicht nur die Verstellung der Räderstiele mittels Kloben wird zur Bestimmung der Furchenabmessungen benutzt, sondern auch die schnellere Verstellung durch Klinkenhebel, wie es der Pflug Fig. 7 von Pillier & Guichard in Lieusaint zeigt. Die beiden Hebel reichen bis zum Führerstande zurück; der eine dient zum Verstellen beider Vorderräder zusammen in der Höhenrichtung, während der andere Hebel das Furchenrad für sich bewegen kann. Der Pflug ist für Baumschulen und kleinere Betriebe bestimmt.

Fig. 6.

Schwingpflug von Amiot & Barlat,

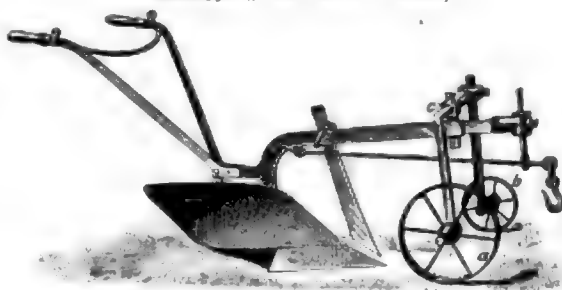


Fig. 7.

Pflug von Pillier & Guichard.

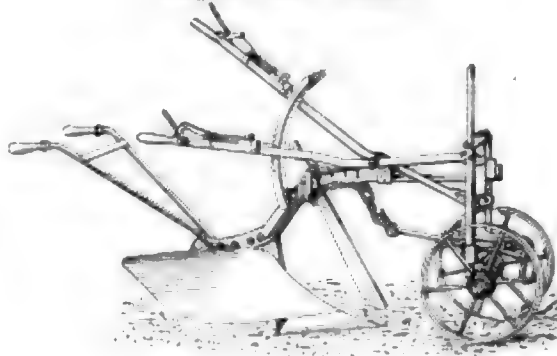
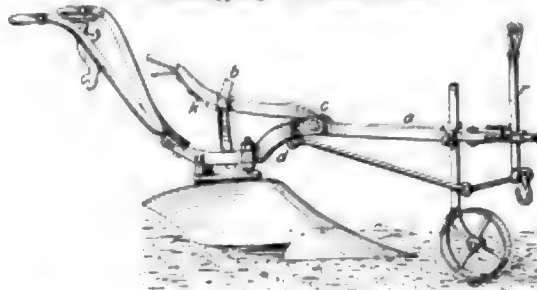


Fig. 8.

Weinbergspflug von Souchu-Pinet.



Auch der Weinbergspflug Fig. 8 von Souchu-Pinet in Langeais kann vom Führerstande aus schnell verstellt werden, wobei der Stiel des Vorderrades am Grindel *a* festgeschraubt bleibt. Letzteres ist hinten mit einer Oese versehen, durch die ein gezahnter Bogen *b* des um *c* drehbaren hinteren Grindeltheiles *d* hindurchtritt. Die gewünschte Neigung des Scharfs wird durch eine am hinteren Griff des Teiles *a* befindliche Klinken *k* festgestellt. Die Arbeitstiefe kann also ohne Anhalten geregelt werden. Die Regulatorstange *r* ist oben als Leinenführung ausgebildet.

Auch der Weinbergspflug Fig. 9 von Crépain in Auxerre hat ein geteiltes Grindel. Die Arbeitswerkzeuge und die

Sterzen sind an dem um *c* drehbaren hinteren Grindelteil *d* befestigt. Hier wird aber die Stellung dieses Teiles zu dem vorderen Grindelteil *a* durch eine senkrechte Schraube *s* mit Kurbel geändert, welche unten an *d* drehbar befestigt ist und in einer am hinteren Ende von *a* pendelnd gelagerten Mutter geführt wird. Statt der gezeichneten Werkzeuge können auch andere Spezialkörper für den Wein- und den Kartoffelbau eingesetzt werden. E. Candellier & fils in Buequoy machen das ganze Grindel starr und lagern auf ihm mittels einer Stütze einen langen zweiarmligen Hebel, der hinten ebenfalls mittels einer senkrechten Schraube verstellt wird, vorn den in einer Oese des Grindels geführten Radstiel umfasst und hebt oder senkt.

Bei dem Pflug Fig. 10 von H. Thiney jeune in Prasy, der hier einen Häufelkörper trägt, aber, wie nicht immer

Fig. 9.

Weinbergpflug von Crépain.



Fig. 10.

Pflug von H. Thiney jeune.

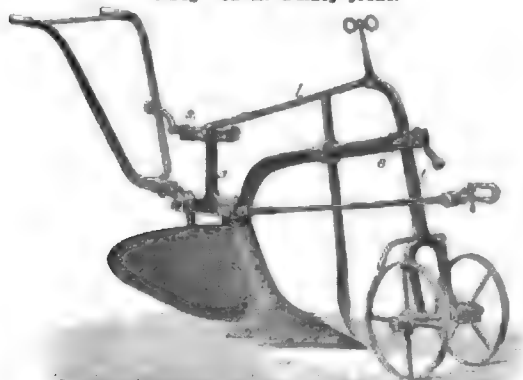
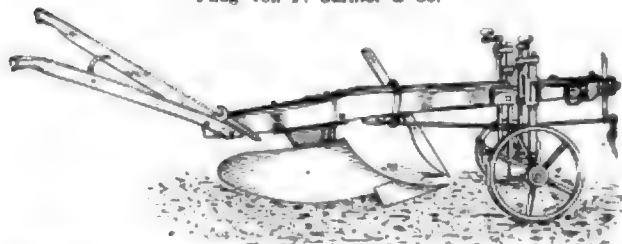


Fig. 11.

Pflug von F. Garnier & Co.



wiederholt zu werden braucht, mit irgend einem andern Bodenbearbeitungswerkzeug ausgestattet werden kann, wird eine wagerecht gelagerte Schraube *s* mit Kurbel zur Regelung der Furchentiefe verwendet. Auch hier ist das Grindel starr; es trägt hinten auf einem Bock *a* drehbar die Stellschraube, während sich vorn um einen Zapfen *e* der Stiel *f* dreht, an dessen unterer Gabel auf einer durchgehenden Achse zwei Vorderräder sitzen. Der obere Teil des Stiels *f* ist durch einen Lenker *l* mit der Schraubenmutter verbunden, sodass die Räder durch Drehen an der Kurbel höher oder tiefer gestellt werden können. Der Stiel *f* trägt oben wieder Ringe für die Leine, unten zwei Abkratzer für die Radreifen.

Der einfache Pflug, Fig. 11, von J. Garnier & Cie. in Redon, dessen Grindel und Sterzen aus Holz bestehen, besitzt zwei ungleich große Vorderräder, von welchen jedes für sich durch eine Schraube mit Kurbel in der Höhenrichtung verstellt werden kann.

Den Uebergang zur Vorderkarre zeigt die Unterstüßung des Kolonialpfluges, Fig. 12, von Amiot & Barlat in Brosles. Der vordere Teil des Grindels dreht sich in einer Hülse *A*, an welcher der Quersteg *s* sitzt. An diesem Quersteg sind die Stiele der beiden gleichgroßen Vorderräder senkrecht verstellbar. Auf dem Rücken des Grindels ist eine Federklinge *k* gelagert, die von den Sterzen aus durch den Hebel *h* und die Stange *i* bedient werden kann. Die Klinge stellt

Fig. 12.

Kolonialpflug von Amiot & Barlat.

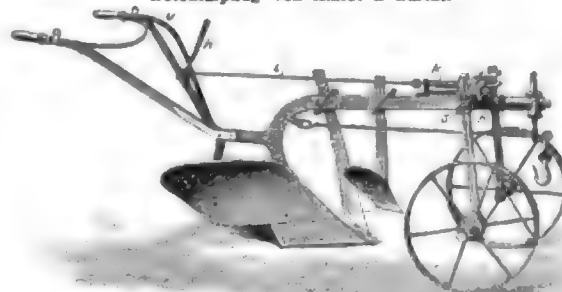


Fig. 13.

Pflug von P. Plisson.

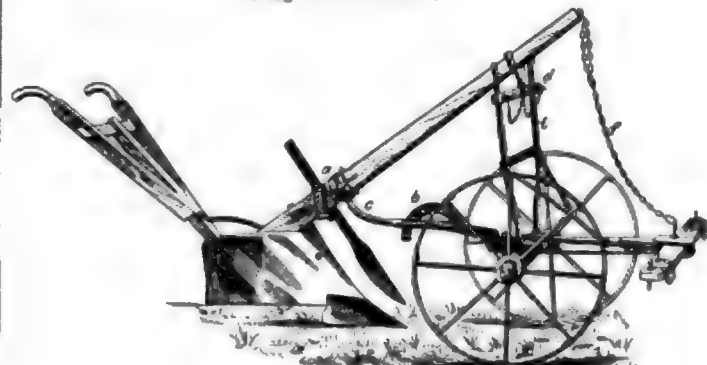
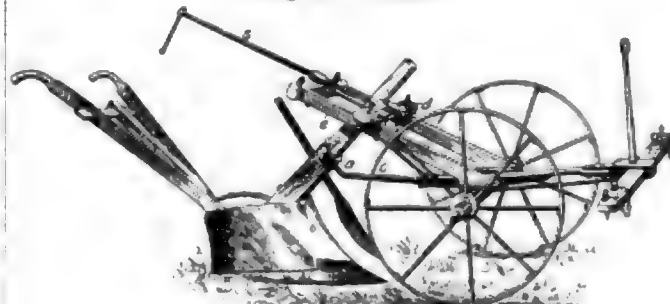


Fig. 14.

Pflug von P. Plisson.



den Pflug gegen den Quersteg für die Arbeit fest; wird sie gelöst, so kann der Pflug auf die Kufe *u* umgelegt werden, damit ihn der Führer beim Wenden nicht zu tragen braucht.

Die schon erwähnten beiden Pflüge mit steilem Grindel von P. Plisson in Dourdan sind in Fig. 13 und 14 dargestellt. Das Holzgrindel der ersteren Konstruktion findet in einem Ringe *a* einer am Vorderwagen drehbar befestigten, an einem Stellbogen *b* einstellbaren Zugstange *c* seinen Drehpunkt und in seinem oberen Teile auf dem Querbügel *d* seine Unterstüßung. Dieser Bügel ist an dem aufrechten Stehbügel *z* in der Höhe verstellbar. Außerdem wird das Grindel durch

eine Kette *f*, die von seinem oberen Ende bis zum Orscheithalter geht, vor dem Herauspringen aus seinem Lager gesichert. Während dieser Pflug der Vorgänger zu der gewöhnlichen Vorderkarre mit Auflagebügel zu sein scheint, ähnelt die zweite Konstruktion der in Frankreich verbreitetsten Vorderkarre der Brabanter Pflüge. Der Stehbügel *e* der Vorderkarre, auf dem der Querbügel *d* aufruhrt, hat eine stark nach hinten geneigte Stellung. Der Querbügel kann entweder durch Vorstecker in seiner Lager erhalten werden, oder, wie bei dem Brabanter Pflug, durch eine Schraube *s* verstellt werden, die hier so lang gemacht ist, dass sie vom Führerstande gedreht werden kann. Durch diese Neigung des Bügels *e* fällt das Grindel bedeutend kürzer aus, was seine Festigkeit doch etwas erhöht und seine Beanspruchung verringert. Auch hier wird die Verbindung des Grindels mit der Vorderkarre durch eine Zugstange hergestellt, die das Grindel mit einem Ringe *a* umfasst.

Die Vorderkarre mit Auflagebügel war in der Form der Boni-Pflugkarre von E. Mandel & Co. in Nyirbator (Ungarn)

Fig. 15.

Vorderkarre von Mandel & Co.

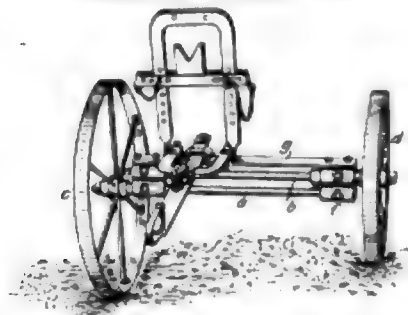
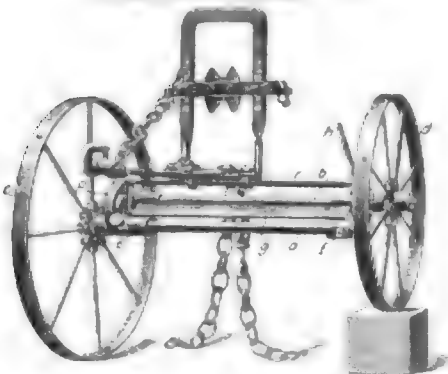


Fig. 16.

Vorderkarre von Mandel & Co.



wesentlich in dem Sinne verbessert, dass dem schnellen Auslaufen der Radnaben bei den jetzigen Konstruktionen begegnet wird. Zu diesem Zweck sitzt jedes Rad *c* und *d*, Fig. 15, fest auf einer Welle *a* bzw. *b*, die in Doppellagerhülsen *e* und *f* laufen. Letztere, welche mit Stauffer-Schmierbüchsen ausgestattet sind, liegen hier übereinander und sind durch die Schiene *g* miteinander verbunden. Diese Schiene trägt außerdem den Auflagebock für das Grindel und die Zugvorrichtung. Die Karre ist in der Weise verstellbar, dass die Wellen *a* und *b* in den Hülsen umgewechselt werden, was nach Lösen der Stellringe leicht geschehen kann (D. R.-P. Nr. 106896). Bei der Konstruktion Fig. 16 findet die Verstellung der Räder *c* und *d* gegeneinander auf einfachere Weise statt. Die beiden Wellen *a* und *b* liegen hier nebeneinander. Die beiden Hülsen *e* und *f* jeder Seite bilden mit je einer gusseisernen Platte *p* ein Stück; die so gestalteten Seitenteile sind wieder durch die Schiene *g* miteinander verbunden. Zum Tragen des Auflagebockes ist hier aber ein besonderer Rahmen *r* vorgesehen, der an den Platten *p* um Bolzen drehbar und mittels Schrauben in einem kreisbogen-

förmigen Schlitz derselben feststellbar ist. Zum bequemen Bewegen sitzt an der einen Platte *p* ein Handhebel *h*. Dreht man ihn, so werden die Wellen *a* und *b*, also auch die Räder *c* und *d*, gehoben oder gesenkt und dadurch die Furchentiefe bestimmt (D. R.-P. Nr. 109875).

Die Vorderkarre des Tiefpfluges, Fig. 17, von Puzenat ainé in Bourbon-Lancy trägt das Vorderende des Grindels an einer Säule *s* mittels eines doppelten Gelenkes *g*, welches auf der Säule verstellbar ist. Das Furchenrad *f* kann an dem Vorderradgestell mittels eines kleinen Klinkenhebels *h* und Zahnbogens derart verstellt werden, dass die Säule *s* immer senkrecht steht, was für eine gute Arbeit notwendig ist. Der Pflugkörper besitzt die häufig in Frankreich verwendete verschleißbare Meißelschärspitze. Ein vierschariger

Fig. 17.

Vorderkarre von Puzenat ainé.

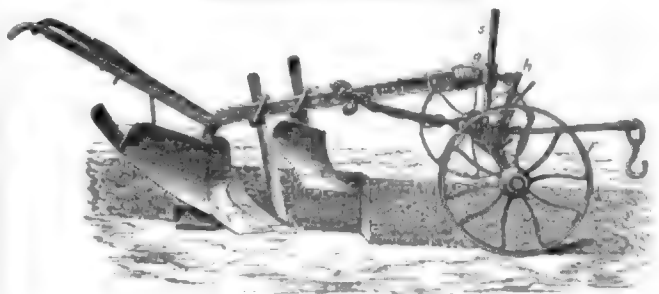


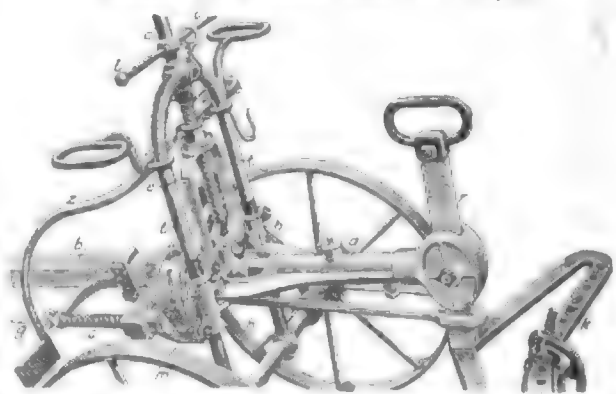
Fig. 18.

Pflug von Crepain.



Fig. 19.

Vorderkarre des Brabanter Pfluges von A. Bajac.



Schälplug desselben Fabrikanten, der auch nach Auswechslung der Pflugkörper gegen Skarifikatorfüße als Kultivator benutzt werden konnte, hatte an jeder Seite einen Klinkenhebel, um jedes Rad für sich einstellen zu können.

Die Vorderkarre eines von R. Wallut & Cie. in Paris ausgestellten Brabanter Pfluges war mit zwei ungleich großen Rädern ausgestattet, die am Gestell der Karre mit ihren senkrechten Stielen verstellbar konnten.

Der charakteristische Pflug Dombastie, Fig. 18, von Crepain in Auxerre ist mit seiner Vorderkarre durch eine drehbar am Holzgrindel gelagerte Achse *a* verbunden, deren vorderes, gegabeltes Ende eine Mutter *b* umfasst, die auf der

senkrechten Schraubenspindel *s* der Vorderkarre sitzt und mittels umlegbarer Kurbel *k* in der Höhe verstellbar werden kann. Dieser Pflug kann auch unter Hinzufügung eines Regulators als Schwimmpflug benutzt werden.

Am allermeisten werden in Frankreich die Brabanter Pflüge verwendet, deren Vorderkarre in der Ausführung von A. Bajac in Liancourt in Fig. 19 schaubildlich dargestellt ist. Das vordere Ende des Grindels *b* ist cylindrisch und in der nach vorn vorstehenden Büchse *a* gelagert. Diese Büchse wird durch zwei Hülsen *h* auf den senkrechten Ständern *t*, die auf der Radachse befestigt sind, geführt und von einem innerhalb der Ständer angeordneten Bügel *e* und einer Stellschraube *c* getragen. Die in dem Bügel sitzende Mutter besteht aus Bronze. Die Furchentiefe wird durch Drehen der Schraube *c* mittels eines Griffes *l* geändert, während die gewünschte Stellung durch Ueberschieben des Ringes

Fig. 20.

Brabanter Pflug.

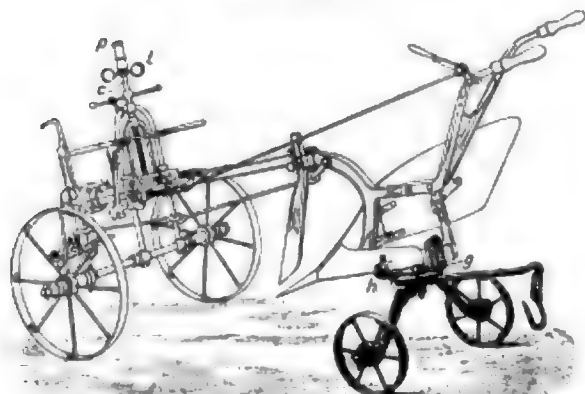


Fig. 21.

Zweischarppflug von J. & F. Howard.



i über den Griff *l* erhalten wird. Die senkrechte Stellung der Landseite wird durch Einlegen des Riegels *s*, der von den Sternen aus durch die Stange *g* bedient werden kann, in den Anschlag *m* gesichert. *m* ist in einem Schlitz durch Schrauben in der Höhenrichtung genau einstellbar. Die Furchenbreite, die bei richtiger Lage des Anspannhakens auf der Kulissee *k* der Regulatorstange *r* von dem Furchenrade bis zur Scharspitze reicht, wird durch Einlegen von Scheiben neben die Radnabe geregelt. Um hierbei eine große Verstellbarkeit zu ermöglichen, haben die Radnaben verschieden weit vorstehende Seiten, welche nach Umkehren des Rades zur Verwendung kommen. Der Zughaken wird je nach der Anzahl der Zugtiere in der Kulissee *k*, die vorn bei einfachen Pflügen gerade, bei Kohrpflügen, wie gezeichnet, herzförmig gestaltet ist, mithilfe von Vorsteckern derart verstellt, dass er bei einem Zugtier am weitesten nach der Seite verschoben ist. Zur Einstellung des Furchenrades und der Pflugschle in eine wagerechte Ebene ist die Stange *r* mit verschiedenen Löchern zum Hindurchstecken des Drehbolzens versehen. An den Ständern *t* sind noch die Abkratzer *s* für die Räder angebracht. Fig. 20 zeigt einen solchen Pflug auf der äußersten einfachen Transportkarre, welche mittels eines Hakens *h* an der Pflugschle eingehakt und durch einen Vorstecker gesichert wird, während der hintere Teil der Pflugschle in einer

Gabel *g* ruht. Auf diese Weise ruht der Pflug sicher auf vier Rädern, wobei er rückwärts, d. h. mit der Transportkarre vorn, gefahren wird. Oben auf der Stellschraube sind der Peitschenhalter *p* und die Leinenführungen *l* vorgesehen.

Bei einem Brabanter Pfluge, Bauart Pillier, von Guichard in Lioussaint ist die Stellschraube *c* durch eine Zahnstange ersetzt, in welche ein Zahnrad eingreift, das vom Führerstande aus gedreht werden kann. Der hinten befindliche

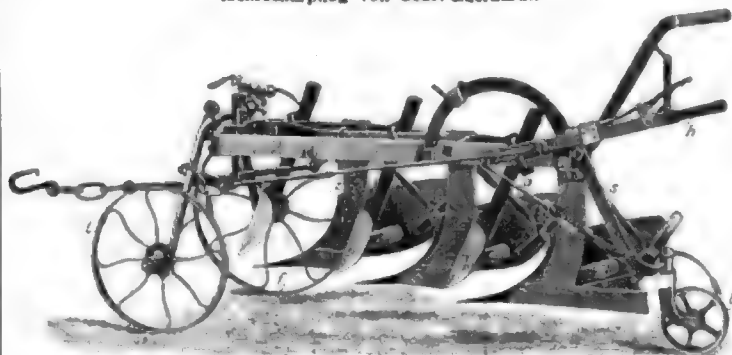
Fig. 22.

Pflug »Schwan« der A.-G. H. F. Eckert.



Fig. 23.

Mehrscharpflug von Gebr. Eberhardt.



zweiarmiger Handgriff ist mit einer federnden Sperrklinke zum Festhalten der jeweiligen Stellung ausgestattet.

Der Zweischarppflug, Fig. 21, von J. & F. Howard in Bedford (England) ist mit einer besonderen Vorrichtung zum Ausheben der Pflugkörper ausgestattet und bildet so den Uebergang zu den Räderpflügen. Diese Vorrichtung besteht aus der kleinen Rolle *r*, die an dem auf der Welle *a* befestigten Winkelhebel *b* sitzt. Durch die Stange *c* kann die Rolle hochgehoben und in dieser Stellung festgehalten werden. Wird sie niedergelassen, z. B. beim Ende der Furche, so stemmt sie sich gegen den Boden, sodass der Pflug durch den Zug der Tiere aus der Erde herausgehoben wird. Mittels des langen Hebels *d* können die Vorderräder gesteuert oder festgelegt werden. Der Pflug zeigt die langen und stark gewundenen Streichbretter.

Wie schon erwähnt, waren von Räderpflügen mit Stellvorrichtungen verschwindend wenige vorhanden, und diese waren deutschen Ursprunges. Die Akt.-Ges. H. F. Eckert in Berlin-Friedrichsfelde zeigte an ihren Ideal-Pflügen, wie sie bestrebt ist, allen örtlichen Anforderungen der verschiedenen Absatzgebiete gleichzeitig zu entsprechen. Es läuft kein Rad auf dem gepflügten Boden, und das Hinterrad ist so angeordnet, dass es die Arbeit unterstützt und Schutz gegen das Umfallen beim Transport gewährt. Beim Umstellen der Räder schlägt das Furchenrad für die Arbeit nach

vorwärts und das Landrad nach rückwärts aus, sodass eine sehr sichere Führung bei jeder Furchentiefe in allen, auch schweren und bündigen Bodenarten vorhanden ist. Wenn das Landrad umgestellt wird, können aber auch beide Räder nach vorn ausschlagen, was bei leichten und mittleren Bodenarten wegen des leichteren Aushebens mittels derselben Stellvorrichtung erwünscht erscheinen kann. Die Furchentiefe kann am Zahnbügel offen geregelt, aber auch durch Anbringen eines Verschluss-Stellklobens an dem Bügel festgelegt und abgeschlossen werden, um eine willkürliche Aenderung durch den Pflugführer zu vermeiden. Der in Fig. 22 abgebildete zweischarige Pflug »Schwan« ist für tiefe (30 cm) und breite Doppelfurchen bei guter Bodenbeschaffenheit bestimmt. Das Hintersteuer *a* dient zur Regelung der Furchenbreite während des Ganges. Die wagerechte Schraubenfeder erleichtert das selbstthätige Ausheben des Pfluges, die senkrechte Feder über der Landradachse sichert einen weichen Lauf und gleichmäßige Furchentiefe bei Hindernissen. Das hintere Rad wird bei der Arbeit und beim Transport gebraucht. Diese Fabrik ist demnach die erste in Deutschland, welche die ausgiebige Benutzung der Federn bei ihren Pflügen eingeführt hat, wofür besonders die Amerikaner wichtige Beispiele liefern.

Fig. 23 zeigt von der Landradseite aus die Verbindung des hinteren Tragrades mit den beiden vorderen Rädern bei einem Mehrscharpfluge von Gebr. Eberhardt in Ulm. Der Klinkenhebel *h* ist durch die Zugstange *s* mit dem Achsschenkel des vorderen Landrades *l* verbunden. Auf der Achse ist der oben gekrümmte Stiel des größeren Furchenrades *f* mittels Schelle verstellbar. Außerdem geht von einer Verlängerung des Stellhebels *h* noch eine Zugstange *a*, deren Länge verstellbar ist, zu der am Rahmen drehbar befestigten Stange *s* ab, an welcher unten das Schlepprad *b* befestigt ist. Beim Pflügen dient letzteres zur Entlastung der Sohle des hinteren Pflugkörpers, während es bei der gezeichneten Stellung des Stellhebels *h* ohne weiteres als Transportrad dient und sich beim Wenden selbstthätig schräg einstellt. Die Naben der Stahlräder haben auswechselbare Büchsen.

Insbesondere zum bequemen Wenden haben übrigens Ransomes, Sims & Jefferies in Ipswich (England) das vorn am Rahmen stellbar angebrachte Landrad *l*, Fig. 24, als sogenanntes Kugelrad ausgebildet, sodass der auf die Seite umgelegte Pflug vorn auf der Kugelfläche laufen kann, während er hinten von einem Bügel *b* und dem entsprechend geformten Kranz des hinteren Unterstüßungsrades *u* getragen wird. Die beiden Pflugkörper sind je an einem Rahmenbalken *r* und *t* befestigt, welche durch Schrauben derart miteinander verbunden sind, dass die Furchenentfernung bzw. die Breite der Furchen geändert werden kann.

Bei der Differentialstellvorrichtung von E. Kühne in Moson sind der Landradschenkel *l*, Fig. 25, und der Klinkenstellhebel *h* um den Zapfen *a* drehbar. Das beide verbindende Gussstück bildet gleichzeitig das eine Uebertragungselement *A*, welches mit dem andern auf der Furchenradachse *b* sitzenden Element *B* zusammenarbeitet. *A* hat einen Zahn *c*, der in die Zahnflücke zwischen den Zähnen *d* und *e* von *B* eingreift. Bei Anheben des Stellhebels *h* wird durch diesen Eingriff das Furchenrad *F* gehoben, bis seine Unterkante in die Pflugsohlenhöhe gelangt; dann kommt der Ruhebogen *f* mit dem Bogen *g* in Berührung, sodass eine weitere Bewegung des Stellhebels *h*, also auch des Landrades *L*, einen Einfluss auf die Stellung des Furchenrades nicht mehr ausübt. Letztere Stellung ist punktiert angedeutet. Das hintere

Fig. 24.

Pflug von Ransomes, Sims & Jefferies.



Fig. 25.

Differentialstellvorrichtung von E. Kühne.

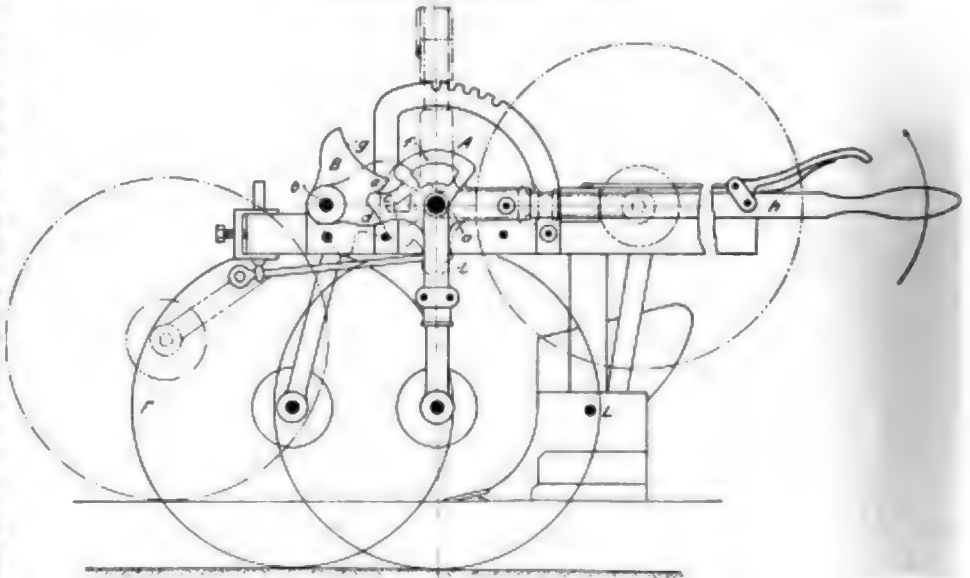


Fig. 26.

Mehrscharpflug der Cockshutt Plow Co.



Tragrad wird an einer senkrechten vom Rahmen ausgehenden Pflugsohlenstütze in der Höhe verstellbar befestigt.

Die Cockshutt Plow Co. in Brantford (Kanada) hat die Mehrscharpflüge derart eingerichtet, dass durch Ansetzen eines Rahmenteiles, welcher einen Pflugkörper trägt, ein Zweischarpflug zu einem Dreischarpflug und dieser zu einem Vierscharpflug und umgekehrt umgewandelt werden kann. In Fig. 26 ist z. B. an dem Zweischarpflug »Kängarub« der hintere Teil *h* an der linken Seite des Rahmens befestigt, wobei gleichzeitig die Sterzen ebenfalls nach hinten gerückt sind. Die Stellvorrichtung bleibt für das Gerät dieselbe. Durch den Stellhebel *a*, der in den Zahnbogen *b* eingerückt werden kann, wird mittels der beiden ineinander greifenden Zahnradsektoren die Welle für das Landrad *l* und gleichzeitig durch die Zugstange *c* die vorn liegende Welle für das Furchenrad *f* gedreht. Die Zugstange *c* greift dabei an einen kurzen Hebel *g* an, der durch den Klinkenhebel *d* und den Zahnbogen *e* einstellbar ist, sodass die gegenseitige Stellung von Furchen- und Landrad geändert werden kann.

(Fortsetzung folgt.)

Neuere Steuerungen für Dampfmaschinen.

Von H. Dubbel.

Die meisten Steuerungen mit vierfachem Dampfwege weisen merkliche Vorteile bezüglich des Dampfverbrauches deshalb auf, weil sie gegenüber den Steuerungen mit zweifachem Dampfwege die schädlichen Räume und die schädlichen Oberflächen erheblich zu verringern gestatten und wegen ihrer geringeren Eigenreibung günstig auf den Wirkungsgrad der Maschine einwirken. Die weitgetriebenen Ansprüche an die Wirtschaftlichkeit der Dampfanlagen bringen es mit sich, dass solchen Steuerungen in neuerer Zeit wieder größere Aufmerksamkeit zugewandt wird und dass sie sogar trotz großer konstruktiver Schwierigkeiten an stehenden Maschinen zur Anwendung gelangen. Bei der an und

für sich verwickelten Bauart großer Mehrfach-Expansionsmaschinen ist jedoch aus Gründen der Betriebsicherheit größte Einfachheit in der Ausbildung der Einzelheiten eine Bedingung, der sich auch die Konstruktion der Steuerung unterwerfen muss.

Von diesem Standpunkt aus müssen die im Folgenden zu besprechenden Steuerungen, die sämtlich vom Verfasser entworfen worden sind, beurteilt werden; ihre Einfachheit dürfte wohl weitere Kreise interessieren.

1) Halb zwangsläufige Rundschiebersteuerung mit Kniehebeltrieb, Fig. 1.

Das Exzenter bethätigt in üblicher Weise unter Vermittlung eines Zwischenhebels die miteinander verbundenen Auslassschieber, deren Antriebhebel unter Einschaltung von Kniehebeln die Einlassschieber bewegen. Diese aufwärts gerichtete Bewegung, die bestrebt ist, die Schieber zu öffnen, vereinigt sich im Kniegelenk mit einer quer zu ihr gerichteten, Schieberschluss verursachenden Bewegung, deren Grösse vom Regulator durch Einstellung des Steines in einer von der Exzenterstange bewegten Kullisse veränderlich gemacht wird. Die Steuerung liess sich wegen des grossen vom Kniegelenk beschriebenen Weges nicht ganz zwangsläufig ausführen; vielmehr führt sich der obere Teil des Kniehebels in der am Einlassschieberhebel hängenden Büchse. Schieberbewegung findet also statt, wenn die an Stange und Büchse angebrachten Platten aufeinander stoßen.

Die erhoffte Entlastung des Regulators durch die halb zwangsläufige Ausführung blieb aus, da sehr starke Federn angewendet werden mussten, um Hängenbleiben der Schieber auch dann zu verhindern, wenn bei kleineren Füllungen die Schlussbewegung infolge der Geschwindigkeitsverhältnisse der Steuerung langsamer erfolgte.

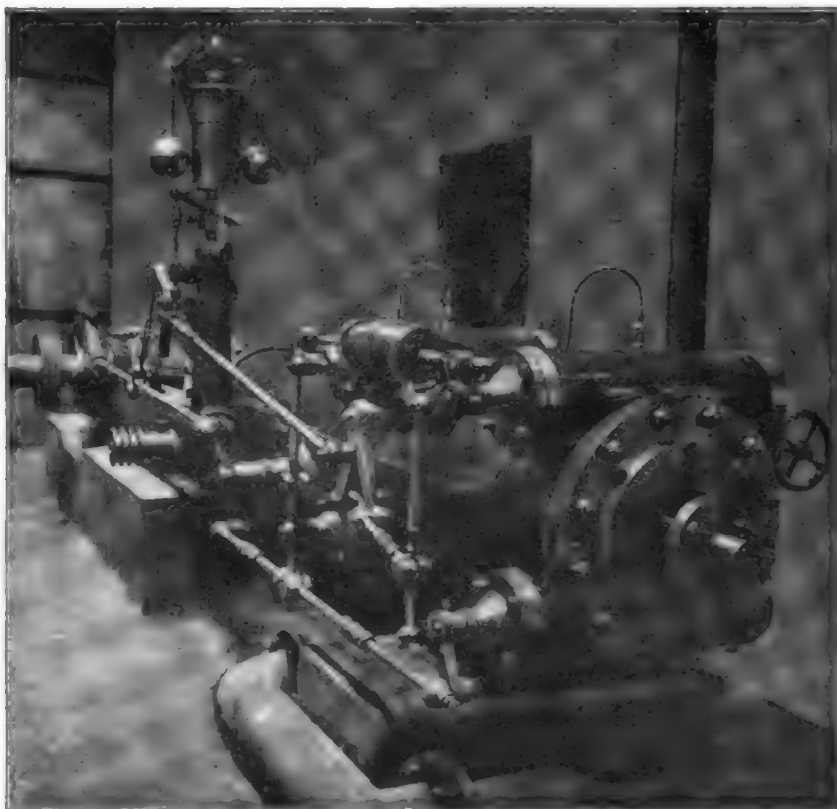


Fig. 1.
Halb zwangsläufige Steuerung mit Kniehebelantrieb.

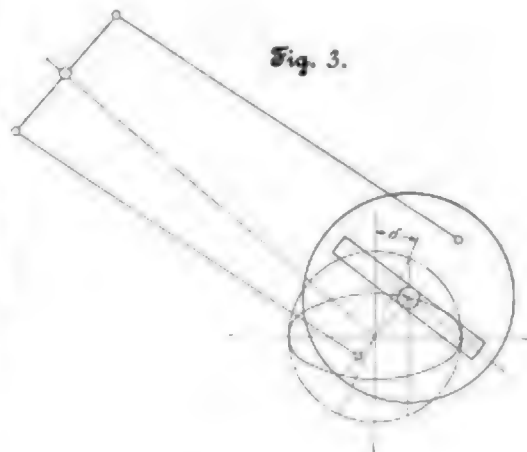


Fig. 2 und 3. Ganz zwangsläufige Rundschiebersteuerung.

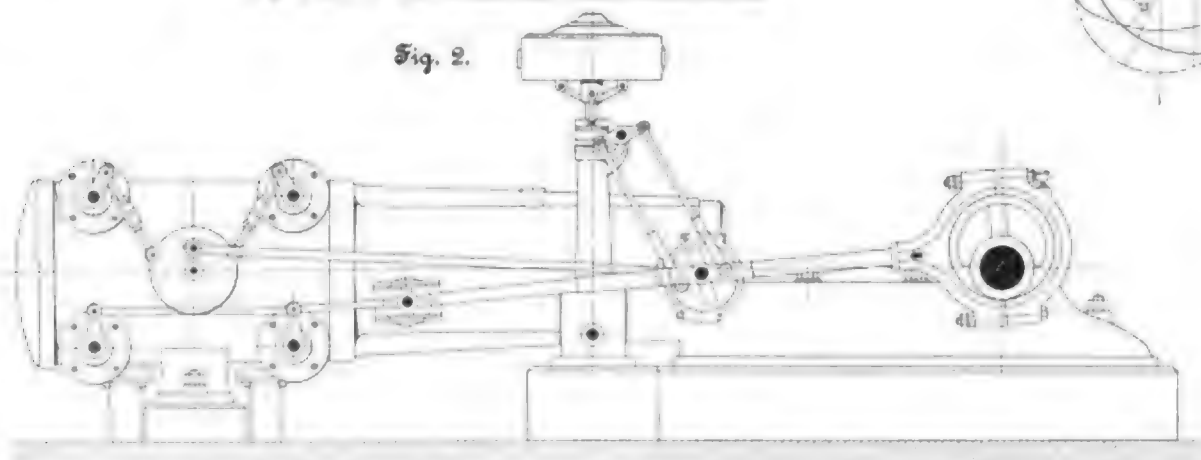
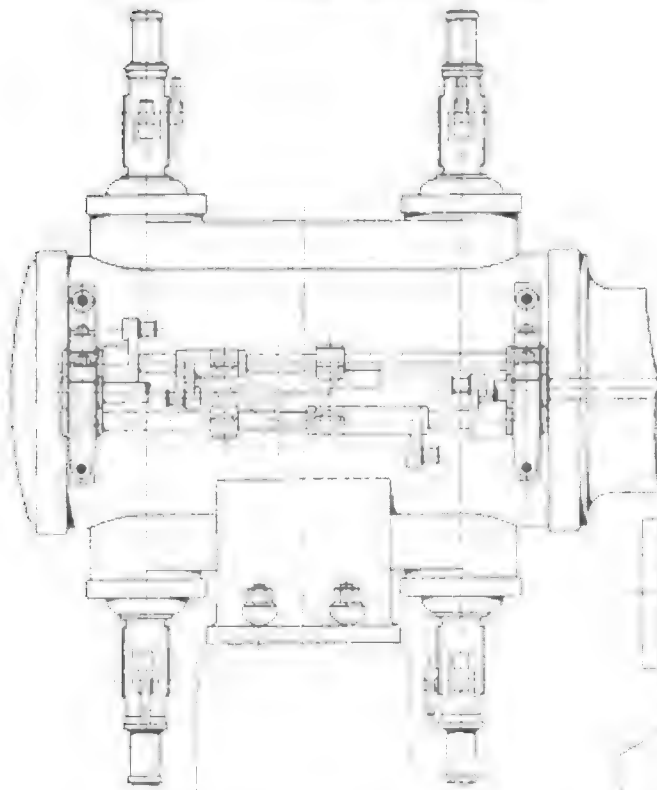


Fig. 2.

Fig. 4.

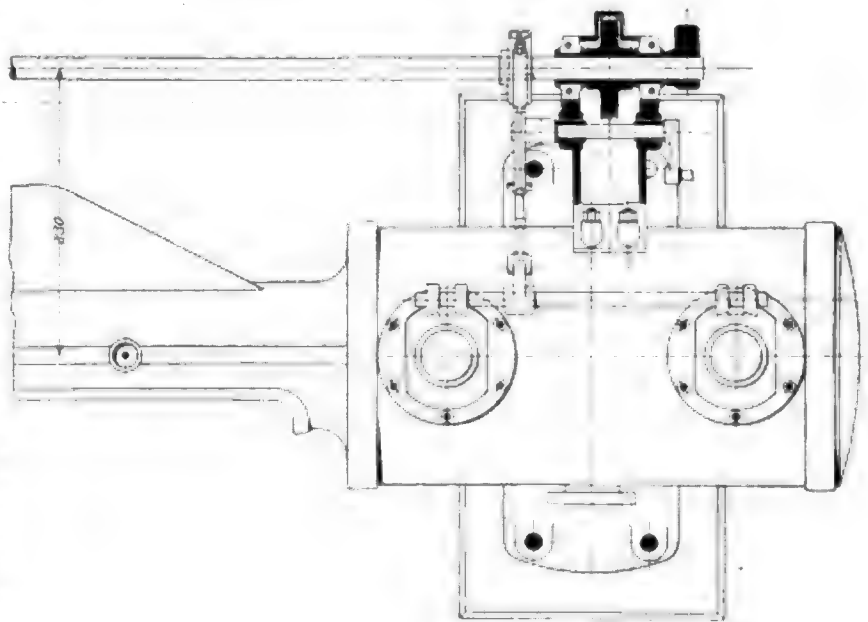
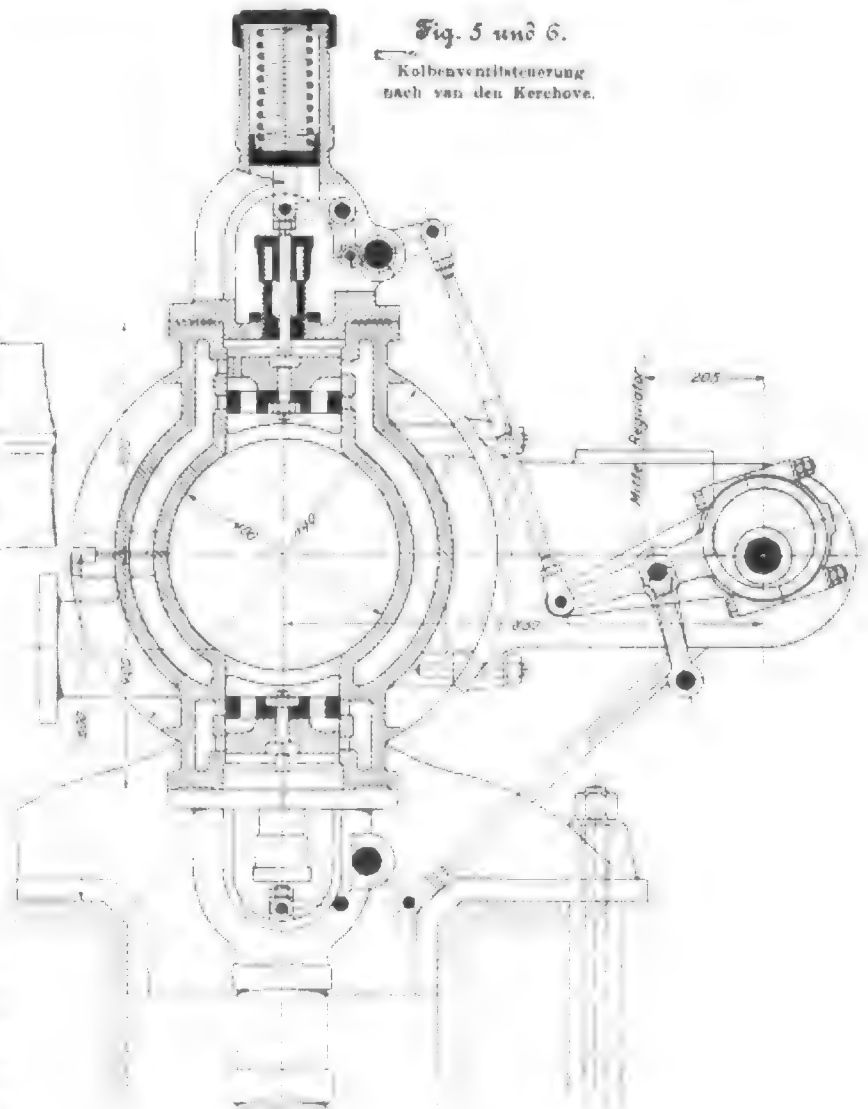
Fördermaschinensteuerung nach Kraft-Brialmont.

2) Ganz zwangsläufige Rundschieber-
steuerung, Fig. 2 und 3.

Der Endpunkt der Exzenterstange, welche die Auslassschieber unveränderlich steuert, wird vermittels Kreuzkopfes auf einer Geraden geführt. Die Schwingscheibe, von der die Einlassschieber mit Corlioss-Schneklung angetrieben werden, erhält die zur Füllungsänderung erforderliche veränderliche Bewegung durch Schrägstellen der an den Regulatorzugstangen hängenden Kulissenscheibe, in der ein in der gegabelten Exzenterstange gelagerter Stein spielt. Je nach der Schräglage der Scheibe wird ein längeres oder kürzeres Stück der von dem Stein beschriebenen Kurve für die Bewegung der Einlassschieber nutzbar gemacht. Zur Erzielung unveränderlichen Vorellens muss in den Kurbelotlagen der Stein im Mittelpunkt der Scheibe stehen.

Die Steuerung ist sehr leicht zu entwerfen (Fig. 3). Soll der die Kurve beschreibende Stein in der Mitte der Längsrichtung der Exzenterstange liegen, so lässt sich in den Exzenterkreis die Kurve — mit gleichen Abszissen wie die des Kreises, aber halb so großen Ordinaten — sofort einzeichnen. Verbindet man die den Exzentervorellstellungen entsprechenden Kurvenpunkte miteinander und errichtet in der Mitte dieser Verbindungslinie eine Senkrechte, so kann man auf ihr den Punkt wählen, um welchen die Scheibe schwingen muss, wenn das Vorellen unveränderlich sein soll. Die Schieberüberdeckungen haben nun eine solche Größe, dass nur bei einer Schwingung der Scheibe über die eben erwähnte Verbindungslinie hinaus Füllung herbeigeführt wird. Nullfüllung ist also vorhanden, wenn in der Kurbelotlage die Schieberichtung die Kurve berührt. Die dargestellte Lage führt Füllung während des Kurbelbogens $90^\circ - \delta$ herbei.

Fig. 5 und 6.

Kolbenventilsteuerung
nach van den Kerchove.

3) Fördermaschinensteuerung nach Kraft-Brialmont, Fig. 4.

Für eine Fördermaschine von 625 mm Dmr. und 1100 mm Hub war seitens der bestellenden Zeche eine Steuerung mit unrunder Scheiben vorgeschrieben worden, während die ausführende Maschinenfabrik zwei vorhandene Ventileylinder zu benutzen wünschte, von welchen jeder statt der für die Höcker-Steuerung nötigen drei Passflächen für die Konsollager nur deren zwei besaß. Die Schwierigkeiten wurden dadurch behoben, dass von den in üblicher Weise einander gegenüber angeordneten Daumenhebeln nur zwei auf die Wellen aufgekittet sind, während die beiden andern mit den Antriebhebeln aus einem Stück bestehenden Daumenhebel diese beiden Wellen rohrförmig umschließen und in ihrer Lage durch Stellkeile gesichert werden. Diese Bauart erspart nicht nur ein, häufig sogar drei Konsollager (s. Z. 1897 S. 1244), sondern gewährt auch erhebliche Vorteile bei der Montage, die bedeutend erleichtert wird. Aus Fig. 4, in welcher der Deutlichkeit halber die Knaggen nur angedeutet sind, während die Hauptsteuerwelle abgebrochen ist, erkennt man, dass die obere Welle den Auslass auf der Deckelseite, die untere Welle den Einlass auf der Kurbelseite steuert, während der Einlass auf der Deckelseite und der Auslass auf der Kurbelseite durch die hohlen Daumenhebel oben und unten gesteuert werden.

4) Kolbenventilsteuerung.

Die hohen Anforderungen, welche die Elektrotechnik an die Regelung der Dampfmaschinen stellt, haben in letzter Zeit dazu geführt, dass die auslösenden Ventilsteuerungen den zwangsläufigen wieder vorgezogen werden. Die Nachteile der bei hohen Kolbengeschwindigkeiten auftretenden großen Endgeschwindigkeiten des freifallenden Ventiles für die Sitzfläche haben die Konstruktion von Öl- und Dampfpuffern (Kollmann und Stumpf) verursacht, bei deren Anwendung die Ventilgeschwindigkeit kurz vor dem Auftreffen auf den Sitz stark abnimmt. Anscheinend mit Erfolg hat in letzter Zeit die Maschinenfabrik van den Kerchove in Gent das Ventil durch in die Deckel eingebaute Kolbenschieber ersetzt, sodass

die Hubbegrenzung nicht durch Sitzflächen gebildet wird. Die gewählte Anordnung ist aber insofern ungünstig, als der schädliche Raum durch die rundgeführten Entlastungskanäle groß wird und bei Tandemmaschinen bedingt, dass die in den Deckeln liegenden Schieber abgenommen werden müssen, wenn der Kolben herausgenommen werden soll. Diese Uebelstände lassen sich durch die Bauart nach den Figuren 5 und 6 vermeiden, bei welcher die Kolbenschieber eine der Sulzerschen Ventilanordnung entsprechende Lage haben, sodass jede gebräuchliche Ventilsteuerung ohne weiteres zu ihrem Antrieb benutzt werden kann. Die Schieber arbeiten mit doppelter Ein- und Ausströmung und sind in jeder Lage dadurch entlastet, dass der über ihnen befindliche Raum durch einen oder mehrere enge Kanäle mit dem Cylinderinnern in Verbindung steht. Ihre Ventile bestehen in den kleinen schädlichen Klümmen, in der leichten Bearbeitbarkeit und nicht zuletzt in der Möglichkeit völlig zwangsläufigen Antriebes bei Anwendung von Ueberdeckungen, in welchem Falle beliebige Umlaufzahlen ermöglicht werden. Die Rückwirkung auf den Regulator ist infolge der leichten Beweglichkeit sehr gering. Die Figuren 5 und 6 zeigen ferner, dass zur Bethätigung der Schieber beider Kolbenseiten nur ein Steuergetriebe vorhanden ist. Die Steuerwelle wird am Cylinder durch zwei Lager unterstützt, zwischen denen das Antriebsrad für den Regulator untergebracht ist. Auf der Kurbelseite befindet sich ein der Klugechen Lenkersteuerung nachgebildeter Steuerungsantrieb, der eine in den Ventilhauben gelagerte Welle in schwingende Bewegung versetzt. Die Schieber werden unter Vermittlung von Winkelhebeln durch Knaggen angetrieben, die auf dieser Welle angebracht sind. In derselben Weise werden die Auslasschieber mittels eines Exzenters angetrieben.

Der Längenunterschied zwischen Schwinge und Hebel an der Lenkersteuerung ist durch die Lage des Regulatorantriebes geboten und verursacht nur geringe Abweichungen des linearen Voreilens.

Bei entsprechender Aenderung der Auslasschieberbewegung würde sich auch diese Steuerung für Fördermaschinen, oder Umkehrmaschinen überhaupt, eignen.

Sitzungsberichte der Bezirksvereine.

Eingegangen 6. Mai 1901.

Breslauer Bezirksverein.

Sitzung vom 18. Januar 1901.

Vorsitzender: Hr. Wagner. Schriftführer: Hr. Sonnabend.
Anwesend 22 Mitglieder und 8 Gäste.

Hr. Kleinstüber spricht über Kalksandsteinfabrikation. Bereits Anfang der 70er Jahre versuchte man, Ziegel aus Kalk und Sand herzustellen, indem man das Gemisch stark preste und dann an der Luft durch Aufnahme von Kohlenäure erhärten ließ. Dieser Vorgang dauerte naturgemäß sehr lange, und man ließ das Verfahren bald fallen. Michaelis nahm die Versuche wieder auf und setzte die nagelgespresten Steine Wasserdampf von höherem Druck aus. Man fand, dass scharfer Sand besonders geeignet ist, dass ein geringer Thongehalt nichts schadet, dass dagegen salzhaltiger Sand (Seesand) unbrauchbar ist. Als Kalk eignet sich besonders recht reiner Kalk, besonders solcher von Kauffung. Er wird entweder als Aetzkalk oder als Kalkhydrat zugesetzt. Ersterer wird in gemahlenem Zustande, letzterer zu Staub gelöscht dem Sand zugemischt. Magerkalk ist wenig, Fettkalk besser, hydraulischer Kalk am besten geeignet. Die Hauptbedingungen zur Herstellung fester Steine sind innige Mischung und hoher Druck. Zum Mischen dienen Trommeln oder Rührwerke. Von den in Anwendung stehenden Pressen wird die von Bernhardi besonders erwähnt, ferner die Kniehebelpresse und die Schubkurvenpresse. Die gepressten Steine kommen zum Erhärten entweder in gemauerte Kammern, in denen sie etwa 72 Stunden stehen müssen, oder in sogenannte Erhärungskessel, wo sie während 8 bis 10 Stunden einem Dampfdruck von 8 bis 10 at ausgesetzt werden. In den Erhärungskesseln wird kiesel-saurer Kalk gebildet, während kohlen-saurer Kalk entsteht, sobald die Steine an die Luft kommen. Im allgemeinen nimmt man zu 4 Teilen Sand 1 Teil Kalk oder 3,75 cbm Kalk auf 1000 Steine.

Die mechanisch-technische Versuchsanstalt in Charlottenburg hat zufriedenstellende Festigkeitsversuche mit Kalksandsteinen gemacht. Die Druckfestigkeit betrug im wasser-

satten Zustande nach dem Gefrieren 219 kg/qcm, im trockenen Zustande 238 kg/qcm; bei Steinen, die dem Feuer ausgesetzt waren, 183 kg qcm. Die Rentabilität einer Kalksandsteinfabrik wird als sehr gut angegeben. Vorbedingungen dafür sind: gute Rohstoffe in nächster Nähe, gutes Absatzgebiet und kein Wettbewerb von Lehmziegelfabriken.

Am 19. Januar 1901 fand gemeinschaftlich mit dem Oberschlesischen Bezirksverein eine Besichtigung des städtischen Wasserwerkes Breslau und der Haaseschen Brauerei statt.

Sitzung vom 22. Februar 1901.

Vorsitzender: Hr. Wagner. Schriftführer: Hr. Sonnabend.
Anwesend rd. 200 Mitglieder und Gäste.

Hr. Max Schliemann (Gast) aus Dresden spricht über Aluminothermie¹⁾.

Sitzung vom 15. März 1901.

Vorsitzender: Hr. Wagner. Schriftführer: Hr. Sonnabend.
Anwesend 24 Mitglieder und 4 Gäste.

Hr. Juliusburger spricht über durchgehende Luftdruckbremsen.

Sitzung vom 19. April 1901.

Vorsitzender: Hr. Wagner. Schriftführer: Hr. Sonnabend.
Anwesend 29 Mitglieder und 11 Gäste.

Hr. Buchholz spricht über die Verwendung des überhitzten Dampfes. Er betont, dass der Dampfmaschinenbau einen Grad der Vollkommenheit erlangt habe, der wohl kaum noch steigerungsfähig sei. Das Gleiche gelte von den Kesselanlagen. Trotzdem ist der Wirkungsgrad unserer Kraftanlagen außerordentlich niedrig. Die Verluste können durch

¹⁾ Vergl. Z. 1898 S. 1019, 1901 S. 1545.

Anwendung von überhitztem Dampf verringert werden. Der Redner erläutert den Unterschied zwischen nassem und überhitztem Dampf sowie die Vorzüge des letzteren. Nach den bisherigen Erfahrungen vermindert sich der Dampfverbrauch pro PS-st bei Anwendung von überhitztem Dampf um rd. 25 bis 30 vH bei Auspuffmaschinen und um rd. 15 bis 20 vH bei Kondensationsmaschinen; die Kohlenersparnis beträgt, da zur Ueberhitzung des Dampfes Wärme erforderlich ist, 50 bis 90 vH der Dampfersparnis. Durch den geringeren Dampfverbrauch ist die Möglichkeit gegeben, bei gleicher Leistung der Kesselanlage die Kessel mäßiger anzustrengen, oder bei gleicher Anstrengung die Leistungsfähigkeit zu steigern. Der Vortragende behandelt ferner die verschiedenen Dichtungs-, Schmier- und Isolirstoffe, die sich für überhitzten Dampf bewährt haben, und hebt hervor, dass eine Ueberhitzung des Dampfes auf rd. 250° im Dampfzylinder im allgemeinen bei jeder vorhandenen Dampfmaschine statthaft sei. Ferner weist er auf die großen Vorzüge des überhitzten Dampfes für Färbereien und ähnliche Betriebe hin.

Eingegangen 8. Mai 1901.

Dresdner Bezirksverein.

Sitzung vom 11. April 1901.

Vorsitzender: Hr. Meng. Schriftführer: Hr. Schiemann.
Anwesend 54 Mitglieder und 6 Gäste.

Hr. E. Lewicki spricht über Versuche an einer de Laval-Dampfturbine, insbesondere bei Anwendung hoher Dampfüberhitzung.

Gegenwärtig wird eine rege Tätigkeit entfaltet, um die Dampfturbinen im Wettbewerb mit den Kolbenmaschinen weiter zu vervollkommen. Dabei sind es vornehmlich drei Punkte, auf welche diese Bestrebungen zielen: Verringerung der Umlaufzahl, Verminderung des Dampfverbrauches und Umsteuerbarkeit. Hinsichtlich des Dampfverbrauches liefern die bekannt gewordenen Ergebnisse¹⁾ hoffen, dass man bei Anwendung hoher Ueberhitzung auf ähnliche Werte kommen werde wie bei den Heißdampfmaschinen. Da bisher Versuche mit sehr hohen Ueberhitzungsgraden im Turbinenbetrieb so gut wie garnicht bekannt geworden sind²⁾, so sind im vergangenen Jahre mit einer 30pferdigen de Laval-Turbine im Maschinenlaboratorium A der Technischen Hochschule zu Dresden zahlreiche Versuchsreihen durchgeführt worden, bei denen die Ueberhitzung im äußersten Falle bis zu 500° C bei 6 at Dampfüberdruck an der Turbine hinaufgetrieben worden ist. Einige der wichtigeren Ergebnisse sind nachstehend wiedergegeben.

Die de Laval-Turbine lässt sich ohne Schwierigkeit mit Dampf von den höchsten mit den jetzigen Einrichtungen erreichbaren Ueberhitzungsgraden betreiben. Da nämlich der heisse Eintrittsdampf mit einander reibenden Teilen überhaupt nicht in Berührung kommt, indem er bereits auf den Gegendruck gebracht, also wesentlich abgekühlt aus der Düse austritt, und daher Rad und Radwelle samt Stopfbüchse nur mit Dampf von erheblich niedrigerer Temperatur zusammentreffen, so kann man mit der Ueberhitzung weit höher gehen, als es in Kolbenmaschinen bis jetzt möglich war, wo man wegen der Schmierung vorläufig noch an Temperaturen von 350 bis 380° C als obere Grenze gebunden ist. Infolgedessen ist der Schmierölverbrauch der Turbine bei Anwendung von hochüberhitztem Dampf nicht größer als beim Betrieb mit gesättigtem Dampf. Für den Dauerbetrieb ist in bezug auf die Konstruktionstoffe hervorzuheben, dass man wie bei den Heißdampfmaschinen diejenigen Teile, die mit dem heißen Betriebsdampf in Berührung kommen, womöglich aus Eisen und Stahl herstellen sollte. Hierbei kommen im wesentlichen nur das Drosselventil und die Einstromdüsen mit ihren Abperrvorrichtungen in Frage. Die Düsen insbesondere sind durch die ungleiche Ausdehnung bei der Erhitzung dem Lockerwerden in den kegelförmigen Sitzen ausgesetzt, was zu Betriebsstörungen und Dampfverlusten Anlass geben kann. Dieser Uebelstand ist aber bei der Versuchsturbine durch das Einsetzen von Stahldüsen vollständig behoben worden.

Die Dampf- und Wärmeersparnis beim Betrieb mit hochüberhitztem Dampf ist aus Uebersicht I zu ersehen, in der einige Hauptversuchswerte mit den entsprechenden, unter sonst gleichen Umständen bei gesättigtem Dampf erzielten Ergebnissen zusammengestellt sind.

¹⁾ Z. 1900 S. 829; 1901 S. 150, 1678.

²⁾ Vgl. die Berichte von Eberle in der Zeitschrift des bayerischen Dampfmaschinenvereines August und September 1900; ferner einen Aufsatz von H. Thurston in Scientific American Supplement, Januar 1901, worin ebenfalls die Wichtigkeit der Ueberhitzung beim Turbinenbetrieb hervorgehoben wird und Versuchsergebnisse mitgeteilt werden.

Uebersicht I.

Bremsversuche bei halber und voller Beaufschlagung.

Eintrittsspannung 7 at abs., Uml./min am Vorgelege 2000. Betrieb ohne Kondensation.

	halbe Beaufschlagung		volle Beaufschlagung	
	gesättigter Dampf	überhitzter Dampf	gesättigter Dampf	überhitzter Dampf
Dampf Temperatur °C	164	460	164	500
Bremsleistung PS	21,4	24,5	44,1	51,9
Dampfverbrauch pro PS-st . . . kg	21,8	14,1	17,7	11,5
Dampf-Wärmeverbrauch pro PS-st WE	14160	11270	11610	9390
Austrittstemperatur des Dampfes °C	100	309	100	343
zurückzugewinnende Wärme pro PS-st WE	—	1415	—	1840
Ersparnis gegen gesättigten Dampf bei Regeneratoren bis auf den Sättigungszustand in vH	—	30	—	31

Aus diesen Zahlen, die Anfangs- und Endwerte ganzer Reihen von Versuchen darstellen, geht hervor, dass mit steigender Ueberhitzung nicht nur der Dampf, sondern auch der Wärmeverbrauch sinkt, während gleichzeitig die Bremsleistung steigt. Die Gründe hierfür sind einmal die, wie nachgewiesen, verminderte Leerlaufarbeit infolge der geringeren Reibung des Turbinenrades im noch überhitzten Austrittsdampf, dann aber die durch die Ueberhitzung vermehrte Strömungsenergie pro Gewichtseinheit Dampf, die bekanntlich mit dem Quadrat der Austrittsgeschwindigkeit wächst, was nach den Versuchen auch für die in der Zeiteinheit aus den Düsen tretende Dampfmenge gilt. Diese Erhöhung der Strömungsenergie wird freilich zumteil in ihrer Wirkung aufgehoben durch Verminderung des sogenannten hydraulischen Wirkungsgrades, der mit wachsender Dampfgeschwindigkeit — beispielsweise steigt bei dem letzten Versuch in Uebersicht I die Geschwindigkeit des aus der Düse strömenden Dampfes gegenüber gesättigtem Dampf von 807 auf 1046 msk — bei gleichbleibender Umfangsgeschwindigkeit des Laufrades infolge des vermehrten Stofsverlustes sinken muss. Doch ist, wie die Versuche zeigen, diese Verkleinerung des hydraulischen Wirkungsgrades von untergeordneter Bedeutung, weil infolge des vergrößerten Eintrittstokes die Dampftemperatur im Austrittsraum erhöht wird, diese aber den Leerlaufwiderstand herabzieht und somit den mechanischen Wirkungsgrad vergrößert. Aus den Versuchen geht zweifellos hervor, dass die Vermehrung des mechanischen Wirkungsgrades bei hoher Ueberhitzung und entsprechend hohem Dampfdruck die Verringerung des hydraulischen Wirkungsgrades überwiegt. Dass aber tatsächlich mit zunehmendem Eintrittstoke die Temperatur des austretenden Dampfes wächst, zeigt die folgende besonders zu diesem Zwecke ausgeführte Versuchsreihe.

Uebersicht II.

Bremsung bei gleichbleibender Eintrittsspannung und Beaufschlagung.

Umlaufzahl der Vorgelegewelle . . Uml./min	2334	1790	1182	601
gemessene Eintrittstemperatur . . . °C	363	364	369	366
• Austrittstemperatur . . . °C	234	248	236	280

Diese Uebersicht zeigt deutlich, dass bei abnehmender Radgeschwindigkeit und bei gleichbleibender Eintrittsgeschwindigkeit des Dampfes die Temperatur des Austrittsdampfes wesentlich zunimmt. Diese Zunahme kann nur in dem wachsenden Stofs des Dampfes gegen die Radschaufeln ihren Grund haben. Uebrigens liegen die Austrittstemperaturen infolge des Stofses und wahrscheinlich teilweise auch infolge der Reibung an den Düsenwänden mehr oder weniger über der der adiabatischen Expansion entsprechenden Endtemperatur.

Aus dem Umstande, dass der Austrittsdampf bei Anwendung hoher Ueberhitzung selbst noch erheblich überhitzt ist, ergibt sich die Frage, ob man die über dem Sättigungszustand im Austrittsdampf noch enthaltene Wärme für den Arbeitsvorgang wieder nutzbar machen kann. Diese Frage ist zu bejahen. Es lässt sich z. B. ein bestimmter Teil der Ueberhitzungswärme des Abdampfes in den Dampferzeuger zurückführen,

wo er einen Teil des Heizstoffes ersetzt (Regeneratorkessel), während der Rest in einem gewöhnlichen Speisewasservorwärmer nutzbar gemacht werden kann. Auf diese Regenerierung beziehen sich die Angaben in den beiden letzten Zeilen der Übersicht I. Vorläufige Versuche dieser Art hatten günstige Ergebnisse.

Zum Nachweis der erwähnten Verringerung des Leerlaufwiderstandes bei zunehmender Ueberhitzung dient die folgende Zusammenstellung.

Übersicht III.

Leerlaufversuche bei gleichbleibender Umlaufzahl
(2000 Uml./min am Vorgelege, entsprechend 20000 der Laufradwelle)

das Turbinenrad lief	gesamte Leerlaufarbeit der Turbine bei atmosphärischem Druck PS	Radwiderstand	
		bei atmosphärischem Druck PS	im Vakuum von 0,36 at abs. PS
in Luft (30°)	6,8	4,6	—
in gesättigtem Dampf	5,5	3,3	1,5
	123°	5,10	2,85
	184°	4,55	2,25
in überhitztem Dampf von	244°	4,30	2,05
	300°	4,15	1,88
			0,00

Diese Übersicht enthält die Hauptergebnisse einer Versuchsreihe, die vom Vortragenden in Gemeinschaft mit Hrn. Professor W. Kübler vom Elektrotechnischen Institut der Dresdner Hochschule ausgeführt wurde, und bei der im wesentlichen mittels eines geeigneten Elektromotors die Leerlaufarbeit des Turbinenrades bei verschiedenen Dampfzuständen im Radgehäuse unmittelbar gemessen wurde.

Hierdurch ist festgestellt, dass der Widerstand des Rades in gesättigtem Dampf um 1,3 PS geringer ist als in atmosphärischer Luft, und dass dieser Widerstand bei Ueberhitzung des Austrittsdampfes auf 300° von 3,3 auf 1,88 PS abnimmt. Sehr bemerkenswert ist weiter die Abnahme des Radwiderstandes im Vakuum um 0,9 PS bei Ueberhitzung. Dieser letztere Umstand lässt darauf schließen, dass auch beim Betrieb mit Kondensation hohe Ueberhitzung vorteilhaft wirken wird. Versuche dieser Art sind noch nicht abgeschlossen.

Was die mit den Versuchen verbundenen Messungen des Ausströmdampfes anbetrifft, die mithilfe eines als Oberflächenkondensator benutzten Mattickschen Gegenstromvorwärmers ausgeführt worden sind¹⁾, so ergeben sie eine weitgehende Bestätigung der theoretischen Formeln für den Dampfausfluss. Die Übereinstimmung ist bei den Versuchen mit überhitztem Dampf deshalb größer, weil es hierbei leichter ist, den Dampfzustand festzustellen, als beim gesättigten Dampf. Wie weit die Übereinstimmung der Versuchswerte mit den Rechnungsergebnissen bei beiden Dampfarten geht, zeigen folgende Zahlen. Es beträgt das Verhältnis der beobachteten zur berechneten Dampfausflussmenge bei trocken gesättigtem Dampf 1,009:1 (Mittel aus 13 Beobachtungen)²⁾ und bei überhitztem Dampf 1,007:1 (Mittel aus 11 Beobachtungen). Hiernach lassen sich die Dampfmengen bei Versuchen an der de Laval-Turbine mit völlig genügender Genauigkeit rechnerisch feststellen. Die in praktische Form gebrachten Formeln lauten folgendermaßen:

$$\text{für trocken gesättigten Dampf: } S = 71,640 F \sqrt{\frac{p}{v}}$$

$$\text{für überhitzten Dampf: } S = 75,906 F \sqrt{\frac{p}{v}}$$

Hierin bedeutet

- S die stündliche Dampfmenge in kg,
- F die Summe der Düsenquerschnitte an der engsten Stelle in qcm,
- p den absoluten Dampfdruck vor den Düsen in kg/qcm,
- v das spezifische Volumen des Dampfes vom Drucke p in cbm/kg.

Der Wert v ist für gesättigten Dampf aus den Dampftabellen, für überhitzten Dampf aus der Zustandsgleichung zu bestimmen. Diese lautet nach Zeuner:

¹⁾ a. Z. 1901 S. 997.

²⁾ In neuester Zeit ist diese Bestätigung, soweit es sich um gesättigten Dampf handelt, durch Versuche des französischen Ingenieurs Râteau (a. Z. 1901 S. 1659) ebenfalls erbracht worden. Ueber die Ableitung der Dampfausflussformeln mit besonderer Berücksichtigung der de Laval'schen Düsen vgl. Zeuners »Theorie der Turbinen« S. 365 u. f., worin die Theorie der Dampfturbinen zum erstenmal nach den Grundsätzen der Thermodynamik ausführlicher gegeben wird.

$$v = \frac{BT - CP}{P}$$

worin

$$B = 50,933,$$

$$T = 273 + t,$$

$$C = 192,5,$$

$$n = 0,25,$$

$$P = \text{absoluter Dampfdruck vor Eintritt in die Düsen in kg/qcm,}$$

$$t = \text{Dampf Temperatur vor Eintritt in die Düsen in } ^\circ\text{C.}$$

Die obigen Ausflussformeln sind an die Bedingung geknüpft, dass das Verhältnis zwischen absolutem Eintrittsdruck und Gegendruck nicht kleiner als 2 ist, was in der Praxis immer der Fall sein dürfte.

Zum Schlusse sei noch darauf hingewiesen, dass die Bestrebungen, die Dampfturbinen zu verbessern, in Zukunft wohl zu Konstruktionen führen dürften, bei denen die de Laval'sche Freistrahlanordnung mit einer abgestuften Ausnutzung der Strömungsenergie des Dampfes zur Erzielung eines hohen hydraulischen Wirkungsgrades vereinigt ist, während gleichzeitig zur Erhöhung des mechanischen Wirkungsgrades Kondensation und hohe Ueberhitzung mit Regenerierung des Abdampfes angewendet werden. Das Ziel ist auch hier, einen möglichst hohen Gesamtwirkungsgrad zu erreichen. Die zuerst genannten Gesichtspunkte scheinen u. a. in den Konstruktionen von Curtis, Seeger und Râteau, dessen mehrzeilige Aktionsturbinen soeben von der Maschinenfabrik Oerlikon auf den Markt gebracht werden, mehr oder weniger berücksichtigt zu sein.

Auch im Kleinbetrieb scheint der Dampfturbine eine reiche Zukunft beschieden zu sein; beispielsweise sind im Maschinenlaboratorium der Dresdner Hochschule neuerdings Versuche an einem Hörszchen Zugregler mit Dampfturbinenaufsatz gemacht worden, die so günstig ausgefallen sind, dass die Vorrichtung bereits Eingang in die Praxis gefunden hat. In ähnlicher Weise benutzt Prof. M. Grübler nach dem Vorschlage des Vortragenden ein Hörszches Dampfrad zum unmittelbaren Antrieb der Schmirgelscheiben bei seinen Versuchen über deren Festigkeit.

Eingegangen 11. Mai 1901.

Frankfurter Bezirksverein.

Sitzung vom 17. April 1901.

Vorsitzender: Hr. Baumann. Schriftführer: Hr. Abt.
Anwesend 28 Mitglieder und 6 Gäste.

Der Vorsitzende teilt das Ableben des Hrn. Theodor Hesse, früheren Mitbesitzers der Hedderheimer Kupferwerke, mit. Die Anwesenden erheben sich zur Ehrung des Verstorbenen von ihren Plätzen.

Es werden darauf geschäftliche Angelegenheiten, insbesondere einige Gegenstände von der Tagesordnung der 42. Hauptversammlung, beraten.

Alsdann spricht Hr. Bischoff über die Hubersche Hohlkörperpressung mittels Wasserdruckes bis zu 8000 at¹⁾.

Schließlich berichtet Hr. Schubert über Neuerungen und Verbesserungen am Diesel-Motor. Im Anschluss an einige neuere von Prof. E. Meyer gefundene Versuchsergebnisse macht er Mitteilungen über die Verbreitung der Diesel-Motoren. Nach einem Anfang Januar 1901 aufgestellten Liste sind bisher im ganzen 167 Stück angefertigt worden. Davon sind 118 Stück einzylindrig in den Stärken von 4 bis 35 PS, 48 zweizylindrig von 20 bis 70 PS und 1 dreizylindrig von 15 PS.

Eingegangen 4. Mai 1901.

Niederrheinischer Bezirksverein.

Sitzung vom 1. April 1901.

Vorsitzender: Hr. Gerdau. Schriftführer: Hr. Birsztejn.
Anwesend 88 Mitglieder und 23 Gäste.

Die Versammlung beschäftigt sich mit den Vorbereitungen zur Hauptversammlung im Jahre 1902 und vollzieht die Wahlen zu den einzelnen Ausschüssen für die geplanten Veranstaltungen.

Darauf spricht Hr. Othegraven aufgrund eigener Anschauung über das Zeppelinsche Luftschiff²⁾.

Der Vorsitzende eröffnet die Besprechung mit der Frage, ob anstatt des Kühlwassers für die Motoren nicht auch Versuche mit andern Kühlmitteln, wie Aether, gemacht worden seien. Dies würde das Gewicht erheblich vermindern. Der

¹⁾ Vergl. Z. 1901 S. 584.

²⁾ a. Z. 1901 S. 1071.

Vortragende verneint die Frage und weist auf die Feuergefahr hin, die mit der Verwendung von Aether verbunden sei.

Hr. A. Schlüter stellt sich trotz der dem Grafen Zeppelin zu zollenden Anerkennung auf die Seite der sogen. Drachensieger. Er glaubt nicht, dass der Luftwiderstand bei einer Geschwindigkeit von 10 m/sk zu überwinden sein werde.

Darauf spricht Hr. Sobbe über die maschinelle Herstellung von Bleikugeln anhand von Mustern. Je nach der Verwendungsart werden die Kugeln gegossen oder gepresst; Hartbleikugeln werden durchweg gepresst. Eine Ehrhardsche Presse, die in der Geschosfabrik zu Siegburg aufgestellt ist, liefert bei 60 Uml./min 60 Kugeln pro min; in der Rheinischen Metallwarenfabrik werden in 10 Stunden rd. 44000 Stück hergestellt.

Hr. Pflügge beschreibt im Anschluss an diese Mitteilungen eine in Spandau angewendete Bleidrahtpresse.

Hr. Ehlert berichtet schließlich über die Reinigung des Trinkwassers mittels Ozons¹⁾.

Eingegangen 15. Mai 1901.

Pommerscher Bezirksverein.

Sitzung vom 16. April 1901.

Vorsitzender: Hr. Cornehlis. Schriftführer: Hr. Hamann. Anwesend 22 Mitglieder und 4 Gäste.

Es werden zunächst die auf der Tagesordnung der 42. Hauptversammlung stehenden Gegenstände durchberaten. Nach Erledigung weiterer geschäftlicher Angelegenheiten spricht Hr. Dr. Wagner über die graphische Behandlung von Wechselstromproblemen.

¹⁾ Z. 1900 S. 1685.

Die dritte Hauptversammlung der Schiffbautechnischen Gesellschaft ist am 18. und 19. November d. J. in der Aula der Technischen Hochschule zu Charlottenburg abgehalten worden. Zur Eröffnung hatte sich Se. Majestät der Kaiser in Begleitung des Staatssekretärs Tirpitz und von Vertretern des Reichsmarineamtes eingefunden. Der Ehrenvorsitzende der Gesellschaft, Se. kgl. Hoheit der Großherzog von Oldenburg, war durch Krankheit am Erscheinen verhindert. In seiner Vertretung eröffnete der Vorsitzende der Gesellschaft, Geh. Regierungsrat Prof. Busley, die Versammlung.

Als erster Redner sprach Hr. Geh. Marinebaurat Brinkmann über die Entwicklung der Geschützaufstellung an Bord der Linienschiffe und die dadurch bedingte Einwirkung auf deren Form und Bauart. In längerer Ausführung beleuchtet der Redner die Vor- und Nachteile der Aufstellung der Geschütze in der Breitseite und vorn und hinten auf den Schiffen, in Kasematten und in Türmen. Als Beispiele für die allmähliche Entwicklung der Gesichtspunkte, die heute für die Anordnung der Artillerie auf den großen Linienschiffen maßgebend sind, werden besonders die Schiffe der englischen und der französischen Kriegsmarine angeführt. Die Aufstellung von 4 schweren Geschützen in 3 mittschiffs an den freien Enden des Schiffes befindlichen Zwillingstürmen wird heute von allen Kriegsmarinern grundsätzlich als die zweckmäßigste anerkannt. Die neueren Panzerschiffe unterscheiden sich daher im wesentlichen nur durch die Aufstellung der mittleren und leichten Artillerie und durch die dadurch beeinflusste Panzerung von einander. Während die mittlere Artillerie meistens in Einzelkasematten aufgestellt wird, ordnet man die leichte Artillerie auf möglichst hohen Stellungen an. Ueber den Wert der besonders in der französischen Marine viel verbreiteten Gefechtsmasten, in deren Marsen leichte Geschütze zur Abwehr von Torpedobooten untergebracht sind, gehen die Meinungen noch sehr auseinander. Zum Schlusse seines Vortrages verbreitet sich der Redner über Anordnung und Bauausführung der Panzerungen, ihrer Unterbauten usw. und berührt die Gesichtspunkte, die bei der Aufstellung der Panzertürme der Länge des Schiffes nach zu beachten sind.

In dem nun folgenden Meinungsaustausch trat Hr. Geh. Marinebaurat Rudloff der Behauptung entgegen, dass nur England und Frankreich selbständig in der taktischen Entwicklung der Kriegsschiffe vorangegangen seien. Neben andern vom Vorredner nicht angeführten Völkern ist vor allem auch Deutschland zu erwähnen. Als Beispiele sind besonders die Schiffe der »Sachsen«- und der »Brandenburg«-Klasse anzuführen, welche als Originalkonstruktionen der deutschen Marine bezeichnet werden können. Hr. Marine-Oberbaurat Schwarz zog Folgerungen aus dem Vortrag und stellte eine Reihe von Leitätzen für die Anordnung der Geschütze auf.

Hierauf nahm Se. Maj. der Kaiser das Wort; er wies in längerer Ausführung auf die Bedeutung des Bug- und Heckfeuers hin und führte als Beispiel hierfür die Galeeren an, bei denen bereits Buggeschütze angewendet wurden, im Gegensatz zu den mit Segeln betriebenen Linienschiffen, die nur Breitseitenartillerie hatten. Inbetracht des Anteiles Deutschlands an der Entwicklung des Kriegsschiffbaues trat Se. Majestät den Ausführungen der späteren Redner bei und kennzeichnete die Verhältnisse, unter denen Deutschland eine selbständige Bahn eingeschlagen hat. Die neueren deutschen Schiffstypen hätten sich lediglich unter dem Einfluss der militärischen Anforderungen entwickelt, und die Tatsache, dass ein aktiver Seeoffizier an die Spitze des Konstruktionsbureaus der deutschen Marine gestellt worden ist, zeigte, dass an diesem Grundsatz festgehalten werden soll.

Hr. Regierungsbaumeister a. D. Geyer sprach alsdann über elektrische Kraftübertragung an Bord. Nach allgemeinen Erörterungen über die Anwendung von Elektrizität zum Betriebe der Hilfsmaschinen auf Kriegsschiffen, wobei insbesondere das thatkräftige Vorgehen der deutschen Marine erwähnt wurde, ging der Vortragende zu einer Besprechung der neueren Regulirverfahren von Elektromotoren für Bordzwecke über. Laufregulirung, Anlassregulirung und Fernregulirung, wie sie die Union E.-G. ausführt, wurden in ihrer Anwendung bei den verschiedensten Hilfsmaschinen eingehend geschildert. Des längeren verweilte der Redner bei der neuen Steuermaschine der Union E.-G. nach dem Entwurf von Essberger, die sich vor den früheren Konstruktionen dadurch auszeichnet, dass sie nur einen Motor besitzt, der nur dann in Umlauf versetzt wird, wenn das Ruder bewegt werden soll. Die Ausführungen wurden an zahlreichen Modellen erläutert.

In dem Meinungsaustausch wurde auf den elektrischen Steuerapparat von Hoffmann und auf die allgemeinen Vorteile der Verwendung der Elektrizität zum Steuern von Schiffen hingewiesen. Demgegenüber wurden von anderer Seite viele Nachteile angeführt und dabei insbesondere hervorgehoben, dass die elektrischen Maschinen zurzeit noch zu schwer sind, um erfolgreich gegen die Dampfmaschinen ins Feld treten zu können.

Am Nachmittage sprach Hr. Yachtkonstrukteur Oerts über Segelyachten und ihre moderne Ausführung. Von der ersten eigentlichen Segelyacht, der im Jahre 1849 von Steers in New York gebauten Schoneryacht »Amerika« ausgehend, schilderte der Redner in kurzen Umrissen die Entwicklung des Yachtbaues bis zum heutigen Tage. Als Beispiele für die einzelnen Klassen wurden bekannte Konstruktionen des In- und Auslandes einer kritischen Besprechung unterzogen. Die meisten bis zum Ende der 60er Jahre gebauten Yachten passten sich mit ihren scharfen Wasserlinien der Form der »Amerika« an, und erst als Froude die Untersuchungen über den Reibungswiderstand begann, fing man an, die hieraus abgeleiteten Ergebnisse für den Yachtbau nutzbar zu machen. Das hohe scharfe Totholz wurde verlassen, die Wasserlinien wurden weniger scharf und der Tiefgang der Yachten wurde größer gemacht. Bei den englischen Yachtbaukonstruktoren bildete sich eine neue Yachtbauart heraus, als das alte Messverfahren, welches den Bau sehr beschränkte, einer vernünftigen Messformel wich. Besonders in diesem Lande prägte sich der Grundsatz einer möglichen Verringerung des Reibungswiderstandes aus. In Amerika war man inzwischen dem Bau von Kielbooten untreu geworden und zu einer flachen Schwertbootbauart übergegangen, die selbst bei den größten Schoneryachten angewendet wurde. Diese Art von Yachten machte siegreiche Kämpfe in den internationalen Regatten mit, bis der Erfolg eines kleinen Kielbootes den Glauben an die Unbesiegbare ihrer Konstruktion ins Wanken brachte. Den nächsten Fortschritt im Yachtbau hatte Herreshoff, der heute so berühmt gewordene Yachtkonstrukteur in Bristol bei New York, mit seiner Yacht »Guyana« zu verzeichnen, welche größte Stabilität mit der Fähigkeit verband, eine große Segelfläche zu tragen, und deren Rumpf dem Wasser eine verhältnismäßig kleine Reibfläche entgegensetzte. Kennzeichnend für dieses und ein nach denselben Grundgedanken gebautes Boot waren die langausgezogenen Ueberhänge, welche die schlanke Fortsetzung des Unterwasserkieles bildeten, während die obere Wasserlinie sehr flüchtig gehalten und der Bleikiel tief gelagert war, wodurch die große Stabilität erreicht wurde. Auch beim Kreuzen erwies sich diese Form der Schiffe den älteren Booten namentlich bei starkem Winde und hohem Seegang bedeutend überlegen.

Aus dieser Yachtform entstanden die ersten Wulstkieler, deren Stabilität nur durch das am Kiel befestigte Bleigewicht erhalten wurde. Die Wulstkielboote haben sich bis auf die heutige Zeit in allen Segelsport treibenden Ländern sehr beliebt gemacht und beherrschen noch heute zum großen Teil das Regattafeld.

Der Redner ging dann auf die Grundsätze über, welche beim Bau einer zweckmäßigen Yacht ins Auge gefasst werden müssen. Die Fähigkeit, eine große Segelfläche zu tragen und hiermit eine große Triebkraft zu entfalten, hängt naturgemäß von einer großen Stabilität ab. Die Segelfläche muss jedoch in günstigem Verhältnis zur benetzten Oberfläche stehen, d. h. die Reißfläche muss möglichst klein gehalten werden. Die Folge davon ist eine möglichst kleine Seitenfläche, die jedoch wieder nicht allzu klein im Verhältnis zur Nullspantfläche sein darf, um ein gutes Kreuzen zu ermöglichen. Andererseits kann man nicht die Fläche des Nullspantes der Seitenfläche zuliebe verringern, denn dadurch würde die Wasserverdrängung leiden und infolgedessen die Stabilität geringer werden. Der Konstrukteur muss also diese Verhältnisse so miteinander zu vereinigen wissen, dass allem nach Möglichkeit Rechnung getragen wird, und nur praktische Erfahrung und ein gut geschulter Blick werden einen tüchtigen Yachtkonstrukteur heranbilden. Bedeutend wird die Bauart der Yachten von dem Messverfahren beeinflusst. Im Laufe der Zeit sind viele Messformeln aufgestellt und ebenso viele wieder verworfen. In Deutschland ist man nach vielen Versuchen zu einer Formel gelangt, welche auf die Entwicklung der deutschen Yachten von günstigem Einfluss gewesen ist, die jedoch trotz ihres guten Grundgedankens leider noch nicht von der internationalen Seglerwelt angenommen worden ist. In dieser Formel wird ein strenger, sehr berechtigter Unterschied zwischen Kreuzer- und Rennyachten gemacht, was in den übrigen Ländern nicht der Fall ist. Nachdem der Redner die Eigentümlichkeiten dieser beiden Bauarten mit kurzen Worten gestreift hatte, besprach er die Abmessungen und Stärken der Bauteile von Yachten. Hand in Hand mit der Bauweise der Bootkörper geht die Anordnung des Spierenwerkes, der Takelage und der Segel. Der Schnitt der Segel hat sich im Laufe der Zeit verschiedentlich verändert; ebenso wird das stehende Out, das früher aus Hanfseil hergestellt wurde, heute nur aus Stahldrahtwerk verfertigt. Die Hanftrosse wird nur noch zu Fallen und Schotten verwendet. Die Segel Eigenschaften der Yachten sind neben der richtigen Lage des Segelschwerpunktes vor allem von dem guten Stand der Segel abhängig, und der Anteil des Segelmachers am Erfolge oder Misserfolge einer Yacht darf ebenso hoch eingeschätzt werden wie der des Konstrukteurs. Zum Schluss seines Vortrages sprach der Redner die Ueberzeugung aus, dass trotz der bedeutenden Fortschritte im Yachtbau weitere Verbesserungen nicht ausgeschlossen erscheinen. Die Theorie sei noch nicht so weit entwickelt, dass allgemeine Verhältniszahlen für den Yachtbau gewonnen wären; gute Praxis und eine glückliche Hand seien nach wie vor die Haupterfordernisse beim Yachtbau.

Den nächsten Vortrag hielt Hr. Ingenieur Kitzrow über die Anwendung der Druckluftwerkzeuge im Schiffbau.

Auf keinem andern Gebiete hat sich der Druckluftbetrieb in seinen mannigfachen Anwendungsformen in einem so bedeutenden Maße eingebürgert, wie in der Schiffbauindustrie. Die erste deutsche Werft, welche Druckluftwerkzeuge einführt und die auch heute noch die größte Druckluftanlage aufzuweisen hat, war die Flensburger Schiffbau-Gesellschaft. Ihr folgten bald viele andere große Schiffwerften. Der Redner schilderte die Anlage und die Einrichtungen für einen zweckmäßigen Druckluftbetrieb. Er rügte zugleich den oft begangenen Fehler, eine für eine bestimmte Leistungsfähigkeit berechnete bestehende Anlage durch Anschaffung immer weiterer Werkzeuge zu überlasten. Die unmittelbare Folge hiervon sei eine bedeutend verringerte Leistungsfähigkeit der Werkzeuge, und dies werde sich besonders beim Nieten, der am meisten im Schiffbau vorkommenden Arbeit, durch undichte Nietungen bald unangenehm bemerkbar machen. Auch bei kleineren Schiffbaubetrieben empfiehlt sich sehr die Anwendung von zwei Kompressoren, von denen der eine ständig im Betriebe ist, während der andere als Reserve dient. Inbetracht der Druckluftleitungen ist es zweckmäßig, eine Hauptleitung senkrecht zu den Hellingen und eine andere nach dem Ausströmungsplatz und nach dem Dock zu verlegen. Von der ersten Leitung zweigen dann die Leitungen zwischen den Hellingen ab.

Es wurden dann die am meisten im Schiffbau verwendeten Druckluftwerkzeuge, wie Niethammer, Bügelnietmaschinen, Decknieten, Bohrmaschinen, Meißelhammer usw., beschrieben

und hieran eine Erörterung über die allgemeine Leistungsfähigkeit der Druckluftwerkzeuge gegenüber dem Handbetrieb geknüpft. Im Laboratorium der Hochschule wurde eine fahrbare Druckluftanlage im Betriebe vorgeführt.

Auch am zweiten Tage erschien Se. Majestät der Kaiser kurz vor dem Vortrage des Hrn. Professors v. Halle über die volkswirtschaftliche Entwicklung des Schiffbaues in Deutschland und den Hauptländern. Der Redner leitete seinen Vortrag mit einer Schilderung der Aufgaben der vom Staatssekretär des Reichs-Marineamtes eingesetzten Kommission zur Untersuchung der Lage des Schiffbaues und ihrer Tätigkeit in Deutschland, England und Amerika ein und ging darauf zu den Wandlungen über, welche der Weltschiffbau im 19. Jahrhundert durchgemacht hat. Er beschrieb ferner die Entwicklung und die Lage des deutschen Schiffbaues und die Aufgaben, welche er hinsichtlich der Lieferung für den heimischen und den ausländischen Markt zu erfüllen habe.

In der Verhandlung über den Vortrag wies Hr. Rosenstiel auf die vorzüglichen Prüfverfahren der englischen Kettenfabriken hin und empfahl den deutschen Fabrikanten ähnliche Einrichtungen, damit die großen Dampfergesellschaften ihre Ketten nicht mehr aus dem Auslande beziehen müssten.

Weiter sprach Hr. Marine-Oberbaurat Schwarz über die Entwicklung des amerikanischen Schiffbaues im letzten Jahrzehnt. Die Vergangenheit der amerikanischen Schiffbauindustrie ist in mancher Beziehung merkwürdig. Noch im Jahre 1850 übertraf ihre Jahreserzeugung mit 272213 t diejenige Großbritanniens mit 133693 t um mehr als das Doppelte. Um so fühlbarer machte sich der Niedergang dieser Industrie und des Reedereibetriebes vom Beginn des amerikanischen Bürgerkrieges bis zu den 80er Jahren bemerkbar, während zur selben Zeit der englische Schiffbau sich schnell entwickelte und bereits im Jahre 1870 die Jahreserzeugung Amerikas übertraffen hatte. Ein Hauptgrund hierzu war auch die seit jener Zeit allgemeiner werdende Einführung des Eisenschiffbaues und der Dampfschiffahrt.

Seitdem sich die amerikanische Regierung in der Mitte der 80er Jahre der Notwendigkeit einer starken Kriegsmarine bewusst geworden war, deren Schiffe nur auf heimischen Werften gebaut werden sollten, hob sich auch die amerikanische Industrie wieder zusehends. Der spanisch-amerikanische Krieg war der Anstoß zu einem weiteren gewaltigen Aufschwung der Schiffbauindustrie, und zurzeit haben sich die amerikanischen Werften in einem solchen Maße entwickelt, dass sie sowohl was Schnelligkeit ihres eigenen Aufschwunges, als auch was ihre modernen Einrichtungen anbetrifft, als Muster für europäische Anlagen angesehen werden können. Der Redner schilderte in kurzen Zügen die oft wunderbare schnelle Entwicklung einiger bedeutender amerikanischer Werften und erörterte hierauf eingehender die Grundlagen und Arbeitsverfahren des amerikanischen Schiffbaues.

Infolge der hohen Arbeitslöhne war es naturgemäß, dass die amerikanischen Fabrikanten danach strebten, durch sparsame Arbeitsverfahren, Einführung des Massen- und Schnellbetriebes in Verbindung mit praktischen Arbeitsmaschinen und leistungsfähigen Transporteinrichtungen einen Ausgleich zu schaffen. Dass dies gelungen ist, beweisen die Fortschritte der amerikanischen Industrie hauptsächlich auf dem Gebiete des Werkzeugmaschinenbaues. Die Verhältnisse im Schiffbau liegen nicht ganz so günstig. Insbesondere ist die Nachfrage nach Schiffen für die Handelsmarine noch verhältnismäßig gering. Auch hat sich infolge der vielseitigen Anforderungen der Reedereien noch keine einheitliche Bauart für transatlantische Schiffe herausgebildet, was den Bau wesentlich verbilligen würde. Eine Ausnahme hiervon machen die Frachtdampfer auf den großen amerikanischen Seen, die meistens nach einer einheitlichen Form gebaut werden. Infolgedessen haben auch die Seenwerften, die vor kurzem zu einem Unternehmen vereinigt worden sind, einen gewaltigen Aufschwung genommen.

Bewundernswert ist die Schnelligkeit, mit welcher die Seewerften arbeiten. So wurde zum Beispiel in Lorain ein Schiff von etwa 6000 Reg.-Tons in 2 bis 3 Monaten zum Stapellauf fertiggestellt. Diese Leistungen werden zum großen Teil durch Arbeiten nach Schnürbodenmodellen erzielt, welche für eine große Anzahl von Verbandteilen des Schiffes benutzt werden, sodass fast alle Teile in der Werkstatt vorgefertigt werden können. Ferner werden die Arbeiten auf der Helling durch leistungsfähige Hellingkrane und vielseitige Verwendung von Druckluftwerkzeugen gefördert. Eigenartig sind die Querhellinge auf den Seewerften, welche meistens zu zweien auf einer Landzunge angelegt sind, und von denen die Schiffe in schmalen Kanälen zu Wasser gelassen werden. Ein Vorteil dieser Hellinge ist der, dass die Schiffe wagerecht,

das heißt ohne Fall, auf Stapel gesetzt werden können, wodurch das Aufrichten der Spanten, Schotten usw. wesentlich erleichtert wird. Die großen Erfolge der Seewerften haben auch die Werften an der Küste veranlaßt, ihren Betrieb in ähnlicher Weise einzurichten.

Eine besonders bemerkenswerte Erscheinung in dem Arbeitsbetriebe der amerikanischen Werften ist die vielseitige Verwendung von Druckluftwerkzeugen. Die Druckluft wird den Arbeitsstellen von einem Kompressor zugeführt, der von dem elektrischen Kraftwerk aus angetrieben wird. Es sind meistens zwei festliegende Luftleitungen vorhanden, von denen die eine längs des Kielstapels, die zweite in Höhe des Oberdecks angebracht ist. Von hier aus zweigt sich ein Netz von drahtumwundenen Gummischläuchen nach den einzelnen Arbeitsstellen ab. Dass die übrigen Werkstatteinrichtungen nach dem bekannten praktischen Sinn der Amerikaner auf das zweckmäßigste eingerichtet sind, bedarf kaum der Erwähnung. Eigenartig und namentlich für die amerikanischen Verhältnisse sehr praktisch sind die Glühöfen zum Anwärmen der Spanten und Platten, die meistens mit Öl geheizt werden. Hierdurch wird an Zeit für das Anheizen gespart und eine gleichmäßige Temperatur erzielt.

Eine Haupterleichterung im Betriebe der amerikanischen Werften gewähren die Transporteinrichtungen. Trotzdem sie schon längere Zeit verwendet werden, scheint sich noch keine einheitliche Bauart für Krane herausgebildet zu haben. Der Redner beschrieb verschiedene von der Brown Hoisting Co. und von der Wellman Seaver Engineering Co. gebaute Hellingkrane und erläuterte ihre Vorteile. Besonders zweckmäßig werden die Krane beim Aufstellen der Spanten und beim Richten der Steven angewendet; aber auch bei andern Arbeiten im Schiffbau gestaltet sich der Betrieb mit diesen Hebezeugen sehr günstig. Neben andern Krankonstruktionen wurden die auf der Werft der Maryland Steel Co. verwendeten Turmkrane geschildert. Die 4 Hellinge dieser Werft sind rd. 33 m von einander entfernt, sodass zwischen ihnen breite Straßen freibleiben, auf denen Schienenwege von 6 m Spurweite liegen. Am Kopf der Hellinge sind die Gleise durch Weichen miteinander verbunden, sodass jeder Kran bei Bedarf auch für die andere Helling verwendet werden kann. Auf den Gleisen laufen die Turmkrane, welche zwei seitliche Ladebäume von 16,5 m Ausladung und 7½ t Tragfähigkeit tragen. Die Fahrgeschwindigkeit dieser Krane ist nur gering; daher bleiben sie meistens längere Zeit an demselben Platze stehen, wobei das zum Einbau bestimmte Material von der Werkstatt mittels Schmalspurbahnen in den Bereich der Krane gebracht und mittels der Ladebäume eingefügt wird.

Auf den Werften der Bath Iron Works und der Eastern Shipbuilding Co. werden zwei näher geschilderte Anlagen von Drahtseilbahnen zum Transport des Baumaterials verwendet, die jedoch nach Ansicht des Vortragenden für größere Lasten nicht ausreichend sind.

Nachdem der Redner kurz die Frage der Hellingüber-

dachung und der hierin angeordneten Laufkrane gestreift hatte, gieng er zu der Schilderung einer amerikanischen Musteranlage, der Werft der New York Shipbuilding Co. in Camden über. Der Arbeitsgang von der Lieferung des Materials bis zur Bearbeitung in den einzelnen Werkstätten und bis zum Einbauen des Schiffes spielt sich hier in folgender Weise ab: Die Rohstoffe kommen mit der Eisenbahn heran, werden in die Halle des Materiallagers gefahren und dort mit Laufkränen entladen. Die Schiffbaumaterialien gehen von hier gleich zur Bearbeitung in die Schiffbauwerkstatt. Die zu letzterer parallel angeordnete Kesselschmiede erhält das Rohmaterial an Blechen und Winkelleisen ebenfalls unmittelbar vom Materiallagerplatz; desgleichen die Schmiede. An die Verlängerung der Kesselschmiede schließt sich die Maschinenbauwerkstatt an, in welcher sich ein 100 t-Laufkran zum Transport der Kessel und schwerer Maschinenteile befindet, der beide Werkstätten bestreichen kann. Die oberen Räume der Seitenschiffe werden teilweise von einer Kupferschmiedewerkstatt, teilweise von einer Werkstatt zur Bearbeitung von Feinblechen für Rauchfänge usw. ausgefüllt. Der Schnürboden befindet sich im ersten Stock der Werkstatt. Die einzelnen Werkstätten, welche nicht zusammen mit den Hellingungen unter einem Dach vereinigt sind, sind die Tischlerei nebst Holzbearbeitungswerkstätten, die Malerei, die Modellischlerei und die Betriebsgebäude, welche abseits gelegen sind. Die Hellinge, von denen je zwei mit einem Giebedache versehen sind, werden von einem 100 t-Laufkran und je vier 10 t-Laufkränen bestreicht. Damit der große Laufkran, der nur einmal ausgeführt ist, für alle Hellinge verwendet werden kann, ist am Kopfe der Hellinge eine eigenartige Schiebebühne angeordnet.

Der Redner schilderte nun noch die Anordnung von Ufer- und kleinen Montagekränen und erörterte in einer Schlussbetrachtung die Zukunftsbestrebungen des amerikanischen Schiffbaues.

Im Anschluss an den Vortrag wies Hr. Werftbesitzer Meyer-Papenburg darauf hin, dass der Aufschwung der amerikanischen Industrie nicht zum wenigsten auf die bessere Schulung der Arbeiter zurückzuführen sei; er empfahl, auf die Ausbildung der Arbeiter besonderen Wert zu legen, und sah ein Mittel hierzu in der Verbesserung der Lebenshaltung durch Ausbildung der Wohlfahrteinrichtungen, die nicht den gesetzgeberischen Maßnahmen allein überlassen bleiben dürften, sondern an denen praktisch mitzuarbeiten Pflicht der Betriebsleiter sei.

Aus der geschäftlichen Sitzung am zweiten Tage ist der Antrag des Hrn. Bauer hervorzuhoben:

»Die Hauptversammlung der Schiffbautechnischen Gesellschaft möge über die Wichtigkeit der Einheitlichkeit schiffbautechnischer Bezeichnungen und ihrer Abkürzungen entscheiden und gegebenenfalls eine Kommission zur Regelung dieser Angelegenheit berufen.«

Der Antrag wurde einem Ausschuss überwiesen.

Bücherschau.

Rechentafel, System Proell. Im Anschluss an die in Z. 1901 S. 1610 veröffentlichte Besprechung möchten wir auf eine Verbesserung hinweisen, welche die Rechentafel in ihrer dritten Auflage erfahren hat. Die Obertafel, die früher aus einem Zelluloidplättchen bestand, ist jetzt aus einer bedruckten Glimmerscheibe und zwei Zelluloidplättchen zusammengesetzt, welche jene zwischen sich schließen und am Rande durch eine Saumnaht zusammengehalten werden. Der Vorteil der Nenerung besteht darin, dass beim Aufsetzen einer Nadel die bedruckte Glimmerscheibe nicht verletzt wird, wodurch die Haltbarkeit der Obertafel gewonnen hat.

Bei der Redaktion eingegangene Bücher.

Siemens & Halske A.-G. Preisliste 1901. — Gleichstrommaschinen. — Motoren für Drehstrom und Wechsel-

strom. — Transformatoren. — Bogenlampen. — Glühlampen. — Mess- und Kontrollapparate. — Schalter, Sicherungen, Isolatoren, Bleikabel, Gesteinbohrgeräte, Motoren für Kranbetrieb, Schalttafelgerüste usw.

Fehlands Ingenieurkalender 1902, 24. Jahrgang. 2 Teile für Maschinen- und Hütteningenieure. Von Th. Beckert und A. Pohlhausen. Berlin 1901, Julius Springer. Preis 3,00 M.

Die Reformschulen. Vortrag, gehalten im Isabellensaal des Gürzenich zu Köln am 4. Oktober 1901. Von Dr. Hubatsch. Köln 1901, Kommissionsverlag der J. G. Schmitz'schen Buch- und Kunsthandlung. 22 S. 8°. Preis 30 Pfg.

Zeitschriftenschau.¹⁾

(* bedeutet Abbildung im Text.)

Beleuchtung.

Elements of illumination. XXXIII. Von Bell. (El. World 2. Nov. 01 S. 721/22*) Ratschläge für die Ausführung von Lichtmessungen an Glühlampen.

Ueber Acetylenlicht und Karburierung des Acetylen. Von Caro. Schluss. (Journ. Gasb.-Wasserv. 9. Nov. 01 S. 847/49) Versuche über Karburierung des Acetylen mit Benzin. Das karburirte Acetylen soll dem reinen Acetylen für Beleuchtungszwecke ebenbürtig, für Koch- und motorische Zwecke überlegen sein.

Ueber Verwendung von Oelgas für Gasglühlicht-Beleuchtung. Von Scheithauer. (Journ. Gasb.-Wasserv. 16. Nov. 01 S. 866) Der Verfasser berichtet über einen Versuch, Gasglühlichtbrenner mit Oelgas zu speisen. Es zeigte sich, dass die Leuchtkraft des Gases einen bestimmten Betrag nicht überschreiten und der Gasdruck in der Leitung nicht zu gering sein darf. Es wurden schliesslich für Innenbeleuchtung Argand- oder Schnittbrenner und für Aussenbeleuchtung Lucas-Lampen benutzt.

Bergbau.

Einzelheiten von der internationalen Ausstellung in Glasgow. Von Mentsel. (Glasgow 2. Nov. 01 S. 949/60*) Bericht über die in das Gebiet des Bergbaues und Hüttenwesens fallenden Ausstellungsgegenstände. Schrämmaschine, Patent Hurd, von Mavor & Coulson. Minensünder von Blackford, Smith & Co. Förderhaspel von Friedrich Schmiel in Niederwiesnitz und von Schuckert. Expansionspumpe »Schleifmühle«. Hochdruck-Kreiselpumpe von Mather & Platt. Fahrbarer Kompressor mit elektrischem Antrieb von Reavell & Co. Metallamponnene Schlauche von Gebr. Wallach für Wasser- und Druckluftleitungen. Wasserröhrenkessel für Generatorheizung von der Stirling Boiler Co. Gaserzeuger von Duff, Gardynamos von der Westinghouse Co.

Chemische Industrie.

Extraction du cuivre et fabrication de l'acide sulfurique concentré sans chambres de plomb. Von Gautier. (Portef. écon. Mach. Nov. 01 S. 164/68 mit 2 Taf.) Darstellung des Verfahrens zur Kupfergewinnung von Sébillot und des Verfahrens zur Herstellung von Schwefelsäureanhydrid von Wenmakers sowie der zu beiden Verfahren gehörigen Einrichtungen.

Dampfkräftenanlagen.

Schornsteininsturz. Von Clausen. (Mitt. Prax. Dampfkr. Dampfkr. 13. Nov. 01 S. 823/23*) Bericht über einen Schornsteininsturz, der durch unsachgemässe Mauerung und Verwendung nicht bindfähigen Mörtels verursacht wurde.

The new boiler plant of the United Railways and Electric Company, Baltimore. (Eng. Rec. 2. Nov. 01 S. 419/22*) Das Kesselhaus enthält zurzeit 3 Babcock & Wilcox-Kessel für eine Leistung von je 500 PS. Im vollen Ausbau sollen Kessel für insgesamt 16000 PS aufgestellt werden. Eingehende Darstellung der Eisenkonstruktionen, der Kohlen- und Asche-Transportvorrichtungen.

Die Dampfkesselexplosion in Rosenthal. Von Carlo. (Mitt. Prax. Dampfkr. Dampfkr. 6 Nov. 01 S. 802/06*) Die Explosion fand an einem aus vier Batterien von je vier übereinander liegenden, durch Stützen miteinander verbundenen Röhren bestehenden Kessel von 285 qm Heizfläche und 12 at Ueberdruck statt. Die Ursache lag darin, dass ein Schuss an einem der untersten Sieder, der infolge Verbohlung ersetzt werden musste, aus geringerem Blech bestand und der Faserichtung nach nicht richtig eingesetzt wurde. Bei einer erneuten leichten Ueberhitzung riss der Schuss auf und führte die Explosion des Kessels herbei.

Eisenbahnwesen.

Drehphasenstrom gegen Gleichstrom. Von de Fodor. (Z. f. Elektrot. Wien 17. Nov. 01 S. 549/50) Kritische Erörterungen der Entwürfe für die Londoner Untergrundbahnen. Forts. folgt.

Mitteilungen über die elektrischen Stadtbahnen Londons. Von Kemmann. (Glaser 15. Nov. 01 S. 189/94*) Der Redner bespricht eingehend die beim Betriebe der Central London Underground Railway aufgetretenen Erschütterungen und deren Ursachen und knüpft daran einige allgemeine Betrachtungen über die Londoner Verkehrsverhältnisse.

Elektrischer Betrieb auf den schweizerischen Hauptbahnen. II. Von Thormann. (Schweiz. Bauz. 16. Nov. 01 S. 217/19) Betriebsentwurf. Allgemeine Verhältnisse: Betriebs- und Gleislänge, Steigungsverhältnisse. Gesamtzahl der gefahrenen Tonnenkilometer im Jahre 1899. Berechnung des Kraftbedarfes aus den Tonnenkilometern.

Kohlenverbrauch beim Dampftrieb. Betriebsart: Zugbildung; Stromverteilung. Schluss folgt.

Compound locomotive, Bulgarian State Railways. (Engineer 15. Nov. 01 S. 500/02* mit 1 Taf.) Die beiden Hoch- und Niederdruckzylinder arbeiten je auf 2 Achsen, während die erste Achse frei läuft. Die Maschine hat 400 und 635 mm Cyl.-Dmr., 630 mm Kolbenhub, 1340 mm Treibradurchmesser, 157,5 qm Heizfläche, 2,65 qm Rostfläche, 15 at Ueberdruck und 67 t Betriebsgewicht. Der Tender fasst 18 cbm Wasser, 6000 kg Kohlen und wiegt leer 20,7 t.

Die elektrischen Lokomotiven der Orléans-Bahn. Von Pforr. (Glaser 15. Nov. 01 S. 194/200* mit 2 Taf.) Eingehende Darstellung der für den Betrieb zwischen Bahnhof Austerlitz und Bahnhof Quai d'Orsay nach amerikanischem Muster von der französischen Thompson-Houston-Gesellschaft gebauten elektrischen Lokomotiven. Besonders ausführlich sind die Schaltung und die Regelung der Motoren besprochen.

The new Victoria station at Nottingham. (Engng. 15. Nov. 01 S. 672/74* mit 1 Taf.) Der Bahnhof besteht aus einer dreischiffigen Bahnsteighalle, deren Boden unter Straßenhöhe liegt, und einem in Straßenhöhe liegenden Verwaltungs- und Abfertigungsgebäude. Lageplan und allgemeine Anordnung des Bahnhofes. Darstellung der Eisenkonstruktion und der Entwässerung des Hauptdaches. Forts. folgt.

Neue Nebenvorrichtungen zur Zugsicherung auf Eisenbahnen. Schluss. (Dingler 16. Nov. 01 S. 780/87*) Netter und Queyrouls Verstärkungssignal der Haltsignale. Selbstthätiges Knallsignal von Coen-Cagli. Streckenstromschliesser von Stephan v. Götz & Söhne. Vilpous Ergänzungsvorrichtung zu Haltsignalen. v. Sponars Vorrichtung zur Verbindung der Haltsignale mit der Zugbremse.

Eisenhüttenwesen.

The correct treatment of steel. Von Riddale. Schluss. (Engng. 15. Nov. 01 S. 693/95) Herstellung und Bearbeitung von Blech, Bandstahl, Rundstahl und Draht. Das Beizen, Warm- und Kaltziehen und Galvanisieren. Prüfung des Eisens.

Eisenkonstruktionen, Brücken.

In Sachen der statisch bestimmten und unbestimmten mehrteiligen Strebenfachwerke. Von Müller-Breslau. (Deutsche Bauz. 9. Nov. 01 S. 558/59*) Der Verfasser widerlegt durch Berechnung von Zahlenbeispielen die von Mehrten für die statisch bestimmten und gegen die statisch unbestimmten mehrteiligen Strebenfachwerke geltend gemachten Gründe.

A railway bridge renewal. (Engineer 15. Nov. 01 S. 514*) Bericht über einen in sehr kurzer Zeit auszuführenden Umbau einer Eisenbahnbrücke, die über das Gleis einer andern Bahn führt.

Elektrotechnik.

Important power station work at Kansas City. (El. World 9. Nov. 01 S. 772/78) Das im Bau befindliche Werk erhält drei 3500 KW-Drehstromerzeuger von 6600 V Spannung und 25 Per./ak, die durch stehende Allis-Verbunddampfmaschinen von 1120 und 2400 mm Cyl.-Dmr. und 1500 mm Kolbenhub mit 75 Uml./min angetrieben werden. Eine zweite Anlage mit drei 1500 KW-Drehstromerzeugern ist ebenfalls im Bau. Angaben über die Werke und Umformerstationen. Beschreibung der Schaltanlage.

Lighting and heating in the Graham Court, New York. (Eng. Rec. 2. Nov. 01 S. 428/30*) Ausführliche Beschreibung der Kessel, Dampfmaschinen, Dynamomaschinen, der Schaltanlage und der elektrischen Leitungen in dem genannten Gebäude. Kurze Angaben über die Heizanlage.

Ein Beitrag zur rechnerischen Behandlung des Drehphasen-Motordiagrammes. Von Weisbach. (Elektrot. 2. 14. Nov. 01 S. 948/47*) Der Verfasser leitet aus der rechnerischen Behandlung des Diagrammes einige Beziehungen der Hauptwerte an einander ab. Die Ableitungen beruhen auf der Voraussetzung gleichbleibender elektromotorischer Gegenkraft. Formel zur Berechnung des Stromfaktors für die Aufstellung des Diagrammes des Einphasenmotors. Vergleich mit Messergebnissen.

Efficiency of multiple voltage control in electric power transmission. Von Holt. (Journ. Ass. Eng. Soc. Sept. 01 S. 87/98*) Bei dem erörterten Verfahren werden die Motoren an ein Netz angeschlossen, das von einem oder mehreren Stromerzeugern mit verschiedenen Spannungen gespeist wird. Durch einen Doppelkommutator-Stromerzeuger und einen gewöhnlichen Stromerzeuger können die Motoren mittels eines Netzes von 4 Leitern mit 6 verschiedenen Spannungen gespeist werden. Meinungsaussprechung von Benjamin.

Erd- und Wasserbau.

Zur Eröffnung des Königsberger Seekanals. Von Nakhon. (Centralbl. Bauv. 16. Nov. 01 S. 555/56*) Vorgeschichte des Kanals. Linienführung. Abmessungen. Kanaldämme. Ausweichestellen.

¹⁾ Die Zeitschriftenschau wird, nach den Stichwörtern in Vierteljahrsheften zusammengefasst und geordnet, gesondert herausgegeben, und zwar zum Preise von 3 Mk pro Jahrgang für Mitglieder, von 10 Mk pro Jahrgang für Nichtmitglieder.

Bezeichnung des Fahrwassers, Befahrung, Bausausführung, Baukosten, Regelung des Schiffahrtbetriebes, Wirtschaftlichkeit.

Die Bauarbeiten am Simplon-Tunnel. III. Von Pestalozzi. (Schweis. Bauz. 16. Nov. 01 S. 215*) Die schneidelförmige Druckleitung für den Turbinenbetrieb. Forts. folgt.

The new subway in New York City. Von Prelini. Forts. (Engng. 15. Nov. 01 S. 674/70*) Ausführung des vierten Streckenabschnittes von der 33. bis zur 41. Strafe. Forts. folgt.

Explosionsmotoren und andere Wärmekraftmaschinen.

Ueber Wasser- und Elektrizitätswerke mit Gasbetrieb. Von Körtling. Schluss. (Journ. Gasb.-Wasserv. 16. Nov. 01 S. 859/63*) Betrieb von Elektrizitätswerken mit Gasmaschinen. Kraftgas-Elektrizitätswerk der Stadt Frederikshavn. Elektrizitätswerk für die neue Post in Karlsruhe und den Staatsbahnhof in Kottbus.

Test of producer gas engines. (Engng. 15. Nov. 01 S. 692/98) Die Versuche an einer Dowson-Gasanlage mit Stockport-Gasmotoren ergaben einen Anthracitverbrauch von 0,45 kg/PS^h-st.

Gasindustrie.

Ueber explosive Gasgemenge. Von Bunte. (Journ. Gasb.-Wasserv. 9. Nov. 01 S. 835/42*) Vortrag in der Jahresversammlung des Deutschen Vereines von Gas- und Wasserfachmännern über die Bildung und das Verhalten explosiver Gasgemische: Entzündungstemperatur; Grenzen des Explosionsbereiches; Einfluss von Druck, Temperatur, Kohlensäuregehalt; Fortpflanzungsgeschwindigkeit der Entzündung.

Ueber explosive Gasgemenge. (Journ. Gasb.-Wasserv. 16. Nov. 01 S. 855/56) Meinungsäustausch zu vorstehendem Vortrage von Bunte.

Neuere Acetylenentwickler und Zubehör. Forts. (Dingler 16. Nov. 01 S. 737/40*) Patronenträger für Acetylenentwickler nach Sörensen. Acetylenentwickler mit Sicherung gegen Luftzutritt und Acetylenrückfluss von Adolfsen. Acetylenentwickler von Grenier & Grand. Karbidzuführungsringe der Hanseatischen Acetylen-Industriegesellschaft. Karbidbehälter von van Praag. Karbidzuführvorrichtung von de Wendel & Wallin. Acetylenentwickler von Wegmann-Hauser und von Gustavsson. Forts. folgt.

Carburatation de l'air par les appareils de la Compagnie française du gaz aérogène. (Rev. ind. 16. Nov. 01 S. 454/55* mit 1 Taf.) Die Konstruktion der Karburatoren, Bauart von Vrieland, der Gaszähler und der Mischgefäße, wie sie bei den Anlagen der genannten Gesellschaft benutzt werden, sind eingehend dargestellt.

Gießerei.

Iron foundries and foundry practice in the United States. VIII. (Engineer 15. Nov. 01 S. 499/500*) Bestimmungen der Case Company über die Zusammensetzung und Herstellungsweise verschiedener Gusseisenarten. Beschaffenheit von guten Gießereikokk. Formsand. Formen und Kerne.

A new cupola. (Engineer 15. Nov. 01 S. 514*) Darstellung eines Kuppelofens von John Barret in Crosshills, der sich durch vorteilhafte Anordnung und Form sowie durch leichte Regulierung der Düsen auszeichnet.

Hobesenge.

20-ton travelling electric crane. (Engng. 15. Nov. 01 S. 676*) Der Kran besteht aus einem vierrädrigen fahrbaren Bock, auf dem ein Drehkran mit lotrecht beweglichem Ausleger steht. Der Betätigungsbalken des Auslegers kann zwischen 7,5 und 18 m eingestellt werden. Die zulässige Belastung beträgt 20 t bei 15 m und 15 t bei 18 m Ausladung. Der Kran hat einen 48-pferdigen Hubmotor und je einen 12-pferdigen Motor zum Drehen und Fahren.

Crane hooks. Von Holcomb. (Am. Mach. 16. Nov. 01 S. 1213*) Mitteilung einer Tabelle zur Bemessung von Kranhaken für Lasten bis 100 t.

Heizung und Lüftung.

Lüftung der Wohn- und Geschäftshäuser. Von Erlich. (Gesundheitsg. 15. Nov. 01 S. 341/44) Allgemein gehaltene Erörterungen über die mangelhafte Lüftung in Wohn- und Geschäftshäusern und über die Ursachen der Luftverschlechterung in denselben.

Das Verhältnis der Heizflächen zwischen Kohlen- und Gasheizung. Von Grollert. (Gesundheitsg. 15. Nov. 01 S. 337/40*) Bestimmung des Verhältnisses zwischen Heizfläche und freier Rostfläche für Kohlenfeuerung, sowie des Verhältnisses zwischen Querschnitt des Abzugsrohrs und Brennerquerschnitt bei Gasfeuerung. Berechnung eines stehenden Ständerrohrkessels für beide Feuerungsarten. Kostenvergleich.

Hochbau.

Reconstructing the Morse Building, New York. (Eng. Rec. 2. Nov. 01 S. 422/24*) Auf das im Jahre 1879 gebaute 9stöckige Haus wurden kürzlich 6 weitere Stockwerke aufgesetzt, wobei der ältere Teil des Gebäudes vielfach verstärkt werden musste. Beschreibung der Bauarbeiten.

Holzbearbeitung.

Profilmesser für Hobelmaschinen. (Z. Werkzeugm. 15. Nov. 01 S. 77*) Die von Emil Müller in Chemnitz hergestellten Messer sind an ihrem vorderen profilierten Ende scharf umgebogen. Beim Nachschleifen bleibt deshalb das Profil genau erhalten, bis der ganze umgebogene Teil abgeschliffen ist.

Lager- und Ladevorrichtungen.

Conveyor plant for gas producers. (Engineer 15. Nov. 01 S. 506*) Schaubilder und Angaben über Arbeitsweise, Abmessungen und Leistungsfähigkeit der für die Gasanstalt der Lanarkshire Steel Works bei Glasgow errichteten Förderanlagen.

Maschinenstelle.

Selbstthätige Dampfahsperrung beim Bruch einer Rohrleitung. Von Wilda. (Sitzber. Ver. Beförd. Gewerbd. 7. Okt. 01 S. 231/42 mit 2 Taf.) Untersuchung der Grundlagen für die Bemessung und Anordnung von Selbstschlussventilen und Besprechung mehrerer Konstruktionen solcher Ventile.

Absperrventil mit Selbstschlussventil. (Mitt. Prax. Dampfkr. Dampfkr. 13. Nov. 01 S. 826/28*) Das von der Firma A. L. G. Dehne in Halle a/S. hergestellte Ventil wird beim normalen Dampftrieb wie ein gewöhnliches Dampfahsperrventil gehandhabt, wirkt bei Rohrbruch als Selbstschlussventil und dient bei anderer Gefahr als Fern- oder Schnellschlussventil, wobei es mittels Drahtzuges oder elektrischer Ausschaltung betätigt wird.

Mechanik.

Ableitung eines zweifach statisch unbestimmten Bogenträgers aus einem dreifach statisch unbestimmten Bogenträger. Von Ramisch. (Dingler 16. Nov. 01 S. 725/28*) Untersuchung eines Trägers mit eingespannten Kämpfern und Scheitelleiten.

Sur le mode de fonctionnement des freins dans les automobiles. Von Petot. (Rev. ind. 9. Nov. 01 S. 448) Theoretische Betrachtungen über die Bremsung von Kraftwagen unter Berücksichtigung der lebendigen Kraft der rotierenden Massen.

The strength of flat plates. II. Von Guy. (Am. Mach. 16. Nov. 01 S. 1204/16*) Kritische Besprechung mehrerer Versuche an einem kleinen Kessel mit einem ungekuppelten und einem durch Winkelisenring befestigten ebenen Boden.

Messgeräte und -verfahren.

Messung der Schlüpfung asynchroner Motoren nach der stroboskopischen Methode und mithilfe der Braunschen Röhre. Von Schweitzer. (Elektrot. Z. 14. Nov. 01 S. 947) Angaben über Verwendung von Glühlampen zu stroboskopischen Messungen. Versuchsanordnung und -durchführung bei Verwendung Braunscher Röhren. Formel für die Bestimmung der Schlüpfung aus den Versuchsergebnissen.

A means of measurement of the angle of lag and the power factor with a voltmeter. Von Hauchett. (El. World 2. Nov. 01 S. 718/19*) Erläuterung des Verfahrens anhand eines Schaltungschemas und Angabe seiner rechnerischen Auswertung.

Metallbearbeitung.

Die Werkzeugmaschinen zur Herstellung und Reparatur von Eisenbahnbetriebsmitteln auf der Pariser Weltausstellung 1900. Von Unger. Forts. (Glaser 15. Nov. 01 S. 200/04*) Phönix-Bohrmaschinen der Düsseldorf-Werkzeugmaschinenfabrik und Eisengießerei von Habersang & Zinnen in Düsseldorf-Oberbilk. Fahrbare Bohr- und Gewindeschneidmaschine mit elektrischem Antrieb der Werkzeugmaschinenfabrik von Collet & Engelhard in Offenbach a.M. Forts. folgt.

Neuere Drehbänke. I. (Z. Werkzeugm. 15. Nov. 01 S. 67/73*) Allgemeines über die Drehbänke auf der Pariser Weltausstellung. Spitzendrehbank von Reimker. Supportdrehbank »Kurier« der Werkzeugmaschinenfabrik »Unions«. Forts. folgt.

The Putnam extra heavy double axle lathe. (Iron Age 7. Nov. 01 S. 1*) Schaubild einer von der Putnam Machine Company in Fitchburg, Mass., gebauten Achsendrehbank mit 2 an den Enden angeordneten Reitstücken, einem in der Mitte befindlichen Mitnehmerbock und 2 Werkzeugschlitten.

The Pratt & Whitney screw machine adapted for key work. (Iron Age 7. Nov. 01 S. 46*) Die an der bekannten Schraubenmaschine angebrachten Hilfsvorrichtungen zur Bearbeitung von Hahnkücken sind eingehend beschrieben und durch Zeichnungen erläutert.

Milling machine. (Engng. 15. Nov. 01 S. 678*) Die von Smith & Coventry in Manchester gebaute Fräsmaschine hat lotrechte Frässpindel und dient zum Plan- und Rundfräsen. Sie ist daher mit einem nach 3 Richtungen verschiebbaren runden Drehtisch ausgestattet.

Manufacturing worms and worm gears. Von Willis. (Am. Mach. 16. Nov. 01 S. 1201/03*) Darstellung einer Vorrichtung zum Schleifen kleiner Schneckenräder auf der Drehbank. Herstellung von Schnecken aus Rundstäben auf der Revolverdrehbank mit selbstthätigem Spannfutter.

Versuche mit Karborundum-Schleifscheiben. Von Kirsch. (Z. Werkzeugm. 15. Nov. 01 S. 74/75*) Die auf Antrag der Internationalen Karborundum Co. in Wien angestellten Versuche zeigten, dass bei gröberem Korn und bei größerem Druck der Angriff an Stahl und Scheibe wächst, und dass gröberes Korn auch eine stärkere Erwärmung des Stahles herbeiführt.

A gang die and its work. Von Doran. (Am. Mach. 16. Nov. 01 S. 1213/14*) Darstellung und Beschreibung des Stempels und der Matrize zum Stanzen und Biegen eines schnallenförmlichen Gegenstandes aus dünnem Blech.

Heavy hydraulic riveting. (Am. Mach. 16. Nov. 01 S. 203*) Beschreibung des Arbeitsganges beim Vernieten des aus Blechsegmenten zusammengesetzten Kranzes eines 160 t schweren Schwungrades von 8,5 m Dmr.

15-cwt. steam hammer. (Engng. 15. Nov. 01 S. 691*) Der Dampfzylinder hat 400 mm Dmr. Kolben, Stange und Bar sind aus einem Stück geschmiedet und wiegen 760 kg. Der Hub beträgt 915 mm. Der Dampfhammer wiegt insgesamt 10,5 t.

Die forging. X. Von Horner. (Engng. 15. Nov. 01 S. 660/72*) Das Schmieden von Blechkörpern: Cylindern, Cylinderdeckeln, Kränzen, Ringen und unregelmäßig geformten Blechhauben.

Bicycle-spoke making machinery. (Engineer 15. Nov. 01 S. 512*) Von den von John Batey in Harhour bei Birmingham gebauten 3 selbstthätigen Maschinen dient die erste zum Ausrichten, Strecken und Abstechen des Drahtes, die zweite zum Gewindeschneiden, die dritte zum Anstauchen und Biegen des Speichenendes. Auf der zweiten Maschine können stündlich 700, auf den beiden andern je 8600 Speichen bearbeitet werden.

Zentrier Vorrichtung. (Z. Werkzeugm. 15. Nov. 01 S. 73/74*) Der zu zentrierende Gegenstand wird in zwei Gabeln gelagert, die mittels Nut und Feder an einer Stange verstellbar werden können. Am Ende der Stange befindet sich ein mit Reifstift versehener, frei drehbarer Arm, mit dem man nach mehrfacher Drehung des Gegenstandes mehrere Bogen anreißt, wodurch der Mittelpunkt genau ermittelt werden kann.

Motorwagen und Fahrräder.

Der Wettbewerb für Motorlastwagen zu Liverpool vom 8. bis 7. Juni 1901. Forts. (Motorwagen 15. Nov. 01 S. 274/77*) Dampfmaschinen von Simpson & Bibby. Forts. folgt.

Moteurs et combineurs électriques pour voitures automobiles. Von Rosset. Forts. (Portef. écon. Mach. Nov. 01 S. 169/75*) Darstellung der Wagen von Krieger, Mille und Riker sowie des Motors und Fahr Schalters für Kraftwagen von Bergmann. Forts. folgt.

Versuche an einem Wagenmotor für Benzin- und Spiritusbetrieb. Von Guldner. (Motorwagen 15. Nov. 01 S. 267/72*) Darstellung des untersuchten 4pferdigen Motors von 96 mm Cyl.-Dmr., 100 mm Kolbenhub und 1000 Uml. min. Versuchsanordnung. Versuchsergebnisse für Benzin und Rohspiritus. Vergleich zwischen Benzin- und Spiritusbetrieb. Schlussfolgerungen.

Pumpen und Gebläse.

Pumping plants. (Engineer 15. Nov. 01 S. 515*) Schaubilder einer aus einer stehenden einzylinderigen Dampfmaschine und zwei Krebelpumpen bestehenden Pumpenanlage für 2650 Hrt Leistung und einer durch zwei Handkurbeln und Riemenübertragung anzutreibenden Krebelpumpe der Drum Engineering Co. in Bradford.

Beurteilung der Saugleistung einer Kolbepumpe. Von Rud. K. (Dingler 16. Nov. 01 S. 728/29*) Bei einer Pumpenanlage, die zwei Pumpenmaschinen mit gemeinsamer langer Saugleitung und großen Saugwindkesseln umfaßte, trat sehr unruhiger Gang ein, wenn die Windkesselprüfung gewisse Grenzen über- oder unterschritt. Der Vorgang wird rechnerisch eingehend verfolgt.

Eine neue Schienenstofsverbindung.

Ein Schienenstofs, der allen Ansprüchen gerecht wird, soll dem ununterbrochenen Schienenstrange möglichst nahe kommen, ohne dass dabei aber die Möglichkeit, das Gleis auseinanderzunehmen, aufgehoben wird; er soll die beiden aneinanderstossenden Schienen dauernd fest verbinden und die Tragfähigkeit des Schienenstranges, die an der Stofsstelle unterbrochen ist, möglichst vollkommen wiederherstellen, sodass das darüberrollende Fahrzeug die Fuge stofslos überschreitet. Je einfacher diese Verbindung ist und aus je weniger Teilen sie besteht, um so besser wird sie diesen Anforderungen entsprechen. Verbindungen, die nur durch Schwächen der aneinanderstossenden Schienenteile herstellbar sind, stehen gegenüber solchen im Nachteile, bei denen eine Schwächung der Schienen vermieden bleibt.

Die nach dem Goldschmidtschen Verfahren¹⁾ verschweißten sowie die umgossenen Schienenstöße nach Falk²⁾ können

Die neuen Collmann-Luftkompressoren der Zechen »Caroline« und »Vollmond« der Harpener Bergbau-Aktien-Gesellschaft an Dortmund. Von Schulte. (Glückauf 9. Nov. 01 S. 973/75 mit 1 Taf.) Die zweistufigen Kompressoren bringen in der Stunde bei 70 Uml./min 5200 cbm Luft auf 5 bis 6 at Druck. Sie sind mit Collmann-Ventilsteuerung versehen. Die bei einem ausführlichen Leistungsveruch gewonnenen Ergebnisse sind in Tabellen und Schaulinien wiedergegeben.

Schiffs- und Seewesen.

The French cruiser Jurien de la Gravière. (Engineer 15. Nov. 01 S. 603/04*) Kritische Erörterungen über den französischen Dreischrauben-Kreuzer von 5500 t Wasserverdrängung, der mit Guyot-Kesseln und drei Maschinen von 17000 PS; ausgerüstet ist und 23 Knoten laufen soll. Vergleich mit dem englischen Kreuzer »Hyacinth«.

Straßenbahnen.

Die elektrische Hoch- und Untergrundbahn in Berlin von Siemens & Halske. Von Eiselen. Forts. (Deutsche Bauz. 13. Nov. 01 S. 561/63* u. 16. Nov. 01 S. 571/73*) Die Hochbahn: Ausgestaltung der Viadukte. Forts. folgt.

Textilindustrie.

Ein Beitrag zur Kötzerbildung an der Throstle. Von Johannsen. (Leips. Monatsschr. Textilind. 31. Okt. 01 S. 727/30*) Ringende Untersuchungen über die Schaltvorrichtungen an der Ringspinnmaschine.

Wasserversorgung.

Wasserwerke von Tokio, Japan. (Journ. Gasb.-Wasserv. 16. Nov. 01 S. 866/67*) Das Wasser wird dem Tama-Fluss entnommen und läuft durch einen Kanal in 8 Ablagerungsbehälter von zusammen 254200 cbm Fassungsvermögen. Aus diesen wird das Wasser 14 Sandfiltern zugeführt, aus denen es in 3 bedeckte Wasserbehälter gelangt. Durch Pumpen wird das Wasser nach den hochgelegenen Teilen der Stadt befördert, während es den niedriger gelegenen Teilen durch Gefälle zufließt.

Die Wasserversorgung einiger Nordseebäder. Von Herberg. Schlus. (Journ. Gasb.-Wasserv. 9. Nov. 01 S. 842/44*) Gewinnung von Seewasser für Badeswecke. Eingehender Meinungsaustausch.

Water supply in a block of New York tenements. (Eng. Rec. 2. Nov. 01 S. 431/32*) Darstellung der Zentral-Wasserleitungsanlage für 11 zusammenliegende 7stöckige Gebäude.

Mitteilungen über den jetzigen Stand der Konstruktion von Armaturen für Wasserleitungen. Von Reuther. Schlus. (Gesundheitsz. 15. Nov. 01 S. 844/46*) Konstruktion frostfreier Ventilbrunnen, bei der das Wasser im Brunnenschachtrohr vollständig aufgesaugt wird.

Werkstätten und Fabriken.

The works and some of the product of Alfred Herbert Ltd., of Coventry, England. III. (Am. Mach. 16. Nov. 01 S. 1206/09*) Schaubilder der Zusammenbauwerkstatt, des Lagers, der Werkzeugschleiferei, der Gleiserei, einer selbstthätigen Schraubenmaschine, einer schweren Support- und Revolverdrehbank, einer senkrechten Fräsmaschine und einer großen Revolverdrehbank für Verarbeitung von Rundstäben.

Electric power distribution in a U. S. navy yard. (El. World 2. Nov. 01 S. 713/15*) Die Werkzeug- und Sondermaschinen arbeiten mit Einzel- oder Gruppenantrieb. Ausführung der bemerkenswertesten Maschinen, ihres Kraftverbrauches und ihrer Umlaufzahl. Gesichtspunkte für die Zusammenstellung von Gruppen. Geschwindigkeitsregelung der Motoren.

Rundschau.

hinsichtlich der Festigkeit und Güte der Verbindung geradezu als vollkommen bezeichnet werden; sie sind aber verhältnismäßig teuer und haben zudem den Nachteil, dass ihre Verbindung nur durch gewaltsames Zerstören der Schienen und nur mit verhältnismäßig großen Kosten gelöst werden kann; sie entsprechen also auch nicht vollkommen den Anforderungen der Praxis.

Ein bemerkenswerter Fortschritt in anderer Richtung bedeuten die Fußlaschen der Bauart Phoenix¹⁾, die sich sowohl bei Vignoles- als auch bei Rillenschienen im allgemeinen recht gut bewährt haben. Sie verbürgen ein dreifaches Anliegen an der Schiene, geben eine dauernd feste und äußerst sichere Verbindung auch bei stumpfen Stößen und lassen sich ebenso beim Verblattsstofs anstandslos verwenden. Allen Laschenverbindungen, und so auch der Phoenix-Fußlasche, haftet aber der Uebelstand an, dass ihre dauernde Festigkeit von der stets unzuverlässigen Verschraubung abhängt; die Laschenschrauben müssen von Zeit zu Zeit nach-

¹⁾ Z. 1898 S. 1019; 1901 S. 1545

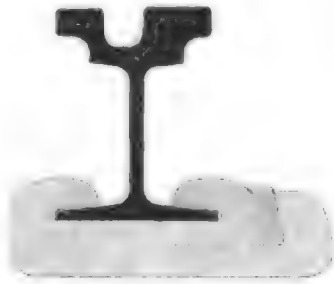
²⁾ Z. 1895 S. 1391; 1896 S. 163; 1899 S. 72.

³⁾ Z. 1899 S. 71.

gesehen und angezogen werden; wenn sie infolge des Bahnbetriebes locker werden, so lockert sich mehr oder weniger auch die Stofsverbindung überhaupt. Die Verschraubung, in welcher Art immer sie auch ausgeführt sei, führt eine Schwächung des Stosses mit sich.

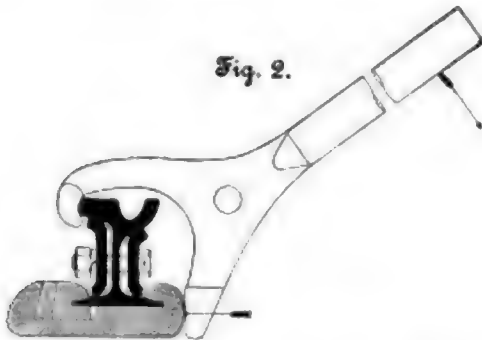
Schienenstofsverbindungen, die ihren Zweck ohne Verschraubung zu erreichen suchen, vermeiden diesen Uebelstand, und eine derartige von Scheinig & Hofmann, Linz a/D., jüngst in Verkehr gesetzte Stofsverbindung scheint gerade in dieser Hinsicht einer näheren Beachtung wert. Sie unterscheidet sich namentlich dadurch von den bisher gebräuchlichen Arten von Schienenstößen, dass sie die Keilwirkung heranzieht. Die Verbindung besteht nach Fig. 1 aus drei Teilen, einem eigentlichen Schienenschuh in Gestalt eines grossen Bügels, einem kleinen Bügel und einem Keile. Der Stofs wird

Fig. 1.



nun in der Art verbunden, dass der kleine Bügel mittels eines Hammers fest auf die aneinandergeschobenen und gereinigten Enden der Schienenfüsse aufgeschlagen wird, wobei die Fuge in die Mitte des Bügels fällt; hierauf wird der grosse Bügel in rotwarmem Zustande mittels einer Schaufel in der Schienenrichtung aufgeschoben, bis beide Bügel die gleiche symmetrische Lage zur Stofsuge besitzen, und sodann mit einem besonderen Druckhebel, Fig. 2, an den Schienenfuss angepresst, um für den Keil Platz zu schaffen. Letzterer wird

Fig. 2.



nunmehr von der Seite kalt eingeschlagen, und die Verbindung ist fertig. Der volle Querschnitt der Schienen bleibt demnach durchgehend erhalten. Die Verbindung ist um so inniger, als die Wirkung des Keiles durch die Zusammenziehung des erkaltenden grossen Bügels noch wesentlich verstärkt wird, ja, sie kann auch als vollwertiger Ersatz der kupfernen Rückleitungsbügel bei elektrischen Bahnen dienen, wenn beim Zusammenbau durch sorgfältiges Reinigen der Berührungsfächen auf metallische Berührung gesehen wird.

Die Verbindung lässt sich sowohl für schwebenden wie für festen Stofs verwenden; sie ist schon der Zahl ihrer Bestandteile nach außerordentlich einfach und lässt sich gegebenenfalls leicht und mühelos lösen, wenn Schienenauswechselungen usw. dies verlangen. Sie hat auch schon mehrfach im Strassen- und Vollbahnbetriebe, bei elektrischen Grubenbahnen usw. Verwendung gefunden.

Ueber das Verhalten dieses Schienenstosses im Betriebe liegen bereits Erfahrungen vor. Er ist bei sechs elektrischen Strassenbahnen, zwei elektrischen Grubenbahnen, einer elektrischen Bergbahn und einer Vollbahn eingebaut. Die Stofsverbindungen haben während eines Jahres bei unausgesetzt regem

Fahrbetriebe und bei stark wechselnden Temperaturen an Festigkeit nichts eingebüßt; es ist weder eine Verschiebung der Schienenenden eingetreten, noch war eine Formänderung des Schienenprofils erkennbar. Der grosse Vorteil der stofs-freien Uebersetzung blieb vom Augenblick des Einlegens an unverändert bewahrt, und bei keinem der vielen Stöße war eine Lockerung der Bügel oder des Keiles festzustellen.

Da man in der Versuchstrecke der elektrischen Strassenbahn in Linz sowohl Stöße mit Schienenschuhen und den gewöhnlichen Schraubenlaschen vereinigt, Fig. 3, als auch solche mit der neuen Verbindung allein, Fig. 4, eingebaut

Fig. 3.

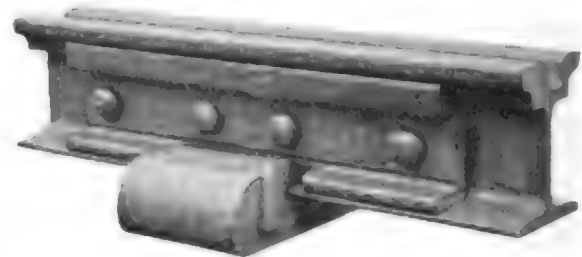
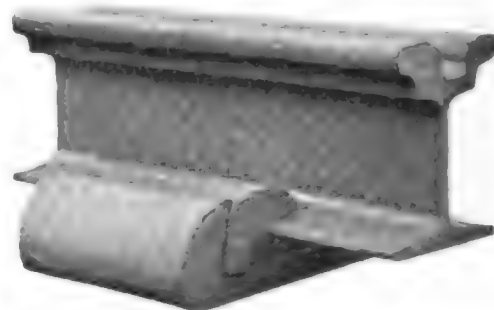


Fig. 4.



hat, war es möglich, Parallelbeobachtungen vorzunehmen, die durchaus zugunsten der letzten Verbindungsart ausfielen; es unterschieden sich nämlich die mit Schienenschuhen allein verbundenen Stöße in bezug auf Festigkeit und Haltbarkeit auch nach Jahresfrist in keiner Weise von den andern Stößen.

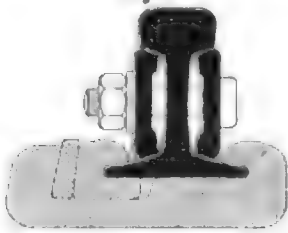
Die Schienenschuhe werden, wenn einigermaßen geübte Arbeiter zur Verfügung stehen, äußerst rasch befestigt; es genügen drei Mann zur Ausführung: einer bedient den Gebläseofen, um die grossen Bügel auf Rotwärme zu bringen, der zweite schlägt die kleinen Bügel über die blankgemachten Stöße, der dritte schiebt den warmen Bügel auf die Stosstelle und handhabt sodann den Druckhebel, worauf der zweite Arbeiter den Keil ohne sonderliche Kraftanstrengung eintreibt. Der bereits früher erwähnte Druckhebel, Fig. 2, gestattet, den Keil bequem einzuführen und den rotwarmen Bügel beim Anziehen des Keiles zu halten. Ein Stofs kann auf die beschriebene Art in drei Minuten leicht fertiggestellt werden.

Um auch über die elektrische Leitfähigkeit der Schienenschuhe Aufklärung zu gewinnen, wurden genaue Messungen an der Versuchstrecke ausgeführt. Letztere bestand aus Rillenschienen von 42½ kg/m Gewicht, welche teils durch Schienenschuhe ohne Laschen und ohne Kupferbügel, teils durch gewöhnliche Schraubenlaschen mit Kupferbügel, aber ohne Schienenschuhe miteinander verbunden waren. Im ersten Falle wurden einschliesslich der Schienenendlängen von je 0,5 m zu beiden Seiten des Stosses Spannungsverluste von 6 bis 8 Millivolt gefunden, während die Laschenverbindungen 6 bis 12 Millivolt Spannungsabfall ergaben. Es setzen somit die Schienenschuhe dem Durchgange des elektrischen Stromes zum mindesten keinen grösseren Widerstand entgegen als die all-gemein gebräuchlichen Kupferbügel, sodass auch in dieser Hinsicht dem Schienenschuh von Scheinig & Hofmann ein bedeutender Vorteil gegenüber anderen, insbesondere Laschenverbindungen gewahrt bleibt. Ja, dieser Vorteil vergrössert sich noch mit der Dauer der Verbindung. Die sorgfältige Umfassung des Schienenfusses durch die beiden Bügel an ihren oberen und unteren Auflagenflächen, die durch die Zusammenziehung des

erkaltenden großen Bügels nur noch inniger wird, verhindert nämlich den Zutritt der die Oxydation fördernden Feuchtigkeit und Luft zu den Berührungsflächen, wodurch die Gefahr einer Verschlechterung der Schienenrückleitung beim elektrischen Betriebe im Laufe der Zeit nahezu ausgeschlossen erscheint.

Ueberraschend günstige Erfolge sind auch bei einer Versuchsstrecke der k. k. Staatsbahn Linz-Gaisbach-Wartberg erzielt worden. Für den Versuch wurde der ungünstigste Teil dieser Strecke gewählt, der bei der Haltestelle Katsdorf in einem ziemlich starken Gefälle liegt. Im April wurden die

Fig. 5.



Schienenschuhe, Fig. 5, eingebaut, und im September wurden Messungen vorgenommen, welche ergeben haben, dass die Schienenwanderung, die früher jedes Jahr rd. 30 bis 42 mm betrug, sich auf 0 bis 9 mm vermindert hat; dabei wurde durch fortgesetzte Beobachtung festgestellt, dass die Ausdehnung in keiner Weise gehindert war, und dass das Befahren dieser Strecke, selbst mit schlecht abgedachten

Fahrbetriebsmitteln, fast stofffrei war.

Die Länge der Schienenschuhe richtet sich nach der Größe des Schienenprofils; es werden Längen von 8, 16 und 20 cm benutzt, und nach den bisherigen Erfahrungen kann angenommen werden, dass für Straßenbahnen und normal-spuriges Vollbahngleis eine Schuhlänge von 16 bis 20 cm vollständig genügt.

Die beiden Bügel bestehen aus Stahlguss von 56 kg/qmm Festigkeit bei 10 bis 12 vH Dehnung, der Keil aus Martinstahl. Die Kosten der neuen Stoffverbindung sind verhältnismäßig gering.

Linz a/D.

A. Kvetensky.

Eine durch bedeutende Länge und durch hohe Steigung bemerkenswerte Zahnradbahn ist vor kurzem im südlichen Vorderindien fertiggestellt worden. Die Bahn beginnt bei Mettapollum, einer Endstation der Madras-Eisenbahn und steigt auf fast gleichmäßig steiler Strecke rd. 1500 m zum Nilgiri-Hochlande empor, wo sie bei dem Orte Coonoor endet¹⁾. Die ganze Strecke ist 26,8 km lang, von

150 mm Regenhöhe in 6 Stunden keine Seltenheit ist. Die auf je 11 hölzernen Schwellen befestigten Schienen sind rd. 8,5 m lang und wiegen 22,7 kg/m. Der Stofs ist schwebend. Bei allen Steigungen über 1:40 ist eine doppelte Zahnstange, Bauart Abt, benutzt worden, die bei 3,11 m Länge und 22 mm Breite auf je 5 Schwellen ruht. Die Anordnung der Zahnstangen und Schienen ist aus Fig. 2 und 3 ersichtlich. Die beiden flusseisernen Zahnstangen, deren Zähne ausgefräst sind, sind gegeneinander versetzt und auf gusseisernen Stühlen auf den Schwellen gelagert; die Stofsfugen betragen 4 mm. Fig. 4 zeigt das Einfahrtstück, das mittels Federn auf Flusseisen-schwellen ruht.

Das rollende Gut der Bahn besteht zurzeit aus 4 Zahnradlokomotiven, 16 Güterwagen 1. Klasse, 4 Personenwagen 2. Klasse und 4 Bremswagen. Die Lokomotiven haben 3 Achsen, von denen die beiden hinteren gekuppelt sind; der äußere Radstand beträgt 3 m, der Durchmesser der Räder 762 mm, das Betriebsgewicht 33 t. Zum Antrieb der Adhäsionsräder dienen 2 außenliegende Cylinder von 292 mm Dmr. bei 457 mm Hub, während die Zahnräder von 2 innenliegenden Cylindern von denselben Abmessungen getrieben werden. Die Bewegung wird jedoch nicht unmittelbar von der Pleuelstange auf die im Abstände von 792 mm angeordneten Zahnräder übertragen, wie bei der Abtchen Lokomotive, sondern mithilfe eines zwischengeschalteten Stirnrades, das von dem Cylindergestänge angetrieben wird und in 2 auf die Zahnradachse gekelte Stirnräder greift. Die Lokomotiven schieben bei der Bergfahrt den Zug; die

Fig. 1.

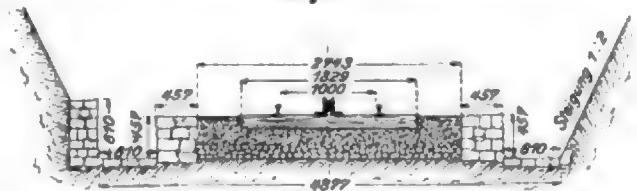


Fig. 2.

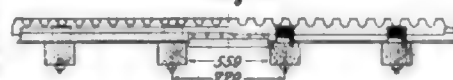


Fig. 3.

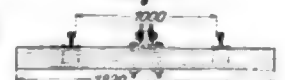
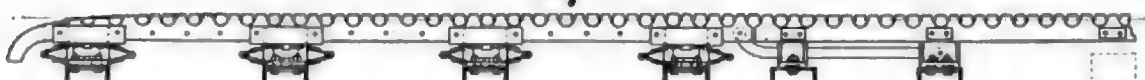


Fig. 4.



denen die ersten 7,6 Kilometer als Adhäsionsbahn, der übrige Teil als Zahnradbahn betrieben wird. Die durchschnittliche Steigung beträgt 1:12,5 auf der Zahnradlinie und 1:40 auf der Adhäsionslinie. Bei einer Spurweite von 1 m ist der kleinste Krümmungshalbmesser 100 m lang. Infolge des vielfach zerklüfteten Gebirges hatte man bei der Anlage der Bahn mit großen Schwierigkeiten zu kämpfen, und nicht weniger als 23 lange und 113 kurze Brücken und 9 Tunnel mussten angelegt werden; 14,4 km, mehr als die Hälfte der ganzen Strecke, liegen in Krümmungen. Dichte Dschungeln und Geröll, das die weniger steil liegenden Stellen bedeckte, erschwerten außerdem den Fortschritt der Bauarbeiten bedeutend. Der zu bewegende Boden, insgesamt 1132000 cbm, bestand zum größten Teile aus hartem Gestein, das mit Dynamit fortgesprengt werden musste. Beim Bohren der Tunnel, die verhältnismäßig kurz waren und 100 m Länge nicht überschreiten, wurden nur Handbohrer verwendet. Die Brücken sind sämtlich aus Kastenträgern hergestellt, die auf gemauerten Pfeilern gelagert sind. Die Träger sind fast durchweg Normalkonstruktionen von 18 m Spannweite bei den größeren Brücken; sie wurden fertig genietet auf Plattformwagen an Ort und Stelle geschafft und hier aufgestellt. Bei zwei Brücken musste man von diesem Verfahren absehen, da die Örtlichkeit Träger von größeren Spannweiten bedingte, die nur in einzelnen Teilen heraufgeschafft werden konnten.

Fig. 1 zeigt einen Querschnitt durch den Bahnkörper. Besondere Sorgfalt musste der Entwässerung gewidmet werden, da in der dortigen Gegend während der tropischen Regenzeit

hierbei ausgeübte Kraft beträgt bei Steigungen von 1:12,5 und bei 7,2 km/st Geschwindigkeit rd. 50 t, wobei das Gewicht der Lokomotive nicht eingerechnet ist. Alle 4 Cylinder der Lokomotive sind mit der Chatelier-Druckluftbremse versehen; außerdem sind eine gewöhnliche Handbremse und eine selbsttätige Vakuumbremse vorhanden, die auf alle 6 Räder wirkt. Die beiden Zahnräder werden durch kräftige Bandbremsen vonhand gebremst.

Die auf 2 Drehgestellen ruhenden Güterwagen sind aus gepresstem Stahlblech hergestellt und tragen niedrige Wagenkasten von 9,1 m Länge. Der Abstand von Mitte zu Mitte Drehgestell beträgt 2,14 m. Die Wagen wiegen 6 t und haben 22 t Tragkraft. Die Personen- und Bremswagen ruhen ebenfalls auf 2 Drehgestellen; ihre Länge beträgt 11 m, das Gewicht rd. 12 t. Sämtliche Wagen sind mit der Vakuumbremse und außerdem mit einer Zahnradbremse ausgerüstet, die auf jedem Wagen durch einen Angestellten bedient wird. Auf der Zahnradstrecke führt die Bahn mit einer Geschwindigkeit von 13 km/st, auf der Adhäsionsstrecke mit 32 km/st.

Zu erwähnen ist noch, dass die Nilgiri-Bahn die erste Zahnradbahn ist, deren Oberbau und Betriebsmittel durchweg in England hergestellt sind, während bisher fast alles Material für Zahnradbahnen im Auslande, insbesondere Deutschland, hergestellt wurde. Der Oberbau ist von Cammell & Co. in Sheffield, das rollende Gut von Beyer, Peacock & Co. in Manchester geliefert.

Am 15. November ist der Königsberger Seekanal eröffnet worden, der eine Verbindung zwischen Königsberg und Pillau herstellt. Der Kanal hält sich im allgemeinen in einer solchen Nähe des nördlichen Hafufers, dass nur ein Seitendamm

¹⁾ Minutes of Proceedings of the Institution of Civil Engineers 1901 Teil 8 S. 1.

auf der Südseite ausreichend erschien, während von Norden her das Haffufer selbst einen natürlichen Schutz bildet. Weiteren Einfluss auf die Linienführung hatte die Beschaffenheit des Untergrundes insofern, als man bestrebt war, den Kanal möglichst in Sandboden einzubetten. Der Kanal ist bis zur Pegelmündung rd. 33 km lang, und wenn man die ebenfalls auf 6,7 m vertiefte Pegelstrecke hinzurechnet, beträgt die Gesamtlänge 40,5 km; die Wassertiefe im Kanal beläuft sich auf 6,5 m.

Die Sohle des Kanals bis zur Pegelmündung ist 30 m breit, mit Ausschluss einer 4 km langen Strecke durch das Fischhausener Wiek, die auf 75 m, und der Krümmungen, die bis auf 40 m verbreitert sind. Die Böschungen haben im Sandboden eine Steigung von 1:2,5, im Schlick von 1:5. Bermen auf beiden Seiten von 25 m Breite und 2 m Tiefe sollen die Kleinschiffahrt aufnehmen. In unteren Pegel beträgt die Sohlenbreite 45 m, am oberen Ende, wo Baken und Leitfeuer fehlen, 70 m.

Als Kanaldämme hat man Steinschüttungen zwischen 2 schräg gestellten Pfahlreihen gewählt, die an der Krone 1,5 m breit sind. Bei größeren Tiefen wurde vor dem Rahmen der Pfähle eine breite Sandschüttung bis 2 m Tiefe unter Mittelwasser eingebracht. Die Krone der Dämme liegt 0,8 m über Mittelwasser.

Bei der normalen Breite der Sohle von 30 m ist es unzulässig, dass 2 Schiffe von 1500 cbm Inhalt und darüber einander begegnen. Es sind deshalb 2 mit Daiben versehene Ausweichstellen von je 320 m Länge angelegt, durch welche die Gesamtstrecke in drei annähernd gleich lange Abschnitte geteilt wird. Das Fahrwasser wird in Abständen von 500 m in der Geraden, von 200 m in den Krümmungen durch eiserne Spitz- und Spierentonnen bezeichnet. Zur Befahrung des Kanals sind nur einige Gasfeuer an den Kanal-mündungen und an ein paar andern wichtigen Punkten vorgesehen. Man setzte dabei voraus, dass die Dampfer bei Nacht mithilfe eines Scheinwerfers durch den Kanal fahren werden. Dampfer, die keine eigenen Maschinen dafür besitzen, können eine bewegliche Einrichtung, bestehend aus einer Dampfmaschine und einer mit

ihr gekuppelten Dynamo, an Bord nehmen und sie an die Dampfleitung ihrer Kessel anschließen. Zu erwähnen sind noch 3 kleine Häfen, die am nördlichen Haffufer angelegt sind. Der Bau ist im Jahre 1890 begonnen worden; die zur Verfügung gestellte Bau Summe von 12,5 Mill. M wird vollständig aufgebraucht werden, sodass die Kosten einschließlich der Vertiefung des Pegels rd. 300 000 M/km betragen. (Zentralblatt der Bauverwaltung 16. November 1901)

In Z. 1901 S. 1654 ist in dem Bericht über die Leistungen einiger Schnellanglokomotiven angegeben worden, die betreffende Heißdampflokomotive (Nr. 88 der preussischen Staatsbahnen) sei von A. Borsig gebaut worden. Das trifft nicht zu; vielmehr ist diese Lokomotive von der Stettiner Maschinenbau-A. G. Vulcan gebaut und bereits im November 1899, also ehe die Borsigische Heißdampflokomotive in Paris ausgestellt war, abgeliefert worden.

Am 20. November starb Hofrat Joh. Friedr. Edler von Radinger, Professor des Maschinenbaues an der Technischen Hochschule zu Wien. Radinger war 1842 zu Wien geboren. In die große Öffentlichkeit trat er durch seine Berichte über die Weltausstellungen zu Paris 1867, Wien 1873 und Philadelphia 1876, besonders aber durch sein Werk über Dampfmaschinen mit hoher Kolbengeschwindigkeit.

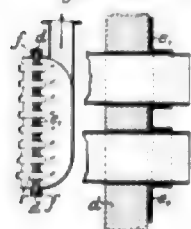
Am 9. November ist die Internationale Ausstellung in Glasgow geschlossen worden. Sie war seit dem Tage ihrer Eröffnung, den 2. Mai, von 11 497 220 Personen besucht worden und hat erstaunlicherweise nach Mitteilungen englischer Blätter einen Ueberschuss von rd. 100 000 Pfund Sterling ergeben.

Eine Woche früher hat auch die Panamerikanische Ausstellung zu Buffalo ihr Ende gefunden, sie hat aber weniger günstig abgeschnitten als die Glasgower Ausstellung: giebt man doch den Fehlbetrag auf 3 Millionen Dollars an. Die Anzahl der Besucher soll beinahe 800 000 betragen haben.

Patentbericht.



Kl. 13. Nr. 123466. Dampfüberhitzerrohr. J. A. E. M. P. B. O'Brien, Paris. Das Überhitzerrohr hat Einlagen aus Blech, deren Querschnitt aus gleichschenkeligen, an der Spitze offenen Dreiecken besteht, die sich mit ihrer Grundlinie ab an die Rohrwand anlegen und in der Mitte des Rohres einen Kanal d freilassen.

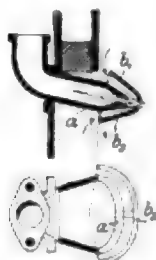


Kl. 17. Nr. 121448 (Zusatz zu Nr. 113590, Z. 1901 S. 251). Dampfmaschinenkondensator. O. Sorge, Grunewald bei Berlin. Wie beim Hauptpatente auf die ringförmigen Ansätze der Wand d, so wirken hier die elastischen Stützen e durch Überdruck dichtend auf die Rohre v und sind überdies durch eine Gummiplatte e verbunden, die zugleich zur Abdichtung der Wand d gegen die Gefäßansätze f dient.

Kl. 14. Nr. 121719 (Zusatz zu Nr. 121193, Z. 1900 S. 1214). Verbundlokomotive. Ch. Haggans, Erfurt. Die Bauart der viercylindrigen Lokomotive des Hauptpatentes ist ohne Aenderung der Wirkungsweise dahin abgeändert, dass



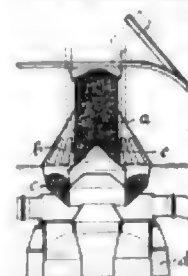
die Pleuelstange l_2 des Niederdruckzylinders an dem Innenszapfen l_1 des ersten Triebzylinders l_1 angreift, die Kuppelstange v den zu l_2 gleichachsigen Aufenszapfen a_2 mit dem Innenszapfen l_1 des zweiten Triebzylinders l_2 verbindet und die Pleuelstange l_1 des Hochdruckzylinders an eine Gegenkurbel k_1 angeschlossen wird, deren Aufenszapfen a_1 gegen l_1 um 180° versetzt ist.



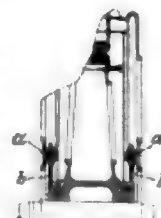
Kl. 24. Nr. 123719. Rauchverbrennung mittels Strahlgebläses. W. Staby, Ludwigshafen. Mithilfe des inneren der Feuerbüchse auf die Strahlbüchse e aufgesetzten Mantels b, b₁ werden Luft und Rauchgase aus dem Innern der Feuerbüchse angesaugt, innig gemischt und über die glühende Kohlschicht geblasen.

Kl. 21. Nr. 123952. Einrichtung zum Drehen feststehender Teile an elektrischen Maschinen. W.

Lahmeyer & Co, Frankfurt a/M. Um zum Ausbessern oder Zentrieren das Gehäuse einer Dynamomachine drehen zu können, werden Ansätze a an ihm durch Schrauben b mit der Betriebswelle oder Nabe des Rades verbunden, sodass sie sich mit dieser drehen. Für die Lagerung des Gehäuses dienen untergeschobene Fäße.



Kl. 18. Nr. 120599. Beschiekvorrichtung für Hochöfen. J. Pohl, A.-G., Köln-Zollstock. Zwischen dem trichterförmigen Boden b und dem feststehenden Beschiekgefäß a ist ein Zwischenraum für den Austritt der Beschiekung vorgesehen, der durch einen auf dem Beschiekgefäß a geführten Ringzieher c verschlossen wird. Beim Aufheben des Schiebers c stürzt die in a enthaltene Beschiekung gleichmäßig um die Glocke c und nach deren Anheben in den Hochofenschacht d.



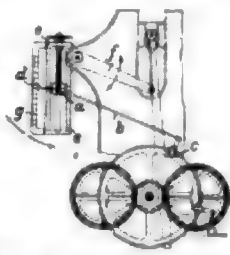
Kl. 20. Nr. 123461. Staubverschluss für Achslager. Falsche Gummi- und Asbest-Gesellschaft, Rath bei Düsseldorf. Die Vorrichtung erzielt einerseits eine langsamere Abnutzung des Ringes b durch einen in den Dichtungsring a eingelassenen Federring c, anderseits eine gleichmäßige Reibung zwischen dem Dichtungsring und dem Lagerkasten mittels des am Lagerkasten angebrachten Schleifringes d.



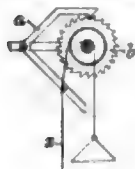
Kl. 20. Nr. 123351. Anstellen von Eisenbahnbremsen bei Schienenbrücken. H. Untiedt, Schweinfurt a/M. Zwischen den Hinterachsen der Lokomotive ist auf jeder Seite des Rahmens ein Cylinder angebracht, in dem sich die aus zwei durch ein Gelenk g verbundenen Teilen bestehende Achse b führt, welche am unteren Ende die durch die Schraubenfeder e gegen die Schiene gedrückte Rolle d trägt. Eine Drehung des Gelenkes g wird durch zwei Blattfedern A verhindert. b ist durch k, l, m mit der Luftbremse verbunden. Beim Anstoßen der Rolle d an ein Hindernis wird das Gelenk gh durchgedrückt und b von der Feder e herabgezogen, sodass ki das Bremsventil öffnet.



Kl. 36. Nr. 121471. Vorschub an Oaterrahmen. R. Löwenhorn und R. Auerach, Mühldorf a/Inn. Der vom Oaterrahmen bewegte und das Vorschubschaltwerk *bc* treibende Winkelhebel *fe* ist mit Stellklotz *a* und Skala *g* versehen, die so eingestellt ist, dass der Zeiger *d* die Größe des Vorschubes in Längeneinheiten für die Zeit einheit anzeigt.

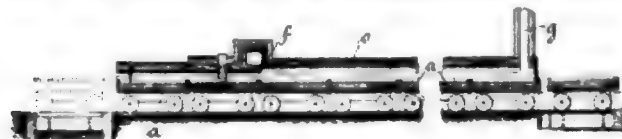


Kl. 49. Nr. 114325. Verstärkung von Blechen. W. Römer, Hamburg. Die Bleche zur Aufnahme von Stehbolzen werden zunächst mit Löchern von geringerem Durchmesser, als ihn die Stehbolzen besitzen, versehen; dann werden die Löcher durch Pressen auf den erforderlichen Durchmesser erweitert, wodurch das Blech durch Aufstauchen verdickt wird.

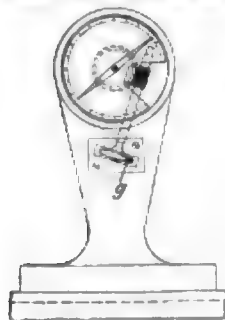


Kl. 34. Nr. 121408. Sperrvorrichtung für Winden u. dergl. J. Gehle, Elberfeld. Das Zugseil *s* hebt in straffem Zustande beim Heben oder Senken der Last den Sperrhebel *a* aus dem Sperrrade *b* aus, lässt ihn aber im lockeren Zustande oder beim Reifsen in *b* einfallen.

Kl. 40. Nr. 119034. Röstofen mit beweglichem Herde. Gesellschaft des Emser Blei- und Silberwerkes, Ems. Das Ofengehäuse *e* des langgestreckten Röstofens ist an seinem vorderen Ende mit einem über die ganze Ofenbreite sich erstreckenden Schlitz *f* versehen,



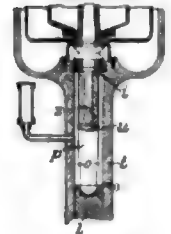
durch den der Brennstoff in den Ofen eingeführt wird und gleichmäßig auf das Röstgut einwirken kann, das auf Wagen *a* durch den Ofen geführt wird. Die heißen Verbrennungs- und Röstgase ziehen durch den am hinteren Ofenende gelegenen Schornstein *g* ab.



Kl. 42. Nr. 121071. Setzkompass. G. Mansfeld, Ilmenau i/Th. Um zwei Wellen parallel oder unter einem Winkel zu legen, stellt man den mit einer rinnenförmigen Sohle versehenen Kompass an eine Welle an, stellt den Nullpunkt der Skala, die mittels der Rändelscheibe *g* verdrehbar ist, nach dem Nordpol der Nadel ein, trägt den Kompass dann auf die andere Welle an und verschiebt diese, bis die Nadel wieder auf den Nullpunkt zeigt.

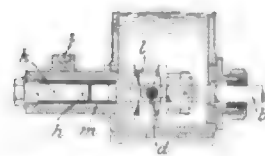


Kl. 47. Nr. 121738 (Zusatz zu Nr. 119057, Z. 1901 S. 1131). Stopfbüchsenpackung. C. Endruecht, Berlin. Um zu verhindern, dass sich die Packung *p* durchzieht, wird zwischen Grundbüchse und Packung eine (Kupfer-)Stalpe *s* gelegt, deren aufgeschüttelter cylindrischer Teil oben messerartig angeschärft ist, und deren Flansch der Schnittstelle gegenüber eingeschnitten ist, sodass er aufgebogen werden kann.



Kl. 47. Nr. 121737. Spurlager mit Oelbehälter. J. H. Bultmann, Bielefeld. Der lange Zapfen *z* ist in einer Pfanne *p* geführt, die drehbar und pendelnd auf einem senkrecht einstellbaren Lager *l* steht. Dieses ist in einem Topfe *t* untergebracht, dessen Oelraum *o* in seinem oberen Teile durch Kanäle *u, f* in *p*, von denen *u* stets unter, *f* über dem Oelpegel liegt, einen vom Zapfen *z* verursachten Oelumlaufl ermöglicht, in seinem unteren Teile aber Gelegenheit zum Absetzen der Verschleifstoffe gibt.

Kl. 47. [Nr. 121063.] Schmierpumpe. Schäffer & Budenberg, Magdeburg-Buckau. Der von der Triebwelle *b* gedrehte hohle Pumpenkolben wird durch die auf einer fest gelagerten Rolle *d* laufende Nut der Scheibe *l* hin- und herbewegt, saugt beim Rechtschube durch *m, h* Oel an und drückt es beim Linkschube in mehrere Leitungen *t, i, ...*, mit denen der Auslassschlitz *k* nach-

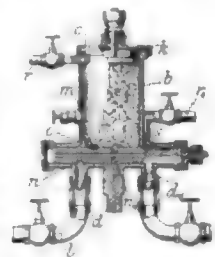


einander in Verbindung tritt.

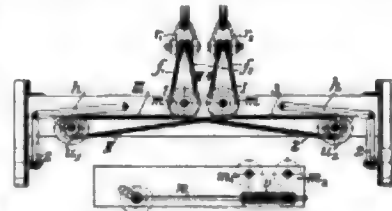
Die Öffnungen können so bemessen

werden, dass sich jede folgende Leitung vor Abschluss der vorhergehenden öffnet.

Kl. 47. Nr. 121502. Grafit-Schmierverrichtung. F. Gielow sen., Chicago. In dem Grafitbehälter *b* wird Dampf von *r* her sowohl hinter den Nachschiebekolben *k* als in den Kanal *c* geleitet, der dann, sobald die Ringnut *a* des Schiebers *s* unter *c* tritt, den von *n* aufgenommenen Grafit durch die Düse *d* in die Leitung *i* bläst. Die Teile *r, n, d, i* bedeuten eine zweite Schmierleitung; die Leiste *m* lockert die untere Grafit-schicht auf.

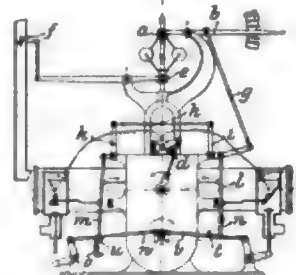


Kl. 24. Nr. 123190. Fangvorrichtung. Wiese & Scharffe, Frankfurt a/M. Das Seil *f* ist von der Seilöse *r* den Weg 1, 2, 3, 4 nach *r* geführt und dort befestigt, ebenso *f* von *r* über I, II, III, IV nach *r*. Reifst eines der beiden Tragselle, so gehen die betreffenden Seilenden von *f* und *f* auf die darunter befindliche Doppelrollen-scheibe *m*, bzw. *m* herab, es werden also beide Daumenscheiben *w, w* gedreht und rücken mittels Gestänge *As* beiderseits die Fangbacken ein. Reifsen beide Tragselle gleichzeitig, so schiebt die Feder *v* (Nebenfigur) die beiden Teile der zweitelligen Stange *w* auseinander, die Rollen *w, w* steigen in ihren schrägen Lagerschlitz aufwärts und rücken die Fangklötze ebenfalls ein.

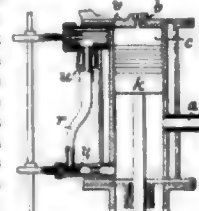


Kl. 40. Nr. 123155. Geschwindigkeitsregelung. Luxseche Industriewerke, A.-G., Ludwigshafen a/Rh. Mittels Handhebels *b* kann der Flichkraftregler, dessen

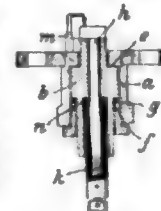
Hölse *e* die Drosselklappe *f* beherrscht, durch Verschiebung seiner Aufhängewelle *a* für eine andere Umlaufzahl eingestellt werden. Gleichseitig wird mittels Gestängen *g, h, k* der Zündzeitpunkt entsprechend geändert, indem die schwingenden Hebel *l, m* gehoben oder gesenkt werden; dadurch wird ein späteres oder früheres Abschneiden ihrer Klappen *n, o* von den Knaggen *t, u* des Ventilsteuer-gestänges *v, w* veranlasst, was in dem Stromkreise der magnetischen Maschine *d* rechtseitig einen Eröffnungsfunkens verursacht.



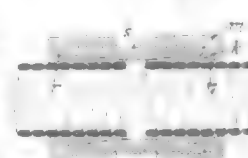
Kl. 40. Nr. 121030. Zweitaktmaschine. R. A. Mitchell, West Norwood (Surrey, England). Beim Krafthube treibt der Kolben *k* die Luft aus dem unteren Cylinderraum zunächst durch den Auspuß *a* hinaus und verdichtet den Rest, bis *a* durch *k* wieder freigelegt wird und die Abgase durch *a* auspußen. Dann werden die Ventile *v, v* geöffnet, worauf die verdichtete Luft durch das Rohr *r* strömt, durch den Ringraum *u* kalte Luft ansaugt und mit dieser den Rest der Abgase austreibt. Beim Rückschube von *k* wird kurz vor dem Abschluss von *a* das Ventil *e* geschlossen, die Luft im Raume *c* verdichtet und von *b* her mit Brennstoff gemischt.



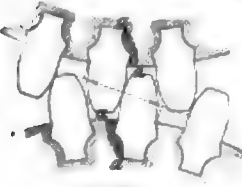
Kl. 40. Nr. 121032. Elektrische Zündvorrichtung. Dr. P. Martin, Moulin Englibert (Nièvre, Frankr.). Der Mittelstift *h* und die aufgeschraubte, den Dichtungsdruck erzeugende Hülse *k* sind aus verschiedenen Metallen (Eisen und Kupfer) hergestellt, und ihre freien Längen sind so berechnet, dass der Unterschied ihrer Wärmeausdehnungen gleich der Ausdehnung der Porzellanhülse *b* zwischen den Dichtungsteilen *m* und *a* ist. Dasselbe findet statt bei *a* und *f* für *c* und *g*.



Kl. 47. Nr. 123511. Rohrverbindung. R. Stummer Ritter von Traunfels, Wien. Durch galvanischen Niederschlag wird auf den Enden *r, r* der biegsamen Rohre ein Metallkegel *k* erzeugt, der abgedreht und bei der Verbindung mittels bekannter Verschraubung *sm* als ein hohem Drucke und hohen Wärmegraden widerstehender Dichtungskörper verwendet wird.

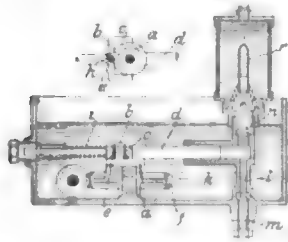


Kl. 49. Nr. 130244. Schweißföhrer. {Dampfkessel- und Maschinenbau-A.-G. W. Pittner & K. Gampner, Stolce (Polen). Zwischen den beiden Brennern *e* bekannter Art ist ein in einen Hohlraum *c* ausmündender Schlitz *d* vorgesehen, durch den die von dem Arbeitstück zurückprallenden heißen Gase geleitet werden. Durch ihre Wärme erhitzen sie die Schamottsteine *b* und wärmen das Luftgasgemisch in den Brennern *e* behufs kräftiger Verbrennung vor.



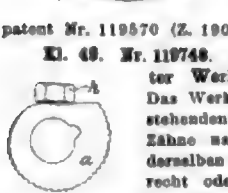
Kl. 47. Nr. 131606. Einsetzbare Zähne für Zahnräder. W. Lorenz, Karlsruhe. Die Zahnwurzeln erhalten doppelte Keil- oder Schwalbenschwanzgestalt, um sowohl der Wurzel, als auch dem stehengebliebenen Teile des Kranzes, dessen Fläche *a-a* auf Abscherung beansprucht wird, große Widerstandsfähigkeit zu geben.

Kl. 47. Nr. 131786. Schmierpumpe. J. Maemcke, Berlin.

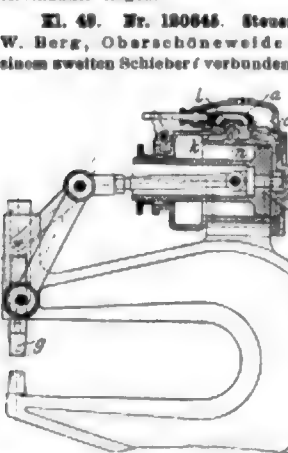


Der Zapfen *a* des Schneckenrades *f* nimmt bei der Bewegung nach links mittels Nase *h* (Nebengur) die Kurbelscheibe *a* und mittels Kreuzscheibe *b* den Pleuellring *c* mit, bis nach Ueberschreitung des äußeren Totpunktes die gespannte Feder *d* den Pleuell *b* vorschneidet und das Langsam aus *k* durch *l* angesaugte Öl teils durch *l* nach *k* vortreibt, teils aber durch das Druckventil *e* in das gläserne Tropfrohr *r* drückt. Durch Einstellung der Saugöffnung *i* mittels Ventil *s* *m* kann die Fördermenge geregelt werden.

Kl. 47. Nr. 131938 (Zusatz zu Nr. 117413, Z. 1901 S. 956). Stopfbüchse. H. Grofskraumbach, Rheoydt (Bis Düsseldorf). Die im Hauptpatente zwischen dem Stopfbüchsenmantel *i* und den Vollringen *g, f* angeordneten Federn *y* sind hier in Ausbuchtungen *b* der hohlkegeligen Vollringe *g, f* angebracht und drücken nach innen auf Platten *e*, die auf die versetzten Teilflächen der kegeligen Dichtungsringe *d, c* aufgeschliffen sind. Dadurch werden diese Fugen auch für hohen Dampfdruck (12 bis 15 at) wirksam abgedichtet. Diese Einrichtung lässt sich auch beim früheren Zusatzpatent Nr. 119870 (Z. 1901 S. 1235) anwenden.

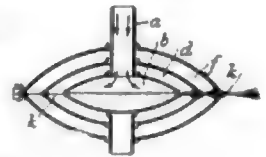


Kl. 49. Nr. 119748. Bearbeiten von Werkstücken mittels gezählter Werkzeuge. F. A. Meischner, Ohemnitz. Das Werkzeug *a* wird derart an dem etwas geneigt stehenden Schneidwerkzeug *a* entlanggeführt, dass die Zähne nacheinander zur Wirkung kommen und jeder derselben einen dünnen, zur bearbeiteten Fläche senkrecht oder annähernd senkrecht stehenden Span abschneidet. Statt eines geraden Werkzeuges kann ein solches benutzt werden, bei dem die Zähne in Form einer Spirale hintereinander liegen.

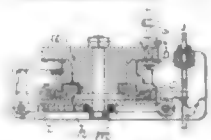
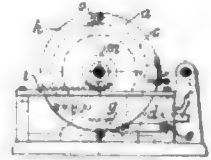


Kl. 49. Nr. 130646. Steuerung für pneumatische Nietmaschinen. W. Berg, Oberschöneweide bei Berlin. Der Schieber ist mit einem zweiten Schieber *i* verbunden. Durch eine erste Einstellung der Schieber gelangt Druckluft hinter den Pleuellring *e*, treibt diesen vorwärts und den Pleuell *g* gegen den Pleuellkopf. Dann werden die Schieber auf Mitte gestellt, wodurch durch die Kanäle *k* und *c* über den inneren Schieber *i* hinweg ein Ausgleich des Druckes auf beiden Pleuellseiten stattfindet. Hierauf werden die Schieber ganz nach rechts geschoben, sodass die hintere Pleuellseite mit dem Auspuff *a* verbunden wird und die auf der vorderen Pleuellseite vorhandene Druckluft den Pleuell *e* in seine Anfangsstellung zurückschiebt. Durch eine weitere Verschiebung auf Mitte wird ein nochmaliger Druckausgleich bewirkt und durch Zurückziehen der Schieber in ihre Anfangsstellung (nach links) von neuem Druckluft hinter den Pleuellring gelassen, der dadurch vorwärts getrieben wird.

Kl. 46. Nr. 133337. Auspuffkopf. Luxsche Industriewerke A.-G., Ludwigshafen a/Rh. Die Auspuffgase gelangen aus dem Rohre *a* in Hohlkörper *b, d, f*, deren zwei oder mehr ineinander angeordnet sind und durch Ringschlitz *k* (ohne Querschnittverengung) in Verbindung stehen, sodass die stoffweisen Auspuffgeschwindigkeiten ausgeglichen werden.



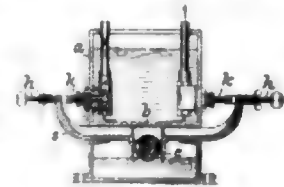
Kl. 49. Nr. 130129. Schaltvorrichtung für den Werkzeugkopf von Revolverdrehbänken. O. Wagner, Hildesheim. Mit dem Werkzeugträger *a* ist ein Zahnrad *c* fest verbunden, in das eine an der Scheibe *h* sitzende Sperrklinke *e* eingreift, welche das Zahnrad bei der Verschiebung des in dem Schlitten *b* gelagerten Werkzeugträgers durch Abrollen des mit *h* verbundenen Zahnrades *m* auf der Zahnstange *i* dreht. Die Sicherung des Werkzeughalters in der jedemmaligen Arbeitsstellung erfolgt durch den auf dem Schlitten *b* gelagerten Riegel *d*, der beim Vorgehen mit seiner Rolle *s* gegen den Anschlag *f* stoßt und dadurch mit seinem andern verzahnten Ende in das Zahnrad *c* eingebracht wird, während er beim Zurückgehen des Schlittens *b* durch die Feder *g* ausgedrückt wird.



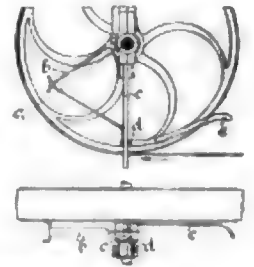
Kl. 47. Nr. 131519. Riemenführer. R. Ander, Seifhennersdorf bei Zittau i/S. Ueber den Rand der Riemenscheibe *a* vorstehende Führungselektre *b* haben nach dem Scheibenkranz gerichtete Abchrägungen *c*, die den Riemen *r* stets auf den Kranz leiten und das Abgleiten verhindern.



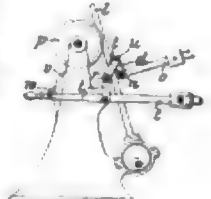
Kl. 47. Nr. 131580. Schmierpumpe. J. F. McCauna, Chicago. In dem unteren, durch einen Boden *b* abgetrennten Räume der Schmierbüchse *a* ist ein Schlitten *e* angebracht, der von einem Exzenter *c* hin- und herbewegt wird und den Pleuellring *k* einen Hub erteilt, welcher durch Einstellung eines toten Ganges mittels der Stellschrauben *h* bei jeder Pumpe unabhängig von der andern geregelt werden kann.



Kl. 47. Nr. 132356. Riemenanflieger. A. Coulter, Mitau (Russl.). Beim Abwerfen des Riemens fällt das obere Trum auf den Träger *b*, während das untere hinter der Schiene *c* hängen bleibt. Beim Aufliegen des Riemens durch Drehen von *e* mittels Handgriffes *d* um etwa 90° pflügt der Riemen schon in der Lage *c*, oder früher von der Scheibe wieder abzugleiten, und um dies auf gefahrlose Weise zu verhindern, ist mit *b, c* ein passend gekrümmter Arm *e* fest verbunden, der hart am Scheibenrande vorbeischiebt.



Kl. 47. Nr. 131786. Vorschub-Schaltwerk. Frankfurter Maschinenfabrik, A.-G., Frankfurt a/M. Die Pleuell- oder Exzenterstange *i* wird auf einen Teile ihres Hubes durch die Rolle *a* des bei *e* gelagerten Gewichthebels *d* an die Schaltscheibe *g* gedrückt und nimmt diese durch Reibung mit, dann aber und beim ganzen Rückhub wird sie durch die Stützrolle *r* von *p* abgehoben. Durch Einstellen der Rolle *r* mittels der Vorrichtung *t, w* kann der Vorschub während des Ganges geändert werden.



Kl. 49. Nr. 132346. Steuerung für zweicylindrige Druckwasserpumpen. Eisenwerk (vorm. Nagel & Kaemp) A.-G., Hamburg-Uhlenhorst. Zur Erzielung gleich dichter Presserauslässe wird der Pleuellschieber *h* selbsttätig umgesteuert, sobald der Druck eines diesem Schieber erteilten Hebungswiderstand überschreitet. Das von *a* durch *b* in den ersten Presszylinder fließende Druckwasser wirkt durch *k* auf die Ringfläche *m*, und dem Hochdrucke kann der Pleuellschieber folgen, weil die entgegengesetzte Ringfläche *n* durch *l* und *c* mit dem Abfluss *e* verbunden ist. Dann wird *a* mit *c* und *b* mit *d* verbunden usw.



ZEITSCHRIFT DES VEREINES DEUTSCHER INGENIEURE.

Nr. 49.

Sonnabend, den 7. Dezember 1901.

Band XXXV.

Inhalt:

Die internationale Ausstellung für Feuerschutz und Feuerrettungswesen in Berlin 1901. Von Kaemmerer und Meyer	1739	Hamburger B.-V.: Druckluft-Wassersheber, unter besonderer Berücksichtigung der Mammut-Pumpe	1756
Wasserbewegung durch Boden. Von Ph. Forchheimer	1786	Karlshuber B.-V.: Statischer Luftmesser, Bauart Heick	1757
Nachtrag zum Bericht über die Werkzeugmaschinen auf der Weltausstellung in Paris 1900. Von H. Fischer	1741	Mannheimer B.-V.	1757
Die Erhaltung der Energie vom Standpunkt des Ingenieurs. Von Kaemmerer	1750	Thüringer B.-V.: Die Verwertung des Spiritus in Haushalt und Industrie	1757
Eleas-Lothringer B.-V.: Einige Getriebe an der Uhr des Straßburger Münsters. Insbesondere die Darstellung des scheinbaren Laufes von Sonne und Mond	1754	Zeitschriftenschau	1758
Frankfurter B.-V.: Besichtigung des Getreidesilos am Frankfurter Hafen	1755	Rundschau: Turmuhr von F. Weule. — Kran für die Krupp'sche Germania-Werft. — Die Baldwin-Lokomotivwerke in Philadelphia. — Vermischtes	1760
		Patentbericht: Nr. 123666, 123698, 122480, 120966, 123050, 121474, 121453, 121721, 121088, 128635, 121601, 123157, 123084, 123000, 123400, 123187, 119846	1763

Die internationale Ausstellung für Feuerschutz und Feuerrettungswesen in Berlin 1901.

Von Kaemmerer und Meyer.

Die bei Gelegenheit des 50jährigen Bestehens der Berliner Feuerwehr eröffnete Ausstellung entsprang dem längst gefühlten Bedürfnis der Feuerwehrkreise, eine zusammenfassende Uebersicht über die Neuerungen auf dem Gebiete des Feuerschutzes zu geben, was bei den bisherigen Ausstellungen, die mit den von Zeit zu Zeit stattfindenden Feuerwehrtagen verknüpft waren¹⁾, nur in unvollkommener Weise geschehen konnte. Wenn die Ausstellung sich eine internationale nannte, so war dies, abgesehen von dem Auftreten ausländischer Aussteller, auch durch den Besuch zahlreicher Ausländer gerechtfertigt, die besonders gelegentlich des in Berlin tagenden internationalen Feuerwehrtages anwesend waren.

Das am Kurfürstendamm gelegene, vom Mittelpunkt Berlins verhältnismäßig leicht zu erreichende Ausstellungsgebäude umfasste rd. 90000 qm bei 230 m Breite und einer

mittleren Länge von rd. 410 m. Die Grundfläche des Hauptausstellungsgebäudes und der sich anschließenden Nebengebäude betrug 11400 qm. Das Protektorat über die Ausstellung hatte Ihre Majestät die Kaiserin übernommen, während die Geschäftsleitung in den Händen des Berliner Branddirektors Giersberg und des Kommerzienrates Jacob lag. Die Zahl der Aussteller betrug gegen 700, wovon 95 auf das Ausland entfielen. Die ausgestellten Gegenstände waren in folgende Gruppen geteilt:

- 1) Feuerlöschwesen im allgemeinen,
- 2) Hülfe in Not und Gefahr,
- 3) außerhalb der Berufstätigkeit liegende Leistungen, wie Straßenreinigung, Straßenpflasterung und verwandte Gebiete,
- 4) Feuersicherheitstechnik,
- 5) Wohlfahrtsrichtungen für Feuerwehren,
- 6) Lehrmittel usw.

Daneben waren noch viele mit den genannten Gebieten nur in sehr losem oder gar keinem Zusammenhange stehende Gegenstände ausgestellt, eine Tatsache, die übrigens bei den meisten Fachausstellungen der letzten Jahre zutrifft.

Im Folgenden soll nur auf den rein technischen, für den Maschineningenieur bemerkenswerten Teil der ausgestellten Gegenstände eingegangen werden. Von einer Beschreibung der Mannschafte- und Samartierwagen und der Straßenreinigungsvorrichtungen ist abgesehen worden. Ältere, schon früher beschriebene Konstruktionen sind nur kurz angedeutet.

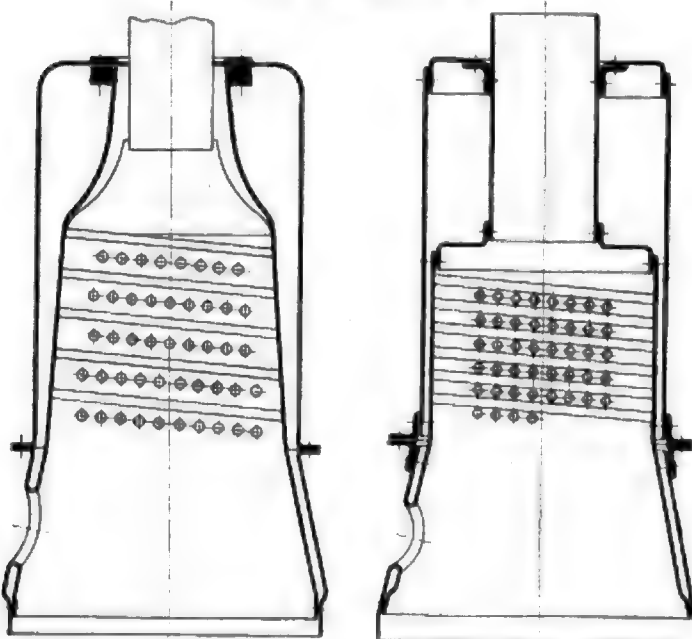
Dampfspritzen.

Die umfangreichste, in allen ihren Gegenständen bemerkenswerte Ausstellung auf dem Gebiete des Dampfspritzenbaues war die der Wagenbauanstalt und Waggonfabrik für elektrische Bahnen (vorm. W. C. F. Busch) A.-G., Hamburg-Bautzen. In einem großen Sondergebäude waren folgende Gegenstände ausgestellt:

- 10 fahrbare Dampfspritzen von 500 bis 4500 ltr/min normaler Leistung, von denen eine durch Dampfkraft auch fortbewegt wird;
- 5 Kohlensäurespritzen, deren eine durch Elektrizität fortbewegt wird;
- 1 fahrbare Elektromotor-Spritze von 500 ltr/min Leistung;
- 1 fahrbare Benzinmotor-Spritze von 500 ltr/min Leistung;

Fig. 1 und 2.

Kesselformen der Wagenbauanstalt vorm. Busch.



1 ortfestes, durch Elektromotor betriebenes Hochdruck-Pumpwerk von 1600 ltr/min Leistung;

3 Mannschafts- und Gerätewagen, darunter ein elektrisch betriebener Kraftwagen.

Bei den Dampfspritzen, die sämtlich stehende Cylinder haben, sind zwei Anordnungen zu unterscheiden. Bei der einen sitzt das Pumpwerk zwischen Vorderwagen und Kessel, bei der andern ist es hinter den Kessel gelegt. Der Kessel wird von Busch in zwei Bauarten ausgeführt, deren Unterschiede aus Fig. 1 und 2 hervorgehen. Er ist immer stehend angeordnet, mit Quersiederrohren versehen und setzt sich aus einem zweiteiligen glockenförmigen Außenmantel und einer gleichachsig eingesetzten Feuerbüchse zusammen. Bei der einen Bauart, Fig. 1, ist die Feuerbüchse aus einem Stück geschweisft und ihr oberer Teil als Rauchrohr ausgebil-

Aschfallteller geregelt werden. Der sich im Unterteil des Kessels ansammelnde Schlamm wird durch Löcher ausgespült, die mit Metallstöpseln verschlossen sind.

Der Rost besteht aus vier Stahlgusssegmenten, die in der Mitte ein viereckiges Loch freilassen. Diese Oeffnung wird durch stählerne Roststäbe ausgefüllt, die gegen die Einwirkung des Feuers besonders widerstandsfähig sind. Bei einer solchen Anordnung kann der stets am meisten angegriffene mittlere Teil des Rostes ohne große Kosten ausgewechselt werden. Die einzelnen Teile des Rostes können durch die Feuerthür bequem aus- und eingebaut werden. Unter dem Roste befindet sich der schmiedeiserne Aschfallteller, der vom Heizerstande aus gehoben und gesenkt werden kann. Auf Wunsch wird an der Spritze eine Vorrichtung angebracht, durch welche der Aschfallteller dauernd mit Wasser gekühlt werden kann.

Jeder Kessel hat drei voneinander unabhängige Speisevorrichtungen, und zwar eine von der Schwungradwelle des Pumpwerkes angetriebene Maschinenpumpe, deren Saugrohrleitung aus dem Hauptpumpwerk oder aus dem auf der hinteren Plattform stehenden Wasserbehälter saugen kann, ferner einen Injektor, dessen Dampfrohr noch ein besonderes Absperrventil am Kessel hat und der nur aus dem Speisewasserbehälter saugt, und schließlich eine einfach wirkende Handpumpe, mit der bei vollem Kesseldruck gespeist werden kann. Auch diese entnimmt das Speisewasser dem Behälter. Von den sonstigen Ausrüstungsteilen seien noch 2 Wasserstandgläser, ein doppeltes Leuchtmanometer und 2 Sicherheitsventile erwähnt.

Der Kessel wird, falls das Pumpwerk vor ihm liegt, von der bereits erwähnten hinteren Plattform aus bedient. Hier sind ein Kohlen- und ein Speisewasserbehälter aufgestellt, und hier findet auch der Heizer während der Fahrt seinen Platz.

Bei der zweiten Bauart, bei der das Pumpwerk hinter dem Kessel sitzt, muss dieser von der Seite aus bedient werden. Um aber auch während der Fahrt heizen zu können, ist an der Rückseite eine besondere kleine Feuerthür angebracht.

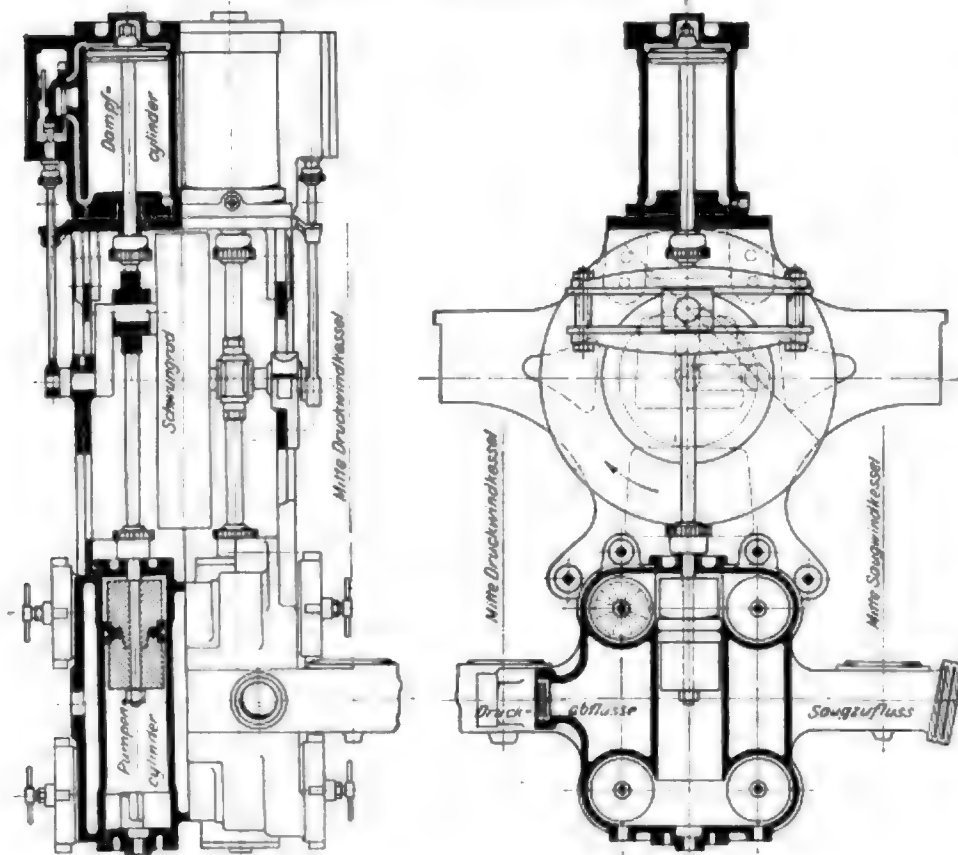
Die fahrbaren Dampfspritzen von 500 bis 2500 ltr/min Leistung werden zweicylindrig, die

von 2500 ltr/min auch dreicylindrig, alle größeren Spritzen nur dreicylindrig ausgeführt. Fig. 3 und 4 zeigen ein Zwillingspumpwerk. Die beiden Dampfzylinder sind aus Guss-eisen in einem Stück hergestellt; die Schieberkasten liegen der leichteren Zugänglichkeit wegen außen. Kolben und Schieber werden durch Dampfschmiervorrichtungen oder durch selbstthätige Schmierdruckpumpen geschmiert. Die beiden Dampfkolbenstangen sind mit den Pumpenkolbenstangen unmittelbar verbunden. Die Kolbenbewegungen werden durch Kurbelschleifen mit 90° Kurbelversetzung auf die Welle übertragen, auf der in der Mitte das Schwungrad und an den Enden die Kurbelstangen für die Schieber sitzen.

Der Pumpenkörper ist aus zäher Phosphorbronze mit den Ventilsitzen in einem Stück gegossen. Die Kolben bestehen aus zwei Bronzekörpern mit zwischengelegten Lederstulpen. Die Ventilsitze liegen seitlich zum Cylinder, der vom Druck- und vom Saugraum umschlossen wird. Die zusammengehörigen Druck- und Saugventile sind auf

Fig. 3 und 4.

Zwillingspumpwerk der Wagenbauanstalt vorm Busch.



det. Im andern Falle, Fig. 2, sind die Decke und das Rauchrohr eingelenket. Sämtliche Nähte des Kessels sind geschweisft oder vernietet, nur der obere glockenförmige Teil des Mantels ist aufgeschraubt, um den Kessel zum Reinigen auseinandernehmen zu können. Vorzüglich bewährt hat sich das Verschweisfen der Feuerbüchse mit dem Außenkessel am Feuerloch. Undichtheiten an dieser Stelle, die bei Vernietung nicht zu vermeiden sind, kommen nie vor. Diese Art der Herstellung bedingt die Verwendung eines sehr guten Baustoffes, in diesem Falle bester Holzkohlen-Feuerbleche. Die Siederohre werden nach Wunsch aus Kupfer, Messing oder Stahl angefertigt und sorgfältig in die Wandungen der Feuerbüchse eingedichtet. Die Rohrlagen sind kreuzweise übereinander geneigt angeordnet. Der Schornstein ist zur Erhöhung des Zuges ausziehbar und außen mit einer gefällig aussehenden Blechverkleidung versehen. Künstlicher Zug wird durch eine im Schornstein eingebaute Auspuffdüse erzeugt. Der Zug kann durch die Drosselklappe und den

einen Bolzen aufgeschraubt und lassen sich nach Öffnen des Bajonettverschlusses gemeinschaftlich herausziehen. Zum Aus- und Einbau der Ventile sind etwa 2 Minuten erforderlich. Der Druckanschluss liegt gewöhnlich an der Handseite, der rechten in Richtung des Wagens, der Sauganschluss auf der der Sattelseite. Der an den Druckanschlüssen angeordnete Schnell-Absperrschieber ist deshalb für den Maschinenwärter leicht erreichbar. Das Umlaufventil, das bei plötzlich steigendem Druck den Druckraum mit dem Saugraum verbindet, ist selbstthätig und lässt sich innerhalb der vorkommenden Grenzen auf jeden gewünschten Druck einstellen. An den tiefsten Punkten des Druck- und Saugraumes, des Pumpenkörpers und der Ventilträume sind Ablasshähne angebracht, um die Spritze völlig entleeren zu können. Am Druckraum befinden sich noch zwei absperrbare Rohranschlüsse, von denen der eine zum Füllen des Wasserbehälters auf der Heizerplattform, der andere unter Vermittlung eines Schlauches zum Bewässern der Aschfallklappe dient.

Die Stopfbüchsen der Dampf- und Pumpencylinder können mittels einer besonderen Vorrichtung leicht nachgezogen werden. Zur Verbindung der Dampf- mit den Pumpencylindern und zur Befestigung der ganzen Maschine an den Wagenwangen dient ein Stahlgussrahmen, in dem auch die Lager für die Kurbelwelle sitzen. Auf der letzteren sitzt das Exzenter, von dem die Maschinen-Spelsepumpe und die Schmierdruckpumpe betätigt werden. Kessel und Dampfeylinder sind durch Kupferrohre verbunden. Die Verbindung ist elastisch genug, um die beim Arbeiten der Maschine auftretende Erschütterung ohne Gefahr aufzunehmen.

Bevor wir zur Beschreibung der einzelnen Spritzen übergehen, ist noch einiges über den Wagen im allgemeinen zu erwähnen. Das Wagengestell besteht aus zwei Längsträgern aus Winkeleisen, zwischen denen Kessel und Pumpwerk aufgehängt sind. Vorn sind die Träger fest mit einem Kasten verbunden, der den

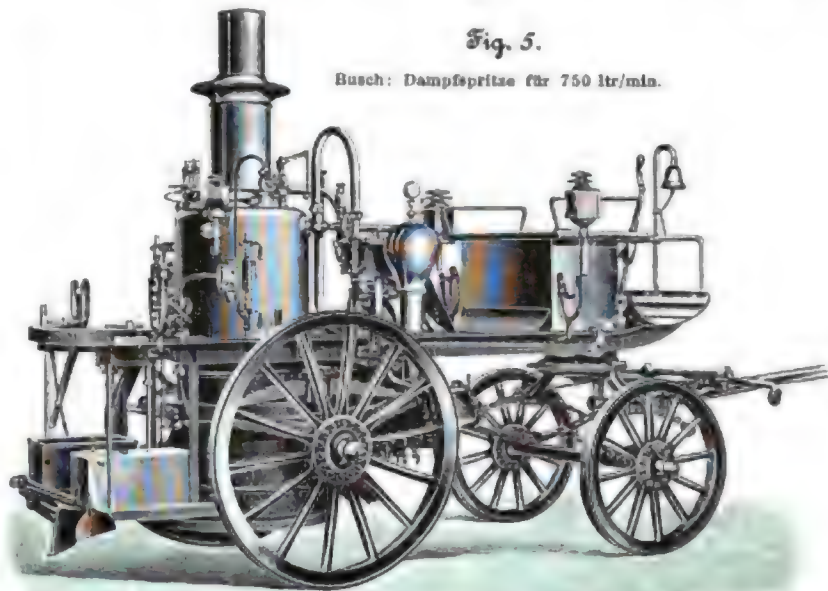


Fig. 5.

Busch: Dampfspritze für 750 ltr./min.

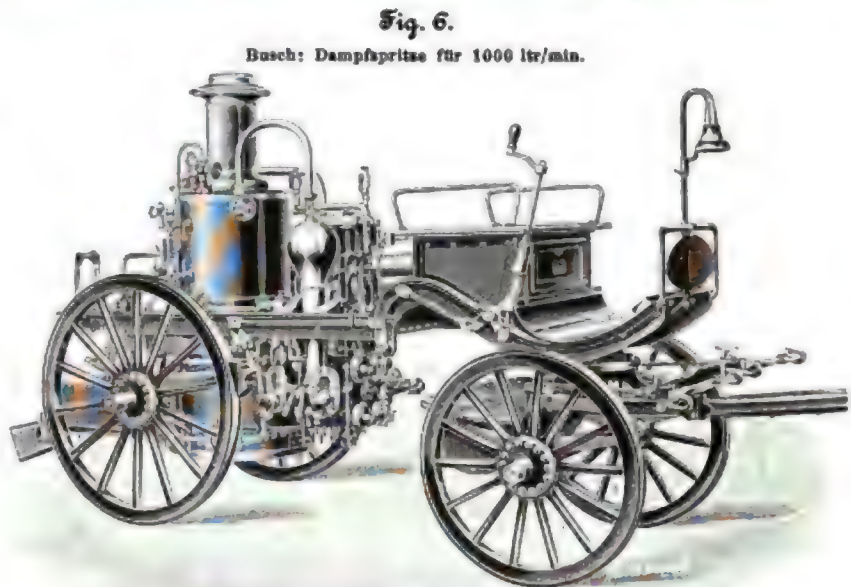
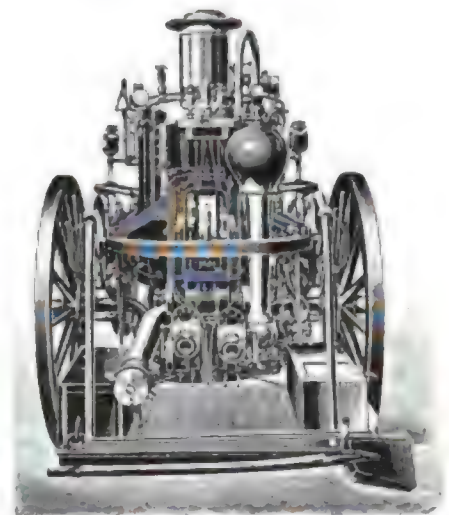
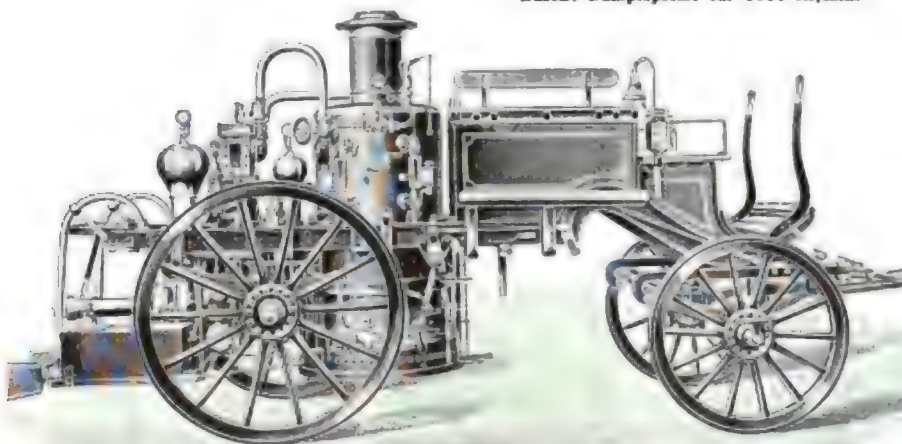


Fig. 6.

Busch: Dampfspritze für 1000 ltr./min.

Fig. 7 und 8.

Busch: Dampfspritze für 1500 ltr./min.



Feuerwehrtag 1898 vertreten waren¹⁾, führen wir zunächst eine Spritze an, Fig. 6, die hauptsächlich in mittelgroßen Städten und großen Fabrikanlagen verwendet wird. Sie hat ein zweicylindriges, vor dem Kessel sitzendes Pumpwerk, dessen Dampfzylinder 100 mm und dessen doppelwirkende Pumpenzylinder 78 mm Dmr. bei 165 mm gemeinsamem Kolbenhub haben. Die Cylinder stehen in Richtung des Wagens gesehen hintereinander. Die Maschine entwickelt bei 250 Uml./min 18,5 PS, und liefert eine Wassermenge von 750 ltr./min. Bei einem Mundstückdurchmesser von 23 mm beträgt die Stahöhe 35 m und die Wurfweite 40 m. Der Kessel hat 3,9 qm wasserberührte Heizfläche und ist auf 8 at Ueberdruck geprüft. Die Spritze hat nur einen Druckstutzen und ist in ihren äußeren Abmessungen 3,40 m lang, 1,55 m breit und 2,16 m hoch; sie wiegt 1300 kg.

Fig. 6 zeigt eine Spritze, die mit demselben Kessel, jedoch mit einer stärkeren Maschine ausgerüstet ist. Das Pumpwerk wird mit zwei oder auch mit nur einem Druckstutzen gebaut. Es hat 85 mm Pumpen- und 110 mm Dampfzylinder-Durchmesser bei 180 mm Hub. Mit 24,5 PS. fördert es 1000 ltr./min Wasser bei 250 Uml./min. Die

¹⁾ Z. 1898 S. 1271 u. f.

Spritze giebt einen 26 mm starken Strahl von 50 m Wurfweite und 40 m Höhe. Sie wiegt 1700 kg und ist 20 cm länger, im übrigen genau so groß wie die zuvor erwähnte.

Als Beispiel für die Dampfspritzen mit hinter dem Kessel sitzendem Pumpwerk sei die in Fig. 7 und 8 abgebildete, für 1500 ltr./min [Normalleistung bestimmte erwähnt. Der Vorderwagen ist mit einem hinter dem Kutschersitz angebauten großen Gerätekasten versehen, auf dem insgesamt 7 Sitzplätze vorhanden sind. Die Cylinder des Dampfumpwerkes sind hier in Richtung des Wagens gesehen nebeneinander angeordnet. Die Druckstutzen liegen hinten völlig frei, und auch der Saugstutzen ist durch Ansetzen eines gebogenen Rohres sehr gut zugänglich gemacht. Die Dampfzylinder haben 130, die Pumpenzylinder 100 mm Dmr., der Hub beträgt 220 mm und die Leistung 41 PS. bei 250 Uml./min.

Die Spritze liefert ihre Wassermenge von 1500 ltr./min in einem 30 mm starken Strahl von 55 m Wurfweite und 45 m Wurfhöhe. Der Kessel nach Fig. 1 darf bis auf 8 at Ueberdruck beansprucht werden; seine Heizfläche beträgt 7,9 qm. Die 2600 kg schwere Spritze ist 4,3 m lang, 1,8 m breit und 2,55 m hoch.

Von ähnlicher Bauart waren Spritzen für 1000 und für 2500 ltr./min ausge-

Buch: Fig. 12 bis 14. Dampfspritze für 5000 ltr./min.

Fig. 12.

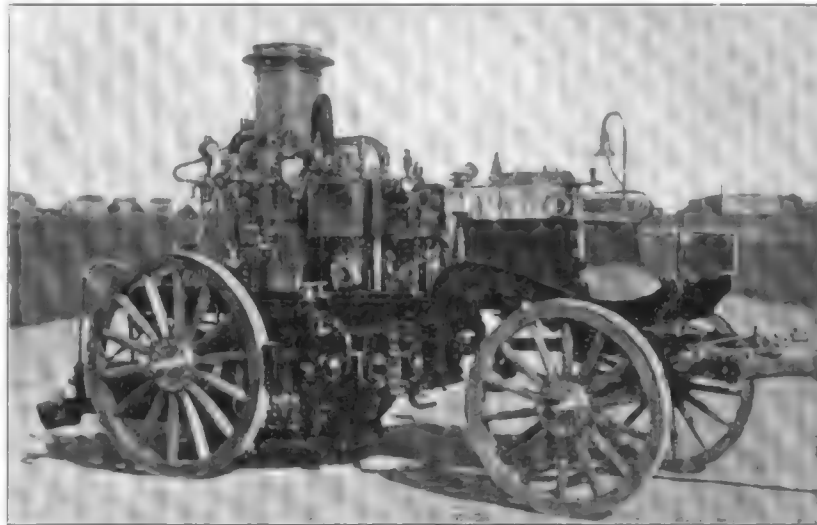
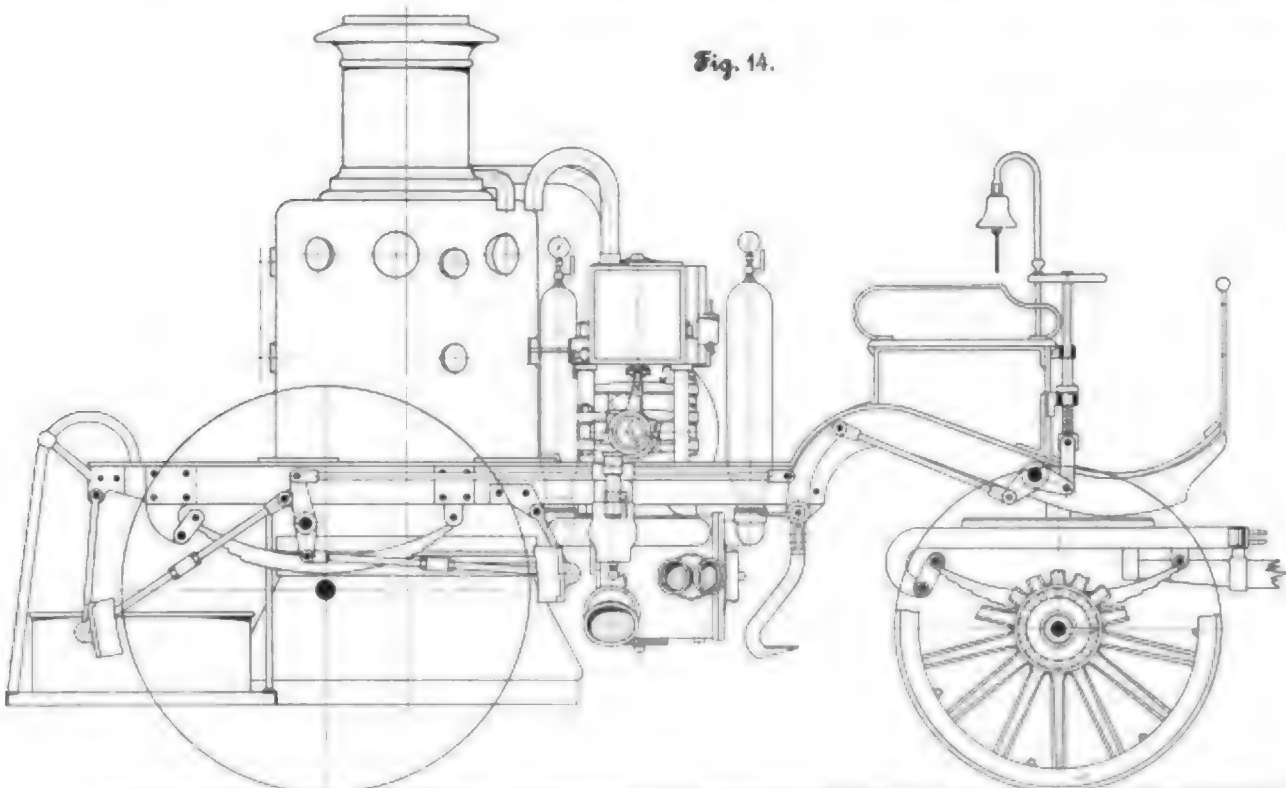


Fig. 14.

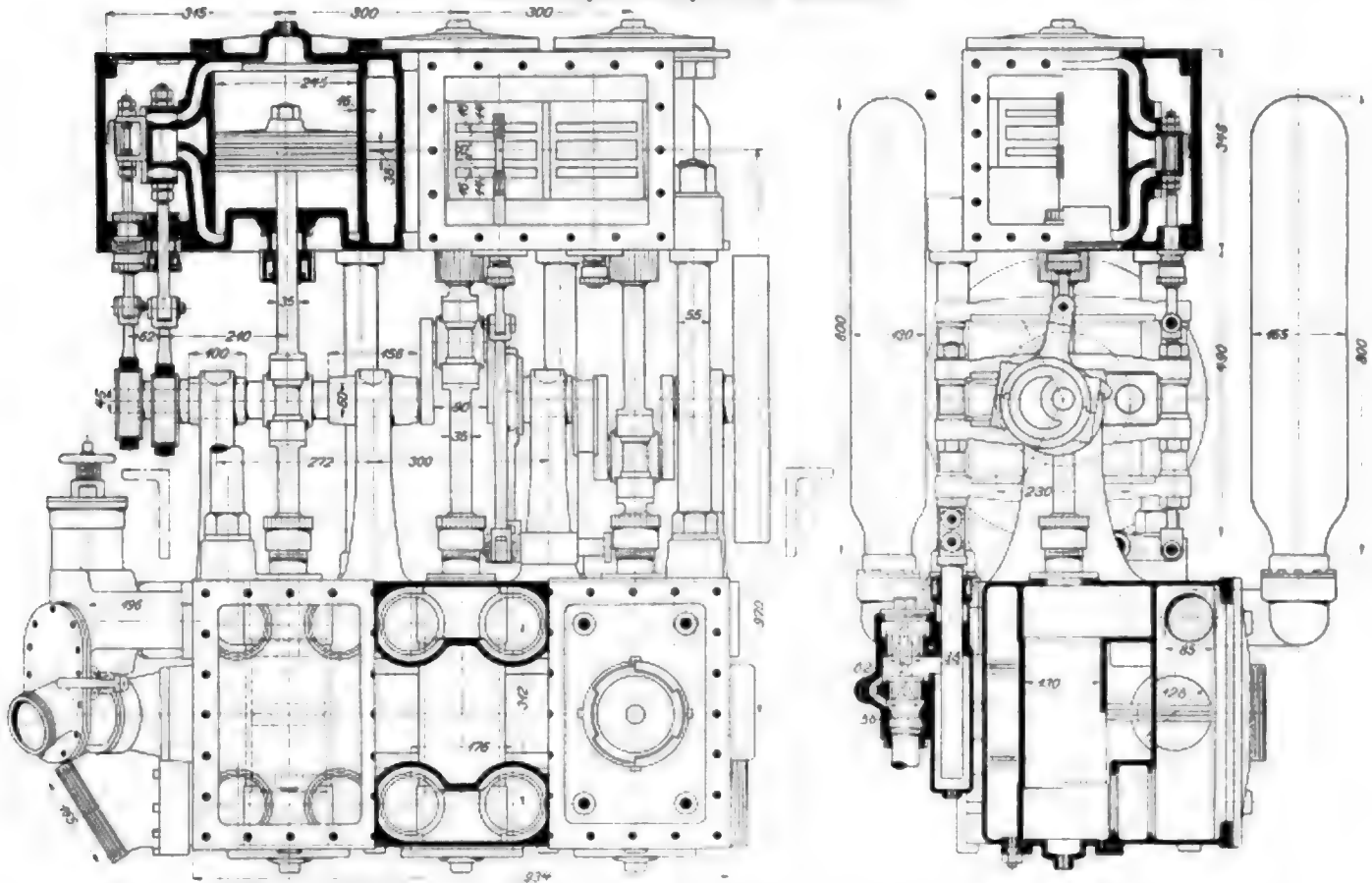


stellt, von der zuerst angeführten Bauart solche für 1500 und 2500 ltr/min. Die Spritze für 2500 ltr/min erhält, wie schon oben erwähnt, ein dreicylindriges Pumpwerk, Fig. 9 bis 11, das ohne Schwungräder ausgeführt wird. Die Windkessel können infolge der Wirkung der drei um 120° versetzten Kurbeln kleiner gehalten werden. In einer Ausführung ist das Pumpwerk wegen der großen Leistung auch mit 3 Saugstutzen ausgeführt. Die Dampfcylinder sind hier durch Säulen mit dem Pumpenkörper verbunden, und dieser unmittelbar an dem Rahmen befestigt. Die 12 Ventile liegen in einem gemeinsamen großen Ventilkasten auf einer Seite der Cylinder. Der Kasten ist mit aufgeschraubten Deckeln versehen, die 3 runde Öffnungen mit Bajonettverschlüssen haben, sodass man die einzelnen Ventilsitze leicht herausnehmen kann. Die Leistung der Maschine, deren Ab-

Der Kessel dieser Spritze hat 11,7 qm Heizfläche und arbeitet mit 15 at Ueberdruck. Zur Erzielung trockenen Dampfes ist in den Schornstein eine Ueberhitzer-Rohrschlange eingebaut. Das vor dem Kessel angeordnete Pumpwerk, Fig. 15 und 16, besteht aus einer dreicylindrigen Verbunddampfmaschine und einer dreicylindrigen, doppeltwirkenden Pumpe. Die Cylinderdurchmesser der Dampfmaschine betragen 245, 185 und 195 mm, die der Pumpe 130 mm, der Kolbenhub 230 mm. Die Maschine macht 250 Uml./min und leistet 118 PS. Ausser dem Hauptdampfabsper Ventil ist noch ein kleineres, vonhand verstellbares Ventil zum Ueberströmen vorgesehen, damit die Maschine bei jeder Stellung der um 120° versetzten Kurbeln anlaufen kann. Die Saug- und Druckstutzen am Pumpenkörper sind doppelt vorgesehen, sodass das Wasser beliebig rechts oder links zu- und abgeführt

Fig. 15 und 16.

Busch: Dreicylinder-Pumpwerk für 5000 ltr/min.



messungen aus den Figuren hervorgehen, beträgt 60 PS. bei 250 Uml./min. Mit einem 35 mm weiten Mundstück schleudert sie einen Strahl von 65 m Höhe und 72 m Wurfweite.

Während bisher Spritzen von 2500 ltr Leistung selbst für die größten Brände als genügend erachtet wurden, macht sich neuerdings das Bedürfnis nach Maschinen mit noch größerer Wasserlieferung und besonders mit größerer Wurfweite bemerkbar. Um allen Zweifeln über die Ausführbarkeit von so großen Maschinen zu begegnen, hatte die Firma eine Spritze, Fig. 12 bis 14, ausgestellt, die bei einem Windkesseldruck bis zu 12 at eine Normalleistung von 4500 ltr/min und eine Höchstleistung von 5000 ltr/min aufweist. Diese Wassermenge wird durch ein Strahlrohr von 50 mm Mundstückdurchmesser 70 m senkrecht in die Höhe und auf eine Wurfweite von 90 m geschleudert.

werden kann. Die äußeren Abmessungen der 5500 kg schweren Spritze sind: 4,7 m Länge, 2,8 m Breite und 3 m Höhe.

Als weitere Besonderheit der Bautzener Fabrik führen wir die in Fig. 17 bis 21 abgebildete, mit eigener Kraft fahrende Dampfspritze an. Die Firma ist mit dem Bau dieser Spritze einem alten Bedürfnis der größeren Feuerwehren nachgekommen, nachdem verschiedene Versuche gute Ergebnisse erzielt haben und in Hannover sogar eine Feuerwache ausschließlich mit Kraftfahrzeugen ausgerüstet worden ist. Alle diese Fahrzeuge, die von der Wagenbauanstalt vorm. Busch geliefert sind, waren nebst einem Modell der Feuerwache ausgestellt. Die inrede stehende Dampfspritze hat zur selbständigen Fortbewegung eine besondere Zwillingsmaschine mit Umsteuerung, die zwischen Kessel und Pumpwerk angeordnet ist. Ihre Bewegung wird auf beiden Seiten durch je

ein Kettengetriebe und ein kleines Zahnrad auf die auf der Hinterradachse sitzenden großen Zahnräder mit Innenverzahnung übertragen. Die Steuervorrichtung entspricht, wie aus den Figuren zu ersehen, den bei Kraftfahrzeugen üblichen¹⁾. Die Fahrdampfmaschine ist durch Handhebel auf verschiedene Fahrgeschwindigkeiten einzustellen. Kessel und Maschine sind die gleichen wie bei den gewöhnlichen Dampfspritzen für 1500 ltr/min Leistung.

Die Ausstellung war von der Bautzener Fabrik außerdem noch mit 4 Kohlenäurespritzen besetzt, die

¹⁾ s. Z. 1900 S. 814

einen 500 ltr fassenden Wasserbehälter und 2 Kohlenäure-Druckflaschen mitführen. Wir erwähnen ferner eine Benzinmotor- und eine

Elektromotorspritze von je 500 ltr/min Leistung, sowie die neben dem Ausstellungsgebäude aufgestellte Schapler'sche Druckluft-Teleskopleiter. Ehe wir die Ausstellung der Bautzener Fabrik verlassen, möchten wir noch auf die dort gezeigten Gegenstände aus Magnalium aufmerksam machen. Das Magnalium soll sich für manche Ausrüstungsteile, wie Strahlrohre, Verteilungstücke, Schlauchkupplungen usw., vorzüglich eignen.
(Fortz. folgt.)

Fig. 17 bis 21. Busch: Selbstfahr-Dampfspritze für 1500 ltr/min.

Fig. 17.

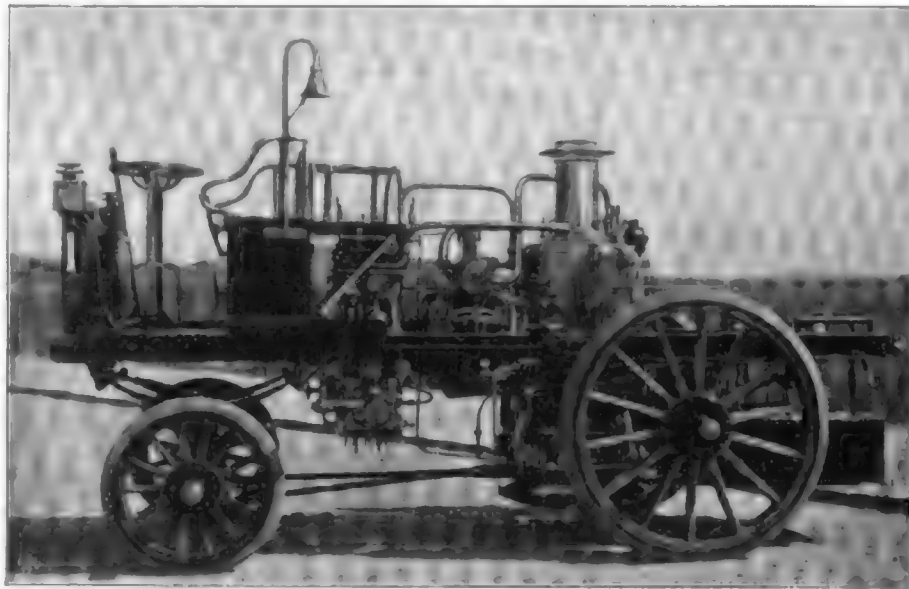


Fig. 18.

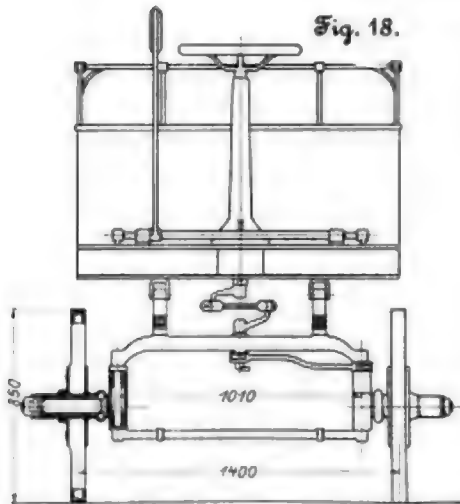


Fig. 19.

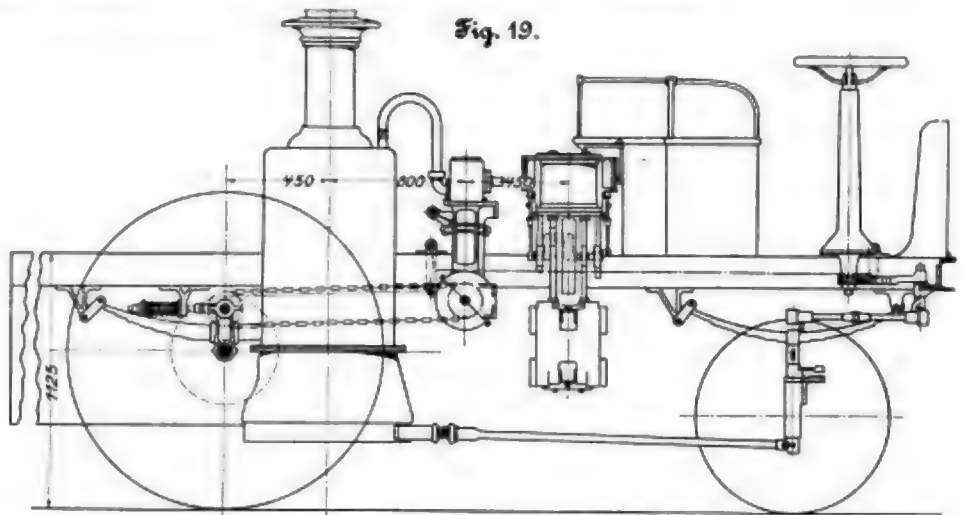


Fig. 21.

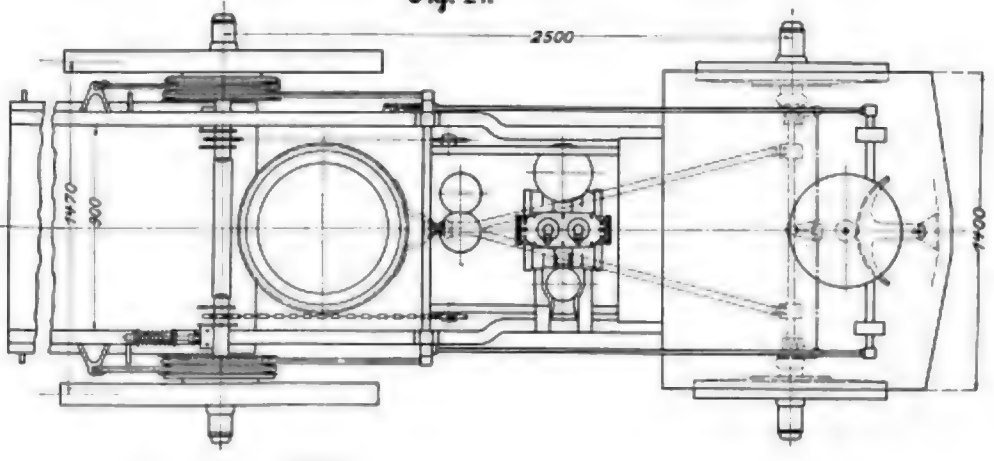
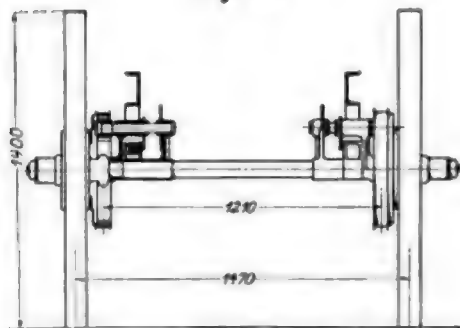


Fig. 20.

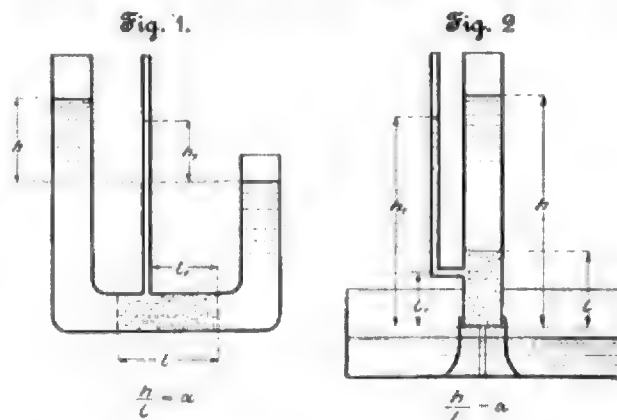


Wasserbewegung durch Boden.

Von Professor Dr. Ph. Forchheimer in Graz.

Wenn der Wasserdruck in Wassersäulenhöhe gemessen wird, so ist bekanntlich in unbewegtem Wasser der Druck überall gleich der Tiefe unter der freien Oberfläche. Trägt man daher von beliebigen Punkten einer ruhenden Wassermasse die in ihnen herrschenden Drücke von ihnen aus lotrecht nach oben auf, so kommt man überall auf die freie Oberfläche. In Wasser, welches durch durchlässige Stoffe oder Bodenschichten sickert, ist dies nicht mehr der Fall; denn nimmt man in ihm die Auftragung von Punkten eines und desselben Stromfadens aus vor, so bilden die Endpunkte der lotrechten Strecken keine wagerechte, sondern eine fallende Linie. Den Höhenunterschied der Endpunkte kann man den vom Wasser erlittenen Druckverlust¹⁾ nennen. Dividirt man den Druckverlust eines kurzen Wasserfadestückes durch die Länge dieses wagerechten, geneigten oder auch lotrechten Stückes, so erhält man einen Bruch, für den der Ausdruck Gefälle zutrifft. Letzteres möge mit α bezeichnet werden. Es werde ferner unter Filtergeschwindigkeit v die Wassermenge verstanden, die in der Zeiteinheit durch die Flächeneinheit des winkeltrecht zu den Stromfäden gedachten Querschnittes des porigen Körpers oder Bodens sickert, die also weit kleiner als die wahre Geschwindigkeit in den Poren oder Hohlräumen ist. Der Zusammenhang von α und v lässt sich unmittelbar beobachten, wo Wasser unter geringem Gefälle in Bewegung ist, indem hier das Oberflächengefälle als das Gefälle betrachtet werden kann, welches in der ganzen Masse herrscht²⁾. Versuche im großen und kleinen³⁾, wie die Betrachtung der parabolischen Oberfläche eines Grundwasserstromes (Fig. 8) oder des Trichters bei Entnahme aus einem Brunnen (Fig. 9), haben zu der Ansicht geführt, dass im allgemeinen α und v proportional seien. Mit dieser Ansicht steht auch die Erfahrung im Einklange, dass die Spiegelsenkungen in Brunnen zunächst den geschöpften Wassermengen proportional wachsen. Am bekanntesten sind hierauf bezügliche Beobachtungen von Thiem, welcher in Leipzig⁴⁾ bis zu 31 ltr/sk Entnahme und 6,19 m Spiegelsenkung, in Nürnberg⁵⁾ bei einem Brunnen bis zu 1,68 ltr/sk und 0,58 m, bei einem andern bis zu 3,5 ltr/sk und 1,54 m, in Riga⁶⁾ in mehreren Bohrbrunnen und wohl auch anderwärts die genannte Beziehung bemerkte. Auch Laboratoriumsproben⁷⁾ fehlen nicht zur Bestätigung. Doch ist, streng genommen, wenn α und v proportional sind, das Verhältnis von Senkung und Entnahme bei Brunnen nur angenähert unveränderlich, indem es nach der Theorie bei zunehmender Schöpfmenge allmählich immer stärker wachsen muss, und zwar um so auffallender, je leichter der wasserführende Boden ist. Die Grundwasserbeobachtungen können nur für die Vorgänge bei geringem Gefälle, also entsprechend kleiner Geschwindigkeit, Anschluss geben. Von dieser Einschränkung kann man sich freimachen, wenn man den Zusammenhang von α und v ermittelt, indem man durch Sand oder andere Bodenarten filtert und die Durchflussmenge misst. Schliesst hierbei das Filter, Fig. 1, beidseitig an mit Wasser gefüllte Räume an, so ist nämlich — abgesehen von einem gleich zu erwähnenden Umstande — als Gefälle α das Verhältnis des Höhenunterschiedes h der vor und hinter dem Filter liegenden Wasserspiegel zur Filterdicke l zu betrachten, während, wenn die Schüttung auf einem Siebe aufliegt, von dem das Wasser

frei abtropft, Fig. 2, das Verhältnis der Höhe h der freien Wasseroberfläche über dem Sieb zur Filterdicke l zum Gefälle wird. Während man bei der ersten Anordnung das Gefälle $\alpha = \frac{h}{l}$ beliebig groß oder klein machen kann, muss es bei der zweiten, wenn das Sieb nicht in ein mit Wasser gefülltes Untergefäß taucht, stets > 1 sein. Wirken noch besondere Kräfte beim Eintritte in das Filter oder beim Austritte, so würde die dargelegte Auffassung des Gefälles nur noch unvollkommen zutreffen. Zwar haben gerade die zuverlässigsten Versuche, wenigstens für den Fall, dass Sand beidseitig an reines Wasser grenzt, solche Kräfte nicht nachgewiesen; aber



andererseits wurde auch mehrfach beobachtet, dass sich leicht eine dichtende Decke bildet, sodass es sich empfiehlt, ein Standrohr einzuschalten, also z. B. in den abgebildeten Vorrichtungen $h_1:l_1$ statt $h:l$ zu ermitteln.

Darcy⁸⁾ dürfte zuerst, und zwar aufgrund eigener Versuche, nachgewiesen haben, dass die von Girard entdeckte Proportionalität von Ausflussmenge und Druckverlust und hiermit die von v und α auch beim Sand stattfindet, also Analogie mit dem Poiseuilleschen⁹⁾ Gesetze besteht, nach welchem die Durchflussmenge in Haarröhren (als solche benutzte Poiseuille Röhren von Bruchteilen eines Millimeters Weite) wie das Produkt aus dem Gefälle in die vierte Potenz des Durchmessers oder die mittlere Geschwindigkeit wie das Produkt aus dem Gefälle in das Quadrat des Durchmessers zunimmt. Ihm folgte Weis¹⁰⁾, der sich durch Versuche von der Proportionalität überzeugte, obwohl sie seinen theoretischen Ansichten widersprach. Hagen¹¹⁾ fand, dass man bei Berechnung des Gefälles, mit welchem die Durchflussmenge in gleichem Verhältnis wächst, von der Druckhöhe einen Abzug (von 4 cm bei seinem Sande) machen muss, und erklärte ihn durch die Kapillarröhre, obwohl Wasser über seinem Filter stand und die Tropfenbildung unter letzterem schwerlich 4 cm Druckhöhe aufzehren konnte. Duclaux¹²⁾ zeigte unter andern, dass auch bei Sickerung durch porige Platten,

¹⁾ Darcy, Les fontaines publiques de la ville de Dijon, 1856 S. 590 u. f., wiedergegeben »Civilingénieur« 1865 Sp. 187 u. f.

²⁾ Bericht über seine Arbeit: Annales de chimie et de physique, 3. Ser. Bd. 7 1843 S. 62. Dass die Durchflussmenge näherungsweise der vierten Potenz des Durchmessers proportional sei, hatte bereits Hagen, dessen engstes Rohr 1,27 mm weit war, angegeben; Poggen-dorffs Annalen Bd. 46 1839 S. 423 u. f. Nach Delemer, Thèses présentées à la faculté de Sciences, Paris 1895, S. 63, ist der Druckverlust proportional der Summe aus der Haarröhrlänge und dem 1,7fachen Durchmesser und bedarf die Herstellung der mittleren Geschwindigkeit v Abzuges eines Druckhöhenaufwandes $1,12 v^2 : g$.

³⁾ Civilingénieur 1865 Sp. 199, 203.

⁴⁾ Hagen, Handbuch der Wasserbaukunst I. Th. I. Bd. 3. Aufl. 1869 S. 233 u. f.

⁵⁾ Annales de chimie et de physique 4. Ser. Bd. 25 1872 S. 458

⁶⁾ Diese Bezeichnung setzt voraus, dass das Eigengewicht des Wassers = 1 sei, kann also genau genommen nur für 4° C zutreffen.

⁷⁾ Forchheimer, Zeitschr. d. österr. Ingen.-u. Arch.-Ver. Jahrg. 50 1898 S. 629.

⁸⁾ Ders. ebenda S. 634; Fossa-Mancini, Annales des ponts et chaussées 1820 I. Sem. S. 819.

⁹⁾ Thiem, Wasserversorgung der Stadt Leipzig, Leipzig 1879, S. 50 Hl. 16.

¹⁰⁾ Ders., Wasserversorgung der Stadt Nürnberg, Leipzig 1879, S. 26 Hl. 5.

¹¹⁾ Ders., Bericht über d. neuen Bezugsquellen f. Wasserversorgung der Stadt Riga, München 1883, S. 73 u. f.

¹²⁾ Thévenet, Annales des ponts et chaussées 1894 I. Sem. S. 204.

und Rostalski¹⁾, dass bei solcher durch verzweigte Haarröhren das Verhältnis der Filtergeschwindigkeit zum Gefälle unveränderlich sei. Trägt man die Beobachtungsergebnisse von Havrez²⁾, der einen weniger einfachen Zusammenhang annahm, zeichnerisch auf³⁾, so wird man wieder auf die Proportionalität geführt. Aus Versuchen von Seelheim mit sorgfältig von allen fremden Bestandteilen, auch den löslichen Silikaten, befreitem Quarzsand geht für letzteren⁴⁾ hervor, dass wenn d_m den Durchmesser des in eine Kugel umgeformt gedachten Kornes von mittlerem Gewichte in mm bedeutet, bei 12° C die Filtergeschwindigkeit

$$v = 325 d_m^2 \alpha \text{ m/Tag}$$

ist. Hierbei sind nach Seelheim bei Berechnung des Gefälles 57,8 mm von der Druckhöhe abzuziehen⁵⁾, wenn der Wasserspiegel innerhalb der Sandschicht liegt. Bei Thon sei zu beachten, dass aufgeschlämmt Thon bei ruhigem Absetzen unten weniger Wasser als oben aufnimmt, während er beim Absetzen unter Erschütterungen gleichartig ausfällt. Thon oder Kreide fange erst an durchzulassen, wenn der Druck eine von der Schichtdicke abhängige Grösse erreicht; so seien 1,5 mm dicke Lagen von 3 oder 4 Gewichtsteilen Thon und 1 Wasser für 1,5 m Druck noch undurchdringlich. Ferner folgt aus Seelheims Arbeit⁶⁾, dass in einem Gemenge von V_1 Raumteilen Thon (Eigengewicht 2,32) von der Zusammensetzung Al_2O_3 , 2 SiO_2 + 2,5 H_2O und V_2 Raumteilen Wasser für V_1 zwischen $1\frac{1}{2}$ und 2 bei 12° C

$$v = 0,0011 \frac{V^2}{V_1(V_1 + V_2)} \alpha \text{ m/Tag}$$

ist⁷⁾. Für reinen kohlensauen Kalk in Form geschlämmter Kreide gilt bei derselben Temperatur ungefähr⁸⁾, wenn V_1 die Raunteile kohlensauen Kalk bedeutet,

$$v = 0,0023 \frac{V^2}{V_1(V_1 + V_2)} \alpha \text{ m/Tag,}$$

und für Gemenge von Thon und Kalk ist nach dem genannten Forscher die Unveränderliche proportional den Raunteilen beider Stoffe, also mit $(0,0011 V_1 + 0,0023 V_2) : (V_1 + V_2)$ zu bewerten. Tritt noch Sand hinzu, so verringert er den zur Verfügung stehenden Querschnitt; hiernach musste sich z. B. für ein Gemenge von V Raunteilen Wasser, V_1 Sand, V_2 Thon und V_3 Kalk, weil der Sandzusatz den Querschnitt im Verhältnis von $V + V_1 + V_2$ zu $V + V_1 + V_2 + V_3$ verkleinert, die Filtergeschwindigkeit

$$v = \frac{V + V_1 + V_2}{V + V_1 + V_2 + V_3} \cdot \frac{0,0011 V_1 + 0,0023 V_2}{V_1 + V_2} \cdot \frac{V^2}{(V_1 + V_2)(V + V_1 + V_2)} \alpha \text{ m/Tag}$$

$$= \frac{(0,0011 V_1 + 0,0023 V_2) V^2}{(V + V_2 + V_1 + V_3)(V_1 + V_2)^2} \alpha \text{ m/Tag}$$

zeigen¹⁾. Umfassendere Versuche mit sehr quarzreichem Sand aus der Rems (einem Nebenfluss des Neckars), den er durch Siebe in 6 Sorten zerlegte, hat Kröber²⁾ vorgenommen und eine Formel aufgestellt, nach der bei feinem Korn die Filtergeschwindigkeit und das Gefälle aneinander proportional sind. Clavenad und Bussy³⁾ füllten Sand aus der Rhone bei Lyon, aus dem die groben Kiesel entfernt worden waren, in wagerechte Röhren und ermittelten $v = 157 \alpha - 52$ bzw. $150 \alpha - 47$ (in m/Tag), wobei die Abzüge 52 und 47 von der Bildung einer dichtenden Decke an der Eintrittsstelle stammten, während sie für den dortigen natürlichen Untergrund aus Erhebungen an einem Filtergange, zwei Sammelbecken und mehreren Brunnen $v = 164 \alpha$ ableiteten. Ueber die lotrechte Sickerung durch Münchener Kiesboden, der durch Siebe in 6 Sorten zerlegt worden war, stellte v. Welitschkowsky⁴⁾ Versuche an. Da er aber nicht die Gefälle ausrechnete, sondern nur die jedesmalige Höhe des

Zahlentafel I.
v. Welitschkowskys Versuche.

Korndurchmesser in mm	kleiner als $\frac{1}{2}$				$\frac{1}{2}$ bis 1				1 bis 2			
	50		25		100		25		100		25	
	Gefälle	Durchlässigkeit	Gefälle	Durchlässigkeit	Gefälle	Durchlässigkeit	Gefälle	Durchlässigkeit	Gefälle	Durchlässigkeit	Gefälle	Durchlässigkeit
Temperatur 6 bis 9° C		m/Tag		m/Tag		m/Tag		m/Tag		m/Tag		m/Tag
Anm. In der Quelle ist sowohl 0,1 als 0,15 in als Durchmesser der Filtersäule angegeben; bei der Berechnung der Durchlässigkeiten wurde 0,1 als richtig angenommen.	1,01	0,0200	1,02	0,016	1,006	13,4	1,02	16,0	1,005	161,3	1,02	180,3
	1,2	0,0199	1,4	0,0249	1,2	16,0	1,4	17,8	1,1	168,5	1,4	180,2
	1,4	0,0183	1,8	0,0245	1,1	18,0	1,6	17,8	1,2	167,0	1,8	180,0
	1,6	0,0198	2,2	0,0250	1,3	13,8	2,2	18	1,3	165,9	2,2	177,9
	1,8	0,0194	2,6	0,0255	1,4	15,6	2,6	18,9	1,4	165,4	2,6	177,0
Die Versuchsreihe mit 1 bis 2 mm Korndurchmesser und 25 cm Schichtdicke ist in Fig. 3 eingetragen.	2	0,0193	3	0,0251	1,5	15,4	3	18,7	1,5	164,9	3	176,1
	2,2	0,0200	3,4	0,0248	1,6	15,5	3,4	18,8	1,6	164,6	3,4	175,7
	2,4	0,0191	3,8	0,0256	1,7	13,4	3,8	18,9	1,7	164,5	3,8	175,6
	2,6	0,0183	4,2	0,0258	1,8	15,4	4,2	19	1,8	164,3	4,2	175,3
	2,8	0,0196	4,6	0,0259	1,9	15,3	4,6	19	1,9	166,6	4,6	174,8
	3	0,0189	5	0,0260	2	15,0	5	19,1	2	166,1	5	174,5

¹⁾ Rostalski, Die Erweiterung des Poiseuilleschen Gesetzes auf verzweigte Kapillarröhren. Inaug.-Diss. Breslau 1878 (nach Beiblättern zu den Annalen Bd. II 1878 S. 677).

²⁾ Revue universelle des mines usw. Bd. 35 1874 I. Sem. S. 469 u. f.

³⁾ Forchheimer in Zeitschr. d. Archit.- u. Ingen.-Vereins zu Hannover Sp. 539; ders., Ergiebigkeit von Brunnenanlagen und Sickerzilitzen, Hannover 1886, S. 4.

⁴⁾ Zeitschrift für analytische Chemie 1880 19. Jahrg. S. 387 u. f.; nach Umrechnung auf das hier gewählte Maßsystem.

⁵⁾ Ebenda S. 397.

⁶⁾ Seelheim fand die Durchlaufmenge proportional $V^2 : (V + V_1)$ und setzt einfach diesen Bruch als Faktor in die Formel für die Durchlaufmenge ein, obwohl er vom Maßsystem abhängig ist. Nun zeigt eine nähere Durchsicht, dass Seelheim sich bei den Versuchen stets der gleichen Menge Thon, also des gleichen V_1 bedient hat; es ist daher $V^2 : (V + V_1)$ statt jenes Bruches zu setzen. Die Nachrechnung liefert dann die Zahl 0,0011.

⁷⁾ Dass, insbesondere in lehmigen Erden, die Durchlässigkeit durch Entstehung des Hydrosols, welches eine Gallerte bildet, sehr beeinträchtigt werde, betont Moormann, Journ. f. Gasbeleuchtung und Wasservers. Bd. 37 1894 S. 409, 430.

⁸⁾ Eine genaue Nachrechnung der betreffenden Versuche ist bei dem Kalk nicht möglich.

oberen Wasserspiegels über der Sandfläche berücksichtigte, erscheinen seine Ergebnisse unklar. Die Einführung des Gefälles liefert für die feineren Sorten die vorstehende Zahlentafel, in welcher das Verhältnis der Filtergeschwindigkeit zum Gefälle, also $v : \alpha$, mit Durchlässigkeit bezeichnet ist.

Da sich die Sickerungen bei Umschüttung des Sandes außerordentlich ändern können, häufig auch ohne äußerlich erkennbare Umlagerung schwanken und Temperaturunterschiede von 3° C bei ihnen Unterschiede von 9 vH hervorrufen, sprechen diese Zahlen zunächst für die Unabhängigkeit der Durchlässigkeit vom Gefälle. Wollny¹⁾ stellte fest,

¹⁾ Da Seelheims Einzelausdrücke für die durch Thon und Kalk sickernden Mengen anders als die oben gegebenen lauten, berechnet er auch die Durchlässigkeit des Gemenges etwas abweichend. Die hier entwickelte Formel stimmt mit seinen Versuchen aber ebenso gut wie seine Berechnungsweise.

²⁾ Z. Bd. 28 1884 S. 593, 617 u. f.

³⁾ Annales des ponts et chaussées I. Sem. 1890 S. 281 u. f.

⁴⁾ Archiv für Hygiene Bd. 2 1884 S. 498 u. f.

⁵⁾ Forschungen auf dem Gebiete der Agrarkulturphysik Bd. 14 1891 S. 1 u. f.

erste derselben ist eine Zusammenstellung von umgerechneten Auszügen aus 10 Zahlentafeln, in welchen King¹⁾ Versuche, die er mit ausgewaschenem und gesiebttem Sand aus abgerundeten, ungefähr gleich großen Körnern vornahm, darlegt; die zweite ist aus der ersten durch Aufsuchen der Mittelwerte der Temperaturen und Durchlässigkeiten unter Berücksichtigung

Zahlentafel V.

Vergleich der Formeln von Hazen und Slichter für gleichmäßiges Korn.

Nr. der Sandsorte	Temperatur t = Mittel aus den beobachteten Temperaturen	Mittel aus den beobachteten Durchlässigkeiten	Temperaturfaktor (0,7 + 0,03 t) nach Hazen	Durchlässigkeit nach Hazens Formel 1000 d ₁₀ ² (0,7 + 0,03 t)	Porenverhältnis n	log K nach Slichter für bestehende n	Durchlässigkeit nach Slichters Formel unter Berücksichtigung der Temperatur $\frac{1}{6174} d^2 (0,7 + 0,03 t)$	Durchlässigkeit bei 15° C und 0,1 Gefälle nach Slichters eigener Berechnung
m	°C	m/Tag					m/Tag	m/Tag
36 2,540	15,23	3182 ²⁾	1,1560	7464	39,71	1,3184	2407	2294
37 1,808	15,30	1148	1,1614	3797	39,40	1,3276	1129	1061
38 1,451	15,30	811	1,1560	2434	39,07	1,3189	782	811
39 1,217	15,18	582	1,1554	1711	39,74	1,3184	552	590
40 1,005	17,41	528	1,2233	1466	40,12	1,3036	489	537
41 0,9149	16,01	352	1,1989	1003	39,40	1,3208	315	361
42 0,7988	16,11	221	1,1832	755	37,77	1,3685	207	228
43 0,7148	16,32	148	1,1890	607	35,21	1,4913	132	145
44 0,6006	16,05	101	1,1995	438	34,33	1,5263	86,5	102
45 0,5169	16,32	76	1,1896	318	35,54	1,4778	71,0	77,0

¹⁾ Ebenda S. 231 bis 240.

²⁾ Bei Sorte 36 ist nur das geringste Gefälle berücksichtigt.

³⁾ Nach S. 244, unter Richtigstellung eines Dezimalzeichenfehlers.

des Temperatureinflusses (der später noch zur Sprache kommen wird) abgeleitet.

Ein Blick auf die letzte Zahlentafel lehrt, dass Slichters Formel (3) gut entspricht, während Hazens Gl. (1) drei- bis viermal zu große Durchlässigkeiten liefert. Das kommt zum Teil daher, dass Gl. (1) für möglichst leichte Schüttung gilt, also ein Porenverhältnis $\mu = 47$, und demnach nach Slichter $K = 11,829$ verlangen würde, während King beim Eintragen fortgesetzt leise stampfte und, wie oben ersichtlich, μ zwischen 34,33 und 40,12, also K zwischen 33,6 und 20,1 schwankte; aber auch die Multiplikation der beobachteten mittleren Durchlässigkeit mit dem Verhältnis $K:11,829$ giebt noch nicht so viel wie Hazens Formel, wie Zahlentafel VI zeigt.

Freilich zeigte die Vorrichtung Kings den Druckverlust einschließlich eines etwaigen Eintrittswiderstandes, konnte also zu große Gefälle angeben; bei den grusfreien Sanden aus lauter gleich großen Körnern dürfte sich jedoch schwerlich eine dichtende Decke gebildet haben, und so muss bis auf weiteres geschlossen werden, dass Hazens Formel bei solchen tatsächlich $1\frac{1}{2}$ - bis 2mal zu große Filtergeschwindigkeiten ergibt.

Bei weiteren Hohlräumen verliert auch das Proportionalitätsgesetz seine Gültigkeit; so fand Kröber, dass bei größerem Korn die Filtergeschwindigkeit schwächer als das Gefälle wächst. Nach ihm ist (wenn seine Formel etwas vereinfacht wird) nämlich

$$v = 1,728 d_m \left[\frac{\alpha}{900} \right]^{8+2 d_m} \text{ m/sk,}$$

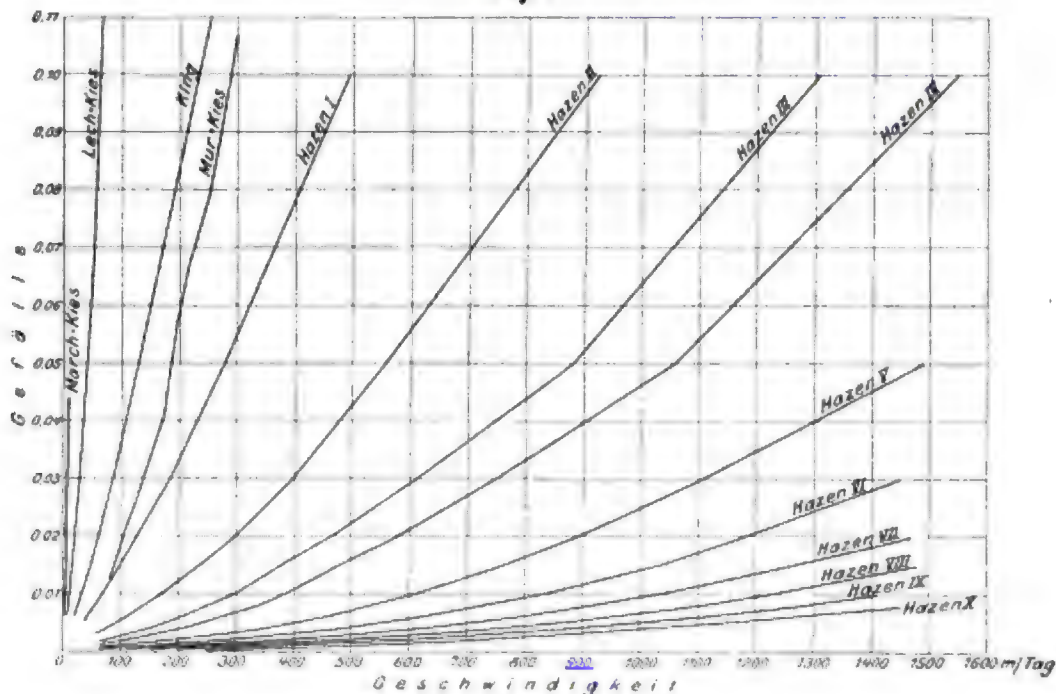
oder

$$v = 149300 d_m \left[\frac{\alpha}{900} \right]^{8+2 d_m} \text{ m/Tag} \quad (4),$$

Zahlentafel VI.

Sandsorte Nr.	36	37	38	39	40	41	42	43	44	45
log [K:11,829]	0,2455	0,2517	0,2460	0,2455	0,2307	0,2269	0,2166	0,2148	0,2034	0,2049
Durchlässigkeit bei looserer Schüttung nach Hazens Formel	5600	2064	1429	1024	828	616	457	388	287	193
	7464	3797	2484	1711	1466	1008	755	607	453	318

Fig. 4.



Zahlentafel VII.
v. Welitschkowskys Sand von 4 bis 7 mm Korn.

Gefälle α	1,007	1,02	1,12	1,2	1,28	1,4	1,52	1,6	1,68	1,8	1,93	2
Geschwindigkeit v m/Tag	1903	1961	2051	2140	2245	2367	2522	2579	2714	2805	3020	2997
Durchlässigkeit k	1890	1920	1839	1780	1750	1690	1660	1613	1616	1558	1566	1499

sodass beispielsweise für einen mittleren Korndurchmesser $d_m = 2$ mm die Filtergeschwindigkeit $v = 515 \alpha^{3/6}$ würde. Kröbers Versuche mit Grobsand sind in Fig. 3 eingetragen, und zwar war es Sand vom mittleren

Korndurchmesser in mm 0,34 0,57 0,70 0,90 0,90 1,35 2,10 1,16 3,80 4,56 bei dem sich die Kurven I II III IV V VI VII VIII IX X

ergaben.

Ähnlich findet sich, wie man sich durch Ausrechnen von Gefälle, Geschwindigkeit und Durchlässigkeit nach von Welitschkowskys gut untereinander stimmenden Beobachtungen von Sand von 4 bis 7 mm Korn in 25, 50, 75 und 100 cm dicker Schicht überzeugen kann, die Abnahme der Durchlässigkeit bei wachsendem Gefälle (wenn zugleich für benachbarte Gefälle die Mittel aufgesucht werden) laut Zahlen-tafel VII.

Hazen sagt, dass das verminderte Wachstum von v be-ginne, wenn der wirksame Durchmesser d_m größer als 3 mm wird, dass also bei größerem Sand im Ausdruck $v = k\alpha$ die Durchlässigkeit k abnehme, wenn das Gefälle und mit ihm die Geschwindigkeit zunimmt. Er giebt nachstehende, bei 10°C beobachtete, von ihm übrigens nicht als endgültig er-klärte Werte von v , welche ebenfalls in Fig. 4 eingetragen sind.

Zahlentafel VIII.
Hazens Versuche mit Grobsand.

		wirksamer Korndurchmesser in mm, d. h. $\frac{1}{10}$ des Sand-gewichtes hat einen kleineren Durchmesser als									
		3	5	8	10	15	20	25	30	35	40
Sandbezeich-nung in Fig. 4		I	II	III	IV	V	VI	VII	VIII	IX	X
		Filtergeschwindigkeit v									
Gefälle α	m/Tag	m/Tag	m/Tag	m/Tag	m/Tag	m/Tag	m/Tag	m/Tag	m/Tag	m/Tag	m/Tag
0,0005	3,5	10	20	30	50	80	110	150	200	250	
0,001	7	21	41	53	100	148	205	275	370	450	
0,002	14	40	78	110	190	275	370	480	590	710	
0,004	27	77	150	208	350	480	610	740	870	1000	
0,006	41	112	207	275	450	620	780	930	1090	1240	
0,008	54	142	252	340	530	730	900	1090	1270	1450	
0,010	67	173	300	385	610	830	1030	1220	1410		
0,015	98	238	378	480	760	1030	1260	1480			
0,2	127	300	467	580	890	1180	1470				
0,03	185	400	615	750	1110	1450					
0,05	280	560	885	1060	1490						
0,1	495	930	1310	1550							

(Schluss folgt.)

Nachtrag zum Bericht über die Werkzeugmaschinen auf der Weltausstellung in Paris 1900.

Von Hermann Fischer.

Als ich die Ausstellung besuchte, waren manche Gegen-stände noch nicht fertig aufgestellt, sodass ich keine Gelegen-heit hatte, sie kennen zu lernen. Von den mir nachträglich bekannt gegebenen Maschinen beschreibe ich die folgenden, weil sie meiner Ansicht nach bemerkenswerte Neuheiten ent-halten.

1) Warner & Swaseys Drehbank mit Stahlwechsel ist im American Machinist vom 6. April 1901 S. 305 beschrie-ben; den Herren Schuchardt & Schütte in Berlin verdanke ich einige nähere Angaben über Einzelheiten.

Zunächst ist diese Maschine bestimmt, stangenartige, in der hohlen Arbeitsspindel befestigte Werk-stücke an dem frei herausragenden Ende zu bearbeiten und das fertige Stück abzu-stecken, worauf das rohe Werkstück um den zugehörigen Be-trag vorgeschoben und ein zweites Stück bearbeitet wird. Zweckmäßige Ein-richtungen für das Vorrücken und Fest-halten solcher stangenartiger Werkstük-ke sind schon früher bekannt gegeben¹⁾;

¹⁾ Jones & Lamson, Z. 1892 S. 578 und 1876 m. Abb.; Warner & Swasey, American Mach. 30. März 1899 S. 249 m. Schaubild.

die vorliegende Drehbank enthält Verbesserungen. Ferner soll sie zum Bearbeiten von Gegenständen dienen, die im Futter oder an der Planscheibe befestigt sind. Für diesen Zweck enthält die Drehbank eine Neuheit, welche als ihre wesentlichste bezeichnet werden kann: andere Drehbänke mit Stahlwechsel bedürfen langer, aus dem Stahlwechselkopf weit hervorragender Arme, um längere Werkstücke zu bearbeiten¹⁾, während sich bei der hier betrachteten Drehbank die Stichel auch bei der Bearbeitung sehr langer Werkstücke sehr nahe der Stützfläche des Stahlwechselkopfes befinden, also eine durchaus sichere Lage haben.

Fig. 1.

Drehbank von Warner & Swasey.

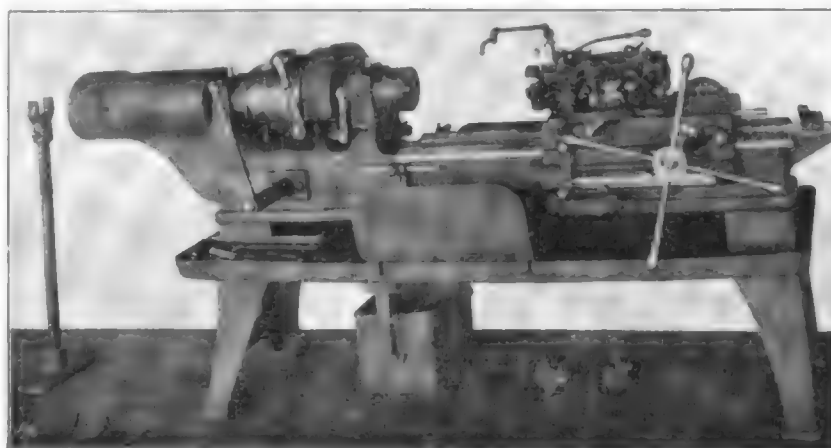


Fig. 1 ist eine Ge-samtansicht der Dreh-bank, Fig. 2 bis 5 stellen den Bettchlit-ten b nebst Stahl-wechselkopf a geo-metrisch dar. Man sieht aus Fig. 3 und 4 insbesondere, dass der Stahlwech-selkopf ausfen ein sechseckiges Prisma bildet. An seinen Außenflächen wer-den die verschiede-nen Werkzeughalter befestigt, wobei zum-teil die genau herge-stellten Löcher des Kopfes zum raschen Ausrichten der Werk-

¹⁾ Vergl. Z. 1900 S. 1167 und 1163 m. Abb.

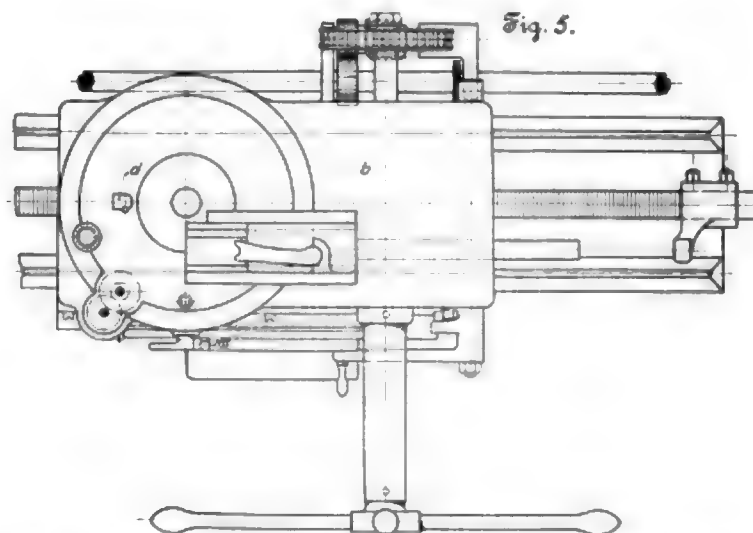
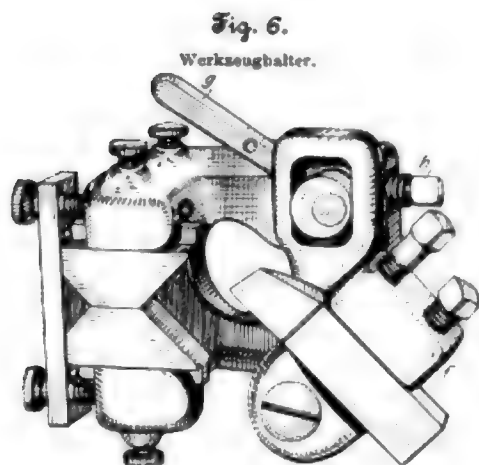
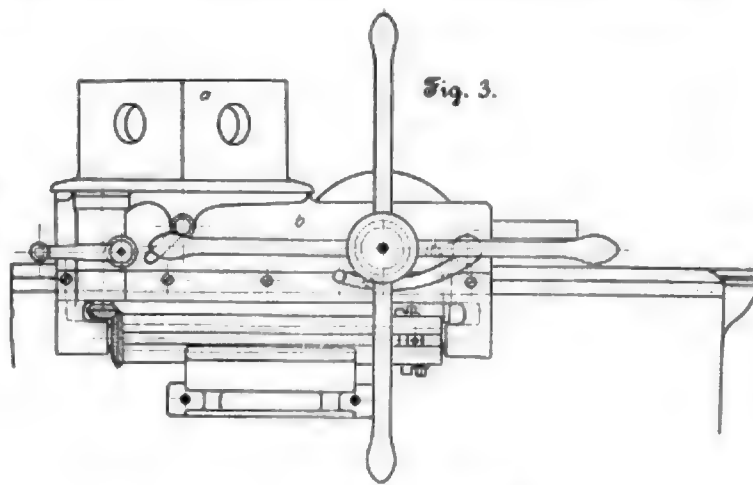
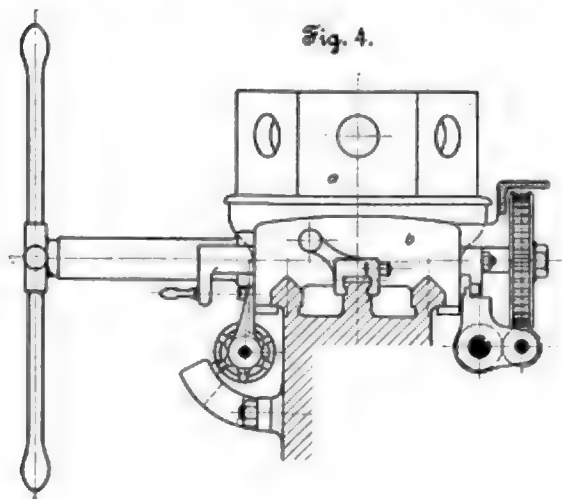
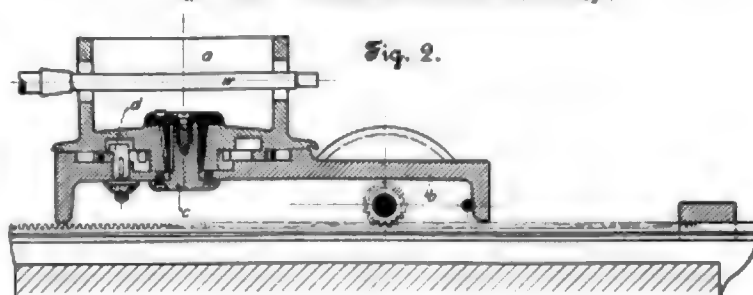
zeughalter dienen. Der Kopf *a* ruht mit seiner Grundfläche von 385 mm Dmr. auf der Bettplatte und dreht sich um den an ihr befestigten Zapfen *c*, Fig. 2. Er kann durch die Hakenschaube *d*, deren als Kegelrad ausgebildete Mutter durch einen an der Vorderseite der Bettplatte befindlichen Hebel zu drehen ist, ganz nahe an der Arbeitstelle gegen die Bettplatte gedrückt werden, um auch bei ganz schweren Schnitten jedes Zittern des Kopfes unmöglich zu machen. Der Drehzapfen *c* ist nun so kurz, dass sich seine oberste Begrenzung unter den Löchern des Kopfes befindet, also lange Werkstücke *w* frei durch den Kopf hindurch gesteckt werden können. Diese Einrichtung befähigt die Drehbank zur Bearbeitung langer Bolzen, Kolbenstangen und dergl.

Fig. 6 stellt einen am Kopf *a* zu befestigenden Werkzeughalter dar, und zwar einen zum Abdrehen walzenförmiger Gestalten geeigneten. Der eigentliche Stichelhalter *f* ist an der Platte, die an dem Kopf *a* befestigt wird, um einen Bolzen drehbar und wird durch einen mit dem Handhebel *g* verbundenen, in einen Schlitz von *f* greifenden Daumen gegen

werden. Ihre Führungsleisten sind einseitig gelegt, sodass man die stützenden Flächen der Klötze entweder den früheren oder den soeben entstandenen Flächen des Werkstückes darbieten kann.

Fig. 7 zeigt die Anordnung der Abstechstichel. Sie sind an einem Schlitten befestigt, welcher längs der am Stahlwechselkopf zu befestigenden Platte mithilfe von Zahnstange und Rad durch den oben sichtbaren Handhebel verschoben

Fig. 2 bis 5. Bettchlitten und Stahlwechselkopf.



das Werkstück geführt; das Spitzende der Schraube *h* begrenzt die Linksschwenkung des Stichelhalters. Es ist somit leicht, den Stichel für den Rückgang des Bettchlittens zurückzuziehen, um Vorletzungen der fertig gedrehten Fläche zu verhüten und ihn für neue Arbeit genau an den vorigen Ort zu bringen. Gegenüber dem Stichel befinden sich glasharte, zur Stützung des Werkstückes dienende Klötze. Mithilfe zweier Schrauben mit gerändelten Köpfen können diese die sogenannte Brille ersetzenden Klötze genau eingestellt

werden kann. Unten bemerkt man im Bilde zwei einstellbare Anschlagschrauben, welche die Verschiebung der Stichel begrenzen. Bei andern Drehbänken pflegen die Abstechstichel auf einem besonderen Bettchlitten oder doch so angebracht zu sein, dass sie zwischen dem Spindelstock und dem Drehkopf bleiben. Das ist oft lästig, erschwert insbesondere die Zugänglichkeit des Werkstückes; bei der vorliegenden Anordnung fällt dieser Uebelstand fort.

Das am Stahlwechsel- oder Drehkopf befindliche Gewinde-

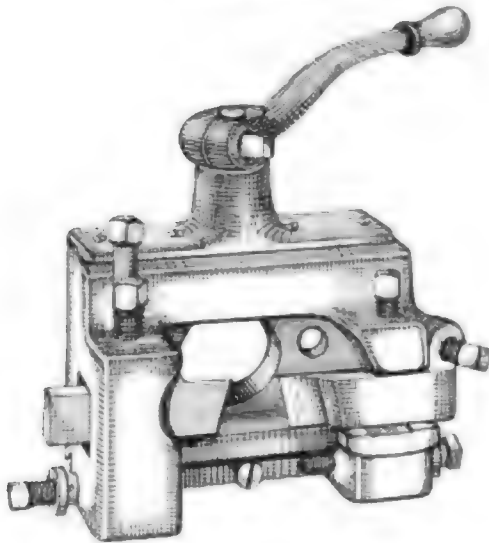
schneidzeug ist in bekannter Weise so eingerichtet, dass die Schneidbacken zurückspringen, sobald das Gewinde auf die verlangte Länge geschnitten ist.

Die Anschläge zur Begrenzung der Wege der verschiedenen Stichel, die Drehung des Stahlwechselkopfes und dergl. entsprechen guten, aber bekannten Einrichtungen.

Besondere Erwähnung indes verdient das selbstausrichtende Futter für die stangenartigen Werkstücke. Ein außen kegel-

Fig. 7.

Abstechstichel.



förmiger Kopf ist in seiner Achsenrichtung mehrfach gespalten, sodass seine Teile durch einen aufgeschobenen Hohlkegel zusammengedrückt und dadurch veranlasst werden können, das eingesteckte Werkstück gut ausgerichtet festzuhalten. Das ist eine längst bekannte und vielfach im Gebrauch befindliche Einrichtung. Sie leidet an dem Uebelstande, dass die Teile des Kopfes nur in geringem Grade federnd nachgeben, also der einzelne Kopf nur für Werkstücke verwendbar ist, deren Dicken wenig voneinander abweichen. Man pflegt gewöhnlich den Kopf auszuwechseln, wenn andere Werkstückdicken vorkommen. Warner & Swasey ersparen sich das umständliche Auswechseln des Kopfes, indem sie ihn mit leicht auswechselbaren Backen versehen. Fig. 8 ist ein Schaubild des Kopfes; in seiner oberen Hälfte stecken zwei Backen, während die beiden andern Backen herausgenommen abgebildet sind. Die Bohrung des Kopfes ist vorn mit einem nach innen vorspringenden Rande versehen, welcher in den Falz X der Backen greift; sie enthält weiter hinten vier Paar Vorsprünge Z, zwischen welche sich die zapfenartigen Verlängerungen Y der Backen legen, und die Köpfe U federnder Bolzen greifen in Nuten schwalbenschwanzförmigen Querschnittes der Backen. Wenn man mit dem Finger gegen einen der Knöpfe V drückt, so wird der zugehörige federnde Bolzen nach innen gedrückt und gestattet, den betreffenden Backen herauszuziehen oder einen solchen einzusetzen. Sonach kann man die Backen rasch und bequem auswechseln.

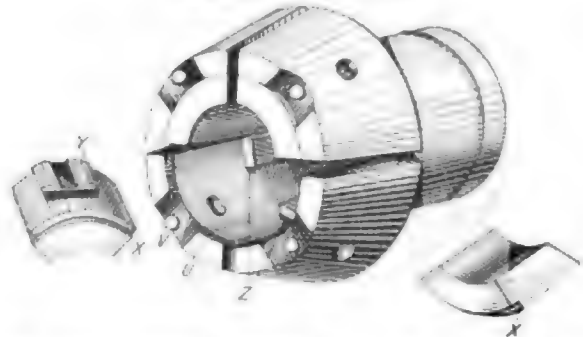
Von besonderem Interesse sind mehrere Fräsmaschinen, welche die

Maschinenfabrik Pekrun in Koswig bei Dresden in Paris ausgestellt hatte.

Fig. 9 ist das Schaubild, Fig. 10 teilweise eine Endansicht, teilweise ein lotrechter Schnitt, Fig. 11 eine Seitenansicht und Fig. 12 ein Grundriss der zwispindigen Langfräsmaschine. Der 1400 mm lange, 375 mm breite Aufspanntisch ist in der Längsrichtung um 1000 mm selbstständig zu verschieben, die Fräerspindeln können lotrecht so verstellt werden, dass ihre Mitten sich 35 bis 435 mm über dem Aufspanntisch befinden, und jede Fräerspindel ist für sich in der Längsrichtung um 225 mm verstellbar. Außen sind die Fräerspindeln genau walzenförmig, ohne jede Nut

Fig. 8.

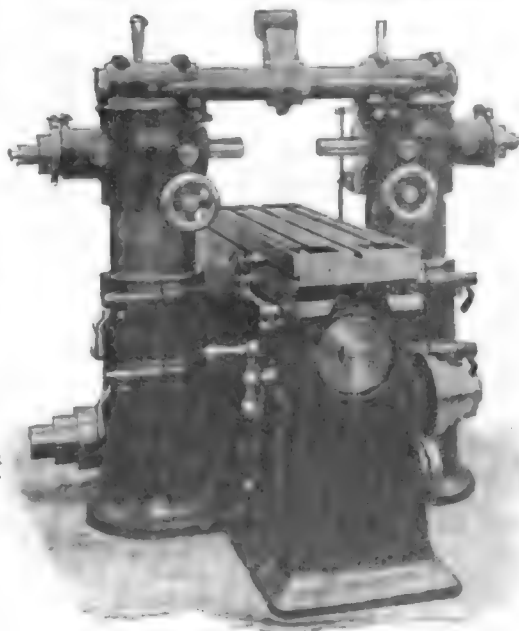
Selbstausrichtendes Futter.



oder irgend welchen Vorsprung. Das erleichtert ihre Her-
stellung und Verstellbarkeit in hohem Grade. Sie sind ge-
härtet und dann genau geschliffen. Die in größerem Maß-
stabe ausgeführte Schnittfigur 13 lässt die eigenartige Lage-
rung der Fräerspindeln und ihren Antrieb genauer erkennen
als Fig. 10. Die hohle Fräerspindel a dreht sich in zwei
Bronzebüchsen b, die mit mehreren nach einer Kegelfläche
abgedrehten Leisten versehen und gespalten sind, sodass sie
sich durch Eindrücken in kegelförmige Bohrungen des Lager-
körpers verengen lassen. Die äußeren Enden der Büchsen
b werden von Ringen c umfasst, die außen mit Gewinde
versehen sind und in Muttergewinde des Lagerkörpers greifen,
sodass man durch Drehen der Ringe c die Lagerbüchsen an-
ziehen oder lösen kann.

Fig. 9.

Langfräsmaschine der Maschinenfabrik Pekrun.



Auf der Fräerspindel a kann links ein Ring d festgeklemt werden, der von einem Zahnrad e um-
fasst wird. Die Nabe dieses Zahn-
rades ist rechts mit Gewinde ver-
sehen, das in das Muttergewinde
des Lagerkörpers greift. Ueber e
befindet sich an einem kleinen Kur-
belzapfen gelagert ein mit zwei
Sperrzähnen ausgestatteter Körper
f. Je nach Lage der Kurbel grei-
fen die Zähne von f in das Rad e
und hindern es, sich zu drehen, oder
sie sind außer Eingriff, sodass e
gedreht werden kann. e enthält
100 Zähne, und die Ganghöhe des
Gewindes beträgt 2 mm. Man ist
also imstande, die Fräerspindel in
ihrer Achsenrichtung bis auf 1/10 mm
genau einzustellen. Die beschrie-
bene Einrichtung dient natürlich
nur zum feinen Einstellen; zunächst,
ehe der Ring d festgeklemt ist,
ebensowenig wie der Ring g, von
dem noch die Rede sein wird, erfol-
gt die grobe Einstellung durch
Verschieben der Spindel a von Hand.

Das zum Betriebe der Frä-
erspindel dienende eigenartige Wurm-
rad h steckt frei drehbar und ver-
schiebbar auf der Fräerspindel a,

ist aber mit Klauen versehen, welche gegen Klauen des Klemmringes *g* greifen, sodass sich *a* mit *h* drehen muss, sobald *g* auf der Spindel *a* festgeklemmt ist. Fig. 14 stellt einen solchen Klemmring (einer kleineren Maschine) in Ansicht und Schnitt dar. Der Klemmring *g* hat nun nicht allein den Zweck, als Mitnehmer zu dienen, sondern soll auch die in der Achsenrichtung der Fräterspindel auftretenden Drücke auf die Lagerung übertragen. Drei Kopfschrauben, deren Muttergewinde in *g* ausgebildet ist, und von denen man in Fig. 13 über der Spindel eine sieht, drücken Klemmring *g* und Wurmrad *h* auseinander und bringen dadurch einerseits jenen, andererseits einen neben *h* befindlichen Druckring mit den Lagerkörpern in sichere Fühlung. Nach dem Festklemmen von *g* ist sonach die Spindel *a* in ihren Lagern unverschieblich.

Die Lagerkörper der Fräterspindeln sind in röhrenförmigen Bohrungen des Maschinengestelles lotrecht verschiebbar und nach der Höhenstellung festklemmbar. Die Verschiebung bewirkt je eine Schraube *i* mit Wurmrad *k*; der Wurm des letzteren steckt auf der Welle *l*, Fig. 13, auf der auch ein Handrad *m*, Fig. 12, sitzt. Genaue Einteilungen an den röhrenförmigen Unterteilen der Spindellagerungen erleichtern das genaue Einstellen der Höhenlage der Spindel *a*. Jedes Spindellager kann für sich höher oder tiefer gestellt und der in ihm verschiebbare und festklemmbare Stab *n* zur Aufnahme eines Fräser-Gegenlagers verwendet werden. Liegen beide Fräterspindeln in derselben Höhe, so dient *n* zur gegenseitigen Absteifung, zum Anbringen eines Hüflagers, vergl. Fig. 10, oder zu andern Zwecken.

Befinden sich die beiden Fräterspindeln in genau gleicher

Fig. 10 bis 15. Langfräsmaschine der Maschinenfabrik Pekrun.

Fig. 10.

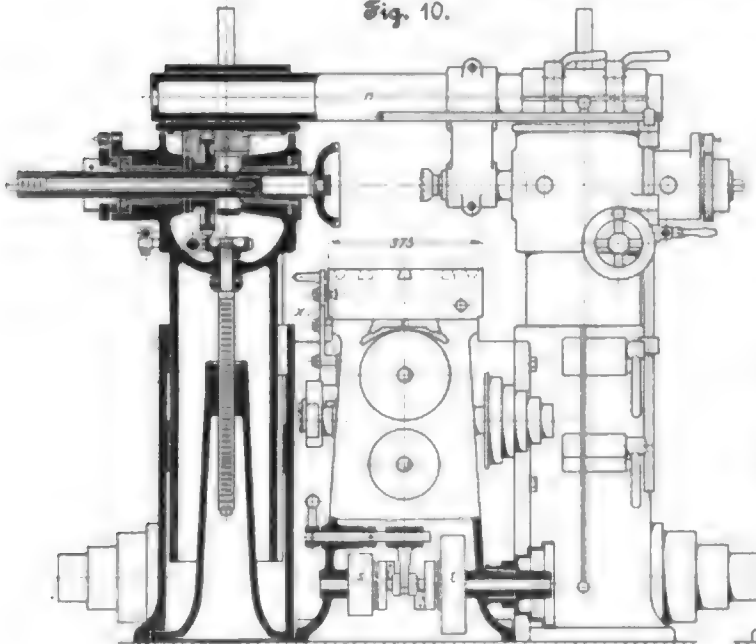


Fig. 11.

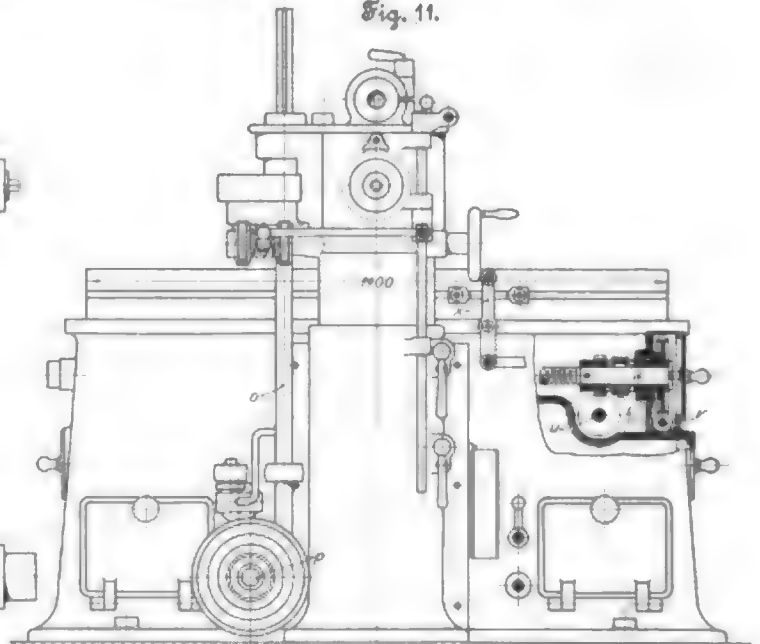
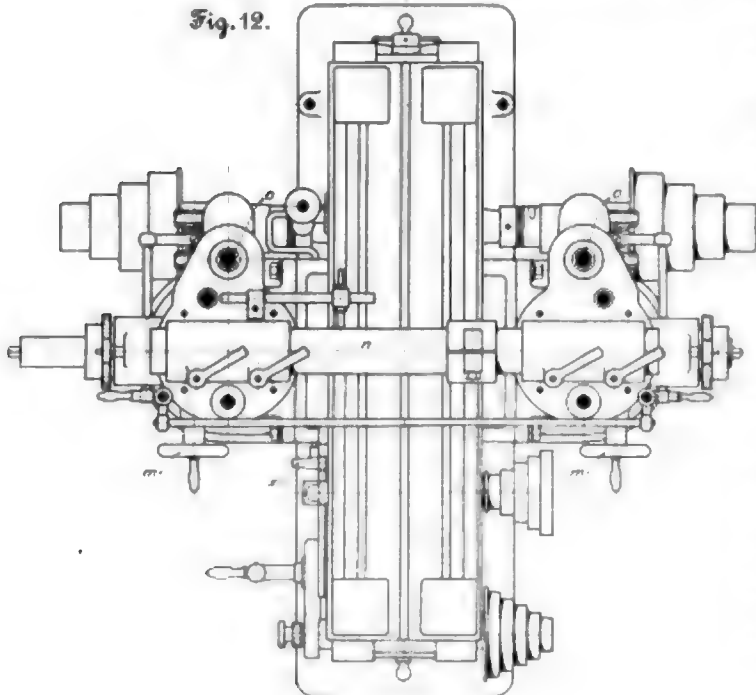


Fig. 12.



Höhe, so lässt sich der Fräserdorn gleichzeitig in beiden befestigen und an beiden Enden antreiben; damit werden Erztitterungen vermieden, welche durch Verdrehen längerer Fräser fühlbar werden können¹⁾.

Man kann die lotrechte Verschiebung der Fräterspindellager auch zum Schalten in lotrechter Richtung benutzen. Zu diesem Zweck sitzen auf den Wellen *l* entgegengesetzt den Handrädern *m* je zwei Wurmräder lose drehbar; sie sind durch ein dazwischenliegendes Kuppelstück mit *l* zu verbinden. Die Kuppelstücke können durch ein aus Fig. 10, 11 und 12 gut erkennbares Gestänge so miteinander verbunden werden, dass das Ein- und Ausrücken auf beiden Seiten der Maschine gleichzeitig stattfindet. Je eines der auf *l* steckenden Wurmräder wird rechts, das andere links gedreht, um die Spindellagerungen zu heben oder zu senken. Es steckt je einer der Würme auf einer der Hauptwellen *o*, der andere auf einer von *o* angetriebenen stehenden Welle.

Jede der beiden Fräterspindeln ist für sich anzutreiben, welchem Zwecke zwei Deckenvorgelege (s. w. u.) dienen. Diese enthalten zwei verschieden große Antriebsrollen, deren Bewegung durch vierstufige Rollen auf zwei im Maschinenfuß gelagerte Wellen *p*, Fig. 11, übertragen wird, welchen demnach verschiedene Geschwindigkeiten gegeben werden können. Ein Pekrun'sches Globoidschrauben-Vorgelege treibt auf jeder Maschinenseite die langgenutzte stehende Welle *o* und diese zunächst, vergl. Fig. 11, durch Riemen eine Kühlflüssigkeitspumpe, ferner, wie weiter oben beschrieben, die

¹⁾ Norm. Fischer: Werkzeugmaschinenkunde, Bd. I S. 431.

Wurmwelle *l*, Fig. 13, endlich durch das Rad *q*, Fig. 13, die stehende Globoidschraube *r*, welche das Rad *h* und damit die Fräterspindel *a* bethätigt.

Ehe ich auf die Beschreibung des eigenartigen Globoidschraubenantriebes eingehe, möge die Verschiebung des Aufspanntisches erledigt werden.

Auf den Wellen *p* der Antriebsstufenrollen, Fig. 10, 11 und 12, sitzen innerhalb des Maschinenbettes Riemenrollen,

Hyperbeltrape ausgeüstet, das ein gleiches lose auf *w* steckendes Rad bethätigt, sodass sich letzteres 21mal dreht, während das Wurmrad eine Drehung macht. Die Drehrichtungen beider Räder sind entgegengesetzt, und indem man durch ein zwischen ihnen liegendes Kuppelstück das eine oder andere mit der Schraubenspindel *w* verbindet, wird der langsame Arbeits- oder der rasche Rückgang des Aufspanntisches hervorgebracht. Ein durch einstellbare Frösche am Aufspanntische bethätigter Hebel *x* rückt die inrede stehende Kupplung selbstthätig aus, während sie unter Vermittlung der Hand durch denselben Hebel eingerückt wird. Die Welle *u* lässt sich auch mittels einer Handkurbel drehen, die man in Fig. 10 und 12 links sieht, und der Betrieb von *v* kann durch Verschieben des betreffenden kleinen Stirnrades ausgerückt werden.

Die zum Verschieben des Aufspanntisches dienende Schraube hat 45 mm äußeren Durchmesser und 10 mm Ganghöhe. Der ungemein dicke Tisch legt sich mit breiten Flächen auf das Bett. Unter ihm sind zwei Platten befestigt, welche die seitliche Führung bewirken. Die schmale Fläche, längs deren sich diese beiden Führungsplatten berühren, verläuft schräg gegen die Längsrichtung des Tisches, sodass die Tischführung durch gegensätzliches Verschieben der Platten nachgestellt wird.

Das bereits als eigenartig bezeichnete Wurmrad *h*, Fig. 13, enthält statt der Zähne auf Zapfen frei drehbar steckende Rollen, die in die Gänge einer Globoidschnecke greifen. Fig. 15 ist eine schematische Darstellung. Die Zapfen *z* sind nach beiden Enden in dem Verhältnis 1 : 100 verjüngt und mit dem einen Ende in Löcher des Rades *h* gepresst. Auf den nach außen

Fig. 13.

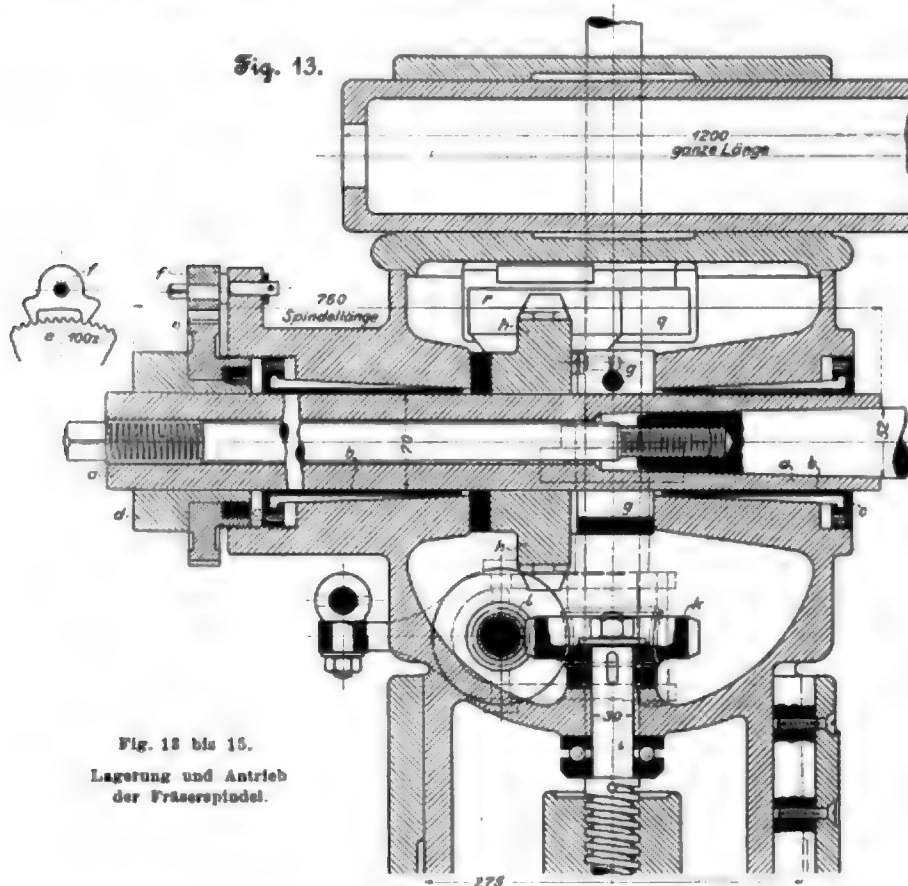


Fig. 12 bis 15.
Lagerung und Antrieb
der Fräterspindel.

Fig. 14.

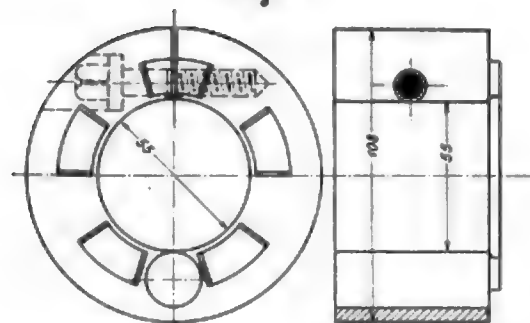
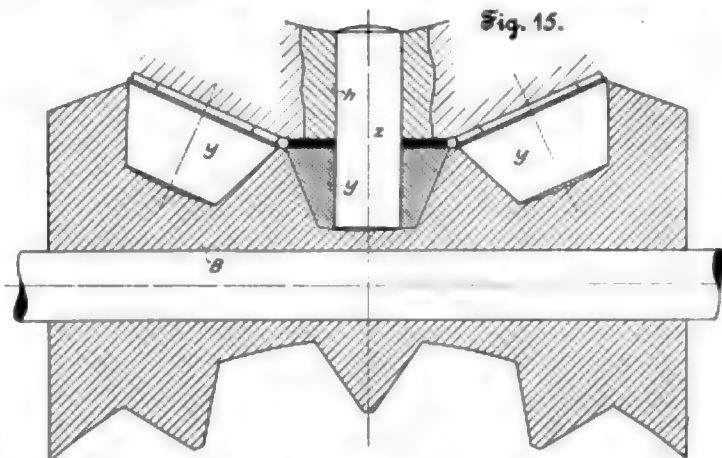


Fig. 15.



welche die verschieden großen losen Rollen *s* und *t*, Fig. 10, antreiben. Diese sind durch einen seitlich belegenen Handhebel mit ihrer Welle zu kuppeln, der somit gegenüber den Fräserwellen zwei verschiedene Geschwindigkeiten gegeben werden können. Ein fünfstufiges Rollenpaar überträgt die Drehbewegung auf die Welle *u*, Fig. 11, welche mit der Räderübersetzung 56 : 22 die Welle *v* betreibt. *v* ist mit einem Wurm einfacher Steigung versehen, der in ein auf *w* steckendes Wurmrad mit 60 Zähnen greift, *u* mit einem

ragenden Enden der Zapfen *z* stecken zunächst Unterlegscheiben und dann die Rollen *y*. So lange sich diese Rollen in den Windungen des Wurmrades *B* befinden, werden sie am Abgleiten gehindert, insbesondere durch den zur Arbeitsübertragung dienenden Druck. Außerhalb des Wurmes umschließt das Rad *h* ein Ring, welcher den Rollen *y* gestattet, sich ein wenig nach außen zu verschieben, sodass die Lagerflächen sich mit Oel versorgen können. Der Wurm *B* ist in seiner Achsenrichtung genau einstellbar und wird durch

(in Fig. 15 nicht angegebene) Stahlhülle gestützt. Das ganze Getriebe ist so umschlossen, dass es in Öl wadet. Vermöge der reichlichen Schmierung, und weil die gleitenden Flächen gehärtet und sorgfältig geschliffen sind, ist einerseits der Reibungsverlust des Getriebes und anderseits seine Abnutzung gering. Mehrjähriger Gebrauch solcher Getriebe hat diese Ansicht bestätigt.

Das vorliegende Globoidschneckengetriebe deckt sich im wesentlichen mit dem bereits von Leonardo da Vinci angegebenen¹⁾. Die Zahn- bzw. Rollenflächen des Rades legen sich nur in der Mittelebene (genau genommen ein wenig seitwärts von der Mittelebene) gegen die Windungen des Wurmes und werden hieran nicht gehindert, sodass — bei genauer Ausführung — der Betriebsdruck auf mehrere Rollen verteilt und Stöße vermieden werden. Bei den sonst vorkommenden und auch empfohlenen²⁾ Globoidschneckengetrieben legen sich die Zähne auch in der Mittelebene gut gegen die Flächen der Schnecken, aber nur in den gebräuchlichen Zeichnungen.

Die selbsttätige Zuschiebung beträgt für jede Fräsdrehung 0,34 bis 6,35 mm in zehn Stufen.

Die hier beschriebene Fräsmaschine wird auch als ein-spindelige gebaut, indem man eine der Fräerspindeln nebst Zubehör weglässt.

Die Maschinenfabrik Pekrun hatte ferner die in Fig. 16 bis 19 abgebildete Fräsmaschine ausgestellt, welche sie Ständerfräsmaschine nennt. Bei dieser Maschine ist die Fräerspindel ebenso gelagert wie bei der beschriebenen doppel-spindeligen Fräsmaschine; nur fehlt die feine Einstellung in der Längsrichtung der Spindel, da der Aufspanntisch in dieser Richtung genau verstellt werden kann. Die Verbindung zwischen Wurmrad und Fräerspindel gleicht der für die doppelspindeligen Maschine angegebenen, sodass auch hier die Spindel bequem in der Längsrichtung verschoben oder ganz herausgezogen werden kann.

Für eine zweite Lagerung des Fräserdornes enthält die Maschine einen in gebräuchlicher Weise angeordneten überhängenden Arm. Der in diesem Arm Stützung findende Zapfen des Fräfers ist walzenförmig und das zugehörige Lager ähnlich nachstellbar wie die Lager der Fräerspindel. Für recht schwere Schnitte wird der überhängende Arm nach Fig. 17 und 18 mit dem am Maschinenständer verschlebbaren Winkel fest verbunden. Zu diesem Zwecke ist auf dem Winkel der röhrenförmige Ständer *a* befestigt, an welchem die den überhängenden Arm stützende Hülse *b* festgeklammert werden kann. In *a* spielt ein Gegengewicht, das mithilfe einer Kette das Einstellen der Hülse *b* in der Höhenrichtung erleichtert.

Die Wurmwelle *c* erhält ihren Antrieb von einer dreistufigen Riemenrolle. Da man dem Deckenvorgelege (s. w. u.) zwei verschiedene Geschwindigkeiten geben kann, so stehen sechs verschiedene Umdrehungsgeschwindigkeiten für die Fräerspindel zur Verfügung.

Auf der angetriebenen Wurmwelle *c* sitzt ferner die kleine Riemenrolle *d*, die eine unten am Maschinenständer gelagerte Vorgelegewelle mit sechsstufiger Riemenrolle bethätigt. Letztere treibt die Rolle *e* und weiter durch Wurmradvorgelege und Kreuzgelenk die Welle *f*. Auf dieser steckt frei verschiebbar, aber mit ihr durch Nut und feste Leiste gekuppelt ein in dem Körper *g* gelagerter Wurm, welcher in das die Aufspanntischschraube drehende Wurmrad greift und hierdurch die selbsttätige Zuschiebung des Werkstückes hervorbringt. *g* umgreift mit einer Gabelung die Nabe des Wurmrades und wird durch eine am Querschlitten *h* gelagerte Nase so gestützt, dass Wurm und Wurmrad bei den verschiedenen Höhenlagen des Aufspanntisches in Eingriff bleiben. Die erwähnte Nase und der Hebel *i* sitzen auf gemeinsamer Welle fest, und man kann durch den Hebel *i* die Nase so einstellen, dass sie den Lagerkörper *g* nicht mehr stützt, sodass dieser genügend weit nach unten fällt, um Wurm und Wurmrad außer Eingriff zu bringen, also die selbsttätige Verschiebung des Aufspanntisches zu unterbrechen. Der Hebel *i* kann von Hand bethätigt, be-

Fig. 16.

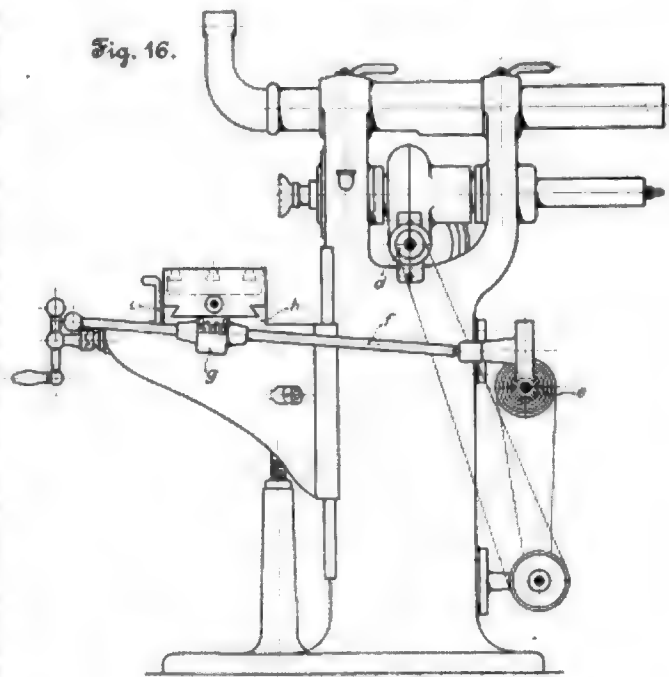
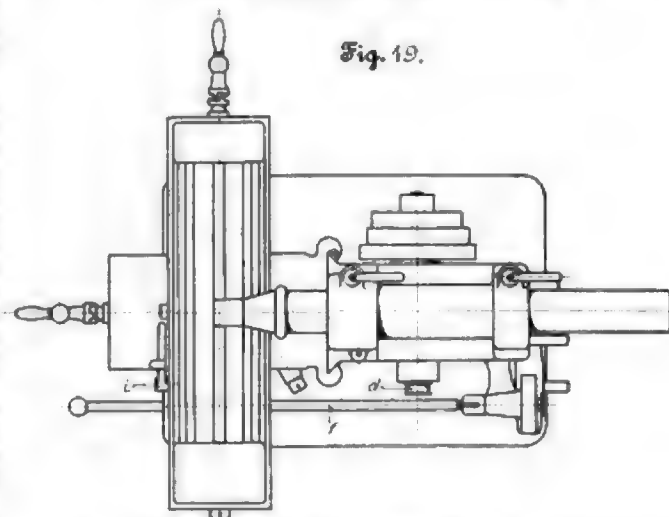


Fig. 19.



hufs Ausrückens aber auch mittels eines am Aufspanntisch einstellbaren Frosches bewegt werden. Die Verschiebung des Querschlittens *h* auf dem Winkel und die des letzteren am Maschinenständer geschieht durch Schrauben mit Handkurbeln. Es kann der Aufspanntisch in seiner Längsrichtung selbsttätig um 600 mm verschoben werden, und zwar in sechs Stufen um 0,33 bis 2,5 mm für jede Fräsdrehung. Die lotrechte Verstellbarkeit des Aufspanntisches beträgt 350 mm.

Das zu den beschriebenen Fräsmaschinen gehörige Deckenvorgelege ist im ganzen nicht neu, enthält aber beachtenswerte Einzelheiten, welche die Darstellung eines solchen Deckenvorgeleges durch Fig. 20 bis 23 rechtfertigen. Die Lagerbüchsen *b* der Welle *a* werden in bekannter Weise zwischen den Spitzen zweier liegender Schrauben gehalten; die Bügel, in denen diese Schrauben stecken, sind an den Hängern um eine lotrechte Achse drehbar, wie man insbesondere aus Fig. 21 links erkennt. Sonach ist den Lagerbüchsen Gelegenheit geboten, sich der Welle gut anzuschmiegen, auch wenn die Hänger an der Decke ungenau befestigt sind. Es hängen an den Lagern entweder Tropfschalen, z. B. nach Fig. 20, oder es sind nach Fig. 21 links Sammelgefäße für das abfließende Öl darangesogen.

¹⁾ Vergl. Th. Beck: Historische Notizen, Civilingenieur 1888 Taf. V Fig. 9.

²⁾ Z. 1893 S. 586.

Fig. 17.

Fig. 16 bis 19. Ständerfräsmaschine der Maschinenfabrik Pekron.

Fig. 18.

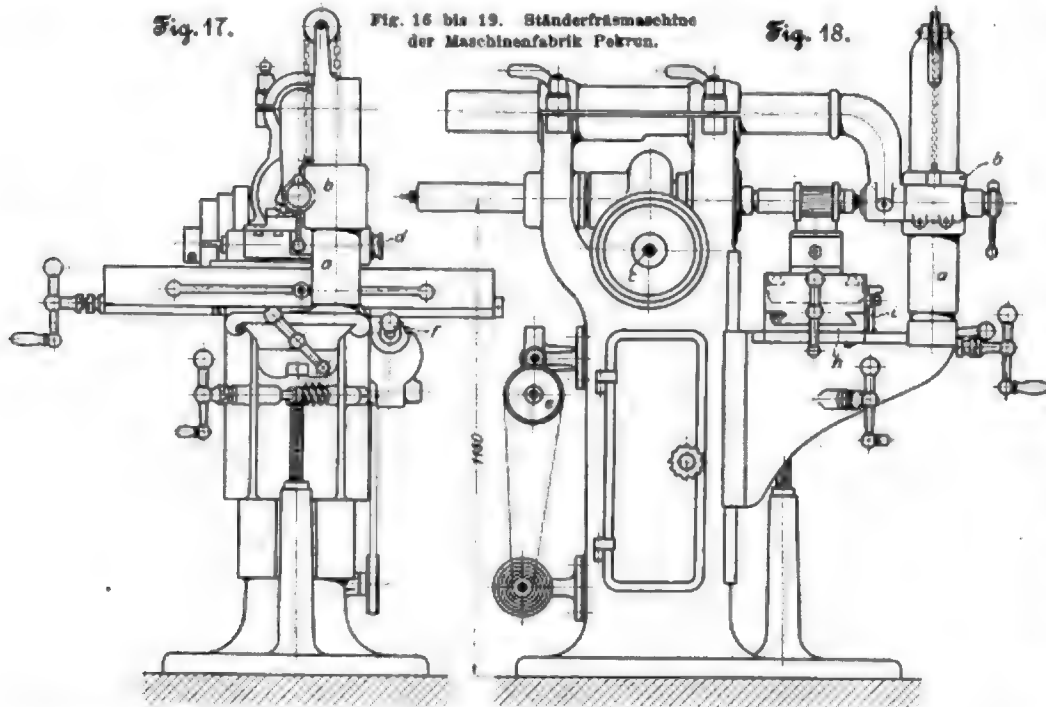


Fig. 20.

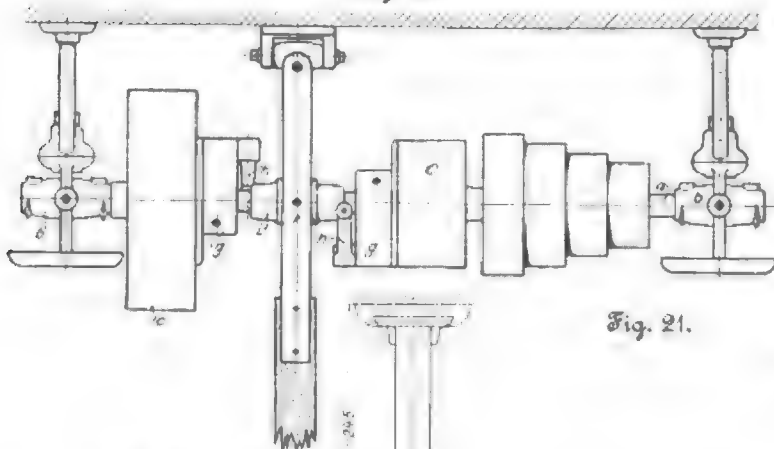


Fig. 21.

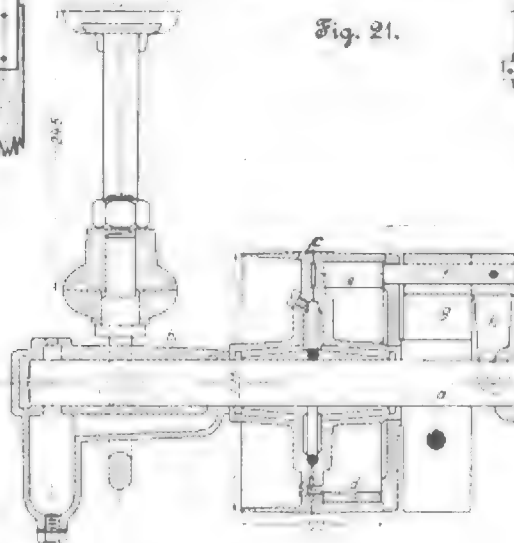
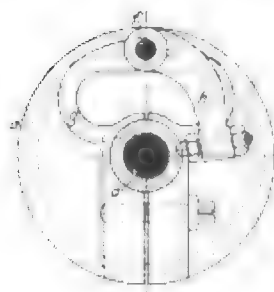


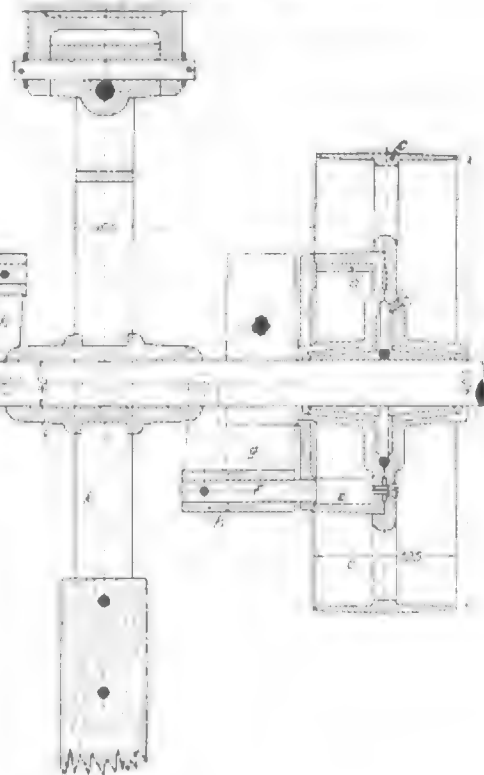
Fig. 22.



daran, ohne nennenswerten Widerstand zu finden. Wird aber e samt f ein wenig um seine Achse gedreht, so legt sich die Außenfläche des gespaltenen Ringes d fest gegen die Innenfläche des Riemenrollenkranses, und beide werden gekuppelt. f steckt in dem auf die Welle a geklemmten Mitnehmer g und überträgt demnach die Drehungen der Riemenrolle und des gespaltenen Ringes auf diese Welle. Die Drehung des Mitnehmerstiftes f um seine Achse vermittelt der Hebel h , der durch das spitze Ende der Hülse i nach außen gedrängt wird; der an der Decke gelenkig aufgehängte Handhebel k dient zum Verschieben der Hülse i . Es sei noch darauf hingewiesen, dass die Hülse, wenn sie gegen

A verschoben wird, gegen das Ende einer in A einstellbaren Schraube drückt, also die kleine Drehung, welche man dem Mitnehmerstift f zu geben hat, bequem und genau eingestellt werden kann. Zum Aufhängen des Handhebels k an der Decke ist ein Kreuzgelenk benutzt, damit dieser Hebel je nach Bedarf lotrecht oder einigermassen von der lotrechten Lage abweichend angebracht werden kann.

Fig. 20 bis 22. Deckenvorgeloge.



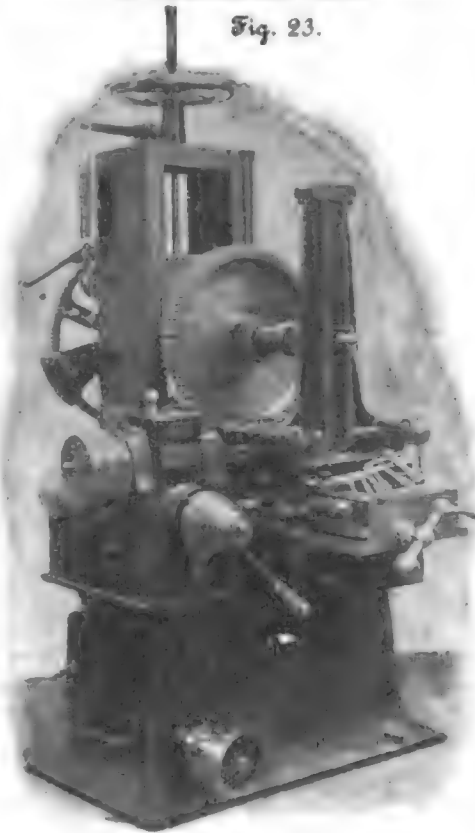
Die beiden verschieden großen Antriebsrollen e drehen sich zunächst lose um die Welle a ; sie sind, wie Fig. 21 erkennen lässt, mit Ringschmiervorrichtung versehen, sodass auf eine tadellose Umlaufung gerechnet werden kann. In einer Hälfte jeder Riemenrolle e liegt ein gespaltenen Ring d (in Fig. 22 gestrichelt gezeichnet), in dessen Spalt das platte Ende e des Mitnehmerstiftes f steckt. So lange e die in den Abbildungen angegebene Lage hat, legt sich d nur leicht an die Innenfläche des Riemenrollenkranses und gleitet

Dasselbe Vorgelege wird auch benutzt, um verschiedene Drehrichtungen zu erzielen, indem man die eine der Riemenrollen mit offenem, die andere mit gekreuztem Riemen antreibt.

Besondere Aufmerksamkeit verdient die von der Maschinenfabrik Pekrun ausgestellt gewesene selbstthätige Räderfräsmaschine. Fig. 23 ist ein Schaubild, Fig. 24 und 25 sind Ansichten der Maschine. Sie gehört zu der Gruppe selbstthätiger Räderfräsmaschinen, bei denen die Einteilung durch ein auswechselbares Lehrad stattfindet. Auf dem kräftigen Unterbau ist ein Schlitten *a* mit Hauptständer *b* und Nebenständer *c* genau zu verschieben. Innerhalb des Hauptständers *b* ist die Lagerung der Dornspindel lotrecht verschiebbar und einstellbar. An dem einen Ende der Dornspindel wird das Lehrad *e* befestigt, in das andere Ende der Dorn *d* ähnlich gesteckt und in ihm festgehalten, wie bei Fräserdornen gebräuchlich, vergl. Fig. 13 S. 1475. Der Werkstückdorn findet eine zweite Stütze in dem Nebenständer *c*, der aufgeklappt werden kann, um beim Ein- und Ausbringen des Dornes *d* nebst Werkstück nicht hinderlich zu sein. Lagerung und Antriebvorrichtungen des Fräasers ändern ihren Ort nicht. Sonach arbeitet die Maschine folgender-

Fig. 23 bis 25. Selbstthätige Räderfräsmaschine der Maschinenfabrik Pekrun.

Fig. 23.



maßen: Nach dem Einstellen wird das Werkstück *w* mithilfe des Schlittens *a* langsam gegen den Fräser geführt. Hat dieser eine Zahnflanke erzeugt, so wird der Schlitten *a* nebst Werkstück *w* rasch zurückgezogen, das Lehrad um eine Teilung (nach Umständen mehrere Teilungen) gedreht und dann die folgende Zahnflanke geschnitten. Hierbei sind folgende Einzelheiten von Bedeutung:

1) Es liegt die Fräserwelle unterhalb des Dornes, damit die Späne frei abfallen können. Beim Fräsen von stählernen Rädern wadet der Fräser in Oel, das neben seinem sonstigen Zweck die Späne abzuspielen hat.

2) Um den Fräser in seiner Achsenrichtung genau einstellen zu können, ist seine Spindel ähnlich gelagert, wie bei Erörterung der Figur 13, beschrieben worden ist.

3) Wird die soeben erzeugte Zahnflanke über den kreisenden Fräser zurückgezogen, so bringen die Zähne des letzteren an den Zahnflankenflächen hässliche Schrammen hervor. Deshalb wird der Fräser für den Rücklauf des Werkstückes außer Betrieb gesetzt. Die Antriebsrolle *f*, Fig. 26, steckt frei drehbar auf der Welle, kann aber durch eine Reibkegelkupplung mit der hohlen Welle verbunden werden, auf wel-

Fig. 24.

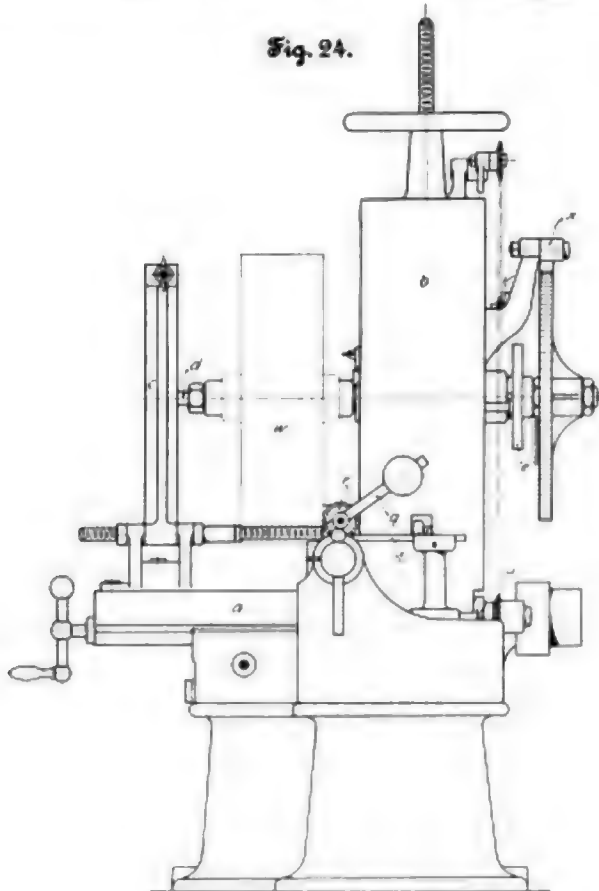
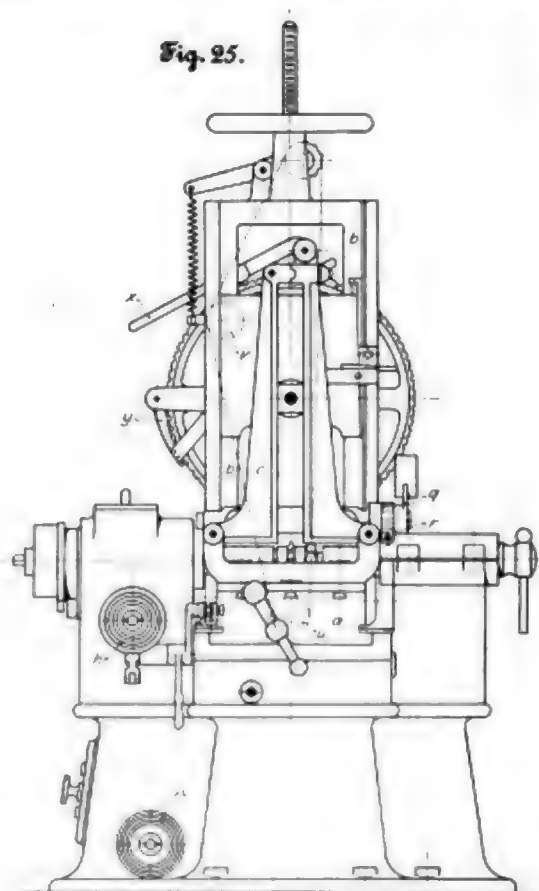


Fig. 25.



über der die Fräterspindel antreibende Wurm feststet. Das verschiebbare Kuppelstück wirkt mittels Kniehebels auf den verschiebbaren Reibkegel und ist am entgegengesetzten Ende mit einer Zuspitzung versehen, die in eine kegelförmige Vertiefung des Maschinengestelles greift und als Bremse wirkt, so-

bracht. Auf der Kurbel *p* sitzt nach Fig. 26 der belastete Hebel *q* fest, der während des Arbeitens den von *p* beeinflussten Backen fest gegen die Werkstücke drückt und diese dadurch einklemmt. Auf der Nabe des Hebels *q* steckt ein teilweise verzahnter Ring *r*, welcher durch den federnden,

Fig. 26.

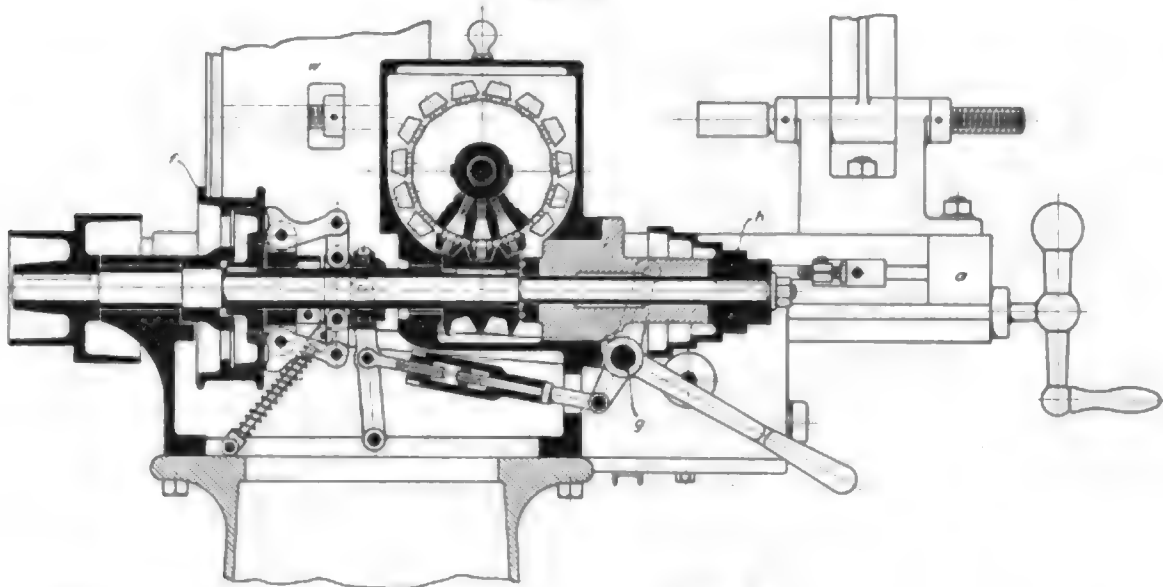


Fig. 27.

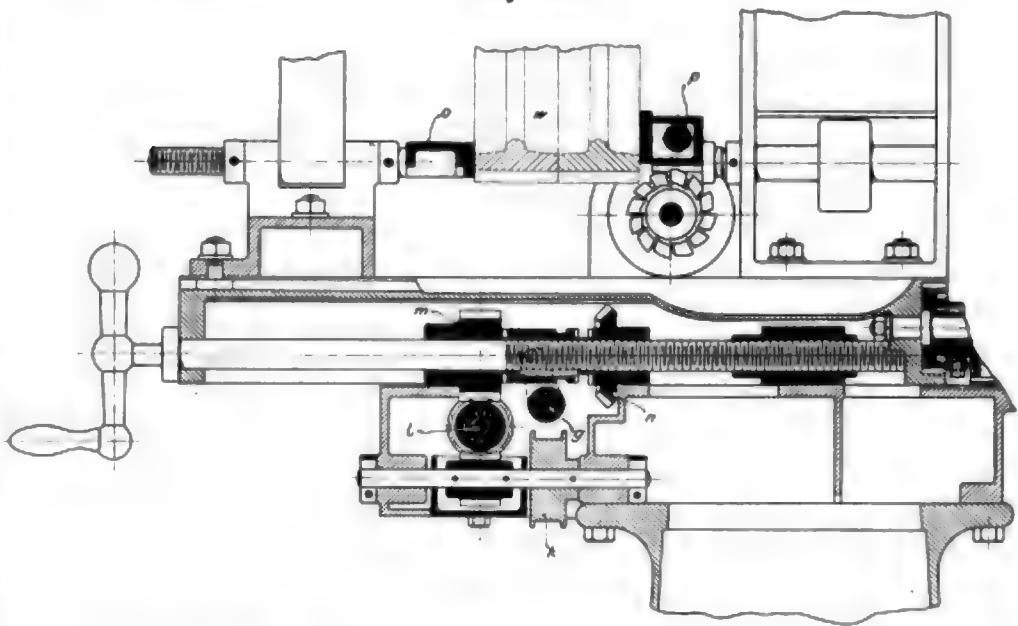
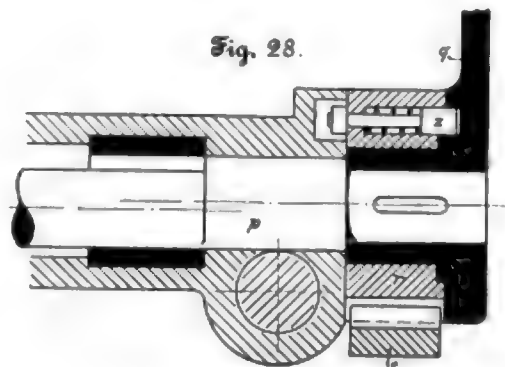


Fig. 28.



bald das Kuppelstück Inbezug auf Fig. 26 genügend weit nach rechts verschoben wird. Die Verschiebung des Kuppelstückes geht von der Steuerwelle *g* aus, die in bekannter Weise durch am Schlitten *a* einstellbare Fräse bebhüttigt wird. Nach vollendetem Rückgange des Werkstückes haben das betreffende Hebelwerk und das Kuppelstück die in Fig. 26 angegebene Lage angenommen, nach vollendetem Arbeitsgange des Schlittens *a* ist die Lage entgegengesetzt, sodass sich der Fräser während des Rückganges nicht dreht.

4) Der Rückgang des Schlittens soll 20 mal so rasch stattfinden wie der Arbeitsgang. Es geht der betreffende Antrieb von der 5stufigen Rolle *h*, Fig. 26, aus, deren Welle gleichachsig in dem Hauptantriebswurm steckt und unabhängig von diesem angetrieben wird. *h* dreht die lose auf einem Zapfen steckende Stufenrolle *i*, Fig. 24, mit der eine die Rolle *k*, Fig. 27, bebhüttigende Riemenrolle fest verbunden ist. Die Welle von *k* überträgt ihre Drehung durch Wurmrad und Wurm auf die Welle *l*, und von dieser wird einerseits durch einen Wurm das Wurmrad *m*, andererseits durch ein Stirnradvorgelege und ein Kegelrad das Kegelrad *n* betrieben. *m* und *n* drehen sich lose um die Schlittenschraube, und zwar letzteres 20 mal so rasch wie ersteres. Zwischen *m* und *n* befindet sich das durch die Steuerwelle *g* zu bebhüttigende Kuppelstück, welches mit einer festen Leiste in eine lange Nut der Schlittenschraube greift.

5) Um den Werkstücken *w* eine durchaus sichere Lage zu geben, ist¹⁾ einerseits der einstellbare Backen *o*, andererseits ein durch die Kurbel *p*, Fig. 27, ausdrückender Backen ange-

¹⁾ D. R.-P. Nr. 76917.

in ein Loch von q greifenden Stift s mit q verbunden ist. Die Zähne von r greifen in die mit dem Maschinenbett verbundene Zahnstange t , Fig. 25 und 28. Bewegt sich demnach der Schlitten a nebst den Werkstücken zurück, d. h. in bezug auf Fig. 25 von rechts nach links, so wird der Ring r und mit ihm der belastete Hebel q sowie die Kurbelwelle p nach links gedreht, d. h. die Einklemmung der Werkstücke aufgehoben, sodass letztere um eine Zahnteilung weiter gedreht werden können. Kurz bevor der Schlitten sein linksseitiges Hubende erreicht hat, stößt der federnde Stift s gegen eine schräge Fläche des Lagerkörpers von p , wird hierdurch zurückgezogen und lässt den belasteten Hebel q fallen, sodass die Werkstücke wieder eingeklemmt werden. Bei dem folgenden Arbeitsgange des Schlittens a wird r zurückgedreht, und der Stift fällt wieder in das Loch von q , sodass sich bei dem neuen Rückgange des Schlittens das beschriebene Spiel wiederholt.

5) Die selbstthätige Schaltung der Werkstücke wird durch die Schraube des Schlittens a bethätigt. An dem hinteren Ende dieser Schraube sitzt ein Stirnrädchen, welches das in Fig. 24 durch gestrichelte Linien angegebene Rädchen u dreht. Dieses steckt lose auf seiner Welle, wird aber, nachdem der Schlitten seinen Rückgang zum größten Teil voll-

zogen hat, durch diesen mit einem Kettenrade gekuppelt. Die zugehörige Treibkette ist über eine am Kopfe der Maschine sichtbare Spannrolle und weiter über das gestrichelt gezeichnete Kettenrad v , Fig. 24, gelegt. An diesem Kettenrade sitzen eine Daumenscheibe und eine Kurbel. Erstere hebt zunächst den Hebel x mit dem keilartig in die Lücken des Lehrades e greifenden Zahn, dann bethätigt die Kurbel die Schaltklinke y , worauf die Daumenscheibe den Hebel x loslässt, welcher durch Einfallen des keilförmigen Zahnes den Grad der durch y hervorgerufenen Schaltung des Lehrades berichtigt. Um etwa durch Spannungen hervorgerufene Ungenauigkeiten der Schaltung zu beseitigen, hebt die Daumenscheibe den Hebel x nochmals, und zwar höher als vorher, sodass der an x sitzende Zahn mit größerer Kraft in die betreffende Lücke des Lehrades getrieben wird. Diese sämtlichen Schaltbewegungen vollziehen sich in $\frac{1}{2}$ bis $1\frac{1}{2}$ sk.

Die vorliegende Fräsmaschine ist bestimmt, Stirnräder bis zu 1000 mm Teilkreisabmesser und 450 mm Breite zu schneiden, und zwar mit einem Schnitt bis zu 45 mm Teilung in Bronze oder Gusseisen, bis zu 32 mm in Stahl. Größere Teilungen erfordern mehrere Schnitte. Die Zuschleibung beträgt 0,34 bis 1,34 mm für jede Fräsdrehung.

Die Erhaltung der Energie vom Standpunkte des Ingenieurs.¹⁾

Von Kammerer, Charlottenburg.

Das Grundgesetz der Naturwissenschaft — das Gesetz von der Erhaltung der Energie — ist auch das Grundgesetz der Ingenieurwissenschaft.

Denn die Aufgabe des Maschineningenieurs lautet:

Verwandlung und Verteilung von Energie mit möglichst Wirtschaftlichkeit zu dem Zweck, den Menschen von körperlicher Arbeit zu entlasten und für höhere Kulturarbeit freizumachen.

Diese Aufgabe beginnt stets mit Verwandlung von Energie aus der in der Natur sich bietenden Form in die mechanische Energieform in den sogen. Motoren. Die beiden Formen nämlich, in denen die Sonnenenergie vergangener und gegenwärtiger Zeit uns bisher in verwertbarer Art zur Verfügung steht — die chemische Energie der Heizstoffe und die hydraulische Energie der Ströme — sind nur sehr selten unmittelbar verwendbar; notwendig ist daher zunächst Umformung in mechanische Energie.

Der zweite Teil der Aufgabe des Maschineningenieurs besteht in der Verteilung der aus der Naturkraft umgeformten mechanischen Energie zunächst von der Gewinnungsstelle zu den sogen. Arbeitsmaschinen und dann in den letzteren selbst von der Eintrittsstelle der Energie bis zur Verwendungsstelle.

Diese Ingenieuraufgabe muss mit möglichst Wirtschaftlichkeit gelöst werden, d. h. mit einem geringsten Aufwand von körperlicher Mitarbeit des Menschen, mit einem geringsten Aufwand der kraftübertragenden Mittel — Eisen und Kupfer — und mit einem geringsten Aufwand von mechanischer Energie. Die gleichmäßige Berücksichtigung dieser drei häufig einander widersprechenden Bedingungen macht die Thätigkeit des Maschineningenieurs sehr vielgestaltig und schwierig. Im Folgenden soll nur der Einfluss der letzten der drei Bedingungen — Erzielung geringsten Energieverlustes — besprochen werden, die aber nie allein den Ausschlag für die Beurteilung eines Ingenieurwerkes geben darf.

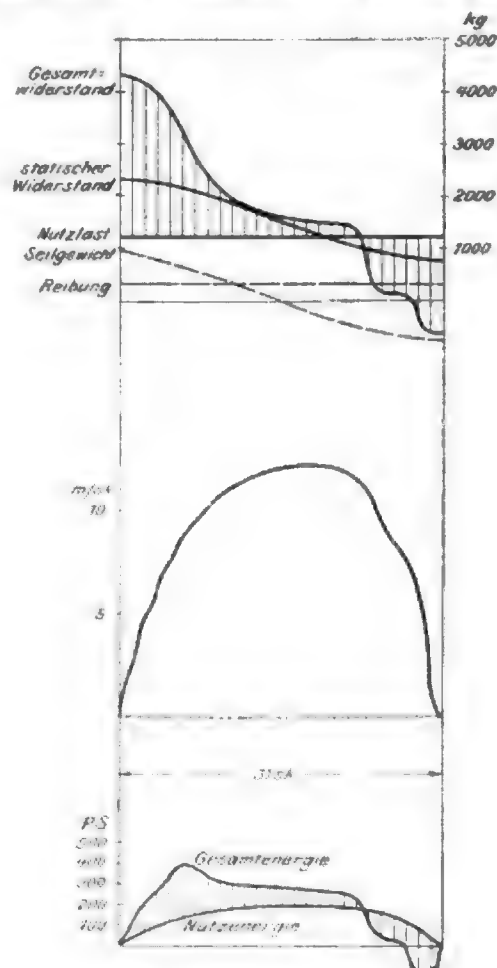
Das Wort „Energieverlust“ klingt seltsam zu der Erkenntnis von der Erhaltung der Energie. Die Energie an sich kann ja nicht verloren gehen, sie kann nur einen andern Weg gehen, als wir ihn ihr aufzwingen wollen. Die Naturkraft in einen ganz bestimmten Weg zu zwingen, ist aber gerade unser Ziel. Von diesem Standpunkt aus nennen wir „nutzbare Energie“ nur denjenigen Teil, der innerhalb des aufgezwungenen Weges dahineilt, dagegen „verlorene Energie“ den Anteil, der sich der Bändigung entzieht und sich in Seitenpfade verliert. Inwieweit es nun bisher dem Ingenieur gelungen ist, die Energie im genannten Sinn zu „verhüten“, das soll im Folgenden an einigen Beispielen gezeigt

werden, die aus dem Sonderfach des Berichterstatters: Hebe-
maschinen mit Kraftbetrieb, herausgegriffen sind.

Von diesen Beispielen ist eines aus dem Bergbau, ein zweites aus dem Personenverkehr und eines aus dem Hafen-

Fig. 1.

Belastungsdiagramm der Fördermaschine des Salzwerkes Hellbrunn.



¹⁾ Vorgelesen in der 73. Versammlung Deutscher Naturforscher und Ärzte in Hamburg.

betrieb gewählt, um möglichst verschiedenartige Betriebsverhältnisse einander gegenüberzustellen. In einem Falle soll die Energie in Form von Dampf, im zweiten von Druckwasser, im dritten von elektrischem Strom zugeführt werden, damit die durch die Energieform bedingten Eigentümlichkeiten zur Darstellung gebracht werden.

Als erstes Beispiel ist eine Fördermaschine gewählt. Die Fördermaschine ist eine der einfachsten, aber auch für unsere Kultur wichtigsten Maschinen; denn sie bringt uns die beiden Stoffe, welche die Grundbedingungen der modernen Kultur sind: die Kohle als Energieträger und das Eisen als Kraftübertragungsmittel. Ohne diese Mittel wäre eine Daseinsgestaltung in der heutigen Form unmöglich, da die Menschenkraft gegenwärtig ein Vielfaches dessen kostet, wofür

gering. Heutzutage kommt das Verfahren nur noch bei Abteufen kleiner Schächte zur Anwendung, wenn mit einfachsten Mitteln gearbeitet werden muss.

Eine Vergrößerung der Leistung wurde durch folgende Mittel erreicht: Zur Vermeidung der Einfüllzeit wurde die Hebung der Nutzlast in denselben Gefäßen vorgenommen wie die wagerechte Förderung, nämlich in Hunden. An die Stelle des Kübels musste nunmehr ein Gerippe treten, welches Gleise für die Hunde trug. Diese Maßnahme verkürzte die Förderpausen beträchtlich, brachte aber bedeutend größere Totlast.

Eine größere Fördergeschwindigkeit bis zu 15 m/sk wurde durch Einbau von Führungen in den Schacht ermöglicht; dies bedingte allerdings einen Reibungswiderstand, die gesteigerte Geschwindigkeit einen Luftwiderstand. Der leere

Fig 2 bis 4. Diagramm der Fördermaschine der Tamarack Mining Co.

Fig. 2.

Cylindrische Trommel ohne Unterschl.

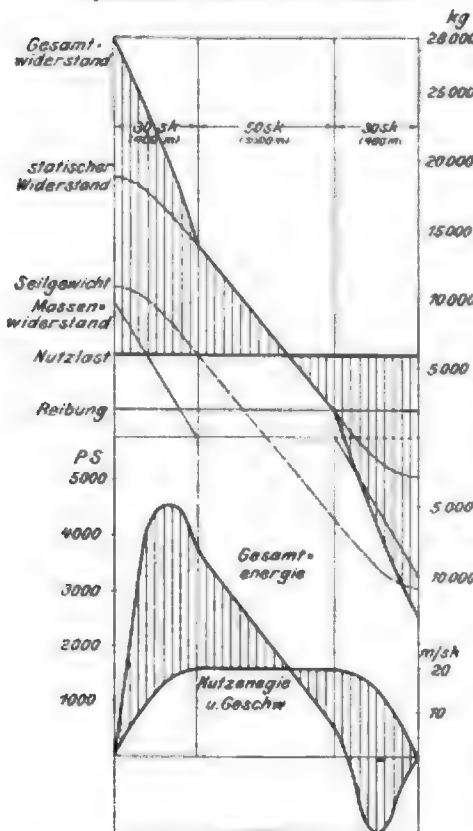


Fig. 3.

Cylindrische Trommel mit Unterschl.

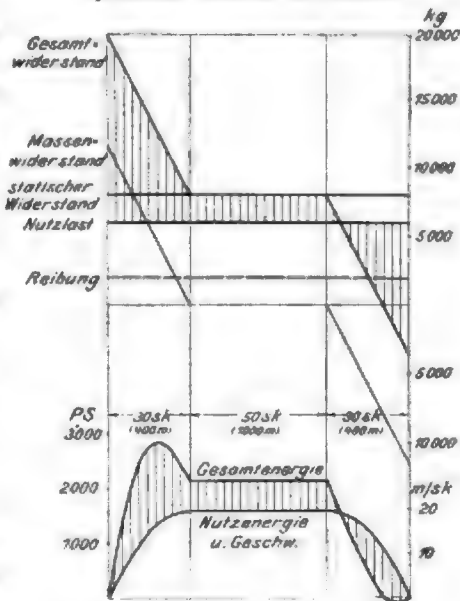
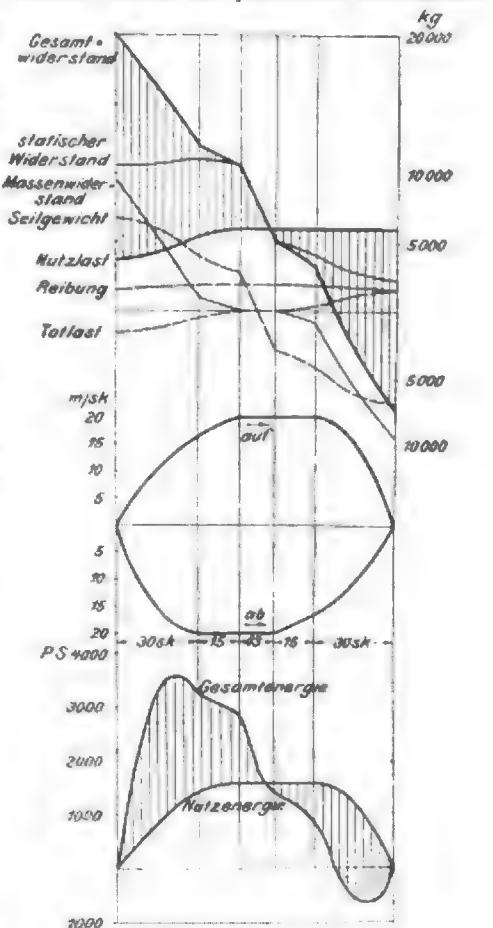


Fig. 4.

Konische Trommel mit cylindrischem Zwischenstück.



sie beispielsweise in der Zeit der antiken Kultur infolge der geringen Ansprüche an das Leben und infolge des günstigen Klimas der damals bewohnten Länder verfügbar war.

Die Fördermaschine entwickelte sich aus der ursprünglichen Kübelförderung mit Pferdewagen oder mit Wasserrad. Das Erz wurde im Tiefsten des Schachtes in einen am Hauf- oder Alosseil hängenden Kübel gefüllt, dieser Kübel aufgewunden, am oberen Schachtende — der Hängebank — entladen und leer wieder gesenkt. Die Nutzenergie wird hierbei durch den Kübelinhalt und die Fördergeschwindigkeit dargestellt; die aufzuwendende Gesamtenergie ist um den Betrag des Kübelgewichtes und des Seilgewichtes größer. Ersteres war gering im Verhältnis zur Nutzlast, daher war auch das Seilgewicht klein, denn dieses ist abhängig von Nutzlast und Kübelgewicht. Die Nutzenergie war mithin groß im Verhältnis zur Gesamtenergie. Die Förderung litt aber unter großen Uebelständen: das Einfüllen des Kübels erforderte große Förderpausen, der freigehende Kübel durfte nur mit geringer Geschwindigkeit, höchstens 2 m/sk, gehoben werden, und der leere Rückhub brachte großen Zeitverlust. Die Leistungsfähigkeit einer solchen Kübelförderung war daher sehr

Rücklauf wurde schließlich durch Einführung der zweitrümpfigen Förderung vermieden, welche gleichzeitig den Vorteil ausgeglichener Eigengewichte der Fördergerippe und Hunde brachte. Die infolge der gesteigerten Totgewichte vergrößerten Seilgewichte wurden hierbei allerdings nicht ausgeglichen. Zu beachten sind ferner die Massenwiderstände, die durch die große Geschwindigkeit und durch die großen Massen der Gerippe, Hunde, Seile und Trommeln hervorgerufen werden. Die gesteigerte Leistung wird daher erkauft durch einen verhältnismäßig weit größeren Energieverlust.

Diese Betriebsverhältnisse werden durch Versuche an der Fördermaschine des Salzwerkes in Heilbrunn beleuchtet, die von Buschmann in Dinglers Polytechnischem Journal veröffentlicht sind. Aus den dort dargestellten Dampfdiagrammen lässt sich das Belastungsdiagramm, Fig. 1, konstruieren, welches den Einfluss der einzelnen Widerstände auf den Energieverlust zur Darstellung bringt. Die Nutzenergie be-

trägt rd. 200 PS bei 12 m/sk Fördergeschwindigkeit, die höchste Gesamtenergie rd. 400 PS.

Das Verhältnis der Nutzenergie zur Gesamtenergie ist bei dieser Fördermaschine noch verhältnismäßig günstig, da die Fördertiefe nur 200 m beträgt. Ein wesentlich anderes Bild ergibt sich bei zunehmender Teufe. Zum Vergleich mögen die Betriebsverhältnisse bei der größten bisher ausgeführten Fördermaschine betrachtet werden, die seit Sommer 1899 bei der Tamarack Mining Co. in Nord-Michigan in Betrieb und von der Nordberg Manufacturing Co. in Milwaukee gebaut ist¹⁾. Die Fördertiefe beträgt 1800 m, die Fördergeschwindigkeit 20 m/sk, die Nutzlast 6000 kg, das Seilgewicht 11000 kg. Diese Fördermaschine ist mit konischen Seiltrommeln ausgeführt; es möge indessen zunächst angenommen werden, dass cylindrische Trommeln verwendet seien, um einen Vergleich mit der Heilbronner Fördermaschine zu haben. Das Belastungsdiagramm, Fig. 2, ist unter dieser Voraussetzung entworfen. Die Nutzenergie würde dann 1600 PS, die höchste Gesamtenergie 4500 PS betragen; das Verhältnis zwischen beiden wäre daher sehr ungünstig, die Maschine also nicht nur unwirtschaftlich, sondern auch sehr schwer und kostspielig. Ein wesentlich günstigeres Belastungsdiagramm, Fig. 3, würde sich ergeben, wenn die Seilgewichte durch Unterseile ausgeglichen wären. Die höchste Gesamtenergie würde dann bei gleicher Nutzenergie nur 2700 PS betragen, die Maschine könnte beträchtlich wirtschaftlicher arbeiten und leichter und billiger ausgeführt werden. Wenn sich nun aber auch Unterseile aus Holzkohlenseilen mit Bandquerschnitt bei unmittelbar zentrischer Anhängung an die Förderseile bis zu 12 m/sk Fördergeschwindigkeit und bis zu 500 m Teufe gut bewährt haben, so würde die Anwendung eines Unterseiles für 20 m/sk und 1800 m jedenfalls wegen der gewaltigen Massenwirkung des Seiles unter diesen Verhältnissen unzulässig sein.

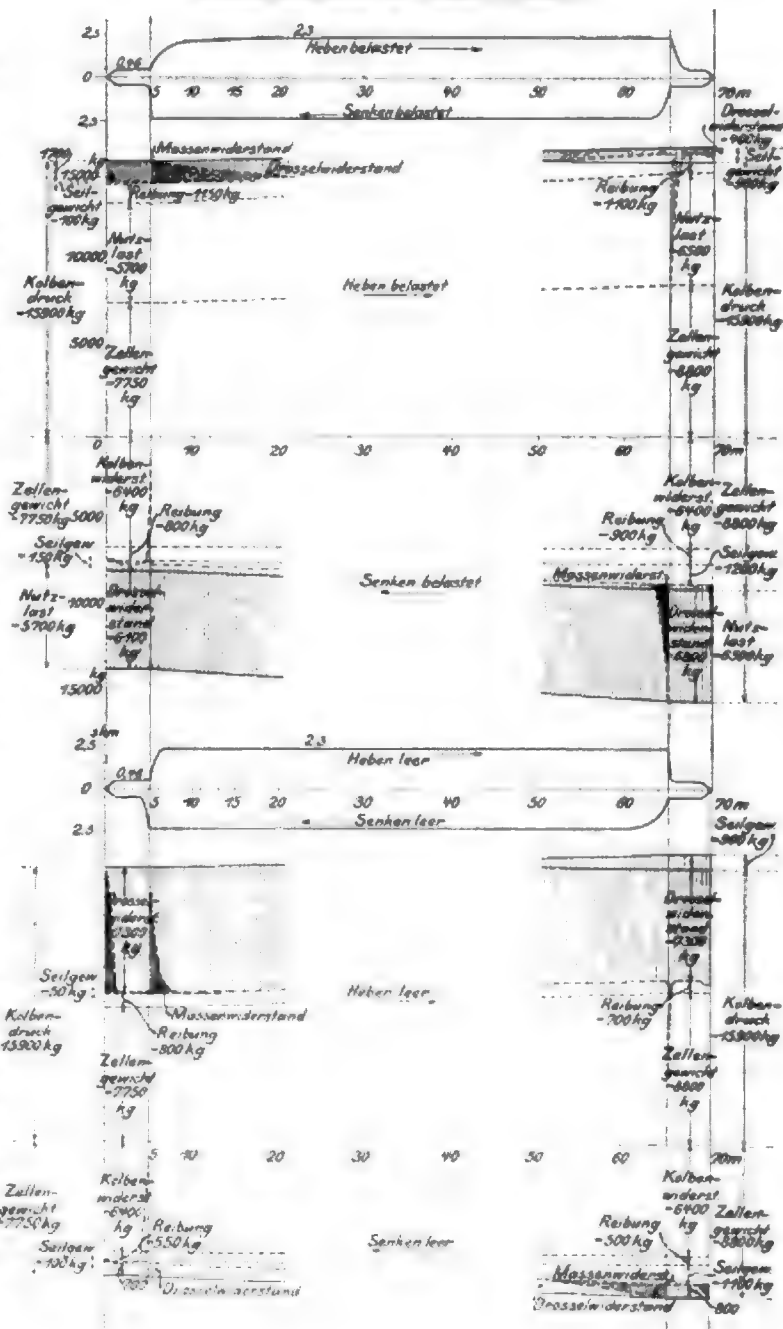
Um einerseits Unterseile zu vermeiden, andererseits das Gewicht wenigstens zum Teil auszugleichen, hat man die Fördermaschine der Tamarack Mining Co. mit konischen Seiltrommeln ausgeführt. Diese Konstruktion würde theoretisch eine vollkommenere Ausgleichung nicht nur der Seilgewichte sondern auch der Gewichte mit den Massenwiderständen ermöglichen; praktisch ist aus Konstruktionsrücksichten nicht einmal das erstere vollständig ausführbar. Im vorliegenden Falle ist zwischen die konischen Trommeln ein cylindrisches Stück eingeschaltet, welches von beiden Förderseilen abwechselnd benutzt wird. Das Belastungsdiagramm, Fig. 4, lässt daher nur eine sehr unvollkommene Ausgleichung der Seilgewichte erkennen. Die höchste Gesamtenergie beträgt 3500 PS gegen 1600 PS Nutzenergie.

Die Gesamtenergie ist am Trommelumfang gemessen gedacht; die Widerstände innerhalb der Maschine — im Kurbeltriebwerk — sind also noch nicht inbegriffen. Ebenso wenig sind die thermischen Energieverluste in den Belastungsdiagrammen dargestellt, die bei Fördermaschinen infolge der Förderpausen und infolge der Anlaufbedingungen sehr hohe Werte erreichen. Es liegt nun nahe, die Frage aufzuwerfen, ob diese Energieverluste vielleicht durch Einführung elektrischen Betriebes für Fördermaschinen verringert werden könnten. Zunächst wird die Energieübertragung hierdurch umständlicher; die Dampfenenergie kann nicht unmittelbar in die Fördermaschine geleitet werden, sondern muss zunächst in mechanische, dann in elektrische Energie umgewandelt werden, um schließlich in der Fördermaschine selbst wieder in mechanische Energie umgesetzt zu werden. Alle diese Umwandlungen sind mit Energiever-

lusten verbunden. Die thermischen Verluste lassen sich allerdings infolge der günstigen thermischen Verhältnisse stetig laufender Dampfmaschinen auf einen kleinen Bruchteil der bisherigen vermindern. Die zwischen Seiltrommel und Gerippe fallenden Energieverluste lassen sich hingegen nur dann vermindern, wenn es gelingt, die im Belastungsdiagramm dargestellte negative Arbeit in elektrische Energie umzusetzen. Diese Aufgabe ist mit gewöhnlichen Elektromotoren nicht lösbar; sie setzt vielmehr einen Motor voraus, der nicht im Ankerstromkreis, sondern ausschließlich im Feldstromkreis geregelt wird. Gleichzeitig müssen die Verluste im Anlasser vermieden werden, die bei gewöhnlichen Elektromotoren nicht zu umgehen sind. Nur unter diesen Voraussetzungen hat der elektrische Betrieb von Fördermaschinen eine Zukunft.

Fig. 5.

Belastungsdiagramm der Eiffelturm Aufgabe.



¹⁾ s. Z. 1900 N. 248.

Ein zweites Beispiel ist aus dem Personenverkehr zwischen den einzelnen Stockwerken von Gebäuden gewählt. Je nach Art der letzteren wickelt sich dieser Verkehr in sehr verschiedener Dichte ab. Als unterste Stufe können die Aufzüge in Miethäusern angesehen werden, die meist für eine Zugkraft entsprechend 3 Fahrgästen und für eine Hubgeschwindigkeit von 0,5 m/sk gebaut werden. Einen bedeutend dichteren Verkehr haben Gasthofaufzüge zu bewältigen, die durchschnittlich 5 Fahrgäste mit 1,0 m/sk Geschwindigkeit fördern können. Noch weiter werden die Anforderungen an Warenhausaufzüge gesteigert, bei denen meist eine Zugkraft entsprechend 10 Fahrgästen bei 1,5 m/sk gefordert wird. Der stärkste Verkehr tritt bei Aufzügen für Untergrundbahnen auf, die für eine Zugkraft von 50 bis 100 Fahrgästen und eine Hubgeschwindigkeit bis zu 2,0 m/sk gebaut werden. Eine Steigerung der Geschwindigkeit über diese Grenze hinaus hat keine Berechtigung, so lange die Hubhöhe das übliche Maß von 20 bis 30 m nicht überschreitet.

Als eine neuere Ausführung für sehr dichten Aufzug-

Stahlgripes mit Aluminiumzellen gelungen, das Totgewicht auf 9500 kg bei 7000 kg Nutzlast herabzudrücken, während es bei den alten Turmaufzügen 11000 kg bei 3000 kg Nutzlast betrug. Zum Ausgleich dieser großen Totlasten waren bei den alten Aufzügen Gegengewichte angeordnet, die ebenso wie die Fahrzellen mit Rollenführungen auf schiefer Bahn liefen, aber nur halb so großen Hub ausführten. Für die neuen Aufzüge wurde ebenso wie für die alten hydraulischer Betrieb gewählt, weil für diese Betriebsart von Aufzügen die meisten Erfahrungen vorlagen; im Gegensatz zu der geringen Spannung von 12 at der alten Aufzüge mit Hochbehältern griff man für die neuen Aufzüge zu der üblichen Hochspannung von 50 at mit Gewichtakkumulatoren. Die Wahl hoher Spannung macht es möglich, die in den Turmführungen laufenden, für den Betrieb sehr lästigen Gegengewichte zu vermeiden. Die Totlasten der Aufzüge sind durch die Belastungsgewichte von besonderen Akkumulatoren mit 18 at Pressung ausgeglichen, in welche das aus den Treibzylindern kommende Wasser überströmt. Die Presspumpe hat nur den

Druckunterschied zwischen Niederdruck- und Hochdruckakkumulator mit 50 — 18 = 32 at zu überwinden.

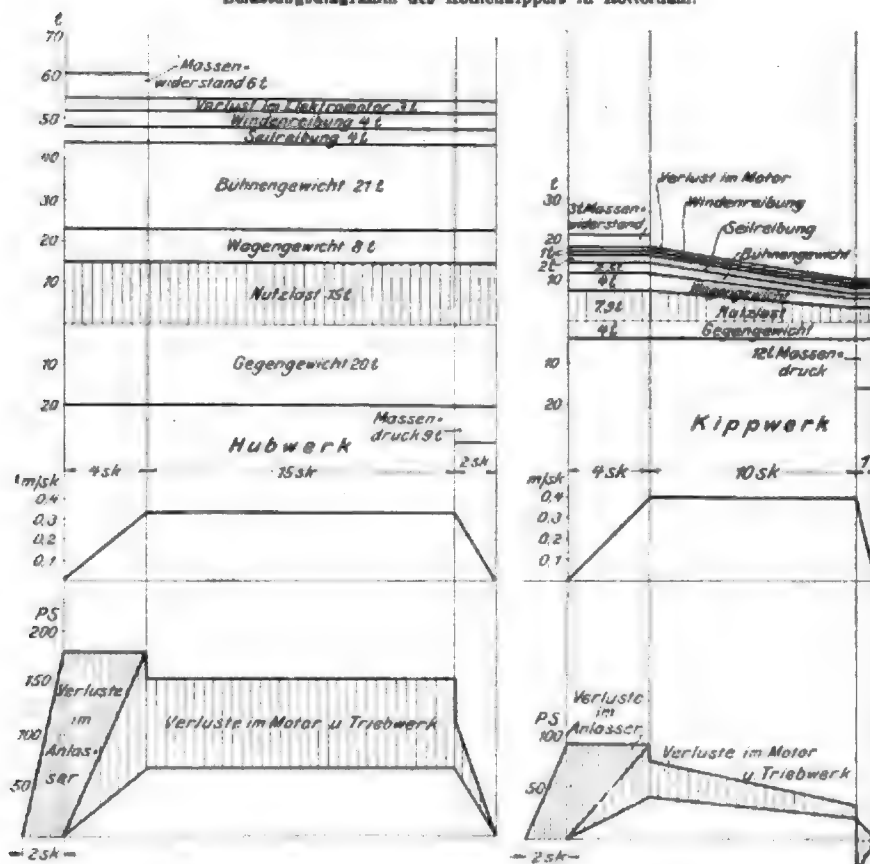
Zur Erzielung von Betriebssicherheit ist eine selbstthätige Regelung der Geschwindigkeit in der Weise ausgeführt, dass die leere Fahrzelle mit derselben Geschwindigkeit steigt und sinkt wie die vollbelastete, und eine weitere in der Art, dass Anlauf und Endlauf nicht der Willkür des Führers überlassen sind, sondern sich gesetzmäßig vollziehen. Diese Regelvorrichtungen setzen den überschüssigen Teil der Energie bei leerer Zelle durch Wasserdrosselung in Wärme um. Da eine anderweitige Regelung der Triebkraft und der Geschwindigkeit bei hydraulischem Betrieb in einfacher Weise nicht möglich ist, so entstehen naturgemäß beträchtliche Energieverluste jedesmal dann, wenn die Fahrzelle nicht voll belastet ist. Das Belastungsdiagramm, Fig. 5, lässt den Einfluss dieser Energieverluste im Vergleich an den durch Reibungs- und Gewichtswiderstände hervorgerufenen deutlich erkennen. Die nutzbare Energie beim Heben der vollbelasteten Zelle beträgt rd. 200 PS, die Gesamtenergie rd. 500 PS.

Als drittes Beispiel ist eine Hebe-
maschine aus dem Hafenverkehr genommen. Der Umschlag vom Seeschiff auf Eisenbahnwagen und auf Binnenschiffe vollzieht sich in sehr verschiedenartigen Formen, je nach Art des Umschlaggutes und der Umschlagrichtung. Einen Sonder-

fall bildet die Umladung von Kohlen. Für die Entladung von Kohle aus Seeschiffen sind 2 Arbeitsverfahren verwendbar: Krane mit Selbstgreifern und Becherwerke, letztere aber nur dann, wenn Nuskohle entladen wird. Für den umgekehrten Fall: die Umladung von Kohle aus Eisenbahnwagen in Seeschiffe, sind, wenn nicht besondere örtliche Verhältnisse vorliegen, dieselben Hebe-
maschinen verwendbar. Hier kommt aber noch ein drittes Arbeitsverfahren hinzu, das hinsichtlich der Kosten der dazu erforderlichen Maschinenanlage am weitest aus ungünstigsten, hinsichtlich der Ersparnis an Menschenkraft und hinsichtlich Leistungsfähigkeit aber am weitest günstigsten ist. Es besteht einfach darin, dass der zu entladende Eisenbahnwagen neben dem Seeschiff bis über Deck desselben gehoben und dann gekippt wird, sodass die Kohle durch die geöffnete Stirnwand des Wagens in eine Schüttrinne gleiten kann, welche sie durch die Luken in den Schiffsraum fallen lässt.

Fig. 6.

Belastungsdiagramm des Kohlenkippers in Rotterdam.



verkehr mögen in Folgendem die im Jahre 1899 ausgeführten neuen Aufzüge des Eiffel-Turmes besprochen werden, die als Ersatz für die zu wenig leistungsfähigen alten Aufzüge aus dem Jahre 1888 eingebaut worden sind. Die neuen Aufzüge sind entworfen und ausgeführt von der Compagnie de Fives-Lille und verfügen über eine Zugkraft von 7000 kg, entsprechend 100 Fahrgästen, bei 2,0 m/sk Hubgeschwindigkeit. Sie fördern vom Erdgeschoss in das zweite Stockwerk mit Anhalten im ersten Stockwerk bei einer Hubhöhe von 50 + 70 = 120 m. Die Fahrbahn ist geneigt, und zwar im unteren Teil stärker als im oberen; es war daher unter entsprechender Beschränkung der Geschwindigkeit eine Rollenführung erforderlich¹⁾.

Die Unterbringung der Fahrgäste in geschlossenen Fahrzellen führt bei Aufzügen zu beträchtlichen Werten der Totlast. Im vorliegenden Falle ist es durch Verwendung eines

¹⁾ Vergl. Z. 1901 S. 1586 u. f.

Die Hebung des Eisenbahnwagens wäre entbehrlich, wenn der Wasserstand von Ebbe und Flut nicht verändert würde, wenn das Schiff im beladenen und leeren Zustande gleichen Tiefgang hielte, und wenn alle Schiffe gleiche Freibordhöhe hätten. Dieser Fall kommt aber nur bei Beladung von Binnenschiffen in Binnenhäfen vor; dort genügt ein einfaches Kippwerk. Die Notwendigkeit, erst zu heben und dann zu kippen, macht naturgemäß die Maschinenanlage wesentlich verwickelter und umfangreicher.

Für die Untersuchung der Energieverteilung ist als Beispiel der in Rotterdam im Jahre 1901 aufgestellte neue Kohlenkipper mit elektrischem Betrieb zugrunde gelegt, der vom Eisenwerk (vorm. Nagel & Kaemp) A.-G. in Hamburg erbaut worden ist¹⁾. Die Nutzlast ist auf 15 t bemessen, die Hubhöhe auf 12 m als Höchstwert und die Hubgeschwindigkeit auf 0,33 m/sk.

Bei dem Hubwerk treten außer der Nutzlast als Widerstände auf: das Eigengewicht des Wagens, das Eigengewicht der Bühne und die Reibung in den Führungen der Bühne und in den Seilrollen. Die Eigengewichte werden durch Gegengewichte ausgeglichen, während sich die Massenwiderstände der Totlasten und der Gegengewichte summieren. Zur Verfolgung des gesamten Weges, den die Energie von den Eintrittsklemmen bis zur Nutzlast zurücklegt, sind noch die Reibungswiderstände und die Massenwiderstände des Windentriebwerkes und die Verluste im Elektromotor und im Anlasser in das Belastungsdiagramm, Fig. 6, eingetragen. Die Verluste im Elektromotor selbst sind gering, die Verluste im Anlasser dagegen beträchtlich; zur Steigerung der letzteren trägt

hauptsächlich die Ankermasse bei, die den weitaus größten Teil des gesamten Massenwiderstandes hervorruft. Ein weiterer Verlust im Anlasser entsteht durch die Vorkontakte, die den Zweck haben, den Spannungssprung beim Einschalten zu vermindern; diese Vorkontakte haben zur Folge, dass die Maschine sich erst etwa 2 sk nach dem Einschalten bewegt; die gesamte in dieser Zeit zugeführte elektrische Energie wird im Anlasser in Wärme umgesetzt.

Aus dieser Beobachtung ist deutlich erkennbar, dass die Verluste im Anlasser von elektrisch betriebenen Hebemaschinen beträchtlich größer sind, als sie zumeist geschätzt werden; es wird daher elektrischer Betrieb von sehr großen Hebemaschinen wirtschaftliche Erfolge nur dann haben, wenn diese Anlasserverluste vermieden werden.

Diese kleine Umschau zeigt, wie weit wir noch bei manchen Maschinenbetrieben von dem einen der gesteckten Ziele — Erhaltung der nutzbaren Energie — entfernt sind, wie viele und schwierige Aufgaben der Ingenieur noch vor sich liegen sieht. Bei Inangriffnahme solcher Aufgaben ist aber eines nicht zu vergessen: Nicht einseltige Lösung eines wissenschaftlichen Problems darf das Ziel des Technikers sein; denn die technische Wissenschaft darf ebenso wenig wie die medizinische um ihrer selbst willen betrieben werden. Wie letztere das Wohl des Kranken, so muss erstere den wirtschaftlichen Erfolg, d. h. die Verbesserung der menschlichen Daseinsbedingungen, als Endziel vor Augen haben. In diesem Sinne betrieben, ist die Ingenieurkunst wert, dass man ihr die ganze Lebenskraft widmet, eingedenk des Wortes:

»Wer immer strebend sich bemüht, den können wir erlösen«.

Sitzungsberichte der Bezirksvereine.

Eingegangen 10. Mai 1901.

Elsass-Lothringer Bezirksverein.

Sitzung vom 16. März 1901.

Vorsitzender: Hr. Rohr. Schriftführer: Hr. Bergmann.

Anwesend 33 Mitglieder und 5 Gäste.

Hr. Ungerer spricht über einige Getriebe an der Uhr des Straßburger Münsters, insbesondere die Darstellung des scheinbaren Laufes von Sonne und Mond.

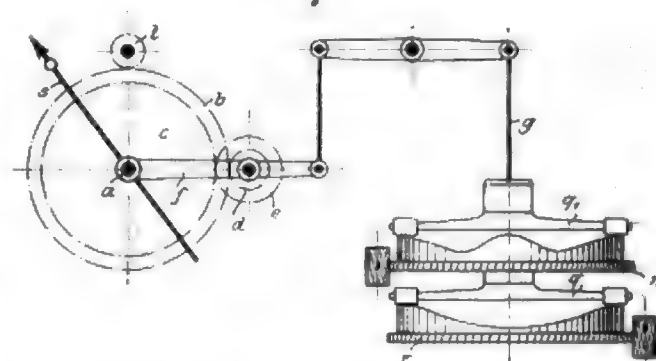
Das Räderwerk, welches den scheinbaren Lauf von Sonne und Mond um die als feststehend gedachte Erde darstellt, bildet einen der bemerkenswertesten Teile der jetzigen astronomischen Uhr, die in den Jahren 1838 bis 1842 von J. B. Schwilgué erbaut ist. An dem früheren Uhrwerk, welches vom Jahre 1790 ab stillstand und von dem jetzt noch die wesentlichsten Teile im Frauenhaus aufbewahrt werden, waren die astronomischen Andeutungen nur ganz unvollkommener Art; die wesentlichsten Erscheinungen waren auf eine Reihe von Jahren im voraus berechnet und auf großen Holstafeln vermerkt. An dem jetzigen Uhrwerk hingegen werden diese Erscheinungen vollkommen wahrheitsgetreu durch selbstthätig wirkende Getriebe dargestellt.

Zur Angabe des scheinbaren Sonnen- und Mondlaufes benutzt Schwilgué zwei Zeiger, die sich vor einem großen Zahlenkreise bewegen, welcher den Himmelsäquator darstellt und in 2×12 Stunden eingeteilt ist. Im Mittelfelde ist die nördliche Erdhalbkugel abgebildet, mit dem Nordpol als Mittelpunkt und dem Meridian von Straßburg als senkrechtem oberem Radius. Steht der Sonnenzeiger auf der Ziffer XII, so entspricht dies dem Augenblick, wo die Sonne durch den Straßburger Meridian geht.

Die Umlaufbewegung des Sonnenzeigers in dem Äquatorkreise muss die sogenannte scheinbare Zeit angeben. Diese scheinbare Zeit hat eine sehr unregelmäßige Einteilung. Von den beiden hierbei in Betracht kommenden Einflüssen ist der erste die Unregelmäßigkeit im Lauf der Erde in ihrer Bahn, die durch das Keplersche Gesetz ausgedrückt wird: die von dem Radius Vektor beschriebenen Flächen sind gleich für gleiche Zeitabschnitte. Die größte bzw. kleinste Schnelligkeit der Erde beträgt rd. 30,1 bzw. 29,1 km/sk. Diese Unregelmäßigkeiten nennt man die Anomalie; ihre Periode oder die Zeit, in der die Erde auf denselben Punkt ihrer Bahn zurückkehrt, nennt man ein anomalistisches Jahr, und dieses ist um rd. 25 Minuten länger als das gewöhnliche Jahr.

Der zweite Umstand, der auf den Lauf des Sonnenzeigers Einfluss übt, ist die Unregelmäßigkeit in der scheinbaren Zeit, die dadurch entsteht, dass der scheinbare Sonnenlauf aus der Ekliptik auf den Äquator zu übertragen oder die Längenabmessung in Rektaszension zu verwandeln ist. Damit diese Übertragung oder Umwandlung gemacht werden kann, muss zunächst die wahre astronomische Länge der Sonne bestimmt werden, die sich zusammen aus der mittleren Länge und der Mittelpunktgleichung zusammensetzt. Die mittlere Länge eines Sternes ist derjenige in der Ekliptik gemessene Winkelabstand, den der Stern von einem gewissen Nullpunkt haben würde, wenn sein Lauf regelmäßig wäre; die Mittelpunktgleichung ist der Berichtigungswinkel, der zu der mittleren Länge hinzu oder von ihr abgerechnet werden muss, und er richtet sich nach der Anomalie. Die Anomalie wirkt also manchmal vermehrend und manchmal vermindern auf die mittlere Länge ein

Fig. 1.



Die Einwirkung dieser beiden Haupteinflüsse auf den Sonnenzeiger wird folgendermaßen zum Ausdruck gebracht. Auf der Mittelachse *a* des Zifferblattes, Fig. 1, sind die beiden großen Räder *b* und *c* drehbar. *b* erhält seine Bewegung vom Gangwerk der Uhr mittels eines Triebes *t*, mit *c* ist der Sonnenzeiger *a* fest verbunden. Die Bewegung wird von *b* auf *c* durch eine seitlich gelegene Welle übertragen, auf der die Triebe *d* und *e* befestigt sind; diese Welle ist in einem Hebel *f* gelagert, der um den Mittelpunkt *a* schwingen kann. Die Eingriffsverhältnisse sind derart gewählt, dass das Rad *c* mit dem

¹⁾ a. Z. 1901 S. 793 u. f.

Zeiger s eine Umdrehung in 24 Stunden macht; wenn aber der Hebel f nach aufwärts oder abwärts bewegt wird, so muss der kleinere Trieb d sich auf dem Rade b nach oben oder nach unten abwälzen, wodurch der Trieb c auf das Rad e beschleunigend oder verlangsamt einwirkt.

Die Auf- und Abwärtsbewegung des Hebels f wird durch zwei Räder mit senkrechter Achse r und r_1 hervorgerufen, die durch besondere Triebe gedreht werden. Beide Räder tragen cylindrische Kurvenscheiben, auf denen die Querstücke q und q_1 mit Gleitrollen aufliegen. Das untere Rad r macht eine halbe Umdrehung in einem anomalistischen Jahr; die Höhenunterschiede seiner Kurve entsprechen den Unregelmäßigkeiten in dem Erdumlauf, das Querstück q erhält somit eine der Anomalie entsprechende Auf- oder Abwärtsbewegung. Das Querstück q_1 ist nun mit dem Rade r_1 verbunden, und dieses macht die Auf- und Abwärtsbewegung von q mit. Gleichzeitig wird es derart gedreht, dass es eine halbe Umdrehung in einem tropischen Jahr macht, und seine Kurve entspricht der Unregelmäßigkeit, die durch die Umwandlung der Längenabmessung in Rektaszension entsteht. Wäre die Zahnräderübersetzung eine gewöhnliche, so würde die Umdrehung des Rades r_1 ganz regelmäßig sein und nur der mittleren Länge, aber nicht der wahren Länge der Sonne entsprechen. Um auch diese Berichtigung noch hervorzubringen, ist die Zahnung des Rades r_1 und seines Triebes schraubenförmig, sodass das Rad r_1 bei der Auf- oder Abwärtsbewegung in seinem Lauf beschleunigt oder verlangsamt wird, je nachdem die Mittelpunktgleichung zu- oder abgerechnet werden muss.

Das obere Querstück q_1 und die Stange g beschreiben eine Auf- oder Abwärtsbewegung, die der Summe der verschiedenen inbetracht kommenden Unregelmäßigkeiten entspricht, und da die Bewegung der Stange t auf den Hebel f übertragen wird, so entspricht die Drehung genau den gestellten Anforderungen.

Eine viel schwierigere Aufgabe war es, dem Mondzeiger die Umlaufbewegung zu geben, die dem scheinbaren Lauf des Mondes, auf den Aequator übertragen, entspricht; erstens, weil die Drehung des Mondes um die Erde von sehr vielen Einwirkungen beeinflusst wird, und zweitens, weil die Mondbahn in einem Winkel von $5^\circ 8'$ schräg zur Ekliptik liegt; auch fällt sie nicht immer in dieselbe Richtung, sondern beschreibt eine kreisende Bewegung, sodass die Schnittlinie von Mondbahn und Ekliptik in einem Jahr einen Winkel von rd. 19° zurücklegt oder eine ganze Umdrehung in rd. 19 Jahren macht. Infolgedessen bleibt auch der Winkel zwischen Mondbahn und Aequator nicht gleich, sondern schwankt zwischen $28^\circ 36'$ und $18^\circ 20'$. Zunächst muss also die Summe sämtlicher Unregelmäßigkeiten, denen der Mond in seiner Bahn unterworfen ist, festgelegt werden, und dann muss das Ergebnis aus der Ebene der Mondbahn auf den Aequator übertragen werden, um dem Mondzeiger eine der Wirklichkeit genau entsprechende Umlaufbewegung zu geben.

Die Ursache der verschiedenen Unregelmäßigkeiten des Mondlaufes liegt größtenteils in der stärker oder schwächer wirkenden Anziehungskraft, welche Sonne und Erde auf den Mond ausüben. Im wesentlichen sind es fünf verschiedene Abweichungen von größerem Einfluss: die Anomalie, die Evektion, die Variation, die jährliche Gleichung und die Reduktion, deren Perioden auch bei der Straßburger Uhr berücksichtigt sind. Das Endergebnis dieser fünf Unregelmäßigkeiten wird wie für den Sonnenzeiger durch 5 übereinander liegende Kurvenscheiben mit senkrechter Achse hervorgebracht und auf den Gang des Mondzeigers übertragen. Die Übertragung der wahren Mondbewegung aus seiner schiefen Bahn auf die Aequatorebene ist folgendermaßen eingerichtet.

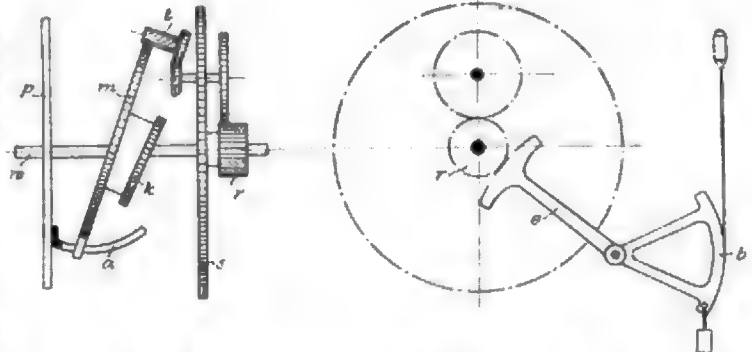
Das Hauptrad s , Fig. 2, auf der Welle w macht eine Umdrehung in einem Sternentag; das Rad m liegt in einem schiefen Winkel von rd. 23° zu w und wird mit diesem gedreht, indem es in den mit s zugleich umlaufenden Trieb t eingreift. Außer dieser Bewegung um die Achse w erhält s auch eine Drehung um seine eigene Achse durch Umlaufräder, die auf der Scheibe des Rades s angebracht sind, und deren letztes in ein Rad r auf der Welle w eingreift. Die Eingriffverhältnisse sind derart gewählt, dass eine Umdrehung des Rades m der Zeit entspricht, die der Mond durchschnittlich braucht, um nach einem Tage wieder durch denselben Meridian zu gehen. Diese regelmäßige Durchschnittsbewegung wird zunächst in eine unregelmäßige Umdrehung verwandelt, die der wahren Umlaufbewegung des Mondes um die Erde entspricht; zu dem Zweck greift das Rädchen r in ein Zahnradsegment e , Fig. 3, auf dessen Achse ein Reibensegment b sitzt. Das letztere wird vermittle eines Stahlbandes und verschiedener Hebel ähnlich wie in Fig. 1 auf und abwärts bewegt, je nachdem das Endergebnis der vorerwähnten fünf Mondgleichungen eine

nach oben oder nach unten gerichtete Verschiebung zeitigt. Das Rad r wird somit einmal nach rechts und einmal nach links herumgedreht und übt daher eine beschleunigende oder verlangsamende Wirkung auf das Rad m aus, sodass dessen Drehung genau dem Mondumlauf in seiner Bahn entspricht.

Diese Drehung ist nun noch aus der Ebene der Mondbahn auf die Aequatorebene zu übertragen. Da der Winkel zwischen diesen beiden Ebenen veränderlich ist, wird auch dem Rade m eine leichte Abweichung aus seiner schiefen Lage zum Rade s gegeben: ein kleineres Rad k liegt nämlich unter dem unveränderlichen Winkel von $23^\circ 28'$ zum Rade s und wird vermittle verschiedener Umlaufräder so bewegt, dass es eine Umdrehung im Verlauf von 18 Jahren 216 Tagen 21 st 22 min 46 sek macht. Auf diesem Rade k ist ein schief abgeschnittener Cylinder befestigt, auf dessen Ebene das Mondrad m drehbar ruht. Die ungleiche Höhe des Cylinders an k ist derart be-

Fig. 2.

Fig. 3.



messen, dass die beiden Räder k und m in einem Winkel von $5^\circ 8'$ zueinander liegen, der dem Winkel zwischen Mondbahn und Ekliptik entspricht, sodass der Winkel zwischen m und s zwischen $28^\circ 36'$ und $18^\circ 20'$ schwankt.

Das Rad p stellt die Aequatorebene dar; an ihm ist ein kreisbogenförmiger geschlitzter Mitnehmerarm a befestigt. In dem Schlitz kann sich ein an dem Mondrade m angebrachter Stift bewegen, wodurch das Rad p eine Umlaufbewegung erhält, die der Projektion des Rades m auf p genau entspricht, und die somit die scheinbare Bewegung des Mondes, auf den Aequator übertragen, darstellt. Vom Rade p wird die betreffende Bewegung durch Zahnräderübersetzung auf den Mondzeiger übertragen.

Außer dieser Umlaufbewegung werden dem Mondzeiger noch zwei andere Bewegungen mitgeteilt: eine Drehung des Zeigers um seine Längsachse und eine Verschiebung in der Längsrichtung. Die Drehung hat den Zweck, die Mondphasen anzuzeigen, zu welchem Zweck die an der Spitze des Zeigers angebrachte kleine Kugel zur Hälfte schwarz und zur Hälfte vergoldet ist. Um diese Drehbewegung zu erzielen, ist ein Winkelrad flach vorn auf dem Sonnenzeiger und ein gleich großes auf dem Mondzeiger angeordnet. Die Verschiebung wird durch eine Exzentrumscheibe hervorgebracht, die den Zeiger entweder verlängert oder verkürzt und dadurch die Sonnen- und Mondfinsternisse darstellt.

Frankfurter Bezirksverein.

Besichtigung des Getreidesilos am Frankfurter Hafen.

Der Frankfurter Bezirksverein hat kürzlich den neuen städtischen Silospelcher im Betriebe besichtigt, über den nachstehend einige Mitteilungen folgen.

Die Zunahme des Getreideverkehrs im Frankfurter Hafen verlangte schon seit Jahren eine Vernehrung der noch aus den 50er Jahren stammenden Auslade- und Lagereinrichtungen. Hatte man bei Einrichtung des neuen Hafens in völliger Ungewissheit über die zu erwartenden Güter, insbesondere Getreide, zutreffenderweise ein Lagerhaus mit Schüttböden errichtet, auf denen sowohl Getreide wie andere Güter gelagert werden konnten, so war es jetzt schon längst kein Wagnis mehr, einen ausschließlich für Getreide berechneten Speicher zu erbauen. Für die vorliegenden gewaltigen Mengen kam nur die Silobauart in Betracht, die bei Großverkehr in Getreide überall üblich ist.

Diese Bauart — aufrecht stehende Zellen — ermöglicht neben ihren vielen sonstigen Vorzügen auch die vorteilhafteste Ausnutzung der Grundfläche.

Der Bau wurde diesmal nicht wie im Jahre 1886 durch einen öffentlichen Wettbewerb, sondern aufgrund der inzwischen gemachten eigenen Erfahrungen und der Besichtigungen anderer bewährter Anlagen von dem städtischen Tiefbauamt festgelegt. Nach dessen Plänen fand dann eine öffentliche Ausschreibung statt, zufolge deren die Bauausführung der Aktiengesellschaft für Hoch- und Tiefbauten vorm. Gebrüder Helfmann, die Maschineneinrichtung den Firmen Gebrüder Weismüller und Simon, Bühler & Baumann, alle in Frankfurt a.M., übertragen wurden. Von diesen Unternehmern wurde für die Eisenkonstruktion des Elevatorturnes und der Uebergangbrücke zwischen Schiffelevator und Silo noch die Eisenkonstruktionswerkstätte Rohnstadt & Zweigle in Frankfurt zugezogen; ferner wurde der elektrische Antrieb von der Firma Brown, Boveri & Co. ausgeführt; endlich waren beim Bau und der Maschineneinrichtung noch einige Frankfurter Fabriken und Geschäfte als Mitarbeiter und Lieferer beteiligt. Die gesamte Ausführung erfolgte nach den vom Tiefbauamt geprüften Einzelplänen der Unternehmer unter Aufsicht des Tiefbauamtes.

Das neue Silogebäude steht landeinwärts etwa 84 m hinter der Kaimauer des Hafens; an der Kaimauer, neben dem alten Lagerhaus, steht der eiserne Turm zur Aufnahme des eisernen Schiffelevators, aus dem mittels einer Ueberführungsbrücke in den neuen Silo ausgeladen wird. Der Silo hat einen Fassungsraum von 20000 t gleich 200000 Sack Getreide. Das Gebäude einschließlich des angebauten, 6 Stockwerke hohen Maschinenraumes ist 95,4 m lang, 24,5 m breit und bis zum Dachfirst 29,6 m hoch. Im Hauptbau befinden sich 204 Silozellen von 500 bis 1500 Sack Fassungsraum; 10 Zellen sind für »krankes« Getreide vorgesehen, für welches eine Hochdruck-Gebläseanlage bestimmt ist.

Im Maschinenraum befindet sich eine Reinigungsanlage für 50 t stündliche Leistung. Das zu Schiff ankommende Getreide wird mittels des in dem erwähnten Turmgerüst befindlichen verstellbaren Elevators, der eine stündliche Leistung von 80 bis 100 t (800 bis 1000 Sack) hat, gehoben, auf das in der Ueberführungsbrücke eingebaute Gummi-Förderband ausgeschüttet und in den Maschinenraum des Silos befördert; hier durchläuft es die selbstthätige Annahmewage, wird hoch gehoben, auf die beiden über die ganze Länge des Silos fahrenden Förderbänder ausgeschüttet und durch Abwurfwagen und Ansteckrohre in beliebige Silozellen verteilt.

Die Abgabe aus den Silozellen findet durch fahrbare selbstthätige Wagen statt, welche wägen und versacken; die Weiterverladung erfolgt dann mit der Bahn oder mit Landfuhrwerk.

Das Getreide kann auch von dem Silo über die Ueberführungsbrücke zurück in das alte Lagerhaus befördert und dort offen gelagert oder ebenfalls verwogen und gesackt werden.

Der Schiffelevator allein wurde schon im Frühjahr dieses Jahres eine zeitlang zum Einladen in das alte Lagerhaus mit verwendet; die Gesamtanlage wurde Anfang September in vollen Betrieb genommen und arbeitet seither ohne irgend welche nennenswerte Störungen.

Die Kosten des Gebäudes betragen etwa 1 Mill. M., die der Maschineneinrichtung einschließlich Schiffelevators und Ueberführungsbrücke etwa 280000 M.

Eingegangen 20. Mai 1901.

Hamburger Bezirksverein.

Sitzung vom 16. April 1901.

Vorsitzender: Hr. Hartmann. Schriftführer: Hr. Lesser.
Anwesend 45 Mitglieder und 3 Gäste.

Nach Erledigung der geschäftlichen Angelegenheiten spricht Hr. Steen aus Berlin (Gast) über Druckluft-Wasserheber, unter besonderer Berücksichtigung der Mammut-Pumpe).

Die Bestrebungen, Pressluft zum Heben von Flüssigkeiten zu verwenden, haben zwei Hauptarten von Druckluft-Flüssigkeitshebern gezeitigt. Bei der einen wird die Pressluft in einen geschlossenen Behälter geleitet, welcher mit Ein- und Auslaßteilen für die zu hebende Flüssigkeit versehen ist, und aus dem diese durch eine Leitung der Verwehungsstelle zugeführt wird. Diese Flüssigkeitsverdränger oder aktiven Druckluft-Flüssigkeitsheber haben einerseits infolge der verwickelten Bauart der Steuerteile, andererseits wegen des sehr niedrigen mechanischen Wirkungsgrades bisher nur vereinzelte Anwendung gefunden und können deshalb aus dem Rahmen der vorliegenden Betrachtung ausscheiden.

Die zweite Form der inrede stehenden Pumpen ist der passive Druckluft-Flüssigkeitsheber. Hier wird die Flüssigkeit durch den Druck einer die Vorrichtung bis zu einer gewissen Höhe umgebenden Flüssigkeitssäule unter Einwirkung von Pressluft gehoben, welche in der Nähe des Eintritts der Flüssigkeit in die Pumpe eingeführt wird.

Die außerordentliche Einfachheit des passiven Druckluft-Flüssigkeitshebers gab der Firma A. Borsig in Berlin Veranlassung, die Ausführung dieser Pumpenart unter dem Namen »Mammut-Pumpe« zu übernehmen, nachdem ihrem Direktor Grumbacher gelungen war, durch Herstellung eines geeigneten Fußstückes einen verhältnismäßig guten Wirkungsgrad damit zu erzielen.

Taucht man ein Rohr etwa bis zur Hälfte seiner Länge in eine Flüssigkeit und führt am unteren Ende durch eine besondere Leitung Druckluft ein, so wird diese vermöge ihres Auftriebes nach oben steigen und eine Verminderung des spezifischen Gewichtes der Flüssigkeitssäule im Rohre hervorufen; infolgedessen wird der Flüssigkeitsspiegel steigen, und zwar bei stetiger Zuführung von Pressluft bis über den Ausguss hinaus.

Die Menge der zuzuführenden Pressluft richtet sich nach der Förderhöhe und deren Verhältnis zur Eintauchtiefe. Während bei Hebung von 1 ltr Wasser auf 10 m Höhe bei 15 m Eintauchtiefe rd. 2 ltr Luft von 1,5 at Pressung erforderlich sind, werden bei Förderung derselben Menge auf 30 m Höhe bei rd. 30 m Eintauchtiefe rd. 4 ltr Luft erforderlich, welche auf einen entsprechenden Ueberdruck zu verdichten sind.

Ebenso wie die Luftmenge ist auch die Eintauchtiefe der Mammut-Pumpe von der Förderhöhe abhängig. Bei Hebung des Wassers bis zu etwa 10 m wird die Eintauchtiefe zweckmäßig 1- bis 1,5 mal so groß genommen wie die Förderhöhe. Ueber 10 m hinaus ist es zulässig, die Eintauchtiefe kleiner zu wählen als die Förderhöhe; bei 60 m Eintauchtiefe kann z. B. bis auf 150 m über dem Wasserspiegel gefördert werden. Auch die Geschwindigkeit, mit welcher das gehobene Wasser die Rohrleitung durchströmt, richtet sich neben der Größe des Durchmessers nach der Förderhöhe und ihrem Verhältnis zur Eintauchtiefe. Mit wachsendem Durchmesser und zunehmender Eintauchtiefe nimmt auch die Durchflusgeschwindigkeit bis zu einer gewissen Grenze stetig zu.

In der Hauptsache ist die Mammut-Pumpe bisher zum Heben von reinem Wasser, und zwar sowohl aus flachen Gewässern als auch aus Tiefbrunnen, verwendet worden.

Bei Hebung des Bedarfswassers mittels der Mammut-Pumpe aus flachen Gewässern, Flüssen, Seen usw. ist es notwendig, an der Schöpfstelle ein Standrohr von entsprechender Tiefe abzusenken und mit dem Wasserträger in Verbindung zu bringen. Ungleich häufiger kommt es aber vor, dass das Wasser mittels eines Bohrloches aus größerer Tiefe gewonnen wird, wodurch die für die Hebung des Wassers mittels der Mammut-Pumpe erforderliche Eintauchtiefe bereits geschaffen ist.

Der Vortragende geht auf diese Art der Wasserförderung und ihre Vorteile näher ein und beschreibt im Anschluss daran je eine ausgeführte Mammut-Pumpe für Reinwasser, Zement-schlamm, gesättigte Soole, Säure, heisses säurehaltiges Bergwerkswasser und Rohpetroleum.

Auch zur Herstellung von Bohrlöchern hat sich die Mammut-pumpe außerordentlich bewährt. Bekanntlich werden nach dem üblichen Bohrverfahren die von einem Bohrmeißel losgelösten Gesteinsteile mehr oder weniger gepulvert und unter kräftiger Wasserspülung zutage gefördert. Diese Zertrümmerung des Gebirges zu Pulverform ist außerordentlich zeitraubend, und die Bohrlochsohle kann nur verhältnismäßig langsam tiefer gelegt werden. Zudem wirkt das beständige Arbeiten in dem Bohrschmund zerstörend auf den Meißel. Wesentlich gemildert werden diese Uebelstände, wenn die losgelösten Gesteinsteile durch eine Mammut-Pumpe hochgespült werden. Dabei brauchen die Gesteinsteile nur in Stücke zer schlagen zu werden, die noch ungehindert durch das eingeblängte Förderrohr hindurchgehen. Die Sohle des Bohrloches wird während des Abtaufens stets von Schmand reingehalten, und dem Bohrmeißel fällt in der Hauptsache die Aufgabe zu, neue Gesteinsteile abzutrennen. Eine derartige Bohreinrichtung wird anhand von Zeichnungen vorgeführt.

Weiter wird die Mammut-Pumpe auch mit Erfolg beim Abtaufen von Bergwerkschächten ohne Wassorentziehung in schwimmendem, mildem, mittelhartem und hartem Gebirge benutzt.

Auch die hier inbetracht kommenden Verfahren zur Abtrennung und Hebung der gelösten Gebirgsmassen werden vom Redner näher erläutert.

Als Vorzüge der Mammut-Pumpe gegenüber Tiefbrunnen-Kolbenpumpen bezeichnet der Vortragende die Stetigkeit des

mechanischen Wirkungsgrades, die Betriebssicherheit und die Bequemlichkeit in der Bedienung. Auch die Anschaffungskosten stellen sich im allgemeinen niedriger als die von Tiefbrunnen-Kolbenpumpen, da kostspielige Schachtbrunnenanlagen und umständliche Transmissionswellen nicht notwendig sind.

In den wenigen Jahren, innerhalb deren die Mammut-Pumpe angewendet wird, sind schon mehr als 300 solcher Einrichtungen geliefert oder noch in Ausführung begriffen.

Eingegangen 13. Mai 1901.

Karlsruher Bezirksverein.

Sitzung vom 11. März 1901.

Vorsitzender: Hr. Helck. Schriftführer: Hr. Bonte.

Anwesend 13 Mitglieder.

Hr. Helck macht Mitteilungen über den statischen Luftmesser, Bauart Helck.

Nur selten werden Luftmengen, die irgendwo zur Verwendung kommen sollen, gemessen. Der Grund hierfür ist in dem Umstande zu suchen, dass die bekannten Luftmesser, besonders für größere Luftmengen, teils zu unhandlich, teils zu ungenau sind. Mit der einen Art dieser Geräte, den Anemometern, wird die Strömungsgeschwindigkeit der Luft gemessen, und es kann dann durch Multiplikation mit dem Strömungsquerschnitt die durchgeflossene Menge berechnet werden. Die andere Art der Luftmessgeräte, die sogenannten Gasmesser, messen unmittelbar die durchgetretene Luftmenge und machen sie durch ein Zeigerwerk ablesbar. Man unterscheidet nasse und trockene Gasmesser; bei jenen bildet eine Hohlkugel, welche zum Teil in eine Absperflüssigkeit eintaucht, das Messgefäß, während bei diesen zwei oder mehrere Bälge aus undurchlässigem Stoff diese Rolle übernehmen.

Da im Gasanstaltbetriebe dem ungereinigten Gas rd. 2 vH atmosphärische Luft zugesetzt werden, um die Schwefelwasserstoffreiniger zu entlasten, und da diese Luftmenge zuverlässig gemessen werden muss, so macht sich hier das Bedürfnis nach einem brauchbaren Luftmesser dringend geltend. Aus diesem Grunde hat es der Vortragende, durch schlechte Erfahrungen mit andern Luftmessern belehrt, unternommen, einen zuverlässigen und leicht zu bedienenden Luftmesser zu konstruieren.

Mittels eines Dampfstrahlgebläses wird Luft angesaugt, die durch eine Kaliberscheibe bekannter Größe strömen muss. Die hierdurch im Saugraume erzeugte Saugspannung wird mithilfe eines Manometers gemessen und aus dem Druckunterschiede mittels der Grashof'schen Formel die Durchflussgeschwindigkeit und die stündlich angesaugte Luftmenge berechnet. Die zusammengehörigen Werte der Luftmengen und der Druckunterschiede sind zeichnerisch zusammengestellt, sodass der das Gerät bedienende Arbeiter nur nötig hat, das Absperrrventil des Dampfstrahlgebläses so weit zu öffnen, dass das Manometer den richtigen Druckunterschied anzeigt. Dieses Gerät wird bereits in vielen Gasanstalten mit bestem Erfolge angewendet.

Hr. Reuter berichtet über die Zerstörung einer Alpenvereins-Schutzhütte durch einen Föhnsturm im Dezember vorigen Jahres. Die Hütte von quadratischem Grundriss mit 10 m Seitenlänge und 8 m Firsthöhe über dem Boden war im Rohbau (ohne Decken und Zwischenwände) fertig, äußerlich ziemlich dicht verschalt und mit Dachpappe abgedeckt. Innerhalb der Umfassungswände waren 10 eiserne Anker von je 5,7 qcm Querschnitt bis zum First durchgeführt und im gewachsenen Felsboden rd. 1 m tief eingelassen. Dieses Haus wurde durch den Sturm als ein Ganzes vom Boden abgehoben, die 10 Anker abgerissen (nicht abgesichert) und das ganze Haus rd. 20 m von der Baustelle wieder aufrecht niedergestellt. Da zu dieser Leistung bei einem Eigengewicht des Gebäudes von rd. 30 t eine senkrechte Gesamtkraft von etwa 200 t (d. i. 2000 kg qm) nötig war, müssen Wirkungen des Sturmes stattgefunden haben, welche auch aus den größten bisher beobachteten Winddrücken wohl kaum erklärt werden können.

Hr. Helck macht auf den Aufsatz von Gehrckens (Hamburg) in Z. 1901 S. 1509 über große Riemengeschwindigkeiten aufmerksam. Hr. Lindner schließt sich der von Gehrckens vertretenen Ansicht an, dass schnelllaufende Riemen trotz der größeren Fliehkraft bedeutend leistungsfähiger sind als langsamlaufende und erklärt dies folgendermaßen. Beim langsamlaufenden Riemen stehen die Kräfte im ziehenden und im gezogenen Trum im Verhältnis $e^2:1$, d. h. es ist im gezogenen Trum noch eine große Spannung nötig, um zwischen Riemen und Scheibe eine zur Kraftübertragung genügende Reibung zu erzielen, und da nur der Unterschied

der Spannungen im ziehenden und im gezogenen Trum Nutzarbeit leisten kann, so ist die Zugfestigkeit eines langsamlaufenden Riemens stets schlecht ausgenutzt. Beim schnelllaufenden Riemen dagegen sieht man oft, dass das gezogene Trum ganz schlaff durchhängt oder flattert, also keine große Spannung haben kann. Dass dennoch zwischen Riemen und Scheibe eine genügende Reibung erzeugt wird, glaubt der Redner durch sehr schnell aufeinander folgende Zuckungen im ziehenden Trum erklären zu können. Diese Zuckungen folgen so schnell aufeinander, dass der auf der Scheibe befindliche Riementeil infolge seiner Trägheit nicht imstande ist, sie auf das gezogene Trum zu übertragen; es wirkt also beim schnelllaufenden Riemen die Trägheitskraft des Riemens gerade so, wie beim langsamlaufenden Riemen die Spannung im gezogenen Trum, und daher kommt es, dass beim schnelllaufenden Riemen fast seine ganze Zugfestigkeit zur Arbeitsübertragung verfügbar ist¹⁾.

Eingegangen 17. Mai 1901.

Mannheimer Bezirksverein.

Sitzung vom 13. März 1901.

Vorsitzender: Hr. Schmidt. Schriftführer: Hr. Hahn.

Anwesend 22 Mitglieder und 1 Gast.

Der Vorsitzende gedenkt des verstorbenen Mitgliedes Hrn. Leng, Direktors der Maschinenfabrik von Jos. Vögeler, Mannheim, dessen Andenken die Versammlung durch Erheben von den Sitzen ehrt.

Dann spricht Hr. R. Meier aus Jena über Arbeiterwohlfahtseinrichtungen in deutschen Fabriken²⁾.

Eingegangen 17. Mai 1901.

Thüringer Bezirksverein.

Sitzung vom 12. März 1901.

Vorsitzender: Hr. Gutwasser. Schriftführer: Hr. Ritzer.

Anwesend 23 Mitglieder und 2 Gäste.

Nach Erledigung geschäftlicher Angelegenheiten spricht Hr. Viertel über die Eisenbahnen auf der Weltausstellung in Paris 1900³⁾.

Sitzung vom 23. April 1901.

Vorsitzender: Hr. Bernigau. Schriftführer: Hr. Ritzer.

Anwesend 28 Mitglieder und 24 Gäste, darunter 17 Damen.

Hr. Prof. Dr. Wittelschöfer aus Berlin (Gast) spricht über die Verwertung des Spiritus in Haushalt und Industrie.

Von der Spirituserzeugung Deutschlands findet heute bereits $\frac{1}{4}$ bis $\frac{1}{2}$ Verwendung zu Haushalt- und gewerblichen Zwecken. In der chemischen Industrie dient der Spiritus als Grundlage oder als Mittel zur Herstellung vieler Farbstoffe für die Textilindustrie; weiter verbraucht die Essigfabrikation erhebliche Mengen von Spiritus, der auch zur Darstellung mancher Arzneimittel Verwendung findet. Diese Verwendungsarten treten jedoch zurück gegen die Ausnutzung zu Wärme-, Licht- und neuerdings auch zu Kraftzwecken. Am häufigsten ist der Spiritus bisher wegen seiner Verbrennungswärme zur Verwendung gelangt. Die Vorzüge des Spiritus für Kochzwecke liegen darin, dass er leicht, schnell und nahezu vollständig verbrennt, besonders wenn die Kochgeräte richtige Zuführung und Mischung von Luft mit den Spiritusgasen ermöglichen. Die Vorzüge der neuesten Kochgeräte werden vom Redner an Vorführungen der Spiritfabrik Alb. Ernst, G. m. b. H. in Halle, erläutert. Weiter hebt dann der Redner die Bedeutung des Spiritus für die Beleuchtungstechnik hervor. Das Spiritusglühlicht sei billiger als Petroleum- und besonders elektrisches Glühlicht, sodass man da, wo Gaslicht nicht zur Verfügung steht, überall erwägen sollte, ob man nicht statt des Petroleums Spiritus verwende, der nicht wie jenes ruft, riecht und eine weit weniger sorgsame Behandlung der Lampen zulässt.

Hinsichtlich der Verwendung des Spiritus zu Kraftzwecken hebt der Vortragende kurz hervor, dass schon zahlreiche Spirituslokomobilen und -motoren geschaffen und mit Erfolg in Benutzung genommen seien.

¹⁾ Vergl. hierzu Abbes, Z. 1901 S. 1638.

²⁾ Vergl. Z. 1901 S. 1647.

³⁾ Vergl. Z. 1900 S. 933 u. f.; 1708.

Zeitschriftenschau.¹⁾

(* bedeutet Abbildung im Text.)

Bergbau.

A piece of difficult shaft sinking in developping the salt mines of Grand Cote Island Louisiana. Von Haslehurst. (Eng. News 7. Nov. 01 S. 342/43*) Das über dem Salzlager befindliche Erdreich bestand zum größten Teile aus Trieb sand, welcher das Abteufen sehr erschwerte. Der Sechacht wurde deshalb aus übereinander gelegten gusseisernen Ringen hergestellt.

Chemische Industrie.

Les industries chimiques à l'Exposition de 1900 et leurs progrès depuis l'Exposition de 1889. Von Guillet. Forts. (Génie civ. 16. Nov. 01 S. 44/46*) Erzeugung von Kohlensteer. Künstliche und natürliche Farbstoffe. Tanninextrakte. Forts. folgt.

Dampfkräftenanlagen.

Contract tests of automatic stokers at the General Electric Works, Schenectady, N.Y. (Eng. News 7. Nov. 01 S. 345/46) Die Beschickvorrichtungen waren an Stirling-Kesseln angebracht. Die Versuche ergaben geringen Kohlenverbrauch und rauchschwache Verbrennung.

High speed double compound engine. (Engineer 22. Nov. 01 S. 536*) Die Maschine hat zwei nebeneinander liegende Niederdruckzylinder, auf denen zwei Hochdruckzylinder nach Tandem-Bauart angeordnet sind. Das Gehäuse der Maschine ist geschlossen.

500-horse-power compound engine and electric generator. (Engng. 22. Nov. 01 S. 706/08*) Zeichnungen und Erläuterungen der Konstruktion der in Zeitschriftenschau v. 13. Juli 01 unter »Steam electric generating plant at the Glasgow Exhibition« erwähnten stehenden Corliss-Verbundmaschine von Markham & Co. in Chesterfield.

Eisenbahnwesen.

Die Montreux-Berner Oberland-Bahn. (Schweiz. Bauz. 23. Nov. 01 S. 224/28*) Die Bahn soll in Zwissimmen, rd. 60 km von Montreux entfernt, endigen. Zum Betriebe soll Gleichstrom verwendet werden, der durch Oberleitung zugeführt wird. Lageplan. Einzelheiten des Oberbaues. Rollendes Gut. Kraftversorgung.

Note sur les chemins de fer à une et à deux files de rails comparés au point de vue de la circulation en courbe. Von Philippe. (Ann. Ponts Chaus. 01 Heft 2 S. 310/45*) Umfassende Abhandlung über die Grenzen der Fahrgeschwindigkeit in Kurven auf gewöhnlichen zweischienigen Bahnen und auf einschienigen Bahnen mit besonderer Berücksichtigung der Elberfelder Schwerebahn.

Elektrischer Betrieb auf den schweizerischen Hauptbahnen. III. Von Thormann. (Schweiz. Bauz. 23. Nov. 01 S. 230/32) Anlagekosten und vergleichende Betriebskosten. Schluss folgt.

The development of trolley networks in Michigan. Von Hart. (El. World 16. Nov. 01 S. 812/14*) Bericht über die von der Stadt Grand Rapids ausgehenden elektrisch betriebenen Kleinbahnlinien, die mit Oberleitung oder dritter Schiene und Drehstrom Gleichstrom-Unterwerken von 550 V Spannung betrieben werden.

The balancing of locomotives. Von Dalby. (Engng. 22. Nov. 01 S. 726/28*) Entwicklung eines rechnerisch-zeichnerischen Verfahrens zur Ermittlung der Größe und Anordnung der Ausgleichsgewichte für Lokomotiven. Durchrechnung von Beispielen.

Bemerkungen über die Lokomotiven auf der Weltausstellung in Paris 1900. Von Lorenz. Schluss. (Organ 01 Heft 11 S. 238/41) Triebwerk und Gewicht der Lokomotiven.

Fahrtbetriebsmittel elektrischer Bahnen und Triebwagen verschiedener Antriebsart auf der Weltausstellung Paris 1900. Von v. Littrow. (Organ 01 Heft 11 S. 231/38* mit 3 Taf.) Elektrische Lokomotiven für verschiedene Betriebe. Elektromotoren für Eisenbahnen. Schluss folgt.

La locomotive électrique des Mines de Vicoigne et de Noeux. Von Schmerber. (Génie civ. 16. Nov. 01 S. 46/48*) Zweischienige Lokomotive von 600 mm Spurweite. Der Antriebmotor von 20 PS ist zwischen den beiden Achsen gelagert. Das Betriebsgewicht der Lokomotive beträgt 2850 kg; die Schnelligkeit 11,5 km/h.

Fiber stresses in rails under moving trains. Von Dudley. (Eng. News 14. Nov. 01 S. 366*) Nach Erörterung der Beanspruchung, denen die Schienen unterworfen sind, stellt der Verfasser verschiedene Leitsätze zur Erhaltung eines kräftigen und zweckmäßigen Oberbaues auf.

Eisenhüttenwesen.

The Barrow hematite steel works. Von White. (Engng. 22. Nov. 01 S. 710/12*) Darstellung von Einzelheiten des Werkes.

Die Zeitschriftenschau wird, nach den Stichwörtern in Vierteljahrsheften zusammengefasst und geordnet, gesondert herausgegeben, und zwar zum Preise von 3,40 pro Jahrgang für Mitglieder, von 19,00 pro Jahrgang für Nichtmitglieder.

Hochöfen, Krabbrecher und Mischer. Bessemeranlage. Walzwerk. Gießerei. Dreherel und mechanische Werkstatt. Elektrische Anlage.

The electrical burner for blast furnaces. Von Grammer. (Eng. News 7. Nov. 01 S. 346/47) Beschreibung einer Einrichtung zum Entfernen der Schlacke aus den Windformen mittels elektrischen Lichtbogens.

Eisenkonstruktionen, Brücken.

Enquête expérimentale sur les longerons des ponts des Chemins de fer Néerlandais. Von Kist. (Ann. Ponts Chaus. 01 Heft 2 S. 184/209 mit 1 Taf.) Bericht über verschiedene Zerstörungen und Verstärkungen der Hauptträger oberer Blechbrücken.

A stiffened suspension bridge on a steep incline at the Westport-Cardiff Coal Company's mine, New Zealand. Von Rawson und Broome. (Eng. News 14. Nov. 01 S. 361/62*) Die Brücke besteht aus einem hängenden Parabelträger von 200 m Spannweite, der unter 1:4 geneigt ist.

Beton-Eisen-Konstruktionen. (Schweiz. Bauz. 23. Nov. 01 S. 228/29) Durch ein Rundschreiben der Stadt Basel wurden verschiedene städtische Baubehörden gebeten, ihre Erfahrungen über Beton-Eisen-Konstruktionen mitzuteilen. Die Antworten sind kurz wiedergegeben.

Neuere Bauweisen und Bauwerke in Beton und Eisen nach dem Stande bei der Pariser Weltausstellung 1900. Von v. Emperger. Forts. (Z. Osterr. Ing.-u. Arch.-Ver. 15. Nov. 01 S. 765/70* mit 1 Taf.) Stützmauern in armiertem Beton. Verwendung des Betonstahls beim Grundbau: Gebäudegründungen, Kellernauern, Schornsteingründungen, Benksten und Spundpfähle in armiertem Beton.

The Rockville stone arch railway bridge. (Eng. Rec. 9. Nov. 01 S. 450/51*) Die 1165 m lange Brücke führt 4 Gleise der Pennsylvania-Bahn über den Susquehanna-Fluss. Sie besteht aus 48 Öffnungen von 21 m Lichter Weite und ist in Beton mit Mauerwerksverkleidung ausgeführt.

Elektrotechnik.

Vorschriften für die Errichtung von elektrischen Starkstromanlagen. (Elektrot. Z. 21. Nov. 01 S. 972/79*) Der veröffentlichte Entwurf des Verbandes Deutscher Elektrotechniker beschäftigt sich mit Niederspannungsanlagen. Die Vorschriften beziehen sich auf Allgemeines über Pläne, Isolation und Bezeichnungen, auf Beschaffenheit des zu verwendenden Materials und auf das Verlegen und Errichten von Anlagen. In einem Anhang sind die Normen für Kupfer- sowie für Gummi- und Gummiadler-Leitungen und -Schneidung mitgeteilt.

Sicherheitsvorschriften (Niederspannungsvorschriften). (Elektrot. Z. 21. Nov. 01 S. 963/64) Erläuterungen zu dem vorstehend erwähnten Entwurf des Verbandes Deutscher Elektrotechniker.

Zur Theorie der Stromwendung. Von Pichelmayer. (Elektrot. Z. 21. Nov. 01 S. 967) Ableitung einer als Hauptbedingung für funktionsloses Arbeiten des Kommutators geltenden Formel und Angabe eines praktischen Beispiels.

Dreiphasenstrom gegen Gleichstrom. Von de Fodor. Forts. (Z. f. Elektrot. Wien 24. Nov. 01 S. 361/63) S. Zeitschriftenschau v. 30. Nov. 01. Schluss folgt.

The new plant of the Virginia Electrical Railway and Development Co., Richmond, Va. (Eng. Rec. 9. Nov. 01 S. 442/46*) Das Kraftwerk ist für Dampfmaschinen- und Turbinenbetrieb eingerichtet. Es enthält 4 Maschinensätze, die aus je einer liegenden Doppelturbine mit Aufseher Beaufschlagung, einem damit gekuppelten Gleichstromerzeuger von 700 kW und einer stehenden Tandem-Verbundmaschine von 750 PS normaler und 1500 PS größter Leistung bestehen. Beschreibung des Hauses und der Einrichtungen.

Erd- und Wasserbau.

The Sâtre dredgers for service on the lower Seine. (Engng. 22. Nov. 01 S. 765* mit 1 Taf.) Der von der Société Anonyme des Anciens Etablissements Sâtre gebaute Trichter-Saugbagger hat zwei 540-pferdige stehende Verbundmaschinen und Belleville-Kessel. Der Bagger kann auf 13 m unter Wasserspiegel saugen. Der Behälter füllt 480 cbm und wird in rd. 50 min gefüllt. Der Bagger hat zwei Schrauben, deren Wellen an die Baggermaschinen angekuppelt werden können, und die dem Schiffe eine Fahrgeschwindigkeit von 8 1/2 Knoten erteilen.

De l'influence des travaux de régularisation sur le régime des rivières, notamment en ce qui touche les inondations. Von Vanthier. (Ann. Ponts Chaus. 01 Heft 2 S. 108/60*) Zusammenstellung der auf dem 8. Internationalen Schiffbaukongress erstatteten Berichte über die obige Frage. Einwirkung von Flussbauten auf die Hochwasserregulierung: Berichte von Bindemann, Grenier, Jacquemin und Marot, Nolthenius, de Kwassay, de Sanctis, Robert; Meinungsaustausch. Regulierung großer Flüsse durch Bagger.

rung und durch Teichbauten; Berichte von de Timonoff, Ockerson, Vauthier. Meinungsaustausch. Zusammenfassung.

The reclamation and irrigation of the Kistna Delta, India. (Eng. News 7. Nov. 01 S. 855/56* mit 1 Taf.) Oertliche Verhältnisse. Geschichtliches über die Regulierung des Kistna-Flusses. Schilderung der Damm- und Schleusenbauten.

Note sur le revêtement en béton de ciment armé de la patte d'oie du chenal d'accès au port d'Épinal. Von Barbet und Hauser. (Ann. Ponts Chauss. 01 Heft 2 S. 283/98* mit 1 Taf.) Kurzer Bericht über die in armiertem Beton hergestellte Auskleidung des Erweiterungsbeckens am Schnittpunkt des Zweigkanals von Épinal und des südlichen Teiles des französischen Ostkanals.

Le port de flottage de Prague-Smichov. Von Hroman. (Ann. Ponts Chauss. 01 Heft 2 S. 288/82*) Abmessungen und Gestalt des Hafens. Hafendamm. Hafeneinfahrt. Zubehör. Radlitzer Kanal. Bauausführung und Baukosten.

The sea wall of La Punta, Havana. (Eng. News 14. Nov. 01 S. 869*) Der 112 m lange Damm ist aus Beton hergestellt. Nach dem Meere zu stößt er sich allmählich ab. Darstellung von Querschnitten.

Construction d'un mur de quai dans la Baie de l'Agba (Fond de vase molle reposant sur un rocher très irrégulier). Von Gaeckler. (Ann. Ponts Chauss. 01 Heft 2 S. 342/50*) Kurze Angaben über die Abmessungen, die Konstruktion und den Bau einer Hafenmauer zum Schutz des Hafens von Algier.

The lining of the Musconetcong tunnel without interrupting traffic. Von Beahan. (Eng. News 7. Nov. 01 S. 833/34*) Von den Wänden des bisher ohne Ausmauerung betriebenen zweigleisigen Eisenbahntunnels stürzten Gesteinsmassen herab. Infolgedessen wurde eine Ausmauerung vorgenommen. Beschreibung der Bauarbeiten, während deren der Bahnbetrieb nicht unterbrochen wurde.

The new subway in New York City. Von Prelini. Forts. (Engng. 22. Nov. 01 S. 699/700*) Der Streckenabschnitt von der 41. bis zur 47. Straße. Forts. folgt.

Steam shovels for trench excavation. (Eng. News 7. Nov. 01 S. 847/48*) Der Erdbagger hat eine Greifschaufel, die an einem 8,5 m langen Ausleger befestigt ist. Der Ausleger ist zwischen zwei Mastenträgern verschiebbar, die auf einer Drehscheibe sitzen. Zum Heben der Schaufel und zum Drehen der Scheibe dient je eine Dampfmaschine.

Glaserei.

Iron foundries and foundry practice in the United States. IX. (Engineer 22. Nov. 01 S. 521/23*) Kernmaschinen. Herstellung von Modellen. Kernkasten. Siebe und Mischer für Formsand. Stampfer für Hand- und Druckluftbetrieb.

Heizung und Lüftung.

Heating in a large group of car shops, Baltimore. (Eng. Rec. 9. Nov. 01 S. 466/57*) Die Heiz- und Lüftanlage vermag in den eine Grundfläche von 35 000 qm bedeckenden Gebäuden die Luft alle 25 Minuten einmal zu erneuern und die Temperatur auf 15 bis 20° zu halten. Es sind 4 große Doppelventilatoren aufgestellt, die die Luft durch Blechrohre in die einzelnen Räume treiben. Die Dampfheizung ist nach dem Gefälleystem mit Rücklaufleitung eingerichtet.

Maschinenteile.

Elektrische Regulatoren an Dampfmaschinen. Von Freytag. Schluss. (Dingler 28. Nov. 01 S. 745/47*) Regulatoren von Willans, Westinghouse, Neville und Ledien.

Mechanik.

Von der Festigkeitslehre. (Z. Österr. Ing.- u. Arch.-Ver. 15. Nov. 01 S. 778/81) Auszügliche Wiedergabe der von Voigt in den Annalen der Physik veröffentlichten Einwände gegen die Mohrsche Abhandlung: „Welche Umstände bedingen die Elastizitätsgrenze und den Bruch eines Materials?“ S. Z. 1900 S. 1521.

Sur le calcul des pièces rectangulaires fléchies au moyen de la théorie de l'élasticité. Von Messager. (Ann. Ponts Chauss. 01 Heft 2 S. 161/71*) Die theoretischen Betrachtungen des Verfassers führen zu dem Schluss, dass man, abgesehen von den Einspannstellen, den Spannungszustand eines unendlich dünnen Balkens mathematisch streng berechnen kann, wenn die Last nach einem algebraischen Gesetz über den Stab verteilt ist.

Beitrag zur Theorie statisch unbestimmter Träger. Von Stark. (Techn. Blätter 01 Heft 4 S. 103/26 mit 1 Taf.) Graphische Bestimmung der Kämpferdrücke von Bogen mit Kämpfergelenken, aber ohne Scheitellgelenk und von flachen Bogen.

A diagram for finding pter moments on continuous spans. Von Young. (Eng. News 14. Nov. 01 S. 360/61) Die dargestellten Diagramme für durchlaufende Träger beruhen auf der Clapeyron'schen Gleichung.

Note sur la détermination de la poussée dans les voûtes en maçonnerie. Von Aurie. (Ann. Ponts Chauss. 01 Heft 2 S. 246/67*) Der Verfasser leitet eine Formel ab, die ohne langwierige Rechnungen den Gewölbeschub zu bestimmen gestattet.

Bestimmung der Eingrabungstiefe einer Spundwand. Von Ramisch. (Dingler 28. Nov. 01 S. 744/45) Ableitung der Formeln und Anwendung derselben an einem Zahlenbeispiel.

Messgeräte und -verfahren.

Ein neues Instrument zur Messung der Permeabilität von Eisen- und Stahlproben. Von Lamb und Walker. (Elektrot. Z. 31. Nov. 01 S. 967/89*) In dem dargestellten Messgerät wird der magnetische Widerstand eines verstellbaren Luftraumes gegen den der Eisenprobe ausgeglichen. Ist das magnetische Gleichgewicht hergestellt, so wird der magnetische Widerstand der Eisenprobe aus den Abmessungen des Luftraumes bestimmt.

Appareil enregistreur de la déformation locale des pièces métalliques. Von Schroeder van der Kolk und Kist. (Ann. Ponts Chauss. 01 Heft 2 S. 172/83*) Eingehende Beschreibung eines Dehnungsteigers, der sich bei Messungen an niederländischen Brücken gut bewährt haben soll.

Metallobearbeitung.

Some new machine tools. (Am. Mach. 23. Nov. 01 S. 1225/27*) Kaltäge für Kurhelwellen. Sechsspindlige Bohrmaschine in Hobelmaschinenbauart mit senkrechten Spindeln. Liegende zweispindlige Bohrmaschine. Liegende zweispindlige Aufreibmaschine. Zahnradfräsmaschine für schwere Stahlräder.

A multiple shearing machine. (Am. Mach. 23. Nov. 01 S. 1227/29*) Die Konstruktion der von der Firma John Lane in Pittsburg gebauten Schere mit 2 Paar Scherblättern ist eingehend durch Zeichnungen erläutert.

Shipbuilders' angle-bevelling machine. (Engng. 22. Nov. 01 S. 706*) Schanbild und Angaben über die Verwendung einer Biegemaschine für Winkel- und Z-Eisen von Davis & Primrose in Bangorroad, Leith.

Various tools and fixtures. Von Cleaves. (Am. Mach. 23. Nov. 01 S. 1223/25*) Spannbloß; nachstellbare Lehre; Vorrichtung zum Bohren von Rundstangen; Spannwinkel für die Fräsmaschine; verschiedene andere Hilfsvorrichtungen für die Hobel- und Schleifmaschine.

Metalhlüttenwesen.

The David copper process. (Engng. 22. Nov. 01 S. 708/10*) Nach dem neuen Verfahren werden die Kupfererze in Oefen geschmolzen, sodann in die Birnen gebracht und durchblasen. Unter Entwicklung von schwefeliger Säure sammelt sich das Kupfer mit ungefähr 1,5 vH Unreinigkeiten am Boden an. Eingehende Beschreibung des Verfahrens. Darstellung der Kippbirnen.

Motorwagen und Fahrräder.

Note sur les transports par camions automobiles. Von Bret. (Ann. Ponts Chauss. 01 Heft 2 S. 59/107*) Kosten der Beförderung mit Pferden. Wagen mit Dampf-, Benzin-, elektrischem und Druckluftbetrieb. Anschaffungskosten. Tote Gewichte. Wirkungsgrade und Betriebskosten pro Brutto-Tonnenkilometer und pro Nutz-Tonnenkilometer. Vergleich der verschiedenen Betriebsarten.

Pumpen und Gebläse.

Tests of high-duty Holly pumping engines for the Boston water supply. (Eng. News 14. Nov. 01 S. 370/72*) Drei Maschinen leisten je 135 000 cbm bei 19 m Förderhöhe, eine Maschine 76 000 cbm bei 38 m Förderhöhe. Eingehende Beschreibung der Maschinen und Wiedergabe der Versuchsergebnisse.

Schiffe- und Seewesen.

Transformation du matériel et des procédés de la marine marchande et constitutions à réaliser dans la construction des ouvrages maritimes des ports de commerce. Von Vétillard. (Ann. Ponts Chauss. 01 Heft 2 S. 1/58) Bericht vor dem 8. Schiffahrtskongress in Paris 1900. Entwicklung des Dampfschiffes für große Fahrt. Neuere Fortschritte auf dem Gebiete der Handelschiffahrt. Bedingungen für den Bau und die Ausrüstung von Handelshäfen.

Motorboote. (Schweiz. Bauz. 23. Nov. 01 S. 223/24*) Motorboot »Fram« von 18,87 m Länge, 3,30 m Breite und 0,64 m Tiefgang. Zum Betriebe dient ein vierzylinderiger Benzinmotor von 16 PS. Die Geschwindigkeit des Schiffes beträgt 17 km.

H. M. first-class cruiser »Monmouth«. (Engineer 22. Nov. 01 S. 537*) Das von der London & Glasgow Engineering & Shipbuilding Co. gebaute Schiff ist zwischen den Loten 134 m lang, 20 m breit und verdrängt bei 7,5 m Tiefgang 9800 t. Die beiden Dreifach-Expansionsmaschinen sollen zusammen 22 000 PS leisten und dem Schiffe 28 Knoten Geschwindigkeit erteilen.

Les paquebots »Lorraine« et »Savoie« de la Compagnie générale Transatlantique. Von Dumas. (Génie civ. 16. Nov. 01 S. 38/43*) Ausführliche Beschreibung der beiden Schnelldampfer von 177,5 m Länge, 18,28 m Breite und 15 410 t Wasserverdrängung. Jedes Schiff hat zwei Maschinen von 22 000 PS, mit denen eine Geschwindigkeit von rd. 20 Knoten erzielt werden soll.

Straßenbahnen.

Die elektrische Hoch- und Untergrundbahn in Berlin von Siemens & Halske. Forts. (Deutsche Bauz. 28. Nov. 01 S. 563/67*) Das Anschlussdreieck auf dem Gelände des alten Dresdener Güterbahnhofes nebst den Ueberbrückungen des Landwehrkanals und der Anhalter und Potsdamer Bahn. Forts. folgt.

Gleislose Motorbahnen mit elektrischem Oberleitungsantrieb. Von Schiemann. (Elektrot. Z. 21. Nov. 01 S. 964/67*) Die vom Verfasser eingerichtete Anlage dient dem Personenverkehr und der Frachtbeförderung zwischen Königstein a/E. und Bad Königbrunn. Auf der Strecke ist eine doppelgipflige Oberleitung gezogen, von welcher der Strom durch zwei an den Motorwagen angebrachte

Fahrtstangen abgenommen wird. Die Personenwagen fahren mit 12, die Güterwagen mit 8 bis 10 km/st.

Wasserkraftanlagen.

Günstigste Grabenabneigung und Rohrweite bei Wasserkraftanlagen. Von Porschheimer. (Z. österr. Ing.- u. Arch.-Ver. 15. Nov. 01 S. 775/78*) Berechnungen über das wirtschaftlich günstigste Gefälle des Obergrabens einer Wasserkraftanlage bei gegebener Wassermenge, Wehrhöhe und Nutzhöhe.

Werkstätten und Fabriken.

Elektrische Ausrüstung einer Röhrenfabrik. (Z. f. Elektrot. Wien 24. Nov. 01 S. 567/69*) Angaben über die Dynamomaschinen, Motoren, Arbeitsverfahren und die Stromverteilung.

Rundschau.

Wenn es auch heute nicht schwierig ist, eine genau gehende Turmuhr herzustellen, so bietet es doch immer noch viele Schwierigkeiten, sie regelmäßig aufzuziehen. Damit diese mühsame Arbeit nicht täglich zu leisten ist, hat man Uhren gebaut, die nur alle 8 Tage oder in noch größeren Zeiträumen aufgezogen werden, bis die sich immer weiter verbreitende Elektrizität ein Mittel bot, auch diese Arbeit der Maschine zu übertragen. Eine solche Turmuhr von F. Weule in Bockenem am Harz ist nachfolgend dargestellt. Die Vorrichtung bietet den Vorteil, dass die Uhr auch von Hand aufgezogen werden kann. Der Elektromotor wird alle 24 Stunden selbsttätig eingeschaltet, und jedes Aufziehen genügt für 30 Stunden Gang.

Die Uhr, Fig. 1 und 2, setzt sich aus drei in einem Rahmen angeordneten Triebwerken zusammen, von denen das mittlere das Gehwerk, das rechte das Stunden- und das linke das Viertelschlagwerk ist. Alle Triebwerke haben eigene Aufziehvorrichtungen, die gleichzeitig von einer durch den Elektromotor angetriebenen Schneckenwelle bethätigt werden. Der Elektromotor wird mittels eines Getriebes angelassen, das vom Gehwerk abgeleitet wird, und sobald er seine volle Geschwindigkeit erreicht hat, werden die drei Aufziehvorrichtungen selbsttätig eingeschaltet. Nachdem die Aufziehwalzen die für 30stündigen Gang der Uhr erforderliche Anzahl Umdrehungen gemacht haben, schaltet sich die Vorrichtung wieder aus und setzt die mit dem Anlassgetriebe für den Motor verbundene Ausschaltvorrichtung in Bewegung. Diese schaltet zunächst die Vorschaltwiderstände des Motors ein und öffnet sodann den Hauptschalter.

Die Ein- und Ausschaltvorrichtung ist in Fig. 3 und 4 für sich dargestellt. Das Ritzel *a* auf der Wälzenwelle des Geh-

werkes dreht sich mit dieser stündlich einmal und treibt durch Zwischenräder das rechts davon auf einem Bolzen drehbar gelagerte große Zahnrad *b* mit der Übersetzung 1:24. Mit *b* ist eine Scheibe fest verbunden, mit der eine zweite um denselben Bolzen drehbare Scheibe durch eine Gabel und eine Schraubenfeder mit gebogener Achse federnd gekuppelt ist. Ein an dem oberen Gewichtshebel *c* angebrachter Stift gleitet auf dem Umfange der zweiten Scheibe. Beide Scheiben sind mit einem radialen Einschnitt versehen, der sich vom Rande aus zunächst erweitert und sodann keilförmig zusammenläuft. Nach Ablauf von 24 Stunden stehen die Einschnitte, wie in Fig. 3 gezeichnet, unten. Der durch ein verstellbares Gewicht belastete Hebel *c* kann nun mit dem Stift in die Einschnitte empor schnellen. Damit die Zeit genau innegehalten werde, wird der über den Sitz des Stiftes hinaus verlängerte Hebel durch einen der 4 Stifte festgehalten, die sich auf der Rückseite des auf derselben Welle wie das Ritzel *a* sitzenden Kegelrades befinden. Die Stifte stehen im Abstand von 90°, und da sich das Kegelrad i. d. Std. einmal dreht, kann das Emporschnellen des Hebels genau eingestellt werden. Beim Hochschnellen des Hebels wird die unter ihm angeordnete Kontaktscheibe durch einen an *c* befestigten Haken, der einen auf der Scheibe stehenden Stift umgreift, um 45° gedreht, wodurch zwei der untereinander verbundenen Kupferssegmente *x* auf die beiden Kontaktstücke *y* und *y*₁ gelangen und der Stromkreis für den Elektromotor geschlossen wird.

Der Elektromotor, dem ein mehrstufiger Anlasswiderstand vorgeschaltet ist, läuft nun langsam an und dreht durch eine doppelte Kreuzgelenkkupplung eine Welle, welche die Schneckenradgetriebe der drei Aufziehwerke antreibt, Fig. 1, 2, 5, 6 und 7. Auf dem Schneckenrade *d*, Fig. 1 und 2, des

Fig. 1.

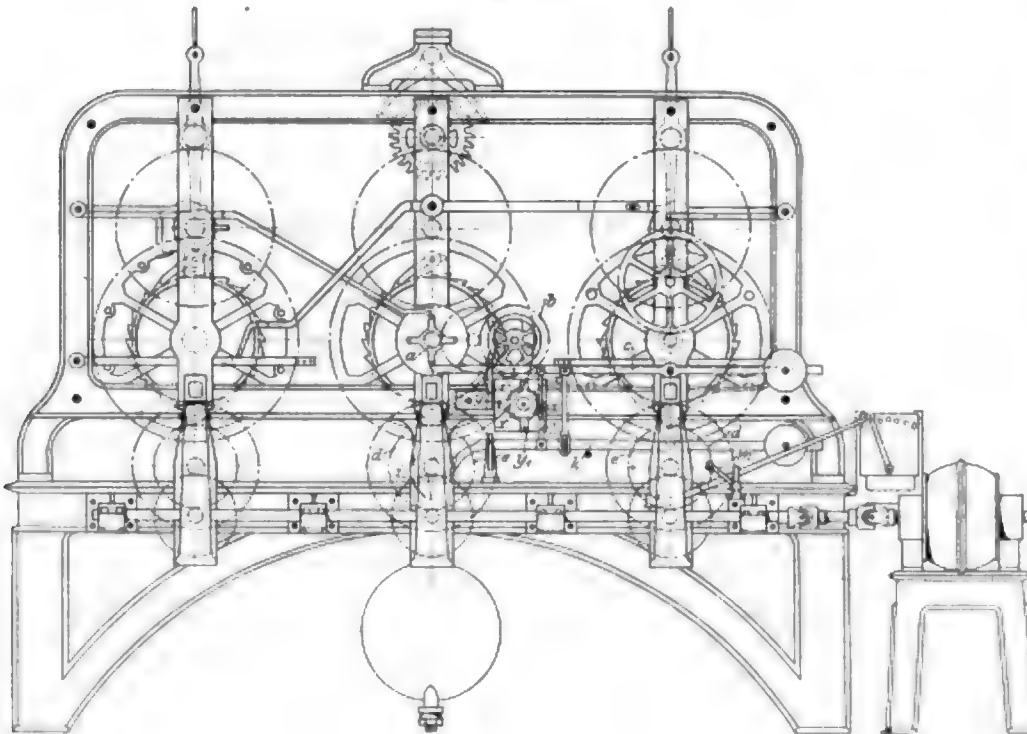
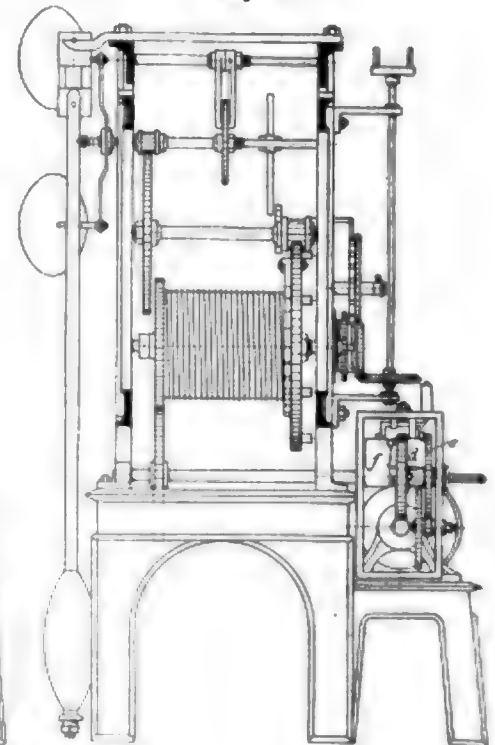


Fig. 2.



dem Motor zunächst befindlichen Aufziehwerkes sitzen vorn 2 Stifte; der eine davon stützt einen kleinen mit nach unten gerichteter Nase versehenen Hebel *m*, der gleich nach dem Andrehen des Schneckenrades von dem Stift abglenkt und nach unten fällt. Sodann nähert sich der zweite Stift der Stange, an der die Kurbel des Stufenschalters für den Anlasswiderstand sitzt, und schiebt die Stange langsam vor, wodurch die Kurbel nach rechts gedreht und der Widerstand ausgeschaltet wird. Die Stange wird von der Nase des heruntergefallenen Hebels *m*, die hinter einen Zahn auf der Stange greift, in der vorgeschobenen Stellung verriegelt.

Der Motor erreicht nun seine volle Geschwindigkeit und das Schneckenrad eines jeden der drei Aufziehwerke, Fig. 5 bis 7, das sich lose um die bis jetzt noch feststehende Vorgelegewelle für die Aufziehwalze dreht, treibt durch das auf seiner verlängerten Nabe sitzende Ritzel und ein Stirnradpaar ein sich ebenfalls lose um die Vorgelegewelle drehendes Rad *e* in dem Uebersetzungsverhältnis 1:30. Oben im Rahmen des Aufziehwerkes sitzt ein nach unten beweglicher gekrümmter Schieber, den eine Schraubenfeder abwärts zu drücken sucht, der aber vorläufig durch einen seitlichen Knaggen am Kranz des Schneckenrades *e* gehalten wird. Nachdem das Schneckenrad eine Umdrehung vollendet hat, wird der Schieber vom Knaggen freigegeben und fällt herunter. Auf der Vorgelegewelle sitzt links neben dem Schneckenrad, durch eine Feder auf der Welle verkeilt, ein Klinkengehäuse, Fig. 6 und 8. Auf die Klinke wirkt der Druck einer Schraubenfeder, die bestrebt ist, die Klinke um ihren Bolzen in der Richtung nach dem Schneckenrade zu drehen. Durch einen mittels Schraubenfeder gespannten Bolzen *g* ist jedoch die Klinke vorläufig verriegelt. Der Bolzen wird durch einen am Schneckenrad angebrachten Stift zurückgezogen, worauf die Klinke vorschnappt und gleichzeitig einen über ihr befindlichen wagerechten Schieber *s* bis an den vorerwähnten lotrechten Schieber vorschleibt. Der Bolzen *g* bleibt auf die Klinke gestützt in seiner zurückgezogenen Stellung. Bei der zweiten Umdrehung des Schneckenrades nimmt der an diesem sitzende Knaggen *h* (in Fig. 6 der Klinke gegenüber gezeichnet) das Klinkengehäuse und die Vorgelegewelle mit, von der aus durch ein Zahnradpaar die Aufziehwalze gedreht wird. Der schon erwähnte Knaggen, der an dem rechts auf der Vorgelegewelle sitzenden Zahnrad *e* angebracht, und dessen Länge nach der Anzahl der zum Aufziehen erforderlichen Drehungen bemessen ist, hebt während der letzten Windung den lotrechten Schieber wieder empor und schiebt dabei den wagerechten Schieber zurück. Dieser drückt wieder die Klinke nach hinten, die sodann von dem wieder vorspringenden Bolzen *g* festgehalten wird. Die Uhr ist hiermit vollständig aufgezogen.

Während des Aufziehens drückt die auf der Vorgelegewelle des mittleren Aufziehwerkes am großen Zahnrade befestigte Spiralkurvenscheibe *i*, Fig. 1, den unteren Gewichtshebel *k* der Schaltvorrichtung, Fig. 3, nach unten, und damit auch eine gelenkig an ihm befestigte Schaltklinke, deren Nase sich unter den Stift zum Drehen der Kontaktscheibe stellt. Durch die rechts davon sitzende Verbindungstange zwischen beiden Hebeln wird dann beim weiteren Heruntergehen des Hebels *k* der obere Hebel *c* nach unten und dessen Stift aus den Einschnitten der beiden Scheiben herausgezogen. Nunmehr schnellt die mittels der Schraubenfeder angespannte äußere Scheibe etwas vor, sodass der Stift wieder auf dem Umfang der Scheibe aufliegen kann.

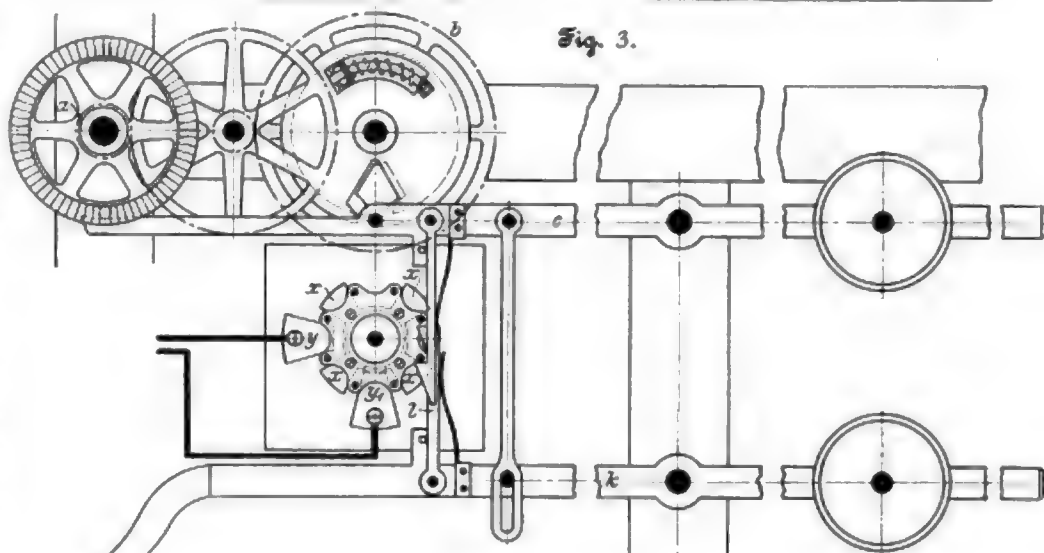


Fig. 3.

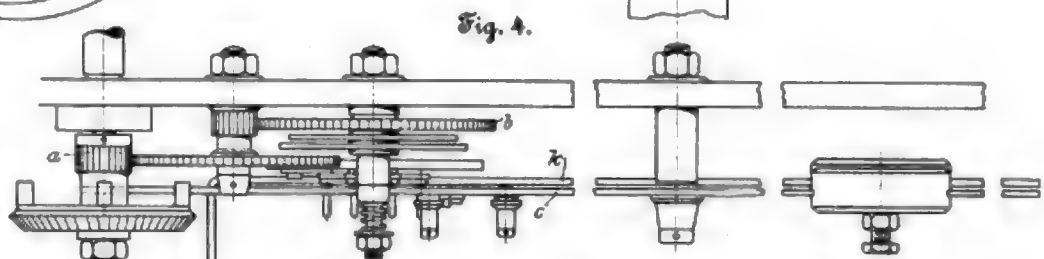


Fig. 4.

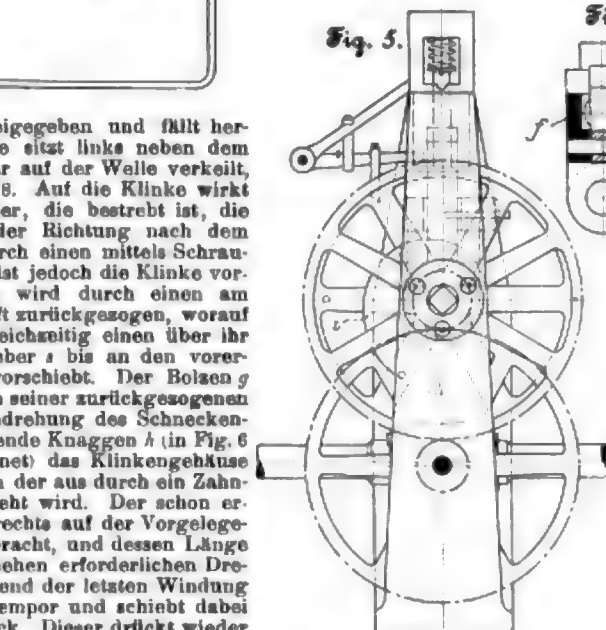


Fig. 5.



Fig. 6.

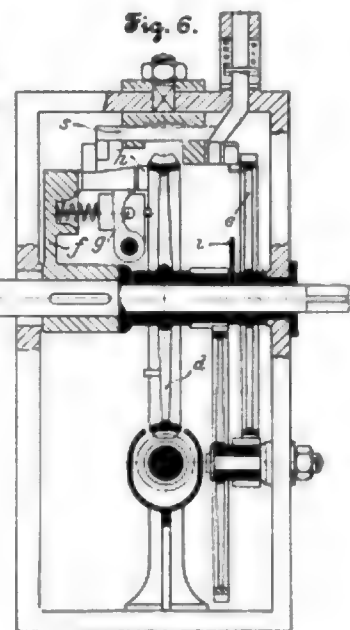


Fig. 7.

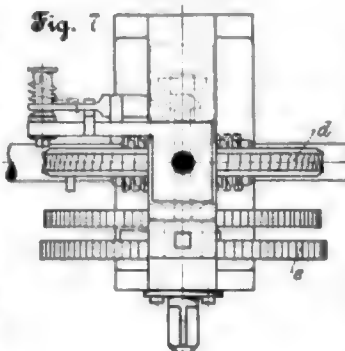


Fig. 8.

Inzwischen ist der kleine Hebel *m*, Fig. 1, der die Stange für die Kurbel des Vorschaltwiderstandes festhält, durch den einen Stift am vorderen Zahnrad *e* des rechten Aufziehwerkes gehoben. Die Stange wird frei und durch eine Feder zurückgezogen. Damit ist der Anlasswiderstand wieder vorgeschaltet, und der Motor vermindert seine Geschwindigkeit. Die Spiralkurvenscheibe *i*, Fig. 1 und 6, hat sich jetzt soweit gedreht, dass der Hebel von dem äußersten Punkte ihres Umfanges abglenkt und nach dem Mit-

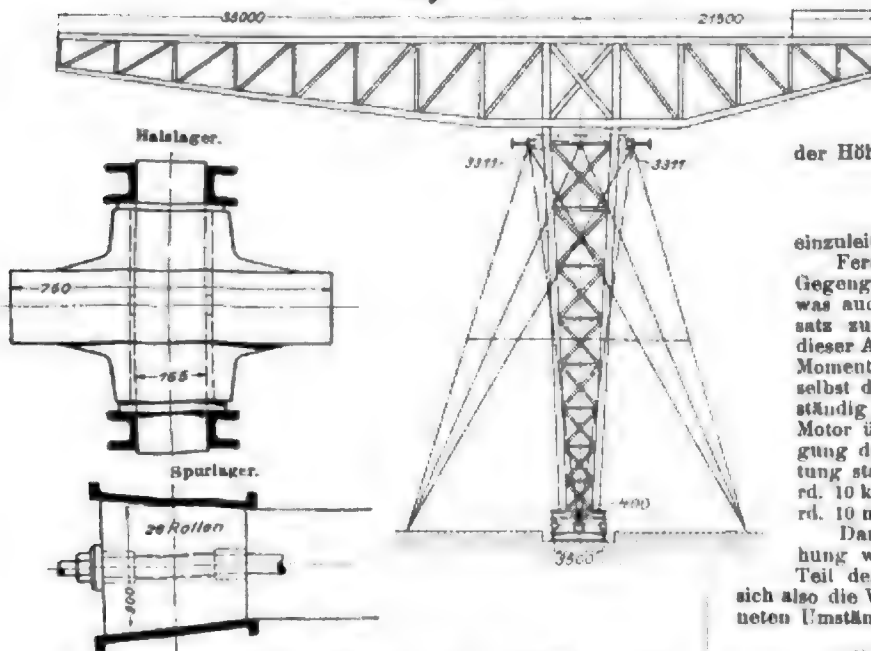
tepunkt zu emporsteigen. Hierbei stößt er mit der Schaltklinke 4, Fig. 3, den über dieser liegenden Stift der Kontaktscheibe nach oben, wodurch die letztere wieder um 45° gedreht wird, sodass ihre Kontaktelemente die feststehenden Kontaktstücke verlassen. Der Motor ist damit vollständig ausgeschaltet.

Durch das in Fig. 6 und 7 links oben sichtbare Hebelwerk wird gewährleistet, dass die Klinke bei jeder Umdrehung des Gehäuses während der Gangzeit der Uhr richtig steht. Beim Aufziehen wird der Hebel, der zu diesem Zwecke dient und sonst zwischen Klinkenkopf und Schneckenrad liegt, bei jeder Umdrehung durch den Knaggen am Schneckenrad gehoben, sodass sich die Klinke frei unter ihm durchdrehen kann. Außerdem ist das Uhrwerk mit einem Gesparre versehen, welches das Werk während des Aufziehens gleichmäßig weiter laufen lässt. Bei Stromstörungen kann das Werk auch von Hand aufgezogen werden, wobei die Vorgelegewelle mittels einer Kurbel, die auf den Vierkant aufgesetzt werden kann, gedreht wird. Das Klinkengehäuse dreht sich mit, ohne dass die Klinke verschnappt. Das Schneckenrad und damit das ganze Getriebe bleibt stehen. Natürlich muss jedes der drei Werke für sich aufgezogen werden.

Es wäre zweckmäßig, wenn das Aufziehwert beim zu tiefen Heruntersinken eine Signalvorrichtung einschaltete, welche erkennen ließe, dass der Aufziehmechanismus versagt oder der Strom unterbrochen ist.

Die Duisburger Maschinenbau-Aktiengesellschaft vorm. Bechem & Keetman sendet uns folgende Mitteilung: »In Nr. 42 dieser Zeitschrift¹⁾ wird unter »Rundschau« bei Beschreibung des zurzeit im Bau befindlichen 150 t-Drehkranes für die Howaldtwerke in Kiel darauf hingewiesen, dass auch dieser Kran ebenso wie der Drehkran in Bremerhaven durch ein am Fuß der Säule angreifendes Drehwerk geschwenkt wird, während bei dem von uns für die Kruppische Germania-Werft ausgeführten Kran²⁾ von gleicher Tragfähigkeit der Angriffspunkt des Drehwerkes nach dem oberen Rollenlager verlegt ist. Nach der Anschauung der Benrather Maschinenfabrik soll die Anordnung des Drehwerkes am Kranfuß deshalb vorzuziehen sein, weil in dem Rollenspurlager weitaus das größte Reibungs-

Fig. 1 bis 3.



moment auftritt. Da der Kran der Germania-Werft hierbei zum Vergleich herangezogen wird, kann aus der Bemerkung gefolgert werden, dass die von uns für diesen Kran gewählte Anordnung unvorteilhaft sei. Zweck der nachstehenden Ausführungen ist es, zu beweisen, dass für den Kran der Germania-Werft das am oberen Rollenlager angreifende Drehwerk einem an dem Säulenfuß angebrachten weit überlegen ist.

¹⁾ Z. 1901 S. 1507.

²⁾ Z. 1900 S. 430.

Das auf dem Rollenspurlager lastende Gewicht des drehbaren Teiles mit größter Nutzlast und einschließlicher Schneebelastung beläuft sich auf 555 t; gleichzeitig tritt ein vom Stützgerüst abzufangendes Moment auf, das am oberen Rollenlager sowie am Königzapfen des Spurlagers einen wagerechten Schub von 100 t erzeugt. Mit Benutzung dieser Werte und der in Fig. 1 bis 3 eingeschriebenen Maße, die den Werkzeichnungen des Spurlagers und des Halslagers entnommen sind, berechnet sich das Reibungsmoment am Spurlager, bestehend aus der Zapfenreibung am König, der rollenden Reibung der Druckrollen und der gleitenden Reibung an den Spurplatten dieser Rollen, zu insgesamt 8,33 mt. Das Reibungsmoment am oberen Halslager setzt sich zusammen aus der rollenden Reibung der Laufrollen und der Zapfenreibung an den Achsen und beläuft sich auf 9,18 mt, d. h. die zu erwartenden Reibungswiderstände verteilen sich derart auf die beiden Lager, dass bei Verlegung des Antriebes nach dem oberen Rollenlager das kleinere der beiden Drehmomente durch die Drehsäule geleitet werden muss.

Diese Reibungsmomente sind jedoch weder die einzigen noch die bedeutendsten Widerstände, die das Drehwerk zu überwinden hat. In erster Linie ist zu berücksichtigen, dass bei Beginn und am Ende der Drehbewegung die Massen des Auslegers und der Last beschleunigt und verzögert werden müssen. Für die Berechnung der zur Beschleunigung erforderlichen Kräfte ist das dynamische Trägheitsmoment J des Auslegers mit Gegengewicht und angehängter größter Nutzlast, bezogen auf die Drehachse, zu ermitteln. Zu diesem Zwecke wurde das Eigengewicht der Eisenkonstruktion auf die einzelnen Knotenpunkte verteilt und hierauf entsprechend der Gleichung

$$J = \frac{1}{g} \sum G r^2$$

$$(g = 9,81 \text{ m}; G \text{ in t}; r \text{ in m})$$

die Summe aus den Produkten dieser Einzelgewichte sowie der Gewichte von Nutzlast und Laufkatze und den Quadraten der zugehörigen Entfernungen von der Drehachse gebildet. Es ergibt sich: $J = 20000$ (in m und t).

Der Ausleger vollführt nun eine volle Drehung in rd. 7,5 min, entsprechend einer Geschwindigkeit von 0,5 m/sk am Radius 35 m und der Umlaufzahl $n = 0,136$; seine Winkelgeschwindigkeit ist demnach

$$\omega = \frac{2\pi \cdot 0,136}{60} = 0,0143.$$

Soll nun die Beschleunigung des Auslegers nach $t = 10$ sk vollendet sein, d. h. nach einem Weg der Auslegerspitze von 2,5 m, so ist während dieser Zeit ein Drehmoment in

der Höhe von

$$M = \frac{\omega J}{t} = \frac{0,0143 \cdot 20000}{10} = \text{rd. } 28,5 \text{ mt}$$

einzuleiten.

Ferner ist bei dem Kran der Germania-Werft der Gegengewicht-Ausleger kürzer gehalten als der Lastarm, was auch für den Kran der Howaldtwerke im Gegensatz zum Bremerhavener Kran angenommen ist. Bei dieser Anordnung entsteht aber infolge Winddruckes ein Moment, das den Kran zu drehen sucht, und das sich selbst durch Verkleidung des kurzen Armes nicht vollständig beseitigen lässt, sondern beim Schwenken vom Motor überwunden werden muss, wenn die Drehbewegung des langen Auslegerarmes entgegen der Windrichtung stattfinden soll. Schon bei einer Windstärke von rd. 10 kg/qm ist für dieses Drehmoment eine Größe von rd. 10 mt zu erwarten.

Damit ist der Nachweis erbracht, dass die der Drehung widerstehenden Momente überwiegend im oberen Teil des Auslegers ihren Sitz haben, und es gestalten sich also die Verhältnisse unter Berücksichtigung der bezeichneten Umstände folgendermaßen.

1) Durch die Drehsäule sind zu leiten:

a) bei Antrieb am Säulenfuß:

Reibungsmoment des oberen Rollenlagers 9,1 mt
Beschleunigungsmoment für 10 sk Beschleunigungsdauer 28,5 >
Winddruckmoment bei 10 kg/qm Winddruck 10,0 >

zusammen 47,7 mt

b) bei Antrieb am oberen Rollenlager:

Reibungsmoment am Rollenspurlager 8,3 mt
zusammen 8,3 mt

2) Durch das Stützgerüst werden geleitet:

a) bei Antrieb am Säulenfuß:

Reibungsmoment des oberen Rollenlagers . . . 9,2 mt

b) bei Antrieb am oberen Rollenlager:

ein Reaktionsmoment gleich der Summe aller der Drehung widerstehenden Momente, herrührend von Reibung, Beschleunigung und Winddruck, im Betrage von . . . 56,0 mt

Es wird also bei dem Kran der Germania-Werft in konstruktiv richtiger Weise das kleinere Drehmoment durch die Säule und das größere durch das auf wesentlich breiterer Grundfläche stehende Stützgerüst geleitet, und zwar ist letzteres für die Uebertragung eines Momentes von 56 mt ohne Frage geeigneter als die unten schwach auslaufende Drehsäule für die Durchführung von 48 mt.

Setzt man somit nur voraus, dass für die Spurlagerung die geeignetsten Konstruktionsteile gewählt werden, sodass der Reibungswiderstand dieses Lagers nicht unverhältnismäßig hoch wird, so ist die Verlegung des Drehwerkes nach dem oberen Rollenlager nicht nur gerechtfertigt, sondern muss vom Standpunkt des Konstrukteurs aus als notwendig bezeichnet werden, gleichviel, welcher Art der Grundriss des Stützgerüsts ist.

An demselben Ort wird ferner ausgesprochen, dass von uns mit Rücksicht auf die Möglichkeit, Eisenbahngleise durch das Stützgerüst an der Uferkante vorbeizuführen, das Stützgerüst als dreiseitige Pyramide ausgebildet worden sei. Dies ist dahin zu berichtigen, dass wir das dreiseitige Gerüst in erster Linie gewählt haben, um bei kleinster Entfernung der Drehsäulenmitte von der Uferkante eine größere Grundfläche für das Stützgerüst und damit eine bedeutende Verringerung der Gründungskosten zu erzielen, und zwar haben wir in dem gleichseitigen Dreieck die hierzu geeignetste Grundrissform erkannt. Allerdings besitzt gleichzeitig die der Duisburger Maschinenbau-A.-G. geschützte Konstruktion des dreiseitigen Stützgerüsts am Kran der Germania-Werft noch den großen Vorteil, dass Schiffskessel mit 6 m Dmr. unter ihm durchgeführt werden können, während das Stützgerüst mit quadratischem Grundriss nur eben dem Normalprofil die Durchfahrt gestattet.

In der jetzigen Zeit des scharfen Wettbewerbes durch das Ausland, insbesondere durch die Vereinigten Staaten, dürften Mitteilungen über Größe und Leistungen bedeutender ausländischer Werke, die auf dem Weltmarkt eine Rolle spielen, großem Interesse begegnen. So werden einige Angaben über die Baldwin-Lokomotivwerke in Philadelphia, die uns von der Firma zur Verfügung gestellt sind, bemerkenswert erscheinen; sind doch Erzeugnisse dieser Firma selbst im Inlande zu Versuchszwecken angekauft worden¹⁾, obwohl auch Deutschland eine stattliche Anzahl bedeutender und leistungsfähiger Lokomotivfabriken besitzt.

Die im Jahre 1831 gegründeten Baldwin-Lokomotivwerke in Philadelphia bedecken zurzeit eine Gesamtfläche von rd. 65000 qm und beschäftigen 10300 Arbeiter, deren tägliche Ar-

beitszeit im Durchschnitt 10 Stunden beträgt. Die Kraftmaschinen der Fabrik leisten insgesamt 7000 PS, und das Werk verbraucht pro Woche 2150 t Kohle und 3600 t Eisen. Täglich werden 135 t Guss erzeugt. Zurzeit kann die Fabrik jährlich 1350 Lokomotiven liefern; auf einen Tag entfallen also 4 $\frac{1}{2}$ Stück. Die kleinste der von den Baldwin-Werken gebauten Lokomotiven wiegt 2268, die größte 102000 kg. Der Preis der Lokomotiven mit Tender beträgt, für das Leergewicht berechnet, bei leichten Ausführungen 26,4 bis 30,8 cts, bei mittleren 22 cts, bei schweren 17,8 cts pro kg. Ueber die Entwicklung der Fabrik und über die für die Ausfuhr gebauten Lokomotiven gewährt folgende Zusammenstellung einen Ueberblick:

Jahr	Gesamtzahl	Ausfuhr	Prozentsatz der Ausfuhr vH
1890	946	144	15,2
1891	899	290	32,26
1892	731	127	17,37
1893	773	152	20,28
1894	313	132	42,17
1895	401	151	37,65
1896	547	289	52,83
1897	501	205	40,91
1898	755	348	46,09
1899	901	375	41,62
1900	1217	363	29,82

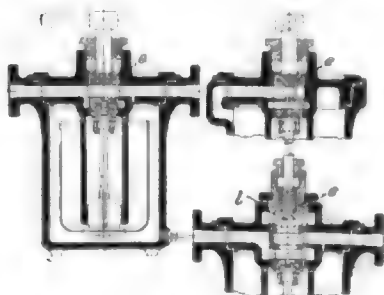
Am 31. Oktober wurde die von der Imperial Continental Gas Association neu erbaute Gasanstalt in Mariendorf bei Berlin dem Betriebe übergeben. Der Bau ist am 26. April v. J. begonnen worden, hat also nur 18 Monate gedauert. Das Gaswerk, welches zunächst für 30 bis 25 Mill. cbm pro Jahr ausgeführt ist, kann für eine Leistung von 200 Mill. ausgebaut werden. Das Gas wird in 39 Oefen mit je neun 4,8 m langen geneigten Retorten erzeugt und mithilfe von 2 Reinigern von je 60000 cbm Tagesleistung gereinigt. Die Kohlenzufuhr und der Kokstransport sind unter Benützung der Höhenverhältnisse des Grundstückes so ausgestattet, dass wenig Handarbeit erforderlich ist. Der Gasbehälter hat 108000 cbm Inhalt und ist von Wien, wo er bisher im Betriebe war, an seine neue Stelle gebracht worden. Ein zweiter Gasbehälter von 150000 cbm Inhalt befindet sich im Bau. (Journal für Gasbeleuchtung und Wasserversorgung 23. November 1901)

Auf der Linie Paris-Bordeaux der französischen Staatsbahn ist ein Wassertrog zwischen den Schienen nach dem Muster englischer und amerikanischer Bahnen hergestellt worden, aus dem der Tender während der Fahrt mit Wasser versorgt wird. Der Trog ist 2 km lang und gestattet den Schnellzügen, die Strecke Chartres Thouars von 228 km Länge ohne Aufenthalt zu durchfahren. (Revue industrielle 23. November 1901)

Der deutsche Verein von Gas- und Wasserfachmännern und der Verband deutscher Gasbehälterfabrikanten hat Normalbedingungen für die Lieferung von Eisenkonstruktionen von Gasbehältern aufgestellt. (Journal für Gasbeleuchtung und Wasserversorgung 23. November 1901)

Patentbericht.

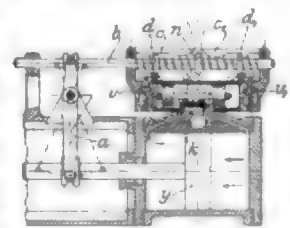
Kl. 13. Nr. 122668. Dampfwasserableiter. C. Reuther, Mannheim. Bei dem Dampfwasserableiter mit Schwimmer und Einrichtung zum Ausschalten und Entlüften des Ableiters



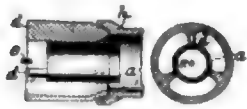
das Innere des Topfes vermitteln.

zum Ausschalten und Entlüften des Ableiters ist ein einziger Hahnkörper *e* oder Ventilkörper *i* vorhanden, welche zugleich das mit dem Schwimmer verbundene Ablaufventil aufnehmen und in ihrer einen Stellung unter Absperrung des Topfinneren Ein- und Ausganges unmittelbar in Verbindung bringen, dagegen in der andern Stellung die Verbindung des Ein- und Ausganges durch

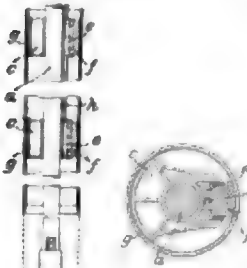
Kl. 14. Nr. 123598. Dampfpumpensteuerung. Filter- und brautechnische Maschinenfabrik, A.-G., vorm. L. A. Enzinger, Worms. Die die Hauptsteuerung umstellenden Vorsteuerventile *v*, *v*₁ werden durch eine Auslösvorrichtung gesteuert. Beim Linkshube des Dampfkolbens *y* bewegt der Hebel *a* die Steuerstange *b* nach rechts, der Nocken *s* auf *b* spannt die den Winkelhebel *d*₁ belastende Feder und löst kurz vor Hubende die Klinke *c*₁ aus. Durch das nun geöffnete Ventil *v*₁ entweicht der Dampf rechts vom Steuerkolben *k*; der links befindliche Dampf (*k* hält nicht ganz dicht) wirkt *k* und den Muschelschieber *s* nach rechts, und der kegelförmige Ansatz an *k* sperrt als Ventil und als Hubbegrenzung die Kammer des Ventiles *v*₁ vom Schieberkasten ab, um Dampfverluste zu verhindern. Beim Rechtshube von *y* wirken *c*, *d*, *v* ebenso.



Kl. 24. Nr. 122480 (Zusatz zu Nr. 121441, Z. 1901 S. 1268). Dampfstrahlvorrichtung. Fabrik feuerfester und säurefester



Produkte, A.-G., Vallendar a/Rh. Die Dampföse *c* und die Stangendüsen *a, b, c* des Hauptpatentes können in der Aufsicht, als Mantel dienenden Hülse *k* in ihrer Längsachse verschoben werden, um die Endquerschnitte der Düsen auf der Mantelfläche des jeweiligen, dem Druck entsprechend gestalteten Dampfkegels einzustellen. Die kleineren Düsen *a* sind zwischen radial gerichteten Rippen *d* der größeren gleichschalig zu diesen geführt.



Kl. 5. Nr. 130966. Contrir- und Führungsvorrichtung für Tiefbohrer. J. Wyckynski, Trusacawice (Galizien). Auf dem Bohrgestänge *a* sind zwei oder mehr Führungsstücke *c* angeordnet, die in Kammern *e* in radialer Richtung verschiebbare Klemmbacken *f* tragen. Durch Rohre *h* kann Druckwasser in die Räume *e* geleitet werden, wodurch die Klemmbacken *f* gegen das Bohrgestänge *a* gepresst werden und das Bohrgestänge *a* in *g* zentriert wird.

Kl. 14. Nr. 123050. Zwangsläufige Ventilsteuerung. U. Kohlöffel, Reutlingen. Bei der Bewegung des Steuergestänges *a* in

der Pfeilrichtung wird der Ventilhebel vor dem Ventilschluss durch die Walzflächen *b, c* und die Gleitflächen *d, e*, nach dem Ventilschluss durch die Gleitflächen *d, e*, zwangsläufig geführt. Damit nun der Eintritt eines Fremdkörpers zwischen Ventil und Sitz *a*, dergl. keinen Gesteigsbruch verursacht, wird der Zapfen *h* der Ventilsplindel *f* von dem Auge *g* des Ventilhebels nur auf seiner unteren Seite umfasst, während auf der oberen Seite ein in *g* verschiebbares Lagerstück *k* durch eine Feder *g* angedrückt wird.



Kl. 14. Nr. 121474. Umsteuervorrichtung für Fördermaschinen. B. Wieneke, Castrop. Bei Hubüberschreitung wird durch einen von zwei Anschlüssen der Umsteuervorrichtung *m* verstellte, der Kolben *n* hebt eine der Stangen *e, p*, die durch den zwelarmigen Hebel *r* verbunden sind, diese rückt durch einen der Hebel *e, t* zunächst die Sperrung *v* aus und wirft dann den Umsteuerebel *n* nach rechts oder links herum.

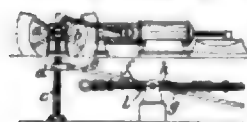
Kl. 14. Nr. 121483. Ventilsteuerung. Ph. Michel, Köthen.

Die bei *b* durch eine Schwinge geführte Exzenterstange *e* greift bei *c* an den ebenso geführten Mitnehmer *m*, dessen Mitnehmerflächen *n, o* so gestaltet sind, dass das mit Kolbenschieberansätzen *g* (Nebensäuger) versehene Ventil schnell gehoben, bis zum Abschluss von *g* schnell gesenkt und auf dem Schlusswege *f* so stark verzögert wird, dass es sich sanft auf die Sitzflächen setzt. Zur Aenderung der Füllung verschiebt der Regler den Lagerbock *s* des Ventilhebels *h* auf einem Prisma *p*.



Kl. 14. Nr. 121781. Dampfregelung bei Fördermaschinen. B. Wieneke, Castrop.

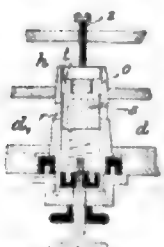
Durch Kegelräder *a, b* und Schraubenge triebe *c, d* wird eine Schwinge *e* so bewegt, dass sie durch stellbare Mitnehmer *f, g* mittels der des sicheren Abschlusses halber doppelt angeordneten Drehschieber *k, l* den Dampf durchtritt am Anfange und Ende der



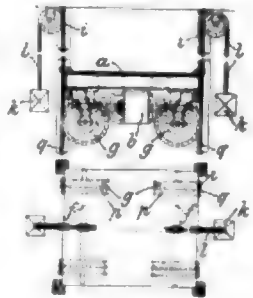
Fahrt auf einen Bruchteil ($\frac{1}{4}$) verengt.

Kl. 27. Nr. 121039. Doppelwirkende Gas- oder Luftverdichtungs-

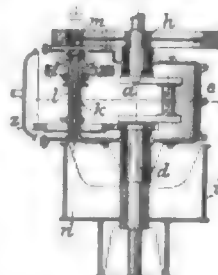
pumpe. G. O. Lange, Hamburg. In die Trennungswand zwischen den Einsaugkammern *d* und *d*, ist ein Kolbenschiebergehäuse *m* mit gefedertem Kolbenschieber *e* eingesetzt, das mit seinem oberen offenen Ende in die Druckkammer *A* hineinragt. Bei gewöhnlichem Druck in *A* befindet sich der Kolbenschieber *e* in seiner oberen durch die Stellschraube *s* begrenzten Stellung. Tritt jedoch im Räume *A* Ueberdruck ein, so drückt er den Kolbenschieber *e* so weit abwärts, bis der Hingkanal *f* durch die Seitenöffnungen *r* die Räume *d* und *d*, miteinander verbindet und dadurch Leerlauf der Pumpe bewirkt.



Kl. 35. Nr. 123635. Elektrischer Aufzug. C. Wüst-Kunz, Seebach-Zürich (Schweiz). Ein unter der Plattform *a* gelagerter Elektromotor *b* wickelt Seile *i*, die oben im Fahrtschachte befestigt sind, auf Trommeln *g*, wodurch *e* mit *b* und *g* gehoben wird. Bei Anwendung von Gegengewichten *k* an Seilen *i* werden außer den Seilen *i* noch unten im Fahrtschachte befestigte Seile *q* angebracht und auf Trommeln *p* gewickelt, die mit *g* auf derselben Welle *f* sitzen und bei der Abfahrt zur Wirkung kommen, falls die Gegengewichte *k* das Uebergewicht haben.

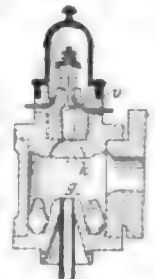


Kl. 46. Nr. 121601. Gas- oder Petroleummaschine. G. V. L. Chauveau, Paris. Damit nach Öffnen der Thür *a* die hohle, zur Kurbelwelle *d* parallele Steuerwelle *k* mit Regler und Steuerteilen aus dem Kurbelgehäuse *e* herausgenommen und ausgetauscht werden kann, ist sie auf einem Bolzen *l* gelagert, den man von einem Loch *n* der Antriebschleife *i* her durch ein Loch *h* des Schwungrades *h* hinaus schlagen kann.



Kl. 48. Nr. 123157. Zerstäuber und Vergaser.

P. Irgens und G. M. Bruun, Begeen (Norwegen). Unter dem Einsaugventil *v* für flüssigen Brennstoff ist ein Kanal *k* angeordnet, der sich nach unten so verjüngt, dass die an seinen Wänden herabfließenden Brennstoffstrahlen einander kreuzen. Dadurch wird der Brennstoff fein verteilt, bevor er mit den (Porzellan-)Glühkörpern *g* des Vergasers in Berührung kommt.



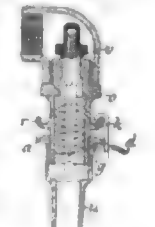
Kl. 47. Nr. 123044. Reibgetriebe. Th. J. Ryan, New York. Das die Kraft Übertragende Glied *d* (Treibring, Reibring) ist mit elastischen federförmigen Saugnäpfen *g* aus Leder oder dergl. besetzt, die sich mit Zapfen *i* in *d* drehen können, um jedes Gleiten zu vermeiden.



Kl. 47. Nr. 123000. Herstellung von Dichtungen. P. Lechler, Stuttgart. Auf einer Form *a* von gut leitendem Stoffe, z. B. Metall, wird auf galvanischem Wege eine gleichmäßig dicke Metallhaut *b* erzeugt, die bei *c* getrennt und von *a* abgenommen wird. Nachdem *a* durch einen ebenso gestalteten Dichtungskörper aus zusammenpressbarem Stoffe ersetzt ist, werden die aufgebogenen Teile zurückgebogen und bei *c* wieder vereinigt.



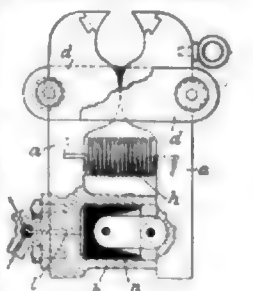
Kl. 47. Nr. 123400. Sebat-schlussventil. A. Hansen, Kopenhagen. Der zum Anheben des unteren Teiles *w* und damit zum Öffnen des Ventiles *v* dienende Druckhebel *d* ist rings um den Hahn drehbar, indem er als gabelförmiger Walzenhebel *g* den Teil *w* unter dem Flansche *a* umfasst und seinen Stützpunkt in einer Klau *k* findet, die in einem ringförmigen Flansche *r* des oberen Teiles *o* gleiten kann.



Kl. 47. Nr. 123157. Riemenverbinder. Dr. J. Behanz, Berlin. Die einschlagenden und zu verriegelnden Zähne *b* der Platte *a* sind an der der Stoffkante zugekehrten Seite flach oder leicht gewölbt zur günstigen Aufnahme der Zugspannung, an der andern Seite aber messerartig scharf, damit als den Riemen nur den Längsfasern nach durchschneiden.



Kl. 49. Nr. 119846. Hydraulische Zange zum Abknipfen von Nistköpfen. H. G. Kirchhoff, Bremen. Die Zangenarme *a* werden von zwei seitlichen Laschen *d* zusammengehalten. Mit dem einen Zangenarme ist ein Presszylinder *k*, der durch die Bohrung *i* Druckwasser erhält, verbunden, während an dem andern Arm ein Kolben *n* gelenkig befestigt ist. Nach Ablassen des Druckwassers wird die Zange durch die Feder *h* in die geöffnete Stellung zurückgeführt.



ZEITSCHRIFT DES VEREINES DEUTSCHER INGENIEURE.

Nr. 50.

Sonnabend, den 14. Dezember 1901.

Band XXXV.

Inhalt:

Beitrag zur Theorie der Gewölbe. Von Th. Landsberg . . .	1768
Zur Genauigkeit der Indikatordiagramme. Von L. C. Wolff . . .	1773
Professor Radinger †	1779
Wasserbewegung durch Boden. Von Ph. Forchheimer (Schluss) . . .	1781
Luftwiderstand von Schwungradern. Von Scholtes	1788
Oberschlesischer B.-V.: Das Straßenbahnwesen in Nordamerika . . .	1789
Rehr-B.-V.: Maßgebende Gesichtspunkte bei der Wahl oder Prüfung von Schienenstahl mit besonderer Berücksichtigung der Straßenbahnschienen	1791
Böcherschan: Handbuch der elektrischen Beleuchtung. Von J. . .	

Herzog und C. Feldmann. — Der Kampf um die Cheops- Pyramide. Von M. Eyth	1798
Zeitschriftenschau	1796
Rundschau: Einrichtung zur Prüfung von Indikatorfedern. — Kraftwerk für die Brüsseler Straßenbahnen. — Elektricitäts- werke in Manchester und Amsterdam. — Die Stellung der höheren städtischen Baubeamten. — Verschiedenes	1797
Patentbericht: Nr. 133629, 133627, 133281, 133868, 133800, 130063, 128498, 131533, 131990, 131993, 131969, 128485, 128488, 128437, 120705, 124895	1799

Beitrag zur Theorie der Gewölbe.

Von Th. Landsberg

Durch die Versuche des Oesterreichischen Ingenieur- und Architekten-Vereines ist nachgewiesen, dass Gewölbe als elastische Bogenträger aufgefasst und berechnet werden können¹⁾. Trotz dieses Ergebnisses, und obgleich bereits vor längerer Zeit ausgezeichnete Arbeiten über die Elastizitätstheorie der Gewölbe veröffentlicht sind, hat die Anwendung dieser Theorie in der Praxis nur in geringem Umfange Eingang gefunden. Es scheint, dass den bekannt gewordenen Verfahren diejenige Einfachheit gemangelt hat, welche die Praxis verlangt und zu deren Gunsten sie gern eine kleine Ungenauigkeit in den Kauf nimmt.

Sicher ist, dass die alte, noch meist übliche Berechnungsweise der Gewölbe den heutigen Anforderungen nicht mehr genügt. Zwar gewährt auch die Elastizitätstheorie nicht völlig genaue Ergebnisse, da die Voraussetzung unveränderlicher Widerlager nicht immer erfüllt ist; dennoch bietet sie gegenüber der meist üblichen Annahme dreier Punkte für den Verlauf der Stützlinie ohne wesentliche Verbesserung. Der ausführende Ingenieur aber muss imstande sein, zu beurteilen, wann diese Annahmen in genügender Weise erfüllt sind.

Nachstehend soll aufgrund der neueren Arbeiten ein Verfahren vorgeführt werden, welches in einfacher, durchsichtiger Weise gestattet, sowohl für das Eigengewicht wie für die Verkehrslast die ungünstigsten Inanspruchnahmen des Gewölbes an den verschiedensten Stellen zu ermitteln. Das Verfahren wird auch die Aufstellung von Formeln gestatten, nach denen bei Beginn der Konstruktionsarbeiten die Gewölbestärken angenommen werden können.

§ 1. Allgemeines.

Das Gewölbe ist ein elastischer, an beiden Kämpfern als eingespannt anzusehender Bogen, mithin bekanntlich eine dreifach statisch unbestimmte Konstruktion. Die drei überzähligen, mithilfe der Statik starrer Körper nicht bestimmbar Größen werden mittels der Elastizitätsgleichungen gefunden.

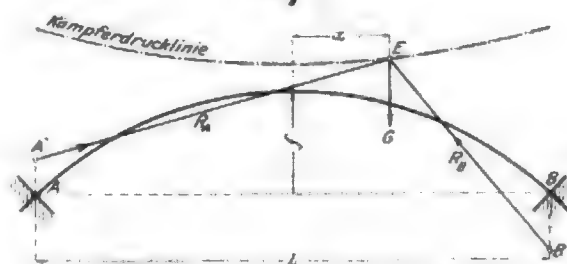
Bewegt sich eine Einzellast G über das Gewölbe, so ruft sie in jeder Lage zwei Kämpferdrücke R_1 und R_2 hervor, Fig. 1, welche mit der Einzellast im Gleichgewicht sein müssen.

Bei der Bewegung der Last bewegt sich der Punkt E , in welchem sich die Kraftrichtung der Einzellast mit den beiden Kämpferdrücken schneidet, auf einer Linie, welche

von der Form der Gewölbeachse abhängt und die man als Kämpferdrucklinie bezeichnet. Die beiden Kämpferdrücke umhüllen Kurven, welche man Kämpferdruck-Umhüllungslinien nennt²⁾.

Wenn die Kämpferdrucklinie nebst den Kämpferdruck-Umhüllungslinien verzeichnet ist, sind für beliebige Lage der Einzellast die Kämpferdrücke nach Größe, Richtung und Lage leicht zu finden. Es scheint, als ob die Verzeichnung der Kämpferdruck-Umhüllungslinien für die ausführenden Ingenieure zu unbequem gewesen ist. Man kann nun diese Linien für die Ermittlung der Kämpferdrücke entbehren; wenn man die Kämpferdrucklinie kennt, so genügt für die Bestimmung eines jeden Kämpferdruckes die Kenntnis eines

Fig. 1.



nicht auf der Kämpferdrucklinie liegenden Punktes, durch den der Kämpferdruck gehen muss, z. B. der Punkte A' und B' , Fig. 1; denn beide Kämpferdrücke gehen auch durch den Punkt E , der als Schnittpunkt der Laststrichtung mit der Kämpferdrucklinie für jede Lage der Last G bekannt ist; die Verbindung dieses Punktes E mit A' bzw. B' legt die Kämpferdrücke fest.

Es soll zunächst gezeigt werden, wie man die Lage, Richtung und Größe der Kämpferdrücke für beliebige Lage einer Einzellast leicht und rasch finden kann.

§ 2. Kämpferdrücke für wandernde Einzellast.

Für die nachfolgenden Untersuchungen wird ein Gewölbe zugrunde gelegt, dessen Achse nach einer flachen Parabel gekrümmt ist; auch bei einer nach einem flachen Kreise geformten Gewölbeachse können die Ergebnisse unbedenklich ver-

¹⁾ Z. 1896 S. 805: Die Gewölbeversuche des österreichischen Ingenieur- und Architektenvereines. — Zeitschrift des österr. Ing.- u. Arch.-Vereines 1895. Auch als Sonderdruck erschienen.

²⁾ Winkler: Lehre von der Elastizität und Festigkeit, Prag 1867, S. 328/330.

wendet werden. Das Verfahren ist aber auch anwendbar, wenn die Form der Achse eine andere ist; nur gelten dann die nachstehenden Formeln nicht mehr, welche für flache Parabeln ermittelt sind, es müssen vielmehr andere Formeln aufgestellt werden.

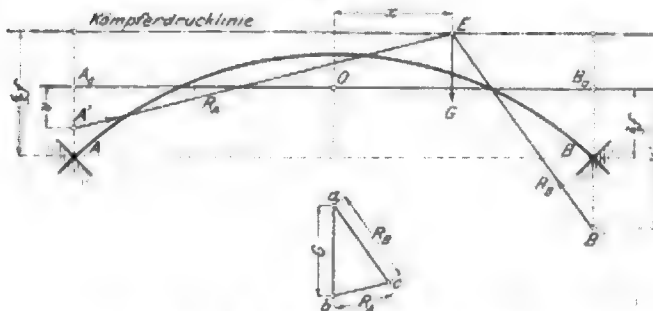
Es bezeichne

l die Länge der wagerechten Projektion der Gewölbeachse von Kämpferpunkt zu Kämpferpunkt,

f die Pfeilhöhe der Gewölbeachse für die Länge l ;

dabei sei ein symmetrisches Gewölbe mit gleich hoch liegenden Endpunkten A und B der Gewölbeachse angenommen.

Fig. 2.



Dann findet für die vorstehende Annahme Folgendes statt, Fig. 2:

a) Die Kämpferdrucklinie ist eine Gerade, welche in der Höhe $\frac{8}{15} f$ über AB parallel zu AB verläuft;

b) verzeichnet man eine weitere Gerade in der Höhe $\frac{2}{3} f$ über AB , parallel zu AB , welche mit den Kämpferlotrechten die Punkte A_0 und B_0 gemein hat, so schneidet für die Lage der Einzellast im Abstände x rechts vom Gewölbescheitel der { linke / rechte } Kämpferdruck die Lotrechte von { A / B } in der Höhe { v / v_1 } unter der Geraden $A_0 B_0$, und es ist

$$v = \frac{8}{15} f \left(\frac{l}{l+2x} \right) \quad \dots \quad (1).$$

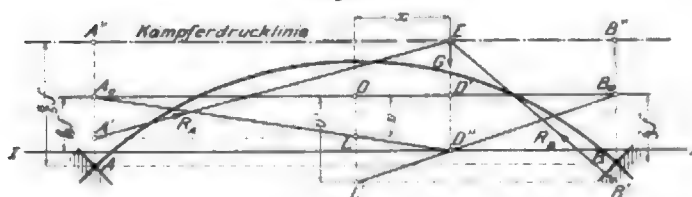
$$v' = \frac{8}{15} f \left(\frac{l}{l-2x} \right)$$

Schreibt man

$$\frac{v}{\frac{8}{15} f} = \frac{l}{l+2x} = \frac{l}{\frac{l}{2} + x},$$

so erhält man leicht die folgende in Fig. 3 angegebene Konstruktion für v .

Fig. 3.



Man ziehe parallel zu AB in der Höhe $\frac{2}{3} f$ über AB die Linie $A_0 B_0$, trage von dieser nach unten $\frac{8}{15} f$ ab und ziehe in diesem Abstände von $A_0 B_0$ eine Wagerechte II . Liegt die Last $G=1$ in der Entfernung x rechts vom Scheitel, so schneidet die Lotrechte der Last zwischen den angegebenen Parallelen das Stück $D'D'' = \frac{8}{15} f$ ab. Man verbinde A_0 mit D' ; diese Linie schneidet die Lotrechte des Scheitels in L , und es ist

$$\frac{OL}{l} = \frac{\frac{8}{15} f}{\frac{l}{2} + x};$$

$$OL = \frac{8}{15} f \cdot \frac{l}{(l+2x)} = v.$$

Zieht man durch L eine Wagerechte, so ergibt sich auf der Lotrechten von A der Punkt A' , d. h. der gesuchte Durchgangspunkt des linksseitigen Kämpferdruckes.

Die Konstruktion von v' und die Aufsuchung des Punktes B' sind ganz entsprechend; sie sind in Fig. 3 durchgeführt und ohne weiteres verständlich.

Nachdem die beiden Durchgangspunkte A' und B' für die Kämpferdrücke gefunden sind, verbinde man sie mit dem Punkte E , in welchem sich die Lotrechte der Last mit der Kämpferdrucklinie $A'' B''$ schneidet; damit sind Lage und Richtung der Kämpferdrücke bestimmt, deren Größe leicht mittels eines Kräfteparallelogramms zu finden ist¹⁾.

Ist $ab = \text{Last } G$ im Punkte E , Fig. 2, so ist

$$bc = R_1, \quad ca = R_2.$$

Man ermittle für eine größere Zahl von Lastlagen (etwa 10) die Durchgangspunkte A' und B' sowie die Kämpferdrücke; es genügt, diese Punkte auf einer Kämpferlotrechten zu bestimmen und sie für die symmetrisch zur Mitte liegenden Lastpunkte nach der andern Kämpferlotrechten hinübersutragen.

§ 3. Grundlegende Arbeiten für die Berechnung des Gewölbes.

Die grundlegenden Arbeiten für die Berechnung des Gewölbes sind nunmehr der Reihe nach:

a) Verzeichnen der Gewölbenmittellinie;
b) Auftragen des Punktes O in der Scheitel-Lotrechten, $\frac{2}{3} f$ über AB ;

c) Ziehen der Geraden $A_0 B_0$ wagerecht durch O , also in Höhe $\frac{2}{3} f$ über AB ;

d) Verzeichnen der wagerechten Linie II , $\frac{8}{15} f$ unter $A_0 B_0$, oder $\frac{2}{15} f$ über AB ;

e) Einteilen der Kämpferweite AB in eine Anzahl gleicher Teile;

f) Ermitteln der Schnittpunkte A' und B' der Kämpferdrücke mit den Lotrechten der Kämpfer links und rechts für alle (10) Lastlagen, nach Fig. 3;

g) Verzeichnen der Kämpferdrucklinie $A'' B''$ in Höhe $\frac{8}{15} f$ über AB ;

h) Verzeichnen der Richtung und Lage der Kämpferdrücke für alle (10) Lastlagen durch Verbinden der Punkte A' und B' mit den Punkten E der Kämpferdrucklinie;

i) Ermittlung der Größe der Kämpferdrücke durch graphische Zerlegung.

Fig. 4 zeigt diese Konstruktion; der Deutlichkeit halber sind die Hilfskonstruktionen für die Ermittlung der Werte v und v' fortgelassen.

§ 4. Stützlinie für Eigengewicht bei gegebenem Gewölbe.

Das Vorstehende soll zunächst angewandt werden, um die dem Eigengewicht entsprechende Stützlinie zu finden, welche sich nach der Elastizitätstheorie ergibt.

Man ermittle die Größe der auf die einzelnen Lastpunkte entfallenden Eigengewichte (in Fig. 4 der Werte $G_1, G_2, G_3, \dots, G_v, G_v$) in üblicher Weise und für jedes dieser Gewichte den linksseitigen und rechtsseitigen Kämpferdruck. Die zeichnerische Ermittlung der Kämpferdrücke kann bequem vorgenommen werden, indem man an die Schnittpunkte der Kämpferdrucklinie mit den Kräften G , also in

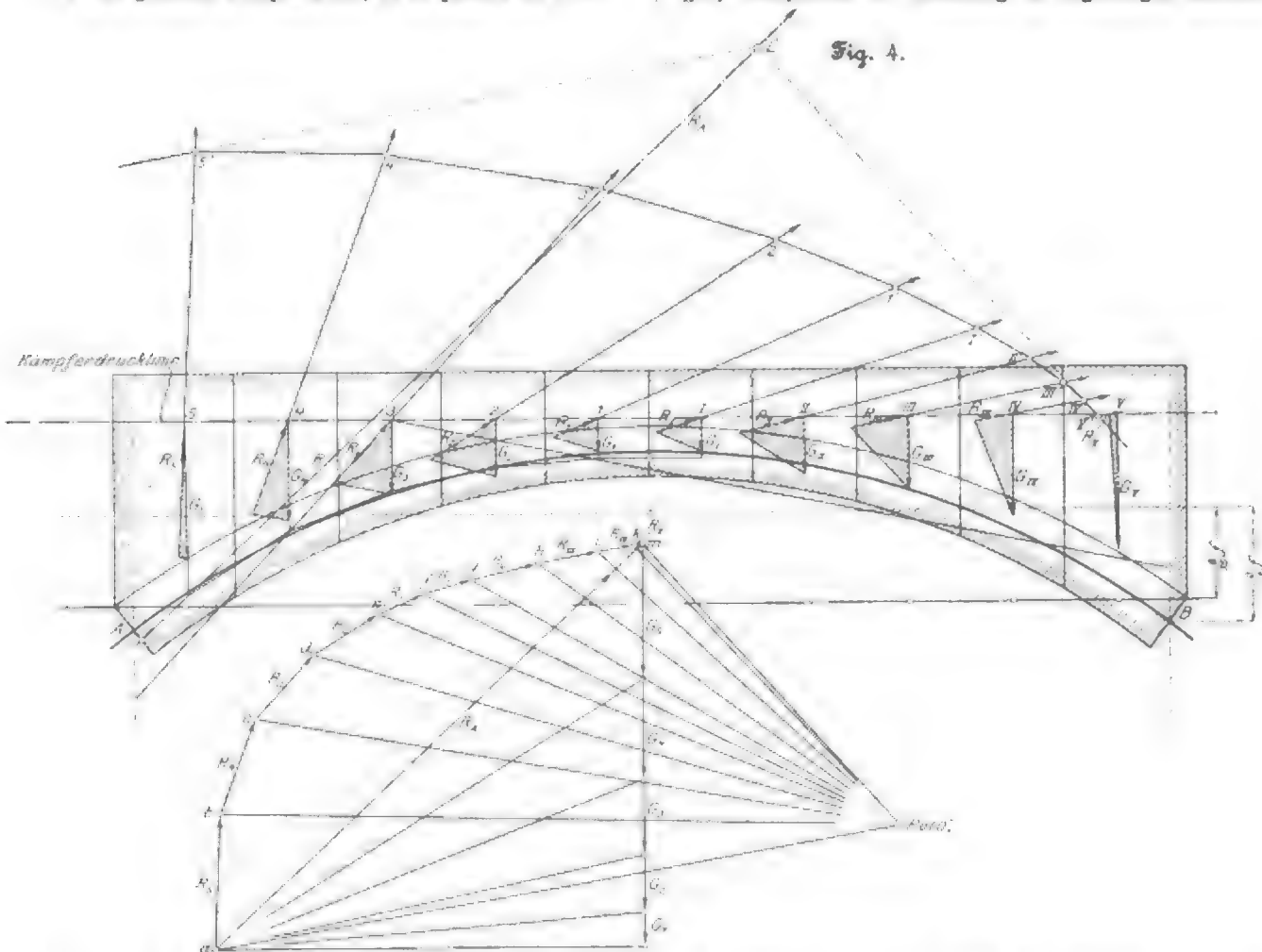
¹⁾ Nach Abfassung der vorliegenden Arbeit erhielt der Verfasser Kenntnis von einer ähnlichen Konstruktion der Punkte A' und B' , welche von Prof. Stach angegeben ist in: Beitrag zur Theorie statisch unbestimmter Bogenbrücken, Prag 1901.

Fig. 4 an die Punkte 5 4 3 III IV V, die Gewichte anträgt und hier zerlegt; nunmehr reihe man die Kämpferdrücke der einen, etwa der linken Seite, zu einem Kräftepolygon zusammen. Man erhält eine gebrochene Linie $a b c m$, das sogenannte Kämpferdruckpolygon. Da alle Lasten (durch Eigengewicht) gleichzeitig wirken, so wirken auch alle Kämpferdrücke gleichzeitig; der gesamte resultierende Kämpferdruck R_1 hat also die Größe und Richtung $a m$.

Die Lage des Kämpferdruckes R_1 wird durch ein Seilpolygon $5' 4' 3' II' III' IV' V'$ ermittelt, welches für den beliebigen Pol O_1 konstruiert ist. Durch den Schnittpunkt L' der äußersten Seiten dieses Seilpolygons geht die Mittellinie, d. h. der gesuchte Kämpferdruck; er ist parallel zu $a m$.

Man bestimme die Größe der Verkehrsbelastung, welche ungünstigstenfalls auf einen jeden Lastpunkt entfällt, d. h. bei einer Verkehrsbelastung p pro m und einem Abstände e der eingeführten Lastpunkte die Last $p e$, und lasse diese Last der Reihe nach alle Lastpunkte einnehmen. Für jede Lage der Last ermittle man die Kämpferdrücke in ähnlicher Weise, wie in Fig. 4 gezeigt ist, reihe wiederum die links- (oder rechts-) seitigen Kämpferdrücke zu dem sogenannten Kämpferdruckpolygon aneinander und konstruiere für die Kämpferdrücke und einen beliebigen Pol O ein Seilpolygon. In Fig. 5 ist das Kämpferdruckpolygon $a b c . . . k m$, der Pol ist O_1 , das Seilpolygon ist $V'' IV'' III'' II'' I'' 1'' 2'' 3'' 4'' 5''$. Die beiden gebrochenen Linien: Kämpferdruckpolygon und Seilpolygon, ermöglichen die Ermittlung der zugehörigen Stützlinie

Fig. 4.



Indem man nunmehr R_1 mit den Lasten G_3, G_4 zusammensetzt, erhält man die Mittellinie und daraus die Stützlinie. Diese Zusammensetzung kann erfolgen, indem man im Kräftepolygon an den Endpunkt m von R_1 die Einzel-lasten G_3, G_4 anschließt. Bemerkte werde, dass diese Konstruktion von Willkürlichkeiten frei ist und nur diejenigen Ungenauigkeiten enthält, welche eine Folge der vereinfachten Annahmen sind. Diese Ungenauigkeiten können natürlich möglichst verringert werden. Die richtige Lage des Punktes m kann leicht dadurch geprüft werden, dass die lotrechte Seitenkraft von $a m$ gleich der halben Summe der gesamten Belastung ist.

§ 5. Stützlinie für ungünstigste Verkehrsbelastung.

Es wird weiter unten gezeigt werden, wie man für jeden Querschnitt die ungünstigsten Lagen der Verkehrsbelast findet; hier werde zunächst vorausgesetzt, dass diese Lagen bekannt seien.

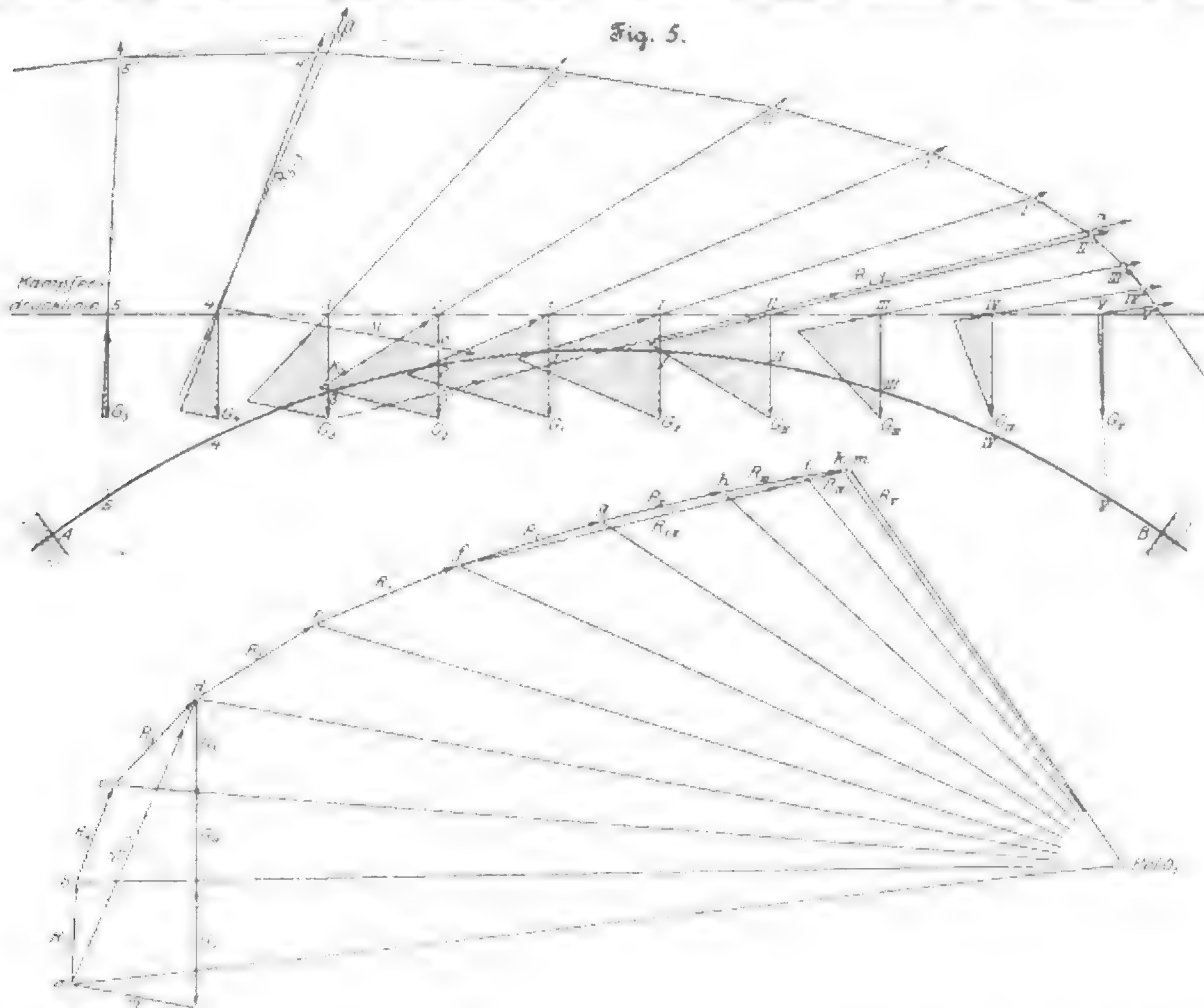
für beliebige Belastung. Es sei für Querschnitt 2 ermittelt dass die Lastpunkte I II III IV V belastet sein müssen, um die ungünstigste Inanspruchnahme hervorzurufen (beliebige Annahme). Die Lasten I II III IV V erzeugen einen linksseitigen Kämpferdruck, dessen Größe und Richtung sich aus dem Kämpferdruckpolygon zu $f m$ ergibt. Die Lage erhält man aus der Bedingung, dass die Resultierende $f m = R_1 - v$ durch den Schnittpunkt der Seilpolygonseiten gehen muss, welche die Kräfte R_1 und R_v begrenzen, d. h. durch a . Zieht man durch diesen Punkt eine Linie parallel $f m$, so schneidet diese die Fuge 2 in Punkt γ . Die gesamte bei dieser Belastung auf die Fuge wirkende Resultierende wird erhalten, indem man die soeben nach Größe, Richtung und Lage gefundene Kraft mit der durch das Eigengewicht erzeugten, auf die Fuge 2 wirkenden Resultierenden nach bekannten Regeln vereinigt. Die betreffende Kraft ist nach Größe, Richtung und Lage in § 4 ermittelt.

Müßten dagegen die Lastpunkte 5 4 3 belastet sein, um größte Inanspruchnahme der Fuge 2 zu erzeugen, so ermittelt man ebenfalls den linken Kämpferdruck R_{\dots} , nach Größe, Richtung und Lage, ganz wie soeben gezeigt ist, und setze diese Kraft mit den Lasten in den Lastpunkten links vom Querschnitt 2, d. h. mit den Lasten in den Punkten 5, 4 und 3, zusammen. Die gefundene Resultierende R schneidet Querschnitt 2 in δ ; sie ist schließlich noch mit der aus dem Eigengewicht zu vereinigen.

Es leuchtet ein, dass man in der beschriebenen Weise leicht für jeden Querschnitt die ungünstigste Lage der Stützlinie, ferner ihre größte Ausweichung aus der Achse und die

die maßgebende Kraft, für die Lastpunkte links von dem Querschnitt der rechte Kämpferdruck. Es empfiehlt sich, sowohl die linken wie die rechten Kämpferdrücke zu verzeichnen. Will man mit den Kämpferdrücken auf einer Seite auskommen, so muss man die Wirkung der nicht verzeichneten Kämpferdrücke an demjenigen Querschnitt studiren, welcher zu dem zu untersuchenden symmetrisch liegt, und auf diesen die verzeichneten Kämpferdrücke wirken lassen.

So z. B. geht bei Querschnitt 3 in Fig. 5 der linke Kämpferdruck für die Last in 2 (zufälligerweise) gerade durch den Kernpunkt K_0 , die Kämpferdrücke für die Last in 1 II . . . V schneiden dagegen unterhalb des Kernpunktes, erzeugen



größte Beanspruchung des Querschnittes ermitteln kann, falls man die ungünstigste Belastungsweise kennt. Auch diese Werte sind mittels des angegebenen Verfahrens leicht zu bestimmen.

§ 6. Ungünstigste Belastungsweisen für einen Querschnitt. Belastungsscheiden. Kämpferdruck-Umhüllungslinien.

Die für eine wandernde Einzellast gezeichneten Kämpferdrücke geben sofort Aufschluss über die gefährlichste Belastungsweise, sodass die Kämpferdruck-Umhüllungslinien nicht verzeichnet zu werden brauchen. Handelt es sich um die Punkte eines Querschnittes an der inneren Leibung des Gewölbes, so erzeugt jede Kraft, welche $\left\{ \begin{array}{l} \text{oberhalb} \\ \text{unterhalb} \end{array} \right\}$ des zugehörigen Kernpunktes d. h. hier des oberen Kernpunktes, den Querschnitt schneidet, $\left\{ \begin{array}{l} \text{Zug} \\ \text{Druck} \end{array} \right\}$ in diesen Punkten.

Für die Lastpunkte rechts von dem betreffenden Querschnitt ist bei wandernder Einzellast der linke Kämpferdruck

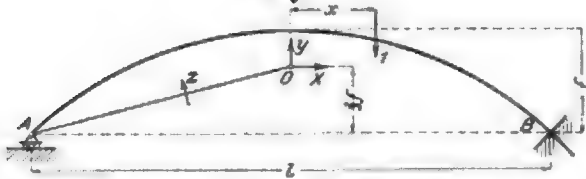
also Druck in den Punkten des Querschnittes 3, welche an der inneren Gewölbeleibung liegen; die Last in Punkt 3 dagegen hat Zug in diesen Punkten zur Folge. Um den Einfluss der Belastungen in den Punkten 4 und 5 (links von 3) zu finden, untersucht man Querschnitt III und die Wirkung der Lasten IV und V auf ihn; die Lasten in 4 und 5 haben auf Querschnitt 3 den gleichen Einfluss. Man sieht, dass Lasten in IV und V in dem Querschnitt III an der inneren Leibung Zug erzeugen; denn die Kämpferdrücke R_{IV} und R_V schneiden Querschnitt III weit oberhalb des oberen Kernpunktes. Ungünstigste Zugbelastung an der inneren Leibung des Querschnittes 3 tritt also bei Belastung der Punkte 5 4 3, ungünstigste Druckbelastung bei Belastung der Lastpunkte 2 1 II . . . V ein, wobei Last in 2 die Spannung null erzeugt.

Es genügt hier, wenn man die Lastpunkte an der einen Seite der Belastungsscheide als vollbelastet, diejenigen an der anderen Seite der Belastungsscheide als unbelastet einführt.

§ 7. Beweis der Richtigkeit der Konstruktion der Punkte A' und B'.

Wählt man nach Müller-Breslau (Die neueren Methoden der Festigkeitslehre, 2. Aufl. S. 115) als überzählige Größen die beiden in Punkt O angreifenden Kräfte X und Y sowie das Drehmoment Z, so bestimmt sich Z aus der Bedingung, dass die algebraische Summe der Momente der Kräfte XY und des Momentes Z für den Drehpunkt A gleich dem Spannungsmoment am Kämpfer A sein muss. O wird so bestimmt, dass in jeder der drei Elastizitätsgleichungen nur eine Unbekannte bleibt; zu diesem Zwecke muss O in den Schworpunkt der Gewölbeachse gelegt werden, und außerdem müssen X und Y mit den Hauptachsen der Gewölbe-Mittellinie zusammenfallen. Für eine flache Parabel als Gewölbe-Mittellinie mit der Pfeilhöhe f und der Kämpferweite l ergibt sich, dass O in der Höhe $\frac{2}{3} f$ über AB liegt.

Fig. 6.



Eine im Abstände x rechts von der Mitte liegende Last 1, Fig. 6, erzeugt die folgenden drei überzähligen Größen:

$$\left. \begin{aligned} X &= \frac{15}{64} f^2 (l^2 - 4x^2)^2 \\ Y &= -\frac{(l^2 - 4x^2)^2}{2 l^3} \\ Z &= -\frac{l^2 - 4x^2}{8 l} \end{aligned} \right\} \dots \dots \dots (I).$$

Aus den Gleichungen I kann man leicht die Einflusslinien für die drei überzähligen Größen X, Y, Z konstruieren. X und Z haben gleiche Werte für zwei Lagen der Last, welche zur Mitte symmetrisch sind; Y ändert sein Vorzeichen mit x. Für zwei symmetrische Lagen erhält man Werte von Y, die ihrer absoluten Größe nach gleich sind, deren Vorzeichen aber verschieden sind. Volle Belastung mit gleicher Last rechts und links vom Scheitel hat also Y = 0 zur Folge.

Wir ersetzen die X, Y, Z durch ihre Mittelkraft. Die Vereinigung der Resultierenden von X und Y mit dem Moment Z hat eine parallele Verschiebung dieser Resultierenden zur Folge. Es genügt, einen Punkt der gesuchten Mittelkraft zu bestimmen, da ihre Richtung bekannt ist; denn es ist $\text{tg } \delta = \frac{Y}{X}$. Die Mittelkraft schneide die Scheitel-Lotrechte des Gewölbes in dem Abstände η unter O, Fig. 7; dann muss

Fig. 7.



für diesen Schnittpunkt S die algebraische Summe der statischen Momente von X, Y und Z gleich null sein, d. h. die Bedingungsgleichung für η lautet:

$$0 = X\eta - Z, \text{ woraus } \eta = \frac{Z}{X}.$$

Mit den Werten für X und Z aus Gl. I folgt:

$$\eta = \frac{8}{15} \frac{f^2}{(l^2 - 4x^2)}.$$

Die durch S gehende Mittelkraft bildet mit der Wagerechten den Winkel δ , und es ist, wenn dem negativen Vorzeichen für Y durch den Sinn nach unten Rechnung getragen wird:

$$\text{tg } \delta = \frac{Y}{X} = \frac{8 f^2 x}{15 (l^2 - 4x^2)}.$$

Mit den Bezeichnungen aus Fig. 7 wird

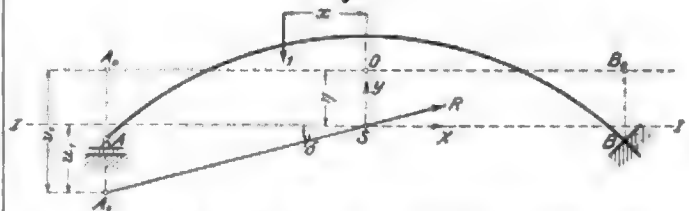
$$u = \frac{l}{2} \text{tg } \delta = \frac{16}{15} \frac{f l x}{(l^2 - 4x^2)}$$

und

$$\begin{aligned} v = \eta - u &= \frac{8}{15} \frac{f^2}{(l^2 - 4x^2)} - \frac{16}{15} \frac{f l x}{(l^2 - 4x^2)} \\ v &= \frac{8 f l}{15 (l + 2x)}. \end{aligned}$$

In dem Punkte A₁ setzt sich die Mittelkraft von X, Y, Z mit dem lotrechten Auflagerdruck zu dem linksseitigen Kämpferdruck zusammen. Der Kämpferdruck geht also durch A'.

Fig. 8.



Rückt die Last auf die links vom Scheitel gelegene Seite des Gewölbes, Fig. 8, so erhält man genau wie vorher:

$$\eta = \frac{8}{15} \frac{f^2}{(l^2 - 4x^2)}; \quad u_1 = \frac{16 f l x}{15 (l^2 - 4x^2)}.$$

Es wird besonders darauf aufmerksam gemacht, dass u₁ nach unten positiv gerechnet wird, während u nach oben positiv gesetzt war.

Durch Addition ergibt sich:

$$v_1 = \eta + u_1 = \frac{8 f l}{15 (l - 2x)}.$$

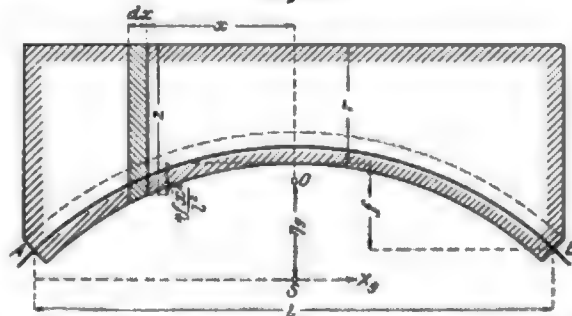
Die beiden oben (in § 2) angegebenen Werte für v und v' sind damit entwickelt.

Die Werte v₁ gelten auch bei rechts vom Scheitel befindlicher Last für die rechtsseitigen Kämpferdrücke, die Werte v auch bei links vom Scheitel liegender Last für die rechtsseitigen Kämpferdrücke.

§ 8. Angenäherte Berechnung für die Belastung durch Eigengewicht.

Es wird eine oben wagerecht begrenzte Belastungsfläche, Fig. 9, der Untersuchung zugrunde gelegt, die innere Gewölbeleibung als parabolisch begrenzt angenommen und die

Fig. 9.



Pfeilhöhe der Gewölbeachse = f gesetzt. Die Belastungshöhe im Scheitel sei = r. An beliebiger Stelle im Abstand x vom Scheitel ist die Belastungshöhe $z = r + \frac{4 f x^2}{l^2}$, also bei einem Gewichte γ für die Raumeinheit die Belastung auf die Länge dx:

$$\gamma z dx = \gamma \left(r + \frac{4 f x^2}{l^2} \right) dx.$$

Für diese Belastung erhält man aus den Gl. I als Werte für die überzähligen Größen:

Der Durchgangspunkt von X , Y , Z schneidet die Scheitel-lotrechte um η_p unterhalb O , Fig. 12, und es ist

$$0 = X_p \eta_p - Z_p$$

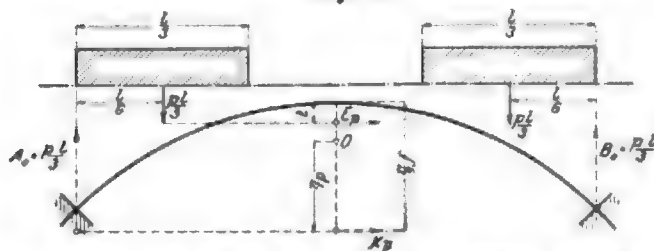
$$\eta_p = \frac{p l^2 \cdot 64 f}{24 \cdot 3 p l^2} = \frac{8}{9} f.$$

Diese Resultierende, d. h. X_p , schneidet die lotrechte Mittelachse unter dem Bogenscheitel in dem Abstände

$$\eta_p + \frac{f}{8} = \frac{11}{9} f.$$

Die Mittelkraft der an der einen Seite der Scheitelfuge wirkenden Kräfte schneidet diese (bzw. ihre Verlängerung)

Fig. 12.



in einem Punkte, der um t unter dem Scheitel der Bogenachse liegt. Man erhält t aus der Gleichung

$$\frac{p l t}{8} - X_p \left(\frac{11}{9} f - t \right) = 0$$

Es ist

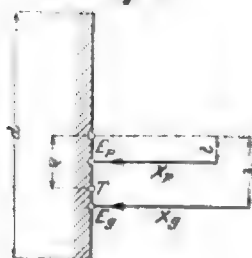
$$X_p = \frac{8}{64} \frac{p l^2}{f};$$

mithin

$$\frac{11}{9} f - t = \frac{p l^2 \cdot 64 f}{18 \cdot 3 p l^2} = \frac{32}{27} f$$

$$t = f \left(\frac{11}{9} - \frac{32}{27} \right) = \frac{f}{27}.$$

Fig. 13.



Die Gesamtresultierende aller an der einen Seite der Scheitelfuge wirkenden Kräfte — von Eigengewicht und ungünstigster Verkehrs-last — schneide die Scheitelfuge im Punkte T , Fig. 13. Die Lage von T ergibt sich aus der Gleichung (Fig. 13)

$$(X_p + X_r) \varrho = X_p \lambda + X_r t$$

$$\varrho = \frac{X_p \lambda + X_r t}{X_p + X_r}$$

$$\varrho = \frac{\lambda + \frac{X_r t}{X_p}}{1 + \frac{X_r}{X_p}}$$

ϱ ist der größte Ausschlag im Scheitel, positiv nach unten gerechnet. Setzt man abgekürzt

$$\frac{X_p}{X_r} = \frac{C}{f}, \text{ demnach } C = \frac{21}{3 \left(\frac{7}{f} + 1 \right)} \frac{p}{f}, \text{ so wird}$$

$$\varrho = \frac{\lambda + \frac{C f}{27}}{1 + \frac{C}{f}} = \frac{\lambda + \frac{C}{27}}{1 + \frac{C}{f}} = \frac{f \left(\lambda + \frac{C}{27} \right)}{f + C},$$

angenähert

$$\varrho' = \lambda + \frac{C}{27}.$$

Man erhält für $\frac{p}{\gamma} = \frac{0,4}{1,5} = 0,25$:

$\frac{f}{r} = 1$	1,5	2	2,5	3	4
$C = 0,002$	0,114	0,146	0,173	0,197	0,24
$\lambda = 0,0125 f$	0,018 f	0,02 f	0,026 f	0,03 f	0,038 f
$\varrho' = \left\{ \begin{array}{l} 0,0125 f \\ + 0,002 \end{array} \right.$	$\left\{ \begin{array}{l} 0,018 f \\ + 0,004 \end{array} \right.$	$\left\{ \begin{array}{l} 0,02 f \\ + 0,005 \end{array} \right.$	$\left\{ \begin{array}{l} 0,026 f \\ + 0,006 \end{array} \right.$	$\left\{ \begin{array}{l} 0,03 f \\ + 0,007 \end{array} \right.$	$\left\{ \begin{array}{l} 0,038 f \\ + 0,009 \end{array} \right.$

Die größte Inanspruchnahme σ_{\max} im Scheitelquerschnitt ist bei einer Abweichung der Resultierenden von der Achse um ϱ , und wenn die Gewölbstärke im Scheitel $= d$ und $X_{(p+r)} = X_p + X_r$ ist:

$$\sigma_{\max} = \frac{X_{(p+r)}}{1 d} + \frac{X_{(p+r)} \varrho}{1 d^2}.$$

Ist die zulässige größte Inanspruchnahme in kg pro qm Querschnittfläche K , so heißt die Bedingungsgleichung für d :

$$d^2 - X_{(p+r)} \frac{d}{K} = X_{(p+r)} \frac{\varrho}{K},$$

woraus folgt:

$$d = \frac{X_{(p+r)}}{2 K} \left[1 + \sqrt{1 + \frac{24 \varrho K}{X_{(p+r)}}} \right]$$

Nun ist

$$X_{(p+r)} = \frac{\gamma l^2}{56 f} (7 r + f) + \frac{3}{64} \frac{p l^2}{f},$$

$$X_{(p+r)} = \frac{\gamma l^2}{8 f} \left[r + \frac{f}{7} + \frac{3}{8} \frac{p}{\gamma} \right]$$

Setzt man abkürzend

$$\left(r + \frac{f}{7} + \frac{3}{8} \frac{p}{\gamma} \right) = \mu,$$

so ist

$$X_{(p+r)} = \frac{\gamma l^2}{8 f} \mu,$$

und es wird

$$d = \frac{\mu \gamma l^2}{16 K f} \left[1 + \sqrt{1 + \frac{24 \varrho K f}{\mu \gamma l^2}} \right].$$

In vorstehender Formel kann man unbedenklich ϱ durch 1 ersetzen; die Werte dafür sind in der Tabelle unten links angegeben.

Die Formel für die Gewölbstärke im Scheitel lautet demnach:

$$d = \frac{\mu \gamma l^2}{16 K f} \left[1 + \sqrt{1 + \frac{192 \lambda K f}{\mu \gamma l^2}} \right],$$

und es ist

$$\mu = r + \frac{f}{7} + \frac{3}{8} \frac{p}{\gamma}.$$

Die Bedeutungen der einzelnen Buchstaben sollen der bequemen Anwendung wegen hier noch einmal aufgeführt werden:

d = Gewölbstärke im Scheitel

γ = Gewicht des Raummeters Gewölbebaustoff

l = Kämpferweite des Gewölbes, in der Achse gemessen

f = Pfeilhöhe des Gewölbes, in der Achse gemessen

K = zulässige Druckinanspruchnahme im Gewölbe in kg/qm

r = Belastungshöhe im Scheitel (vergl. Fig. 9)

p = Verkehrsbelastung pro m Gewölbestreifen von 1 m Tiefe senkrecht zur Bildfläche.

Beispiele.

Es sei $f = 3$ m, $\frac{f}{r} = 2,5$, $\frac{p}{\gamma} = \frac{400}{1600} = 0,25$, somit $\mu = \frac{3}{2,5} + \frac{3}{7} + \frac{3}{8} \cdot \frac{1}{4} = 1,72$, $\lambda = \varrho = 0,025 f = 0,075$ m,

$l = 16$ m, $K = 80000$ kg/qm; dann erhält man:

$$d = \frac{1,72 \cdot 1600 \cdot 16^2}{16 \cdot 80000 \cdot 3} \left[1 + \sqrt{1 + \frac{192 \cdot 0,075 \cdot 80000 \cdot 3}{1,72 \cdot 1600 \cdot 16 \cdot 16}} \right] = 0,63 \text{ m.}$$

Wären alle Werte wie zuvor, aber $l = 24$ m, so würde $d = 1,16$ m. Bei großen Gewölbweiten kann man aber für K einen wesentlich höheren Wert einführen, weil bei derartigen Ausführungen bester Baustoff zur Verfügung steht.

Ist $l = 36$ m, $f = 6$ m, $\frac{f}{r} = 3$ m, $\gamma = 2000$ kg/cbm,

$p = 500$ kg/qm, also $\frac{p}{\gamma} = \frac{1}{4}$, so wird

$\mu = 2 + 0,25 + 0,09 = 2,34$, $\lambda = \varrho = 0,03 f = 0,03 \cdot 6 = 0,18$;

ist ferner $K = 240000$ kg/qm,

so erhält man

$$d = \frac{2,34 \cdot 2000 \cdot 36 \cdot 36}{16 \cdot 240000 \cdot 6} \left[1 + \sqrt{1 + \frac{192 \cdot 0,18 \cdot 240000 \cdot 6}{2,34 \cdot 2000 \cdot 36 \cdot 36}} \right] = 1,24 \text{ m.}$$

Bei noch größeren Weiten wie auch bei weitgespannten Betonbrücken kann man mit K noch weiter gehen, bis zu $K = 360\,000$ kg/qm und mehr, je nach der Güte des verfügbaren Stoffes. Die Stärke in den Kämpfern kann man ähnlich wie diejenige im Scheitel überschlägig ermitteln. Meistens genügt es für die vorläufige Annahme, welcher die

genaue Verzeichnung der den gefährlichsten Belastungen entsprechenden Durchgangspunkte folgt, die lotrechte Projektion der Kämpferstärke gleich der Scheitelstärke anzunehmen, natürlich nur für flache Bogen. Es ist deshalb davon abgesehen worden, hierfür eine Formel aufzustellen.

Zur Genauigkeit der Indikatordiagramme.

Von L. C. Wolff, Ingenieur, Magdeburg.

In technischen Fachschriften findet man nicht selten Berechnungen von Indikatorversuchen, deren Ergebnisse in PS, oder in kg Verbrauch für 1 PS- $\frac{1}{2}$ auf drei oder selbst mehr Stellen hinter dem Komma angegeben sind. Mein erstes Indikatordiagramm wurde vor etwa 20 Jahren von mir noch zur Studienzeit in dem Bestreben aufgenommen, es auch einmal zu dieser von mir angestaunten Schärfe der Ermittlung zu bringen. Es ist ja bekanntlich zwecklos, eine lange Reihe von Zahlen anzugeben, wenn man von dieser Reihe nur einige der ersten Glieder verbürgen kann. Heute stehe ich nach so langer Arbeit fast auf dem Standpunkte von Dubois-Reymonds »ignorabimus«: ich sehe, dass wir nichts wissen können, wenigstens in vielen Punkten der Untersuchung von Wärmekraftmaschinen mit dem Indikator. »Nichts« ist wohl etwas viel gesagt; ich mildere diesen Ausdruck daher sogleich insofern, als ich damit sagen will: Eine Genauigkeit von 1 vH halte ich im allgemeinen bei Durchschnittsmaschinen für ungefähr die grösste, die ein geschickter, erfahrener Beobachter mit vorzüglichen, geprüften Messgeräten bei grosser Sorgfalt von Diagrammen verlangen kann.

Diesen Ausdruck meiner Ueberzeugung, für die ich einige Belege bringen werde, möchte ich natürlich cum grano salis verstanden wissen. Unter besonders günstigen Umständen, z. B. bei sehr langsam laufenden grossen Maschinen, mag es mitunter möglich sein, weiter zu kommen. Im grossen Durchschnitt glaube ich es nicht, und bei Schnellläufern ist an eine so grosse Genauigkeit nicht zu denken.

Der aus einem Diagramm gezogene Wert hängt zunächst von dem Mittel ab, durch welches man zu ihm gelangt ist. Fraglos das beste ist ein gutes, öfter kontrolliertes und richtig, d. h. mit möglichster Beschränkung seiner unvermeidlichen Fehler gebrauchtes Planimeter. Bei einmaliger Umfahrung (mehr kann man sich bei längeren Versuchsreihen meistens nicht erlauben) kann man hiemit den Flächenwert bis auf etwa 0,2 vH genau finden. Es ist ein Irrtum, zu glauben, dass dieser Fehler durch sehr oft wiederholtes Umfahren wesentlich vermindert wird; die einzige Möglichkeit, ihn gering zu halten, ist die, dafür zu sorgen, dass das Planimeter stets in tadellosem Zustande bleibt.

Die Einstellung des Fahrarmes auf die Diagrammlänge vergrößert den Fehler sehr wesentlich, nicht nur, weil sie bei allen mir bekannten Planimetern als Nebensache ungeschickt und unbequem eingerichtet ist, sondern auch, weil die atmosphärische Linie des Diagrammes, welche zu dieser Einstellung gebraucht wird, meistens an den Enden nicht scharf begrenzt ist und die Diagrammlänge daher nicht genau wiedergibt. Auch fällt die Länge nicht bei allen Diagrammen einer Cylinderseite gleich gross aus, hauptsächlich wegen der verschiedenen Nachgiebigkeit der Mitnehmereinrichtung, besonders der Schnur. Temperatur, Feuchtigkeit der Umgebung, Arbeitsweise der Maschine, auch zufällige Umstände, beeinflussen diese Länge leicht. Ich schliesse deshalb gewöhnlich eine Anzahl Stichproben in parallele Linien senkrecht zur atmosphärischen ein, um die Länge zu finden; mit allen Diagrammen ist das nicht durchführbar.

Die mittlere Höhe hängt sodann vom Massstabe der Indikatorfeder ab.

Dieser Massstab ist eine sehr fragwürdige, wenigstens bis jetzt noch nicht ausreichend bestimmte Grösse. Ich habe Gelegenheit gehabt, eine grosse Anzahl Indikatorfedern der

ersten Fabriken dieses Feldes zu prüfen. Im Folgenden gebe ich die Ergebnisse der Prüfung einiger Federn wieder, welche von einer der ersten Firmen aufgrund langjähriger Erfahrungen in Material und Fabrikation mit einer Sorgfalt hergestellt sind, die wohl nicht zu übertreffen ist.

Die Prüfung geschah mit unmittelbarer Gewichtbelastung in einem indikatorähnlichen Cylinder mit Dampfmantel bei etwa 20° C Temperatur, nachdem sich die Feder 3 Minuten ohne Belastung in dieser Wärme selbst überlassen war. Dann wurde der Nullpunkt des Massstabes von neuem und endgültig auf den Stift des mit der Feder verbundenen normalen Indikatorschreibzeuges eingestellt, wozu eine Verschiebung gegen den kalten Zustand um gewöhnlich etwa 0,3 mm gehörte. Die je 1 at entsprechenden Gewichtstücke, für den zugehörigen Kolben abgestimmt, wurden nacheinander vorsichtig aufgelegt oder abgenommen und dann jedesmal abgelesen. Von den zur Benennung der Federn von mir gebrauchten Zahlen bedeutet die erste die grösste Spannung in at (kg/qcm), für welche die Feder bestimmt ist, die zweite ihren »nominellen« Massstab inbezug auf das Schreibzeug in mm pro at.

Feder	8 X 6		10 X 5		12 X 4		14 X 3,5	
Belastung at	Schreibzeugausschlag in mm							
	steigend	sinkend	steigend	sinkend	steigend	sinkend	steigend	sinkend
0	0	0,8	0	0,7	0	0,8	0	0,5
1	6,0	6,8	5,1	5,8	4,1	4,9	3,7	4,4
2	11,0	12,7	10,1	10,8	8,1	8,9	7,3	7,8
3	17,9	18,7	15,0	15,9	12,1	12,9	10,8	11,4
4	23,9	24,8	20,0	20,9	16,1	16,9	14,2	14,9
5	30,0	30,8	25,1	26,0	20,0	20,9	17,6	18,2
6	36,1	36,7	30,9	31,2	24,0	24,9	21,1	21,8
7	42,1	42,5	35,5	36,2	28,0	28,8	24,6	25,3
8	47,8	→	40,4	41,2	32,1	32,8	28,1	28,9
9			45,3	45,9	36,1	36,7	31,8	32,3
10			50,1	→	40,1	40,5	35,2	35,9
11					44,0	44,3	38,9	39,3
12					47,9	→	42,4	42,8
13							45,9	→
14							49,1	→

Hiernach wird man meine Frage begreiflich finden: »Was ist denn nun eigentlich der Federmassstab?« Ich wenigstens vermag sie nicht zu beantworten. Was man für gewöhnlich so nennt, ist weiter nichts als eine Art vereinbarter Charakteristik der Feder. Z. B. die Feder 10 × 5 zeigt bei 6 at 30,2 und 31,2 mm, also mit einem Unterschied von einem ganzen Millimeter oder 0,3 at oder $\frac{1}{3}$ des Federmassstabes. Im Diagramm kommt aber sowohl steigende als auch sinkende Belastung vor. Alle diese 4 Federn würden also z. B. die Expansionslinie zu hoch zeichnen, vielleicht auch anfänglich die Ausströmungs- und die Gegendrucklinie. Dadurch muss das Ergebnis aber zu groß werden. Auch die Eintrittlinie muss, wenn in ihr ein Abfall oder eine Anfangsspitze vorkommt, zu hoch werden. Dabei ist zu bedenken, dass die Ablesung bei der Prüfung der Feder Zeit liefs, sich einzustellen, was beim Indizieren aber keineswegs der Fall ist. Daher müssen hierbei die Linien wachsenden Druckes, also für Kompression und auch Voreinstromung, nach

unten zurückbleiben und dadurch das Diagramm ebenfalls vergrößern, also fälschen. Gegen diese Schlussfolgerung, denke ich, lässt sich nichts einwenden.

Eine Feder ist eben zu Messungen ohne weiteres nur für statische Zwecke allenfalls brauchbar, und auch hier verwendet man sie im gewöhnlichen Leben nur da, wo es auf Genauigkeit garnicht ankommt, z. B. zu Federwaagen in der Küche, als Dynamometer bei Pflugversuchen. Für Messungen dynamischer Vorgänge können, wenn man einige Genauigkeit verlangt, Federn erst dann in Betracht kommen, wenn man ihre Gesetze kennen gelernt haben wird. So lange das nicht der Fall ist, darf man Federn zwar — wohl oder übel, wenn man nichts Besseres hat — benutzen, darf aber nicht vergessen, sich klar zu werden und zu bleiben über das, was man mit ihnen erreichen kann. Dass es solche feinere Gesetze der Federn geben kann, vermöchte man vielleicht schon aus der Betrachtung dieser wenigen Zahlentafeln zu schließen, welche trotz ihres geringen Umfanges schon einzelne große Züge aufweisen, die ich auch sonst gefunden habe.

Zum Beispiel stimmen (bei diesem langsamen, immerhin nicht ununterbrochenen Anwachsen der Belastung) die Werte für die steigende Belastung noch verhältnismäßig gut mit dem Soll; dagegen diejenigen für die sinkende sehr viel weniger. Der Fehler wächst bis ungefähr zur Mitte der zulässigen Beanspruchung herunter, um dann (absolut gemessen) etwas abzunehmen. Der Fehler bei null verschwindet übrigens umso mehr, je länger man wartet.

Ueber die Anwendung von Federn zu Messgeräten ließe sich noch vieles sagen, was uns hier zu weit führen würde. Ich möchte nur ganz kurz meine Ansicht dahin aussprechen, 1) dass man Cylinderschraubenfedern möglichst nicht auf Druck, sondern nur auf Zug beanspruchen sollte; 2) dass man sie da, wo Druck nicht zu vermeiden ist, aus zwei ineinander gesteckten Schrauben mit entgegengesetzter Gangrichtung herstellen sollte, weil so allein der Seitendruck fortzuschaffen ist, den sonst jede ein- oder mehrgängige Cylinderschraubenfeder beim Zusammendrücken giebt. Es bliebe aber wohl zu überlegen, ob sich für manche Arten von Indikatoren nicht andere Federformen besser eignen als jene zurzeit fast allein gebrachten, vielleicht auch andere Federungsmittel.

Von diesen bisher betrachteten, verhältnismäßig kleinen Fehlern haben wir nun noch zu außerordentlich viel größeren übergehen; sie liegen in der Abhängigkeit der ganzen Diagrammform von der Umlaufzahl der Maschine.

Für den schon von James Watt verfolgten Zweck, die allgemeine Dampfverteilung in der Maschine kennen zu lernen, sind der Indikator und sein Grundgedanke äußerst bequem. Für weitergehende Zwecke aber giebt er uns je länger, je mehr Rätsel auf. Sie nehmen zu mit der Umlaufzahl.

Zunächst ist eine Feder kein masseloser Körper; sie kann sehr langsam wechselnden Kräften grundsätzlich genau folgen (wie genau, siehe oben), aber je schneller sich die Kräfte ändern, umso mehr tritt die Eigenart der Feder in den Vordergrund, nämlich die Periode ihrer Eigenschwingung. Man kann sich ohne Schwierigkeit den Fall denken, dass die Periode des Kraftwechsels gleich der der Feder geworden ist. Die bis dahin gewachsene Interferenz beider, die bei langsamem Wechsel wenig merklich ist und daher leicht ganz übersehen wird, ist dann am größten; die Feder erhält, ehe sie zurück kann, einen neuen Antrieb nach vorwärts, schwingt also nicht zurück, sondern verharrt bewegungslos in dem bestimmten Spannungszustande. Dies ist der bekannte Grenzfall der Erzeugung eines stetigen Druckes durch eine große Anzahl rascher Stöße. Der Anseigefehler der Feder, die nun keine Differenzfläche als Diagramm mehr giebt, für die einzelnen Antriebe beträgt dann 100 vH. Unter diesem Wert kann er demnach, bis fast zu null, jeden annehmen, je nach der Schnelligkeit des Wechsels, und zwar muss der jedesmalige Wert von der Federperiode abhängen, also je nach der angewendeten Feder verschieden ausfallen. Umgekehrt aber steht der Federdruck bei 100 vH Einzelfehler mit der Summe der Stöße im Gleichgewicht, d. h. die Federstellung in diesem Grenzfall ist unmittelbar ein Maß für die Gesamt-

wirkung der wechselnden Kräfte. Bei einem solchen — gedachten — Indikator würde der Schreibstift im Betriebe eine gerade Linie parallel der atmosphärischen schreiben, welche um den mittleren Dampfdruck, nicht um den mittleren Diagrammdruck p_m , von dieser absteht. Befinden wir uns nicht an dieser Grenze selbst, sondern nur mehr oder weniger in ihrer Nähe, so werden in der Hauptsache 2 Kurven entstehen, eine für den Hingang, eine für den Rückgang, die einander um so näher liegen, je näher man der Grenze kommt. Nahe dieser wird man berechtigt sein, das Mittel aus beiden Kurven, in eine gerade Linie parallel der atmosphärischen verwandelt, als die Linie des mittleren Ueberdruckes anzusehen. Aus ihr ist aber nicht ohne weiteres auf die Arbeit zu schließen.

Dazu kommt zweitens aber noch der Umstand, dass auch der Dampf seine »Federungsperiode« hat, abhängig von seiner Spannung und sonstigen Beschaffenheit. Sie findet einen Ausdruck in der durch die Zeunerschen Forschungen bekannt gewordenen Auströmgeschwindigkeit. Weicht der Kolben mit dieser zurück, so erfährt er offenbar keinen Dampfdruck mehr. Der Dampfdruck auf den Kolben ist gleich der Dampfspannung, wenn der Kolben ruht, liegt dagegen umso mehr unterhalb derselben, je mehr sich der Kolben vom Dampf weg bewegt.

Drittens sind die Strömungswiderstände für den Dampf nicht zu vergessen. Sie sind am Schieber Spiegel um so größer, je breiter die Kanäle (quer zur Kolbenstange) sind, am größten im Augenblick der Eröffnung und des Abschlusses. Aber der Dampf kommt auch später am Indikator Kolben an als am Maschin Kolben, umso mehr, je schneller die Maschine läuft und je länger der Kanal ist, auch je weiter er ist, aber auch je größer darin die Widerstände sind. Es muss also theoretisch für jede Maschinenklasse eine günstigste Bohrung geben.

Viertens spricht die Verzerrung des Diagrammes in seiner Längsrichtung sehr wesentlich mit. Sie hängt von der Federung des Mitnehmers, von derjenigen der Schnur und des ganzen Indikatoraufbaues und von dem Trägheitsmoment der Trommel ab. Sie ist ganz unproportional, d. h. das breite Ende des Diagrammes wird ganz anders ausgereckt als das spitze, sodass man bei einigermaßen höherer Umlaufzahl entweder die mit Zähnen versehene Trommel durch eine mit dem Kreuzkopf verbundene Zahnstange bewegen oder zu der Wattschen Form der ebenfalls mit dem Kreuzkopf verbundenen ebenen Tafel zurückkehren muss.

Eine wirkliche Beweisunterlage für diese rein theoretischen, aber wohl nicht anfechtbaren Betrachtungen zu liefern, ist meines Wissens bisher nicht unternommen worden. Etwas hierzu beizutragen ist mir kürzlich geglückt, und dies gebe ich im Folgenden wieder. Vorausschicken möchte ich aber erst, dass diese aus Mangel an Zeit ganz bruchstückartigen Versuche eben aus diesem Grunde auf Mustergültigkeit und Vollständigkeit nicht den geringsten Anspruch machen können. Veranlasst bin ich zu ihnen durch den seit längerer Zeit aus meinen Indizirungen gewonnenen Eindruck, als ob das Ergebnis von der gewählten Feder und der Umlaufzahl beeinflusst werde.

Günstige Umstände ermöglichten mir zwischen andern Arbeiten gelegentlich die Indizirung einer ganz kleinen, zu besonderen Zwecken erbauten, regulatorlosen Maschine mit einfachem Muschelschieber, deren Umlaufzahl, angegeben durch ein mit der Kurbelwelle durch Kegelräder verbundenes Tachometer, zwischen etwa 100 und 1000 Umdrehungen in der Minute durch eine kleine Klotzbremse an einer der beiden Schwungradscheiben eingestellt werden konnte. Leider war es nicht möglich, wie ich es als besonders wertvoll sehr gewünscht hätte, die effektive Leistung mittels Messbremse abzulesen. Dies nebst der Messung des Dampfverbrauches hätte vielleicht die wichtigsten Aufschlüsse geben können. Die Maschine war aber nicht dazu bestimmt und eingerichtet.

Wenn man vor der Maschine steht, so fällt der Blick über den Schieberkasten hinweg auf den Cylinder. Rechts liegt die Kurbelwelle. Die Kurbel dreht sich in der Richtung

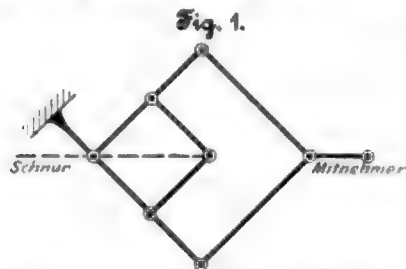
des Uhrzeigers. Die Kolbenstange geht auf der Deckseite, wo allein indiziert wurde, nicht durch. Der Cylinder von 65 mm Bohrung und 90 mm Kolbenhub hat etwa 1 cm starke, mit gestampftem Asbest und blankem, grauem Stahlblech bekleidete Wandung. Der Indikatorbahn von 9 mm Bohrung saß unmittelbar am Cylinder, sodass der Indikator Kolben etwa 10 cm von der Cylinderachse abstand. Der Mitnehmer — wie allgemein gebräuchlich, sehr schwach, also deutlich federnd — aus 1,5 cm starkem Rundeisen, auf den Kreuzkopf geschraubt, nahm bei größeren Indikatoren die Schnur eines solchen unmittelbar auf, bei kleineren mittels eines Parallelogramm-Hubverminderers.

Den Dampf erhielt die Maschine von einem dicht daneben stehenden, zurzeit sonst nicht beanspruchten Lillenthalschen Schlangenrohrkessel von 4 qm wasserbespülter und 2,5 qm dampfberührter Heizfläche und 0,3 qm Rostfläche, genehmigt im Jahre 1900 für 25 at Ueberdruck. Die Dampfzuleitung hatte 13 mm, die Auspuffleitung 16 mm l. W.

Indiziert wurde mit 2 mir von der Firma Schäffer & Budenberg, Magdeburg, freundlichst zur Verfügung gestellten Thompson-Indikatoren ihrer neuesten Ausführung, die gegenüber den früheren viele und wesentliche Verbesserungen zeigt.

Der erste dieser beiden Indikatoren mit größerer Trommel war für Dampfmaschinen bestimmt, hatte 20,3 mm Kolbendurchmesser und wurde ohne Hubverminderung gebraucht. Die Kesselspannung betrug dabei dauernd 9 at. Bis zu 550 Umläufen zeigte die Indizierung keine sichtlichen Mängel; bei 600 Umläufen sah man die Schnur auf dem Rückwege schlaff werden, aber im linken Totpunkte kam sie schon wieder straff an, sodass das Indizieren möglich blieb. Bei 650 Umläufen aber kam die Schnur schlaff im Totpunkt an, peitschte daher mit knallendem Geräusch und zwang zum Aufhören, wenn sie nicht reißen sollte.

Der zweite der beiden Indikatoren, für Explosionsmaschinen bestimmt, daher mit schwererem Schreibzeug, hatte nur halb so viel Kolbenfläche als jener, und einen kleineren Trommelumfang. Daher musste der Hub im Verhältnis 3:5 verkleinert werden, und dies geschah durch einen an das Ende des Mitnehmers angeschraubten Parallelogramm-Hubverminderer, Fig. 1. Diagramme wurden genommen bei 9 at Kesseldruck von 600 bis 1000 Umläufen und bei 15 at Kesseldruck von 200 bis 1000 Umläufen in der Minute.



Bei 100 Umläufen schwankte das Tachometer zu sehr, um eine sichere Ablesung zu gestatten; die Schwungmasse der Maschine war offenbar zu klein für diesen langsamen Gang mit 0,3 m mittlerer Kolbengeschwindigkeit. Bei 150 Umläufen waren die Schwankungen schon gering geworden, obwohl der Maschinengang noch sehr hörbar war. Diese letztere Erscheinung nahm umsomehr ab, je schneller die Maschine lief, bis zuletzt bei 1000 Umläufen nur noch ein Summen zu hören war. Weiter wagte man einstweilen mit der Maschine nicht zu gehen; am zweiten Indikator aber zeigte sich trotz des der Sachlage verschlechternden Hubverminderers noch keinerlei Schwierigkeit, er hätte offenbar noch mehr oder weniger weit über 1000 Umläufe den Dienst nicht veragert: eine nach meinem Dafürhalten höchlichst zu bewundernde Leistung seiner Erbauer.

Auf S. 1776 sind die gewonnenen Diagramme wiedergegeben.

Gruppe I. Kesseldruck 9 at. Indikator für Dampfmaschinen. Feder 10×5 . 100 bis 650 Uml./min.

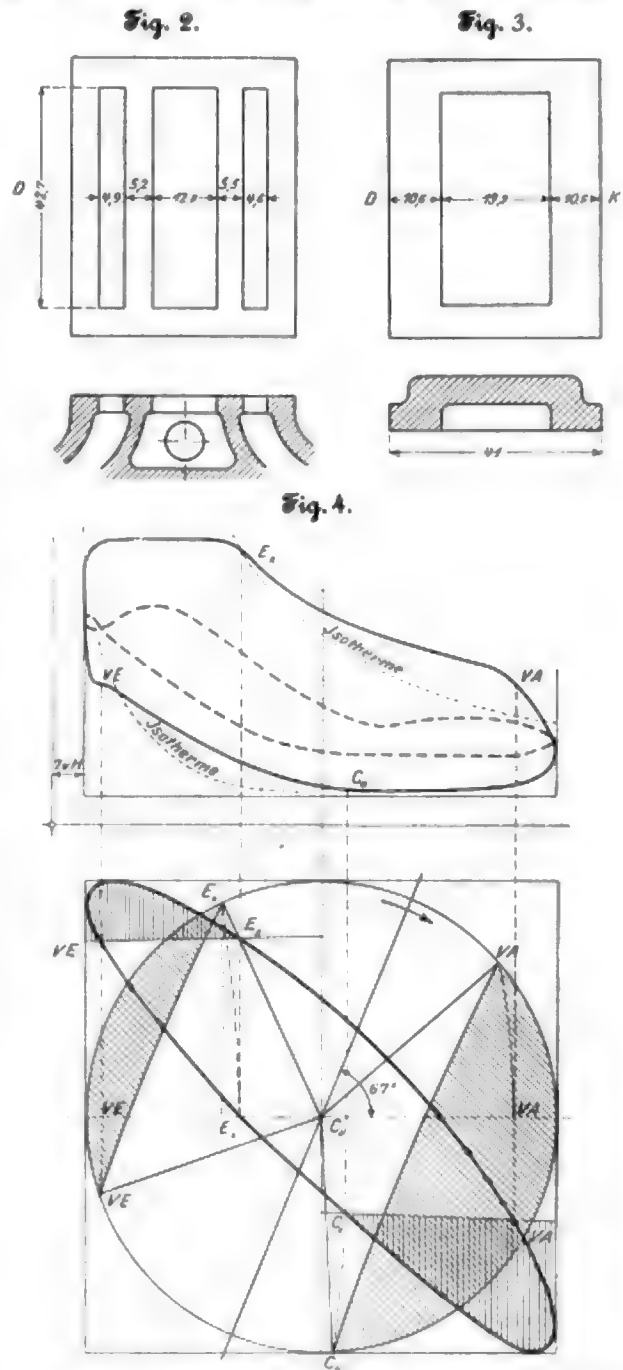
Gruppe II. Kesseldruck 9 at. Indikator für Explosionsmaschinen. Feder 10×5 . 200 bis 1000 Uml./min.

Gruppe III. Kesseldruck 9 at. Indikator für Explosionsmaschinen. Feder 16×3 . 600 bis 1000 Uml./min.

Gruppe IV. Kesseldruck 15 at. Indikator für Explosionsmaschinen. Feder 16×3 . 200 bis 600 Uml./min.

In jeder der 4 Gruppen haben wir keine Veränderungen als die Umlaufzahl.

Um möglichst Klarheit über die Dampfverteilung mittels eines Schieberdiagrammes¹⁾ zu schaffen, wurde die Maschine



so weit, als es sich ohne unzulässige Demontierung machen liefs, ausgemessen, ferner Cylinderspiegel und Schieberspiegel auf je einem Papierblatt abgeklopft. Die Messungen an den Spie-

¹⁾ S. Fig. 4. In das Dampfdiagramm für 100 Uml./min habe ich ein solches für 1000 Uml./min, auf gleiche Länge gebracht, hineingezeichnet. Die unproportionale Verzerrung desselben (s. später) ist proportional rückgängig gemacht, das Diagramm giebt also vollkommen falsche Werte.

geln geschahen mit einer guten Schublehre; dennoch stimmen sie mit den Abklopfbildern nicht völlig überein. Es kommt hier natürlich auf Zehntelmillimeter an.

Gemessen wurden folgende Größen:

Abmessungen von Cylinder- und Schieberspiegel, s. Fig. 2 und 3;

Exzenterhub $2r = 10$ mm;

Schiebertotpunkt rechts, Kolben 79 mm von Totpunkt links links, „ 6 „ „ „ „

Hieraus ergibt sich mittels quadratischer Gleichung ein Voreilwinkel von 69° .

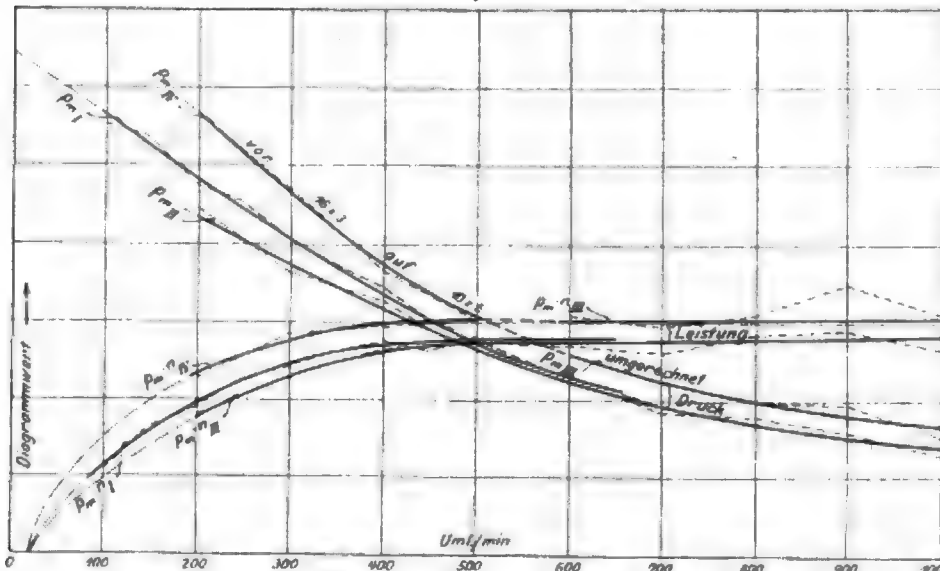
Kolbentotpunkt links, Schieber 4,5 mm von Mittelstellung nach rechts;

Kolbentotpunkt rechts, Schieber 4,8 mm von Mittelstellung nach links.

Hieraus ergibt sich mittels linearer Gleichung ein Voreilwinkel von 65° .

Gewählt habe ich zur Konstruktion des in Fig. 4 wiedergegebenen, an das Dampfdiagramm Z_1 angeschlossenen Reuleaux-Müllerschen Schieberdiagrammes nebst Schieberellipse einen Voreilwinkel von $\delta = 67^\circ$. Die Länge der Kurbelstange (230 mm) und der Exzenterstange (285 mm) sind berücksichtigt.

Fig. 5.



Ohne diese Berücksichtigung würden alle charakteristischen Punkte im Dampfdiagramm zu weit nach links (Deckelseite) verschoben erscheinen. Hierbei hat sich eine Übereinstimmung zwischen dem Dampf- und dem Schieberdiagramm nur durch die Annahme erzielen lassen, dass sich das Schieber-Spiegelmittel in der Mittelstellung des Schiebers mit dem Cylinderspiegelmittel nicht deckt, sondern dass der Schieber um 0,7 mm nach rechts auf seiner Stange verschoben ist, d. h. dass auf der linken Seite des Schiebers die äußere Deckung $e = 3,7$ mm, die innere $i = 1,8$ mm ist.

Der schädliche Raum ist zu rd. 21 ccm = 7 vH aus den Abmessungen der Maschine berechnet worden.

Über die Geschwindigkeiten des Dampfes habe ich mir kein Urteil bilden können, weil eben eine Dampfverbrauchs-messung nicht vorgesehen war, mir auch die Zeit zu einer so ausgedehnten Versuchsreihe nicht zugebote stand.

Die Diagramme geben nun über manches recht bemerkenswerte Aufschlüsse; einige davon mögen hier berührt werden.

1) Die Isotherme schließt sich an die wirkliche Expansionskurve um so besser an, je höher die Umlaufzahl ist.

Also ist die starke Erhebung der Expansionslinie gegen das Ende bei den »langsamen« Diagrammen nicht durch Undichtigkeit des Schiebers verursacht. Die beiden Spiegel sind auch sehr sorgsam aufeinander aufgeschliffen worden, sodass Dampf nachströmung sehr wenig wahrscheinlich war. Vielmehr muss man hier starken Wassergehalt des eintretenden Dampfes und daher erst recht bedeutende Kondensation wäh-

rend des Eintrittes, also starkes Nachverdampfen annehmen. Wenn aber die Umlaufzahl stark zunimmt, sinkt die Eintrittsspannung stark, d. h. der Dampf überhitzt sich durch die von den Reibungswiderständen verursachte Drosselung, und die Kondensation nimmt ab, also auch das Nachverdampfen.

2) Die Kompressionskurve entfernt sich mit wachsender Umlaufzahl eher von der Isotherme.

3) Die Diagrammlänge nimmt mit der Umlaufzahl zu, und zwar am inneren Totpunkt fast doppelt so viel wie am äußeren. Das Diagramm wird also gänzlich unproportional verzerrt, und zwar fällt bei diesen Diagrammen der mittlere wirksame Druck $p_m = \frac{f}{\lambda}$ zu groß aus.

4) Die Diagrammlänge λ ist ohne Hubverminderer zunächst (um 5 mm) kleiner als der Hub. Der Grund ist in der Dicke der Schnur zu suchen.

5) Die Diagrammleistung pro Hub, d. h. p_m , ist bei einer und derselben Umlaufzahl verschieden, je nach Indikator und Feder.

Wenn man aber dahin gelangt, die bisher unbesehen als richtig angenommene Regel bezweifeln zu müssen, dass es für die Leistung einer Maschine gleichgültig ist, mit welchem guten Instrument man sie misst, so ist man vollauf berechtigt zu der Frage: Was ist hier Wahrheit?

Wenn man ferner die Diagramme der verschiedenen Gruppen bei gleicher Umlaufzahl auf die gleiche Länge bringt, so decken sie sich schon bei geringer Umlaufzahl keineswegs. Wo bleibt da 1 vH Genauigkeit?

6) Die Nacheinströmung wächst natürlich mit der Umlaufzahl. Ihre Kurve ist erst ohne, dann mit Wendepunkt, schließlich giebt sie mit der Kompressionskurve eine Schleife, auch zeigt sich sehr bald ein Uberschleifen über den Eintrittsdruck.

7) Die Einströmlinie sinkt mit wachsender Umlaufzahl, zuletzt wird sie überhaupt unkenntlich.

8) Der Anfangs- und der Enddruck der Expansion sinken ebenso.

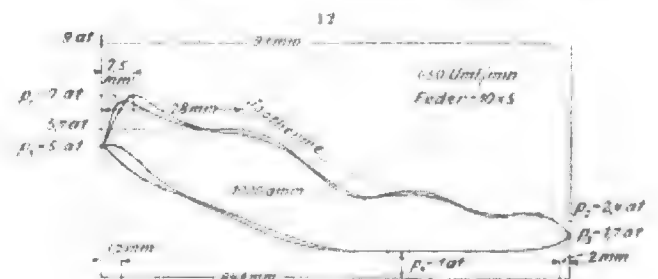
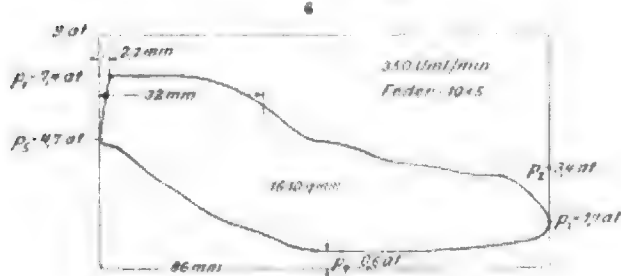
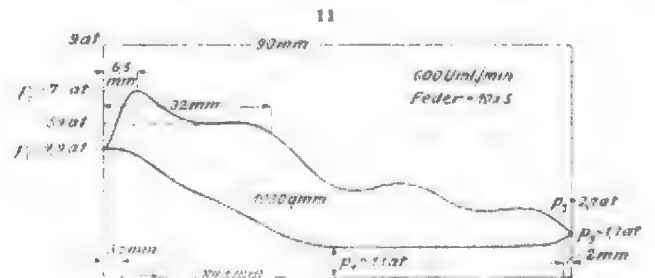
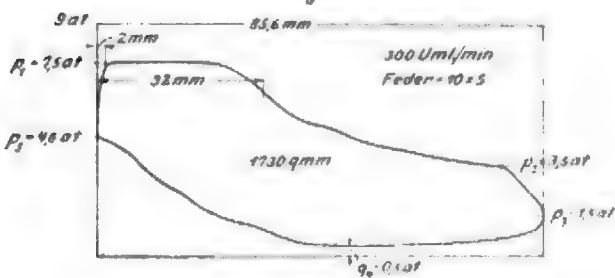
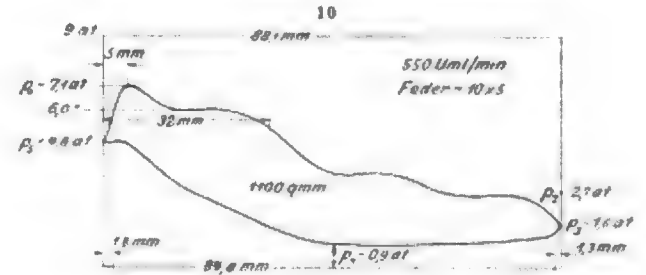
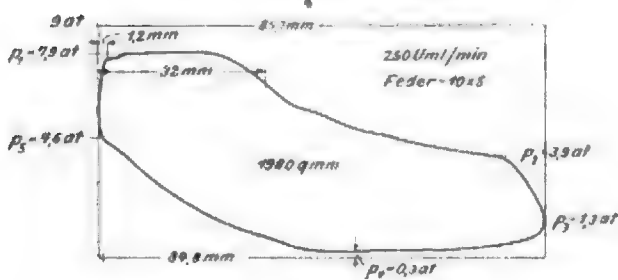
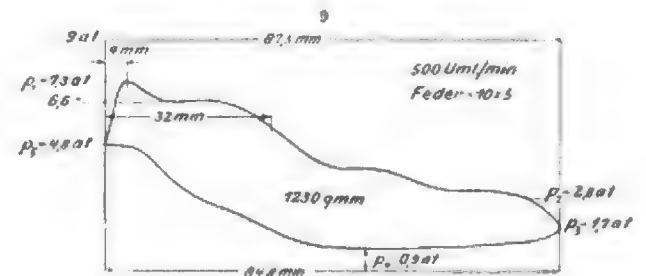
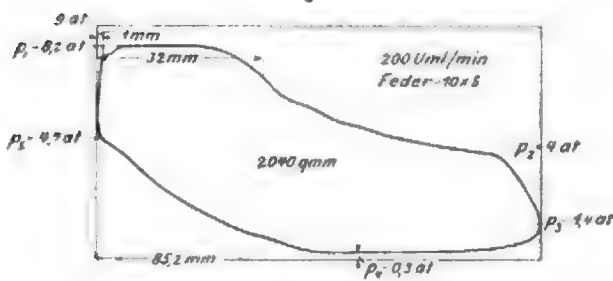
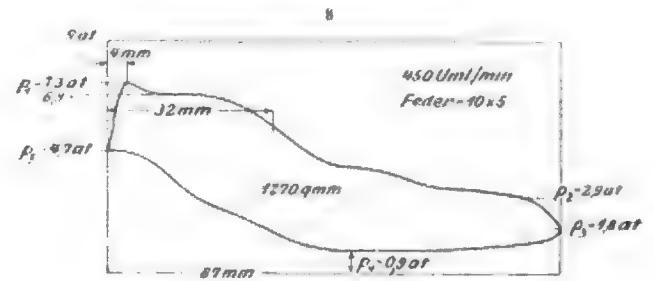
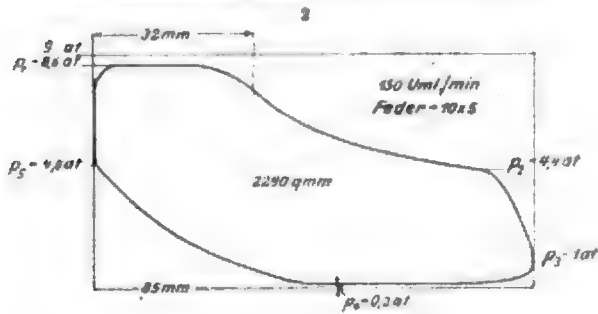
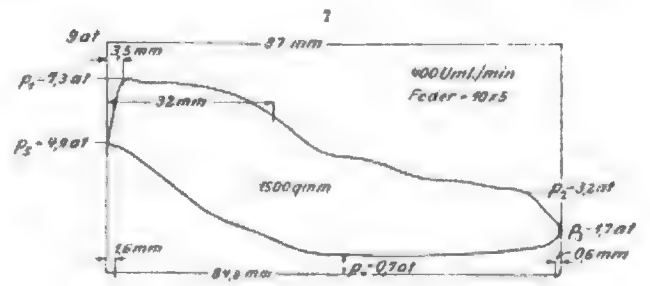
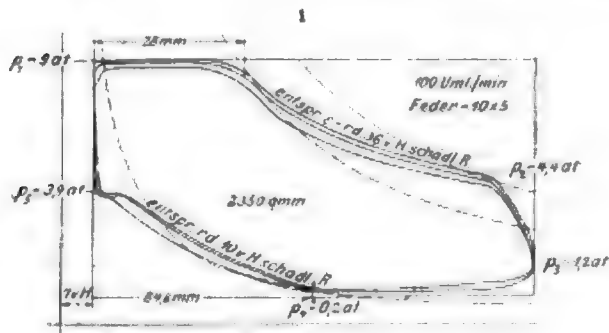
9) Der Druck im Totpunkt sinkt erst mit wachsender Umlaufzahl, dann steigt er wieder, wenn sie weiter wächst. Es giebt eine Stelle;

wo der Auspuffkanal für die durchtretende Dampfmenge am günstigsten bemessen ist, und umgekehrt.

10) Die Kompressionskurve wird flacher mit wachsender Umlaufzahl. Sehr bald bekommt sie am Hubende die bekannte Neigung, wagerecht zu enden.

Um einen schnelleren Ueberblick über die ganzen Verhältnisse zu ermöglichen, habe ich sie in die nachfolgenden Zahlentafeln gebracht und diese in Fig. 5 zeichnerisch dargestellt. In beiden bedeutet

- n die Umlaufzahl in der Minute,
- f den Diagramminhalt in qmm,
- p_1 den Anfangs- und Enddruck in der Einströmperiode in at,
- p_2 den Enddruck der Expansionsperiode in at,
- p_3 den Totpunkt in at,
- p_4 den Gegendruck in at,
- p_5 den Enddruck der Kompressionsperiode in at,
- λ die Diagrammlänge in mm,
- $100 \frac{(\lambda - \lambda_0)}{\lambda_0}$ die Vergrößerung derselben in vH gegen diejenige (λ_0) bei langsamem Gange,
- $p_m = \frac{f}{\lambda}$ den mittleren wirksamen Druck des Diagrammes (μ = Federmaßstab in mm/at),
- $n p_m$ den Maßstab der indizierten Leistung der Maschine (n = Uml./min),
- m die Nacheinströmung (Verspätung des Anfanges der Einströmung).

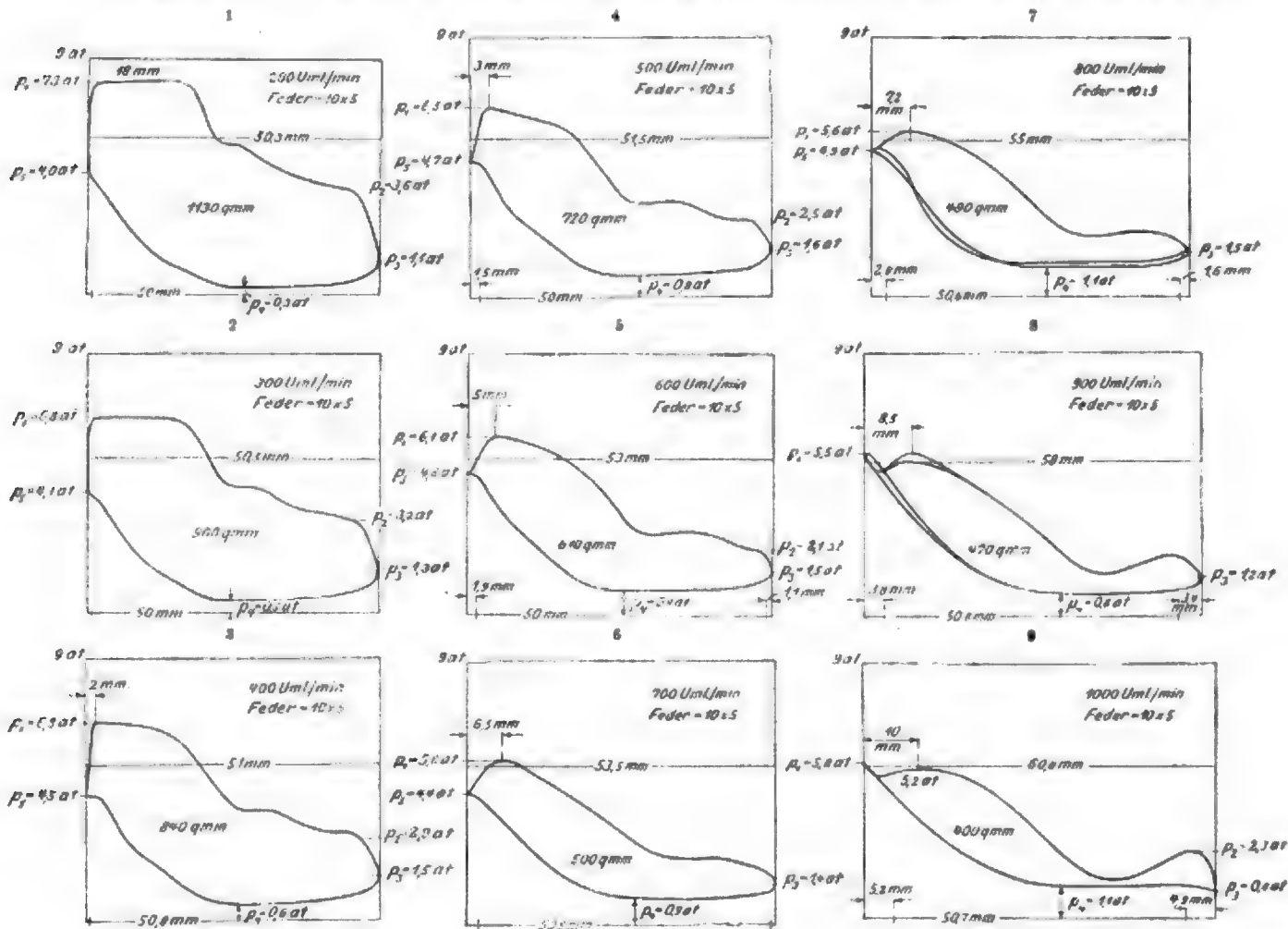


Gruppe I.

Indikator für Dampfmaschinen ($\lambda_0 = 84,8$ mm) ohne Reduktor, leichtes Schreibzeug.

Kolben 20,3 mm Dmr. $p_1 = 9$ at, Feder 10×5 .

Nr.	n	f	λ	$100 \frac{\lambda - \lambda_0}{\lambda_0}$	A	p_m	$\frac{p_m}{p_1}$	$p_m \cdot n$	p_1	p_2	p_3	p_4	p_5	m
1	100	1350	84,8	0	27,7	5,54	0,616	554	9	4,4	1,3	0,3	3,9	0
2	150	2290	85	0,2	26,9	5,38	0,598	807	8,6	4,4	1	0,3	4,8	0
3	200	2040	85	0,2	23,9	4,79	0,532	958	8,2	4	1,4	0,3	4,7	1
4	250	1980	85,7	1,0	23,1	4,55	0,506	1188	7,9	3,9	1,3	0,3	4,6	1,2
5	300	1730	85,0	1,0	20,3	4,04	0,449	1212	7,6	3,5	1,6	0,3	4,6	2
6	350	1610	86	1,5	18,7	3,75	0,417	1313	7,4	3,4	1,7	0,6	4,7	1,2
7	400	1500	87	2,6	18,4	3,45	0,383	1380	7,3/7,1	3,2	1,7	0,7	4,9	3,6
8	450	1270	87	2,6	14,6	2,82	0,334	1314	7,3/6,9	2,9	1,8	0,9	4,7	4
9	500	1230	87,5	3,6	14,8	2,81	0,312	1405	7,3/6,6	2,8	1,7	0,9	4,6	4
10	550	1100	88,1	3,9	12,5	2,50	0,318	1375	7,1/6,0	2,7	1,6	0,9	4,8	5
11	600	1030	90	6,3	11,4	2,29	0,354	1374	7/5,9	2,7	1,7	1,1	4,9	6,5
12	650	1000	91	7,5	11,0	2,20	0,344	1430	7/5,7	2,4	1,7	1	5	7,5
α	β	γ	δ	ϵ	ζ	η	θ	ι	κ	λ	μ	ν	ξ	\omicron

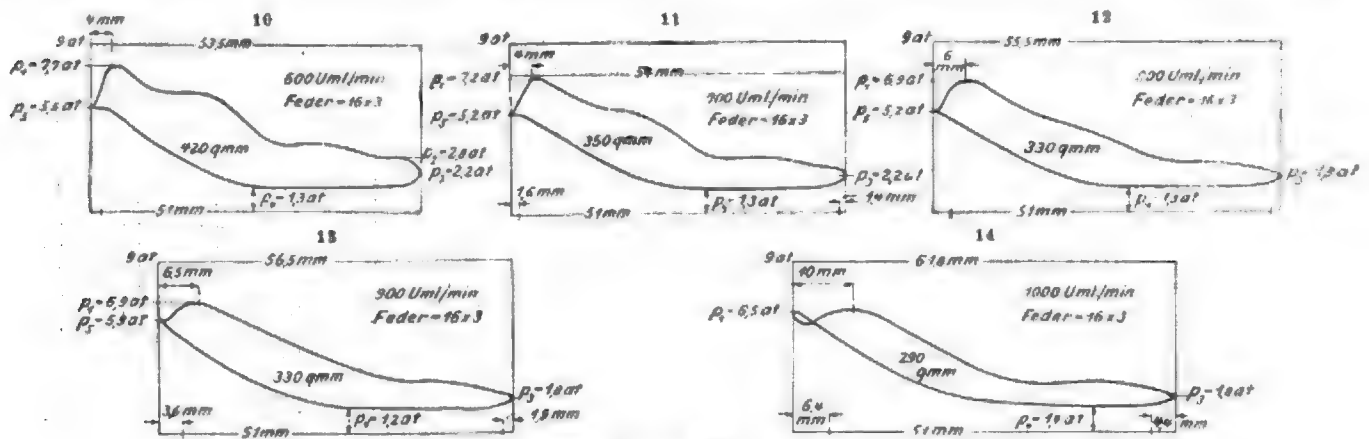


Gruppe II.

Indikator für Explosionsmaschinen ($\lambda_0 = 50$ mm) mit Reduktor, schweres Schreibzeug.

Kolben 14,6 mm Dmr. $p_1 = 9$ at, Feder 10×5 .

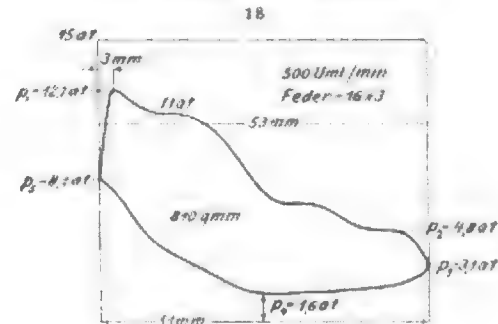
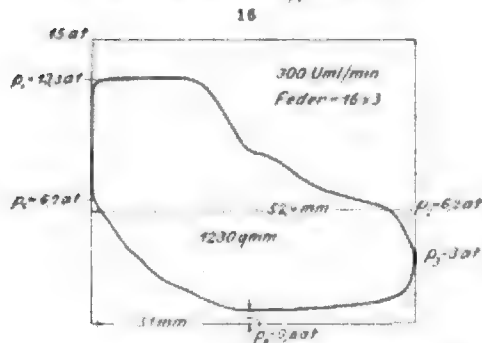
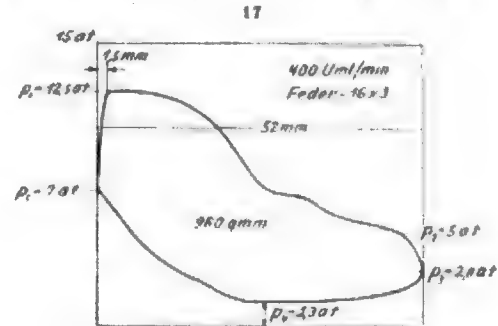
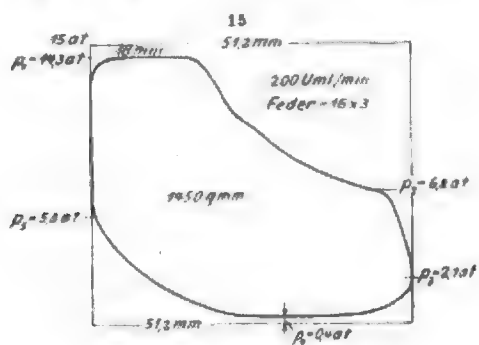
Nr.	n	f	λ	$100 \frac{\lambda - \lambda_0}{\lambda_0}$	A	p_m	$\frac{p_m}{p_1}$	$p_m \cdot n$	p_1	p_2	p_3	p_4	p_5	m
1	200	1130	50,3	0,6	22,4	4,48	0,498	896	7,8	3,6	1,1	0,3	4,0	0
2	300	960	50,3	0,6	19,1	3,84	0,427	1152	6,8	3,2	1,1	0,3	4,1	1
3	400	840	51	2	16,5	3,30	0,367	1320	6,8	2,9	1,5	0,6	4,6	2
4	500	730	51,5	3	14,0	2,80	0,311	1400	6,6	2,5	1,6	0,6	4,7	3
5	600	610	53	6	11,5	2,30	0,356	1380	6,1	2,1	1,6	0,9	4,8	5
6	700	500	53,5	7	9,3	1,88	0,307	1302	5,6	—	1,4	0,9	4,4	6,5
7	800	490	55	10	9,0	1,80	0,300	1440	5,6	—	1,57	1,1	4,9	7,2
8	900	470	58	16	8,1	1,62	0,180	1458	5,6	—	1,2	0,87	5,6	8,5
9	1000	400	60,8	22	6,6	1,32	0,147	1320	5,2	—	0,6	1,1	5,6	10
α	β	γ	δ	ϵ	ζ	η	θ	ι	κ	λ	μ	ν	ξ	\omicron



Gruppe III.

Indikator für Explosionsmaschinen ($\lambda_0 = 50 \text{ mm}$) mit Reduktor; schweres Schreibzeug.Kolben 14,4 mm Dmr. $p_2 = \text{at}$. Feder 16x3.

Nr.	n	f	λ	$100 \frac{\lambda - \lambda_0}{\lambda_0}$	λ	p_m	p_m p_1	$p_m \cdot n$	p_1	p_2	p_3	p_4	p_5	m
d 10	600	420	58,5	7	7,9	3,68	0,292	1578	7,7	2,8	2,2	1,3	5,5	4
• 11	700	350	54	8	6,4	3,13	0,287	1491	7,2	—	2,2	1,3	5,2	4
• 12	800	330	55,5	11	6,0	1,97	0,290	1676	6,9	—	2,2	1,3	5,2	6
• 13	900	330	56,5	13	5,8	1,95	0,217	1755	6,9	—	1,8	1,2	5,9	6,6
• 14	1000	290	61,8	24	4,7	1,57	0,174	1570	6,5	—	1,8	1,4	6,5	10
<i>f umgerechnet auf Feder 10x3.</i>														
d 10	600	700	58,5	7	13,1	2,52	0,280	1512	—	—	—	—	—	—
• 11	700	585	54	8	10,8	2,16	0,240	1512	—	—	—	—	—	—
• 12	800	550	55,5	11	9,9	1,98	0,220	1584	—	—	—	—	—	—
• 13	900	550	56,5	13	9,7	1,94	0,217	1746	—	—	—	—	—	—
• 14	1000	483	61,8	24	7,8	1,56	0,173	1560	—	—	—	—	—	—
α	β	γ	δ	ϵ	ζ	η	θ	ι	κ	λ	μ	ν	ξ	σ



Gruppe IV.

Indikator für Explosionsmaschinen ($\lambda_0 = 50 \text{ mm}$) mit Reduktor; schweres Schreibzeug.Kolben 14,4 mm Dmr. $p_2 = 15 \text{ at}$. Feder 16x3.

Nr.	n	f	λ	$100 \frac{\lambda - \lambda_0}{\lambda_0}$	λ	p_m	p_m p_1	$p_m \cdot n$	p_1	p_2	p_3	p_4	p_5	m
d 15	200	1450	31,2	2,4	28,8	9,51	0,634	1902	14,3	6,8	2,7	0,4	5,8	—
• 16	300	1230	32,4	4,8	23,5	7,83	0,522	2349	13,3	6,2	3	0,8	6,7	—
• 17	400	950	32,7	4,7	18,4	6,15	0,410	2460	12,5	5	2,8	1,5	7	1,5
• 18	500	810	33	6	15,3	5,10	0,340	2550	12,2	4,8	3,1	1,6	8,3	3
α	β	γ	δ	ϵ	ζ	η	θ	ι	κ	λ	μ	ν	ξ	σ



Jahren ist er nachdrücklich für die Untersuchung der Probleme der Flugtechnik eingetreten.

Die Ingenieurarbeiten Radingers nach der Seite einer richtigen Gestaltung der Maschinenteile, insbesondere der Triebwerke, seine konstruktive Behandlung der Dampfkessel und Dampfmaschinen sowie der Fabrikanlagen bekundeten den Meister. Auf die Maschinenfabriken Oesterreichs, vornehmlich die Wiener und Brünn, hat Radlinger in hohem Maße fördernd eingewirkt. Er lehrte die richtige Berechnung und Formgebung der Maschinenteile unter Berücksichtigung der Werkstofftechnik und zeigte zugleich, wie sich mit der Zweckmäßigkeit die Schönheit der Form innig verbinden ließe. Radlinger war im wahren Sinne des Wortes »Eisenbildhauer«. Die innere Wirkung der Kräfte in einem Maschinengebilde auch durch die äußere Formgebung zum Ausdruck zu bringen und dadurch einen natürlichen Maschinestil zu schaffen, lag im Wesen seiner schöpferischen Natur.

Eine umfassende Tätigkeit entwickelte Radlinger als staatlicher Dampfkesselprüfungs-Kommissar und als Berater der staatlichen Behörden. Unter seiner Mitwirkung sind die Bauordnung für Wien und Niederösterreich und das Gesetz über die Verwendung von Kleinkesseln zustande gekommen, und ihm ist es zu danken, dass dabei die Bedürfnisse der Technik gebührende Berücksichtigung gefunden haben.

Als Lehrer war Radlinger von einer außerordentlichen Klarheit und Anschaulichkeit und hatte in hohem Maße die Gabe, seine Zuhörer zu fesseln, für ihr Fach und für die Wissenschaft dauernd zu begeistern. Diese Gabe, die für den Lehrberuf höher einzuschätzen ist als Wissen allein, hatte ihre Grundlage keineswegs in der außerordentlichen Beredsamkeit Radingers und seiner bilderreichen Sprache — im Gegenteil, die verführten ihn manchmal zu nicht ganz unbedenklichen Abschweifungen, über die gar manche heitere Anekdote in Studentenkreisen weiterlebt. Das Geheimnis von Radingers Lehrertum war die Klarheit und Gründlichkeit seiner Darstellung, die eigenartige, stets von den einfachen wissenschaftlichen Grundlagen ausgehende und von jedem Autoritätsglauben freie Behandlung des Gegenstandes und die wissenschaftliche und praktische Beherrschung der Sache, die er in den vielfältigsten Beziehungen zur schaffenden Welt darzustellen vermochte.

Ein Feind aller Taschenbücher, aller Formeln und Regeln, die im heranwachsenden Maschinenbau lange genug ihr Unwesen trieben, war er stets bestrebt, den mathematischen Ausdruck für die wissenschaftliche Einsicht selbst in passender Weise abzuleiten, und wurde nicht müde, den Zusammenhang von Wissenschaft und Anwendung in der Praxis darzulegen und zu zeigen, wie der Ingenieur souverän alle Hilfsmittel beherrschen muss. So hat er seinen Schülern den freien Blick über die wissenschaftlichen Hilfsmittel und ihr Verhältnis zur Forschung selbst erschlossen. »Die Mathematik und Mechanik sind unsere Dienerinnen«, pflegte er zu sagen, und er lehrte meisterhaft, diese Wissenschaften in den Dienst des Ingenieurs zu zwingen. Als im Maschinenbau auf der einen Seite noch die rohe Empirie, auf der andern die bloße Rechnung herrschte, hat Radlinger als Pionier wahrhaft wissenschaftlicher Behandlung unseres Faches erfolgreich gewirkt.

Ich selbst war nicht Schüler Radingers und hatte während einer 24jährigen Tätigkeit als Assistent an der Wiener Hochschule nur wenig Gelegenheit, mit Radlinger als Fachmann zu verkehren. Seine schaffende Tätigkeit war damals die denkbar intensivste, und dem älteren Kollegen konnte ich, der Unerfahrene, fachlich nichts bieten. So blieb der mir stets unvergessliche Verkehr auf die rein menschliche Seite beschränkt. Dennoch verdanke ich Radlinger in der eigenen Entwicklung außerordentlich viel. So bedeutend war die Anregung, die selbst ohne unmittelbare Einwirkung von seiner Persönlichkeit ausging. Ein Verlust für die wissenschaftliche Technik ist es, dass Radingers Lehrauftrag nur Maschinenelemente umfasste, und dass er die Gebiete des Dampfmaschinen- und Kesselbaues, auf denen er Meister war, nie selbst gelehrt hat.

Radingers erste Lehrthätigkeit fällt in die Zeit der ersten Entwicklung des wissenschaftlichen Maschinenbaues. Adam von Burg war der Altmeister des damaligen Maschinenbaues an der Wiener Hochschule und für sie das, was zu jener Zeit in noch höherem Maße Rodtenbacher für Karlsruhe, Wiebe und Reu-

leaux für Berlin, Weisbach für Freiberg gewesen sind: sie alle haben Neues geschaffen und den Maschinenbau auf einen wissenschaftlichen Boden zu heben gesucht, Großes und Bleibendes aber nur dort geschaffen, wo sie sich auf ein theoretisches Gebiet (wie die Reuleauxsche Zwinglauflehre) beschränkten. Der damalige Stand der Naturerkenntnis war für den Maschineningenieur unzureichend und der wissenschaftliche Versuch auf seinem Arbeitsgebiete noch nicht entwickelt. Wandel wurde an der Wiener Hochschule erst durch das selbständige Auftreten des Professors von Grimbürg geschaffen, des jetzigen Generaldirektors der österreichischen Staats-Eisenbahn-Gesellschaft, der nur wenige Jahre als Lehrer wirkte, aber unswelhaft auf Radlinger tiefgehenden Einfluss übte. Zunächst zum Vertreter, später zum Nachfolger Grimbürgs berufen, fand dann Radlinger selbständig sein Arbeitsfeld und den Weg, der allein zum Ziele führen kann: einfache, aber sichere wissenschaftliche Gründung aller Rechnung auf den Boden des wissenschaftlichen Versuches unter Berücksichtigung aller der zahlreich gegebenen praktischen Bedingungen für die Berechnung und Gestaltung der Maschinen und ihrer Teile.

Damit ist zugleich die Richtung der wissenschaftlichen Tätigkeit Radingers angedeutet: er hat sich nicht nur von der Empirie und den »Verhältniszahlen« gründlich losgesagt zu einer Zeit, wo diese die Litteratur breit beherrschten, er hat auch mit der Berechnung der Maschinenteile nur nach Festigkeit und Kraft gebrochen und die Berechnung auf dem Boden der dynamischen Auffassung nach Formveränderung und Arbeitsleistung durchgeführt.

Er lehrte seine Zuhörer, in den Maschinenteilen die Kraftwirkungen »wie rote Fäden« vor sich zu sehen und danach Formgebung und Rechnung zu gestalten. Er verstand es, seinen Hörern die wissenschaftlichen Grundlagen unabhängig von den überlieferten weltanschaulichen mathematischen Verfahren selbständig und einfach zu entwickeln, ohne sich dabei in theoretische Übungen und Formeln zu verlieren, und errang so die schönsten Lehrerfolge.

Die Nachwelt ist meist recht undankbar und vergisst leicht die Schwierigkeiten des geschichtlichen Werdens. So wird auch jetzt, wo die dynamischen Grundlagen Allgemeingut der Maschineningenieure geworden sind, häufig übersehen, welche Anstrengungen es seinerzeit gekostet hat, der richtigen Anschauung zum Siege zu verhelfen. Es ist deshalb wohl angebracht, daran zu erinnern, dass wir viele Grundlagen unserer Berechnung von Maschinenteilen, insbesondere hinsichtlich Reibung, Flächendruck und Abnutzungsarbeit, wie auch die übersichtliche und vollständige Ermittlung der Kräfte und Arbeitsleistungen in den Triebwerken der raschlaufenden Maschinen Radlinger zu verdanken haben, der vielmehr erst die wissenschaftlichen Grundlagen zu ermitteln und neue Begriffe aufzustellen hatte. Auch dort, wo er als Schöpfer nicht angesehen werden kann, hat Radlinger durch seine klare, einfache Darstellung der schwierigen dynamischen Aufgaben in hohem Maße erzieherisch gewirkt und die Erkenntnis zum Allgemeingut gemacht. Er verstand es als einer der ersten, durch das Mittel der graphischen Darstellungen die Einsicht in das Wirken der Kräfte zu erhöhen. Die älteren Ingenieure mögen sich daran erinnern, wie mangelhaft früher der technische Unterricht war, mit irreführender Empirie behangen oder im mathematischen Talar gelehrt einherschreitend, und wie inzwischen die wissenschaftlichen Grundlagen und die rechnerischen Verfahren vollständig, dabei aber einfach und klar geworden sind. Radlinger hat an der gewaltigen Geistesarbeit, die zu dieser Umwälzung nötig war, hervorragend mitgewirkt, und in dieser Hinsicht haben seine fachwissenschaftlichen Veröffentlichungen Anspruch auf dauernden Wert. Ein hohes Lob in unserem Fach, wo der mächtig fortschreitende wissenschaftliche Ausbau die vorangegangene Arbeit so rasch entwertet!

Als der Maschinenbau begonnen hatte, sich von Versuchen einer deduktiven Methode frei zu machen, die zwar geistreiche Anschauungen bot, aber der vielgestaltigen Wirklichkeit nicht entsprach, gab es zwei Wege, die zur induktiven Methode führten. Den einen erschloss der wissenschaftliche Versuch an ausgeführten Maschinen, der heute in vollständigem Umfange gewürdigt wird. Da der maschinen-

technische Versuch aber im Gegensatz zu vielen naturwissenschaftlichen Versuchen kostspielige Mittel erfordert, so blieb seine umfassende Anwendung der Zeit der wirtschaftlichen Erstarkung des Maschinenbaues vorbehalten. Glücklicherweise giebt es noch einen zweiten Weg zur induktiven Methode: den Weg der wissenschaftlichen Statistik. Die Ausführungen vorbildlich arbeitender Maschinenfabriken sind nichts anderes als Arbeiten, die aus tausendfältiger Erfahrung entsprossen sind: wer es versteht, die Ausführungen auf wissenschaftlicher Grundlage statistisch zu vergleichen, der findet in ihnen die Gesetze oder doch die Grundlagen, die trotz zahlreicher Ausnahmen aus der Menge der erprobten Ausführungen unverkennbar hervorleuchten.

Diesen Weg hat Radinger als erster gefunden und mit Erfolg beschritten. Schon sein Wiener Ausstellungsbericht ist so bedeutungsvoll, weil darin zuerst die technische Statistik in umfassender Weise zur Anwendung gebracht war. Das hier befolgte Verfahren wird noch lange nicht so gewürdigt und angewendet, wie es das tatsächlich verdient! Freilich erfordert es eine anstrengende und zeitraubende Einzelarbeit und liefert das Ergebnis im anspruchlosen Gewande, in einigen Zahlenreihen und Kurven; aber es ist untrüglich. So lange große Mittel für maschinentechnische Versuche nicht zur Verfügung standen, war es erst recht das wertvollste Hilfsmittel auf dem Wege zur Wahrheit!

Radinger war das Bild blühender Gesundheit, ein kraftvoller, lebensfroher Mann, voll edlen Strebens, eisernen Willens und mächtiger Thatkraft. Sein Lebenswerk war die schöpferische Arbeit eines starken Willens, eines ganzen Mannes. Wenn er seine Kraft einer großen Aufgabe widmete, so that er es ungeteilt, denn halbe Arbeit kannte er nicht. Dann konnte er wohl auch unszugänglich und schroff werden, wenn seiner Arbeit Störung drohte. Wie er aber denen, die ihm nahostanden, insbesondere seinen Schülern, ein treuer Freund und Berater war, so hat er hinwiederum die Zuneigung seiner Schüler und Fachgenossen in reichem Maße gefunden. Er verstand es, das Herz der studierenden Jugend zu gewinnen, sie empfänglich zu machen für alles Schöne und Große. Radinger war durch und durch eine Künstlernatur. Er besaß die Fähigkeit, alles, was er sich im Geiste bis in die kleinste Einzelheit vorgestellt, auch in vollendeter Form zu Papier zu bringen und andern mitzuteilen. Er war Meister in der Beherrschung der Sprache und des zeichnerischen Ausdruckes. Seine lebendige Phantasie, der er in heiteren Stunden frei die Zügel schiessen ließ, war ein Grundzug seines Wesens. Als eine schwere Krankheit der kräftigen Mann vorübergehend aus Krankenlager fesselte, schrieb er eine dramatische Dichtung:

»Das Weib des Polykrates«. Aber im Dienste seines Faches und der Wissenschaft war seine schöpferische Phantasie wohl diszipliniert und der fachlichen Einsicht unterthan. Durch seine reiche Begabung liefs er sich nie zur Vielgeschäftigkeit verleiten. Was er schuf, war ganz, was er dauernd trieb, darin war er Meister. Deshalb ging er zahlreichen großen Fachgebieten ganz aus dem Wege, nicht aus Mangel an Interesse, sondern um seine Kraft nicht zu zersplittern. Ueberall aber war eine ideale Auffassung seines Berufes der Leitstern seines Handelns.

Dem erfolgreichen Ingenieur und Lehrer waren viele Ehrungen beschieden; solche die auch andere erlangen, wenn an sie die Reihe kommt, aber auch wertvollere, die den Mann und seine wirklichen Verdienste kennzeichnen. Als Lehrer erhielt er den in Oesterreich üblichen Regierungsrat, dann den Hofrat-Titel und, im Zusammenhang mit seinen Ingenieurwerken, bei Vollendung der Maschinenanlagen für die Hof- und Staatsdruckerei den Orden der Eisernen Krone, bei Vollendung der Maschinenanlage der kaiserlichen Münze den Adelstand. 1891 war er Rektor der Wiener Hochschule. Im vorigen Jahre wurde er zum Mitglied der Wiener Akademie der Wissenschaften gewählt, meines Wissens die erste Wahl, die auf einen Ingenieur fiel. Seine Fachgenossen wählten ihn 1895 zum Präsidenten des österreichischen Ingenieur- und Architektenvereines. Der Verein zur Beförderung des Gewerbfleißes in Preußen verlieh ihm seine goldene Denkmünze.

Radinger war ein Mann von echt deutschem Wesen. Durch deutsche Eigenart fühlte er sich mächtig angezogen, und nichts hat ihn in seinem Leben mehr erfreut, als die Anerkennung seiner Leistungen durch die deutschen Fachgenossen.

Als blutjunger Assistent hat er einst seinen noch jüngeren Zuhörern gegenüber seinen Lebenswunsch ausgesprochen: »Ein einzig deutsches Reich, ein dauernd Lebenswerk und ein liebend Weib!«. Die Aufrichtung des Deutschen Reiches hat Radinger freudig miterlebt, als sein Lebenswerk hat er Unvergängliches in harter Arbeit geschaffen, sein Menschen Glück hat er im Kreise seiner Familie in vollem Maße gefunden.

Unerwartet, mitten aus dem Schaffen heraus ist Radinger geschieden. Die Wiener technische Hochschule, mit der er durch eine 34jährige Lehrthätigkeit eng verwachsen war, verliert in ihm eine ihrer besten Kräfte, das Maschineningenieurwesen und die wissenschaftliche Ingenieurkunst einen ihrer erfolgreichsten Vertreter. In seinen zahlreichen Schülern lebt sein Wirken fort. In den Kreisen deutscher Ingenieure wird Radinger unvergessen bleiben.

Berlin, November 1901.

A. Riedler.

Wasserbewegung durch Boden.

Von Professor Dr. Ph. Forchheimer in Graz.

(Schluss von S. 1741)

Masoni, der eine zweite Arbeit¹⁾ zur Erforschung des Verhaltens bei sehr großen Gefällen unternahm, fand, dass bei ihnen die Proportionalität von α und v schon bei den feinsten beobachteten Sanden nicht mehr statthabe. Seine Versuchsreihe mit der Sorte I und 535 mm Filterdicke lautet z. B.:

Zahlentafel IX.
Vulkanischer Sand nach Masoni.

α	0,404	3,938	7,424	19,658	55,536	107,274
v in m/Tag	168	1115	2098	4158	6601	12588
k in m/Tag	364	284	275	211	186	117

Die Proportionalität von Gefälle (also Druckverlust pro Längeneinheit der Bewegungslinie) und Geschwindigkeit lässt sich statt durch Gl. (2) auch durch

$$\alpha = av \quad (5)$$

¹⁾ Masoni, Di alcune determinazioni sperimentali sul coefficienti di filtrazione, Napoli 1896.

ausdrücken, worin a eine Konstante $= \frac{1}{k}$ bedeutet. Trägt man v als Abszisse und α als Ordinate auf, so erhält man eine Gerade. Nimmt hingegen bei zunehmender Geschwindigkeit die Durchlässigkeit k ab, so liefert die Auftragung eine Kurve mit der Hohlseite oben. Zur algebraischen Darstellung eines solchen Zusammenhanges von α und v empfehlen sich zunächst 2 Gleichungen durch ihre Einfachheit, nämlich die der Parabel (welche bekanntlich Prony auch für die Berechnung der Geschwindigkeit in Flüssen anwendete)

$$\alpha = av + bv^2 \quad (6)$$

und die höherer Ordnung

$$\alpha = mv^n \quad (7)$$

in denen a , b , m und n Konstanten bedeuten. Je inniger der Anschluss an eine Gerade sein soll, je feiner also das Filter ist, desto kleiner muss b sein, und desto mehr muss sich n der Einheit nähern. Nach Gl. (4) findet sich $v : \alpha$ oder die Durchlässigkeit

Zahlentafel X.
Sand von 3 mm wirksamem Korndurchmesser nach Hazen.

v in m/Tag =	3,5	7	14	37	41	54	67	98	127	185	280	495
α nach Gl. (6) =	0,0005	0,00103	0,00202	0,00393	0,00604	0,00804	0,0101	0,0151	0,0200	0,0305	0,0493	0,1
α nach Gl. (7) =	0,0005	0,00105	0,00210	0,00448	0,00696	0,00933	0,0118	0,0177	0,0253	0,0349	0,0543	0,1
gemessen wurde α =	0,0005	0,001	0,002	0,004	0,006	0,008	0,001	0,015	0,02	0,03	0,05	0,1

Zahlentafel XI.
Sand von 5 mm wirksamem Korndurchmesser nach Hazen.

v in m/Tag =	10	21	40	77	112	142	178	258	300	400	560	980
α nach Gl. (6) =	0,0005	0,00106	0,00208	0,00417	0,00631	0,00837	0,0104	0,0150	0,0204	0,0298	0,0473	0,1
α nach Gl. (7) =	0,0005	0,00118	0,00233	0,00484	0,00743	0,0101	0,0140	0,0200	0,0267	0,0374	0,0554	0,1
gemessen wurde α =	0,0005	0,001	0,002	0,004	0,006	0,008	0,001	0,015	0,007	0,03	0,05	0,1

Zahlentafel XII.

Sand von 40 mm wirksamem Korndurchmesser
nach Hazen.

v in m/Tag =	250	450	710	1000	1340	1450
α nach Gl. (6) =	0,0005	0,00118	0,00228	0,00420	0,00603	0,008
α nach Gl. (7) =	0,0005	0,00128	0,00259	0,00445	0,00635	0,008
gemessen wurde α =	0,0005	0,001	0,002	0,004	0,006	0,008

$$k = \frac{1}{\alpha} \frac{1}{1 + \frac{b}{a} v} \quad (8)$$

während nach Gl. (5)

$$k = \frac{1}{m} \frac{1}{v^{1,11}} = \frac{1}{m^{1,11}} \frac{1}{v^{1,11}} \quad (9)$$

gilt. Gl. (6) und (8) lassen für kleine Geschwindigkeiten k unveränderlich und demnach v dem α proportional sein. Das thut Gl. (7) im Widerspruch mit der Wirklichkeit nicht. Auch wird — ebenfalls nicht im Einklange mit der Erfahrung — nach Gl. (9) für unendlich kleine Gefälle und Geschwindigkeiten die Durchlässigkeit k unendlich groß. Die Verwendbarkeit von Gl. (7), welche den Vorteil bietet, mathematische Ermittlungen, wie die der Oberfläche bei Erguss von Grundwasser in einen Fluss oder Brunnen, einfach zu gestalten (s. Anhang), erscheint daher eingeschränkt. Zudem stimmt Gl. (6) auch im weiteren Verlaufe besser mit den Beobachtungen als Gl. (7). Das zeigt sich schon bei den von Hazen angewendeten Gefällen und feinem Sand von 3 mm Korn, dem ersten, welcher bei seinen Versuchen keine völlige Proportionalität mehr aufwies. Verlangt man Uebereinstimmung für das grösste und kleinste untersuchte Gefälle ($\alpha = 0,0005$ bzw. 0,1 und $v = 3,5$ bzw. 495 m/Tag), so erhält man für diesen Sand nach Gl. (6)

$$\alpha = \frac{1,424}{10^4} v + \frac{1,204}{10^7} v^2,$$

nach Gl. (7)

$$\alpha = \frac{1,308}{10^4} v^{1,11},$$

und bei eingehenderem Nachrechnen die Zahlentafel X.

Bei den in Zahlentafel XI und XII wiedergegebenen Versuchsergebnissen des genannten Forschers tritt der Vorzug der Gl. (6) noch deutlicher hervor; so zeigt sich für Sand von 5 mm wirksamem Korndurchmesser α nach Gl. (6) $= 4,9375 \cdot 10^{-5} v + 6,355 \cdot 10^{-8} v^2$ bzw. nach Gl. (7) $= 3,36 \cdot 10^{-5} v^{1,11}$ und bei der letzten Reihe, d. i. für 40 mm Korndurchmesser, α nach Gl. (6) $= 1,2672 \cdot 10^{-4} v + 2,931 \cdot 10^{-7} v^2$ bzw. nach Gl. (7) $= 8,372 \cdot 10^{-5} v^{1,11}$.

Auch den Versuchen Masonis entspricht Gl. (6) besser als Gl. (7), wie z. B. aus seiner Reihe mit dem bedeutendsten Gefällewechsel, d. i. mit Sand I und 0,535 m Filterdicke, hervorgeht. Für sie gilt Zahlentafel XIII.

Ein Blick auf die vorstehenden Zahlenreihen lehrt, dass Gl. (6) für α zwischen den mit den gemessenen übereinstimmend angenommenen Anfangs- und Endwerten grössere Werte

Zahlentafel XIII.
Vulkanischer Sand nach Masoni.

v in m/Tag =	168	1115	2098	4153	6601	12588
$\alpha = \frac{2,684}{10^5} v + \frac{4,638}{10^7} v^2$	0,444	3,569	7,672	19,15	37,93	107,28
$\alpha = \frac{7,2376}{10^6} v^{1,11}$	0,469	5,037	11,179	26,45	47,44	107,06
gemessen wurde α =	0,464	3,938	7,624	19,65	35,54	107,37

ergibt, als beobachtet worden sind, dass also eine Gleichung¹⁾ von der Form

$$\alpha = av + bv^2 + cv^3 \quad (10)$$

mit positiven Konstanten a , b und c noch besser entsprechen würde. Diese Wahrnehmung steht übrigens mit der Erscheinung in Einklang, dass, wo in Gebirgsbächen, Flössdurchlässen u. dergl. bedeutende Geschwindigkeiten herrschen, größere Gefälleverluste auftreten, als die üblichen für schwache Gefälle aufgestellten Formeln von Chézy-Eytelwein, Ganguillet und Kutter usw. ergeben, welche α nur ungefähr wie v^3 wachsen lassen²⁾.

Bei den Feinsanden, bei denen b so klein ist, dass das Glied bv^2 völlig vernachlässigt werden kann, ist $a:b$ offenbar ausserordentlich groß, und auch bei den gröberen aber reinen Sanden ist bei den gewählten Maßeinheiten $a:b$ eine große Zahl, z. B. bei den oben näher behandelten 4 Sandsorten = 1183, 790, 432 und 4323. Die mit Thon gemengten Kiese der Flussalluvionen weisen ein kleineres Verhältnis $a:b$ auf und zeigen dementsprechend, wenn man die Gefälle in solchem Maßstabe aufträgt, dass sämtliche Kurven für kleine v zusammenfallen, im weiteren Verlaufe eine größere Abweichung ihrer α -Kurven von der Geraden als die Sande. So fand der Verfasser für Kies aus der Lechebene bei Gersthofen unterhalb Augsburg, indem er solchen in einen Trog zwischen 2 lotrechte Drahtgeflechte gab, dann Wasser von einem Geflecht durch den Kies bis zum andern laufen liess und die Durchflussmenge sowie das Spiegelgefälle maß, folgende Werte:

Zahlentafel XIV.

Eigene Versuche mit Kies aus dem Lechfeld.

v in m/Tag =	10,7	27,5	52,8	64,7	67,3	90,2	100,2
$\alpha = \frac{8,2}{10^4} v + \frac{1,07}{10^5} v^2$	0,0100	0,0306	0,0717	0,107	0,0978	0,161	0,190
$\alpha = \frac{4,422}{10^4} v^{1,11}$	0,0100	0,0347	0,0814	0,107	0,112	0,166	0,190
gemessen wurde α =	0,0100	0,030	0,070	0,107	0,110	0,170	0,190
$k = \frac{v}{\alpha}$ nach den Messungen in m/Tag	1070	917	751	605	612	531	528

¹⁾ Forchheimer in Verhandlungen der Gesellschaft deutscher Naturforscher und Aerzte, 71. Versammlung zu München 1899, I. Teil, Leipzig 1899, S. 78.

²⁾ Uebrigens soll nach der von Humphreys und Abbot für Ströme mit sehr geringem Gefälle aufgestellten Formel α ungefähr wie v^3 und nach Hagens 1876 erschienenen »Untersuchungen über die gleichförmige Bewegung des Wassers« S. 86 und 87 in kleinen und großen Wasserläufen sogar nahezu wie v^3 wachsen.

Bei diesem Kles ließ sich also α hinreichend genau $= 8,2 \cdot 10^{-4} v + 1,07 \cdot 10^{-5} v^2$ oder $\alpha : b = 0,00082 : 0,0000107 = 77$ setzen. Nebenbei bemerkt, wurden die Trogversuche angestellt, um die Sickerwassermenge im voraus zu berechnen, die aus dem Loch in den Untergraben des Gersthofener Elektrizitätswerkes durchtreten werde, und nachdem der Untergraben nahezu fertig ausgehoben war, haben Messungen des auf 4,1 km Länge eintretenden Dringewassers gezeigt, dass die Trogversuche für dessen Schätzung vollständig ausreichten.

Auf Aufnahmen im großen konnte sich der Verfasser unmittelbar bei Betrachtung des Senktrichters stützen, welchen der Grundwasserspiegel um den Versuchsbrunnen der Stadt Wien im Marchfeld gebildet hatte. Da die Wasserentnahmen aus dem Brunnen, ferner an jeder Stelle des Trichters das Gefälle und die Höhe des Grundwasserspiegels über der undurchlässigen Schicht bekannt waren, konnte die Filtergeschwindigkeit und die Durchlässigkeit für alle Punkte des Trichters angegeben werden. Hierbei ergab sich

Zahlentafel XV.

Untergrund des Marchfeldes nach eigener Berechnung.

für v in m/Tag =	0,270	0,457	0,970	2,06	4,46	9,38
$\alpha = 1,77 \cdot 10^{-5} v + \frac{8,18}{10^4} v^2 =$	0,000601	0,000875	0,00202	0,00500	0,0142	0,0438
$\alpha = 0,002621 v^{1,155} =$	0,0005	0,000975	0,00252	0,00654	0,0174	0,0440
α gemessen =	0,0005	0,000865	0,0022	0,006	0,0239	0,044
k nach den Messungen =	539	512	441	343	192	211

Für den Marchfelduntergrund ist also

$$\alpha : b = 0,00177 : 0,0000107,$$

sogar nur 5,7¹⁾.

Für Schotter, der bei den Wasserwerkbrunnen oberhalb Graz gewonnen wurde, ergaben Trogversuche, dass sich

$$\alpha = \frac{3,84}{10^5} v + \frac{1,053}{10^6} v^2 \text{ und } = \frac{5,258}{10^5} v^{1,111}$$

setzen lasse, $\alpha : b$ also = 37 sei. Ferner teilte Prof. Teischinger dem Verfasser freundlichst mit, dass er im Murschotter durch Messungen am Grazer Sackkai, in Frohnleiten und in Puntigam bei Graz in Baugruben den

$$\text{Zufluss} = 1,15 F s^{3/4} \text{ ltr/sk}$$

gefunden habe, wobei F die Baugruben-Grundfläche in qm und s die durch Pumpen bewirkte Senkung des Grundwasserspiegels in m bedeutet, sodass nach ihm im Murschotter $\alpha = mv^{1,1}$ wäre.

Die im Vergleich zu denen der Sande kleinen Werte α der lehmigen natürlichen Kiese bewirken, dass sich bei letzteren Gl. (7) den Beobachtungen besser anschließt als bei ersteren und für nicht zu kleine Gefälle sogar den Vorzug vor Gl. (6) verdient. Grober Schotter verhält sich daher schon ähnlich wie Röhren, ohne dass er viel Wasser durchlassen müsste; war doch die Durchlässigkeit der untersuchten Kiese geringer als die der Grobsande Hasens. Im unreinen Schotter handelt es sich eben um wenige größere, im reinen Sande um viele kleine Hohlgänge. Die Weite der Hohlgänge ist offenbar für die Form der Gleichung, ihre Zahl in Verbindung mit der Weite für die Durchlässigkeit maßgebend, sodass es z. B. vorkommen kann, dass von zwei Bodengattungen die eine bei kleinem, die andere bei großem Gefälle durchlässiger ist. Die Annäherung des Verhaltens von Schotter an das der Röhren zeigt sich unter anderm darin, dass für letztere nach Weisbach²⁾ und neuerdings

$$H. Lang^3) \text{ das Gefälle } \alpha = \left(c_1 + \frac{c_2}{v^2}\right) v^2 = c_1 v^{1/2} + c_2 v^2,$$

worin c_1 und c_2 Konstanten sind, gesetzt werden kann, welcher Ausdruck, da sich n in Gl. (7) stets kleiner als 2 herausstellt, seiner Form nach zwischen den Gl. (6) und (7) liegt. Weil er weder einfach gebaut ist, noch der Proportionalität mäßiger Geschwindigkeiten und Gefälle Rechnung trägt, eignet er sich nicht für Sande, während er sich für Schotter, sobald die Gefälle nicht allzulein sind, den wirklichen Vorgängen befriedigend anpassen lässt. Smreker⁴⁾ benutzte ihn, um aufgrund der Beobachtungen Thiems⁵⁾ am Versuchsbrunnen der Stadt Straßburg i/E. für den dortigen Untergrund für v etwa 1 bis 30 m/Tag

$$\alpha = \frac{1}{25} \left(6129003 + \frac{209833}{v^2}\right) v^2 = 10695 v^{3/2} + 312385 v^2$$

(worin v in m/sk), oder

$$\alpha = \frac{4,211}{10^4} v^{3/2} + \frac{4,0989}{10^4} v^2$$

(worin v in m/Tag) zu berechnen.

Werden die Hohlräume noch größer, so handelt es sich im allgemeinen auch um größere Geschwindigkeiten. Dann überwiegt das Glied mit v^2 , während diejenigen mit niedrigeren Potenzen von v mehr und mehr vernachlässigt werden können, wie dies in zahlreichen Formeln für die Bewegung durch Röhren sowie in Kanälen und Flüssen zum Ausdruck gelangt.

Bisher kam nur der Umstand zur Sprache, dass α bei zunehmendem v stärker als letzteres wachsen könne; aber schon Poiseuille bemerkte, dass wenn ein Haarröhrchen zu kurz ist, bei größeren Drücken mehr Flüssigkeit durchläuft, als nach der Proportionalität stattfinden sollte. Beispielsweise lieferte ein Haarröhrchen von 268 mm Länge und 0,09 mm Weite Ausflussmengen, welche die berechneten um 1,66 bis 4,18 vH übertrafen. Zugleich zeigte sich die für das regelgemäße Wachstum erforderliche Rohrlänge um so geringer, je enger das Haarröhrchen war. Später fand Régécsy-Nagy⁶⁾ aufgrund von Versuchen, dass auch bei langen und engen Haarröhrchen bei größeren Drücken die Strömgeschwindigkeit schneller zunimmt, als dies das einfache Verhältnis zulassen würde.

King hat in seiner erwähnten Arbeit ein ähnliches Verhalten in engporigem Boden nachgewiesen. Um besseren Einblick zu erlangen, benutzte er neben letzterem einen Stoff, der durch destilliertes Wasser keine chemische Veränderung erleidet. Er füllte⁷⁾ je ein Rohr von 214, 610 und 305 mm mit Geweben aus 0,17 mm dickem Messingdraht, der rechteckige Maschen von 0,39 auf 0,34 mm bildete, und fand, dass in der That das Verhältnis des Durchflusses zur verbrauchten Druckhöhe, also die Durchlässigkeit wachsen könne, indem letztere im kurzen Rohr bei 0,2 Gefälle 1,033 mal größer als bei 0,033 Gefälle war, dann wieder abnahm und bei 0,9 Gefälle zu ihrem Anfangswerte zurückkehrte. Uebrigens verhielten sich die beiden andern Rohre insofern abweichend, als sie sich bei 0,2 Gefälle ungefähr 1,06 bzw. 1,08 mal durchlässiger als bei 0,033 Gefälle zeigten. Eine befriedigendere Erklärung hierfür als der Hinweis auf Poiseuilles Haarröhr bot sich King nicht, und so werde hier noch darauf hingewiesen, dass es immerhin möglich war, dass die Gewebe unter schwacher Pressung mehr als unter stärkerer federten, und dadurch mehr Reibungsarbeit aufzeigten. Dass eine Durchlässigkeitszunahme auch bei Sand statthabe, musste also um so weniger gefolgert werden, als eine Versuchreihe, bei welcher das Wasser durch hundert gelochte Messingscheiben (jede zu 534 Löchern von 0,451 mm Dmr.) floss, sogar eine fortgesetzte Abnahme bei steigendem Druck⁸⁾ ergab.

¹⁾ Die Hydrauliker, welche die Form $\alpha = av + bv^2$ für die Berechnung der Strömgeschwindigkeit in Flüssen und Kanälen anwenden wollten, kamen auf weitläufig kleinere Werte von $\alpha : b$, so Prony für v in m/sk auf $\frac{\alpha}{b}$ ungefähr $\frac{1}{7}$, also für v in m/Tag auf $\frac{\alpha}{b}$ ungefähr $\frac{1}{600000}$.

²⁾ Vergl. z. B. die geschichtliche Uebersicht von Rühlmann, Hydromechanik, 2. Aufl., Hannover 1880, S. 500.

³⁾ Taschenbuch der »Hütter«, 17. Aufl. 1899, S. 245.

⁴⁾ Z. 1878 S. 117, 193; 1879 S. 347; 1881 S. 283, 353, 411, 483. Endergebnis: S. 489, hierzu Thieme, Z. 1880 S. 101.

⁵⁾ Journal für Gasbeleuchtung und Wasserversorgung 1876 S. 707 u. f.
⁶⁾ Mathematische und naturwissenschaftliche Berichte aus Ungarn, I. Bd. 1882/83 S. 232.

⁷⁾ Nineteenth Annual Report of the United States Geological Survey, part II S. 109 u. f.

⁸⁾ Ebenda S. 122.

Thatsächlich lassen die schon erwähnten Versuche Kings mit ausgewaschenem gleichkörnigem Sand zwar bei den feinen Sorten eine Durchlässigkeitszunahme vermuten, weisen sie aber nicht nach, wie aus der Zahlentafel IV entnommen werden kann, indem nach ihr die Durchlässigkeit bei wachsendem Gefälle bei den Sandnummern 39 und 40 abnehmen, bei 37, 38, 42 und 45 zunehmen, bei 41 erst zu-, dann abnehmen könnte, bei 43 und 44 unverändertlich bliebe und nur bei der größten Sorte 36 eine Abnahme deutlich hervortritt.

King prüfte auch das Verhalten des Wassers in einem zwar vollkommen ausgewaschenen, aber aus verschiedenen großen Körnern zusammengesetzten Sand¹⁾, und hier zeigte sich stets eine wenn auch schwache Steigerung der Durchlässigkeit mit der Geschwindigkeit. Es wuchs nämlich, wenn er den gesamten Druckhöhenverlust in einer nahezu 305 mm hohen Sandkule von 2 cm auf 30 cm steigerte, die Durchlässigkeit (welche ungefähr 85 m/Tag betrug) um 1,6 bis 2 vH.

Die Erscheinung geringerer Durchlässigkeit bei kleinem als bei großem Gefälle trat noch deutlicher in Sandsorten aus dem Thale des Los-Angeles-Flusses hervor, welche aus sehr ungleichen Körnern von einigen Millimetern Dicke bis zur Staubfeinheit hinab bestanden und wahrscheinlich auch lehmhaltig waren. Der Durchfluss durch eine liegende 1,396 m lange Sandkule bei 15,5 bis 20°C ergab nämlich (wenn wieder auf eine etwaige Störung durch eine dichtere Eintrittsschicht bei der Gefälleberechnung nicht Rücksicht genommen wird) Folgendes:

Zahlentafel XVI.
Sand vom Los-Angeles-Flussthal nach King.

Sandsorte	1	2	4	5	6	7
Durchlässigkeit bei dem Gefälle 0,1 nach King S. 244; umgerechnet auf m/Tag	3,16	2,50	28,9	8,19	5,91	0,115
v in m/Tag für das Gefälle 6,13 bis 6,19 nach King S. 149	22,47	20,78	28,36	25,66	187,8	172,1
Abnahme der Durchlässigkeit in vH bei Verminderung des Gefälles auf 1,26 bis 1,56 nach S. 149	13,3	26,3	45,8	40,3	5,9	11,5
					21,8	22,2
					14,4	14,8
						37,2

Hiernach sank, wenn z. B. ein Gefälle von 6,14 auf $\frac{1}{5}$ vermindert wurde, die Durchflussmenge nicht nur auf $\frac{1}{5}$ der früheren, sondern um weitere 5,9 bis 37,2 vH herab. Endlich ist es vielleicht kein Zufall, dass v. Weitschkowskys oben mitgeteilte Versuchsreihen für Feinsand im großen ganzen ein Wachsen der Durchlässigkeit verraten.

Deutlich zeigte sich dieselbe Erscheinung bei Sandsteinen, wo sie von Newell²⁾ sowohl für durchdringendes Wasser wie auch für Petroleum bemerkt worden ist. Derselbe fand zugleich, dass Amherst-Stein (ein poriger, leichter, gelblicher Sandstein) ungefähr dreimal so viel Wasser in der Schichtenrichtung als winkelrecht zur Schichtung durchlässt. King untersuchte Dunville- und Madison-Sandstein aus den Potsdamschichten, benutzte dickere Platten als Newell, schaltete, um Verstopfungen der Eintrittfläche zu vermeiden, ein Filter vor die Steinproben ein und fand beträchtliche Zunahmen der Durchlässigkeit mit der Druckhöhe. Z. B. ging, wie aus den in der Quelle angegebenen minutlichen Ausflussmengen und Höhen der Quecksilber- oder Wasserdrucksäulen folgt, die Sickerung durch 7,75 cm starken Madison-Sandstein in nachstehender Weise vor sich:

Zahlentafel XVII.
Madison-Sandstein nach King, S. 143, 144.

1 Stock	Gefälle	2,74	8,13	8,53	5,97	4,31	14,1	14,5	14,9	15,8	15,7
	Temperatur °C	15,2	16,1	16,3	16,4	16,4	16,4	16,4	16,3	16,1	15,3
	Durchlässigkeit m/Tag	0,458	0,459	0,443	0,474	0,386	0,685	0,582	0,592	0,547	0,547
2 Stock	Gefälle	16,3	20,6	24,3	38,3	32,3	36,3	40,3	44,6	48,9	58,7
	Durchlässigkeit bei 15°C m/Tag	0,642	0,614	0,590	0,604	0,608	0,649	0,645	0,673	0,676	0,720
	Gefälle	63,1	87,6	72,5	77,4	82,4	87,5	9,2	97,3		
	Durchlässigkeit bei 15°C	0,738	0,753	0,785	0,785	0,824	0,848	0,899	0,937		

¹⁾ a. a. O. S. 156.

²⁾ King führt an: Thesis on the Geology of Bradford oil rocks, 1886.

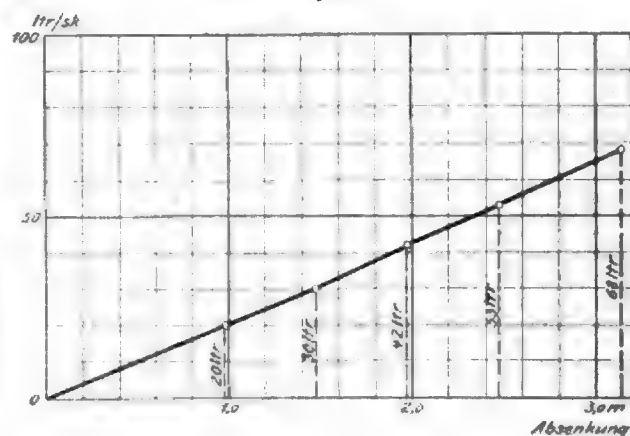
Zugleich geht aus 4 von King angegebenen Filtergeschwindigkeiten hervor, dass sich Stücke desselben Gesteines sehr verschieden verhalten können.

Zahlentafel XVIII.

nach King S. 245	Filtergeschwindigkeit in Fuß/min beim Gefälle 1:10	Durchlässigkeit in m/Tag
Dunville-Sandstein	0,000 020 38	0,069
deagl.	0,000 023 78	0,104
Madison-Sandstein	0,000 170 6	0,749
deagl.	0,000 009 935	0,0439

Es liegt die Frage nahe, ob auch bei Pumpversuchen im großen die Wassermengen manchmal stärker als die Spiegelsenkungen wachsen. Dies scheint der Fall zu sein, wenn man auch als Ursache bisher stets — mit Recht oder Unrecht — irgend welchen störenden Nebenumstand, vor allem eine Lockerung des Bodens und nicht ein allgemeineres Gesetz betrachtet haben wird. So fand Ehlert¹⁾ im Brunnen der Stadt Wesel bis zu 68 ltr Entnahme und nahezu 3 m Absenkung, wie Fig. 5 erläutert, eine mit der Fördermenge stetig wachsende Durchlässigkeit. Dagegen zeigten von 12 von Thiem²⁾ bezüglich ihrer Ergiebigkeit geprüften, nordöstlich von Riga gelegenen Bohrlöchern 9 ein unveränderliches oder abnehmendes und 3 ein wachsendes Verhältnis der Ergiebigkeit zur Entnahme, wie aus Zahlentafel XIX hervorgeht.

Fig. 5.



¹⁾ Bericht über die 1886/87 ausgeführten Exkursionen der Bauingenieure, unter Leitung von Heinzerling, Intze und Forchheimer, Aachen 1888 S. 11.

²⁾ Thiem, Bericht über die neuen Bezugsquellen für Wasserversorgung der Stadt Riga, S. 74, 79, 88.

Zahlentafel XIX.
Bohrlöcher bei Riga nach Thiem.

Bohrloch	3		7		8	
Entnahme q . . . ltr/sk	2,1	4,4	2,1	2,7	3	0,7 1,6
Senkung y . . . m	1,8	2,7	2,3	2,6	3,1	0,4 0,9
Verhältnis q:y . .	1,61	1,63	0,918	0,964	0,968	1,75 1,77

Man kann demnach behaupten, dass nur bei einer gewissen mittleren Porengröße Geschwindigkeit und Gefälle einander proportional sind, also die Durchlässigkeit unveränderlich ist, und dass die Thatsache, dass diese bei weiter geöffneten Poren mit Abnahme des Gefälles wächst, ihre Ergänzung darin findet, dass sie sich bei sehr engen im gleichen Falle vermindert. Bei allzu geringem Ueberdruck scheint sie sogar bei manchen Stoffen vollständig zu verschwinden.

Dass es übrigens der Druckverlust, also das Gefälle, und nicht der Druck an und für sich ist, auf den es ankommt, geht daraus hervor, dass die Abnahme des Reibungskoeffizienten bei Drucksteigerung höchst unwesentlich ist, indem ihn selbst eine Drucksteigerung von 1 at nur um den 0,00017ten Teil vermindert¹⁾.

Von großem Einfluss auf die Bewegung des Wassers ist die Temperatur. Das bemerkte schon Gerstner²⁾, als er im Jahre 1796 Wasser von 1 bis 50° C aus einem Gefäße durch wagerechte Glasröhren auslaufen ließ. Er beobachtete beispielsweise in einer solchen von 2,6 mm Weite und 893 mm Länge:

Zahlentafel XX.
Versuche von Gerstner.

	Druck- höhe mm	5°	13,5°	25°	37,5°
		Geschwindigkeit in mm/sk			
destillirtes Wasser	290	311	271	363	439
trübes Flusswasser	290	308	273	363	439
destillirtes Wasser	154	257	198	146	118
trübes Flusswasser	154	249	192	138	111
destillirtes Wasser	19	11	14	19	27
trübes Flusswasser	19	8	11	16	24

Auch Girard stellte 1817 einige einschlägige Beobachtungen an. Poiseuille³⁾ fand bei den Haarröhren die Ausflussmenge proportional $(1 + 0,000210 t^2)$. Hagen⁴⁾, der mit weniger engen Röhren gearbeitet und auch die Temperatur in seine Formel eingeführt hatte, erläuterte später⁵⁾ die Vorgänge wie folgt: »Bei höherem Wärmegrade gewinnt das Wasser an Beweglichkeit; hierdurch bilden sich innere Bewegungen und . . . vermindert sich . . . die ausfließende Wassermenge. Wenn ich beispielsweise auf die enge Röhre von 3,06 mm Weite und 471 mm Länge einen Druck von 268 mm wirken ließ, so nahm in der Richtung der Röhre gemessen die Geschwindigkeit von 706 bis 942 mm zu, sobald . . . von 0 bis 22,5° C erwärmt wurde. Bei weiterer Erwärmung traten innere Bewegungen ein, die einen Teil der Druckhöhe konsumierten und dadurch jene Geschwindigkeit wieder verminderten, die bei 40° C nur noch 828 mm maß. Bei dieser Temperatur hatten sie sich vollständig ausgebildet und nunmehr vergrößerte sich wieder . . . die ausfließende Wassermenge, . . . freilich . . . nur sehr langsam;

¹⁾ Warburg und Sachs, Wiedemanns Annalen Bd. 23 1864 S. 518 u. f.

²⁾ Gilberts Annalen der Physik Bd. 5 1800 S. 160 u. f. nach Abhandlungen der böhmischen Gesellschaft der Wissenschaften Bd. 3 1798 physich-math. Teil S. 141 u. f., auch Handbuch der Mechanik von Franz Joseph Ritter v. Gerstner, herausg. von Franz Anton Ritter v. Gerstner, II. Bd. Prag 1832 S. 190 u. f.

³⁾ Annales de chimie et de physique 3. Ser. Bd. 7 1848 S. 62.

⁴⁾ Poggendorffs Annalen Bd. 46 1839 S. 442.

⁵⁾ Ueber den Einfluss der Temperatur auf die Bewegung des Wassers in Röhren; Abhandlungen der Akademie der Wissenschaften, Berlin 1854; Hagen, Handbuch der Wasserbaukunst I. Teil Bd. 1 Berlin 1869 S. 170. Gegenbemerkungen von Hagenbach, Poggendorffs Annalen Bd. 19 1860 S. 397 u. f.

doch fand ich sie bei 33,5° C gleich 926 mm.⁶⁾ Bei seinen oben erwähnten Filterversuchen begnügte sich Hagen⁷⁾, neben Wasser von 12,5° C solches von 29,4° C zu gebrauchen und eine Ergiebigkeitsteigerung von ungefähr 3 vH für je 1° C festzustellen. Ferner leitete Hagen⁸⁾ 1869 aus Messungen von Darcy ab, dass in Rohrsträngen von d m Weite für v m/sk Geschwindigkeit das Gefälle bei t° C

$$\alpha = \left(\frac{5,871}{10^6} - \frac{2,136}{10^7} t + \frac{4,704}{10^9} t^2 \right) v^2 + \frac{1,203}{10^9} v^3$$

sei. Hiernach vermindert sich der Temperatureinfluss mit wachsendem Strangdurchmesser. Havrez, der sogar bis 100° hinaufging, fand unter anderm im Grobsand bei dieser Temperatur⁹⁾ die Durchlässigkeit 8 mal so groß wie bei 0°. Als der Zeit nach nächster Forscher ist O. E. Meyer⁴⁾ anzuführen, welcher die Poiseuilleschen Zahlenwerte verbesserte. Findet in einem Haarrohr von d cm Dmr. ein Druckverlust von α g längs jedes Zentimeters Rohrlänge statt, so ist nach Hagenbach⁵⁾ die mittlere Geschwindigkeit in cm/sk $= \frac{d^3}{32} \frac{1}{\eta}$, wo-

bei η den »inneren Reibungskoeffizienten« in $\frac{\text{g-sk}}{\text{cm}^2}$ bedeutet. O. E. Meyer⁴⁾ bestimmte nun

$$\eta = \frac{0,0001809}{1 + 0,00315 t + 0,000343 t^2}$$

Es ist nicht anzunehmen, dass beim Durchsickern durch Bodenarten die Temperatur wesentlich anders wirke, und daher überraschend, dass nach Seelheim⁷⁾ bei t° C

im Quarzsand $v = 256 d_w^2 (1 + 0,0138 t + 0,000704 t^2) \alpha$

im Thon $v = 0,00088 \frac{v^2}{V_1(V_1 + V_2)} (1 - 0,00224 t + 0,000938 t^2) \alpha$

im Kalk $v = 0,0019 \frac{v^2}{V_1(V_1 + V_2)} (1 + 0,093 t + 0,0006 t^2) \alpha$

sein soll, worin wie oben v die Filtergeschwindigkeit in m/Tag und V_1 , V_2 und V_3 den Raumteil Wasser, Thon und Kalk bedeuten. Im Einklang mit den Physikern und der Angabe Hagens steht Hazen⁶⁾, der für t° C

$$v = 1000 d_w^2 (0,7 + 0,05 t) \alpha \text{ m/Tag} \quad (8)$$

setzt, indem sich für $t = 0^\circ \ 10^\circ \ 20^\circ$

die Werte von $1:\eta$ wie $0,74:1:1,30$,

die von v nach Gl. (8) wie $0,70:1:1,30$

verhalten. Für $t = 10^\circ$ geht Gl. (8) in die mehrfach erwähnte Gl. (1) $v = 1000 d_w^2 \alpha$ über. Eine Unregelmäßigkeit, die Pacher⁹⁾ in der Nähe von 4° nachgewiesen hat, ist für Ingenieurzwecke ohne Belang.

Nunmehr, nach Mitteilung der bis heute bekannten Gesetze der Wasserbewegung durch Boden, sollen die Störungen, welche die Erscheinungen trüben, an der Hand von Daten besprochen werden, welche der Verfasser mit der in Fig. 6 und 7 dargestellten Vorrichtung — im wesentlichen einer unten durch ein Sieb abgeschlossenen Trommel — erhielt. Diese gewährte dadurch guten Einblick, dass durch Standröhren der Druckverlust der Wasserfäden auf ihrem Wege verfolgt werden konnte. Der gesamte Druckverlust bis zum Fußpunkte einer Standröhre wurde offenbar durch die Tiefe des Standrohrspiegels unter dem Oberwasserspiegel, das Gefälle zwischen den Fußpunkten zweier Standröhren durch das Verhältnis des Höhenabstandes der beiden Standrohrspiegel zur Entfernung der beiden Fußpunkte angegeben. Um den mittleren Druck eines Sandsäulenquerschnittes und nicht nur den am Umfange herrschenden zu erfahren, wurden nach den ersten Versuchen durch dünne Stäbe gehaltene Röhren aus Messinggewebe angebracht, welche von jedem Fußpunkte aus

⁵⁾ Handbuch I. Teil Bd. 1 S. 256.

⁶⁾ Hagen, Ueber die Bewegung des Wassers in cylindrischen, nahe horizontalen Leitungen. Aus den Abhandlungen der kgl. Akademie der Wissenschaften zu Berlin 1869. Berlin 1870.

⁷⁾ Revue universelle des mines usw. Bd. 55 1874 I. Sem. S. 507.

⁸⁾ Wiedemanns Annalen Bd. 2 1877 S. 387.

⁹⁾ Poggendorffs Annalen Bd. 19 1860 S. 401.

¹⁰⁾ a. a. O. S. 394.

¹¹⁾ Zeitschr. f. analytische Chemie Bd. 19 1880 S. 399, 409, 413.

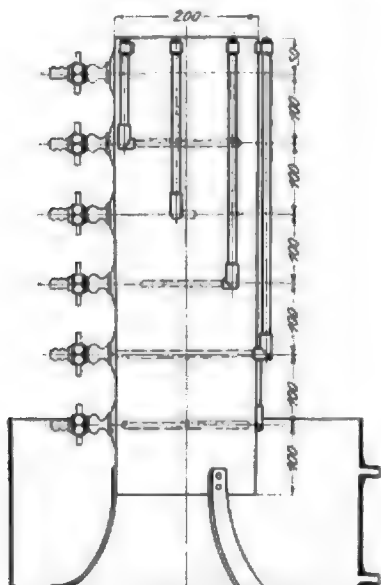
¹²⁾ Sonderauszug aus »Report« S. 15, »The Filtration usw.« S. 21.

¹³⁾ Il nuovo cimento Ser. 4 Bd. 10 1890 S. 435 u. f.

quer durch die Trommel reichten. Benutzt wurde stets derselbe aus der Mur stammende durchgeworfene Sand. Das Mittel zweier Untersuchungen durch die landwirtschaftlich-chemische Landes-Versuchsanstalt in Graz¹⁾ ergab beim Schlämmen 98 Gewichtsteile Sand auf 2 Teile Thon und beim Sieben des ersteren als Rückstand von 100 Gewichtsteilen im

2 1 $\frac{1}{2}$ 1 $\frac{1}{4}$ 1 1 $\frac{1}{2}$ 1 $\frac{1}{2}$ mm-Sieb, feinsten Drahtsieb, Haarsieb
0,5 1,4 0,6 2,9 1,5 23,3 62,7 2,5 Teile,
während 4,5 Teile auch durch das Haarsieb gingen.

Fig. 6 und 7.



Immer zeigte sich nach Einlassen des Wassers ein Schwanken und in den weitaus meisten Fällen ein schließliches Wachsen der Durchlässigkeit. So gab ein 500 mm hoher Sandkörper, der zu unterst in Wasser tauchte, bei einem unveränderlichen Höhenabstand von 585 mm zwischen Ober- und Unterpiegel, also beim Gefälle 1,17, folgende Filtergeschwindigkeiten v und Durchlässigkeiten k ($= v : 1,17$):

Zahlentafel XXI.

Eigener Versuch über das Wachstum der Durchlässigkeit mit der Zeit.

nach	1 $\frac{1}{2}$	3	7 $\frac{1}{2}$	22	24	49	st
v	32,8	28,6	27,4	27,8	42,1	66,5	m/Tag
k	28,0	24,4	23,4	23,8	36,5	56,8	"

Bemerkenswert war hierbei, dass die Durchlässigkeiten der 5 Einzelstrecken von je 100 mm Höhe, wie die Stand-

¹⁾ Freundliche Mitteilung ihres Direktors Dr. Rottler.

röhren nachwiesen, unter einander stets ziemlich gleich blieben, also gemeinschaftlich zu- und abnahmen; beispielsweise zeigten sich, wenn man die oberste Strecke als erste bezeichnet, nachstehende Einzelschwankungen:

Zahlentafel XXII.

Eigener Versuch über das Wachstum der Durchlässigkeit mit der Zeit.

Strecke	1	2	3	4	5
Druckverlust in mm					
nach 1 $\frac{1}{2}$ st	116	121	126	104	118
> 7 $\frac{1}{2}$ >	94	99	133	120	139
> 24 >	116	106	106	111	146
> 40 >	118	123	106	121	132
Durchlässigkeit in m/Tag					
nach 1 $\frac{1}{2}$ st	28,3	27,1	26,0	31,5	27,4
> 7 $\frac{1}{2}$ >	29,3	27,7	30,6	22,6	19,7
> 24 >	36,8	40,3	40,3	38,5	39,3
> 40 >	38,9	54,1	62,7	55,0	54,5

Das Schwanken und Wachsen der Durchlässigkeit ist übrigens, wie schon früher erwähnt, bereits von zahlreichen Beobachtern festgestellt worden; auch ist die Durchlässigkeitszunahme bei Dämmen, welche zeitweilig einseitigem Wasserdruck ausgesetzt sind, eine bekannte Erscheinung, so dass z. B. Hochwasserdeiche für um so gefährdeter gelten, je länger das Hochwasser anhält. Zur weiteren Erläuterung der Veränderungen, welche beim Durchlauf in der Erdmasse eintreten können, seien noch die beiden nachstehenden Versuchsreihen herausgegriffen, die mit freiem Abtropfen vom Sieb durchgeführt wurden.

Zahlentafel XXIII.

Eigene Versuche mit 450 mm Sand.

Zeit seit Beginn des Durch- laufens st	Ober- wasser- piegel über dem Sieb mm	Filter- geschwin- digkeit m/Tag	Durchlässigkeit der			
			obersten	zweiten	dritten	vierten
			Strecke von			
			50 mm m/Tag	100 mm m/Tag	100 mm m/Tag	200 mm m/Tag
2 $\frac{1}{2}$	500	12,53	10,1	9,1	8,2	10,1
22	500	13,82	23,0	9,9	9,7	9,6
24	500	10,66	14,4	8,6	9,8	9,6
25	500	10,66	15,2	8,7	9,2	9,4
46	500	11,49	26,1	12,3	10,1	8,6

Zahlentafel XXIV.

Eigene Versuche mit 500 mm Sand.

Zeit seit Beginn des Durch- laufens st	Ober- wasser- piegel über dem Sieb mm	Filter- geschwin- digkeit m/Tag	Durchlässigkeit der				
			obersten	zweiten	dritten	vierten	fünften
			Strecke von 100 mm Länge				
			m/Tag	m/Tag	m/Tag	m/Tag	m/Tag
47	500	13,97	24,5	24,1	12,9	5,87	10,05
79	500	25,95	21,6	28,5	17,3		21,8
94	500	37,15	23,7	32,9		33,7	
120	500	38,59	23,4	34,2	31,1		39,0
144	500	deagl.			deaglichen		

Die erste dieser Reihen zeigt bei anfänglich annähernder Gleichförmigkeit fortschreitendes Aufweichen oder Fortspülen an der Oberfläche und zunehmende Dichtigkeit — zumteil wenigstens infolge Sackens — in der untersten Schicht, die zweite hingegen, trotzdem ein Lösen der Luftblasen eintreten musste, ziemlich Beständigkeit der Oberfläche und Aufweichung oder Ausspülung in der Tiefe. Es sind also beide entgegengesetzten Vorgänge möglich. Verschiedene Schüttungen desselben Bodens nähern sich übrigens keineswegs demselben Endzustande; so wiesen die dichteste und die lockerste Sandsäule — beide waren 500 mm hoch, und das Wasser tropfte aus ihnen frei durch das Sieb ab — folgende weit auseinander gehenden Enddurchlässigkeiten auf:

Zahlentafel XXV.
Durchlässigste und dichteste Schüttung
der eigenen Versuche.

Zeit seit Beginn des Durch- laufens	Filter- geschwin- digkeit	Streckenlängen	100		300
			100	100	300
st	m/Tag	mm	(oben)		(unten)
96	66,4	Durchlässigkeit m/Tag	50,7	50,7	58,7
117	desgl.	"	desgleichen		
72	19,58	Durchlässigkeit m/Tag	12,3		17,8
120	18,14	"	11,4		16,6

Zunehmende Dichtigkeit infolge Sackens zeigte sich besonders deutlich bei einer gelegentlich Erstattung eines Gutachtens nach Angabe des Verfassers vorgenommenen Untersuchung von Fließ, einem feinen thonigen Sand des westfälischen Kohlengbietes. Eine lufttrocken eingefüllte und dann durchtränkte 61 mm hohe Schicht zeigte nämlich beim Gefälle 10,9 zunächst $k = 0,21$ m/Tag, 4 Stunden später infolge Schluckens der Luft $k = 0,28$ und hierauf stetige Abnahme auf ungefähr $k = 0,083$ m/Tag, nämlich

Stunden nach Beginn	4	5 1/2	18	30
k in m/Tag	0,28	0,216	0,171	0,162

Nur der Vollständigkeit halber werde hier daran erinnert, dass man bei Deichen Wert darauf legt, dass sie erst, nachdem sie durch einige Monate sacken konnten, einem Hochwasser ausgesetzt werden. Merklliche Sackungen können übrigens bei Lehm Boden noch nach Jahren eintreten.

Eine häufige Erscheinung ist die Bildung einer dichten Decke, da es leicht geschieht, dass das Wasser etwas Lehm aufschwemmt, der sich dann auf der Oberfläche niederschlägt. Als z. B. der gesiebte Mursand, wenn auch möglichst vorsichtig, in die bereits mit Wasser gefüllte Trommel eingetragen wurde, verursachte die oberste Schicht von 35 mm Dicke ungefähr denselben Druckverlust wie jede der darunter liegenden von 100 mm Höhe. Ein solcher Vorgang im kleinen findet sein Gegenstück in der Natur in der dichtenden Wirkung, welche Hochwässer, die den Flussgrund aufwirbeln, beim Sinken des Wasserstandes auf das Bett ausüben.

Die restlichen, mit dem nämlichen Sand bei 6,5 bis 7,5° C durchgeführten Versuche sollten feststellen, ob die Dicke der Schicht an und für sich — also abgesehen vom

Zahlentafel XXVI.
Eigene Versuche mit teilweiser Abtragung
und Aufhöhung des Sandes.

Höhe der Sand- säule mm	Stunden seit der Abtragung oder Auf- höhung	Durchschnitte		Durchlässigkeit der Strecke			
		Gefälle	Durchlässigkeit m/Tag	400 bis 300 mm m/Tag	300 bis 200 mm m/Tag	200 bis 100 mm m/Tag	100 bis 0 mm m/Tag
300	133	1,91	37,4		25,1	51,5	48,8
	284	1,68	37,3		25,3	51,3	47,1
	373	1,55	35,4		28,2	49,5	47,3
	396	1,78	34,8		22,4	49,3	47,0
	421	1,09	35,2		28,9	47,0	45,7
	428	1,08	37,5		?	?	?
	429	1,34	36,2		28,0	?	?
200	0	1,65	39,7			34,5	46,7
	18	1,79	36,0			32,9	43,4
	90	1,76	38,3			31,6	42,9
	91	2,86	37,9			32,3	44,3
400	28	1,44	36,6	48,5	52,6	22,3	41,8
	48	1,45	35,0	41,9	51,2	21,6	40,6
	54	1,45	35,5	42,6	51,0	22,0	41,9
	71	1,38	34,5	40,9	50,7	20,9	41,6
	78	1,37	35,4	42,6	52,2	21,7	42,2
210	24	1,90	29,0			23,2	39,1
	91	2,28	25,8			21,8	39,8
	139	1,67	23,8			20,0	39,2
400	25	1,45	33,3	20,2	25,1	17,9	38,9
	72	1,45	24,5	21,3	26,7	18,4	41,4

Gefälle — eine Wirkung auf die Durchlaufmenge ausübe, wie auch schon behauptet worden ist¹⁾. Zu diesem Zwecke wurde eine 300 mm hohe Sandsäule auf 200 mm abgetragen, dann auf 400 mm erhöht, dann abermals abgetragen und ergänzt. Nicht berührt blieb bei diesen Vorgängen nur das unterste 100 mm hohe Trum, während das darüberliegende sich bereits mit einer dichteren Decke überziehen konnte. In der That zeigte sich, wie aus Zahlentafel XXVI hervorgeht, die Durchlässigkeit der untersten Lage von der Höhe des darüber befindlichen Sandkörpers unbeeinflusst; sie nahm nämlich infolge Sackens während der 5 Versuchswochen fortgesetzt allmählich ab, gleichgültig, ob ein Abtragen oder Aufhöhen stattgefunden hatte. Die Durchlässigkeit zwischen 100 und 200 mm über dem Sieb verminderte sich aus dem schon angegebenen Grund recht wesentlich, und die der höheren Lage fiel bei jeder Neuschüttung, wie zu erwarten, anders aus.

Diese Versuche bestätigen also die Richtigkeit der Auffassung, welche allen früheren Erörterungen zugrunde liegt, vollinhaltlich.

Anhang.

Zu den Gl. (6) und (7) ist oben bemerkt worden, dass letztere für Grundwasserspiegel die einfacheren Ausdrücke

42	54	90	102	144	188
0,120	0,121	0,074	0,098	0,085	0,084

liefere. Für zwei gewöhnliche Fälle sollen solche hier entwickelt werden.

Aufgrund der Formel (7)

$$a = mv^2$$

gilt mit den Bezeichnungen der Figur 8 für die in der Zeiteinheit (also in 24 Stunden, wenn v in m/Tag gemessen wird) in der Breite 1 durchsickernde Grundwassermenge:

Fig. 8.

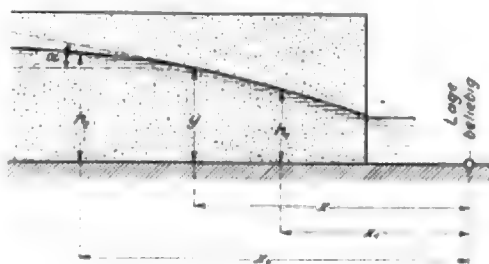
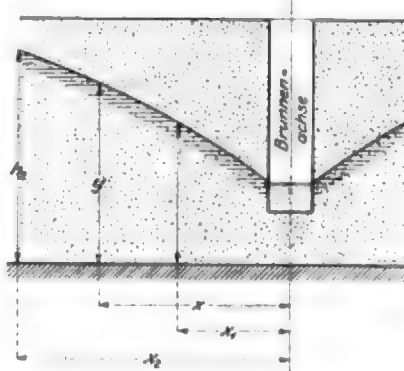


Fig. 9.



$$q = yv \quad \text{oder} \quad v = \frac{q}{y}$$

daher

$$a = \frac{dy}{dx} = mv^2 = m \left(\frac{q}{y} \right)^2$$

oder

$$y^2 dy = m q^2 dx$$

¹⁾ Vergl. Wolley und kgl. Kanal-Kommission i/Münster a. a. O

oder

$$\frac{y^{n+1}}{n+1} - m q^n x + C,$$

also als Gleichung des Grundwasserspiegels:

$$\frac{h_2^{n+1} - h_1^{n+1}}{n+1} = m q^n (x_2 - x_1).$$

Findet die Zuströmung in einen Brunnen statt, so gilt mit den Bezeichnungen der Figur 2:

$$q = 2\pi xyv \quad \text{oder} \quad v = \frac{q}{2\pi xy},$$

daher

$$\alpha = \frac{dy}{dx} = mv^n = \frac{m}{2^n \pi^n} x^n y^n$$

oder

$$y^n dy = \frac{m q^n}{2^n \pi^n} x^n dx$$

oder

$$\frac{y^{n+1}}{n+1} = \frac{m q^n}{2^n \pi^n} \frac{x^{n+1}}{n+1} + C,$$

also als Gleichung des Grundwasserspiegels:

$$\frac{h_2^{n+1} - h_1^{n+1}}{n+1} = \frac{n+1}{n-1} \frac{m q^n}{2^n \pi^n} \left(\frac{1}{x_1^{n-1}} - \frac{1}{x_2^{n-1}} \right).$$

Luftwiderstand von Schwungrädern.

Das Krafthaus der Nürnberg-Fürther Straßenbahn-Gesellschaft ist in den letzten beiden Jahren zur Steigerung seiner Leistungsfähigkeit und zur Schaffung einer ausgiebigeren Reserve mit zwei liegenden Tandem-Verbundmaschinen mit unmittelbar gekuppelten Dynamos ausgerüstet worden. Die Maschinen haben Ventilsteuerung und leisten bei 95 Uml./min 450 PS. Zur Erzielung eines ruhigen Ganges bei der sehr schwankenden Belastung sind sie mit Schwungrädern von erheblicher Größe und Masse versehen. Die Radarme haben H-förmigen Querschnitt, und zwar stehen die Stege, welche nicht gefenestert sind, in achsialer Richtung. Im Betrieb verursachen die Radarme starke Luftwirbelungen. Es lag daher die Frage nahe, ob sich nicht durch Verkleidung der Radarme mit Blechtafeln eine erhebliche Kraftersparnis erzielen lasse. Seitens des Lieferers der Dampfmaschine wurde eine Kraftersparnis von rd. 10 PS in Aussicht gestellt.

Zur Feststellung des Einflusses der nachträglich aufzubringenden Blechverschalung wurde folgender Versuch angestellt.

Vor und nach der Anbringung der Verkleidung wurden die Triebwerkteile der Dampfmaschine von der Hauptwelle abgehängt und die Dynamomaschine mit dem auf gleicher Welle sitzenden Schwungrad als Motor betrieben. Durch Einschaltung von elektrischen Messgeräten wurde unter sonst gleichen Verhältnissen die Einwirkung der Schwungradverkleidung festgestellt. Die Dynamo nahm bei unverkleidetem Schwungrad 13300 Watt, später bei verkleidetem Schwungrad 9874 Watt auf, sodass eine Arbeit von 3426 Watt weniger zu leisten war, was am Kolben einer Leistung von 5,2 PS = 1,2 vH der Maschinenleistung entspricht.

Von welcher wirtschaftlichen Bedeutung die nachträgliche Anbringung der Schwungradverkleidung ist, geht aus folgender Rechnung hervor.

Die Heizkosten pro kg-st belaufen sich auf 5,5 Pfg, und es werden somit pro Jahr bei täglich 17-stündigem Betrieb

$$\frac{3426}{1000} \cdot \frac{5,5}{100} \cdot 17 \cdot 365 = \infty 1180 \text{ M}$$

gespart.

Die Kosten für die nachträgliche Anbringung der Verkleidung, die im übrigen keine nennenswerten Schwierigkeiten verursachte, unterschritten diese Ersparnis, sodass sie schon vor Ablauf eines Jahres an Kohlenminderverbrauch überbrückt worden sind.

Schon im Jahre 1888 richtete Prof. A. Brauer, damals in Darmstadt, in dieser Zeitschrift¹⁾ an die Vereinsmitglieder die Anfrage, ob zuverlässige Versuche über die Kraftersparnis

vorlägen, welche man durch Verkleidung der Schwungradarme erzielen kann.

Veranlassung zu dieser Frage gab ein Versuch, der von Inglis an einer 630 pferdigen Maschine ausgeführt worden war, wobei, allerdings durch Indikatorversuche, eine Widerstandsverminderung von 30 PS, das sind 4,8 vH, festgestellt worden war. Ueber den gleichen Gegenstand brachte Otto H. Mueller jun., Charlottenburg, eine Ausarbeitung²⁾, in welcher der Einfluss rechnergemäss festgelegt wird. Die Formel zur Bestimmung des Luftwiderstandes lautet:

$$L = 0,000000251444 \delta b n^3 r^4 m,$$

worin

L = Luftwiderstand in PS

 $\delta = 1,2$ (nach Versuchen von Didion)

b = Breite der Arme in m

n = Uml./min

r = Länge der Radarme

m = Anzahl der Arme.

Auf den obigen Fall angewendet, würde die Formel rd. 20 PS ergeben, also etwa 3 mal so viel wie der praktische Versuch.

Mueller sagt in seinen Ausführungen selbst, dass die Berechnungsweise auf Genauigkeit keinen Anspruch macht; das wird aus dem obigen Versuch erwiesen. Ein grosser Ungenauigkeitsgrad dürfte in m = Anzahl der Arme zu suchen sein. Mit dem Wachsen der Armzahl müsste im gleichen Verhältnis auch der Widerstand zunehmen, sodass bei doppeltem m auch der Luftwiderstand doppelt so gross werden würde. Wenn man beispielsweise statt 8 Arme 16 wählte, so müsste auch der Widerstand sich verdoppeln. Dies dürfte jedoch nicht zutreffen; im Gegenteil wird der Widerstand wohl wenig zunehmen, da die Arme nach der Nabe zu ineinander übergehen und die Radarme immer mehr die Form einer Scheibe annehmen. Allerdings müsste dann auch der Wert r (Länge der Radarme) entsprechend verringert werden. Da die Luftwirbelungen in der Nähe der Achse ganz bedeutend geringer sind, so darf meines Erachtens in die Formel auch nicht die ganze Länge der Arme eingeführt werden.

Es mag die Schwierigkeit oder Unmöglichkeit, genaue Messungen in dieser Richtung anzustellen, Veranlassung sein, dass Unterlagen zur Vorausbestimmung der Verhältnisse noch nicht vorhanden sind. Vielleicht geben diese Zeilen Veranlassung, dass diesem Gegenstande eingehendere Beachtung geschenkt und eine für alle Fälle hinreichend genaue Formel gesucht wird.

Nürnberg.

Scholtes,

Direktor der Nürnberg-Fürther Straßenbahn-Gesellschaft.

¹⁾ Z. 1888 S. 191.²⁾ Z. 1888 S. 283.

Sitzungsberichte der Bezirksvereine.

Eingegangen 17. Mai 1901.

Oberschlesischer Bezirksverein.

Sitzung vom 23. März 1901 in Kattowitz.

Vorsitzender: Hr. Bolts.

Anwesend rd. 25 Mitglieder und Gäste.

Nach Erledigung der geschäftlichen Angelegenheiten spricht Hr. Gründler über

das Straßenbahnwesen in Nordamerika.

Der Redner beschränkt seine Mitteilungen auf Straßenbahnen mit elektrischem Betrieb, auf welchem Gebiete er während eines längeren Aufenthaltes in Amerika reichlich Gelegenheit hatte, Erfahrungen zu sammeln und Beobachtungen anzustellen.

Das Straßenbahnwesen in Nordamerika hat sich in den letzten 10 bis 12 Jahren, besonders aber seit der Weltausstellung in Chicago, ganz bedeutend ausgebreitet. Nicht überall ist das reine Verkehrsbedürfnis Ursache zur Anlage von solchen Bahnen gewesen; oft sind sie vielmehr der Entwicklung eines Stadtteiles, ja der Entstehung eines ganz neuen Ortes, vorausgegangen. Nicht selten sind sie auch nur aus Spekulationsgründen angelegt worden, z. B. um ein vom inneren Verkehr der Stadt entfernt liegendes Gelände zu Bauzwecken zu verwerten. Von großem Vorteil für die Erbauung von Straßenbahnen im allgemeinen sind dabei die günstigen amerikanischen Verhältnisse in bezug auf Gesetze und Verordnungen.

In den größeren Städten führen fast alle Straßenbahnlinien in das Innere, in das eigentliche Geschäftsviertel der Stadt. Der größte Verkehr findet von 1/5 bis 1/39 Uhr morgens nach dem Geschäftsviertel hin, abends von 6 bis 7 Uhr in entgegengesetzter Richtung statt. Trotzdem laufen die Wagen regelmäßig in gleichen Zeitabständen bis 12 Uhr nachts; von da ab fährt in den größeren und mittleren Städten nur noch stündlich je ein Wagen bis 6 Uhr früh, wo sich der regelmäßige Tagesbetrieb erneuert.

Fig. 1 bis 6. Straßenbahnüberbau.

Fig. 1.

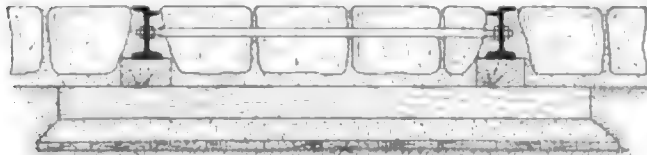


Fig. 2.



Der Preis für eine Fahrt ist fast bei allen Straßenbahngesellschaften in den Vereinigten Staaten auf 5 Cent pro Person festgesetzt. Für diesen Betrag kann man mit Benutzung von Umsteigekarten in manchen Städten Strecken bis 60 km und mehr durchfahren.

Der Redner verbreitet sich nunmehr über Anlage- und Betriebskosten, Einnahmen, Ausgaben und Reingewinn amerikanischer Straßenbahnen, über Unglücksfälle im Betriebe und dergl., und wendet sich dann der Besprechung der technischen Einrichtungen zu.

Dem Oberbau ist erst in neuerer Zeit mehr Sorgfalt und größere Beachtung gewidmet worden, und zwar sind zunächst auch nur die Straßen mit regem Verkehr mit besserem Oberbau versehen.

In Fig. 1 ist das Querprofil eines Straßenbahnbettes skizziert, wie es in ähnlicher Weise in den Vereinigten Staaten von Nordamerika allgemein zur Ausführung gelangt. Die normale Spurweite beträgt wie bei uns 1435 mm. Die innere Lauffläche der Schiene dient für den Verkehr von Straßenfahrzeugen jeder Art. Je nach der Ausführung des Oberbaues beträgt das Gewicht der Schiene etwa 20, 26, 28 und 36 kg/m. Die Schienen ruhen auf Längsschwellen von 12,6 x 18 cm Querschnitt und diese auf Querschwellen aus Zedern- oder Eichenholz von 16 x 22 cm Querschnitt und 2,5 m Länge; oft sind sie auch nur auf hölzernen Querschwellen gelagert, welche in Abständen von 0,6 bis 0,75 m verlegt sind. Fig. 1

stellt das Querprofil des Oberbaues einer Straßenbahn in New Orleans dar; weil dort der Boden sehr weich und schwimmend ist, musste zunächst eine Schicht 25 mm dicker Zederbretter verlegt werden, auf die eine 100 mm dicke Schicht Steinschlag gebracht ist. Das Steinpflaster der Straße ist auf einer 50 bis 75 mm dicken Sandschicht gebettet und zwischen den Schienen mit Beton ausgefüllt.

Die Rillenschiene ist bis jetzt sehr selten in Anwendung gekommen. In Fig. 2 ist eine Gleisanlage mit solchen Schienen und eisernen Querschwellen nebst gepressten eisernen Verbindungslaschen skizziert, wie sie bei Citizens Street Railway in Detroit zur Ausführung gekommen ist. Die Schienen sind 229 mm hoch und wiegen rd. 50 kg/m; es sind dies die schwersten Schienen, welche bisher im Straßenbahnbau Verwendung gefunden haben.

Fig. 3.

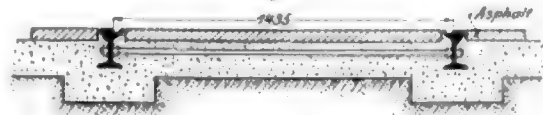


Fig. 4.

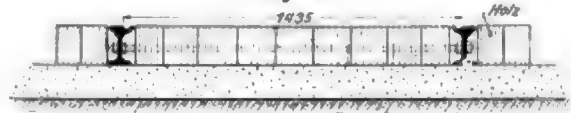


Fig. 6.

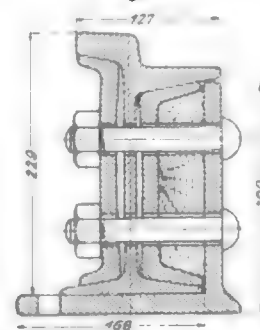


Fig. 5.

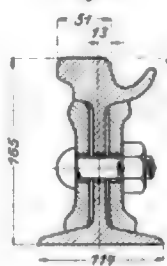
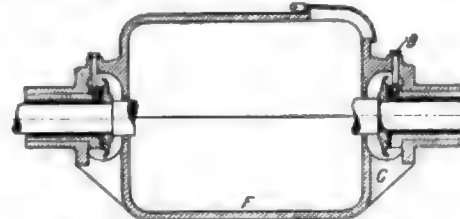


Fig. 7. Lagerung des Straßenbahnmotors der Walker Mfg. Co.



Während sich die Rillenschiene bislang in den Vereinigten Staaten keinen Eingang verschafft hat, ist sie in Kanada fast allgemein im Gebrauch, wo Elektrizität den Straßenbahnen als Triebkraft dient. Fig. 3 zeigt das Querprofil eines Straßenbahnbettes in Beton mit einer 60 mm dicken Asphalt-schicht, das in Montreal ausgeführt ist. Der Beton besteht aus 1 Teil Portlandzement, 3 Teilen scharfkörnigem Sand und 6 Teilen Steinschlag mit bis 50 mm Dmr. der Steinstücke. Die Kosten sind sehr niedrig: sie stellen sich für Doppelgleisanlage auf 20,7 M/m. Die Rillenschienen sind vom »Phoenix« in Ruhrort geliefert und wiegen rd. 36 kg/m. Auch die Straßenbahnen von Toronto, Hamilton und Kingston haben die Rillenschienen von demselben Werk bezogen.

Fig. 4 gibt eine ähnliche Ausführung aus den genannten Städten wieder, bei der die Straßenfahrbahn mit Holz gepflastert ist.

Mit Schienenverbindungen sind in Amerika recht zahlreiche Versuche gemacht worden; doch haben davon nur wenige besonderen Wert und Verbreitung im Straßenbahn-oberbau erlangt. In Fig. 5 ist die allgemein gebräuchliche Laschenverbindung dargestellt; die Verbindungsstücke sind 610 bis 720 mm lang und erhalten 4 bis 6 Stück 3/4 zöllige Schrauben. In Fig. 6 ist ein Schnitt durch die Schienenver-





anspruchung auf Biegung, und zwar durch plötzliche Belastung, auch Stosswirkungen unterworfen. Es kann nämlich vorkommen, dass auf den Schienenköpfen kleine Steine oder sonstige Gegenstände liegen, über welche die Räder der Fahrzeuge hinwegfahren müssen, und dabei findet jedesmal ein Stoß auf die Schiene statt. Außerdem kann ein Stoß dadurch verursacht werden, dass an den Verbindungsstellen ein Schienenende höher liegt als das andere; auch beim Befahren von Weichen und Kreuzungen findet Ähnliches statt. In solchen Fällen fällt das Rad mit dem darauf lastenden Gewicht aus einer gewissen Höhe auf den Schienenkopf, und obwohl die Fallhöhe sehr klein ist, so genügt sie doch, um eine sehr bedeutende Vergrößerung der Inanspruchnahme hervorzubringen. Wiederholt sich ein solcher Stoß sehr häufig, und wird jedesmal die Proportionalitätsgrenze um noch so wenig überschritten, so muss sich sehr bald eine so große bleibende Durchbiegung einstellen, dass die Schiene nicht mehr zu gebrauchen ist. Aus dieser Betrachtung geht hervor, dass man als weitere Forderung an eine Schiene die Bedingung stellen kann, sie solle bei wiederholten Schlägen, die den wahrscheinlich größten vorkommenden Stößen entsprechen, keine bleibende Durchbiegung erleiden. Hier ist auch wieder die Elastizitätsgrenze maßgebend.

Wollte man Proben machen, so wäre es am richtigsten, einen Fallbär von einem der größten Belastung eines Rades entsprechenden Gewicht bei entsprechender Stützenentfernung auf die Probenschiene fallen zu lassen. Man könnte z. B. mit einem Fallgewicht von 8000 kg, um sicher zu gehen, eine Fallhöhe von 2 cm bei einer Stützenentfernung von etwa 400 mm annehmen. Es wäre jedoch dazu nötig, eine besondere Fallvorrichtung zu konstruieren. In Ermangelung einer solchen müsste man die Fallhöhe für das übliche Gewicht von 1000 kg umrechnen, d. h. bei der angenommenen Arbeit von 8000×2 kgm den Fallbär aus einer Höhe von 16 cm fallen lassen. Die Wirkung ist allerdings nicht genau dieselbe; aber es ließe sich durch Voruntersuchungen die Arbeit ermitteln, die für praktische Zwecke der ursprünglich angenommenen gleichwertig wäre.

Der Vortragende hat mit einer Normalschiene der preussischen Bahnen solche Proben ausgeführt. Die Schiene hatte ein Gewicht von 34,5 kg m, und die zu den Versuchen verwendeten Schienenstücke hatten die übliche Länge von rd. 1,5 m. Die Auflagerentfernung betrug 1 m; der Fallbär hatte ein Gewicht von 1000 kg. Nach einigen Vorversuchen fand der Vortragende, dass man aus einer Höhe von rd. 150 mm eine beliebige Anzahl Schläge auf die Schiene geben konnte, ohne dass eine bleibende Durchbiegung eintrat. Eine solche Probe ist nach Ansicht des Vortragenden einer Belastungsprobe vorzuziehen.

Wenngleich bis jetzt nur die Elastizitätsgrenze in Betracht gezogen ist, so darf doch nicht angenommen werden, dass die Bruchgrenze und die Zähigkeit des Stahles gleichgültig seien. Ausnahmsweise können Schienen stärkeren Stößen ausgesetzt werden, und außerdem müssen sie sich, wie schon erwähnt, für Krümmungen biegen lassen. Sie dürfen nicht spröde sein, sonst könnte es vorkommen, dass sie bei einer zufälligen Ueberschreitung der Elastizitätsgrenze plötzlich brächen. Aus diesem Grunde ist die übliche Schlagprobe nicht zu entbehren. Hierbei wird von den preussischen Staatsbahnen eine gewisse geringste Durchbiegung vorgeschrieben. Nach Ansicht des Vortragenden ist dies überflüssig; denn wenn die Schiene eine gewisse Beanspruchung aushält, so ist es gleichgültig, welche Durchbiegung sich dabei herausstellt; man hat bei richtiger Bemessung der Schläge doch die nötige Betriebssicherheit gegen Stöße. Die vorhin beschriebenen Schlagproben genügen, und es giebt tatsächlich Bahnen, die nur Schlagproben und Belastungsproben verlangen, dagegen keine Zerreißproben.

Der dritte Punkt, der für die Beurteilung von Schienenstahl von Wichtigkeit ist, ist der Verschleiß. Je schwerer die Lasten und je größer der Verkehr auf einer Eisenbahn, desto wichtiger ist es, dass sich der für die Schienen verwendete Stahl gegen Abnutzung möglichst widerstandsfähig zeigt. Für Straßenbahnen gilt dasselbe in noch erhöhtem Grade, da erfahrungsgemäß der Verschleiß auf ihnen noch bedeutender ist als auf Eisenbahnen. Es handelt sich darum, welches das beste Verfahren sei, den Schienenstahl in bezug auf seinen Verschleißwiderstand zu prüfen. Gewöhnlich wird angenommen, dass ein Stoff umso langsamer verschleißt, je härter er ist. Für einen und denselben Stoff ist diese Annahme jedenfalls richtig; dass sie aber allgemein gilt, mag bezweifelt werden. Es ist z. B. eine bekannte Tatsache, dass die früher verwendeten Schienen aus Schweisseisen sich in dieser Hinsicht ebenso gut, wenn nicht besser, verhielten, als Schienen aus Bessemerstahl, trotzdem sie aus viel weichem Material her-

gestellt waren. Da es sich aber jetzt nur um Stahl handelt, so können wir annehmen, dass die Härte ein Maß für den Verschleißwiderstand bildet.

Es entsteht nun die Frage: Durch welche Mittel kann man am besten die Härte von Stahl bestimmen? Ziemlich allgemein betrachtet man die Zerreißfestigkeit als maßgebend für die Härte. Bei Stahl von einem und demselben Hüttenwerk, der nach einem einheitlichen Verfahren hergestellt ist, mag diese Annahme annähernd richtig sein. Es ist aber schon vorgekommen, dass zwei Schienenlieferungen, die beide dieselben Proben gut bestanden hatten und in bezug auf ihre Festigkeitseigenschaften dieselben Ergebnisse aufwiesen, sich in bezug auf Verschleiß ganz verschieden verhielten. Auf die Ursache dieses Unterschiedes ist man schließlich mittels der Aetzproben gekommen, welche zeigten, dass, während die Schienen der einen Lieferung ein gleichmäßiges dichtes Gefüge hatten, die der andern ungleichmäßig und undicht waren. Die Erfahrungen der Hüttenwerke haben auch zu der Erkenntnis geführt, dass die Aetzprobe einen wertvollen Aufschluss über die Güte des Schienenstahles, namentlich über seine Dichte, liefert und in Verbindung mit Zerreißproben ein zuverlässiges Urteil in bezug auf den Verschleißwiderstand zu fällen gestattet. Beide Arten von Proben, Zerreiß- und Aetzproben, sind aber ziemlich umständlich, zeitraubend und teuer, und es hat sich das Bedürfnis fühlbar gemacht, sie durch eine einzige leicht, rasch und billig ausführbare Probe zu ersetzen.

Was die absoluten Werte der Zerreißfestigkeit anbelangt, so hat man in den letzten Jahren, besonders für Straßenbahnschienen, die Anforderungen bedeutend gesteigert. Auffallend ist es dagegen, dass in den neuen von dem Verein deutscher Eisenhüttenleute veröffentlichten Vorschriften eine so niedrige untere Grenze für die Zerreißfestigkeit von Schienenstahl, nämlich 55 kg/mm festgesetzt ist, besonders da die preussischen Staatsbahnen jetzt eine erheblich größere Festigkeit als früher gestatten. Bei Straßenbahnschienen, für die nach den genannten Vorschriften diese Grenze auch gelten soll, ist sie geradezu unstatthaft. Die Zerreißproben sind in Ermangelung anderer Verfahren lediglich zur Härtebestimmung des Schienenstahles erforderlich, und deshalb verlangen die Staatsbahnen mit Recht keine bestimmte Dehnung, denn, wie schon erwähnt, geben die Schlagproben genügenden Aufschluss über die Zähigkeit des Materials.

Betrachtet man die Vorgänge, die den Verschleiß einer Schiene verursachen, etwas näher und nimmt an, die Schiene ruhe auf einer festen Unterlage, was auf den Schwellen annähernd der Fall ist, so ruft die Belastung eine Eindrückung des Rades in die Schiene hervor. Bei fortschreitender Bewegung des Rades ändert sich fortwährend die Lage dieser Eindrückung, was sich bei den aufeinander folgenden Rädern eines Zuges immer wiederholt. Im günstigsten Falle einer rein rollenden Bewegung verursacht dieses Eindrücken gewissermaßen ein beständiges Knoten der Schienenoberfläche. In der Längsrichtung werden die oberen Schichten des Schienenkopfes abwechselnd auf Zug und Druck beansprucht. Gegen den Fuß zu nimmt die Beanspruchung ab. In senkrechter Richtung wird die Schiene auf Druck beansprucht. Es liegt auf der Hand, dass, je tiefer die Eindrückung, desto mehr wird das Material in Anspruch genommen. Es ist aber auch klar, dass die Tiefe der Eindrückung von dem Druckwiderstand in senkrechter Richtung abhängen muss, und dass für den Fall einer unendlich großen Druckfestigkeit keine Beanspruchung auf Zug stattfinden kann.

Bei nur rollender Bewegung unter gewöhnlichen Bedingungen ist wahrscheinlich die Zugbeanspruchung des Stahles nicht groß genug, um eine Zerstörung der Oberfläche hervorzubringen; aber sobald ein Gleiten hinzukommt, was beim Bremsen der Räder und Anfahren immer vorkommt, ist es augenscheinlich, dass der Verschleiß mit der Tiefe der Eindrückung zunehmen muss. Die Schlussfolgerung ist offenbar die, dass, um den Verschleiß möglichst zu vermeiden, die Druckfestigkeit des Schienenstahles möglichst groß sein muss. Nach Ansicht des Vortragenden hängt also die Härte des Stahles, d. h. sein Widerstand gegen Eindrückung und folglich gegen Verschleiß, hauptsächlich von der Druckfestigkeit ab. Wäre man in stunde, einen Stahl von geringer Zugfestigkeit aber großer Druckfestigkeit herzustellen, so wäre die Druckfestigkeit für die Härte maßgebend. In der Regel sind wahrscheinlich Zug- und Druckfestigkeit bei Stahl einander annähernd proportional, und deshalb ist die übliche Annahme, dass Härte und Zugfestigkeit gleichbedeutend sind, gerechtfertigt.

Wie aber schon erwähnt, hängt der Verschleißwiderstand auch von der Dichte oder, besser gesagt, Gleichförmigkeit

des Stahles ab, und für letztere ist die Zugfestigkeit nicht allein maßgebend. Um dies zu veranschaulichen, denke man sich zwei Schienen aus genau dem gleichen Stoff, wovon die eine gleichförmig, die andere aber aus Lamellen zusammengesetzt ist, die zwar ganz genau aneinander passen, aber nur verhältnismäßig lose aneinander gekittet sind. Nimmt man aus der Mitte jeder dieser Schienen eine Zerreißprobe, so werden die damit erzielten Ergebnisse ungefähr gleich sein. Es ist aber klar, dass sich die aus Lamellen zusammengesetzte Schiene gegen Verschleiß viel ungünstiger verhalten muss als die gleichförmige Schiene.

Wie schon bemerkt, wäre ein billiges, einfaches und rasches Verfahren, die Härte von Schienenstahl zu bestimmen, sehr erwünscht. Das in letzter Zeit vielfach die Aufmerksamkeit von Fachleuten erregende Verfahren des schwedischen Ingenieurs Brinnell scheint in dieser Beziehung viel zu versprechen. Dieser benutzt kleine, sehr genau angefertigte harte Stahlkugeln, die unter einem bestimmten Druck in den Stahl eingedrückt werden. Dann misst man die Tiefe der Eindrückung oder auch ihren Durchmesser und kann den Flächeninhalt der eingedrückten Kugelkalotte berechnen. Der Druck, geteilt durch jenen Flächeninhalt, giebt die sogenannte Härtezahl, und nach den Versuchen von Brinnell steht diese in einem direkten Verhältnis zu der Zerreißfestigkeit. Nach Ansicht des Redners ist aber die Bestimmung der Zerreißbarkeit an und für sich Nebensache; der Wert des Verfahrens besteht vielmehr in seiner Verwendbarkeit für unmittelbare Härtebestimmung, und deshalb scheint die Frage sehr wichtig, ob die Ergebnisse auch durch die Gleichförmigkeit des Stahles beeinflusst werden. Ist dies der Fall, so wäre die Brinnellsche Probe gleichzeitig ein Ersatz für die Zerreiß- und für die Aetzprobe.

Der Redner hatte selbst kürzlich Gelegenheit, mit drei verschiedenen Sorten Schienenstahl Proben nach dem Brinnellschen Verfahren auszuführen, und hat, obwohl die Messgeräte nicht sehr vollkommen waren, eine leidliche Übereinstimmung zwischen der Festigkeit und der Brinnellschen Härtezahl gefunden. Brinnell will nicht nur die Zerreißfestigkeit, sondern auch die Elastizitätsgrenze und Dehnung durch sein Verfahren bestimmen. Auf jeden Fall verdient es die Beachtung, die ihr auch vonseiten der Straßenbahnen zuteil geworden ist.

Die Anforderungen an Straßenbahnschienen sind im Vergleich mit denen an Eisenbahnschienen in bezug auf Festigkeit niedriger, dagegen in bezug auf Härte höher. Da eine Straßenschiene in der Regel auf ihrer ganzen Länge unterstützt ist, so wird sie schon deswegen nicht in derselben Weise wie eine Eisenbahnschiene auf Biegung beansprucht, und wenn ein Bruch vorkommen sollte, so ist fast keine Gefahr damit verbunden. Außerdem aber tragen die Straßenschienen im Vergleich mit ihrem Widerstandsmoment viel kleinere Belastungen.

Heutzutage wendet man auf Straßenbahnen Rillenschienen an, die 40 bis 50 kg/m Gewicht haben, also reichlich so schwer wie die schwersten Eisenbahnschienen sind. Die größte Belastung aber wird selten 3 t pro Rad übersteigen, während sie bei Eisenbahnen 8 t erreicht. Ferner sind die Geschwindigkeiten viel geringer. Aus allen diesen Gründen genügen für

Straßenbahnschienen bedeutend leichtere Schlag- und Biegeproben als für Eisenbahnschienen.

In der That werden im allgemeinen von den deutschen Straßenbahnen dieselben Schlagproben verlangt wie von den preussischen Staatsbahnen, während nur halb so scharfe Proben schon vollständig genügen würden. Mit Rücksicht auf den erfahrungsgemäßen großen Verschleiß auf Straßenbahnen geht man heutzutage nicht unter 65 kg/qmm mit der Zerreißfestigkeit des Schienenstahles, und man sieht noch lieber eine solche von über 70 kg/qmm. Es giebt sogar Straßenbahningenieure im Auslande, die Schienenstahl mit einem Kohlenstoffgehalt von 0,3 vH verlangen, was einer Zerreißfestigkeit von 75 bis 80 kg/qmm entspricht, die sich aber mit einer verhältnismäßig leichten Schlagprobe begnügen. Bei Eisenbahnschienen wäre ein Stahl von solcher Härte mit Rücksicht auf die Betriebssicherheit nicht gerechtfertigt.

Aus den vorhergehenden Betrachtungen zieht der Vortragende den Schluss, dass für die praktische Prüfung von Schienen zwei Arten von Proben ausreichen:

- 1) Schlagproben zur Bestimmung der Elastizitätsgrenze sowie zur Prüfung der Widerstandsfähigkeit gegen Stoßwirkungen und der Zähigkeit,
- 2) Härtebestimmungen, unter denen auch Dichtigkeitsbestimmungen einbegriffen sind.

Als dritte Art könnte sich allenfalls noch die Belastungsprobe hinzugesellen, während chemische Analysen nur als Mittel zum Zweck zu betrachten sind. Ganz besonders betont der Vortragende die Wichtigkeit einer hohen Druckfestigkeit und wiederholter Schläge, deren Wirkung innerhalb der Elastizitätsgrenze bleibt, und erklärt weitere Versuche nach diesen Richtungen hin als erwünscht.

An der anschließenden Besprechung giebt Hr. Beckert der Freude Ausdruck, dass endlich einmal von einer Seite, die die Eisenbahnen vertritt, die Ansicht der Hüttenleute geteilt wird, dass nämlich Zerreiß- und ähnliche Proben nicht allein für die Beurteilung der Eisenbahnmateriale maßgebend sein können, sondern dass die technologischen Proben, das sind solche, durch die das Material in derselben Weise beansprucht wird wie im Betriebe, den Ausschlag über die Tauglichkeit geben müssen.

Darauf spricht Hr. W. Schmid über die bestehenden Vorschriften für Ueberhitzeranlagen¹⁾. Die Ueberhitzer waren bis zum vorigen Jahre der Genehmigung nicht unterworfen. Laut Erlass des Ministers für Handel und Gewerbe vom 12. März 1900 bedeutet jedoch der nachträgliche Einbau eines Ueberhitzers in eine genehmigte Anlage eine wesentliche Veränderung der Bauart oder der Betriebsstätte des Kessels. Hiernach wäre der nachträgliche Einbau eines Ueberhitzers genehmigungspflichtig. Infolge von Meinungsverschiedenheiten hat die kgl. Regierung in Düsseldorf jedoch entschieden, dass der nachträgliche Einbau von Ueberhitzern, die weder eine Veränderung der Bauart des Kessels noch der Lage und Größe der Feuerzüge bedingen, nicht genehmigungspflichtig ist, wenn vor und hinter dem Ueberhitzer ein Absperrventil angebracht ist. (Verfügung vom 15. Juni 1900.)

¹⁾ a. Z. 1901 S. 1356.

Bücherschau.

Handbuch der elektrischen Beleuchtung. Von J. Herzog und C. Feldmann. Zweite vermehrte Auflage. 619 S. große 8° mit 517 Abbildungen und 5 Tafeln. Berlin und München 1901, Julius Springer und R. Oldenbourg. Preis gebunden 16 M.

Die erste Auflage dieses Buches habe ich vor zwei Jahren (1899) auf S. 817 dieser Zeitschrift besprochen. Bei der Bearbeitung der zweiten Auflage hat die Verfasser dem Vorwort gemäß die aus der günstigen Aufnahme der ersten Auflage geschöpfte Ueberzeugung geleitet, dass die Art der Behandlung des Stoffes Anklang gefunden habe. »Wir haben deshalb den Aufbau des Werkes beibehalten und seinen Inhalt nur nach den neuesten Fortschritten auf dem Gebiete der Lichtquellen, der Effektheleuchtung, des Leitungsbaues und der Sicherungs- und Regelungsverfahren ergänzt. Außerdem haben wir es für ratsam gehalten, die Eigenschaften und das Verhalten der Dynamos, Motoren, Transformatoren und Apparate zu behandeln, um sowohl dem projektierenden und dem betriebführenden Ingenieur die nötigen Kenntnisse zur Lösung ihrer Aufgaben zu verschaffen, als auch dem Lernenden eine allgemeinere und tiefere Einsicht zu bieten.

— Aus diesem Grunde haben wir neue Abschnitte über den Abfall und die Parallelschaltung der Gleich- und Wechselstrommaschinen, über synchrone und asynchrone Motoren, über rotierende und ruhende Umformer und übergelassene Akkumulatoren eingefügt und auch den kommerziellen Fragen der Rentabilität und Tarifbildung die gebührende Aufmerksamkeit geschenkt.

Diese Mitteilungen der Verfasser über die Erweiterungen des Buches ergänze ich durch folgende Angaben: In dem ersten Kapitel über die Lichtquellen ist ein kurzer Abschnitt über die Auersehe und über die Nernstsche Lampe aufgenommen und ein Abschnitt über den Glanz der Lichtquellen eingefügt. Eine ausführliche und schätzenswerte Erweiterung bedeutet die Aufnahme von 15 neuen Paragraphen, die zunächst die Lichtverteilung und die mit Rücksicht hierauf erdachten Lampenkonstruktionen (Lichtstreu, Bogenlampen für indirektes Licht, Scheinwerfer) behandeln. Es folgen Abhandlungen über leuchtende Springbrunnen, über die erforderliche Beleuchtung in geschlossenen Räumen und auf der Straße. Dann wird zwischen Glühlicht- und Bogenlichtbeleuchtung in einzelnen Fällen entschieden, und schließlich

werden in den letzten drei Paragraphen der Illuminations-effekt der Lichtquellen, Reklamebeleuchtung und die Beleuchtung der Weltausstellung in Paris behandelt. Etwas von dem Inhalt dieser 15 Paragraphen war in der ersten Auflage schon kurz erwähnt, ein großer Teil ist aus dem Werkchen der Verfasser über Verteilung des Lichtes und der Lampen übernommen. — In dem Kapitel über Leitungsbau ist ein kurzer Abschnitt über Aluminiumleitungen neu; außerdem sind, der Entwicklung der Hochspannungsleitungen entsprechend, die neueren Hochspannungs-Isolatoren ausführlicher behandelt und bei der Beschreibung der Kabel und Konstruktionsteile einige bemerkenswerte Konstruktionen in Text und Bild hinzugefügt. — Bei der Behandlung der Leitungsberechnung sind die Abschnitte über Wechselstromleitungen, insbesondere Drehstromleitungen, erweitert. Es folgen dann die im Vorwort genannten Betrachtungen über Maschinen, Motoren und Akkumulatoren in dem Abschnitt »Schaltungen der Stromquellen«. Eine durch die Entwicklung der Technik gebotene wertvolle Erweiterung hat das Kapitel über Hilfsapparate durch die Beschreibung von Konstruktionen neuerer Sicherungen und Schalter für Nieder- und Hochspannung erfahren. In ähnlicher Weise ist das Kapitel über Beleuchtungskörper umgearbeitet. Die letzten Kapitel sind nur an wenigen Stellen geändert, die Beispiele ausgeführter Zentralstationen allerdings insofern, als an die Stelle von Köln Triest gesetzt ist.

Was die Beurteilung der Werkes betrifft, so wird es mir schwer, einen sicheren Standpunkt dafür zu gewinnen. Ich bin noch jetzt der Ueberzeugung, dass wir es mit einer bedeutenden literarischen Erscheinung zu thun haben. Die Aufgabe, ein Gebiet, wie es in dem Buche behandelt wird, zu beschreiben, ist sehr groß und erfordert einen tiefen Einblick in die Praxis, eine gründliche wissenschaftliche Befähigung, eine große Belesenheit und literarische Schulung, wie sie die Verfasser besitzen, und damit haben Herzog und Feldmann die Aufgabe gelöst. Ob die Art, wie sie sie gelöst haben, richtig ist, ist mir etwas zweifelhaft; und ich knüpfte an meine Bemerkung in der Besprechung der ersten Auflage an, dass der Stoff nicht immer gleichmäßig behandelt sei und manche Kapitel unter einer für ein Handbuch nicht angebrachten Beschränkung leiden. Eine Verbesserung in dieser Hinsicht hat die zweite Auflage dem Buche nicht gebracht. Es fragt sich allerdings, was man unter einem Handbuche versteht. In der Besprechung des Heineschen Handbuchs der Elektrotechnik erhob vor kurzer Zeit ein Amerikaner Einspruch gegen die Bezeichnung Handbuch, das Buch sei dazu viel zu umfangreich. Ich behaupte demgegenüber: das Buch von Herzog und Feldmann verdient nicht die Bezeichnung eines Handbuchs, weil es viel zu dünn ist. Dieser Gegensatz der Auffassung ist nicht persönlich, sondern ist wohl in der Verschiedenheit dessen begründet, was die Amerikaner und Engländer auf der einen und die Deutschen auf der andern Seite unter einem Handbuche verstehen. Wir verstehen seit alten Zeiten unter einem Handbuch ein umfangreiches Werk, das nicht in erster Linie dazu bestimmt ist, einen schnellen Ueberblick über ein Gebiet des Wissens zu ermöglichen, sondern das über alle Einzelheiten belehren soll, außerdem ein Buch, das nicht sowohl lehrt, wie man es anfangen kann, um ein gewisses Ziel zu erreichen, sondern das auch die Wege kritisch beleuchtet, die andere mit mehr oder weniger Erfolg gegangen sind, um dasselbe oder ein ähnliches Ziel zu erreichen. Ein solches Handbuch ist das vorliegende nicht.

An dem Namen liegt ja schließlich nicht viel; mir scheint aber gerade in der unsicheren Stellung, die das Buch inbezug auf die Behandlungsweise des Stoffes einnimmt, ein Mangel des Buches zu liegen. Fast in jedem Kapitel hat man das Gefühl: die Verfasser haben sich beschränkt, um das Buch nicht zu stark anschwellen zu lassen. So kommt es sehr häufig nicht zu einer ausführlichen Aussprache, die den Anfänger wirklich gründlich belehren oder den nach Wahrheit und Klarheit verlangenden Ingenieur

vollständig befriedigen könnte; und deshalb kann das Buch auch nicht als Lehrbuch bezeichnet werden. Viel sicherer fühlt sich der Leser, wenn er die Angaben durch Beifügung von Litteraturstellen unterstützt sieht. Man schreitet dann sicherer voran in dem Bewusstsein, dass und wo man sich die aus den kurzgefassten Beschreibungen nicht immer gewonnene gründliche Erkenntnis und Klarheit holen kann. Diese Ergänzung durch Litteraturstellen, und zwar in umfangreichster Weise, möchte ich dem Buche in der folgenden Auflage am meisten wünschen. Dann wird es einem Handbuche am ersten nahe kommen. Dann giebt es einen Ueberblick, und zwar einen sehr guten Ueberblick, über das große Gebiet und setzt jeden Leser, der sich über Einzelheiten ausführlich belehren will, in den Stand, dies durch Benutzung der angegebenen Litteratur zu thun. Dieser Auffassung des Buches entspricht jetzt schon der Ton, in dem es geschrieben ist, und der es in seiner Abwechslung zwischen wissenschaftlichem Ernst und behaglicher Erzählung (vergl. unter anderm S. 130 bis 134 und S. 521) so angenehm und leicht leserlich macht. Diesem Tone im Text entspricht auch die Auswahl der Abbildungen, die nicht nur Konstruktionszeichnungen, schematische Darstellungen und Abbildungen von Apparaten und Maschinen, sondern auch hübsche Bildchen von beleuchteten Räumen, monumentalen und Ausstellungsgebäuden und zierlichen Kronleuchtern bringen. In solcher Darstellung zeigen die Verfasser ihre ganze literarische Kunst und Geschicklichkeit, und hierdurch verstehen sie es, den Leser in eigenartiger Weise zu fesseln.

Auf Einzelheiten möchte ich, obwohl mir einige Fehler (z. B. in der Behandlung der Drehstromleitungen S. 249 bis 251) aufgestoßen sind, diesmal nicht näher eingehen, sondern mich mit einem Hinweise auf meine frühere Besprechung begnügen. Das meiste von dem damals Gesagten gilt heute noch, sogar der Hinweis, dass der spezifische Widerstand des Kupfers nach den Normalen des V. D. E. nicht 0,017, sondern 0,0175 Ω nicht überschreiten soll. Auch das Klage lied über die in der modernen technischen Litteratur übliche deutsche Sprache will ich nicht wieder antimmen. Die Besprechung soll nicht in einer Klage ausklingen, sondern in der Hervorhebung der Vorzüge des Buches als eines kurzen, umfassenden, viele Belehrung bietenden Werkes, das durch seine leicht leserliche Darstellung und die vorzügliche Einteilung des Stoffes, insbesondere in dem hauptsächlichsten Kapitel (über Beleuchtungsanlagen), einen sehr guten Ueberblick über das große Gebiet der elektrischen Beleuchtung gewährt; es wird dem Ingenieur viel Anregung geben, dem Projektirenden ein wertvolles Hilfsmittel sein.

Karlsruhe.

Prof. J. Teichmüller.

Der Kampf um die Cheops-Pyramide. Von Max Eyth. 2 Bd. Heidelberg, Carl Winters Universitäts-Buchhandlung 1901.

Max Eyth, den deutschen Ingenieuren schon längst nicht nur als hervorragender, bahnbrechender Fachgenosse, sondern auch als Verfasser höchst erfreulicher Schriften bekannt, in denen er seine Ingenieur-Erlebnisse in allen Weltteilen in anziehendster Weise mit der Schilderung von Land und Leuten zu verbinden weiß, hat uns mit dem neuesten Kinde seiner Muse und Mufe eine rechte Weihnachtsfreude bereitet. Auf dem altherwürdigen Boden des Nillandes, das Eyth so meisterhaft zu schildern versteht, spielt sich ein heftiger Kampf zwischen zwei Gestalten ab, die eine ebenso fanatisch in ihrer Verehrung des Altertums wie die andere rücksichtslos modern-realistisch. Der Gegenstand des Kampfes ist die Cheops-Pyramide, die jener als größtes Heiligtum der Welt vor jedem Antasten bewahren, dieser als sonst nutzlosen Steinhaufen zum Bau eines Rosenstauwehres im Nil verwerten will. Das Buch, durchtränkt von Eyths lebenswürdigem Humor und reich auch an technischer und wissenschaftlicher Anregung, sei unsern Lesern aufs beste empfohlen.

Zeitschriftenschau.

(• bedeutet Abbildung im Text.)

Bergbau.

Exposition Universelle de Paris 1900. Le matériel des mines. Von Habets. Forts. (Rev. univ. Mines Okt. 01 S. 143* mit 4 Taf.) Gewinnungsmaschinen: Bohrmaschinen, Schrämmaschinen, Maschinen zum Steinbruchbetrieb, Schachttaufen und Ausmauerung. Forts. folgt.

Chemische Industrie.

Les industries chimiques à l'Exposition de 1900 et leurs progrès depuis l'Exposition de 1889. Von Guillet. Forts. (Géol. civ. 28. Nov. 01 S. 55/58* u. 30. Nov. S. 73/75) Natürliche und künstliche Riechstoffe. Forts. folgt.

Dampfäusser und Kocheinrichtungen.

Zusammengedrückter Vakuumkessel. Von Rollin. (Mitt. Prax. Dampf. 27. Nov. 01 S. 859/61*) Der etwa 10 m lange, 2 m im Durchmesser haltende Trockenkessel wurde bei der ersten Inbetriebsetzung vollständig zerstört, da die Wandstärke viel zu schwach war.

Dampfkraftanlagen.

Explosion eines Wasserröhrenkessels. (Mitt. Prax. Dampf. Dampf. 20. Nov. 01 S. 844/46) Eingebende Beschreibung der Explosion, die durch das Aufreißen eines Rohres verursacht wurde.

Bericht über eine Dampfkessel-Explosion. (Glückh. 25. Nov. 01 S. 1015/16 mit 1 Taf.) Der explodierte Kessel war ein einfacher Walzenkessel mit darunter liegendem Heizer und Planrost-Unterfeuerung. Die Ursachen des Unfalls waren Wassermangel und schlechtes Material.

English, American and continental steam engineering. Von Dawson. (Eng. Magaz. Nov. 01 S. 161/76*) Überblick über die neuere Entwicklung der Dampfmaschine, mit besonderer Berücksichtigung der Einrichtung moderner Kraftwerke.

Eisenbahnwesen.

Elektrischer Betrieb auf den schweizerischen Hauptbahnen. Von Thormann. Schluss. (Schweiz. Bauz. 30. Nov. 01 S. 235/36) S. Zeitschriftenschau v. 7. Dez. 01.

The balancing of locomotives. Von Dalby. Schluss. (Engng. 29. Nov. 01 S. 755/56*) Veränderlicher Raddruck. Massenwirkung der hin- und hergehenden Bewegung. Beispiele.

Note sur la machine compound No. 3701 de la Société Italienne des Chemins de Fer Méridionaux. (Réseau de l'Adriatique.) Essais comparatifs avec les machines compound de la Compagnie de l'Ouest. Von Decourt. (Rev. gén. Chem. de Fer Nov. 01 S. 411/38 mit 5 Taf.) Die italienische Maschine ist eine $\frac{3}{2}$ -gekuppelte Zwillings-Verbindlokomotive. Die Cylinder haben 380 und 570 mm Dmr. bei 650 mm Hub. Beschreibung von Konstruktionseinzelheiten und Wiedergabe von Zugkraftdiagrammen der italienischen Lokomotive und zweier ähnlicher Lokomotiven der französischen Westbahn.

Eight wheels coupled coal locomotive. (Engineer 29. Nov. 01 S. 559/60*) $\frac{3}{2}$ -gekuppelte Lokomotive mit aufeinanderliegenden Cylindern von 508 mm Dmr. bei 66 mm Hub.

Maßnahmen zur Herabminderung des Kohlenverbrauches im Lokomotivbetrieb. Von Glasenapp. (Glaser 1. Dez. 01 S. 209/10*) Deutsche Wiedergabe des in Zeitschriftenschau v. 20. Juli 01 erwähnten Aufsatzes: „Suggested methods for reducing locomotive fuel consumption“.

Large railway wagons. (Engng. 29. Nov. 01 S. 740/41*) Darstellung zweier schwerer Güterwagen der Leeds Forge Company, deren Rahmen und Drehgestelle aus gepreßtem Stahl hergestellt sind. Kastenwagen für 31000 t Tragfähigkeit mit zwei zweifachigen Drehgestellen. Kohlenwagen für 30000 t Tragfähigkeit.

Eisenhüttenwesen.

Amerikanische Eisenhütten und deren Hilfsmittel. Von Langheini. Schluss. (Stahl u. Eisen 15. Nov. 01 S. 1220/34* u. 1. Dez. S. 1294/1301*) Walzwerke der American Iron and Steel Company in Pittsburg und der Illinois Steel Company in Süd Chicago und Joliet. Neue Walzwerke der Carnegie Steel Company in Duquesne, der Lorain Steel Company in Lorain, der National Steel Company in Youngstown und der Maryland Steel Company in Sparrows Point.

Beitrag zur Kenntnis der japanischen Eisenindustrie. Von Bahten. (Stahl u. Eisen 15. Nov. 01 S. 1213/17) Beschreibung der Kamaishi-Eisenwerke und Schilderung des Betriebsabganges.

Die Walzwerks-Einrichtungen der Gegenwart. Von Sattmann. (Stahl u. Eisen 15. Nov. 01 S. 1209/18 u. 1. Dez. S. 1280/93*) Auswahl der Örtlichkeit für eine zu errichtende Eisenhütte. Die beim Entwurf einer Walzwerkanlage zu beachtenden Punkte. Richtige Betriebsführung. Buchführung und Kalkulation. Behandlung der Arbeiter. Walzwerke für Flusseisenherzeugung: 1) die Mittellinie der Walzwerke ist parallel dem Gleise des Gusskranes oder Gusswagens;

2) die Mittellinie der Walzwerke ist senkrecht zum Gleise des Gusswagens. Forts. folgt.

The Neepsend rolling mills, Sheffield. (Engineer 29. Nov. 01 S. 545) Beschreibung der Einrichtung des Walzwerkes, das Draht, Stahlscheite, Sägeblätter usw. herstellt.

Note sur l'action des divers types de gazogènes sur la marche des fours Martin. Von Lecauchoux. (Mém. Soc. Ing. Civ. Sept. 01 S. 567/77) Beschreibung der grundlegenden Eigenschaften der verschiedenen Gaserzeuger Konstruktionen und ihres Einflusses auf den Martinprozess. Mitteilung von Versuchsergebnissen.

Eisenkonstruktionen, Brücken.

Conférence sur l'experimentation des ponts. Von Rabut. (Rev. gén. Chem. de Fer Nov. 01 S. 457/84*) Schilderung der Verfahren zur Prüfung der in Eisen-, Beton- und Mauerwerksbrücken auftretenden Spannungen, insbesondere in ihrer Anwendung bei den Brücken der französischen Westbahn. Wiedergabe von Prüfergebnissen.

The Rankin bridge. (Eng. Rec. 16. Nov. 01 S. 465/70*) Die Brücke trägt zwei Gleise, von denen das eine zum Transport von Gießpfannenwagen mit geschmolzenem Metall besonders hergerichtet ist. Zwei Öffnungen von 152 und 76 m Spannweite werden von Pratt-Trägern überspannt; an diese schlossen sich nach beiden Seiten Blechträgerbrücken an.

The new Victoria station at Nottingham. Forts. (Engng. 29. Nov. 01 S. 736/37* mit 1 Taf.) Die Windverhände der Hallen. Forts. folgt.

Normalbedingungen für die Lieferung von Eisenkonstruktionen von Gasbehältern. (Journ. Gasb.-Wasserv. 28. Nov. 01 S. 872/75*) Die Bedingungen sind vom deutschen Verein von Gas- und Wasserfachmännern und dem Vorbande deutscher Gasbehälterfabrikanten aufgestellt.

Elektrotechnik.

Elektrizität im Grubenbetriebe. (Glaser 1. Dez. 01 S. 215/17*) Kurze Beschreibung der Drehstromanlage für das Sneyd-Kohlenbergwerk in Burslem, England.

Die Hochspannungs-Überlandzentrale Crottorf i/S. Von Apt. (Elektrot. Z. 28. Nov. 01 S. 984/88*) Das Werk ist vorwiegend für landwirtschaftliche Bedürfnisse bestimmt. Es nutzt eine Wasserkraft der Bode von 2,7 m wirksamen Gefälle und 6,45 ckm³/sk Wassermenge in drei 185-pferdigen Turbinen von 54 Uml./min aus, die mittels Kegetradübersetzungen die Welle eines 500 KW-Drehstromerzeugers antreiben. Zur Unterstützung der Turbinen bei niedrigem Wasserstande dient eine 250-pferdige Tandem-Verbunddampfmaschine, die ebenfalls mit der Dynamomaschine gekuppelt werden kann. Ein zweiter 500 KW-Drehstromerzeuger wird nur von einer liegenden Verbunddampfmaschine angetrieben. Zur Dampferzeugung dienen 5 Flammrohrkessel von je 90 qm Heizfläche. Der Strom wird mit 7000 V Spannung in die Fernleitung geschickt und in mehreren Unterstationen durch Motorgeneratoren in Gleichstrom verwandelt oder durch Transformatoren auf niedrige Spannung gebracht.

Great electric-power installations of Italy. Von Big-nami. (Eng. Magaz. Nov. 01 S. 185/202*) Eingehende Beschreibung des Hochspannungs-Kraftwerkes in Vizzola-Ticino, das von der Continental Gesellschaft für elektrische Unternehmungen in Nürnberg errichtet worden ist.

Beurteilung der Eigenschaften von Dynamomaschinen aufgrund der Nutzenanordnung. Von Corsepius. (Elektrot. Z. 28. Nov. 01 S. 988/91*) Nachdem der Verfasser die für die Berechnung und Konstruktion von Gleichstromdynamomaschinen wesentlichsten Punkte ermittelt hat, entwickelt er ein Berechnungsverfahren, das von der Anordnung der Ankernut ausgeht. Forts. folgt.

Generators and transformers for the Bay Counties Power Co., California. Von Heilmann und Currie. (Eng. News 21. Nov. 01 S. 382/84*) Gleichpolmaschinen mit doppelter Aufwicklung und getrennten Erregerspulen gebaut von der Stanley Electric Co. in Pittsfield, Mass. Die dargestellten Transformatoren haben eine Übersehung von 2300 auf 40000; ihre Hoch- und Niedersehungsspulen sind abwechselnd angeordnet.

General Electric Company's constant current transformer for alternating series arc lighting. (Journ. Franklin Inst. Nov. 01 S. 355/70* mit 1 Taf.) Die Primärspule der Transformatoren wird an ein Netz mit gleichbleibender Spannung angeschlossen, während der sekundäre Stromkreis auf gleichbleibenden Strom geregelt und zum Speisen von hintereinander geschalteten Bogenlampen verwendet wird. Schaltung und Regelung der Transformatoren und der Bogenlampen. Stromverbrauch und Leuchtkraft der Lampen.

Surges in transmission circuits. Von Kennelly. (El. World 23. Nov. 01 S. 847/49) Ermittlung der bei plötzlichen Veränderungen in einem Wechselstromkreise auftretenden Spannungsänderungen.

Kabelleitungsröhren nach System Kiss, Budapest. (Bau-
materialienk. 01 Heft 21 S. 334/35) Die Zementröhren sind oben offen
und mit einem Deckel verschließbar. Die Röhren für eine größere
Anzahl von Kabeln haben an den Seiten stufenförmige Ansätze, auf die
Zwischendecken aus Zement gelegt werden, sodass die Röhren mehrere
Lagen von gegeneinander geschützten Kabeln aufnehmen vermögen,
welche leicht herausgehoben werden können.

Erde- und Wasserbau.

Die Bauarbeiten am Simplon-Tunnel. Von Pestalozzi.
IV. (Schweiz. Bauz. 30. Nov. 01 S. 241/44*) Die Wasserkraftanlage
auf der Südseite. Forts. folgt.

The new subway in New York City. Von Prall. (Engng.
29. Nov. 01 S. 737/40*) Der zweite Teil des Streckenabschnittes von
der 47. bis zur 60. Strasse. Forts. folgt.

Nouveau système de fondations pour terrains sablon-
neux et aquifères. Von Calas. (Mém. Soc. Ing. Civ. Sept. 01
S. 562/66*) Beschreibung eines Gründungsverfahrens, bei dem Senk-
kasten mittels Wassers eingespült werden.

Explosionsmotoren und andere Wärmekraftmaschinen.

Kraftgas. Von Meyer. Forts. (Glaser 1. Dez. 01 S. 217/21*)
S. Zeitschriftenschau v. 16. Nov. 01. Forts. folgt.

The Maywood gas and gasoline engine. (Iron Age 14.
Nov. 01 S. 3/4*) Stiehende, zweizylindrige, im Viertakt arbeitende
Maschine, deren Triebwerkteile in einem geschlossenen mit Öl ge-
füllten Gehäuse laufen. Die Reguliervorrichtung ist eingehend beschrieben.

Feuerungsanlagen.

Carl Wegeners automatische Stückkohlenfeuerung. Von
Carlo. (Mitt. Prax. Dampf. 27. Nov. 01 S. 658/59*) Der
Rost bildet eine Kegelfläche, in deren abgestumpfter Spitze ein weites
Rohr einmündet, das am andern Ende an einen Cylinder anschliesst.
In diesem wird ein Kolben durch eine Druckwasserpresse langsam
vorwärts gedrückt, sodass die in dem Rohr befindlichen Kohlen über
den kegelförmigen Rost verteilt werden.

Gasindustrie.

Die Gas-, Elektrizitäts- und Wasserwerke in Lübeck.
Von Hase. (Journ. Gas- u. Wasserv. 23. Nov. 01 S. 875/77) Kurze
Schilderung der Entwicklung der Werke und Angaben über ihre
Leistungsfähigkeit.

Kalkzuführung bei der Verarbeitung des Ammoniak-
wassers. Von Blum. (Journ. Gas- u. Wasserv. 30. Nov. 01 S. 895/98*)
Zum Zuführen der Kalkmilch wird eine unmittelbar wirkende Dampf-
pumpe mit Katarakteuerung verwendet. Anordnung der Pumpe in
Verbindung mit einer kleinen Verdichtungsanlage.

Gesundheitsingenieurwesen.

Septic tanks and contact beds at Plainfield, N. J. Von
Gavett. (Eng. Rec. 16. Nov. 01 S. 471/72*) Lageplan und Einzel-
heiten der Faulräume und Rohrleitungen.

Gießerei.

Iron foundries and foundry practice in the United
States. X. (Engineer 29. Nov. 01 S. 549/52*) Kerntrocken- und
Kupoldfen.

Die Entwicklung der Schalengussrader-Fabrikation,
deren Vorteile betrifft Sicherheit und Oekonomie im Be-
trieb und der Besuch der Teilnehmer am Budapester Kon-
gress der Materialprüfungsstechniker bei der Firma Ganz
& Co. (Bauaterialienk. 01 Heft 21 S. 331/34*) Allgemeines über
Hartguss. Die Formen und die Ausführung des Gusses. Die wesent-
lichen Formen der Schalengussräder seit dem Jahre 1854. Das Roh-
material. Abkühlen der Gussstücke. Abschleifen der Laufflächen.
Prüfung der Räder. Vorteile. Forts. folgt.

Ein Tiegelofen. I. Von Schmatolla. (Z. Werkzeugm. 25. Nov.
01 S. 89/92*) Deutscher Tiegelofen für natürlichen Zug. Ofen von
Plat. Rekuperatoröfen verschiedener Bauarten.

Controlling the contraction of metals while casting.
Von Allen. (Iron Age 14. Nov. 01 S. 186/89*) Der Verfasser benutzt
zum Regeln der Abkühlung von Gussstücken einen mit Gas gefüllten
Ofen, der kurz beschrieben ist.

Hobzeuge.

125-ton four-motor overhead electric traveller. (En-
ginner 29. Nov. 01 S. 561/62*) Der von Vaughan & Son, Manchester,
gebaute Laufkran hat 16,4 m Spannweite. Ein Motor dient zum Be-
wegen der Laufkatze, zwei zum Heben der Last und der vierte zum
Antrieb des Krans.

Heizung und Lüftung.

Zum Köttingschen Luftumwälzungsverfahren. (Ge-
sundheitsing. 30. Nov. 01 S. 357/59) Meinungsaustausch zu den in Zeit-
schriftenschau v. 10. Aug. und 28. Sept. 01 erwähnten Aufträgen.

Heating apparatus in St. Louis schools. (Eng. Rec. 16. Nov.
01 S. 480*) Darstellung einiger Einzelheiten der Heizkörper.

Hochbau.

Heavy girders in the Union Club House. (Eng. Rec.
16. Nov. 01 S. 478/79*) Einzelheiten der Deckenträger, Wand- und
freistehenden Säulen in dem 5stöckigen Gebäude.

A high chimney for discharging acid vapors. (Eng.
News 21. Nov. 01 S. 398*) Der gemauerte Schornstein ist 111 m hoch
und hat am Fusse 6 m, an der Spitze 3 m inneren Dmr.

Kälteindustrie.

Die Fabrikation der flüssigen Kohlensäure. Von
Schmatolla. Forts. (Z. Eis- u. Kälte-Ind. 20. Nov. 01 S. 73/74*)
Herstellung von Kohlensäure durch Verbrennen von Koks und durch
Brennen von Kalkstein. Schluss folgt.

Maschinenkunde.

Ueber Zahnräder. Von Schaffer. (Z. Osterr. Ing.- u. Arch.-
Ver. 22. Nov. 01 S. 798/803* u. 29. Nov. 01 S. 818/23*) Eingehende mech-
anische und rechnerische Ermittlung der Reibung für Zykloiden- und
Evolventenverzahnung und Schlussfolgerungen für die Konstruktion
der Zähne.

Band wheel for the Calumet & Hecla Mining Company.
(Iron Age 14. Nov. 01 S. 1/2*) Das große Zahnrad hat rd. 20 m Dmr.
und wiegt mit Zubehör rd. 500 000 kg. Der Kran ist aus 20 Segment-
stücken zusammengesetzt und mit der Nabe durch 40 Speichen von
100 mm Dmr. verbunden.

Materialkunde.

Rationelle Durchführung der Materialprüfung. Von Rejtsö.
Forts. (Bauaterialienk. 01 Heft 21 S. 336/37*) Tabellen über die
mechanischen und chemischen Eigenschaften von Tiegelstahl, erläutert
durch Aufbilder. Forts. folgt.

Studie über die Konstitution des Portlandzementes. Von
Meyer. Forts. (Bauaterialienk. 01 Heft 21 S. 326/30) Theorie der
Bindung und der Erhärtung: Die erste oder sogenannte falsche Bin-
dung. Theorien von Rebouffat, Le Chatelier und Newberry. Forts. folgt.

Anormales Verhalten von Zement in Bezug auf Abbin-
den. Von Wormser. (Bauaterialienk. 01 Heft 21 S. 331) Mit-
teilung über das Abbinden zweier Zementarten, eines langsam- und
eines Schnellbinders, die durch Erhitzen auf 70 bis 80° oder 90 bis 100°
ihre natürlichen Eigenschaften verloren hatten, sie aber nach einiger
Zeit ohne besondere Massnahmen wieder erlangten.

The coefficient of expansion of concrete. Von Pence.
(Eng. News 21. Nov. 01 S. 880/82*) Beschreibung der Versuchsein-
richtungen und Schilderung der Verfahren zur Bestimmung der Aus-
dehnungsziffer für Portlandzement. Wiedergabe von Versuchsergeb-
nissen.

Mathematik.

Contribution à la théorie et aux applications de la no-
mographie. Von Soreau. (Mém. Soc. Ing. Civ. Aug. 01 S. 191/512*)
Umfangreiche Abhandlung über das von d'Ocagne ausgebildete Ver-
fahren, mittels Kurventafeln Gleichungen niedrigen und hohen Grades,
einfacher oder zusammengesetzter Natur mit einer oder mehreren
Unbekannten zu lösen. Zahlreiche Anwendungen auf physikalische und
technische Aufgaben erläutern das Verfahren.

Messgeräte.

Measurement of the angle of lag of three-phase circuits
with one wattmeter. Von McAllister. (El. World 23. Nov. 01
S. 849*) Die Stromspule des Wattmeters wird in eine der 3 Phasen ge-
schaltet, während die Spannungsspule zwischen diese Phase einerseits und
nacheinander an die beiden andern Phasen andererseits geschaltet wird.

Der Winkel φ bestimmt sich dann aus der Formel $\tan \varphi = \frac{1}{3} \frac{W_1 - W_2}{W_1 + W_2}$,
wobei W_1 und W_2 die in den beiden Phasen gemessenen Leistungen
bedeuten.

Metallbearbeitung.

Die Werkzeugmaschinen zur Herstellung und Repara-
tur von Eisenbahn-Betriebsmitteln auf der Pariser Welt-
ausstellung 1900. Von Ungar. Forts. (Glaser 1. Dez. 01 S. 210/15*)
Feilmaschine der Morton Mfr. Co. in Muskegon Heights, Mich. Hobel-
maschinen von Kirchner & Co., Leipzig Selterhausen, von Sondermann
& Rier, Chemnitz, und von Schultz in Mülhausen i. K. Lokomotiv-
rahmen-Stoß- und Fräsmaschine von Collet & Engelhard, Offenbach a. M.
Forts. folgt.

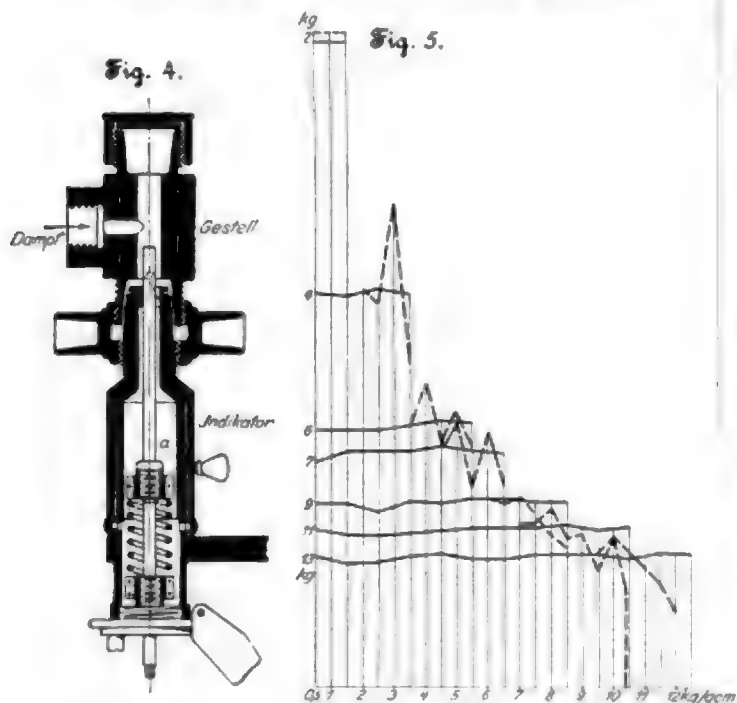
Machine tools at the Stanley Show. (Engng. 29. Nov. 01
S. 731/33*) Erläuterung der Konstruktion einzelner ausgesetzter Werk-
zeugmaschinen. Vierspindlige Schraubenbank und achtpindlige Rohr-
maschine von Seidenschkar & Co. Hinterradmaschine von J. E. Re-
ucker. Kegelmühlmaschine von der Bilgram Machine Tool Co.

An improved Gisholt turret lathe. (Am. Mach. 23. Nov.
01 S. 1229*) Die Revolverdrehbank wird jetzt mit einem Querschlitzen
ausgestattet, der auf einer Winkelkonsole ruht. Diese Konsole gleitet
auf dem vorderen Prisma des Bettes und an einer an der vorderen
Bettwange angeordneten Führung.

A new arrangement of feed gearing for the lathe. (Am.
Mach. 23. Nov. 01 S. 1228*) Der von Schumacher & Boye in Cincin-
nati konstruierte Leitspindeltrieb kann als Abänderung des Handey-
Nortonischen Antriebes aufgefasst werden.



so zeigten sich besonders bei den höheren Drücken so starke Unterschiede zwischen den beiden Linien, dass Zweifel an der Richtigkeit der Angaben entstehen mussten. Man entschloss sich deshalb, den Indikator Kolben bei der Prüfung mit Gewichtbelastung ganz herauszunehmen und durch die in Fig. 4 dargestellte Anordnung die Kolbenreibung vollständig zu beseitigen. Es wurde eine lange Kolbenstange *a* eingesetzt, auf die die Feder geschraubt wird. Zur Führung von *a* dient die mit 3 Schlitten zum Durchtritt des Dampfes versehene Büchse *b*. Diese Einrichtung hat sich als vorzüglich geeignet erwiesen; die beiden auf die oben beschriebene Weise entstandenen Linien haben sich für alle Drücke vollkommen gedeckt.



Die vergleichenden mit diesem Gerät vorgenommenen Messungen führten zunächst zu dem bemerkenswerten Ergebnis, dass die Gewichtprüfung ohne Kolbenreibung wesentlich zuverlässigere Ergebnisse liefert als die Dampfdruckprüfung. Wie wenig die letztere geeignet ist, ein Urteil über die Veränderlichkeit des Federmaßstabes mit zu- oder abnehmender Belastung zu ermöglichen, zeigt z. B. Fig. 5. Während die ausgezogenen für Gewichtprüfung geltenden Kurven einen durchaus regelmäßigen Verlauf aufweisen, treten bei den die Ergebnisse der Dampfdruckprüfung darstellenden Kurven starke Zickzacklinien auf, die unmöglich das Verhalten der Feder richtig wiedergeben können, vielmehr auf den Einfluss der Kolbenreibung zurückgeführt werden müssen. Da außerdem die Gewichtprüfung viel leichter und schneller ausgeführt werden kann, so empfiehlt der genannte Verein die ausschließliche Einführung der Gewichtprüfung ohne Kolbenreibung.

Weitere Versuche des Revisionsvereines erstreckten sich auf die von Slaby beobachtete und in Z. 1889 S. 789 besprochene Erscheinung, dass sich verschiedene Maßstäbe ergeben, wenn man die Indikatorfeder einmal bei zunehmender, das anderemal bei abnehmender Belastung prüft¹⁾. Der Unterschied sollte bis zu 3 vH steigen und gab Slaby Veranlassung, eine dynamische Prüfung der Indikatorfedern zu empfehlen. Die Gewichtprüfung ohne Kolbenreibung lieferte indes keine Bestätigung der Slabyschen Beobachtungen. Die Unterschiede zwischen den bei Belastung und Entlastung erhaltenen Federmaßstäben waren so gering (höchstens 0,3 vH), dass das abweichende Verhalten der Federn bei den Slabyschen Versuchen durch die Kolbenreibung oder das Anhaften des Schmiermittels an den Cylinderflächen erklärt werden muss.

Sehr umfangreiche Untersuchungen wurden vorgenommen, um die Beziehungen zwischen den Maßstäben der Federn in kaltem und warmem Zustande festzustellen. Es zeigte sich, dass der Maßstab einer warm geprüften Feder stets größer ist als der einer kalten Feder; jedoch war eine Gesetzmäßigkeit für die Aenderung des Federmaßstabes mit der Tempe-

ratur nicht zu erkennen. Die Unterschiede schwanken zwischen 0,5 und 4 vH. Die Federn wurden dabei stets durch Dampf von der Hälfte der zulässigen Federspannung angewärmt. Ausführliche vorbereitende Versuche, bei denen die Federn mit Dampf von wachsenden Spannungen angewärmt wurden, lieferten nämlich das Ergebnis, dass die so erhaltenen Federmaßstäbe kaum von einander abwichen, mochte man Dampf von 1 at oder von 12 at oder von einem dazwischen liegenden Druck nehmen.

Schließlich erstreckten sich die Versuche des bayerischen Revisionsvereines auch auf die Proportionalität der Federn. Die Ergebnisse für die 9 kg-Feder sämtlicher Indikatoren großen Modelles des Vereines sind in der folgenden Uebersicht zusammengestellt. Man ersieht daraus, dass einzelne Federn eine Zunahme, andere eine Abnahme des Maßstabes

Druck at	Nummer des Indikators												
	1	2	308	636	990	995	2752	2753	3000	3001	3762	3832	
0 bis 1,5	—	—	5,7	5,7	6,1	6,2	7,3	6,5	6,9	6,9	7,0	6,9	
1,5 > 2,5	7,5	7,6	5,8	5,7	6,0	6,0	6,7	6,7	6,9	6,8	6,7	6,7	
2,5 > 3,5	7,3	7,4	5,8	5,7	5,9	6,0	6,9	7,0	6,8	6,9	7,1	6,8	
3,5 > 4,5	7,5	7,3	5,8	5,8	5,8	6,0	6,8	7,0	6,9	6,9	7,0	7,0	
4,5 > 5,5	7,4	7,4	5,9	5,9	6,1	6,0	7,1	7,0	7,1	7,0	7,2	7,0	
5,5 > 6,5	7,4	7,3	5,9	6,0	5,8	5,9	7,0	7,3	7,0	7,2	7,2	7,0	
6,5 > 7,5	7,4	7,2	6,0	5,9	6,0	6,0	7,0	7,4	7,3	7,3	7,1	7,2	
7,5 > 8,5	7,3	7,1	6,0	5,9	5,8	6,0	6,9	7,3	7,1	7,4	7,1	7,2	

bei wachsender Belastung zeigen, dass also eine gesetzmäßige Abhängigkeit zwischen Federmaßstab und Belastung nicht besteht. Alle Federn hatten übrigens größere Vakuum- als Ueberdruckmaßstäbe.

Nach den bei den Federprüfungen gewonnenen Erfahrungen werden in der oben genannten Quelle folgende Regeln für die Bestimmung des Federmaßstabes aufgestellt:

1) Alle Indikatorfedern werden auf Druck und diejenigen für Belastungen bis zu 6 at auch auf Vakuum geprüft und erhalten dementsprechend einen Druck- und einen Vakuummaßstab, die beide aus den Zusammendrückungen bei größter Belastung berechnet werden. Für Dampfmaschinen-Indizierungen werden die Prüfungen mit der angewärmten Feder durchgeführt.

2) Bei Diagrammen, die teils über, teils unter der Atmosphärenlinie liegen, wird für die Ermittlung des mittleren Druckes aus dem Druck- und dem Vakuummaßstab ein entsprechender Zwischenwert berechnet.

3) Die nach dem geschilderten Verfahren erhaltenen Maßstäbe gelten für alle Indizierungen, bei denen es sich in erster Linie um die Beurteilung der Dampfverteilung handelt und bei denen für die Leistungsermittlung eine Genauigkeit, wie sie die für Leistungsversuche vom Verein deutscher Ingenieure, dem Internationalen Verbands der Dampfkessel-Ueberwachungsvereine und dem Verein deutscher Maschinenbauanstalten aufgestellten Normen voraussetzen, genügt.

4) Dieses Verfahren setzt voraus, dass man Federn mit sehr mangelhafter Proportionalität von allen Untersuchungen grundsätzlich ausschließt.

5) Für sehr genaue Untersuchungen, bei denen Federn mit unvollkommener Proportionalität zur Verwendung kommen, wird man die Diagramme vor der Bearbeitung auf einen konstanten Maßstab umzeichnen müssen oder in sonst geeigneter Weise einen mittleren Maßstab berechnen, wozu die von Prof. Schröter-München veröffentlichten Verfahren (Rosenkranz, Der Indikator, 5. Aufl. S. 84 und Z. 1897 S. 846) verwendet werden können.

Eine derartige von Fall zu Fall vorzunehmende genaue Ermittlung des mittleren Maßstabes darf jedoch nur aufgrund wirklich zuverlässiger und reibungsfreier Federprüfung vorgenommen werden, da andernfalls die Verbesserung nur eine scheinbare sein kann.

Die Brüsseler Straßenbahnen, die schon seit einer Reihe von Jahren einzelne ihrer Strecken elektrisch betreiben, stehen im Begriff, auf ihrem gesamten Netz den elektrischen Betrieb einzuführen. Dazu reichen die vorhandenen drei Kraftwerke, deren Leistung zusammen rd. 3000 PS beträgt, nicht aus. Man hat deshalb beschlossen, ein neues Kraftwerk zu erbauen, das Drehstrom erzeugt, welcher in Unterstationen in Gleichstrom umgewandelt wird. Die vorhandenen Maschinenhäuser sollen als Umformerstationen benutzt werden. Das neue im Bau begriffene Kraftwerk erhält zunächst vier Dampfdynamos von je 1200 KW und soll später um drei weitere von gleicher Leistung vergrößert werden. Die Dampfmaschinen werden von van den Kerchove in Gent gebaut; sie sollen mit überhitztem Dampf arbeiten und erhalten dieselbe

¹⁾ Vergl. hierzu S. 1772.

Steuerung wie die von der genannten Firma auf der Weltausstellung in Paris vorgeführte Maschine. Die Dynamos, Bauart Thomson-Houston, sind mit der Kurbelwelle der Dampfmaschine gekuppelt und machen wie diese 94 Uml./min.

Auch die städtischen Behörden von Brüssel stehen im Begriff, ihr zur Beleuchtungszwecken dienendes Elektrizitätswerk zu vergrößern. Zu den vorhandenen Maschinen von zusammen 5500 PS wird eine neue Dampfmaschine von 1500 PS aufgestellt, die ebenfalls von der Firma van den Kerchove geliefert wird. Da aber die Möglichkeit, das rings von Häusern umschlossene Werk weiter zu vergrößern, in absehbarer Zeit aufhören dürfte, so geht man mit dem Plane um, außerhalb der Stadt ein Kraftwerk von 20000 PS zu errichten und von dort hochgespannten Drehstrom einzelnen Umformeranlagen innerhalb der Stadt zuzuführen.

Die Allgemeine Elektrizitäts-Gesellschaft, Berlin, hat vor kurzem den Auftrag erhalten, in Manchester ein neues Elektrizitätswerk zu errichten. Das Werk wird von der Stadt erbaut und soll Elektrizität für Beleuchtung, Kraftwerke und Bahnbetrieb abgeben. Die Hauptanlage ist für eine Leistung von 60000 PS geplant, von denen beim ersten Ausbau 15000 PS in 6 Maschinensätzen zur Aufstellung gelangen. Ein jeder davon besteht aus einer stehenden Dreifach-Expansionsmaschine von 2500 PS; normaler und 3000 PS höchster Leistung bei 94 Uml./min und rd. 13,5 at Eintrittspannung. Diese Dampfmaschinen werden von der Firma Yates & Thom gebaut. Mit ihnen sind Drehstromdynamos für 1500 KW normaler, 1800 KW höchster Leistung bei 6600 V Spannung und 50 Per./sek gekuppelt. Zur Erregung dienen 2 Dampfmaschinen von je rd. 90 KW. Ferner werden im Hauptwerk 3 Gleichstromdynamos von 225 KW bei 220 V und 350 Uml./min für Halberregung, Beleuchtung des Kraftwerkes und Motorenbetrieb innerhalb des Werkes aufgestellt, die mit schnelllaufenden Dampfmaschinen von Willans & Robinson gekuppelt sind. Die Schalttafeln sind in drei Stockwerken übereinander angeordnet; nebeneinander gestellt, würden sie eine Länge von rd. 1/2 km einnehmen. Von dem Hauptwerk wird der Drehstrom durch Kabelleitungen vorerst nach 10 Unterstationen geführt, wo Umformer von je 350 KW bei 500 Uml./min zur Aufstellung gelangen. Die Lichtumformer bestehen aus je einem Hochspannungs-Synchronmotor für 6000 V und einem Gleichstromerzeuger für 2×220 V mit Spannungsteiler, die Bahnumformer ebenfalls aus je einem Hochspannungs-Synchronmotor, einem Gleichstromerzeuger für 500 V und einer damit gekuppelten kleinen Erregermaschine. Im ganzen werden beim ersten Ausbau 18 Umformer für die Bahnen und 12 für Licht aufgestellt. Ferner dient beim ersten Anlassen zur Erregung und zum Ausgleich in jeder Unterstation ein Maschinensatz von 100 KW, bestehend aus einem mit Gleichstromdynamos gekuppelten Hochspannungs-Induktionsmotor.

Eine weitere Anlage im Auslande, für welche die Allgemeine Elektrizitäts-Gesellschaft größere Lieferungen übernommen hat, ist das **Elektrizitätswerk Amsterdam**, das im ersten Ausbau rd. 5000 PS erhalten und später auf 10000 PS erweitert werden soll. Zur Aufstellung gelangen im nächsten Jahre 5 liegende Verbundmaschinen von je rd. 1000 PS, mit Oberflächenkondensation, von denen drei von der Nederlandschen Fabrik van Werktuigen en Spoorwegmaterieel und 2 von Gebr. Stork & Co. in Hengelo gebaut werden. Von der Allgemeinen Elektrizitäts-Gesellschaft werden dazu 3 Drehstromdynamos für eine Leistung von je 840 KVA bei 3000 V und 107 Uml./min sowie 3 Gleichstromdynamos für eine Leistung von je 720 KW bei 600 V mittlerer Spannung und 107 Uml./min geliefert. Die drei erstgenannten Maschinen geben Strom für Licht- und Kraftwerke, die drei letzten für den Betrieb der elektrischen Bahnen. Je 2 Dampfmaschinen er-

halten eine Gleichstrom- bzw. eine Drehstromdynamo. Die fünfte Dampfmaschine wird mit einer Drehstromdynamo und einer Gleichstromdynamo zu einem Satz vereinigt. Außerdem werden im Maschinenhaus noch 2 Drehstrom-Gleichstrom-Umformer von je 60 KW zur Lieferung des Erregerstromes für die Drehstromdynamos und eine Gleichstromdynamo von rd. 100 KW als Zusatzmaschine für eine Bahnpufferbatterie aufgestellt. Die letztere besteht aus 300 Elementen der Hagener Akkumulatorenfabrik A.-G. von rd. 1200 Amp.-st Kapazität bei einstündiger Entladung. Ferner ist zum Erregen der Drehstromdynamos eine Akkumulatorenbatterie von 66 Elementen, von derselben Firma geliefert, für rd. 650 Amp.-st Kapazität bei 3stündiger Entladung vorgesehen.

Im Kesselhause werden 12 kombinierte Kessel von je 250 qm Heizfläche und rd. 50 qm Ueberhitzerfläche aufgestellt. Die Lieferung der Kessel ist ebenso wie die der Dampfmaschinen von der Stadt vorgeschrieben, und zwar werden 8 von der Nederlandschen Fabrik van Werktuigen en Spoorwegmaterieel, 4 von Gebr. Stork & Co. in Hengelo geliefert. Zum Entleeren des Dampfwassers, das als Kesselpeisewasser wieder verwendet wird, werden 2 Reisersche Wasserreiniger von je 30 cbm.-st Leistung aufgestellt. Die Dampfmaschinen werden in zwei parallelen Reihen angeordnet. Da zwei Reihen Säulen zur Unterstützung der Dachkonstruktion aufgestellt werden, so sind 3 Laufkrane notwendig, von denen die beiden äußeren für 25 t Tragkraft, der mittlere für 30 t bemessen wird. Zum Entladen der Kohlschiffe und der Kohlenwagen wird ein fahrbarer Hafenkran vorgesehen.

Der Verband deutscher Architekten- und Ingenieurvereine hat eine **Denkschrift über die Stellung der höheren städtischen Baubeamten in Deutschland** herausgegeben. Veranlassung zu dieser Arbeit ist der Umstand, dass den Technikern in der Verwaltung der Städte noch keineswegs überall die Stellung zuerkannt worden ist, die ihnen nach der Bedeutung der zu lösenden technischen und technisch-wirtschaftlichen Aufgaben nicht nur in gerechter Anerkennung dieser Bedeutung, sondern auch zum eigenen Wohle der Stadtgemeinden nicht vorenthalten werden sollte. Die Denkschrift verbreitet sich nach einigen einleitenden Worten zunächst über die gesetzlichen Grundlagen für die Stellung der höheren städtischen Baubeamten, schildert dann die Stellung, welche diese zurzeit in den verschiedenen Landesteilen tatsächlich einnehmen, und fasst schließlich ihre Wünsche bezüglich einer Abänderung der jetzigen Verhältnisse kurz zusammen.

Diese Wünsche zielen darin, dass den Technikern in der Verwaltung der Stadtgemeinden eine voll verantwortliche Vertretung gewährt werden möge, dass also den Stadtbauräten Sitz und Stimme im Magistrat in allen Angelegenheiten der städtischen Verwaltung bewilligt und dass sie in Städten mit Bürgermeisterverfassung zu Beigeordneten gewählt werden sollen. Wie aus den Ausführungen der Schrift hervorgeht, ist diese Hauptforderung noch von einem recht erheblichen Teile der größeren deutschen Städte nicht erfüllt.

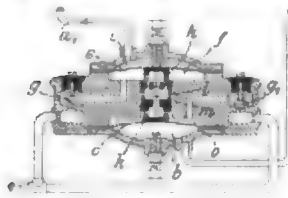
Soweit die Forderungen der städtischen Baubeamten. Die Zeit dürfte nicht mehr fern sein, wo auch die in städtischen Diensten stehenden Maschineningenieure ähnliche Forderungen mit vollem Recht aufstellen werden.

Veranlaßt durch die wiederholten Unfälle der neuen **Torpedobootzerstörer**¹⁾ hat die englische Regierung einen Ausschuss berufen, der die Festigkeit dieser Schiffe nachprüfen soll. (The Engineer 29. November 1901)

¹⁾ Vergl. Z. 1901 S. 1613.

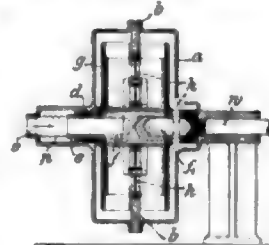
Patentbericht.

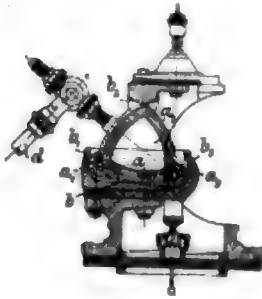
Kl. 14. Nr. 122699. Pumpenantrieb. J. C. Junemann, Hennel, (Sieg). Zum Betriebe kleiner Pumpen (für Spülung, Behnührung usw.) werden die Rohre a, a₁ an die Cylinderenden einer Dampfmaschine oder dergl. angeschlossen. Der dadurch in den Räumen b, c entstehende Druckwechsel bewegt die verbundenen biegsamen Platten c, e abwechselnd nach oben und unten, saugt Flüssigkeit durch die Ventile g, g₁ in die Räume f, o und drückt sie durch k, l, m zur Verwendungsstelle, sodass eine besondere Steuerung für die Pumpe entbehrlich ist. In einer Abänderung sind die biegsamen Platten durch Kolben ersetzt.



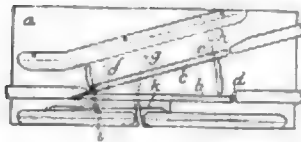
sondere Steuerung für die Pumpe entbehrlich ist. In einer Abänderung sind die biegsamen Platten durch Kolben ersetzt.

Kl. 14. Nr. 122697. Umlaufende Cylindermaschine. B. Ljungström, Stockholm. Die Kolben g der mit der Welle w verbundenen Cylinder laufen in dem nicht drehbaren Gehäuse a mit Rollen h auf einer ellipsenähnlichen Bahn b, und der nicht drehbare Verteilchieber s mit Schlitzen f, f₁ ist an das Dampf- oder Druckluftrohr o durch ein biegsames Rohr p angeschlossen, sodass die frei schwebende Nabe d des Zylinderkörpers und das Gehäuse a zur Ermöglichung sehr hoher Umlauffzahlen kleine Schwingungen ausführen können, die von dem unvermeidlichen Fehler der Massenausgleichung her-



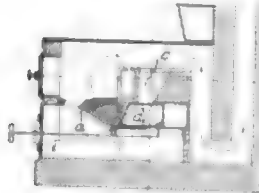


Kl. 20. Nr. 123988. Luftweiche für elektrische Bahnen. O.



Joodicke, Mühlhausen i. Th. Eine Schienenweiche dient als Luftweiche, wenn die Lagerplatte *a* nach oben, die Weichenstangen *b* und *c*, die die Ueberführung vermitteln, nach unten gelagert sind. Zunge *b* ist bei *d*, Zunge *c* in *e* und *f* drehbar; beide werden durch die Federn *g*, *h*, *i* in Normalstellung erhalten. Die Stromabnehmerrolle wird durch die Rillenschiene *k*, in die sich ein Flansch der Rolle einlegt, am Herauspringen verhindert.

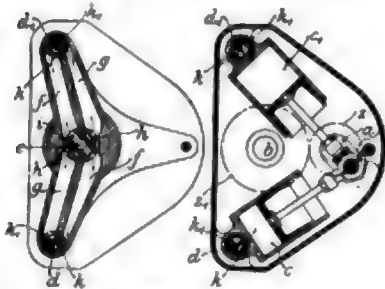
Kl. 94. Nr. 123900. Föhrung. K. F. Schumann, Horsterwitz bei Dresden. Bei einer Föhrung mit Schrägrost *a* ist unter einer von der Seite aus zu bedienenden Nachfüllöffnung *c* ein rostartiger Schieber *d* oder dergl. angeordnet, mittels dessen durch *c* frisch zugeführter Brennstoff von unten unter den bereits glühenden Brennstoff gebracht wird, sodass alle von dem frischen Brennstoff gebildeten Gase ihren Weg durch die Glut nehmen müssen.



Kl. 40. Nr. 120062. Retortenofen. Alleyne Reynolds, Sheffield (England). Die beiden Längswände *b* der Retorte *r* sind, um selbst bei größter Abmessungen der Retorte dem Druck des geschmolzenen Metalles ausreichenden Widerstand leisten zu können, nach innen zu gekrümmt. Die Beföhrung der Retorte erfolgt von den beiden seitwärts gelegenen Räumen *c* aus. Das flüssige Metall wird durch den Abzieher *a* abgelassen.

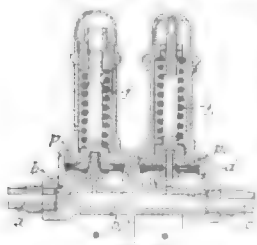


Kl. 46. Nr. 123486. Druckluftmaschine für Bohrwerkzeuge u. dergl. H. J. Kimman und E. N. Hurley, Chicago. Die Cylinder *c*, *e* treiben die Hauptweiche *a* und durch Zahnräder *s*, *s*, die Bohrspindel *b*, indem sie um Zapfen *d*, *d* schwingen, deren Kanäle die Druckluft von *e* durch *f* einleiten. Worauf die Abfuhr durch *k*, *g*, *h* entweicht. Zur Umsteuerung dreht man den Hahn *u* um 90°, worauf die Kanäle *k*, *f* und *k*, *g* ihre Rollen vertauschen.



und *k*, *g* ihre Rollen vertauschen.

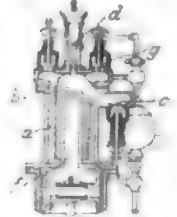
Kl. 47. Nr. 121522. Druck- und Zufuhrregler. The Westinghouse Brake Co., London und Hannover. Wenn in dem bei *a* angeschlossenen Gefäße der Druck steigt, pflanzt er sich durch Bohrungen *b*, *b*, in den Raum über der biegsamen Platte *p*; fort und schließt das Ventil *v* gegen den aufwärts gerichteten Druck der Feder *f*; dann öffnet er, auf *p* wirkend, das Ventil *v* gegen den abwärts gerichteten Druck der Feder *f* und pflanzt sich in die Leitung *c* fort, um durch Abstellen der Speisepumpe oder dergl. den weiteren Zufluss von Druckflüssigkeit in das Gefäße zu verhindern. Wenn der Druck sinkt, so schließt sich zuerst *v*, dann öffnet sich *v*, die Druckflüssigkeit strömt aus *c* durch *d* ins Freie, und die Speisepumpe usw. kommt wieder in Gang.



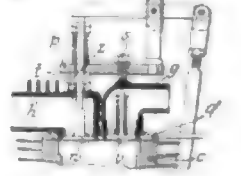
röhren. In einer Abänderung kann *e* während des Ganges verstellt werden.

Kl. 14. Nr. 125281. Ventilsteuerung. A. Patschke, Mülheim a./Ruhr. Der Wälzhebel *a* hat die Form eines Bogendreiecks, das von der Exzenterscheibe *d* abwechselnd um seine Ecken *a*, *a* und *a* gedreht wird, und die Umhüllungsstücke *b*, *b*, *b* sowie *b*, für die obere Ecke *a* sind so gestaltet, dass das Ventil nicht nur zur Verbindung des Hängenbleibens zwangsläufig bewegt, sondern auch zwangswise in seiner Schließlage festgehalten wird.

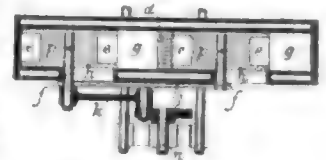
Kl. 46. Nr. 121990. Gas- oder Petroleummaschine. H. C. Marx, Hannover. Beim Saughube wird von *g* her Luft in den Mantelraum *a* und von *c* her Brennstoff in den Brennraum *b* gesaugt. Die Räume *a*, *b* sowie die Ventilöffnungen sind so bemessen, dass Luft von *a* her unten in die Haube *b* tritt. Beim Verdichtungsstöße dringt der Kolbennasen *f* in den Raum *b*, wobei gleichfalls noch Luft aus *a* nach *b* übertritt, sodass die Zündvorrichtung *d* oben ein zündkräftiges Gemenge vorfindet und die entstehenden Gase sich zur Herabsetzung der Temperatur mit der Luft in *a* mischen.



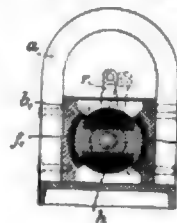
Kl. 46. Nr. 121992. Viertaktmaschine. A. Wattel, Tourcoing (Frankreich). Der Cylinder *c* trägt auf vier (nicht gezeichneten) Säulen eine Platte *p*, und auf *c* liegt eine Platte *q* mit den Ventilgehäusen *g*, *a*, die von *p* her durch Druckschrauben auf *q* und mit *q* auf *c* gedrückt werden. Um *g* samt dem Einlassventil *e* herauszunehmen, braucht man nur die Schraube *s* zu lockern. Um *a* mit dem Auslassventil *w* zu entfernen, lockert man die Druckschraube *t*, entfernt das Zwischenstück *s* und zieht die Spindel von *w* aus *q* heraus.



Kl. 46. Nr. 121960. Petroleummaschine. S. Miller, Brixton bei London. Zwei Kolben *p* mit je zwei Laderäumen *e* arbeiten in einem bei *d* getheilten Cylinder *g* und sind ausen durch eine Stange *j* und Zapfen *f* verbunden, die durch Schlitze *h* aus der Cylinderwand herausragen. Einer der Zapfen *f* treibt durch die Pleuelstange *k* die in der Mitte neben dem Cylinder gelagerte Hauptwelle *a* an.

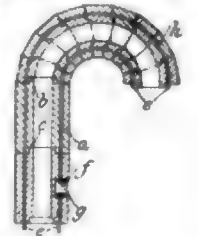


Kl. 46. Nr. 123486. Elektrische Zündvorrichtung. Th. Bergmann, Gaggenu (Baden). Zwischen den Polschuben *b*, *b*, der Magnete *a* und dem umlaufenden Anker *h* ist eine aus zwei Cylinderausschnitten *f*, *f*, bestehende Hölse angebracht, die durch den Hebel *r* eingestellt werden kann und dadurch das magnetische Feld zur Änderung des Zündzeitpunktes verschiebt.

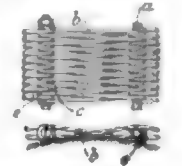


Kl. 47. Nr. 123493.

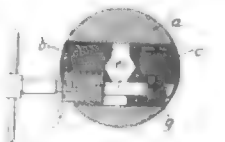
Holzrohr. J. Kamp Frankfurt a./M. Das Rohr ist aus einzelnen mit Ringansatz *b* und entsprechender Nut *c* versehenen cylindrischen oder bei Krümmungen keilförmigen Stücken *a*, *a* zusammengesetzt, die auf Zuganker *e* geschoben und zusammengezogen werden. Die Muttern der Anker liegen in Aussparungen *f*, die durch Holzstücke *g* verschlossen werden.



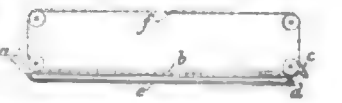
Kl. 47. Nr. 123487. Traufkette. B. Schmitz, Köln-Lindenthal. Die Glieder sind in der Weise aus Draht gewunden, dass, von der Seite gesehen, jedes Glied und jede Windung die Gestalt einer 8 hat, also die Trommel nur in der Nähe der Bolzen *a* berührt und deshalb nicht auf Biegung, sondern nur auf Zug beansprucht wird. Die geraden Strecken *b* des Drahtes erhalten von einem Bolzen *a* zum andern nur die Steigung einer Drahtstärke, und die gebogenen Drahtstücke *c*, *c* zweier benachbarter Glieder liegen ohne Steigung rechtwinklig zum Bolzen *a* abwechselnd dicht nebeneinander.



Kl. 49. Nr. 120706. Differential-Bohrfutter. Wesselmann/. Bohrer-Co., Akt.-Ges., Gera-Zwätzen. Zum Verstellen der Backen *b* und *c* dient die Schraubenspindel *e*, welche an ihren Enden mit gleichgerichteten Gewinden *f* und *g* von verschiedener Steigung versehen ist. Das Gewinde *f* steht mit der Backe *b* in Eingriff, das Gewinde *g* hingegen mit dem Bohrfuttergehäuse *a*.



Kl. 81. Nr. 124986. Transport von Fördergut. J. A. Klönne, Dortmund. Die Vorrichtung bezweckt, aufgelöstes Fördergut gleichzeitig durch Wasser und durch ein mechanisches Mittel fortzubewegen. Das Gut wird in der Rinne *b* von *a* nach *c* geschwemmt und gleichzeitig von der mit Mitnehmern besetzten Kette *f* mitgenommen. Das Wasser wird mittels einer Pumpe *d* durch *e* nach *a* zurückgedrückt.



ZEITSCHRIFT DES VEREINES DEUTSCHER INGENIEURE.

Nr. 51.

Sonnabend, den 21. Dezember 1901.

Band XXXV.

Inhalt:

Ueber Abkühlung und Erwärmung geschlossener Räume. Von G. Recknagel	1801	Verein deutscher Maschineningenieure	1823
Die Weltausstellung in Paris 1900: Die Lokomotiven. Von E. Brückmann (Fortsetzung)	1809	Bücherschau: Lehrbuch der Ingenieur- und Maschinen-Mechanik von Welsbach. Von G. Herrmann. — Bei der Redaktion eingegangene Bücher	1823
Die Weltausstellung in Paris 1900: Spinnereimaschinen. Von G. Rohn (Fortsetzung)	1815	Zeitschriftenschau	1828
Beitrag zur Berechnung von kontinuierlichen Trägern über zwei Öffnungen. Von J. Thieme	1819	Rundschau: Das Kraftwerk von Vimela-Ticino. — Taucherschiff. — Schererkran für 120 t. — Seilbahnen der Uganda-Bahn. — Verschiedenes	1830
Aachener B.-V.: Das Eisbrechwesen in Deutschland	1820	Patentbericht: Nr. 123172, 120799, 123538, 120824, 123045, 128049, 124108, 122806, 122720, 120469, 123689, 123168, 121573, 123481, 128201, 123510, 123429, 123398, 123159, 128144, 119744, 120286, 123160, 123216, 119747, 120248, 121281, 119849, 123632, 124185	1834
Berliner B.-V.	1821		
Hamburger B.-V.: Tiefbrunnenbohrung in der Bavaria-Brauerei in Altona	1821		
Schleswig-Holsteinischer B.-V.: Akkumulatoren	1823		
Westfälischer B.-V.	1823		

Ueber Abkühlung und Erwärmung geschlossener Räume.

Von Dr. G. Recknagel, Augsburg.

Einleitung.

Es besteht die Absicht, eine Theorie der Heizung zu geben, d. h. die einem geschlossenen Räume zugeführte Wärmemenge sowohl mit den Eigentümlichkeiten dieses Raumes und seiner Umgebung als mit der Zeit in gesetzmäßige Beziehung zu bringen, sodass man imstande ist, den Vorgang der Erwärmung in seiner Abhängigkeit von der Ergiebigkeit der Wärmequelle, von den Abmessungen des Raumes und der Beschaffenheit seiner Wände, sowie von der Temperatur und Bewegung der äußeren Luft von Stunde zu Stunde zu verfolgen. Dem Versuche, diese Aufgabe zu lösen, muss eine Theorie der Abkühlung vorausgehen, weil diese ein Urteil über den Anfangszustand des zu heizenden Raumes ermöglicht und dieser »Anfangszustand« von einiger Bedeutung für den Erfolg der Heizung ist. Denn man sieht leicht, dass es sich dabei nicht bloß um die Temperatur der eingeschlossenen Luft handelt, sondern dass auch die Innenfläche der Wände und selbst die Temperaturverteilung im Innern der Mauer von Belang ist.

Die Frage selbst ist schon am Anfang des 19. Jahrhunderts von Fourier in seinem berühmten Werke »Théorie analytique de la Chaleur«, Paris 1822, als bedeutungsvoll bezeichnet worden. Nachdem er daselbst (Chap. I Sect. VI) unter dem Titel »De l'échauffement des espaces clos« die Beziehungen entwickelt hat, in welchen nach Eintritt eines Dauerzustandes Temperatur, Größe und äußere Leitfähigkeit der Heizfläche zu den Temperaturen der eingeschlossenen Luft, der Außenluft und des homogenen Umschlusses von bestimmter Dicke und Leitungsfähigkeit stehen, sagt er am Schlusse des Abschnittes (S. 82): »Au reste, nous n'avons considéré, dans ce qui vient d'être dit, que l'état permanent des températures dans les espaces clos. On exprime aussi, par le calcul, l'état variable qui le précède ou celui qui commence à avoir lieu, lorsqu'on retranche le foyer, et l'on peut connaître par-là, comment les propriétés spécifiques des corps, que l'on emploie, ou leurs dimensions, influent sur le progrès et sur la durée de l'échauffement; mais cette recherche exige une analyse différente, dont on expose les principes dans les chapitres suivants.«

In der That wird niemand, der sich mit Aufgaben der Wärmeleitung befasst, die Grundlage und die methodischen Stützen entbehren wollen, welche Fourier diesem Zweige der Physik gegeben hat. Indessen ist die hier von ihm angelegte Aufgabe, nämlich: den Abkühlungs- und Erwärmungsvorgang geschlossener Räume der Rechnung zu unterziehen, um zu ermitteln, welchen Einfluss die Eigentümlichkeiten der Begrenzung und der Heizkörper auf den Verlauf jener Vorgänge ausüben, bisher nicht behandelt worden, weder von

Fourier selbst noch später. Es ist noch nicht bekannt, welche Funktion der Zeit z. B. die Temperatur der Luft ist, die einem geschlossenen, unter gegebenen Umständen der Abkühlung überlassenen oder durch eine bestimmte Wärmequelle erwärmten Raum anfüllt, oder nach welchem Gesetze sich während dieser Vorgänge die für die Bewohnbarkeit des Zimmers nicht minder wichtige Temperatur der Innenwand ändert.

Die praktische Bedeutung einer solchen Rechnung mag weniger hoch angeschlagen worden sein, so lange man sich auf unvollkommene Heizvorrichtungen angewiesen sah, deren Temperatur sehr ungleichmäßig über die Heizfläche verteilt und sehr veränderlich war. Heute indessen, wo der Technik physikalisch bestimmbare Wärmequellen zugebote stehen und auch schon wertvolle Erfahrungen über deren Leistung vorliegen, dürfte es von einigem Wert sein, der oben genannten Frage näher zu treten, und zwar soll zunächst der Verlauf der Abkühlung untersucht werden.

I. Abkühlung geschlossener Räume durch Wärmeleitung.

1) Voraussetzungen. Obwohl die Absicht besteht, die im Folgenden gewonnenen Ergebnisse auf die in unsern Gebäuden vorhandenen Räume anzuwenden, müssen doch der Rechnung gewisse vereinfachende Annahmen zugrunde gelegt werden, durch die sich der hier gedachte Raum, dessen Abkühlung verfolgt werden soll, von unsern Zimmern usw. unterscheidet.

Die erste derartige Annahme besteht in der Ausschließung jeden Luftwechsels. Es soll von Veränderungen der Temperatur, die durch kapillare Luftströmungen hervorgebracht werden, abgesehen werden. Auch die Masse der eingeschlossenen Luft ist unveränderlich gedacht und ihre Temperatur (J) vermöge vollkommener Mischung an allen Stellen gleich hoch.

Einer zweiten Annahme gemäß kehrt der gedachte Raum nur eine homogene, fensterlose Wand von gegebener Fläche F und gleichmäßiger Dicke δ der äußeren freien Luft zu, und die Temperatur A dieser Luft wird als unveränderlich vorausgesetzt. Die ganze übrige Begrenzung des Raumes wird als wärmedicht angenommen, d. h. sie gibt weder Wärme an den Raum ab, noch nimmt sie solche von ihm auf.

Dieser letzteren Annahme kann man auf verschiedene Weise nahe kommen, z. B. dadurch, dass man sich die ganze Begrenzung des Raumes gleichartig und in der gleichen Umgebung denkt, oder indem man die Temperatur der angrenzenden nicht freien Räume von dem betrachteten nur

wenig verschieden und die Zwischenwände aus sehr schlechten Wärmeleitern, wie Holz u. dergl., hergestellt denkt.

Der Einfluss von Fenstern wird später besonders untersucht werden.

2) Temperaturgefälle. Da Wärme stets von Körpern höherer Temperatur zu solchen tieferer Temperatur überströmt, so kann man sich einen stetigen Abkühlvorgang eines geschlossenen Raumes, der den soeben aufgestellten Bedingungen genügt, nur so denken, dass von innen nach außen durch die Mauer hindurch ein stetiger Temperaturfall besteht.

Es muss also die Temperatur J der Innenluft höher sein als die Temperatur \mathcal{L}_1 der Innenwand, sonst findet kein Wärmeübergang aus der Innenluft in die Mauer statt. Ferner muss die Temperatur der Mauer, durch welche hindurch die Abkühlung des Raumes stattfindet, von innen nach außen stetig abnehmen, damit der Wärmestrom nach außen fortschreitet, und es wird die Annahme gemacht, dass jede einzelne senkrechte Schicht dieser Mauer vom Anfang des Abkühlvorganges an durchaus die gleiche Temperatur hat, sodass die Wärmebewegung nur geradlinig in der Richtung der Mauerdicke vor sich geht.

Zählt man die Abszissen x von der Innenwand aus winkeltrecht zu dieser Wand nach außen, von 0 bis δ , und denkt sich die Mauer durch Parallelschnitte zur Innenwand in Schichten von der gleichen Dicke dx geteilt, so hat eine einzelne solche Schicht in ihrer ganzen Ausdehnung die gleiche Temperatur U , die nach außen folgende Schicht durchgängig die Temperatur $U - dU$, die vorhergehende Schicht aber durchgängig die Temperatur $U + dU$, sodass die Temperaturunterschiede der nach außen aufeinander folgenden Schichten in dieser Richtung stets den gleichen (negativen) Sinn haben, der absoluten Grösse nach aber verschieden sein können.

Wie durch die Bezeichnung angedeutet ist, sollen die Strecken dx , dU , dU unendlich klein gedacht werden.

Um indessen eine deutliche Vorstellung von einem gleichmäßigen und einem ungleichmäßigen Temperaturgefälle zu vermitteln und die aus letzterem abzuleitenden Folgerungen zu sichern, soll in Fig. 1 eine bildliche Darstellung versucht werden.

Es folgen 6 Schichten der Mauer aufeinander, jede von der Dicke dx , in der Richtung der positiven x (von innen nach außen) numeriert. Als Entfernung einer solchen Schicht vom Ursprung 0 der Koordinaten gilt der Abstand ihrer Innenfläche von 0. Die Schicht 4 hat demnach die Entfernung x , die Schicht 5 die Entfernung $x + dx$, die Schicht 3 die Entfernung $x - dx$ usw.

Jede Schicht hat eine bestimmte Temperatur, welche bildlich durch eine senkrechte Länge, wie HA , HB , HC dargestellt sein soll. Der Temperaturfall vollzieht sich im Bilde von endlichen Abmessungen plötzlich an der Grenze der Schichten. Nimmt die Dicke der Schichten unendlich ab, so werden auch die Temperaturunterschiede der aufeinander folgenden Schichten unendlich klein, und an die Stelle der treppenförmigen Abstufung tritt eine Kurre.

Ist diese Abstufung gleichmäßig, d. h. trifft auf jedes dx , wo es auch liegen mag, stets eine gleich große Temperaturabnahme $-dU$, so ist die Kurve, welche durch die Endpunkte A , B , C der Temperaturhöhen geht, eine Gerade.

3) Uebergehende Wärmemenge. Hat zu irgend einer Zeit x die Schicht von der Dicke dx , die sich in der Entfernung x befindet, die Temperatur U , und fällt diese Temperatur am Ende der Schicht um dU , so heisst das Verhältnis der Temperaturabnahme $-dU$ zur Dicke dx der Schicht, also der Quotient $-\frac{dU}{dx}$, das Temperaturgefälle, welches zur Zeit x an der Stelle x besteht, und es bildet die Grundlage der folgenden Rechnung der Satz:

Die Wärmemenge, welche in der Zeiteinheit aus der Schicht (x, U) in die Schicht $(x + dx, U - dU)$

übergeht, ist dem Temperaturgefälle $-\frac{dU}{dx}$ proportional (s. in Fig. 1 die Schichten 4 und 5).

Die Wärmemenge, die man dem Temperaturgefälle als Faktor beizugeben hat, um die in der Zeiteinheit übergehenden Wärmeeinheiten zu erhalten, hängt von der Grösse der gewählten Zeiteinheit, von der Grösse der Wandfläche und vom Stoff der Mauer ab. Nimmt man als Zeiteinheit die Stunde (indem man das Gefälle an der Stelle x eine Stunde lang unveränderlich denkt), als Wandfläche 1 qm, so heisst der dem Temperaturgefälle beizugebende Faktor λ das innere Leitvermögen des betreffenden Stoffes, und es ist demnach die bei dem Gefälle $-\frac{dU}{dx}$ i. d. Std. durch 1 qm des Querschnittes (x, U) einer Mauer vom inneren Leitvermögen λ gehende Wärmemenge

$$\lambda \left(-\frac{dU}{dx} \right) \text{ WE. (Fourier, Kap. I Nr. 72}$$

und an vielen andern Orten.)

Ist der Quotient $\frac{dU}{dx}$ über die ganze Mauerdicke δ konstant, was bei der angenommenen Gleichheit der dx nur dadurch möglich ist, dass auch die dU alle gleich groß sind, so geht gleichzeitig durch jeden Querschnitt gleich viel Wärme und in derselben Zeit durch die ganze Mauer nicht mehr und nicht weniger Wärme als durch den einzelnen Querschnitt.

Hat in diesem Falle die Mauer an der Innenwand die Temperatur \mathcal{L}_1 , an der Außenwand die (tiefere) Temperatur \mathcal{L}_2 , und besteht sie aus n Schichten von der Dicke dx , wobei $n dx = \delta$, so ist auch $n dU = \mathcal{L}_1 - \mathcal{L}_2$ und

$$-\frac{dU}{dx} = \frac{\mathcal{L}_1 - \mathcal{L}_2}{\delta}.$$

Somit ist im Falle eines unveränderlichen Temperaturgefälles die i. d. Std. durch 1 qm Mauerfläche gehende Wärmemenge auch durch

$$\lambda \frac{\mathcal{L}_1 - \mathcal{L}_2}{\delta}$$

gegeben.

4) Dauerzustand. Soll dieser gleichmäßige Wärmestrom, bei dem nirgends eine Aenderung der Temperatur eintritt, eine endliche Zeit hindurch anhalten, so muss während dieser Zeit ebensoviel Wärme, wie durch einen Querschnitt der Mauer geht, von der Innenwand aufgenommen und von der Außenwand abgegeben werden.

Die Wärmemengen werden den Temperaturunterschieden

$$J - \mathcal{L}_1 \text{ und } \mathcal{L}_2 - A$$

proportional angenommen. Bezeichnet h_1 die Wärmemenge, welche 1 qm Innenwand i. d. Std. aufnimmt, wenn diese Wand um 1° C kälter ist als die Innenluft, so nennt man h_1 das äussere Leitvermögen der Innenwand, und die Wärmemenge, welche 1 qm in der Stunde aufnimmt, ist

$$h_1 (J - \mathcal{L}_1).$$

Entsprechend ist

$$h_2 (\mathcal{L}_2 - A)$$

die in der Stunde von 1 qm Außenwand abgehende Wärmemenge, wenn h_2 das äussere Leitvermögen der Außenwand bezeichnet.

Der Dauerzustand ist somit dadurch bedingt, dass ausser dem Temperaturgefälle im Innern der Wand auch die Lufttemperaturen J und A unveränderlich sind, und dass die Temperaturen \mathcal{L}_1 und \mathcal{L}_2 der Wandflächen den Gleichungen

$$h_1 (J - \mathcal{L}_1) = \lambda \frac{\mathcal{L}_1 - \mathcal{L}_2}{\delta} = h_2 (\mathcal{L}_2 - A) \quad (1a)$$

genügen. Man erhält daraus

$$\mathcal{L}_1 - A = (J - A) \frac{1}{\frac{1}{h_1} + \frac{\delta}{\lambda} + \frac{1}{h_2}} \quad (1b)$$

$$\mathcal{L}_2 - A = (J - A) \frac{1}{\frac{1}{h_1} + \frac{\delta}{\lambda} + \frac{1}{h_2}} \quad (1c)$$

Setzt man

$$\frac{1}{h_1} + \frac{1}{h_2} = \frac{1}{p},$$

so kann man schreiben:

$$(\bar{X}_s - A) h_2 = (J - A) p,$$

und es ist demnach p die Wärmemenge, welche mit dem Unterschied $(J - A)$ der beiden Lufttemperaturen zu multiplizieren ist, um den gesamten Wärmeverlust zu erhalten, den der betrachtete Raum in einer Stunde durch 1 qm der Mauer erfährt.

p heißt der Transmissionskoeffizient der Mauer¹⁾. Mit seiner Hilfe lassen sich die Gl. (1a)¹⁾ und (1b) einfacher darstellen:

$$\bar{X}_s - A = (J - A) \left(1 - \frac{p}{h_1}\right) \dots (1aa)$$

$$\bar{X}_s - A = (J - A) \frac{p}{h_2} \dots (1bb).$$

Innerhalb der Mauer, im Abstände x von der Innenwand, ist die Temperatur während des Dauerzustandes

$$U = \bar{X}_s - \frac{\bar{X}_s - \bar{X}_i}{\delta} x \dots (1c).$$

5) Veränderliches Temperaturgefälle. Ist zu irgend einer Zeit (s) das Temperaturgefälle in der Mauer nicht konstant, so ist die Temperatur der einzelnen Schichten mit der Zeit veränderlich, und es soll nun die Gleichung zwischen der an der Stelle x bestehenden Aenderung des Temperaturgefälles und der dasselbst mit der Zeit vor sich gehenden Aenderung der Temperatur aufgestellt werden, Fig. 1.

Die in der Entfernung x befindliche Mauerschicht 4 von der Dicke dx erfährt in der Zeit ds eine Erhöhung ihrer Temperatur U , wenn sie an die folgende Schicht 5 in dieser Zeit weniger Wärme abgibt, als sie selbst von der vorausgehenden Schicht erhält, also wenn das Temperaturgefälle von 4 auf 5 kleiner ist als das von 3 auf 4, wie in der Figur angedeutet. Ist dU die Temperaturabnahme von 3 auf 4, dU die von 4 auf 5, so ist die der Schicht 4 pro Stunde zugeführte Wärme durch

$$-\lambda F \frac{dU}{dx},$$

die von ihr gleichzeitig an die folgende Schicht 5 abgegebene Wärme durch

$$-\lambda F \frac{dU}{dx}$$

ausgedrückt. Somit ist die während einer Stunde in der Schicht 4 verbleibende, zur Temperaturerhöhung verwendete Wärmemenge

$$-\lambda F \frac{dU}{dx} - \left(-\lambda F \frac{dU}{dx}\right)$$

oder

$$\lambda F \left(\frac{dU}{dx} - \frac{dU}{dx}\right).$$

Im Zeitelemente ds ist die verbleibende Wärmemenge

$$\lambda F \left(\frac{dU}{dx} - \frac{dU}{dx}\right) ds.$$

¹⁾ Seiner Herleitung gemäß lässt sich mittels des Transmissionskoeffizienten der Wärmeverlust berechnen, der durch die Heizung gedeckt werden muss, damit der bereits vorhandene Dauerzustand erhalten bleibt. Will man z. B. die Zimmerluft auf 20° C erhalten, während die Außenluft die Temperatur -20° besitzt, so genügt es, für jedes Quadratmeter der Abkühlfläche stündlich 40 p WE zuzuführen. Aber diese Wärmemenge genügt nicht, um das Zimmer in absehbarer Zeit von einer tieferen Temperatur auf 20° C anzuhetzen. Denn während des Anheizens sind nicht nur die Wärmeverluste $h_1(\bar{X}_s - A)$ zu ersetzen, die nicht viel geringer sind als im Dauerzustand (vergl. Nr. 16 am Schluss der Abhandlung), sondern es sind auch noch die Temperaturerhöhungen der Innenluft und insbesondere die unumgänglichen Wärmeforderungen der Mauer zu bestreiten. Das entspricht den Erfahrungen, welche die Heiztechnik macht, und sie pflegt deshalb zu der mittels des Transmissionskoeffizienten p und des durch die Heizung angestrebten Temperaturunterschiedes $(J - A)$ berechneten Wärmemenge für „unterbrochenes Heizen“ noch einen Zuschlag von 20 vH zu machen.

Ueber diesen Punkt wird man von der theoretischen Untersuchung bestimmte Aufschlüsse erwarten dürfen.

Wir nehmen an, dass mittels dieser Wärme die Temperatur U der Schicht 4 um dU Grad erhöht werde.

Ist s das Gewicht eines Kubikmeters Mauer, w die Wärmekapazität des Materials, so ist $F dx s w$ die Wärmemenge, welche nötig ist, die Temperatur der Mauerschicht 4 um 1° zu erhöhen, und die Wärmemenge

$$F dx s w dU$$

bringt eine Erhöhung der Temperatur U um dU zustande. Somit besteht die Gleichung

$$\lambda F \left(\frac{dU}{dx} - \frac{dU}{dx}\right) ds = F dx s w dU,$$

oder nach Division durch $F dx ds$:

$$\lambda \frac{dU}{dx} - \frac{dU}{dx} = s w \frac{dU}{ds}.$$

Nun sind $\frac{dU}{ds}$ und $\frac{dU}{dx}$ zwei aufeinander folgende, d. h. zu den Entfernungen $x + dx$ und x gehörige Werte des partiellen, d. h. nur auf Aenderung der Abszisse bezüglichen Differenzialquotienten von U , und somit $\frac{dU}{ds} - \frac{dU}{dx}$ der Zuwachs, den dieser Differenzialquotient durch die Zunahme der Abszisse x um dx erfährt. Somit entspricht der Quotient

$$\frac{dU}{ds} - \frac{dU}{dx}$$

der Definition des zweiten partiellen Differenzialquotienten von U nach x und ist mit

$$\frac{\partial^2 U}{\partial x^2}$$

zu bezeichnen. Da ferner auf der rechten Seite der Gleichung der partielle Differenzialquotient der Temperatur U nach der Zeit s steht, so hat man

$$\frac{\partial U}{\partial s} = \frac{\lambda}{s w} \frac{\partial^2 U}{\partial x^2} \dots (2).$$

Diese Gleichung, welche die Beziehung zwischen der Aenderung der Temperatur und der Aenderung des Temperaturgefälles darstellt, ist eine Folgerung aus dem in Nr. 3 über die Bedeutung des Temperaturgefälles für die Wärmebewegung aufgestellten Grundsatz und stellt eine unerlässliche Bedingung auf für den Zusammenhang zwischen der Temperatur U einer Schicht, ihrem Abstand x von der Innenwand der Mauer und der Zeit s , welche seit dem Beginn der betrachteten Wärmebewegung verflossen ist; d. h.:

Denkt man sich U als Funktion von x und s , so hat die Funktion der Gl. (2) zu genügen, die verlangt, dass ihr partiell nach der Zeit genommener Differenzialquotient ihrem zweiten, partiell nach x genommenen Differenzialquotienten proportional sei.

6) Integrale der partiellen Differenzialgleichung.

Die im vorhergehenden Paragraphen für den vorliegenden Fall abgeleitete Differenzialgleichung ist bekannt und von Fourier in § 149 der „Théorie de la chaleur“ für das Raumelement ($dx dy dz$) gegeben¹⁾. In demselben Werke findet man verschiedene Integrale der auf die geradlinige Fortpflanzung bezüglichen Gleichung (2). Es genügt z. B.

$$U = A + a \cos(mx) e^{-\frac{1}{2} m^2 s},$$

wobei x für $\frac{\lambda}{s w}$ gesetzt ist und m und a beliebige Konstanten sind. Die Gleichung enthält bereits die Annahme, dass sich die Temperatur U allenthalben mit fortschreitender Zeit s der Grenze A , d. h. der gleichbleibenden Temperatur der Äusseren Luft nähert.

Man würde sich die vorliegende Aufgabe wesentlich er-

¹⁾ in der Form

$$\frac{dU}{ds} = \frac{\lambda}{s w} \left[\frac{\partial^2 U}{\partial x^2} + \frac{\partial^2 U}{\partial y^2} + \frac{\partial^2 U}{\partial z^2} \right].$$

Die Zeit ist hier mit t bezeichnet und x für die dritte Raumkoordinate in Anspruch genommen.

leichtern, ja sich ganz auf gebahntem Wege bewegen, wenn man diese Funktion benutzte. Aber sie bietet keine Möglichkeit, den Einfluss der eingeschlossenen Luft einzuführen, und man wäre darauf angewiesen, dieser Luft zu jeder Zeit die Temperatur \mathfrak{L}_i der Innenwand beizulegen. Dadurch würde schon eine ganz ansehnliche Annäherung erzielt, da die genaue Rechnung beweisen wird, dass schon kurze Zeit nach Abstellung der Heizung J von \mathfrak{L}_i nur wenig mehr verschieden ist; aber es ist zu fürchten, dass ohne diesen genauen Nachweis der Glaube fehlen würde.

Deshalb ist es nötig, noch eine weitere Konstante beizuziehen, was entweder dadurch geschehen kann, dass man $\cos(b + mx)$ an die Stelle von $\cos(mx)$ setzt, oder, wie mir scheint, übersichtlicher durch

$$U = A + (a \cos mx + b \sin mx) e^{-x m \delta} \quad (3).$$

7) Besondere Bedingungen, denen die Funktion U zu genügen hat.

Wenn man mit der Aussage, dass von der Außenwand der Mauer in der Zeiteinheit die Wärmemenge

$$F(\mathfrak{L}_e - A)h_2$$

abgeht, eine physikalische Vorstellung verbinden will, so muss man zugeben, dass diese Wärmemenge aus der äußersten Schicht der Mauer kommt und somit auch durch

$$-F\lambda \frac{\partial U}{\partial x}$$

dargestellt ist, wobei durch den Index δ der Wert angedeutet sein soll, den der Differenzialquotient $\frac{\partial U}{\partial x}$ erhält, wenn man die Mauerdicke δ für x setzt.

Somit gilt die Gleichung

$$(\mathfrak{L}_e - A)h_2 = -\lambda \frac{\partial U}{\partial x} \quad (4),$$

oder durch Substitution aus Gl. (3) ($U = \mathfrak{L}_e$ für $x = \delta$):

$$h_2(a \cos m\delta + b \sin m\delta) = \lambda m(a \sin m\delta - b \cos m\delta) \quad (4a).$$

Man erhält so die erste Beziehung zwischen den eingeführten Konstanten a, b, m , den Leitvermögen λ, h_2 und der Mauerstärke δ .

Dividirt man die Gleichung durch $\lambda a \cos m\delta$, schreibt p_1 für $\frac{h_2}{\lambda}$, β für $\frac{b}{a}$ und löst nach $\tan m\delta$ auf, so erhält man

$$\tan m\delta = \frac{p_1 + \beta m}{m - \beta p_1} \quad (4b).$$

Denkt man sich β bestimmt, so ergeben sich aus dieser Gleichung unendlich viele Werte von m von der Form

$$m_n = \left[2(n-1) + \gamma \right] \frac{\pi}{2\delta},$$

in welcher nach und nach für n alle ganzen positiven Zahlen von 1 bis ∞ zu setzen sind und γ als echter Bruch gedacht ist.

Es ist demnach eine Erweiterung der Gl. (3) vorzunehmen, sodass rechts eine unendliche Reihe von Gliedern auftritt, die übereinstimmend mit dem ersten gebildet sind.

$$U = A + \left. \begin{aligned} &(a_1 \cos m_1 x + b_1 \sin m_1 x) e^{-x m_1 \delta} \\ &+ (a_2 \cos m_2 x + b_2 \sin m_2 x) e^{-x m_2 \delta} \\ &+ \\ &+ (a_n \cos m_n x + b_n \sin m_n x) e^{-x m_n \delta} \\ &+ \end{aligned} \right\} \quad (H).$$

Zur Abkürzung soll in Folgenden e_1 für $e^{-x m_1 \delta}$, e_2 für $e^{-x m_2 \delta}$, ..., e_n für $e^{-x m_n \delta}$ geschrieben werden.

$$8) \text{ Bestimmung von } \beta = \frac{b}{a}.$$

Wie für die Außenwand, so ist auch für die Innenwand die Vorstellung richtig, dass in einer gewissen Zeit ebensoviel Wärme aufgenommen wird, wie durch die innerste Mauer-schicht ihrem Temperaturgefälle und ihrer Leitfähigkeit gemäße hindurchgeht, d. h. dass

$$(J - \mathfrak{L}_i)h_1 = -\lambda \frac{\partial U}{\partial x} \quad (5),$$

wobei der Index 0 andeutet, dass in dem Differenzialquotienten $\frac{\partial U}{\partial x}$ für x null gesetzt werden soll.

Setzt man in Gl. (H) $x = 0$, so geht U in \mathfrak{L}_i über, und es wird

$$\mathfrak{L}_i - A = a_1 e_1 + a_2 e_2 + a_3 e_3 + \dots = \sum_{n=1}^{\infty} (a_n e_n).$$

Ferner ist

$$\frac{\partial U}{\partial x} = \sum (b_n m_n e_n),$$

und man erhält durch Einsetzen dieser Werte in Gl. (5) einen Ausdruck für die Temperatur J der Innenluft, nämlich ($\frac{h_1}{\lambda} = p_1$ gesetzt)

$$J = A + \left(a_1 - \frac{1}{p_1} b_1 m_1 \right) e_1 + \left(a_2 - \frac{1}{p_1} b_2 m_2 \right) e_2 + \dots \\ = A + \sum \left[\left(a_n - \frac{1}{p_1} b_n m_n \right) e_n \right] \quad (5a).$$

Ein zweiter Ausdruck für die Temperatur J wird auf folgende Weise gefunden.

Bezeichnet man mit $(-dJ)$ die Änderung, welche die Temperatur J in der Zeit ds dadurch erfährt, dass der Luft die Wärmemenge $\left[-\lambda \frac{\partial U}{\partial x} F \right] ds$ entzogen wird, ferner mit L die (unveränderlich angenommene) Masse der eingeschlossenen Luft, mit c ihre Wärmekapazität, so ist

$$-dJ L c = -\lambda \frac{\partial U}{\partial x} F ds,$$

was sich, da $\frac{\partial U}{\partial x}$ eine Funktion der Zeit s allein ist, sofort integrieren lässt. Man erhält (die zu Beginn der Abkühlung $[s = 0]$ bestehende Temperatur der Innenluft mit J_0 bezeichnet)

$$(J_0 - J) L c = \frac{\lambda F}{\pi} \sum \left[\frac{b_n}{m_n} (e_n - 1) \right].$$

Erinnert man sich an den Wert von $\pi = \frac{\lambda}{F w}$, dividirt beiderseits durch $F w$ und setzt den Bruch $\frac{L c}{F w} = \varrho$, so erhält man die Form

$$(J_0 - J) \varrho = \sum \left[\frac{b_n}{m_n} (e_n - 1) \right] \quad (6).$$

Nach Gl. (5a) geht J für $s = \infty$ oder $e_n = 0$ in A über. Somit gilt auch

$$(J_0 - A) \varrho = -\sum \left(\frac{b_n}{m_n} \right) \quad (6b).$$

Zieht man Gl. (6) von dieser Gleichung ab, so bleibt

$$J = A - \frac{1}{\varrho} \sum \left[\frac{b_n}{m_n} e_n \right] \quad (6a).$$

Da die beiden Ausdrücke für die Temperatur J , welche die Innenluft zur Zeit s hat, identisch sein müssen, so folgt aus Gl. (5a) und (6a) die Gleichheit der Koeffizienten beider Reihen:

$$\frac{b_n}{\varrho m_n} = a_n - \frac{1}{p_1} b_n m_n,$$

und man erhält für $\frac{b_n}{\varrho m_n} = \beta_n$ den Ausdruck

$$\beta_n = -p_1 \frac{\varrho m_n}{p_1 - \varrho m_n^2} \quad (7).$$

9) Berechnung der m .

Indem man den soeben erhaltenen Wert von β in Gl. (4b) einsetzt, erhält man eine Gleichung, in welcher nur noch m mit den Konstanten $p_1, p_2, \delta, \varrho$ verbunden vorkommt.

Zur zahlenmäßigen Berechnung der m ist es zweckmäßig, dieser Gleichung

$$\tan m \delta = p_2 - \frac{\varrho (m^2 + p_1^2)}{1 - \varrho \left(\frac{m^2}{p_1} - p_7 \right)}$$

¹⁾ Lc ist die Wärmemenge, die nötig ist, um die Temperatur der Innenluft um 1° zu erhöhen. Fw stellt die analoge Wärmemenge für 1 cbm Mauerwerk dar. Somit ist ϱ das Verhältnis des Wasserwertes der Innenluft zu dem Wasserwerte von 1 cbm Mauerwerk.

die scheinbar komplizirtere Form zu geben:

$$\operatorname{tg} m \delta = \frac{p_1}{1 + p_1} - \frac{p_2}{1 - \frac{p_2}{p_1(1 + p_1)^2}}$$

weil rechts die Koeffizienten von m^2 ein für allemal berechnet und ihre Logarithmen zu dem von links herübergenommenen $\log m^2$ addirt werden können. Man hat dann mit feststehenden g_1, g_2, g_3 zum P.obiren zunächst die Gleichung

$$\operatorname{tg} m \delta = g_1 - \frac{g_2 m^2}{1 - g_3 m^2}$$

Links gestaltet sich die Rechnung einfach. Da

$$m = (2(n-1) + \gamma) \frac{\pi}{2\delta},$$

so wird

$$\operatorname{tg} m \delta = \operatorname{tg} \left(\gamma \frac{\pi}{2} \right),$$

wobei im allgemeinen γ ein zu ermittelnder echter Bruch ist.

Da δ bekannt und n die gewählte Ordnungszahl des m ist, so ist auch im Werte von m das γ die Unbekannte und z. B. für $\delta = 1/4$, m das dritte m von der Form

$$m_3 = (4 + \gamma_3) 2\pi.$$

So ist der Bruch γ als Unbekannte eingeführt, die (abgesehen von m_1) auf die rechte Seite nur geringen Einfluss ausübt, aber die linke Seite in sehr empfindlicher Weise beherrscht.

Um ein Beispiel der Rechnung zu geben, sei als Gegenstand der Untersuchung ein Zimmer von 5 auf 5 m Grundfläche und 4 m Höhe angenommen, das eine 0,35 m dicke Backsteinmauer von 20 qm Fläche nach außen kehrt, während die übrige Begrenzung als wärmedicht gedacht ist. Herrscht außen Windstille, so darf man $h_1 = h_2 = 6$ WE/st, $\lambda = 0,7$, also $p_1 = p_2 = \frac{60}{7}$ annehmen. Für ρ berechnet sich annähernd

$$\frac{1}{250} = 0,004.$$

Dann wird $g_1 = 8,287$, $g_2 = 3,9956 \cdot 10^{-3}$, $g_3 = 4,519 \cdot 10^{-4}$, $\log g_1 = 0,9158 - 3$, $\log g_2 = 0,60158 - 4$, und es verläuft die Rechnung für m_3 etwa in folgender Weise:

$$\frac{m_3}{(4 + \gamma_3) 2\pi} \operatorname{tg} \left(\gamma_3 \frac{\pi}{2} \right) = 8,287 - \frac{3,9956 \cdot 10^{-3} m_3^2}{1 - 4,519 \cdot 10^{-4} m_3^2};$$

m_3 wird etwas größer als 25.

Setzt man rechts 625 für m_3^2 , so erhält man ungefähr $\left(8,287 - \frac{2,5}{0,72} \right)$ oder 4,9, was mit wachsendem m_3 abnimmt. Damit links aus 25 dieses 4,9 wird, ist 25 mit 0,19 zu multiplizieren. 0,19 ist aber die Tangente von 11° . Somit ist $\gamma_3 < \frac{11}{90}$, und es empfiehlt sich, beide Seiten der Gleichung für $\gamma_3 = \frac{10}{90}$ genauer durchzurechnen.

Links:			
$m_3 = 4,111 \cdot 2\pi$	$\log m_3^2 = 2,82498$	$- 2,82498$	
$\log m_3 = 1,41214$	$\log g_1 = 0,9158 - 3$	$\log g_2 = 0,60158 - 4$	
$\log \operatorname{tg} 10^\circ = 0,24639 - 1$	0,49586	0,47805 - 1	
0,66948	$\log(1 - g_3 m^2) = 0,94444 - 1$		
4,555	0,58148	$= \log 3,814$	
links			
	8,287 - 3,814	$= 4,473$	rechts

Nach diesem ersten Gange besteht somit zwischen beiden Seiten noch ein Unterschied von 0,002, den man, da die rechte Seite nur wenig empfindlich ist, wesentlich durch Abschwächung der linken Seite ausgleichen wird.

Eine kurze Ueberlegung, die sich auf das Wachstum der Tangente bezieht, ergibt, dass man durch Verminderung des Winkels um $10'$ die linke Seite auf 4,475 bringt, während die rechte 4,478 wird, womit man abschließen kann.

Es sind in dieser Weise, dem vorliegenden praktischen

Zwecke entsprechend, die ersten sieben m ermittelt und mit den sich aus ihnen ergebenden Werten von $\beta = \frac{\delta}{\rho}$ in der folgenden Tabelle zusammengestellt worden. Auch sind die Koeffizienten a beigelegt, deren Berechnung erst im Folgenden nachgewiesen wird.

m	Winkel $m\delta$	β	$\varphi = \arctg \beta$	a
1	4,338	62° 9'	- 0,01751	- 1° 0' + 0,63894 ($\sqrt{a} - A$)
2	14,45	180 + 27° 0'	- 0,06407	- 3° 40' + 0,07651 "
3	25,82	360 + 9° 50'	- 0,1499	- 8° 32' + 0,03255 "
4	37,04	540 - 9° 20'	- 0,4120	- 22° 23' + 0,03395 "
5	45,48	720 - 68° 32'	- 5,243	- 79° 12' + 0,00407 "
6	58,24	720 + 42° 34'	+ 0,6636	+ 33° 34' - 0,01000 "
7	64,42	900 + 22° 48'	+ 0,3751	+ 15° 28' - 0,00374 "

Die beigelegten Winkel φ sind die Hüllwinkel, welche erhalten werden, wenn man

$$\beta = \operatorname{tg} \varphi$$

setzt. Sie dienen dazu, die Summe $(\cos mx + \beta \sin mx)$ in einen Cosinus zu vereinigen.

Addirt man zu dem $\log m^2$ den $\log x$, so erhält man den Logarithmus des Koeffizienten von $(-s)$ im Exponenten von e . Für $x = \frac{\lambda}{2\pi}$ ist in dem behandelten Beispiele $\frac{0,7}{1800 \cdot 0,2} = \frac{7}{3600}$ zu setzen, sodass

$$\log x = 0,22880 - 3$$

ist. Daraus lässt sich beurteilen, wie stark die Exponentialgröße e^{-xm^2} zu irgend einer Zeit s an der Konvergenz der Reihe beteiligt ist.

10) Berechnung der a .

In der Reihe

$$U - A = \sum_{n=1}^{\infty} [a_n (\cos m_n x + \beta_n \sin m_n x) e^{-x m_n^2}]$$

können nun die m und β , wie gezeigt, aus den Konstanten des Problems ($h_1, h_2, \lambda, \delta, \rho$) berechnet werden. Es erübrigt noch, die Koeffizienten a zu bestimmen, was dadurch geschieht, dass man den »Anfangszustand«, d. h. die Funktion von x , durch welche der Ueberschuss der Anfangstemperatur U_0 der Mauer über A gegeben ist, durch die Reihe

$$U_0 - A = \sum_{n=1}^{\infty} [a_n (\cos m_n x + \beta_n \sin m_n x)] \quad (8)$$

darstellt. Hierfür stehen noch die Koeffizienten a_n zur Verfügung.

Bekanntlich hat Fourier für solche Darstellungen ein Verfahren angegeben, das man in Kap. VI Nr. 315 und 316 beschrieben und sowohl hier als in Kap. V Nr. 291 mit Erfolg angewendet findet.

Im vorliegenden Fall bedarf das Verfahren einer Ergänzung, die sich aus den physikalischen Eigentümlichkeiten des Problems ergibt.

Um den Koeffizienten a_n zu bestimmen, multipliziert man beide Seiten der Gl. (8) mit

$$(\cos m_n x + \beta_n \sin m_n x) dx$$

und integriert zwischen den Grenzen 0 und δ .

Links erhält man eine Funktion von $m_n, \delta \dots$, die mit $q(m_n)$ bezeichnet werden soll:

$$q(m_n) = \int_0^\delta (U_0 - A) (\cos m_n x + \beta_n \sin m_n x) dx.$$

Rechts erhält man eine unendliche Reihe, von welcher das allgemeine Glied

$$t_n = a_n \int_0^\delta (\cos m_n x + \beta_n \sin m_n x) (\cos m_n x + \beta_n \sin m_n x) dx$$

untersucht werden soll.

Das unbestimmte Integral bringt man leicht auf die Form

$$\frac{a_n}{m_r^2 - m_n^2} \left\{ m_r \sin m_r x \cos m_n x - m_n \cos m_r x \sin m_n x \right. \\ \left. - \beta_r (m_r \cos m_r x \cos m_n x + m_n \sin m_r x \sin m_n x) \right. \\ \left. + \beta_n (m_r \sin m_r x \sin m_n x + m_n \cos m_r x \cos m_n x) \right. \\ \left. - \beta_r \beta_n (m_r \cos m_r x \sin m_n x - m_n \sin m_r x \cos m_n x) \right\}.$$

Daraus folgt:

$$t_n = \frac{a_n}{m_r^2 - m_n^2} \left\{ m_r \sin m_r \delta \cos m_n \delta - m_n \cos m_r \delta \sin m_n \delta \right. \\ \left. - \beta_r (m_r \cos m_r \delta \cos m_n \delta + m_n \sin m_r \delta \sin m_n \delta) \right. \\ \left. + \beta_n (m_r \sin m_r \delta \sin m_n \delta + m_n \cos m_r \delta \cos m_n \delta) \right. \\ \left. - \beta_r \beta_n (m_r \cos m_r \delta \sin m_n \delta - m_n \sin m_r \delta \cos m_n \delta) \right\} \\ + a_n \frac{\beta_r m_r - \beta_n m_n}{m_r^2 - m_n^2}.$$

Es lässt sich nun nachweisen, dass der Ausdruck in $\{\}$ null ist. Denn gemäß Gl. (4a) ist für jedes m (und das zugehörige β)

$$\frac{m (\sin m \delta - \beta \cos m \delta)}{\cos m \delta + \beta \sin m \delta} = h_1,$$

somit

$$\frac{m_r (\sin m_r \delta - \beta_r \cos m_r \delta)}{\cos m_r \delta + \beta_r \sin m_r \delta} = \frac{m_n (\sin m_n \delta - \beta_n \cos m_n \delta)}{\cos m_n \delta + \beta_n \sin m_n \delta}.$$

Führt man hier die Multiplikation mit dem Produkte der Nenner aus und ordnet nach den β , so erhält man das Behauptete:

$$\{\} = 0.$$

Es verschwindet somit in jedem Gliede (t_n), in welchem m_n von m_r verschieden ist, der erste Summand und erhält sich nur in dem einen Gliede t_r , in welchem wegen $n=r$ auch der Nenner $m_r^2 - m_n^2$ zu null wird, in der unbestimmten Form $\frac{0}{0}$, deren wirklicher Wert mit $a_r Q$ bezeichnet werden soll. Der zweite Summand

$$a_n \frac{\beta_r m_r - \beta_n m_n}{m_r^2 - m_n^2}$$

wird von dem Nenner $m_r^2 - m_n^2$ befreit, wenn man aus Gl. (7) die Werte von β , nämlich

$$\beta_r = -\frac{q p_1 m_r}{p_1 - q m_r^2}, \quad \beta_n = -\frac{q p_1 m_n}{p_1 - q m_n^2}$$

einsetzt, und erhält die Form

$$-\frac{a_n q p_1^2}{(q m_r^2 - p_1)(q m_n^2 - p_1)} \\ = -\frac{p_1}{p_1 - q m_r^2} \left(-\frac{a_n p_1 q}{p_1 - q m_n^2} \right) \\ = \frac{\beta_r}{q m_r} \left(-\frac{a_n \beta_n}{m_n} \right) = \frac{\beta_r}{q m_r} \left(-\frac{b_n}{m_n} \right).$$

Somit wird die rechte Seite

$$\sum_{n=1}^{\infty} t_n = a_r Q + \frac{\beta_r}{q m_r} \left(-\frac{b_1}{m_1} - \frac{b_2}{m_2} - \dots - \frac{b_r}{m_r} - \dots - \frac{b_n}{m_n} - \dots \right).$$

Für die Reihe $\sum \left(-\frac{b_n}{m_n} \right)$ kann man nach Gl. (6b) schreiben: $(J_0 - A)q$, und erhält nun

$$q(m_r) = a_r Q + \frac{\beta_r}{m_r} (J_0 - A) \quad (9).$$

Es ist noch Q zu bestimmen.

In der Reihe $\sum \left(-\frac{b_n}{m_n} \right)$ ist auch der zweite Summand des Gliedes t_r enthalten, nämlich

$$\frac{\beta_r}{q m_r} \left(-\frac{b_r}{m_r} \right) = -\frac{a_r \beta_r^2}{q m_r^3},$$

sodass der volle Wert desselben ist:

$$t_r = a_r Q - \frac{a_r}{q} \left(\frac{\beta_r}{m_r} \right)^2 \quad (10).$$

Andererseits ist

$$t_r = a_r \int_0^{\delta} (\cos m_r x + \beta_r \sin m_r x)^2 dx \\ = a_r \left[\frac{\delta^3}{2} + \left(1 + \frac{\beta_r}{m_r} p_1 \right) \frac{\sin m_r \delta \cos(m_r \delta - q \cdot)}{2 m_r \cos q \cdot} \right] \quad (11),$$

wobei $\beta_r = \tan q \cdot$ gesetzt ist¹⁾.

Schreibt man zur Abkürzung für das mit a_r multiplizierte Integral das Zeichen B_r , sodass

$t_r = a_r B_r$, so folgt aus Gl. (10) und (11):

$$a_r B_r = a_r Q - \frac{a_r}{q} \left(\frac{\beta_r}{m_r} \right)^2 \\ \text{und } Q = B_r + \frac{1}{q} \left(\frac{\beta_r}{m_r} \right)^2.$$

Setzt man diesen Wert von Q in Gl. (9) ein, so wird

$$q(m_r) = a_r \left[B_r + \frac{1}{q} \left(\frac{\beta_r}{m_r} \right)^2 \right] + \frac{\beta_r}{m_r} (J_0 - A)$$

und schließlich der gesuchte Koeffizient

$$a_r = \frac{q(m_r) - \frac{\beta_r}{m_r} (J_0 - A)}{B_r + \frac{1}{q} \left(\frac{\beta_r}{m_r} \right)^2} \quad (12).$$

11) Wenn man etwas Bestimmtes über den Abkühlungsvorgang eines geschlossenen Raumes aussagen will, so muss dessen Anfangszustand bekannt sein. Ist man in der Lage, hierüber eine willkürliche Annahme zu machen, dann dürfte das grösste praktische Interesse das vollkommen bis zum Dauerzustande durchgeheizte Zimmer bieten.

Der Dauerzustand ist in § 4 beschrieben durch die Gleichungen (1), und man darf nur den dort vorkommenden Temperaturen J , \mathfrak{I}_1 , \mathfrak{I}_∞ noch den Index 0 anfügen, um anzudeuten, dass sie ebenso wie U_0 sich auf die Zeit $s=0$ beziehen sollen.

Es finden also zwischen den Anfangstemperaturen J_0 , \mathfrak{I}_{10} , $\mathfrak{I}_{\infty 0}$, A , U_0 die Beziehungen statt:

$$h_1 (J_0 - \mathfrak{I}_{10}) = \lambda \frac{\mathfrak{I}_{10} - \mathfrak{I}_{\infty 0}}{\delta} = h_0 (\mathfrak{I}_{\infty 0} - A)$$

und

$$U_0 = \mathfrak{I}_{10} - \frac{\mathfrak{I}_{10} - \mathfrak{I}_{\infty 0}}{\delta} x \quad (13).$$

Bei Berechnung des Wärmebedarfes legt die Heiztechnik die Werte $J_0 = +20$, $A = -20$ zugrunde. Für Innenwände ist $h_1 = 6$, während der Wert von h_0 mit der Stärke des Windes von 6 bis zu 36 anwachsen kann. Für Backsteinmauern ist die innere Leitfähigkeit λ zu 0,7 angenommen worden. Es soll nun die Gleichung (13) in weiterer Behandlung des in § 9 eingeführten Beispiels mit den zu $(J_0 - A) = 40$, $A = -20$, $h_1 = h_0 = 6$, $\lambda = 0,7$, $\delta = 0,25$ gehörigen Temperaturen $\mathfrak{I}_{10} = +10,35$, $\mathfrak{I}_{\infty 0} = -10,35$ als Beschreibung des Anfangszustandes angenommen werden, und zwar in der Form

$$U_0 - A = C - Dx,$$

wobei C für $\mathfrak{I}_{10} - A (= 30,35)$ und D für $\frac{\mathfrak{I}_{10} - \mathfrak{I}_{\infty 0}}{\delta} (= 4 \cdot 20,69)$ gesetzt ist.

Es wird nun

$$q(m_r) = \int_0^{\delta} (C - Dx) (\cos m_r x + \beta_r \sin m_r x) dx \\ = \frac{C}{m_r} (\beta_r + \sin m_r \delta - \beta_r \cos m_r \delta) \\ - \frac{D}{m_r^2} [-1 + m_r \delta (\sin m_r \delta - \beta_r \cos m_r \delta) + \cos m_r \delta + \beta_r \sin m_r \delta],$$

was mithilfe der Gleichung (4a) und unter Berücksichtigung von

$$C = D \left(\delta + \frac{\lambda}{h_0} \right) = 0$$

¹⁾ Diese einfache Form des Integrals wird mithilfe der Gleichung (4a) erhalten.

auf

$$\varphi(m_r) = \frac{D + m_r \beta_r O}{m_r}$$

zurückgeführt werden kann. Um den Zähler von a_r zu bilden, hat man dem $\varphi(m_r)$ noch $\left[-\frac{\beta_r}{m_r}(J_0 - A)\right]$ hinzuzufügen. Man gelangt dadurch zu der einfachen Form

$$-\frac{p}{\lambda \varphi m_r} \beta_r (J_0 - A).$$

Somit wird für den Fall, dass man den Abkühlungsvorgang von dem Dauerzustande (J_0, A) ausgehen lässt, der allgemeine Koeffizient

$$a_r = \frac{-\frac{p}{\lambda \varphi m_r} \beta_r (J_0 - A)}{\delta \frac{1 + \beta_r^2}{2} + (1 + \frac{\beta_r}{m_r} p_1) \frac{\sin(m_r \delta) \cos(m_r \delta - \varphi_r)}{2 m_r \cos \varphi_r} + \frac{1}{\varphi} \left(\frac{\beta_r}{m_r}\right)^2}.$$

Es erscheinen demnach die Temperaturunterschiede ($U - A$), auf deren Berechnung es ankommt, allgemein als Vielfache des größten Unterschiedes ($J_0 - A$), ohne dass irgend eine Temperatur ihrem absoluten Werte nach in Betracht kommt.

Aus der gegebenen Formel sind die in die vorstehenden Tabellen eingetragenen sieben ersten Werte von a zu dem gewählten Beispiele berechnet

12) Anwendungen. Am einfachsten gestaltet sich die Rechnung für die Temperatur \mathfrak{I}_i der Innenwand und die Temperatur J der Luft, also für diejenigen beiden Temperaturen, welche für den Bewohner das größte Interesse haben.

Es ist nach § 10

$$\mathfrak{I}_i - A = a_1 e^{-x m_1} + a_2 e^{-x m_2} + a_3 e^{-x m_3} + \dots = \sum (a_n e_n).$$

Stellt man zunächst die $\log e_n$ für $x=1$ her, um sie für höhere Werte von x einfach mit der Stundenzahl zu multiplizieren, so erhält man

$\log a_1 = -0,01589$	$\log a_1 e_1 = 0,78957 - 1 + \log (J_0 - A)$
$\log a_2 = -0,17644$	$\log a_2 e_2 = 0,70798 - 2 + \quad "$
$\log a_3 = -0,56299$	$\log a_3 e_3 = 0,94691 - 3 + \quad "$
$\log a_4 = -1,18094$	$\log a_4 e_4 = 0,32061 - 3 + \quad "$
$\log a_5 = -1,74680$	$\log a_5 e_5 = 0,86276 - 5 + \quad "$
$\log a_6 = -2,39345$	$\log (-a_6 e_6) = 0,60864 - 5 + \quad "$
$\log a_7 = -2,61808$	$\log (-a_7 e_7) = 0,06017 - 6 + \quad "$

Daraus folgt für die Temperatur \mathfrak{I}_i , welche die Innenwand nach einer Stunde hat,

$$\begin{aligned} \mathfrak{I}_i - A &= 0,87755 (J_0 - A) \\ &= 27,10 \\ \mathfrak{I}_i &= 7,10^\circ \text{ C.} \end{aligned}$$

\mathfrak{I}_0 war $10,35$. Es ist also die Temperatur der Innenwand in der ersten Stunde nach Abstellung der Heizung um $3,25^\circ$ gefallen.

Die Temperatur J der Luft wird aus Gl. (6a) berechnet:

$$J - A = -\frac{1}{\varphi} \left[\frac{b_1}{m_1} e_1 + \frac{b_2}{m_2} e_2 + \frac{b_3}{m_3} e_3 + \dots \right].$$

Nun ist $b_n = \beta_n a_n$ und $\beta_n = -p_1 \frac{\varphi m_n}{p_1 - \varphi m_n}$, sodass sich der Faktor $\left(-\frac{1}{\varphi}\right)$ weghebt und

$$\begin{aligned} J - A &= a_1 e_1 \frac{p_1}{p_1 - \varphi m_1} + a_2 e_2 \frac{p_1}{p_1 - \varphi m_2} + a_3 e_3 \frac{p_1}{p_1 - \varphi m_3} + \dots \\ J - A &= \sum \left[a_n e_n \frac{p_1}{p_1 - \varphi m_n} \right] \end{aligned}$$

wird.

Wenn man indessen, wie hier, die β bereits vorrätig hat, ist es bequemer, das ($J - A$) aus

$$-\varphi (J - A) = \frac{\beta_1}{m_1} a_1 e_1 + \frac{\beta_2}{m_2} a_2 e_2 + \frac{\beta_3}{m_3} a_3 e_3 + \dots$$

zu berechnen.

$$\log \left(-\frac{\beta_1}{m_1} a_1 \right) = 0,41167 - 3 + \log (J_0 - A)$$

$$\log \left(-\frac{\beta_2}{m_2} a_2 \right) = 0,52743 - 4 + \quad "$$

$$\log \left(-\frac{\beta_3}{m_3} a_3 \right) = 0,27312 - 4 + \quad "$$

$$\log \left(-\frac{\beta_4}{m_4} a_4 \right) = 0,42829 - 4 + \quad "$$

$$\log \left(-\frac{\beta_5}{m_5} a_5 \right) = 0,27308 - 4 + \quad "$$

Nach Addition der $\log e$ findet man, dass nach einer Stunde

$$J_1 - A = 0,4255 (J_0 - A) = 27,82^\circ,$$

somit

$$J_1 = 7,82^\circ \text{ ist.}$$

Demnach ist die Temperatur der Innenluft in dieser ersten Stunde von 20° auf $7,8^\circ$, d. i. um $12,2^\circ$ gefallen und ist nur noch um $0,7^\circ$ höher als die Temperatur der Innenwand.

Der weitere Verlauf der beiden Temperaturen berechnet sich leicht; man hat nur die $\log e$ mit der Stundenzahl zu multiplizieren und erhält z. B.

$$\begin{aligned} (\text{nach 2 Stunden}) \quad \mathfrak{I}_2 &= 5,2; \quad J_2 = 5,8 \text{ (aus 4 Gliedern)} \\ (\text{ } \times 10 \text{ }) \quad \mathfrak{I}_{10} &= -2,2; \quad J_{10} = -2,1 \text{ (} \times 2 \text{ }) \end{aligned}$$

Es kann also unter den gegebenen Umständen über Nacht im Zimmer das Wasser gefrieren.

13) Die Vorgänge im Innern der Mauer und an der Außenfläche scheinen zwar vorzugsweise theoretisches Interesse zu bieten, gestalten sich aber so eigenartig, dass sie allgemeinere Beachtung verdienen. Ueberdies ist es notwendig, sie zu kennen, wenn man den gesamten Wärmeverlust berechnen will, der in einer bestimmten Zeit des Abkühlungsvorganges stattfindet. Endlich werden aus den Endzuständen, in welche die Mauer durch Abkühlung kommt, die Anfangszustände für die Wiedererwärmung herzuleiten sein.

Berechnung der Temperatur \mathfrak{I}_a der Außenwand. Die allgemeine Gleichung in Nr. 10 giebt $U = \mathfrak{I}_a$ für $x = \delta$, also

$$\mathfrak{I}_a - A = a_1 e_1 (\cos m_1 \delta + \beta_1 \sin m_1 \delta) + a_2 e_2 (\cos m_2 \delta + \beta_2 \sin m_2 \delta) + a_3 e_3 (\cos m_3 \delta + \beta_3 \sin m_3 \delta) + \dots$$

oder wenn man die Hülfswinkel φ (S. 24) einführt:

$$\begin{aligned} \mathfrak{I}_a - A &= a_1 e_1 \frac{\cos(m_1 \delta - \varphi_1)}{\cos \varphi_1} + a_2 e_2 \frac{\cos(m_2 \delta - \varphi_2)}{\cos \varphi_2} \\ &\quad + a_3 e_3 \frac{\cos(m_3 \delta - \varphi_3)}{\cos \varphi_3} + \dots \end{aligned}$$

Infolge der Reduktion der Cosinus auf den ersten Quadranten wird man im allgemeinen wechselnde Vorzeichen erhalten.

Im vorliegenden Beispiele wird

$$\begin{aligned} \mathfrak{I}_a - A &= a_1 e_1 \frac{\cos 42^\circ 9'}{\cos 1^\circ 0'} - a_2 e_2 \frac{\cos 30^\circ 40'}{\cos 3^\circ 40'} + a_3 e_3 \frac{\cos 18^\circ 22'}{\cos 8^\circ 32'} \\ &\quad - a_4 e_4 \frac{\cos 13^\circ 3'}{\cos 22^\circ 23'} + a_5 e_5 \frac{\cos 10^\circ 40'}{\cos 7^\circ 9' 12'} + a_6 e_6 \frac{\cos 9^\circ 0'}{\cos 33^\circ 54'} \end{aligned}$$

Bezeichnet man die Quotienten der Cosinus mit c_1, c_2, \dots , so ist

$$\left. \begin{aligned} \log c_1 &= 0,05448 - 1 \\ \log c_2 &= 0,03548 - 1 \\ \log c_3 &= 0,08212 - 1 \\ \log c_4 &= 0,02266 \\ \log c_5 &= 0,71970 \\ \log c_6 &= 0,07388 \end{aligned} \right\} \text{ wozu die Logarithmen der } a e \text{ zu addiren sind. Das letzte Glied erhält wegen } a_6 \text{ das Vorzeichen } (-).$$

Daraus folgt, eine Stunde nach Abstellung der Heizung,

$$\begin{aligned} \mathfrak{I}_{a1} - A &= 0,2414 (J_0 - A) \\ &= 9,65 \\ \mathfrak{I}_{a1} &= -20 + 9,65 = -10,35. \end{aligned}$$

Da \mathfrak{I}_{a0} ebenso groß gefunden wurde (Nr. 11), so folgt, dass sich in der ersten Stunde die Temperatur der Außenwand nicht merklich ändert, und da alle Wärme, welche verloren geht, durch die Außenwand entweicht, ist in der ersten Stunde nach Abstellung der Heizung der Wärmeverlust ebenso groß wie im Dauerzustande.

Es ist bemerkenswert, dass, während an der Innenwand infolge mangelhafter Wärmezufuhr die Temperatur um $3,35^\circ$ sinkt, an der Außenwand noch keinerlei Wirkung verspürt wird. Der Wärmestrom verhält sich ebenso wie ein Wasserstrom, der in seinem Oberlaufe durch eine Schleuse abgesperrt wird. Während hier alsbald Ebbe eintritt, erleidet die Stromstärke im Unterlaufe noch einige Zeit hindurch keine erhebliche Aenderung.

Auch nach zwei Stunden ist die Temperaturabnahme noch kaum merklich. Die Rechnung giebt jetzt

$$T_{2,2} = -10,53^\circ,$$

also eine Abnahme um $0,17^\circ$, nach 10 Stunden

$$T_{10,2} = -12,24^\circ,$$

sodass die Temperaturabnahme an der Außenwand nur $1,3^\circ$ beträgt, während sich die Innenwand gleichzeitig um $12,6^\circ$ und die Innenluft um $22,1^\circ$ abgekühlt hat.

14) Zur Berechnung der Temperatur U , welche zur Zeit z an irgend einer Stelle x der Mauer stattfindet, hat man allgemein:

$$U - A = a_1 e_1 \frac{\cos(m_1 \delta \frac{x}{\delta} - q_1)}{\cos q_1} + a_2 e_2 \frac{\cos(m_2 \delta \frac{x}{\delta} - q_2)}{\cos q_2} + a_3 e_3 \frac{\cos(m_3 \delta \frac{x}{\delta} - q_3)}{\cos q_3} + \dots$$

Setzt man für x irgend einen Bruchteil von δ , so erhält man eben diesen Bruchteil des Winkels $m\delta$, von welchem der Winkel q zu subtrahieren ist. Bei der Reduktion auf den ersten Quadranten bleibt nur das Vorzeichen des ersten Gliedes notwendig positiv.

Es folgt hier eine Zusammenstellung der nach einer Stunde sich in verschiedenen Mauertiefen vorfindenden Temperaturen mit den Anfangstemperaturen und der Temperatur der Innenluft.

x	U_1	U_0	$U_0 - U_1$	
0	7,1	10,35	3,25	(Innenwand)
$0,2 \delta$	5,4	6,2	0,8	
$0,4 \delta$	1,9	2,1	0,2	
$0,5 \delta$	— 0,0	0	0,0	
$0,7 \delta$	— 4,1	— 4,1	0,0	
δ	— 10,35	— 10,35	0,0	(Außenwand)
Innenluft	+ 7,6	+ 20	12,4	

Nach 2 Stunden:

x	U_2	U_0	$U_0 - U_2$	
0	5,2	10,35	5,1	(Innenwand)
$0,2 \delta$	4,1	6,2	2,1	
$0,4 \delta$	0,9	2,1	1,2	
$0,7 \delta$	— 4,2	— 4,1	0,1	
δ	— 10,5	— 10,35	0,2	(Außenwand)
Innenluft	+ 5,6	+ 20	14,4	

Nach 10 Stunden:

x	U_{10}	U_0	$U_0 - U_{10}$	
0	— 2,2	10,35	12,6	(Innenwand)
$0,2 \delta$	2,1	6,2	4,1	
$0,4 \delta$	4,0	2,1	6,1	
$0,7 \delta$	7,4	— 4,1	3,3	
δ	12,2	— 10,35	1,9	(Außenwand)
Innenluft	— 2,1	+ 20	22,1	

Fig. 2 giebt eine graphische Darstellung der Rechnungsergebnisse.

15) Berechnung des Wärmeverlustes.

Wenn als »Wärmeverlust« diejenige Wärmemenge bezeichnet wird, die in die freie Luft von der Temperatur A entweicht, so hat man nur den Abgang von der Außenwand zu berechnen, der durch

$$V = \int_0^{\delta} (T_s - A) h_2 F dz$$

dargestellt ist.

Nach § 13 ist $(T_s - A)$ durch eine Reihe gegeben, deren n tes Glied

$$a_n e_n \frac{\cos(m_n \delta \frac{z}{\delta} - q_n)}{\cos q_n}$$

ist. In diesem ist nur der Faktor $e_n = e^{-\lambda m_n z}$ von der Zeit z abhängig, und da

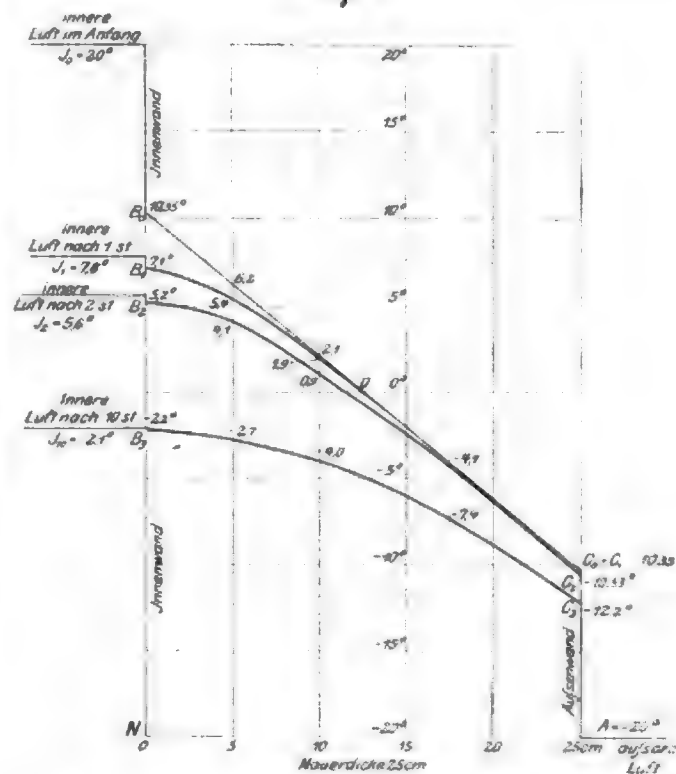
$$\int_0^{\delta} e^{-\lambda m_n z} dz = \frac{1}{\lambda m_n} (1 - e^{-\lambda m_n \delta}),$$

so ist das allgemeine Glied der Reihe, in die sich V entwickelt,

$$h_2 F \frac{a_n e_n}{\lambda m_n} (1 - e^{-\lambda m_n \delta}),$$

wobei wieder, wie S. 1807, mit e_n der Quotient der Cosinus bezeichnet ist.

Fig. 2.



Demnach erscheint V als Differenz zweier Wärmemengen, einer unveränderlichen und einer mit wachsender Zeit unendlich abnehmenden:

$$V = h_2 F \sum_{n=1}^{\infty} \left[\frac{a_n e_n}{\lambda m_n} \right] - h_2 F \sum_{n=1}^{\infty} \left[\frac{a_n e_n}{\lambda m_n} e^{-\lambda m_n \delta} \right].$$

$\sum_{n=1}^{\infty} \left[\frac{a_n e_n}{\lambda m_n} \right]$ giebt in dem vorliegenden Beispiele den Wert der im Minuenden stehenden Reihe auf 5 Dezimalen genau zu 0,01802 ($J_0 - A$). Im Subtrahenden, wo die e_n die Konvergenz verstärken, genügt eine geringere Anzahl von Gliedern, um die gleiche Genauigkeit zu erreichen.

Will man z. B. den in den ersten 10 Stunden eingetretenen Wärmeverlust wissen, so genügt das erste Glied allein, um den Wert der im Subtrahenden stehenden Reihe mit

$$0,01881 (J_0 - A)$$

auf 5 Dezimalen des Koeffizienten genau anzugeben.

Die beiden Glieder von V lassen eine einfache Deutung zu. Der Minuend ist die bei unendlich langer Dauer des Abkühlungsvorganges verlorene Wärme. Dabei sinkt überall

die Temperatur auf -20° . Somit stellt der Minuend die ursprünglich in dem Gegenstand (Innenluft und Außenmaner) über dem Temperaturniveau $A = -20^\circ$ enthaltene Wärme dar, während der Subtrahend aussagt, wieviel von dieser Wärme zur Zeit s noch vorhanden ist.

Man kann also schon aufgrund der gegebenen beiden Zahlen aussagen, dass in den ersten zehn Stunden weniger als ein Drittel der verfügbaren Wärme verloren geht; denn es sind noch mehr als zwei Drittel derselben übrig.

Für die Mauer allein stellt in Fig. 2 das Trapez $B_0 C_0 A N$ die ursprünglich verfügbare, das Flächenstück $B_1 C_1 A N$ die nach 10 Stunden noch übrige und somit $B_0 C_0 C_1 B_1$ die in dieser Zeit verlorene Wärme bildlich dar.

Keht man zu der Rechnung zurück, so ist

$$V_{10} = \frac{\lambda_1 F}{\pi} 0,01503 (J_0 - A) - \frac{\lambda_2 F}{\pi} 0,01081 (J_0 - A) \\ = 0,00141 \frac{\lambda_2 F}{\pi} (J_0 - A).$$

Hier ist noch $\lambda_1 = 6$, $F = 20$ und $\pi = \frac{\lambda}{sw} = \frac{7}{3600}$ einzusetzen, wodurch

$$V_{10} = 272,2 (J_0 - A)$$

erhalten wird. Es ist somit auch die verlorene Wärme dem größten Temperaturunterschiede $(J_0 - A)$ proportional, da in dem Koeffizienten 272,2 keine Temperatur vorkommt. Derselbe spielt die Rolle eines Transmissionskoeffizienten für 10 Stunden und 20 qm Abkühlungsfläche. Für 1 qm ver-

ringert er sich auf 13,41. Somit werden pro qm und Stunde durchschnittlich 1,34... $(J_0 - A)$ WE verloren, d. i. nicht viel weniger als im Dauerzustande, wo die verlorene Wärme 1,45 $(J_0 - A)$ beträgt.

Ferner ist bemerkenswert, dass von den

$$V_{10} = 10888 \text{ WE,}$$

die in die freie Luft übergehen, der bei weitem überwiegende Teil aus der Mauer stammt. Denn die innere Luft, die sich von 20° auf $-2,1^\circ$ abkühlt, verliert dabei annähernd nur

$$100 \cdot 0,3 \cdot 22,1 = 663 \text{ WE,}$$

die Mauer den Rest mit 10225 WE, was ungefähr dem 15fachen des vorigen gleichkommt.

16) Schluss. Die Durchführung des Beispiels zeigt, dass die Rechnung in denjenigen Fällen, wo ihre Voraussetzungen zutreffen, wertvolle Aufschlüsse über den Verlauf des Abkühlungsvorganges zu geben vermag. Leider sind die Konstanten des Materials und die Mauerdicke in den Formeln nicht ebenso zugänglich wie die Temperaturen. Es bleibt also nichts übrig, als zunächst für verschiedene Dicken, dann auch für verschiedene Werte des äußeren Leitvermögens λ_2 die Berechnung der m , β , α durchzuführen, ehe man imstande ist, über den Einfluss jener wichtigen Bestimmungsstücke des Abkühlungsvorganges einfache Angaben zu machen, die der Heistechnik zugute kommen.

In einer folgenden Abhandlung soll die Erwärmung geschlossener Räume der Rechnung unterzogen werden.

Die Weltausstellung in Paris 1900.

Die Lokomotiven.

Von H. Brückmann, dipl. Ingenieur, Chemnitz.

(Fortsetzung von S. 1669)

3) $\frac{3}{4}$ -gekuppelte Zwillings-Eilzuglokomotive der französischen Westbahn, Bahn-Nr. 951, erbaut in den Bahnwerkstätten zu Batignolles 1888 (ohne Tender ausgestellt), Fig. 45 bis 53.

Diese Eilzuglokomotive, Fig. 45 bis 47, wurde 1888 im Ingenieurbureau der französischen Westbahn entworfen und in demselben Jahre als die erste auf einer französischen Bahnlinie mit vorderem drehbarem und seitlich verschiebbarem Drehgestell laufende Maschine ausgeführt. Sie war 1889 in Paris ausgestellt und bewährte sich im Betriebe so gut, dass allmählich 50 gleiche Lokomotiven beschafft worden sind. Eine Konstruktionsänderung wurde späterhin nur insofern vorgenommen, als die glatten Siederohre durch Rippenrohre (Patent Serve) und ferner die gewöhnlichen Luftpumpen durch solche mit Kühlrippen an den Luftzylindern ersetzt wurden.

Da diese Lokomotive, wie gesagt, schon 1889 in Paris ausgestellt war und genügend beschrieben worden ist¹⁾, so sei an dieser Stelle nicht näher auf sie eingegangen; nur drei Eigentümlichkeiten mögen erwähnt werden.

a) Kessel. Die Langkessel der ersten Lokomotiven gleicher Bauart enthielten 195 Siederohre von 45/49 mm Dmr. und 4180 mm freier Länge. Bei dem 1898 vollzogenen Umbau wurden diese glatten Rohre durch 95 Rippenrohre, Patent Serve, von 65/70 mm Dmr. und gleicher freier Länge ersetzt.

Die Hauptabmessungen und -verhältnisse sowie die mutmaßliche Minderleistung des umgebauten Kessels sind nebenstehend wiedergegeben.

Da der Umbau namentlich infolge der teuren Rippenrohre nur Unkosten, aber keine Vorteile mit sich gebracht hat, so muss er als durchaus verfehlt bezeichnet werden, und es kann als wirksame Heizfläche für die Rippenrohre nur die um $\frac{3}{4}$ vH verringerte der glatten Rohre eingesetzt werden. Die freie Rohrlänge von 4180 mm ist eben für Rippenrohre von 65/70 mm Dmr. viel zu lang.

¹⁾ Z. 1889 S. 1237.

		vor dem Umbau	nach dem Umbau
Kesselüberdruck	at	11	11
Rohre, Anzahl		195	95
" Durchmesser	mm	45/49	65/70
" freie Länge	"	4180	4180
freier Rohrquerschnitt in der Feuerbüchsenrohrwand	qm	0,27027	0,28681
freier Rohrquerschnitt mitten im Rohrbündel	"	0,31005	0,29016
Produkt $\alpha \delta$ bzw. α, δ		0,083797	0,083221
Mehrleistung bei Annahme der Rohrlänge größter Leistung	vH	—	1
Minderleistung (nach wirklicher Rohrlänge berichtigt)	"	—	3 $\frac{1}{2}$
Rostfläche	qm	1,78	1,78
Feuerbüchsenfläche	"	10,00	10,00
Rohrheizfläche, innere	"	111,60	—
" mit Rippen	"	—	114,20
Gesamtheizfläche	"	121,60	124,20

b) Rahmen. Die Einrückfedern des Drehgestellzapfens sind sehr einfach angeordnet, Fig. 48 bis 50.

c) Maschine. Die innenliegenden Zwillingscylinder, Fig. 51 bis 53, sind zweiteilig gegossen und in der Mitte zusammengeschraubt. Da die Hauptrahmenbleche gerade durchlaufen und die Steuerung zwischen den Zylindern liegt, der verfügbare Raum daher für einen gewöhnlichen Schieberkasten mit einem einseitig abzweigenden Dampfaustrittskanale nicht ausreicht, so ist der Schieber geteilt, sodass jeder Zylinder 2 Schieber mit 2 getrennten Dampfaustrittskanälen hat; diese Lösung hat den unzweifelhaften Nachteil, dass erkalteter Auspuffdampf den Zylindermantel umspült.

Die Hauptabmessungen und -gewichte der ausgestellten Lokomotive sind folgende:

Zylinderdurchmesser	460 mm
Kolbenhub	660 "
Lauftraddurchmesser	930 "



ersten beiden Lokomotiven erhalten konnte, so sei hier nicht die ausgestellte Lokomotive, sondern ihre Schwesterlokomotive Nr. 2762 besprochen.

a) Kessel. Der im übrigen ganz normale Kessel weist eine schöne tiefe Feuerbüchse und als Besonderheit nicht glatte, sondern Rippen-Siederohre auf, und zwar 147 Stück von 60/65 mm Dmr. und 3582 mm freier Länge. Da die Länge für die größte Leistung bei 60/65 mm Rohrdurchmesser nur rd. 2 m beträgt, so erscheint die Rohrlänge zu groß oder das Rohrprofil zu klein, um den Vorteil der Rippenrohre voll ausnutzen zu können. Es sind daher wenigstens $6\frac{1}{2}$ vH von der größtmöglichen Leistung abzuziehen, und die französische

der Trieb- und Kuppelachsfedern, welche nicht durch Balanciers miteinander verbunden sind, bei denen aber die inneren tief hinabreichenden Träger der Federspannschrauben unter dem Aschkasten gegeneinander abgesteift sind. Hervorgehoben sei ferner noch die einfache Anordnung der Einrückfedern des Drehgestelles.

c) Maschine. Während das Triebwerk und die Heusinger-Steuerung nichts Eigentümliches aufweisen, sind die Cylinder und Schieberkasten durchaus abweichend vom Üblichen, und zwar mit Kolbenschiebern nach Ricour entworfen und ausgeführt. Ricour führte schon 1881 bis 1885 an nicht weniger als 132 Lokomotiven verschiedener Bauart der

Staatsbahnen seinen Kolbenschieber mit solchem Erfolge ein, dass dieser auch heute noch der Normalschieber der Lokomotiven der französischen Staatsbahn ist.

Die eigentümliche Bauart der Cylinder ist aus Fig. 59 bis 61 ersichtlich. Danach ist das Schiebergehäuse so nahe wie möglich an den Cylinder gelegt. Der Kessel-dampf strömt zwischen den beiden Kolbenschiebern ein, während der Abdampf an den Enden austritt und über dem Schiebergehäuse hinweg abströmt. Um das Dampfwasser aus dem Schieberkasten abzuleiten, sind am Cylinder außen 3 Kanäle angegossen, welche unten in einen Sammelraum einmünden, in dessen Mitte ein Ablasshahn angeordnet ist. Den Schieberrost bilden 2 eingepresste Büchsen. Ganz eigenartig ist die Konstruktion der Kolbenschieber, bei deren Entwurf Ricour den Grundsatz verfolgt hat, dass die Schieber beim Fahren unter Dampf dicht, beim Fahren ohne Dampf aber ohne Reibung arbeiten sollen. Die Kolbenschieber sind so verwickelter Bauart, dass sich ein klares Bild

von der Wirkungsweise nur an der Hand einer Reihe von Einzelzeichnungen gewinnen lässt. Ich muss daher an dieser Stelle darauf verzichten, sie näher zu beschreiben. Erwähnt sei nur, dass der Schieber aus vielen Teilen zusammengesetzt ist und dass der Dampf zwischen den Kolbenkörper und die Dichtungssegmente tritt und letztere an den Schieberrost anpresst. Beim Absperrn des Dampfes ziehen sich die Segmente zusammen und heben sich ein wenig vom Schieberroste ab. Wenn in einem Berichte des verstorbenen Chefingenieurs der Staatsbahnen Desdouts¹⁾ gesagt wird, dass diese Kolbenschieber $\frac{1}{2}$ bis 1 Mill. km gelaufen seien, ohne dass die geringste Aenderung nötig war, so sollte man eigentlich annehmen, dass der Idealschieber gefunden sei. Im Widerspruche dazu steht, dass der Schieber sich bei keiner andern, nicht einmal französischen, Bahn eingeführt hat.

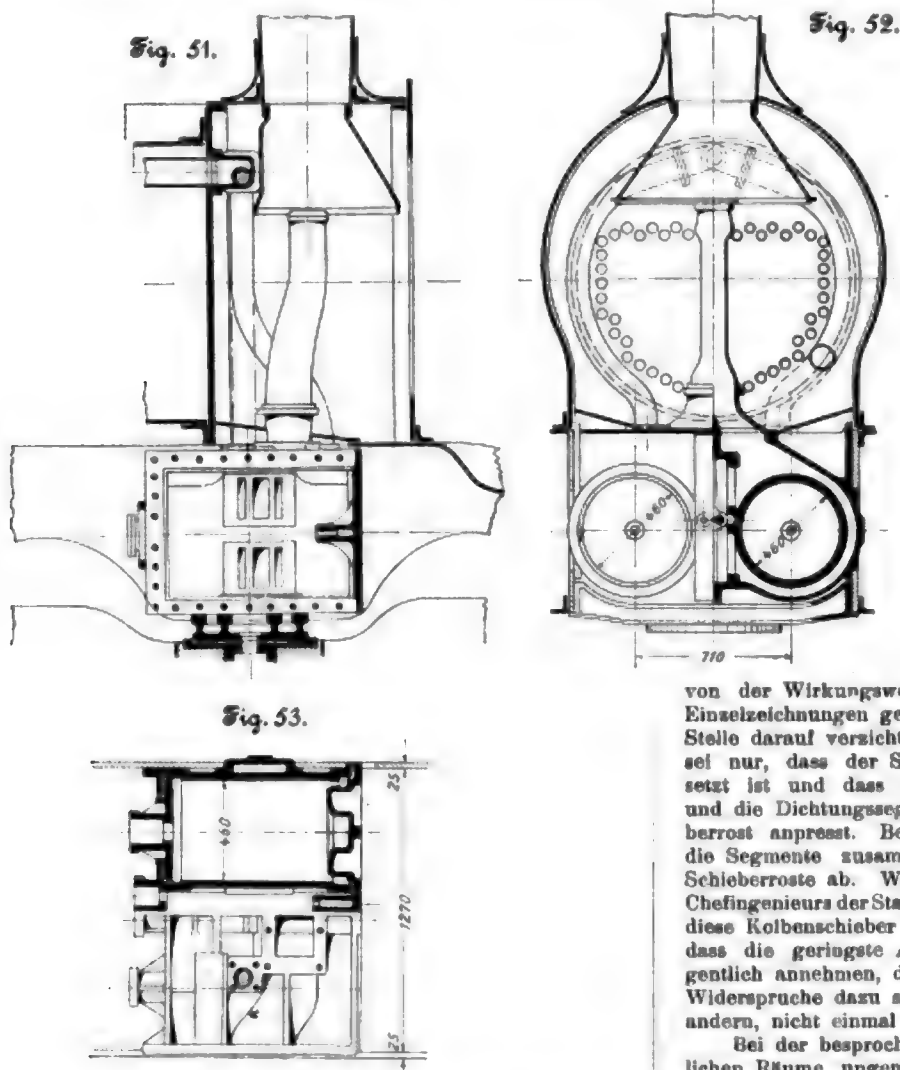
Bei der besprochenen Cylinderbauart werden die schädlichen Räume ungemein klein (rd. 2 vH), was bei Lokomotiven wegen zu hoher Kompression bei kleinen Füllungsgraden nicht anständig ist. Die französische Staatsbahn half dem ab, indem sie schwedische Kolben, aber gerade Cylinderdeckel, s. Fig. 59, anwandte, wodurch die Größe der schädlichen Räume auf 8,5 vH gebracht worden ist.

Die Hauptabmessungen und -verhältnisse der Maschine sind folgende:

Cylinderdurchmesser	440 mm
Kolbenhub	650 "
Kolbenschieberdurchmesser	200 "
äußere Ueberdeckung	30 "
innere	2 "

¹⁾ Revue générale des Chemins de fer, März 1900 N. 191 bis 199: Note sur les nouvelles machines d'express des Chemins de fer de l'Etat, von Desdouts.

Fig. 51 bis 53. Dampfcylinder.



sche Staatsbahn rechnet auch wirklich nur 73,5 vH der feuerberührten Rohrheizfläche als wirksam.

Die Hauptabmessungen und -verhältnisse des Kessels sind folgende:

Kesselüberdruck	14 at
Rostfläche	2,05 qm
Feuerbüchsenheizfläche	11,10 "
Rohrheizfläche innere (0,735 x 200)	147,00 "
Gesamtheizfläche	158,10 "
Rostfläche : Gesamtheizfläche	1 : 77,1
Feuerbüchsenheizfläche : Gesamtheizfläche	1 : 14,2

b) Rahmen. Die 30 mm starken Haupttrahmenbleche sind verhältnismäßig schwach durch Querverbindungen gegeneinander abgesteift. Bemerkenswert ist die Aufhängung



Lokomotive und Tender.

Gesamtradstand	13150	mm
ganze Länge über die Puffer	16300	"
Gesamtdienstgewicht	80300	kg
Zugkraft $Z = \frac{0,65 p d^2 l}{D}$	5670	"

f) Leistungen. Die Lokomotive Bahn-Nr. 2753 wurde sehr eingehenden Versuchen unterworfen, um ihre Leistungsfähigkeit möglichst genau festzustellen.

Fig. 62.

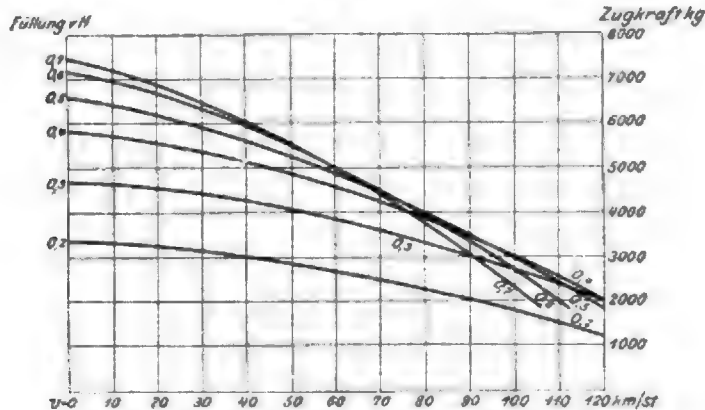
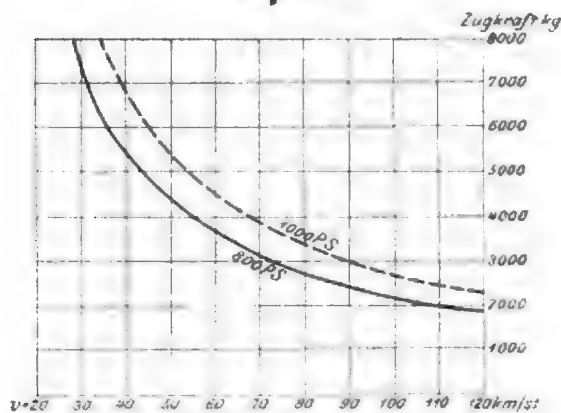


Fig. 64.

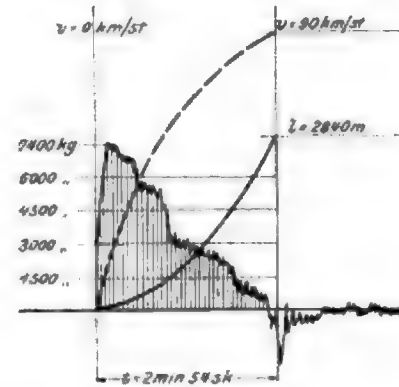


Es wurde zu diesem Behufe mittels eines dynamometrischen Pendels bei den verschiedensten Fahrgeschwindigkeiten zwischen 0 und 120 km/st und für alle Füllungen zwischen 20 und 70 vH die effektive, d. h. die am Triebhadrumfang geleistete Zugkraft festgestellt. Das Ergebnis dieser Aufnahmen ist in Fig. 62 wiedergegeben. Danach bestimmt sich die größte Anzugkraft bei 70 vH Füllung zu 7400 kg. Zur Feststellung der Anzugkraft wurden ganz besondere Versuche angestellt, indem man die Maschine einen Zug von 230 t Bruttogewicht einschließlich Lokomotive und Tender

aus dem Stillstande so schnell wie möglich auf 90 km/st Fahrgeschwindigkeit bringen ließe. Die Aufzeichnung der Ergebnisse einer solchen Anfahrt zeigt Fig. 63, aus welcher hervorgeht, dass der Versuch in 2 min 54 sk auf einer Strecke von 2840 m 90 km/st Fahrgeschwindigkeit erreichte, wobei eine größte Zugkraft von 7400 kg geleistet wurde. In der Formel $Z = \frac{\alpha d^2 l p}{D}$ erreicht der Koeffizient alsdann den

Wert $\alpha = \frac{7400 \cdot 203}{14 \cdot 44^2 \cdot 65} = 0,552$, welcher sehr hoch liegt und der

Fig. 63.



Ricourschen Cylinderbauart mit zuzuschreiben ist.

Im übrigen wurde bei den Versuchen bestimmt, dass die Lokomotive bequem und andauernd 800 PS, zeitweilig aber 1000 PS und darüber leisten könne. Welche Zugkräfte alsdann bei verschiedenen Fahrgeschwindigkeiten verfügbar sind, geht aus der Figur 64 hervor.

Schließlich sei bemerkt, dass diese Lokomotive nach einigen besonders schnellen Versuchsfahrten auf der 198 km langen Strecke zwischen Bordeaux und Bayonne der Midi-Bahn unterzogen wurde, wobei der 2achsige Tender von 10 cbm Wassereinhalt durch einen 4achsigen (auf 2 Drehgestellen laufenden) Tender von 20 cbm Inhalt ersetzt war, und das Gesamtgewicht einschließlich Lokomotive und Tender 220 t betrug (Lokomotive 50,7 + Tender 44,3 + Zug 125 = 220 t). Mit diesem Zuge wurden auf ebener Strecke 102 bis 105, auf Steigungen von 5 vH 88, auf Steigungen von 10 vH 70 und in Gefällen von 5 vH 120 km/st Fahrgeschwindigkeit dauernd erreicht, woraus sich die in nachstehender Tabelle angegebenen Leistungen ergeben, welche zutreffen dürften.

Neigung	Geschwindigkeit km/st	Zugkraft $Z = 2,4 + \frac{v^2}{1300}$ kg	Leistung pro qm Hohlfläche	
			PS	PS
∞	105	2304	927	5,86
Steigung 1:200	88	2948	960	6,07
" 1:100	70	3538	917	5,80
Gefälle 1:200	120	1864	828	5,24

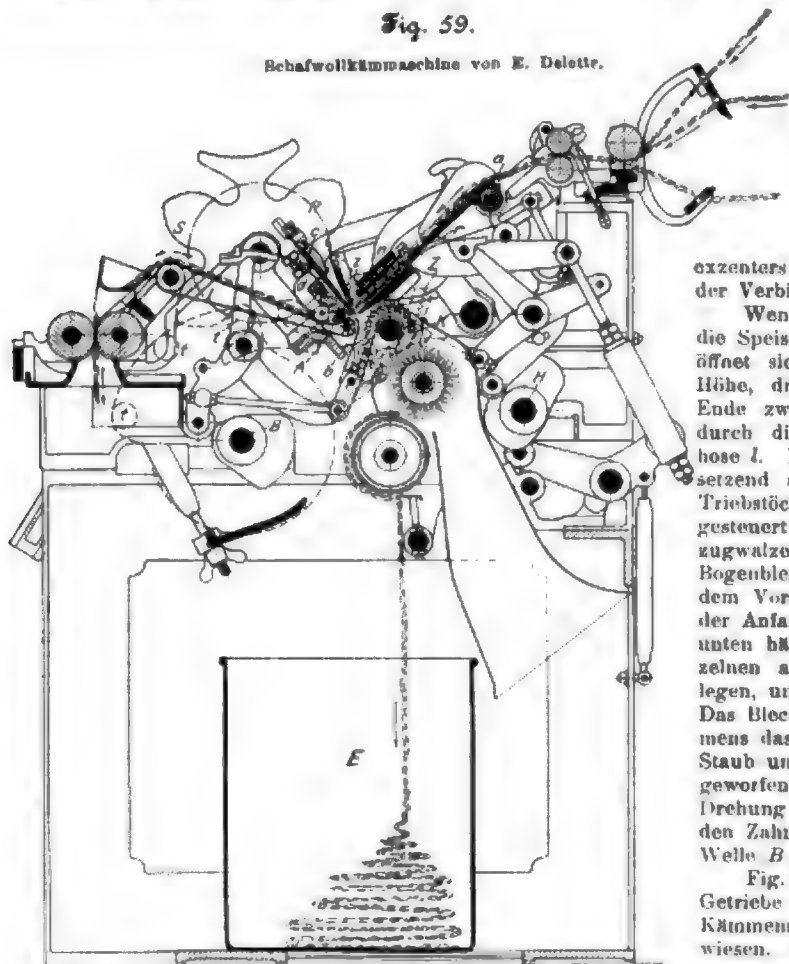
(Fortsetzung folgt.)



sass. Von dieser Maschine¹⁾ giebt Fig. 59 einen Durchschnitt der Ausführungsform, der auch insofern beachtenswert ist, als er im Vergleich mit der früher²⁾ gegebenen gleichen Zeichnung der von derselben Fabrik gebauten Grün-Offermannschen Kämmaschine die wesentlichen Fortschritte zeigt, welche die Grün-sche Fabrik im Bau der Kämmaschinen gemacht hat. Wenn für die Delettesche Konstruktion auch die Richtungen, nach welchen Offermann-Ziegler die Heilmannsche Kämmaschine durch Festlegen der frei ohne Mithilfe der Kämmtrommel wirkenden Abzugvorrichtung und durch die bewegliche Zange verbessert haben, vorbildlich gewesen zu sein scheinen, so kommen ihr doch viele neue Eigenschaften zu, die sie voll in Wettbewerb mit jener treten lassen.

Fig. 59.

Schafwollkämmaschine von E. Delette.



Die Delettesche Kämmaschine kennzeichnet sich zunächst durch eine kleine, also einen scharfen Angriff auf den Faserbart gestattende Kämwalze *K* ohne die sonstigen belehrenden, als Teil der Abziehzange wirkenden Bogenstücke. Diese Walze läuft aber nicht wie sonst dauernd gleichmäßig in einer Richtung um, sondern führt nur einen Teil einer Kreisbewegung vor und zurück aus und arbeitet mit einer gleichfalls diese Bewegung um die Kämwalze ausführenden geriffelten Eindrückwalze *e*. Die Speisevorrichtung besitzt wie gewöhnlich einen Rostkasten *r* und eine Nadelplatte *n*, deren Nadeln durch ersteren stechen; während aber sonst diese Teile mit der Speisezange verbunden sind, deren Bewegungen (wie bei Offermann-Ziegler) also mitmachen, sind sie hier unabhängig von der Speisezange. Der Rost *r* ist drehbar an der Achse *a* aufgehängt, um welche die Nadelplatte *n* mit ihrem Hebel schwingt. Die Speisung, d. i. das Vorziehen der Wollbänder durch diese Teile, erfolgt durch

die vor- und zurückgehende Zange *z*, die beim Vorwärtsgange, um den ausgekämten Faserbart an die Abzugwalzen zu bringen, geschlossen bleibt und so die geklemmten Bänder vorzieht, sich aber zum Rückgang öffnet und dann das vorgezogene Stück gegen das Auskämmen wieder festhält. Die Speisezange schließt sich also am Ende des Rückganges, während sie über der Kämwalze steht, wobei sich die Eindrückwalze *e* in der tiefsten Stellung befindet. Diese Walze steigt mit der zunehmenden Kämmung um die Kämwalze gegen die Speisezange zu in die Höhe, sodass sie sich z. B. 6 mm von der Zange entfernt befindet, wenn die erste Nadelreihe der Kämwalze unter der Zange hindurchgeht, und etwa bei der siebenten Nadelreihe dicht an der Zange steht, damit der Faserbart ganz kurz gefasst und vollkommen eingedrückt wird. Die Eindrückwalze *e* wird von einem auf der Kämwalze *k* sitzenden Rade getrieben, sodass ein genauer Eingriff der Riffeln zwischen die Nadelreihen gesichert ist, und sie bleibt in gehobener Stellung bis zum Durchgang der letzten Nadelreihe an der Zange stehen, um dann mit dieser in die Tiefstellung zu gehen und den ausgekämten Faserbart freizugeben. Den Gang der Eindrückwalze kann man durch Verstellen ihres Bewegungs-exzenters auf der Hauptwelle *H* und Verändern der Länge der Verbindungsgelenkstange *v* genau regeln.

Wenn die letzte Nadelreihe der Kämwalze etwas über die Speisezange hinaus ist, macht diese ihren Vorwärtsgang, öffnet sich dann, ein Blech *b* hebt den Faserbart in die Höhe, drückt ihn in den Vorstechkamm *c* und führt sein Ende zwischen die Abzugwalzen *A*. Der Abzug erfolgt durch diese grob geriffelten Walzen mithilfe einer Lederhose *l*. Die Walzen werden von einem Rade *R* aussetzend angetrieben durch ein Sternrad *S*, das von den Triebstücken *t* auf einer Scheibe der zweiten Hauptwelle *B* gesteuert wird. Gegen Ende des Abzuges, wenn die Abzugwalzen zur Ruhe kommen, trennt ein niedergehendes Bogenblech *d* den Faserbart und schlägt die Fasern aus dem Vorstechkamm nach unten an die Lederhose, sodass der Anfang des neuen abziehenden Bartes über das nach unten hängende Bartende gelegt wird und sich so die einzelnen abgezogenen Faserbärte schuppenartig übereinander legen, um ein gleichmäßig starkes Kammzugband zu bilden. Das Blech *b* schützt in seiner Ruhelage während des Kämmens das aus den Abzugwalzen hängende Faserbartende vor Staub und Schmutz, der leicht von der Kämwalze *K* ausgeworfen wird. Letztere, die, wie bemerkt, keine volle Drehung ausführt, erhält ihre Bewegung von dem schwingenden Zahnbogen *Z*, welcher mithilfe eines Exzenters auf der Welle *B* bewegt wird.

Fig. 59 zeigt die Stellung der Arbeitswerkzeuge und Getriebe beim Abzug; für die Stellungen während des Kämmens usw. sei auf die Patentschrift Nr. 95842 verwiesen. Ferner gehen aus der Figur die Konstruktionseigentümlichkeiten der Maschine wie auch die Art der Zuführung der Bänder und das Sammeln des Kämmlings in dem Kasten *E* hervor.

Die Delettesche Konstruktion zeichnet sich wie die Offermann-Zieglersche durch eine größere Tiefe wie durch eine große Uebersichtlichkeit des bei Kämmaschinen immer auf kleinem Raume zusammengedrängten Bewegungsgetriebes aus; sie wird in 2 Größen gebaut, die beide auf der Ausstellung vertreten waren. Die eine Größe ist für Wollen von 50 bis 240 mm Faserlänge bestimmt und leistet 60 bis 100 kg Zug täglich. Für längere Wollen von 150 bis 365 mm Faserlänge wird die Maschine breiter ausgeführt und hat dann eine tägliche Leistung von 80 bis 160 kg Kammzug je nach der Faserlänge der bearbeiteten Wolle.

Der von der Firma Meunier père & fils (früher Eug. & Em. Meunier) in Roubaix ausgestellte Kreiskämmer ist eine Noblesche Kämmaschine, während die von dieser Firma 1889 vorgeführte Maschine eigener Bauart eine Vereinigung des Holdenschen Nadelkranzes mit der Heilmannschen Zange mit Vorstechkamm darstellte³⁾. Der Alters Meunier beschäftigt

¹⁾ deren Eigentümlichkeiten in D. R.-P. 81432, 85252, 95842 u. 99100 geschützt sind.

²⁾ Z. 1890 S. 900.

³⁾ Z. 1890 S. 925 m. Abb.



im Rückgang begriffen. Die Spulen, die auf zwei durch Kurbelschleife bewegten verschiebbaren Riffelwalzen liegen, werden 280 mm breit¹⁾.

Die zweite von Platt Brothers vorgeführte Zwischenmaschine vor der Kämmaschine²⁾ ist eine Strecke mit Nadelwalze, welche die Wollbänder vom Nadelstab-Streckwerk erhält und gewöhnlich dreifach in Anwendung kommt. Die Platt'sche Ausführung ist hier der elässischen ganz ähnlich, weshalb auf die Darstellung der letzteren³⁾ verwiesen wird. Die ausgestellte Maschine hatte 4 Köpfe mit einer Teil-

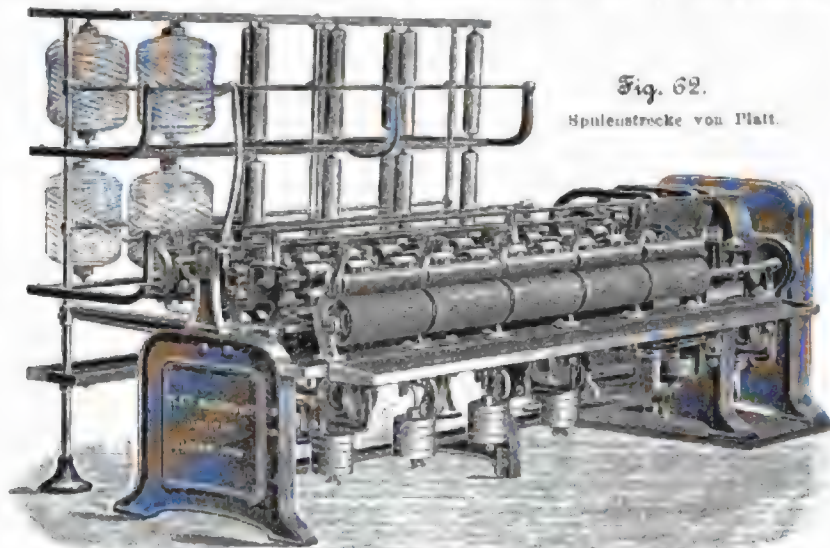


Fig. 62.

Spulenstrecke von Platt.

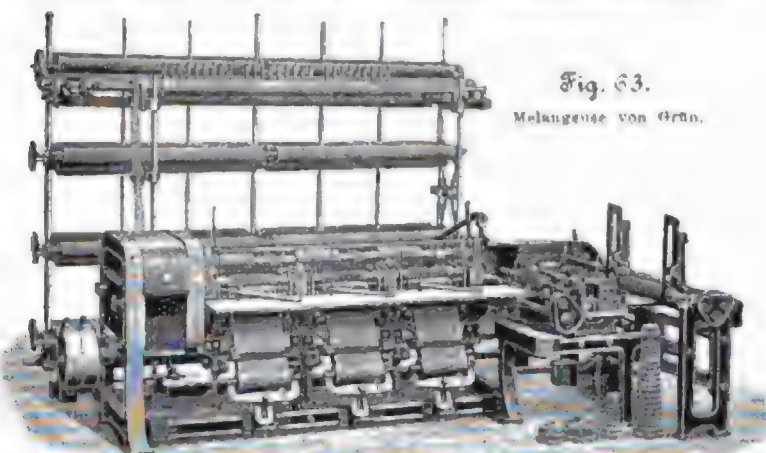


Fig. 63.

Mangelgasse von Grün.

lung von 450 mm für 410 mm lange Spulen mit 350 mm Windungslänge. Die vom gill box kommenden Bandwickel oder Spulen werden vom Aufsteckzeug durch Messingwalzen abgesogen, welche ihren Antrieb vom Hintereylinder aus erhalten. Die Bänder werden nach der Verstreckung durch Reibleder verdichtet, was sonst bei den Strecken vor der Kämmaschine nicht immer der Fall ist.

Die erste Strecke für die Kammzugbänder wird gewöhnlich als Topfstrecke bezeichnet, weil sie die Bänder aus den Sammetöpfen der Kämmaschine erhält, im Gegensatz zu den Spulenstrecken (bobinoirs), die Bandspulen vorgelegt erhalten. Die von der Elässischen Maschinenbau-gesellschaft ausgestellte Topfstrecke zeigt Fig. 61⁴⁾. Die

¹⁾ Einen Durchschnitt einer solchen Kammgarnstrecke von der Elässischen Maschinenbau-gesellschaft (in Paris nicht ausgestellt) zeigt Brüggemann, a. a. O. S. 77.

²⁾ Die Elässische Maschinenbau-gesellschaft hatte solche nicht ausgestellt.

³⁾ Brüggemann, a. a. O. S. 77.

⁴⁾ Bezüglich eines Durchschnittes sei auf Brüggemann, a. a. O. S. 81, verwiesen.

Maschine ist zweiköpfig und wird von 8 Bändern gespeist, welche aus den Töpfen durch Walzen ausgezogen und ohne Verziehen gerade zu den Einführwalzen geleitet werden. Der Einführcylinder ist für eine veränderliche Streckweite stellbar, und der grob geriffelte Streckcylinder arbeitet mit einer Lederhose nach Bazillier¹⁾ zusammen. Die verstreckten Bänder werden dann durch lederne Hosen zusammengegenscheit (gerändert) und auf durch Mangelzahnstange verschiebbare geriffelte Walzen aufgespult. Die Kopftheilung beträgt 500 mm, die Spulenwindungshöhe 350 mm. Der Riemenausrücker wirkt nicht mit einer verschiebbaren Riemen-gabel, sondern besitzt eine gekrüpfte Gabel, die um die Antriebscheibe gedreht wird und dabei durch die Krüpfung die Riemen verschiebt. Fig. 61 lässt diese Einrichtung und die ganze übrige Ausführung der Maschine erkennen.

Die beiden andern von der Elässischen Maschinenbau-gesellschaft ausgestellten Kammgarn-Zwischenmaschinen sind Spulenstrecken (bobinoirs) mit Nitschelwerk. Die Bauart dieser Maschinen ist bereits beschrieben²⁾. Die erste Strecke ist eine solche, welche die Spulen von der Topfstrecke erhält und zwei- und dreimal hintereinander für das drei- und viermalige Doppeln und Strecken der Kammzugbänder angewendet wird. Diese Maschine hat eine Kopfeinteilung von 450 mm für 350 mm Spulenwindungshöhe und besitzt einen verstellbaren Einführcylinder mit Druckcylinder, ein Paar Gleitcylinder, eine Nadelwalze, 2 geriffelte Streckcylinder mit Druckrollen, die durch Feder und Gewicht belastet sind, Reib- oder Nitschelhosen mit festem Mittelpunkt und Reinigungswalzenbürste für die Nadelwalze mit Gegengewichthebeln. Der Spulenwagen mit nur einer Reihe geriffelter Abzugwalzen wird durch eine Mangelzahnstange bewegt. Die Wagenräder sind mit Sicherheitsschuhen versehen, und das Rad auf der Kamm- oder Nadelwalzenachse ist von großem Durchmesser, um Eritterungen zu vermeiden. Diese Achse hat eine Antrieb-Reibkupplung, die geschmiert werden kann und eine sehr sanfte, bei Widerständen nachgebende Drehung vermittelt.

Die zweite Spulenstrecke oder Feinspulenbank, die zum fünften, sechsten und siebenten Strecken benutzt wird, hat ebenfalls eine Kopfeinteilung von 450 mm oder 2 Spulen von je 165 mm Windungshöhe auf jeden Kopf. Die besondere Einrichtung geht aus Fig. 8 und 9, Z. 1898 S. 1141, hervor.

Die Platt'schen Spulenstrecke, von denen 3, die Vor-, Mittel- und Feinstrecke, gezeigt wurden, gleichen in ihrer Einrichtung genau den elässischen. Fig. 62 giebt die englische Bauart wieder. Die Vorstrecke hat 450 mm Kopftheilung für 350 mm-Spulen, die Mittel- und die Feinstrecke, wie die erstere für je zweimalige Anwendung bestimmt, haben 438 mm Kopftheilung mit je 180 mm hohen Doppelspulen.

Besonders für langen Kammzug, wie solchen die Noble'sche Kämmaschine liefert, sind die Nadelstabstrecken von Mennier père & fils bestimmt, die sich durch eine Nadelstabbewegung mithilfe umlaufender Scheiben, also ohne Schrauben oder Ketten, auszeichnen. Es ist damit eine ältere Einrichtung³⁾ wieder aufgenommen, an der Mennier eine Verbesserung insofern vorgenommen hat, als zur Erzielung eines möglichst winkelrechten Austrittes der Nadeln aus dem Wollbände möglichst nahe am Streckcylinder eine ent-

¹⁾ Z. 1890 S. 927 m. Abb.; vergl. auch Brüggemann, Rationelle Spinnerel, Bd. II: Strecken, Stuttgart 1898, A. Bergsträsser, S. 61 m. Abb.

²⁾ Z. 1898 S. 1142 m. Abb.

³⁾ Von Bruneau & Denormand 1822 in Bethel bzw. Laurent; vergl. Hülse: Die Kammgarnfabrikation, Stuttgart 1861, S. 64 m. Abb.

sprechende swangläufige Führung der Nadelstäbe durch eine Bahn mit Absatz angeordnet ist. Die auch in Deutschland patentierte Einrichtung¹⁾ ist an anderer Stelle²⁾ deutlich beschrieben und dargestellt.

Diese Nadelwalzen mit in umlaufenden Schelben radial gehaltenen und mitgenommenen Nadelstäben, die durch in sich verlaufende Kurven geführt werden, ermöglichen den gewöhnlichen Nadelstabs Strecken mit Schraubenbewegung gegenüber ein kräftiges Einstechen und eignen sich deshalb gut für das Strecken von starken Bändern, wie es beim Mischen von verschiedenfarbigen Kammzugbändern vorkommt.

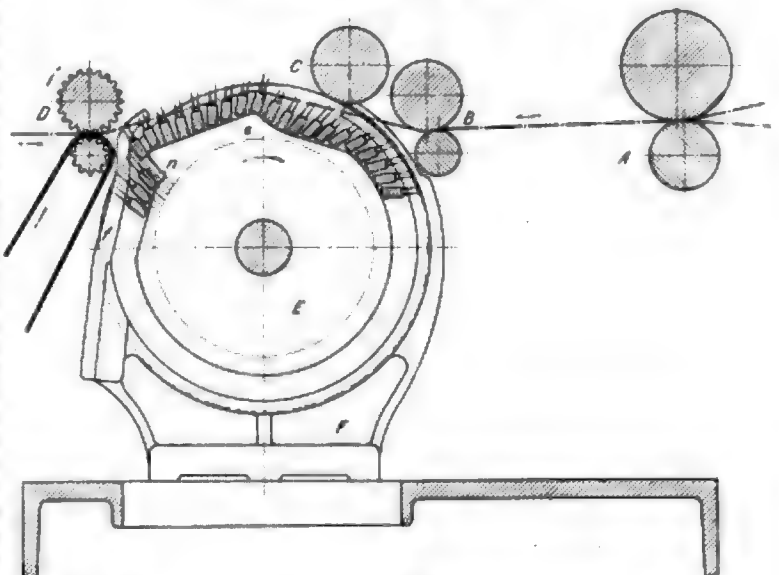
Deshalb hat auch Grün diese Nadelstabbewegung bei einer sogen. Melangeuse, einer zum Mischen von gefärbtem Kammzug dienenden Strecke, Fig. 63, angewendet. Die Maschine ist dreiköpfig. Die auf ihr erhaltenen verstreckten flachen Bänder werden seitlich abgeführt und übereinander gelegt, um sie in einem seitlich angebrachten Nadelstab-Streckwerk mit der gleichen Nadelstabbewegung, das als »Rundgill« bezeichnet wird, gemeinschaftlich zu verstrecken. Die Nadelstabbewegung veranschaulicht in $\frac{1}{3}$ der natürlichen Größe Fig. 64, die einen Schnitt durch das Streckfeld wiedergibt. Die von den Zuführzylindern A von 50 mm Dmr. mit Oberzylinder von 100 mm Dmr. eingeführten Bänder gehen durch ein Paar Gleitwalzen B von 35 mm und 50 mm Dmr. in das Nadelfeld und werden durch eine Walze C von 55 mm Dmr. zwischen die Nadeln eingedrückt. Abgezogen wird das Band unter Verstreckung durch die 32 bzw. 52 mm starken Riffelwalzen D, von denen die untere eine Lederhose besitzt, die durch ein Handrad mit Schrauben gespannt wird. Die für jeden Kopf vorhandenen 57 Stück Nadelstäbe sitzen mit ihren Enden in Schelben mit annähernd radialen Schlitzsen (wie punktiert angedeutet) und werden zwischen 2 Gleitbahnen E und F geführt, von denen die innere oben im Streckfeld eine Erhöhung e zur Erzielung eines vollkommenen Einstiches und bei den Zylindern D eine Stufe n hat, um die Nadelstäbe winkelrecht zur Bandrichtung auszuheben oder zurückzuführen. Die äußere Führung F ist im Streckfeld unterbrochen, weil hier das Band die Nadelstäbe niederhält, und besitzt vorn zum Zurückziehen der Nadelstäbe einen besonders angeschraubten Teil f, durch dessen Form diese Bewegung sanfter gemacht werden soll³⁾. Die Maschine hat 500 mm Kopfteilung und ein Spulenaufsteckzeug für 8 Spulen für jeden Kopf, welche auf Abtreibwalzen liegen und von denen die Bänder durch angetriebene Walzen abgezogen und den Zuführzylindern zugeleitet werden.

Bei der von den Werkstätten vormals Grün in Lure weiter ausgestellten Schraubenstrecke, die als »Gill rectiligne à double nez« bezeichnet wird, sind die doppelgängigen

Schrauben zur Bewegung der Nadelstäbe bemerkenswert, die auch doppelte Daumen zum Niederdrücken und Heben der Nadelstäbe haben, woher die erwähnte Bezeichnung. Dies ermöglicht eine geringere Umlaufzahl der Schrauben oder eine größere Schnelligkeit der Nadelstäbe. Man kann eine Geschwindigkeit von 350 bis 380 fallenden oder steigenden Nadelstäben in der Minute erzielen. Die Steigung der oberen Schrauben beträgt an der ausgestellten Maschine 9 mm, und sie hat 3,8- bis 8,8 fachen Verzug bei einer Umfangsgeschwindigkeit der Streckzylinder (Bandgeschwindigkeit) bis

Fig. 64.

Nadelstab-Streckwerk von Grün.



zu 30 m/min. Der Abstand der Nadeln der niedergehenden Stäbe der Streckzylinder ist sehr klein, 17 mm bis zum Festhaltepunkt des Bandes, sodass auch sehr kurze Fasern gestreckt werden können. Jeder Kopf wird durch 6 Bänder mittels eines ganz grob geriffelten Zuführzylinderpaares gespeist, auf welches ein Paar glatter Gleit- oder Durchzugzylinder folgt. Die geriffelten Streckzylinder arbeiten beide mit Lederhosen, und dahinter ist ein Zylinderpaar angeordnet, das den etwa an den Hosen haftenden Faserbart abzunehmen hat. Das dann durch einen Verdichtungsrichter geführte Band wird auf doppelten geriffelten Abzugwalzen aufgespult.

(Fortsetzung folgt.)

¹⁾ D. R.-P. Nr. 73717.

²⁾ Brüggemann: Rationelle Spinnerei, Bd. II S. 38 u. Abb.

³⁾ Ähnlich wie dies Offmann für Schraubenstrecken, also gerade Gill, in seinem D. R.-P. Nr. 106587 angegeben hat.

Beitrag zur Berechnung von kontinuierlichen Trägern über zwei Öffnungen.

Lauten die Gleichungen¹⁾ der elastischen Linie für einen Träger von der Stützweite L, der von einer Last Q im Abstände l und l₁ von den beiden Stützen A und B beansprucht wird, Fig. 1:

$$y = \frac{Q l^2 l_1^2}{K J 6 L} \left(2 \frac{x}{l} + \frac{x}{l_1} - \frac{x^3}{l^3 l_1} \right)$$

$$\text{und } y_1 = \frac{Q l_1^2 l^2}{K J 6 L} \left(2 \frac{x_1}{l_1} + \frac{x_1}{l} - \frac{x_1^3}{l_1^3 l} \right),$$

so lassen sich durch Umformungen der Klammerausdrücke einige Vereinfachungen in der Berechnung erzielen.

Schreibt man

$$\left(2 \frac{x}{l} + \frac{x}{l_1} - \frac{x^3}{l^3 l_1} \right) = \left(2 \frac{x}{l} \frac{l}{l_1} + \frac{x}{l_1} \frac{l}{l} - \frac{x^3}{l_1^3 l} \right),$$

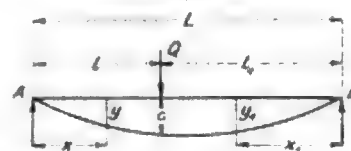
¹⁾ Vergl. z. B. Hütte, 17. Aufl., Bd. I S. 360/61 Fall 2.

so ergibt sich

$$y = \frac{Q l^2 l_1^2}{K J 6 L} \left\{ \left(\frac{x}{l} \right) \left(2 + \frac{l}{l_1} \right) - \left(\frac{x}{l} \right)^3 \left(\frac{l}{l_1} \right) \right\}$$

$$= k \left\{ \left(\frac{x}{l} \right) m_1 - \left(\frac{x}{l} \right)^3 n_1 \right\}$$

Fig. 1.



und entsprechend

$$y_1 = \frac{Q l_1^2 l^2}{K J 6 L} \left\{ \left(\frac{x_1}{l_1} \right) \left(2 + \frac{l_1}{l} \right) - \left(\frac{x_1}{l_1} \right)^3 \left(\frac{l_1}{l} \right) \right\}$$

$$= k \left\{ \left(\frac{x_1}{l_1} \right) m_1 - \left(\frac{x_1}{l_1} \right)^3 n_1 \right\},$$

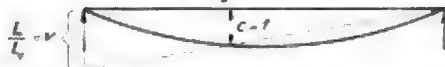
wenn $k = \frac{Q l_1^2 l^2}{8 J 6 L}$, $m = 2 + \frac{l}{l_1}$, $n = 2 + \frac{l_1}{l}$, $\pi = \frac{l}{l_1}$ und $n_1 = \frac{l_1}{l}$ gesetzt wird.

Angenommen, man habe die Einflusslinie des Stützen-druckes C eines kontinuierlichen Balkens über zwei Öffnungen gefunden, so ist der Wert desselben ausgedrückt durch die Beziehung $C = \Sigma P \eta$, Fig. 2, wenn η die Ordinaten der

Fig. 2.



Fig. 3.



Einflusslinie in den Angriffspunkten der Kräfte P , c die Ordinate über dem Stützpunkt C darstellt. Wird $c = 1$ angenommen, so lautet der Ausdruck $C = \Sigma P \eta$.

Verwendet man die oben abgeleitete Beziehung zur Gewinnung einer solchen Einflusslinie, d. i. Biegelinie, so

mag der Wert k derart gewählt werden, dass die Ordinate für den Querschnitt, der durch $x = l$ und $x_1 = l_1$ ausgezeichnet ist, $y = y_1 = c = 1$ wird. Es ergibt sich also die Beziehung

$$1 = k \left(\frac{x}{l} m - \left(\frac{x}{l} \right)^2 n \right), \text{ worin } \frac{x}{l} = 1 \text{ und } \left(\frac{x}{l} \right)^2 = 1,$$

$$1 = k(m - n) = 2k \text{ und } k = \frac{1}{2}.$$

Ist nun die Einflusslinie für C so ermittelt, dass die Ordinate im Stützpunkt $c = 1$ ist, so beträgt in Anlehnung an den in Müller-Breslau's Graph. Statik II § 12 entwickelten Beweis

$$\mu = \frac{l}{l_1} \text{ und } \mu_1 = \frac{l_1}{l}, \text{ Fig. 3.}$$

Benutzt man in jeder Öffnung die gleiche Anzahl Einflusslinien, z. B. für je 10 in gleichen Abständen befindliche Querschnitte, so ergeben sich für die μ -Multiplikatoren der Biegemomente folgende einfachen Beziehungen:

$$\mu = \frac{x}{c} = \frac{x}{l} = \left(\frac{x}{l} \right) \frac{l}{l_1}$$

$$\text{und } \mu_1 = \frac{x_1}{c_1} = \frac{x_1}{l_1} = \left(\frac{x_1}{l_1} \right) \frac{l_1}{l}$$

Werden also die $\left(\frac{x}{l} \right)$ und $\left(\frac{x_1}{l_1} \right)$ gleich gewählt, so hat man für je den ersten, zweiten usw. Querschnitt, von den Endstützen aus gerechnet, die gleichen μ -Koeffizienten zur Verfügung. J. Thieme, Diplom-Ingenieur.

Sitzungsberichte der Bezirksvereine.

Eingegangen 3. Juni 1901.

Aachener Bezirksverein.

Sitzung vom 1. Mai 1901.

Vorsitzender: Hr. Savelsberg.

Schriftführer: Hr. Max Hasenclever.

Nach Erledigung geschäftlicher Angelegenheiten spricht Hr. Boost über Eisbrechwesen in Deutschland.

Der Redner schildert zunächst die Eisbildung auf den Flüssen und die Gefahren, die beim Eintreten des Hochwassers und des Eisbruches im Frühjahr den Niederungen drohen. Diese Gefahren werden durch die oft recht ungünstige Lage der Deiche heraufbeschworen, die nicht nach einem einheitlichen Grundsatz angelegt, sondern im Laufe der Jahrhunderte stückweise je nach den örtlichen Bedürfnissen entstanden sind. Obgleich die geschichtlichen Aufzeichnungen äußerst mangelhaft sind, können doch z. B. an der Weichsel seit dem 16. Jahrhundert 299 Deichbrüche nachgewiesen werden. Im Jahre 1855 fanden an der Weichsel allein 51 Brüche statt.

Schon früh hat man versucht, diesen Gefahren durch künstliche Beseitigung des Eises entgegenzuwirken, jedoch mit recht schwachem Erfolge. So wird berichtet, dass im Jahre 1728 mit einem Aufwand von 5000 Gulden viermal der Versuch gemacht wurde, die Weichsel eisfrei zu machen. Im verfloßenen Jahrhundert ging man entschiedener vor, aber erst der neuesten Zeit, den letzten 20 Jahren, war es vorbehalten, durchgreifende Erfolge zu erringen. Um 1800 wurden an der Oder Versuche mit sogenannten Kanonenschlägen gemacht, Holzkasten mit etwa 2 bis 3 kg Pulverfüllung, die durch Bohrlöcher unter das Eis und mittels Granatzünder zur Explosion gebracht wurden. 1850 wurden diese Versuche an der Weichsel aufgenommen, und 1860, als bei Palschau an der Weichsel eine große Eisstopfung entstanden war, wurde von der Ostsee aus mit Kanonenschlägen eine 150 m breite Rinne bis nach Rothebude geschlagen, die weiter oben mit 38 m Breite fortgesetzt wurde. Durch die Stopfung selbst wurde ein Kanal von 30 m Breite und 6,5 m Tiefe angelegt. Bei diesen Arbeiten wurden die Kanonenschläge wegen der damit verbundenen Gefahr nicht mehr durch Granatzünder, sondern durch Zündschnur gezündet.

Diese Arbeiten waren aber sehr teuer, sodass die Regierung anregte, Entwürfe zu Eissortierungs- und Eisälsmaschinen sowie zu Eisbrechdampfern aufzustellen. Am bemerkenswertesten war ein Entwurf der Schichau-Werft vom Jahre 1868 zu einem Eisbrechdampfer, von dem der Redner eine Skizze vorführt. Keiner der Entwürfe kam aber zur Ausführung. 1878 stellte dann eine Vereinigung von Privatleuten der Regierung in etwaiger sogenannte Eisschlitten zur Verfügung, die in Holz ausgeführt waren und ein Ge-

wicht von etwa 35 t hatten. Diese Schlitten kamen 1879 zur Verwendung. Sie wurden von etwa 220 Mann auf das Eis gezogen und zerbrachen es infolge ihres Gewichtes. Der Redner schildert die Arbeiten mit diesen Schlitten und giebt an, dass sie bei stärkerem Eis und besonders, wenn viel Schlamm Eis vorhanden war, versagten. Auch war zu diesen Arbeiten, bei denen nebenher auch Pulver zur Verwendung kam, ein Menschenangebot von 600 bis 1000 Mann erforderlich, deren Unterbringung, Verpflegung und Beaufsichtigung bei der gefährlichen Arbeit mit großen Schwierigkeiten verknüpft war. Man machte wohl den Versuch, die Schlitten mit Pferden zu bedienen, er misslang aber völlig.

1880 endlich, nachdem die Weichsel schon korrigiert war und größere Wassertiefen erhalten hatte, ging man zum Bau eiserner Eisbrechdampfer über, die mit Anlauf auf das Eis aufzuhoben und es mit ihrem Gewicht zerbrachen. Der Redner führt Skizzen solcher Dampfer vor¹⁾.

Aber nicht nur die Hochwasser- und Eisgefahr gab Veranlassung, das Eis der Flüsse künstlich aufzubrechen, sondern auch der Handel, besonders in den Seehäfen, kuferte sehr bald das Verlangen, die Häfen auch im Winter mit Schiffen zu erreichen. Hier ging besonders Hamburg eifrig aus Werk²⁾.

Der Vortragende schildert die Bildung von Eisbarren im Flutgebiet und die Art, wie man die Sperren zu beseitigen suchte, indem man die Eisfelder mit Sägen und Pulversprengungen teilte und die Eisschollen durch Eiskähne und Hebe- bäume zum Abtrieb zu bringen suchte. Große Erfolge waren aber auch auf der Elbe mit den Handarbeiten nicht zu verzeichnen. Auch in Hamburg tauchten die verschiedensten Entwürfe auf, wonach mit Klop- und Hammerwerken gearbeitet werden sollte; ebenso wurden Entwürfe zu Eisbrechdampfern aufgestellt. Die Behörde verhielt sich aber gegen Beschaffung derartiger Vorrichtungen ablehnend, einmal, weil sie nicht erprobt waren, und dann, weil sie, nur dem Sonderzweck dienend, zu kostspielig erschienen. 1870 unterbrach eine zweimonatige Eissperre den Handel, was eine große Erregung in der Kaufmannschaft zur Folge hatte und heftige Angriffe gegen die Behörden zeitigte. Der damalige Wasserbaudirektor erklärte in seinem Rechtfertigungsbericht, dass alle Handarbeit bei größeren Eissperren durchaus zwecklos sei, und dass nur mit kräftig gebauten Dampfern ein Erfolg möglich erscheine. Die Behörden verhielten sich ablehnend. Nämlich bildete sich aus der Kaufmannschaft heraus ein „Komitee zur Beseitigung künftiger Eissperren auf der Elbe“. Dieser Ausschuss schrieb

¹⁾ B. Z. 1897 S. 370.

²⁾ B. Z. 1888 S. 692; 1893 S. 1438; 1896 S. 734.

einen Wettbewerb aus, aus dem der Entwurf des Schiffbauingenieurs Steinhaus mit einem Preise hervorging. Der Entwurf kam zur Ausführung, und so entstand der Eisbrecher »I«, der sich im Winter 1874/75 sehr gut bewährte und vom Staat übernommen wurde. Später folgten die Eisbrecher »II«, »III« und »Elbe«. Diese 4 großen Eisbrecher halten jetzt die Unterelbe eisfrei, während für den Hafen noch eine Reihe kleinerer Eisbrechdampfer beschafft worden ist.

Auch auf der unteren Oder und Weser sind Eisbrechdampfer vorhanden, und auch andere Seehäfen sind im Besitze von solchen Fahrzeugen. Bemerkenswert ist auch der von Weedermann in Flensburg erfundene Eisschuh, ein eisernes flaches Fahrzeug von etwa 25 m Länge und 13 m Breite, das vor jeden Dampfer gelegt und mit ihm in feste Verbindung gebracht werden kann. Das Fahrzeug hat sich im Hafen von Flensburg und bei Pillau ausgezeichnet bewährt.

Schließlich giebt der Redner einen Überblick über die Eisbrechdampfer der Elbatrombauverwaltung, die den Eisauflauf auf der Elbe von Hamburg aufwärts besorgen, und die seit 1888 nach den schweren Deichbrüchen ober- und unterhalb Dömitz nach und nach beschafft worden sind. Unter diesen Dampfern befindet sich auch ein Rammschiff, das, wenn Schlammeis vorhanden ist, vorzügliche Dienste leistet. Der Vortragende schildert den Betrieb mit den Eisbrechdampfern auf der Elbe anhand von Photographien und schließt seine Ausführungen mit dem Wunsche, dass sich das Eisbrechwesen kräftig weiter entwickeln möge.

Eingegangen 1. Juni 1901.

Berliner Bezirksverein.

Sitzung vom 1. Mai 1901.

Vorsitzender: Hr. Krause. Schriftführer: Hr. Kammerer.
Anwesend rd. 300 Mitglieder und Gäste.

Nach Erledigung geschäftlicher Angelegenheiten spricht Hr. Bauinspektor Schröder aus Hamburg (Gast) über die Hamburger Wasserwerke und die Entwicklung ihrer Maschinenanlagen. Der Vortrag wird an besonderer Stelle veröffentlicht werden.

Eingegangen 22. Juli 1901.

Hamburger Bezirksverein.

Sitzung vom 30. April 1901.

Vorsitzender: Hr. Hartmann. Schriftführer: Hr. Lesser.
Anwesend rd. 60 Mitglieder und Gäste.

Nach Erledigung geschäftlicher Angelegenheiten spricht Hr. Darapsky über Tiefbrunnenbohrung in der Bavaria-Brauerei in Altona. Wie der Vortragende ausführt, hat die vor wenigen Monaten vollendete Tiefbrunnenanlage in der Bavaria-Brauerei ungewöhnliche Opfer an Mühe und Zeit gekostet. Auf dem ziemlich knapp bemessenen Raume der großen, mitten im bevölkerten Teil gelegenen und erst kürzlich mit allen Vervollkommnungen des Gärungsgewerbes ausgestatteten Brauerei bestanden bereits zwei ältere von Deseniss & Jacobi hergestellte Brunnen: der eine im östlichen Winkel, 1892 bis auf 48,5 m Sohle abgeteufelt, der andere 1896 im westlichen Flügel bis zu 61 m niedergebracht; die Brunnen liefern 15 und 35 cbm/st. Im Jahre 1898 stellte man der genannten Firma die Aufgabe, mit einer nötigenfalls bis 200 m durchzuführenden Bohrung von 272 mm Rohrweite eine Leistung von 100 cbm/st zu erzielen.

Die Brauerei liegt ganz nahe der Elbe an der Grenze von Marsch und Geest, noch auf der letzteren und dicht an ihrem Abhang. Beide Bodenbildungen unterscheiden sich geologisch besonders durch die Decke des diluvialen Schwemmlandes, das in der Niederung oft zu vielen Hunderten von Metern Mächtigkeit anschwillt, während es auf dem Geeststricken selten über ein halbes Hundert hinauswächst. Darunter setzt das Tertiär ein, und zwar sofort mit dem Miocän. Der Bohransatz liegt auf 14,14 über Normalnull. Davon gehen zunächst 10,4 m für die beiden übereinander befindlichen Kellerräume ab, die sich unter der ganzen Brauerei hinziehen. Die Diluvialmergel endigen 64 m vom Bohrpunkt; der Rest sind jüngere Glimmerthone und Sande mit vereinzelt Braunkohlenschmitzen. Im Diluvium finden sich Rollsteine und erratische Blöcke, wie

sie den norddeutschen Boden in großer Fülle bedecken. Nirgends aber in der Nachbarschaft hat sich auch in der Tiefe eine solche wallartig gehäufte Moräne schwerster Art gefunden, wie im Geschiebemergel unter der Bavaria-Brauerei. Ihre glatt abgerundeten Brocken von Syeniten und Porphyriten stellten lange den Fortgang der Bohrung infrage; denn es ist nicht leicht, lose Trümmer zu heben, und es war diesmal ausnahmsweise schwer gemacht, sie zu zerkleinern. Der Diamant war nicht zu gebrauchen, und der Meißel arbeitete recht unvollkommen.

Glücklicherweise war die Verrohrung besonders schwer und widerstandsfähig. Im ganzen kamen 4 Rohrstränge, teleskopisch zusammengebaut, zur Verwendung, und zwar schuידeiserne geschweißte Rohre mit cylindrischen Aufsenmuffen; der äußerste Strang hatte 465 mm lichte Weite, der innerste, bleibende 272 mm; die Wandstärke betrug 12,5 bzw. 10 mm, das Gewicht 160 kg bzw. 73 kg/m.

Am 12. Oktober 1898 wurde die Bohrung angesetzt und zunächst die 60 cm dicke Bodenplatte des unteren Kellers durchgestoßen. Bis zum Monat Dezember ging alles regelrecht, wenn sich auch bereits vorher einige Geschiebe unangenehm bemerkbar gemacht hatten. Am 1. Dezember stand das 465 mm-Rohr auf 41,00 m. Von da ab wuchsen die Schwierigkeiten so beträchtlich, dass bis zum Jahreschluss nicht ganz 7 m mehr erreicht wurden. Im Januar begann sich die Rohrfahrt zu klemmen; sie war mitten in eine Blockpackung geraten, wie sie weder an der Oberfläche noch in der Tiefe in solcher Gegend je vorgekommen ist. Da in diesem Monat trotz gelegentlichen Meißelns und Steinfangens mit Schnecken- und Spiralbohrern nur 2 1/2 m Fortschritt zu erzielen waren, griff man zu dem Gewaltmittel, mit einem schweren eisernen Klotz, in den unten einige kleine Meißel eingesetzt waren, zu rammen. Das war ein Fehlgriff, der sich rächte. Statt die Felschichten zu zerschlagen, konnte der heftige Aufprall sie nur in sich verfestigen. Es gelang zwar, während des Monats Februar das Rohr von 50,00 auf 55,63 m vorzuschieben; aber gleich darauf musste die Arbeit als erfolglos aufgegeben werden. Es scheint, dass um jene Zeit auch eine Hauptmeißelspitze abbrach und verloren ging, die sich später wieder recht nachdrücklich bemerkbar machte.

Eine Beratung mit der Bauleitung führte dazu, einen auswärtigen Bauunternehmer heranzuziehen, der sich anheischig machte, nach vorherigem Ausseztrennen die Geröllschicht zu durchmeißeln. Mit Dynamit zu sprengen, was in solchen Fällen einfach und sicher zum Ziele zu führen pflegt, war ausgeschlossen, weil die Bauverständigen fürchteten, dass bei einer Erschütterung die Bodenplatte reißen und damit etwaigem Hochwasser Zutritt gewinnen könnte, das abzuhalten, ihre hauptsächliche Bestimmung war. Am 5. Mai 1899 wurde der Zement eingebracht und gleichzeitig bei Krupp in Essen ein schwerer Gusstahlmeißel in Auftrag gegeben, der roh 655 kg, bearbeitet etwa 300 kg wog. Infolge verschiedener Umstände konnte dieses Riesenstück erst am 14. September in Thätigkeit kommen. Sofort trat Nachfall ein, und der fremde Unternehmer zog sich von seinem Vorhaben zurück. Es war eben nicht möglich, den Zementbrei tief genug einzuspritzen, um nach unten ebenso wie nach den Seiten die gewünschte Festigkeit herzustellen.

In dieser schwierigen Lage fiel es dem Vortragenden zu, sich der Sache anzunehmen. Da wiederholtes Zementtrennen ebenso zeitraubend wie aussichtslos, Diamantbohren umständlich und verlustbringend erschien, und da Sprengungen ausgeschlossen waren, konnte nur der Steinmeißel helfen. Zunächst wurde von 55,90 m ab die engere Rohrfahrt von 396 mm lichter Weite nachgesetzt. Dann wurde ein Kreuzmeißel mit auswechselbaren Stahlschneiden hergestellt, vier radial rechtwinklig auf einander und vier am Umfang. Das währte bis Mitte November, und es galt nunmehr tastend vorzudringen und die eigentliche Schwierigkeit ausfindig zu machen. Denn eigentlich war garnicht klar, weshalb granitische, porphyritische und ähnliche vulkanische Brocken, hier und da auch einmal ein eckiger Flint- oder Feuerstein, sich nicht zerteilen lassen sollten. Bruchstücke mit Kies und Grand kamen auch im Schlammloßel genug hoch, ja, Wagenladungen häuften sich davon an. Aber immer wieder füllte sich die Lücke von den Seiten her, und das Rohr blieb nach oben lose, ließ sich jedoch nicht vorschieben. Gleichwohl war ein kleiner Fortschritt wahrzunehmen, der am 16. Dezember bis 58,24 m ging.

Indessen kam der Bohrer nach wenigen Stunden, ja nach wenigen Schlägen, stets völlig zerstört zurück. Zwar ließ sich annehmen, dass die eigenen Bruchstücke an der Zerstörung mithalfen; aber sie konnten nicht die Ursache sein. Ein Elektromagnet, mit dessen Hilfe man den Grund voll-

ständig säubern wollte, brachte nur Büschel feiner unschädlicher Trümmer heraus. Der Versuch, ein photographisches Bild des Grundes aufzunehmen, misslang. Auch verhinderte der saße Schlamm ein genaues Ausloten der Höcker und Untiefen. Schließlich gelang es nach wiederholten vergeblichen Versuchen, einen Thonabdruck zu machen. Dieser zeigte einen dreieckigen Eindruck, der vermutlich von der abgebrochenen Schneide eines Flachmeißels herrührte.

Es gab nun zwei Möglichkeiten: entweder das Hindernis hochzubringen oder es bei Seite zu drücken; es zu zerkleinern, war ausgeschlossen. Zu dem Ende begann man, den Felsgürtel zu lösen und Stein um Stein herauszuholen. Da die Mitte des Bohrloches frei erschien, so konnte man einen schwächeren Kreuzmeißel einführen und damit 15 bis 20 cm täglich gewinnen. 40 cm unter dem Rohrende brachte der Meißel mergeligen Thon herauf. Die Moräne hatte also ein Ende. Nun wurde ein großer Meißel angesetzt, um den Leitkanal zu erweitern, aber er versagte den Dienst.

Da die Brauerei erklärte, weder einen neuen Platz anweisen, noch die Unternehmer von ihren Verpflichtungen entbinden zu können, so musste die schwierige Arbeit trotz vieler Störungen und Unfälle fortgesetzt werden. Dabei leistete eine einfache Pumpe zum Fördern von Kies und Geröll gute Dienste, die vom Vortragenden eingehender beschrieben wird. Als sich schließlich das Brunnenrohr wieder festgeklemmt hatte, gelang es, durch Rammen einen Fortschritt zu erzielen. Dann wurde das Rohr wieder unbeweglich, und in einer Tiefe von 63,56 m musste man seine Zuflucht zum nächsten Rohrstränge nehmen. Dieser war aber nicht durchzuschieben. Von 58 m an schienen die 396 mm-Rohre verengt oder verkrümmt, und es blieb nichts anderes übrig, als sie alle herauszuziehen, was nur unter vielen Mühen gelang. Die Rohre waren zwar gerade geblieben, aber die beiden unteren Muffen fanden sich zersplittert, und daneben waren faustgroße Beulen. Die Öffnung wurde sorgfältig mit Thon ausgestampft, und es gelang, Ersatzrohre einzubringen und im Glimmerthon bis 75,50 m niederzutreiben.

Von da ab bietet die Bohrung nichts Beachtenswertes mehr. In 150 m Tiefe stellten sich Sande mit vereinzelten Braunkohlenbänken ein. Bei 190 m wurde am 30. Sept. 1900 angehalten, um ein 40 m langes Rotguss-Gerippfilter einzubauen. Das Probepumpen ergab bei geringer Absenkung ein so reichliches und brauchbares Wasser, dass eine Leistung von 200 cbm/st keine übermäßige Beanspruchung bedeutet.

Eingegangen 20. Mai 1901.

Schleswig-Holsteinscher Bezirksverein.

Sitzung vom 19. April 1901.

Vorsitzender: Hr. Veith. Schriftführer: Hr. Stellter.

Anwesend 19 Mitglieder und 11 Gäste.

Hr. Dr. Esch (Gast) spricht über Akkumulatoren¹⁾.

Die chemischen Vorgänge im Akkumulator sind nach neuester Anschauung folgende:

Die Schwefelsäure dissoziiert in zwei Arten. Einmal entstehen H_2 -Ionen und SO_4 -Ionen, ferner H -Ionen und HSO_4 -Ionen. Beim ladenden Stromdurchgang durch den Akkumulator wandern zur positiven Platte bei gewöhnlicher Temperatur SO_4 -Ionen, entladen sich dort am Blei und erzeugen Bleisuperoxyd; zur negativen Platte wandern H -Ionen und erzeugen dort Schwammblei. Bei hohen Stromdichten und niedrigen Temperaturen nehmen die andern Ionen an dem Transport von Elektrizität durch den Elektrolyten erhöhten Anteil. Die Folge davon ist die Bildung von Peroxydschwefelsäure an der positiven Platte. (Der alte Name der Peroxydschwefelsäure ist Ueberschwefelsäure.) Sekundär bildet sich aus der Peroxydschwefelsäure Su^2 -monoperasäure (früher Carosche Säure genannt). Die Peroxydschwefelsäure und die Monosulfoperasäure wirken nicht formierend. Sie fressen das Blei an.

Beim entladenden Stromdurchgang durch den Akkumulator gehen SO_4 -Ionen zur negativen Platte, entladen sich dort und bilden Bleisulfat; H -Ionen wandern zur positiven Platte, entladen sich dort und reduzieren unter Wasserbildung das Bleisuperoxyd zu Bleioxyd. Ein Teil des Bleioxyds wird sekundär durch Schwefelsäure in Bleisulfat übergeführt.

Der Vortragende beschreibt die Akkumulatoren von Planté und Faure und kennzeichnet die Bestrebungen nach Vorbes-

serungen, die zu den Akkumulatoren von Volkmar, Gülicher, Boese, Pollak, Tudor führten. In dem Bestreben, eine positive Platte mit möglichst großer Oberfläche zu schaffen, ging man daran, die Gießmaschinen möglichst zu vervollkommen und überhitztes Blei zum Gießen zu verwenden, ohne damit wesentliche Vorteile zu erlangen. Dr. Majert in Grünau bei Berlin löst die Aufgabe in folgender Weise. Glatte Walzbleiplatten werden mit einem eigenartigen Schneidwerkzeug derart gefurcht, dass auf der Platte außerordentlich feine Bleirippen eng aneinander aufgerichtet werden. Auf einer Querhobelmaschine können bequem 40 tadellos geriefte Platten in einer Stunde erzielt werden. Je nach Bedarf können die Rippen dichter oder weniger dicht stehen, tiefer oder höher aufgerichtet werden. Die Vorzüge dieses Verfahrens leuchten ein. Es kommt hinzu, dass das Walzblei nicht so rasch aufgebraucht wird wie Gusssblei, weil es weniger leicht von chemischen Agenzien angegriffen wird. Die Majertaschen Platten eignen sich vortrefflich in Fällen, wo ein Gusssblei-Akkumulator rasch aufgebraucht wird, besonders für Straßenbahnwagen und Motorwagen, ebenso für Boote; ferner haben sie sich in den Pufferbatterien großer Krafthäuser bewährt. Da die Majert-Platten in chemisch reiner Schwefelsäure formiert werden, ist ihre Haltbarkeit sehr groß.

Um die immerhin noch etwas langwierige Planté-Formation in reiner Schwefelsäure abzukürzen, hat man viele sogenannte Schnellformationsverfahren erfunden. Sie beruhen auf der Anwendung solcher Stoffe, die das Blei bei der Elektrolyse stark anreifen und rasche Zerstörung eines Akkumulators herbeiführen, nämlich Chloride, Chlorate, Perchlorate, Nitrate, Fluoride, Acetate bzw. die freien Säuren dieser Salze. Diese Schnellformationsverfahren haben den gemeinsamen Nachteil, innerhalb kurzer Frist die Akkumulatoren zu zerstören.

Der beste Akkumulator ist der, welcher genügend viel Blei enthält, um jahrelang aushalten zu können, der bei langem Gebrauch stets die gleiche große Oberfläche behält, der aus reinem Blei hergestellt und in chemisch reiner Schwefelsäure normal formiert ist.

Eingegangen 15. Mai 1901.

Westfälischer Bezirksverein.

Sitzung vom 10. April 1901.

Vorsitzender: Hr. Baukenberg. Schriftführer: Hr. Röser.

Anwesend 30 Mitglieder und 13 Gäste.

Nach Erledigung geschäftlicher Angelegenheiten spricht Hr. Finkel über schnelllaufende Dampfmaschinen. Der Vortrag wird an besonderer Stelle veröffentlicht werden.

Sitzung vom 7. Mai 1901.

Vorsitzender: Hr. Baukenberg. Schriftführer: Hr. Bode.

Anwesend rd. 160 Mitglieder und Gäste.

Der Vorsitzende gedenkt der verstorbenen Mitglieder Eisenbahndirektor Sürth und Ingenieur Pelzer, deren Andenken die Versammlung durch Erheben von den Sitzen ehrt.

Franz Sürth, der am 28. März d. J. in Wiesbaden verstorben ist, hatte sich insbesondere in früheren Jahren um den Bezirksverein vielfach verdient gemacht. Namentlich hat er es verstanden, die Vereinsfestlichkeiten zu beleben und künstlerisch auszugestalten und so das Ansehen des Vereines zu heben.

Geboren im Jahre 1836, besuchte Sürth die Realschule und darauf die Provinzial-Gewerbeschule in Köln. Nachdem er das Abgangszeugnis erworben hatte, arbeitete er ein Jahr lang in der Lokomotivwerkstätte Deutz und besuchte dann das Gewerbe-Institut in Berlin von 1855 bis 1858. Nach Ableistung seines Militärdienstes trat er im November 1859 in den Dienst der Köln-Mindener Eisenbahn-Gesellschaft; hier wurde er 1869 auftragweise, 1872 endgültig zum Vorstand der Wagenwerkstatt Dortmund ernannt. Nach der Verstaatlichung der Eisenbahnen wurde er zunächst zum Eisenbahn-Maschineninspektor, 1887 zum Baurat und 1890 zum Eisenbahndirektor ernannt.

Nach Erledigung geschäftlicher Angelegenheiten spricht Hr. Privatdozent Dr. Hellstab aus Berlin über neue Erfindungen auf dem Gebiete der Telephonie¹⁾.

¹⁾ Vergl. Z. 1897 S. 138; 1899 S. 415; 1895 S. 872; 1897 S. 589.

¹⁾ a. Z. 1901 S. 549.

Verein deutscher Maschineningenieure in Berlin.

Sitzung vom 21. Mai 1901.

Hr. Wagner spricht über elektrische Steuerung der Luftdruckbremsen und die damit auf der Militär-eisenbahn gewonnenen Versuchsergebnisse. Bei allen vorzüglichen Eigenschaften, welche die Luftdruckbremse, insbesondere die von Westinghouse, auszeichnen, ist doch die zu langsame Uebertragung der Bremskraft von einem Fahrzeuge zum andern als Mangel zu empfinden. Dieser, eine Folge der Druckluftsteuerung, hat bewirkt, dass in die Betriebsordnung für die Hauptbahnen Deutschlands die Bestimmung aufgenommen ist, dass Züge von mehr als 60 Achsen nicht mehr mit Luftdruckbremse befördert werden dürfen. Hieraus folgt, dass Güterzüge und Militärzüge, die gewöhnlich eine Stärke von 100 Achsen haben, der Vorteile der durchgehenden Luftdruckbremsen verlustig gehen. Darin wird nun aber sofort Wandel geschaffen, wenn die Druckluftsteuerung nur noch im äußersten Notfall Verwendung findet und für alle sonstigen Betriebserfordernisse durch eine elektrische Steuerung ersetzt wird. Der Grundgedanke der elektrischen Steuerung für Luftdruckbremsen von Siemens besteht darin,

dass den Druckluft-Bremsvorrichtungen noch ein zwischen Hauptleitung und Bremszylinder eingeschaltetes Steuerventil hinzugefügt wird, das von der Lokomotive aus auf elektrischem Wege mittels eines einzigen, durch den ganzen Zug laufenden Kabels betätigt wird und der in der Hauptleitung befindlichen Druckluft einen Weg in die Bremszylinder öffnet. Durch die auf diese Weise bewirkte Verminderung des Druckes in der Hauptleitung werden die Steuervorrichtungen in den Bremsventilen in Thätigkeit gesetzt und lassen nun auch ihrerseits Druckluft aus den Hilfsbehältern in die Bremszylinder überströmen. Die elektrische Steuerung der Luftdruckbremsen, neben der die Druckluftsteuerung auch ferner noch verwendet wird, dient also nur zum gleichseitigen Anziehen sämtlicher Bremsen, während das Lösen, wie bisher, nur durch Druckluft bewirkt wird.

Die Direktion der Militäreisenbahn hat auf Antrag von Siemens & Halske A.-G. mit mehreren Zügen unter den verschiedenartigsten Verhältnissen Versuche angestellt, welche eine günstige Wirkung der elektrischen Steuerung bei der Westinghouse-Bremse ergeben haben.

Bücherschau.

Lehrbuch der Ingenieur- und Maschinen-Mechanik von Weisbach, bearbeitet von Gustav Herrmann, kgl. Geh. Regierungsrat und Professor an der kgl. Technischen Hochschule zu Aachen. Braunschweig 1875 bis 1901, Friedrich Vieweg & Sohn.

Ein Werk von sieben stattlichen Bänden, ein Denkmal deutschen Gelehrtenfleißes! Die erste Auflage erschien 1846, als elementar behandelte und beständig auf die praktische Anwendung gerichtete »Mechanik in drei Teilen« von Dr. phil. Jul. Weisbach, kgl. Sächs. Ober-Bergrat und Professor an der Sächs. Bergakademie zu Freiberg. Vom 1. und 2. Teil hat Weisbach noch drei Auflagen herausgegeben. Die neueste, jetzt vollständig vorliegende Auflage hat Herrmann neu bearbeitet und wesentlich erweitert, ohne die anerkannt bewährte Eigenart des Buches zu verändern. Weit über den engeren Sinn einer »Mechanik« hinausgreifend, enthält das Werk jetzt eine ganze Bibliothek maschinentechnischer Wissenschaft von der reinen Mathematik bis zu den nicht berechenbaren Textilmaschinen, von Anfang bis zu Ende in einheitlicher, sachkundiger Auffassung und Darstellung. Das erforderte nicht nur liebevolle Hingebung des Verfassers an die große Aufgabe, sondern auch umfassendes Wissen und Können. In der That, es ließe sich kaum sagen, welcher Abschnitt ihm etwa am meisten zugesagt hätte, und welcher ihm weniger gelegen gewesen wäre. Die Ingenieurbegabung zur geschickten Erfassung der Probleme und die eindringende Wissenschaftlichkeit in Verbindung mit dem Lehtalent bei der Behandlung der mannigfachen Aufgaben in schriftstellerischer Darstellung haben den Bearbeiter gewissermaßen ausnahmsweise befähigt, das von Weisbach geschaffene Riesenwerk erfolgreich durchzuführen. Noch erinnere ich mich aus meiner Studienzzeit, wie ein Kamerad, dem es sein Wechsel erlaubte, sich den »Weisbach« anschaffte mit dem stolzen Ausspruch: »Wenn ich das habe, habe ich alles, was ich brauche.« Es ist eben nicht eine Enzyklopädie im Sinne einer allgemeinen Uebersicht des Maschinenwesens, sondern eine von praktischen Gesichtspunkten geleitete theoretische Durcharbeitung aller Teile. Die Zusammenfassung unter einem gemeinsamen Titel mag für den buchhändlerischen Vertrieb nicht so günstig sein, wie es vielleicht die Anbietung unter Sondertiteln wäre, z. B.: Festigkeitslehre, Maschinenelemente, Werkzeugmaschinen usw. Umsomehr sollten es sich die Buchhändler und auch die Bibliotheken angelegen sein lassen, unter den einzelnen Stichwörtern ihrer Verzeichnisse immer wieder auf das Herrmannsche Gesamtwerk hinzuweisen, besonders weil die sieben Bände einzeln käuflich und auch unabhängig von einander zu benutzen sind. Gerade in seiner Eigenart als allgemeine theoretische Maschinenlehre mag das Buch hervorragend berufen sein, einen schnellst erwünschten Fortschritt der technischen Wissenschaft zu fördern, nämlich den Stand der technisch ausgebildeten Mathematiker oder mathematisch ausgebildeten Techniker als Lehrmeister für das technische Studium heranzuziehen. Welche Fülle der Anregung findet sich hier, und wie viel ist noch zu leisten, bis wir unsere

Maschinen durch und durch verstehen, z. B. das Gesetz, wie das Wasser durch einen gekrümmten Kanal fließt, angeben und verwerten können! Auf der Grundlage dessen, was hier die Abschnitte über Hydraulik ausführlich bieten, ist noch immer weiter zu forschen, um der Theorie der Turbinen, der Ventilatoren u. dergl. näher zu kommen. Die experimentelle Forschung ist für sich allein nicht imstande, allgemein gültige Regeln zur Anwendung und Vorausbestimmung zu liefern; die theoretische, wissenschaftliche Bearbeitung erst vermag sie allgemein nutzbar zu machen. In der Zusammenfassung von Theorie und Technik findet man hier den geeignetsten Anhalt. Möchte das Werk auch in dieser Hinsicht eine segensreiche Wirkung üben; es wäre das ein erhebender Lohn für des Verfassers mühevollen, bewundernswerten Leistung.

Der I. Teil umfasst die theoretische Mechanik. Er ist 1896 als zweiter unveränderter Abdruck der 1875 erschienenen Bearbeitung herausgegeben. Auf nur 74 Seiten wird vorausgehend die Differential- und Integralrechnung so weit behandelt, als sie zum Hausgebrauch des Technikers erforderlich ist. Gar mancher, der sich die Schwierigkeiten der höheren Mathematik wegen des großen, ihrem Studium gewidmeten Zeitaufwandes an den Hochschulen ungeheuer vorstellt, oder dem ihre Handhabung aus Mangel an Uebung verloren gegangen ist, findet hier den oft gesuchten Schlüssel zu ihrer Benutzung. Am Schlusse des Bandes führt ein gleich nützlicher Anhang von 50 Seiten in die Lehre von der graphischen Statik mit Seilpolygonen und Schwerpunktbestimmungen ein. Den Hauptinhalt des Bandes von fast 1300 Seiten bildet die Mechanik mit ihrer Anwendung auf die technischen Aufgaben. Die Lehren der theoretischen Mechanik werden in wissenschaftlicher und leicht verständlicher Form vorgetragen. Der erste Abschnitt spricht von der einfachen und zusammengesetzten Bewegung, z. B. von dem freien Fall, dem Schwingungsgesetz, einer allgemeinen krummlinigen Bewegung. Die Kinematik wird später behandelt. Im zweiten Abschnitt findet sich die Definition: »Kraft ist die Ursache der Bewegung oder der Bewegungsänderung materieller Körper«, womit nur beschleunigende Kräfte getroffen werden; der weitere Satz: »Auf der andern Seite ist aus der Ruhe . . . eines Körpers noch nicht auf die Abwesenheit von Kräften zu schließen« usw. hebt die vorige Definition zwar sogleich wieder auf, aber es wäre wohl zu wünschen, dass diese überhaupt gestrichen würde, auch aus den Lehrbüchern der Physik, und wo sie sich sonst überall eingebürgert hat. Lieber sollte man mit Kirchhoff gestehen, dass man die Kraft nicht definieren kann. Die später gegebene »Einteilung der Kräfte« giebt ein besseres Bild von dem, was man sich unter Kräften zu denken hat. Ferner dürfte die Bestimmung (S. 160) von mv^2 als »lebendige Kraft« und von $\frac{1}{2}mv^2$ als »halbe lebendige Kraft« dem technischen Sprachgebrauch anzupassen sein, wonach $\frac{1}{2}mv^2$ »lebendige Kraft« heisst, oder »Wucht«, oder »Bewegungsenergie«. Der dritte Abschnitt umfasst die Statik, z. B.: Kräftepaare, Prinzip der virtuellen Geschwin-

digkeiten, Schwerpunktbestimmungen, Unterstützung und Stabilität von Körpern, das Gleichgewicht eines Seilpolygons, die Kettenlinie, Leitrollen und die Reibung in all ihren Wirkungsarten.

Als vierter Abschnitt ist die Elastizitäts- und Festigkeitslehre in vollem Umfange eingesetzt. Es zeugt von besonders anerkennendem Geschick in der Auffassung, dass schon in diesem vor einem Vierteljahrhundert bearbeiteten Werke die Arbeitswerte der elastischen Formänderungen gebührende Berücksichtigung und ihre zahlenmäßige Aufstellung gefunden haben. Die Tabelle der Zugfestigkeitswerte (S. 416 f.) giebt folgende, für die praktische Beurteilung der Baustoffe wichtige Zahlenwerte an: die Festigkeitsziffer, den Elastizitätsmodul, die Spannung und die Ausdehnung an der Elastizitätsgrenze (an deren Stelle jetzt die Proportionalitätsgrenze berücksichtigt wird) und das halbe Produkt beider Werte als Arbeitsmodul für die ausnutzbare Spannungsgrenze. Man hätte diesen letzten Begriff festhalten und weiter pflegen sollen, da durch keinen andern Ausdruck der Wert des Baustoffes so treffend gekennzeichnet wird, wie durch die Arbeitsfähigkeit für die nutzbare Spannung. Wo es auf Bauteile von geringem Gewicht ankommt, spielen die Reifslänge und die Zerkürzungshöhe eine maßgebende Rolle; auch hierüber finden sich sonst selten die Zahlenangaben. Besonders muss noch auf das Kapitel über Stosfestigkeit (S. 825 bis 844) hingewiesen werden, mit dem Herrmann die Grundlage für die Berechnung von Bauteilen unter Stos- und Schlagwirkungen geschaffen hat. Es bleibt nur zu wünschen, dass man davon in der Maschinenlehre ausgiebigeren Gebrauch machte und daran weiter arbeitete, weil sich hieraus erst die wirkliche Beanspruchung der Teile wie Ketten, Wellen, Fundamente usw. bei ruckweiser Belastung erkennen lassen wird, während wir uns in solchen Fällen noch immer mit statischen Berechnungen und niedrigen Spannungswerten behelfen, etwas willkürlich und unsicher über die Schwierigkeiten hinweggehend. Die hier gebotene Einführung in eine künftige dynamische Festigkeitslehre ist dankbar zu begrüßen. Bei den Körpern von gleichem Widerstande ist noch zu betonen, dass sie sich durch den höchsten Wert von Arbeitsvermögen auszeichnen, was weitaus wichtiger als die Ersparung an Stoff und Gewicht zur Geltung kommt; oft genug vernichtet man ja erst das überschüssige Material, nur um die Arbeitsfestigkeit zu erhöhen.

Im fünften Abschnitte, der Dynamik fester Körper, ist das Gesetz des Schwerpunktes unter der Voraussetzung entwickelt, dass die Verbindungen der einzelnen Massenpunkte des Systemes starr sind. Bei dieser Gelegenheit möchte ich vor der vielfach auftretenden Ueberschätzung der Gültigkeit des Gesetzes über die Grenzen jener Annahme hinaus warnen, indem ich ein einfaches Beispiel anführe. Ein Güterzug von gewisser Masse, dessen Bewegungswiderstand im übrigen unberücksichtigt bleiben soll, werde von hinten durch eine Lokomotive mit 4000 kg gedrückt, während vorn eine Lokomotive gebremst steht, die zuerst fest, dann mit 3000 kg Reibungswiderstand beim Gleiten widersteht. Nachdem die hintere Lokomotive einen Weg von 10 m zurückgelegt hat, mögen sich die anfänglich gespannten Bufferfedern sämtlich etwas gestreckt haben, sodass die vordere Lokomotive 11 m weit verschoben wird. Die hintere Maschine leistet $4000 \cdot 10$ kgm Arbeit, die vordere nimmt davon $3000 \cdot 11$ kgm auf, während der Unterschied von 7000 kgm auf die Massenbeschleunigung des Wagenzuges verwendet wird. Wollte man hierauf den Satz vom Schwerpunkte anwenden, so ergäbe die Resultante der äußeren Kräfte von $4000 - 3000$ kg am Schwerpunkte, der in der Zugmitte 10,5 m Weg beschreibt, eine Arbeit von 10500 kgm; das ist gerade $1\frac{1}{2}$ mal so viel wie die Lokomotive wirklich auf den Zug übertragen haben. Die Sache ist von grundlegender Bedeutung für die Theorie der Strömung elastischer Flüssigkeiten, die man irrtümlicherweise nach den sog. hydrodynamischen Grundgleichungen ansetzt, wobei man den hier vorgeführten Fehler begeht. Aus diesem Grunde möchte ich den Wunsch aussprechen, dass in jeder Mechanik der Satz vom Schwerpunkte recht deutlich auf die starren Systeme beschränkt wird, weil er für elastische Systeme nicht gilt und sich für diese auch nicht beweisen lässt. Im vorliegenden Werke kommen die allgemeinen Differentialgleichun-

gen für die Flüssigkeitsbewegung allerdings nicht zum Ausdruck, weil sich die Gesetze über die Bewegungsvorgänge einfacher aufstellen lassen. Der Abschnitt behandelt weiter die Lehre von den Trägheitsmomenten mit Anwendung z. B. auf ein beschleunigtes Rad und eine erst gleitende, dann rollende Kugel, ferner die Zentrifugalkraft starrer Körper und die freien Achsen der Drehung, die Bewegungen auf geneigten Ebenen und die Pendel, außerdem die Lehre vom Stosse mit vielseitiger Anwendung. Die Darstellung der größtentheils schwierigen Aufgaben zeichnet sich durch klassische Einfachheit, treffende Ausdrucksweise und anziehende Klarheit aus, sodass in aller Kürze das Ziel erreicht wird. Ich habe besonders darauf geachtet, ob nicht das Buch, weil es so dick ist, zu breit geschrieben sein mag, habe aber nicht finden können, dass unnötige Worte gemacht wären, anderseits auch keine gekünstelte Abkürzung des Ausdruckes.

Den sechsten und siebenten Abschnitt bilden die Statik und Dynamik flüssiger Körper mit einer Fülle von Versuchsangaben, denen es das Werk vorwiegend zu danken hat, dass es mehr als andere für diese Beziehungen als Quelle benutzt wird; hauptsächlich finden die Berechnungen und Zahlenwerte für den Ausfluss unter den verschiedensten Umständen die ausgiebigste Berücksichtigung in Theorie und Praxis. Dazu kommen andere wichtige Aufstellungen, wie Wasserdruk, Schwimmtiefe, Spannung der Wasseroberfläche, Auftrieb der Luft, Druckverhältnisse in Rohrleitungen, Steighöhe von Wasserstrahlen, Schleusenfüllung, ferner die Strömung in Flüssen und Kanälen und deren Messung, schließlich der Stos des Wassers und der Widerstand im Wasser und in der Luft. Im Anhang wird die Theorie der Schwingungen erörtert und auf elastische, magnetische und die Bewegung der Wasserwellen angewendet, wieder unter Bezug auf mehrfache Beobachtungen und Versuche und mit Rückschlüssen auf die Dichtigkeit der Erde und Bestimmung der Elastizitätsziffern. Hier würden die Ritterschen Entwicklungen (Z. 1890 S. 196), nach denen sich z. B. die Kraft eines Schlages in einem Körper mit der Geschwindigkeit des Schalles in dem Körperstoff fortpflanzt, Anschluss finden können. Die vielen kurz durchgerechneten Beispiele, die den Wert des Buches für die Anwendung auf gegebene Arbeiten und für das Verständnis der Lehren wesentlich erhöhen, werden wohl in der nächsten Auflage durchweg im Text selbst, statt im Nachtrag, auf metrisches Maß umgerechnet werden.

Der II. Teil zerfällt in 2 Bände; der erste davon behandelt die Statik der Bauwerke und rührt aus dem Jahre 1882/83 her. Der Inhalt betrifft vorwiegend Arbeiten des Bauingenieurs und des Architekten, aber auch solche des Maschineningenieurs, der viel öfter in die Lage kommt, sich mit baulichen Entwürfen und Berechnungen zu beschäftigen, als er von vornherein anzunehmen pflegt. Im vorliegenden Buche von rd. 600 Seiten finden sich die Grundlagen für die Berechnung des Erddruckes, der Gewölbe und der Holz- und Eisenkonstruktionen, also gerade die schwierigeren Aufgaben, in mathematischer und graphischer Behandlung. Obgleich die Abfassung schon vor 20 Jahren erfolgt ist, sind die Ausführungen noch unverändert gültig, denn an den theoretischen Grundgesetzen lässt sich so leicht nichts ändern. Das unmittelbare praktische Interesse fördert den Lehrwert der Abhandlungen und macht aus dem Lehrbuch ein Handbuch für Ingenieure im weiteren Sinne. In der ihm eigenen, ruhigen, rein objektiven Darstellungsweise, öfters bezugnehmend auf Schwedler, Mohr, Winkler, Intze, Müller, Weyrauch, Föppl u. a., entwickelt der Verfasser die Lehren über beispielsweise folgende Punkte: Druckkräfte und Kohäsion von Erdmassen, Klippen und Gleiten von Futtermauern; Stützlinie von Gewölben, Widerlager, Kuppelgewölbe; Balken auf mehreren Stützen, schiefe Belastung, Balkenträger und Fachwerkträger, Dachstühle, Lebrgerüste, Bogenträger, Hängebrücken, Pfeiler u. v. a.

Mit dem folgenden Bande, II. Teil, 2. Abteilung: Die Mechanik der Umtriebsmaschinen (von 1883 bis 1887) tritt das Werk aus dem Gebiet der Mechanik in das der Maschinenlehre über. Auf rd. 1250 Seiten mit vielen Abbildungen findet sich die Theorie und Beschreibung der Kraftmaschinen aller Art. An diesen sind nun seit der Bearbeitung wesentliche Aenderungen in der Bauart, der Anwen-

dung und der wirtschaftlichen Bedeutung eingetreten, sodass sich aus den Vorführungen nicht mehr der Stand des gegenwärtigen Kraftmaschinenwesens ergibt. Die Einleitung führt zunächst Geräte zum Messen der Kräfte mit gedrungener Beschreibung und erläuternder Berechnung vor: Wagen, Manometer (wobei die Höhe der Quecksilbersäule zu 736 mm statt 760 mm einzuführen wäre), Indikatoren, Dynamometer, sowie Planimeter.

Aus dem ersten Abschnitte über die belebten Motoren dürften die Treträder für Menschen und Tiere, Fig. 106 bis 109, wegbleiben. Der zweite Abschnitt über hydraulische Motoren wird eingeleitet durch wertvolle Auseinandersetzungen über die Wasserführung, gewissermaßen eine angewandte Hydraulik, z. B. Wehre, Stauweite, Teichdämme, Kanäle, Schützen, Leitungsrohre, ebenso wichtig und nützlich für Bauingenieure wie für Maschineningenieure. Die Wasserräder werden sehr eingehend erörtert. Die Rechnungen über den Eintritt des Wassers in das Rad, den Austritt, die Nebenwirkungen, die Leistung und den Wirkungsgrad bei den verschiedensten gebräuchlichen und einigen besonderen Bauarten behalten ihre Gültigkeit, während über die nur kurz behandelten älteren Baueinheiten leicht hinweggesehen werden kann. Hier wie bei dem folgenden Kapitel über Turbinen wird die Beschreibung und bildliche Veranschaulichung der Maschinen ihrer theoretischen Behandlung vorausgeschickt. Darin beruht ein Vorzug des Werkes von hoher pädagogischer Wichtigkeit, weil der Studierende zunächst eine Vorstellung von dem haben muss, was in den längeren Rechnungsgängen zu behandeln, bedenken und zu suchen ist. Oftmals geht man sonst den umgekehrten Weg, in der doktrinären Annahme, dass die wissenschaftliche Bearbeitung erst die Grundlage und das richtige Verständnis für die Bauanordnungen biete. Weiterhin erleichtern hier die eingeschobenen geschichtlichen Rückblicke auf die Anfänge des Turbinenbaues das Verständnis ungemein; man findet dabei auch Vorläufer der erst in letzter Zeit (nach Erscheinen des Buches) gepflegten Systeme der Spiralturbinen und Pelton-Räder. Vornehmlich ergibt sich daraus leicht der Unterschied zwischen Druck- und Ueberdruckturbinen. Wie schwierig die Erkenntnis des Unterschiedes wird, weiß nicht nur jeder Ingenieur aus seiner Studienzeit, es zeigt sich auch in schiefen Auffassungen von Lehrbüchern älterer und neuerer Zeit. Es wird nämlich eine Druckturbinen von der Ueberdruckturbinen theoretisch meist durch die Bedingung unterschieden, dass $\beta = 2\alpha$ oder $\tan \beta = 2 \tan \alpha$ sein soll. Es sei hier kurz entwickelt, zu welchen Fehlern das führt. Mit den üblichen Bezeichnungen hat man als Bedingung des stoßfreien Wassereintrittes:

$$c_a = \frac{v_a}{\sin \beta} = \frac{v_o}{\sin (\beta - \alpha)} = \frac{w_o}{\sin \alpha}$$

und als Bedingung für senkrechten Austritt:

$$c_a = v_a \tan \delta = w_o \sin \delta.$$

Für Achsialturbinen ist $v_a = v_o$. Während nun einerseits für Ueberdruckturbinen $c_a = c_r \sin \alpha$ zu setzen ist, mit der resultierenden Beziehung

$$\tan \delta = \frac{\sin \alpha \sin \beta}{\sin (\beta - \alpha)},$$

hat man andererseits für Druckturbinen $w_a = w_o$ einzuführen mit der Folgerung:

$$\cos \delta = \frac{\sin (\beta - \alpha)}{\sin \alpha}.$$

Wählt man im letzteren Falle $\beta = 2\alpha$, so müsste $\delta = 0$ sein, und wählt man $\tan \beta = 2 \tan \alpha$, so müsste $\delta = \beta$ werden, d. i. viel zu groß für gute Ausnutzung der Wasserkraft. Wählt man aber α und δ innerhalb der ihnen zukommenden ziemlich engen Grenzen, so findet man β aus den vorstehenden Beziehungen, und zwar der Größe nach zwischen den Werten jener beiden Annahmen. Herrmann, der den Abschnitt über die Turbinen in dem Werk ganz neu bearbeitet hat, vermeidet den Fehler, der sich aus der Kennzeichnung des Unterschiedes mittels einer mathematischen Formel ergeben hat. Aus seiner durchsichtigen Entwicklung geht vielmehr gerade deutlich hervor, dass die Beziehung $\tan \beta = 2 \tan \alpha$ nur bei Rädern, deren Zellen mit Wasser ganz gefüllt sind, und zwar als Grenzwert für den Fall gilt, dass bei stoßfreiem

Eintritt und senkrechtem Austritt die relative Eintritt- und Austrittsgeschwindigkeit gleich sein sollen, der Wert des Ueberdruckes also gerade gleich null ist. Das sind aber durchaus keine Druckturbinen! So einfach ist der Unterschied nicht, dass das Größenverhältnis zweier Winkel dafür ausschlaggebend wäre. Es wären etwa nur gedachte Maschinen, die eine Grenze zwischen Ueberdruckturbinen und Schraubepumpen bilden würden. Für Druckturbinen darf man eben nicht die für vollgefüllte Räder entwickelten Formeln benutzen. Herrmann thut wohl daran, die Girard-Turbine als eigentliche Druckturbinen abgesondert für sich nach den bei ihr vorliegenden Umständen zu berechnen. Er hat eben den Unterschied zwischen Druck- und Ueberdruckwirkung richtig aufgefasst und fehlerfrei klar zum Ausdruck kommen lassen. Uebrigens will er bei der Ausrechnung einer Turbinen nicht von den Winkelwerten, sondern von den Geschwindigkeiten ausgehen und aus diesen die Winkel berechnen; besonders schnell führt die Annahme der absoluten Austrittsgeschwindigkeiten innerhalb der engen, näher angegebenen Grenzen zur Größenbestimmung des Rades. Für verschiedene Gefällhöhen zieht er das Verhältnis der zugehörigen Geschwindigkeitswerte in Betracht, wodurch sich die Anwendbarkeit der Rechnung oder des Diagrammes für alle Höhenverhältnisse einfach und sicher gestaltet. Wie ein Dampfmaschinenbauer sich dagegen sträuben würde, die Steuerung nach Formeln zu berechnen, so wird sich auch ein Turbinenbauer gegen die Formelwirtschaft wehren, wenn er einmal erst die graphische, von Herrmann hier aufgestellte Behandlung kennen und in ihrer Uebersichtlichkeit, Vielseitigkeit und Treffsicherheit schätzen gelernt hat. Zu den Rückschaueln sei beiläufig bemerkt, dass Prof. R. R. Werner die Priorität für sich beansprucht hat. Bei der Regulierung der Turbinen wird u. a. auch die jetzt recht gewürdigte Anordnung von Fink mit drehbaren Leitschaukeln zur Darstellung gebracht. Die Wassersäulenmaschinen sind in größeren, für Bergwerke bestimmten älteren Anlagen eingehend dargestellt und berechnet. Die Herrmannsche Theorie und Besprechung der Windräder, sowohl der Windmühlräder wie der amerikanischen Windmotoren, und seine Angaben über deren praktische Verhältnisse verdienen umsomehr Beachtung, als sonst die Litteratur darüber ziemlich wenig bietet. Die Ausnutzung der Windkraft könnte durch richtig und zweckmäßig gebaute Motoren noch wesentlich gefördert werden.

Der vierte Abschnitt über Dampfmaschinen wird durch ein Kapitel über Wärme eingeleitet, worin die Warmwirkungen aller Art, die mechanische Wärmetheorie, die Anwendungen auf Luft, Wasserdampf und Gemische und die Verbrennungsvorgänge mit vielen Tabellen und praktischen Beziehungen vorgeführt werden. Wie in allen andern Teilen des Gesamtwerkes, so zieht auch hier die angenehme Art der Darstellung an: jeder Satz fördert; keine Behauptung steht in der Luft; keine Schwierigkeit wird umgangen; kein Hindernis durch Scheinbeweise übersprungen; Fußnoten oder häufige Verweise auf andere Stellen unterbrechen nicht den ruhigen Gang der Belehrung. Bezüglich der Bauarten, Einzelheiten und Ausrüstungen der Dampfkessel hat sich manches seit der Bearbeitung geändert, z. B. bezüglich der Gegenstromkessel, der Tenbrink-Feuerung mit einfachem Stutzen, ferner der Entwicklung der Wasserröhrenkessel. In der Berechnung des Schornsteines dürfte eine Verteilung der Wirkung auf die einzelnen Widerstände unter Rücksicht auf die Aenderung der Strömungsgeschwindigkeiten angebracht sein, um zu zeigen, dass zum Ansaugen der Luft mit etwa 1 m/sk am wenigsten Aufwand, kaum 1 mm Wassersäule Saugwirkung Durchdringung der Kohlschicht, ein Teil von etwa 4 bis 8 mm gehört, dagegen am meisten, 5 bis 10 mm Wassersäule, zur Strömung im Flammloch mit 10 m/sk, und etwa 3 bis 6 mm für die Widerstände in den Feuerzügen bei 3 m/sk Strömung. Dass bei der Rechnung über die Injektorwirkung die Saughöhe von geringer Bedeutung erscheint, entspricht wohl nur dem Beharrungszustande, während sie beim Ansaugen mehr Einfluss haben mag. Das Kapitel über Dampfmaschinen bietet, als geschichtliche Einleitung in das Gebiet betrachtet, viel Interessantes und Belehrendes für angehende und ausübende Ingenieure sowie für alle, die dem Fache aus allgemeinerem Bildungsbedürfnis näher treten

wollen; besonders anregend wirkt die Darstellung des absoluten Wirkungsgrades. Das Schlusskapitel über Luft- und Gasmotoren giebt in kurzen Zügen nur die ersten Entwicklungsgänge dieses zu immer höherer Bedeutung aufstrebenden Zweiges der Technik.

Der III. Teil des ganzen Werkes ist den »Zwischen- und Arbeitsmaschinen« gewidmet. Die 1. Abteilung in einem Bande mit rd. 1000 Seiten aus den Jahren 1878 bis 1879 führt die Maschinenelemente vor. Als Einleitung werden die Grundlehren der theoretischen Kinematik gegeben, z. B.: Zusammensetzung einfacher Bewegungen, Polbahnen, Beschleunigungszentrum, Axoide der allgemeinen Bewegung eines Körpers, Getriebebildung aus der kinematischen Kette.

Das erste Kapitel behandelt Zapfen, Achsen, Wellen, Kupplungen und Lager. Beispielsweise berechnet Herrmann auch die Stosfestigkeit der Wellen und für eine eingedrehte Welle den lebendigen Widerstand, die Arbeitsmenge, welche die Welle bei der Verdrehung bis zu einer gewissen Spannung federnd in sich aufnehmen kann; weiterhin die Ungleichförmigkeit der vom Universalgelenk übertragenen Drehgeschwindigkeit. Bezüglich der Kegelmutterkupplung verbleibe ich bei der als »irrtümlich« bezeichneten Ansicht, dass nur die Achsialkomponente des Flächendruckes, und nicht auch die Reibung der Radialkomponente, beim Einrücken während des Ganges, so lange die Kegelflächen in der Umfangsrichtung aneinander gleiten, zu überwinden sei (vergl. Luegers Lexikon der gesamten Technik Bd. V S. 797). Die Herrmannschen Ausführungen in diesem wie in den folgenden Kapiteln haben das für sich, dass die einfacheren Maschinenteile, die sich in allen Hand- und Taschenbüchern in neueren Bauformen wiederfinden, ziemlich kurz erledigt, die umständlicheren Getriebe aber hinsichtlich ihrer Bewegungs- oder Kraftumsetzungen gründlich bearbeitet sind. So werden bei den Rädern die unrunder, die umlaufenden Räder, die Stufenscheiben usw. unter Hinweis auf ihre Benutzung in gewissen Fällen durchgerechnet. Für diese Fälle empfiehlt sich das Buch als Nachschlagewerk, wobei es ja nicht viel schadet, dass in den Abbildungen noch manche veraltete Formen und Konstruktionen, wie Zapfenverbindungen, vorkommen, wozu wohl bald auch die Drahtseiltriebe zu rechnen sein werden. Dagegen hat sich die Verzahnungslehre noch nicht durchgreifend geändert. Bezüglich der Würdigung der Evolventen gegen Zykloiden befinde ich mich (vergl. Z. 1900 S. 306) im Einverständnis mit Herrmann, während die Zykloiden sonst mehrfach theoretisch bevorzugt werden. In dem Kapitel über die Gestänge verdienen die Darlegungen über Gelenkgeradföhrungen und Parallelföhrungen Beachtung vom allgemeineren wissenschaftlichen Standpunkte aus, wenn diese Gebilde auch nicht unmittelbar zu den Maschinenelementen in konstruktivem Sinne gehören. Bei den Seilen und Ketten galten noch dieselben Ansichten. Dass die Schrauben in allerlei Arten und Anwendungen die ihnen zukommende Berechnung erfahren, braucht kaum noch gesagt zu werden. In der Festigkeitsberechnung führt Herrmann den Kernquerschnitt der gewöhnlichen Schrauben mit $0,44 d^2$ ein, wofür man nach Ausweis der Tabellenwerte glatt $\frac{1}{2} d^2$ nehmen könnte, um ohne weiteres den äußeren Gewindedurchmesser d aus $\frac{1}{2} d^2 k = Q$ zu ermitteln; möchte man doch diese einfachste Rechnungsart befolgen! Bezüglich der Gegenmuttern lässt sich die alte Gewohnheit, die obere Mutter niedriger zu machen, gegen die Ansicht, dass die obere Mutter die untere entlastet, rechtfertigen. Da man die Obermutter nicht fest anzuspinnen pflegt, kommt sie in der Regel nur mit ihrem untersten, scharf auslaufenden Gange zur Wirkung, der sich als Grat mit dem obersten Gange der Untermutter im Bolzengewinde fest einklemmt. Nur in dem Falle, dass die Gewindeausläufe der Mutter abgefasst, abgegratet sein sollten und die Mutter besonders fest gegeneinander angezogen würden, könnte die Verstaung der ganzen Muttergewinde gegeneinander am Bolzen eintreten; dass aber kann nur als Ausnahme gelten mit dem unerwünschten Erfolge, dass die Gegenmuttericherung nicht so gut festhält. Das Kurbelgetriebe erfährt eine seiner Wichtigkeit entsprechende vollständige Durcharbeitung in rechnerischer und zeichnerischer Behandlung. Die Kapitel über Kurvengetriebe und über Ein- und Ausrückvorrichtungen bringen eine Fülle bemerkenswerter Einzelheiten, die der Maschinenbauer zwar

nicht häufig braucht, aber doch wissen muss und stets mit Vergnügen kennen lernt. Unter Regulatoren beschreibt das neunte Kapitel mehr vom Standpunkte der Mechanik als konstruktiv die verschiedenen Arten von Bremsen, Gegengewichten, Schwungrädern und Schwungkugelregulatoren. Ein kurzer Anhang über graphische Statik der Maschinenantriebe mit gut gewählten Beispielen beschließt den Band.

In der 2. Abteilung des III. Teiles über die Maschinen zur Ortsveränderung aus den Jahren 1880 bis 1882 hat die Pietät gegen Weisbach mehrere Bergwerksmaschinen älterer Zeit erhalten, wodurch der Inhalt im ganzen ein altertümliches Gepräge zu haben scheint, wesshalb vieles auch heute noch nicht anders als angegeben berechnet und gebaut wird. Inbetriff der Angaben über die einfachen Hebezeuge, unter denen die neueren Schraubenflanschzüge noch nicht Berücksichtigung finden konnten, möchte ich an der noch immer festgehaltenen Regel zweifeln, dass Kettentrommeln mindestens das 20fache der Kettenseilstärke als Durchmesser bekommen sollen. Die hiernach entworfenen Winden fallen so schwer und teuer aus, dass sie den Wettbewerb gegenüber einer Winde nicht aushalten, bei der nur 12 bis 15 statt 20 angenommen wird, wenn dabei auch die Kette mehr angestrengt und eher zu erneuern sein mag. Bei den hydraulischen Hebewerken giebt Herrmann eine ausführliche Berechnung der Akkumulatorwirkung unter Berücksichtigung der Massen- und sonstigen Widerstände; bei den Fördermaschinen ist die Bestimmung der Seilgewichtsausgleichung zu erwähnen. Die eigentümliche Wirkung der Gewichte an den Greifbaggern zum Schließen des Ladegefäßes ist graphisch veranschaulicht.

Was im Anfang des zweiten Kapitels über den Transport zu Lande hinsichtlich der Widerstände und Arbeitsleistungen beim Fahren zusammengestellt ist, kann u. a. bei der Entwicklung der Motorwagen nützliche Anwendung finden. Von dem Eisenbahnwesen seien die Berechnungen der Lokomotivleistung, der störenden Bewegungen an der Lokomotive, der Kulissensteuerungen und der Blasrohrwirkung hervorgehoben. Der Transport zu Wasser gestattet einen in mehrfacher Hinsicht erwünschten, wenn auch nur sozusagen volkstümlichen Einblick in die Aufgaben, die beim Schiffbau und im Schiffahrtswesen vorliegen, beispielsweise über die Wirkung der Ruderräder und der Schiffschraube, über die Schiffschwingungen u. a.

Für Zwecke der Wasserföhrung werden die Kolbenpumpen mit genauer Untersuchung der Beschleunigungsverhältnisse beim Saugen und Drücken, der Wirkung der Windkessel und der Nebenumstände besprochen, auch Feuerspritzen und Wasserhaltungsmaschinen, die Zentrifugalpumpen mit ihrer Theorie, auch Kapselpumpen, hydraulische Widder und Saugheber. In den Formeln bleiben die Erfahrungszahlen nicht zur beliebigen Annahme dem Leser anheimgestellt, sondern sind (wenigstens in den Beispielen) zur Benutzung angegeben, ebenso wie die erfahrungsmäßig erzielten Wirkungsgrade, was meist wertvoller ist als die Formel dafür.

Die Luftföhrung betrifft zunächst den Wetterwechsel in Gruben durch Wärmeunterschiede, dann die Blasebälge und die Zylindergebläse für Hochöfen einschließlich der Winderhitzer, mit Ausrechnung der Arbeitsleistung und der Verluste am Windcylinder, des Schwungradgewichtes und der Ausströmung des heißen Windes an den Düsen. Weiter kommen inbetracht die nassen und halbnassen Kompressoren, Kapselgebläse, Ventilatoren und Strahlgebläse. Die Theorie der Ventilatoren kommt zu dem Ergebnis, dass die vom Rade erzielte Druckhöhe theoretisch doppelt so groß als die zur Umfangsgeschwindigkeit des Rades gehörige Druckhöhe ist. Die Schaufelform berücksichtigt Herrmann mit ihren Anfangs- und Endwinkeln unter der Annahme, dass die Luft radial in den innen cylindrisch abgegrenzten Schaufelkranz eintrete und weiterhin durchweg nach der Bahn der Schaufelkurve durch das Rad ströme. Bei den Windrädern oder Schraubenventilatoren findet sich dagegen eine von der Schaufelform abweichende Strömung nach Weisbachs früherer Auflage wiedergegeben.

Die zahlreichen Abbildungen in dem ganzen Werke sind

mit außerordentlicher Sorgfalt ausgearbeitet, deutlich abschattirt, sodass sie fast plastisch heraustreten und besonders die theoretischen Entwicklungen angenehm beleben und fördern. Da, wo sie in konstruktiver Hinsicht mehr oder weniger systematisch entworfen sind, kommt freilich die Kunst des Holzschnittdens nicht zur vollen Geltung. An manchen Stellen würde eine Andeutung des Größenverhältnisses dem Lernenden die Vorstellung erleichtern.

Während bei Weisbach die 3. Abteilung nur 140 Seiten über Pochwerke, Dampf- und Hämmer enthält, hat Herrmann nunmehr eine Maschinenlehre der Arbeitsmaschinen gegeben, die man gewöhnlich unter dem Namen »Mechanische Technologie« begreift. Von den Rechnungen geht er mehr und mehr zu Beschreibungen über. Die unzähligen Maschinen, wie sie in allen Zweigen der Industrie arbeiten, hat er nach Wirkung und Zweck eingeteilt und geordnet, den reichen Inhalt aber in zwei Bände teilen müssen, die als 1. und 2. Hälfte der dritten Abteilung vom III. Teil erschienen sind.

Die 1. Hälfte stammt aus dem Jahre 1898 und bewältigt auf rd. 1250 Seiten die Maschinen zur Zerkleinerung, Zerteilung, Absonderung, sowie die Werkzeugmaschinen für Metall-, Stein- und Holzbearbeitung. Nach der Einleitung kommt für die Zerkleinerungsarbeit das Gesetz der Stofffestigkeit, wonach der Arbeitsaufwand mit dem Rauminhalt oder Gewicht der Körperstoffe in geradem Verhältnis steht, nur noch unter der Voraussetzung geometrisch ähnlicher Gestalt zur Geltung. Die Pochwerke, Schleudermühlen, Steinbrecher und Walzen bieten mehrfach Gelegenheit zu Berechnungen. Was z. B. für die Steinbrecher über die Wirkung und den Antrieb der Schwungräder vorgetragen wird, kann auch bei allen andern ungleichmäßig arbeitenden Arbeitsmaschinen verwertet werden. Die Mahlgänge sind recht vollständig durchgenommen, weiter die Kollergänge, Kugelmühlen, Holländer, Schnittelmaschinen u. v. a. Bezüglich der Zuführung körniger Stoffe wird die Wirkung der Längs- und Querrüttelung einer geeigneten Ebene rechnerisch erklärt. Im zweiten Kapitel entwickelt sich aus einer Betrachtung über das drückende und ziehende Schneiden und das Scheren die Konstruktion der »Maschinen zur Zerteilung« unter Rücksicht auf die jeweiligen besonderen Betriebsanforderungen, die Zuführung und Abführung des Stoffes usw. Eingehende Beschreibung erfahren hauptsächlich die Häcksel-, Mäh- und Tuch-Schermaschinen, Blechscheren und Lochwerke, ferner die Gatter-, Kreis- und Bandsägen, Florteiler und schließlich etwas knapper die Materialprüfmaschinen. Das dritte Kapitel bietet eine große Zahl von »Maschinen zur Absonderung«, die man hier sehr hübsch dargestellt findet, z. B. die Siebe und Plansichter, Setzmaschinen und Stofsherde, Dreschmaschinen, Getreide- und Griesputzmaschinen, die Reinigungsmaschinen der Spinnerel und die Knotenfänger für Papiermaschinen, Staubfänger, Filterpressen, Schnittel- und Oelpressen mit Pressumpfen, Zentrifugen einschließlich des Gleichgewichtreglers, Wasch- und Trockenmaschinen. In der hydraulischen Presse, Fig. 466 II, ist jedes der beiden Presspakete, soweit sich aus der Abbildung entnehmen lässt, nicht von der halben, sondern von der ganzen Presskraft beansprucht; denn die Kraft geht ungeteilt vom Kolben durch das vor ihm liegende Paket zu dem beweglichen Widerlager, von diesem durch die beiden Zugstangen an das hintere, am andern Ende der Maschine befindliche Widerlager und durch das davor liegende Presspaket hindurch bis an den Boden des festliegenden Cylinders.

Ein Lehrbuch über Werkzeugmaschinen hat man lange Zeit gewünscht, seit die gediegene Arbeit von Hart die neu aufgefundenen Maschinen vermessen lässt, und bis kürzlich Fischers ausführliches Buch erschienen ist; es war wohl nur nicht genügend bekannt, dass Weisbachs Mechanik eine Werkzeugmaschinenlehre enthält, die auch neuere Systeme wie die Drehmaschine beschreibt. Deshalb muss auf diesen Abschnitt besonders hingewiesen werden. Die gesunde Auffassung des Themas springt gleich zu Anfang in die Augen, wo Herrmann von der Widerstandsfähigkeit der Maschinengestelle und ihrer Teile durch ihre Masswirkung gegenüber den Arbeiterschütterungen spricht und diese selbst begründet. Das giebt eine der Aufgaben für die dynamische Festigkeitslehre. Weiter sind seine Untersuchungen über die Schneid-

stahlwirkung anregend, die von den am Span ersichtlichen ruckweisen Kraftäusserungen ausgehen, dabei allerdings die Biegemomente im absaltenden Span sowie den von Fischer betonten Gegendruck der bearbeiteten Fläche gegen den Rücken des Stahles nur erwähnen, ohne sie in die Rechnung aufzunehmen. Sie bieten jedenfalls einen geeigneten Ausgangspunkt für die Theorie des Spanens, die immer noch eine »Doktorfrage« bildet. Zur Erläuterung der nötigen Angaben bezieht sich Herrmann auf praktische Erfahrungen, wie sie auch Hart schon gegeben hat, und auf Versuche, besonders diejenigen von Hartig. Die Maschinen sind, größtenteils in äußerer Ansicht, deutlich gezeichnet, die Einzelheiten, soweit sie nicht früher schon behandelt sind, durch klare Schnittzeichnungen erläutert, so die Umsteuerungen, Schaltungen, Klemmfutter, Hinterdreheinrichtungen nach Reinecker, die Pittler-Drehbank usw. Die Bohrer mit ihrer Schneidwirkung und entsprechender Formgebung erfahren genauere Untersuchung, was um so nützlicher ist, als für die Schraubenform der Spiralbohrer auch in der Literatur gelegentlich das leichtere Austreten der Späne als maßgebender Grund hingestellt worden ist. Im Anschluss an die Metall- und Holzbohrmaschinen werden Gesteinbohrmaschinen und Tiefbohrungen besprochen. Auch die Fräsen nach Wirkung, Verschubrichtung, Größenverhältnissen sind treffend gekennzeichnet, mit Beschreibung von mancherlei Fräsmaschinen. Nach den Holzhobel-, Fräs- und Kopirmaschinen kommen die Gewindeschneidwerke und die Schleifmaschinen zur eingehenden Beschreibung. Das Ganze giebt in knapper Fassung eine vorzügliche Belehrung über die Werkzeugmaschinen, die heute mehr als alle andern Maschinen die Fabrikation, die Formgebung der Konstruktionen, die Rentabilität der Werkstatanlagen beeinflussen und schwieriger als andere Arten von Maschinen zu entwerfen sind.

Die 2. Hälfte aus dem Jahre 1901 erledigt zunächst auf 320 Seiten die »Maschinen zur Formgebung durch Verschiebung von Massenteilen«. Nach der Einleitung über das Fließen fester Körper kommen die Hämmer in Betracht: Hobelhämmer alter und neuer Anordnung, Stempel-, Reibungs-, Riemenzug-, Kurbel-, Luft- und Dampfhammern, mit Rechnungen über Wirkung, Schlagzahl, Fundamentstöße und Dampfleistung. Darauf folgen Pressen: Hebel-, Kniehebel-, Kurbelpressen, Ziehpressen, Schrauben- und Schmiedepressen einschließlich der dampfhydraulischen Presswerke, Niet-, Röhren-, Kabel- und Ziegelpressen; darunter kommt das Aufdornen großer Stahlblöcke vor, wie es in dem neuen Verfahren für nahtlose Kesselschlüsse Verwendung findet, und die Auspressung von Blechgefäßen durch starken Wasserdruk in ihrem Innern gegen eine äußere Form. Die Walzwerke der Eisenhütten, das Schrägwalzverfahren, die Röhrenwalzen, Ziehbank, Biegemaschinen, Formmaschinen bringen noch all das vollständig zur Beurteilung, was die Metallverarbeitung heutigentags an maschinellen Einrichtungen benutzt.

Dass sich die Wirkung der Walzen auf das Eisen noch nicht durchweg rechnerisch verfolgen lässt, sagt Herrmann selbst, der sonst alle Aufgaben, die er in Angriff genommen hat, zu bewältigen weiß. Bei den Dampfhammern gelten die für die Dampfwerkung gemachten Annahmen wohl für Dampfmaschinen, aber nicht für Dampfhammern, wie sich aus Versuchen, deren Veröffentlichung in dieser Zeitschrift noch bevorsteht, erst noch erkennen lassen wird. Anstelle der mathematischen Berechnung empfiehlt sich hierbei jedenfalls die zeichnerische Ausmittlung von Diagrammen. Die auffallenden Erscheinungen an den Riemenzughammern, die man mit einem kurzen starken Ruck, nicht durch langsam wirkenden Zug anheben soll, führen vielleicht einmal zu der Erkenntnis, dass schnelllaufende Riemen anders wirken, als man zurzeit nach statischen Grundlagen wie an Bremsrindern und für langsam bewegte Riemen annimmt, wobei Zuckungen und entsprechende Trägheitswiderstände des Riemens infrage kommen können. Je mehr man sich in das Gebiet der Arbeitsmaschinen vertieft, um so lebhafter fühlt man sich durch die vielen noch ungelösten Aufgaben technischer und theoretischer Natur angezogen. Erfreulich wirkt in Hermanns Auseinandersetzungen, dass er vorwiegend die Wirkungsweise der besprochenen Maschinen hervorhebt und durchleuchtet, ohne

sich mit Beschreibungen des Zusammenbaues der Getriebe aufzuhalten. Wie oft liest man sonst, z. B. in Patentschriften, dass ein Zahnrad auf eine in zwei Lagern laufende Welle aufgekeilt ist und in ein anderes eingreift, oder dass die Maschine aus einem Gestell besteht. Herrmann empfindet das individuelle Leben der maschinellen Gebilde und prägt es in schlichte Worte. Danach hat er auch seine Gruppenbildung vorgenommen, die passend getroffen erscheint, wenn man sich nicht gerade nach den einzelnen Industriezweigen und ihren Werkstätten richten will.

Das letztere kommt hierbei in den beiden folgenden Kapiteln annähernd zum Durchbruch, wo die Spinnerei- und Webereimaschinen behandelt werden als »Maschinen zur Vereinigung von Stoffen durch Lagenveränderung« und »Maschinen zur Verbindung«. Allerdings kommt hier nicht der Aufbereitungsengang jedes Faserstoffes zum Ausdruck, vielmehr sind jedesmal die Maschinen für kurze, mittlere und lange Fasern nebeneinander gestellt. Nachdem die Vorbereitungsmaschinen bis zur Schlagmaschine bereits unter den Reinigungsmaschinen Erledigung gefunden haben, beginnt das sechste Kapitel mit den Krätzen mit stillstehenden und wandernden Deckeln und mit Walzen. Die Dressing- und Hechelmaschinen kommen gleichwie die Kämmaschinen, bis auf die neueren von Offermann-Ziegler und von Gégauß, ziemlich vollständig zur Abhandlung. Bei der Besprechung der Strecken verschwindet im Anfang der erst später erwähnte Zweck der Ausgleichung der Dicke gegenüber dem gewöhnlich durch die Doblirung wieder aufgehobenen Verfahren der Verdünnung des Bandes, während die Parallellegung der Fasern zu ihrem Recht kommt. Bezüglich des Spinnens möchte ich die Annahme, dass die Fasern in Schraubenlinien liegen, nur als einen unsicheren Nothelf für weitere Betrachtungen gelten lassen, weil bei dieser Annahme alle äußeren Fasern sogleich auspringen müssten, und danach die inneren Fasern ebenfalls, sodass ein Garn garnicht halten und bestehen könnte; man muss vielmehr eine wirre, fast verflochtene und dann erst verdrehte Lage der Fasern voraussetzen, wobei die Reibungen stärker und die Beanspruchungen der einzelnen Fasern etwas gleichmäßiger ausfallen müssen als bei der Lage in reinen Schraubenwindungen. An der Vorspinnmaschine stoße ich immer wieder, so auch hier, auf die offene Frage, warum man nicht die Spulen einfach durch einen Kegelmotortrieb ohne Differentialwerk in die jeweilig passende Geschwindigkeit versetzt. Den geheimnisvollen Grund für die Annahme des Differentialgetriebes habe ich selbst erst kennen gelernt, als ich einmal auf einem andern Gedankenwege zu einem Getriebe gelangte, das ich danach im Flyer wiedererkannte: sein eigentlicher Zweck ist die Entlastung des Kegelmotortriebes von dem Hauptteil der Kraftübertragung. Diese geschieht nämlich zum weitaus größten Teile unmittelbar von der Kraftwelle aus durch das Zahngetriebe, zum kleinen Teile nur durch den Riemen, der erst mittels starker Uebersetzung ins langsame durch das Differentialrad zur Mitwirkung bezüglich der Geschwindigkeit gelangt, womit zugleich alle Unregelmäßigkeiten des Riemenlaufes auf ein geringes Maß beschränkt werden. Dass bei den Feinspinnmaschinen auch die Handmühle aufgeführt wird, kann als ein geschickter lehrhafter Kunstgriff gelten, weil sich daraus der Selfactor leicht verständlich entwickelt; dieser hätte dann allerdings statt der Parr-Curtisschen in einer neueren Bauweise aufgenommen werden können. Die Maschinen zum Zwrinnen, Seilen, Spulen, denen noch Walken und Mischmaschinen angefügt sind, führen

zu den Web-, Wirk- und Flechtstühlen hinüber. Bei der Betrachtung der Gewebe und Wirkwaren befindet man sich ganz auf technologischem Gebiet, auf dem sich Hermanns Führung ebenso bewährt wie in der Mechanik, indem er hier wie da Ursache und Wirkung in ihrer gegenseitigen Beziehung nachweist und die mancherlei Möglichkeiten der Ausführung nach praktischen Gesichtspunkten anstelle weiterer Bedingungsgleichungen beurteilt. Viele Gesamt- und Teilzeichnungen erläutern den Text; sie geben im ganzen nur wieder, was schon in älteren Schriften enthalten ist, wie bei Pechtl, Kronauer-Richard, und jüngeren, wie bei Karmarsch-Fischer-Müller, Reiser-Spennrath oder auch in Zeitschriften. Das Lehrbuch will nichts weiter als eine systematische Uebersicht des Gebräuchlichen bieten, um angehenden Ingenieuren die Kenntnis der Grundlagen zu vermitteln, auf denen sich die Neuerungen aufbauen. Von diesem Standpunkte aus muss man anerkennen, dass es dem Verfasser gelungen ist, in willkommener Kürze das Wesen der Textilmaschinen bis zu den verschlungenen Fadenführungen in den Flecht-, Strick-, Klöppel-, Näh- und Stickmaschinen so lebendig darzustellen, wie es ohne Betrachtung der Maschinen selbst sich nur irgend thun lässt. Statt der zusammengefalteten Tafeln in diesem letzten Bande würde ich einfache Blätter, die ja auch aus dem stärkeren, glatten Papier bestehen könnten, bequemer finden.

Im letzten Kapitel stehen »Maschinen zur Oberflächenbearbeitung« beisammen, Polirmaschinen, Kalanders, Mangeln und Rauhaschinen, ferner von den Druckerpressen die altherwürdigen Kniehebelpressen sowie Schnellpressen (bei der Hypozykloldalführung der Schnellpressen steht übrigens der Zapfen am Umlauftrabe ein wenig außerhalb des Teilkreises, weil dadurch an Lauflänge gewonnen wird, ohne dass der Seitenschub störend aufträte, sodass also die theoretisch erreichbare Geradführung praktisch nicht voll ausgenutzt wird), ferner noch Rotationspressen und Kattendruckmaschinen.

Wer die Arbeitsmaschinen der Industrie kennen lernen oder nachschlagen will, ohne sich mit der Gewinnung, Beschaffenheit, Durcharbeitung des Rohstoffes usw. näher zu befassen, findet in Hermanns Lehrbuch am bequemsten Auskunft und kurze Belehrung auf allen Gebieten.

Georg Lindner.

Bei der Redaktion eingegangene Bücher.

Aus Natur und Geisteswelt: Schöpfungen der Ingenieurtechnik der Neuzeit. Von Carl Merckel. Leipzig 1901, B. G. Teubner. 139 S. 8° mit 50 Fig. Preis 1 M.

(Der Zweck des Buches, das große Publikum mehr und mehr für die Leistungen und Schöpfungen der Technik zu interessieren, wird durch Beschreibung der großen Gebrästraßen, neuerer Bergbahnen, der Transkaspiischen, der Sibirischen Bahn, neuerer Kanal- und Hafenhauten erreicht.)

Jahrbuch des Deutschen Flottenvereines 1902. Dritter Jahrgang. Vom Deutschen Flottenverein. Berlin 1902, E. S. Mittler & Sohn. 483 S. 8°. Preis 1 M.

Die theoretischen und praktischen Grundlagen der Buchführung sowie die Unklarheiten und Unrichtigkeiten der üblichen Lehrmethoden. Von A. Schulte. Berlin 1902, Julius Springer. 56 S. 8°. Preis 1,40 M.

Zeitschriftenschau.¹⁾

(*) bedeutet Abbildung im Text.)

Beleuchtung.

Elements of Illumination. XXXIV. Von Bell. (El. World 23. Nov. 01 S. 459, 51) Ausblicke auf die zukünftige Entwicklung der Beleuchtung.

Dampfzylinder und Kocheinrichtungen.

Trockencylinder. Von Geiger. Forts. (Z. bayr. Dampfkr.-Ver. V. Okt. 01 S. 115, 117 u. Nov. S. 128, 130*) Doppelwandige Papier-

¹⁾ Die Zeitschriftenschau wird, nach den Stichwörtern in Vierteljahrsheften zusammengefasst und geordnet, gesondert herausgegeben, und zwar zum Preise von 3 M. pro Jahrgang für Mitglieder, von 10 M. pro Jahrgang für Nichtmitglieder.

trockencylinder. Offene Trockencylinder. Cylinder für die Herstellung von Presskohlen. Koch- und Trockentrommel zur Vernichtung von Tierleichen. Berechnung der Wandstärke und Ausführung von Konstruktionseinheiten. Schluss folgt.

Dampfkraftanlagen.

Superheated steam. (Engineer 6. Dec. 01 S. 589/99) Allgemeine Erörterungen über die Verwendung von überhitztem Dampf unter besonderer Berücksichtigung der mit überhitztem Dampf arbeitenden Anlagen in Deutschland.

Two recent systems for burning powdered coal. (Eng. News 28. Nov. 01 S. 415/16*) Darstellung zweier Kohlenbrennanlagen

und ihrer Anordnung in Verbindung mit Beschickvorrichtungen für Dampfkessel.

Frostschäden an Dampfkesseln. (Z. bayr. Dampfk.-Rev.-V. Nov. 01 S. 130/31*) Ratschläge für die Wartung von Dampfkesseln und Besprechung mehrerer Unfälle, die durch mangelhafte Bedienung während des Winters aufgetreten waren.

Eisenbahnwesen.

A railroad ferry transfer. (Eng. Rec. 23. Nov. 01 S. 493/94*) Die Maine Central Railroad überschreitet den Kennebec-Fluss zwischen Bath und Woolwich mittels einer Fähre. Da der Wasserspiegel starken Schwankungen unterworfen ist, sind an den beiden Ufern heb- und senkbare Zugbrücken angeordnet, die an einem Ende an das Eisenbahngleis anschließen und mit dem andern Ende auf dem Fährboot ruhen. Beschreibung der einstellbaren Rampen.

Ueber die Erhöhung der Ladefähigkeit der offenen Güterwagen und über die Einrichtung derselben zur Selbstentladung. Von Schwabe. (Glückauf 30. Nov. 01 S. 1033/34*) Die in der Überschrift gekennzeichneten Fragen werden hauptsächlich vom wirtschaftlichen Standpunkte aus beleuchtet.

Eisenhüttenwesen.

Ueber Störungen im Hochofengang. Von Osann. (Stahl u. Eisen 1. Dez. 01 S. 1277/85) Chemische Vorgänge im Hochofen. Zusammensetzung der Gichtgase. Ausscheiden des Kohlenstoffes im Hochofen. Erklärung für das Hängenbleiben der Gichten. Unregelmäßiger Schmelzgang.

Thomas- oder Bertrand-Thiel-Prozess. Von Thiel. (Stahl u. Eisen 1. Dez. 01 S. 1305/18) Der Verfasser widerspricht den von Grassmann in seinem Aufsatz „Thomas- oder Martin-Flusseisen“ (s. Zeitschriftenschau v. 19. Okt. 01) geäußerten Anschauungen und kommt zu dem Schluss, dass die Zukunft zweifellos dem Martinverfahren gehört.

Naphthafeuerung für Martinöfen. Von Byström. (Glückauf 30. Nov. 01 S. 1018/21*) Beschreibung der in Russland gebräuchlichen Feuerungsanlagen für Naphtha.

Eisenkonstruktionen, Brücken.

The South St. Paul Belt Railway bridge. (Eng. Rec. 30. Nov. 01 S. 515/17*) Die Brücke besteht aus einem 184 m langen eisernen Viadukt, einem 135 m langen drehbaren Ueberbau, fünf je 43 m langen festen Fachwerkbauwerken und einem 15 m langen Blechträgerüberbau. Einzelheiten der Eisenkonstruktion.

Elektrotechnik.

New power plant of the National Cash Register Company. (Eng. Rec. 30. Nov. 01 S. 514/15*) Die Kraftanlage enthält 3 liegende Dampfmaschinen von 1200, 600 und 300 PS, die ihren Dampf von 4 Babcock & Wilcox-Kesseln und von 4 Stirling-Kesseln erhalten. Die Maschinen sind mit Gleichstromerzeugern von 800, 485 und 225 KW gekuppelt.

The electric plant at the Goldsmiths' Institute. (Engl. near 6. Dez. 01 S. 576/77*) Die zur Licht- und Kraftversorgung dienende Anlage enthält 3 stehende Williams-Dampfmaschinen, die mit 3 Nebenschlussmaschinen von je 80 KW gekuppelt sind. Zur Dampferzeugung dienen 2 Galloway-Kessel.

The steam and electrical plant of the North American Building, Philadelphia. (Eng. Rec. 23. Nov. 01 S. 489/93*) Das 21stöckige Gebäude mit 2 unter Flur liegenden Kellergeschossen ist in Eisenschale mit feuerfester Ummantelung hergestellt und enthält ein großes elektrisches Kraftwerk. Der elektrische Strom wird für Beleuchtung und für die Speisung von Motoren zum Antriebe von Druckpressen, Aufzügen, Ventilatoren, Kühlmaschinen, Setmaschinen und Kesselspeisepumpen benutzt. Eingehende Beschreibung der Anlage.

Dreiphasenstrom gegen Gleichstrom. Von de Fodor. Schluss. (Z. f. Elektrot. Wien 1. Dez. 01 S. 577/79) S. Zeitschriftenschau v. 7. Dez. 01.

Beurteilung der Eigenschaften von Dynamomaschinen aufgrund der Nutenanordnung. Von Corneplu. Forts. (Elektrot. Z. 5. Dez. 01 S. 1003/06) Zusammenfassung der bisherigen Ergebnisse. Beispiel zweier Maschinen. Bemessung der grundlegenden Werte unter Berücksichtigung der Erwärmung. Schluss folgt.

Air gap induction. Von Carter. (El. World 30. Nov. 01 S. 884/88*) Abhandlung über die Bestimmung der Kraftlinienichte im Lufttrame sowie in den Nuten und Zähnen des Ankers durch Rechnung und Versuch.

Les conjoncteurs disjoncteurs employés en électricité pour la charge des accumulateurs ou la mise en parallèle de machines dynamos. Von Flévy. (Mém. Soc. Ing. Civ. Okt. 01 S. 668/76*) Besprechung eines vom Verfasser konstruierten selbstthätigen Zelenhalters, der mehrere Nachteile der bisherigen Schalter vermeiden soll. Angaben über die Wirkungsweise.

Dimensionierung von Zellschalterleitungen. Von Hunke. (Elektrot. Z. 5. Dez. 01 S. 1006/10*) Rechnerisches und zeichnerisches Verfahren, bei dem berücksichtigt werden: Anzahl der Leitungen, täg-

liche Benutzungsdauer, bezogen auf die normale Entladestromstärke, Stromkosten, Kosten des Leitungsmaterials, Tilgung und Verzinsung des Anlagekapitals. Praktisches Beispiel.

Amerikanische Akkumulatoren für Automobile. (Z. f. Elektrot. Wien 1. Dez. 01 S. 584/87*) Übersetzung des in Zeitschriftenschau v. 2. Nov. 01 unter „Automobile storage batteries“ erwähnten Aufsatzes.

Erd- und Wasserbau.

Heavy dredging with light machinery at Havana. Von Weber. (Eng. Rec. 23. Nov. 01 S. 499/500) Um für ein Schwimm-dock der Havana Dry Dock Company im Hafen von Havana Platz zu schaffen, mussten umfangreiche Ausbaggerungen vorgenommen werden, zu denen nur ein kleiner alter Eimerbagger zur Verfügung stand. Die Arbeiten sind kurz beschrieben und Angaben über die Kosten zugefügt.

Spill- und Heisaanlage der Schleuse Wernsdorf. Von Gröbe. (Centralbl. Bauv. 7. Dez. 01 S. 592/93*) Die Spillanlage umfasst 3 mit Druckwasser von 50 at Spannung arbeitende Spills, von denen jedes imstande ist, einem Schiff von 600 t innerhalb 30 sk eine Geschwindigkeit von 0,6 m/sk zu erteilen. Damit im Winter die Leitungen nicht einfrieren, ist eine Niederdruckheizung mit 0,4 at Dampfdruck vorgesehen.

The new subway in New York City. Von Prelini. Forts. (Engng. 6. Dez. 01 S. 763/65*) Der Streckenabschnitt von der 60. bis zur 104. Straße. Forts. folgt.

The construction of earth dams. Von Croes, Smith und Sweet. (Eng. Rec. 30. Nov. 01 S. 520/25*) Beschreibung der Bauarbeiten am neuen Croton-Damm und an einem Wasserbehälter mit Erdwänden im Jerome-Park.

Feuerungsanlagen.

A 108 foot concrete-steel chimney. (Eng. Rec. 30. Nov. 01 S. 517/18*) Der nach dem Ransomeschen Verfahren in Beton-Eisen ausgeführte cylindrische Schornstein ist 33 m hoch und hat 2,4 m inneren Durchmesser. Er ruht auf einem Betonblock von 7,3 m Dmr., der von einem Pfahlrost getragen wird.

Gasindustrie.

Die Gas-, Elektrizitäts- und Wasserwerke der Stadt Lübeck. Von Hase. (Journ. Gasb.-Wasserv. 7. Dez. 01 S. 914/18) S. Zeitschriftenschau v. 14. Dez. 01.

Verstellbarer Dröryscher Teerabgang für Teervorlagen. (Journ. Gasb.-Wasserv. 7. Dez. 01 S. 918/19) Durch die Anordnung der Vorrichtung soll erreicht werden, dass sich der Teer nicht in der Vorlage ablagert, wodurch ein gleichmäßiger Ofenbetrieb erzielt wird.

Gerundheitsingenieurwesen.

An automatic drop gate for intercepting sewers. (Eng. Rec. 30. Nov. 01 S. 519*) Kurze Angaben über einen Rechen, der Steine, Papier und dergl. zurückhalten soll, und über eine sich bei plötzlichen heftigen Regenfällen selbstthätig schließende Klappe für Abwässerkanäle.

Gießerei.

Iron foundries and foundry practice in the United States. XI. (Engineer 6. Dez. 01 S. 570/72*) Verhältnis zwischen der Menge des geschmolzenen Eisens und der Menge des hierzu verbrauchten Brennstoffes. Gebläse für Kopelöfen. Gussputzeren.

Molding sand rollers. (Am. Mach. 30. Nov. 01 S. 1267/68*) Ratschläge für das zweckmäßige Einformen und Gießen kleiner Erdwalzen.

Hebezeuge.

The development of shipyard crane service. Von Jones. (Eng. News 28. Nov. 01 S. 402/03*) Kritische Besprechung der verschiedenen Kranstrukturen. Drehkrane mit waggerbettem und schrägem Ausleger. Portalkrane mit aufklappbarem Arm.

Heizung und Lüftung.

Ventilating and heating the Chicago National Bank. (Eng. Rec. 23. Nov. 01 S. 502/04*) Das 4stöckige Gebäude wird in den beiden unteren Stockwerken durch eingeblasene warme Luft, in den beiden Obergeschossen mittels von Heizkörpern geheizt.

Kälteindustrie.

Vergleich der Betriebskosten einer Fleischkühlanlage bei Anwendung von Luft-Boole-Kühlung oder direkter Verdampfung. (Z. Kälte-Ind. Nov. 01 S. 210/11) Vergleichende Berechnung des Kraftbedarfes für eine Anlage mit Luftkühlung, eine Anlage mit Boolekühlung und eine Anlage mit unmittelbarer Verdampfung.

Versuche an Kühlmaschinen verschiedener Systeme im praktischen Betriebe. Von Lorenz. (Z. Kälte-Ind. Nov. 01 S. 203/07*) Untersuchung der Kältemaschinenanlage der Vereinsbrauerei Apolda.

Unwirtschaftliche Kühlanlagen wegen fehlerhafter Disposition der Rohrleitungen. I. Von Stotefeld. (Z. Kälte-Ind. Nov. 01 S. 207/09) Beschreibung einer Kühlanlage mit Ver-

dampfern für verschiedene Temperaturen, bei der die Saugleitungen falsch angeordnet waren.

Die Fabrikation der flüssigen Kohlensäure. Von Schmatolla. Schluss. (Eis- u. Kälte-Ind. 5. Dez. 01 S. 81/82; S. Zeitschriftenschau v. 24. Dez. 01.

Lager- und Ladevorrichtungen.

Large boiler stoking plant. (Engineer 6. Dez. 01 S. 584/85*) Beschreibung einer Förderanlage für die Zuführung von Kohlen zu Dampfkesseln in der Fabrik von Wm. Beardmore & Co. in Glasgow.

Maschinenteile.

Considerations affecting the hight of gear teeth. I. Von Bruce. (Am. Mach. 30. Nov. 01 S. 1269/74*) Eingehende Untersuchung über den Einfluss, den die Kopfhöhe bei Zahnrädern auf die Länge des Eingriffes, auf den Winkel zwischen Zahndruck und Zentrale, auf die Festigkeit der Zähne und auf Reibung und Abnutzung hat.

Spiral gears. I. Von Halsey. (Am. Mach. 23. Nov. 01 S. 1261/64*) Vergleich zwischen Schraubenrädern und Stirnrädern. Die Teilung bei Schraubenrädern. Das Übersetzungsverhältnis. Forts. folgt.

Materialkunde.

Das Schmelzen von Mangan-Eisen-Nickellegerungen in Magnesitiegeln. Von Wedding. (Verhdlg. Ver. Beförd. Gewerbf. Nov. 01 S. 417/23) Beim Schmelzen von manganhaltigen Legierungen in Grafitiegeln ergab sich ein zu hoher Stilleumgehalt. Tiegel aus Magnesit allein sowie Grafit- oder Schamottiegel mit Magnesitfütter bewährten sich nicht. Schließlich wurden Grafitiegel mit an Ort und Stelle eingebrannter Ausfütterung aus Magnesit, Wasserglas und Chlorammonium benutzt, die gute Ergebnisse lieferten.

Mechanik.

Experiments at Detroit, Mich., on the effect of curvature upon the flow of water in pipes. (Proc. Am. Soc. Civ. Eng. Nov. 01 S. 1035/80*) Meinungsaustausch zu dem in Zeitschriftenschau v. 15. Juni 01 erwähnten Aufsatz.

A proposed solution of some hydraulic problems. Von Tutton. (Proc. Am. Soc. Civ. Eng. Nov. 01 S. 988/1003) Beschreibung verschiedener Verfahren zur Bestimmung der Wassergeschwindigkeit in offenen Kanälen.

Messgeräte und -verfahren.

Die Bestimmung des mittleren Maßstabes von Indikatordiagrammen. Von Koob. (Z. bayr. Dampfkr.-Rev.-V. Okt. 01 S. 112/17*) Berechnung des mittleren Maßstabes für den Fall, dass der Maßstab der Indikatorfeder sich mit dem Druck ändert.

Die Bestimmung des mittleren Maßstabes von Indikatordiagrammen. Von Eberle. (Z. bayr. Dampfkr.-Rev.-V. Nov. 01 S. 126/28*) Meinungsaustausch zu der vorstehend erwähnten Abhandlung und Erwiderung von Koob.

Current meter and weir discharge comparisons. (Proc. Am. Soc. Civ. Eng. Nov. 01 S. 1006/11) Meinungsaustausch zu dem in Zeitschriftenschau v. 26. Okt. 01 erwähnten Aufsatz.

Metalbearbeitung.

Machine tools at the National Show. (Engng. 6. Dez. 01 S. 770/71*) Allgemeine Bemerkungen und Darstellung der bemerkenswerthesten Werkzeugmaschinen von Alfred Herbert in Coventry. Selbsttätige Schraubenschneidmaschine für Bolzen bis zu 50 mm Dmr. Mehraufdrehbänk mit in Richtung ihrer Achse verschiebbarer Hoblschindel.

New vertical spindle milling head. (Am. Mach. 30. Nov. 01 S. 1261*) Das Anwendungsgebiet der Universal-Präsmaschine der

Cincinnati Milling Machine Co. ist durch Hinzufügen einer neuen Hilfsvorrichtung erweitert worden. Diese besteht aus einem gleichschrägen zur Fräsempindel angeschraubten Gehäuse, in dem eine mittels Kegelradgetriebes bewegte senkrechte Spindel gelagert ist.

The Quest universal and cutter grinder. (Engng. 6. Dez. 01 S. 771/74*) Die eingehend dargestellte Schleifmaschine zeichnet sich durch große Vielseitigkeit in ihrer Verwendung und durch leichte Einstellbarkeit aus.

Die forging. XI. Von Horner. (Engng. 6. Dez. 01 S. 761/62*) Gesenke und Formstücke aus Flusseisen.

Federhammer. (Z. Werkzeugm. 5. Dez. 01 S. 105 07*) Bei dem von der Aktiebolaget B. A. Hjorth & Co. in Stockholm gebauten Federhammer »Vulkanus« kann durch eine sinnreiche Einrichtung der Kurbel die Hebelstärke der Dicke der verschiedenen Arbeitstücke während des Ganges angepasst werden.

Bolzenkupplung für Lochmaschinen, Scheren- und Exzenterpressen. Von Brzóska. (Z. Werkzeugm. 5. Dez. 01 S. 103/04*) Der Verfasser teilt Verhältniszahlen für die Hauptabmessungen einer Bolzenkupplung mit.

A small blanking, drawing and heading die. Von Nier. (Am. Mach. 30. Nov. 01 S. 1265/67*) Darstellung der Stempel und Matrizen zur Herstellung gebogener Blechstücke mit U-förmigem Querschnitt.

Motorwagen und Fahrräder.

Der Wettbewerb für Motorlastwagen zu Liverpool vom 3. bis 7. Juni 1901. Forts. (Motorwagen 30. Nov. 01 S. 385/92*) Konstruktionseinzelheiten der Maschinen und Kessel der von C. & A. Mörker gebauten Motorwagen. Forts. folgt.

Fehlerhafte Konstruktionen im Wagenmotorenbau. Von Guldner. (Motorwagen 30. Nov. 01 S. 381/95*) Bericht über den Bruch der Kurbelwelle eines Motorwagens und Erörterung der Ursachen.

Diagram for motor vehicle problems. Von Bushnell. (Am. Mach. 30. Nov. 01 S. 1268/69*) Die graphische Tafel gestattet, bei gegebenem Treibradurchmesser und gegebener Fahrgeschwindigkeit für jedes Übersetzungsverhältnis im Getriebe die Umlaufzahl des Motors zu entnehmen.

Physik.

Zum zweiten Hauptsatz der mechanischen Wärmetheorie. Von Denisot. Schluss. (Z. Kälte-Ind. Nov. 01 S. 201/03) Bei den weiteren Untersuchungen ergibt sich ein Existenzbeweis für die Entropiefunktion.

Pumpen und Gebläse.

Der elektromotorische Antrieb von Pumpen und Wasserhaltungen. Von Hahn. (Dingler 7. Dez. 01 S. 777/80*) Besprechung einiger Pumpen für mittlere Umlaufzahlen und Förderhöhen der Firma Rich. Langensiepen in Magdeburg-Buckau. Bei allen Konstruktionen arbeitet der Motor vermittelt zweier Zahnradvorlege auf die Pumpenkurbel. Schluss folgt.

Schiffs- und Seewesen.

The carriage of oil in bulk. (Engineer 6. Dez. 01 S. 585/86) Kurze Angaben über die Einrichtungen der Dampfer der Shell Transport & Trading Co. zur Aufnahme von Petroleumladungen.

Straßenbahnen.

Die elektrische Hoch- und Untergrundbahn in Berlin von Siemens & Halske. Forts. (Deutsche Bauz. 7. Dez. 01 S. 609/14*) Oberbau, Betriebsmittel, Leistungsfähigkeit, Fahrpreise und Signalwesen. Das Kraftwerk und die Leitungen. Schluss folgt.

Rundschau.

Das Kraftwerk zu Paderno¹⁾, das nach vollständigem Ausbau 13000 PS besitzen wird, hat vor kurzem in der Lombardei ein Seitenstück erhalten, welches es noch übertrifft. Das neue Kraftwerk von Vizzola-Ticino, das in den Jahren 1897 bis 1900 errichtet worden ist, leistet bereits 14000 PS und soll später auf 20000 PS vergrößert werden. Es dient zur Nutabarmachung des Gefälles des Tessins zwischen dem Lago Maggiore und der Mündung in den Po in einer Gegend, wo bereits seit lange ein weites Netz von Kanälen vorhanden ist, die zum großen Teil der Bewässerung dienen. Von dem Oberwasserbecken eines dieser Kanäle, dem Villorosi-Kanal, geht ein schiffbarer Kanal aus, der dem Kraftwerk das Betriebswasser zuführt, und zwar läuft er zunächst dicht neben dem genannten Villorosi-Kanal. Die Wassermenge, die durch den Kanal geleitet wird, beträgt zu gewöhnlichen Zeiten rd. 55 cbm/sk, das nutzbare Gefälle 28 m. Hinter dem Kraftwerk fließt das Wasser in den Tessin zurück.

¹⁾ Z. 1899 S. 1120.

Der Kanal teilt sich nach einem Laufe von 6 km. Ein Zweig, der rd. 3 cbm/sk führt und von Booten befahren werden kann, geht unmittelbar zum Fluss. Der andere überschreitet mithilfe eines gemauerten Viaduktes von 200 m Länge einen Thalkessel und mündet dann in das Sammelbecken des Kraftwerkes. Der Viadukt besteht aus Bogen von Beton mit einer Spannweite von 4,5 m. Das Wasser darin ist bei normalem Betriebe 3,5 m tief und fließt mit einer Geschwindigkeit von 3 m/sk. Um die Wandung des Kanals auf dem Viadukt dicht zu halten, ist in den Beton eine Schicht Teerflin eingebettet. Das Sammelbecken ist ähnlich gebaut. Von ihm führen 12 Rohrleitungen, 10 größere und 2 von kleinerem Durchmesser, zu den Turbinen; außerdem ist ein Ueberfall von 90 m Breite vorgesehen.

Das Maschinenhaus enthält vorläufig 7 Turbinen von je 2000 PS, zu denen später noch 3 hinzutreten sollen. 5 Turbinen sind von der Firma Riva, Monneret & Co. in Mailand gebaut, 2 von J. M. Voith in Heidenheim. Es sind Zwillingsturbinen mit wagerechter Achse, die radial von außen beaufschlagt

werden und mit Sauggefäße arbeiten. Das Gefälle schwankt zwischen 28 und 24 m. Die Wellen machen 187 Uml./min und sind mit denen der Dynamomaschinen gekuppelt.

Da die Entfernung zwischen den Verbrauchstellen und dem Kraftwerk bis zu 18 km beträgt, so hat man sich entschlossen, Drehstrom von 11000 V zu verwenden, der ohne Umformung von den Dynamomaschinen geliefert wird. Außer den großen Dynamos sind zwei kleinere ebenfalls mit ihren Turbinen gekuppelte Dynamos vorhanden, die Gleichstrom von 110 V zum Erregen der Dynamos, zur Beleuchtung und für die im Kraftwerk befindlichen Hilfsmaschinen liefern. Eine jede dieser Maschinen leistet 220 PS. Die elektrischen Einrichtungen sind von Schuckert in Nürnberg geliefert.

Die Mittelpunkte für die Verbrauchstellen sind die Ortschaften Gallarate, Busto Arsizio, Legnano und Valle Olona, deren Entfernung von Vizzola 10 bis 18 km beträgt; die meisten Abnehmer sind Fabriken der Textilindustrie. Jeder Ort hat eine Zuleitung für sich, und außerdem sind für die Beleuchtung der erstgenannten drei Ortschaften besondere Leitungen vorhanden. Die Leitungen sind oberirdisch teils auf hölzernen, teils auf eisernen Masten geführt. Im allgemeinen wird der Strom in den Ortschaften auf 3600 V gebracht. Für einzelne Abnehmer wird er dann noch weiter auf 125 V umgeformt. Nur einige besonders bedeutende Abnehmer haben ihre eigenen Transformatorenanlagen, wie eine Baumwollspinnerei in Valle Olona, die die Spannung des Stromes für ihren Bedarf auf 500 V vermindert.

Die Anlage ist von der Società Lombarda per Distribuzione di Energia Elettrica errichtet worden. Die Abnehmer bezahlen den Strom nach einer je nach der Größe der Installation wechselnden Abstufung pro KW und Jahr. Der Grundpreis schwankt zwischen 400 Lire bei Installationen für eine Leistung unter 5 KW und 160 Lire für Installationen über 700 KW in 12 Stunden¹⁾.

In Fig. 1 bis 4 ist ein für die Elbstrombauverwaltung neu erbautes Taucherschiff²⁾ dargestellt. Die Taucherglocke ist hierbei entgegen der sonst üblichen Anordnung seitlich am Schiffskörper aufgehängt. Das Schiff ist 30 m lang, 7,5 m breit und geht 0,75 m tief. Am Heck ist ein 3,5 m

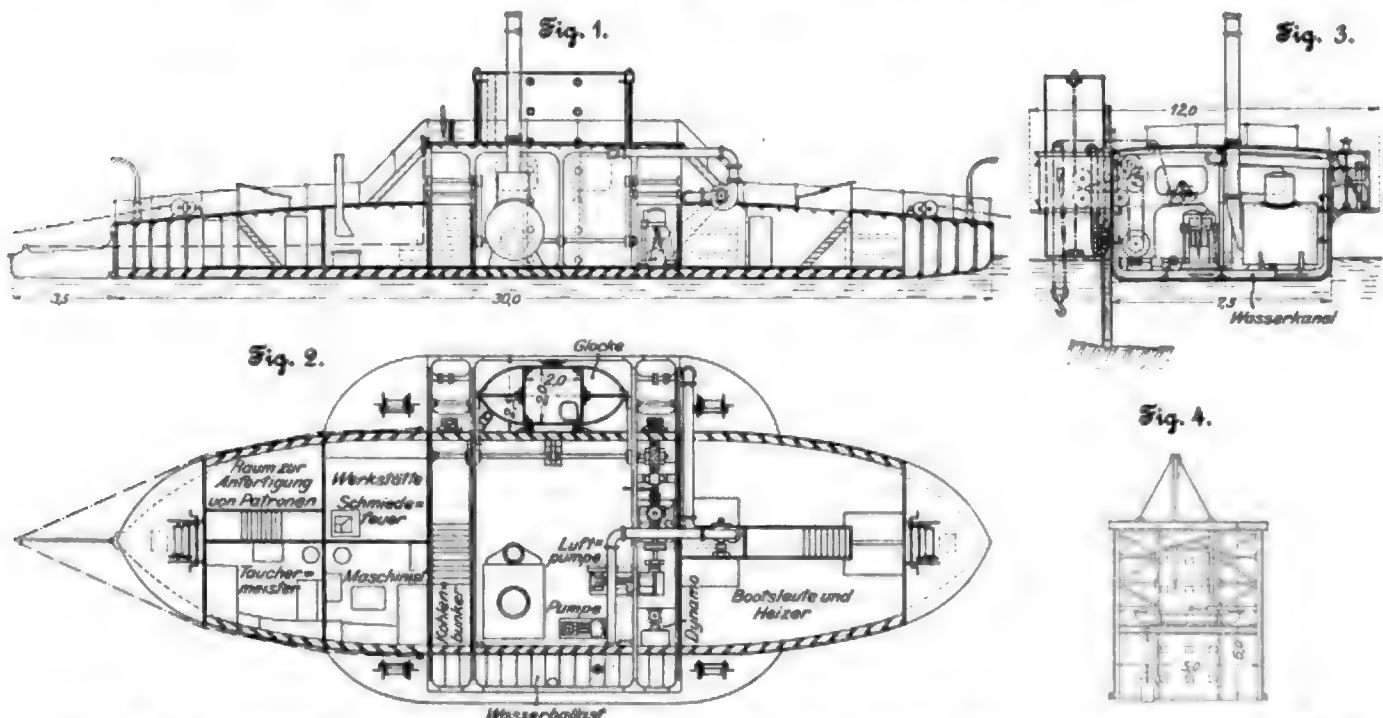
in 600 mm Abstand. Die Räume des Schiffes, deren Anordnung aus den Figuren ersichtlich ist, bieten Platz für Kessel, Maschine, Bedienungsmannschaft, sowie zum Anfertigen von Patronen, Aufbewahren von Vorräten usw.

Außen an der Backbordseite des Schiffes befindet sich die Taucherglocke, die vorn und hinten scharf gebaut ist, um den Widerstand im fließenden Wasser zu verringern. Der Arbeitsraum ist 5 m lang und 2 m breit und wird, da Fenster nicht angeordnet sind, durch elektrische Glühlampen erleuchtet. Darüber erhebt sich ein Vorraum, der zu beiden Seiten Kammern enthält, in welche der zum Senken der Glocke nötige Wasserballast gefüllt wird. In der Decke der Glocke und in der Seitenwand sind zwei Einsteigöffnungen angeordnet, die durch Rollthüren verschlossen werden. Zum Heben und Senken der Glocke dient eine Verbundmaschine von 50 PS, die mittels Schneckenradgetriebes, Kettenräder und Leitrollen mit 2,5 m/min Geschwindigkeit 2 Gallsche Ketten bewegt, an denen die Glocke hängt. Zur Erhaltung der wahren Schwimmelage des Schiffes dient sowohl Wasserballast, der in einen der Glocke gegenüberliegenden Kasten von 15 cbm Inhalt gefüllt wird, als auch zwei starke Stützen aus Eichenholz, die mittels Zahnstangengetriebes bis zum Boden des Flusses hinuntergelassen werden können und so das Schiff abstützen.

Die Regelung der Schwimmelage mittels Wasserballastes ist selbstthätig. Zu diesem Zweck steht der Ballastkasten auf der Steuerbordseite durch einen zwischen 2 Spanten durchgeführten Kanal und durch einen Gummispiralschlauch mit den Ballastbehältern der Glocke in Verbindung. Letztere füllen sich beim Senken mit Wasser aus dem Behälter an der Steuerbordseite, wodurch dieser zugleich entlastet wird.

Mittels Riemenübersetzung treibt die Hauptmaschine außerdem eine an Deck stehende Kreiselpumpe und eine im Maschinenraum aufgestellte Luftpumpe an. Erstere dient sowohl zum Füllen des Wasserballastkastens als auch zum Lenzpumpen gesunkener Fahrzeuge. Ihre Leistungsfähigkeit beträgt bei 5 m Förderhöhe und 550 Uml./min 17 cbm/min. Die Luftpumpe ist doppelwirkend und drückt durch einen Gummispiralschlauch Luft in den Arbeitsraum der Glocke. Die Leistungsfähigkeit dieser Pumpe beträgt 3 bis 3,5 cbm/min bei 0,5 at. Für elektrische Beleuchtung ist ferner im Maschinen-

Fig. 1 bis 4. Taucherschiff.



langes Steuer angeordnet, das durch 2 am äußersten Ende des Ruderblattes befestigte Drahtseile bewegt wird, die in der üblichen Weise von einem Steuertrad aufgenommen werden. Die Platten, aus denen der Schiffskörper zusammengesetzt ist, sind am Boden 6 mm, zwischen Kimm und Schergang 8 mm stark. Die Spanten bestehen aus Winkeleisen von 60×60×9 mm und stehen im Mittelschiff in 600 mm, im Vorder- und Hinterschiff

raum eine kleine Einzylindermaschine aufgestellt, die bei 500 Uml./min 6,5 PS leistet. Die mit ihr gekuppelte Dynamomaschine speist 4 Bogenlampen an Deck und verschiedene Glühlampen. Den Dampf liefert ein liegender Einflammrohrkessel von 31,05 qm Heizfläche und 10 at Ueberdruck, der von einer Worthington-Pumpe gespeist wird.

Die Tauchtiefe der Glocke, die für gewöhnlich 2,50 m beträgt, kann durch Aufklotzen der oberen Führungsrollen und Verlängern der Gallschen Ketten vergrößert werden.

¹⁾ The Engineering Magazine Nov. 1901 S. 185.

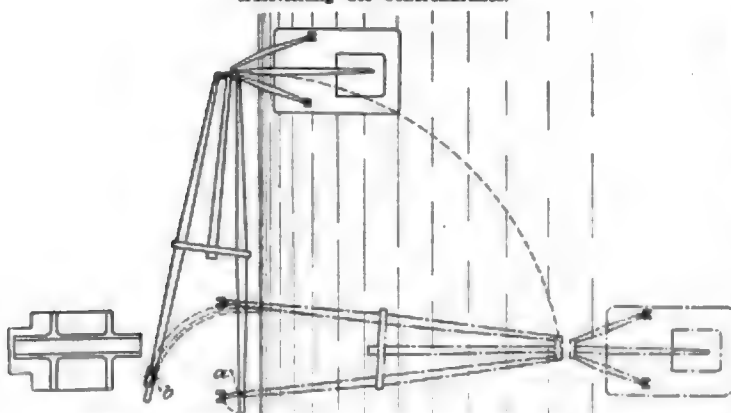
²⁾ Zeitschrift für Bauwesen 1901 Heft 10 bis 12 S. 567.

In Havre ist kürzlich ein Scherenkran für 120 t Last mit Druckwasserbetrieb, Fig. 1 bis 3, errichtet worden¹⁾. Die Neigung der beiden vorderen Stützen kann soweit verändert werden, dass die Hakenstellung zwischen den Grenzen 11 m hinter der Ufermauer und 9 m davor schwankt. An der Spitze des Gerätes ist mithilfe eines Kreuzgelenkes ein Druckwassercylinder aufgehängt, dessen Kolben den Haken trägt. Der größte Hub des Hakens beträgt 16 m; in seiner niedrigsten Stellung, d. h. wenn die Scherenglieder am weitesten ausgelegt sind, befindet sich der Haken 1 m über dem Uferboden. Außer dem Druckwasser-Hebewerk ist eine Kettenwinde mit Handkurbelbetrieb von 15 t Tragkraft angeordnet, die für kleinere Lasten und zum Tragen des Hubcylinders, wenn er auseinander genommen werden soll, bestimmt ist. Der Hubcylinder ist durch Hängestangen an seinem unteren Ende aufgehängt, damit er keinen Zugbeanspruchungen durch Eigengewicht und Nutzlast ausgesetzt ist. Er ist oben offen, wirkt also einfach, denn sein Gewicht mit dem des Hakens genügt, um ihn zu senken.

Die Füße des Scherengertüstes haben rechteckigen Querschnitt. Die beiden vorderen bestehen aus Winkelisen und Blech und sind oben fest verbunden; ihre Länge beträgt 44,7 m, ihr Gewicht 21 t. Sie ruhen auf gusseisernen Schuhen, deren Grundmauerwerk gegen den Hauptmauerklotz durch wagerechte im Boden liegende Träger abgestützt ist. Der hintere vollwandige Fuß ist 37,4 m lang und wiegt 15 t. An seinem unteren Ende ist er mit einem Kreuzkopf gelenkig verbunden, der in einer schrägen Führung des festen Gerüstbockes gleitet. Am unteren Teile dieses Bockes ist ein Druckwassercylinder angebracht, dessen Kolben den Kreuzkopf verschiebt. Damit man aber den Kreuzkopf in einer bestimmten Stellung festlegen kann, sind mit ihm Riegel k, Fig. 3, verbunden, die mit einer Zahnstange g in Eingriff gebracht werden können. Der obere Teil des Druckwassercylinders ist mit dem Gerüst verschraubt, damit der Cylinder selbst von dem Schub in Richtung der Achse entlastet ist und

Fig. 4.

Aufstellung des Scherenkranes



nur dem Wasserdruck zu widerstehen braucht. An dem Gerüst ist gleichzeitig die bereits erwähnte Kettenwinde befestigt.

Das Druckwasser wird von einer viercyllindrigen Tauchkolbenpumpe geliefert, die 60 Uml./min macht und mithilfe von Zahnrädern und Riemen von einer Dynamo getrieben wird. Die Geschwindigkeit der Dynamos ist dadurch regelbar, dass man sie mit einer Spannung von 275 oder von 550 V betreiben kann, und dass ihre Erregung ebenfalls veränderlich ist. Bei schweren Lasten, die einen Wasserdruck von 82 at erfordern, werden zwei Kolben der Pumpe ausgeschaltet. Die Hebegeschwindigkeit beträgt dann 0,01 m/sk. Wenn man die Dynamo schneller laufen und sämtliche Kolben der Pumpe arbeiten lässt, so kann man bei mittleren Lasten eine Geschwindigkeit von 0,03, bei kleinen von 0,03 m/sk erreichen. Für die Abnahmeversuche des Kranes, der Ende dieses Jahres betriebsfertig sein soll, sind als höchste Last 150 t festgesetzt.

Die Aufstellung hat deshalb besondere Schwierigkeiten verursacht, weil es am Ufer an Platz fehlte, um das Gerüst vom Lande her aufzurichten. Man setzte daher die 3 Füße mit ihrer Achse parallel zur Uferkante zusammen, wobei man zuerst den unteren Teil des hinteren Fußes fortließ und den oberen Teil mit den beiden andern Füßen durch ein Querstück fest verband. Dann brachte man an dem einen Fuß einen Drehzapfen *a*, Fig. 4, an, am andern eine Rolle *b*, die auf einer viertelkreisförmigen Bahn laufen konnte. Jetzt fasste man mithilfe eines Schwimmkranes das obere

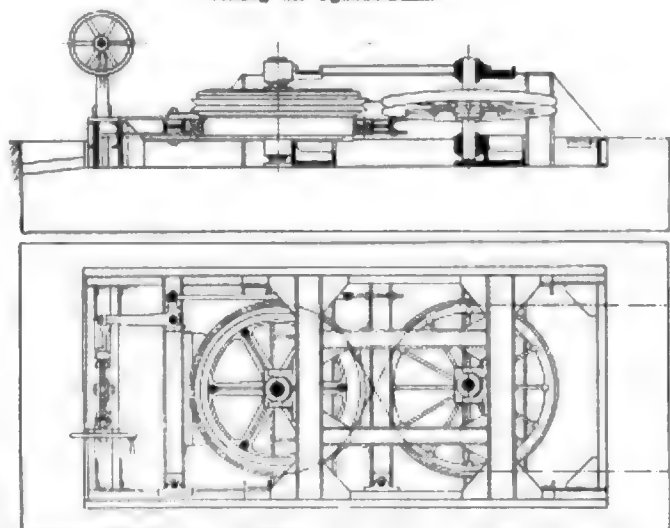
⁵⁾ Le Genre Civil, November 1901 S. 17.

Ende des Scherengerüstes und fuhr damit in einer viertelkreisförmigen Wendung so herum, dass der Bock in die strichpunktirte Lage kam. Nachdem dann die unteren Enden der vorderen Füße mit ihren Lagern verbunden waren, konnte man das Gerüst mithilfe des Schwimmkranes in die Höhe richten. Als es soweit gehoben war, wie der Hubhöhe des Schwimmkranes entsprach, befestigte man es in dieser Lage, indem man es mit einem auf dem Lande errichteten Gerüst durch Seile verband. Dann löste man die Verbindung, die das untere Ende des hinteren Fußes mit den beiden andern Füßen vereinigte, sodass jener frei herunter hing, und hob nun das herunterhängende Ende mit dem Schwimmkran bis zur erforderlichen Höhe.

Kurz bevor sich die englische **Uganda-Bahn** der niedriger gelegenen Gegend um den **Viktoria-See** nähert, hat sie den ziemlich bedeutenden **Kikuyu-Höhenzug** zu überschreiten. Da man bei dem Bau der Bahn danach strebte, möglichst bald den vollen Betrieb auf der ganzen Linie von der Küste bis zum **Viktoria-See** aufnehmen zu können, so hat man vorläufig von dem viel Zeit erfordernden Durchstieg des **Kikuyu-Höhenzuges** abgesehen und betreibt diese sehr steilen Strecken mittels **Seilbahnen**¹⁾. Der Höhenzug setzt sich aus 4 Erhebungen zusammen, zwischen denen kurze ebene Strecken liegen. Zwei dieser Erhebungen, die in der Wagerechten gemessen rd. 500 m lang sind, und von denen die erste eine Steigung von 1:7,25, die andere von 1:10,4 hat, werden derartig betrieben, dass belastete Wagen, die von der höchsten Stelle herabgelassen werden, leere Wagen heraufziehen. Zu diesem Zwecke sind auf der höchsten Stelle des Berges die

Fig. 1 und 2.

Seitzug der Uganda-Bahn.



in Fig. 1 und 2 dargestellten Seilscheiben angeordnet, über welche Stahldrahtteile von 20 mm Dmr. laufen, deren Enden mit den Wagen verbunden sind. Die linksgelegene Seilscheibe trägt unten ein Bremsrad, das vonhand mittels einer Backenbremse betätigt wird; die zweite Seilscheibe dient nur zur Führung des Seiles und ist, um Abnutzung des Seiles an der Schrägkante zu verhindern, schräg gestellt. Die Seilscheiben haben 1500 mm, das Bremsrad 1447 mm Dmr. Die beiden andern Erhebungen des Höhenzuges sind 333 m und 432 m in der Wagerechten lang und haben Steigungen von 1:2,4 und 1:2,07. Die Seilzüge werden hier mit Fördermaschinen betrieben, deren Anordnung aus Fig. 3 bis 5 ersichtlich ist. Eine 30pferdige Lokomobile treibt mittels Kegel- und Stirnradübersetzung eine Treibscheibe von 3200 mm Dmr., von der das Drahtseil über eine wagerechte Fuhrscheibe von 3000 mm Dmr. und zwei senkrechte Fuhrscheiben von 2440 mm Dmr. zu den Wagen geleitet wird. Infolge der sehr starken Steigung verwendet man besondere Plattformwagen (Fig. 6, auf welche die eigentlichen Wagen aufgesetzt werden. Das durchschnittliche zu hebende Gewicht setzt sich aus dem Gewicht des Plattformwagens von 7 t und des beladenen Eisenbahnwagens von rd. 15 t zusammen. Am andern Ende des Förderseiles ist ein zweiter Plattformwagen mit einem leeren Eisenbahnwagen befestigt. Der Gewichtunterschied beträgt ungefähr 11 t, die Geschwindigkeit bei der Förderung rd. 64 km/st. Die Bremsvorrichtung ist der vorher beschrie-

¹⁾ Engineer 1. November 1901 S. 460.

benen ähnlich; nur sind statt eines Bremsrades zwei auf derselben Seilscheibenachse angeordnet.

Fig. 3 bis 5. Seilzug der Uganda-Bahn.

Fig. 3.

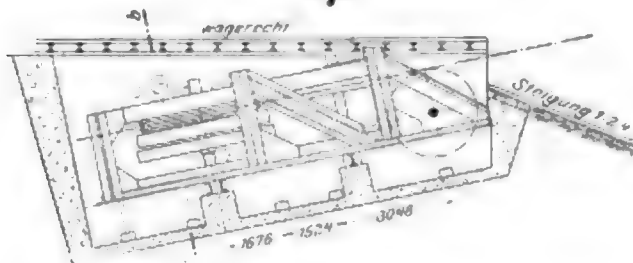
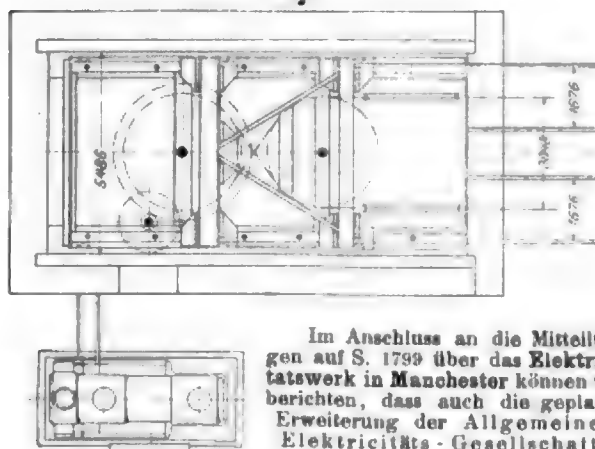


Fig. 5.



Im Anschluss an die Mitteilungen auf S. 1799 über das Elektrizitätswerk in Manchester können wir berichten, dass auch die geplante Erweiterung der Allgemeinen Elektrizitäts-Gesellschaft, Berlin, in Auftrag gegeben ist. Sie wird bestehen aus 2 stehenden Dreifach-Expansionsmaschinen von je 6000 PS bei 75 Uml./min., 2 Drehstromdynamos von je 3750 KW bei 6500 V, 38 Umformern aus je einem Hochspannungs-Synchronmotor mit einer Gleichstromdynamo von 150 KW und 10 Umformern aus je einem Hochspannungs-Asynchronmotor, der auf jeder Seite mit einer Gleichstromdynamo von 50 KW gekuppelt ist; dazu die erforderlichen Widerstände. Die Umformer werden in 10 neuen Unterstationen aufgestellt. Die Dampfmaschinen werden von der Wallsend Slipway & Engineering Co. gebaut.

Die militär-technische Hochschule, welche in Charlottenburg im Anschluss an die Ver. Artillerie- und Ingenieurschule errichtet werden soll, ist zunächst auf 200 Offiziere berechnet;

Schnitt a-b Fig. 4.

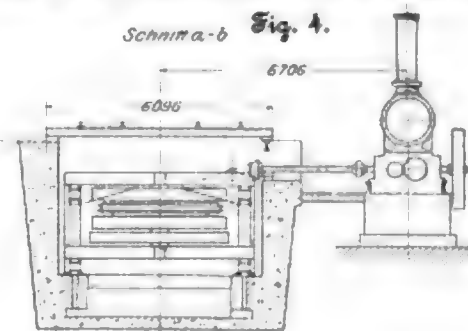
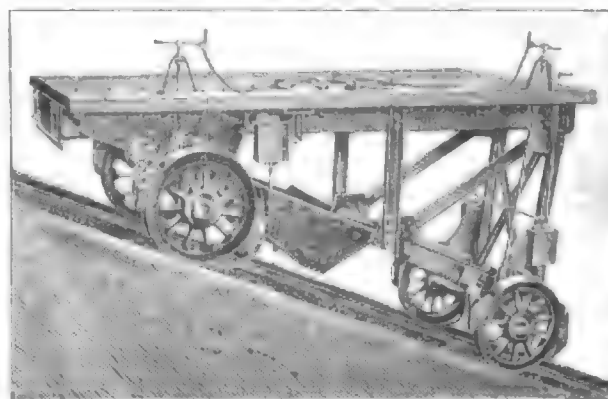


Fig. 6.

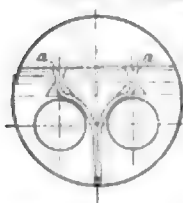
Plattformwagen der Uganda-Bahn.



der Lehrgang umfasst 3 Lehrstufen in 3 Unterrichtsjahren. Die Hochschule soll den Anforderungen der modernen Kriegführung entsprechend in der Armee diejenigen technischen Kenntnisse auf den Gebieten der Dampfkraft, der Elektrizität, des Hoch-, Straßen- und Brückenbaus, der Verkehrsmittel, der Maschinen- und Fabrikanlagen usw. verbreiten, welche für militärische Zwecke von Bedeutung sind. Demgemäß soll ihr auch die besondere technische Ausbildung der Offiziere der Verkehrstruppen und der technischen Institute sowie derjenigen Offiziere übertragen werden, die sich zur Verwendung im Ingenieurkorps vorbereiten wollen.

Patentbericht.

Kl. 12. Nr. 123172. Wasserrumlauf-Vorrichtung. H. Altmayer,



Frankfurt a/M. Am oberen Ende jedes Saugrohrs *a* ist eine nach oben und unten sich trichterförmig erweiternde offene Kappe im Wasserraum über der Stelle der stärksten Dampfentwicklung so angebracht, dass sie in der Höhe des normalen Wasserstandes ausmündet und die durch sie austretenden Dampfblasen eine saugende Wirkung auf das Wasser in dem Saugrohr ausüben.

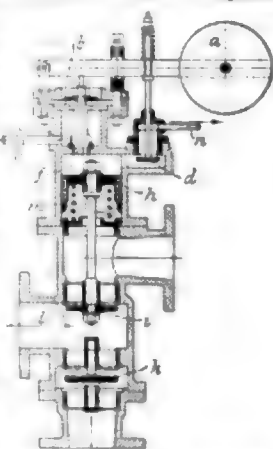
Kl. 7. Nr. 120799. Walzen dünner Riffelbleche. A.-G. der Dillinger Hüttenwerke, Dillingen a/S. Zwei aufeinander gelegte Blechplatten werden durch ein Walzwerk geschickt,



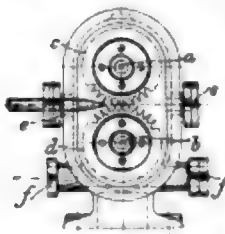
dessen obere und untere Walze als Riffelwalzen ausgebildet sind. Hierbei dienen die Platten gegenseitig als Druckplatten und gewährleisten ein scharfes Auspressen der Rippen.

Kl. 13. Nr. 123336. Rohrbruchventil. J. Ernst, Regensburg, und G. Schmidbauer, München. Das bei Rohrbruch selbstthätig absperrende Ventil ist als versteifte Schale *d* ausgeführt, deren Gewicht durch ein regelbares Gegengewicht *a* oder eine Feder ausgeglichen ist.Kl. 27. Nr. 190634. Luftdruckregelung für Kompressoren. J. C. Breinl, Zürich. In die Druckluftleitung *l* zwischen Kompressor und Windkessel ist ein Rückschlag-

ventil *k* eingeschaltet. Gegen die Außenluft ist *l* durch ein Ventil *i* abgeschlossen, das von der Feder *m* auf seinen Sitz gepresst wird. Der Raum *f* oberhalb des Kolbens *A* steht durch Rohr *a* mit der Außenluft in Verbindung. Steigt der Druck im Windkessel, so öffnet sich das durch Rohr *o* mit dem Windkessel in Verbindung stehende Ventil *c*, indem die Membran *b* den Gewichthebel *a* anhebt. Hierdurch wird das Ventil *d* gegen seinen Sitz gezogen und der Raum *f* gegen die Außenluft abgeschlossen. Die nach *f* überströmende Druckluft drückt den Kolben *A* nieder, wodurch das Auspuffventil *i* geöffnet wird. Durch die Druckverminderung in *l* schließt das Ventil *k* den Windkessel gegen den Kompressor ab, der nun bei geöffnetem Auspuff so lange ins Freie arbeitet, bis der Druck im Windkessel auf den normalen zurückgegangen ist.



Kl. 14. Nr. 123045. Woolfische Heißdampfmaschine. M. Schmidt, Crimmitschau i/S. Das Zwischenstück zwischen dem hinten liegenden Hochdruckzylinder und dem Niederdruckzylinder besteht aus den mit den Rippen *d* zusammenge-

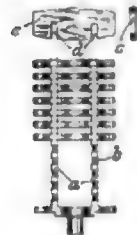

schobenen Deckeln *b, c* und nimmt eine Stopfbüchsenhülse auf, die vom Hochdruckzylinder her eingeschoben, durch Kelle *g* mit ihren Kegeln *i* dichtend angetrieben wird und eine Kühlkammer *l* mit Zu- und Ab-


lauf, einen Oelzulauf und eine Stopfbüchse mit Wasserablauf enthält, deren Spannringe *k* ohne Öffnen des Cylinders zugänglich sind, nachdem *g* gelöst und *f* nach rechts geschoben ist.

Kl. 14. Nr. 123049. Dampfturbine. A. Schmid, Zürich. Der Dampf wird an der Berührungstelle der Teilkreise zweier Schaufelräder *c, d* hindurchgeleitet, die mit ihren Schaufeln ineinander greifen, und wirkt auf seinem geschlossenen Wege wiederholt treibend. Die Wellen *a, b* sind (durch Zahnräder) zwangsläufig verbunden; die Stützen *e, f* dienen zur Einrichtung für umgekehrte Drehung.



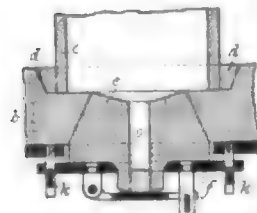
Schiffkessel-
ordnete Welle.



Kl. 30. Nr. 124106. Schutzvorrichtung für Straßenbahnfahrzeuge. M. Kugler, Budapest. Die Vorrichtung besteht aus der nach vorn bogenförmig gehaltenen Schraubenfeder *a* und den an *a* vor den Laufrädern angebrachten Reibrädern *b*. Werden diese von einem auf den Schienen liegenden Gegenstand gegen die Laufräder gedrückt, so setzen sie die Feder in Drehung und beseitigen das Hindernis, das infolge des von der Mitte nach den Seiten steigenden Gewindes zur Seite geschoben wird.

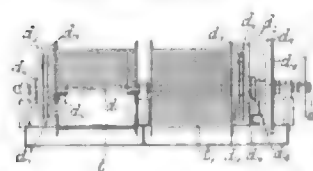
Kl. 34. Nr. 123306. Künstlicher Luftzug bei E. Petersen, Elbing. Die im Schornstein angeordnete Ventilator oder dergl. betrieben wird, ist rohrförmig und dadurch bei verhältnismäßig geringem Gewicht so fest, dass besondere Führungslager innerhalb des Schornsteines entbehrlich sind. Durchbrechungen oben und unten in der Welle unterhalten einen beständigen Luftzug durch die Welle zu deren Kühlung.

Kl. 34. Nr. 123730. Roststab. H. Truesdell, Toronto (Kanada). Der Stab besteht aus einem rechteckigen Rahmen *a* mit in den Längsseiten angeordneten Ausschnitten *b*, in welche die auswechselbaren Querrippen *c* mit ihren Ausschnitten *d* eingesetzt werden.

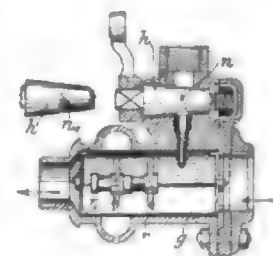


Kl. 31. Nr. 120469. Gasstiegel. Alleyne Reynolds, Sheffield (England). Der röhrenförmige, an beiden Enden offene Tiegel *c* sitzt mit seinem unteren Ende in einer Vertiefung des Herdes *b*, in der er mittels feuerfester Masse *d* fest eingekittet ist. Der Tiegelboden besteht aus einem sich nach oben verjüngenden Steine *e*, der durch Platte *f* und Kelle *k* in dem Herde *b* verbunden ist und eine mittlere Abtichöffnung *o* besitzt.

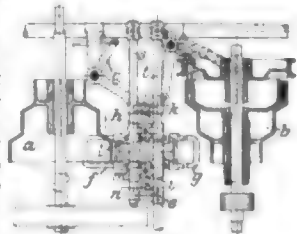
Kl. 35. Nr. 123639. Laufkranwinde. H. A. L. Barry, London. Von den auf der Triebwelle *d* drehbaren Trommeln *t, t'*, die ihre Seile entgegengesetzt aufwickeln, dient *t* zum Heben und Senken der Last, *t'* zusammen mit *t* zum Verschieben der Laufkatze. Angetrieben wird *t* durch ein rückkehrendes Umlaufräderwerk *d, d, d, d*, dessen Rad *d* am Gehäuse befestigt ist, dessen Umlaufräderpaar *d, d* (dreifach vorhanden) in der auf *d* aufgeketteten Scheibe *d* gelagert sind, und dessen Rad *d* (*> d*) mit *t* verbunden ist; die Größenverhältnisse der Räder sind so gewählt, dass das Getriebe die Last selbsttätig in der Schwebe hält. Das Räderwerk für *t'* ist ebenso beschaffen, nur dass *d* nicht auf *d*, sondern auf der Hohlwelle *d* befestigt ist, die bei *d, d* mit *d* gekuppelt werden kann. Bei ausgeführter Kupplung dreht sich nur *t*, und die Last wird je nach der Drehrichtung von *d* gehoben oder gesenkt. Bei eingerückter Kupplung drehen sich beide Trommeln, und die Last wird in unveränderlicher Höhenlage verschoben.



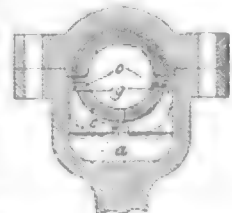
Kl. 46. Nr. 123188. [Vergaser. Eudes de Reitz, Arras (Frankr.). Zum Vergaserrohre *g*, in dem der flüssige Brennstoff durch zwei vom Luftstrom entgegengesetzt gedrehte Schaufelräder *r, r'* zerstäubt wird, führt der Brennstoff ein Regelhahn *h*, dessen spitze auflaufende Nut *n* durch mehrere nebeneinander liegende Nuten *n* (Nebenrührer) ersetzt wird, wenn die Zufuhr nach bestimmten Stufen geregelt werden soll.



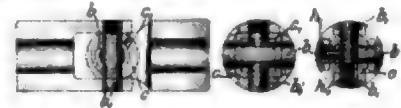
Kl. 47. Nr. 121673. Riemenrücken für Stufenscheiben. J. Weber & Co., Ulster (Schweiz). Die Riemengebälde *f, g* der Stufenscheiben *a, b* sind mit Hölzen *h, i* auf Stangen *s, t* einzeln verschieblich. Bewegt man durch den Winkelhebel *c* den Kreuzkopf *k* mit der Stange *e* nach oben, so nimmt zuerst der Anschlag *l* die Gabel *f* mit, dann schiebt der Anschlag *m* die Gabel *g* nach; es wird also der Riemen zuerst von der großen Stufe der Scheibe *a* auf die kleinere, dann von der kleinen Stufe der Scheibe *b* auf die größere geschoben, worauf der auflaufende Riemen die Gabel *g* selbsttätig bis zur Berührung mit dem Anschläge *n* nachdrückt. Beim Zurückziehen wirken die Anschläge *m, k* ebenso wie vor *er l, n*.



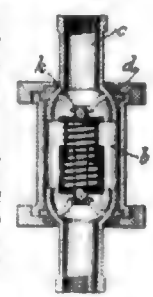
Kl. 47. Nr. 123431. Kreislaufschmierung bewegter Lager. A. Stronge, Hamburg. Aus der Mittelkammer *a* wird das Öl in Öffnungen *o* mit Sammelröhrchen *g* gesaugt, tropft an den Lagerenden in Nebenkammern, wo Vertiefungen zum Absetzen von Unreinigkeiten angebracht sind, und gelangt durch Kanäle *c* nach *a* zurück.



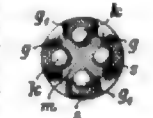
Kl. 47. Nr. 123201. Kreuzgelenkkupplung. F. E. Bocorselski, Hartford (Conn., V. S. A.). Zur Erzielung einer großen Widerstandsfähigkeit sind die gabelförmigen, einen im Querschnitt quadratischen Block *c* umfassenden Wellenenden aus dem Ganzen hergestellt und durch zwei einander durchdringende Bolzen *b, b* verbunden. Der dickere Bolzen *b* ist in seiner Gabel drehbar, der dünnere *b* in eine seiner Gabelzinken eingeschraubt. Oder die Bolzen von gleicher Stärke (Querschnitt rechts) sind verschieden lang abgemessen und mit ihren dünneren Enden in drehbaren Hölzen *A, b* befestigt. Eine Oelkammer *c* ist in *c* ausgespart.



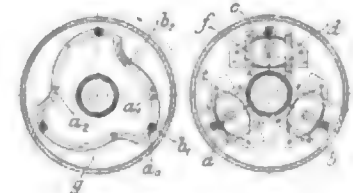
Kl. 47. Nr. 123310. Gelenkige Rohrverbindung. P. Rohland, Berlin. Die kugelige Dichtungsflächen tragenden Dichtungs- und Anschlussteile *c, d* werden durch eine gerade geführte Spreizfeder mittels Kugeln *k* aneinander gedrückt, sodass der Dichtungsdruck stets in die Achsenrichtung der Verbindungsstücke *b* fällt.

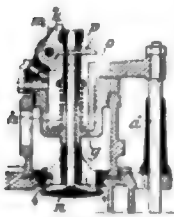


Kl. 47. Nr. 123459. Kreuzgelenkkupplung. G. B. Kinsler, Hartford (V. S. A.). Zwischen die Gabeln *g, g* und *g, g* der beiden Wellenenden und das quadratische Mittelglied *m* sind Kugeln *k* gelegt, die halb in *g* oder *g* und halb in *m* liegen. Zur Erleichterung des Zusammenbauens sind in *g* und *g* Schrauben *s* mit Halbkugelhöhlungen eingeschränkt.

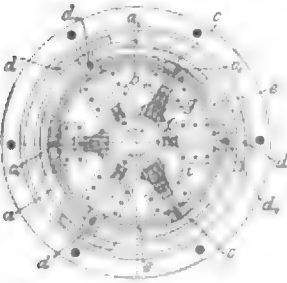


Kl. 47. Nr. 123396. Kupplung. P. Bodé, Frankfurt a. M.-Bockenheim. Wenn man die treibende Scheibe *t* an die getriebene *g* schiebt, werden die in Schlitten *a* radial geführten Bolzen *b* durch abfallende Nuten *a* in Bogenstellung *a* der Scheibe *g* geleitet, die sich dem Mittelpunkt nähern, und auf dem Wege des Bolzens *b* von *b* bis *b* werden die in Aussparungen *d* hinter Flächseilen *f* untergebrachten Federn *c* zusammengedrückt. Beim Lösen leiten ansteigende Nuten *a* die Bolzen *b* stoßfrei in ihre Anfangslage.





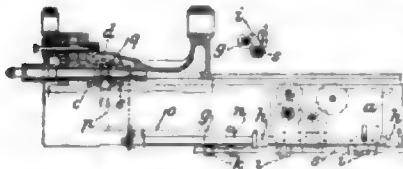
Kl. 46. Nr. 123139. Saugventil. Société anonyme des Automobiles Peugeot, Audincourt (Doubs). Zur Erleichterung des Öffnens und Sicherung des Schließens wird die Belastungsfeder *a* des Ventiles *n* stärker gespannt, indem ihr Widerlager *g* während des Saughubes durch eine auf die Stange *d* wirkende Daumenscheibe gehoben wird. Um den Ventilschluss an einer bestimmten Hubstelle herbeizuführen, wird die Ventilschraube durch ein Gesperre *km* gefangen und dieses von *d* durch Anschläge *o, p* ausgelöst.



Kl. 47. Nr. 123144. Cylinder-Steckkupplung. G. Grabowsky, Crimmitschau. Die im Kuppelungsstelle *b* radial geführten inneren Hremsbacken *c* und äußeren *d* sind auf dem Umfang der Bremscheibe *a* einzeln und abwechselnd verteilt, wodurch ungleiche Stärke und Unrundheit des etwas federn des Kranzes *a* ausgeglichen werden. Die Backen sind durch Glieder *e* verbunden, die ein gelenkiges Viereck bilden, sodass, wenn die Ecken *e₁* an *c* durch Rollenhebel *g, i* oder dergl. nach außen gedrückt werden, die Ecken *e₂* an *d* gleichzeitig gegen Federn *f* nach innen gezogen werden, und umgekehrt.

Kl. 49. Nr. 119744. Selbstthätige Vorschubvorrichtung für Arbeitsmaschinen. Union Elektrizitäts-Gesellschaft, Berlin. Die Gewindespindel, auf der das Werkzeug sitzt, hat Führung in einer drehbaren Gewindemutter, durch deren langsamere oder schnellere Drehung der Vorschub der Gewindespindel so geregelt wird, dass bei Stillstand der Mutter der Vorschub am größten, bei gleich schneller Drehung wie die Spindel gleich null ist. Die Mutter ist in einem elastischen Ring befestigt, der sich innerhalb zweier Polpaare drehen kann, von denen das eine bremsend, das andere beschleunigend auf den Ring wirkt. Wächst infolge zunehmender Härte des Werkstückes die Arbeitsleistung und damit auch die Stromstärke im Betriebsmotor, so verstärkt sich die Wirkung des einen Polpaares, d. h. die Drehgeschwindigkeit des Ringes nimmt zu und demgemäß der Vorschub der Spindel ab.

Kl. 49. Nr. 120230. Wendegetriebe für den Langzug des Werkzeugschlittens. L. Schuler, Göppingen (Württemberg). Auf der Schaftwelle *g*, die in bekannter Weise den Werkzeugschlitten *a* bewegt, sind zwei kegelförmige Anschläge *b, h* verstellbar angeordnet, die unter Vermittlung von Daumen *i*, die auf der am Werkzeugschlitten *a* gelagerten Welle *s* befestigt sind, in den beiden Endlagen des Schlittens die Welle *s* drehen. Auf *s* sitzt längs verschiebbar ein Hebel *k*, der die Drehung der



Welle *s* in der einen oder andern Richtung mittels der Hebel *n* und *p* und der Stange *o* auf die Kuppelung *q* überträgt, durch die je nach ihrer Verschiebung eines der beiden Kegelräder *c* oder *e* mit dem Antrieb *d* in Eingriff gebracht wird.



Kl. 60. Nr. 123130. Vorrichtung zur Änderung der Umlaufzahl. H. Lantz, Bräun. Die (gerade oder gebogene) Belastungsfeder *f* des Fliehk Gewichtes *a* wird dadurch für eine andere Umlaufzahl eingestellt, dass man durch eine verstellbare Klemmvorrichtung *ik* ihre wirksame Länge verkürzt und ihre Spannung erhöht, oder umgekehrt.

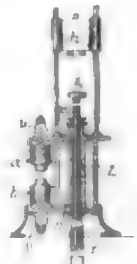


Kl. 60. Nr. 123316. Achsenregler. M. Kutzner, Berlin. Die Umlaufzahl kann während des Ganges in weiten Grenzen dadurch verstellt werden, dass man die mit Geradföhrungen *k* versehene Belastungsfeder *i*, ohne ihre Spannung zu ändern, in der Achse *a* verschiebt und dadurch den Belastungshebel *a* der Fliehkraftpendel ändert.

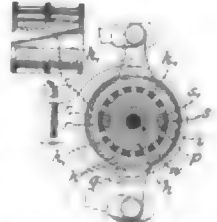
Kl. 49. Nr. 119747. Fräsvorrichtung für Drehbänke. E. Sonnen-thal, Berlin. Die Drehbank zum Fräsen großer Zahnräder mit geraden oder schrägen Zähnen kennzeichnet sich dadurch, dass die Teilvorrichtung nicht wie bisher am Spindelkasten, sondern am Schlitten

der Bank angebracht ist, und dass die Fräsvorrichtung ihren Antrieb nicht durch ein besonderes Deckenvorgelege, sondern durch die Drehbankspindel erhält.

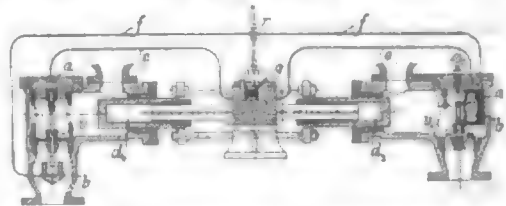
Kl. 49. Nr. 120943. Schmiedepresse. Gesellschaft für Huberpressung C. Huber & Co., Karlsruher. Die Pressung erfolgt durch zwei die Gelenke tragende hydraulische Kolben *a* und *b*, die mit Pufferfedern *v* versehen und durch Kanäle *m* und *n* mit dem Raume *l* verbunden sind. In diesem bewegt sich ein Pressstempel *s* mit Schlagplatte *e₁*, auf die man den Hammerbär *h* fallen lässt, wodurch ein kräftiger Enddruck erzeugt wird.



Kl. 47. Nr. 121231. Klemmrollenkupplung. J. P. Murphy, Philadelphia. Die Klemmrollen *k* werden durch kurze Drehung eines Korbes *k₁* (Nebenschraube) für eine oder die andere Drehrichtung eingelenkt, worauf Ringe *r, r₁*, die von einem Wendegetriebe gedreht werden, die Hölse *h* und die Welle *w* mitnehmen. Zum Einrücken dienen Prismen *p*, die mit je einem steilen Schraubengange *s* in eine Schraubennut *s₁* des Korbes *k₁* greifen und durch die Gabel *g* mittels Ringes *i* auf *h* verschoben werden.

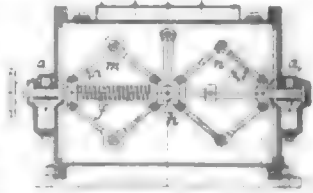


Kl. 49. Nr. 119649. Steuerung der Saugventile hydraulisch angetriebener Pumpen. C. Frött, Hagen i/W. Jedes der beiden Ventile *v* und *v₁* ist entweder mit einem Differentialkolben *ab* (rechts) oder mit zwei verschiebbaren großen Kolben *a* und *b* (links) verbunden. Die kleineren Kolben *a* stehen durch Rohre *c* mit dem Innenraum der zugehörigen Arbeitszylinder *d₁, d₂* in Verbindung, die größeren Kolben *b* dagegen durch Rohre *f* mit der Rückleitung *r* für das Druckwasser. Die Saugventile werden hierbei durch den Schieber *g* für die beiden Arbeits-

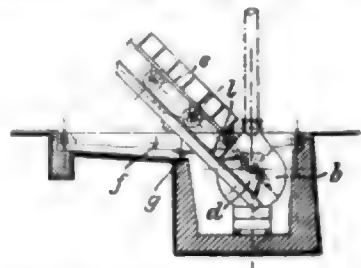


cylinder *d₁* und *d₂* in der Weise gesteuert, dass beim jedesmaligen Vorgehen des einen der beiden Arbeitszylinder der zugehörige kleinere Ventilkolben *a* Druck erhält, der den Gegendruck des beständig unter der Wirkung des Abwassers stehenden größeren Kolbens *b* überwindet und somit das zugehörige Saugventil schließt, während gleichzeitig auf der andern Seite das Druckwasser hinter dem kleineren Kolben *a* abfließt und der zugehörige größere Kolben *b* durch den Druck des Abwassers das mit ihm verbundene Saugventil öffnet.

Kl. 60. Nr. 123633. Verbund-Fliehkraftregler. H. Kull, Olten (Schweiz). Um bei großem Unterschiede der höchsten und niedrigsten Umlaufzahl und bei großem Höhenwege eine Belastungsfeder *f* zu erhalten, deren Abmessungen bei hoher Anfangsspannung in praktischen zulässigen Grenzen bleiben, werden zwei Fliehkraftregler *m, n* für dieselbe Hölse *h* miteinander verbunden und bei *a, a₁* so auf der Spindel befestigt, dass sie in entgegengesetztem Sinne auf *h* einwirken. Bei steigender Geschwindigkeit wächst der Anschlag *a*, und *a₁* nimmt ab. Der Regler ist für elektrische Beleuchtung von Eisenbahnwagen bestimmt, die von einer Achse angetrieben wird.



Kl. 91. Nr. 124125. Entladevorrichtung für Wagen. O. Garter, Breslau. Die Plattform, die den Wagen *c* aufnimmt und seine Stellung durch Stütze *i* festlegt, ruht auf dem Zapfen *f*. Sobald das Gefälle *b* von einem Kran auf die Rast *d* der Plattform aufgesetzt wird, kippt diese und setzt sich auf den Zapfen *g*, und der Wagen entleert sich in das Gefälle. Dann geht die Plattform in ihre Anfangsstellung selbstthätig zurück.



ZEITSCHRIFT DES VEREINES DEUTSCHER INGENIEURE.

Nr. 52.

Sonnabend, den 28. Dezember 1901.

Band XXXV.

Inhalt:

Die Weltausstellung in Paris 1900: Turbinenbau. Von E. Reichel (Schluss)	1837	Siegerer B.-V.: Das Rohisen des Siegerlandes und seine Verarbeitung	1857
Untersuchung der Beharrungsregler an Dampfmaschinen. Von O. Körner	1842	Zeitschriftenschau	1858
Die Weltausstellung in Paris 1900: Die Starkstromtechnik. Von R. M. Friese (Fortsetzung).	1849	Rundschau: Elektrischer Antrieb von Walzenstraßen des Pölnner Walzwerkes. — Spiritus zum Betriebe von Motoren. — Naphtha als Brennstoff für Martellöfen. — Stiftung von Andrew Carnegie	1859

Die Weltausstellung in Paris 1900.

Turbinenbau.

Von Professor E. Reichel, Charlottenburg.

(Schluss von S. 1836)

Die

Aktiengesellschaft der Maschinenfabriken von Escher Wyß & Co. in Zürich.

steht, was Alter und Größe der Erzeugung anlangt, an der Spitze der schweizerischen Turbinenindustrie. Sie hatte die verschiedenen Erzeugnisse ihrer ausgedehnten Fabriken in der Maschinenhalle in mehreren Gruppen ausgestellt. Die Turbinen waren in diesen Gruppen verteilt, und ihre Ausstellung machte daher nicht den geschlossenen, mächtigen Eindruck, der bei der umfangreichen Auswahl der von der Firma vorgeführten Turbinengattungen mit den dazu gehörigen Reguliereinrichtungen verschiedenster Art möglich gewesen wäre. Von der außerordentlichen Vielseitigkeit der Firma im Turbinenbau legen zahlreiche Veröffentlichungen ausgeführter größerer Anlagen Zeugnis ab¹⁾. Auf die hierdurch bereits bekannt gewordenen Einzelheiten kann, soweit sie sich an den Ausstellungsgegenständen wiederfinden, verwiesen werden.

Das Schergewicht finden wir auch hier auf die Entwicklung der Francis-Bauart gelegt. Außer einer großen Doppelturbine waren drei einfache mit Spiralgehäuse und mit verschiedenen Anordnungen der Regulierung ausgestellt. Ihre konstruktive Durchbildung im einzelnen bietet indessen gegenüber den bereits bekannten Anordnungen keine Veranlassung zu besonderen Bemerkungen.

Fig. 124 und 125 geben einen Schnitt und ein Schaubild der ausgestellten Doppelturbine, welche bei 11,8 m Gefälle und 160 Uml./min bis zu 2500 PS leisten soll; sie war für die Entreprise des Tramways du Littoral et de Nico bestimmt, sollte in gleicher Ausführung aber auch im Maximilianswerk in München aufgestellt werden. Die beiden symmetrisch angeordneten Laufräder mit stark eingezogenen Schaufeln laufen in einem geschlossenen Gehäuse, das in der üblichen Weise in eine offene Wasserkammer eingebaut wird. Die Regulierung erfolgt durch den vom Oberingenieur der Firma, Hrn. Zodel (früher bei Riva Monneret & Co. in Mailand), konstruierten Gitterschieber, dessen Anordnung bereits früher in dieser Zeitschrift²⁾ beschrieben und auch aus späteren Figuren ersichtlich ist. Die beiden Regulirwellen, welche in Stopfbüchsen die Wand der Kammer durchdringen, werden durch Hebelwerk von einem hydraulischen Geschwindigkeitsregler für künstlichen Druck bis zu 50 at betrieben.

Von den im Spiralgehäuse angeordneten Turbinen zeigt Fig. 126 eine der für das Elektrizitätswerk St. Maurice in

Wallis bestimmten Einheiten von 1000 PS. Die Turbine läuft bei einem Laufraddurchmesser von rd. 1000 mm und einem Gefälle von 32 bis 34 m mit 300 Uml./min und ist unmittelbar mit einer Drehstromdynamo Patent Thury gekuppelt. Die Regulierung ist die Zodelsche; der Gitterschieber wird von einer seitlich auf der Welle sich drehenden Armscheibe bewegt, die ihren Antrieb durch 2 Zahnradsegmente von einem selbstthätigen hydroelektrischen Regulator erhält; über die Wirkungsweise dieses Regulators waren Angaben vonseiten der Firma nicht zu erhalten. Das einer guten Wasserführung möglichst angepasste Gehäuse ist in einer senkrechten Ebene geteilt und stützt sich einerseits auf das von unten kommende Einlaufrohr, andererseits auf einen kräftigen Fuß und das Saugrohr. Die Welle läuft an beiden Enden außerhalb des Gehäuses in angeschraubten geschlossenen Ringschmierlagern, deren eines zugleich als Spurlager ausgebildet ist.

Eine ganz ähnliche Anordnung zeigt Fig. 127. Die Turbine leistet mit 1100 mm Laufraddurchmesser bei 450 Uml./min 600 PS und bildet eine der Einheiten des Elektrizitätswerkes Vézère am Allasac. Das Gehäuse ist hier ungeteilt; die Regulierung erfolgt durch Flinksche Drehschaufeln und wird vonhand oder von einem hydraulischen Geschwindigkeitsregler gewöhnlicher Bauart betätigt.

Fig. 128 bis 130³⁾ zeigen dieselbe Form, durchgebildet als Hochdruckturbine, bei welcher die sehr lange, schmale Schaufel einen nahezu geraden Verlauf nimmt. Der den Zodel-Schieber betätigende Geschwindigkeitsregler ist hier mit seinem hydraulischen Servomotor unmittelbar auf dem Spiralgehäuse angebracht. Die Turbine leistet rd. 200 PS bei 600 Uml./min.

Eine beachtenswerte Konstruktion war das ausgestellte Laufrad für die neuen Turbinen des Elektrizitätswerkes in Chèvres bei Genf, Fig. 131. Diese sehr bemerkenswerte Anlage, über die bereits mehrfach berichtet worden ist⁴⁾, kennzeichnet sehr zutreffend die Entwicklung des Turbinenbaues in den letzten Jahren.

In Fig. 132 und 133 sind vergleichsweise die alten und die neuen Turbinensätze nebeneinander gestellt; jene — je 5 Sätze — sind als von außen beaufschlagte Kegelturbinen

¹⁾ s. u. a. Z. 1901 S. 1189.

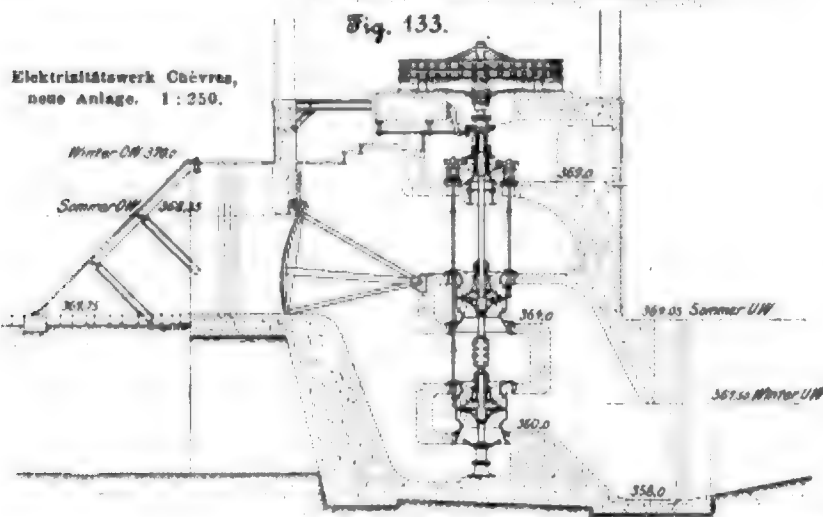
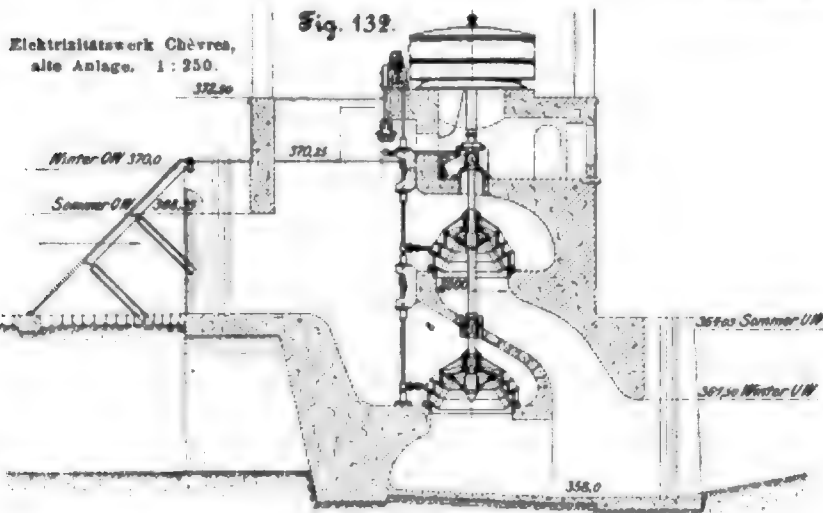
²⁾ Z. 1899 S. 1123 Fig. 7 und 8.

³⁾ Fig. 130 sowie die folgenden Figuren 184, 135 und 137 sind der Schweizerischen Bauzeitung mit deren freundlicher Genehmigung entnommen. Bei dieser Gelegenheit möge nachgetragen werden, dass auch Fig. 119 auf S. 1634 der Schweizerischen Bauzeitung vom 4. Mai 1901 entstammt. Die in dieser Figur enthaltene schematische Zusammenstellung ist von Hrn. Prof. Prasil, Zürich, entworfen worden.

⁴⁾ Z. 1896 S. 1220; 1901 S. 1192.







lichem, der Zuleitung entnommenem, zumteil mit künstlich erzeugtem Wasser- oder Oeldruck arbeitete und in seiner Zusammensetzung der üblichen, in der Einleitung gegebenen Anordnung entsprach. Fig. 136 und 137 geben die Anordnung eines solchen Regulators im allgemeinen wieder; genauere Angaben über die Konstruktionseinzelheiten waren nicht zu erhalten.

Als Neuigkeit auf diesem Gebiet brachten Escher Wyß & Co. einen hydromechanischen »Universal-Regulator zur Ausstellung, der eine Kombination des hydraulischen und des mechanischen Servomotors darstellt und sich wesentlich von allen bisher bekannten Ausführungen unterscheidet. Fig. 138 bis 140 zeigen seine Anordnung nach der Ankündigung der Firma. Ueber die Wirkungsweise heisst es darin:

»Der Regulator besteht aus einem mit Oel gefüllten Gehäuse A mit zwei aus je zwei Stirnrädern und einem sie dicht umschliessenden Gehäuse bestehenden Kapselwerken B, welche mit je einem ihrer Stirnräder fest auf einer Welle C sitzen, die von D her angetrieben wird. Beide Kapselwerke greifen mittels Verzahnung in ein gemeinschaftliches Winkelrad E, welches fest auf einer Welle F sitzt. Zwischen beiden Kapselwerken sitzt

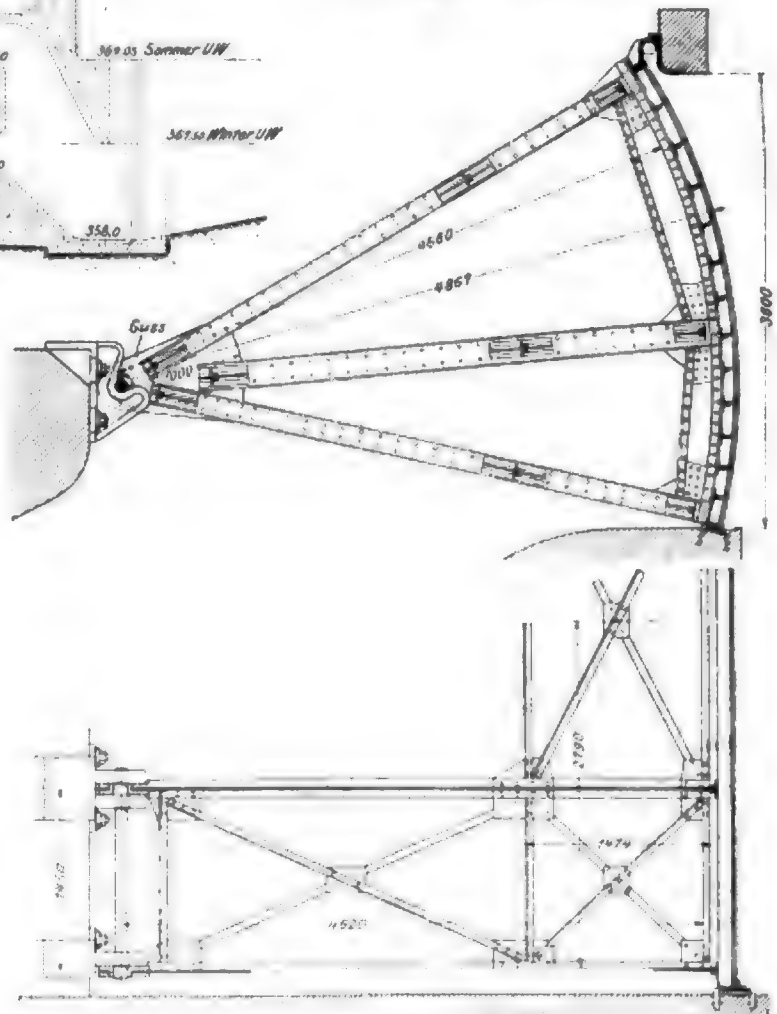
ebenfalls eine gemeinschaftliche Steuervorrichtung G, die mittels Gestänges H, J, K von dem auf der Welle C sitzenden Pendel L aus betätigt wird. Mutter M, Spindel N und die Räder O, P bilden die sogenannte Rückführung, eine Vorrichtung, welche zur Verhinderung des Ueberregulirens allgemein bekannt und gebräuchlich ist.

Zur Beschreibung der Wirkungsweise sei zuerst erwähnt, dass ein Kapselwerk, welches in der in Fig. 139 angegebenen Drehrichtung angetrieben wird, als Pumpe wirkt, und zwar bei Q saugend, bei R fördernd. Wird nun die Oeffnung R geschlossen, sodass kein Oel mehr aus dem Kapselgehäuse entweichen kann, so können die beiden Kapselräder nicht mehr weiter ineinander rollen, und die Welle C nimmt das ganze Gehäuse B in der Drehrichtung mit.

Die Oeffnung Q steht in Verbindung mit der Füllung des Gehäuses A, Oeffnung R durch einen Kanal in Verbindung mit der Steuervorrichtung G, welche derart eingerichtet ist, dass das Pendel L nur eine kleine Bewegung aus-

Fig. 134 und 135.

Drehachse für das Elektrizitätswerk
Chèvres. 1:55.





worin a eine Konstante bedeutet. Uebrigens ist diese Gleichung für Elzylinder-Dampfmaschinen mit Expansionssteuerung in den meisten Fällen sogar mit genügender Annäherung auch über den größten Teil des Regulatorhubes richtig, von welchem nur die den kleinsten Füllungen entsprechenden höchsten Lagen auszuscheiden wären.

Denken wir uns nun die Belastung der Maschine plötzlich von $b_0 + u_1$ auf b_0 vermindert, so beginnt die Hülse sich von A nach B zu bewegen, und für jede Lage in der Entfernung x vom Punkte B ist die jeweilige, von der Maschine herrührende Ueberwucht $u = ax = \frac{u_1}{x_1} x$, welche zur Beschleunigung der in Bewegung befindlichen Massen aufgewendet wird. Reduziert man alle diese Massen auf den Radius 1 der Kurbelwelle und nennt den so erhaltenen Wert des Trägheitsmoments M , ist ferner ω die Winkelgeschwindigkeit und $\frac{d\omega}{dt}$ die Winkelbeschleunigung dieser Welle im gegebenen Augenblick, so gilt:

$$u = \frac{u_1}{x_1} x = M \frac{d\omega}{dt}$$

oder

$$\frac{d\omega}{dt} = \frac{u_1}{M x_1} x \quad (1).$$

Bei der statischen Berechnung eines Regulators unter Vernachlässigung der Reibung in den eigenen Gelenken wie auch im Stellzeug und ohne Rücksicht auf die Rückwirkung der Steuerung entspricht bei einem statischen Regulator jeder Winkelgeschwindigkeit der Regulatorwelle, welche wir jener der Kurbelwelle gleichsetzen, da bei den später eingeführten Größen ein etwaiges Übersetzungsverhältnis aus der Rechnung fallen würde, eine ganz bestimmte Lage der Hülse, deren Entfernung von B wir mit y und als »theoretisch entsprechende« Hülsestellung bezeichnen wollen. Entspricht nun in gleicher Weise die Winkelgeschwindigkeit ω_0 der Lage B , so ist unsern Annahmen nach $\omega - \omega_0 = -cy$, worin das negative Vorzeichen der rechten Seite andeutet, dass die Differenz $(\omega - \omega_0)$ für positive Strecken y , welche, wie früher angenommen, nach abwärts gerichtet sind, negativ ausfällt.

Für die Lage A , in der $y = x_1$ ist, wird, wenn ω_1 die entsprechende Winkelgeschwindigkeit ist,

$$\omega_1 - \omega_0 = -c x_1.$$

Nennt man nun

$$\frac{\omega_1 - \omega_0}{\omega_0} = -\delta$$

die der Belastungsänderung u_1 entsprechende, also »bezügliche« Ungleichförmigkeit des Regulators, welche begreiflicherweise mit dem sogen. gesamten Ungleichförmigkeitsgrad in einfachem, bei ähnlicher Regulatorkonstruktion etwa im Proportionalitätsverhältnis steht und daher ein Maß für den Ungleichförmigkeitsgrad abgeben kann, so kann man schreiben:

$$\omega_1 - \omega_0 = -\delta \omega_0$$

und

$$c = \frac{\delta \omega_0}{x_1},$$

oder auch

$$\omega - \omega_0 = -\frac{\delta \omega_0}{x_1} y.$$

Differenziert man diese Gleichung nach der Zeit t , so ergibt sich

$$\frac{d\omega}{dt} = -\frac{\delta \omega_0}{x_1} \frac{dy}{dt} \quad (2)$$

und durch Verbindung dieser Gleichung mit (1)

$$\frac{dy}{dt} = -\frac{u_1}{M \delta \omega_0} x \quad (3).$$

Es handelt sich nun darum, die Kräfte zu bestimmen, welche infolge verschiedener Ursachen auf die Hülse eines Regulators einwirken können. Eine derselben wird dadurch hervorgerufen, dass der Regulator sich während seiner Bewegung nicht stets in der der augenblicklichen Winkelgeschwindigkeit theoretisch entsprechenden Lage befindet. Um

diese Kraft darzustellen, denken wir uns die Regulatorhülse z. B. in der Lage x mit der Hand festgehalten, jedoch mit der der Lage y entsprechenden Winkelgeschwindigkeit ω rotierend. Die Energie des Regulators, nämlich die den Pendelfliehkraften entsprechende Resultierende in der Bewegungsrichtung der Hülse, sei für die Lage x und die zugehörige Geschwindigkeit ω' mit E bezeichnet. Man kann sich nun eine Energie E' denken, welche für dieselbe Lage x , aber bei der Geschwindigkeit ω , Gleichgewicht hervorbringen würde. Es ist sofort klar, dass die Differenz dieser Kräfte $E' - E = k$ gleich dem von der Hand ausgeübten Drucke auf die Hülse sein muss. Sind die Lagen x und y nicht zu weit voneinander entfernt, sind also ω und ω' nahezu gleich, wie es unsern ersten Annahmen entspricht, so kann man die Kräftepläne für die Lage x und für die beiden Geschwindigkeiten ω und ω' als ähnliche Figuren ansehen, was ja in manchen Fällen, insbesondere bei Flachreglern, auch genau zutrifft. Da sich aber die Fliehkkräfte wie die Quadrate der zugehörigen Winkelgeschwindigkeiten verhalten, so ist

$$E : E' = \omega'^2 : \omega^2$$

und

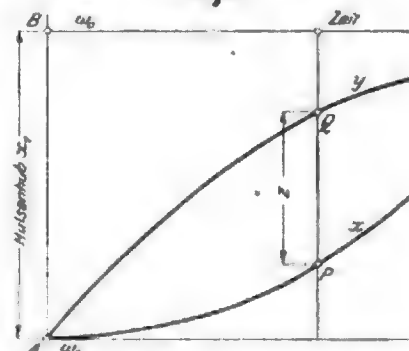
$$\frac{k}{E} = \frac{\omega^2 - \omega'^2}{\omega^2}$$

oder angenähert

$$k = 2 E \frac{\omega - \omega'}{\omega}.$$

Denken wir uns nun die Belastung der Maschine plötzlich von $b_0 + u_1$ auf b_0 , entsprechend den Lagen A und B der Regulatorhülse, vermindert, und verzeichnen in einem Diagramm als Abszisse die Zeit t , als Ordinaten einmal die wirklichen, jeweiligen Entfernungen x der Hülse vom Nullpunkte B , ein zweitesmal die den zugehörigen Geschwindigkeiten ω entsprechenden Lagen y , so erhalten wir das in Fig. 2 dargestellte Bild.

Fig. 2.



Da der Regulator eine Masse μ besitzt, so beginnt er im Augenblick der Belastungsänderung seine Bewegung allmählich, wie die x -Kurve darstellt, während die y -Kurve, gekennzeichnet durch Gl. (3), sich sogleich unter einem Winkel, dessen Tangente

$$\frac{dy}{dt} \Big|_{t=0} = -\frac{u_1}{M \delta \omega_0} x_1$$

ist, der Abszissenachse nähert. Wäre z. B. zur Zeit t die Hülse im Punkte P angelangt, und entspricht dieser Lage theoretisch eine Winkelgeschwindigkeit ω' , so wird

$$\omega' - \omega_0 = cy,$$

während die tatsächlich vorhandene Winkelgeschwindigkeit ω , dargestellt durch den Punkt Q ,

$$\omega - \omega_0 = cy$$

ergibt. Demzufolge ist die Differenz

$$\omega - \omega' = c(x - y) = cz$$

und

$$k = -\frac{2 E \delta}{x_1} z = -\frac{2 E \delta}{x_1} (x - y)$$

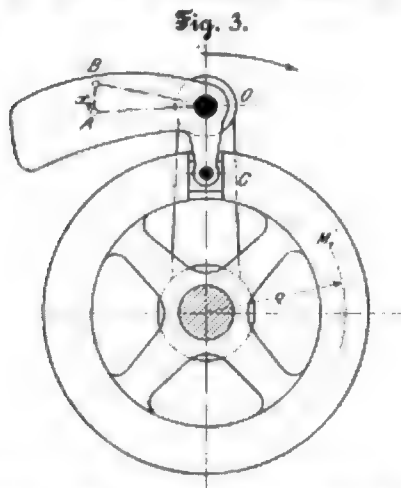
die gegen B hin gerichtete Kraft

Zu dieser Kraft ist vor allem die der Bewegungsrichtung stets entgegengesetzt gerichtete Reibung P in Regulator und Stellzeug hinzuzufügen, welche hier der Einfachheit halber als unveränderlich betrachtet werden soll, obwohl nicht ausgeschlossen ist, dass ihre mit der Geschwindigkeit etwas wechselnde Größe, insbesondere der Unterschied zwischen den Reibungen der Ruhe und der Bewegung, einen beträchtlichen Einfluss ausüben kann.

Ferner kommen hier die periodischen Kräfte in Betracht, welche einerseits durch die Rückwirkung der Steuerung mit der durch sie verursachten Reibung, andererseits durch die Ungleichförmigkeit der Drehung hervorgerufen werden. Diese Kräfte, welche sich etwa nach einer halben Umdrehung der Maschinenwelle wiederholen, können in ihrer Resultierenden über die Größe der ruhenden Reibungen hinausgehen und den Regulator auch ohne Belastungsänderung zum Schwingen veranlassen. Das hat nur eine Vergrößerung der Empfindlichkeit des Regulators zur Folge. Aber während des Regulirvorganges, wo die Schwingungsdauer der einzelnen Bewegungen nicht übereinstimmend sein muss, können diese Einflüsse wesentliche Störungen hervorrufen.

Obwohl es möglich ist, in besonderen ganz bestimmten Fällen auch diese periodischen Einwirkungen zu berücksichtigen, indem man die Bewegung der Regulatorhülse von Halbhub zu Halbhub getrennt verfolgt, müssen wir doch aus dem früher genannten Grunde auf diese verwickelte Untersuchung verzichten.

Endlich betrachten wir jene Kräfte, welche durch die Trägheit der Regulator-Belarrungsmassen hervorgerufen werden. Damit bezeichnet man alle Massen, welche beim relativen Ruhezustande der Regulatorpendel an der Drehung der Welle mit gleicher Geschwindigkeit teilnehmen, sich jedoch bei jeder Bewegung der Pendel relativ im Sinne der Drehung oder im entgegengesetzten Sinne bewegen und durch ihre Beschleunigung einen Druck auf jene ausüben. Ein Schema dieser Belarrungsmassen zeigt Fig. 3, indem wir annehmen, dass alle hier in Betracht kommenden Massen, die etwa in den



Pendeln selbst, in den Exzentern, Zugstangen usw. untergebracht sind, in entsprechender Weise in der Masse M_1 reduziert enthalten sind.

Wird die Maschine plötzlich entlastet, so erhält der mit ihrer Welle starr verbundene Pendeldrehpunkt O eine Winkelbeschleunigung $\frac{d^2\omega}{dt^2}$, während der Ring mit der Masse M_1 seine Geschwindigkeit beizubehalten sucht und daher in dem der Drehrichtung entgegengesetzten Sinne auf das Pendel drückt, es nach außen zu bewegen und damit die Füllung zu verkleinern trachtet.

Bezieht man die Relativbewegung des Pendels auf den Punkt A , indem man sich seine Masse dahin reduziert denkt, setzt man ferner das Übersetzungsverhältnis $\frac{OA}{OC} = b$, so erhält der Punkt C die Beschleunigung

$$\varrho \frac{d^2\omega}{dt^2} + b \frac{d^2x}{dt^2},$$

wenn die nach innen gerichtete Beschleunigung von A mit $+\frac{d^2x}{dt^2}$ bezeichnet wird.

Demzufolge ist der Druck im Zapfen C

$$M_1' \left(\varrho \frac{d^2\omega}{dt^2} + b \frac{d^2x}{dt^2} \right),$$

und die auf den Punkt A übertragene Kraft wird

$$k_1 = b M_1' \left(\varrho \frac{d^2\omega}{dt^2} + b \frac{d^2x}{dt^2} \right).$$

Denkt man sich nun die Masse M_1' durch Multiplikation mit ϱ^2 auf den Radius 1 reduziert und nennt das so erhaltene Trägheitsmoment M_1 , so wird mit Berücksichtigung der Gl. (1)

$$k_1 = M_1 \frac{b}{\varrho} \frac{d^2\omega}{dt^2} + M_1 \frac{b^2}{\varrho^2} \frac{d^2x}{dt^2} \\ = M_1 \frac{b}{\varrho} \frac{\omega_1}{M \omega_1} x + M_1 \frac{b^2}{\varrho^2} \frac{d^2x}{dt^2}.$$

Die resultierende nach außen gerichtete Kraft ist daher, in A gemessen, so weit wir sie in Betracht ziehen wollen:

$$K = -k + P - k_1 \\ = -\frac{2E\delta}{x_1}(x-y) + P - M_1 \frac{b}{\varrho} \frac{\omega_1}{M \omega_1} x - M_1 \frac{b^2}{\varrho^2} \frac{d^2x}{dt^2}.$$

Ist die in A konzentriert gedachte Masse des Pendels μ_1 , worin die sich mit dem Pendel gemeinschaftlich bewegenden Teile inbegriffen sind, so ist

$$\mu \frac{d^2x}{dt^2} = -\frac{2E\delta}{x_1} \left[\left(1 + \frac{b}{\varrho} \frac{M_1}{M} \frac{\omega_1}{2E\delta} \right) x - y \right] \\ + P - M_1 \frac{b^2}{\varrho^2} \frac{d^2x}{dt^2}.$$

Setzt man $P = \frac{2E\delta}{x_1} p$, worin p die sogenannte Reibungsstrecke, d. i. jene Strecke bedeutet, um welche man die Regulatorhülse verschieben kann, ohne dass durch die gegen die Geschwindigkeit unrichtige Lage eine Bewegung eintritt, so erhält man hieraus

$$\left(\mu_1 + M_1 \frac{b^2}{\varrho^2} \right) \frac{d^2x}{dt^2} = -\frac{2E\delta}{x_1} \left[(1+c)x - y - p \right] \quad (5),$$

worin

$$c = \frac{b}{\varrho} \frac{M_1}{M} \frac{\omega_1}{2E\delta} \quad (5a).$$

Nennt man endlich

$$\mu_1 + M_1 \frac{b^2}{\varrho^2} = \mu \quad (5b),$$

welcher Ausdruck gewissermaßen die resultierende Pendel- und Belarrungsmasse darstellt, differenziert man ferner diese Gleichung nach der Zeit t und setzt dann den Wert von $\frac{dy}{dt}$ aus Gl. (3) in sie ein, so erhält man die Gleichung

$$\frac{d^2x}{dt^2} + \frac{2E\delta}{\mu x_1} (1+c) \frac{dx}{dt} + \frac{2E\delta}{\mu x_1 M \delta \omega_0} x = 0 \quad (6).$$

Kann man E als unveränderlich betrachten, was freilich insbesondere bei Federregulatoren ungenau ist, so ist dies eine lineare Differentialgleichung. Setzt man der Abkürzung wegen

$$\frac{2E\delta}{\mu x_1} = a^2$$

$$\frac{\omega_1}{M \delta \omega_0} = b,$$

so kann man diese Gleichung schreiben:

$$\frac{d^2x}{dt^2} + a^2 (1+c) \frac{dx}{dt} + a^2 b = 0.$$

Das allgemeine Integral dieser Gleichung hängt bekanntlich von den Wurzeln der charakteristischen Gleichung ab:

$$\xi^2 + a^2 (1+c) \xi + a^2 b = 0.$$

Diese hat 2 komplexe Wurzeln von der Form

$$\xi_1 = \gamma + i\sqrt{1-\gamma^2}$$

und eine reelle

$$\xi_2 = -\gamma,$$

wenn
$$\left(\frac{a^2 b}{2}\right)^2 + \left[\frac{a^2(1+c)}{8}\right]^2 > 0,$$

was stets der Fall ist, wenn $\delta > 0$ und $c > 0$, wie hier vorausgesetzt. Das allgemeine Integral der Gl. (6) hat dann die Form

$$x = e^{\delta t} (A \sin \alpha t + B \cos \alpha t) + C e^{-\gamma t}. \quad (7)$$

Durch Differentiation nach t ergibt sich hieraus:

$$\frac{dx}{dt} = e^{\delta t} [(A\alpha + B\beta) \cos \alpha t + (A\beta - B\alpha) \sin \alpha t] - C\gamma e^{-\gamma t}$$

und

$$\frac{d^2 x}{dt^2} = e^{\delta t} \{ [-\alpha(A\alpha + B\beta) + \beta(A\beta - B\alpha)] \sin \alpha t + [\beta(A\alpha + B\beta) - \alpha(A\beta - B\alpha)] \cos \alpha t \} + C\gamma^2 e^{-\gamma t}.$$

Hierin sind sowohl die Integrationskonstanten als auch die Koeffizienten α , β und γ noch unbekannt. Zur Bestimmung der ersteren dienen die Werte dieser Ausdrücke für $t=0$:

$$x_0 = x_1$$

$$\left. \frac{dx}{dt} \right|_0 = 0$$

und wegen $s=0$ auch

$$\left. \frac{d^2 x}{dt^2} \right|_0 = -\frac{2E\delta}{\mu x_1} (cx_1 - p) = r.$$

Hierbei ist angenommen, dass im Augenblick der Belastungsänderung die wirkliche Winkelgeschwindigkeit genau der Hülsenlage entspricht, was nicht unbedingt der Fall sein muss. Es kann nämlich der Wert von s für $t=0$ zwischen $+p$ und $-p$ liegen, wodurch auch r zwischen

$$-\frac{2E\delta}{\mu x_1} cx_1 \text{ und } -\frac{2E\delta}{\mu x_1} (cx_1 - 2p)$$

schwanken kann.

Bei den stets vorkommenden Erschütterungen des Regulators dürfte sich die der Winkelgeschwindigkeit entsprechende Lage nach einiger Zeit immer einstellen, weshalb die obige Annahme gerechtfertigt ist, wenn die Belastungsänderungen nicht zu rasch aufeinander folgen.

Außerdem wird vorausgesetzt, dass der von der Beharrungsmasse ausgeübte Druck im Augenblick der Belastungsänderung größer als die Reibungswiderstände ist. Auf den entgegengesetzten Fall kommen wir noch zurück.

Aus den für x , $\frac{dx}{dt}$ und $\frac{d^2 x}{dt^2}$ gefundenen Gleichungen ergeben sich nun für $t=0$ folgende Beziehungen:

$$\begin{aligned} x_1 &= B + C \\ 0 &= A\alpha + B\beta - C\gamma \\ r &= C\gamma(\beta + \gamma) + \alpha(A\beta - B\alpha). \end{aligned}$$

Durch Auflösung dieser Gleichungen nach A , B und C folgt:

$$\left. \begin{aligned} A &= C \gamma \frac{\alpha^2 - \beta^2 - \beta\gamma}{\alpha^2 + \beta^2} + \frac{r\beta}{\alpha(\alpha^2 + \beta^2)} \\ B &= C \gamma \frac{2\beta + \gamma}{\alpha^2 + \beta^2} - \frac{r}{\alpha^2 + \beta^2}, \end{aligned} \right\} \quad (8)$$

worin

$$C = x_1 \frac{\alpha^2 + \beta^2}{\alpha^2 + \beta^2 + \gamma^2 + 2\beta\gamma} + \frac{r}{\alpha^2 + \beta^2 + \gamma^2 + 2\beta\gamma}$$

Aus der charakteristischen Gleichung

$$\xi^3 + a^2(1+c)\xi + a^2b = 0$$

folgt ferner:

$$\left. \begin{aligned} -\xi_1 \xi_2 \xi_3 &= (a^2 + \beta^2)\gamma = a^2 b \\ \xi_1 \xi_2 + \xi_2 \xi_3 + \xi_3 \xi_1 &= a^2 + \beta^2 - 2\beta\gamma = a^2(1+c) \\ -\xi_1 - \xi_2 - \xi_3 &= 2\beta - \gamma = 0 \end{aligned} \right\} \quad (9)$$

woraus

$$\left. \begin{aligned} \gamma &= 2\beta \text{ und mit } \frac{\alpha}{\beta} = s \\ \beta^2 &= \frac{a^2 b}{2(s^2 + 1)} \\ \beta^2 &= \frac{a^2(1+c)}{s^2 - 8} \\ \beta &= \frac{a\sqrt{1+c}}{\sqrt{s^2 - 8}} = \frac{b\sqrt{s^2 - 8}}{2s + 1 + c} \end{aligned} \right\} \quad (10)$$

Mit $\frac{\alpha}{\beta} = s$ und $\gamma = 2\beta$ ergibt sich aus Gl. (8)

$$\left. \begin{aligned} C &= 2x_1 \frac{s^2 + 1}{s^2 + 9} + \frac{r}{\beta^2(s^2 + 9)} \\ B &= \frac{8x_1}{s^2 + 9} - \frac{r}{\beta^2(s^2 + 9)} \\ A &= \frac{2x_1 s^2 - 8}{s^2 + 9} + \frac{8r}{\beta^2 s(s^2 + 9)} \end{aligned} \right\} \quad (8a)$$

Damit sind die Mittel, die Bewegung des Regulators unter den angenommenen Voraussetzungen zu berechnen, vollständig gegeben. Wir wollen nun die Bedingungen aufstellen, welche erfüllt werden müssen, damit der Regulator in einem Augenblick, der durch t_1 bezeichnet werden möge, zur Ruhe kommen und in seiner Lage verbleiben kann.

1) muss in diesem Augenblick seine Lage derart sein, dass die durch sie eindeutig bestimmte mittlere Umfangskraft genau dem Widerstande gleich ist, d. h. es muss $x = 0$ sein;

2) muss, falls der Regulator eine nicht zu vernachlässigende Masse besitzt, auch $\frac{dx}{dt} = 0$ sein, d. h. die Hülse muss die Ruhelage mit unendlich kleiner Geschwindigkeit erreichen, da sie sonst natürlich darüber hinausgehen würde;

3) endlich darf die wirkliche Winkelgeschwindigkeit von der der Ruhelage entsprechenden nur so wenig abweichen, dass die durch die Abweichung hervorgerufene Kraft die Reibung nicht überwindet, d. h. es darf nach Gl. (5) y dem absoluten Werte nach nicht größer als p sein.

Aus den ersten beiden Bedingungen geht hervor, dass für $t = t_1$

$$\begin{aligned} x &= 0 \\ \frac{dx}{dt} &= 0 \end{aligned}$$

ist.

Setzt man diese Werte in die oben aufgestellten Ausdrücke für x und $\frac{dx}{dt}$ ein und eliminiert $Ce^{-\gamma t}$, so ergibt sich

mit $\gamma = 2\beta$ und $\frac{\alpha}{\beta} = s$:

$$(3A - Bs) \sin \alpha t_1 + (3B + As) \cos \alpha t_1 = 0,$$

woraus folgt:

$$\tan \alpha t_1 = -\frac{3B + As}{3A - Bs}.$$

Setzt man hierin die Werte von Gl. (8a) ein, so wird

$$\tan \alpha t_1 = \frac{s}{1 - \frac{r}{2x_1\beta^2}} = \frac{s}{m} \quad (11),$$

wenn

$$1 - \frac{r}{2\beta^2 x_1} = m \quad (12)$$

gesetzt wird.

Hierauf wird

$$\frac{r}{2\beta^2} = x_1(1-m)$$

und durch Substitution dieses Ausdruckes in Gl. (8a)

$$\left. \begin{aligned} A &= \frac{2x_1(s^2 - 3m)}{s(s^2 + 9)} \\ B &= \frac{2x_1(m + 8)}{s^2 + 9} \\ C &= \frac{x_1(s^2 + 8 - 2m)}{s^2 + 9} \end{aligned} \right\} \quad (8b)$$

Wir hatten nun für r den Ausdruck

$$r = -\frac{2E\delta}{\mu x_1} (cx_1 - p),$$

woraus folgt:

$$-\frac{2E\delta}{\mu x_1} (cx_1 - p) = 2\beta^2 x_1(1-m),$$

und mit Gl. (10) und $\frac{2E\delta}{\mu x_1} = a^2$:

$$-a^2(cx_1 - p) = \frac{2a^2(1+c)x_1}{s^2 - 8}(1-m)$$

oder

$$\frac{p}{x_1} - c = \frac{2(1+c)}{s^2 - 8}(1-m),$$

woraus sich weiter ergibt:

$$c = \frac{p}{a_1} (s^2 - 3) - 2(1 - m)$$

und

$$1 + c = \frac{(s^2 - 3) \left(1 + \frac{p}{a_1}\right)}{s^2 - 1 - 2m} \quad (13)$$

sowie

$$r = -\frac{a^2 x_1 \left(1 + \frac{p}{a_1}\right) (1 - m)}{s^2 - 1 - 2m} \quad (14)$$

Aus Gl. (11) folgt mit Rücksicht darauf, dass der kleinste mögliche Winkel αt_1 im dritten Quadranten liegt,

$$\sin \alpha t_1 = -\frac{s}{\sqrt{s^2 + m^2}}$$

$$\cos \alpha t_1 = -\frac{m}{\sqrt{s^2 + m^2}}$$

es wird daher die Gleichung für x bei $t = t_1$:

$$0 = x = e^{\beta t_1} (A \sin \alpha t_1 + B \cos \alpha t_1) + C e^{-\gamma t_1}$$

$$e^{-\beta t_1} = \frac{A s + B m}{C \sqrt{s^2 + m^2}}$$

und durch Substitution der Werte von A , B und C aus Gl. (8b):

$$e^{-\beta t_1} = \frac{2 \sqrt{s^2 + m^2}}{s^2 + 3 - 2m}$$

oder

$$\lg \frac{2 \sqrt{s^2 + m^2}}{s^2 + 3 - 2m} = -\frac{\beta}{\alpha} \operatorname{arc} \operatorname{tg} \frac{s}{m} \quad (15)$$

da

$$t_1 = \frac{1}{\alpha} \operatorname{arc} \operatorname{tg} \frac{s}{m}$$

Löst man Gl. (15) nach s auf, indem man nur die kleinsten Werte von αt_1 berücksichtigt, welche, wie erwähnt, im dritten Quadranten liegen, d. h. betrachtet man jenen Fall, wo der Regulator nach der ersten Welle zur Ruhe kommt, so ergeben sich für

$m = 1$	die entsprechenden Werte $s =$	9,086
2	"	9,110
3	"	9,176
5	"	9,427
7	"	9,750
10	"	10,357.

Hiermit lassen sich aus Gl. (13) und (14) die Größen von $(1 + c)$ und r bestimmen, während sich die Werte von M_1 und μ aus Gl. (5a) und (5b) ergeben. Es ist hierzu nur noch das Verhältnis $\frac{p}{a_1}$ anzunehmen, das die Größe der Reibungswiderstände in Beziehung auf die Belastungsänderung darstellt.

Für $\frac{p}{a_1} = 0$ und die oben gewählten Werte von m wird

$1 + c = 1$	und	$\frac{r}{a^2 x_1} = 0$
1,0255		0,013
1,052		0,026
1,105		0,051
1,16		0,075
1,208		0,104.

für $\frac{p}{a_1} = 0,1$:

$1 + c = 1,1$	und	$\frac{r}{a^2 x_1} = 0$
1,128		0,0144
1,157		0,0285
1,213		0,0545
1,265		0,0824
1,3245		0,1144.

Es sei wiederholt, dass die Werte für $\frac{p}{a_1} = 0,1$ nur eine Bedeutung haben, wenn $r > p$ ist und wenn vor der Belas-

tungsänderung die Hülslenlage der Geschwindigkeit theoretisch entsprechen hat.

Unter Berücksichtigung zusammengehöriger Werte von s und $(1 + c)$ nach diesen Tabellen ergibt sich aus Gl. (10) als Bedingung für das Zurückerkommen der Regulatorhülse nach der ersten Welle:

$$\frac{a}{b} = \sqrt{\frac{2 E \delta}{\mu x_1} \frac{M \delta \omega_0}{u_1}} = \frac{1}{2(s^2 + 1)} \left(\frac{s^2 - 3}{1 + c} \right)^{\frac{3}{2}} \quad (16)$$

Für die oben gewählten Werte von m ergibt sich dann der Ausdruck für $\frac{a}{b}$ mit $\frac{p}{a_1} = 0$:

für $m = 1$	$\frac{a}{b} = 4,2400$
2	4,1011
3	3,9808
5	3,8285
7	3,7282
10	3,7111,

und mit $\frac{p}{a_1} = 0,1$:

für $m = 1$	$\frac{a}{b} = 3,68$
2	3,555
3	3,45
5	3,314
7	3,23
10	3,217.

Je kleiner dieser Ausdruck wird, mit desto kleineren Werten von M und δ kann man die tadellose Regulierung erreichen, was ja angestrebt wird. Es ist jedoch nicht zu übersehen, dass μ mit m wächst, indem

$$\mu = \mu_1 + M_1 \frac{b^2}{a^2}$$

und

$$M_1 = c \frac{p}{b} M \frac{2 E \delta}{a_1}$$

Gl. (16) geht damit über in

$$\sqrt{\frac{2 E \delta}{x_1 \left(u_1 + \frac{2 E \delta b}{a_1 p} M c \right)}} \frac{M \delta \omega_0}{u_1} = \frac{1}{2(s^2 + 1)} \left(\frac{s^2 - 3}{1 + c} \right)^{\frac{3}{2}} \quad (16a)$$

Diese Gleichung genügt zur Bestimmung des Regulators. Es sei z. B. bei einer Einzylindermaschine von 100 PS, Höchstleistung und für eine Belastungsänderung von 25 PS:

$x_1 = 0,007$ m, $E = 60$ kg, $\mu_1 = 1$, $\frac{b}{a} = 9$, $n = 150$ Uml./min, $\omega_0 = 15,7$; dann folgt: $u_1 = \text{rd. } 120$ kg.

Wäre die reduzierte Schwungmasse z. B. $M = 500$, so ergäbe sich näherungsweise:

$$\sqrt{\frac{\delta^2}{1 + 4500 \delta c}} = \frac{1}{17000(s^2 + 1)} \left(\frac{s^2 - 3}{1 + c} \right)^{\frac{3}{2}}$$

und hieraus für $\frac{p}{a_1} = 0,1$:

$\delta = 0,01015$	$M_1 = 0,056$
0,0108	0,0762
0,01145	0,100
0,01256	0,1487
0,01352	0,199
0,01487	0,271

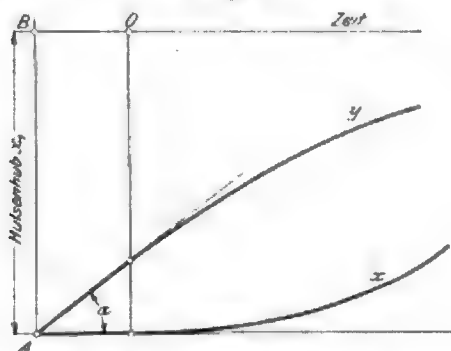
für die früheren Größen von m .

In der That ist der hier berechnete Regulator mit $M_1 = \text{etwa } 0,4$ ausgeführt (Lentz).

Man sieht in diesem Falle sofort, dass die Vergrößerung der Beharrungsmasse die Regulierung nicht erleichtert, sondern dass im Gegenteil größere Unterschiede in den Umlaufzahlen erforderlich sind, wenn die Beharrungsmasse vergrößert wird. Es mag aber darauf aufmerksam gemacht werden, dass bei Beharrungsregulatoren, wo immerhin eine Regulierung bei ge-

ringeren Umlaufschwankungen möglich ist, das Ueberlaufen und längere Schwanken der Hülse dann eben keine großen Umlaufschwankungen mit sich bringt, weshalb die bisher bekannten Ergebnisse mit diesen Regulatoren wohl möglich erscheinen. Verlangt man aber bei genauer Regulierung auch die rasche Elnstellung und das Festhalten der richtigen Cylinderfüllung, dann würde der eben untersuchte Regulator durch Vermehrung der Beharrungsmassen nur leiden.

Fig. 4.



In einem zweiten Falle sei eine Eincylinder-Dampfmaschine von 150 PS, Höchstleistung bei 150 Uml./min angenommen. Für 25 vH der größten Belastung sei der bezügliche Ungleichförmigkeitsgrad $\delta = 0,02$, ferner $u_1 = 180$ kg, $E = 900$ kg, $\mu_1 = 6$; es wird also ein sehr energischer Regulator (Doerfel) mit verhältnismäßig großer Umlaufschwankung zugrunde gelegt. Für $\frac{b}{c} = 2$ und $\frac{p}{a_1} = 0$ ergibt sich aus

$$\frac{a}{b} = \frac{0,0854 M}{\sqrt{6 + 0,04 c M}}$$

angenähert:

$M = 121,8$	$M_1 = 0$
130	0,33
139	0,72
158	1,82
172,4	2,586
210,6	4,881

und für $\frac{p}{a_1} = 0,1$

$M = 149$	$M_1 = 1,49$
155,6	1,99
162,6	2,55
178,2	3,80
196	5,20
224,4	7,36

Ebenso ergibt sich für $\frac{b}{c} = 0,5$ mit $\frac{p}{a_1} = 0$

$M = 121,8$	$M_1 = 0$
121	1,25
120	2,5
120,5	4,9
122	7,8
128	10,6

und mit $\frac{p}{a_1} = 0,1$

$M = 115,3$	$M_1 = 4,61$
113,7	5,82
112,6	7,07
112,4	9,57
113,6	12,04
118,4	15,55

Man ersieht aus diesen Zusammenstellungen, dass es möglich ist, bei entsprechender Wahl der Verhältnisse, insbesondere bei entsprechend kleinem Verhältnis $\frac{b}{c}$, eine Erleichterung der Regulierung, d. h. hier eine Verminderung der erforderlichen Schwungmasse zu erreichen. Die Verwendung der Pendel selbst als Beharrungsmasse, wie sie sich insbesondere

bei den Regulatoren mit zentraler Feder nach Doerfel fast von selbst ergibt, ist unbedingt günstig, da eben die Gesamtmasse hierbei nicht vergrößert wird.

Es ist nun noch der Fall zu behandeln, bei welchem die im Augenblick der Belastungsänderung auftretende Beharrungskraft nicht groß genug ist, um die Reibungswiderstände zu überwinden, wobei wieder angenommen wird, dass vor der Belastungsänderung genau die der Umlaufgeschwindigkeit entsprechende Lage vorhanden ist. Das Bewegungsdiagramm zeigt dann Fig. 4.

In dieser Figur bleibt die x -Kurve nach der Belastungsänderung eine wagerechte gerade Linie, während die y -Kurve ebenfalls durch eine gerade Linie mit der Gleichung

$$\frac{dy}{dt} = -\frac{w_1}{M \delta \omega_0} x_1$$

dargestellt wird.

Dies dauert bis zu dem Augenblick, wo die x -Kurve die Wagerechte verlässt, d. i. jenem Augenblick, in welchem die Bewegung der Hülse beginnt, und von dem an die Zeit gemessen werden soll. Die in diesem Augenblick einwirkende resultierende Kraft ist begreiflicherweise 0, sodass man setzen kann für $t = 0$:

$$\frac{d^2 x}{dt^2} = 0,$$

während im übrigen die Gleichungen (6) bestehen bleiben, also

$$\frac{d^2 x}{dt^2} = -\frac{2 E \delta}{u a_1} [(1 + c) x - y - p] \quad (6)$$

$$c = \frac{b}{c} \frac{M_1}{M} \frac{w_1}{2 E \delta} \quad (5a)$$

$$\mu = \mu_1 + M_1 \frac{b^2}{c^2} \quad (5b)$$

Da auch Gl. (6) unverändert bleibt, ist nur in Gl. (8) $r = 0$ zu setzen.

Die Gleichungen (10) gelten auch jetzt noch, während $m = 1$ wird, und Gl. (15) geht damit über in

$$\lg \frac{3}{\sqrt{1 + 1}} = -\frac{3}{z} \operatorname{arc} \operatorname{tg} z,$$

woraus folgt:

$$z = 2,088.$$

Da nun für $t = 0$

$$(1 + c) x_1 - y_1 - p = 0$$

oder

$$1 + c = \frac{y_1 + p}{x_1},$$

so ist in diesem Falle c nicht mehr von s und m abhängig, sondern unmittelbar aus Gl. (5a) zu bestimmen.

Für das zweite oben berechnete Beispiel mit $\frac{p}{a_1} = 0$ und

$\frac{b}{c} = 0,5$ wird unter gleichen Annahmen:

$c = 0$	$a = 4,2486$	$M = 122$	$M_1 = 0$
0,02	4,1230	120,6	0,865
0,04	4,0062	119,5	1,912
0,06	3,8960	118,7	2,837
0,08	3,7848	118,7	3,734
0,1	3,6800	115,3	4,610

Diese Tabelle würde sich durch die oben gefundenen Werte weiter fortsetzen, da für $c > 0,1$ oder $M_1 > 4,61$ die Reibungen sofort überwunden werden.

Für $M_1 = 0$ entspricht dieser Fall dem gewöhnlichen Regulator ohne Beharrungsmasse.

Es ist nun möglich, jene Grenze zu bestimmen, die angibt, unter welchen Umständen die Hinzufügung einer Beharrungsmasse zu einem gegebenen Regulator wünschenswert erscheint. Diese Grenze wird dann erreicht, wenn eine Vergrößerung von M_1 sämtliche hier inbetracht kommenden Größen unverändert lässt und dennoch Gl. (16) erfüllt wird. Hat man z. B. für $M_1 = 0$, d. h. für einen Regulator ohne Beharrungsmasse, im letztbehandelten Fall

$$\sqrt{\frac{2 E \delta}{\mu_1 a_1}} \frac{M \delta \omega_0}{u_1} = 4,2486,$$

für $M_1 = 0,965$

$$\sqrt{\frac{2E\delta}{\mu_1 \left(\mu_1 + \frac{2E\delta}{\mu_2} \frac{b}{\rho} M_1 \right)}} \frac{M_1 \omega_0}{\mu_1} = 4,1250$$

so folgt mit $c = 0,02$ angenähert:

$$\frac{2E\delta}{\mu_1 \mu_2} \frac{b}{\rho} M_1 = 3,45.$$

Dieser Ausdruck giebt an, wie groß im gegebenen Falle eines gewöhnlichen Regulators, von dem nur vorausgesetzt wird, dass er der oben gefundenen Ruhebedingung entspricht, das Verhältnis $\frac{b}{\rho}$ gewählt werden muss, damit die Hinzufügung einer Beharrungsmasse der angegebenen Größe weder nützlich noch schädlich einwirkt, d. h. weder eine Vergrößerung noch eine Verkleinerung der Größen M und δ zur Erfüllung der genannten Ruhebedingung beansprucht.

In ganz ähnlicher Weise kann vorgegangen werden, wenn es sich darum handelt, bei einem bereits mit Beharrungsmasse ausgestatteten Regulator, der nur wieder die Ruhebedingung erfüllen soll, zu untersuchen, ob eine Vergrößerung der Beharrungsmasse bei dem gegebenen Verhältnis $\frac{b}{\rho}$ am Platze ist.

Hierzu ist nur zu bemerken, dass stets eine Verkleinerung von $\frac{b}{\rho}$ auch einer Verringerung der zugehörigen Werte M und δ entspricht, wie leicht nachzuweisen ist.

So ergibt sich z. B. für den zuletzt durchgeführten Fall, und zwar für den gewöhnlichen Regulator, nur dann ein Vorteil durch Hinzufügen einer Beharrungsmasse, wenn

$$\frac{b}{\rho} < 0,85.$$

Ist bereits eine Beharrungsmasse M_1 vorhanden, derart, dass im Augenblick der Belastungsänderung sogleich die Bewegung der Hülse eben noch eintritt, wobei noch $m = 1$, so ist die Grenzgleichung für $\frac{p}{x_1} = 0,1$ angenähert

$$\frac{2E\delta}{\mu_1 \mu_2} \frac{b}{\rho} M_1 = 3,4,$$

also nahezu gleich dem oben gefundenen Werte. Setzt man diesen Wert in Gl. (16a) ein, so erhält man

$$\sqrt{\frac{2E\delta}{\mu_1 \mu_2} \frac{b}{\rho} M_1 \omega_0} = 4,25.$$

Es wird daher der Grenzwert für $\frac{b}{\rho}$ auch für diesen Fall wenig von dem oben gefundenen abweichen.

Es erübrigt nun noch, die dritte Ruhebedingung zu untersuchen, welche darin besteht, dass zur Zeit t_1 die wirkliche Umlaufzahl nicht weiter von der der Hülslage theoretisch entsprechenden abweicht, als es zur Ueberwindung der ruhenden Reibung nötig wäre, sodass die durch den Unterschied der Geschwindigkeiten hervorgerufene Kraft noch keine Bewegung erzeugt.

Die Winkelgeschwindigkeit ist dargestellt durch die Gl. (3):

$$\frac{dy}{dt} = -\frac{\mu_1}{M\delta\omega_0} x \\ = -\frac{\mu_1}{M\delta\omega_0} [e^{\beta t} (A \sin \alpha t + B \cos \alpha t) + C e^{-2\beta t}].$$

Durch Integration dieser Gleichung nach t ergibt sich

$$y = -b e^{\beta t} \left(\frac{A\beta + B\alpha}{\alpha^2 + \beta^2} \sin \alpha t - \frac{A\alpha - B\beta}{\alpha^2 + \beta^2} \cos \alpha t \right) + \frac{b}{2\beta} C e^{-2\beta t} + C_1,$$

worin $b = \frac{\mu_1}{M\delta\omega_0}$ und C_1 eine Integrationskonstante ist. Wenn, wie ursprünglich angenommen, die Bewegung sofort im Augenblick der Belastungsänderung beginnt, d. i. also für relativ größere Beharrungsmassen, so ist unter denselben Voraussetzungen wie früher für $t = 0$

$$y = x_1,$$

wobei insbesondere angenommen ist, dass vor der Belastungsänderung die der Geschwindigkeit entsprechende Lage von der Hülse wirklich eingenommen wurde. Für $t = 0$ ist demnach

$$x_1 = b \frac{A\alpha - B\beta}{\alpha^2 + \beta^2} + \frac{b}{2\beta} C + C_1.$$

Substituiert man hierin die aus Gl. (8b) folgenden Werte von A , B und C , so ergibt sich

$$C_1 = -p,$$

und es folgt mit

$$\sin \alpha t_1 = -\frac{p}{\sqrt{\alpha^2 + \beta^2}}, \\ \cos \alpha t_1 = -\frac{m}{\sqrt{\alpha^2 + \beta^2}}$$

für $t = t_1$:

$$y_{t_1} = b e^{\beta t_1} \left[\left(\frac{A + B\alpha}{\alpha^2 + 1} \frac{1}{\sqrt{\alpha^2 + \beta^2}} - \frac{A\alpha - B\beta}{\alpha^2 + 1} \frac{m}{\sqrt{\alpha^2 + \beta^2}} \right) + \frac{C}{2} e^{-2\beta t_1} \right] - p.$$

Berücksichtigt man, dass

$$e^{-2\beta t_1} = \frac{A\alpha + B\beta}{C \sqrt{\alpha^2 + \beta^2}},$$

oder mithilfe der Gl. (8b)

$$e^{-2\beta t_1} = \frac{2 \sqrt{\alpha^2 + \beta^2}}{\sqrt{\alpha^2 + 1} - 2m},$$

dass ferner

$$\frac{b}{\beta} = \frac{2(\alpha^2 + 1)(1 + c)}{\alpha^2 - 3},$$

so erhält man durch Einsetzen der Werte für A , B und C endlich

$$y_{t_1} + p = \frac{2}{\alpha^2 - 3} \sqrt{4(\alpha^2 + 1 - 2m)(\alpha^2 + \beta^2)} (1 + c) x_1.$$

Für die oben gegebene Ruhebedingung ist nun

$$y_{t_1} < p,$$

und da ferner nach Gl. (13)

$$1 + c = \frac{(\alpha^2 - 3)(1 + \frac{p}{x_1})}{\alpha^2 - 1 - 2m},$$

so muss im Grenzfalle

$$\frac{2}{\alpha^2 - 3} \sqrt{4(\alpha^2 + 1 - 2m)(\alpha^2 + \beta^2)} (1 + \frac{p}{x_1})$$

sein. Dies ergibt für

$m = 1$	$\frac{p}{x_1} = 0,236$
2	0,245
3	0,255
5	0,274
7	0,293
10	0,323.

Für den Regulator ohne Beharrungsmasse gilt

$$\frac{p}{x_1} = 0,191.$$

Demnach wird die sogenannte Unempfindlichkeit des Regulators bei Anwendung der Beharrungsmassen größer zu wählen sein, was jedoch unter der Voraussetzung, dass diese die Regulatorhülse sogleich in Bewegung setzen, anscheinend belanglos ist; bei allmählichen Belastungsänderungen dürfte es sich allerdings unangenehm fühlbar machen.

Immerhin ist die dritte Ruhebedingung nicht von derselben Wichtigkeit wie die ersten beiden, da, wenn diese erfüllt sind, die Regulierung auch bei zu großer Empfindlichkeit zwar nicht in einer Welle, aber doch ohne Ueberregulieren vor sich gehen kann; dabei muss freilich angenommen werden, dass der Unterschied zwischen den Reibungen der Ruhe und der Bewegung nicht allzu groß ist, da sonst leicht langdauernde Schwingungen eintreten könnten. Auf die Ein-



und 48 zu ersehen ist, mittels Schrauben auf dem Grundrahmen in der Richtung der Dampfmaschinenwelle bewegt werden, eine Anordnung, die von einzelnen, namentlich amerikanischen, Firmen als besonderer Vorteil ihrer Konstruktionen angesehen wird, in Deutschland bis jetzt jedoch nur

packetes ist breiter als die übrigen. Aus Fig. 53 ist weiter zu erkennen, dass die Wicklung der vier Gehäuseteile im Wickelraum der Fabrik nicht vollständig fertiggestellt werden kann, da einzelne Blechpaketteile, die die Stofsfuge des Gehäuses überbrücken, erst bei der Montage zum Ineinander-

Fig. 47 bis 50. Drehstromdynamo von 2000 PS der Helios-Elektrotechnik-A.-G.

Fig. 47.

Fig. 48.

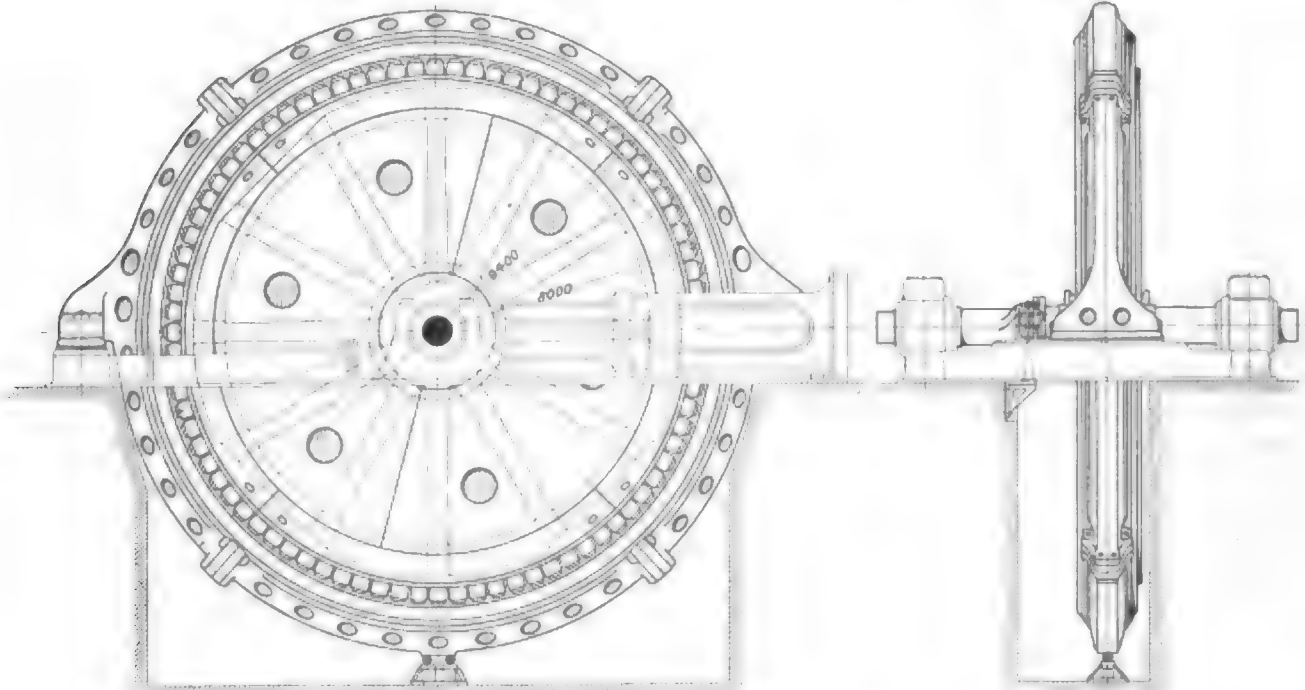
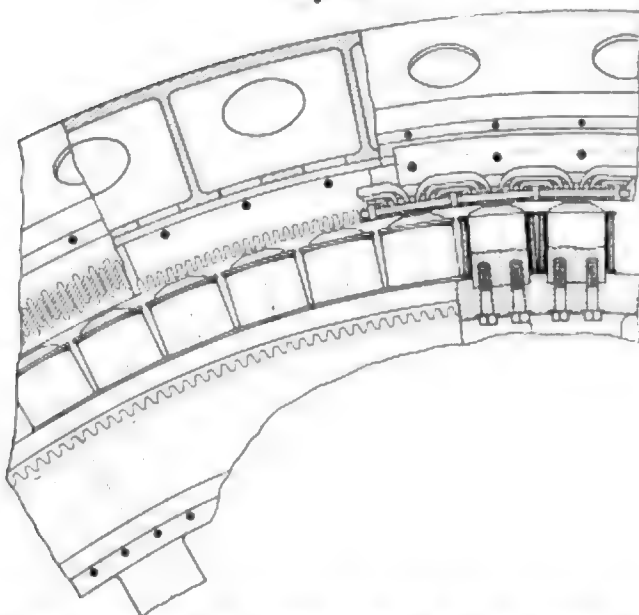


Fig. 49.

Fig. 50.



wenig Anhänger finden konnte. Das Blechpaket, welches in dem Gehäuse durch Schrauben gehalten wird, zeigt in der Hauptsache die heute allgemein übliche Gestaltung im Gegensatz zu den früheren Konstruktionen der Helios E.-A.-G., die auch in dem induzierten Teile polförmige Vorsprünge (Zacken) hatten. Einen Teil des zerlegbaren Gehäuses mit Blechpaket und Wicklung zeigt Fig. 52. Man sieht, dass das wirksame Ankereisen in fünf Unterabteilungen mit vier radialen Luftschlitzen zerfällt. Der mittlere Teil des Blech-

greifen kommen. Diese Anordnung soll den magnetischen Uebergangswiderstand an der Stofsfuge verringern. Die Wicklung ist in Lösser im Blechpaket, die mit Isoliröhren ausgekleidet sind, eingesogen und mit Band umwickelt.

Wicklung und Schaltung der Maschine sind nach der von Scott angegebenen Anordnung gewählt. Das Wesen dieser Schaltung beruht darin, dass die Maschine mit zwei unabhängigen Wicklungen versehen ist, in denen elektromotorische Kräfte mit 90° Phasenunterschied induziert werden. Die Hauptwicklung, welche pro Pol 6 Nuten ausfüllt, liefert 2200 V, die Hüllwicklung (zweite Wicklung), die nur 3 Nuten ausfüllt, $\frac{1}{\sqrt{3}}$ dieses Wertes, d. s. 1900 V. Das eine Ende dieser Hüllwicklung ist in der Mitte der Hauptwicklung angeschlossen, das andere Ende führt zur Klemme. Auf diese Weise entsteht das Schema Fig. 53, aus dem hervorgeht, dass zwischen den

Klemmen *a* und *b* (Hauptwicklung) zunächst gewöhnlicher Wechselstrom von 2200 V zur Verfügung steht, während zwischen den drei Klemmen *a b c* Dreiphasenstrom (analog der Dreieckschaltung) entnommen werden kann, da sowohl zwischen *a* und *c* als auch zwischen *b* und *c* eine resultierende Spannung von $2200 \sqrt{2}$ und 1900 V (die 90° Verschiebung zu einander haben) entsteht. Die Nuten sind 19 mm breit, 50 mm hoch und 10 mm geschliffen. Die Hauptwicklung enthält in jeder Nute 3 Kabel dreifach parallel









auf 70000 kg. Zu bemerken ist noch, dass die Feldmagnete der Maschine die von Hutin und Leblanc angegebene Dämpferwicklung tragen. Zu diesem Zweck sind die Polschuhe mit 5 rechteckigen und 2 runden (diese in den Polkanten) Löchern versehen, in welche massive Kupferstäbe (etwa von 10×22 mm) eingesetzt sind, die beiderseits durch starke Kupfersegmente miteinander verbunden sind. Die in Fig. 61 sichtbare 10 polige Gleichstrommaschine gehört nicht eigentlich zur Drehstrommaschine, sondern diente in Paris nur dazu, die große Maschine leer anzutreiben. Hierbei zeigte sich, dass der Antriebsmotor bei den im Gleichstromnetz (von welchem der Antriebsstrom geliefert wurde) vorhandenen Spannungsschwankungen infolge des großen Beharrungsvermögens des Maschinensatzes bald als Generator, bald als Motor arbeitete.

Die A. E.-G. hatte ferner in der deutschen Abteilung des

deren drei vorhanden sind zwei links und rechts von der Kurbel und das dritte als Außenlager für den Motor. Motor- und Pumpenwelle bestehen aus einem Stück. Die Bohrung des Motors betrug — geschätzt — 150 cm, die Eisenbreite 12 cm. Die Ankerwicklung steht mit drei Schleifringen (innerhalb der Lager) in Verbindung, die mit Kurzschluss- und Bürstenabhebevorrichtung ausgerüstet sind. Nach erfolgtem Anlauf (mit Widerstand im Anker) werden die Schleifringe kurz geschlossen und dann die Bürsten abgehoben. Dieses Manöver wird mit Handrad und Hebel ausgeführt.

Im Ehrenhof des Elektrizitäts-Palastes hatte die A. E.-G. einen kunstvollen Pavillon errichtet, in welchem ihre wichtigsten Erzeugnisse, soweit sie sich in dem beschränkten Räume unterbringen ließen, ausgestellt waren. Die Ausstellung der Maschinen und Geräte war an den Außen-

Fig. 62.

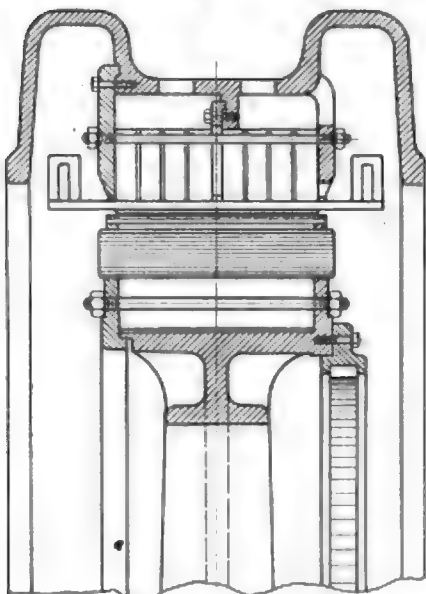


Fig. 63.

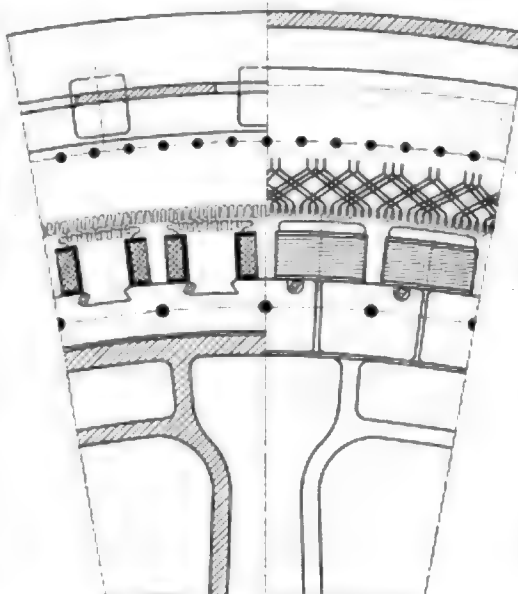
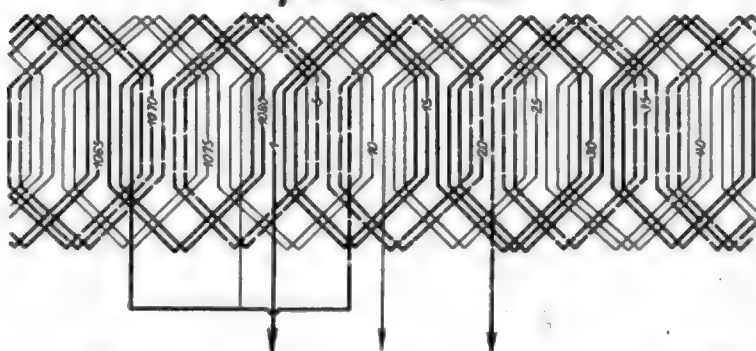


Fig. 64. Schaltungsdiagramm.



Bergwerksgebäudes eine Riedler-Expresspumpe ausgestellt, die von einem Drehstrommotor unmittelbar angetrieben wurde. Der Motor leistete 75 PS bei 290 Uml./min. Die Betriebsspannung betrug 100 V. Die Pumpe, deren Konstruktion uns hier nicht zu beschäftigen hat¹⁾, förderte 1,1 cbm/min auf 260 m Druckhöhe. Der Wirkungsgrad der Pumpe wurde zu 87 vH angegeben. Das Motorgehäuse ist auf einen rechteckigen Gussrahmen gelagert, der mit dem Pumpenrahmen ein gemeinschaftliches Gussstück bildet. Durch die Gehäusefüße gehen je 3 Justirschrauben mit Gegenmutter, vermittels deren das Motorgehäuse so eingestellt wird, dass der geringe Luftzwischenraum zwischen dem festen und dem sich drehenden Teil allseitig derselbe ist und neu eingestellt werden kann, wenn er etwa durch Lagerverschleiß verloren gehen sollte. Mit dem Grundrahmen zusammengewachsen sind die Lager,

wänden des länglichen Bauwerkes in sechs nischenförmig ausgebildeten Feldern untergebracht, die durch scharf hervorspringende Eckpfeiler voneinander getrennt waren. Die Felder wurden von schmückendem Eisenwerk umrahmt, in dessen Blätterwerk, wie auch in demjenigen der äußeren Kuppel, zahlreiche Glühlampen verteilt waren. Die gesamte eine Seite des Pavillons war ausschließlich dem elektromotorischen Antrieb gewidmet. Es waren hauptsächlich Kleinmotoren bis zu etwa 6 PS und unter diesen vorherrschend Drehstrommotoren ausgestellt. Zumeist waren es normale Konstruktionen mit Riemenscheiben, teils mit Kurzschluss-, teils mit Schleifringanker. Aber auch Motoren mit Rädervorgelege, um die meist großen Umlauffzahlen der Kleinmotoren entsprechend zu vermindern, waren zu sehen. Die Bauweise der Drehstrommotoren entsprach den neuesten Ansichten einer weitgehenden

Unterteilung. Die Nutenzahl pro Pol und Phase betrug bis zu den etwa 3 pferdigen Motoren 4, darüber 6. Die Luftabstände zwischen Stator und Rotor waren sehr klein, was sich nur bei sorgfältigster Lagerkonstruktion aufrecht erhalten lässt; Ferner fanden sich einheitliche Konstruktionen von elektrischen Ventilatoren und von Polirmotoren, bei welchen letzteren die Bürsten- oder Schmirgelscheiben unmittelbar auf die Motorwelle aufgesetzt waren; endlich auch Webstuhlomotoren, die bei Riemetrieb auf einer Wippe montiert sind, welche selbsttätig den Riemen genügend gespannt hält. Die Fortschritte im Bau versetzbarer Bohrmaschinen, deren Wert darin beruht, dass das Werkstück an seinem Platze bleibt, während eine beliebige Anzahl Bohrmaschinen gleichzeitig zu seiner Bearbeitung herangezogen werden können, wurden an einer vollständigen Sammlung solcher Maschinen für Gleich- und Drehstrom vor Augen geführt. Die Stromzuführung erfolgt durch bewegliche Kabel. Biegsame Wellen ermöglichen dabei in einfachster Weise das Bohren von Löchern auch an sonst schwer oder garnicht zugänglichen Stellen. Für Arbeiten an feuchten Orten sind diese Bohrmaschinen in dichte Gehäuse eingekapselt.

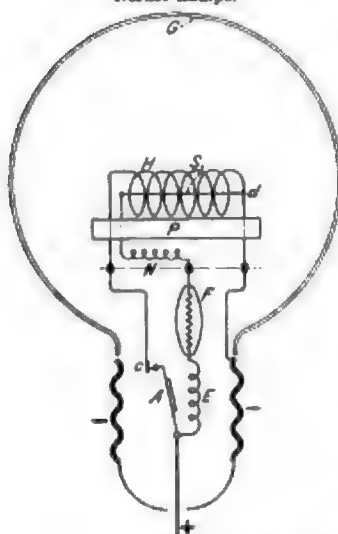
Das zweite Eckfeld des Pavillons enthielt Maschinen und Einrichtungen für elektrische Bahnen. In der Mitte stand ein betriebsfertig auf der Radachse montierter Bahnmotor mit Rädervorgelege und federnder Aufhängung. Neben dem Motor waren Fahrshalter und magnetische Bremsen aufgestellt, während die dahinter befindliche Wand alle wesentlichen Teile für die elektrische Oberleitung zeigte. Der Mittelteil auf der entgegengesetzten Seite des Pavillons enthielt Messgeräte und Elektrizitätszähler, während das linke Eckfeld Schalter und Anlassvorrichtungen von den kleinsten die zum Einschalten einer einzigen Glühlampe dienen, bis zu,

¹⁾ a. Z. 1901 S. 1443 Fig. 7 und 8.

den größten, wie sie für Elektromotoren von 100 und mehr Pferdestärken Verwendung finden, vereinigte. Auch ein Hochspannungsausschalter war zu sehen, der allerdings für seine Leistung einen beträchtlichen Raum beanspruchte. Besondere Erwähnung verdienen die Umkehr-Anlasswiderstände, die in verschiedenen Ausführungen für Gleich- und Drehstrom ausgestellt waren. Sie dienen insbesondere zur Aenderung der Drehrichtung bei Elektromotoren für Aufzüge, Krane und Fördermaschinen. Eine Reihe von Stöpsel- und Streifensicherungen nach den Vorschriften des Verbandes deutscher Elektrotechniker sowie eine Anzahl kleiner Zimmerventilatoren vervollständigte diese Abteilung. Das letzte Eckfeld des Pavillons war der elektrischen Bogenlicht-Belichtung zugewiesen. Es waren Gleich- und Wechselstromlampen zu sehen, sämtlich mit Lichtbogen-Festpunkt. Auch einige kleine Reflektoren mit Metallspiegel für Bühnen- und photographische Zwecke waren ausgestellt.

Fig. 65.

Nernst-Lampe.



Die dunkle Halle im Innern des Pavillons mit ihrer hohen kuppelförmig gewölbten Decke diente zur Vorführung der Nernst-Lampe. Mit mehreren hundert dieser Lampen war der Hohlraum der Kuppel überfüllt. Sie verbreiteten in dem Raume Tageshelle und ließen den farbigen Bilderschmuck der Wände — teils allegorische Bilder, teils Szenen aus der Thätigkeit in der Fabrik — zu schöner Wirkung kommen. Ungenügend war unseres Erachtens der Luftwechsel in dem Raume, so dass die Hitze der vielen Lampen die Temperatur, wenigstens in den heißen Monaten, geradezu unerträglich machte.

Die wesentlichen Eigenschaften der Nernst-Lampe

Fig. 66 bis 68. Lichtverteilung der 80 W-Nernst-Lampe.

Fig. 66.

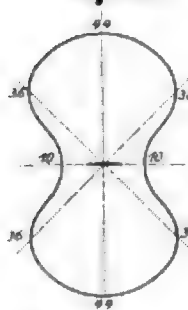


Fig. 67.

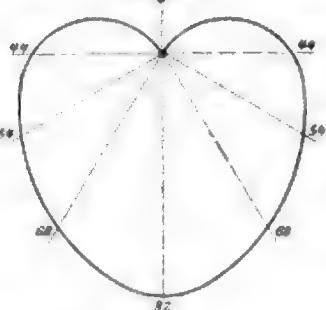
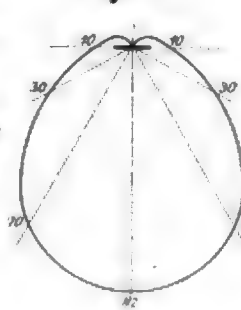


Fig. 68.



haben wir bereits im ersten Bericht (Z. 1900 S. 904) hervor gehoben. Wir wollen heute das bereits Mitgeteilte noch durch einige Einzelheiten ergänzen. Die Leitfähigkeit der Oxyde für den elektrischen Strom, die sich erst bei höheren Temperaturen einstellt, ist verschieden und hängt von der Stellung des betreffenden Elementes im periodischen System ab. So sind die Oxyde von Be, Al, Ca, Mg, Y, La, Th schlechte Leiter und erfordern, um überhaupt leitend zu werden, eine vorherige Erhitzung auf 2000 bis 2500° C. Die Oxyde von Zn, Zr, Co sind mittelgute Leiter; sie fangen schon bei einer Erhitzung auf 1000 bis 1600° C an, leitend zu werden. Die Oxyde von Ti, Cr, Sn, U, Di, W sind gute Leiter, d. h. sie erfordern, um leitend zu werden, eine Erwärmung von weniger als 1000° C. Bemerkenswert ist, dass die Leitfähigkeit der Verbindungen verschiedener Oxyde wesentlich anders sein kann, als man den Bestandteilen nach vermuten sollte. So

gibt z. B. Thoriumoxyd mit Lanthanoxyd eine gut leitende Verbindung, während die genannten Oxyde für sich schlechte Leiter sind. Für die Nernst-Lampe kann es sich mit Rücksicht auf die bequeme Inbetriebsetzung nur um gut leitende Verbindungen handeln¹⁾. Den Oxyden ist eigentümlich, dass sie einen negativen Temperaturkoeffizienten haben, d. h. dass ihr Widerstand mit steigender Temperatur sinkt. Hierdurch ist die Lampe bei Spannungsunahme der Gefahr des Durchbrennens ausgesetzt. Um ihr hiergegen einen Schutz zu verleihen, erhält das Glühstäbchen zunächst einen passend gewählten Vorschaltwiderstand (Beruhigungswiderstand) aus einem Metall von möglichst hohem positivem Temperaturkoeffizienten, z. B. Eisen. Da die Herstellung von Glühstäbchen in vollkommener Gleichheit sehr schwierig ist, erhält jedes noch einen kleinen Abgleichwiderstand aus einer Nickel- oder Mangankupferlegierung vorgeschaltet, mit welchem zusammen der Widerstand der glühenden Stäbchen auf gleichen Wert gebracht wird. Im Stromkreise des Stäbchens liegt außerdem noch die Kupferbewicklung eines kleinen Elektromagneten, von dem sogleich die Rede sein wird. In diesen drei Widerständen zusammen werden etwa 10 bis 15 vH der Betriebsspannung vernichtet.

Das Glühstäbchen ist, wie bereits auf S. 905 erwähnt wurde, bei jenen Lampen, die von selbst angehen sollen, mit einer Anwärmvorrichtung schraubenförmig umgeben, die durch einen Zweigstrom zur hellen Rotglut erhitzt wird. Durch den erwähnten kleinen Elektromagneten wird dieser Zweigstrom unterbrochen, sobald das Glühstäbchen zu leiten beginnt. Die Wirkungsweise der Lampe ist hiernach leicht verständlich. Fig. 65 giebt eine schematische Skizze derselben. Ihrer Größe nach unterscheidet sie sich nur unwesentlich von einer gewöhnlichen Glühlampe gleicher Lichtstärke; auch ist sie wie diese mit der zumeist gebräuchlichen Edison-Fassung ausgerüstet. Der Strom tritt unten bei + ein und verzweigt sich zunächst in zwei Stromwege. Der eine geht über die Kupferbewicklung des Elektromagneten *E*, den Eisen-Vorschaltwiderstand *F* (zum Schutze gegen Oxydation in eine mit irgend welchem indifferentem Gase gefüllte Glaskugel eingeschlossen), den Abgleichwiderstand *N* (mit hohem spezifischem Widerstande), das Glühstäbchen *S* und kehrt über *d* zum äußeren (Gewinde-) Teil der Fassung zurück. So lange die Lampe kalt ist, ist dieser Weg, da *S* nichtleitend ist, dem Strome versperrt. Der zweite Stromweg geht von + über den Anker *A* des Elektromagneten, Kontakt *c*, Heizspirale *H*, über *d* zum — Pole zurück. Da *H* aus einer Platinspirale (vergl. Z. 1900 S. 905) besteht, so ist dieser Weg dem Strome offen. *H* gerät ins Glühen und erhitzt *S* auf etwa 900° C. Hierdurch wird der erstere Stromweg leitend, worauf der Elektromagnet *E* seinen Anker *A* anzieht und den Kontakt *c* und somit den Anheizstromkreis *H* unterbricht. Schon allein die Thatsache, dass alle besprochenen Einrichtungen im Innern der Lampe untergebracht sind, lässt ermaßen, von welcher Kleinheit der Abmessungen sie sein müssen und welche Schwierigkeiten in der Herstellung zu überwinden sind.

Die Lampe wird vorerst nur für 220 V in zwei Größen hergestellt, als 40 W-Lampe mit 25 NK Nennleistung und als 80 W-Lampe mit 50 NK Nennleistung. Das Glühstäbchen *S* hat bei der 40 W-Lampe eine Länge von etwa 20 mm und eine Dicke von etwa 1/4 mm, während bei der 80 W-Lampe die betreffenden Abmessungen etwa 30 und 1/2 mm betragen. Von der Betriebsspannung von 220 V entfallen etwa 190 bis 195 V auf das Stäbchen *S*, der Rest auf *E*, *F* und *N*.

Die Lichtverteilung der 80 W-Lampe nach den drei Hauptebenen ist durch die Diagramme Fig. 66 bis 68 dargestellt. Fig. 66 giebt die Lichtstärke in der durch den Faden gelegten wagerechten Ebene, Fig. 67 in einer lotrechten Ebene winkeltrecht zur Achse des Glühstäbchens und Fig. 68 in einer

¹⁾ Hiernach bedarf die in Z. 1900 S. 905 gemachte Angabe, wonach das Glühstäbchen der Nernst-Lampe nur aus Magnesia bestehen soll, einer Richtigstellung; es besteht aus einer Mischung von Magnesium-, Thorium- und Yttriumoxyd.

lotrechten Ebene in der Richtung der Achse des Stäbchens. Die Zahlen gelten für eine Lampe mit Klarglasglocke, die erst kurze Zeit in Benutzung genommen war. Bezogen auf die größte Lichtstärke in der Wagerechten (winkelrecht zur Richtung des Stäbchens) ergibt sich aus dem Diagramm ein Verbrauch von rd. 1,8 W pro NK (Hefner-Licht). Diese Zahl wird gewöhnlich als Oekonomie der Nernst-Lampe bezeichnet, indessen mit Unrecht. Bezieht man die Oekonomie auf die mittlere Lichtstärke in der Wagerechten, wie das bei der gewöhnlichen Glühlampe üblich ist, so erhält man bei der Nernst-Lampe etwa 2,5 W pro NK. Aber auch diese Rechnungsweise ist noch nicht einwurfsfrei. Um verschiedene Lichtquellen bezüglich ihrer Oekonomie miteinander zu vergleichen, muss man sie auf die mittlere räumliche Lichtstärke beziehen. Diese beträgt bei der 40 W-Nernst-Lampe rd. 15 NK, bei der 80 W-Nernst-Lampe rd. 31 NK. Die Oekonomie beträgt somit rd. 2,6 W pro NK, ein Ergebnis, wie es bei der gewöhnlichen Glühlampe auch schon erreicht worden ist.

Beachtenswert ist, abgesehen von der Lebensdauer selbst, die für die vorliegenden Lampen zu 100 Brennstunden angegeben wird, die Aenderung der Helligkeit bezw. der Oekonomie mit der Zeit. Aus uns hierüber gewordenen Mitteilungen geht hervor, dass nach 50 Brennstunden die Abnahme der Helligkeit (bezogen auf die mittlere räumliche Lichtstärke) zwischen 10 und 20 vH, nach 100 Brennstunden zwischen 20 und 40 vH beträgt. Da der Wattverbrauch der Lampe aber keine nennenswerte Aenderung erfährt, verschlechtert sich dadurch die Oekonomie nach 50 Brennstunden auf etwa 3 bis 3,5 und nach 100 Brennstunden auf etwa 4 bis 4,5 W pro NK. Bei der geringen Ausstrahlungsfläche des Glühstäbchens ist der Glanz des Lichtes beträchtlich, weshalb gewöhnlich die Glasglocke G, Fig. 65, mattrirt wird; dadurch tritt ein weiterer Lichtverlust durch Absorption ein, gleichzeitig aber wird die Lichtverteilung gleichmäßiger. Die 40 W-Lampe verbraucht in Au-

genblick des Einschaltens etwa 0,55 Amp, die 80 W-Lampe etwa 1 Amp (welche durch H gehen). Dieser Betrag sinkt mit dem Glühwerden der Heizspirale H auf etwa 0,3 Amp bei der 40 W-Lampe und 0,55 Amp bei der 80 W-Lampe und bleibt so lange bestehen, bis das Stäbchen S erglüht, was verschieden lange dauert (10 bis 100 sk). Alsdann geht der Strom auf den eigentlichen Betriebsstrom von etwa 0,18 Amp bei der 40 W-Lampe und 0,37 Amp bei der 80 W-Lampe zurück (Stromkreis E, F, N, S). Ist das Stäbchen S durchgebrannt, so wird damit nicht die ganze Lampe wertlos (wie bei der gewöhnlichen Glühlampe), sondern es braucht, weil die Lampe nicht luftleer ist, nach Abschrauben der Glasglocke G nur die weisse Porzellanplatte P, welche N, H und S trägt und nebenbei bemerkt zugleich als Reflektor und Wärmespeicher wirkt, durch eine andere ersetzt zu werden. Zu diesem Zwecke ist der in Fig. 65 oberhalb der strichpunktirten Linie gezeichnete Teil vom unteren im Fusse befindlichen leicht zu trennen. Die Lampe ist bis jetzt im Handel noch nicht zu haben und wird vorerst nur in Berlin gegen einen jährlichen Mietpreis von 3 M an die Abnehmer der Berliner Elektrizitätswerke abgegeben; die Auswechslungskosten für jeden durchgebrannten Glühkörper werden dem Abnehmer mit 30 Pfg in Anrechnung gebracht¹⁾.

(Fortsetzung folgt.)

¹⁾ Neuerdings hat die A. E. G. zwei grössere Modelle von Nernst-Lampen in den Handel gebracht, die 100 bzw. 200 W verbrauchen und hierbei 65 bzw. 125 NK besitzen. Das kleinere Modell wird für 110 und 230 V, das grössere nur für 220 V hergestellt. Für diese Lampen, welche grösser und stärker gebaut sind als die oben beschriebenen, verspricht die Firma eine durchschnittliche Brenndauer von 300 st. Der Aufbau und die Wirkungsweise sind dieselben wie bei den kleinen Lampen; nur ist das Glühstäbchen senkrecht statt wagerecht angeordnet. Der Preis des 65kerzigen Modells beträgt 12,50 M, der des 125kerzigen 14,50 M. Ein Ersatz-Glühstäbchen kostet 2 M.

Sitzungsberichte der Bezirksvereine.

Eingegangen 24. Juni 1901.

Siegerer Bezirksverein.

Sitzung vom 1. Mai 1901.

Vorsitzender: Hr. Grauhan. Schriftführer: Hr. Schmerse.
Anwesend 59 Mitglieder und Gäste.

Hr. Munker spricht über das Roheisen des Siegerlandes und seine Verarbeitung.

Wie der Vortragende ausführt, kann man mit einer gewissen Berechtigung von Siegerländer Roheisen sprechen, da von den dortigen Hütten neben den auch anderswo hergestellten Sorten mancherlei Roheisenmarken erblasen werden, die man nach ihrer chemisch-metallurgischen Zusammensetzung als »Spezialmarken« bezeichnen darf. Ihre Grundlage bilden die im Siegerlande vorkommenden Spat-, Glanz- und Brauneisensteine. Da diese Erze sich durch hohen Mangan- und geringen Phosphorgehalt auszeichnen, so zeigt auch im allgemeinen das aus ihnen erblasene Roheisen entsprechende bei der Weiterverarbeitung sehr geschätzte Eigenschaften. Im übrigen spielen auch die andern neben Mangan und Phosphor im Roheisen vorkommenden Elemente: Kohlenstoff, Kupfer, Silicium und Schwefel, abgesehen von den nur in sehr geringen Mengen auftretenden Elementen, eine Rolle bei der Klassifizierung und Beurteilung des im Siegerland erblasenen Roheisens.

Je nach der Gattirung der Erze, und je nachdem der Ofen warmen oder kalten Gang hat, fallen im Siegerlande folgende Roheisensorten:

1) Puddelleisen. Man erbläst davon eine Menge von Abarten. Je nach der Schlackenführung und dem Ofengang fällt das Puddelleisen matt, weiss, weissstrahlend, spiegelig, hellmatt, graumatt, grau, grauspiegelig. Es enthält durchschnittlich 2 bis 4 vH Mangan, 0,3 bis 0,8 vH Silicium, 0,2 bis 0,4 vH Phosphor, 0,02 bis 0,03 vH Schwefel, 0,2 bis 0,3 vH Kupfer. Gegenüber dem Puddelleisen anderer Gegenden zeichnet es sich durch einen mittleren Mangan- und Phosphorgehalt neben geringem Schwefelgehalt aus. Es wird aus Siegerländer geröstetem Spat- und Brauneisenstein, nassauslichem und hessischem Brauneisenstein, Schwefelschlacken und andern Zuschlägen erblasen. Das Verhältnis des Erzsatzes zu den Koks wird derartig hoch gehalten, dass keine starke Reduktion des Siliciums und damit keine oder wenigstens keine allzu reichliche Grafitausscheidung eintreten kann.

2) Stahleisen. Diese Sorte bildet schon seit Jahrzehnten eine Eigenheit der Siegerländer Hochöfen. Sie enthält unter Gewährleistung 4 bis 6 vH Mangan und nicht mehr als 0,1 vH Phosphor neben Spuren von Schwefel, bis 0,02 vH, und 0,2 bis 0,4 vH Kupfer. Kennzeichnend ist vor allem der niedrige Phosphorgehalt. Das Stahleisen wird aus Siegerländer Rost, Glanz und Braun, selten unter Zusatz von auswärtigem phosphorfreiem Erz, erblasen. Es kann weiss, strahlend oder spiegelig fallen, je nach den Betriebsverhältnissen.

3) Spiegeleisen ist ebenfalls seit langem eine Siegerländer Eigenart. Es enthält vor allem viel Mangan neben einer geringen Beimengung (bis 0,1 vH) Phosphor, und zwar wird es mit einem Mangangehalt von 10/12, 12/14, 14/16, 16/18, 18/21 bis zu 30 vH verkauft. Früher war für die Beurteilung lediglich das Bruchaussehen, die »Grösse der Nahte«, d. h. das grössere oder geringere Verhältnis der mehr strahligen zu den mehr spiegeligen Flächen auf dem frischen Bruch, massgebend, jetzt nur die Analyse. Die Kristallbildungen gehören dem rhombischen System an. Sehr oft treten starke Grafitausscheidungen in den häufig vorkommenden Drusen ein, da sich das Eisen bei dem hohen Mangangehalt mit Kohlenstoff anreichert und diesen bei genügender Sättigung als Grafit ausscheidet. Spiegeleisen wird aus Siegerländer Rost, häufig unter Zusatz von sehr manganhaltigem phosphorfreiem Brauneisen, erblasen.

4) Bessemer Eisen soll 3 bis 5 vH Mangan, höchstens 0,1 vH Phosphor und mindestens 2,5 vH Silicium enthalten. Es ist aus den Siegerländer phosphorfreien Erzen mit Wind von 800 bis 900° aus steinernen Winderhitzern leicht herzustellen. Infolge des hohen Siliciumgehaltes scheidet sich Grafit aus, und das Eisen wird grau, und zwar entweder feinkörnig oder grobkörnig. Massgebend für die Beurteilung ist auch hier die Analyse, nicht das Bruchaussehen. Erblasen wird Bessemer Eisen vorzugsweise aus Siegerländer phosphorarmem Glanz- und Brauneisenstein, manchmal unter Zusatz von etwas Rost.

5) Giesseisen bildet keine Eigenheit des Siegerlandes; vielmehr rührt die Erzeugung dieser Sorte im Siegerland aus jüngerer Zeit her. Es soll enthalten wie die rheinisch-westfälischen, die nassauischen und die andern Marken: 2 bis 3 vH Silicium, 0,4 vH Phosphor und 0,02 bis 0,04 vH Schwefel. Eingeteilt wird es nach Nummern, genau wie die zuvor erwähnten Marken. Die Beurteilung nach dem Bruch ist auch hier durchaus unrichtig; nur die Analyse, und zwar vorzugs-

weise die des Siliciums, ist maßgebend. Je nach den Abkühlverhältnissen, die von der chemischen Zusammensetzung nicht beeinflusst werden, kann dasselbe Eisen fein- oder grobkörnig werden.

6) Walzengusseisen ist insofern ein Spezialisen und eine Besonderheit des Siegerlandes, als es nur für Walzenguss verbraucht wird und einen mittleren Mangan- und geringen Phosphorgehalt besitzt. Es enthält 1,5 bis 2,5 vH Silicium, 2 bis 3 vH Mangan, 0,1 bis 0,15 vH Phosphor. Es kann weiß, hellmelirt, graumelirt oder grau fallen. Das graue Walzengusseisen soll jedoch möglichst wenig Grafitausscheidung haben, soll also möglichst feinkörnig sein. Bei diesem Eisen spielt allerdings die Beurteilung nach dem Bruchaussehen noch eine Hauptrolle, und die Erfahrungen der Walzengießerei mögen wohl auch ihre Berechtigung haben. Am meisten wird ein graues feinkörniges Eisen mit sogenannten weißen Spitzen und muldenförmiger Oberfläche geschätzt. Erblasen wird es aus Siegerländer Rost-, Braun- und Gänzeisenstein, und zwar vorteilhaft mit kaltem Wind von rd. 400 bis 600°.

7) Holzkohlisen wird in Deutschland nur noch an sehr wenigen Orten, im Siegerlande auf der Müsener Hütte, dem Köln-Müsener Bergwerksverein gehörig, erblasen. Als Brennstoff wird, wie der Name sagt, Holzkohle anstelle von Koks genommen. Das Müsener Holzkohlisen enthält 0,3 bis 0,5 vH Mangan, 0,25 vH Phosphor, 1 bis 3 vH Silicium und Spuren von Schwefel und Kupfer. Es wird aus auswärtigen mangan- und phosphorarmen Erzen erblasen.

8) Thomaseisen ist allerdings keine Siegerländer Eigenart und wird nur, soweit es die Wirtschaftlichkeit und die Preisverhältnisse zulassen, erblasen. Es hat dieselbe Zusammensetzung wie die lothringisch-luxemburgischen und westfälischen Marken, nämlich einen gewährleisteten Mindestgehalt an Phosphor von 1,5 vH, an Mangan von 2 vH. Es wird aus sehr phosphorhaltigen Lahn-Erzen, unter Umständen auch aus Minette, unter Zuschlag von etwas manganhaltigem Eisenstein (Rost) oder mangan- und phosphorhaltiger Schlacke (Puddel- und Martinschlacke) dargestellt.

Hinsichtlich der Verarbeitung der aufgeführten Roheisenarten bemerkt der Redner, dass die Bezeichnung sich nicht immer mit dem Verwendungszweck deckt.

1) Puddelisen wird im Puddelofen zu Luppen (Schweiß-eisen) verarbeitet. Für das Puddeln ist bestimmend, ob das Roheisen, der »Einsatz«, »garfrischend« oder »rohfrischend« ist. Im allgemeinen sind die Eisensorten weiß und mattweiß, garfrischend. Zur Erzielung einer guten Luppe mischt man am besten verschiedene Sorten. Der Vortragende erwähnt, dass nicht immer das Kupfer im Eisen den sogenannten Rotbruch veranlasst; es kann auch sogenannter Faulbruch sein, den Schlackeneinschlüsse, besonders bei Verarbeitung von rohfrischendem »scharfem« Eisen, hervorrufen.

2) Stahleisen wird zur Flussstahl- und Flusseisenerzeugung im Siemens-Martin-Ofen verwendet, und zwar hauptsächlich außerhalb des Siegerlandes, häufig gemischt mit mangan-ärmeren und phosphorreichereren Eisensorten. Besonderer Wert

wird auf kupferfreies Stahleisen gelegt, da ein höherer Kupfergehalt die Schweißbarkeit beeinflusst.

3) Spiegeleisen wird lediglich zur Stahlfabrikation verwendet abgesehen von verschwindend kleinen Mengen, die wohl auch in der Gießerei verarbeitet werden. Bestimmend für seine Verwendung sind der hohe Mangan- und Kohlenstoffgehalt sowie der niedrige Phosphorgehalt, durch die es kohlen-, reduzierende und entschwefelnde Eigenschaften erhält, ohne dass der erzeugte Stahl sich an Phosphor anreichert.

4) Bessemerisen wird zur Stahlfabrikation in der sauren Bessemerbirne auswärts und im Siemens-Martin-Ofen auswärts und im Siegerlande benutzt. Bestimmend für diese Sorte ist hoher Kohlenstoffgehalt neben viel Silicium und Mangan und wenig Phosphor. Auch in Gießereien wird sie zu solchem Guss verwendet, an den erhöhte Ansprüche in bezug auf Festigkeit und Feuerbeständigkeit gestellt werden, z. B. zu Walzenguss.

5) Gießereisen wird wie die andern rheinisch-westfälischen Marken als Zusatz in der Gießerei zu Bruchstein für Maschinen-, Bau- und Handlungsguss benutzt. Das Eisen mit 2 bis 3 vH Silicium verträgt einen Schrottzusatz bis zu 50 vH und das höher silizirte (3 bis 5 vH Silicium) bis zu 75 vH je nach dem Verwendungszweck. Das Gießerei-Ausfalleisen (1,5 bis 2 vH Silicium mit sonst gleichen Gehalten) wird zu obigen Marken zugesetzt oder mit Schrott und Bruchstein zu Herdgussplatten und dergl. verarbeitet. Das weiße oder melierte Gießereisen wird als Zusatz zu Cylinderguss, zu Hartgusswalzen und sonstigen Hartgussstücken mit geringem Querschnitt verwendet.

6) Walzengusseisen wird in der Walzengießerei benutzt, das weiße und hellmelirt vorzugsweise zu Hartgusswalzen, auch als Zusatz zu Roststäben und akure- und feuerbeständigem Guss, das graue (feinkörnige) zu halbhartem und Weichwalzen und als wesentlichster Zusatz zum Walzenguss beim Flammofenbetrieb. Je feinkörniger das Eisen, desto glatter die Walzen und desto geringer der Verschleiß bei kalibrierten Walzen.

7) Holzkohlisen wird da verwendet, wo ganz besondere Ansprüche an Festigkeit, Härte und Feuerbeständigkeit gestellt werden. Früher wurde es vorzugsweise zu Geschossen benutzt, jetzt im Siegerlande z. B. zum Härten von Cylindern, Walzen usw.; auch für Hartguss.

8) Thomaseisen wird nur außerhalb des Siegerlandes beim basischen Bessemerverfahren verwendet.

In der sich anschließenden Besprechung wird die Frage aufgeworfen, aus welchem Grunde man früher das grobkörnige, englische Gießereisen für besser gehalten habe als das rheinisch-westfälische Gießereisen. Der Vortragende erwidert, dass das zum Teil auf dem veralteten Gebrauch beruht habe, das Roheisen nur nach dem Korn ohne Zubillnahme der Analyse zu beurteilen. Hr. Haedicke ist der Meinung, das englische Roheisen habe nur deshalb in früherer Zeit einen so erheblichen Vorsprung vor dem einheimischen gehabt, weil die deutschen Erzeuger nicht instande gewesen seien, die Gleichmäßigkeit der Lieferung zu verbürgen.

Zeitschriftenschau.¹⁾

(¹⁾ bedeutet Abbildung im Text.)

Chemische Industrie.

Les industries chimiques à l'Exposition de 1900 et leurs progrès depuis l'Exposition de 1889. Von Guillet. Forts. (Génie civ. 7. Dez. 01 S. 95/97) Erzeugnisse der Heilmittelchemie. Forts. folgt.

Dampftrifftanlagen.

English, American and continental steam engineering. Von Dawson. (Eng. Magaz. Dez. 01 S. 533/535) Beschreibung der elektrischen Kraftwerke Pumpfields Station in Liverpool, der Straßenbahnen in Hull, der Bolton Corporation Electricity Works, der Glasgow Corporation Tramways, der Central London Railway und der Dublin United Tramways.

Eisenbahnwesen.

Les locomotives à l'Exposition de 1900. Von Barbier. (Rev. gén. Chem. de Fer Dez. 01 S. 552/577 mit 1 Taf.) Einzelheiten der von nordamerikanischen Maschinenfabriken ausgestellten Lokomotiven.

Eisenkonstruktionen, Brücken.

A fire test of the Buckeye bridge floor. (Eng. Rec. 30. Nov. 01 S. 529) Die Buckeye'sche Fahrabdeckung besteht aus

5) Die Zeitschriftenschau wird, nach den Stichwörtern in Vierteljahrsheften zusammengefasst und geordnet, gesondert herausgegeben, und zwar zum Preise von 3 Mk. pro Jahrgang für Mitglieder, von 10 Mk. pro Jahrgang für Nichtmitglieder.

M-förmigen aneinander gerollten Blechstreifen, deren Vertiefungen mit Beton ausgefüllt werden. Bei einem kürzlich ausgebrochenen Schadenfeuer hat sich diese Konstruktion gut bewährt.

Elektrotechnik.

Electricity at the New York Navy Yard. Von Kollock. (Journ. Am. Soc. Nav. Eng. Nov. 01 S. 980/1003) Das Kraftwerk enthält drei stehende Dampfmaschinen von je 630 PS, die unmittelbar mit drei Drehstromdynamos gekuppelt sind. Außerdem sind zwei Erregerdynamos vorgesehen, die von einer 60pferdigen Dampfmaschine angetrieben werden. Zur Dampferzeugung dienen drei Babcock & Wilcox-Kessel. Der Strom von 220 V treibt die Werkzeugmaschinen und Hebezeuge in den verschiedenen Werkstätten.

Beurteilung der Eigenschaften von Dynamomaschinen aufgrund der Notenanordnung. Von Corsepius. Schluss. (Elektrot. Z. 12. Dez. 01 S. 1023/25) Berücksichtigung der Ankerückwirkung.

Compoundierung von Wechselstromgeneratoren. Von Heyland. (Elektrot. Z. 12. Dez. 01 S. 1021/23) Auf dem Magnetrad eines synchronen Wechselstromerzeugers wird außer der Erregerwicklung noch eine Wicklung angebracht, die mittels eines Kommutators durch den Hauptstrom des Ankers gespeist wird und auf die Klemmenspannung der Maschine ausgleichend wirkt. Maschinen dieser Art lassen sich nicht parallel schalten, wohl aber die mit einer Ausgleichwicklung versehenen selbstverregenden asynchronen Wechselstromerzeuger; v. Zeitschriftenschau v. 24. Aug. 01 unter »Asynchroner Induk-

tionsmotor bzw. Generator ohne Phasenverschiebung usw.* von Heyland. Erläuterung der Schaltungen und der auftretenden elektrischen und magnetischen Vorgänge.

The design and action of the rotary converter. Von Rushmore. (Eng. Magaz. Dez. 01 S. 414/22*) Kurze, leicht verständliche Auseinandersetzung der Wirkungsweise rotirender Umformer.

Erd- und Wasserbau.

The Baltimore dry dock of the Wm. Skinner & Sons Shipbuilding and Dry Dock Company. Von Ritchie. (Journ. Ass. Eng. Soc. Okt. 01 S. 131/38*) Das Trockendock ist an den Oberkanten 191 m lang und 38 m breit, die Wasserriefe beträgt 8 m. Während die Seitenwände und der Boden mit Holz verkleidet sind, ist die Schleusenammer mit Zementausmauerung versehen.

Gasindustrie.

Production of illuminating gas from coke ovens. Von Schiewind. (Iron Age 28. Nov. 01 S. 4/14*) Brennstoffbeschaffung für große Städte. Allgemeine Beschreibung des chemischen Vorganges bei der Leuchtgaszerzeugung durch Koksöfen mit Gewinnung der Nebenprodukte. Von der United Coke & Gas Co. ausgeführte Anlagen. Grundsätze für die trockene Destillation von Kohle in Koksöfen. Wärmebilanz. Wirtschaftlichkeit des Verfahrens.

Manutention mécanique du charbon et du coke dans les usines à gaz de Dijon et du Havre. Von Laverrière. (Génie civ. 7. Dez. 01 S. 85/88* mit 1 Taf.) Die Koksbereitung von der Entnahme aus den Retorten bis zum Verladen in Wagen geschieht selbsttätig. Die Einrichtungen in der Gasanstalt in Dijon sind für einen jährlichen Kohlenverbrauch von 25000 t, die in Havre für einen Kohlenverbrauch von 50000 t berechnet.

Heizung und Lüftung.

Power, ventilation and heating in the Colonial Building, Boston. (Eng. Rec. 30. Nov. 01 S. 525/28*) Das 10stöckige Gebäude enthält in den oberen Stockwerken Geschäftsräume, in den unteren ein Theater mit rd. 1700 Sitzplätzen. Die Heiz- und Lüftungsanlage dieses Gebäudetelles sowie die Dampfkessel-, Dampfmaschinen- und Beleuchtungsanlagen sind kurz beschrieben.

Lager- und Ladevorrichtungen.

The ore-handling plant at the Carrie furnaces, nos. 3 and 4, of the Homestead Steel Works of the Carnegie Steel Company. Von Cowles. (Journ. Ass. Eng. Soc. Okt. 01 S. 113/30* mit 2 Taf.) Eingehende Beschreibung der von der Brown Hoisting Machinery Company gebauten Beschickvorrichtungen für die Hochofen.

Maschinenteile.

Considerations affecting the hight of gear teeth. II. Von Bruce. (Am. Mach. 7. Dez. 01 S. 1288/91*) Eingehende Untersuchung der Evolventenverzahnung.

Spiral gears. II. Von Halsey. (Am. Mach. 7. Dez. 01 S. 1284/85*) Vorläufige Bestimmung der Teilkreisdurchmesser aus dem Übersetzungsverhältnis und dem Steigungswinkel. Länge der Normalschraubenlinien. Zahlenbeispiel. Endgültige Bestimmung der Teilkreisdurchmesser, wenn die Achsenentfernung gekündet werden darf. Schluss folgt.

Les embrayages. Von Euvette. (Rev. Méc. 30. Nov. 01 S. 516/30*) Einteilung, Anwendung und allgemeine Anordnung der Kupplungen. Zahnkupplungen, Klauenkupplungen. Reibkupplungen.

Exemples de courroies demi-croisées d'une certaine importance et conseils sur leur installation. Von Smits. (Rev. Ind. 7. Dez. 01 S. 489/90*) Darstellung zweier halbgekreuzter Riementriebe zur Uebertragung von 80 bzw. 50 PS. Die beiden Riementriebe wurden anstelle von Kegelrädern eingebaut, die zu häufigen Betriebsstörungen Veranlassung gegeben hatten.

Materialkunde.

Anfertigung von Beton-Probekörpern auf dem Bauplatze. Von Gary. (Mitt. techn. Versuchsanst. 01 Heft 3 S. 124/27) Beim Einstampfen der Betongründung werden kastenförmige Einlagen aus Holz- und Eisengitter mit eingelassen, die nach der Erhärtung ausgehoben werden. Das Innere des Gitters bildet dann die Probekörper.

Prüfung von Drainrohren. Von Gary. (Mitt. techn. Versuchsanst. 01 Heft 3 S. 120/23*) Die Rohre wurden auf Wasserdurchlässigkeit, Druckfestigkeit und allgemeine Eigenschaften geprüft. Wiedergabe der Prüfergebnisse.

Messgeräte und -verfahren.

Ein mechanischer Schlüpfungszähler für Asynchronmotoren. Von Ziehl. (Elektrot. Z. 12. Dez. 01 S. 1027/29*) Der Schlüpfungszähler besteht aus zwei miteinander verbundenen Umdrehungszählern, von denen einer von der Welle der Primärmaschine

oder eines kleinen Synchronmotors der andere von der Welle des zu untersuchenden Asynchronmotors angetrieben wird. Das Gerät giebt die relative Geschwindigkeit zwischen beiden Wellen, also die Schlüpfung, und außerdem die Geschwindigkeit des Primärfeldes an.

Apparat zur Bestimmung der Periodenzahl eines Wechselstromes. Von Löwy. (Z. f. Elektrot. Wien 8. Dez. 01 S. 597/600*) Erläuterung der Konstruktion und Wirkungsweise des Stimmgabel-Messgerätes von Kempf-Hartmann.

Metalbearbeitung.

Making steam engine connecting rods on the milling machine. (Am. Mach. 7. Dez. 01 S. 1283/84*) Kurze Beschreibung eines einfachen billigen Verfahrens zur Bearbeitung geschlossener Pleuellstangenköpfe. Um die rechteckigen Öffnungen des Kopfes zum Einbringen der Lagerschalen auszuarbeiten, wird an der einen Ecke des Rechteckes ein Loch gebohrt und dann mit einem walzenförmigen Fräser, dessen Durchmesser gleich dem Lochdurchmesser ist, ringsherum gefräst.

A case-hardening job. Von Bacon. (Am. Mach. 7. Dez. 01 S. 1291*) Der Verfasser teilt einige Erfahrungen über eine gut gelungene Einsatzhärtung von großen Kugellagerrollen mit.

Three fixtures for machining a special casting. Von Doran. (Am. Mach. 7. Dez. 01 S. 1294/95*) Darstellung dreier Fräs- und Bohrschablonen zum Bearbeiten eines dreiarmligen Lagerbockes.

Motorwagen und Fahrräder.

Concours et exposition de moteurs et appareils utilisant l'alcool dénaturé. Von Guérin. (Génie civ. 7. Dez. 01 S. 88/92*) Bericht über den Wettbewerb der Beleuchtungs- und Heizkörper. Forts. folgt.

Les trépidations dans les voitures automobiles. Von Drouin. (Génie civ. 7. Dez. 01 S. 92/95*) Erörterung der Ursachen, durch welche die Erschütterungen der Motoren veranlaßt werden, und kritische Besprechung der Mittel zur Einschränkung der Erschütterungen. Forts. folgt.

Schiffe- und Seewesen.

Les marines de guerre modernes. Von Chasseloup-Laubat. Forts. (Bull. d'Encoeur. 30. Nov. 01 S. 632/49*) Linienschiffe, Küstenpanzer, Panzerkreuzer und geschützte Kreuzer der japanischen Marine. Forts. folgt.

Description of the steam engineering plant at the Navy Yard, N.Y. Von Matthews. (Journ. Am. Soc. Nav. Eng. Nov. 01 S. 872/80*) Die neuen Anlagen umfassen eine mechanische Werkstatt, eine Zusammenbauwerkstatt, eine Kesselschmiede und eine Grobschmiede. Kurze Beschreibung der Einrichtung der einzelnen Werkstätten.

On the corrosion of boiler tubes in the U. S. Navy. Von Worthington. Forts. (Journ. Am. Soc. Nav. Eng. Nov. 01 S. 821/26*) S. Zeitschriftenschan v. 29. Jan. 01. Forts. folgt.

Straßenbahnen.

Die elektrische Hoch- und Untergrundbahn in Berlin von Siemens & Halske. Schluss. (Deutsche Bauz. 11. Dez. 01 S. 617/18*) Gesamtkosten des Unternehmens, Verträge mit den Stadtgemeinden. Schlussbetrachtungen.

Le matériel roulant des tramways à l'Exposition de 1900. Von Godfernaux. (Rev. gén. Chem. de Fer Dez. 01 S. 578/607* mit 4 Taf.) Straßenbahnen, bei denen die Triebkraft auf den Wagen selbst erzeugt wird. Straßenbahnen, bei denen die Triebkraft in einem Kraftwerk erzeugt wird, von wo aus die Wagen an den Endpunkten der Strecke mit Kraft versorgt werden. Elektrische Straßenbahnen.

Textilindustrie.

Aus der Praxis der Baumwollspinnerei. Von Koldt. (Leips. Monatschr. Textilind. Nov. 01 S. 805/06*) Ratschläge für den Betrieb und die Unterhaltung der Baumwollkarde mit wandernden Deckeln.

Ueber Entstehung von Rippen an den Ledercylindern der Spinnmaschinen und ihre Einwirkung auf das Gespinnst. Von Helm. (Leips. Monatschr. Textilind. Nov. 01 S. 806/07*) Der Verfasser bespricht die bei Verwendung von gerippten und glatten Cylindern bei einem und demselben Streckwerk auftretenden Schleifenbildungen und empfiehlt, zur Vermeidung der letzteren nur gerippte Cylinder oder nur glatte Cylinder bei demselben Streckwerk zu verwenden.

Werkstätten und Fabriken.

Advanced methods in a British engineering workshop. Von Lazenby. (Eng. Magaz. Dez. 01 S. 377/97*) Eingehende Beschreibung der in Rugby gelegenen Victoria-Werke, in denen die Willans-Dampfmaschine gebaut wird.

Rundschau.

Die große Verbreitung der elektrischen Kraftübertragung im Eisenhüttenwesen hat ihre Ursache einmal darin, dass sich insbesondere bei verschiebbaren und einzeln stehenden Maschinen der Antrieb einfacher gestaltet, und zweitens darin, dass bei Maschinen mit schwankender und aussetzender Belastung die durch den elektrischen An-

trieb ermöglichte Zentralisation der Kräfteerzeugung große wirtschaftliche Vorteile gewährt. Unter letzterem Gesichtspunkte ist der elektrische Antrieb von Walzenstraßen zu betrachten, der, soweit es sich nicht um Umkehrwalzwerke handelt, keine besonderen Schwierigkeiten bereitet, aber bisher noch sehr selten ausgeführt ist. Es erscheinen daher einige

Angaben über eine neuerdings auf dem Peiner Walzwerk in Betrieb genommene Anlage dieser Art von besonderem Wert. Es handelt sich um eine Schnellstrasse, auf der Quadrat- und Rundisen sowie kleine Profileisen gewalzt werden. Die Strasse wurde früher mit Dampfkraft betrieben und ist von Siemens & Halske A.-G. für elektrischen Antrieb umgebaut. Der Elektromotor wird mit Gleichstrom von 500 V Spannung betrieben und leistet 250 PS. Die Anordnung ist derart, dass der Motor mit der Fertigstrasse unmittelbar gekuppelt ist, während er das Schwungrad der Vorstrecke mittels Riemens antreibt. Für die Bauart des Elektromotors war bestimmend, dass der Unterschied der Umlaufzahlen bei geringster und höchster Belastung genügend groß sein musste — etwa 20 bis 25 vH —, um eine ausgiebige Wirkung der in den Antrieb zum Zweck des Kraftausgleiches eingebauten Schwunghmassen zu erzielen. Der Motor ist deshalb mit Verbundwicklung versehen. Die Hauptstromwicklung dient dazu, die erforderliche Veränderlichkeit der Umlaufzahlen zu erreichen, da mit zunehmender Belastung durch das entsprechende Ansteigen des Ankerstromes das Magnetfeld des Motors verstärkt und seine Umlaufzahl demgemäß vermindert wird. Durch die Nebenschlusswicklung lässt sich die Veränderlichkeit der Umlaufgeschwindigkeit innerhalb der richtigen Grenzen festlegen; außerdem ist in den Nebenschlusskreis ein Regulierwiderstand eingeschaltet, mittels dessen man verschiedene Grundlaufzahlen, die zwischen 300 und 420 Uml./min liegen, einstellen kann. Diese Veränderlichkeit der Grundgeschwindigkeiten ist sehr erwünscht, da bei leichteren Kalibern mit größerer Geschwindigkeit gewalzt wird als bei schwereren; ebenso wird für Flusseisen eine höhere Umlaufzahl eingestellt als für Schmiedeseisen.

Unmittelbar nach dem Umbau ist diese Schnellstrasse ununterbrochen 8 Tage lang Tag und Nacht in Betrieb gewesen und hat sich auch weiterhin derart bewährt, dass die Leitung des Peiner Walzwerkes in Aussicht genommen hat, weitere Walzenstrassen, und zwar vorerst solche von 500 bis 600 PS und später solche bis zu 2000 PS, elektrisch zu betreiben. Den Strom liefert das Kraftwerk der 11 km entfernt liegenden Iseeder Hütte, in der Drehstrom von 10000 V erzeugt wird. Auf dem Peiner Walzwerk ist eine Umformeranlage erbaut, die den Drehstrom in Gleichstrom von 500 V verwandelt.

Wir haben bereits mehrfach über Versuche berichtet, Spiritus zum Betriebe von Motoren zu verwenden¹⁾. Neuerdings hat H. Güldner in Augsburg an einem 4pferdigen Fahrzeugmotor von H. Kämpfer, Berlin, eine Reihe von vergleichenden Bremsversuchen angestellt, indem er das eine Mal Benzin, das anderemal Spiritus benutzte. Der Motor arbeitet im Viertakt, wird elektrisch gezündet und macht normal 1000 Uml./min; er hat 96 mm Cyl.-Dmr., 100 mm Hub und wiegt mit seinem Aluminiumgehäuse 64 kg. Im Folgenden sind die wichtigsten Ergebnisse der beiden Versuche zusammengestellt:

Brennstoff	Benzin			Spiritus
Nummer des Versuches	II	III	IV	II
Dauer des Versuches . . . min	15	15	20	20
mittlere Umlaufzahl n Uml./min	1039,7	1075,6	1066,7	1168,7
gebremste Motorleistung N, PS	4,45	4,44	4,3	4,55
red. Bremsleistung N, 1000	4,28	4,13	3,94	3,89
Verbrauch pro PS-st . . . g	359	362	332	691

Aus den Ergebnissen sind folgende Schlüsse zu ziehen. Wenn man die Bremsleistung auf die normale Umlaufzahl 1000 reduziert, d. h. sie mit dem Faktor $\frac{1000}{n}$ multipliziert, so zeigt ein Vergleich der Mittelwerte, dass die Leistung des Motors bei Spiritusbetrieb um rd. 5,0 vH abgenommen hat. Diese Abnahme erscheint jedoch so gering, dass sie auch in einer Veränderung des allgemeinen Betriebszustandes begründet sein könnte. Praktisch kann die spezifische Leistung des Benzin- und des Spiritusmotors als gleichwertig angesehen werden. Der Brennstoffverbrauch ist dem Gewicht nach naturgemäß bei Spiritus größer als bei Benzin. Er ist jedoch gleichwertig, wenn man den tatsächlichen Wärmeverbrauch in Rücksicht zieht. Der Spiritus hatte einen Heizwert von rd. 5650 WE/kg; 1 kg Benzin enthält 11000 WE. Der Motor hat also im Durchschnitt pro PS-st bei Benzinbetrieb 3861, bei Spiritusbetrieb 3904 WE

verbraucht; das ergibt für Spiritus nur einen Mehrverbrauch von 1,1 vH.

Diese Gleichwertigkeit beider Betriebsarten geht zu Ungunsten des Spiritusmotors verloren, wenn man dem Vergleich die Betriebskosten zugrunde legt. Nach dem Preisverzeichnis der Berliner Zentrale für Spiritusverwertung kosten 100 ltr Spiritus von 90 Volumenprozenten 21 M., was rd. 25,70 M. pro 100 kg entspricht. Das Motorenbenzin ist zurzeit für 30 bis 32 M. für 100 kg käuflich. Mit der höheren von beiden Zahlen sind die baren Brennstoffkosten pro PS-st für den Benzinmotor 11,23 Pfg., für den Spiritusmotor 17,41 Pfg., d. h. der Spiritusbetrieb ist um 55 vH teurer. Damit ist es ausgeschlossen, dass der Spiritusmotor mit dem Benzinmotor in wirtschaftlicher Hinsicht in Wettbewerb treten kann. Dass diese Folgerung nicht allein auf den vorliegenden Fall zutrifft, sondern allgemeine Gültigkeit haben dürfte, lässt sich aus dem mittleren Zahlenergebnis der Wettfahrt Paris-Roubaix mit Spiritusmotorwagen erkennen. Hier verbrauchte ein 6pferdiger Motor an Benzin 330,5 g, an Spiritus 758,8 g pro PS-st, was für die damaligen Pariser Brennstoffpreise bei Benzinbetrieb 0,325, bei Spiritusbetrieb 0,455 frs ausmachte. Der letztere Betrieb ist also rd. 40 vH teurer¹⁾.

Der billige Preis der Naphtha hat in Russland dazu geführt, sie in erheblichem Maße als Brennstoff für ortsfeste Kesselfeuerungen, auf Schiffen und für Lokomotiven zu verwenden. Auch im Hüttenwesen sind Naphthafeuerungen verschiedentlich versucht worden. Nach Mitteilungen von A. Byström in Jernkontorets Annaler wird die Naphtha neuerdings mit Erfolg als Brennstoff für Martinöfen verwendet. Bei den ersten Versuchen wurde die Naphtha in eine zwischen Heizkammer und Herd eingebaute Vorkammer eingetropfelt, hier vergast, mit Verbrennungsluft gemischt und im Ofen verbrannt. Bei der hierfür erforderlichen starken Erhitzung jedoch wurde die Vorkammer sehr stark angegriffen und verlangte vorzeitige Ausbesserungen; außerdem liefs sich die Verbrennung nicht gut regeln, und es war schwer, eine hohe und gleichzeitig gleichmäßige Temperatur zu erhalten. Bei den neueren Ausführungen wird daher die Naphtha mittels Körtzinger Zerstäuber von 1½ bis 2½ mm Ausflussöffnung in die Heizkammern eingeführt. Dabei lässt man einen Teil der Naphtha beim Eintritt in die Kammern verbrennen, um zu verhindern, dass der in ihr enthaltene Kohlenstoff, rd. 87,5 vH, teilweise verkockt und die Kanäle verstopft. Bei dieser Anordnung wird also das Naphthagas auf dem Wege zum Ofen stark vorgewärmt. Oder aber man bläst die Naphtha durch Zerstäuber unmittelbar in den Herdraum und wärmt nur die Verbrennungsluft vor, spart also die Gaskammern. Ein Ofen erhält dabei fünf Zerstäuber, von denen je zwei an den Enden und einer in der Mitte des Herdes angebracht ist. Die Zerstäuber erhalten Wasserkühlung, und es wird ein höherer Pressdruck als gewöhnlich verwendet, um die Naphtha so stark zu zerstäuben, dass sie vollständig verbrennt. Das Gewicht der verbrauchten Naphtha beträgt bei einem Ofen für 10 bis 15 t ungefähr ½ des erzeugten Stahles. Als Vorteile der Naphthafeuerung werden neben der Kostenersparnis angegeben: geringere Unterhaltungs- und Wartungskosten, einfachere Regelung der Temperatur, leichteres Abstellen des Ofens, höhere Temperatur im Ofen und das Fehlen von Schwefel im Heizgase. (Glückauf 23. November 1901)

Andrew Carnegie hat dem Iron and Steel Institute 64000 \$ zu dem Zwecke zur Verfügung gestellt, jährlich ein oder mehrere Stipendien, deren Höhe dem Belieben des Vorstandes überlassen ist, an geeignete Bewerber unter 35 Jahre ohne Rücksicht auf Geschlecht oder Nation zu verleihen. Die Stipendien sollen Personen, die ihre Studien vollendet haben oder in industriellen Werken ausgebildet worden sind, die Möglichkeit bieten, Untersuchungen auf eisenhüttenmännischem oder verwandten Gebieten durchzuführen. Die Wahl des Ortes, wo die fraglichen Untersuchungen ausgeführt werden sollen: Universitäten, technische Lehranstalten oder Werke, wird nicht beschränkt, vorausgesetzt, dass er für die Durchführung metallurgischer Untersuchungen passend eingerichtet ist. Jedes Stipendium wird für ein Jahr verliehen, doch steht es frei, es für einen weiteren Zeitraum zu verlängern. Die Untersuchungsergebnisse sollen dem Iron and Steel Institute bei seiner Jahresversammlung in Form einer Abhandlung vorgelegt werden.

¹⁾ Der Motorwagen 15. November 1901 S. 267.

Berichtigung.

Z. 1901 S. 1772 im Aufsatz von Wolff I. Sp. Z. 8 v. o. lies: „120°“ statt „20°“.

¹⁾ Z. 1897 S. 1317, 1455.



